Eigene Vorlage

Dossier zur Nutzenbewertung gemäß § 35a SGB V

Darolutamid (NUBEQA®)

Bayer Vital GmbH

Separater Anhang Modul 4 A
Figures Value Dossier

1. Datenschnitt

Stand: 01.05.2020

Value Dossier for Darolutamide - Grafiken

A multinational, randomised, double-blind, placebo-controlled, Phase III efficacy and safety study of darolutamide (ODM-201) in men with high-risk non-metastatic castration-resistant prostate cancer

ARAMIS

Bayer study drug	BAY1841788 / darolutamide		
Analysis purpose:	health economics		
Clinical study phase:	III	**Date:**	23 APR 2020
Study No.:	17712	**Version:**	1.0

Confidential

The information provided in this document is strictly confidential and is intended solely for the guidance of the clinical investigation. Reproduction or disclosure of this document, whether in part or in full, to parties not associated with the clinical investigation or its use for any other purpose without the prior written consent of the sponsor is not permitted.

Throughout this document, symbols indicating proprietary names (®, TM) are not displayed. Hence, the appearance of product names without these symbols does not imply that these names are not protected.

Table of contents

4. Plots 72
4.1 Rücklaufquoten 73
Figure 4.1 / 1: Rücklaufquoten für den BPI-SF bezogen auf die FAS-Population (full analysis set) 74
Figure 4.1 / 2: Rücklaufquoten für den BPI-SF bezogen auf die noch mögliche Anzahl an Patienten je Visite (full analysis set) 75
Figure 4.1 / 3: Rücklaufquoten für den EORTC-QLQ-PR25 - Bowel Symptoms Score bezogen auf die FAS-Population (full analysis set) 76
Figure 4.1 / 4: Rücklaufquoten für den EORTC-QLQ-PR25 - Bowel Symptoms Score bezogen auf die noch mögliche Anzahl an Patienten je Visite (full analysis set) 77
Figure 4.1 / 5: Rücklaufquoten für den EORTC-QLQ-PR25 - Hormonal Incontinence Aid Score bezogen auf die FAS-Population (full analysis set) 78
Figure 4.1 / 6: Rücklaufquoten für den EORTC-QLQ-PR25 - Hormonal Incontinence Aid Score bezogen auf die noch mögliche Anzahl an Patienten je Visite (full analysis set) 79
Figure 4.1 / 7: Rücklaufquoten für den EORTC-QLQ-PR25 - Hormonal Treatment-related Symptoms Score bezogen auf die FAS-Population (full analysis set) 80
Figure 4.1 / 8: Rücklaufquoten für den EORTC-QLQ-PR25 - Hormonal Treatment-related Symptoms Score bezogen auf die noch mögliche Anzahl an Patienten je Visite (full analysis set) 81
Figure 4.1 / 9: Rücklaufquoten für den EORTC-QLQ-PR25 - Sexual Activity Score bezogen auf die FAS-Population (full analysis set) 82
Figure 4.1 / 10: Rücklaufquoten für den EORTC-QLQ-PR25 - Sexual Activity Score bezogen auf die noch mögliche Anzahl an Patienten je Visite (full analysis set) 83
Figure 4.1 / 11: Rücklaufquoten für den EORTC-QLQ-PR25 - Sexual Functioning Score bezogen auf die FAS-Population (full analysis set) 84
Figure 4.1 / 12: Rücklaufquoten für den EORTC-QLQ-PR25 - Sexual Functioning Score bezogen auf die noch mögliche Anzahl an Patienten je Visite (full analysis set) 85
Figure 4.1 / 13: Rücklaufquoten für den EORTC-QLQ-PR25 - Urinary Symptom Score bezogen auf die FAS-Population (full analysis set) 86
Figure 4.1 / 14: Rücklaufquoten für den EORTC-QLQ-PR25 - Urinary Symptom Score bezogen auf die noch mögliche Anzahl an Patienten je Visite (full analysis set) 87
Figure 4.1 / 15: Rücklaufquoten für den EQ-5D VAS bezogen auf die FAS-Population (full analysis set) 88
Figure 4.1 / 16: Rücklaufquoten für den EQ-5D VAS bezogen auf die noch mögliche Anzahl an Patienten je Visite (full analysis set) 89
Figure 4.1 / 17: Rücklaufquoten für den FACT-P Total Score bezogen auf die FAS-Population (full analysis set) 90
Figure 4.1 / 18: Rücklaufquoten für den FACT-P Total Score bezogen auf die noch mögliche Anzahl an Patienten je Visite (full analysis set) 91
Figure 4.1 / 19: Rücklaufquoten für den PCS subscale score bezogen auf die FAS-Population (full analysis set) 92
Figure 4.1 / 20: Rücklaufquoten für den PCS subscale score bezogen auf die noch mögliche Anzahl an Patienten je Visite (full analysis set) 93

4.2 Analysen auf der Hauptebene (Gesamtpopulation) 94
4.2.1 Mortalität 94
Figure 4.2.1 / 1: Kaplan-Meier-Plot der Time-to-Event-Analyse nach Endpunkt - Endpunkt: Gesamtüberleben (OS) (full analysis set) 95
4.2.2 Morbidität 96
Figure 4.2.2 / 1: Kaplan-Meier-Plot der Time-to-Event-Analyse nach Endpunkt - Endpunkt: Progressionsfreies Überleben (PFS) - Metastasen an Baseline unzensiert (full analysis set) 97
Figure 4.2.2 / 2: Kaplan-Meier-Plot der Time-to-Event-Analyse nach Endpunkt - Endpunkt: Progressionsfreies Überleben (PFS) - Metastasen zensiert zum Randomisierungsdatum (full analysis set) 98
Figure 4.2.2 / 3: Kaplan-Meier-Plot der Time-to-Event-Analyse nach Endpunkt - Endpunkt: Metastasenfreies Überleben (MFS) - Metastasen an Baseline unzensiert (full analysis set) 99
Figure 4.2.2 / 4: Kaplan-Meier-Plot der Time-to-Event-Analyse nach Endpunkt - Endpunkt: Metastasenfreies Überleben (MFS) - Metastasen zensiert zum Randomisierungsdatum (full analysis set) 100
Figure 4.2.2 / 5: Kaplan-Meier-Plot der Time-to-Event-Analyse nach Endpunkt - Endpunkt: Zeit bis zur ersten zytotoxischen Chemotherapie (full analysis set) 101
Figure 4.2.2 / 6: Kaplan-Meier-Plot der Time-to-Event-Analyse nach Endpunkt - Endpunkt: Zeit bis zum ersten symptomatischen skelettalen Ereignis (SSE) (full analysis set) 102
Figure 4.2.2 / 7: Kaplan-Meier-Plot der Time-to-Event-Analyse nach Endpunkt - Endpunkt: Zeit bis zum ersten prostataspezifischen invasiven Verfahren (full analysis set) 103
Figure 4.2.2 / 8: Kaplan-Meier-Plot der Time-to-Event-Analyse nach Endpunkt - Endpunkt: Zeit bis zur antineoplastischen Therapie (full analysis set) 104
Figure 4.2.2 / 9: Kaplan-Meier-Plot der Time-to-Event-Analyse nach Endpunkt - Endpunkt: Zeit bis zur Schmerzprogression (BPI-SF) (full analysis set) 105
Figure 4.2.2 / 10: Kaplan-Meier-Plot der Time-to-Event-Analyse nach Endpunkt - Endpunkt: Zeit bis zur Verschlechterung >=2 des BPI-SF Item 3 (full analysis set) 106
Figure 4.2.2 / 11: Kaplan-Meier-Plot der Time-to-Event-Analyse nach Endpunkt - Endpunkt: Zeit bis zur Verbesserung >=2 des BPI-SF Item 3 (full analysis set) 107
Figure 4.2.2 / 12: Kaplan-Meier-Plot der Time-to-Event-Analyse nach Endpunkt - Endpunkt: Zeit bis zum ersten Opioideinsatz aufgrund krebsbedingter Schmerzen (full analysis set) 108
Figure 4.2.2 / 13: Kaplan-Meier-Plot der Time-to-Event-Analyse nach Endpunkt - Endpunkt: Zeit bis zur Verschlechterung >=7 des EQ-5D Visual Analog scale (full analysis set) 109
Figure 4.2.2 / 14: Kaplan-Meier-Plot der Time-to-Event-Analyse nach Endpunkt - Endpunkt: Zeit bis zur Verschlechterung >=10 des EQ-5D Visual Analog scale (full analysis set) 110
Figure 4.2.2 / 15: Kaplan-Meier-Plot der Time-to-Event-Analyse nach Endpunkt - Endpunkt: Zeit bis zur Verbesserung >=7 des EQ-5D Visual Analog scale (full analysis set) 111
Figure 4.2.2 / 16: Kaplan-Meier-Plot der Time-to-Event-Analyse nach Endpunkt - Endpunkt: Zeit bis zur Verbesserung >=10 des EQ-5D Visual Analog scale (full analysis set) 112
4.2.3 Gesundheitsbezogene Lebensqualität 113

Figure 4.2.3 / 1: Kaplan-Meier-Plot der Time-to-Event-Analyse nach Endpunkt - Endpunkt: Zeit bis zur Verschlechterung >=3 des FACT-P Prostate Cancer Score (full analysis set) 114
Figure 4.2.3 / 2: Kaplan-Meier-Plot der Time-to-Event-Analyse nach Endpunkt - Endpunkt: Zeit bis zur Verschlechterung >=8 des EORTC-QLQ-PR25 Bowel Symptoms Score (full analysis set) 115
Figure 4.2.3 / 3: Kaplan-Meier-Plot der Time-to-Event-Analyse nach Endpunkt - Endpunkt: Zeit bis zur Verschlechterung >=8 des EORTC-QLQ-PR25 Hormonal Incontinence Aid Score (full analysis set) 116
Figure 4.2.3 / 4: Kaplan-Meier-Plot der Time-to-Event-Analyse nach Endpunkt - Endpunkt: Zeit bis zur Verschlechterung >=8 des EORTC-QLQ-PR25 Hormonal Treatment-related Symptoms Score (full analysis set) 117
Figure 4.2.3 / 5: Kaplan-Meier-Plot der Time-to-Event-Analyse nach Endpunkt - Endpunkt: Zeit bis zur Verschlechterung >=8 des EORTC-QLQ-PR25 Sexual Activity Score (full analysis set) 118
Figure 4.2.3 / 6: Kaplan-Meier-Plot der Time-to-Event-Analyse nach Endpunkt - Endpunkt: Zeit bis zur Verschlechterung >=8 des EORTC-QLQ-PR25 Sexual Functioning Score (full analysis set) 119
Figure 4.2.3 / 7: Kaplan-Meier-Plot der Time-to-Event-Analyse nach Endpunkt - Endpunkt: Zeit bis zur Verschlechterung >=8 des EORTC-QLQ-PR25 Urinary Symptom Score (full analysis set) 120
Figure 4.2.3 / 8: Kaplan-Meier-Plot der Time-to-Event-Analyse nach Endpunkt - Endpunkt: Zeit bis zur Verbesserung >=3 des FACT-P Prostate Cancer Score (full analysis set) 121
Figure 4.2.3 / 9: Kaplan-Meier-Plot der Time-to-Event-Analyse nach Endpunkt - Endpunkt: Zeit bis zur Verbesserung >=8 des EORTC-QLQ-PR25 Bowel Symptoms Score (full analysis set) 122
Figure 4.2.3 / 10: Kaplan-Meier-Plot der Time-to-Event-Analyse nach Endpunkt - Endpunkt: Zeit bis zur Verbesserung >=8 des EORTC-QLQ-PR25 Hormonal Incontinence Aid Score (full analysis set) 123
Figure 4.2.3 / 11: Kaplan-Meier-Plot der Time-to-Event-Analyse nach Endpunkt - Endpunkt: Zeit bis zur Verbesserung >=8 des EORTC-QLQ-PR25 Hormonal Treatment-related Symptoms Score (full analysis set) 124
Figure 4.2.3 / 12: Kaplan-Meier-Plot der Time-to-Event-Analyse nach Endpunkt - Endpunkt: Zeit bis zur Verbesserung >=8 des EORTC-QLQ-PR25 Sexual Activity Score (full analysis set) 125
Figure 4.2.3 / 13: Kaplan-Meier-Plot der Time-to-Event-Analyse nach Endpunkt - Endpunkt: Zeit bis zur Verbesserung >=8 des EORTC-QLQ-PR25 Sexual Functioning Score (full analysis set) 126
Figure 4.2.3 / 14: Kaplan-Meier-Plot der Time-to-Event-Analyse nach Endpunkt - Endpunkt: Zeit bis zur Verbesserung >=8 des EORTC-QLQ-PR25 Urinary Symptom Score (full analysis set) 127
4.2.4 Sicherheit und Verträglichkeit 128
Figure 4.2.4 / 1: Kaplan-Meier-Plot der Unerwünschte Ereignisse Time-to-Event-Analyse nach Endpunkt - Endpunkt: Zeit bis zum ersten SUE (full analysis set) 129
Figure 4.2.4 / 2: Kaplan-Meier-Plot der Unerwünschte Ereignisse Time-to-Event-Analyse nach Endpunkt - Endpunkt: Zeit bis zum ersten unter der Behandlung aufgetretenen SUE (TESAE) (full analysis set) 130

Figure 4.2.4 / 3: Kaplan-Meier-Plot der Unerwünschte Ereignisse Time-to-Event-Analyse nach Endpunkt - Endpunkt: Zeit bis zum ersten behandlungsbedingten SUE (TRSAE) (full analysis set) 131

Figure 4.2.4 / 4: Kaplan-Meier-Plot der Unerwünschte Ereignisse Time-to-Event-Analyse nach Endpunkt - Endpunkt: Zeit bis zum ersten SUE mit Ausnahme krankheitsbedingter Ereignisse (full analysis set) 132

Figure 4.2.4 / 5: Kaplan-Meier-Plot der Unerwünschte Ereignisse Time-to-Event-Analyse nach Endpunkt - Endpunkt: Zeit bis zum ersten UE mit CTCAE Grad >=3 (full analysis set) 133

Figure 4.2.4 / 6: Kaplan-Meier-Plot der Unerwünschte Ereignisse Time-to-Event-Analyse nach Endpunkt - Endpunkt: Zeit bis zum ersten UE mit CTCAE Grad >=3 mit Ausnahme krankheitsbedingter Ereignisse (full analysis set) 134

Figure 4.2.4 / 7: Kaplan-Meier-Plot der Unerwünschte Ereignisse Time-to-Event-Analyse nach Endpunkt - Endpunkt: Zeit bis zum ersten UE das zum Tod führt (full analysis set) 135

Figure 4.2.4 / 8: Kaplan-Meier-Plot der Unerwünschte Ereignisse Time-to-Event-Analyse nach Endpunkt - Endpunkt: Zeit bis zum ersten UE (full analysis set) 136

Figure 4.2.4 / 9: Kaplan-Meier-Plot der Unerwünschte Ereignisse Time-to-Event-Analyse nach Endpunkt - Endpunkt: Zeit bis zum ersten UE mit Ausnahme krankheitsbedingter Ereignisse (full analysis set) 137

Figure 4.2.4 / 10: Kaplan-Meier-Plot der Unerwünschte Ereignisse Time-to-Event-Analyse nach Endpunkt - Endpunkt: Zeit bis zum ersten UE mit CTCAE Grad <3 (full analysis set) 138

Figure 4.2.4 / 11: Kaplan-Meier-Plot der Unerwünschte Ereignisse Time-to-Event-Analyse nach Endpunkt - Endpunkt: Zeit bis zum ersten unter der Behandlung aufgetretenen UE (TEAE) (full analysis set) 139

Figure 4.2.4 / 12: Kaplan-Meier-Plot der Unerwünschte Ereignisse Time-to-Event-Analyse nach Endpunkt - Endpunkt: Zeit bis zum ersten behandlungsbedingten UE (TRAE) (full analysis set) 140

Figure 4.2.4 / 13: Kaplan-Meier-Plot der Unerwünschte Ereignisse Time-to-Event-Analyse nach Endpunkt - Endpunkt: Zeit bis zum ersten zum Therapieabbruch führenden Ereignis (full analysis set) 141

Figure 4.2.4 / 14: Kaplan-Meier-Plot der 'Unerwünschte Ereignisse von besonderem Interesse' Time-to-Event-Analyse nach Endpunkt - Endpunkt: Zeit bis zum ersten UE von besonderem Interesse: Bone fractures (full analysis set) 142

Figure 4.2.4 / 15: Kaplan-Meier-Plot der 'Unerwünschte Ereignisse von besonderem Interesse' Time-to-Event-Analyse nach Endpunkt - Endpunkt: Zeit bis zum ersten UE von besonderem Interesse mit CTCAE Grad <3: Bone fractures (full analysis set) 143

Figure 4.2.4 / 16: Kaplan-Meier-Plot der 'Unerwünschte Ereignisse von besonderem Interesse' Time-to-Event-Analyse nach Endpunkt - Endpunkt: Zeit bis zum ersten UE von besonderem Interesse mit CTCAE Grad >=3: Bone fractures (full analysis set) 144

Figure 4.2.4 / 17: Kaplan-Meier-Plot der 'Unerwünschte Ereignisse von besonderem Interesse' Time-to-Event-Analyse nach Endpunkt - Endpunkt: Zeit bis zum ersten UE von besonderem Interesse: Fall (full analysis set) 145

Figure 4.2.4 / 18: Kaplan-Meier-Plot der 'Unerwünschte Ereignisse von besonderem Interesse' Time-to-Event-Analyse nach Endpunkt - Endpunkt: Zeit bis zum ersten UE von besonderem Interesse mit CTCAE Grad <3: Fall (full analysis set) 146

Figure 4.2.4 / 19: Kaplan-Meier-Plot der 'Unerwünschte Ereignisse von besonderem Interesse' Time-to-Event-Analyse nach Endpunkt - Endpunkt: Zeit bis zum ersten UE von besonderem Interesse mit CTCAE Grad >=3: Fall (full analysis set) 147

Figure 4.2.4 / 20: Kaplan-Meier-Plot der 'Unerwünschte Ereignisse von besonderem Interesse' Time-to-Event-Analyse nach Endpunkt - Endpunkt: Zeit bis zum ersten UE von besonderem Interesse: Seizure (full analysis set) 148

Figure 4.2.4 / 21: Kaplan-Meier-Plot der 'Unerwünschte Ereignisse von besonderem Interesse' Time-to-Event-Analyse nach Endpunkt - Endpunkt: Zeit bis zum ersten UE von besonderem Interesse mit CTCAE Grad <3: Seizure (full analysis set)..... 149

Figure 4.2.4 / 22: Kaplan-Meier-Plot der 'Unerwünschte Ereignisse von besonderem Interesse' Time-to-Event-Analyse nach Endpunkt - Endpunkt: Zeit bis zum ersten UE von besonderem Interesse: Fatigue (full analysis set) 150

Figure 4.2.4 / 23: Kaplan-Meier-Plot der 'Unerwünschte Ereignisse von besonderem Interesse' Time-to-Event-Analyse nach Endpunkt - Endpunkt: Zeit bis zum ersten UE von besonderem Interesse mit CTCAE Grad <3: Fatigue (full analysis set)..... 151

Figure 4.2.4 / 24: Kaplan-Meier-Plot der 'Unerwünschte Ereignisse von besonderem Interesse' Time-to-Event-Analyse nach Endpunkt - Endpunkt: Zeit bis zum ersten UE von besonderem Interesse mit CTCAE Grad >=3: Fatigue (full analysis set) 152

Figure 4.2.4 / 25: Kaplan-Meier-Plot der 'Unerwünschte Ereignisse von besonderem Interesse' Time-to-Event-Analyse nach Endpunkt - Endpunkt: Zeit bis zum ersten UE von besonderem Interesse: Weight decreased (full analysis set)..... 153

Figure 4.2.4 / 26: Kaplan-Meier-Plot der 'Unerwünschte Ereignisse von besonderem Interesse' Time-to-Event-Analyse nach Endpunkt - Endpunkt: Zeit bis zum ersten UE von besonderem Interesse mit CTCAE Grad <3: Weight decreased (full analysis set) 154

Figure 4.2.4 / 27: Kaplan-Meier-Plot der 'Unerwünschte Ereignisse von besonderem Interesse' Time-to-Event-Analyse nach Endpunkt - Endpunkt: Zeit bis zum ersten UE von besonderem Interesse: Pneumonia and Pneumonitis (full analysis set) 155

Figure 4.2.4 / 28: Kaplan-Meier-Plot der 'Unerwünschte Ereignisse von besonderem Interesse' Time-to-Event-Analyse nach Endpunkt - Endpunkt: Zeit bis zum ersten UE von besonderem Interesse mit CTCAE Grad <3: Pneumonia and Pneumonitis (full analysis set) 156

Figure 4.2.4 / 29: Kaplan-Meier-Plot der 'Unerwünschte Ereignisse von besonderem Interesse' Time-to-Event-Analyse nach Endpunkt - Endpunkt: Zeit bis zum ersten UE von besonderem Interesse mit CTCAE Grad >=3: Pneumonia and Pneumonitis (full analysis set) 157

Figure 4.2.4 / 30: Kaplan-Meier-Plot der 'Unerwünschte Ereignisse von besonderem Interesse' Time-to-Event-Analyse nach Endpunkt - Endpunkt: Zeit bis zum ersten UE von besonderem Interesse: Diabetes mellitus and Hyperglycaemia (full analysis set) 158

Figure 4.2.4 / 31: Kaplan-Meier-Plot der 'Unerwünschte Ereignisse von besonderem Interesse' Time-to-Event-Analyse nach Endpunkt - Endpunkt: Zeit bis zum ersten UE von besonderem Interesse mit CTCAE Grad <3: Diabetes mellitus and Hyperglycaemia (full analysis set) 159

Figure 4.2.4 / 32: Kaplan-Meier-Plot der 'Unerwünschte Ereignisse von besonderem Interesse' Time-to-Event-Analyse nach Endpunkt - Endpunkt: Zeit bis zum ersten UE von besonderem Interesse mit CTCAE Grad >=3: Diabetes mellitus and Hyperglycaemia (full analysis set) 160

Figure 4.2.4 / 33: Kaplan-Meier-Plot der 'Unerwünschte Ereignisse von besonderem Interesse' Time-to-Event-Analyse nach Endpunkt - Endpunkt: Zeit bis zum ersten UE von besonderem Interesse: Renal impairment (full analysis set) 161

Figure 4.2.4 / 34: Kaplan-Meier-Plot der 'Unerwünschte Ereignisse von besonderem Interesse' Time-to-Event-Analyse nach Endpunkt - Endpunkt: Zeit bis zum ersten UE von besonderem Interesse mit CTCAE Grad <3: Renal impairment (full analysis set) 162

Figure 4.2.4 / 35: Kaplan-Meier-Plot der 'Unerwünschte Ereignisse von besonderem Interesse' Time-to-Event-Analyse nach Endpunkt - Endpunkt: Zeit bis zum ersten UE von besonderem Interesse mit CTCAE Grad >=3: Renal impairment (full analysis set) 163

Figure 4.2.4 / 36: Kaplan-Meier-Plot der 'Unerwünschte Ereignisse von besonderem Interesse' Time-to-Event-Analyse nach Endpunkt - Endpunkt: Zeit bis zum ersten UE von besonderem Interesse: Rash (full analysis set) 164

Figure 4.2.4 / 37: Kaplan-Meier-Plot der 'Unerwünschte Ereignisse von besonderem Interesse' Time-to-Event-Analyse nach Endpunkt - Endpunkt: Zeit bis zum ersten UE von besonderem Interesse mit CTCAE Grad <3: Rash (full analysis set) 165

Figure 4.2.4 / 38: Kaplan-Meier-Plot der 'Unerwünschte Ereignisse von besonderem Interesse' Time-to-Event-Analyse nach Endpunkt - Endpunkt: Zeit bis zum ersten UE von besonderem Interesse: Dizziness (full analysis set) 166

Figure 4.2.4 / 39: Kaplan-Meier-Plot der 'Unerwünschte Ereignisse von besonderem Interesse' Time-to-Event-Analyse nach Endpunkt - Endpunkt: Zeit bis zum ersten UE von besonderem Interesse mit CTCAE Grad <3: Dizziness (full analysis set) 167

Figure 4.2.4 / 40: Kaplan-Meier-Plot der 'Unerwünschte Ereignisse von besonderem Interesse' Time-to-Event-Analyse nach Endpunkt - Endpunkt: Zeit bis zum ersten UE von besonderem Interesse mit CTCAE Grad >=3: Dizziness (full analysis set) 168

Figure 4.2.4 / 41: Kaplan-Meier-Plot der 'Unerwünschte Ereignisse von besonderem Interesse' Time-to-Event-Analyse nach Endpunkt - Endpunkt: Zeit bis zum ersten UE von besonderem Interesse: Cerebral ischaemia (full analysis set) 169

Figure 4.2.4 / 42: Kaplan-Meier-Plot der 'Unerwünschte Ereignisse von besonderem Interesse' Time-to-Event-Analyse nach Endpunkt - Endpunkt: Zeit bis zum ersten UE von besonderem Interesse mit CTCAE Grad <3: Cerebral ischaemia (full analysis set) 170

Figure 4.2.4 / 43: Kaplan-Meier-Plot der 'Unerwünschte Ereignisse von besonderem Interesse' Time-to-Event-Analyse nach Endpunkt - Endpunkt: Zeit bis zum ersten UE von besonderem Interesse mit CTCAE Grad >=3: Cerebral ischaemia (full analysis set) 171

Figure 4.2.4 / 44: Kaplan-Meier-Plot der 'UE, die die Cutoff-Kriterien erfüllen TTE-Analyse' nach Endpunkt - Endpunkt: Zeit bis zum ersten SUE das die Cutoff-Kriterien auf MedDRA SOC Ebene erfüllt (Monate) - SOC: Cardiac disorders (10007541) (full analysis set) 172

Figure 4.2.4 / 45: Kaplan-Meier-Plot der 'UE, die die Cutoff-Kriterien erfüllen TTE-Analyse' nach Endpunkt - Endpunkt: Zeit bis zum ersten SUE das die Cutoff-Kriterien auf MedDRA SOC Ebene erfüllt (Monate) - SOC: Renal and urinary disorders (10038359) (full analysis set) 173

Figure 4.2.4 / 46: Kaplan-Meier-Plot der 'UE, die die Cutoff-Kriterien erfüllen TTE-Analyse' nach Endpunkt - Endpunkt: Zeit bis zum ersten unter der Behandlung aufgetretenen SUE (TESAE) das die Cutoff-Kriterien auf MedDRA SOC Ebene erfüllt (Monate) - SOC: Cardiac disorders (10007541) (full analysis set) 174

Figure 4.2.4 / 47: Kaplan-Meier-Plot der 'UE, die die Cutoff-Kriterien erfüllen TTE-Analyse' nach Endpunkt - Endpunkt: Zeit bis zum ersten unter der Behandlung aufgetretenen SUE (TESAE) das die Cutoff-Kriterien auf MedDRA SOC

Ebene erfüllt (Monate) - SOC: Renal and urinary disorders (10038359) (full analysis set) 175
Figure 4.2.4 / 48: Kaplan-Meier-Plot der 'UE, die die Cutoff-Kriterien erfüllen TTE-Analyse' nach Endpunkt - Endpunkt: Zeit bis zum ersten UE mit CTCAE Grad >=3 das die Cutoff-Kriterien auf MedDRA SOC Ebene erfüllt (Monate) - SOC: Cardiac disorders (10007541) (full analysis set) 176
Figure 4.2.4 / 49: Kaplan-Meier-Plot der 'UE, die die Cutoff-Kriterien erfüllen TTE-Analyse' nach Endpunkt - Endpunkt: Zeit bis zum ersten UE mit CTCAE Grad >=3 das die Cutoff-Kriterien auf MedDRA SOC Ebene erfüllt (Monate) - SOC: Renal and urinary disorders (10038359) (full analysis set) 177
Figure 4.2.4 / 50: Kaplan-Meier-Plot der 'UE, die die Cutoff-Kriterien erfüllen TTE-Analyse' nach Endpunkt - Endpunkt: Zeit bis zum ersten UE das die Cutoff-Kriterien auf MedDRA SOC Ebene erfüllt (Monate) - SOC: Blood and lymphatic system disorders (10005329) (full analysis set) 178
Figure 4.2.4 / 51: Kaplan-Meier-Plot der 'UE, die die Cutoff-Kriterien erfüllen TTE-Analyse' nach Endpunkt - Endpunkt: Zeit bis zum ersten UE das die Cutoff-Kriterien auf MedDRA SOC Ebene erfüllt (Monate) - SOC: Cardiac disorders (10007541) (full analysis set) 179
Figure 4.2.4 / 52: Kaplan-Meier-Plot der 'UE, die die Cutoff-Kriterien erfüllen TTE-Analyse' nach Endpunkt - Endpunkt: Zeit bis zum ersten UE das die Cutoff-Kriterien auf MedDRA SOC Ebene erfüllt (Monate) - SOC: Ear and labyrinth disorders (10013993) (full analysis set) 180
Figure 4.2.4 / 53: Kaplan-Meier-Plot der 'UE, die die Cutoff-Kriterien erfüllen TTE-Analyse' nach Endpunkt - Endpunkt: Zeit bis zum ersten UE das die Cutoff-Kriterien auf MedDRA SOC Ebene erfüllt (Monate) - SOC: Endocrine disorders (10014698) (full analysis set) 181
Figure 4.2.4 / 54: Kaplan-Meier-Plot der 'UE, die die Cutoff-Kriterien erfüllen TTE-Analyse' nach Endpunkt - Endpunkt: Zeit bis zum ersten UE das die Cutoff-Kriterien auf MedDRA SOC Ebene erfüllt (Monate) - SOC: Eye disorders (10015919) (full analysis set) 182
Figure 4.2.4 / 55: Kaplan-Meier-Plot der 'UE, die die Cutoff-Kriterien erfüllen TTE-Analyse' nach Endpunkt - Endpunkt: Zeit bis zum ersten UE das die Cutoff-Kriterien auf MedDRA SOC Ebene erfüllt (Monate) - SOC: Gastrointestinal disorders (10017947) (full analysis set) 183
Figure 4.2.4 / 56: Kaplan-Meier-Plot der 'UE, die die Cutoff-Kriterien erfüllen TTE-Analyse' nach Endpunkt - Endpunkt: Zeit bis zum ersten UE das die Cutoff-Kriterien auf MedDRA SOC Ebene erfüllt (Monate) - SOC: General disorders and administration site conditions (10018065) (full analysis set) 184
Figure 4.2.4 / 57: Kaplan-Meier-Plot der 'UE, die die Cutoff-Kriterien erfüllen TTE-Analyse' nach Endpunkt - Endpunkt: Zeit bis zum ersten UE das die Cutoff-Kriterien auf MedDRA SOC Ebene erfüllt (Monate) - SOC: Hepatobiliary disorders (10019805) (full analysis set) 185
Figure 4.2.4 / 58: Kaplan-Meier-Plot der 'UE, die die Cutoff-Kriterien erfüllen TTE-Analyse' nach Endpunkt - Endpunkt: Zeit bis zum ersten UE das die Cutoff-Kriterien auf MedDRA SOC Ebene erfüllt (Monate) - SOC: Immune system disorders (10021428) (full analysis set) 186
Figure 4.2.4 / 59: Kaplan-Meier-Plot der 'UE, die die Cutoff-Kriterien erfüllen TTE-Analyse' nach Endpunkt - Endpunkt: Zeit bis zum ersten UE das die Cutoff-Kriterien auf MedDRA SOC Ebene erfüllt (Monate) - SOC: Infections and infestations (10021881) (full analysis set) 187

Figure 4.2.4 / 60: Kaplan-Meier-Plot der 'UE, die die Cutoff-Kriterien erfüllen TTE-Analyse' nach Endpunkt - Endpunkt: Zeit bis zum ersten UE das die Cutoff-Kriterien auf MedDRA SOC Ebene erfüllt (Monate) - SOC: Injury, poisoning and procedural complications (10022117) (full analysis set) 188

Figure 4.2.4 / 61: Kaplan-Meier-Plot der 'UE, die die Cutoff-Kriterien erfüllen TTE-Analyse' nach Endpunkt - Endpunkt: Zeit bis zum ersten UE das die Cutoff-Kriterien auf MedDRA SOC Ebene erfüllt (Monate) - SOC: Investigations (10022891) (full analysis set)..... 189

Figure 4.2.4 / 62: Kaplan-Meier-Plot der 'UE, die die Cutoff-Kriterien erfüllen TTE-Analyse' nach Endpunkt - Endpunkt: Zeit bis zum ersten UE das die Cutoff-Kriterien auf MedDRA SOC Ebene erfüllt (Monate) - SOC: Metabolism and nutrition disorders (10027433) (full analysis set) 190

Figure 4.2.4 / 63: Kaplan-Meier-Plot der 'UE, die die Cutoff-Kriterien erfüllen TTE-Analyse' nach Endpunkt - Endpunkt: Zeit bis zum ersten UE das die Cutoff-Kriterien auf MedDRA SOC Ebene erfüllt (Monate) - SOC: Musculoskeletal and connective tissue disorders (10028395) (full analysis set)..... 191

Figure 4.2.4 / 64: Kaplan-Meier-Plot der 'UE, die die Cutoff-Kriterien erfüllen TTE-Analyse' nach Endpunkt - Endpunkt: Zeit bis zum ersten UE das die Cutoff-Kriterien auf MedDRA SOC Ebene erfüllt (Monate) - SOC: Neoplasms benign, malignant and unspecified (incl cysts and polyps) (10029104) (full analysis set)..... 192

Figure 4.2.4 / 65: Kaplan-Meier-Plot der 'UE, die die Cutoff-Kriterien erfüllen TTE-Analyse' nach Endpunkt - Endpunkt: Zeit bis zum ersten UE das die Cutoff-Kriterien auf MedDRA SOC Ebene erfüllt (Monate) - SOC: Nervous system disorders (10029205) (full analysis set) 193

Figure 4.2.4 / 66: Kaplan-Meier-Plot der 'UE, die die Cutoff-Kriterien erfüllen TTE-Analyse' nach Endpunkt - Endpunkt: Zeit bis zum ersten UE das die Cutoff-Kriterien auf MedDRA SOC Ebene erfüllt (Monate) - SOC: Product issues (10077536) (full analysis set)..... 194

Figure 4.2.4 / 67: Kaplan-Meier-Plot der 'UE, die die Cutoff-Kriterien erfüllen TTE-Analyse' nach Endpunkt - Endpunkt: Zeit bis zum ersten UE das die Cutoff-Kriterien auf MedDRA SOC Ebene erfüllt (Monate) - SOC: Psychiatric disorders (10037175) (full analysis set)..... 195

Figure 4.2.4 / 68: Kaplan-Meier-Plot der 'UE, die die Cutoff-Kriterien erfüllen TTE-Analyse' nach Endpunkt - Endpunkt: Zeit bis zum ersten UE das die Cutoff-Kriterien auf MedDRA SOC Ebene erfüllt (Monate) - SOC: Renal and urinary disorders (10038359) (full analysis set) 196

Figure 4.2.4 / 69: Kaplan-Meier-Plot der 'UE, die die Cutoff-Kriterien erfüllen TTE-Analyse' nach Endpunkt - Endpunkt: Zeit bis zum ersten UE das die Cutoff-Kriterien auf MedDRA SOC Ebene erfüllt (Monate) - SOC: Reproductive system and breast disorders (10038604) (full analysis set)..... 197

Figure 4.2.4 / 70: Kaplan-Meier-Plot der 'UE, die die Cutoff-Kriterien erfüllen TTE-Analyse' nach Endpunkt - Endpunkt: Zeit bis zum ersten UE das die Cutoff-Kriterien auf MedDRA SOC Ebene erfüllt (Monate) - SOC: Respiratory, thoracic and mediastinal disorders (10038738) (full analysis set)..... 198

Figure 4.2.4 / 71: Kaplan-Meier-Plot der 'UE, die die Cutoff-Kriterien erfüllen TTE-Analyse' nach Endpunkt - Endpunkt: Zeit bis zum ersten UE das die Cutoff-Kriterien auf MedDRA SOC Ebene erfüllt (Monate) - SOC: Skin and subcutaneous tissue disorders (10040785) (full analysis set) 199

Figure 4.2.4 / 72: Kaplan-Meier-Plot der 'UE, die die Cutoff-Kriterien erfüllen TTE-Analyse' nach Endpunkt - Endpunkt: Zeit bis zum ersten UE das die Cutoff-Kriterien

auf MedDRA SOC Ebene erfüllt (Monate) - SOC: Surgical and medical procedures (10042613) (full analysis set) 200
Figure 4.2.4 / 73: Kaplan-Meier-Plot der 'UE, die die Cutoff-Kriterien erfüllen TTE-Analyse' nach Endpunkt - Endpunkt: Zeit bis zum ersten UE das die Cutoff-Kriterien auf MedDRA SOC Ebene erfüllt (Monate) - SOC: Vascular disorders (10047065) (full analysis set) 201
Figure 4.2.4 / 74: Kaplan-Meier-Plot der 'UE, die die Cutoff-Kriterien erfüllen TTE-Analyse' nach Endpunkt - Endpunkt: Zeit bis zum ersten UE das die Cutoff-Kriterien auf MedDRA PT Ebene erfüllt (Monate) - PT: Abdominal distension (10000060) (full analysis set) 202
Figure 4.2.4 / 75: Kaplan-Meier-Plot der 'UE, die die Cutoff-Kriterien erfüllen TTE-Analyse' nach Endpunkt - Endpunkt: Zeit bis zum ersten UE das die Cutoff-Kriterien auf MedDRA PT Ebene erfüllt (Monate) - PT: Abdominal pain (10000081) (full analysis set) 203
Figure 4.2.4 / 76: Kaplan-Meier-Plot der 'UE, die die Cutoff-Kriterien erfüllen TTE-Analyse' nach Endpunkt - Endpunkt: Zeit bis zum ersten UE das die Cutoff-Kriterien auf MedDRA PT Ebene erfüllt (Monate) - PT: Abdominal pain upper (10000087) (full analysis set) 204
Figure 4.2.4 / 77: Kaplan-Meier-Plot der 'UE, die die Cutoff-Kriterien erfüllen TTE-Analyse' nach Endpunkt - Endpunkt: Zeit bis zum ersten UE das die Cutoff-Kriterien auf MedDRA PT Ebene erfüllt (Monate) - PT: Adrenal adenoma (10001323) (full analysis set) 205
Figure 4.2.4 / 78: Kaplan-Meier-Plot der 'UE, die die Cutoff-Kriterien erfüllen TTE-Analyse' nach Endpunkt - Endpunkt: Zeit bis zum ersten UE das die Cutoff-Kriterien auf MedDRA PT Ebene erfüllt (Monate) - PT: Anaemia (10002034) (full analysis set) 206
Figure 4.2.4 / 79: Kaplan-Meier-Plot der 'UE, die die Cutoff-Kriterien erfüllen TTE-Analyse' nach Endpunkt - Endpunkt: Zeit bis zum ersten UE das die Cutoff-Kriterien auf MedDRA PT Ebene erfüllt (Monate) - PT: Angina pectoris (10002383) (full analysis set) 207
Figure 4.2.4 / 80: Kaplan-Meier-Plot der 'UE, die die Cutoff-Kriterien erfüllen TTE-Analyse' nach Endpunkt - Endpunkt: Zeit bis zum ersten UE das die Cutoff-Kriterien auf MedDRA PT Ebene erfüllt (Monate) - PT: Aortic arteriosclerosis (10065558) (full analysis set) 208
Figure 4.2.4 / 81: Kaplan-Meier-Plot der 'UE, die die Cutoff-Kriterien erfüllen TTE-Analyse' nach Endpunkt - Endpunkt: Zeit bis zum ersten UE das die Cutoff-Kriterien auf MedDRA PT Ebene erfüllt (Monate) - PT: Arrhythmia (10003119) (full analysis set) 209
Figure 4.2.4 / 82: Kaplan-Meier-Plot der 'UE, die die Cutoff-Kriterien erfüllen TTE-Analyse' nach Endpunkt - Endpunkt: Zeit bis zum ersten UE das die Cutoff-Kriterien auf MedDRA PT Ebene erfüllt (Monate) - PT: Arthralgia (10003239) (full analysis set) 210
Figure 4.2.4 / 83: Kaplan-Meier-Plot der 'UE, die die Cutoff-Kriterien erfüllen TTE-Analyse' nach Endpunkt - Endpunkt: Zeit bis zum ersten UE das die Cutoff-Kriterien auf MedDRA PT Ebene erfüllt (Monate) - PT: Aspartate aminotransferase increased (10003481) (full analysis set) 211
Figure 4.2.4 / 84: Kaplan-Meier-Plot der 'UE, die die Cutoff-Kriterien erfüllen TTE-Analyse' nach Endpunkt - Endpunkt: Zeit bis zum ersten UE das die Cutoff-Kriterien auf MedDRA PT Ebene erfüllt (Monate) - PT: Asthenia (10003549) (full analysis set) 212

Figure 4.2.4 / 85: Kaplan-Meier-Plot der 'UE, die die Cutoff-Kriterien erfüllen TTE-Analyse' nach Endpunkt - Endpunkt: Zeit bis zum ersten UE das die Cutoff-Kriterien auf MedDRA PT Ebene erfüllt (Monate) - PT: Atrial fibrillation (10003658) (full analysis set) 213

Figure 4.2.4 / 86: Kaplan-Meier-Plot der 'UE, die die Cutoff-Kriterien erfüllen TTE-Analyse' nach Endpunkt - Endpunkt: Zeit bis zum ersten UE das die Cutoff-Kriterien auf MedDRA PT Ebene erfüllt (Monate) - PT: Back pain (10003988) (full analysis set) 214

Figure 4.2.4 / 87: Kaplan-Meier-Plot der 'UE, die die Cutoff-Kriterien erfüllen TTE-Analyse' nach Endpunkt - Endpunkt: Zeit bis zum ersten UE das die Cutoff-Kriterien auf MedDRA PT Ebene erfüllt (Monate) - PT: Blood creatinine increased (10005483) (full analysis set) 215

Figure 4.2.4 / 88: Kaplan-Meier-Plot der 'UE, die die Cutoff-Kriterien erfüllen TTE-Analyse' nach Endpunkt - Endpunkt: Zeit bis zum ersten UE das die Cutoff-Kriterien auf MedDRA PT Ebene erfüllt (Monate) - PT: Bradycardia (10006093) (full analysis set) 216

Figure 4.2.4 / 89: Kaplan-Meier-Plot der 'UE, die die Cutoff-Kriterien erfüllen TTE-Analyse' nach Endpunkt - Endpunkt: Zeit bis zum ersten UE das die Cutoff-Kriterien auf MedDRA PT Ebene erfüllt (Monate) - PT: Bronchitis (10006451) (full analysis set) 217

Figure 4.2.4 / 90: Kaplan-Meier-Plot der 'UE, die die Cutoff-Kriterien erfüllen TTE-Analyse' nach Endpunkt - Endpunkt: Zeit bis zum ersten UE das die Cutoff-Kriterien auf MedDRA PT Ebene erfüllt (Monate) - PT: Cardiac failure (10007554) (full analysis set) 218

Figure 4.2.4 / 91: Kaplan-Meier-Plot der 'UE, die die Cutoff-Kriterien erfüllen TTE-Analyse' nach Endpunkt - Endpunkt: Zeit bis zum ersten UE das die Cutoff-Kriterien auf MedDRA PT Ebene erfüllt (Monate) - PT: Chest pain (10008479) (full analysis set) 219

Figure 4.2.4 / 92: Kaplan-Meier-Plot der 'UE, die die Cutoff-Kriterien erfüllen TTE-Analyse' nach Endpunkt - Endpunkt: Zeit bis zum ersten UE das die Cutoff-Kriterien auf MedDRA PT Ebene erfüllt (Monate) - PT: Cholelithiasis (10008629) (full analysis set) 220

Figure 4.2.4 / 93: Kaplan-Meier-Plot der 'UE, die die Cutoff-Kriterien erfüllen TTE-Analyse' nach Endpunkt - Endpunkt: Zeit bis zum ersten UE das die Cutoff-Kriterien auf MedDRA PT Ebene erfüllt (Monate) - PT: Chronic kidney disease (10064848) (full analysis set) 221

Figure 4.2.4 / 94: Kaplan-Meier-Plot der 'UE, die die Cutoff-Kriterien erfüllen TTE-Analyse' nach Endpunkt - Endpunkt: Zeit bis zum ersten UE das die Cutoff-Kriterien auf MedDRA PT Ebene erfüllt (Monate) - PT: Chronic obstructive pulmonary disease (10009033) (full analysis set) 222

Figure 4.2.4 / 95: Kaplan-Meier-Plot der 'UE, die die Cutoff-Kriterien erfüllen TTE-Analyse' nach Endpunkt - Endpunkt: Zeit bis zum ersten UE das die Cutoff-Kriterien auf MedDRA PT Ebene erfüllt (Monate) - PT: Constipation (10010774) (full analysis set) 223

Figure 4.2.4 / 96: Kaplan-Meier-Plot der 'UE, die die Cutoff-Kriterien erfüllen TTE-Analyse' nach Endpunkt - Endpunkt: Zeit bis zum ersten UE das die Cutoff-Kriterien auf MedDRA PT Ebene erfüllt (Monate) - PT: Contusion (10050584) (full analysis set) 224

Figure 4.2.4 / 97: Kaplan-Meier-Plot der 'UE, die die Cutoff-Kriterien erfüllen TTE-Analyse' nach Endpunkt - Endpunkt: Zeit bis zum ersten UE das die Cutoff-Kriterien

auf MedDRA PT Ebene erfüllt (Monate) - PT: Coronary artery disease (10011078) (full analysis set) 225
Figure 4.2.4 / 98: Kaplan-Meier-Plot der 'UE, die die Cutoff-Kriterien erfüllen TTE-Analyse' nach Endpunkt - Endpunkt: Zeit bis zum ersten UE das die Cutoff-Kriterien auf MedDRA PT Ebene erfüllt (Monate) - PT: Cough (10011224) (full analysis set) 226
Figure 4.2.4 / 99: Kaplan-Meier-Plot der 'UE, die die Cutoff-Kriterien erfüllen TTE-Analyse' nach Endpunkt - Endpunkt: Zeit bis zum ersten UE das die Cutoff-Kriterien auf MedDRA PT Ebene erfüllt (Monate) - PT: Decreased appetite (10061428) (full analysis set) 227
Figure 4.2.4 / 100: Kaplan-Meier-Plot der 'UE, die die Cutoff-Kriterien erfüllen TTE-Analyse' nach Endpunkt - Endpunkt: Zeit bis zum ersten UE das die Cutoff-Kriterien auf MedDRA PT Ebene erfüllt (Monate) - PT: Depression (10012378) (full analysis set) 228
Figure 4.2.4 / 101: Kaplan-Meier-Plot der 'UE, die die Cutoff-Kriterien erfüllen TTE-Analyse' nach Endpunkt - Endpunkt: Zeit bis zum ersten UE das die Cutoff-Kriterien auf MedDRA PT Ebene erfüllt (Monate) - PT: Diarrhoea (10012735) (full analysis set) 229
Figure 4.2.4 / 102: Kaplan-Meier-Plot der 'UE, die die Cutoff-Kriterien erfüllen TTE-Analyse' nach Endpunkt - Endpunkt: Zeit bis zum ersten UE das die Cutoff-Kriterien auf MedDRA PT Ebene erfüllt (Monate) - PT: Diverticulum intestinal (10013559) (full analysis set) 230
Figure 4.2.4 / 103: Kaplan-Meier-Plot der 'UE, die die Cutoff-Kriterien erfüllen TTE-Analyse' nach Endpunkt - Endpunkt: Zeit bis zum ersten UE das die Cutoff-Kriterien auf MedDRA PT Ebene erfüllt (Monate) - PT: Dizziness (10013573) (full analysis set) 231
Figure 4.2.4 / 104: Kaplan-Meier-Plot der 'UE, die die Cutoff-Kriterien erfüllen TTE-Analyse' nach Endpunkt - Endpunkt: Zeit bis zum ersten UE das die Cutoff-Kriterien auf MedDRA PT Ebene erfüllt (Monate) - PT: Dry mouth (10013781) (full analysis set) 232
Figure 4.2.4 / 105: Kaplan-Meier-Plot der 'UE, die die Cutoff-Kriterien erfüllen TTE-Analyse' nach Endpunkt - Endpunkt: Zeit bis zum ersten UE das die Cutoff-Kriterien auf MedDRA PT Ebene erfüllt (Monate) - PT: Dyspepsia (10013946) (full analysis set) 233
Figure 4.2.4 / 106: Kaplan-Meier-Plot der 'UE, die die Cutoff-Kriterien erfüllen TTE-Analyse' nach Endpunkt - Endpunkt: Zeit bis zum ersten UE das die Cutoff-Kriterien auf MedDRA PT Ebene erfüllt (Monate) - PT: Dyspnoea (10013968) (full analysis set) 234
Figure 4.2.4 / 107: Kaplan-Meier-Plot der 'UE, die die Cutoff-Kriterien erfüllen TTE-Analyse' nach Endpunkt - Endpunkt: Zeit bis zum ersten UE das die Cutoff-Kriterien auf MedDRA PT Ebene erfüllt (Monate) - PT: Dysuria (10013990) (full analysis set) 235
Figure 4.2.4 / 108: Kaplan-Meier-Plot der 'UE, die die Cutoff-Kriterien erfüllen TTE-Analyse' nach Endpunkt - Endpunkt: Zeit bis zum ersten UE das die Cutoff-Kriterien auf MedDRA PT Ebene erfüllt (Monate) - PT: Emphysema (10014561) (full analysis set) 236
Figure 4.2.4 / 109: Kaplan-Meier-Plot der 'UE, die die Cutoff-Kriterien erfüllen TTE-Analyse' nach Endpunkt - Endpunkt: Zeit bis zum ersten UE das die Cutoff-Kriterien auf MedDRA PT Ebene erfüllt (Monate) - PT: Fall (10016173) (full analysis set) 237

Figure 4.2.4 / 110: Kaplan-Meier-Plot der 'UE, die die Cutoff-Kriterien erfüllen TTE-Analyse' nach Endpunkt - Endpunkt: Zeit bis zum ersten UE das die Cutoff-Kriterien auf MedDRA PT Ebene erfüllt (Monate) - PT: Fatigue (10016256) (full analysis set) 238

Figure 4.2.4 / 111: Kaplan-Meier-Plot der 'UE, die die Cutoff-Kriterien erfüllen TTE-Analyse' nach Endpunkt - Endpunkt: Zeit bis zum ersten UE das die Cutoff-Kriterien auf MedDRA PT Ebene erfüllt (Monate) - PT: Gastrooesophageal reflux disease (10017885) (full analysis set) 239

Figure 4.2.4 / 112: Kaplan-Meier-Plot der 'UE, die die Cutoff-Kriterien erfüllen TTE-Analyse' nach Endpunkt - Endpunkt: Zeit bis zum ersten UE das die Cutoff-Kriterien auf MedDRA PT Ebene erfüllt (Monate) - PT: Gynaecomastia (10018800) (full analysis set) 240

Figure 4.2.4 / 113: Kaplan-Meier-Plot der 'UE, die die Cutoff-Kriterien erfüllen TTE-Analyse' nach Endpunkt - Endpunkt: Zeit bis zum ersten UE das die Cutoff-Kriterien auf MedDRA PT Ebene erfüllt (Monate) - PT: Haematuria (10018867) (full analysis set) 241

Figure 4.2.4 / 114: Kaplan-Meier-Plot der 'UE, die die Cutoff-Kriterien erfüllen TTE-Analyse' nach Endpunkt - Endpunkt: Zeit bis zum ersten UE das die Cutoff-Kriterien auf MedDRA PT Ebene erfüllt (Monate) - PT: Headache (10019211) (full analysis set) 242

Figure 4.2.4 / 115: Kaplan-Meier-Plot der 'UE, die die Cutoff-Kriterien erfüllen TTE-Analyse' nach Endpunkt - Endpunkt: Zeit bis zum ersten UE das die Cutoff-Kriterien auf MedDRA PT Ebene erfüllt (Monate) - PT: Hepatic cyst (10019646) (full analysis set) 243

Figure 4.2.4 / 116: Kaplan-Meier-Plot der 'UE, die die Cutoff-Kriterien erfüllen TTE-Analyse' nach Endpunkt - Endpunkt: Zeit bis zum ersten UE das die Cutoff-Kriterien auf MedDRA PT Ebene erfüllt (Monate) - PT: Hot flush (10060800) (full analysis set) 244

Figure 4.2.4 / 117: Kaplan-Meier-Plot der 'UE, die die Cutoff-Kriterien erfüllen TTE-Analyse' nach Endpunkt - Endpunkt: Zeit bis zum ersten UE das die Cutoff-Kriterien auf MedDRA PT Ebene erfüllt (Monate) - PT: Hydronephrosis (10020524) (full analysis set) 245

Figure 4.2.4 / 118: Kaplan-Meier-Plot der 'UE, die die Cutoff-Kriterien erfüllen TTE-Analyse' nach Endpunkt - Endpunkt: Zeit bis zum ersten UE das die Cutoff-Kriterien auf MedDRA PT Ebene erfüllt (Monate) - PT: Hyperkalaemia (10020646) (full analysis set) 246

Figure 4.2.4 / 119: Kaplan-Meier-Plot der 'UE, die die Cutoff-Kriterien erfüllen TTE-Analyse' nach Endpunkt - Endpunkt: Zeit bis zum ersten UE das die Cutoff-Kriterien auf MedDRA PT Ebene erfüllt (Monate) - PT: Hypertension (10020772) (full analysis set) 247

Figure 4.2.4 / 120: Kaplan-Meier-Plot der 'UE, die die Cutoff-Kriterien erfüllen TTE-Analyse' nach Endpunkt - Endpunkt: Zeit bis zum ersten UE das die Cutoff-Kriterien auf MedDRA PT Ebene erfüllt (Monate) - PT: Hypotension (10021097) (full analysis set) 248

Figure 4.2.4 / 121: Kaplan-Meier-Plot der 'UE, die die Cutoff-Kriterien erfüllen TTE-Analyse' nach Endpunkt - Endpunkt: Zeit bis zum ersten UE das die Cutoff-Kriterien auf MedDRA PT Ebene erfüllt (Monate) - PT: Influenza (10022000) (full analysis set) 249

Figure 4.2.4 / 122: Kaplan-Meier-Plot der 'UE, die die Cutoff-Kriterien erfüllen TTE-Analyse' nach Endpunkt - Endpunkt: Zeit bis zum ersten UE das die Cutoff-Kriterien

auf MedDRA PT Ebene erfüllt (Monate) - PT: Influenza like illness (10022004) (full analysis set) 250
Figure 4.2.4 / 123: Kaplan-Meier-Plot der 'UE, die die Cutoff-Kriterien erfüllen TTE-Analyse' nach Endpunkt - Endpunkt: Zeit bis zum ersten UE das die Cutoff-Kriterien auf MedDRA PT Ebene erfüllt (Monate) - PT: Inguinal hernia (10022016) (full analysis set) 251
Figure 4.2.4 / 124: Kaplan-Meier-Plot der 'UE, die die Cutoff-Kriterien erfüllen TTE-Analyse' nach Endpunkt - Endpunkt: Zeit bis zum ersten UE das die Cutoff-Kriterien auf MedDRA PT Ebene erfüllt (Monate) - PT: Insomnia (10022437) (full analysis set) 252
Figure 4.2.4 / 125: Kaplan-Meier-Plot der 'UE, die die Cutoff-Kriterien erfüllen TTE-Analyse' nach Endpunkt - Endpunkt: Zeit bis zum ersten UE das die Cutoff-Kriterien auf MedDRA PT Ebene erfüllt (Monate) - PT: Muscle spasms (10028334) (full analysis set) 253
Figure 4.2.4 / 126: Kaplan-Meier-Plot der 'UE, die die Cutoff-Kriterien erfüllen TTE-Analyse' nach Endpunkt - Endpunkt: Zeit bis zum ersten UE das die Cutoff-Kriterien auf MedDRA PT Ebene erfüllt (Monate) - PT: Muscular weakness (10028372) (full analysis set) 254
Figure 4.2.4 / 127: Kaplan-Meier-Plot der 'UE, die die Cutoff-Kriterien erfüllen TTE-Analyse' nach Endpunkt - Endpunkt: Zeit bis zum ersten UE das die Cutoff-Kriterien auf MedDRA PT Ebene erfüllt (Monate) - PT: Musculoskeletal chest pain (10050819) (full analysis set) 255
Figure 4.2.4 / 128: Kaplan-Meier-Plot der 'UE, die die Cutoff-Kriterien erfüllen TTE-Analyse' nach Endpunkt - Endpunkt: Zeit bis zum ersten UE das die Cutoff-Kriterien auf MedDRA PT Ebene erfüllt (Monate) - PT: Musculoskeletal pain (10028391) (full analysis set) 256
Figure 4.2.4 / 129: Kaplan-Meier-Plot der 'UE, die die Cutoff-Kriterien erfüllen TTE-Analyse' nach Endpunkt - Endpunkt: Zeit bis zum ersten UE das die Cutoff-Kriterien auf MedDRA PT Ebene erfüllt (Monate) - PT: Myalgia (10028411) (full analysis set) 257
Figure 4.2.4 / 130: Kaplan-Meier-Plot der 'UE, die die Cutoff-Kriterien erfüllen TTE-Analyse' nach Endpunkt - Endpunkt: Zeit bis zum ersten UE das die Cutoff-Kriterien auf MedDRA PT Ebene erfüllt (Monate) - PT: Nasopharyngitis (10028810) (full analysis set) 258
Figure 4.2.4 / 131: Kaplan-Meier-Plot der 'UE, die die Cutoff-Kriterien erfüllen TTE-Analyse' nach Endpunkt - Endpunkt: Zeit bis zum ersten UE das die Cutoff-Kriterien auf MedDRA PT Ebene erfüllt (Monate) - PT: Nausea (10028813) (full analysis set) 259
Figure 4.2.4 / 132: Kaplan-Meier-Plot der 'UE, die die Cutoff-Kriterien erfüllen TTE-Analyse' nach Endpunkt - Endpunkt: Zeit bis zum ersten UE das die Cutoff-Kriterien auf MedDRA PT Ebene erfüllt (Monate) - PT: Nephrolithiasis (10029148) (full analysis set) 260
Figure 4.2.4 / 133: Kaplan-Meier-Plot der 'UE, die die Cutoff-Kriterien erfüllen TTE-Analyse' nach Endpunkt - Endpunkt: Zeit bis zum ersten UE das die Cutoff-Kriterien auf MedDRA PT Ebene erfüllt (Monate) - PT: Neutropenia (10029354) (full analysis set) 261
Figure 4.2.4 / 134: Kaplan-Meier-Plot der 'UE, die die Cutoff-Kriterien erfüllen TTE-Analyse' nach Endpunkt - Endpunkt: Zeit bis zum ersten UE das die Cutoff-Kriterien auf MedDRA PT Ebene erfüllt (Monate) - PT: Nocturia (10029446) (full analysis set) 262

Figure 4.2.4 / 135: Kaplan-Meier-Plot der 'UE, die die Cutoff-Kriterien erfüllen TTE-Analyse' nach Endpunkt - Endpunkt: Zeit bis zum ersten UE das die Cutoff-Kriterien auf MedDRA PT Ebene erfüllt (Monate) - PT: Oedema peripheral (10030124) (full analysis set) 263

Figure 4.2.4 / 136: Kaplan-Meier-Plot der 'UE, die die Cutoff-Kriterien erfüllen TTE-Analyse' nach Endpunkt - Endpunkt: Zeit bis zum ersten UE das die Cutoff-Kriterien auf MedDRA PT Ebene erfüllt (Monate) - PT: Osteoarthritis (10031161) (full analysis set) 264

Figure 4.2.4 / 137: Kaplan-Meier-Plot der 'UE, die die Cutoff-Kriterien erfüllen TTE-Analyse' nach Endpunkt - Endpunkt: Zeit bis zum ersten UE das die Cutoff-Kriterien auf MedDRA PT Ebene erfüllt (Monate) - PT: Pain in extremity (10033425) (full analysis set) 265

Figure 4.2.4 / 138: Kaplan-Meier-Plot der 'UE, die die Cutoff-Kriterien erfüllen TTE-Analyse' nach Endpunkt - Endpunkt: Zeit bis zum ersten UE das die Cutoff-Kriterien auf MedDRA PT Ebene erfüllt (Monate) - PT: Pancreatic steatosis (10072787) (full analysis set) 266

Figure 4.2.4 / 139: Kaplan-Meier-Plot der 'UE, die die Cutoff-Kriterien erfüllen TTE-Analyse' nach Endpunkt - Endpunkt: Zeit bis zum ersten UE das die Cutoff-Kriterien auf MedDRA PT Ebene erfüllt (Monate) - PT: Pelvic pain (10034263) (full analysis set) 267

Figure 4.2.4 / 140: Kaplan-Meier-Plot der 'UE, die die Cutoff-Kriterien erfüllen TTE-Analyse' nach Endpunkt - Endpunkt: Zeit bis zum ersten UE das die Cutoff-Kriterien auf MedDRA PT Ebene erfüllt (Monate) - PT: Peripheral arterial occlusive disease (10062585) (full analysis set) 268

Figure 4.2.4 / 141: Kaplan-Meier-Plot der 'UE, die die Cutoff-Kriterien erfüllen TTE-Analyse' nach Endpunkt - Endpunkt: Zeit bis zum ersten UE das die Cutoff-Kriterien auf MedDRA PT Ebene erfüllt (Monate) - PT: Peripheral swelling (10048959) (full analysis set) 269

Figure 4.2.4 / 142: Kaplan-Meier-Plot der 'UE, die die Cutoff-Kriterien erfüllen TTE-Analyse' nach Endpunkt - Endpunkt: Zeit bis zum ersten UE das die Cutoff-Kriterien auf MedDRA PT Ebene erfüllt (Monate) - PT: Pneumonia (10035664) (full analysis set) 270

Figure 4.2.4 / 143: Kaplan-Meier-Plot der 'UE, die die Cutoff-Kriterien erfüllen TTE-Analyse' nach Endpunkt - Endpunkt: Zeit bis zum ersten UE das die Cutoff-Kriterien auf MedDRA PT Ebene erfüllt (Monate) - PT: Pollakiuria (10036018) (full analysis set) 271

Figure 4.2.4 / 144: Kaplan-Meier-Plot der 'UE, die die Cutoff-Kriterien erfüllen TTE-Analyse' nach Endpunkt - Endpunkt: Zeit bis zum ersten UE das die Cutoff-Kriterien auf MedDRA PT Ebene erfüllt (Monate) - PT: Pruritus (10037087) (full analysis set) 272

Figure 4.2.4 / 145: Kaplan-Meier-Plot der 'UE, die die Cutoff-Kriterien erfüllen TTE-Analyse' nach Endpunkt - Endpunkt: Zeit bis zum ersten UE das die Cutoff-Kriterien auf MedDRA PT Ebene erfüllt (Monate) - PT: Pyrexia (10037660) (full analysis set) 273

Figure 4.2.4 / 146: Kaplan-Meier-Plot der 'UE, die die Cutoff-Kriterien erfüllen TTE-Analyse' nach Endpunkt - Endpunkt: Zeit bis zum ersten UE das die Cutoff-Kriterien auf MedDRA PT Ebene erfüllt (Monate) - PT: Rash (10037844) (full analysis set) 274

Figure 4.2.4 / 147: Kaplan-Meier-Plot der 'UE, die die Cutoff-Kriterien erfüllen TTE-Analyse' nach Endpunkt - Endpunkt: Zeit bis zum ersten UE das die Cutoff-Kriterien

auf MedDRA PT Ebene erfüllt (Monate) - PT: Renal cyst (10038423) (full analysis set) 275
Figure 4.2.4 / 148: Kaplan-Meier-Plot der 'UE, die die Cutoff-Kriterien erfüllen TTE-Analyse' nach Endpunkt - Endpunkt: Zeit bis zum ersten UE das die Cutoff-Kriterien auf MedDRA PT Ebene erfüllt (Monate) - PT: Rib fracture (10039117) (full analysis set) 276
Figure 4.2.4 / 149: Kaplan-Meier-Plot der 'UE, die die Cutoff-Kriterien erfüllen TTE-Analyse' nach Endpunkt - Endpunkt: Zeit bis zum ersten UE das die Cutoff-Kriterien auf MedDRA PT Ebene erfüllt (Monate) - PT: Upper respiratory tract infection (10046306) (full analysis set) 277
Figure 4.2.4 / 150: Kaplan-Meier-Plot der 'UE, die die Cutoff-Kriterien erfüllen TTE-Analyse' nach Endpunkt - Endpunkt: Zeit bis zum ersten UE das die Cutoff-Kriterien auf MedDRA PT Ebene erfüllt (Monate) - PT: Urinary incontinence (10046543) (full analysis set) 278
Figure 4.2.4 / 151: Kaplan-Meier-Plot der 'UE, die die Cutoff-Kriterien erfüllen TTE-Analyse' nach Endpunkt - Endpunkt: Zeit bis zum ersten UE das die Cutoff-Kriterien auf MedDRA PT Ebene erfüllt (Monate) - PT: Urinary retention (10046555) (full analysis set) 279
Figure 4.2.4 / 152: Kaplan-Meier-Plot der 'UE, die die Cutoff-Kriterien erfüllen TTE-Analyse' nach Endpunkt - Endpunkt: Zeit bis zum ersten UE das die Cutoff-Kriterien auf MedDRA PT Ebene erfüllt (Monate) - PT: Urinary tract infection (10046571) (full analysis set) 280
Figure 4.2.4 / 153: Kaplan-Meier-Plot der 'UE, die die Cutoff-Kriterien erfüllen TTE-Analyse' nach Endpunkt - Endpunkt: Zeit bis zum ersten UE das die Cutoff-Kriterien auf MedDRA PT Ebene erfüllt (Monate) - PT: Urticaria (10046735) (full analysis set) 281
Figure 4.2.4 / 154: Kaplan-Meier-Plot der 'UE, die die Cutoff-Kriterien erfüllen TTE-Analyse' nach Endpunkt - Endpunkt: Zeit bis zum ersten UE das die Cutoff-Kriterien auf MedDRA PT Ebene erfüllt (Monate) - PT: Vomiting (10047700) (full analysis set) 282
Figure 4.2.4 / 155: Kaplan-Meier-Plot der 'UE, die die Cutoff-Kriterien erfüllen TTE-Analyse' nach Endpunkt - Endpunkt: Zeit bis zum ersten UE das die Cutoff-Kriterien auf MedDRA PT Ebene erfüllt (Monate) - PT: Weight decreased (10047895) (full analysis set) 283
Figure 4.2.4 / 156: Kaplan-Meier-Plot der 'UE, die die Cutoff-Kriterien erfüllen TTE-Analyse' nach Endpunkt - Endpunkt: Zeit bis zum ersten UE das die Cutoff-Kriterien auf MedDRA PT Ebene erfüllt (Monate) - PT: Weight increased (10047899) (full analysis set) 284
Figure 4.2.4 / 157: Kaplan-Meier-Plot der 'UE, die die Cutoff-Kriterien erfüllen TTE-Analyse' nach Endpunkt - Endpunkt: Zeit bis zum ersten unter der Behandlung aufgetretenen UE (TEAE) das die Cutoff-Kriterien auf MedDRA SOC Ebene erfüllt (Monate) - SOC: Blood and lymphatic system disorders (10005329) (full analysis set) 285
Figure 4.2.4 / 158: Kaplan-Meier-Plot der 'UE, die die Cutoff-Kriterien erfüllen TTE-Analyse' nach Endpunkt - Endpunkt: Zeit bis zum ersten unter der Behandlung aufgetretenen UE (TEAE) das die Cutoff-Kriterien auf MedDRA SOC Ebene erfüllt (Monate) - SOC: Cardiac disorders (10007541) (full analysis set) 286
Figure 4.2.4 / 159: Kaplan-Meier-Plot der 'UE, die die Cutoff-Kriterien erfüllen TTE-Analyse' nach Endpunkt - Endpunkt: Zeit bis zum ersten unter der Behandlung aufgetretenen UE (TEAE) das die Cutoff-Kriterien auf MedDRA SOC

Ebene erfüllt (Monate) - SOC: Ear and labyrinth disorders (10013993) (full analysis set) 287
Figure 4.2.4 / 160: Kaplan-Meier-Plot der 'UE, die die Cutoff-Kriterien erfüllen TTE-Analyse' nach Endpunkt - Endpunkt: Zeit bis zum ersten unter der Behandlung aufgetretenen UE (TEAE) das die Cutoff-Kriterien auf MedDRA SOC Ebene erfüllt (Monate) - SOC: Eye disorders (10015919) (full analysis set) 288
Figure 4.2.4 / 161: Kaplan-Meier-Plot der 'UE, die die Cutoff-Kriterien erfüllen TTE-Analyse' nach Endpunkt - Endpunkt: Zeit bis zum ersten unter der Behandlung aufgetretenen UE (TEAE) das die Cutoff-Kriterien auf MedDRA SOC Ebene erfüllt (Monate) - SOC: Gastrointestinal disorders (10017947) (full analysis set) 289
Figure 4.2.4 / 162: Kaplan-Meier-Plot der 'UE, die die Cutoff-Kriterien erfüllen TTE-Analyse' nach Endpunkt - Endpunkt: Zeit bis zum ersten unter der Behandlung aufgetretenen UE (TEAE) das die Cutoff-Kriterien auf MedDRA SOC Ebene erfüllt (Monate) - SOC: General disorders and administration site conditions (10018065) (full analysis set) 290
Figure 4.2.4 / 163: Kaplan-Meier-Plot der 'UE, die die Cutoff-Kriterien erfüllen TTE-Analyse' nach Endpunkt - Endpunkt: Zeit bis zum ersten unter der Behandlung aufgetretenen UE (TEAE) das die Cutoff-Kriterien auf MedDRA SOC Ebene erfüllt (Monate) - SOC: Hepatobiliary disorders (10019805) (full analysis set) 291
Figure 4.2.4 / 164: Kaplan-Meier-Plot der 'UE, die die Cutoff-Kriterien erfüllen TTE-Analyse' nach Endpunkt - Endpunkt: Zeit bis zum ersten unter der Behandlung aufgetretenen UE (TEAE) das die Cutoff-Kriterien auf MedDRA SOC Ebene erfüllt (Monate) - SOC: Immune system disorders (10021428) (full analysis set) 292
Figure 4.2.4 / 165: Kaplan-Meier-Plot der 'UE, die die Cutoff-Kriterien erfüllen TTE-Analyse' nach Endpunkt - Endpunkt: Zeit bis zum ersten unter der Behandlung aufgetretenen UE (TEAE) das die Cutoff-Kriterien auf MedDRA SOC Ebene erfüllt (Monate) - SOC: Infections and infestations (10021881) (full analysis set) 293
Figure 4.2.4 / 166: Kaplan-Meier-Plot der 'UE, die die Cutoff-Kriterien erfüllen TTE-Analyse' nach Endpunkt - Endpunkt: Zeit bis zum ersten unter der Behandlung aufgetretenen UE (TEAE) das die Cutoff-Kriterien auf MedDRA SOC Ebene erfüllt (Monate) - SOC: Injury, poisoning and procedural complications (10022117) (full analysis set) 294
Figure 4.2.4 / 167: Kaplan-Meier-Plot der 'UE, die die Cutoff-Kriterien erfüllen TTE-Analyse' nach Endpunkt - Endpunkt: Zeit bis zum ersten unter der Behandlung aufgetretenen UE (TEAE) das die Cutoff-Kriterien auf MedDRA SOC Ebene erfüllt (Monate) - SOC: Investigations (10022891) (full analysis set) 295
Figure 4.2.4 / 168: Kaplan-Meier-Plot der 'UE, die die Cutoff-Kriterien erfüllen TTE-Analyse' nach Endpunkt - Endpunkt: Zeit bis zum ersten unter der Behandlung aufgetretenen UE (TEAE) das die Cutoff-Kriterien auf MedDRA SOC Ebene erfüllt (Monate) - SOC: Metabolism and nutrition disorders (10027433) (full analysis set) 296
Figure 4.2.4 / 169: Kaplan-Meier-Plot der 'UE, die die Cutoff-Kriterien erfüllen TTE-Analyse' nach Endpunkt - Endpunkt: Zeit bis zum ersten unter der Behandlung aufgetretenen UE (TEAE) das die Cutoff-Kriterien auf MedDRA SOC Ebene erfüllt (Monate) - SOC: Musculoskeletal and connective tissue disorders (10028395) (full analysis set) 297
Figure 4.2.4 / 170: Kaplan-Meier-Plot der 'UE, die die Cutoff-Kriterien erfüllen TTE-Analyse' nach Endpunkt - Endpunkt: Zeit bis zum ersten unter der Behandlung

aufgetretenen UE (TEAE) das die Cutoff-Kriterien auf MedDRA SOC Ebene erfüllt (Monate) - SOC: Neoplasms benign, malignant and unspecified (incl cysts and polyps) (10029104) (full analysis set)..... 298

Figure 4.2.4 / 171: Kaplan-Meier-Plot der 'UE, die die Cutoff-Kriterien erfüllen TTE-Analyse' nach Endpunkt - Endpunkt: Zeit bis zum ersten unter der Behandlung aufgetretenen UE (TEAE) das die Cutoff-Kriterien auf MedDRA SOC Ebene erfüllt (Monate) - SOC: Nervous system disorders (10029205) (full analysis set) 299

Figure 4.2.4 / 172: Kaplan-Meier-Plot der 'UE, die die Cutoff-Kriterien erfüllen TTE-Analyse' nach Endpunkt - Endpunkt: Zeit bis zum ersten unter der Behandlung aufgetretenen UE (TEAE) das die Cutoff-Kriterien auf MedDRA SOC Ebene erfüllt (Monate) - SOC: Psychiatric disorders (10037175) (full analysis set) 300

Figure 4.2.4 / 173: Kaplan-Meier-Plot der 'UE, die die Cutoff-Kriterien erfüllen TTE-Analyse' nach Endpunkt - Endpunkt: Zeit bis zum ersten unter der Behandlung aufgetretenen UE (TEAE) das die Cutoff-Kriterien auf MedDRA SOC Ebene erfüllt (Monate) - SOC: Renal and urinary disorders (10038359) (full analysis set) 301

Figure 4.2.4 / 174: Kaplan-Meier-Plot der 'UE, die die Cutoff-Kriterien erfüllen TTE-Analyse' nach Endpunkt - Endpunkt: Zeit bis zum ersten unter der Behandlung aufgetretenen UE (TEAE) das die Cutoff-Kriterien auf MedDRA SOC Ebene erfüllt (Monate) - SOC: Reproductive system and breast disorders (10038604) (full analysis set)..... 302

Figure 4.2.4 / 175: Kaplan-Meier-Plot der 'UE, die die Cutoff-Kriterien erfüllen TTE-Analyse' nach Endpunkt - Endpunkt: Zeit bis zum ersten unter der Behandlung aufgetretenen UE (TEAE) das die Cutoff-Kriterien auf MedDRA SOC Ebene erfüllt (Monate) - SOC: Respiratory, thoracic and mediastinal disorders (10038738) (full analysis set) 303

Figure 4.2.4 / 176: Kaplan-Meier-Plot der 'UE, die die Cutoff-Kriterien erfüllen TTE-Analyse' nach Endpunkt - Endpunkt: Zeit bis zum ersten unter der Behandlung aufgetretenen UE (TEAE) das die Cutoff-Kriterien auf MedDRA SOC Ebene erfüllt (Monate) - SOC: Skin and subcutaneous tissue disorders (10040785) (full analysis set)..... 304

Figure 4.2.4 / 177: Kaplan-Meier-Plot der 'UE, die die Cutoff-Kriterien erfüllen TTE-Analyse' nach Endpunkt - Endpunkt: Zeit bis zum ersten unter der Behandlung aufgetretenen UE (TEAE) das die Cutoff-Kriterien auf MedDRA SOC Ebene erfüllt (Monate) - SOC: Surgical and medical procedures (10042613) (full analysis set) 305

Figure 4.2.4 / 178: Kaplan-Meier-Plot der 'UE, die die Cutoff-Kriterien erfüllen TTE-Analyse' nach Endpunkt - Endpunkt: Zeit bis zum ersten unter der Behandlung aufgetretenen UE (TEAE) das die Cutoff-Kriterien auf MedDRA SOC Ebene erfüllt (Monate) - SOC: Vascular disorders (10047065) (full analysis set)..... 306

Figure 4.2.4 / 179: Kaplan-Meier-Plot der 'UE, die die Cutoff-Kriterien erfüllen TTE-Analyse' nach Endpunkt - Endpunkt: Zeit bis zum ersten unter der Behandlung aufgetretenen UE (TEAE) das die Cutoff-Kriterien auf MedDRA PT Ebene erfüllt (Monate) - PT: Abdominal distension (10000060) (full analysis set) 307

Figure 4.2.4 / 180: Kaplan-Meier-Plot der 'UE, die die Cutoff-Kriterien erfüllen TTE-Analyse' nach Endpunkt - Endpunkt: Zeit bis zum ersten unter der Behandlung aufgetretenen UE (TEAE) das die Cutoff-Kriterien auf MedDRA PT Ebene erfüllt (Monate) - PT: Abdominal pain (10000081) (full analysis set) 308

Figure 4.2.4 / 181: Kaplan-Meier-Plot der 'UE, die die Cutoff-Kriterien erfüllen TTE-Analyse' nach Endpunkt - Endpunkt: Zeit bis zum ersten unter der Behandlung aufgetretenen UE (TEAE) das die Cutoff-Kriterien auf MedDRA PT Ebene erfüllt (Monate) - PT: Abdominal pain upper (10000087) (full analysis set) 309

Figure 4.2.4 / 182: Kaplan-Meier-Plot der 'UE, die die Cutoff-Kriterien erfüllen TTE-Analyse' nach Endpunkt - Endpunkt: Zeit bis zum ersten unter der Behandlung aufgetretenen UE (TEAE) das die Cutoff-Kriterien auf MedDRA PT Ebene erfüllt (Monate) - PT: Anaemia (10002034) (full analysis set)..... 310

Figure 4.2.4 / 183: Kaplan-Meier-Plot der 'UE, die die Cutoff-Kriterien erfüllen TTE-Analyse' nach Endpunkt - Endpunkt: Zeit bis zum ersten unter der Behandlung aufgetretenen UE (TEAE) das die Cutoff-Kriterien auf MedDRA PT Ebene erfüllt (Monate) - PT: Angina pectoris (10002383) (full analysis set)..... 311

Figure 4.2.4 / 184: Kaplan-Meier-Plot der 'UE, die die Cutoff-Kriterien erfüllen TTE-Analyse' nach Endpunkt - Endpunkt: Zeit bis zum ersten unter der Behandlung aufgetretenen UE (TEAE) das die Cutoff-Kriterien auf MedDRA PT Ebene erfüllt (Monate) - PT: Arrhythmia (10003119) (full analysis set)..... 312

Figure 4.2.4 / 185: Kaplan-Meier-Plot der 'UE, die die Cutoff-Kriterien erfüllen TTE-Analyse' nach Endpunkt - Endpunkt: Zeit bis zum ersten unter der Behandlung aufgetretenen UE (TEAE) das die Cutoff-Kriterien auf MedDRA PT Ebene erfüllt (Monate) - PT: Arthralgia (10003239) (full analysis set)..... 313

Figure 4.2.4 / 186: Kaplan-Meier-Plot der 'UE, die die Cutoff-Kriterien erfüllen TTE-Analyse' nach Endpunkt - Endpunkt: Zeit bis zum ersten unter der Behandlung aufgetretenen UE (TEAE) das die Cutoff-Kriterien auf MedDRA PT Ebene erfüllt (Monate) - PT: Aspartate aminotransferase increased (10003481) (full analysis set) 314

Figure 4.2.4 / 187: Kaplan-Meier-Plot der 'UE, die die Cutoff-Kriterien erfüllen TTE-Analyse' nach Endpunkt - Endpunkt: Zeit bis zum ersten unter der Behandlung aufgetretenen UE (TEAE) das die Cutoff-Kriterien auf MedDRA PT Ebene erfüllt (Monate) - PT: Asthenia (10003549) (full analysis set) 315

Figure 4.2.4 / 188: Kaplan-Meier-Plot der 'UE, die die Cutoff-Kriterien erfüllen TTE-Analyse' nach Endpunkt - Endpunkt: Zeit bis zum ersten unter der Behandlung aufgetretenen UE (TEAE) das die Cutoff-Kriterien auf MedDRA PT Ebene erfüllt (Monate) - PT: Atrial fibrillation (10003658) (full analysis set)..... 316

Figure 4.2.4 / 189: Kaplan-Meier-Plot der 'UE, die die Cutoff-Kriterien erfüllen TTE-Analyse' nach Endpunkt - Endpunkt: Zeit bis zum ersten unter der Behandlung aufgetretenen UE (TEAE) das die Cutoff-Kriterien auf MedDRA PT Ebene erfüllt (Monate) - PT: Back pain (10003988) (full analysis set) 317

Figure 4.2.4 / 190: Kaplan-Meier-Plot der 'UE, die die Cutoff-Kriterien erfüllen TTE-Analyse' nach Endpunkt - Endpunkt: Zeit bis zum ersten unter der Behandlung aufgetretenen UE (TEAE) das die Cutoff-Kriterien auf MedDRA PT Ebene erfüllt (Monate) - PT: Blood creatinine increased (10005483) (full analysis set)..... 318

Figure 4.2.4 / 191: Kaplan-Meier-Plot der 'UE, die die Cutoff-Kriterien erfüllen TTE-Analyse' nach Endpunkt - Endpunkt: Zeit bis zum ersten unter der Behandlung aufgetretenen UE (TEAE) das die Cutoff-Kriterien auf MedDRA PT Ebene erfüllt (Monate) - PT: Bradycardia (10006093) (full analysis set)..... 319

Figure 4.2.4 / 192: Kaplan-Meier-Plot der 'UE, die die Cutoff-Kriterien erfüllen TTE-Analyse' nach Endpunkt - Endpunkt: Zeit bis zum ersten unter der Behandlung aufgetretenen UE (TEAE) das die Cutoff-Kriterien auf MedDRA PT Ebene erfüllt (Monate) - PT: Bronchitis (10006451) (full analysis set)..... 320

Figure 4.2.4 / 193: Kaplan-Meier-Plot der 'UE, die die Cutoff-Kriterien erfüllen TTE-Analyse' nach Endpunkt - Endpunkt: Zeit bis zum ersten unter der Behandlung aufgetretenen UE (TEAE) das die Cutoff-Kriterien auf MedDRA PT Ebene erfüllt (Monate) - PT: Cardiac failure (10007554) (full analysis set) 321

Figure 4.2.4 / 194: Kaplan-Meier-Plot der 'UE, die die Cutoff-Kriterien erfüllen TTE-Analyse' nach Endpunkt - Endpunkt: Zeit bis zum ersten unter der Behandlung aufgetretenen UE (TEAE) das die Cutoff-Kriterien auf MedDRA PT Ebene erfüllt (Monate) - PT: Chest pain (10008479) (full analysis set) 322

Figure 4.2.4 / 195: Kaplan-Meier-Plot der 'UE, die die Cutoff-Kriterien erfüllen TTE-Analyse' nach Endpunkt - Endpunkt: Zeit bis zum ersten unter der Behandlung aufgetretenen UE (TEAE) das die Cutoff-Kriterien auf MedDRA PT Ebene erfüllt (Monate) - PT: Chronic obstructive pulmonary disease (10009033) (full analysis set) 323

Figure 4.2.4 / 196: Kaplan-Meier-Plot der 'UE, die die Cutoff-Kriterien erfüllen TTE-Analyse' nach Endpunkt - Endpunkt: Zeit bis zum ersten unter der Behandlung aufgetretenen UE (TEAE) das die Cutoff-Kriterien auf MedDRA PT Ebene erfüllt (Monate) - PT: Constipation (10010774) (full analysis set)..... 324

Figure 4.2.4 / 197: Kaplan-Meier-Plot der 'UE, die die Cutoff-Kriterien erfüllen TTE-Analyse' nach Endpunkt - Endpunkt: Zeit bis zum ersten unter der Behandlung aufgetretenen UE (TEAE) das die Cutoff-Kriterien auf MedDRA PT Ebene erfüllt (Monate) - PT: Contusion (10050584) (full analysis set)..... 325

Figure 4.2.4 / 198: Kaplan-Meier-Plot der 'UE, die die Cutoff-Kriterien erfüllen TTE-Analyse' nach Endpunkt - Endpunkt: Zeit bis zum ersten unter der Behandlung aufgetretenen UE (TEAE) das die Cutoff-Kriterien auf MedDRA PT Ebene erfüllt (Monate) - PT: Coronary artery disease (10011078) (full analysis set)..... 326

Figure 4.2.4 / 199: Kaplan-Meier-Plot der 'UE, die die Cutoff-Kriterien erfüllen TTE-Analyse' nach Endpunkt - Endpunkt: Zeit bis zum ersten unter der Behandlung aufgetretenen UE (TEAE) das die Cutoff-Kriterien auf MedDRA PT Ebene erfüllt (Monate) - PT: Cough (10011224) (full analysis set)..... 327

Figure 4.2.4 / 200: Kaplan-Meier-Plot der 'UE, die die Cutoff-Kriterien erfüllen TTE-Analyse' nach Endpunkt - Endpunkt: Zeit bis zum ersten unter der Behandlung aufgetretenen UE (TEAE) das die Cutoff-Kriterien auf MedDRA PT Ebene erfüllt (Monate) - PT: Decreased appetite (10061428) (full analysis set) 328

Figure 4.2.4 / 201: Kaplan-Meier-Plot der 'UE, die die Cutoff-Kriterien erfüllen TTE-Analyse' nach Endpunkt - Endpunkt: Zeit bis zum ersten unter der Behandlung aufgetretenen UE (TEAE) das die Cutoff-Kriterien auf MedDRA PT Ebene erfüllt (Monate) - PT: Depression (10012378) (full analysis set) 329

Figure 4.2.4 / 202: Kaplan-Meier-Plot der 'UE, die die Cutoff-Kriterien erfüllen TTE-Analyse' nach Endpunkt - Endpunkt: Zeit bis zum ersten unter der Behandlung aufgetretenen UE (TEAE) das die Cutoff-Kriterien auf MedDRA PT Ebene erfüllt (Monate) - PT: Diarrhoea (10012735) (full analysis set) 330

Figure 4.2.4 / 203: Kaplan-Meier-Plot der 'UE, die die Cutoff-Kriterien erfüllen TTE-Analyse' nach Endpunkt - Endpunkt: Zeit bis zum ersten unter der Behandlung aufgetretenen UE (TEAE) das die Cutoff-Kriterien auf MedDRA PT Ebene erfüllt (Monate) - PT: Diverticulum intestinal (10013559) (full analysis set) 331

Figure 4.2.4 / 204: Kaplan-Meier-Plot der 'UE, die die Cutoff-Kriterien erfüllen TTE-Analyse' nach Endpunkt - Endpunkt: Zeit bis zum ersten unter der Behandlung aufgetretenen UE (TEAE) das die Cutoff-Kriterien auf MedDRA PT Ebene erfüllt (Monate) - PT: Dizziness (10013573) (full analysis set)..... 332

Figure 4.2.4 / 205: Kaplan-Meier-Plot der 'UE, die die Cutoff-Kriterien erfüllen TTE-Analyse' nach Endpunkt - Endpunkt: Zeit bis zum ersten unter der Behandlung

aufgetretenen UE (TEAE) das die Cutoff-Kriterien auf MedDRA PT Ebene erfüllt (Monate) - PT: Dry mouth (10013781) (full analysis set) 333

Figure 4.2.4 / 206: Kaplan-Meier-Plot der 'UE, die die Cutoff-Kriterien erfüllen TTE-Analyse' nach Endpunkt - Endpunkt: Zeit bis zum ersten unter der Behandlung aufgetretenen UE (TEAE) das die Cutoff-Kriterien auf MedDRA PT Ebene erfüllt (Monate) - PT: Dyspepsia (10013946) (full analysis set) 334

Figure 4.2.4 / 207: Kaplan-Meier-Plot der 'UE, die die Cutoff-Kriterien erfüllen TTE-Analyse' nach Endpunkt - Endpunkt: Zeit bis zum ersten unter der Behandlung aufgetretenen UE (TEAE) das die Cutoff-Kriterien auf MedDRA PT Ebene erfüllt (Monate) - PT: Dyspnoea (10013968) (full analysis set) 335

Figure 4.2.4 / 208: Kaplan-Meier-Plot der 'UE, die die Cutoff-Kriterien erfüllen TTE-Analyse' nach Endpunkt - Endpunkt: Zeit bis zum ersten unter der Behandlung aufgetretenen UE (TEAE) das die Cutoff-Kriterien auf MedDRA PT Ebene erfüllt (Monate) - PT: Dysuria (10013990) (full analysis set) 336

Figure 4.2.4 / 209: Kaplan-Meier-Plot der 'UE, die die Cutoff-Kriterien erfüllen TTE-Analyse' nach Endpunkt - Endpunkt: Zeit bis zum ersten unter der Behandlung aufgetretenen UE (TEAE) das die Cutoff-Kriterien auf MedDRA PT Ebene erfüllt (Monate) - PT: Emphysema (10014561) (full analysis set) 337

Figure 4.2.4 / 210: Kaplan-Meier-Plot der 'UE, die die Cutoff-Kriterien erfüllen TTE-Analyse' nach Endpunkt - Endpunkt: Zeit bis zum ersten unter der Behandlung aufgetretenen UE (TEAE) das die Cutoff-Kriterien auf MedDRA PT Ebene erfüllt (Monate) - PT: Fall (10016173) (full analysis set) 338

Figure 4.2.4 / 211: Kaplan-Meier-Plot der 'UE, die die Cutoff-Kriterien erfüllen TTE-Analyse' nach Endpunkt - Endpunkt: Zeit bis zum ersten unter der Behandlung aufgetretenen UE (TEAE) das die Cutoff-Kriterien auf MedDRA PT Ebene erfüllt (Monate) - PT: Fatigue (10016256) (full analysis set) 339

Figure 4.2.4 / 212: Kaplan-Meier-Plot der 'UE, die die Cutoff-Kriterien erfüllen TTE-Analyse' nach Endpunkt - Endpunkt: Zeit bis zum ersten unter der Behandlung aufgetretenen UE (TEAE) das die Cutoff-Kriterien auf MedDRA PT Ebene erfüllt (Monate) - PT: Gastrooesophageal reflux disease (10017885) (full analysis set) 340

Figure 4.2.4 / 213: Kaplan-Meier-Plot der 'UE, die die Cutoff-Kriterien erfüllen TTE-Analyse' nach Endpunkt - Endpunkt: Zeit bis zum ersten unter der Behandlung aufgetretenen UE (TEAE) das die Cutoff-Kriterien auf MedDRA PT Ebene erfüllt (Monate) - PT: Gynaecomastia (10018800) (full analysis set) 341

Figure 4.2.4 / 214: Kaplan-Meier-Plot der 'UE, die die Cutoff-Kriterien erfüllen TTE-Analyse' nach Endpunkt - Endpunkt: Zeit bis zum ersten unter der Behandlung aufgetretenen UE (TEAE) das die Cutoff-Kriterien auf MedDRA PT Ebene erfüllt (Monate) - PT: Haematuria (10018867) (full analysis set) 342

Figure 4.2.4 / 215: Kaplan-Meier-Plot der 'UE, die die Cutoff-Kriterien erfüllen TTE-Analyse' nach Endpunkt - Endpunkt: Zeit bis zum ersten unter der Behandlung aufgetretenen UE (TEAE) das die Cutoff-Kriterien auf MedDRA PT Ebene erfüllt (Monate) - PT: Headache (10019211) (full analysis set) 343

Figure 4.2.4 / 216: Kaplan-Meier-Plot der 'UE, die die Cutoff-Kriterien erfüllen TTE-Analyse' nach Endpunkt - Endpunkt: Zeit bis zum ersten unter der Behandlung aufgetretenen UE (TEAE) das die Cutoff-Kriterien auf MedDRA PT Ebene erfüllt (Monate) - PT: Hot flush (10060800) (full analysis set) 344

Figure 4.2.4 / 217: Kaplan-Meier-Plot der 'UE, die die Cutoff-Kriterien erfüllen TTE-Analyse' nach Endpunkt - Endpunkt: Zeit bis zum ersten unter der Behandlung aufgetretenen UE (TEAE) das die Cutoff-Kriterien auf MedDRA PT Ebene erfüllt (Monate) - PT: Hydronephrosis (10020524) (full analysis set) 345

Figure 4.2.4 / 218: Kaplan-Meier-Plot der 'UE, die die Cutoff-Kriterien erfüllen TTE-Analyse' nach Endpunkt - Endpunkt: Zeit bis zum ersten unter der Behandlung aufgetretenen UE (TEAE) das die Cutoff-Kriterien auf MedDRA PT Ebene erfüllt (Monate) - PT: Hyperkalaemia (10020646) (full analysis set) 346

Figure 4.2.4 / 219: Kaplan-Meier-Plot der 'UE, die die Cutoff-Kriterien erfüllen TTE-Analyse' nach Endpunkt - Endpunkt: Zeit bis zum ersten unter der Behandlung aufgetretenen UE (TEAE) das die Cutoff-Kriterien auf MedDRA PT Ebene erfüllt (Monate) - PT: Hypertension (10020772) (full analysis set) 347

Figure 4.2.4 / 220: Kaplan-Meier-Plot der 'UE, die die Cutoff-Kriterien erfüllen TTE-Analyse' nach Endpunkt - Endpunkt: Zeit bis zum ersten unter der Behandlung aufgetretenen UE (TEAE) das die Cutoff-Kriterien auf MedDRA PT Ebene erfüllt (Monate) - PT: Hypotension (10021097) (full analysis set) 348

Figure 4.2.4 / 221: Kaplan-Meier-Plot der 'UE, die die Cutoff-Kriterien erfüllen TTE-Analyse' nach Endpunkt - Endpunkt: Zeit bis zum ersten unter der Behandlung aufgetretenen UE (TEAE) das die Cutoff-Kriterien auf MedDRA PT Ebene erfüllt (Monate) - PT: Influenza (10022000) (full analysis set) 349

Figure 4.2.4 / 222: Kaplan-Meier-Plot der 'UE, die die Cutoff-Kriterien erfüllen TTE-Analyse' nach Endpunkt - Endpunkt: Zeit bis zum ersten unter der Behandlung aufgetretenen UE (TEAE) das die Cutoff-Kriterien auf MedDRA PT Ebene erfüllt (Monate) - PT: Influenza like illness (10022004) (full analysis set) 350

Figure 4.2.4 / 223: Kaplan-Meier-Plot der 'UE, die die Cutoff-Kriterien erfüllen TTE-Analyse' nach Endpunkt - Endpunkt: Zeit bis zum ersten unter der Behandlung aufgetretenen UE (TEAE) das die Cutoff-Kriterien auf MedDRA PT Ebene erfüllt (Monate) - PT: Inguinal hernia (10022016) (full analysis set) 351

Figure 4.2.4 / 224: Kaplan-Meier-Plot der 'UE, die die Cutoff-Kriterien erfüllen TTE-Analyse' nach Endpunkt - Endpunkt: Zeit bis zum ersten unter der Behandlung aufgetretenen UE (TEAE) das die Cutoff-Kriterien auf MedDRA PT Ebene erfüllt (Monate) - PT: Insomnia (10022437) (full analysis set) 352

Figure 4.2.4 / 225: Kaplan-Meier-Plot der 'UE, die die Cutoff-Kriterien erfüllen TTE-Analyse' nach Endpunkt - Endpunkt: Zeit bis zum ersten unter der Behandlung aufgetretenen UE (TEAE) das die Cutoff-Kriterien auf MedDRA PT Ebene erfüllt (Monate) - PT: Muscle spasms (10028334) (full analysis set) 353

Figure 4.2.4 / 226: Kaplan-Meier-Plot der 'UE, die die Cutoff-Kriterien erfüllen TTE-Analyse' nach Endpunkt - Endpunkt: Zeit bis zum ersten unter der Behandlung aufgetretenen UE (TEAE) das die Cutoff-Kriterien auf MedDRA PT Ebene erfüllt (Monate) - PT: Muscular weakness (10028372) (full analysis set) 354

Figure 4.2.4 / 227: Kaplan-Meier-Plot der 'UE, die die Cutoff-Kriterien erfüllen TTE-Analyse' nach Endpunkt - Endpunkt: Zeit bis zum ersten unter der Behandlung aufgetretenen UE (TEAE) das die Cutoff-Kriterien auf MedDRA PT Ebene erfüllt (Monate) - PT: Musculoskeletal chest pain (10050819) (full analysis set) 355

Figure 4.2.4 / 228: Kaplan-Meier-Plot der 'UE, die die Cutoff-Kriterien erfüllen TTE-Analyse' nach Endpunkt - Endpunkt: Zeit bis zum ersten unter der Behandlung aufgetretenen UE (TEAE) das die Cutoff-Kriterien auf MedDRA PT Ebene erfüllt (Monate) - PT: Musculoskeletal pain (10028391) (full analysis set) 356

Figure 4.2.4 / 229: Kaplan-Meier-Plot der 'UE, die die Cutoff-Kriterien erfüllen TTE-Analyse' nach Endpunkt - Endpunkt: Zeit bis zum ersten unter der Behandlung aufgetretenen UE (TEAE) das die Cutoff-Kriterien auf MedDRA PT Ebene erfüllt (Monate) - PT: Myalgia (10028411) (full analysis set) 357

Figure 4.2.4 / 230: Kaplan-Meier-Plot der 'UE, die die Cutoff-Kriterien erfüllen TTE-Analyse' nach Endpunkt - Endpunkt: Zeit bis zum ersten unter der Behandlung

aufgetretenen UE (TEAE) das die Cutoff-Kriterien auf MedDRA PT Ebene erfüllt (Monate) - PT: Nasopharyngitis (10028810) (full analysis set) 358

Figure 4.2.4 / 231: Kaplan-Meier-Plot der 'UE, die die Cutoff-Kriterien erfüllen TTE-Analyse' nach Endpunkt - Endpunkt: Zeit bis zum ersten unter der Behandlung aufgetretenen UE (TEAE) das die Cutoff-Kriterien auf MedDRA PT Ebene erfüllt (Monate) - PT: Nausea (10028813) (full analysis set) 359

Figure 4.2.4 / 232: Kaplan-Meier-Plot der 'UE, die die Cutoff-Kriterien erfüllen TTE-Analyse' nach Endpunkt - Endpunkt: Zeit bis zum ersten unter der Behandlung aufgetretenen UE (TEAE) das die Cutoff-Kriterien auf MedDRA PT Ebene erfüllt (Monate) - PT: Nephrolithiasis (10029148) (full analysis set) 360

Figure 4.2.4 / 233: Kaplan-Meier-Plot der 'UE, die die Cutoff-Kriterien erfüllen TTE-Analyse' nach Endpunkt - Endpunkt: Zeit bis zum ersten unter der Behandlung aufgetretenen UE (TEAE) das die Cutoff-Kriterien auf MedDRA PT Ebene erfüllt (Monate) - PT: Neutropenia (10029354) (full analysis set)..... 361

Figure 4.2.4 / 234: Kaplan-Meier-Plot der 'UE, die die Cutoff-Kriterien erfüllen TTE-Analyse' nach Endpunkt - Endpunkt: Zeit bis zum ersten unter der Behandlung aufgetretenen UE (TEAE) das die Cutoff-Kriterien auf MedDRA PT Ebene erfüllt (Monate) - PT: Nocturia (10029446) (full analysis set) 362

Figure 4.2.4 / 235: Kaplan-Meier-Plot der 'UE, die die Cutoff-Kriterien erfüllen TTE-Analyse' nach Endpunkt - Endpunkt: Zeit bis zum ersten unter der Behandlung aufgetretenen UE (TEAE) das die Cutoff-Kriterien auf MedDRA PT Ebene erfüllt (Monate) - PT: Oedema peripheral (10030124) (full analysis set) 363

Figure 4.2.4 / 236: Kaplan-Meier-Plot der 'UE, die die Cutoff-Kriterien erfüllen TTE-Analyse' nach Endpunkt - Endpunkt: Zeit bis zum ersten unter der Behandlung aufgetretenen UE (TEAE) das die Cutoff-Kriterien auf MedDRA PT Ebene erfüllt (Monate) - PT: Osteoarthritis (10031161) (full analysis set)..... 364

Figure 4.2.4 / 237: Kaplan-Meier-Plot der 'UE, die die Cutoff-Kriterien erfüllen TTE-Analyse' nach Endpunkt - Endpunkt: Zeit bis zum ersten unter der Behandlung aufgetretenen UE (TEAE) das die Cutoff-Kriterien auf MedDRA PT Ebene erfüllt (Monate) - PT: Pain in extremity (10033425) (full analysis set) 365

Figure 4.2.4 / 238: Kaplan-Meier-Plot der 'UE, die die Cutoff-Kriterien erfüllen TTE-Analyse' nach Endpunkt - Endpunkt: Zeit bis zum ersten unter der Behandlung aufgetretenen UE (TEAE) das die Cutoff-Kriterien auf MedDRA PT Ebene erfüllt (Monate) - PT: Pelvic pain (10034263) (full analysis set) 366

Figure 4.2.4 / 239: Kaplan-Meier-Plot der 'UE, die die Cutoff-Kriterien erfüllen TTE-Analyse' nach Endpunkt - Endpunkt: Zeit bis zum ersten unter der Behandlung aufgetretenen UE (TEAE) das die Cutoff-Kriterien auf MedDRA PT Ebene erfüllt (Monate) - PT: Peripheral swelling (10048959) (full analysis set) 367

Figure 4.2.4 / 240: Kaplan-Meier-Plot der 'UE, die die Cutoff-Kriterien erfüllen TTE-Analyse' nach Endpunkt - Endpunkt: Zeit bis zum ersten unter der Behandlung aufgetretenen UE (TEAE) das die Cutoff-Kriterien auf MedDRA PT Ebene erfüllt (Monate) - PT: Pneumonia (10035664) (full analysis set) 368

Figure 4.2.4 / 241: Kaplan-Meier-Plot der 'UE, die die Cutoff-Kriterien erfüllen TTE-Analyse' nach Endpunkt - Endpunkt: Zeit bis zum ersten unter der Behandlung aufgetretenen UE (TEAE) das die Cutoff-Kriterien auf MedDRA PT Ebene erfüllt (Monate) - PT: Pollakiuria (10036018) (full analysis set)..... 369

Figure 4.2.4 / 242: Kaplan-Meier-Plot der 'UE, die die Cutoff-Kriterien erfüllen TTE-Analyse' nach Endpunkt - Endpunkt: Zeit bis zum ersten unter der Behandlung aufgetretenen UE (TEAE) das die Cutoff-Kriterien auf MedDRA PT Ebene erfüllt (Monate) - PT: Pruritus (10037087) (full analysis set)..... 370

Figure 4.2.4 / 243: Kaplan-Meier-Plot der 'UE, die die Cutoff-Kriterien erfüllen TTE-Analyse' nach Endpunkt - Endpunkt: Zeit bis zum ersten unter der Behandlung aufgetretenen UE (TEAE) das die Cutoff-Kriterien auf MedDRA PT Ebene erfüllt (Monate) - PT: Pyrexia (10037660) (full analysis set) 371

Figure 4.2.4 / 244: Kaplan-Meier-Plot der 'UE, die die Cutoff-Kriterien erfüllen TTE-Analyse' nach Endpunkt - Endpunkt: Zeit bis zum ersten unter der Behandlung aufgetretenen UE (TEAE) das die Cutoff-Kriterien auf MedDRA PT Ebene erfüllt (Monate) - PT: Rash (10037844) (full analysis set) 372

Figure 4.2.4 / 245: Kaplan-Meier-Plot der 'UE, die die Cutoff-Kriterien erfüllen TTE-Analyse' nach Endpunkt - Endpunkt: Zeit bis zum ersten unter der Behandlung aufgetretenen UE (TEAE) das die Cutoff-Kriterien auf MedDRA PT Ebene erfüllt (Monate) - PT: Rib fracture (10039117) (full analysis set) 373

Figure 4.2.4 / 246: Kaplan-Meier-Plot der 'UE, die die Cutoff-Kriterien erfüllen TTE-Analyse' nach Endpunkt - Endpunkt: Zeit bis zum ersten unter der Behandlung aufgetretenen UE (TEAE) das die Cutoff-Kriterien auf MedDRA PT Ebene erfüllt (Monate) - PT: Upper respiratory tract infection (10046306) (full analysis set) 374

Figure 4.2.4 / 247: Kaplan-Meier-Plot der 'UE, die die Cutoff-Kriterien erfüllen TTE-Analyse' nach Endpunkt - Endpunkt: Zeit bis zum ersten unter der Behandlung aufgetretenen UE (TEAE) das die Cutoff-Kriterien auf MedDRA PT Ebene erfüllt (Monate) - PT: Urinary incontinence (10046543) (full analysis set)..... 375

Figure 4.2.4 / 248: Kaplan-Meier-Plot der 'UE, die die Cutoff-Kriterien erfüllen TTE-Analyse' nach Endpunkt - Endpunkt: Zeit bis zum ersten unter der Behandlung aufgetretenen UE (TEAE) das die Cutoff-Kriterien auf MedDRA PT Ebene erfüllt (Monate) - PT: Urinary retention (10046555) (full analysis set)..... 376

Figure 4.2.4 / 249: Kaplan-Meier-Plot der 'UE, die die Cutoff-Kriterien erfüllen TTE-Analyse' nach Endpunkt - Endpunkt: Zeit bis zum ersten unter der Behandlung aufgetretenen UE (TEAE) das die Cutoff-Kriterien auf MedDRA PT Ebene erfüllt (Monate) - PT: Urinary tract infection (10046571) (full analysis set)..... 377

Figure 4.2.4 / 250: Kaplan-Meier-Plot der 'UE, die die Cutoff-Kriterien erfüllen TTE-Analyse' nach Endpunkt - Endpunkt: Zeit bis zum ersten unter der Behandlung aufgetretenen UE (TEAE) das die Cutoff-Kriterien auf MedDRA PT Ebene erfüllt (Monate) - PT: Vomiting (10047700) (full analysis set) 378

Figure 4.2.4 / 251: Kaplan-Meier-Plot der 'UE, die die Cutoff-Kriterien erfüllen TTE-Analyse' nach Endpunkt - Endpunkt: Zeit bis zum ersten unter der Behandlung aufgetretenen UE (TEAE) das die Cutoff-Kriterien auf MedDRA PT Ebene erfüllt (Monate) - PT: Weight decreased (10047895) (full analysis set)..... 379

Figure 4.2.4 / 252: Kaplan-Meier-Plot der 'UE, die die Cutoff-Kriterien erfüllen TTE-Analyse' nach Endpunkt - Endpunkt: Zeit bis zum ersten unter der Behandlung aufgetretenen UE (TEAE) das die Cutoff-Kriterien auf MedDRA PT Ebene erfüllt (Monate) - PT: Weight increased (10047899) (full analysis set)..... 380

Figure 4.2.4 / 253: Kaplan-Meier-Plot der 'UE, die die Cutoff-Kriterien erfüllen TTE-Analyse' nach Endpunkt - Endpunkt: Zeit bis zum ersten behandlungsbedingten UE (TRAE) das die Cutoff-Kriterien auf MedDRA SOC Ebene erfüllt (Monate) - SOC: Blood and lymphatic system disorders (10005329) (full analysis set)..... 381

Figure 4.2.4 / 254: Kaplan-Meier-Plot der 'UE, die die Cutoff-Kriterien erfüllen TTE-Analyse' nach Endpunkt - Endpunkt: Zeit bis zum ersten behandlungsbedingten UE (TRAE) das die Cutoff-Kriterien auf MedDRA SOC Ebene erfüllt (Monate) - SOC: Cardiac disorders (10007541) (full analysis set)..... 382

Figure 4.2.4 / 255: Kaplan-Meier-Plot der 'UE, die die Cutoff-Kriterien erfüllen TTE-Analyse' nach Endpunkt - Endpunkt: Zeit bis zum ersten behandlungsbedingten UE

(TRAE) das die Cutoff-Kriterien auf MedDRA SOC Ebene erfüllt (Monate) - SOC: Gastrointestinal disorders (10017947) (full analysis set) 383

Figure 4.2.4 / 256: Kaplan-Meier-Plot der 'UE, die die Cutoff-Kriterien erfüllen TTE-Analyse' nach Endpunkt - Endpunkt: Zeit bis zum ersten behandlungsbedingten UE (TRAE) das die Cutoff-Kriterien auf MedDRA SOC Ebene erfüllt (Monate) - SOC: General disorders and administration site conditions (10018065) (full analysis set) 384

Figure 4.2.4 / 257: Kaplan-Meier-Plot der 'UE, die die Cutoff-Kriterien erfüllen TTE-Analyse' nach Endpunkt - Endpunkt: Zeit bis zum ersten behandlungsbedingten UE (TRAE) das die Cutoff-Kriterien auf MedDRA SOC Ebene erfüllt (Monate) - SOC: Investigations (10022891) (full analysis set) 385

Figure 4.2.4 / 258: Kaplan-Meier-Plot der 'UE, die die Cutoff-Kriterien erfüllen TTE-Analyse' nach Endpunkt - Endpunkt: Zeit bis zum ersten behandlungsbedingten UE (TRAE) das die Cutoff-Kriterien auf MedDRA SOC Ebene erfüllt (Monate) - SOC: Metabolism and nutrition disorders (10027433) (full analysis set) 386

Figure 4.2.4 / 259: Kaplan-Meier-Plot der 'UE, die die Cutoff-Kriterien erfüllen TTE-Analyse' nach Endpunkt - Endpunkt: Zeit bis zum ersten behandlungsbedingten UE (TRAE) das die Cutoff-Kriterien auf MedDRA SOC Ebene erfüllt (Monate) - SOC: Musculoskeletal and connective tissue disorders (10028395) (full analysis set) 387

Figure 4.2.4 / 260: Kaplan-Meier-Plot der 'UE, die die Cutoff-Kriterien erfüllen TTE-Analyse' nach Endpunkt - Endpunkt: Zeit bis zum ersten behandlungsbedingten UE (TRAE) das die Cutoff-Kriterien auf MedDRA SOC Ebene erfüllt (Monate) - SOC: Nervous system disorders (10029205) (full analysis set) 388

Figure 4.2.4 / 261: Kaplan-Meier-Plot der 'UE, die die Cutoff-Kriterien erfüllen TTE-Analyse' nach Endpunkt - Endpunkt: Zeit bis zum ersten behandlungsbedingten UE (TRAE) das die Cutoff-Kriterien auf MedDRA SOC Ebene erfüllt (Monate) - SOC: Renal and urinary disorders (10038359) (full analysis set) 389

Figure 4.2.4 / 262: Kaplan-Meier-Plot der 'UE, die die Cutoff-Kriterien erfüllen TTE-Analyse' nach Endpunkt - Endpunkt: Zeit bis zum ersten behandlungsbedingten UE (TRAE) das die Cutoff-Kriterien auf MedDRA SOC Ebene erfüllt (Monate) - SOC: Reproductive system and breast disorders (10038604) (full analysis set) 390

Figure 4.2.4 / 263: Kaplan-Meier-Plot der 'UE, die die Cutoff-Kriterien erfüllen TTE-Analyse' nach Endpunkt - Endpunkt: Zeit bis zum ersten behandlungsbedingten UE (TRAE) das die Cutoff-Kriterien auf MedDRA SOC Ebene erfüllt (Monate) - SOC: Respiratory, thoracic and mediastinal disorders (10038738) (full analysis set) 391

Figure 4.2.4 / 264: Kaplan-Meier-Plot der 'UE, die die Cutoff-Kriterien erfüllen TTE-Analyse' nach Endpunkt - Endpunkt: Zeit bis zum ersten behandlungsbedingten UE (TRAE) das die Cutoff-Kriterien auf MedDRA SOC Ebene erfüllt (Monate) - SOC: Skin and subcutaneous tissue disorders (10040785) (full analysis set) 392

Figure 4.2.4 / 265: Kaplan-Meier-Plot der 'UE, die die Cutoff-Kriterien erfüllen TTE-Analyse' nach Endpunkt - Endpunkt: Zeit bis zum ersten behandlungsbedingten UE (TRAE) das die Cutoff-Kriterien auf MedDRA SOC Ebene erfüllt (Monate) - SOC: Vascular disorders (10047065) (full analysis set) 393

Figure 4.2.4 / 266: Kaplan-Meier-Plot der 'UE, die die Cutoff-Kriterien erfüllen TTE-Analyse' nach Endpunkt - Endpunkt: Zeit bis zum ersten behandlungsbedingten UE (TRAE) das die Cutoff-Kriterien auf MedDRA PT Ebene erfüllt (Monate) - PT: Constipation (10010774) (full analysis set) 394

Figure 4.2.4 / 267: Kaplan-Meier-Plot der 'UE, die die Cutoff-Kriterien erfüllen TTE-Analyse' nach Endpunkt - Endpunkt: Zeit bis zum ersten behandlungsbedingten UE (TRAE) das die Cutoff-Kriterien auf MedDRA PT Ebene erfüllt (Monate) - PT: Decreased appetite (10061428) (full analysis set) 395

Figure 4.2.4 / 268: Kaplan-Meier-Plot der 'UE, die die Cutoff-Kriterien erfüllen TTE-Analyse' nach Endpunkt - Endpunkt: Zeit bis zum ersten behandlungsbedingten UE (TRAE) das die Cutoff-Kriterien auf MedDRA PT Ebene erfüllt (Monate) - PT: Diarrhoea (10012735) (full analysis set) 396

Figure 4.2.4 / 269: Kaplan-Meier-Plot der 'UE, die die Cutoff-Kriterien erfüllen TTE-Analyse' nach Endpunkt - Endpunkt: Zeit bis zum ersten behandlungsbedingten UE (TRAE) das die Cutoff-Kriterien auf MedDRA PT Ebene erfüllt (Monate) - PT: Dizziness (10013573) (full analysis set) 397

Figure 4.2.4 / 270: Kaplan-Meier-Plot der 'UE, die die Cutoff-Kriterien erfüllen TTE-Analyse' nach Endpunkt - Endpunkt: Zeit bis zum ersten behandlungsbedingten UE (TRAE) das die Cutoff-Kriterien auf MedDRA PT Ebene erfüllt (Monate) - PT: Fatigue (10016256) (full analysis set) 398

Figure 4.2.4 / 271: Kaplan-Meier-Plot der 'UE, die die Cutoff-Kriterien erfüllen TTE-Analyse' nach Endpunkt - Endpunkt: Zeit bis zum ersten behandlungsbedingten UE (TRAE) das die Cutoff-Kriterien auf MedDRA PT Ebene erfüllt (Monate) - PT: Gynaecomastia (10018800) (full analysis set) 399

Figure 4.2.4 / 272: Kaplan-Meier-Plot der 'UE, die die Cutoff-Kriterien erfüllen TTE-Analyse' nach Endpunkt - Endpunkt: Zeit bis zum ersten behandlungsbedingten UE (TRAE) das die Cutoff-Kriterien auf MedDRA PT Ebene erfüllt (Monate) - PT: Headache (10019211) (full analysis set) 400

Figure 4.2.4 / 273: Kaplan-Meier-Plot der 'UE, die die Cutoff-Kriterien erfüllen TTE-Analyse' nach Endpunkt - Endpunkt: Zeit bis zum ersten behandlungsbedingten UE (TRAE) das die Cutoff-Kriterien auf MedDRA PT Ebene erfüllt (Monate) - PT: Hot flush (10060800) (full analysis set) 401

Figure 4.2.4 / 274: Kaplan-Meier-Plot der 'UE, die die Cutoff-Kriterien erfüllen TTE-Analyse' nach Endpunkt - Endpunkt: Zeit bis zum ersten behandlungsbedingten UE (TRAE) das die Cutoff-Kriterien auf MedDRA PT Ebene erfüllt (Monate) - PT: Hypertension (10020772) (full analysis set) 402

Figure 4.2.4 / 275: Kaplan-Meier-Plot der 'UE, die die Cutoff-Kriterien erfüllen TTE-Analyse' nach Endpunkt - Endpunkt: Zeit bis zum ersten behandlungsbedingten UE (TRAE) das die Cutoff-Kriterien auf MedDRA PT Ebene erfüllt (Monate) - PT: Nausea (10028813) (full analysis set) 403

Figure 4.2.4 / 276: Kaplan-Meier-Plot der 'UE, die die Cutoff-Kriterien erfüllen TTE-Analyse' nach Endpunkt - Endpunkt: Zeit bis zum ersten zum Therapieabbruch führenden Ereignis das die Cutoff-Kriterien auf MedDRA SOC Ebene erfüllt (Monate) - SOC: Cardiac disorders (10007541) (full analysis set) 404

Figure 4.2.4 / 277: Kaplan-Meier-Plot der 'UE, die die Cutoff-Kriterien erfüllen TTE-Analyse' nach Endpunkt - Endpunkt: Zeit bis zum ersten zum Therapieabbruch führenden Ereignis das die Cutoff-Kriterien auf MedDRA SOC Ebene erfüllt (Monate) - SOC: General disorders and administration site conditions (10018065) (full analysis set) 405

Figure 4.2.4 / 278: Kaplan-Meier-Plot der 'UE, die die Cutoff-Kriterien erfüllen TTE-Analyse' nach Endpunkt - Endpunkt: Zeit bis zum ersten zum Therapieabbruch führenden Ereignis das die Cutoff-Kriterien auf MedDRA SOC Ebene erfüllt (Monate) - SOC: Neoplasms benign, malignant and unspecified (incl cysts and polyps) (10029104) (full analysis set) 406

Figure 4.2.4 / 279: Kaplan-Meier-Plot der 'Elektrokardiogramm Time-to-Event-Analyse' nach Endpunkt - Endpunkt: Zeit bis zur ersten Post-Baseline QTcB-Verlängerung >450 msec (Monate) (full analysis set) 407

Figure 4.2.4 / 280: Kaplan-Meier-Plot der 'Elektrokardiogramm Time-to-Event-Analyse' nach Endpunkt - Endpunkt: Zeit bis zur ersten Post-Baseline QTcB-Verlängerung >500 msec (Monate) (full analysis set) 408

Figure 4.2.4 / 281: Kaplan-Meier-Plot der 'Elektrokardiogramm Time-to-Event-Analyse' nach Endpunkt - Endpunkt: Zeit bis zur ersten Post-Baseline QTcF-Verlängerung >450 msec (Monate) (full analysis set) 409

Figure 4.2.4 / 282: Kaplan-Meier-Plot der 'Elektrokardiogramm Time-to-Event-Analyse' nach Endpunkt - Endpunkt: Zeit bis zur ersten Post-Baseline QTcF-Verlängerung >500 msec (Monate) (full analysis set) 410

4.3 Subgruppenanalysen 411

4.3.1 Morbidität 411

Figure 4.3.1 / 1: Kaplan-Meier-Plot der Time-to-Event-Analyse nach Endpunkt und Subgruppe - Endpunkt: Progressionsfreies Überleben (PFS) - Metastasen an Baseline unzensiert - Subgruppe: Geografische Region: North America (full analysis set) 412

Figure 4.3.1 / 2: Kaplan-Meier-Plot der Time-to-Event-Analyse nach Endpunkt und Subgruppe - Endpunkt: Progressionsfreies Überleben (PFS) - Metastasen an Baseline unzensiert - Subgruppe: Geografische Region: Asia Pacific (full analysis set) 413

Figure 4.3.1 / 3: Kaplan-Meier-Plot der Time-to-Event-Analyse nach Endpunkt und Subgruppe - Endpunkt: Progressionsfreies Überleben (PFS) - Metastasen an Baseline unzensiert - Subgruppe: Geografische Region: Rest of the World (full analysis set) 414

Figure 4.3.1 / 4: Kaplan-Meier-Plot der Time-to-Event-Analyse nach Endpunkt und Subgruppe - Endpunkt: Progressionsfreies Überleben (PFS) - Metastasen an Baseline unzensiert - Subgruppe: Geografische Region: Europe (full analysis set) 415

Figure 4.3.1 / 5: Kaplan-Meier-Plot der Time-to-Event-Analyse nach Endpunkt und Subgruppe - Endpunkt: Metastasenfreies Überleben (MFS) - Metastasen an Baseline unzensiert - Subgruppe: Geografische Region: North America (full analysis set) 416

Figure 4.3.1 / 6: Kaplan-Meier-Plot der Time-to-Event-Analyse nach Endpunkt und Subgruppe - Endpunkt: Metastasenfreies Überleben (MFS) - Metastasen an Baseline unzensiert - Subgruppe: Geografische Region: Asia Pacific (full analysis set) 417

Figure 4.3.1 / 7: Kaplan-Meier-Plot der Time-to-Event-Analyse nach Endpunkt und Subgruppe - Endpunkt: Metastasenfreies Überleben (MFS) - Metastasen an Baseline unzensiert - Subgruppe: Geografische Region: Rest of the World (full analysis set) 418

Figure 4.3.1 / 8: Kaplan-Meier-Plot der Time-to-Event-Analyse nach Endpunkt und Subgruppe - Endpunkt: Metastasenfreies Überleben (MFS) - Metastasen an Baseline unzensiert - Subgruppe: Geografische Region: Europe (full analysis set) 419

Figure 4.3.1 / 9: Kaplan-Meier-Plot der Time-to-Event-Analyse nach Endpunkt und Subgruppe - Endpunkt: Metastasenfreies Überleben (MFS) - Metastasen zensiert zum Randomisierungsdatum - Subgruppe: ECOG Status an Baseline: 0 (full analysis set) 420

Figure 4.3.1 / 10: Kaplan-Meier-Plot der Time-to-Event-Analyse nach Endpunkt und Subgruppe - Endpunkt: Metastasenfreies Überleben (MFS) - Metastasen zensiert zum Randomisierungsdatum - Subgruppe: ECOG Status an Baseline: 1 (full analysis set) 421
Figure 4.3.1 / 11: Kaplan-Meier-Plot der Time-to-Event-Analyse nach Endpunkt und Subgruppe - Endpunkt: Zeit bis zur antineoplastischen Therapie - Subgruppe: Alter (Jahre): <65 (full analysis set) 422
Figure 4.3.1 / 12: Kaplan-Meier-Plot der Time-to-Event-Analyse nach Endpunkt und Subgruppe - Endpunkt: Zeit bis zur antineoplastischen Therapie - Subgruppe: Alter (Jahre): 65-74 (full analysis set) 423
Figure 4.3.1 / 13: Kaplan-Meier-Plot der Time-to-Event-Analyse nach Endpunkt und Subgruppe - Endpunkt: Zeit bis zur antineoplastischen Therapie - Subgruppe: Alter (Jahre): 75-84 (full analysis set) 424
Figure 4.3.1 / 14: Kaplan-Meier-Plot der Time-to-Event-Analyse nach Endpunkt und Subgruppe - Endpunkt: Zeit bis zur antineoplastischen Therapie - Subgruppe: Alter (Jahre): >=85 (full analysis set) 425
Figure 4.3.1 / 15: Kaplan-Meier-Plot der Time-to-Event-Analyse nach Endpunkt und Subgruppe - Endpunkt: Zeit bis zur antineoplastischen Therapie - Subgruppe: Gleason-Score bei Diagnose: <7 (full analysis set) 426
Figure 4.3.1 / 16: Kaplan-Meier-Plot der Time-to-Event-Analyse nach Endpunkt und Subgruppe - Endpunkt: Zeit bis zur antineoplastischen Therapie - Subgruppe: Gleason-Score bei Diagnose: >=7 (full analysis set) 427
Figure 4.3.1 / 17: Kaplan-Meier-Plot der Time-to-Event-Analyse nach Endpunkt und Subgruppe - Endpunkt: Zeit bis zur Schmerzprogression (BPI-SF) - Subgruppe: Gleason-Score bei Diagnose: <7 (full analysis set) 428
Figure 4.3.1 / 18: Kaplan-Meier-Plot der Time-to-Event-Analyse nach Endpunkt und Subgruppe - Endpunkt: Zeit bis zur Schmerzprogression (BPI-SF) - Subgruppe: Gleason-Score bei Diagnose: >=7 (full analysis set) 429
Figure 4.3.1 / 19: Kaplan-Meier-Plot der Time-to-Event-Analyse nach Endpunkt und Subgruppe - Endpunkt: Zeit bis zur Verschlechterung >=2 des BPI-SF Item 3 - Subgruppe: Gleason-Score bei Diagnose: <7 (full analysis set) 430
Figure 4.3.1 / 20: Kaplan-Meier-Plot der Time-to-Event-Analyse nach Endpunkt und Subgruppe - Endpunkt: Zeit bis zur Verschlechterung >=2 des BPI-SF Item 3 - Subgruppe: Gleason-Score bei Diagnose: >=7 (full analysis set) 431
4.3.2 Gesundheitsbezogene Lebensqualität 432
Figure 4.3.2 / 1: Kaplan-Meier-Plot der Time-to-Event-Analyse nach Endpunkt und Subgruppe - Endpunkt: Zeit bis zur Verbesserung >=8 des EORTC-QLQ-PR25 Bowel Symptoms Score - Subgruppe: Alter (Jahre): <65 (full analysis set) 433
Figure 4.3.2 / 2: Kaplan-Meier-Plot der Time-to-Event-Analyse nach Endpunkt und Subgruppe - Endpunkt: Zeit bis zur Verbesserung >=8 des EORTC-QLQ-PR25 Bowel Symptoms Score - Subgruppe: Alter (Jahre): 65-74 (full analysis set) 434
Figure 4.3.2 / 3: Kaplan-Meier-Plot der Time-to-Event-Analyse nach Endpunkt und Subgruppe - Endpunkt: Zeit bis zur Verbesserung >=8 des EORTC-QLQ-PR25 Bowel Symptoms Score - Subgruppe: Alter (Jahre): 75-84 (full analysis set) 435
Figure 4.3.2 / 4: Kaplan-Meier-Plot der Time-to-Event-Analyse nach Endpunkt und Subgruppe - Endpunkt: Zeit bis zur Verbesserung >=8 des EORTC-QLQ-PR25 Bowel Symptoms Score - Subgruppe: Alter (Jahre): >=85 (full analysis set) 436

Figure 4.3.2 / 5: Kaplan-Meier-Plot der Time-to-Event-Analyse nach Endpunkt und Subgruppe - Endpunkt: Zeit bis zur Verbesserung >=8 des EORTC-QLQ-PR25 Sexual Activity Score - Subgruppe: Geografische Region: North America (full analysis set) 437
Figure 4.3.2 / 6: Kaplan-Meier-Plot der Time-to-Event-Analyse nach Endpunkt und Subgruppe - Endpunkt: Zeit bis zur Verbesserung >=8 des EORTC-QLQ-PR25 Sexual Activity Score - Subgruppe: Geografische Region: Asia Pacific (full analysis set) 438
Figure 4.3.2 / 7: Kaplan-Meier-Plot der Time-to-Event-Analyse nach Endpunkt und Subgruppe - Endpunkt: Zeit bis zur Verbesserung >=8 des EORTC-QLQ-PR25 Sexual Activity Score - Subgruppe: Geografische Region: Rest of the World (full analysis set) 439
Figure 4.3.2 / 8: Kaplan-Meier-Plot der Time-to-Event-Analyse nach Endpunkt und Subgruppe - Endpunkt: Zeit bis zur Verbesserung >=8 des EORTC-QLQ-PR25 Sexual Activity Score - Subgruppe: Geografische Region: Europe (full analysis set) 440
4.3.3 Sicherheit und Verträglichkeit 441
Figure 4.3.3 / 1: Kaplan-Meier-Plot der 'Unerwünschte Ereignis Time-to-Event-Analyse' nach Endpunkt und Subgruppe - Endpunkt: Zeit bis zum ersten SUE - Subgruppe: Alter (Jahre): <65 (full analysis set) 442
Figure 4.3.3 / 2: Kaplan-Meier-Plot der 'Unerwünschte Ereignis Time-to-Event-Analyse' nach Endpunkt und Subgruppe - Endpunkt: Zeit bis zum ersten SUE - Subgruppe: Alter (Jahre): 65-74 (full analysis set) 443
Figure 4.3.3 / 3: Kaplan-Meier-Plot der 'Unerwünschte Ereignis Time-to-Event-Analyse' nach Endpunkt und Subgruppe - Endpunkt: Zeit bis zum ersten SUE - Subgruppe: Alter (Jahre): 75-84 (full analysis set) 444
Figure 4.3.3 / 4: Kaplan-Meier-Plot der 'Unerwünschte Ereignis Time-to-Event-Analyse' nach Endpunkt und Subgruppe - Endpunkt: Zeit bis zum ersten SUE - Subgruppe: Alter (Jahre): >=85 (full analysis set) 445
Figure 4.3.3 / 5: Kaplan-Meier-Plot der 'Unerwünschte Ereignis Time-to-Event-Analyse' nach Endpunkt und Subgruppe - Endpunkt: Zeit bis zum ersten SUE - Subgruppe: Geografische Region: North America (full analysis set) 446
Figure 4.3.3 / 6: Kaplan-Meier-Plot der 'Unerwünschte Ereignis Time-to-Event-Analyse' nach Endpunkt und Subgruppe - Endpunkt: Zeit bis zum ersten SUE - Subgruppe: Geografische Region: Asia Pacific (full analysis set) 447
Figure 4.3.3 / 7: Kaplan-Meier-Plot der 'Unerwünschte Ereignis Time-to-Event-Analyse' nach Endpunkt und Subgruppe - Endpunkt: Zeit bis zum ersten SUE - Subgruppe: Geografische Region: Rest of the World (full analysis set) 448
Figure 4.3.3 / 8: Kaplan-Meier-Plot der 'Unerwünschte Ereignis Time-to-Event-Analyse' nach Endpunkt und Subgruppe - Endpunkt: Zeit bis zum ersten SUE - Subgruppe: Geografische Region: Europe (full analysis set) 449
Figure 4.3.3 / 9: Kaplan-Meier-Plot der 'Unerwünschte Ereignis Time-to-Event-Analyse' nach Endpunkt und Subgruppe - Endpunkt: Zeit bis zum ersten SUE - Subgruppe: Gleason-Score bei Diagnose: <7 (full analysis set) 450
Figure 4.3.3 / 10: Kaplan-Meier-Plot der 'Unerwünschte Ereignis Time-to-Event-Analyse' nach Endpunkt und Subgruppe - Endpunkt: Zeit bis zum ersten SUE - Subgruppe: Gleason-Score bei Diagnose: >=7 (full analysis set) 451
Figure 4.3.3 / 11: Kaplan-Meier-Plot der 'Unerwünschte Ereignis Time-to-Event-Analyse' nach Endpunkt und Subgruppe - Endpunkt: Zeit bis zum ersten SUE - Subgruppe: Leberfunktionsstörung: normal (full analysis set) 452

Figure 4.3.3 / 12: Kaplan-Meier-Plot der 'Unerwünschte Ereignis Time-to-Event-Analyse' nach Endpunkt und Subgruppe - Endpunkt: Zeit bis zum ersten SUE - Subgruppe: Leberfunktionsstörung: mild (full analysis set) 453

Figure 4.3.3 / 13: Kaplan-Meier-Plot der 'Unerwünschte Ereignis Time-to-Event-Analyse' nach Endpunkt und Subgruppe - Endpunkt: Zeit bis zum ersten SUE - Subgruppe: Nutzung von Statinen: Ja (full analysis set)..... 454

Figure 4.3.3 / 14: Kaplan-Meier-Plot der 'Unerwünschte Ereignis Time-to-Event-Analyse' nach Endpunkt und Subgruppe - Endpunkt: Zeit bis zum ersten SUE - Subgruppe: Nutzung von Statinen: Nein (full analysis set) 455

Figure 4.3.3 / 15: Kaplan-Meier-Plot der 'Unerwünschte Ereignis Time-to-Event-Analyse' nach Endpunkt und Subgruppe - Endpunkt: Zeit bis zum ersten SUE - Subgruppe: eGFR an Baseline: normal (full analysis set)..... 456

Figure 4.3.3 / 16: Kaplan-Meier-Plot der 'Unerwünschte Ereignis Time-to-Event-Analyse' nach Endpunkt und Subgruppe - Endpunkt: Zeit bis zum ersten SUE - Subgruppe: eGFR an Baseline: mildly impaired (full analysis set) 457

Figure 4.3.3 / 17: Kaplan-Meier-Plot der 'Unerwünschte Ereignis Time-to-Event-Analyse' nach Endpunkt und Subgruppe - Endpunkt: Zeit bis zum ersten SUE - Subgruppe: eGFR an Baseline: moderately impaired, severely impaired and renal end stage (full analysis set) 458

Figure 4.3.3 / 18: Kaplan-Meier-Plot der 'Unerwünschte Ereignis Time-to-Event-Analyse' nach Endpunkt und Subgruppe - Endpunkt: Zeit bis zum ersten UE mit CTCAE Grad >=3 - Subgruppe: Alter (Jahre): <65 (full analysis set)..... 459

Figure 4.3.3 / 19: Kaplan-Meier-Plot der 'Unerwünschte Ereignis Time-to-Event-Analyse' nach Endpunkt und Subgruppe - Endpunkt: Zeit bis zum ersten UE mit CTCAE Grad >=3 - Subgruppe: Alter (Jahre): 65-74 (full analysis set)..... 460

Figure 4.3.3 / 20: Kaplan-Meier-Plot der 'Unerwünschte Ereignis Time-to-Event-Analyse' nach Endpunkt und Subgruppe - Endpunkt: Zeit bis zum ersten UE mit CTCAE Grad >=3 - Subgruppe: Alter (Jahre): 75-84 (full analysis set)..... 461

Figure 4.3.3 / 21: Kaplan-Meier-Plot der 'Unerwünschte Ereignis Time-to-Event-Analyse' nach Endpunkt und Subgruppe - Endpunkt: Zeit bis zum ersten UE mit CTCAE Grad >=3 - Subgruppe: Alter (Jahre): >=85 (full analysis set) 462

Figure 4.3.3 / 22: Kaplan-Meier-Plot der 'Unerwünschte Ereignis Time-to-Event-Analyse' nach Endpunkt und Subgruppe - Endpunkt: Zeit bis zum ersten UE mit CTCAE Grad >=3 - Subgruppe: Geografische Region: North America (full analysis set)..... 463

Figure 4.3.3 / 23: Kaplan-Meier-Plot der 'Unerwünschte Ereignis Time-to-Event-Analyse' nach Endpunkt und Subgruppe - Endpunkt: Zeit bis zum ersten UE mit CTCAE Grad >=3 - Subgruppe: Geografische Region: Asia Pacific (full analysis set)..... 464

Figure 4.3.3 / 24: Kaplan-Meier-Plot der 'Unerwünschte Ereignis Time-to-Event-Analyse' nach Endpunkt und Subgruppe - Endpunkt: Zeit bis zum ersten UE mit CTCAE Grad >=3 - Subgruppe: Geografische Region: Rest of the World (full analysis set) 465

Figure 4.3.3 / 25: Kaplan-Meier-Plot der 'Unerwünschte Ereignis Time-to-Event-Analyse' nach Endpunkt und Subgruppe - Endpunkt: Zeit bis zum ersten UE mit CTCAE Grad >=3 - Subgruppe: Geografische Region: Europe (full analysis set)..... 466

Figure 4.3.3 / 26: Kaplan-Meier-Plot der 'Unerwünschte Ereignis Time-to-Event-Analyse' nach Endpunkt und Subgruppe - Endpunkt: Zeit bis zum ersten UE mit CTCAE Grad >=3 - Subgruppe: Gleason-Score bei Diagnose: <7 (full analysis set)..... 467

Figure 4.3.3 / 27: Kaplan-Meier-Plot der 'Unerwünschte Ereignis Time-to-Event-Analyse' nach Endpunkt und Subgruppe - Endpunkt: Zeit bis zum ersten UE mit CTCAE Grad >=3 - Subgruppe: Gleason-Score bei Diagnose: >=7 (full analysis set) 468

Figure 4.3.3 / 28: Kaplan-Meier-Plot der 'Unerwünschte Ereignis Time-to-Event-Analyse' nach Endpunkt und Subgruppe - Endpunkt: Zeit bis zum ersten UE mit CTCAE Grad >=3 - Subgruppe: Leberfunktionsstörung: normal (full analysis set) 469

Figure 4.3.3 / 29: Kaplan-Meier-Plot der 'Unerwünschte Ereignis Time-to-Event-Analyse' nach Endpunkt und Subgruppe - Endpunkt: Zeit bis zum ersten UE mit CTCAE Grad >=3 - Subgruppe: Leberfunktionsstörung: mild (full analysis set) 470

Figure 4.3.3 / 30: Kaplan-Meier-Plot der 'Unerwünschte Ereignis Time-to-Event-Analyse' nach Endpunkt und Subgruppe - Endpunkt: Zeit bis zum ersten UE mit CTCAE Grad >=3 - Subgruppe: Nutzung von Statinen: Ja (full analysis set) 471

Figure 4.3.3 / 31: Kaplan-Meier-Plot der 'Unerwünschte Ereignis Time-to-Event-Analyse' nach Endpunkt und Subgruppe - Endpunkt: Zeit bis zum ersten UE mit CTCAE Grad >=3 - Subgruppe: Nutzung von Statinen: Nein (full analysis set) 472

Figure 4.3.3 / 32: Kaplan-Meier-Plot der 'Unerwünschte Ereignis Time-to-Event-Analyse' nach Endpunkt und Subgruppe - Endpunkt: Zeit bis zum ersten UE mit CTCAE Grad >=3 - Subgruppe: eGFR an Baseline: normal (full analysis set) 473

Figure 4.3.3 / 33: Kaplan-Meier-Plot der 'Unerwünschte Ereignis Time-to-Event-Analyse' nach Endpunkt und Subgruppe - Endpunkt: Zeit bis zum ersten UE mit CTCAE Grad >=3 - Subgruppe: eGFR an Baseline: mildly impaired (full analysis set) 474

Figure 4.3.3 / 34: Kaplan-Meier-Plot der 'Unerwünschte Ereignis Time-to-Event-Analyse' nach Endpunkt und Subgruppe - Endpunkt: Zeit bis zum ersten UE mit CTCAE Grad >=3 - Subgruppe: eGFR an Baseline: moderately impaired, severely impaired and renal end stage (full analysis set) 475

Figure 4.3.3 / 35: Kaplan-Meier-Plot der 'Unerwünschte Ereignis Time-to-Event-Analyse' nach Endpunkt und Subgruppe - Endpunkt: Zeit bis zum ersten UE mit CTCAE Grad >=3 mit Ausnahme krankheitsbedingter Ereignisse - Subgruppe: eGFR an Baseline: normal (full analysis set) 476

Figure 4.3.3 / 36: Kaplan-Meier-Plot der 'Unerwünschte Ereignis Time-to-Event-Analyse' nach Endpunkt und Subgruppe - Endpunkt: Zeit bis zum ersten UE mit CTCAE Grad >=3 mit Ausnahme krankheitsbedingter Ereignisse - Subgruppe: eGFR an Baseline: mildly impaired (full analysis set) 477

Figure 4.3.3 / 37: Kaplan-Meier-Plot der 'Unerwünschte Ereignis Time-to-Event-Analyse' nach Endpunkt und Subgruppe - Endpunkt: Zeit bis zum ersten UE mit CTCAE Grad >=3 mit Ausnahme krankheitsbedingter Ereignisse - Subgruppe: eGFR an Baseline: moderately impaired, severely impaired and renal end stage (full analysis set) 478

Figure 4.3.3 / 38: Kaplan-Meier-Plot der 'Unerwünschte Ereignis Time-to-Event-Analyse' nach Endpunkt und Subgruppe - Endpunkt: Zeit bis zum ersten UE - Subgruppe: Alter (Jahre): <65 (full analysis set) 479

Figure 4.3.3 / 39: Kaplan-Meier-Plot der 'Unerwünschte Ereignis Time-to-Event-Analyse' nach Endpunkt und Subgruppe - Endpunkt: Zeit bis zum ersten UE - Subgruppe: Alter (Jahre): 65-74 (full analysis set) 480

Figure 4.3.3 / 40: Kaplan-Meier-Plot der 'Unerwünschte Ereignis Time-to-Event-Analyse' nach Endpunkt und Subgruppe - Endpunkt: Zeit bis zum ersten UE - Subgruppe: Alter (Jahre): 75-84 (full analysis set) 481

Figure 4.3.3 / 41: Kaplan-Meier-Plot der 'Unerwünschte Ereignis Time-to-Event-Analyse' nach Endpunkt und Subgruppe - Endpunkt: Zeit bis zum ersten UE - Subgruppe: Alter (Jahre): >=85 (full analysis set) 482

Figure 4.3.3 / 42: Kaplan-Meier-Plot der 'Unerwünschte Ereignis Time-to-Event-Analyse' nach Endpunkt und Subgruppe - Endpunkt: Zeit bis zum ersten UE - Subgruppe: Geografische Region: North America (full analysis set) 483

Figure 4.3.3 / 43: Kaplan-Meier-Plot der 'Unerwünschte Ereignis Time-to-Event-Analyse' nach Endpunkt und Subgruppe - Endpunkt: Zeit bis zum ersten UE - Subgruppe: Geografische Region: Asia Pacific (full analysis set) 484

Figure 4.3.3 / 44: Kaplan-Meier-Plot der 'Unerwünschte Ereignis Time-to-Event-Analyse' nach Endpunkt und Subgruppe - Endpunkt: Zeit bis zum ersten UE - Subgruppe: Geografische Region: Rest of the World (full analysis set) 485

Figure 4.3.3 / 45: Kaplan-Meier-Plot der 'Unerwünschte Ereignis Time-to-Event-Analyse' nach Endpunkt und Subgruppe - Endpunkt: Zeit bis zum ersten UE - Subgruppe: Geografische Region: Europe (full analysis set) 486

Figure 4.3.3 / 46: Kaplan-Meier-Plot der 'Unerwünschte Ereignis Time-to-Event-Analyse' nach Endpunkt und Subgruppe - Endpunkt: Zeit bis zum ersten UE - Subgruppe: Gleason-Score bei Diagnose: <7 (full analysis set) 487

Figure 4.3.3 / 47: Kaplan-Meier-Plot der 'Unerwünschte Ereignis Time-to-Event-Analyse' nach Endpunkt und Subgruppe - Endpunkt: Zeit bis zum ersten UE - Subgruppe: Gleason-Score bei Diagnose: >=7 (full analysis set) 488

Figure 4.3.3 / 48: Kaplan-Meier-Plot der 'Unerwünschte Ereignis Time-to-Event-Analyse' nach Endpunkt und Subgruppe - Endpunkt: Zeit bis zum ersten UE - Subgruppe: Leberfunktionsstörung: normal (full analysis set) 489

Figure 4.3.3 / 49: Kaplan-Meier-Plot der 'Unerwünschte Ereignis Time-to-Event-Analyse' nach Endpunkt und Subgruppe - Endpunkt: Zeit bis zum ersten UE - Subgruppe: Leberfunktionsstörung: mild (full analysis set) 490

Figure 4.3.3 / 50: Kaplan-Meier-Plot der 'Unerwünschte Ereignis Time-to-Event-Analyse' nach Endpunkt und Subgruppe - Endpunkt: Zeit bis zum ersten UE - Subgruppe: Nutzung von Statinen: Ja (full analysis set) 491

Figure 4.3.3 / 51: Kaplan-Meier-Plot der 'Unerwünschte Ereignis Time-to-Event-Analyse' nach Endpunkt und Subgruppe - Endpunkt: Zeit bis zum ersten UE - Subgruppe: Nutzung von Statinen: Nein (full analysis set) 492

Figure 4.3.3 / 52: Kaplan-Meier-Plot der 'Unerwünschte Ereignis Time-to-Event-Analyse' nach Endpunkt und Subgruppe - Endpunkt: Zeit bis zum ersten UE - Subgruppe: eGFR an Baseline: normal (full analysis set) 493

Figure 4.3.3 / 53: Kaplan-Meier-Plot der 'Unerwünschte Ereignis Time-to-Event-Analyse' nach Endpunkt und Subgruppe - Endpunkt: Zeit bis zum ersten UE - Subgruppe: eGFR an Baseline: mildly impaired (full analysis set) 494

Figure 4.3.3 / 54: Kaplan-Meier-Plot der 'Unerwünschte Ereignis Time-to-Event-Analyse' nach Endpunkt und Subgruppe - Endpunkt: Zeit bis zum ersten UE - Subgruppe: eGFR an Baseline: moderately impaired, severely impaired and renal end stage (full analysis set) 495

Figure 4.3.3 / 55: Kaplan-Meier-Plot der 'Unerwünschte Ereignis Time-to-Event-Analyse' nach Endpunkt und Subgruppe - Endpunkt: Zeit bis zum ersten unter der Behandlung aufgetretenen UE (TEAE) - Subgruppe: Geografische Region: North America (full analysis set) 496

Figure 4.3.3 / 56: Kaplan-Meier-Plot der 'Unerwünschte Ereignis Time-to-Event-Analyse' nach Endpunkt und Subgruppe - Endpunkt: Zeit bis zum ersten unter der Behandlung aufgetretenen UE (TEAE) - Subgruppe: Geografische Region: Asia Pacific (full analysis set) 497

Figure 4.3.3 / 57: Kaplan-Meier-Plot der 'Unerwünschte Ereignis Time-to-Event-Analyse' nach Endpunkt und Subgruppe - Endpunkt: Zeit bis zum ersten unter der Behandlung aufgetretenen UE (TEAE) - Subgruppe: Geografische Region: Rest of the World (full analysis set) 498

Figure 4.3.3 / 58: Kaplan-Meier-Plot der 'Unerwünschte Ereignis Time-to-Event-Analyse' nach Endpunkt und Subgruppe - Endpunkt: Zeit bis zum ersten unter der Behandlung aufgetretenen UE (TEAE) - Subgruppe: Geografische Region: Europe (full analysis set) 499

Figure 4.3.3 / 59: Kaplan-Meier-Plot der 'Unerwünschte Ereignis Time-to-Event-Analyse' nach Endpunkt und Subgruppe - Endpunkt: Zeit bis zum ersten zum Therapieabbruch führenden Ereignis - Subgruppe: Alter (Jahre): <65 (full analysis set) 500

Figure 4.3.3 / 60: Kaplan-Meier-Plot der 'Unerwünschte Ereignis Time-to-Event-Analyse' nach Endpunkt und Subgruppe - Endpunkt: Zeit bis zum ersten zum Therapieabbruch führenden Ereignis - Subgruppe: Alter (Jahre): 65-74 (full analysis set) 501

Figure 4.3.3 / 61: Kaplan-Meier-Plot der 'Unerwünschte Ereignis Time-to-Event-Analyse' nach Endpunkt und Subgruppe - Endpunkt: Zeit bis zum ersten zum Therapieabbruch führenden Ereignis - Subgruppe: Alter (Jahre): 75-84 (full analysis set) 502

Figure 4.3.3 / 62: Kaplan-Meier-Plot der 'Unerwünschte Ereignis Time-to-Event-Analyse' nach Endpunkt und Subgruppe - Endpunkt: Zeit bis zum ersten zum Therapieabbruch führenden Ereignis - Subgruppe: Alter (Jahre): >=85 (full analysis set) 503

Figure 4.3.3 / 63: Kaplan-Meier-Plot der 'Unerwünschte Ereignis Time-to-Event-Analyse' nach Endpunkt und Subgruppe - Endpunkt: Zeit bis zum ersten zum Therapieabbruch führenden Ereignis - Subgruppe: Geografische Region: North America (full analysis set) 504

Figure 4.3.3 / 64: Kaplan-Meier-Plot der 'Unerwünschte Ereignis Time-to-Event-Analyse' nach Endpunkt und Subgruppe - Endpunkt: Zeit bis zum ersten zum Therapieabbruch führenden Ereignis - Subgruppe: Geografische Region: Asia Pacific (full analysis set) 505

Figure 4.3.3 / 65: Kaplan-Meier-Plot der 'Unerwünschte Ereignis Time-to-Event-Analyse' nach Endpunkt und Subgruppe - Endpunkt: Zeit bis zum ersten zum Therapieabbruch führenden Ereignis - Subgruppe: Geografische Region: Rest of the World (full analysis set) 506

Figure 4.3.3 / 66: Kaplan-Meier-Plot der 'Unerwünschte Ereignis Time-to-Event-Analyse' nach Endpunkt und Subgruppe - Endpunkt: Zeit bis zum ersten zum Therapieabbruch führenden Ereignis - Subgruppe: Geografische Region: Europe (full analysis set) 507

Figure 4.3.3 / 67: Kaplan-Meier-Plot der 'Unerwünschte Ereignis Time-to-Event-Analyse' nach Endpunkt und Subgruppe - Endpunkt: Zeit bis zum ersten zum Therapieabbruch führenden Ereignis - Subgruppe: Gleason-Score bei Diagnose: <7 (full analysis set) 508

Figure 4.3.3 / 68: Kaplan-Meier-Plot der 'Unerwünschte Ereignis Time-to-Event-Analyse' nach Endpunkt und Subgruppe - Endpunkt: Zeit bis zum ersten zum

Therapieabbruch führenden Ereignis - Subgruppe: Gleason-Score bei Diagnose: >=7 (full analysis set) 509
Figure 4.3.3 / 69: Kaplan-Meier-Plot der 'Unerwünschte Ereignis Time-to-Event-Analyse' nach Endpunkt und Subgruppe - Endpunkt: Zeit bis zum ersten zum Therapieabbruch führenden Ereignis - Subgruppe: Leberfunktionsstörung: normal (full analysis set) 510
Figure 4.3.3 / 70: Kaplan-Meier-Plot der 'Unerwünschte Ereignis Time-to-Event-Analyse' nach Endpunkt und Subgruppe - Endpunkt: Zeit bis zum ersten zum Therapieabbruch führenden Ereignis - Subgruppe: Leberfunktionsstörung: mild (full analysis set) 511
Figure 4.3.3 / 71: Kaplan-Meier-Plot der 'Unerwünschte Ereignis Time-to-Event-Analyse' nach Endpunkt und Subgruppe - Endpunkt: Zeit bis zum ersten zum Therapieabbruch führenden Ereignis - Subgruppe: Nutzung von Statinen: Ja (full analysis set) 512
Figure 4.3.3 / 72: Kaplan-Meier-Plot der 'Unerwünschte Ereignis Time-to-Event-Analyse' nach Endpunkt und Subgruppe - Endpunkt: Zeit bis zum ersten zum Therapieabbruch führenden Ereignis - Subgruppe: Nutzung von Statinen: Nein (full analysis set) 513
Figure 4.3.3 / 73: Kaplan-Meier-Plot der 'Unerwünschte Ereignis Time-to-Event-Analyse' nach Endpunkt und Subgruppe - Endpunkt: Zeit bis zum ersten zum Therapieabbruch führenden Ereignis - Subgruppe: eGFR an Baseline: normal (full analysis set) 514
Figure 4.3.3 / 74: Kaplan-Meier-Plot der 'Unerwünschte Ereignis Time-to-Event-Analyse' nach Endpunkt und Subgruppe - Endpunkt: Zeit bis zum ersten zum Therapieabbruch führenden Ereignis - Subgruppe: eGFR an Baseline: mildly impaired (full analysis set) 515
Figure 4.3.3 / 75: Kaplan-Meier-Plot der 'Unerwünschte Ereignis Time-to-Event-Analyse' nach Endpunkt und Subgruppe - Endpunkt: Zeit bis zum ersten zum Therapieabbruch führenden Ereignis - Subgruppe: eGFR an Baseline: moderately impaired, severely impaired and renal end stage (full analysis set) 516
Figure 4.3.3 / 76: Kaplan-Meier-Plot der 'Unerwünschte Ereignis von besonderem Interesse' Time-to-Event-Analyse nach Endpunkt und Subgruppe - Endpunkt: Zeit bis zum ersten UE von besonderem Interesse: Bone fractures - Subgruppe: Alter (Jahre): 65-74 (full analysis set) 517
Figure 4.3.3 / 77: Kaplan-Meier-Plot der 'Unerwünschte Ereignis von besonderem Interesse' Time-to-Event-Analyse nach Endpunkt und Subgruppe - Endpunkt: Zeit bis zum ersten UE von besonderem Interesse: Bone fractures - Subgruppe: Alter (Jahre): 75-84 (full analysis set) 518
Figure 4.3.3 / 78: Kaplan-Meier-Plot der 'Unerwünschte Ereignis von besonderem Interesse' Time-to-Event-Analyse nach Endpunkt und Subgruppe - Endpunkt: Zeit bis zum ersten UE von besonderem Interesse: Bone fractures - Subgruppe: Alter (Jahre): >=85 (full analysis set) 519
Figure 4.3.3 / 79: Kaplan-Meier-Plot der 'Unerwünschte Ereignis von besonderem Interesse' Time-to-Event-Analyse nach Endpunkt und Subgruppe - Endpunkt: Zeit bis zum ersten UE von besonderem Interesse: Bone fractures - Subgruppe: Geografische Region: North America (full analysis set) 520
Figure 4.3.3 / 80: Kaplan-Meier-Plot der 'Unerwünschte Ereignis von besonderem Interesse' Time-to-Event-Analyse nach Endpunkt und Subgruppe - Endpunkt: Zeit bis zum ersten UE von besonderem Interesse: Bone fractures - Subgruppe: Geografische Region: Asia Pacific (full analysis set) 521

Figure 4.3.3 / 81: Kaplan-Meier-Plot der 'Unerwünschte Ereignis von besonderem Interesse' Time-to-Event-Analyse nach Endpunkt und Subgruppe - Endpunkt: Zeit bis zum ersten UE von besonderem Interesse: Bone fractures - Subgruppe: Geografische Region: Europe (full analysis set) 522

Figure 4.3.3 / 82: Kaplan-Meier-Plot der 'Unerwünschte Ereignis von besonderem Interesse' Time-to-Event-Analyse nach Endpunkt und Subgruppe - Endpunkt: Zeit bis zum ersten UE von besonderem Interesse: Bone fractures - Subgruppe: Gleason-Score bei Diagnose: <7 (full analysis set) 523

Figure 4.3.3 / 83: Kaplan-Meier-Plot der 'Unerwünschte Ereignis von besonderem Interesse' Time-to-Event-Analyse nach Endpunkt und Subgruppe - Endpunkt: Zeit bis zum ersten UE von besonderem Interesse: Bone fractures - Subgruppe: Gleason-Score bei Diagnose: >=7 (full analysis set) 524

Figure 4.3.3 / 84: Kaplan-Meier-Plot der 'Unerwünschte Ereignis von besonderem Interesse' Time-to-Event-Analyse nach Endpunkt und Subgruppe - Endpunkt: Zeit bis zum ersten UE von besonderem Interesse: Bone fractures - Subgruppe: Leberfunktionsstörung: normal (full analysis set) 525

Figure 4.3.3 / 85: Kaplan-Meier-Plot der 'Unerwünschte Ereignis von besonderem Interesse' Time-to-Event-Analyse nach Endpunkt und Subgruppe - Endpunkt: Zeit bis zum ersten UE von besonderem Interesse: Bone fractures - Subgruppe: Leberfunktionsstörung: mild (full analysis set) 526

Figure 4.3.3 / 86: Kaplan-Meier-Plot der 'Unerwünschte Ereignis von besonderem Interesse' Time-to-Event-Analyse nach Endpunkt und Subgruppe - Endpunkt: Zeit bis zum ersten UE von besonderem Interesse: Bone fractures - Subgruppe: Nutzung von Statinen: Ja (full analysis set) 527

Figure 4.3.3 / 87: Kaplan-Meier-Plot der 'Unerwünschte Ereignis von besonderem Interesse' Time-to-Event-Analyse nach Endpunkt und Subgruppe - Endpunkt: Zeit bis zum ersten UE von besonderem Interesse: Bone fractures - Subgruppe: Nutzung von Statinen: Nein (full analysis set) 528

Figure 4.3.3 / 88: Kaplan-Meier-Plot der 'Unerwünschte Ereignis von besonderem Interesse' Time-to-Event-Analyse nach Endpunkt und Subgruppe - Endpunkt: Zeit bis zum ersten UE von besonderem Interesse: Bone fractures - Subgruppe: eGFR an Baseline: normal (full analysis set) 529

Figure 4.3.3 / 89: Kaplan-Meier-Plot der 'Unerwünschte Ereignis von besonderem Interesse' Time-to-Event-Analyse nach Endpunkt und Subgruppe - Endpunkt: Zeit bis zum ersten UE von besonderem Interesse: Bone fractures - Subgruppe: eGFR an Baseline: mildly impaired (full analysis set) 530

Figure 4.3.3 / 90: Kaplan-Meier-Plot der 'Unerwünschte Ereignis von besonderem Interesse' Time-to-Event-Analyse nach Endpunkt und Subgruppe - Endpunkt: Zeit bis zum ersten UE von besonderem Interesse: Bone fractures - Subgruppe: eGFR an Baseline: moderately impaired, severely impaired and renal end stage (full analysis set) 531

Figure 4.3.3 / 91: Kaplan-Meier-Plot der 'Unerwünschte Ereignis von besonderem Interesse' Time-to-Event-Analyse nach Endpunkt und Subgruppe - Endpunkt: Zeit bis zum ersten UE von besonderem Interesse mit CTCAE Grad <3: Bone fractures - Subgruppe: Alter (Jahre): 65-74 (full analysis set) 532

Figure 4.3.3 / 92: Kaplan-Meier-Plot der 'Unerwünschte Ereignis von besonderem Interesse' Time-to-Event-Analyse nach Endpunkt und Subgruppe - Endpunkt: Zeit bis zum ersten UE von besonderem Interesse mit CTCAE Grad <3: Bone fractures - Subgruppe: Alter (Jahre): 75-84 (full analysis set) 533

Figure 4.3.3 / 93: Kaplan-Meier-Plot der 'Unerwünschte Ereignis von besonderem Interesse' Time-to-Event-Analyse nach Endpunkt und Subgruppe - Endpunkt: Zeit bis

zum ersten UE von besonderem Interesse mit CTCAE Grad <3: Bone fractures - Subgruppe: Alter (Jahre): >=85 (full analysis set) 534

Figure 4.3.3 / 94: Kaplan-Meier-Plot der 'Unerwünschte Ereignis von besonderem Interesse' Time-to-Event-Analyse nach Endpunkt und Subgruppe - Endpunkt: Zeit bis zum ersten UE von besonderem Interesse mit CTCAE Grad <3: Bone fractures - Subgruppe: Geografische Region: North America (full analysis set) 535

Figure 4.3.3 / 95: Kaplan-Meier-Plot der 'Unerwünschte Ereignis von besonderem Interesse' Time-to-Event-Analyse nach Endpunkt und Subgruppe - Endpunkt: Zeit bis zum ersten UE von besonderem Interesse mit CTCAE Grad <3: Bone fractures - Subgruppe: Geografische Region: Asia Pacific (full analysis set) 536

Figure 4.3.3 / 96: Kaplan-Meier-Plot der 'Unerwünschte Ereignis von besonderem Interesse' Time-to-Event-Analyse nach Endpunkt und Subgruppe - Endpunkt: Zeit bis zum ersten UE von besonderem Interesse mit CTCAE Grad <3: Bone fractures - Subgruppe: Geografische Region: Europe (full analysis set) 537

Figure 4.3.3 / 97: Kaplan-Meier-Plot der 'Unerwünschte Ereignis von besonderem Interesse' Time-to-Event-Analyse nach Endpunkt und Subgruppe - Endpunkt: Zeit bis zum ersten UE von besonderem Interesse mit CTCAE Grad <3: Bone fractures - Subgruppe: Gleason-Score bei Diagnose: <7 (full analysis set) 538

Figure 4.3.3 / 98: Kaplan-Meier-Plot der 'Unerwünschte Ereignis von besonderem Interesse' Time-to-Event-Analyse nach Endpunkt und Subgruppe - Endpunkt: Zeit bis zum ersten UE von besonderem Interesse mit CTCAE Grad <3: Bone fractures - Subgruppe: Gleason-Score bei Diagnose: >=7 (full analysis set) 539

Figure 4.3.3 / 99: Kaplan-Meier-Plot der 'Unerwünschte Ereignis von besonderem Interesse' Time-to-Event-Analyse nach Endpunkt und Subgruppe - Endpunkt: Zeit bis zum ersten UE von besonderem Interesse mit CTCAE Grad <3: Bone fractures - Subgruppe: Leberfunktionsstörung: normal (full analysis set) 540

Figure 4.3.3 / 100: Kaplan-Meier-Plot der 'Unerwünschte Ereignis von besonderem Interesse' Time-to-Event-Analyse nach Endpunkt und Subgruppe - Endpunkt: Zeit bis zum ersten UE von besonderem Interesse mit CTCAE Grad <3: Bone fractures - Subgruppe: Leberfunktionsstörung: mild (full analysis set) 541

Figure 4.3.3 / 101: Kaplan-Meier-Plot der 'Unerwünschte Ereignis von besonderem Interesse' Time-to-Event-Analyse nach Endpunkt und Subgruppe - Endpunkt: Zeit bis zum ersten UE von besonderem Interesse mit CTCAE Grad <3: Bone fractures - Subgruppe: Nutzung von Statinen: Ja (full analysis set) 542

Figure 4.3.3 / 102: Kaplan-Meier-Plot der 'Unerwünschte Ereignis von besonderem Interesse' Time-to-Event-Analyse nach Endpunkt und Subgruppe - Endpunkt: Zeit bis zum ersten UE von besonderem Interesse mit CTCAE Grad <3: Bone fractures - Subgruppe: Nutzung von Statinen: Nein (full analysis set) 543

Figure 4.3.3 / 103: Kaplan-Meier-Plot der 'Unerwünschte Ereignis von besonderem Interesse' Time-to-Event-Analyse nach Endpunkt und Subgruppe - Endpunkt: Zeit bis zum ersten UE von besonderem Interesse mit CTCAE Grad <3: Bone fractures - Subgruppe: eGFR an Baseline: normal (full analysis set) 544

Figure 4.3.3 / 104: Kaplan-Meier-Plot der 'Unerwünschte Ereignis von besonderem Interesse' Time-to-Event-Analyse nach Endpunkt und Subgruppe - Endpunkt: Zeit bis zum ersten UE von besonderem Interesse mit CTCAE Grad <3: Bone fractures - Subgruppe: eGFR an Baseline: mildly impaired (full analysis set) 545

Figure 4.3.3 / 105: Kaplan-Meier-Plot der 'Unerwünschte Ereignis von besonderem Interesse' Time-to-Event-Analyse nach Endpunkt und Subgruppe - Endpunkt: Zeit bis zum ersten UE von besonderem Interesse mit CTCAE Grad <3: Bone

fractures - Subgruppe: eGFR an Baseline: moderately impaired, severely impaired and renal end stage (full analysis set)..... 546

Figure 4.3.3 / 106: Kaplan-Meier-Plot der 'Unerwünschte Ereignis von besonderem Interesse' Time-to-Event-Analyse nach Endpunkt und Subgruppe - Endpunkt: Zeit bis zum ersten UE von besonderem Interesse mit CTCAE Grad >=3: Bone fractures - Subgruppe: Alter (Jahre): 65-74 (full analysis set) 547

Figure 4.3.3 / 107: Kaplan-Meier-Plot der 'Unerwünschte Ereignis von besonderem Interesse' Time-to-Event-Analyse nach Endpunkt und Subgruppe - Endpunkt: Zeit bis zum ersten UE von besonderem Interesse mit CTCAE Grad >=3: Bone fractures - Subgruppe: Alter (Jahre): 75-84 (full analysis set) 548

Figure 4.3.3 / 108: Kaplan-Meier-Plot der 'Unerwünschte Ereignis von besonderem Interesse' Time-to-Event-Analyse nach Endpunkt und Subgruppe - Endpunkt: Zeit bis zum ersten UE von besonderem Interesse mit CTCAE Grad >=3: Bone fractures - Subgruppe: Alter (Jahre): >=85 (full analysis set)..... 549

Figure 4.3.3 / 109: Kaplan-Meier-Plot der 'Unerwünschte Ereignis von besonderem Interesse' Time-to-Event-Analyse nach Endpunkt und Subgruppe - Endpunkt: Zeit bis zum ersten UE von besonderem Interesse mit CTCAE Grad >=3: Bone fractures - Subgruppe: Geografische Region: North America (full analysis set)..... 550

Figure 4.3.3 / 110: Kaplan-Meier-Plot der 'Unerwünschte Ereignis von besonderem Interesse' Time-to-Event-Analyse nach Endpunkt und Subgruppe - Endpunkt: Zeit bis zum ersten UE von besonderem Interesse mit CTCAE Grad >=3: Bone fractures - Subgruppe: Geografische Region: Asia Pacific (full analysis set)..... 551

Figure 4.3.3 / 111: Kaplan-Meier-Plot der 'Unerwünschte Ereignis von besonderem Interesse' Time-to-Event-Analyse nach Endpunkt und Subgruppe - Endpunkt: Zeit bis zum ersten UE von besonderem Interesse mit CTCAE Grad >=3: Bone fractures - Subgruppe: Geografische Region: Europe (full analysis set)..... 552

Figure 4.3.3 / 112: Kaplan-Meier-Plot der 'Unerwünschte Ereignis von besonderem Interesse' Time-to-Event-Analyse nach Endpunkt und Subgruppe - Endpunkt: Zeit bis zum ersten UE von besonderem Interesse mit CTCAE Grad >=3: Bone fractures - Subgruppe: Gleason-Score bei Diagnose: <7 (full analysis set) 553

Figure 4.3.3 / 113: Kaplan-Meier-Plot der 'Unerwünschte Ereignis von besonderem Interesse' Time-to-Event-Analyse nach Endpunkt und Subgruppe - Endpunkt: Zeit bis zum ersten UE von besonderem Interesse mit CTCAE Grad >=3: Bone fractures - Subgruppe: Gleason-Score bei Diagnose: >=7 (full analysis set)..... 554

Figure 4.3.3 / 114: Kaplan-Meier-Plot der 'Unerwünschte Ereignis von besonderem Interesse' Time-to-Event-Analyse nach Endpunkt und Subgruppe - Endpunkt: Zeit bis zum ersten UE von besonderem Interesse mit CTCAE Grad >=3: Bone fractures - Subgruppe: Leberfunktionsstörung: normal (full analysis set) 555

Figure 4.3.3 / 115: Kaplan-Meier-Plot der 'Unerwünschte Ereignis von besonderem Interesse' Time-to-Event-Analyse nach Endpunkt und Subgruppe - Endpunkt: Zeit bis zum ersten UE von besonderem Interesse mit CTCAE Grad >=3: Bone fractures - Subgruppe: Leberfunktionsstörung: mild (full analysis set) 556

Figure 4.3.3 / 116: Kaplan-Meier-Plot der 'Unerwünschte Ereignis von besonderem Interesse' Time-to-Event-Analyse nach Endpunkt und Subgruppe - Endpunkt: Zeit bis zum ersten UE von besonderem Interesse mit CTCAE Grad >=3: Bone fractures - Subgruppe: Nutzung von Statinen: Ja (full analysis set)..... 557

Figure 4.3.3 / 117: Kaplan-Meier-Plot der 'Unerwünschte Ereignis von besonderem Interesse' Time-to-Event-Analyse nach Endpunkt und Subgruppe - Endpunkt: Zeit bis zum ersten UE von besonderem Interesse mit CTCAE Grad >=3: Bone fractures - Subgruppe: Nutzung von Statinen: Nein (full analysis set) 558

Figure 4.3.3 / 118: Kaplan-Meier-Plot der 'Unerwünschte Ereignis von besonderem Interesse' Time-to-Event-Analyse nach Endpunkt und Subgruppe - Endpunkt: Zeit bis zum ersten UE von besonderem Interesse mit CTCAE Grad >=3: Bone fractures - Subgruppe: eGFR an Baseline: normal (full analysis set) 559

Figure 4.3.3 / 119: Kaplan-Meier-Plot der 'Unerwünschte Ereignis von besonderem Interesse' Time-to-Event-Analyse nach Endpunkt und Subgruppe - Endpunkt: Zeit bis zum ersten UE von besonderem Interesse mit CTCAE Grad >=3: Bone fractures - Subgruppe: eGFR an Baseline: mildly impaired (full analysis set) 560

Figure 4.3.3 / 120: Kaplan-Meier-Plot der 'Unerwünschte Ereignis von besonderem Interesse' Time-to-Event-Analyse nach Endpunkt und Subgruppe - Endpunkt: Zeit bis zum ersten UE von besonderem Interesse mit CTCAE Grad >=3: Bone fractures - Subgruppe: eGFR an Baseline: moderately impaired, severely impaired and renal end stage (full analysis set)..... 561

Figure 4.3.3 / 121: Kaplan-Meier-Plot der 'Unerwünschte Ereignis von besonderem Interesse' Time-to-Event-Analyse nach Endpunkt und Subgruppe - Endpunkt: Zeit bis zum ersten UE von besonderem Interesse: Fall - Subgruppe: Alter (Jahre): <65 (full analysis set)..... 562

Figure 4.3.3 / 122: Kaplan-Meier-Plot der 'Unerwünschte Ereignis von besonderem Interesse' Time-to-Event-Analyse nach Endpunkt und Subgruppe - Endpunkt: Zeit bis zum ersten UE von besonderem Interesse: Fall - Subgruppe: Alter (Jahre): 65-74 (full analysis set)..... 563

Figure 4.3.3 / 123: Kaplan-Meier-Plot der 'Unerwünschte Ereignis von besonderem Interesse' Time-to-Event-Analyse nach Endpunkt und Subgruppe - Endpunkt: Zeit bis zum ersten UE von besonderem Interesse: Fall - Subgruppe: Alter (Jahre): 75-84 (full analysis set)..... 564

Figure 4.3.3 / 124: Kaplan-Meier-Plot der 'Unerwünschte Ereignis von besonderem Interesse' Time-to-Event-Analyse nach Endpunkt und Subgruppe - Endpunkt: Zeit bis zum ersten UE von besonderem Interesse: Fall - Subgruppe: Alter (Jahre): >=85 (full analysis set)..... 565

Figure 4.3.3 / 125: Kaplan-Meier-Plot der 'Unerwünschte Ereignis von besonderem Interesse' Time-to-Event-Analyse nach Endpunkt und Subgruppe - Endpunkt: Zeit bis zum ersten UE von besonderem Interesse: Fall - Subgruppe: Geografische Region: North America (full analysis set)..... 566

Figure 4.3.3 / 126: Kaplan-Meier-Plot der 'Unerwünschte Ereignis von besonderem Interesse' Time-to-Event-Analyse nach Endpunkt und Subgruppe - Endpunkt: Zeit bis zum ersten UE von besonderem Interesse: Fall - Subgruppe: Geografische Region: Asia Pacific (full analysis set) 567

Figure 4.3.3 / 127: Kaplan-Meier-Plot der 'Unerwünschte Ereignis von besonderem Interesse' Time-to-Event-Analyse nach Endpunkt und Subgruppe - Endpunkt: Zeit bis zum ersten UE von besonderem Interesse: Fall - Subgruppe: Geografische Region: Rest of the World (full analysis set) 568

Figure 4.3.3 / 128: Kaplan-Meier-Plot der 'Unerwünschte Ereignis von besonderem Interesse' Time-to-Event-Analyse nach Endpunkt und Subgruppe - Endpunkt: Zeit bis zum ersten UE von besonderem Interesse: Fall - Subgruppe: Geografische Region: Europe (full analysis set) 569

Figure 4.3.3 / 129: Kaplan-Meier-Plot der 'Unerwünschte Ereignis von besonderem Interesse' Time-to-Event-Analyse nach Endpunkt und Subgruppe - Endpunkt: Zeit bis zum ersten UE von besonderem Interesse: Fall - Subgruppe: Gleason-Score bei Diagnose: <7 (full analysis set)..... 570

Figure 4.3.3 / 130: Kaplan-Meier-Plot der 'Unerwünschte Ereignis von besonderem Interesse' Time-to-Event-Analyse nach Endpunkt und Subgruppe - Endpunkt: Zeit bis

zum ersten UE von besonderem Interesse: Fall - Subgruppe: Gleason-Score bei Diagnose: >=7 (full analysis set) 571

Figure 4.3.3 / 131: Kaplan-Meier-Plot der 'Unerwünschte Ereignis von besonderem Interesse' Time-to-Event-Analyse nach Endpunkt und Subgruppe - Endpunkt: Zeit bis zum ersten UE von besonderem Interesse: Fall - Subgruppe: Leberfunktionsstörung: normal (full analysis set) 572

Figure 4.3.3 / 132: Kaplan-Meier-Plot der 'Unerwünschte Ereignis von besonderem Interesse' Time-to-Event-Analyse nach Endpunkt und Subgruppe - Endpunkt: Zeit bis zum ersten UE von besonderem Interesse: Fall - Subgruppe: Leberfunktionsstörung: mild (full analysis set) 573

Figure 4.3.3 / 133: Kaplan-Meier-Plot der 'Unerwünschte Ereignis von besonderem Interesse' Time-to-Event-Analyse nach Endpunkt und Subgruppe - Endpunkt: Zeit bis zum ersten UE von besonderem Interesse: Fall - Subgruppe: Nutzung von Statinen: Ja (full analysis set) 574

Figure 4.3.3 / 134: Kaplan-Meier-Plot der 'Unerwünschte Ereignis von besonderem Interesse' Time-to-Event-Analyse nach Endpunkt und Subgruppe - Endpunkt: Zeit bis zum ersten UE von besonderem Interesse: Fall - Subgruppe: Nutzung von Statinen: Nein (full analysis set) 575

Figure 4.3.3 / 135: Kaplan-Meier-Plot der 'Unerwünschte Ereignis von besonderem Interesse' Time-to-Event-Analyse nach Endpunkt und Subgruppe - Endpunkt: Zeit bis zum ersten UE von besonderem Interesse: Fall - Subgruppe: eGFR an Baseline: normal (full analysis set) 576

Figure 4.3.3 / 136: Kaplan-Meier-Plot der 'Unerwünschte Ereignis von besonderem Interesse' Time-to-Event-Analyse nach Endpunkt und Subgruppe - Endpunkt: Zeit bis zum ersten UE von besonderem Interesse: Fall - Subgruppe: eGFR an Baseline: mildly impaired (full analysis set) 577

Figure 4.3.3 / 137: Kaplan-Meier-Plot der 'Unerwünschte Ereignis von besonderem Interesse' Time-to-Event-Analyse nach Endpunkt und Subgruppe - Endpunkt: Zeit bis zum ersten UE von besonderem Interesse: Fall - Subgruppe: eGFR an Baseline: moderately impaired, severely impaired and renal end stage (full analysis set) 578

Figure 4.3.3 / 138: Kaplan-Meier-Plot der 'Unerwünschte Ereignis von besonderem Interesse' Time-to-Event-Analyse nach Endpunkt und Subgruppe - Endpunkt: Zeit bis zum ersten UE von besonderem Interesse mit CTCAE Grad <3: Fall - Subgruppe: Alter (Jahre): <65 (full analysis set) 579

Figure 4.3.3 / 139: Kaplan-Meier-Plot der 'Unerwünschte Ereignis von besonderem Interesse' Time-to-Event-Analyse nach Endpunkt und Subgruppe - Endpunkt: Zeit bis zum ersten UE von besonderem Interesse mit CTCAE Grad <3: Fall - Subgruppe: Alter (Jahre): 65-74 (full analysis set) 580

Figure 4.3.3 / 140: Kaplan-Meier-Plot der 'Unerwünschte Ereignis von besonderem Interesse' Time-to-Event-Analyse nach Endpunkt und Subgruppe - Endpunkt: Zeit bis zum ersten UE von besonderem Interesse mit CTCAE Grad <3: Fall - Subgruppe: Alter (Jahre): 75-84 (full analysis set) 581

Figure 4.3.3 / 141: Kaplan-Meier-Plot der 'Unerwünschte Ereignis von besonderem Interesse' Time-to-Event-Analyse nach Endpunkt und Subgruppe - Endpunkt: Zeit bis zum ersten UE von besonderem Interesse mit CTCAE Grad <3: Fall - Subgruppe: Alter (Jahre): >=85 (full analysis set) 582

Figure 4.3.3 / 142: Kaplan-Meier-Plot der 'Unerwünschte Ereignis von besonderem Interesse' Time-to-Event-Analyse nach Endpunkt und Subgruppe - Endpunkt: Zeit bis zum ersten UE von besonderem Interesse mit CTCAE Grad <3: Fall - Subgruppe: Geografische Region: North America (full analysis set) 583

Figure 4.3.3 / 143: Kaplan-Meier-Plot der 'Unerwünschte Ereignis von besonderem Interesse' Time-to-Event-Analyse nach Endpunkt und Subgruppe - Endpunkt: Zeit bis zum ersten UE von besonderem Interesse mit CTCAE Grad <3: Fall - Subgruppe: Geografische Region: Asia Pacific (full analysis set) 584

Figure 4.3.3 / 144: Kaplan-Meier-Plot der 'Unerwünschte Ereignis von besonderem Interesse' Time-to-Event-Analyse nach Endpunkt und Subgruppe - Endpunkt: Zeit bis zum ersten UE von besonderem Interesse mit CTCAE Grad <3: Fall - Subgruppe: Geografische Region: Rest of the World (full analysis set) 585

Figure 4.3.3 / 145: Kaplan-Meier-Plot der 'Unerwünschte Ereignis von besonderem Interesse' Time-to-Event-Analyse nach Endpunkt und Subgruppe - Endpunkt: Zeit bis zum ersten UE von besonderem Interesse mit CTCAE Grad <3: Fall - Subgruppe: Geografische Region: Europe (full analysis set) 586

Figure 4.3.3 / 146: Kaplan-Meier-Plot der 'Unerwünschte Ereignis von besonderem Interesse' Time-to-Event-Analyse nach Endpunkt und Subgruppe - Endpunkt: Zeit bis zum ersten UE von besonderem Interesse mit CTCAE Grad <3: Fall - Subgruppe: Gleason-Score bei Diagnose: <7 (full analysis set) 587

Figure 4.3.3 / 147: Kaplan-Meier-Plot der 'Unerwünschte Ereignis von besonderem Interesse' Time-to-Event-Analyse nach Endpunkt und Subgruppe - Endpunkt: Zeit bis zum ersten UE von besonderem Interesse mit CTCAE Grad <3: Fall - Subgruppe: Gleason-Score bei Diagnose: >=7 (full analysis set) 588

Figure 4.3.3 / 148: Kaplan-Meier-Plot der 'Unerwünschte Ereignis von besonderem Interesse' Time-to-Event-Analyse nach Endpunkt und Subgruppe - Endpunkt: Zeit bis zum ersten UE von besonderem Interesse mit CTCAE Grad <3: Fall - Subgruppe: Leberfunktionsstörung: normal (full analysis set) 589

Figure 4.3.3 / 149: Kaplan-Meier-Plot der 'Unerwünschte Ereignis von besonderem Interesse' Time-to-Event-Analyse nach Endpunkt und Subgruppe - Endpunkt: Zeit bis zum ersten UE von besonderem Interesse mit CTCAE Grad <3: Fall - Subgruppe: Leberfunktionsstörung: mild (full analysis set) 590

Figure 4.3.3 / 150: Kaplan-Meier-Plot der 'Unerwünschte Ereignis von besonderem Interesse' Time-to-Event-Analyse nach Endpunkt und Subgruppe - Endpunkt: Zeit bis zum ersten UE von besonderem Interesse mit CTCAE Grad <3: Fall - Subgruppe: Nutzung von Statinen: Ja (full analysis set) 591

Figure 4.3.3 / 151: Kaplan-Meier-Plot der 'Unerwünschte Ereignis von besonderem Interesse' Time-to-Event-Analyse nach Endpunkt und Subgruppe - Endpunkt: Zeit bis zum ersten UE von besonderem Interesse mit CTCAE Grad <3: Fall - Subgruppe: Nutzung von Statinen: Nein (full analysis set) 592

Figure 4.3.3 / 152: Kaplan-Meier-Plot der 'Unerwünschte Ereignis von besonderem Interesse' Time-to-Event-Analyse nach Endpunkt und Subgruppe - Endpunkt: Zeit bis zum ersten UE von besonderem Interesse mit CTCAE Grad <3: Fall - Subgruppe: eGFR an Baseline: normal (full analysis set) 593

Figure 4.3.3 / 153: Kaplan-Meier-Plot der 'Unerwünschte Ereignis von besonderem Interesse' Time-to-Event-Analyse nach Endpunkt und Subgruppe - Endpunkt: Zeit bis zum ersten UE von besonderem Interesse mit CTCAE Grad <3: Fall - Subgruppe: eGFR an Baseline: mildly impaired (full analysis set) 594

Figure 4.3.3 / 154: Kaplan-Meier-Plot der 'Unerwünschte Ereignis von besonderem Interesse' Time-to-Event-Analyse nach Endpunkt und Subgruppe - Endpunkt: Zeit bis zum ersten UE von besonderem Interesse mit CTCAE Grad <3: Fall - Subgruppe: eGFR an Baseline: moderately impaired, severely impaired and renal end stage (full analysis set) 595

Figure 4.3.3 / 155: Kaplan-Meier-Plot der 'Unerwünschte Ereignis von besonderem Interesse' Time-to-Event-Analyse nach Endpunkt und Subgruppe - Endpunkt: Zeit bis

zum ersten UE von besonderem Interesse mit CTCAE Grad >=3: Fall - Subgruppe: Alter (Jahre): 65-74 (full analysis set) 596

Figure 4.3.3 / 156: Kaplan-Meier-Plot der 'Unerwünschte Ereignis von besonderem Interesse' Time-to-Event-Analyse nach Endpunkt und Subgruppe - Endpunkt: Zeit bis zum ersten UE von besonderem Interesse mit CTCAE Grad >=3: Fall - Subgruppe: Alter (Jahre): 75-84 (full analysis set) 597

Figure 4.3.3 / 157: Kaplan-Meier-Plot der 'Unerwünschte Ereignis von besonderem Interesse' Time-to-Event-Analyse nach Endpunkt und Subgruppe - Endpunkt: Zeit bis zum ersten UE von besonderem Interesse mit CTCAE Grad >=3: Fall - Subgruppe: Geografische Region: Europe (full analysis set)..... 598

Figure 4.3.3 / 158: Kaplan-Meier-Plot der 'Unerwünschte Ereignis von besonderem Interesse' Time-to-Event-Analyse nach Endpunkt und Subgruppe - Endpunkt: Zeit bis zum ersten UE von besonderem Interesse mit CTCAE Grad >=3: Fall - Subgruppe: Gleason-Score bei Diagnose: <7 (full analysis set) 599

Figure 4.3.3 / 159: Kaplan-Meier-Plot der 'Unerwünschte Ereignis von besonderem Interesse' Time-to-Event-Analyse nach Endpunkt und Subgruppe - Endpunkt: Zeit bis zum ersten UE von besonderem Interesse mit CTCAE Grad >=3: Fall - Subgruppe: Gleason-Score bei Diagnose: >=7 (full analysis set)..... 600

Figure 4.3.3 / 160: Kaplan-Meier-Plot der 'Unerwünschte Ereignis von besonderem Interesse' Time-to-Event-Analyse nach Endpunkt und Subgruppe - Endpunkt: Zeit bis zum ersten UE von besonderem Interesse mit CTCAE Grad >=3: Fall - Subgruppe: Leberfunktionsstörung: normal (full analysis set) 601

Figure 4.3.3 / 161: Kaplan-Meier-Plot der 'Unerwünschte Ereignis von besonderem Interesse' Time-to-Event-Analyse nach Endpunkt und Subgruppe - Endpunkt: Zeit bis zum ersten UE von besonderem Interesse mit CTCAE Grad >=3: Fall - Subgruppe: Nutzung von Statinen: Ja (full analysis set)..... 602

Figure 4.3.3 / 162: Kaplan-Meier-Plot der 'Unerwünschte Ereignis von besonderem Interesse' Time-to-Event-Analyse nach Endpunkt und Subgruppe - Endpunkt: Zeit bis zum ersten UE von besonderem Interesse mit CTCAE Grad >=3: Fall - Subgruppe: Nutzung von Statinen: Nein (full analysis set) 603

Figure 4.3.3 / 163: Kaplan-Meier-Plot der 'Unerwünschte Ereignis von besonderem Interesse' Time-to-Event-Analyse nach Endpunkt und Subgruppe - Endpunkt: Zeit bis zum ersten UE von besonderem Interesse mit CTCAE Grad >=3: Fall - Subgruppe: eGFR an Baseline: normal (full analysis set)..... 604

Figure 4.3.3 / 164: Kaplan-Meier-Plot der 'Unerwünschte Ereignis von besonderem Interesse' Time-to-Event-Analyse nach Endpunkt und Subgruppe - Endpunkt: Zeit bis zum ersten UE von besonderem Interesse mit CTCAE Grad >=3: Fall - Subgruppe: eGFR an Baseline: mildly impaired (full analysis set) 605

Figure 4.3.3 / 165: Kaplan-Meier-Plot der 'Unerwünschte Ereignis von besonderem Interesse' Time-to-Event-Analyse nach Endpunkt und Subgruppe - Endpunkt: Zeit bis zum ersten UE von besonderem Interesse mit CTCAE Grad >=3: Fall - Subgruppe: eGFR an Baseline: moderately impaired, severely impaired and renal end stage (full analysis set) 606

Figure 4.3.3 / 166: Kaplan-Meier-Plot der 'Unerwünschte Ereignis von besonderem Interesse' Time-to-Event-Analyse nach Endpunkt und Subgruppe - Endpunkt: Zeit bis zum ersten UE von besonderem Interesse: Seizure - Subgruppe: Alter (Jahre): 75-84 (full analysis set)..... 607

Figure 4.3.3 / 167: Kaplan-Meier-Plot der 'Unerwünschte Ereignis von besonderem Interesse' Time-to-Event-Analyse nach Endpunkt und Subgruppe - Endpunkt: Zeit bis zum ersten UE von besonderem Interesse: Seizure - Subgruppe: Gleason-Score bei Diagnose: >=7 (full analysis set)..... 608

Figure 4.3.3 / 168: Kaplan-Meier-Plot der 'Unerwünschte Ereignis von besonderem Interesse' Time-to-Event-Analyse nach Endpunkt und Subgruppe - Endpunkt: Zeit bis zum ersten UE von besonderem Interesse: Seizure - Subgruppe: Leberfunktionsstörung: normal (full analysis set) 609

Figure 4.3.3 / 169: Kaplan-Meier-Plot der 'Unerwünschte Ereignis von besonderem Interesse' Time-to-Event-Analyse nach Endpunkt und Subgruppe - Endpunkt: Zeit bis zum ersten UE von besonderem Interesse mit CTCAE Grad <3: Seizure - Subgruppe: Alter (Jahre): 75-84 (full analysis set) 610

Figure 4.3.3 / 170: Kaplan-Meier-Plot der 'Unerwünschte Ereignis von besonderem Interesse' Time-to-Event-Analyse nach Endpunkt und Subgruppe - Endpunkt: Zeit bis zum ersten UE von besonderem Interesse mit CTCAE Grad <3: Seizure - Subgruppe: Gleason-Score bei Diagnose: >=7 (full analysis set) 611

Figure 4.3.3 / 171: Kaplan-Meier-Plot der 'Unerwünschte Ereignis von besonderem Interesse' Time-to-Event-Analyse nach Endpunkt und Subgruppe - Endpunkt: Zeit bis zum ersten UE von besonderem Interesse mit CTCAE Grad <3: Seizure - Subgruppe: Leberfunktionsstörung: normal (full analysis set) 612

Figure 4.3.3 / 172: Kaplan-Meier-Plot der 'Unerwünschte Ereignis von besonderem Interesse' Time-to-Event-Analyse nach Endpunkt und Subgruppe - Endpunkt: Zeit bis zum ersten UE von besonderem Interesse: Fatigue - Subgruppe: Alter (Jahre): <65 (full analysis set) 613

Figure 4.3.3 / 173: Kaplan-Meier-Plot der 'Unerwünschte Ereignis von besonderem Interesse' Time-to-Event-Analyse nach Endpunkt und Subgruppe - Endpunkt: Zeit bis zum ersten UE von besonderem Interesse: Fatigue - Subgruppe: Alter (Jahre): 65-74 (full analysis set) 614

Figure 4.3.3 / 174: Kaplan-Meier-Plot der 'Unerwünschte Ereignis von besonderem Interesse' Time-to-Event-Analyse nach Endpunkt und Subgruppe - Endpunkt: Zeit bis zum ersten UE von besonderem Interesse: Fatigue - Subgruppe: Alter (Jahre): 75-84 (full analysis set) 615

Figure 4.3.3 / 175: Kaplan-Meier-Plot der 'Unerwünschte Ereignis von besonderem Interesse' Time-to-Event-Analyse nach Endpunkt und Subgruppe - Endpunkt: Zeit bis zum ersten UE von besonderem Interesse: Fatigue - Subgruppe: Alter (Jahre): >=85 (full analysis set) 616

Figure 4.3.3 / 176: Kaplan-Meier-Plot der 'Unerwünschte Ereignis von besonderem Interesse' Time-to-Event-Analyse nach Endpunkt und Subgruppe - Endpunkt: Zeit bis zum ersten UE von besonderem Interesse: Fatigue - Subgruppe: Geografische Region: North America (full analysis set) 617

Figure 4.3.3 / 177: Kaplan-Meier-Plot der 'Unerwünschte Ereignis von besonderem Interesse' Time-to-Event-Analyse nach Endpunkt und Subgruppe - Endpunkt: Zeit bis zum ersten UE von besonderem Interesse: Fatigue - Subgruppe: Geografische Region: Asia Pacific (full analysis set) 618

Figure 4.3.3 / 178: Kaplan-Meier-Plot der 'Unerwünschte Ereignis von besonderem Interesse' Time-to-Event-Analyse nach Endpunkt und Subgruppe - Endpunkt: Zeit bis zum ersten UE von besonderem Interesse: Fatigue - Subgruppe: Geografische Region: Rest of the World (full analysis set) 619

Figure 4.3.3 / 179: Kaplan-Meier-Plot der 'Unerwünschte Ereignis von besonderem Interesse' Time-to-Event-Analyse nach Endpunkt und Subgruppe - Endpunkt: Zeit bis zum ersten UE von besonderem Interesse: Fatigue - Subgruppe: Geografische Region: Europe (full analysis set) 620

Figure 4.3.3 / 180: Kaplan-Meier-Plot der 'Unerwünschte Ereignis von besonderem Interesse' Time-to-Event-Analyse nach Endpunkt und Subgruppe - Endpunkt: Zeit bis

zum ersten UE von besonderem Interesse: Fatigue - Subgruppe: Gleason-Score bei Diagnose: <7 (full analysis set) 621

Figure 4.3.3 / 181: Kaplan-Meier-Plot der 'Unerwünschte Ereignis von besonderem Interesse' Time-to-Event-Analyse nach Endpunkt und Subgruppe - Endpunkt: Zeit bis zum ersten UE von besonderem Interesse: Fatigue - Subgruppe: Gleason-Score bei Diagnose: >=7 (full analysis set) 622

Figure 4.3.3 / 182: Kaplan-Meier-Plot der 'Unerwünschte Ereignis von besonderem Interesse' Time-to-Event-Analyse nach Endpunkt und Subgruppe - Endpunkt: Zeit bis zum ersten UE von besonderem Interesse: Fatigue - Subgruppe: Leberfunktionsstörung: normal (full analysis set) 623

Figure 4.3.3 / 183: Kaplan-Meier-Plot der 'Unerwünschte Ereignis von besonderem Interesse' Time-to-Event-Analyse nach Endpunkt und Subgruppe - Endpunkt: Zeit bis zum ersten UE von besonderem Interesse: Fatigue - Subgruppe: Leberfunktionsstörung: mild (full analysis set) 624

Figure 4.3.3 / 184: Kaplan-Meier-Plot der 'Unerwünschte Ereignis von besonderem Interesse' Time-to-Event-Analyse nach Endpunkt und Subgruppe - Endpunkt: Zeit bis zum ersten UE von besonderem Interesse: Fatigue - Subgruppe: Nutzung von Statinen: Ja (full analysis set) 625

Figure 4.3.3 / 185: Kaplan-Meier-Plot der 'Unerwünschte Ereignis von besonderem Interesse' Time-to-Event-Analyse nach Endpunkt und Subgruppe - Endpunkt: Zeit bis zum ersten UE von besonderem Interesse: Fatigue - Subgruppe: Nutzung von Statinen: Nein (full analysis set) 626

Figure 4.3.3 / 186: Kaplan-Meier-Plot der 'Unerwünschte Ereignis von besonderem Interesse' Time-to-Event-Analyse nach Endpunkt und Subgruppe - Endpunkt: Zeit bis zum ersten UE von besonderem Interesse: Fatigue - Subgruppe: eGFR an Baseline: normal (full analysis set) 627

Figure 4.3.3 / 187: Kaplan-Meier-Plot der 'Unerwünschte Ereignis von besonderem Interesse' Time-to-Event-Analyse nach Endpunkt und Subgruppe - Endpunkt: Zeit bis zum ersten UE von besonderem Interesse: Fatigue - Subgruppe: eGFR an Baseline: mildly impaired (full analysis set) 628

Figure 4.3.3 / 188: Kaplan-Meier-Plot der 'Unerwünschte Ereignis von besonderem Interesse' Time-to-Event-Analyse nach Endpunkt und Subgruppe - Endpunkt: Zeit bis zum ersten UE von besonderem Interesse: Fatigue - Subgruppe: eGFR an Baseline: moderately impaired, severely impaired and renal end stage (full analysis set) 629

Figure 4.3.3 / 189: Kaplan-Meier-Plot der 'Unerwünschte Ereignis von besonderem Interesse' Time-to-Event-Analyse nach Endpunkt und Subgruppe - Endpunkt: Zeit bis zum ersten UE von besonderem Interesse mit CTCAE Grad <3: Fatigue - Subgruppe: Alter (Jahre): <65 (full analysis set) 630

Figure 4.3.3 / 190: Kaplan-Meier-Plot der 'Unerwünschte Ereignis von besonderem Interesse' Time-to-Event-Analyse nach Endpunkt und Subgruppe - Endpunkt: Zeit bis zum ersten UE von besonderem Interesse mit CTCAE Grad <3: Fatigue - Subgruppe: Alter (Jahre): 65-74 (full analysis set) 631

Figure 4.3.3 / 191: Kaplan-Meier-Plot der 'Unerwünschte Ereignis von besonderem Interesse' Time-to-Event-Analyse nach Endpunkt und Subgruppe - Endpunkt: Zeit bis zum ersten UE von besonderem Interesse mit CTCAE Grad <3: Fatigue - Subgruppe: Alter (Jahre): 75-84 (full analysis set) 632

Figure 4.3.3 / 192: Kaplan-Meier-Plot der 'Unerwünschte Ereignis von besonderem Interesse' Time-to-Event-Analyse nach Endpunkt und Subgruppe - Endpunkt: Zeit bis zum ersten UE von besonderem Interesse mit CTCAE Grad <3: Fatigue - Subgruppe: Alter (Jahre): >=85 (full analysis set) 633

Figure 4.3.3 / 193: Kaplan-Meier-Plot der 'Unerwünschte Ereignis von besonderem Interesse' Time-to-Event-Analyse nach Endpunkt und Subgruppe - Endpunkt: Zeit bis zum ersten UE von besonderem Interesse mit CTCAE Grad <3: Fatigue - Subgruppe: Geografische Region: North America (full analysis set) 634

Figure 4.3.3 / 194: Kaplan-Meier-Plot der 'Unerwünschte Ereignis von besonderem Interesse' Time-to-Event-Analyse nach Endpunkt und Subgruppe - Endpunkt: Zeit bis zum ersten UE von besonderem Interesse mit CTCAE Grad <3: Fatigue - Subgruppe: Geografische Region: Asia Pacific (full analysis set) 635

Figure 4.3.3 / 195: Kaplan-Meier-Plot der 'Unerwünschte Ereignis von besonderem Interesse' Time-to-Event-Analyse nach Endpunkt und Subgruppe - Endpunkt: Zeit bis zum ersten UE von besonderem Interesse mit CTCAE Grad <3: Fatigue - Subgruppe: Geografische Region: Rest of the World (full analysis set) 636

Figure 4.3.3 / 196: Kaplan-Meier-Plot der 'Unerwünschte Ereignis von besonderem Interesse' Time-to-Event-Analyse nach Endpunkt und Subgruppe - Endpunkt: Zeit bis zum ersten UE von besonderem Interesse mit CTCAE Grad <3: Fatigue - Subgruppe: Geografische Region: Europe (full analysis set) 637

Figure 4.3.3 / 197: Kaplan-Meier-Plot der 'Unerwünschte Ereignis von besonderem Interesse' Time-to-Event-Analyse nach Endpunkt und Subgruppe - Endpunkt: Zeit bis zum ersten UE von besonderem Interesse mit CTCAE Grad <3: Fatigue - Subgruppe: Gleason-Score bei Diagnose: <7 (full analysis set) 638

Figure 4.3.3 / 198: Kaplan-Meier-Plot der 'Unerwünschte Ereignis von besonderem Interesse' Time-to-Event-Analyse nach Endpunkt und Subgruppe - Endpunkt: Zeit bis zum ersten UE von besonderem Interesse mit CTCAE Grad <3: Fatigue - Subgruppe: Gleason-Score bei Diagnose: >=7 (full analysis set) 639

Figure 4.3.3 / 199: Kaplan-Meier-Plot der 'Unerwünschte Ereignis von besonderem Interesse' Time-to-Event-Analyse nach Endpunkt und Subgruppe - Endpunkt: Zeit bis zum ersten UE von besonderem Interesse mit CTCAE Grad <3: Fatigue - Subgruppe: Leberfunktionsstörung: normal (full analysis set) 640

Figure 4.3.3 / 200: Kaplan-Meier-Plot der 'Unerwünschte Ereignis von besonderem Interesse' Time-to-Event-Analyse nach Endpunkt und Subgruppe - Endpunkt: Zeit bis zum ersten UE von besonderem Interesse mit CTCAE Grad <3: Fatigue - Subgruppe: Leberfunktionsstörung: mild (full analysis set) 641

Figure 4.3.3 / 201: Kaplan-Meier-Plot der 'Unerwünschte Ereignis von besonderem Interesse' Time-to-Event-Analyse nach Endpunkt und Subgruppe - Endpunkt: Zeit bis zum ersten UE von besonderem Interesse mit CTCAE Grad <3: Fatigue - Subgruppe: Nutzung von Statinen: Ja (full analysis set) 642

Figure 4.3.3 / 202: Kaplan-Meier-Plot der 'Unerwünschte Ereignis von besonderem Interesse' Time-to-Event-Analyse nach Endpunkt und Subgruppe - Endpunkt: Zeit bis zum ersten UE von besonderem Interesse mit CTCAE Grad <3: Fatigue - Subgruppe: Nutzung von Statinen: Nein (full analysis set) 643

Figure 4.3.3 / 203: Kaplan-Meier-Plot der 'Unerwünschte Ereignis von besonderem Interesse' Time-to-Event-Analyse nach Endpunkt und Subgruppe - Endpunkt: Zeit bis zum ersten UE von besonderem Interesse mit CTCAE Grad <3: Fatigue - Subgruppe: eGFR an Baseline: normal (full analysis set) 644

Figure 4.3.3 / 204: Kaplan-Meier-Plot der 'Unerwünschte Ereignis von besonderem Interesse' Time-to-Event-Analyse nach Endpunkt und Subgruppe - Endpunkt: Zeit bis zum ersten UE von besonderem Interesse mit CTCAE Grad <3: Fatigue - Subgruppe: eGFR an Baseline: mildly impaired (full analysis set) 645

Figure 4.3.3 / 205: Kaplan-Meier-Plot der 'Unerwünschte Ereignis von besonderem Interesse' Time-to-Event-Analyse nach Endpunkt und Subgruppe - Endpunkt: Zeit bis zum ersten UE von besonderem Interesse mit CTCAE Grad <3: Fatigue -

Subgruppe: eGFR an Baseline: moderately impaired, severely impaired and renal end stage (full analysis set) 646

Figure 4.3.3 / 206: Kaplan-Meier-Plot der 'Unerwünschte Ereignis von besonderem Interesse' Time-to-Event-Analyse nach Endpunkt und Subgruppe - Endpunkt: Zeit bis zum ersten UE von besonderem Interesse mit CTCAE Grad >=3: Fatigue - Subgruppe: Alter (Jahre): 65-74 (full analysis set) 647

Figure 4.3.3 / 207: Kaplan-Meier-Plot der 'Unerwünschte Ereignis von besonderem Interesse' Time-to-Event-Analyse nach Endpunkt und Subgruppe - Endpunkt: Zeit bis zum ersten UE von besonderem Interesse mit CTCAE Grad >=3: Fatigue - Subgruppe: Alter (Jahre): 75-84 (full analysis set) 648

Figure 4.3.3 / 208: Kaplan-Meier-Plot der 'Unerwünschte Ereignis von besonderem Interesse' Time-to-Event-Analyse nach Endpunkt und Subgruppe - Endpunkt: Zeit bis zum ersten UE von besonderem Interesse mit CTCAE Grad >=3: Fatigue - Subgruppe: Alter (Jahre): >=85 (full analysis set) 649

Figure 4.3.3 / 209: Kaplan-Meier-Plot der 'Unerwünschte Ereignis von besonderem Interesse' Time-to-Event-Analyse nach Endpunkt und Subgruppe - Endpunkt: Zeit bis zum ersten UE von besonderem Interesse mit CTCAE Grad >=3: Fatigue - Subgruppe: Geografische Region: North America (full analysis set) 650

Figure 4.3.3 / 210: Kaplan-Meier-Plot der 'Unerwünschte Ereignis von besonderem Interesse' Time-to-Event-Analyse nach Endpunkt und Subgruppe - Endpunkt: Zeit bis zum ersten UE von besonderem Interesse mit CTCAE Grad >=3: Fatigue - Subgruppe: Geografische Region: Asia Pacific (full analysis set) 651

Figure 4.3.3 / 211: Kaplan-Meier-Plot der 'Unerwünschte Ereignis von besonderem Interesse' Time-to-Event-Analyse nach Endpunkt und Subgruppe - Endpunkt: Zeit bis zum ersten UE von besonderem Interesse mit CTCAE Grad >=3: Fatigue - Subgruppe: Geografische Region: Europe (full analysis set) 652

Figure 4.3.3 / 212: Kaplan-Meier-Plot der 'Unerwünschte Ereignis von besonderem Interesse' Time-to-Event-Analyse nach Endpunkt und Subgruppe - Endpunkt: Zeit bis zum ersten UE von besonderem Interesse mit CTCAE Grad >=3: Fatigue - Subgruppe: Gleason-Score bei Diagnose: >=7 (full analysis set) 653

Figure 4.3.3 / 213: Kaplan-Meier-Plot der 'Unerwünschte Ereignis von besonderem Interesse' Time-to-Event-Analyse nach Endpunkt und Subgruppe - Endpunkt: Zeit bis zum ersten UE von besonderem Interesse mit CTCAE Grad >=3: Fatigue - Subgruppe: Leberfunktionsstörung: normal (full analysis set) 654

Figure 4.3.3 / 214: Kaplan-Meier-Plot der 'Unerwünschte Ereignis von besonderem Interesse' Time-to-Event-Analyse nach Endpunkt und Subgruppe - Endpunkt: Zeit bis zum ersten UE von besonderem Interesse mit CTCAE Grad >=3: Fatigue - Subgruppe: Nutzung von Statinen: Ja (full analysis set) 655

Figure 4.3.3 / 215: Kaplan-Meier-Plot der 'Unerwünschte Ereignis von besonderem Interesse' Time-to-Event-Analyse nach Endpunkt und Subgruppe - Endpunkt: Zeit bis zum ersten UE von besonderem Interesse mit CTCAE Grad >=3: Fatigue - Subgruppe: Nutzung von Statinen: Nein (full analysis set) 656

Figure 4.3.3 / 216: Kaplan-Meier-Plot der 'Unerwünschte Ereignis von besonderem Interesse' Time-to-Event-Analyse nach Endpunkt und Subgruppe - Endpunkt: Zeit bis zum ersten UE von besonderem Interesse mit CTCAE Grad >=3: Fatigue - Subgruppe: eGFR an Baseline: normal (full analysis set) 657

Figure 4.3.3 / 217: Kaplan-Meier-Plot der 'Unerwünschte Ereignis von besonderem Interesse' Time-to-Event-Analyse nach Endpunkt und Subgruppe - Endpunkt: Zeit bis zum ersten UE von besonderem Interesse mit CTCAE Grad >=3: Fatigue - Subgruppe: eGFR an Baseline: mildly impaired (full analysis set) 658

Figure 4.3.3 / 218: Kaplan-Meier-Plot der 'Unerwünschte Ereignis von besonderem Interesse' Time-to-Event-Analyse nach Endpunkt und Subgruppe - Endpunkt: Zeit bis zum ersten UE von besonderem Interesse mit CTCAE Grad >=3: Fatigue - Subgruppe: eGFR an Baseline: moderately impaired, severely impaired and renal end stage (full analysis set) 659

Figure 4.3.3 / 219: Kaplan-Meier-Plot der 'Unerwünschte Ereignis von besonderem Interesse' Time-to-Event-Analyse nach Endpunkt und Subgruppe - Endpunkt: Zeit bis zum ersten UE von besonderem Interesse: Weight decreased - Subgruppe: Alter (Jahre): <65 (full analysis set)..... 660

Figure 4.3.3 / 220: Kaplan-Meier-Plot der 'Unerwünschte Ereignis von besonderem Interesse' Time-to-Event-Analyse nach Endpunkt und Subgruppe - Endpunkt: Zeit bis zum ersten UE von besonderem Interesse: Weight decreased - Subgruppe: Alter (Jahre): 65-74 (full analysis set)..... 661

Figure 4.3.3 / 221: Kaplan-Meier-Plot der 'Unerwünschte Ereignis von besonderem Interesse' Time-to-Event-Analyse nach Endpunkt und Subgruppe - Endpunkt: Zeit bis zum ersten UE von besonderem Interesse: Weight decreased - Subgruppe: Alter (Jahre): 75-84 (full analysis set)..... 662

Figure 4.3.3 / 222: Kaplan-Meier-Plot der 'Unerwünschte Ereignis von besonderem Interesse' Time-to-Event-Analyse nach Endpunkt und Subgruppe - Endpunkt: Zeit bis zum ersten UE von besonderem Interesse: Weight decreased - Subgruppe: Alter (Jahre): >=85 (full analysis set) 663

Figure 4.3.3 / 223: Kaplan-Meier-Plot der 'Unerwünschte Ereignis von besonderem Interesse' Time-to-Event-Analyse nach Endpunkt und Subgruppe - Endpunkt: Zeit bis zum ersten UE von besonderem Interesse: Weight decreased - Subgruppe: Geografische Region: North America (full analysis set)..... 664

Figure 4.3.3 / 224: Kaplan-Meier-Plot der 'Unerwünschte Ereignis von besonderem Interesse' Time-to-Event-Analyse nach Endpunkt und Subgruppe - Endpunkt: Zeit bis zum ersten UE von besonderem Interesse: Weight decreased - Subgruppe: Geografische Region: Asia Pacific (full analysis set) 665

Figure 4.3.3 / 225: Kaplan-Meier-Plot der 'Unerwünschte Ereignis von besonderem Interesse' Time-to-Event-Analyse nach Endpunkt und Subgruppe - Endpunkt: Zeit bis zum ersten UE von besonderem Interesse: Weight decreased - Subgruppe: Geografische Region: Rest of the World (full analysis set) 666

Figure 4.3.3 / 226: Kaplan-Meier-Plot der 'Unerwünschte Ereignis von besonderem Interesse' Time-to-Event-Analyse nach Endpunkt und Subgruppe - Endpunkt: Zeit bis zum ersten UE von besonderem Interesse: Weight decreased - Subgruppe: Geografische Region: Europe (full analysis set) 667

Figure 4.3.3 / 227: Kaplan-Meier-Plot der 'Unerwünschte Ereignis von besonderem Interesse' Time-to-Event-Analyse nach Endpunkt und Subgruppe - Endpunkt: Zeit bis zum ersten UE von besonderem Interesse: Weight decreased - Subgruppe: Gleason-Score bei Diagnose: <7 (full analysis set)..... 668

Figure 4.3.3 / 228: Kaplan-Meier-Plot der 'Unerwünschte Ereignis von besonderem Interesse' Time-to-Event-Analyse nach Endpunkt und Subgruppe - Endpunkt: Zeit bis zum ersten UE von besonderem Interesse: Weight decreased - Subgruppe: Gleason-Score bei Diagnose: >=7 (full analysis set) 669

Figure 4.3.3 / 229: Kaplan-Meier-Plot der 'Unerwünschte Ereignis von besonderem Interesse' Time-to-Event-Analyse nach Endpunkt und Subgruppe - Endpunkt: Zeit bis zum ersten UE von besonderem Interesse: Weight decreased - Subgruppe: Leberfunktionsstörung: normal (full analysis set)..... 670

Figure 4.3.3 / 230: Kaplan-Meier-Plot der 'Unerwünschte Ereignis von besonderem Interesse' Time-to-Event-Analyse nach Endpunkt und Subgruppe - Endpunkt: Zeit bis

zum ersten UE von besonderem Interesse: Weight decreased - Subgruppe: Nutzung von Statinen: Ja (full analysis set) 671

Figure 4.3.3 / 231: Kaplan-Meier-Plot der 'Unerwünschte Ereignis von besonderem Interesse' Time-to-Event-Analyse nach Endpunkt und Subgruppe - Endpunkt: Zeit bis zum ersten UE von besonderem Interesse: Weight decreased - Subgruppe: Nutzung von Statinen: Nein (full analysis set) 672

Figure 4.3.3 / 232: Kaplan-Meier-Plot der 'Unerwünschte Ereignis von besonderem Interesse' Time-to-Event-Analyse nach Endpunkt und Subgruppe - Endpunkt: Zeit bis zum ersten UE von besonderem Interesse: Weight decreased - Subgruppe: eGFR an Baseline: normal (full analysis set) 673

Figure 4.3.3 / 233: Kaplan-Meier-Plot der 'Unerwünschte Ereignis von besonderem Interesse' Time-to-Event-Analyse nach Endpunkt und Subgruppe - Endpunkt: Zeit bis zum ersten UE von besonderem Interesse: Weight decreased - Subgruppe: eGFR an Baseline: mildly impaired (full analysis set) 674

Figure 4.3.3 / 234: Kaplan-Meier-Plot der 'Unerwünschte Ereignis von besonderem Interesse' Time-to-Event-Analyse nach Endpunkt und Subgruppe - Endpunkt: Zeit bis zum ersten UE von besonderem Interesse: Weight decreased - Subgruppe: eGFR an Baseline: moderately impaired, severely impaired and renal end stage (full analysis set) 675

Figure 4.3.3 / 235: Kaplan-Meier-Plot der 'Unerwünschte Ereignis von besonderem Interesse' Time-to-Event-Analyse nach Endpunkt und Subgruppe - Endpunkt: Zeit bis zum ersten UE von besonderem Interesse mit CTCAE Grad <3: Weight decreased - Subgruppe: Alter (Jahre): <65 (full analysis set) 676

Figure 4.3.3 / 236: Kaplan-Meier-Plot der 'Unerwünschte Ereignis von besonderem Interesse' Time-to-Event-Analyse nach Endpunkt und Subgruppe - Endpunkt: Zeit bis zum ersten UE von besonderem Interesse mit CTCAE Grad <3: Weight decreased - Subgruppe: Alter (Jahre): 65-74 (full analysis set) 677

Figure 4.3.3 / 237: Kaplan-Meier-Plot der 'Unerwünschte Ereignis von besonderem Interesse' Time-to-Event-Analyse nach Endpunkt und Subgruppe - Endpunkt: Zeit bis zum ersten UE von besonderem Interesse mit CTCAE Grad <3: Weight decreased - Subgruppe: Alter (Jahre): 75-84 (full analysis set) 678

Figure 4.3.3 / 238: Kaplan-Meier-Plot der 'Unerwünschte Ereignis von besonderem Interesse' Time-to-Event-Analyse nach Endpunkt und Subgruppe - Endpunkt: Zeit bis zum ersten UE von besonderem Interesse mit CTCAE Grad <3: Weight decreased - Subgruppe: Alter (Jahre): >=85 (full analysis set) 679

Figure 4.3.3 / 239: Kaplan-Meier-Plot der 'Unerwünschte Ereignis von besonderem Interesse' Time-to-Event-Analyse nach Endpunkt und Subgruppe - Endpunkt: Zeit bis zum ersten UE von besonderem Interesse mit CTCAE Grad <3: Weight decreased - Subgruppe: Geografische Region: North America (full analysis set) 680

Figure 4.3.3 / 240: Kaplan-Meier-Plot der 'Unerwünschte Ereignis von besonderem Interesse' Time-to-Event-Analyse nach Endpunkt und Subgruppe - Endpunkt: Zeit bis zum ersten UE von besonderem Interesse mit CTCAE Grad <3: Weight decreased - Subgruppe: Geografische Region: Asia Pacific (full analysis set) 681

Figure 4.3.3 / 241: Kaplan-Meier-Plot der 'Unerwünschte Ereignis von besonderem Interesse' Time-to-Event-Analyse nach Endpunkt und Subgruppe - Endpunkt: Zeit bis zum ersten UE von besonderem Interesse mit CTCAE Grad <3: Weight decreased - Subgruppe: Geografische Region: Rest of the World (full analysis set) 682

Figure 4.3.3 / 242: Kaplan-Meier-Plot der 'Unerwünschte Ereignis von besonderem Interesse' Time-to-Event-Analyse nach Endpunkt und Subgruppe - Endpunkt: Zeit bis

zum ersten UE von besonderem Interesse mit CTCAE Grad <3: Weight decreased - Subgruppe: Geografische Region: Europe (full analysis set) 683

Figure 4.3.3 / 243: Kaplan-Meier-Plot der 'Unerwünschte Ereignis von besonderem Interesse' Time-to-Event-Analyse nach Endpunkt und Subgruppe - Endpunkt: Zeit bis zum ersten UE von besonderem Interesse mit CTCAE Grad <3: Weight decreased - Subgruppe: Gleason-Score bei Diagnose: <7 (full analysis set) 684

Figure 4.3.3 / 244: Kaplan-Meier-Plot der 'Unerwünschte Ereignis von besonderem Interesse' Time-to-Event-Analyse nach Endpunkt und Subgruppe - Endpunkt: Zeit bis zum ersten UE von besonderem Interesse mit CTCAE Grad <3: Weight decreased - Subgruppe: Gleason-Score bei Diagnose: >=7 (full analysis set) 685

Figure 4.3.3 / 245: Kaplan-Meier-Plot der 'Unerwünschte Ereignis von besonderem Interesse' Time-to-Event-Analyse nach Endpunkt und Subgruppe - Endpunkt: Zeit bis zum ersten UE von besonderem Interesse mit CTCAE Grad <3: Weight decreased - Subgruppe: Leberfunktionsstörung: normal (full analysis set) 686

Figure 4.3.3 / 246: Kaplan-Meier-Plot der 'Unerwünschte Ereignis von besonderem Interesse' Time-to-Event-Analyse nach Endpunkt und Subgruppe - Endpunkt: Zeit bis zum ersten UE von besonderem Interesse mit CTCAE Grad <3: Weight decreased - Subgruppe: Nutzung von Statinen: Ja (full analysis set) 687

Figure 4.3.3 / 247: Kaplan-Meier-Plot der 'Unerwünschte Ereignis von besonderem Interesse' Time-to-Event-Analyse nach Endpunkt und Subgruppe - Endpunkt: Zeit bis zum ersten UE von besonderem Interesse mit CTCAE Grad <3: Weight decreased - Subgruppe: Nutzung von Statinen: Nein (full analysis set) 688

Figure 4.3.3 / 248: Kaplan-Meier-Plot der 'Unerwünschte Ereignis von besonderem Interesse' Time-to-Event-Analyse nach Endpunkt und Subgruppe - Endpunkt: Zeit bis zum ersten UE von besonderem Interesse mit CTCAE Grad <3: Weight decreased - Subgruppe: eGFR an Baseline: normal (full analysis set) 689

Figure 4.3.3 / 249: Kaplan-Meier-Plot der 'Unerwünschte Ereignis von besonderem Interesse' Time-to-Event-Analyse nach Endpunkt und Subgruppe - Endpunkt: Zeit bis zum ersten UE von besonderem Interesse mit CTCAE Grad <3: Weight decreased - Subgruppe: eGFR an Baseline: mildly impaired (full analysis set) 690

Figure 4.3.3 / 250: Kaplan-Meier-Plot der 'Unerwünschte Ereignis von besonderem Interesse' Time-to-Event-Analyse nach Endpunkt und Subgruppe - Endpunkt: Zeit bis zum ersten UE von besonderem Interesse mit CTCAE Grad <3: Weight decreased - Subgruppe: eGFR an Baseline: moderately impaired, severely impaired and renal end stage (full analysis set) 691

Figure 4.3.3 / 251: Kaplan-Meier-Plot der 'Unerwünschte Ereignis von besonderem Interesse' Time-to-Event-Analyse nach Endpunkt und Subgruppe - Endpunkt: Zeit bis zum ersten UE von besonderem Interesse: Pneumonia and Pneumonitis - Subgruppe: Alter (Jahre): 65-74 (full analysis set) 692

Figure 4.3.3 / 252: Kaplan-Meier-Plot der 'Unerwünschte Ereignis von besonderem Interesse' Time-to-Event-Analyse nach Endpunkt und Subgruppe - Endpunkt: Zeit bis zum ersten UE von besonderem Interesse: Pneumonia and Pneumonitis - Subgruppe: Alter (Jahre): 75-84 (full analysis set) 693

Figure 4.3.3 / 253: Kaplan-Meier-Plot der 'Unerwünschte Ereignis von besonderem Interesse' Time-to-Event-Analyse nach Endpunkt und Subgruppe - Endpunkt: Zeit bis zum ersten UE von besonderem Interesse: Pneumonia and Pneumonitis - Subgruppe: Alter (Jahre): >=85 (full analysis set) 694

Figure 4.3.3 / 254: Kaplan-Meier-Plot der 'Unerwünschte Ereignis von besonderem Interesse' Time-to-Event-Analyse nach Endpunkt und Subgruppe - Endpunkt: Zeit bis

zum ersten UE von besonderem Interesse: Pneumonia and Pneumonitis - Subgruppe: Geografische Region: North America (full analysis set) 695

Figure 4.3.3 / 255: Kaplan-Meier-Plot der 'Unerwünschte Ereignis von besonderem Interesse' Time-to-Event-Analyse nach Endpunkt und Subgruppe - Endpunkt: Zeit bis zum ersten UE von besonderem Interesse: Pneumonia and Pneumonitis - Subgruppe: Geografische Region: Asia Pacific (full analysis set) 696

Figure 4.3.3 / 256: Kaplan-Meier-Plot der 'Unerwünschte Ereignis von besonderem Interesse' Time-to-Event-Analyse nach Endpunkt und Subgruppe - Endpunkt: Zeit bis zum ersten UE von besonderem Interesse: Pneumonia and Pneumonitis - Subgruppe: Geografische Region: Rest of the World (full analysis set) 697

Figure 4.3.3 / 257: Kaplan-Meier-Plot der 'Unerwünschte Ereignis von besonderem Interesse' Time-to-Event-Analyse nach Endpunkt und Subgruppe - Endpunkt: Zeit bis zum ersten UE von besonderem Interesse: Pneumonia and Pneumonitis - Subgruppe: Geografische Region: Europe (full analysis set) 698

Figure 4.3.3 / 258: Kaplan-Meier-Plot der 'Unerwünschte Ereignis von besonderem Interesse' Time-to-Event-Analyse nach Endpunkt und Subgruppe - Endpunkt: Zeit bis zum ersten UE von besonderem Interesse: Pneumonia and Pneumonitis - Subgruppe: Gleason-Score bei Diagnose: <7 (full analysis set) 699

Figure 4.3.3 / 259: Kaplan-Meier-Plot der 'Unerwünschte Ereignis von besonderem Interesse' Time-to-Event-Analyse nach Endpunkt und Subgruppe - Endpunkt: Zeit bis zum ersten UE von besonderem Interesse: Pneumonia and Pneumonitis - Subgruppe: Gleason-Score bei Diagnose: >=7 (full analysis set) 700

Figure 4.3.3 / 260: Kaplan-Meier-Plot der 'Unerwünschte Ereignis von besonderem Interesse' Time-to-Event-Analyse nach Endpunkt und Subgruppe - Endpunkt: Zeit bis zum ersten UE von besonderem Interesse: Pneumonia and Pneumonitis - Subgruppe: Leberfunktionsstörung: normal (full analysis set) 701

Figure 4.3.3 / 261: Kaplan-Meier-Plot der 'Unerwünschte Ereignis von besonderem Interesse' Time-to-Event-Analyse nach Endpunkt und Subgruppe - Endpunkt: Zeit bis zum ersten UE von besonderem Interesse: Pneumonia and Pneumonitis - Subgruppe: Leberfunktionsstörung: mild (full analysis set) 702

Figure 4.3.3 / 262: Kaplan-Meier-Plot der 'Unerwünschte Ereignis von besonderem Interesse' Time-to-Event-Analyse nach Endpunkt und Subgruppe - Endpunkt: Zeit bis zum ersten UE von besonderem Interesse: Pneumonia and Pneumonitis - Subgruppe: Nutzung von Statinen: Ja (full analysis set) 703

Figure 4.3.3 / 263: Kaplan-Meier-Plot der 'Unerwünschte Ereignis von besonderem Interesse' Time-to-Event-Analyse nach Endpunkt und Subgruppe - Endpunkt: Zeit bis zum ersten UE von besonderem Interesse: Pneumonia and Pneumonitis - Subgruppe: Nutzung von Statinen: Nein (full analysis set) 704

Figure 4.3.3 / 264: Kaplan-Meier-Plot der 'Unerwünschte Ereignis von besonderem Interesse' Time-to-Event-Analyse nach Endpunkt und Subgruppe - Endpunkt: Zeit bis zum ersten UE von besonderem Interesse: Pneumonia and Pneumonitis - Subgruppe: eGFR an Baseline: normal (full analysis set) 705

Figure 4.3.3 / 265: Kaplan-Meier-Plot der 'Unerwünschte Ereignis von besonderem Interesse' Time-to-Event-Analyse nach Endpunkt und Subgruppe - Endpunkt: Zeit bis zum ersten UE von besonderem Interesse: Pneumonia and Pneumonitis - Subgruppe: eGFR an Baseline: mildly impaired (full analysis set) 706

Figure 4.3.3 / 266: Kaplan-Meier-Plot der 'Unerwünschte Ereignis von besonderem Interesse' Time-to-Event-Analyse nach Endpunkt und Subgruppe - Endpunkt: Zeit bis zum ersten UE von besonderem Interesse: Pneumonia and Pneumonitis - Subgruppe: eGFR an Baseline: moderately impaired, severely impaired and renal end stage (full analysis set) 707

Figure 4.3.3 / 267: Kaplan-Meier-Plot der 'Unerwünschte Ereignis von besonderem Interesse' Time-to-Event-Analyse nach Endpunkt und Subgruppe - Endpunkt: Zeit bis zum ersten UE von besonderem Interesse mit CTCAE Grad <3: Pneumonia and Pneumonitis - Subgruppe: Alter (Jahre): 65-74 (full analysis set) 708

Figure 4.3.3 / 268: Kaplan-Meier-Plot der 'Unerwünschte Ereignis von besonderem Interesse' Time-to-Event-Analyse nach Endpunkt und Subgruppe - Endpunkt: Zeit bis zum ersten UE von besonderem Interesse mit CTCAE Grad <3: Pneumonia and Pneumonitis - Subgruppe: Alter (Jahre): 75-84 (full analysis set) 709

Figure 4.3.3 / 269: Kaplan-Meier-Plot der 'Unerwünschte Ereignis von besonderem Interesse' Time-to-Event-Analyse nach Endpunkt und Subgruppe - Endpunkt: Zeit bis zum ersten UE von besonderem Interesse mit CTCAE Grad <3: Pneumonia and Pneumonitis - Subgruppe: Geografische Region: North America (full analysis set) 710

Figure 4.3.3 / 270: Kaplan-Meier-Plot der 'Unerwünschte Ereignis von besonderem Interesse' Time-to-Event-Analyse nach Endpunkt und Subgruppe - Endpunkt: Zeit bis zum ersten UE von besonderem Interesse mit CTCAE Grad <3: Pneumonia and Pneumonitis - Subgruppe: Geografische Region: Rest of the World (full analysis set) 711

Figure 4.3.3 / 271: Kaplan-Meier-Plot der 'Unerwünschte Ereignis von besonderem Interesse' Time-to-Event-Analyse nach Endpunkt und Subgruppe - Endpunkt: Zeit bis zum ersten UE von besonderem Interesse mit CTCAE Grad <3: Pneumonia and Pneumonitis - Subgruppe: Geografische Region: Europe (full analysis set) 712

Figure 4.3.3 / 272: Kaplan-Meier-Plot der 'Unerwünschte Ereignis von besonderem Interesse' Time-to-Event-Analyse nach Endpunkt und Subgruppe - Endpunkt: Zeit bis zum ersten UE von besonderem Interesse mit CTCAE Grad <3: Pneumonia and Pneumonitis - Subgruppe: Gleason-Score bei Diagnose: <7 (full analysis set) 713

Figure 4.3.3 / 273: Kaplan-Meier-Plot der 'Unerwünschte Ereignis von besonderem Interesse' Time-to-Event-Analyse nach Endpunkt und Subgruppe - Endpunkt: Zeit bis zum ersten UE von besonderem Interesse mit CTCAE Grad <3: Pneumonia and Pneumonitis - Subgruppe: Gleason-Score bei Diagnose: >=7 (full analysis set) 714

Figure 4.3.3 / 274: Kaplan-Meier-Plot der 'Unerwünschte Ereignis von besonderem Interesse' Time-to-Event-Analyse nach Endpunkt und Subgruppe - Endpunkt: Zeit bis zum ersten UE von besonderem Interesse mit CTCAE Grad <3: Pneumonia and Pneumonitis - Subgruppe: Leberfunktionsstörung: normal (full analysis set) 715

Figure 4.3.3 / 275: Kaplan-Meier-Plot der 'Unerwünschte Ereignis von besonderem Interesse' Time-to-Event-Analyse nach Endpunkt und Subgruppe - Endpunkt: Zeit bis zum ersten UE von besonderem Interesse mit CTCAE Grad <3: Pneumonia and Pneumonitis - Subgruppe: Leberfunktionsstörung: mild (full analysis set) 716

Figure 4.3.3 / 276: Kaplan-Meier-Plot der 'Unerwünschte Ereignis von besonderem Interesse' Time-to-Event-Analyse nach Endpunkt und Subgruppe - Endpunkt: Zeit bis zum ersten UE von besonderem Interesse mit CTCAE Grad <3: Pneumonia and Pneumonitis - Subgruppe: Nutzung von Statinen: Ja (full analysis set) 717

Figure 4.3.3 / 277: Kaplan-Meier-Plot der 'Unerwünschte Ereignis von besonderem Interesse' Time-to-Event-Analyse nach Endpunkt und Subgruppe - Endpunkt: Zeit bis zum ersten UE von besonderem Interesse mit CTCAE Grad <3: Pneumonia and Pneumonitis - Subgruppe: Nutzung von Statinen: Nein (full analysis set) 718

Figure 4.3.3 / 278: Kaplan-Meier-Plot der 'Unerwünschte Ereignis von besonderem Interesse' Time-to-Event-Analyse nach Endpunkt und Subgruppe - Endpunkt: Zeit bis zum ersten UE von besonderem Interesse mit CTCAE Grad <3: Pneumonia and Pneumonitis - Subgruppe: eGFR an Baseline: normal (full analysis set)..... 719

Figure 4.3.3 / 279: Kaplan-Meier-Plot der 'Unerwünschte Ereignis von besonderem Interesse' Time-to-Event-Analyse nach Endpunkt und Subgruppe - Endpunkt: Zeit bis zum ersten UE von besonderem Interesse mit CTCAE Grad <3: Pneumonia and Pneumonitis - Subgruppe: eGFR an Baseline: mildly impaired (full analysis set)..... 720

Figure 4.3.3 / 280: Kaplan-Meier-Plot der 'Unerwünschte Ereignis von besonderem Interesse' Time-to-Event-Analyse nach Endpunkt und Subgruppe - Endpunkt: Zeit bis zum ersten UE von besonderem Interesse mit CTCAE Grad <3: Pneumonia and Pneumonitis - Subgruppe: eGFR an Baseline: moderately impaired, severely impaired and renal end stage (full analysis set) 721

Figure 4.3.3 / 281: Kaplan-Meier-Plot der 'Unerwünschte Ereignis von besonderem Interesse' Time-to-Event-Analyse nach Endpunkt und Subgruppe - Endpunkt: Zeit bis zum ersten UE von besonderem Interesse mit CTCAE Grad >=3: Pneumonia and Pneumonitis - Subgruppe: Alter (Jahre): 65-74 (full analysis set)..... 722

Figure 4.3.3 / 282: Kaplan-Meier-Plot der 'Unerwünschte Ereignis von besonderem Interesse' Time-to-Event-Analyse nach Endpunkt und Subgruppe - Endpunkt: Zeit bis zum ersten UE von besonderem Interesse mit CTCAE Grad >=3: Pneumonia and Pneumonitis - Subgruppe: Alter (Jahre): 75-84 (full analysis set)..... 723

Figure 4.3.3 / 283: Kaplan-Meier-Plot der 'Unerwünschte Ereignis von besonderem Interesse' Time-to-Event-Analyse nach Endpunkt und Subgruppe - Endpunkt: Zeit bis zum ersten UE von besonderem Interesse mit CTCAE Grad >=3: Pneumonia and Pneumonitis - Subgruppe: Alter (Jahre): >=85 (full analysis set)..... 724

Figure 4.3.3 / 284: Kaplan-Meier-Plot der 'Unerwünschte Ereignis von besonderem Interesse' Time-to-Event-Analyse nach Endpunkt und Subgruppe - Endpunkt: Zeit bis zum ersten UE von besonderem Interesse mit CTCAE Grad >=3: Pneumonia and Pneumonitis - Subgruppe: Geografische Region: North America (full analysis set) 725

Figure 4.3.3 / 285: Kaplan-Meier-Plot der 'Unerwünschte Ereignis von besonderem Interesse' Time-to-Event-Analyse nach Endpunkt und Subgruppe - Endpunkt: Zeit bis zum ersten UE von besonderem Interesse mit CTCAE Grad >=3: Pneumonia and Pneumonitis - Subgruppe: Geografische Region: Asia Pacific (full analysis set) 726

Figure 4.3.3 / 286: Kaplan-Meier-Plot der 'Unerwünschte Ereignis von besonderem Interesse' Time-to-Event-Analyse nach Endpunkt und Subgruppe - Endpunkt: Zeit bis zum ersten UE von besonderem Interesse mit CTCAE Grad >=3: Pneumonia and Pneumonitis - Subgruppe: Geografische Region: Europe (full analysis set) 727

Figure 4.3.3 / 287: Kaplan-Meier-Plot der 'Unerwünschte Ereignis von besonderem Interesse' Time-to-Event-Analyse nach Endpunkt und Subgruppe - Endpunkt: Zeit bis zum ersten UE von besonderem Interesse mit CTCAE Grad >=3: Pneumonia and Pneumonitis - Subgruppe: Gleason-Score bei Diagnose: <7 (full analysis set) 728

Figure 4.3.3 / 288: Kaplan-Meier-Plot der 'Unerwünschte Ereignis von besonderem Interesse' Time-to-Event-Analyse nach Endpunkt und Subgruppe - Endpunkt: Zeit bis zum ersten UE von besonderem Interesse mit CTCAE Grad >=3:

Pneumonia and Pneumonitis - Subgruppe: Gleason-Score bei Diagnose: >=7 (full analysis set) 729

Figure 4.3.3 / 289: Kaplan-Meier-Plot der 'Unerwünschte Ereignis von besonderem Interesse' Time-to-Event-Analyse nach Endpunkt und Subgruppe - Endpunkt: Zeit bis zum ersten UE von besonderem Interesse mit CTCAE Grad >=3: Pneumonia and Pneumonitis - Subgruppe: Leberfunktionsstörung: normal (full analysis set) 730

Figure 4.3.3 / 290: Kaplan-Meier-Plot der 'Unerwünschte Ereignis von besonderem Interesse' Time-to-Event-Analyse nach Endpunkt und Subgruppe - Endpunkt: Zeit bis zum ersten UE von besonderem Interesse mit CTCAE Grad >=3: Pneumonia and Pneumonitis - Subgruppe: Nutzung von Statinen: Ja (full analysis set) 731

Figure 4.3.3 / 291: Kaplan-Meier-Plot der 'Unerwünschte Ereignis von besonderem Interesse' Time-to-Event-Analyse nach Endpunkt und Subgruppe - Endpunkt: Zeit bis zum ersten UE von besonderem Interesse mit CTCAE Grad >=3: Pneumonia and Pneumonitis - Subgruppe: Nutzung von Statinen: Nein (full analysis set) 732

Figure 4.3.3 / 292: Kaplan-Meier-Plot der 'Unerwünschte Ereignis von besonderem Interesse' Time-to-Event-Analyse nach Endpunkt und Subgruppe - Endpunkt: Zeit bis zum ersten UE von besonderem Interesse mit CTCAE Grad >=3: Pneumonia and Pneumonitis - Subgruppe: eGFR an Baseline: mildly impaired (full analysis set) 733

Figure 4.3.3 / 293: Kaplan-Meier-Plot der 'Unerwünschte Ereignis von besonderem Interesse' Time-to-Event-Analyse nach Endpunkt und Subgruppe - Endpunkt: Zeit bis zum ersten UE von besonderem Interesse mit CTCAE Grad >=3: Pneumonia and Pneumonitis - Subgruppe: eGFR an Baseline: moderately impaired, severely impaired and renal end stage (full analysis set) 734

Figure 4.3.3 / 294: Kaplan-Meier-Plot der 'Unerwünschte Ereignis von besonderem Interesse' Time-to-Event-Analyse nach Endpunkt und Subgruppe - Endpunkt: Zeit bis zum ersten UE von besonderem Interesse: Diabetes mellitus and Hyperglycaemia - Subgruppe: Alter (Jahre): <65 (full analysis set) 735

Figure 4.3.3 / 295: Kaplan-Meier-Plot der 'Unerwünschte Ereignis von besonderem Interesse' Time-to-Event-Analyse nach Endpunkt und Subgruppe - Endpunkt: Zeit bis zum ersten UE von besonderem Interesse: Diabetes mellitus and Hyperglycaemia - Subgruppe: Alter (Jahre): 65-74 (full analysis set) 736

Figure 4.3.3 / 296: Kaplan-Meier-Plot der 'Unerwünschte Ereignis von besonderem Interesse' Time-to-Event-Analyse nach Endpunkt und Subgruppe - Endpunkt: Zeit bis zum ersten UE von besonderem Interesse: Diabetes mellitus and Hyperglycaemia - Subgruppe: Alter (Jahre): 75-84 (full analysis set) 737

Figure 4.3.3 / 297: Kaplan-Meier-Plot der 'Unerwünschte Ereignis von besonderem Interesse' Time-to-Event-Analyse nach Endpunkt und Subgruppe - Endpunkt: Zeit bis zum ersten UE von besonderem Interesse: Diabetes mellitus and Hyperglycaemia - Subgruppe: Geografische Region: North America (full analysis set) 738

Figure 4.3.3 / 298: Kaplan-Meier-Plot der 'Unerwünschte Ereignis von besonderem Interesse' Time-to-Event-Analyse nach Endpunkt und Subgruppe - Endpunkt: Zeit bis zum ersten UE von besonderem Interesse: Diabetes mellitus and Hyperglycaemia - Subgruppe: Geografische Region: Asia Pacific (full analysis set) 739

Figure 4.3.3 / 299: Kaplan-Meier-Plot der 'Unerwünschte Ereignis von besonderem Interesse' Time-to-Event-Analyse nach Endpunkt und Subgruppe - Endpunkt: Zeit bis zum ersten UE von besonderem Interesse: Diabetes mellitus and

Hyperglycaemia - Subgruppe: Geografische Region: Rest of the World (full analysis set) 740
Figure 4.3.3 / 300: Kaplan-Meier-Plot der 'Unerwünschte Ereignis von besonderem Interesse' Time-to-Event-Analyse nach Endpunkt und Subgruppe - Endpunkt: Zeit bis zum ersten UE von besonderem Interesse: Diabetes mellitus and Hyperglycaemia - Subgruppe: Geografische Region: Europe (full analysis set) 741
Figure 4.3.3 / 301: Kaplan-Meier-Plot der 'Unerwünschte Ereignis von besonderem Interesse' Time-to-Event-Analyse nach Endpunkt und Subgruppe - Endpunkt: Zeit bis zum ersten UE von besonderem Interesse: Diabetes mellitus and Hyperglycaemia - Subgruppe: Gleason-Score bei Diagnose: <7 (full analysis set) 742
Figure 4.3.3 / 302: Kaplan-Meier-Plot der 'Unerwünschte Ereignis von besonderem Interesse' Time-to-Event-Analyse nach Endpunkt und Subgruppe - Endpunkt: Zeit bis zum ersten UE von besonderem Interesse: Diabetes mellitus and Hyperglycaemia - Subgruppe: Gleason-Score bei Diagnose: >=7 (full analysis set) 743
Figure 4.3.3 / 303: Kaplan-Meier-Plot der 'Unerwünschte Ereignis von besonderem Interesse' Time-to-Event-Analyse nach Endpunkt und Subgruppe - Endpunkt: Zeit bis zum ersten UE von besonderem Interesse: Diabetes mellitus and Hyperglycaemia - Subgruppe: Leberfunktionsstörung: normal (full analysis set) 744
Figure 4.3.3 / 304: Kaplan-Meier-Plot der 'Unerwünschte Ereignis von besonderem Interesse' Time-to-Event-Analyse nach Endpunkt und Subgruppe - Endpunkt: Zeit bis zum ersten UE von besonderem Interesse: Diabetes mellitus and Hyperglycaemia - Subgruppe: Leberfunktionsstörung: mild (full analysis set) 745
Figure 4.3.3 / 305: Kaplan-Meier-Plot der 'Unerwünschte Ereignis von besonderem Interesse' Time-to-Event-Analyse nach Endpunkt und Subgruppe - Endpunkt: Zeit bis zum ersten UE von besonderem Interesse: Diabetes mellitus and Hyperglycaemia - Subgruppe: Nutzung von Statinen: Ja (full analysis set) 746
Figure 4.3.3 / 306: Kaplan-Meier-Plot der 'Unerwünschte Ereignis von besonderem Interesse' Time-to-Event-Analyse nach Endpunkt und Subgruppe - Endpunkt: Zeit bis zum ersten UE von besonderem Interesse: Diabetes mellitus and Hyperglycaemia - Subgruppe: Nutzung von Statinen: Nein (full analysis set) 747
Figure 4.3.3 / 307: Kaplan-Meier-Plot der 'Unerwünschte Ereignis von besonderem Interesse' Time-to-Event-Analyse nach Endpunkt und Subgruppe - Endpunkt: Zeit bis zum ersten UE von besonderem Interesse: Diabetes mellitus and Hyperglycaemia - Subgruppe: eGFR an Baseline: normal (full analysis set) 748
Figure 4.3.3 / 308: Kaplan-Meier-Plot der 'Unerwünschte Ereignis von besonderem Interesse' Time-to-Event-Analyse nach Endpunkt und Subgruppe - Endpunkt: Zeit bis zum ersten UE von besonderem Interesse: Diabetes mellitus and Hyperglycaemia - Subgruppe: eGFR an Baseline: mildly impaired (full analysis set) 749
Figure 4.3.3 / 309: Kaplan-Meier-Plot der 'Unerwünschte Ereignis von besonderem Interesse' Time-to-Event-Analyse nach Endpunkt und Subgruppe - Endpunkt: Zeit bis zum ersten UE von besonderem Interesse mit CTCAE Grad <3: Diabetes mellitus and Hyperglycaemia - Subgruppe: Alter (Jahre): <65 (full analysis set) 750
Figure 4.3.3 / 310: Kaplan-Meier-Plot der 'Unerwünschte Ereignis von besonderem Interesse' Time-to-Event-Analyse nach Endpunkt und Subgruppe - Endpunkt: Zeit bis zum ersten UE von besonderem Interesse mit CTCAE Grad <3: Diabetes

mellitus and Hyperglycaemia - Subgruppe: Alter (Jahre): 65-74 (full analysis set) 751

Figure 4.3.3 / 311: Kaplan-Meier-Plot der 'Unerwünschte Ereignis von besonderem Interesse' Time-to-Event-Analyse nach Endpunkt und Subgruppe - Endpunkt: Zeit bis zum ersten UE von besonderem Interesse mit CTCAE Grad <3: Diabetes mellitus and Hyperglycaemia - Subgruppe: Geografische Region: North America (full analysis set) 752

Figure 4.3.3 / 312: Kaplan-Meier-Plot der 'Unerwünschte Ereignis von besonderem Interesse' Time-to-Event-Analyse nach Endpunkt und Subgruppe - Endpunkt: Zeit bis zum ersten UE von besonderem Interesse mit CTCAE Grad <3: Diabetes mellitus and Hyperglycaemia - Subgruppe: Geografische Region: Rest of the World (full analysis set) 753

Figure 4.3.3 / 313: Kaplan-Meier-Plot der 'Unerwünschte Ereignis von besonderem Interesse' Time-to-Event-Analyse nach Endpunkt und Subgruppe - Endpunkt: Zeit bis zum ersten UE von besonderem Interesse mit CTCAE Grad <3: Diabetes mellitus and Hyperglycaemia - Subgruppe: Geografische Region: Europe (full analysis set) 754

Figure 4.3.3 / 314: Kaplan-Meier-Plot der 'Unerwünschte Ereignis von besonderem Interesse' Time-to-Event-Analyse nach Endpunkt und Subgruppe - Endpunkt: Zeit bis zum ersten UE von besonderem Interesse mit CTCAE Grad <3: Diabetes mellitus and Hyperglycaemia - Subgruppe: Gleason-Score bei Diagnose: <7 (full analysis set) 755

Figure 4.3.3 / 315: Kaplan-Meier-Plot der 'Unerwünschte Ereignis von besonderem Interesse' Time-to-Event-Analyse nach Endpunkt und Subgruppe - Endpunkt: Zeit bis zum ersten UE von besonderem Interesse mit CTCAE Grad <3: Diabetes mellitus and Hyperglycaemia - Subgruppe: Gleason-Score bei Diagnose: >=7 (full analysis set) 756

Figure 4.3.3 / 316: Kaplan-Meier-Plot der 'Unerwünschte Ereignis von besonderem Interesse' Time-to-Event-Analyse nach Endpunkt und Subgruppe - Endpunkt: Zeit bis zum ersten UE von besonderem Interesse mit CTCAE Grad <3: Diabetes mellitus and Hyperglycaemia - Subgruppe: Leberfunktionsstörung: normal (full analysis set) 757

Figure 4.3.3 / 317: Kaplan-Meier-Plot der 'Unerwünschte Ereignis von besonderem Interesse' Time-to-Event-Analyse nach Endpunkt und Subgruppe - Endpunkt: Zeit bis zum ersten UE von besonderem Interesse mit CTCAE Grad <3: Diabetes mellitus and Hyperglycaemia - Subgruppe: Leberfunktionsstörung: mild (full analysis set) 758

Figure 4.3.3 / 318: Kaplan-Meier-Plot der 'Unerwünschte Ereignis von besonderem Interesse' Time-to-Event-Analyse nach Endpunkt und Subgruppe - Endpunkt: Zeit bis zum ersten UE von besonderem Interesse mit CTCAE Grad <3: Diabetes mellitus and Hyperglycaemia - Subgruppe: Nutzung von Statinen: Ja (full analysis set) 759

Figure 4.3.3 / 319: Kaplan-Meier-Plot der 'Unerwünschte Ereignis von besonderem Interesse' Time-to-Event-Analyse nach Endpunkt und Subgruppe - Endpunkt: Zeit bis zum ersten UE von besonderem Interesse mit CTCAE Grad <3: Diabetes mellitus and Hyperglycaemia - Subgruppe: Nutzung von Statinen: Nein (full analysis set) 760

Figure 4.3.3 / 320: Kaplan-Meier-Plot der 'Unerwünschte Ereignis von besonderem Interesse' Time-to-Event-Analyse nach Endpunkt und Subgruppe - Endpunkt: Zeit bis zum ersten UE von besonderem Interesse mit CTCAE Grad <3: Diabetes mellitus and Hyperglycaemia - Subgruppe: eGFR an Baseline: normal (full analysis set) 761

Figure 4.3.3 / 321: Kaplan-Meier-Plot der 'Unerwünschte Ereignis von besonderem Interesse' Time-to-Event-Analyse nach Endpunkt und Subgruppe - Endpunkt: Zeit bis zum ersten UE von besonderem Interesse mit CTCAE Grad <3: Diabetes mellitus and Hyperglycaemia - Subgruppe: eGFR an Baseline: mildly impaired (full analysis set) 762

Figure 4.3.3 / 322: Kaplan-Meier-Plot der 'Unerwünschte Ereignis von besonderem Interesse' Time-to-Event-Analyse nach Endpunkt und Subgruppe - Endpunkt: Zeit bis zum ersten UE von besonderem Interesse mit CTCAE Grad >=3: Diabetes mellitus and Hyperglycaemia - Subgruppe: Alter (Jahre): <65 (full analysis set) 763

Figure 4.3.3 / 323: Kaplan-Meier-Plot der 'Unerwünschte Ereignis von besonderem Interesse' Time-to-Event-Analyse nach Endpunkt und Subgruppe - Endpunkt: Zeit bis zum ersten UE von besonderem Interesse mit CTCAE Grad >=3: Diabetes mellitus and Hyperglycaemia - Subgruppe: Alter (Jahre): 75-84 (full analysis set) 764

Figure 4.3.3 / 324: Kaplan-Meier-Plot der 'Unerwünschte Ereignis von besonderem Interesse' Time-to-Event-Analyse nach Endpunkt und Subgruppe - Endpunkt: Zeit bis zum ersten UE von besonderem Interesse mit CTCAE Grad >=3: Diabetes mellitus and Hyperglycaemia - Subgruppe: Geografische Region: Europe (full analysis set) 765

Figure 4.3.3 / 325: Kaplan-Meier-Plot der 'Unerwünschte Ereignis von besonderem Interesse' Time-to-Event-Analyse nach Endpunkt und Subgruppe - Endpunkt: Zeit bis zum ersten UE von besonderem Interesse mit CTCAE Grad >=3: Diabetes mellitus and Hyperglycaemia - Subgruppe: Gleason-Score bei Diagnose: >=7 (full analysis set) 766

Figure 4.3.3 / 326: Kaplan-Meier-Plot der 'Unerwünschte Ereignis von besonderem Interesse' Time-to-Event-Analyse nach Endpunkt und Subgruppe - Endpunkt: Zeit bis zum ersten UE von besonderem Interesse mit CTCAE Grad >=3: Diabetes mellitus and Hyperglycaemia - Subgruppe: Leberfunktionsstörung: normal (full analysis set) 767

Figure 4.3.3 / 327: Kaplan-Meier-Plot der 'Unerwünschte Ereignis von besonderem Interesse' Time-to-Event-Analyse nach Endpunkt und Subgruppe - Endpunkt: Zeit bis zum ersten UE von besonderem Interesse mit CTCAE Grad >=3: Diabetes mellitus and Hyperglycaemia - Subgruppe: Leberfunktionsstörung: mild (full analysis set) 768

Figure 4.3.3 / 328: Kaplan-Meier-Plot der 'Unerwünschte Ereignis von besonderem Interesse' Time-to-Event-Analyse nach Endpunkt und Subgruppe - Endpunkt: Zeit bis zum ersten UE von besonderem Interesse mit CTCAE Grad >=3: Diabetes mellitus and Hyperglycaemia - Subgruppe: Nutzung von Statinen: Ja (full analysis set) 769

Figure 4.3.3 / 329: Kaplan-Meier-Plot der 'Unerwünschte Ereignis von besonderem Interesse' Time-to-Event-Analyse nach Endpunkt und Subgruppe - Endpunkt: Zeit bis zum ersten UE von besonderem Interesse mit CTCAE Grad >=3: Diabetes mellitus and Hyperglycaemia - Subgruppe: Nutzung von Statinen: Nein (full analysis set) 770

Figure 4.3.3 / 330: Kaplan-Meier-Plot der 'Unerwünschte Ereignis von besonderem Interesse' Time-to-Event-Analyse nach Endpunkt und Subgruppe - Endpunkt: Zeit bis zum ersten UE von besonderem Interesse mit CTCAE Grad >=3: Diabetes mellitus and Hyperglycaemia - Subgruppe: eGFR an Baseline: normal (full analysis set) 771

Figure 4.3.3 / 331: Kaplan-Meier-Plot der 'Unerwünschte Ereignis von besonderem Interesse' Time-to-Event-Analyse nach Endpunkt und Subgruppe - Endpunkt: Zeit bis

zum ersten UE von besonderem Interesse mit CTCAE Grad >=3: Diabetes mellitus and Hyperglycaemia - Subgruppe: eGFR an Baseline: mildly impaired (full analysis set) 772

Figure 4.3.3 / 332: Kaplan-Meier-Plot der 'Unerwünschte Ereignis von besonderem Interesse' Time-to-Event-Analyse nach Endpunkt und Subgruppe - Endpunkt: Zeit bis zum ersten UE von besonderem Interesse: Renal impairment - Subgruppe: Alter (Jahre): <65 (full analysis set)..... 773

Figure 4.3.3 / 333: Kaplan-Meier-Plot der 'Unerwünschte Ereignis von besonderem Interesse' Time-to-Event-Analyse nach Endpunkt und Subgruppe - Endpunkt: Zeit bis zum ersten UE von besonderem Interesse: Renal impairment - Subgruppe: Alter (Jahre): 65-74 (full analysis set)..... 774

Figure 4.3.3 / 334: Kaplan-Meier-Plot der 'Unerwünschte Ereignis von besonderem Interesse' Time-to-Event-Analyse nach Endpunkt und Subgruppe - Endpunkt: Zeit bis zum ersten UE von besonderem Interesse: Renal impairment - Subgruppe: Alter (Jahre): 75-84 (full analysis set)..... 775

Figure 4.3.3 / 335: Kaplan-Meier-Plot der 'Unerwünschte Ereignis von besonderem Interesse' Time-to-Event-Analyse nach Endpunkt und Subgruppe - Endpunkt: Zeit bis zum ersten UE von besonderem Interesse: Renal impairment - Subgruppe: Alter (Jahre): >=85 (full analysis set) 776

Figure 4.3.3 / 336: Kaplan-Meier-Plot der 'Unerwünschte Ereignis von besonderem Interesse' Time-to-Event-Analyse nach Endpunkt und Subgruppe - Endpunkt: Zeit bis zum ersten UE von besonderem Interesse: Renal impairment - Subgruppe: Geografische Region: North America (full analysis set)..... 777

Figure 4.3.3 / 337: Kaplan-Meier-Plot der 'Unerwünschte Ereignis von besonderem Interesse' Time-to-Event-Analyse nach Endpunkt und Subgruppe - Endpunkt: Zeit bis zum ersten UE von besonderem Interesse: Renal impairment - Subgruppe: Geografische Region: Asia Pacific (full analysis set) 778

Figure 4.3.3 / 338: Kaplan-Meier-Plot der 'Unerwünschte Ereignis von besonderem Interesse' Time-to-Event-Analyse nach Endpunkt und Subgruppe - Endpunkt: Zeit bis zum ersten UE von besonderem Interesse: Renal impairment - Subgruppe: Geografische Region: Rest of the World (full analysis set) 779

Figure 4.3.3 / 339: Kaplan-Meier-Plot der 'Unerwünschte Ereignis von besonderem Interesse' Time-to-Event-Analyse nach Endpunkt und Subgruppe - Endpunkt: Zeit bis zum ersten UE von besonderem Interesse: Renal impairment - Subgruppe: Geografische Region: Europe (full analysis set) 780

Figure 4.3.3 / 340: Kaplan-Meier-Plot der 'Unerwünschte Ereignis von besonderem Interesse' Time-to-Event-Analyse nach Endpunkt und Subgruppe - Endpunkt: Zeit bis zum ersten UE von besonderem Interesse: Renal impairment - Subgruppe: Gleason-Score bei Diagnose: <7 (full analysis set)..... 781

Figure 4.3.3 / 341: Kaplan-Meier-Plot der 'Unerwünschte Ereignis von besonderem Interesse' Time-to-Event-Analyse nach Endpunkt und Subgruppe - Endpunkt: Zeit bis zum ersten UE von besonderem Interesse: Renal impairment - Subgruppe: Gleason-Score bei Diagnose: >=7 (full analysis set) 782

Figure 4.3.3 / 342: Kaplan-Meier-Plot der 'Unerwünschte Ereignis von besonderem Interesse' Time-to-Event-Analyse nach Endpunkt und Subgruppe - Endpunkt: Zeit bis zum ersten UE von besonderem Interesse: Renal impairment - Subgruppe: Leberfunktionsstörung: normal (full analysis set)..... 783

Figure 4.3.3 / 343: Kaplan-Meier-Plot der 'Unerwünschte Ereignis von besonderem Interesse' Time-to-Event-Analyse nach Endpunkt und Subgruppe - Endpunkt: Zeit bis zum ersten UE von besonderem Interesse: Renal impairment - Subgruppe: Leberfunktionsstörung: mild (full analysis set)..... 784

Figure 4.3.3 / 344: Kaplan-Meier-Plot der 'Unerwünschte Ereignis von besonderem Interesse' Time-to-Event-Analyse nach Endpunkt und Subgruppe - Endpunkt: Zeit bis zum ersten UE von besonderem Interesse: Renal impairment - Subgruppe: Nutzung von Statinen: Ja (full analysis set) 785

Figure 4.3.3 / 345: Kaplan-Meier-Plot der 'Unerwünschte Ereignis von besonderem Interesse' Time-to-Event-Analyse nach Endpunkt und Subgruppe - Endpunkt: Zeit bis zum ersten UE von besonderem Interesse: Renal impairment - Subgruppe: Nutzung von Statinen: Nein (full analysis set) 786

Figure 4.3.3 / 346: Kaplan-Meier-Plot der 'Unerwünschte Ereignis von besonderem Interesse' Time-to-Event-Analyse nach Endpunkt und Subgruppe - Endpunkt: Zeit bis zum ersten UE von besonderem Interesse: Renal impairment - Subgruppe: eGFR an Baseline: mildly impaired (full analysis set) 787

Figure 4.3.3 / 347: Kaplan-Meier-Plot der 'Unerwünschte Ereignis von besonderem Interesse' Time-to-Event-Analyse nach Endpunkt und Subgruppe - Endpunkt: Zeit bis zum ersten UE von besonderem Interesse: Renal impairment - Subgruppe: eGFR an Baseline: moderately impaired, severely impaired and renal end stage (full analysis set) 788

Figure 4.3.3 / 348: Kaplan-Meier-Plot der 'Unerwünschte Ereignis von besonderem Interesse' Time-to-Event-Analyse nach Endpunkt und Subgruppe - Endpunkt: Zeit bis zum ersten UE von besonderem Interesse mit CTCAE Grad <3: Renal impairment - Subgruppe: Alter (Jahre): <65 (full analysis set) 789

Figure 4.3.3 / 349: Kaplan-Meier-Plot der 'Unerwünschte Ereignis von besonderem Interesse' Time-to-Event-Analyse nach Endpunkt und Subgruppe - Endpunkt: Zeit bis zum ersten UE von besonderem Interesse mit CTCAE Grad <3: Renal impairment - Subgruppe: Alter (Jahre): 65-74 (full analysis set) 790

Figure 4.3.3 / 350: Kaplan-Meier-Plot der 'Unerwünschte Ereignis von besonderem Interesse' Time-to-Event-Analyse nach Endpunkt und Subgruppe - Endpunkt: Zeit bis zum ersten UE von besonderem Interesse mit CTCAE Grad <3: Renal impairment - Subgruppe: Alter (Jahre): 75-84 (full analysis set) 791

Figure 4.3.3 / 351: Kaplan-Meier-Plot der 'Unerwünschte Ereignis von besonderem Interesse' Time-to-Event-Analyse nach Endpunkt und Subgruppe - Endpunkt: Zeit bis zum ersten UE von besonderem Interesse mit CTCAE Grad <3: Renal impairment - Subgruppe: Alter (Jahre): >=85 (full analysis set) 792

Figure 4.3.3 / 352: Kaplan-Meier-Plot der 'Unerwünschte Ereignis von besonderem Interesse' Time-to-Event-Analyse nach Endpunkt und Subgruppe - Endpunkt: Zeit bis zum ersten UE von besonderem Interesse mit CTCAE Grad <3: Renal impairment - Subgruppe: Geografische Region: North America (full analysis set) 793

Figure 4.3.3 / 353: Kaplan-Meier-Plot der 'Unerwünschte Ereignis von besonderem Interesse' Time-to-Event-Analyse nach Endpunkt und Subgruppe - Endpunkt: Zeit bis zum ersten UE von besonderem Interesse mit CTCAE Grad <3: Renal impairment - Subgruppe: Geografische Region: Asia Pacific (full analysis set) 794

Figure 4.3.3 / 354: Kaplan-Meier-Plot der 'Unerwünschte Ereignis von besonderem Interesse' Time-to-Event-Analyse nach Endpunkt und Subgruppe - Endpunkt: Zeit bis zum ersten UE von besonderem Interesse mit CTCAE Grad <3: Renal impairment - Subgruppe: Geografische Region: Rest of the World (full analysis set) 795

Figure 4.3.3 / 355: Kaplan-Meier-Plot der 'Unerwünschte Ereignis von besonderem Interesse' Time-to-Event-Analyse nach Endpunkt und Subgruppe - Endpunkt: Zeit bis zum ersten UE von besonderem Interesse mit CTCAE Grad <3: Renal impairment - Subgruppe: Geografische Region: Europe (full analysis set) 796

Figure 4.3.3 / 356: Kaplan-Meier-Plot der 'Unerwünschte Ereignis von besonderem Interesse' Time-to-Event-Analyse nach Endpunkt und Subgruppe - Endpunkt: Zeit bis zum ersten UE von besonderem Interesse mit CTCAE Grad <3: Renal impairment - Subgruppe: Gleason-Score bei Diagnose: <7 (full analysis set)..... 797

Figure 4.3.3 / 357: Kaplan-Meier-Plot der 'Unerwünschte Ereignis von besonderem Interesse' Time-to-Event-Analyse nach Endpunkt und Subgruppe - Endpunkt: Zeit bis zum ersten UE von besonderem Interesse mit CTCAE Grad <3: Renal impairment - Subgruppe: Gleason-Score bei Diagnose: >=7 (full analysis set)..... 798

Figure 4.3.3 / 358: Kaplan-Meier-Plot der 'Unerwünschte Ereignis von besonderem Interesse' Time-to-Event-Analyse nach Endpunkt und Subgruppe - Endpunkt: Zeit bis zum ersten UE von besonderem Interesse mit CTCAE Grad <3: Renal impairment - Subgruppe: Leberfunktionsstörung: normal (full analysis set)..... 799

Figure 4.3.3 / 359: Kaplan-Meier-Plot der 'Unerwünschte Ereignis von besonderem Interesse' Time-to-Event-Analyse nach Endpunkt und Subgruppe - Endpunkt: Zeit bis zum ersten UE von besonderem Interesse mit CTCAE Grad <3: Renal impairment - Subgruppe: Leberfunktionsstörung: mild (full analysis set)..... 800

Figure 4.3.3 / 360: Kaplan-Meier-Plot der 'Unerwünschte Ereignis von besonderem Interesse' Time-to-Event-Analyse nach Endpunkt und Subgruppe - Endpunkt: Zeit bis zum ersten UE von besonderem Interesse mit CTCAE Grad <3: Renal impairment - Subgruppe: Nutzung von Statinen: Ja (full analysis set) 801

Figure 4.3.3 / 361: Kaplan-Meier-Plot der 'Unerwünschte Ereignis von besonderem Interesse' Time-to-Event-Analyse nach Endpunkt und Subgruppe - Endpunkt: Zeit bis zum ersten UE von besonderem Interesse mit CTCAE Grad <3: Renal impairment - Subgruppe: Nutzung von Statinen: Nein (full analysis set)..... 802

Figure 4.3.3 / 362: Kaplan-Meier-Plot der 'Unerwünschte Ereignis von besonderem Interesse' Time-to-Event-Analyse nach Endpunkt und Subgruppe - Endpunkt: Zeit bis zum ersten UE von besonderem Interesse mit CTCAE Grad <3: Renal impairment - Subgruppe: eGFR an Baseline: mildly impaired (full analysis set)..... 803

Figure 4.3.3 / 363: Kaplan-Meier-Plot der 'Unerwünschte Ereignis von besonderem Interesse' Time-to-Event-Analyse nach Endpunkt und Subgruppe - Endpunkt: Zeit bis zum ersten UE von besonderem Interesse mit CTCAE Grad <3: Renal impairment - Subgruppe: eGFR an Baseline: moderately impaired, severely impaired and renal end stage (full analysis set)..... 804

Figure 4.3.3 / 364: Kaplan-Meier-Plot der 'Unerwünschte Ereignis von besonderem Interesse' Time-to-Event-Analyse nach Endpunkt und Subgruppe - Endpunkt: Zeit bis zum ersten UE von besonderem Interesse mit CTCAE Grad >=3: Renal impairment - Subgruppe: Alter (Jahre): 75-84 (full analysis set)..... 805

Figure 4.3.3 / 365: Kaplan-Meier-Plot der 'Unerwünschte Ereignis von besonderem Interesse' Time-to-Event-Analyse nach Endpunkt und Subgruppe - Endpunkt: Zeit bis zum ersten UE von besonderem Interesse mit CTCAE Grad >=3: Renal impairment - Subgruppe: Gleason-Score bei Diagnose: >=7 (full analysis set)..... 806

Figure 4.3.3 / 366: Kaplan-Meier-Plot der 'Unerwünschte Ereignis von besonderem Interesse' Time-to-Event-Analyse nach Endpunkt und Subgruppe - Endpunkt: Zeit bis zum ersten UE von besonderem Interesse mit CTCAE Grad >=3: Renal impairment - Subgruppe: Leberfunktionsstörung: normal (full analysis set)..... 807

Figure 4.3.3 / 367: Kaplan-Meier-Plot der 'Unerwünschte Ereignis von besonderem Interesse' Time-to-Event-Analyse nach Endpunkt und Subgruppe - Endpunkt: Zeit bis zum ersten UE von besonderem Interesse mit CTCAE Grad >=3: Renal impairment - Subgruppe: Nutzung von Statinen: Ja (full analysis set) 808

Figure 4.3.3 / 368: Kaplan-Meier-Plot der 'Unerwünschte Ereignis von besonderem Interesse' Time-to-Event-Analyse nach Endpunkt und Subgruppe - Endpunkt: Zeit bis zum ersten UE von besonderem Interesse mit CTCAE Grad >=3: Renal impairment - Subgruppe: eGFR an Baseline: moderately impaired, severely impaired and renal end stage (full analysis set) 809

Figure 4.3.3 / 369: Kaplan-Meier-Plot der 'Unerwünschte Ereignis von besonderem Interesse' Time-to-Event-Analyse nach Endpunkt und Subgruppe - Endpunkt: Zeit bis zum ersten UE von besonderem Interesse: Rash - Subgruppe: Alter (Jahre): 65-74 (full analysis set) 810

Figure 4.3.3 / 370: Kaplan-Meier-Plot der 'Unerwünschte Ereignis von besonderem Interesse' Time-to-Event-Analyse nach Endpunkt und Subgruppe - Endpunkt: Zeit bis zum ersten UE von besonderem Interesse: Rash - Subgruppe: Alter (Jahre): 75-84 (full analysis set) 811

Figure 4.3.3 / 371: Kaplan-Meier-Plot der 'Unerwünschte Ereignis von besonderem Interesse' Time-to-Event-Analyse nach Endpunkt und Subgruppe - Endpunkt: Zeit bis zum ersten UE von besonderem Interesse: Rash - Subgruppe: Geografische Region: North America (full analysis set) 812

Figure 4.3.3 / 372: Kaplan-Meier-Plot der 'Unerwünschte Ereignis von besonderem Interesse' Time-to-Event-Analyse nach Endpunkt und Subgruppe - Endpunkt: Zeit bis zum ersten UE von besonderem Interesse: Rash - Subgruppe: Geografische Region: Asia Pacific (full analysis set) 813

Figure 4.3.3 / 373: Kaplan-Meier-Plot der 'Unerwünschte Ereignis von besonderem Interesse' Time-to-Event-Analyse nach Endpunkt und Subgruppe - Endpunkt: Zeit bis zum ersten UE von besonderem Interesse: Rash - Subgruppe: Geografische Region: Rest of the World (full analysis set) 814

Figure 4.3.3 / 374: Kaplan-Meier-Plot der 'Unerwünschte Ereignis von besonderem Interesse' Time-to-Event-Analyse nach Endpunkt und Subgruppe - Endpunkt: Zeit bis zum ersten UE von besonderem Interesse: Rash - Subgruppe: Geografische Region: Europe (full analysis set) 815

Figure 4.3.3 / 375: Kaplan-Meier-Plot der 'Unerwünschte Ereignis von besonderem Interesse' Time-to-Event-Analyse nach Endpunkt und Subgruppe - Endpunkt: Zeit bis zum ersten UE von besonderem Interesse: Rash - Subgruppe: Gleason-Score bei Diagnose: >=7 (full analysis set) 816

Figure 4.3.3 / 376: Kaplan-Meier-Plot der 'Unerwünschte Ereignis von besonderem Interesse' Time-to-Event-Analyse nach Endpunkt und Subgruppe - Endpunkt: Zeit bis zum ersten UE von besonderem Interesse: Rash - Subgruppe: Leberfunktionsstörung: normal (full analysis set) 817

Figure 4.3.3 / 377: Kaplan-Meier-Plot der 'Unerwünschte Ereignis von besonderem Interesse' Time-to-Event-Analyse nach Endpunkt und Subgruppe - Endpunkt: Zeit bis zum ersten UE von besonderem Interesse: Rash - Subgruppe: Nutzung von Statinen: Ja (full analysis set) 818

Figure 4.3.3 / 378: Kaplan-Meier-Plot der 'Unerwünschte Ereignis von besonderem Interesse' Time-to-Event-Analyse nach Endpunkt und Subgruppe - Endpunkt: Zeit bis zum ersten UE von besonderem Interesse: Rash - Subgruppe: Nutzung von Statinen: Nein (full analysis set) 819

Figure 4.3.3 / 379: Kaplan-Meier-Plot der 'Unerwünschte Ereignis von besonderem Interesse' Time-to-Event-Analyse nach Endpunkt und Subgruppe - Endpunkt: Zeit bis zum ersten UE von besonderem Interesse: Rash - Subgruppe: eGFR an Baseline: normal (full analysis set) 820

Figure 4.3.3 / 380: Kaplan-Meier-Plot der 'Unerwünschte Ereignis von besonderem Interesse' Time-to-Event-Analyse nach Endpunkt und Subgruppe - Endpunkt: Zeit bis

zum ersten UE von besonderem Interesse: Rash - Subgruppe: eGFR an Baseline: mildly impaired (full analysis set) 821

Figure 4.3.3 / 381: Kaplan-Meier-Plot der 'Unerwünschte Ereignis von besonderem Interesse' Time-to-Event-Analyse nach Endpunkt und Subgruppe - Endpunkt: Zeit bis zum ersten UE von besonderem Interesse: Rash - Subgruppe: eGFR an Baseline: moderately impaired, severely impaired and renal end stage (full analysis set) 822

Figure 4.3.3 / 382: Kaplan-Meier-Plot der 'Unerwünschte Ereignis von besonderem Interesse' Time-to-Event-Analyse nach Endpunkt und Subgruppe - Endpunkt: Zeit bis zum ersten UE von besonderem Interesse mit CTCAE Grad <3: Rash - Subgruppe: Alter (Jahre): 65-74 (full analysis set) 823

Figure 4.3.3 / 383: Kaplan-Meier-Plot der 'Unerwünschte Ereignis von besonderem Interesse' Time-to-Event-Analyse nach Endpunkt und Subgruppe - Endpunkt: Zeit bis zum ersten UE von besonderem Interesse mit CTCAE Grad <3: Rash - Subgruppe: Alter (Jahre): 75-84 (full analysis set) 824

Figure 4.3.3 / 384: Kaplan-Meier-Plot der 'Unerwünschte Ereignis von besonderem Interesse' Time-to-Event-Analyse nach Endpunkt und Subgruppe - Endpunkt: Zeit bis zum ersten UE von besonderem Interesse mit CTCAE Grad <3: Rash - Subgruppe: Geografische Region: North America (full analysis set) 825

Figure 4.3.3 / 385: Kaplan-Meier-Plot der 'Unerwünschte Ereignis von besonderem Interesse' Time-to-Event-Analyse nach Endpunkt und Subgruppe - Endpunkt: Zeit bis zum ersten UE von besonderem Interesse mit CTCAE Grad <3: Rash - Subgruppe: Geografische Region: Asia Pacific (full analysis set) 826

Figure 4.3.3 / 386: Kaplan-Meier-Plot der 'Unerwünschte Ereignis von besonderem Interesse' Time-to-Event-Analyse nach Endpunkt und Subgruppe - Endpunkt: Zeit bis zum ersten UE von besonderem Interesse mit CTCAE Grad <3: Rash - Subgruppe: Geografische Region: Rest of the World (full analysis set) 827

Figure 4.3.3 / 387: Kaplan-Meier-Plot der 'Unerwünschte Ereignis von besonderem Interesse' Time-to-Event-Analyse nach Endpunkt und Subgruppe - Endpunkt: Zeit bis zum ersten UE von besonderem Interesse mit CTCAE Grad <3: Rash - Subgruppe: Geografische Region: Europe (full analysis set) 828

Figure 4.3.3 / 388: Kaplan-Meier-Plot der 'Unerwünschte Ereignis von besonderem Interesse' Time-to-Event-Analyse nach Endpunkt und Subgruppe - Endpunkt: Zeit bis zum ersten UE von besonderem Interesse mit CTCAE Grad <3: Rash - Subgruppe: Gleason-Score bei Diagnose: >=7 (full analysis set) 829

Figure 4.3.3 / 389: Kaplan-Meier-Plot der 'Unerwünschte Ereignis von besonderem Interesse' Time-to-Event-Analyse nach Endpunkt und Subgruppe - Endpunkt: Zeit bis zum ersten UE von besonderem Interesse mit CTCAE Grad <3: Rash - Subgruppe: Leberfunktionsstörung: normal (full analysis set) 830

Figure 4.3.3 / 390: Kaplan-Meier-Plot der 'Unerwünschte Ereignis von besonderem Interesse' Time-to-Event-Analyse nach Endpunkt und Subgruppe - Endpunkt: Zeit bis zum ersten UE von besonderem Interesse mit CTCAE Grad <3: Rash - Subgruppe: Nutzung von Statinen: Ja (full analysis set) 831

Figure 4.3.3 / 391: Kaplan-Meier-Plot der 'Unerwünschte Ereignis von besonderem Interesse' Time-to-Event-Analyse nach Endpunkt und Subgruppe - Endpunkt: Zeit bis zum ersten UE von besonderem Interesse mit CTCAE Grad <3: Rash - Subgruppe: Nutzung von Statinen: Nein (full analysis set) 832

Figure 4.3.3 / 392: Kaplan-Meier-Plot der 'Unerwünschte Ereignis von besonderem Interesse' Time-to-Event-Analyse nach Endpunkt und Subgruppe - Endpunkt: Zeit bis zum ersten UE von besonderem Interesse mit CTCAE Grad <3: Rash - Subgruppe: eGFR an Baseline: normal (full analysis set) 833

Figure 4.3.3 / 393: Kaplan-Meier-Plot der 'Unerwünschte Ereignis von besonderem Interesse' Time-to-Event-Analyse nach Endpunkt und Subgruppe - Endpunkt: Zeit bis zum ersten UE von besonderem Interesse mit CTCAE Grad <3: Rash - Subgruppe: eGFR an Baseline: mildly impaired (full analysis set) 834

Figure 4.3.3 / 394: Kaplan-Meier-Plot der 'Unerwünschte Ereignis von besonderem Interesse' Time-to-Event-Analyse nach Endpunkt und Subgruppe - Endpunkt: Zeit bis zum ersten UE von besonderem Interesse mit CTCAE Grad <3: Rash - Subgruppe: eGFR an Baseline: moderately impaired, severely impaired and renal end stage (full analysis set) 835

Figure 4.3.3 / 395: Kaplan-Meier-Plot der 'Unerwünschte Ereignis von besonderem Interesse' Time-to-Event-Analyse nach Endpunkt und Subgruppe - Endpunkt: Zeit bis zum ersten UE von besonderem Interesse: Dizziness - Subgruppe: Alter (Jahre): <65 (full analysis set)..... 836

Figure 4.3.3 / 396: Kaplan-Meier-Plot der 'Unerwünschte Ereignis von besonderem Interesse' Time-to-Event-Analyse nach Endpunkt und Subgruppe - Endpunkt: Zeit bis zum ersten UE von besonderem Interesse: Dizziness - Subgruppe: Alter (Jahre): 65-74 (full analysis set)..... 837

Figure 4.3.3 / 397: Kaplan-Meier-Plot der 'Unerwünschte Ereignis von besonderem Interesse' Time-to-Event-Analyse nach Endpunkt und Subgruppe - Endpunkt: Zeit bis zum ersten UE von besonderem Interesse: Dizziness - Subgruppe: Alter (Jahre): 75-84 (full analysis set)..... 838

Figure 4.3.3 / 398: Kaplan-Meier-Plot der 'Unerwünschte Ereignis von besonderem Interesse' Time-to-Event-Analyse nach Endpunkt und Subgruppe - Endpunkt: Zeit bis zum ersten UE von besonderem Interesse: Dizziness - Subgruppe: Alter (Jahre): >=85 (full analysis set)..... 839

Figure 4.3.3 / 399: Kaplan-Meier-Plot der 'Unerwünschte Ereignis von besonderem Interesse' Time-to-Event-Analyse nach Endpunkt und Subgruppe - Endpunkt: Zeit bis zum ersten UE von besonderem Interesse: Dizziness - Subgruppe: Geografische Region: North America (full analysis set)..... 840

Figure 4.3.3 / 400: Kaplan-Meier-Plot der 'Unerwünschte Ereignis von besonderem Interesse' Time-to-Event-Analyse nach Endpunkt und Subgruppe - Endpunkt: Zeit bis zum ersten UE von besonderem Interesse: Dizziness - Subgruppe: Geografische Region: Asia Pacific (full analysis set) 841

Figure 4.3.3 / 401: Kaplan-Meier-Plot der 'Unerwünschte Ereignis von besonderem Interesse' Time-to-Event-Analyse nach Endpunkt und Subgruppe - Endpunkt: Zeit bis zum ersten UE von besonderem Interesse: Dizziness - Subgruppe: Geografische Region: Rest of the World (full analysis set) 842

Figure 4.3.3 / 402: Kaplan-Meier-Plot der 'Unerwünschte Ereignis von besonderem Interesse' Time-to-Event-Analyse nach Endpunkt und Subgruppe - Endpunkt: Zeit bis zum ersten UE von besonderem Interesse: Dizziness - Subgruppe: Geografische Region: Europe (full analysis set) 843

Figure 4.3.3 / 403: Kaplan-Meier-Plot der 'Unerwünschte Ereignis von besonderem Interesse' Time-to-Event-Analyse nach Endpunkt und Subgruppe - Endpunkt: Zeit bis zum ersten UE von besonderem Interesse: Dizziness - Subgruppe: Gleason-Score bei Diagnose: <7 (full analysis set)..... 844

Figure 4.3.3 / 404: Kaplan-Meier-Plot der 'Unerwünschte Ereignis von besonderem Interesse' Time-to-Event-Analyse nach Endpunkt und Subgruppe - Endpunkt: Zeit bis zum ersten UE von besonderem Interesse: Dizziness - Subgruppe: Gleason-Score bei Diagnose: >=7 (full analysis set)..... 845

Figure 4.3.3 / 405: Kaplan-Meier-Plot der 'Unerwünschte Ereignis von besonderem Interesse' Time-to-Event-Analyse nach Endpunkt und Subgruppe - Endpunkt: Zeit bis

zum ersten UE von besonderem Interesse: Dizziness - Subgruppe: Leberfunktionsstörung: normal (full analysis set) 846

Figure 4.3.3 / 406: Kaplan-Meier-Plot der 'Unerwünschte Ereignis von besonderem Interesse' Time-to-Event-Analyse nach Endpunkt und Subgruppe - Endpunkt: Zeit bis zum ersten UE von besonderem Interesse: Dizziness - Subgruppe: Leberfunktionsstörung: mild (full analysis set) 847

Figure 4.3.3 / 407: Kaplan-Meier-Plot der 'Unerwünschte Ereignis von besonderem Interesse' Time-to-Event-Analyse nach Endpunkt und Subgruppe - Endpunkt: Zeit bis zum ersten UE von besonderem Interesse: Dizziness - Subgruppe: Nutzung von Statinen: Ja (full analysis set) 848

Figure 4.3.3 / 408: Kaplan-Meier-Plot der 'Unerwünschte Ereignis von besonderem Interesse' Time-to-Event-Analyse nach Endpunkt und Subgruppe - Endpunkt: Zeit bis zum ersten UE von besonderem Interesse: Dizziness - Subgruppe: Nutzung von Statinen: Nein (full analysis set) 849

Figure 4.3.3 / 409: Kaplan-Meier-Plot der 'Unerwünschte Ereignis von besonderem Interesse' Time-to-Event-Analyse nach Endpunkt und Subgruppe - Endpunkt: Zeit bis zum ersten UE von besonderem Interesse: Dizziness - Subgruppe: eGFR an Baseline: normal (full analysis set) 850

Figure 4.3.3 / 410: Kaplan-Meier-Plot der 'Unerwünschte Ereignis von besonderem Interesse' Time-to-Event-Analyse nach Endpunkt und Subgruppe - Endpunkt: Zeit bis zum ersten UE von besonderem Interesse: Dizziness - Subgruppe: eGFR an Baseline: mildly impaired (full analysis set) 851

Figure 4.3.3 / 411: Kaplan-Meier-Plot der 'Unerwünschte Ereignis von besonderem Interesse' Time-to-Event-Analyse nach Endpunkt und Subgruppe - Endpunkt: Zeit bis zum ersten UE von besonderem Interesse: Dizziness - Subgruppe: eGFR an Baseline: moderately impaired, severely impaired and renal end stage (full analysis set) 852

Figure 4.3.3 / 412: Kaplan-Meier-Plot der 'Unerwünschte Ereignis von besonderem Interesse' Time-to-Event-Analyse nach Endpunkt und Subgruppe - Endpunkt: Zeit bis zum ersten UE von besonderem Interesse mit CTCAE Grad <3: Dizziness - Subgruppe: Alter (Jahre): <65 (full analysis set) 853

Figure 4.3.3 / 413: Kaplan-Meier-Plot der 'Unerwünschte Ereignis von besonderem Interesse' Time-to-Event-Analyse nach Endpunkt und Subgruppe - Endpunkt: Zeit bis zum ersten UE von besonderem Interesse mit CTCAE Grad <3: Dizziness - Subgruppe: Alter (Jahre): 65-74 (full analysis set) 854

Figure 4.3.3 / 414: Kaplan-Meier-Plot der 'Unerwünschte Ereignis von besonderem Interesse' Time-to-Event-Analyse nach Endpunkt und Subgruppe - Endpunkt: Zeit bis zum ersten UE von besonderem Interesse mit CTCAE Grad <3: Dizziness - Subgruppe: Alter (Jahre): 75-84 (full analysis set) 855

Figure 4.3.3 / 415: Kaplan-Meier-Plot der 'Unerwünschte Ereignis von besonderem Interesse' Time-to-Event-Analyse nach Endpunkt und Subgruppe - Endpunkt: Zeit bis zum ersten UE von besonderem Interesse mit CTCAE Grad <3: Dizziness - Subgruppe: Alter (Jahre): >=85 (full analysis set) 856

Figure 4.3.3 / 416: Kaplan-Meier-Plot der 'Unerwünschte Ereignis von besonderem Interesse' Time-to-Event-Analyse nach Endpunkt und Subgruppe - Endpunkt: Zeit bis zum ersten UE von besonderem Interesse mit CTCAE Grad <3: Dizziness - Subgruppe: Geografische Region: North America (full analysis set) 857

Figure 4.3.3 / 417: Kaplan-Meier-Plot der 'Unerwünschte Ereignis von besonderem Interesse' Time-to-Event-Analyse nach Endpunkt und Subgruppe - Endpunkt: Zeit bis zum ersten UE von besonderem Interesse mit CTCAE Grad <3: Dizziness - Subgruppe: Geografische Region: Asia Pacific (full analysis set) 858

Figure 4.3.3 / 418: Kaplan-Meier-Plot der 'Unerwünschte Ereignis von besonderem Interesse' Time-to-Event-Analyse nach Endpunkt und Subgruppe - Endpunkt: Zeit bis zum ersten UE von besonderem Interesse mit CTCAE Grad <3: Dizziness - Subgruppe: Geografische Region: Rest of the World (full analysis set) 859

Figure 4.3.3 / 419: Kaplan-Meier-Plot der 'Unerwünschte Ereignis von besonderem Interesse' Time-to-Event-Analyse nach Endpunkt und Subgruppe - Endpunkt: Zeit bis zum ersten UE von besonderem Interesse mit CTCAE Grad <3: Dizziness - Subgruppe: Geografische Region: Europe (full analysis set) 860

Figure 4.3.3 / 420: Kaplan-Meier-Plot der 'Unerwünschte Ereignis von besonderem Interesse' Time-to-Event-Analyse nach Endpunkt und Subgruppe - Endpunkt: Zeit bis zum ersten UE von besonderem Interesse mit CTCAE Grad <3: Dizziness - Subgruppe: Gleason-Score bei Diagnose: <7 (full analysis set) 861

Figure 4.3.3 / 421: Kaplan-Meier-Plot der 'Unerwünschte Ereignis von besonderem Interesse' Time-to-Event-Analyse nach Endpunkt und Subgruppe - Endpunkt: Zeit bis zum ersten UE von besonderem Interesse mit CTCAE Grad <3: Dizziness - Subgruppe: Gleason-Score bei Diagnose: >=7 (full analysis set) 862

Figure 4.3.3 / 422: Kaplan-Meier-Plot der 'Unerwünschte Ereignis von besonderem Interesse' Time-to-Event-Analyse nach Endpunkt und Subgruppe - Endpunkt: Zeit bis zum ersten UE von besonderem Interesse mit CTCAE Grad <3: Dizziness - Subgruppe: Leberfunktionsstörung: normal (full analysis set) 863

Figure 4.3.3 / 423: Kaplan-Meier-Plot der 'Unerwünschte Ereignis von besonderem Interesse' Time-to-Event-Analyse nach Endpunkt und Subgruppe - Endpunkt: Zeit bis zum ersten UE von besonderem Interesse mit CTCAE Grad <3: Dizziness - Subgruppe: Leberfunktionsstörung: mild (full analysis set) 864

Figure 4.3.3 / 424: Kaplan-Meier-Plot der 'Unerwünschte Ereignis von besonderem Interesse' Time-to-Event-Analyse nach Endpunkt und Subgruppe - Endpunkt: Zeit bis zum ersten UE von besonderem Interesse mit CTCAE Grad <3: Dizziness - Subgruppe: Nutzung von Statinen: Ja (full analysis set) 865

Figure 4.3.3 / 425: Kaplan-Meier-Plot der 'Unerwünschte Ereignis von besonderem Interesse' Time-to-Event-Analyse nach Endpunkt und Subgruppe - Endpunkt: Zeit bis zum ersten UE von besonderem Interesse mit CTCAE Grad <3: Dizziness - Subgruppe: Nutzung von Statinen: Nein (full analysis set) 866

Figure 4.3.3 / 426: Kaplan-Meier-Plot der 'Unerwünschte Ereignis von besonderem Interesse' Time-to-Event-Analyse nach Endpunkt und Subgruppe - Endpunkt: Zeit bis zum ersten UE von besonderem Interesse mit CTCAE Grad <3: Dizziness - Subgruppe: eGFR an Baseline: normal (full analysis set) 867

Figure 4.3.3 / 427: Kaplan-Meier-Plot der 'Unerwünschte Ereignis von besonderem Interesse' Time-to-Event-Analyse nach Endpunkt und Subgruppe - Endpunkt: Zeit bis zum ersten UE von besonderem Interesse mit CTCAE Grad <3: Dizziness - Subgruppe: eGFR an Baseline: mildly impaired (full analysis set) 868

Figure 4.3.3 / 428: Kaplan-Meier-Plot der 'Unerwünschte Ereignis von besonderem Interesse' Time-to-Event-Analyse nach Endpunkt und Subgruppe - Endpunkt: Zeit bis zum ersten UE von besonderem Interesse mit CTCAE Grad <3: Dizziness - Subgruppe: eGFR an Baseline: moderately impaired, severely impaired and renal end stage (full analysis set) 869

Figure 4.3.3 / 429: Kaplan-Meier-Plot der 'Unerwünschte Ereignis von besonderem Interesse' Time-to-Event-Analyse nach Endpunkt und Subgruppe - Endpunkt: Zeit bis zum ersten UE von besonderem Interesse mit CTCAE Grad >=3: Dizziness - Subgruppe: Alter (Jahre): 75-84 (full analysis set) 870

Figure 4.3.3 / 430: Kaplan-Meier-Plot der 'Unerwünschte Ereignis von besonderem Interesse' Time-to-Event-Analyse nach Endpunkt und Subgruppe - Endpunkt: Zeit bis

zum ersten UE von besonderem Interesse mit CTCAE Grad >=3: Dizziness - Subgruppe: Geografische Region: Europe (full analysis set) 871

Figure 4.3.3 / 431: Kaplan-Meier-Plot der 'Unerwünschte Ereignis von besonderem Interesse' Time-to-Event-Analyse nach Endpunkt und Subgruppe - Endpunkt: Zeit bis zum ersten UE von besonderem Interesse mit CTCAE Grad >=3: Dizziness - Subgruppe: Leberfunktionsstörung: normal (full analysis set) 872

Figure 4.3.3 / 432: Kaplan-Meier-Plot der 'Unerwünschte Ereignis von besonderem Interesse' Time-to-Event-Analyse nach Endpunkt und Subgruppe - Endpunkt: Zeit bis zum ersten UE von besonderem Interesse mit CTCAE Grad >=3: Dizziness - Subgruppe: eGFR an Baseline: mildly impaired (full analysis set) 873

Figure 4.3.3 / 433: Kaplan-Meier-Plot der 'Unerwünschte Ereignis von besonderem Interesse' Time-to-Event-Analyse nach Endpunkt und Subgruppe - Endpunkt: Zeit bis zum ersten UE von besonderem Interesse: Cerebral ischaemia - Subgruppe: Alter (Jahre): 65-74 (full analysis set)..... 874

Figure 4.3.3 / 434: Kaplan-Meier-Plot der 'Unerwünschte Ereignis von besonderem Interesse' Time-to-Event-Analyse nach Endpunkt und Subgruppe - Endpunkt: Zeit bis zum ersten UE von besonderem Interesse: Cerebral ischaemia - Subgruppe: Alter (Jahre): 75-84 (full analysis set)..... 875

Figure 4.3.3 / 435: Kaplan-Meier-Plot der 'Unerwünschte Ereignis von besonderem Interesse' Time-to-Event-Analyse nach Endpunkt und Subgruppe - Endpunkt: Zeit bis zum ersten UE von besonderem Interesse: Cerebral ischaemia - Subgruppe: Alter (Jahre): >=85 (full analysis set) 876

Figure 4.3.3 / 436: Kaplan-Meier-Plot der 'Unerwünschte Ereignis von besonderem Interesse' Time-to-Event-Analyse nach Endpunkt und Subgruppe - Endpunkt: Zeit bis zum ersten UE von besonderem Interesse: Cerebral ischaemia - Subgruppe: Geografische Region: Rest of the World (full analysis set) 877

Figure 4.3.3 / 437: Kaplan-Meier-Plot der 'Unerwünschte Ereignis von besonderem Interesse' Time-to-Event-Analyse nach Endpunkt und Subgruppe - Endpunkt: Zeit bis zum ersten UE von besonderem Interesse: Cerebral ischaemia - Subgruppe: Geografische Region: Europe (full analysis set) 878

Figure 4.3.3 / 438: Kaplan-Meier-Plot der 'Unerwünschte Ereignis von besonderem Interesse' Time-to-Event-Analyse nach Endpunkt und Subgruppe - Endpunkt: Zeit bis zum ersten UE von besonderem Interesse: Cerebral ischaemia - Subgruppe: Gleason-Score bei Diagnose: <7 (full analysis set)..... 879

Figure 4.3.3 / 439: Kaplan-Meier-Plot der 'Unerwünschte Ereignis von besonderem Interesse' Time-to-Event-Analyse nach Endpunkt und Subgruppe - Endpunkt: Zeit bis zum ersten UE von besonderem Interesse: Cerebral ischaemia - Subgruppe: Gleason-Score bei Diagnose: >=7 (full analysis set) 880

Figure 4.3.3 / 440: Kaplan-Meier-Plot der 'Unerwünschte Ereignis von besonderem Interesse' Time-to-Event-Analyse nach Endpunkt und Subgruppe - Endpunkt: Zeit bis zum ersten UE von besonderem Interesse: Cerebral ischaemia - Subgruppe: Leberfunktionsstörung: normal (full analysis set)..... 881

Figure 4.3.3 / 441: Kaplan-Meier-Plot der 'Unerwünschte Ereignis von besonderem Interesse' Time-to-Event-Analyse nach Endpunkt und Subgruppe - Endpunkt: Zeit bis zum ersten UE von besonderem Interesse: Cerebral ischaemia - Subgruppe: Leberfunktionsstörung: mild (full analysis set)..... 882

Figure 4.3.3 / 442: Kaplan-Meier-Plot der 'Unerwünschte Ereignis von besonderem Interesse' Time-to-Event-Analyse nach Endpunkt und Subgruppe - Endpunkt: Zeit bis zum ersten UE von besonderem Interesse: Cerebral ischaemia - Subgruppe: Nutzung von Statinen: Ja (full analysis set) 883

Figure 4.3.3 / 443: Kaplan-Meier-Plot der 'Unerwünschte Ereignis von besonderem Interesse' Time-to-Event-Analyse nach Endpunkt und Subgruppe - Endpunkt: Zeit bis zum ersten UE von besonderem Interesse: Cerebral ischaemia - Subgruppe: Nutzung von Statinen: Nein (full analysis set) 884

Figure 4.3.3 / 444: Kaplan-Meier-Plot der 'Unerwünschte Ereignis von besonderem Interesse' Time-to-Event-Analyse nach Endpunkt und Subgruppe - Endpunkt: Zeit bis zum ersten UE von besonderem Interesse: Cerebral ischaemia - Subgruppe: eGFR an Baseline: normal (full analysis set) 885

Figure 4.3.3 / 445: Kaplan-Meier-Plot der 'Unerwünschte Ereignis von besonderem Interesse' Time-to-Event-Analyse nach Endpunkt und Subgruppe - Endpunkt: Zeit bis zum ersten UE von besonderem Interesse: Cerebral ischaemia - Subgruppe: eGFR an Baseline: mildly impaired (full analysis set) 886

Figure 4.3.3 / 446: Kaplan-Meier-Plot der 'Unerwünschte Ereignis von besonderem Interesse' Time-to-Event-Analyse nach Endpunkt und Subgruppe - Endpunkt: Zeit bis zum ersten UE von besonderem Interesse: Cerebral ischaemia - Subgruppe: eGFR an Baseline: moderately impaired, severely impaired and renal end stage (full analysis set) 887

Figure 4.3.3 / 447: Kaplan-Meier-Plot der 'Unerwünschte Ereignis von besonderem Interesse' Time-to-Event-Analyse nach Endpunkt und Subgruppe - Endpunkt: Zeit bis zum ersten UE von besonderem Interesse mit CTCAE Grad <3: Cerebral ischaemia - Subgruppe: Alter (Jahre): 75-84 (full analysis set) 888

Figure 4.3.3 / 448: Kaplan-Meier-Plot der 'Unerwünschte Ereignis von besonderem Interesse' Time-to-Event-Analyse nach Endpunkt und Subgruppe - Endpunkt: Zeit bis zum ersten UE von besonderem Interesse mit CTCAE Grad <3: Cerebral ischaemia - Subgruppe: Gleason-Score bei Diagnose: >=7 (full analysis set) 889

Figure 4.3.3 / 449: Kaplan-Meier-Plot der 'Unerwünschte Ereignis von besonderem Interesse' Time-to-Event-Analyse nach Endpunkt und Subgruppe - Endpunkt: Zeit bis zum ersten UE von besonderem Interesse mit CTCAE Grad <3: Cerebral ischaemia - Subgruppe: Leberfunktionsstörung: normal (full analysis set) 890

Figure 4.3.3 / 450: Kaplan-Meier-Plot der 'Unerwünschte Ereignis von besonderem Interesse' Time-to-Event-Analyse nach Endpunkt und Subgruppe - Endpunkt: Zeit bis zum ersten UE von besonderem Interesse mit CTCAE Grad <3: Cerebral ischaemia - Subgruppe: Nutzung von Statinen: Ja (full analysis set) 891

Figure 4.3.3 / 451: Kaplan-Meier-Plot der 'Unerwünschte Ereignis von besonderem Interesse' Time-to-Event-Analyse nach Endpunkt und Subgruppe - Endpunkt: Zeit bis zum ersten UE von besonderem Interesse mit CTCAE Grad <3: Cerebral ischaemia - Subgruppe: eGFR an Baseline: moderately impaired, severely impaired and renal end stage (full analysis set) 892

Figure 4.3.3 / 452: Kaplan-Meier-Plot der 'Unerwünschte Ereignis von besonderem Interesse' Time-to-Event-Analyse nach Endpunkt und Subgruppe - Endpunkt: Zeit bis zum ersten UE von besonderem Interesse mit CTCAE Grad >=3: Cerebral ischaemia - Subgruppe: Alter (Jahre): 65-74 (full analysis set) 893

Figure 4.3.3 / 453: Kaplan-Meier-Plot der 'Unerwünschte Ereignis von besonderem Interesse' Time-to-Event-Analyse nach Endpunkt und Subgruppe - Endpunkt: Zeit bis zum ersten UE von besonderem Interesse mit CTCAE Grad >=3: Cerebral ischaemia - Subgruppe: Alter (Jahre): 75-84 (full analysis set) 894

Figure 4.3.3 / 454: Kaplan-Meier-Plot der 'Unerwünschte Ereignis von besonderem Interesse' Time-to-Event-Analyse nach Endpunkt und Subgruppe - Endpunkt: Zeit bis zum ersten UE von besonderem Interesse mit CTCAE Grad >=3: Cerebral ischaemia - Subgruppe: Geografische Region: Rest of the World (full analysis set) 895

Figure 4.3.3 / 455: Kaplan-Meier-Plot der 'Unerwünschte Ereignis von besonderem Interesse' Time-to-Event-Analyse nach Endpunkt und Subgruppe - Endpunkt: Zeit bis zum ersten UE von besonderem Interesse mit CTCAE Grad >=3: Cerebral ischaemia - Subgruppe: Geografische Region: Europe (full analysis set)..... 896

Figure 4.3.3 / 456: Kaplan-Meier-Plot der 'Unerwünschte Ereignis von besonderem Interesse' Time-to-Event-Analyse nach Endpunkt und Subgruppe - Endpunkt: Zeit bis zum ersten UE von besonderem Interesse mit CTCAE Grad >=3: Cerebral ischaemia - Subgruppe: Gleason-Score bei Diagnose: <7 (full analysis set) 897

Figure 4.3.3 / 457: Kaplan-Meier-Plot der 'Unerwünschte Ereignis von besonderem Interesse' Time-to-Event-Analyse nach Endpunkt und Subgruppe - Endpunkt: Zeit bis zum ersten UE von besonderem Interesse mit CTCAE Grad >=3: Cerebral ischaemia - Subgruppe: Gleason-Score bei Diagnose: >=7 (full analysis set)..... 898

Figure 4.3.3 / 458: Kaplan-Meier-Plot der 'Unerwünschte Ereignis von besonderem Interesse' Time-to-Event-Analyse nach Endpunkt und Subgruppe - Endpunkt: Zeit bis zum ersten UE von besonderem Interesse mit CTCAE Grad >=3: Cerebral ischaemia - Subgruppe: Leberfunktionsstörung: normal (full analysis set) 899

Figure 4.3.3 / 459: Kaplan-Meier-Plot der 'Unerwünschte Ereignis von besonderem Interesse' Time-to-Event-Analyse nach Endpunkt und Subgruppe - Endpunkt: Zeit bis zum ersten UE von besonderem Interesse mit CTCAE Grad >=3: Cerebral ischaemia - Subgruppe: Leberfunktionsstörung: mild (full analysis set) 900

Figure 4.3.3 / 460: Kaplan-Meier-Plot der 'Unerwünschte Ereignis von besonderem Interesse' Time-to-Event-Analyse nach Endpunkt und Subgruppe - Endpunkt: Zeit bis zum ersten UE von besonderem Interesse mit CTCAE Grad >=3: Cerebral ischaemia - Subgruppe: Nutzung von Statinen: Ja (full analysis set)..... 901

Figure 4.3.3 / 461: Kaplan-Meier-Plot der 'Unerwünschte Ereignis von besonderem Interesse' Time-to-Event-Analyse nach Endpunkt und Subgruppe - Endpunkt: Zeit bis zum ersten UE von besonderem Interesse mit CTCAE Grad >=3: Cerebral ischaemia - Subgruppe: Nutzung von Statinen: Nein (full analysis set) 902

Figure 4.3.3 / 462: Kaplan-Meier-Plot der 'Unerwünschte Ereignis von besonderem Interesse' Time-to-Event-Analyse nach Endpunkt und Subgruppe - Endpunkt: Zeit bis zum ersten UE von besonderem Interesse mit CTCAE Grad >=3: Cerebral ischaemia - Subgruppe: eGFR an Baseline: normal (full analysis set) 903

Figure 4.3.3 / 463: Kaplan-Meier-Plot der 'Unerwünschte Ereignis von besonderem Interesse' Time-to-Event-Analyse nach Endpunkt und Subgruppe - Endpunkt: Zeit bis zum ersten UE von besonderem Interesse mit CTCAE Grad >=3: Cerebral ischaemia - Subgruppe: eGFR an Baseline: mildly impaired (full analysis set)..... 904

Figure 4.3.3 / 464: Kaplan-Meier-Plot der 'Unerwünschte Ereignis von besonderem Interesse' Time-to-Event-Analyse nach Endpunkt und Subgruppe - Endpunkt: Zeit bis zum ersten UE von besonderem Interesse mit CTCAE Grad >=3: Cerebral ischaemia - Subgruppe: eGFR an Baseline: moderately impaired, severely impaired and renal end stage (full analysis set)..... 905

Figure 4.3.3 / 465: Kaplan-Meier-Plot der UE TTE-Analyse nach Endpunkt und Subgruppe - Endpunkt: Zeit bis zum ersten SUE das die Cutoff-Kriterien auf MedDRA SOC Ebene erfüllt (Monate) - SOC: Cardiac disorders (10007541) - Subgruppe: Nutzung von Statinen: Ja (full analysis set)..... 906

Figure 4.3.3 / 466: Kaplan-Meier-Plot der UE TTE-Analyse nach Endpunkt und Subgruppe - Endpunkt: Zeit bis zum ersten SUE das die Cutoff-Kriterien auf MedDRA SOC Ebene erfüllt (Monate) - SOC: Cardiac disorders (10007541) - Subgruppe: Nutzung von Statinen: Nein (full analysis set) 907

Figure 4.3.3 / 467: Kaplan-Meier-Plot der UE TTE-Analyse nach Endpunkt und Subgruppe - Endpunkt: Zeit bis zum ersten unter der Behandlung aufgetretenen SUE (TESAE) das die Cutoff-Kriterien auf MedDRA SOC Ebene erfüllt (Monate) - SOC: Cardiac disorders (10007541) - Subgruppe: Nutzung von Statinen: Ja (full analysis set) 908

Figure 4.3.3 / 468: Kaplan-Meier-Plot der UE TTE-Analyse nach Endpunkt und Subgruppe - Endpunkt: Zeit bis zum ersten unter der Behandlung aufgetretenen SUE (TESAE) das die Cutoff-Kriterien auf MedDRA SOC Ebene erfüllt (Monate) - SOC: Cardiac disorders (10007541) - Subgruppe: Nutzung von Statinen: Nein (full analysis set) 909

Figure 4.3.3 / 469: Kaplan-Meier-Plot der UE TTE-Analyse nach Endpunkt und Subgruppe - Endpunkt: Zeit bis zum ersten UE das die Cutoff-Kriterien auf MedDRA SOC Ebene erfüllt (Monate) - SOC: Metabolism and nutrition disorders (10027433) - Subgruppe: Alter (Jahre): <65 (full analysis set) 910

Figure 4.3.3 / 470: Kaplan-Meier-Plot der UE TTE-Analyse nach Endpunkt und Subgruppe - Endpunkt: Zeit bis zum ersten UE das die Cutoff-Kriterien auf MedDRA SOC Ebene erfüllt (Monate) - SOC: Metabolism and nutrition disorders (10027433) - Subgruppe: Alter (Jahre): 65-74 (full analysis set) 911

Figure 4.3.3 / 471: Kaplan-Meier-Plot der UE TTE-Analyse nach Endpunkt und Subgruppe - Endpunkt: Zeit bis zum ersten UE das die Cutoff-Kriterien auf MedDRA SOC Ebene erfüllt (Monate) - SOC: Metabolism and nutrition disorders (10027433) - Subgruppe: Alter (Jahre): 75-84 (full analysis set) 912

Figure 4.3.3 / 472: Kaplan-Meier-Plot der UE TTE-Analyse nach Endpunkt und Subgruppe - Endpunkt: Zeit bis zum ersten UE das die Cutoff-Kriterien auf MedDRA SOC Ebene erfüllt (Monate) - SOC: Metabolism and nutrition disorders (10027433) - Subgruppe: Alter (Jahre): >=85 (full analysis set) 913

Figure 4.3.3 / 473: Kaplan-Meier-Plot der UE TTE-Analyse nach Endpunkt und Subgruppe - Endpunkt: Zeit bis zum ersten UE das die Cutoff-Kriterien auf MedDRA SOC Ebene erfüllt (Monate) - SOC: Nervous system disorders (10029205) - Subgruppe: eGFR an Baseline: normal (full analysis set) 914

Figure 4.3.3 / 474: Kaplan-Meier-Plot der UE TTE-Analyse nach Endpunkt und Subgruppe - Endpunkt: Zeit bis zum ersten UE das die Cutoff-Kriterien auf MedDRA SOC Ebene erfüllt (Monate) - SOC: Nervous system disorders (10029205) - Subgruppe: eGFR an Baseline: mildly impaired (full analysis set) 915

Figure 4.3.3 / 475: Kaplan-Meier-Plot der UE TTE-Analyse nach Endpunkt und Subgruppe - Endpunkt: Zeit bis zum ersten UE das die Cutoff-Kriterien auf MedDRA SOC Ebene erfüllt (Monate) - SOC: Nervous system disorders (10029205) - Subgruppe: eGFR an Baseline: moderately impaired, severely impaired and renal end stage (full analysis set) 916

Figure 4.3.3 / 476: Kaplan-Meier-Plot der UE TTE-Analyse nach Endpunkt und Subgruppe - Endpunkt: Zeit bis zum ersten UE das die Cutoff-Kriterien auf MedDRA SOC Ebene erfüllt (Monate) - SOC: Renal and urinary disorders (10038359) - Subgruppe: Leberfunktionsstörung: normal (full analysis set) 917

Figure 4.3.3 / 477: Kaplan-Meier-Plot der UE TTE-Analyse nach Endpunkt und Subgruppe - Endpunkt: Zeit bis zum ersten UE das die Cutoff-Kriterien auf MedDRA SOC Ebene erfüllt (Monate) - SOC: Renal and urinary disorders (10038359) - Subgruppe: Leberfunktionsstörung: mild (full analysis set) 918

Figure 4.3.3 / 478: Kaplan-Meier-Plot der UE TTE-Analyse nach Endpunkt und Subgruppe - Endpunkt: Zeit bis zum ersten UE das die Cutoff-Kriterien auf MedDRA PT Ebene erfüllt (Monate) - PT: Back pain (10003988) - Subgruppe: Alter (Jahre): <65 (full analysis set) 919

Figure 4.3.3 / 479: Kaplan-Meier-Plot der UE TTE-Analyse nach Endpunkt und Subgruppe - Endpunkt: Zeit bis zum ersten UE das die Cutoff-Kriterien auf MedDRA PT Ebene erfüllt (Monate) - PT: Back pain (10003988) - Subgruppe: Alter (Jahre): 65-74 (full analysis set) 920

Figure 4.3.3 / 480: Kaplan-Meier-Plot der UE TTE-Analyse nach Endpunkt und Subgruppe - Endpunkt: Zeit bis zum ersten UE das die Cutoff-Kriterien auf MedDRA PT Ebene erfüllt (Monate) - PT: Back pain (10003988) - Subgruppe: Alter (Jahre): 75-84 (full analysis set) 921

Figure 4.3.3 / 481: Kaplan-Meier-Plot der UE TTE-Analyse nach Endpunkt und Subgruppe - Endpunkt: Zeit bis zum ersten UE das die Cutoff-Kriterien auf MedDRA PT Ebene erfüllt (Monate) - PT: Dyspnoea (10013968) - Subgruppe: Nutzung von Statinen: Ja (full analysis set) 922

Figure 4.3.3 / 482: Kaplan-Meier-Plot der UE TTE-Analyse nach Endpunkt und Subgruppe - Endpunkt: Zeit bis zum ersten UE das die Cutoff-Kriterien auf MedDRA PT Ebene erfüllt (Monate) - PT: Dyspnoea (10013968) - Subgruppe: Nutzung von Statinen: Nein (full analysis set) 923

Figure 4.3.3 / 483: Kaplan-Meier-Plot der UE TTE-Analyse nach Endpunkt und Subgruppe - Endpunkt: Zeit bis zum ersten UE das die Cutoff-Kriterien auf MedDRA PT Ebene erfüllt (Monate) - PT: Dysuria (10013990) - Subgruppe: Gleason-Score bei Diagnose: <7 (full analysis set) 924

Figure 4.3.3 / 484: Kaplan-Meier-Plot der UE TTE-Analyse nach Endpunkt und Subgruppe - Endpunkt: Zeit bis zum ersten UE das die Cutoff-Kriterien auf MedDRA PT Ebene erfüllt (Monate) - PT: Dysuria (10013990) - Subgruppe: Gleason-Score bei Diagnose: >=7 (full analysis set) 925

Figure 4.3.3 / 485: Kaplan-Meier-Plot der UE TTE-Analyse nach Endpunkt und Subgruppe - Endpunkt: Zeit bis zum ersten UE das die Cutoff-Kriterien auf MedDRA PT Ebene erfüllt (Monate) - PT: Headache (10019211) - Subgruppe: eGFR an Baseline: normal (full analysis set) 926

Figure 4.3.3 / 486: Kaplan-Meier-Plot der UE TTE-Analyse nach Endpunkt und Subgruppe - Endpunkt: Zeit bis zum ersten UE das die Cutoff-Kriterien auf MedDRA PT Ebene erfüllt (Monate) - PT: Headache (10019211) - Subgruppe: eGFR an Baseline: mildly impaired (full analysis set) 927

Figure 4.3.3 / 487: Kaplan-Meier-Plot der UE TTE-Analyse nach Endpunkt und Subgruppe - Endpunkt: Zeit bis zum ersten UE das die Cutoff-Kriterien auf MedDRA PT Ebene erfüllt (Monate) - PT: Hypertension (10020772) - Subgruppe: eGFR an Baseline: normal (full analysis set) 928

Figure 4.3.3 / 488: Kaplan-Meier-Plot der UE TTE-Analyse nach Endpunkt und Subgruppe - Endpunkt: Zeit bis zum ersten UE das die Cutoff-Kriterien auf MedDRA PT Ebene erfüllt (Monate) - PT: Hypertension (10020772) - Subgruppe: eGFR an Baseline: mildly impaired (full analysis set) 929

Figure 4.3.3 / 489: Kaplan-Meier-Plot der UE TTE-Analyse nach Endpunkt und Subgruppe - Endpunkt: Zeit bis zum ersten UE das die Cutoff-Kriterien auf MedDRA PT Ebene erfüllt (Monate) - PT: Hypertension (10020772) - Subgruppe: eGFR an Baseline: moderately impaired, severely impaired and renal end stage (full analysis set) 930

Figure 4.3.3 / 490: Kaplan-Meier-Plot der UE TTE-Analyse nach Endpunkt und Subgruppe - Endpunkt: Zeit bis zum ersten UE das die Cutoff-Kriterien auf MedDRA PT Ebene erfüllt (Monate) - PT: Urinary tract infection (10046571) - Subgruppe: eGFR an Baseline: normal (full analysis set) 931

Figure 4.3.3 / 491: Kaplan-Meier-Plot der UE TTE-Analyse nach Endpunkt und Subgruppe - Endpunkt: Zeit bis zum ersten UE das die Cutoff-Kriterien auf MedDRA PT

Ebene erfüllt (Monate) - PT: Urinary tract infection (10046571) - Subgruppe: eGFR an Baseline: mildly impaired (full analysis set) 932

Figure 4.3.3 / 492: Kaplan-Meier-Plot der UE TTE-Analyse nach Endpunkt und Subgruppe - Endpunkt: Zeit bis zum ersten UE das die Cutoff-Kriterien auf MedDRA PT Ebene erfüllt (Monate) - PT: Urinary tract infection (10046571) - Subgruppe: eGFR an Baseline: moderately impaired, severely impaired and renal end stage (full analysis set) 933

Figure 4.3.3 / 493: Kaplan-Meier-Plot der UE TTE-Analyse nach Endpunkt und Subgruppe - Endpunkt: Zeit bis zum ersten unter der Behandlung aufgetretenen UE (TEAE) das die Cutoff-Kriterien auf MedDRA SOC Ebene erfüllt (Monate) - SOC: Immune system disorders (10021428) - Subgruppe: eGFR an Baseline: normal (full analysis set) 934

Figure 4.3.3 / 494: Kaplan-Meier-Plot der UE TTE-Analyse nach Endpunkt und Subgruppe - Endpunkt: Zeit bis zum ersten unter der Behandlung aufgetretenen UE (TEAE) das die Cutoff-Kriterien auf MedDRA SOC Ebene erfüllt (Monate) - SOC: Nervous system disorders (10029205) - Subgruppe: eGFR an Baseline: normal (full analysis set) 935

Figure 4.3.3 / 495: Kaplan-Meier-Plot der UE TTE-Analyse nach Endpunkt und Subgruppe - Endpunkt: Zeit bis zum ersten unter der Behandlung aufgetretenen UE (TEAE) das die Cutoff-Kriterien auf MedDRA SOC Ebene erfüllt (Monate) - SOC: Nervous system disorders (10029205) - Subgruppe: eGFR an Baseline: mildly impaired (full analysis set) 936

Figure 4.3.3 / 496: Kaplan-Meier-Plot der UE TTE-Analyse nach Endpunkt und Subgruppe - Endpunkt: Zeit bis zum ersten unter der Behandlung aufgetretenen UE (TEAE) das die Cutoff-Kriterien auf MedDRA SOC Ebene erfüllt (Monate) - SOC: Nervous system disorders (10029205) - Subgruppe: eGFR an Baseline: moderately impaired, severely impaired and renal end stage (full analysis set) 937

Figure 4.3.3 / 497: Kaplan-Meier-Plot der UE TTE-Analyse nach Endpunkt und Subgruppe - Endpunkt: Zeit bis zum ersten unter der Behandlung aufgetretenen UE (TEAE) das die Cutoff-Kriterien auf MedDRA PT Ebene erfüllt (Monate) - PT: Back pain (10003988) - Subgruppe: Alter (Jahre): <65 (full analysis set) 938

Figure 4.3.3 / 498: Kaplan-Meier-Plot der UE TTE-Analyse nach Endpunkt und Subgruppe - Endpunkt: Zeit bis zum ersten unter der Behandlung aufgetretenen UE (TEAE) das die Cutoff-Kriterien auf MedDRA PT Ebene erfüllt (Monate) - PT: Back pain (10003988) - Subgruppe: Alter (Jahre): 65-74 (full analysis set) 939

Figure 4.3.3 / 499: Kaplan-Meier-Plot der UE TTE-Analyse nach Endpunkt und Subgruppe - Endpunkt: Zeit bis zum ersten unter der Behandlung aufgetretenen UE (TEAE) das die Cutoff-Kriterien auf MedDRA PT Ebene erfüllt (Monate) - PT: Back pain (10003988) - Subgruppe: Alter (Jahre): 75-84 (full analysis set) 940

Figure 4.3.3 / 500: Kaplan-Meier-Plot der UE TTE-Analyse nach Endpunkt und Subgruppe - Endpunkt: Zeit bis zum ersten unter der Behandlung aufgetretenen UE (TEAE) das die Cutoff-Kriterien auf MedDRA PT Ebene erfüllt (Monate) - PT: Headache (10019211) - Subgruppe: eGFR an Baseline: normal (full analysis set) 941

Figure 4.3.3 / 501: Kaplan-Meier-Plot der UE TTE-Analyse nach Endpunkt und Subgruppe - Endpunkt: Zeit bis zum ersten unter der Behandlung aufgetretenen UE (TEAE) das die Cutoff-Kriterien auf MedDRA PT Ebene erfüllt (Monate) - PT: Headache (10019211) - Subgruppe: eGFR an Baseline: mildly impaired (full analysis set) 942

Figure 4.3.3 / 502: Kaplan-Meier-Plot der UE TTE-Analyse nach Endpunkt und Subgruppe - Endpunkt: Zeit bis zum ersten unter der Behandlung aufgetretenen UE (TEAE) das die Cutoff-Kriterien auf MedDRA PT Ebene erfüllt (Monate) - PT: Influenza like illness (10022004) - Subgruppe: Gleason-Score bei Diagnose: >=7 (full analysis set) ... 943

Figure 4.3.3 / 503: Kaplan-Meier-Plot der UE TTE-Analyse nach Endpunkt und Subgruppe - Endpunkt: Zeit bis zum ersten unter der Behandlung aufgetretenen UE (TEAE) das die Cutoff-Kriterien auf MedDRA PT Ebene erfüllt (Monate) - PT: Urinary tract infection (10046571) - Subgruppe: eGFR an Baseline: normal (full analysis set) ... 944

Figure 4.3.3 / 504: Kaplan-Meier-Plot der UE TTE-Analyse nach Endpunkt und Subgruppe - Endpunkt: Zeit bis zum ersten unter der Behandlung aufgetretenen UE (TEAE) das die Cutoff-Kriterien auf MedDRA PT Ebene erfüllt (Monate) - PT: Urinary tract infection (10046571) - Subgruppe: eGFR an Baseline: mildly impaired (full analysis set) ... 945

Figure 4.3.3 / 505: Kaplan-Meier-Plot der UE TTE-Analyse nach Endpunkt und Subgruppe - Endpunkt: Zeit bis zum ersten unter der Behandlung aufgetretenen UE (TEAE) das die Cutoff-Kriterien auf MedDRA PT Ebene erfüllt (Monate) - PT: Urinary tract infection (10046571) - Subgruppe: eGFR an Baseline: moderately impaired, severely impaired and renal end stage (full analysis set) ... 946

Figure 4.3.3 / 506: Kaplan-Meier-Plot der UE TTE-Analyse nach Endpunkt und Subgruppe - Endpunkt: Zeit bis zum ersten behandlungsbedingten UE (TRAE) das die Cutoff-Kriterien auf MedDRA SOC Ebene erfüllt (Monate) - SOC: Nervous system disorders (10029205) - Subgruppe: eGFR an Baseline: normal (full analysis set) ... 947

Figure 4.3.3 / 507: Kaplan-Meier-Plot der UE TTE-Analyse nach Endpunkt und Subgruppe - Endpunkt: Zeit bis zum ersten behandlungsbedingten UE (TRAE) das die Cutoff-Kriterien auf MedDRA SOC Ebene erfüllt (Monate) - SOC: Nervous system disorders (10029205) - Subgruppe: eGFR an Baseline: mildly impaired (full analysis set) ... 948

Figure 4.3.3 / 508: Kaplan-Meier-Plot der UE TTE-Analyse nach Endpunkt und Subgruppe - Endpunkt: Zeit bis zum ersten behandlungsbedingten UE (TRAE) das die Cutoff-Kriterien auf MedDRA SOC Ebene erfüllt (Monate) - SOC: Skin and subcutaneous tissue disorders (10040785) - Subgruppe: Nutzung von Statinen: Ja (full analysis set) ... 949

Figure 4.3.3 / 509: Kaplan-Meier-Plot der UE TTE-Analyse nach Endpunkt und Subgruppe - Endpunkt: Zeit bis zum ersten behandlungsbedingten UE (TRAE) das die Cutoff-Kriterien auf MedDRA SOC Ebene erfüllt (Monate) - SOC: Skin and subcutaneous tissue disorders (10040785) - Subgruppe: Nutzung von Statinen: Nein (full analysis set) ... 950

4.4 Mean-Deviation Plots ... 951

4.4.1 Morbidität ... 951

Figure 4.4.1 / 1: Mean-Deviation-Plot des BPI-SF, Item 3 (full analysis set) ... 952

Figure 4.4.1 / 2: Mean-Deviation-Plot des EQ-5D-VAS (full analysis set) ... 953

4.4.2 Gesundheitsbezogene Lebensqualität ... 954

Figure 4.4.2 / 1: Mean-Deviation-Plot der gesundheitsbezogenen Lebensqualität über Zeit nach Endpunkt - Endpunkt: FACT-P Prostate Cancer Sub Score (full analysis set) ... 955

Figure 4.4.2 / 2: Mean-Deviation-Plot der gesundheitsbezogenen Lebensqualität über Zeit nach Endpunkt - Endpunkt: EORTC-QLQ-PR25 Bowel Symptoms Score (full analysis set) ... 956

Figure 4.4.2 / 3: Mean-Deviation-Plot der gesundheitsbezogenen Lebensqualität über Zeit nach Endpunkt - Endpunkt: EORTC-QLQ-PR25 Hormonal Incontinence Aid Score (full analysis set) 957

Figure 4.4.2 / 4: Mean-Deviation-Plot der gesundheitsbezogenen Lebensqualität über Zeit nach Endpunkt - Endpunkt: EORTC-QLQ-PR25 Hormonal Treatment-related Symptoms Score (full analysis set) 958

Figure 4.4.2 / 5: Mean-Deviation-Plot der gesundheitsbezogenen Lebensqualität über Zeit nach Endpunkt - Endpunkt: EORTC-QLQ-PR25 Sexual Activity Score (full analysis set) 959

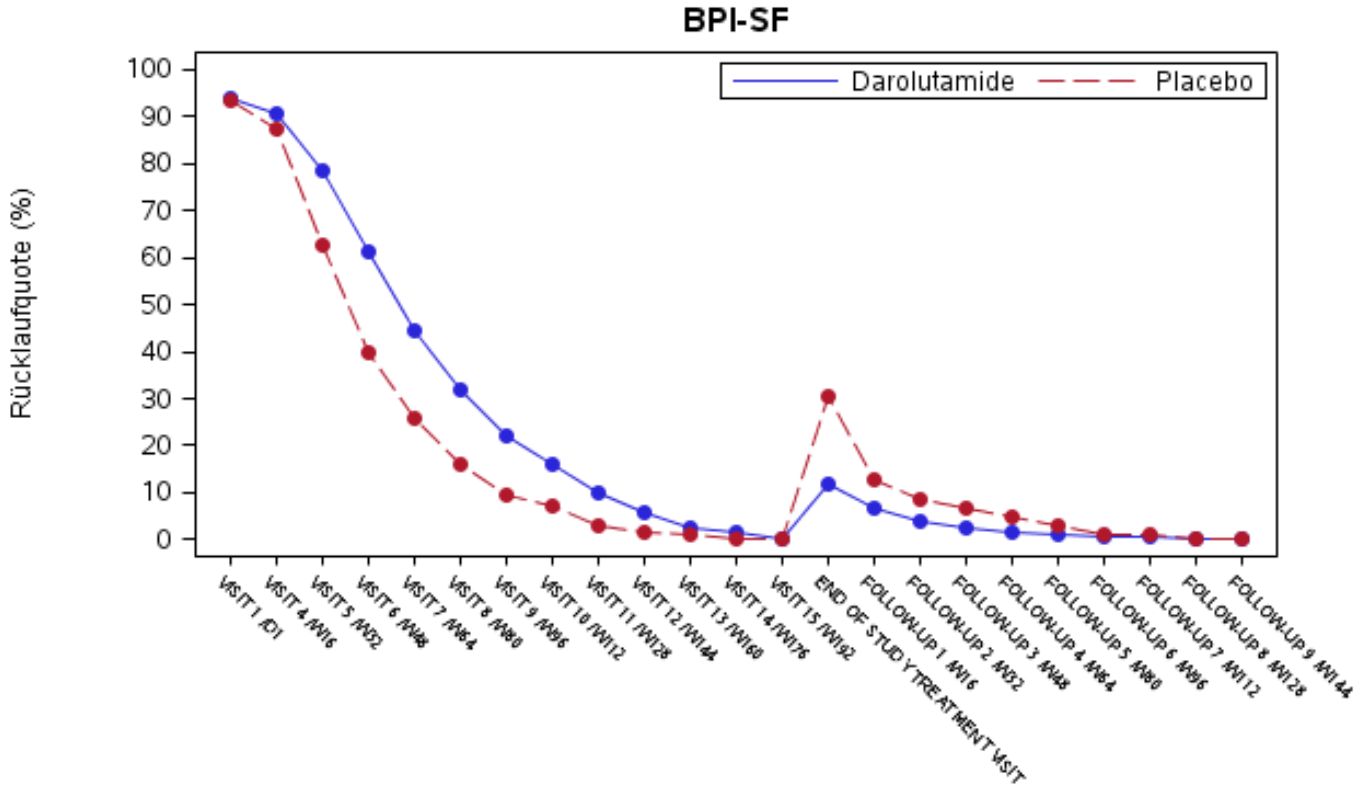
Figure 4.4.2 / 6: Mean-Deviation-Plot der gesundheitsbezogenen Lebensqualität über Zeit nach Endpunkt - Endpunkt: EORTC-QLQ-PR25 Sexual Functioning Score (full analysis set) 960

Figure 4.4.2 / 7: Mean-Deviation-Plot der gesundheitsbezogenen Lebensqualität über Zeit nach Endpunkt - Endpunkt: EORTC-QLQ-PR25 Urinary Symptom Score (full analysis set) 961

4. Plots

4.1 Rücklaufquoten

Figure 4.1 / 1: Rücklaufquoten für den BPI-SF bezogen auf die FAS-Population (full analysis set)

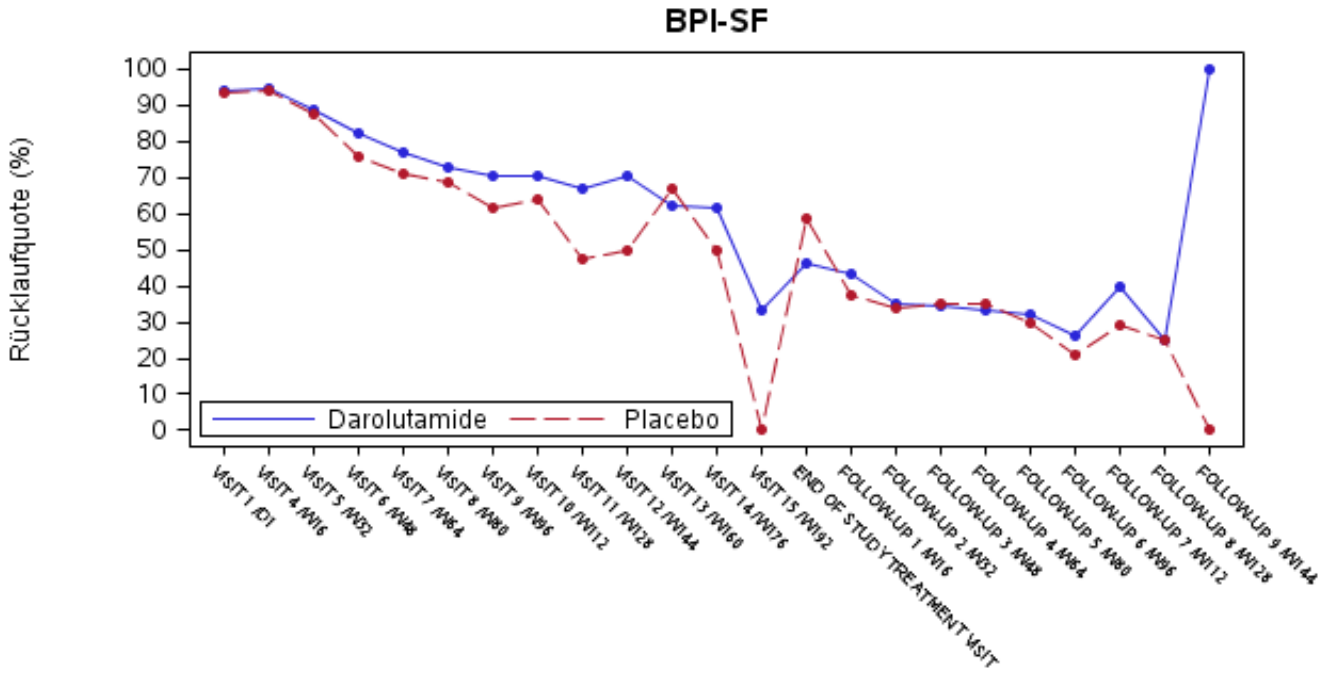


Anzahl an Patienten mit ausgefülltem Fragebogen

Darolutamide	896	865	752	584	423	304	210	154	93	57	25	13	1	111	62	36	23	16	9	5	4	1	1
Placebo	518	484	346	220	144	89	53	39	17	8	6	1	0	170	72	47	37	27	17	6	5	2	0

Bei der Berechnung der Rücklaufquote wurden alle Patienten berücksichtigt, unabhängig davon ob sie später als auswertbar in die Analyse eingingen oder nicht.
Abweichungen zu Tabellen, die auf Patienten mit auswertbaren Fragebögen basieren sind so zu erklären.
Bayer: /by-sasp/patdb/projects/1841788/17712/stat/prod_query22/pgms/f_questionaires_sas94.sas 23APR2020 16:40

Figure 4.1 / 2: Rücklaufquoten für den BPI-SF bezogen auf die noch mögliche Anzahl an Patienten je Visite (full analysis set)

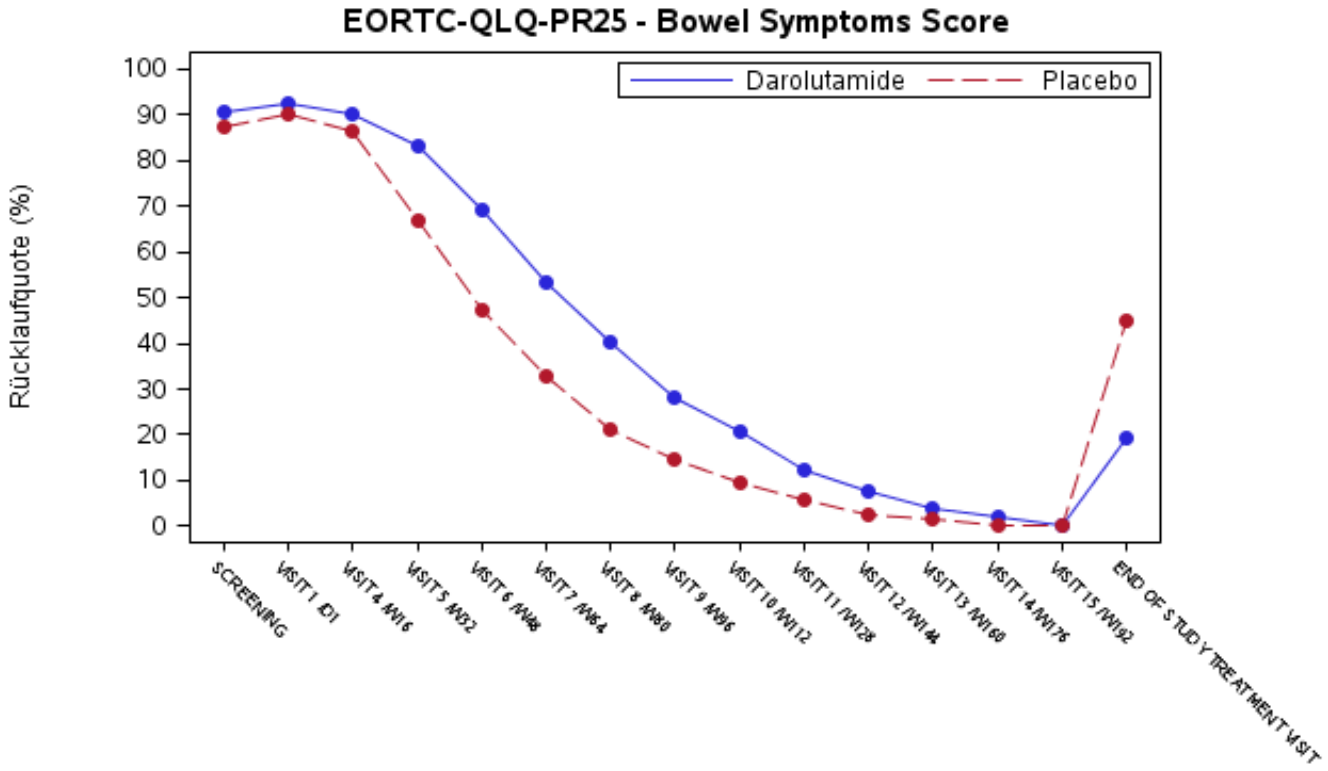


Visite

Anzahl an Patienten mit ausgefülltem Fragebogen																					
Darolutamide	896	865	752	584	423	304	210	154	93	57	25	13	1	111	62	36	23	16	9	5	4	1	1
Placebo	518	484	346	220	144	89	53	39	17	8	6	1	0	170	72	47	37	27	17	6	5	2	0
Mögliche Anzahl an Patienten, die einen Fragebogen ausfüllen können																					
Darolutamide	955	913	848	712	549	418	299	218	139	81	40	21	3	241	144	102	67	48	28	19	10	4	1
Placebo	554	516	395	290	202	130	86	61	36	16	9	2	0	291	191	138	106	77	57	29	17	8	5

Bei der Berechnung der Rücklaufquote wurden alle Patienten berücksichtigt, unabhängig davon ob sie später als auswertbar in die Analyse eingingen oder nicht.
Abweichungen zu Tabellen, die auf Patienten mit auswertbaren Fragebögen basieren sind so zu erklären.
Bayer: /by-sasp/patdb/projects/1841788/17712/stat/prod_query22/pgms/f_questionaires_sas94.sas 23APR2020 16:40

Figure 4.1 / 3: Rücklaufquoten für den EORTC-QLQ-PR25 - Bowel Symptoms Score bezogen auf die FAS-Population (full analysis set)

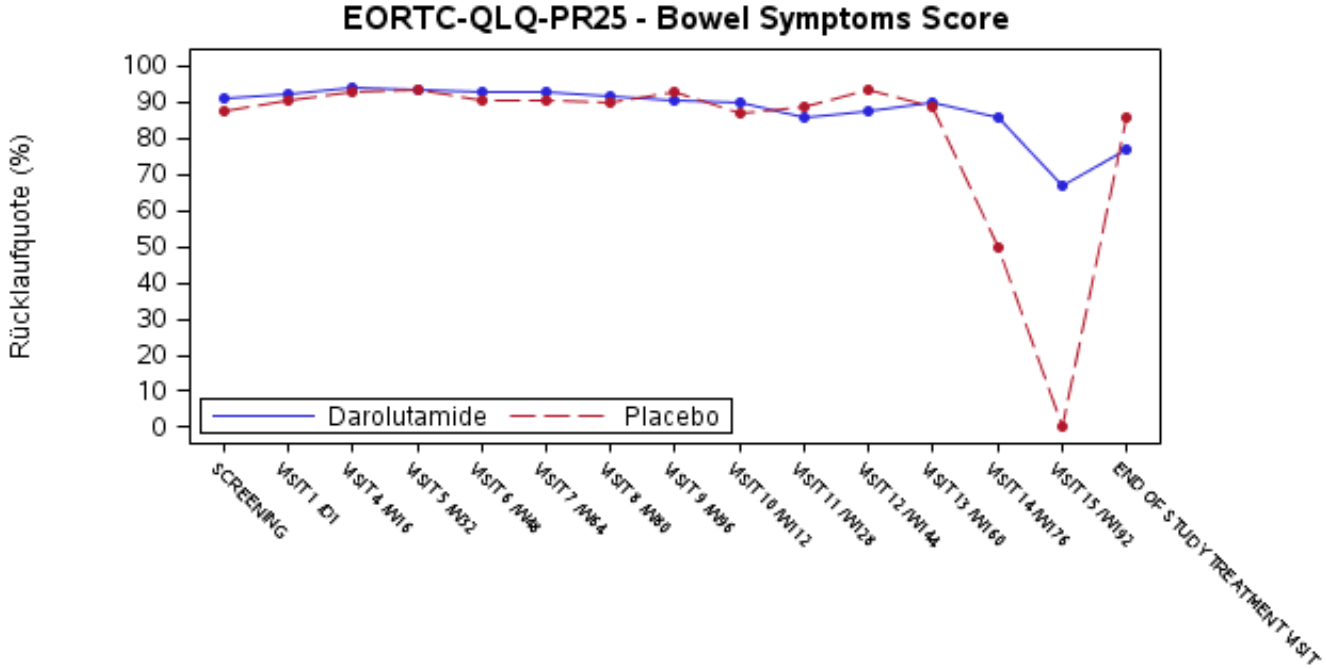


Anzahl an Patienten mit ausgefülltem Fragebogen

Darolutamide	868	882	860	794	662	509	384	270	196	119	71	36	18	2	186
Placebo	485	500	480	370	262	183	117	80	53	32	15	8	1	0	249

Bei der Berechnung der Rücklaufquote wurden alle Patienten berücksichtigt, unabhängig davon ob sie später als auswertbar in die Analyse eingingen oder nicht.
Abweichungen zu Tabellen, die auf Patienten mit auswertbaren Fragebögen basieren sind so zu erklären.
Bayer: /by-sasp/patdb/projects/1841788/17712/stat/prod_query22/pgms/f_questionaires_sas94.sas 23APR2020 16:40

Figure 4.1 / 4: Rücklaufquoten für den EORTC-QLQ-PR25 - Bowel Symptoms Score bezogen auf die noch mögliche Anzahl an Patienten je Visite (full analysis set)

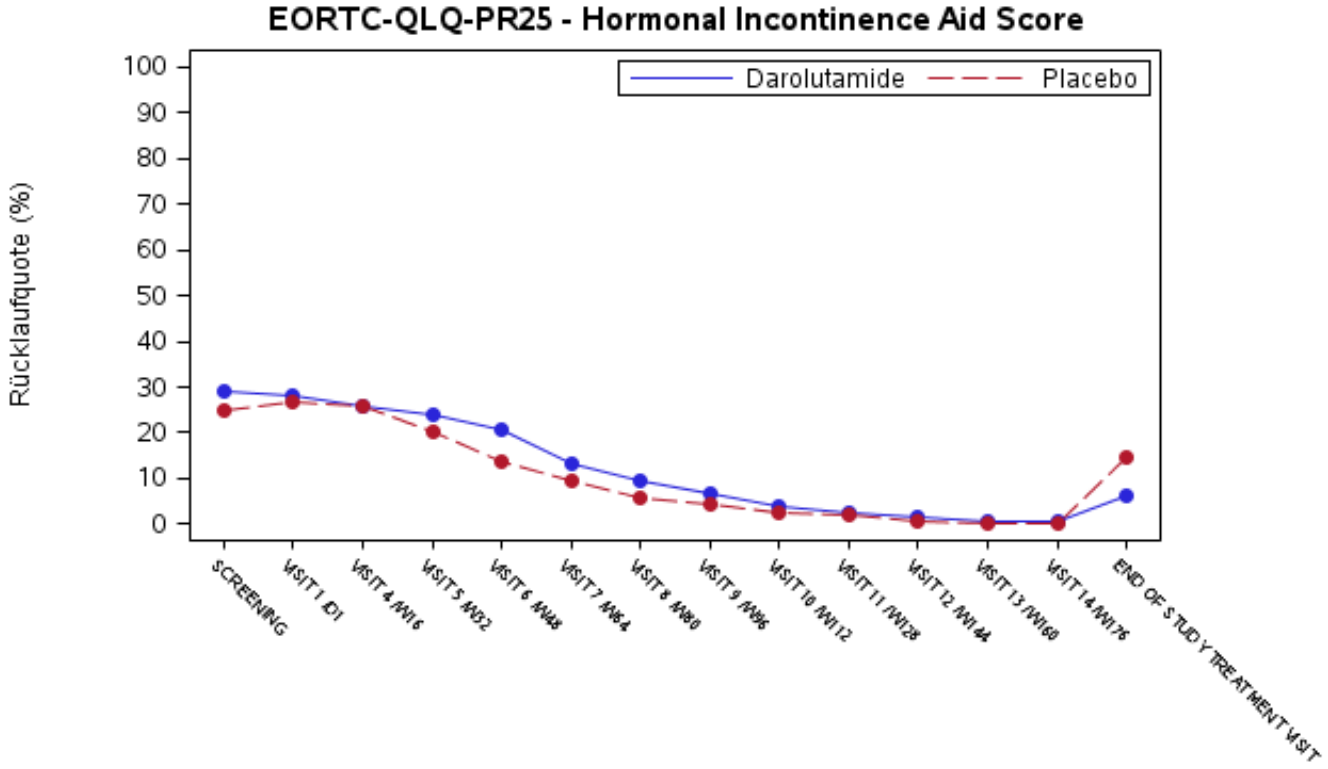


Visite

Anzahl an Patienten mit ausgefülltem Fragebogen															
Darolutamide	868	882	860	794	662	509	384	270	196	119	71	36	18	2	186
Placebo	485	500	480	370	262	183	117	80	53	32	15	8	1	0	249
Mögliche Anzahl an Patienten, die einen Fragebogen ausfüllen können															
Darolutamide	955	955	913	848	712	549	418	299	218	139	81	40	21	3	241
Placebo	554	554	516	395	290	202	130	86	61	36	16	9	2	0	291

Bei der Berechnung der Rücklaufquote wurden alle Patienten berücksichtigt, unabhängig davon ob sie später als auswertbar in die Analyse eingingen oder nicht.
Abweichungen zu Tabellen, die auf Patienten mit auswertbaren Fragebögen basieren sind so zu erklären.
Bayer: /by-sasp/patdb/projects/1841788/17712/stat/prod_query22/pgms/f_questionaires_sas94.sas 23APR2020 16:40

Figure 4.1 / 5: Rücklaufquoten für den EORTC-QLQ-PR25 - Hormonal Incontinence Aid Score bezogen auf die FAS-Population (full analysis set)

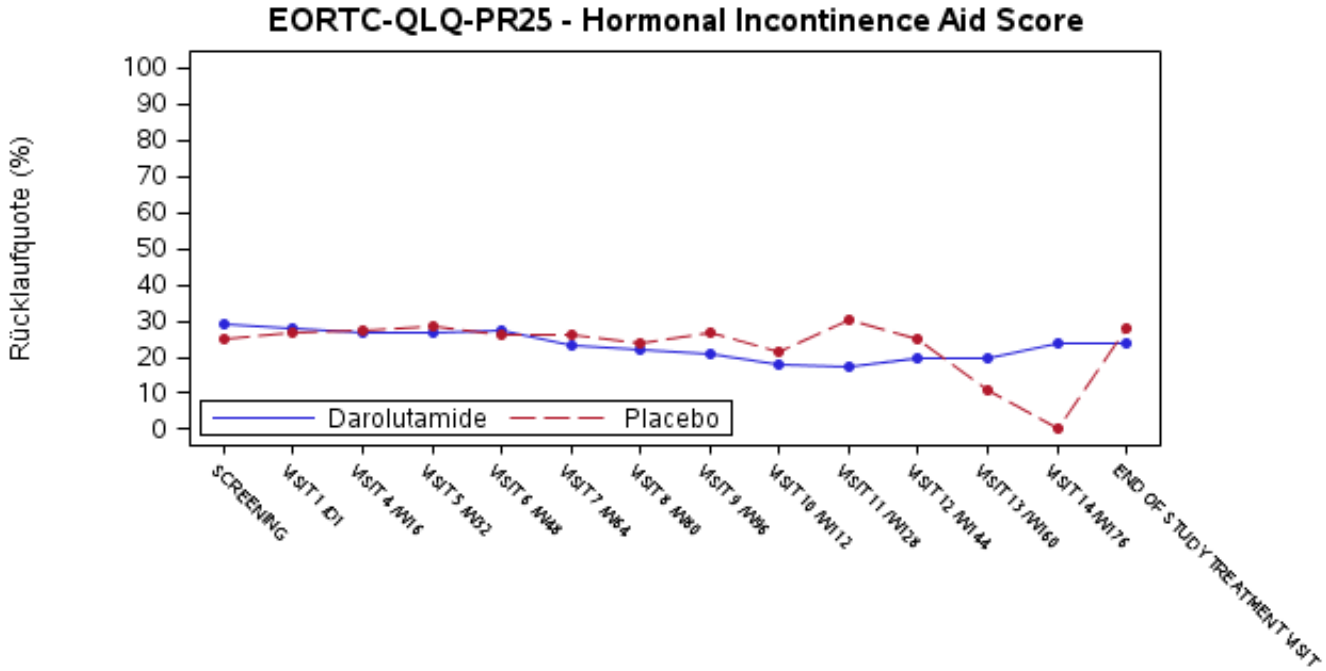


Anzahl an Patienten mit ausgefülltem Fragebogen

Darolutamide	277	267	246	227	197	128	92	63	39	24	16	8	5	58
Placebo	139	149	142	112	76	53	31	23	13	11	4	1	0	81

Bei der Berechnung der Rücklaufquote wurden alle Patienten berücksichtigt, unabhängig davon ob sie später als auswertbar in die Analyse eingingen oder nicht.
Abweichungen zu Tabellen, die auf Patienten mit auswertbaren Fragebögen basieren sind so zu erklären.
Bayer: /by-sasp/patdb/projects/1841788/17712/stat/prod_query22/pgms/f_questionaires_sas94.sas 23APR2020 16:40

Figure 4.1 / 6: Rücklaufquoten für den EORTC-QLQ-PR25 - Hormonal Incontinence Aid Score bezogen auf die noch mögliche Anzahl an Patienten je Visite (full analysis set)



Visite

Anzahl an Patienten mit ausgefülltem Fragebogen

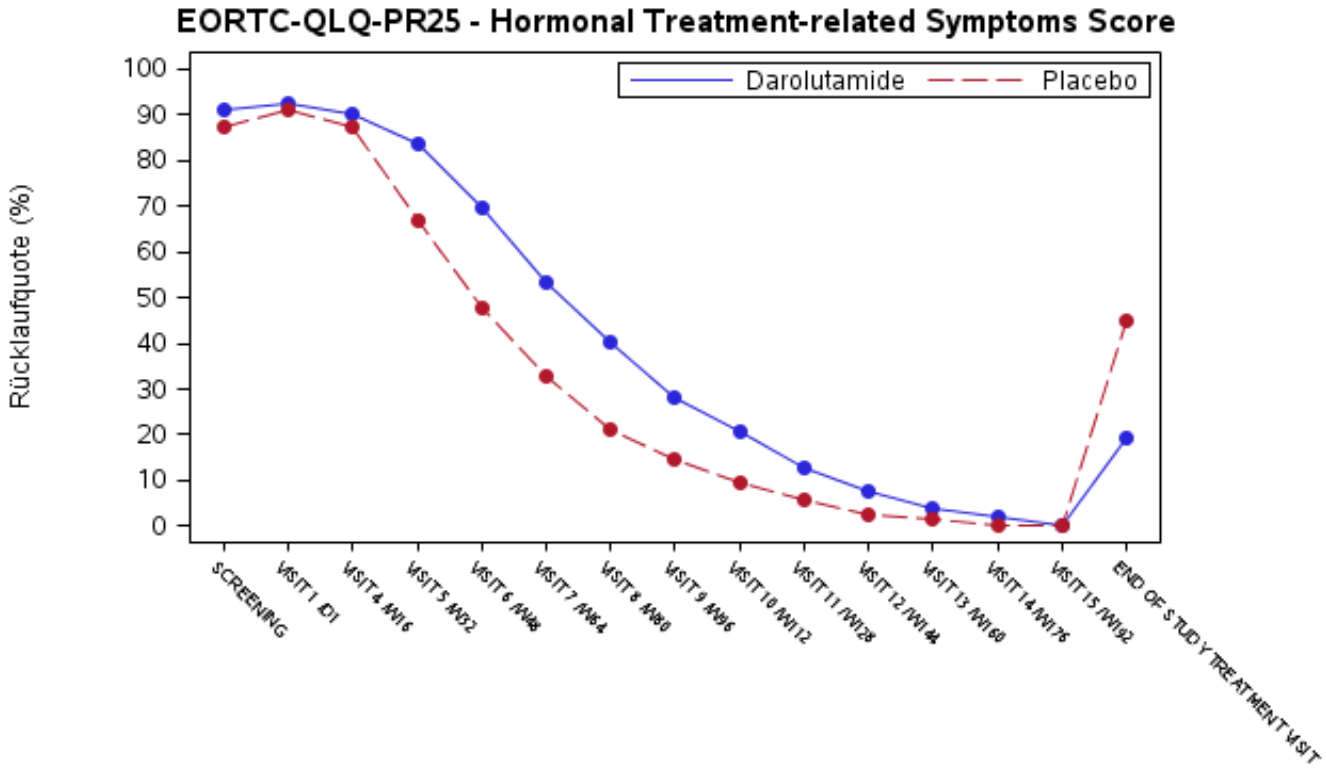
Darolutamide	277	267	246	227	197	128	92	63	39	24	16	8	5	58
Placebo	139	149	142	112	76	53	31	23	13	11	4	1	0	81

Mögliche Anzahl an Patienten, die einen Fragebogen ausfüllen können

Darolutamide	955	955	913	848	712	549	418	299	218	139	81	40	21	241
Placebo	554	554	516	395	290	202	130	86	61	36	16	9	2	291

Bei der Berechnung der Rücklaufquote wurden alle Patienten berücksichtigt, unabhängig davon ob sie später als auswertbar in die Analyse eingingen oder nicht.
Abweichungen zu Tabellen, die auf Patienten mit auswertbaren Fragebögen basieren sind so zu erklären.
Bayer: /by-sasp/patdb/projects/1841788/17712/stat/prod_query22/pgms/f_questionaires_sas94.sas 23APR2020 16:40

Figure 4.1 / 7: Rücklaufquoten für den EORTC-QLQ-PR25 - Hormonal Treatment-related Symptoms Score bezogen auf die FAS-Population (full analysis set)

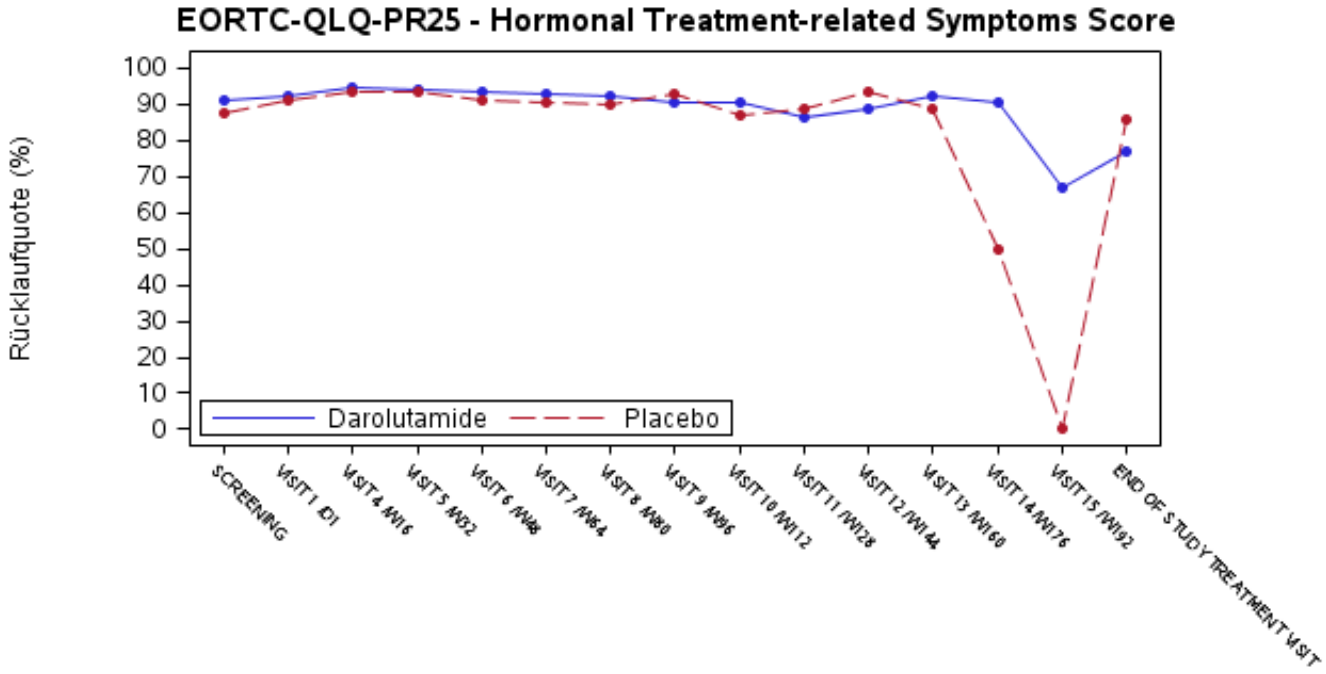


Anzahl an Patienten mit ausgefülltem Fragebogen

Darolutamide	869	882	863	797	665	509	386	271	197	120	72	37	19	2	186
Placebo	485	506	483	370	265	183	117	80	53	32	15	8	1	0	249

Bei der Berechnung der Rücklaufquote wurden alle Patienten berücksichtigt, unabhängig davon ob sie später als auswertbar in die Analyse eingingen oder nicht.
Abweichungen zu Tabellen, die auf Patienten mit auswertbaren Fragebögen basieren sind so zu erklären.
Bayer: /by-sasp/patdb/projects/1841788/17712/stat/prod_query22/pgms/f_questionaires_sas94.sas 23APR2020 16:40

Figure 4.1 / 8: Rücklaufquoten für den EORTC-QLQ-PR25 - Hormonal Treatment-related Symptoms Score bezogen auf die noch mögliche Anzahl an Patienten je Visite (full analysis set)

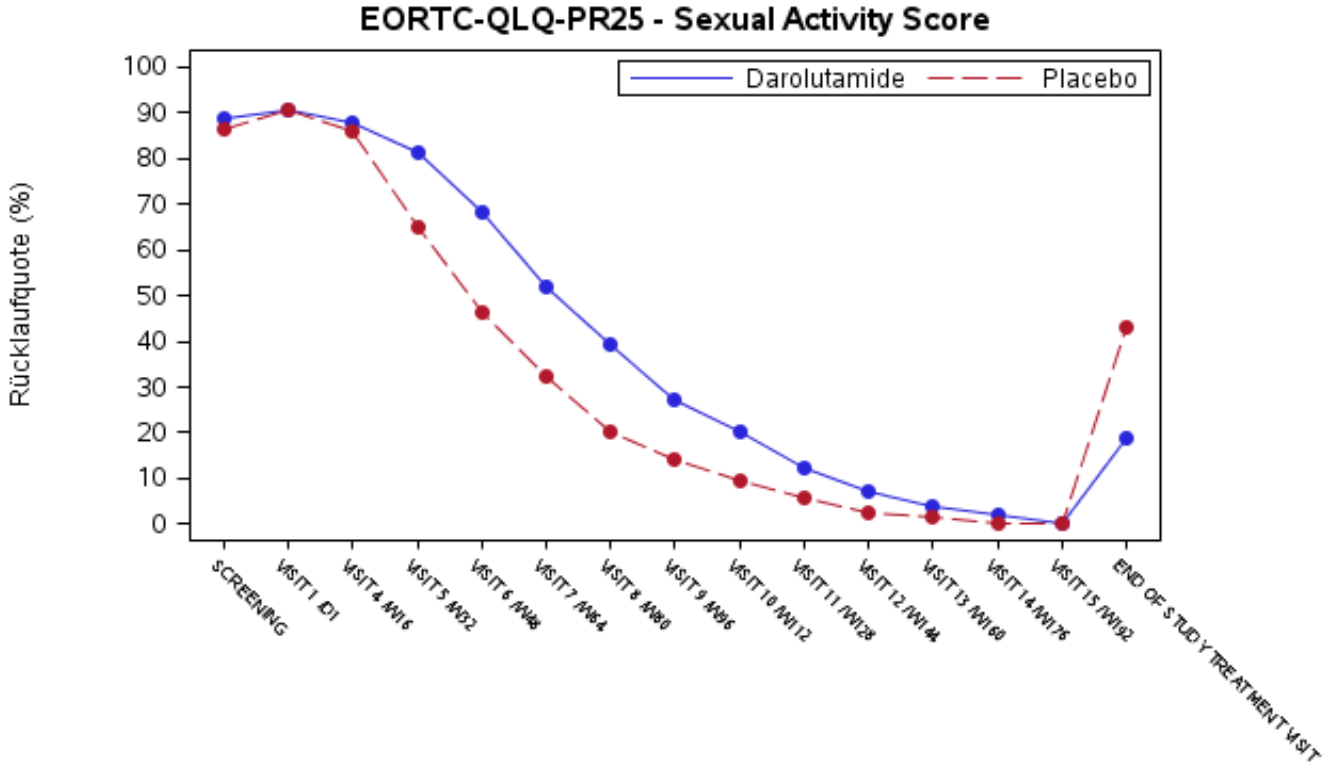


Visite

Anzahl an Patienten mit ausgefülltem Fragebogen															
Darolutamide	869	882	863	797	665	509	386	271	197	120	72	37	19	2	186
Placebo	485	506	483	370	265	183	117	80	53	32	15	8	1	0	249
Mögliche Anzahl an Patienten, die einen Fragebogen ausfüllen können															
Darolutamide	955	955	913	848	712	549	418	299	218	139	81	40	21	3	241
Placebo	554	554	516	395	290	202	130	86	61	36	16	9	2	0	291

Bei der Berechnung der Rücklaufquote wurden alle Patienten berücksichtigt, unabhängig davon ob sie später als auswertbar in die Analyse eingingen oder nicht.
Abweichungen zu Tabellen, die auf Patienten mit auswertbaren Fragebögen basieren sind so zu erklären.
Bayer: /by-sasp/patdb/projects/1841788/17712/stat/prod_query22/pgms/f_questionaires_sas94.sas 23APR2020 16:40

Figure 4.1 / 9: Rücklaufquoten für den EORTC-QLQ-PR25 - Sexual Activity Score bezogen auf die FAS-Population (full analysis set)

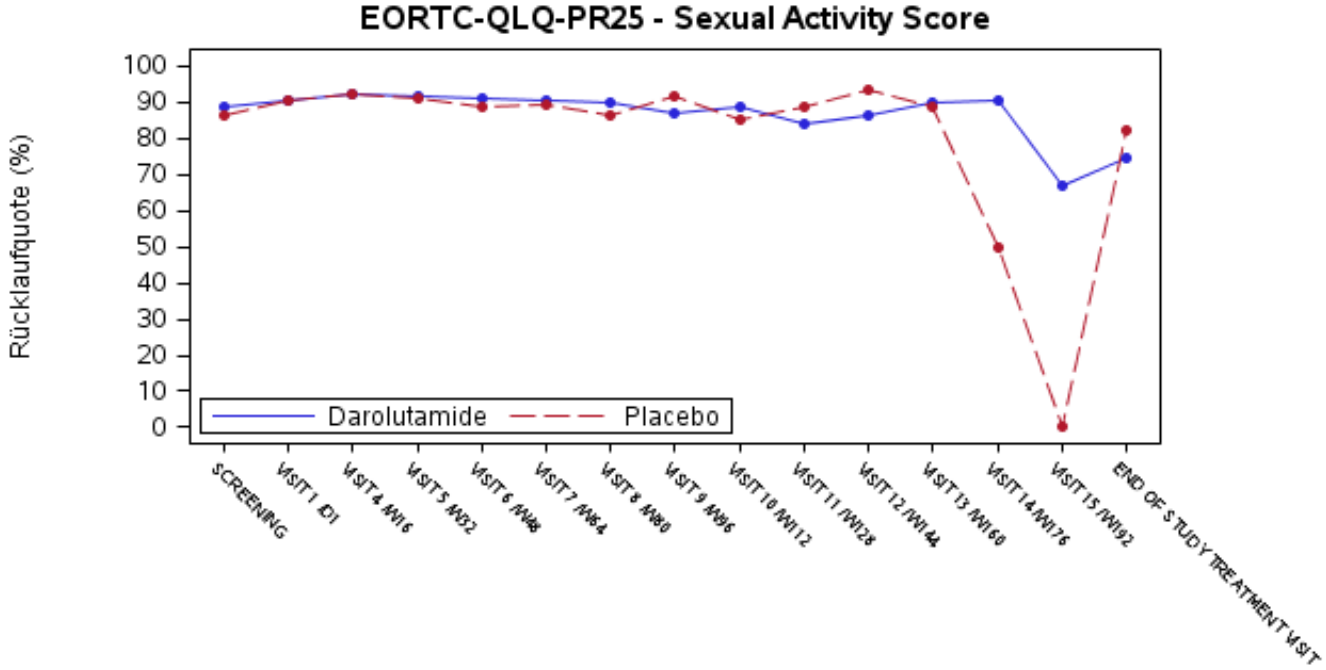


Anzahl an Patienten mit ausgefülltem Fragebogen

Darolutamide	850	867	841	778	650	496	375	260	193	117	70	36	19	2	180
Placebo	480	501	476	361	257	180	112	79	52	32	15	8	1	0	239

Bei der Berechnung der Rücklaufquote wurden alle Patienten berücksichtigt, unabhängig davon ob sie später als auswertbar in die Analyse eingingen oder nicht.
Abweichungen zu Tabellen, die auf Patienten mit auswertbaren Fragebögen basieren sind so zu erklären.
Bayer: /by-sasp/patdb/projects/1841788/17712/stat/prod_query22/pgms/f_questionaires_sas94.sas 23APR2020 16:40

Figure 4.1 / 10: Rücklaufquoten für den EORTC-QLQ-PR25 - Sexual Activity Score bezogen auf die noch mögliche Anzahl an Patienten je Visite (full analysis set)

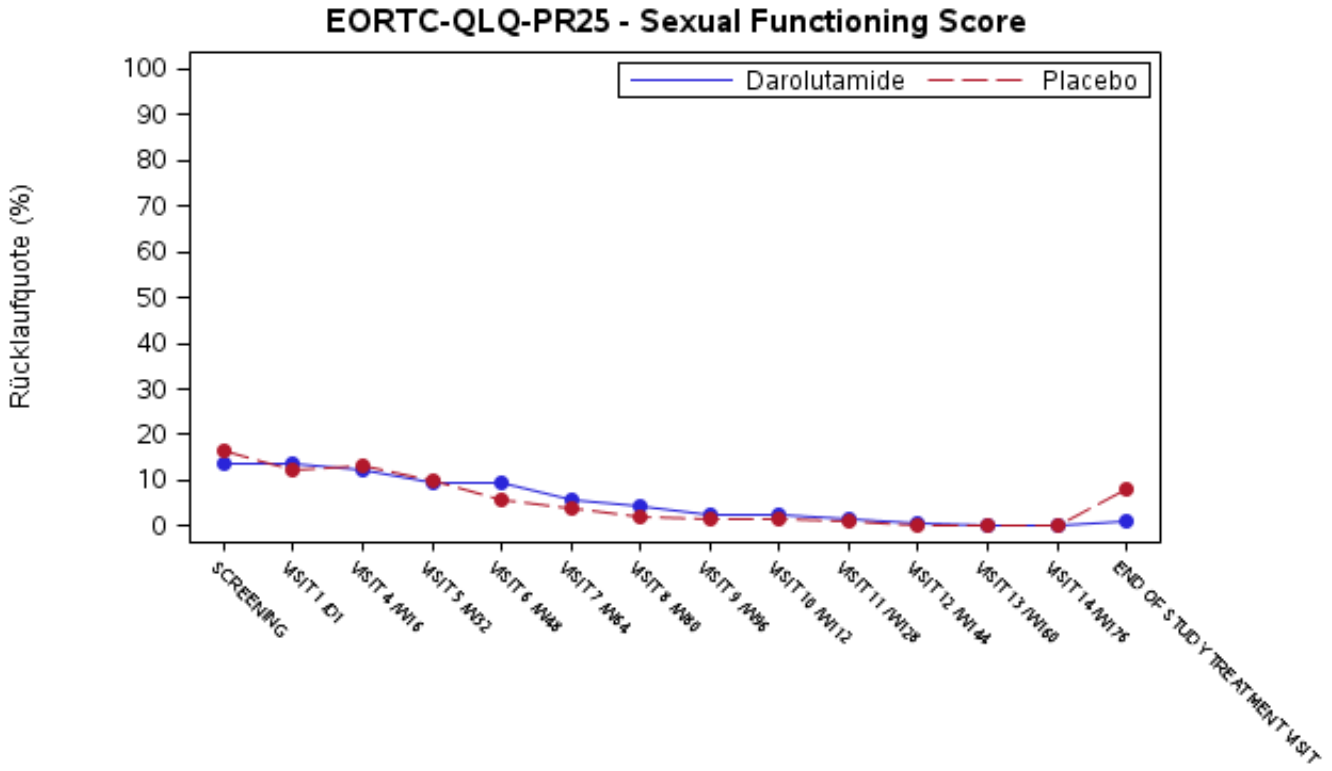


Visite

Anzahl an Patienten mit ausgefülltem Fragebogen															
Darolutamide	850	867	841	778	650	496	375	260	193	117	70	36	19	2	180
Placebo	480	501	476	361	257	180	112	79	52	32	15	8	1	0	239
Mögliche Anzahl an Patienten, die einen Fragebogen ausfüllen können															
Darolutamide	955	955	913	848	712	549	418	299	218	139	81	40	21	3	241
Placebo	554	554	516	395	290	202	130	86	61	36	16	9	2	0	291

Bei der Berechnung der Rücklaufquote wurden alle Patienten berücksichtigt, unabhängig davon ob sie später als auswertbar in die Analyse eingingen oder nicht.
Abweichungen zu Tabellen, die auf Patienten mit auswertbaren Fragebögen basieren sind so zu erklären.
Bayer: /by-sasp/patdb/projects/1841788/17712/stat/prod_query22/pgms/f_questionaires_sas94.sas 23APR2020 16:40

Figure 4.1 / 11: Rücklaufquoten für den EORTC-QLQ-PR25 - Sexual Functioning Score bezogen auf die FAS-Population (full analysis set)

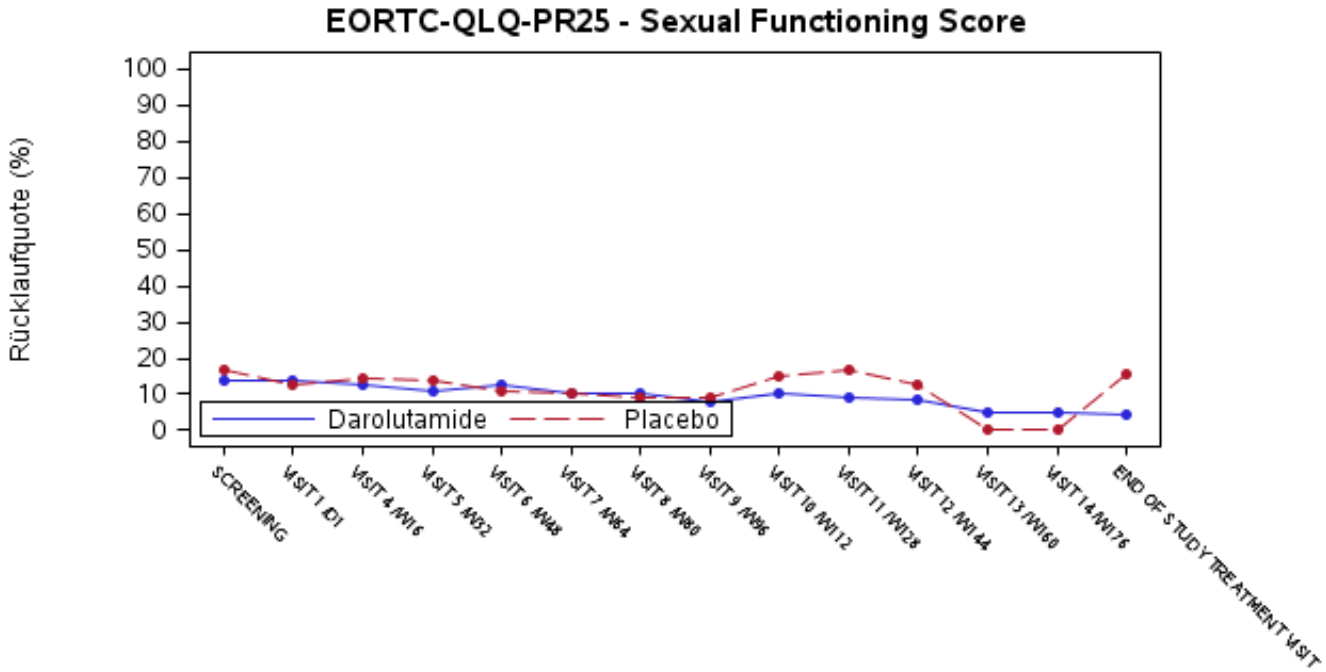


Anzahl an Patienten mit ausgefülltem Fragebogen

Darolutamide	130	130	117	91	89	57	43	24	22	13	7	2	1	11
Placebo	92	69	73	54	31	21	12	8	9	6	2	0	0	45

Bei der Berechnung der Rücklaufquote wurden alle Patienten berücksichtigt, unabhängig davon ob sie später als auswertbar in die Analyse eingingen oder nicht.
Abweichungen zu Tabellen, die auf Patienten mit auswertbaren Fragebögen basieren sind so zu erklären.
Bayer: /by-sasp/patdb/projects/1841788/17712/stat/prod_query22/pgms/f_questionaires_sas94.sas 23APR2020 16:40

Figure 4.1 / 12: Rücklaufquoten für den EORTC-QLQ-PR25 - Sexual Functioning Score bezogen auf die noch mögliche Anzahl an Patienten je Visite (full analysis set)

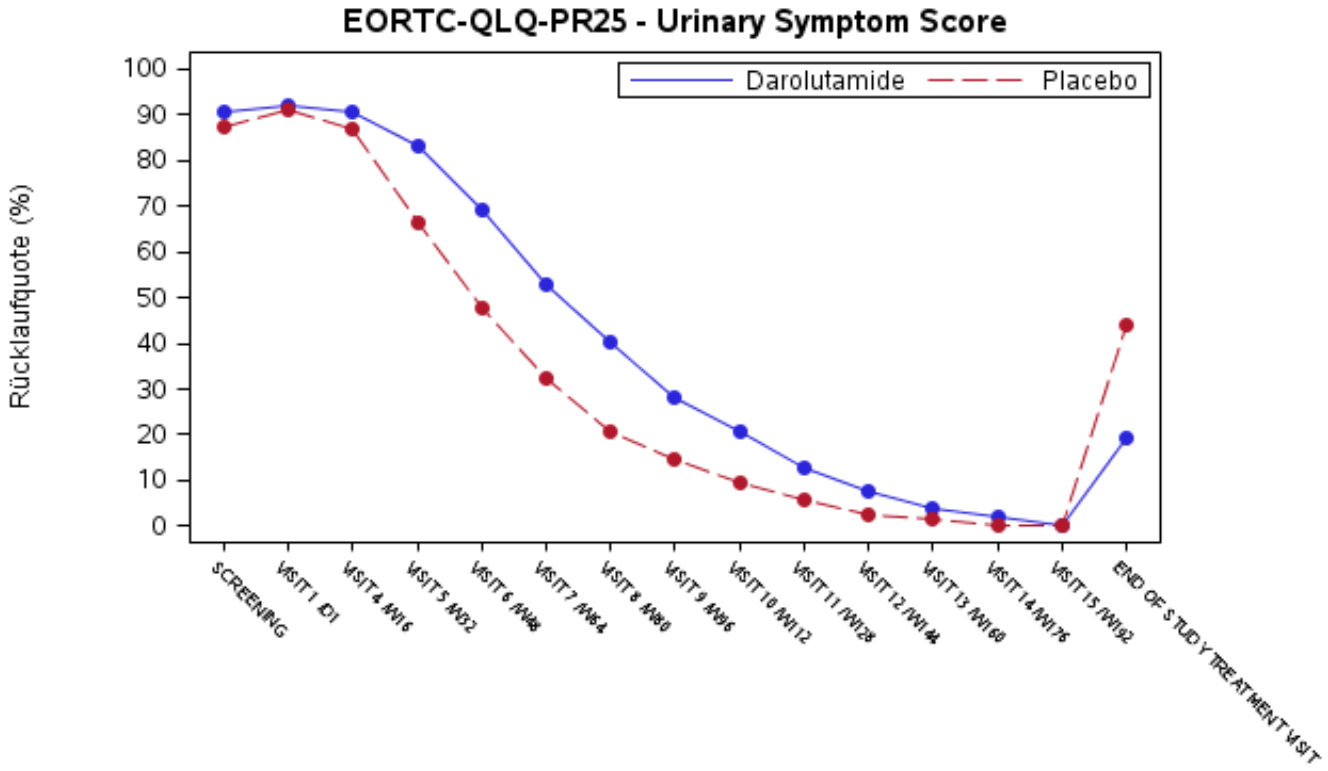


Visite

Anzahl an Patienten mit ausgefülltem Fragebogen														
Darolutamide	130	130	117	91	89	57	43	24	22	13	7	2	1	11
Placebo	92	69	73	54	31	21	12	8	9	6	2	0	0	45
Mögliche Anzahl an Patienten, die einen Fragebogen ausfüllen können														
Darolutamide	955	955	913	848	712	549	418	299	218	139	81	40	21	241
Placebo	554	554	516	395	290	202	130	86	61	36	16	9	2	291

Bei der Berechnung der Rücklaufquote wurden alle Patienten berücksichtigt, unabhängig davon ob sie später als auswertbar in die Analyse eingingen oder nicht.
Abweichungen zu Tabellen, die auf Patienten mit auswertbaren Fragebögen basieren sind so zu erklären.
Bayer: /by-sasp/patdb/projects/1841788/17712/stat/prod_query22/pgms/f_questionaires_sas94.sas 23APR2020 16:40

Figure 4.1 / 13: Rücklaufquoten für den EORTC-QLQ-PR25 - Urinary Symptom Score bezogen auf die FAS-Population (full analysis set)

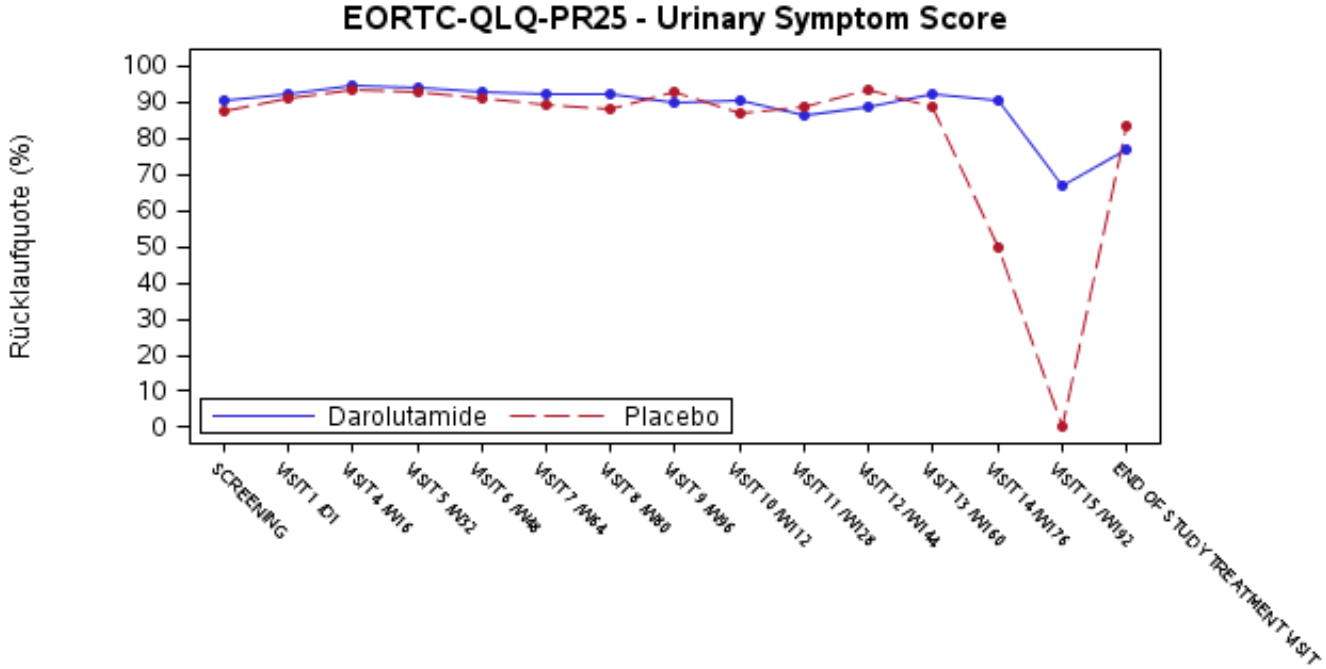


Anzahl an Patienten mit ausgefülltem Fragebogen

Darolutamide	867	880	865	796	663	506	385	269	197	120	72	37	19	2	186
Placebo	484	504	481	368	264	180	115	80	53	32	15	8	1	0	243

Bei der Berechnung der Rücklaufquote wurden alle Patienten berücksichtigt, unabhängig davon ob sie später als auswertbar in die Analyse eingingen oder nicht.
Abweichungen zu Tabellen, die auf Patienten mit auswertbaren Fragebögen basieren sind so zu erklären.
Bayer: /by-sasp/patdb/projects/1841788/17712/stat/prod_query22/pgms/f_questionaires_sas94.sas 23APR2020 16:40

Figure 4.1 / 14: Rücklaufquoten für den EORTC-QLQ-PR25 - Urinary Symptom Score bezogen auf die noch mögliche Anzahl an Patienten je Visite (full analysis set)

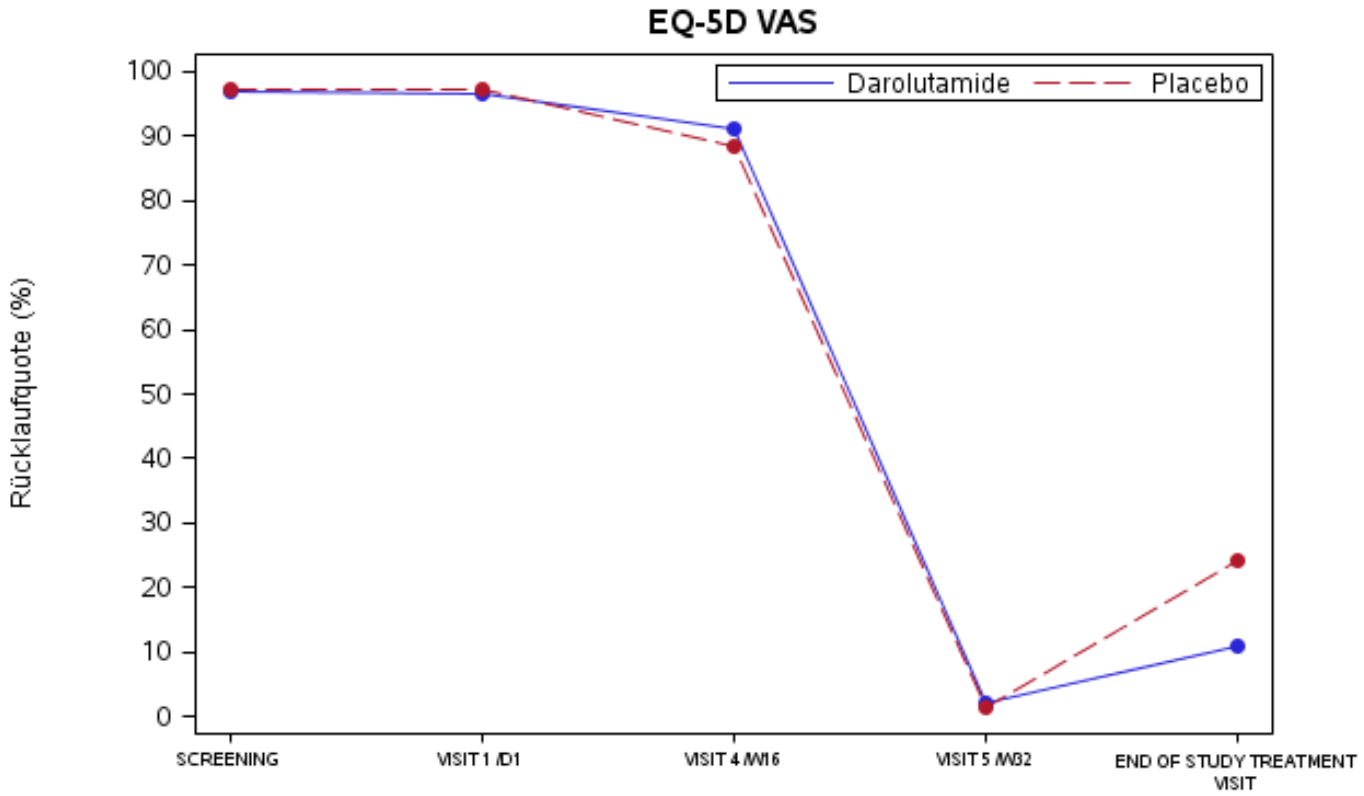


Visite

Anzahl an Patienten mit ausgefülltem Fragebogen															
Darolutamide	867	880	865	796	663	506	385	269	197	120	72	37	19	2	186
Placebo	484	504	481	368	264	180	115	80	53	32	15	8	1	0	243
Mögliche Anzahl an Patienten, die einen Fragebogen ausfüllen können															
Darolutamide	955	955	913	848	712	549	418	299	218	139	81	40	21	3	241
Placebo	554	554	516	395	290	202	130	86	61	36	16	9	2	0	291

Bei der Berechnung der Rücklaufquote wurden alle Patienten berücksichtigt, unabhängig davon ob sie später als auswertbar in die Analyse eingingen oder nicht.
Abweichungen zu Tabellen, die auf Patienten mit auswertbaren Fragebögen basieren sind so zu erklären.
Bayer: /by-sasp/patdb/projects/1841788/17712/stat/prod_query22/pgms/f_questionaires_sas94.sas 23APR2020 16:40

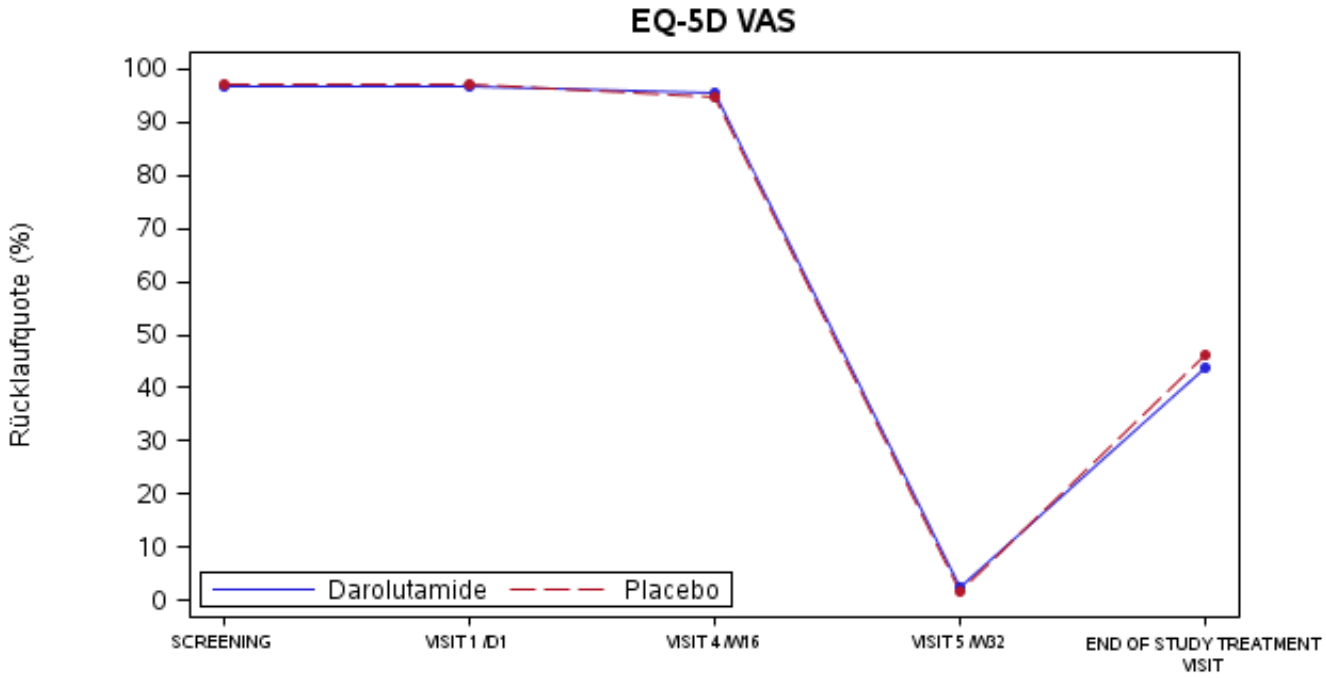
Figure 4.1 / 15: Rücklaufquoten für den EQ-5D VAS bezogen auf die FAS-Population (full analysis set)



Anzahl an Patienten mit ausgefülltem Fragebogen					
Darolutamide	925	924	872	21	106
Placebo	538	539	490	7	134

Bei der Berechnung der Rücklaufquote wurden alle Patienten berücksichtigt, unabhängig davon ob sie später als auswertbar in die Analyse eingingen oder nicht.
Abweichungen zu Tabellen, die auf Patienten mit auswertbaren Fragebögen basieren sind so zu erklären.
Bayer: /by-sasp/patdb/projects/1841788/17712/stat/prod_query22/pgms/f_questionaires_sas94.sas 23APR2020 16:40

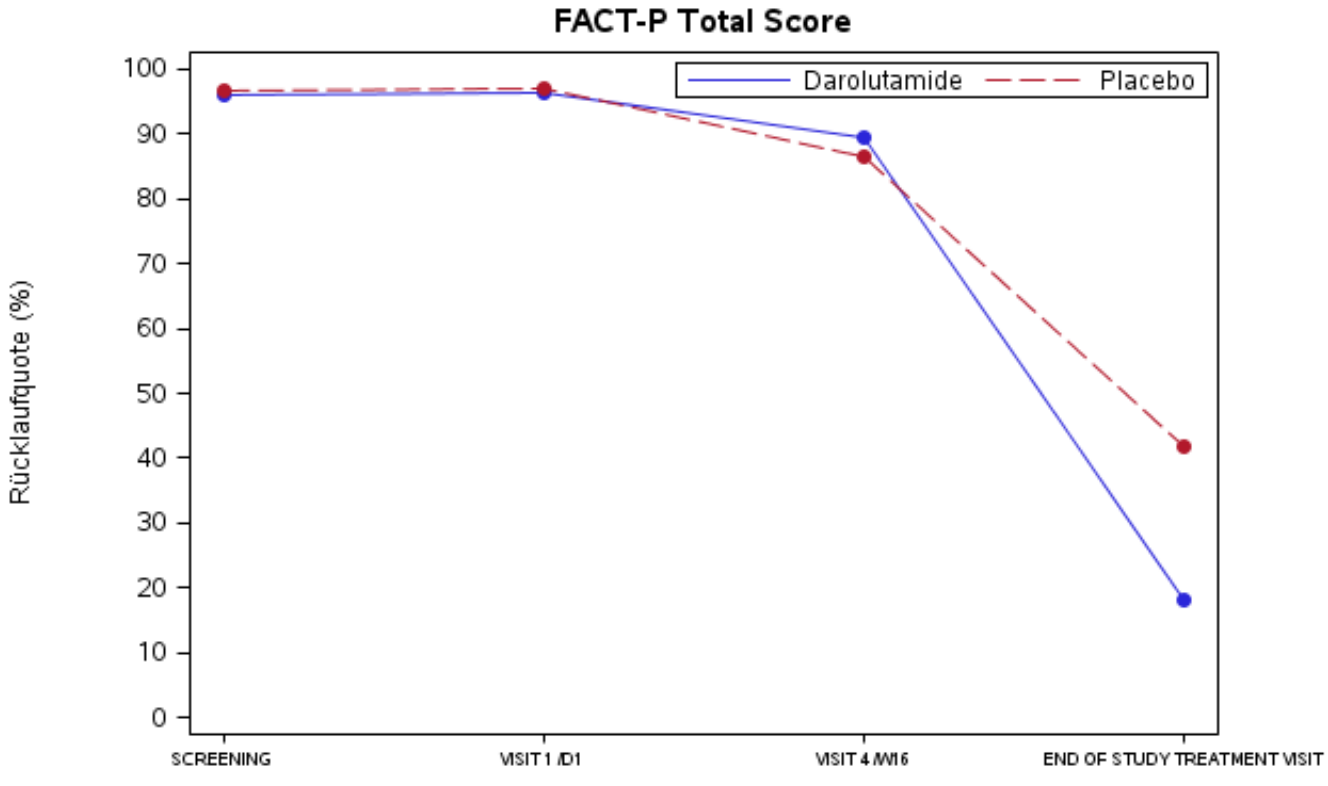
Figure 4.1 / 16: Rücklaufquoten für den EQ-5D VAS bezogen auf die noch mögliche Anzahl an Patienten je Visite (full analysis set)



Anzahl an Patienten mit ausgefülltem Fragebogen					
Darolutamide	925	924	872	21	106
Placebo	538	539	490	7	134
Mögliche Anzahl an Patienten, die einen Fragebogen ausfüllen können					
Darolutamide	955	955	913	848	241
Placebo	554	554	516	395	291

Bei der Berechnung der Rücklaufquote wurden alle Patienten berücksichtigt, unabhängig davon ob sie später als auswertbar in die Analyse eingingen oder nicht.
Abweichungen zu Tabellen, die auf Patienten mit auswertbaren Fragebögen basieren sind so zu erklären.
Bayer: /by-sasp/patdb/projects/1841788/17712/stat/prod_query22/pgms/f_questionaires_sas94.sas 23APR2020 16:40

Figure 4.1 / 17: Rücklaufquoten für den FACT-P Total Score bezogen auf die FAS-Population (full analysis set)

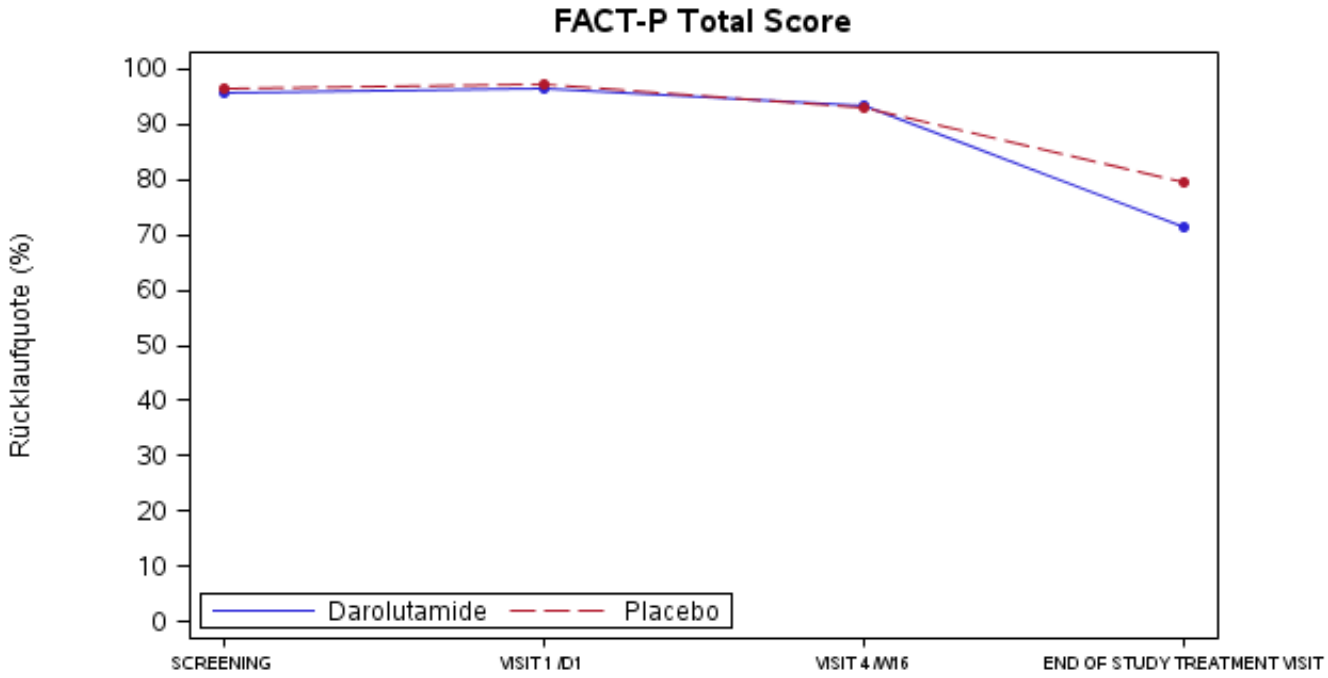


Anzahl an Patienten mit ausgefülltem Fragebogen

Darolutamide	916	920	853	172
Placebo	535	538	480	231

Bei der Berechnung der Rücklaufquote wurden alle Patienten berücksichtigt, unabhängig davon ob sie später als auswertbar in die Analyse eingingen oder nicht.
Abweichungen zu Tabellen, die auf Patienten mit auswertbaren Fragebögen basieren sind so zu erklären.
Bayer: /by-sasp/patdb/projects/1841788/17712/stat/prod_query22/pgms/f_questionaires_sas94.sas 23APR2020 16:40

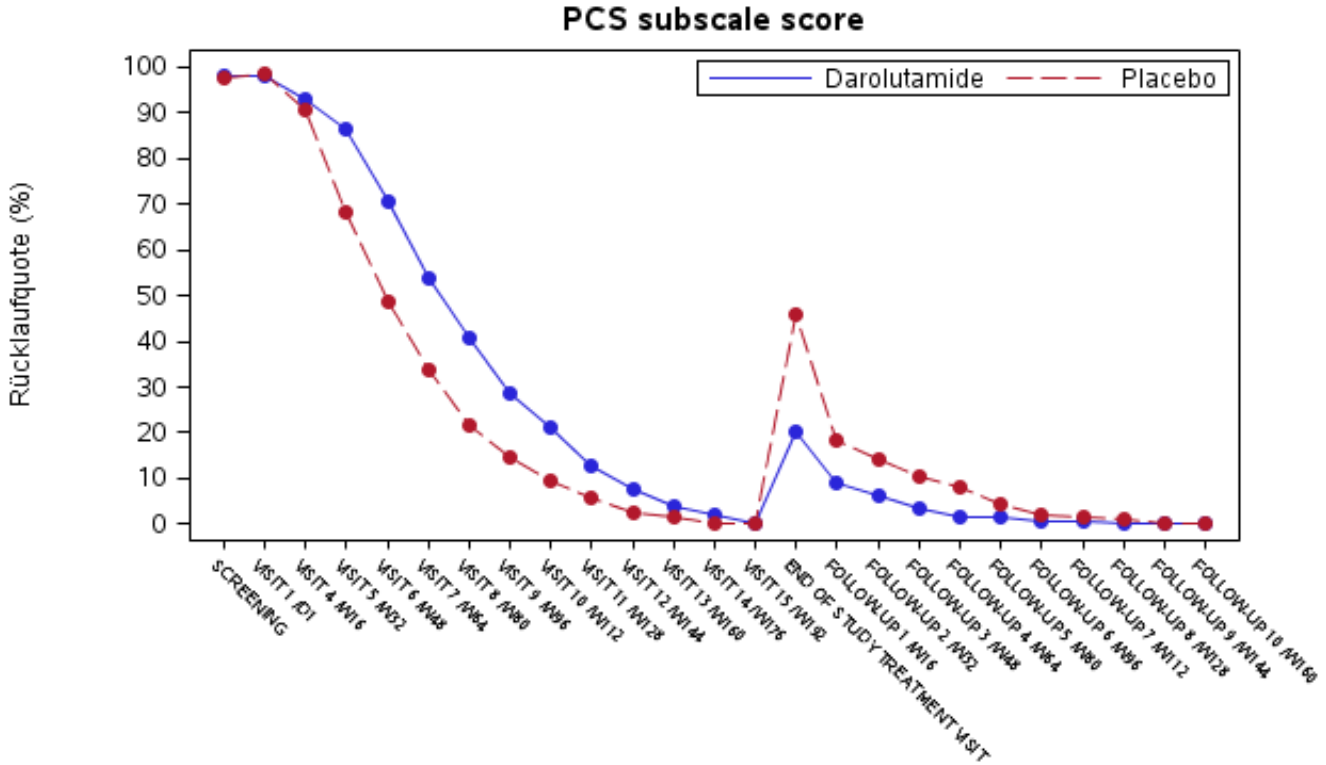
Figure 4.1 / 18: Rücklaufquoten für den FACT-P Total Score bezogen auf die noch mögliche Anzahl an Patienten je Visite (full analysis set)



Anzahl an Patienten mit ausgefülltem Fragebogen				
Darolutamide	916	920	853	172
Placebo	535	538	480	231
Mögliche Anzahl an Patienten, die einen Fragebogen ausfüllen können				
Darolutamide	955	955	913	241
Placebo	554	554	516	291

Bei der Berechnung der Rücklaufquote wurden alle Patienten berücksichtigt, unabhängig davon ob sie später als auswertbar in die Analyse eingingen oder nicht.
Abweichungen zu Tabellen, die auf Patienten mit auswertbaren Fragebögen basieren sind so zu erklären.
Bayer: /by-sasp/patdb/projects/1841788/17712/stat/prod_query22/pgms/f_questionaires_sas94.sas 23APR2020 16:40

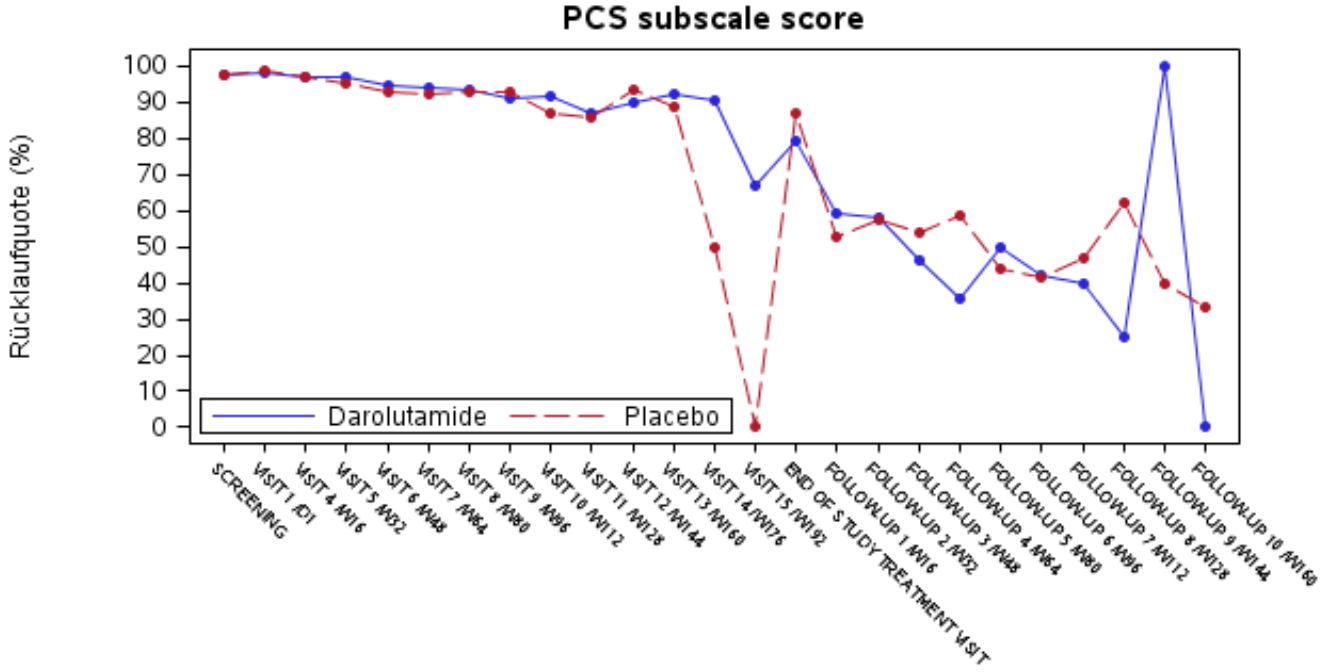
Figure 4.1 / 19: Rücklaufquoten für den PCS subscale score bezogen auf die FAS-Population (full analysis set)



Anzahl an Patienten mit ausgefülltem Fragebogen

| | | |

Figure 4.1 / 20: Rücklaufquoten für den PCS subscale score bezogen auf die noch mögliche Anzahl an Patienten je Visite (full analysis set)

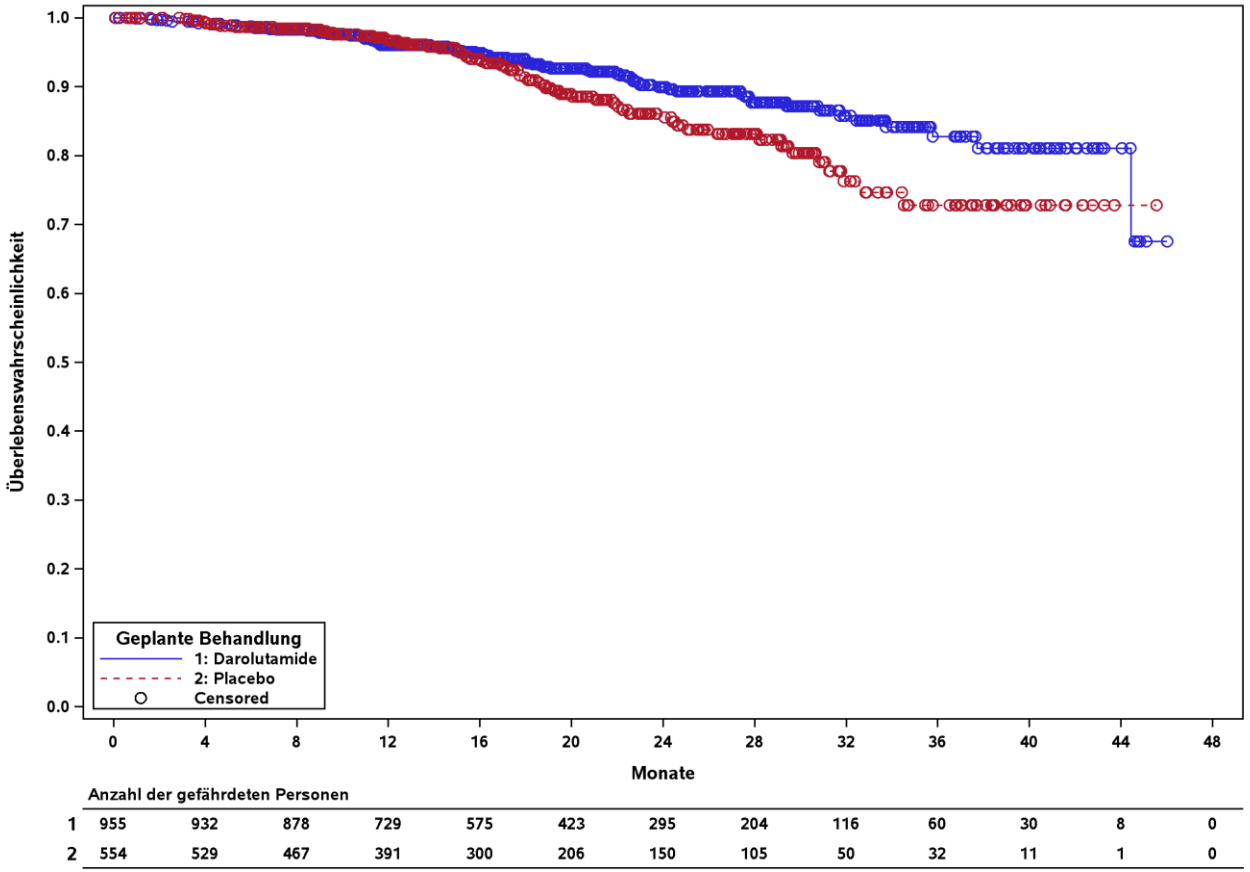


| | | |

4.2 Analysen auf der Hauptebene (Gesamtpopulation)

4.2.1 Mortalität

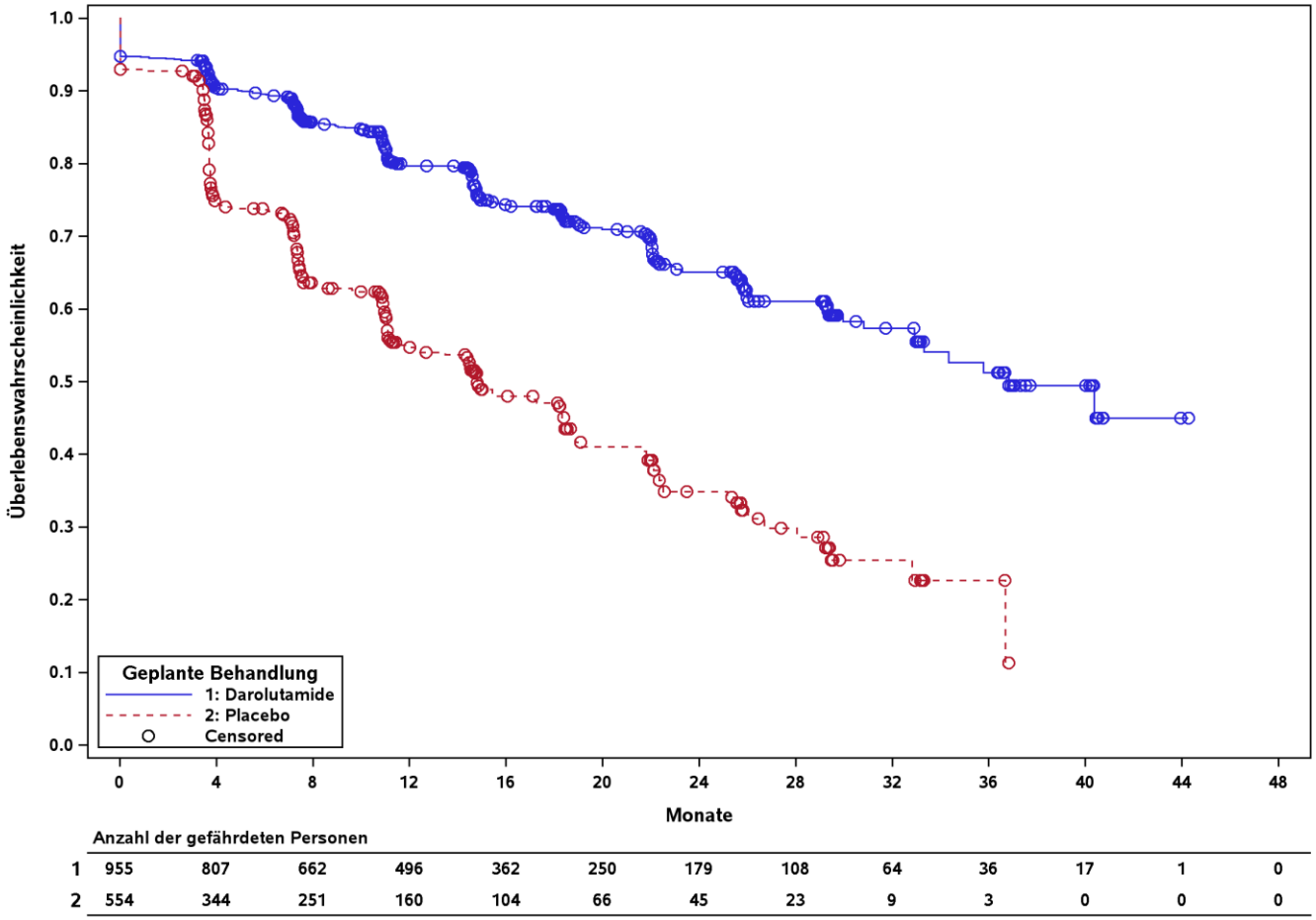
Figure 4.2.1 / 1: Kaplan-Meier-Plot der Time-to-Event-Analyse nach Endpunkt - Endpunkt: Gesamtüberleben (OS) (full analysis set)



Bayer: /by-sasp/patdb/projects/1841788/17712/stat/prod_query22/pgms/t_tte.sas 23APR2020 16:43

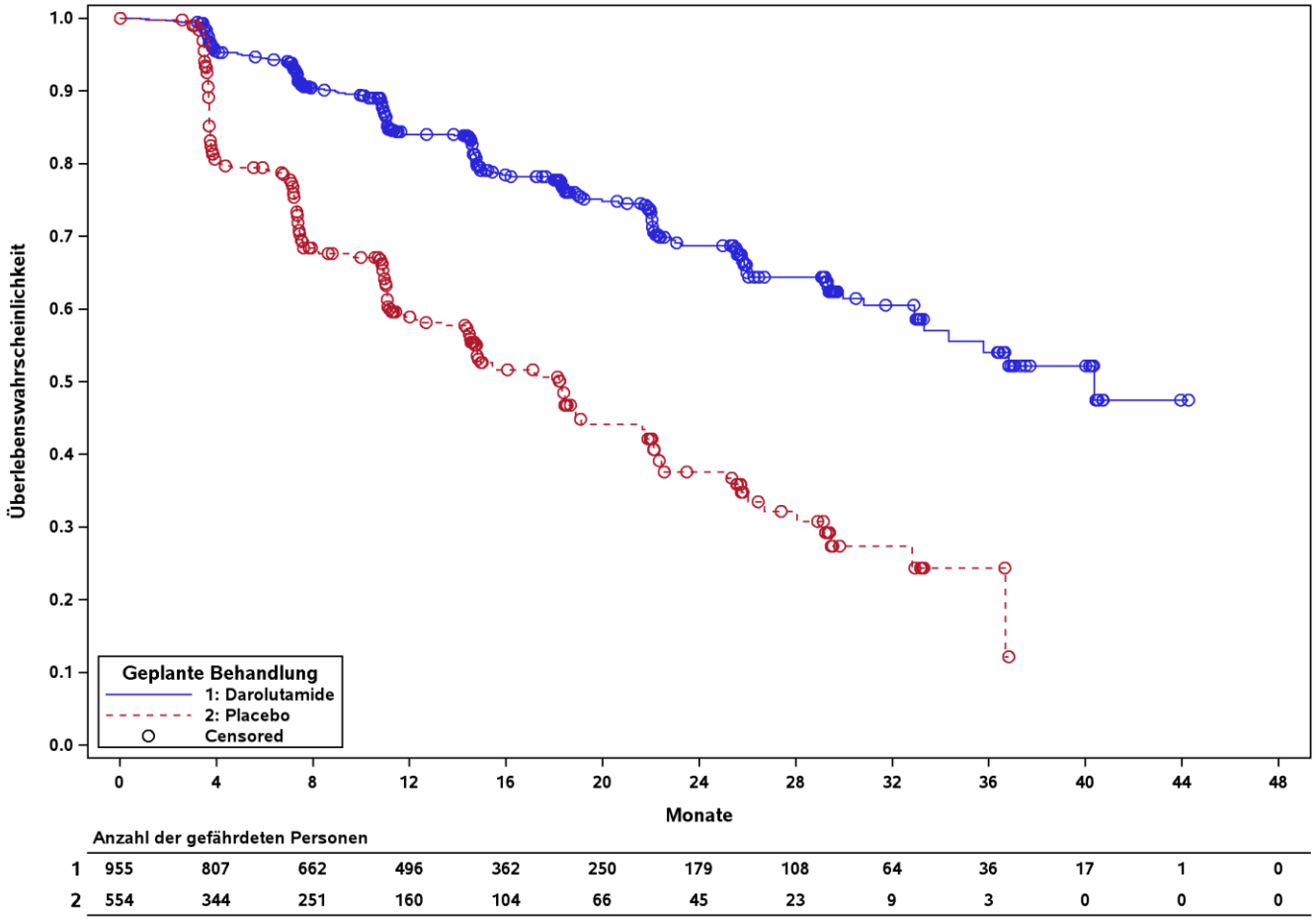
4.2.2 Morbidität

Figure 4.2.2 / 1: Kaplan-Meier-Plot der Time-to-Event-Analyse nach Endpunkt - Endpunkt: Progressionsfreies Überleben (PFS) - Metastasen an Baseline unzensiert (full analysis set)



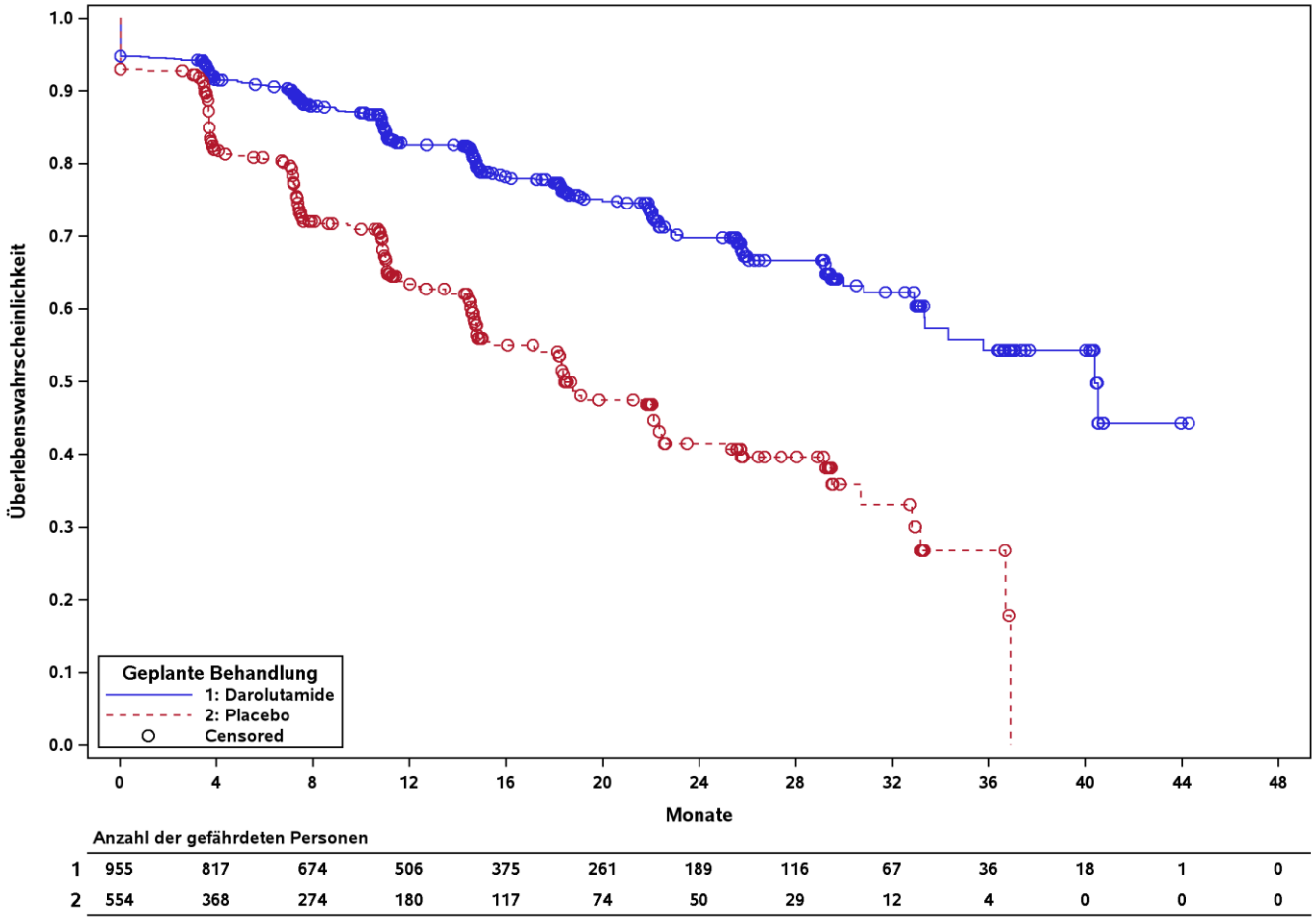
Bayer: /by-sasp/patdb/projects/1841788/17712/stat/prod_query22/pgms/t_tte.sas 23APR2020 16:43

Figure 4.2.2 / 2: Kaplan-Meier-Plot der Time-to-Event-Analyse nach Endpunkt - Endpunkt: Progressionsfreies Überleben (PFS) - Metastasen zensiert zum Randomisierungsdatum (full analysis set)



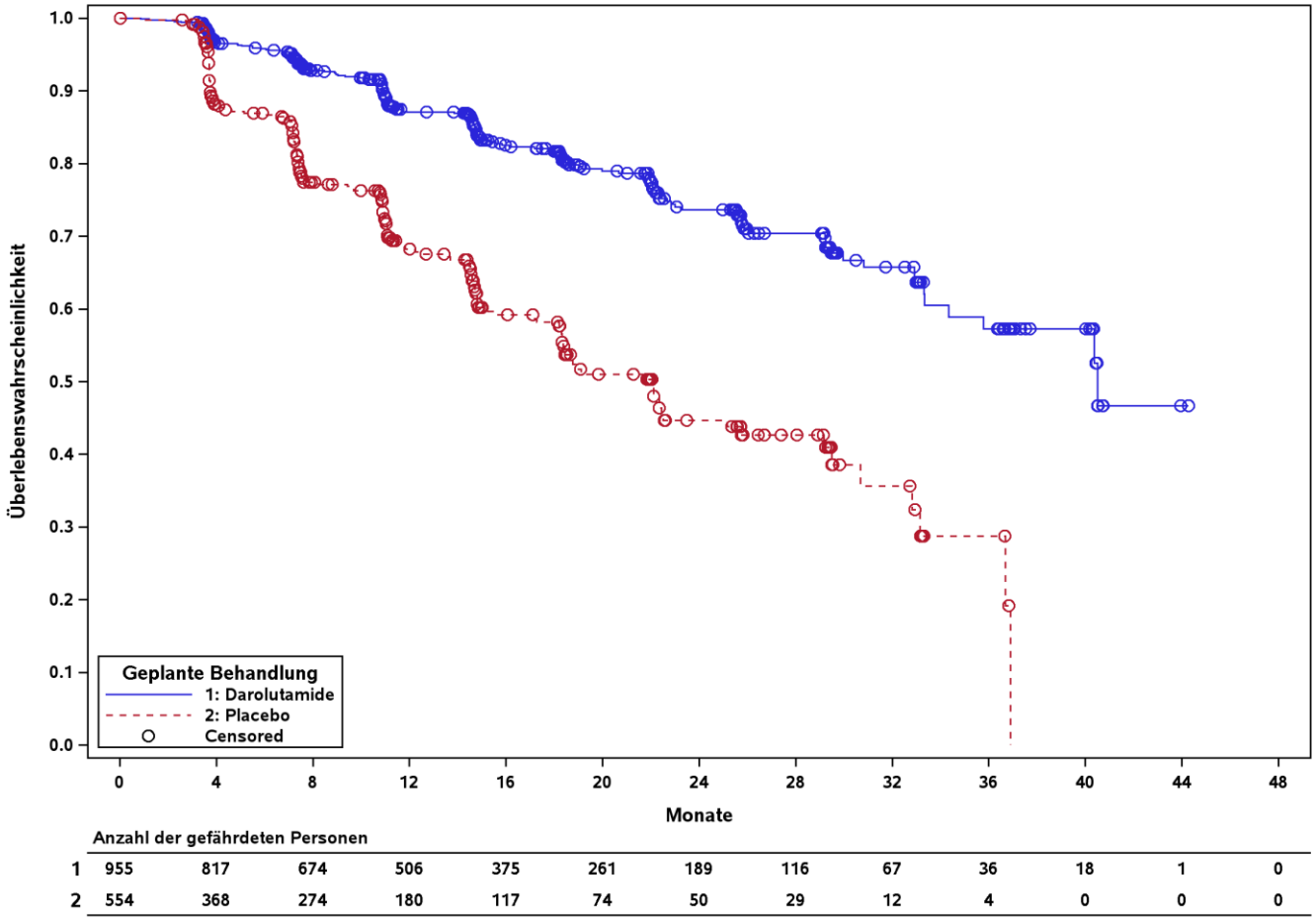
Bayer: /by-sasp/patdb/projects/1841788/17712/stat/prod_query22/pgms/t_tte.sas 23APR2020 16:43

Figure 4.2.2 / 3: Kaplan-Meier-Plot der Time-to-Event-Analyse nach Endpunkt - Endpunkt: Metastasenfreies Überleben (MFS) - Metastasen an Baseline unzensiert (full analysis set)



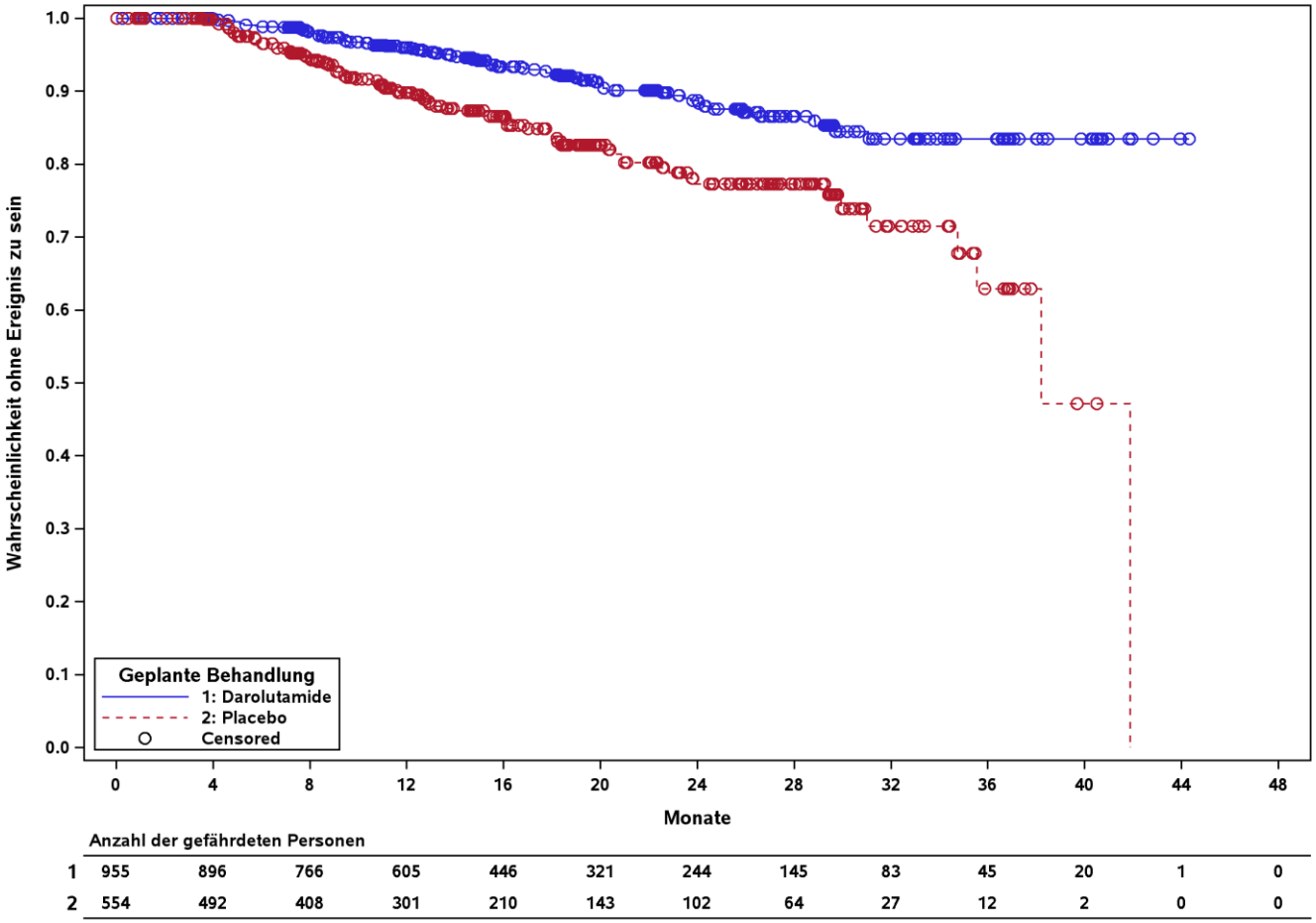
Bayer: /by-sasp/patdb/projects/1841788/17712/stat/prod_query22/pgms/t_tte.sas 23APR2020 16:43

Figure 4.2.2 / 4: Kaplan-Meier-Plot der Time-to-Event-Analyse nach Endpunkt - Endpunkt: Metastasenfreies Überleben (MFS) - Metastasen zensiert zum Randomisierungsdatum (full analysis set)



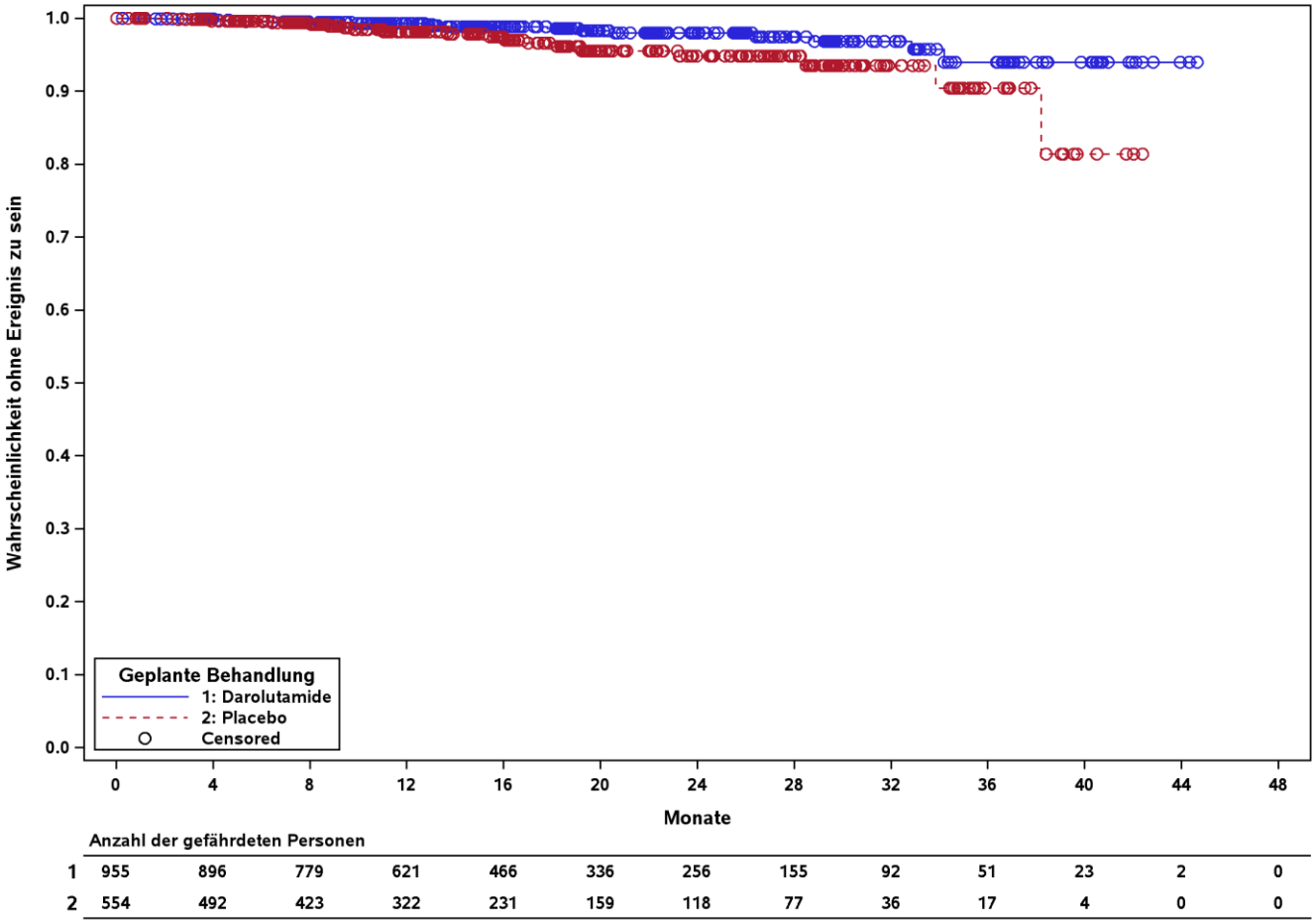
Bayer: /by-sasp/patdb/projects/1841788/17712/stat/prod_query22/pgms/t_tte.sas 23APR2020 16:43

Figure 4.2.2 / 5: Kaplan-Meier-Plot der Time-to-Event-Analyse nach Endpunkt - Endpunkt: Zeit bis zur ersten zytotoxischen Chemotherapie (full analysis set)



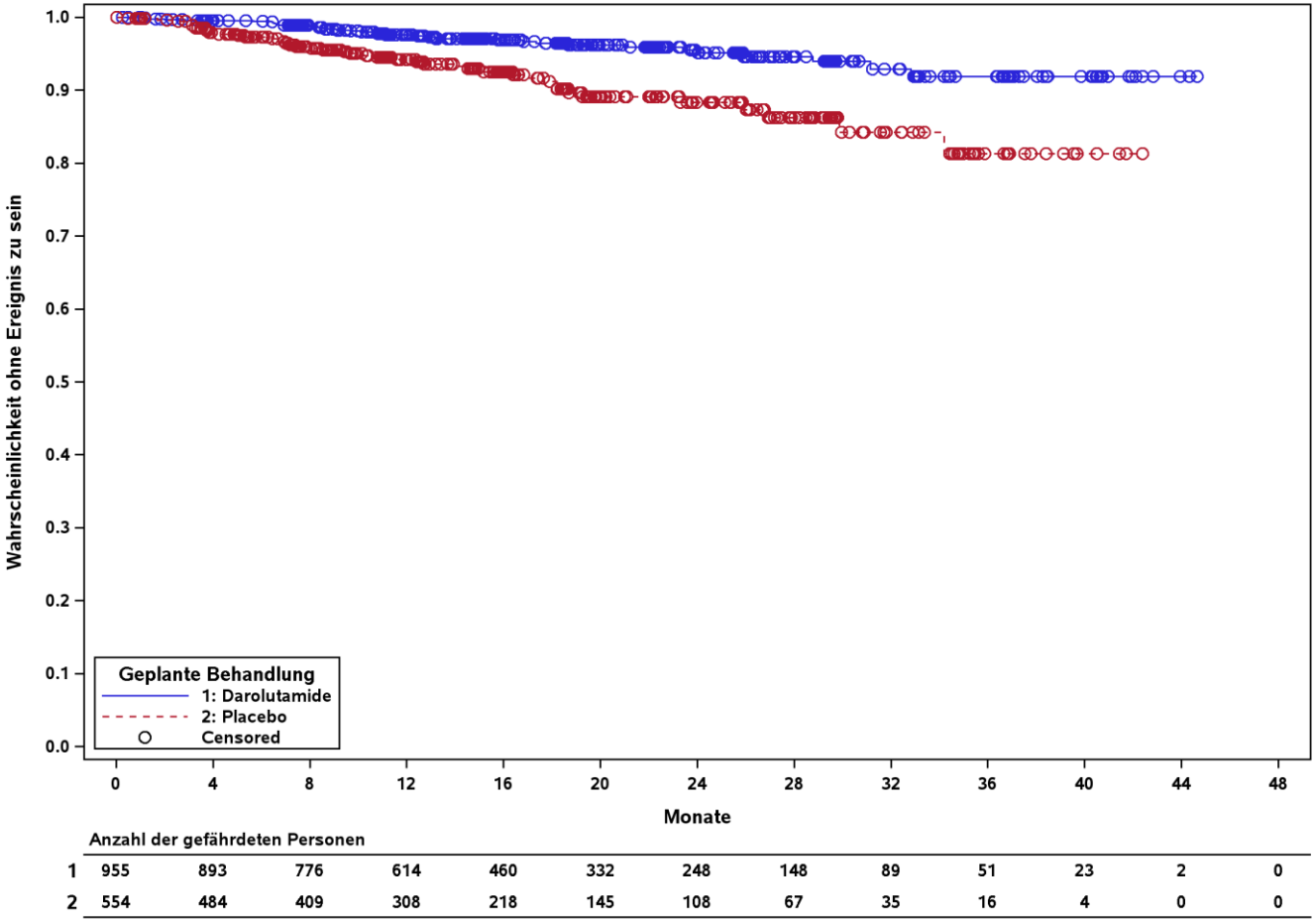
Bayer: /by-sasp/patdb/projects/1841788/17712/stat/prod_query22/pgms/t_tte.sas 23APR2020 16:43

Figure 4.2.2 / 6: Kaplan-Meier-Plot der Time-to-Event-Analyse nach Endpunkt - Endpunkt: Zeit bis zum ersten symptomatischen skelettalen Ereignis (SSE) (full analysis set)



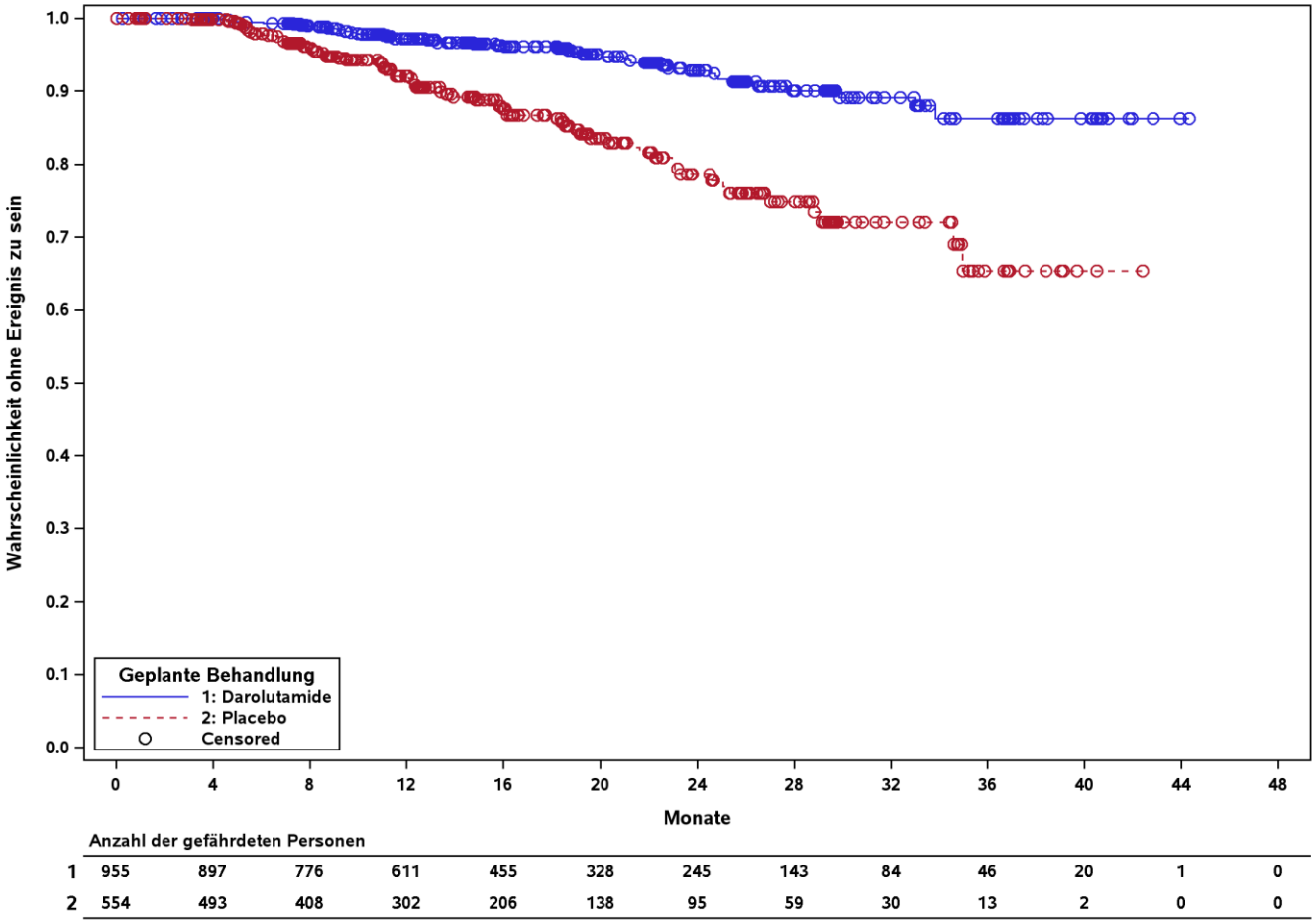
Bayer: /by-sasp/patdb/projects/1841788/17712/stat/prod_query22/pgms/t_tte.sas 23APR2020 16:43

Figure 4.2.2 / 7: Kaplan-Meier-Plot der Time-to-Event-Analyse nach Endpunkt - Endpunkt: Zeit bis zum ersten prostataspezifischen invasiven Verfahren (full analysis set)



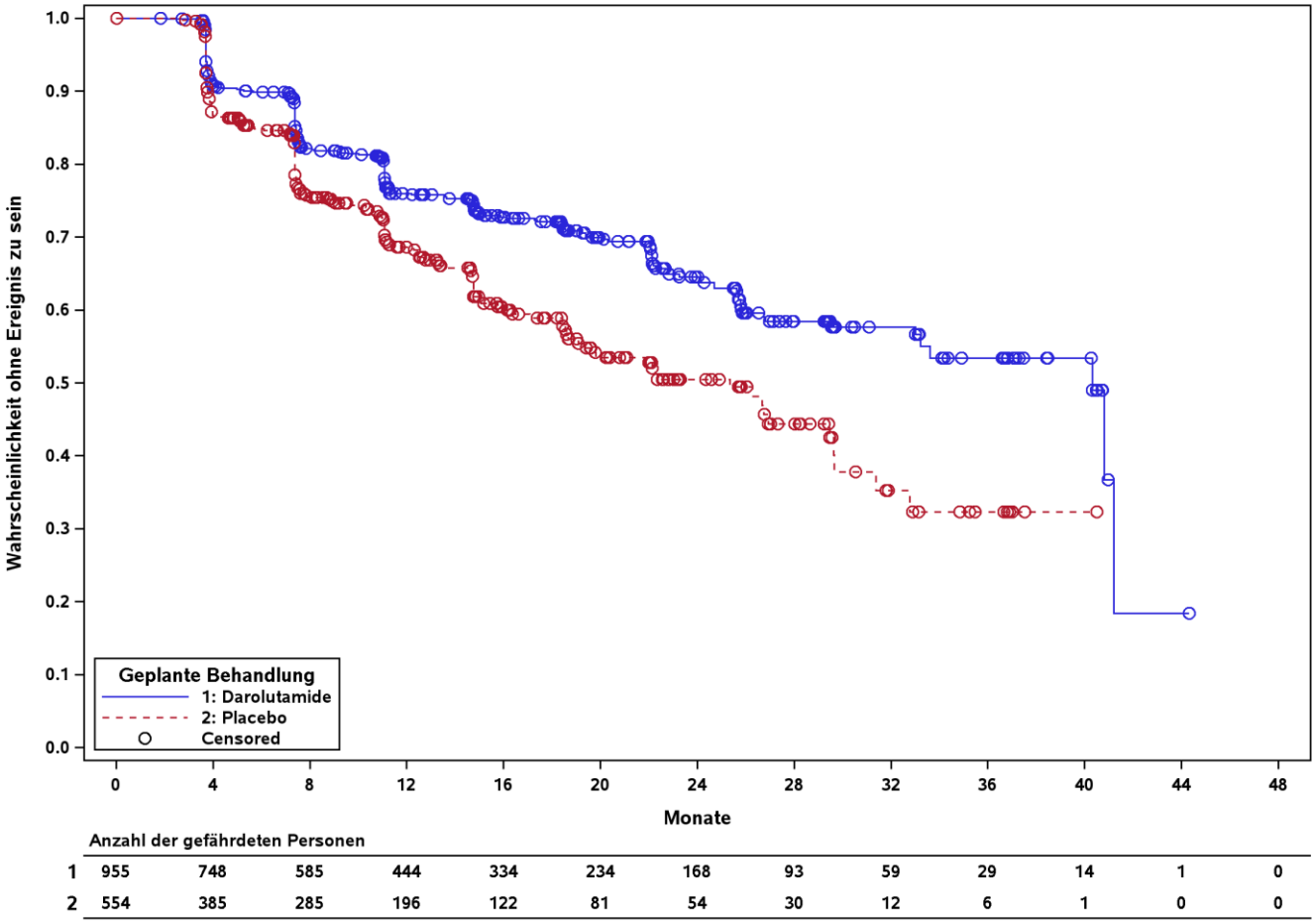
Bayer: /by-sasp/patdb/projects/1841788/17712/stat/prod_query22/pgms/t_tte.sas 23APR2020 16:43

Figure 4.2.2 / 8: Kaplan-Meier-Plot der Time-to-Event-Analyse nach Endpunkt - Endpunkt: Zeit bis zur antineoplastischen Therapie (full analysis set)



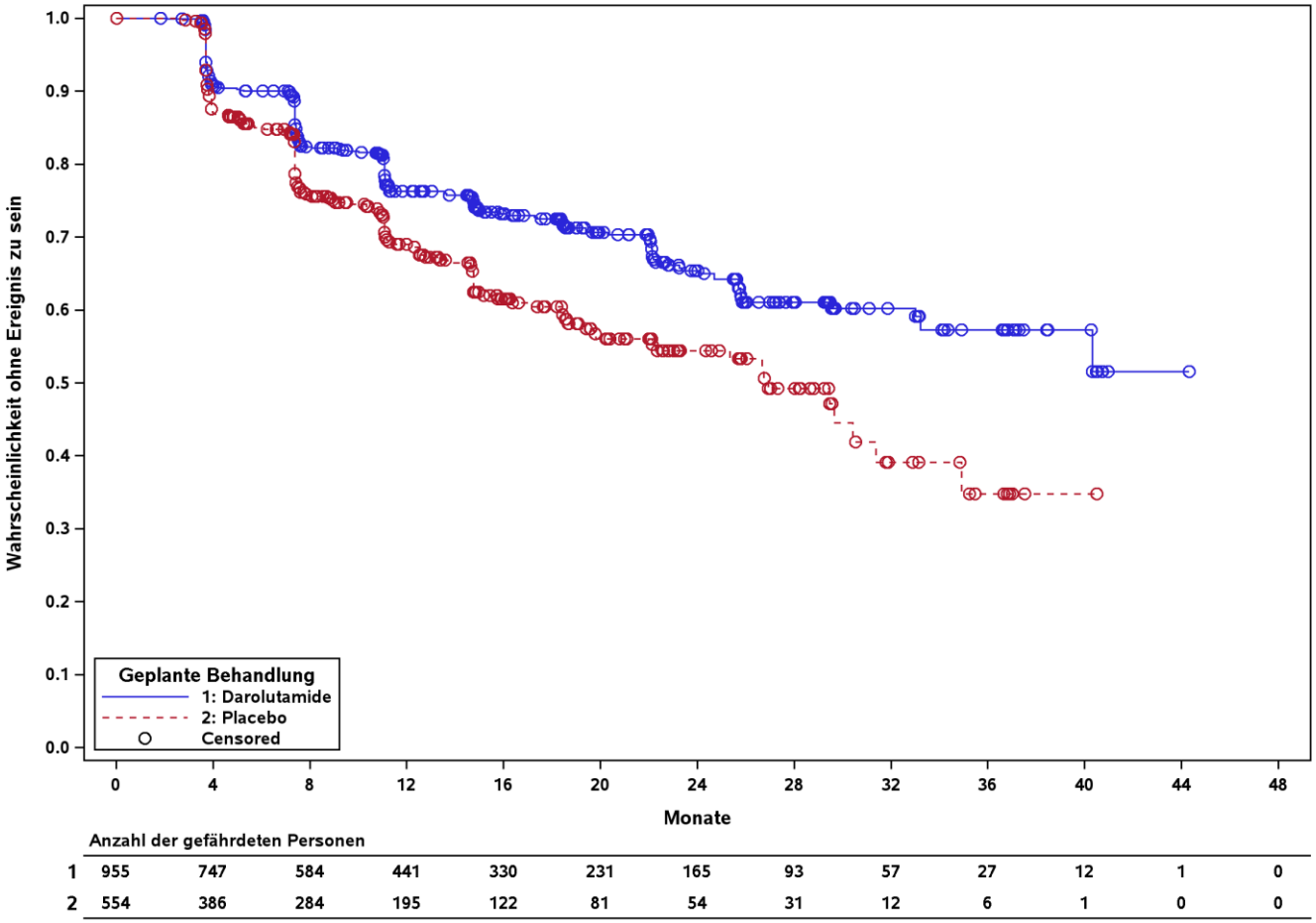
Bayer: /by-sasp/patdb/projects/1841788/17712/stat/prod_query22/pgms/t_tte.sas 23APR2020 16:43

Figure 4.2.2 / 9: Kaplan-Meier-Plot der Time-to-Event-Analyse nach Endpunkt - Endpunkt: Zeit bis zur Schmerzprogression (BPI-SF) (full analysis set)



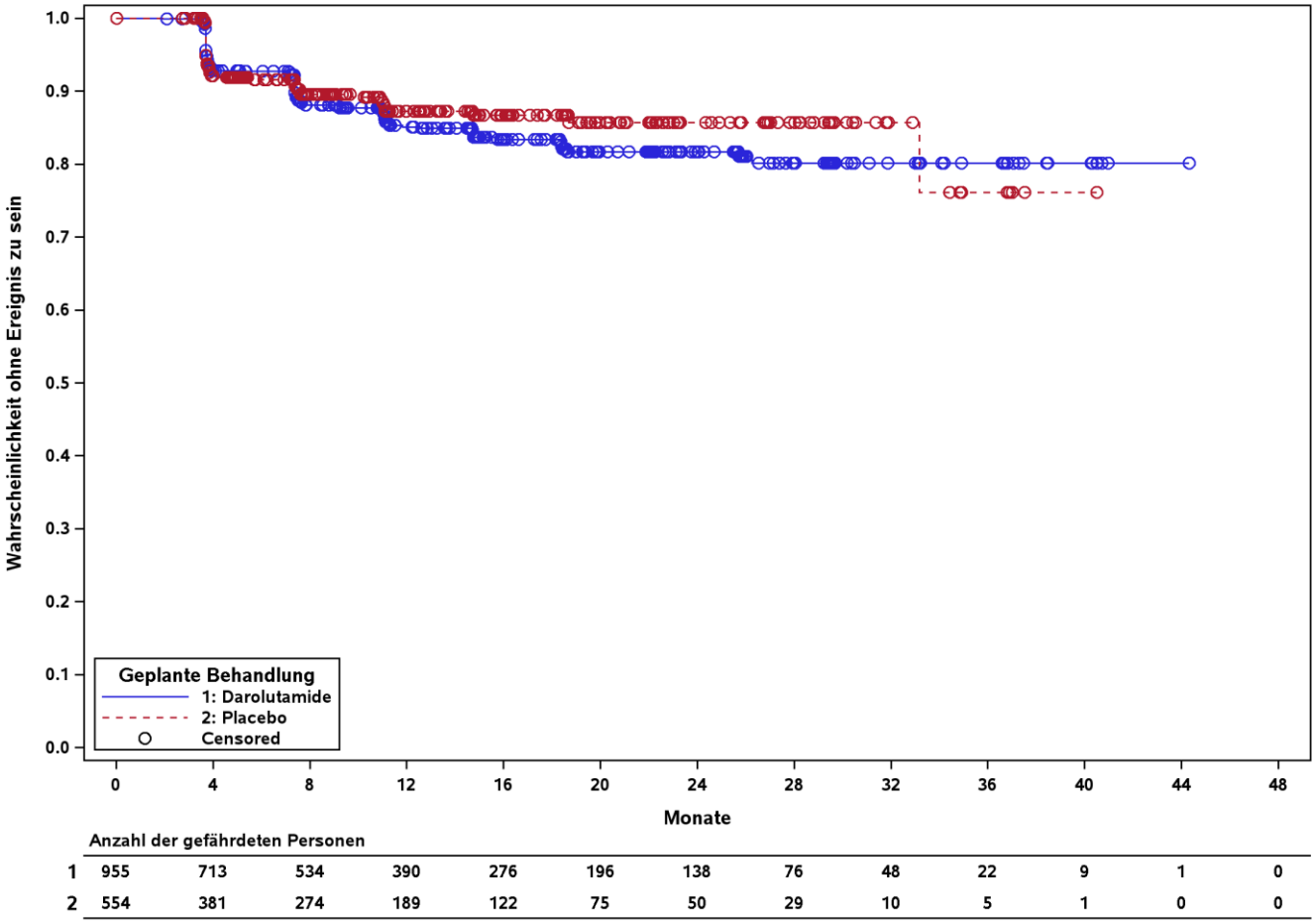
Bayer: /by-sasp/patdb/projects/1841788/17712/stat/prod_query22/pgms/t_tte.sas 23APR2020 16:43

Figure 4.2.2 / 10: Kaplan-Meier-Plot der Time-to-Event-Analyse nach Endpunkt - Endpunkt: Zeit bis zur Verschlechterung >=2 des BPI-SF Item 3 (full analysis set)



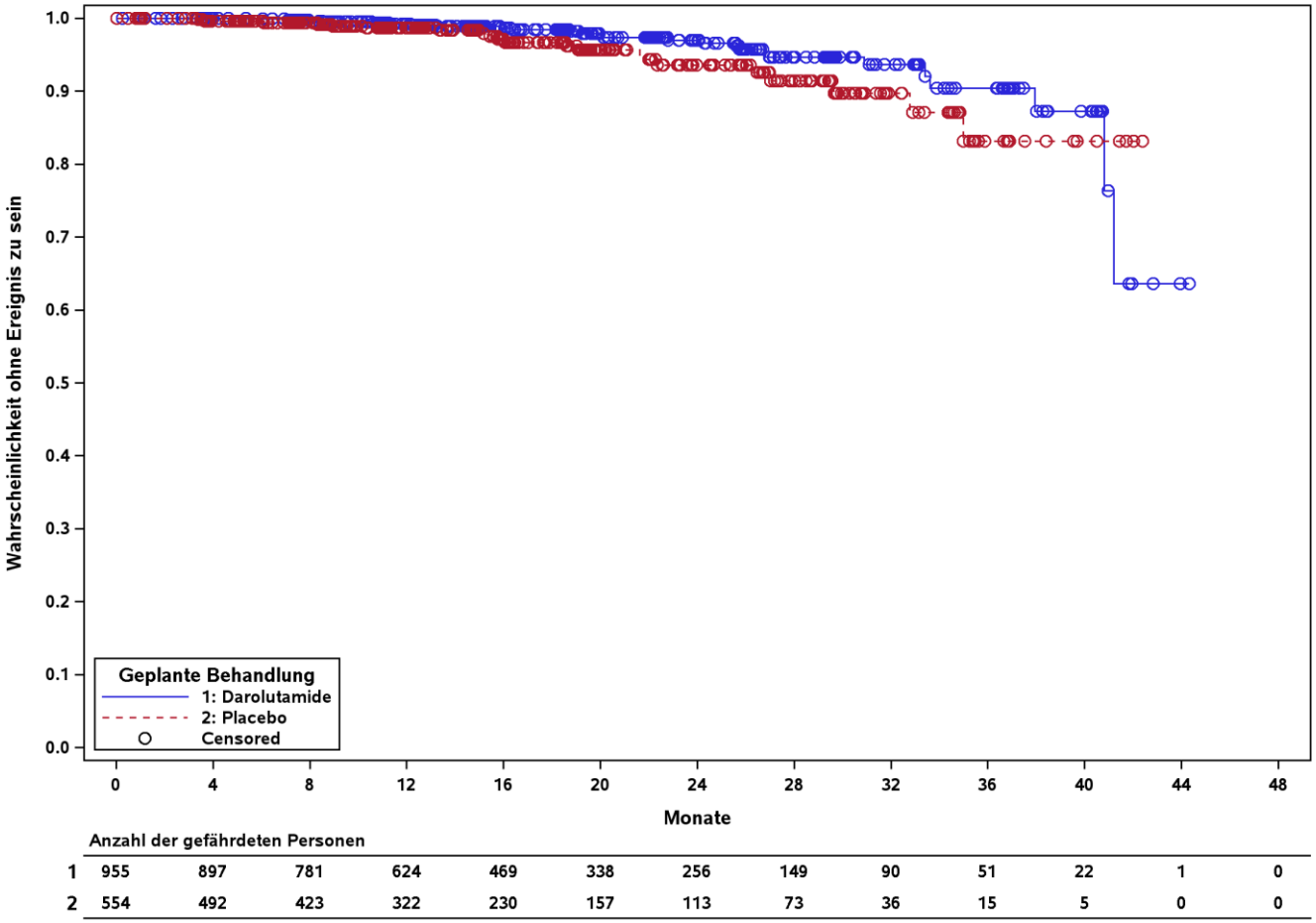
Bayer: /by-sasp/patdb/projects/1841788/17712/stat/prod_query22/pgms/t_tte.sas 23APR2020 16:43

Figure 4.2.2 / 11: Kaplan-Meier-Plot der Time-to-Event-Analyse nach Endpunkt - Endpunkt: Zeit bis zur Verbesserung >=2 des BPI-SF Item 3 (full analysis set)



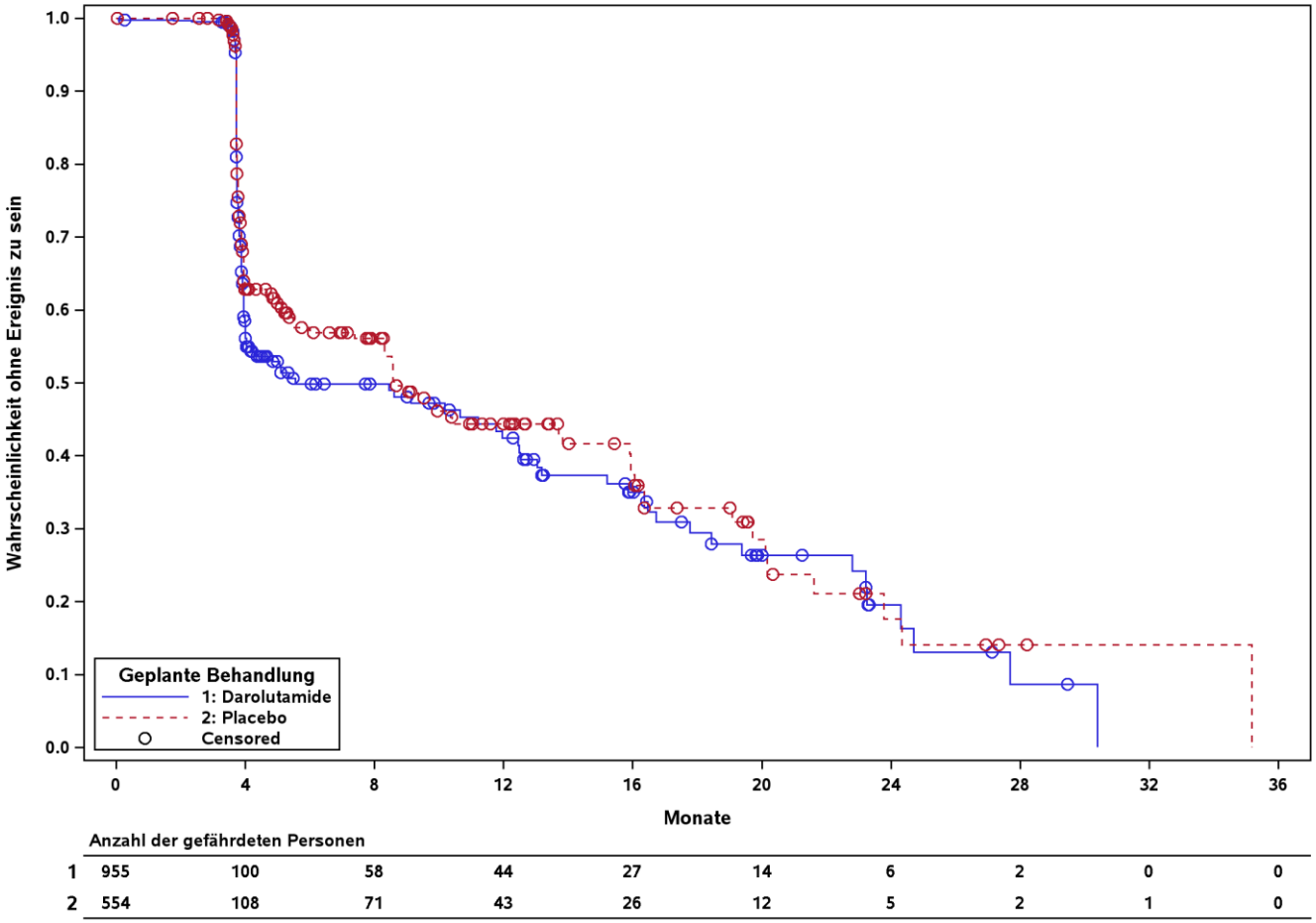
Bayer: /by-sasp/patdb/projects/1841788/17712/stat/prod_query22/pgms/t_tte.sas 23APR2020 16:43

Figure 4.2.2 / 12: Kaplan-Meier-Plot der Time-to-Event-Analyse nach Endpunkt - Endpunkt: Zeit bis zum ersten Opioideinsatz aufgrund krebsbedingter Schmerzen (full analysis set)



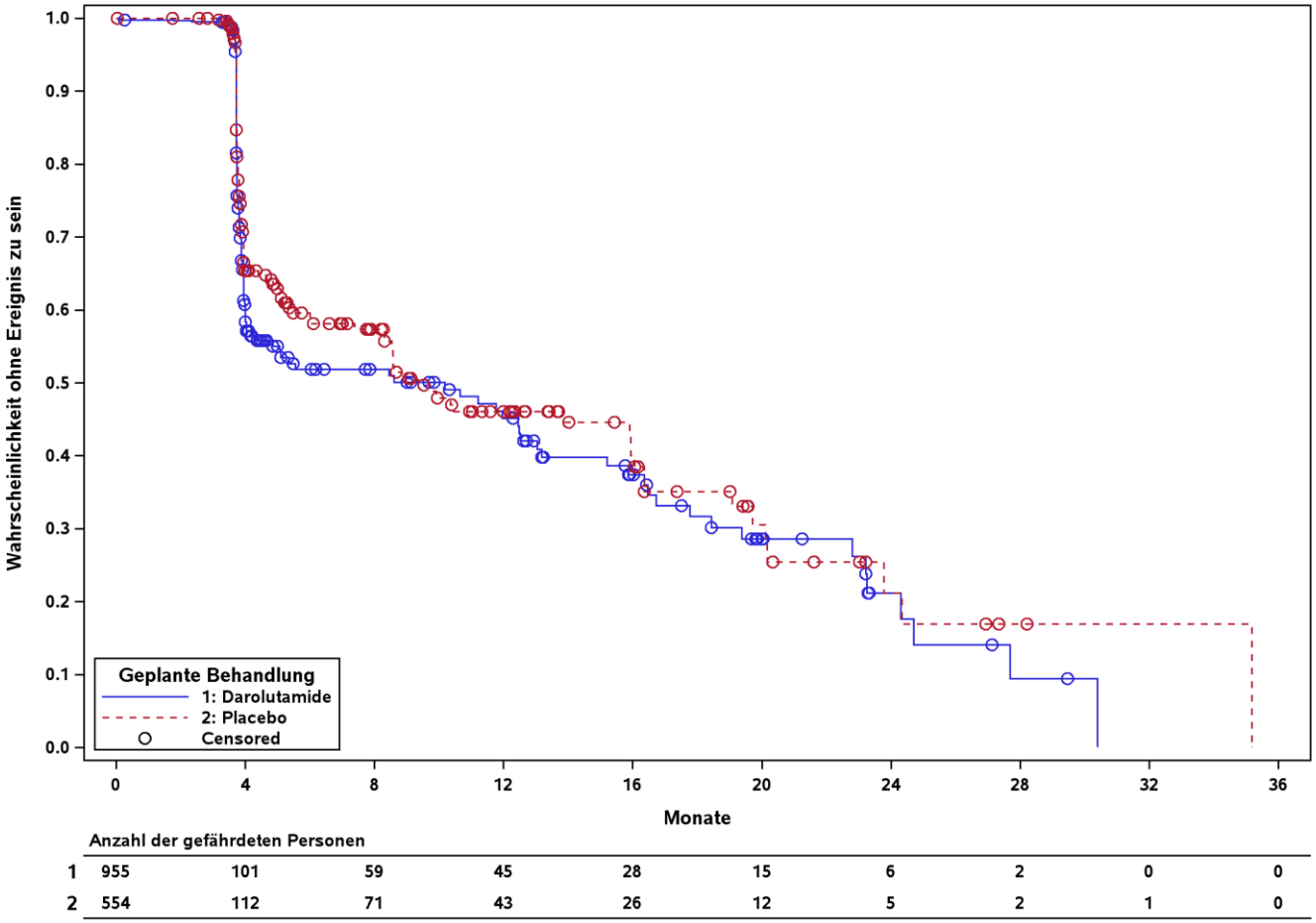
Bayer: /by-sasp/patdb/projects/1841788/17712/stat/prod_query22/pgms/t_tte.sas 23APR2020 16:43

Figure 4.2.2 / 13: Kaplan-Meier-Plot der Time-to-Event-Analyse nach Endpunkt - Endpunkt: Zeit bis zur Verschlechterung >=7 des EQ-5D Visual Analog scale (full analysis set)



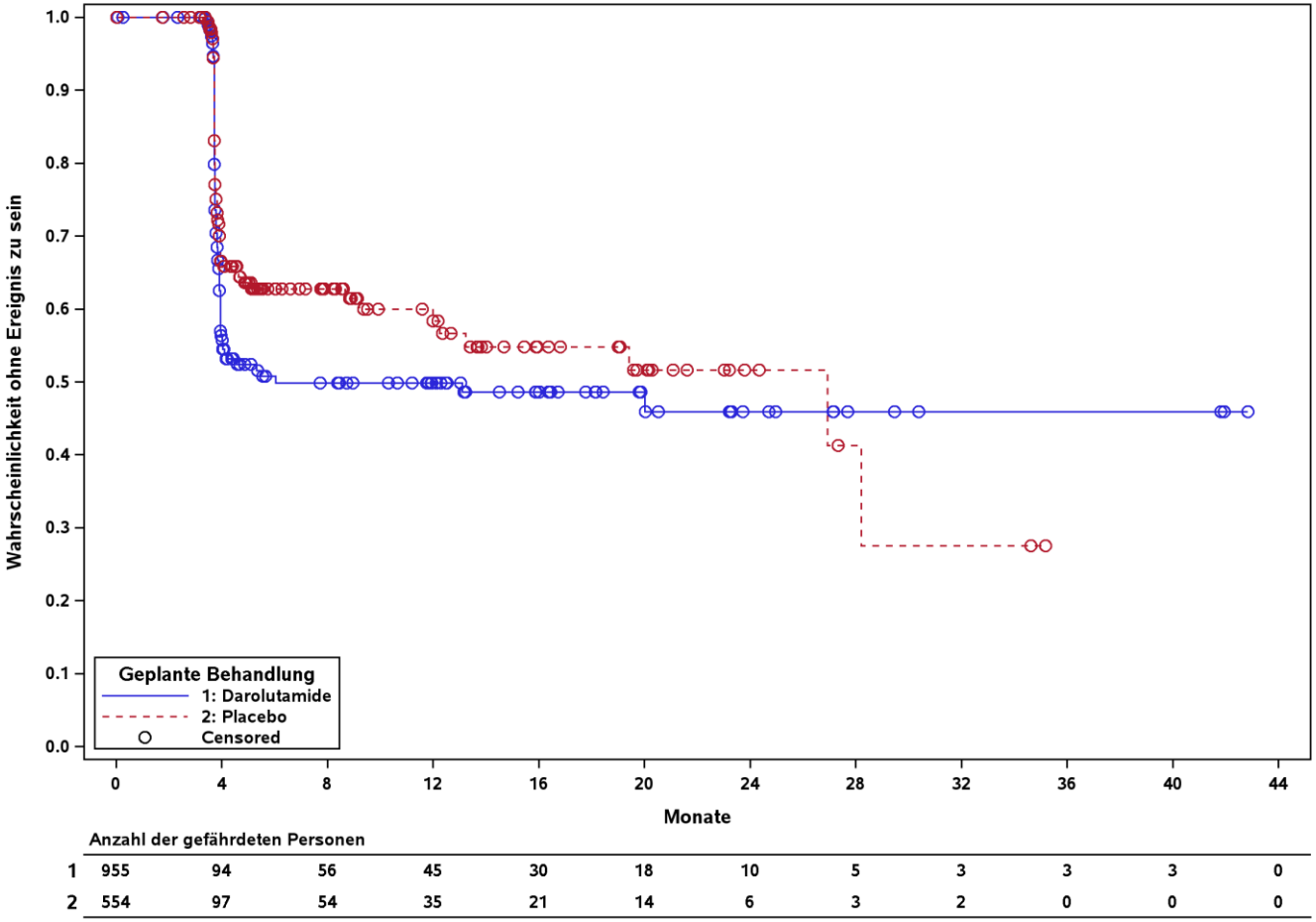
Bayer: /by-sasp/patdb/projects/1841788/17712/stat/prod_query22/pgms/t_tte.sas 23APR2020 16:43

Figure 4.2.2 / 14: Kaplan-Meier-Plot der Time-to-Event-Analyse nach Endpunkt - Endpunkt: Zeit bis zur Verschlechterung >=10 des EQ-5D Visual Analog scale (full analysis set)



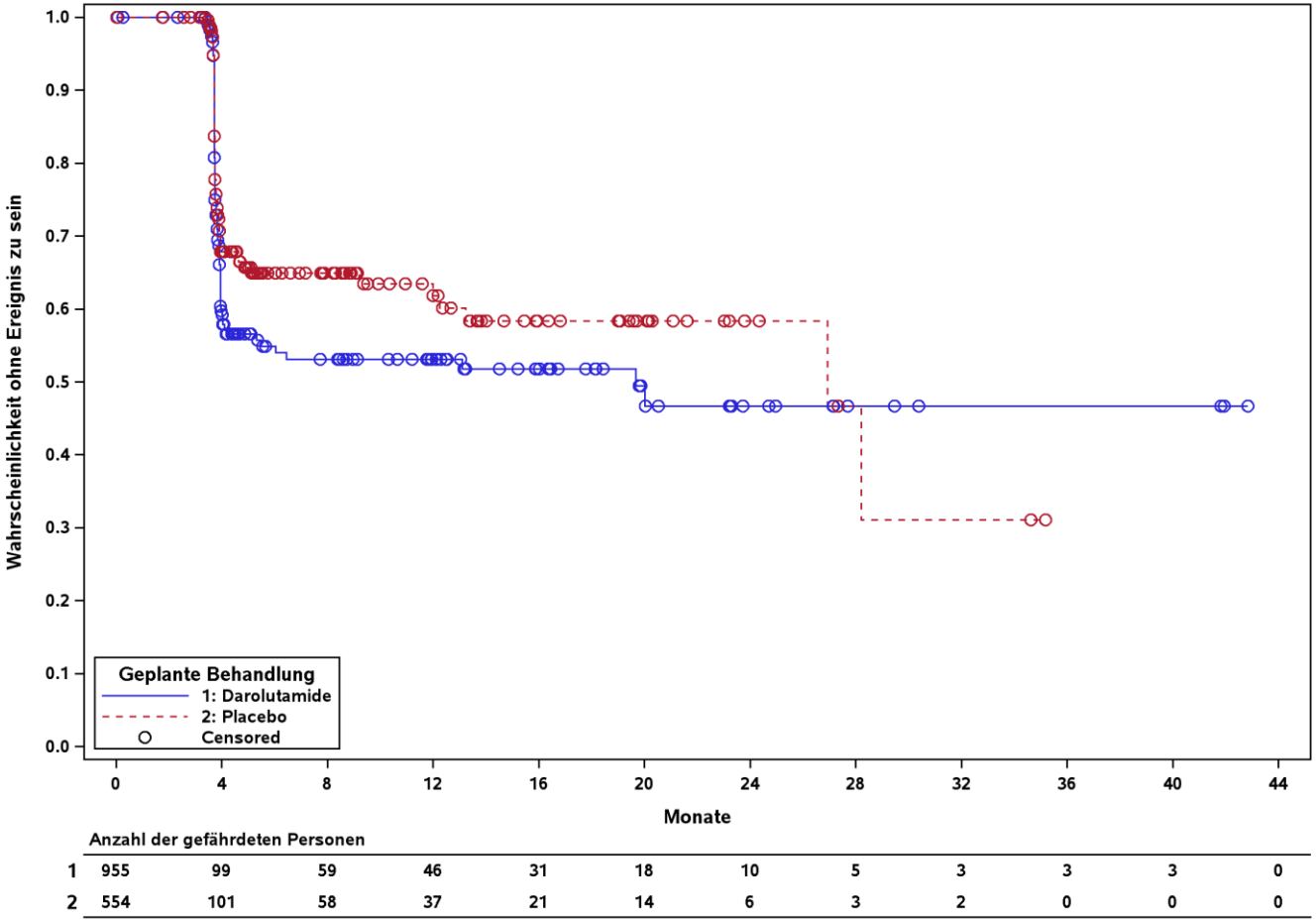
Bayer: /by-sasp/patdb/projects/1841788/17712/stat/prod_query22/pgms/t_tte.sas 23APR2020 16:43

Figure 4.2.2 / 15: Kaplan-Meier-Plot der Time-to-Event-Analyse nach Endpunkt - Endpunkt: Zeit bis zur Verbesserung >=7 des EQ-5D Visual Analog scale (full analysis set)



Bayer: /by-sasp/patdb/projects/1841788/17712/stat/prod_query22/pgms/t_tte.sas 23APR2020 16:43

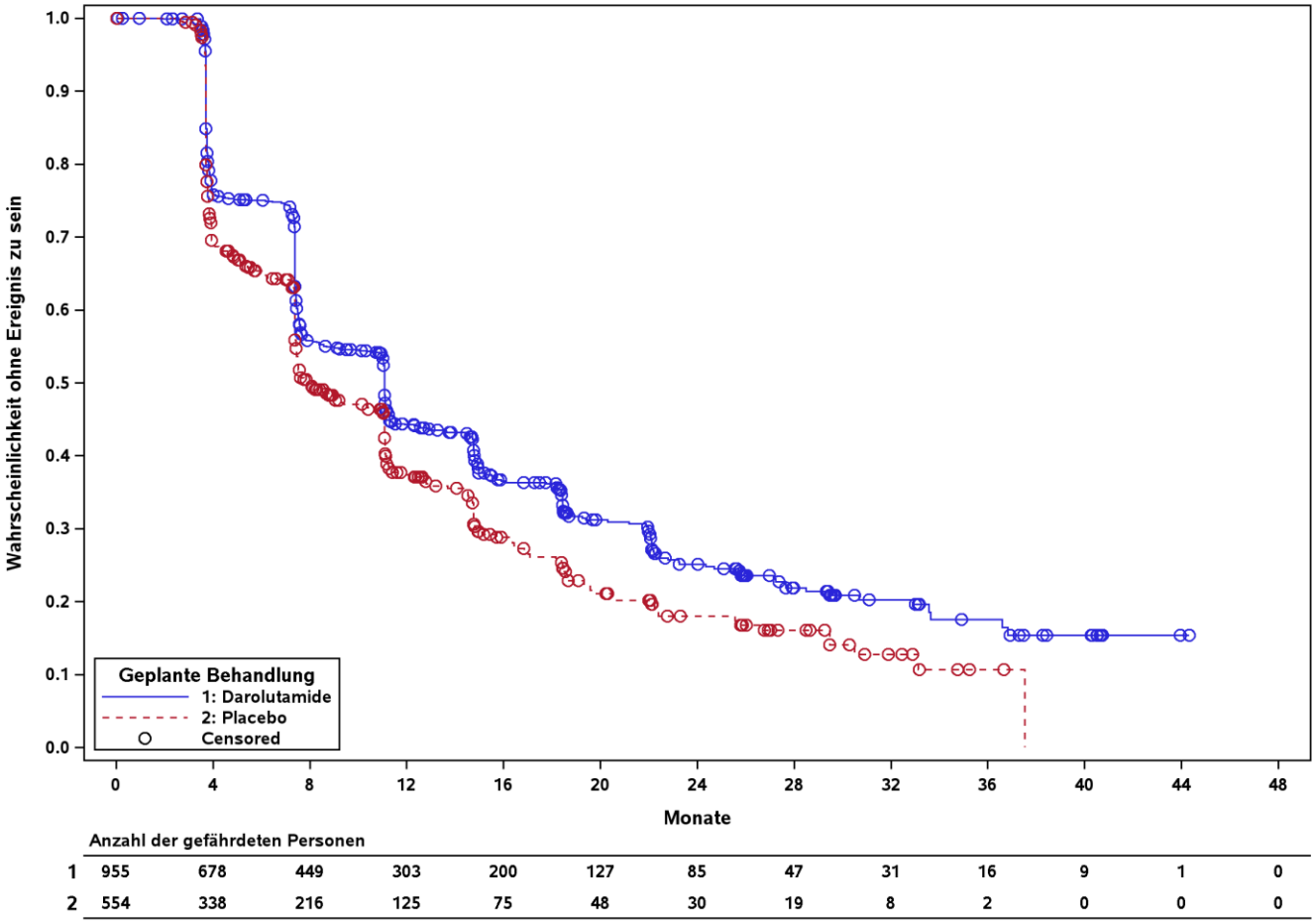
Figure 4.2.2 / 16: Kaplan-Meier-Plot der Time-to-Event-Analyse nach Endpunkt - Endpunkt: Zeit bis zur Verbesserung >=10 des EQ-5D Visual Analog scale (full analysis set)



Bayer: /by-sasp/patdb/projects/1841788/17712/stat/prod_query22/pgms/t_tte.sas 23APR2020 16:43

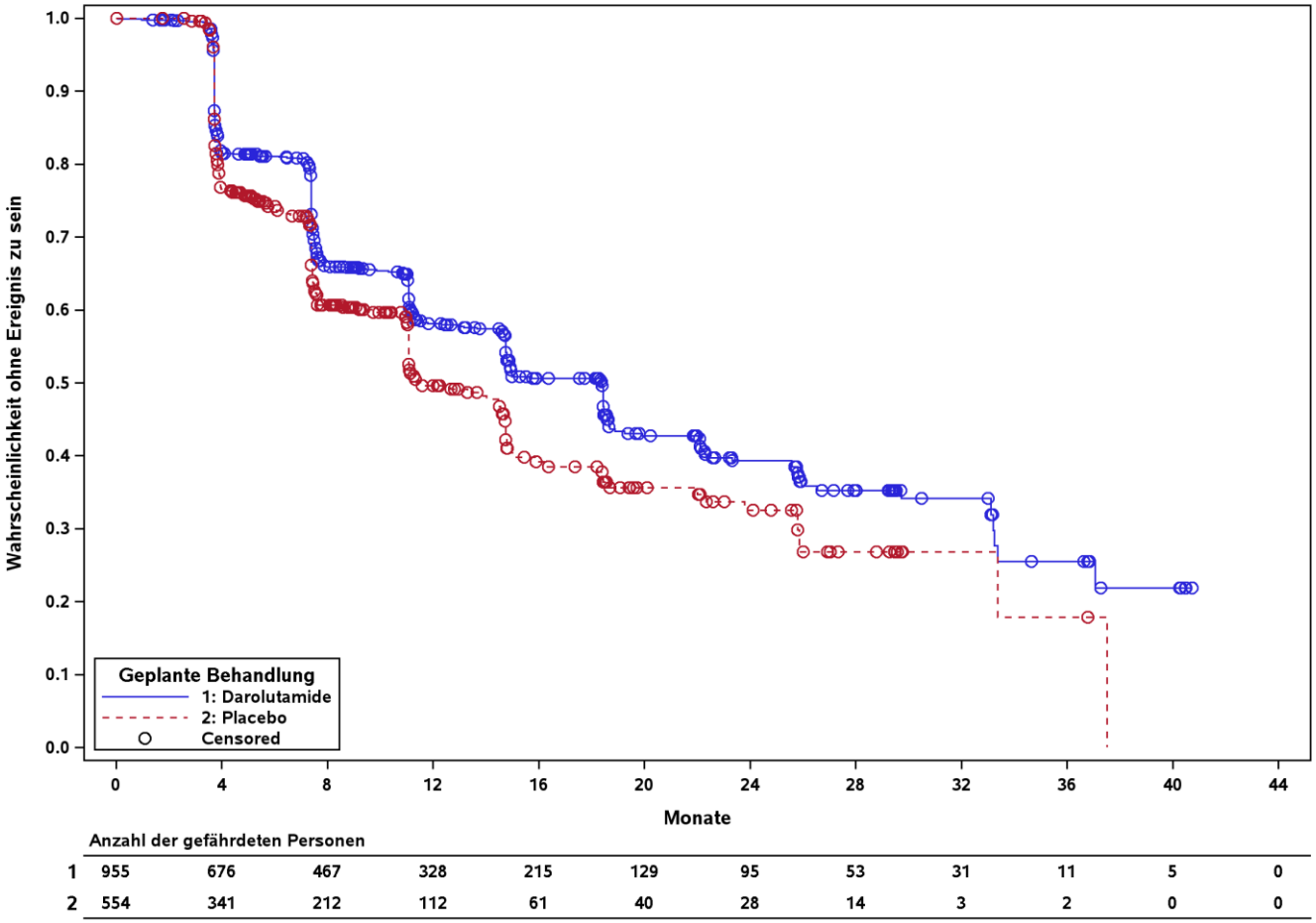
4.2.3 Gesundheitsbezogene Lebensqualität

Figure 4.2.3 / 1: Kaplan-Meier-Plot der Time-to-Event-Analyse nach Endpunkt - Endpunkt: Zeit bis zur Verschlechterung >=3 des FACT-P Prostate Cancer Score (full analysis set)



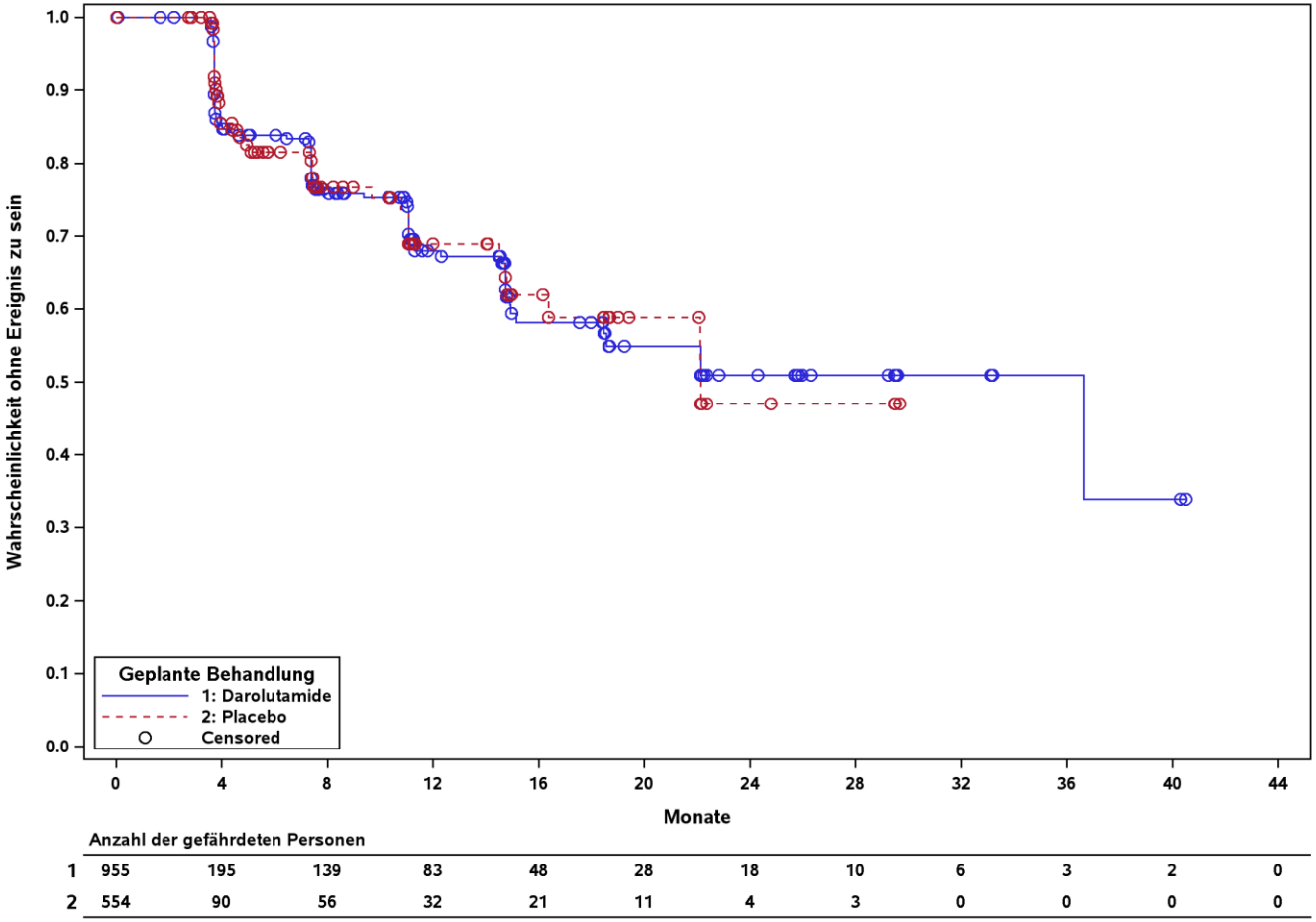
Bayer: /by-sasp/patdb/projects/1841788/17712/stat/prod_query22/pgms/t_tte.sas 23APR2020 16:43

Figure 4.2.3 / 2: Kaplan-Meier-Plot der Time-to-Event-Analyse nach Endpunkt - Endpunkt: Zeit bis zur Verschlechterung >=8 des EORTC-QLQ-PR25 Bowel Symptoms Score (full analysis set)



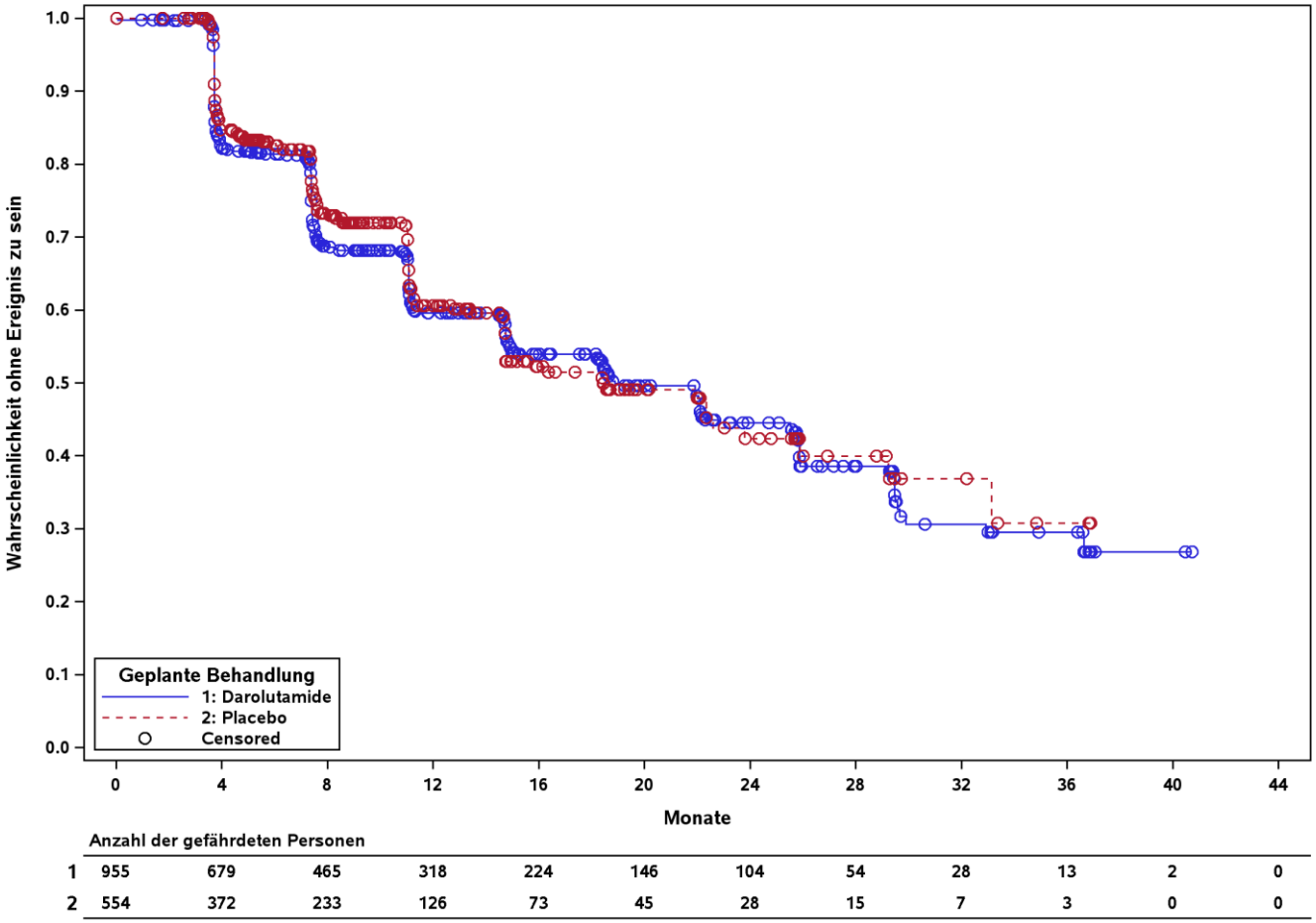
Bayer: /by-sasp/patdb/projects/1841788/17712/stat/prod_query22/pgms/t_tte.sas 23APR2020 16:43

Figure 4.2.3 / 3: Kaplan-Meier-Plot der Time-to-Event-Analyse nach Endpunkt - Endpunkt: Zeit bis zur Verschlechterung >=8 des EORTC-QLQ-PR25 Hormonal Incontinence Aid Score (full analysis set)



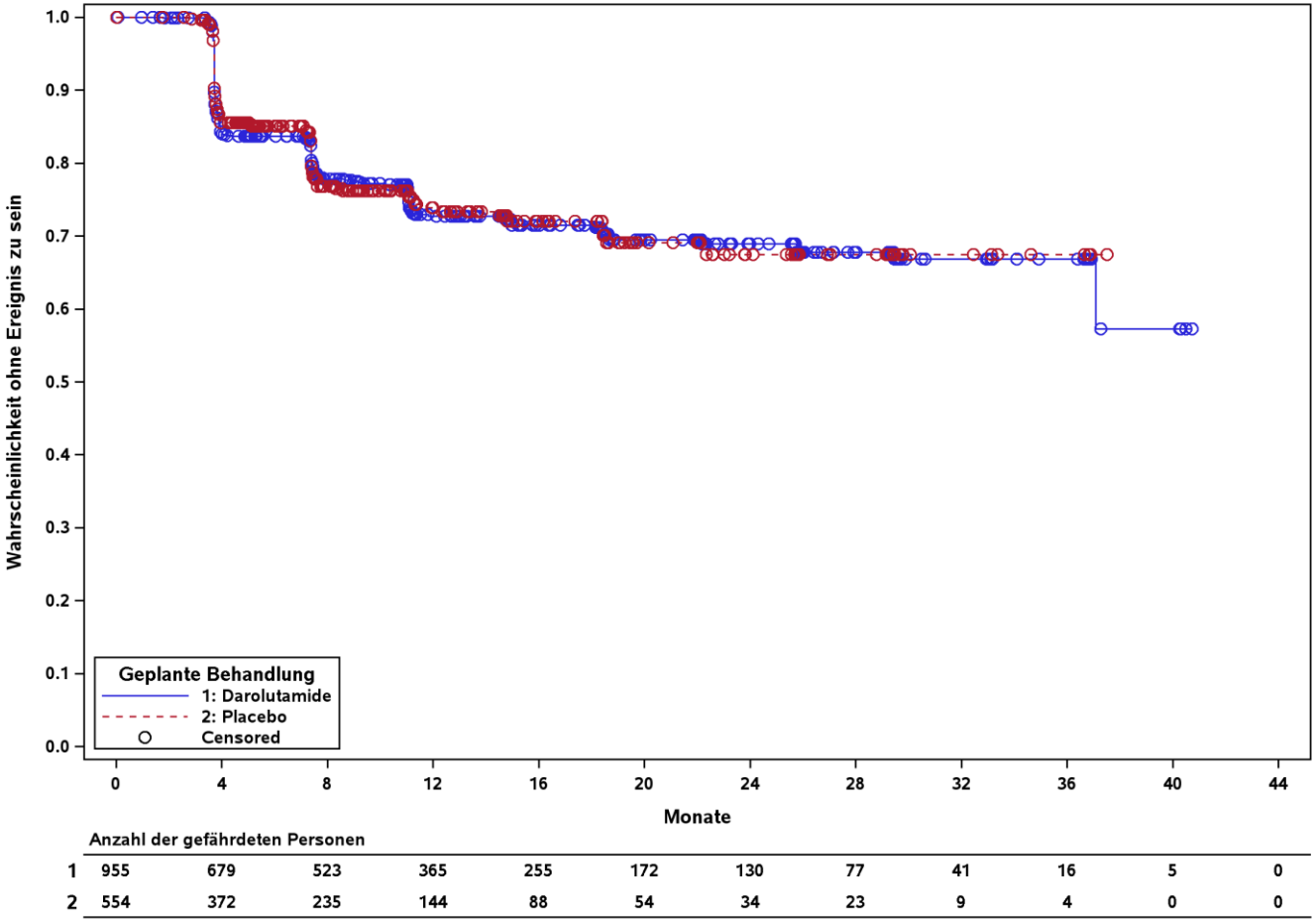
Bayer: /by-sasp/patdb/projects/1841788/17712/stat/prod_query22/pgms/t_tte.sas 23APR2020 16:43

Figure 4.2.3 / 4: Kaplan-Meier-Plot der Time-to-Event-Analyse nach Endpunkt - Endpunkt: Zeit bis zur Verschlechterung >=8 des EORTC-QLQ-PR25 Hormonal Treatment-related Symptoms Score (full analysis set)



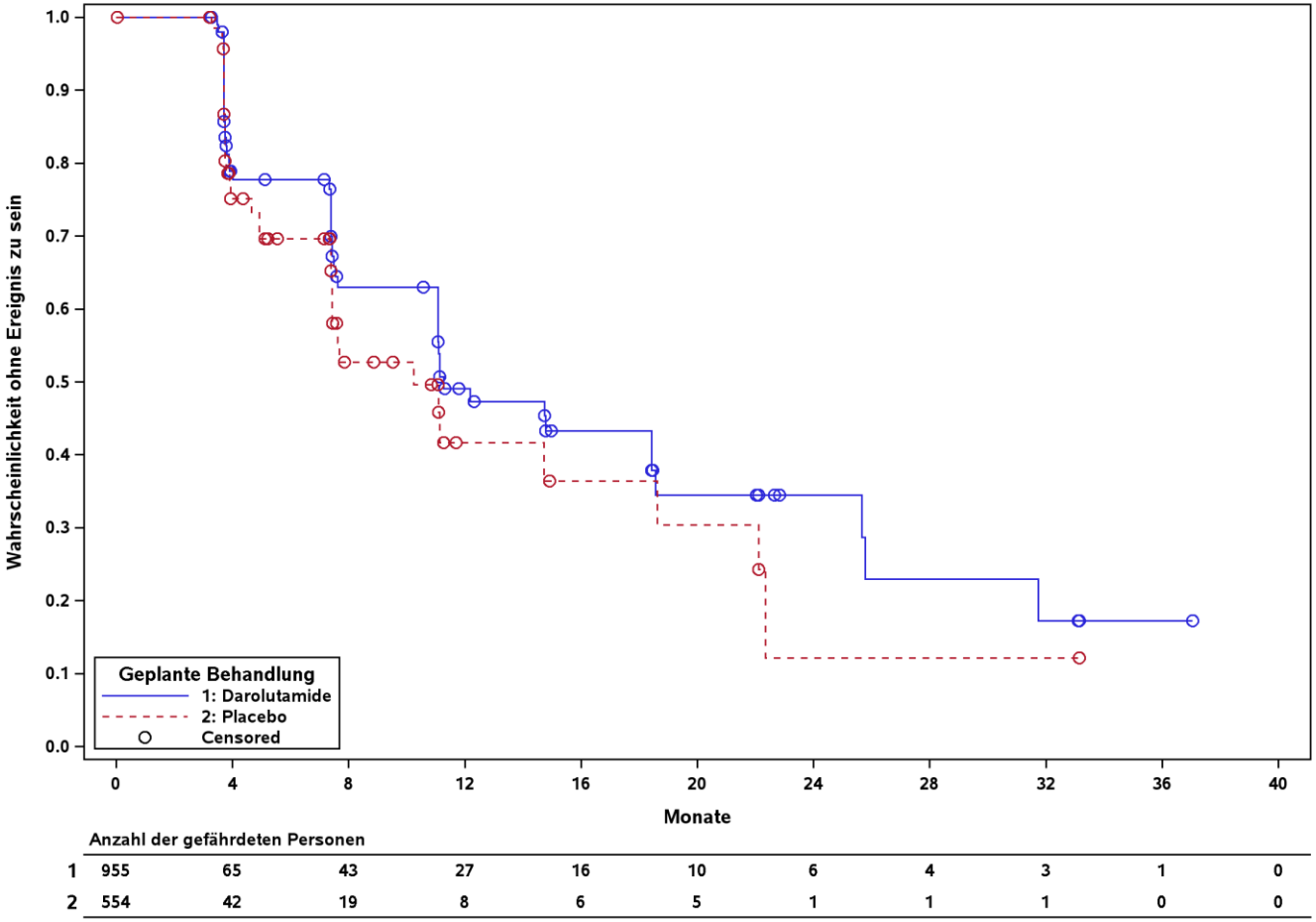
Bayer: /by-sasp/patdb/projects/1841788/17712/stat/prod_query22/pgms/t_tte.sas 23APR2020 16:43

Figure 4.2.3 / 5: Kaplan-Meier-Plot der Time-to-Event-Analyse nach Endpunkt - Endpunkt: Zeit bis zur Verschlechterung >=8 des EORTC-QLQ-PR25 Sexual Activity Score (full analysis set)



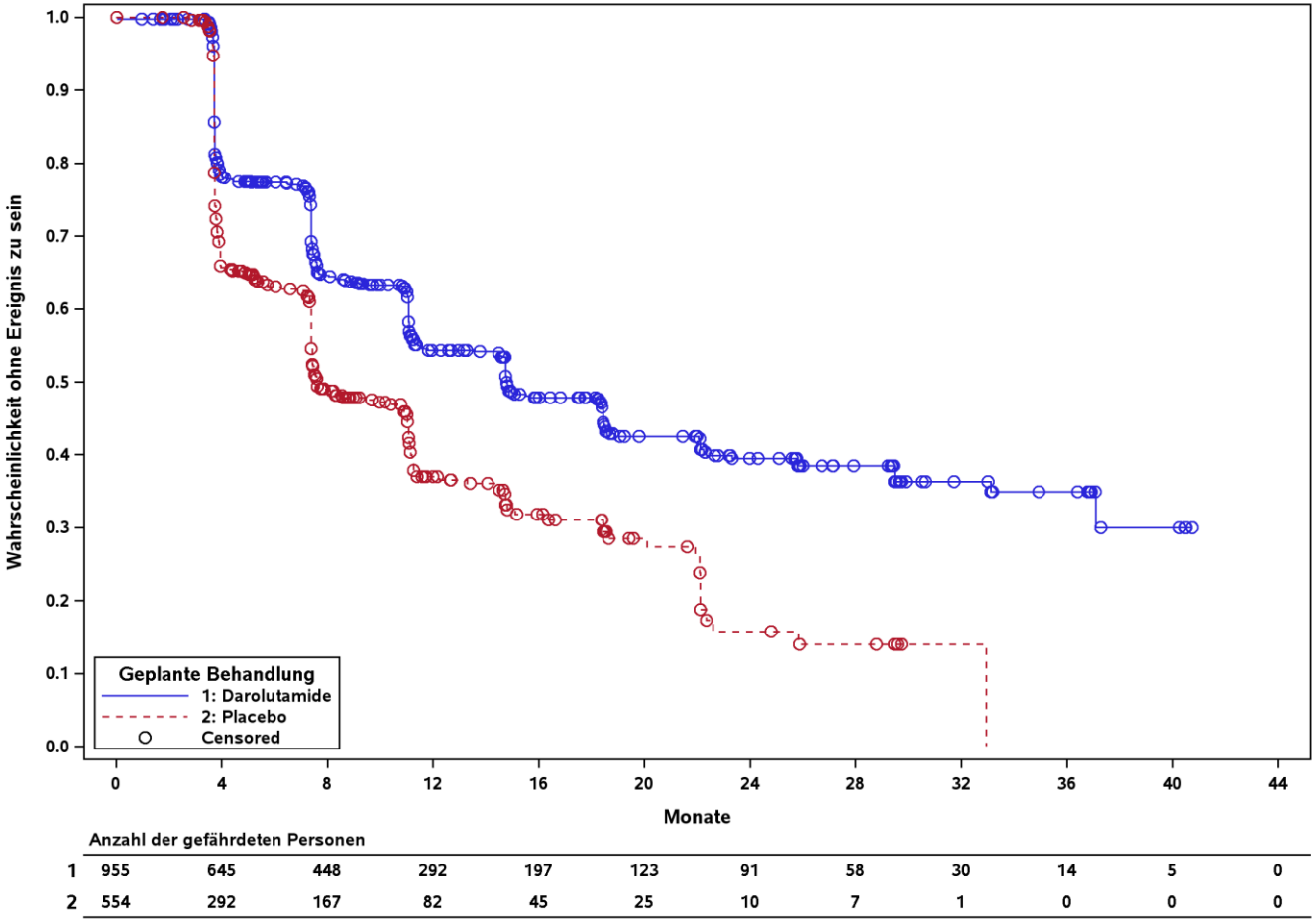
Bayer: /by-sasp/patdb/projects/1841788/17712/stat/prod_query22/pgms/t_tte.sas 23APR2020 16:43

Figure 4.2.3 / 6: Kaplan-Meier-Plot der Time-to-Event-Analyse nach Endpunkt - Endpunkt: Zeit bis zur Verschlechterung >=8 des EORTC-QLQ-PR25 Sexual Functioning Score (full analysis set)



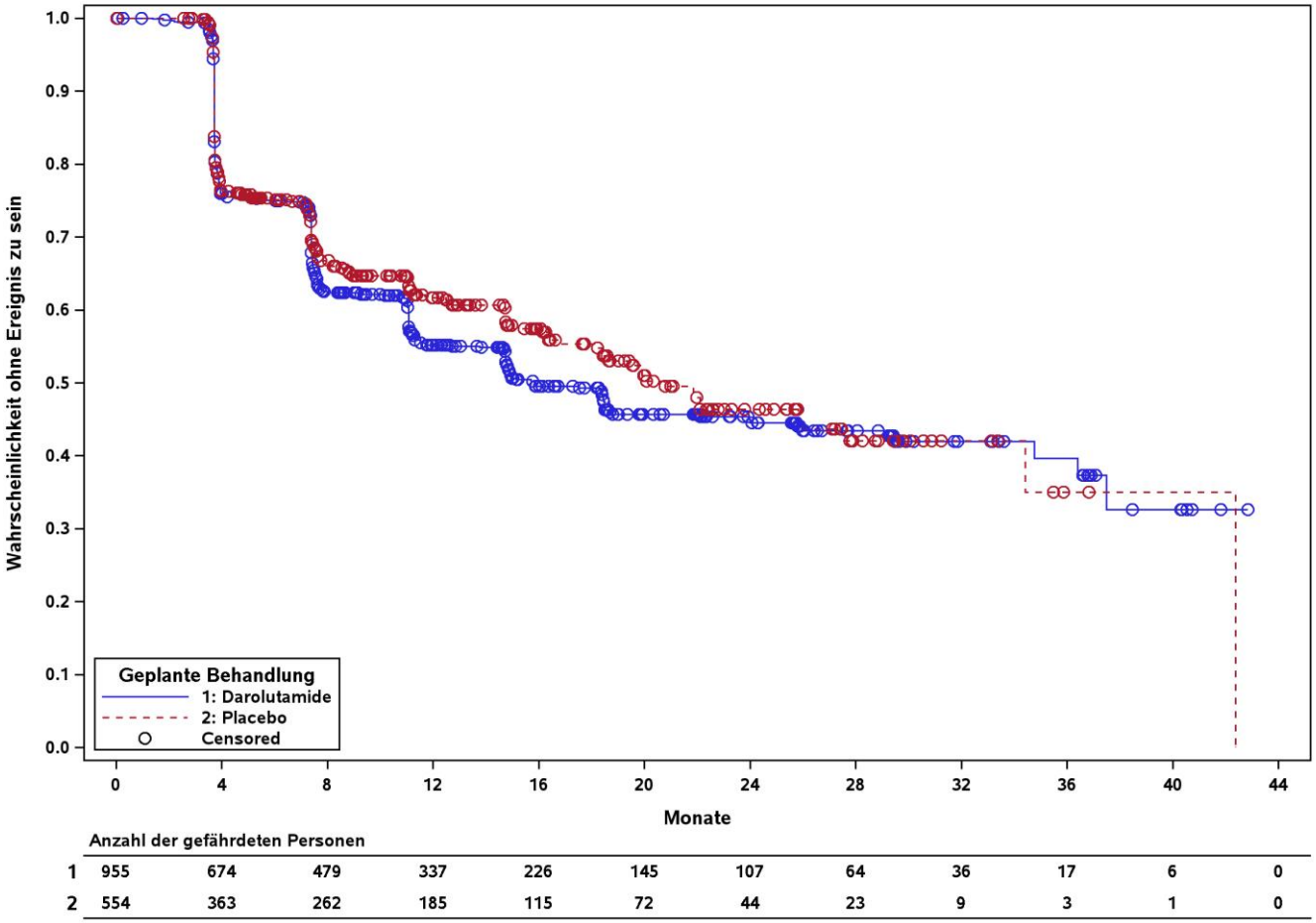
Bayer: /by-sasp/patdb/projects/1841788/17712/stat/prod_query22/pgms/t_tte.sas 23APR2020 16:43

Figure 4.2.3 / 7: Kaplan-Meier-Plot der Time-to-Event-Analyse nach Endpunkt - Endpunkt: Zeit bis zur Verschlechterung >=8 des EORTC-QLQ-PR25 Urinary Symptom Score (full analysis set)



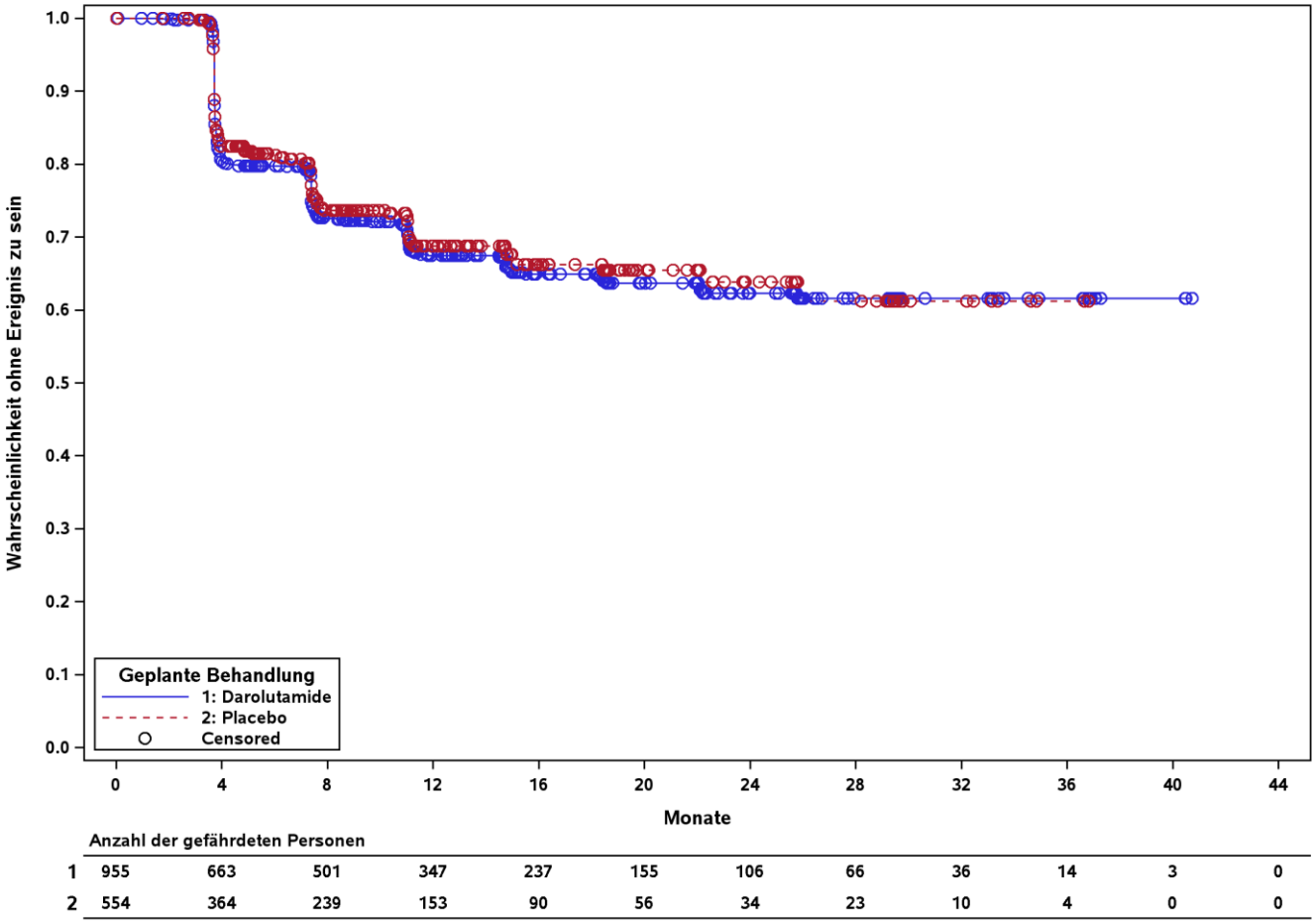
Bayer: /by-sasp/patdb/projects/1841788/17712/stat/prod_query22/pgms/t_tte.sas 23APR2020 16:43

Figure 4.2.3 / 8: Kaplan-Meier-Plot der Time-to-Event-Analyse nach Endpunkt - Endpunkt: Zeit bis zur Verbesserung >=3 des FACT-P Prostate Cancer Score (full analysis set)



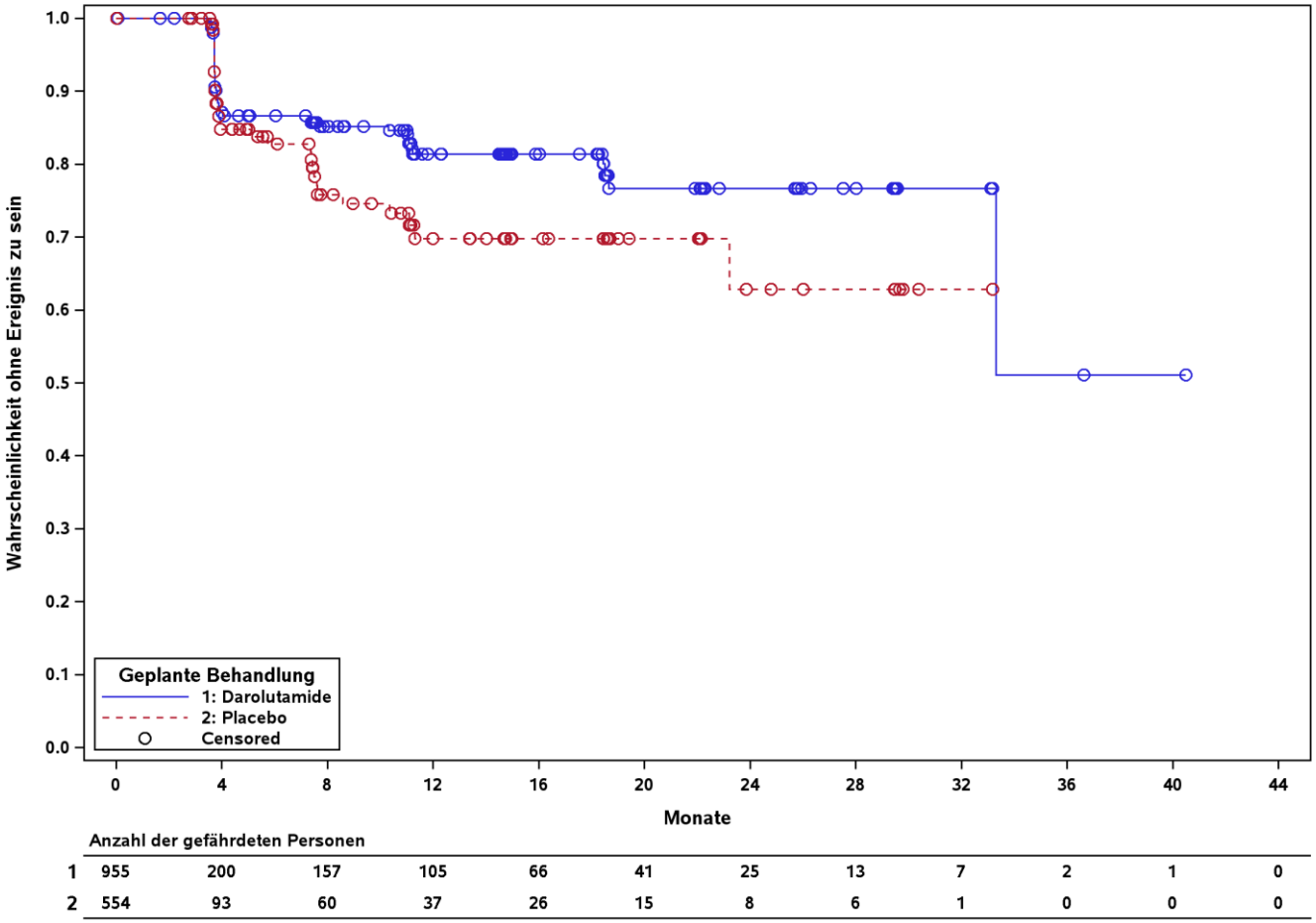
Bayer: /by-sasp/patdb/projects/1841788/17712/stat/prod_query22/pgms/t_tte.sas 23APR2020 16:43

Figure 4.2.3 / 9: Kaplan-Meier-Plot der Time-to-Event-Analyse nach Endpunkt - Endpunkt: Zeit bis zur Verbesserung >=8 des EORTC-QLQ-PR25 Bowel Symptoms Score (full analysis set)



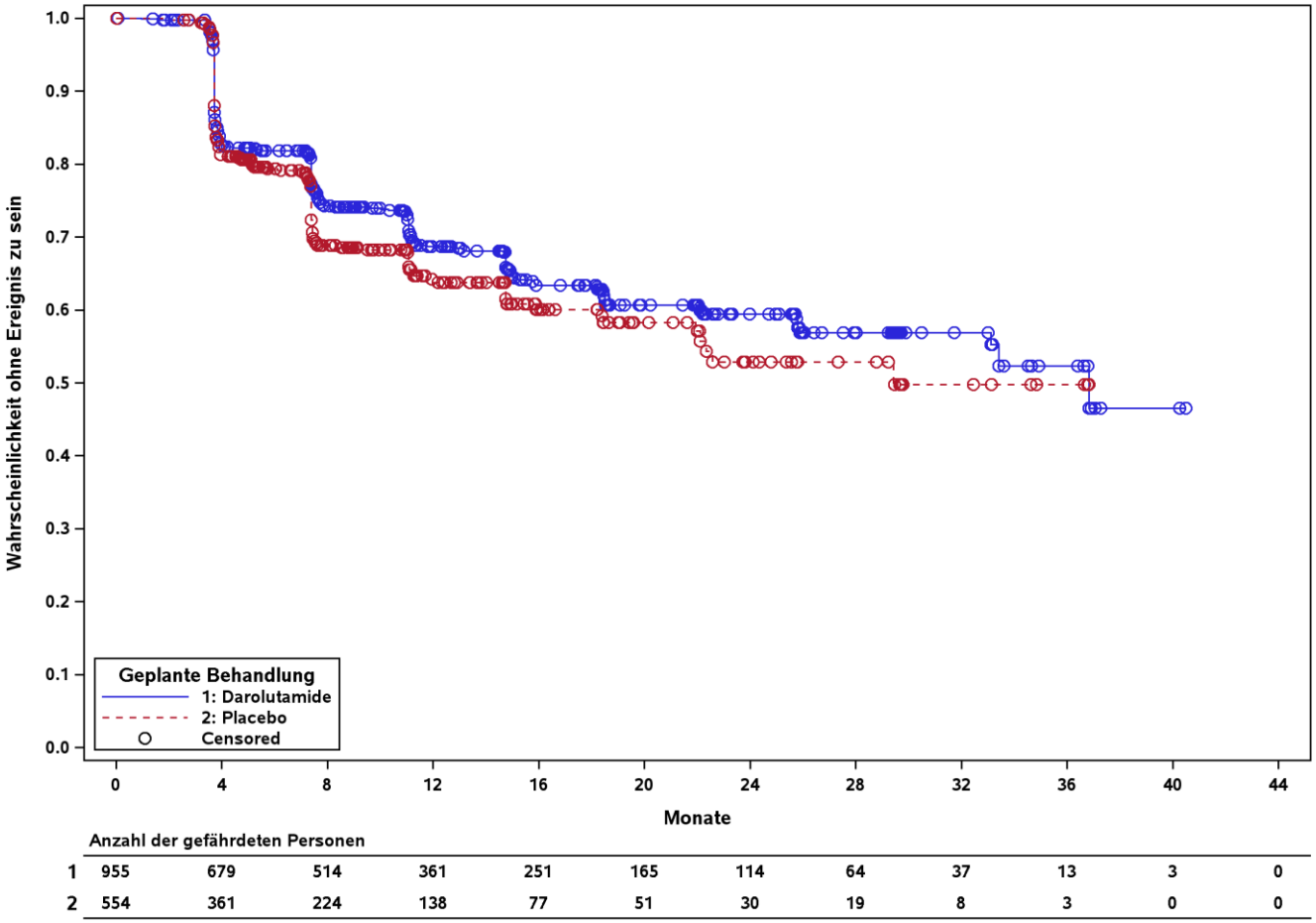
Bayer: /by-sasp/patdb/projects/1841788/17712/stat/prod_query22/pgms/t_tte.sas 23APR2020 16:43

Figure 4.2.3 / 10: Kaplan-Meier-Plot der Time-to-Event-Analyse nach Endpunkt - Endpunkt: Zeit bis zur Verbesserung >=8 des EORTC-QLQ-PR25 Hormonal Incontinence Aid Score (full analysis set)



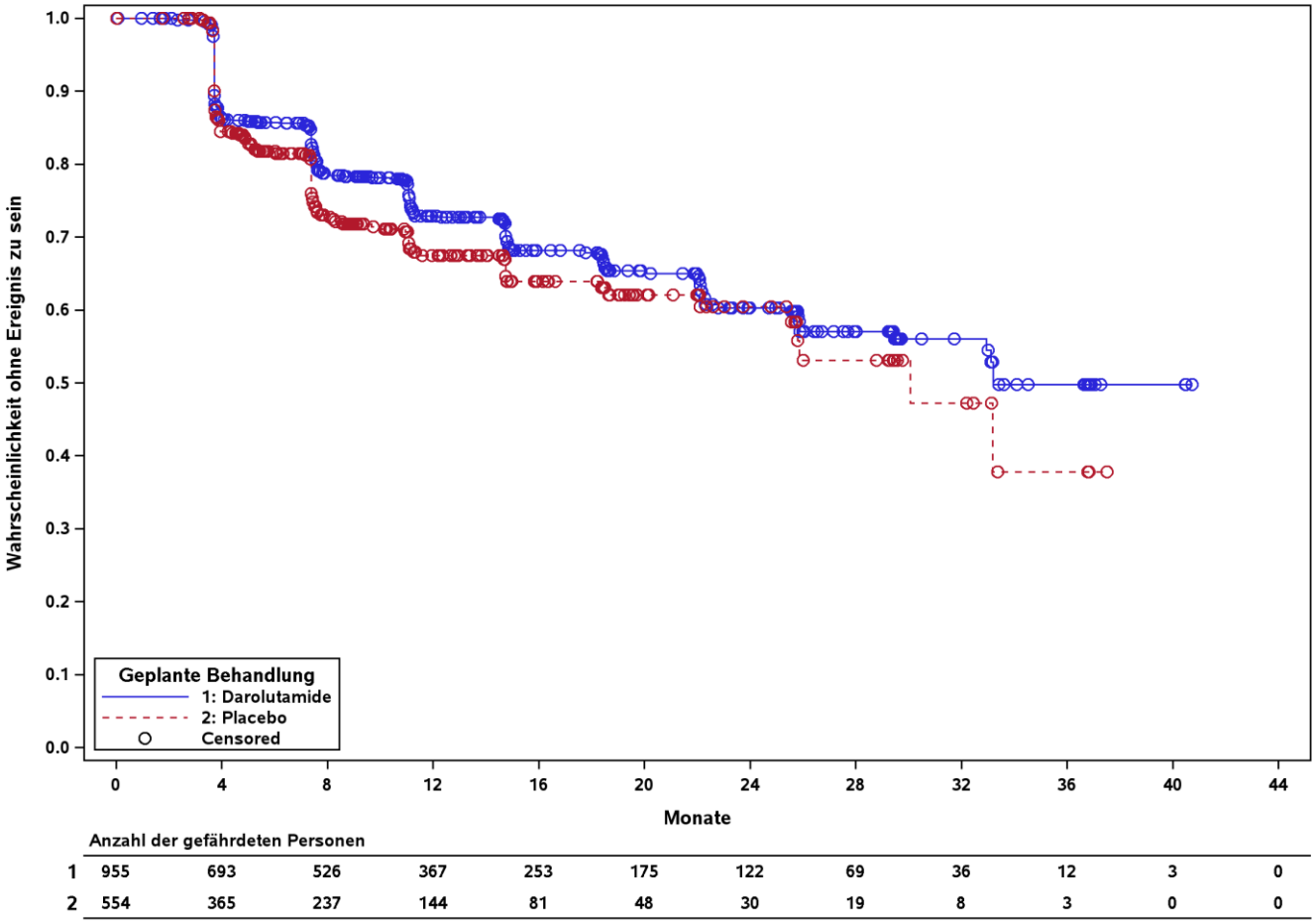
Bayer: /by-sasp/patdb/projects/1841788/17712/stat/prod_query22/pgms/t_tte.sas 23APR2020 16:43

Figure 4.2.3 / 11: Kaplan-Meier-Plot der Time-to-Event-Analyse nach Endpunkt - Endpunkt: Zeit bis zur Verbesserung >=8 des EORTC-QLQ-PR25 Hormonal Treatment-related Symptoms Score (full analysis set)



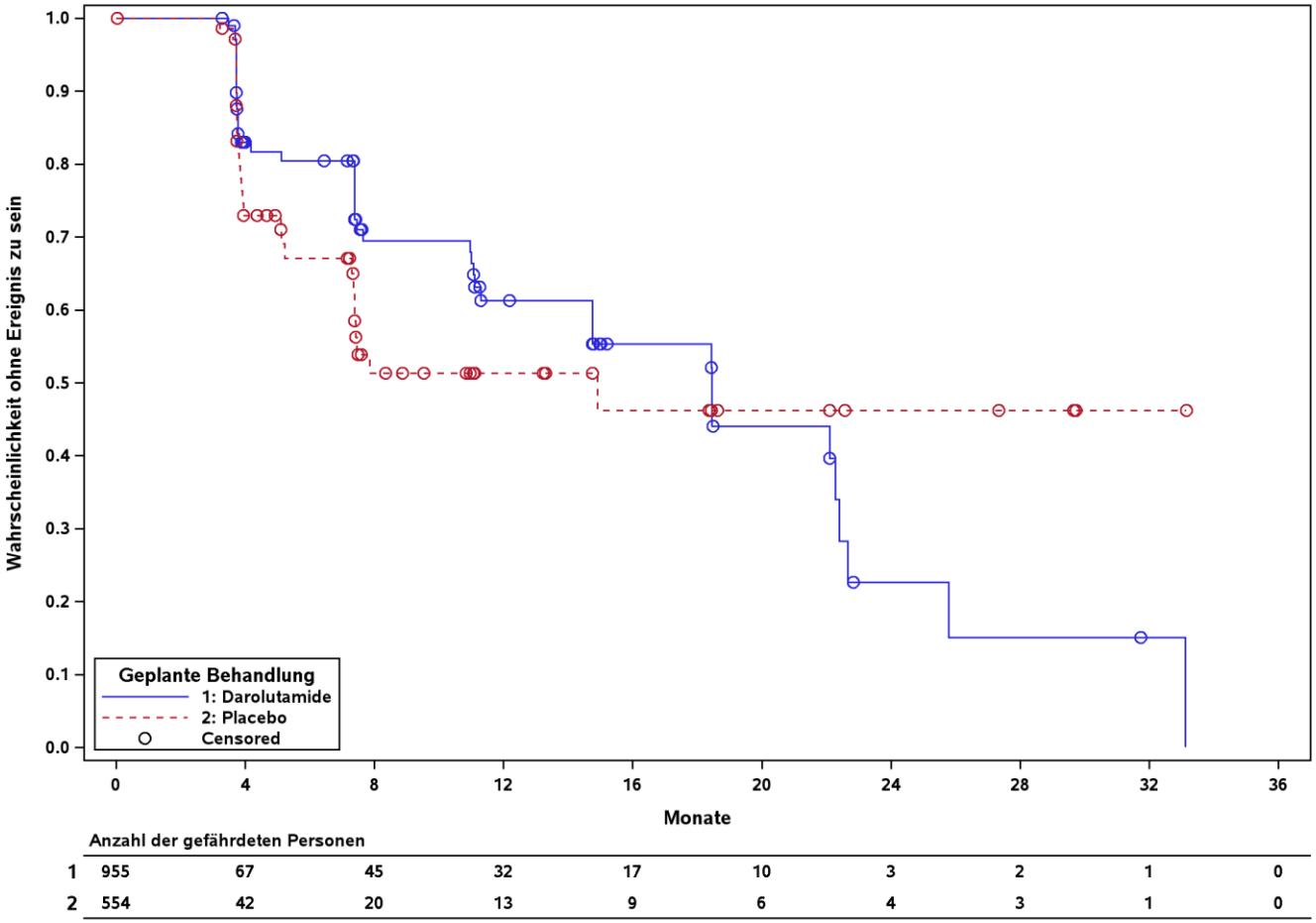
Bayer: /by-sasp/patdb/projects/1841788/17712/stat/prod_query22/pgms/t_tte.sas 23APR2020 16:43

Figure 4.2.3 / 12: Kaplan-Meier-Plot der Time-to-Event-Analyse nach Endpunkt - Endpunkt: Zeit bis zur Verbesserung >=8 des EORTC-QLQ-PR25 Sexual Activity Score (full analysis set)



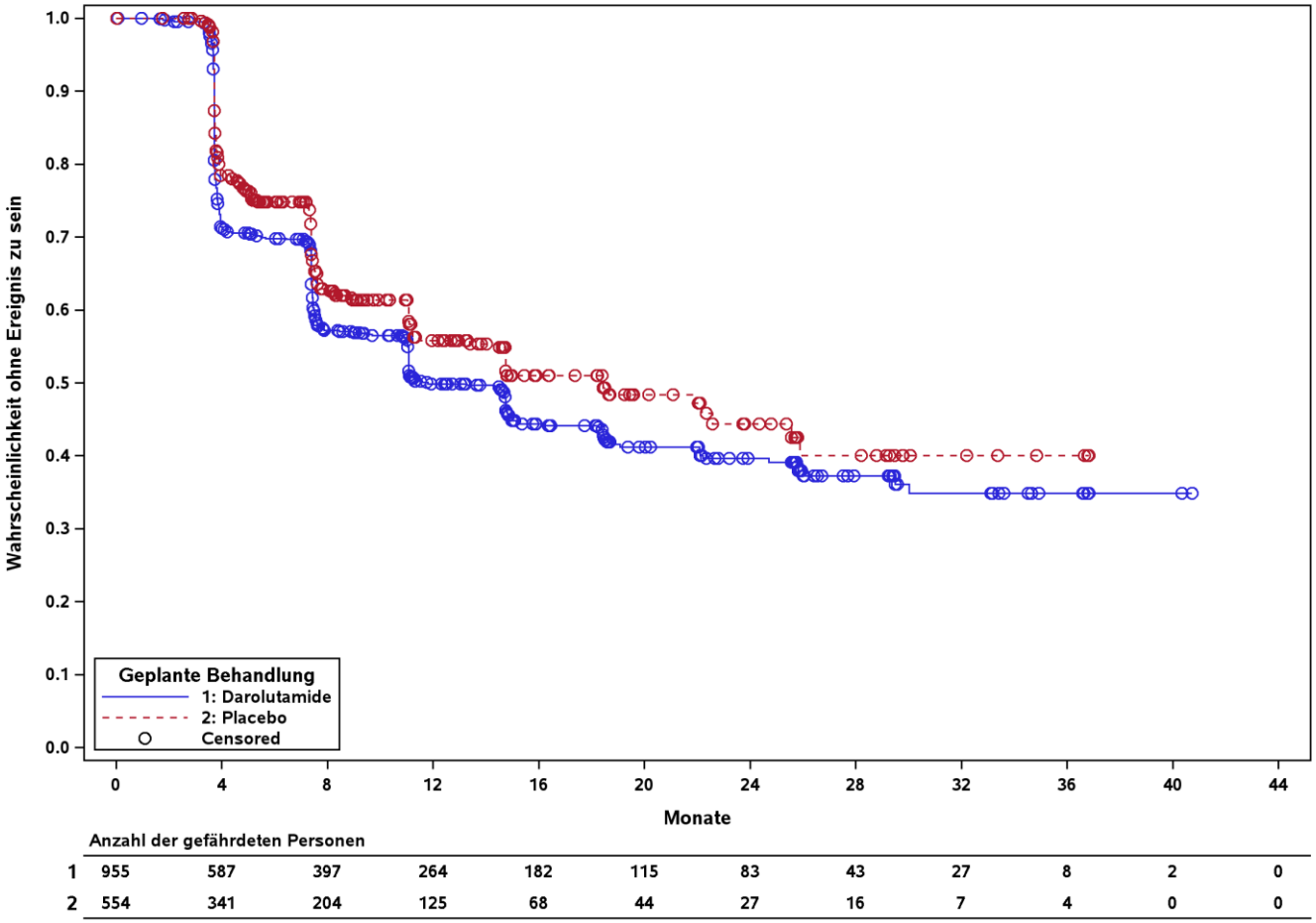
Bayer: /by-sasp/patdb/projects/1841788/17712/stat/prod_query22/pgms/t_tte.sas 23APR2020 16:43

Figure 4.2.3 / 13: Kaplan-Meier-Plot der Time-to-Event-Analyse nach Endpunkt - Endpunkt: Zeit bis zur Verbesserung >=8 des EORTC-QLQ-PR25 Sexual Functioning Score (full analysis set)



Bayer: /by-sasp/patdb/projects/1841788/17712/stat/prod_query22/pgms/t_tte.sas 23APR2020 16:43

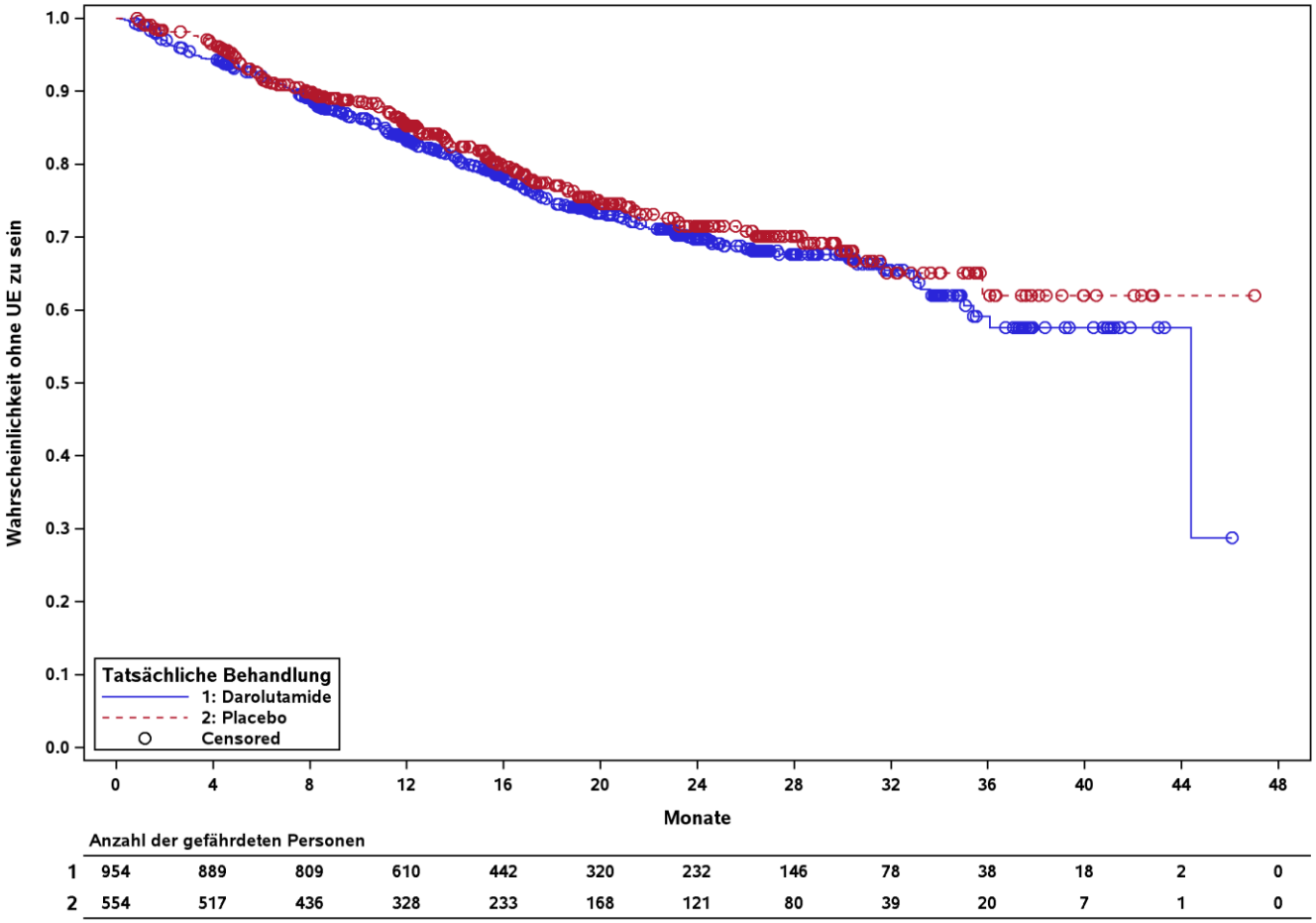
Figure 4.2.3 / 14: Kaplan-Meier-Plot der Time-to-Event-Analyse nach Endpunkt - Endpunkt: Zeit bis zur Verbesserung >=8 des EORTC-QLQ-PR25 Urinary Symptom Score (full analysis set)



Bayer: /by-sasp/patdb/projects/1841788/17712/stat/prod_query22/pgms/t_tte.sas 23APR2020 16:43

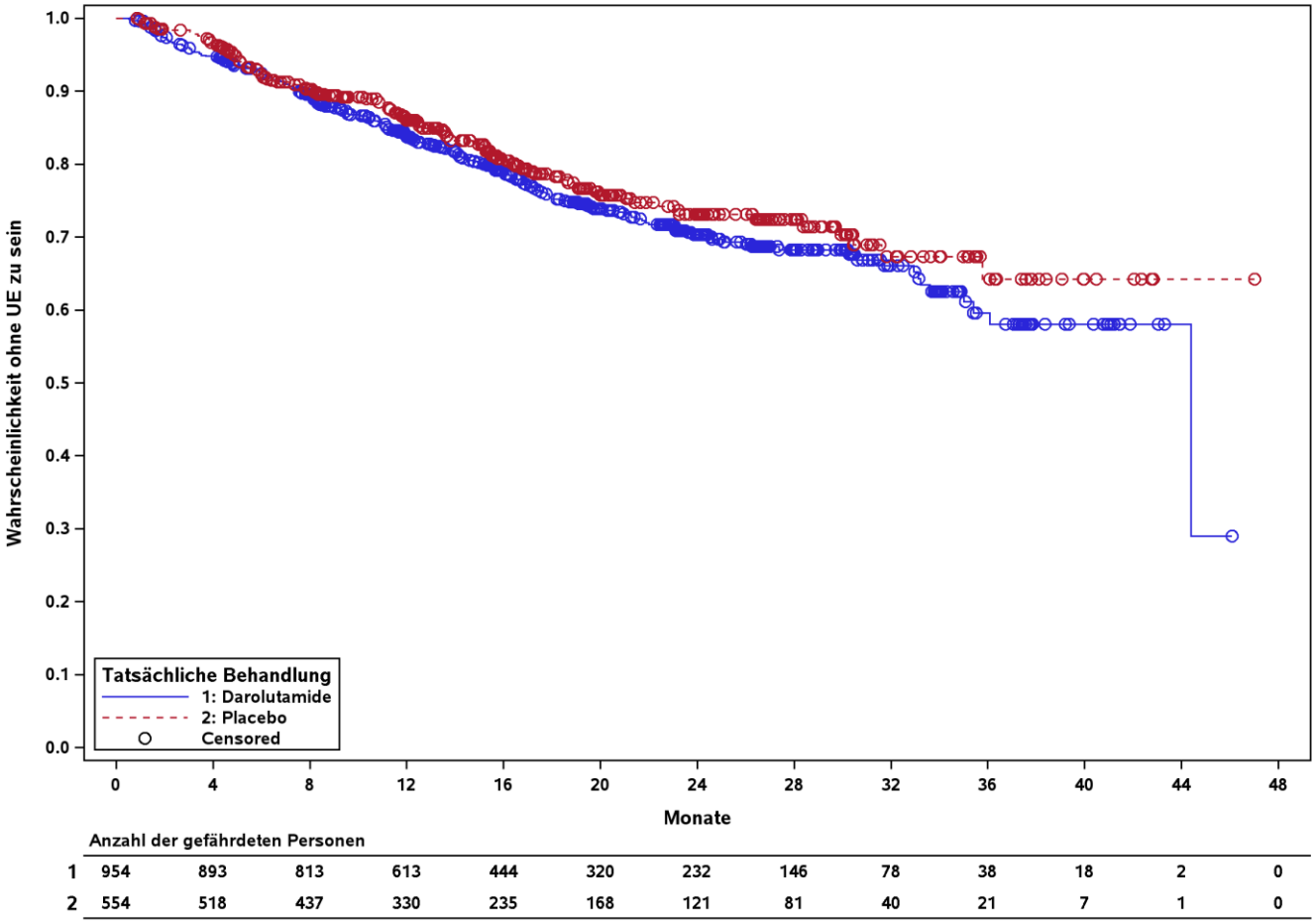
4.2.4 Sicherheit und Verträglichkeit

Figure 4.2.4 / 1: Kaplan-Meier-Plot der Unerwünschte Ereignisse Time-to-Event-Analyse nach Endpunkt - Endpunkt: Zeit bis zum ersten SUE (full analysis set)



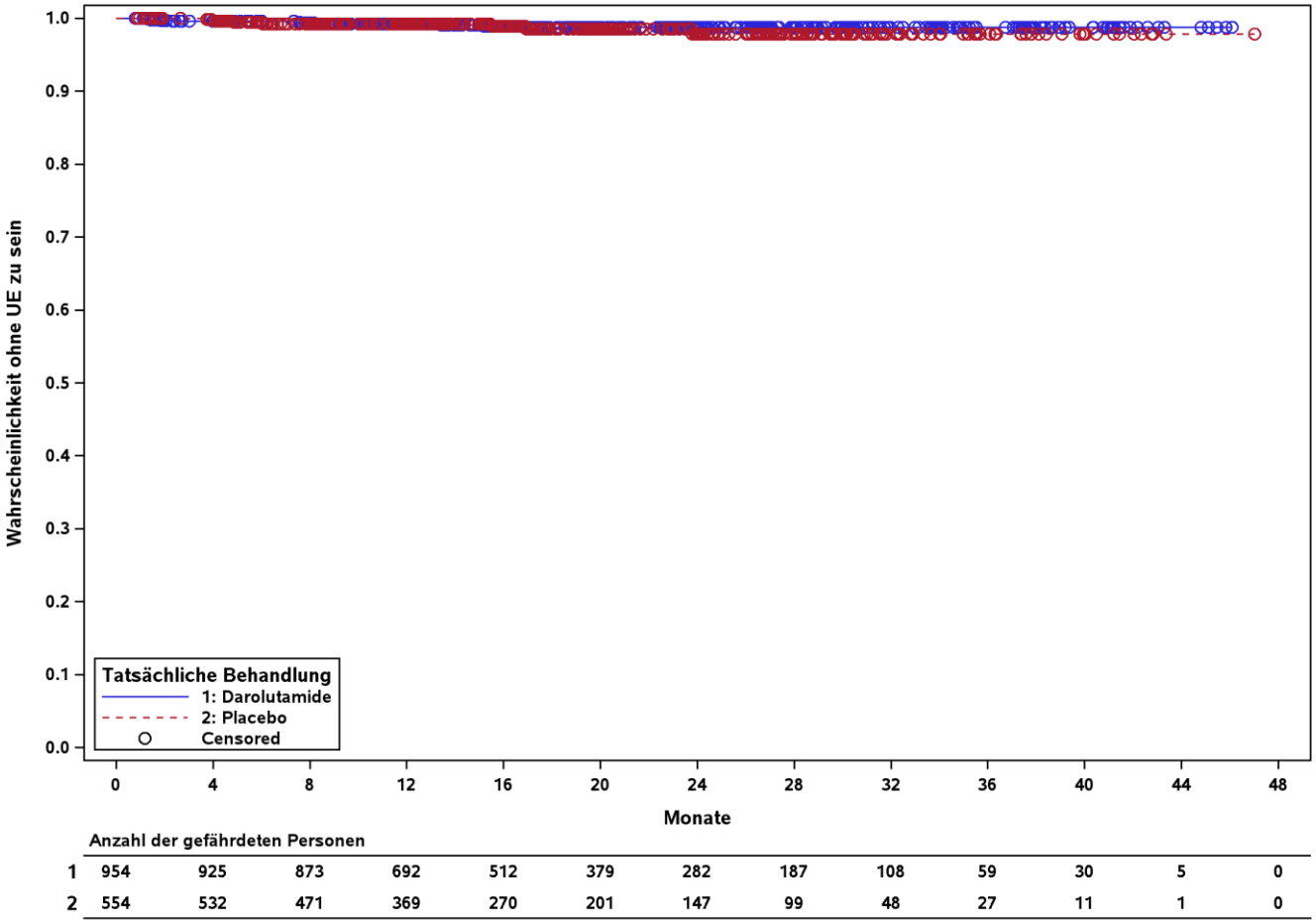
Bayer: /by-sasp/patdb/projects/1841788/17712/stat/prod_query22/pgms/t_ae.sas 23APR2020 16:56

Figure 4.2.4 / 2: Kaplan-Meier-Plot der Unerwünschte Ereignisse Time-to-Event-Analyse nach Endpunkt - Endpunkt: Zeit bis zum ersten unter der Behandlung aufgetretenen SUE (TESAE) (full analysis set)



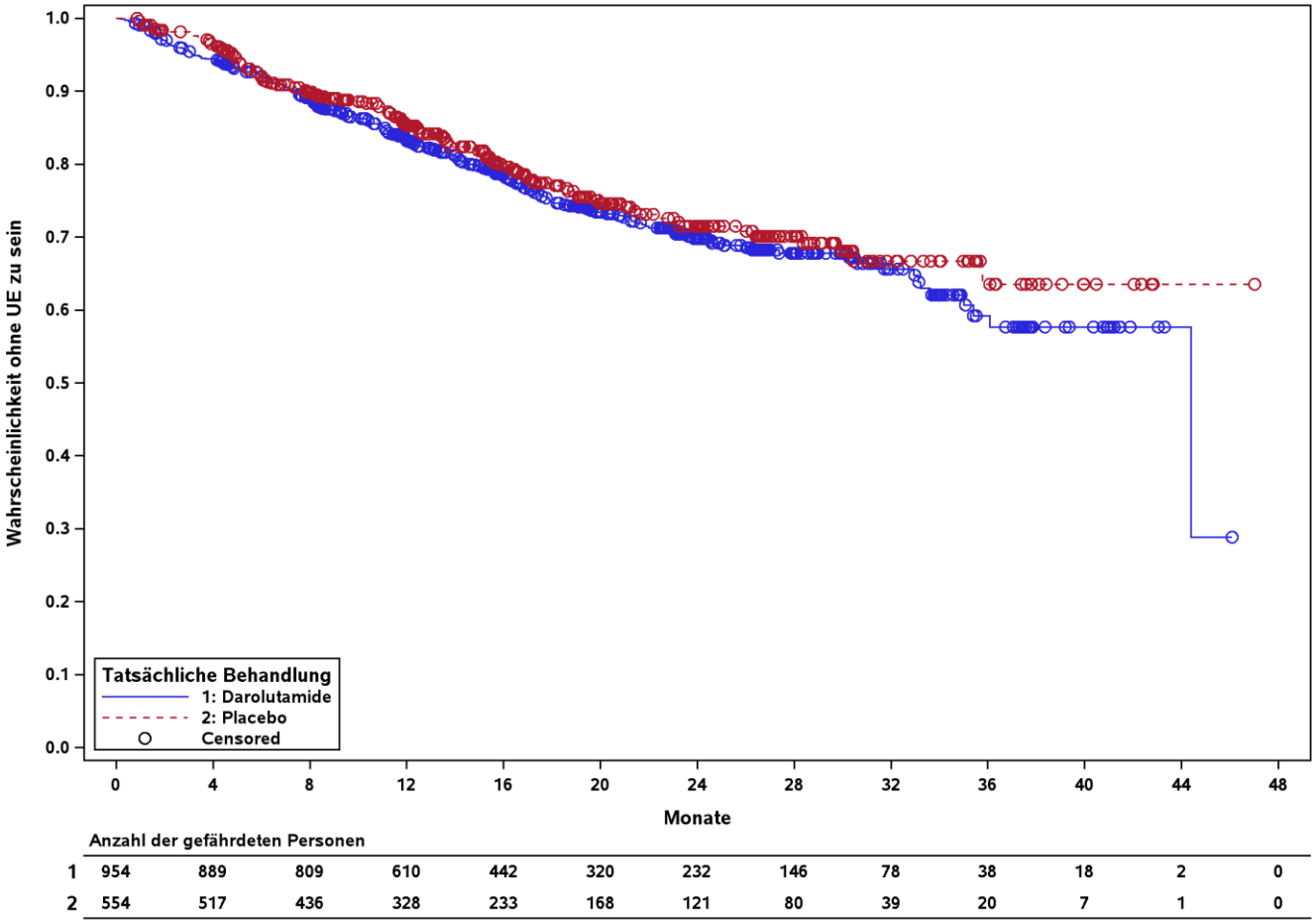
Bayer: /by-sasp/patdb/projects/1841788/17712/stat/prod_query22/pgms/t_ae.sas 23APR2020 16:56

Figure 4.2.4 / 3: Kaplan-Meier-Plot der Unerwünschte Ereignisse Time-to-Event-Analyse nach Endpunkt - Endpunkt: Zeit bis zum ersten behandlungsbedingten SUE (TRSAE) (full analysis set)



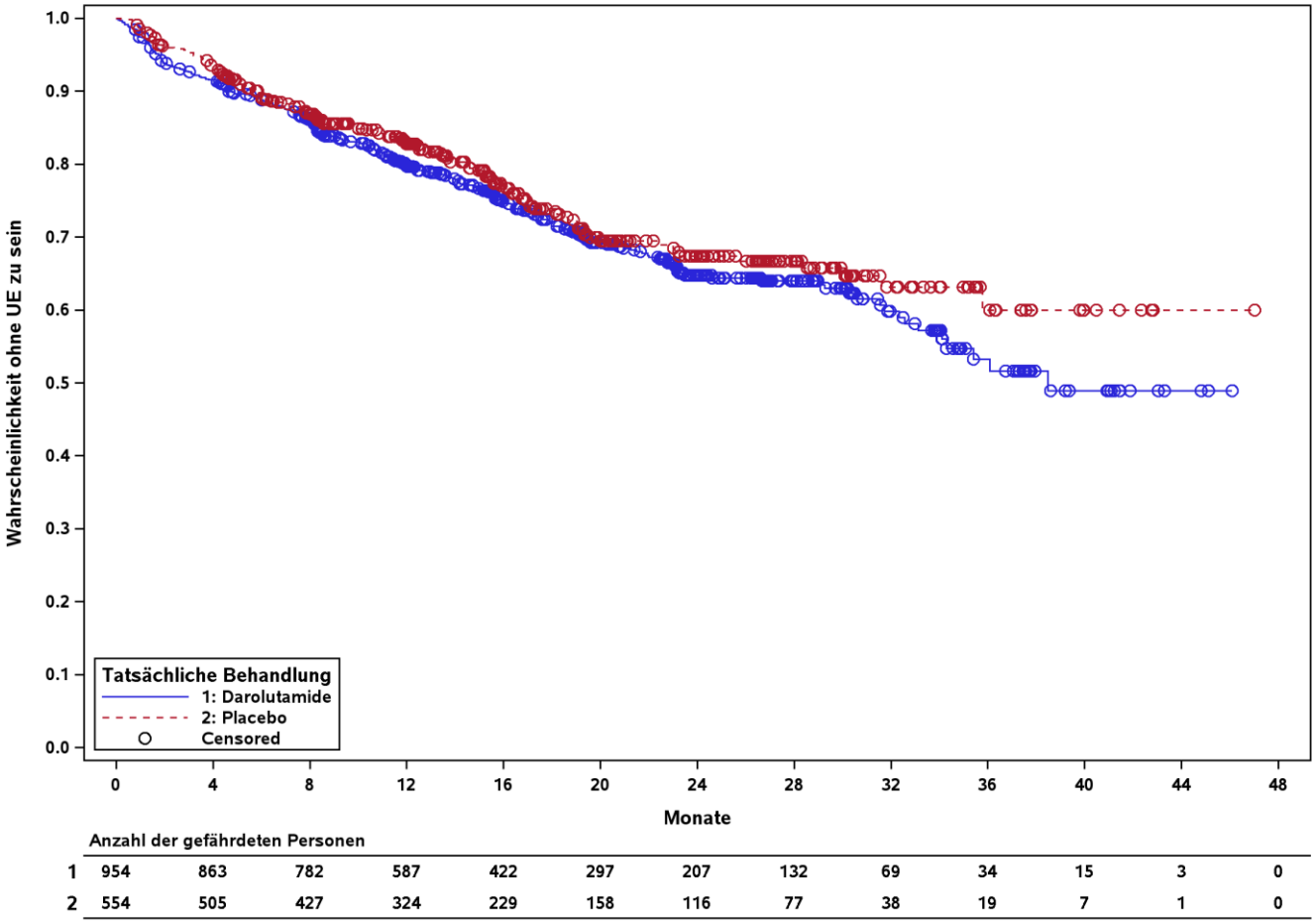
Bayer: /by-sasp/patdb/projects/1841788/17712/stat/prod_query22/pgms/t_ae.sas 23APR2020 16:56

Figure 4.2.4 / 4: Kaplan-Meier-Plot der Unerwünschte Ereignisse Time-to-Event-Analyse nach Endpunkt - Endpunkt: Zeit bis zum ersten SUE mit Ausnahme krankheitsbedingter Ereignisse (full analysis set)



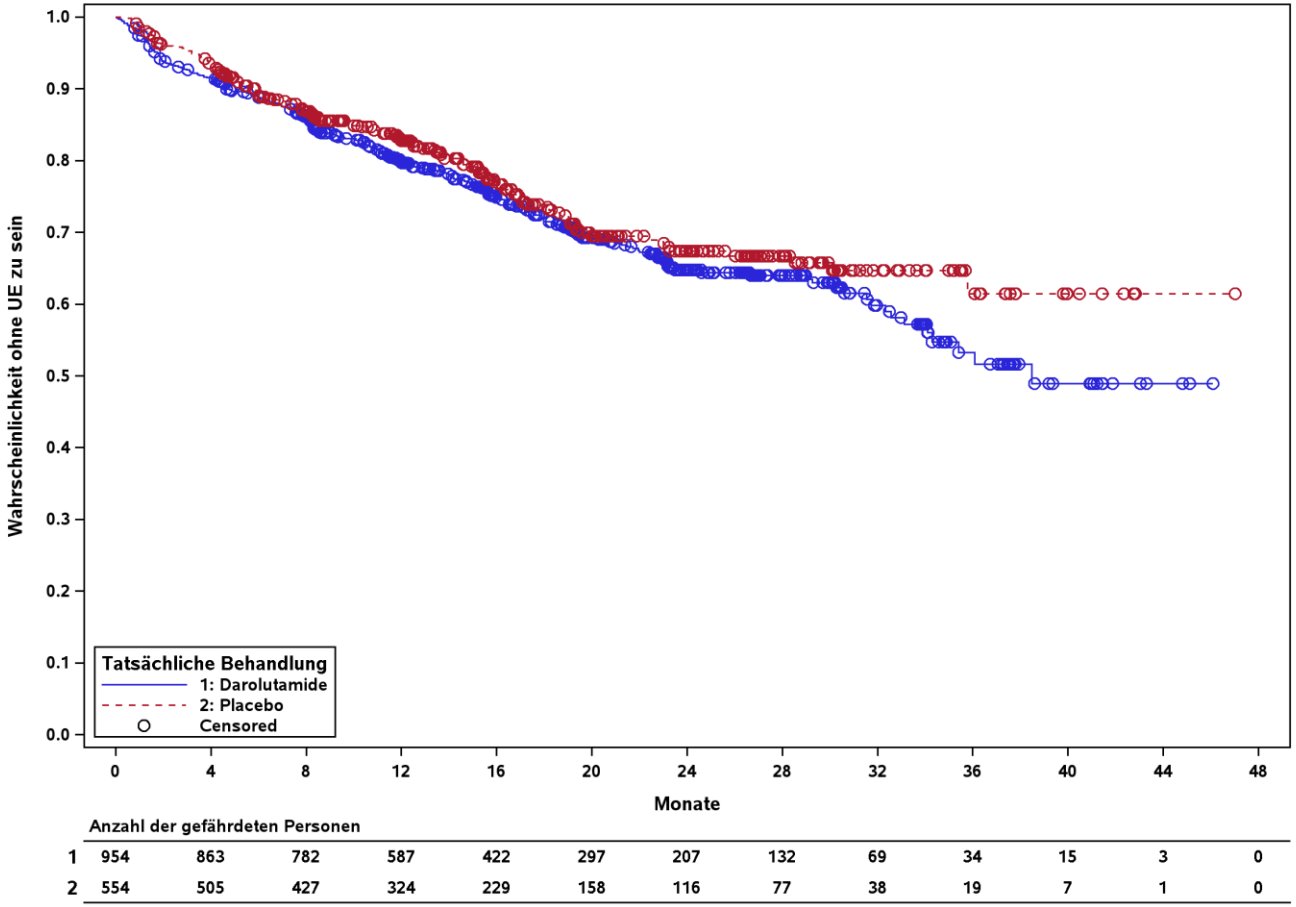
Bayer: /by-sasp/patdb/projects/1841788/17712/stat/prod_query22/pgms/t_ae.sas 23APR2020 16:56

Figure 4.2.4 / 5: Kaplan-Meier-Plot der Unerwünschte Ereignisse Time-to-Event-Analyse nach Endpunkt - Endpunkt: Zeit bis zum ersten UE mit CTCAE Grad >=3 (full analysis set)



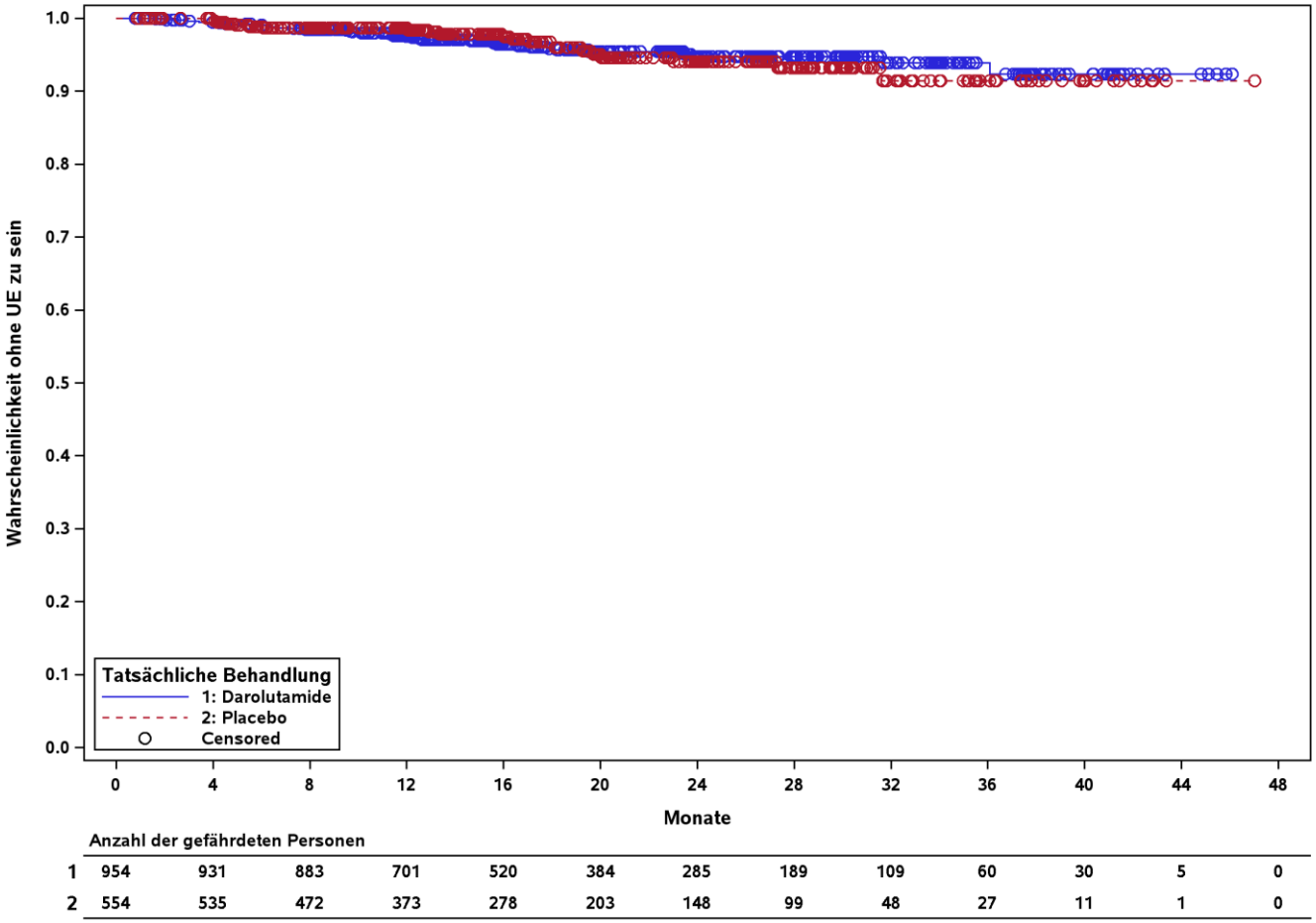
Bayer: /by-sasp/patdb/projects/1841788/17712/stat/prod_query22/pgms/t_ae.sas 23APR2020 16:56

Figure 4.2.4 / 6: Kaplan-Meier-Plot der Unerwünschte Ereignisse Time-to-Event-Analyse nach Endpunkt - Endpunkt: Zeit bis zum ersten UE mit CTCAE Grad >=3 mit Ausnahme krankheitsbedingter Ereignisse (full analysis set)



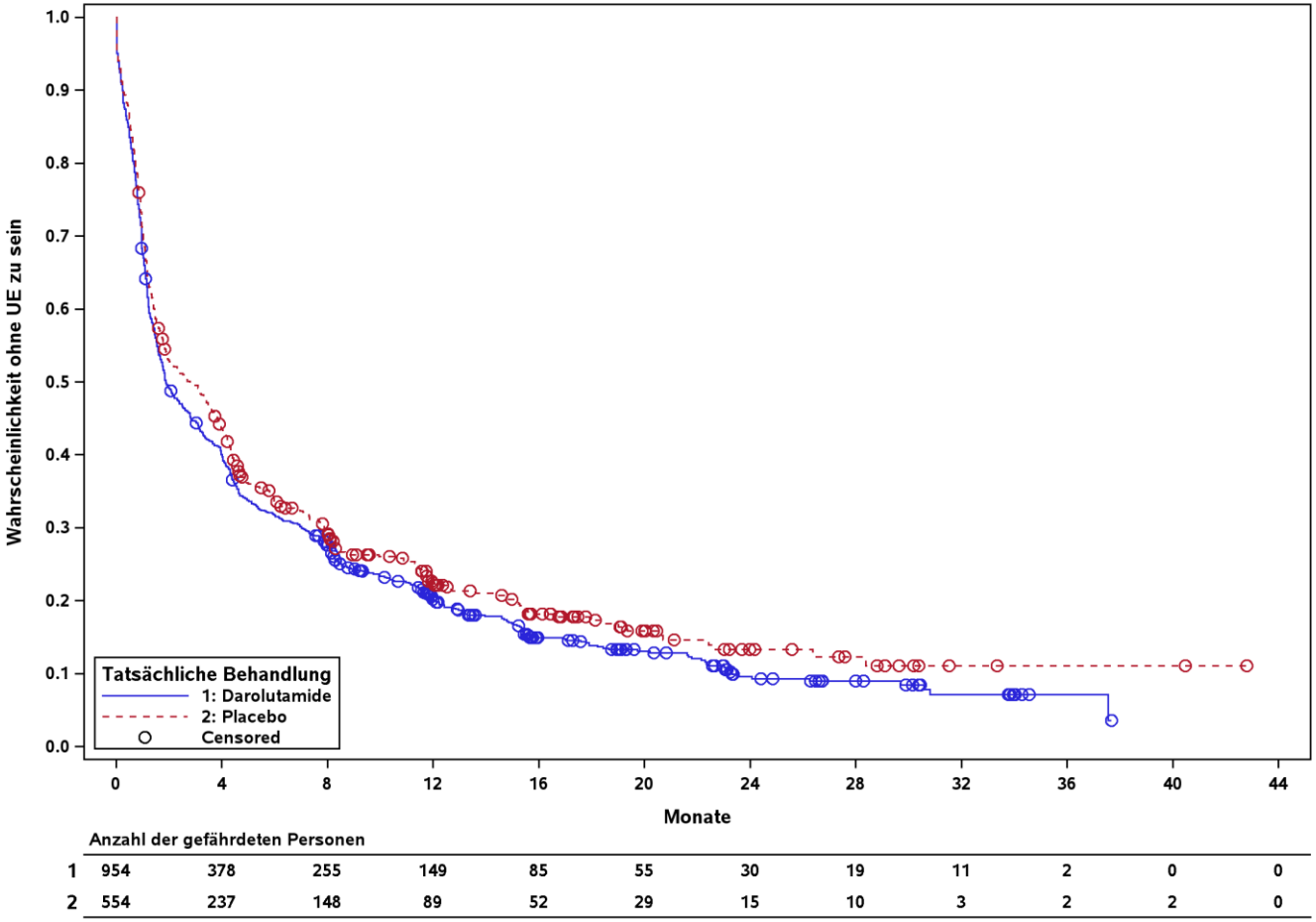
Bayer: /by-sasp/patdb/projects/1841788/17712/stat/prod_query22/pgms/t_ae.sas 23APR2020 16:56

Figure 4.2.4 / 7: Kaplan-Meier-Plot der Unerwünschte Ereignisse Time-to-Event-Analyse nach Endpunkt - Endpunkt: Zeit bis zum ersten UE das zum Tod führt (full analysis set)



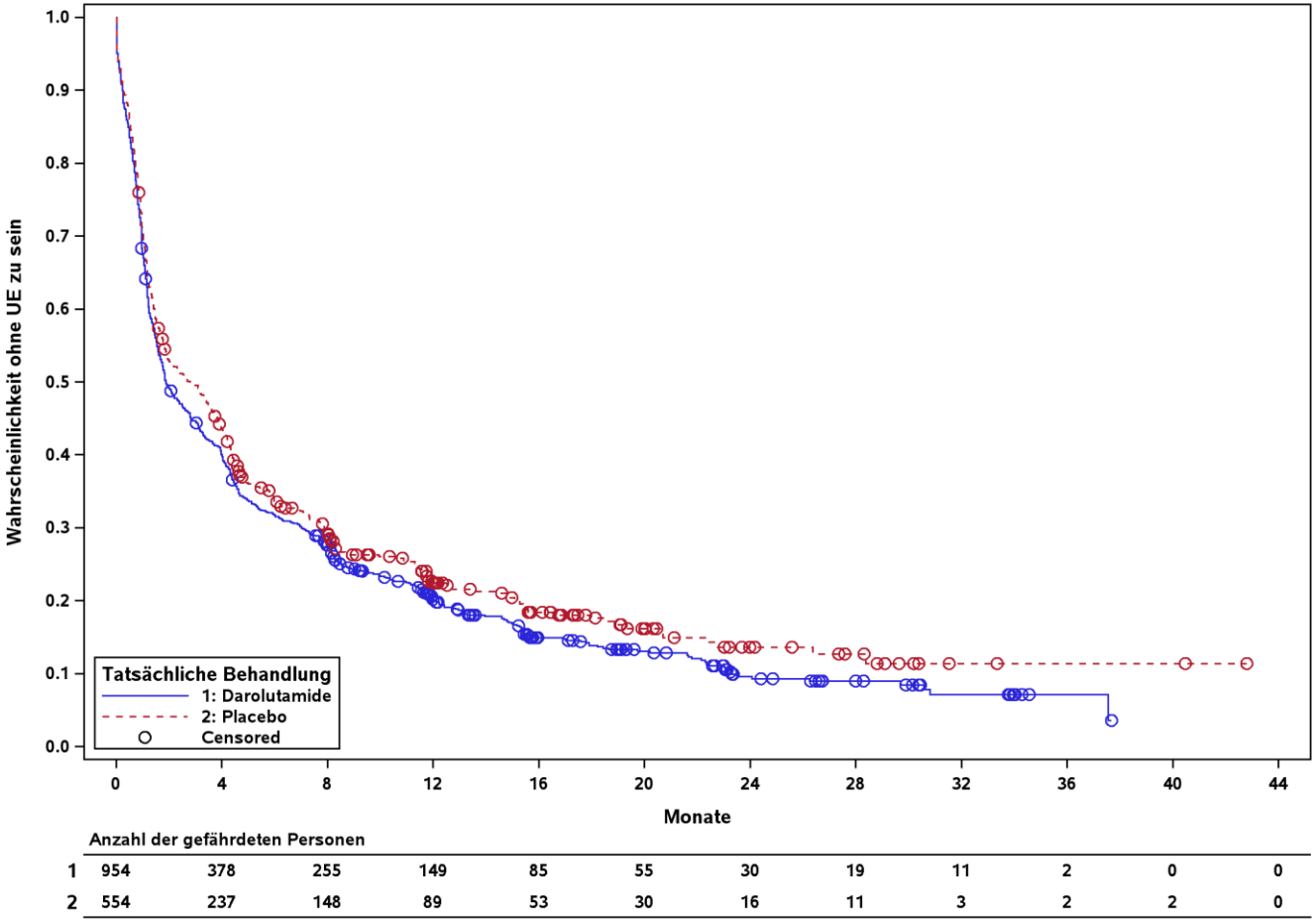
Bayer: /by-sasp/patdb/projects/1841788/17712/stat/prod_query22/pgms/t_ae.sas 23APR2020 16:56

Figure 4.2.4 / 8: Kaplan-Meier-Plot der Unerwünschte Ereignisse Time-to-Event-Analyse nach Endpunkt - Endpunkt: Zeit bis zum ersten UE (full analysis set)



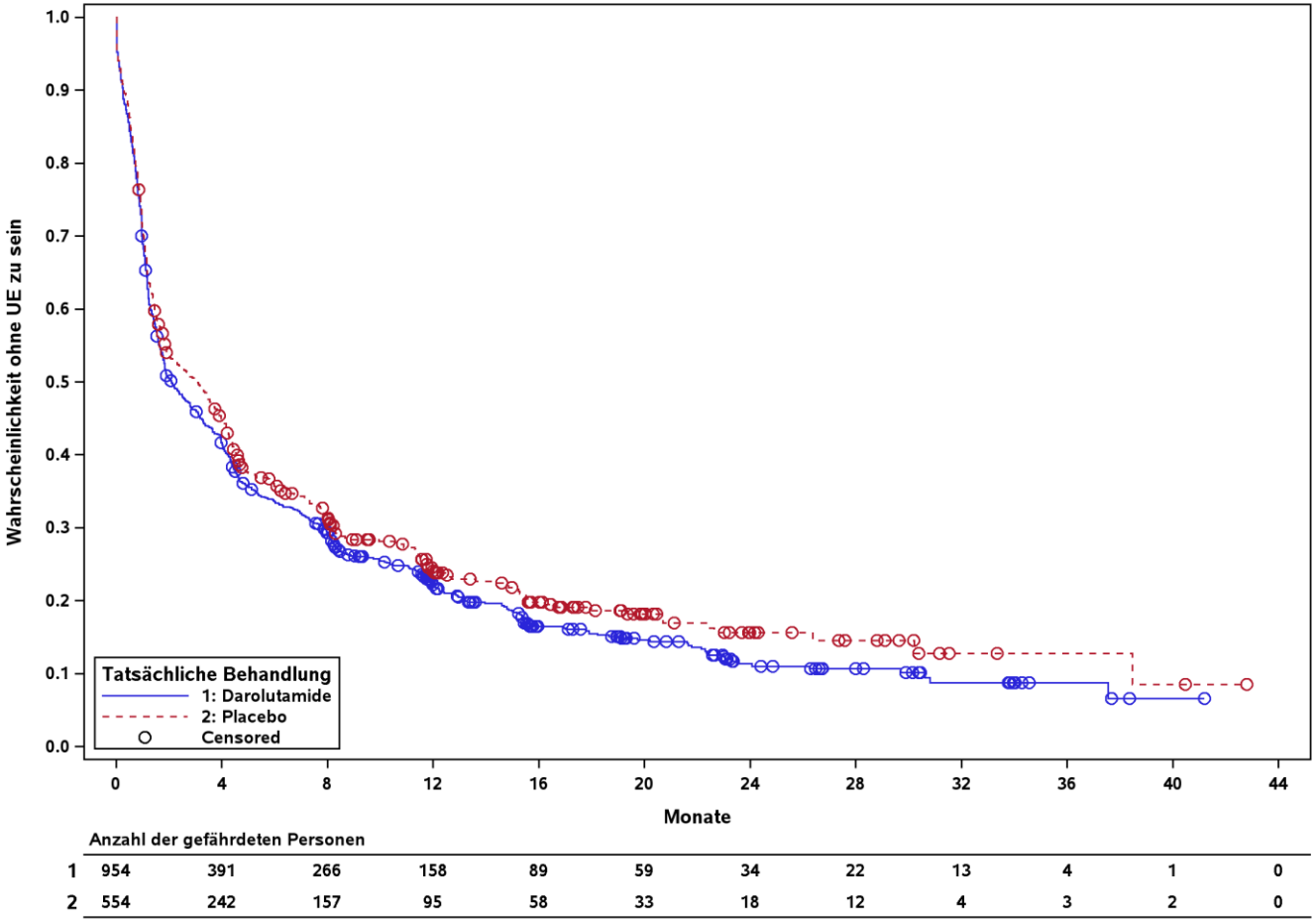
Bayer: /by-sasp/patdb/projects/1841788/17712/stat/prod_query22/pgms/t_ae.sas 23APR2020 16:56

Figure 4.2.4 / 9: Kaplan-Meier-Plot der Unerwünschte Ereignisse Time-to-Event-Analyse nach Endpunkt - Endpunkt: Zeit bis zum ersten UE mit Ausnahme krankheitsbedingter Ereignisse (full analysis set)



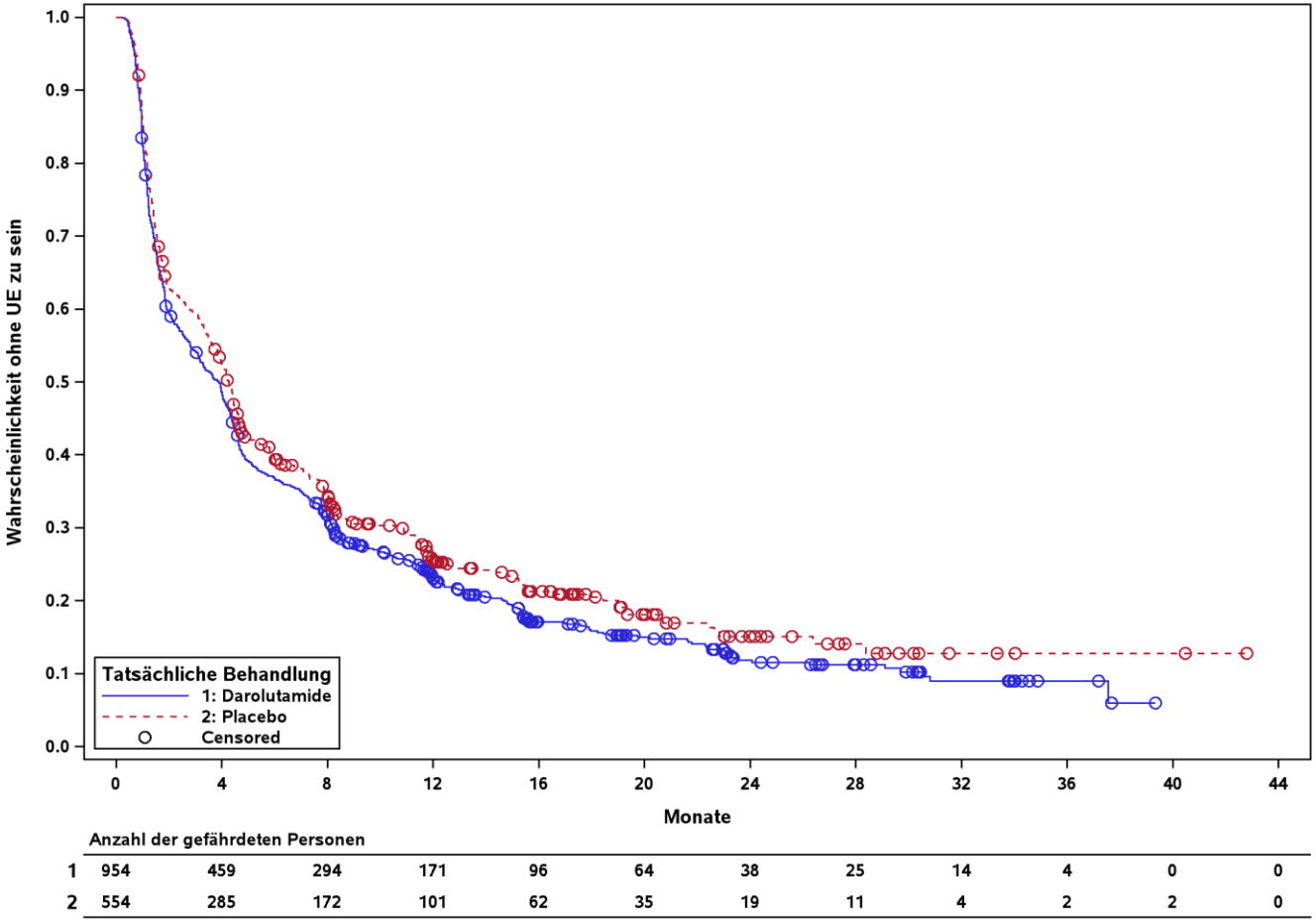
Bayer: /by-sasp/patdb/projects/1841788/17712/stat/prod_query22/pgms/t_ae.sas 23APR2020 16:56

Figure 4.2.4 / 10: Kaplan-Meier-Plot der Unerwünschte Ereignisse Time-to-Event-Analyse nach Endpunkt - Endpunkt: Zeit bis zum ersten UE mit CTCAE Grad <3 (full analysis set)



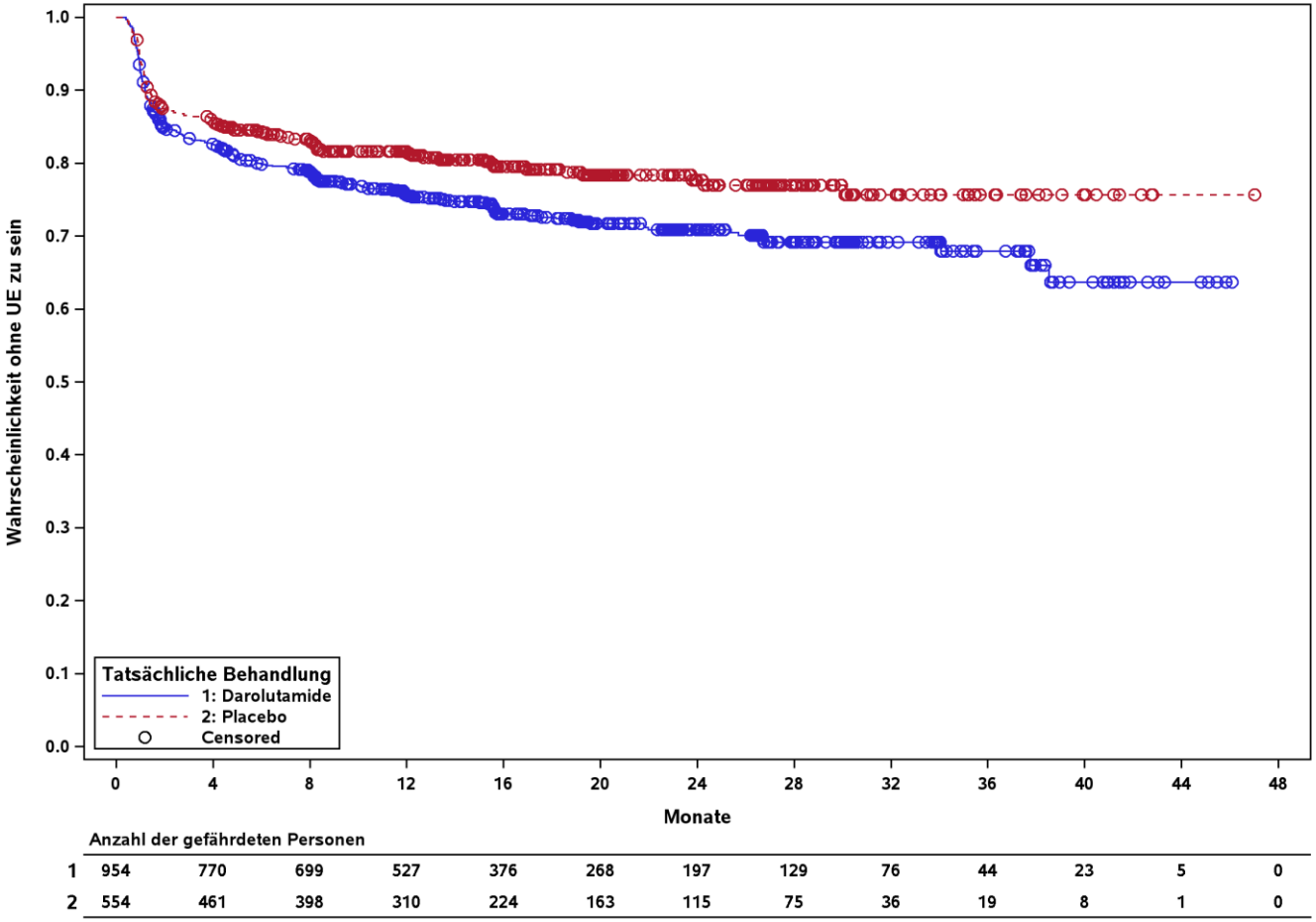
Bayer: /by-sasp/patdb/projects/1841788/17712/stat/prod_query22/pgms/t_ae.sas 23APR2020 16:56

Figure 4.2.4 / 11: Kaplan-Meier-Plot der Unerwünschte Ereignisse Time-to-Event-Analyse nach Endpunkt - Endpunkt: Zeit bis zum ersten unter der Behandlung aufgetretenen UE (TEAE) (full analysis set)



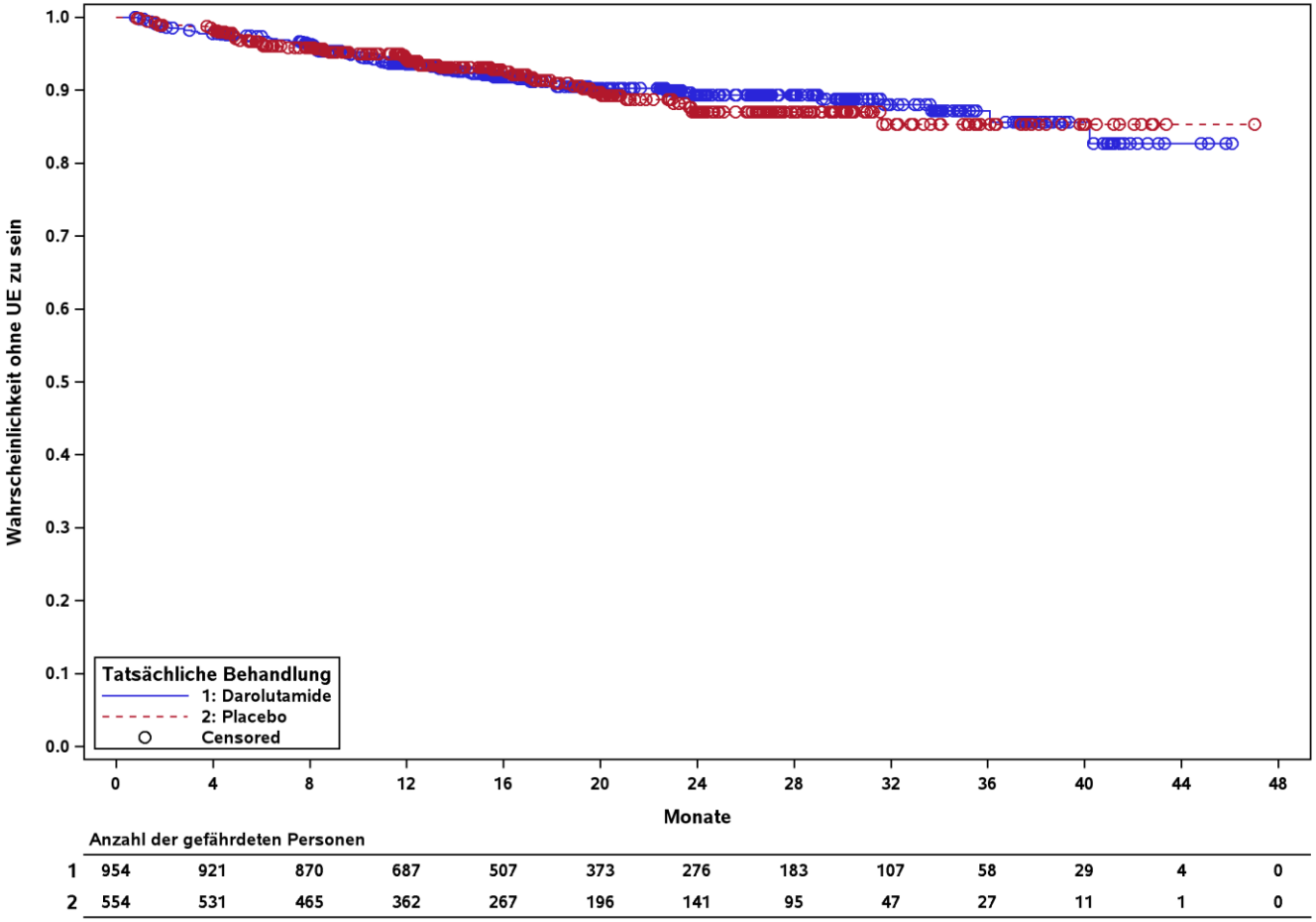
Bayer: /by-sasp/patdb/projects/1841788/17712/stat/prod_query22/pgms/t_ae.sas 23APR2020 16:56

Figure 4.2.4 / 12: Kaplan-Meier-Plot der Unerwünschte Ereignisse Time-to-Event-Analyse nach Endpunkt - Endpunkt: Zeit bis zum ersten behandlungsbedingten UE (TRAE) (full analysis set)



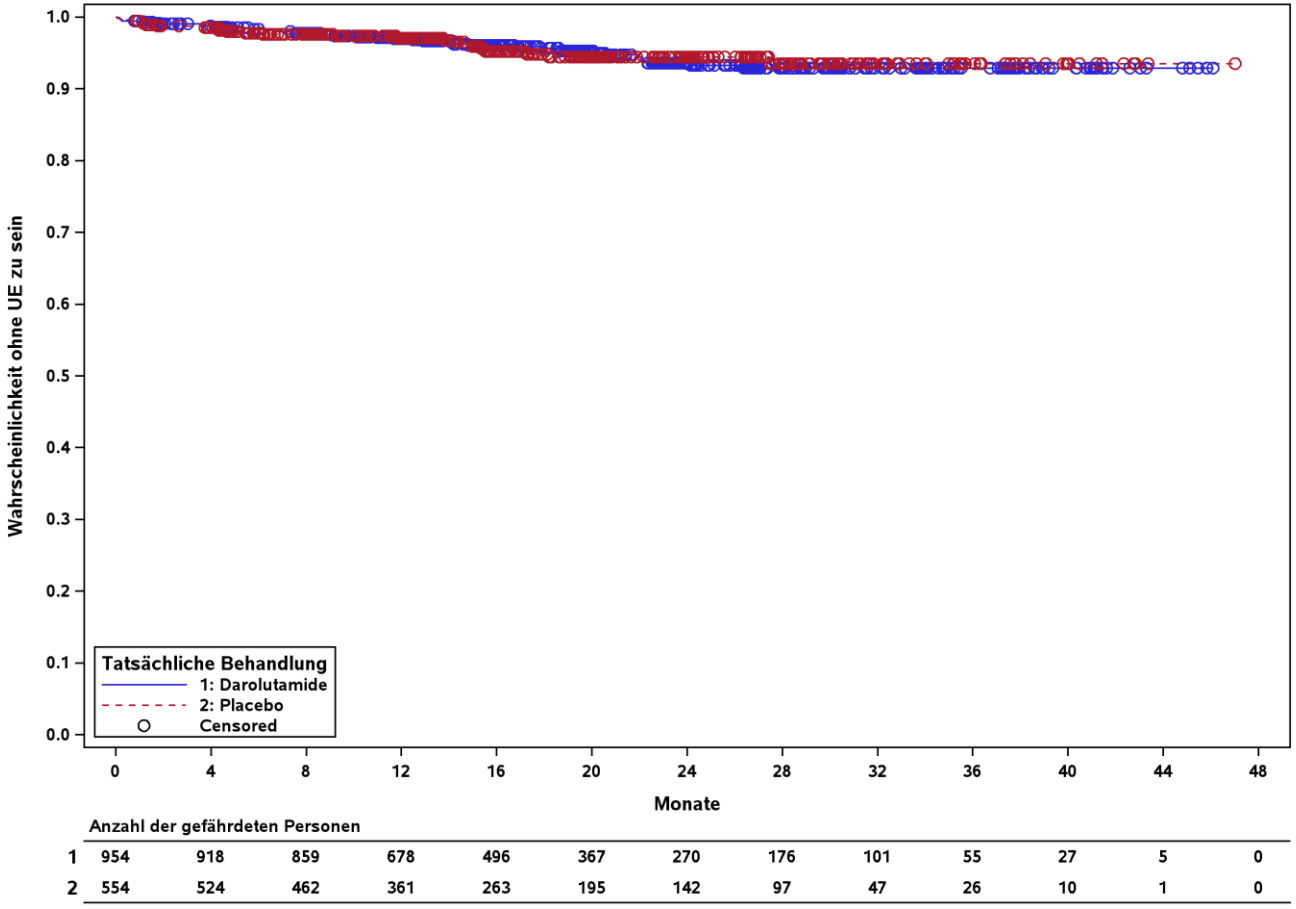
Bayer: /by-sasp/patdb/projects/1841788/17712/stat/prod_query22/pgms/t_ae.sas 23APR2020 16:56

Figure 4.2.4 / 13: Kaplan-Meier-Plot der Unerwünschte Ereignisse Time-to-Event-Analyse nach Endpunkt - Endpunkt: Zeit bis zum ersten zum Therapieabbruch führenden Ereignis (full analysis set)



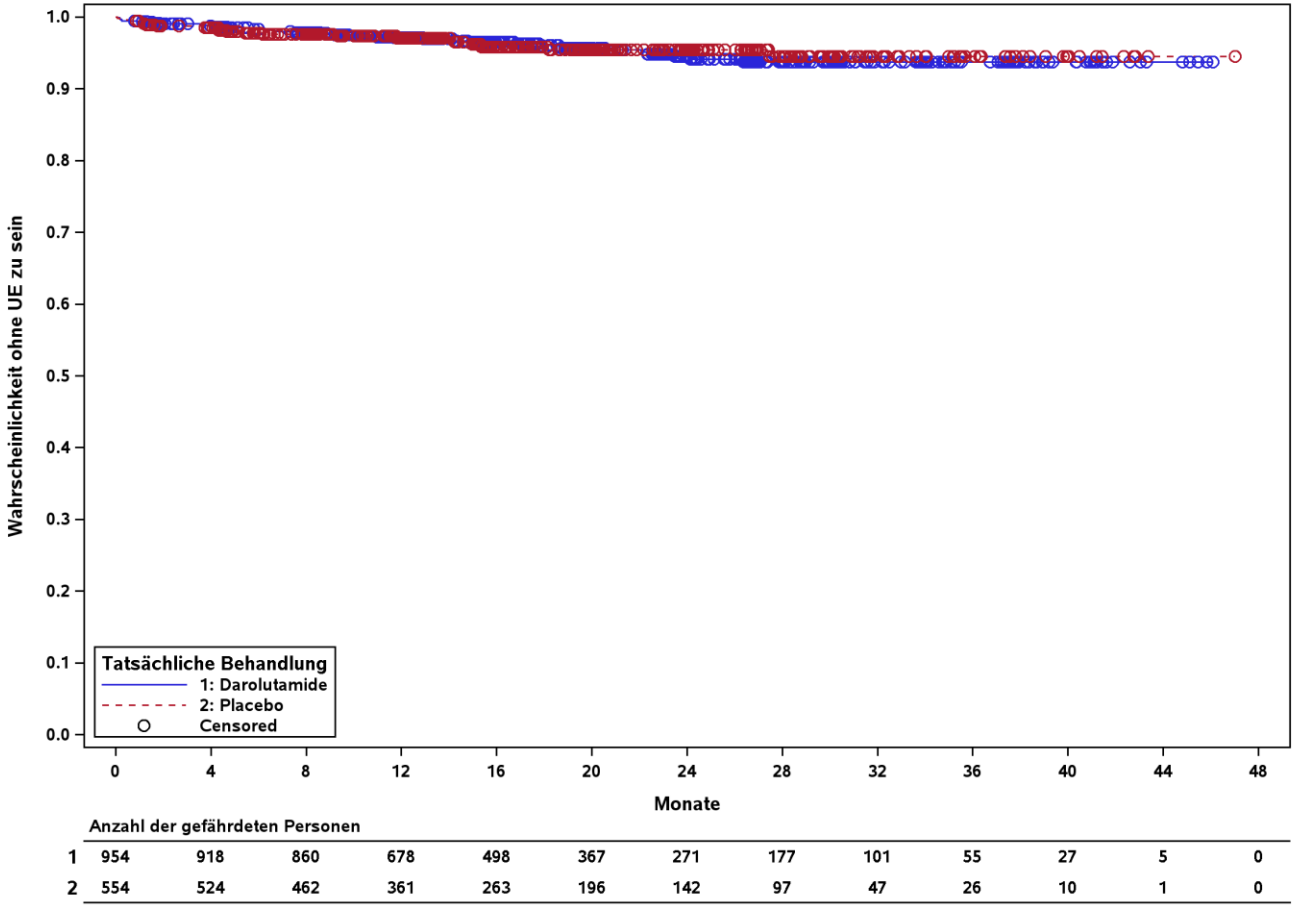
Bayer: /by-sasp/patdb/projects/1841788/17712/stat/prod_query22/pgms/t_ae.sas 23APR2020 16:56

Figure 4.2.4 / 14: Kaplan-Meier-Plot der 'Unerwünschte Ereignisse von besonderem Interesse' Time-to-Event-Analyse nach Endpunkt - Endpunkt: Zeit bis zum ersten UE von besonderem Interesse: Bone fractures (full analysis set)



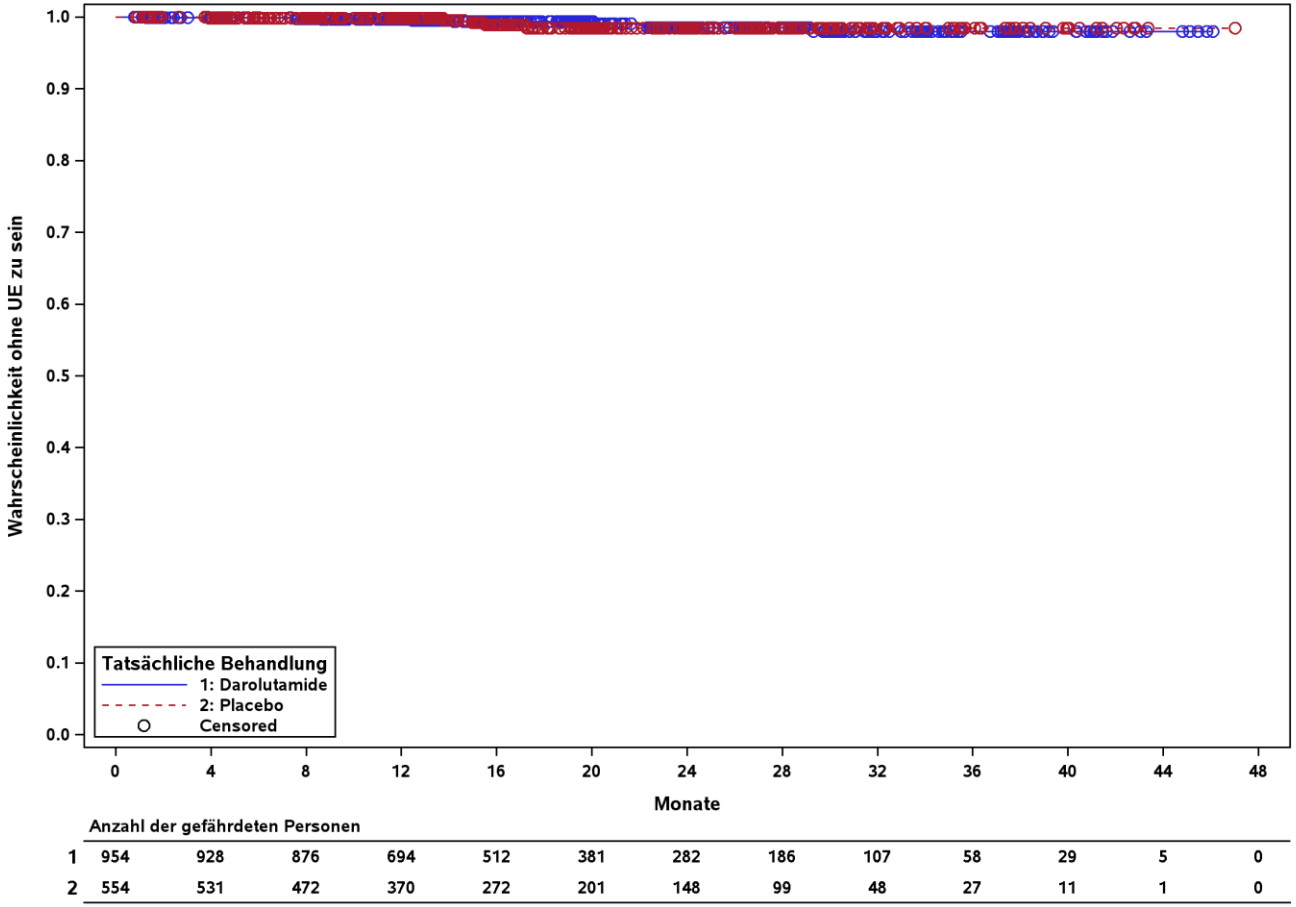
Bayer: /by-sasp/patdb/projects/1841788/17712/stat/prod_query22/pgms/t_aesi.sas 23APR2020 16:58

Figure 4.2.4 / 15: Kaplan-Meier-Plot der 'Unerwünschte Ereignisse von besonderem Interesse' Time-to-Event-Analyse nach Endpunkt - Endpunkt: Zeit bis zum ersten UE von besonderem Interesse mit CTCAE Grad <3: Bone fractures (full analysis set)



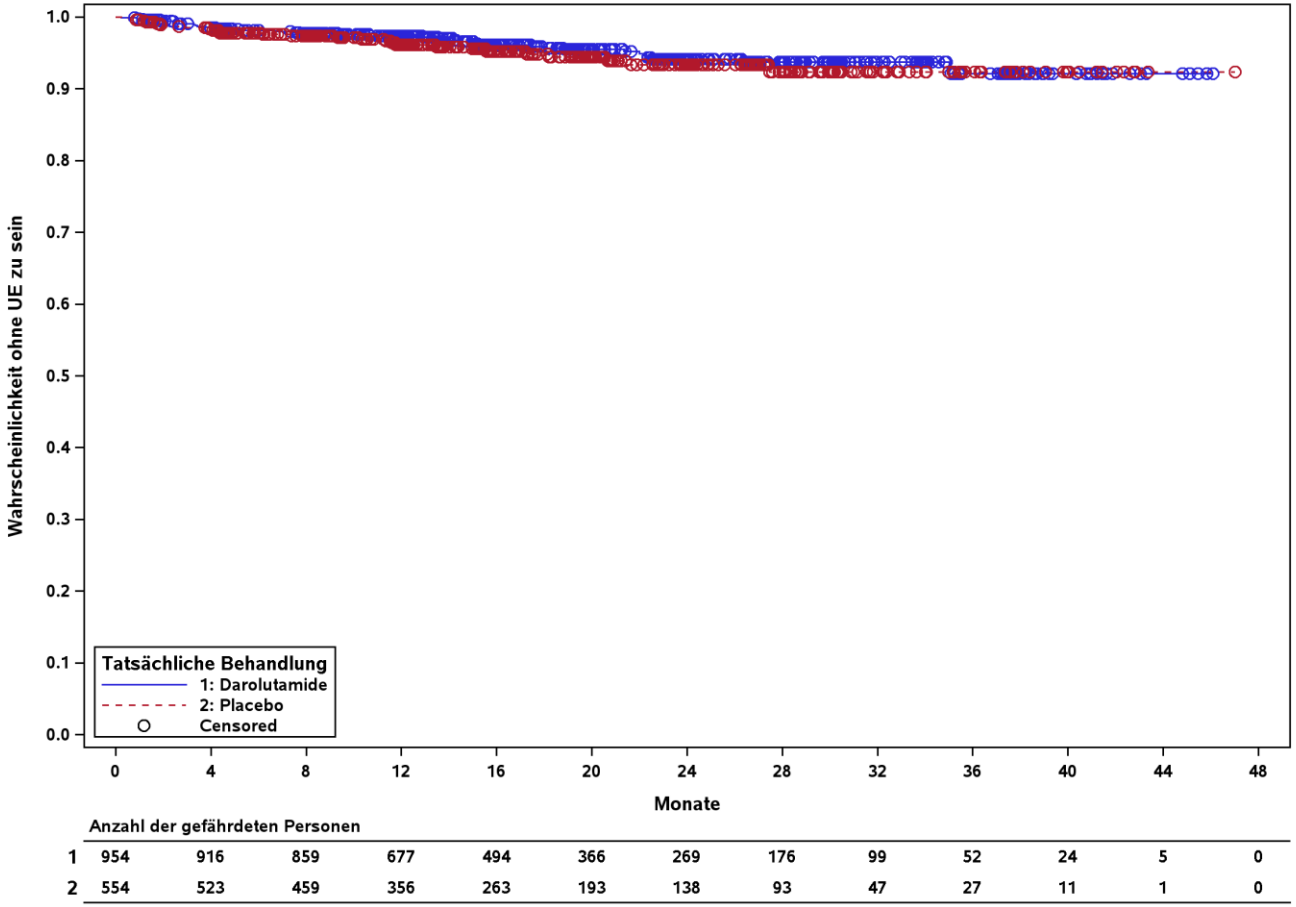
Bayer: /by-sasp/patdb/projects/1841788/17712/stat/prod_query22/pgms/t_aesi.sas 23APR2020 16:58

Figure 4.2.4 / 16: Kaplan-Meier-Plot der 'Unerwünschte Ereignisse von besonderem Interesse' Time-to-Event-Analyse nach Endpunkt - Endpunkt: Zeit bis zum ersten UE von besonderem Interesse mit CTCAE Grad >=3: Bone fractures (full analysis set)



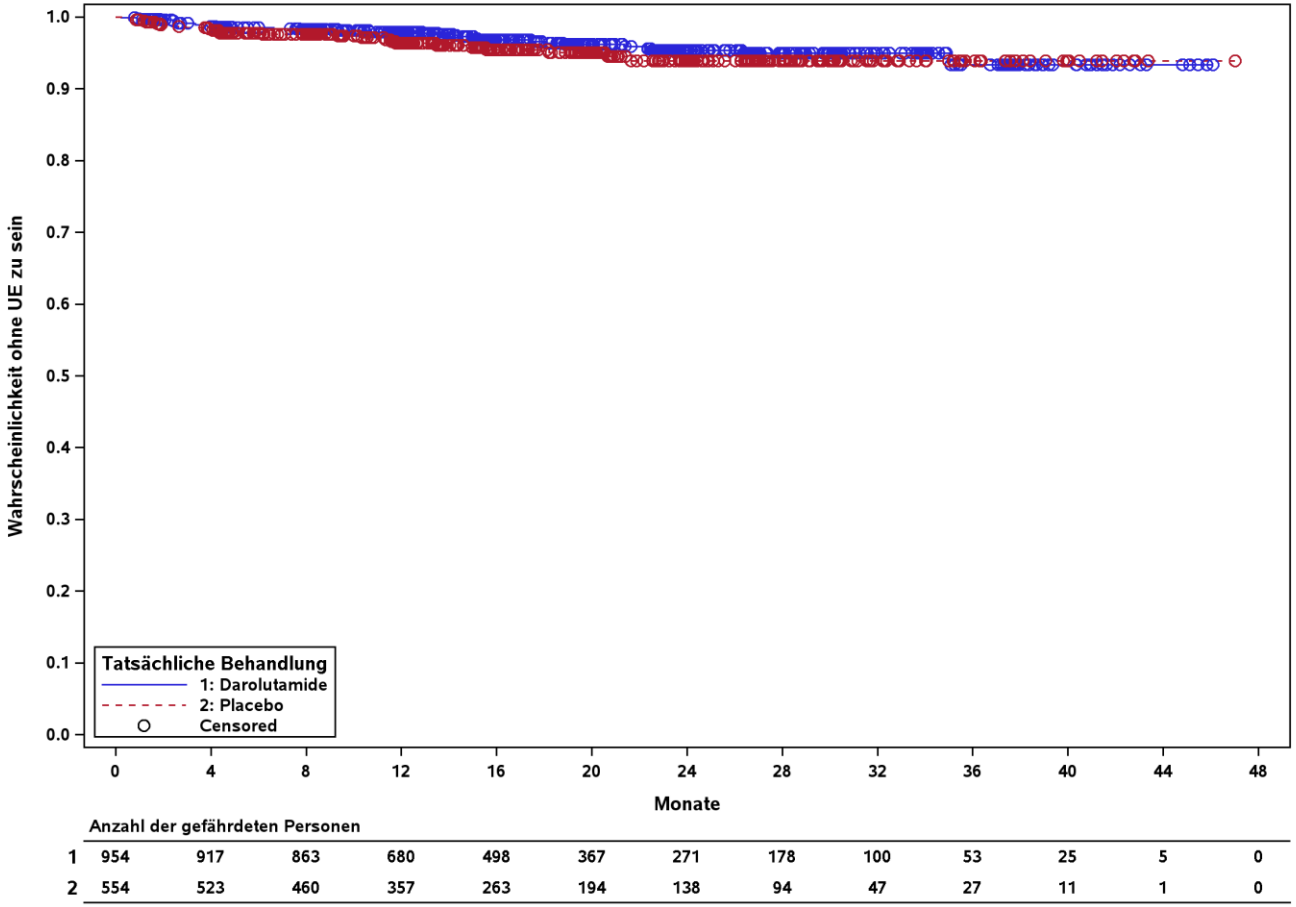
Bayer: /by-sasp/patdb/projects/1841788/17712/stat/prod_query22/pgms/t_aesi.sas 23APR2020 16:58

Figure 4.2.4 / 17: Kaplan-Meier-Plot der 'Unerwünschte Ereignisse von besonderem Interesse' Time-to-Event-Analyse nach Endpunkt - Endpunkt: Zeit bis zum ersten UE von besonderem Interesse: Fall (full analysis set)



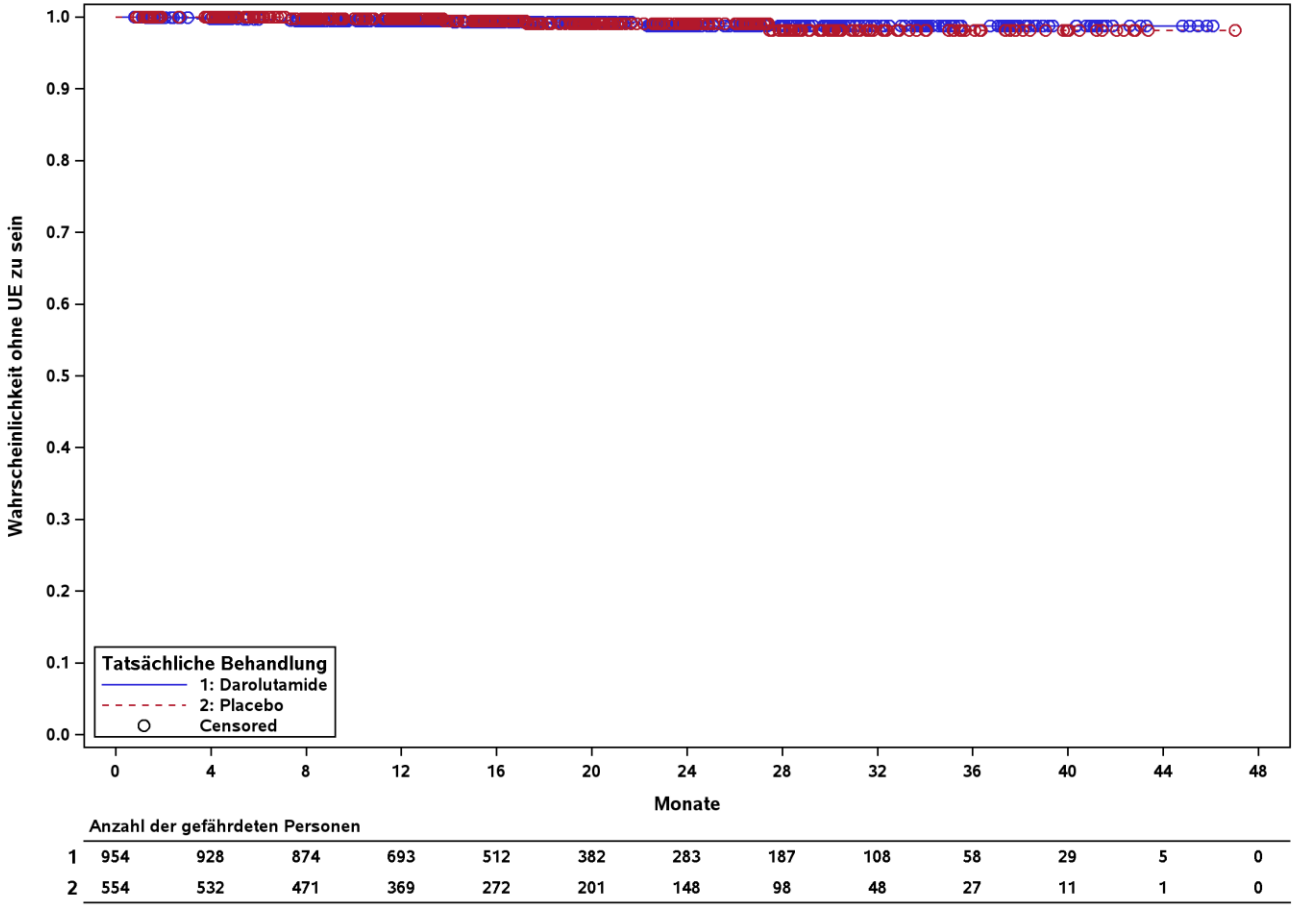
Bayer: /by-sasp/patdb/projects/1841788/17712/stat/prod_query22/pgms/t_aesi.sas 23APR2020 16:58

Figure 4.2.4 / 18: Kaplan-Meier-Plot der 'Unerwünschte Ereignisse von besonderem Interesse' Time-to-Event-Analyse nach Endpunkt - Endpunkt: Zeit bis zum ersten UE von besonderem Interesse mit CTCAE Grad <3: Fall (full analysis set)



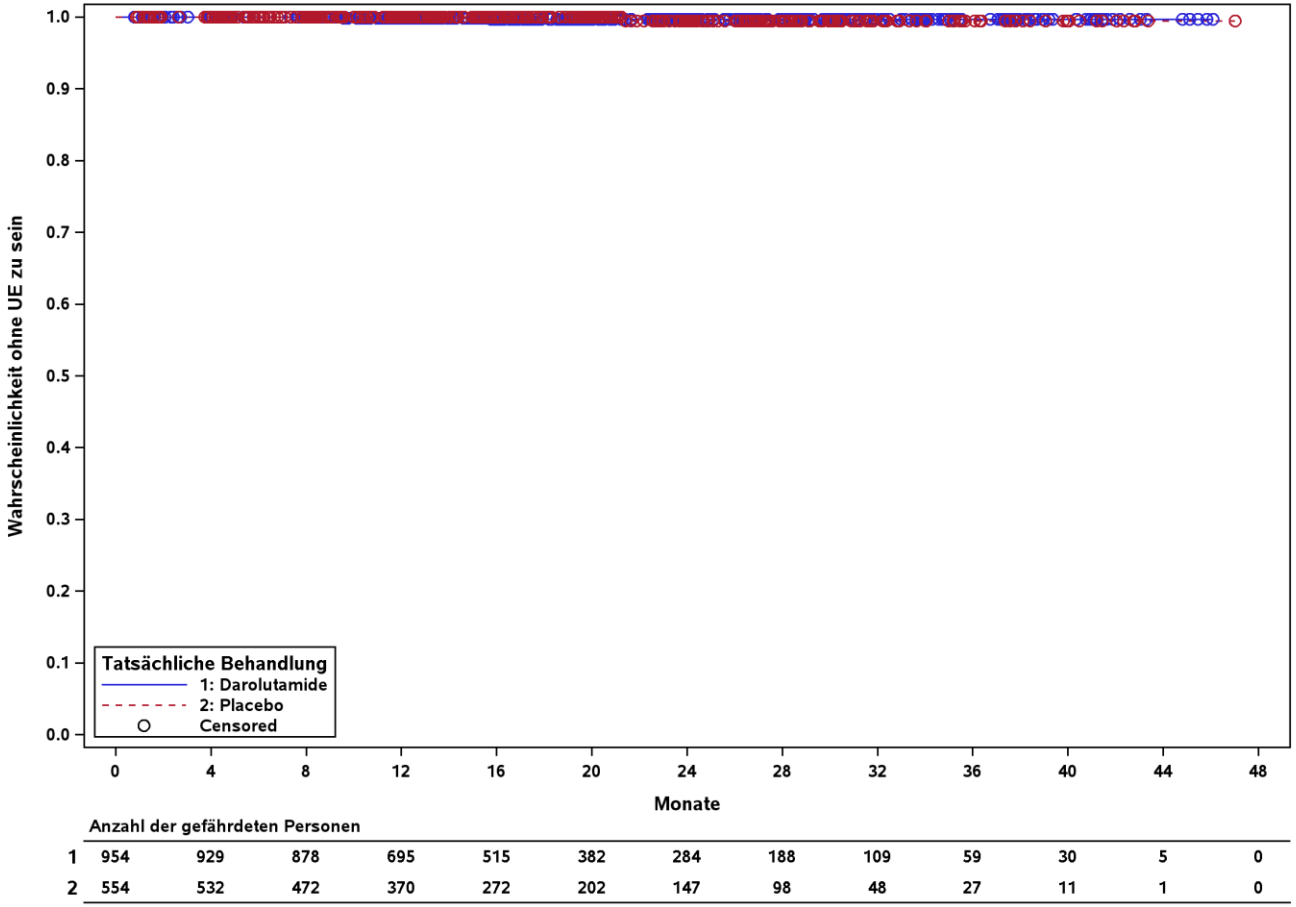
Bayer: /by-sasp/patdb/projects/1841788/17712/stat/prod_query22/pgms/t_aesi.sas 23APR2020 16:58

Figure 4.2.4 / 19: Kaplan-Meier-Plot der 'Unerwünschte Ereignisse von besonderem Interesse' Time-to-Event-Analyse nach Endpunkt - Endpunkt: Zeit bis zum ersten UE von besonderem Interesse mit CTCAE Grad >=3: Fall (full analysis set)



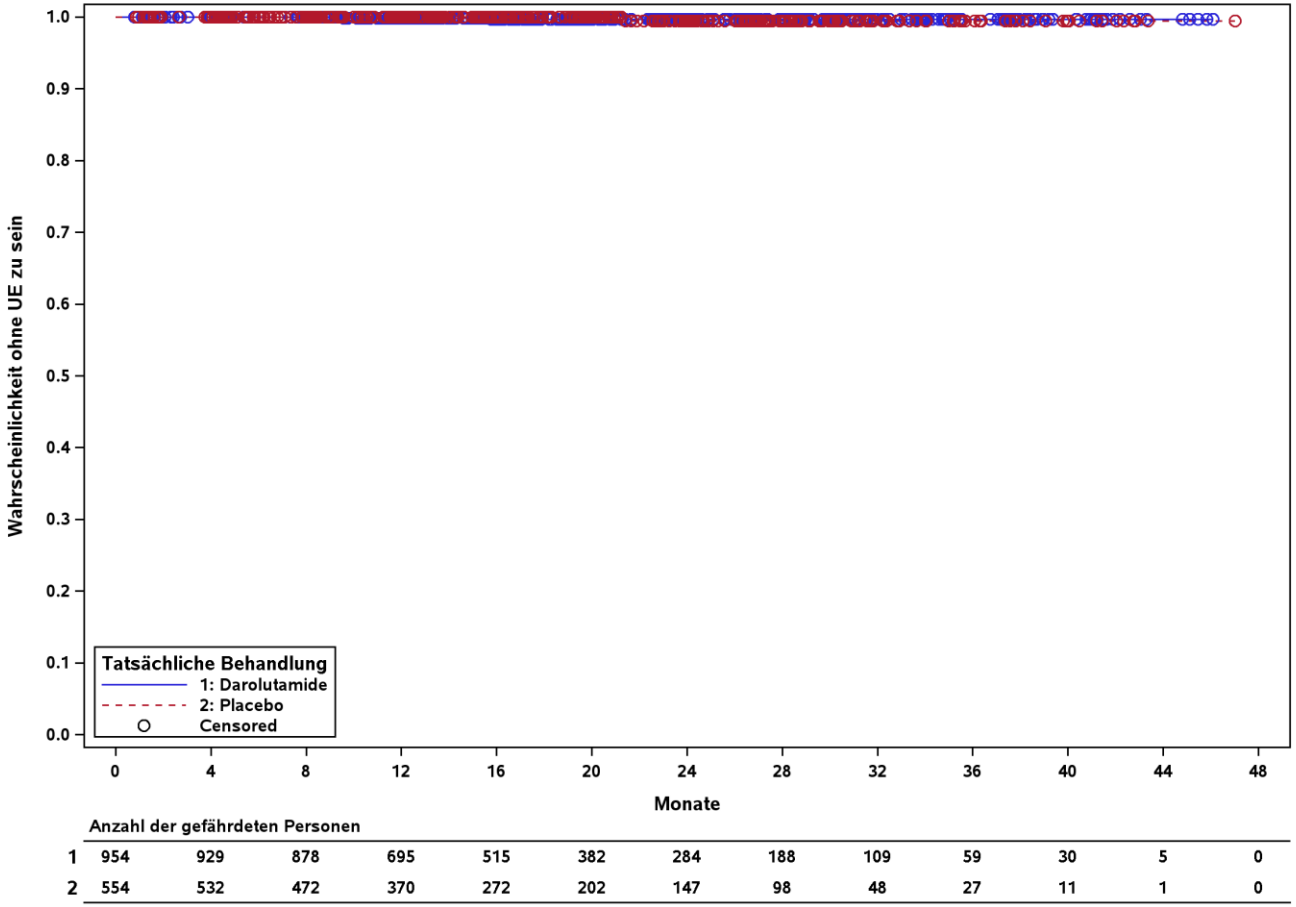
Bayer: /by-sasp/patdb/projects/1841788/17712/stat/prod_query22/pgms/t_aesi.sas 23APR2020 16:58

Figure 4.2.4 / 20: Kaplan-Meier-Plot der 'Unerwünschte Ereignisse von besonderem Interesse' Time-to-Event-Analyse nach Endpunkt - Endpunkt: Zeit bis zum ersten UE von besonderem Interesse: Seizure (full analysis set)



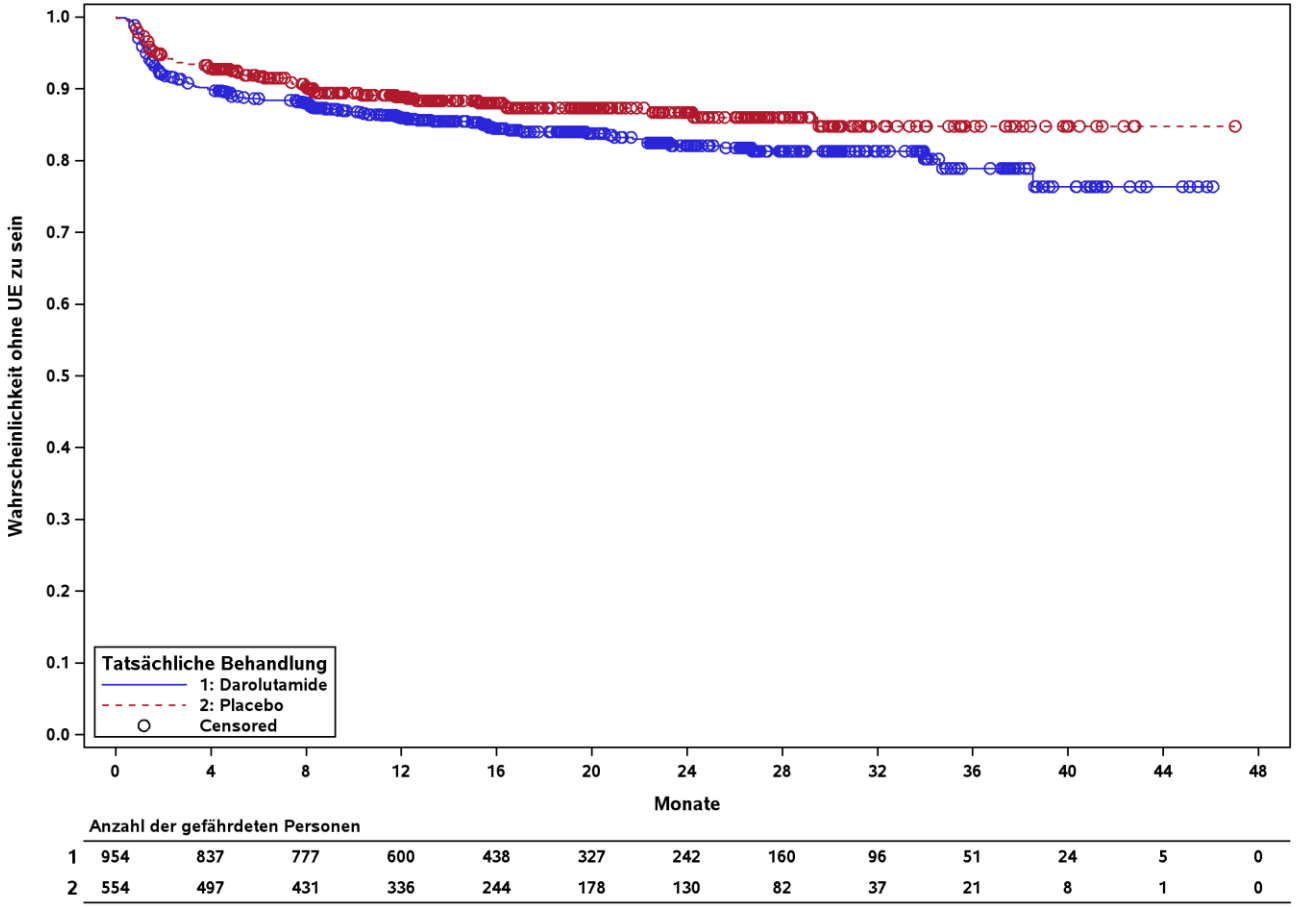
Bayer: /by-sasp/patdb/projects/1841788/17712/stat/prod_query22/pgms/t_aesi.sas 23APR2020 16:58

Figure 4.2.4 / 21: Kaplan-Meier-Plot der 'Unerwünschte Ereignisse von besonderem Interesse' Time-to-Event-Analyse nach Endpunkt - Endpunkt: Zeit bis zum ersten UE von besonderem Interesse mit CTCAE Grad <3: Seizure (full analysis set)



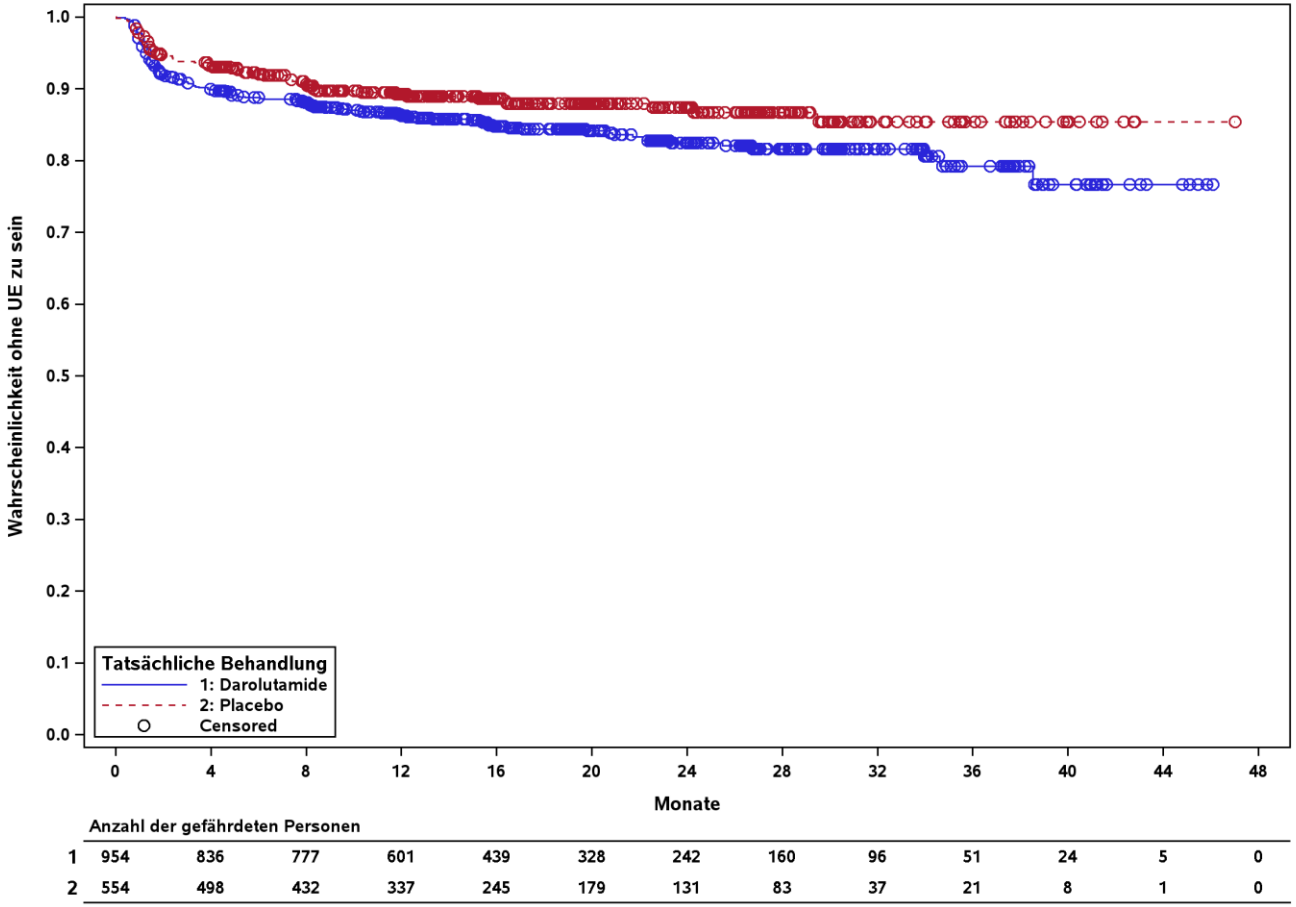
Bayer: /by-sasp/patdb/projects/1841788/17712/stat/prod_query22/pgms/t_aesi.sas 23APR2020 16:58

Figure 4.2.4 / 22: Kaplan-Meier-Plot der 'Unerwünschte Ereignisse von besonderem Interesse' Time-to-Event-Analyse nach Endpunkt - Endpunkt: Zeit bis zum ersten UE von besonderem Interesse: Fatigue (full analysis set)



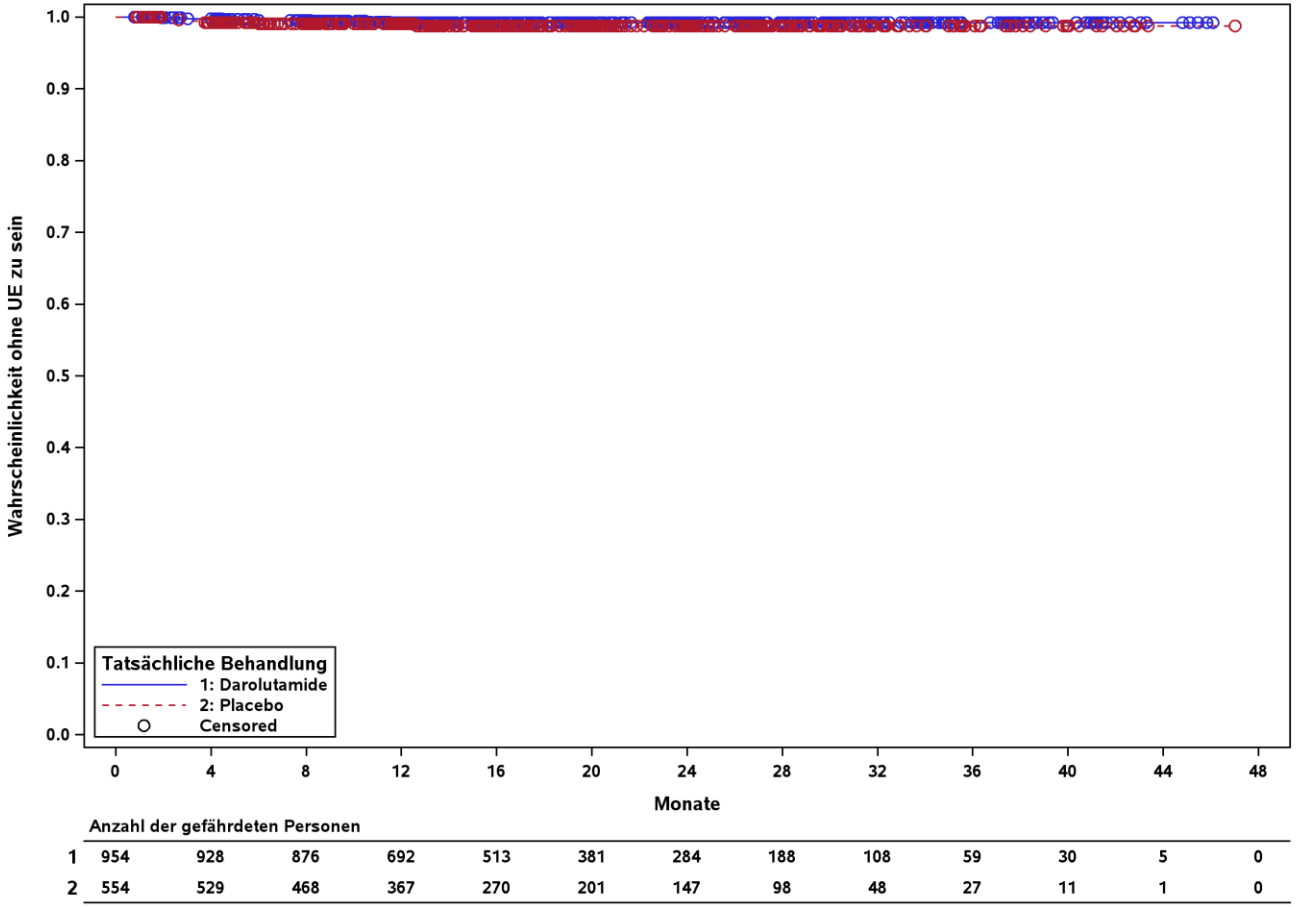
Bayer: /by-sasp/patdb/projects/1841788/17712/stat/prod_query22/pgms/t_aesi.sas 23APR2020 16:58

Figure 4.2.4 / 23: Kaplan-Meier-Plot der 'Unerwünschte Ereignisse von besonderem Interesse' Time-to-Event-Analyse nach Endpunkt - Endpunkt: Zeit bis zum ersten UE von besonderem Interesse mit CTCAE Grad <3: Fatigue (full analysis set)



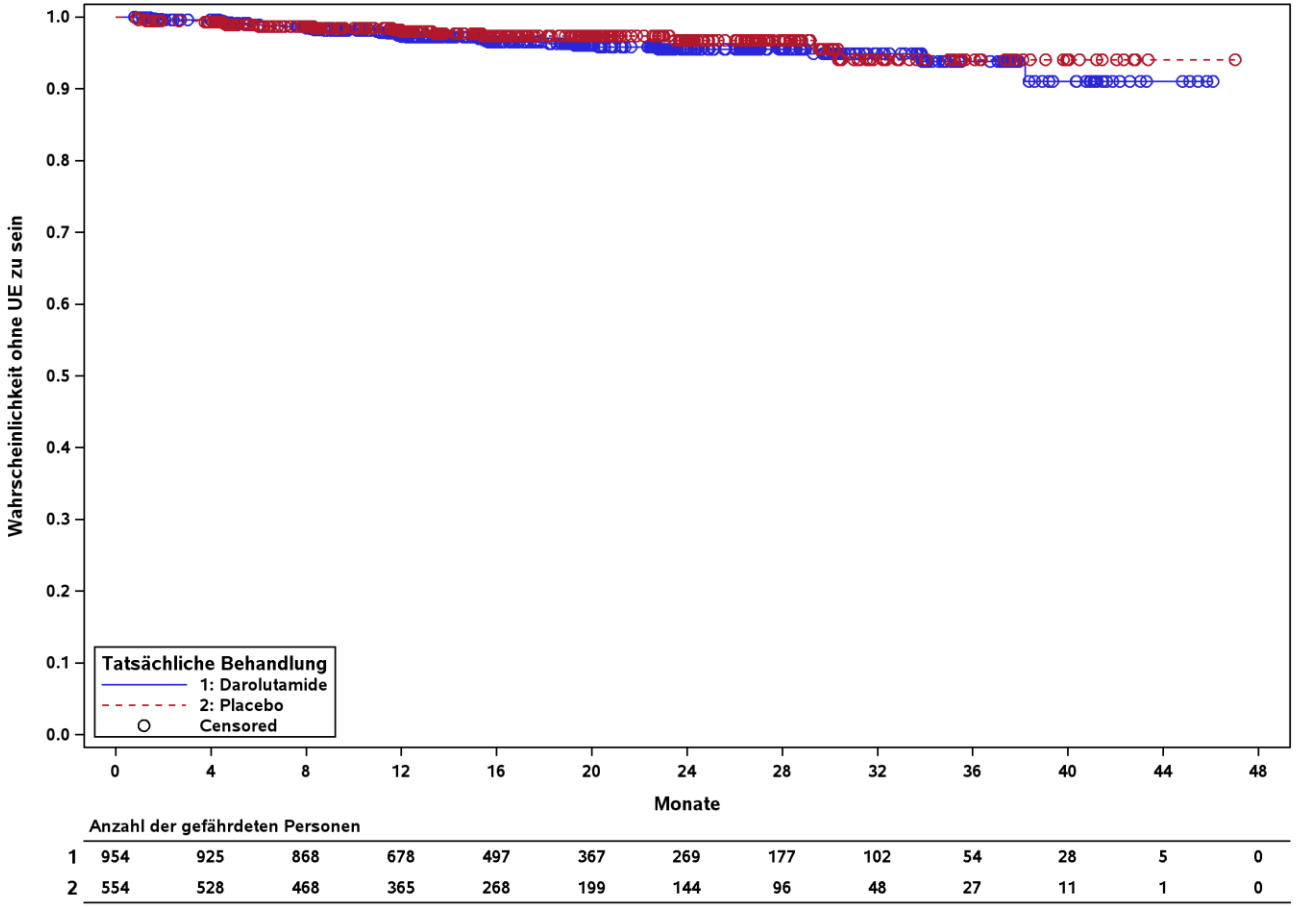
Bayer: /by-sasp/patdb/projects/1841788/17712/stat/prod_query22/pgms/t_aesi.sas 23APR2020 16:58

Figure 4.2.4 / 24: Kaplan-Meier-Plot der 'Unerwünschte Ereignisse von besonderem Interesse' Time-to-Event-Analyse nach Endpunkt - Endpunkt: Zeit bis zum ersten UE von besonderem Interesse mit CTCAE Grad >=3: Fatigue (full analysis set)



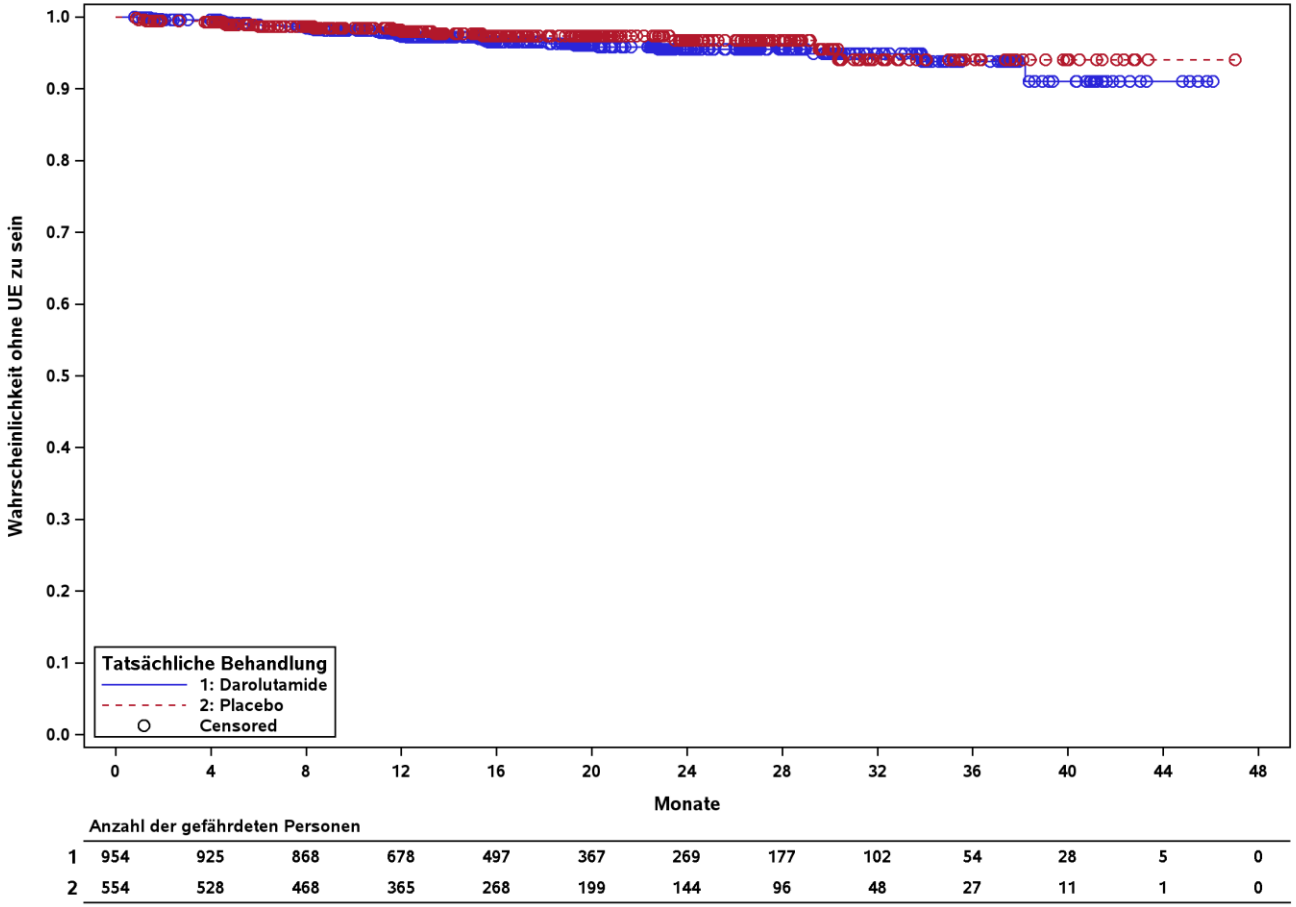
Bayer: /by-sasp/patdb/projects/1841788/17712/stat/prod_query22/pgms/t_aesi.sas 23APR2020 16:58

Figure 4.2.4 / 25: Kaplan-Meier-Plot der 'Unerwünschte Ereignisse von besonderem Interesse' Time-to-Event-Analyse nach Endpunkt - Endpunkt: Zeit bis zum ersten UE von besonderem Interesse: Weight decreased (full analysis set)



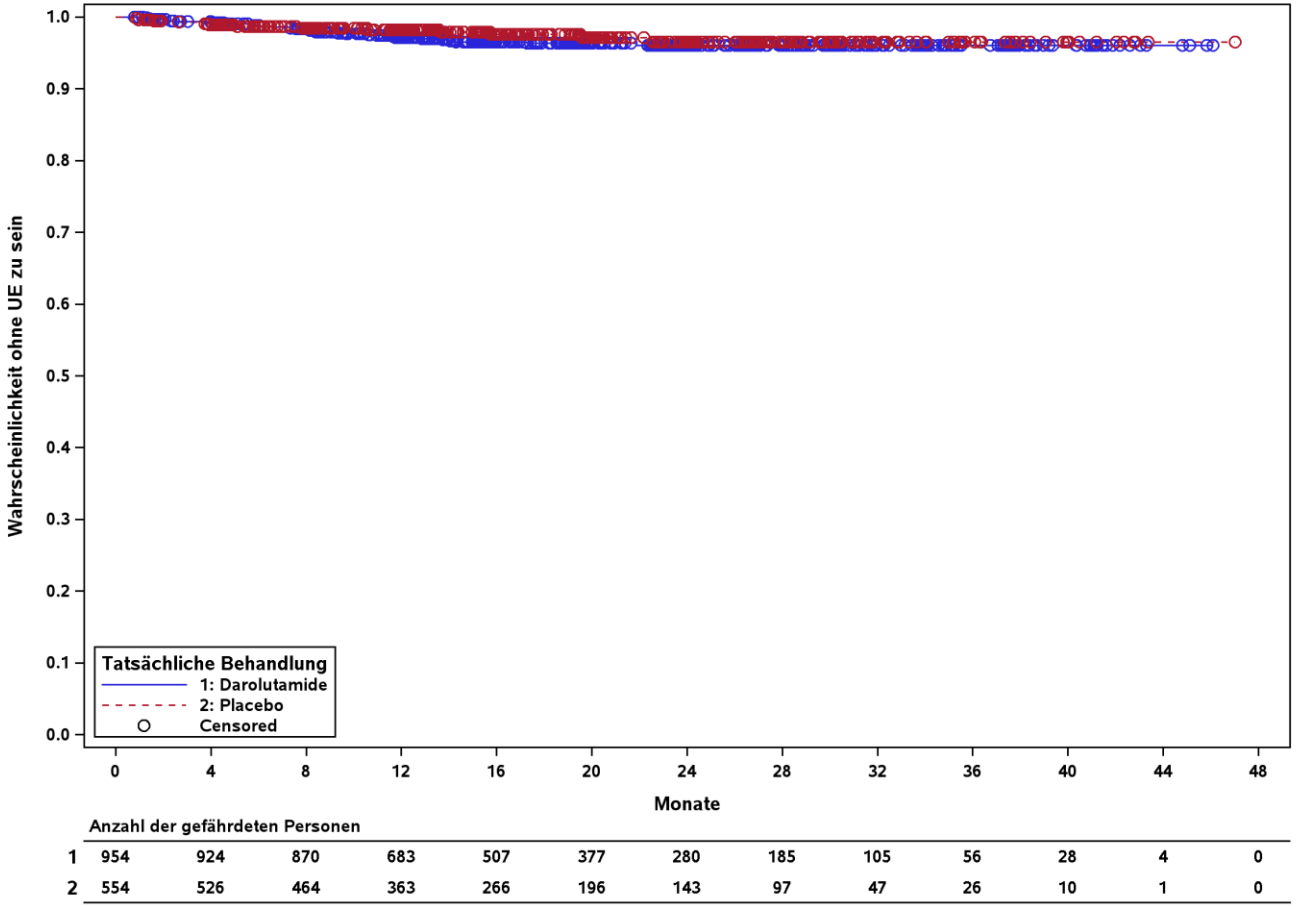
Bayer: /by-sasp/patdb/projects/1841788/17712/stat/prod_query22/pgms/t_aesi.sas 23APR2020 16:58

Figure 4.2.4 / 26: Kaplan-Meier-Plot der 'Unerwünschte Ereignisse von besonderem Interesse' Time-to-Event-Analyse nach Endpunkt - Endpunkt: Zeit bis zum ersten UE von besonderem Interesse mit CTCAE Grad <3: Weight decreased (full analysis set)



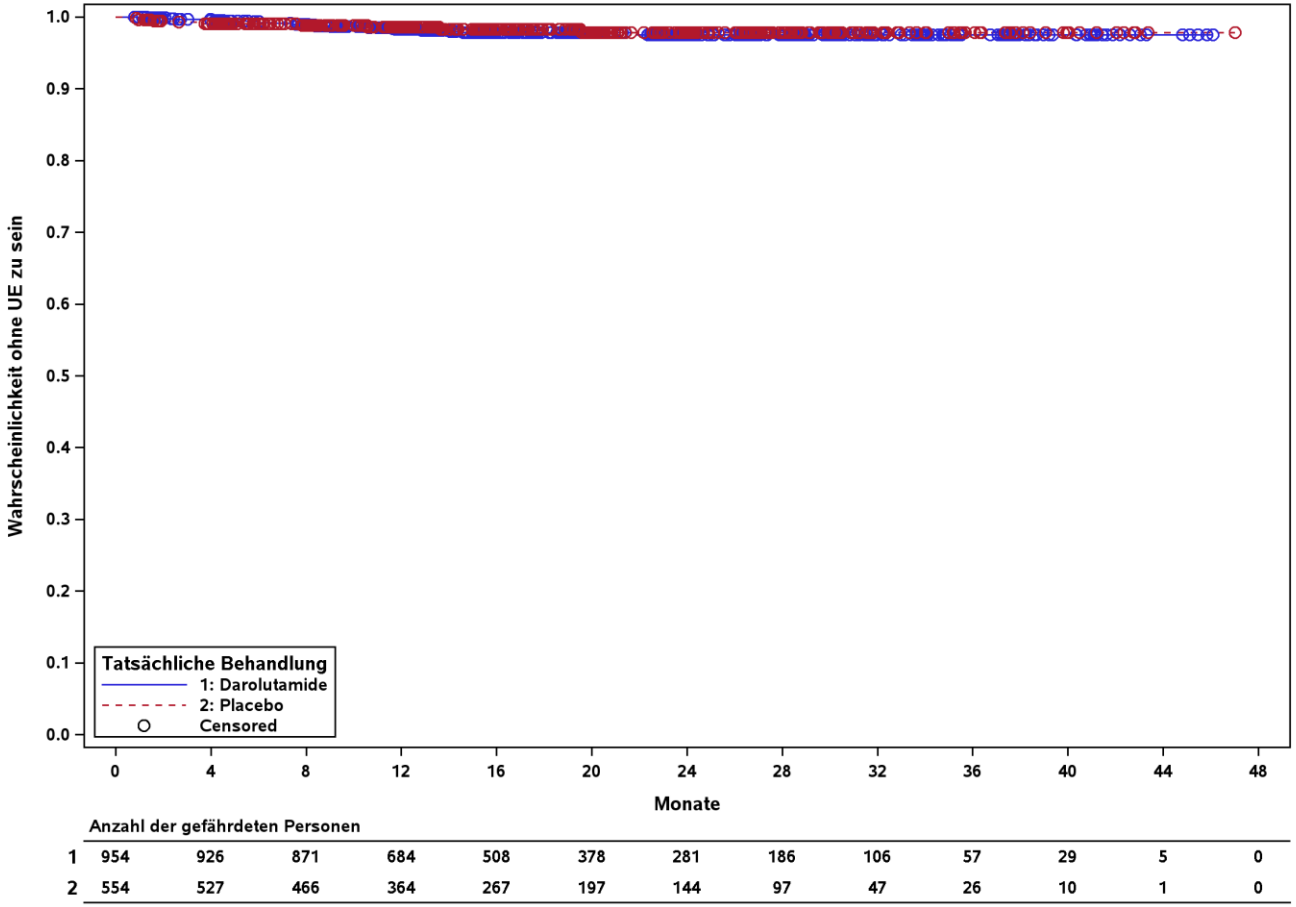
Bayer: /by-sasp/patdb/projects/1841788/17712/stat/prod_query22/pgms/t_aesi.sas 23APR2020 16:58

Figure 4.2.4 / 27: Kaplan-Meier-Plot der 'Unerwünschte Ereignisse von besonderem Interesse' Time-to-Event-Analyse nach Endpunkt - Endpunkt: Zeit bis zum ersten UE von besonderem Interesse: Pneumonia and Pneumonitis (full analysis set)



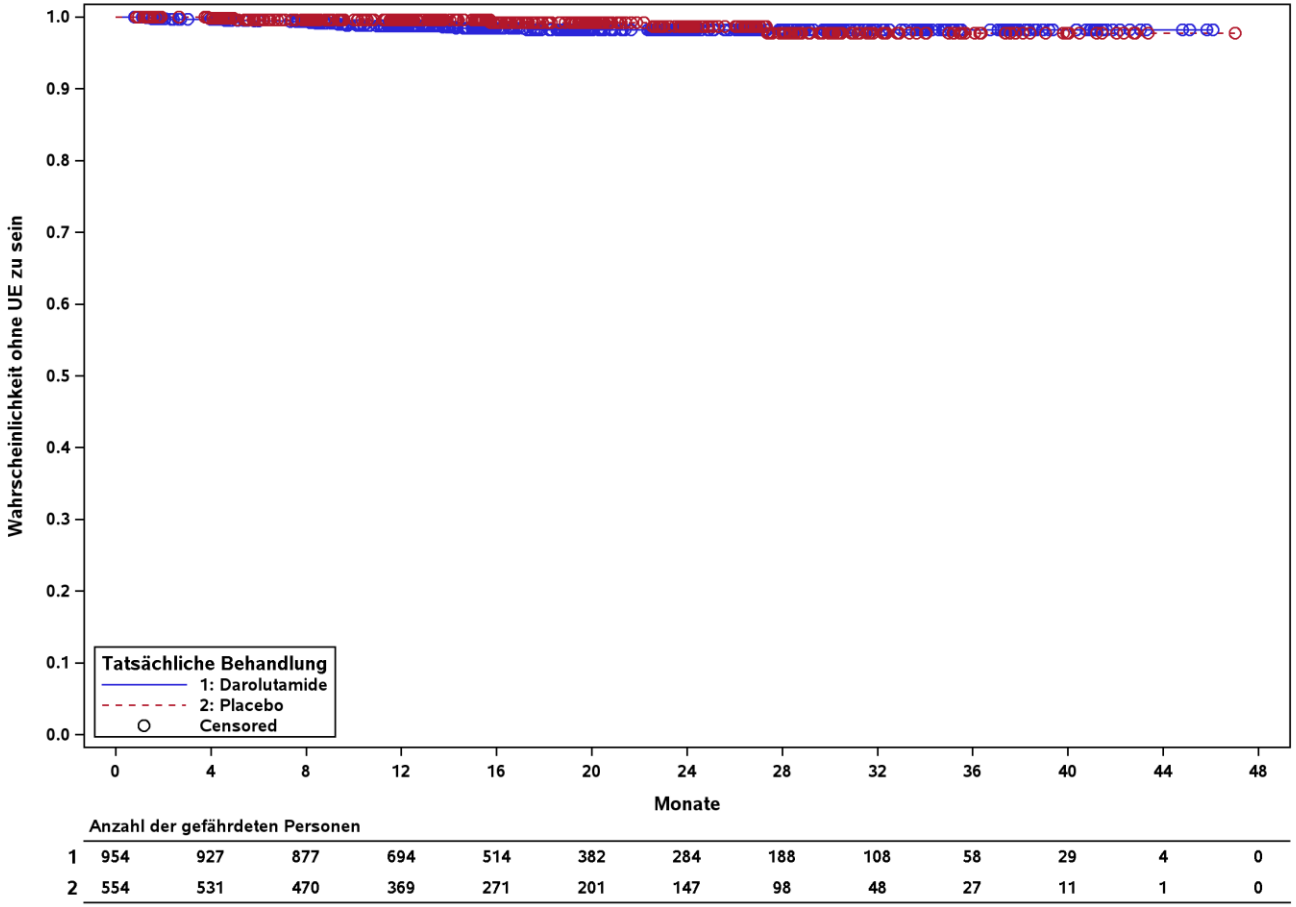
Bayer: /by-sasp/patdb/projects/1841788/17712/stat/prod_query22/pgms/t_aesi.sas 23APR2020 16:58

Figure 4.2.4 / 28: Kaplan-Meier-Plot der 'Unerwünschte Ereignisse von besonderem Interesse' Time-to-Event-Analyse nach Endpunkt - Endpunkt: Zeit bis zum ersten UE von besonderem Interesse mit CTCAE Grad <3: Pneumonia and Pneumonitis (full analysis set)



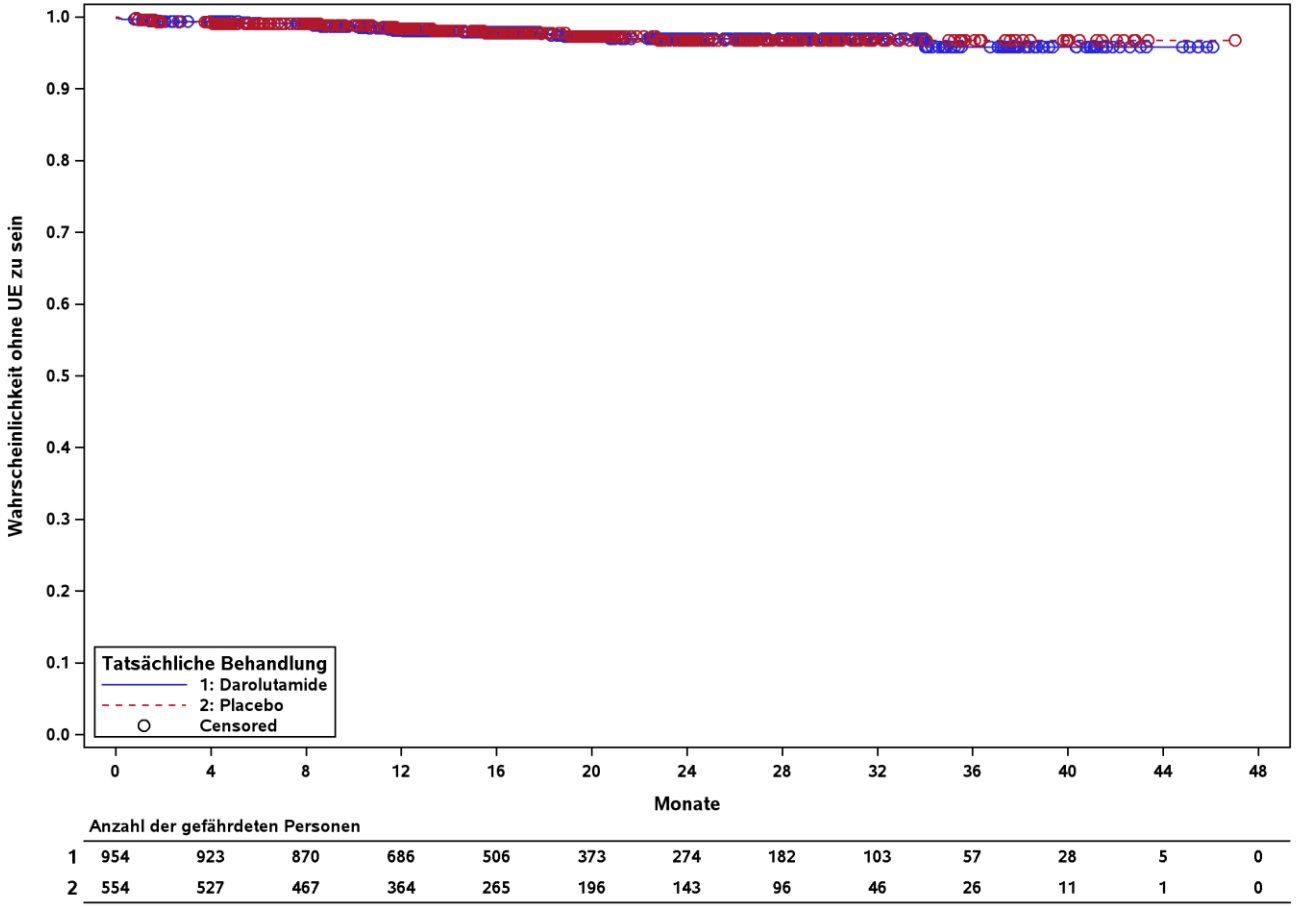
Bayer: /by-sasp/patdb/projects/1841788/17712/stat/prod_query22/pgms/t_aesi.sas 23APR2020 16:58

Figure 4.2.4 / 29: Kaplan-Meier-Plot der 'Unerwünschte Ereignisse von besonderem Interesse' Time-to-Event-Analyse nach Endpunkt - Endpunkt: Zeit bis zum ersten UE von besonderem Interesse mit CTCAE Grad >=3: Pneumonia and Pneumonitis (full analysis set)



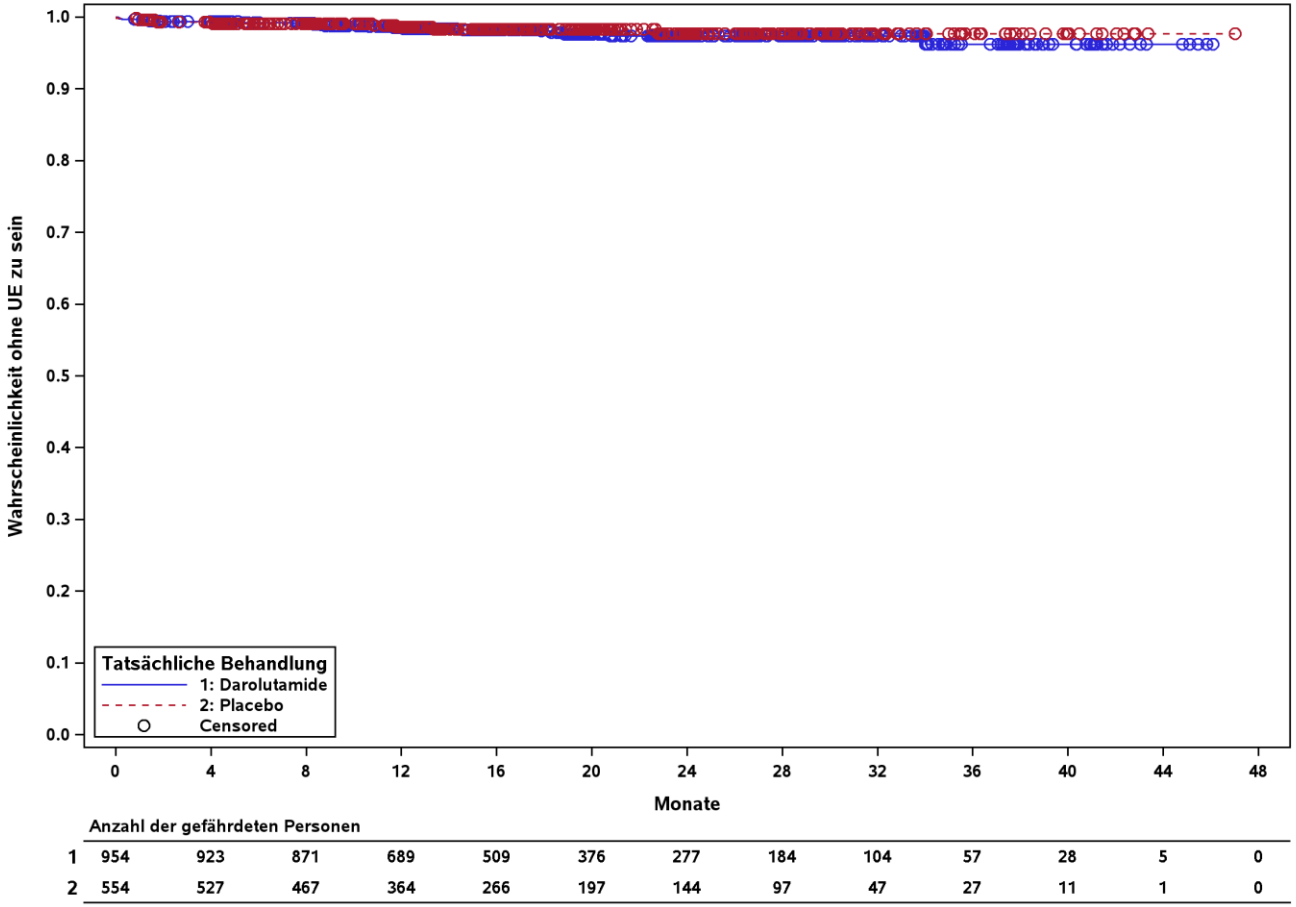
Bayer: /by-sasp/patdb/projects/1841788/17712/stat/prod_query22/pgms/t_aesi.sas 23APR2020 16:58

Figure 4.2.4 / 30: Kaplan-Meier-Plot der 'Unerwünschte Ereignisse von besonderem Interesse' Time-to-Event-Analyse nach Endpunkt - Endpunkt: Zeit bis zum ersten UE von besonderem Interesse: Diabetes mellitus and Hyperglycaemia (full analysis set)



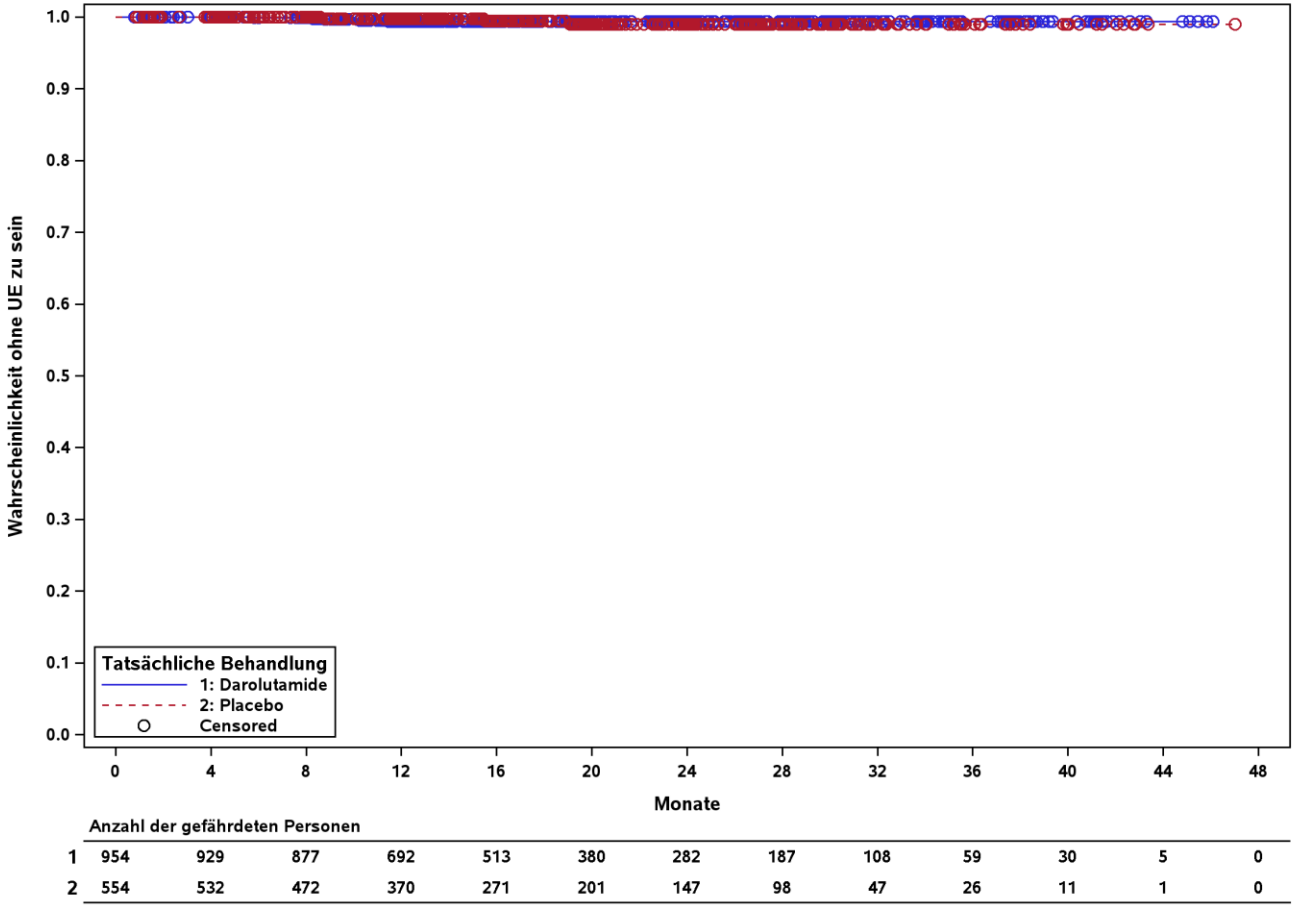
Bayer: /by-sasp/patdb/projects/1841788/17712/stat/prod_query22/pgms/t_aesi.sas 23APR2020 16:58

Figure 4.2.4 / 31: Kaplan-Meier-Plot der 'Unerwünschte Ereignisse von besonderem Interesse' Time-to-Event-Analyse nach Endpunkt - Endpunkt: Zeit bis zum ersten UE von besonderem Interesse mit CTCAE Grad <3: Diabetes mellitus and Hyperglycaemia (full analysis set)



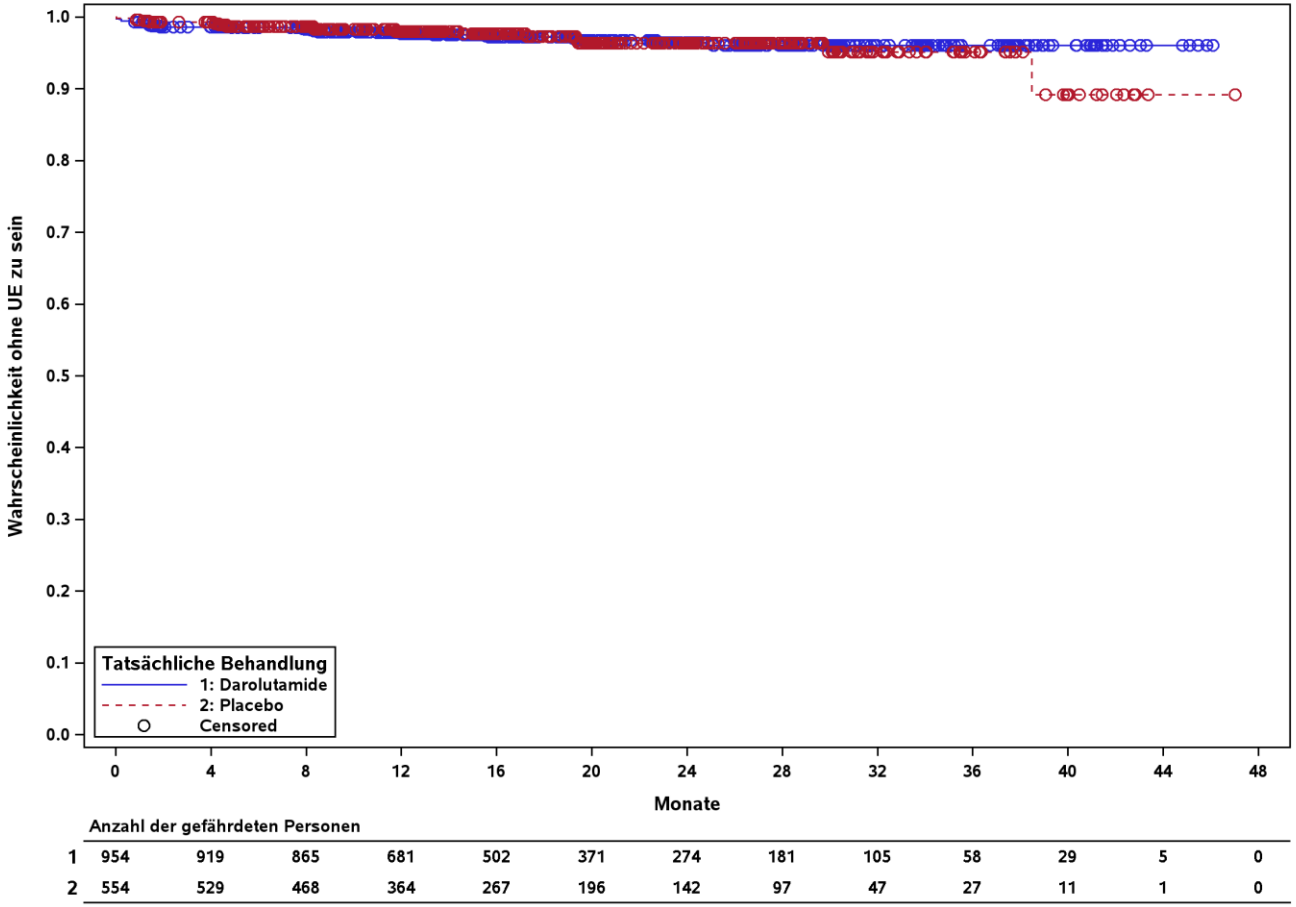
Bayer: /by-sasp/patdb/projects/1841788/17712/stat/prod_query22/pgms/t_aesi.sas 23APR2020 16:58

Figure 4.2.4 / 32: Kaplan-Meier-Plot der 'Unerwünschte Ereignisse von besonderem Interesse' Time-to-Event-Analyse nach Endpunkt - Endpunkt: Zeit bis zum ersten UE von besonderem Interesse mit CTCAE Grad >=3: Diabetes mellitus and Hyperglycaemia (full analysis set)



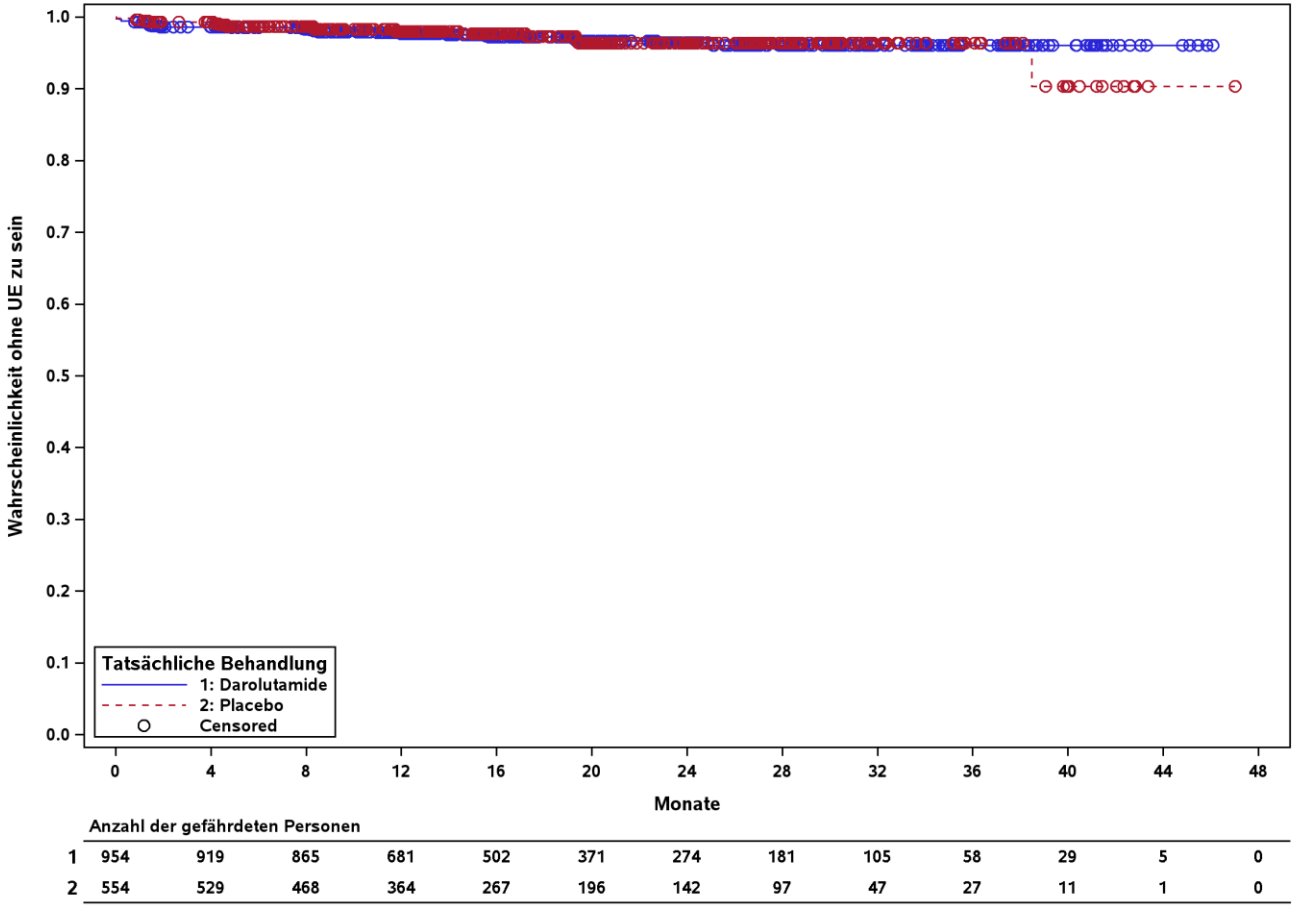
Bayer: /by-sasp/patdb/projects/1841788/17712/stat/prod_query22/pgms/t_aesi.sas 23APR2020 16:58

Figure 4.2.4 / 33: Kaplan-Meier-Plot der 'Unerwünschte Ereignisse von besonderem Interesse' Time-to-Event-Analyse nach Endpunkt - Endpunkt: Zeit bis zum ersten UE von besonderem Interesse: Renal impairment (full analysis set)



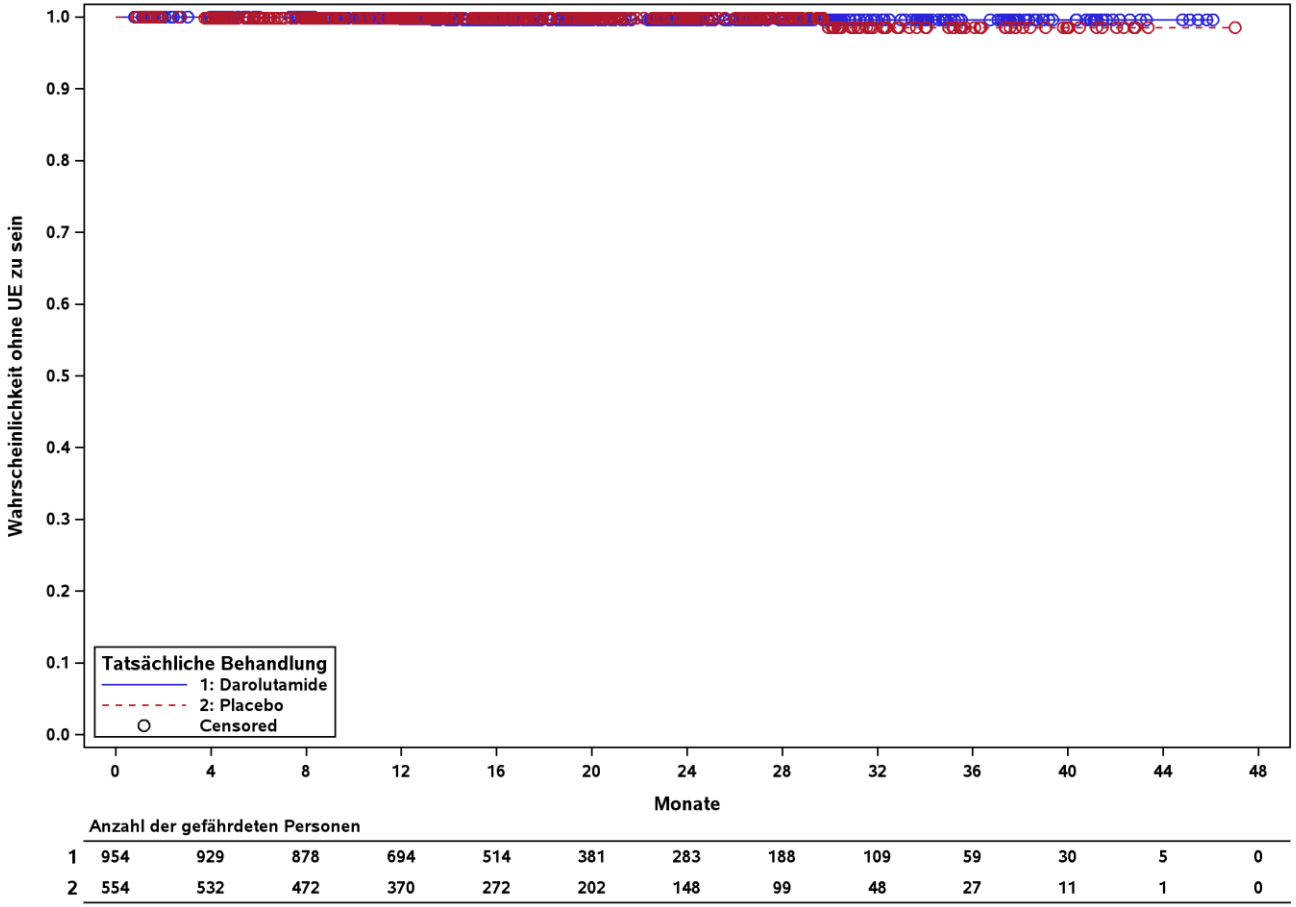
Bayer: /by-sasp/patdb/projects/1841788/17712/stat/prod_query22/pgms/t_aesi.sas 23APR2020 16:58

Figure 4.2.4 / 34: Kaplan-Meier-Plot der 'Unerwünschte Ereignisse von besonderem Interesse' Time-to-Event-Analyse nach Endpunkt - Endpunkt: Zeit bis zum ersten UE von besonderem Interesse mit CTCAE Grad <3: Renal impairment (full analysis set)



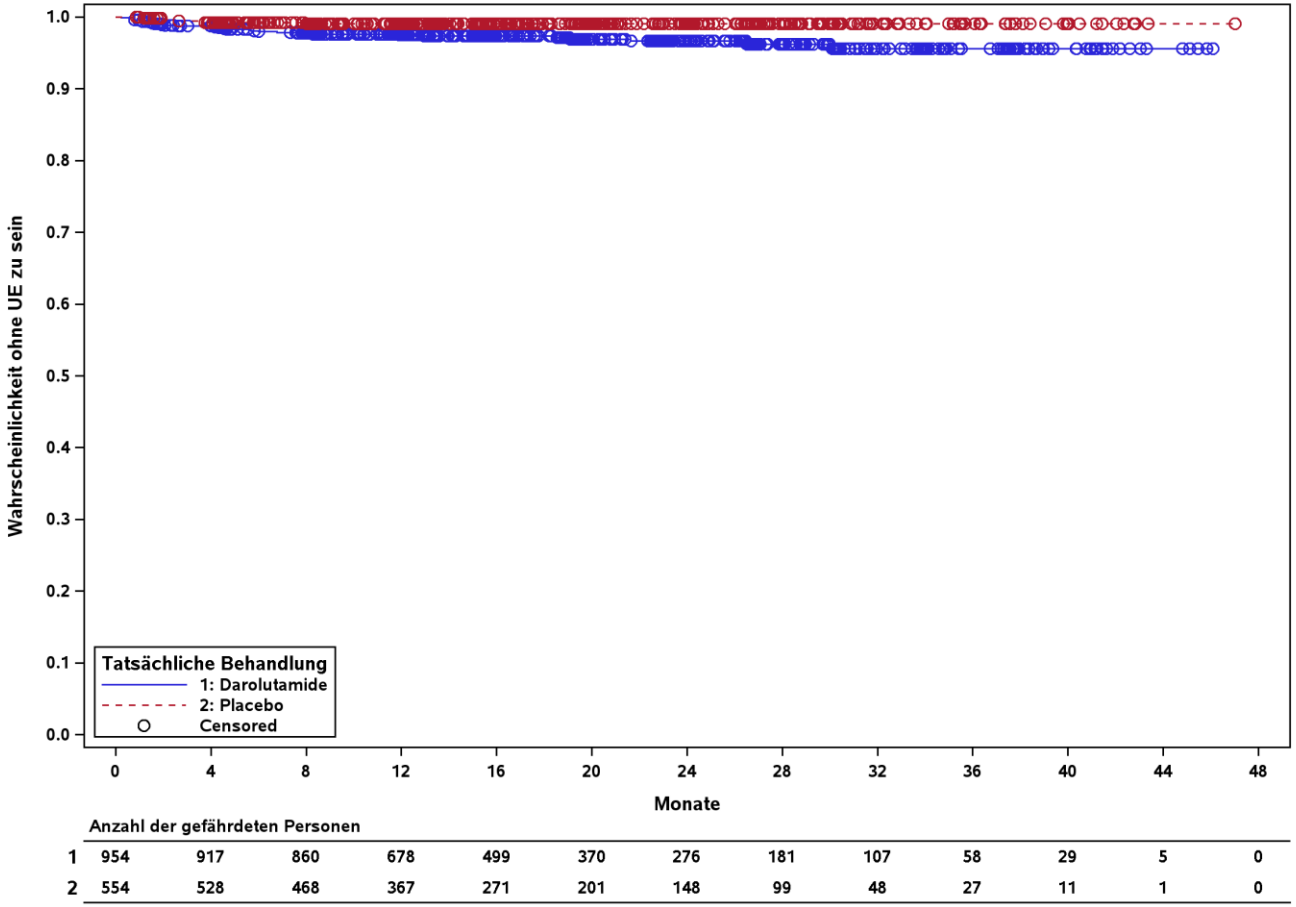
Bayer: /by-sasp/patdb/projects/1841788/17712/stat/prod_query22/pgms/t_aesi.sas 23APR2020 16:58

Figure 4.2.4 / 35: Kaplan-Meier-Plot der 'Unerwünschte Ereignisse von besonderem Interesse' Time-to-Event-Analyse nach Endpunkt - Endpunkt: Zeit bis zum ersten UE von besonderem Interesse mit CTCAE Grad >=3: Renal impairment (full analysis set)



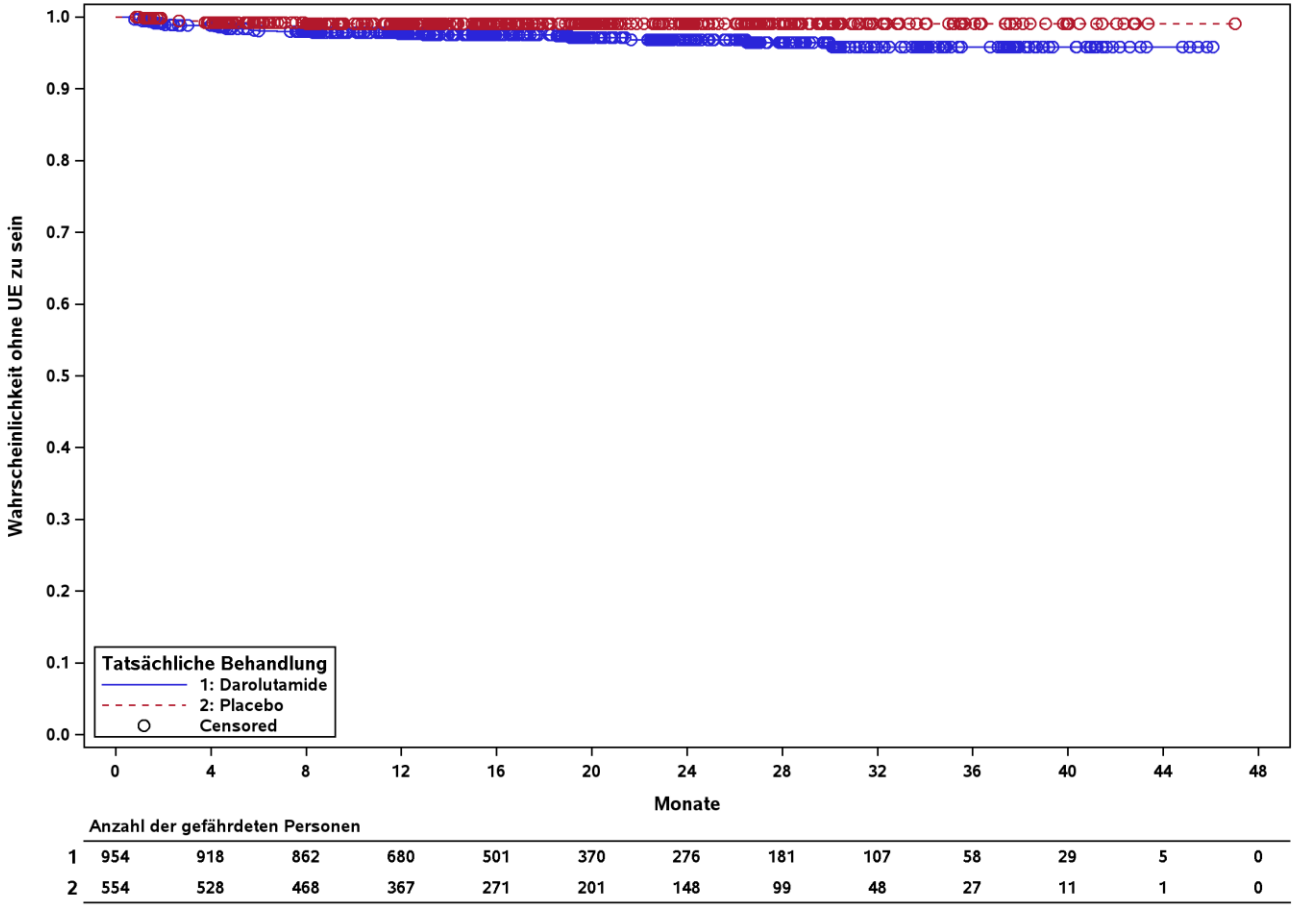
Bayer: /by-sasp/patdb/projects/1841788/17712/stat/prod_query22/pgms/t_aesi.sas 23APR2020 16:58

Figure 4.2.4 / 36: Kaplan-Meier-Plot der 'Unerwünschte Ereignisse von besonderem Interesse' Time-to-Event-Analyse nach Endpunkt - Endpunkt: Zeit bis zum ersten UE von besonderem Interesse: Rash (full analysis set)



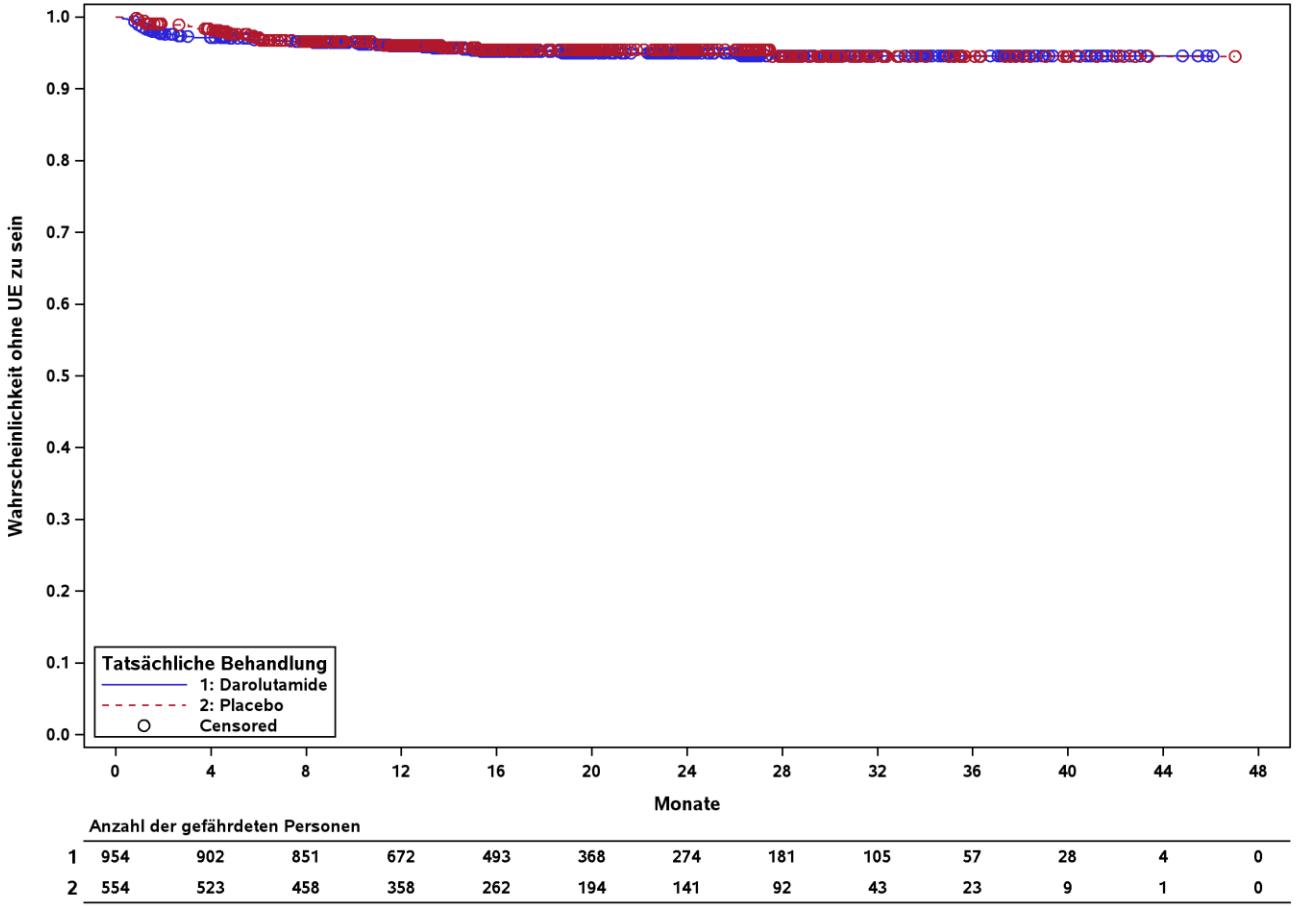
Bayer: /by-sasp/patdb/projects/1841788/17712/stat/prod_query22/pgms/t_aesi.sas 23APR2020 16:58

Figure 4.2.4 / 37: Kaplan-Meier-Plot der 'Unerwünschte Ereignisse von besonderem Interesse' Time-to-Event-Analyse nach Endpunkt - Endpunkt: Zeit bis zum ersten UE von besonderem Interesse mit CTCAE Grad <3: Rash (full analysis set)



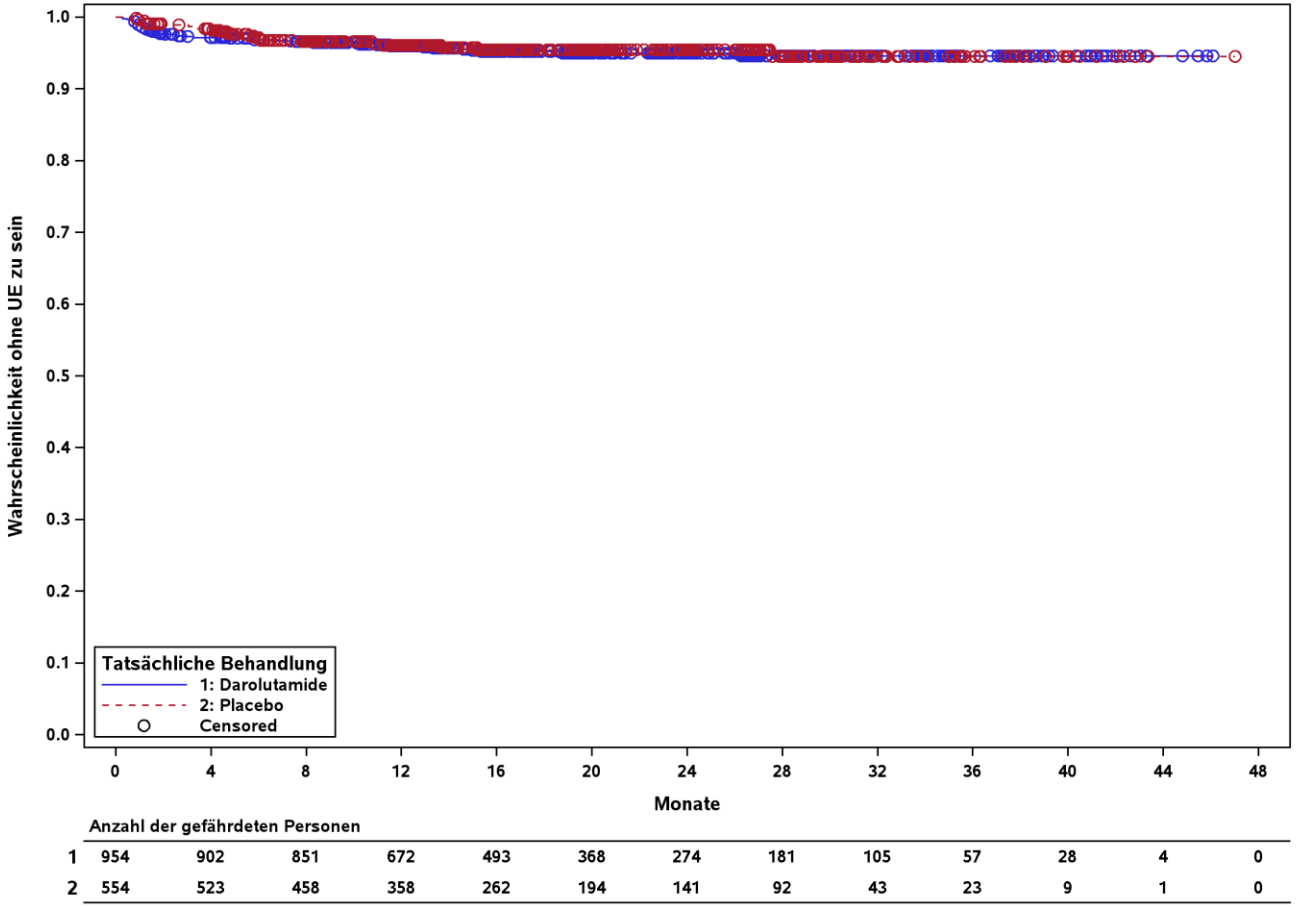
Bayer: /by-sasp/patdb/projects/1841788/17712/stat/prod_query22/pgms/t_aesi.sas 23APR2020 16:58

Figure 4.2.4 / 38: Kaplan-Meier-Plot der 'Unerwünschte Ereignisse von besonderem Interesse' Time-to-Event-Analyse nach Endpunkt - Endpunkt: Zeit bis zum ersten UE von besonderem Interesse: Dizziness (full analysis set)



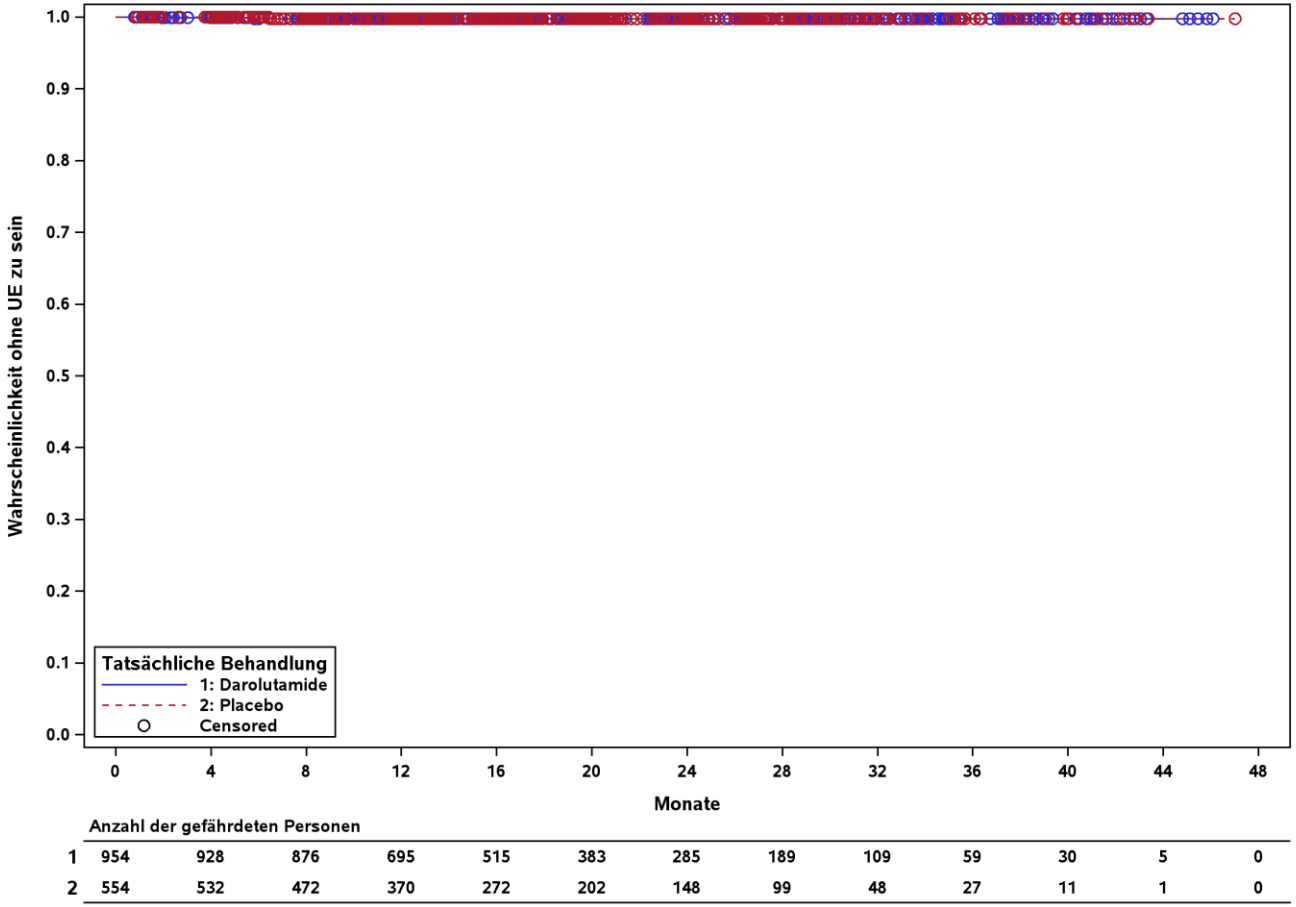
Bayer: /by-sasp/patdb/projects/1841788/17712/stat/prod_query22/pgms/t_aesi.sas 23APR2020 16:58

Figure 4.2.4 / 39: Kaplan-Meier-Plot der 'Unerwünschte Ereignisse von besonderem Interesse' Time-to-Event-Analyse nach Endpunkt - Endpunkt: Zeit bis zum ersten UE von besonderem Interesse mit CTCAE Grad <3: Dizziness (full analysis set)



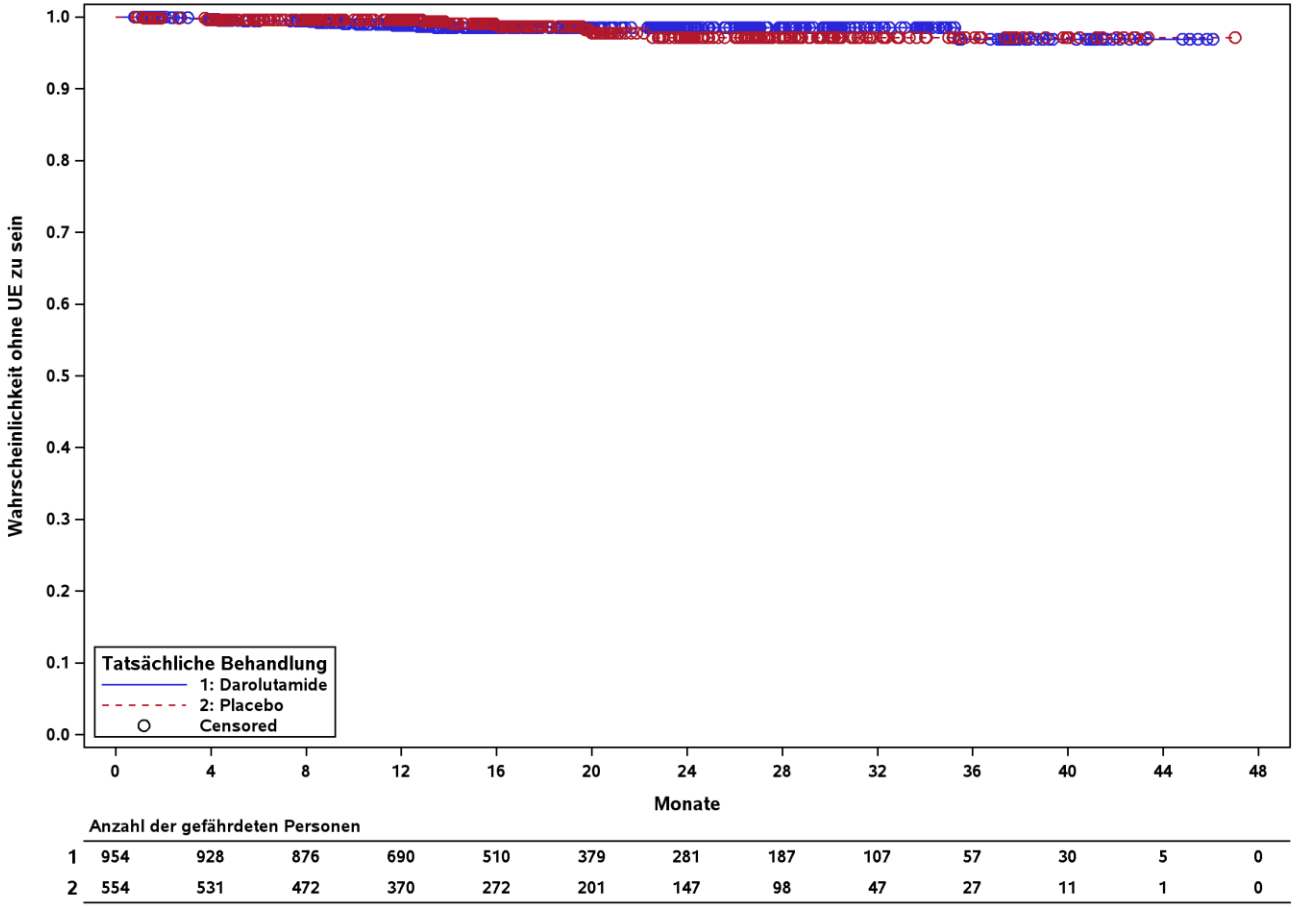
Bayer: /by-sasp/patdb/projects/1841788/17712/stat/prod_query22/pgms/t_aesi.sas 23APR2020 16:58

Figure 4.2.4 / 40: Kaplan-Meier-Plot der 'Unerwünschte Ereignisse von besonderem Interesse' Time-to-Event-Analyse nach Endpunkt - Endpunkt: Zeit bis zum ersten UE von besonderem Interesse mit CTCAE Grad >=3: Dizziness (full analysis set)



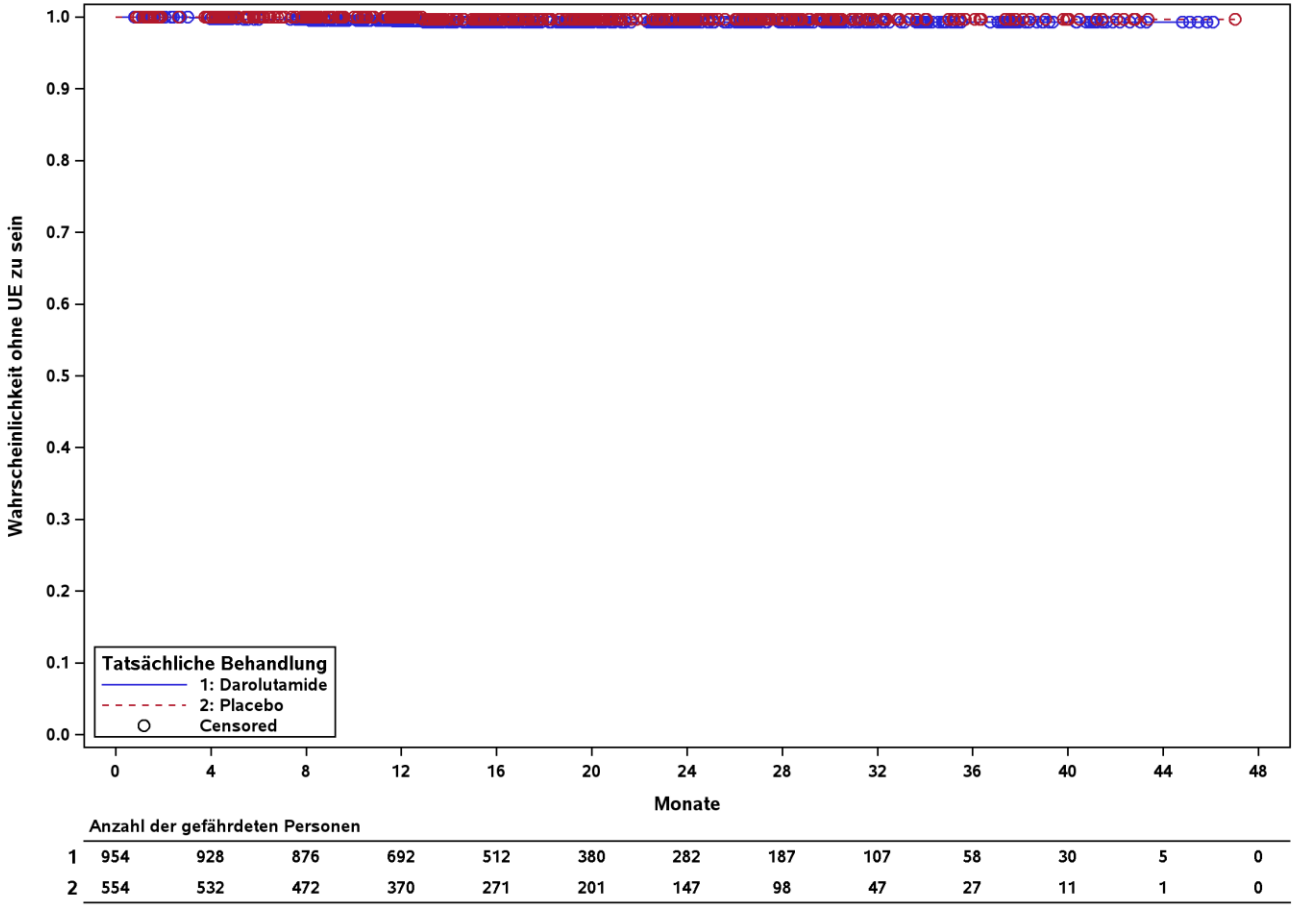
Bayer: /by-sasp/patdb/projects/1841788/17712/stat/prod_query22/pgms/t_aesi.sas 23APR2020 16:58

Figure 4.2.4 / 41: Kaplan-Meier-Plot der 'Unerwünschte Ereignisse von besonderem Interesse' Time-to-Event-Analyse nach Endpunkt - Endpunkt: Zeit bis zum ersten UE von besonderem Interesse: Cerebral ischaemia (full analysis set)



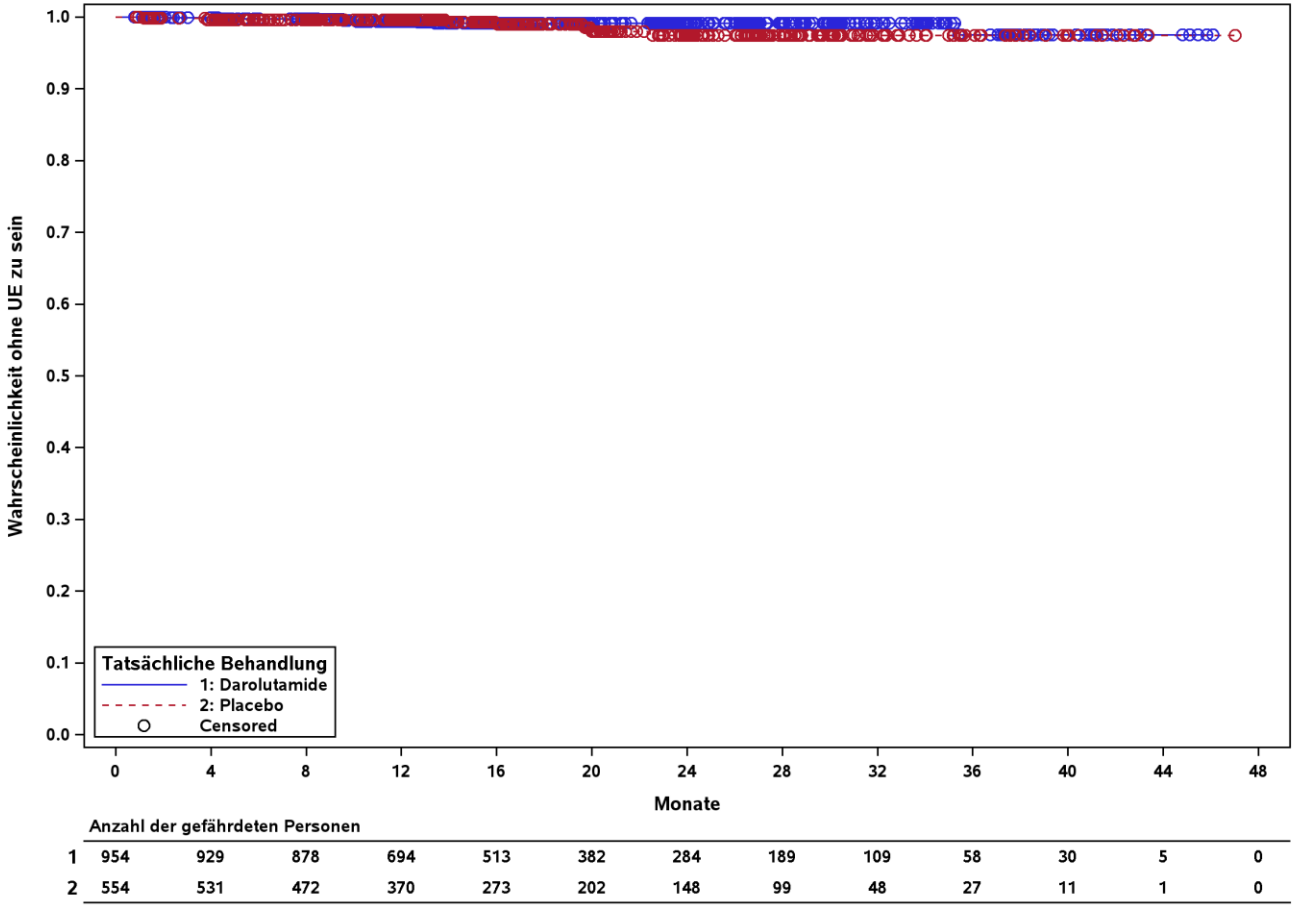
Bayer: /by-sasp/patdb/projects/1841788/17712/stat/prod_query22/pgms/t_aesi.sas 23APR2020 16:58

Figure 4.2.4 / 42: Kaplan-Meier-Plot der 'Unerwünschte Ereignisse von besonderem Interesse' Time-to-Event-Analyse nach Endpunkt - Endpunkt: Zeit bis zum ersten UE von besonderem Interesse mit CTCAE Grad <3: Cerebral ischaemia (full analysis set)



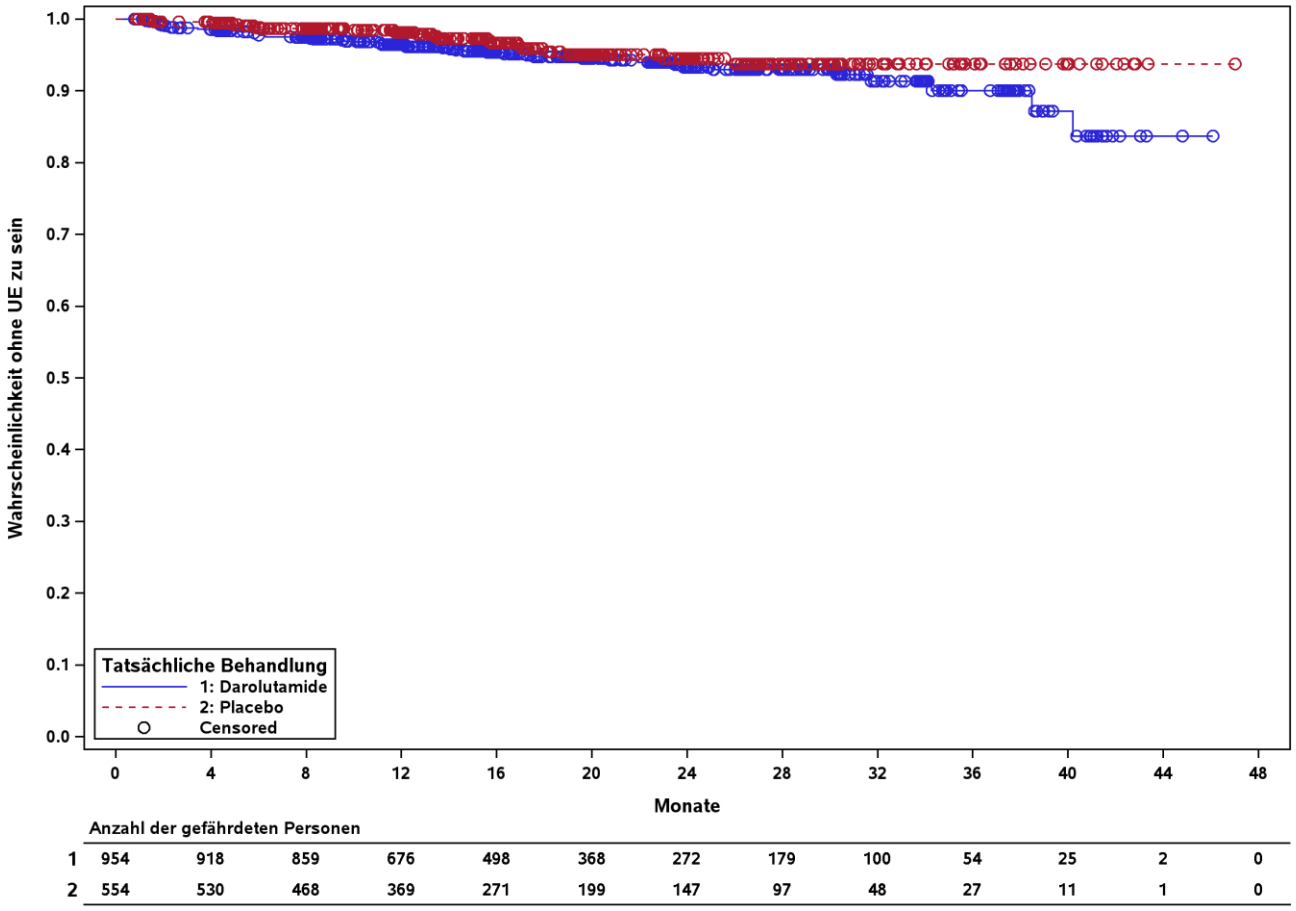
Bayer: /by-sasp/patdb/projects/1841788/17712/stat/prod_query22/pgms/t_aesi.sas 23APR2020 16:58

Figure 4.2.4 / 43: Kaplan-Meier-Plot der 'Unerwünschte Ereignisse von besonderem Interesse' Time-to-Event-Analyse nach Endpunkt - Endpunkt: Zeit bis zum ersten UE von besonderem Interesse mit CTCAE Grad >=3: Cerebral ischaemia (full analysis set)



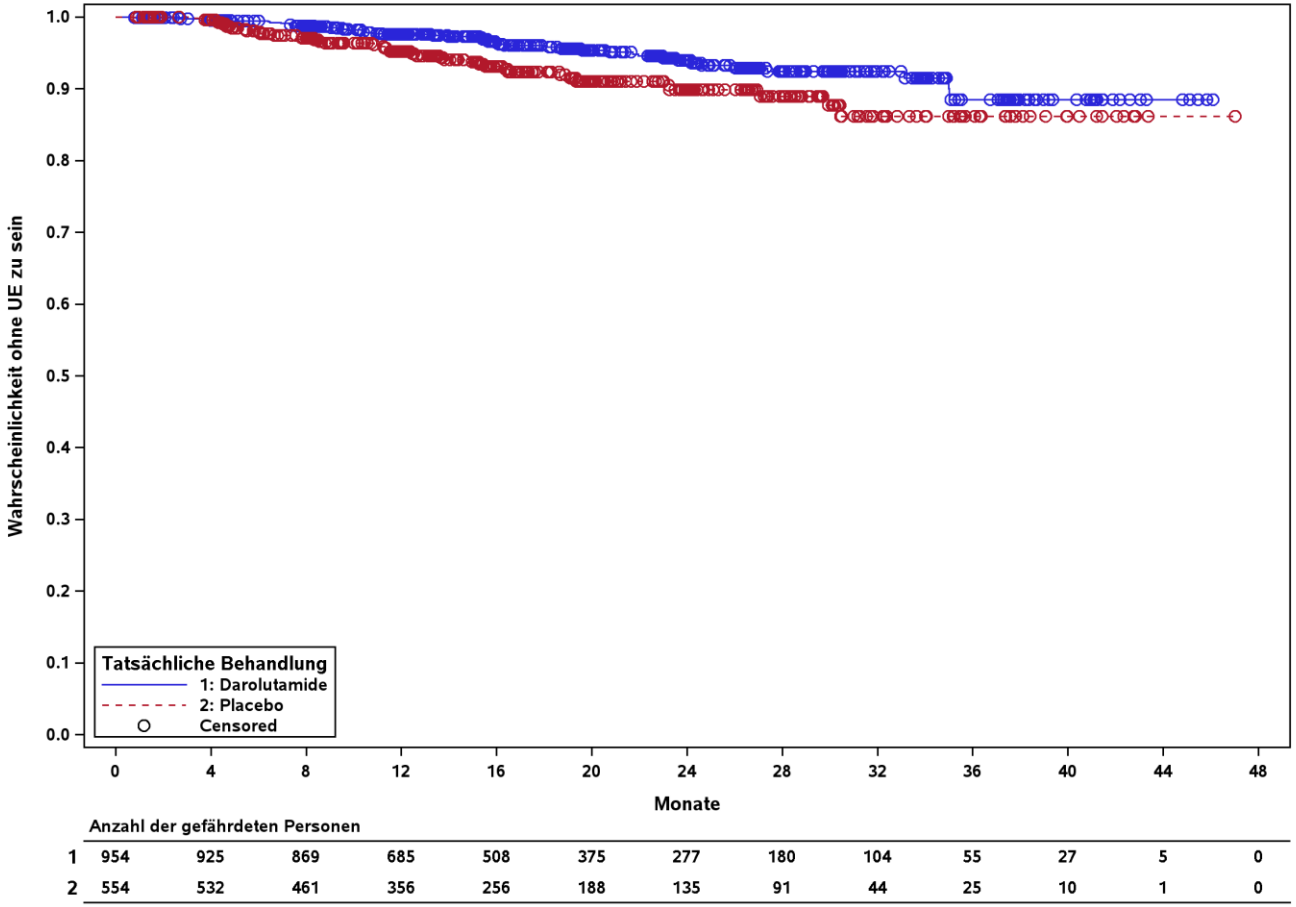
Bayer: /by-sasp/patdb/projects/1841788/17712/stat/prod_query22/pgms/t_aesi.sas 23APR2020 16:58

Figure 4.2.4 / 44: Kaplan-Meier-Plot der 'UE, die die Cutoff-Kriterien erfüllen TTE-Analyse' nach Endpunkt - Endpunkt: Zeit bis zum ersten SUE das die Cutoff-Kriterien auf MedDRA SOC Ebene erfüllt (Monate) - SOC: Cardiac disorders (10007541) (full analysis set)



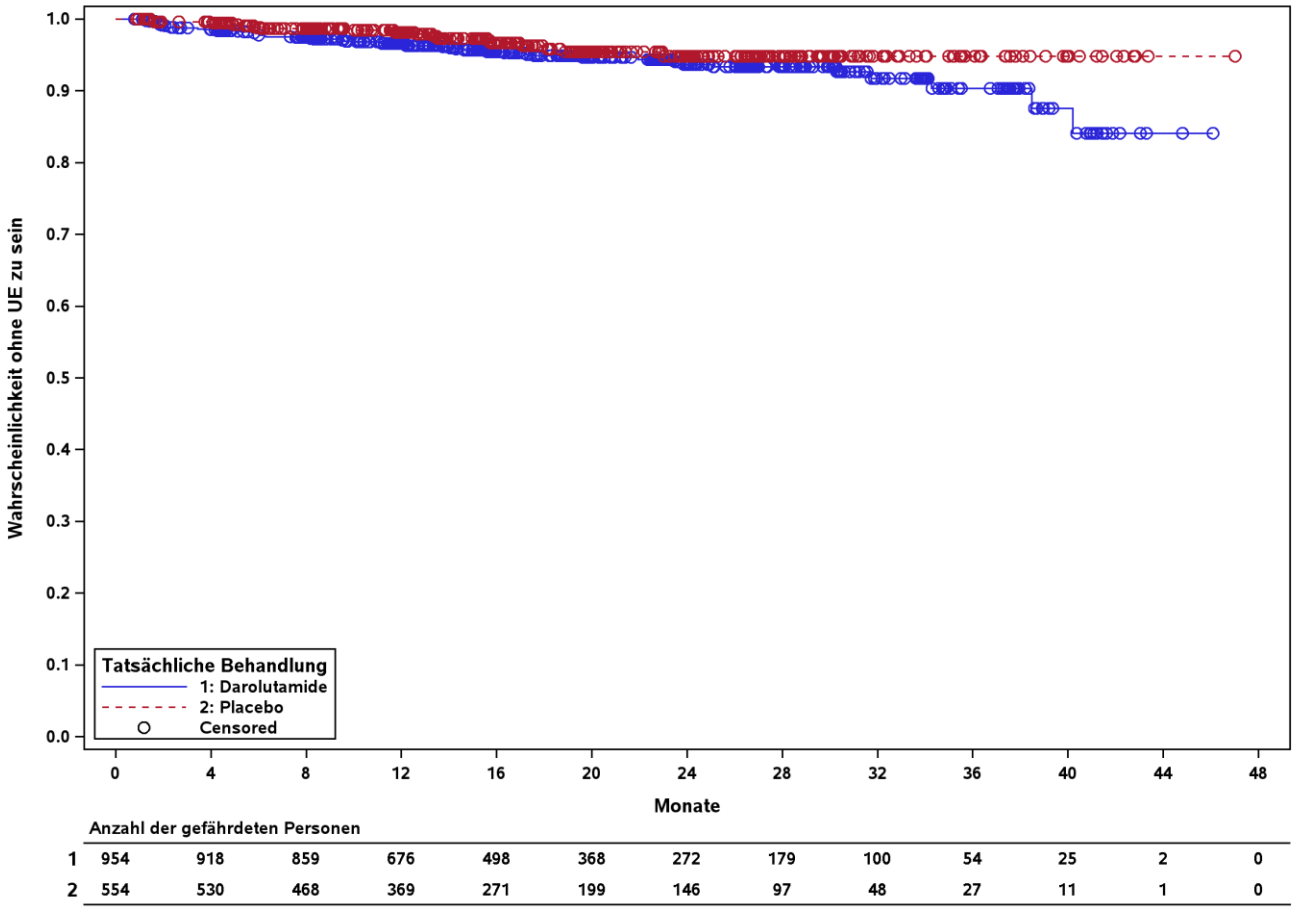
Bayer: /by-sasp/patdb/projects/1841788/17712/stat/prod_query22/pgms/t_aecut.sas 23APR2020 18:15

Figure 4.2.4 / 45: Kaplan-Meier-Plot der 'UE, die die Cutoff-Kriterien erfüllen TTE-Analyse' nach Endpunkt - Endpunkt: Zeit bis zum ersten SUE das die Cutoff-Kriterien auf MedDRA SOC Ebene erfüllt (Monate) - SOC: Renal and urinary disorders (10038359) (full analysis set)



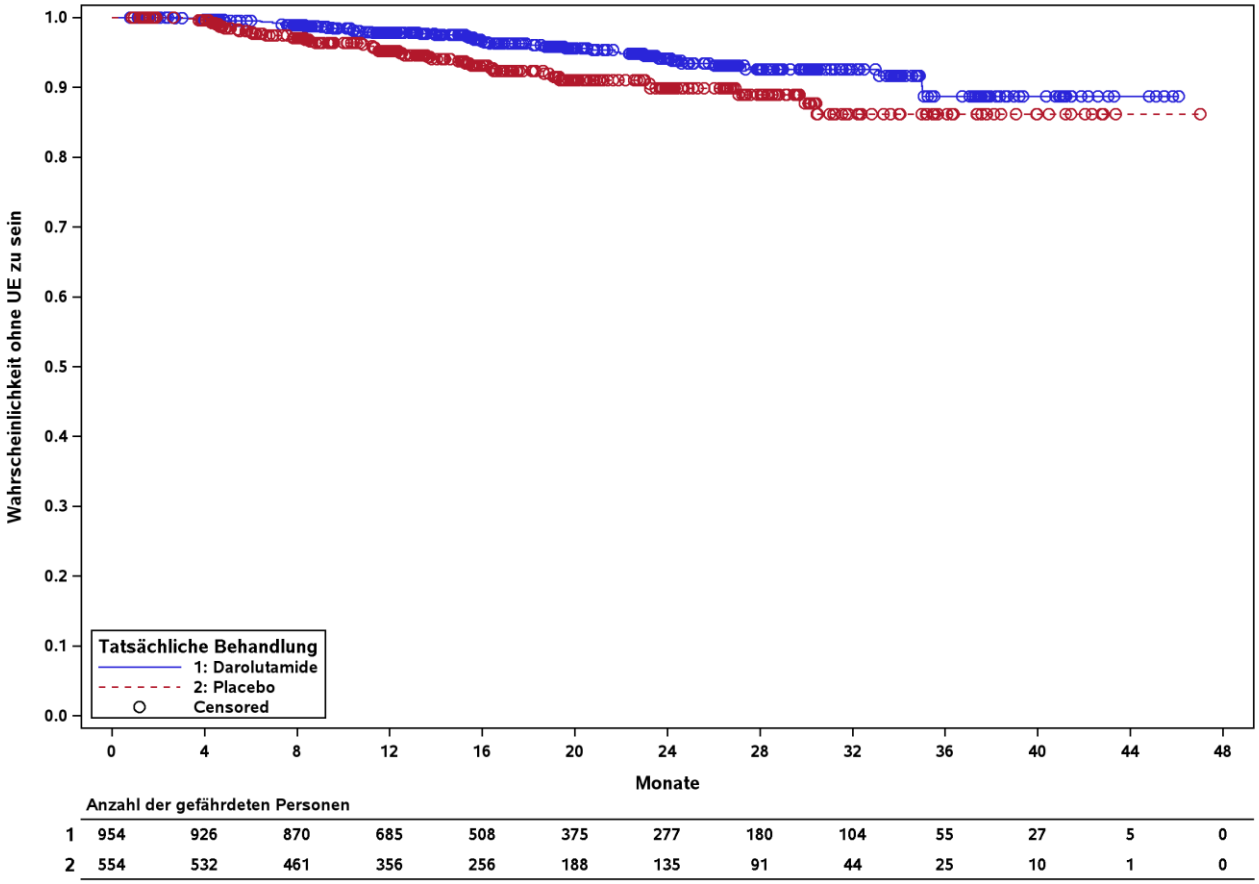
Bayer: /by-sasp/patdb/projects/1841788/17712/stat/prod_query22/pgms/t_aecut.sas 23APR2020 18:15

Figure 4.2.4 / 46: Kaplan-Meier-Plot der 'UE, die die Cutoff-Kriterien erfüllen TTE-Analyse' nach Endpunkt - Endpunkt: Zeit bis zum ersten unter der Behandlung aufgetretenen SUE (TESAE) das die Cutoff-Kriterien auf MedDRA SOC Ebene erfüllt (Monate) - SOC: Cardiac disorders (10007541) (full analysis set)



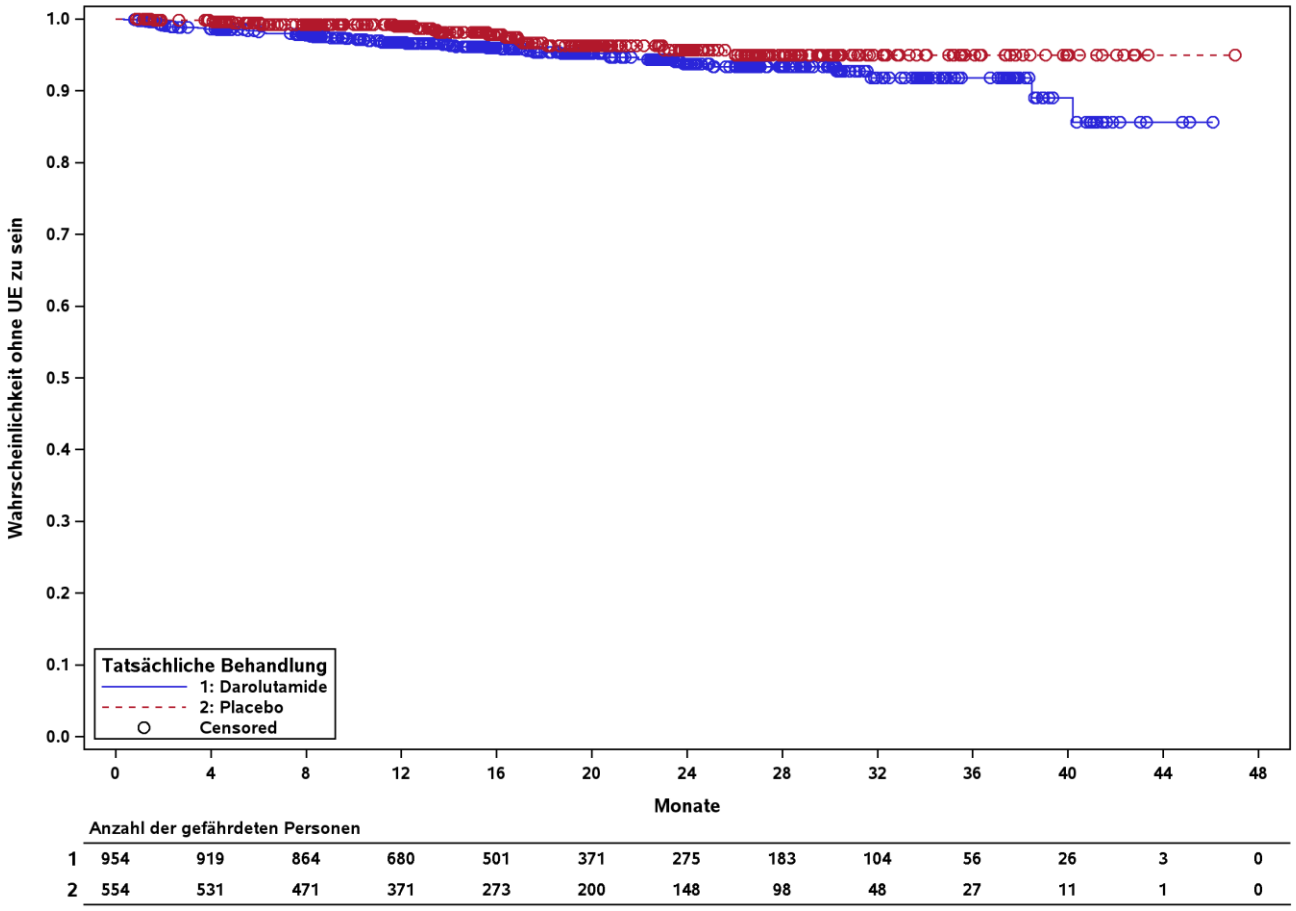
Bayer: /by-sasp/patdb/projects/1841788/17712/stat/prod_query22/pgms/t_aecut.sas 23APR2020 18:15

Figure 4.2.4 / 47: Kaplan-Meier-Plot der 'UE, die die Cutoff-Kriterien erfüllen TTE-Analyse' nach Endpunkt - Endpunkt: Zeit bis zum ersten unter der Behandlung aufgetretenen SUE (TESAE) das die Cutoff-Kriterien auf MedDRA SOC Ebene erfüllt (Monate) - SOC: Renal and urinary disorders (10038359) (full analysis set)



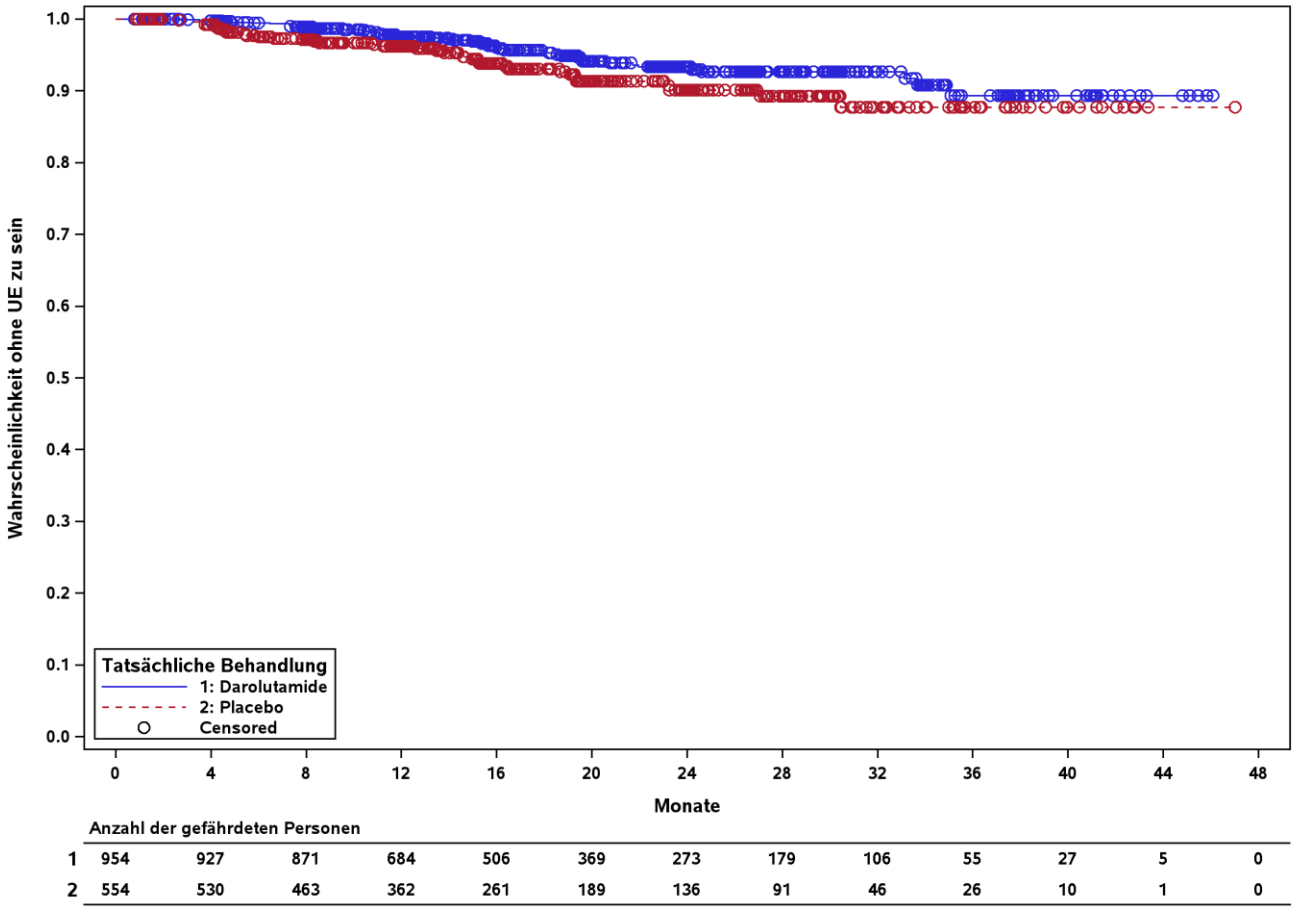
Bayer: /by-sasp/patdb/projects/1841788/17712/stat/prod_query22/pgms/t_aecut.sas 23APR2020 18:15

Figure 4.2.4 / 48: Kaplan-Meier-Plot der 'UE, die die Cutoff-Kriterien erfüllen TTE-Analyse' nach Endpunkt - Endpunkt: Zeit bis zum ersten UE mit CTCAE Grad >=3 das die Cutoff-Kriterien auf MedDRA SOC Ebene erfüllt (Monate) - SOC: Cardiac disorders (10007541) (full analysis set)



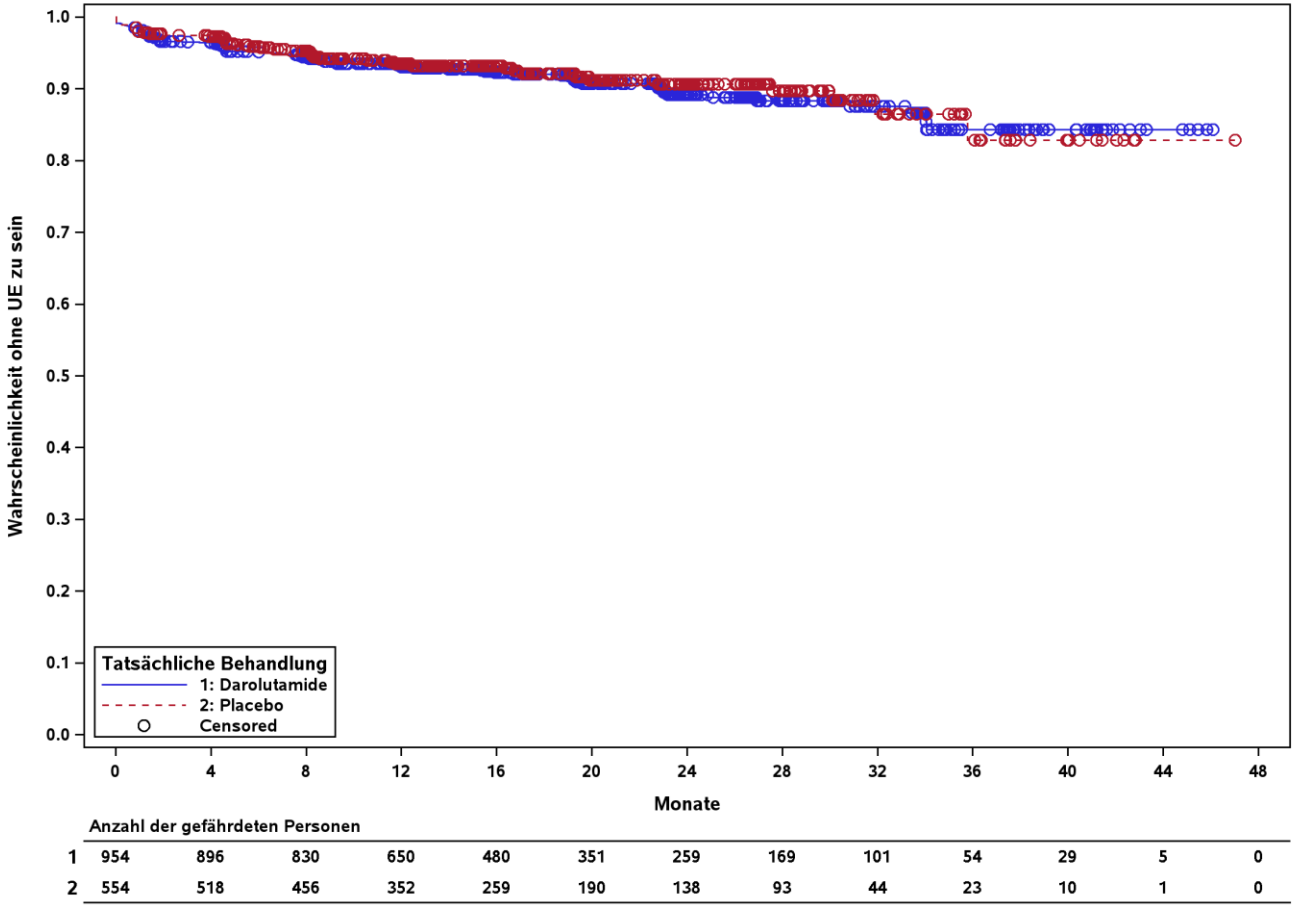
Bayer: /by-sasp/patdb/projects/1841788/17712/stat/prod_query22/pgms/t_aecut.sas 23APR2020 18:15

Figure 4.2.4 / 49: Kaplan-Meier-Plot der 'UE, die die Cutoff-Kriterien erfüllen TTE-Analyse' nach Endpunkt - Endpunkt: Zeit bis zum ersten UE mit CTCAE Grad >=3 das die Cutoff-Kriterien auf MedDRA SOC Ebene erfüllt (Monate) - SOC: Renal and urinary disorders (10038359) (full analysis set)



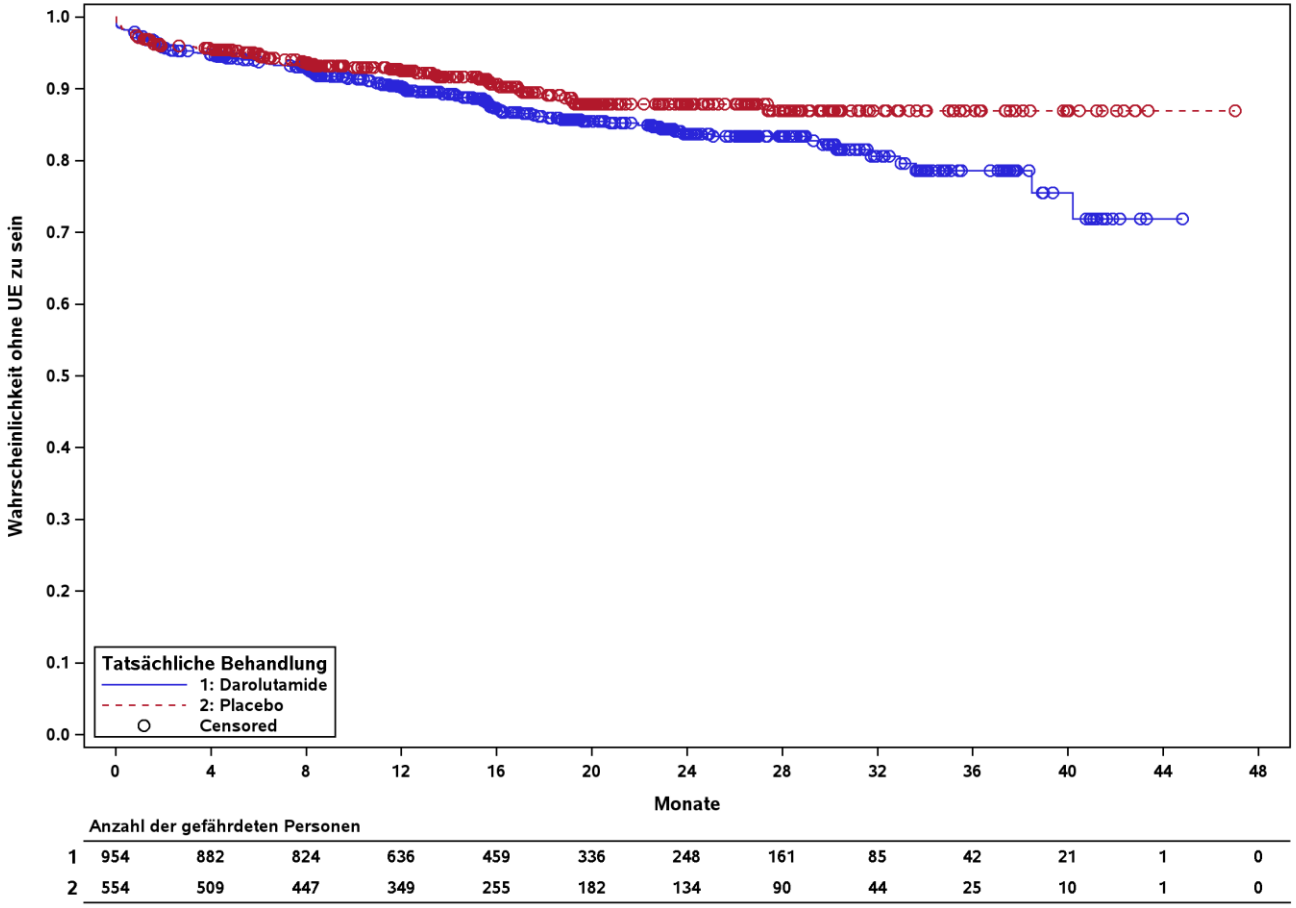
Bayer: /by-sasp/patdb/projects/1841788/17712/stat/prod_query22/pgms/t_aecut.sas 23APR2020 18:15

Figure 4.2.4 / 50: Kaplan-Meier-Plot der 'UE, die die Cutoff-Kriterien erfüllen TTE-Analyse' nach Endpunkt - Endpunkt: Zeit bis zum ersten UE das die Cutoff-Kriterien auf MedDRA SOC Ebene erfüllt (Monate) - SOC: Blood and lymphatic system disorders (10005329) (full analysis set)



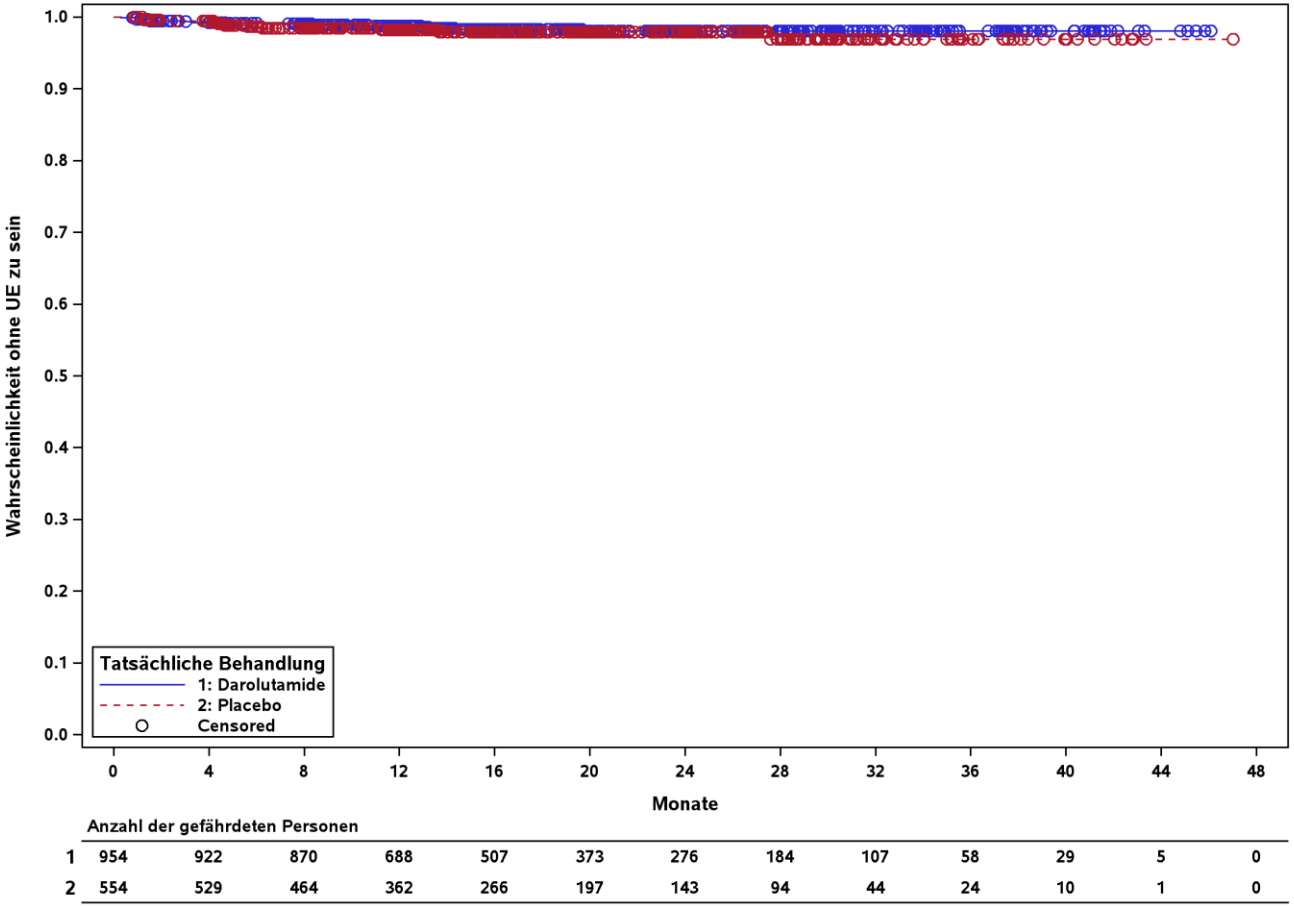
Bayer: /by-sasp/patdb/projects/1841788/17712/stat/prod_query22/pgms/t_aecut.sas 23APR2020 18:15

Figure 4.2.4 / 51: Kaplan-Meier-Plot der 'UE, die die Cutoff-Kriterien erfüllen TTE-Analyse' nach Endpunkt - Endpunkt: Zeit bis zum ersten UE das die Cutoff-Kriterien auf MedDRA SOC Ebene erfüllt (Monate) - SOC: Cardiac disorders (10007541) (full analysis set)



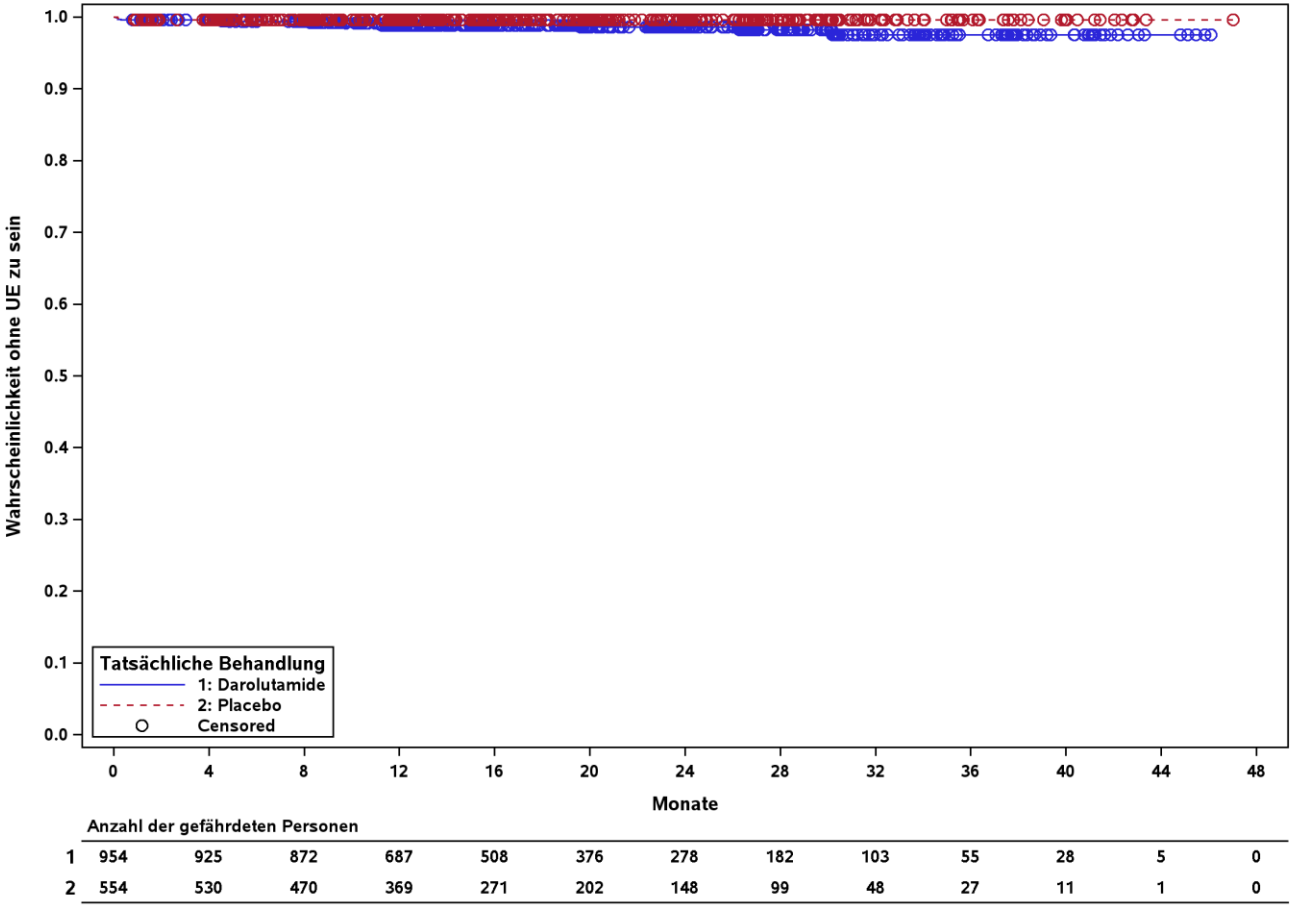
Bayer: /by-sasp/patdb/projects/1841788/17712/stat/prod_query22/pgms/t_aecut.sas 23APR2020 18:15

Figure 4.2.4 / 52: Kaplan-Meier-Plot der 'UE, die die Cutoff-Kriterien erfüllen TTE-Analyse' nach Endpunkt - Endpunkt: Zeit bis zum ersten UE das die Cutoff-Kriterien auf MedDRA SOC Ebene erfüllt (Monate) - SOC: Ear and labyrinth disorders (10013993) (full analysis set)



Bayer: /by-sasp/patdb/projects/1841788/17712/stat/prod_query22/pgms/t_aecut.sas 23APR2020 18:15

Figure 4.2.4 / 53: Kaplan-Meier-Plot der 'UE, die die Cutoff-Kriterien erfüllen TTE-Analyse' nach Endpunkt - Endpunkt: Zeit bis zum ersten UE das die Cutoff-Kriterien auf MedDRA SOC Ebene erfüllt (Monate) - SOC: Endocrine disorders (10014698) (full analysis set)



Bayer: /by-sasp/patdb/projects/1841788/17712/stat/prod_query22/pgms/t_aecut.sas 23APR2020 18:15

Figure 4.2.4 / 54: Kaplan-Meier-Plot der 'UE, die die Cutoff-Kriterien erfüllen TTE-Analyse' nach Endpunkt - Endpunkt: Zeit bis zum ersten UE das die Cutoff-Kriterien auf MedDRA SOC Ebene erfüllt (Monate) - SOC: Eye disorders (10015919) (full analysis set)

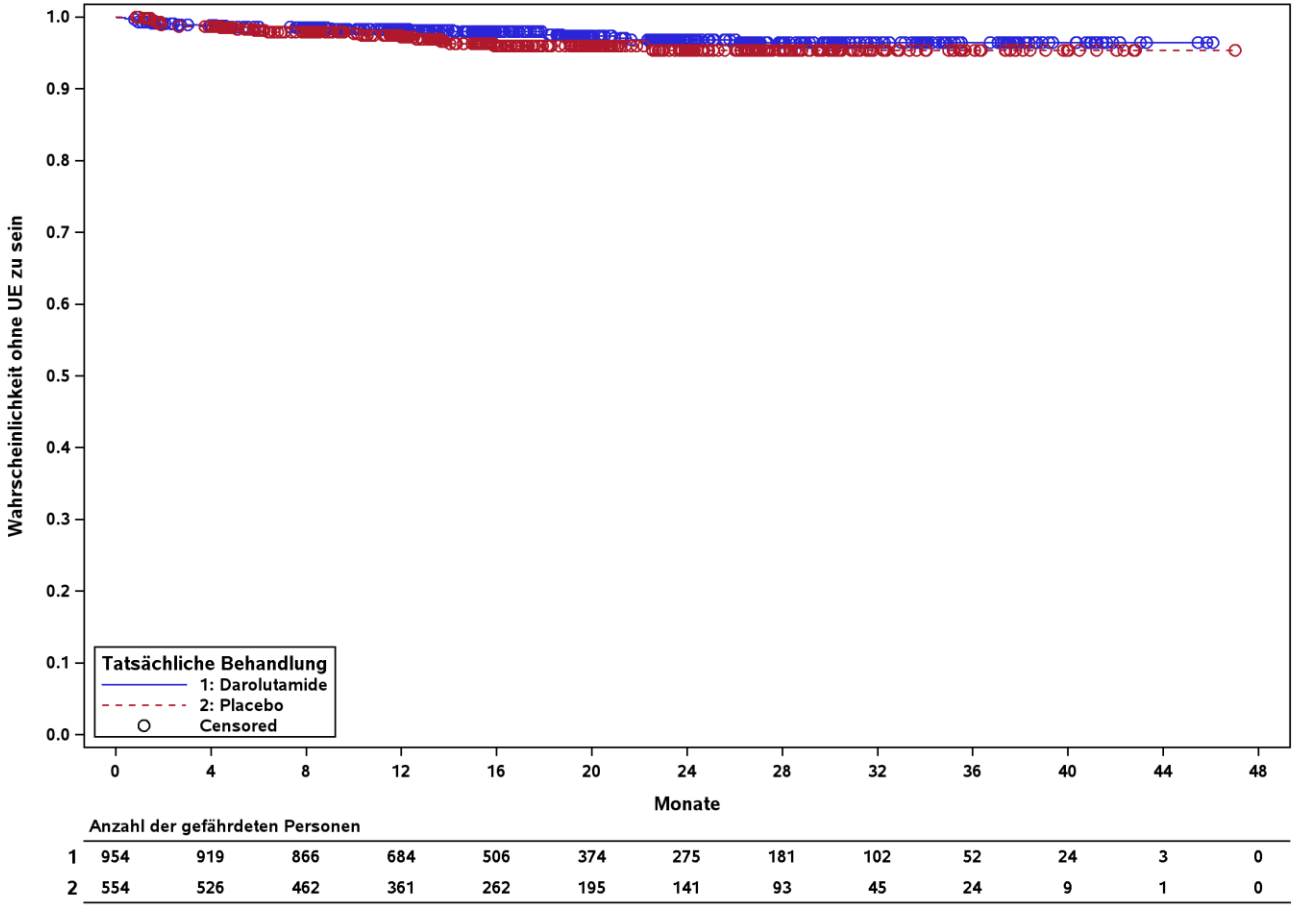
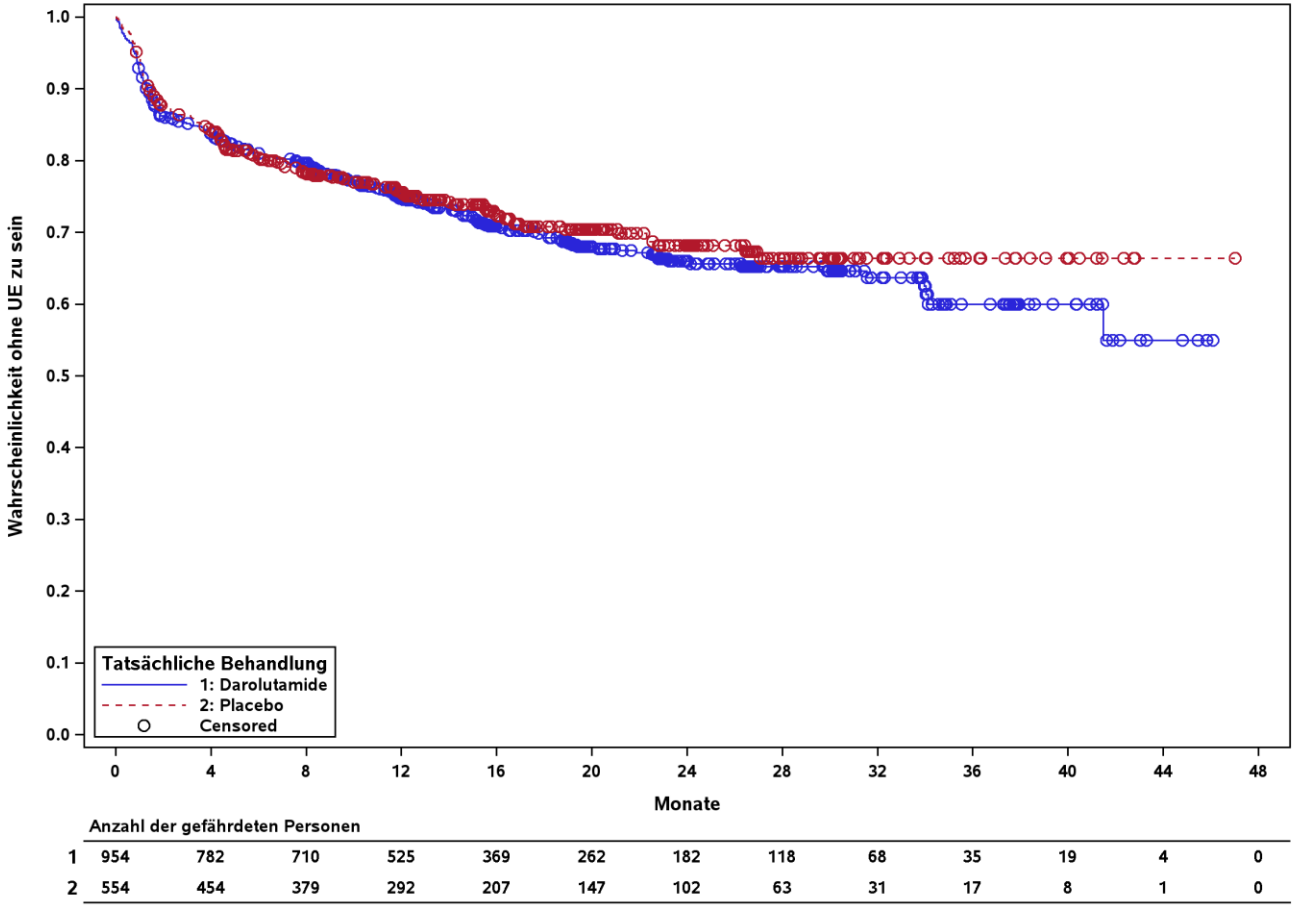
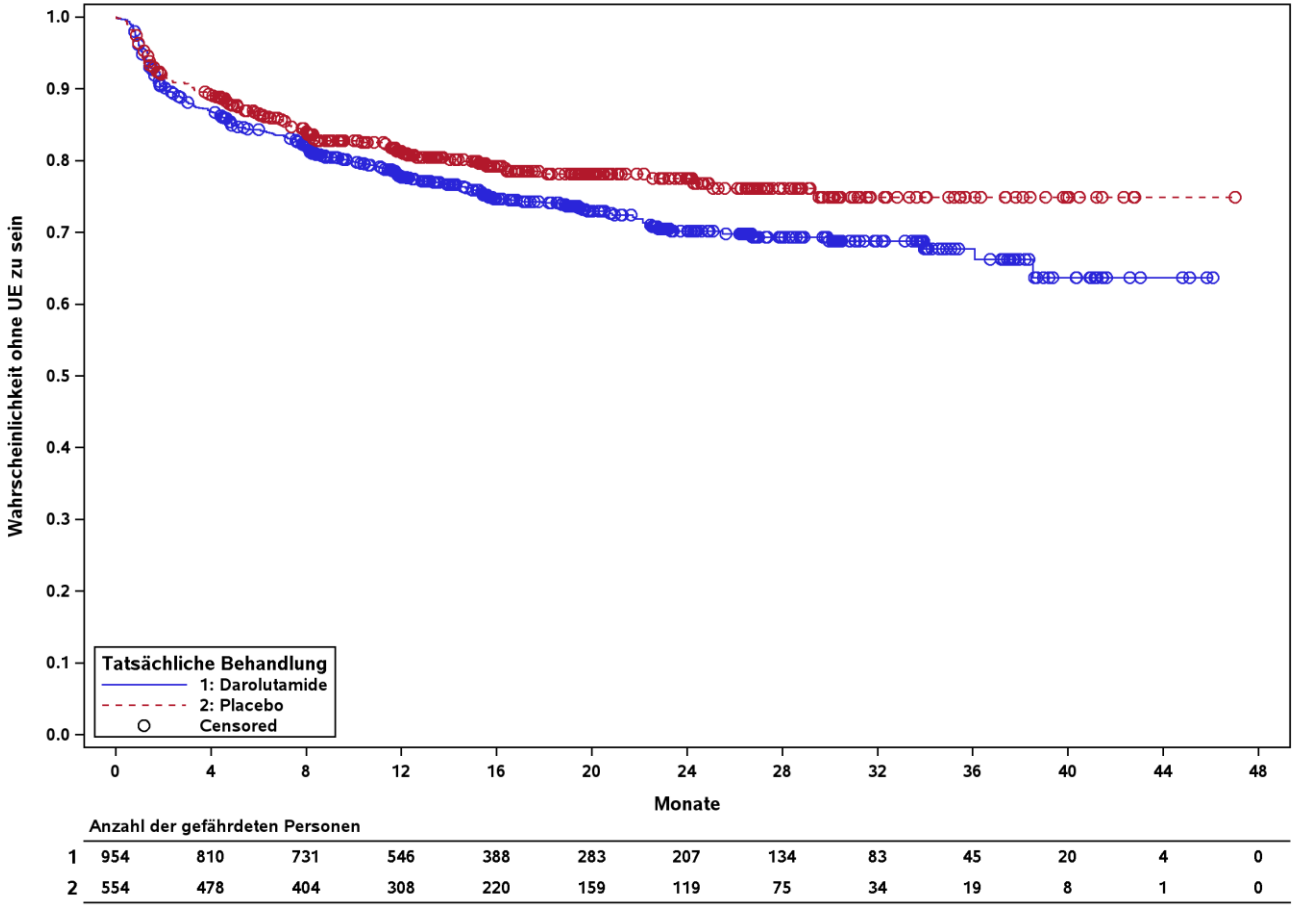


Figure 4.2.4 / 55: Kaplan-Meier-Plot der 'UE, die die Cutoff-Kriterien erfüllen TTE-Analyse' nach Endpunkt - Endpunkt: Zeit bis zum ersten UE das die Cutoff-Kriterien auf MedDRA SOC Ebene erfüllt (Monate) - SOC: Gastrointestinal disorders (10017947) (full analysis set)



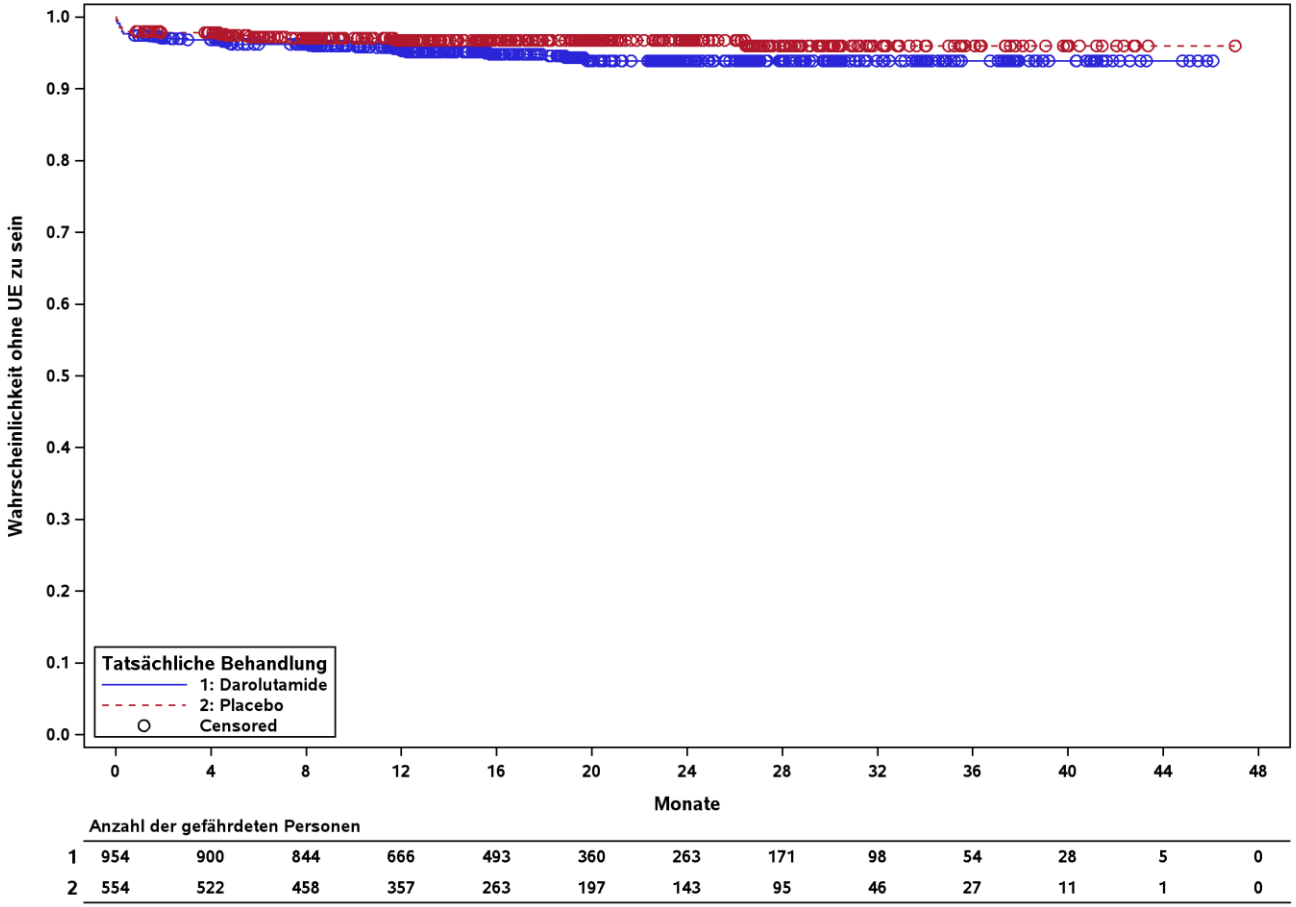
Bayer: /by-sasp/patdb/projects/1841788/17712/stat/prod_query22/pgms/t_aecut.sas 23APR2020 18:15

Figure 4.2.4 / 56: Kaplan-Meier-Plot der 'UE, die die Cutoff-Kriterien erfüllen TTE-Analyse' nach Endpunkt - Endpunkt: Zeit bis zum ersten UE das die Cutoff-Kriterien auf MedDRA SOC Ebene erfüllt (Monate) - SOC: General disorders and administration site conditions (10018065) (full analysis set)



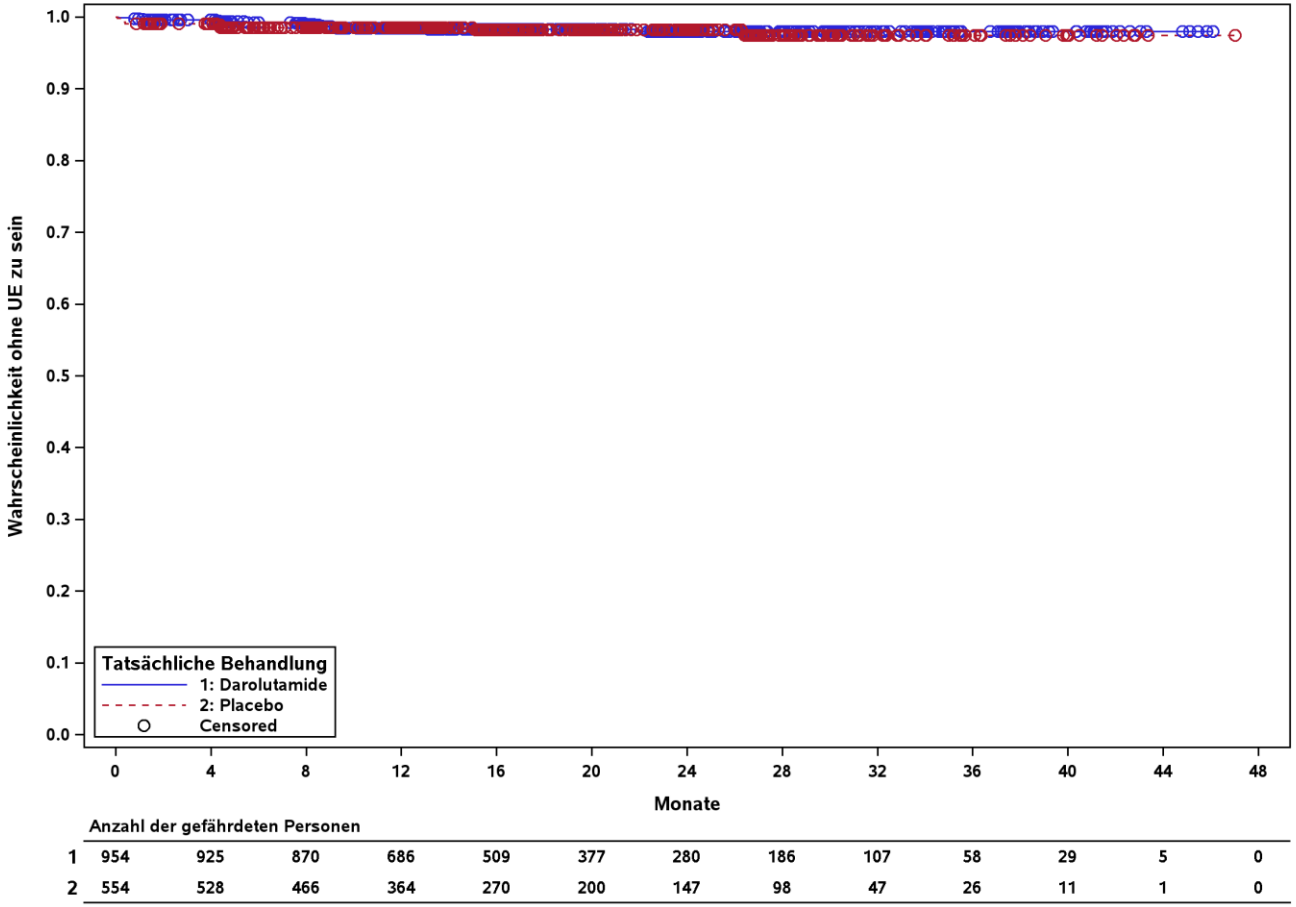
Bayer: /by-sasp/patdb/projects/1841788/17712/stat/prod_query22/pgms/t_aecut.sas 23APR2020 18:15

Figure 4.2.4 / 57: Kaplan-Meier-Plot der 'UE, die die Cutoff-Kriterien erfüllen TTE-Analyse' nach Endpunkt - Endpunkt: Zeit bis zum ersten UE das die Cutoff-Kriterien auf MedDRA SOC Ebene erfüllt (Monate) - SOC: Hepatobiliary disorders (10019805) (full analysis set)



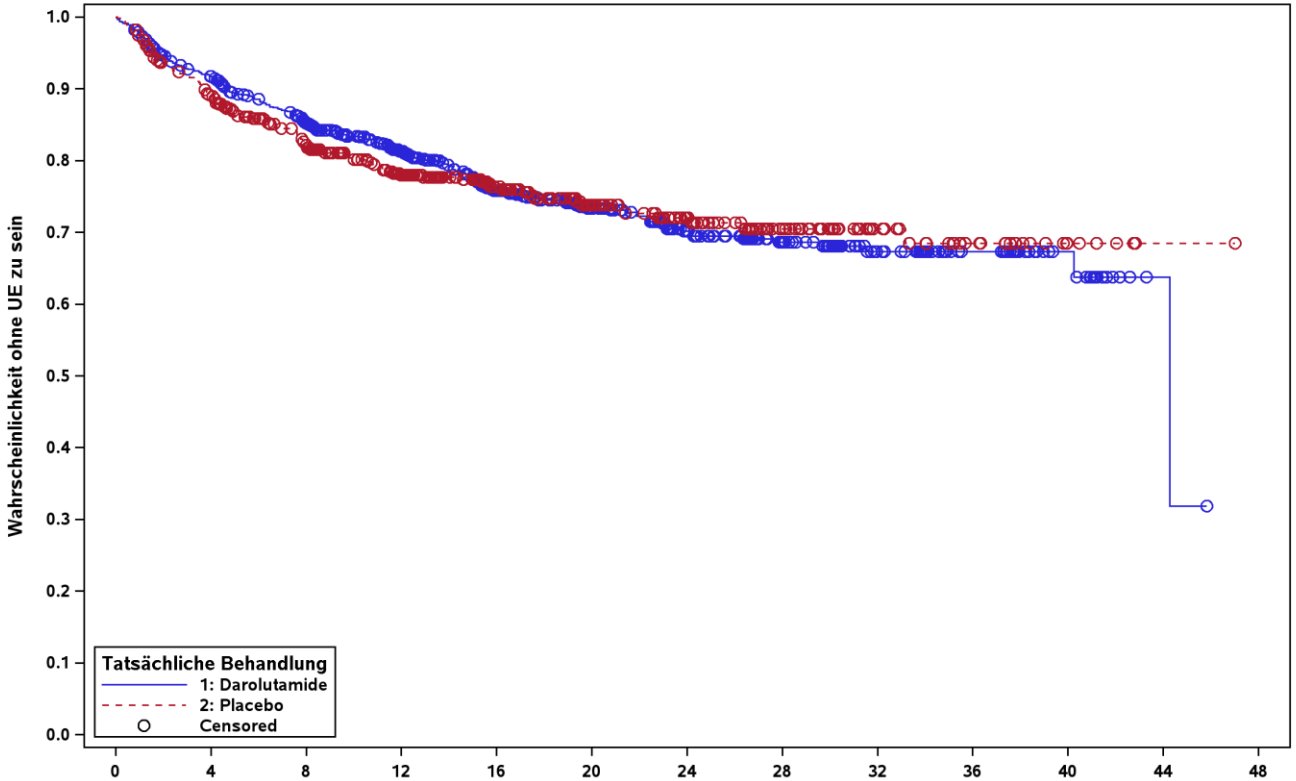
Bayer: /by-sasp/patdb/projects/1841788/17712/stat/prod_query22/pgms/t_aecut.sas 23APR2020 18:15

Figure 4.2.4 / 58: Kaplan-Meier-Plot der 'UE, die die Cutoff-Kriterien erfüllen TTE-Analyse' nach Endpunkt - Endpunkt: Zeit bis zum ersten UE das die Cutoff-Kriterien auf MedDRA SOC Ebene erfüllt (Monate) - SOC: Immune system disorders (10021428) (full analysis set)



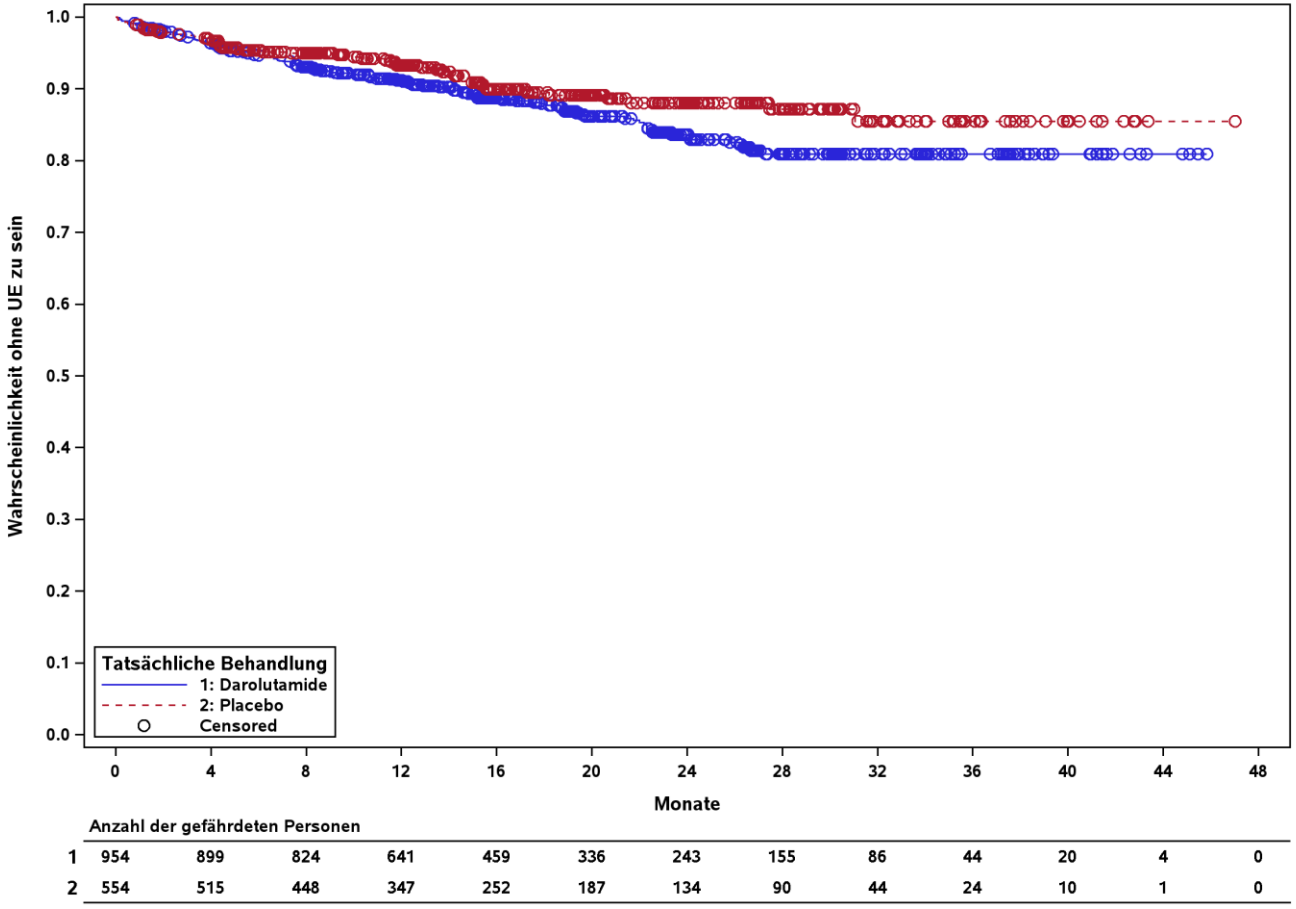
Bayer: /by-sasp/patdb/projects/1841788/17712/stat/prod_query22/pgms/t_aecut.sas 23APR2020 18:15

Figure 4.2.4 / 59: Kaplan-Meier-Plot der 'UE, die die Cutoff-Kriterien erfüllen TTE-Analyse' nach Endpunkt - Endpunkt: Zeit bis zum ersten UE das die Cutoff-Kriterien auf MedDRA SOC Ebene erfüllt (Monate) - SOC: Infections and infestations (10021881) (full analysis set)



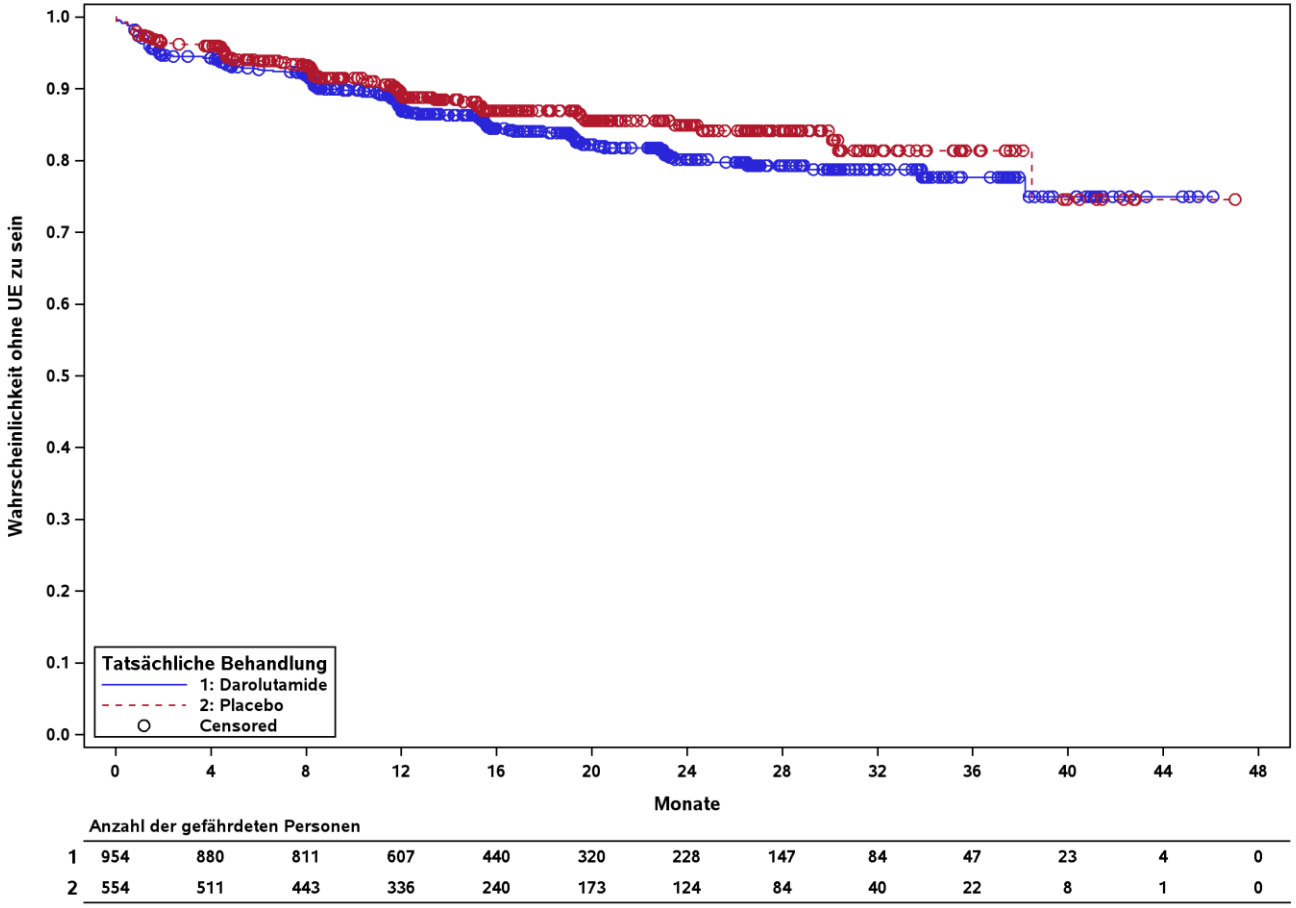
Bayer: /by-sasp/patdb/projects/1841788/17712/stat/prod_query22/pgms/t_aecut.sas 23APR2020 18:15

Figure 4.2.4 / 60: Kaplan-Meier-Plot der 'UE, die die Cutoff-Kriterien erfüllen TTE-Analyse' nach Endpunkt - Endpunkt: Zeit bis zum ersten UE das die Cutoff-Kriterien auf MedDRA SOC Ebene erfüllt (Monate) - SOC: Injury, poisoning and procedural complications (10022117) (full analysis set)



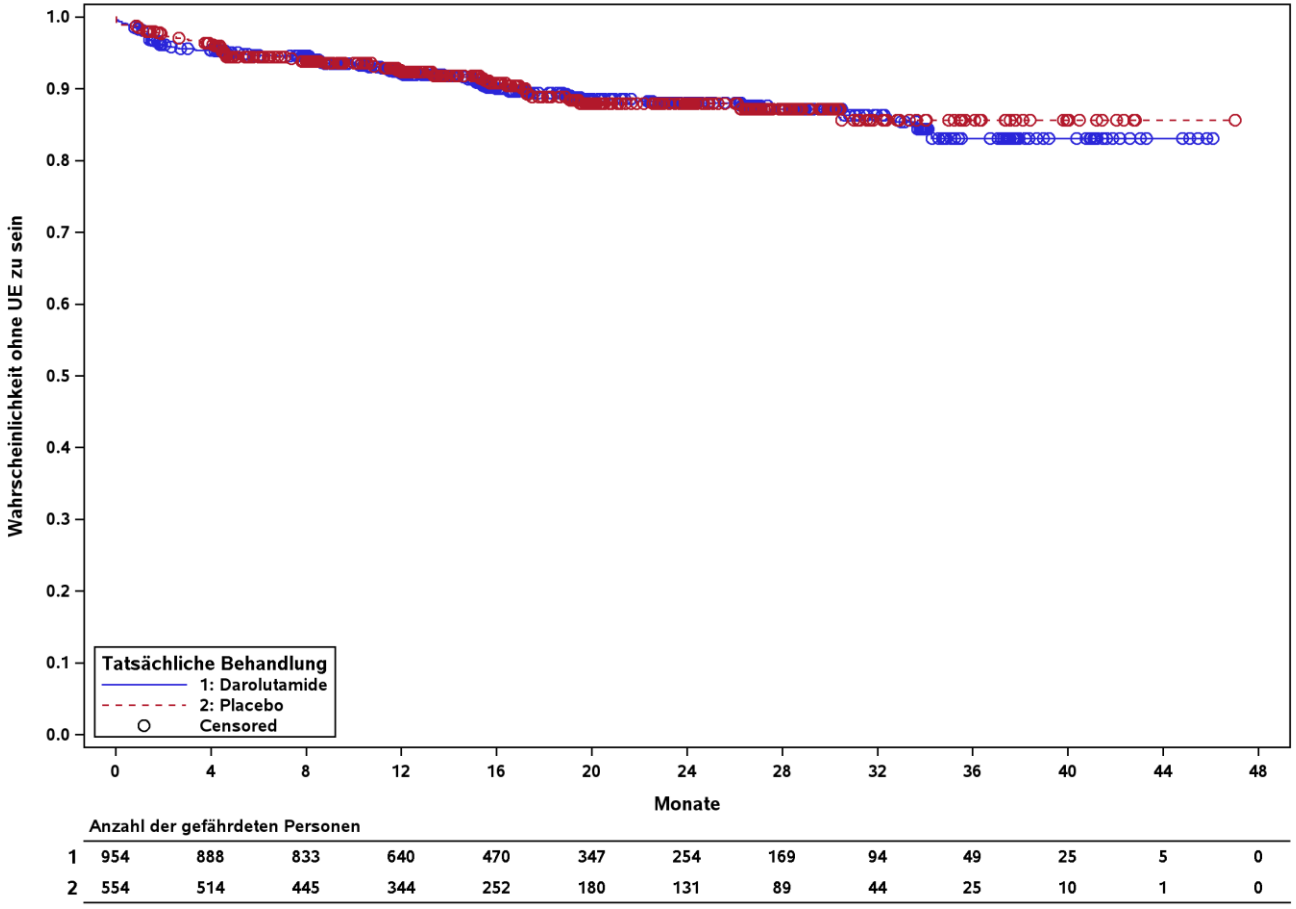
Bayer: /by-sasp/patdb/projects/1841788/17712/stat/prod_query22/pgms/t_aecut.sas 23APR2020 18:15

Figure 4.2.4 / 61: Kaplan-Meier-Plot der 'UE, die die Cutoff-Kriterien erfüllen TTE-Analyse' nach Endpunkt - Endpunkt: Zeit bis zum ersten UE das die Cutoff-Kriterien auf MedDRA SOC Ebene erfüllt (Monate) - SOC: Investigations (10022891) (full analysis set)



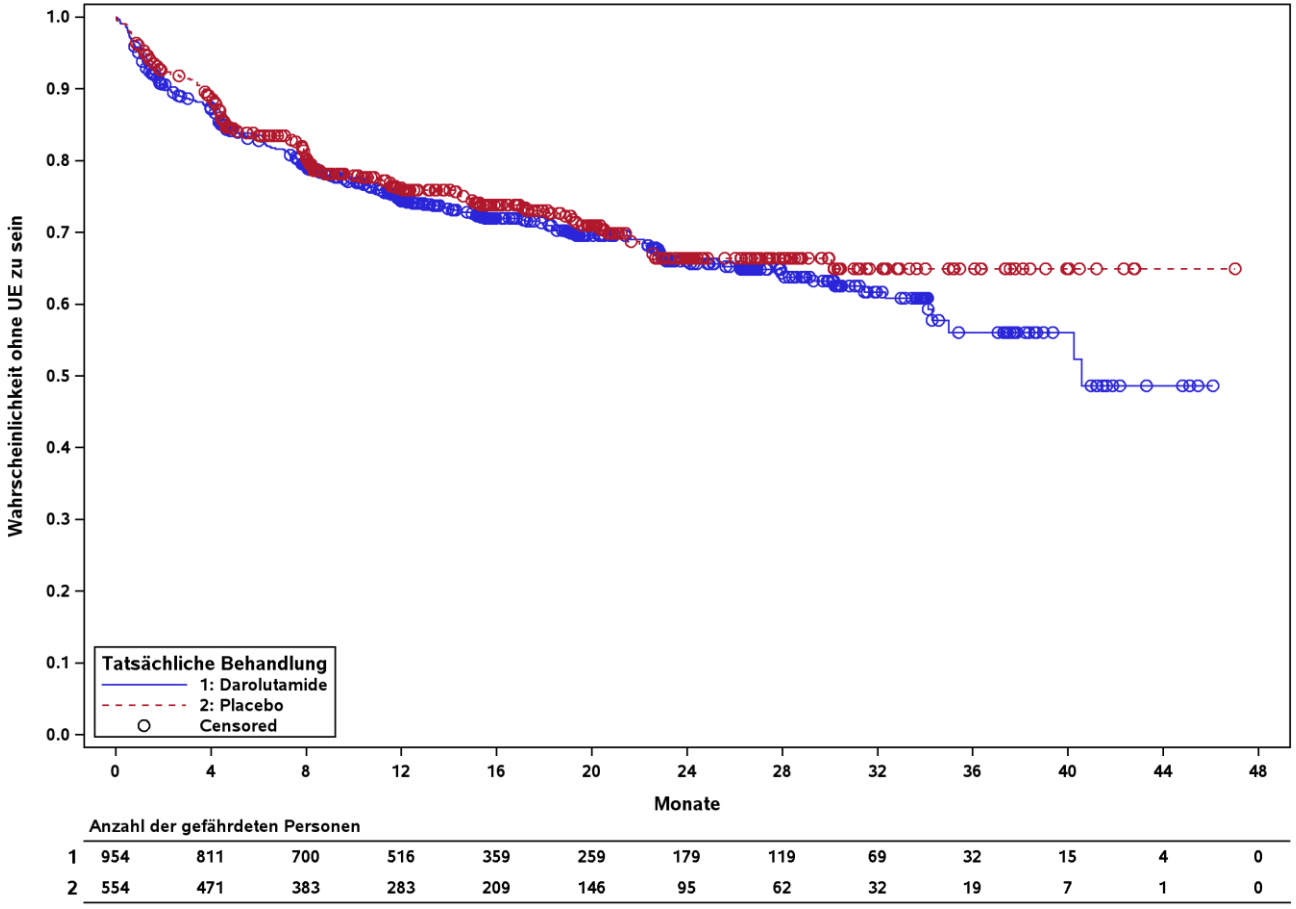
Bayer: /by-sasp/patdb/projects/1841788/17712/stat/prod_query22/pgms/t_aecut.sas 23APR2020 18:15

Figure 4.2.4 / 62: Kaplan-Meier-Plot der 'UE, die die Cutoff-Kriterien erfüllen TTE-Analyse' nach Endpunkt - Endpunkt: Zeit bis zum ersten UE das die Cutoff-Kriterien auf MedDRA SOC Ebene erfüllt (Monate) - SOC: Metabolism and nutrition disorders (10027433) (full analysis set)



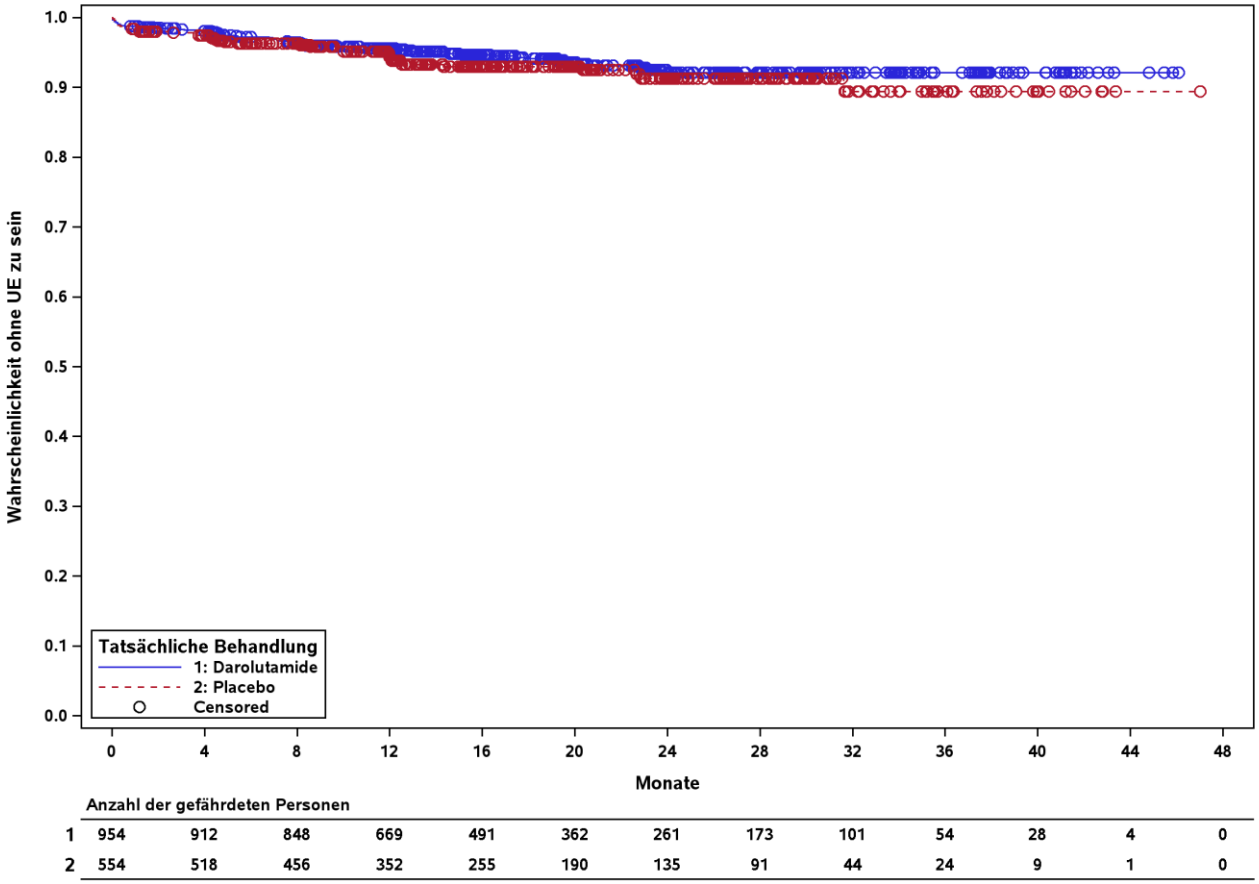
Bayer: /by-sasp/patdb/projects/1841788/17712/stat/prod_query22/pgms/t_aecut.sas 23APR2020 18:15

Figure 4.2.4 / 63: Kaplan-Meier-Plot der 'UE, die die Cutoff-Kriterien erfüllen TTE-Analyse' nach Endpunkt - Endpunkt: Zeit bis zum ersten UE das die Cutoff-Kriterien auf MedDRA SOC Ebene erfüllt (Monate) - SOC: Musculoskeletal and connective tissue disorders (10028395) (full analysis set)



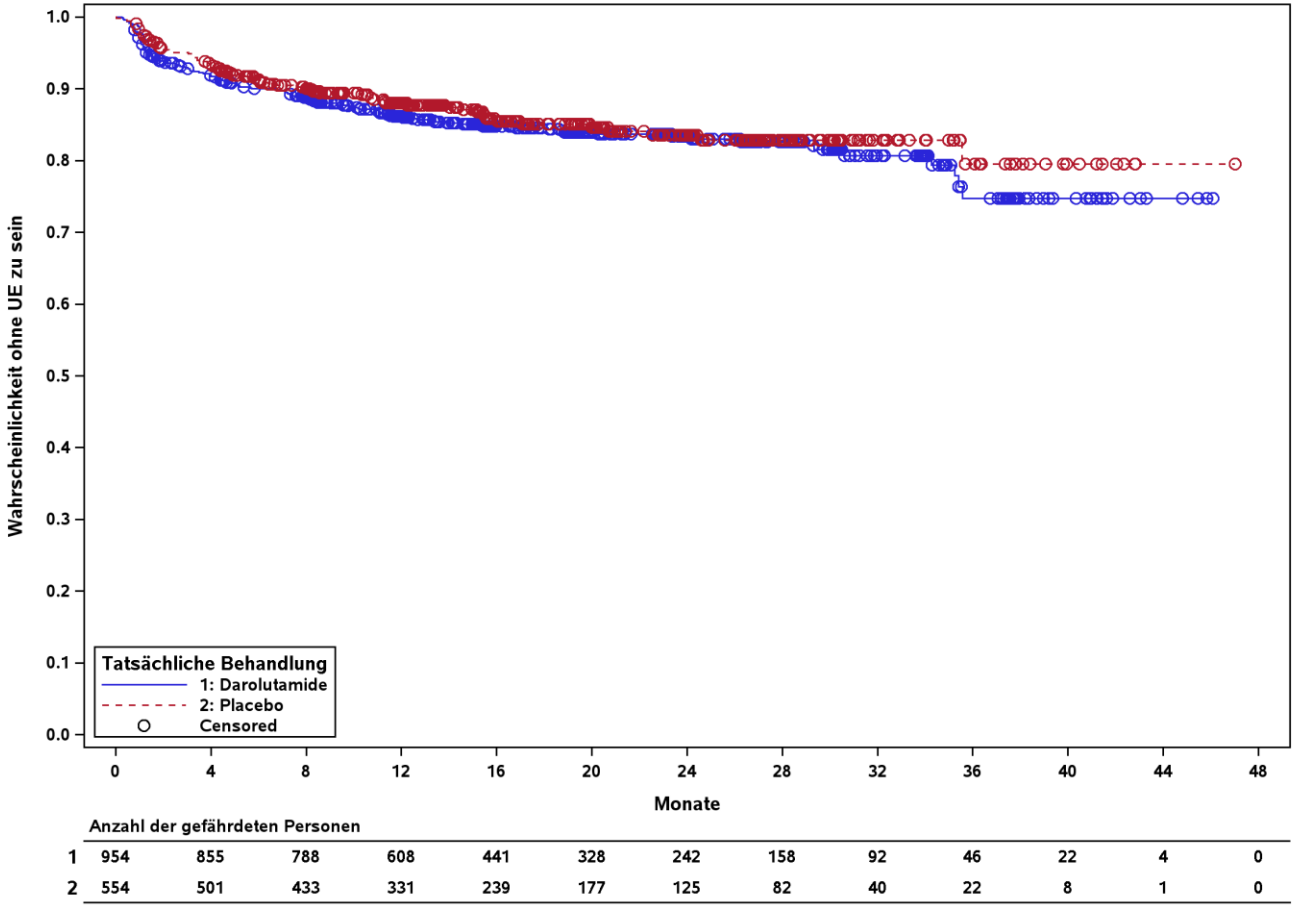
Bayer: /by-sasp/patdb/projects/1841788/17712/stat/prod_query22/pgms/t_aecut.sas 23APR2020 18:15

Figure 4.2.4 / 64: Kaplan-Meier-Plot der 'UE, die die Cutoff-Kriterien erfüllen TTE-Analyse' nach Endpunkt - Endpunkt: Zeit bis zum ersten UE das die Cutoff-Kriterien auf MedDRA SOC Ebene erfüllt (Monate) - SOC: Neoplasms benign, malignant and unspecified (incl cysts and polyps) (10029104) (full analysis set)



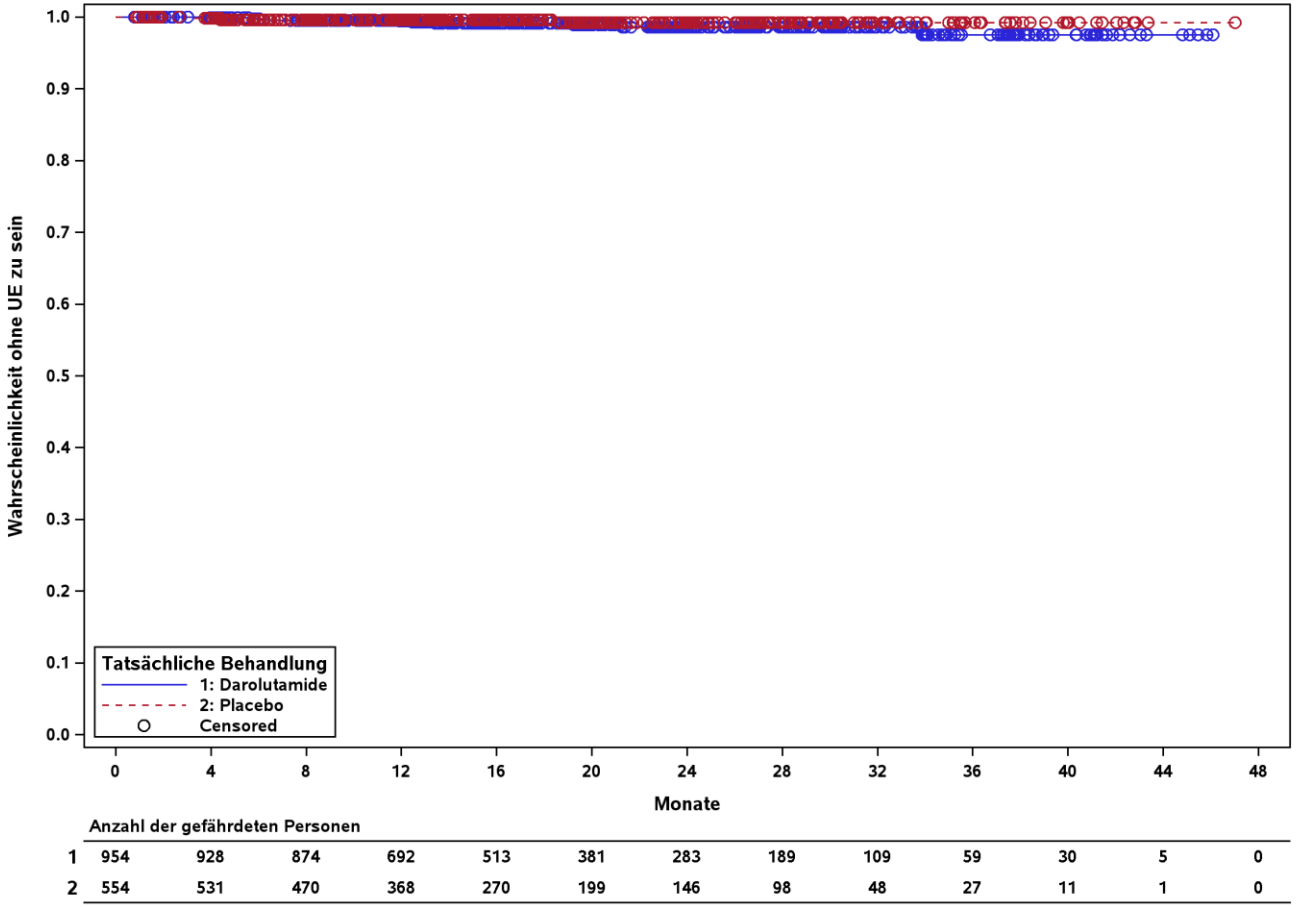
Bayer: /by-sasp/patdb/projects/1841788/17712/stat/prod_query22/pgms/t_aecut.sas 23APR2020 18:15

Figure 4.2.4 / 65: Kaplan-Meier-Plot der 'UE, die die Cutoff-Kriterien erfüllen TTE-Analyse' nach Endpunkt - Endpunkt: Zeit bis zum ersten UE das die Cutoff-Kriterien auf MedDRA SOC Ebene erfüllt (Monate) - SOC: Nervous system disorders (10029205) (full analysis set)



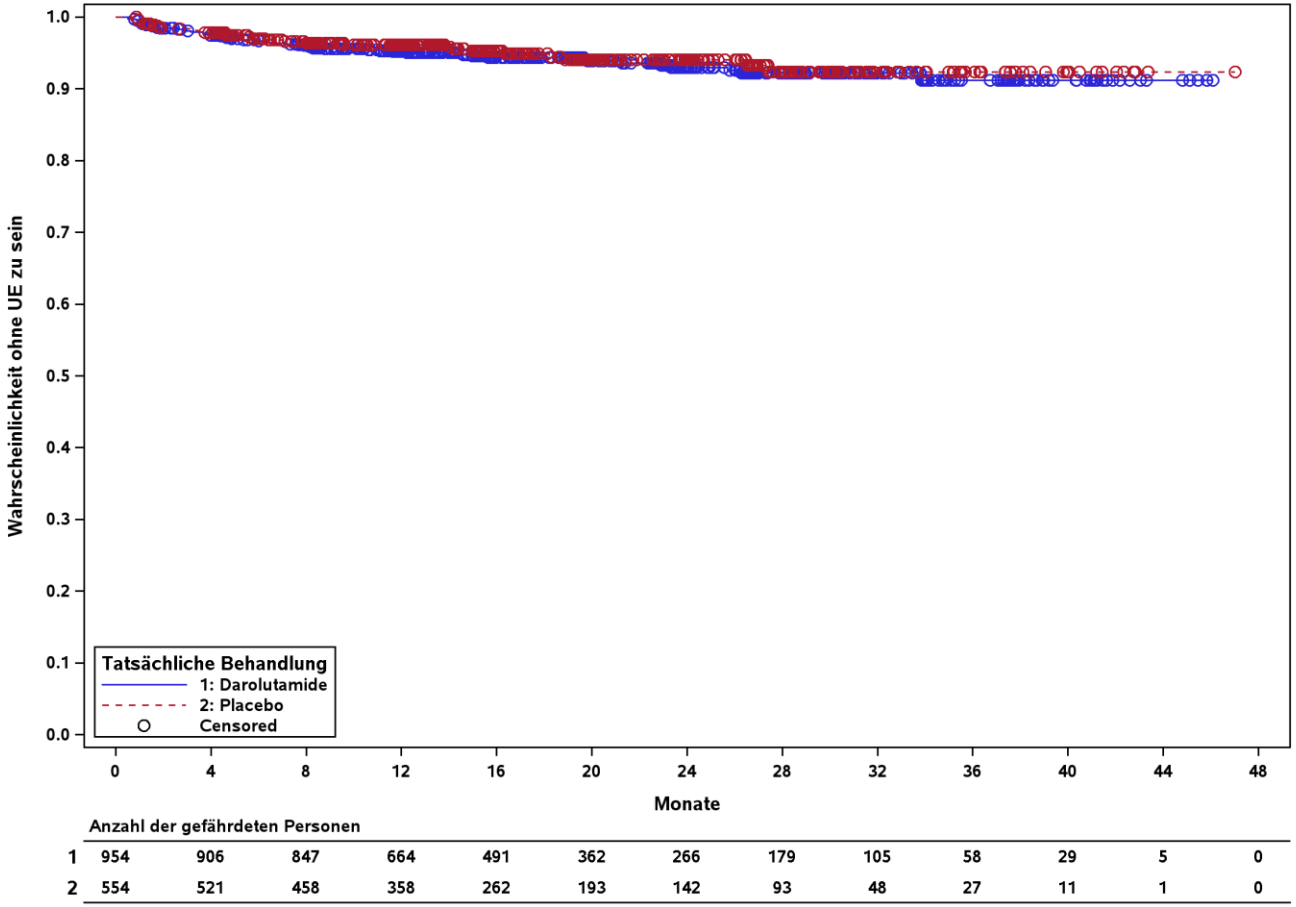
Bayer: /by-sasp/patdb/projects/1841788/17712/stat/prod_query22/pgms/t_aecut.sas 23APR2020 18:15

Figure 4.2.4 / 66: Kaplan-Meier-Plot der 'UE, die die Cutoff-Kriterien erfüllen TTE-Analyse' nach Endpunkt - Endpunkt: Zeit bis zum ersten UE das die Cutoff-Kriterien auf MedDRA SOC Ebene erfüllt (Monate) - SOC: Product issues (10077536) (full analysis set)



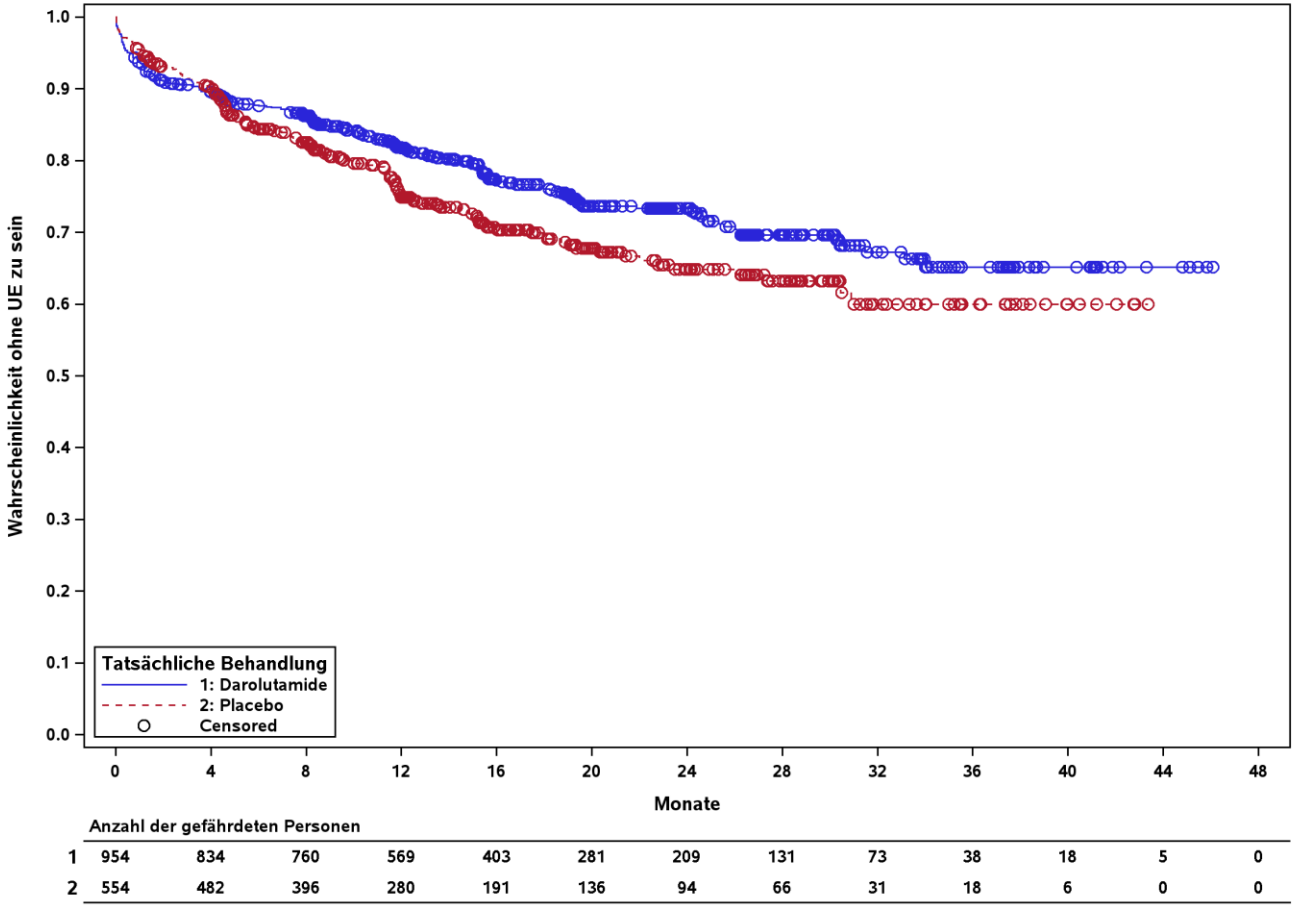
Bayer: /by-sasp/patdb/projects/1841788/17712/stat/prod_query22/pgms/t_aecut.sas 23APR2020 18:15

Figure 4.2.4 / 67: Kaplan-Meier-Plot der 'UE, die die Cutoff-Kriterien erfüllen TTE-Analyse' nach Endpunkt - Endpunkt: Zeit bis zum ersten UE das die Cutoff-Kriterien auf MedDRA SOC Ebene erfüllt (Monate) - SOC: Psychiatric disorders (10037175) (full analysis set)



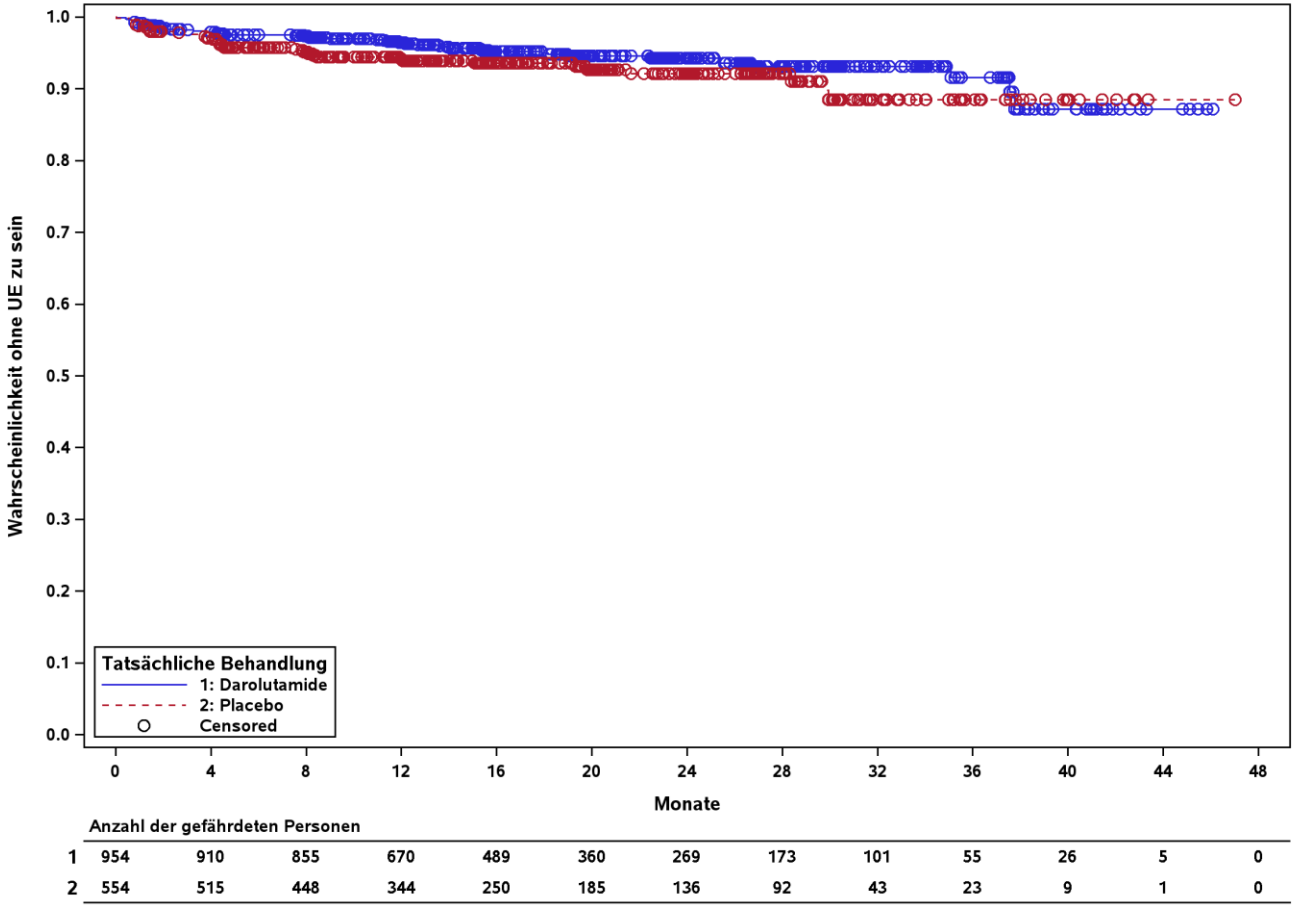
Bayer: /by-sasp/patdb/projects/1841788/17712/stat/prod_query22/pgms/t_aecut.sas 23APR2020 18:15

Figure 4.2.4 / 68: Kaplan-Meier-Plot der 'UE, die die Cutoff-Kriterien erfüllen TTE-Analyse' nach Endpunkt - Endpunkt: Zeit bis zum ersten UE das die Cutoff-Kriterien auf MedDRA SOC Ebene erfüllt (Monate) - SOC: Renal and urinary disorders (10038359) (full analysis set)



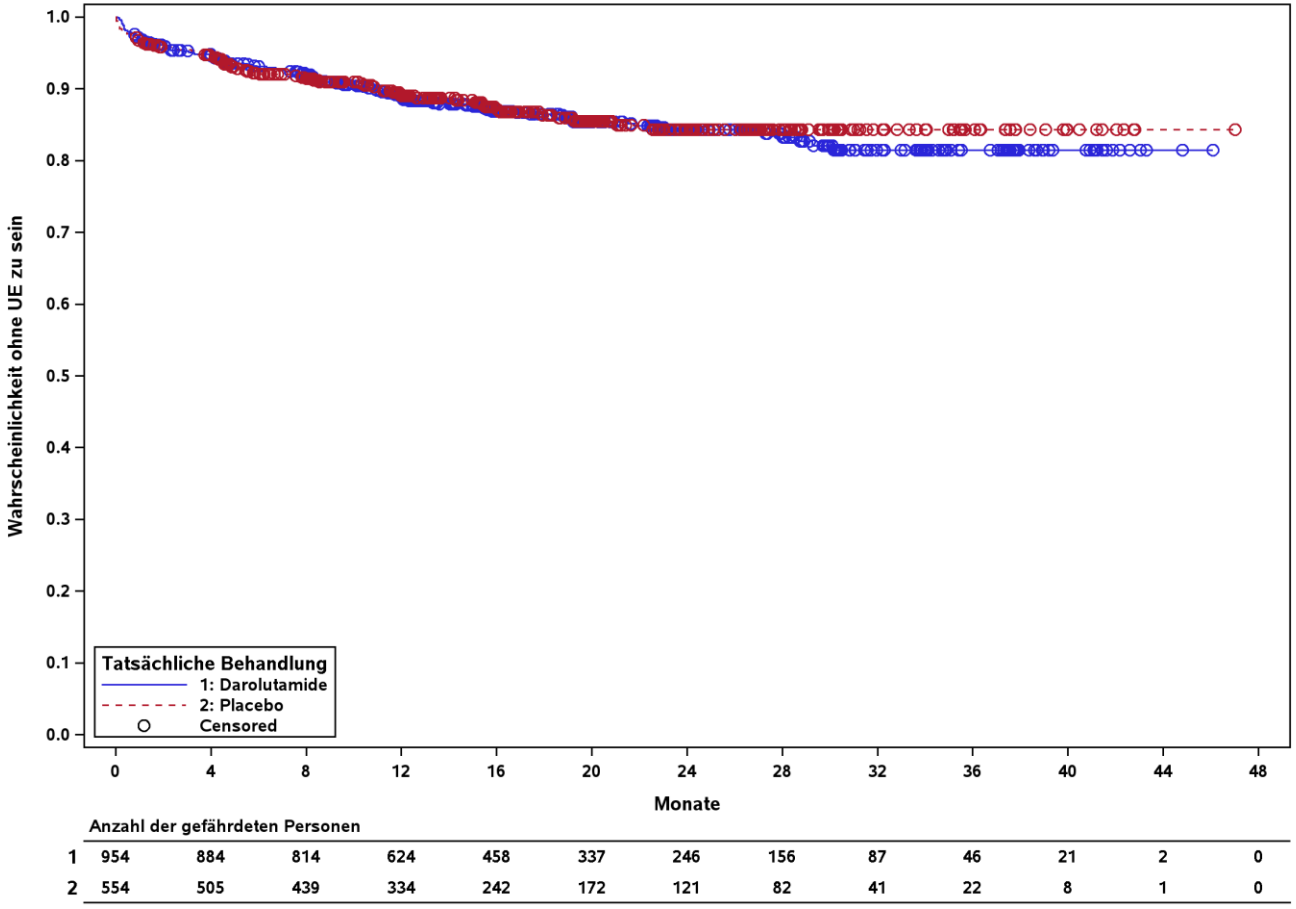
Bayer: /by-sasp/patdb/projects/1841788/17712/stat/prod_query22/pgms/t_aecut.sas 23APR2020 18:15

Figure 4.2.4 / 69: Kaplan-Meier-Plot der 'UE, die die Cutoff-Kriterien erfüllen TTE-Analyse' nach Endpunkt - Endpunkt: Zeit bis zum ersten UE das die Cutoff-Kriterien auf MedDRA SOC Ebene erfüllt (Monate) - SOC: Reproductive system and breast disorders (10038604) (full analysis set)



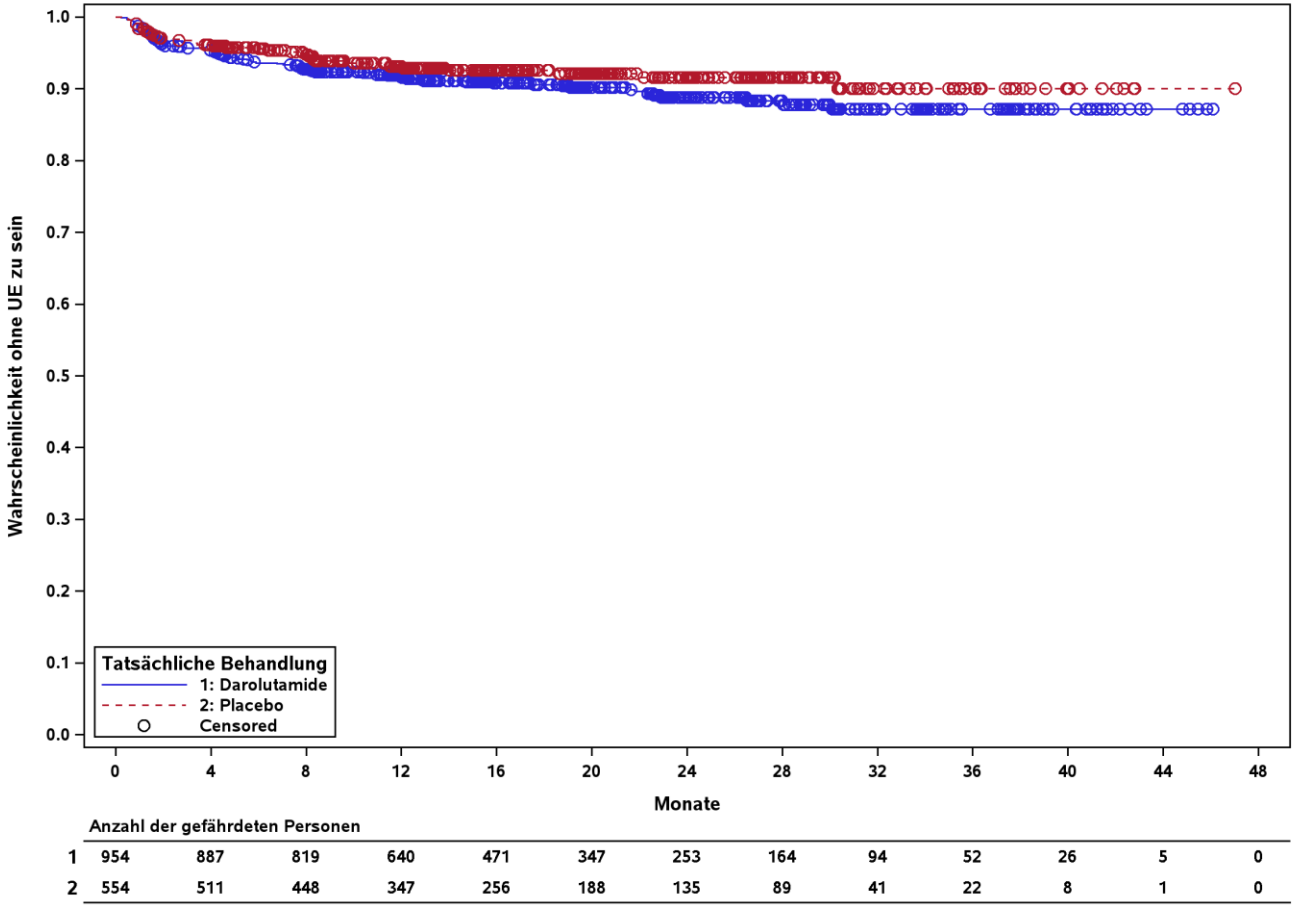
Bayer: /by-sasp/patdb/projects/1841788/17712/stat/prod_query22/pgms/t_aecut.sas 23APR2020 18:15

Figure 4.2.4 / 70: Kaplan-Meier-Plot der 'UE, die die Cutoff-Kriterien erfüllen TTE-Analyse' nach Endpunkt - Endpunkt: Zeit bis zum ersten UE das die Cutoff-Kriterien auf MedDRA SOC Ebene erfüllt (Monate) - SOC: Respiratory, thoracic and mediastinal disorders (10038738) (full analysis set)



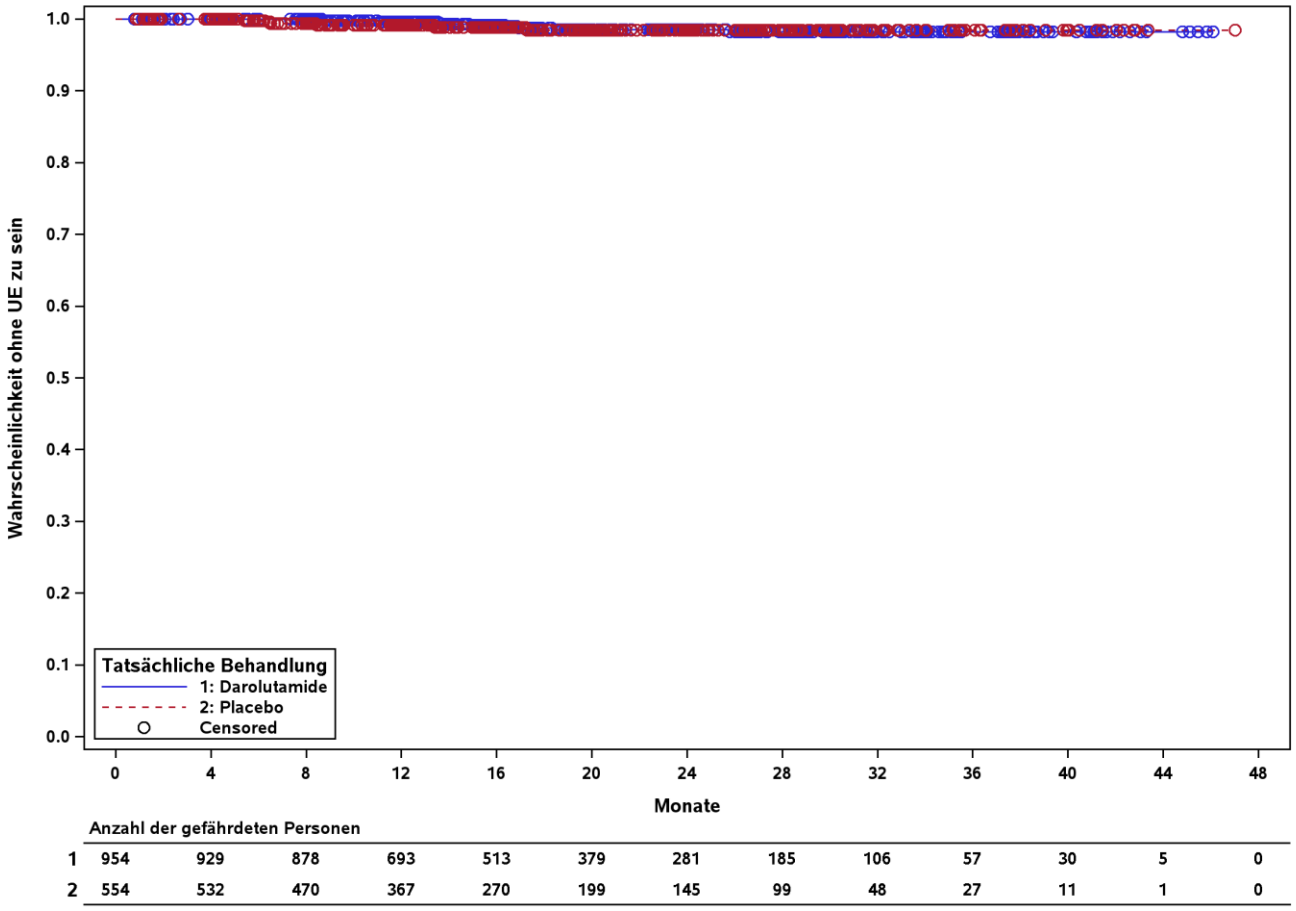
Bayer: /by-sasp/patdb/projects/1841788/17712/stat/prod_query22/pgms/t_aecut.sas 23APR2020 18:15

Figure 4.2.4 / 71: Kaplan-Meier-Plot der 'UE, die die Cutoff-Kriterien erfüllen TTE-Analyse' nach Endpunkt - Endpunkt: Zeit bis zum ersten UE das die Cutoff-Kriterien auf MedDRA SOC Ebene erfüllt (Monate) - SOC: Skin and subcutaneous tissue disorders (10040785) (full analysis set)



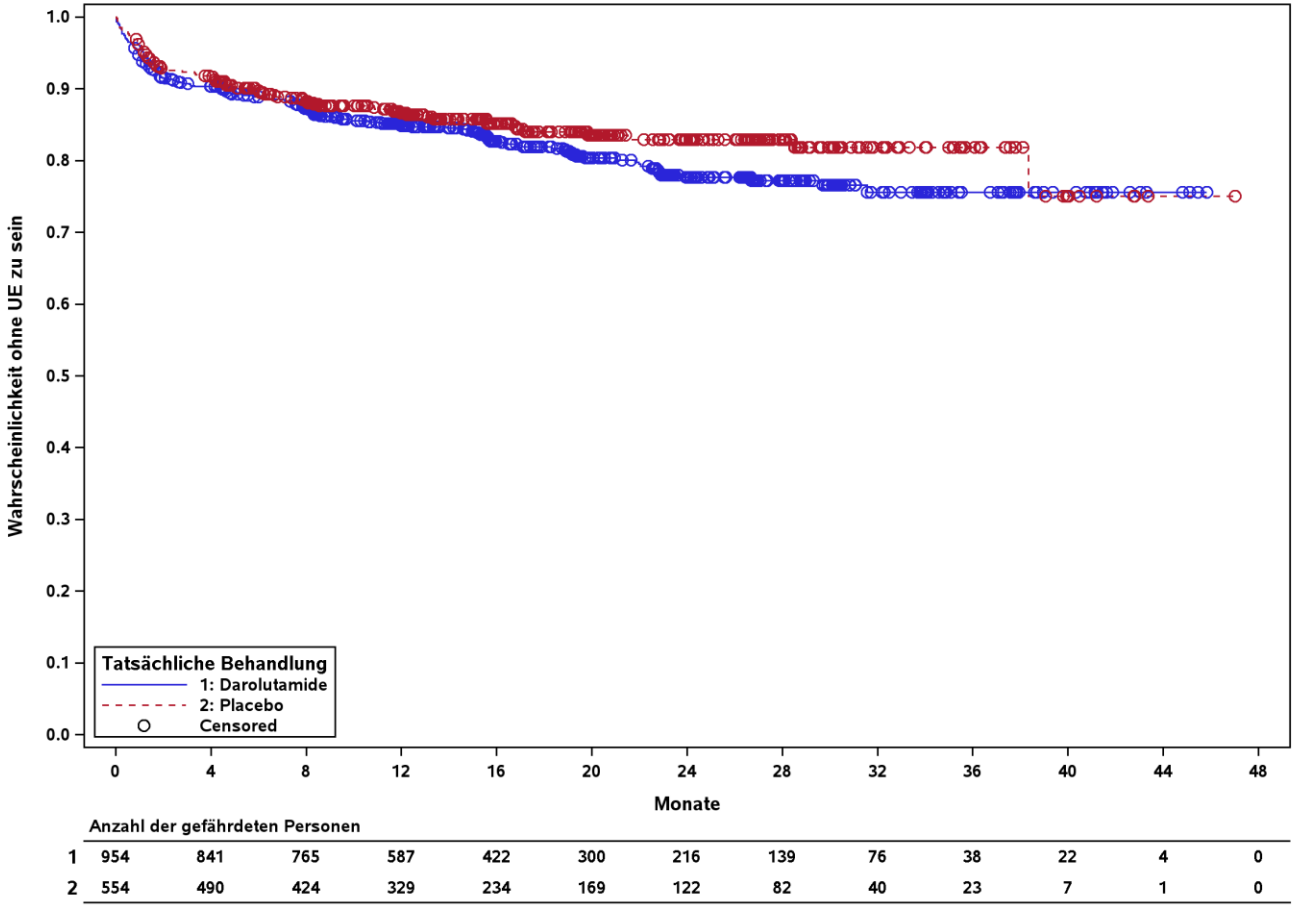
Bayer: /by-sasp/patdb/projects/1841788/17712/stat/prod_query22/pgms/t_aecut.sas 23APR2020 18:15

Figure 4.2.4 / 72: Kaplan-Meier-Plot der 'UE, die die Cutoff-Kriterien erfüllen TTE-Analyse' nach Endpunkt - Endpunkt: Zeit bis zum ersten UE das die Cutoff-Kriterien auf MedDRA SOC Ebene erfüllt (Monate) - SOC: Surgical and medical procedures (10042613) (full analysis set)



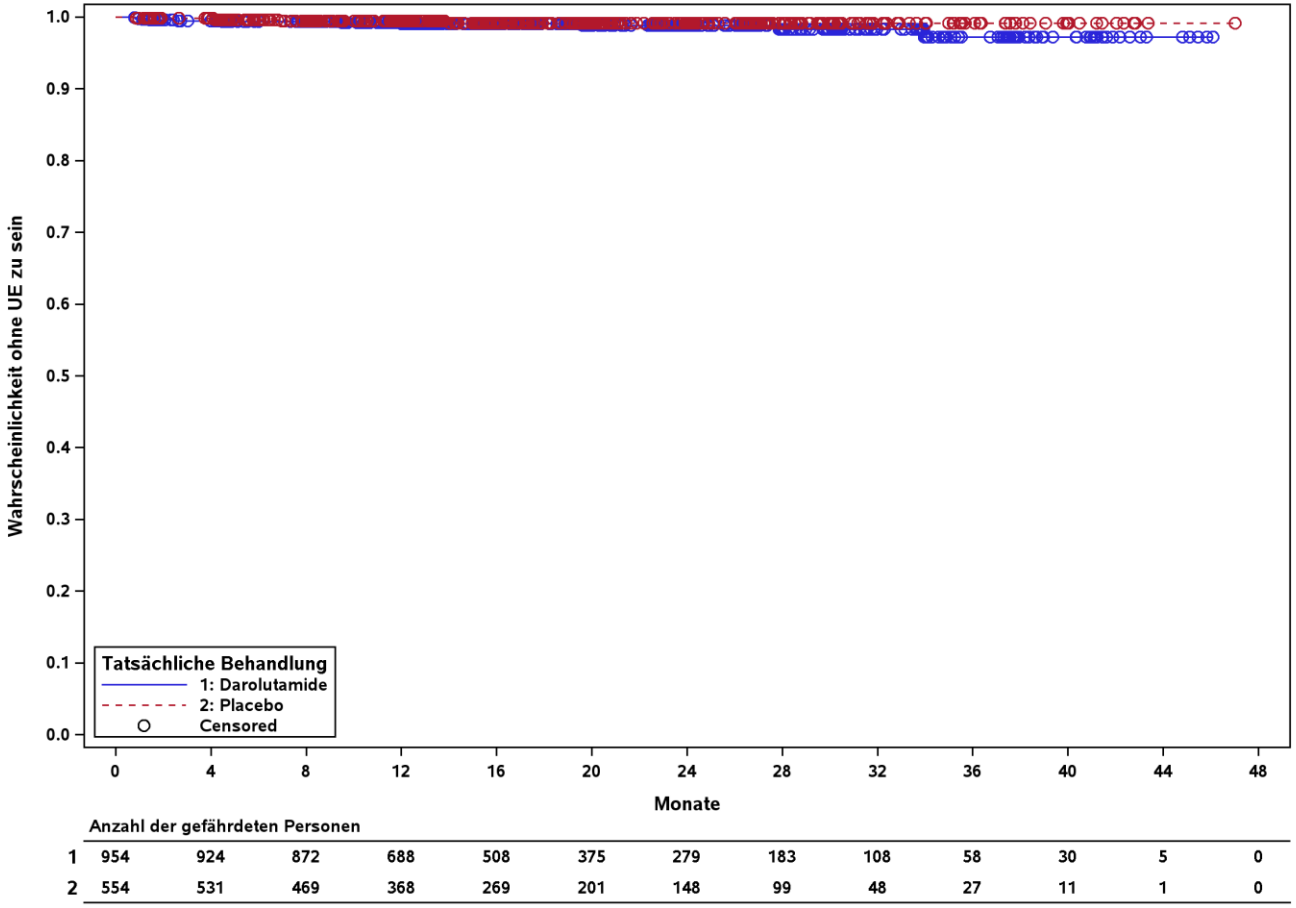
Bayer: /by-sasp/patdb/projects/1841788/17712/stat/prod_query22/pgms/t_aecut.sas 23APR2020 18:15

Figure 4.2.4 / 73: Kaplan-Meier-Plot der 'UE, die die Cutoff-Kriterien erfüllen TTE-Analyse' nach Endpunkt - Endpunkt: Zeit bis zum ersten UE das die Cutoff-Kriterien auf MedDRA SOC Ebene erfüllt (Monate) - SOC: Vascular disorders (10047065) (full analysis set)



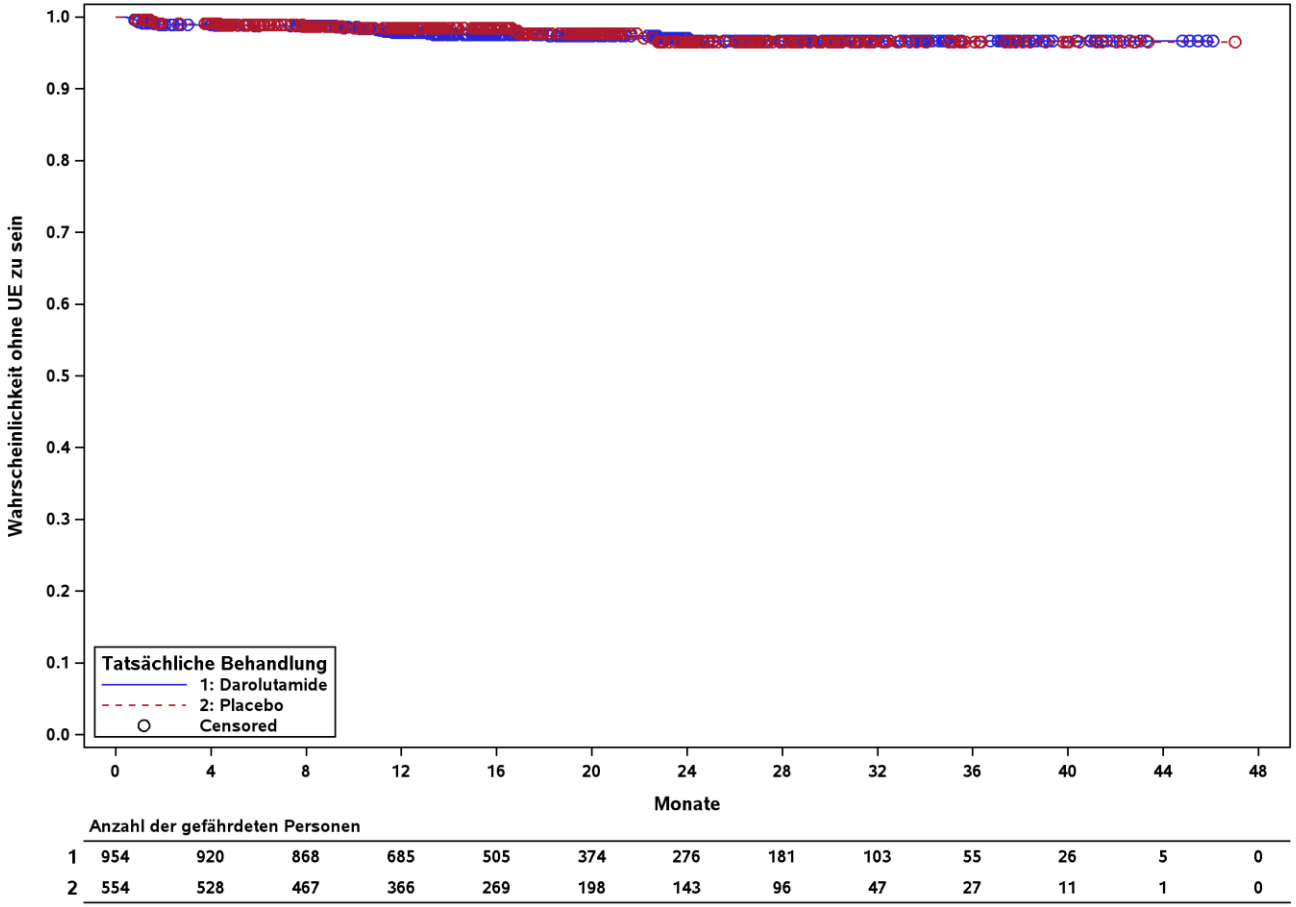
Bayer: /by-sasp/patdb/projects/1841788/17712/stat/prod_query22/pgms/t_aecut.sas 23APR2020 18:15

Figure 4.2.4 / 74: Kaplan-Meier-Plot der 'UE, die die Cutoff-Kriterien erfüllen TTE-Analyse' nach Endpunkt - Endpunkt: Zeit bis zum ersten UE das die Cutoff-Kriterien auf MedDRA PT Ebene erfüllt (Monate) - PT: Abdominal distension (10000060) (full analysis set)



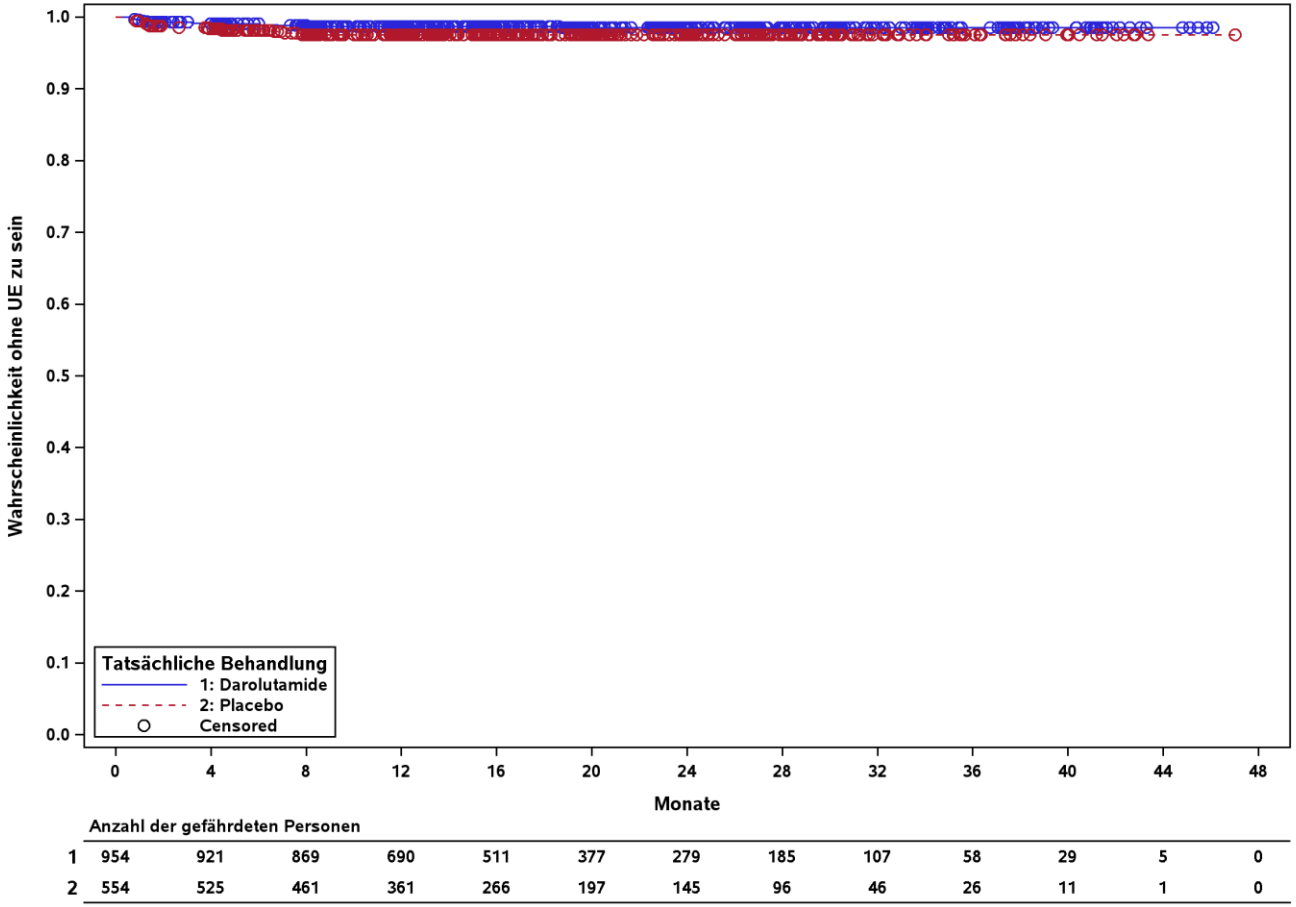
Bayer: /by-sasp/patdb/projects/1841788/17712/stat/prod_query22/pgms/t_aecut.sas 23APR2020 18:15

Figure 4.2.4 / 75: Kaplan-Meier-Plot der 'UE, die die Cutoff-Kriterien erfüllen TTE-Analyse' nach Endpunkt - Endpunkt: Zeit bis zum ersten UE das die Cutoff-Kriterien auf MedDRA PT Ebene erfüllt (Monate) - PT: Abdominal pain (10000081) (full analysis set)



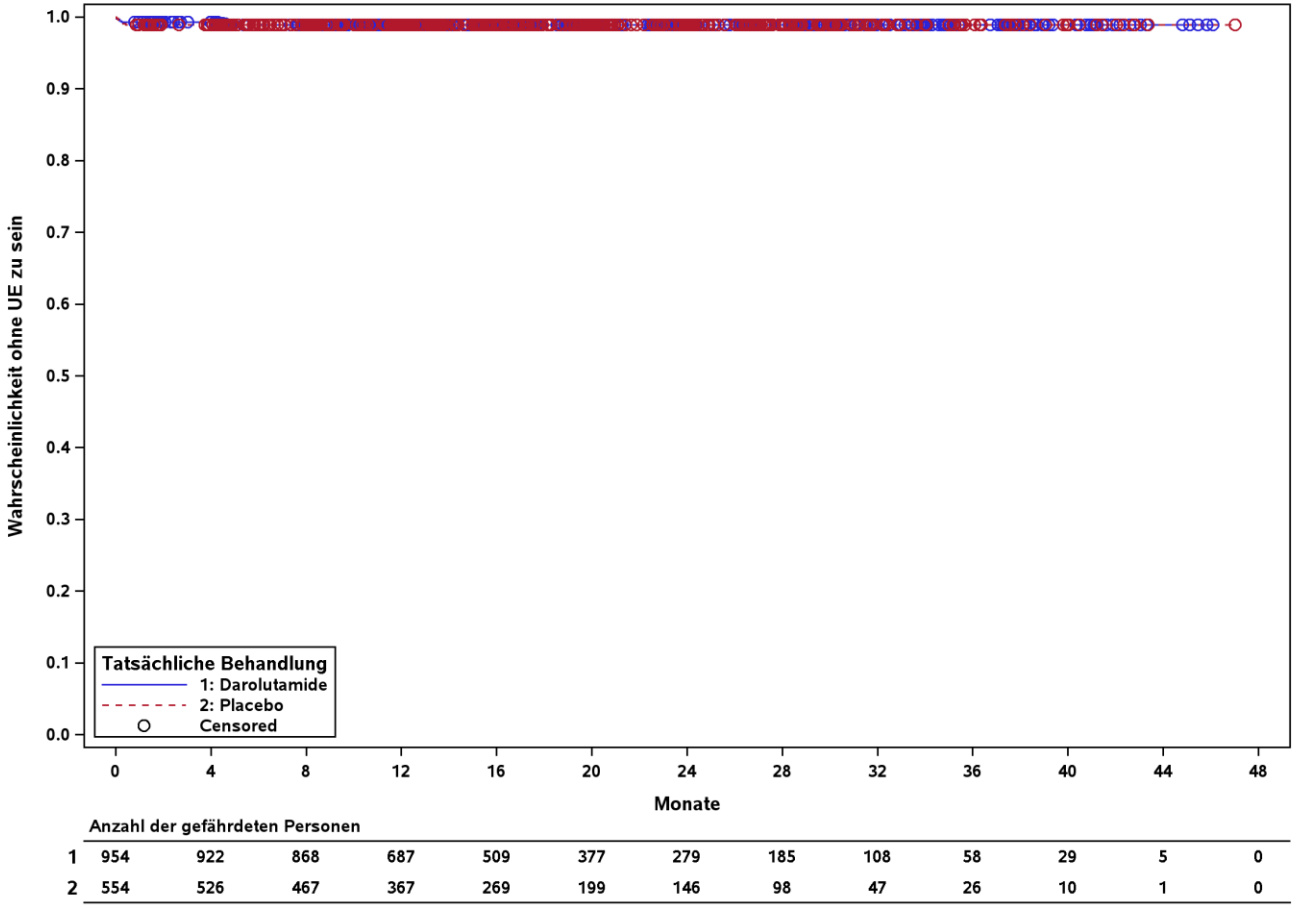
Bayer: /by-sasp/patdb/projects/1841788/17712/stat/prod_query22/pgms/t_aecut.sas 23APR2020 18:15

Figure 4.2.4 / 76: Kaplan-Meier-Plot der 'UE, die die Cutoff-Kriterien erfüllen TTE-Analyse' nach Endpunkt - Endpunkt: Zeit bis zum ersten UE das die Cutoff-Kriterien auf MedDRA PT Ebene erfüllt (Monate) - PT: Abdominal pain upper (10000087) (full analysis set)



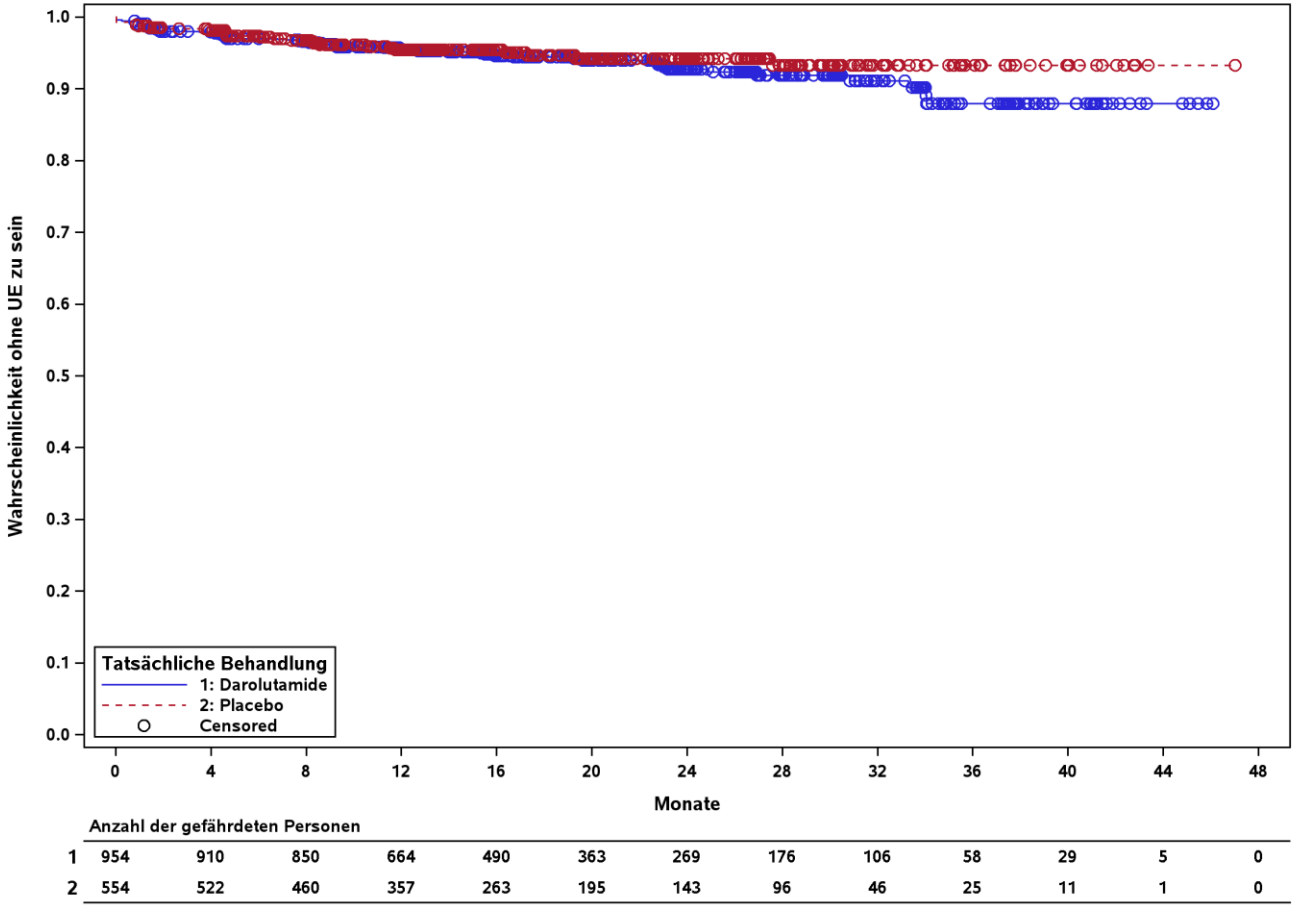
Bayer: /by-sasp/patdb/projects/1841788/17712/stat/prod_query22/pgms/t_aecut.sas 23APR2020 18:15

Figure 4.2.4 / 77: Kaplan-Meier-Plot der 'UE, die die Cutoff-Kriterien erfüllen TTE-Analyse' nach Endpunkt - Endpunkt: Zeit bis zum ersten UE das die Cutoff-Kriterien auf MedDRA PT Ebene erfüllt (Monate) - PT: Adrenal adenoma (10001323) (full analysis set)



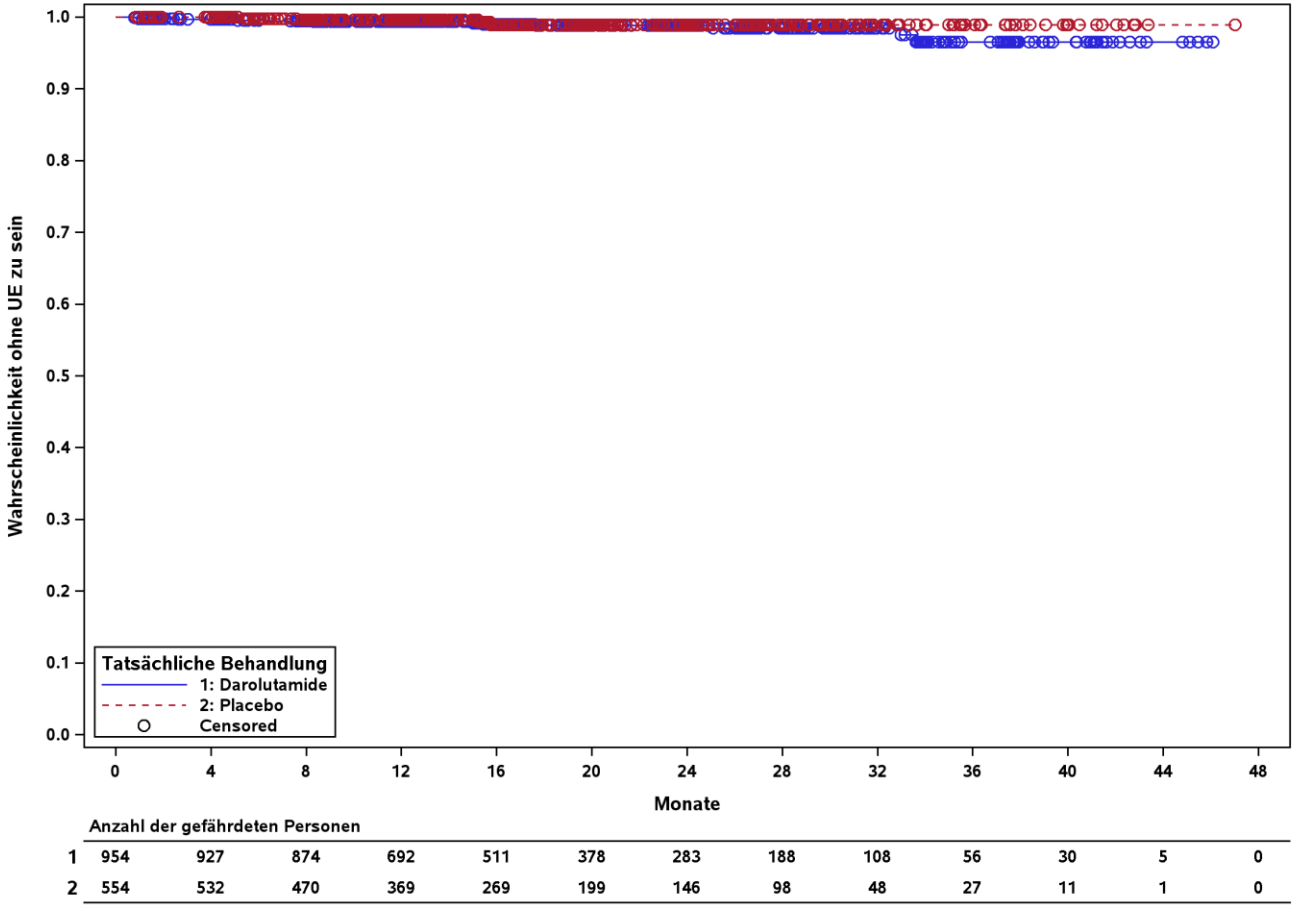
Bayer: /by-sasp/patdb/projects/1841788/17712/stat/prod_query22/pgms/t_aecut.sas 23APR2020 18:15

Figure 4.2.4 / 78: Kaplan-Meier-Plot der 'UE, die die Cutoff-Kriterien erfüllen TTE-Analyse' nach Endpunkt - Endpunkt: Zeit bis zum ersten UE das die Cutoff-Kriterien auf MedDRA PT Ebene erfüllt (Monate) - PT: Anaemia (10002034) (full analysis set)



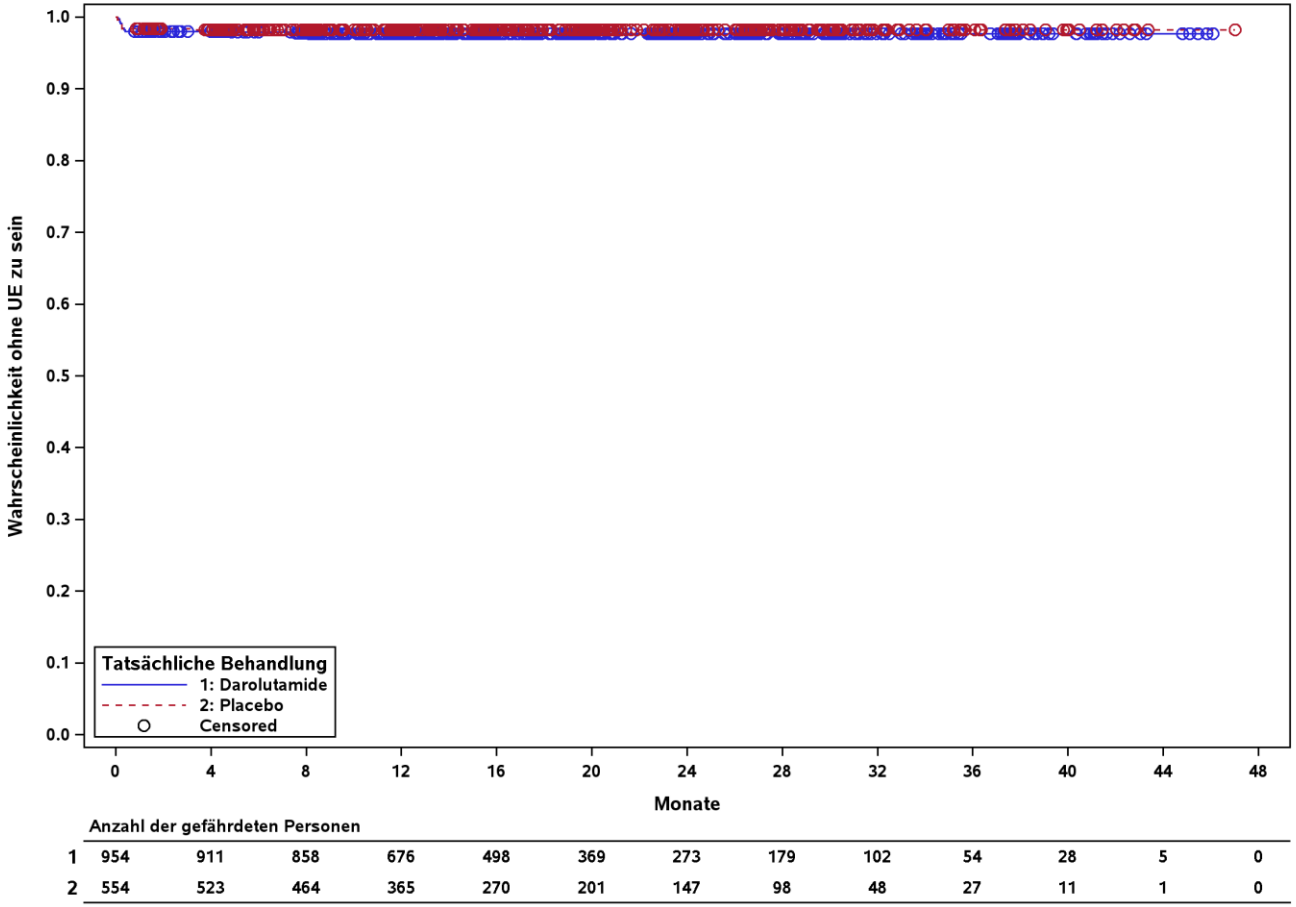
Bayer: /by-sasp/patdb/projects/1841788/17712/stat/prod_query22/pgms/t_aecut.sas 23APR2020 18:15

Figure 4.2.4 / 79: Kaplan-Meier-Plot der 'UE, die die Cutoff-Kriterien erfüllen TTE-Analyse' nach Endpunkt - Endpunkt: Zeit bis zum ersten UE das die Cutoff-Kriterien auf MedDRA PT Ebene erfüllt (Monate) - PT: Angina pectoris (10002383) (full analysis set)



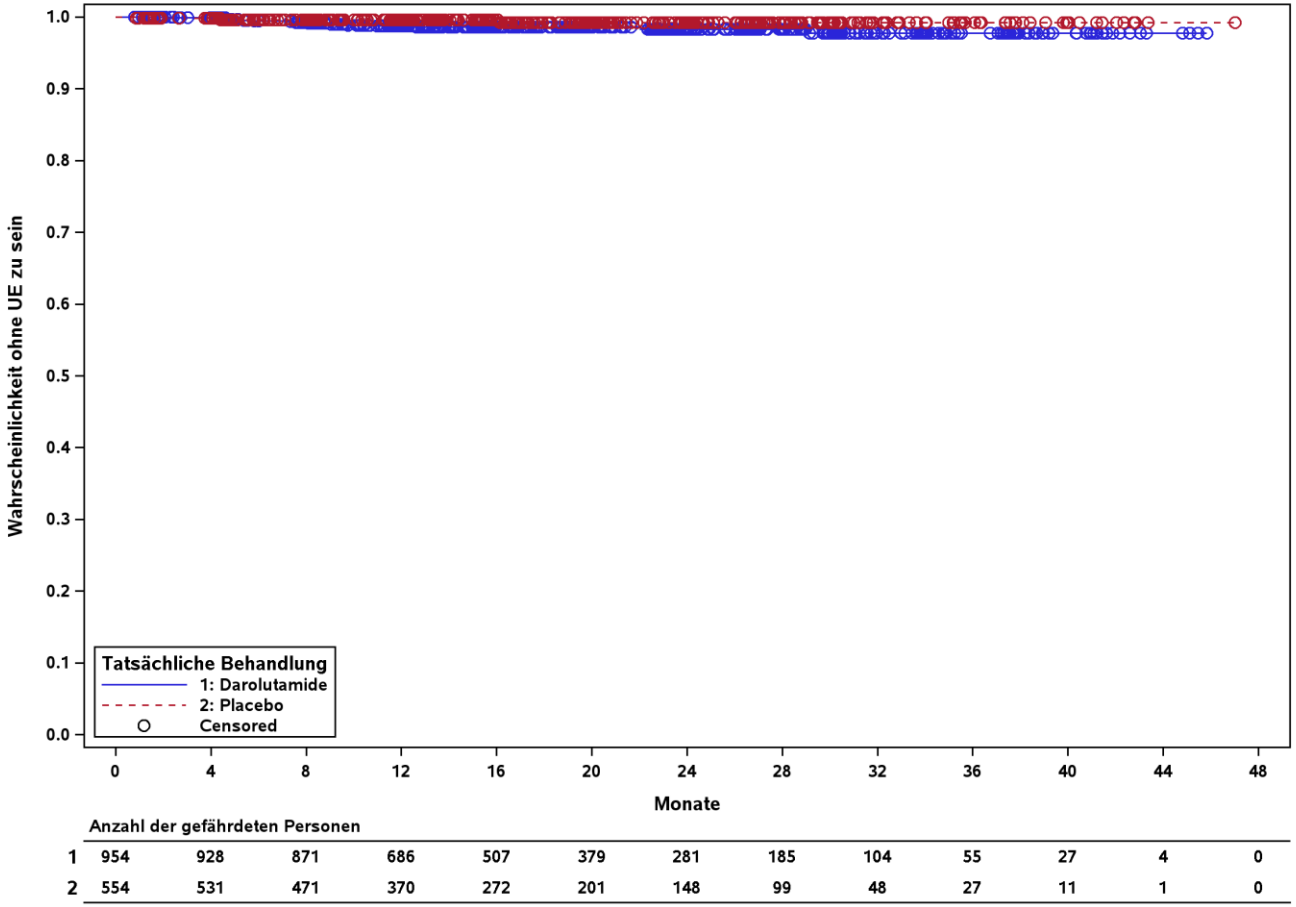
Bayer: /by-sasp/patdb/projects/1841788/17712/stat/prod_query22/pgms/t_aecut.sas 23APR2020 18:15

Figure 4.2.4 / 80: Kaplan-Meier-Plot der 'UE, die die Cutoff-Kriterien erfüllen TTE-Analyse' nach Endpunkt - Endpunkt: Zeit bis zum ersten UE das die Cutoff-Kriterien auf MedDRA PT Ebene erfüllt (Monate) - PT: Aortic arteriosclerosis (10065558) (full analysis set)



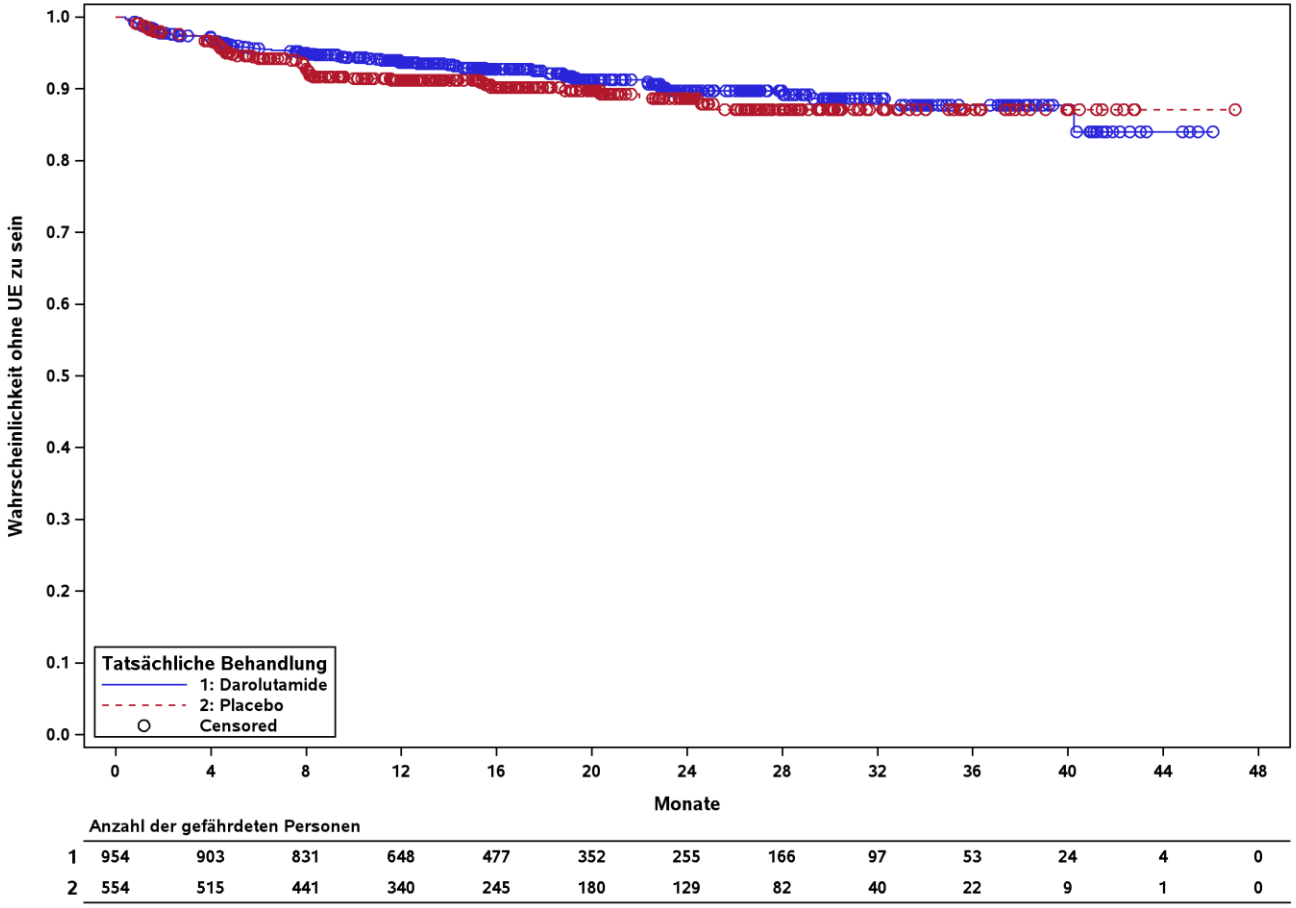
Bayer: /by-sasp/patdb/projects/1841788/17712/stat/prod_query22/pgms/t_aecut.sas 23APR2020 18:15

Figure 4.2.4 / 81: Kaplan-Meier-Plot der 'UE, die die Cutoff-Kriterien erfüllen TTE-Analyse' nach Endpunkt - Endpunkt: Zeit bis zum ersten UE das die Cutoff-Kriterien auf MedDRA PT Ebene erfüllt (Monate) - PT: Arrhythmia (10003119) (full analysis set)



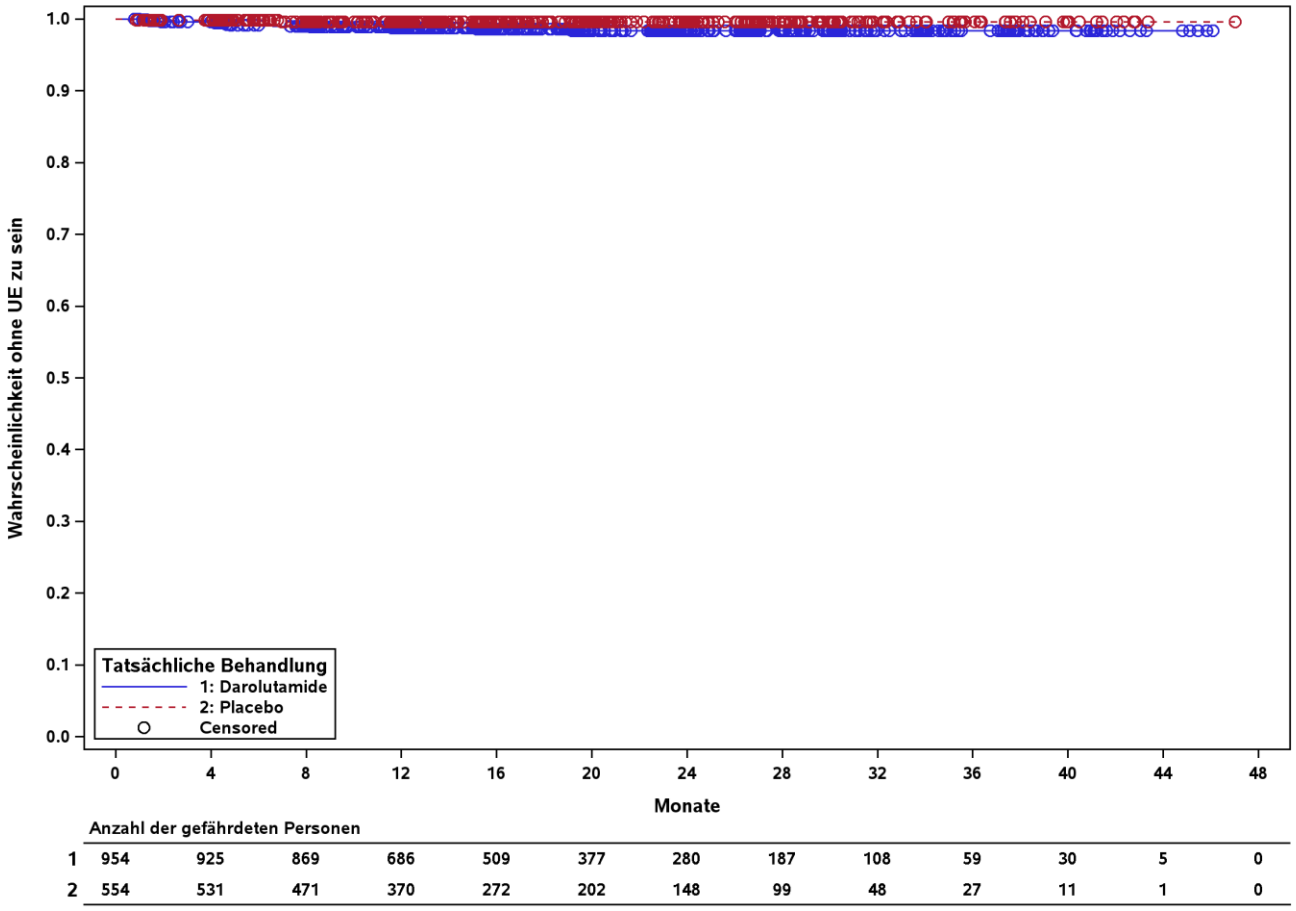
Bayer: /by-sasp/patdb/projects/1841788/17712/stat/prod_query22/pgms/t_aecut.sas 23APR2020 18:15

Figure 4.2.4 / 82: Kaplan-Meier-Plot der 'UE, die die Cutoff-Kriterien erfüllen TTE-Analyse' nach Endpunkt - Endpunkt: Zeit bis zum ersten UE das die Cutoff-Kriterien auf MedDRA PT Ebene erfüllt (Monate) - PT: Arthralgia (10003239) (full analysis set)



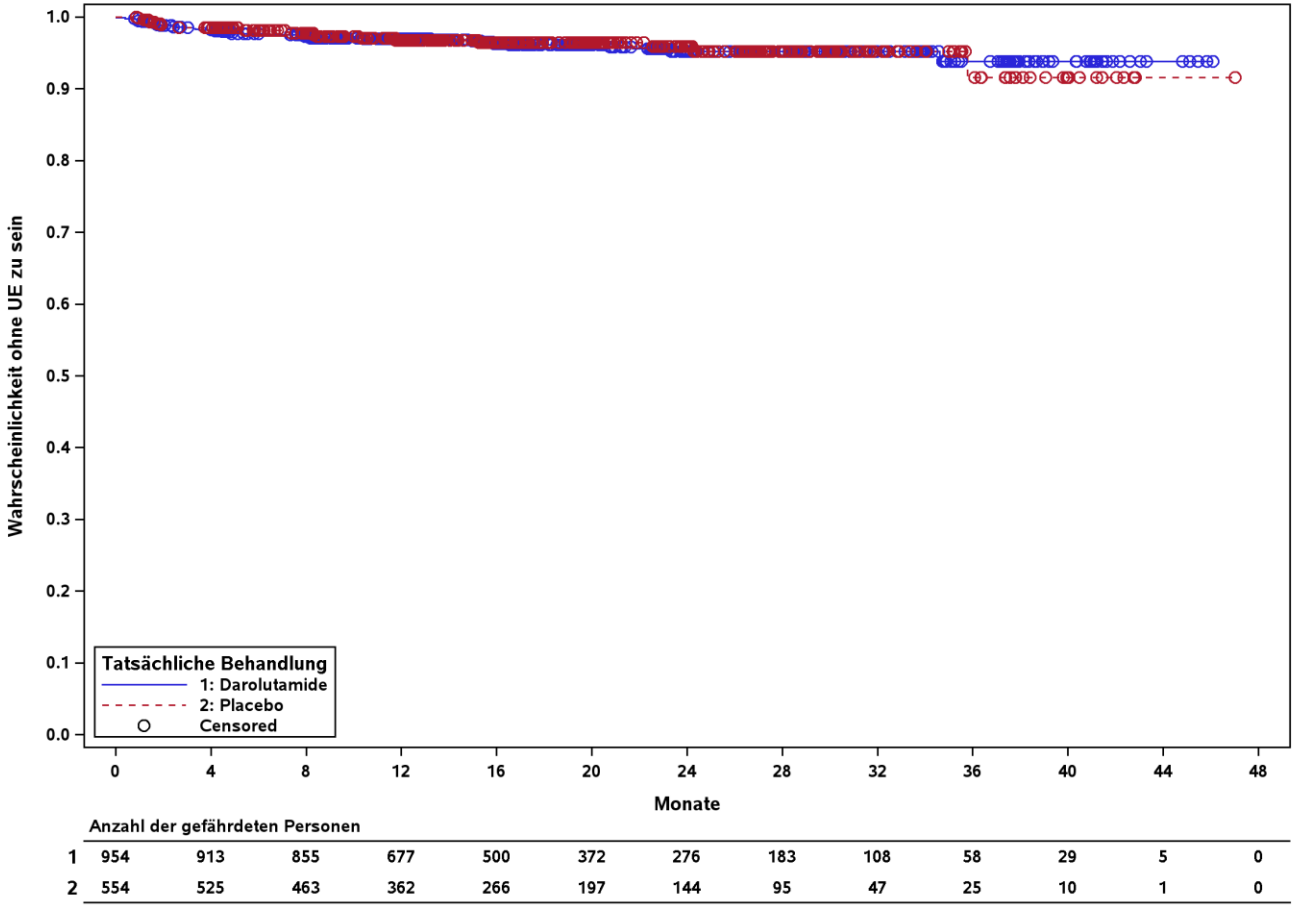
Bayer: /by-sasp/patdb/projects/1841788/17712/stat/prod_query22/pgms/t_aecut.sas 23APR2020 18:15

Figure 4.2.4 / 83: Kaplan-Meier-Plot der 'UE, die die Cutoff-Kriterien erfüllen TTE-Analyse' nach Endpunkt - Endpunkt: Zeit bis zum ersten UE das die Cutoff-Kriterien auf MedDRA PT Ebene erfüllt (Monate) - PT: Aspartate aminotransferase increased (10003481) (full analysis set)



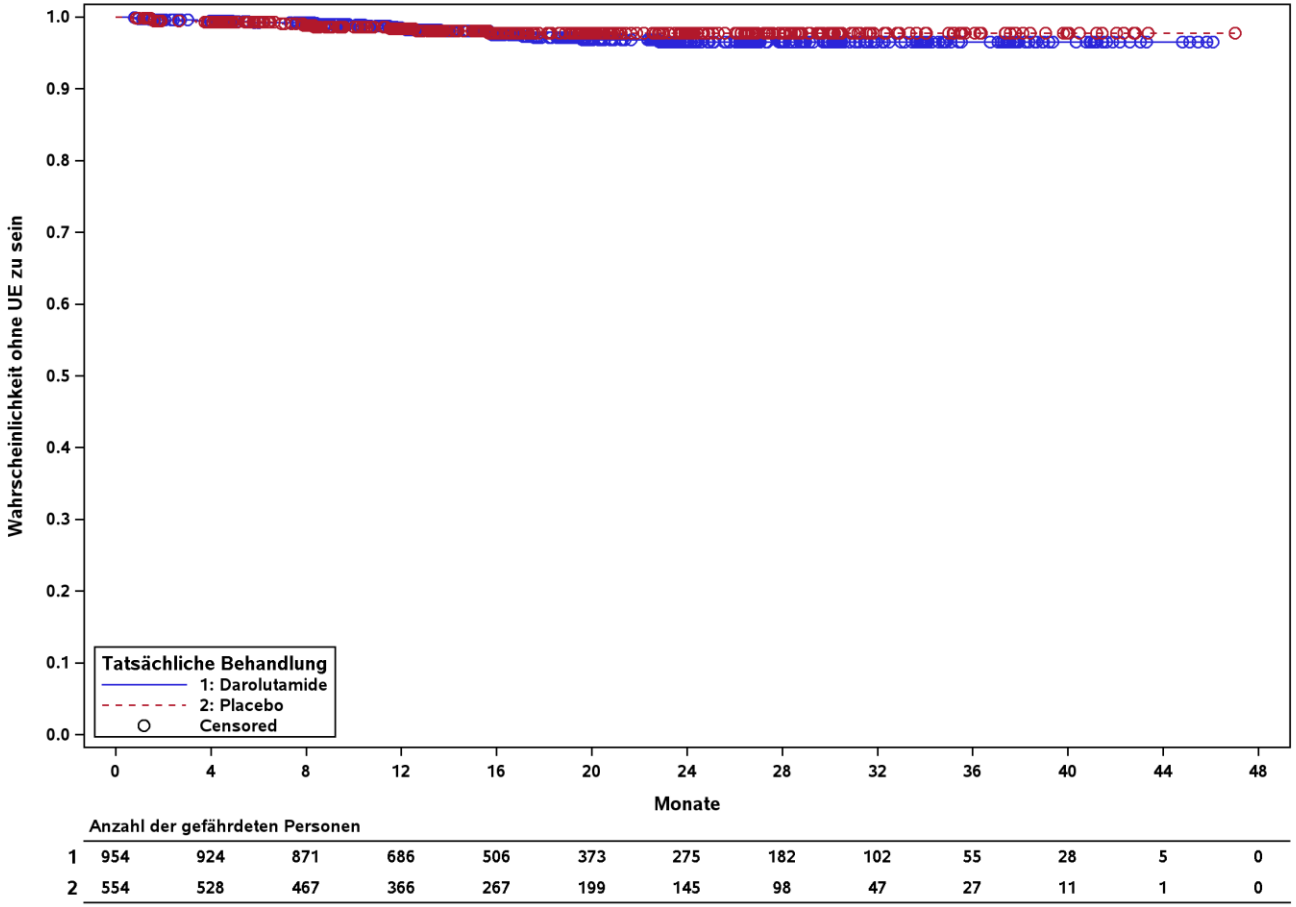
Bayer: /by-sasp/patdb/projects/1841788/17712/stat/prod_query22/pgms/t_aecut.sas 23APR2020 18:15

Figure 4.2.4 / 84: Kaplan-Meier-Plot der 'UE, die die Cutoff-Kriterien erfüllen TTE-Analyse' nach Endpunkt - Endpunkt: Zeit bis zum ersten UE das die Cutoff-Kriterien auf MedDRA PT Ebene erfüllt (Monate) - PT: Asthenia (10003549) (full analysis set)



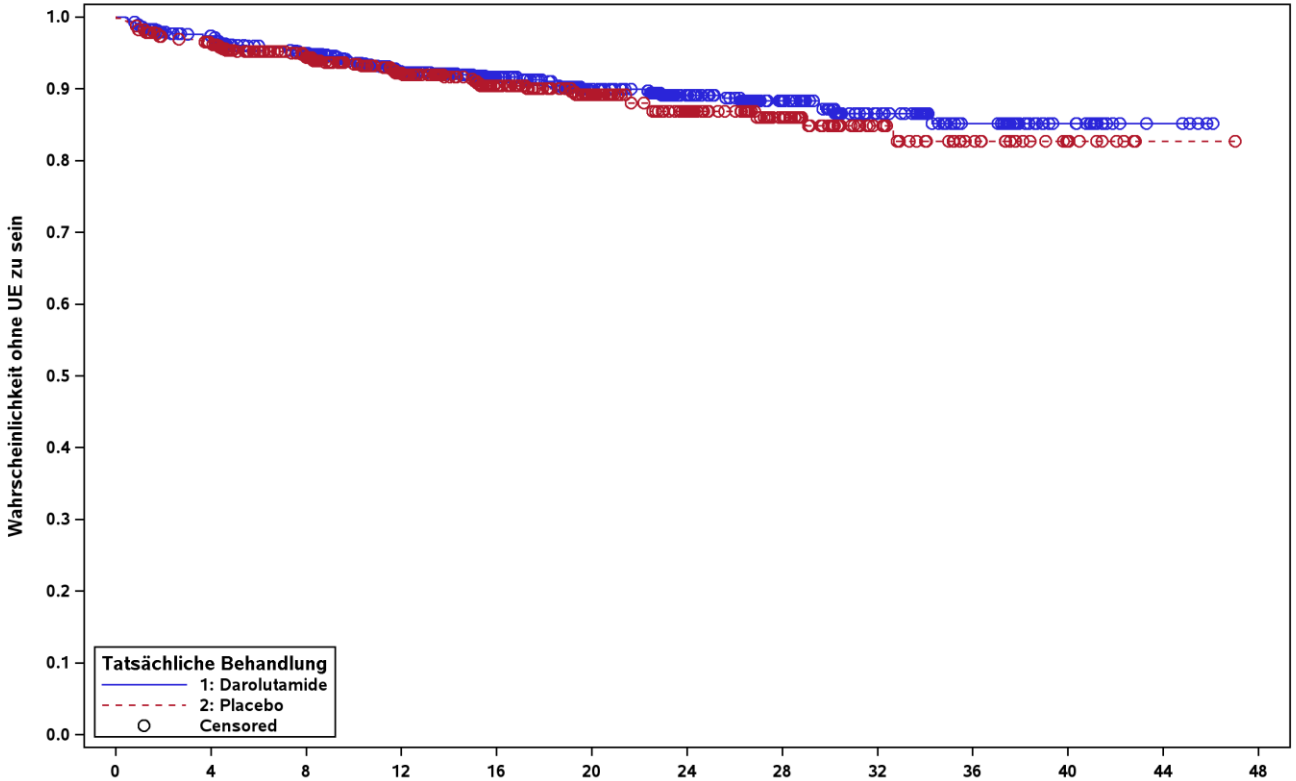
Bayer: /by-sasp/patdb/projects/1841788/17712/stat/prod_query22/pgms/t_aecut.sas 23APR2020 18:15

Figure 4.2.4 / 85: Kaplan-Meier-Plot der 'UE, die die Cutoff-Kriterien erfüllen TTE-Analyse' nach Endpunkt - Endpunkt: Zeit bis zum ersten UE das die Cutoff-Kriterien auf MedDRA PT Ebene erfüllt (Monate) - PT: Atrial fibrillation (10003658) (full analysis set)



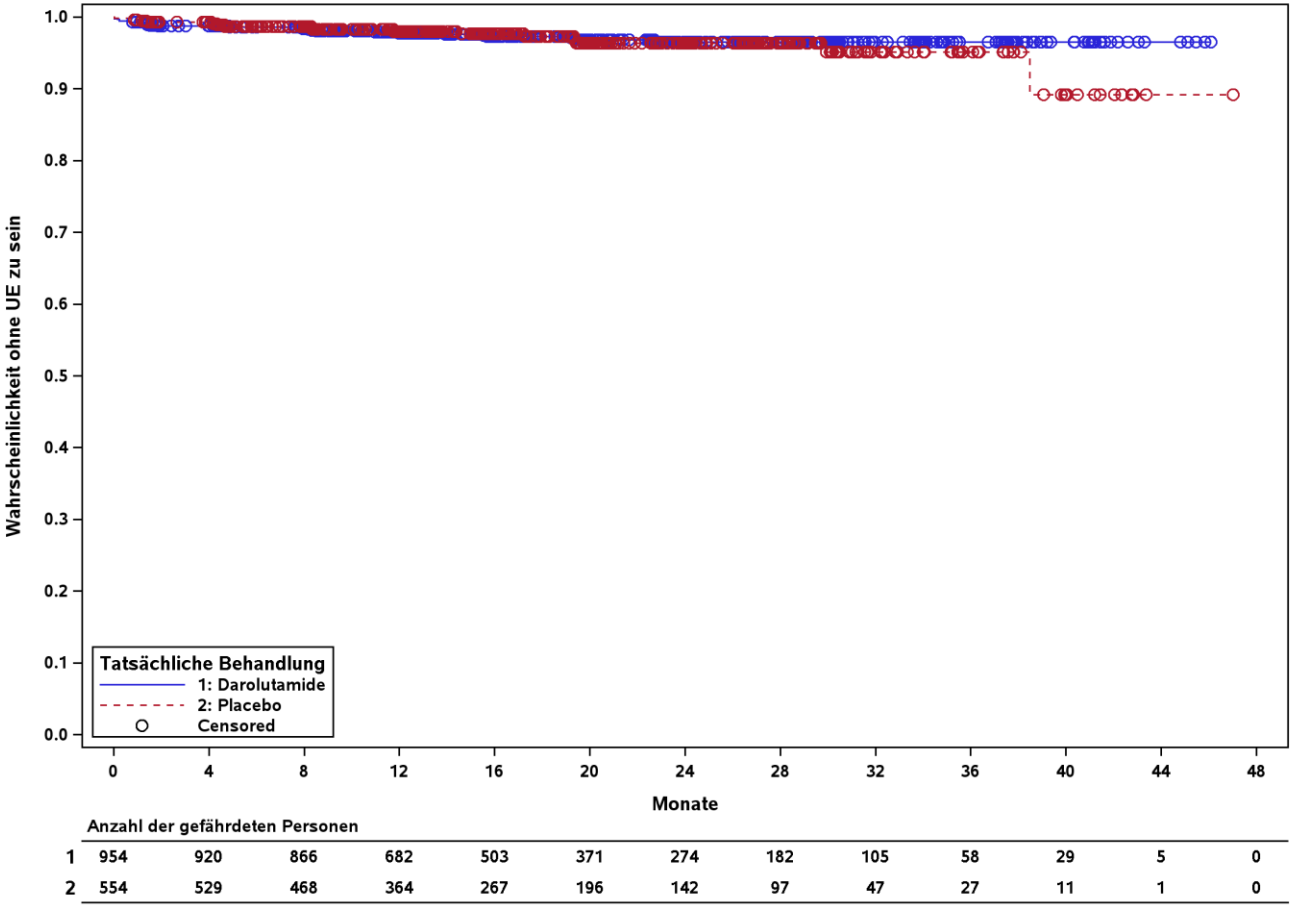
Bayer: /by-sasp/patdb/projects/1841788/17712/stat/prod_query22/pgms/t_aecut.sas 23APR2020 18:15

Figure 4.2.4 / 86: Kaplan-Meier-Plot der 'UE, die die Cutoff-Kriterien erfüllen TTE-Analyse' nach Endpunkt - Endpunkt: Zeit bis zum ersten UE das die Cutoff-Kriterien auf MedDRA PT Ebene erfüllt (Monate) - PT: Back pain (10003988) (full analysis set)



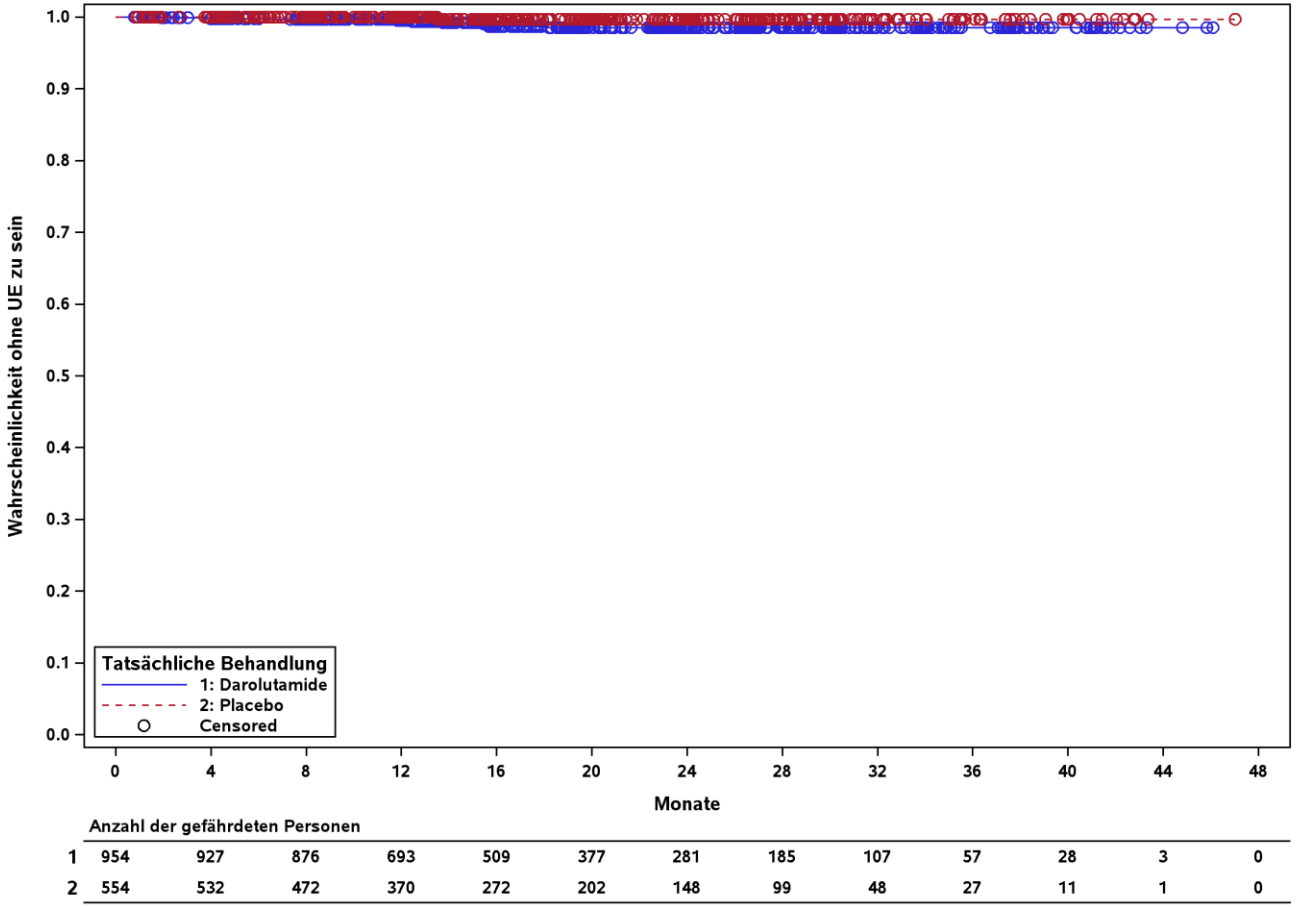
Bayer: /by-sasp/patdb/projects/1841788/17712/stat/prod_query22/pgms/t_aecut.sas 23APR2020 18:15

Figure 4.2.4 / 87: Kaplan-Meier-Plot der 'UE, die die Cutoff-Kriterien erfüllen TTE-Analyse' nach Endpunkt - Endpunkt: Zeit bis zum ersten UE das die Cutoff-Kriterien auf MedDRA PT Ebene erfüllt (Monate) - PT: Blood creatinine increased (10005483) (full analysis set)



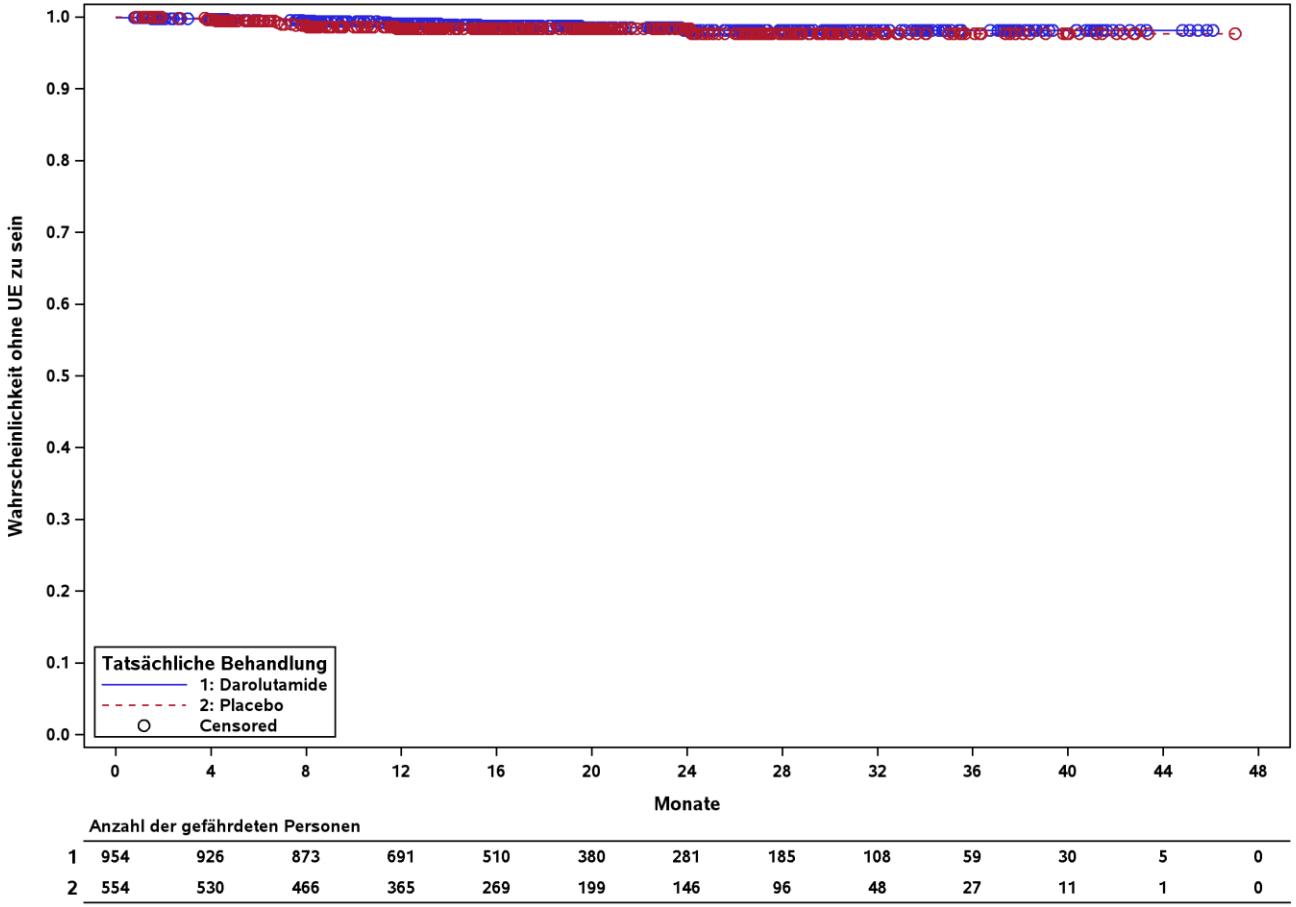
Bayer: /by-sasp/patdb/projects/1841788/17712/stat/prod_query22/pgms/t_aecut.sas 23APR2020 18:15

Figure 4.2.4 / 88: Kaplan-Meier-Plot der 'UE, die die Cutoff-Kriterien erfüllen TTE-Analyse' nach Endpunkt - Endpunkt: Zeit bis zum ersten UE das die Cutoff-Kriterien auf MedDRA PT Ebene erfüllt (Monate) - PT: Bradycardia (10006093) (full analysis set)



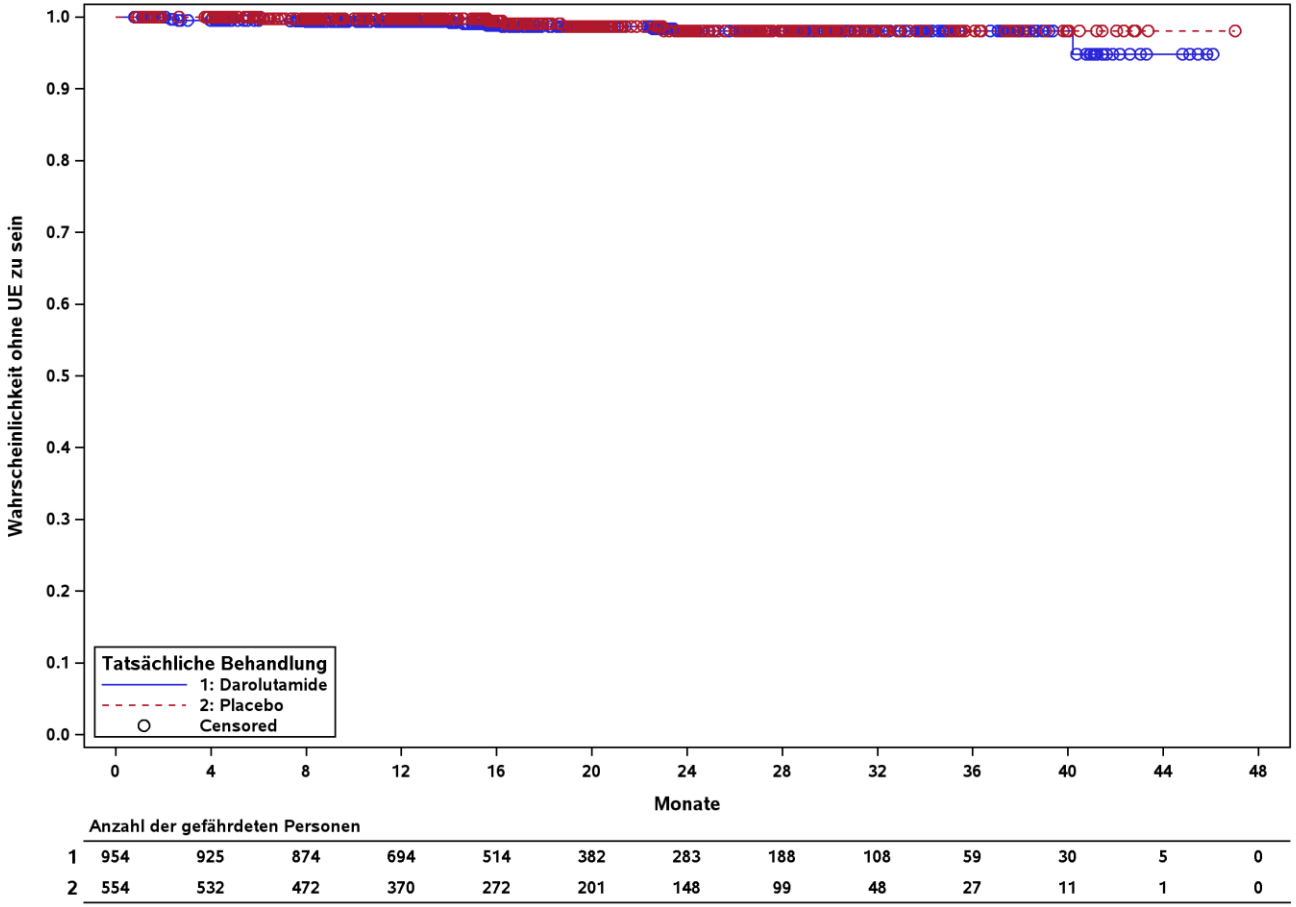
Bayer: /by-sasp/patdb/projects/1841788/17712/stat/prod_query22/pgms/t_aecut.sas 23APR2020 18:15

Figure 4.2.4 / 89: Kaplan-Meier-Plot der 'UE, die die Cutoff-Kriterien erfüllen TTE-Analyse' nach Endpunkt - Endpunkt: Zeit bis zum ersten UE das die Cutoff-Kriterien auf MedDRA PT Ebene erfüllt (Monate) - PT: Bronchitis (10006451) (full analysis set)



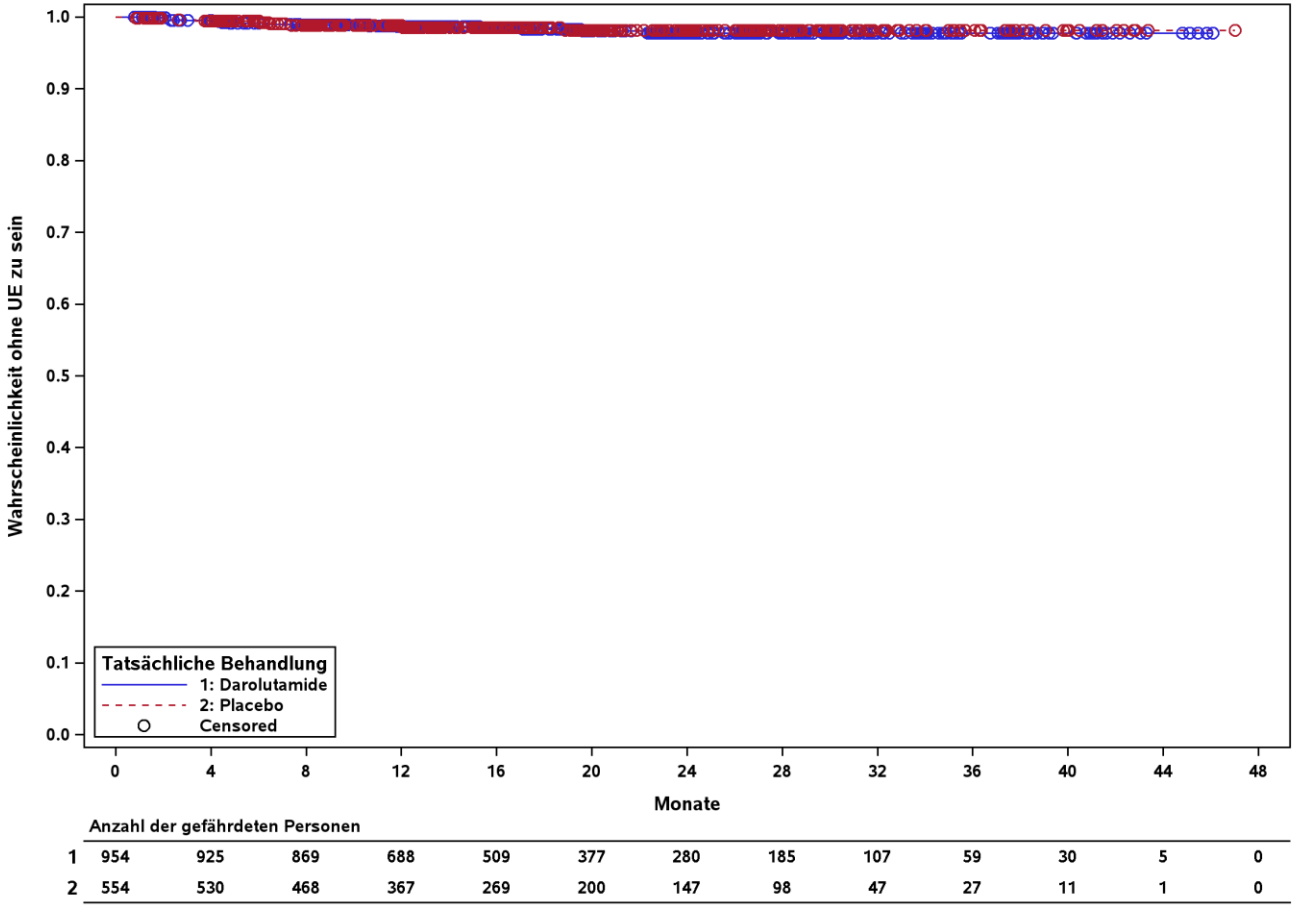
Bayer: /by-sasp/patdb/projects/1841788/17712/stat/prod_query22/pgms/t_aecut.sas 23APR2020 18:15

Figure 4.2.4 / 90: Kaplan-Meier-Plot der 'UE, die die Cutoff-Kriterien erfüllen TTE-Analyse' nach Endpunkt - Endpunkt: Zeit bis zum ersten UE das die Cutoff-Kriterien auf MedDRA PT Ebene erfüllt (Monate) - PT: Cardiac failure (10007554) (full analysis set)



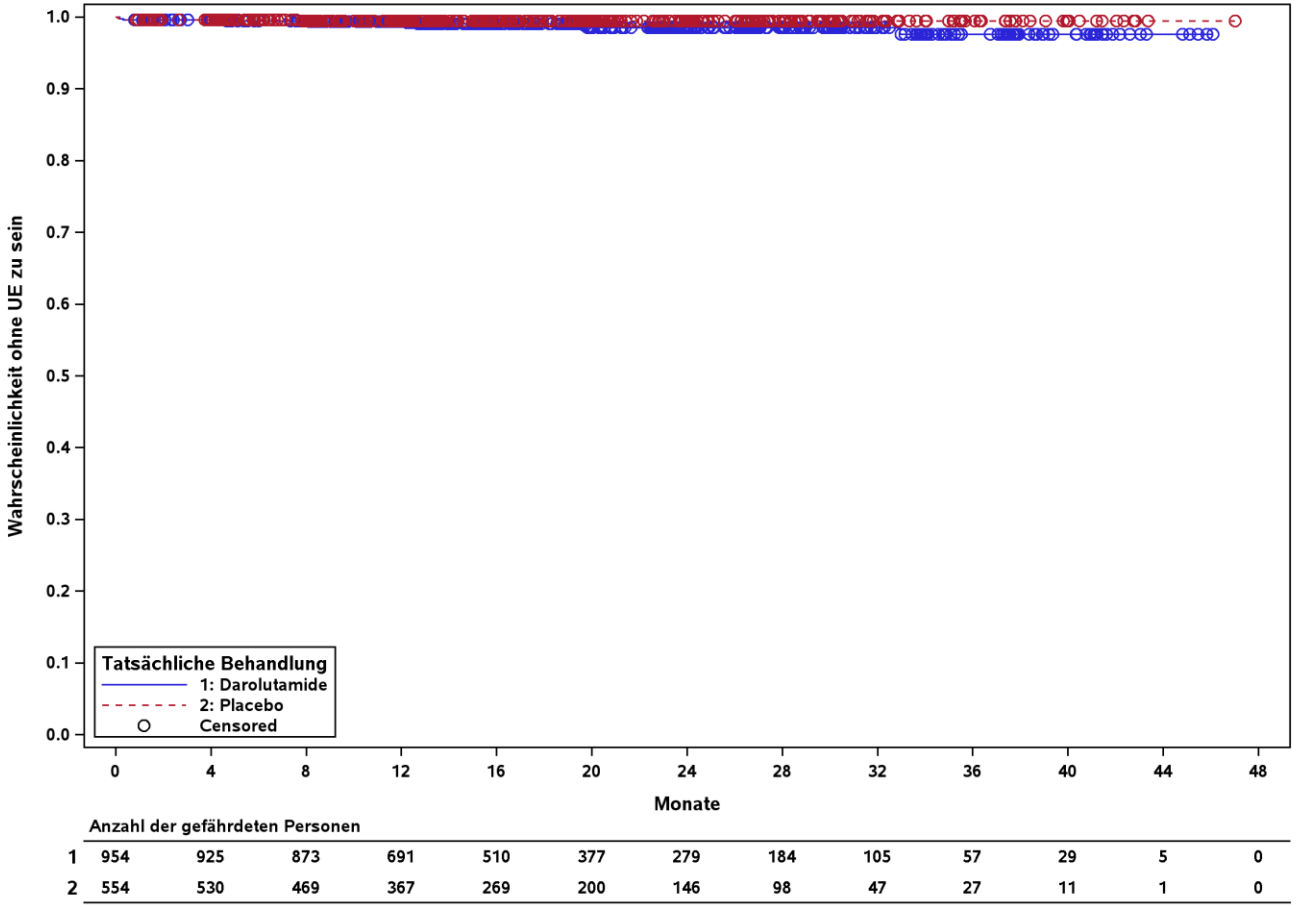
Bayer: /by-sasp/patdb/projects/1841788/17712/stat/prod_query22/pgms/t_aecut.sas 23APR2020 18:15

Figure 4.2.4 / 91: Kaplan-Meier-Plot der 'UE, die die Cutoff-Kriterien erfüllen TTE-Analyse' nach Endpunkt - Endpunkt: Zeit bis zum ersten UE das die Cutoff-Kriterien auf MedDRA PT Ebene erfüllt (Monate) - PT: Chest pain (10008479) (full analysis set)



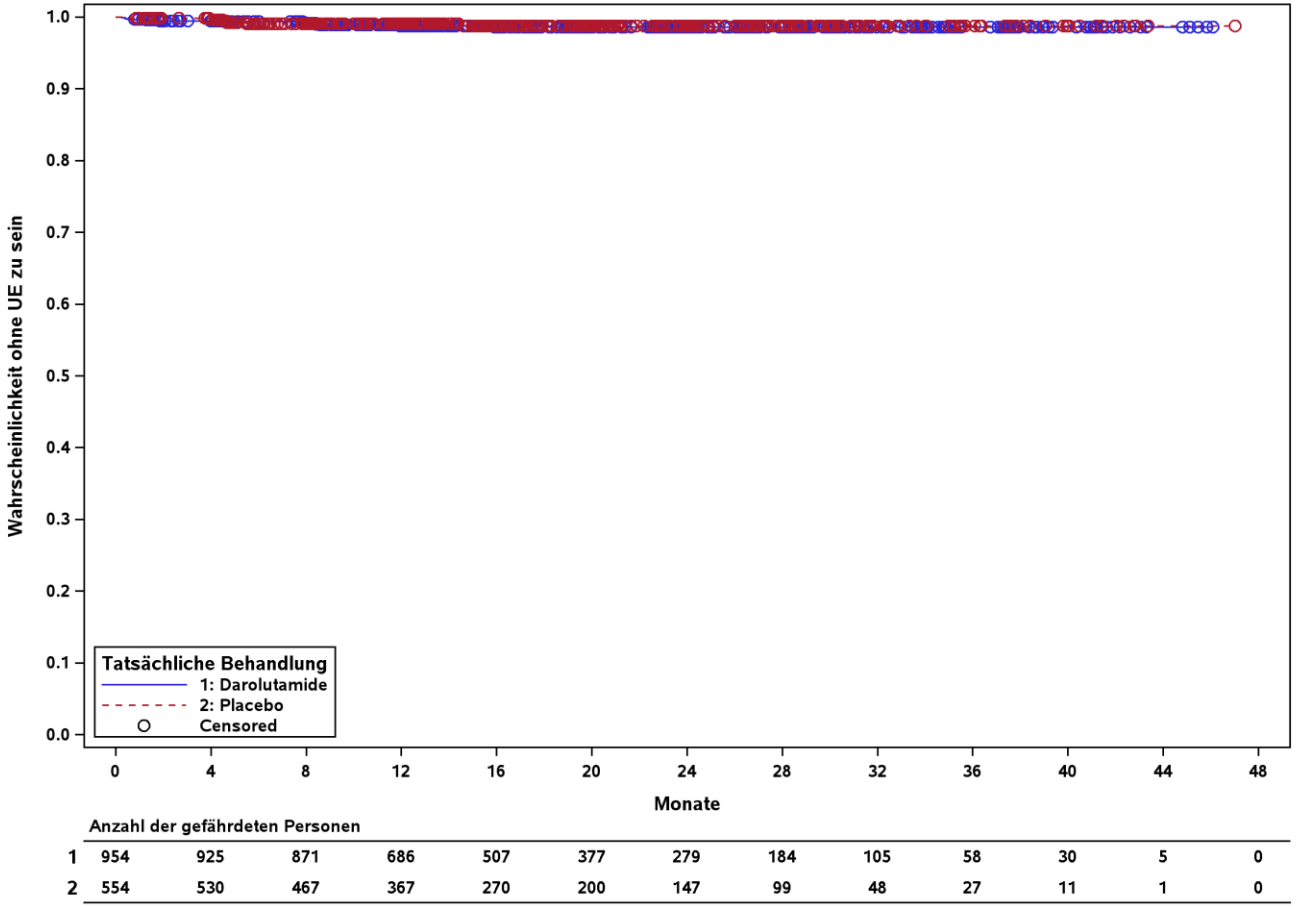
Bayer: /by-sasp/patdb/projects/1841788/17712/stat/prod_query22/pgms/t_aecut.sas 23APR2020 18:15

Figure 4.2.4 / 92: Kaplan-Meier-Plot der 'UE, die die Cutoff-Kriterien erfüllen TTE-Analyse' nach Endpunkt - Endpunkt: Zeit bis zum ersten UE das die Cutoff-Kriterien auf MedDRA PT Ebene erfüllt (Monate) - PT: Cholelithiasis (10008629) (full analysis set)



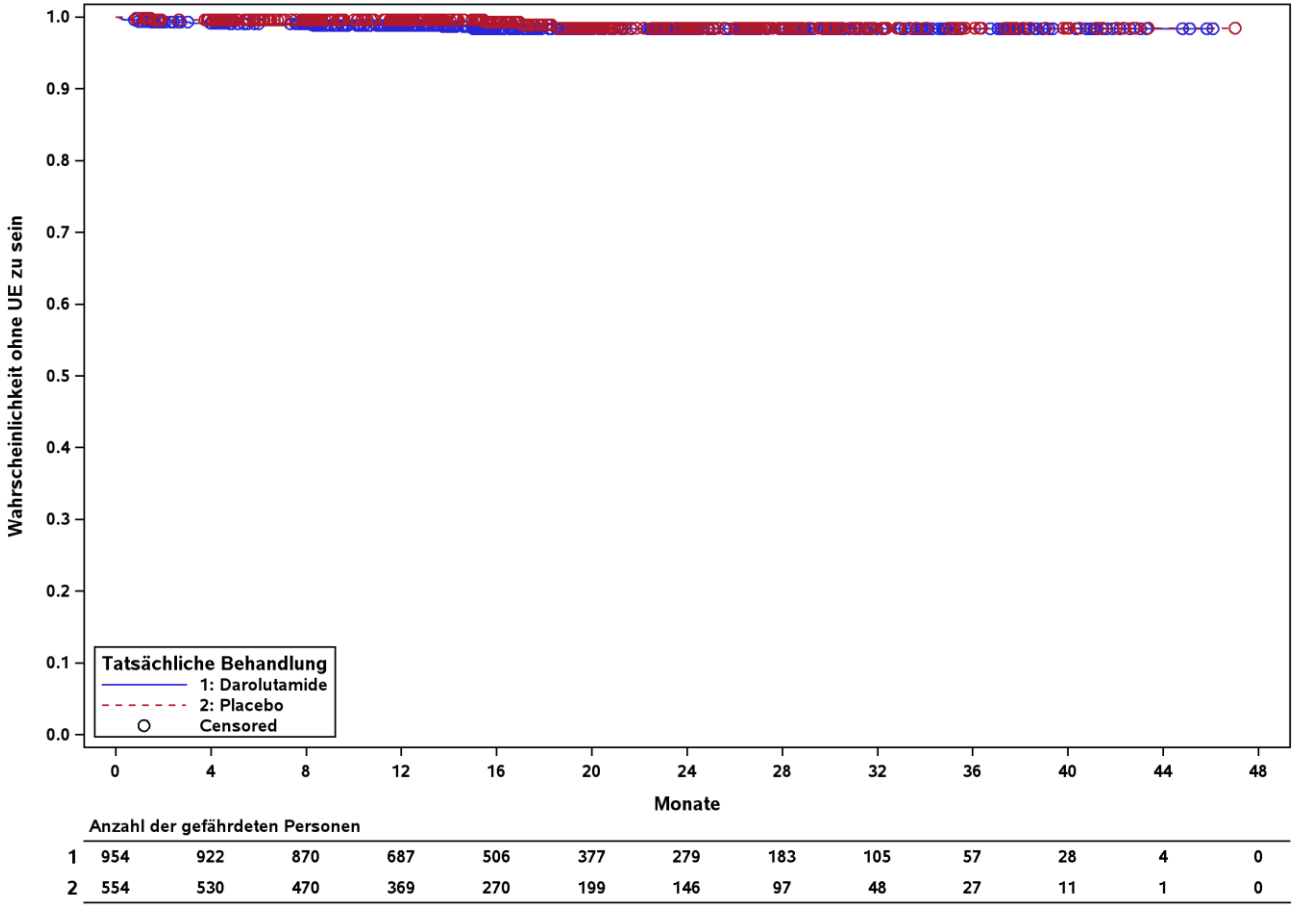
Bayer: /by-sasp/patdb/projects/1841788/17712/stat/prod_query22/pgms/t_aecut.sas 23APR2020 18:15

Figure 4.2.4 / 93: Kaplan-Meier-Plot der 'UE, die die Cutoff-Kriterien erfüllen TTE-Analyse' nach Endpunkt - Endpunkt: Zeit bis zum ersten UE das die Cutoff-Kriterien auf MedDRA PT Ebene erfüllt (Monate) - PT: Chronic kidney disease (10064848) (full analysis set)



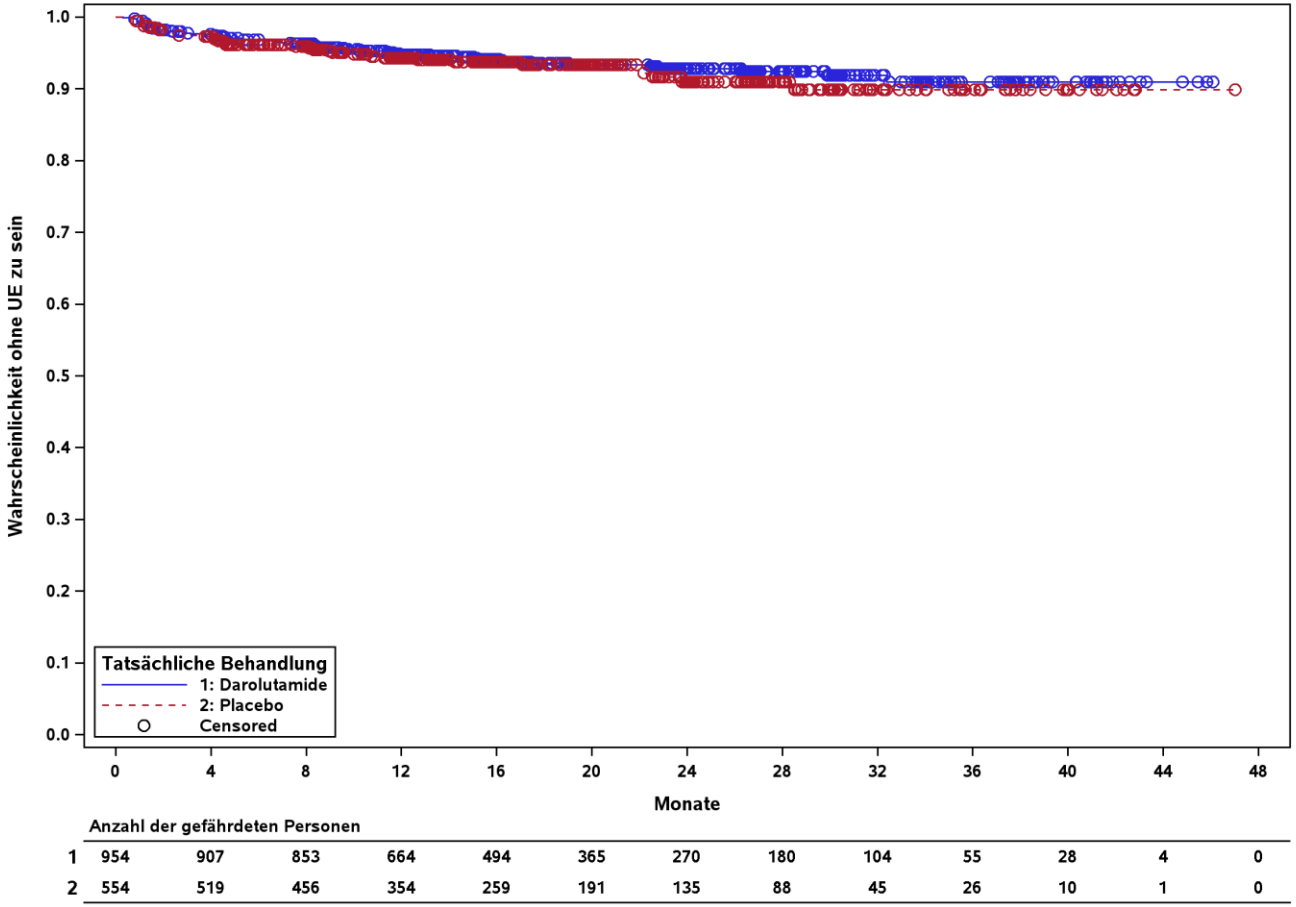
Bayer: /by-sasp/patdb/projects/1841788/17712/stat/prod_query22/pgms/t_aecut.sas 23APR2020 18:15

Figure 4.2.4 / 94: Kaplan-Meier-Plot der 'UE, die die Cutoff-Kriterien erfüllen TTE-Analyse' nach Endpunkt - Endpunkt: Zeit bis zum ersten UE das die Cutoff-Kriterien auf MedDRA PT Ebene erfüllt (Monate) - PT: Chronic obstructive pulmonary disease (10009033) (full analysis set)



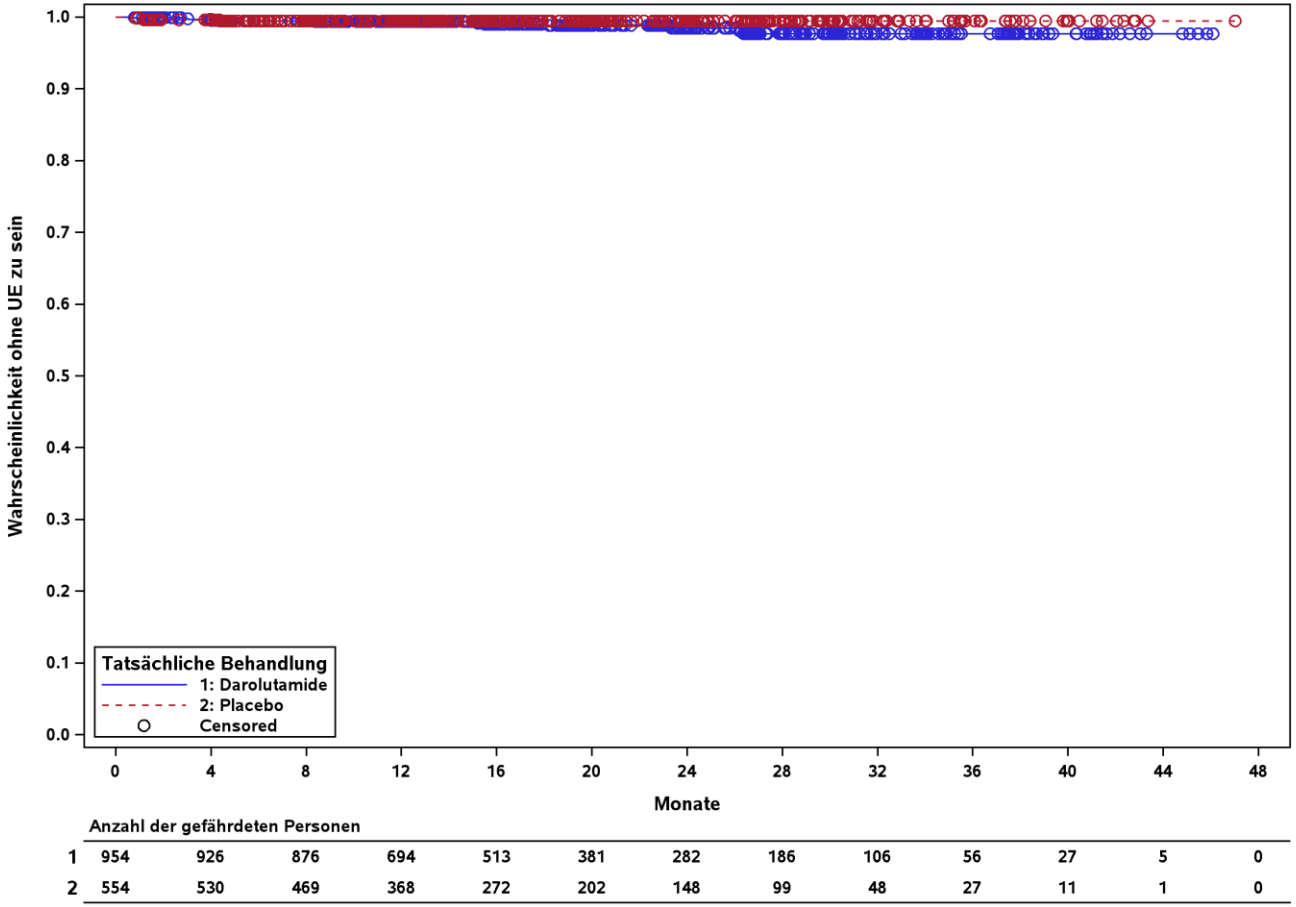
Bayer: /by-sasp/patdb/projects/1841788/17712/stat/prod_query22/pgms/t_aecut.sas 23APR2020 18:15

Figure 4.2.4 / 95: Kaplan-Meier-Plot der 'UE, die die Cutoff-Kriterien erfüllen TTE-Analyse' nach Endpunkt - Endpunkt: Zeit bis zum ersten UE das die Cutoff-Kriterien auf MedDRA PT Ebene erfüllt (Monate) - PT: Constipation (10010774) (full analysis set)



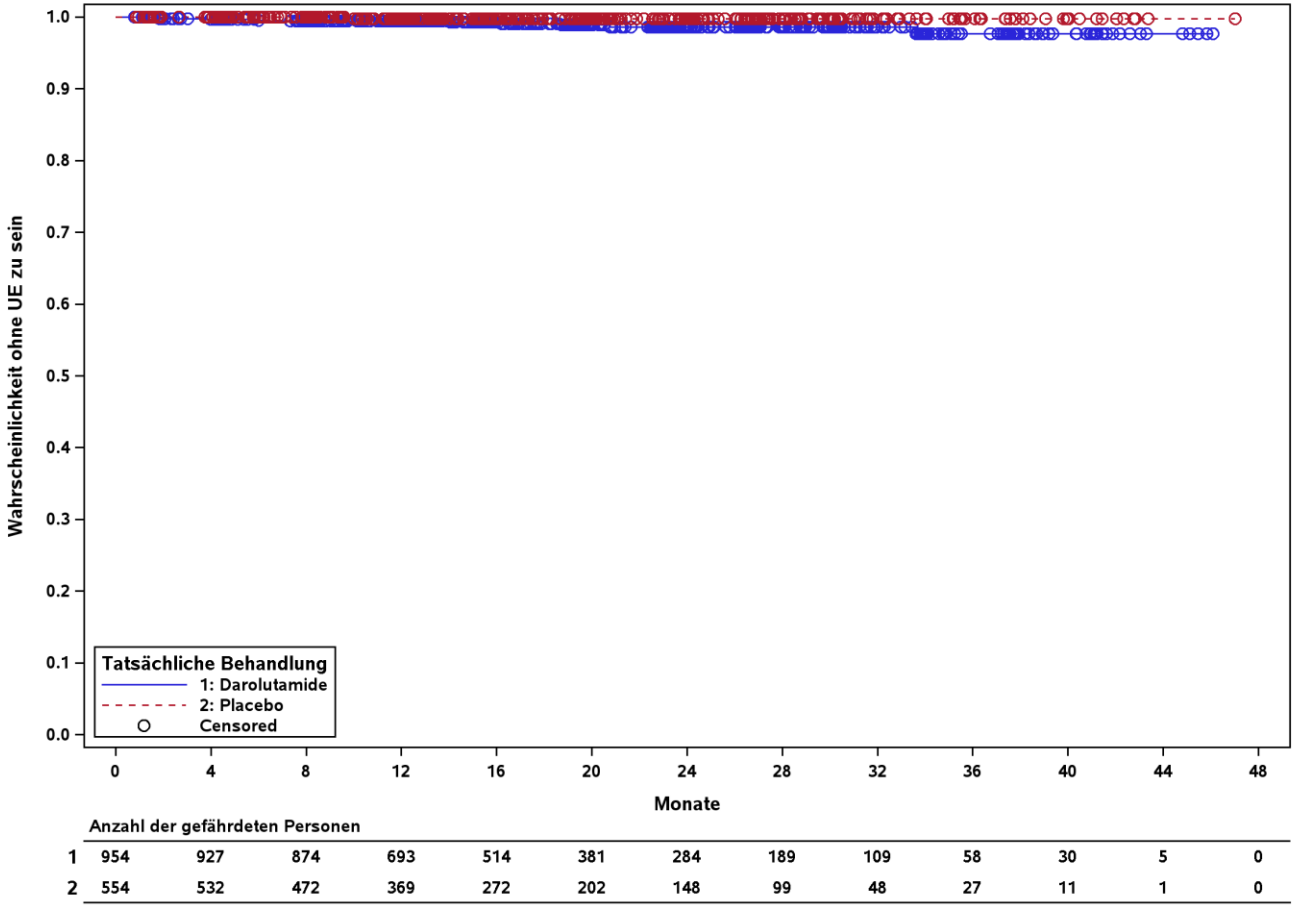
Bayer: /by-sasp/patdb/projects/1841788/17712/stat/prod_query22/pgms/t_aecut.sas 23APR2020 18:15

Figure 4.2.4 / 96: Kaplan-Meier-Plot der 'UE, die die Cutoff-Kriterien erfüllen TTE-Analyse' nach Endpunkt - Endpunkt: Zeit bis zum ersten UE das die Cutoff-Kriterien auf MedDRA PT Ebene erfüllt (Monate) - PT: Contusion (10050584) (full analysis set)



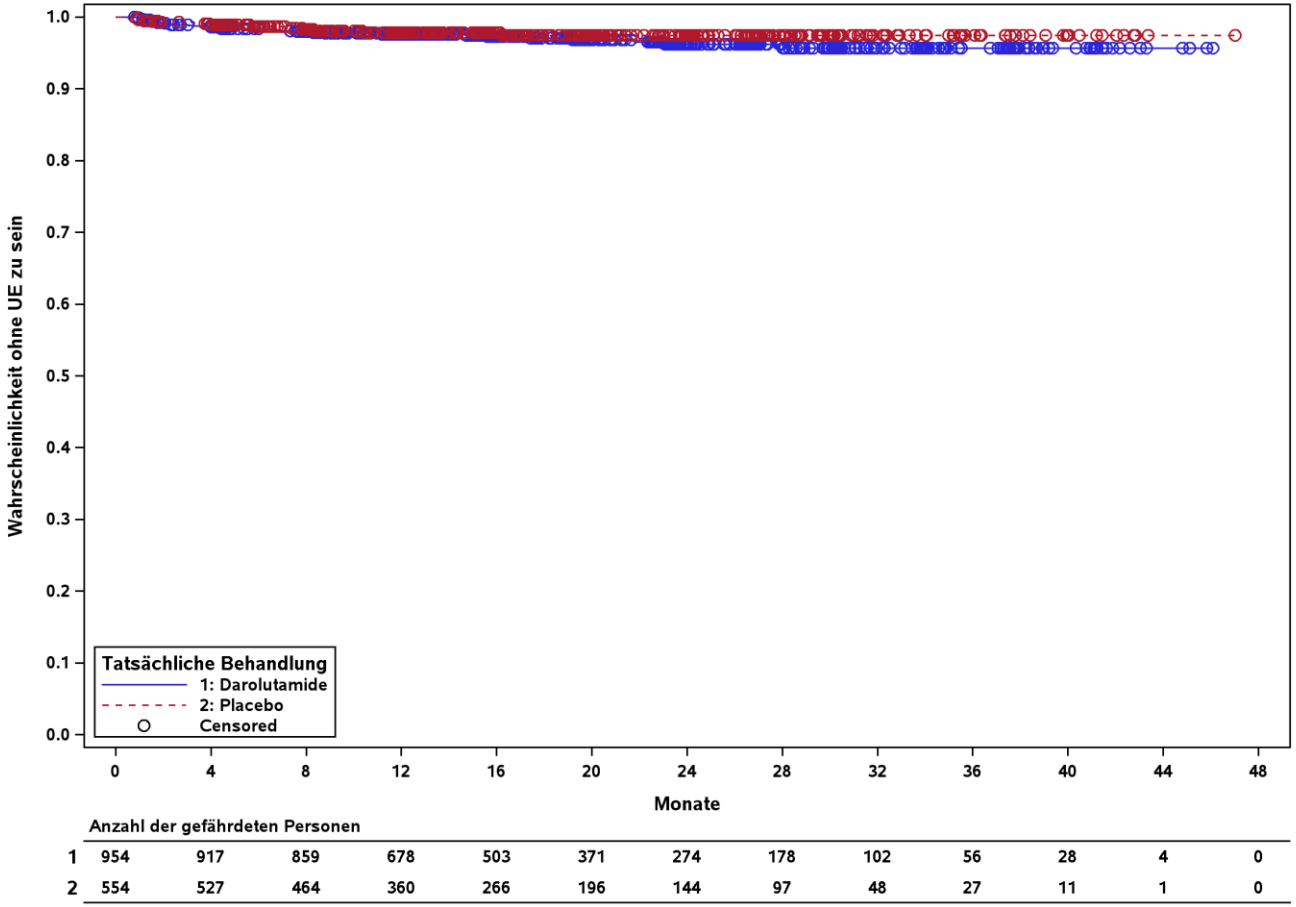
Bayer: /by-sasp/patdb/projects/1841788/17712/stat/prod_query22/pgms/t_aecut.sas 23APR2020 18:15

Figure 4.2.4 / 97: Kaplan-Meier-Plot der 'UE, die die Cutoff-Kriterien erfüllen TTE-Analyse' nach Endpunkt - Endpunkt: Zeit bis zum ersten UE das die Cutoff-Kriterien auf MedDRA PT Ebene erfüllt (Monate) - PT: Coronary artery disease (10011078) (full analysis set)



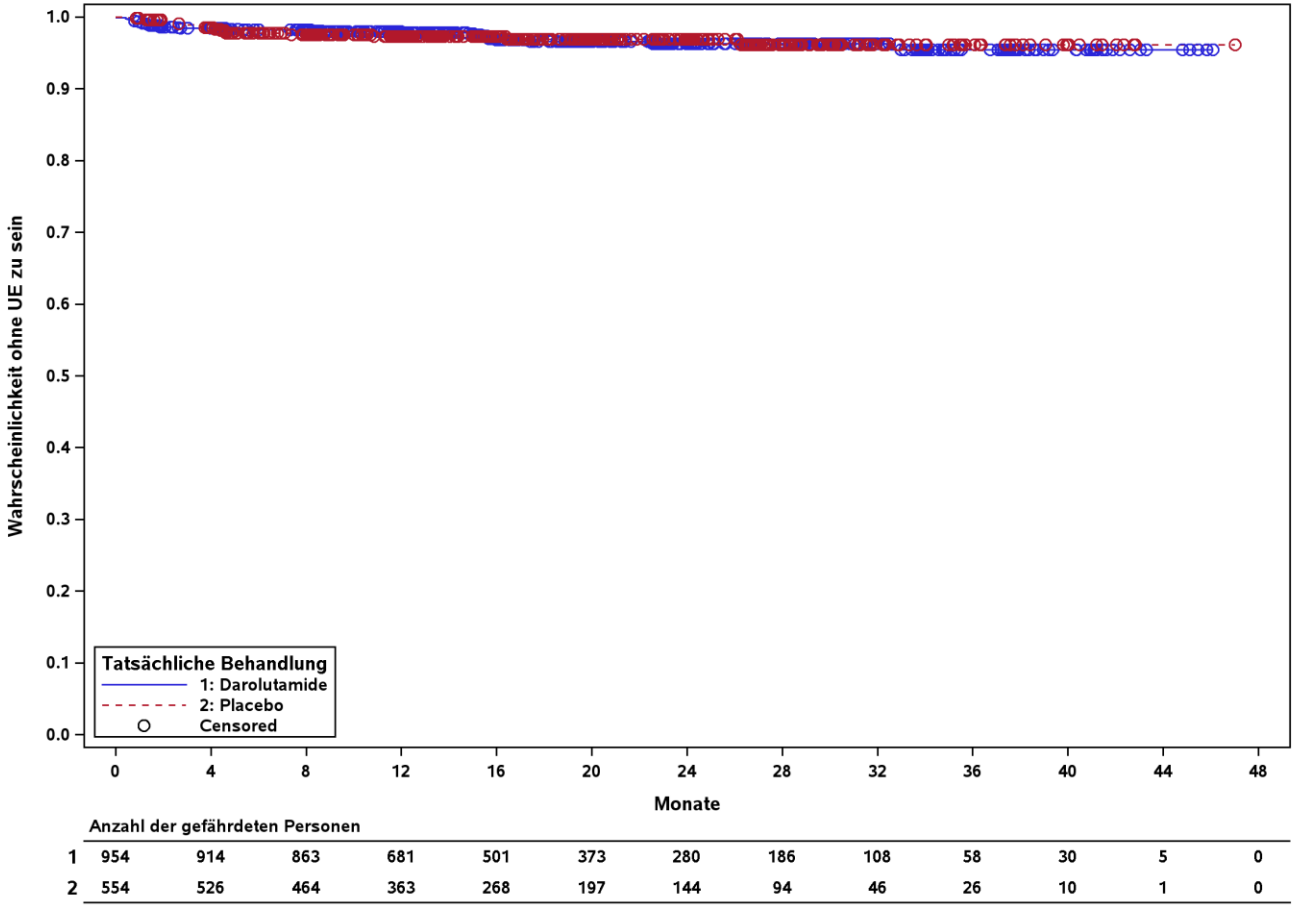
Bayer: /by-sasp/patdb/projects/1841788/17712/stat/prod_query22/pgms/t_aecut.sas 23APR2020 18:15

Figure 4.2.4 / 98: Kaplan-Meier-Plot der 'UE, die die Cutoff-Kriterien erfüllen TTE-Analyse' nach Endpunkt - Endpunkt: Zeit bis zum ersten UE das die Cutoff-Kriterien auf MedDRA PT Ebene erfüllt (Monate) - PT: Cough (10011224) (full analysis set)



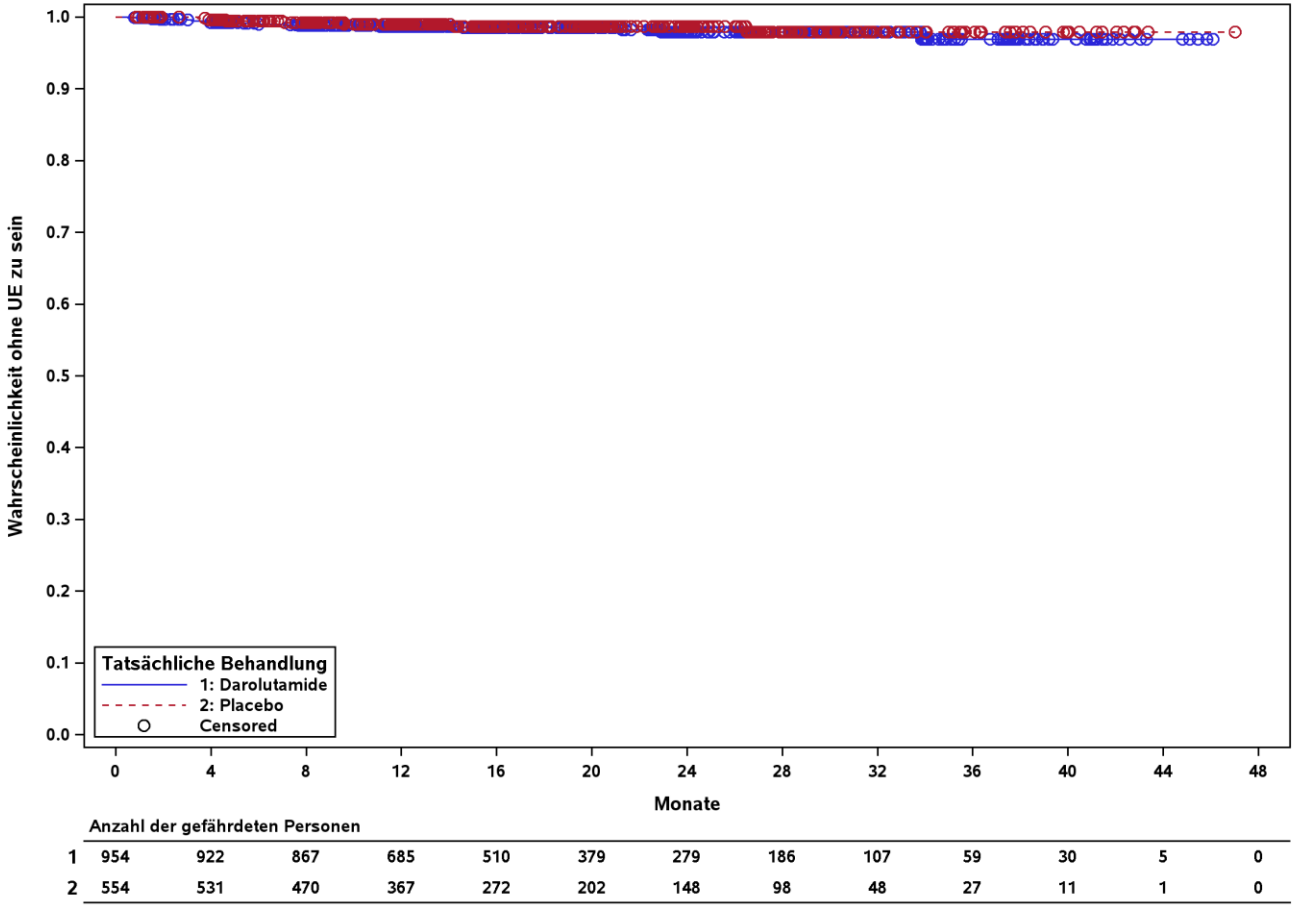
Bayer: /by-sasp/patdb/projects/1841788/17712/stat/prod_query22/pgms/t_aecut.sas 23APR2020 18:15

Figure 4.2.4 / 99: Kaplan-Meier-Plot der 'UE, die die Cutoff-Kriterien erfüllen TTE-Analyse' nach Endpunkt - Endpunkt: Zeit bis zum ersten UE das die Cutoff-Kriterien auf MedDRA PT Ebene erfüllt (Monate) - PT: Decreased appetite (10061428) (full analysis set)



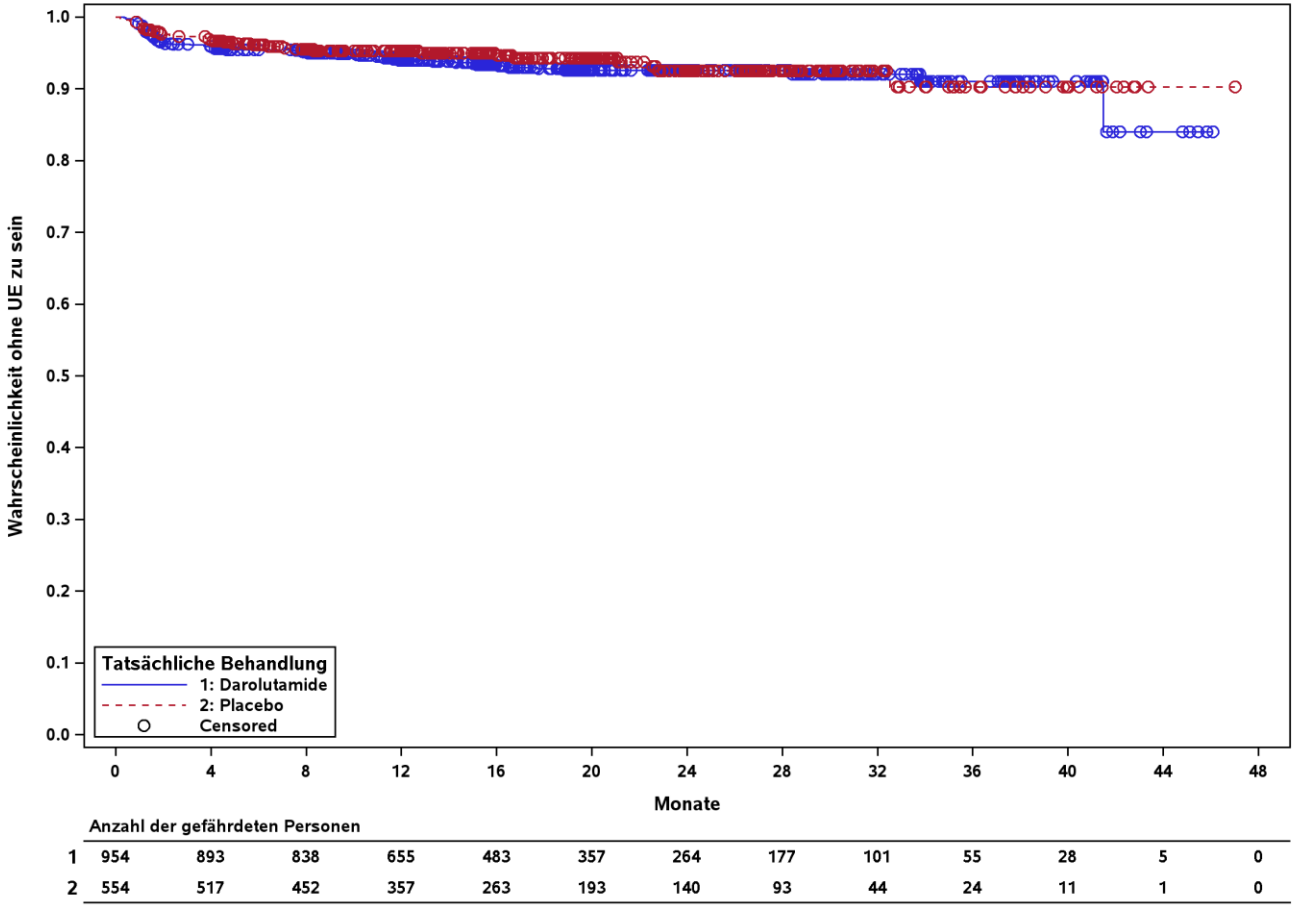
Bayer: /by-sasp/patdb/projects/1841788/17712/stat/prod_query22/pgms/t_aecut.sas 23APR2020 18:15

Figure 4.2.4 / 100: Kaplan-Meier-Plot der 'UE, die die Cutoff-Kriterien erfüllen TTE-Analyse' nach Endpunkt - Endpunkt: Zeit bis zum ersten UE das die Cutoff-Kriterien auf MedDRA PT Ebene erfüllt (Monate) - PT: Depression (10012378) (full analysis set)



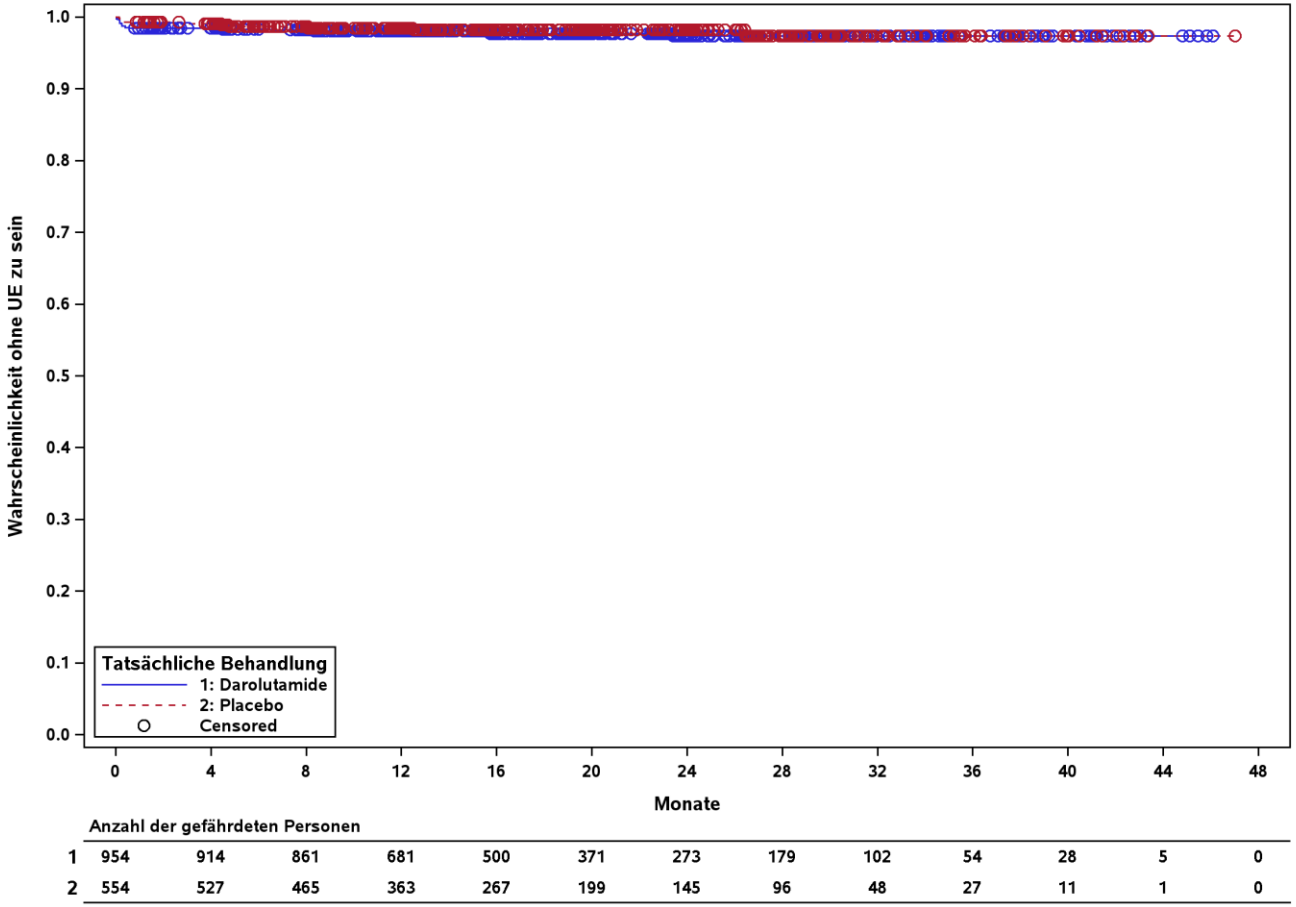
Bayer: /by-sasp/patdb/projects/1841788/17712/stat/prod_query22/pgms/t_aecut.sas 23APR2020 18:15

Figure 4.2.4 / 101: Kaplan-Meier-Plot der 'UE, die die Cutoff-Kriterien erfüllen TTE-Analyse' nach Endpunkt - Endpunkt: Zeit bis zum ersten UE das die Cutoff-Kriterien auf MedDRA PT Ebene erfüllt (Monate) - PT: Diarrhoea (10012735) (full analysis set)



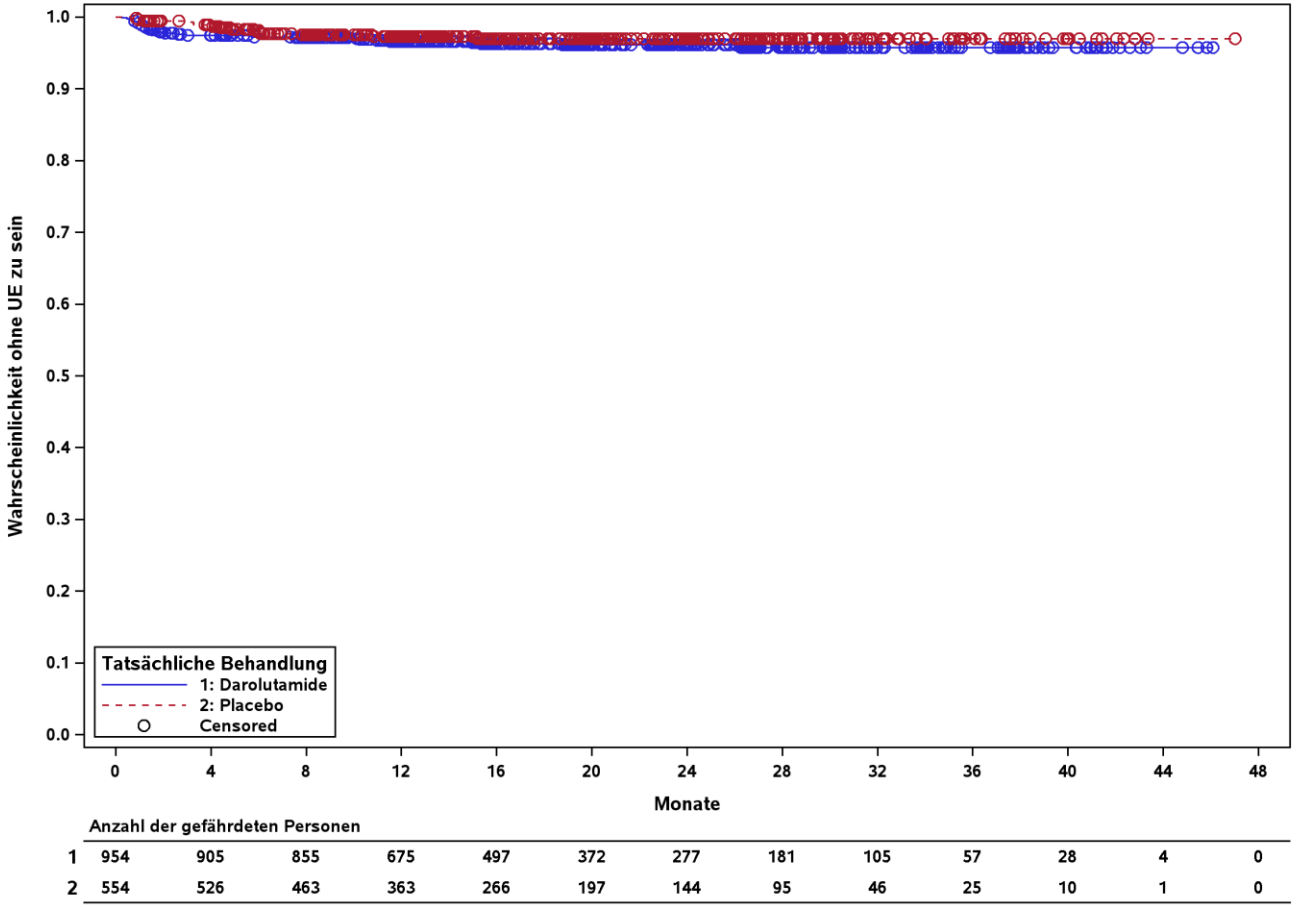
Bayer: /by-sasp/patdb/projects/1841788/17712/stat/prod_query22/pgms/t_aecut.sas 23APR2020 18:15

Figure 4.2.4 / 102: Kaplan-Meier-Plot der 'UE, die die Cutoff-Kriterien erfüllen TTE-Analyse' nach Endpunkt - Endpunkt: Zeit bis zum ersten UE das die Cutoff-Kriterien auf MedDRA PT Ebene erfüllt (Monate) - PT: Diverticulum intestinal (10013559) (full analysis set)



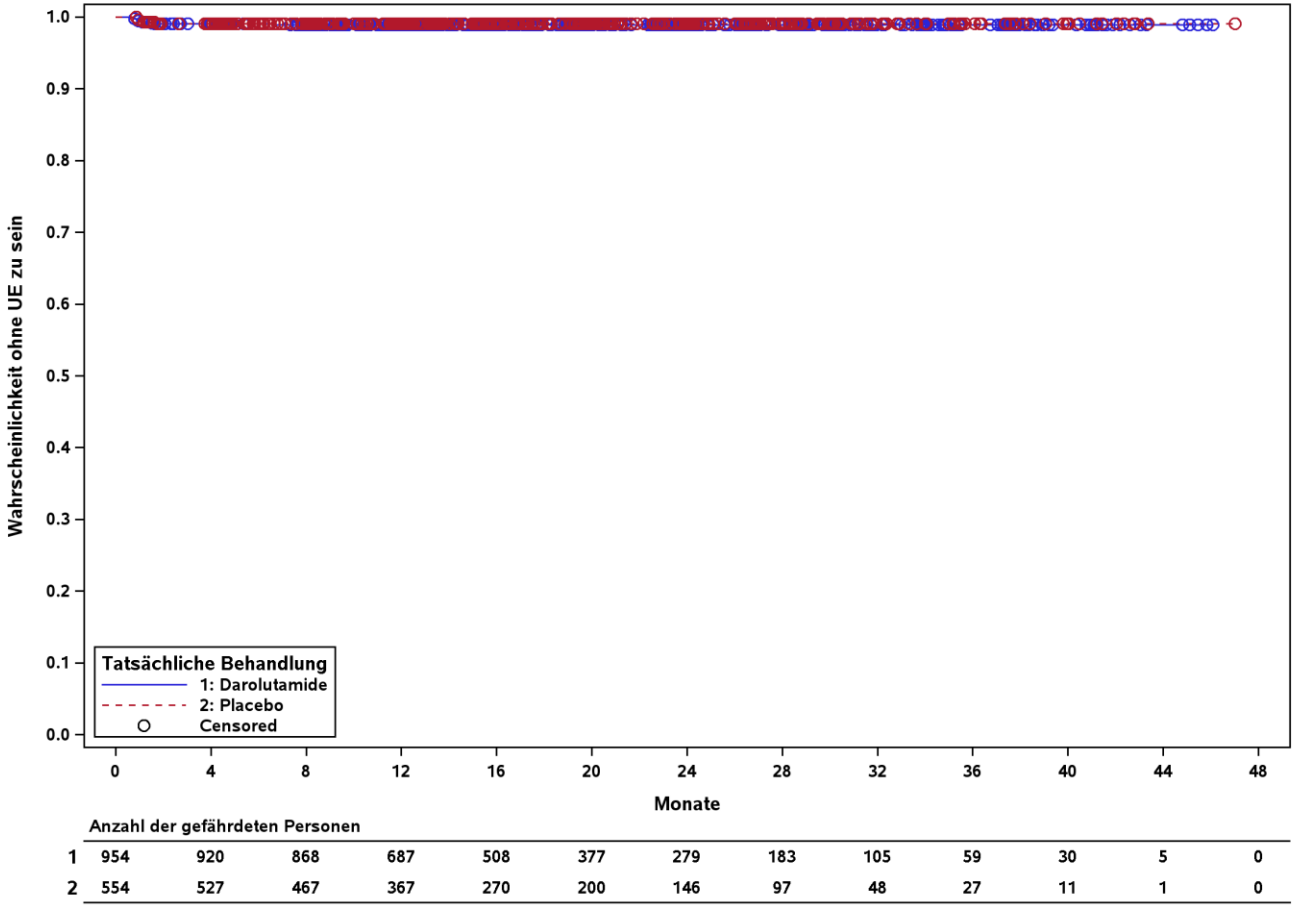
Bayer: /by-sasp/patdb/projects/1841788/17712/stat/prod_query22/pgms/t_aecut.sas 23APR2020 18:15

Figure 4.2.4 / 103: Kaplan-Meier-Plot der 'UE, die die Cutoff-Kriterien erfüllen TTE-Analyse' nach Endpunkt - Endpunkt: Zeit bis zum ersten UE das die Cutoff-Kriterien auf MedDRA PT Ebene erfüllt (Monate) - PT: Dizziness (10013573) (full analysis set)



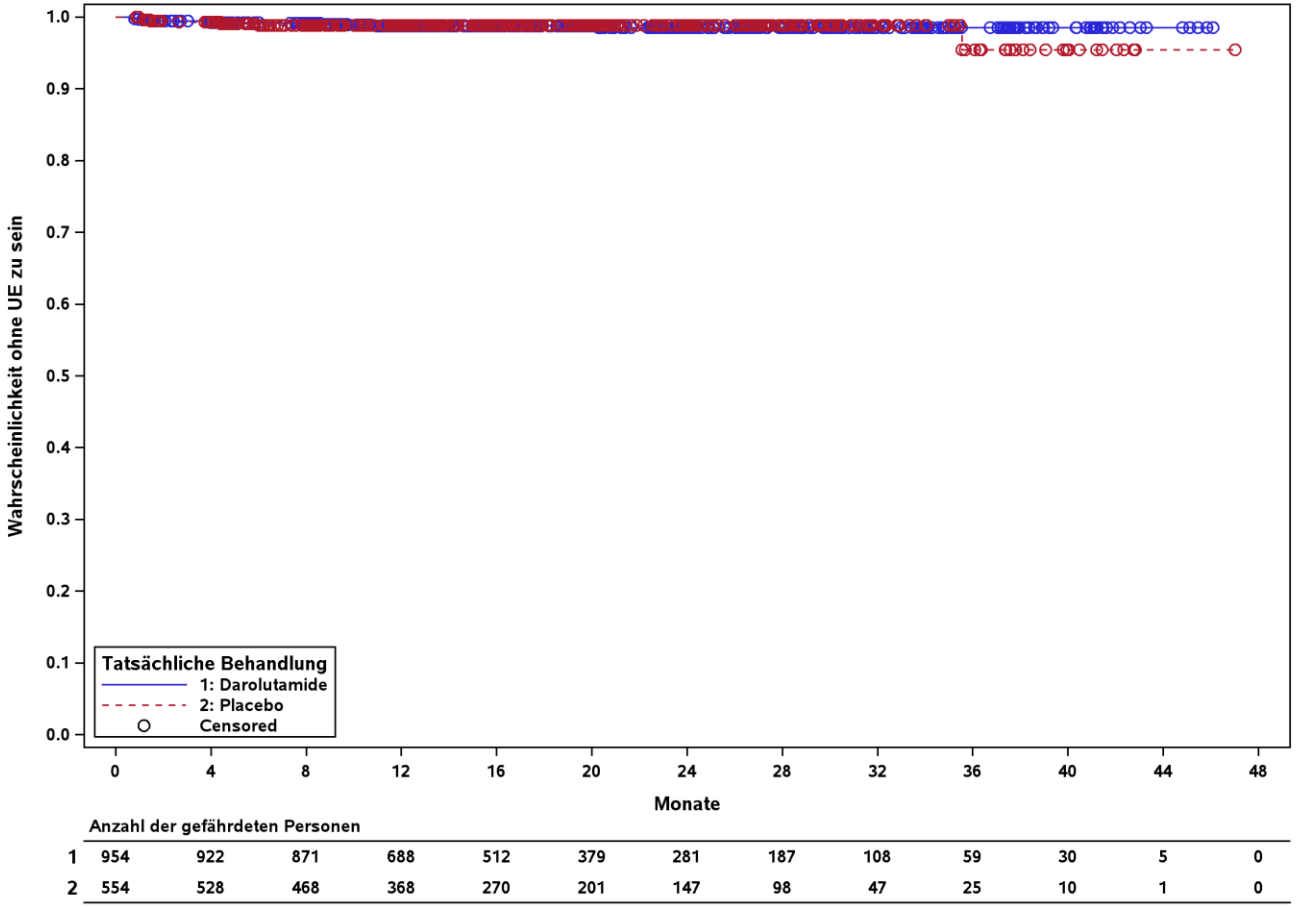
Bayer: /by-sasp/patdb/projects/1841788/17712/stat/prod_query22/pgms/t_aecut.sas 23APR2020 18:15

Figure 4.2.4 / 104: Kaplan-Meier-Plot der 'UE, die die Cutoff-Kriterien erfüllen TTE-Analyse' nach Endpunkt - Endpunkt: Zeit bis zum ersten UE das die Cutoff-Kriterien auf MedDRA PT Ebene erfüllt (Monate) - PT: Dry mouth (10013781) (full analysis set)



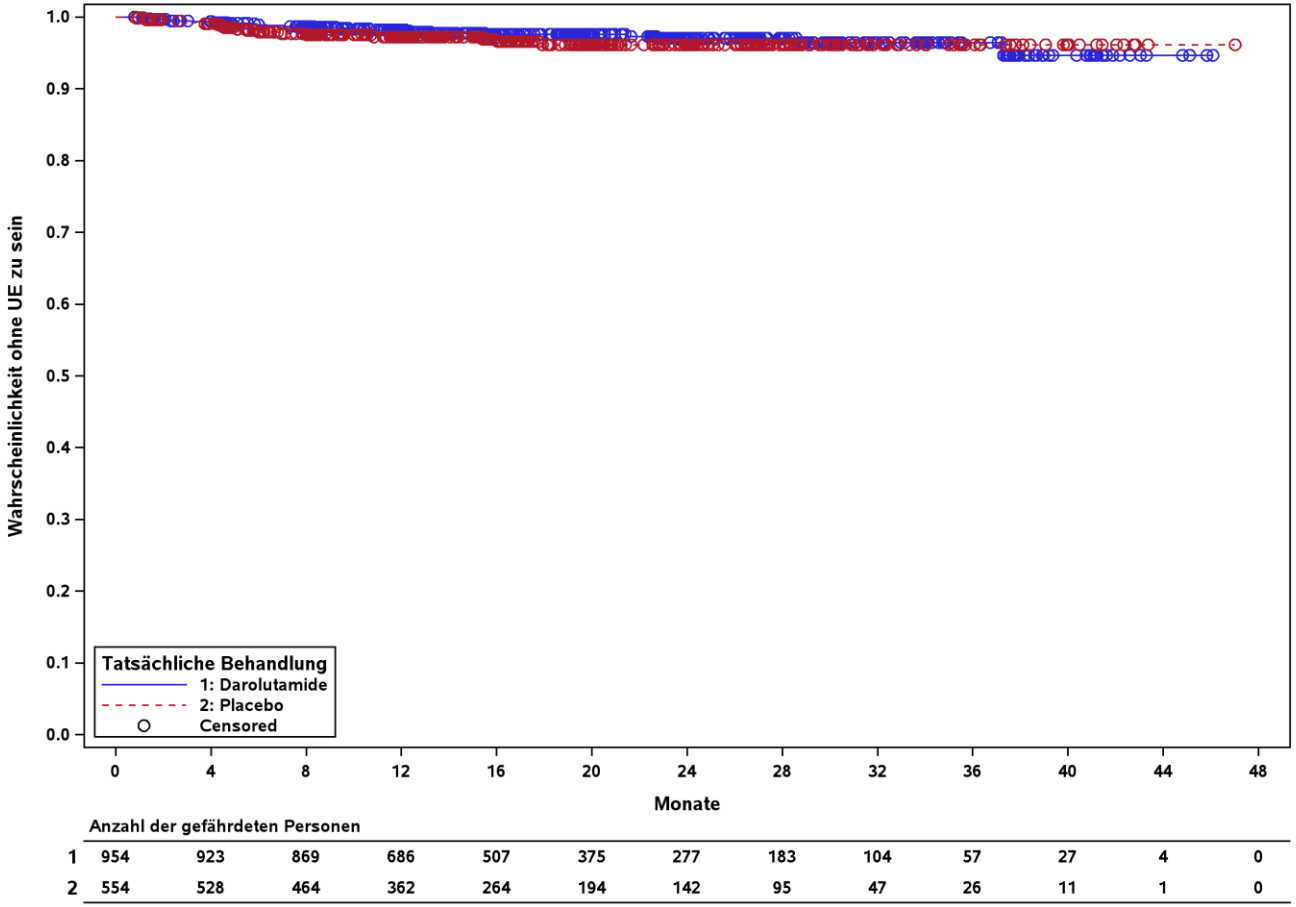
Bayer: /by-sasp/patdb/projects/1841788/17712/stat/prod_query22/pgms/t_aecut.sas 23APR2020 18:15

Figure 4.2.4 / 105: Kaplan-Meier-Plot der 'UE, die die Cutoff-Kriterien erfüllen TTE-Analyse' nach Endpunkt - Endpunkt: Zeit bis zum ersten UE das die Cutoff-Kriterien auf MedDRA PT Ebene erfüllt (Monate) - PT: Dyspepsia (10013946) (full analysis set)



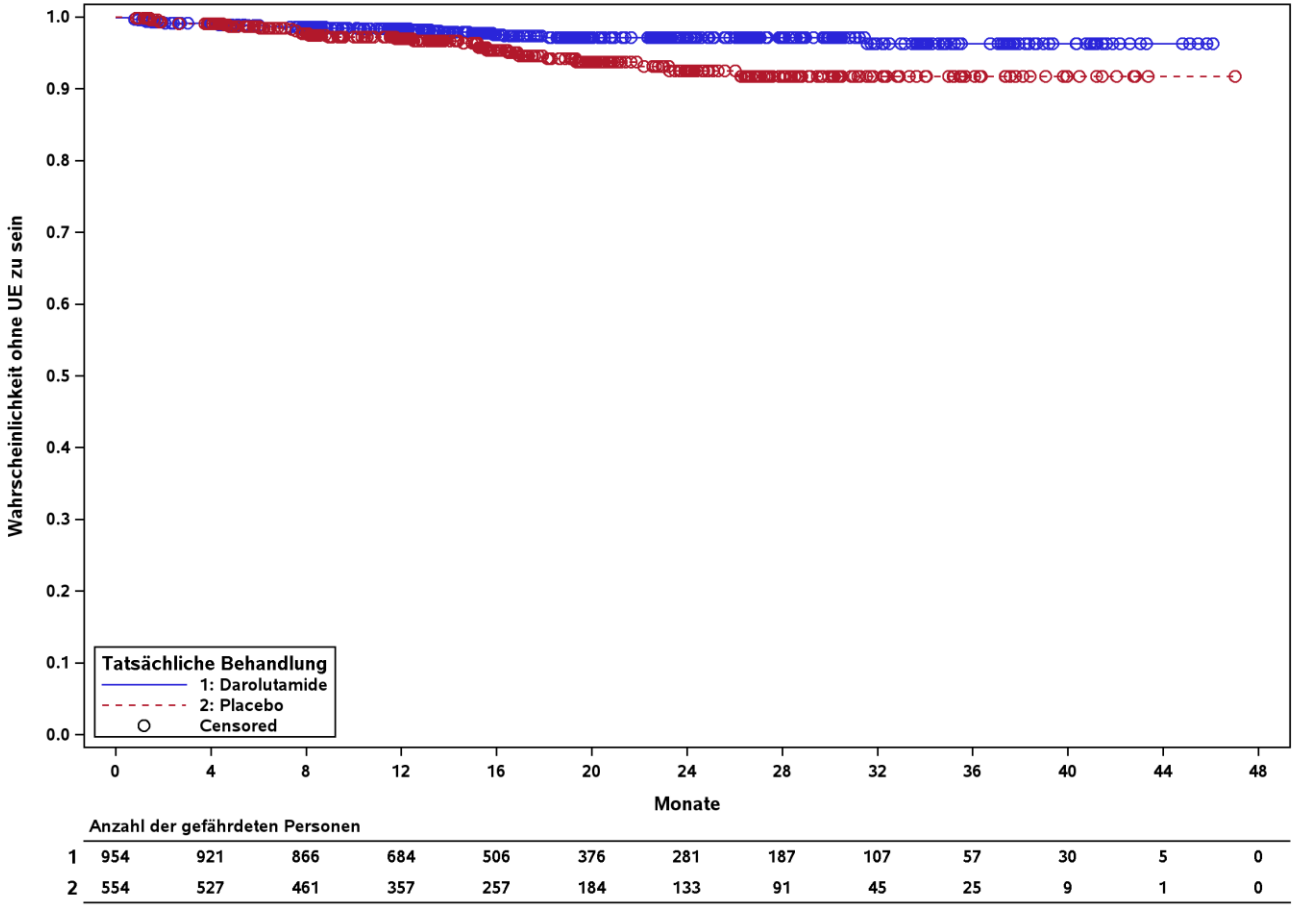
Bayer: /by-sasp/patdb/projects/1841788/17712/stat/prod_query22/pgms/t_aecut.sas 23APR2020 18:15

Figure 4.2.4 / 106: Kaplan-Meier-Plot der 'UE, die die Cutoff-Kriterien erfüllen TTE-Analyse' nach Endpunkt - Endpunkt: Zeit bis zum ersten UE das die Cutoff-Kriterien auf MedDRA PT Ebene erfüllt (Monate) - PT: Dyspnoea (10013968) (full analysis set)



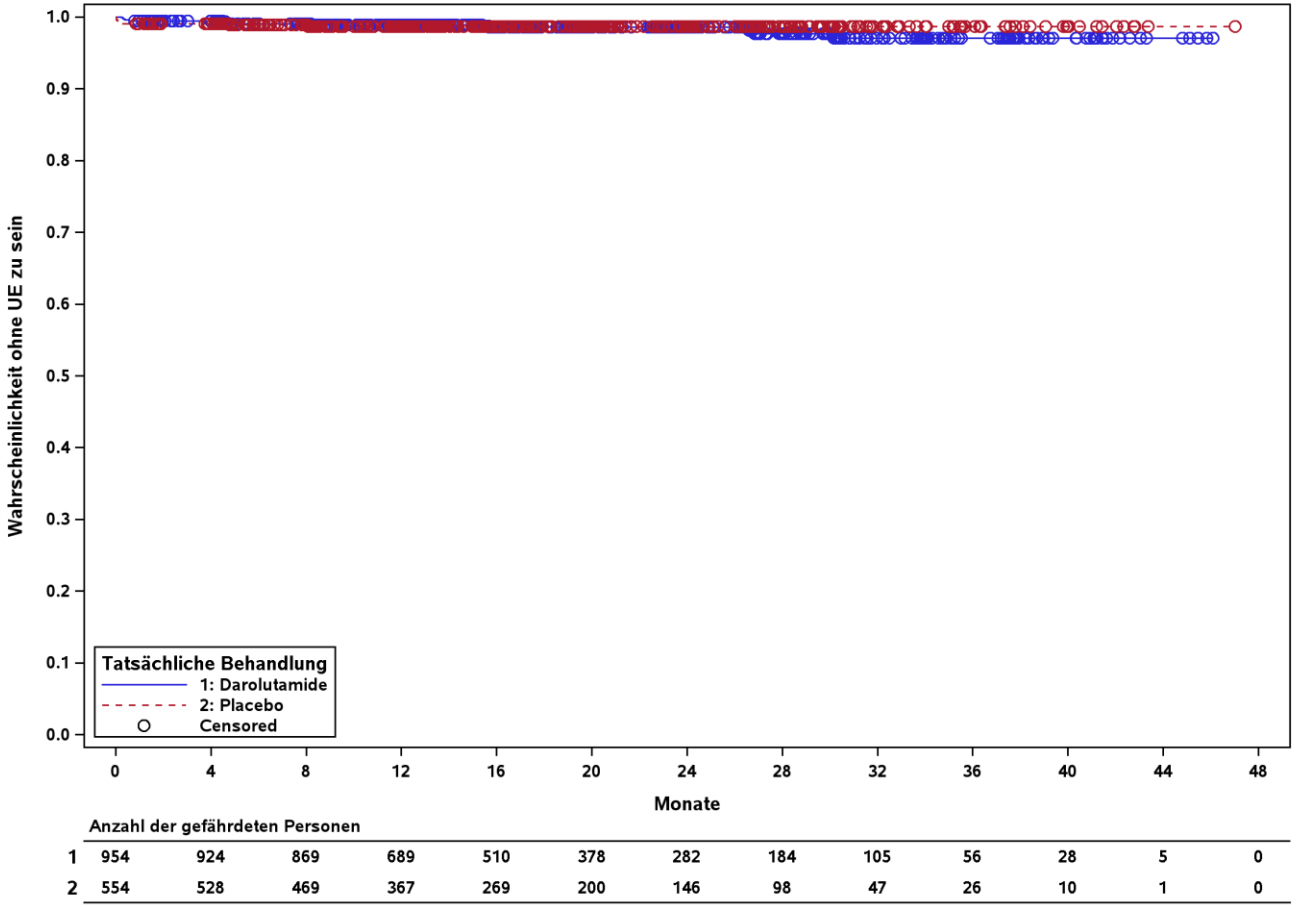
Bayer: /by-sasp/patdb/projects/1841788/17712/stat/prod_query22/pgms/t_aecut.sas 23APR2020 18:15

Figure 4.2.4 / 107: Kaplan-Meier-Plot der 'UE, die die Cutoff-Kriterien erfüllen TTE-Analyse' nach Endpunkt - Endpunkt: Zeit bis zum ersten UE das die Cutoff-Kriterien auf MedDRA PT Ebene erfüllt (Monate) - PT: Dysuria (10013990) (full analysis set)



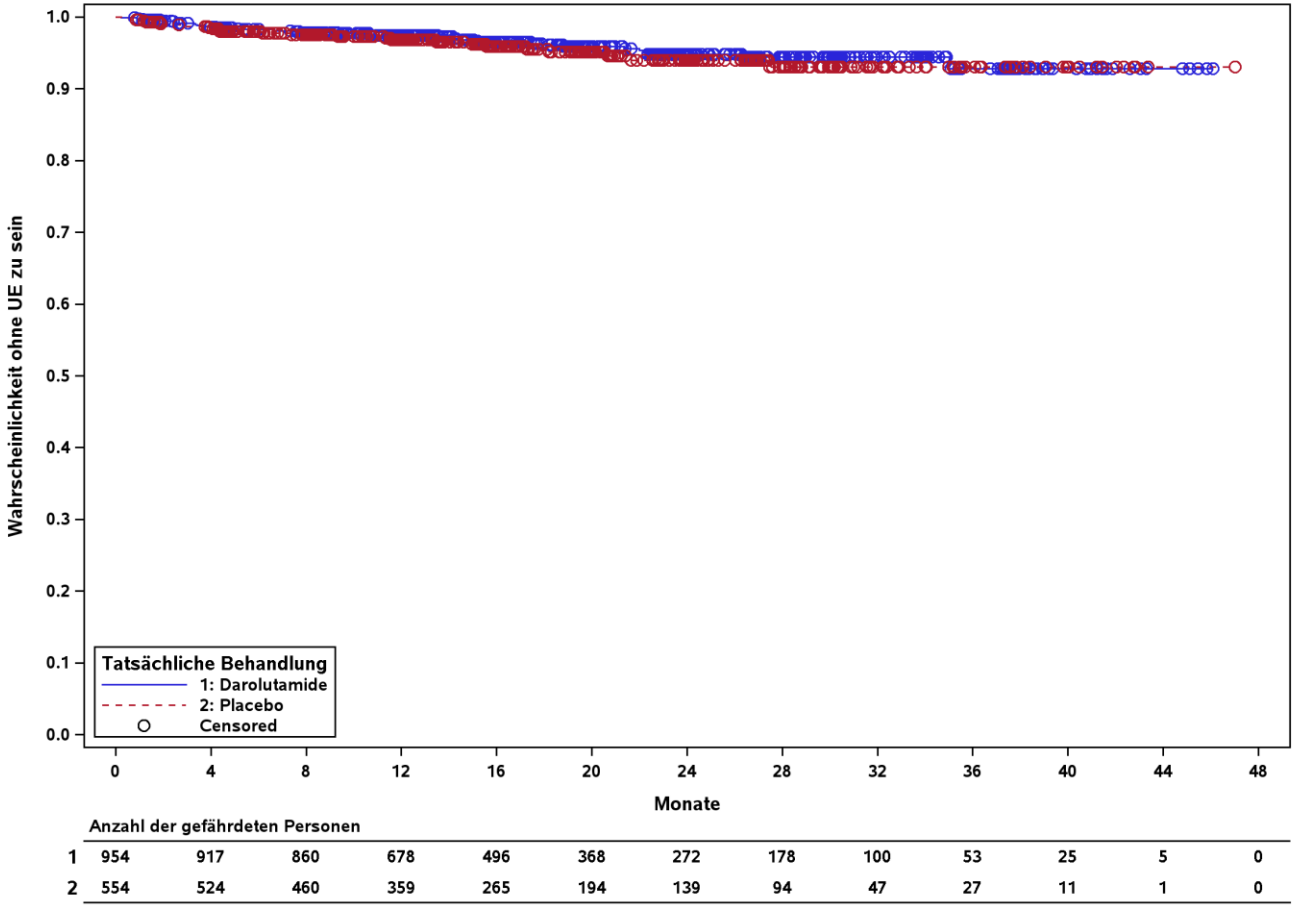
Bayer: /by-sasp/patdb/projects/1841788/17712/stat/prod_query22/pgms/t_aecut.sas 23APR2020 18:15

Figure 4.2.4 / 108: Kaplan-Meier-Plot der 'UE, die die Cutoff-Kriterien erfüllen TTE-Analyse' nach Endpunkt - Endpunkt: Zeit bis zum ersten UE das die Cutoff-Kriterien auf MedDRA PT Ebene erfüllt (Monate) - PT: Emphysema (10014561) (full analysis set)



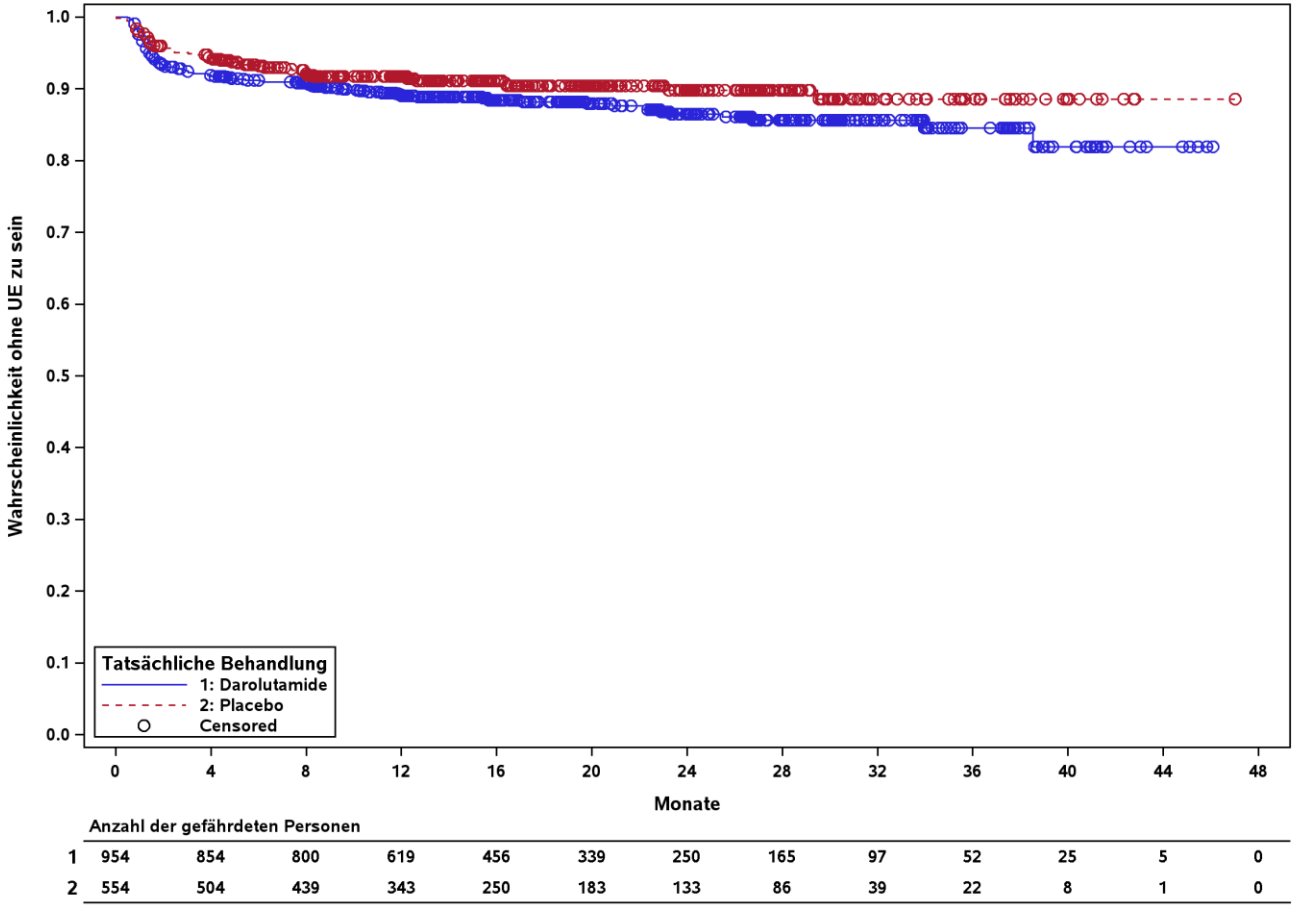
Bayer: /by-sasp/patdb/projects/1841788/17712/stat/prod_query22/pgms/t_aecut.sas 23APR2020 18:15

Figure 4.2.4 / 109: Kaplan-Meier-Plot der 'UE, die die Cutoff-Kriterien erfüllen TTE-Analyse' nach Endpunkt - Endpunkt: Zeit bis zum ersten UE das die Cutoff-Kriterien auf MedDRA PT Ebene erfüllt (Monate) - PT: Fall (10016173) (full analysis set)



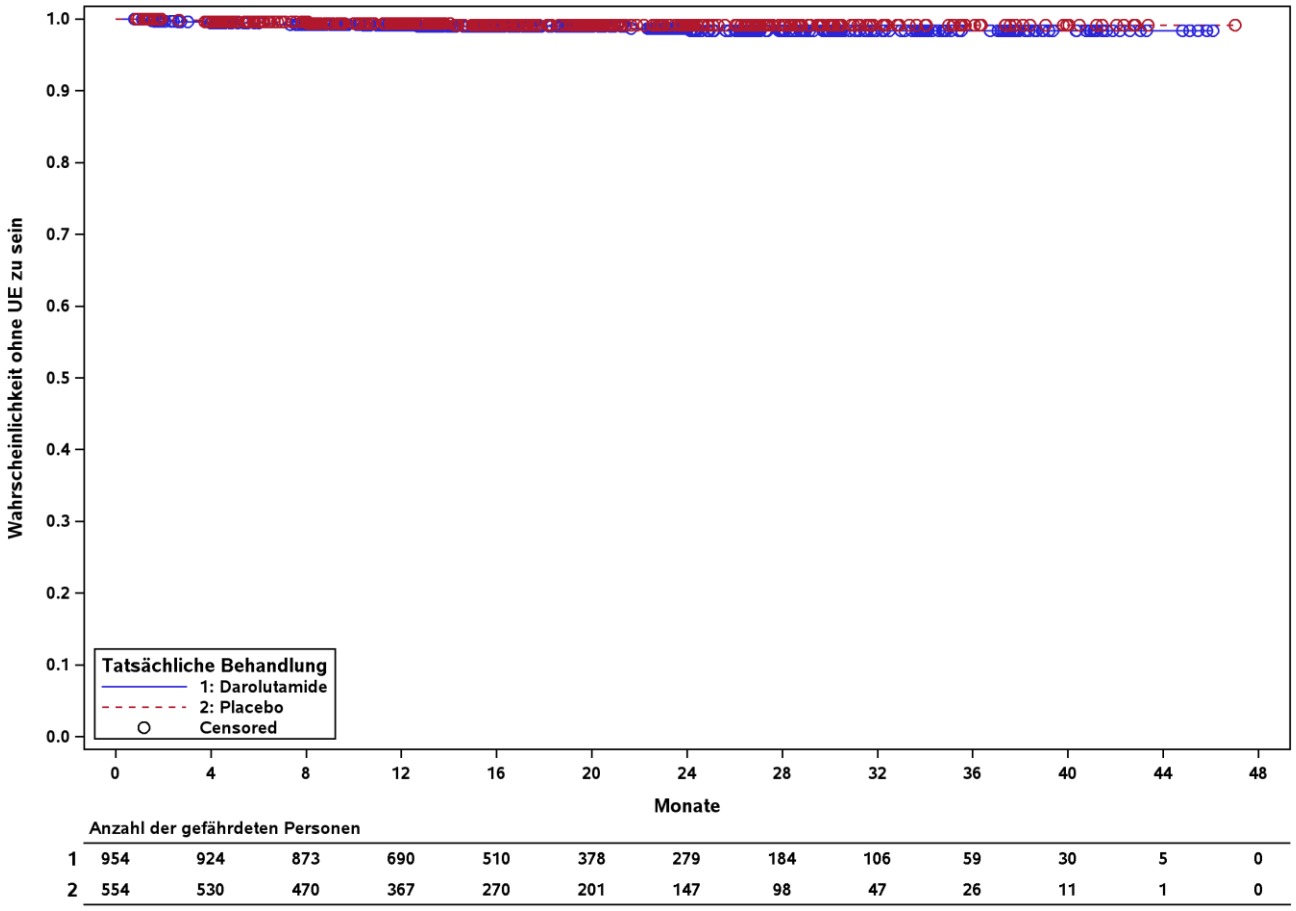
Bayer: /by-sasp/patdb/projects/1841788/17712/stat/prod_query22/pgms/t_aecut.sas 23APR2020 18:15

Figure 4.2.4 / 110: Kaplan-Meier-Plot der 'UE, die die Cutoff-Kriterien erfüllen TTE-Analyse' nach Endpunkt - Endpunkt: Zeit bis zum ersten UE das die Cutoff-Kriterien auf MedDRA PT Ebene erfüllt (Monate) - PT: Fatigue (10016256) (full analysis set)



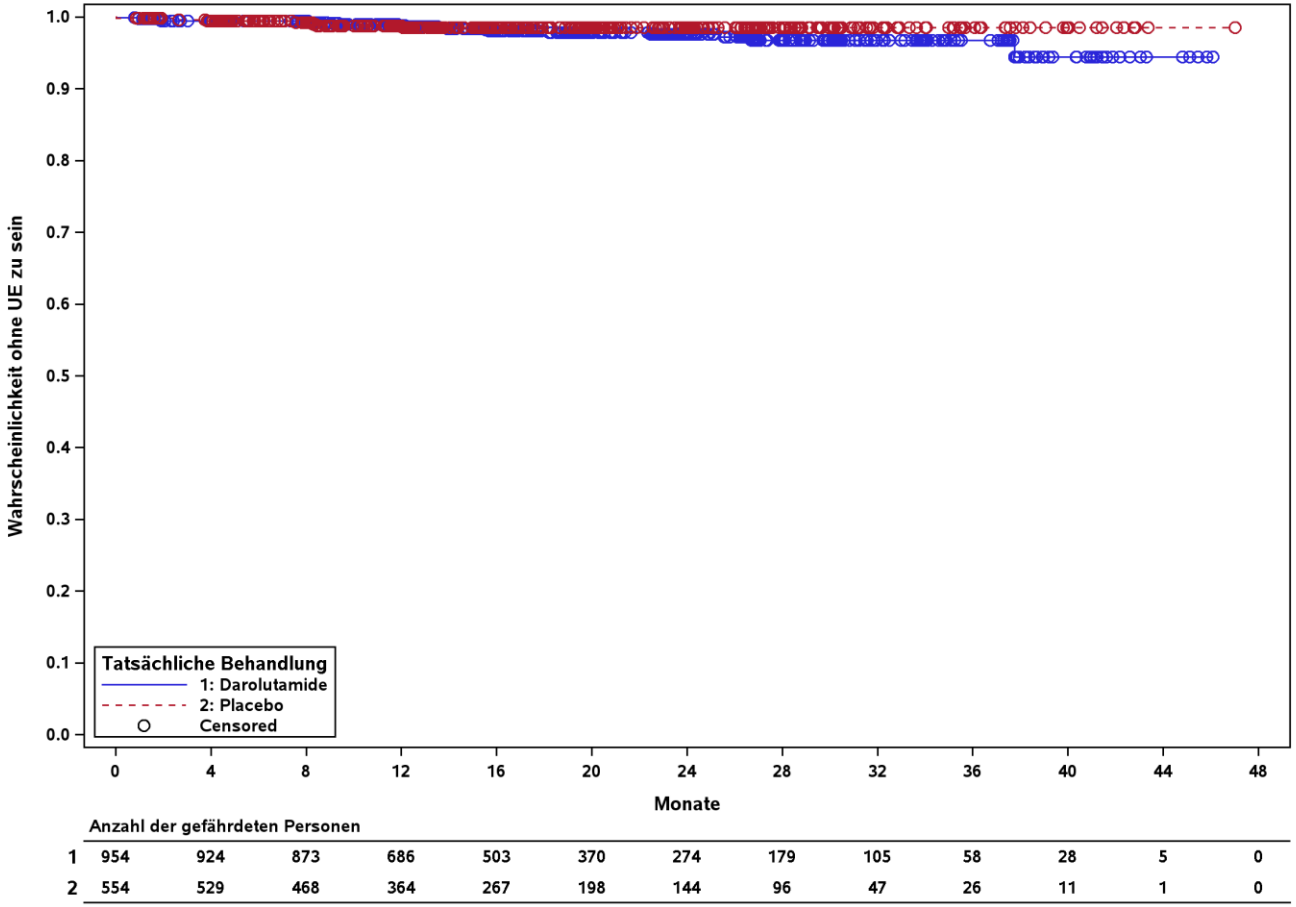
Bayer: /by-sasp/patdb/projects/1841788/17712/stat/prod_query22/pgms/t_aecut.sas 23APR2020 18:15

Figure 4.2.4 / 111: Kaplan-Meier-Plot der 'UE, die die Cutoff-Kriterien erfüllen TTE-Analyse' nach Endpunkt - Endpunkt: Zeit bis zum ersten UE das die Cutoff-Kriterien auf MedDRA PT Ebene erfüllt (Monate) - PT: Gastrooesophageal reflux disease (10017885) (full analysis set)



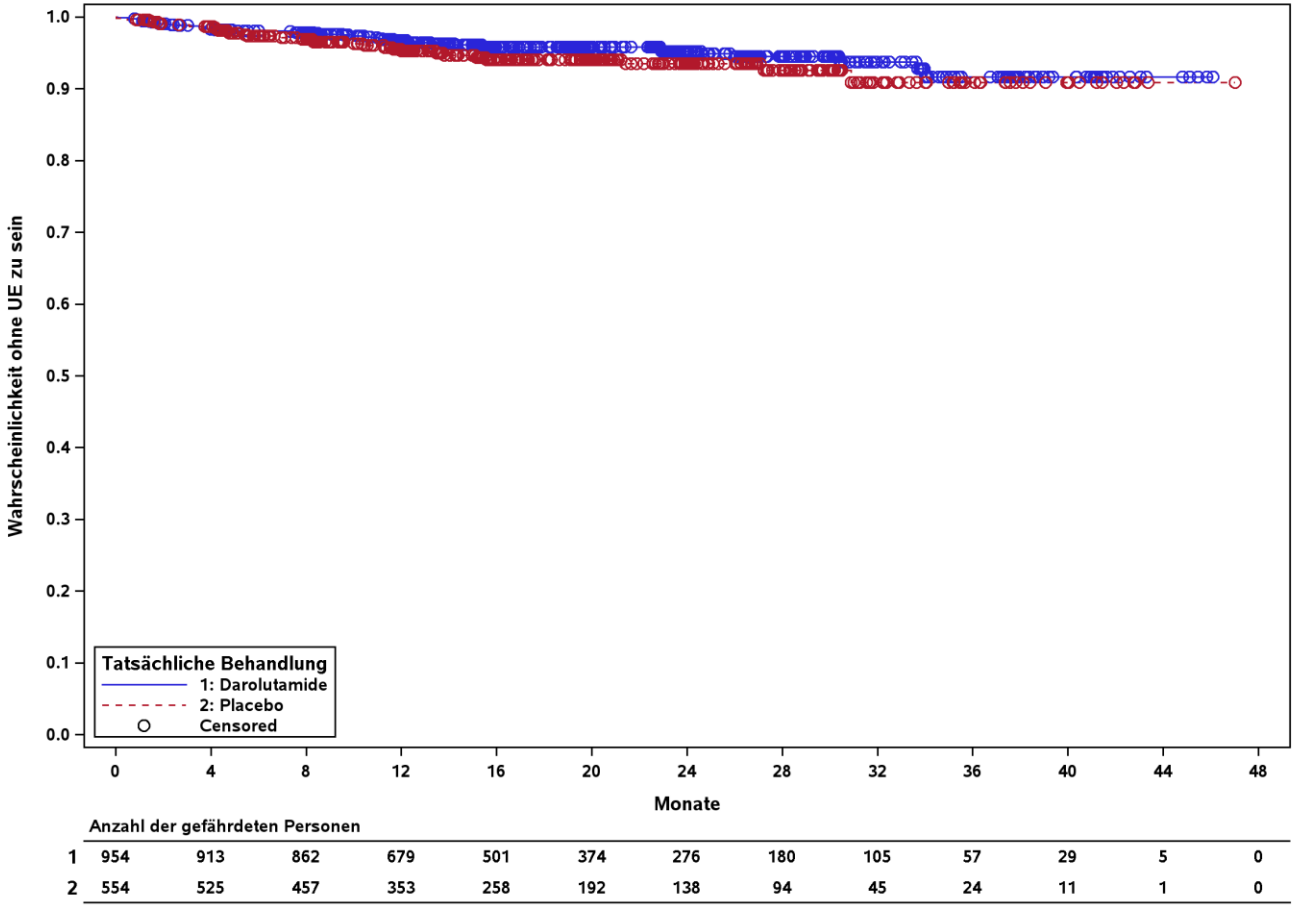
Bayer: /by-sasp/patdb/projects/1841788/17712/stat/prod_query22/pgms/t_aecut.sas 23APR2020 18:15

Figure 4.2.4 / 112: Kaplan-Meier-Plot der 'UE, die die Cutoff-Kriterien erfüllen TTE-Analyse' nach Endpunkt - Endpunkt: Zeit bis zum ersten UE das die Cutoff-Kriterien auf MedDRA PT Ebene erfüllt (Monate) - PT: Gynaecomastia (10018800) (full analysis set)



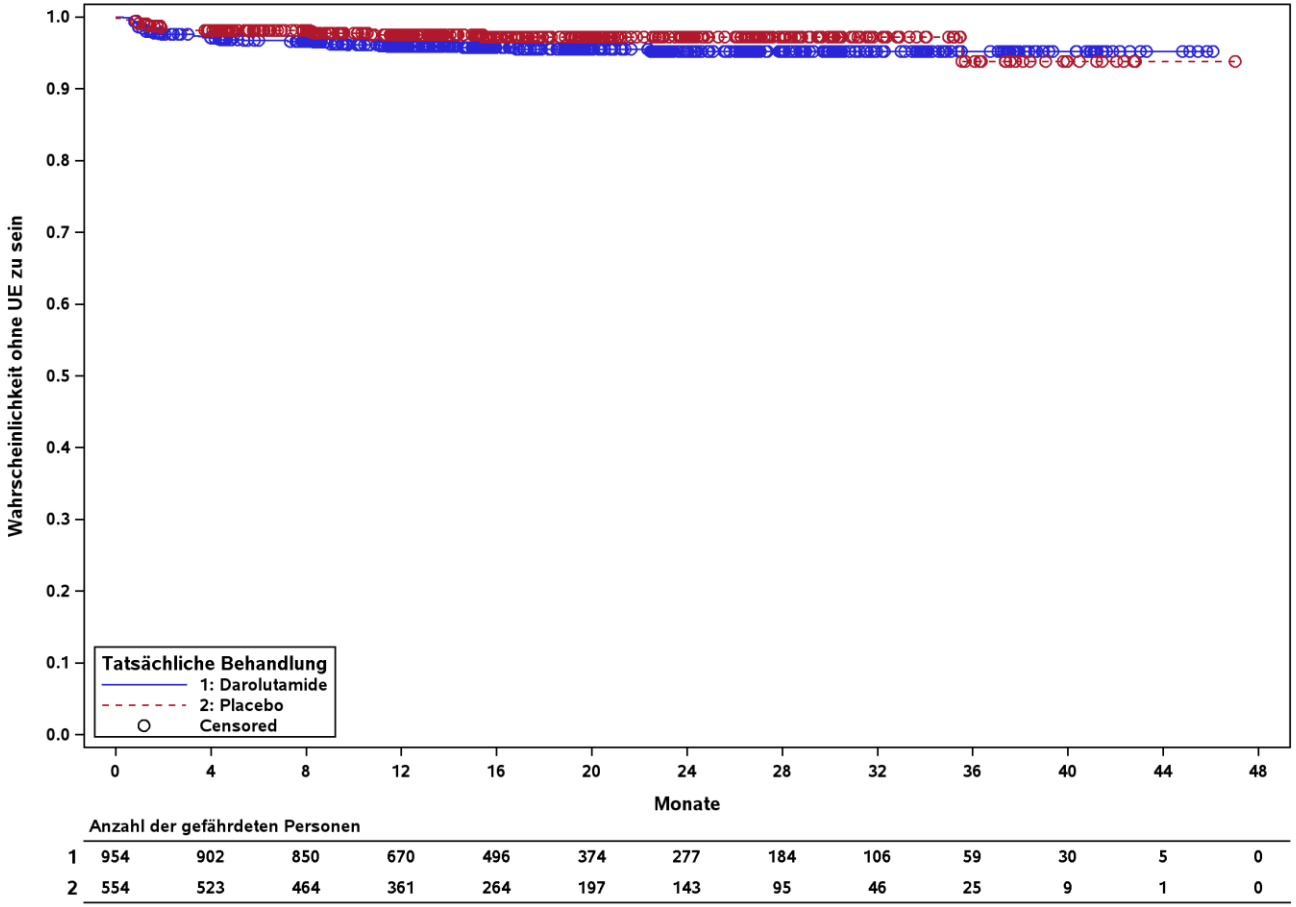
Bayer: /by-sasp/patdb/projects/1841788/17712/stat/prod_query22/pgms/t_aecut.sas 23APR2020 18:15

Figure 4.2.4 / 113: Kaplan-Meier-Plot der 'UE, die die Cutoff-Kriterien erfüllen TTE-Analyse' nach Endpunkt - Endpunkt: Zeit bis zum ersten UE das die Cutoff-Kriterien auf MedDRA PT Ebene erfüllt (Monate) - PT: Haematuria (10018867) (full analysis set)



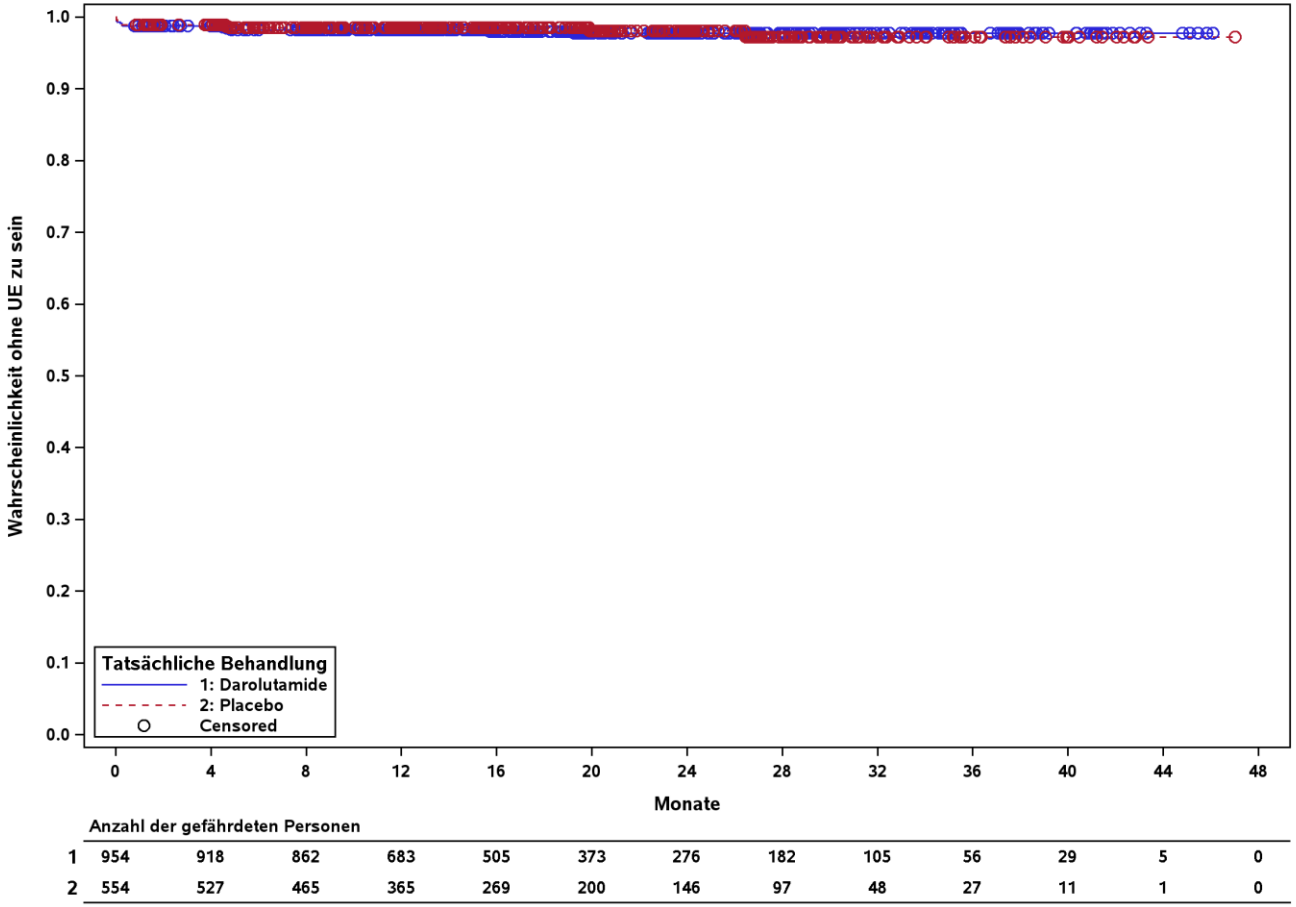
Bayer: /by-sasp/patdb/projects/1841788/17712/stat/prod_query22/pgms/t_aecut.sas 23APR2020 18:15

Figure 4.2.4 / 114: Kaplan-Meier-Plot der 'UE, die die Cutoff-Kriterien erfüllen TTE-Analyse' nach Endpunkt - Endpunkt: Zeit bis zum ersten UE das die Cutoff-Kriterien auf MedDRA PT Ebene erfüllt (Monate) - PT: Headache (10019211) (full analysis set)



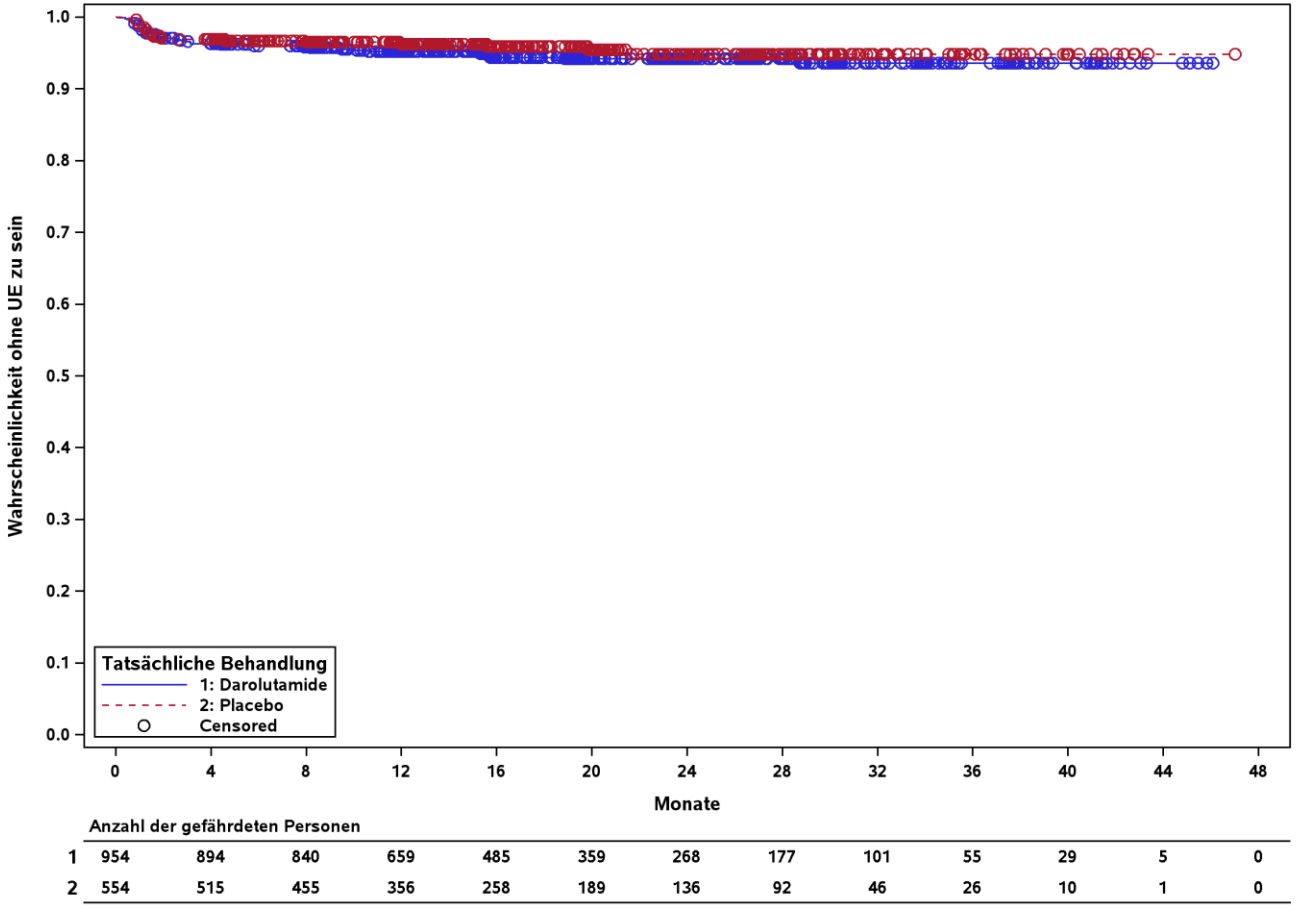
Bayer: /by-sasp/patdb/projects/1841788/17712/stat/prod_query22/pgms/t_aecut.sas 23APR2020 18:15

Figure 4.2.4 / 115: Kaplan-Meier-Plot der 'UE, die die Cutoff-Kriterien erfüllen TTE-Analyse' nach Endpunkt - Endpunkt: Zeit bis zum ersten UE das die Cutoff-Kriterien auf MedDRA PT Ebene erfüllt (Monate) - PT: Hepatic cyst (10019646) (full analysis set)



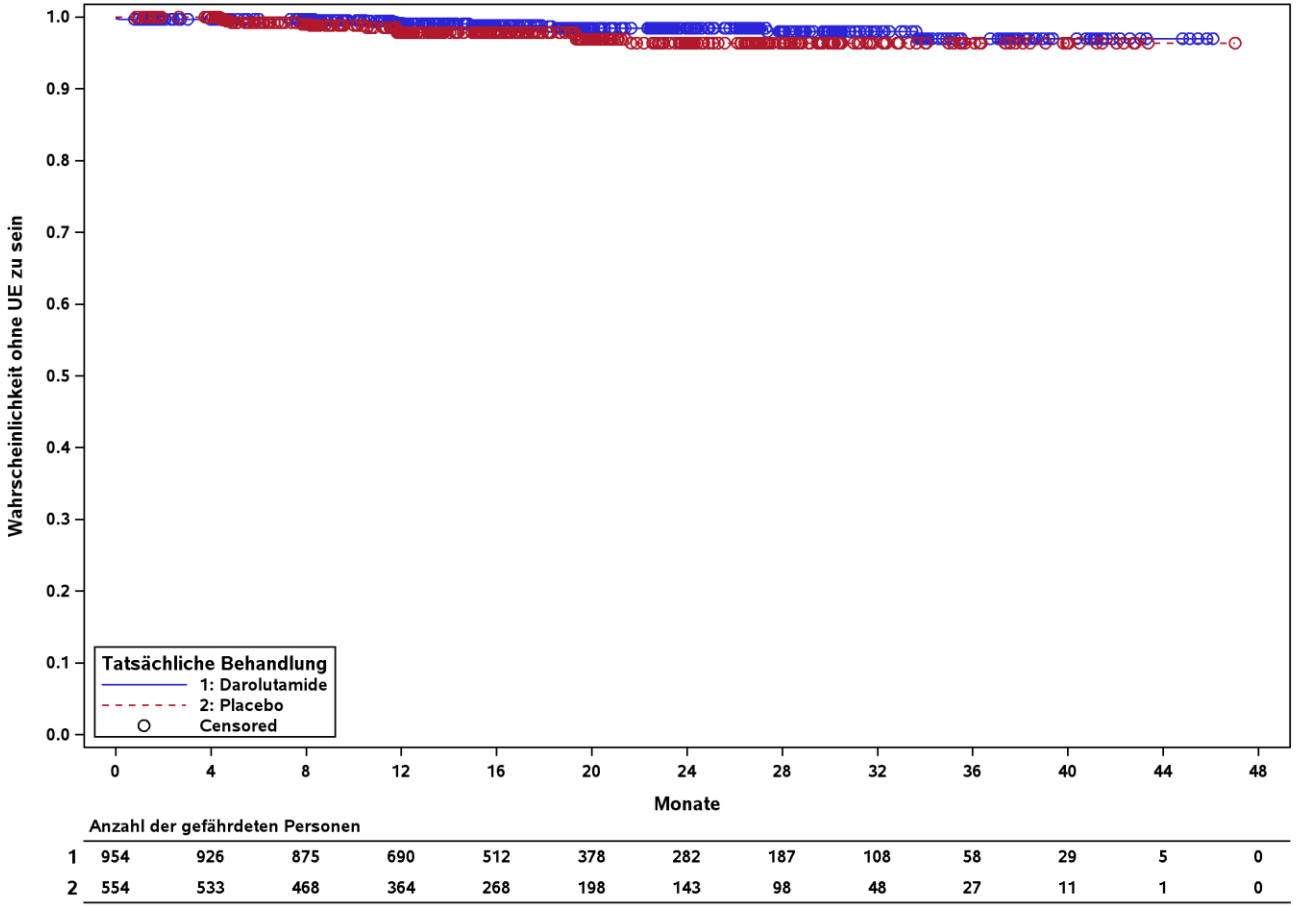
Bayer: /by-sasp/patdb/projects/1841788/17712/stat/prod_query22/pgms/t_aecut.sas 23APR2020 18:15

Figure 4.2.4 / 116: Kaplan-Meier-Plot der 'UE, die die Cutoff-Kriterien erfüllen TTE-Analyse' nach Endpunkt - Endpunkt: Zeit bis zum ersten UE das die Cutoff-Kriterien auf MedDRA PT Ebene erfüllt (Monate) - PT: Hot flush (10060800) (full analysis set)



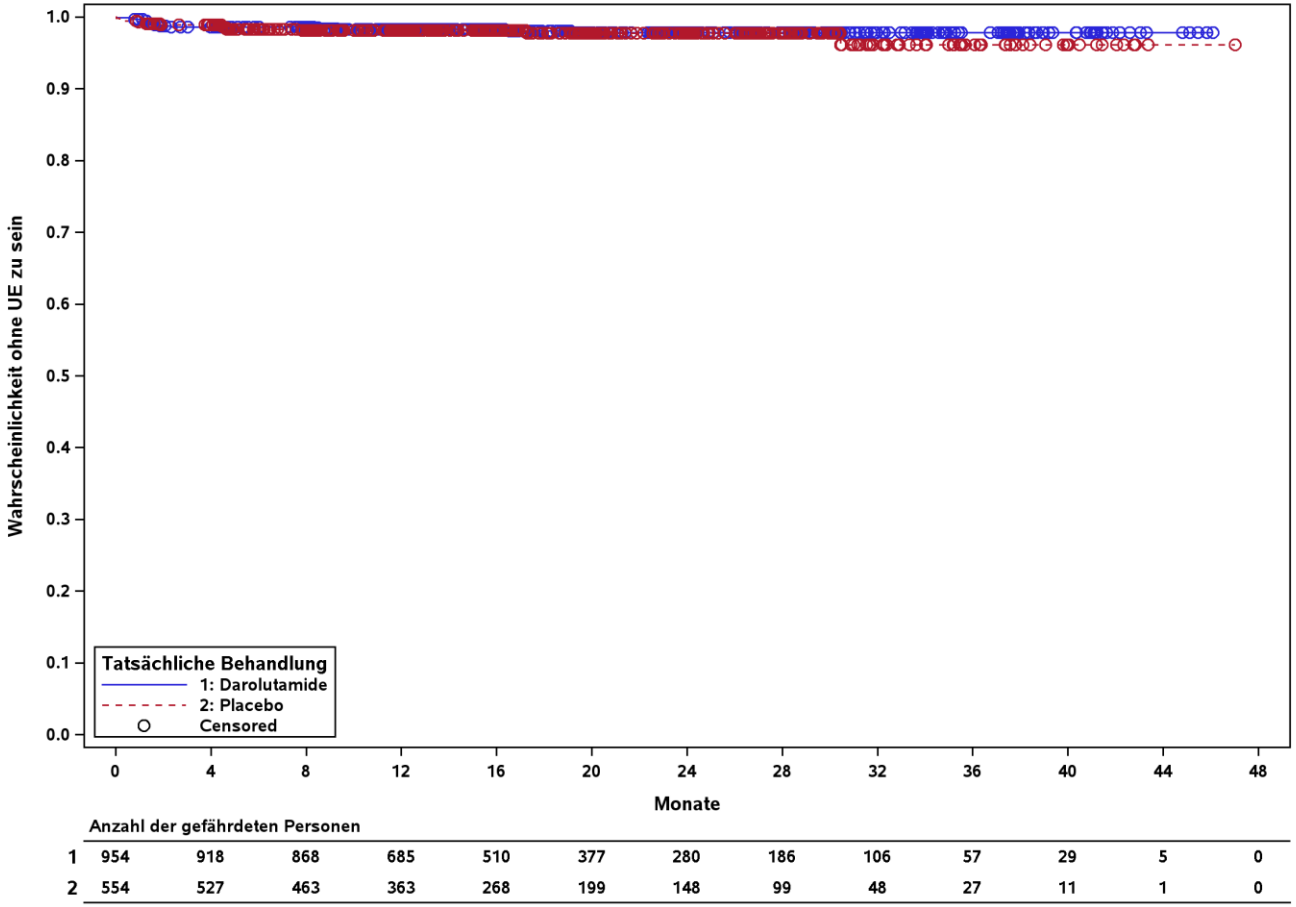
Bayer: /by-sasp/patdb/projects/1841788/17712/stat/prod_query22/pgms/t_aecut.sas 23APR2020 18:15

Figure 4.2.4 / 117: Kaplan-Meier-Plot der 'UE, die die Cutoff-Kriterien erfüllen TTE-Analyse' nach Endpunkt - Endpunkt: Zeit bis zum ersten UE das die Cutoff-Kriterien auf MedDRA PT Ebene erfüllt (Monate) - PT: Hydronephrosis (10020524) (full analysis set)



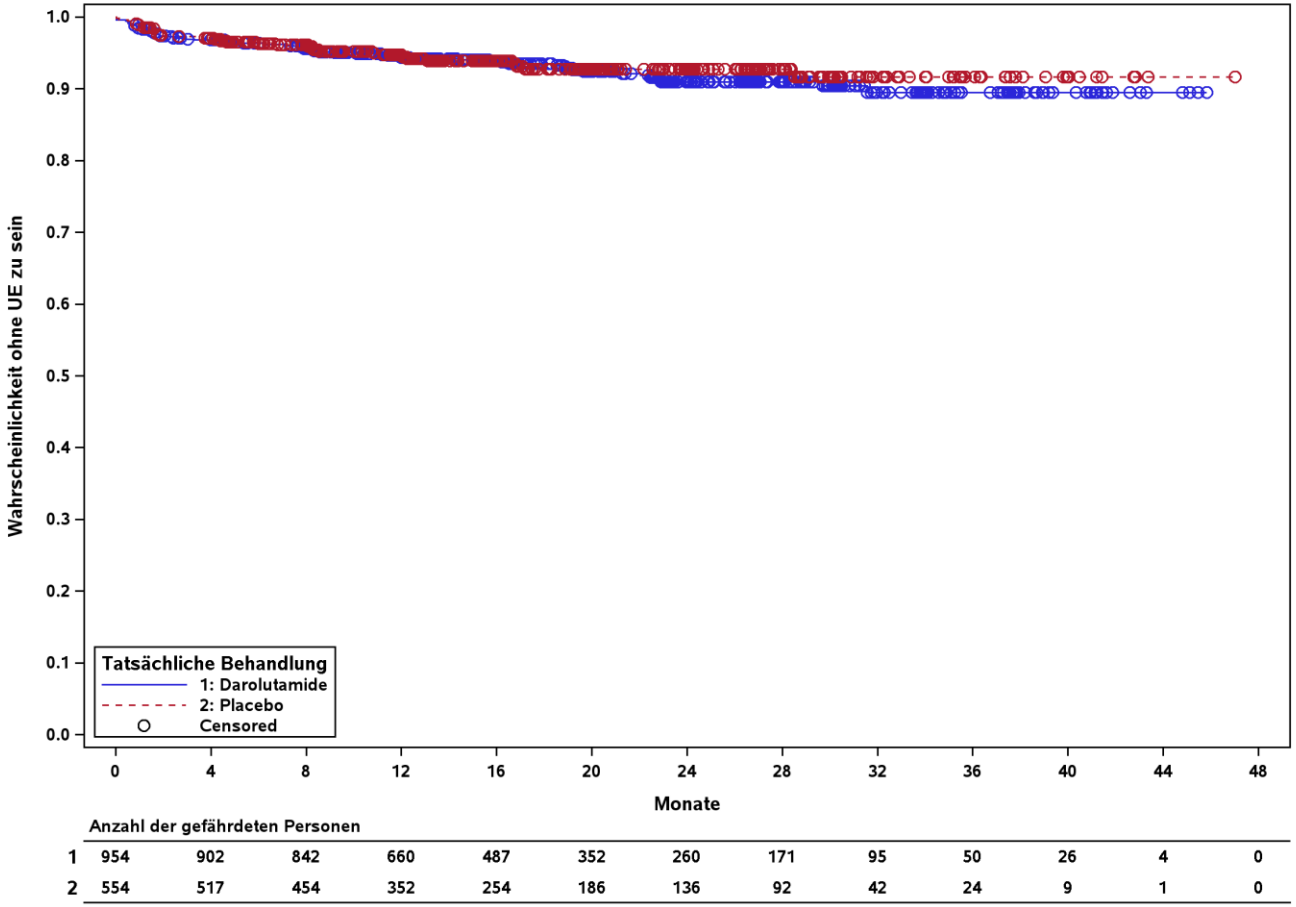
Bayer: /by-sasp/patdb/projects/1841788/17712/stat/prod_query22/pgms/t_aecut.sas 23APR2020 18:15

Figure 4.2.4 / 118: Kaplan-Meier-Plot der 'UE, die die Cutoff-Kriterien erfüllen TTE-Analyse' nach Endpunkt - Endpunkt: Zeit bis zum ersten UE das die Cutoff-Kriterien auf MedDRA PT Ebene erfüllt (Monate) - PT: Hyperkalaemia (10020646) (full analysis set)



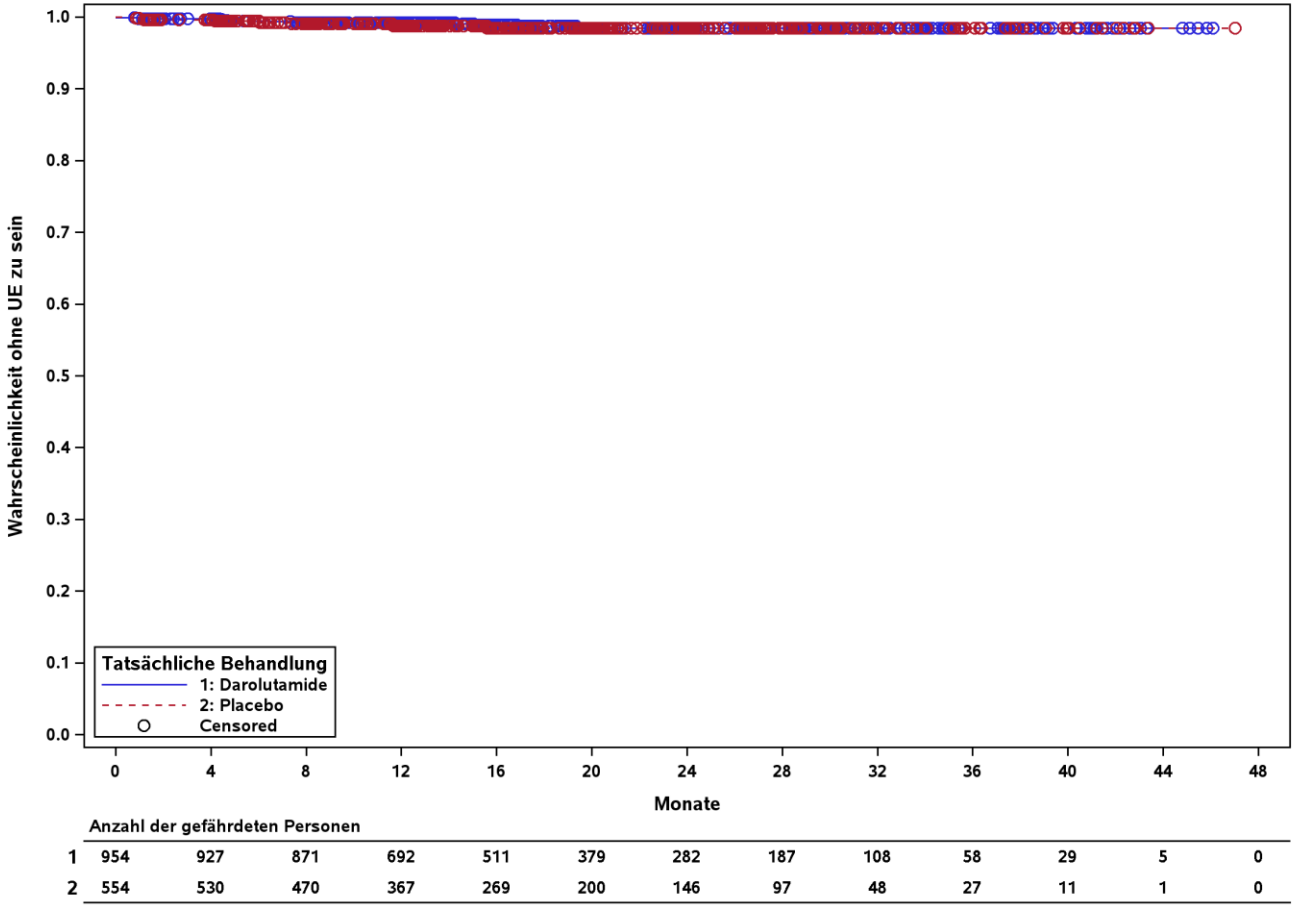
Bayer: /by-sasp/patdb/projects/1841788/17712/stat/prod_query22/pgms/t_aecut.sas 23APR2020 18:15

Figure 4.2.4 / 119: Kaplan-Meier-Plot der 'UE, die die Cutoff-Kriterien erfüllen TTE-Analyse' nach Endpunkt - Endpunkt: Zeit bis zum ersten UE das die Cutoff-Kriterien auf MedDRA PT Ebene erfüllt (Monate) - PT: Hypertension (10020772) (full analysis set)



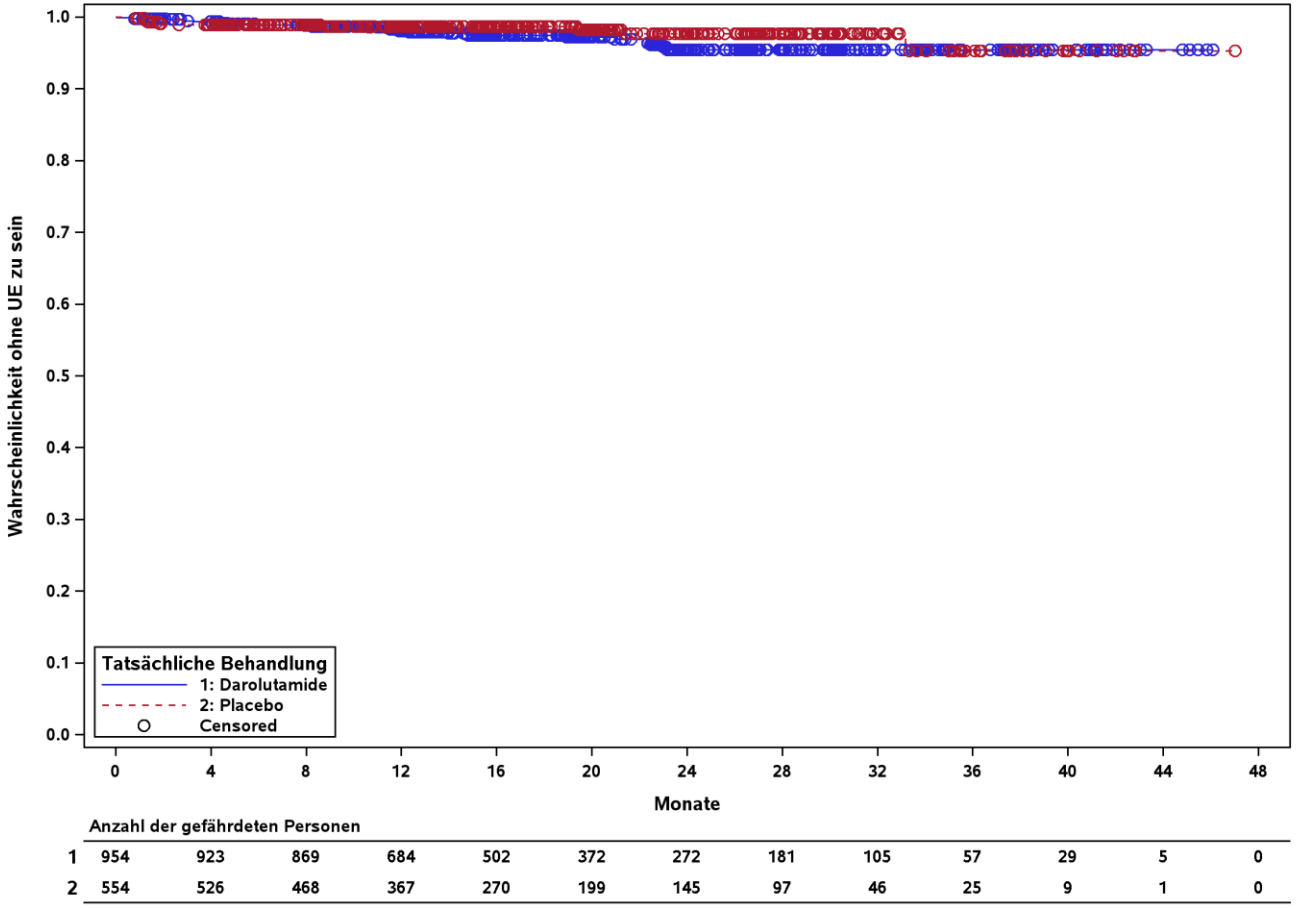
Bayer: /by-sasp/patdb/projects/1841788/17712/stat/prod_query22/pgms/t_aecut.sas 23APR2020 18:15

Figure 4.2.4 / 120: Kaplan-Meier-Plot der 'UE, die die Cutoff-Kriterien erfüllen TTE-Analyse' nach Endpunkt - Endpunkt: Zeit bis zum ersten UE das die Cutoff-Kriterien auf MedDRA PT Ebene erfüllt (Monate) - PT: Hypotension (10021097) (full analysis set)



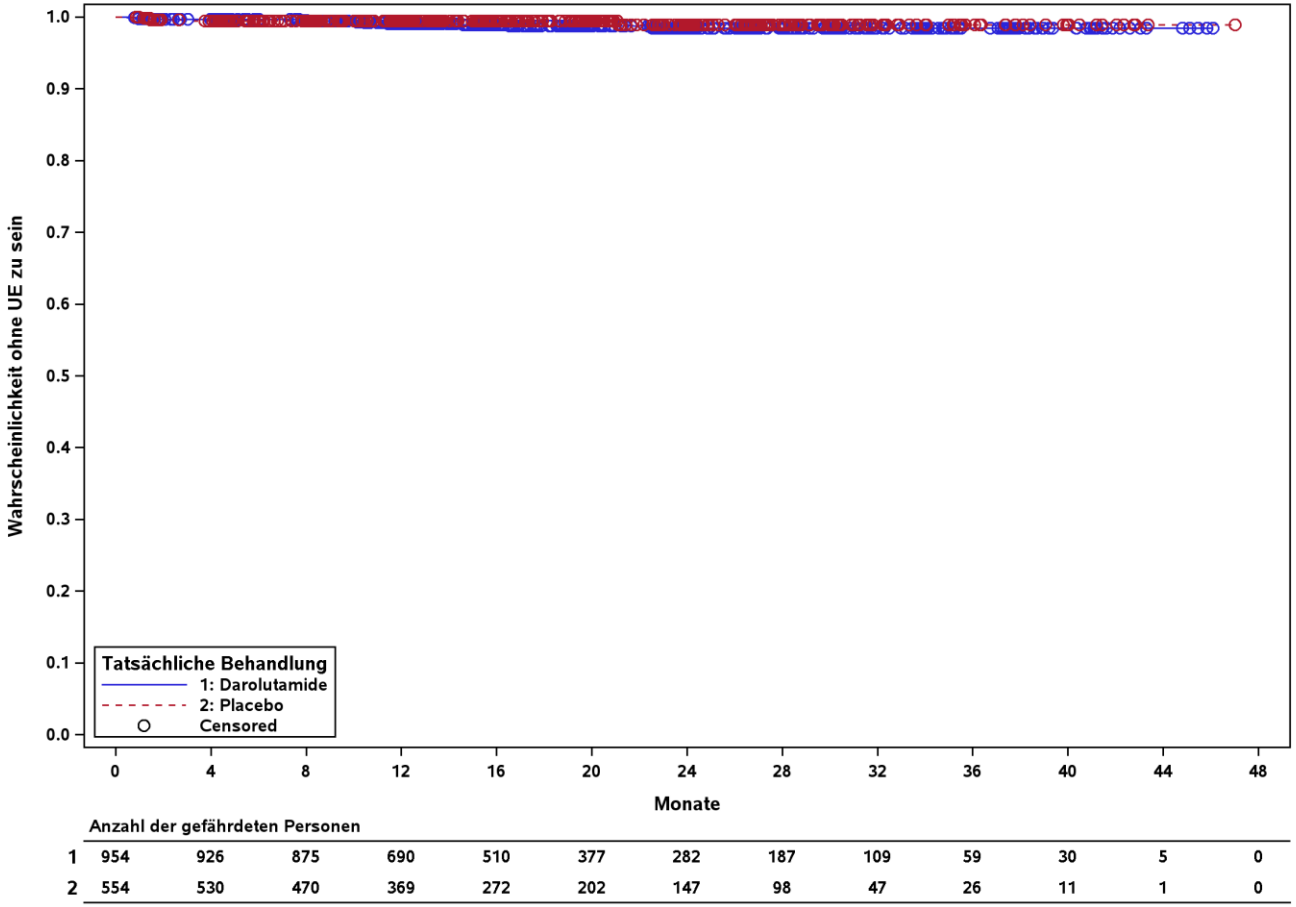
Bayer: /by-sasp/patdb/projects/1841788/17712/stat/prod_query22/pgms/t_aecut.sas 23APR2020 18:15

Figure 4.2.4 / 121: Kaplan-Meier-Plot der 'UE, die die Cutoff-Kriterien erfüllen TTE-Analyse' nach Endpunkt - Endpunkt: Zeit bis zum ersten UE das die Cutoff-Kriterien auf MedDRA PT Ebene erfüllt (Monate) - PT: Influenza (10022000) (full analysis set)



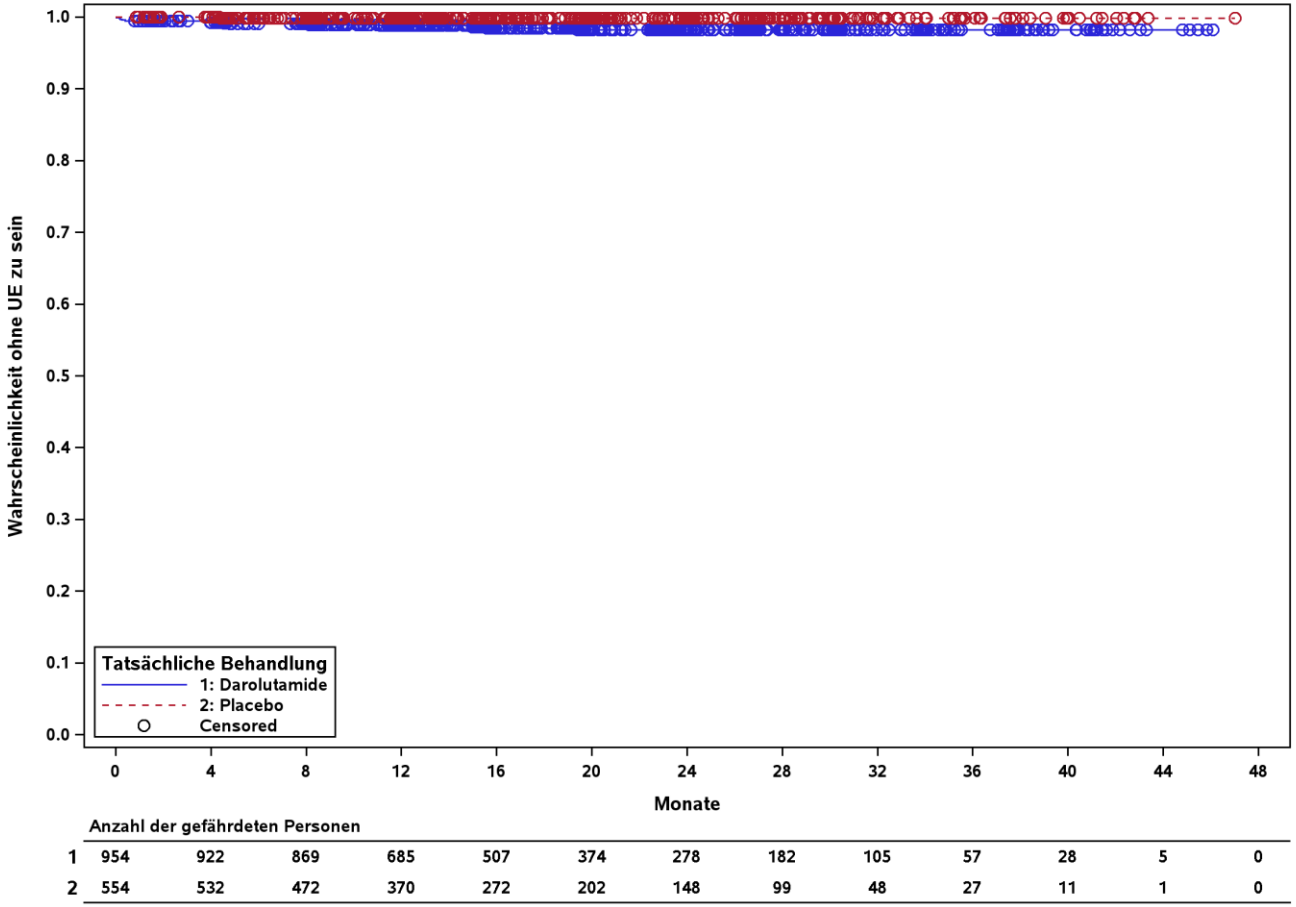
Bayer: /by-sasp/patdb/projects/1841788/17712/stat/prod_query22/pgms/t_aecut.sas 23APR2020 18:15

Figure 4.2.4 / 122: Kaplan-Meier-Plot der 'UE, die die Cutoff-Kriterien erfüllen TTE-Analyse' nach Endpunkt - Endpunkt: Zeit bis zum ersten UE das die Cutoff-Kriterien auf MedDRA PT Ebene erfüllt (Monate) - PT: Influenza like illness (10022004) (full analysis set)



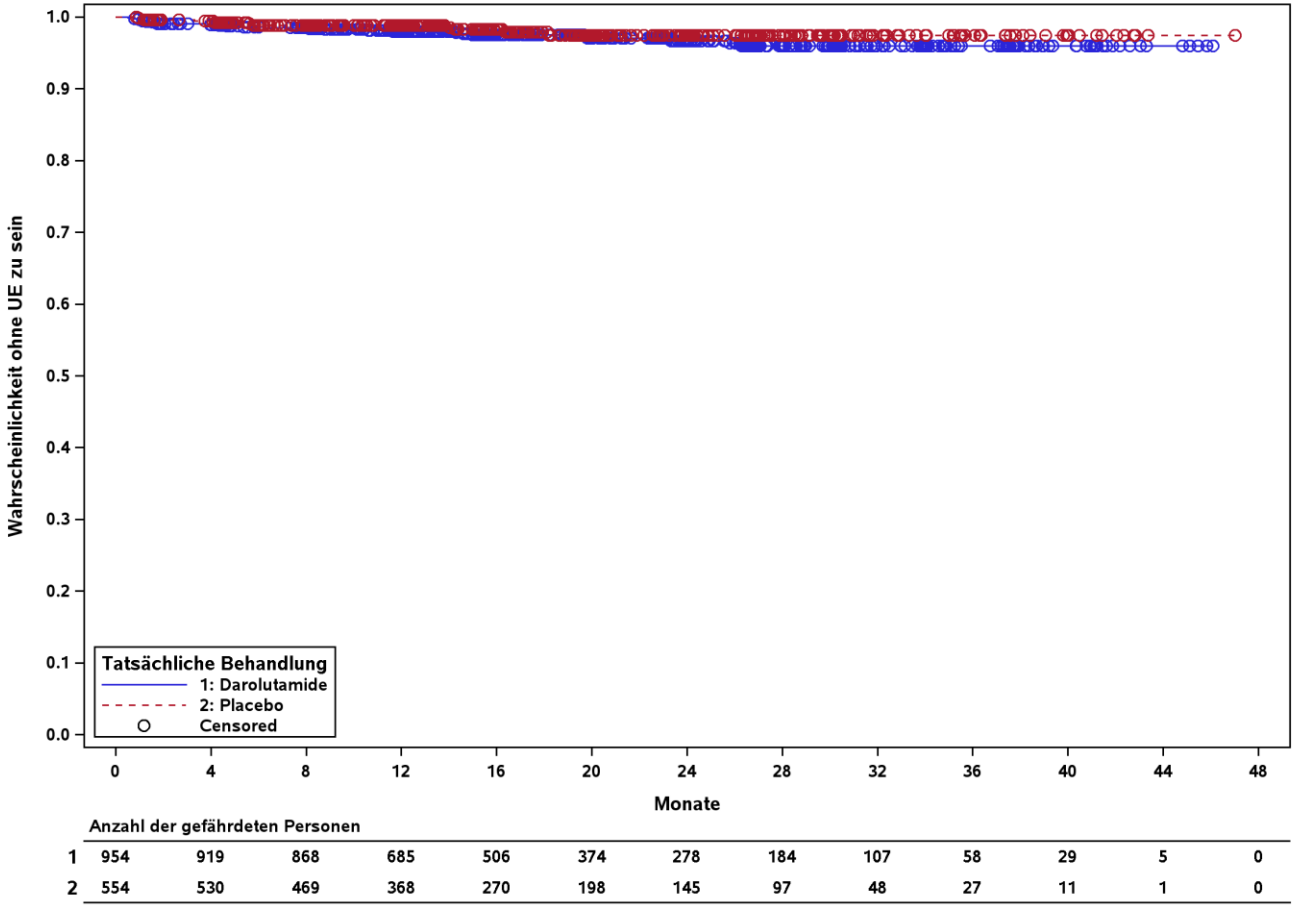
Bayer: /by-sasp/patdb/projects/1841788/17712/stat/prod_query22/pgms/t_aecut.sas 23APR2020 18:15

Figure 4.2.4 / 123: Kaplan-Meier-Plot der 'UE, die die Cutoff-Kriterien erfüllen TTE-Analyse' nach Endpunkt - Endpunkt: Zeit bis zum ersten UE das die Cutoff-Kriterien auf MedDRA PT Ebene erfüllt (Monate) - PT: Inguinal hernia (10022016) (full analysis set)



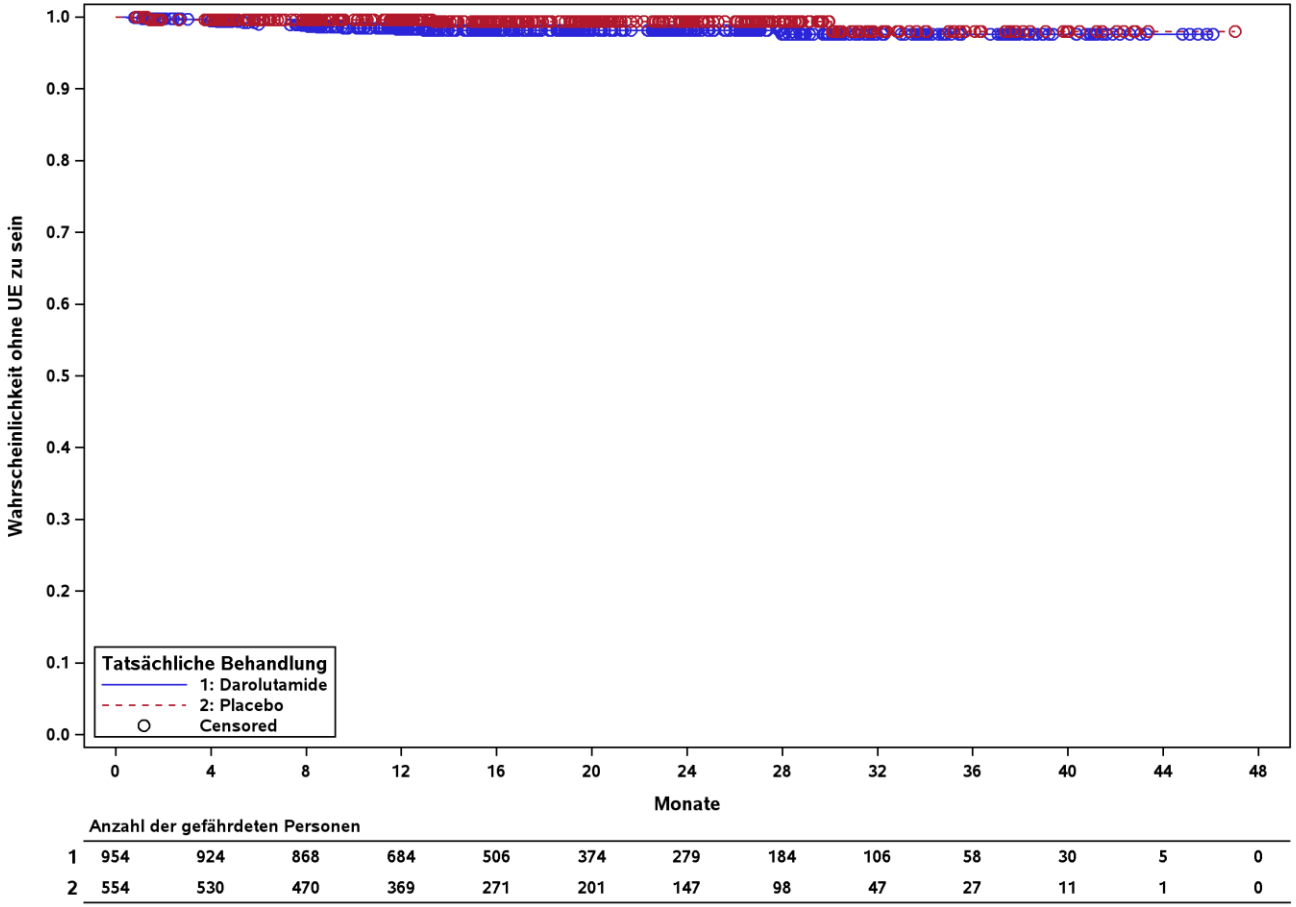
Bayer: /by-sasp/patdb/projects/1841788/17712/stat/prod_query22/pgms/t_aecut.sas 23APR2020 18:15

Figure 4.2.4 / 124: Kaplan-Meier-Plot der 'UE, die die Cutoff-Kriterien erfüllen TTE-Analyse' nach Endpunkt - Endpunkt: Zeit bis zum ersten UE das die Cutoff-Kriterien auf MedDRA PT Ebene erfüllt (Monate) - PT: Insomnia (10022437) (full analysis set)



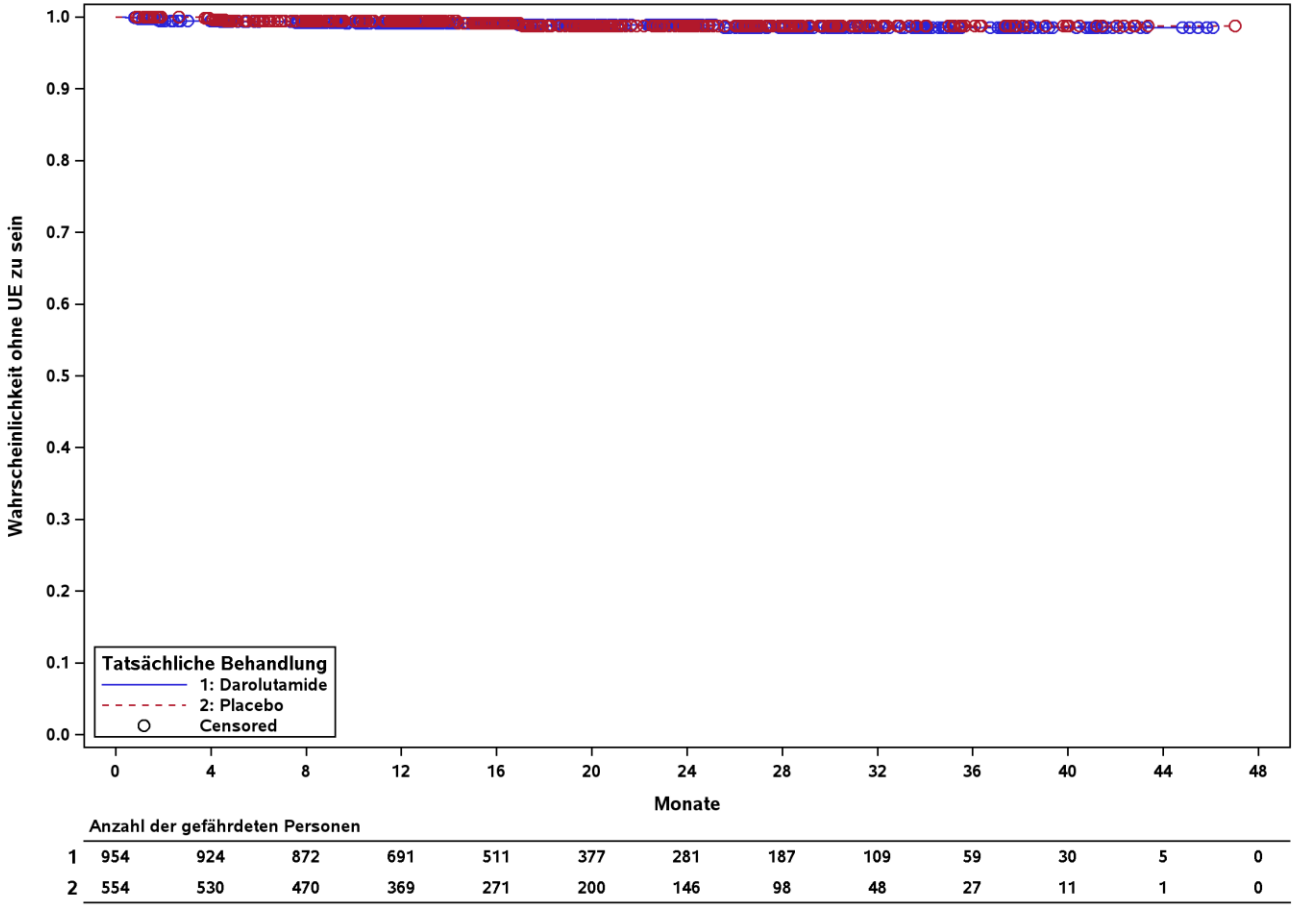
Bayer: /by-sasp/patdb/projects/1841788/17712/stat/prod_query22/pgms/t_aecut.sas 23APR2020 18:15

Figure 4.2.4 / 125: Kaplan-Meier-Plot der 'UE, die die Cutoff-Kriterien erfüllen TTE-Analyse' nach Endpunkt - Endpunkt: Zeit bis zum ersten UE das die Cutoff-Kriterien auf MedDRA PT Ebene erfüllt (Monate) - PT: Muscle spasms (10028334) (full analysis set)



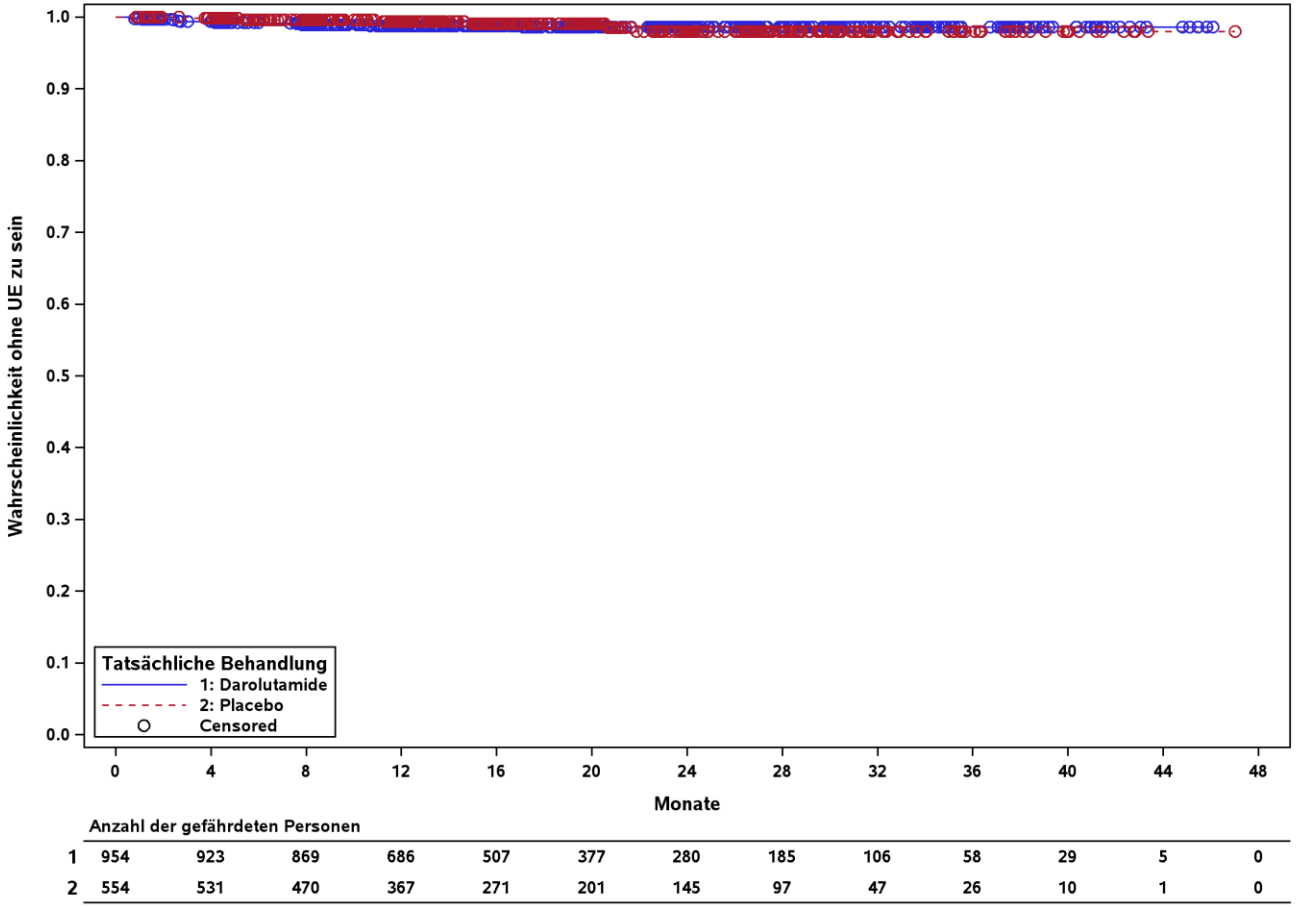
Bayer: /by-sasp/patdb/projects/1841788/17712/stat/prod_query22/pgms/t_aecut.sas 23APR2020 18:15

Figure 4.2.4 / 126: Kaplan-Meier-Plot der 'UE, die die Cutoff-Kriterien erfüllen TTE-Analyse' nach Endpunkt - Endpunkt: Zeit bis zum ersten UE das die Cutoff-Kriterien auf MedDRA PT Ebene erfüllt (Monate) - PT: Muscular weakness (10028372) (full analysis set)



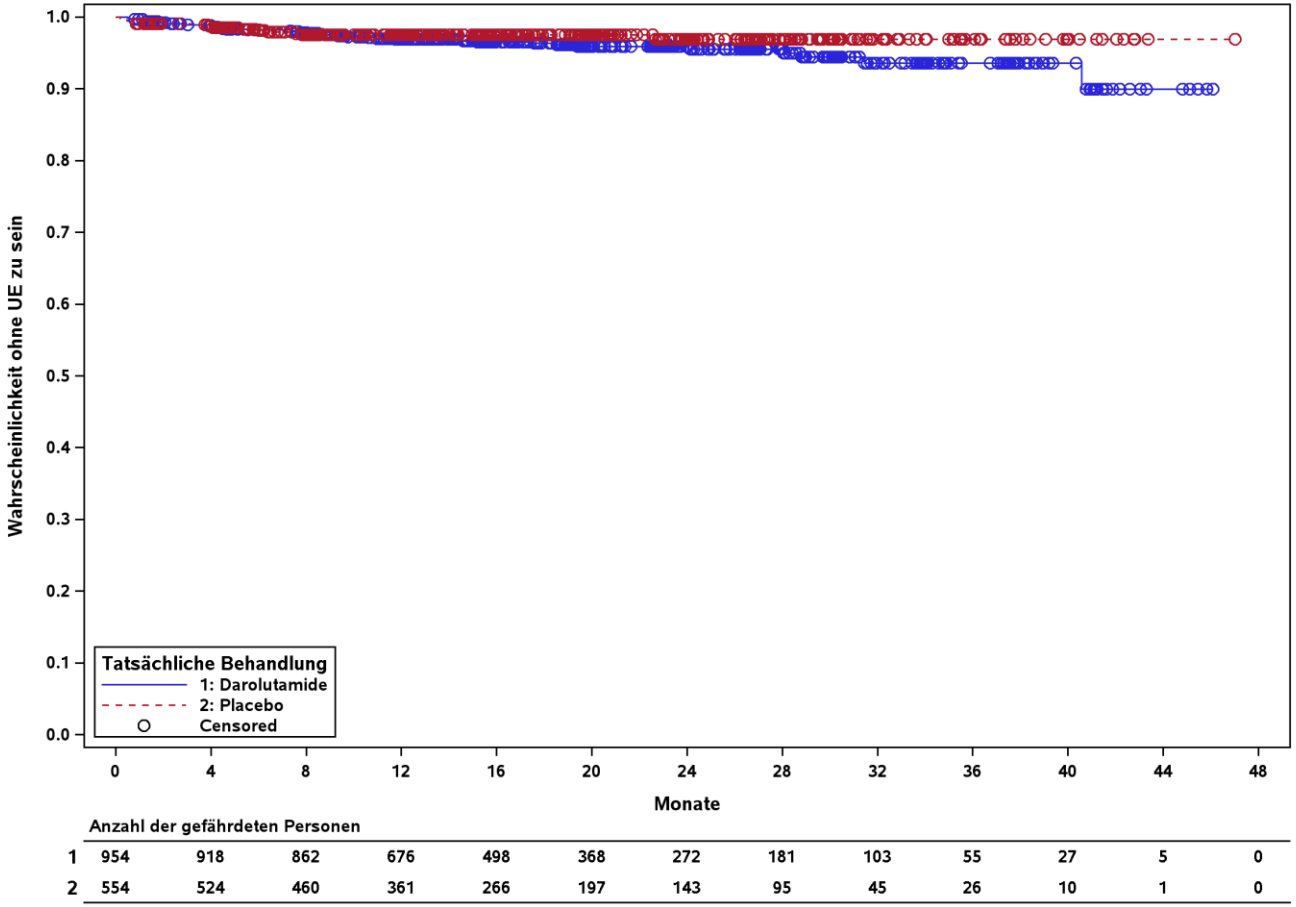
Bayer: /by-sasp/patdb/projects/1841788/17712/stat/prod_query22/pgms/t_aecut.sas 23APR2020 18:15

Figure 4.2.4 / 127: Kaplan-Meier-Plot der 'UE, die die Cutoff-Kriterien erfüllen TTE-Analyse' nach Endpunkt - Endpunkt: Zeit bis zum ersten UE das die Cutoff-Kriterien auf MedDRA PT Ebene erfüllt (Monate) - PT: Musculoskeletal chest pain (10050819) (full analysis set)



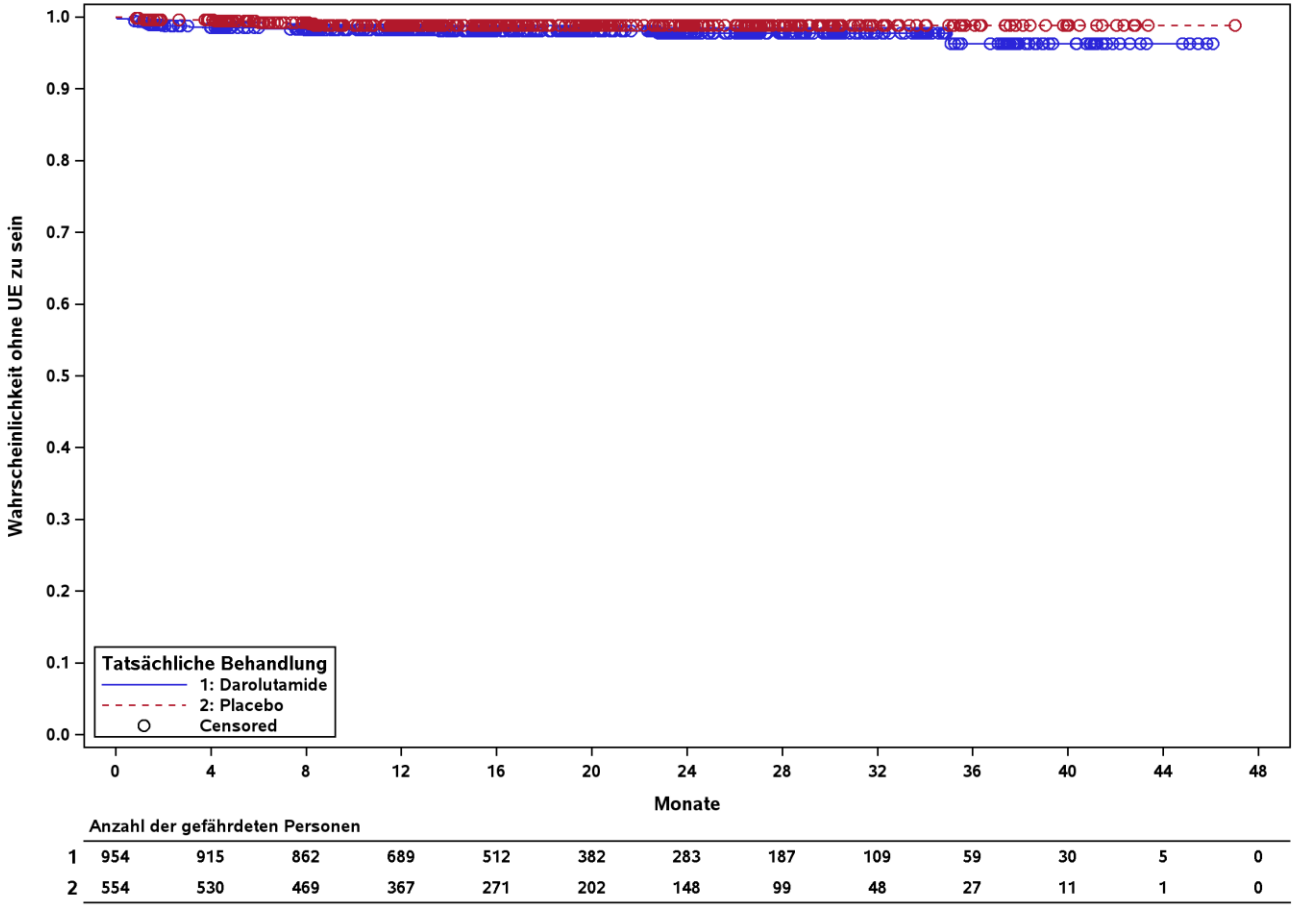
Bayer: /by-sasp/patdb/projects/1841788/17712/stat/prod_query22/pgms/t_aecut.sas 23APR2020 18:15

Figure 4.2.4 / 128: Kaplan-Meier-Plot der 'UE, die die Cutoff-Kriterien erfüllen TTE-Analyse' nach Endpunkt - Endpunkt: Zeit bis zum ersten UE das die Cutoff-Kriterien auf MedDRA PT Ebene erfüllt (Monate) - PT: Musculoskeletal pain (10028391) (full analysis set)



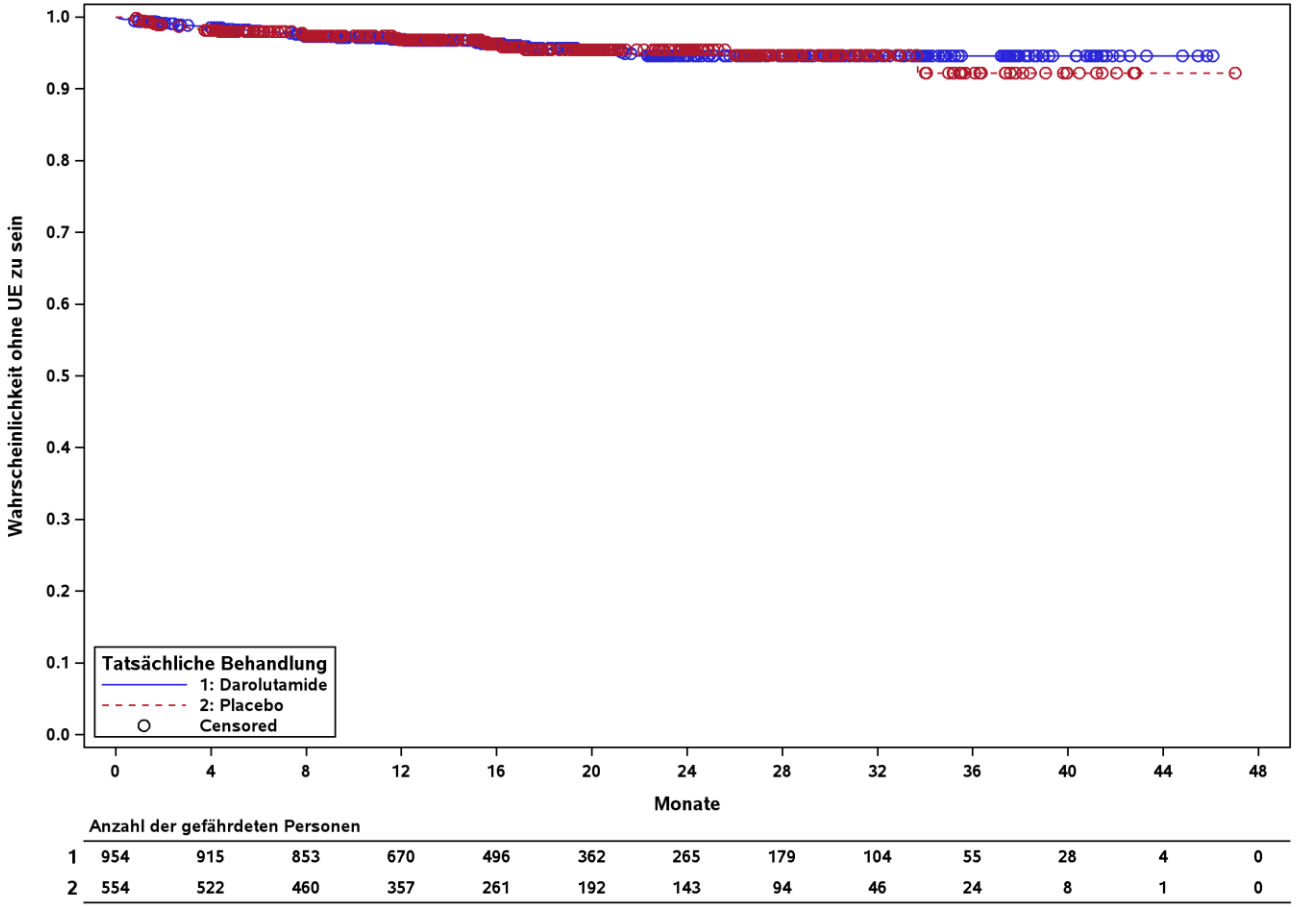
Bayer: /by-sasp/patdb/projects/1841788/17712/stat/prod_query22/pgms/t_aecut.sas 23APR2020 18:15

Figure 4.2.4 / 129: Kaplan-Meier-Plot der 'UE, die die Cutoff-Kriterien erfüllen TTE-Analyse' nach Endpunkt - Endpunkt: Zeit bis zum ersten UE das die Cutoff-Kriterien auf MedDRA PT Ebene erfüllt (Monate) - PT: Myalgia (10028411) (full analysis set)



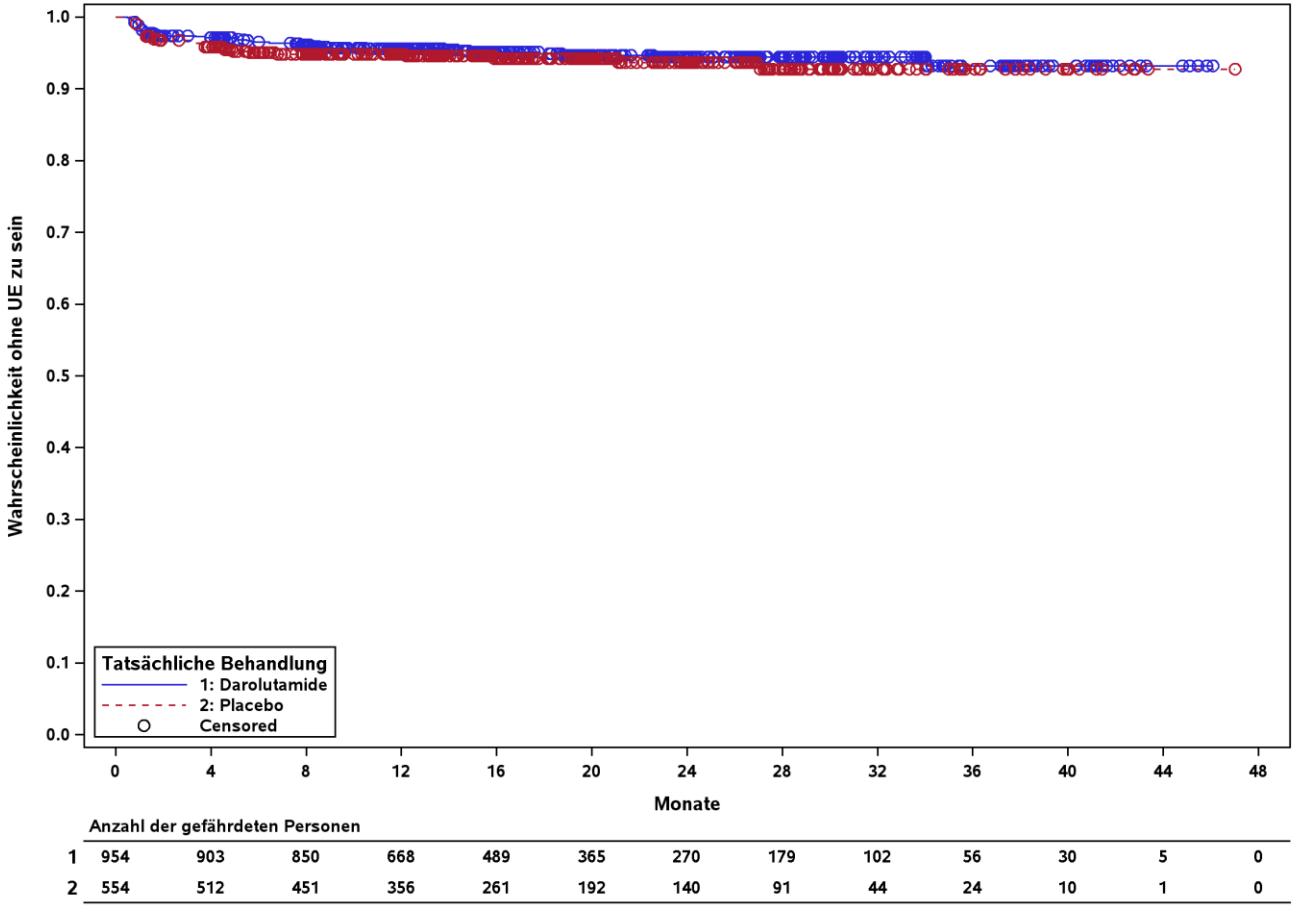
Bayer: /by-sasp/patdb/projects/1841788/17712/stat/prod_query22/pgms/t_aecut.sas 23APR2020 18:15

Figure 4.2.4 / 130: Kaplan-Meier-Plot der 'UE, die die Cutoff-Kriterien erfüllen TTE-Analyse' nach Endpunkt - Endpunkt: Zeit bis zum ersten UE das die Cutoff-Kriterien auf MedDRA PT Ebene erfüllt (Monate) - PT: Nasopharyngitis (10028810) (full analysis set)



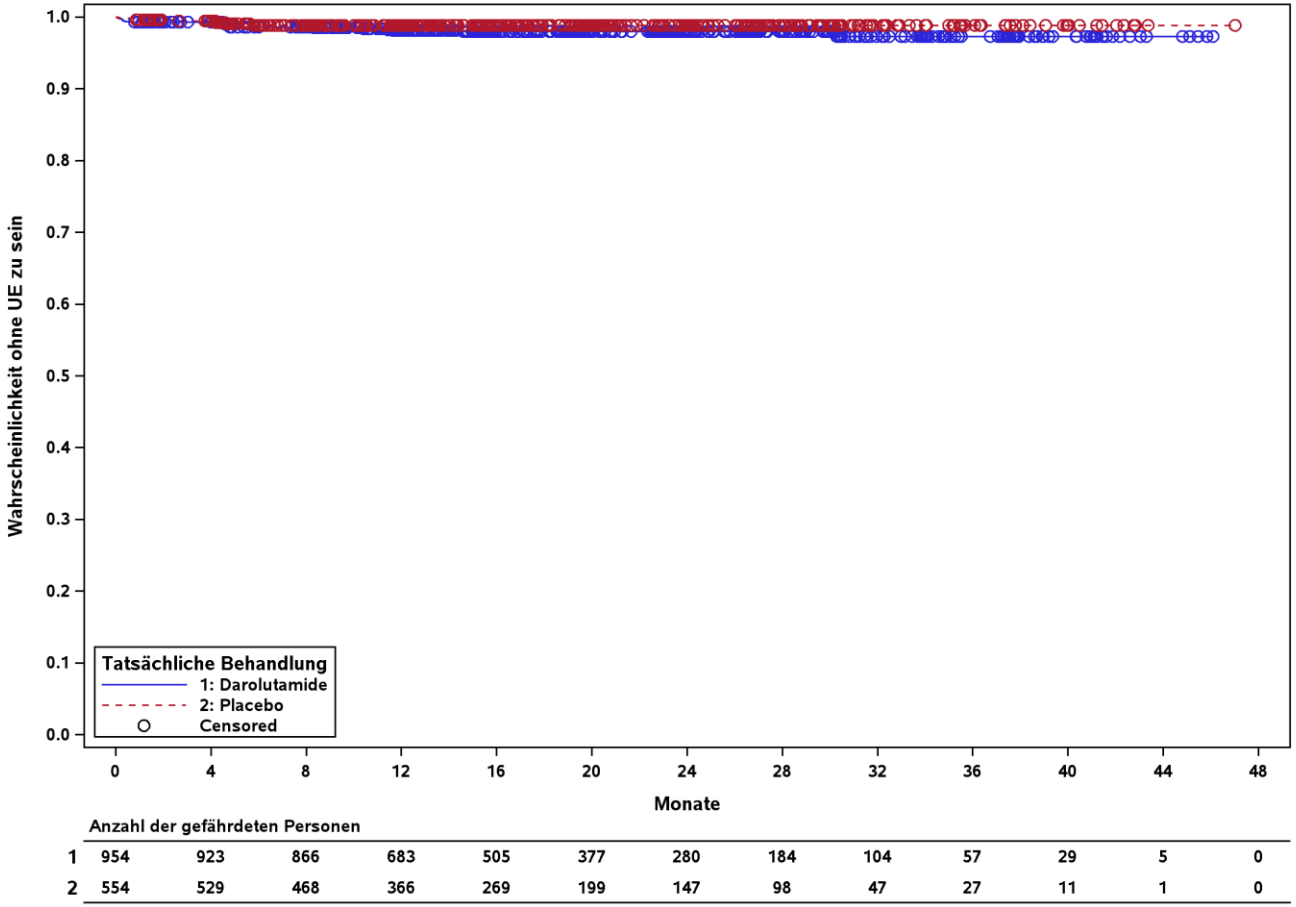
Bayer: /by-sasp/patdb/projects/1841788/17712/stat/prod_query22/pgms/t_aecut.sas 23APR2020 18:15

Figure 4.2.4 / 131: Kaplan-Meier-Plot der 'UE, die die Cutoff-Kriterien erfüllen TTE-Analyse' nach Endpunkt - Endpunkt: Zeit bis zum ersten UE das die Cutoff-Kriterien auf MedDRA PT Ebene erfüllt (Monate) - PT: Nausea (10028813) (full analysis set)



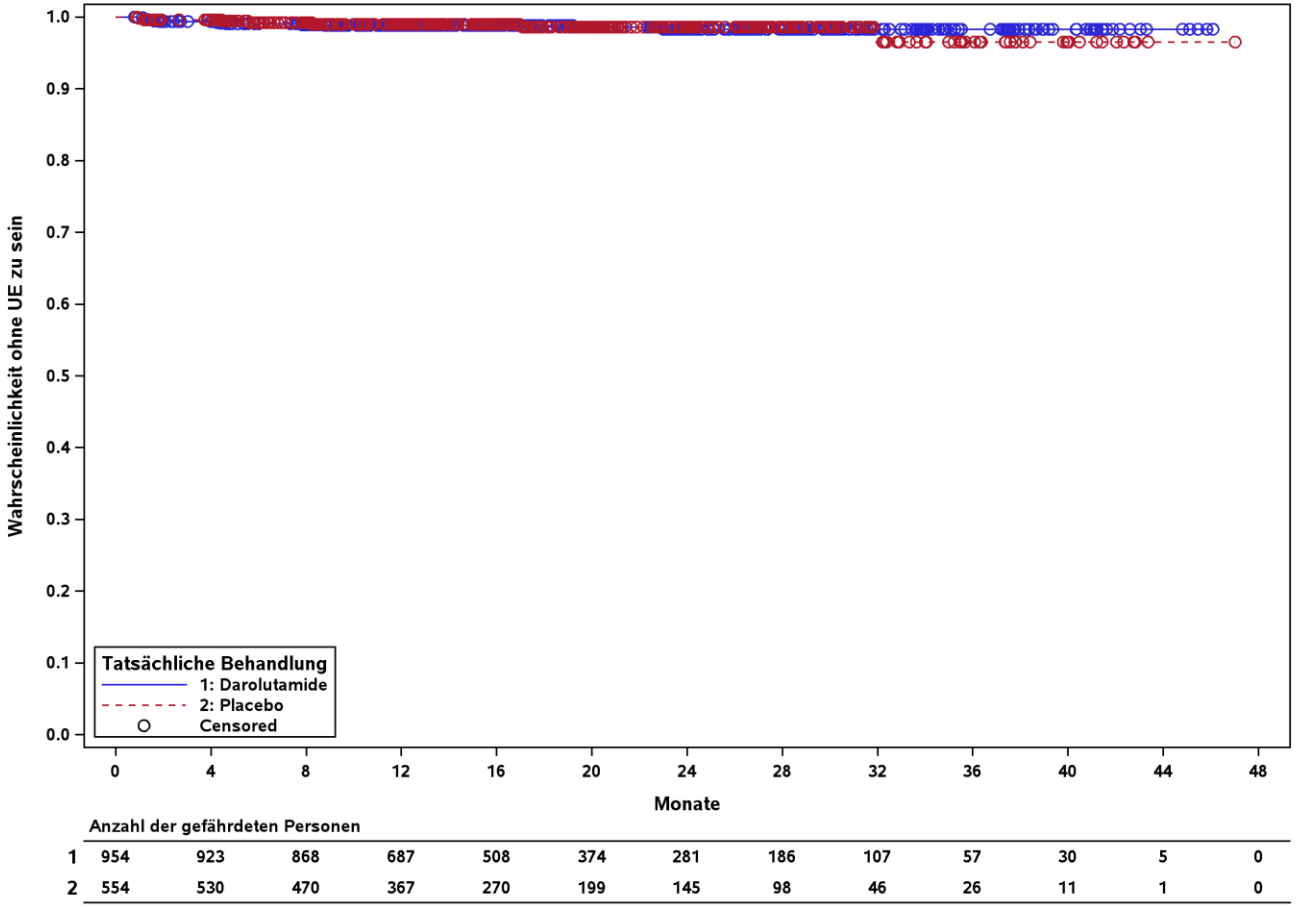
Bayer: /by-sasp/patdb/projects/1841788/17712/stat/prod_query22/pgms/t_aecut.sas 23APR2020 18:15

Figure 4.2.4 / 132: Kaplan-Meier-Plot der 'UE, die die Cutoff-Kriterien erfüllen TTE-Analyse' nach Endpunkt - Endpunkt: Zeit bis zum ersten UE das die Cutoff-Kriterien auf MedDRA PT Ebene erfüllt (Monate) - PT: Nephrolithiasis (10029148) (full analysis set)



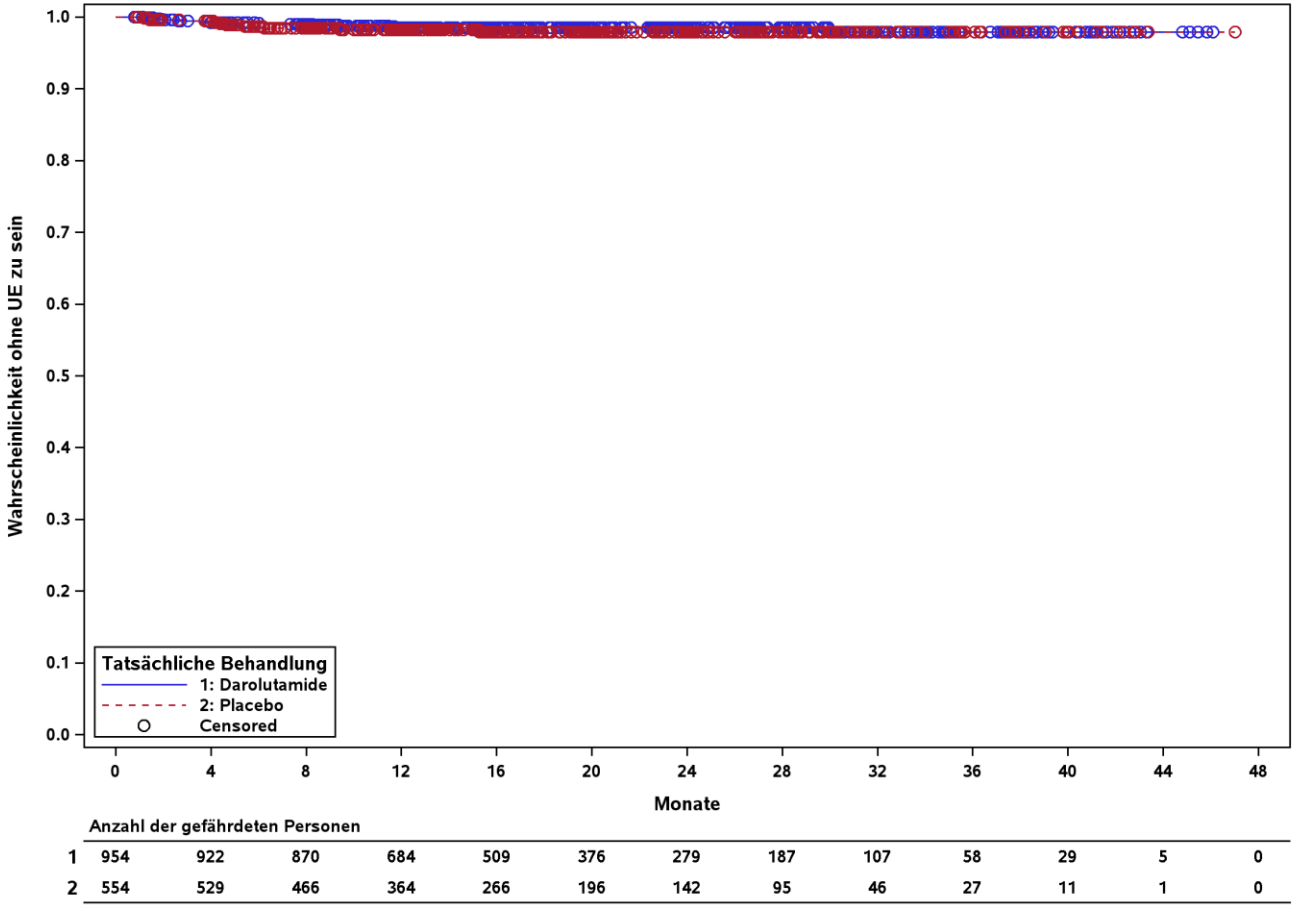
Bayer: /by-sasp/patdb/projects/1841788/17712/stat/prod_query22/pgms/t_aecut.sas 23APR2020 18:15

Figure 4.2.4 / 133: Kaplan-Meier-Plot der 'UE, die die Cutoff-Kriterien erfüllen TTE-Analyse' nach Endpunkt - Endpunkt: Zeit bis zum ersten UE das die Cutoff-Kriterien auf MedDRA PT Ebene erfüllt (Monate) - PT: Neutropenia (10029354) (full analysis set)



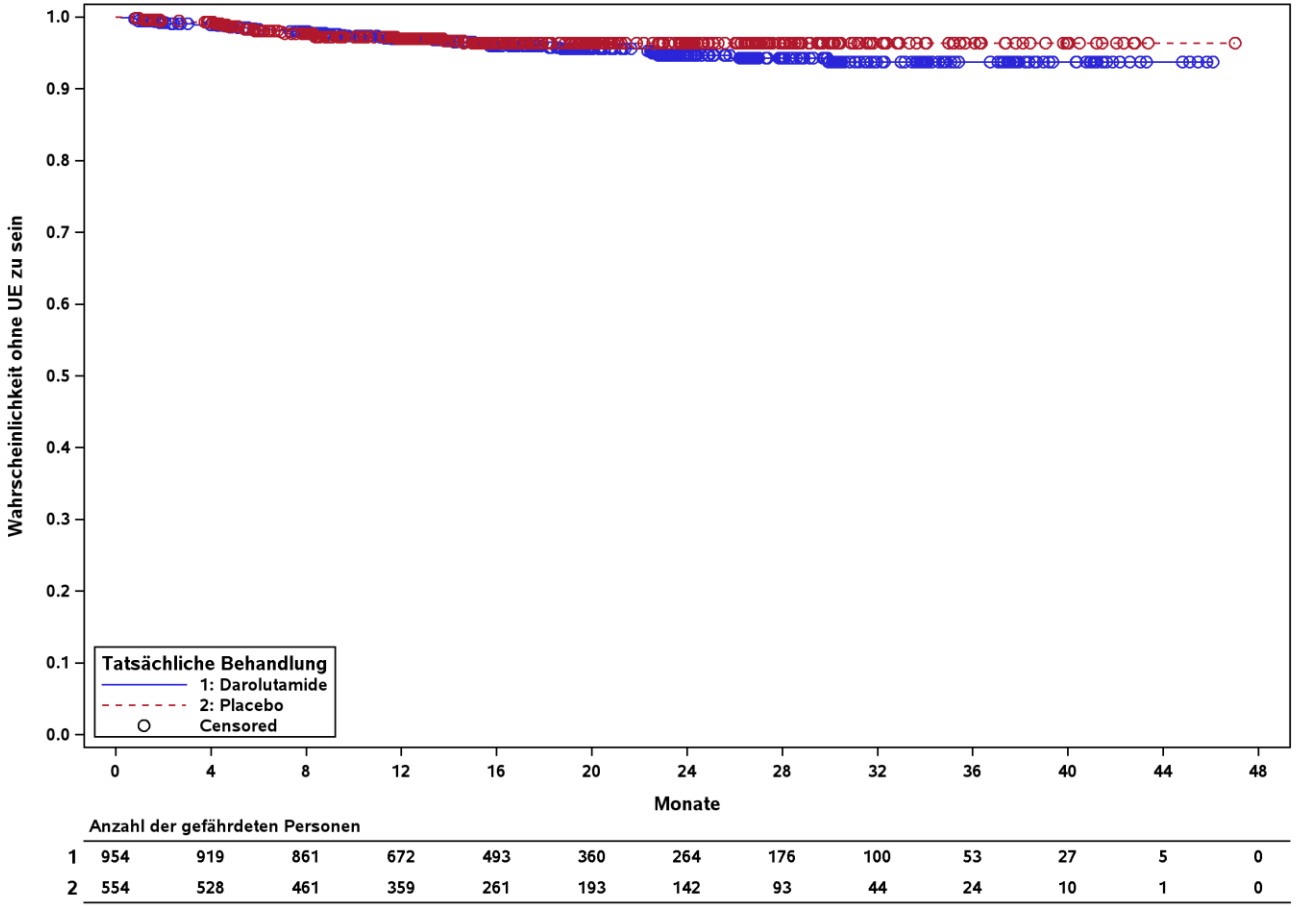
Bayer: /by-sasp/patdb/projects/1841788/17712/stat/prod_query22/pgms/t_aecut.sas 23APR2020 18:15

Figure 4.2.4 / 134: Kaplan-Meier-Plot der 'UE, die die Cutoff-Kriterien erfüllen TTE-Analyse' nach Endpunkt - Endpunkt: Zeit bis zum ersten UE das die Cutoff-Kriterien auf MedDRA PT Ebene erfüllt (Monate) - PT: Nocturia (10029446) (full analysis set)



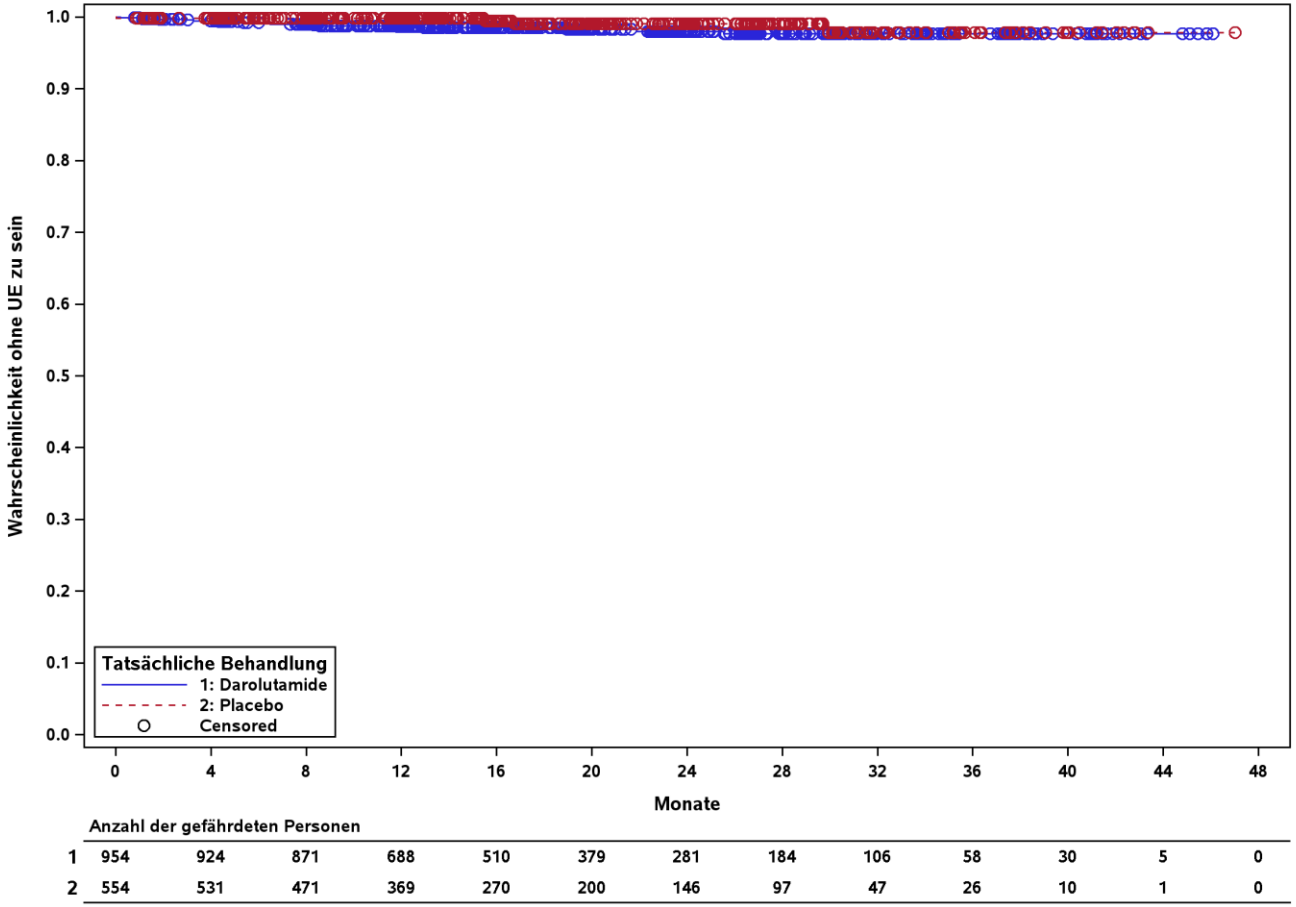
Bayer: /by-sasp/patdb/projects/1841788/17712/stat/prod_query22/pgms/t_aecut.sas 23APR2020 18:15

Figure 4.2.4 / 135: Kaplan-Meier-Plot der 'UE, die die Cutoff-Kriterien erfüllen TTE-Analyse' nach Endpunkt - Endpunkt: Zeit bis zum ersten UE das die Cutoff-Kriterien auf MedDRA PT Ebene erfüllt (Monate) - PT: Oedema peripheral (10030124) (full analysis set)



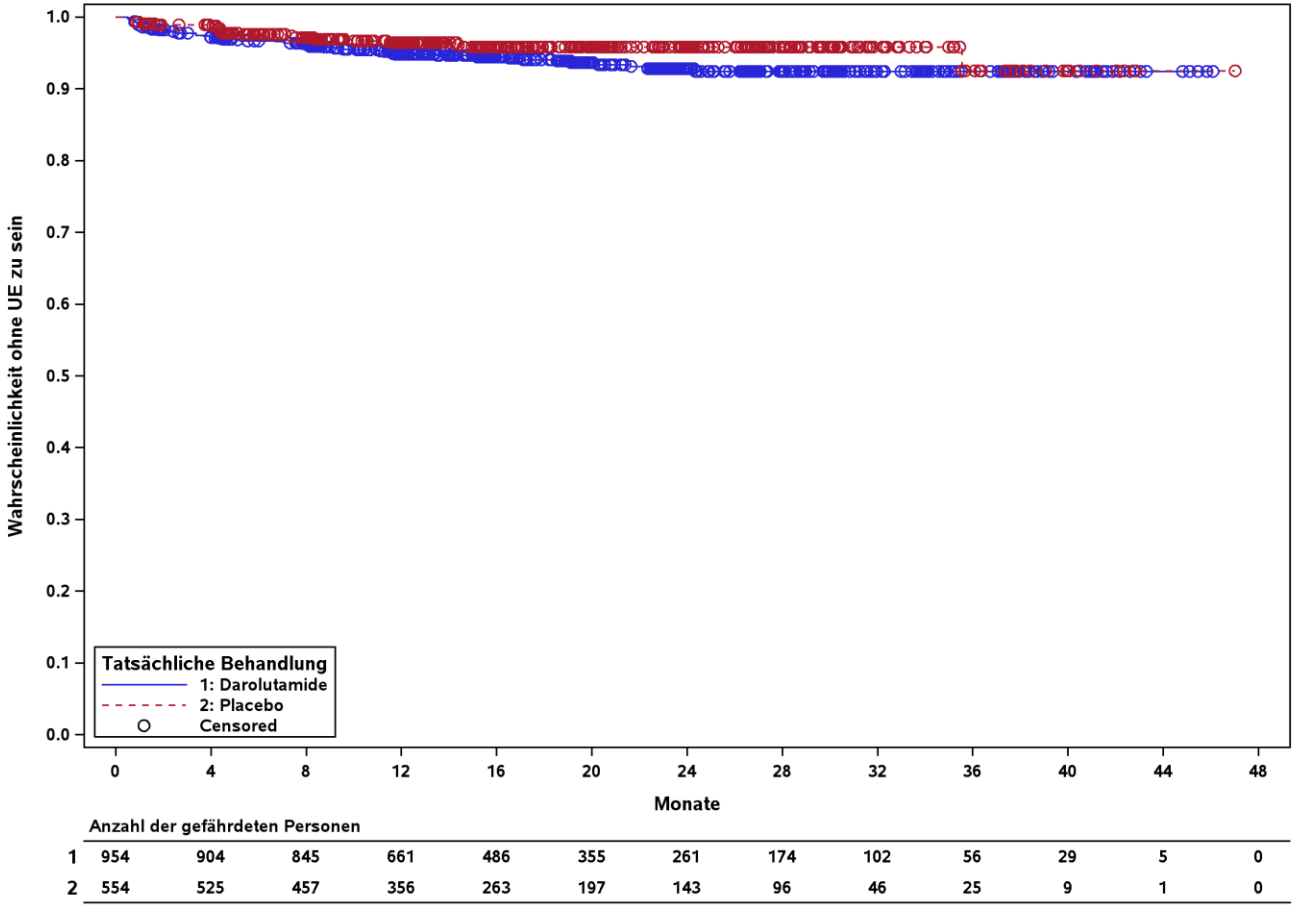
Bayer: /by-sasp/patdb/projects/1841788/17712/stat/prod_query22/pgms/t_aecut.sas 23APR2020 18:15

Figure 4.2.4 / 136: Kaplan-Meier-Plot der 'UE, die die Cutoff-Kriterien erfüllen TTE-Analyse' nach Endpunkt - Endpunkt: Zeit bis zum ersten UE das die Cutoff-Kriterien auf MedDRA PT Ebene erfüllt (Monate) - PT: Osteoarthritis (10031161) (full analysis set)



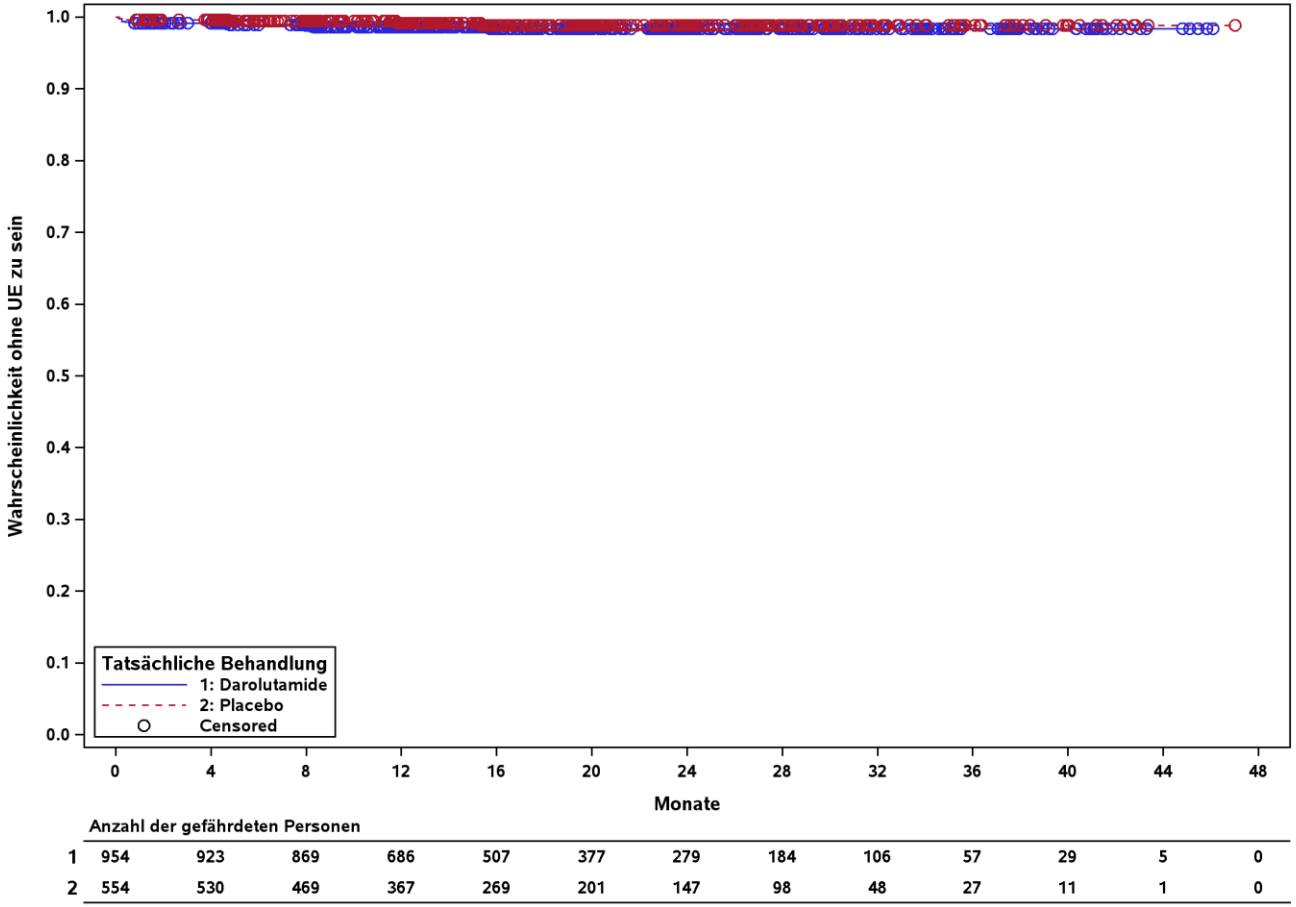
Bayer: /by-sasp/patdb/projects/1841788/17712/stat/prod_query22/pgms/t_aecut.sas 23APR2020 18:15

Figure 4.2.4 / 137: Kaplan-Meier-Plot der 'UE, die die Cutoff-Kriterien erfüllen TTE-Analyse' nach Endpunkt - Endpunkt: Zeit bis zum ersten UE das die Cutoff-Kriterien auf MedDRA PT Ebene erfüllt (Monate) - PT: Pain in extremity (10033425) (full analysis set)



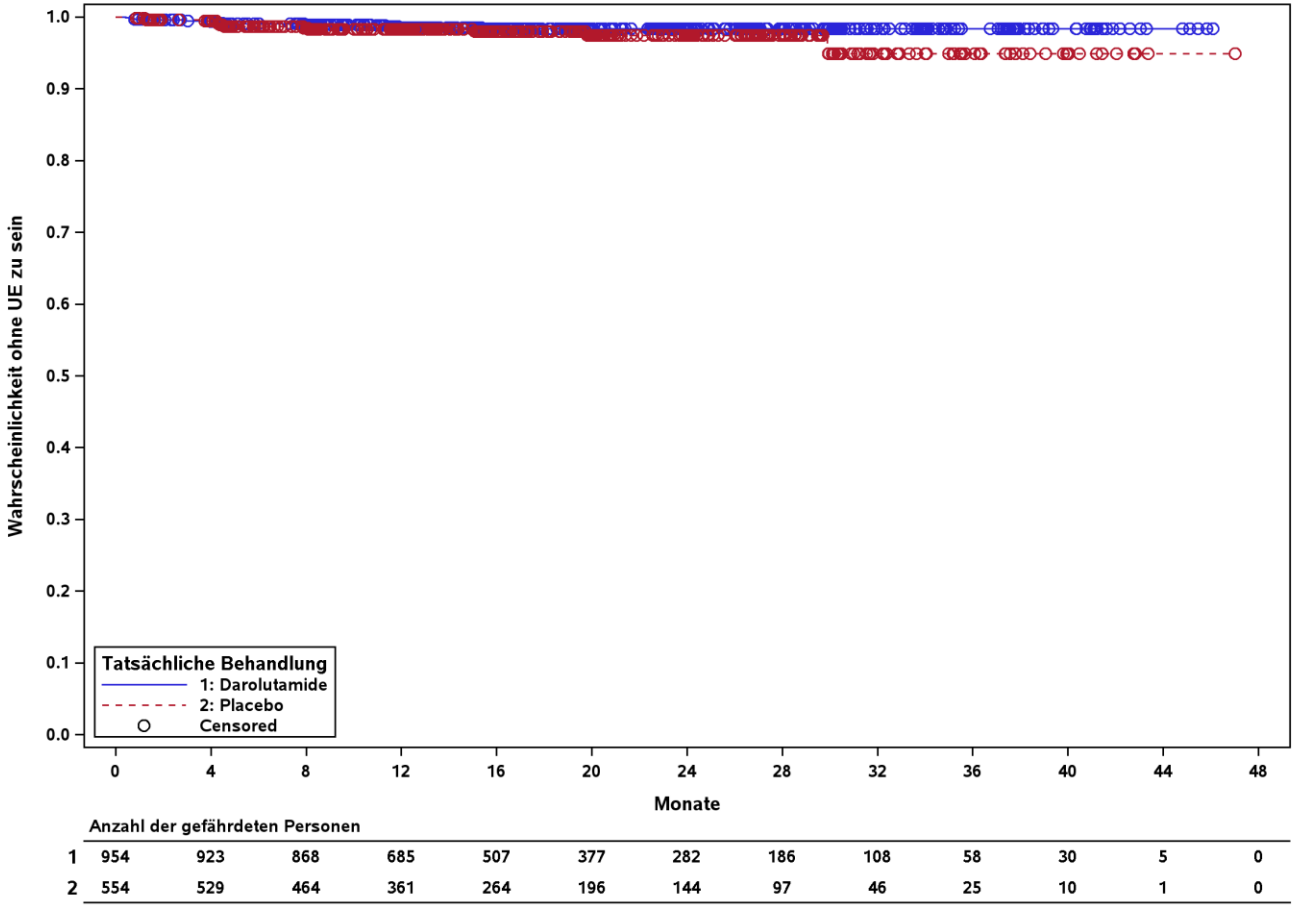
Bayer: /by-sasp/patdb/projects/1841788/17712/stat/prod_query22/pgms/t_aecut.sas 23APR2020 18:15

Figure 4.2.4 / 138: Kaplan-Meier-Plot der 'UE, die die Cutoff-Kriterien erfüllen TTE-Analyse' nach Endpunkt - Endpunkt: Zeit bis zum ersten UE das die Cutoff-Kriterien auf MedDRA PT Ebene erfüllt (Monate) - PT: Pancreatic steatosis (10072787) (full analysis set)



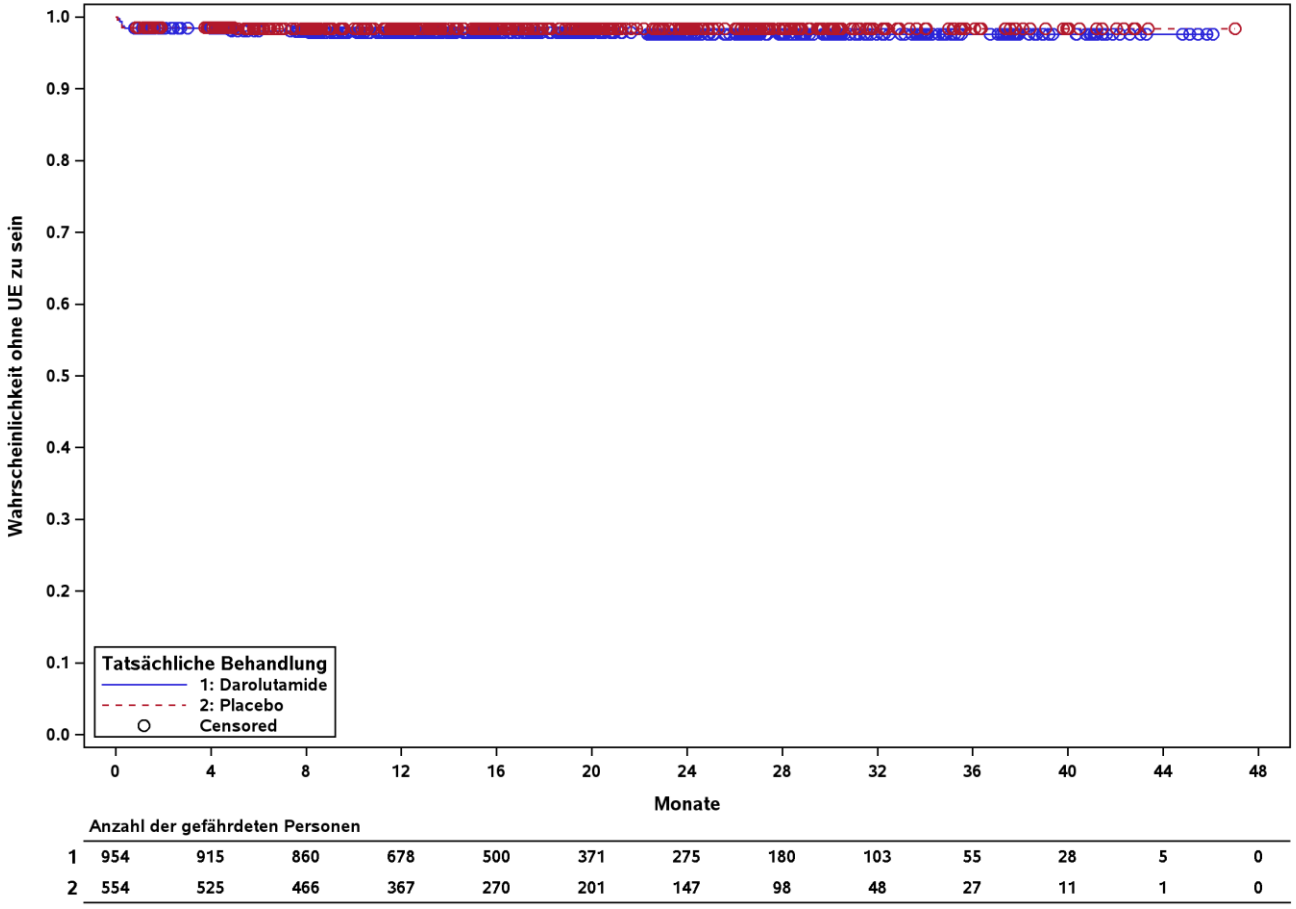
Bayer: /by-sasp/patdb/projects/1841788/17712/stat/prod_query22/pgms/t_aecut.sas 23APR2020 18:15

Figure 4.2.4 / 139: Kaplan-Meier-Plot der 'UE, die die Cutoff-Kriterien erfüllen TTE-Analyse' nach Endpunkt - Endpunkt: Zeit bis zum ersten UE das die Cutoff-Kriterien auf MedDRA PT Ebene erfüllt (Monate) - PT: Pelvic pain (10034263) (full analysis set)



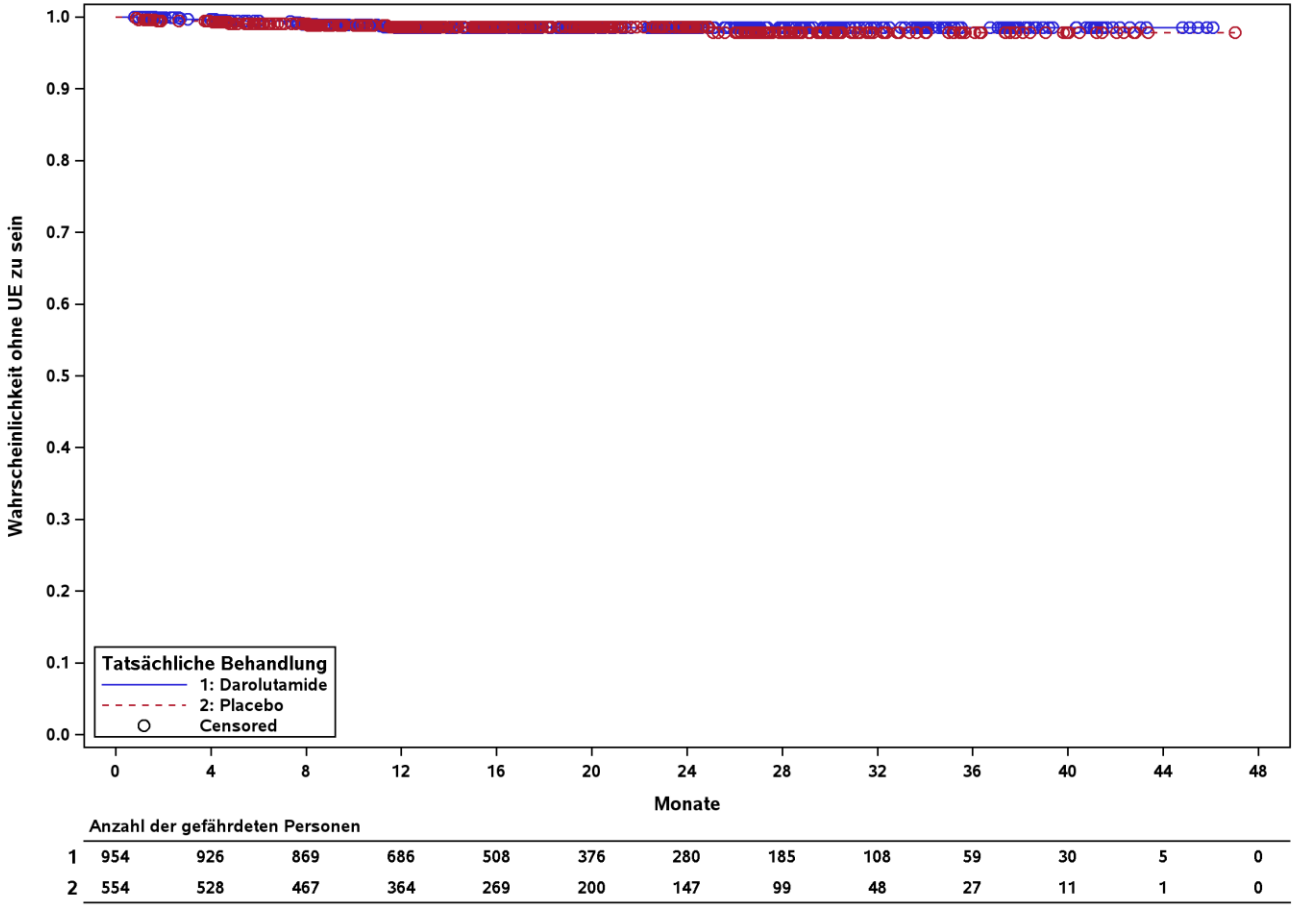
Bayer: /by-sasp/patdb/projects/1841788/17712/stat/prod_query22/pgms/t_aecut.sas 23APR2020 18:15

Figure 4.2.4 / 140: Kaplan-Meier-Plot der 'UE, die die Cutoff-Kriterien erfüllen TTE-Analyse' nach Endpunkt - Endpunkt: Zeit bis zum ersten UE das die Cutoff-Kriterien auf MedDRA PT Ebene erfüllt (Monate) - PT: Peripheral arterial occlusive disease (10062585) (full analysis set)



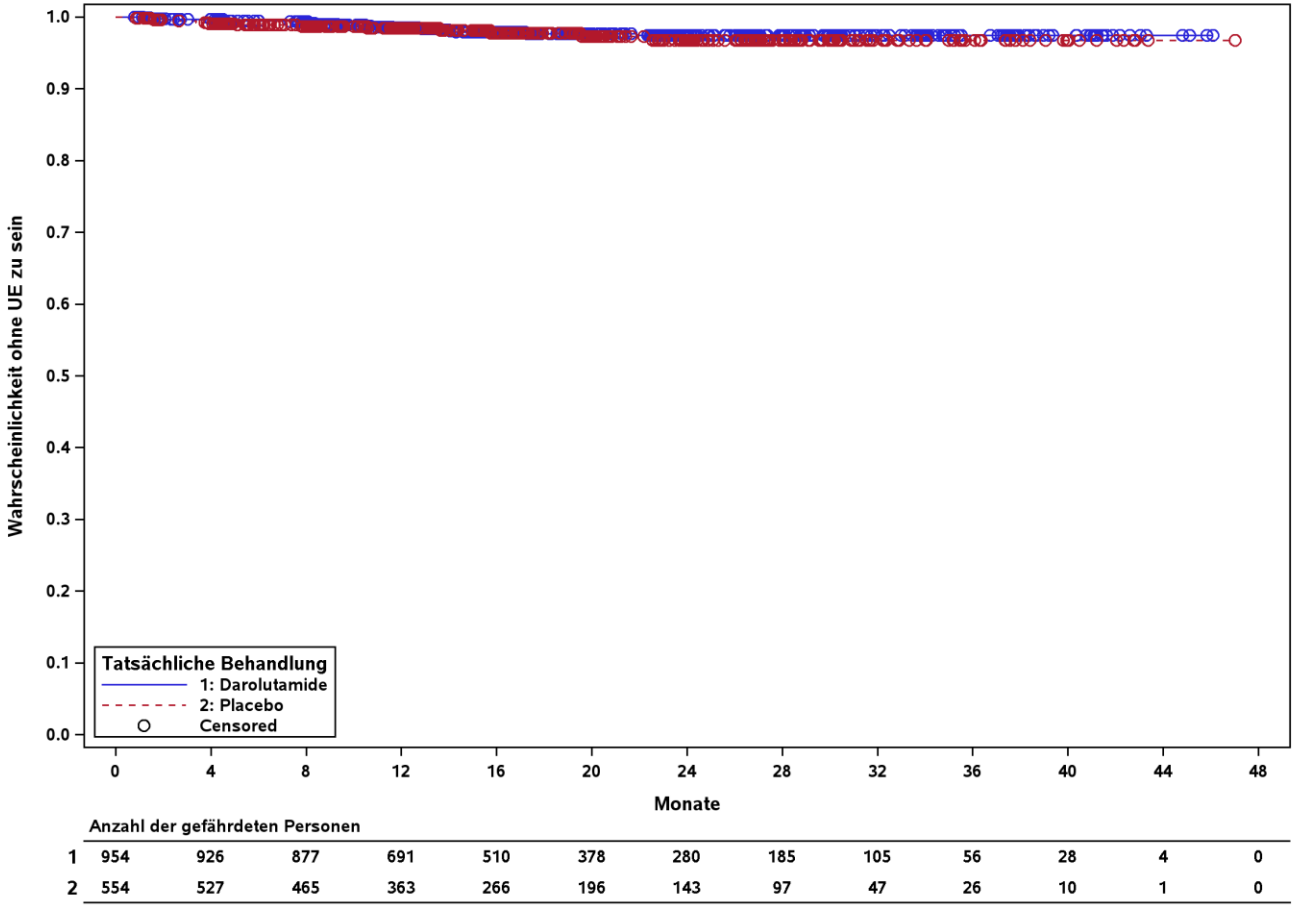
Bayer: /by-sasp/patdb/projects/1841788/17712/stat/prod_query22/pgms/t_aecut.sas 23APR2020 18:15

Figure 4.2.4 / 141: Kaplan-Meier-Plot der 'UE, die die Cutoff-Kriterien erfüllen TTE-Analyse' nach Endpunkt - Endpunkt: Zeit bis zum ersten UE das die Cutoff-Kriterien auf MedDRA PT Ebene erfüllt (Monate) - PT: Peripheral swelling (10048959) (full analysis set)



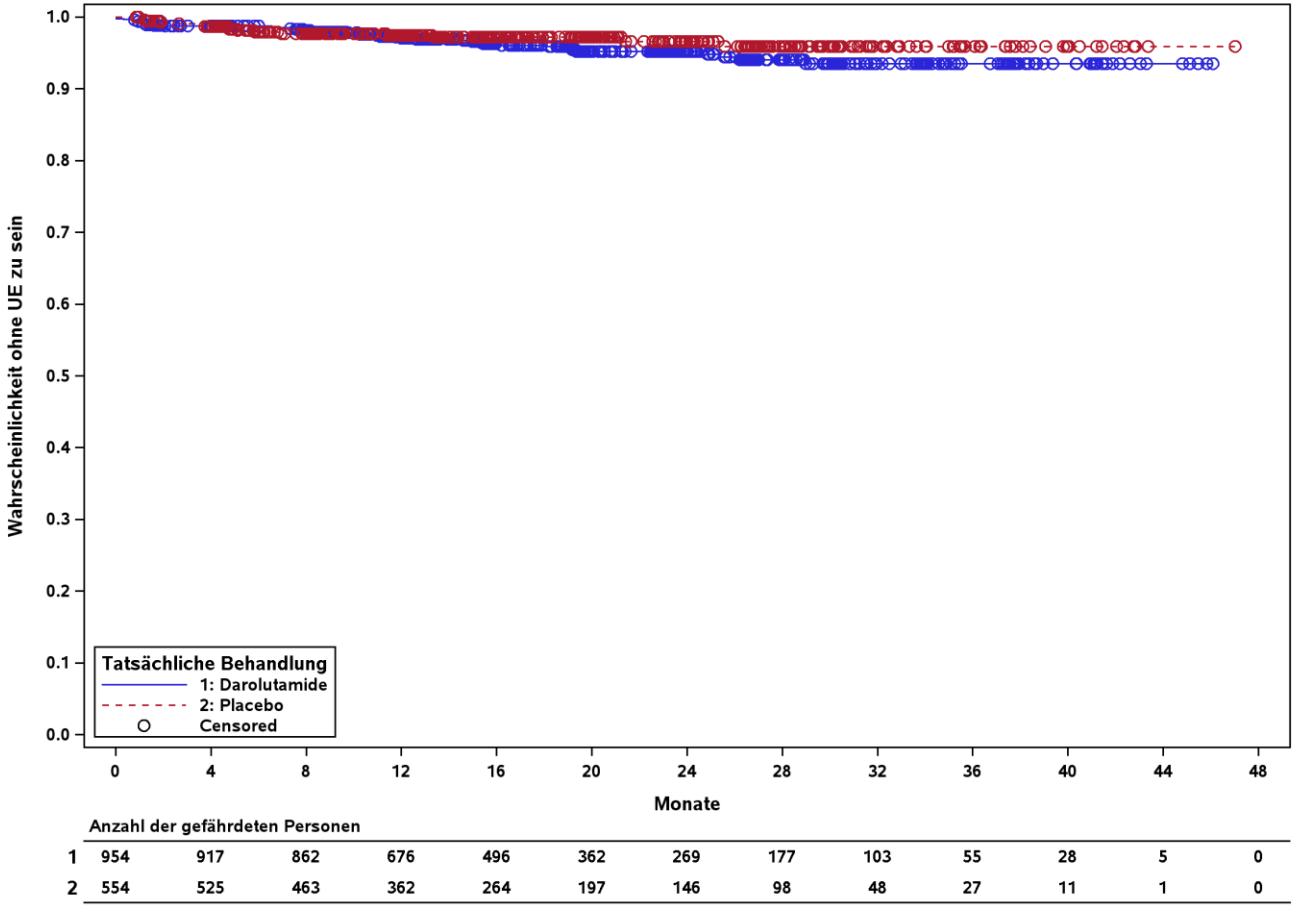
Bayer: /by-sasp/patdb/projects/1841788/17712/stat/prod_query22/pgms/t_aecut.sas 23APR2020 18:15

Figure 4.2.4 / 142: Kaplan-Meier-Plot der 'UE, die die Cutoff-Kriterien erfüllen TTE-Analyse' nach Endpunkt - Endpunkt: Zeit bis zum ersten UE das die Cutoff-Kriterien auf MedDRA PT Ebene erfüllt (Monate) - PT: Pneumonia (10035664) (full analysis set)



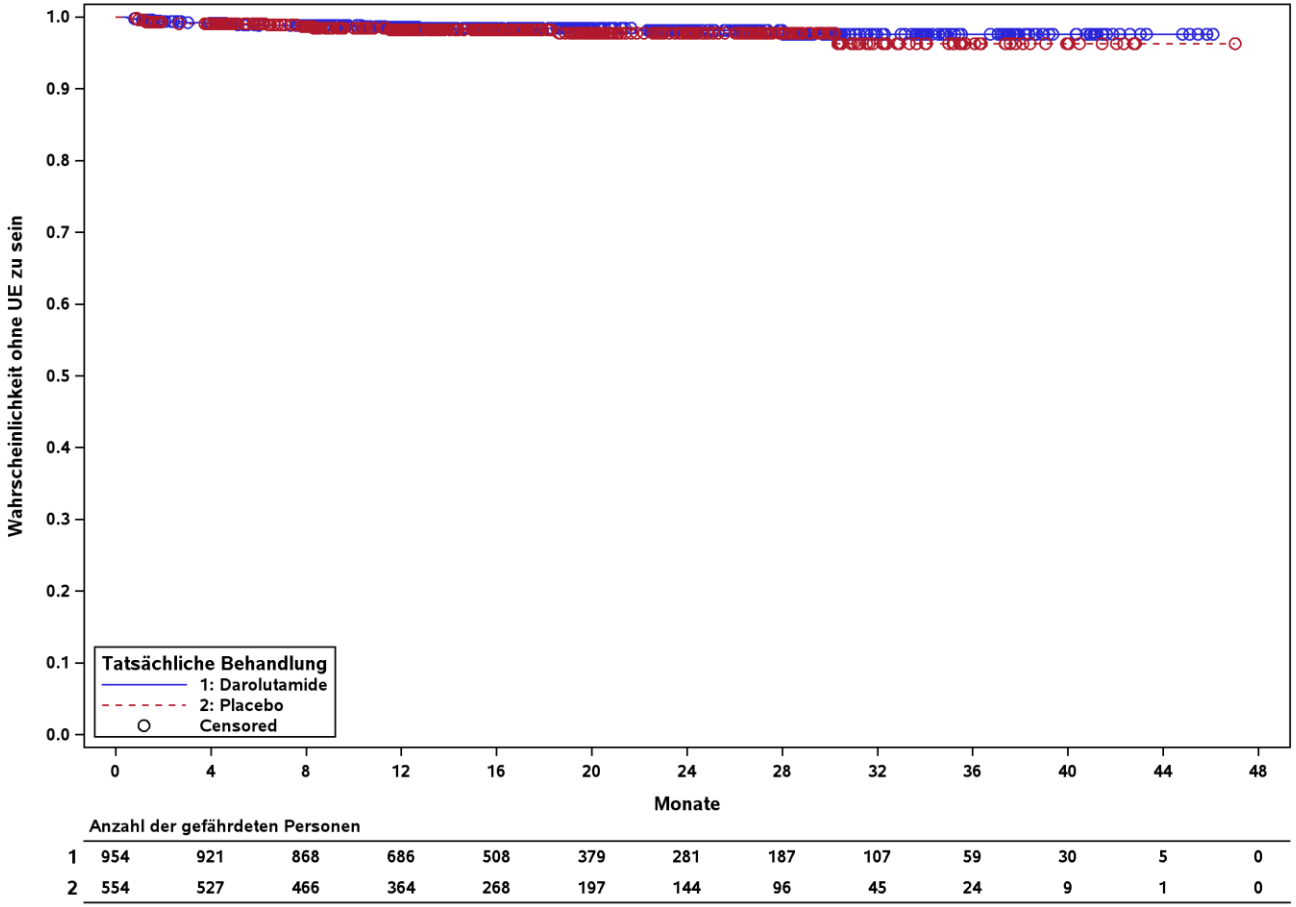
Bayer: /by-sasp/patdb/projects/1841788/17712/stat/prod_query22/pgms/t_aecut.sas 23APR2020 18:15

Figure 4.2.4 / 143: Kaplan-Meier-Plot der 'UE, die die Cutoff-Kriterien erfüllen TTE-Analyse' nach Endpunkt - Endpunkt: Zeit bis zum ersten UE das die Cutoff-Kriterien auf MedDRA PT Ebene erfüllt (Monate) - PT: Pollakiuria (10036018) (full analysis set)



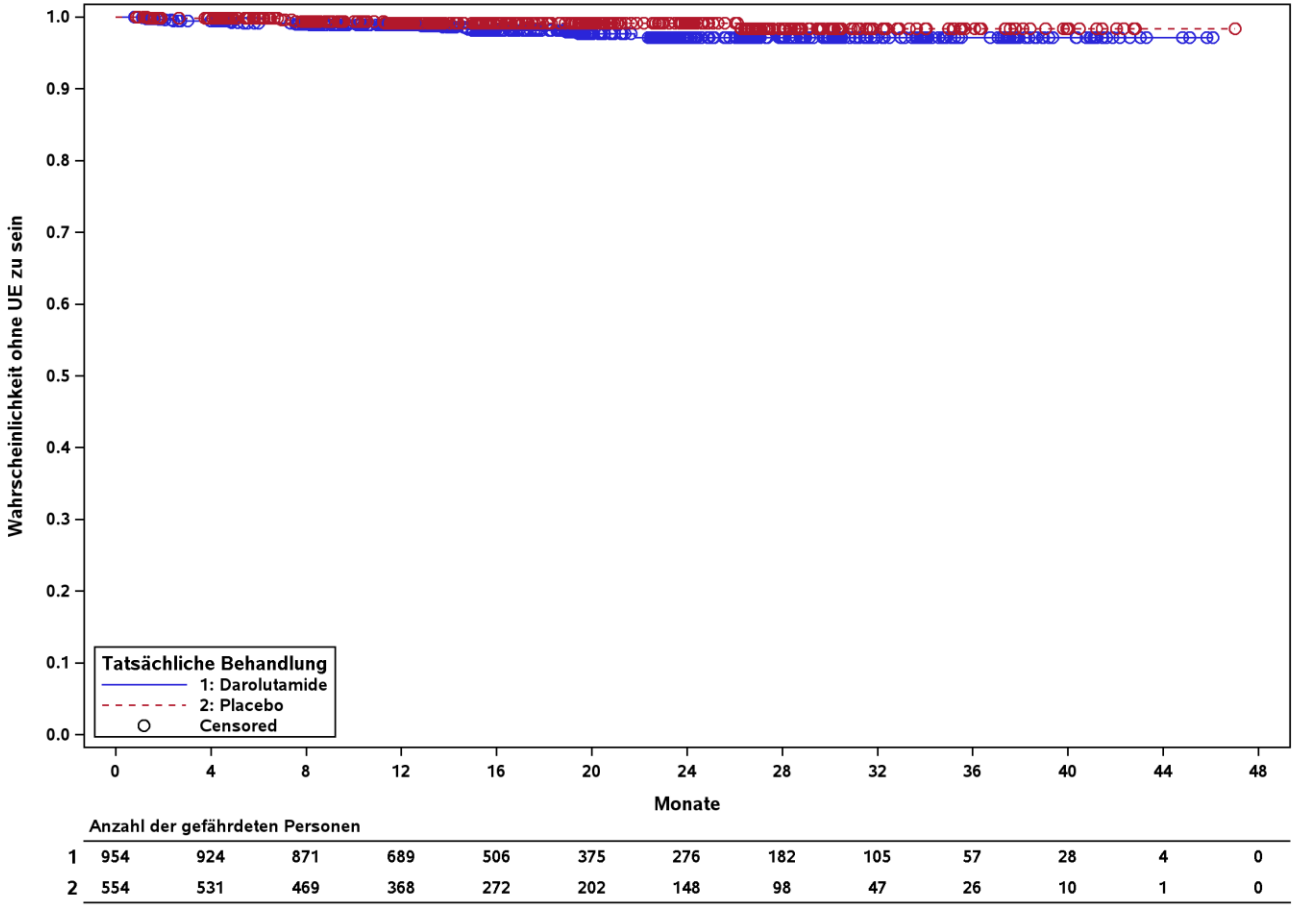
Bayer: /by-sasp/patdb/projects/1841788/17712/stat/prod_query22/pgms/t_aecut.sas 23APR2020 18:15

Figure 4.2.4 / 144: Kaplan-Meier-Plot der 'UE, die die Cutoff-Kriterien erfüllen TTE-Analyse' nach Endpunkt - Endpunkt: Zeit bis zum ersten UE das die Cutoff-Kriterien auf MedDRA PT Ebene erfüllt (Monate) - PT: Pruritus (10037087) (full analysis set)



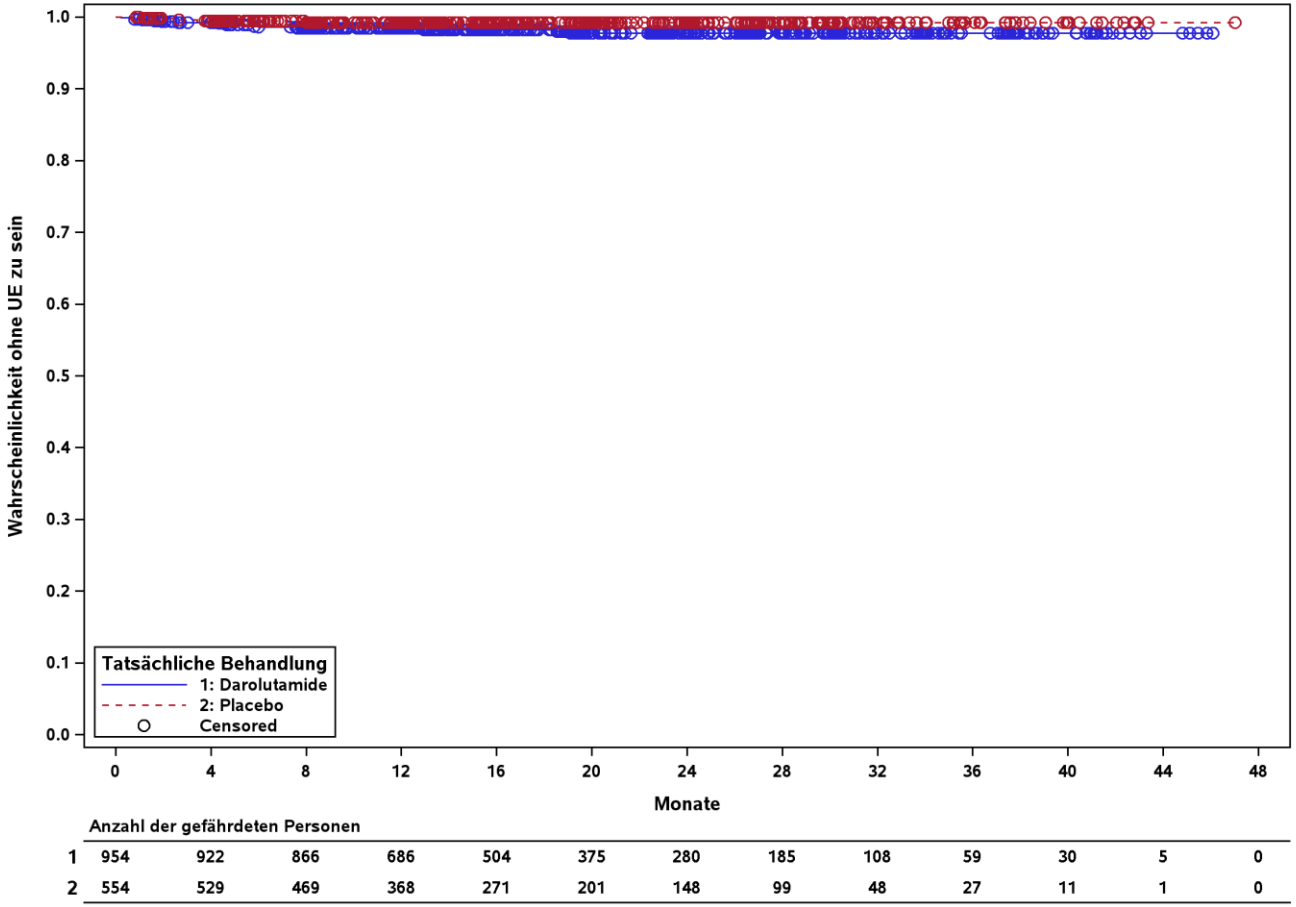
Bayer: /by-sasp/patdb/projects/1841788/17712/stat/prod_query22/pgms/t_aecut.sas 23APR2020 18:15

Figure 4.2.4 / 145: Kaplan-Meier-Plot der 'UE, die die Cutoff-Kriterien erfüllen TTE-Analyse' nach Endpunkt - Endpunkt: Zeit bis zum ersten UE das die Cutoff-Kriterien auf MedDRA PT Ebene erfüllt (Monate) - PT: Pyrexia (10037660) (full analysis set)



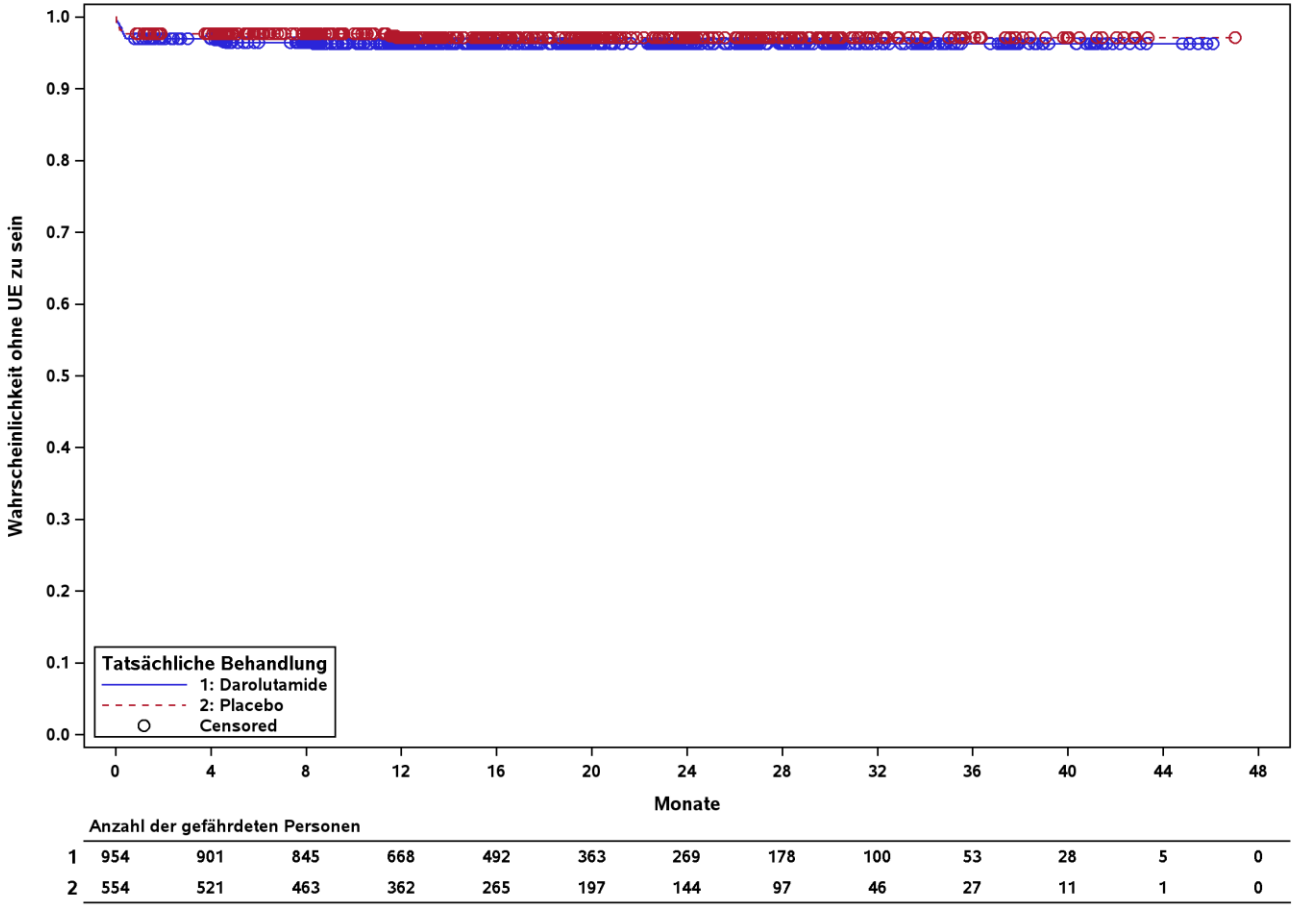
Bayer: /by-sasp/patdb/projects/1841788/17712/stat/prod_query22/pgms/t_aecut.sas 23APR2020 18:15

Figure 4.2.4 / 146: Kaplan-Meier-Plot der 'UE, die die Cutoff-Kriterien erfüllen TTE-Analyse' nach Endpunkt - Endpunkt: Zeit bis zum ersten UE das die Cutoff-Kriterien auf MedDRA PT Ebene erfüllt (Monate) - PT: Rash (10037844) (full analysis set)



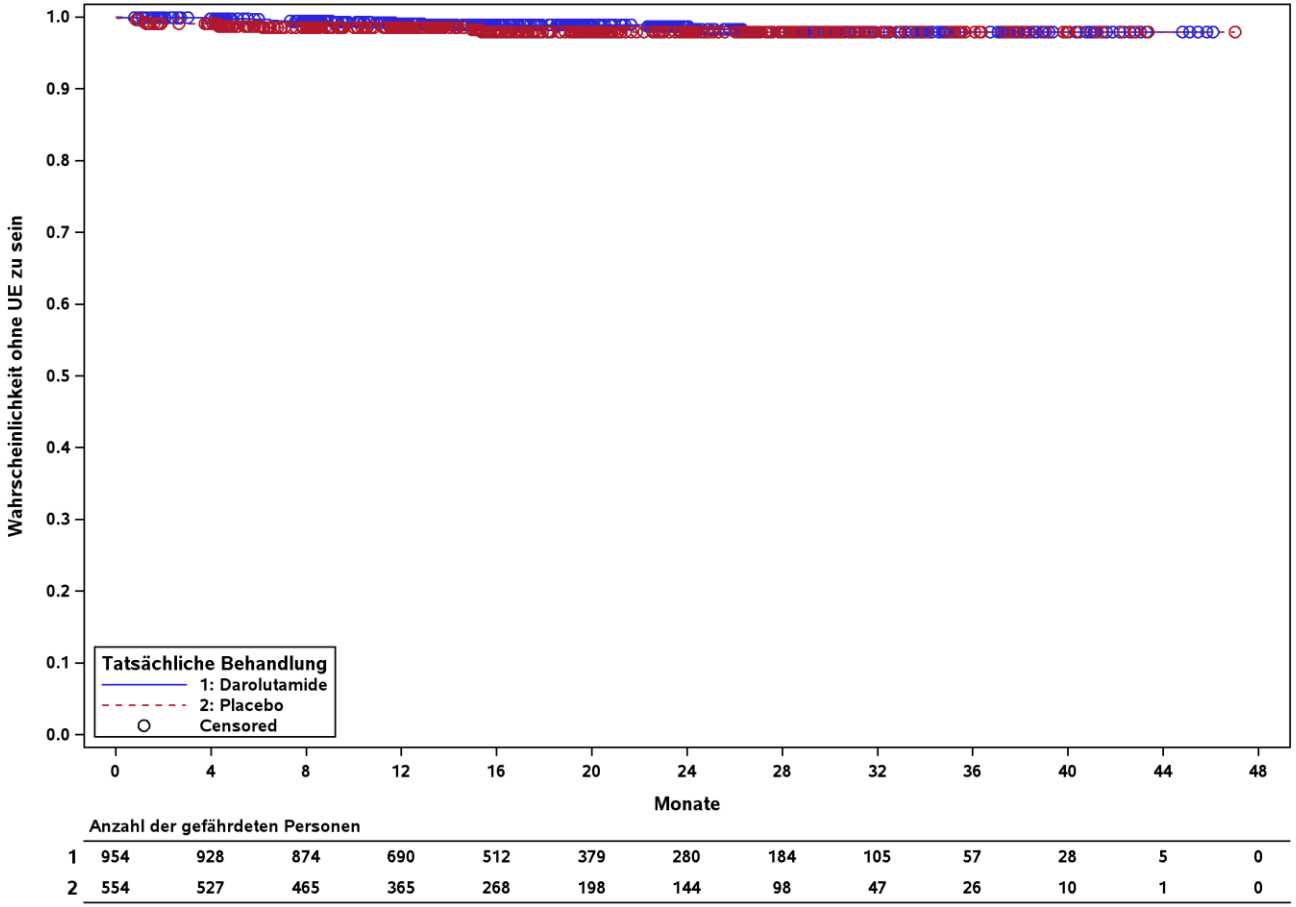
Bayer: /by-sasp/patdb/projects/1841788/17712/stat/prod_query22/pgms/t_aecut.sas 23APR2020 18:15

Figure 4.2.4 / 147: Kaplan-Meier-Plot der 'UE, die die Cutoff-Kriterien erfüllen TTE-Analyse' nach Endpunkt - Endpunkt: Zeit bis zum ersten UE das die Cutoff-Kriterien auf MedDRA PT Ebene erfüllt (Monate) - PT: Renal cyst (10038423) (full analysis set)



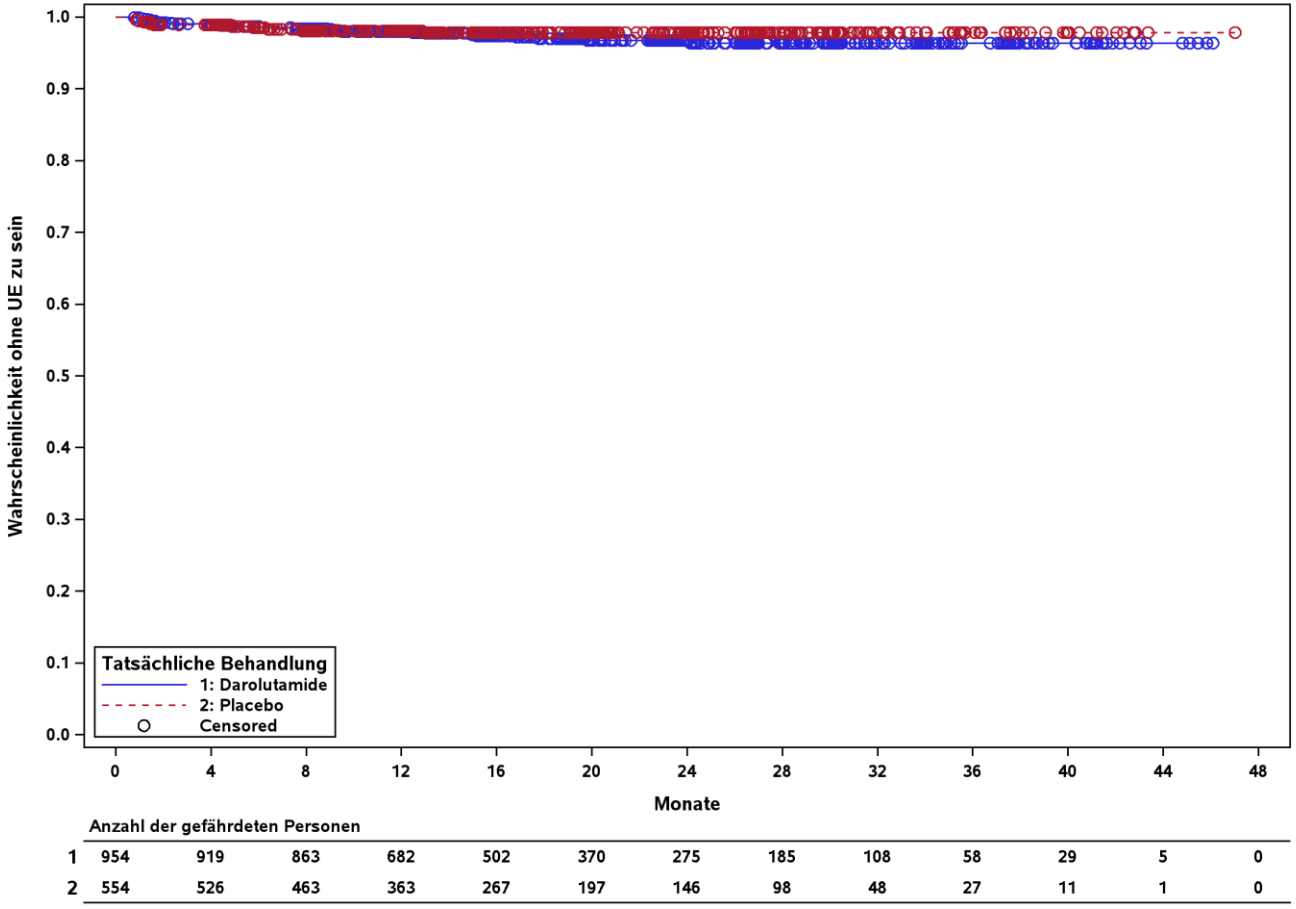
Bayer: /by-sasp/patdb/projects/1841788/17712/stat/prod_query22/pgms/t_aecut.sas 23APR2020 18:15

Figure 4.2.4 / 148: Kaplan-Meier-Plot der 'UE, die die Cutoff-Kriterien erfüllen TTE-Analyse' nach Endpunkt - Endpunkt: Zeit bis zum ersten UE das die Cutoff-Kriterien auf MedDRA PT Ebene erfüllt (Monate) - PT: Rib fracture (10039117) (full analysis set)



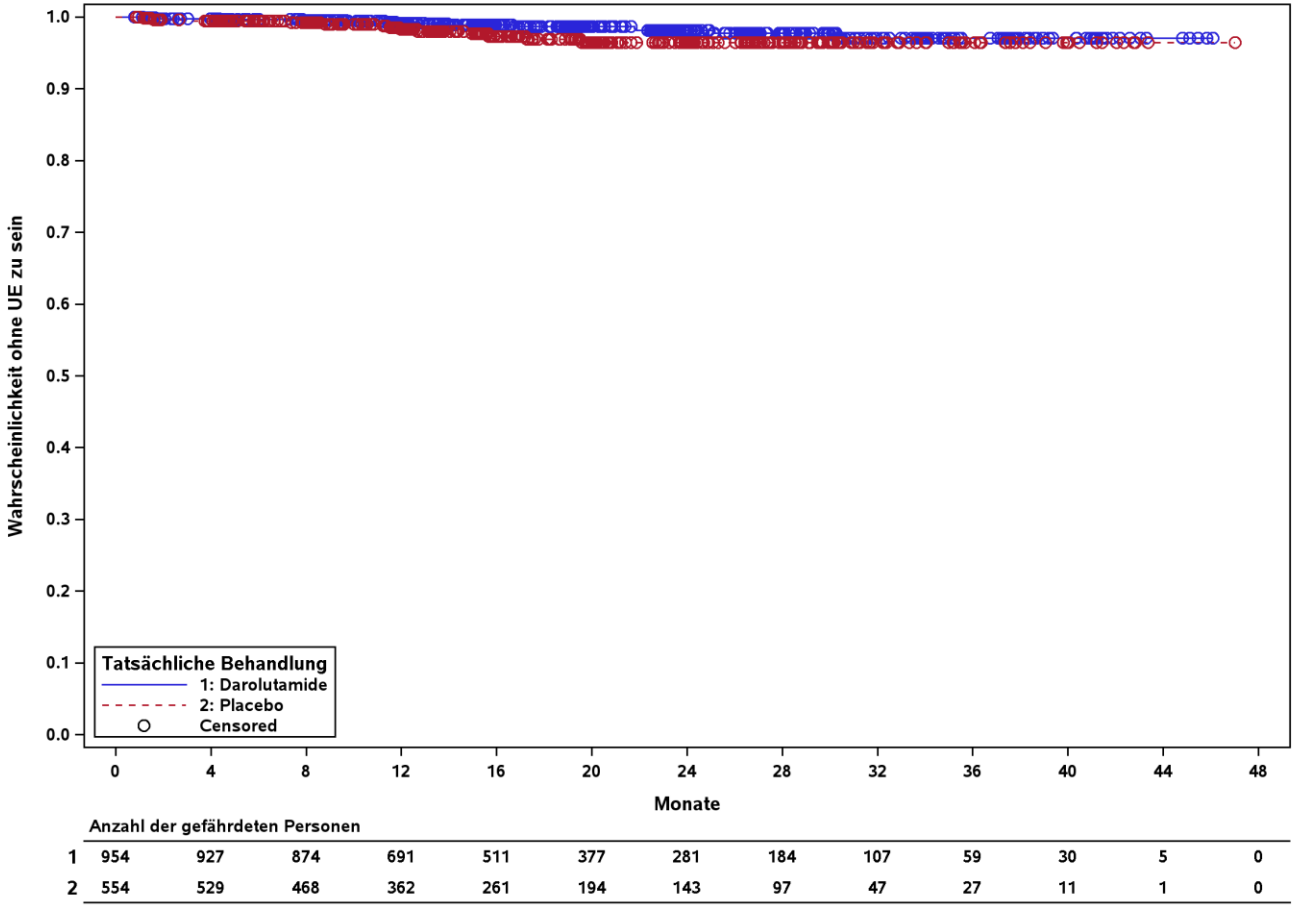
Bayer: /by-sasp/patdb/projects/1841788/17712/stat/prod_query22/pgms/t_aecut.sas 23APR2020 18:15

Figure 4.2.4 / 149: Kaplan-Meier-Plot der 'UE, die die Cutoff-Kriterien erfüllen TTE-Analyse' nach Endpunkt - Endpunkt: Zeit bis zum ersten UE das die Cutoff-Kriterien auf MedDRA PT Ebene erfüllt (Monate) - PT: Upper respiratory tract infection (10046306) (full analysis set)



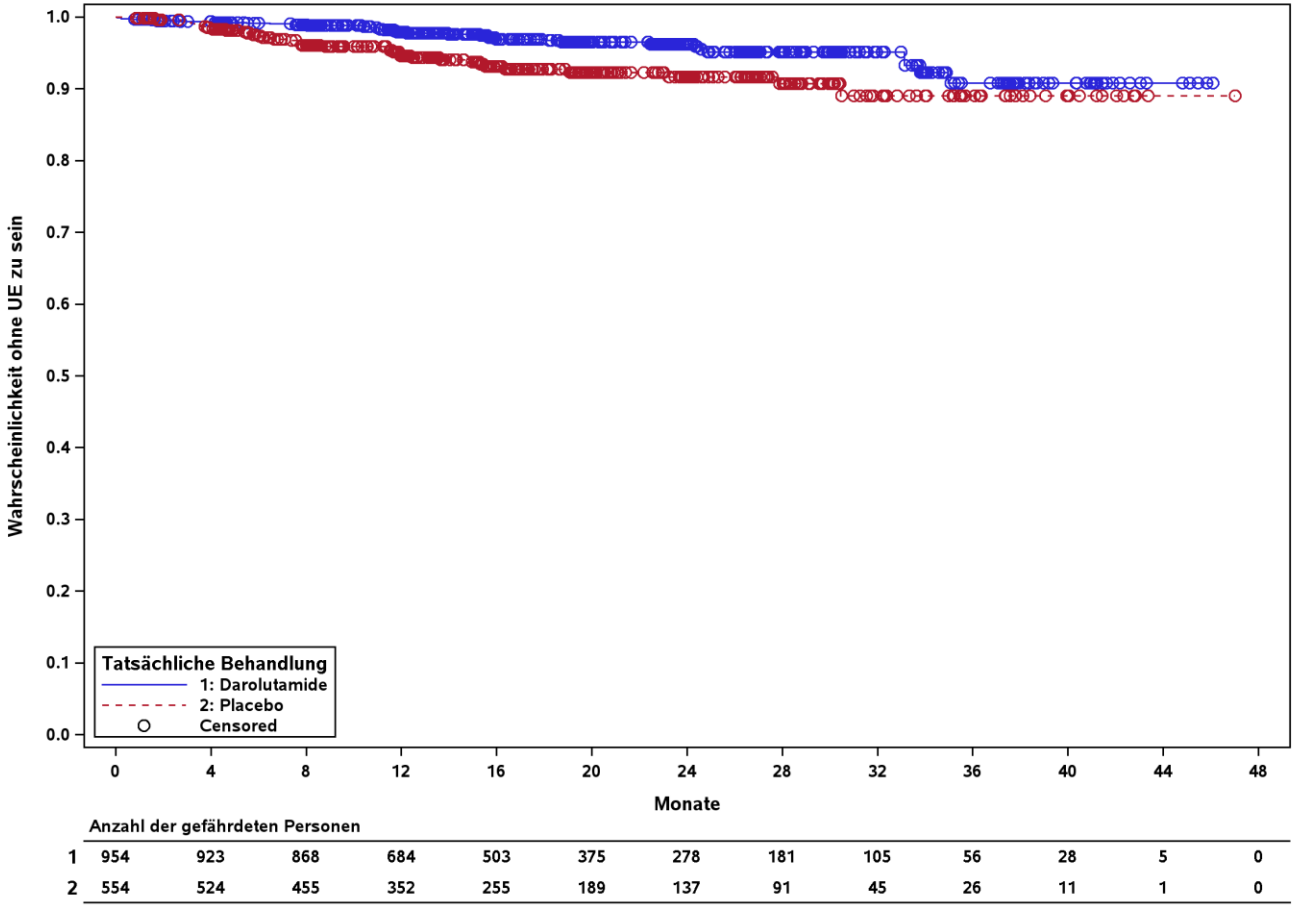
Bayer: /by-sasp/patdb/projects/1841788/17712/stat/prod_query22/pgms/t_aecut.sas 23APR2020 18:15

Figure 4.2.4 / 150: Kaplan-Meier-Plot der 'UE, die die Cutoff-Kriterien erfüllen TTE-Analyse' nach Endpunkt - Endpunkt: Zeit bis zum ersten UE das die Cutoff-Kriterien auf MedDRA PT Ebene erfüllt (Monate) - PT: Urinary incontinence (10046543) (full analysis set)



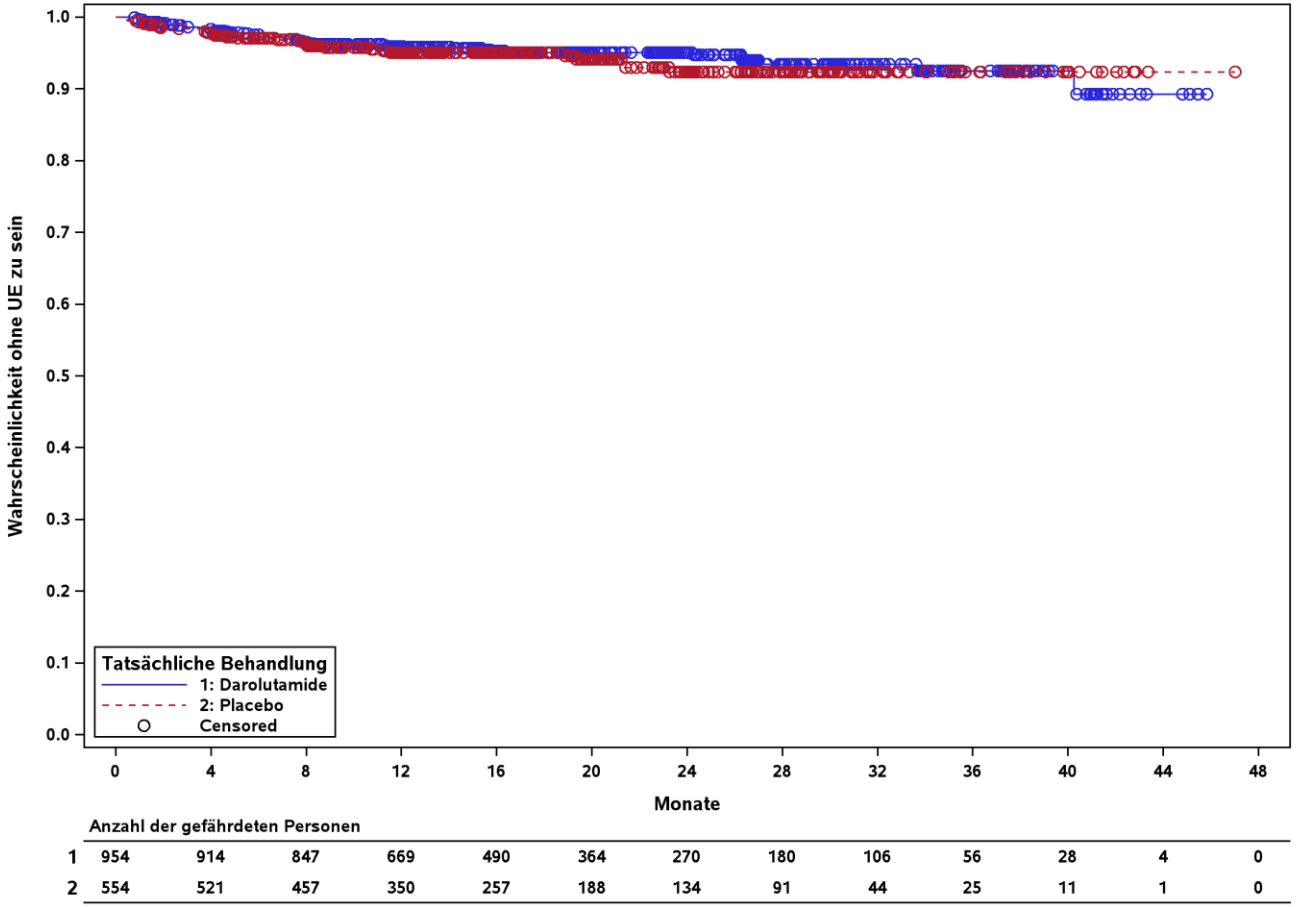
Bayer: /by-sasp/patdb/projects/1841788/17712/stat/prod_query22/pgms/t_aecut.sas 23APR2020 18:15

Figure 4.2.4 / 151: Kaplan-Meier-Plot der 'UE, die die Cutoff-Kriterien erfüllen TTE-Analyse' nach Endpunkt - Endpunkt: Zeit bis zum ersten UE das die Cutoff-Kriterien auf MedDRA PT Ebene erfüllt (Monate) - PT: Urinary retention (10046555) (full analysis set)



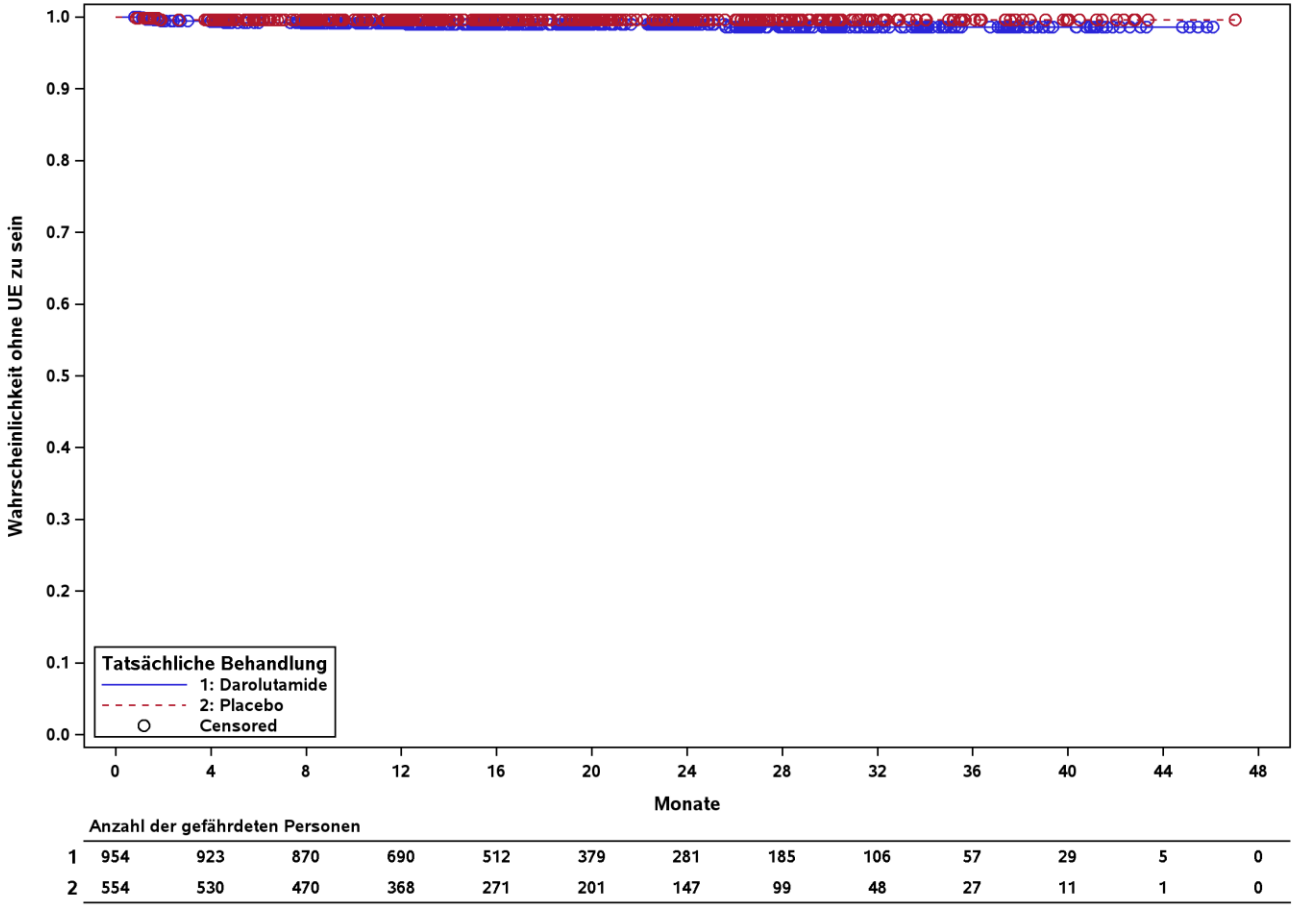
Bayer: /by-sasp/patdb/projects/1841788/17712/stat/prod_query22/pgms/t_aecut.sas 23APR2020 18:15

Figure 4.2.4 / 152: Kaplan-Meier-Plot der 'UE, die die Cutoff-Kriterien erfüllen TTE-Analyse' nach Endpunkt - Endpunkt: Zeit bis zum ersten UE das die Cutoff-Kriterien auf MedDRA PT Ebene erfüllt (Monate) - PT: Urinary tract infection (10046571) (full analysis set)



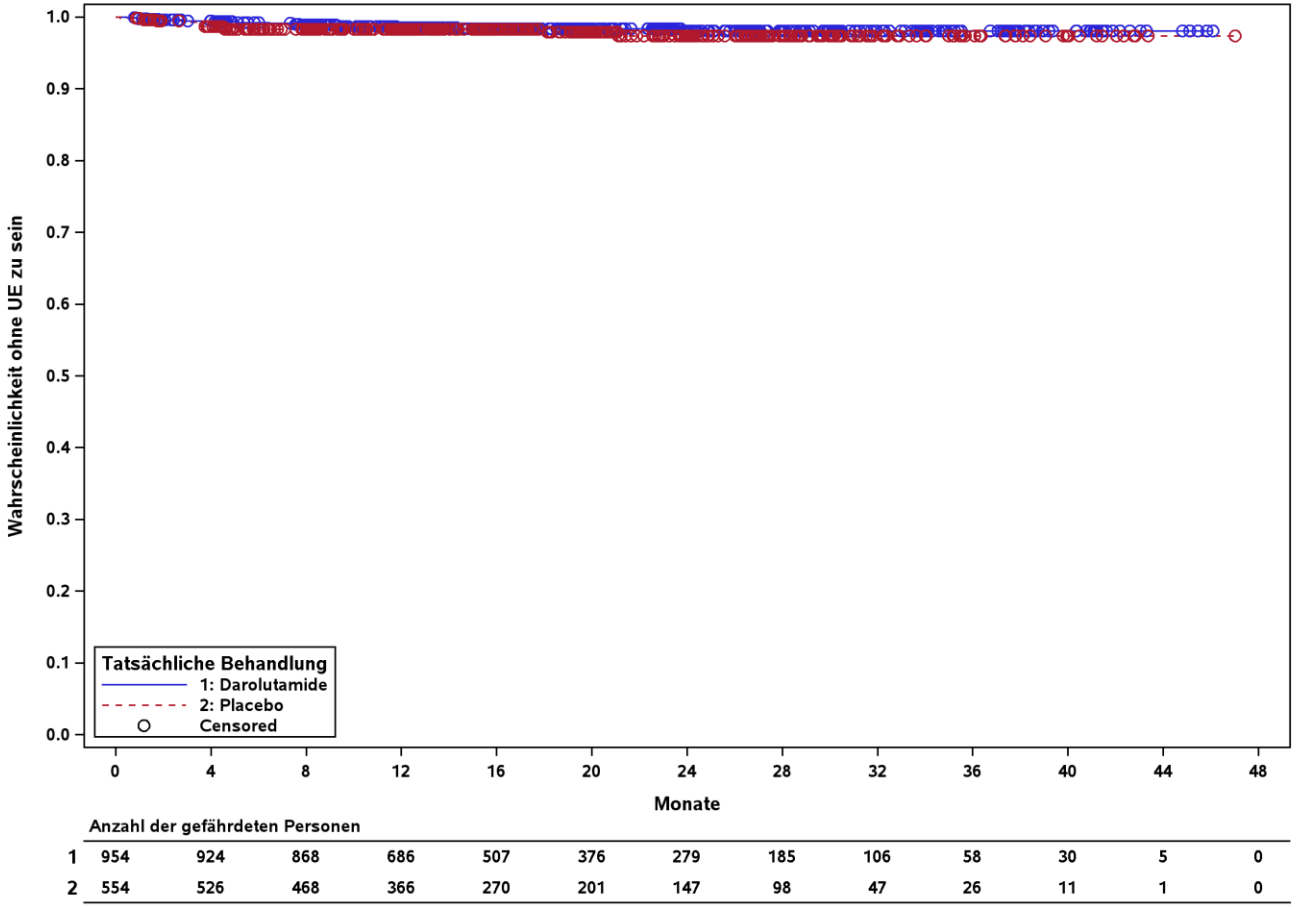
Bayer: /by-sasp/patdb/projects/1841788/17712/stat/prod_query22/pgms/t_aecut.sas 23APR2020 18:15

Figure 4.2.4 / 153: Kaplan-Meier-Plot der 'UE, die die Cutoff-Kriterien erfüllen TTE-Analyse' nach Endpunkt - Endpunkt: Zeit bis zum ersten UE das die Cutoff-Kriterien auf MedDRA PT Ebene erfüllt (Monate) - PT: Urticaria (10046735) (full analysis set)



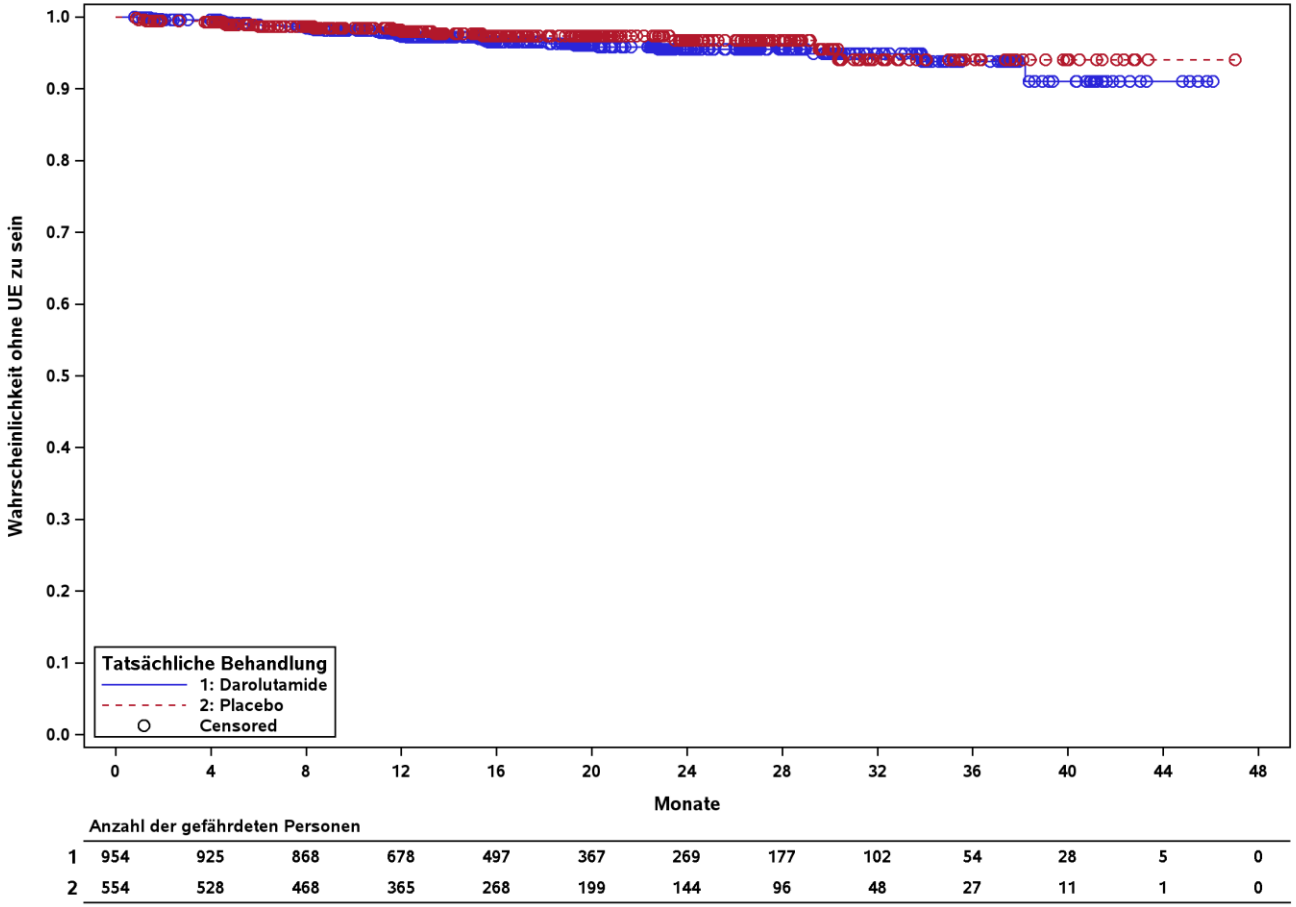
Bayer: /by-sasp/patdb/projects/1841788/17712/stat/prod_query22/pgms/t_aecut.sas 23APR2020 18:15

Figure 4.2.4 / 154: Kaplan-Meier-Plot der 'UE, die die Cutoff-Kriterien erfüllen TTE-Analyse' nach Endpunkt - Endpunkt: Zeit bis zum ersten UE das die Cutoff-Kriterien auf MedDRA PT Ebene erfüllt (Monate) - PT: Vomiting (10047700) (full analysis set)



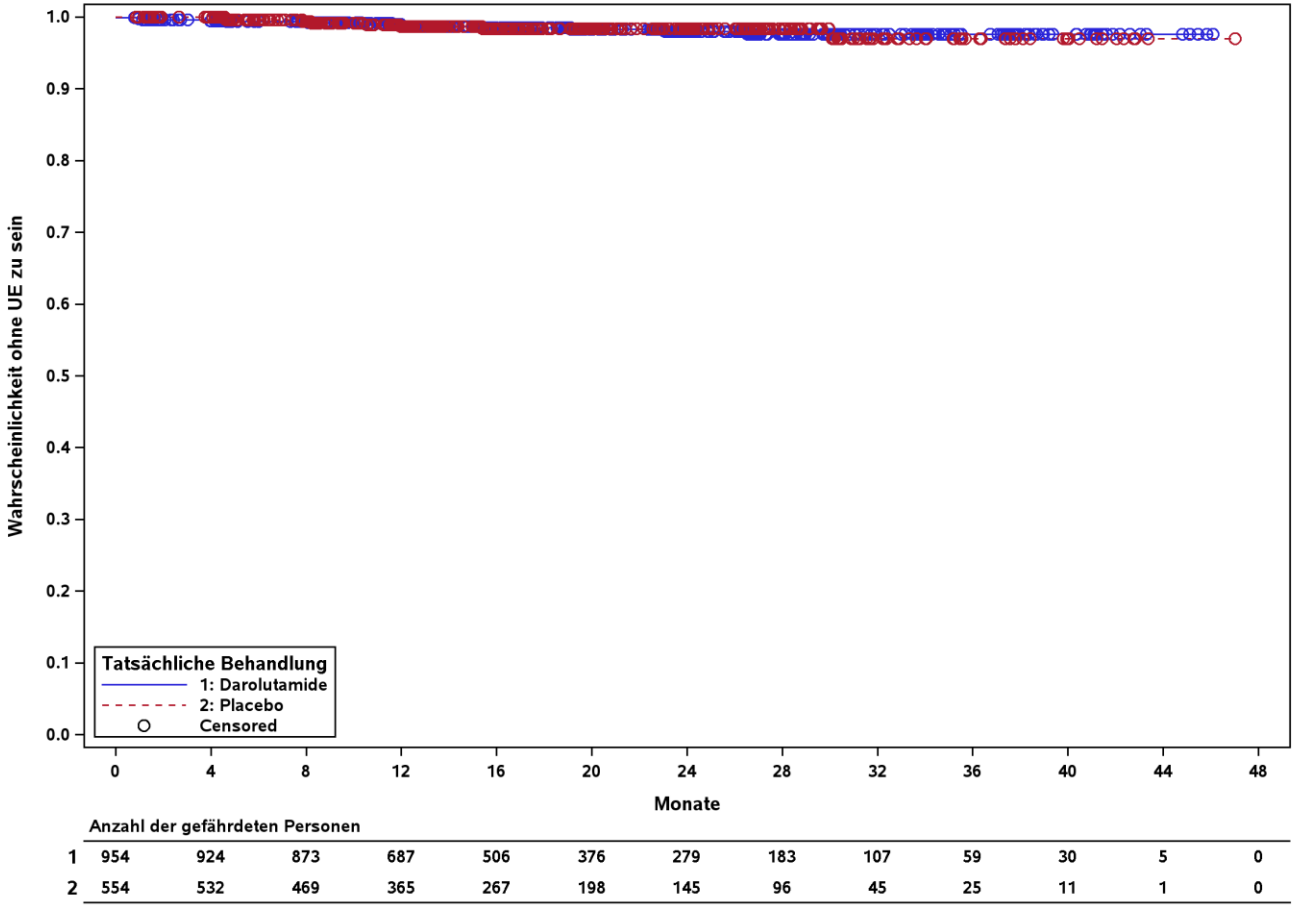
Bayer: /by-sasp/patdb/projects/1841788/17712/stat/prod_query22/pgms/t_aecut.sas 23APR2020 18:15

Figure 4.2.4 / 155: Kaplan-Meier-Plot der 'UE, die die Cutoff-Kriterien erfüllen TTE-Analyse' nach Endpunkt - Endpunkt: Zeit bis zum ersten UE das die Cutoff-Kriterien auf MedDRA PT Ebene erfüllt (Monate) - PT: Weight decreased (10047895) (full analysis set)



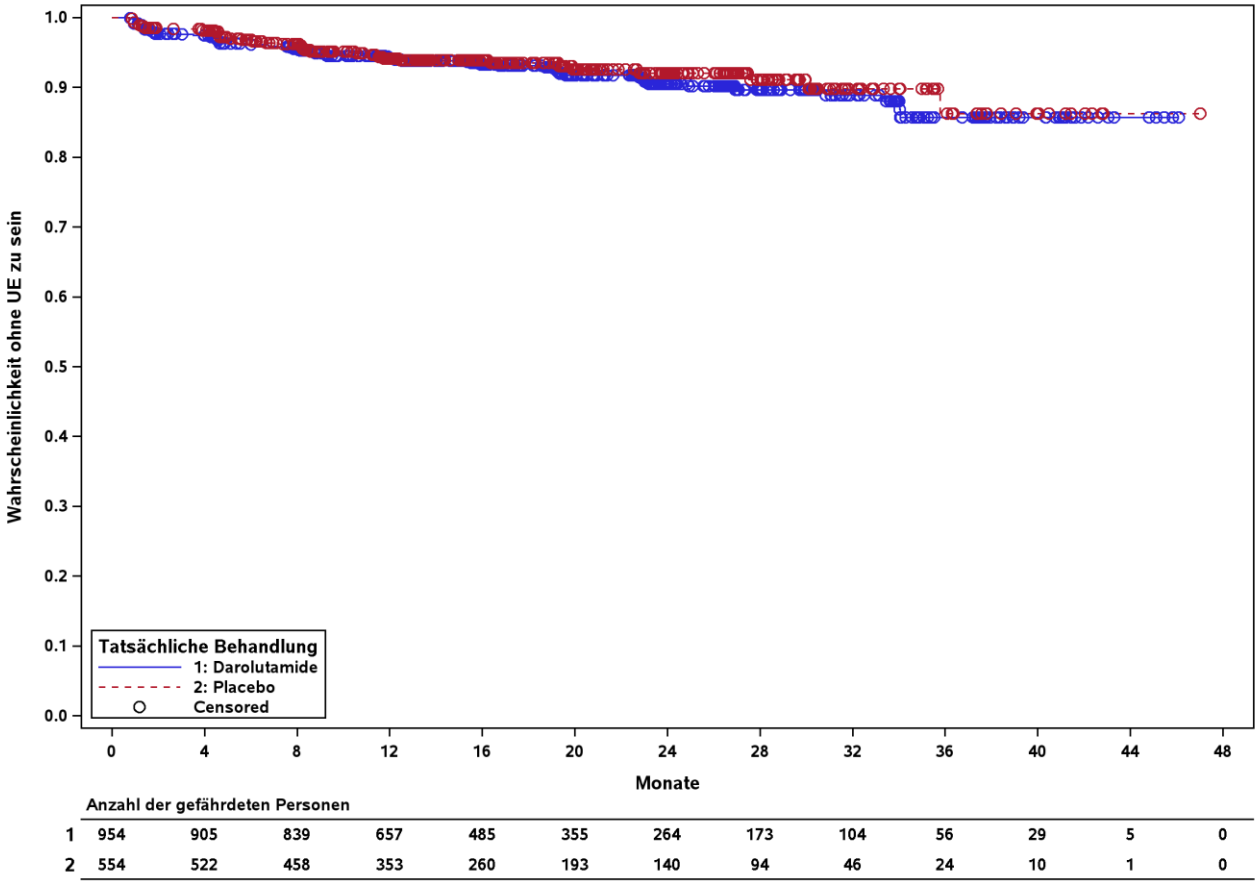
Bayer: /by-sasp/patdb/projects/1841788/17712/stat/prod_query22/pgms/t_aecut.sas 23APR2020 18:15

Figure 4.2.4 / 156: Kaplan-Meier-Plot der 'UE, die die Cutoff-Kriterien erfüllen TTE-Analyse' nach Endpunkt - Endpunkt: Zeit bis zum ersten UE das die Cutoff-Kriterien auf MedDRA PT Ebene erfüllt (Monate) - PT: Weight increased (10047899) (full analysis set)



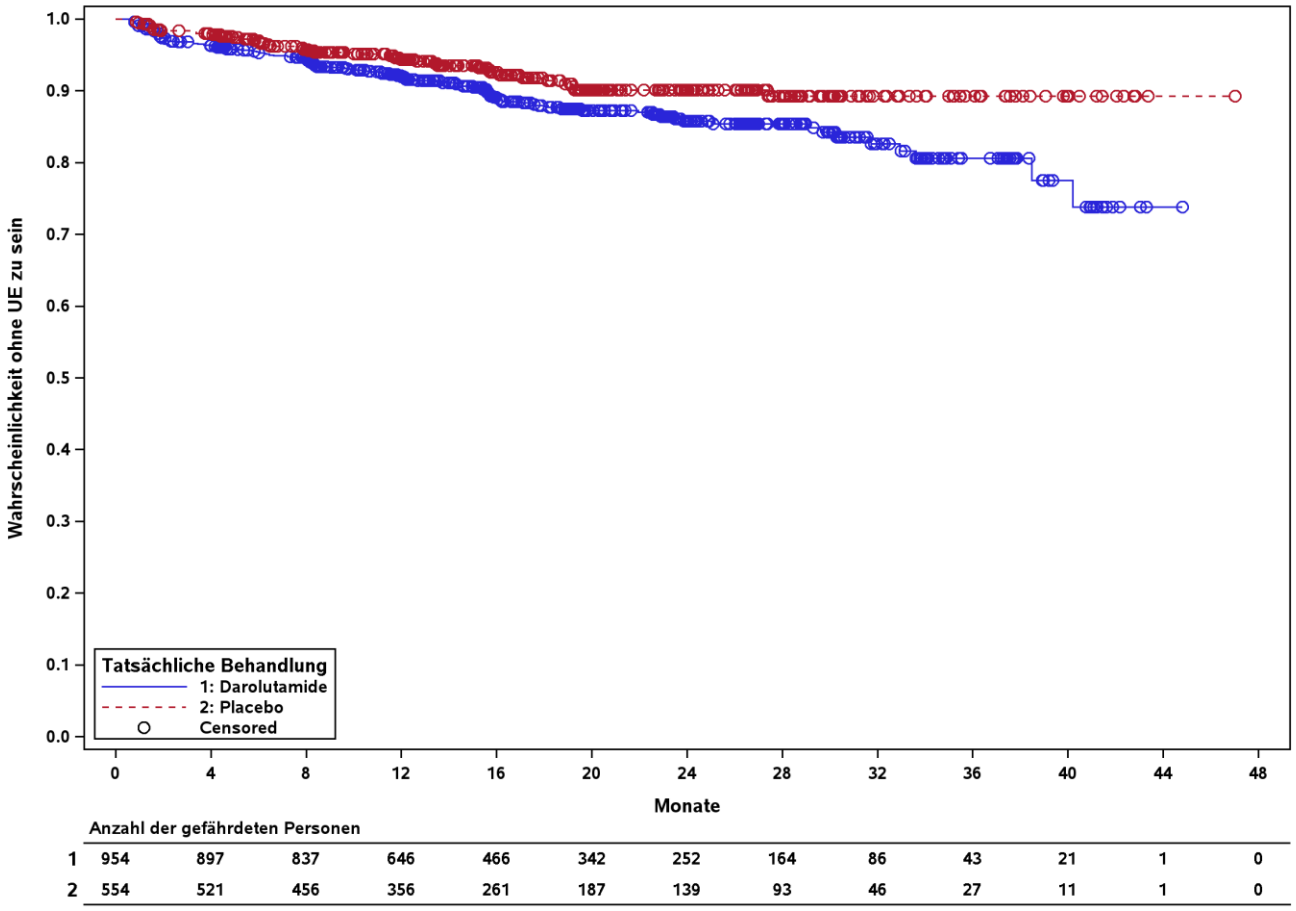
Bayer: /by-sasp/patdb/projects/1841788/17712/stat/prod_query22/pgms/t_aecut.sas 23APR2020 18:15

Figure 4.2.4 / 157: Kaplan-Meier-Plot der 'UE, die die Cutoff-Kriterien erfüllen TTE-Analyse' nach Endpunkt - Endpunkt: Zeit bis zum ersten unter der Behandlung aufgetretenen UE (TEAE) das die Cutoff-Kriterien auf MedDRA SOC Ebene erfüllt (Monate) - SOC: Blood and lymphatic system disorders (10005329) (full analysis set)



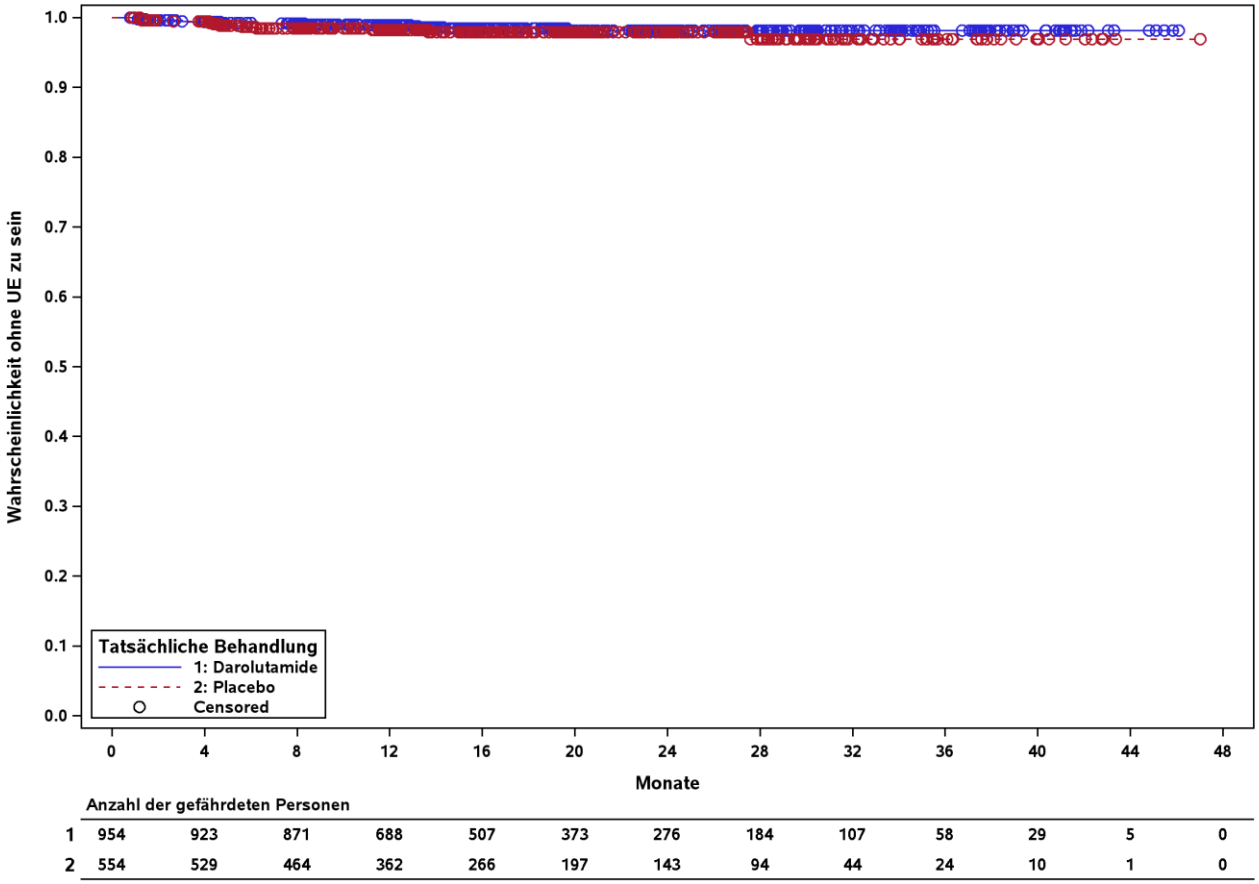
Bayer: /by-sasp/patdb/projects/1841788/17712/stat/prod_query22/pgms/t_aecut.sas 23APR2020 18:15

Figure 4.2.4 / 158: Kaplan-Meier-Plot der 'UE, die die Cutoff-Kriterien erfüllen TTE-Analyse' nach Endpunkt - Endpunkt: Zeit bis zum ersten unter der Behandlung aufgetretenen UE (TEAE) das die Cutoff-Kriterien auf MedDRA SOC Ebene erfüllt (Monate) - SOC: Cardiac disorders (10007541) (full analysis set)



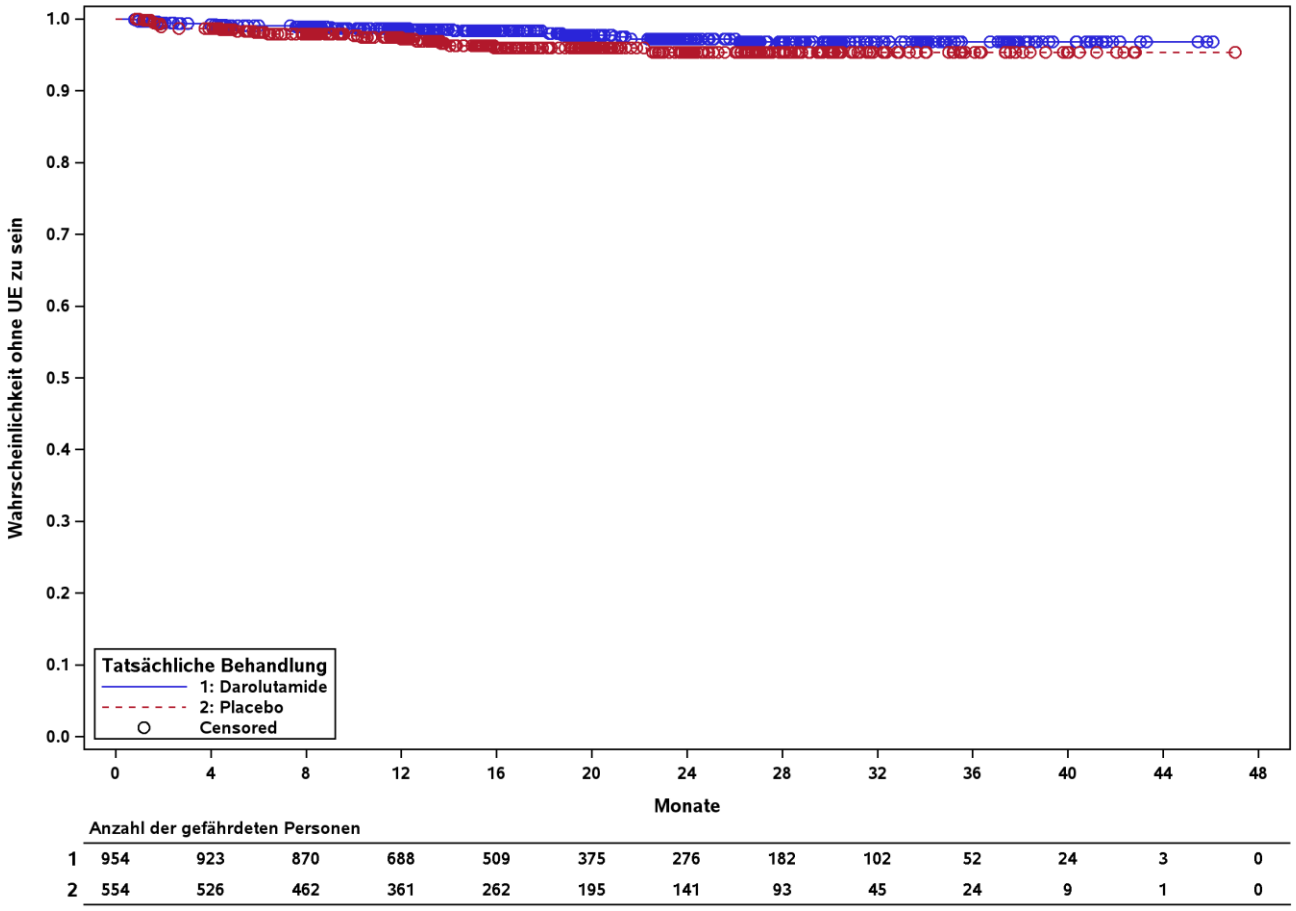
Bayer: /by-sasp/patdb/projects/1841788/17712/stat/prod_query22/pgms/t_aecut.sas 23APR2020 18:15

Figure 4.2.4 / 159: Kaplan-Meier-Plot der 'UE, die die Cutoff-Kriterien erfüllen TTE-Analyse' nach Endpunkt - Endpunkt: Zeit bis zum ersten unter der Behandlung aufgetretenen UE (TEAE) das die Cutoff-Kriterien auf MedDRA SOC Ebene erfüllt (Monate) - SOC: Ear and labyrinth disorders (10013993) (full analysis set)



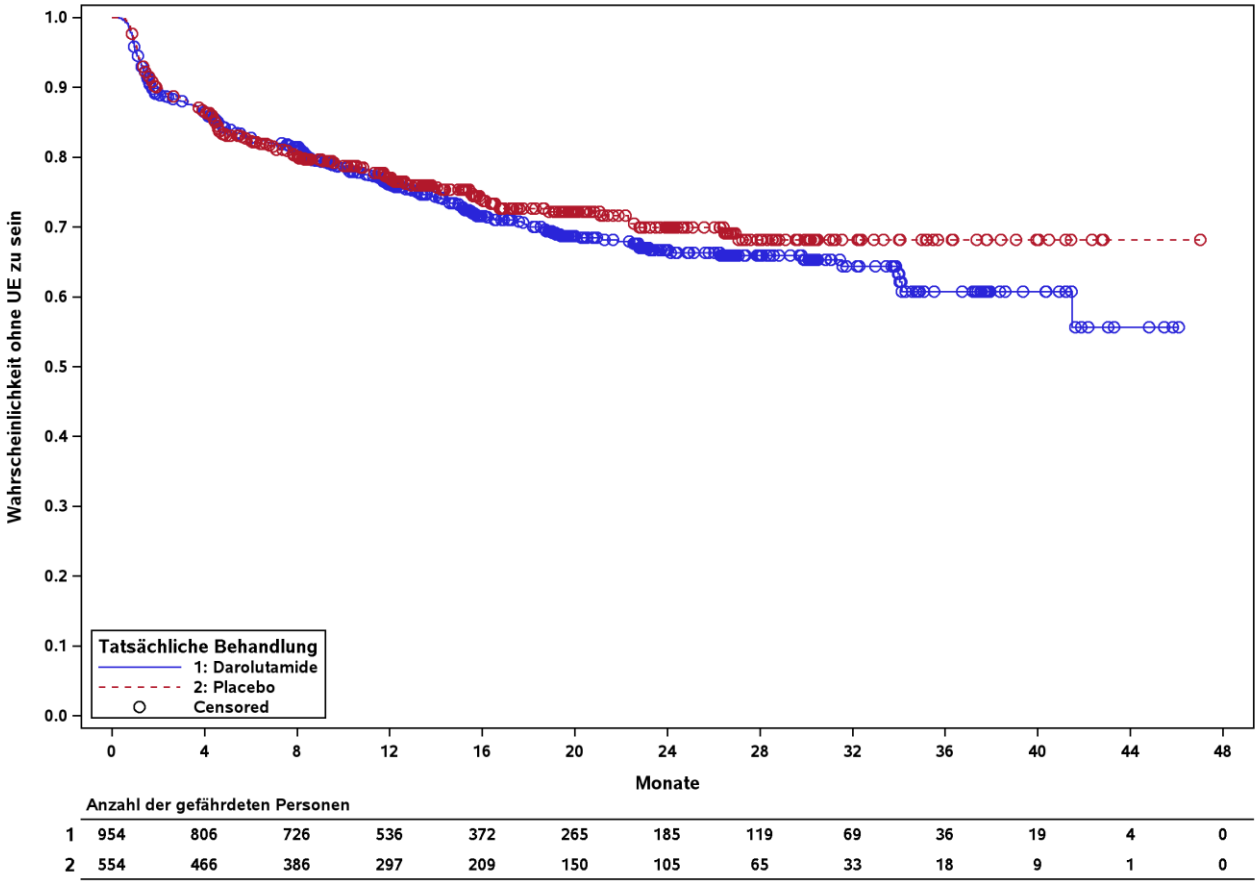
Bayer: /by-sasp/patdb/projects/1841788/17712/stat/prod_query22/pgms/t_aecut.sas 23APR2020 18:15

Figure 4.2.4 / 160: Kaplan-Meier-Plot der 'UE, die die Cutoff-Kriterien erfüllen TTE-Analyse' nach Endpunkt - Endpunkt: Zeit bis zum ersten unter der Behandlung aufgetretenen UE (TEAE) das die Cutoff-Kriterien auf MedDRA SOC Ebene erfüllt (Monate) - SOC: Eye disorders (10015919) (full analysis set)



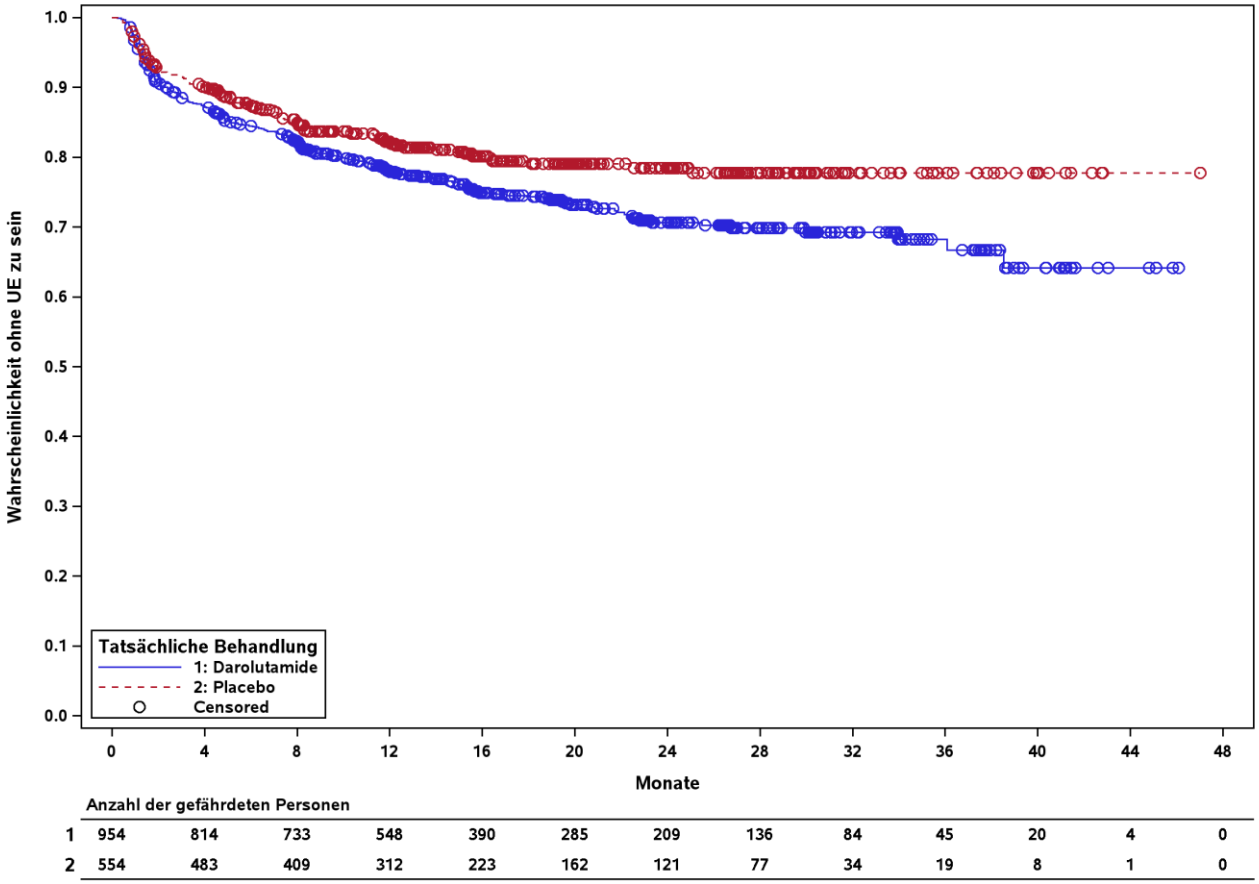
Bayer: /by-sasp/patdb/projects/1841788/17712/stat/prod_query22/pgms/t_aecut.sas 23APR2020 18:15

Figure 4.2.4 / 161: Kaplan-Meier-Plot der 'UE, die die Cutoff-Kriterien erfüllen TTE-Analyse' nach Endpunkt - Endpunkt: Zeit bis zum ersten unter der Behandlung aufgetretenen UE (TEAE) das die Cutoff-Kriterien auf MedDRA SOC Ebene erfüllt (Monate) - SOC: Gastrointestinal disorders (10017947) (full analysis set)



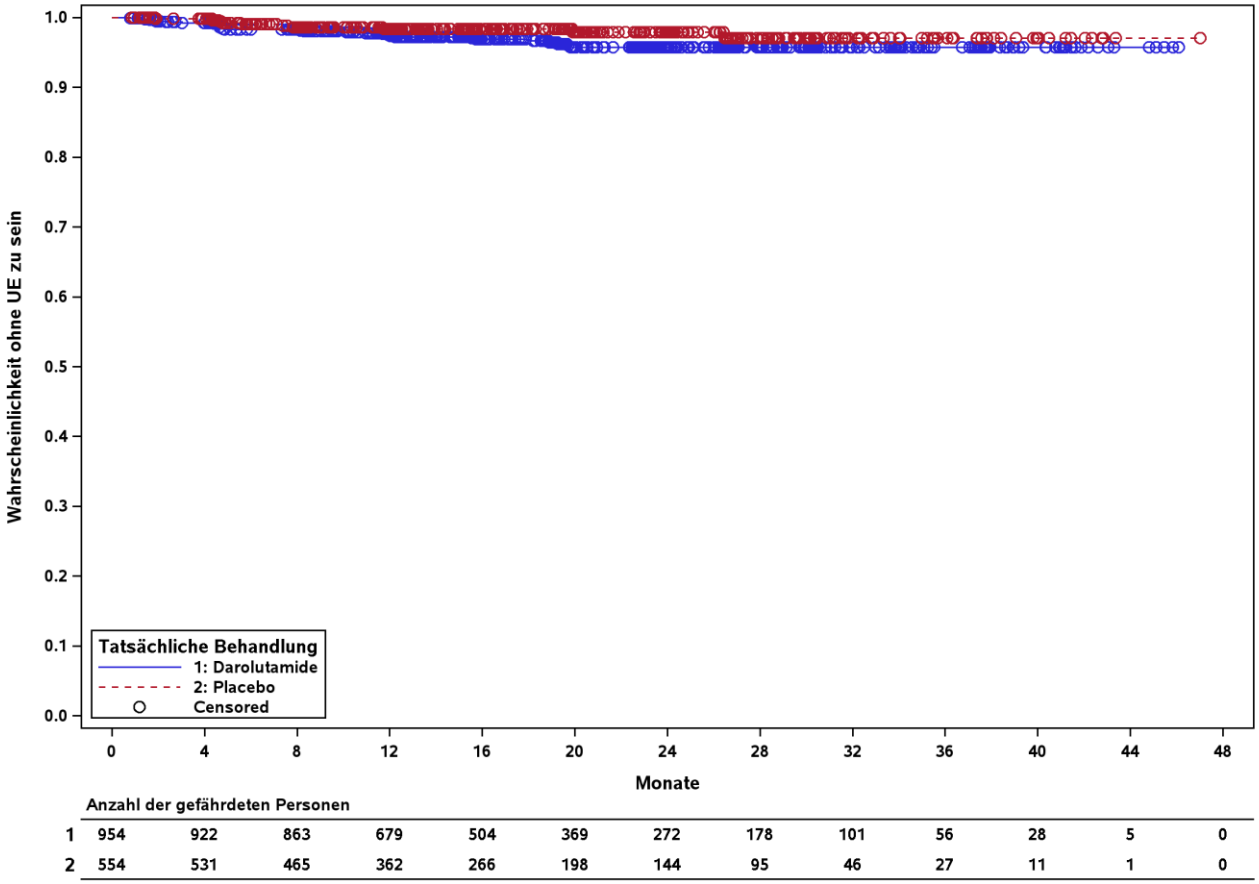
Bayer: /by-sasp/patdb/projects/1841788/17712/stat/prod_query22/pgms/t_aecut.sas 23APR2020 18:15

Figure 4.2.4 / 162: Kaplan-Meier-Plot der 'UE, die die Cutoff-Kriterien erfüllen TTE-Analyse' nach Endpunkt - Endpunkt: Zeit bis zum ersten unter der Behandlung aufgetretenen UE (TEAE) das die Cutoff-Kriterien auf MedDRA SOC Ebene erfüllt (Monate) - SOC: General disorders and administration site conditions (10018065) (full analysis set)



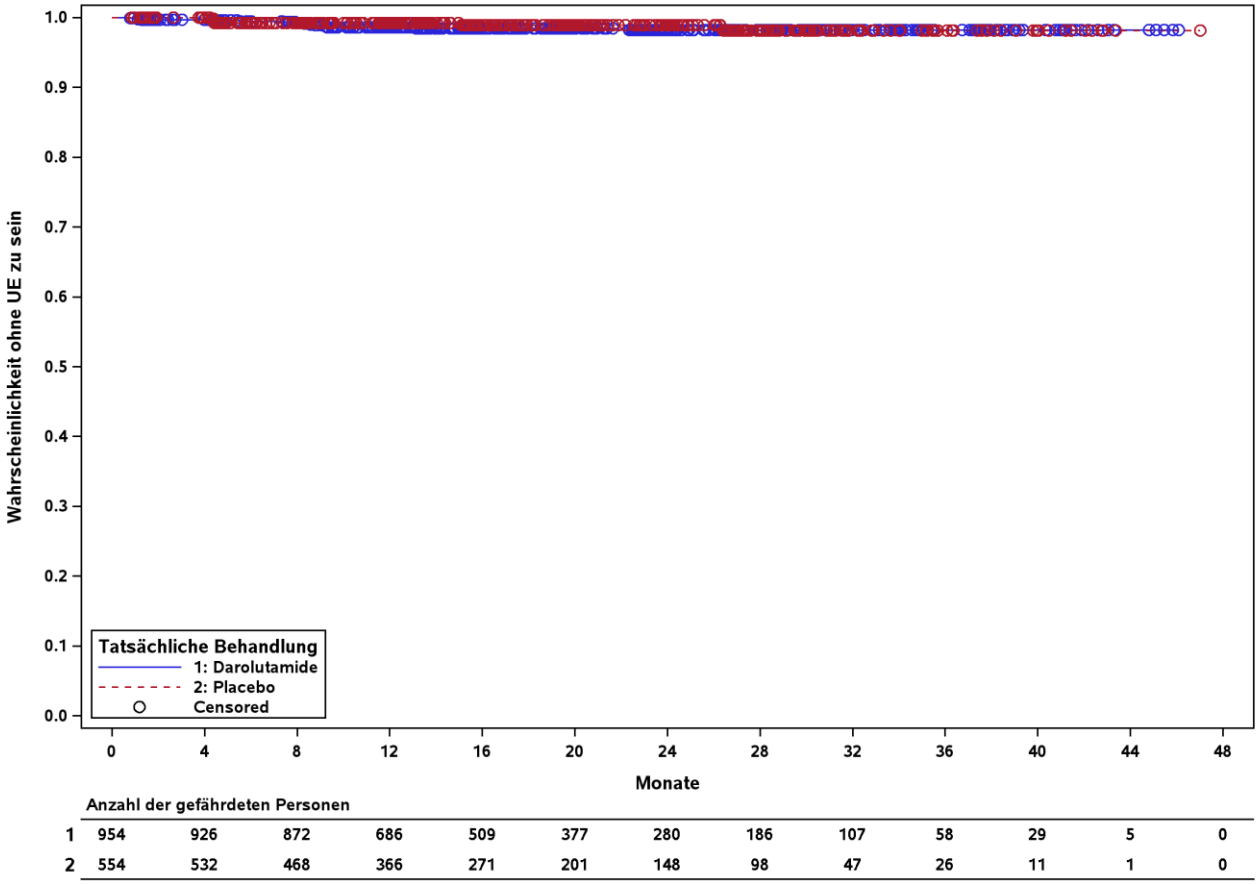
Bayer: /by-sasp/patdb/projects/1841788/17712/stat/prod_query22/pgms/t_aecut.sas 23APR2020 18:15

Figure 4.2.4 / 163: Kaplan-Meier-Plot der 'UE, die die Cutoff-Kriterien erfüllen TTE-Analyse' nach Endpunkt - Endpunkt: Zeit bis zum ersten unter der Behandlung aufgetretenen UE (TEAE) das die Cutoff-Kriterien auf MedDRA SOC Ebene erfüllt (Monate) - SOC: Hepatobiliary disorders (10019805) (full analysis set)



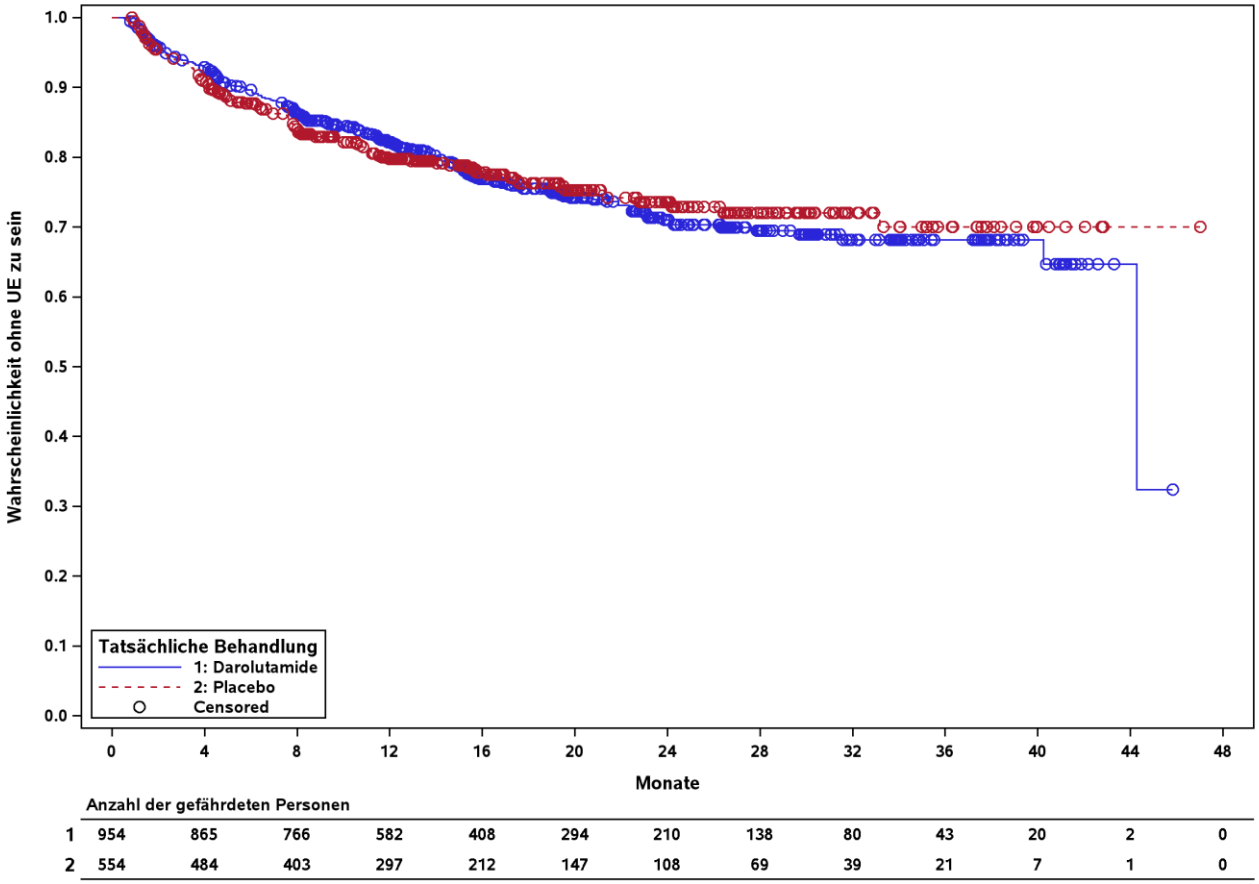
Bayer: /by-sasp/patdb/projects/1841788/17712/stat/prod_query22/pgms/t_aecut.sas 23APR2020 18:15

Figure 4.2.4 / 164: Kaplan-Meier-Plot der 'UE, die die Cutoff-Kriterien erfüllen TTE-Analyse' nach Endpunkt - Endpunkt: Zeit bis zum ersten unter der Behandlung aufgetretenen UE (TEAE) das die Cutoff-Kriterien auf MedDRA SOC Ebene erfüllt (Monate) - SOC: Immune system disorders (10021428) (full analysis set)



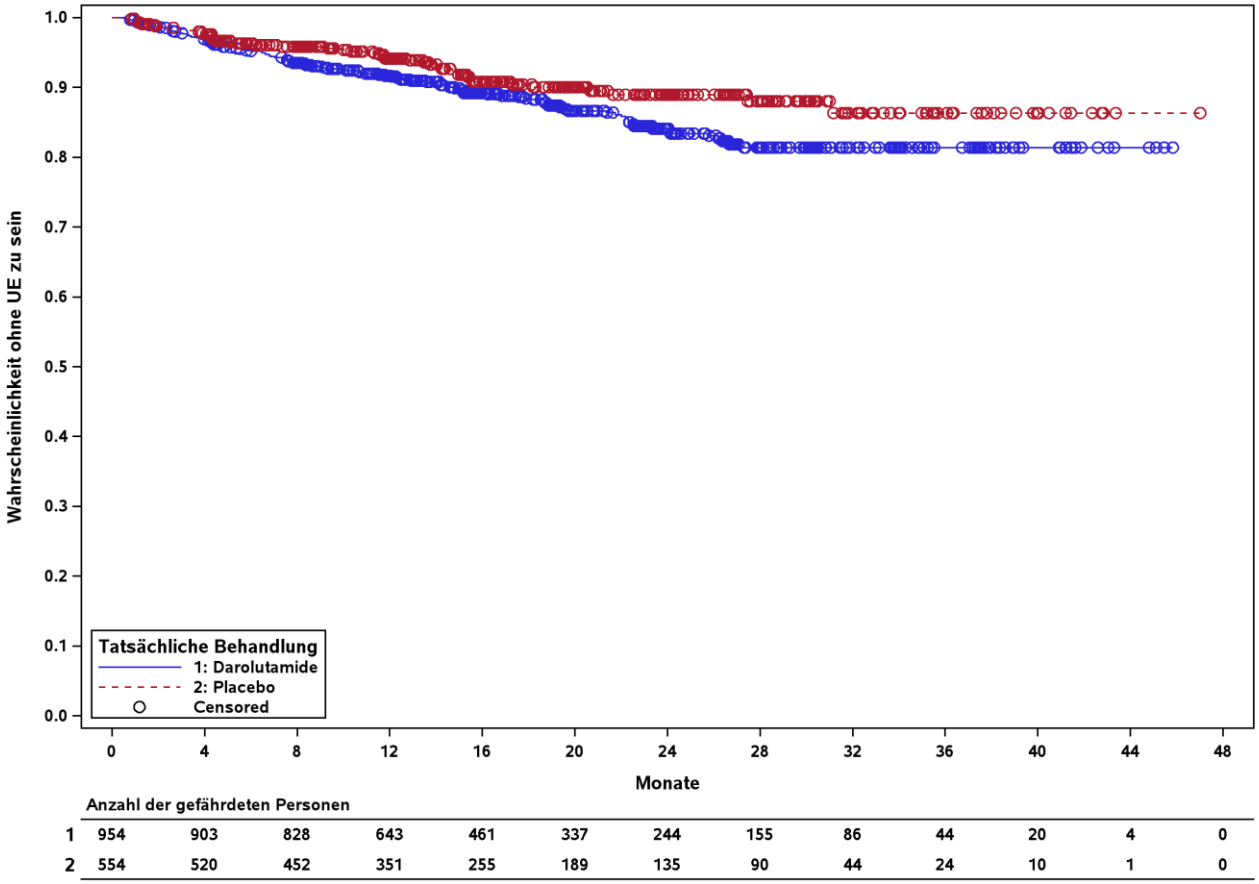
Bayer: /by-sasp/patdb/projects/1841788/17712/stat/prod_query22/pgms/t_aecut.sas 23APR2020 18:15

Figure 4.2.4 / 165: Kaplan-Meier-Plot der 'UE, die die Cutoff-Kriterien erfüllen TTE-Analyse' nach Endpunkt - Endpunkt: Zeit bis zum ersten unter der Behandlung aufgetretenen UE (TEAE) das die Cutoff-Kriterien auf MedDRA SOC Ebene erfüllt (Monate) - SOC: Infections and infestations (10021881) (full analysis set)



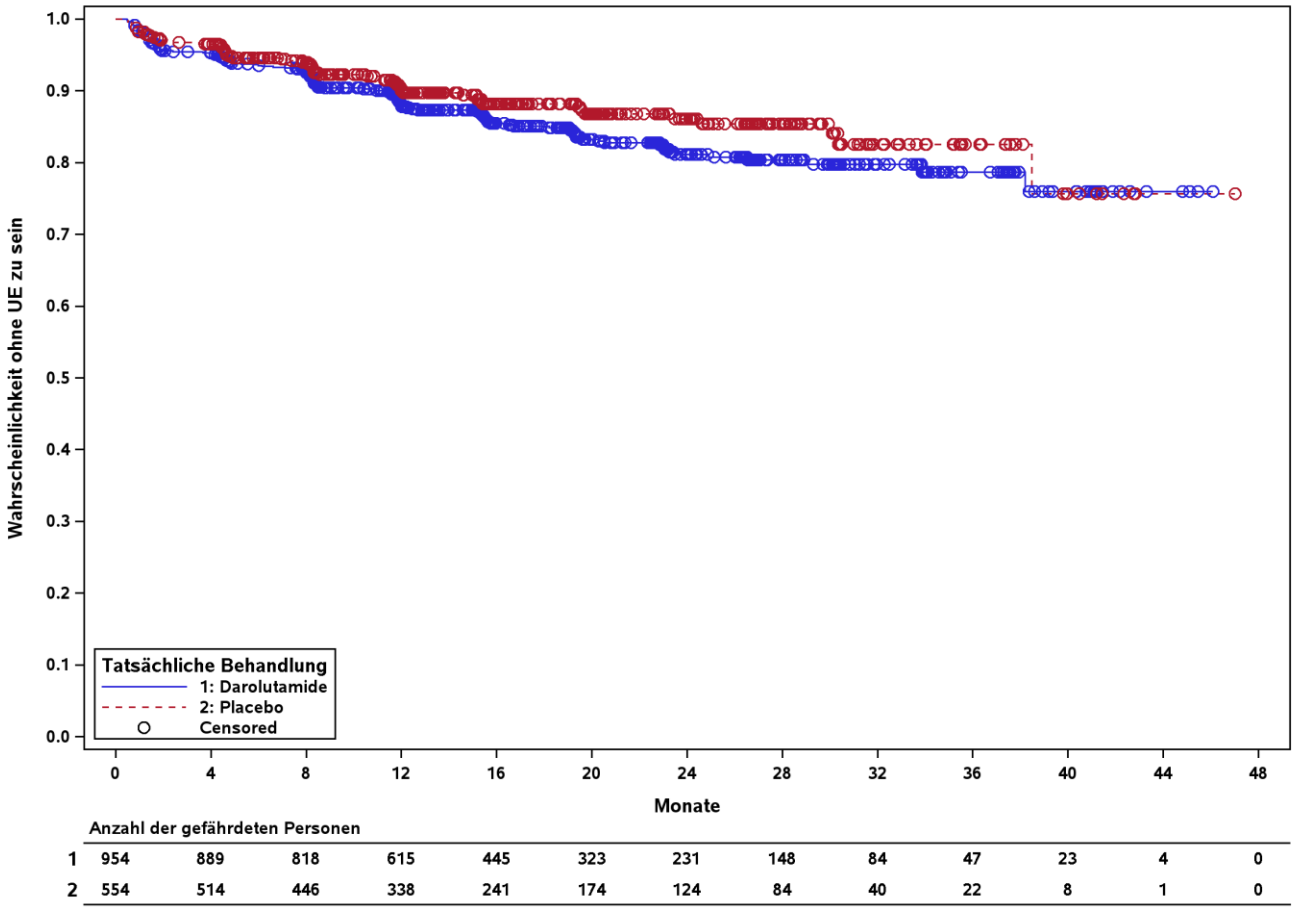
Bayer: /by-sasp/patdb/projects/1841788/17712/stat/prod_query22/pgms/t_aecut.sas 23APR2020 18:15

Figure 4.2.4 / 166: Kaplan-Meier-Plot der 'UE, die die Cutoff-Kriterien erfüllen TTE-Analyse' nach Endpunkt - Endpunkt: Zeit bis zum ersten unter der Behandlung aufgetretenen UE (TEAE) das die Cutoff-Kriterien auf MedDRA SOC Ebene erfüllt (Monate) - SOC: Injury, poisoning and procedural complications (10022117) (full analysis set)



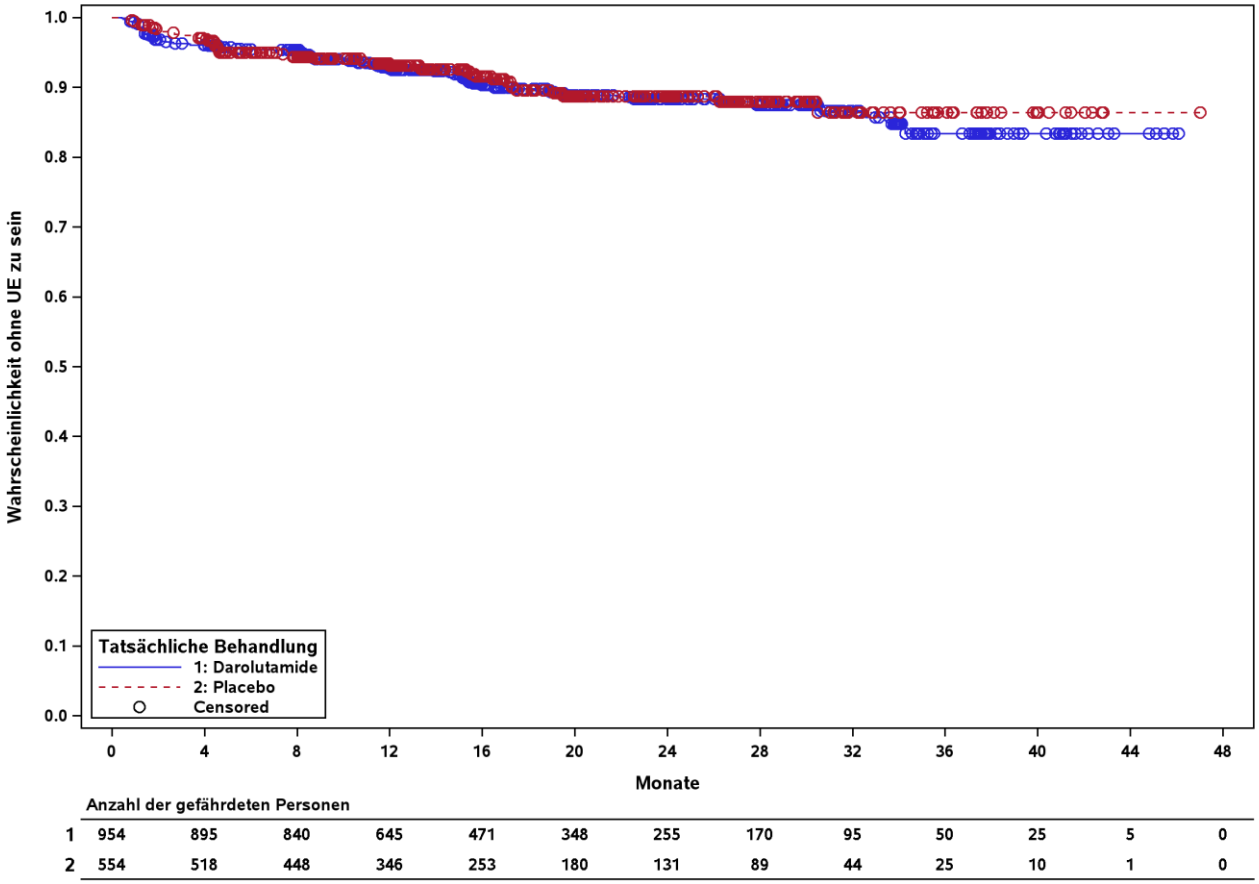
Bayer: /by-sasp/patdb/projects/1841788/17712/stat/prod_query22/pgms/t_aecut.sas 23APR2020 18:15

Figure 4.2.4 / 167: Kaplan-Meier-Plot der 'UE, die die Cutoff-Kriterien erfüllen TTE-Analyse' nach Endpunkt - Endpunkt: Zeit bis zum ersten unter der Behandlung aufgetretenen UE (TEAE) das die Cutoff-Kriterien auf MedDRA SOC Ebene erfüllt (Monate) - SOC: Investigations (10022891) (full analysis set)



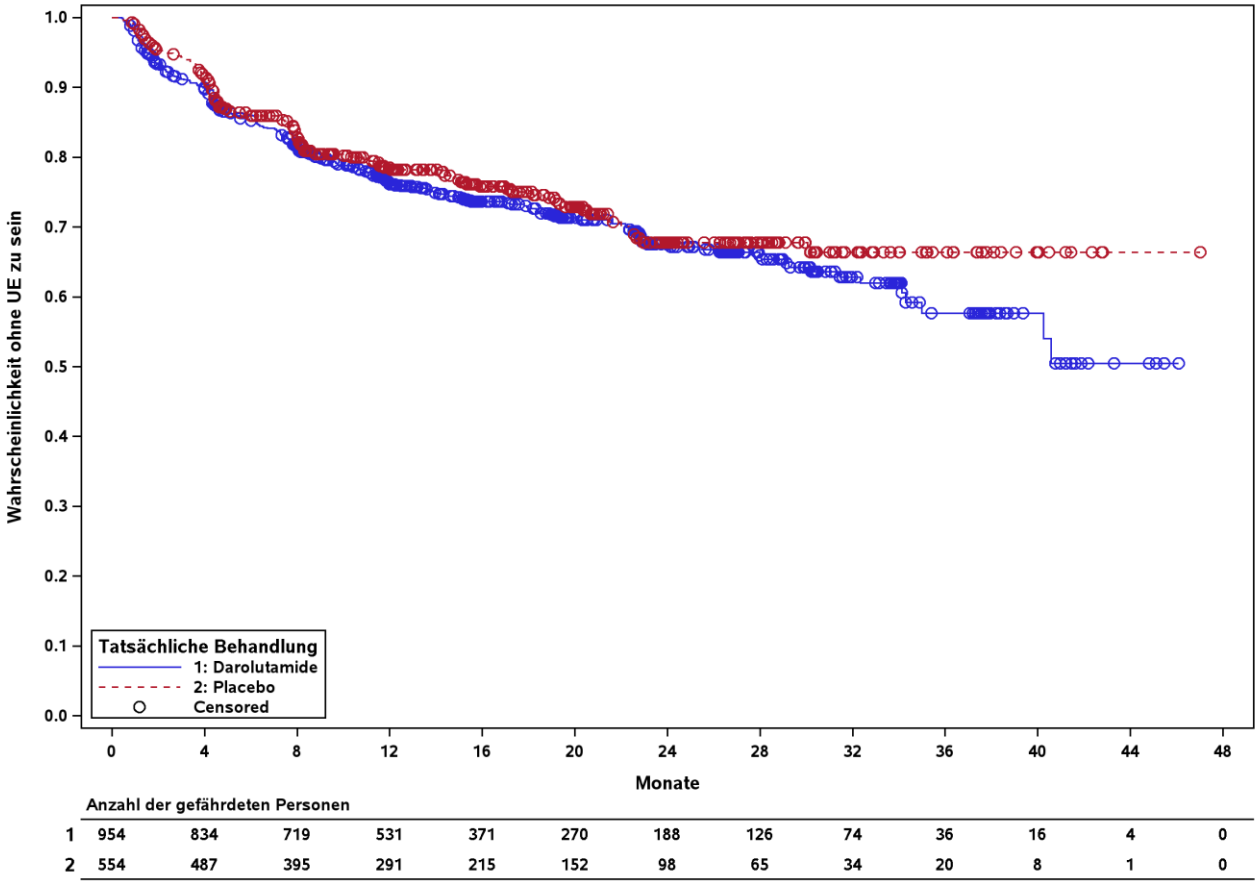
Bayer: /by-sasp/patdb/projects/1841788/17712/stat/prod_query22/pgms/t_aecut.sas 23APR2020 18:15

Figure 4.2.4 / 168: Kaplan-Meier-Plot der 'UE, die die Cutoff-Kriterien erfüllen TTE-Analyse' nach Endpunkt - Endpunkt: Zeit bis zum ersten unter der Behandlung aufgetretenen UE (TEAE) das die Cutoff-Kriterien auf MedDRA SOC Ebene erfüllt (Monate) - SOC: Metabolism and nutrition disorders (10027433) (full analysis set)



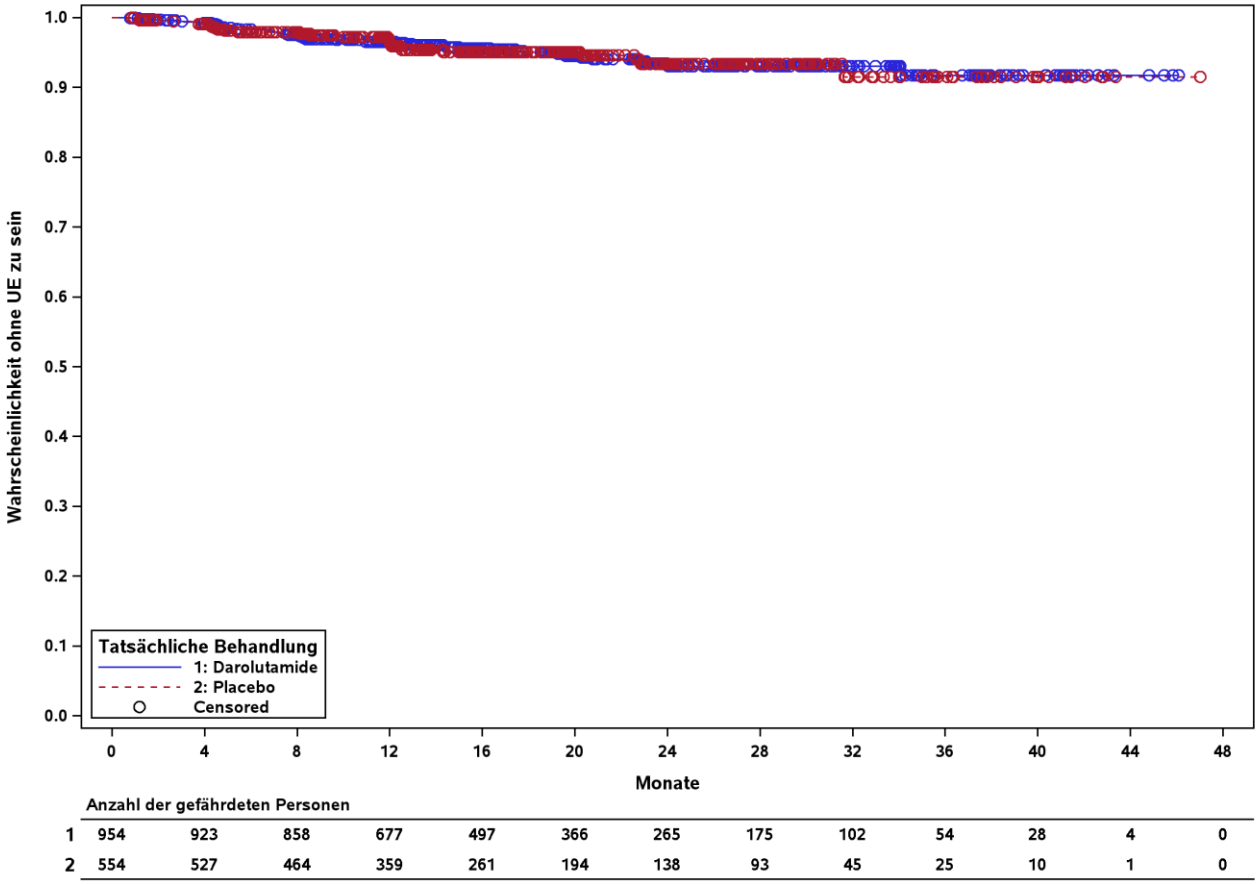
Bayer: /by-sasp/patdb/projects/1841788/17712/stat/prod_query22/pgms/t_aecut.sas 23APR2020 18:15

Figure 4.2.4 / 169: Kaplan-Meier-Plot der 'UE, die die Cutoff-Kriterien erfüllen TTE-Analyse' nach Endpunkt - Endpunkt: Zeit bis zum ersten unter der Behandlung aufgetretenen UE (TEAE) das die Cutoff-Kriterien auf MedDRA SOC Ebene erfüllt (Monate) - SOC: Musculoskeletal and connective tissue disorders (10028395) (full analysis set)



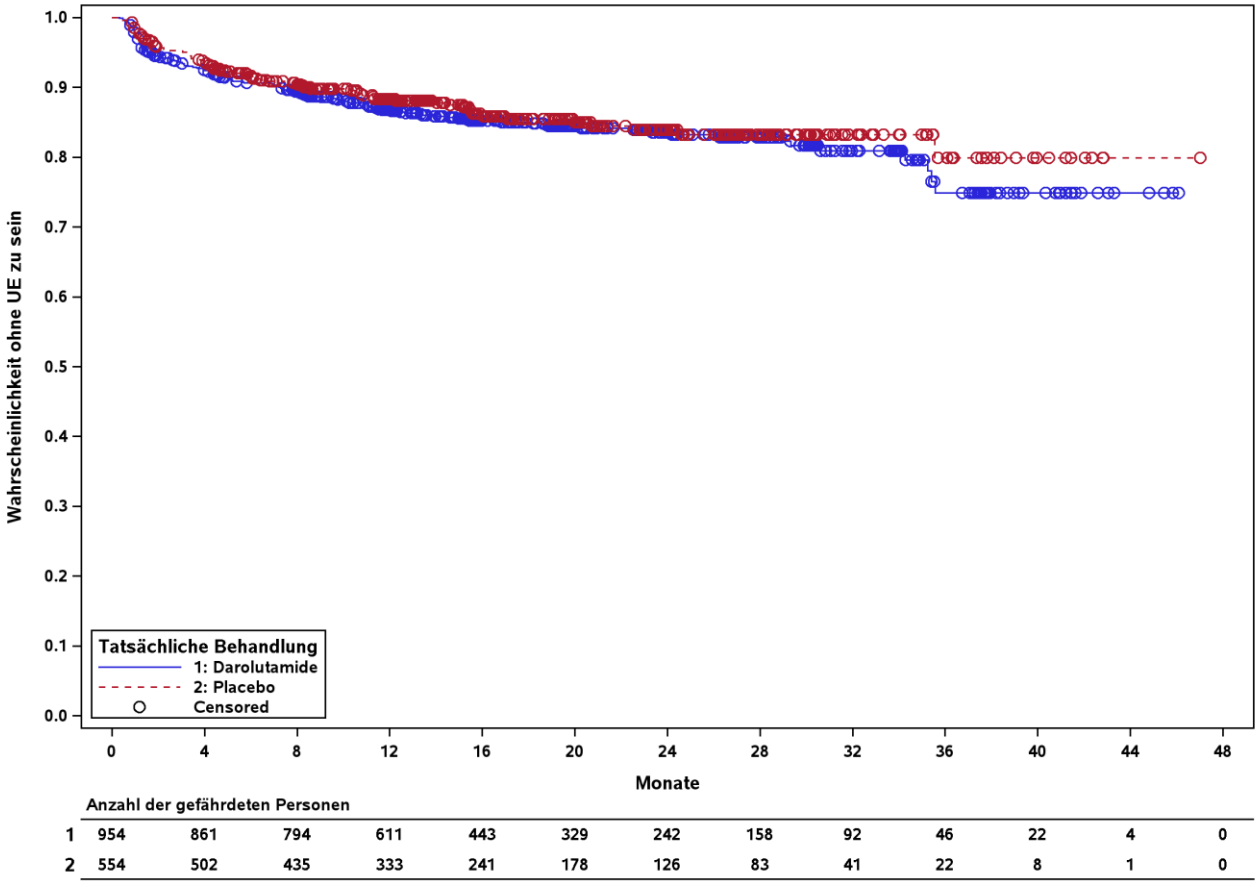
Bayer: /by-sasp/patdb/projects/1841788/17712/stat/prod_query22/pgms/t_aecut.sas 23APR2020 18:15

Figure 4.2.4 / 170: Kaplan-Meier-Plot der 'UE, die die Cutoff-Kriterien erfüllen TTE-Analyse' nach Endpunkt - Endpunkt: Zeit bis zum ersten unter der Behandlung aufgetretenen UE (TEAE) das die Cutoff-Kriterien auf MedDRA SOC Ebene erfüllt (Monate) - SOC: Neoplasms benign, malignant and unspecified (incl cysts and polyps) (10029104) (full analysis set)



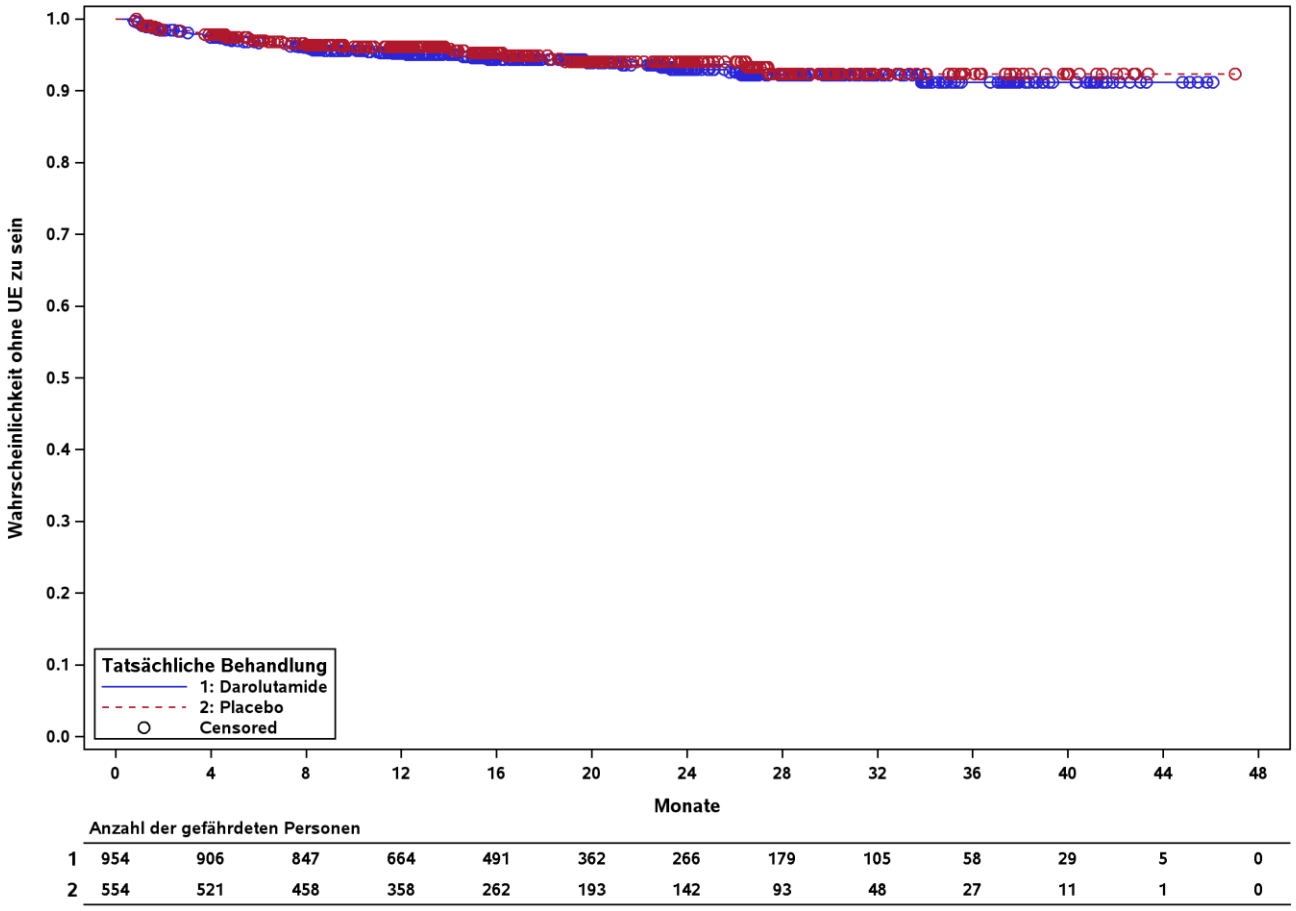
Bayer: /by-sasp/patdb/projects/1841788/17712/stat/prod_query22/pgms/t_aecut.sas 23APR2020 18:15

Figure 4.2.4 / 171: Kaplan-Meier-Plot der 'UE, die die Cutoff-Kriterien erfüllen TTE-Analyse' nach Endpunkt - Endpunkt: Zeit bis zum ersten unter der Behandlung aufgetretenen UE (TEAE) das die Cutoff-Kriterien auf MedDRA SOC Ebene erfüllt (Monate) - SOC: Nervous system disorders (10029205) (full analysis set)



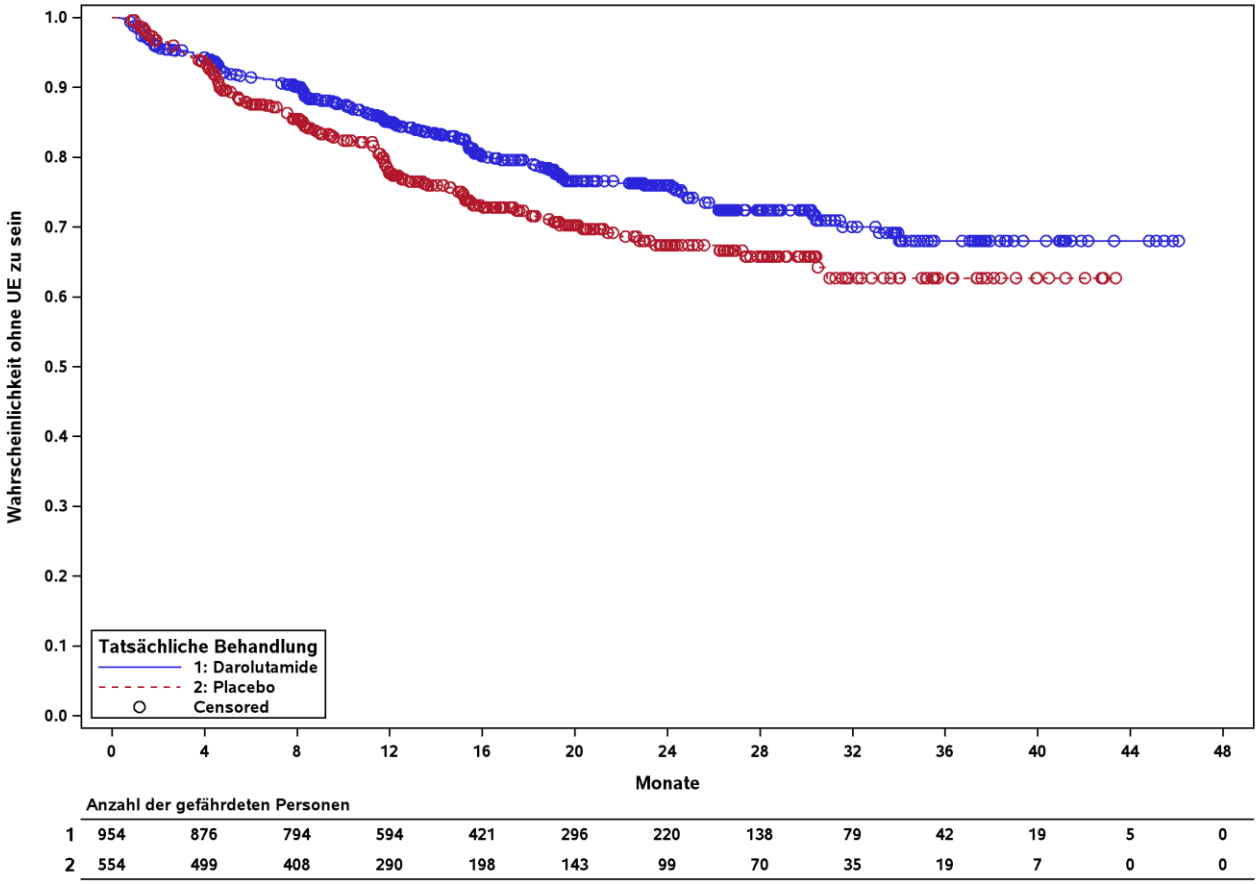
Bayer: /by-sasp/patdb/projects/1841788/17712/stat/prod_query22/pgms/t_aecut.sas 23APR2020 18:15

Figure 4.2.4 / 172: Kaplan-Meier-Plot der 'UE, die die Cutoff-Kriterien erfüllen TTE-Analyse' nach Endpunkt - Endpunkt: Zeit bis zum ersten unter der Behandlung aufgetretenen UE (TEAE) das die Cutoff-Kriterien auf MedDRA SOC Ebene erfüllt (Monate) - SOC: Psychiatric disorders (10037175) (full analysis set)



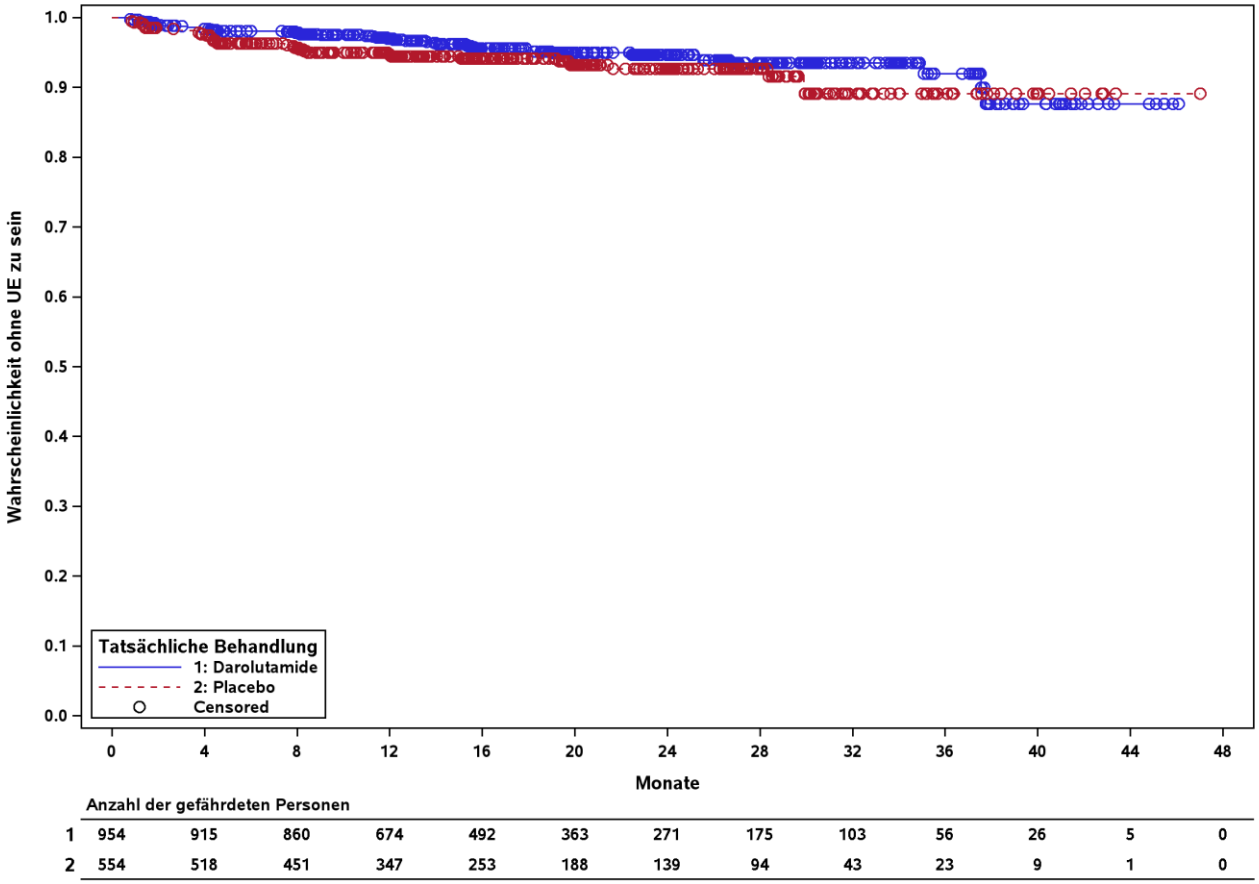
Bayer: /by-sasp/patdb/projects/1841788/17712/stat/prod_query22/pgms/t_aecut.sas 23APR2020 18:15

Figure 4.2.4 / 173: Kaplan-Meier-Plot der 'UE, die die Cutoff-Kriterien erfüllen TTE-Analyse' nach Endpunkt - Endpunkt: Zeit bis zum ersten unter der Behandlung aufgetretenen UE (TEAE) das die Cutoff-Kriterien auf MedDRA SOC Ebene erfüllt (Monate) - SOC: Renal and urinary disorders (10038359) (full analysis set)



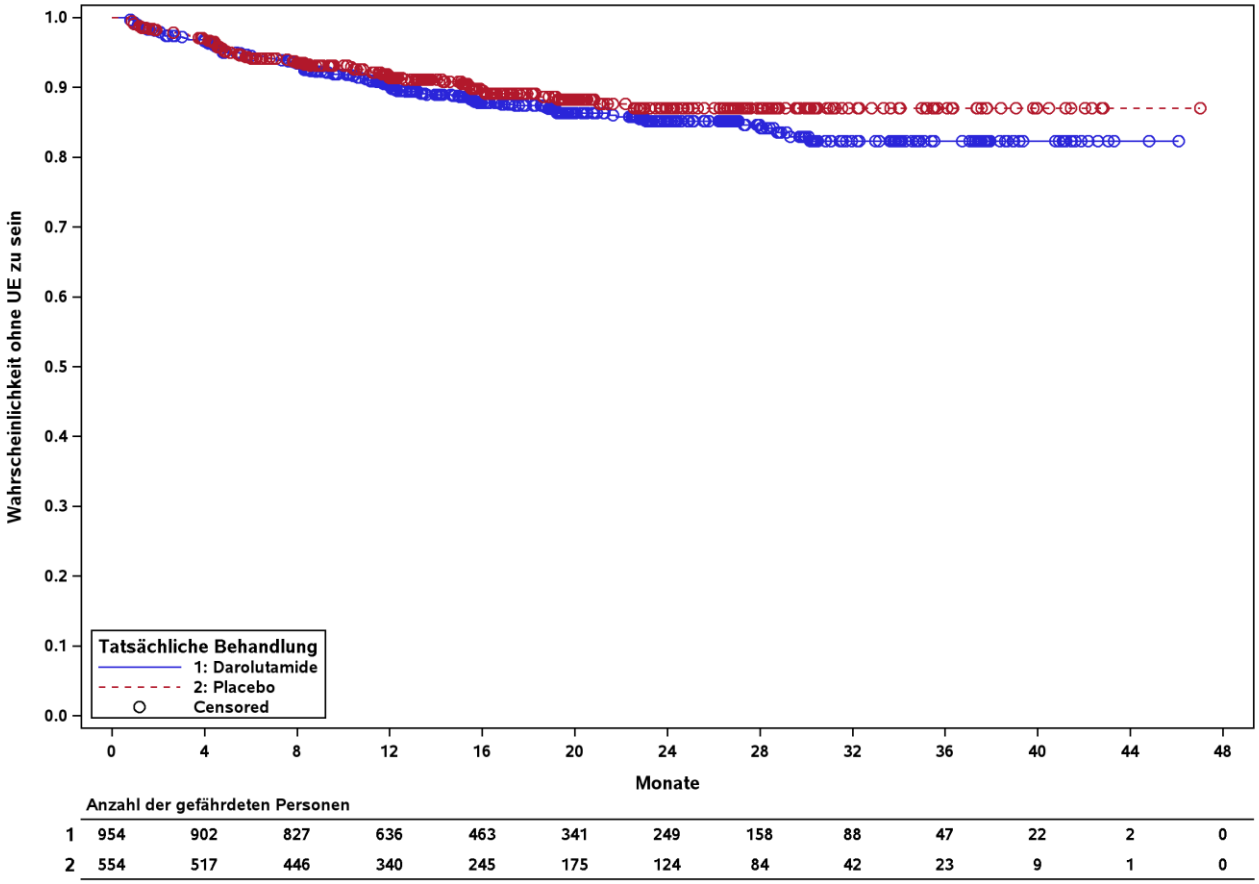
Bayer: /by-sasp/patdb/projects/1841788/17712/stat/prod_query22/pgms/t_aecut.sas 23APR2020 18:15

Figure 4.2.4 / 174: Kaplan-Meier-Plot der 'UE, die die Cutoff-Kriterien erfüllen TTE-Analyse' nach Endpunkt - Endpunkt: Zeit bis zum ersten unter der Behandlung aufgetretenen UE (TEAE) das die Cutoff-Kriterien auf MedDRA SOC Ebene erfüllt (Monate) - SOC: Reproductive system and breast disorders (10038604) (full analysis set)



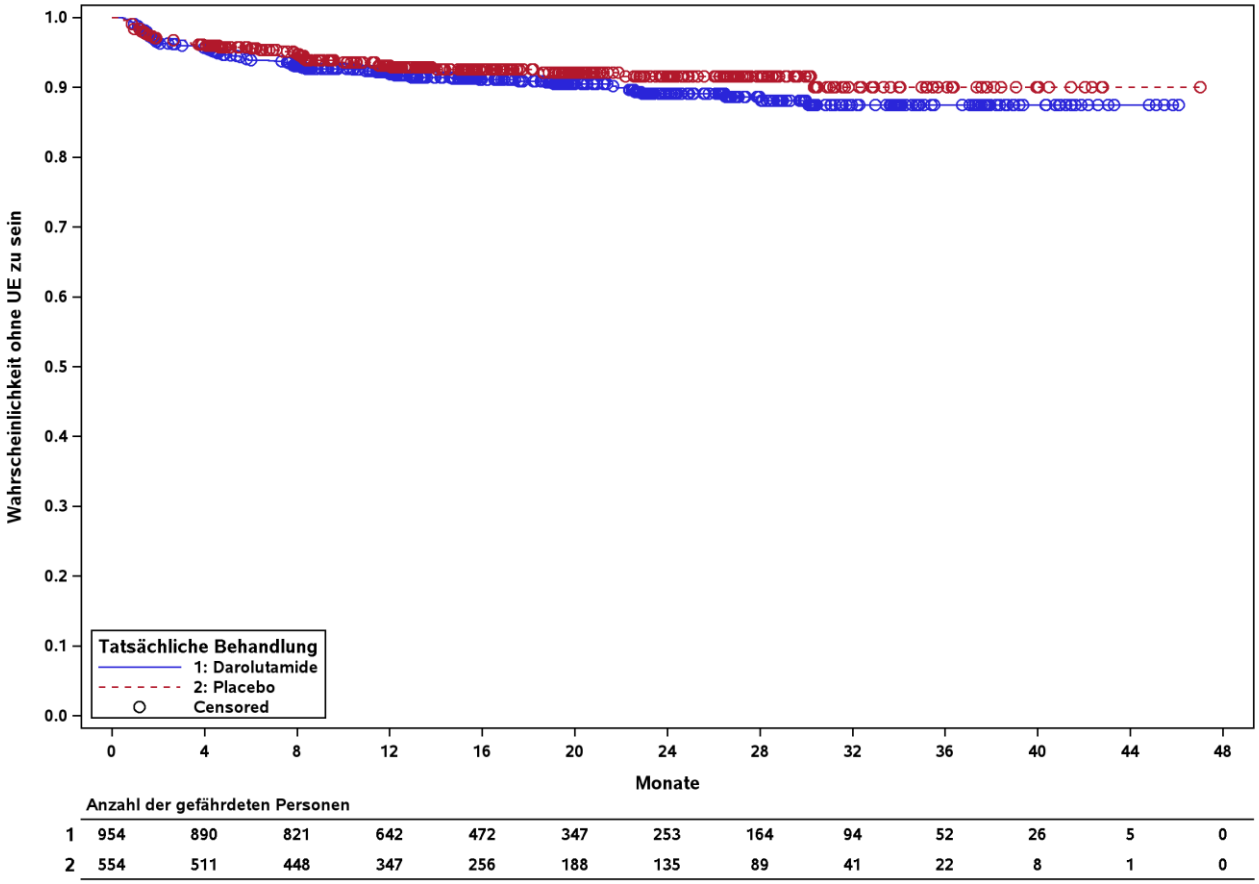
Bayer: /by-sasp/patdb/projects/1841788/17712/stat/prod_query22/pgms/t_aecut.sas 23APR2020 18:15

Figure 4.2.4 / 175: Kaplan-Meier-Plot der 'UE, die die Cutoff-Kriterien erfüllen TTE-Analyse' nach Endpunkt - Endpunkt: Zeit bis zum ersten unter der Behandlung aufgetretenen UE (TEAE) das die Cutoff-Kriterien auf MedDRA SOC Ebene erfüllt (Monate) - SOC: Respiratory, thoracic and mediastinal disorders (10038738) (full analysis set)



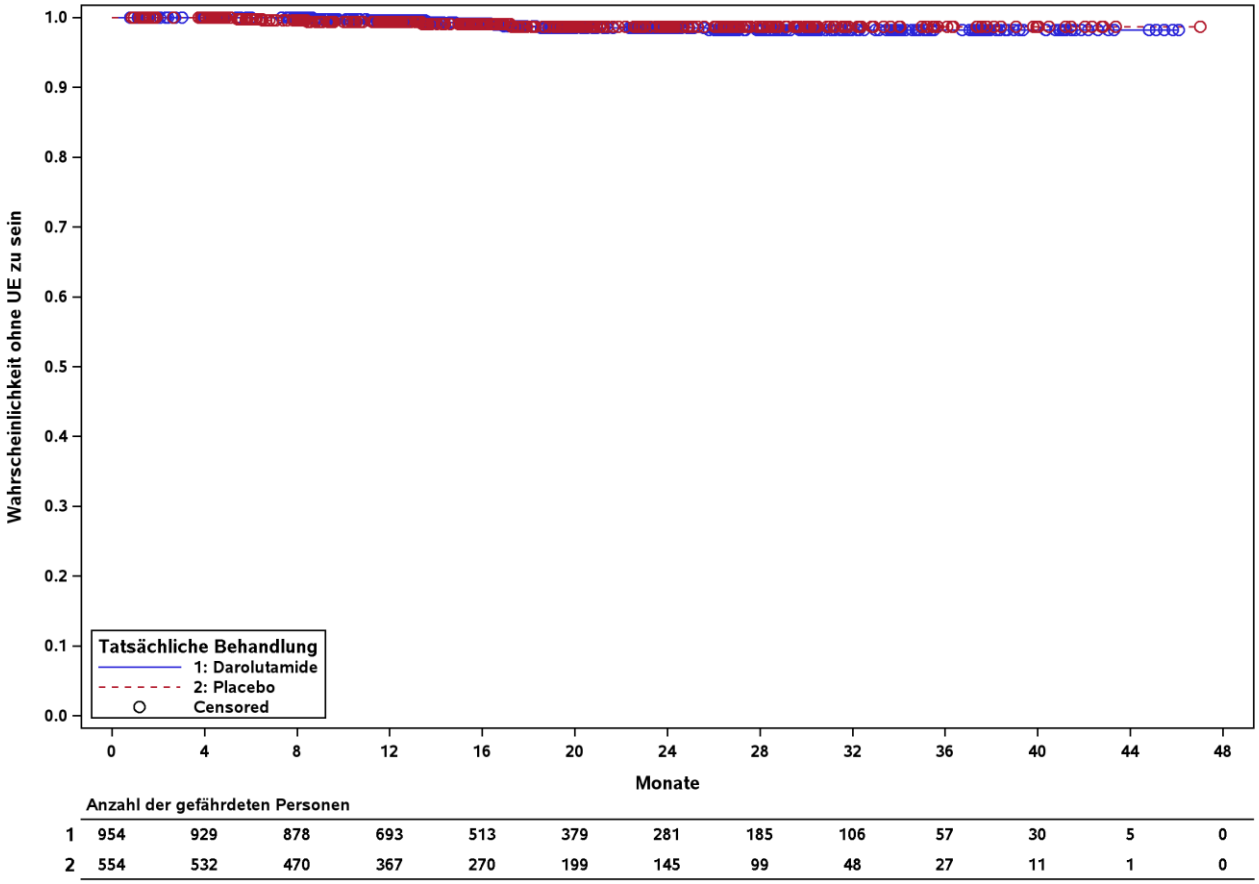
Bayer: /by-sasp/patdb/projects/1841788/17712/stat/prod_query22/pgms/t_aecut.sas 23APR2020 18:15

Figure 4.2.4 / 176: Kaplan-Meier-Plot der 'UE, die die Cutoff-Kriterien erfüllen TTE-Analyse' nach Endpunkt - Endpunkt: Zeit bis zum ersten unter der Behandlung aufgetretenen UE (TEAE) das die Cutoff-Kriterien auf MedDRA SOC Ebene erfüllt (Monate) - SOC: Skin and subcutaneous tissue disorders (10040785) (full analysis set)



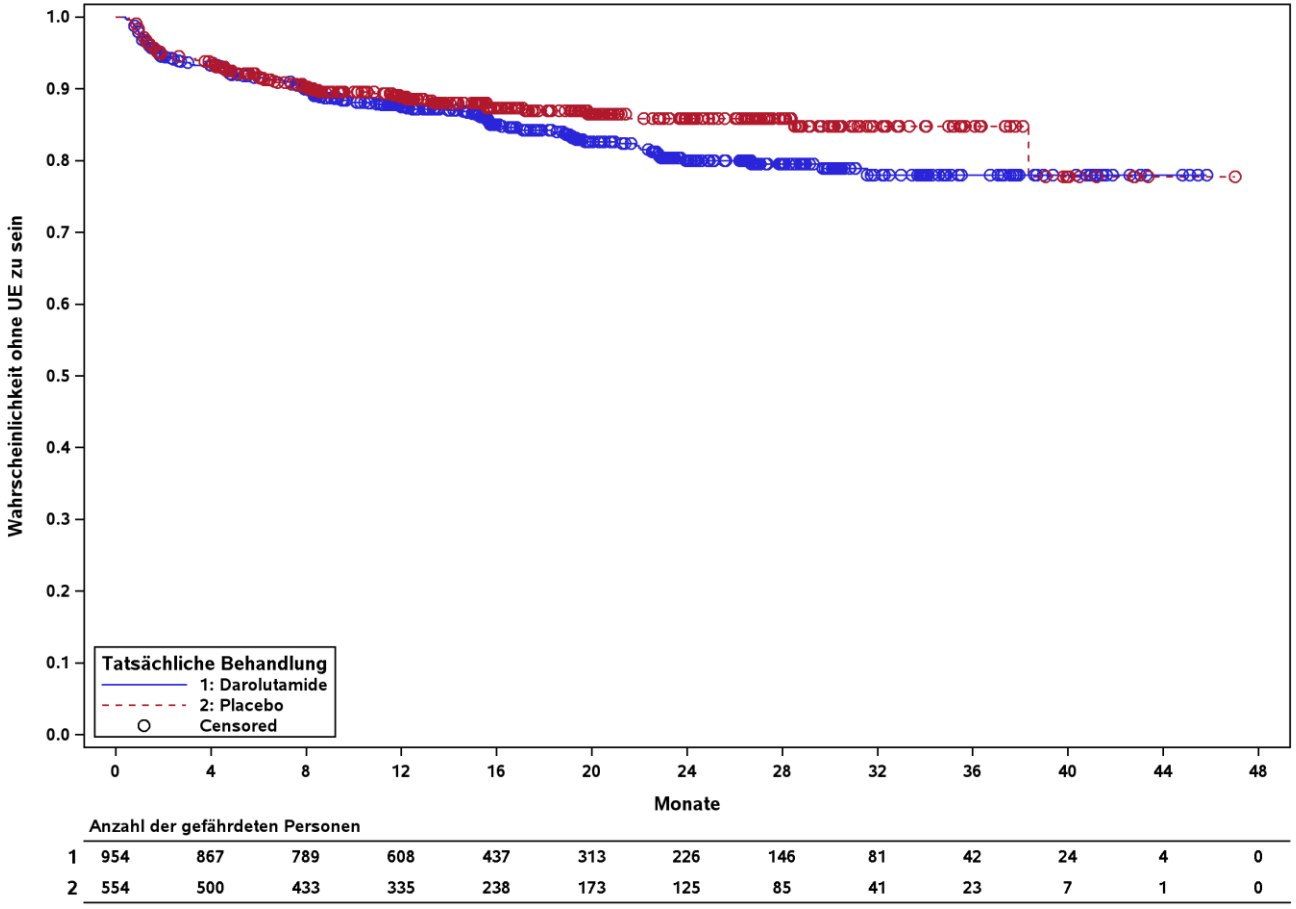
Bayer: /by-sasp/patdb/projects/1841788/17712/stat/prod_query22/pgms/t_aecut.sas 23APR2020 18:15

Figure 4.2.4 / 177: Kaplan-Meier-Plot der 'UE, die die Cutoff-Kriterien erfüllen TTE-Analyse' nach Endpunkt - Endpunkt: Zeit bis zum ersten unter der Behandlung aufgetretenen UE (TEAE) das die Cutoff-Kriterien auf MedDRA SOC Ebene erfüllt (Monate) - SOC: Surgical and medical procedures (10042613) (full analysis set)



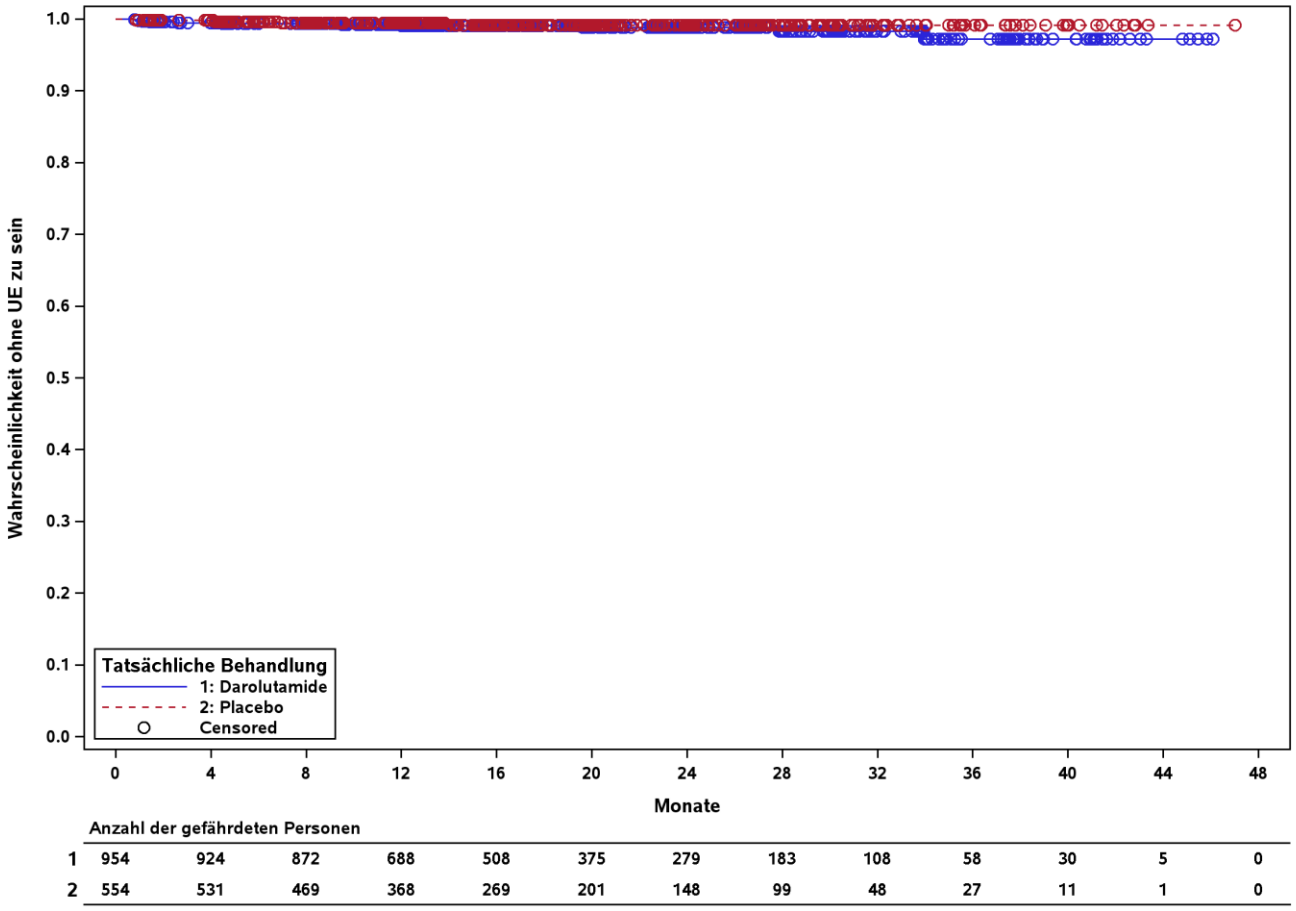
Bayer: /by-sasp/patdb/projects/1841788/17712/stat/prod_query22/pgms/t_aecut.sas 23APR2020 18:15

Figure 4.2.4 / 178: Kaplan-Meier-Plot der 'UE, die die Cutoff-Kriterien erfüllen TTE-Analyse' nach Endpunkt - Endpunkt: Zeit bis zum ersten unter der Behandlung aufgetretenen UE (TEAE) das die Cutoff-Kriterien auf MedDRA SOC Ebene erfüllt (Monate) - SOC: Vascular disorders (10047065) (full analysis set)



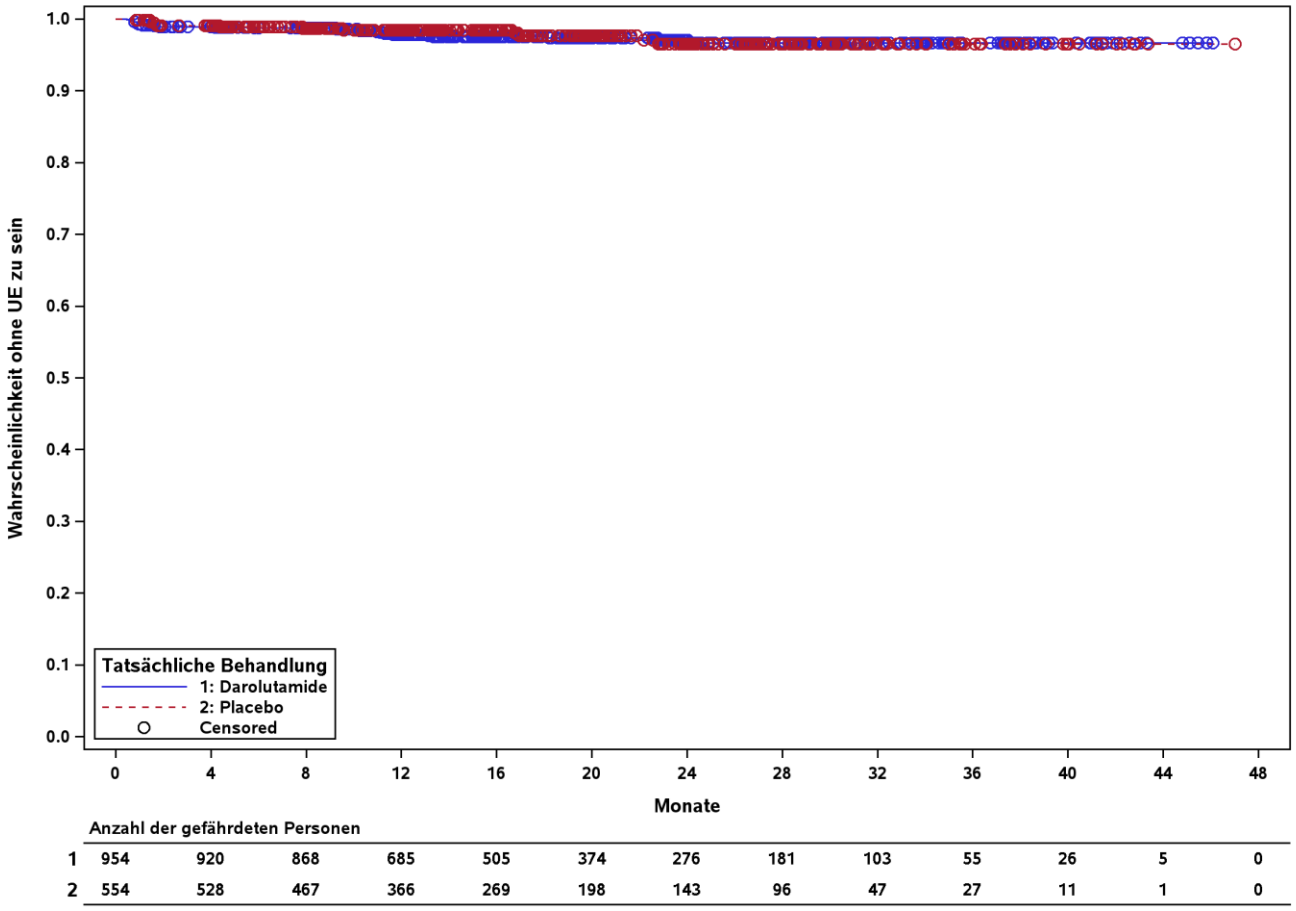
Bayer: /by-sasp/patdb/projects/1841788/17712/stat/prod_query22/pgms/t_aecut.sas 23APR2020 18:15

Figure 4.2.4 / 179: Kaplan-Meier-Plot der 'UE, die die Cutoff-Kriterien erfüllen TTE-Analyse' nach Endpunkt - Endpunkt: Zeit bis zum ersten unter der Behandlung aufgetretenen UE (TEAE) das die Cutoff-Kriterien auf MedDRA PT Ebene erfüllt (Monate) - PT: Abdominal distension (10000060) (full analysis set)



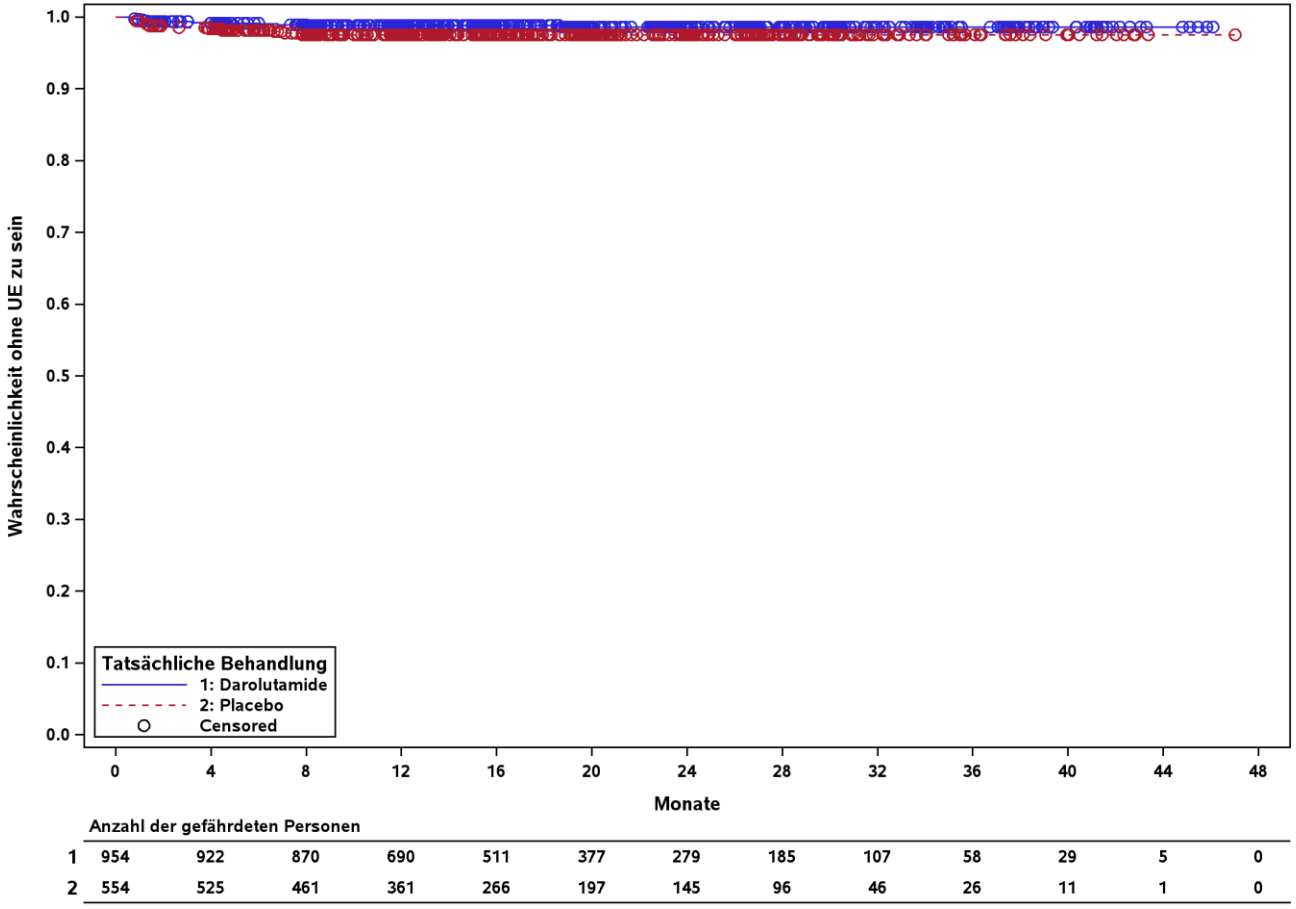
Bayer: /by-sasp/patdb/projects/1841788/17712/stat/prod_query22/pgms/t_aecut.sas 23APR2020 18:15

Figure 4.2.4 / 180: Kaplan-Meier-Plot der 'UE, die die Cutoff-Kriterien erfüllen TTE-Analyse' nach Endpunkt - Endpunkt: Zeit bis zum ersten unter der Behandlung aufgetretenen UE (TEAE) das die Cutoff-Kriterien auf MedDRA PT Ebene erfüllt (Monate) - PT: Abdominal pain (10000081) (full analysis set)



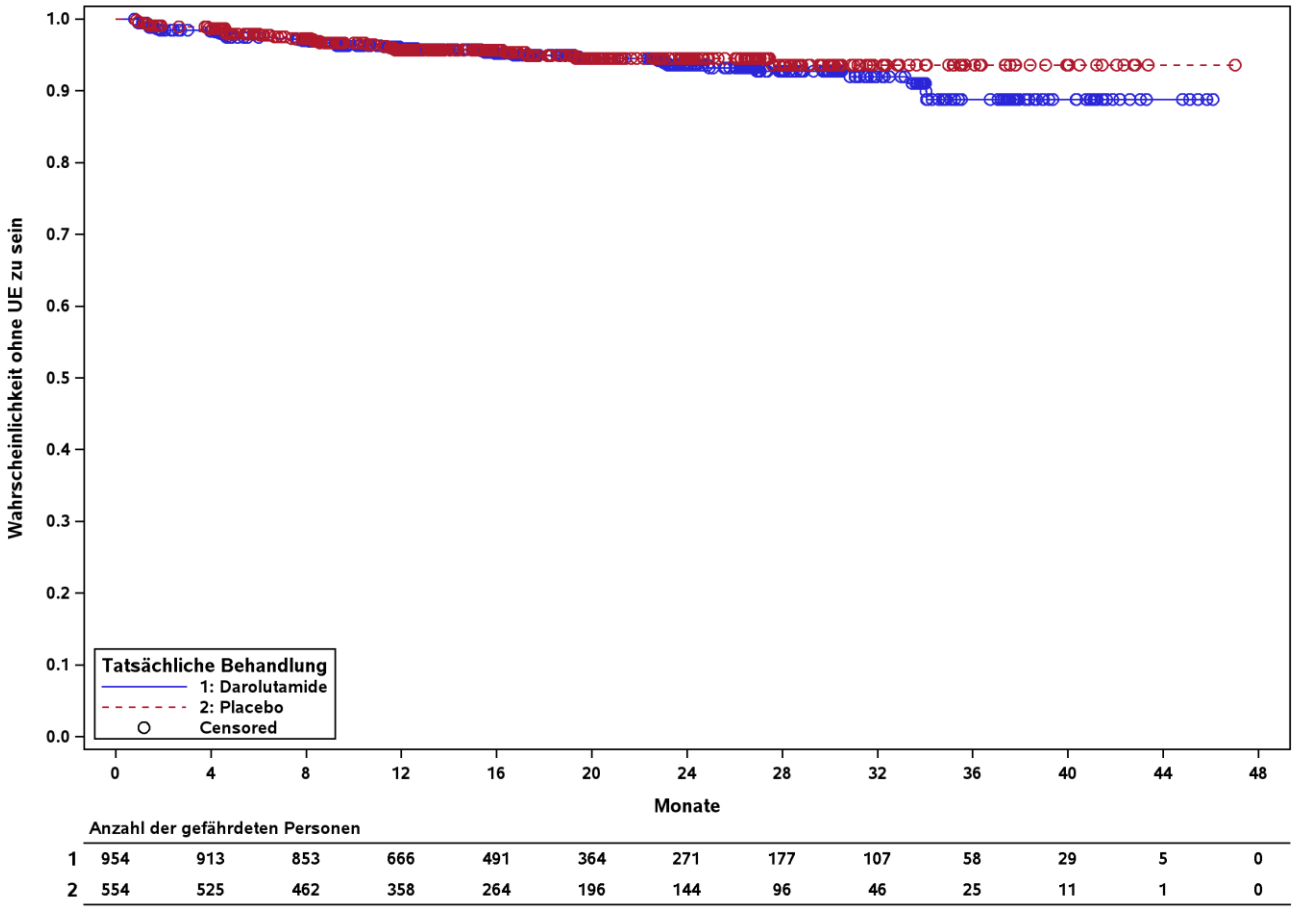
Bayer: /by-sasp/patdb/projects/1841788/17712/stat/prod_query22/pgms/t_aecut.sas 23APR2020 18:15

Figure 4.2.4 / 181: Kaplan-Meier-Plot der 'UE, die die Cutoff-Kriterien erfüllen TTE-Analyse' nach Endpunkt - Endpunkt: Zeit bis zum ersten unter der Behandlung aufgetretenen UE (TEAE) das die Cutoff-Kriterien auf MedDRA PT Ebene erfüllt (Monate) - PT: Abdominal pain upper (10000087) (full analysis set)



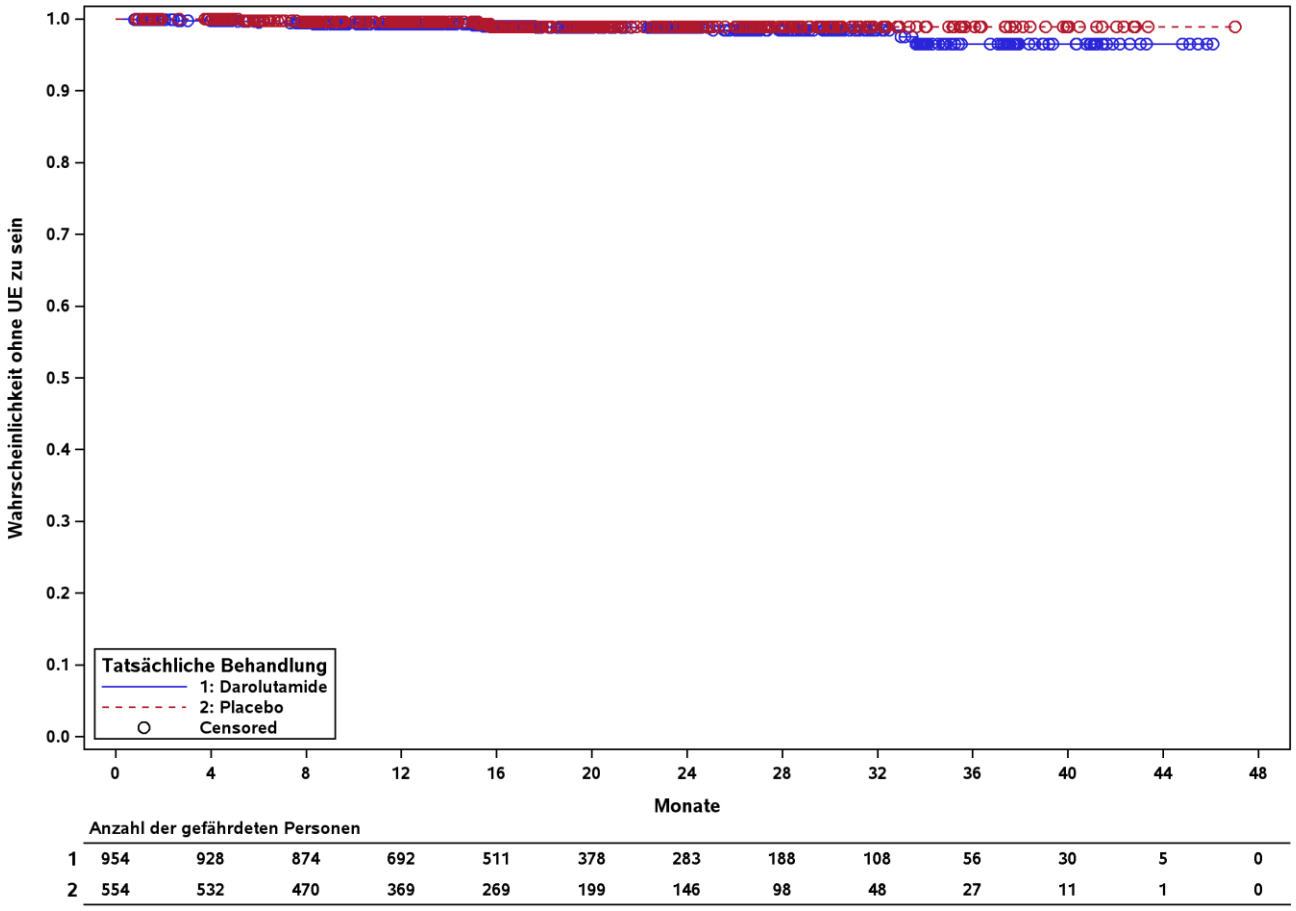
Bayer: /by-sasp/patdb/projects/1841788/17712/stat/prod_query22/pgms/t_aecut.sas 23APR2020 18:15

Figure 4.2.4 / 182: Kaplan-Meier-Plot der 'UE, die die Cutoff-Kriterien erfüllen TTE-Analyse' nach Endpunkt - Endpunkt: Zeit bis zum ersten unter der Behandlung aufgetretenen UE (TEAE) das die Cutoff-Kriterien auf MedDRA PT Ebene erfüllt (Monate) - PT: Anaemia (10002034) (full analysis set)



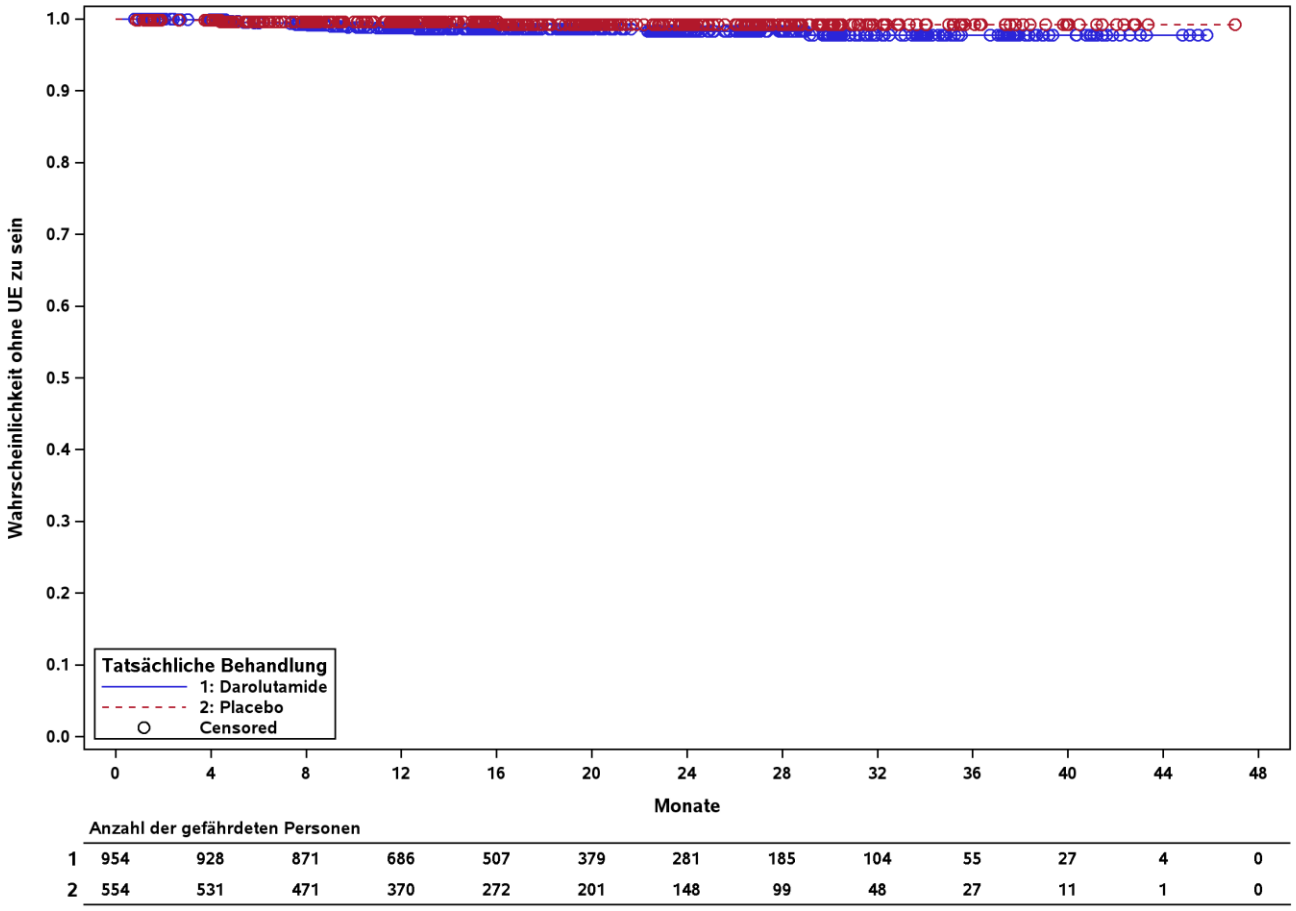
Bayer: /by-sasp/patdb/projects/1841788/17712/stat/prod_query22/pgms/t_aecut.sas 23APR2020 18:15

Figure 4.2.4 / 183: Kaplan-Meier-Plot der 'UE, die die Cutoff-Kriterien erfüllen TTE-Analyse' nach Endpunkt - Endpunkt: Zeit bis zum ersten unter der Behandlung aufgetretenen UE (TEAE) das die Cutoff-Kriterien auf MedDRA PT Ebene erfüllt (Monate) - PT: Angina pectoris (10002383) (full analysis set)



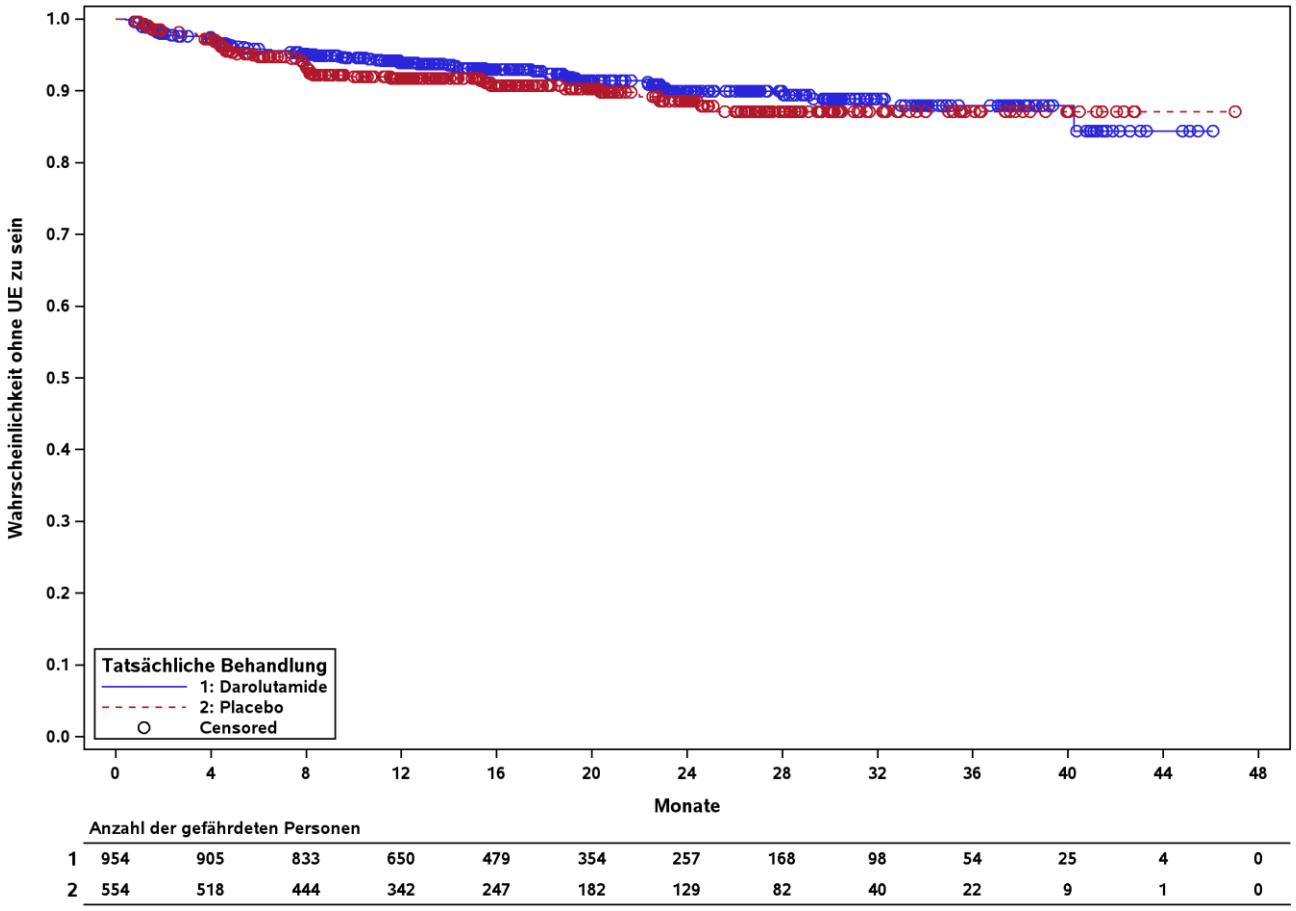
Bayer: /by-sasp/patdb/projects/1841788/17712/stat/prod_query22/pgms/t_aecut.sas 23APR2020 18:15

Figure 4.2.4 / 184: Kaplan-Meier-Plot der 'UE, die die Cutoff-Kriterien erfüllen TTE-Analyse' nach Endpunkt - Endpunkt: Zeit bis zum ersten unter der Behandlung aufgetretenen UE (TEAE) das die Cutoff-Kriterien auf MedDRA PT Ebene erfüllt (Monate) - PT: Arrhythmia (10003119) (full analysis set)



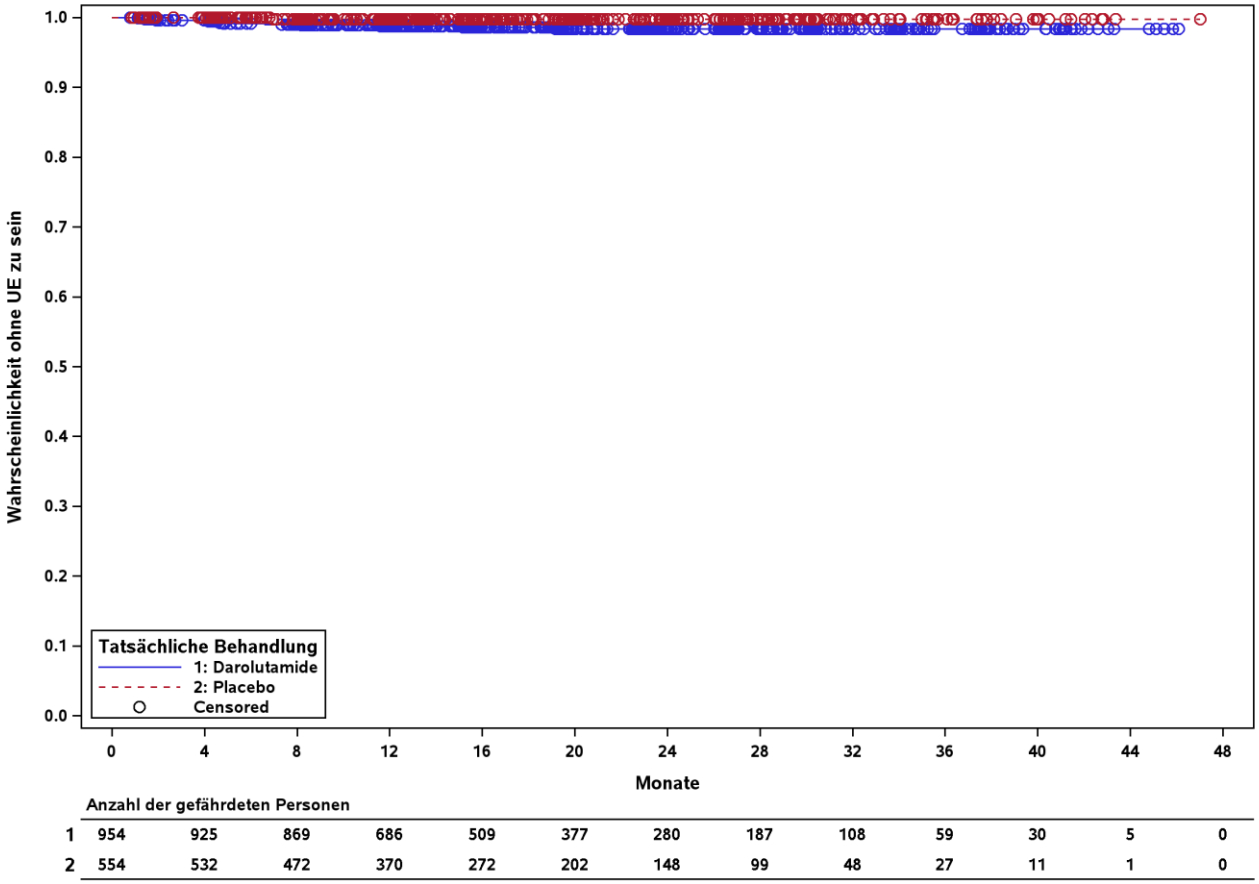
Bayer: /by-sasp/patdb/projects/1841788/17712/stat/prod_query22/pgms/t_aecut.sas 23APR2020 18:15

Figure 4.2.4 / 185: Kaplan-Meier-Plot der 'UE, die die Cutoff-Kriterien erfüllen TTE-Analyse' nach Endpunkt - Endpunkt: Zeit bis zum ersten unter der Behandlung aufgetretenen UE (TEAE) das die Cutoff-Kriterien auf MedDRA PT Ebene erfüllt (Monate) - PT: Arthralgia (10003239) (full analysis set)



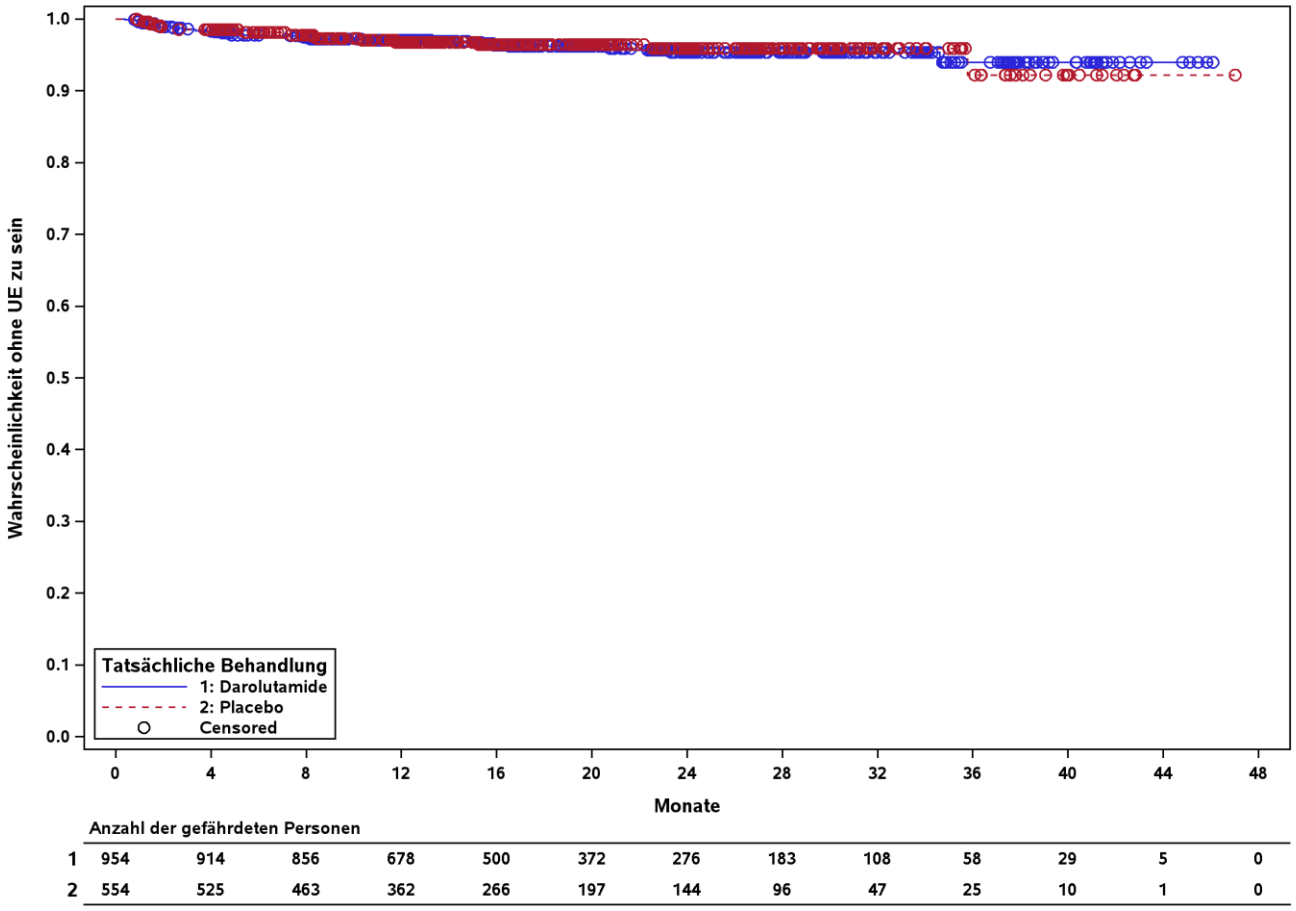
Bayer: /by-sasp/patdb/projects/1841788/17712/stat/prod_query22/pgms/t_aecut.sas 23APR2020 18:15

Figure 4.2.4 / 186: Kaplan-Meier-Plot der 'UE, die die Cutoff-Kriterien erfüllen TTE-Analyse' nach Endpunkt - Endpunkt: Zeit bis zum ersten unter der Behandlung aufgetretenen UE (TEAE) das die Cutoff-Kriterien auf MedDRA PT Ebene erfüllt (Monate) - PT: Aspartate aminotransferase increased (10003481) (full analysis set)



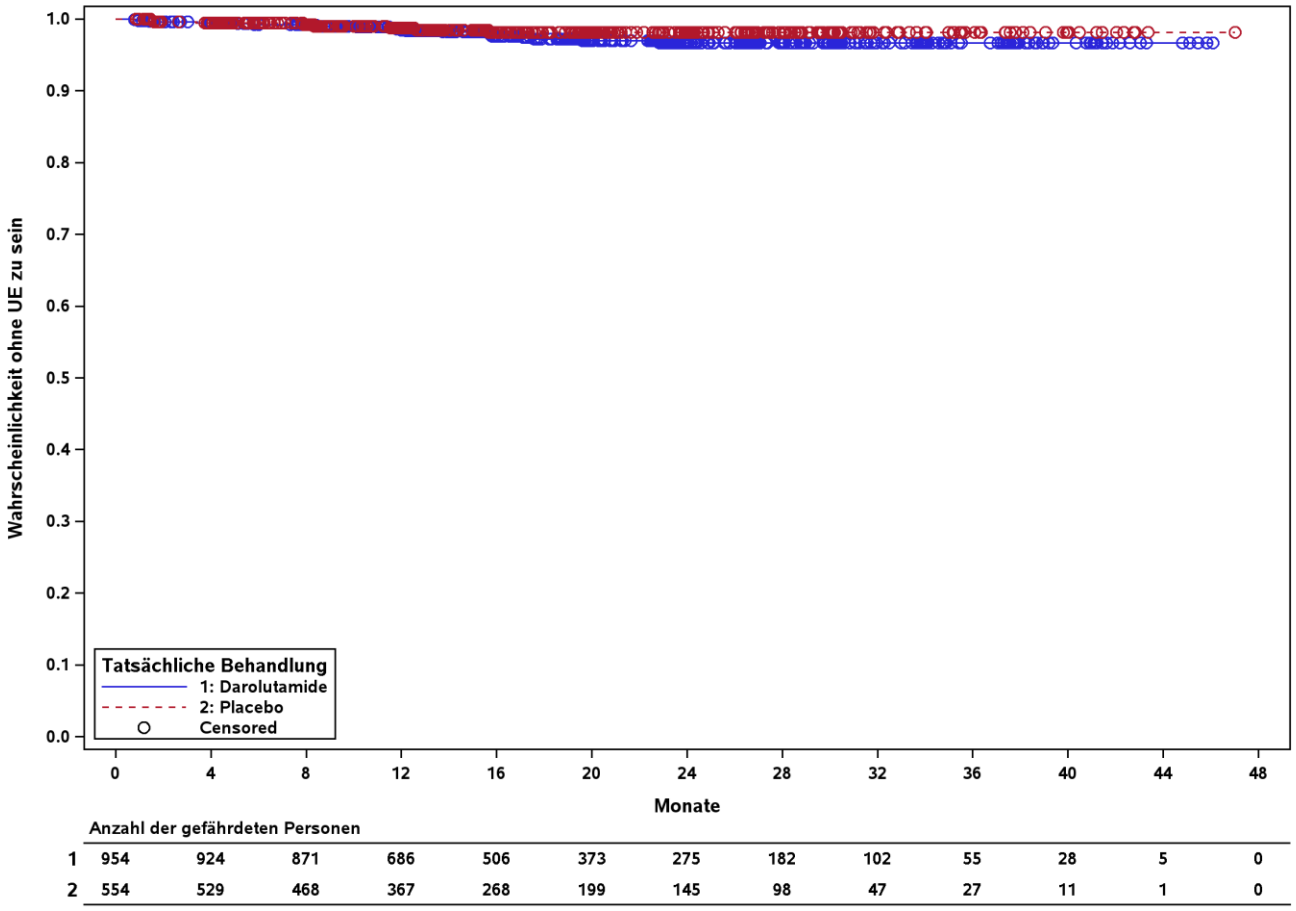
Bayer: /by-sasp/patdb/projects/1841788/17712/stat/prod_query22/pgms/t_aecut.sas 23APR2020 18:15

Figure 4.2.4 / 187: Kaplan-Meier-Plot der 'UE, die die Cutoff-Kriterien erfüllen TTE-Analyse' nach Endpunkt - Endpunkt: Zeit bis zum ersten unter der Behandlung aufgetretenen UE (TEAE) das die Cutoff-Kriterien auf MedDRA PT Ebene erfüllt (Monate) - PT: Asthenia (10003549) (full analysis set)



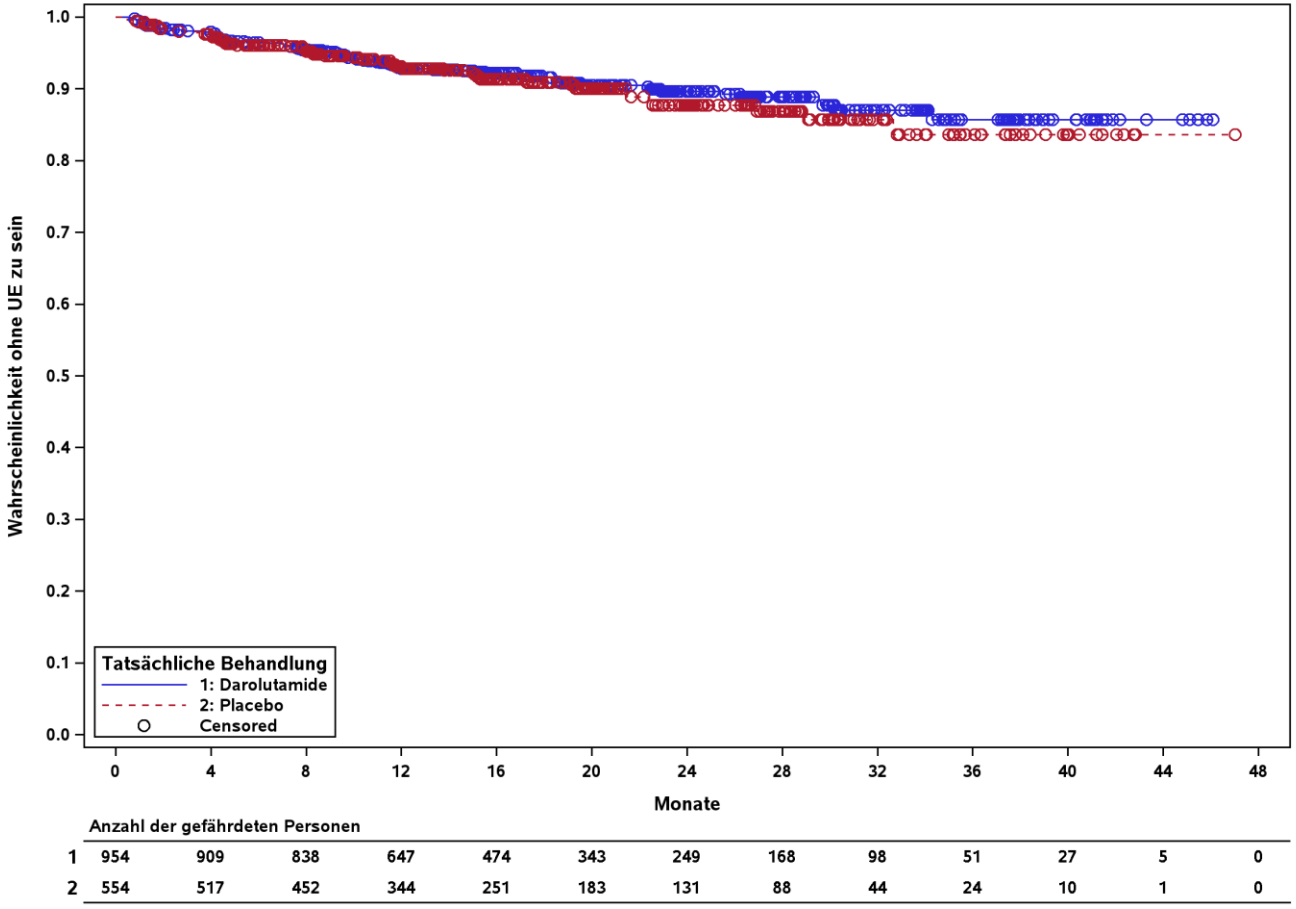
Bayer: /by-sasp/patdb/projects/1841788/17712/stat/prod_query22/pgms/t_aecut.sas 23APR2020 18:15

Figure 4.2.4 / 188: Kaplan-Meier-Plot der 'UE, die die Cutoff-Kriterien erfüllen TTE-Analyse' nach Endpunkt - Endpunkt: Zeit bis zum ersten unter der Behandlung aufgetretenen UE (TEAE) das die Cutoff-Kriterien auf MedDRA PT Ebene erfüllt (Monate) - PT: Atrial fibrillation (10003658) (full analysis set)



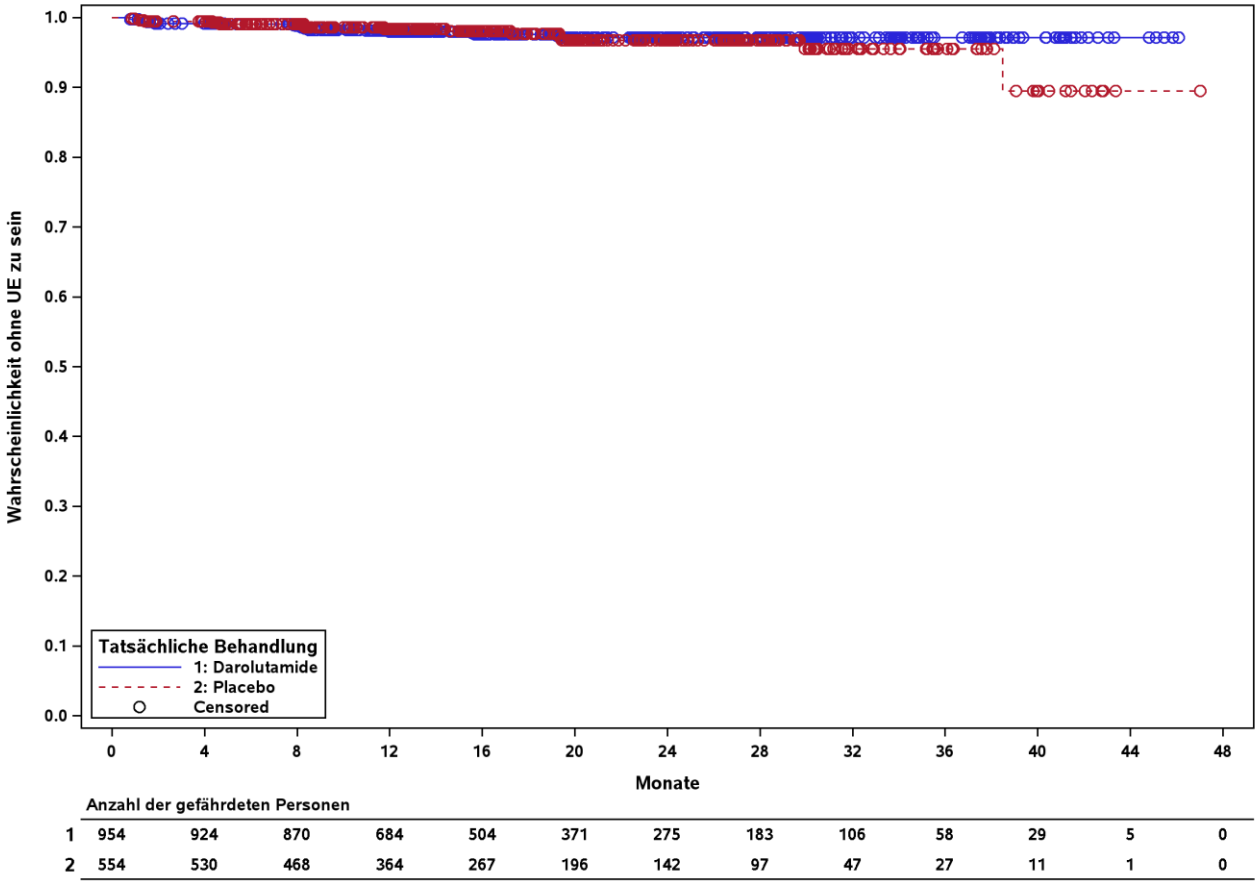
Bayer: /by-sasp/patdb/projects/1841788/17712/stat/prod_query22/pgms/t_aecut.sas 23APR2020 18:15

Figure 4.2.4 / 189: Kaplan-Meier-Plot der 'UE, die die Cutoff-Kriterien erfüllen TTE-Analyse' nach Endpunkt - Endpunkt: Zeit bis zum ersten unter der Behandlung aufgetretenen UE (TEAE) das die Cutoff-Kriterien auf MedDRA PT Ebene erfüllt (Monate) - PT: Back pain (10003988) (full analysis set)



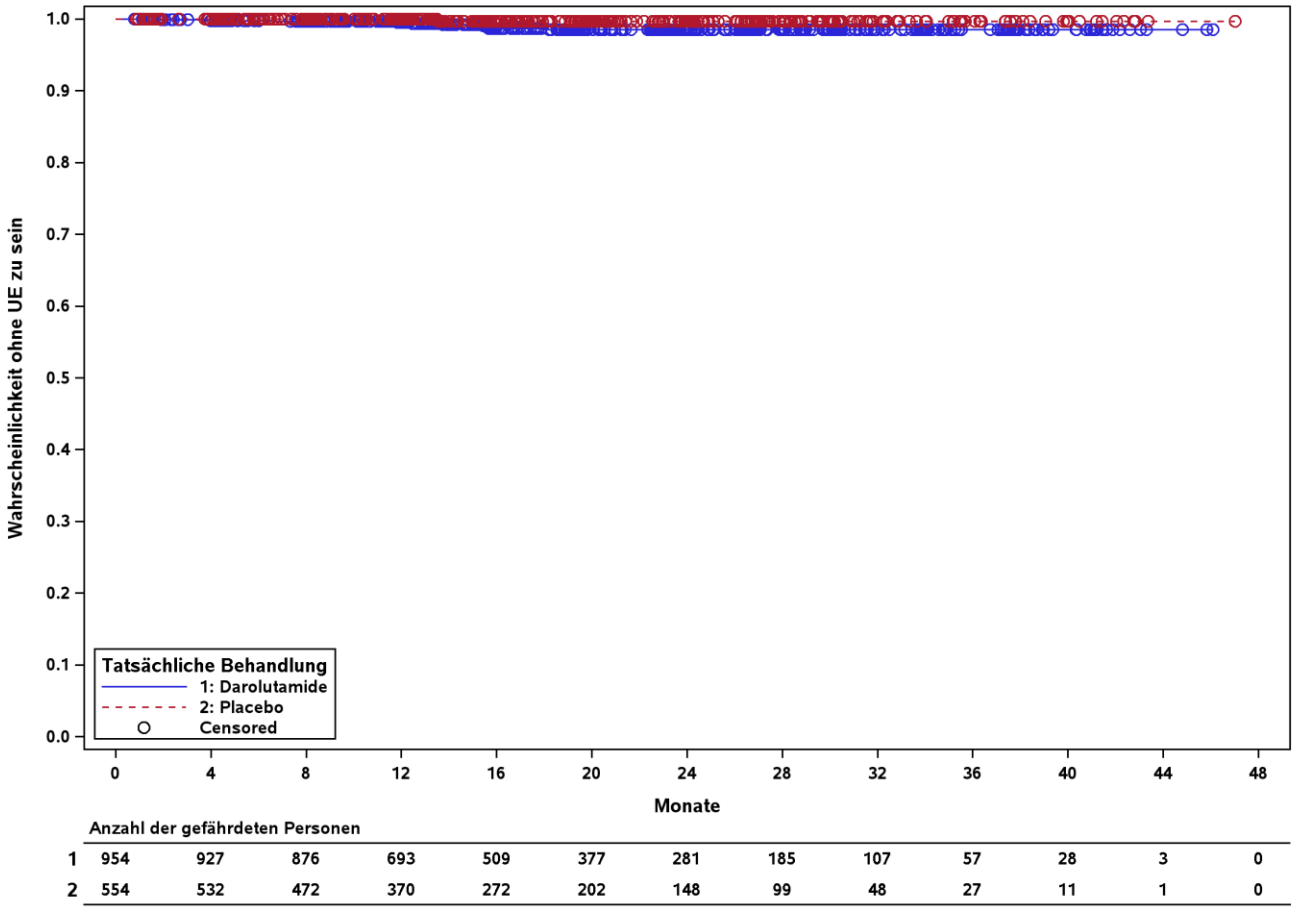
Bayer: /by-sasp/patdb/projects/1841788/17712/stat/prod_query22/pgms/t_aecut.sas 23APR2020 18:15

Figure 4.2.4 / 190: Kaplan-Meier-Plot der 'UE, die die Cutoff-Kriterien erfüllen TTE-Analyse' nach Endpunkt - Endpunkt: Zeit bis zum ersten unter der Behandlung aufgetretenen UE (TEAE) das die Cutoff-Kriterien auf MedDRA PT Ebene erfüllt (Monate) - PT: Blood creatinine increased (10005483) (full analysis set)



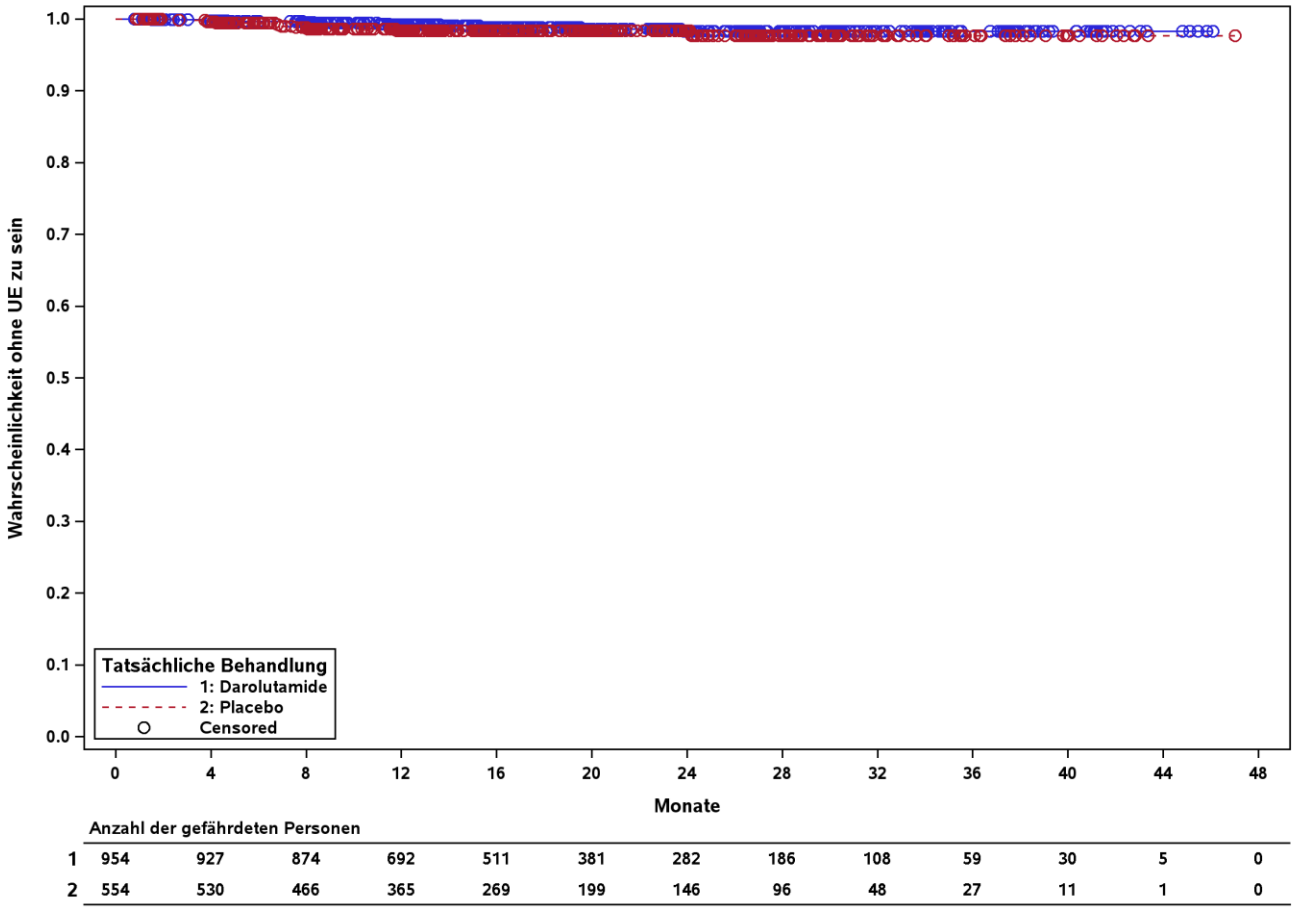
Bayer: /by-sasp/patdb/projects/1841788/17712/stat/prod_query22/pgms/t_aecut.sas 23APR2020 18:15

Figure 4.2.4 / 191: Kaplan-Meier-Plot der 'UE, die die Cutoff-Kriterien erfüllen TTE-Analyse' nach Endpunkt - Endpunkt: Zeit bis zum ersten unter der Behandlung aufgetretenen UE (TEAE) das die Cutoff-Kriterien auf MedDRA PT Ebene erfüllt (Monate) - PT: Bradycardia (10006093) (full analysis set)



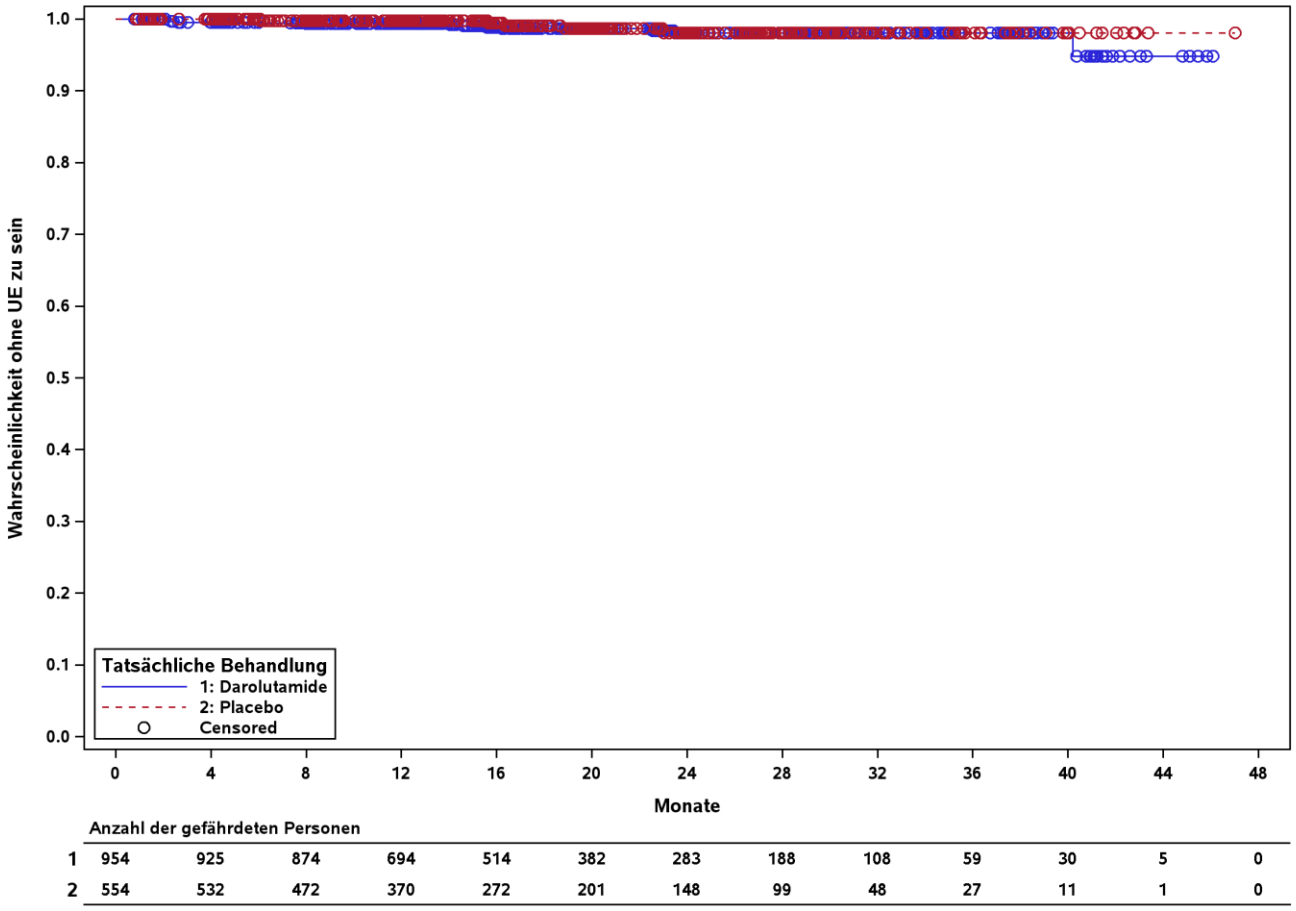
Bayer: /by-sasp/patdb/projects/1841788/17712/stat/prod_query22/pgms/t_aecut.sas 23APR2020 18:15

Figure 4.2.4 / 192: Kaplan-Meier-Plot der 'UE, die die Cutoff-Kriterien erfüllen TTE-Analyse' nach Endpunkt - Endpunkt: Zeit bis zum ersten unter der Behandlung aufgetretenen UE (TEAE) das die Cutoff-Kriterien auf MedDRA PT Ebene erfüllt (Monate) - PT: Bronchitis (10006451) (full analysis set)



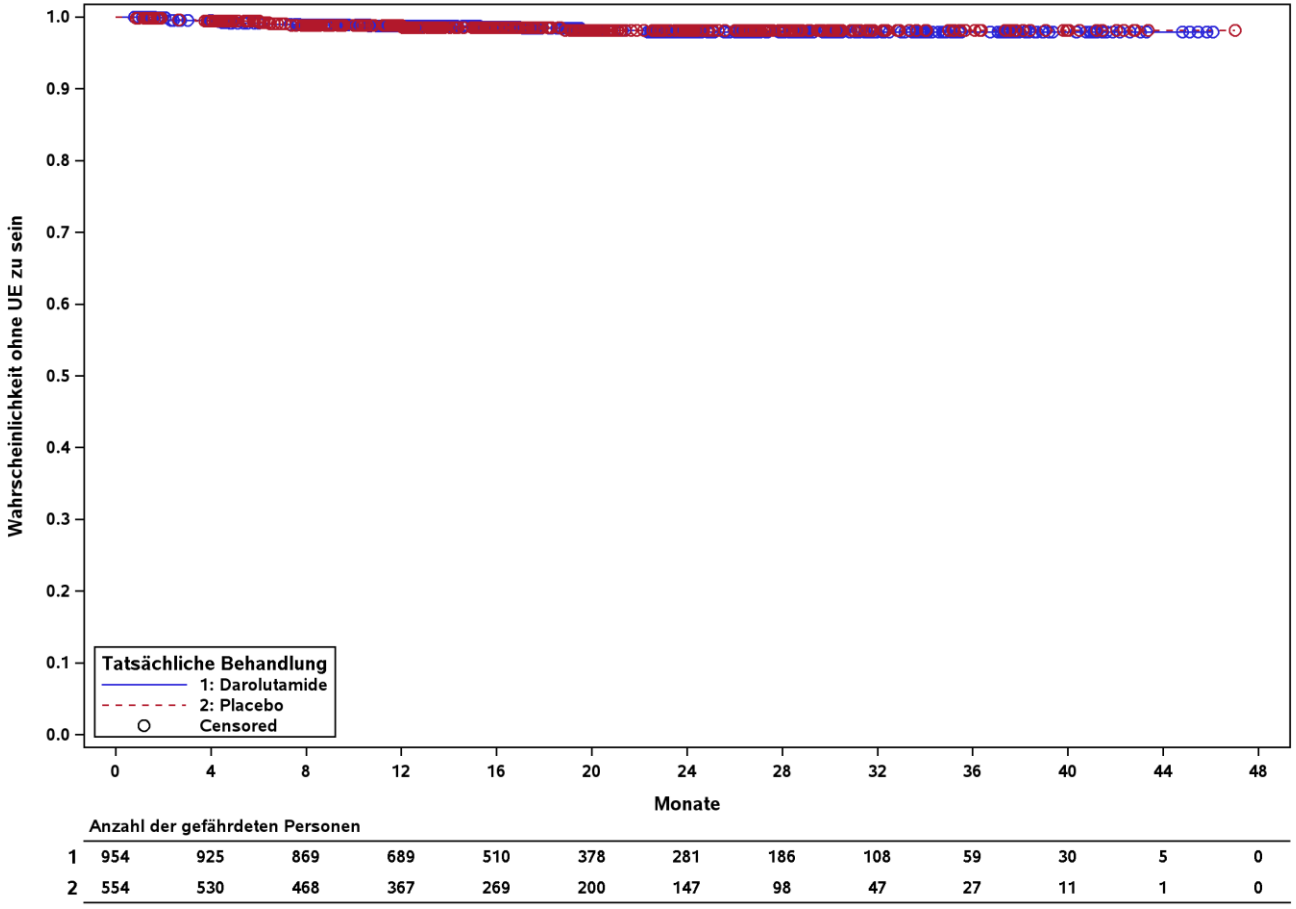
Bayer: /by-sasp/patdb/projects/1841788/17712/stat/prod_query22/pgms/t_aecut.sas 23APR2020 18:15

Figure 4.2.4 / 193: Kaplan-Meier-Plot der 'UE, die die Cutoff-Kriterien erfüllen TTE-Analyse' nach Endpunkt - Endpunkt: Zeit bis zum ersten unter der Behandlung aufgetretenen UE (TEAE) das die Cutoff-Kriterien auf MedDRA PT Ebene erfüllt (Monate) - PT: Cardiac failure (10007554) (full analysis set)



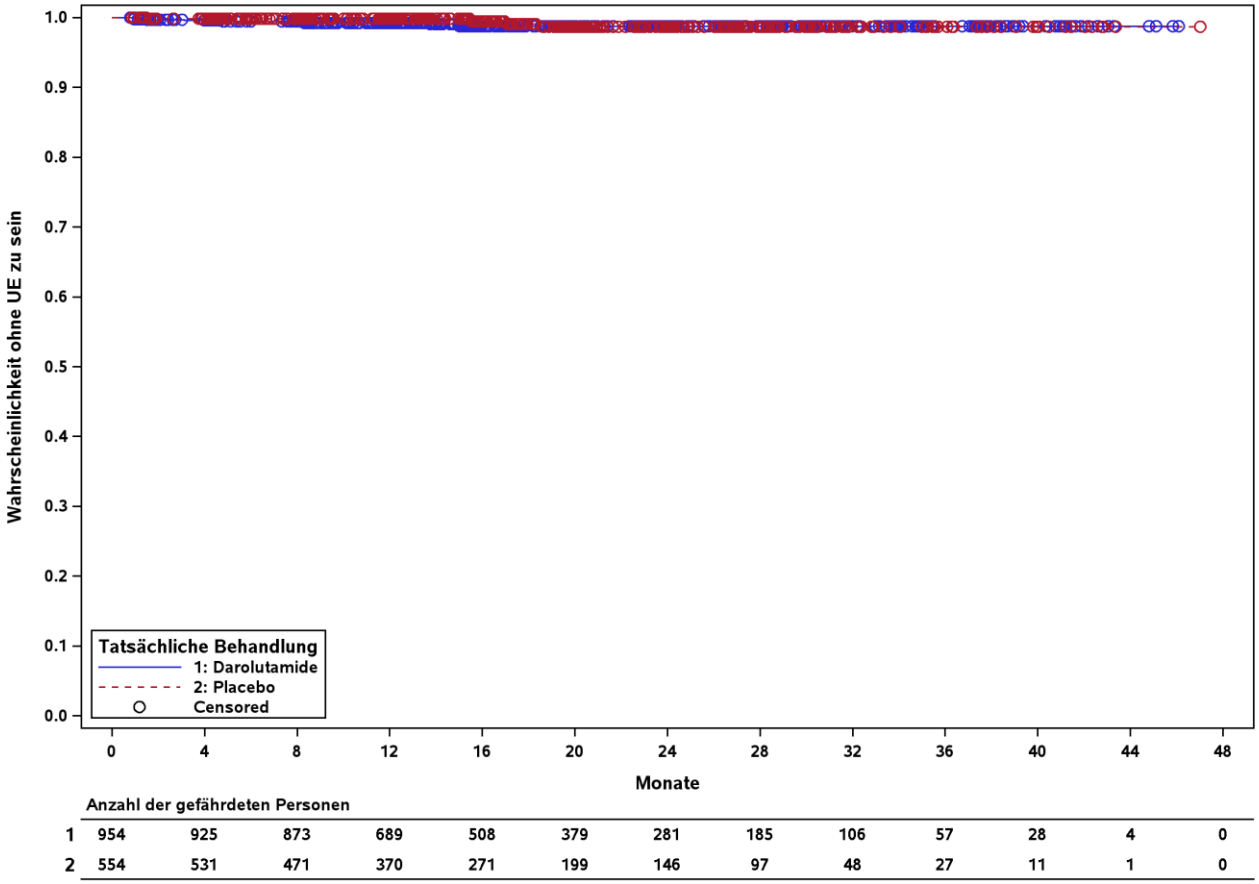
Bayer: /by-sasp/patdb/projects/1841788/17712/stat/prod_query22/pgms/t_aecut.sas 23APR2020 18:15

Figure 4.2.4 / 194: Kaplan-Meier-Plot der 'UE, die die Cutoff-Kriterien erfüllen TTE-Analyse' nach Endpunkt - Endpunkt: Zeit bis zum ersten unter der Behandlung aufgetretenen UE (TEAE) das die Cutoff-Kriterien auf MedDRA PT Ebene erfüllt (Monate) - PT: Chest pain (10008479) (full analysis set)



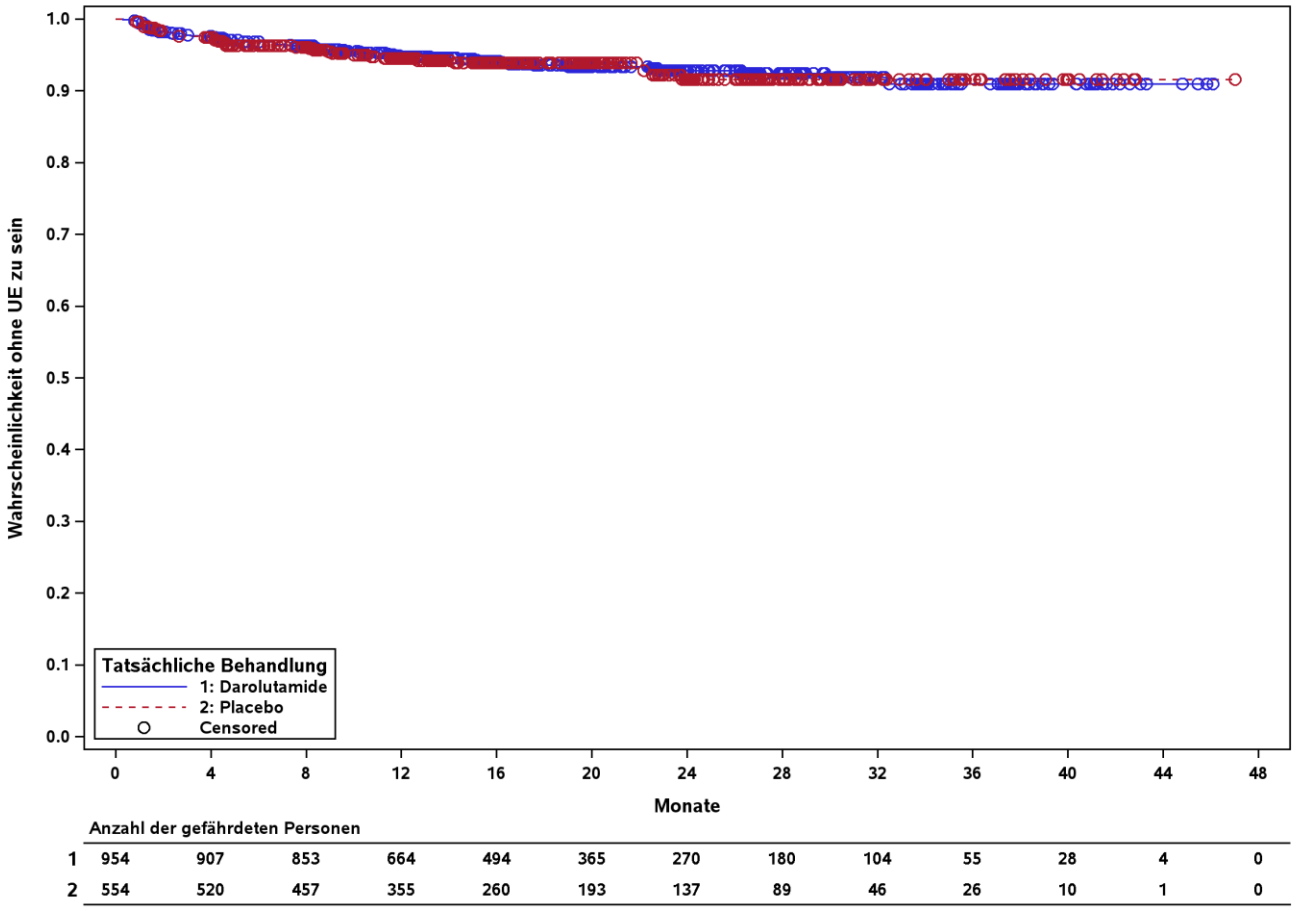
Bayer: /by-sasp/patdb/projects/1841788/17712/stat/prod_query22/pgms/t_aecut.sas 23APR2020 18:15

Figure 4.2.4 / 195: Kaplan-Meier-Plot der 'UE, die die Cutoff-Kriterien erfüllen TTE-Analyse' nach Endpunkt - Endpunkt: Zeit bis zum ersten unter der Behandlung aufgetretenen UE (TEAE) das die Cutoff-Kriterien auf MedDRA PT Ebene erfüllt (Monate) - PT: Chronic obstructive pulmonary disease (10009033) (full analysis set)



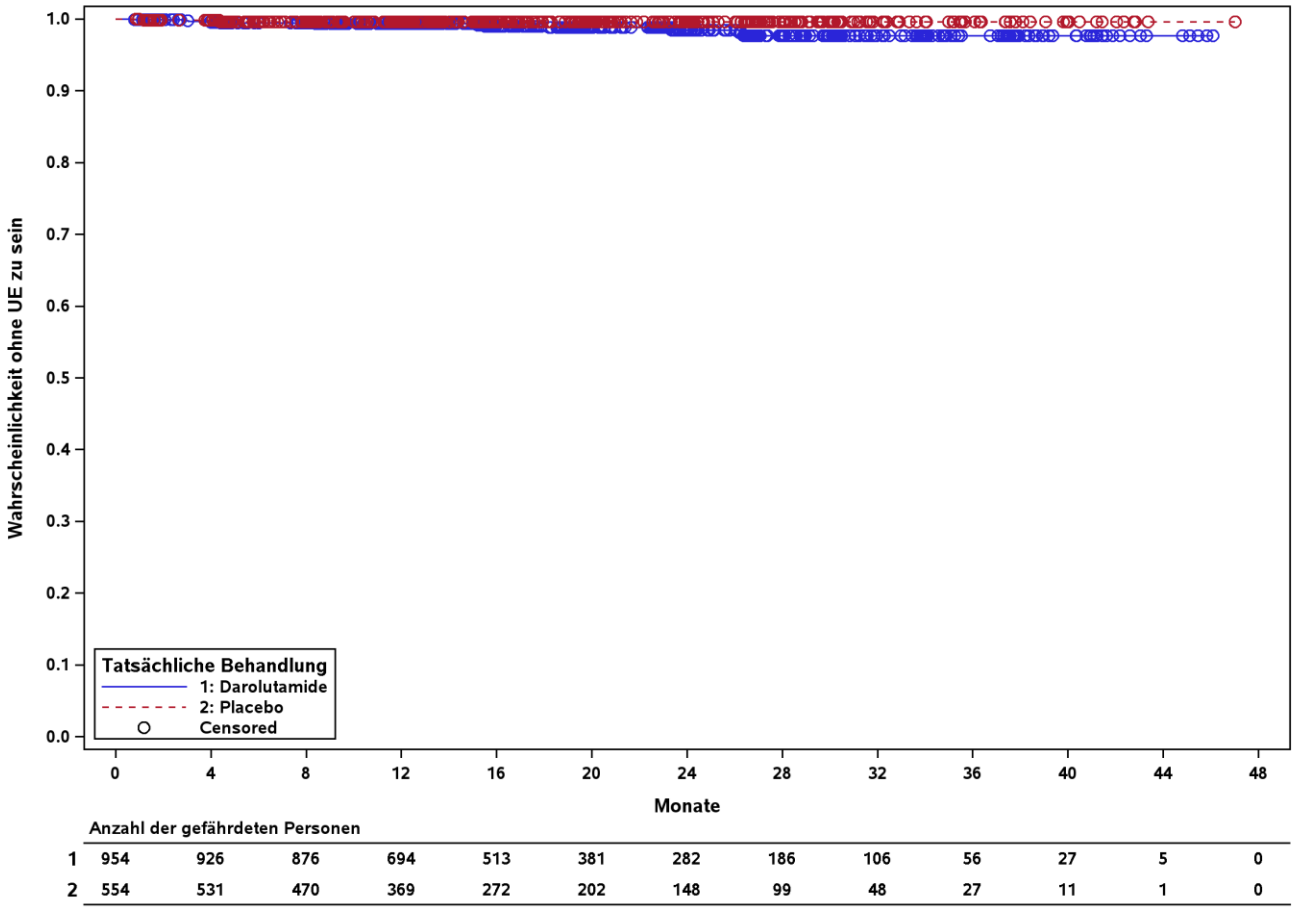
Bayer: /by-sasp/patdb/projects/1841788/17712/stat/prod_query22/pgms/t_aecut.sas 23APR2020 18:15

Figure 4.2.4 / 196: Kaplan-Meier-Plot der 'UE, die die Cutoff-Kriterien erfüllen TTE-Analyse' nach Endpunkt - Endpunkt: Zeit bis zum ersten unter der Behandlung aufgetretenen UE (TEAE) das die Cutoff-Kriterien auf MedDRA PT Ebene erfüllt (Monate) - PT: Constipation (10010774) (full analysis set)



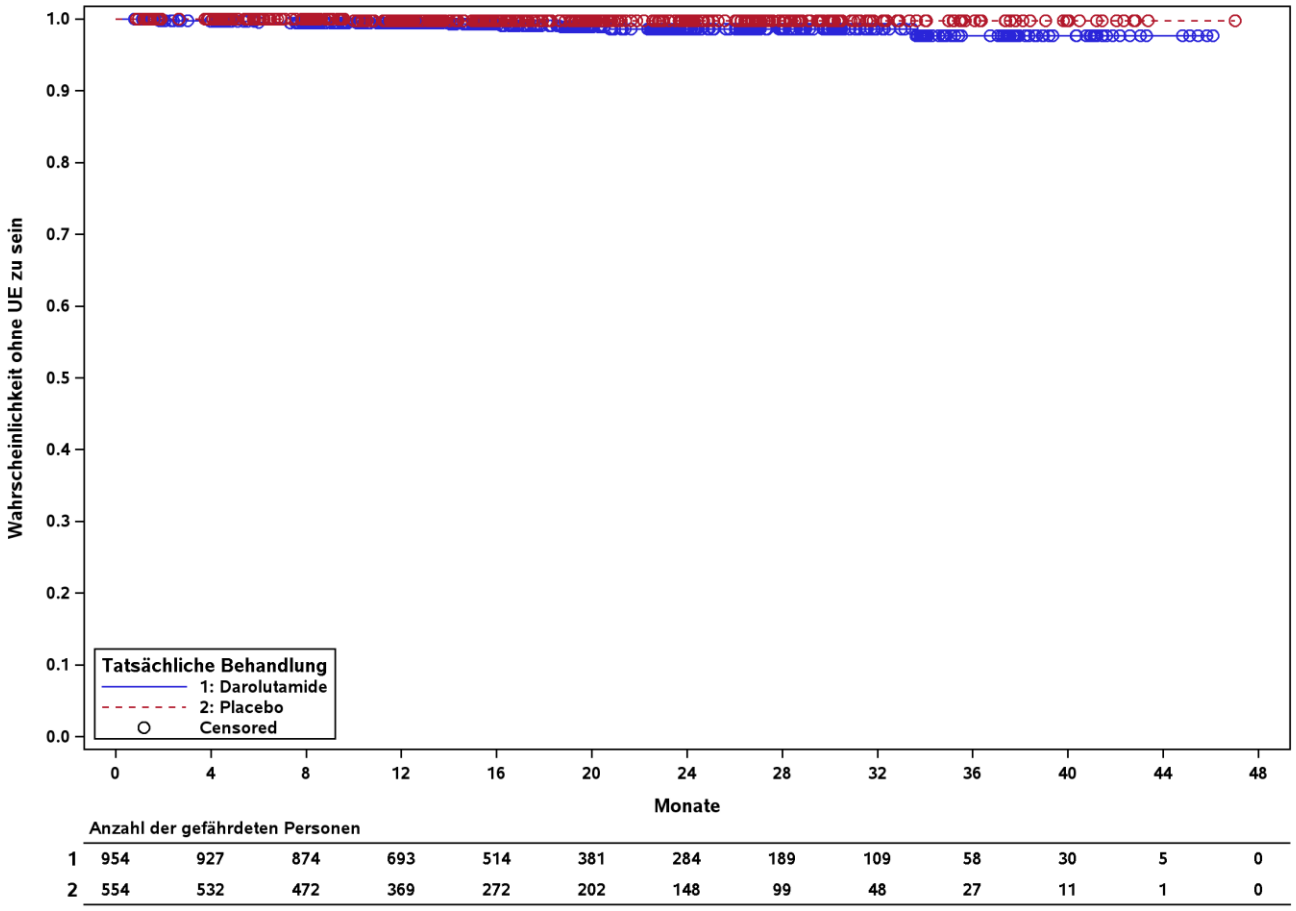
Bayer: /by-sasp/patdb/projects/1841788/17712/stat/prod_query22/pgms/t_aecut.sas 23APR2020 18:15

Figure 4.2.4 / 197: Kaplan-Meier-Plot der 'UE, die die Cutoff-Kriterien erfüllen TTE-Analyse' nach Endpunkt - Endpunkt: Zeit bis zum ersten unter der Behandlung aufgetretenen UE (TEAE) das die Cutoff-Kriterien auf MedDRA PT Ebene erfüllt (Monate) - PT: Contusion (10050584) (full analysis set)



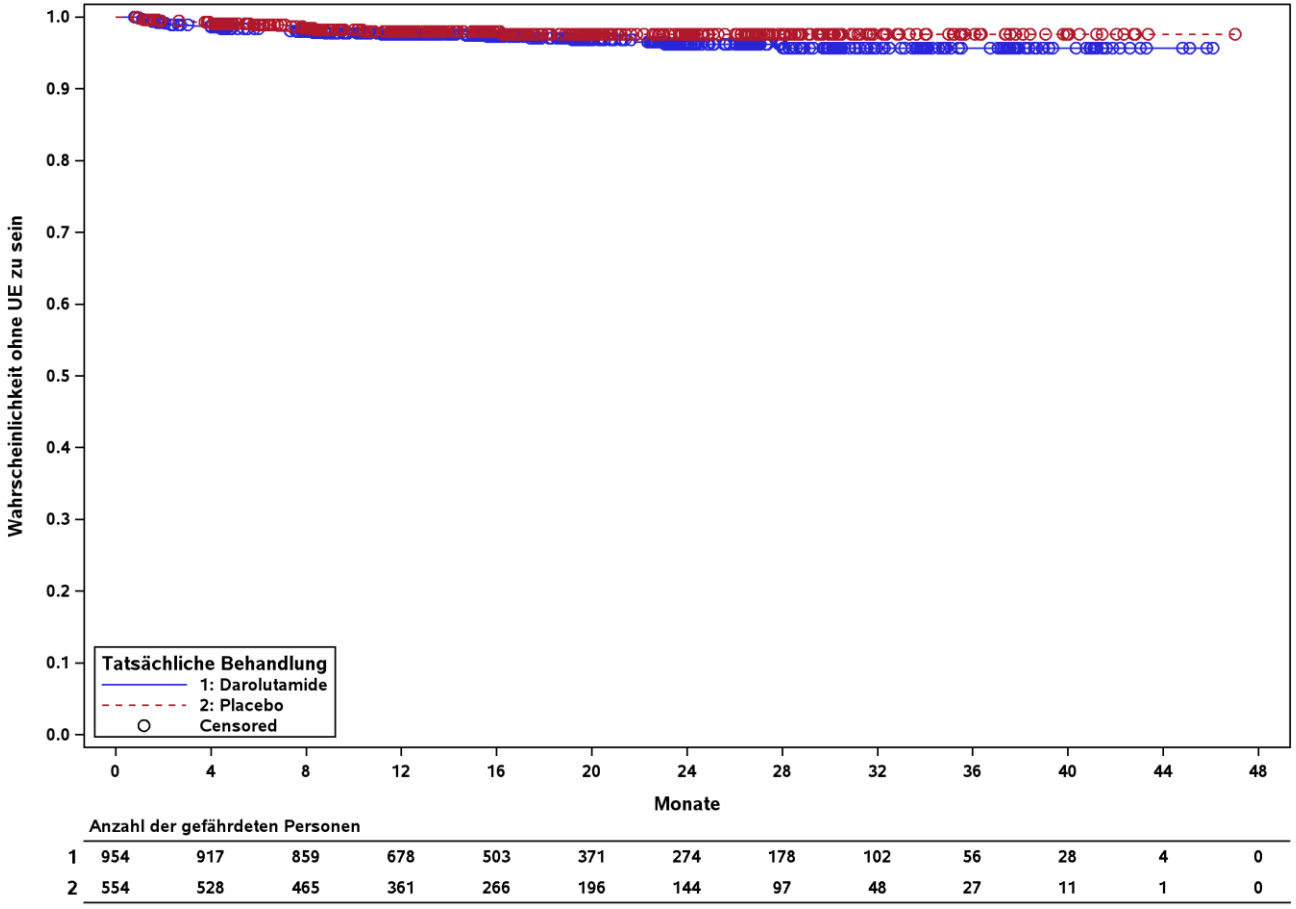
Bayer: /by-sasp/patdb/projects/1841788/17712/stat/prod_query22/pgms/t_aecut.sas 23APR2020 18:15

Figure 4.2.4 / 198: Kaplan-Meier-Plot der 'UE, die die Cutoff-Kriterien erfüllen TTE-Analyse' nach Endpunkt - Endpunkt: Zeit bis zum ersten unter der Behandlung aufgetretenen UE (TEAE) das die Cutoff-Kriterien auf MedDRA PT Ebene erfüllt (Monate) - PT: Coronary artery disease (10011078) (full analysis set)



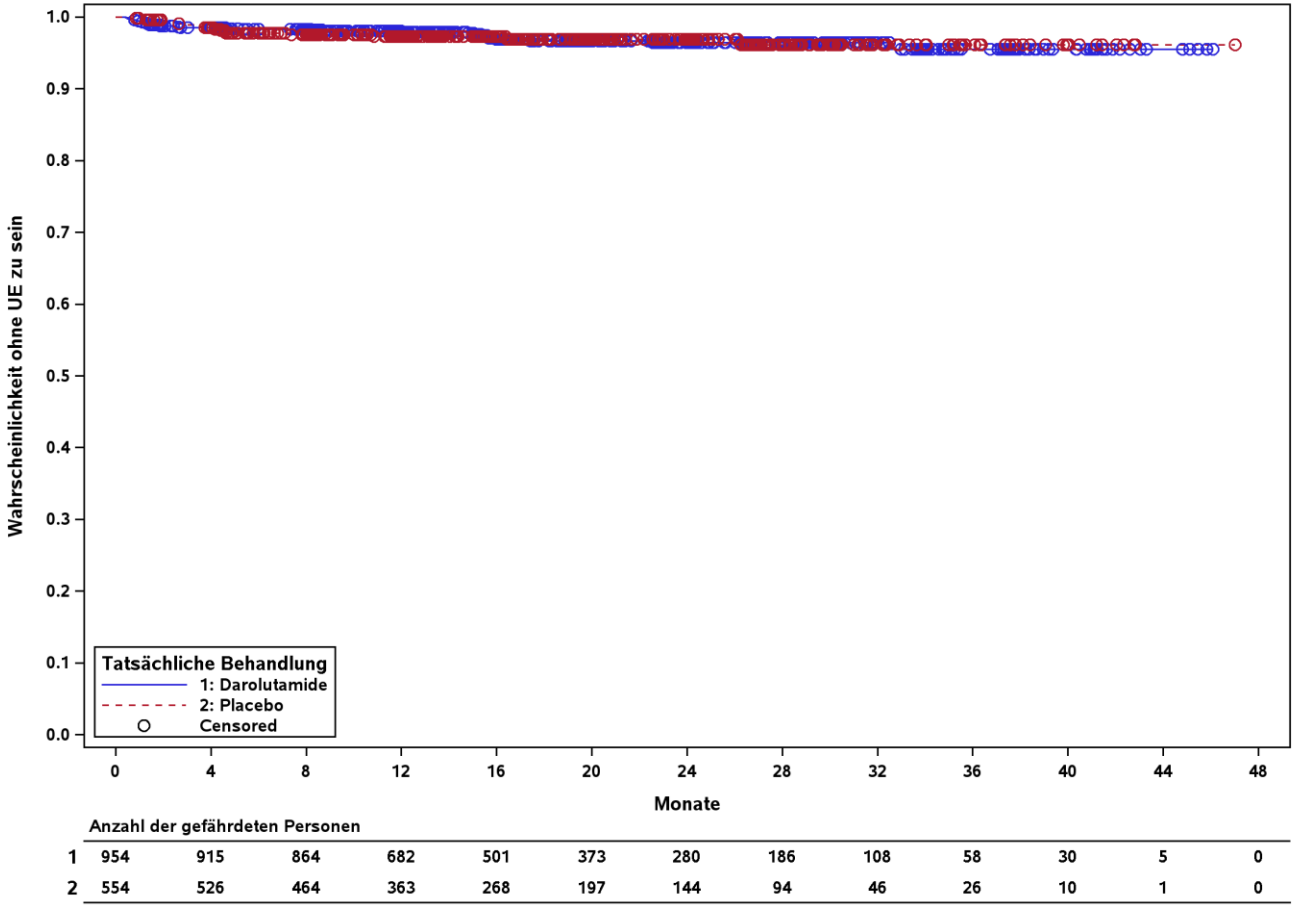
Bayer: /by-sasp/patdb/projects/1841788/17712/stat/prod_query22/pgms/t_aecut.sas 23APR2020 18:15

Figure 4.2.4 / 199: Kaplan-Meier-Plot der 'UE, die die Cutoff-Kriterien erfüllen TTE-Analyse' nach Endpunkt - Endpunkt: Zeit bis zum ersten unter der Behandlung aufgetretenen UE (TEAE) das die Cutoff-Kriterien auf MedDRA PT Ebene erfüllt (Monate) - PT: Cough (10011224) (full analysis set)



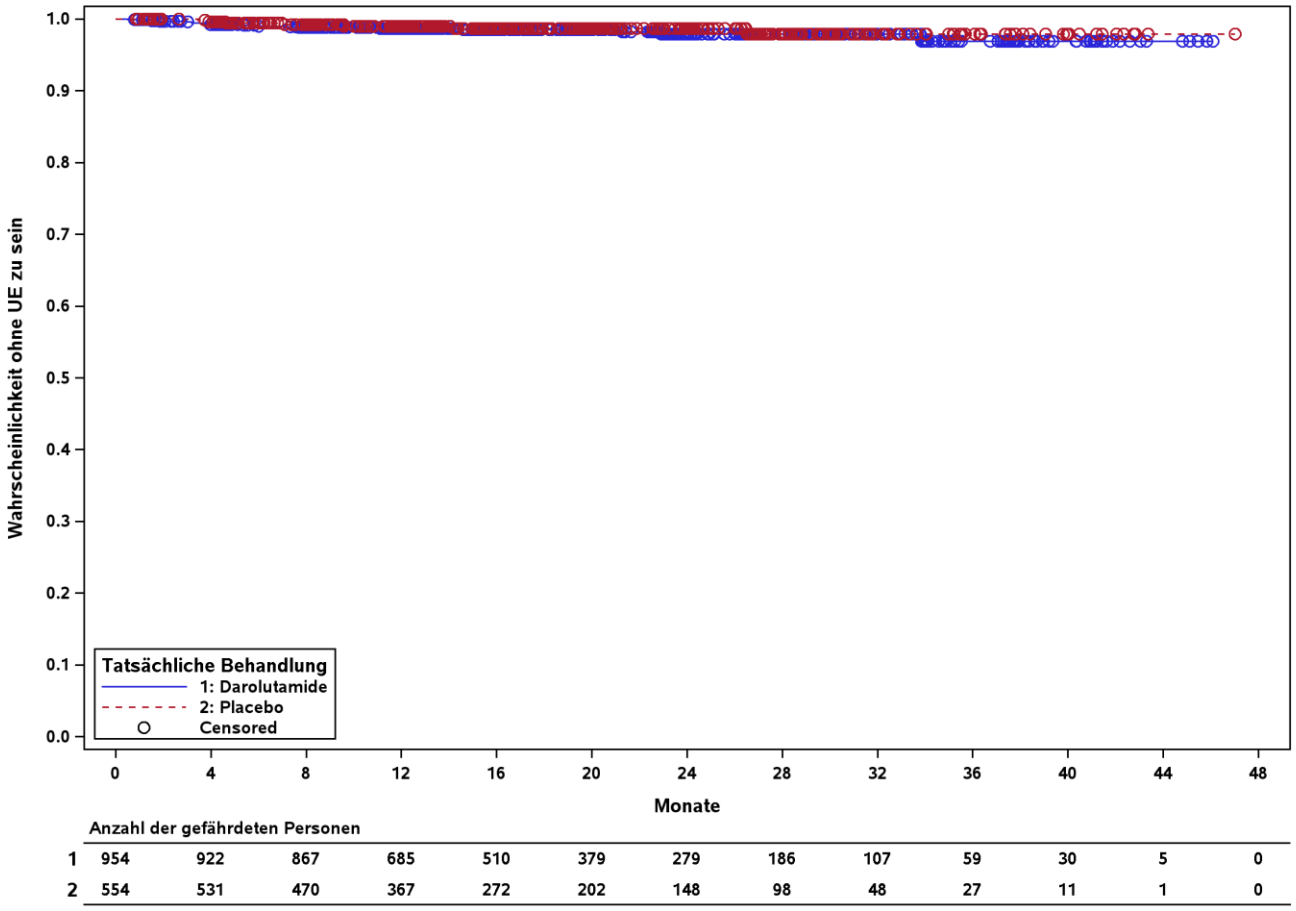
Bayer: /by-sasp/patdb/projects/1841788/17712/stat/prod_query22/pgms/t_aecut.sas 23APR2020 18:15

Figure 4.2.4 / 200: Kaplan-Meier-Plot der 'UE, die die Cutoff-Kriterien erfüllen TTE-Analyse' nach Endpunkt - Endpunkt: Zeit bis zum ersten unter der Behandlung aufgetretenen UE (TEAE) das die Cutoff-Kriterien auf MedDRA PT Ebene erfüllt (Monate) - PT: Decreased appetite (10061428) (full analysis set)



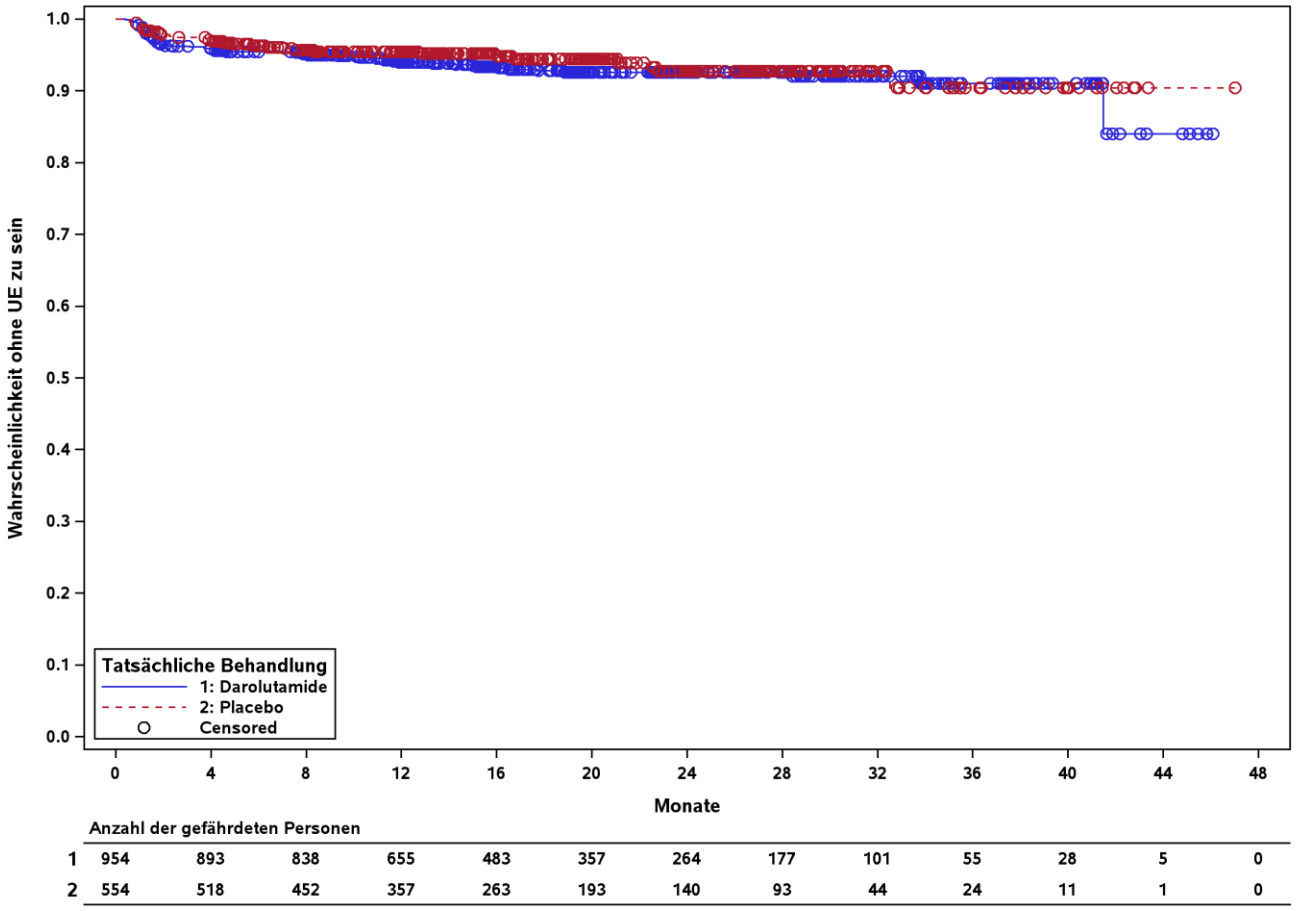
Bayer: /by-sasp/patdb/projects/1841788/17712/stat/prod_query22/pgms/t_aecut.sas 23APR2020 18:15

Figure 4.2.4 / 201: Kaplan-Meier-Plot der 'UE, die die Cutoff-Kriterien erfüllen TTE-Analyse' nach Endpunkt - Endpunkt: Zeit bis zum ersten unter der Behandlung aufgetretenen UE (TEAE) das die Cutoff-Kriterien auf MedDRA PT Ebene erfüllt (Monate) - PT: Depression (10012378) (full analysis set)



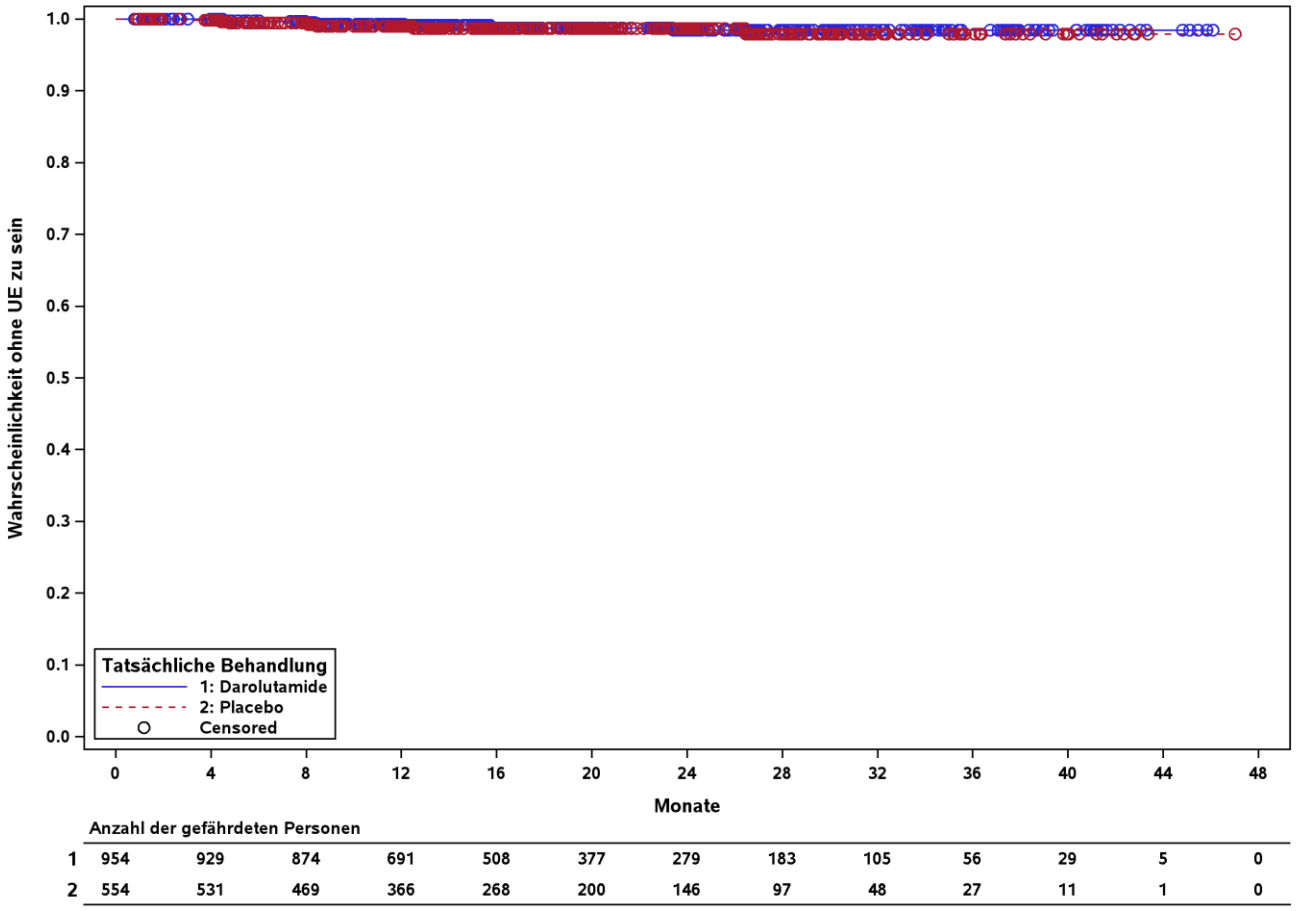
Bayer: /by-sasp/patdb/projects/1841788/17712/stat/prod_query22/pgms/t_aecut.sas 23APR2020 18:15

Figure 4.2.4 / 202: Kaplan-Meier-Plot der 'UE, die die Cutoff-Kriterien erfüllen TTE-Analyse' nach Endpunkt - Endpunkt: Zeit bis zum ersten unter der Behandlung aufgetretenen UE (TEAE) das die Cutoff-Kriterien auf MedDRA PT Ebene erfüllt (Monate) - PT: Diarrhoea (10012735) (full analysis set)



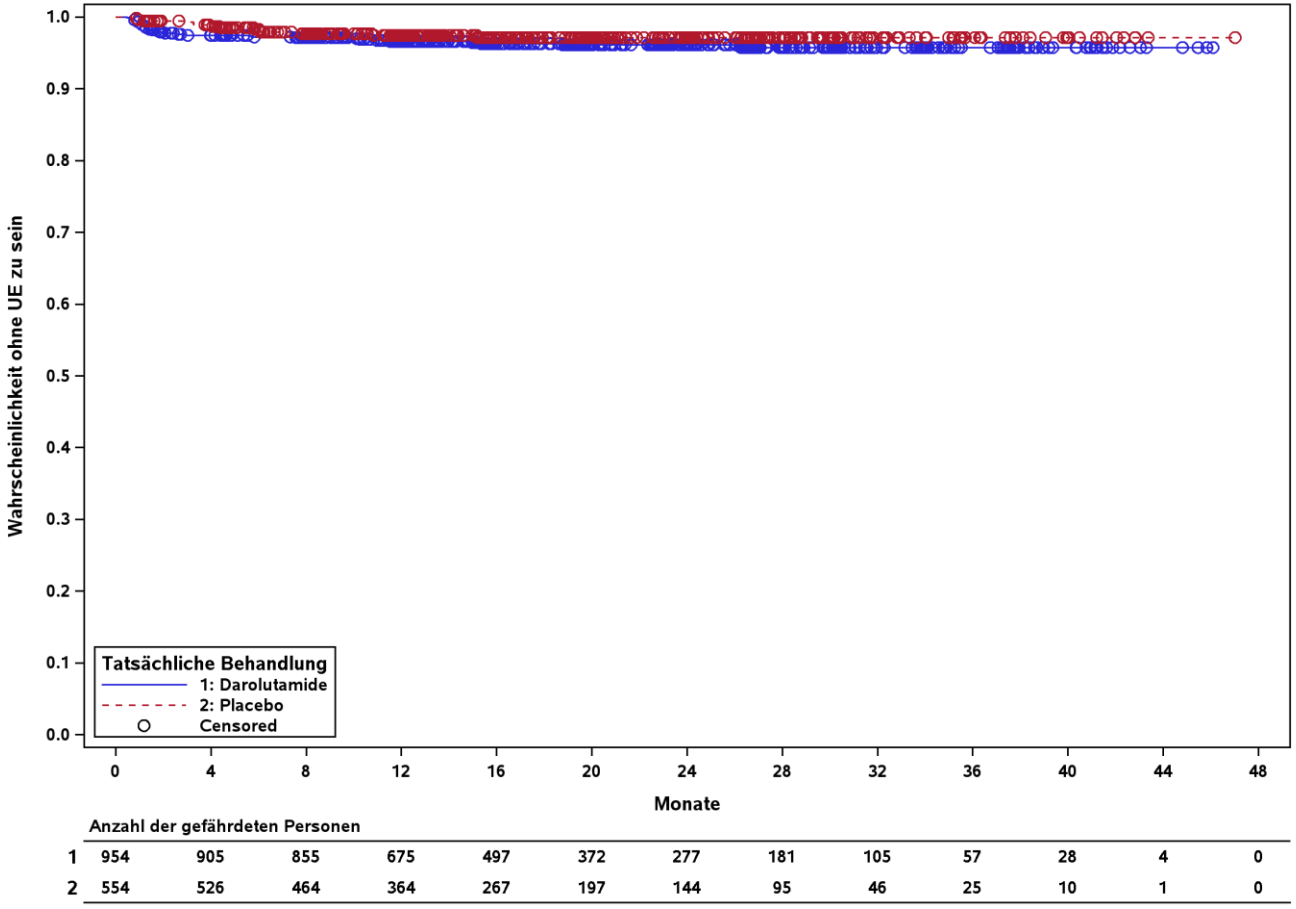
Bayer: /by-sasp/patdb/projects/1841788/17712/stat/prod_query22/pgms/t_aecut.sas 23APR2020 18:15

Figure 4.2.4 / 203: Kaplan-Meier-Plot der 'UE, die die Cutoff-Kriterien erfüllen TTE-Analyse' nach Endpunkt - Endpunkt: Zeit bis zum ersten unter der Behandlung aufgetretenen UE (TEAE) das die Cutoff-Kriterien auf MedDRA PT Ebene erfüllt (Monate) - PT: Diverticulum intestinal (10013559) (full analysis set)



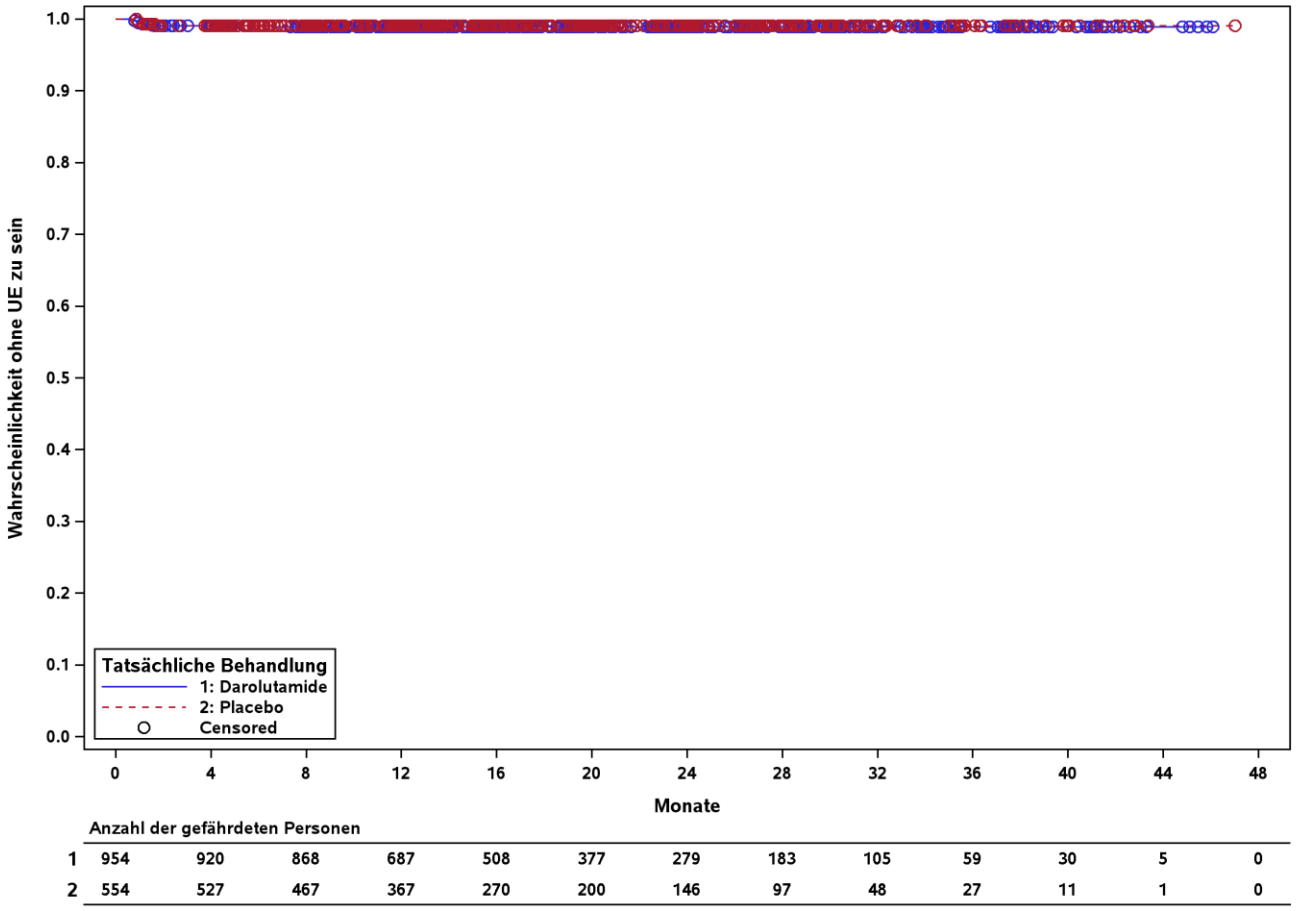
Bayer: /by-sasp/patdb/projects/1841788/17712/stat/prod_query22/pgms/t_aecut.sas 23APR2020 18:15

Figure 4.2.4 / 204: Kaplan-Meier-Plot der 'UE, die die Cutoff-Kriterien erfüllen TTE-Analyse' nach Endpunkt - Endpunkt: Zeit bis zum ersten unter der Behandlung aufgetretenen UE (TEAE) das die Cutoff-Kriterien auf MedDRA PT Ebene erfüllt (Monate) - PT: Dizziness (10013573) (full analysis set)



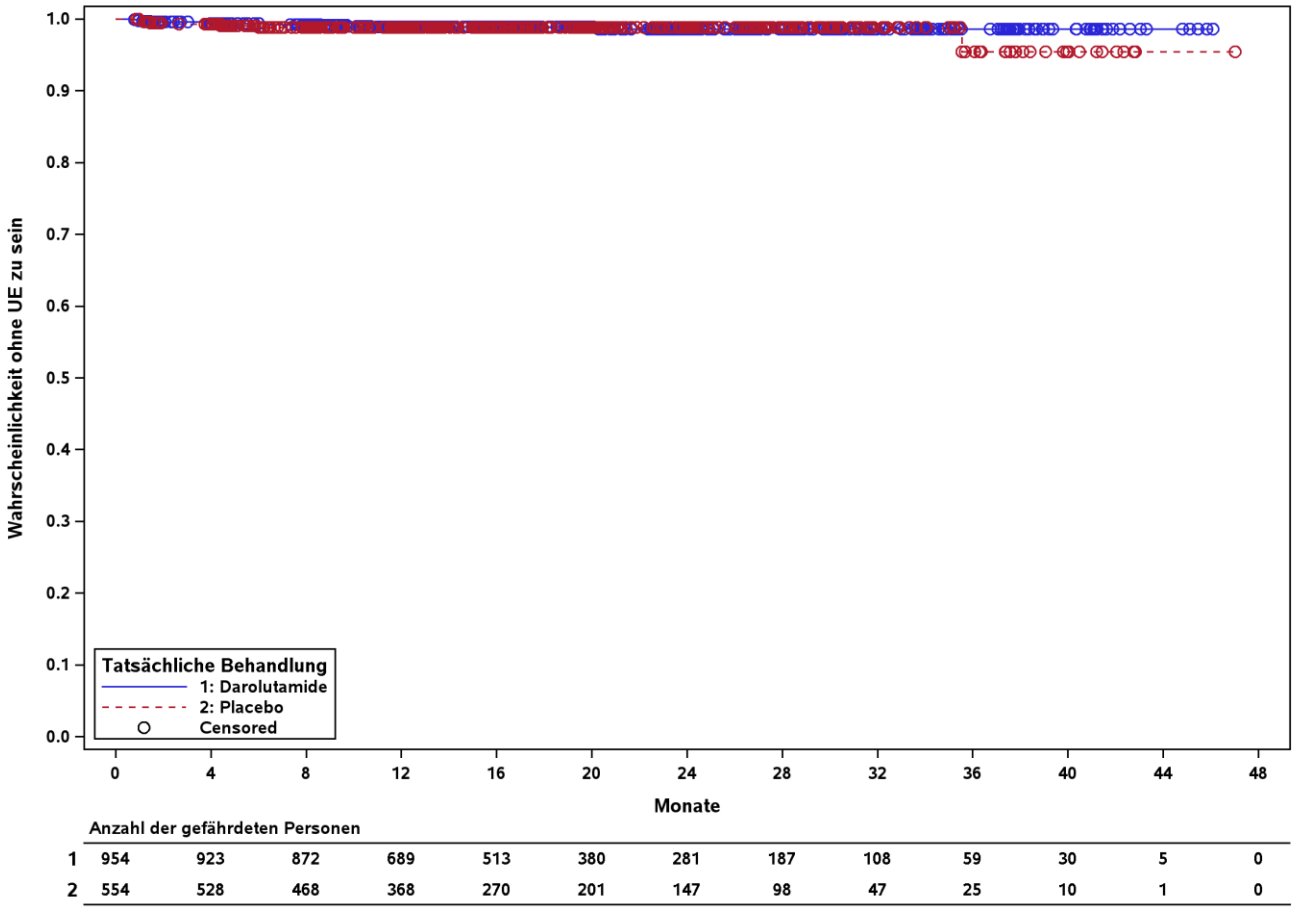
Bayer: /by-sasp/patdb/projects/1841788/17712/stat/prod_query22/pgms/t_aecut.sas 23APR2020 18:15

Figure 4.2.4 / 205: Kaplan-Meier-Plot der 'UE, die die Cutoff-Kriterien erfüllen TTE-Analyse' nach Endpunkt - Endpunkt: Zeit bis zum ersten unter der Behandlung aufgetretenen UE (TEAE) das die Cutoff-Kriterien auf MedDRA PT Ebene erfüllt (Monate) - PT: Dry mouth (10013781) (full analysis set)



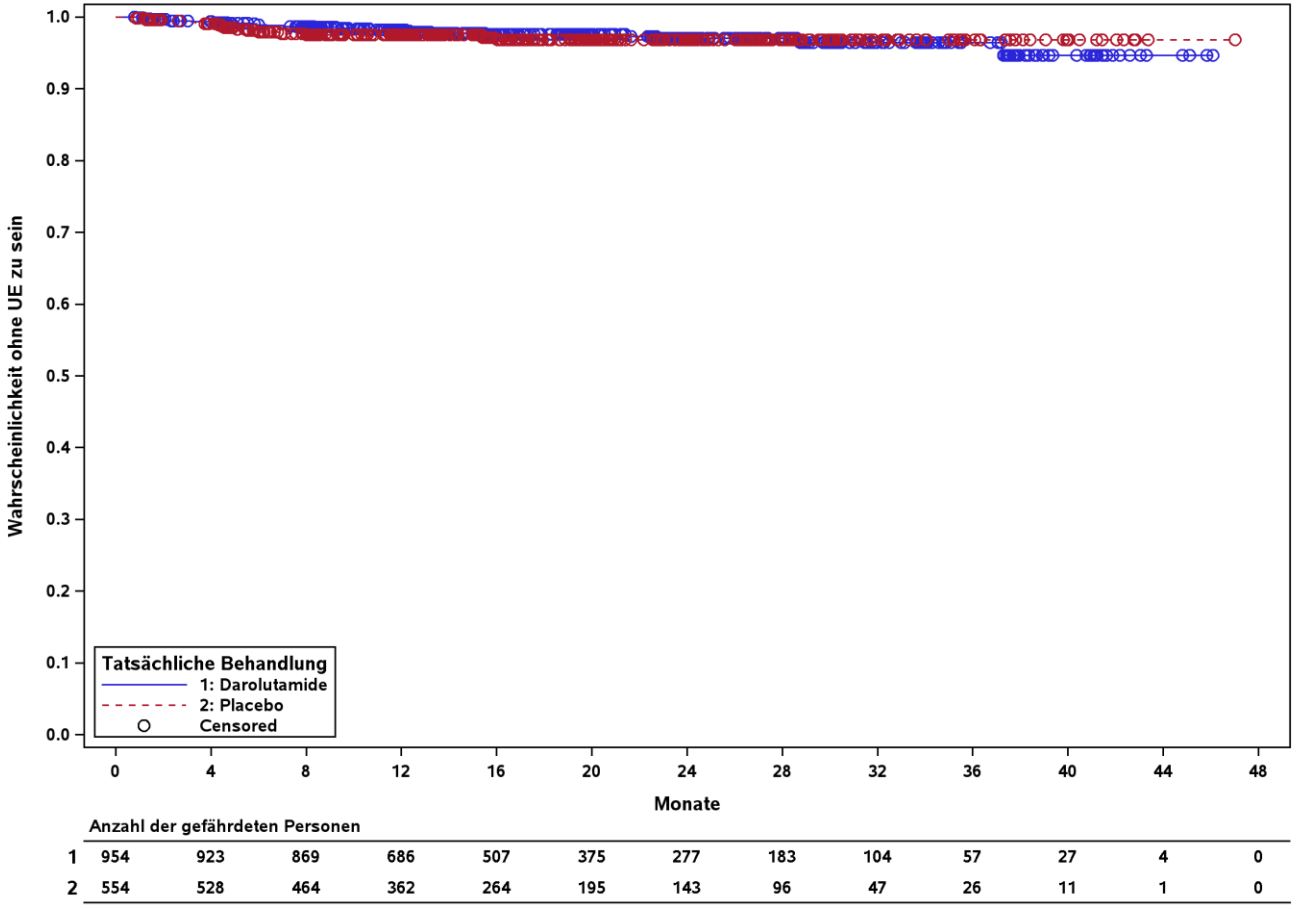
Bayer: /by-sasp/patdb/projects/1841788/17712/stat/prod_query22/pgms/t_aecut.sas 23APR2020 18:15

Figure 4.2.4 / 206: Kaplan-Meier-Plot der 'UE, die die Cutoff-Kriterien erfüllen TTE-Analyse' nach Endpunkt - Endpunkt: Zeit bis zum ersten unter der Behandlung aufgetretenen UE (TEAE) das die Cutoff-Kriterien auf MedDRA PT Ebene erfüllt (Monate) - PT: Dyspepsia (10013946) (full analysis set)



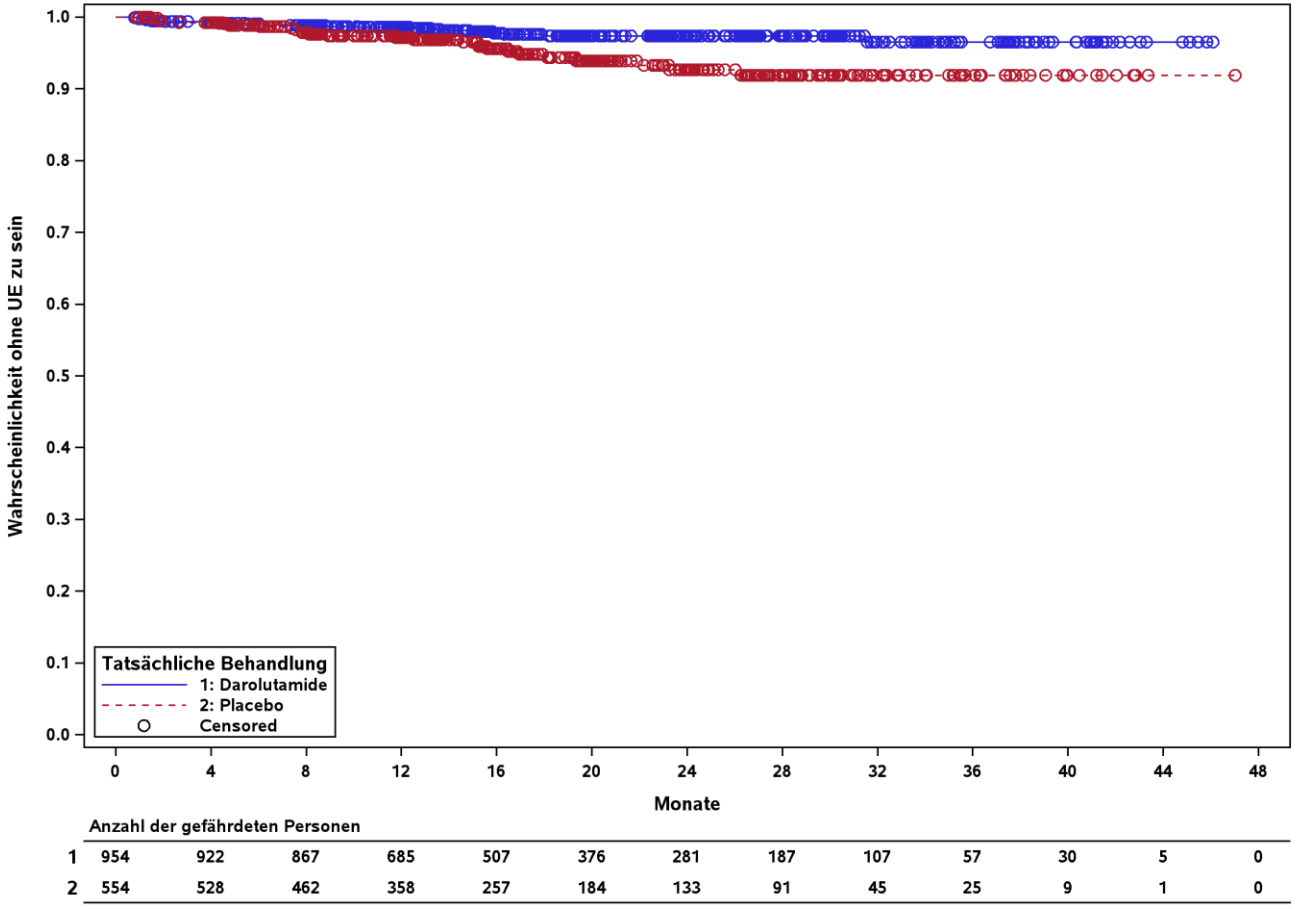
Bayer: /by-sasp/patdb/projects/1841788/17712/stat/prod_query22/pgms/t_aecut.sas 23APR2020 18:15

Figure 4.2.4 / 207: Kaplan-Meier-Plot der 'UE, die die Cutoff-Kriterien erfüllen TTE-Analyse' nach Endpunkt - Endpunkt: Zeit bis zum ersten unter der Behandlung aufgetretenen UE (TEAE) das die Cutoff-Kriterien auf MedDRA PT Ebene erfüllt (Monate) - PT: Dyspnoea (10013968) (full analysis set)



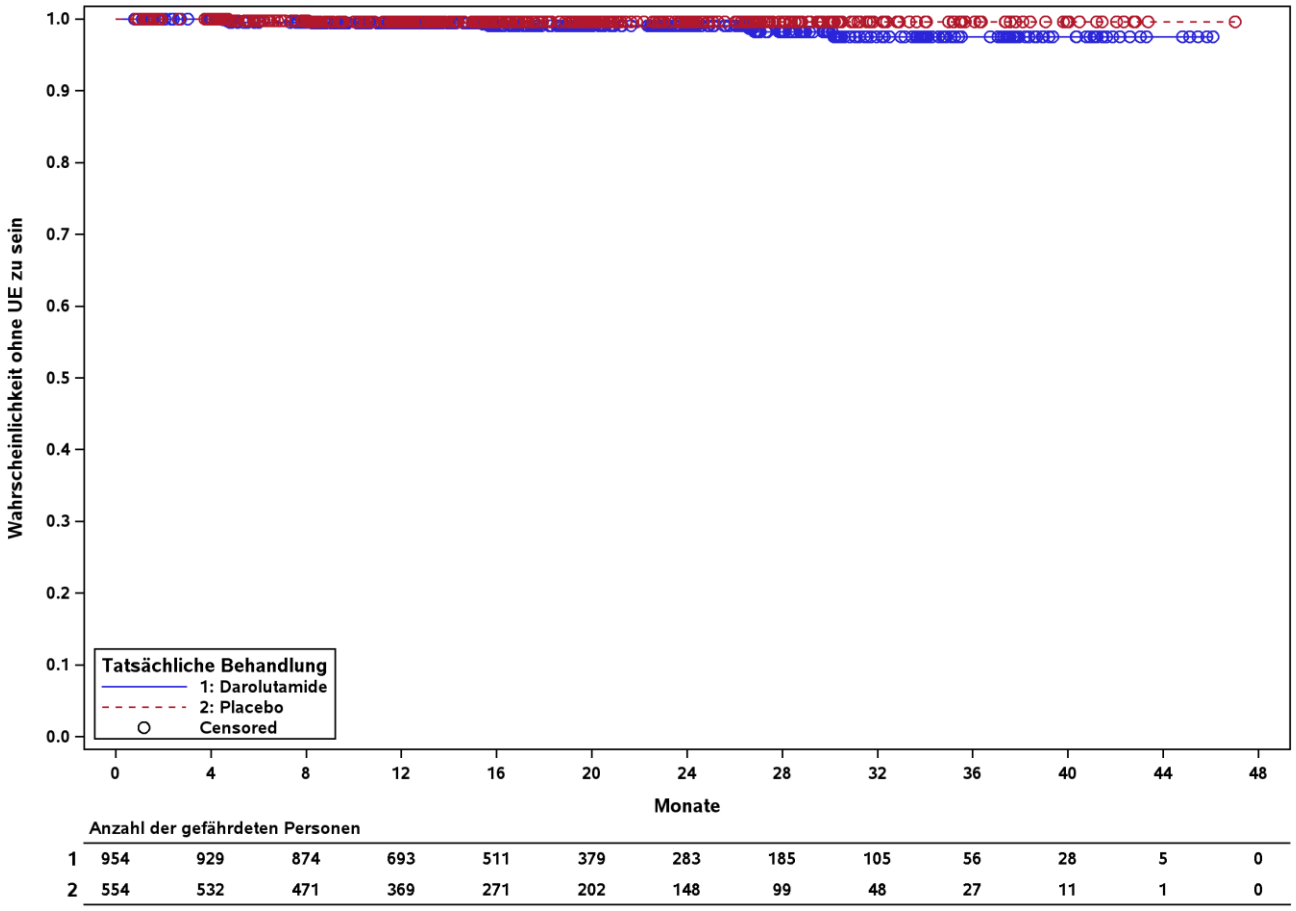
Bayer: /by-sasp/patdb/projects/1841788/17712/stat/prod_query22/pgms/t_aecut.sas 23APR2020 18:15

Figure 4.2.4 / 208: Kaplan-Meier-Plot der 'UE, die die Cutoff-Kriterien erfüllen TTE-Analyse' nach Endpunkt - Endpunkt: Zeit bis zum ersten unter der Behandlung aufgetretenen UE (TEAE) das die Cutoff-Kriterien auf MedDRA PT Ebene erfüllt (Monate) - PT: Dysuria (10013990) (full analysis set)



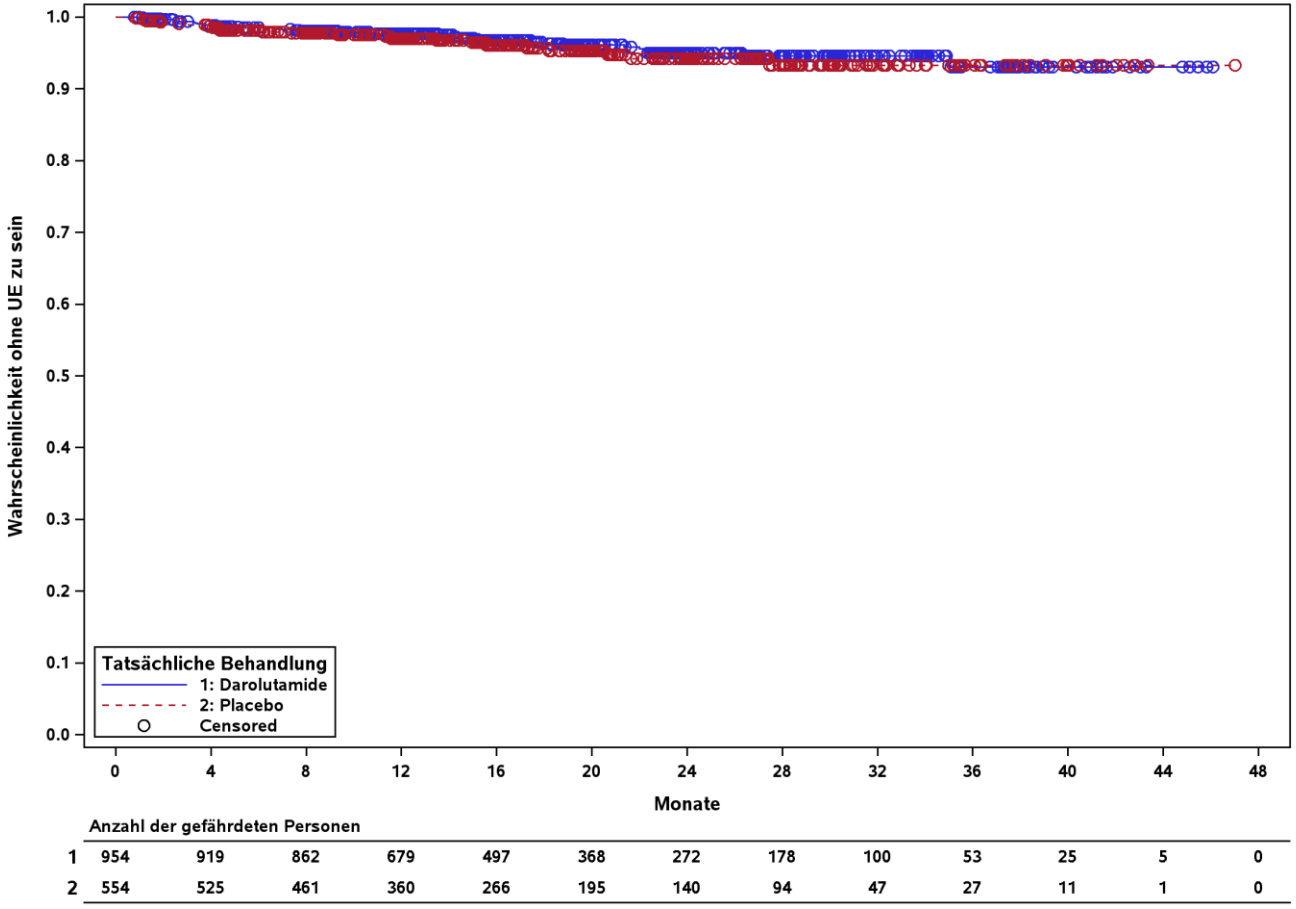
Bayer: /by-sasp/patdb/projects/1841788/17712/stat/prod_query22/pgms/t_aecut.sas 23APR2020 18:15

Figure 4.2.4 / 209: Kaplan-Meier-Plot der 'UE, die die Cutoff-Kriterien erfüllen TTE-Analyse' nach Endpunkt - Endpunkt: Zeit bis zum ersten unter der Behandlung aufgetretenen UE (TEAE) das die Cutoff-Kriterien auf MedDRA PT Ebene erfüllt (Monate) - PT: Emphysema (10014561) (full analysis set)



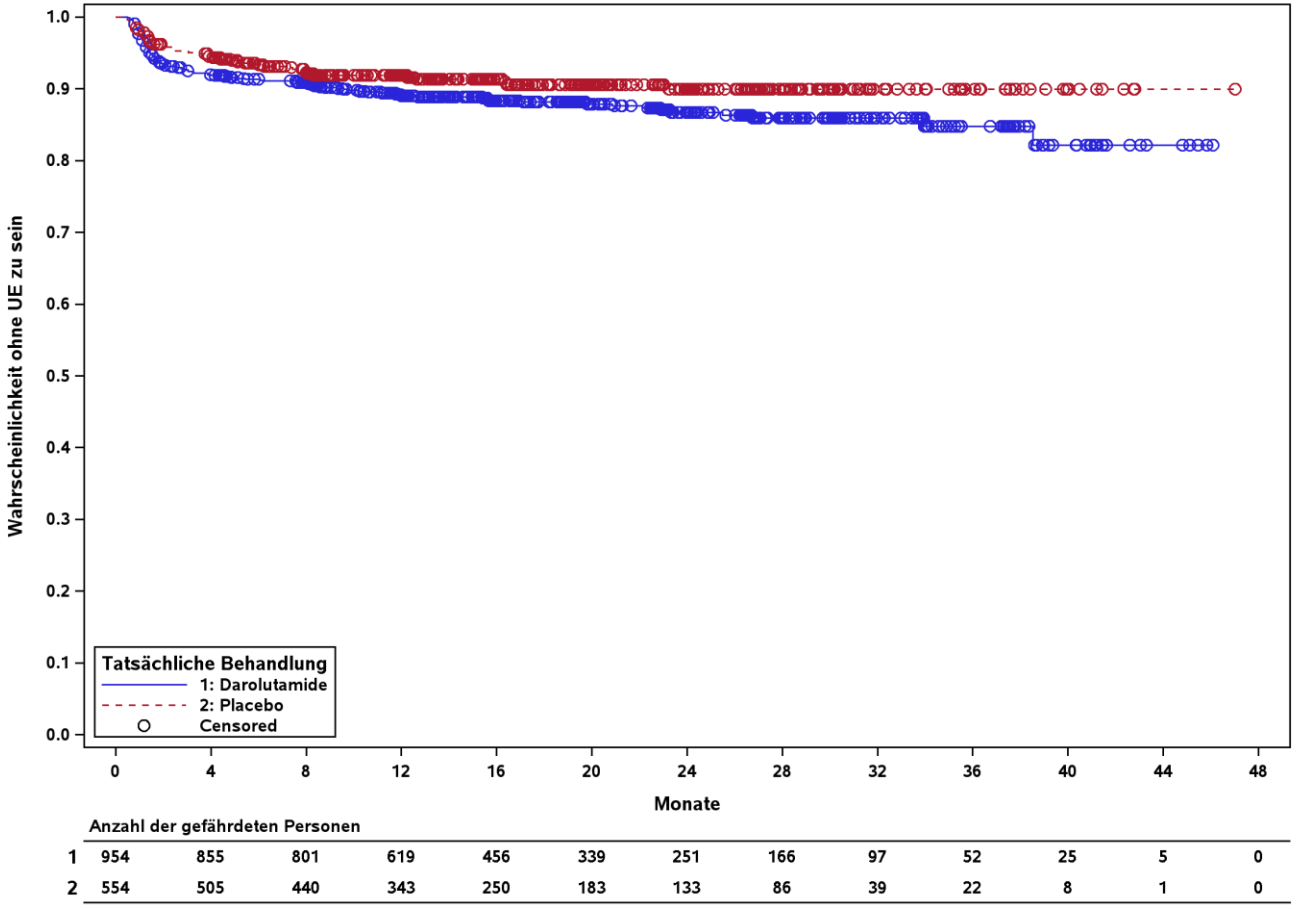
Bayer: /by-sasp/patdb/projects/1841788/17712/stat/prod_query22/pgms/t_aecut.sas 23APR2020 18:15

Figure 4.2.4 / 210: Kaplan-Meier-Plot der 'UE, die die Cutoff-Kriterien erfüllen TTE-Analyse' nach Endpunkt - Endpunkt: Zeit bis zum ersten unter der Behandlung aufgetretenen UE (TEAE) das die Cutoff-Kriterien auf MedDRA PT Ebene erfüllt (Monate) - PT: Fall (10016173) (full analysis set)



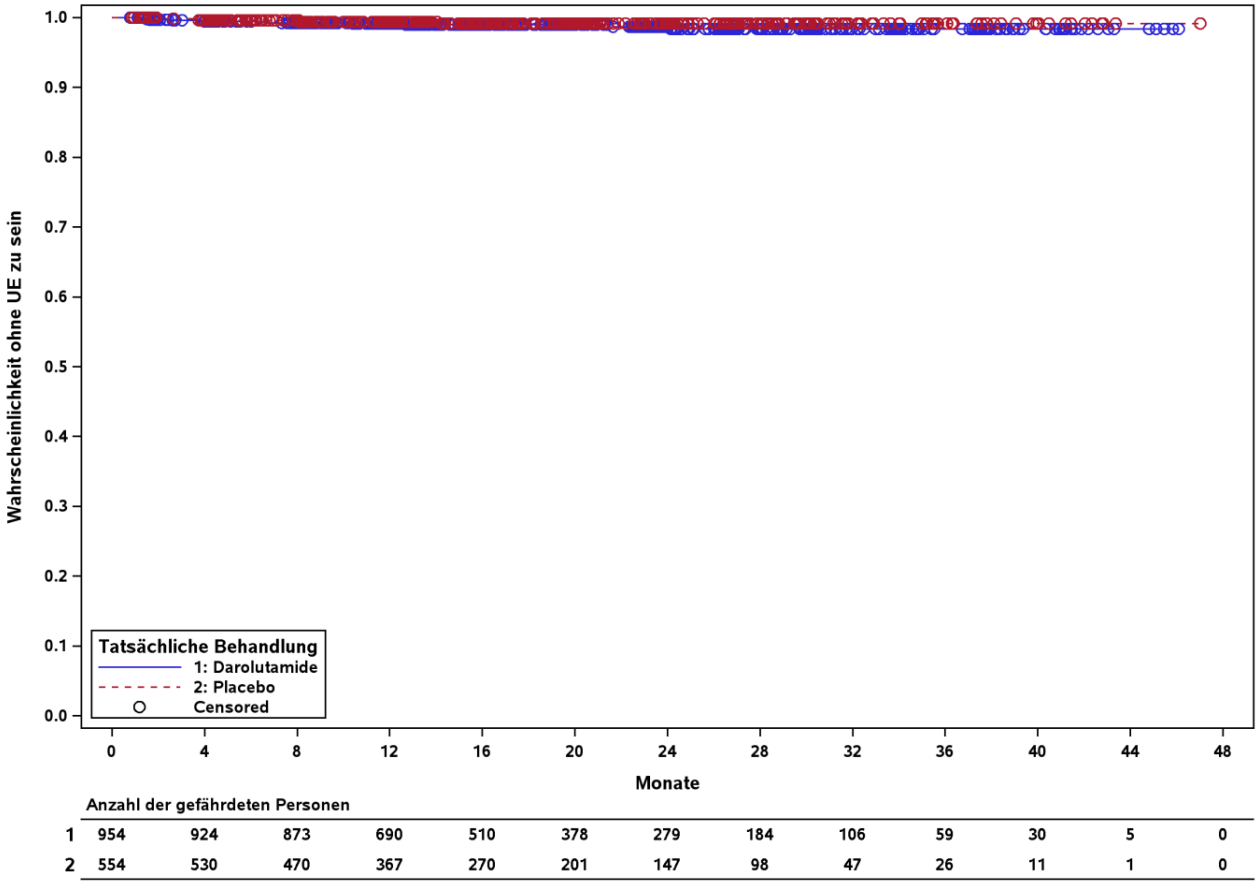
Bayer: /by-sasp/patdb/projects/1841788/17712/stat/prod_query22/pgms/t_aecut.sas 23APR2020 18:15

Figure 4.2.4 / 211: Kaplan-Meier-Plot der 'UE, die die Cutoff-Kriterien erfüllen TTE-Analyse' nach Endpunkt - Endpunkt: Zeit bis zum ersten unter der Behandlung aufgetretenen UE (TEAE) das die Cutoff-Kriterien auf MedDRA PT Ebene erfüllt (Monate) - PT: Fatigue (10016256) (full analysis set)



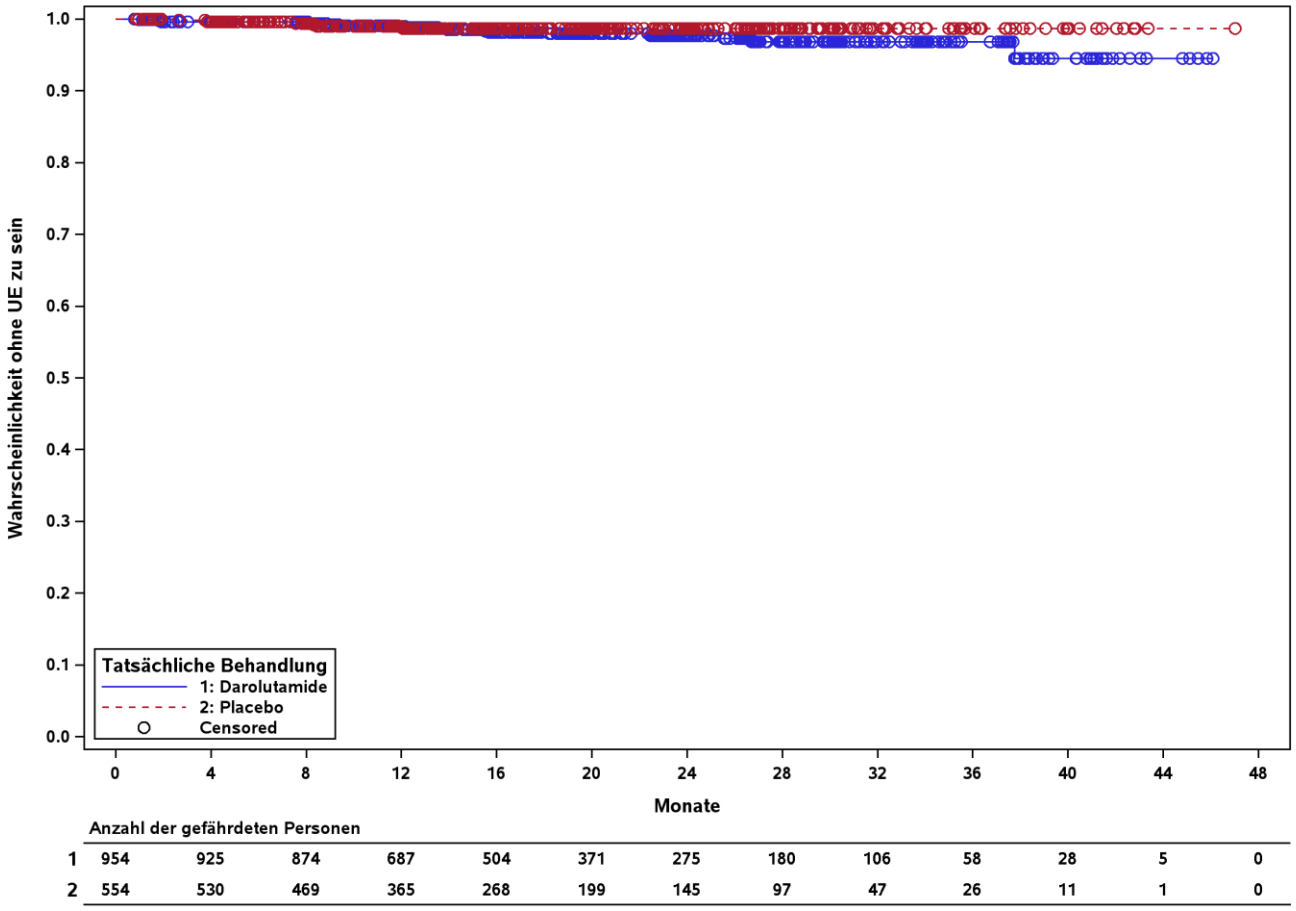
Bayer: /by-sasp/patdb/projects/1841788/17712/stat/prod_query22/pgms/t_aecut.sas 23APR2020 18:15

Figure 4.2.4 / 212: Kaplan-Meier-Plot der 'UE, die die Cutoff-Kriterien erfüllen TTE-Analyse' nach Endpunkt - Endpunkt: Zeit bis zum ersten unter der Behandlung aufgetretenen UE (TEAE) das die Cutoff-Kriterien auf MedDRA PT Ebene erfüllt (Monate) - PT: Gastrooesophageal reflux disease (10017885) (full analysis set)



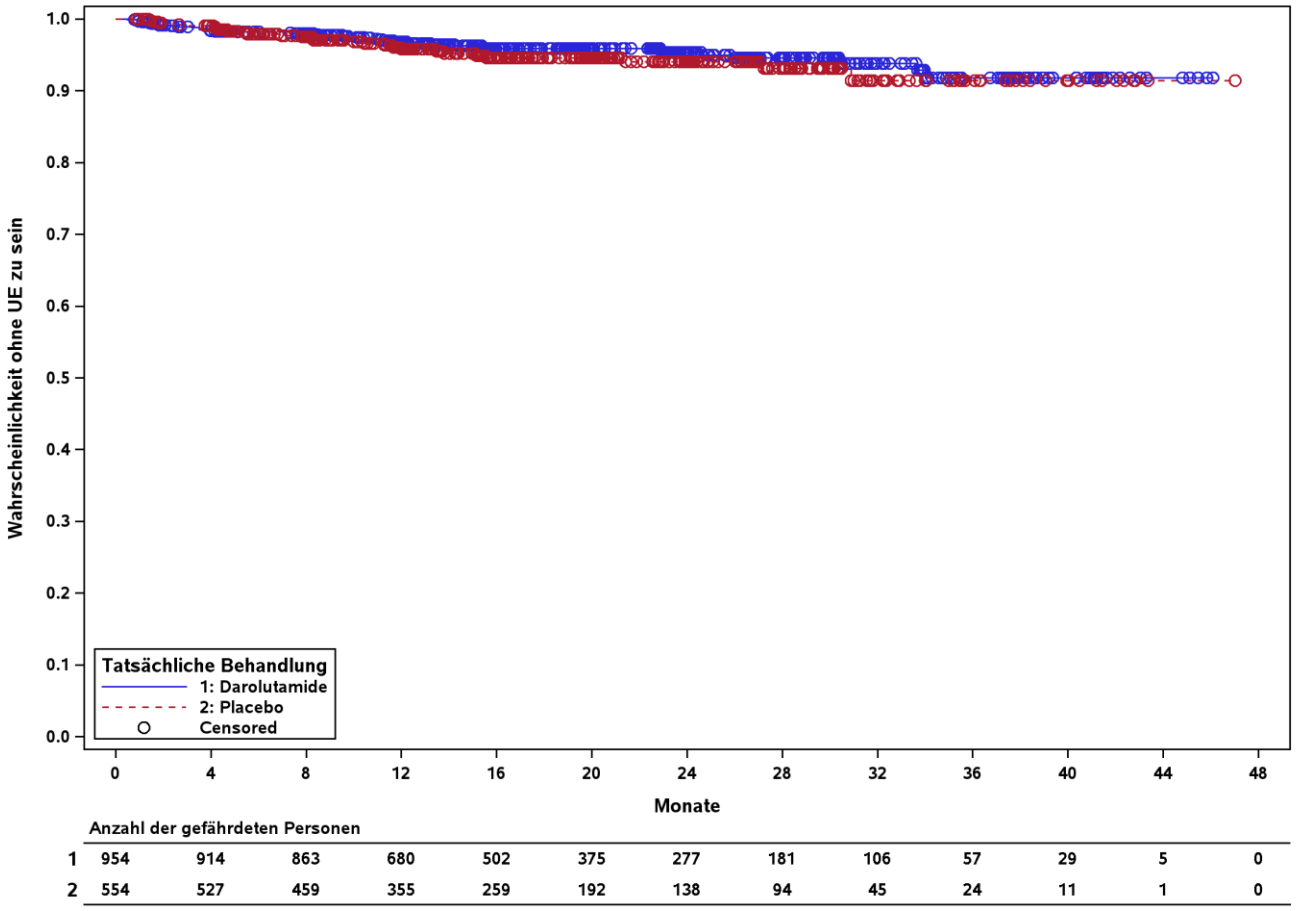
Bayer: /by-sasp/patdb/projects/1841788/17712/stat/prod_query22/pgms/t_aecut.sas 23APR2020 18:15

Figure 4.2.4 / 213: Kaplan-Meier-Plot der 'UE, die die Cutoff-Kriterien erfüllen TTE-Analyse' nach Endpunkt - Endpunkt: Zeit bis zum ersten unter der Behandlung aufgetretenen UE (TEAE) das die Cutoff-Kriterien auf MedDRA PT Ebene erfüllt (Monate) - PT: Gynaecomastia (10018800) (full analysis set)



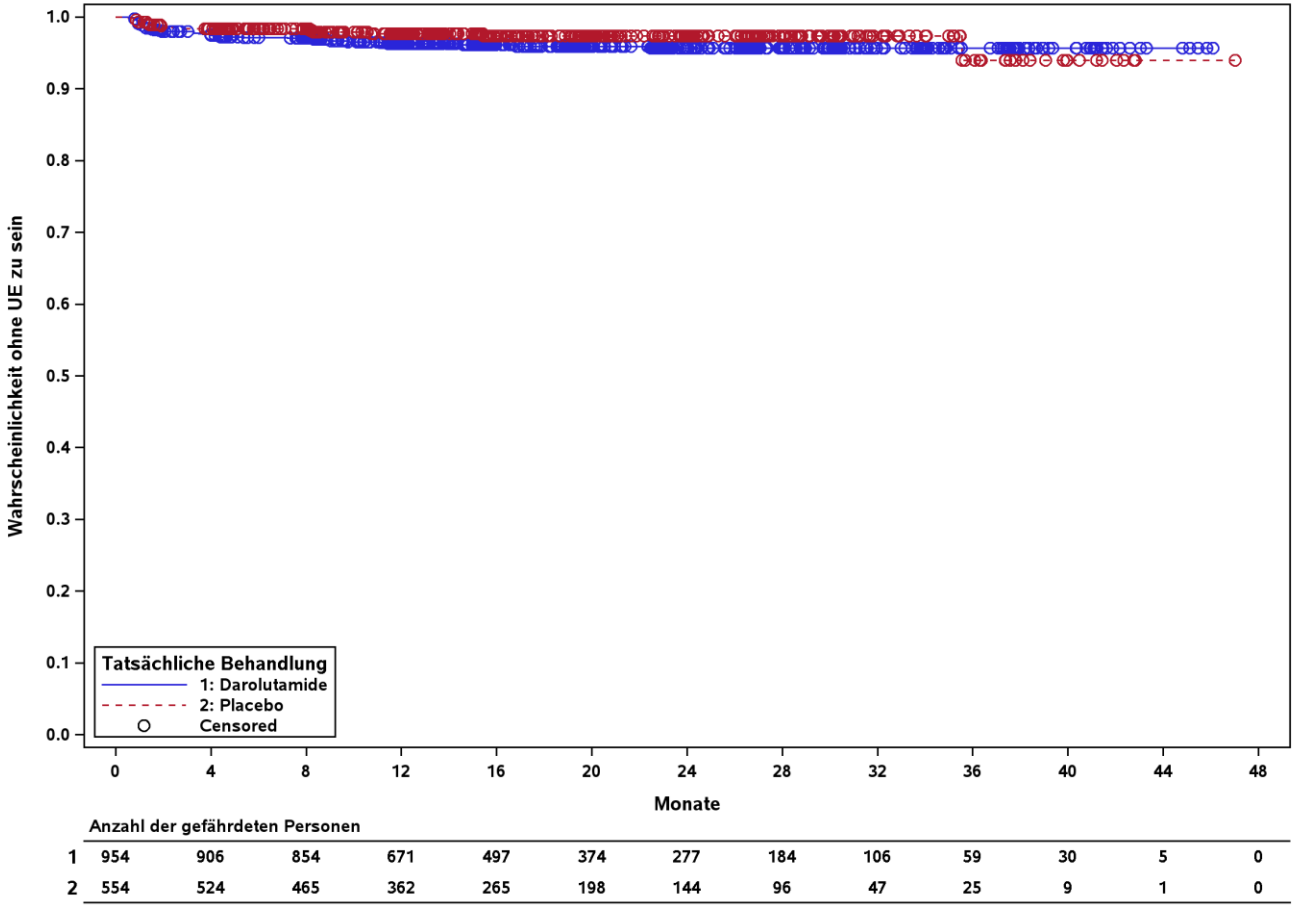
Bayer: /by-sasp/patdb/projects/1841788/17712/stat/prod_query22/pgms/t_aecut.sas 23APR2020 18:15

Figure 4.2.4 / 214: Kaplan-Meier-Plot der 'UE, die die Cutoff-Kriterien erfüllen TTE-Analyse' nach Endpunkt - Endpunkt: Zeit bis zum ersten unter der Behandlung aufgetretenen UE (TEAE) das die Cutoff-Kriterien auf MedDRA PT Ebene erfüllt (Monate) - PT: Haematuria (10018867) (full analysis set)



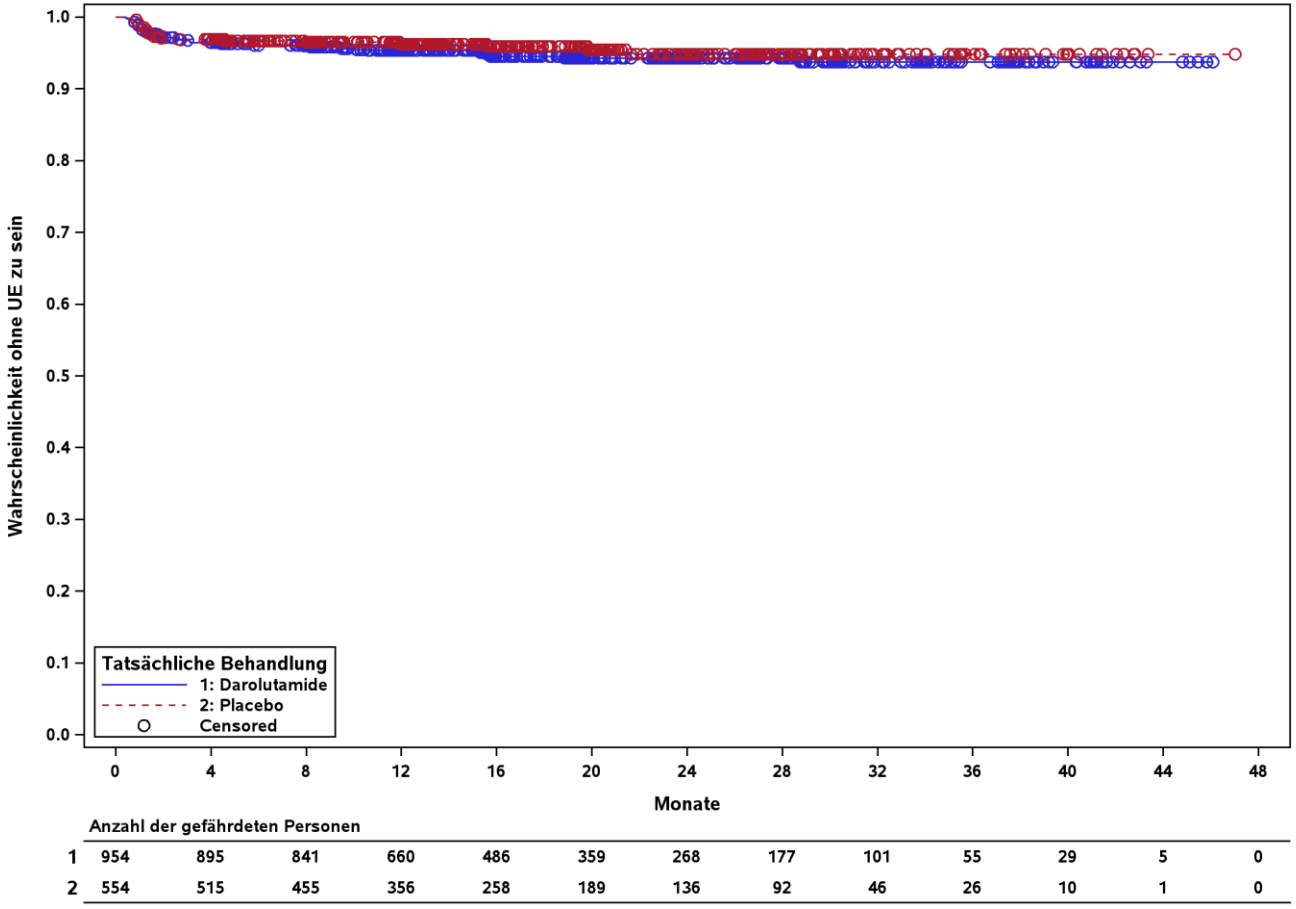
Bayer: /by-sasp/patdb/projects/1841788/17712/stat/prod_query22/pgms/t_aecut.sas 23APR2020 18:15

Figure 4.2.4 / 215: Kaplan-Meier-Plot der 'UE, die die Cutoff-Kriterien erfüllen TTE-Analyse' nach Endpunkt - Endpunkt: Zeit bis zum ersten unter der Behandlung aufgetretenen UE (TEAE) das die Cutoff-Kriterien auf MedDRA PT Ebene erfüllt (Monate) - PT: Headache (10019211) (full analysis set)



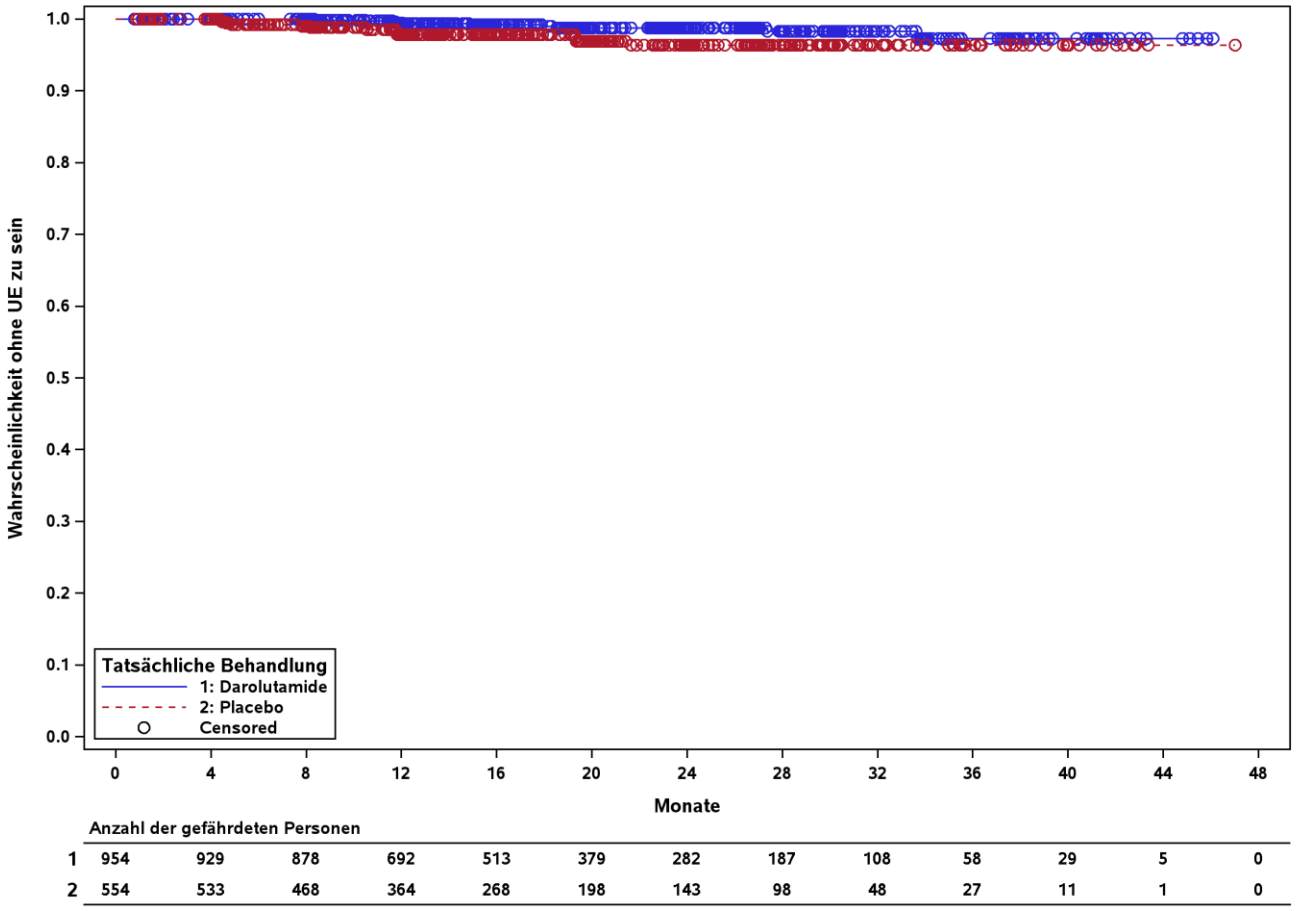
Bayer: /by-sasp/patdb/projects/1841788/17712/stat/prod_query22/pgms/t_aecut.sas 23APR2020 18:15

Figure 4.2.4 / 216: Kaplan-Meier-Plot der 'UE, die die Cutoff-Kriterien erfüllen TTE-Analyse' nach Endpunkt - Endpunkt: Zeit bis zum ersten unter der Behandlung aufgetretenen UE (TEAE) das die Cutoff-Kriterien auf MedDRA PT Ebene erfüllt (Monate) - PT: Hot flush (10060800) (full analysis set)



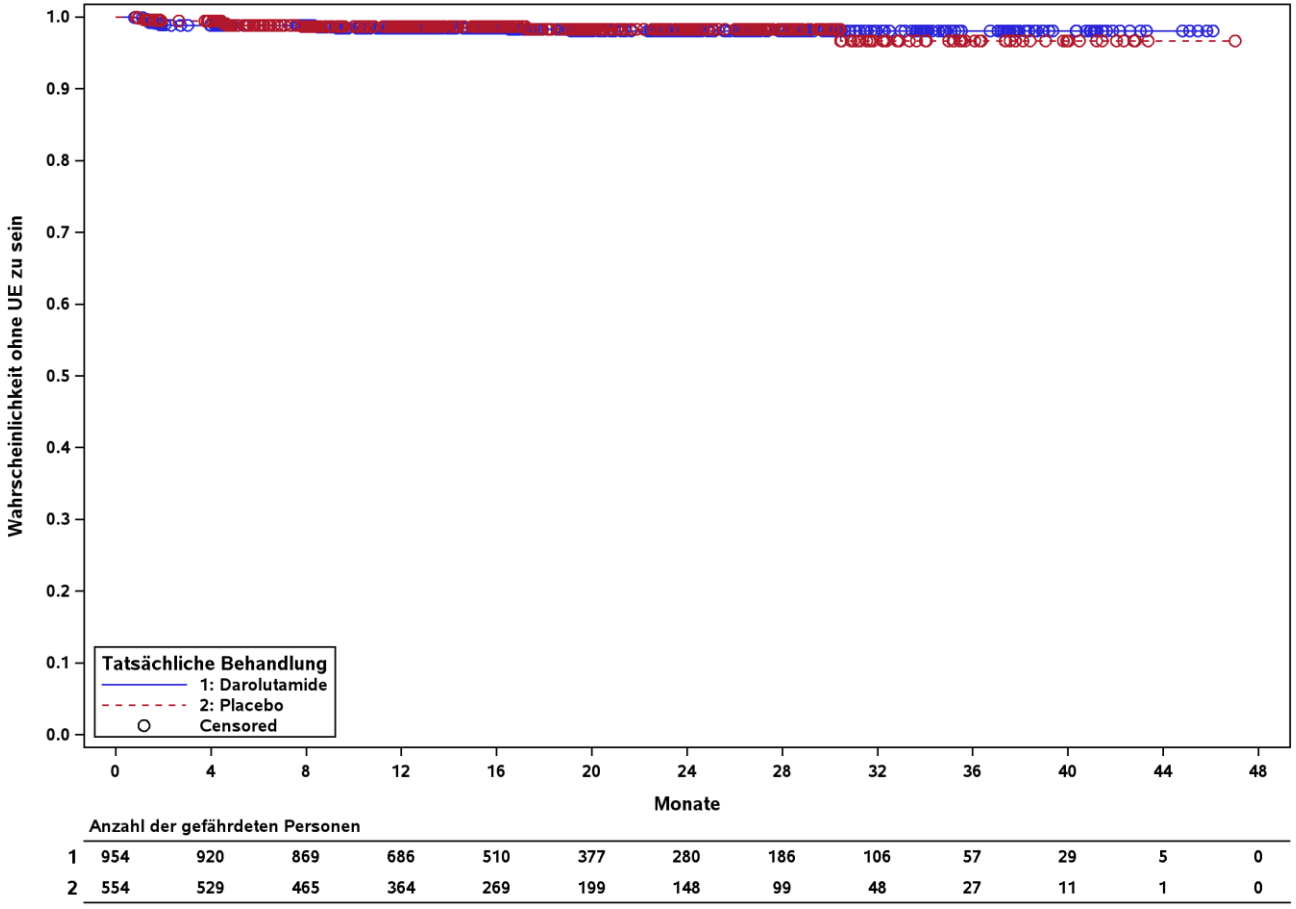
Bayer: /by-sasp/patdb/projects/1841788/17712/stat/prod_query22/pgms/t_aecut.sas 23APR2020 18:15

Figure 4.2.4 / 217: Kaplan-Meier-Plot der 'UE, die die Cutoff-Kriterien erfüllen TTE-Analyse' nach Endpunkt - Endpunkt: Zeit bis zum ersten unter der Behandlung aufgetretenen UE (TEAE) das die Cutoff-Kriterien auf MedDRA PT Ebene erfüllt (Monate) - PT: Hydronephrosis (10020524) (full analysis set)



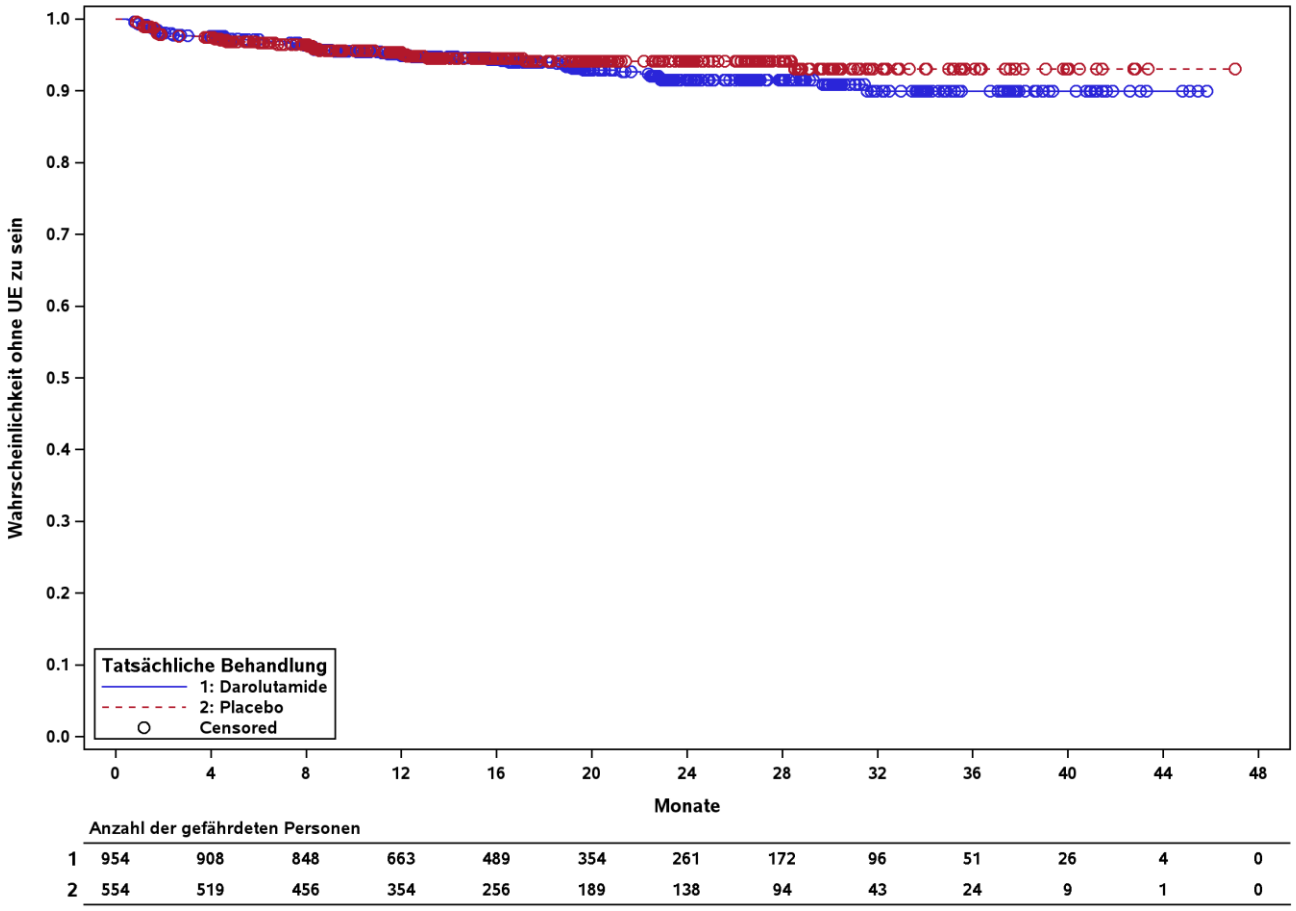
Bayer: /by-sasp/patdb/projects/1841788/17712/stat/prod_query22/pgms/t_aecut.sas 23APR2020 18:15

Figure 4.2.4 / 218: Kaplan-Meier-Plot der 'UE, die die Cutoff-Kriterien erfüllen TTE-Analyse' nach Endpunkt - Endpunkt: Zeit bis zum ersten unter der Behandlung aufgetretenen UE (TEAE) das die Cutoff-Kriterien auf MedDRA PT Ebene erfüllt (Monate) - PT: Hyperkalaemia (10020646) (full analysis set)



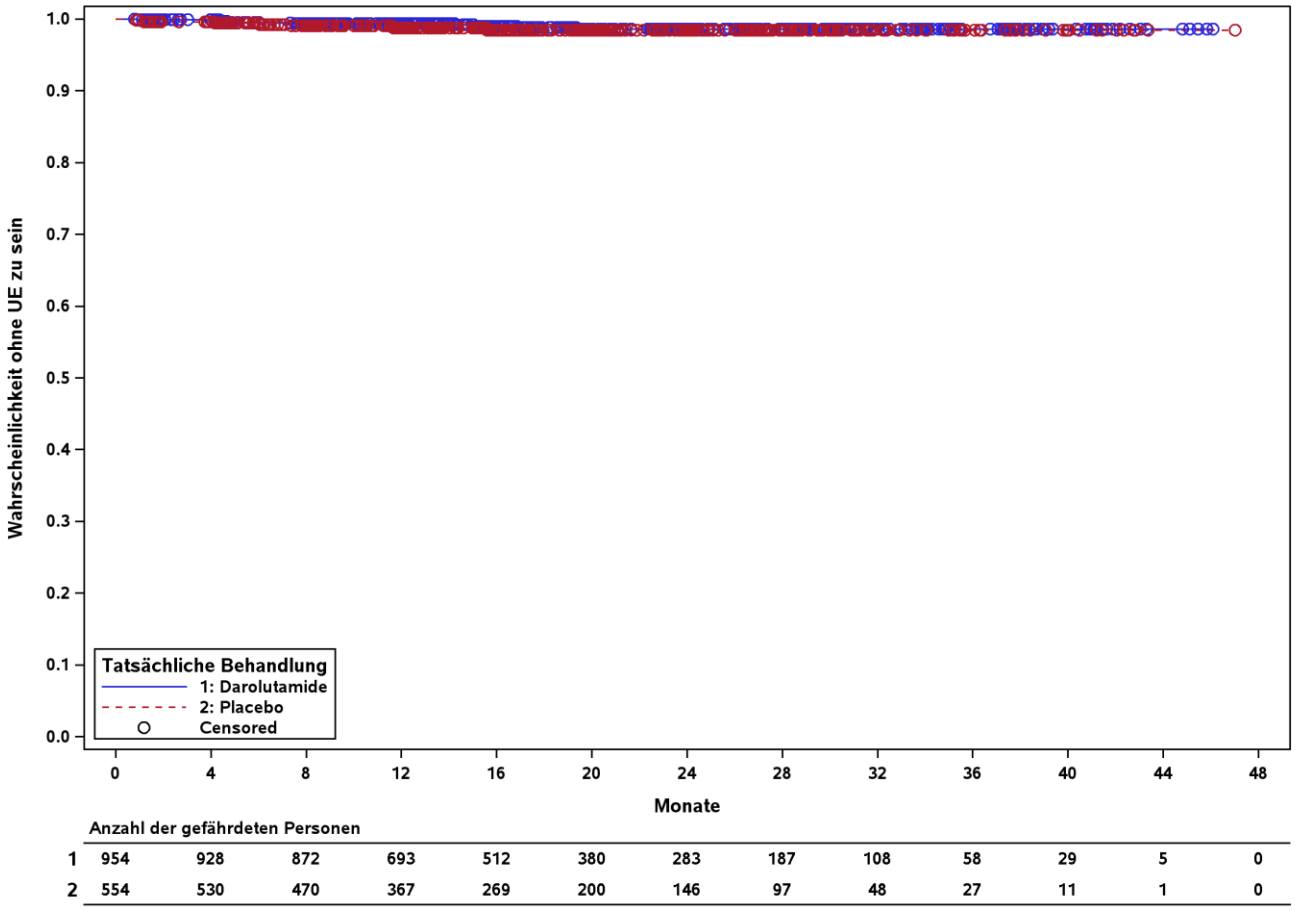
Bayer: /by-sasp/patdb/projects/1841788/17712/stat/prod_query22/pgms/t_aecut.sas 23APR2020 18:15

Figure 4.2.4 / 219: Kaplan-Meier-Plot der 'UE, die die Cutoff-Kriterien erfüllen TTE-Analyse' nach Endpunkt - Endpunkt: Zeit bis zum ersten unter der Behandlung aufgetretenen UE (TEAE) das die Cutoff-Kriterien auf MedDRA PT Ebene erfüllt (Monate) - PT: Hypertension (10020772) (full analysis set)



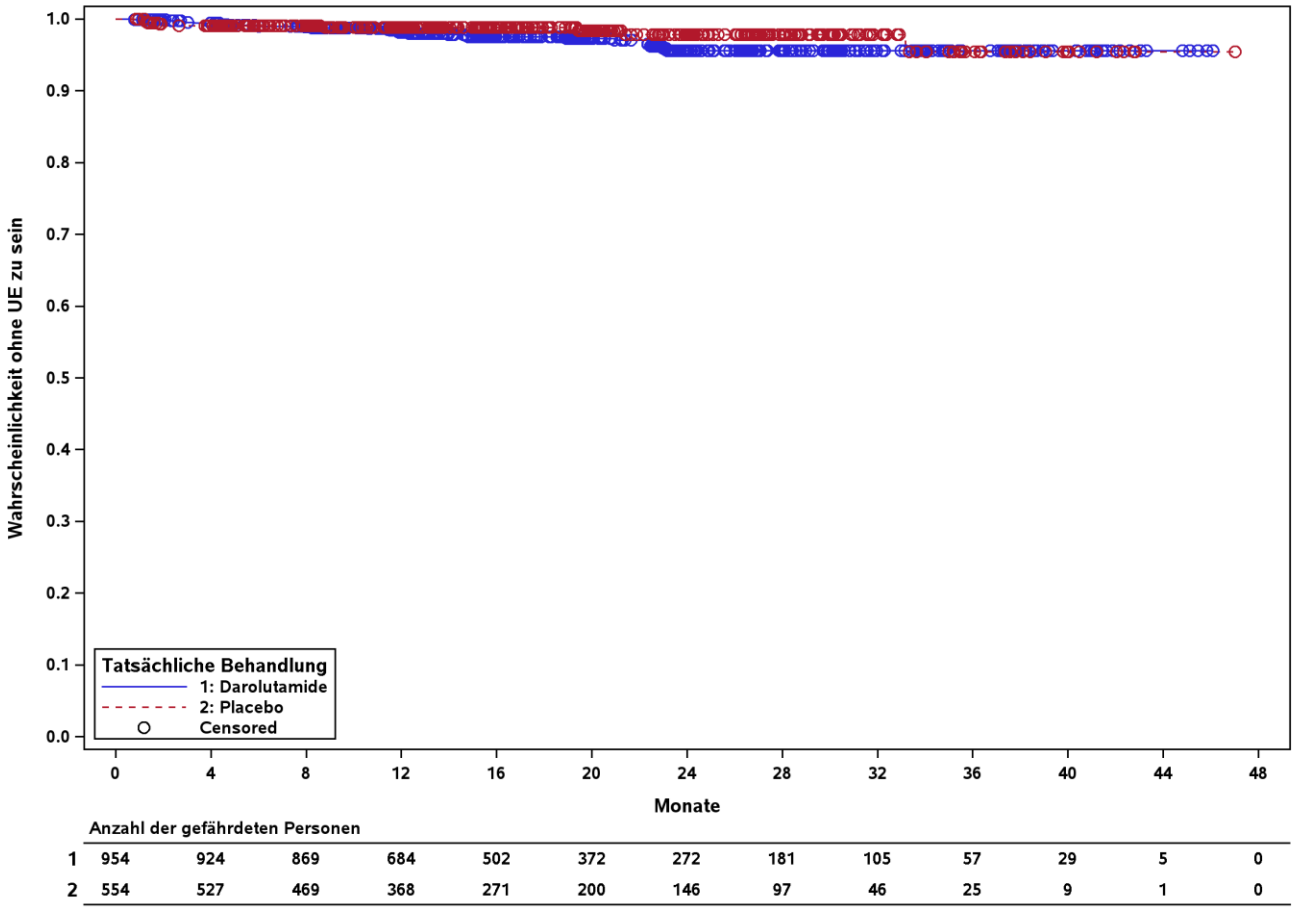
Bayer: /by-sasp/patdb/projects/1841788/17712/stat/prod_query22/pgms/t_aecut.sas 23APR2020 18:15

Figure 4.2.4 / 220: Kaplan-Meier-Plot der 'UE, die die Cutoff-Kriterien erfüllen TTE-Analyse' nach Endpunkt - Endpunkt: Zeit bis zum ersten unter der Behandlung aufgetretenen UE (TEAE) das die Cutoff-Kriterien auf MedDRA PT Ebene erfüllt (Monate) - PT: Hypotension (10021097) (full analysis set)



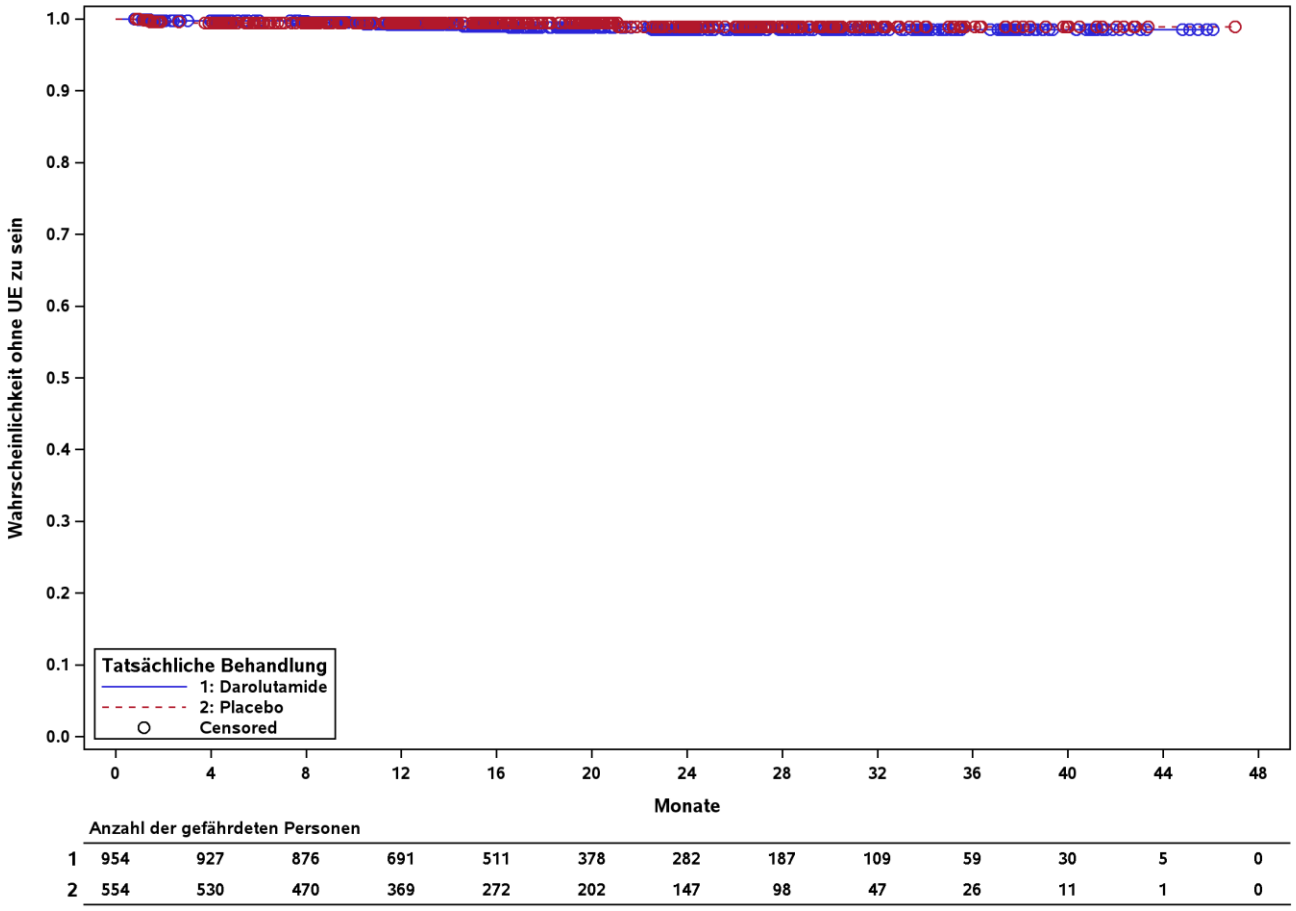
Bayer: /by-sasp/patdb/projects/1841788/17712/stat/prod_query22/pgms/t_aecut.sas 23APR2020 18:15

Figure 4.2.4 / 221: Kaplan-Meier-Plot der 'UE, die die Cutoff-Kriterien erfüllen TTE-Analyse' nach Endpunkt - Endpunkt: Zeit bis zum ersten unter der Behandlung aufgetretenen UE (TEAE) das die Cutoff-Kriterien auf MedDRA PT Ebene erfüllt (Monate) - PT: Influenza (10022000) (full analysis set)



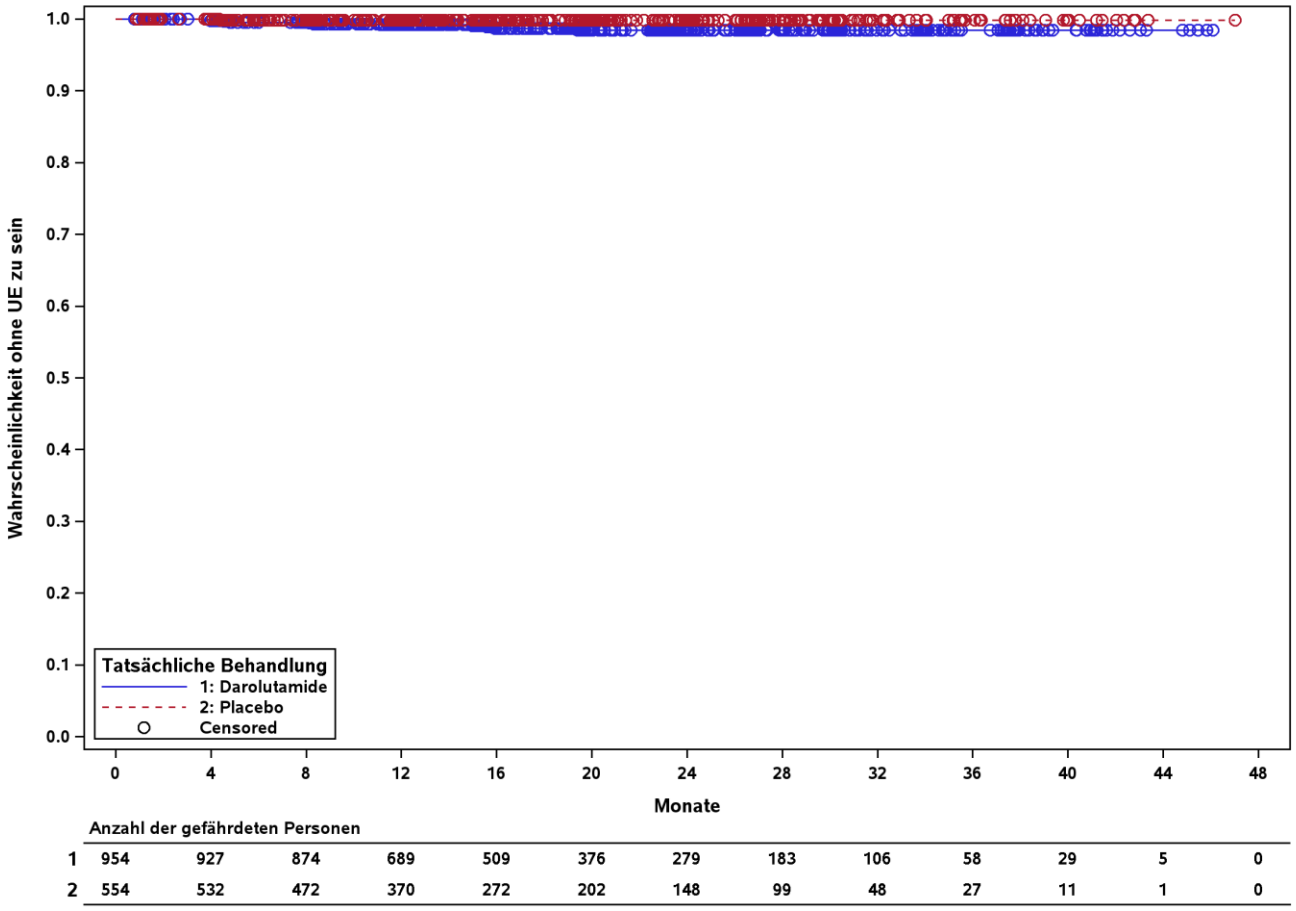
Bayer: /by-sasp/patdb/projects/1841788/17712/stat/prod_query22/pgms/t_aecut.sas 23APR2020 18:15

Figure 4.2.4 / 222: Kaplan-Meier-Plot der 'UE, die die Cutoff-Kriterien erfüllen TTE-Analyse' nach Endpunkt - Endpunkt: Zeit bis zum ersten unter der Behandlung aufgetretenen UE (TEAE) das die Cutoff-Kriterien auf MedDRA PT Ebene erfüllt (Monate) - PT: Influenza like illness (10022004) (full analysis set)



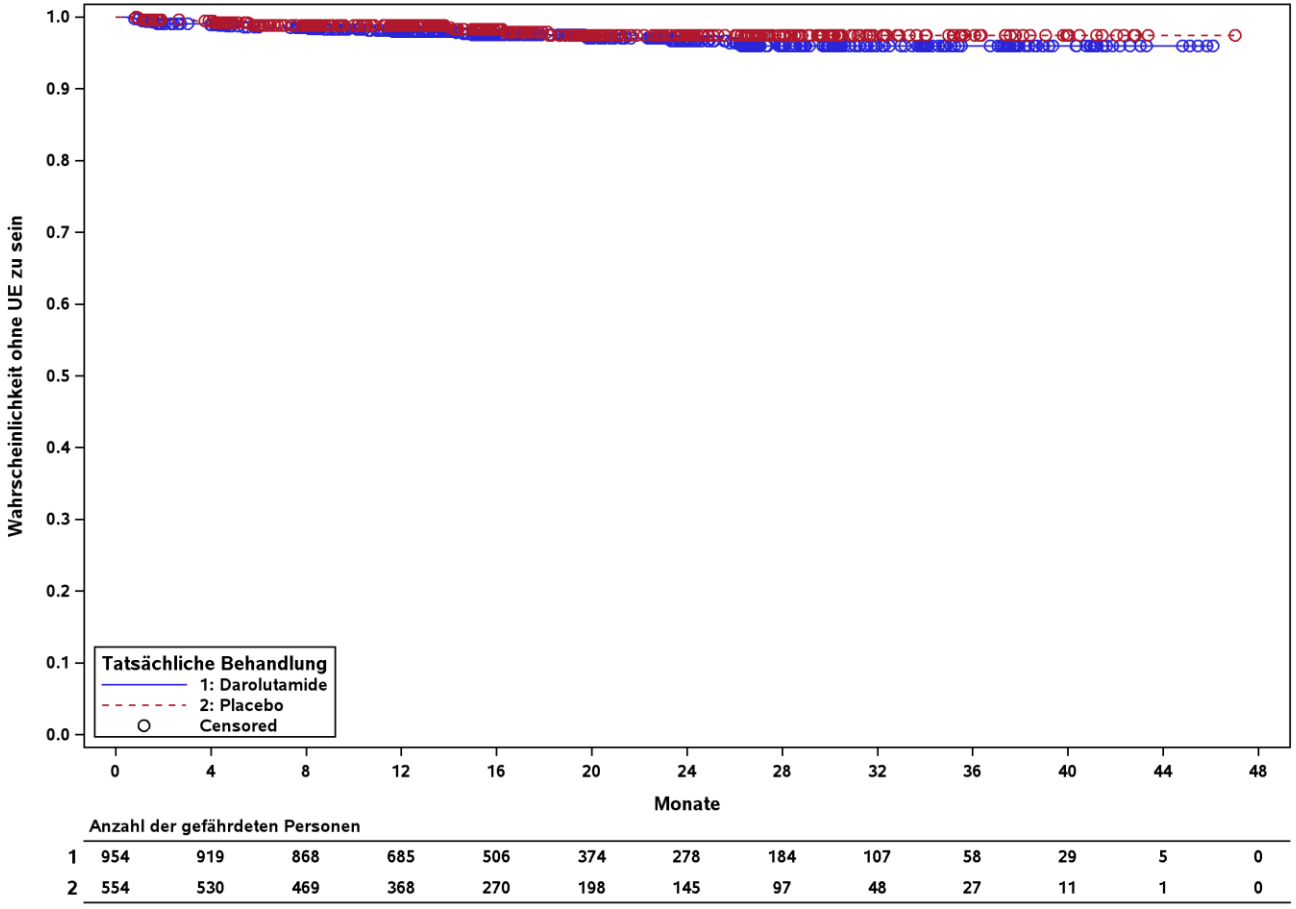
Bayer: /by-sasp/patdb/projects/1841788/17712/stat/prod_query22/pgms/t_aecut.sas 23APR2020 18:15

Figure 4.2.4 / 223: Kaplan-Meier-Plot der 'UE, die die Cutoff-Kriterien erfüllen TTE-Analyse' nach Endpunkt - Endpunkt: Zeit bis zum ersten unter der Behandlung aufgetretenen UE (TEAE) das die Cutoff-Kriterien auf MedDRA PT Ebene erfüllt (Monate) - PT: Inguinal hernia (10022016) (full analysis set)



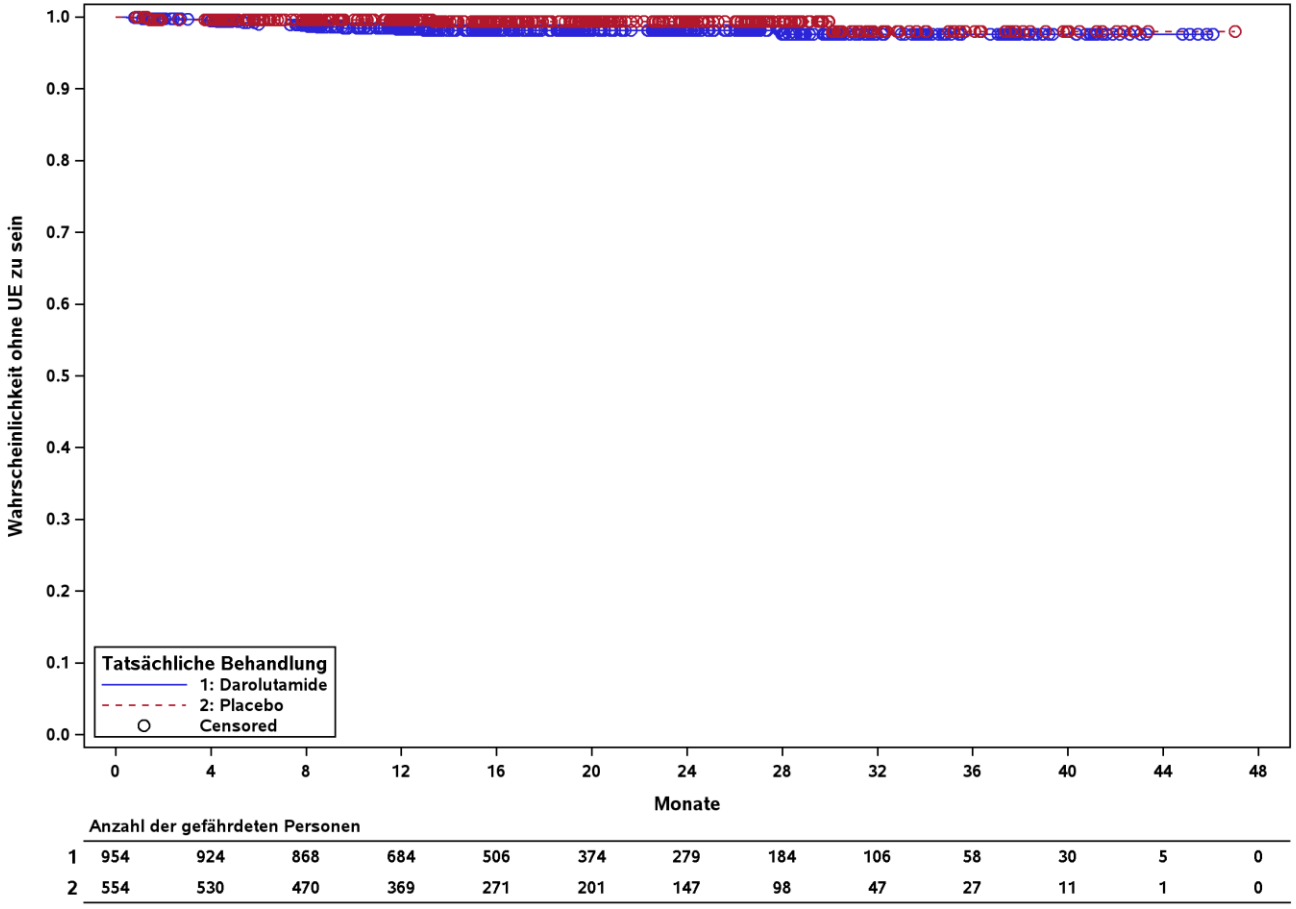
Bayer: /by-sasp/patdb/projects/1841788/17712/stat/prod_query22/pgms/t_aecut.sas 23APR2020 18:15

Figure 4.2.4 / 224: Kaplan-Meier-Plot der 'UE, die die Cutoff-Kriterien erfüllen TTE-Analyse' nach Endpunkt - Endpunkt: Zeit bis zum ersten unter der Behandlung aufgetretenen UE (TEAE) das die Cutoff-Kriterien auf MedDRA PT Ebene erfüllt (Monate) - PT: Insomnia (10022437) (full analysis set)



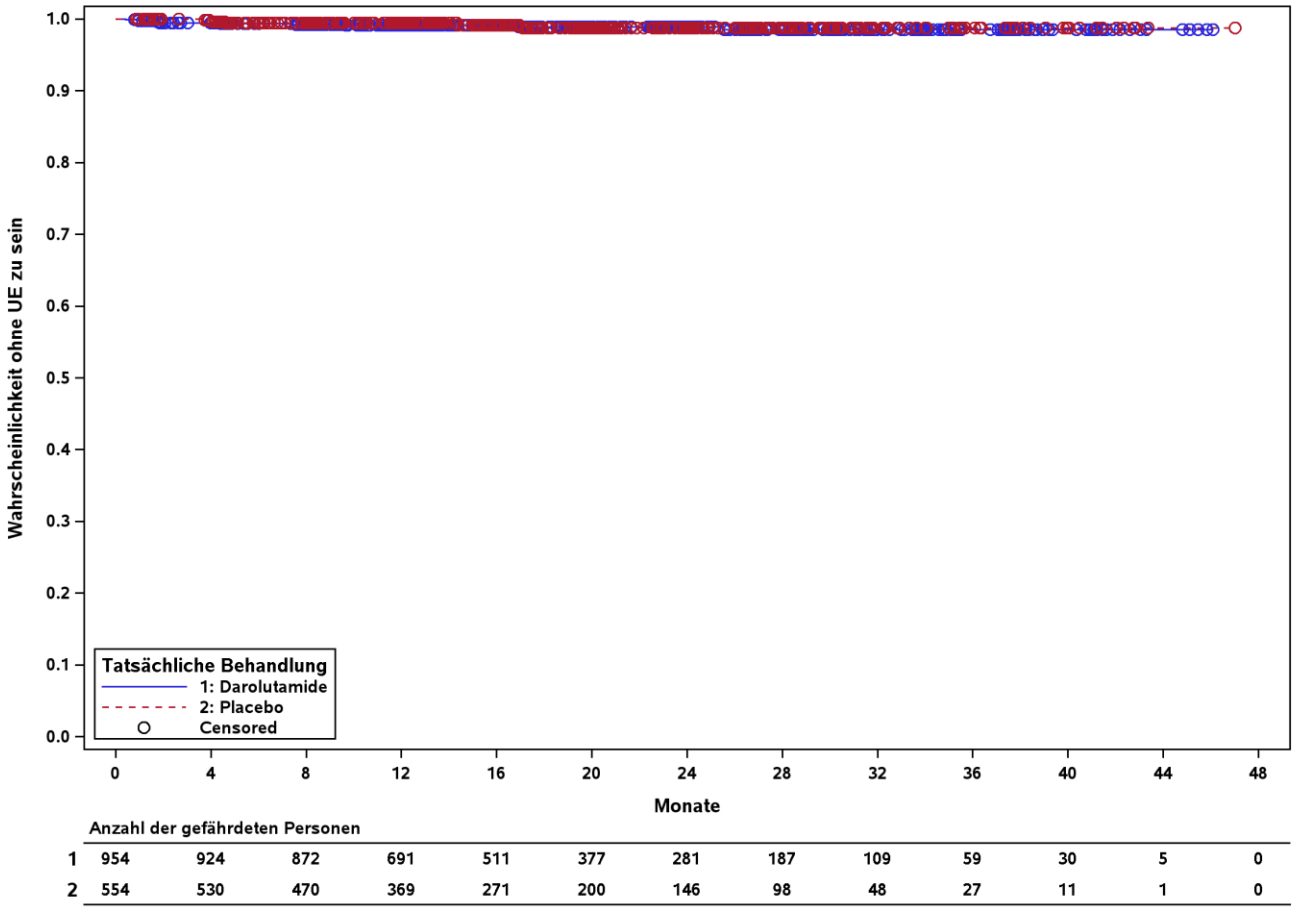
Bayer: /by-sasp/patdb/projects/1841788/17712/stat/prod_query22/pgms/t_aecut.sas 23APR2020 18:15

Figure 4.2.4 / 225: Kaplan-Meier-Plot der 'UE, die die Cutoff-Kriterien erfüllen TTE-Analyse' nach Endpunkt - Endpunkt: Zeit bis zum ersten unter der Behandlung aufgetretenen UE (TEAE) das die Cutoff-Kriterien auf MedDRA PT Ebene erfüllt (Monate) - PT: Muscle spasms (10028334) (full analysis set)



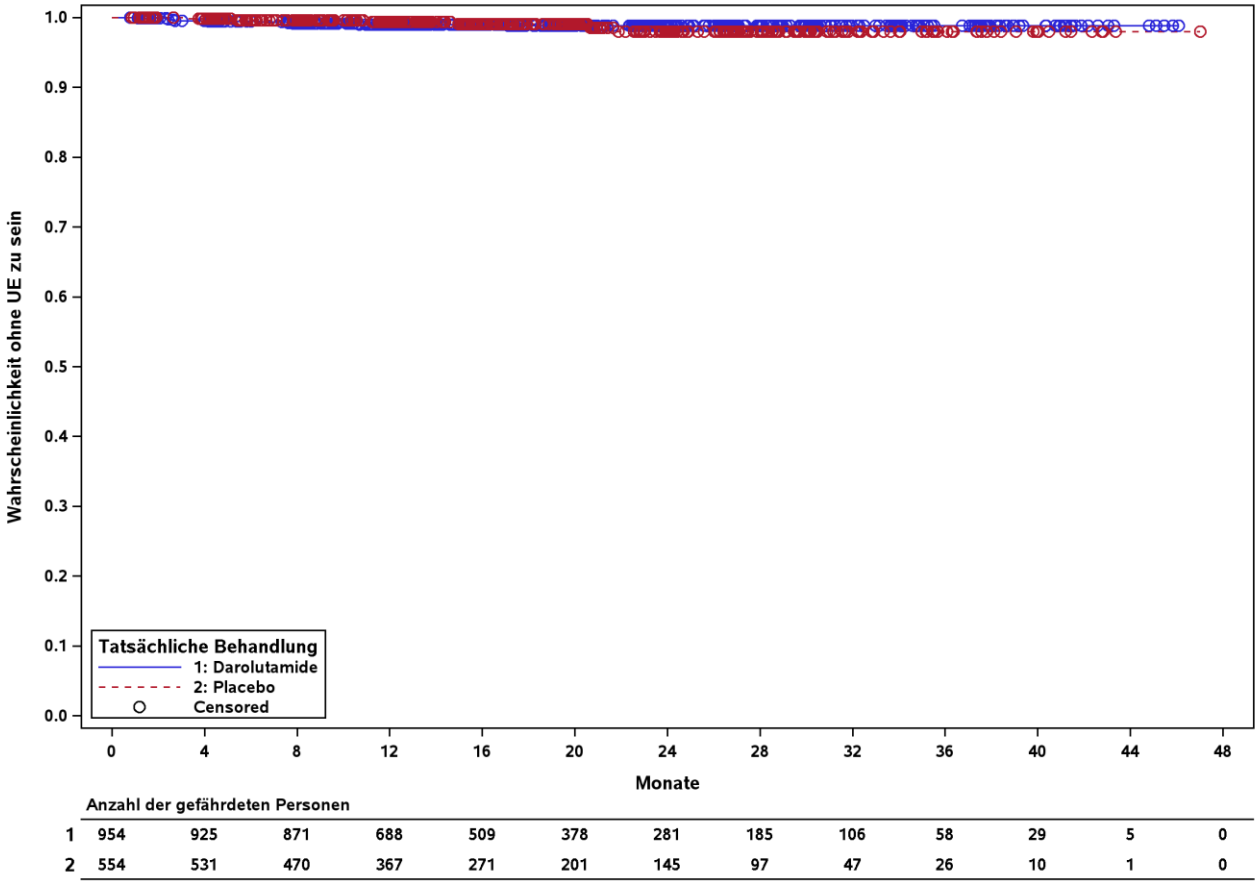
Bayer: /by-sasp/patdb/projects/1841788/17712/stat/prod_query22/pgms/t_aecut.sas 23APR2020 18:15

Figure 4.2.4 / 226: Kaplan-Meier-Plot der 'UE, die die Cutoff-Kriterien erfüllen TTE-Analyse' nach Endpunkt - Endpunkt: Zeit bis zum ersten unter der Behandlung aufgetretenen UE (TEAE) das die Cutoff-Kriterien auf MedDRA PT Ebene erfüllt (Monate) - PT: Muscular weakness (10028372) (full analysis set)



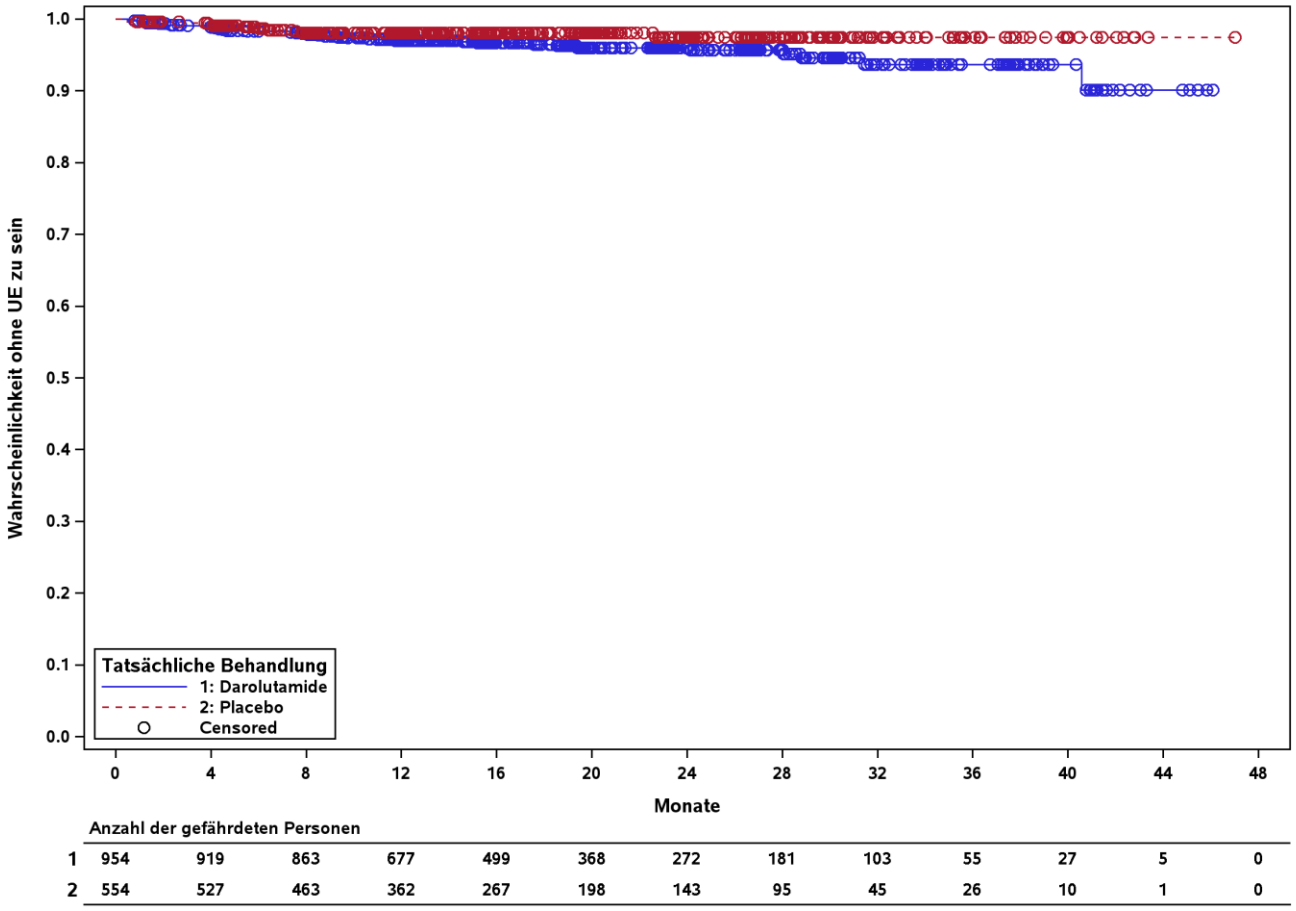
Bayer: /by-sasp/patdb/projects/1841788/17712/stat/prod_query22/pgms/t_aecut.sas 23APR2020 18:15

Figure 4.2.4 / 227: Kaplan-Meier-Plot der 'UE, die die Cutoff-Kriterien erfüllen TTE-Analyse' nach Endpunkt - Endpunkt: Zeit bis zum ersten unter der Behandlung aufgetretenen UE (TEAE) das die Cutoff-Kriterien auf MedDRA PT Ebene erfüllt (Monate) - PT: Musculoskeletal chest pain (10050819) (full analysis set)



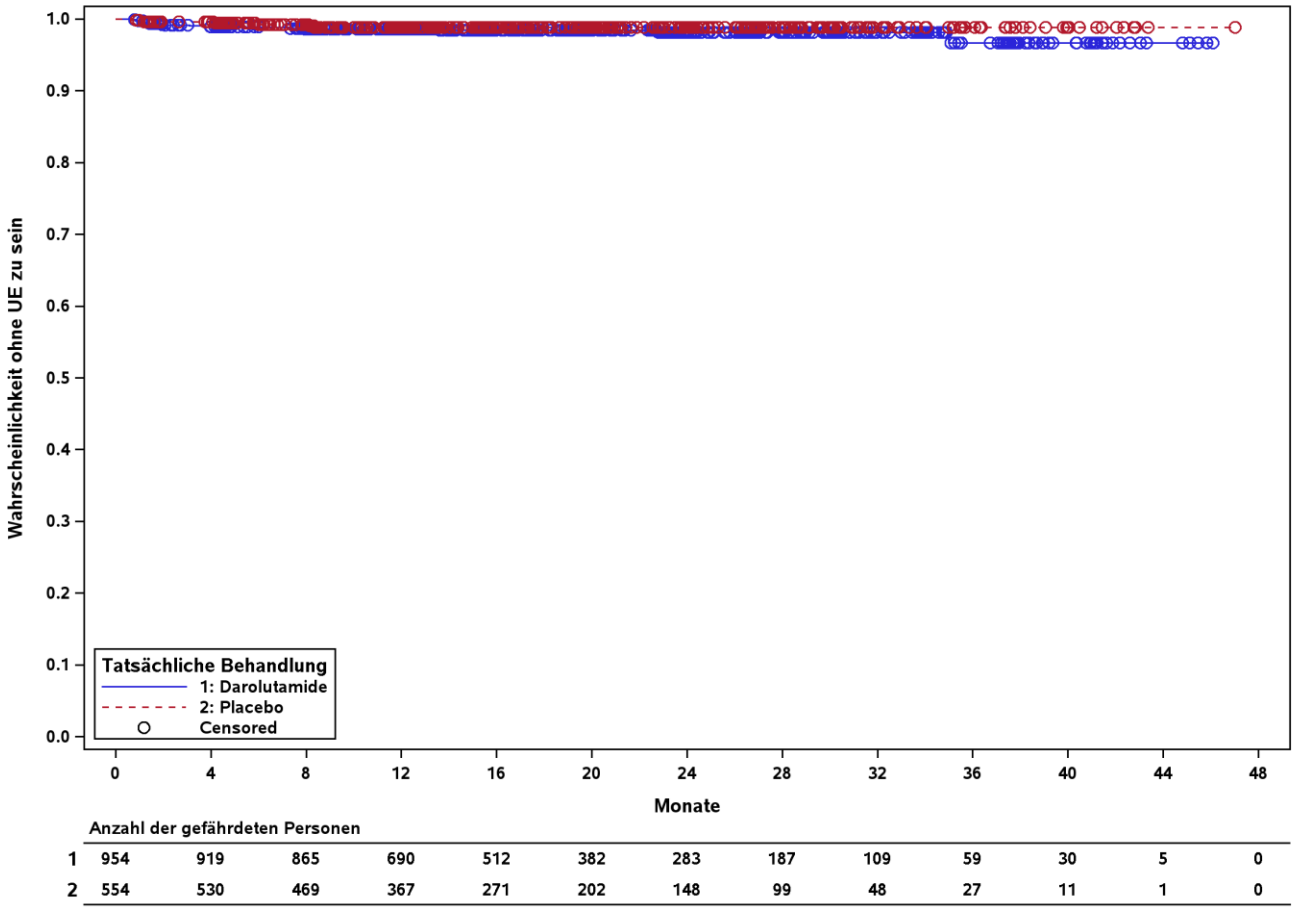
Bayer: /by-sasp/patdb/projects/1841788/17712/stat/prod_query22/pgms/t_aecut.sas 23APR2020 18:15

Figure 4.2.4 / 228: Kaplan-Meier-Plot der 'UE, die die Cutoff-Kriterien erfüllen TTE-Analyse' nach Endpunkt - Endpunkt: Zeit bis zum ersten unter der Behandlung aufgetretenen UE (TEAE) das die Cutoff-Kriterien auf MedDRA PT Ebene erfüllt (Monate) - PT: Musculoskeletal pain (10028391) (full analysis set)



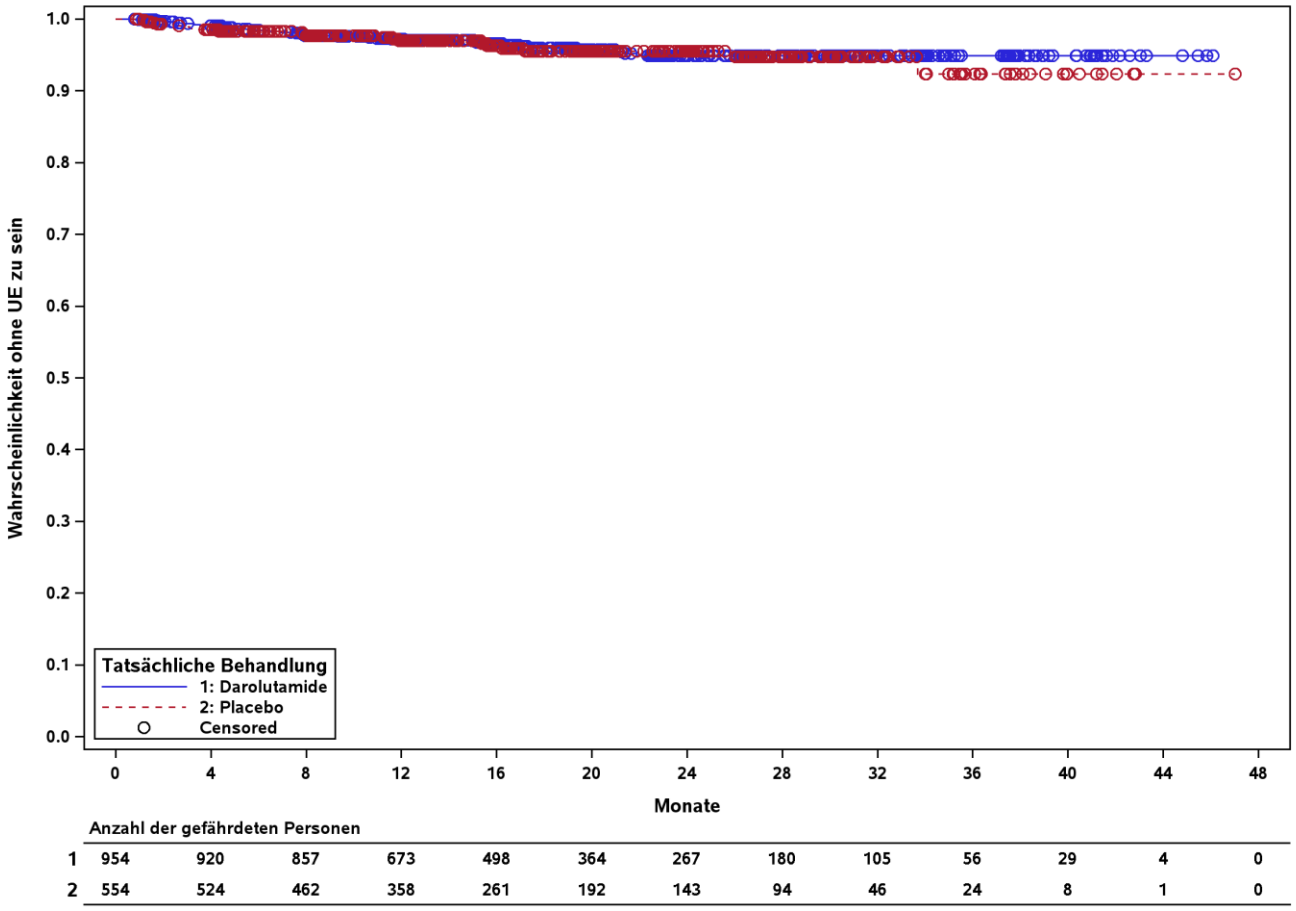
Bayer: /by-sasp/patdb/projects/1841788/17712/stat/prod_query22/pgms/t_aecut.sas 23APR2020 18:15

Figure 4.2.4 / 229: Kaplan-Meier-Plot der 'UE, die die Cutoff-Kriterien erfüllen TTE-Analyse' nach Endpunkt - Endpunkt: Zeit bis zum ersten unter der Behandlung aufgetretenen UE (TEAE) das die Cutoff-Kriterien auf MedDRA PT Ebene erfüllt (Monate) - PT: Myalgia (10028411) (full analysis set)



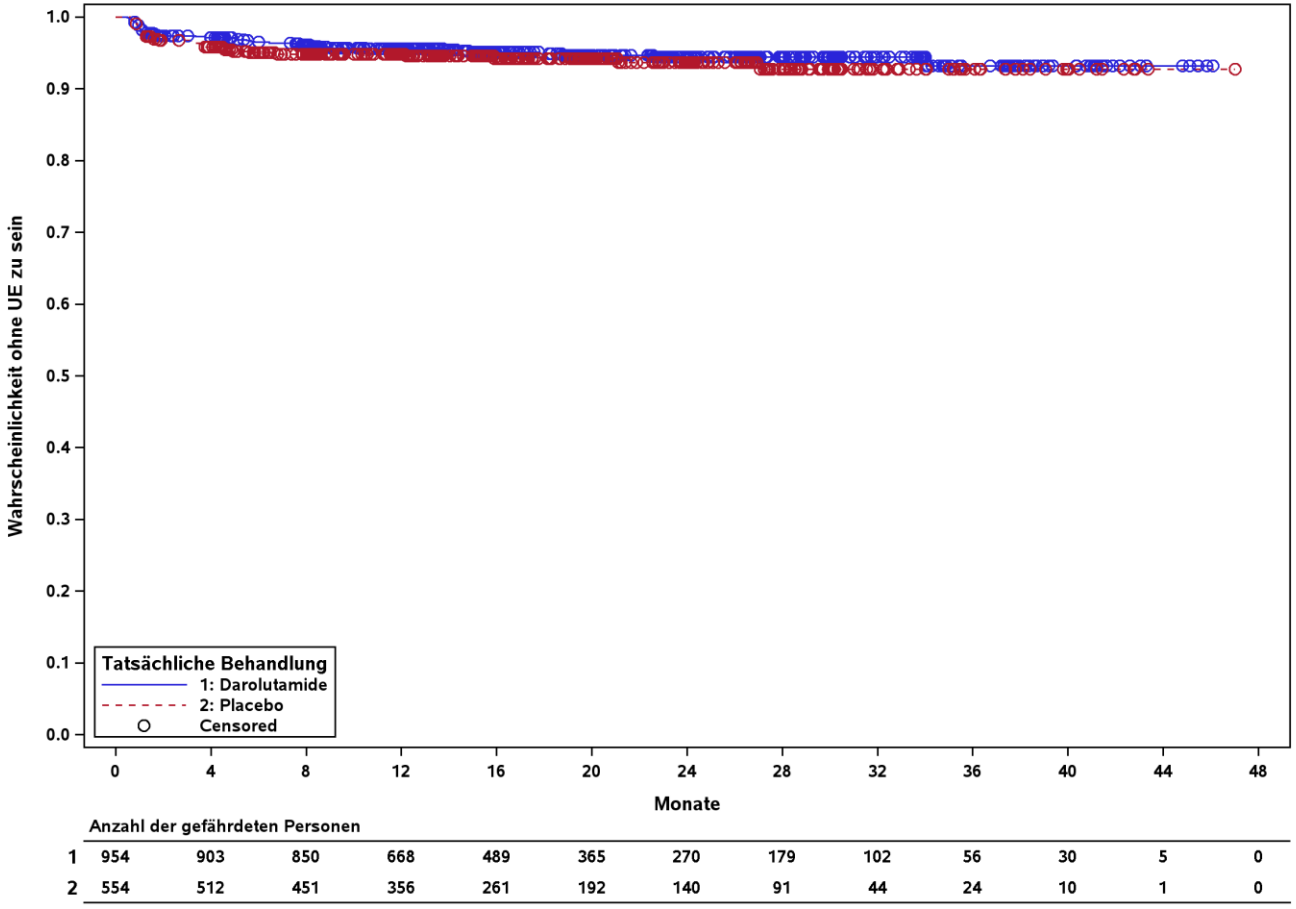
Bayer: /by-sasp/patdb/projects/1841788/17712/stat/prod_query22/pgms/t_aecut.sas 23APR2020 18:15

Figure 4.2.4 / 230: Kaplan-Meier-Plot der 'UE, die die Cutoff-Kriterien erfüllen TTE-Analyse' nach Endpunkt - Endpunkt: Zeit bis zum ersten unter der Behandlung aufgetretenen UE (TEAE) das die Cutoff-Kriterien auf MedDRA PT Ebene erfüllt (Monate) - PT: Nasopharyngitis (10028810) (full analysis set)



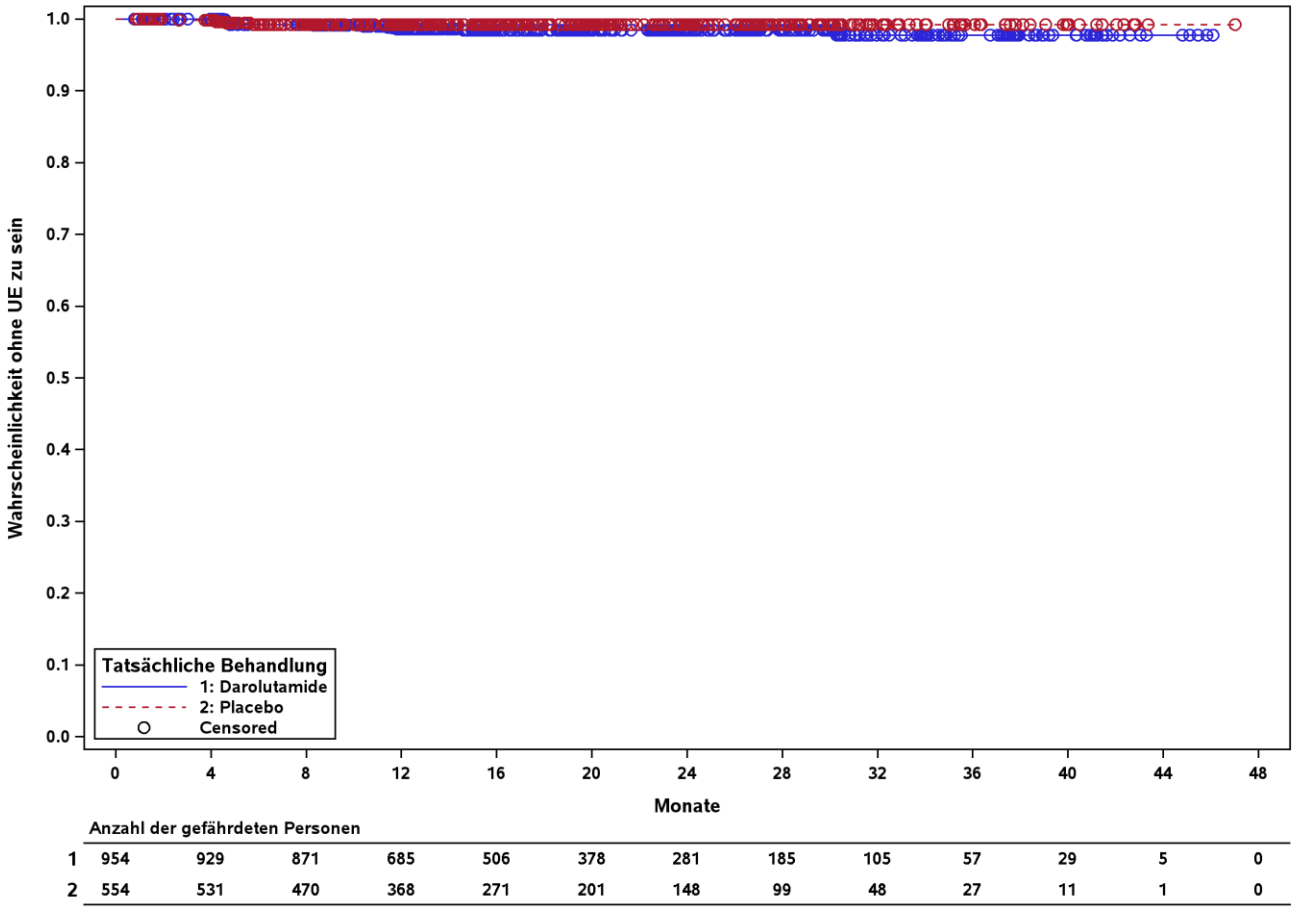
Bayer: /by-sasp/patdb/projects/1841788/17712/stat/prod_query22/pgms/t_aecut.sas 23APR2020 18:15

Figure 4.2.4 / 231: Kaplan-Meier-Plot der 'UE, die die Cutoff-Kriterien erfüllen TTE-Analyse' nach Endpunkt - Endpunkt: Zeit bis zum ersten unter der Behandlung aufgetretenen UE (TEAE) das die Cutoff-Kriterien auf MedDRA PT Ebene erfüllt (Monate) - PT: Nausea (10028813) (full analysis set)



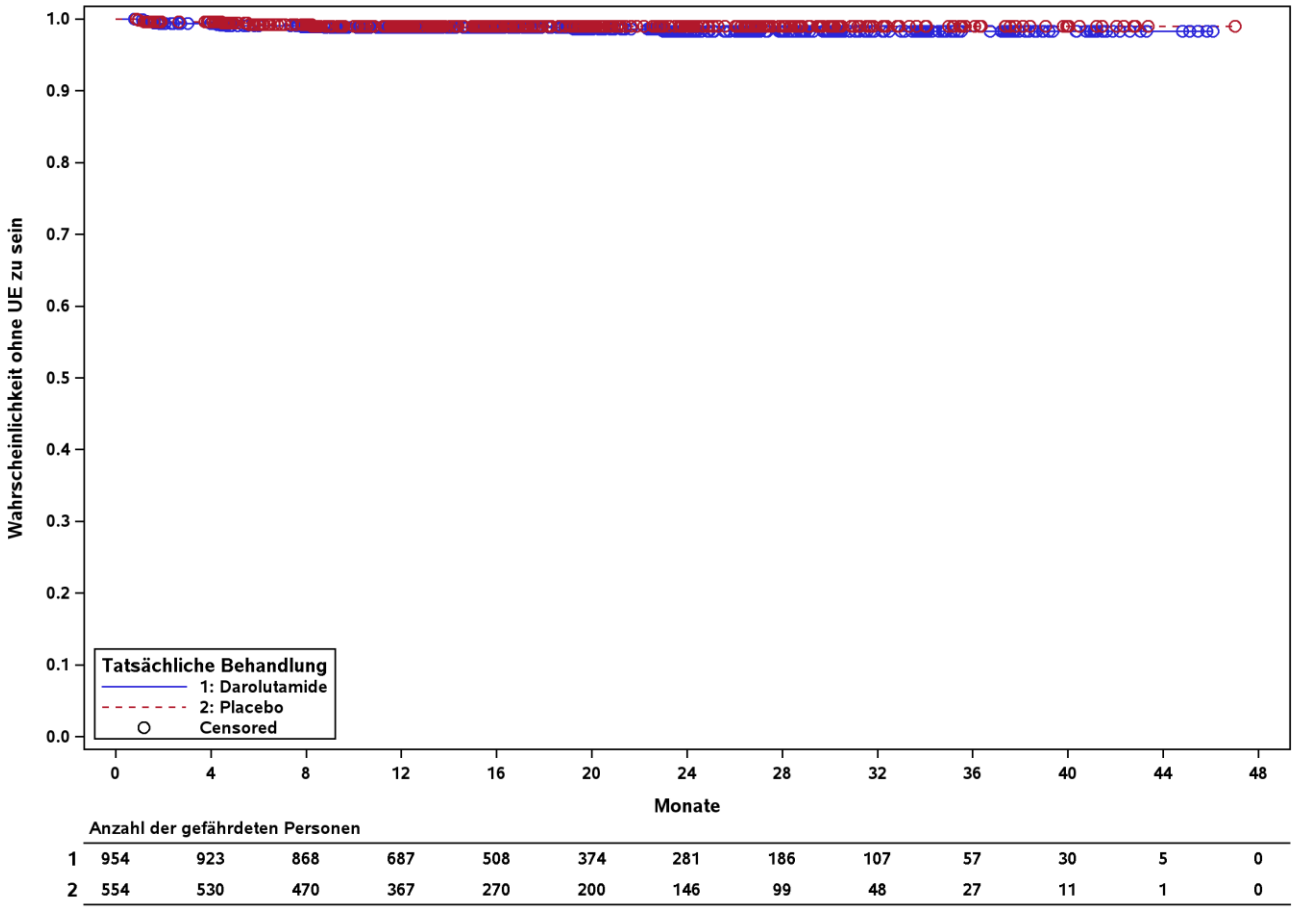
Bayer: /by-sasp/patdb/projects/1841788/17712/stat/prod_query22/pgms/t_aecut.sas 23APR2020 18:15

Figure 4.2.4 / 232: Kaplan-Meier-Plot der 'UE, die die Cutoff-Kriterien erfüllen TTE-Analyse' nach Endpunkt - Endpunkt: Zeit bis zum ersten unter der Behandlung aufgetretenen UE (TEAE) das die Cutoff-Kriterien auf MedDRA PT Ebene erfüllt (Monate) - PT: Nephrolithiasis (10029148) (full analysis set)



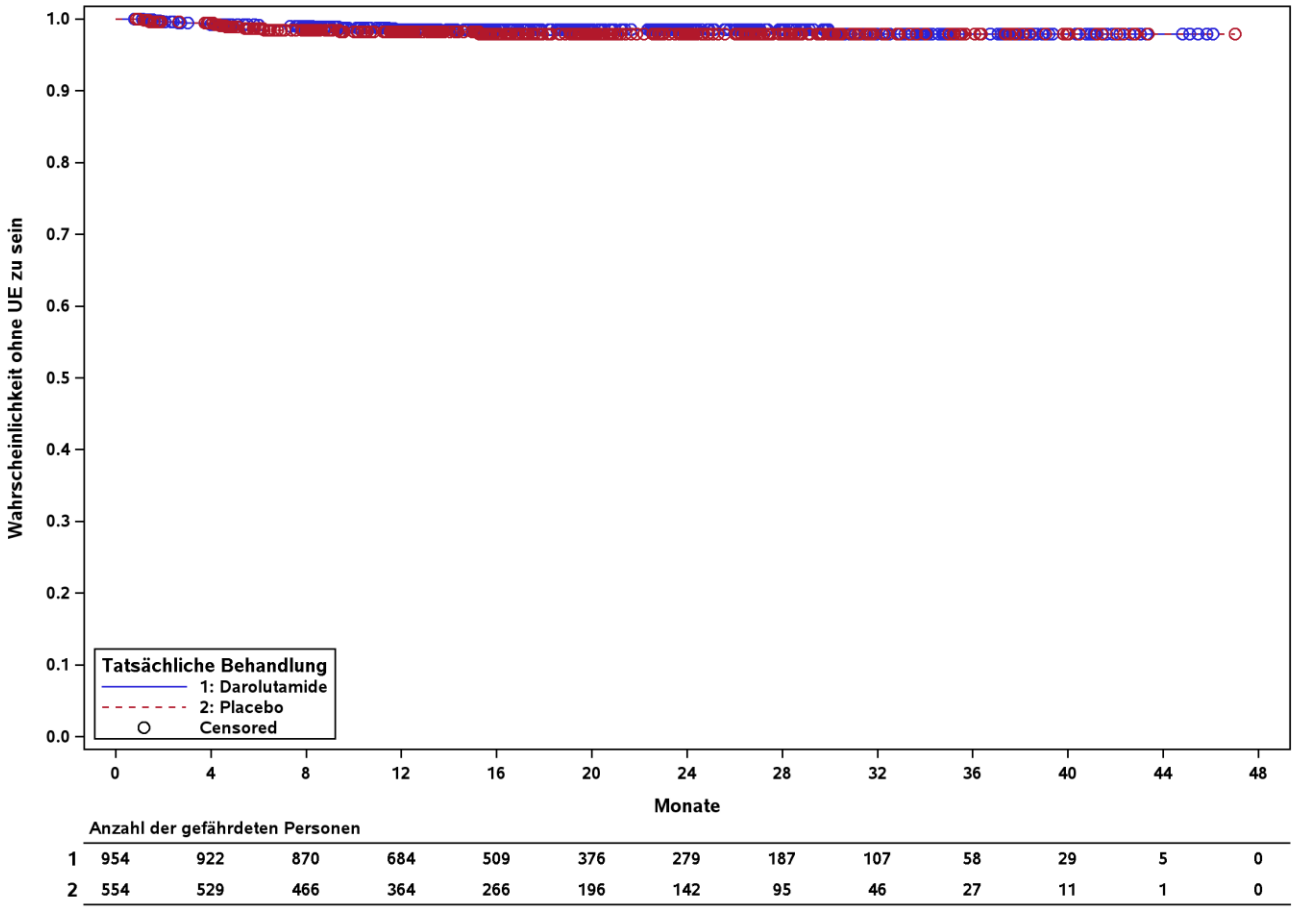
Bayer: /by-sasp/patdb/projects/1841788/17712/stat/prod_query22/pgms/t_aecut.sas 23APR2020 18:15

Figure 4.2.4 / 233: Kaplan-Meier-Plot der 'UE, die die Cutoff-Kriterien erfüllen TTE-Analyse' nach Endpunkt - Endpunkt: Zeit bis zum ersten unter der Behandlung aufgetretenen UE (TEAE) das die Cutoff-Kriterien auf MedDRA PT Ebene erfüllt (Monate) - PT: Neutropenia (10029354) (full analysis set)



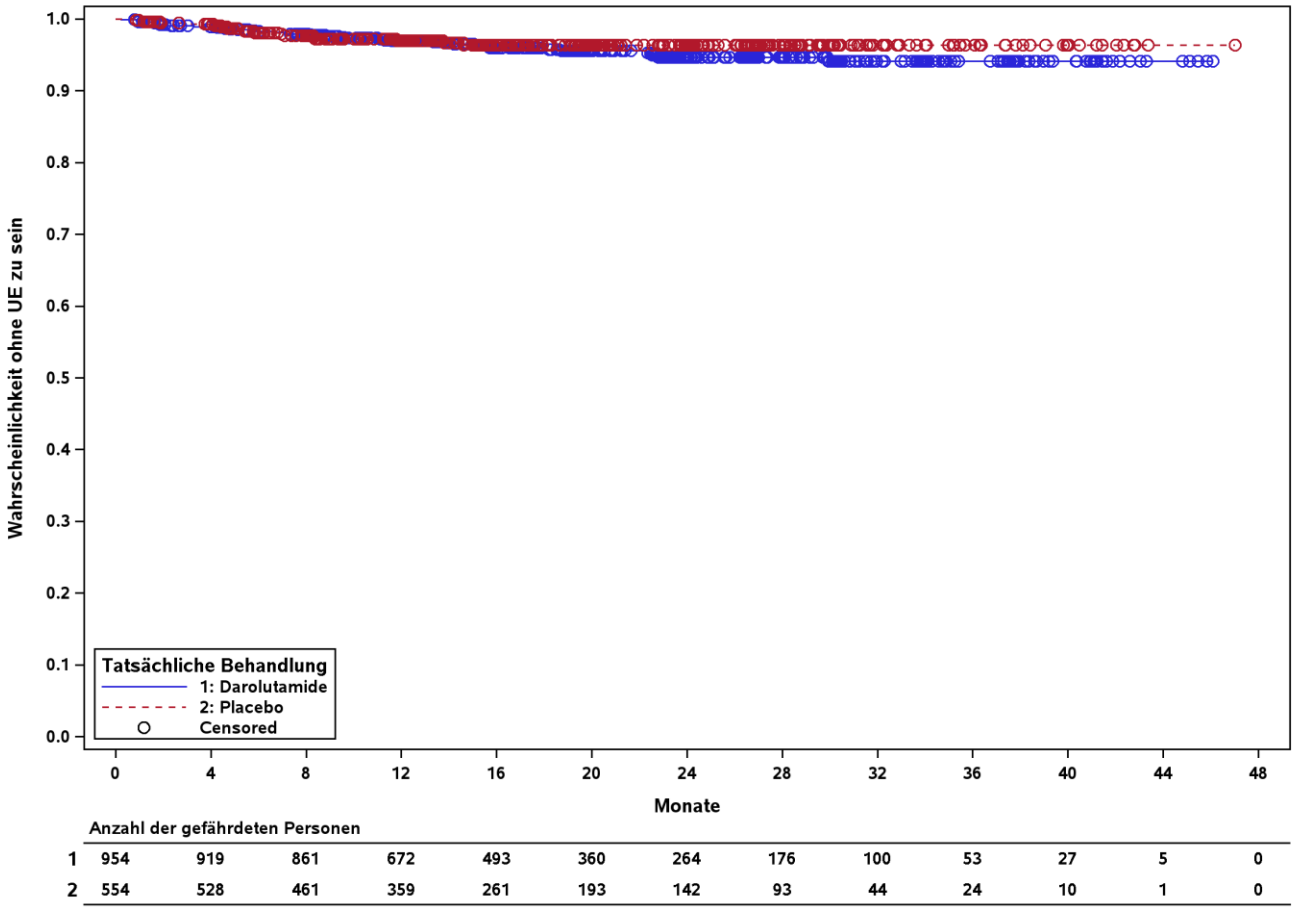
Bayer: /by-sasp/patdb/projects/1841788/17712/stat/prod_query22/pgms/t_aecut.sas 23APR2020 18:15

Figure 4.2.4 / 234: Kaplan-Meier-Plot der 'UE, die die Cutoff-Kriterien erfüllen TTE-Analyse' nach Endpunkt - Endpunkt: Zeit bis zum ersten unter der Behandlung aufgetretenen UE (TEAE) das die Cutoff-Kriterien auf MedDRA PT Ebene erfüllt (Monate) - PT: Nocturia (10029446) (full analysis set)



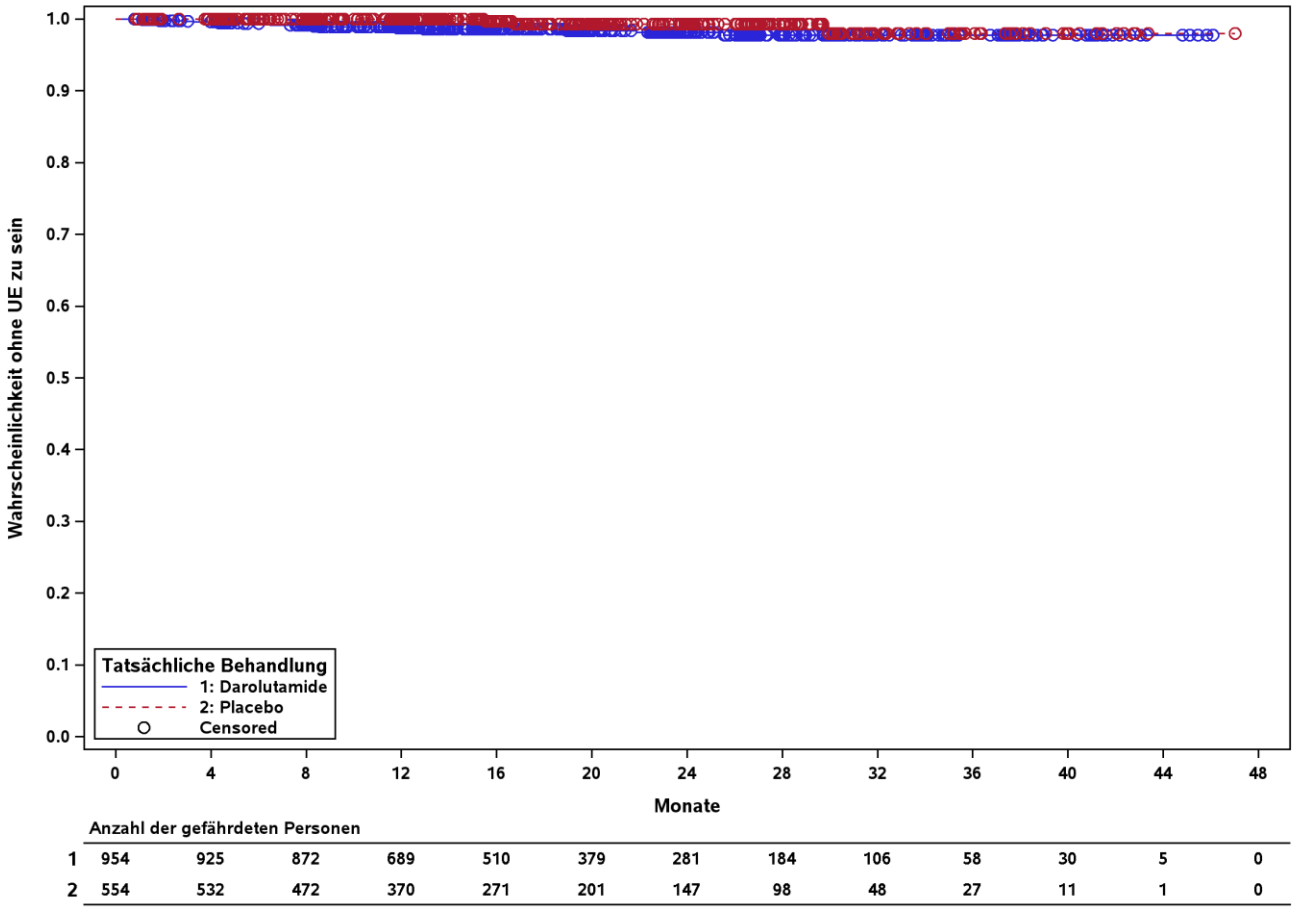
Bayer: /by-sasp/patdb/projects/1841788/17712/stat/prod_query22/pgms/t_aecut.sas 23APR2020 18:15

Figure 4.2.4 / 235: Kaplan-Meier-Plot der 'UE, die die Cutoff-Kriterien erfüllen TTE-Analyse' nach Endpunkt - Endpunkt: Zeit bis zum ersten unter der Behandlung aufgetretenen UE (TEAE) das die Cutoff-Kriterien auf MedDRA PT Ebene erfüllt (Monate) - PT: Oedema peripheral (10030124) (full analysis set)



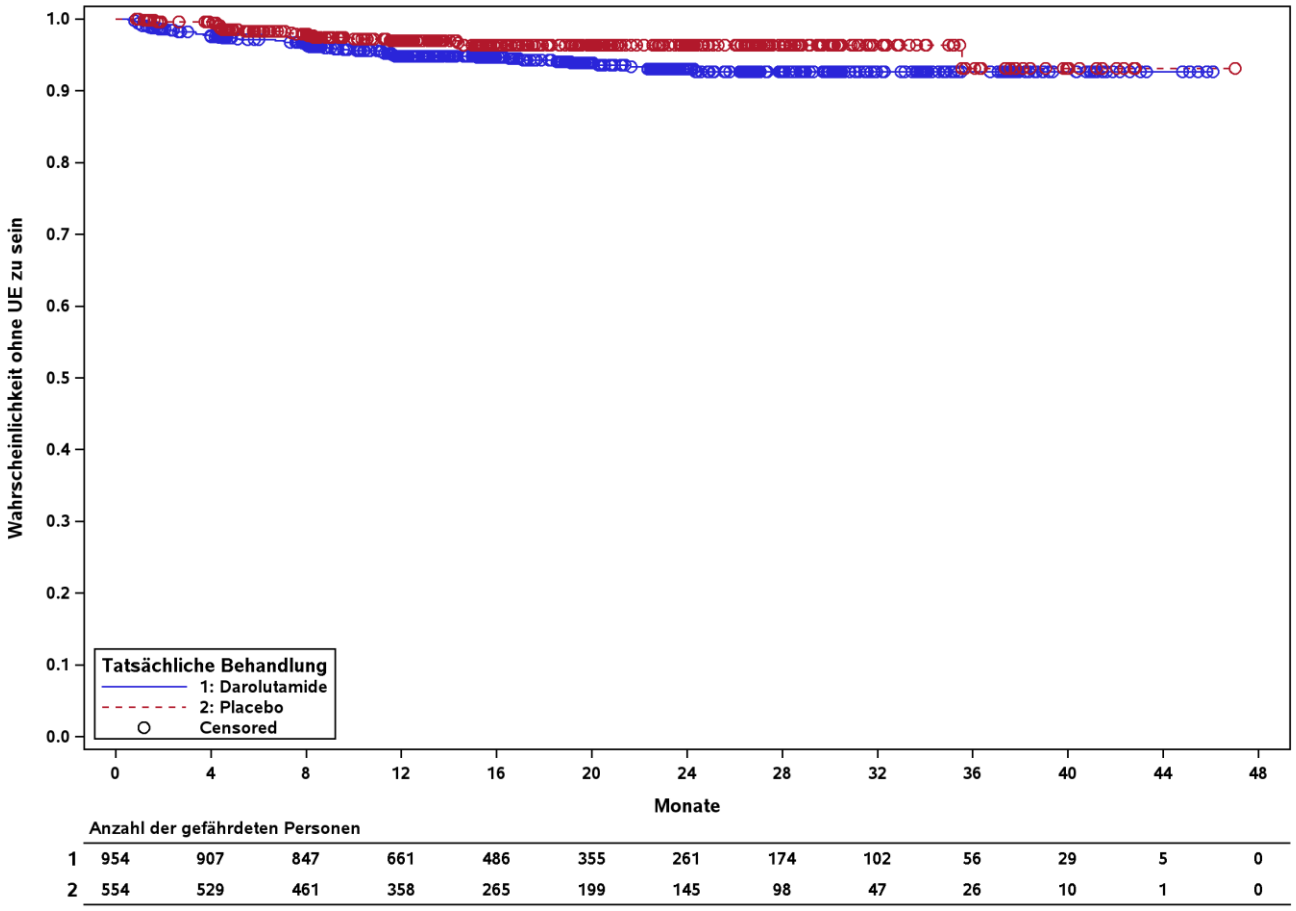
Bayer: /by-sasp/patdb/projects/1841788/17712/stat/prod_query22/pgms/t_aecut.sas 23APR2020 18:15

Figure 4.2.4 / 236: Kaplan-Meier-Plot der 'UE, die die Cutoff-Kriterien erfüllen TTE-Analyse' nach Endpunkt - Endpunkt: Zeit bis zum ersten unter der Behandlung aufgetretenen UE (TEAE) das die Cutoff-Kriterien auf MedDRA PT Ebene erfüllt (Monate) - PT: Osteoarthritis (10031161) (full analysis set)



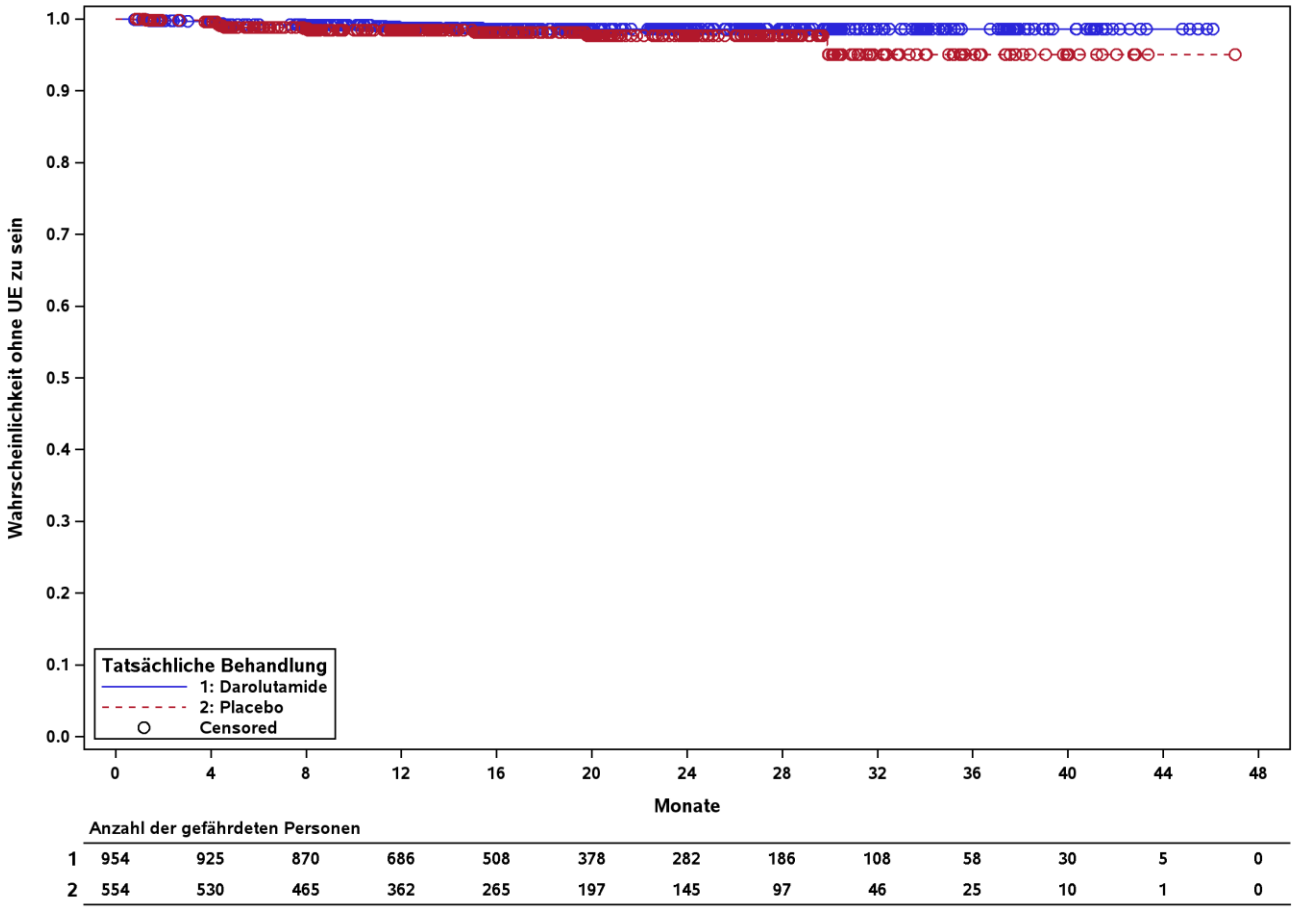
Bayer: /by-sasp/patdb/projects/1841788/17712/stat/prod_query22/pgms/t_aecut.sas 23APR2020 18:15

Figure 4.2.4 / 237: Kaplan-Meier-Plot der 'UE, die die Cutoff-Kriterien erfüllen TTE-Analyse' nach Endpunkt - Endpunkt: Zeit bis zum ersten unter der Behandlung aufgetretenen UE (TEAE) das die Cutoff-Kriterien auf MedDRA PT Ebene erfüllt (Monate) - PT: Pain in extremity (10033425) (full analysis set)



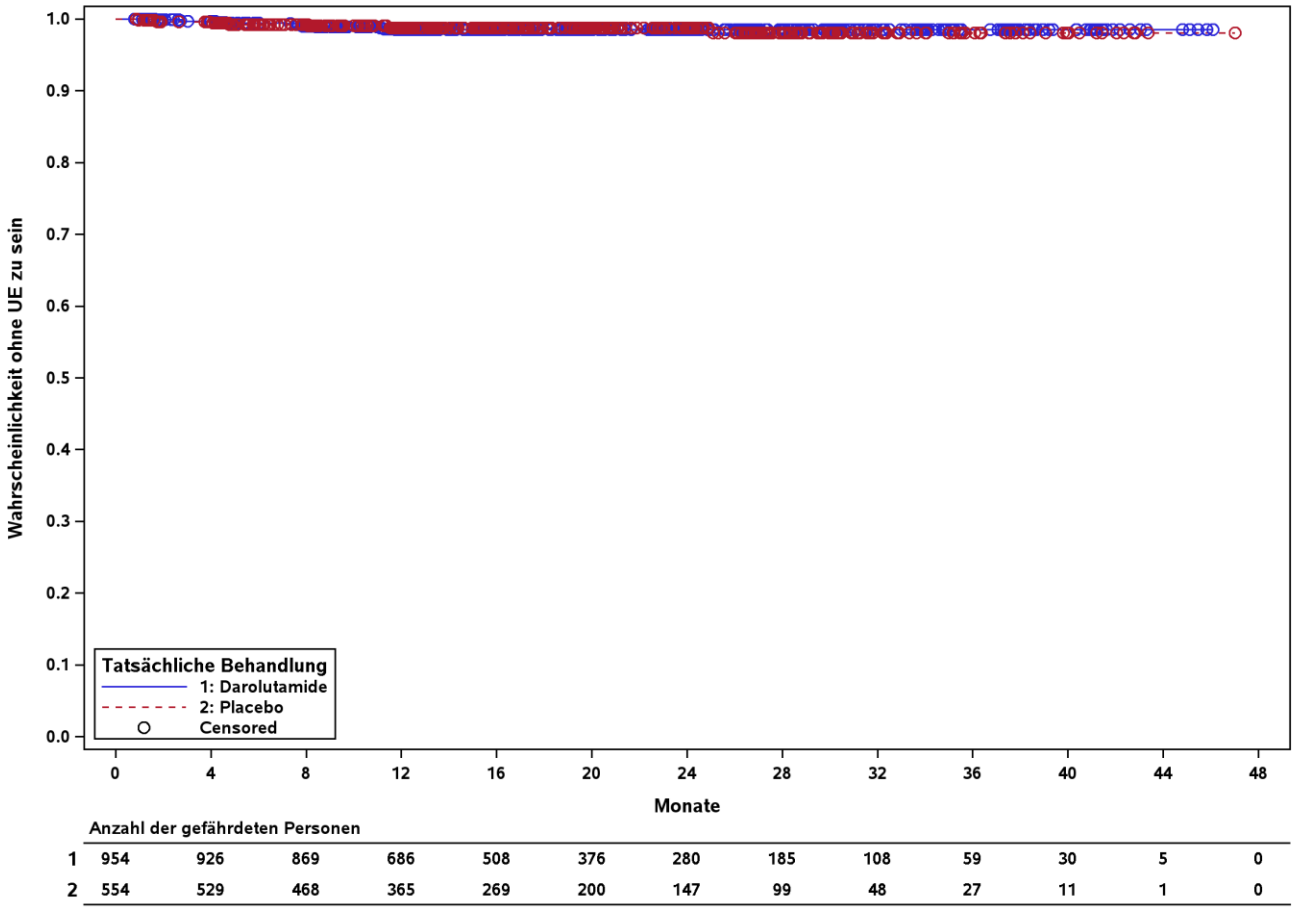
Bayer: /by-sasp/patdb/projects/1841788/17712/stat/prod_query22/pgms/t_aecut.sas 23APR2020 18:15

Figure 4.2.4 / 238: Kaplan-Meier-Plot der 'UE, die die Cutoff-Kriterien erfüllen TTE-Analyse' nach Endpunkt - Endpunkt: Zeit bis zum ersten unter der Behandlung aufgetretenen UE (TEAE) das die Cutoff-Kriterien auf MedDRA PT Ebene erfüllt (Monate) - PT: Pelvic pain (10034263) (full analysis set)



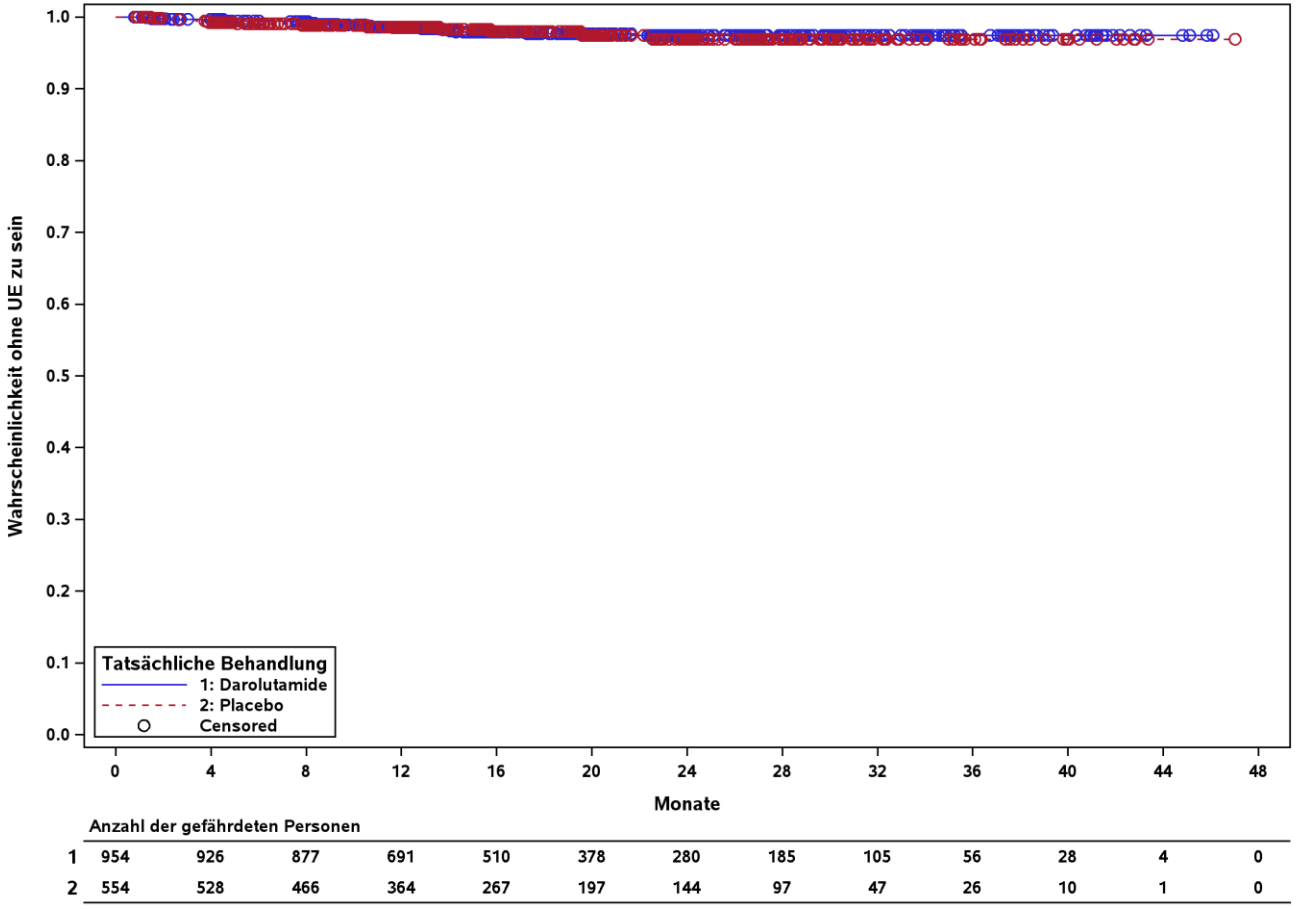
Bayer: /by-sasp/patdb/projects/1841788/17712/stat/prod_query22/pgms/t_aecut.sas 23APR2020 18:15

Figure 4.2.4 / 239: Kaplan-Meier-Plot der 'UE, die die Cutoff-Kriterien erfüllen TTE-Analyse' nach Endpunkt - Endpunkt: Zeit bis zum ersten unter der Behandlung aufgetretenen UE (TEAE) das die Cutoff-Kriterien auf MedDRA PT Ebene erfüllt (Monate) - PT: Peripheral swelling (10048959) (full analysis set)



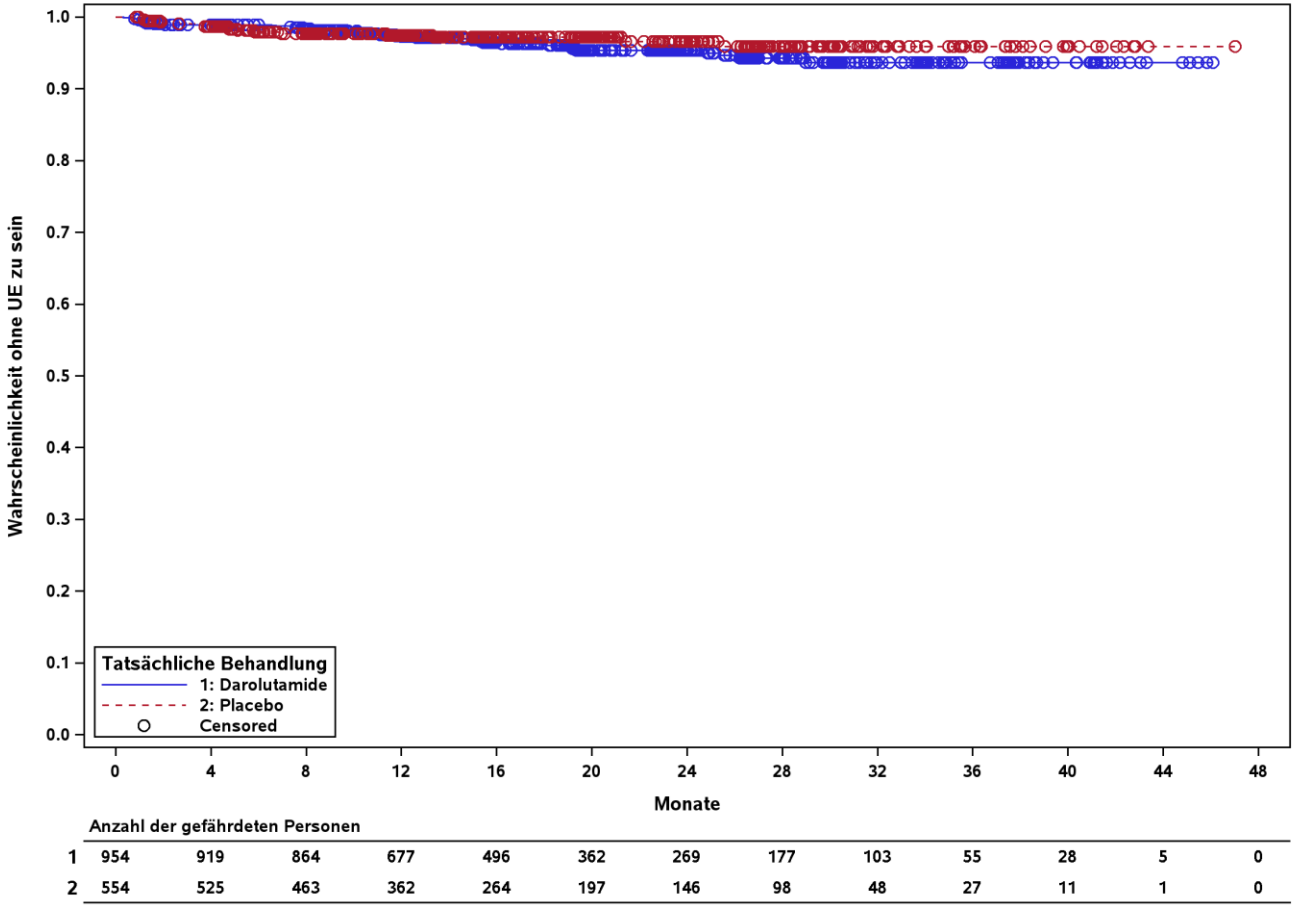
Bayer: /by-sasp/patdb/projects/1841788/17712/stat/prod_query22/pgms/t_aecut.sas 23APR2020 18:15

Figure 4.2.4 / 240: Kaplan-Meier-Plot der 'UE, die die Cutoff-Kriterien erfüllen TTE-Analyse' nach Endpunkt - Endpunkt: Zeit bis zum ersten unter der Behandlung aufgetretenen UE (TEAE) das die Cutoff-Kriterien auf MedDRA PT Ebene erfüllt (Monate) - PT: Pneumonia (10035664) (full analysis set)



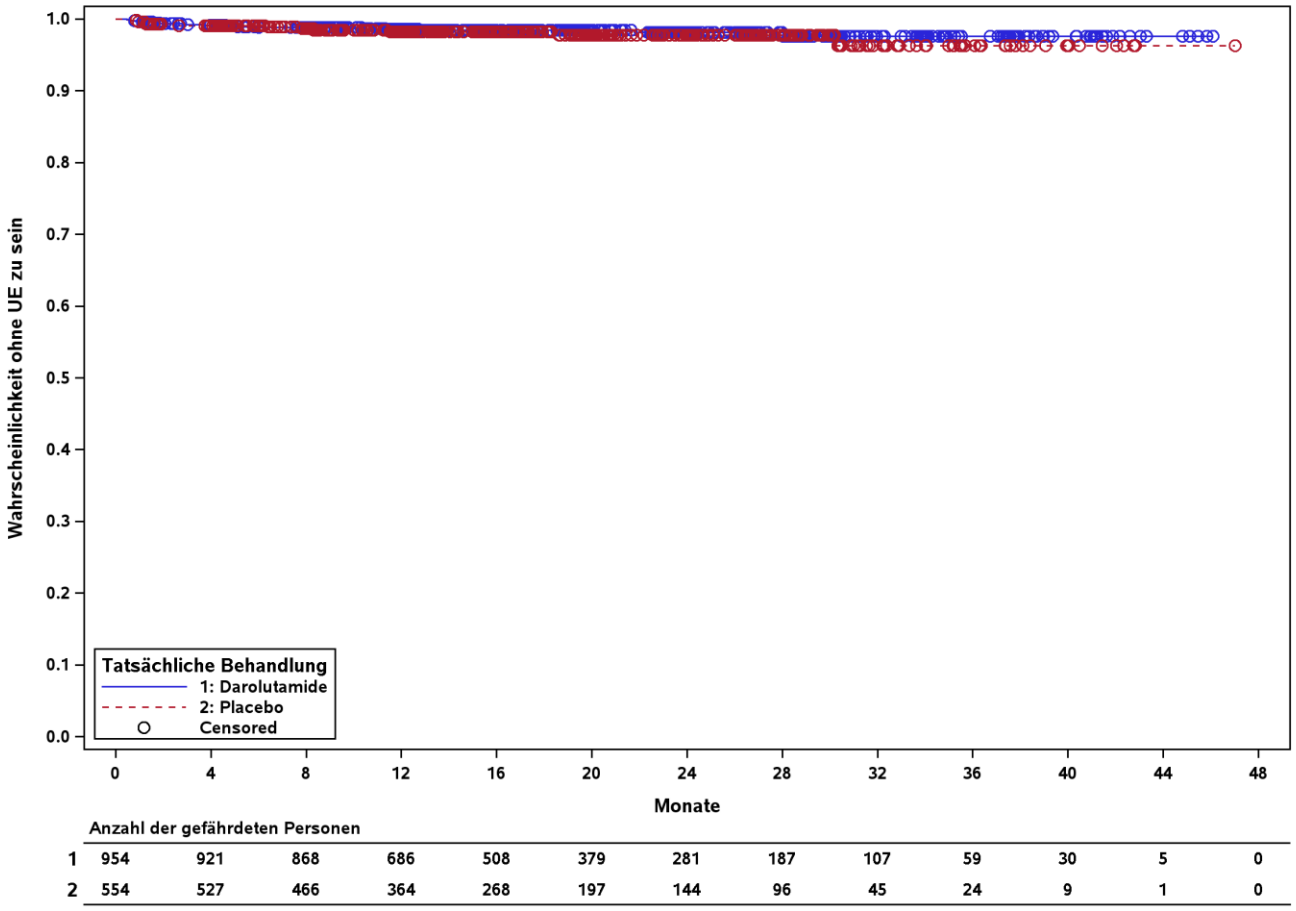
Bayer: /by-sasp/patdb/projects/1841788/17712/stat/prod_query22/pgms/t_aecut.sas 23APR2020 18:15

Figure 4.2.4 / 241: Kaplan-Meier-Plot der 'UE, die die Cutoff-Kriterien erfüllen TTE-Analyse' nach Endpunkt - Endpunkt: Zeit bis zum ersten unter der Behandlung aufgetretenen UE (TEAE) das die Cutoff-Kriterien auf MedDRA PT Ebene erfüllt (Monate) - PT: Pollakiuria (10036018) (full analysis set)



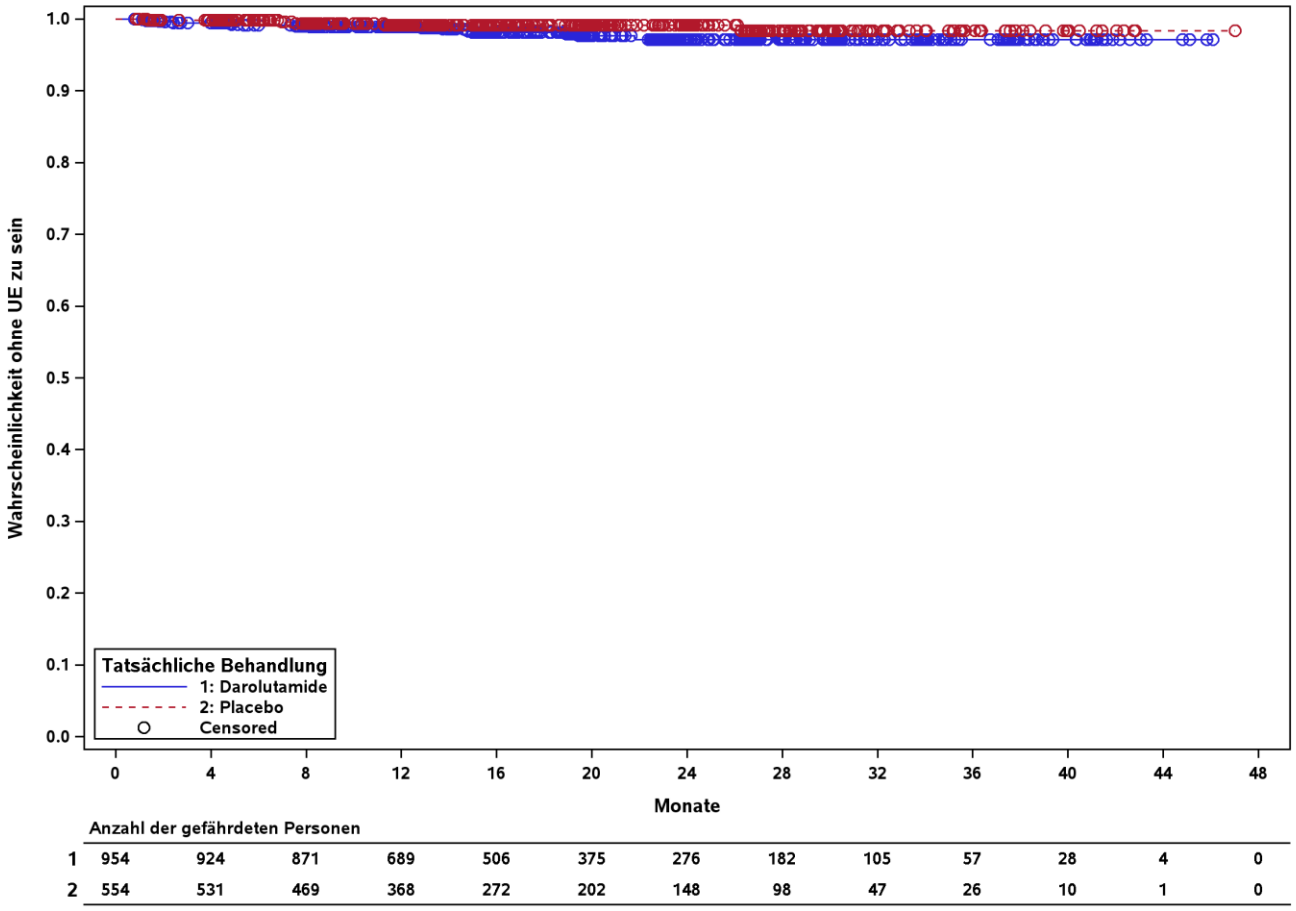
Bayer: /by-sasp/patdb/projects/1841788/17712/stat/prod_query22/pgms/t_aecut.sas 23APR2020 18:15

Figure 4.2.4 / 242: Kaplan-Meier-Plot der 'UE, die die Cutoff-Kriterien erfüllen TTE-Analyse' nach Endpunkt - Endpunkt: Zeit bis zum ersten unter der Behandlung aufgetretenen UE (TEAE) das die Cutoff-Kriterien auf MedDRA PT Ebene erfüllt (Monate) - PT: Pruritus (10037087) (full analysis set)



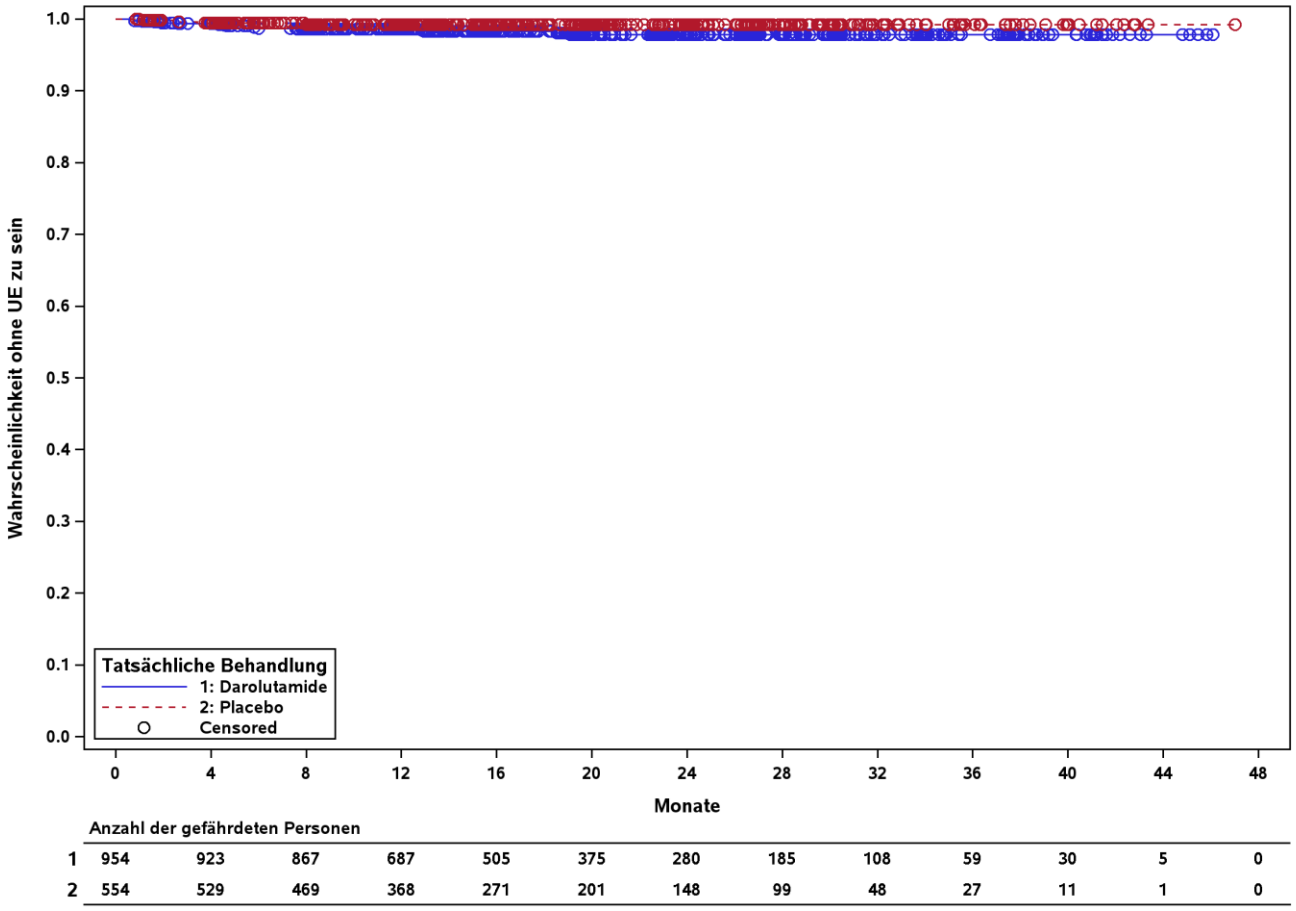
Bayer: /by-sasp/patdb/projects/1841788/17712/stat/prod_query22/pgms/t_aecut.sas 23APR2020 18:15

Figure 4.2.4 / 243: Kaplan-Meier-Plot der 'UE, die die Cutoff-Kriterien erfüllen TTE-Analyse' nach Endpunkt - Endpunkt: Zeit bis zum ersten unter der Behandlung aufgetretenen UE (TEAE) das die Cutoff-Kriterien auf MedDRA PT Ebene erfüllt (Monate) - PT: Pyrexia (10037660) (full analysis set)



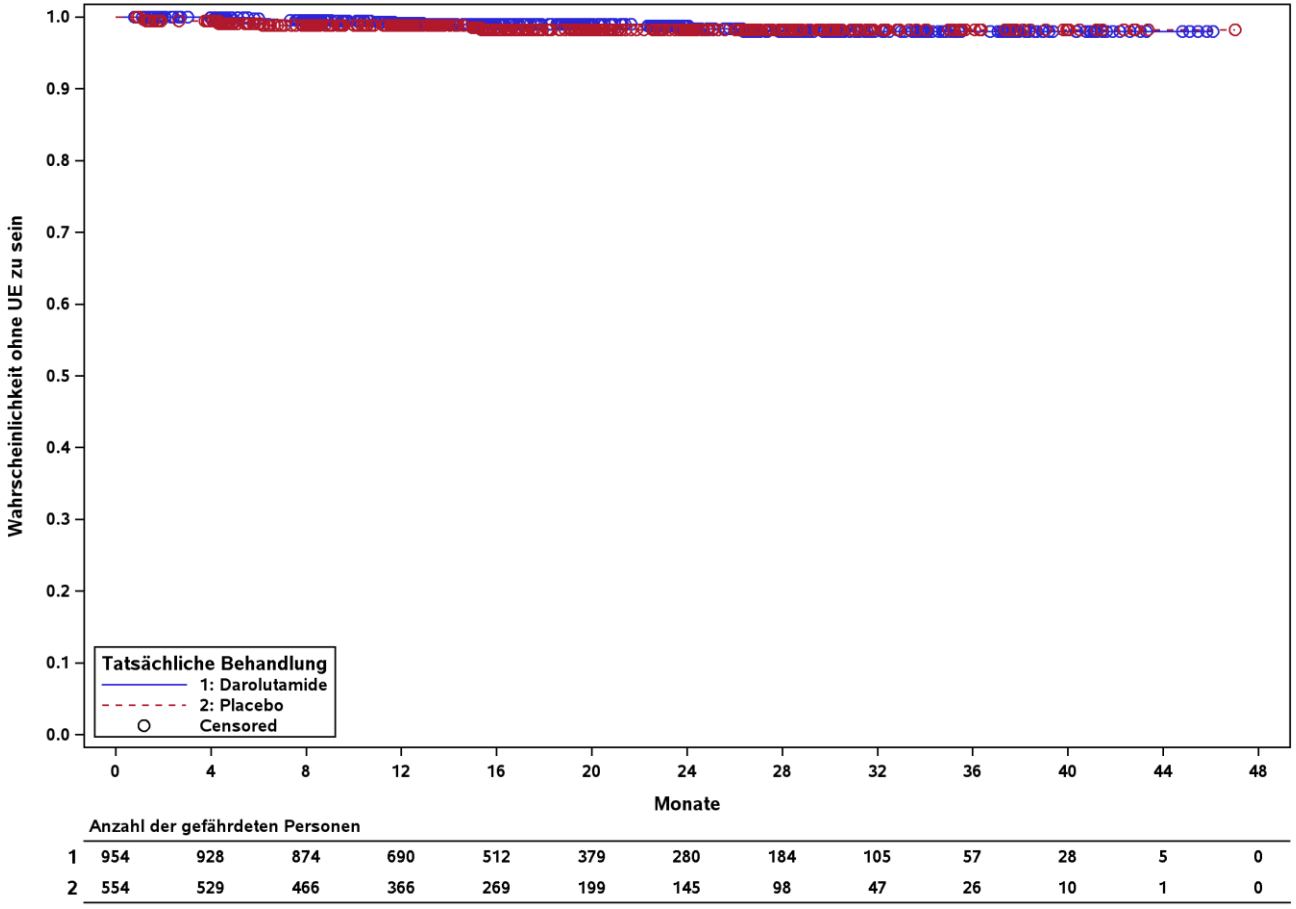
Bayer: /by-sasp/patdb/projects/1841788/17712/stat/prod_query22/pgms/t_aecut.sas 23APR2020 18:15

Figure 4.2.4 / 244: Kaplan-Meier-Plot der 'UE, die die Cutoff-Kriterien erfüllen TTE-Analyse' nach Endpunkt - Endpunkt: Zeit bis zum ersten unter der Behandlung aufgetretenen UE (TEAE) das die Cutoff-Kriterien auf MedDRA PT Ebene erfüllt (Monate) - PT: Rash (10037844) (full analysis set)



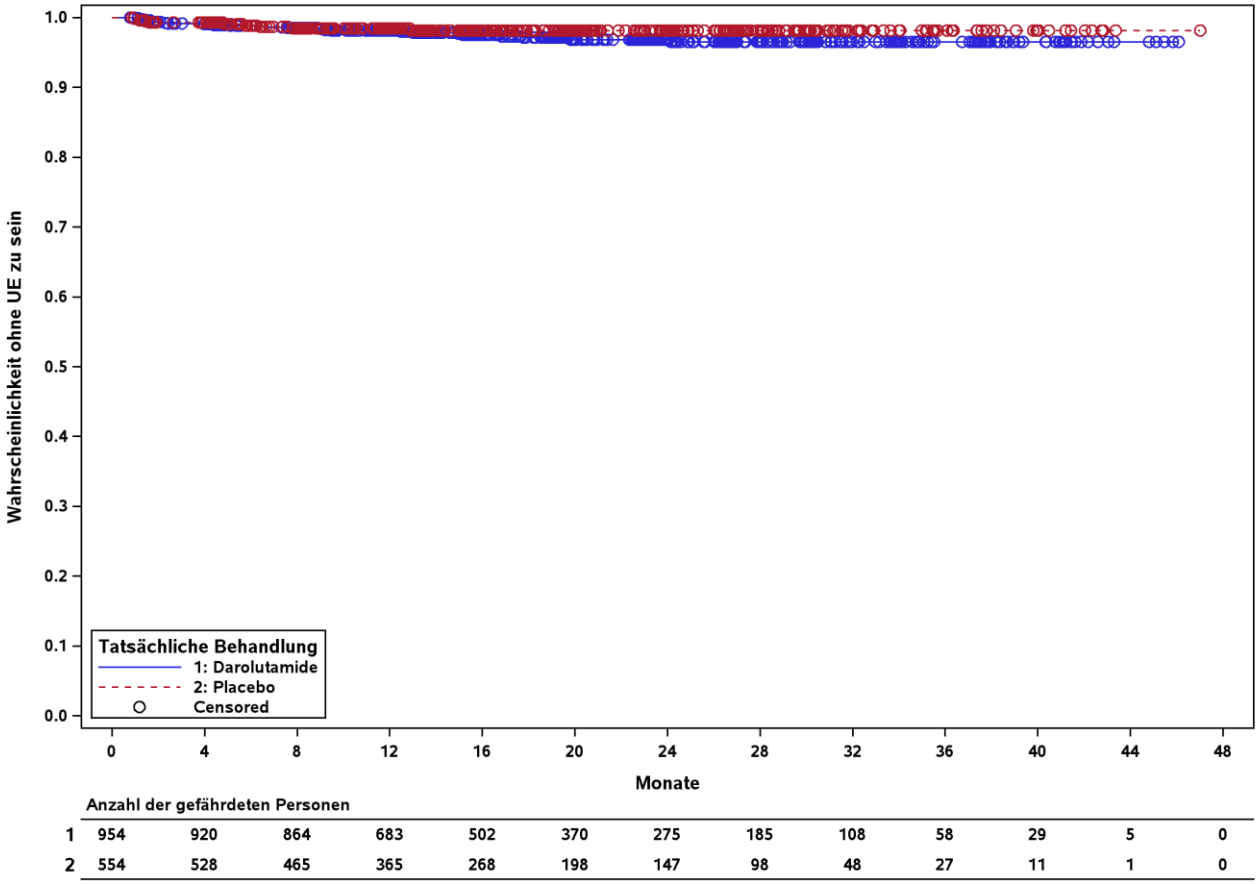
Bayer: /by-sasp/patdb/projects/1841788/17712/stat/prod_query22/pgms/t_aecut.sas 23APR2020 18:15

Figure 4.2.4 / 245: Kaplan-Meier-Plot der 'UE, die die Cutoff-Kriterien erfüllen TTE-Analyse' nach Endpunkt - Endpunkt: Zeit bis zum ersten unter der Behandlung aufgetretenen UE (TEAE) das die Cutoff-Kriterien auf MedDRA PT Ebene erfüllt (Monate) - PT: Rib fracture (10039117) (full analysis set)



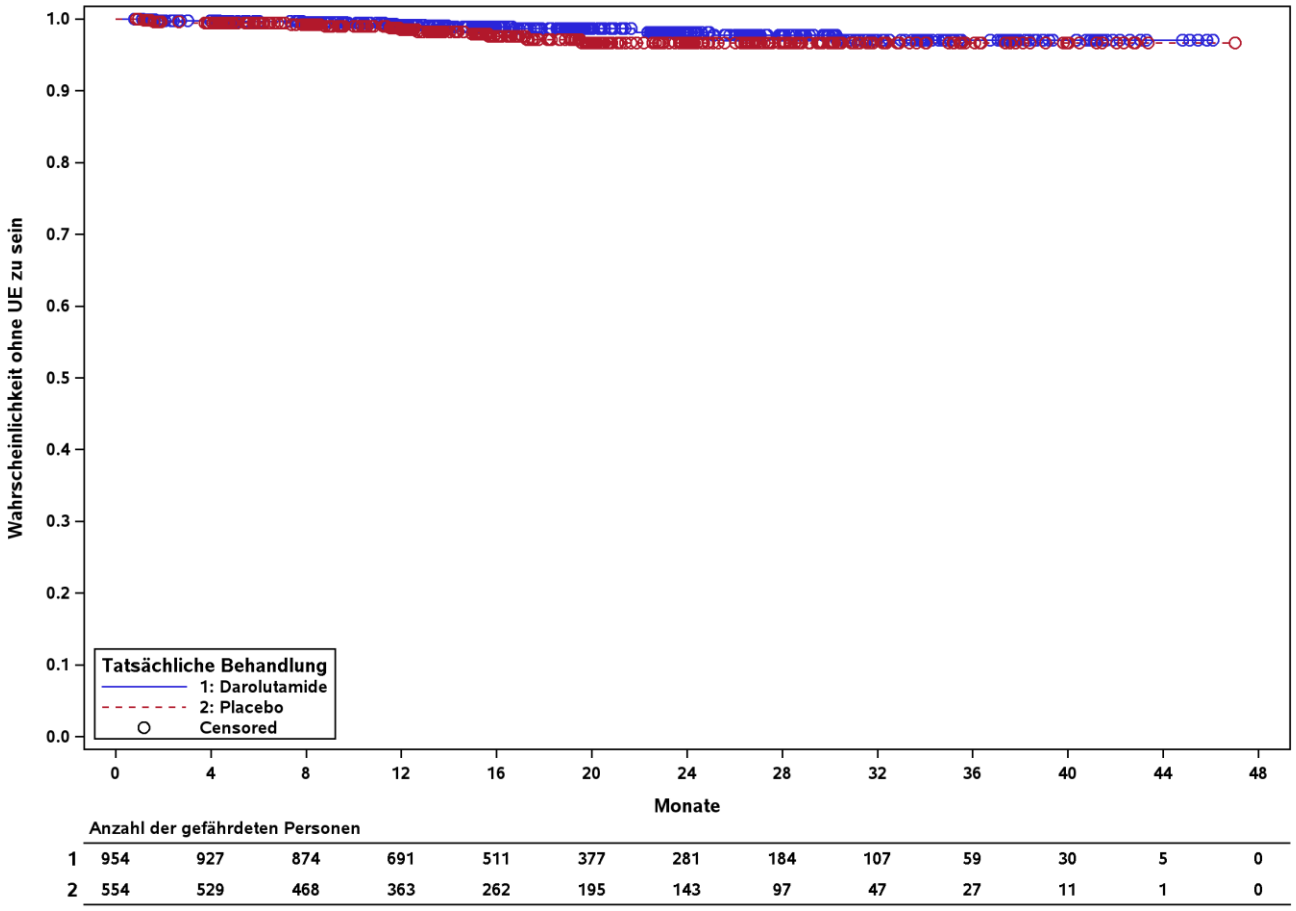
Bayer: /by-sasp/patdb/projects/1841788/17712/stat/prod_query22/pgms/t_aecut.sas 23APR2020 18:15

Figure 4.2.4 / 246: Kaplan-Meier-Plot der 'UE, die die Cutoff-Kriterien erfüllen TTE-Analyse' nach Endpunkt - Endpunkt: Zeit bis zum ersten unter der Behandlung aufgetretenen UE (TEAE) das die Cutoff-Kriterien auf MedDRA PT Ebene erfüllt (Monate) - PT: Upper respiratory tract infection (10046306) (full analysis set)



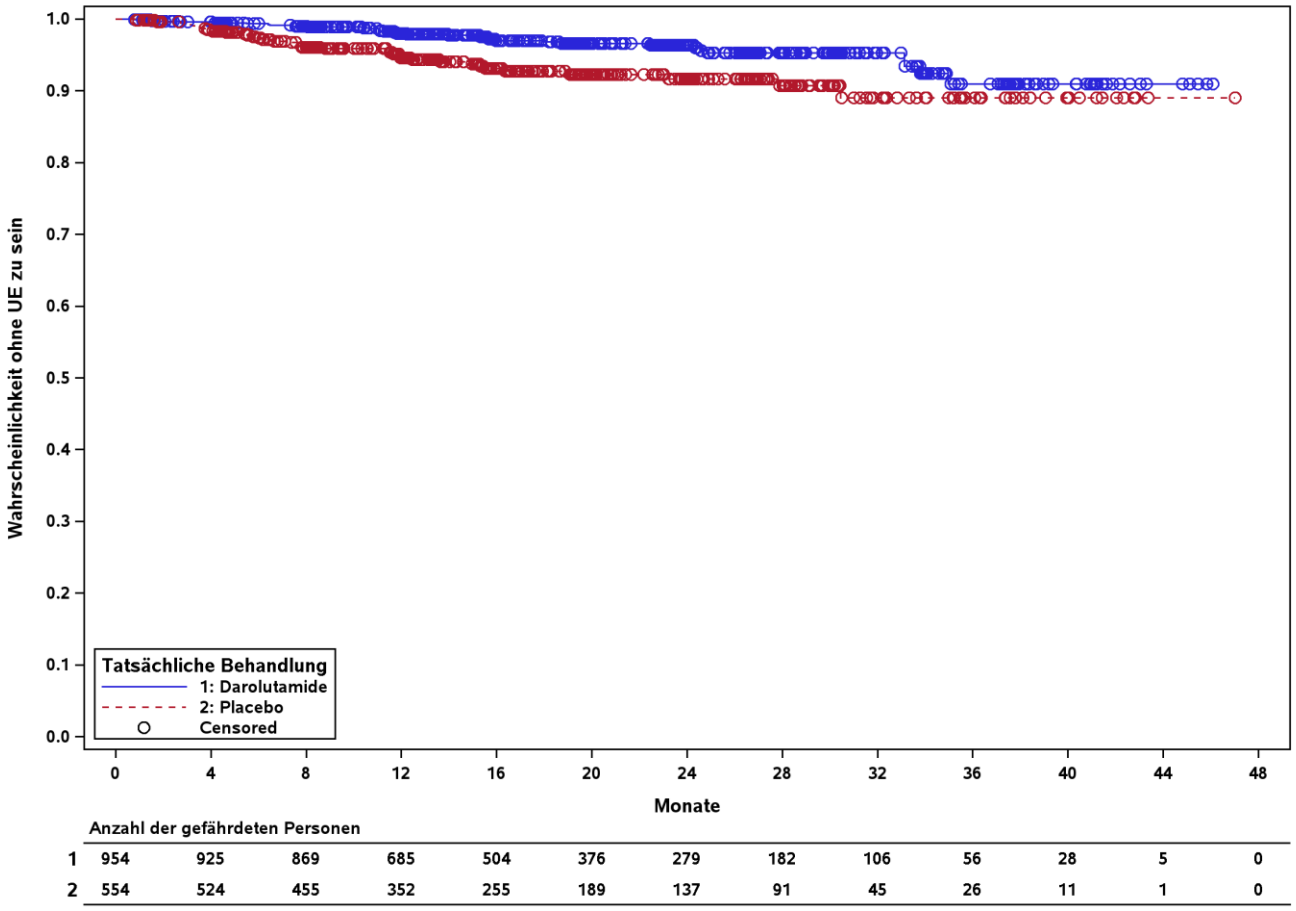
Bayer: /by-sasp/patdb/projects/1841788/17712/stat/prod_query22/pgms/t_aecut.sas 23APR2020 18:15

Figure 4.2.4 / 247: Kaplan-Meier-Plot der 'UE, die die Cutoff-Kriterien erfüllen TTE-Analyse' nach Endpunkt - Endpunkt: Zeit bis zum ersten unter der Behandlung aufgetretenen UE (TEAE) das die Cutoff-Kriterien auf MedDRA PT Ebene erfüllt (Monate) - PT: Urinary incontinence (10046543) (full analysis set)



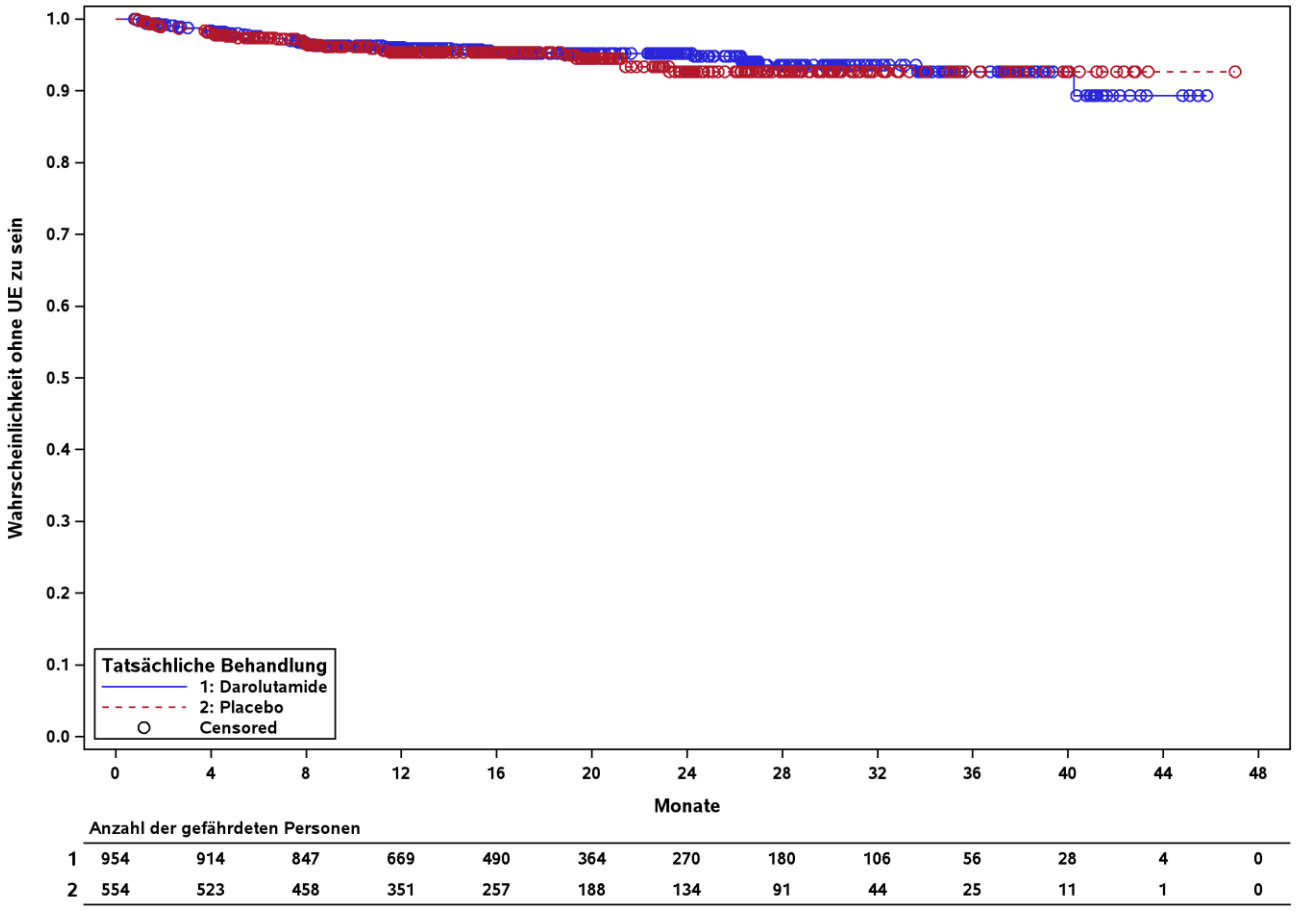
Bayer: /by-sasp/patdb/projects/1841788/17712/stat/prod_query22/pgms/t_aecut.sas 23APR2020 18:15

Figure 4.2.4 / 248: Kaplan-Meier-Plot der 'UE, die die Cutoff-Kriterien erfüllen TTE-Analyse' nach Endpunkt - Endpunkt: Zeit bis zum ersten unter der Behandlung aufgetretenen UE (TEAE) das die Cutoff-Kriterien auf MedDRA PT Ebene erfüllt (Monate) - PT: Urinary retention (10046555) (full analysis set)



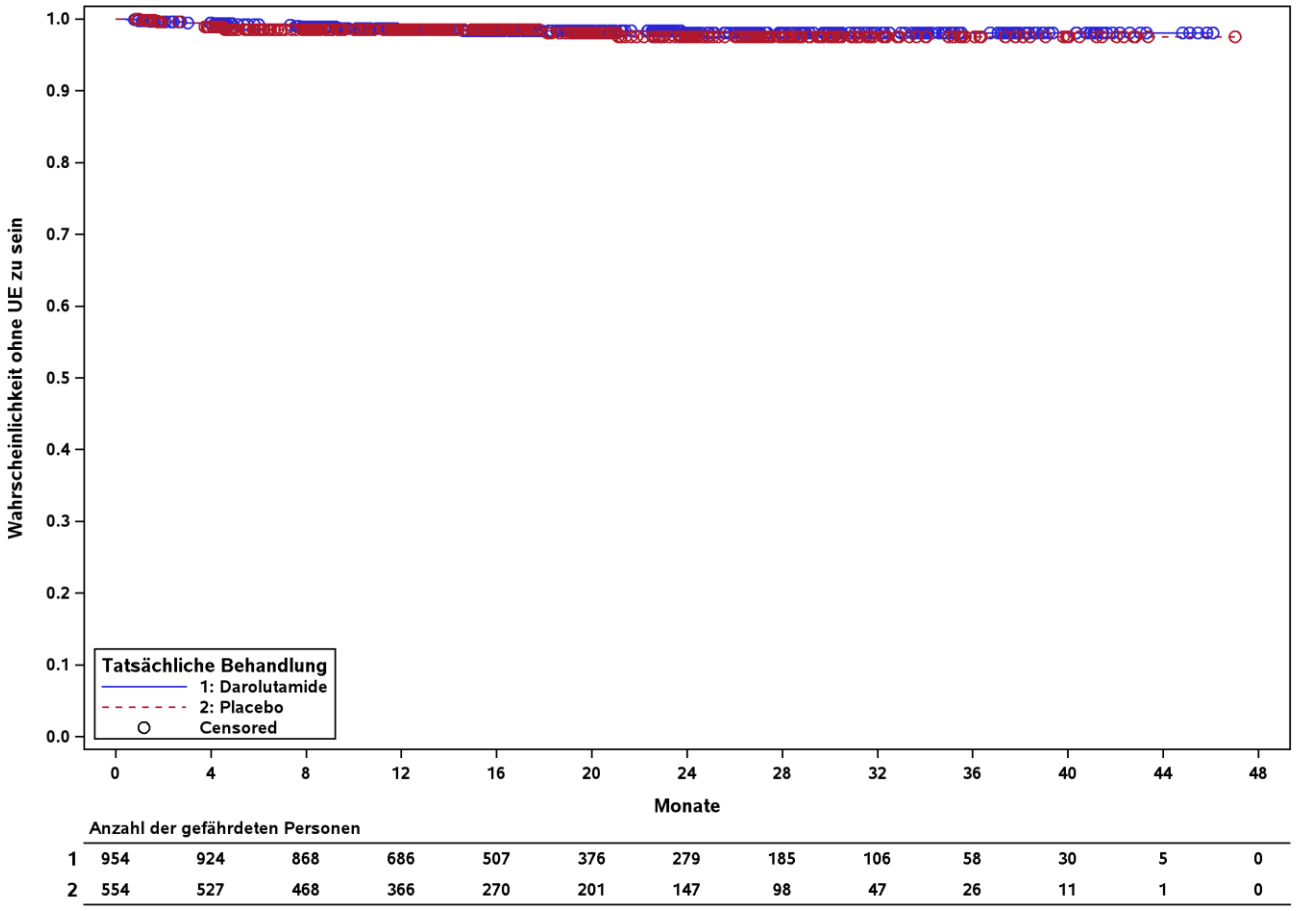
Bayer: /by-sasp/patdb/projects/1841788/17712/stat/prod_query22/pgms/t_aecut.sas 23APR2020 18:15

Figure 4.2.4 / 249: Kaplan-Meier-Plot der 'UE, die die Cutoff-Kriterien erfüllen TTE-Analyse' nach Endpunkt - Endpunkt: Zeit bis zum ersten unter der Behandlung aufgetretenen UE (TEAE) das die Cutoff-Kriterien auf MedDRA PT Ebene erfüllt (Monate) - PT: Urinary tract infection (10046571) (full analysis set)



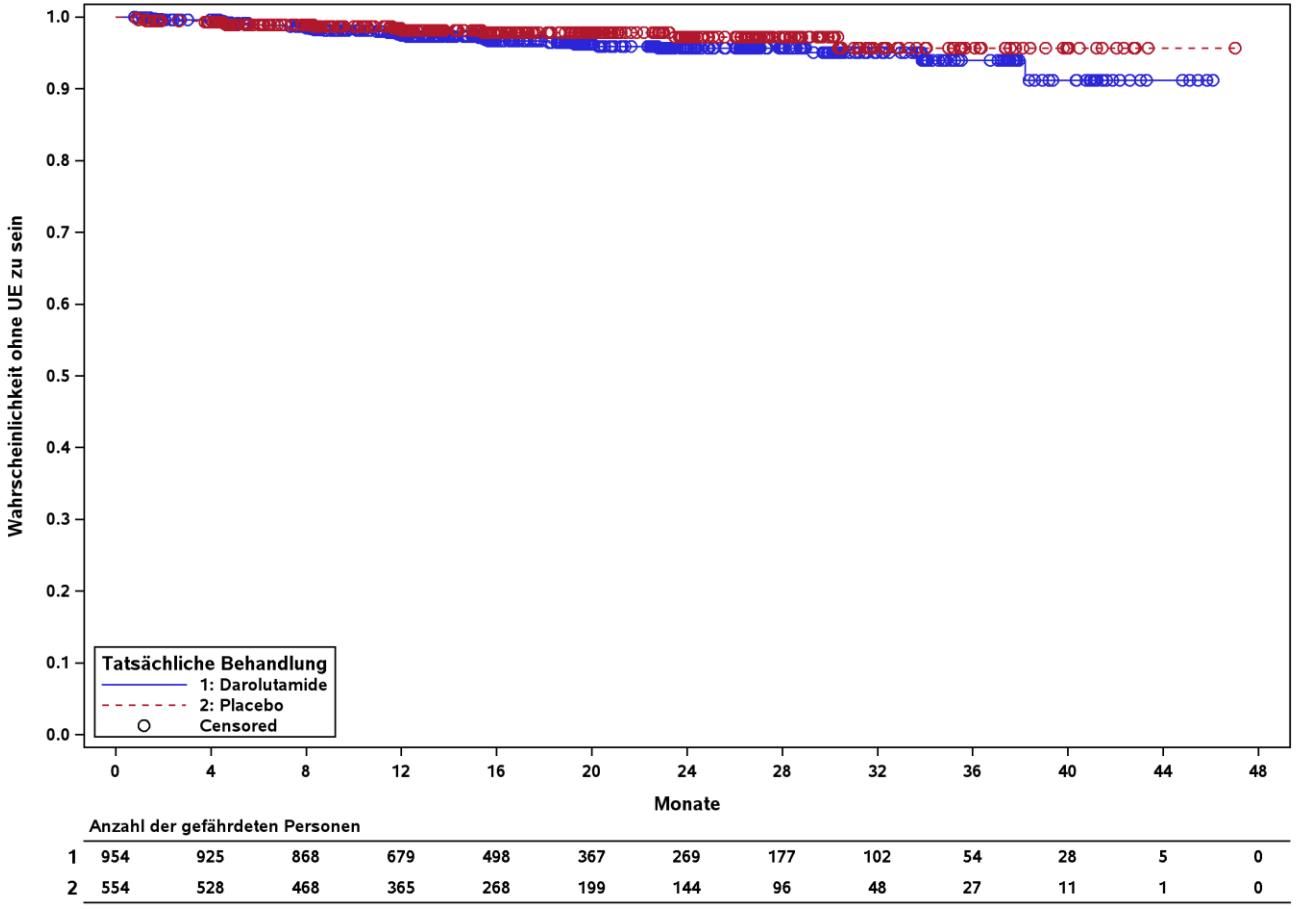
Bayer: /by-sasp/patdb/projects/1841788/17712/stat/prod_query22/pgms/t_aecut.sas 23APR2020 18:15

Figure 4.2.4 / 250: Kaplan-Meier-Plot der 'UE, die die Cutoff-Kriterien erfüllen TTE-Analyse' nach Endpunkt - Endpunkt: Zeit bis zum ersten unter der Behandlung aufgetretenen UE (TEAE) das die Cutoff-Kriterien auf MedDRA PT Ebene erfüllt (Monate) - PT: Vomiting (10047700) (full analysis set)



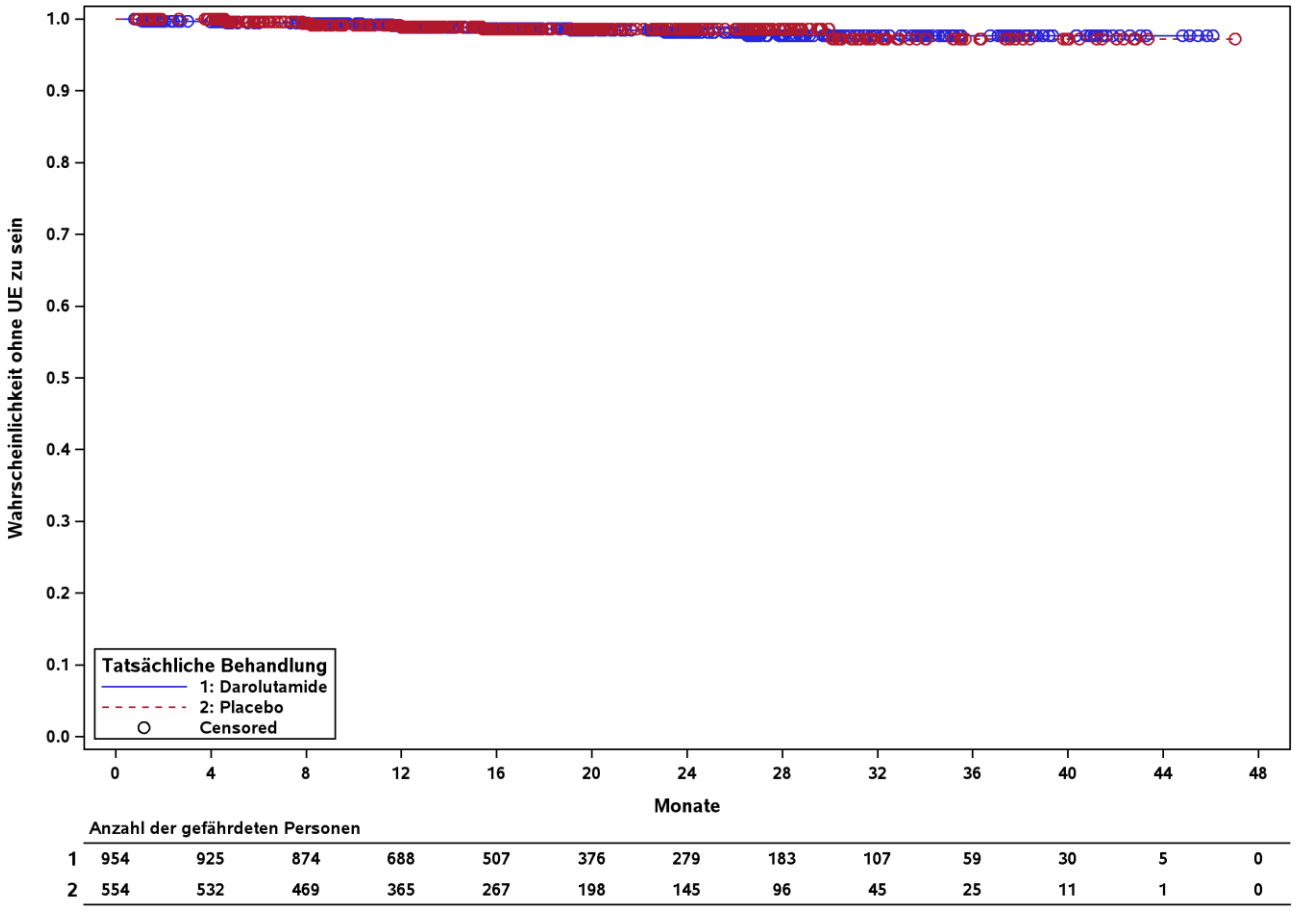
Bayer: /by-sasp/patdb/projects/1841788/17712/stat/prod_query22/pgms/t_aecut.sas 23APR2020 18:15

Figure 4.2.4 / 251: Kaplan-Meier-Plot der 'UE, die die Cutoff-Kriterien erfüllen TTE-Analyse' nach Endpunkt - Endpunkt: Zeit bis zum ersten unter der Behandlung aufgetretenen UE (TEAE) das die Cutoff-Kriterien auf MedDRA PT Ebene erfüllt (Monate) - PT: Weight decreased (10047895) (full analysis set)



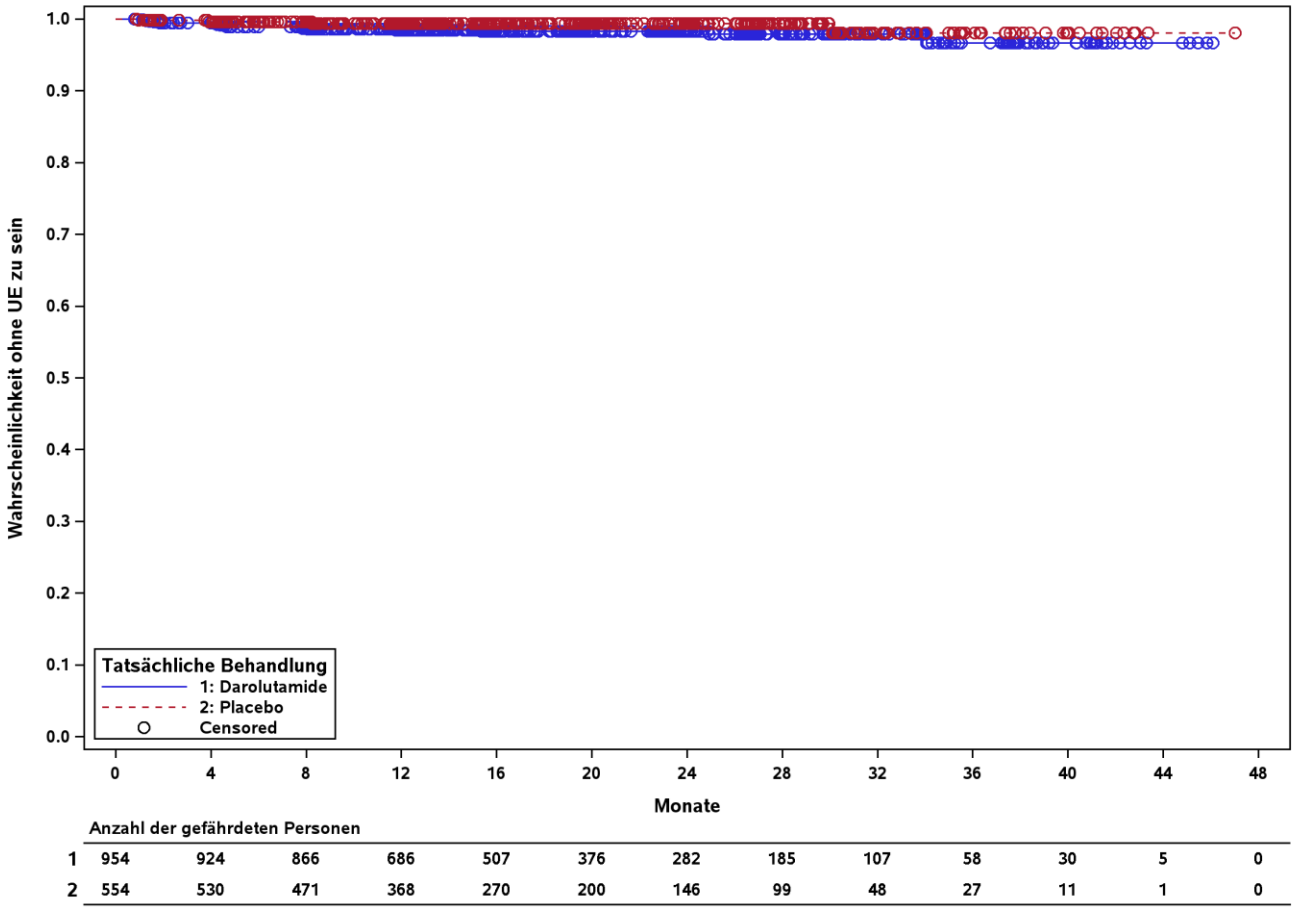
Bayer: /by-sasp/patdb/projects/1841788/17712/stat/prod_query22/pgms/t_aecut.sas 23APR2020 18:15

Figure 4.2.4 / 252: Kaplan-Meier-Plot der 'UE, die die Cutoff-Kriterien erfüllen TTE-Analyse' nach Endpunkt - Endpunkt: Zeit bis zum ersten unter der Behandlung aufgetretenen UE (TEAE) das die Cutoff-Kriterien auf MedDRA PT Ebene erfüllt (Monate) - PT: Weight increased (10047899) (full analysis set)



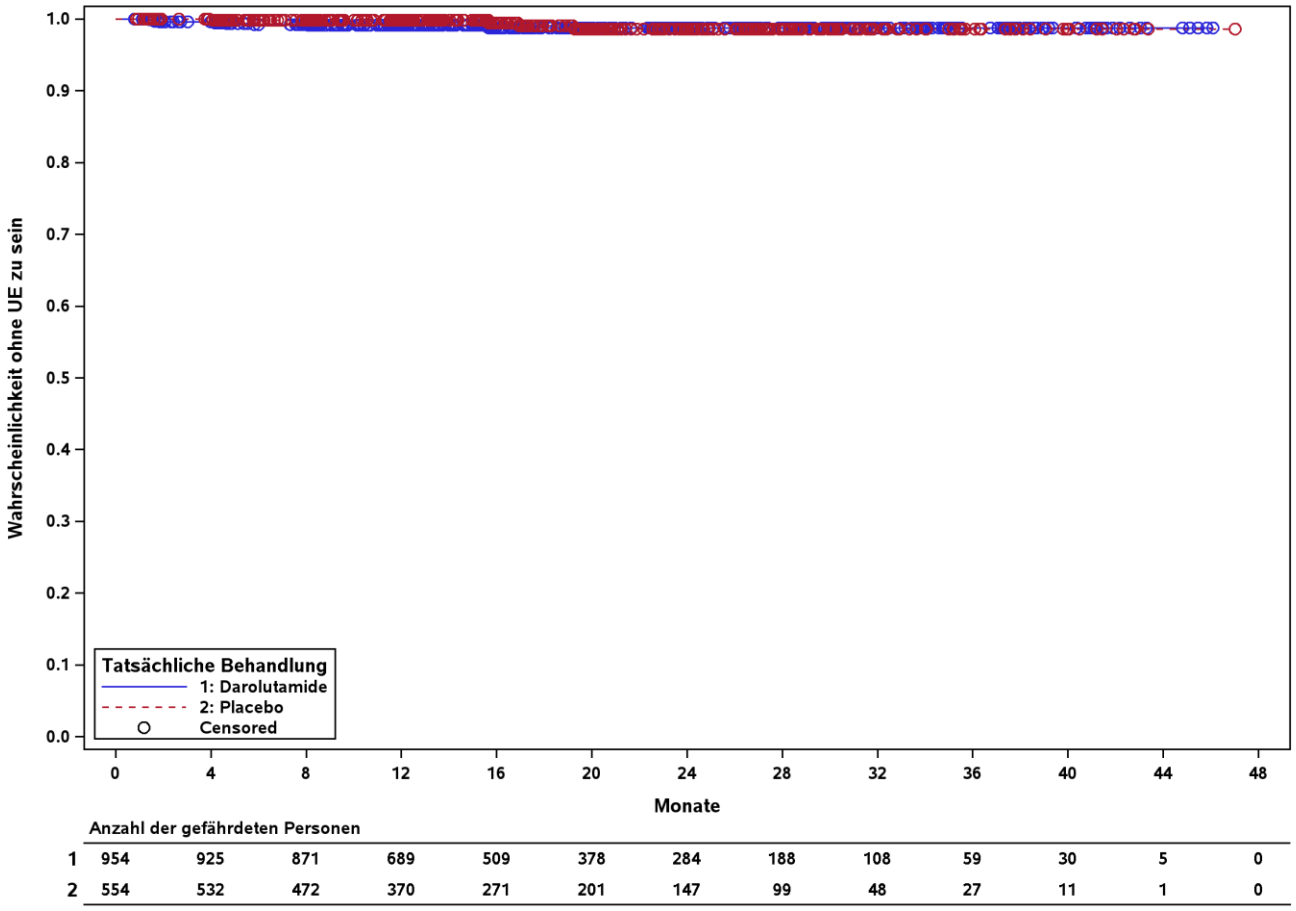
Bayer: /by-sasp/patdb/projects/1841788/17712/stat/prod_query22/pgms/t_aecut.sas 23APR2020 18:15

Figure 4.2.4 / 253: Kaplan-Meier-Plot der 'UE, die die Cutoff-Kriterien erfüllen TTE-Analyse' nach Endpunkt - Endpunkt: Zeit bis zum ersten behandlungsbedingten UE (TRAE) das die Cutoff-Kriterien auf MedDRA SOC Ebene erfüllt (Monate) - SOC: Blood and lymphatic system disorders (10005329) (full analysis set)



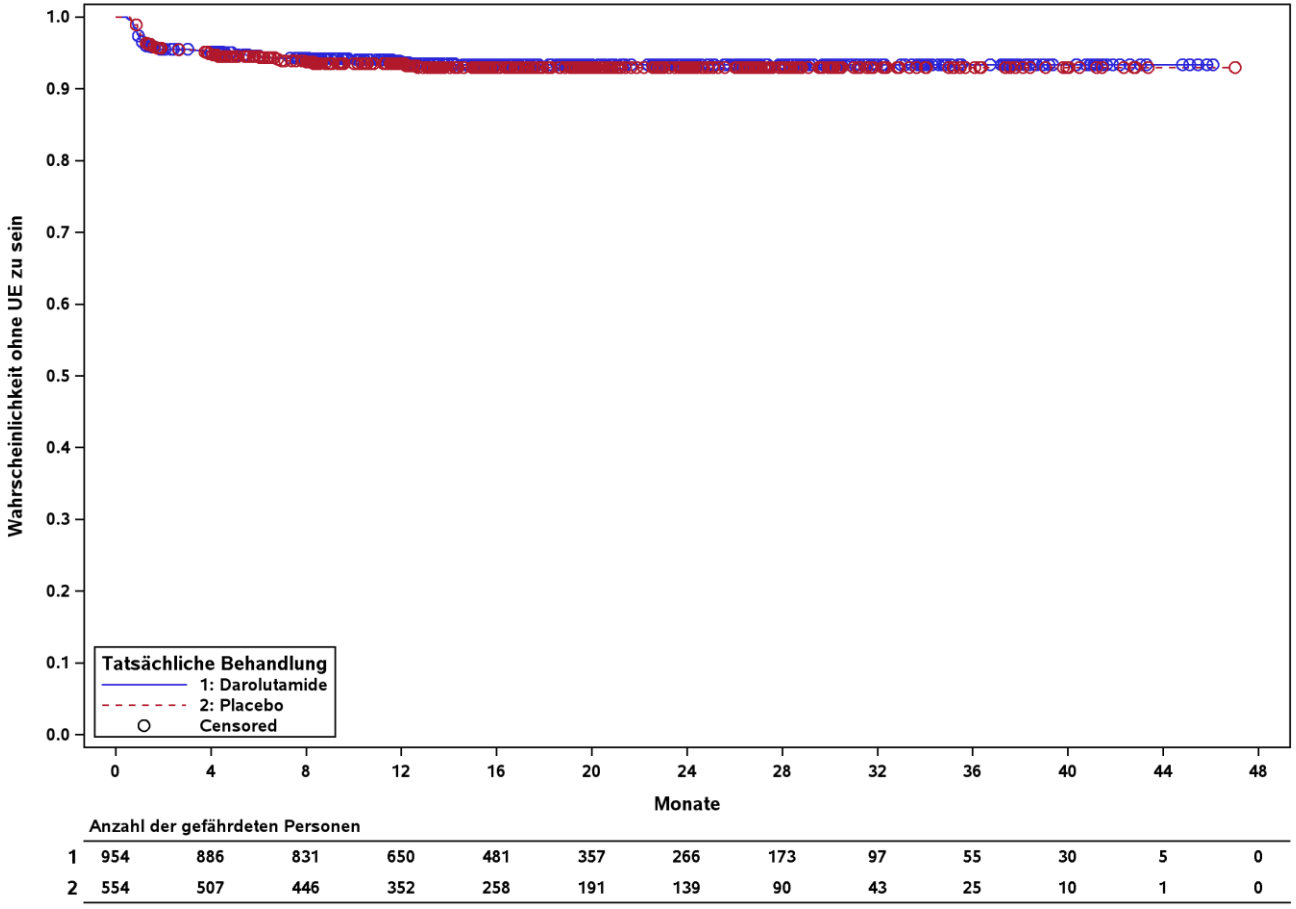
Bayer: /by-sasp/patdb/projects/1841788/17712/stat/prod_query22/pgms/t_aecut.sas 23APR2020 18:15

Figure 4.2.4 / 254: Kaplan-Meier-Plot der 'UE, die die Cutoff-Kriterien erfüllen TTE-Analyse' nach Endpunkt - Endpunkt: Zeit bis zum ersten behandlungsbedingten UE (TRAE) das die Cutoff-Kriterien auf MedDRA SOC Ebene erfüllt (Monate) - SOC: Cardiac disorders (10007541) (full analysis set)



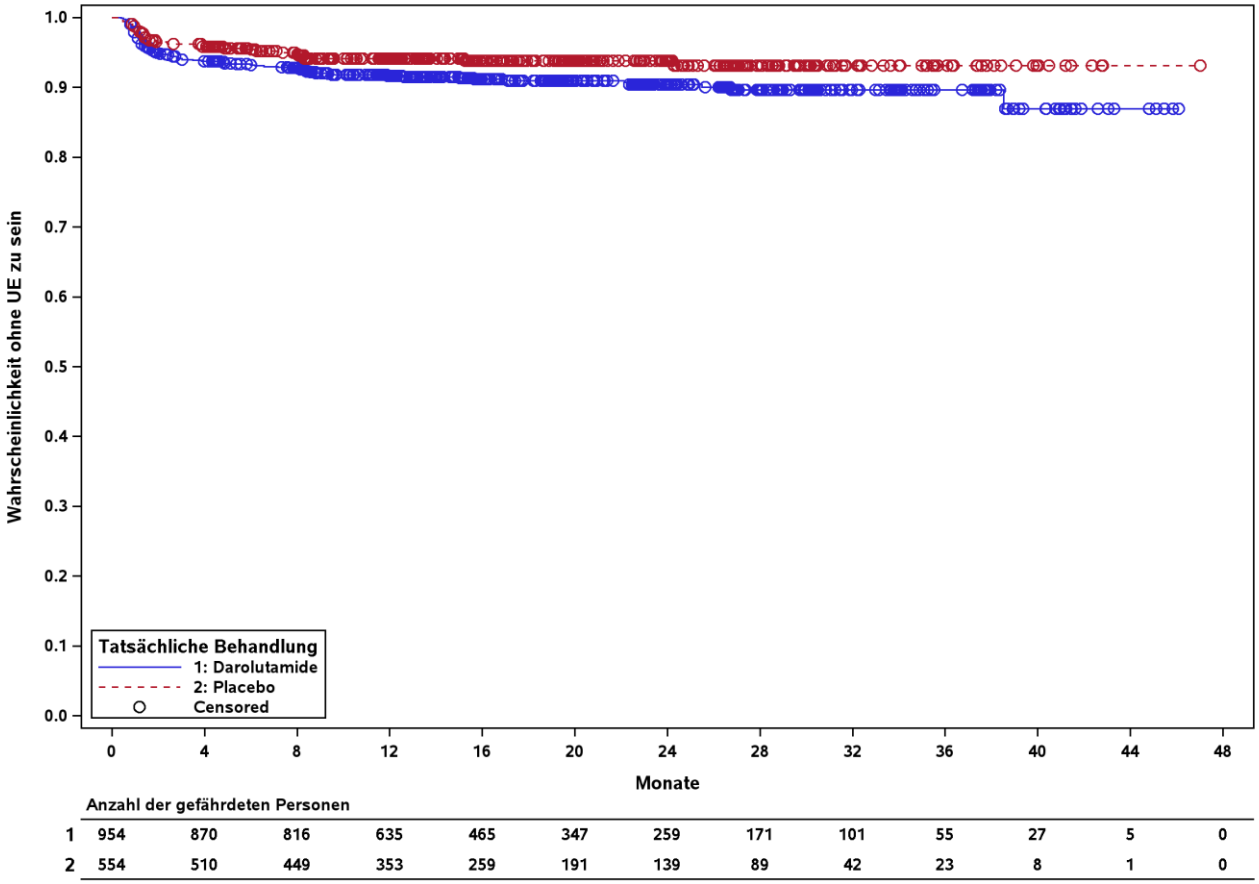
Bayer: /by-sasp/patdb/projects/1841788/17712/stat/prod_query22/pgms/t_aecut.sas 23APR2020 18:15

Figure 4.2.4 / 255: Kaplan-Meier-Plot der 'UE, die die Cutoff-Kriterien erfüllen TTE-Analyse' nach Endpunkt - Endpunkt: Zeit bis zum ersten behandlungsbedingten UE (TRAE) das die Cutoff-Kriterien auf MedDRA SOC Ebene erfüllt (Monate) - SOC: Gastrointestinal disorders (10017947) (full analysis set)



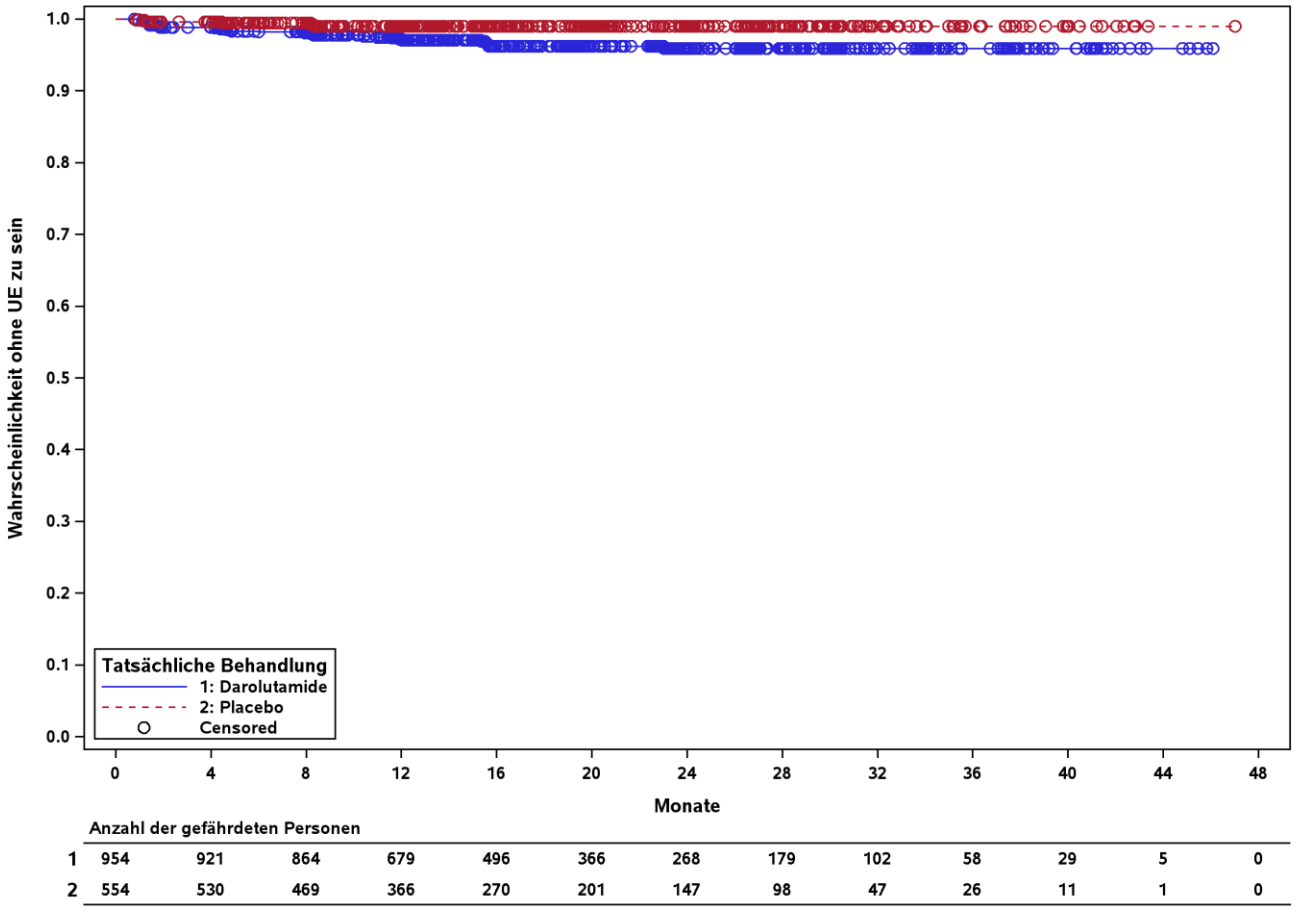
Bayer: /by-sasp/patdb/projects/1841788/17712/stat/prod_query22/pgms/t_aecut.sas 23APR2020 18:15

Figure 4.2.4 / 256: Kaplan-Meier-Plot der 'UE, die die Cutoff-Kriterien erfüllen TTE-Analyse' nach Endpunkt - Endpunkt: Zeit bis zum ersten behandlungsbedingten UE (TRAE) das die Cutoff-Kriterien auf MedDRA SOC Ebene erfüllt (Monate) - SOC: General disorders and administration site conditions (10018065) (full analysis set)



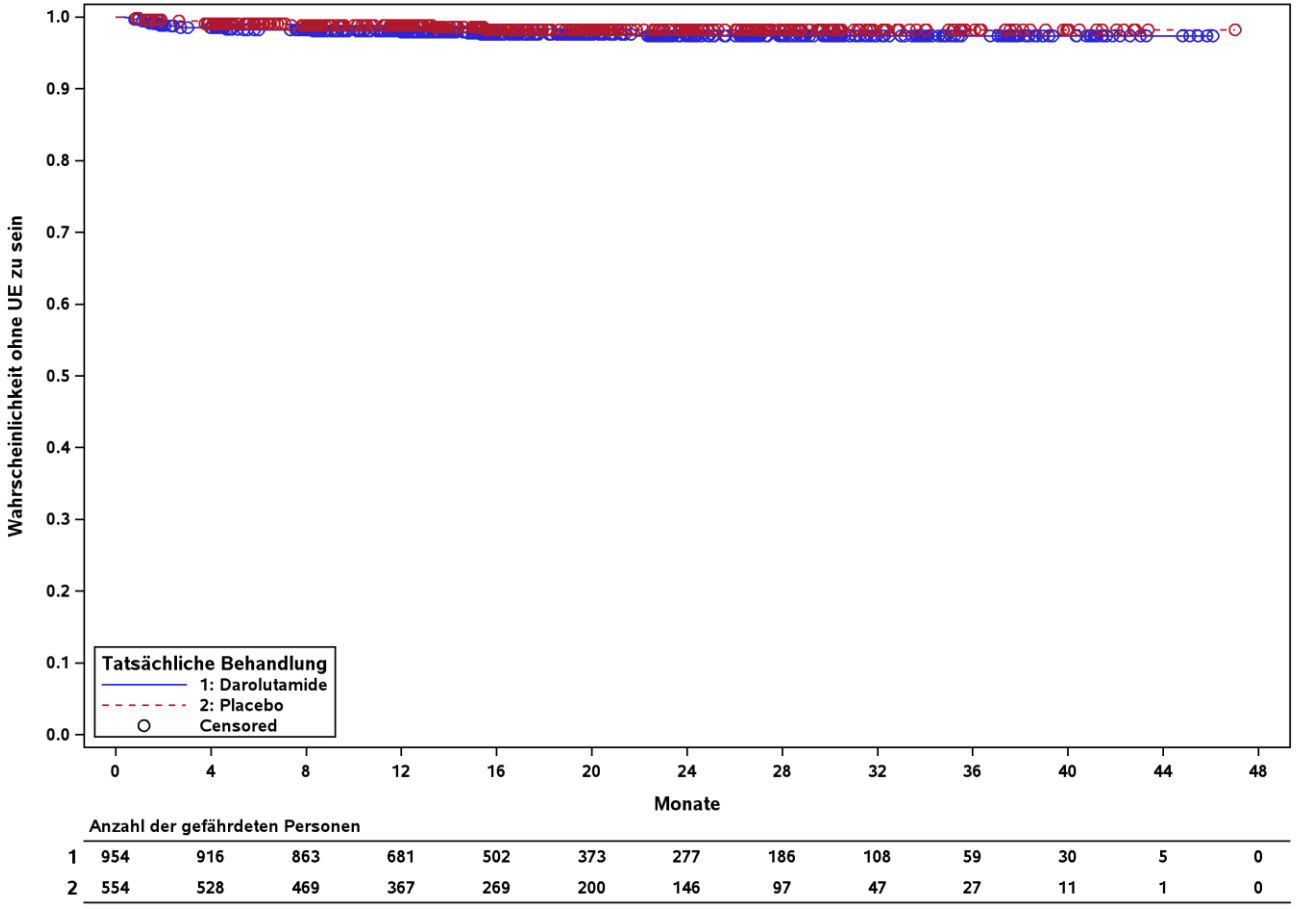
Bayer: /by-sasp/patdb/projects/1841788/17712/stat/prod_query22/pgms/t_aecut.sas 23APR2020 18:15

Figure 4.2.4 / 257: Kaplan-Meier-Plot der 'UE, die die Cutoff-Kriterien erfüllen TTE-Analyse' nach Endpunkt - Endpunkt: Zeit bis zum ersten behandlungsbedingten UE (TRAE) das die Cutoff-Kriterien auf MedDRA SOC Ebene erfüllt (Monate) - SOC: Investigations (10022891) (full analysis set)



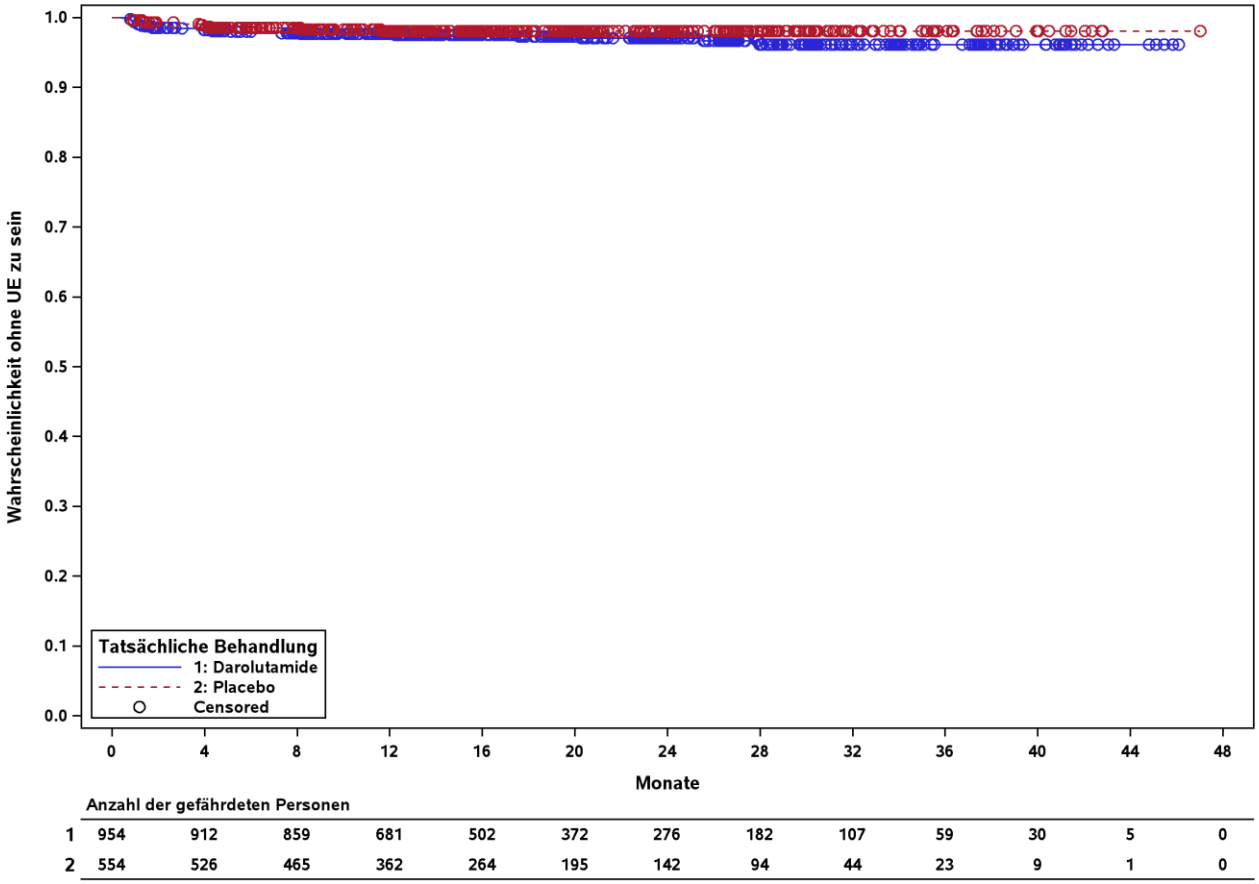
Bayer: /by-sasp/patdb/projects/1841788/17712/stat/prod_query22/pgms/t_aecut.sas 23APR2020 18:15

Figure 4.2.4 / 258: Kaplan-Meier-Plot der 'UE, die die Cutoff-Kriterien erfüllen TTE-Analyse' nach Endpunkt - Endpunkt: Zeit bis zum ersten behandlungsbedingten UE (TRAE) das die Cutoff-Kriterien auf MedDRA SOC Ebene erfüllt (Monate) - SOC: Metabolism and nutrition disorders (10027433) (full analysis set)



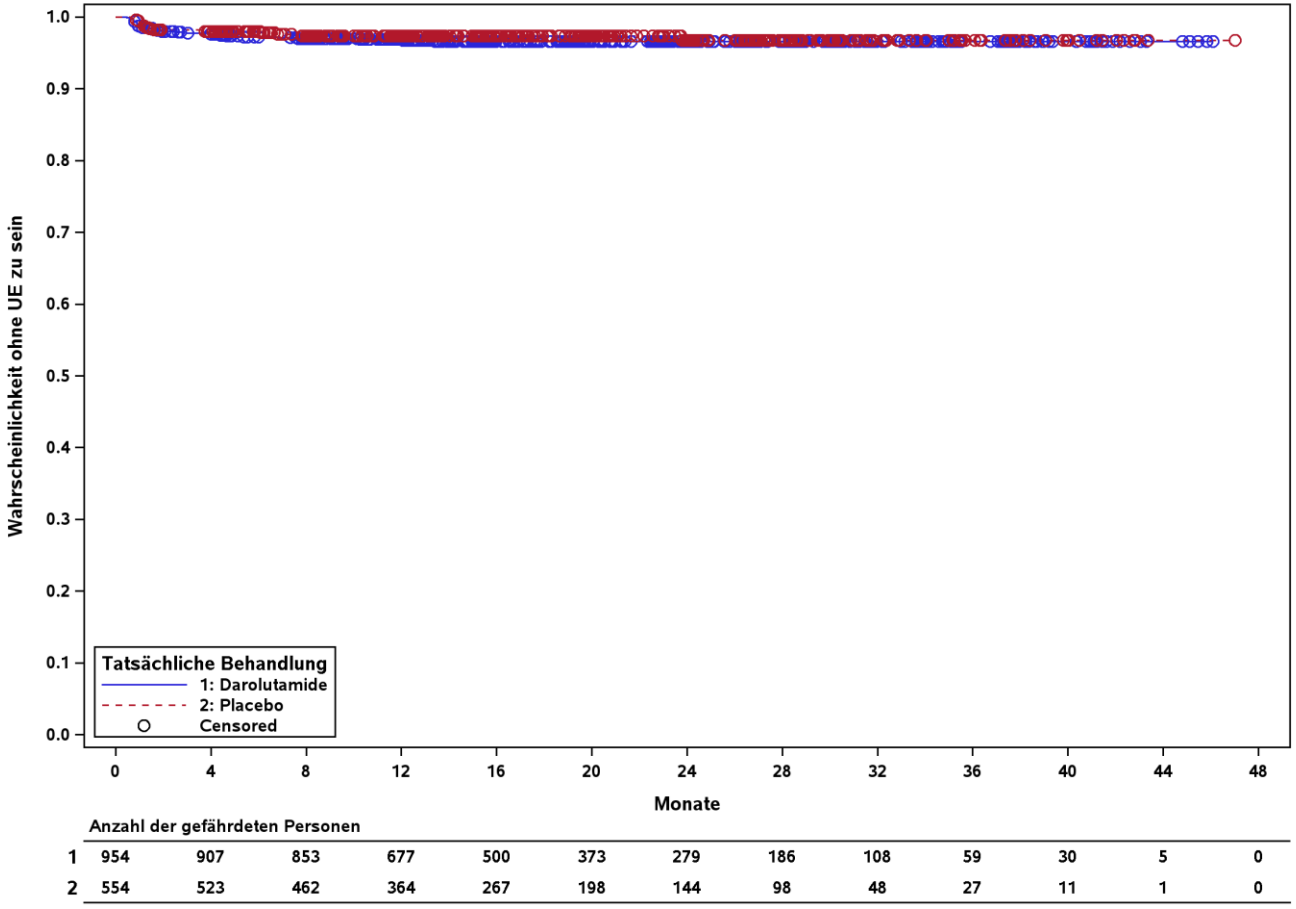
Bayer: /by-sasp/patdb/projects/1841788/17712/stat/prod_query22/pgms/t_aecut.sas 23APR2020 18:15

Figure 4.2.4 / 259: Kaplan-Meier-Plot der 'UE, die die Cutoff-Kriterien erfüllen TTE-Analyse' nach Endpunkt - Endpunkt: Zeit bis zum ersten behandlungsbedingten UE (TRAE) das die Cutoff-Kriterien auf MedDRA SOC Ebene erfüllt (Monate) - SOC: Musculoskeletal and connective tissue disorders (10028395) (full analysis set)



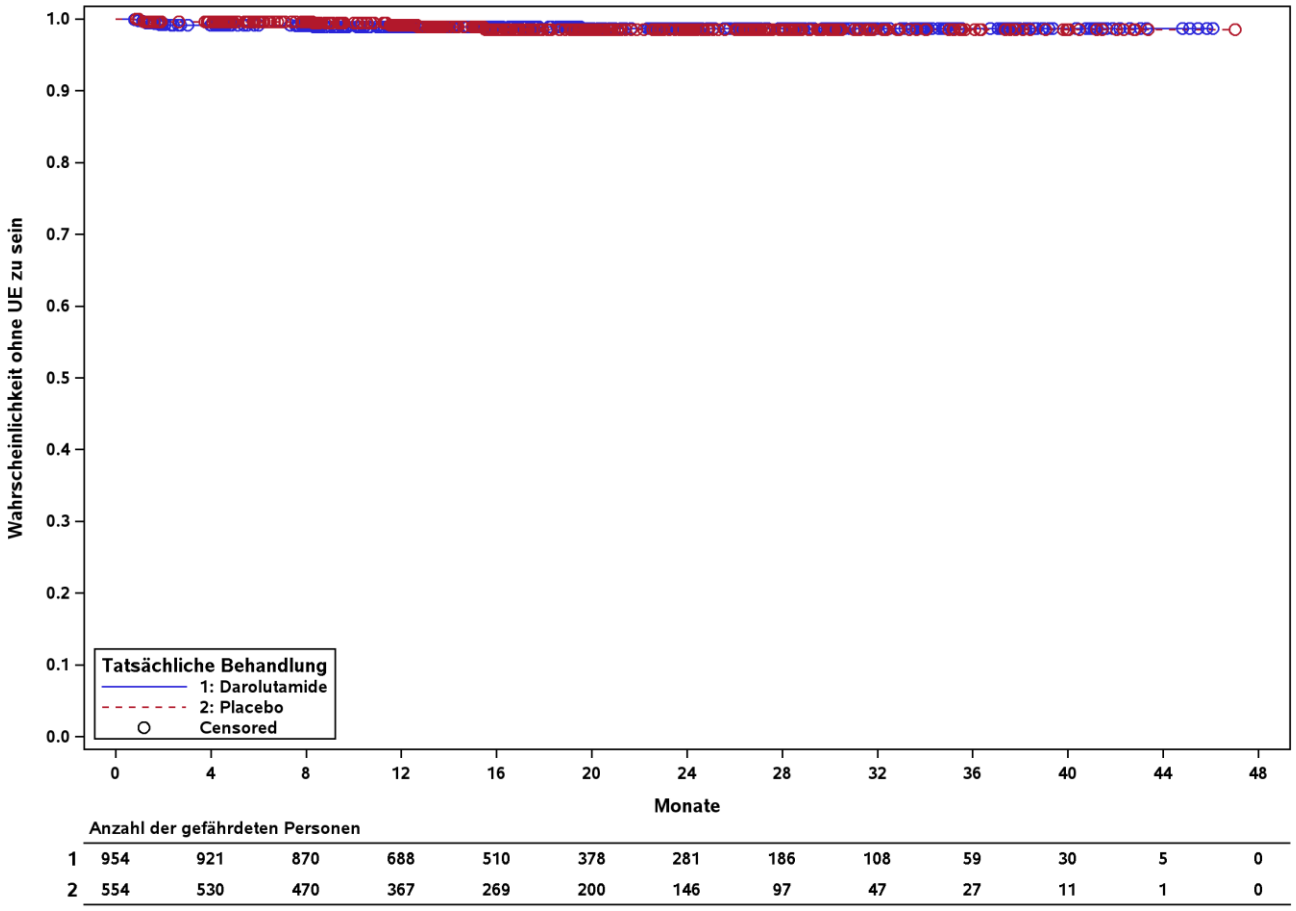
Bayer: /by-sasp/patdb/projects/1841788/17712/stat/prod_query22/pgms/t_aecut.sas 23APR2020 18:15

Figure 4.2.4 / 260: Kaplan-Meier-Plot der 'UE, die die Cutoff-Kriterien erfüllen TTE-Analyse' nach Endpunkt - Endpunkt: Zeit bis zum ersten behandlungsbedingten UE (TRAE) das die Cutoff-Kriterien auf MedDRA SOC Ebene erfüllt (Monate) - SOC: Nervous system disorders (10029205) (full analysis set)



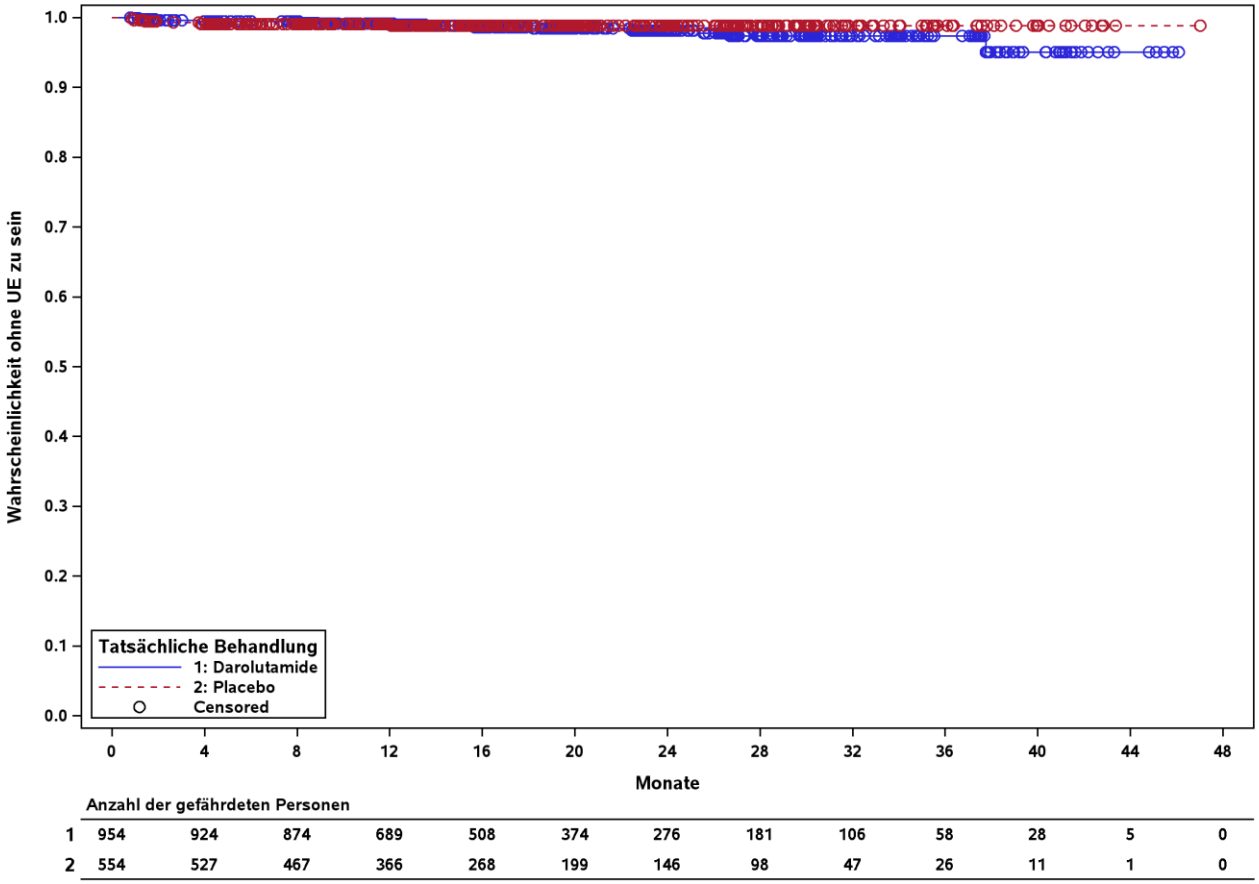
Bayer: /by-sasp/patdb/projects/1841788/17712/stat/prod_query22/pgms/t_aecut.sas 23APR2020 18:15

Figure 4.2.4 / 261: Kaplan-Meier-Plot der 'UE, die die Cutoff-Kriterien erfüllen TTE-Analyse' nach Endpunkt - Endpunkt: Zeit bis zum ersten behandlungsbedingten UE (TRAE) das die Cutoff-Kriterien auf MedDRA SOC Ebene erfüllt (Monate) - SOC: Renal and urinary disorders (10038359) (full analysis set)



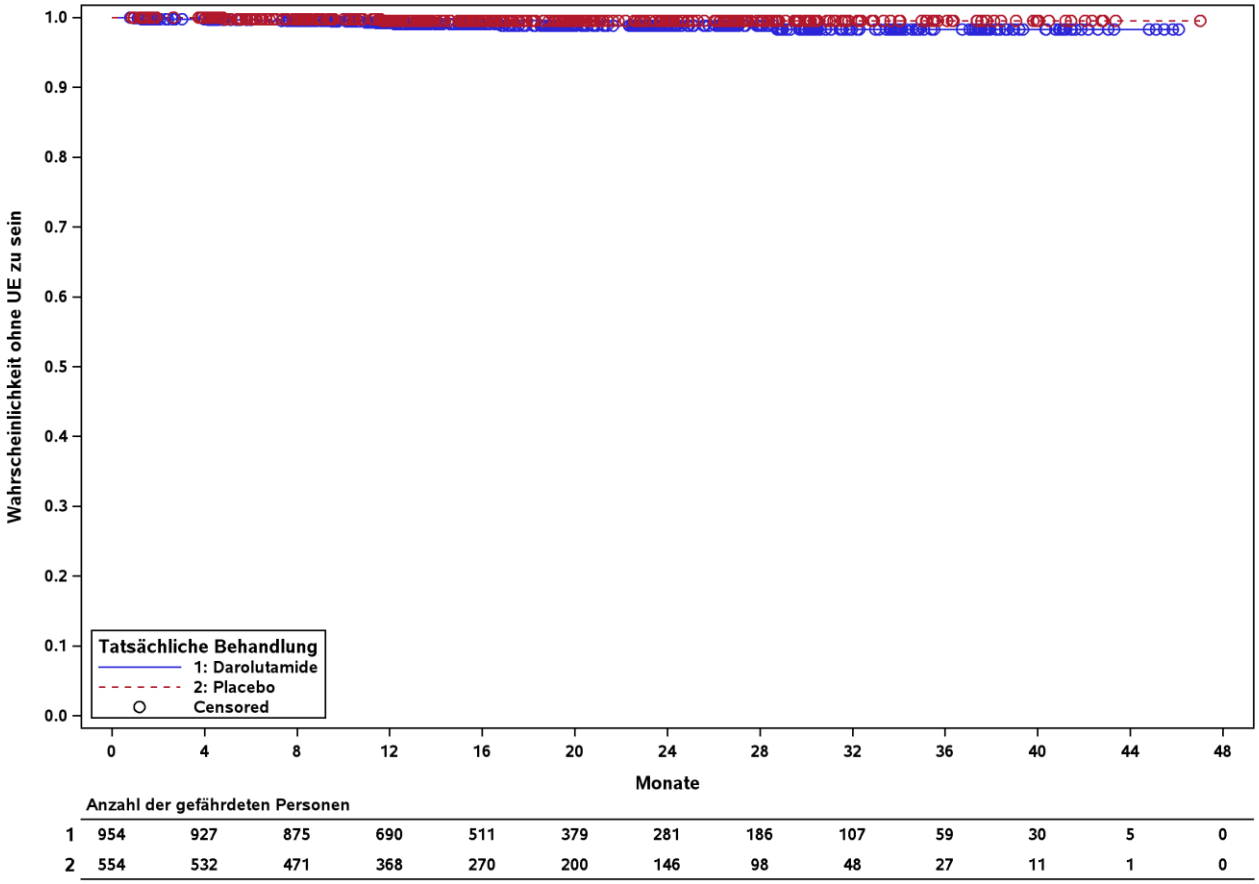
Bayer: /by-sasp/patdb/projects/1841788/17712/stat/prod_query22/pgms/t_aecut.sas 23APR2020 18:15

Figure 4.2.4 / 262: Kaplan-Meier-Plot der 'UE, die die Cutoff-Kriterien erfüllen TTE-Analyse' nach Endpunkt - Endpunkt: Zeit bis zum ersten behandlungsbedingten UE (TRAE) das die Cutoff-Kriterien auf MedDRA SOC Ebene erfüllt (Monate) - SOC: Reproductive system and breast disorders (10038604) (full analysis set)



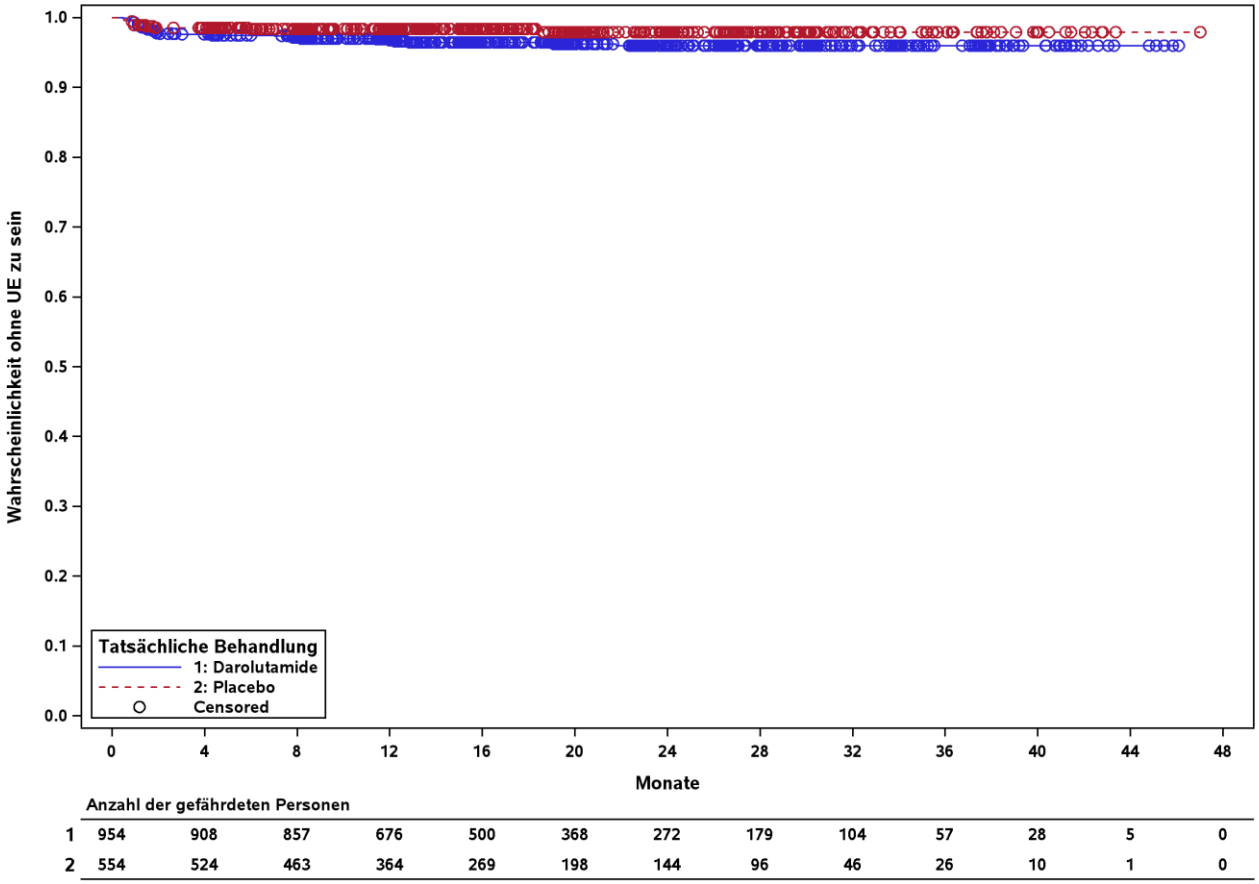
Bayer: /by-sasp/patdb/projects/1841788/17712/stat/prod_query22/pgms/t_aecut.sas 23APR2020 18:15

Figure 4.2.4 / 263: Kaplan-Meier-Plot der 'UE, die die Cutoff-Kriterien erfüllen TTE-Analyse' nach Endpunkt - Endpunkt: Zeit bis zum ersten behandlungsbedingten UE (TRAE) das die Cutoff-Kriterien auf MedDRA SOC Ebene erfüllt (Monate) - SOC: Respiratory, thoracic and mediastinal disorders (10038738) (full analysis set)



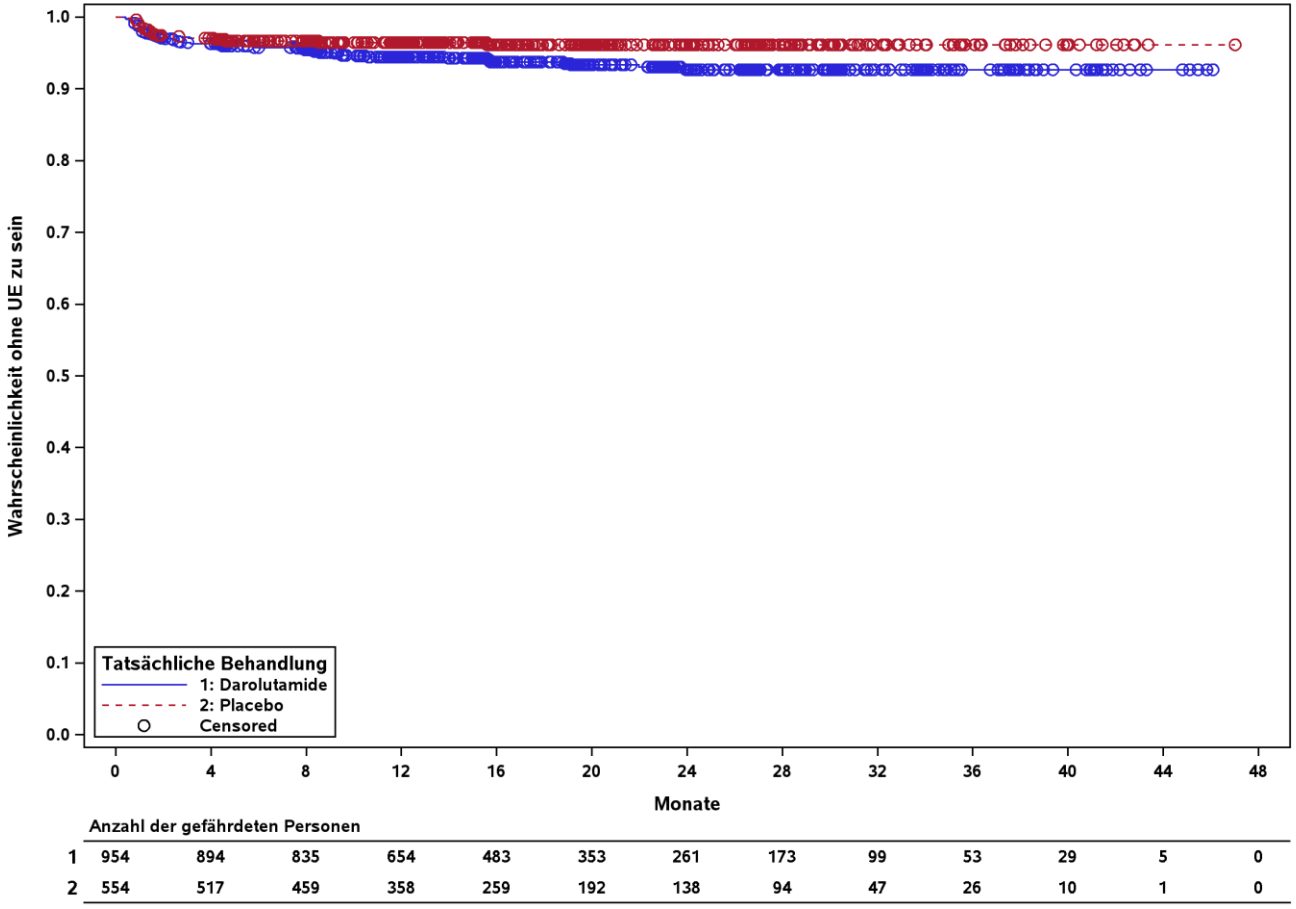
Bayer: /by-sasp/patdb/projects/1841788/17712/stat/prod_query22/pgms/t_aecut.sas 23APR2020 18:15

Figure 4.2.4 / 264: Kaplan-Meier-Plot der 'UE, die die Cutoff-Kriterien erfüllen TTE-Analyse' nach Endpunkt - Endpunkt: Zeit bis zum ersten behandlungsbedingten UE (TRAE) das die Cutoff-Kriterien auf MedDRA SOC Ebene erfüllt (Monate) - SOC: Skin and subcutaneous tissue disorders (10040785) (full analysis set)



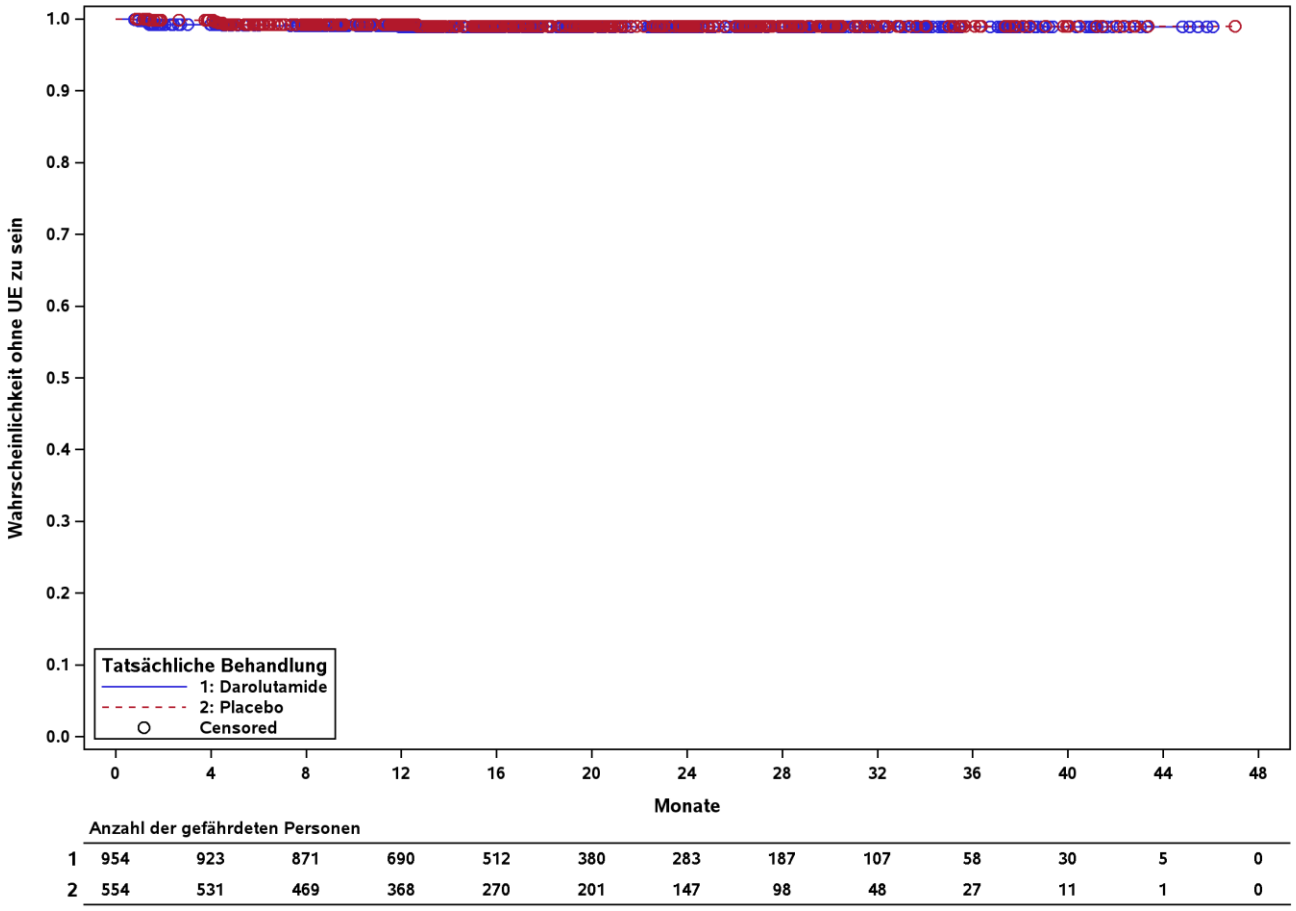
Bayer: /by-sasp/patdb/projects/1841788/17712/stat/prod_query22/pgms/t_aecut.sas 23APR2020 18:15

Figure 4.2.4 / 265: Kaplan-Meier-Plot der 'UE, die die Cutoff-Kriterien erfüllen TTE-Analyse' nach Endpunkt - Endpunkt: Zeit bis zum ersten behandlungsbedingten UE (TRAE) das die Cutoff-Kriterien auf MedDRA SOC Ebene erfüllt (Monate) - SOC: Vascular disorders (10047065) (full analysis set)



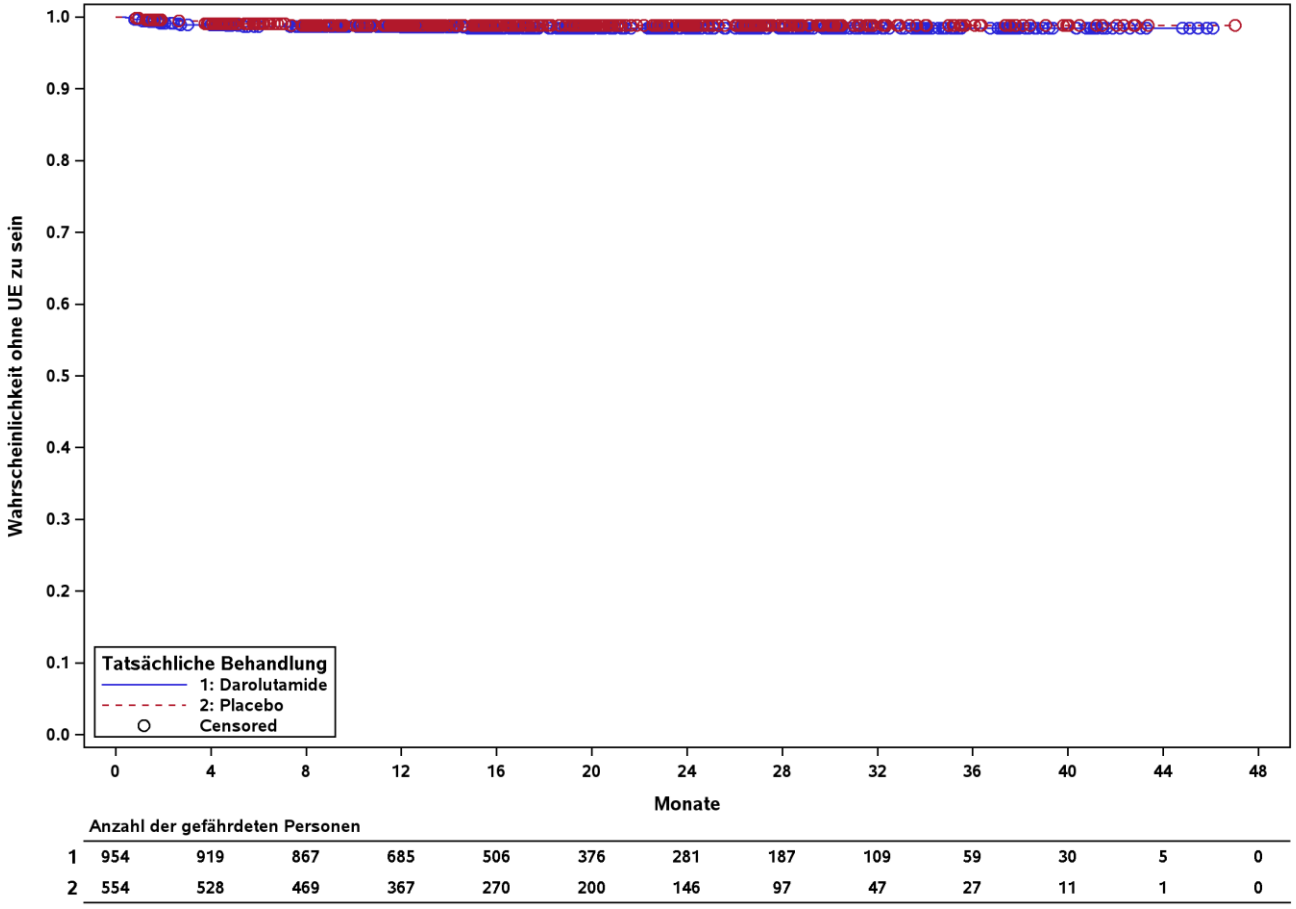
Bayer: /by-sasp/patdb/projects/1841788/17712/stat/prod_query22/pgms/t_aecut.sas 23APR2020 18:15

Figure 4.2.4 / 266: Kaplan-Meier-Plot der 'UE, die die Cutoff-Kriterien erfüllen TTE-Analyse' nach Endpunkt - Endpunkt: Zeit bis zum ersten behandlungsbedingten UE (TRAE) das die Cutoff-Kriterien auf MedDRA PT Ebene erfüllt (Monate) - PT: Constipation (10010774) (full analysis set)



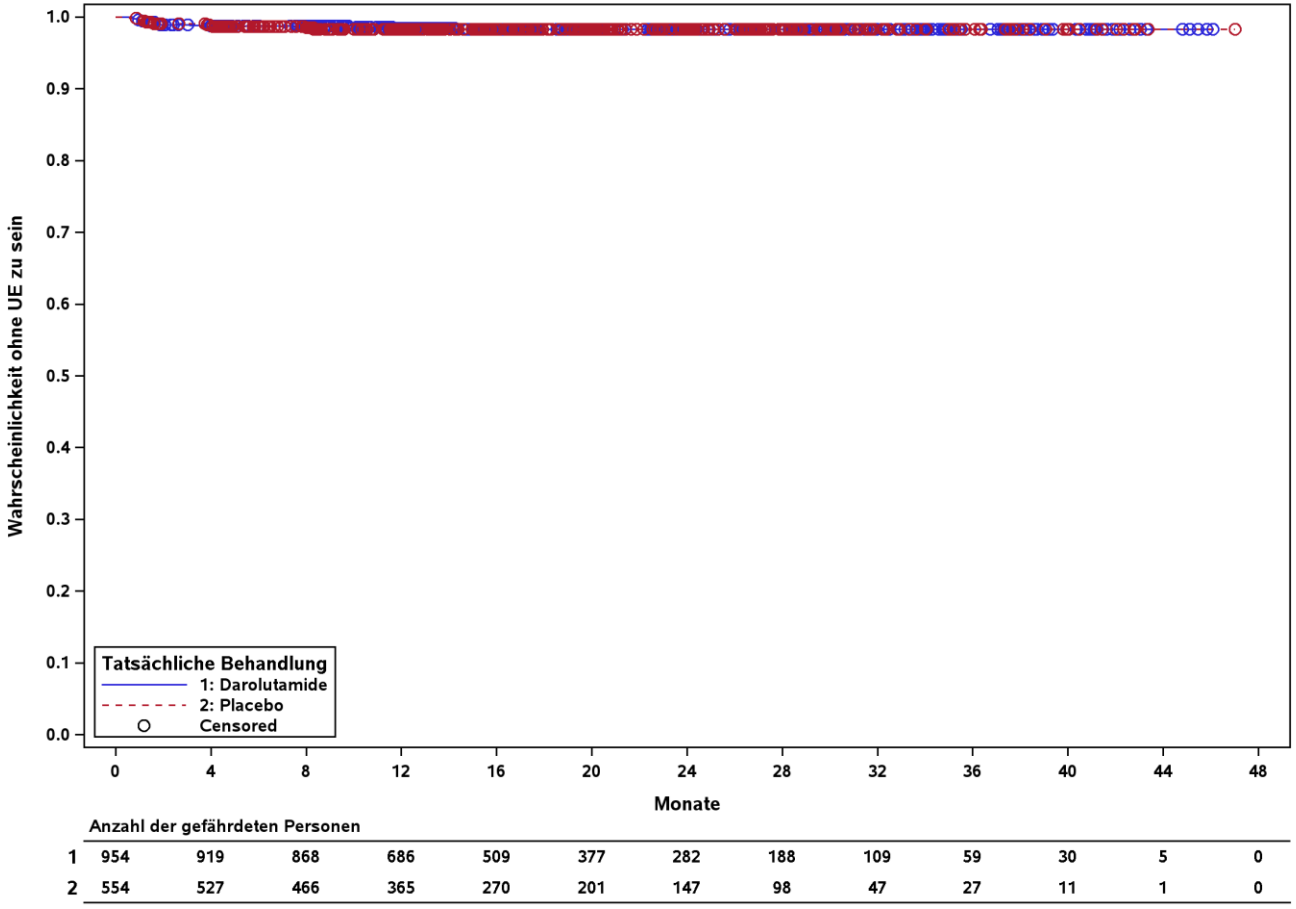
Bayer: /by-sasp/patdb/projects/1841788/17712/stat/prod_query22/pgms/t_aecut.sas 23APR2020 18:15

Figure 4.2.4 / 267: Kaplan-Meier-Plot der 'UE, die die Cutoff-Kriterien erfüllen TTE-Analyse' nach Endpunkt - Endpunkt: Zeit bis zum ersten behandlungsbedingten UE (TRAE) das die Cutoff-Kriterien auf MedDRA PT Ebene erfüllt (Monate) - PT: Decreased appetite (10061428) (full analysis set)



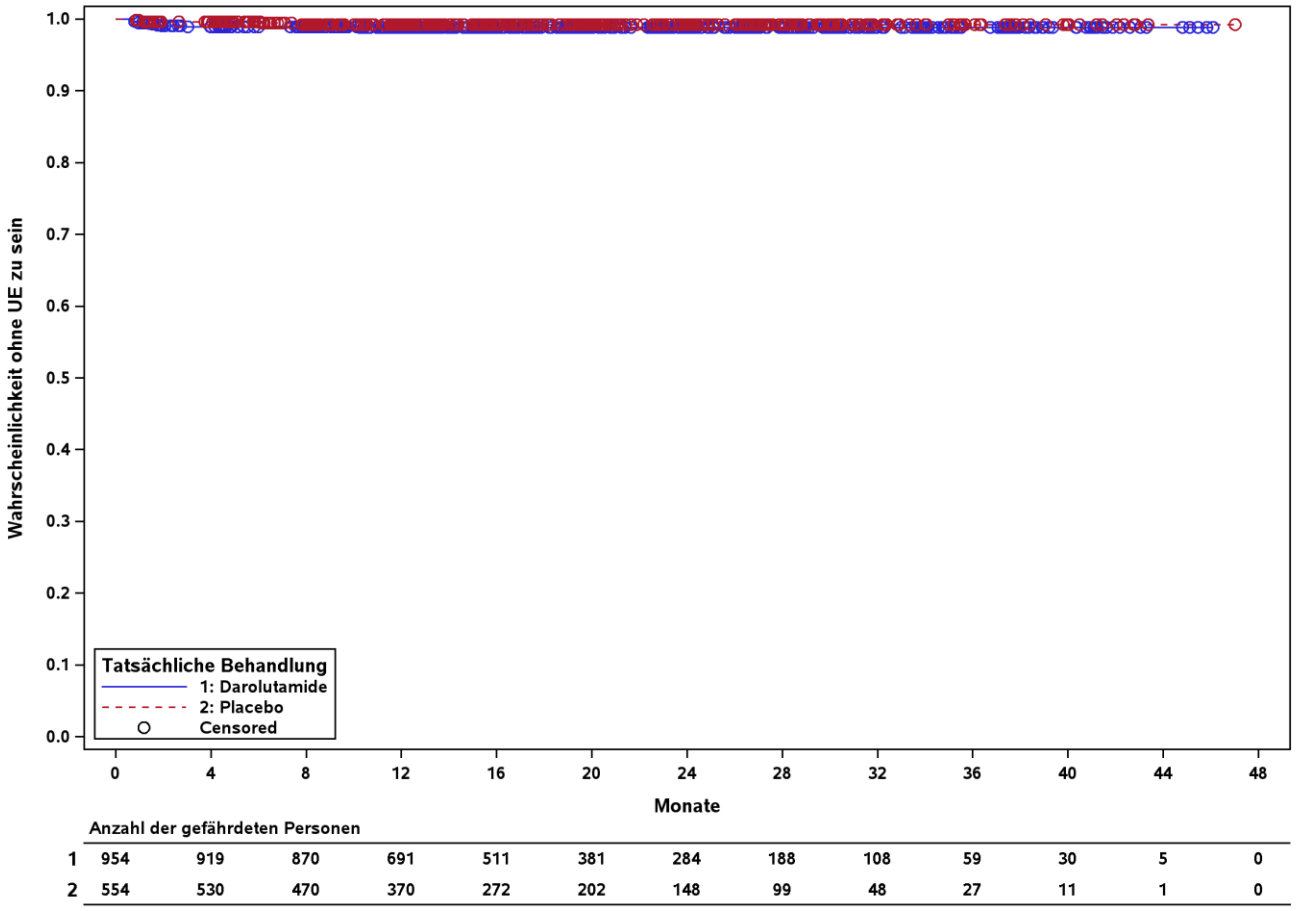
Bayer: /by-sasp/patdb/projects/1841788/17712/stat/prod_query22/pgms/t_aecut.sas 23APR2020 18:15

Figure 4.2.4 / 268: Kaplan-Meier-Plot der 'UE, die die Cutoff-Kriterien erfüllen TTE-Analyse' nach Endpunkt - Endpunkt: Zeit bis zum ersten behandlungsbedingten UE (TRAE) das die Cutoff-Kriterien auf MedDRA PT Ebene erfüllt (Monate) - PT: Diarrhoea (10012735) (full analysis set)



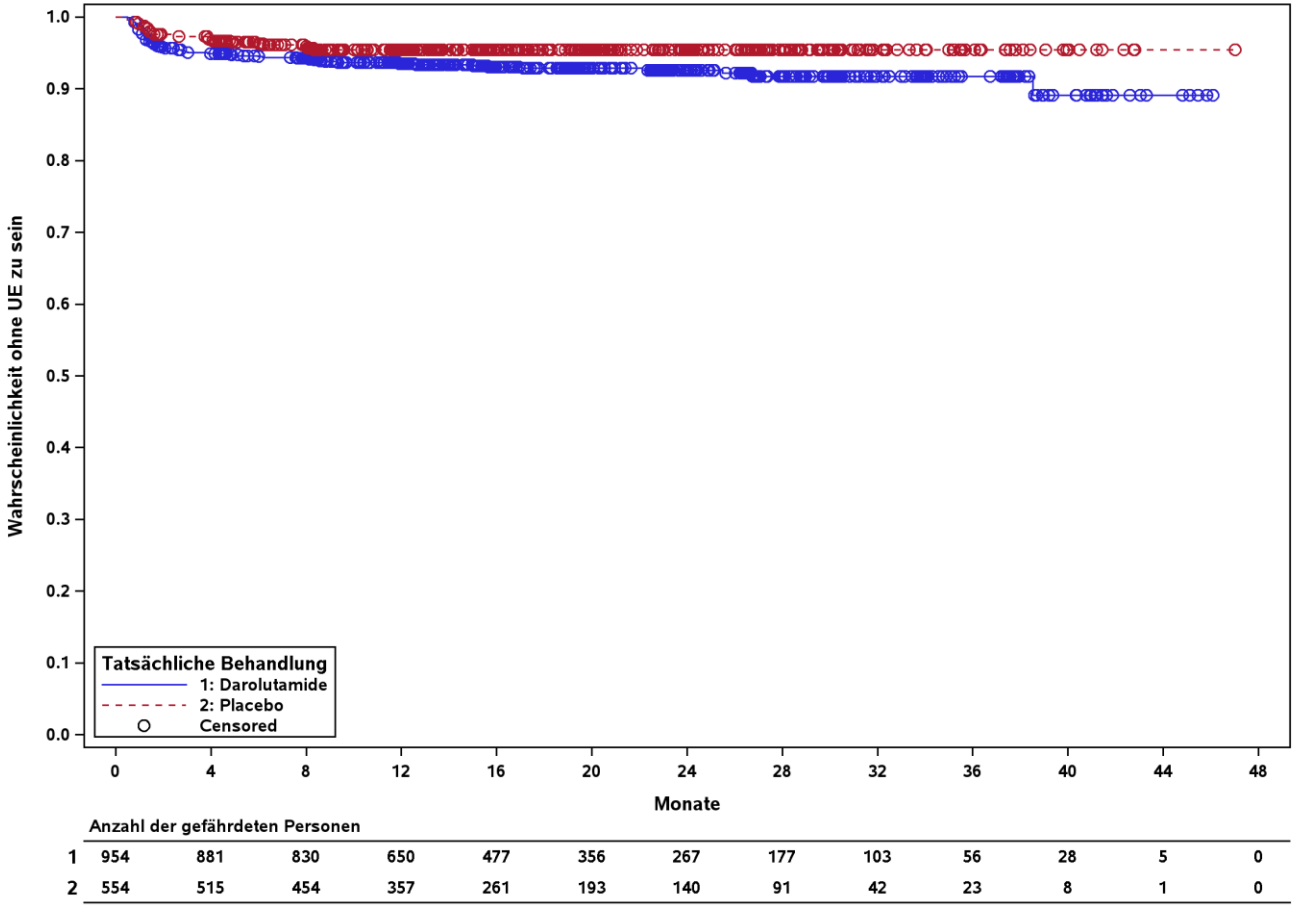
Bayer: /by-sasp/patdb/projects/1841788/17712/stat/prod_query22/pgms/t_aecut.sas 23APR2020 18:15

Figure 4.2.4 / 269: Kaplan-Meier-Plot der 'UE, die die Cutoff-Kriterien erfüllen TTE-Analyse' nach Endpunkt - Endpunkt: Zeit bis zum ersten behandlungsbedingten UE (TRAE) das die Cutoff-Kriterien auf MedDRA PT Ebene erfüllt (Monate) - PT: Dizziness (10013573) (full analysis set)



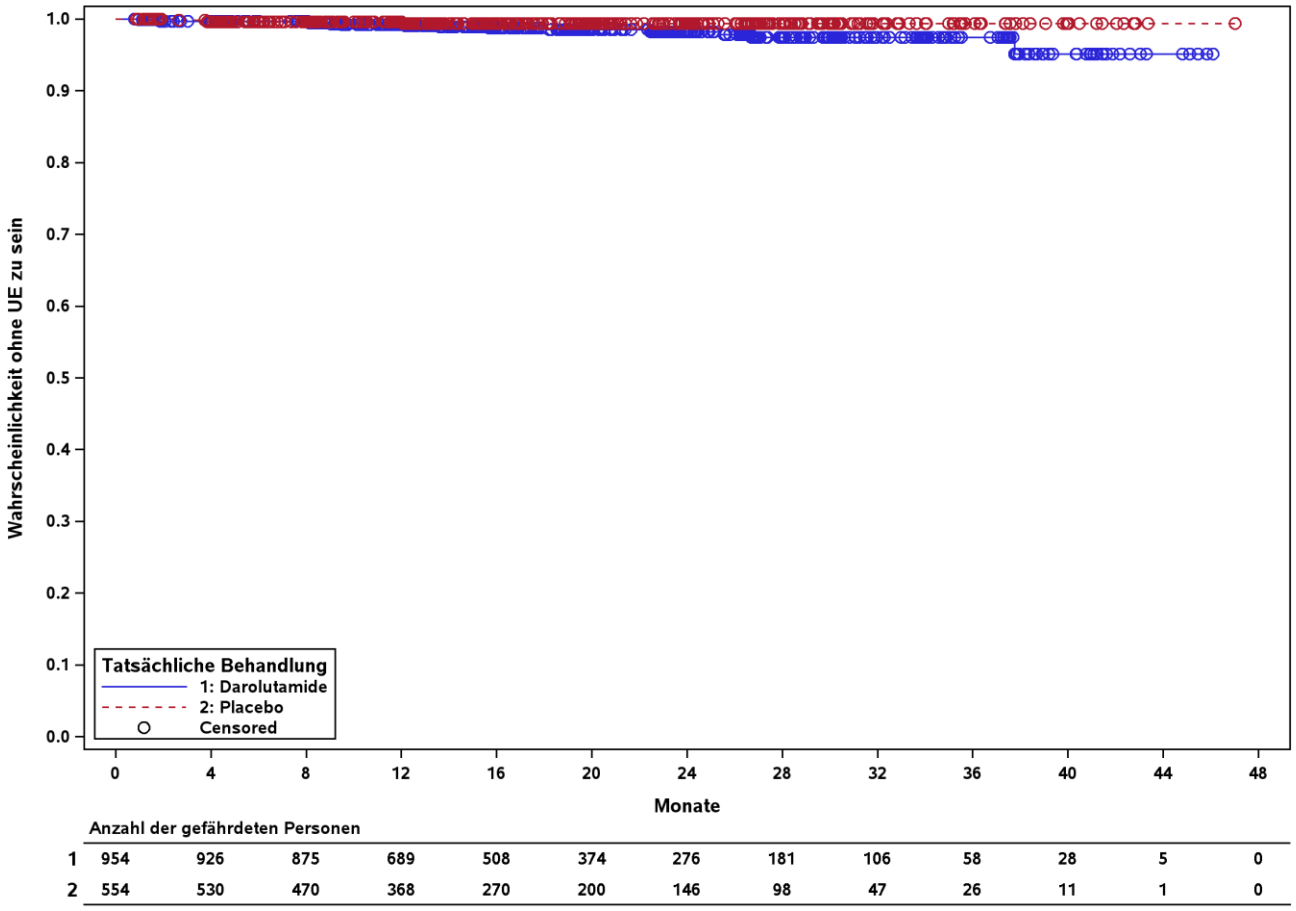
Bayer: /by-sasp/patdb/projects/1841788/17712/stat/prod_query22/pgms/t_aecut.sas 23APR2020 18:15

Figure 4.2.4 / 270: Kaplan-Meier-Plot der 'UE, die die Cutoff-Kriterien erfüllen TTE-Analyse' nach Endpunkt - Endpunkt: Zeit bis zum ersten behandlungsbedingten UE (TRAE) das die Cutoff-Kriterien auf MedDRA PT Ebene erfüllt (Monate) - PT: Fatigue (10016256) (full analysis set)



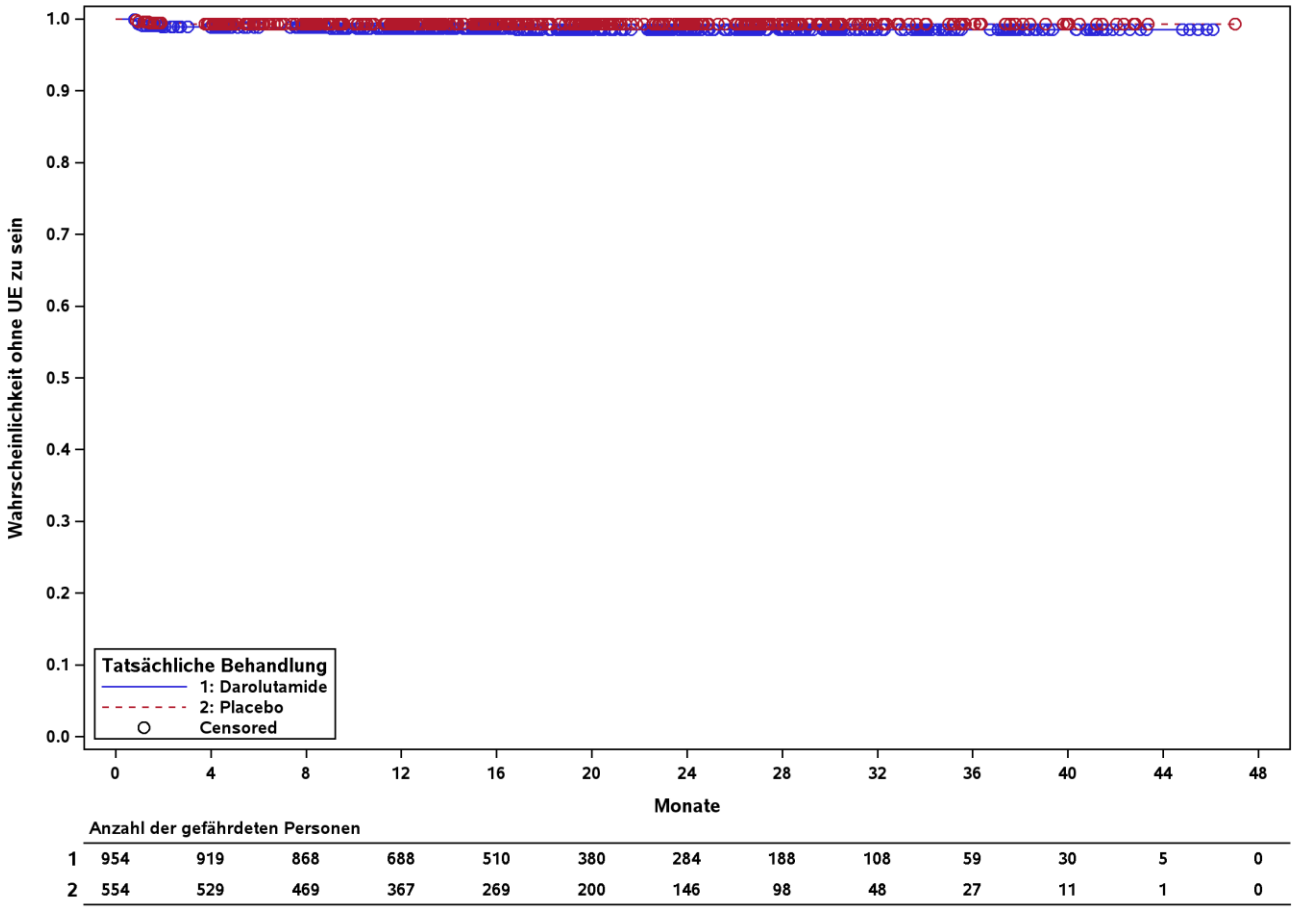
Bayer: /by-sasp/patdb/projects/1841788/17712/stat/prod_query22/pgms/t_aecut.sas 23APR2020 18:15

Figure 4.2.4 / 271: Kaplan-Meier-Plot der 'UE, die die Cutoff-Kriterien erfüllen TTE-Analyse' nach Endpunkt - Endpunkt: Zeit bis zum ersten behandlungsbedingten UE (TRAE) das die Cutoff-Kriterien auf MedDRA PT Ebene erfüllt (Monate) - PT: Gynaecomastia (10018800) (full analysis set)



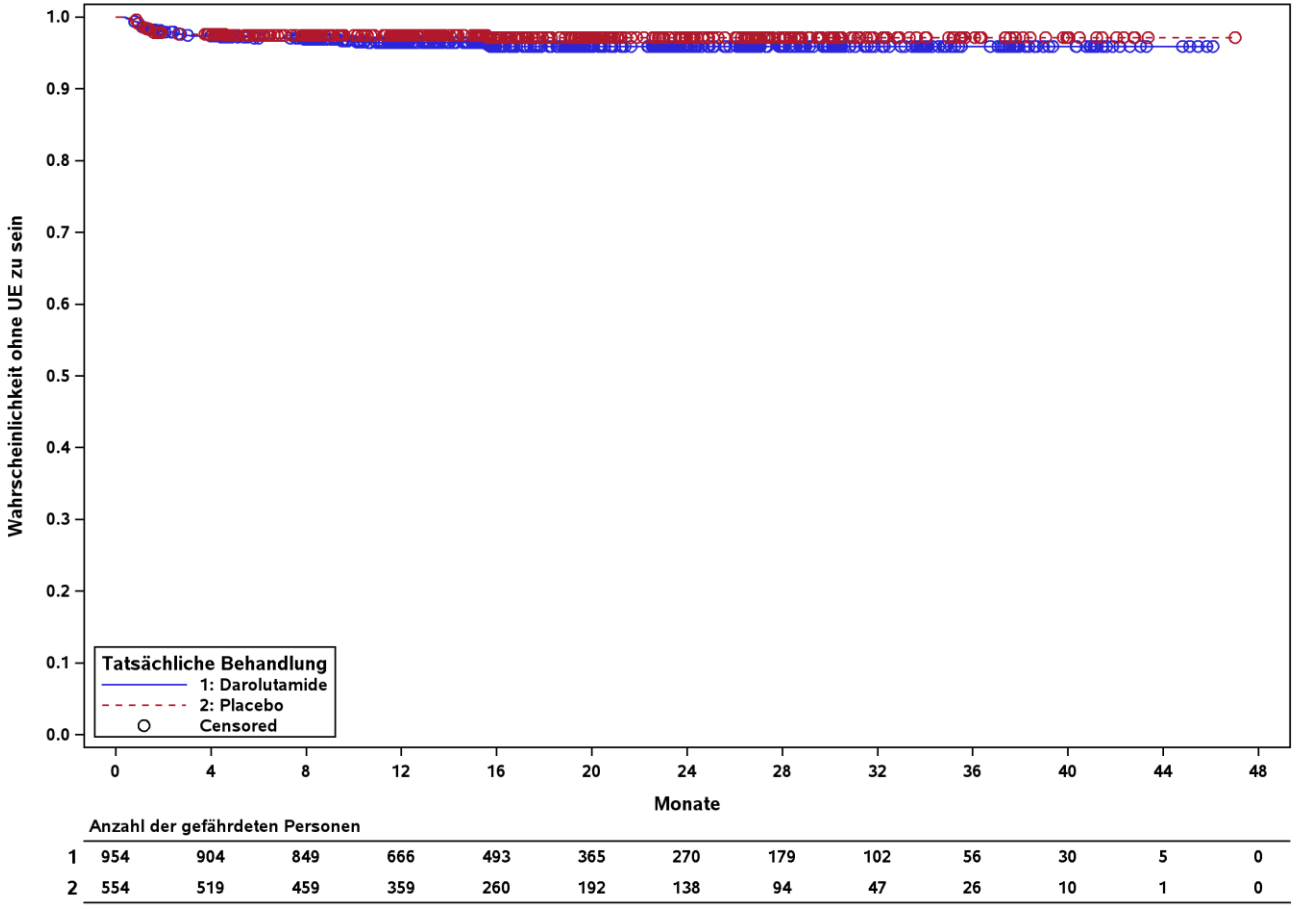
Bayer: /by-sasp/patdb/projects/1841788/17712/stat/prod_query22/pgms/t_aecut.sas 23APR2020 18:15

Figure 4.2.4 / 272: Kaplan-Meier-Plot der 'UE, die die Cutoff-Kriterien erfüllen TTE-Analyse' nach Endpunkt - Endpunkt: Zeit bis zum ersten behandlungsbedingten UE (TRAE) das die Cutoff-Kriterien auf MedDRA PT Ebene erfüllt (Monate) - PT: Headache (10019211) (full analysis set)



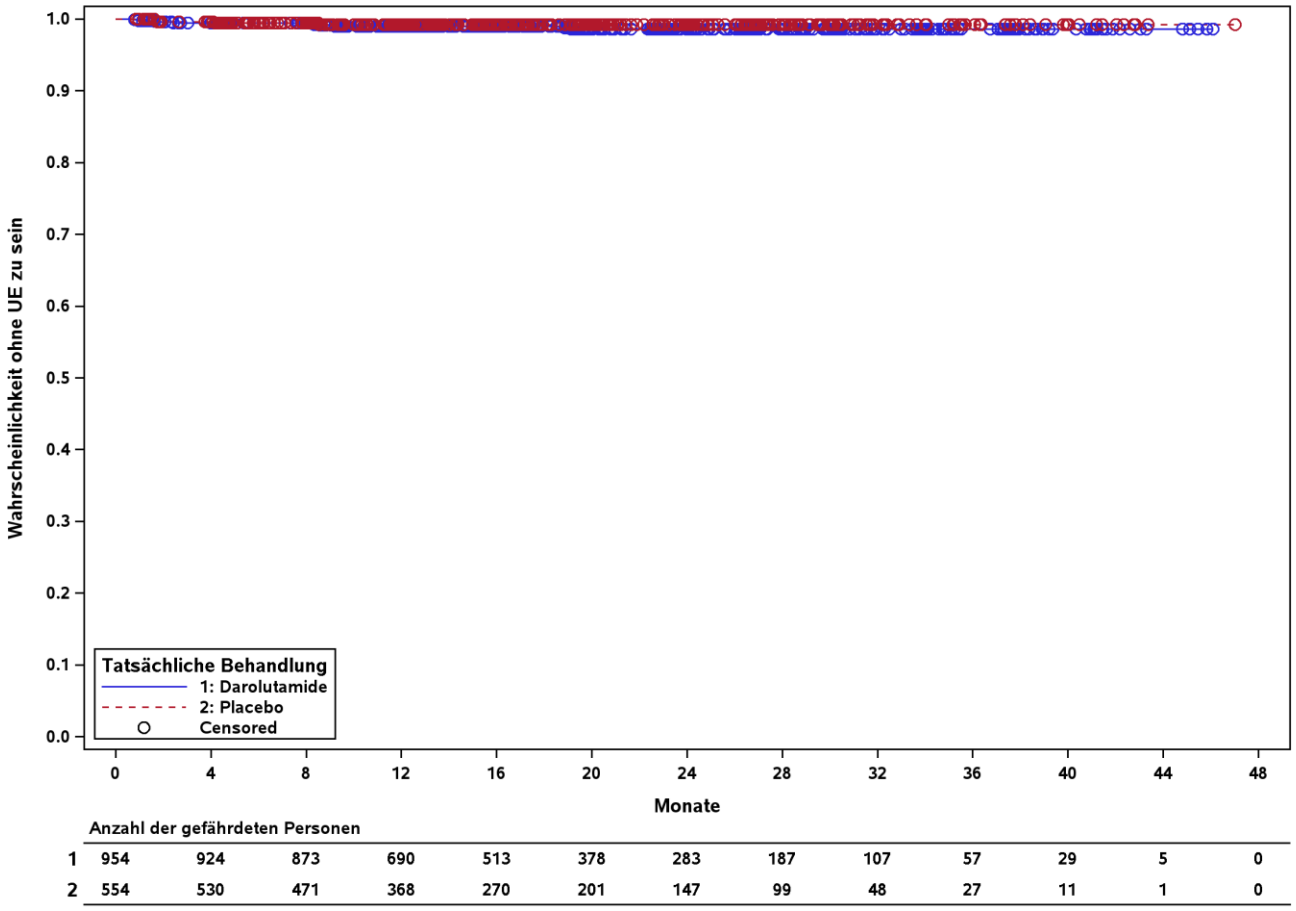
Bayer: /by-sasp/patdb/projects/1841788/17712/stat/prod_query22/pgms/t_aecut.sas 23APR2020 18:15

Figure 4.2.4 / 273: Kaplan-Meier-Plot der 'UE, die die Cutoff-Kriterien erfüllen TTE-Analyse' nach Endpunkt - Endpunkt: Zeit bis zum ersten behandlungsbedingten UE (TRAE) das die Cutoff-Kriterien auf MedDRA PT Ebene erfüllt (Monate) - PT: Hot flush (10060800) (full analysis set)



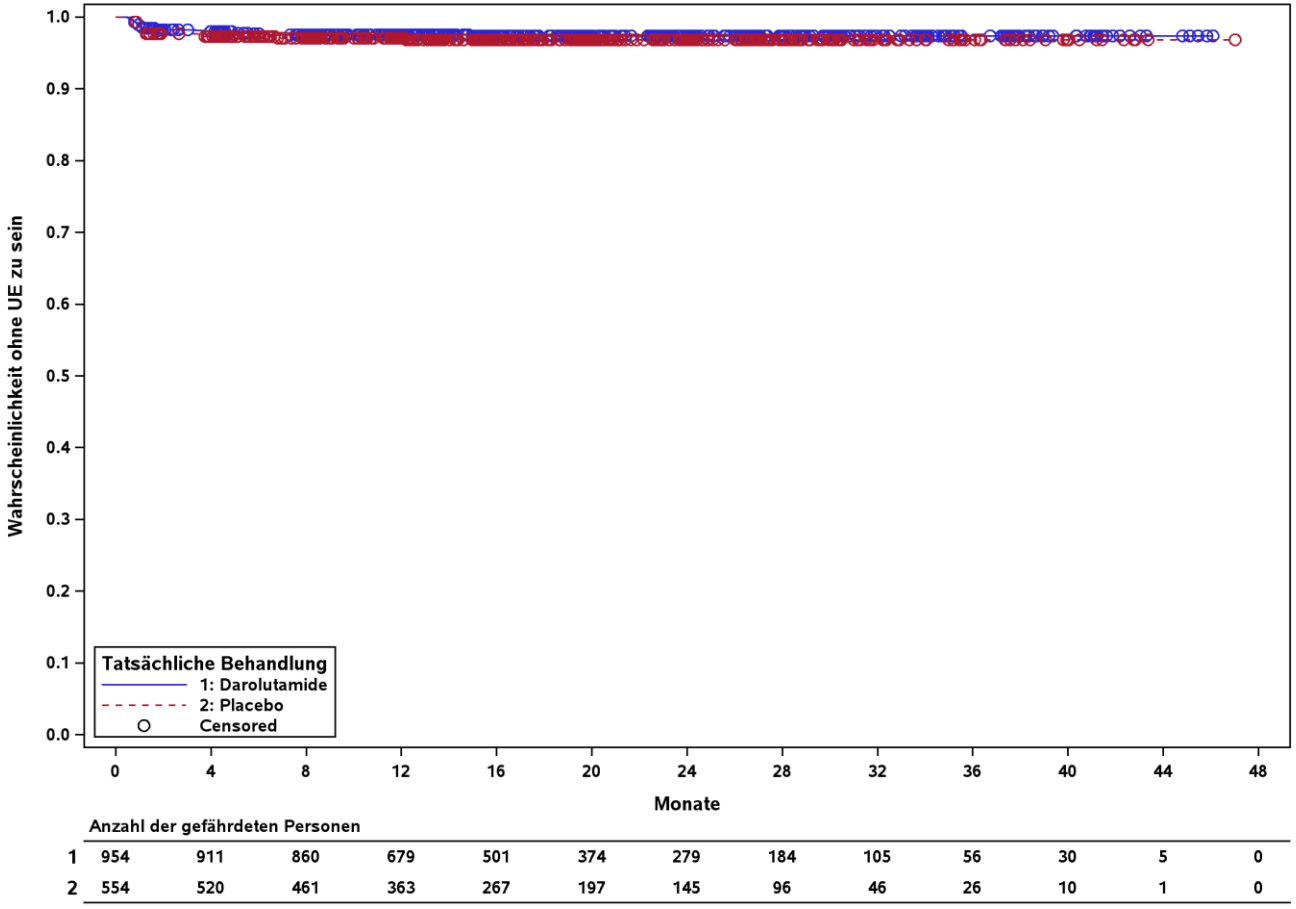
Bayer: /by-sasp/patdb/projects/1841788/17712/stat/prod_query22/pgms/t_aecut.sas 23APR2020 18:15

Figure 4.2.4 / 274: Kaplan-Meier-Plot der 'UE, die die Cutoff-Kriterien erfüllen TTE-Analyse' nach Endpunkt - Endpunkt: Zeit bis zum ersten behandlungsbedingten UE (TRAE) das die Cutoff-Kriterien auf MedDRA PT Ebene erfüllt (Monate) - PT: Hypertension (10020772) (full analysis set)



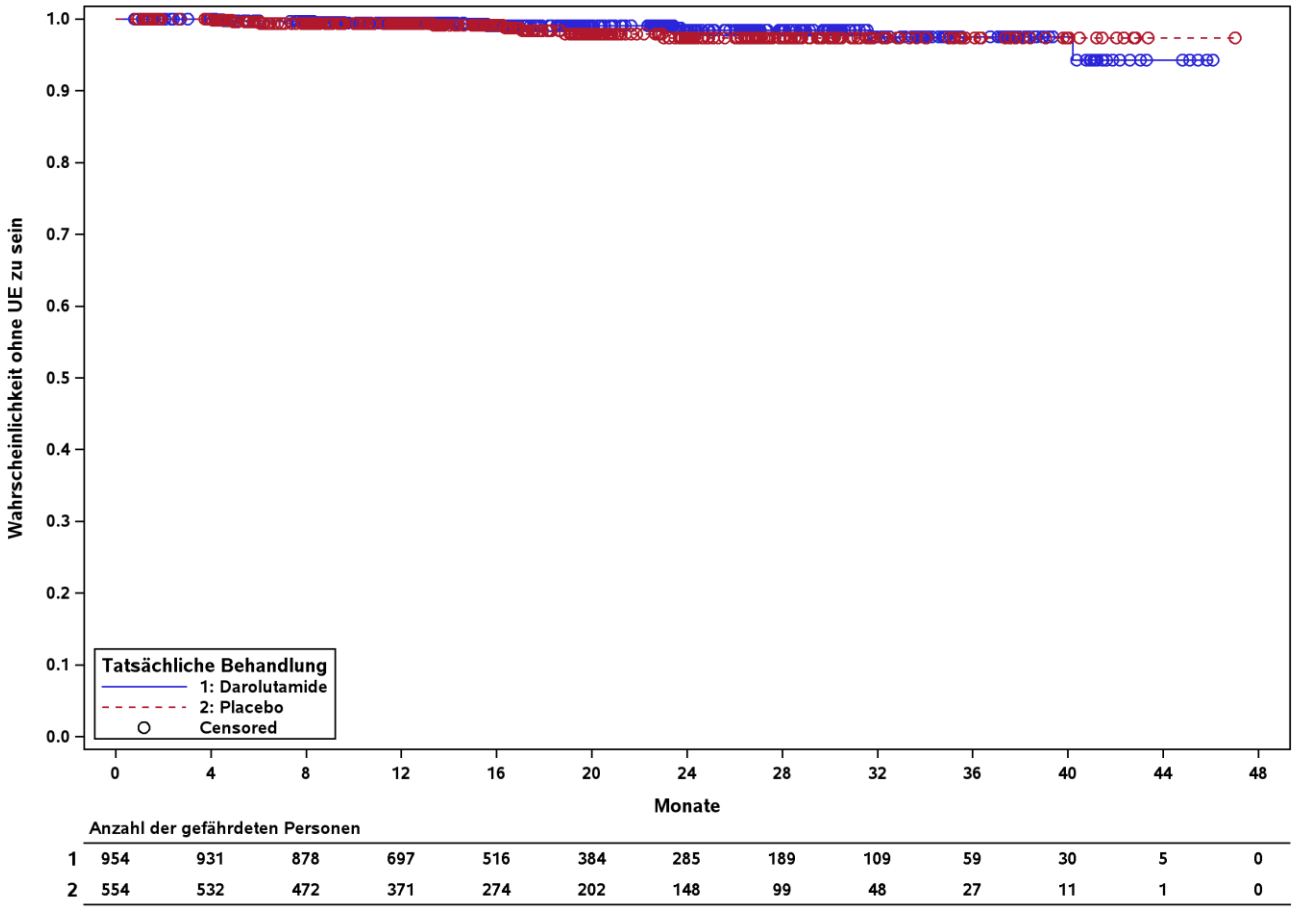
Bayer: /by-sasp/patdb/projects/1841788/17712/stat/prod_query22/pgms/t_aecut.sas 23APR2020 18:15

Figure 4.2.4 / 275: Kaplan-Meier-Plot der 'UE, die die Cutoff-Kriterien erfüllen TTE-Analyse' nach Endpunkt - Endpunkt: Zeit bis zum ersten behandlungsbedingten UE (TRAE) das die Cutoff-Kriterien auf MedDRA PT Ebene erfüllt (Monate) - PT: Nausea (10028813) (full analysis set)



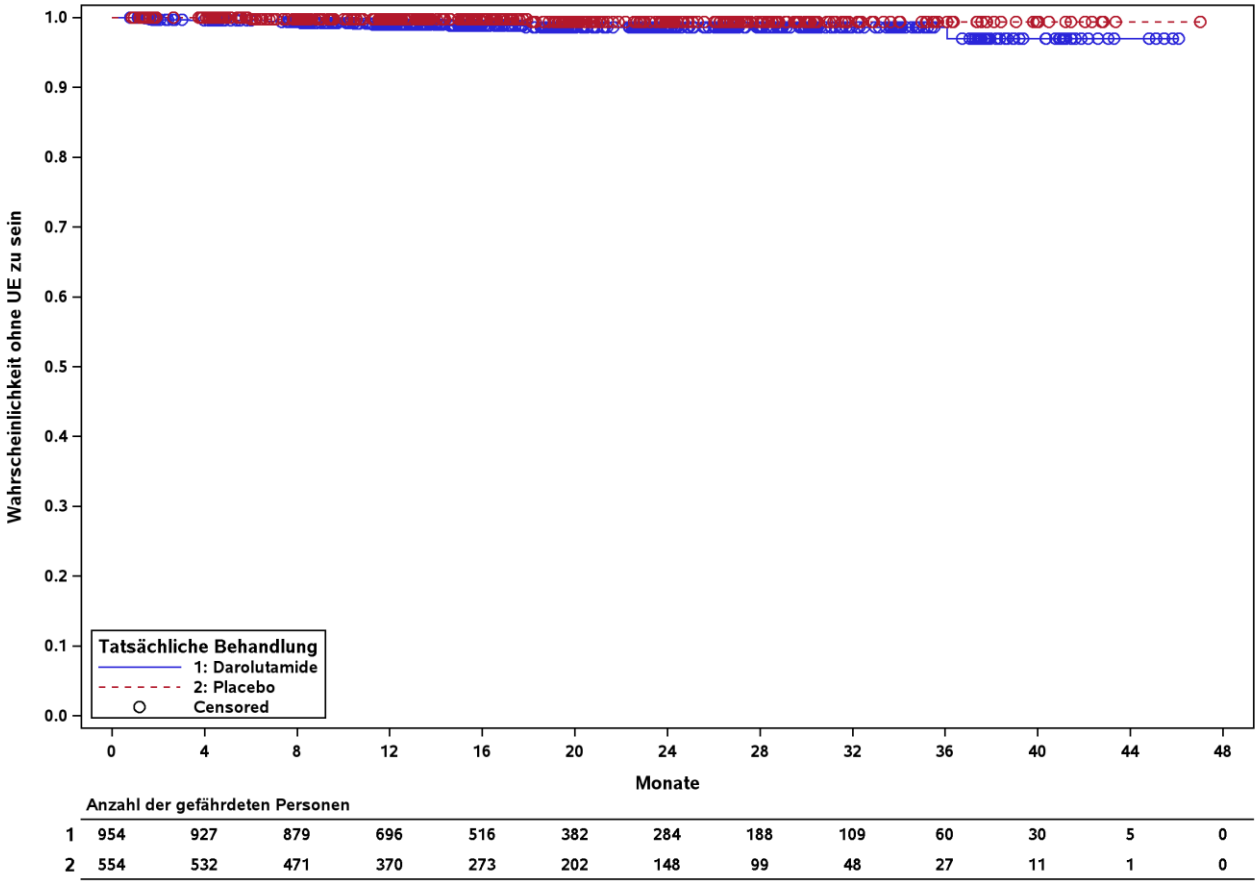
Bayer: /by-sasp/patdb/projects/1841788/17712/stat/prod_query22/pgms/t_aecut.sas 23APR2020 18:15

Figure 4.2.4 / 276: Kaplan-Meier-Plot der 'UE, die die Cutoff-Kriterien erfüllen TTE-Analyse' nach Endpunkt - Endpunkt: Zeit bis zum ersten zum Therapieabbruch führenden Ereignis das die Cutoff-Kriterien auf MedDRA SOC Ebene erfüllt (Monate) - SOC: Cardiac disorders (10007541) (full analysis set)



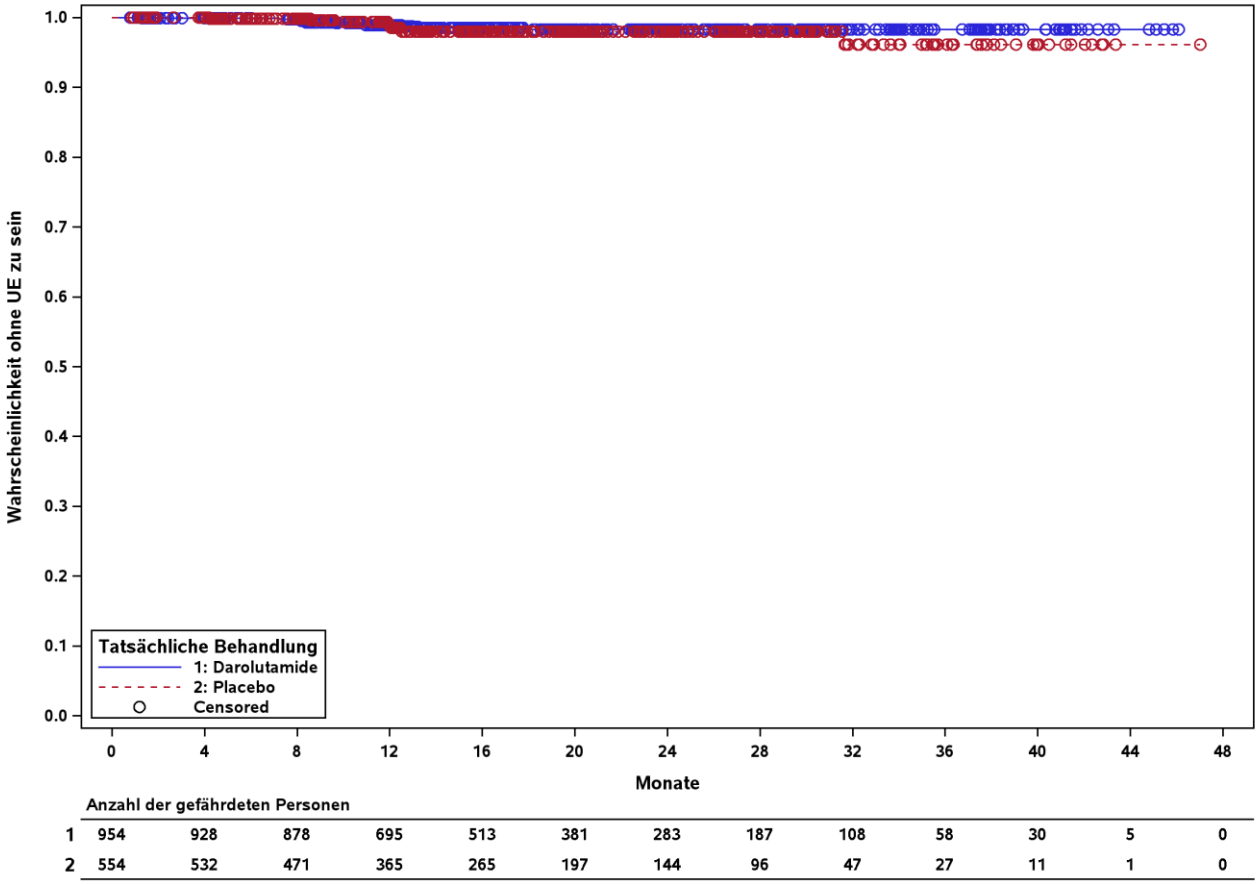
Bayer: /by-sasp/patdb/projects/1841788/17712/stat/prod_query22/pgms/t_aecut.sas 23APR2020 18:15

Figure 4.2.4 / 277: Kaplan-Meier-Plot der 'UE, die die Cutoff-Kriterien erfüllen TTE-Analyse' nach Endpunkt - Endpunkt: Zeit bis zum ersten zum Therapieabbruch führenden Ereignis das die Cutoff-Kriterien auf MedDRA SOC Ebene erfüllt (Monate) - SOC: General disorders and administration site conditions (10018065) (full analysis set)



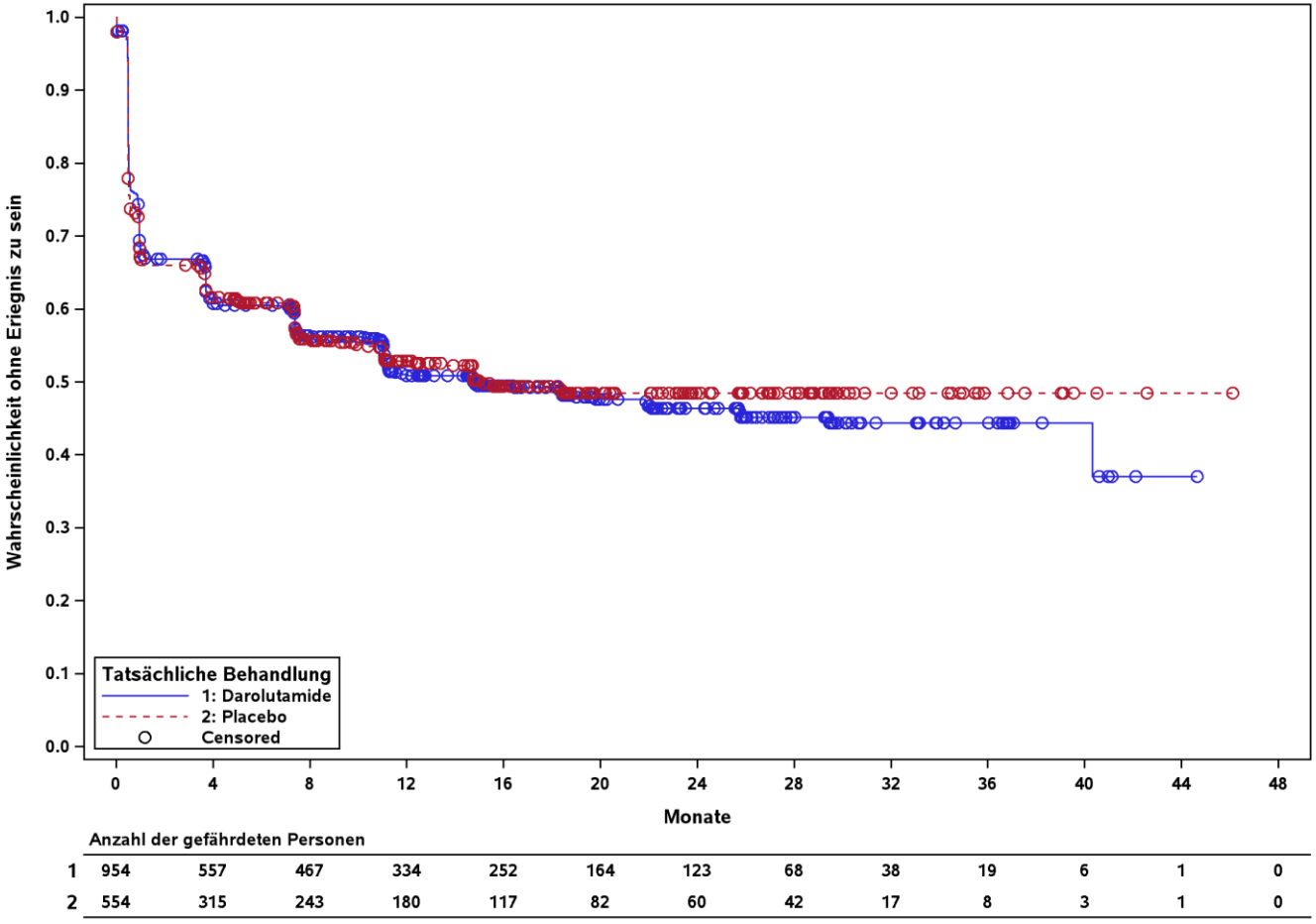
Bayer: /by-sasp/patdb/projects/1841788/17712/stat/prod_query22/pgms/t_aecut.sas 23APR2020 18:15

Figure 4.2.4 / 278: Kaplan-Meier-Plot der 'UE, die die Cutoff-Kriterien erfüllen TTE-Analyse' nach Endpunkt - Endpunkt: Zeit bis zum ersten zum Therapieabbruch führenden Ereignis das die Cutoff-Kriterien auf MedDRA SOC Ebene erfüllt (Monate) - SOC: Neoplasms benign, malignant and unspecified (incl cysts and polyps) (10029104) (full analysis set)



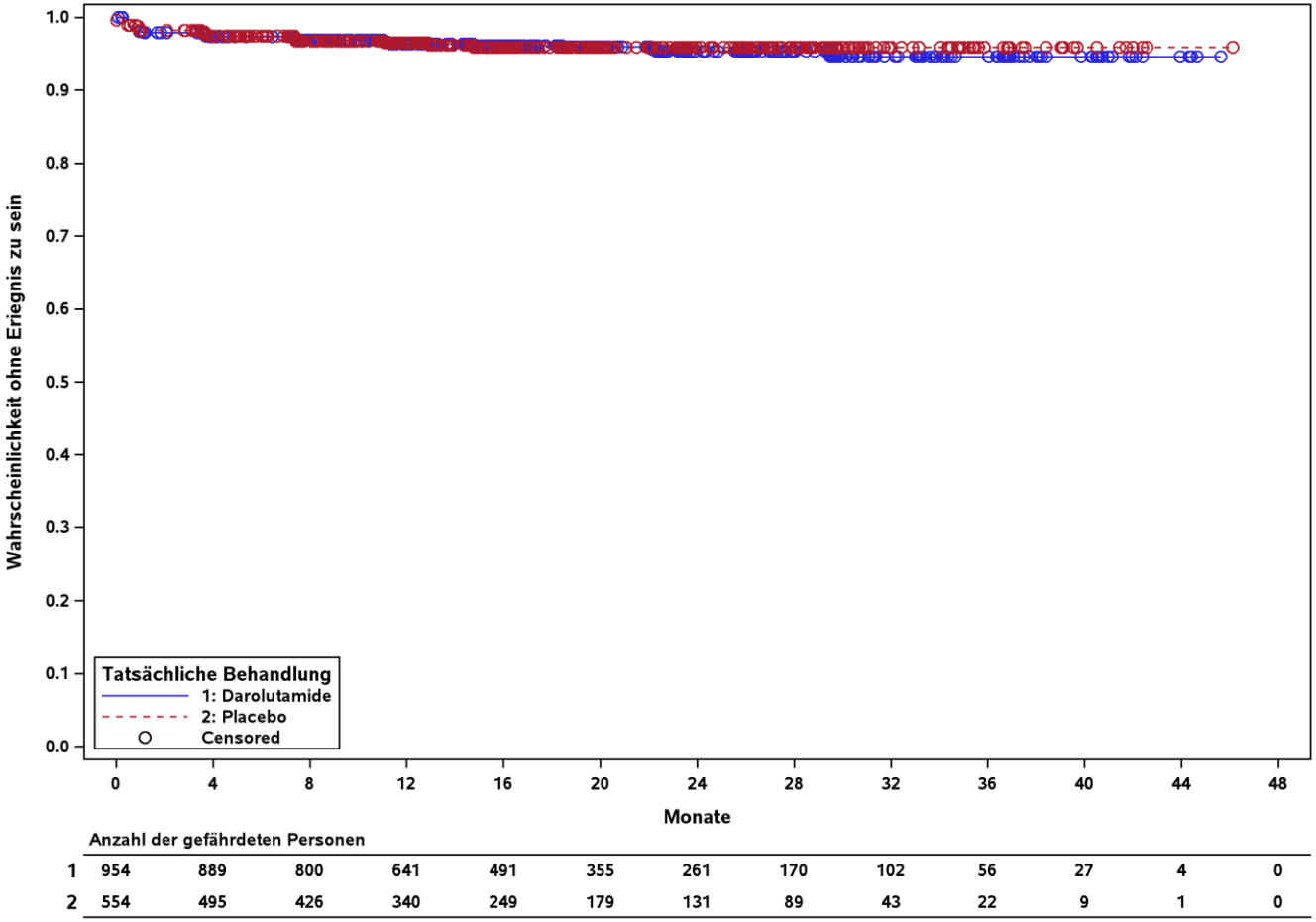
Bayer: /by-sasp/patdb/projects/1841788/17712/stat/prod_query22/pgms/t_aecut.sas 23APR2020 18:15

Figure 4.2.4 / 279: Kaplan-Meier-Plot der 'Elektrokardiogramm Time-to-Event-Analyse' nach Endpunkt - Endpunkt: Zeit bis zur ersten Post-Baseline QTcB-Verlängerung >450 msec (Monate) (full analysis set)



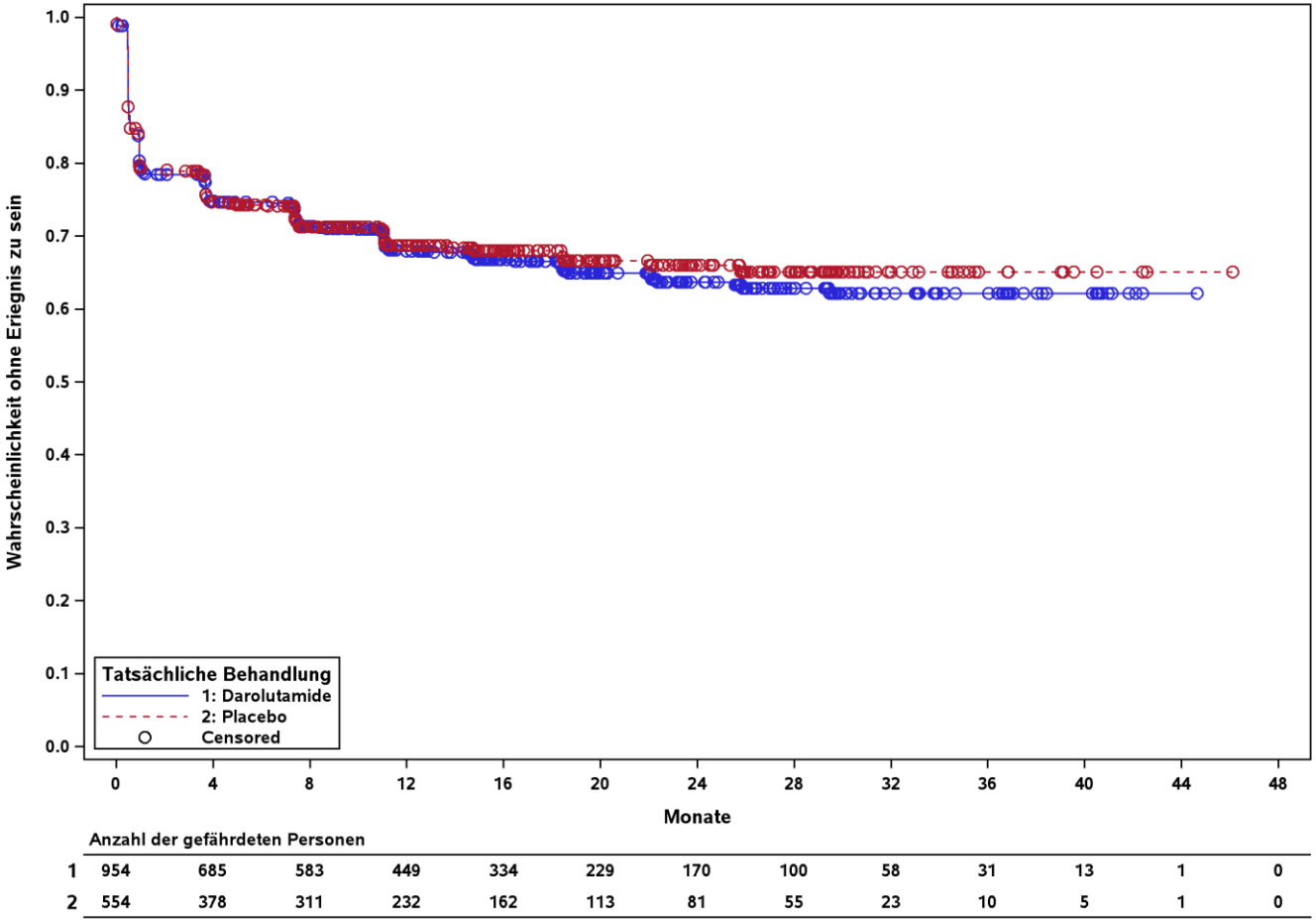
Bayer: /by-sasp/patdb/projects/1841788/17712/stat/prod_query22/pgms/t_ecg.sas 23APR2020 20:09

Figure 4.2.4 / 280: Kaplan-Meier-Plot der 'Elektrokardiogramm Time-to-Event-Analyse' nach Endpunkt - Endpunkt: Zeit bis zur ersten Post-Baseline QTcB-Verlängerung >500 msec (Monate) (full analysis set)



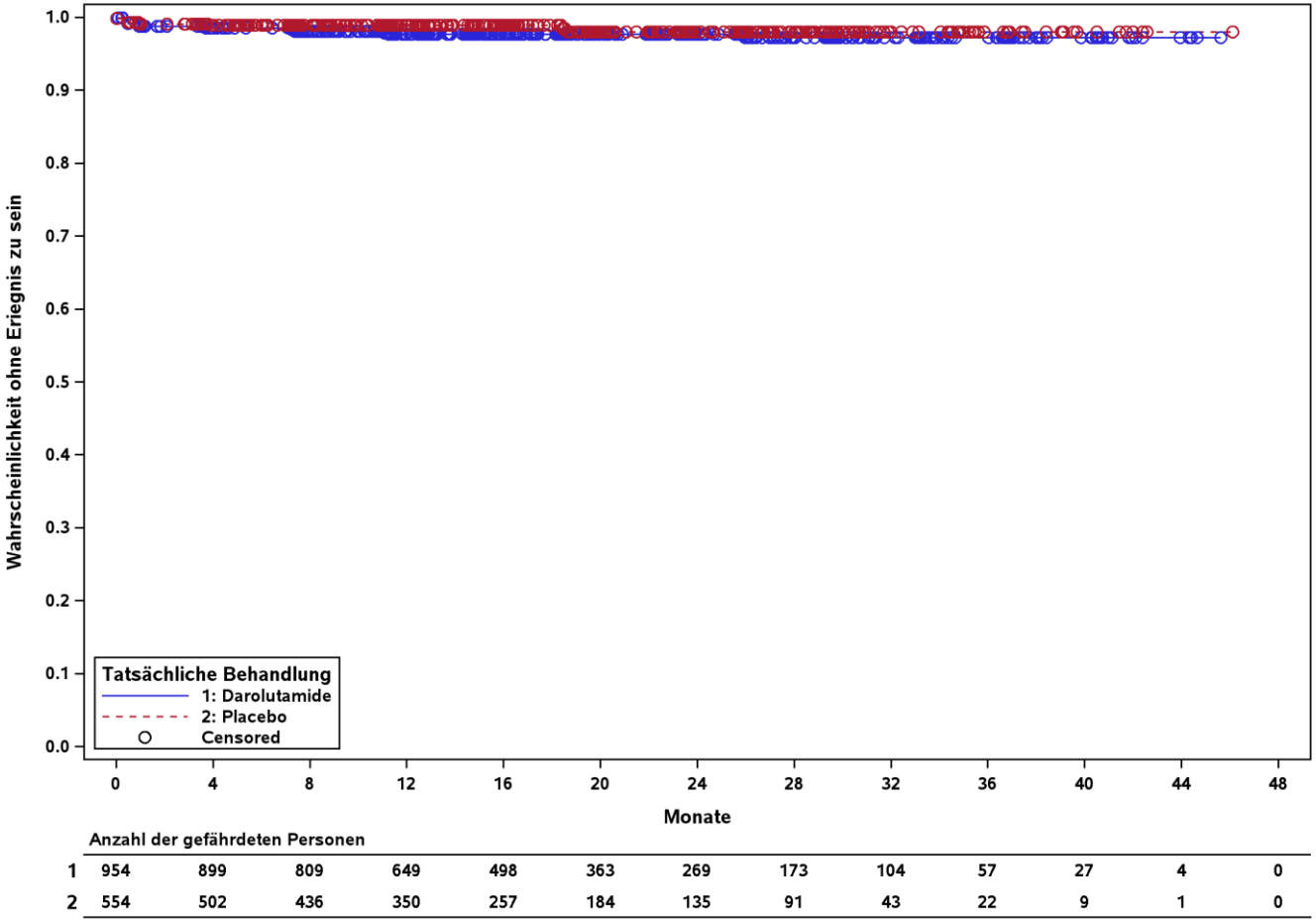
Bayer: /by-sasp/patdb/projects/1841788/17712/stat/prod_query22/pgms/t_ecg.sas 23APR2020 20:09

Figure 4.2.4 / 281: Kaplan-Meier-Plot der 'Elektrokardiogramm Time-to-Event-Analyse' nach Endpunkt - Endpunkt: Zeit bis zur ersten Post-Baseline QTcF-Verlängerung >450 msec (Monate) (full analysis set)



Bayer: /by-sasp/patdb/projects/1841788/17712/stat/prod_query22/pgms/t_ecg.sas 23APR2020 20:09

Figure 4.2.4 / 282: Kaplan-Meier-Plot der 'Elektrokardiogramm Time-to-Event-Analyse' nach Endpunkt - Endpunkt: Zeit bis zur ersten Post-Baseline QTcF-Verlängerung >500 msec (Monate) (full analysis set)

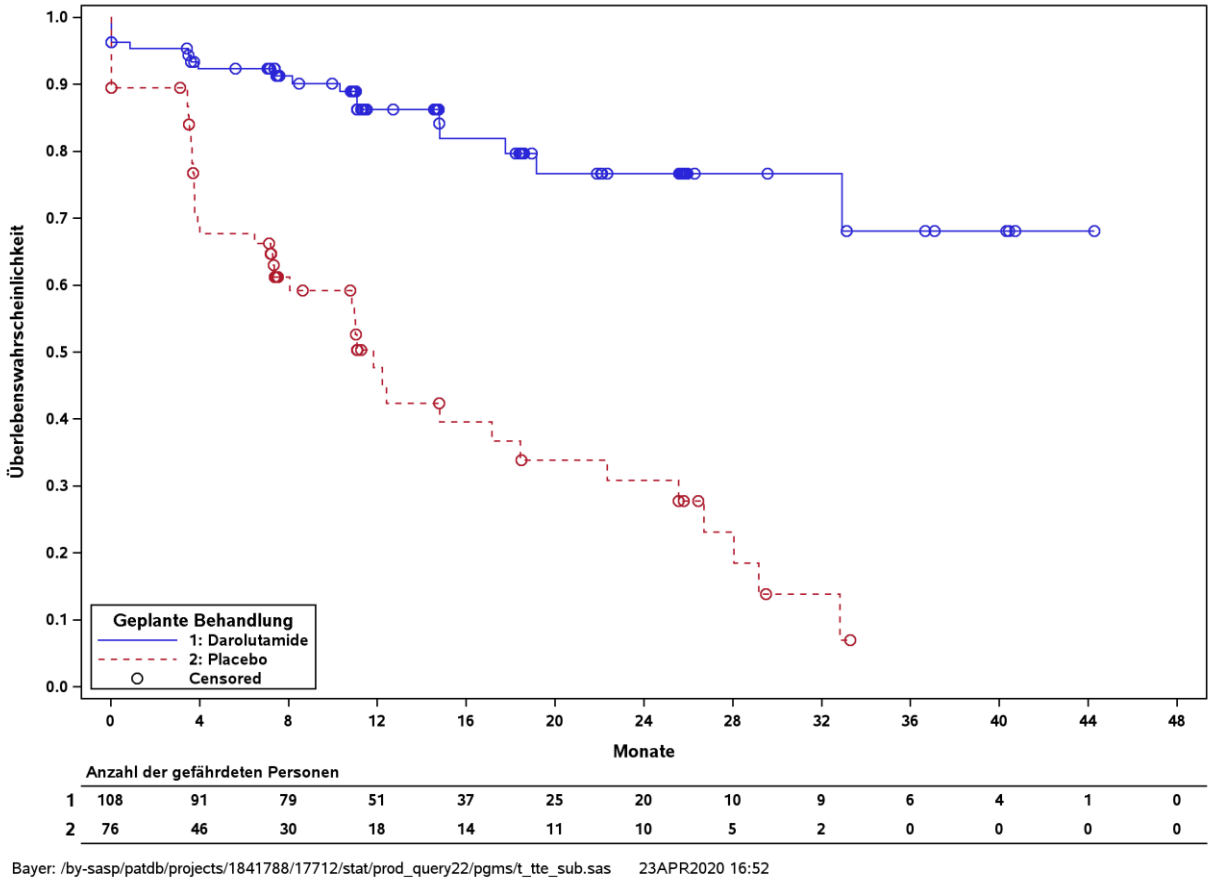


Bayer: /by-sasp/patdb/projects/1841788/17712/stat/prod_query22/pgms/t_ecg.sas 23APR2020 20:09

4.3 Subgruppenanalysen

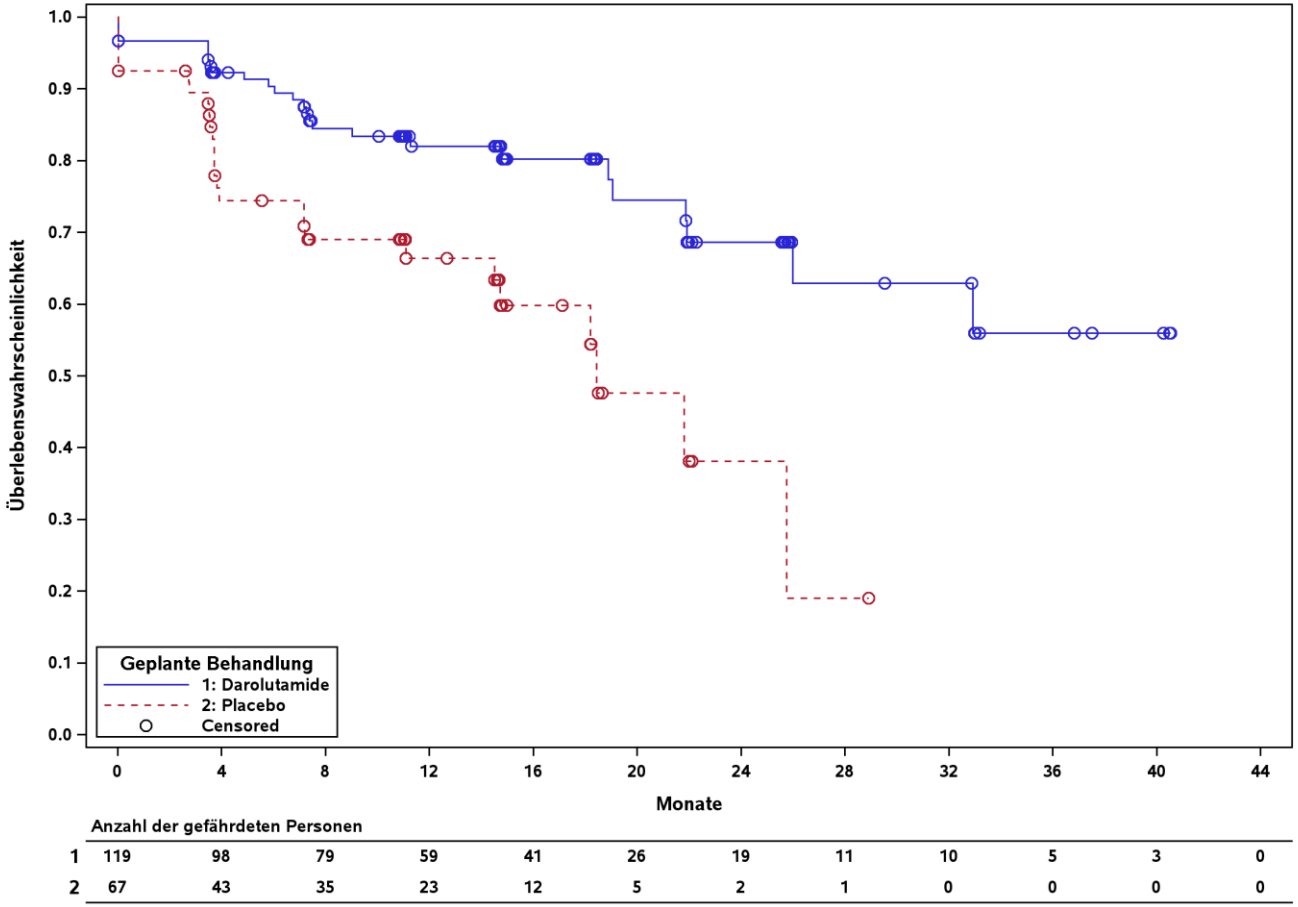
4.3.1 Morbidität

Figure 4.3.1 / 1: Kaplan-Meier-Plot der Time-to-Event-Analyse nach Endpunkt und Subgruppe - Endpunkt: Progressionsfreies Überleben (PFS) - Metastasen an Baseline unzensiert - Subgruppe: Geografische Region: North America (full analysis set)



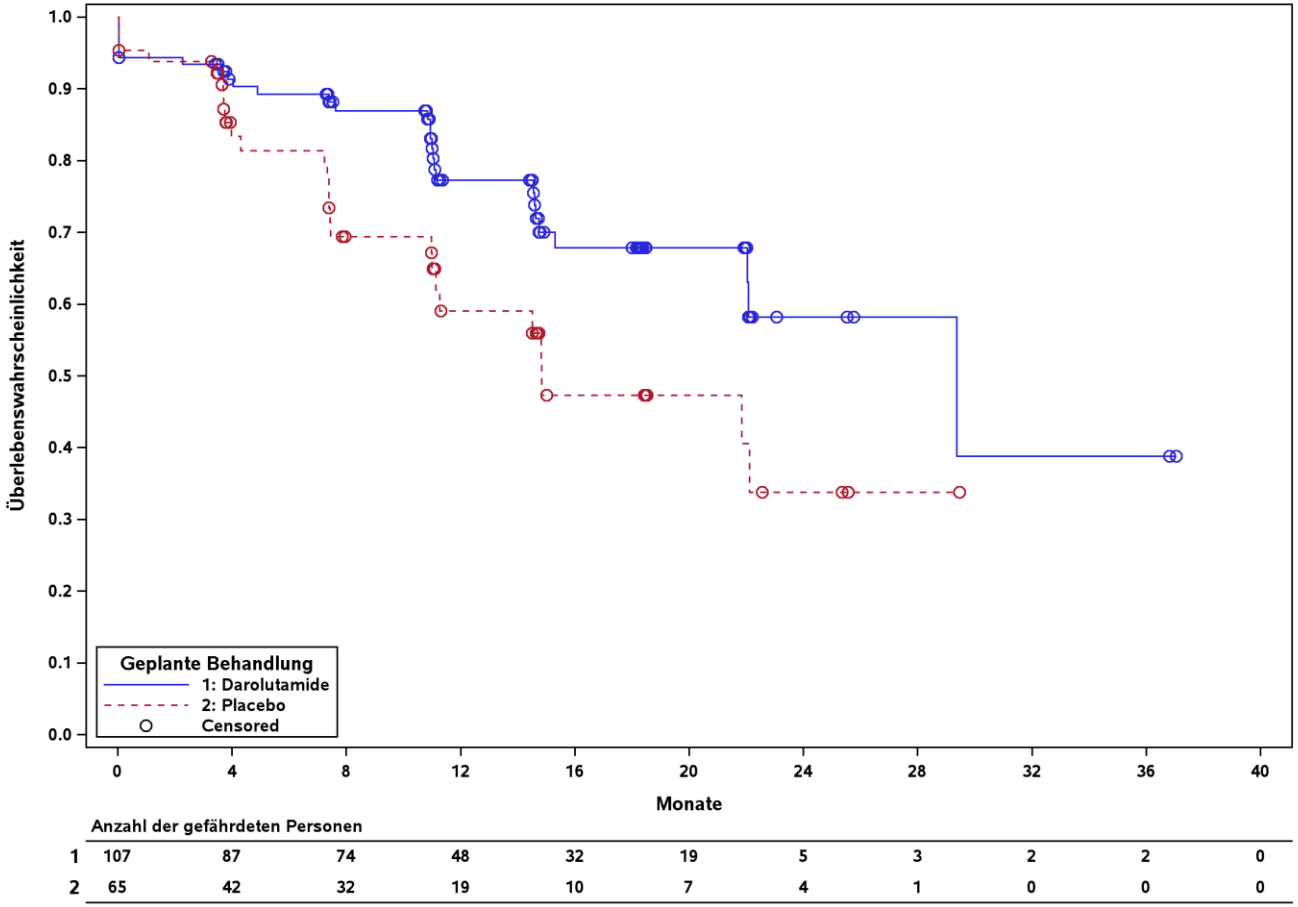
Bayer: /by-sasp/patdb/projects/1841788/17712/stat/prod_query22/pgms/t_tte_sub.sas 23APR2020 16:52

Figure 4.3.1 / 2: Kaplan-Meier-Plot der Time-to-Event-Analyse nach Endpunkt und Subgruppe - Endpunkt: Progressionsfreies Überleben (PFS) - Metastasen an Baseline unzensiert - Subgruppe: Geografische Region: Asia Pacific (full analysis set)



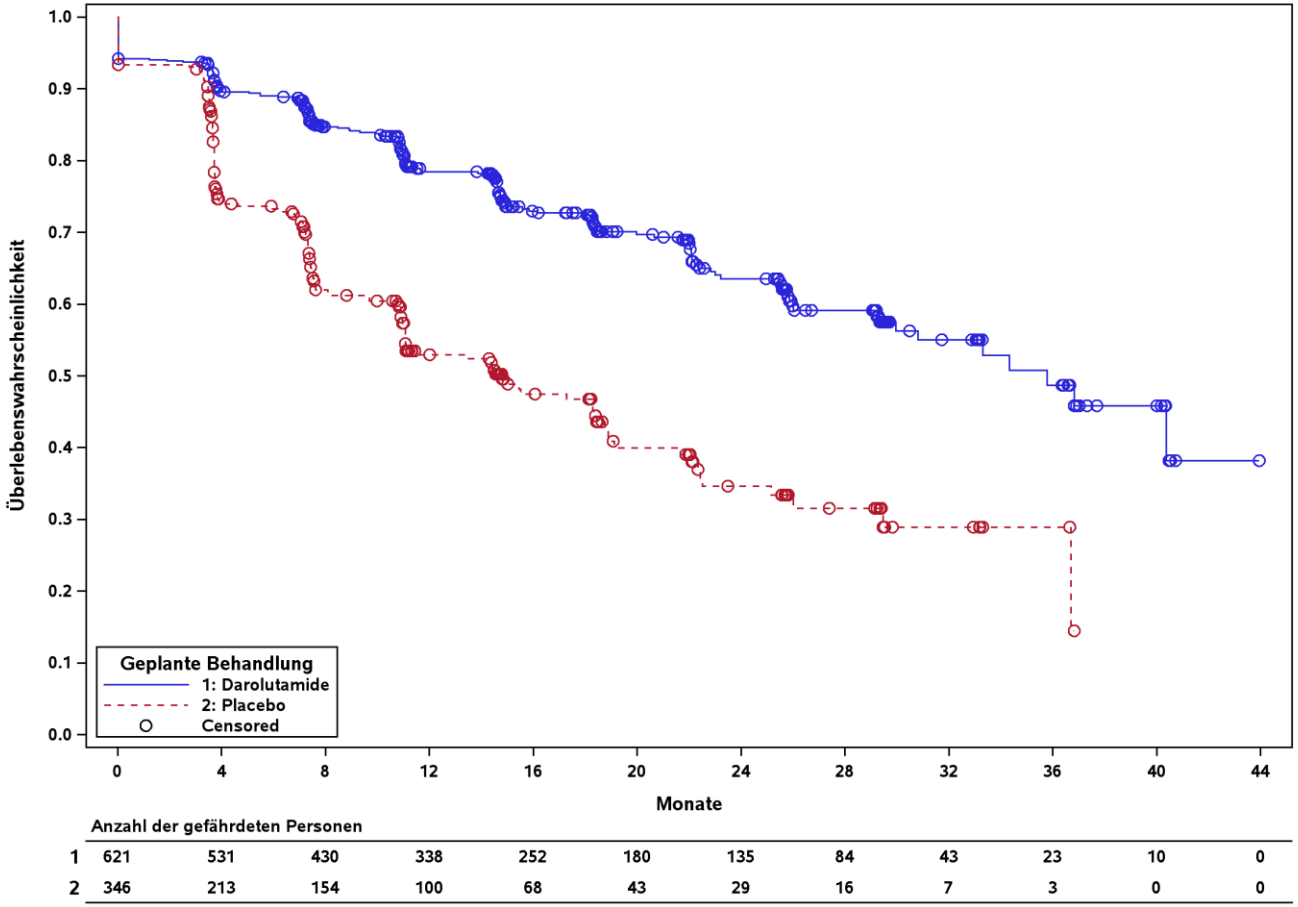
Bayer: /by-sasp/patdb/projects/1841788/17712/stat/prod_query22/pgms/t_tte_sub.sas 23APR2020 16:52

Figure 4.3.1 / 3: Kaplan-Meier-Plot der Time-to-Event-Analyse nach Endpunkt und Subgruppe - Endpunkt: Progressionsfreies Überleben (PFS) - Metastasen an Baseline unzensiert - Subgruppe: Geografische Region: Rest of the World (full analysis set)



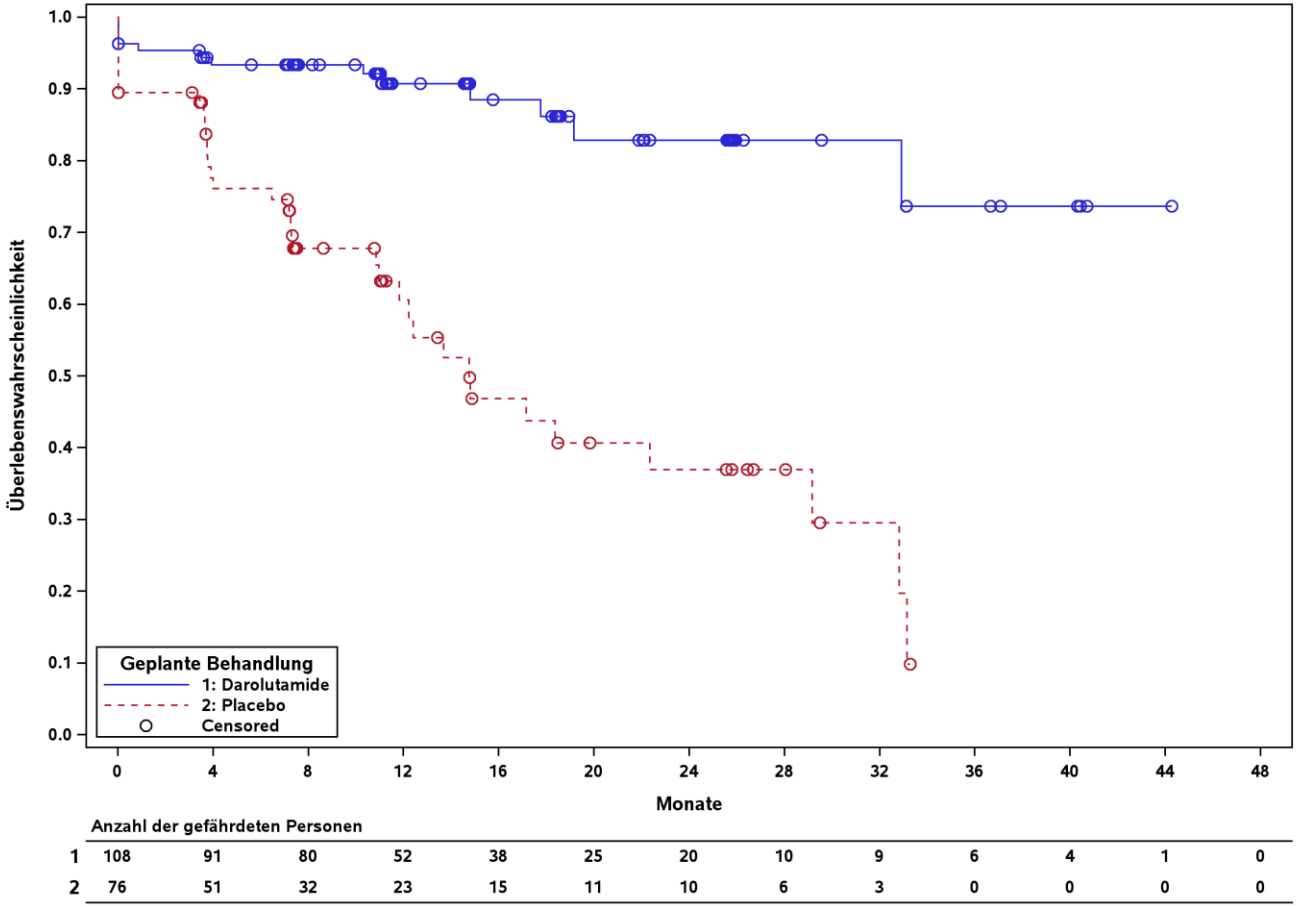
Bayer: /by-sasp/patdb/projects/1841788/17712/stat/prod_query22/pgms/t_tte_sub.sas 23APR2020 16:52

Figure 4.3.1 / 4: Kaplan-Meier-Plot der Time-to-Event-Analyse nach Endpunkt und Subgruppe - Endpunkt: Progressionsfreies Überleben (PFS) - Metastasen an Baseline unzensiert - Subgruppe: Geografische Region: Europe (full analysis set)



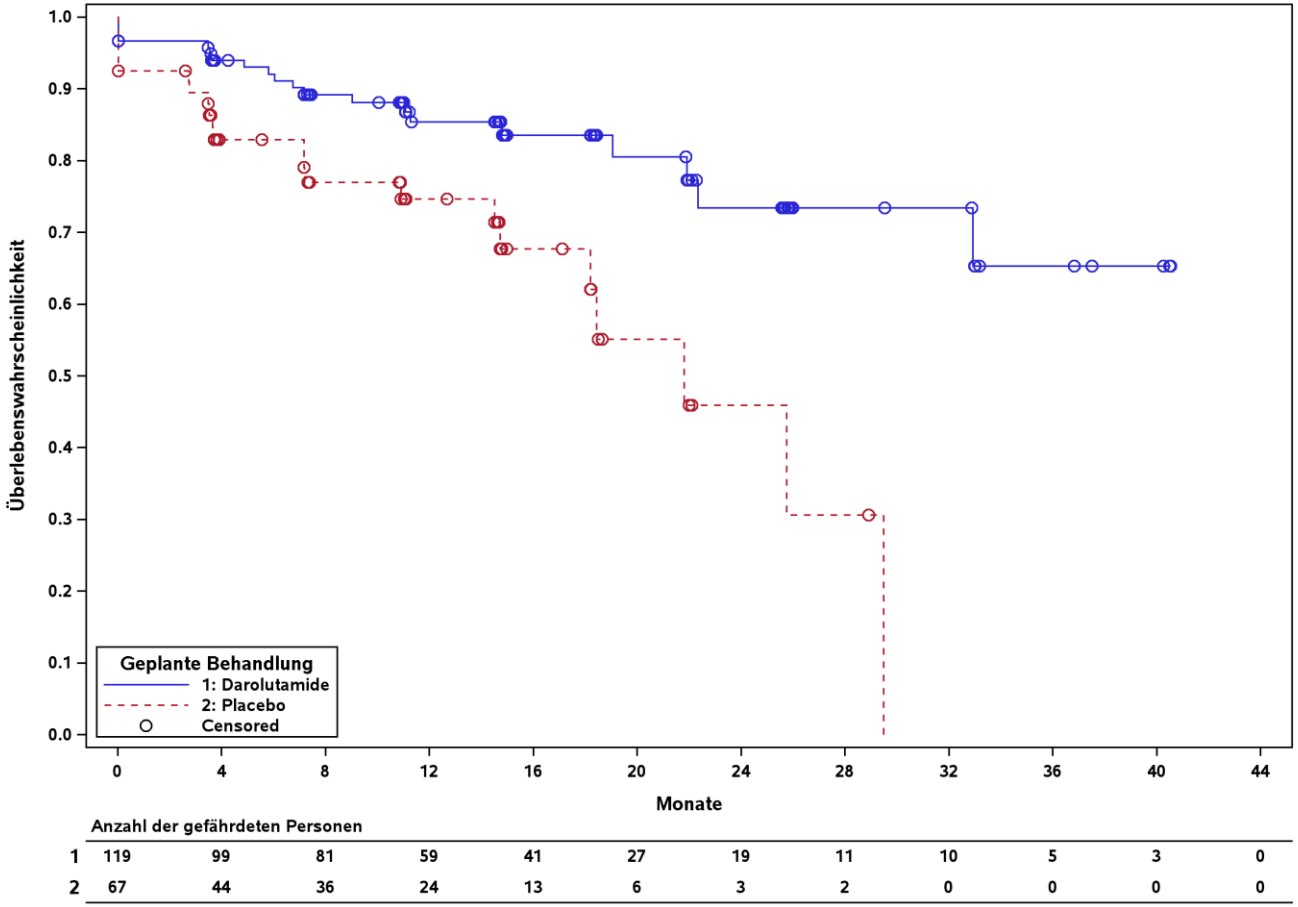
Bayer: /by-sasp/patdb/projects/1841788/17712/stat/prod_query22/pgms/t_tte_sub.sas 23APR2020 16:52

Figure 4.3.1 / 5: Kaplan-Meier-Plot der Time-to-Event-Analyse nach Endpunkt und Subgruppe - Endpunkt: Metastasenfreies Überleben (MFS) - Metastasen an Baseline unzensiert - Subgruppe: Geografische Region: North America (full analysis set)



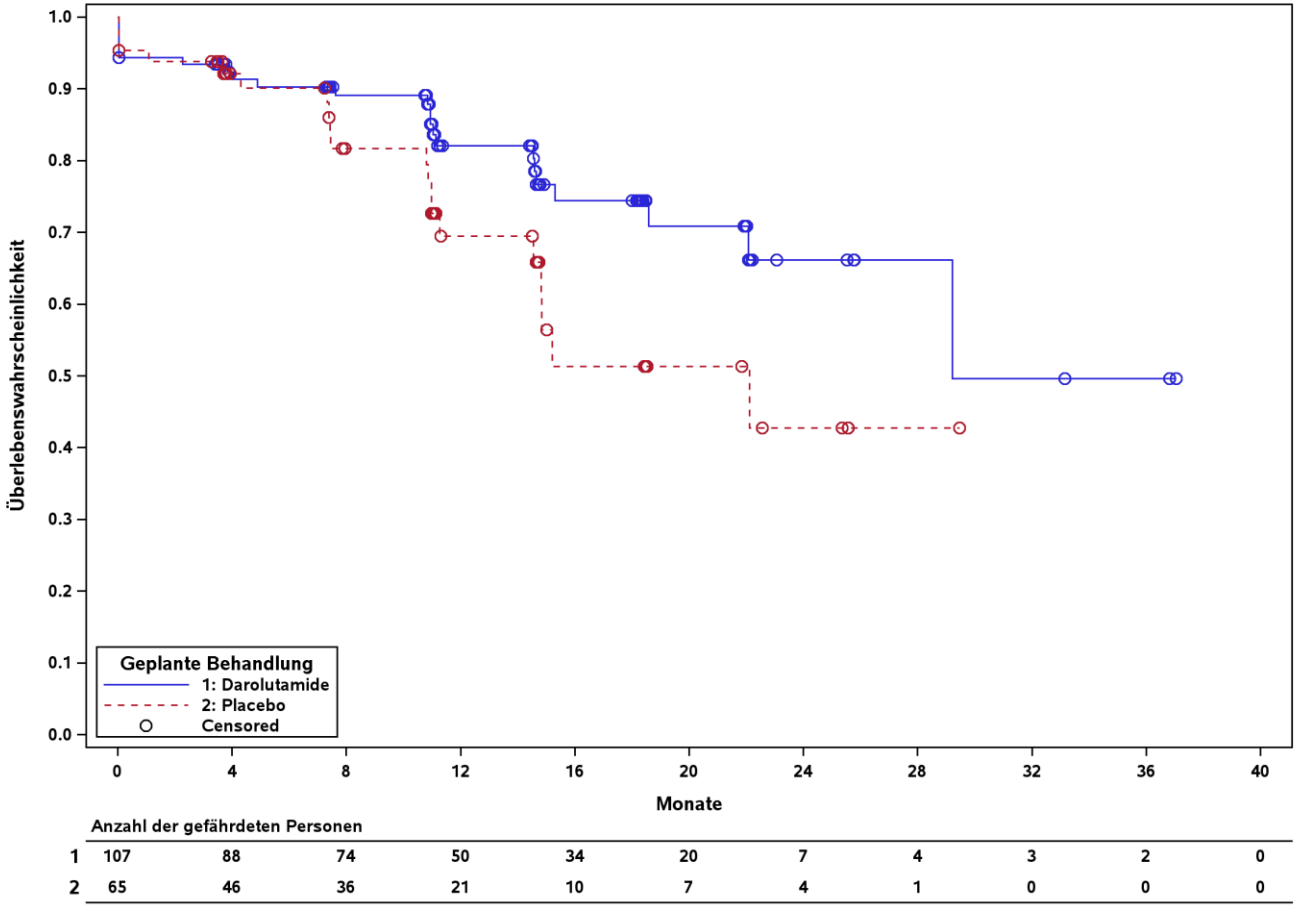
Bayer: /by-sasp/patdb/projects/1841788/17712/stat/prod_query22/pgms/t_tte_sub.sas 23APR2020 16:52

Figure 4.3.1 / 6: Kaplan-Meier-Plot der Time-to-Event-Analyse nach Endpunkt und Subgruppe - Endpunkt: Metastasenfreies Überleben (MFS) - Metastasen an Baseline unzensiert - Subgruppe: Geografische Region: Asia Pacific (full analysis set)



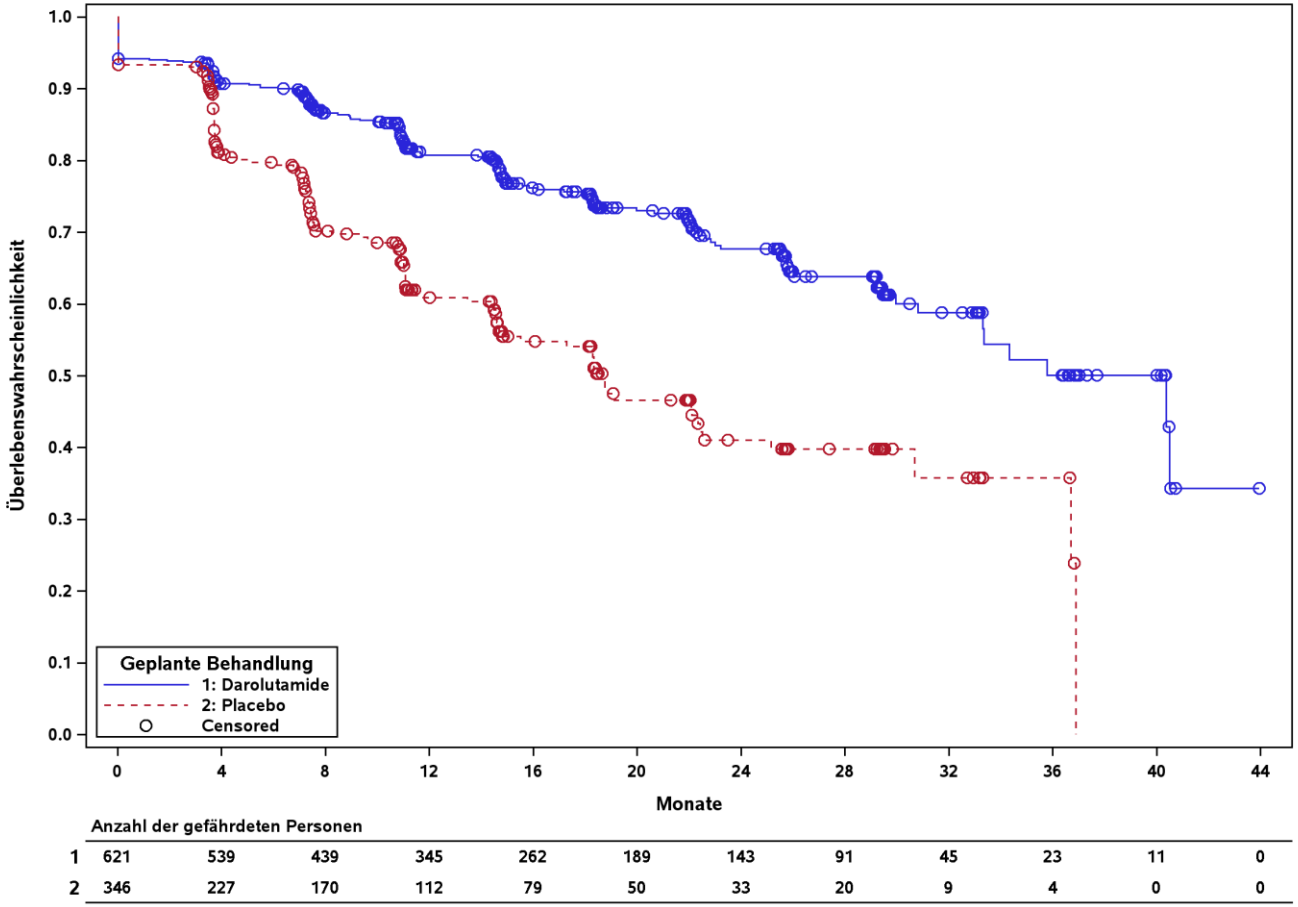
Bayer: /by-sasp/patdb/projects/1841788/17712/stat/prod_query22/pgms/t_tte_sub.sas 23APR2020 16:52

Figure 4.3.1 / 7: Kaplan-Meier-Plot der Time-to-Event-Analyse nach Endpunkt und Subgruppe - Endpunkt: Metastasenfreies Überleben (MFS) - Metastasen an Baseline unzensiert - Subgruppe: Geografische Region: Rest of the World (full analysis set)



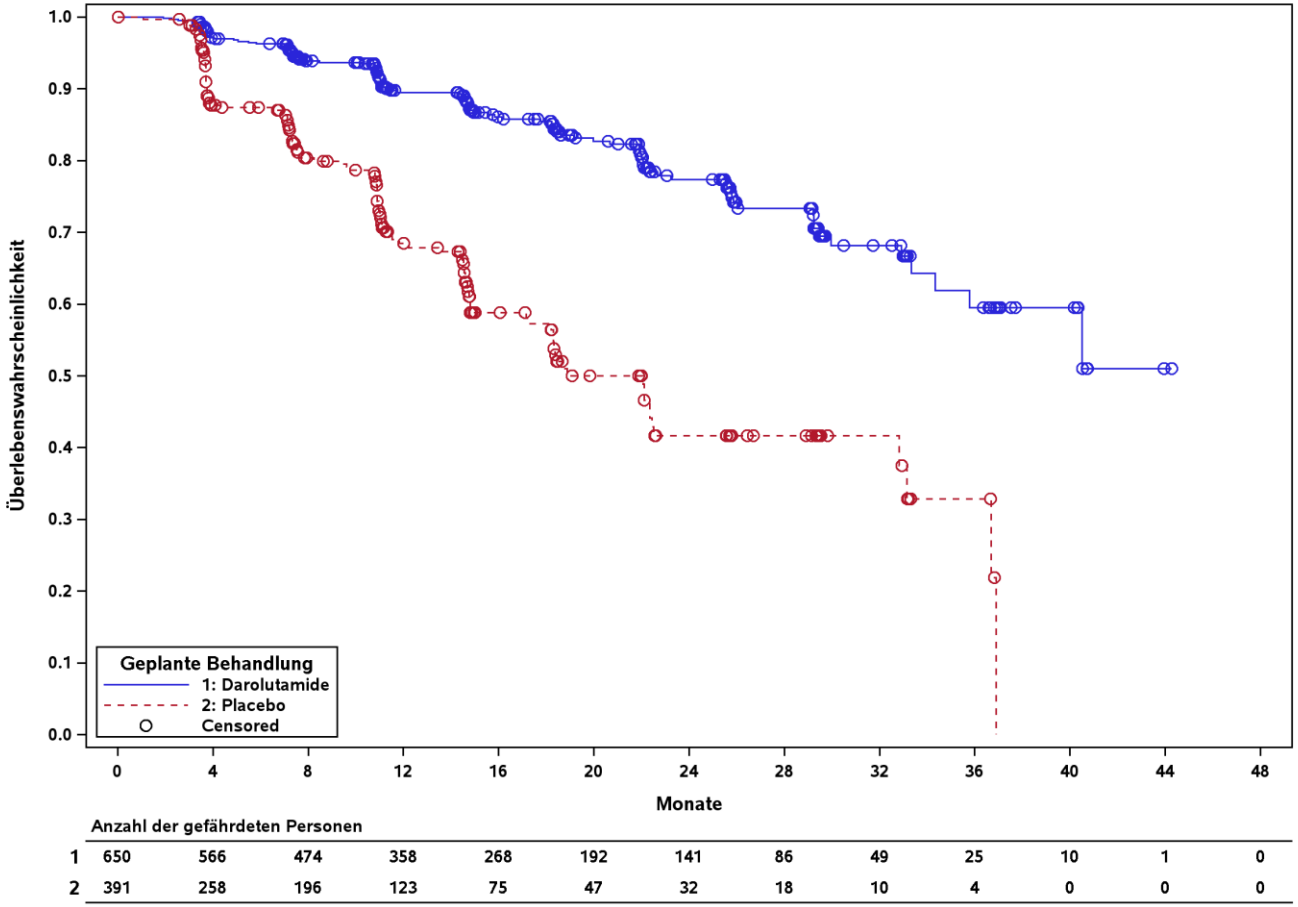
Bayer: /by-sasp/patdb/projects/1841788/17712/stat/prod_query22/pgms/t_tte_sub.sas 23APR2020 16:52

Figure 4.3.1 / 8: Kaplan-Meier-Plot der Time-to-Event-Analyse nach Endpunkt und Subgruppe - Endpunkt: Metastasenfreies Überleben (MFS) - Metastasen an Baseline unzensiert - Subgruppe: Geografische Region: Europe (full analysis set)



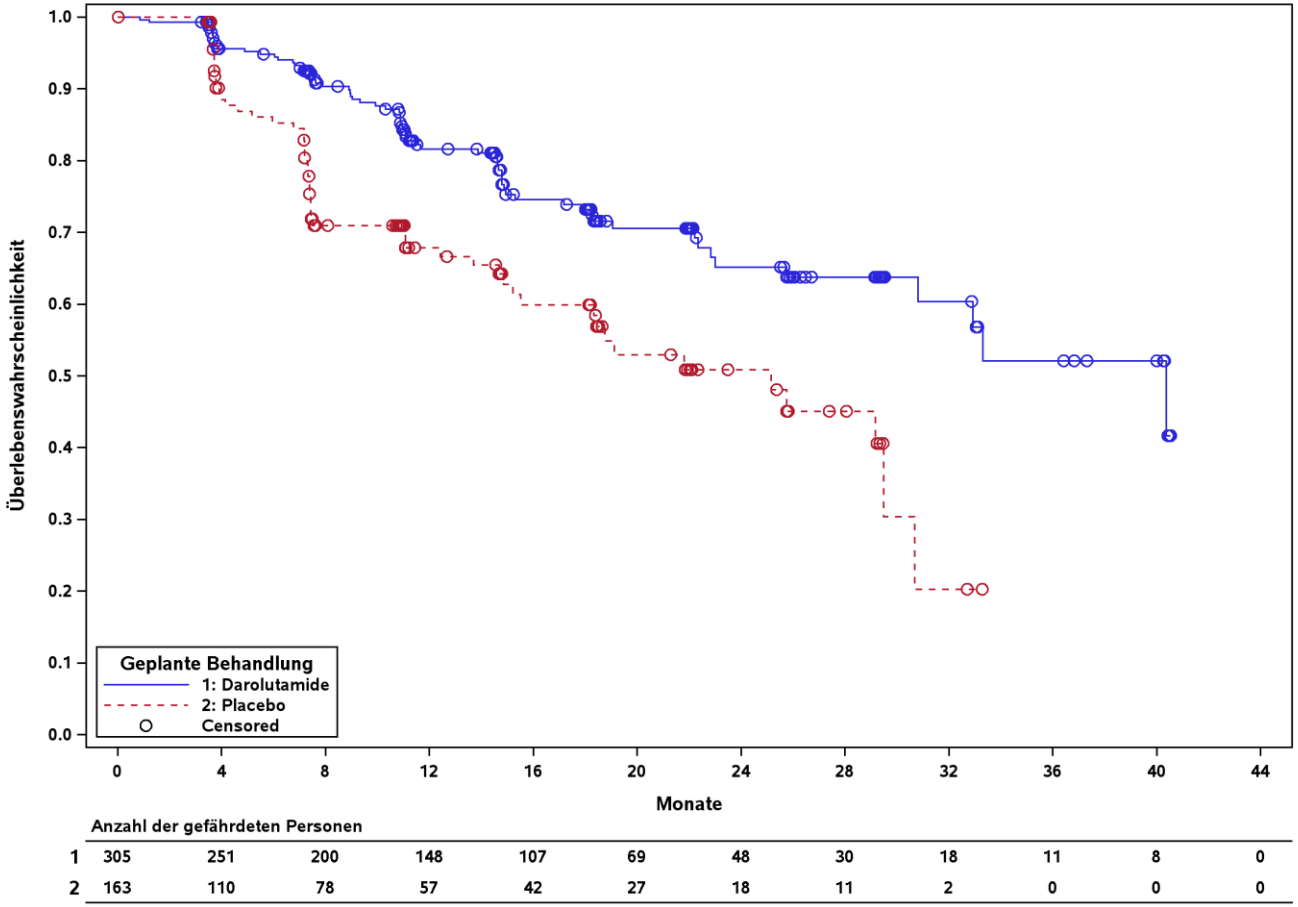
Bayer: /by-sasp/patdb/projects/1841788/17712/stat/prod_query22/pgms/t_tte_sub.sas 23APR2020 16:52

Figure 4.3.1 / 9: Kaplan-Meier-Plot der Time-to-Event-Analyse nach Endpunkt und Subgruppe - Endpunkt: Metastasenfreies Überleben (MFS) - Metastasen zensiert zum Randomisierungsdatum - Subgruppe: ECOG Status an Baseline: 0 (full analysis set)



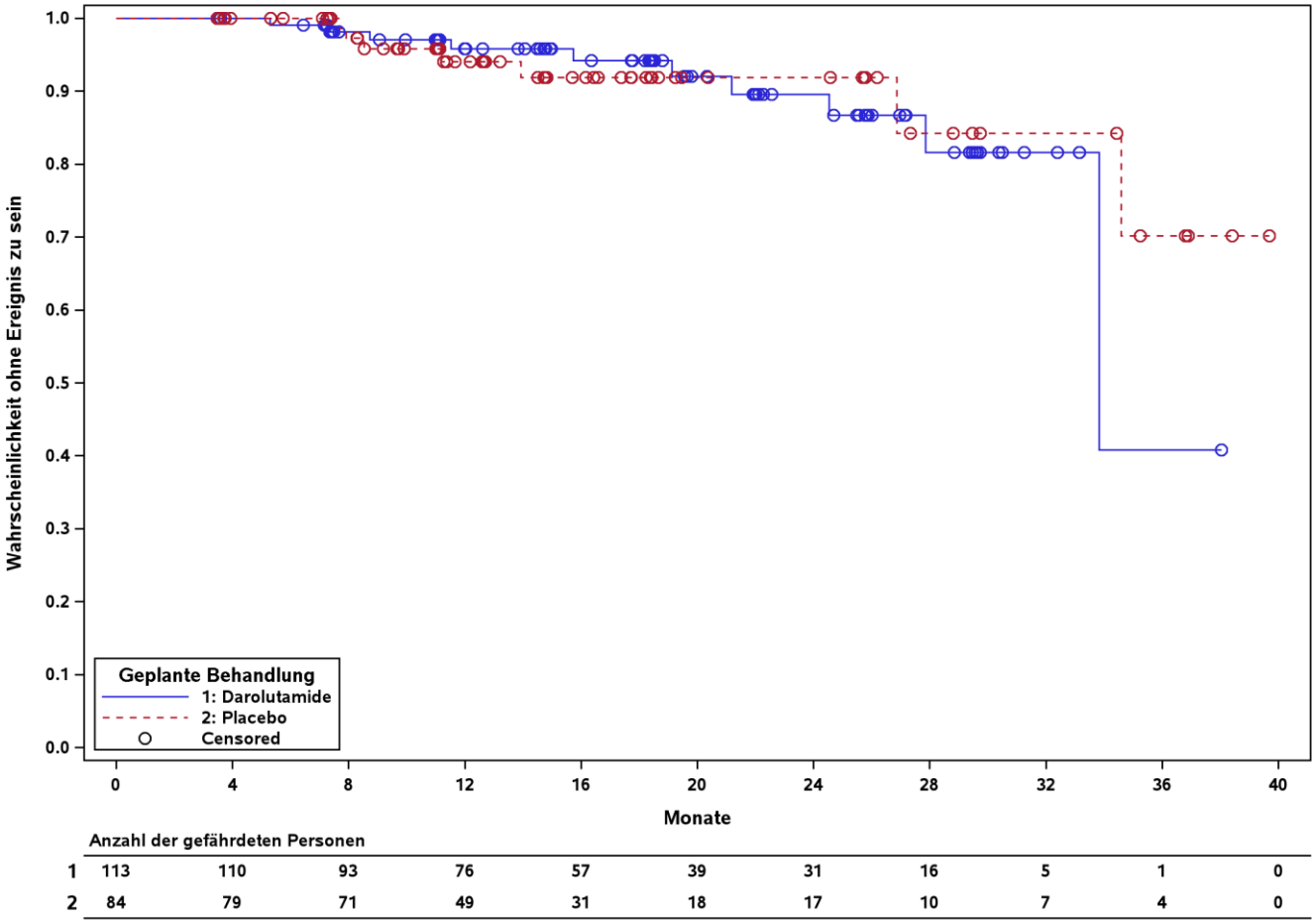
Bayer: /by-sasp/patdb/projects/1841788/17712/stat/prod_query22/pgms/t_tte_sub.sas 23APR2020 16:52

Figure 4.3.1 / 10: Kaplan-Meier-Plot der Time-to-Event-Analyse nach Endpunkt und Subgruppe - Endpunkt: Metastasenfreies Überleben (MFS) - Metastasen zensiert zum Randomisierungsdatum - Subgruppe: ECOG Status an Baseline: 1 (full analysis set)



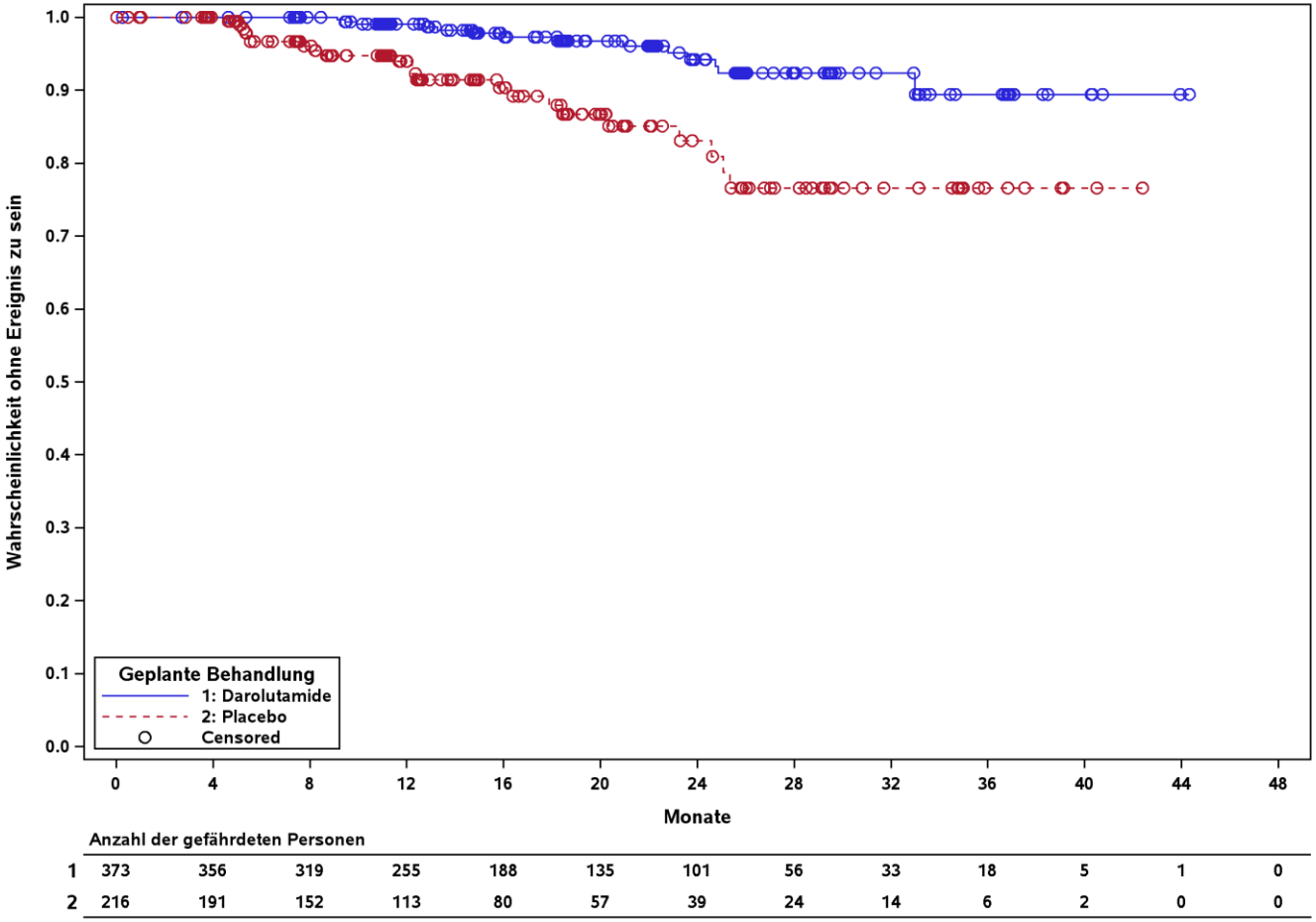
Bayer: /by-sasp/patdb/projects/1841788/17712/stat/prod_query22/pgms/t_tte_sub.sas 23APR2020 16:52

Figure 4.3.1 / 11: Kaplan-Meier-Plot der Time-to-Event-Analyse nach Endpunkt und Subgruppe - Endpunkt: Zeit bis zur antineoplastischen Therapie - Subgruppe: Alter (Jahre): <65 (full analysis set)



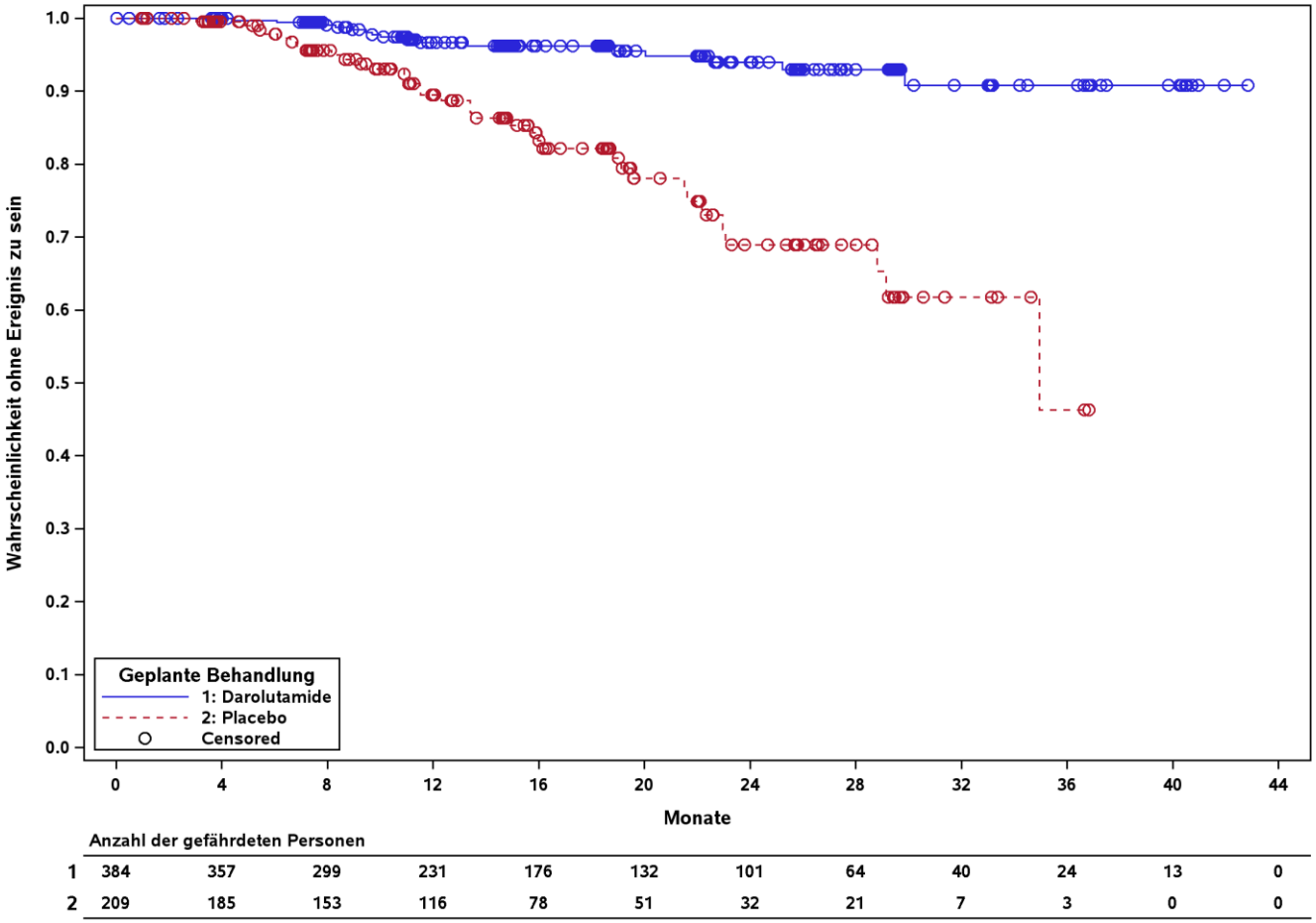
Bayer: /by-sasp/patdb/projects/1841788/17712/stat/prod_query22/pgms/t_tte_sub.sas 23APR2020 16:52

Figure 4.3.1 / 12: Kaplan-Meier-Plot der Time-to-Event-Analyse nach Endpunkt und Subgruppe - Endpunkt: Zeit bis zur antineoplastischen Therapie - Subgruppe: Alter (Jahre): 65-74 (full analysis set)



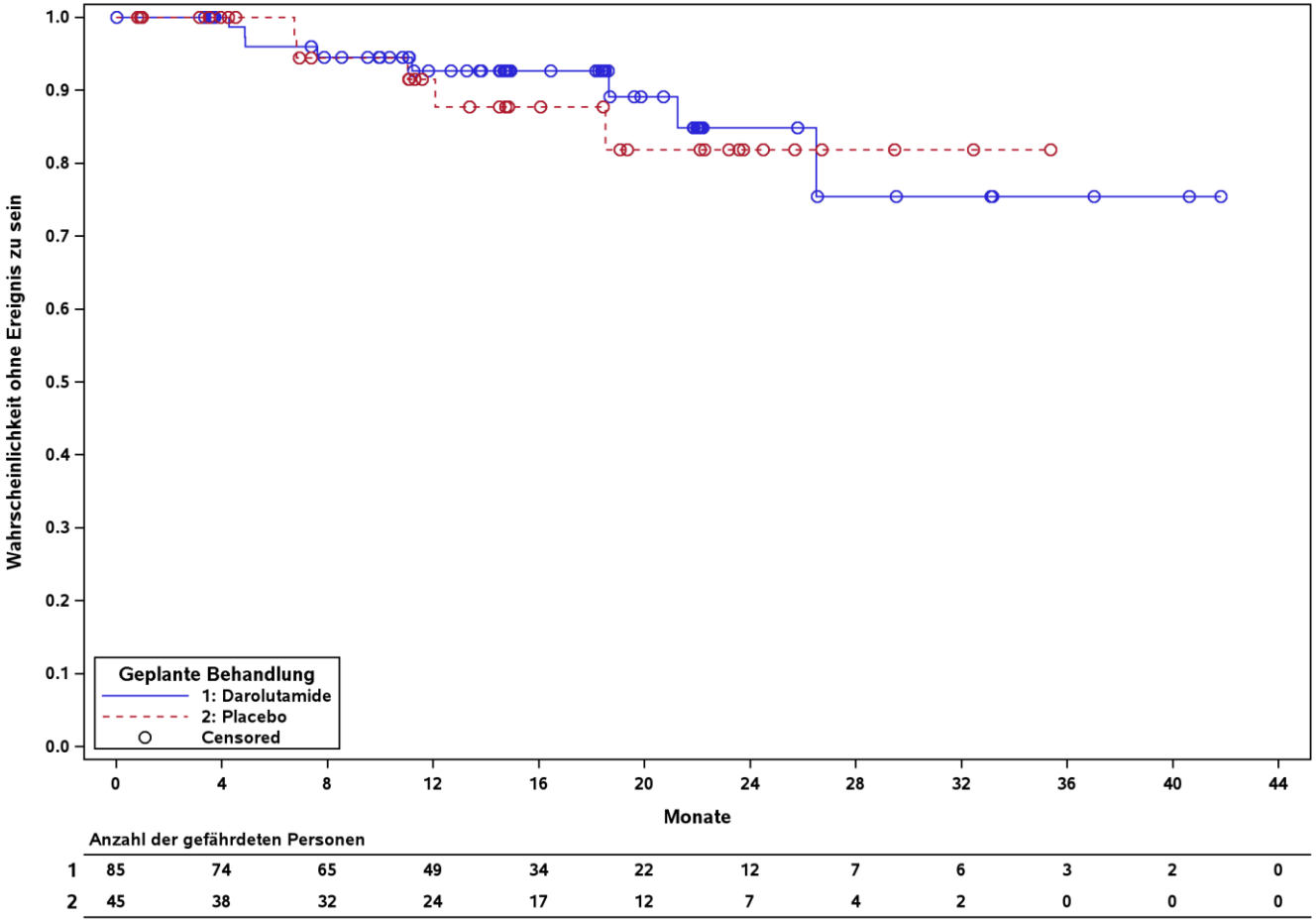
Bayer: /by-sasp/patdb/projects/1841788/17712/stat/prod_query22/pgms/t_tte_sub.sas 23APR2020 16:52

Figure 4.3.1 / 13: Kaplan-Meier-Plot der Time-to-Event-Analyse nach Endpunkt und Subgruppe - Endpunkt: Zeit bis zur antineoplastischen Therapie - Subgruppe: Alter (Jahre): 75-84 (full analysis set)



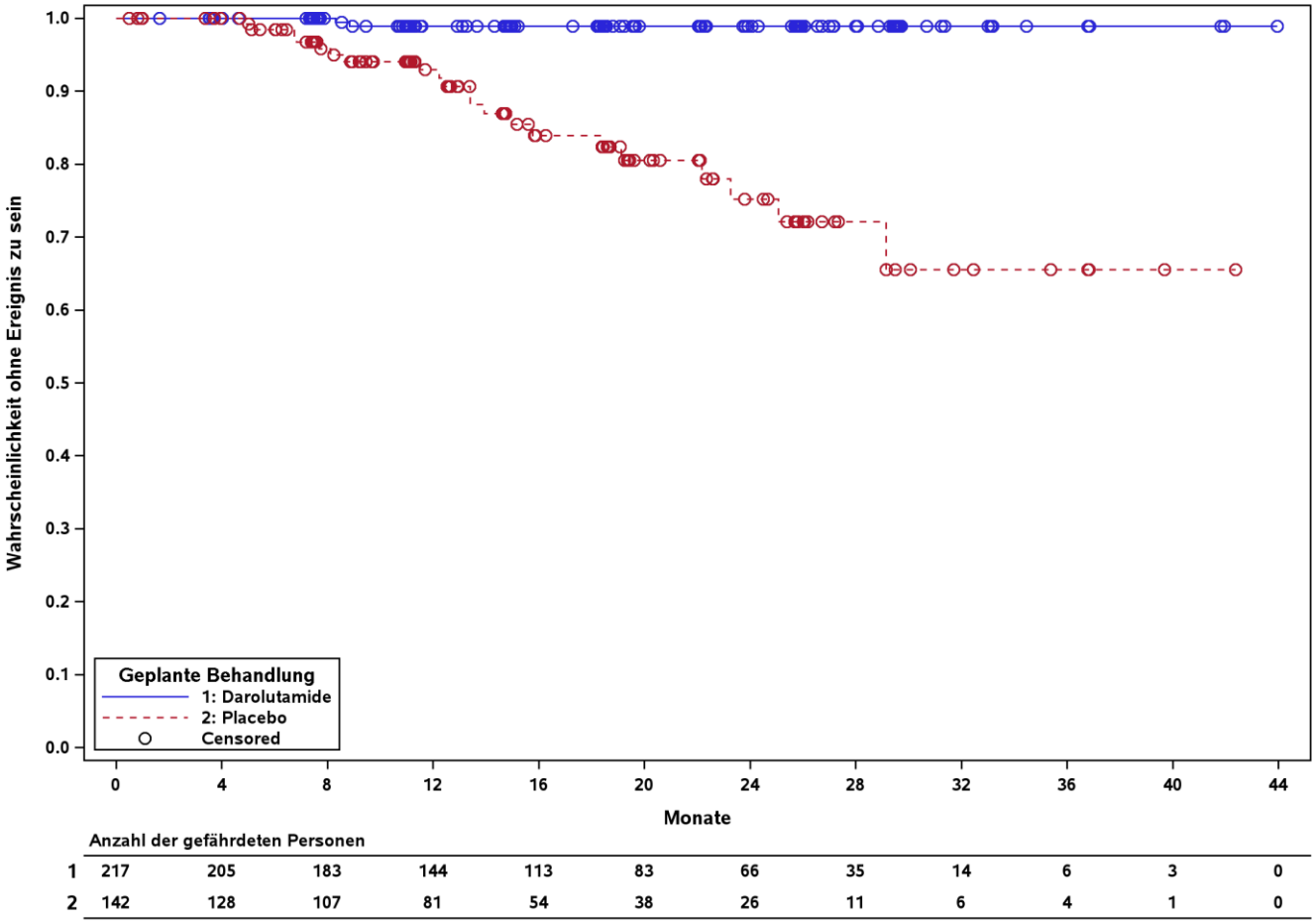
Bayer: /by-sasp/patdb/projects/1841788/17712/stat/prod_query22/pgms/t_tte_sub.sas 23APR2020 16:52

Figure 4.3.1 / 14: Kaplan-Meier-Plot der Time-to-Event-Analyse nach Endpunkt und Subgruppe - Endpunkt: Zeit bis zur antineoplastischen Therapie - Subgruppe: Alter (Jahre): >=85 (full analysis set)



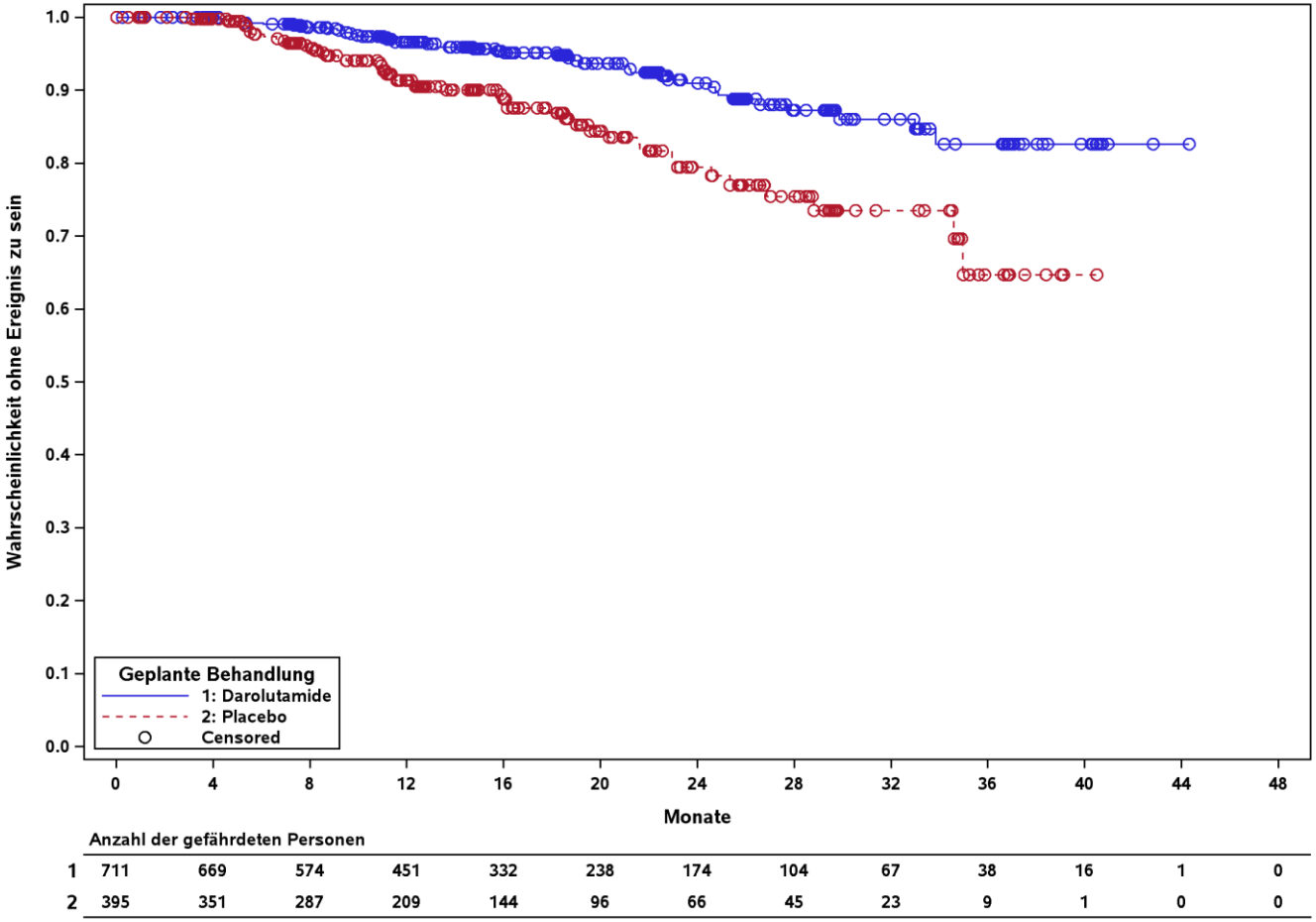
Bayer: /by-sasp/patdb/projects/1841788/17712/stat/prod_query22/pgms/t_tte_sub.sas 23APR2020 16:52

Figure 4.3.1 / 15: Kaplan-Meier-Plot der Time-to-Event-Analyse nach Endpunkt und Subgruppe - Endpunkt: Zeit bis zur antineoplastischen Therapie - Subgruppe: Gleason-Score bei Diagnose: <7 (full analysis set)



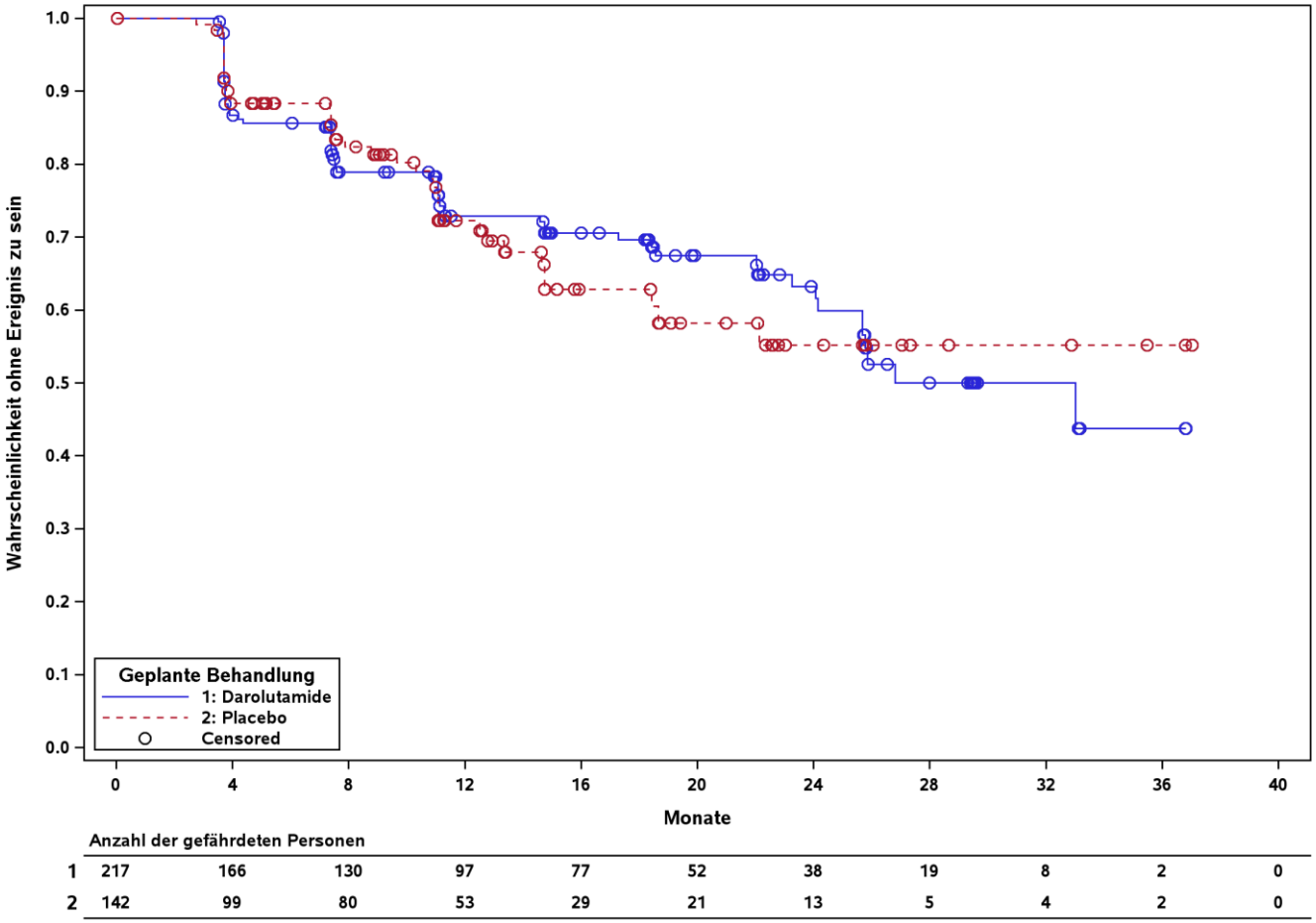
Bayer: /by-sasp/patdb/projects/1841788/17712/stat/prod_query22/pgms/t_tte_sub.sas 23APR2020 16:52

Figure 4.3.1 / 16: Kaplan-Meier-Plot der Time-to-Event-Analyse nach Endpunkt und Subgruppe - Endpunkt: Zeit bis zur antineoplastischen Therapie - Subgruppe: Gleason-Score bei Diagnose: >=7 (full analysis set)



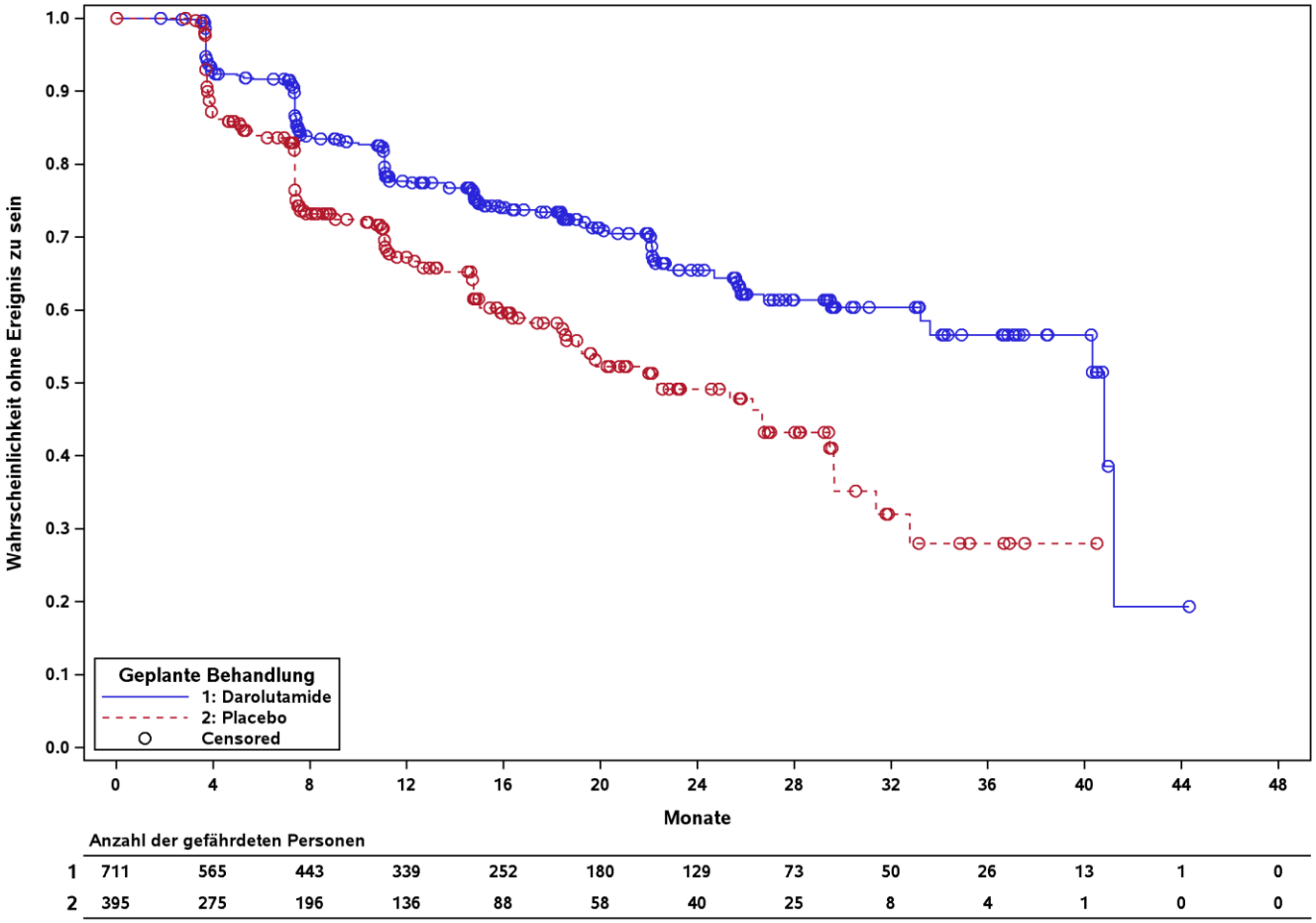
Bayer: /by-sasp/patdb/projects/1841788/17712/stat/prod_query22/pgms/t_tte_sub.sas 23APR2020 16:52

Figure 4.3.1 / 17: Kaplan-Meier-Plot der Time-to-Event-Analyse nach Endpunkt und Subgruppe - Endpunkt: Zeit bis zur Schmerzprogression (BPI-SF) - Subgruppe: Gleason-Score bei Diagnose: <7 (full analysis set)



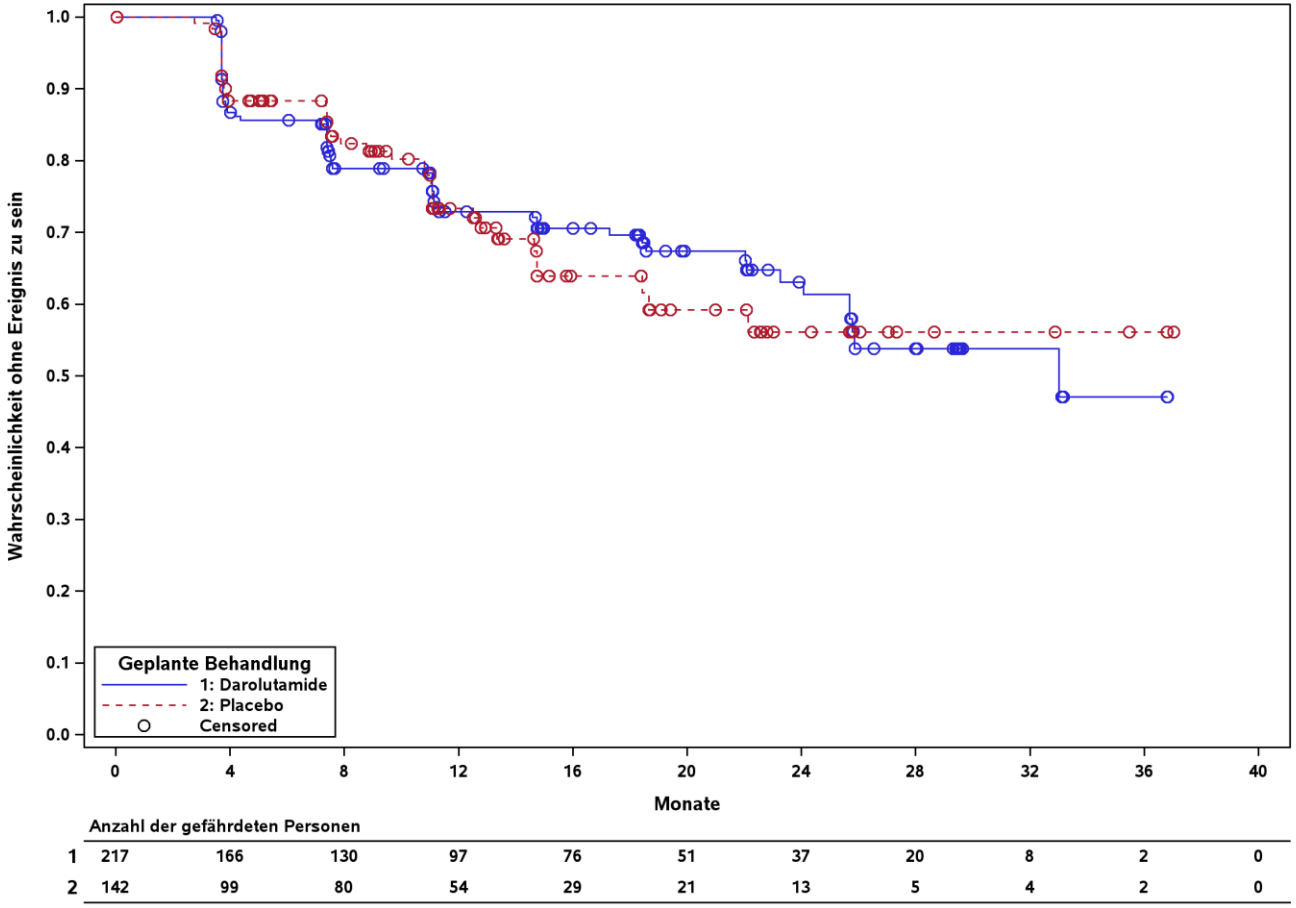
Bayer: /by-sasp/patdb/projects/1841788/17712/stat/prod_query22/pgms/t_tte_sub.sas 23APR2020 16:52

Figure 4.3.1 / 18: Kaplan-Meier-Plot der Time-to-Event-Analyse nach Endpunkt und Subgruppe - Endpunkt: Zeit bis zur Schmerzprogression (BPI-SF) - Subgruppe: Gleason-Score bei Diagnose: >=7 (full analysis set)



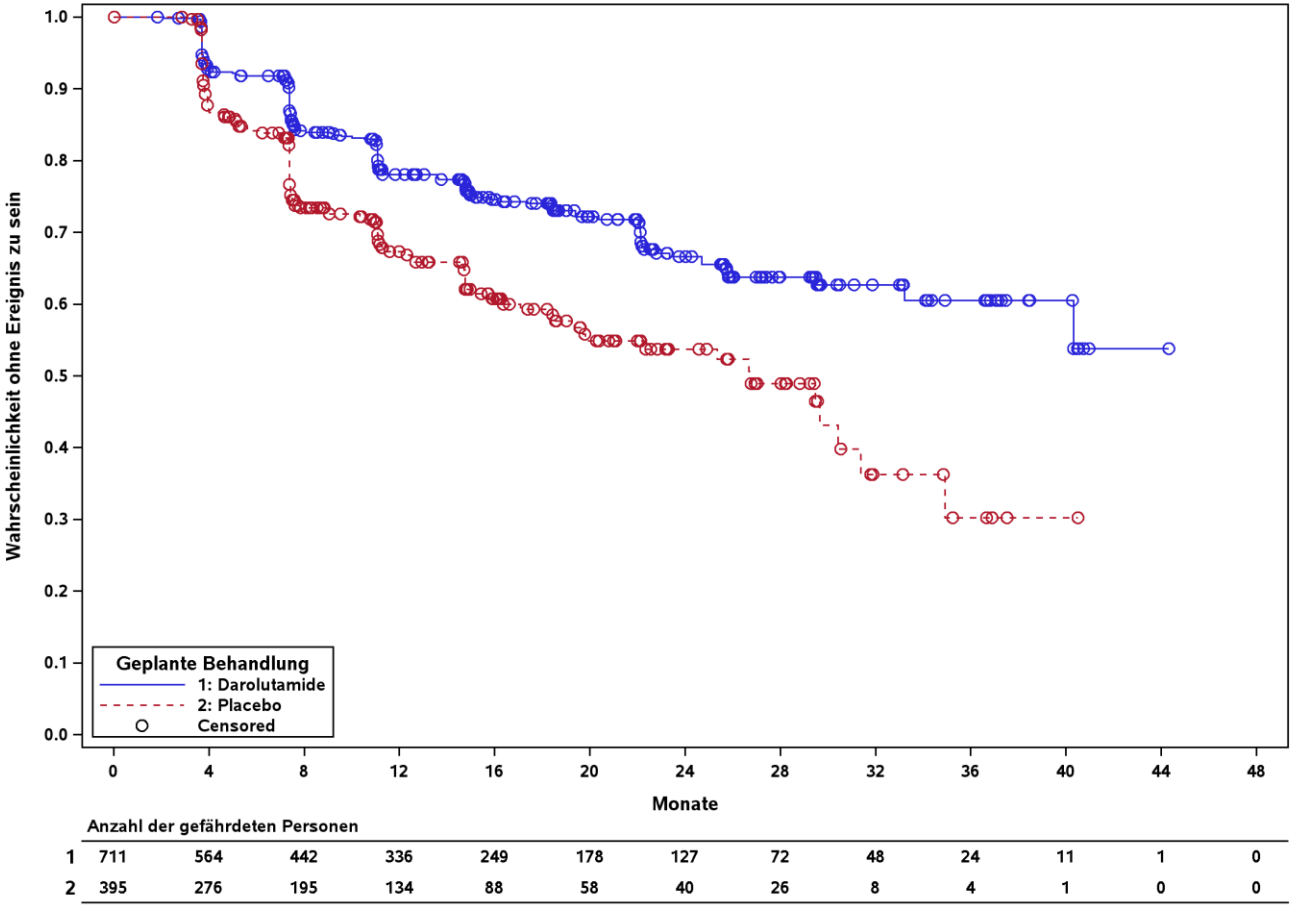
Bayer: /by-sasp/patdb/projects/1841788/17712/stat/prod_query22/pgms/t_tte_sub.sas 23APR2020 16:52

Figure 4.3.1 / 19: Kaplan-Meier-Plot der Time-to-Event-Analyse nach Endpunkt und Subgruppe - Endpunkt: Zeit bis zur Verschlechterung >=2 des BPI-SF Item 3 - Subgruppe: Gleason-Score bei Diagnose: <7 (full analysis set)



Bayer: /by-sasp/patdb/projects/1841788/17712/stat/prod_query22/pgms/t_tte_sub.sas 23APR2020 16:52

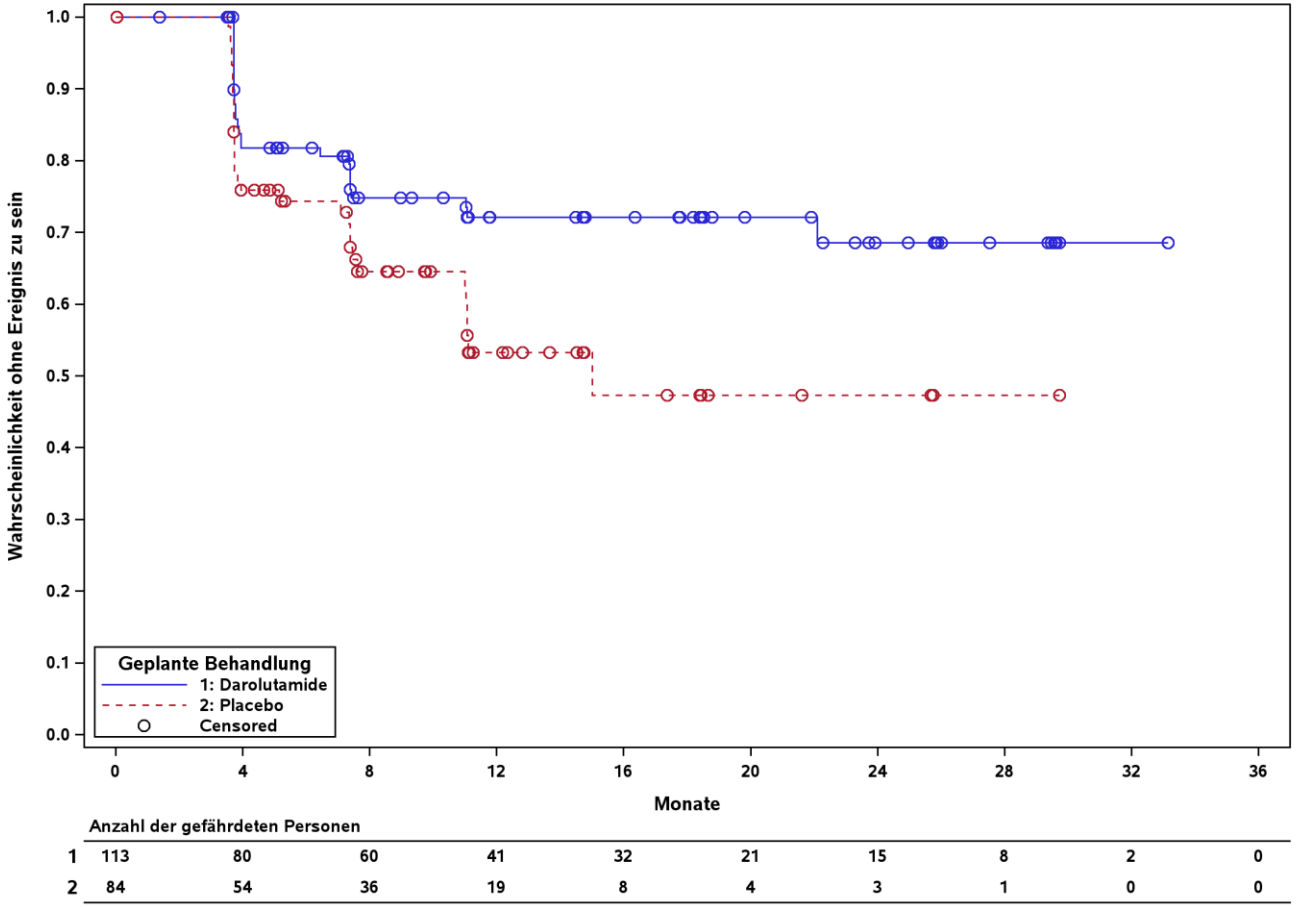
Figure 4.3.1 / 20: Kaplan-Meier-Plot der Time-to-Event-Analyse nach Endpunkt und Subgruppe - Endpunkt: Zeit bis zur Verschlechterung >=2 des BPI-SF Item 3 - Subgruppe: Gleason-Score bei Diagnose: >=7 (full analysis set)



Bayer: /by-sasp/patdb/projects/1841788/17712/stat/prod_query22/pgms/t_tte_sub.sas 23APR2020 16:52

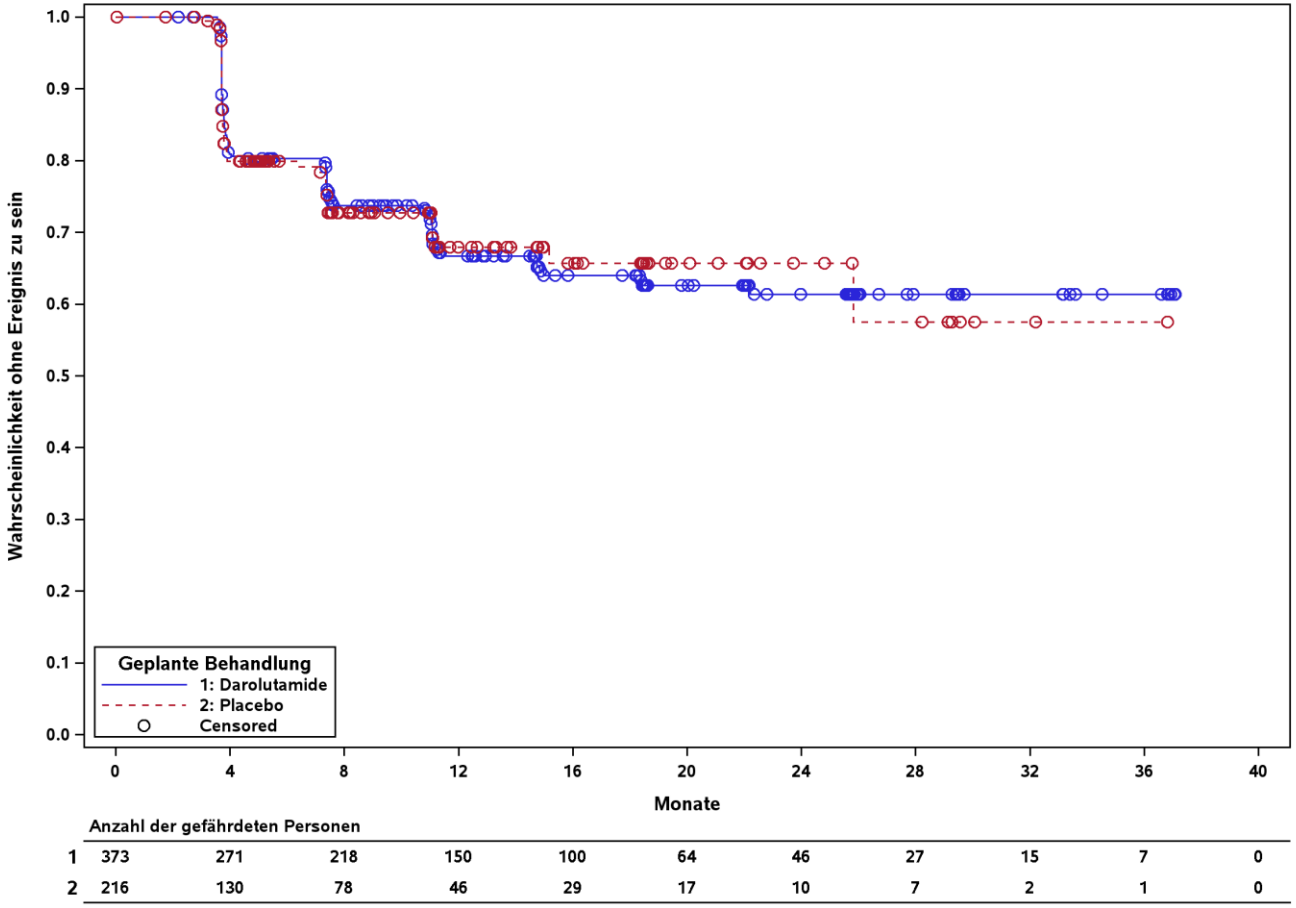
4.3.2 Gesundheitsbezogene Lebensqualität

Figure 4.3.2 / 1: Kaplan-Meier-Plot der Time-to-Event-Analyse nach Endpunkt und Subgruppe - Endpunkt: Zeit bis zur Verbesserung >=8 des EORTC-QLQ-PR25 Bowel Symptoms Score - Subgruppe: Alter (Jahre): <65 (full analysis set)



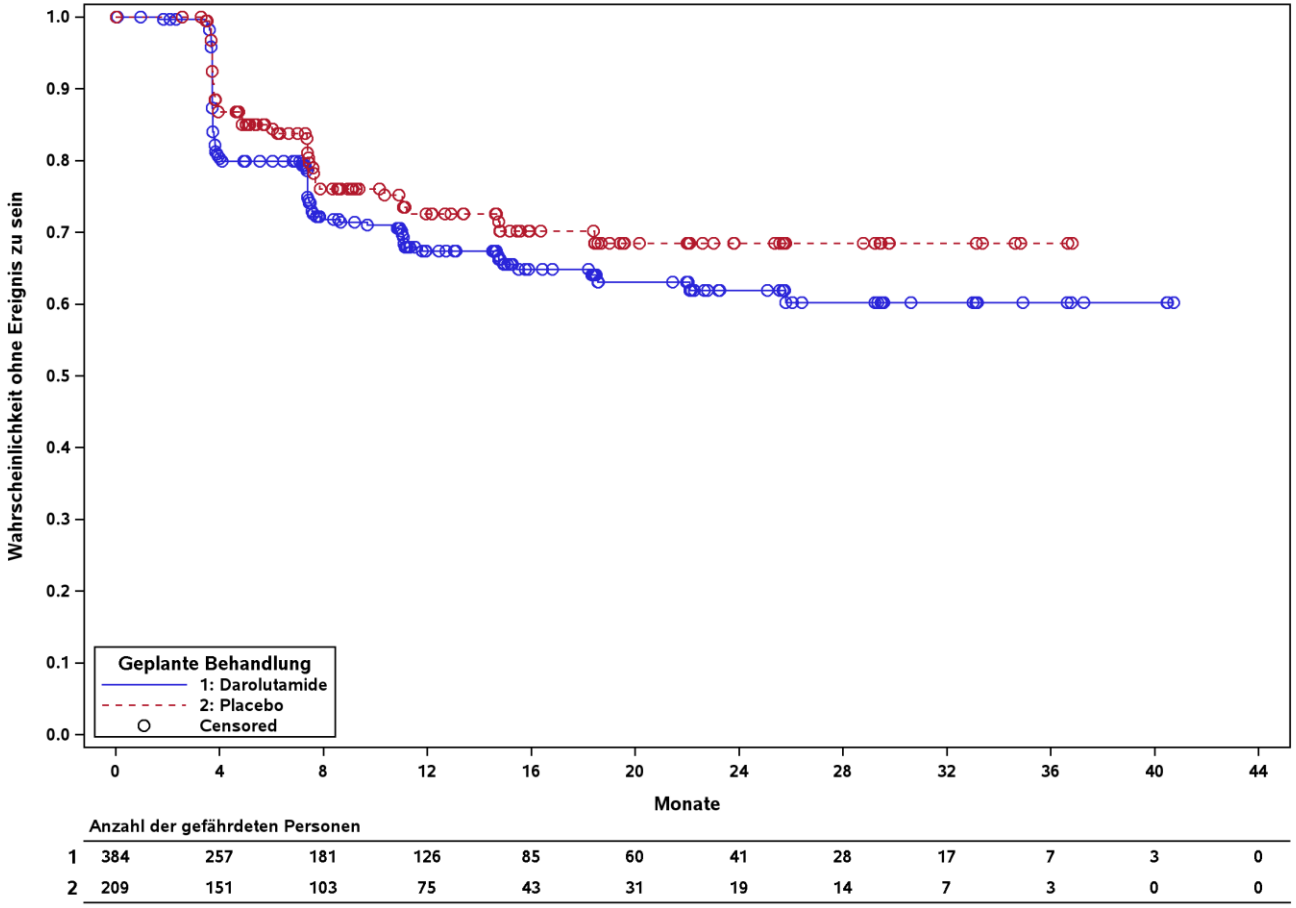
Bayer: /by-sasp/patdb/projects/1841788/17712/stat/prod_query22/pgms/t_tte_sub.sas 23APR2020 16:52

Figure 4.3.2 / 2: Kaplan-Meier-Plot der Time-to-Event-Analyse nach Endpunkt und Subgruppe - Endpunkt: Zeit bis zur Verbesserung >=8 des EORTC-QLQ-PR25 Bowel Symptoms Score - Subgruppe: Alter (Jahre): 65-74 (full analysis set)



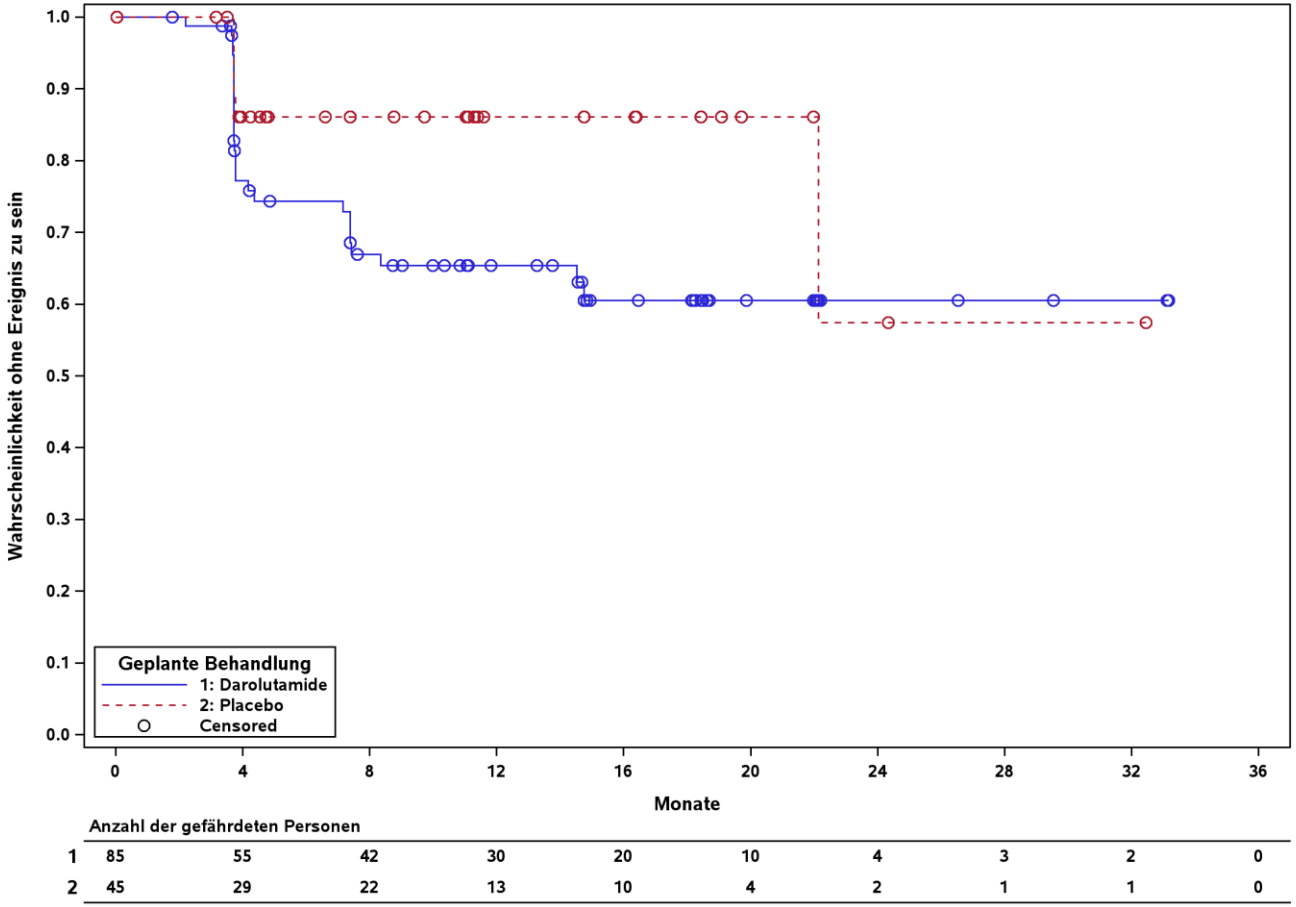
Bayer: /by-sasp/patdb/projects/1841788/17712/stat/prod_query22/pgms/t_tte_sub.sas 23APR2020 16:52

Figure 4.3.2 / 3: Kaplan-Meier-Plot der Time-to-Event-Analyse nach Endpunkt und Subgruppe - Endpunkt: Zeit bis zur Verbesserung >=8 des EORTC-QLQ-PR25 Bowel Symptoms Score - Subgruppe: Alter (Jahre): 75-84 (full analysis set)



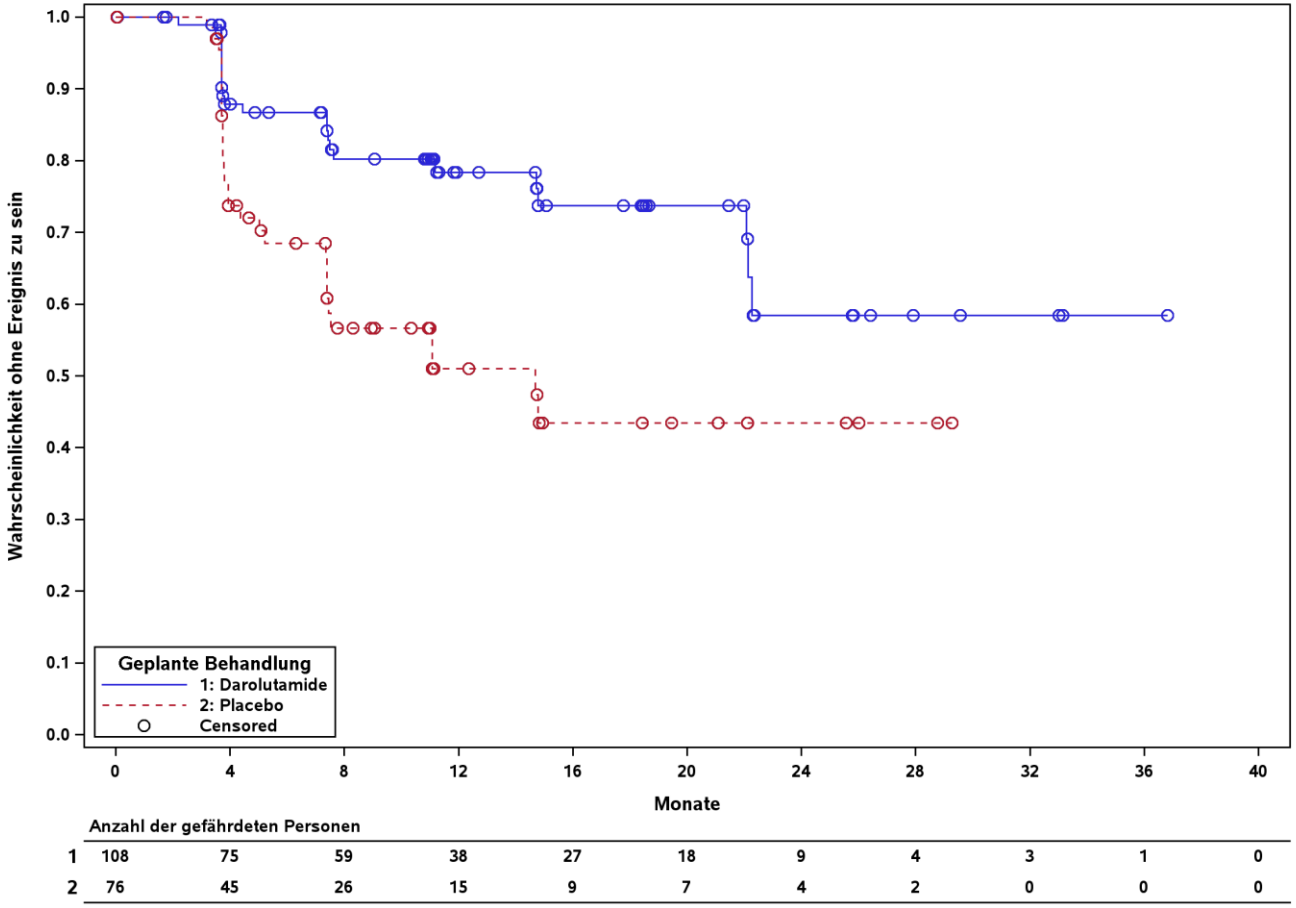
Bayer: /by-sasp/patdb/projects/1841788/17712/stat/prod_query22/pgms/t_tte_sub.sas 23APR2020 16:52

Figure 4.3.2 / 4: Kaplan-Meier-Plot der Time-to-Event-Analyse nach Endpunkt und Subgruppe - Endpunkt: Zeit bis zur Verbesserung >=8 des EORTC-QLQ-PR25 Bowel Symptoms Score - Subgruppe: Alter (Jahre): >=85 (full analysis set)



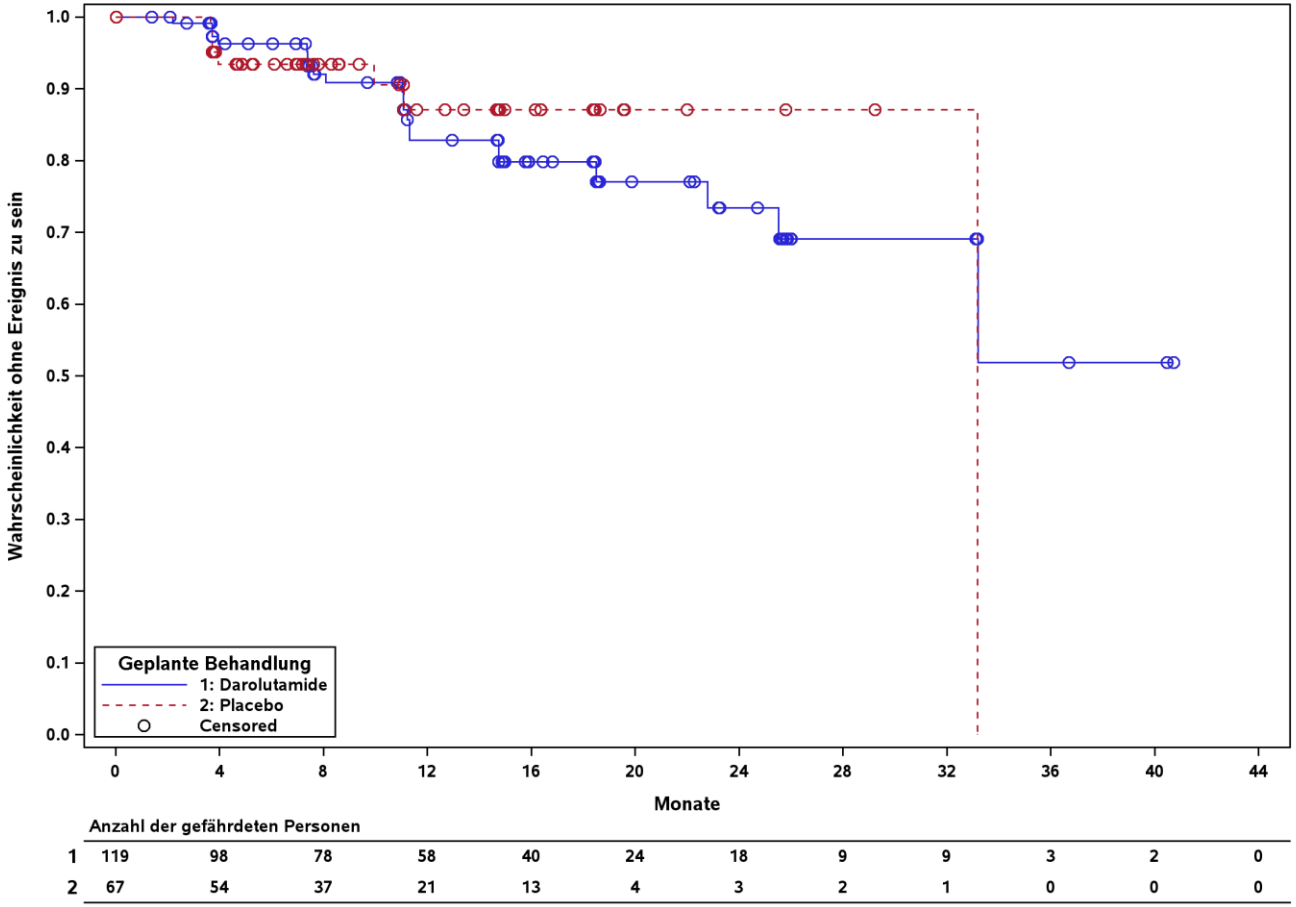
Bayer: /by-sasp/patdb/projects/1841788/17712/stat/prod_query22/pgms/t_tte_sub.sas 23APR2020 16:52

Figure 4.3.2 / 5: Kaplan-Meier-Plot der Time-to-Event-Analyse nach Endpunkt und Subgruppe - Endpunkt: Zeit bis zur Verbesserung >=8 des EORTC-QLQ-PR25 Sexual Activity Score - Subgruppe: Geografische Region: North America (full analysis set)



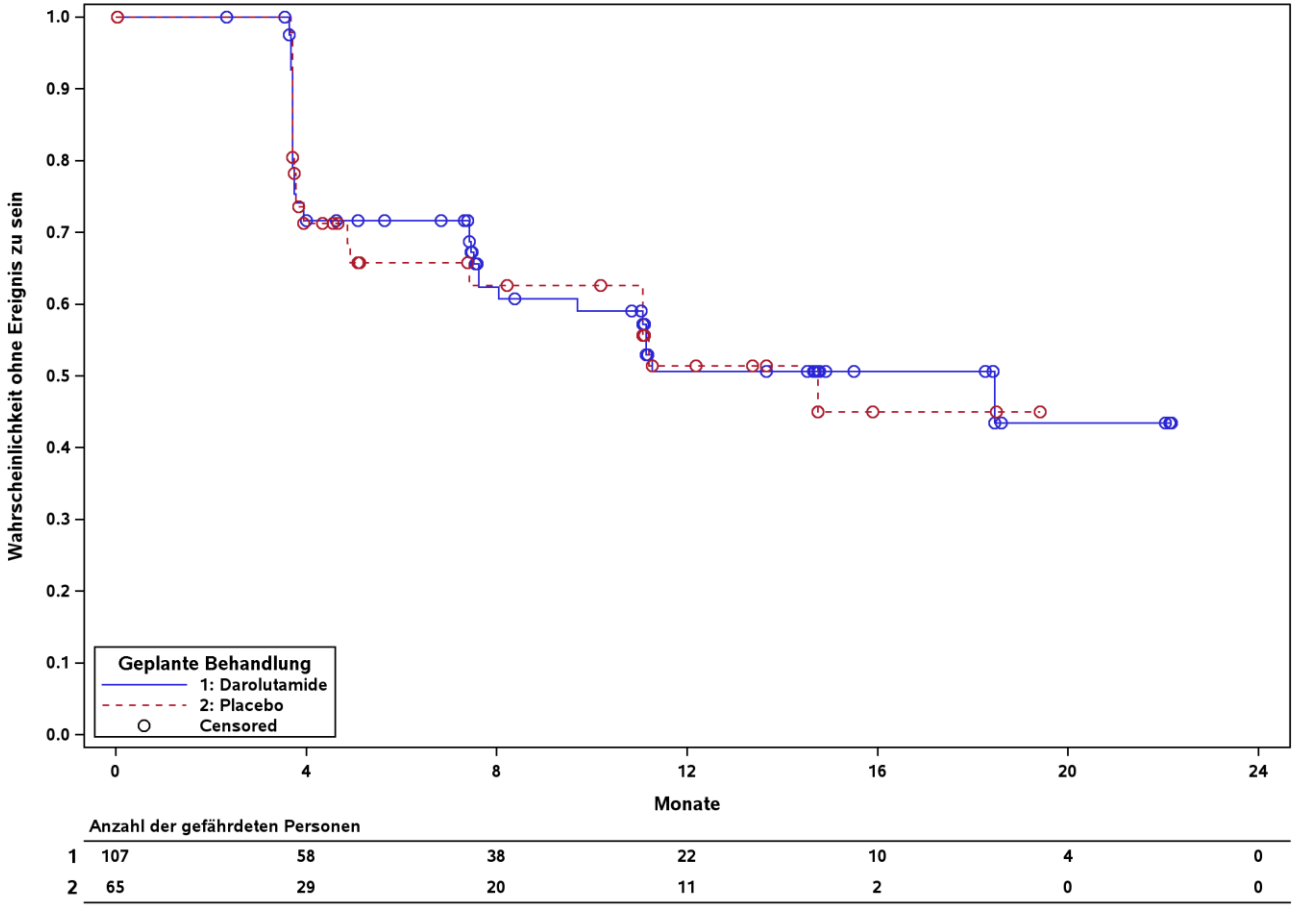
Bayer: /by-sasp/patdb/projects/1841788/17712/stat/prod_query22/pgms/t_tte_sub.sas 23APR2020 16:52

Figure 4.3.2 / 6: Kaplan-Meier-Plot der Time-to-Event-Analyse nach Endpunkt und Subgruppe - Endpunkt: Zeit bis zur Verbesserung >=8 des EORTC-QLQ-PR25 Sexual Activity Score - Subgruppe: Geografische Region: Asia Pacific (full analysis set)



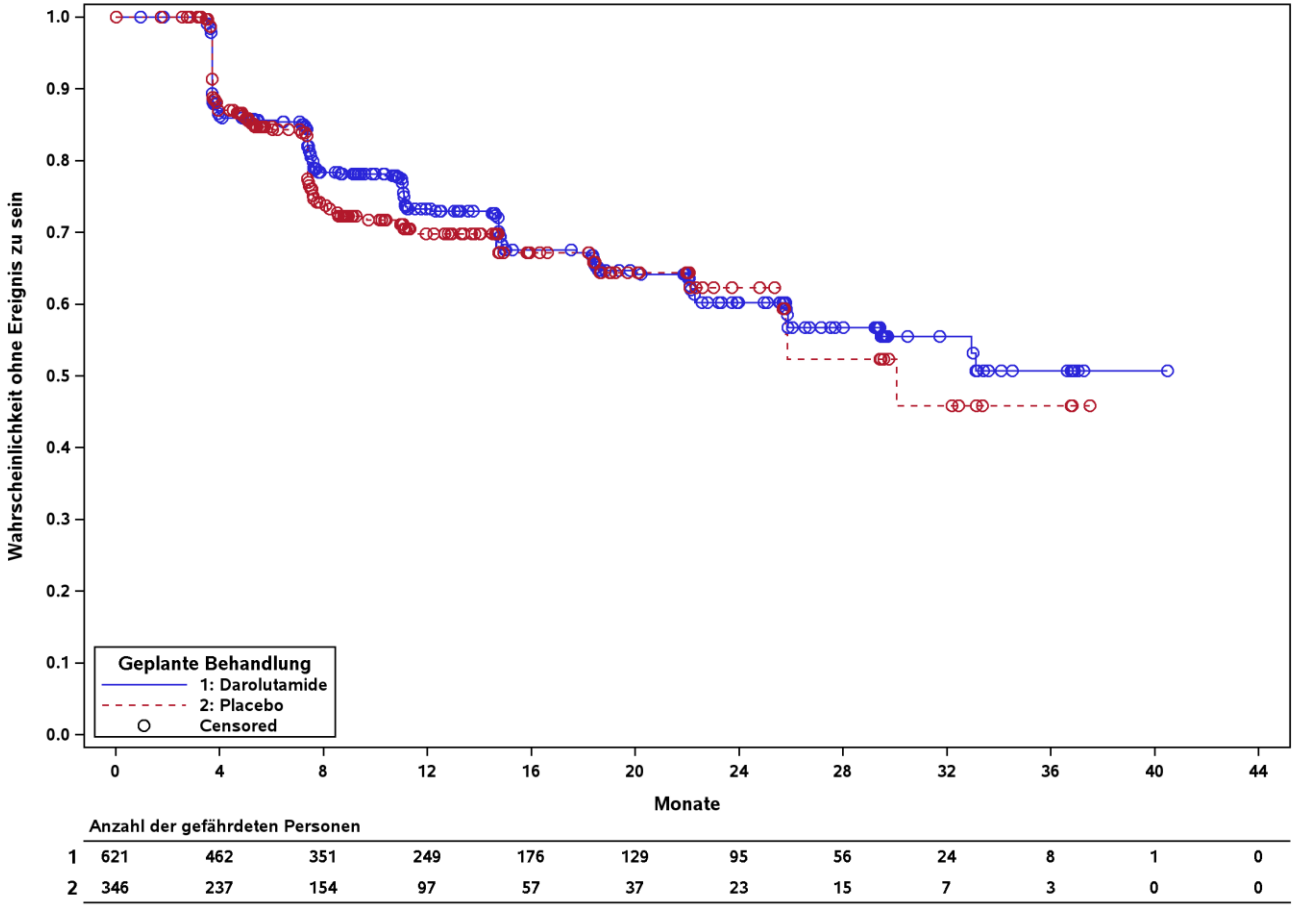
Bayer: /by-sasp/patdb/projects/1841788/17712/stat/prod_query22/pgms/t_tte_sub.sas 23APR2020 16:52

Figure 4.3.2 / 7: Kaplan-Meier-Plot der Time-to-Event-Analyse nach Endpunkt und Subgruppe - Endpunkt: Zeit bis zur Verbesserung >=8 des EORTC-QLQ-PR25 Sexual Activity Score - Subgruppe: Geografische Region: Rest of the World (full analysis set)



Bayer: /by-sasp/patdb/projects/1841788/17712/stat/prod_query22/pgms/t_tte_sub.sas 23APR2020 16:52

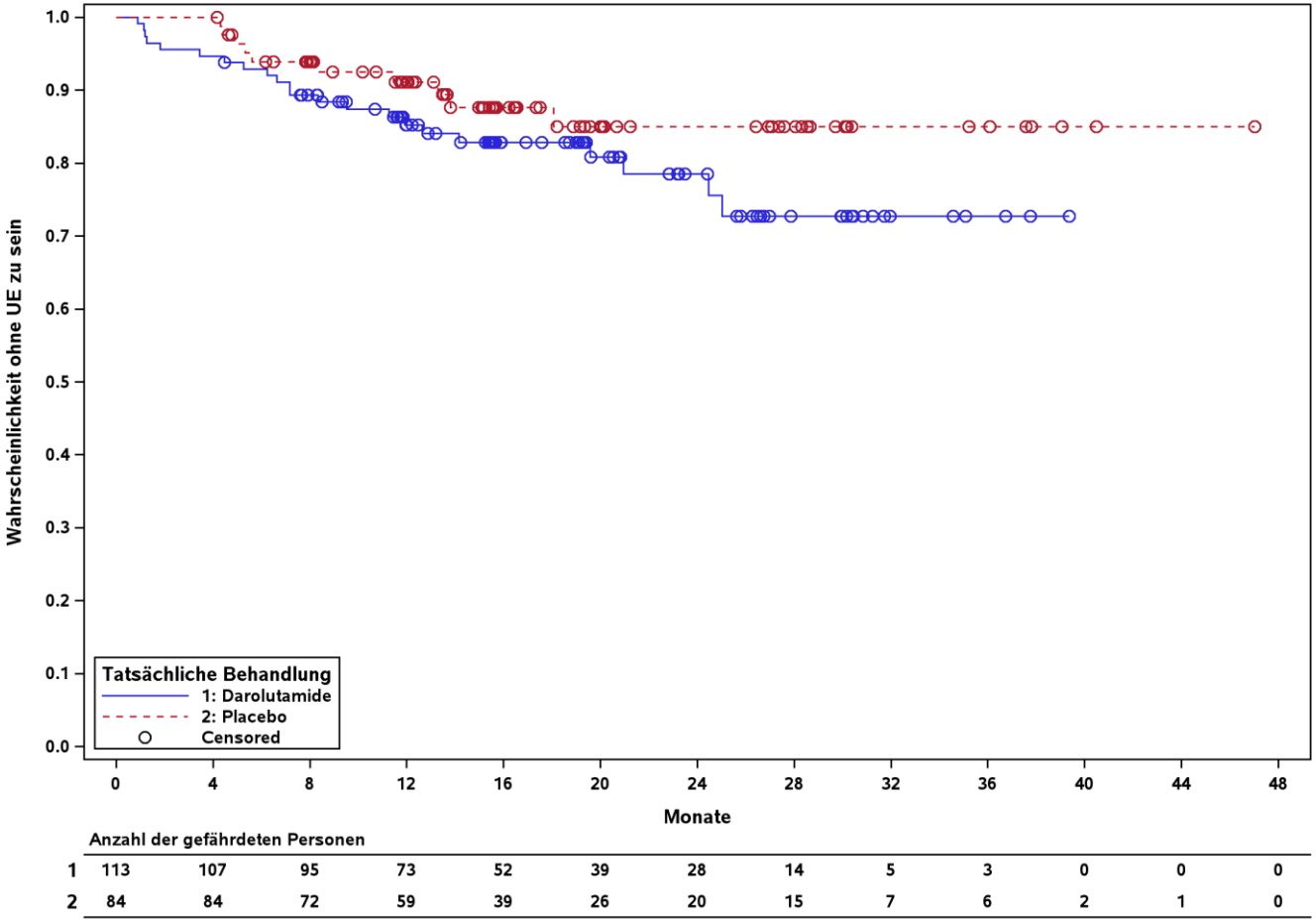
Figure 4.3.2 / 8: Kaplan-Meier-Plot der Time-to-Event-Analyse nach Endpunkt und Subgruppe - Endpunkt: Zeit bis zur Verbesserung >=8 des EORTC-QLQ-PR25 Sexual Activity Score - Subgruppe: Geografische Region: Europe (full analysis set)



Bayer: /by-sasp/patdb/projects/1841788/17712/stat/prod_query22/pgms/t_tte_sub.sas 23APR2020 16:52

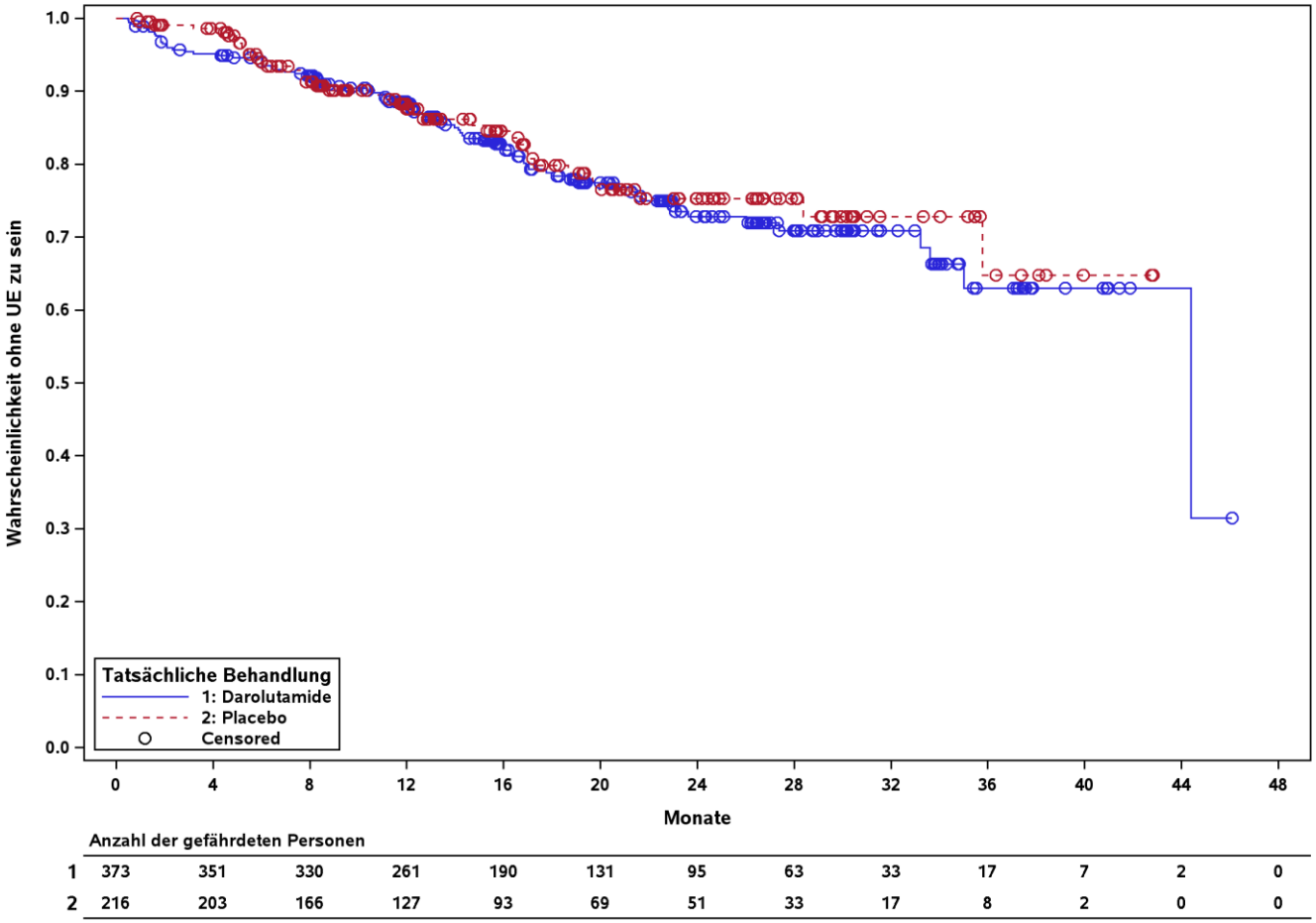
4.3.3 Sicherheit und Verträglichkeit

Figure 4.3.3 / 1: Kaplan-Meier-Plot der 'Unerwünschte Ereignis Time-to-Event-Analyse' nach Endpunkt und Subgruppe - Endpunkt: Zeit bis zum ersten SUE - Subgruppe: Alter (Jahre): <65 (full analysis set)



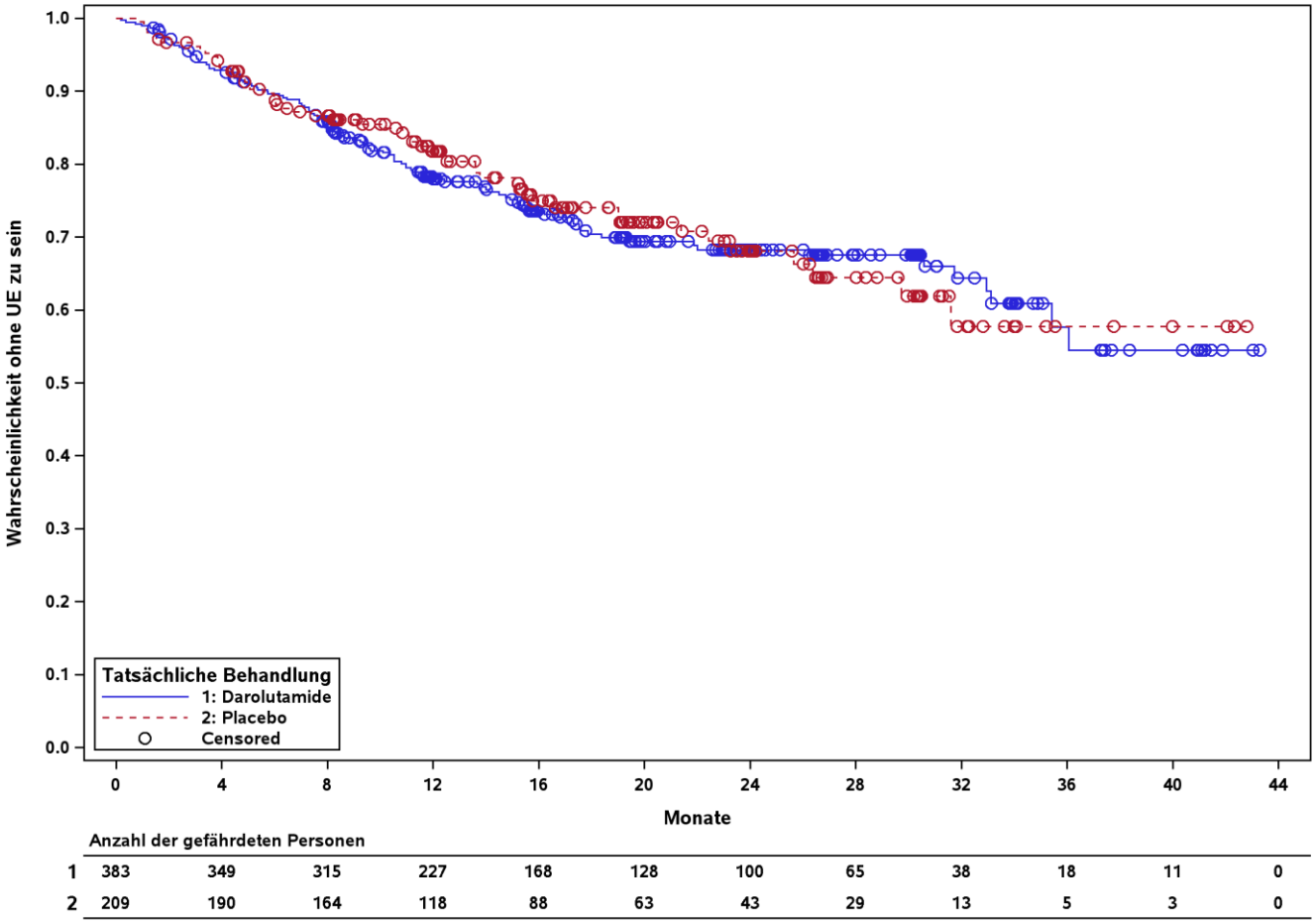
Bayer: /by-sasp/patdb/projects/1841788/17712/stat/prod_query22/pgms/t_ae_sub.sas 23APR2020 17:06

Figure 4.3.3 / 2: Kaplan-Meier-Plot der 'Unerwünschte Ereignis Time-to-Event-Analyse' nach Endpunkt und Subgruppe - Endpunkt: Zeit bis zum ersten SUE - Subgruppe: Alter (Jahre): 65-74 (full analysis set)



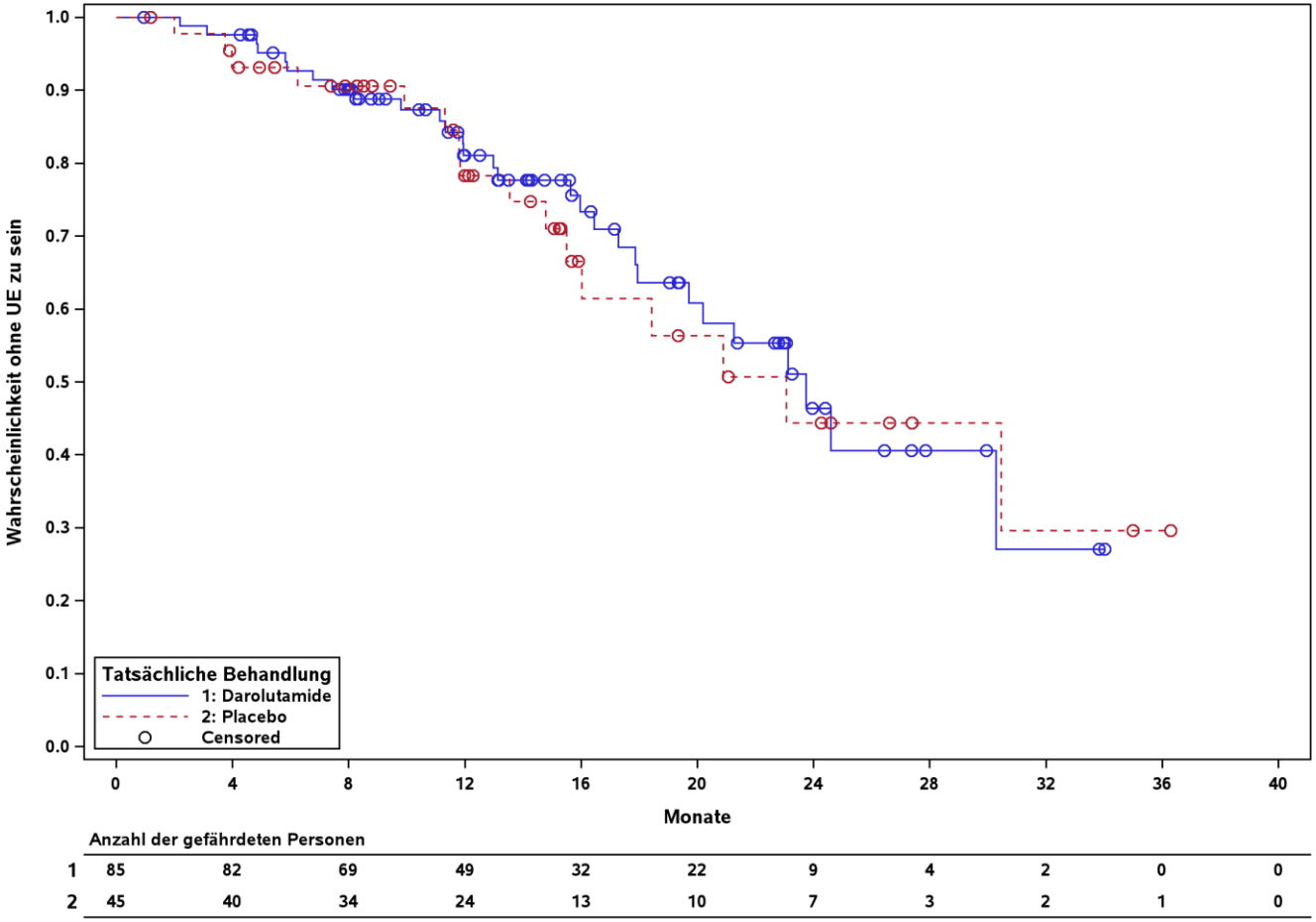
Bayer: /by-sasp/patdb/projects/1841788/17712/stat/prod_query22/pgms/t_ae_sub.sas 23APR2020 17:06

Figure 4.3.3 / 3: Kaplan-Meier-Plot der 'Unerwünschte Ereignis Time-to-Event-Analyse' nach Endpunkt und Subgruppe - Endpunkt: Zeit bis zum ersten SUE - Subgruppe: Alter (Jahre): 75-84 (full analysis set)



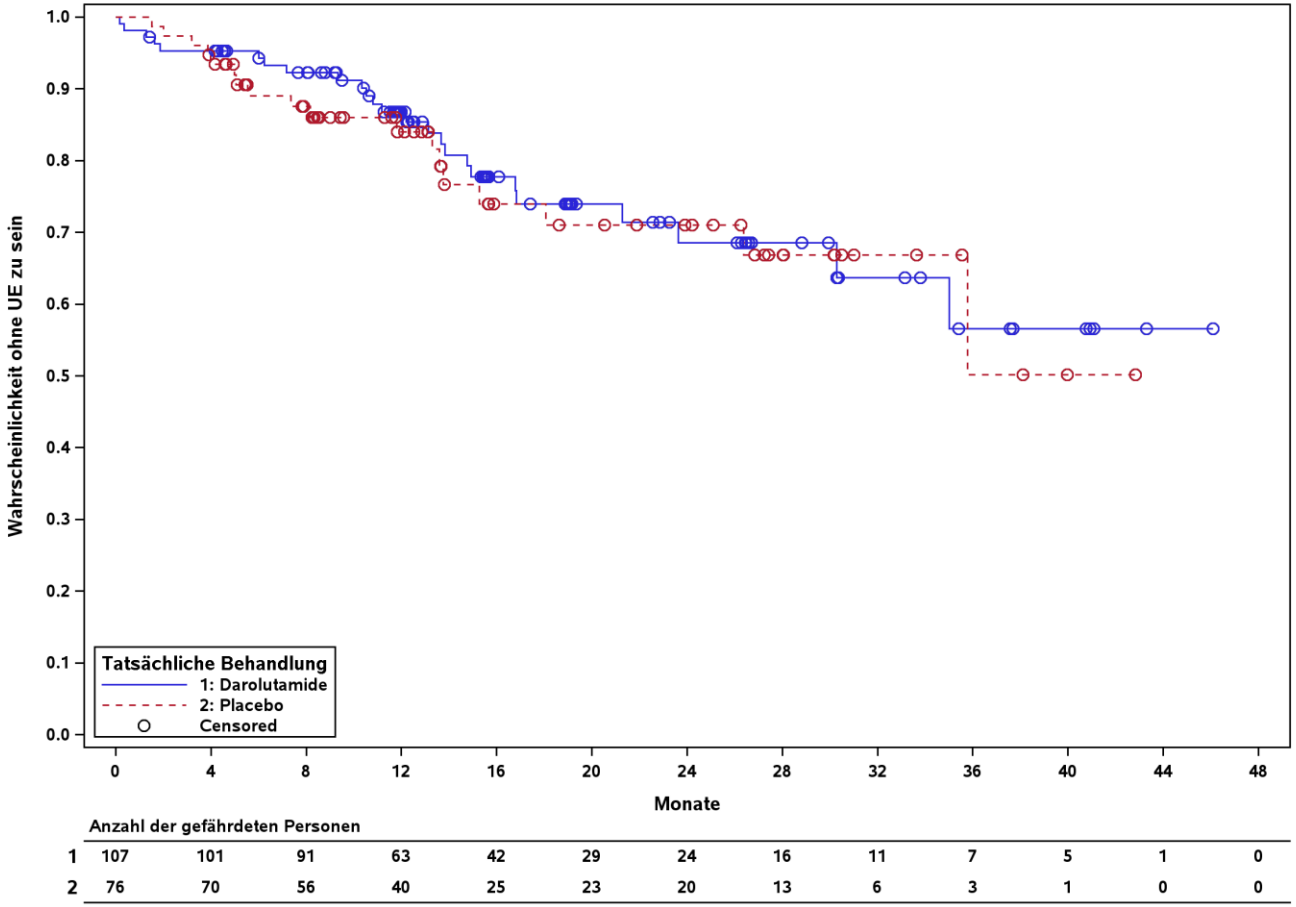
Bayer: /by-sasp/patdb/projects/1841788/17712/stat/prod_query22/pgms/t_ae_sub.sas 23APR2020 17:06

Figure 4.3.3 / 4: Kaplan-Meier-Plot der 'Unerwünschte Ereignis Time-to-Event-Analyse' nach Endpunkt und Subgruppe - Endpunkt: Zeit bis zum ersten SUE - Subgruppe: Alter (Jahre): >=85 (full analysis set)



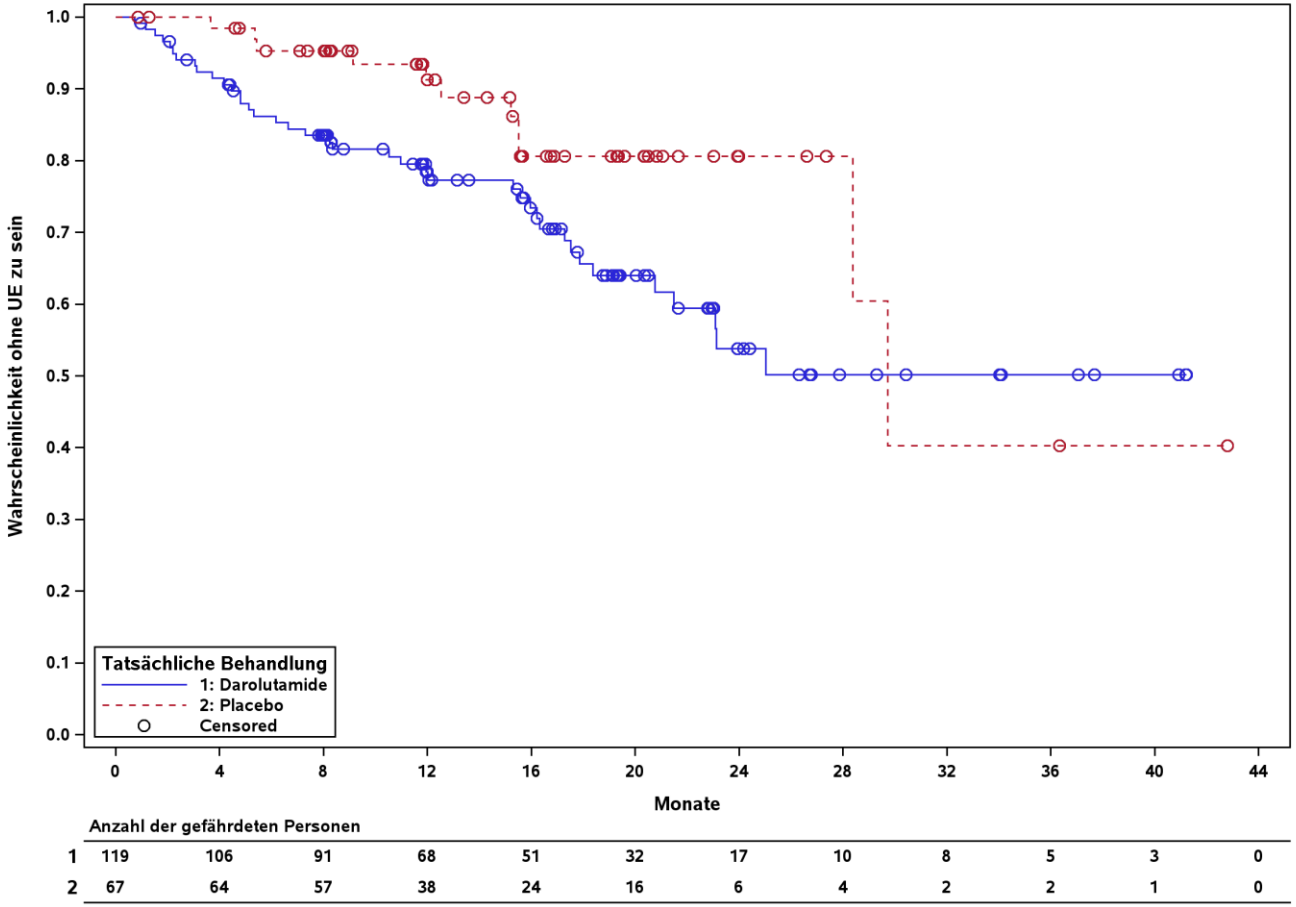
Bayer: /by-sasp/patdb/projects/1841788/17712/stat/prod_query22/pgms/t_ae_sub.sas 23APR2020 17:06

Figure 4.3.3 / 5: Kaplan-Meier-Plot der 'Unerwünschte Ereignis Time-to-Event-Analyse' nach Endpunkt und Subgruppe - Endpunkt: Zeit bis zum ersten SUE - Subgruppe: Geografische Region: North America (full analysis set)



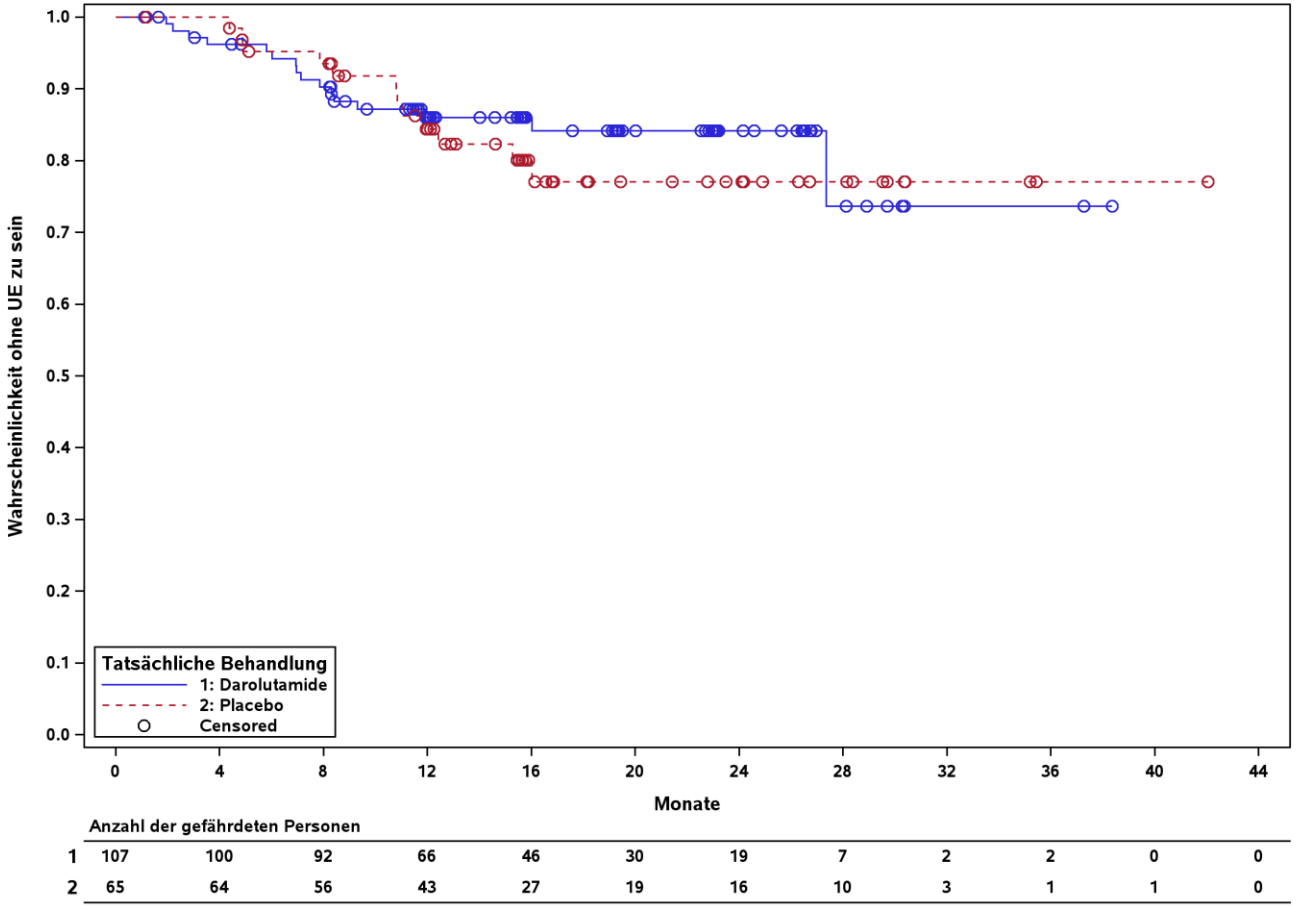
Bayer: /by-sasp/patdb/projects/1841788/17712/stat/prod_query22/pgms/t_ae_sub.sas 23APR2020 17:06

Figure 4.3.3 / 6: Kaplan-Meier-Plot der 'Unerwünschte Ereignis Time-to-Event-Analyse' nach Endpunkt und Subgruppe - Endpunkt: Zeit bis zum ersten SUE - Subgruppe: Geografische Region: Asia Pacific (full analysis set)



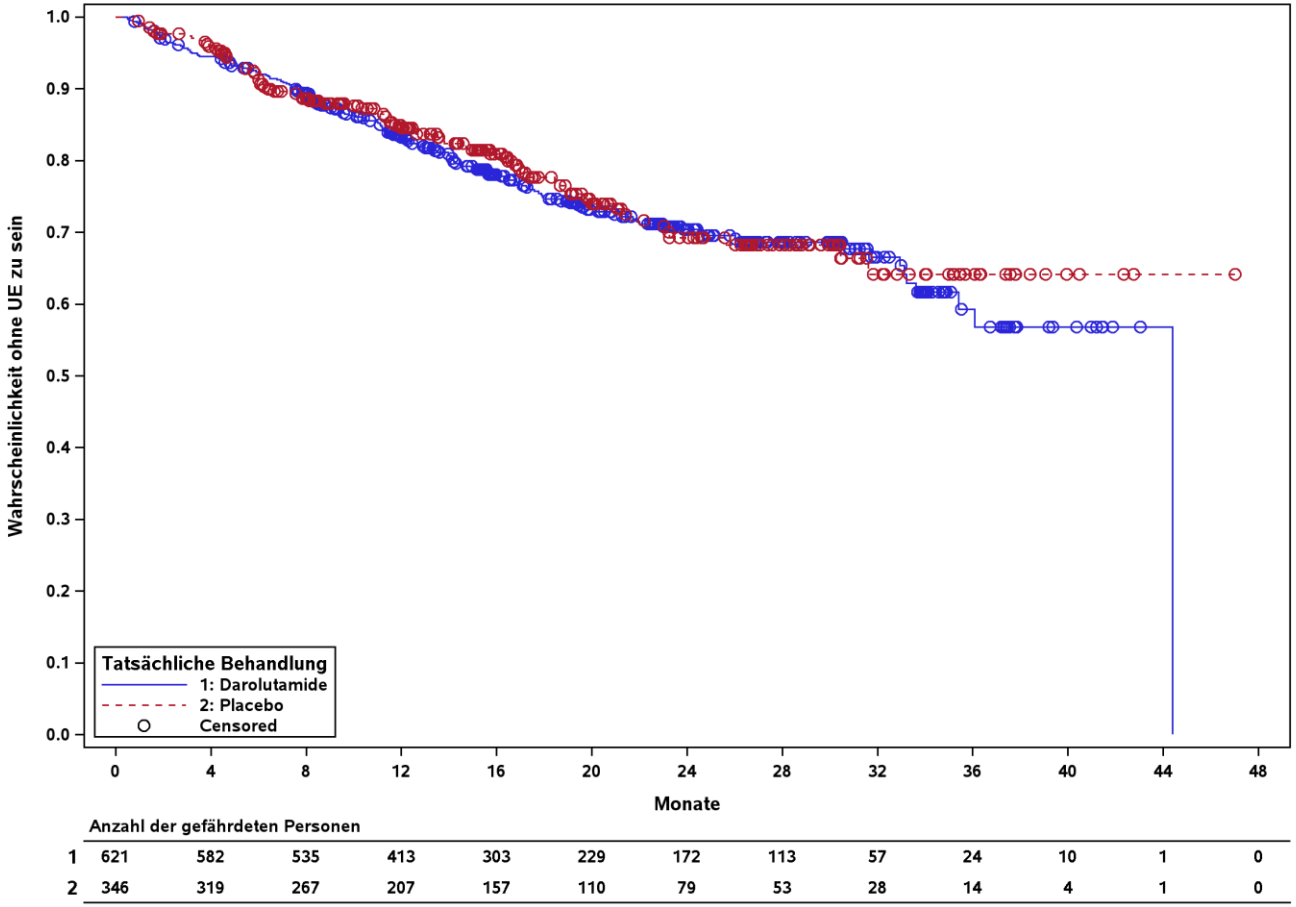
Bayer: /by-sasp/patdb/projects/1841788/17712/stat/prod_query22/pgms/t_ae_sub.sas 23APR2020 17:06

Figure 4.3.3 / 7: Kaplan-Meier-Plot der 'Unerwünschte Ereignis Time-to-Event-Analyse' nach Endpunkt und Subgruppe - Endpunkt: Zeit bis zum ersten SUE - Subgruppe: Geografische Region: Rest of the World (full analysis set)



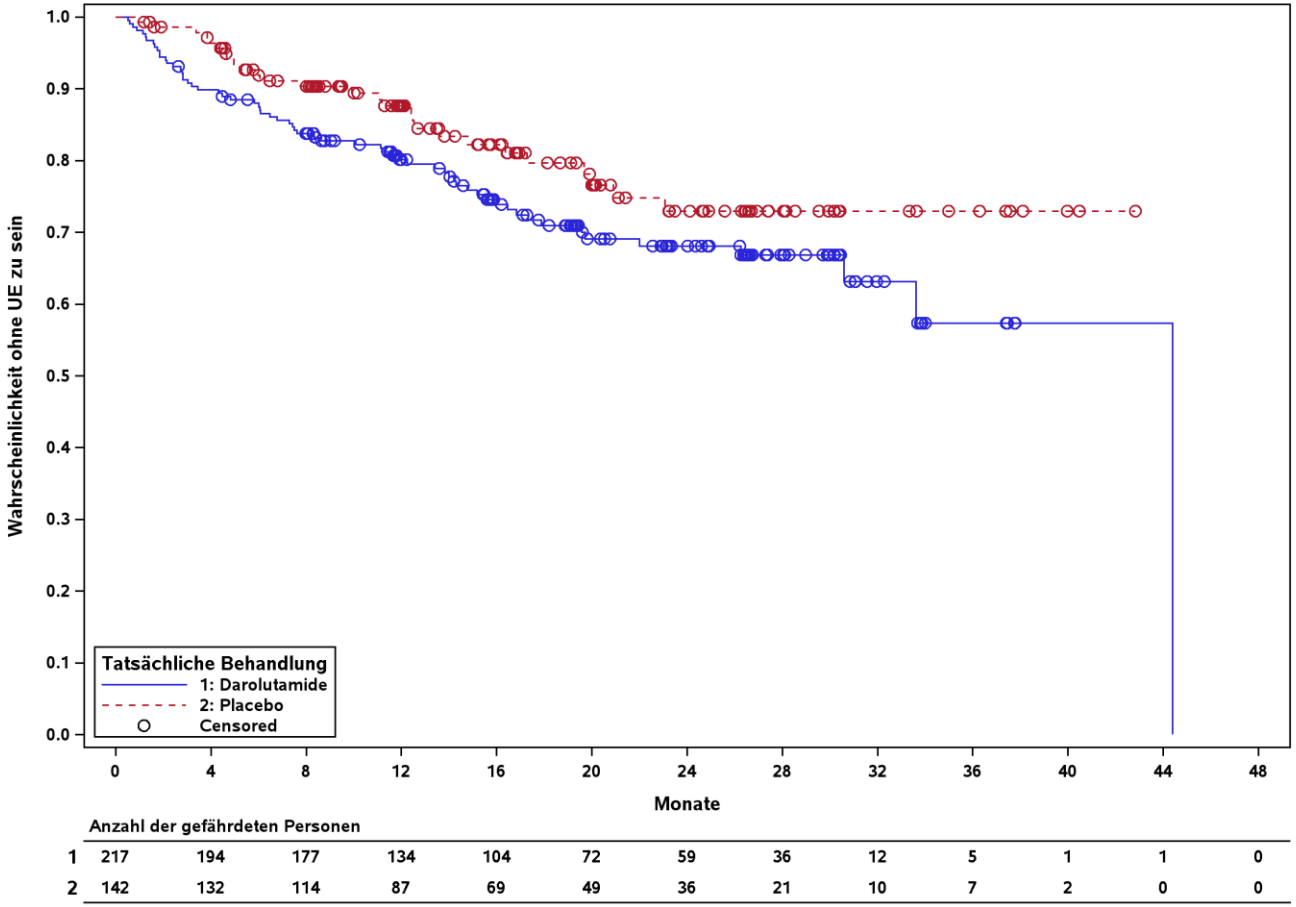
Bayer: /by-sasp/patdb/projects/1841788/17712/stat/prod_query22/pgms/t_ae_sub.sas 23APR2020 17:06

Figure 4.3.3 / 8: Kaplan-Meier-Plot der 'Unerwünschte Ereignis Time-to-Event-Analyse' nach Endpunkt und Subgruppe - Endpunkt: Zeit bis zum ersten SUE - Subgruppe: Geografische Region: Europe (full analysis set)



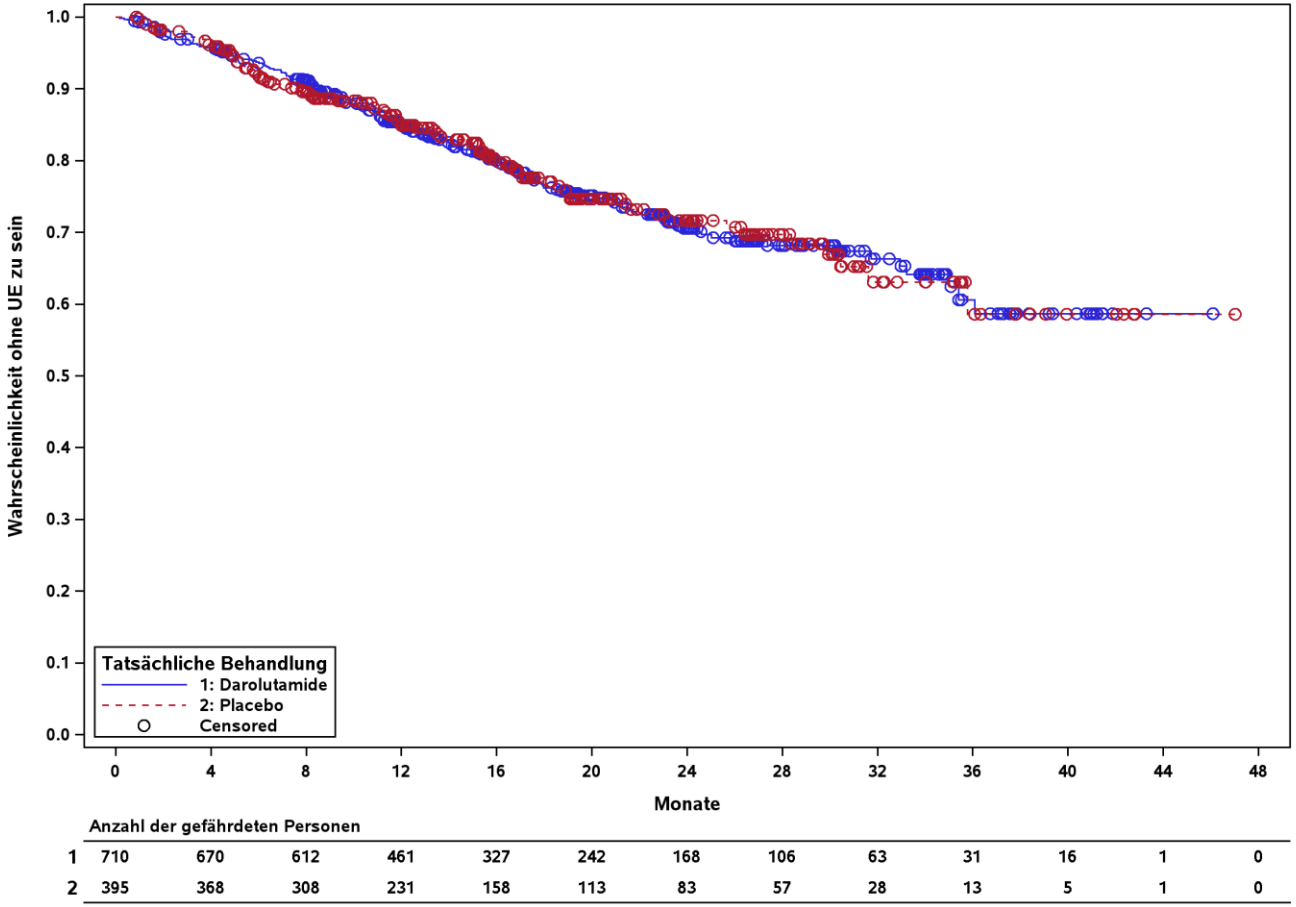
Bayer: /by-sasp/patdb/projects/1841788/17712/stat/prod_query22/pgms/t_ae_sub.sas 23APR2020 17:06

Figure 4.3.3 / 9: Kaplan-Meier-Plot der 'Unerwünschte Ereignis Time-to-Event-Analyse' nach Endpunkt und Subgruppe - Endpunkt: Zeit bis zum ersten SUE - Subgruppe: Gleason-Score bei Diagnose: <7 (full analysis set)



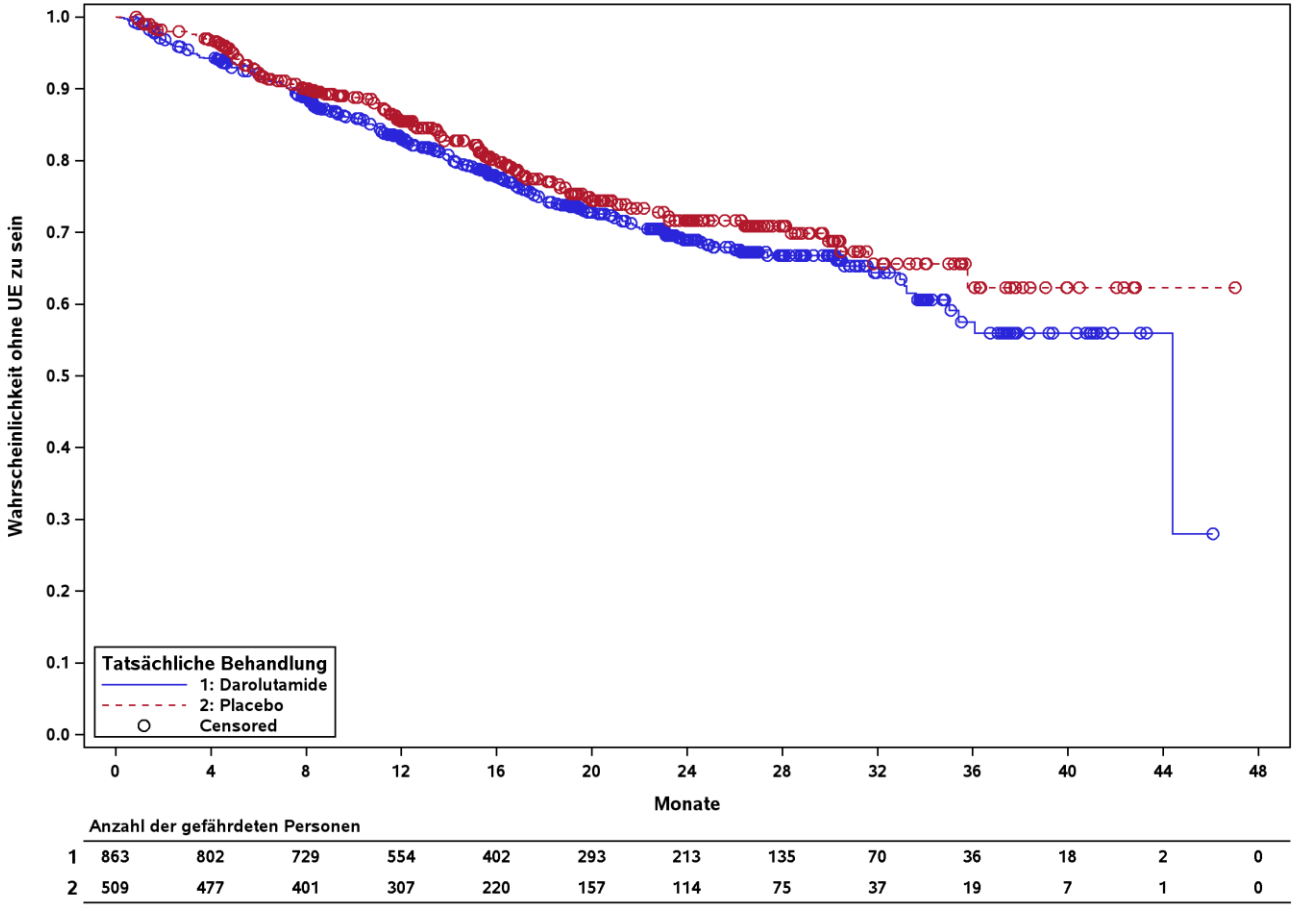
Bayer: /by-sasp/patdb/projects/1841788/17712/stat/prod_query22/pgms/t_ae_sub.sas 23APR2020 17:06

Figure 4.3.3 / 10: Kaplan-Meier-Plot der 'Unerwünschte Ereignis Time-to-Event-Analyse' nach Endpunkt und Subgruppe - Endpunkt: Zeit bis zum ersten SUE - Subgruppe: Gleason-Score bei Diagnose: >=7 (full analysis set)



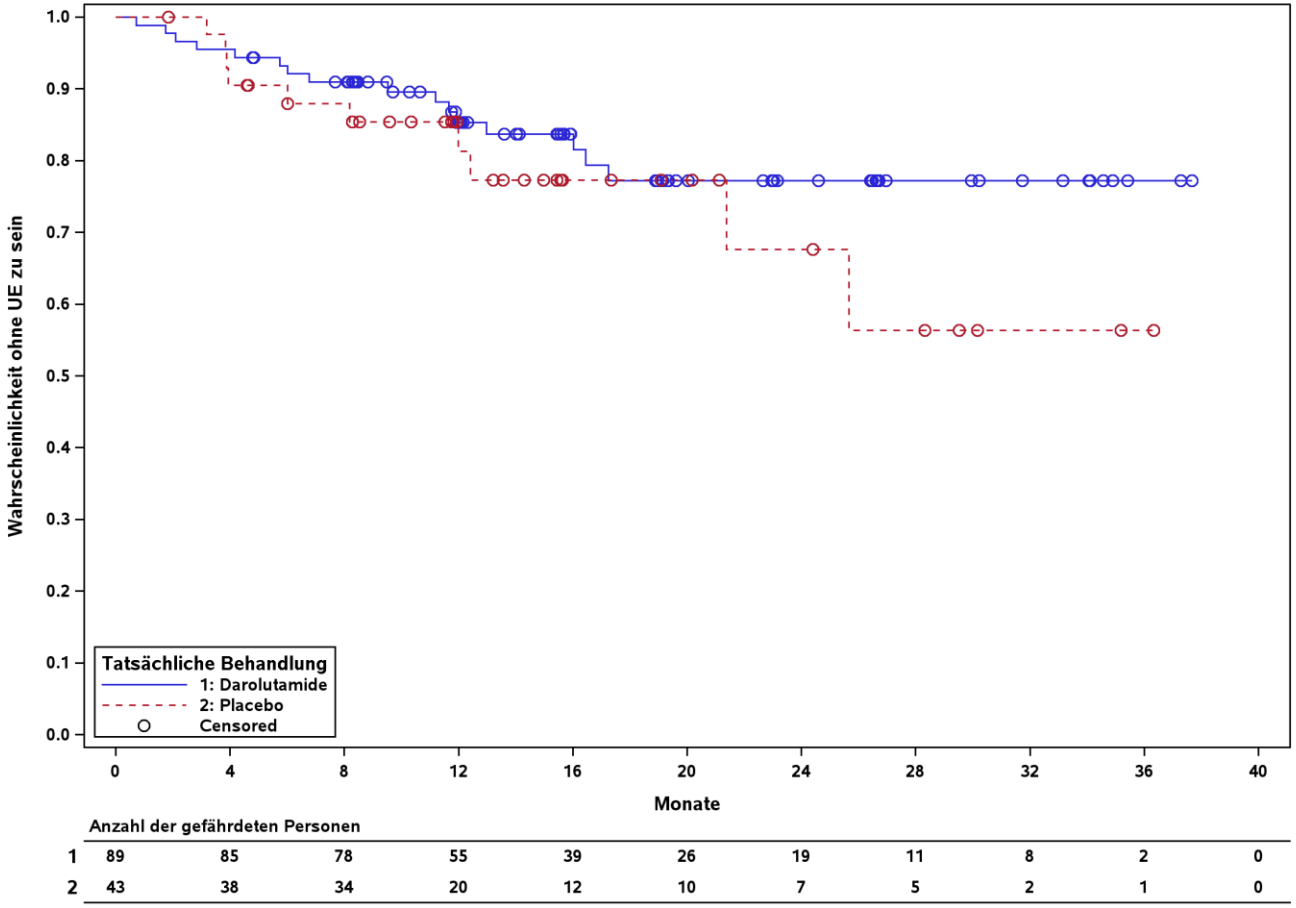
Bayer: /by-sasp/patdb/projects/1841788/17712/stat/prod_query22/pgms/t_ae_sub.sas 23APR2020 17:06

Figure 4.3.3 / 11: Kaplan-Meier-Plot der 'Unerwünschte Ereignis Time-to-Event-Analyse' nach Endpunkt und Subgruppe - Endpunkt: Zeit bis zum ersten SUE - Subgruppe: Leberfunktionsstörung: normal (full analysis set)



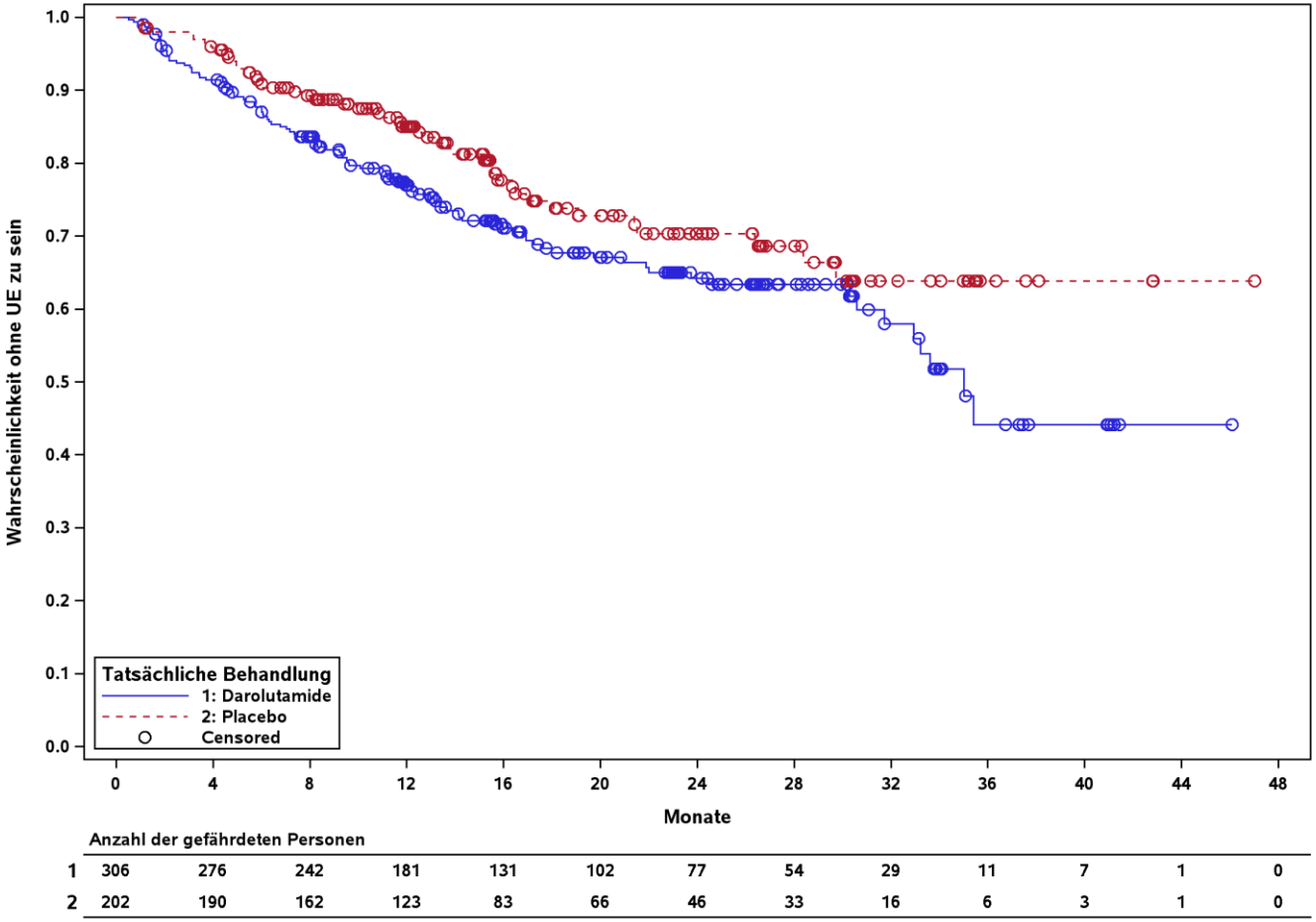
Bayer: /by-sasp/patdb/projects/1841788/17712/stat/prod_query22/pgms/t_ae_sub.sas 23APR2020 17:06

Figure 4.3.3 / 12: Kaplan-Meier-Plot der 'Unerwünschte Ereignis Time-to-Event-Analyse' nach Endpunkt und Subgruppe - Endpunkt: Zeit bis zum ersten SUE - Subgruppe: Leberfunktionsstörung: mild (full analysis set)



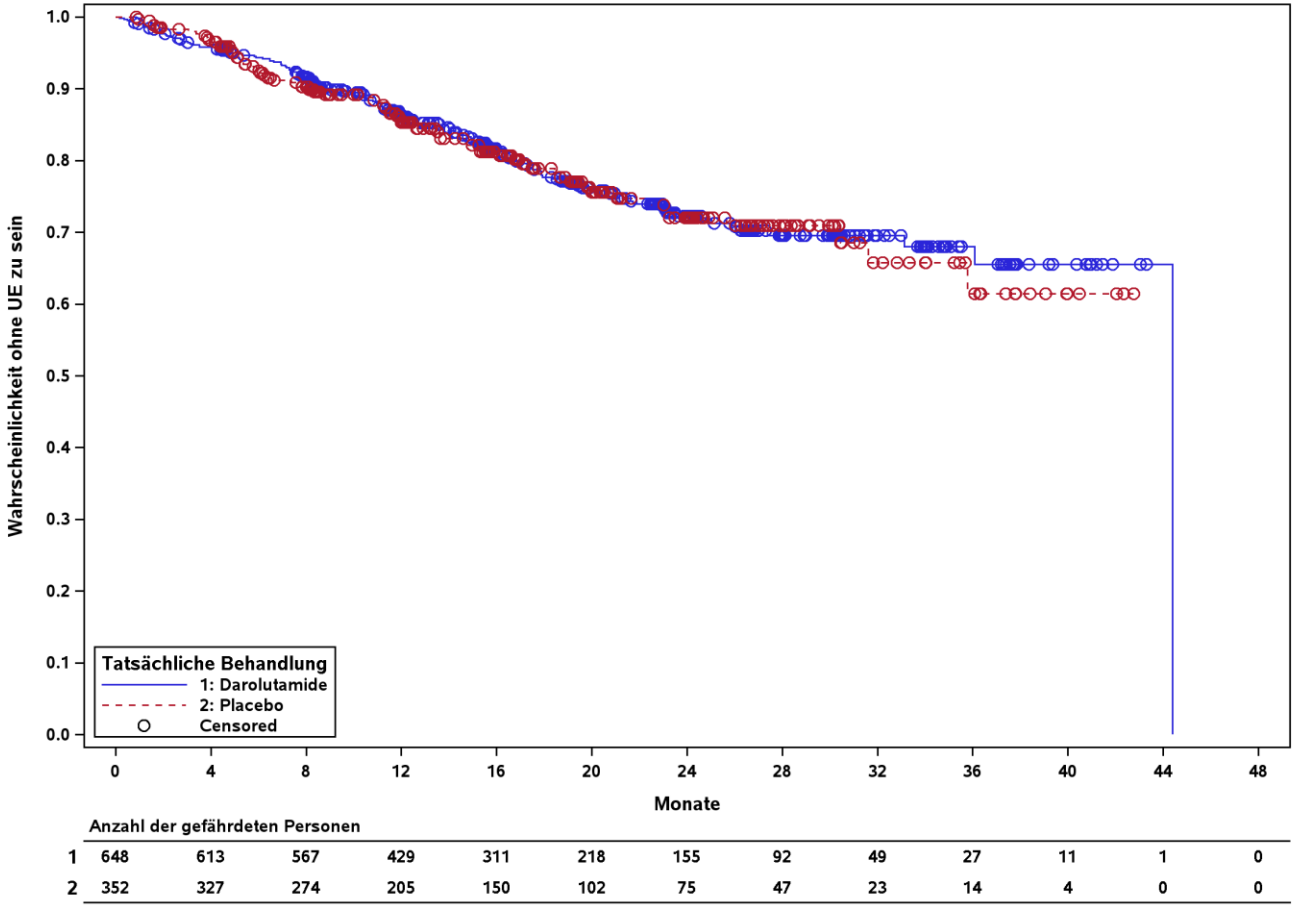
Bayer: /by-sasp/patdb/projects/1841788/17712/stat/prod_query22/pgms/t_ae_sub.sas 23APR2020 17:06

Figure 4.3.3 / 13: Kaplan-Meier-Plot der 'Unerwünschte Ereignis Time-to-Event-Analyse' nach Endpunkt und Subgruppe - Endpunkt: Zeit bis zum ersten SUE - Subgruppe: Nutzung von Statinen: Ja (full analysis set)



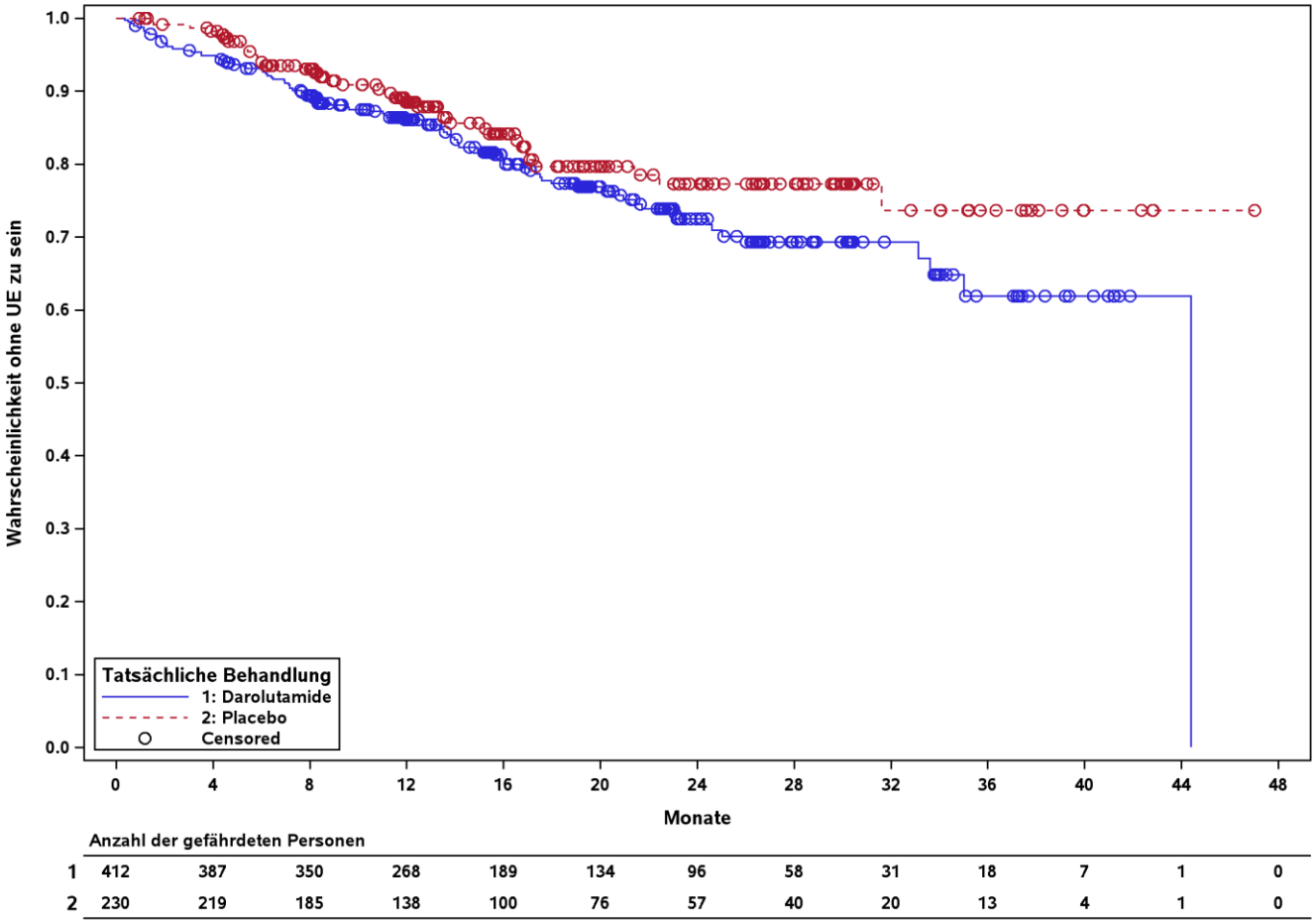
Bayer: /by-sasp/patdb/projects/1841788/17712/stat/prod_query22/pgms/t_ae_sub.sas 23APR2020 17:06

Figure 4.3.3 / 14: Kaplan-Meier-Plot der 'Unerwünschte Ereignis Time-to-Event-Analyse' nach Endpunkt und Subgruppe - Endpunkt: Zeit bis zum ersten SUE - Subgruppe: Nutzung von Statinen: Nein (full analysis set)



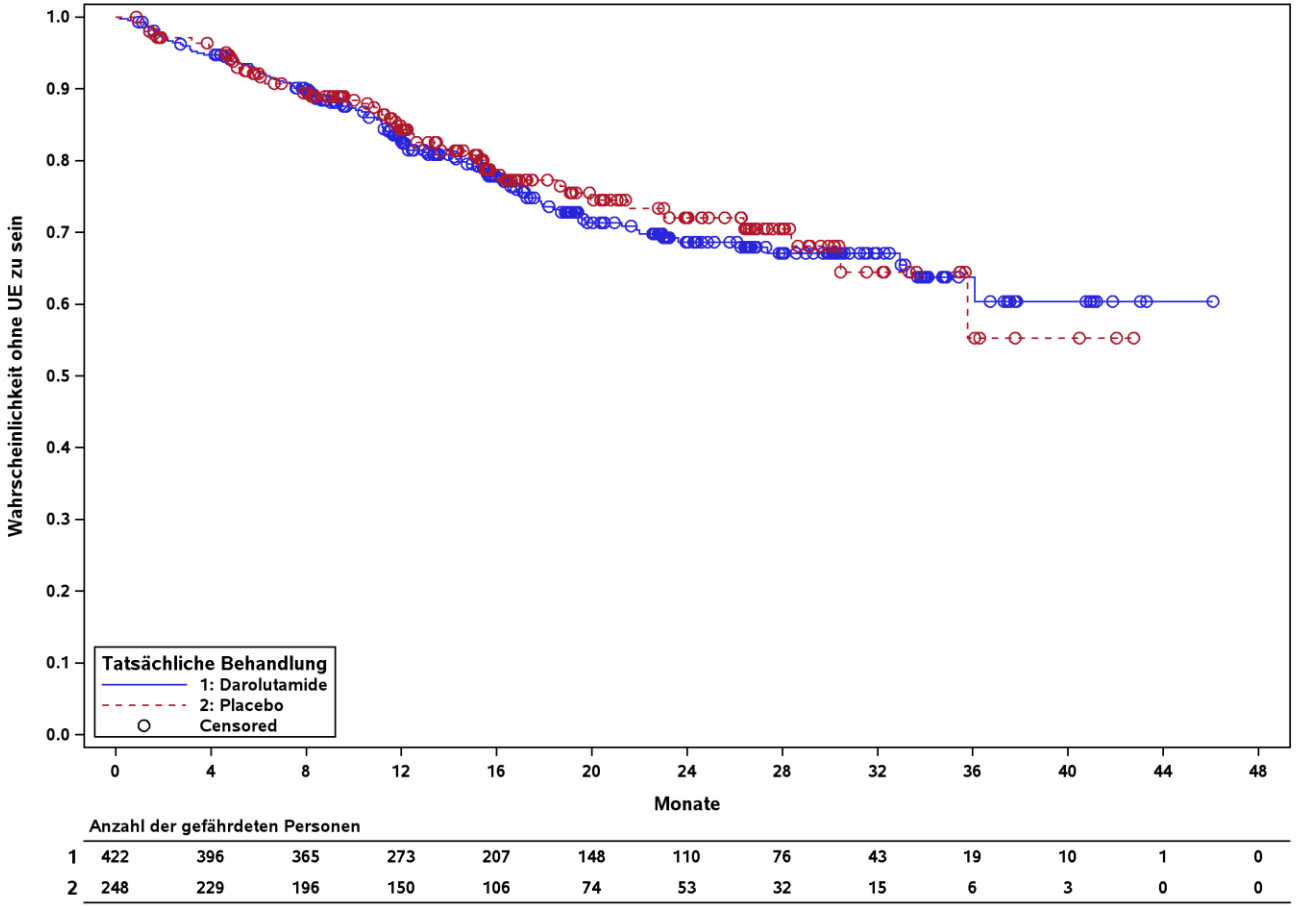
Bayer: /by-sasp/patdb/projects/1841788/17712/stat/prod_query22/pgms/t_ae_sub.sas 23APR2020 17:06

Figure 4.3.3 / 15: Kaplan-Meier-Plot der 'Unerwünschte Ereignis Time-to-Event-Analyse' nach Endpunkt und Subgruppe - Endpunkt: Zeit bis zum ersten SUE - Subgruppe: eGFR an Baseline: normal (full analysis set)



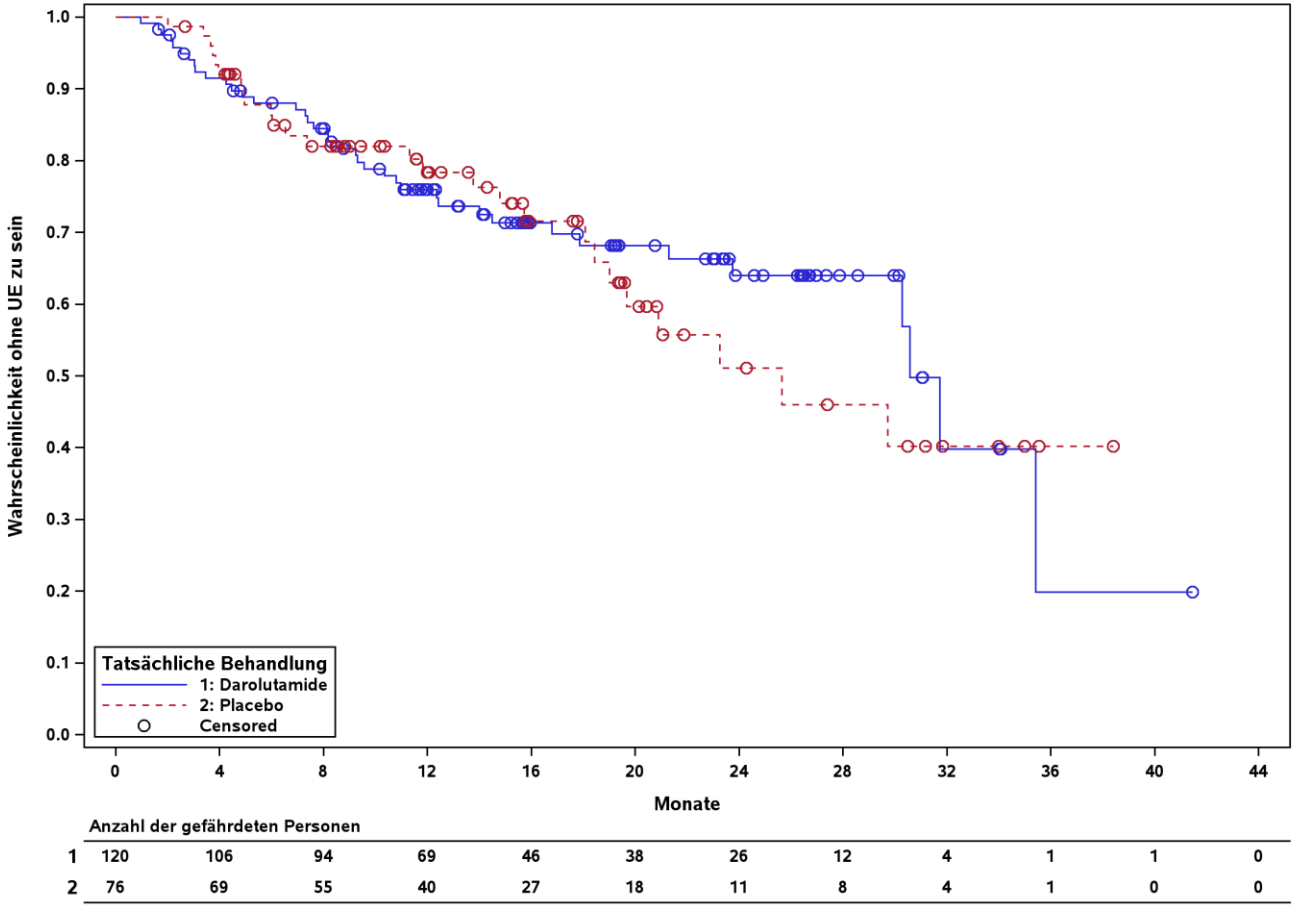
Bayer: /by-sasp/patdb/projects/1841788/17712/stat/prod_query22/pgms/t_ae_sub.sas 23APR2020 17:06

Figure 4.3.3 / 16: Kaplan-Meier-Plot der 'Unerwünschte Ereignis Time-to-Event-Analyse' nach Endpunkt und Subgruppe - Endpunkt: Zeit bis zum ersten SUE - Subgruppe: eGFR an Baseline: mildly impaired (full analysis set)



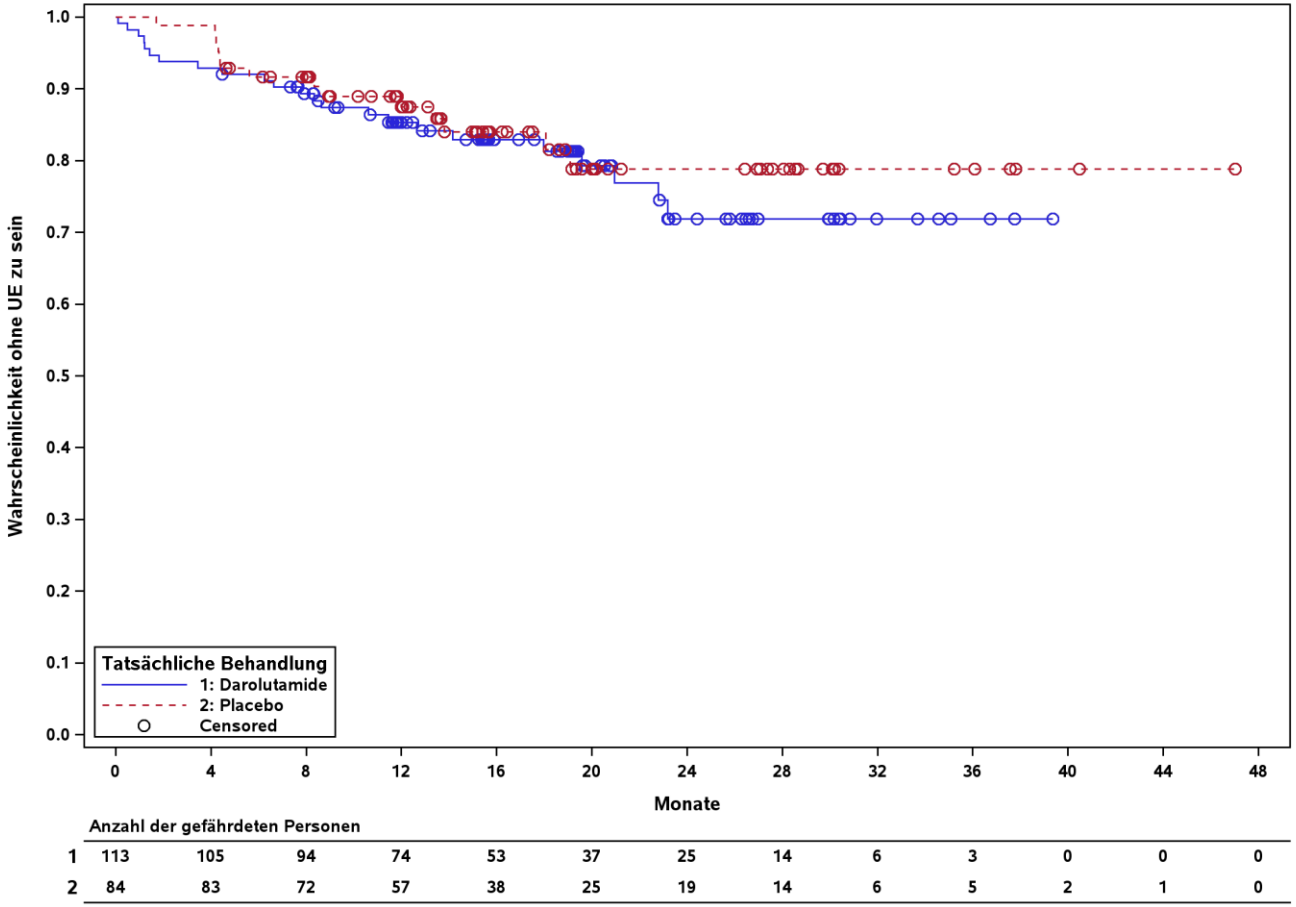
Bayer: /by-sasp/patdb/projects/1841788/17712/stat/prod_query22/pgms/t_ae_sub.sas 23APR2020 17:06

Figure 4.3.3 / 17: Kaplan-Meier-Plot der 'Unerwünschte Ereignis Time-to-Event-Analyse' nach Endpunkt und Subgruppe - Endpunkt: Zeit bis zum ersten SUE - Subgruppe: eGFR an Baseline: moderately impaired, severely impaired and renal end stage (full analysis set)



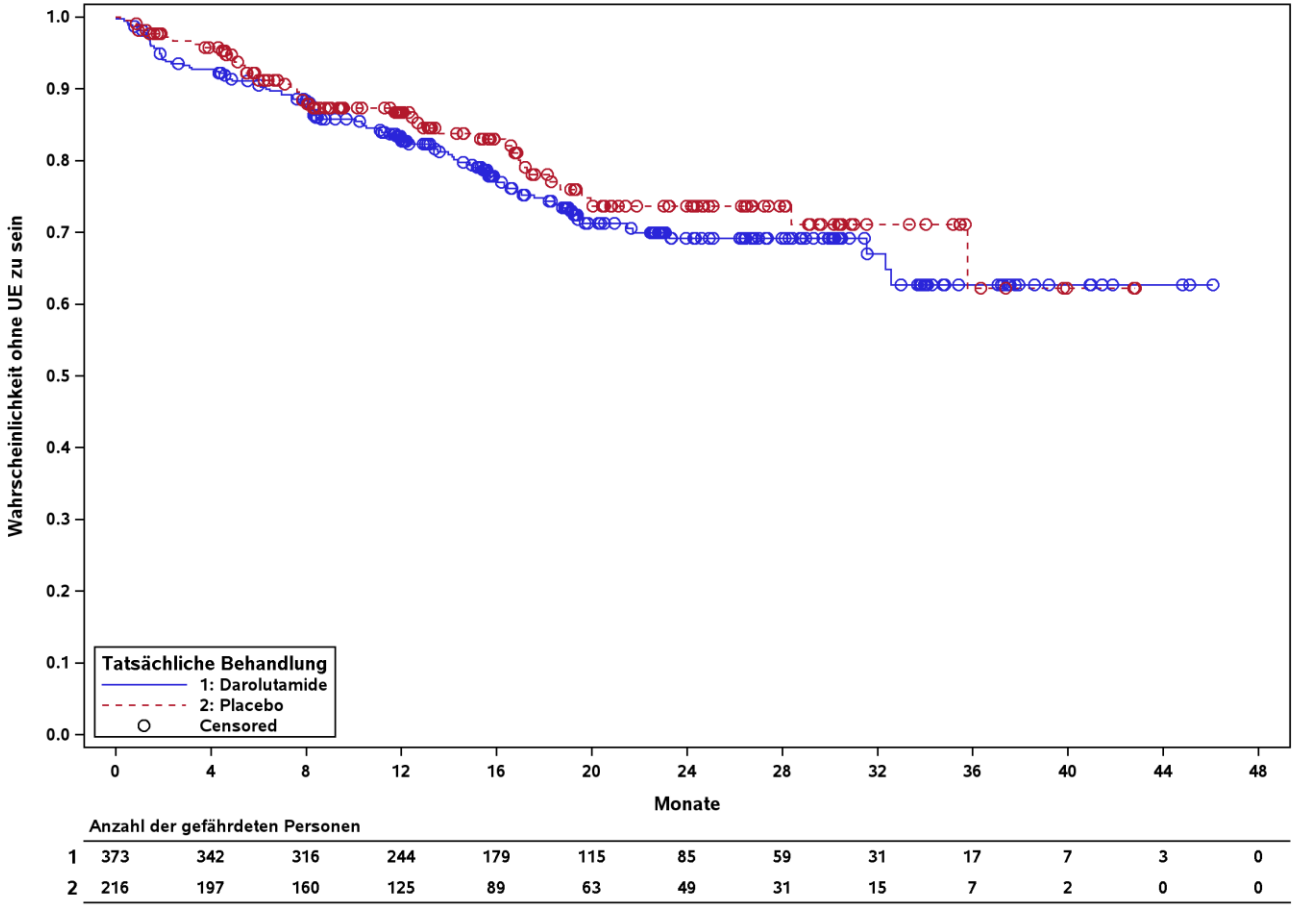
Bayer: /by-sasp/patdb/projects/1841788/17712/stat/prod_query22/pgms/t_ae_sub.sas 23APR2020 17:06

Figure 4.3.3 / 18: Kaplan-Meier-Plot der 'Unerwünschte Ereignis Time-to-Event-Analyse' nach Endpunkt und Subgruppe - Endpunkt: Zeit bis zum ersten UE mit CTCAE Grad >=3 - Subgruppe: Alter (Jahre): <65 (full analysis set)



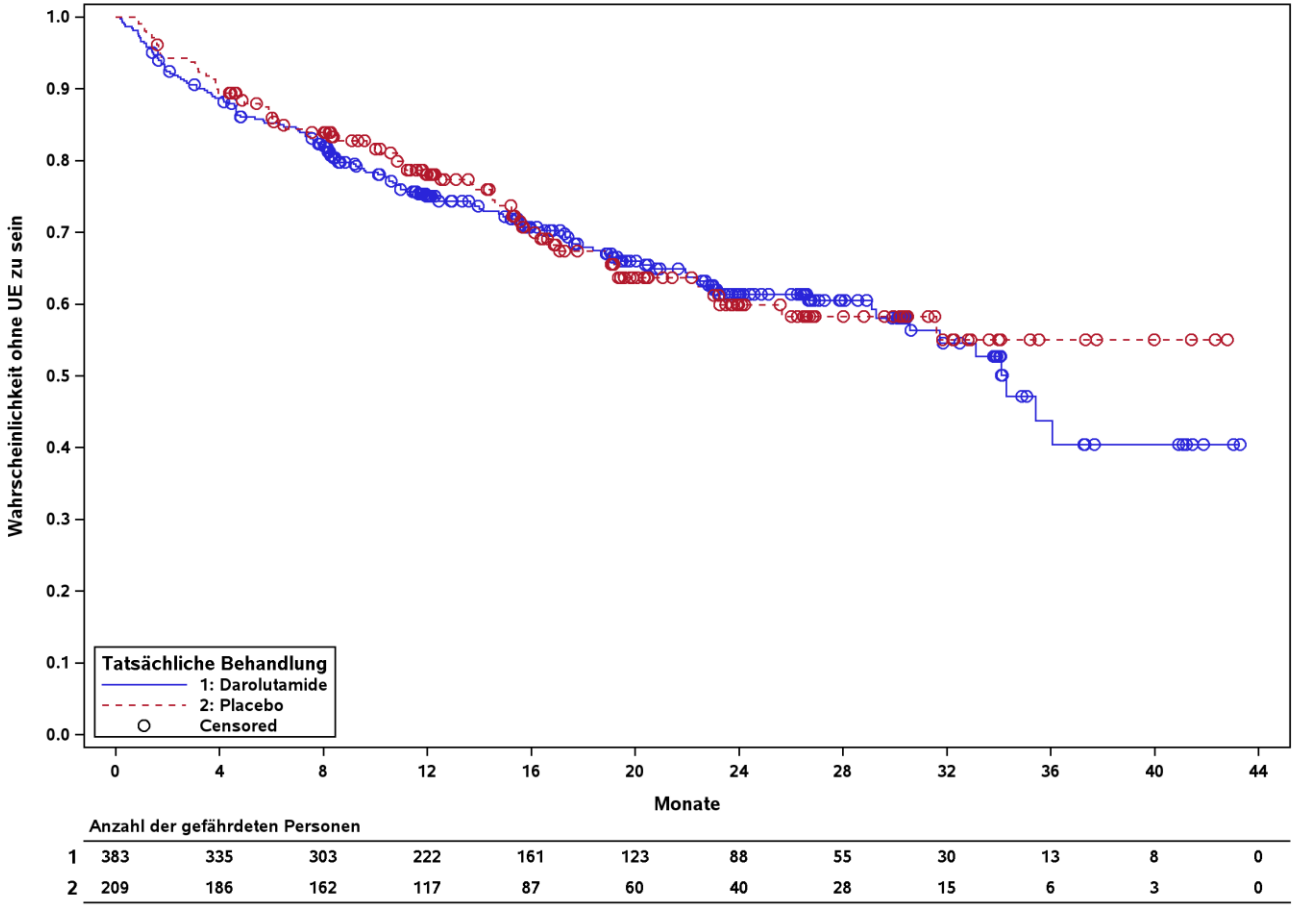
Bayer: /by-sasp/patdb/projects/1841788/17712/stat/prod_query22/pgms/t_ae_sub.sas 23APR2020 17:06

Figure 4.3.3 / 19: Kaplan-Meier-Plot der 'Unerwünschte Ereignis Time-to-Event-Analyse' nach Endpunkt und Subgruppe - Endpunkt: Zeit bis zum ersten UE mit CTCAE Grad >=3 - Subgruppe: Alter (Jahre): 65-74 (full analysis set)



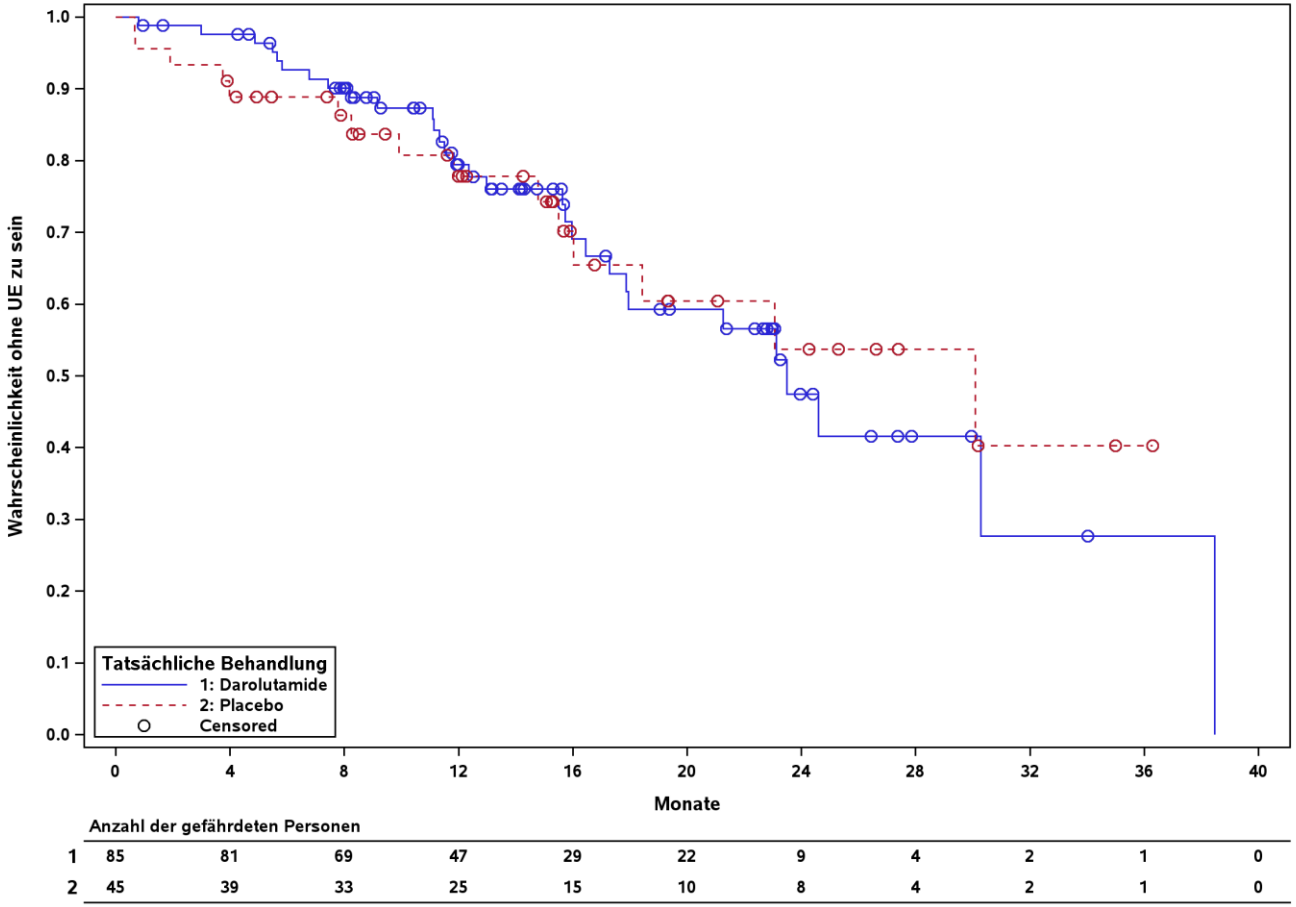
Bayer: /by-sasp/patdb/projects/1841788/17712/stat/prod_query22/pgms/t_ae_sub.sas 23APR2020 17:06

Figure 4.3.3 / 20: Kaplan-Meier-Plot der 'Unerwünschte Ereignis Time-to-Event-Analyse' nach Endpunkt und Subgruppe - Endpunkt: Zeit bis zum ersten UE mit CTCAE Grad >=3 - Subgruppe: Alter (Jahre): 75-84 (full analysis set)



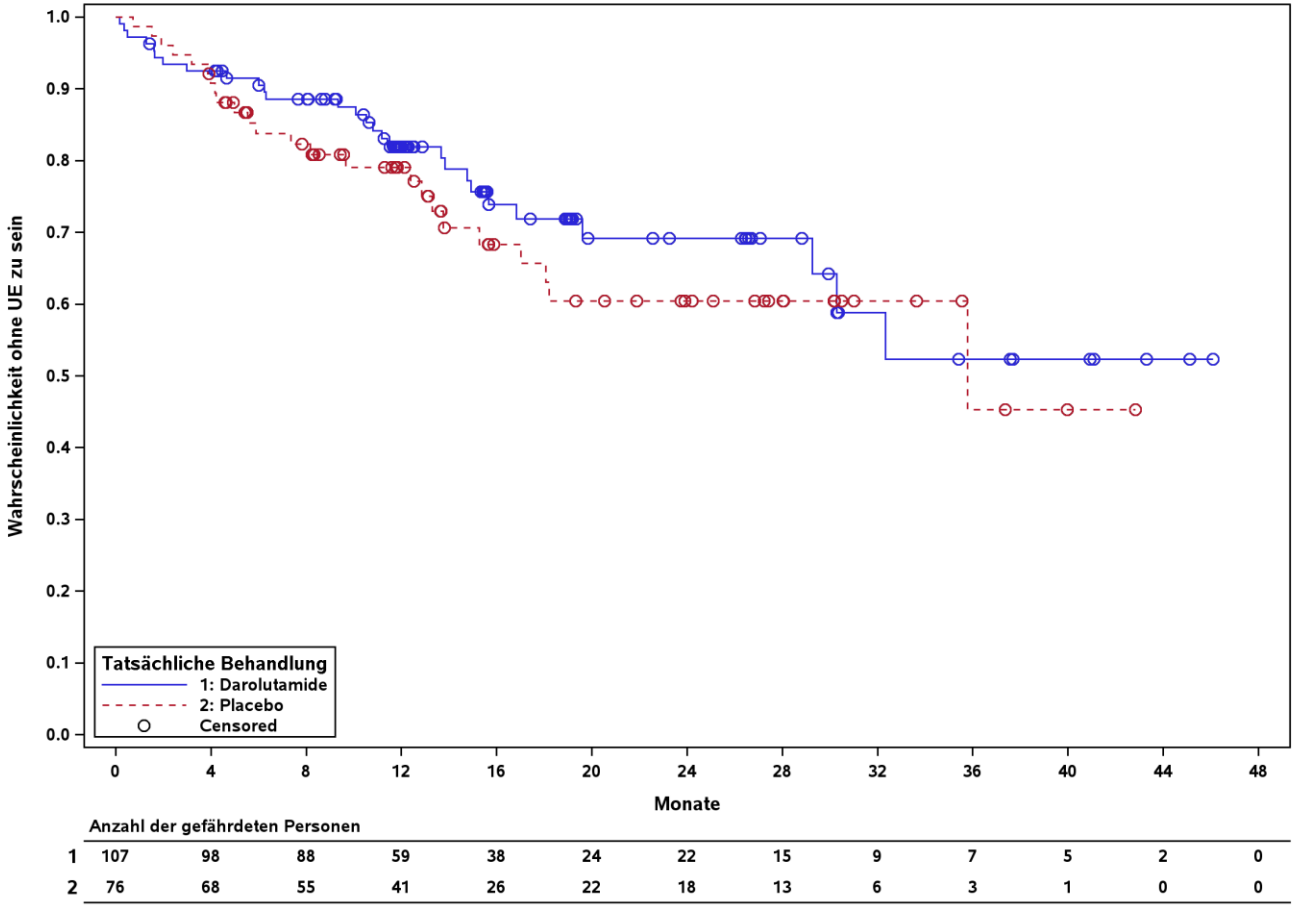
Bayer: /by-sasp/patdb/projects/1841788/17712/stat/prod_query22/pgms/t_ae_sub.sas 23APR2020 17:06

Figure 4.3.3 / 21: Kaplan-Meier-Plot der 'Unerwünschte Ereignis Time-to-Event-Analyse' nach Endpunkt und Subgruppe - Endpunkt: Zeit bis zum ersten UE mit CTCAE Grad >=3 - Subgruppe: Alter (Jahre): >=85 (full analysis set)



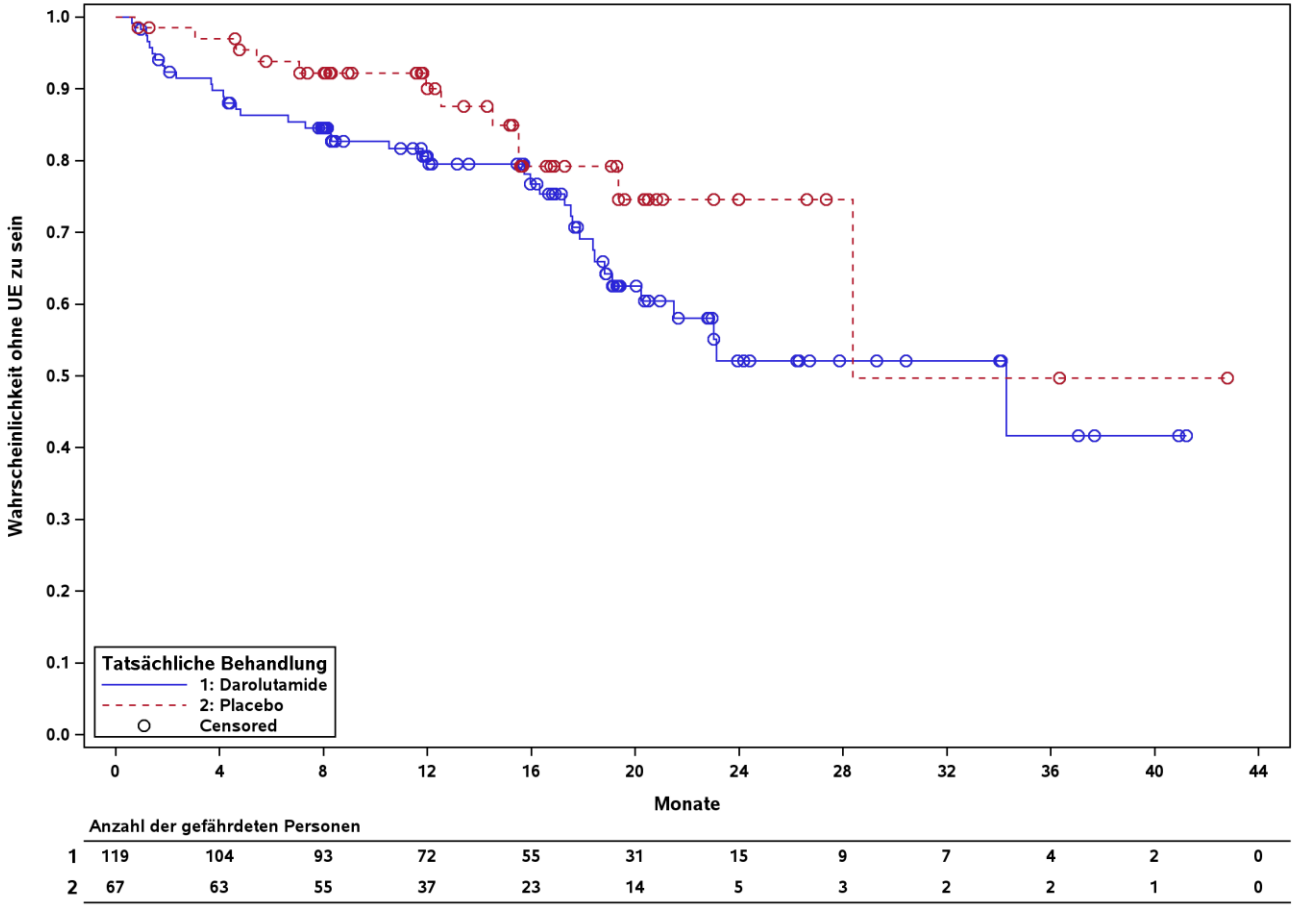
Bayer: /by-sasp/patdb/projects/1841788/17712/stat/prod_query22/pgms/t_ae_sub.sas 23APR2020 17:06

Figure 4.3.3 / 22: Kaplan-Meier-Plot der 'Unerwünschte Ereignis Time-to-Event-Analyse' nach Endpunkt und Subgruppe - Endpunkt: Zeit bis zum ersten UE mit CTCAE Grad >=3 - Subgruppe: Geografische Region: North America (full analysis set)



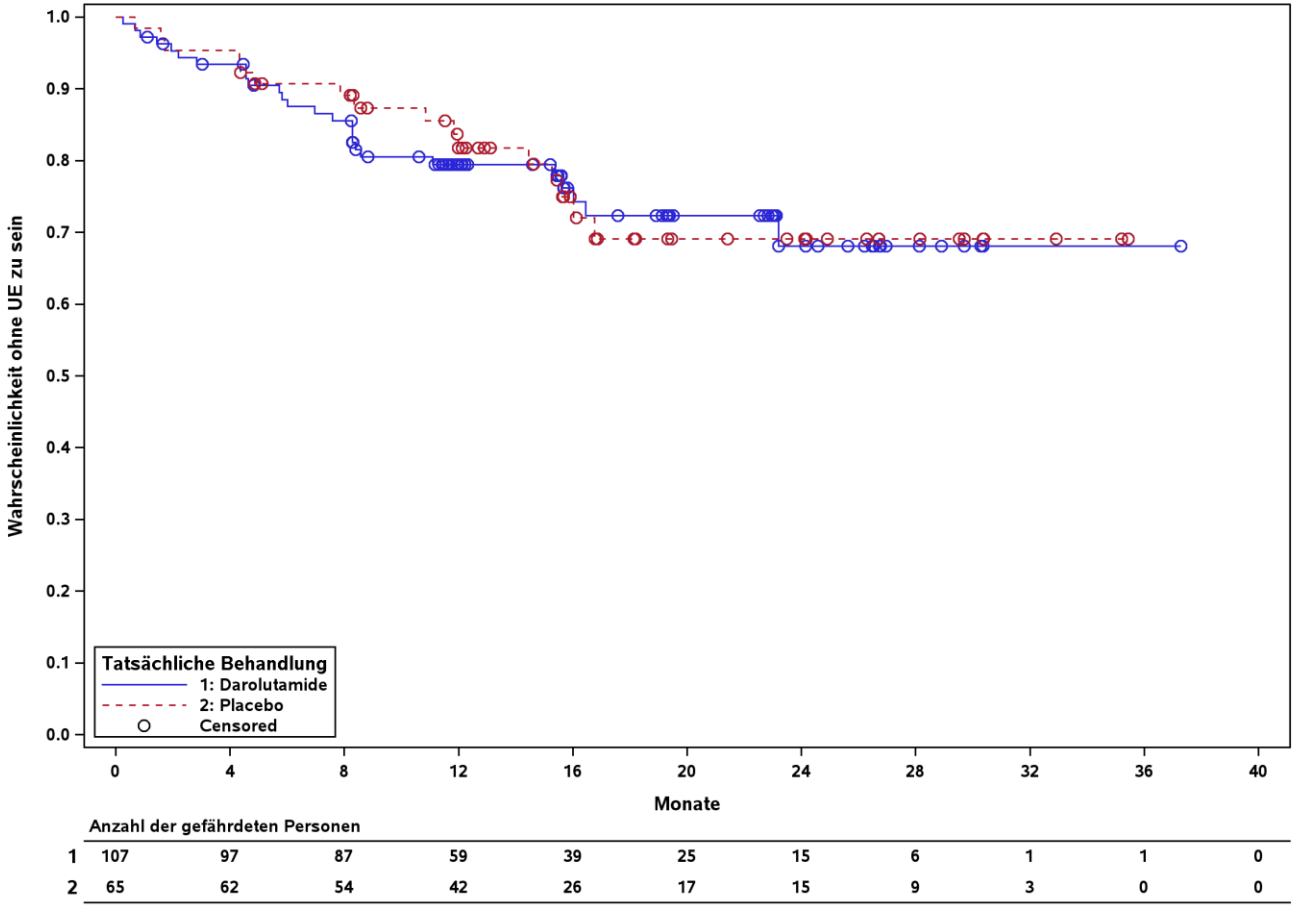
Bayer: /by-sasp/patdb/projects/1841788/17712/stat/prod_query22/pgms/t_ae_sub.sas 23APR2020 17:06

Figure 4.3.3 / 23: Kaplan-Meier-Plot der 'Unerwünschte Ereignis Time-to-Event-Analyse' nach Endpunkt und Subgruppe - Endpunkt: Zeit bis zum ersten UE mit CTCAE Grad >=3 - Subgruppe: Geografische Region: Asia Pacific (full analysis set)



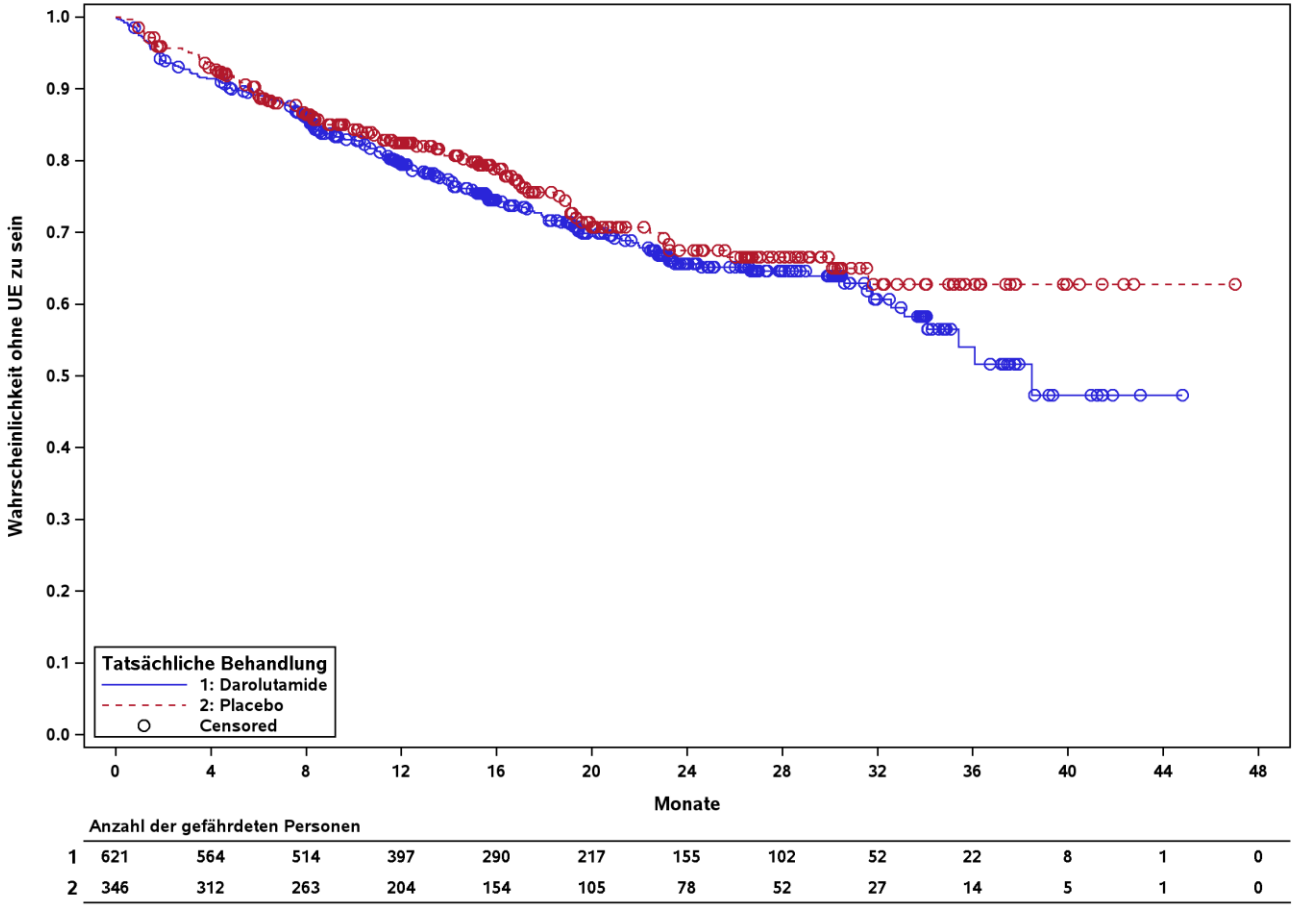
Bayer: /by-sasp/patdb/projects/1841788/17712/stat/prod_query22/pgms/t_ae_sub.sas 23APR2020 17:06

Figure 4.3.3 / 24: Kaplan-Meier-Plot der 'Unerwünschte Ereignis Time-to-Event-Analyse' nach Endpunkt und Subgruppe - Endpunkt: Zeit bis zum ersten UE mit CTCAE Grad >=3 - Subgruppe: Geografische Region: Rest of the World (full analysis set)



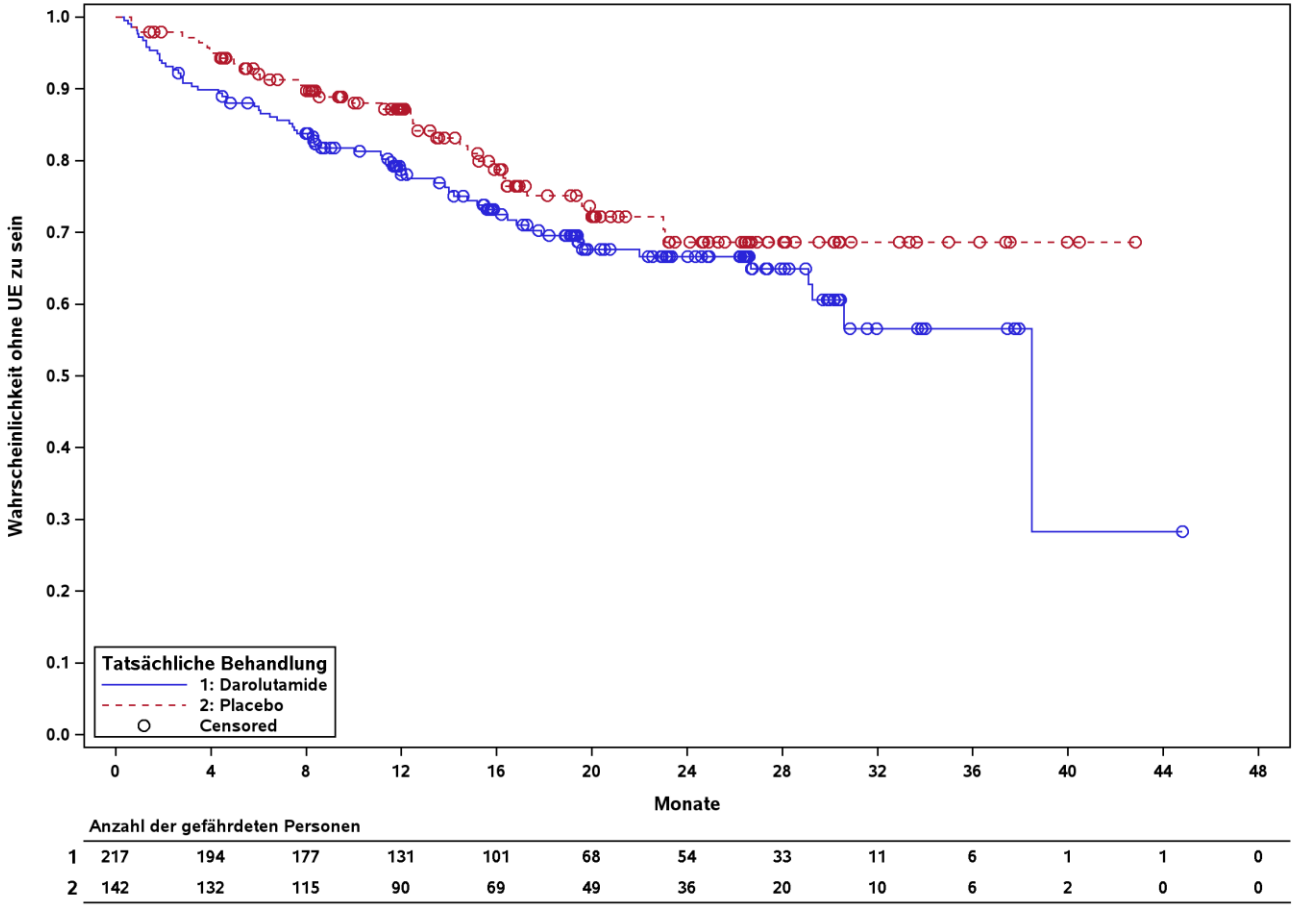
Bayer: /by-sasp/patdb/projects/1841788/17712/stat/prod_query22/pgms/t_ae_sub.sas 23APR2020 17:06

Figure 4.3.3 / 25: Kaplan-Meier-Plot der 'Unerwünschte Ereignis Time-to-Event-Analyse' nach Endpunkt und Subgruppe - Endpunkt: Zeit bis zum ersten UE mit CTCAE Grad >=3 - Subgruppe: Geografische Region: Europe (full analysis set)



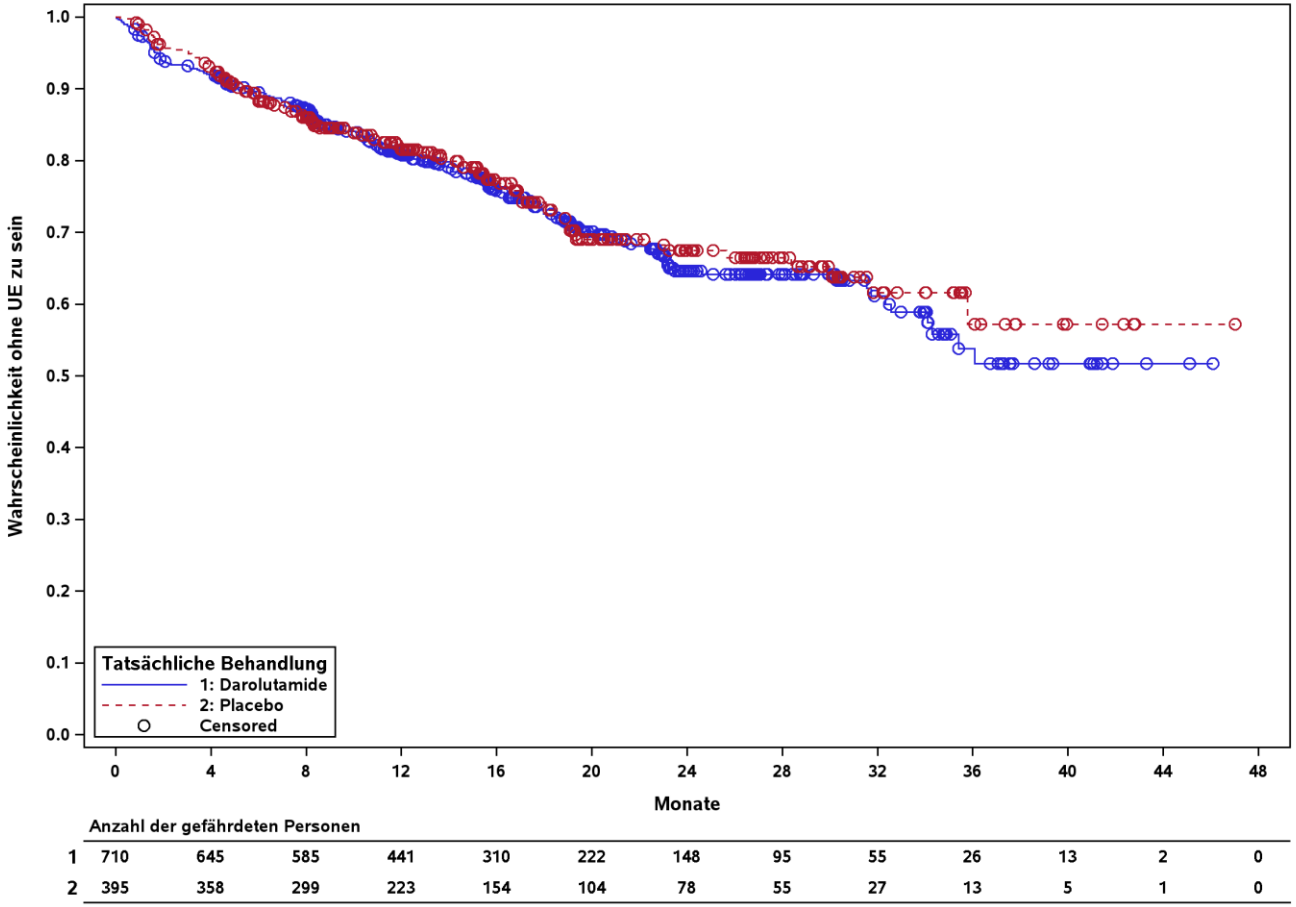
Bayer: /by-sasp/patdb/projects/1841788/17712/stat/prod_query22/pgms/t_ae_sub.sas 23APR2020 17:06

Figure 4.3.3 / 26: Kaplan-Meier-Plot der 'Unerwünschte Ereignis Time-to-Event-Analyse' nach Endpunkt und Subgruppe - Endpunkt: Zeit bis zum ersten UE mit CTCAE Grad >=3 - Subgruppe: Gleason-Score bei Diagnose: <7 (full analysis set)



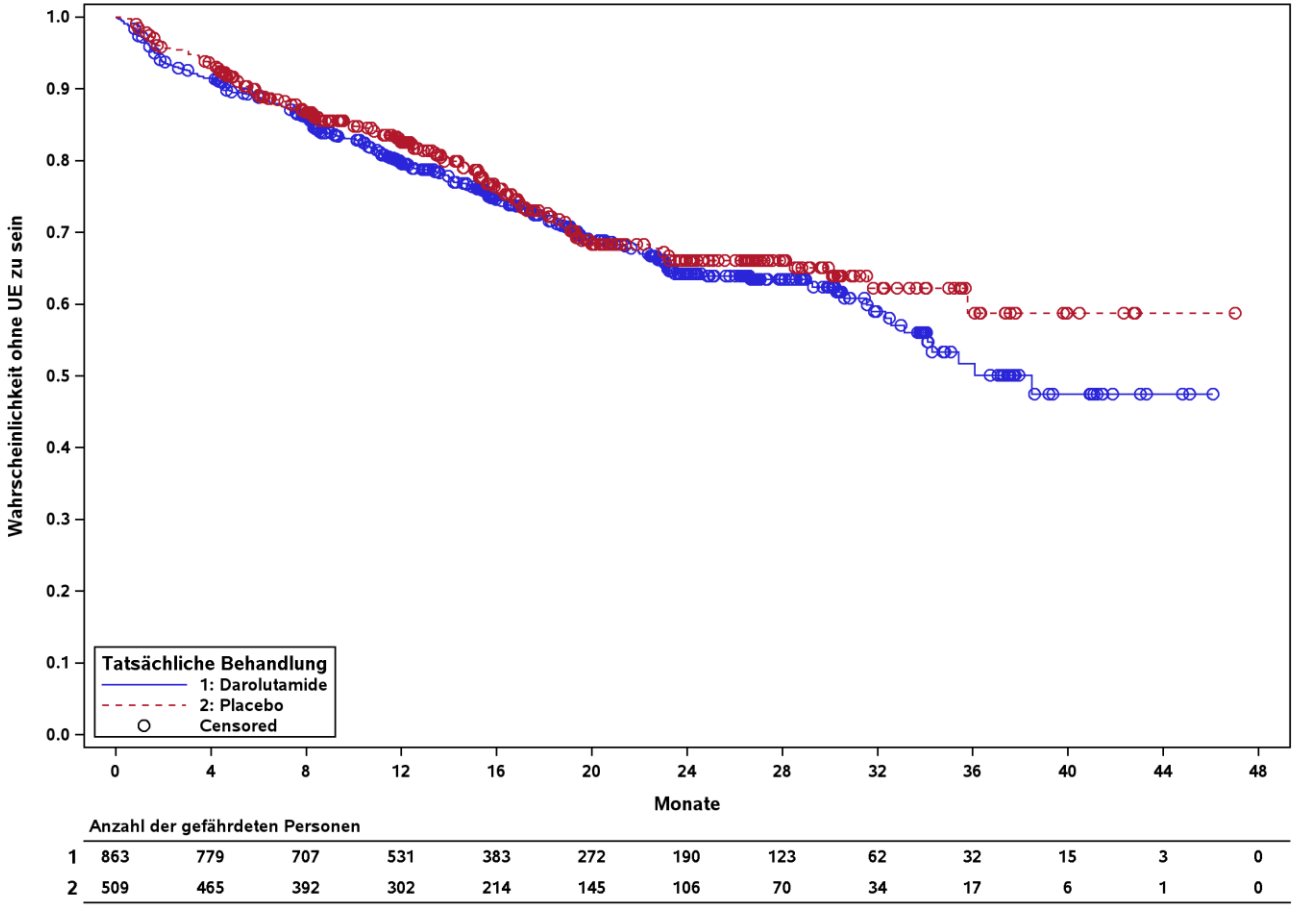
Bayer: /by-sasp/patdb/projects/1841788/17712/stat/prod_query22/pgms/t_ae_sub.sas 23APR2020 17:06

Figure 4.3.3 / 27: Kaplan-Meier-Plot der 'Unerwünschte Ereignis Time-to-Event-Analyse' nach Endpunkt und Subgruppe - Endpunkt: Zeit bis zum ersten UE mit CTCAE Grad >=3 - Subgruppe: Gleason-Score bei Diagnose: >=7 (full analysis set)



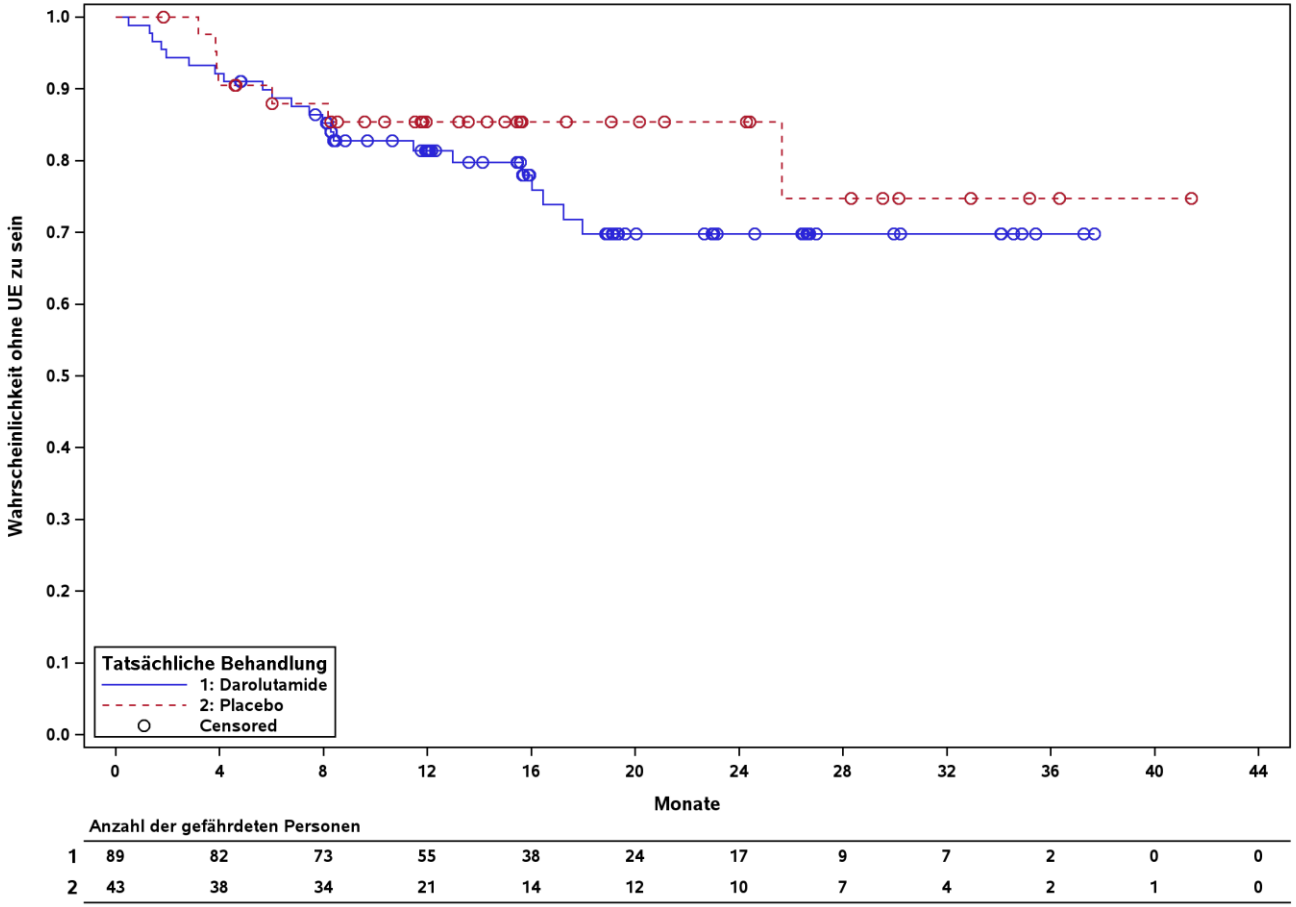
Bayer: /by-sasp/patdb/projects/1841788/17712/stat/prod_query22/pgms/t_ae_sub.sas 23APR2020 17:06

Figure 4.3.3 / 28: Kaplan-Meier-Plot der 'Unerwünschte Ereignis Time-to-Event-Analyse' nach Endpunkt und Subgruppe - Endpunkt: Zeit bis zum ersten UE mit CTCAE Grad >=3 - Subgruppe: Leberfunktionsstörung: normal (full analysis set)



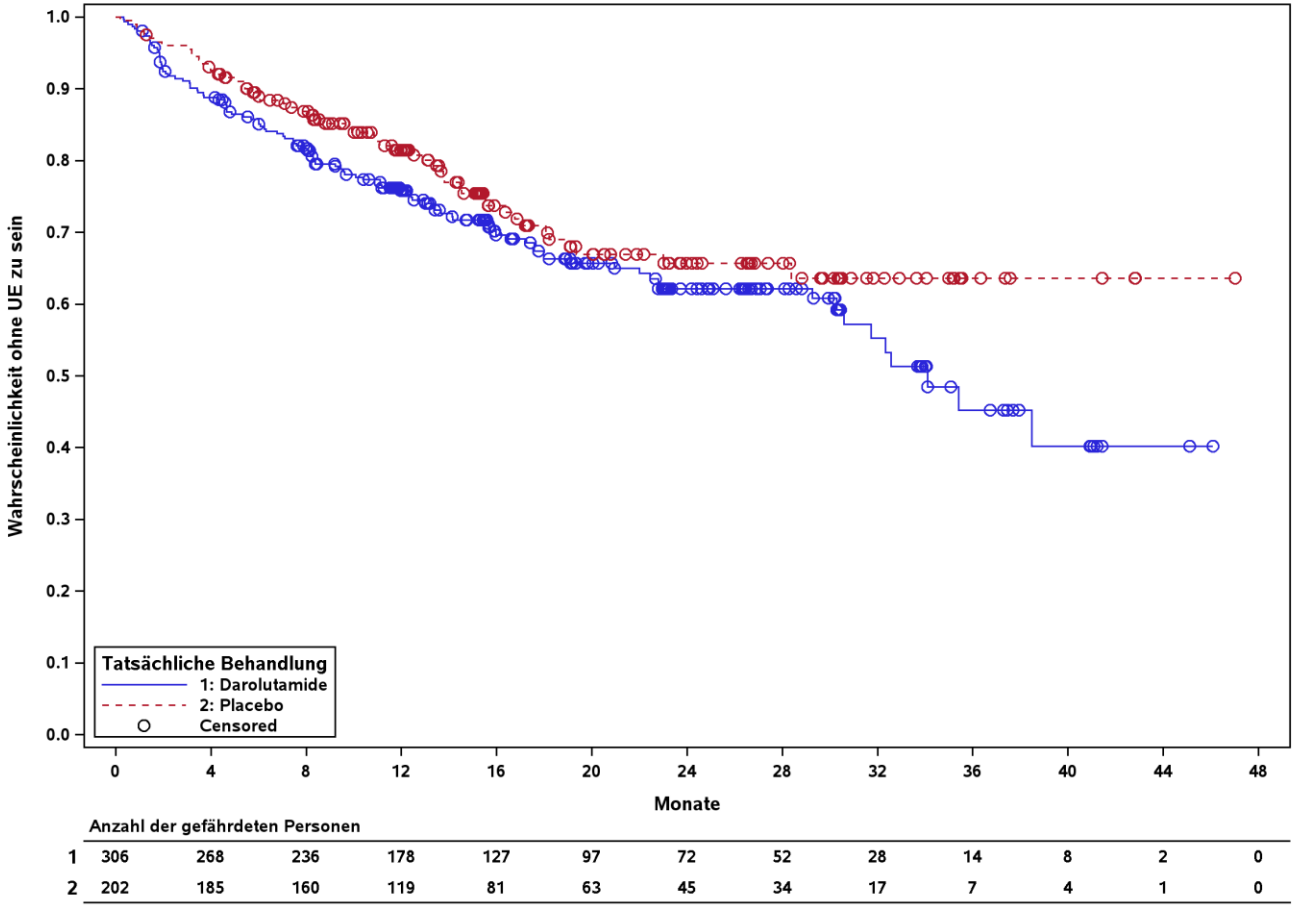
Bayer: /by-sasp/patdb/projects/1841788/17712/stat/prod_query22/pgms/t_ae_sub.sas 23APR2020 17:06

Figure 4.3.3 / 29: Kaplan-Meier-Plot der 'Unerwünschte Ereignis Time-to-Event-Analyse' nach Endpunkt und Subgruppe - Endpunkt: Zeit bis zum ersten UE mit CTCAE Grad >=3 - Subgruppe: Leberfunktionsstörung: mild (full analysis set)



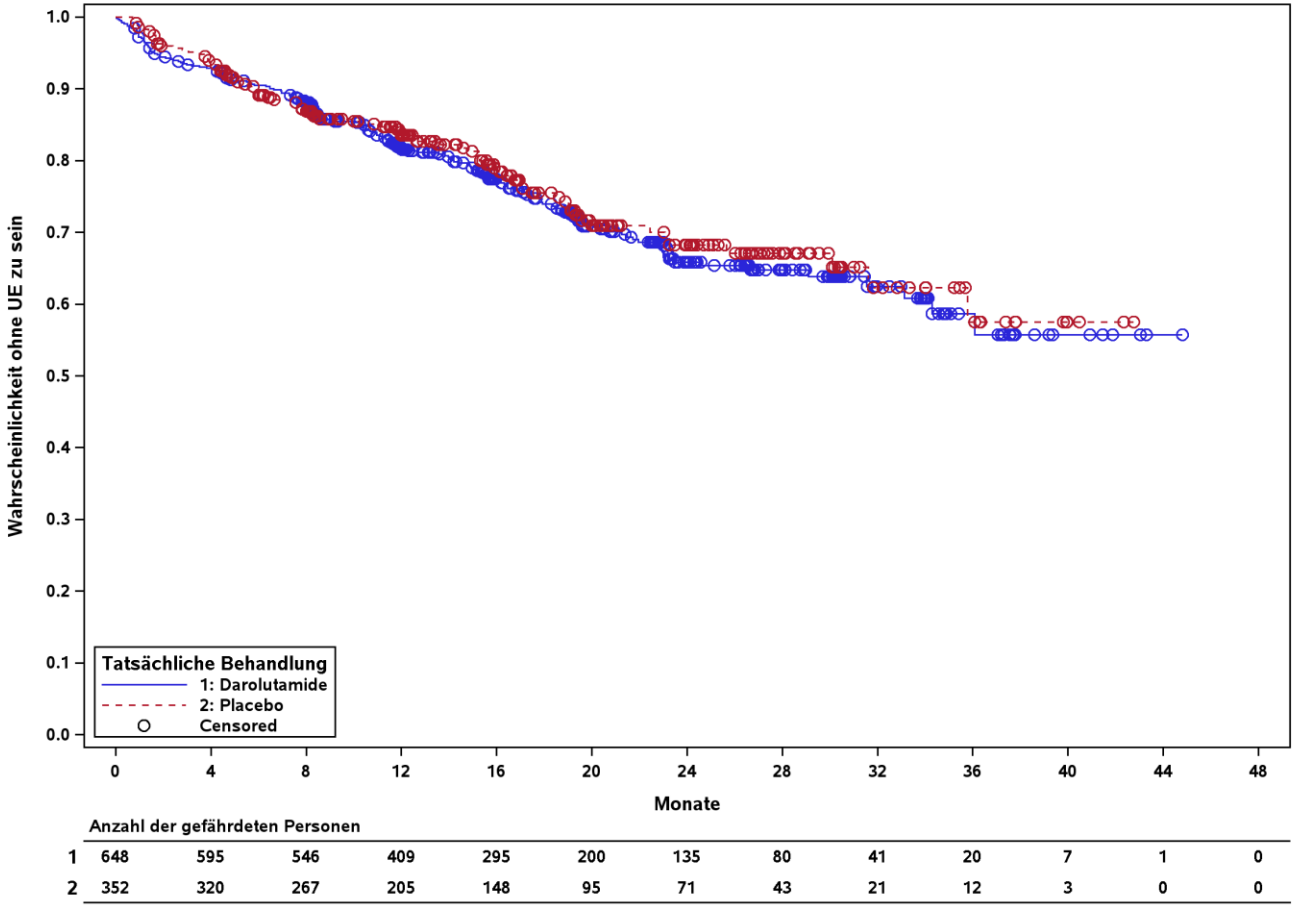
Bayer: /by-sasp/patdb/projects/1841788/17712/stat/prod_query22/pgms/t_ae_sub.sas 23APR2020 17:06

Figure 4.3.3 / 30: Kaplan-Meier-Plot der 'Unerwünschte Ereignis Time-to-Event-Analyse' nach Endpunkt und Subgruppe - Endpunkt: Zeit bis zum ersten UE mit CTCAE Grad >=3 - Subgruppe: Nutzung von Statinen: Ja (full analysis set)



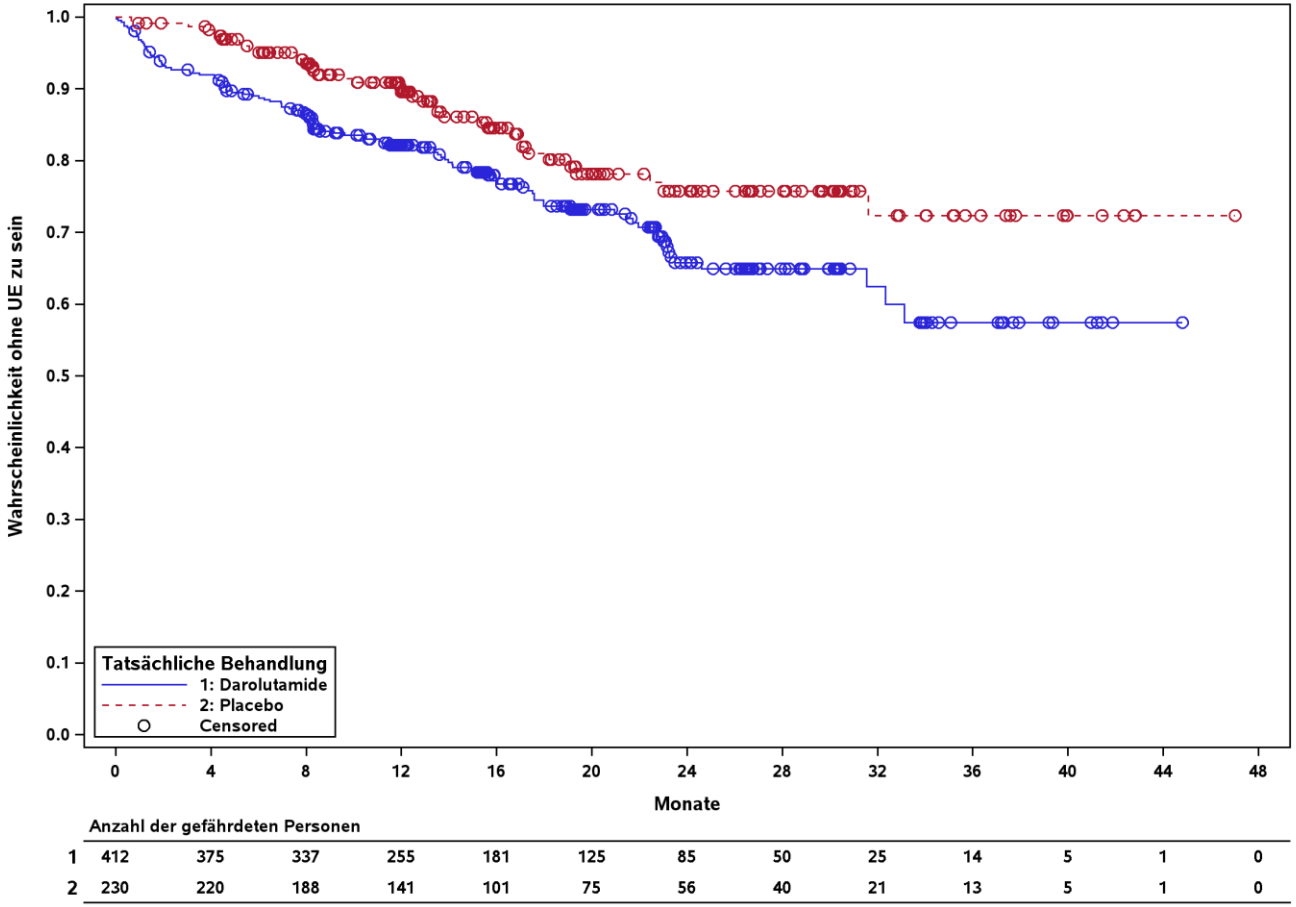
Bayer: /by-sasp/patdb/projects/1841788/17712/stat/prod_query22/pgms/t_ae_sub.sas 23APR2020 17:06

Figure 4.3.3 / 31: Kaplan-Meier-Plot der 'Unerwünschte Ereignis Time-to-Event-Analyse' nach Endpunkt und Subgruppe - Endpunkt: Zeit bis zum ersten UE mit CTCAE Grad >=3 - Subgruppe: Nutzung von Statinen: Nein (full analysis set)



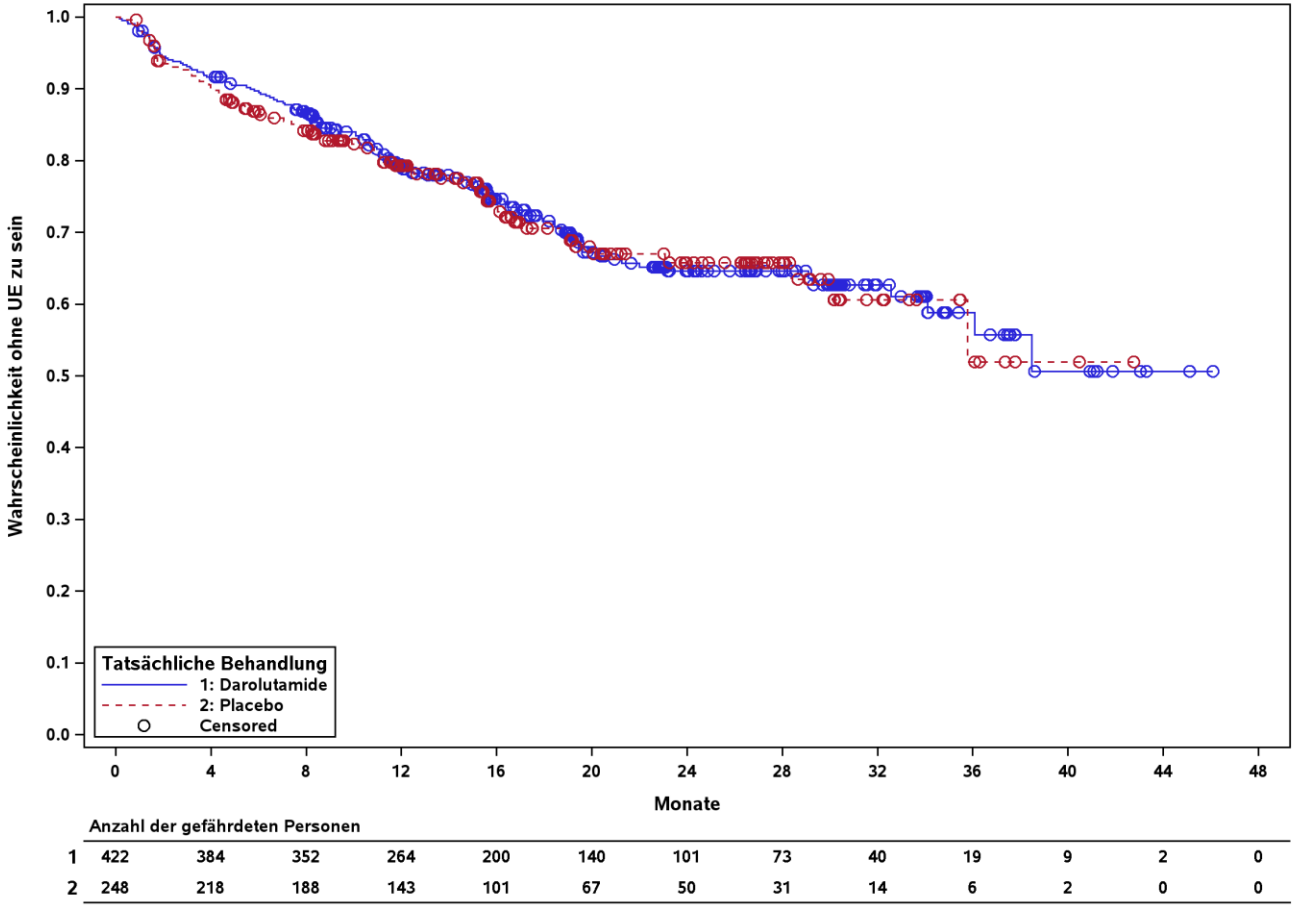
Bayer: /by-sasp/patdb/projects/1841788/17712/stat/prod_query22/pgms/t_ae_sub.sas 23APR2020 17:06

Figure 4.3.3 / 32: Kaplan-Meier-Plot der 'Unerwünschte Ereignis Time-to-Event-Analyse' nach Endpunkt und Subgruppe - Endpunkt: Zeit bis zum ersten UE mit CTCAE Grad >=3 - Subgruppe: eGFR an Baseline: normal (full analysis set)



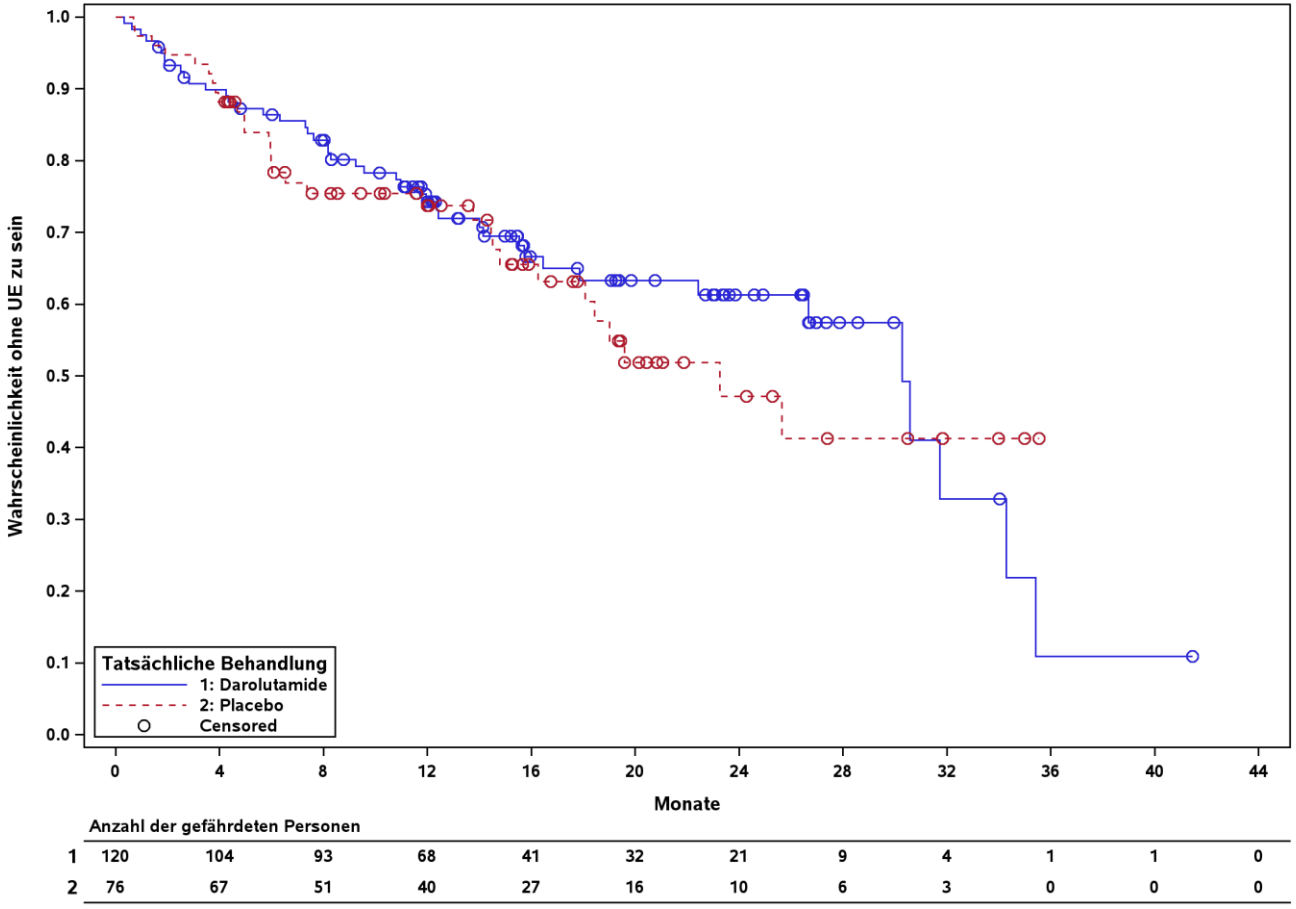
Bayer: /by-sasp/patdb/projects/1841788/17712/stat/prod_query22/pgms/t_ae_sub.sas 23APR2020 17:06

Figure 4.3.3 / 33: Kaplan-Meier-Plot der 'Unerwünschte Ereignis Time-to-Event-Analyse' nach Endpunkt und Subgruppe - Endpunkt: Zeit bis zum ersten UE mit CTCAE Grad >=3 - Subgruppe: eGFR an Baseline: mildly impaired (full analysis set)



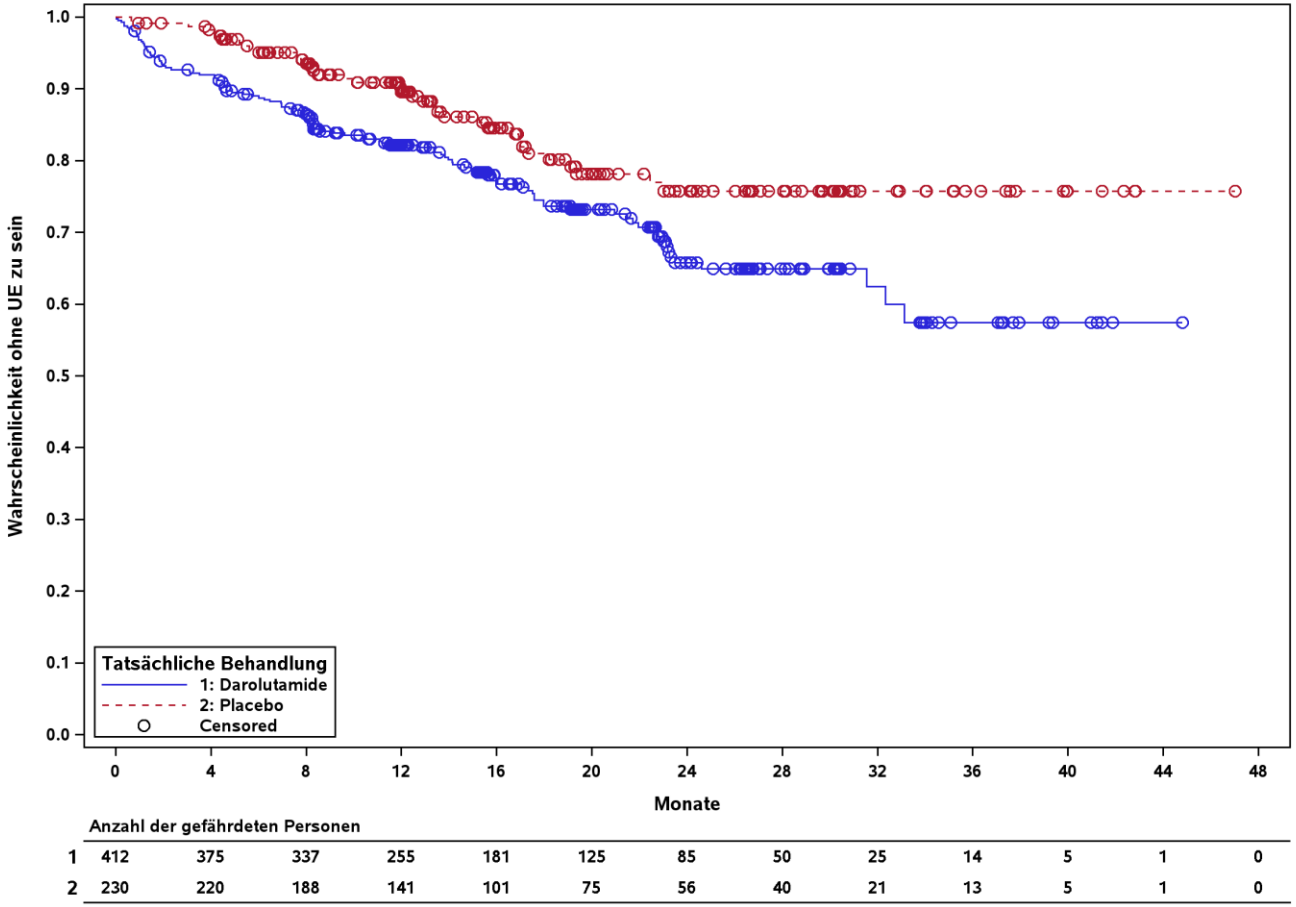
Bayer: /by-sasp/patdb/projects/1841788/17712/stat/prod_query22/pgms/t_ae_sub.sas 23APR2020 17:06

Figure 4.3.3 / 34: Kaplan-Meier-Plot der 'Unerwünschte Ereignis Time-to-Event-Analyse' nach Endpunkt und Subgruppe - Endpunkt: Zeit bis zum ersten UE mit CTCAE Grad >=3 - Subgruppe: eGFR an Baseline: moderately impaired, severely impaired and renal end stage (full analysis set)



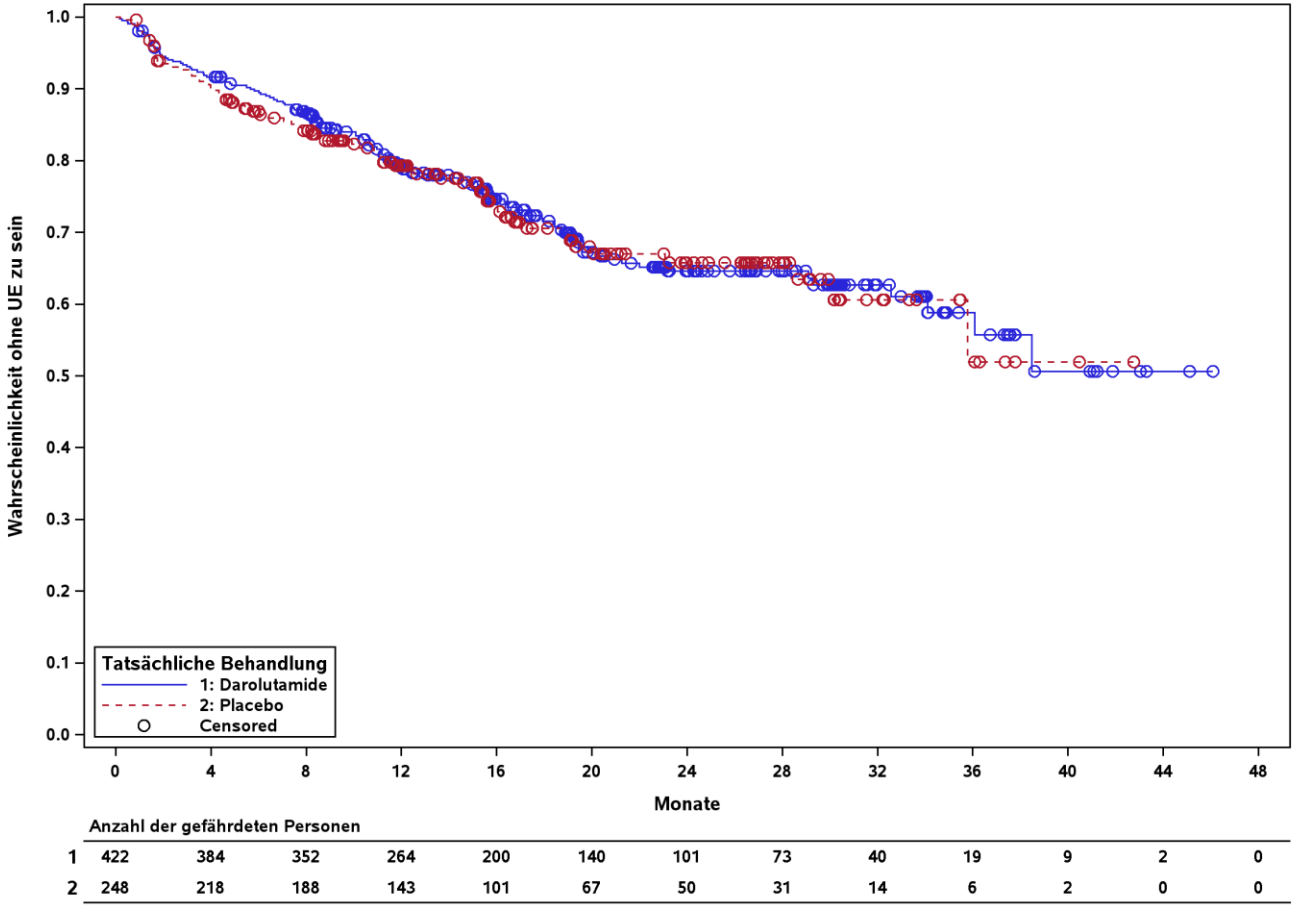
Bayer: /by-sasp/patdb/projects/1841788/17712/stat/prod_query22/pgms/t_ae_sub.sas 23APR2020 17:06

Figure 4.3.3 / 35: Kaplan-Meier-Plot der 'Unerwünschte Ereignis Time-to-Event-Analyse' nach Endpunkt und Subgruppe - Endpunkt: Zeit bis zum ersten UE mit CTCAE Grad >=3 mit Ausnahme krankheitsbedingter Ereignisse - Subgruppe: eGFR an Baseline: normal (full analysis set)



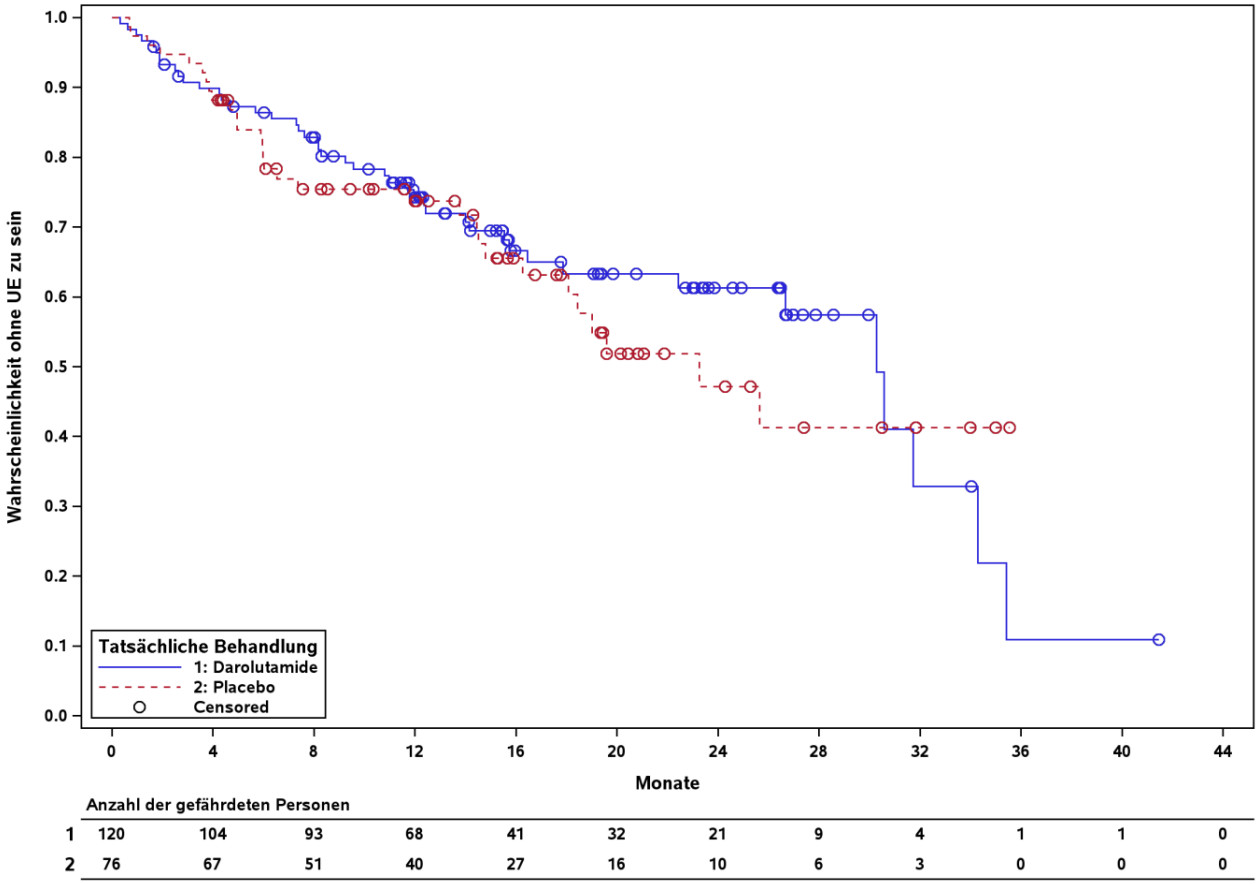
Bayer: /by-sasp/patdb/projects/1841788/17712/stat/prod_query22/pgms/t_ae_sub.sas 23APR2020 17:06

Figure 4.3.3 / 36: Kaplan-Meier-Plot der 'Unerwünschte Ereignis Time-to-Event-Analyse' nach Endpunkt und Subgruppe - Endpunkt: Zeit bis zum ersten UE mit CTCAE Grad >=3 mit Ausnahme krankheitsbedingter Ereignisse - Subgruppe: eGFR an Baseline: mildly impaired (full analysis set)



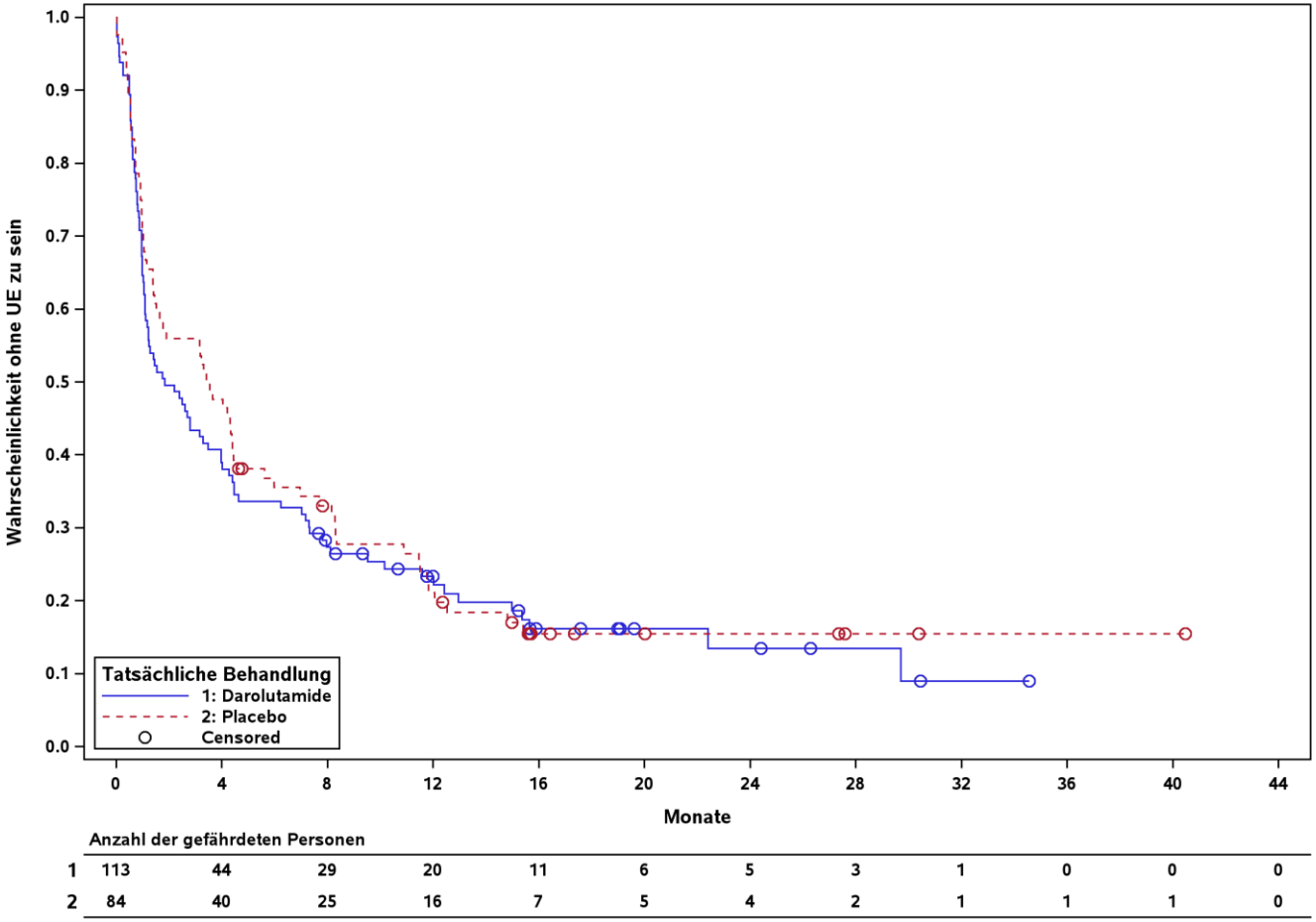
Bayer: /by-sasp/patdb/projects/1841788/17712/stat/prod_query22/pgms/t_ae_sub.sas 23APR2020 17:06

Figure 4.3.3 / 37: Kaplan-Meier-Plot der 'Unerwünschte Ereignis Time-to-Event-Analyse' nach Endpunkt und Subgruppe - Endpunkt: Zeit bis zum ersten UE mit CTCAE Grad >=3 mit Ausnahme krankheitsbedingter Ereignisse - Subgruppe: eGFR an Baseline: moderately impaired, severely impaired and renal end stage (full analysis set)



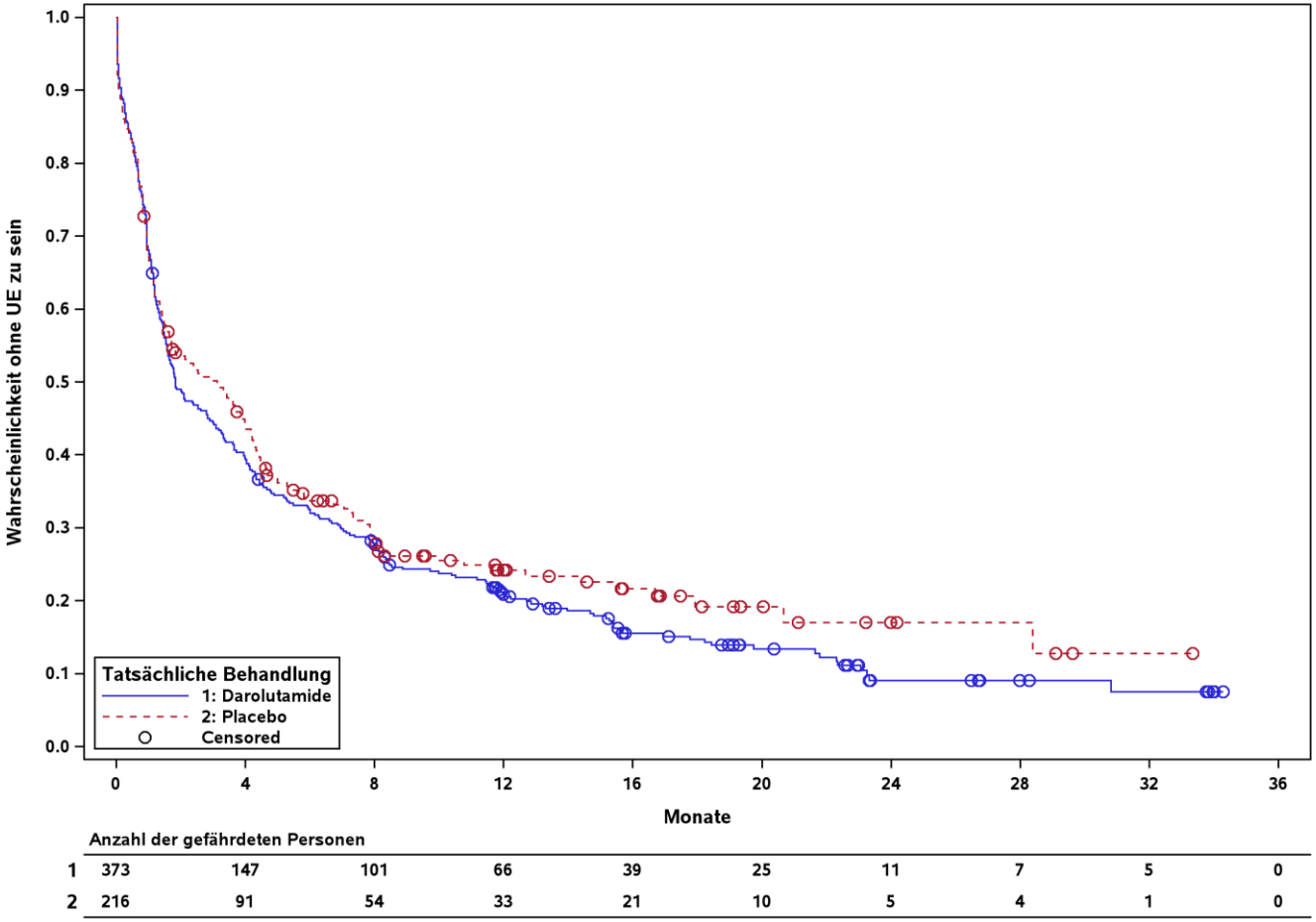
Bayer: /by-sasp/patdb/projects/1841788/17712/stat/prod_query22/pgms/t_ae_sub.sas 23APR2020 17:06

Figure 4.3.3 / 38: Kaplan-Meier-Plot der 'Unerwünschte Ereignis Time-to-Event-Analyse' nach Endpunkt und Subgruppe - Endpunkt: Zeit bis zum ersten UE - Subgruppe: Alter (Jahre): <65 (full analysis set)



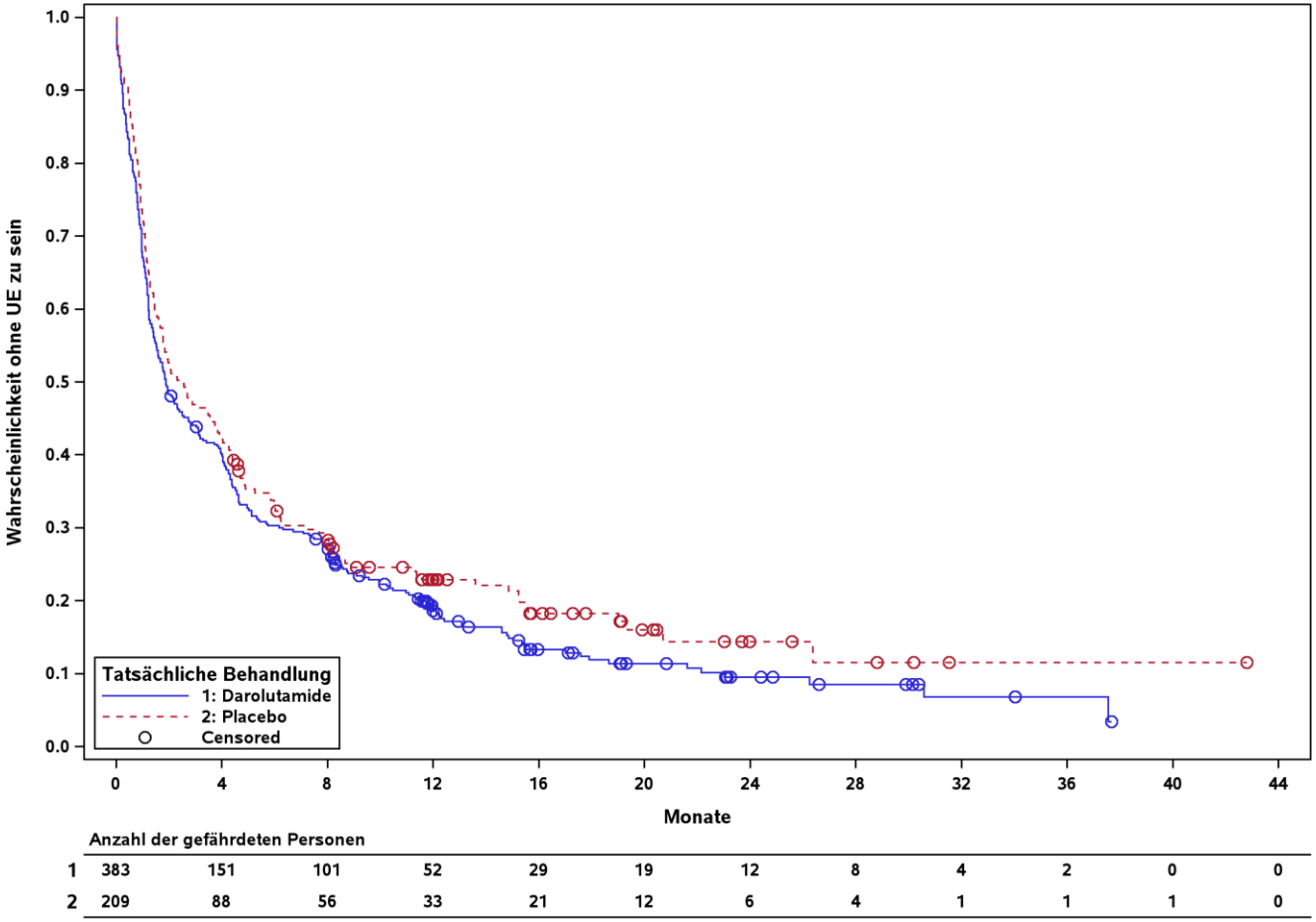
Bayer: /by-sasp/patdb/projects/1841788/17712/stat/prod_query22/pgms/t_ae_sub.sas 23APR2020 17:06

Figure 4.3.3 / 39: Kaplan-Meier-Plot der 'Unerwünschte Ereignis Time-to-Event-Analyse' nach Endpunkt und Subgruppe - Endpunkt: Zeit bis zum ersten UE - Subgruppe: Alter (Jahre): 65-74 (full analysis set)



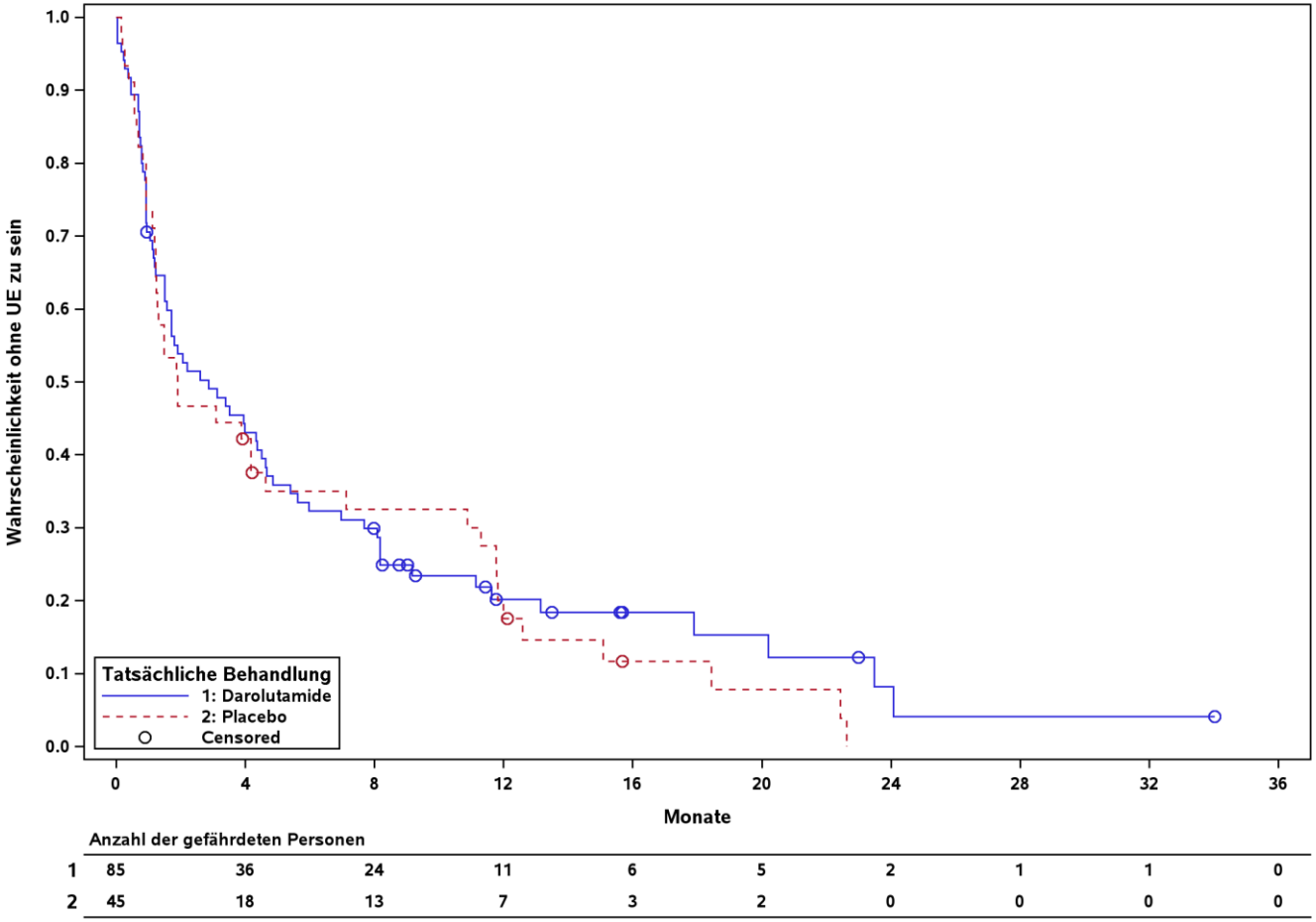
Bayer: /by-sasp/patdb/projects/1841788/17712/stat/prod_query22/pgms/t_ae_sub.sas 23APR2020 17:06

Figure 4.3.3 / 40: Kaplan-Meier-Plot der 'Unerwünschte Ereignis Time-to-Event-Analyse' nach Endpunkt und Subgruppe - Endpunkt: Zeit bis zum ersten UE - Subgruppe: Alter (Jahre): 75-84 (full analysis set)



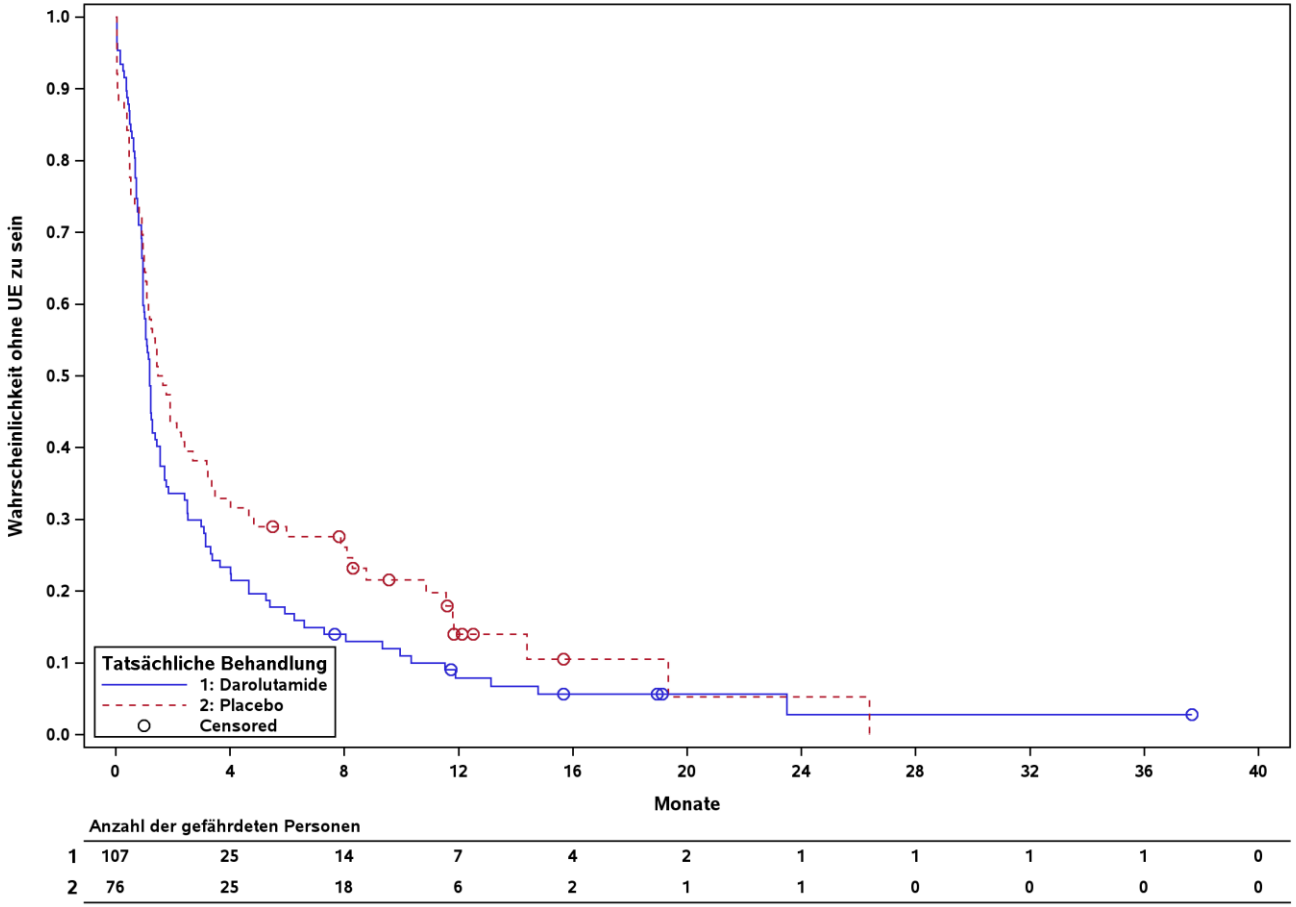
Bayer: /by-sasp/patdb/projects/1841788/17712/stat/prod_query22/pgms/t_ae_sub.sas 23APR2020 17:06

Figure 4.3.3 / 41: Kaplan-Meier-Plot der 'Unerwünschte Ereignis Time-to-Event-Analyse' nach Endpunkt und Subgruppe - Endpunkt: Zeit bis zum ersten UE - Subgruppe: Alter (Jahre): >=85 (full analysis set)



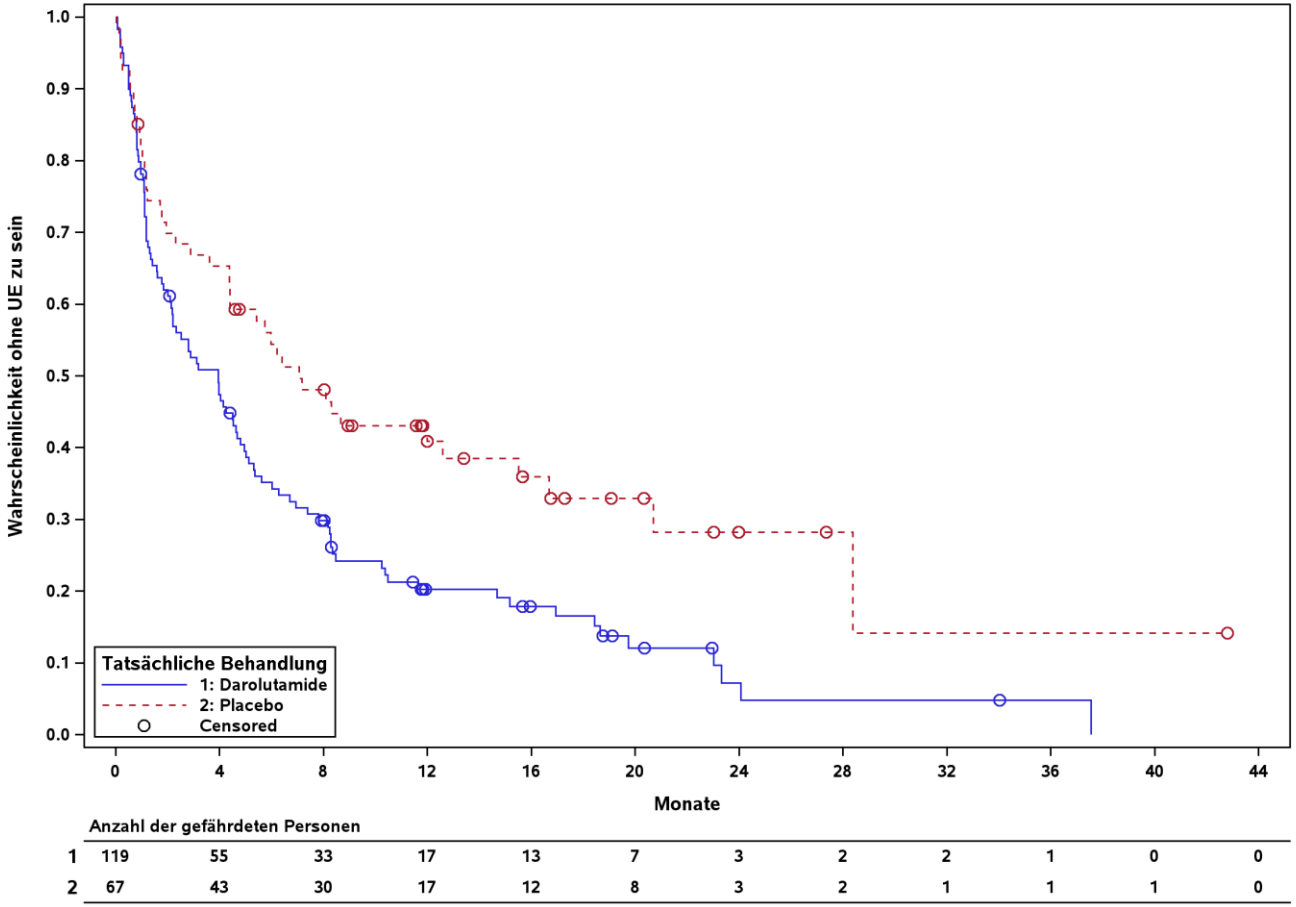
Bayer: /by-sasp/patdb/projects/1841788/17712/stat/prod_query22/pgms/t_ae_sub.sas 23APR2020 17:06

Figure 4.3.3 / 42: Kaplan-Meier-Plot der 'Unerwünschte Ereignis Time-to-Event-Analyse' nach Endpunkt und Subgruppe - Endpunkt: Zeit bis zum ersten UE - Subgruppe: Geografische Region: North America (full analysis set)



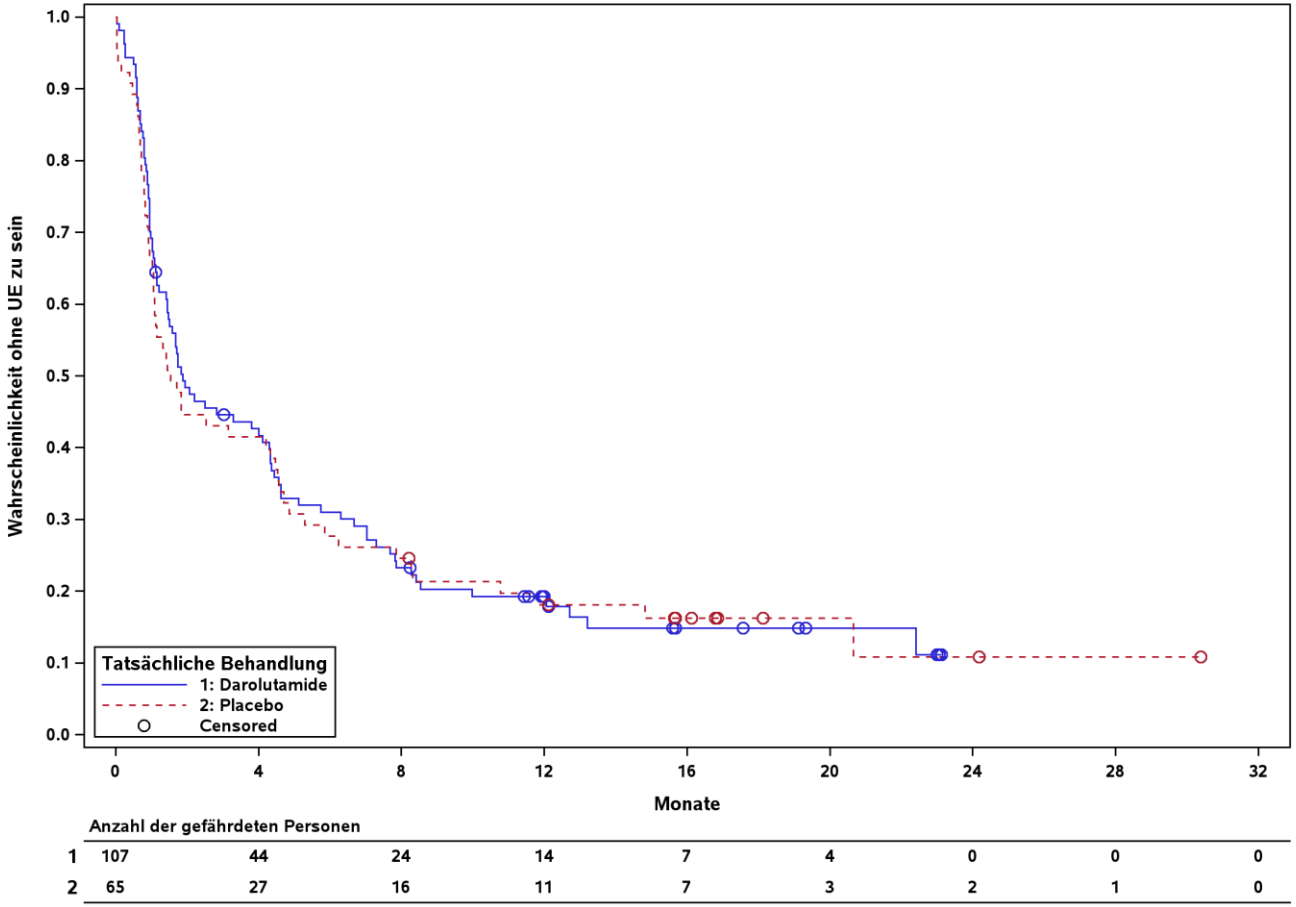
Bayer: /by-sasp/patdb/projects/1841788/17712/stat/prod_query22/pgms/t_ae_sub.sas 23APR2020 17:06

Figure 4.3.3 / 43: Kaplan-Meier-Plot der 'Unerwünschte Ereignis Time-to-Event-Analyse' nach Endpunkt und Subgruppe - Endpunkt: Zeit bis zum ersten UE - Subgruppe: Geografische Region: Asia Pacific (full analysis set)



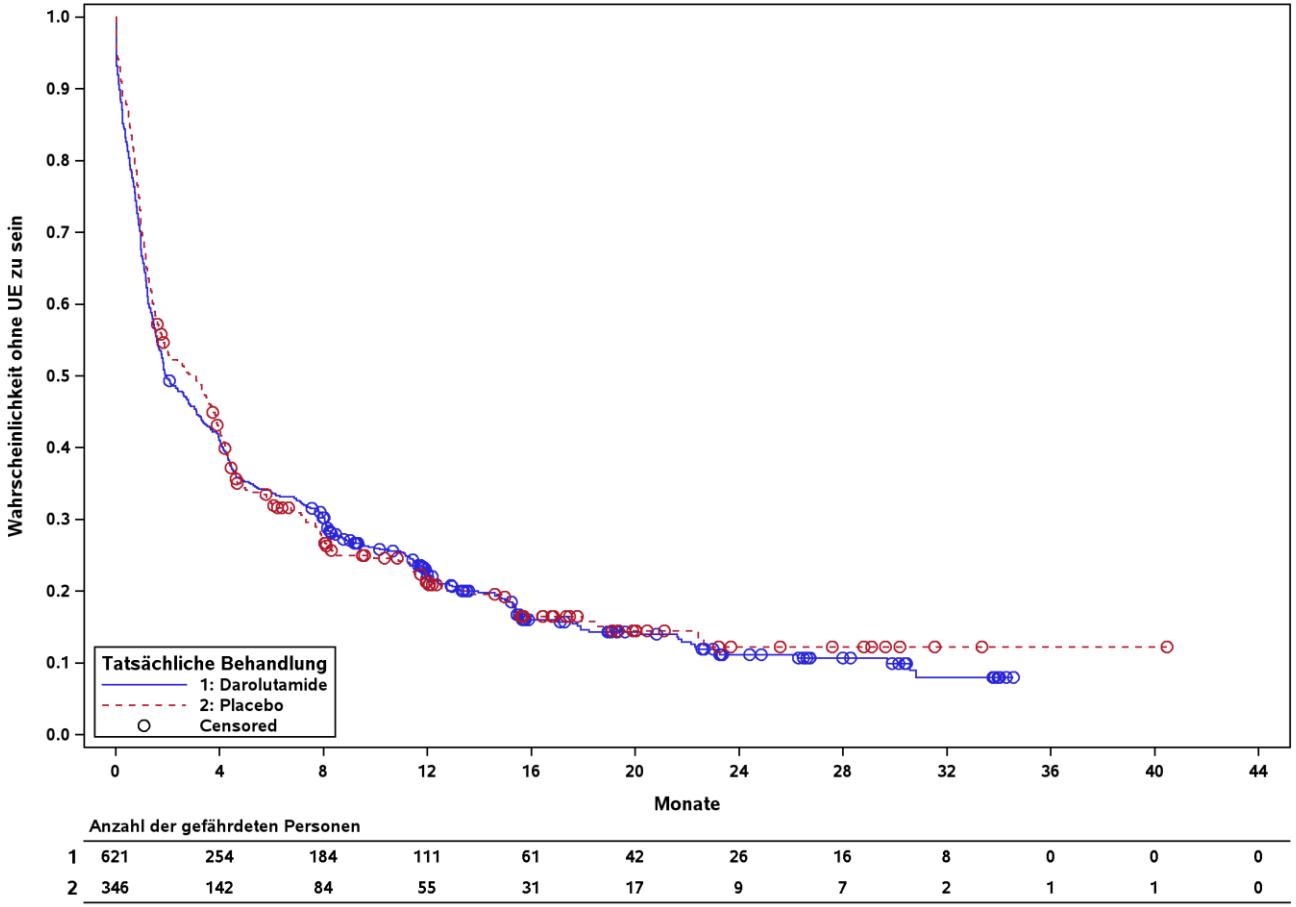
Bayer: /by-sasp/patdb/projects/1841788/17712/stat/prod_query22/pgms/t_ae_sub.sas 23APR2020 17:06

Figure 4.3.3 / 44: Kaplan-Meier-Plot der 'Unerwünschte Ereignis Time-to-Event-Analyse' nach Endpunkt und Subgruppe - Endpunkt: Zeit bis zum ersten UE - Subgruppe: Geografische Region: Rest of the World (full analysis set)



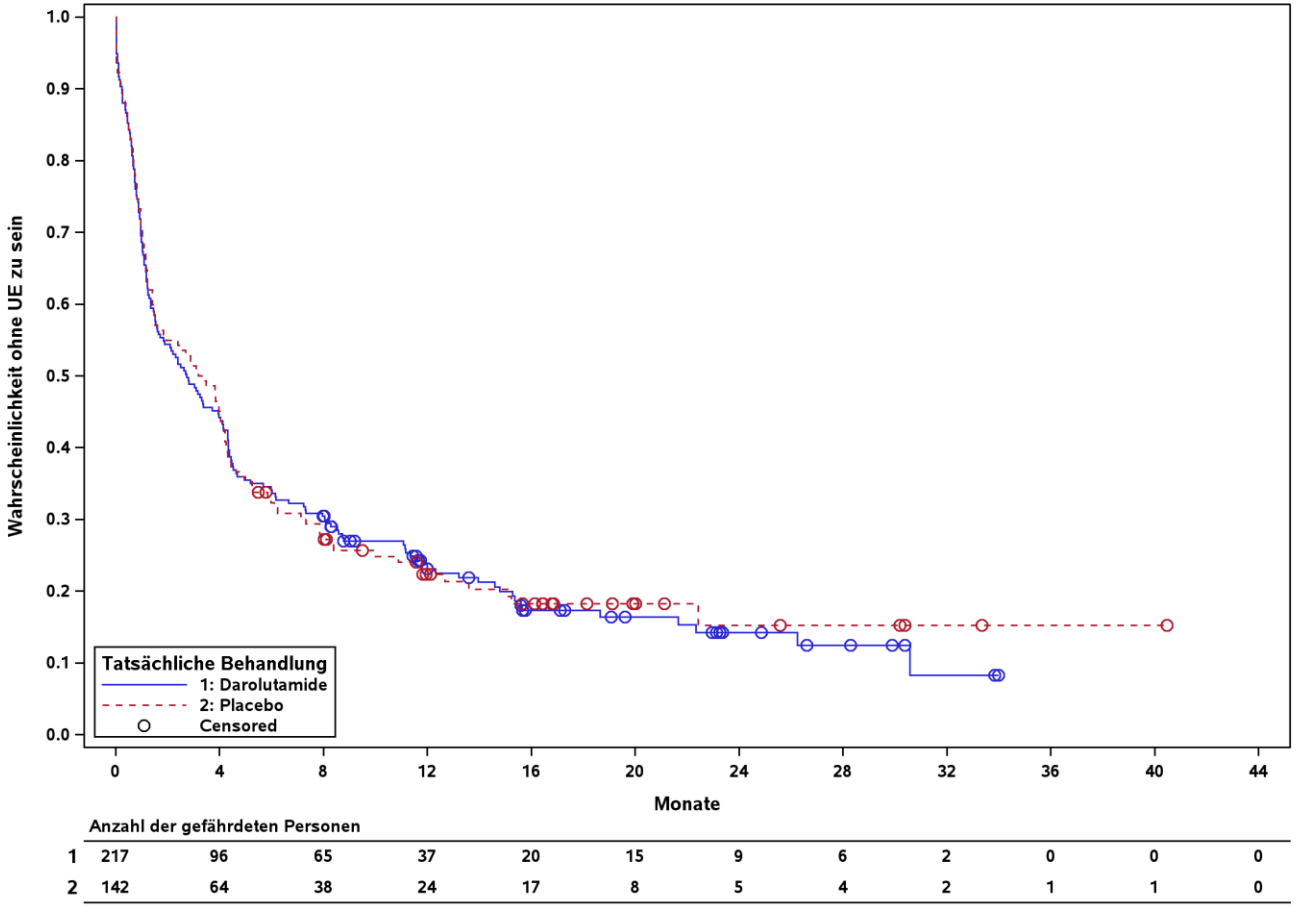
Bayer: /by-sasp/patdb/projects/1841788/17712/stat/prod_query22/pgms/t_ae_sub.sas 23APR2020 17:06

Figure 4.3.3 / 45: Kaplan-Meier-Plot der 'Unerwünschte Ereignis Time-to-Event-Analyse' nach Endpunkt und Subgruppe - Endpunkt: Zeit bis zum ersten UE - Subgruppe: Geografische Region: Europe (full analysis set)



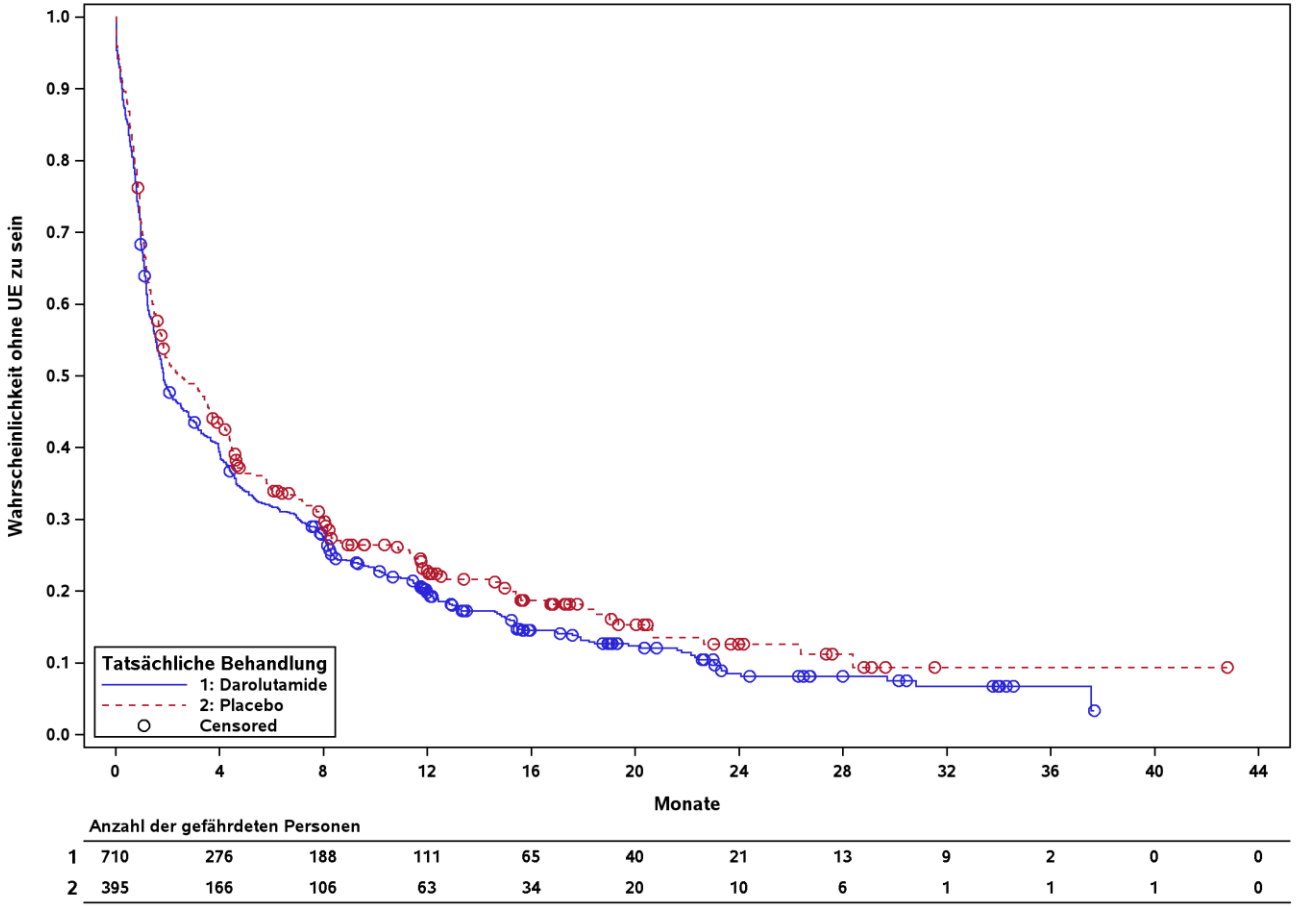
Bayer: /by-sasp/patdb/projects/1841788/17712/stat/prod_query22/pgms/t_ae_sub.sas 23APR2020 17:06

Figure 4.3.3 / 46: Kaplan-Meier-Plot der 'Unerwünschte Ereignis Time-to-Event-Analyse' nach Endpunkt und Subgruppe - Endpunkt: Zeit bis zum ersten UE - Subgruppe: Gleason-Score bei Diagnose: <7 (full analysis set)



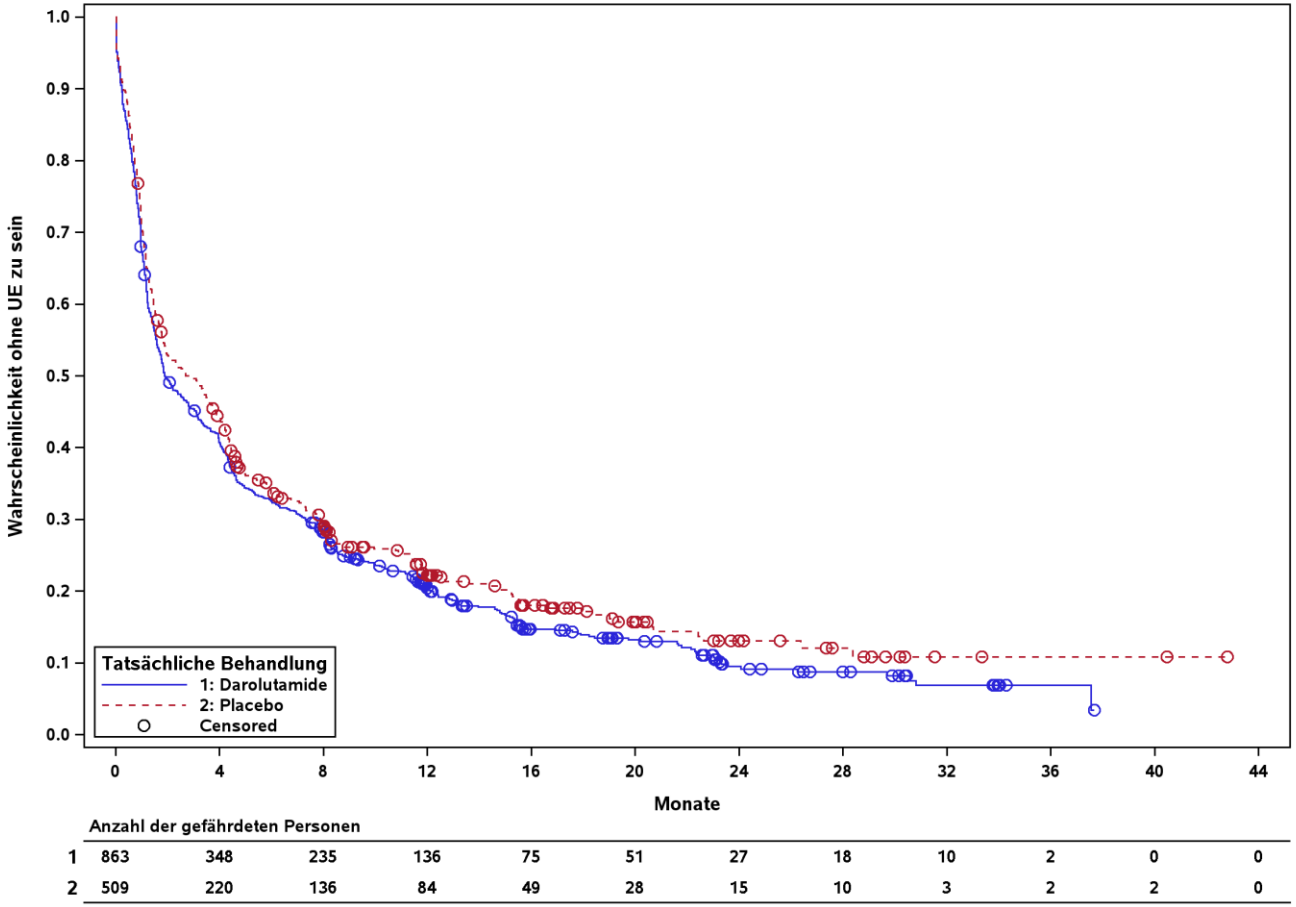
Bayer: /by-sasp/patdb/projects/1841788/17712/stat/prod_query22/pgms/t_ae_sub.sas 23APR2020 17:06

Figure 4.3.3 / 47: Kaplan-Meier-Plot der 'Unerwünschte Ereignis Time-to-Event-Analyse' nach Endpunkt und Subgruppe - Endpunkt: Zeit bis zum ersten UE - Subgruppe: Gleason-Score bei Diagnose: >=7 (full analysis set)



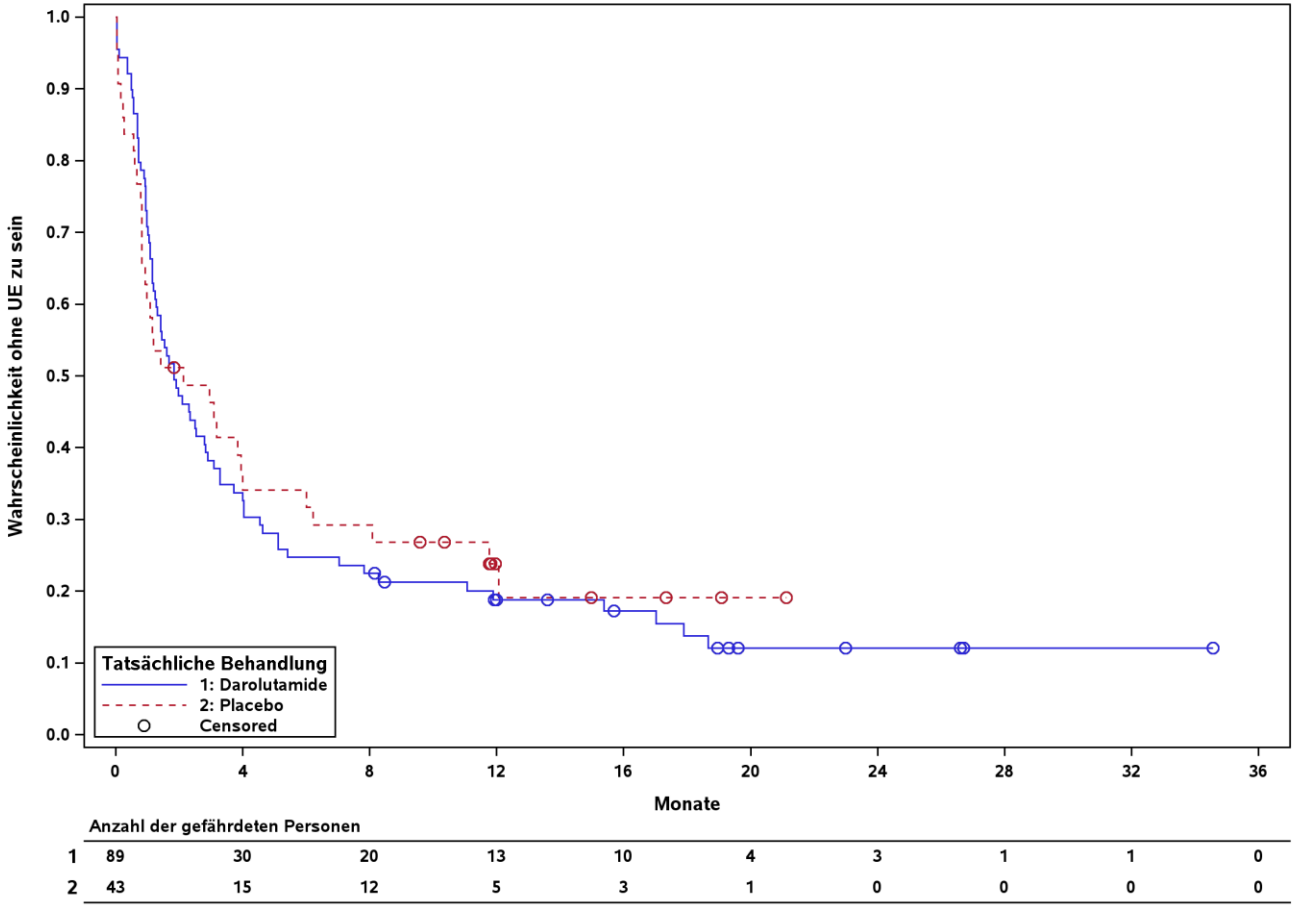
Bayer: /by-sasp/patdb/projects/1841788/17712/stat/prod_query22/pgms/t_ae_sub.sas 23APR2020 17:06

Figure 4.3.3 / 48: Kaplan-Meier-Plot der 'Unerwünschte Ereignis Time-to-Event-Analyse' nach Endpunkt und Subgruppe - Endpunkt: Zeit bis zum ersten UE - Subgruppe: Leberfunktionsstörung: normal (full analysis set)



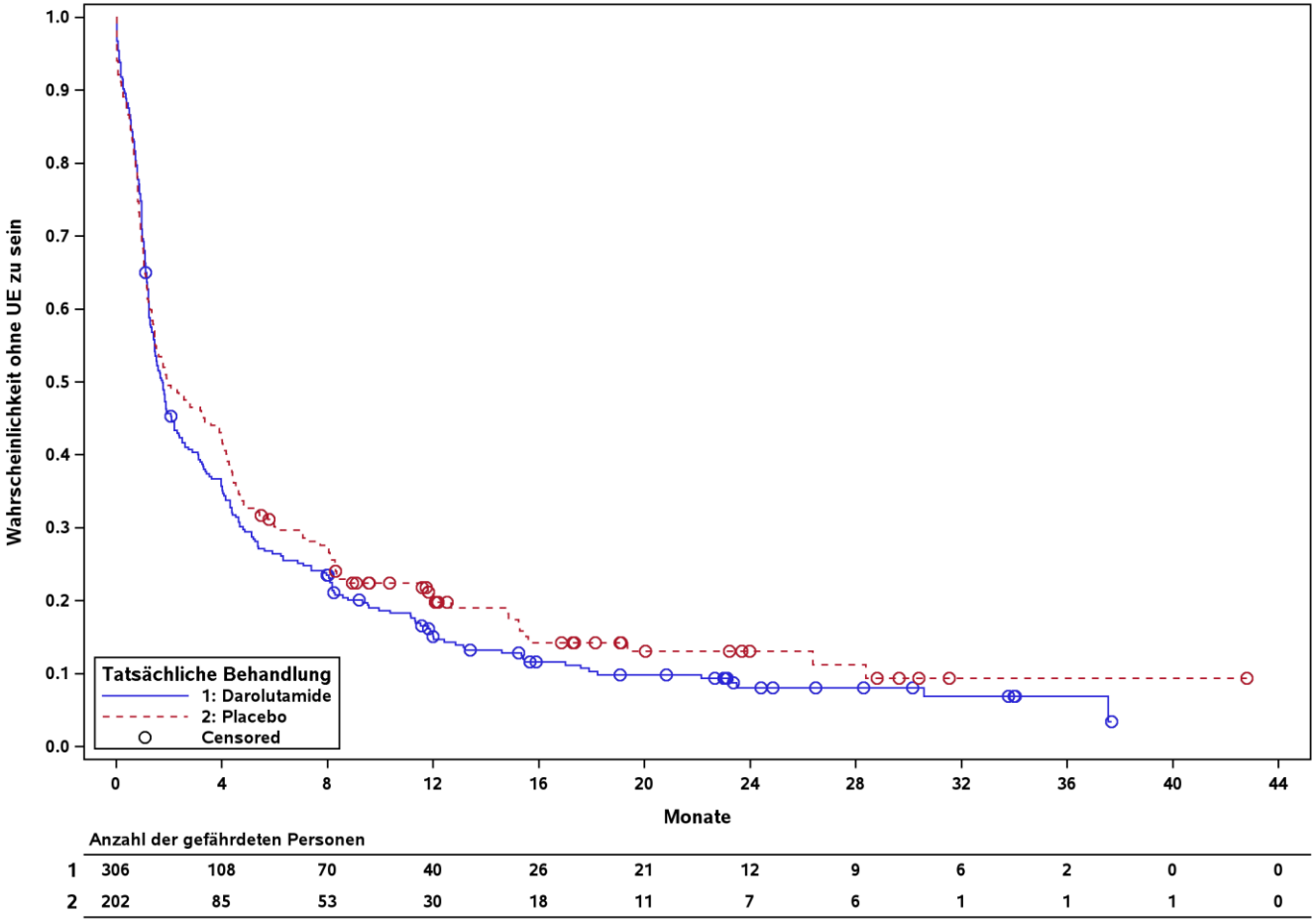
Bayer: /by-sasp/patdb/projects/1841788/17712/stat/prod_query22/pgms/t_ae_sub.sas 23APR2020 17:06

Figure 4.3.3 / 49: Kaplan-Meier-Plot der 'Unerwünschte Ereignis Time-to-Event-Analyse' nach Endpunkt und Subgruppe - Endpunkt: Zeit bis zum ersten UE - Subgruppe: Leberfunktionsstörung: mild (full analysis set)



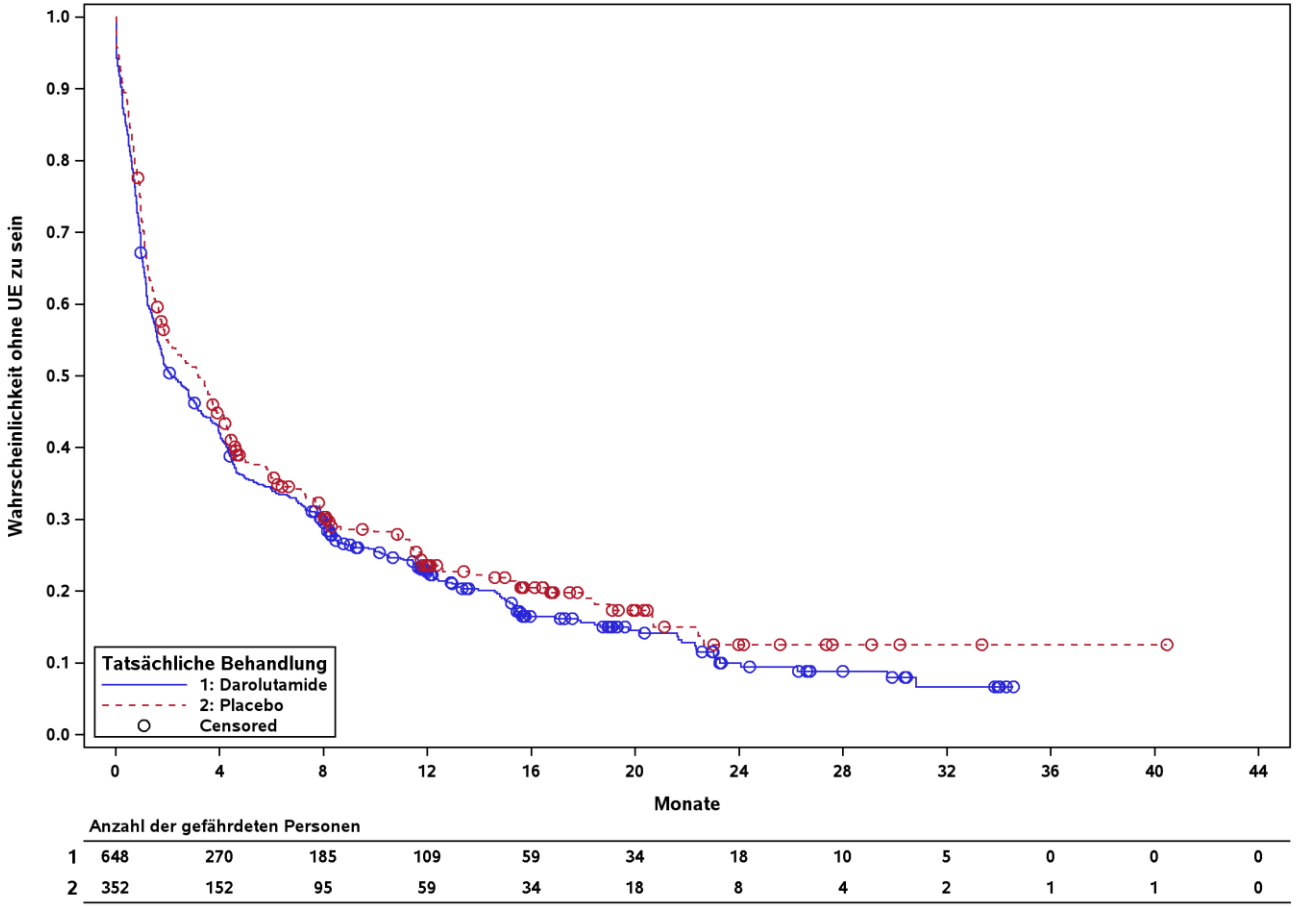
Bayer: /by-sasp/patdb/projects/1841788/17712/stat/prod_query22/pgms/t_ae_sub.sas 23APR2020 17:06

Figure 4.3.3 / 50: Kaplan-Meier-Plot der 'Unerwünschte Ereignis Time-to-Event-Analyse' nach Endpunkt und Subgruppe - Endpunkt: Zeit bis zum ersten UE - Subgruppe: Nutzung von Statinen: Ja (full analysis set)



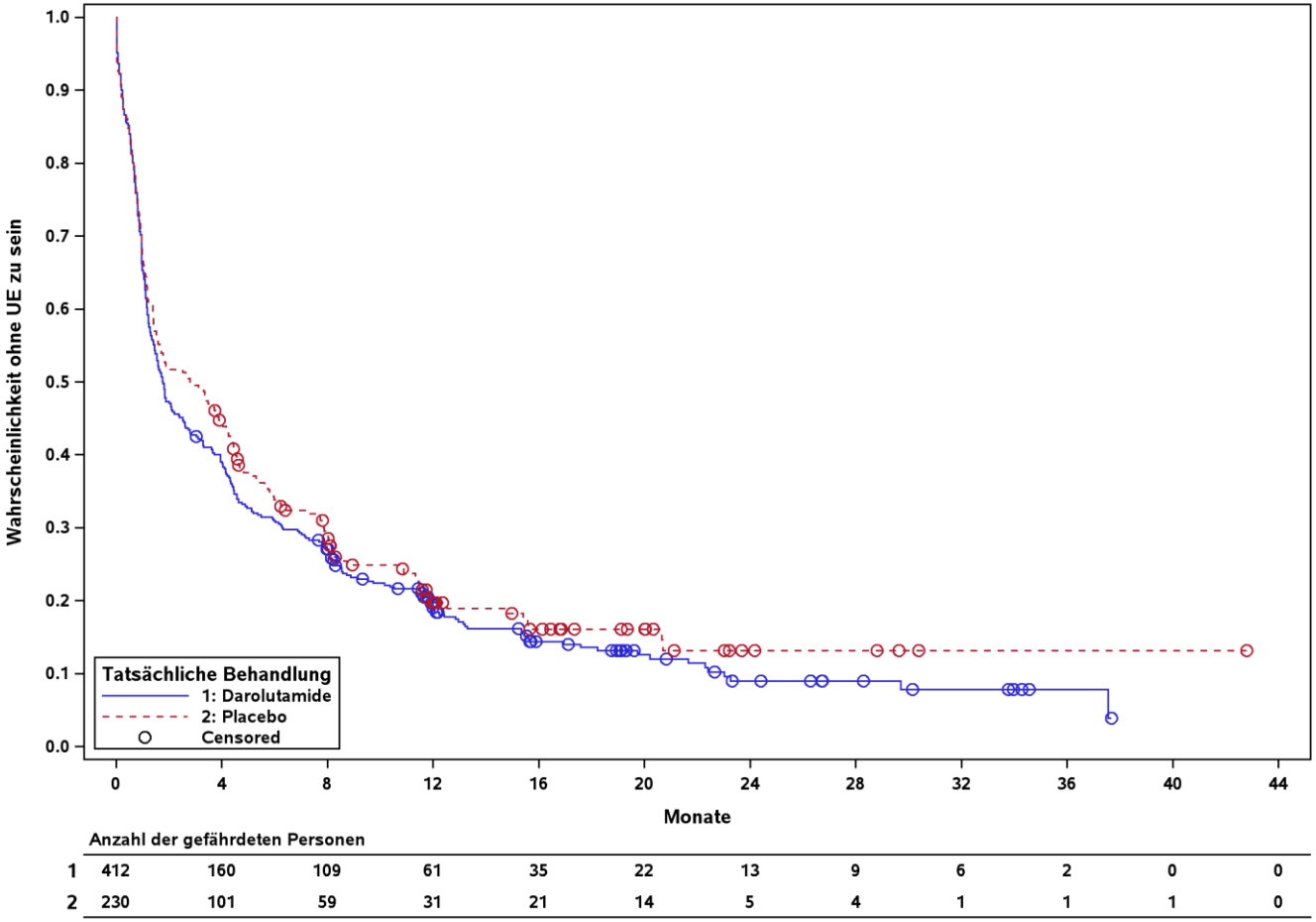
Bayer: /by-sasp/patdb/projects/1841788/17712/stat/prod_query22/pgms/t_ae_sub.sas 23APR2020 17:06

Figure 4.3.3 / 51: Kaplan-Meier-Plot der 'Unerwünschte Ereignis Time-to-Event-Analyse' nach Endpunkt und Subgruppe - Endpunkt: Zeit bis zum ersten UE - Subgruppe: Nutzung von Statinen: Nein (full analysis set)



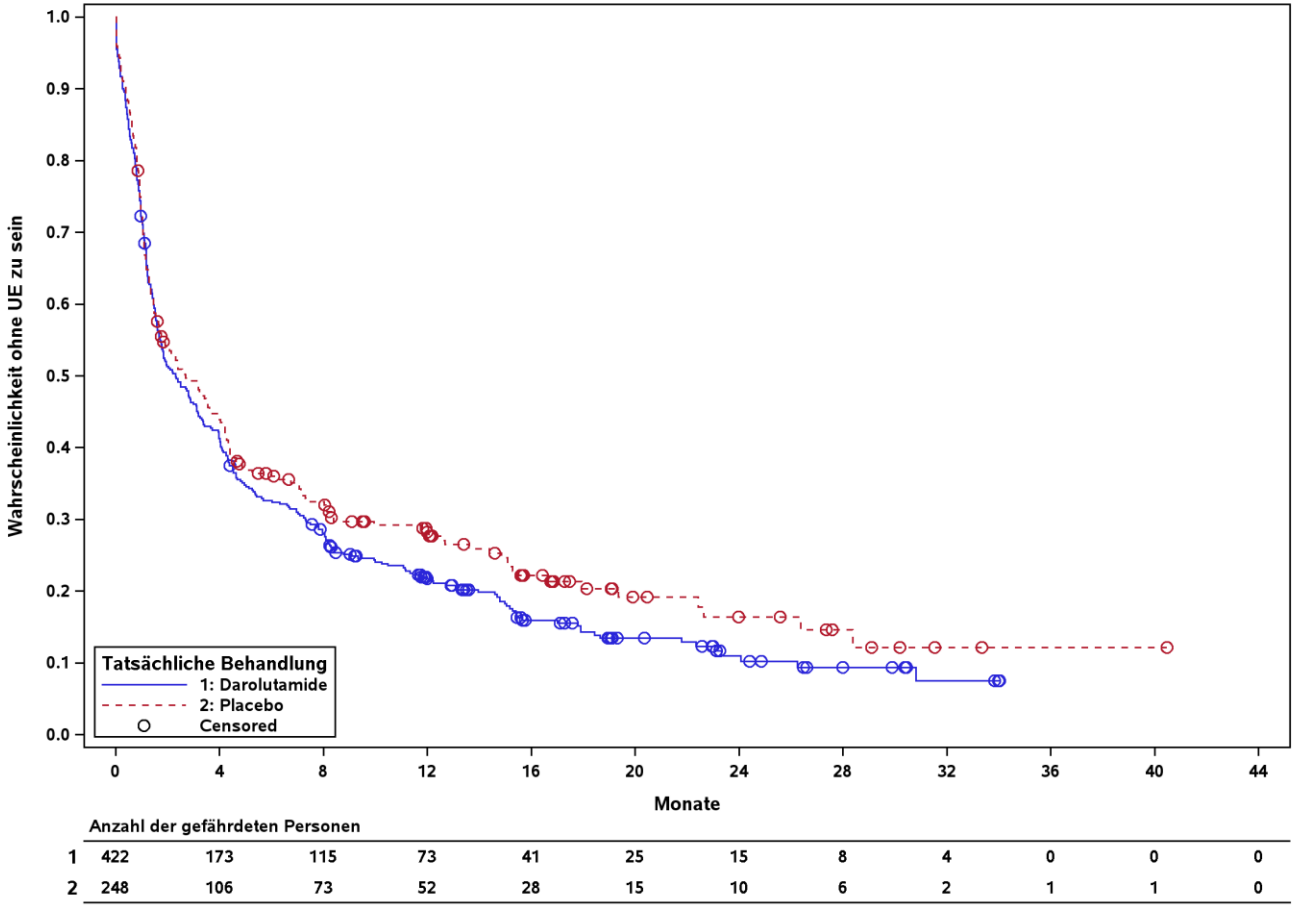
Bayer: /by-sasp/patdb/projects/1841788/17712/stat/prod_query22/pgms/t_ae_sub.sas 23APR2020 17:06

Figure 4.3.3 / 52: Kaplan-Meier-Plot der 'Unerwünschte Ereignis Time-to-Event-Analyse' nach Endpunkt und Subgruppe - Endpunkt: Zeit bis zum ersten UE - Subgruppe: eGFR an Baseline: normal (full analysis set)



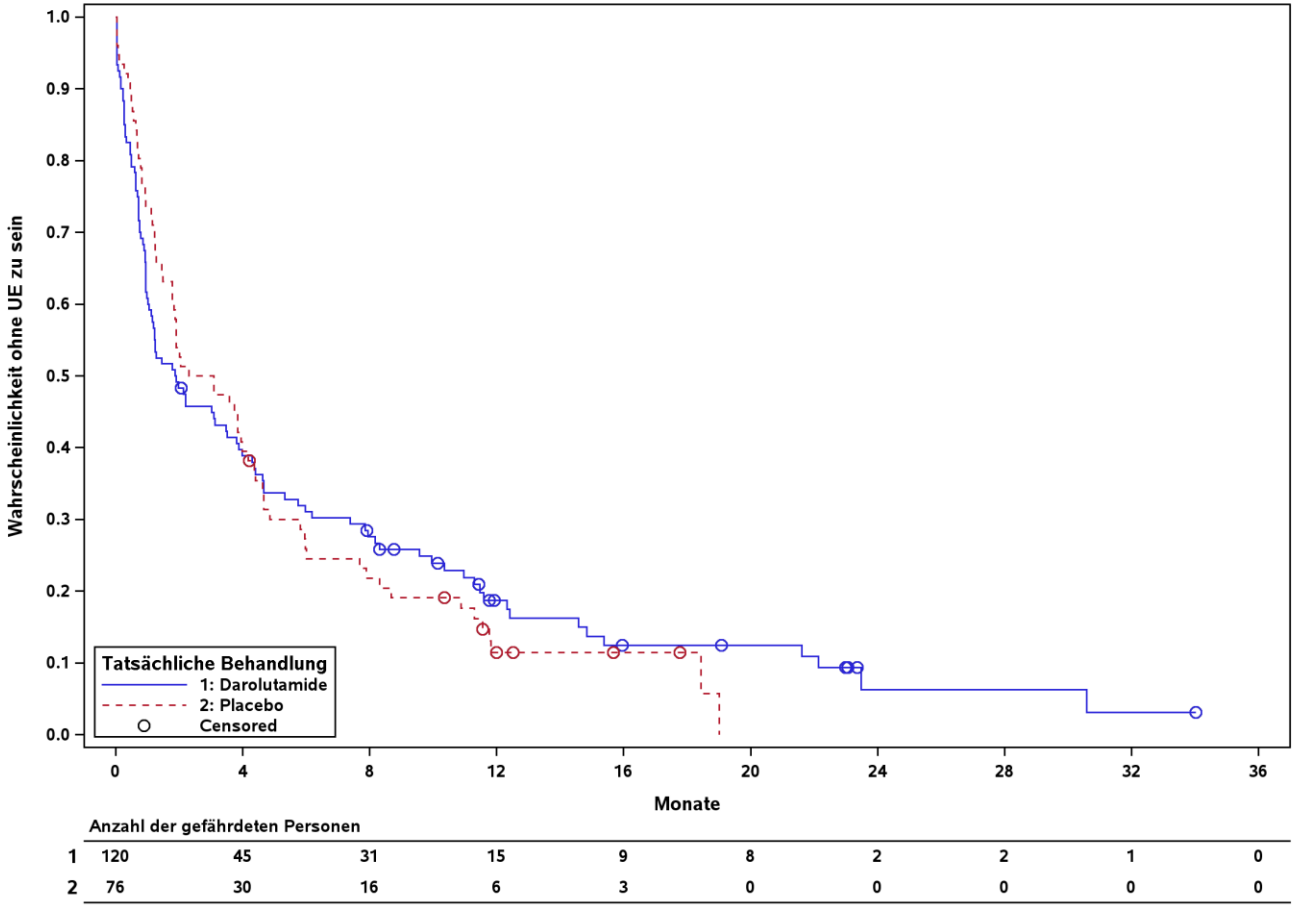
Bayer: /by-sasp/patdb/projects/1841788/17712/stat/prod_query22/pgms/t_ae_sub.sas 23APR2020 17:06

Figure 4.3.3 / 53: Kaplan-Meier-Plot der 'Unerwünschte Ereignis Time-to-Event-Analyse' nach Endpunkt und Subgruppe - Endpunkt: Zeit bis zum ersten UE - Subgruppe: eGFR an Baseline: mildly impaired (full analysis set)



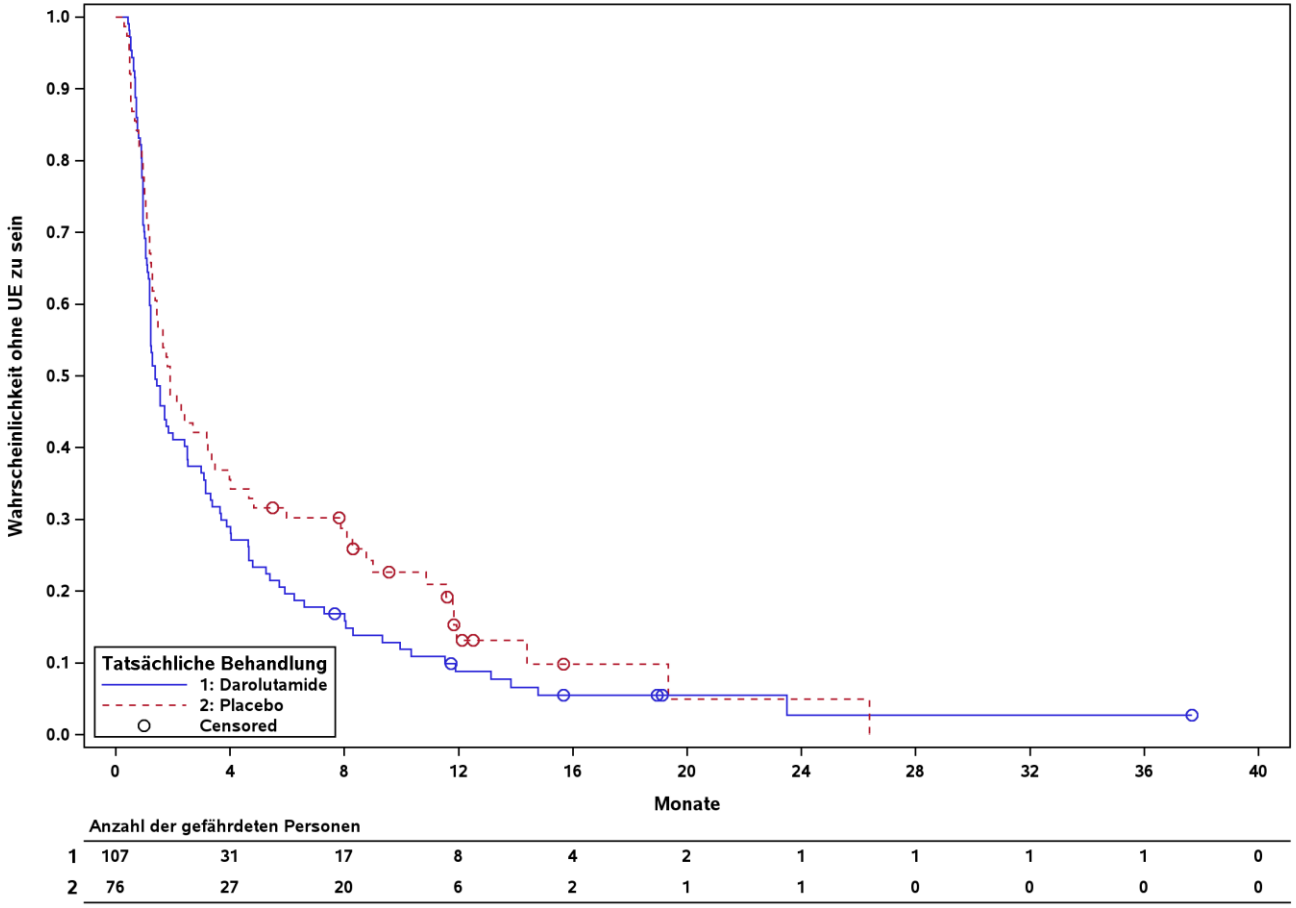
Bayer: /by-sasp/patdb/projects/1841788/17712/stat/prod_query22/pgms/t_ae_sub.sas 23APR2020 17:06

Figure 4.3.3 / 54: Kaplan-Meier-Plot der 'Unerwünschte Ereignis Time-to-Event-Analyse' nach Endpunkt und Subgruppe - Endpunkt: Zeit bis zum ersten UE - Subgruppe: eGFR an Baseline: moderately impaired, severely impaired and renal end stage (full analysis set)



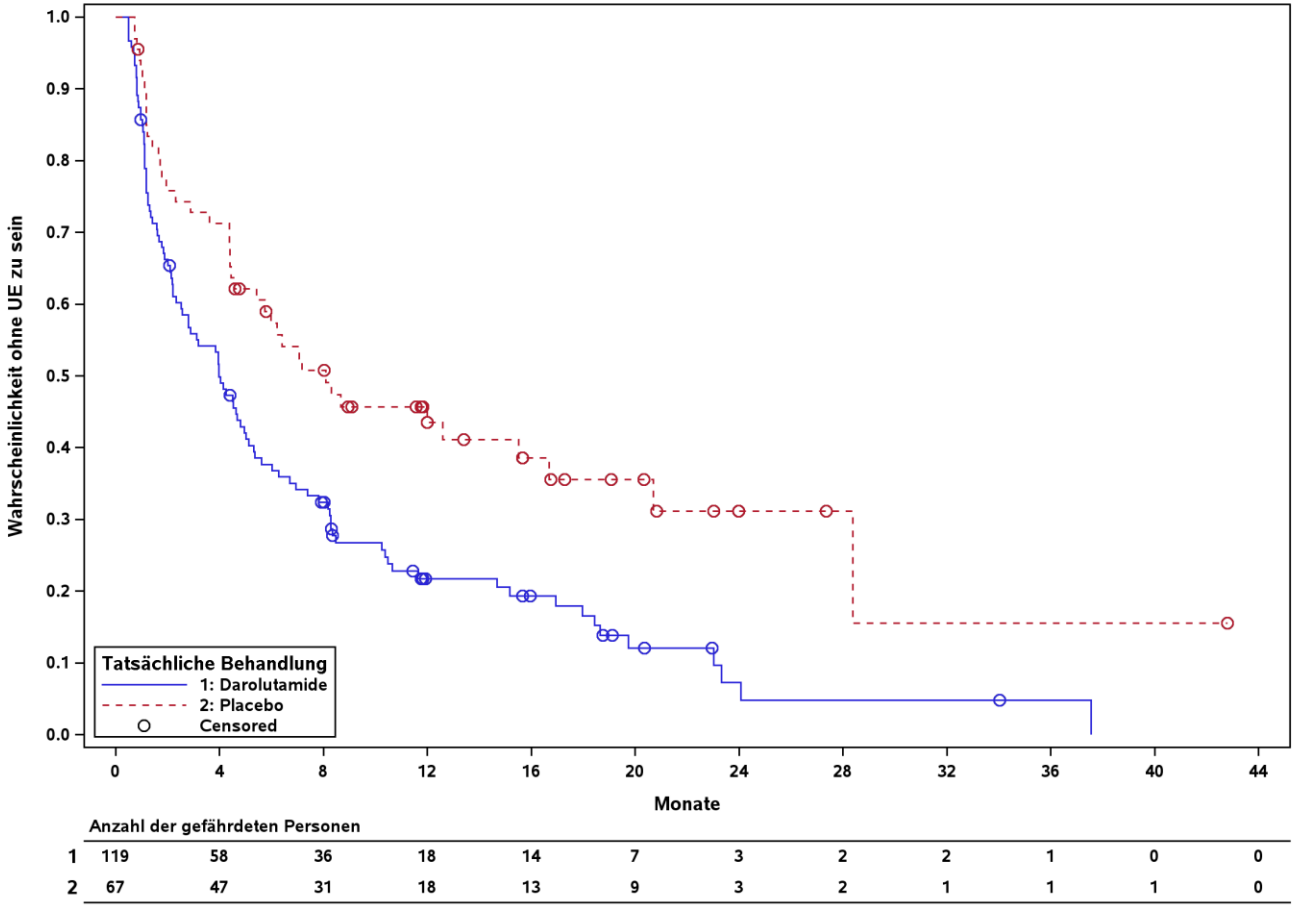
Bayer: /by-sasp/patdb/projects/1841788/17712/stat/prod_query22/pgms/t_ae_sub.sas 23APR2020 17:06

Figure 4.3.3 / 55: Kaplan-Meier-Plot der 'Unerwünschte Ereignis Time-to-Event-Analyse' nach Endpunkt und Subgruppe - Endpunkt: Zeit bis zum ersten unter der Behandlung aufgetretenen UE (TEAE) - Subgruppe: Geografische Region: North America (full analysis set)



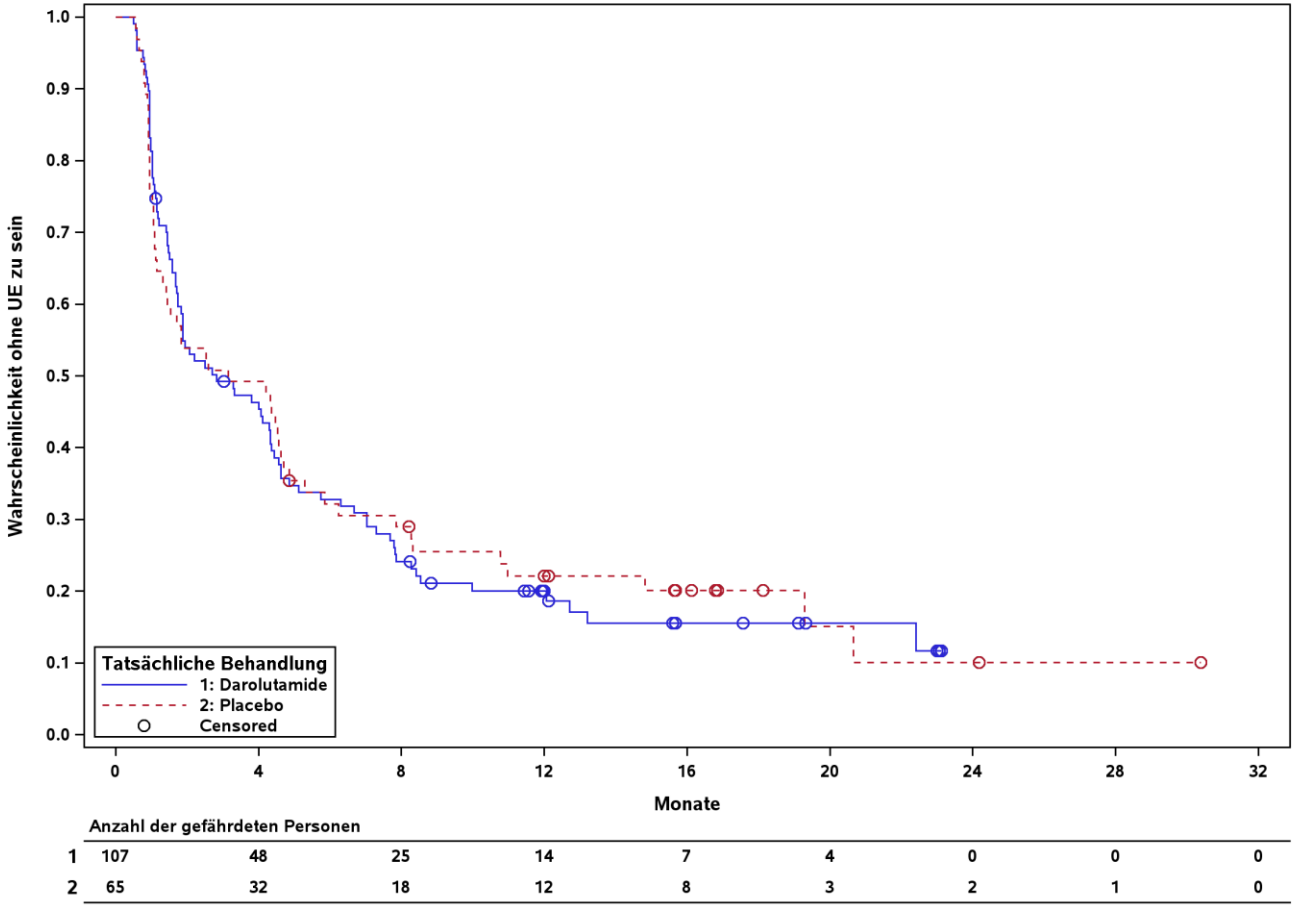
Bayer: /by-sasp/patdb/projects/1841788/17712/stat/prod_query22/pgms/t_ae_sub.sas 23APR2020 17:06

Figure 4.3.3 / 56: Kaplan-Meier-Plot der 'Unerwünschte Ereignis Time-to-Event-Analyse' nach Endpunkt und Subgruppe - Endpunkt: Zeit bis zum ersten unter der Behandlung aufgetretenen UE (TEAE) - Subgruppe: Geografische Region: Asia Pacific (full analysis set)



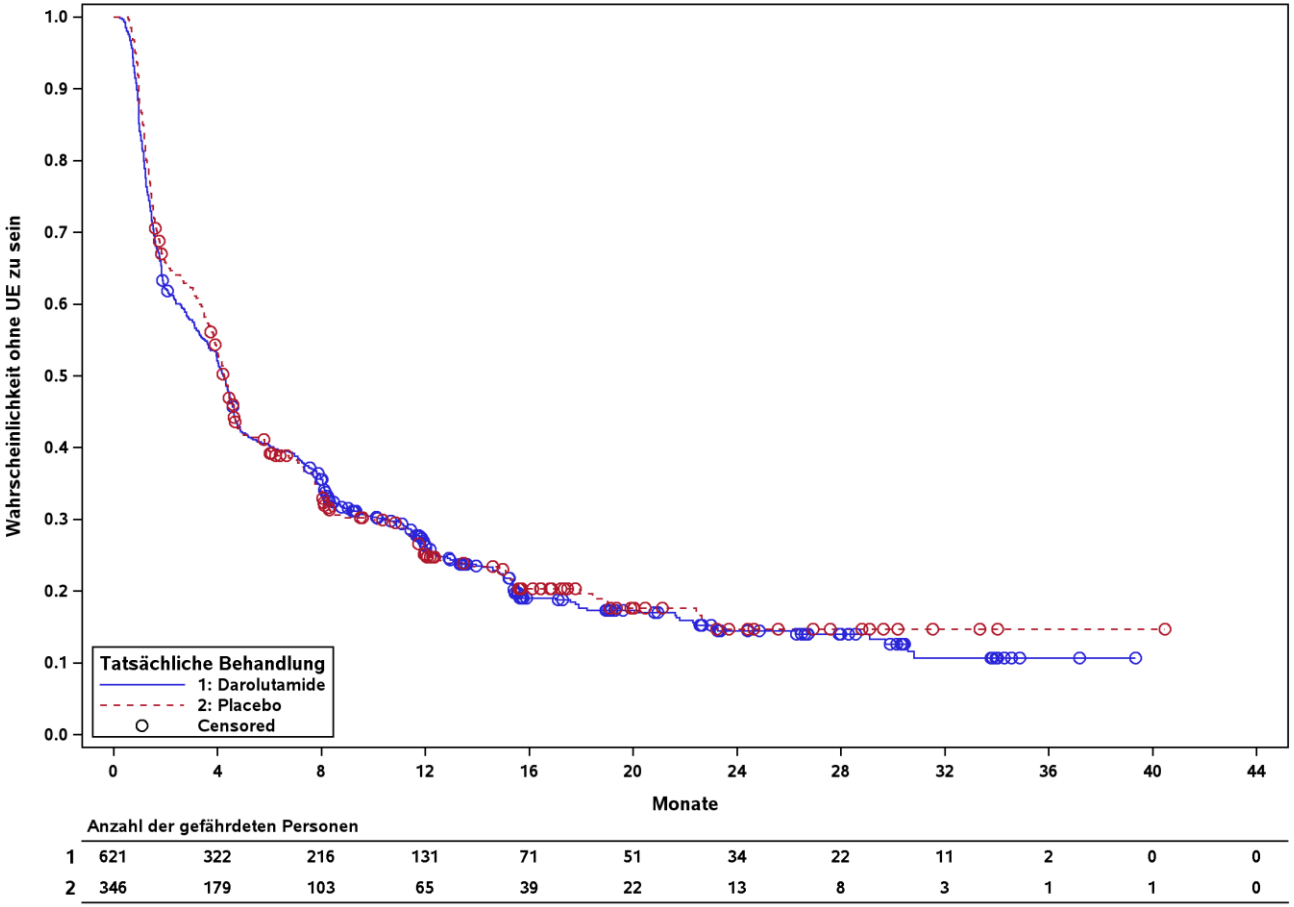
Bayer: /by-sasp/patdb/projects/1841788/17712/stat/prod_query22/pgms/t_ae_sub.sas 23APR2020 17:06

Figure 4.3.3 / 57: Kaplan-Meier-Plot der 'Unerwünschte Ereignis Time-to-Event-Analyse' nach Endpunkt und Subgruppe - Endpunkt: Zeit bis zum ersten unter der Behandlung aufgetretenen UE (TEAE) - Subgruppe: Geografische Region: Rest of the World (full analysis set)



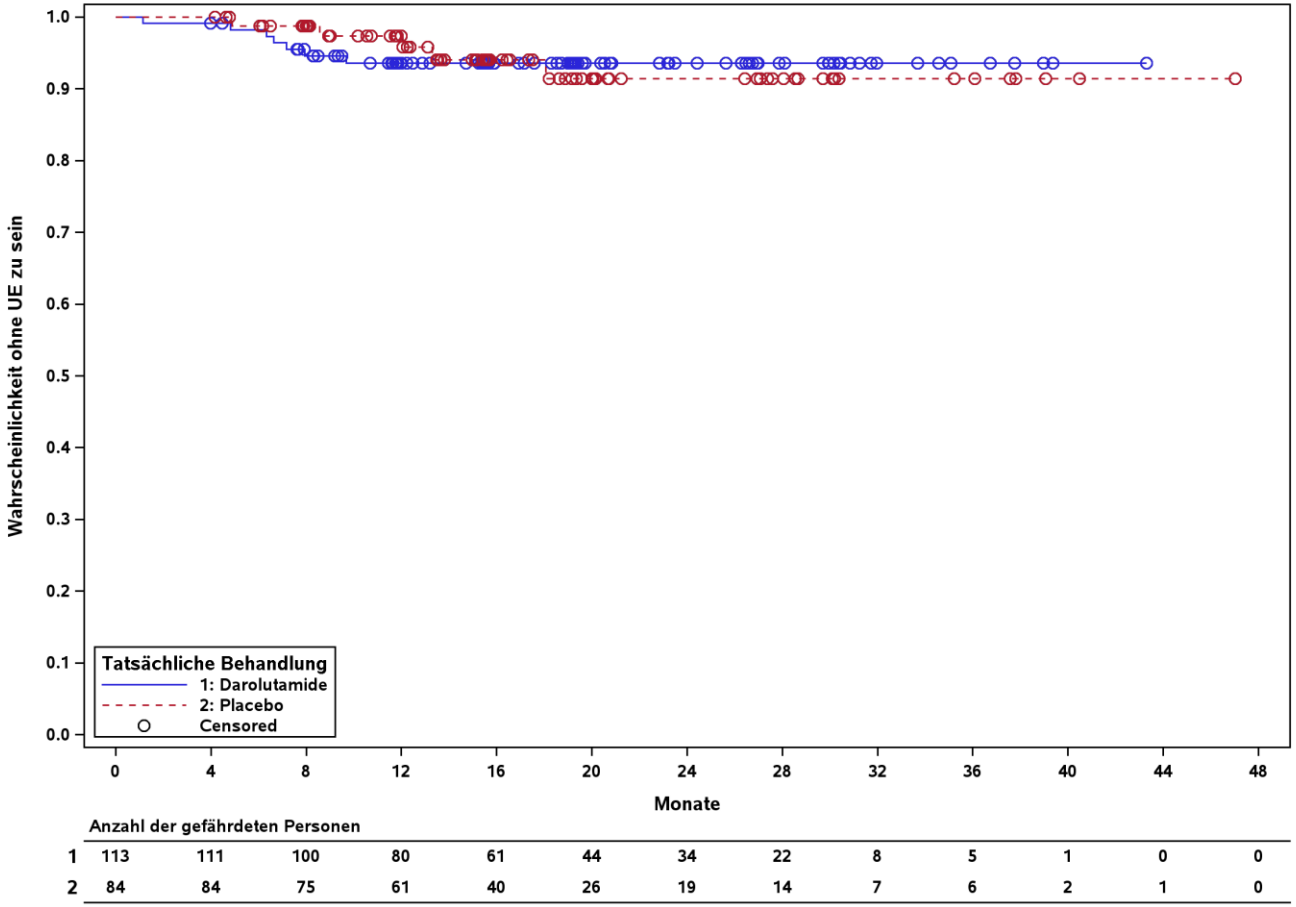
Bayer: /by-sasp/patdb/projects/1841788/17712/stat/prod_query22/pgms/t_ae_sub.sas 23APR2020 17:06

Figure 4.3.3 / 58: Kaplan-Meier-Plot der 'Unerwünschte Ereignis Time-to-Event-Analyse' nach Endpunkt und Subgruppe - Endpunkt: Zeit bis zum ersten unter der Behandlung aufgetretenen UE (TEAE) - Subgruppe: Geografische Region: Europe (full analysis set)



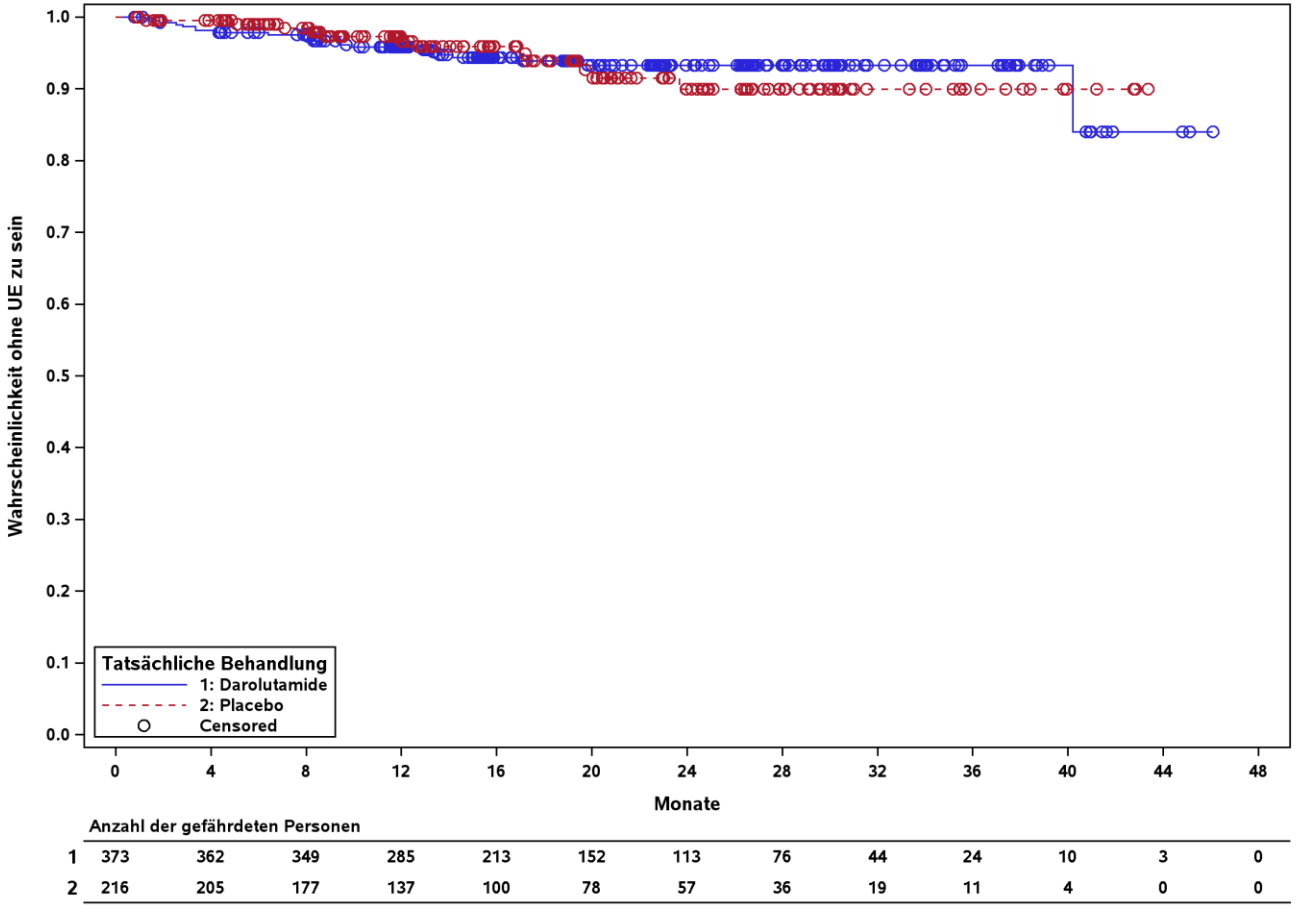
Bayer: /by-sasp/patdb/projects/1841788/17712/stat/prod_query22/pgms/t_ae_sub.sas 23APR2020 17:06

Figure 4.3.3 / 59: Kaplan-Meier-Plot der 'Unerwünschte Ereignis Time-to-Event-Analyse' nach Endpunkt und Subgruppe - Endpunkt: Zeit bis zum ersten zum Therapieabbruch führenden Ereignis - Subgruppe: Alter (Jahre): <65 (full analysis set)



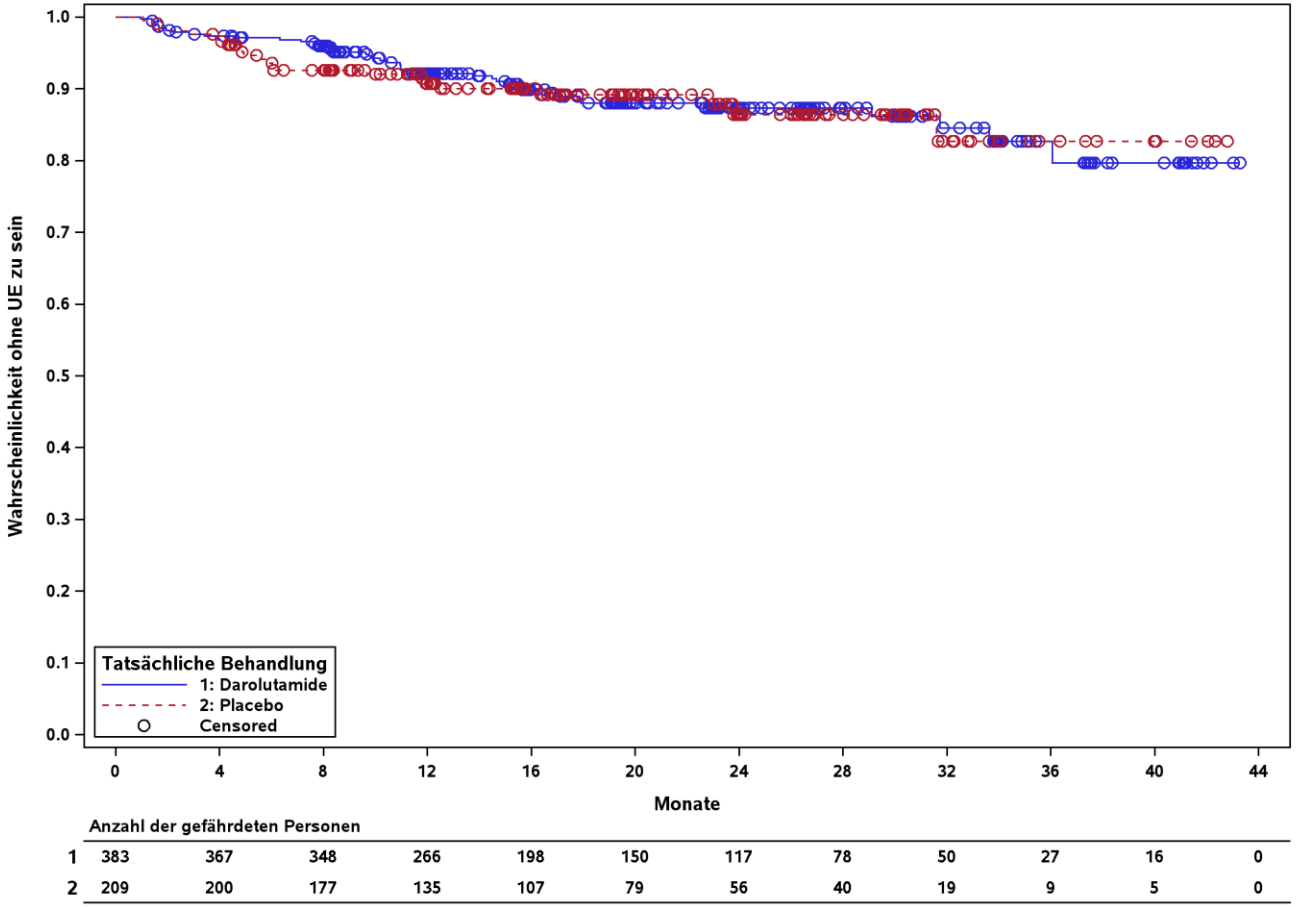
Bayer: /by-sasp/patdb/projects/1841788/17712/stat/prod_query22/pgms/t_ae_sub.sas 23APR2020 17:06

Figure 4.3.3 / 60: Kaplan-Meier-Plot der 'Unerwünschte Ereignis Time-to-Event-Analyse' nach Endpunkt und Subgruppe - Endpunkt: Zeit bis zum ersten zum Therapieabbruch führenden Ereignis - Subgruppe: Alter (Jahre): 65-74 (full analysis set)



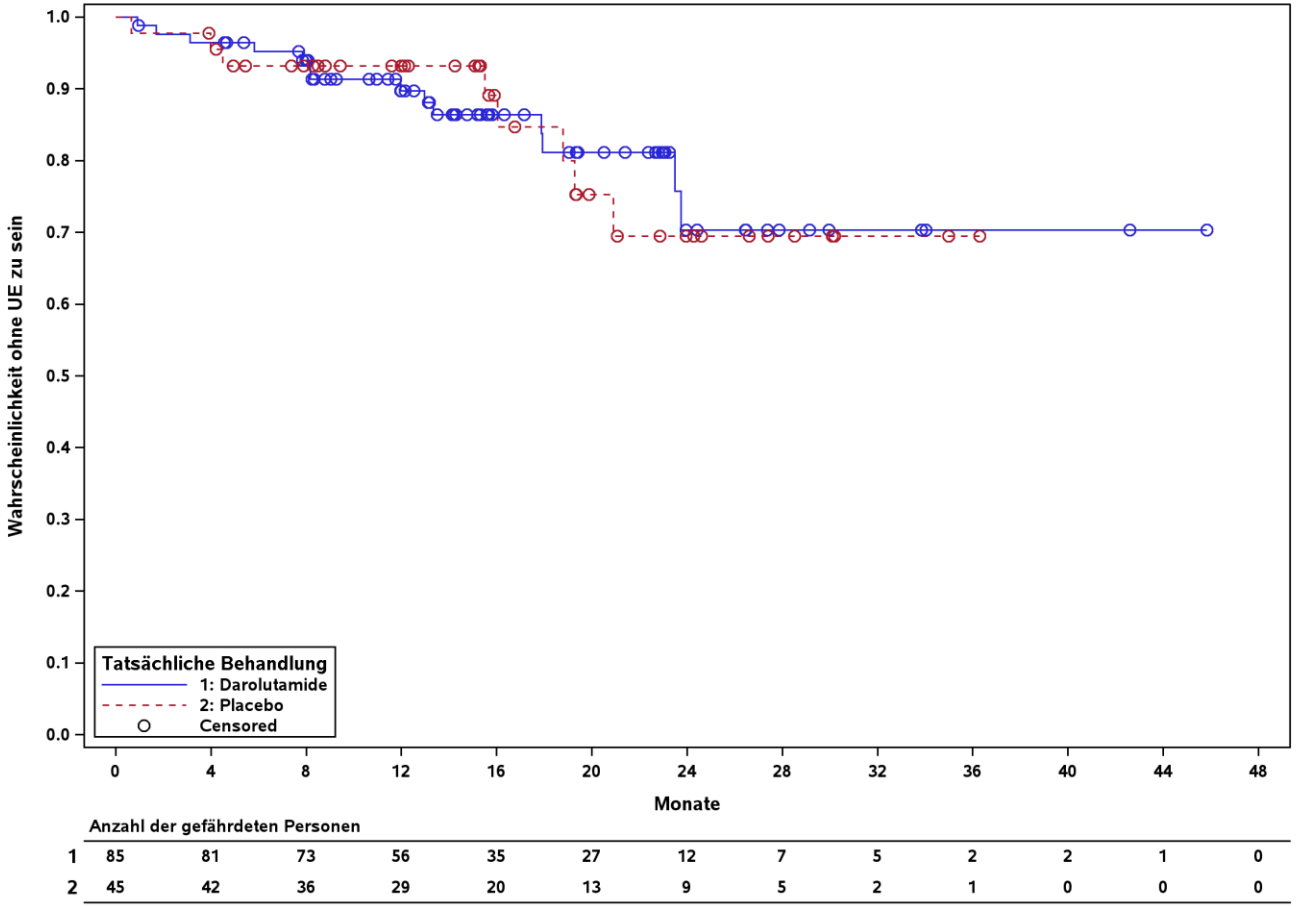
Bayer: /by-sasp/patdb/projects/1841788/17712/stat/prod_query22/pgms/t_ae_sub.sas 23APR2020 17:06

Figure 4.3.3 / 61: Kaplan-Meier-Plot der 'Unerwünschte Ereignis Time-to-Event-Analyse' nach Endpunkt und Subgruppe - Endpunkt: Zeit bis zum ersten zum Therapieabbruch führenden Ereignis - Subgruppe: Alter (Jahre): 75-84 (full analysis set)



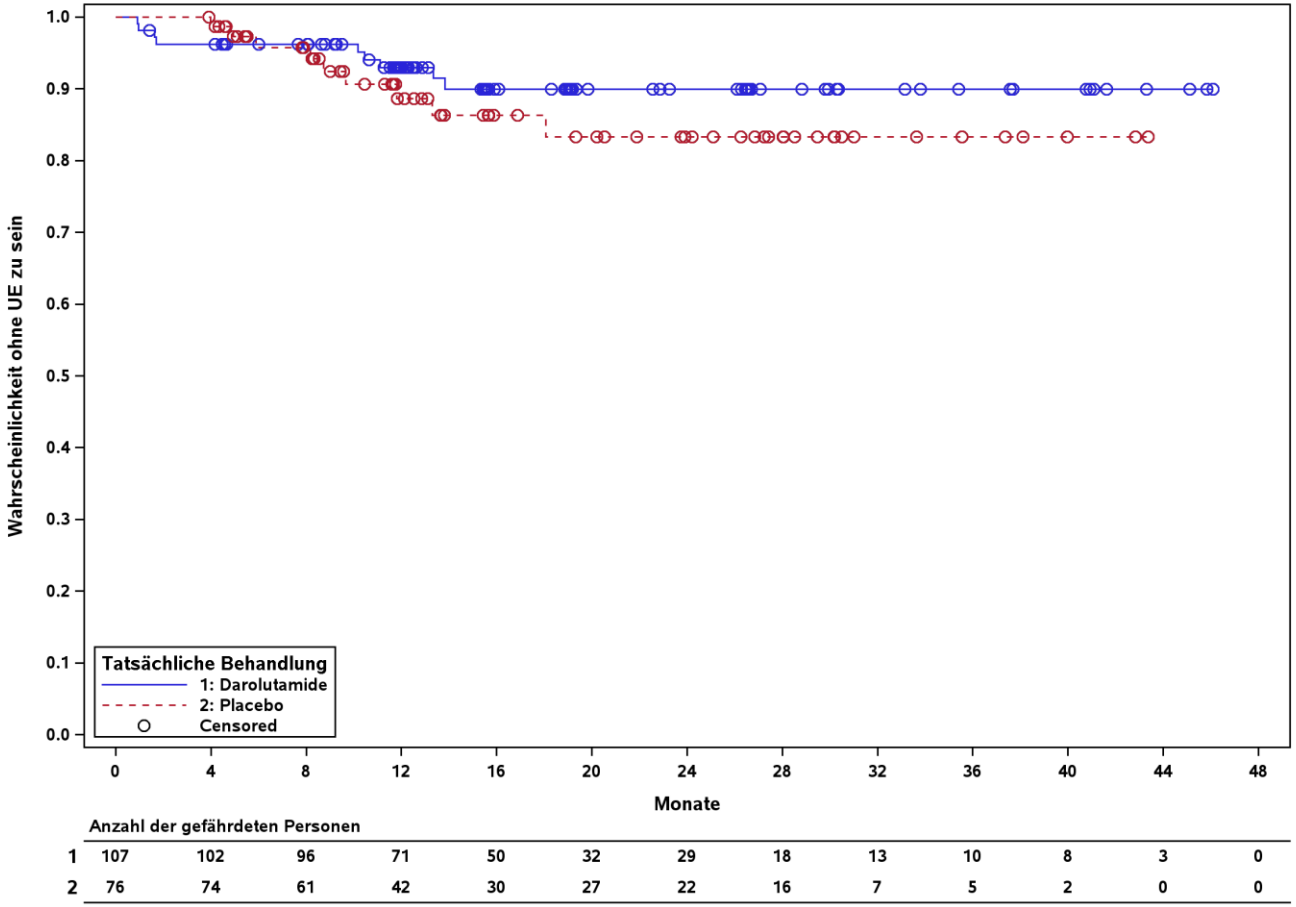
Bayer: /by-sasp/patdb/projects/1841788/17712/stat/prod_query22/pgms/t_ae_sub.sas 23APR2020 17:06

Figure 4.3.3 / 62: Kaplan-Meier-Plot der 'Unerwünschte Ereignis Time-to-Event-Analyse' nach Endpunkt und Subgruppe - Endpunkt: Zeit bis zum ersten zum Therapieabbruch führenden Ereignis - Subgruppe: Alter (Jahre): >=85 (full analysis set)



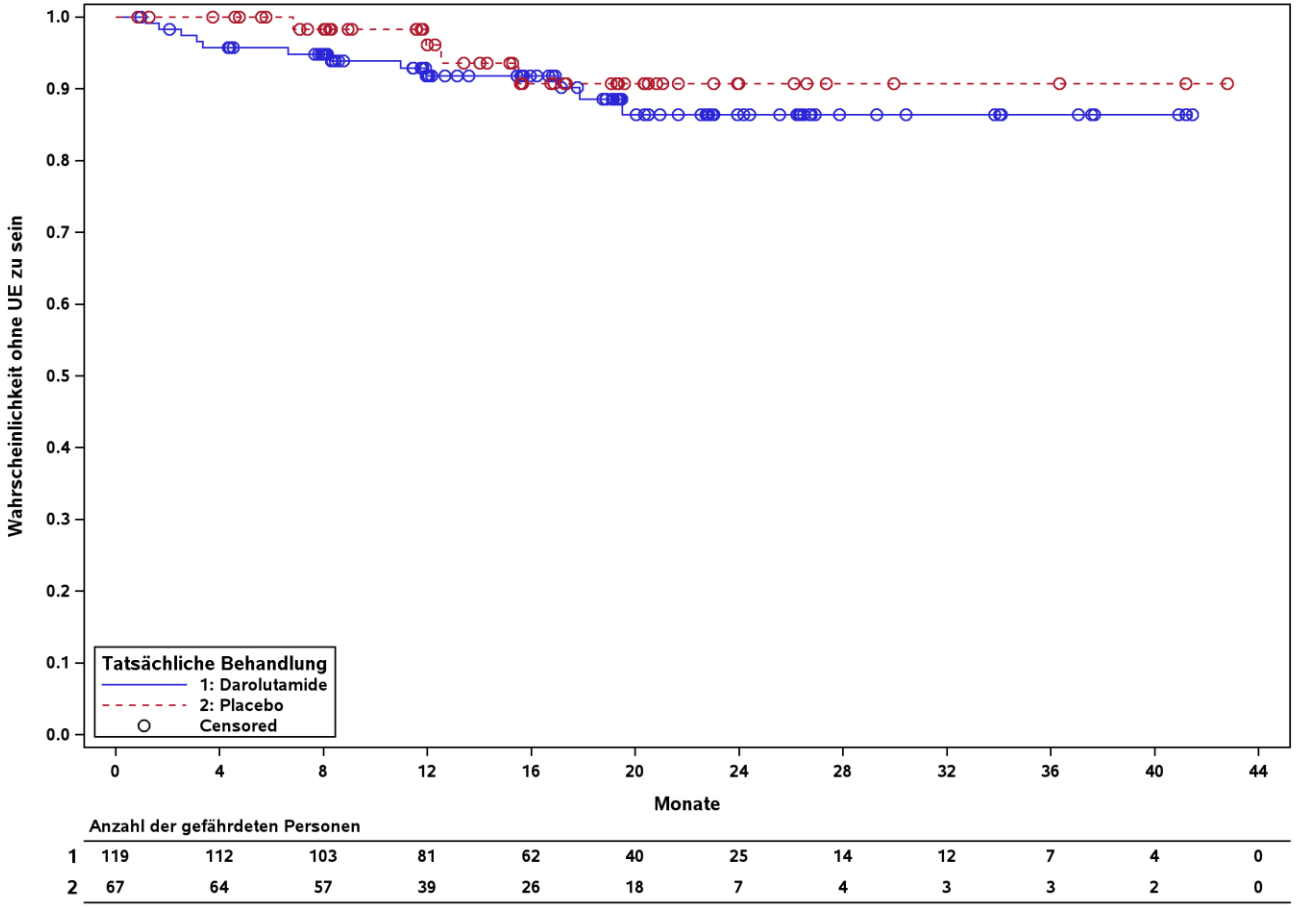
Bayer: /by-sasp/patdb/projects/1841788/17712/stat/prod_query22/pgms/t_ae_sub.sas 23APR2020 17:06

Figure 4.3.3 / 63: Kaplan-Meier-Plot der 'Unerwünschte Ereignis Time-to-Event-Analyse' nach Endpunkt und Subgruppe - Endpunkt: Zeit bis zum ersten zum Therapieabbruch führenden Ereignis - Subgruppe: Geografische Region: North America (full analysis set)



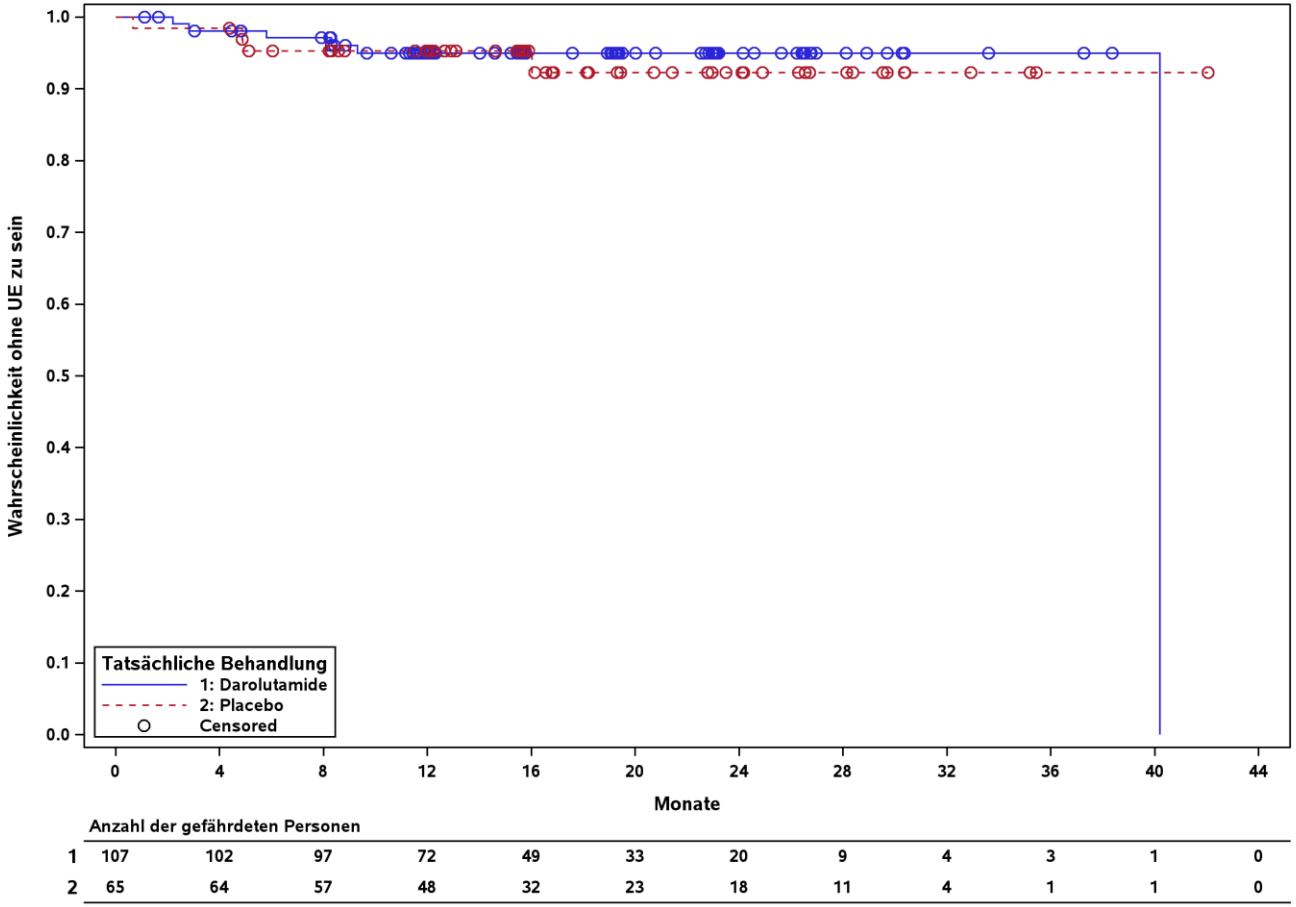
Bayer: /by-sasp/patdb/projects/1841788/17712/stat/prod_query22/pgms/t_ae_sub.sas 23APR2020 17:06

Figure 4.3.3 / 64: Kaplan-Meier-Plot der 'Unerwünschte Ereignis Time-to-Event-Analyse' nach Endpunkt und Subgruppe - Endpunkt: Zeit bis zum ersten zum Therapieabbruch führenden Ereignis - Subgruppe: Geografische Region: Asia Pacific (full analysis set)



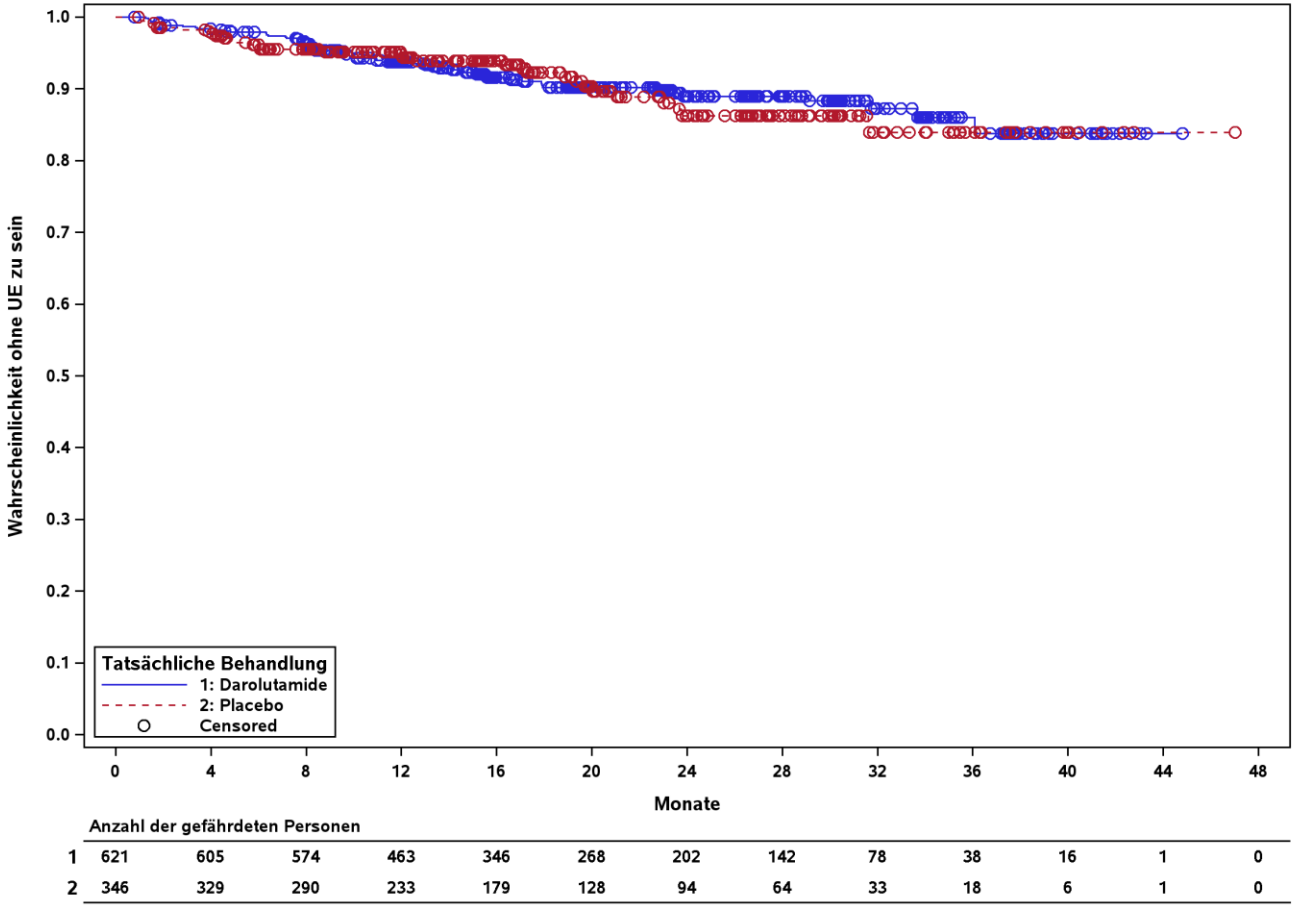
Bayer: /by-sasp/patdb/projects/1841788/17712/stat/prod_query22/pgms/t_ae_sub.sas 23APR2020 17:06

Figure 4.3.3 / 65: Kaplan-Meier-Plot der 'Unerwünschte Ereignis Time-to-Event-Analyse' nach Endpunkt und Subgruppe - Endpunkt: Zeit bis zum ersten zum Therapieabbruch führenden Ereignis - Subgruppe: Geografische Region: Rest of the World (full analysis set)



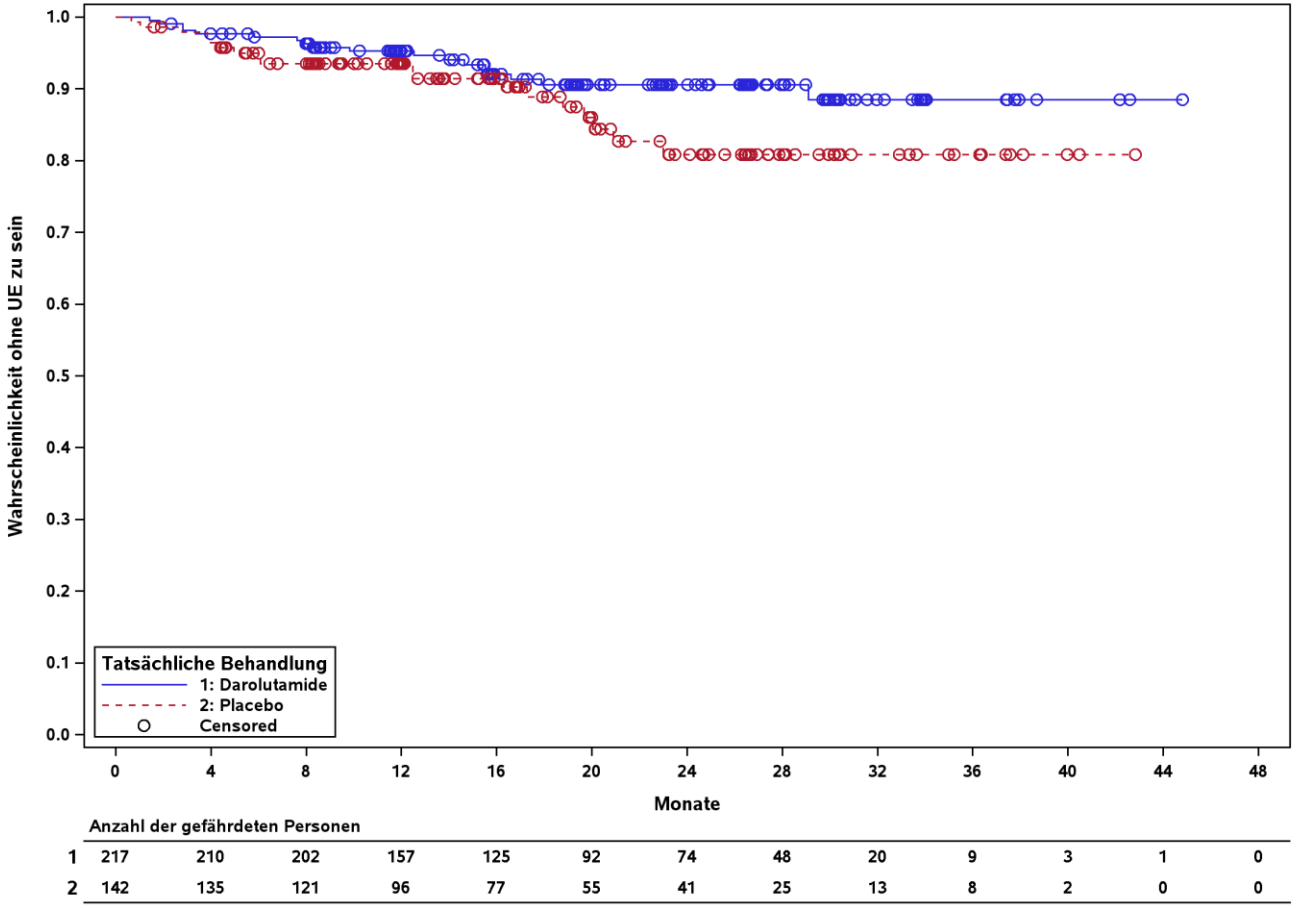
Bayer: /by-sasp/patdb/projects/1841788/17712/stat/prod_query22/pgms/t_ae_sub.sas 23APR2020 17:06

Figure 4.3.3 / 66: Kaplan-Meier-Plot der 'Unerwünschte Ereignis Time-to-Event-Analyse' nach Endpunkt und Subgruppe - Endpunkt: Zeit bis zum ersten zum Therapieabbruch führenden Ereignis - Subgruppe: Geografische Region: Europe (full analysis set)



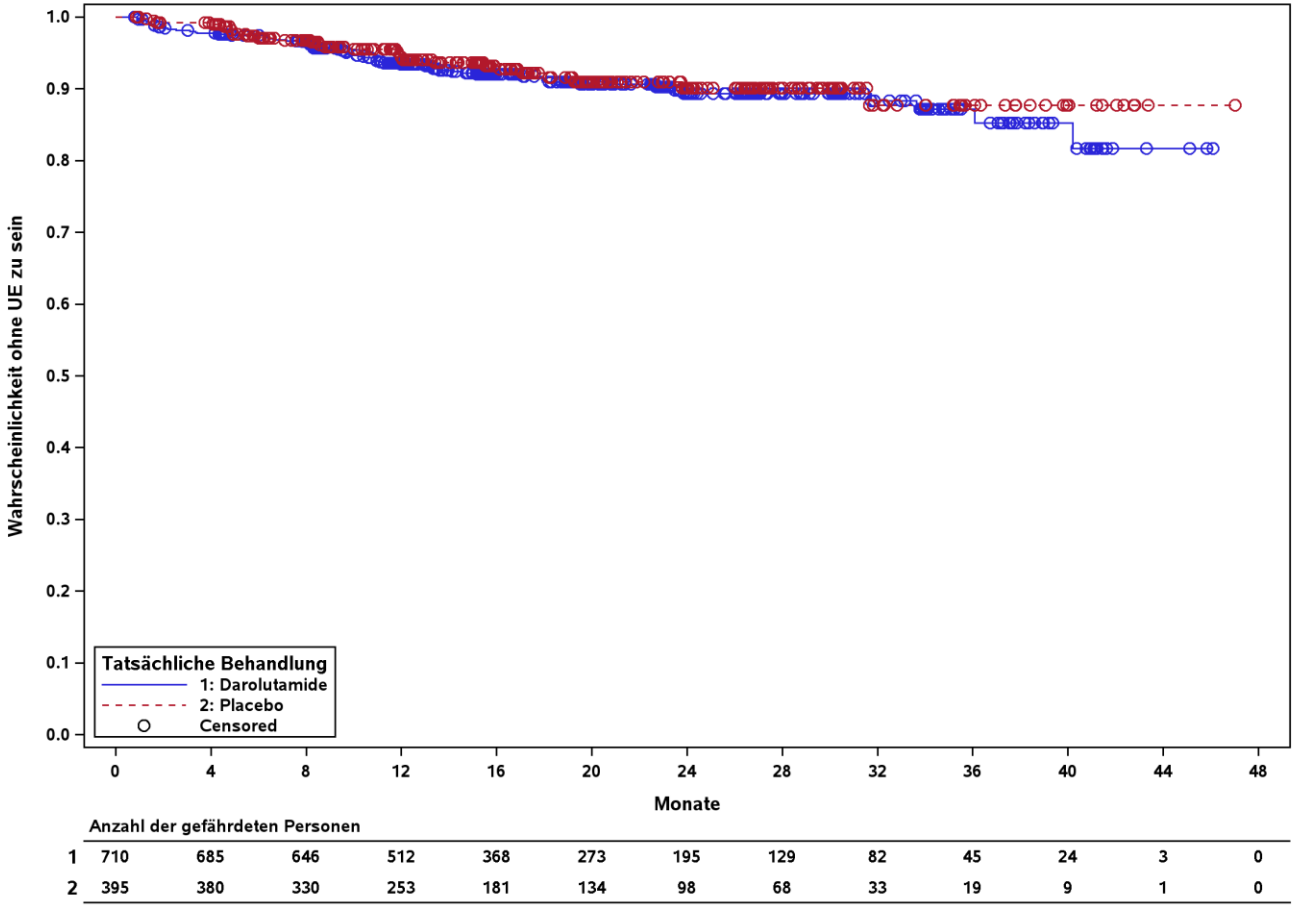
Bayer: /by-sasp/patdb/projects/1841788/17712/stat/prod_query22/pgms/t_ae_sub.sas 23APR2020 17:06

Figure 4.3.3 / 67: Kaplan-Meier-Plot der 'Unerwünschte Ereignis Time-to-Event-Analyse' nach Endpunkt und Subgruppe - Endpunkt: Zeit bis zum ersten zum Therapieabbruch führenden Ereignis - Subgruppe: Gleason-Score bei Diagnose: <7 (full analysis set)



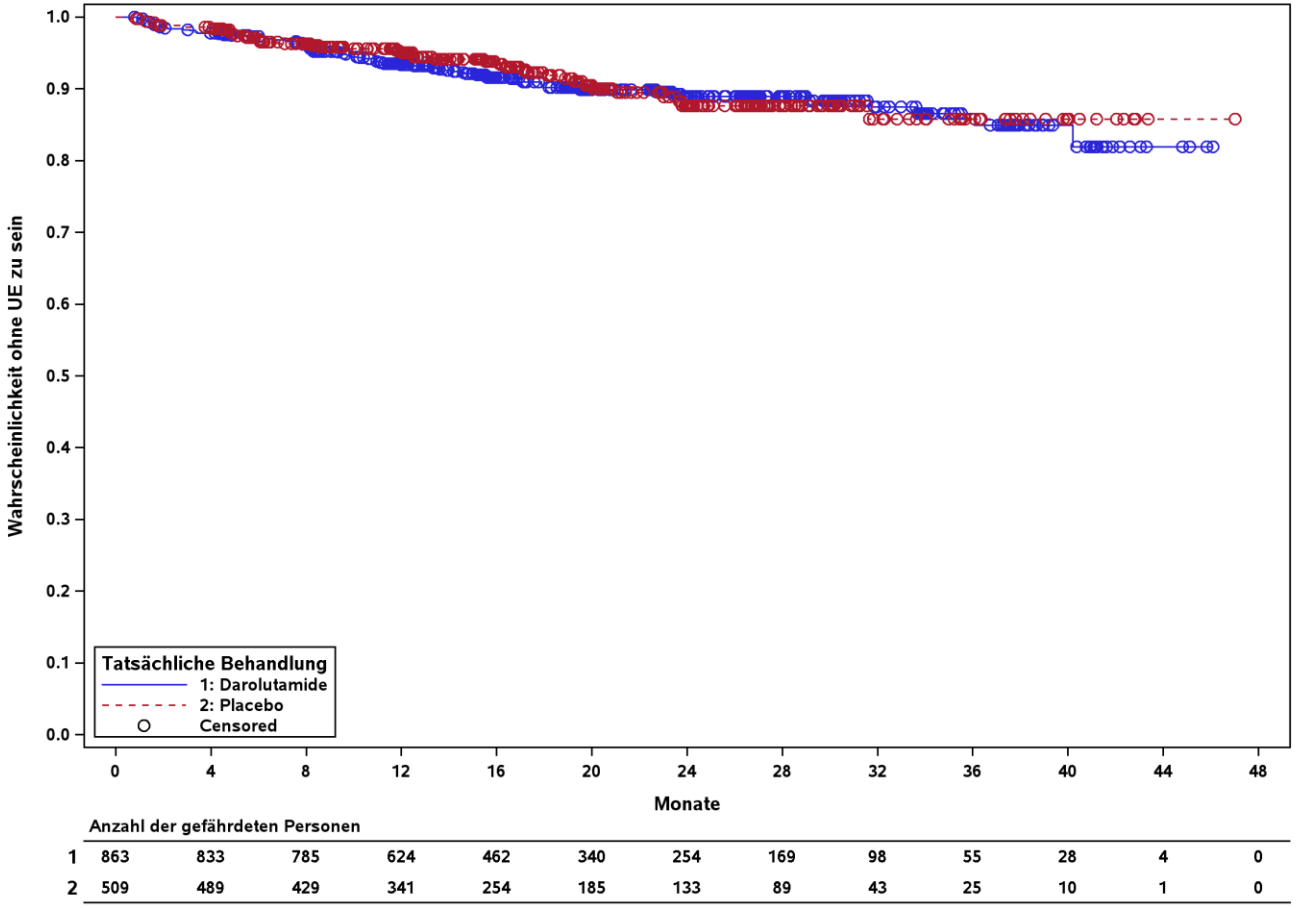
Bayer: /by-sasp/patdb/projects/1841788/17712/stat/prod_query22/pgms/t_ae_sub.sas 23APR2020 17:06

Figure 4.3.3 / 68: Kaplan-Meier-Plot der 'Unerwünschte Ereignis Time-to-Event-Analyse' nach Endpunkt und Subgruppe - Endpunkt: Zeit bis zum ersten zum Therapieabbruch führenden Ereignis - Subgruppe: Gleason-Score bei Diagnose: >=7 (full analysis set)



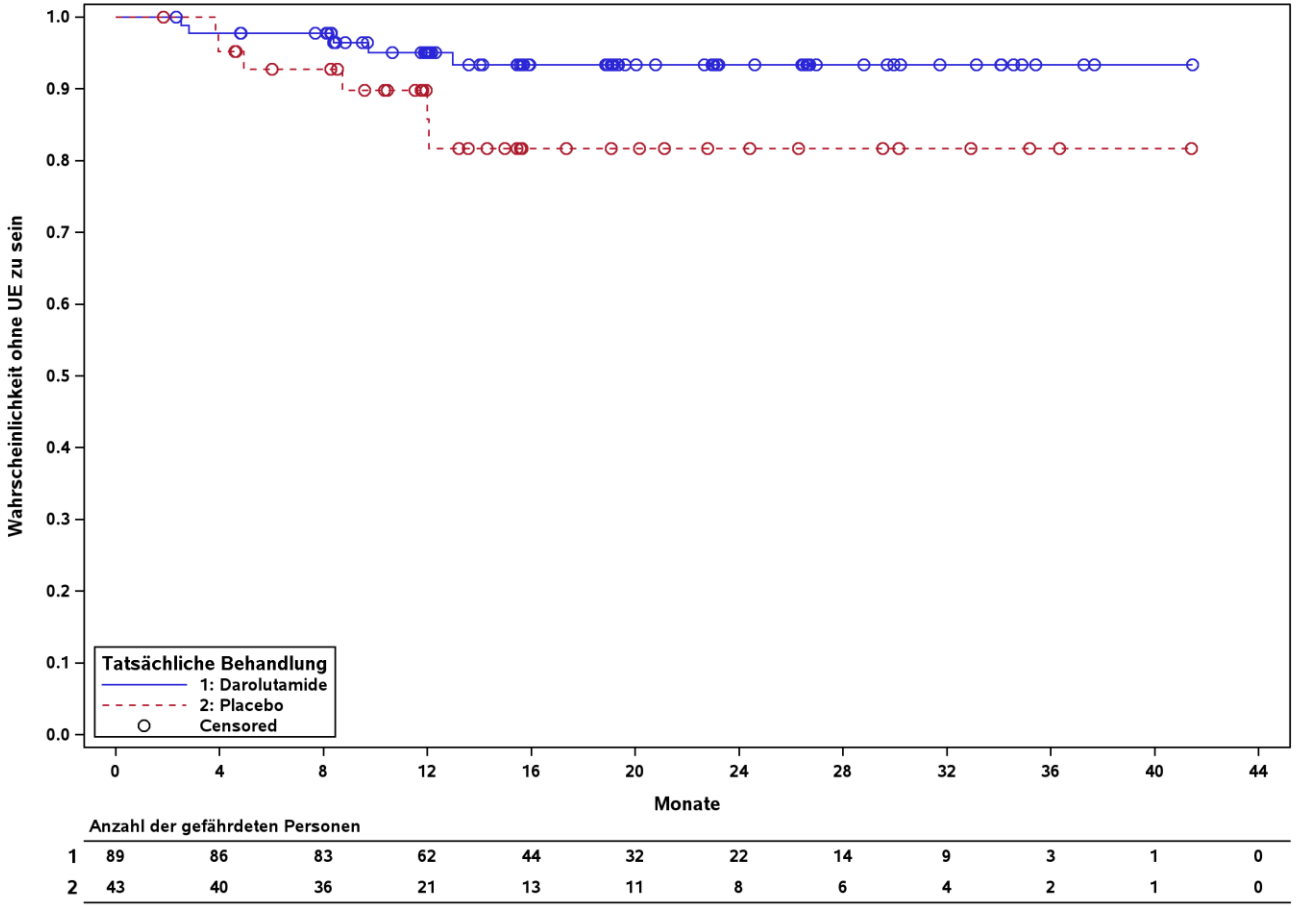
Bayer: /by-sasp/patdb/projects/1841788/17712/stat/prod_query22/pgms/t_ae_sub.sas 23APR2020 17:06

Figure 4.3.3 / 69: Kaplan-Meier-Plot der 'Unerwünschte Ereignis Time-to-Event-Analyse' nach Endpunkt und Subgruppe - Endpunkt: Zeit bis zum ersten zum Therapieabbruch führenden Ereignis - Subgruppe: Leberfunktionsstörung: normal (full analysis set)



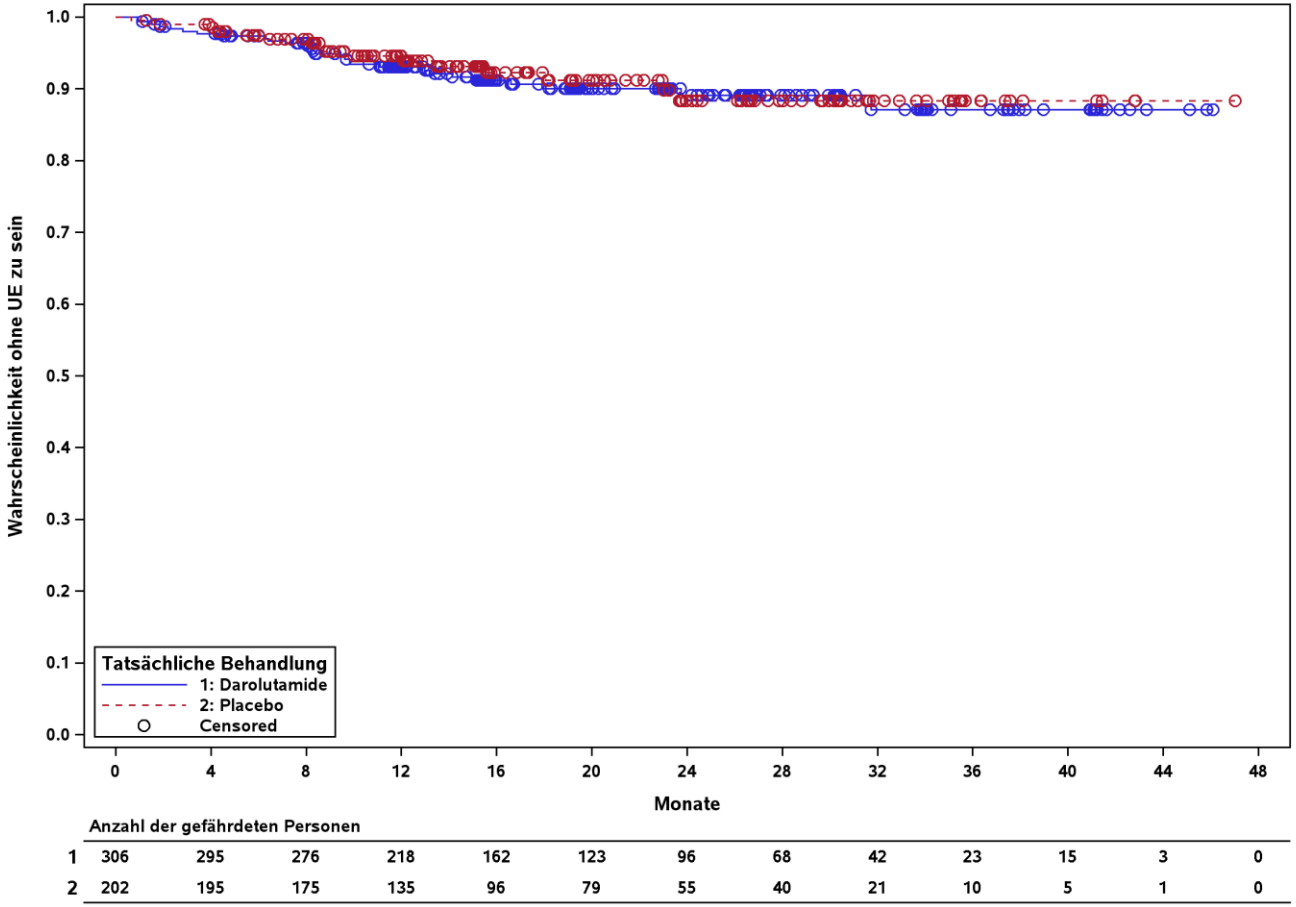
Bayer: /by-sasp/patdb/projects/1841788/17712/stat/prod_query22/pgms/t_ae_sub.sas 23APR2020 17:06

Figure 4.3.3 / 70: Kaplan-Meier-Plot der 'Unerwünschte Ereignis Time-to-Event-Analyse' nach Endpunkt und Subgruppe - Endpunkt: Zeit bis zum ersten zum Therapieabbruch führenden Ereignis - Subgruppe: Leberfunktionsstörung: mild (full analysis set)



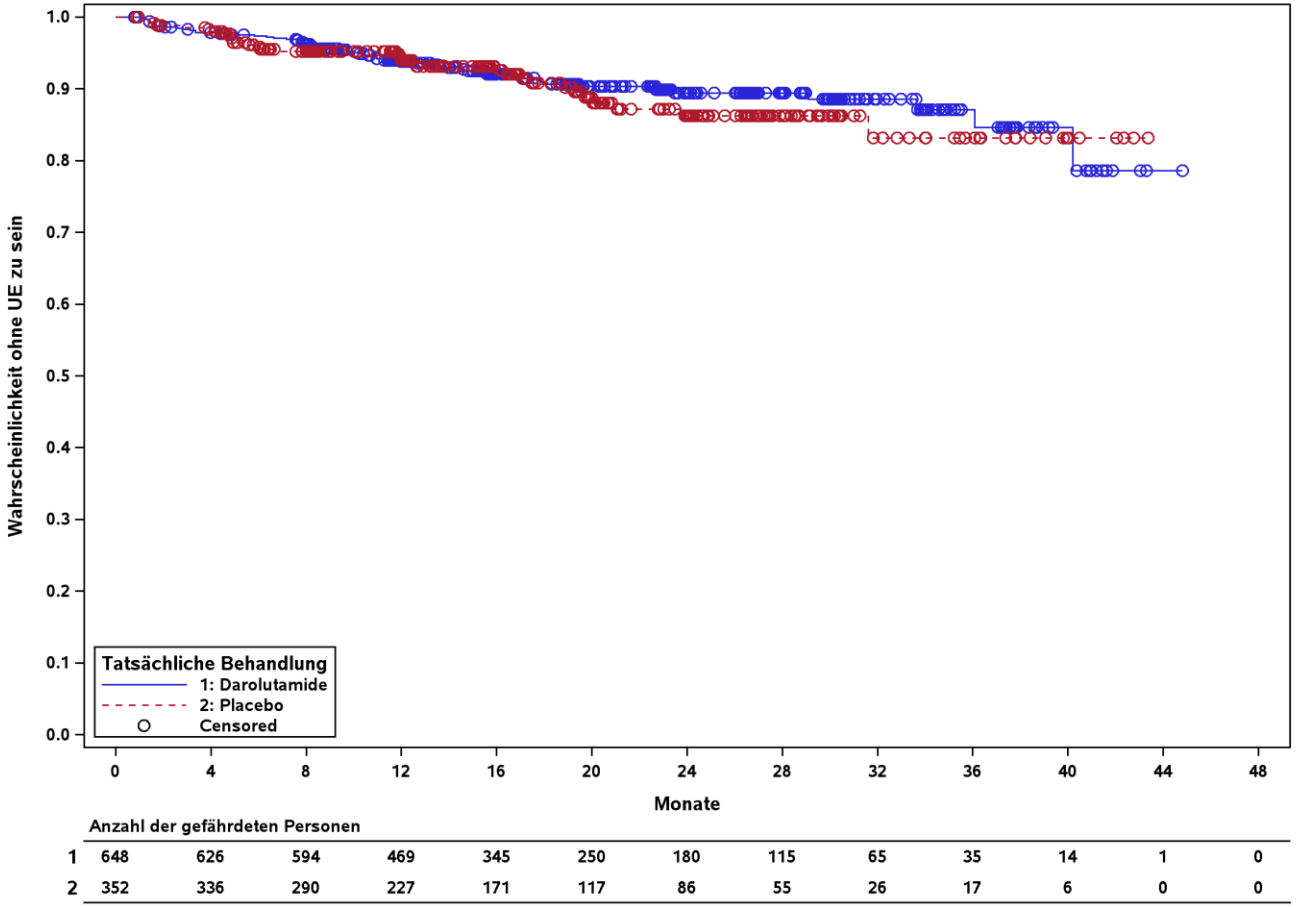
Bayer: /by-sasp/patdb/projects/1841788/17712/stat/prod_query22/pgms/t_ae_sub.sas 23APR2020 17:06

Figure 4.3.3 / 71: Kaplan-Meier-Plot der 'Unerwünschte Ereignis Time-to-Event-Analyse' nach Endpunkt und Subgruppe - Endpunkt: Zeit bis zum ersten zum Therapieabbruch führenden Ereignis - Subgruppe: Nutzung von Statinen: Ja (full analysis set)



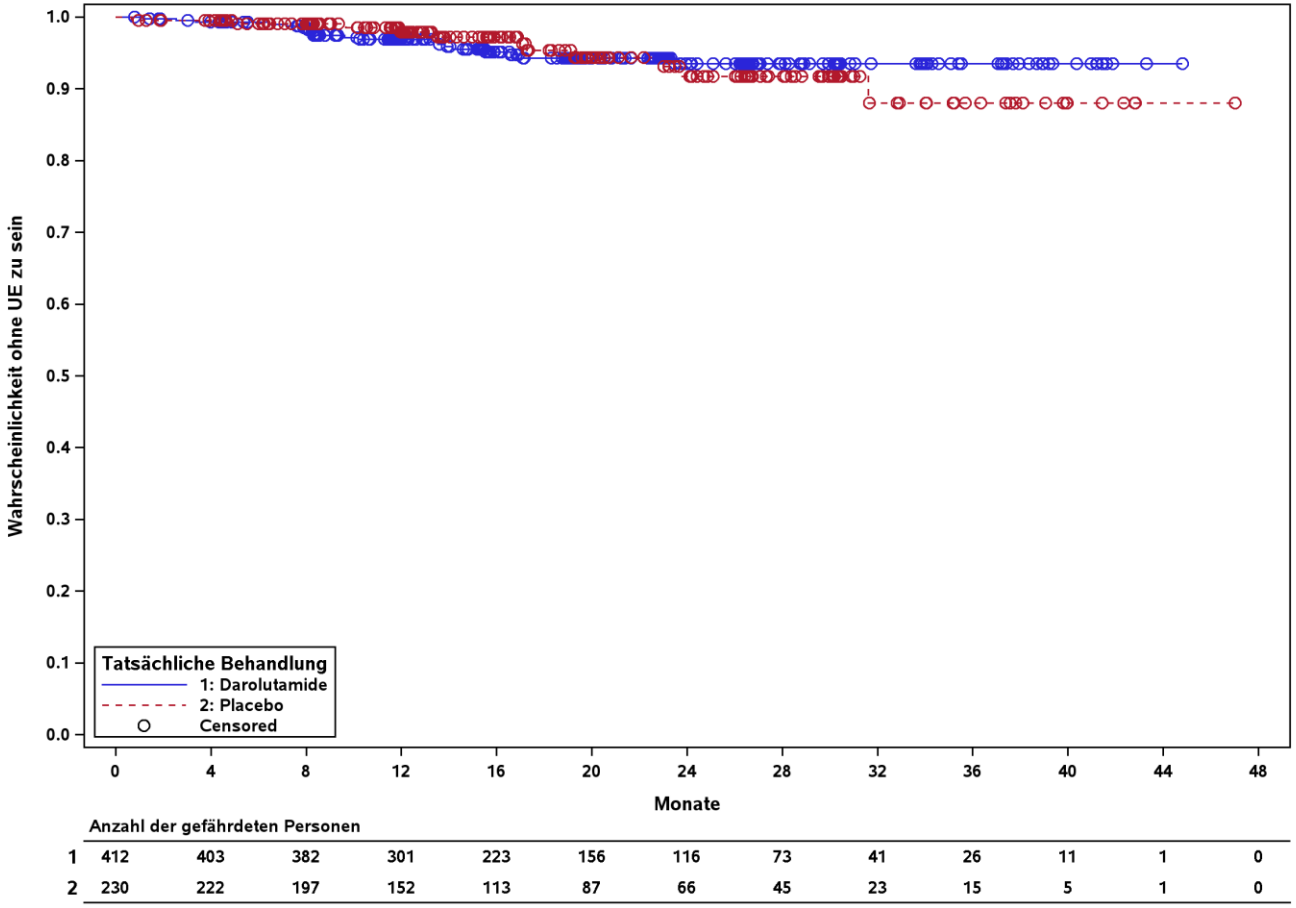
Bayer: /by-sasp/patdb/projects/1841788/17712/stat/prod_query22/pgms/t_ae_sub.sas 23APR2020 17:06

Figure 4.3.3 / 72: Kaplan-Meier-Plot der 'Unerwünschte Ereignis Time-to-Event-Analyse' nach Endpunkt und Subgruppe - Endpunkt: Zeit bis zum ersten zum Therapieabbruch führenden Ereignis - Subgruppe: Nutzung von Statinen: Nein (full analysis set)



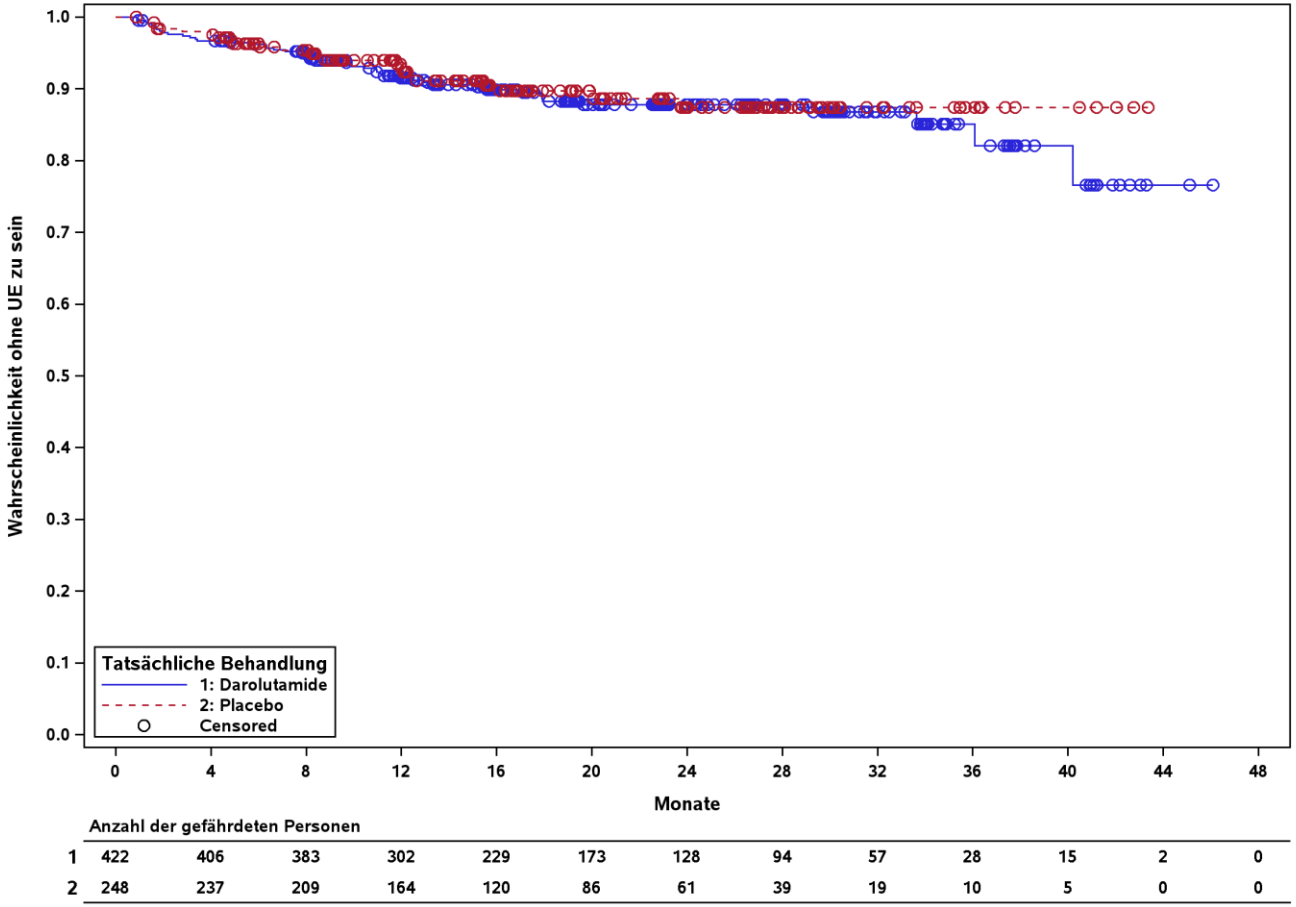
Bayer: /by-sasp/patdb/projects/1841788/17712/stat/prod_query22/pgms/t_ae_sub.sas 23APR2020 17:06

Figure 4.3.3 / 73: Kaplan-Meier-Plot der 'Unerwünschte Ereignis Time-to-Event-Analyse' nach Endpunkt und Subgruppe - Endpunkt: Zeit bis zum ersten zum Therapieabbruch führenden Ereignis - Subgruppe: eGFR an Baseline: normal (full analysis set)



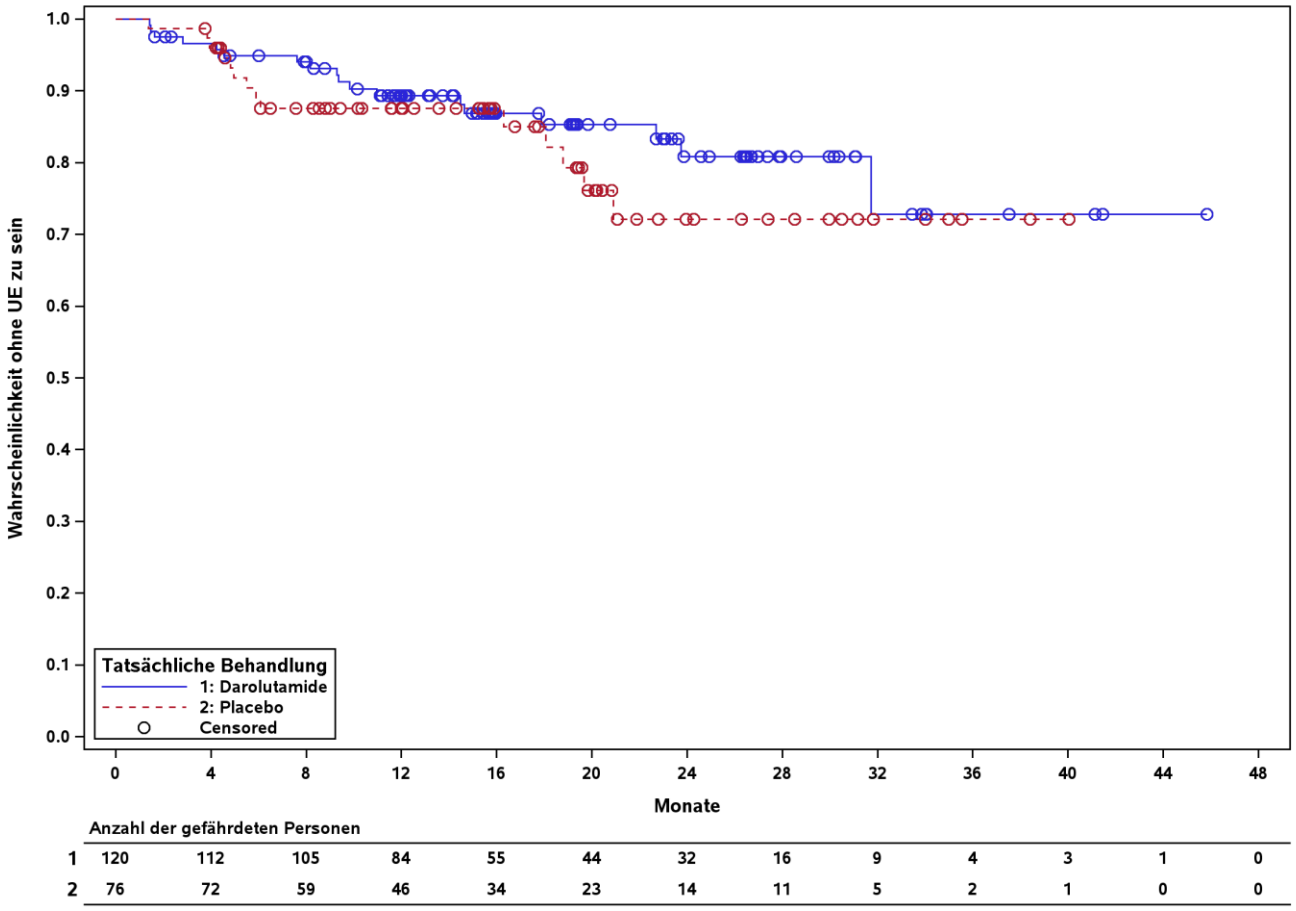
Bayer: /by-sasp/patdb/projects/1841788/17712/stat/prod_query22/pgms/t_ae_sub.sas 23APR2020 17:06

Figure 4.3.3 / 74: Kaplan-Meier-Plot der 'Unerwünschte Ereignis Time-to-Event-Analyse' nach Endpunkt und Subgruppe - Endpunkt: Zeit bis zum ersten zum Therapieabbruch führenden Ereignis - Subgruppe: eGFR an Baseline: mildly impaired (full analysis set)



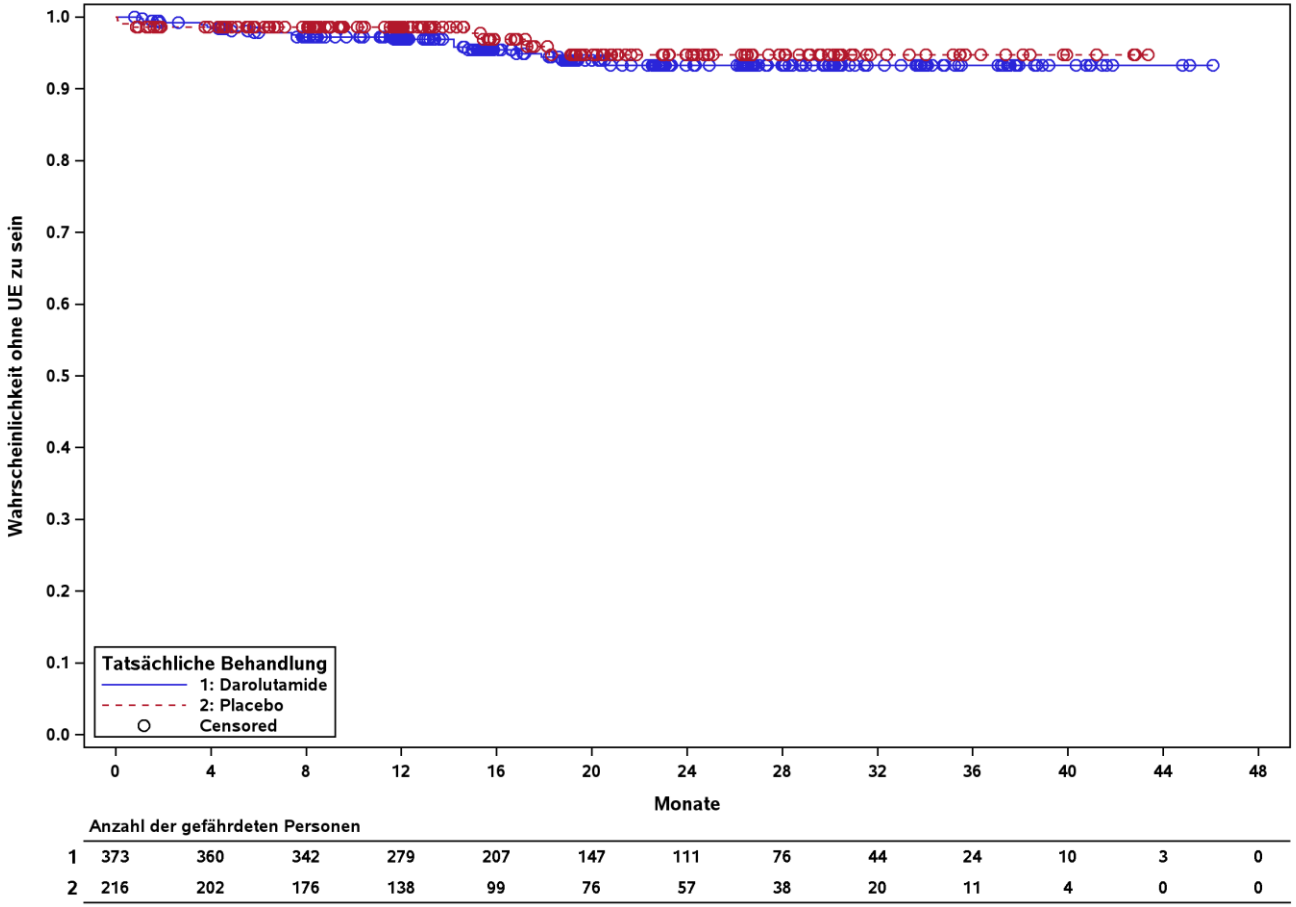
Bayer: /by-sasp/patdb/projects/1841788/17712/stat/prod_query22/pgms/t_ae_sub.sas 23APR2020 17:06

Figure 4.3.3 / 75: Kaplan-Meier-Plot der 'Unerwünschte Ereignis Time-to-Event-Analyse' nach Endpunkt und Subgruppe - Endpunkt: Zeit bis zum ersten zum Therapieabbruch führenden Ereignis - Subgruppe: eGFR an Baseline: moderately impaired, severely impaired and renal end stage (full analysis set)



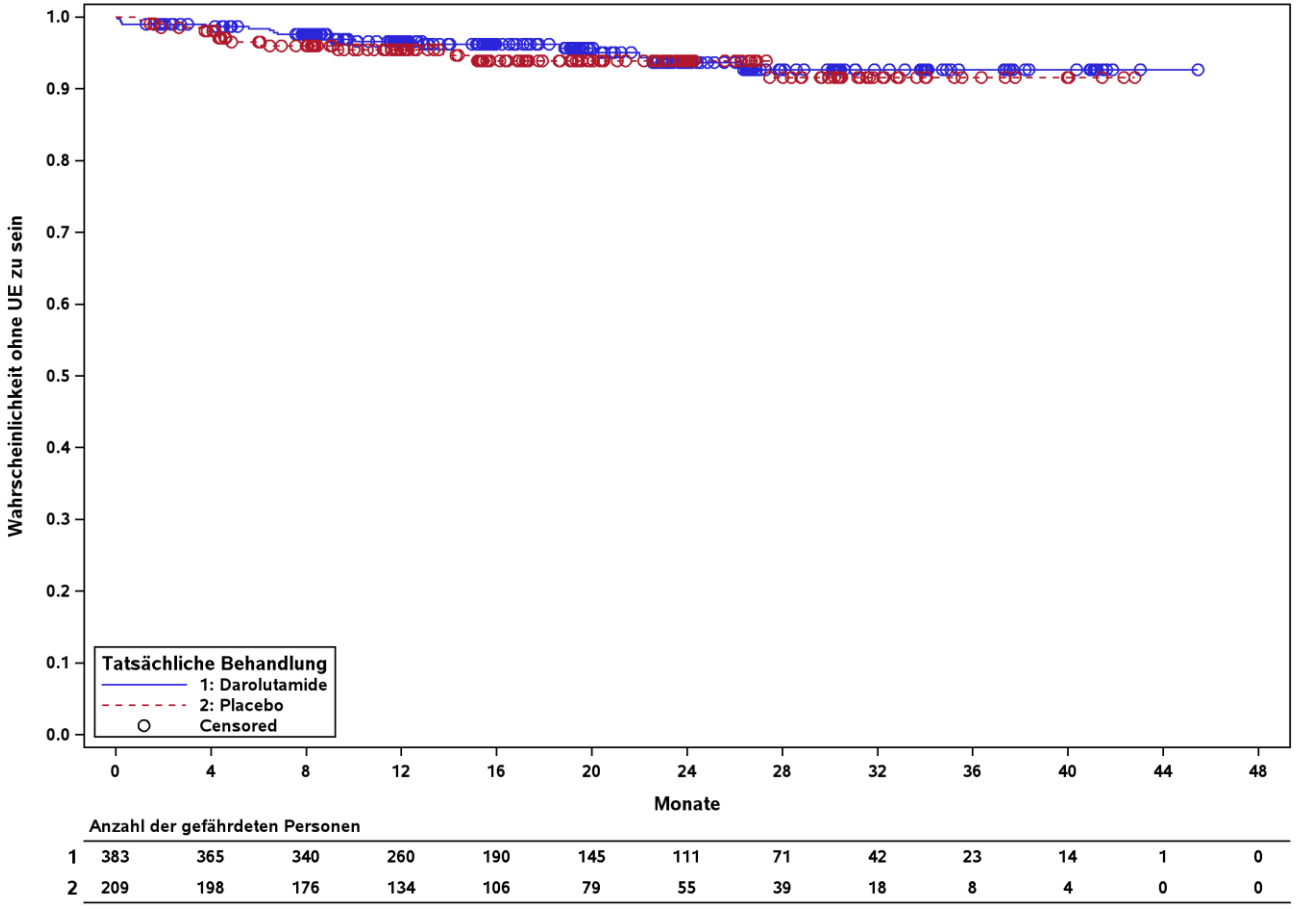
Bayer: /by-sasp/patdb/projects/1841788/17712/stat/prod_query22/pgms/t_ae_sub.sas 23APR2020 17:06

Figure 4.3.3 / 76: Kaplan-Meier-Plot der 'Unerwünschte Ereignis von besonderem Interesse' Time-to-Event-Analyse nach Endpunkt und Subgruppe - Endpunkt: Zeit bis zum ersten UE von besonderem Interesse: Bone fractures - Subgruppe: Alter (Jahre): 65-74 (full analysis set)



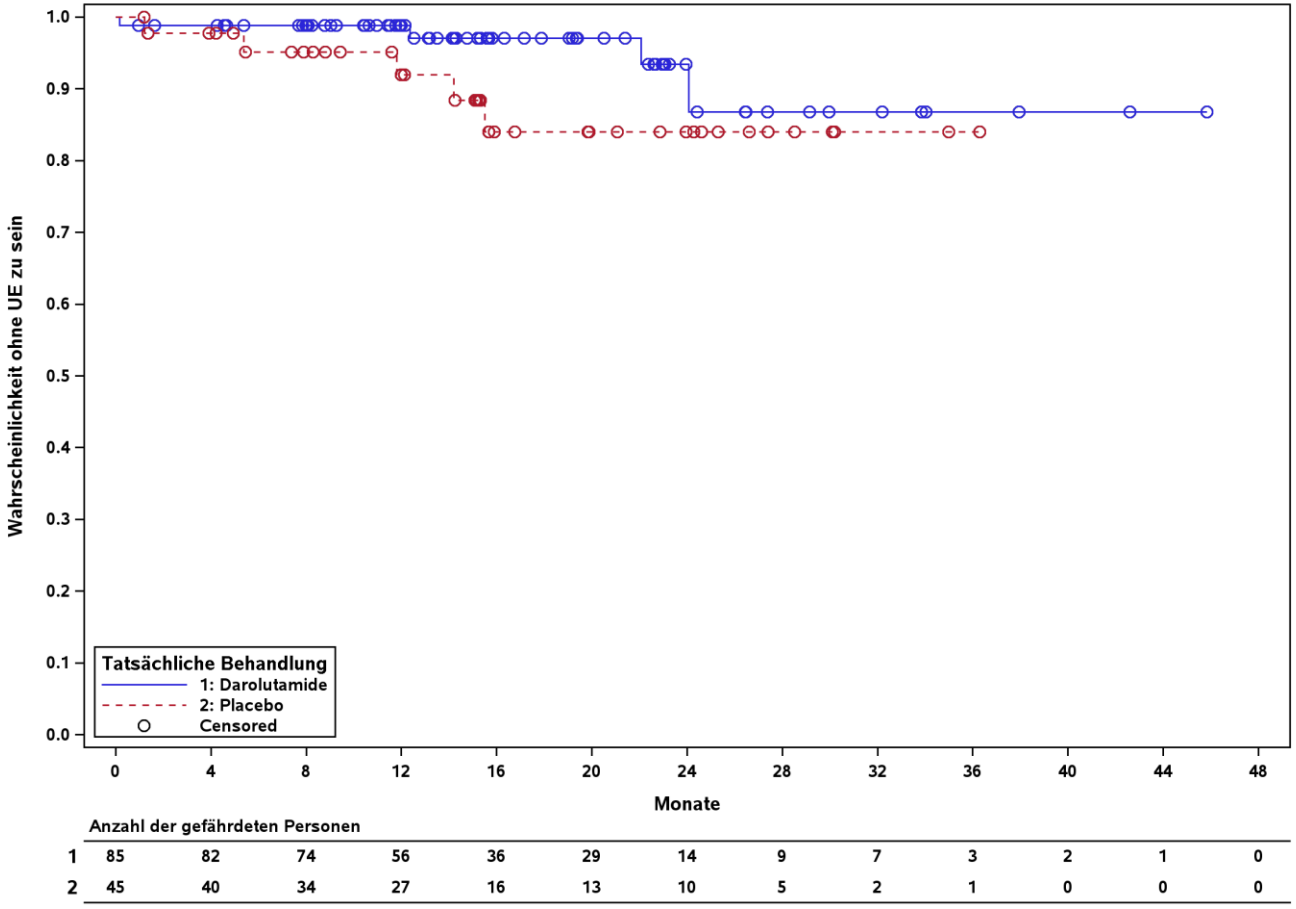
Bayer: /by-sasp/patdb/projects/1841788/17712/stat/prod_query22/pgms/t_aesi_sub.sas 23APR2020 17:14

Figure 4.3.3 / 77: Kaplan-Meier-Plot der 'Unerwünschte Ereignis von besonderem Interesse' Time-to-Event-Analyse nach Endpunkt und Subgruppe - Endpunkt: Zeit bis zum ersten UE von besonderem Interesse: Bone fractures - Subgruppe: Alter (Jahre): 75-84 (full analysis set)



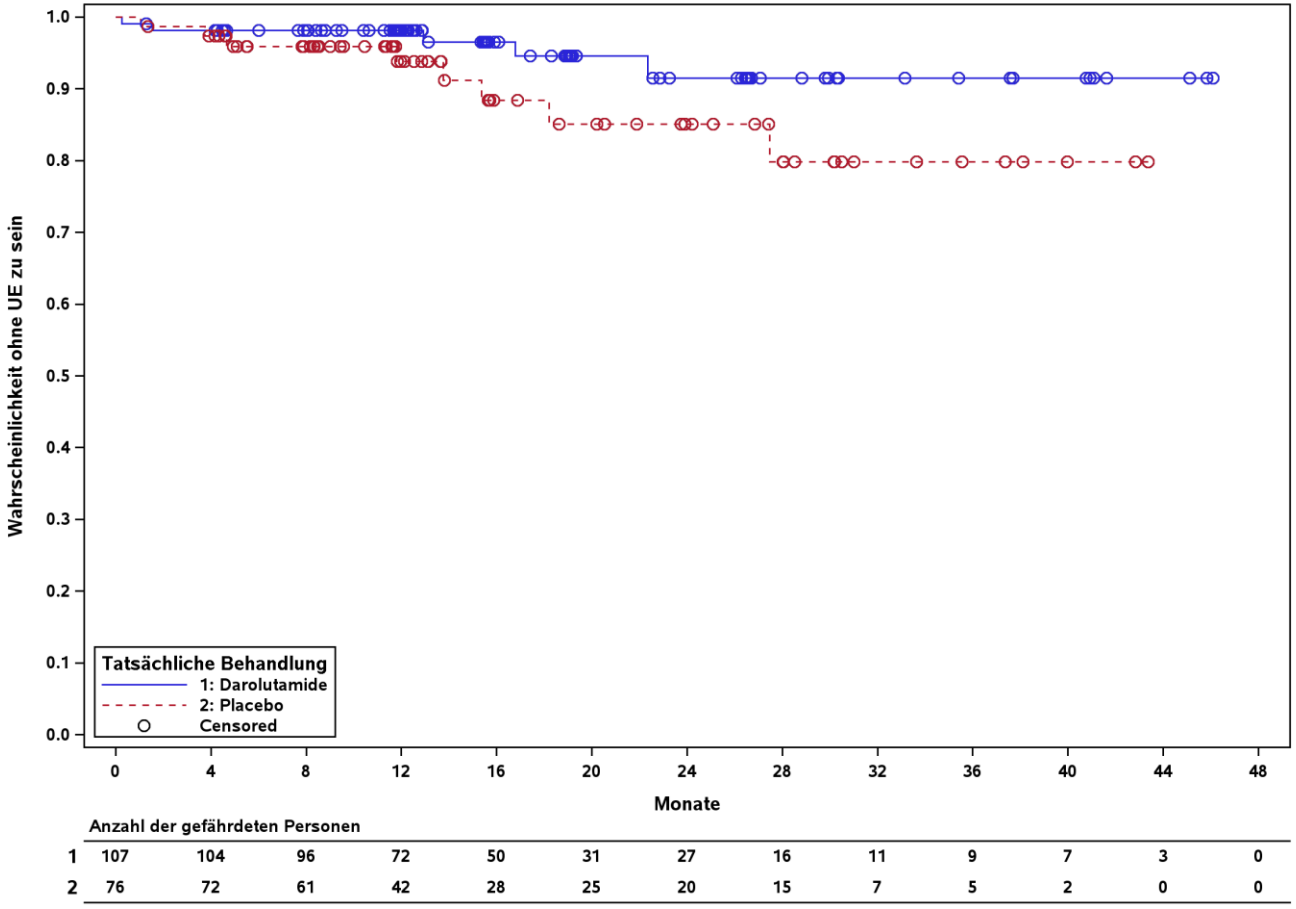
Bayer: /by-sasp/patdb/projects/1841788/17712/stat/prod_query22/pgms/t_aesi_sub.sas 23APR2020 17:14

Figure 4.3.3 / 78: Kaplan-Meier-Plot der 'Unerwünschte Ereignis von besonderem Interesse' Time-to-Event-Analyse nach Endpunkt und Subgruppe - Endpunkt: Zeit bis zum ersten UE von besonderem Interesse: Bone fractures - Subgruppe: Alter (Jahre): >=85 (full analysis set)



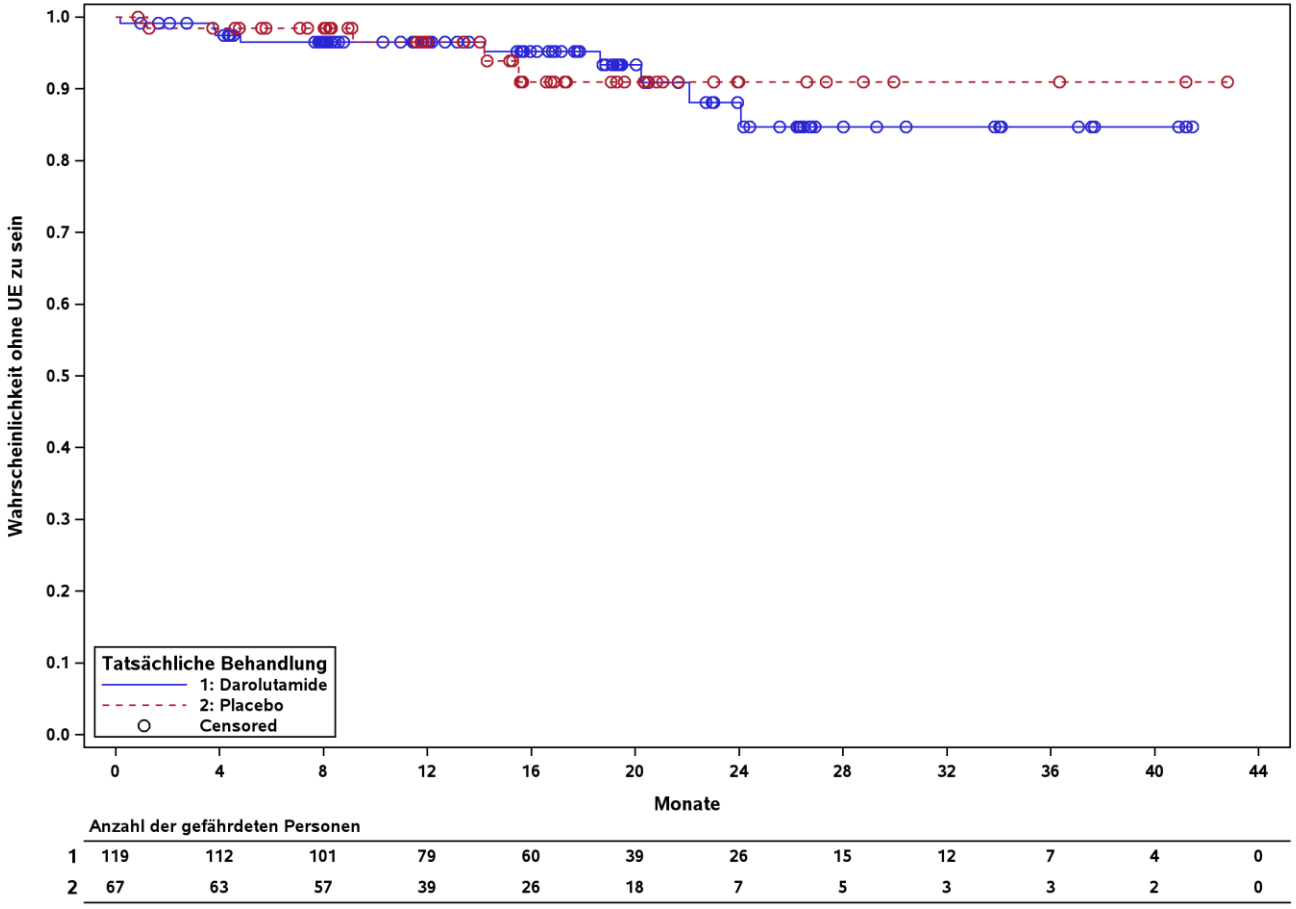
Bayer: /by-sasp/patdb/projects/1841788/17712/stat/prod_query22/pgms/t_aesi_sub.sas 23APR2020 17:14

Figure 4.3.3 / 79: Kaplan-Meier-Plot der 'Unerwünschte Ereignis von besonderem Interesse' Time-to-Event-Analyse nach Endpunkt und Subgruppe - Endpunkt: Zeit bis zum ersten UE von besonderem Interesse: Bone fractures - Subgruppe: Geografische Region: North America (full analysis set)



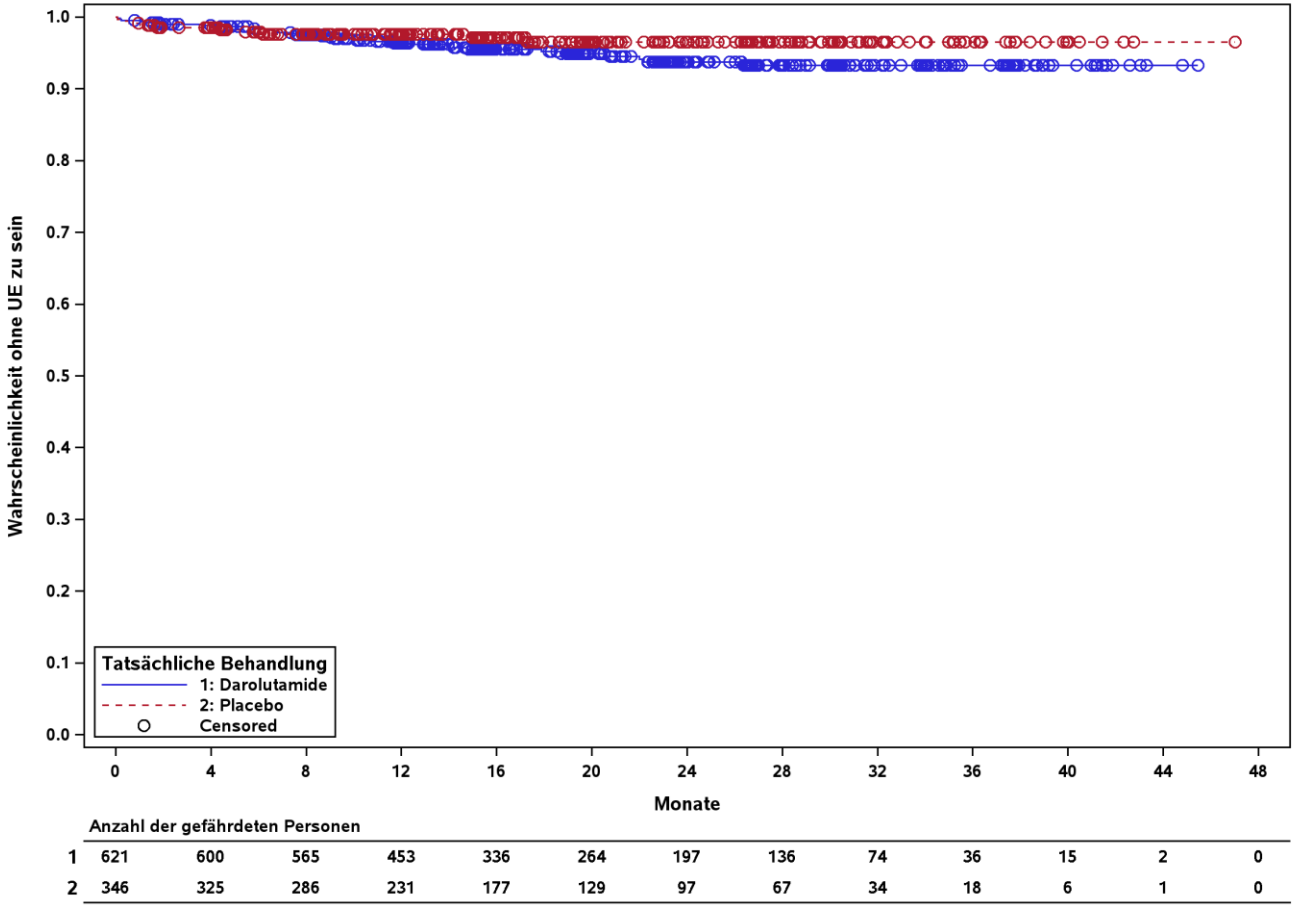
Bayer: /by-sasp/patdb/projects/1841788/17712/stat/prod_query22/pgms/t_aesi_sub.sas 23APR2020 17:14

Figure 4.3.3 / 80: Kaplan-Meier-Plot der 'Unerwünschte Ereignis von besonderem Interesse' Time-to-Event-Analyse nach Endpunkt und Subgruppe - Endpunkt: Zeit bis zum ersten UE von besonderem Interesse: Bone fractures - Subgruppe: Geografische Region: Asia Pacific (full analysis set)



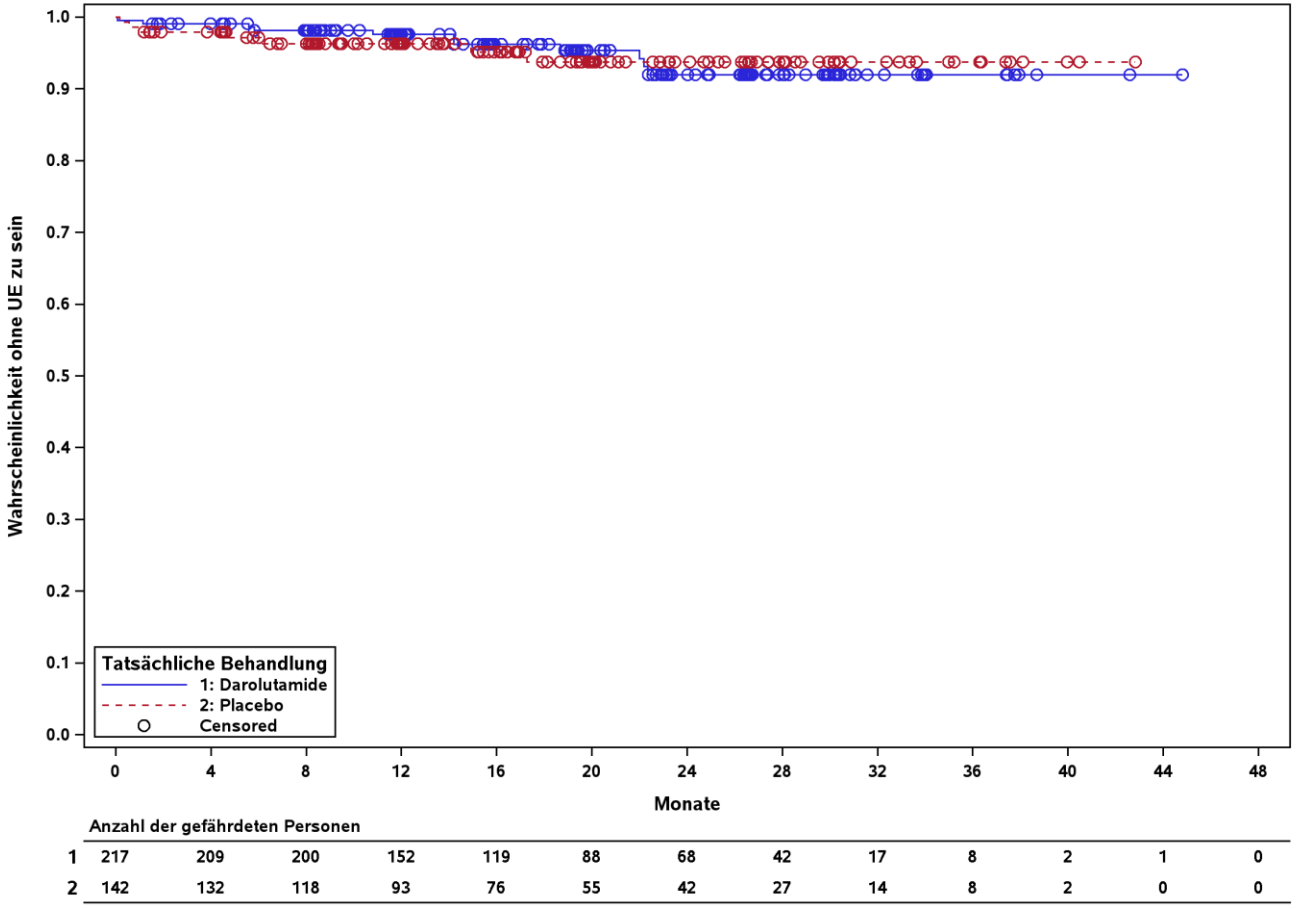
Bayer: /by-sasp/patdb/projects/1841788/17712/stat/prod_query22/pgms/t_aesi_sub.sas 23APR2020 17:14

Figure 4.3.3 / 81: Kaplan-Meier-Plot der 'Unerwünschte Ereignis von besonderem Interesse' Time-to-Event-Analyse nach Endpunkt und Subgruppe - Endpunkt: Zeit bis zum ersten UE von besonderem Interesse: Bone fractures - Subgruppe: Geografische Region: Europe (full analysis set)



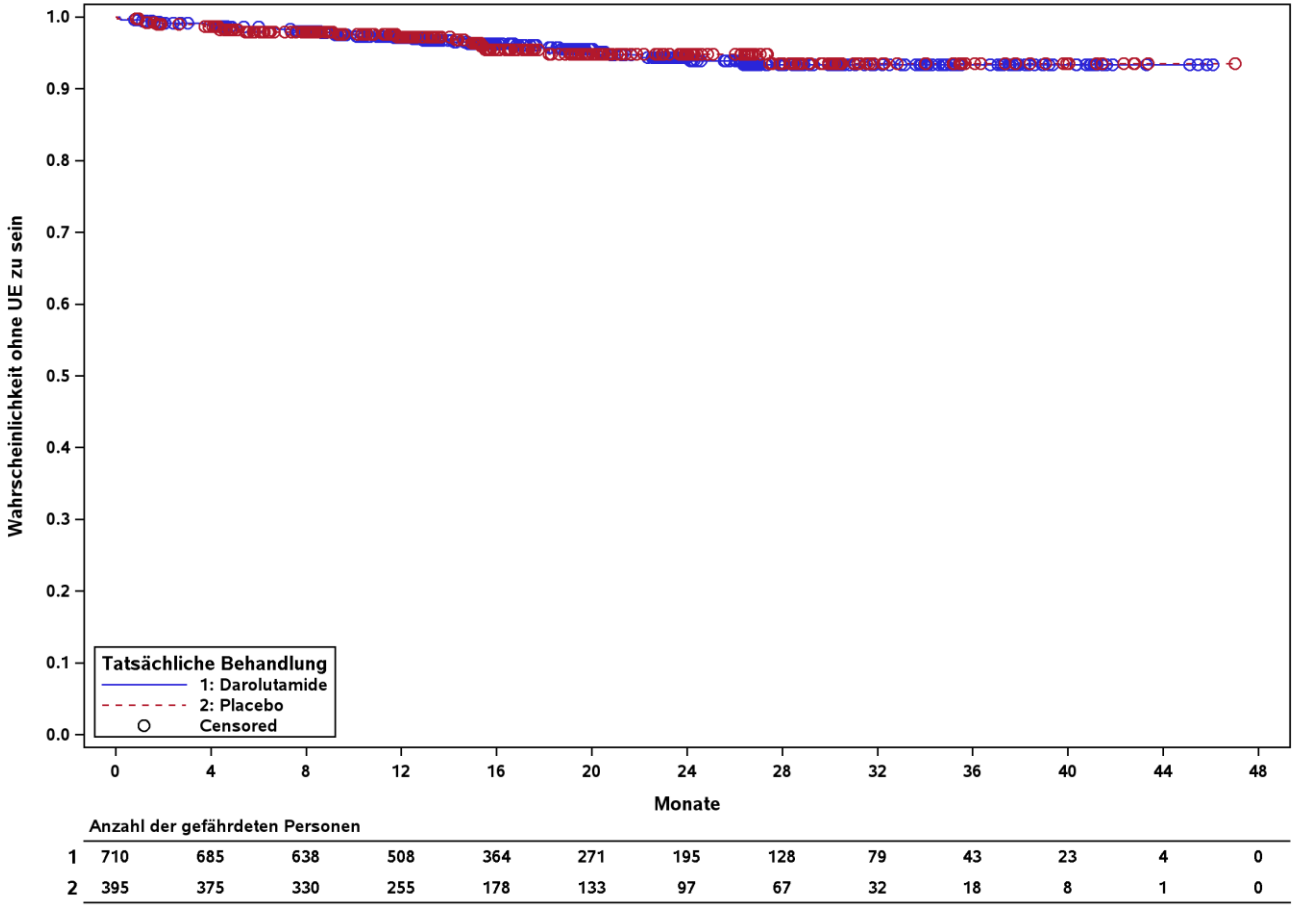
Bayer: /by-sasp/patdb/projects/1841788/17712/stat/prod_query22/pgms/t_aesi_sub.sas 23APR2020 17:14

Figure 4.3.3 / 82: Kaplan-Meier-Plot der 'Unerwünschte Ereignis von besonderem Interesse' Time-to-Event-Analyse nach Endpunkt und Subgruppe - Endpunkt: Zeit bis zum ersten UE von besonderem Interesse: Bone fractures - Subgruppe: Gleason-Score bei Diagnose: <7 (full analysis set)



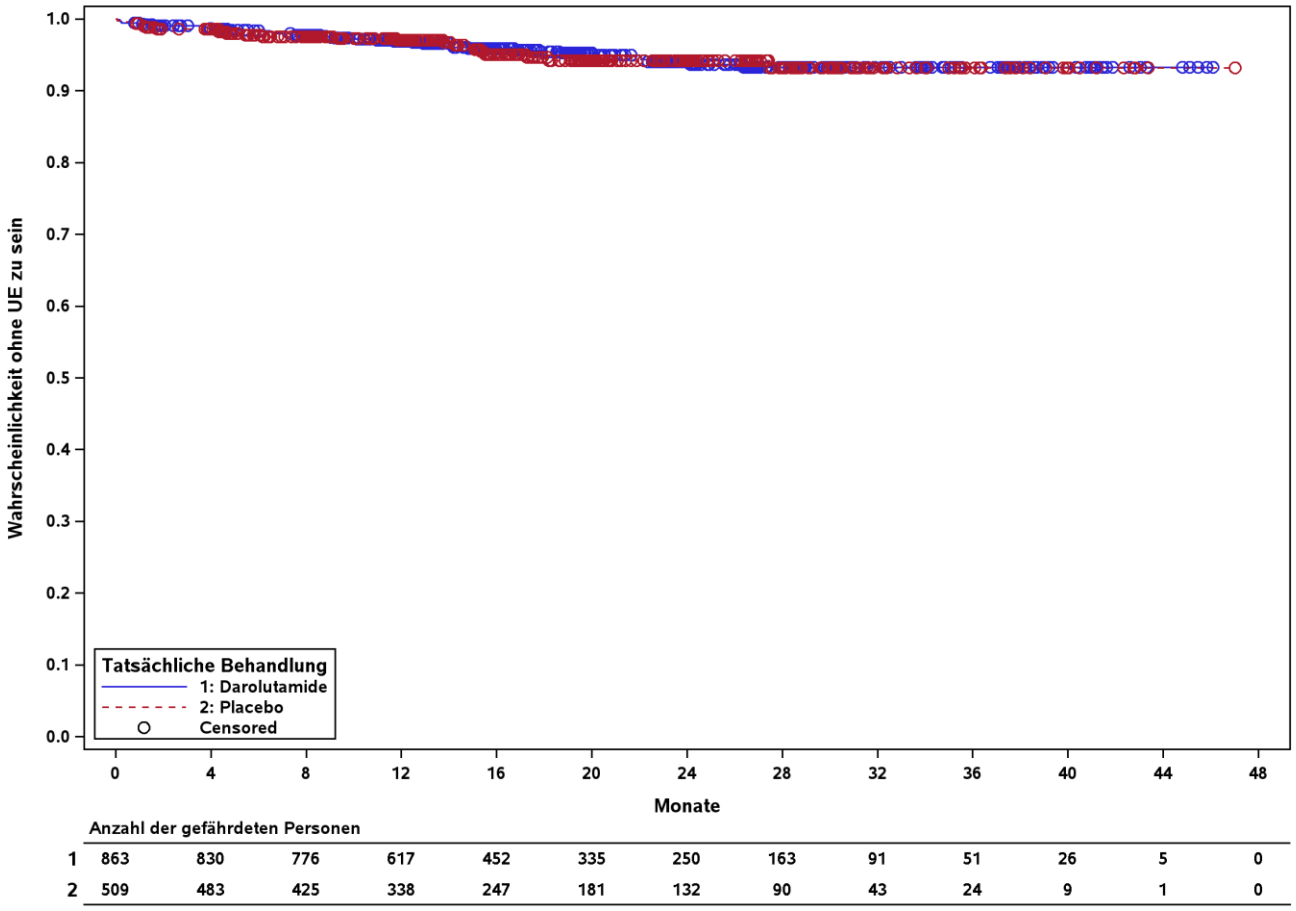
Bayer: /by-sasp/patdb/projects/1841788/17712/stat/prod_query22/pgms/t_aesi_sub.sas 23APR2020 17:14

Figure 4.3.3 / 83: Kaplan-Meier-Plot der 'Unerwünschte Ereignis von besonderem Interesse' Time-to-Event-Analyse nach Endpunkt und Subgruppe - Endpunkt: Zeit bis zum ersten UE von besonderem Interesse: Bone fractures - Subgruppe: Gleason-Score bei Diagnose: >=7 (full analysis set)



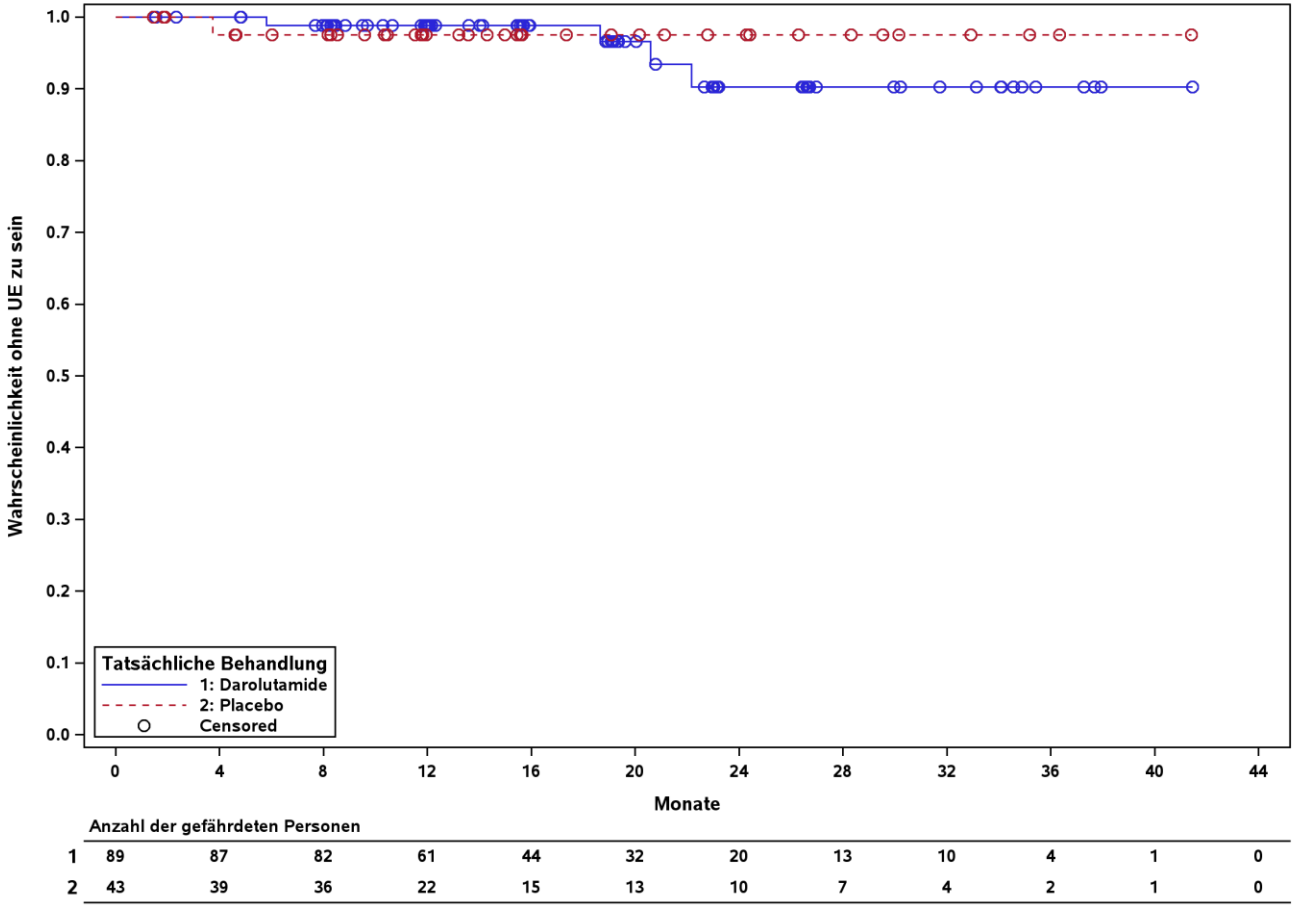
Bayer: /by-sasp/patdb/projects/1841788/17712/stat/prod_query22/pgms/t_aesi_sub.sas 23APR2020 17:14

Figure 4.3.3 / 84: Kaplan-Meier-Plot der 'Unerwünschte Ereignis von besonderem Interesse' Time-to-Event-Analyse nach Endpunkt und Subgruppe - Endpunkt: Zeit bis zum ersten UE von besonderem Interesse: Bone fractures - Subgruppe: Leberfunktionsstörung: normal (full analysis set)



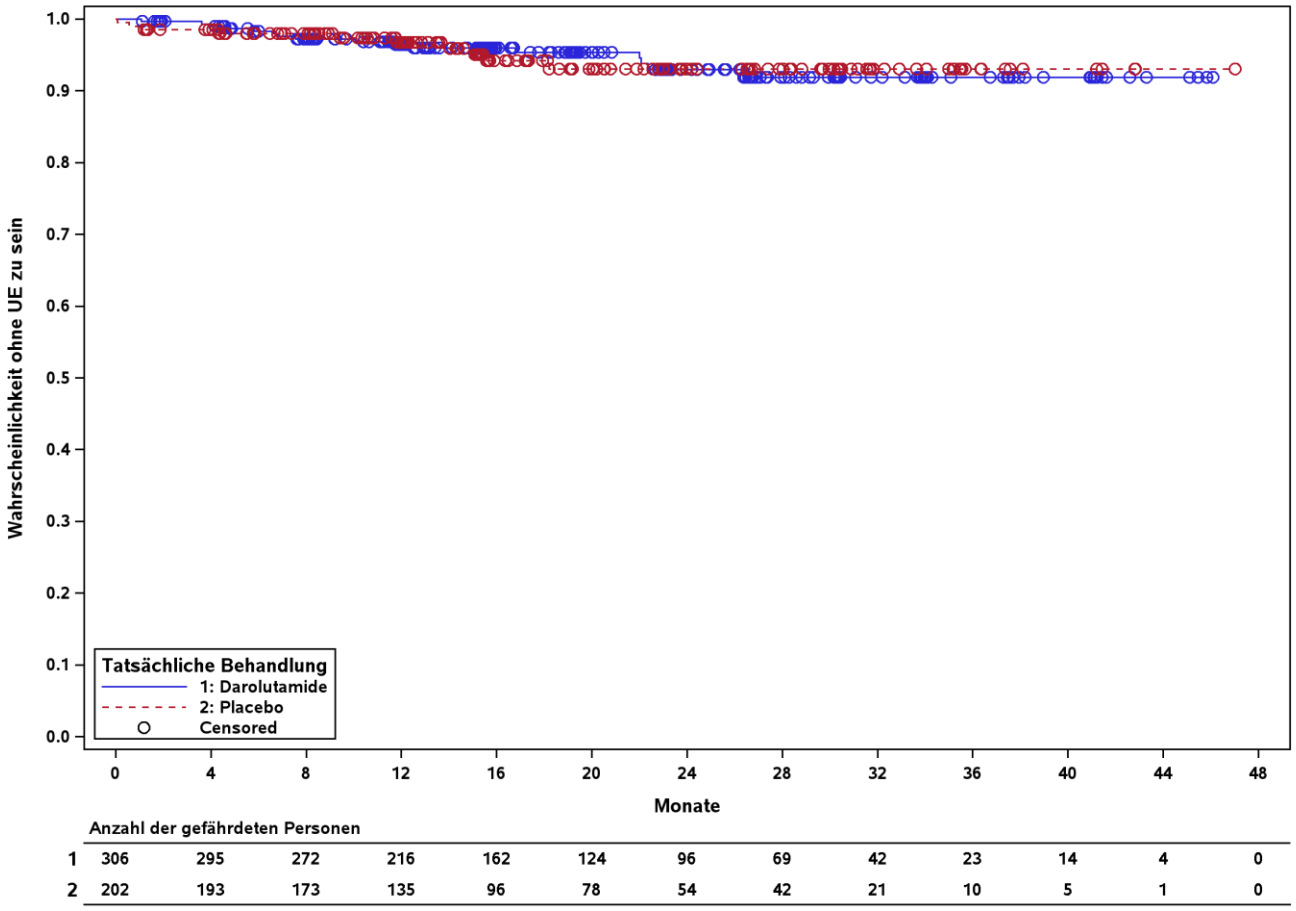
Bayer: /by-sasp/patdb/projects/1841788/17712/stat/prod_query22/pgms/t_aesi_sub.sas 23APR2020 17:14

Figure 4.3.3 / 85: Kaplan-Meier-Plot der 'Unerwünschte Ereignis von besonderem Interesse' Time-to-Event-Analyse nach Endpunkt und Subgruppe - Endpunkt: Zeit bis zum ersten UE von besonderem Interesse: Bone fractures - Subgruppe: Leberfunktionsstörung: mild (full analysis set)



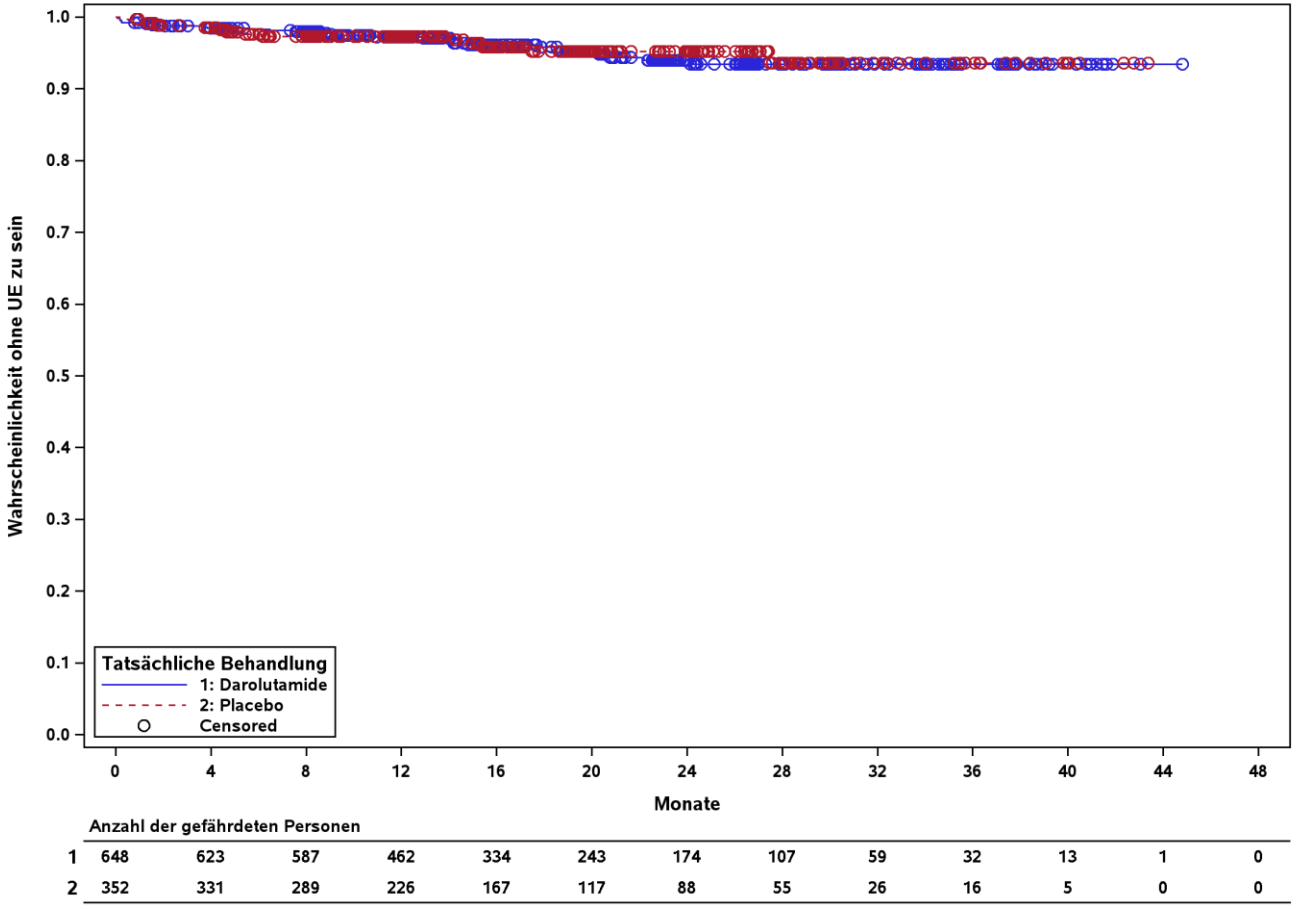
Bayer: /by-sasp/patdb/projects/1841788/17712/stat/prod_query22/pgms/t_aesi_sub.sas 23APR2020 17:14

Figure 4.3.3 / 86: Kaplan-Meier-Plot der 'Unerwünschte Ereignis von besonderem Interesse' Time-to-Event-Analyse nach Endpunkt und Subgruppe - Endpunkt: Zeit bis zum ersten UE von besonderem Interesse: Bone fractures - Subgruppe: Nutzung von Statinen: Ja (full analysis set)



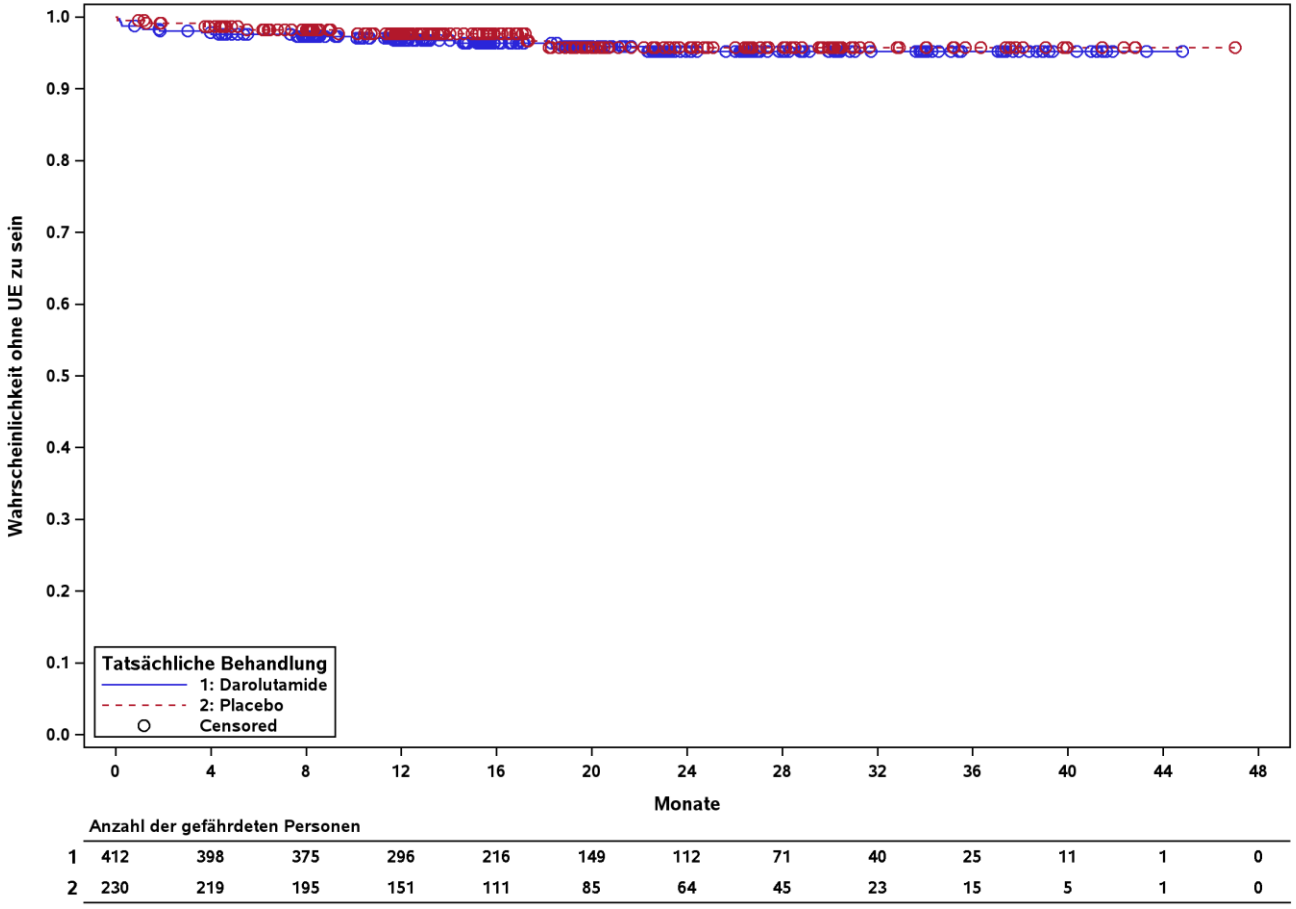
Bayer: /by-sasp/patdb/projects/1841788/17712/stat/prod_query22/pgms/t_aesi_sub.sas 23APR2020 17:14

Figure 4.3.3 / 87: Kaplan-Meier-Plot der 'Unerwünschte Ereignis von besonderem Interesse' Time-to-Event-Analyse nach Endpunkt und Subgruppe - Endpunkt: Zeit bis zum ersten UE von besonderem Interesse: Bone fractures - Subgruppe: Nutzung von Statinen: Nein (full analysis set)



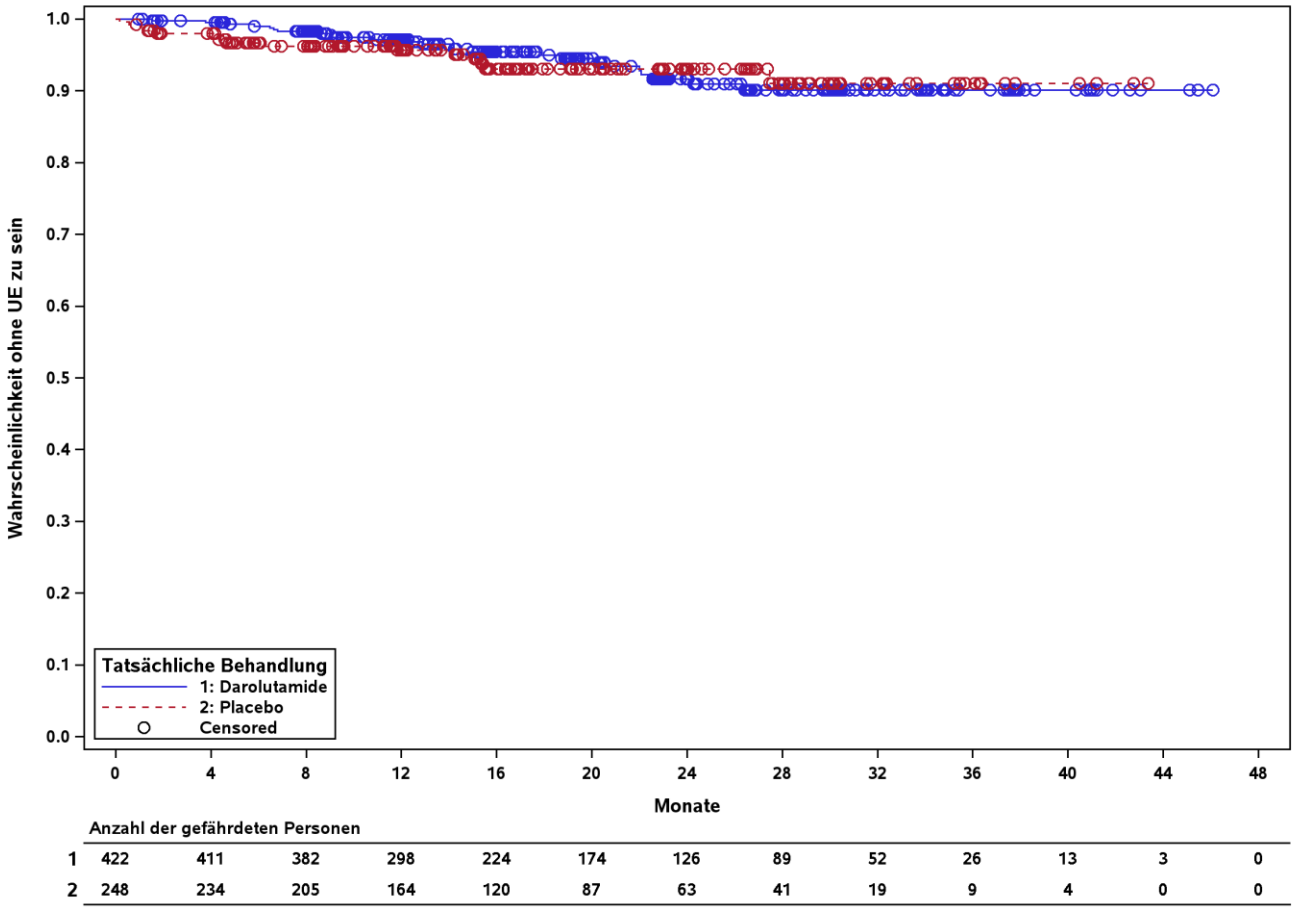
Bayer: /by-sasp/patdb/projects/1841788/17712/stat/prod_query22/pgms/t_aesi_sub.sas 23APR2020 17:14

Figure 4.3.3 / 88: Kaplan-Meier-Plot der 'Unerwünschte Ereignis von besonderem Interesse' Time-to-Event-Analyse nach Endpunkt und Subgruppe - Endpunkt: Zeit bis zum ersten UE von besonderem Interesse: Bone fractures - Subgruppe: eGFR an Baseline: normal (full analysis set)



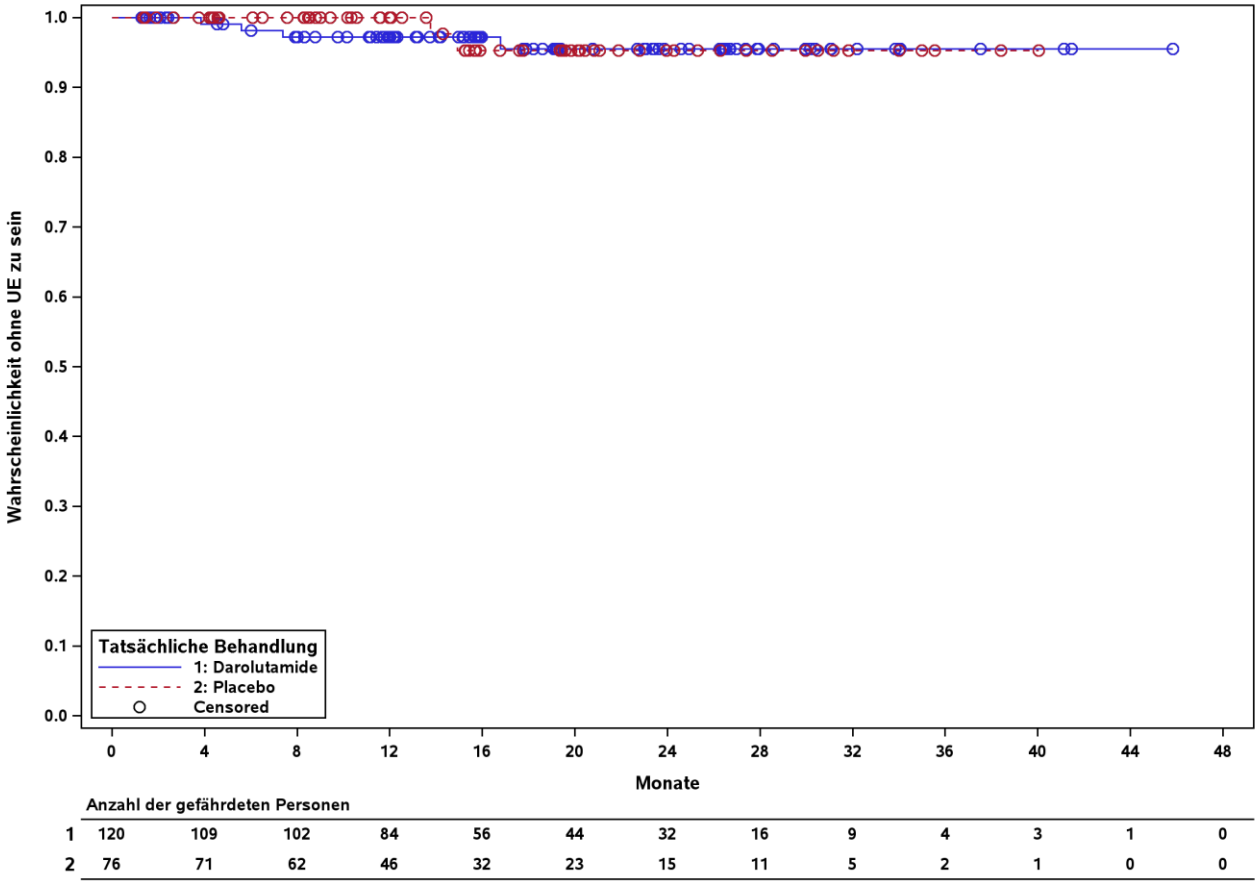
Bayer: /by-sasp/patdb/projects/1841788/17712/stat/prod_query22/pgms/t_aesi_sub.sas 23APR2020 17:14

Figure 4.3.3 / 89: Kaplan-Meier-Plot der 'Unerwünschte Ereignis von besonderem Interesse' Time-to-Event-Analyse nach Endpunkt und Subgruppe - Endpunkt: Zeit bis zum ersten UE von besonderem Interesse: Bone fractures - Subgruppe: eGFR an Baseline: mildly impaired (full analysis set)



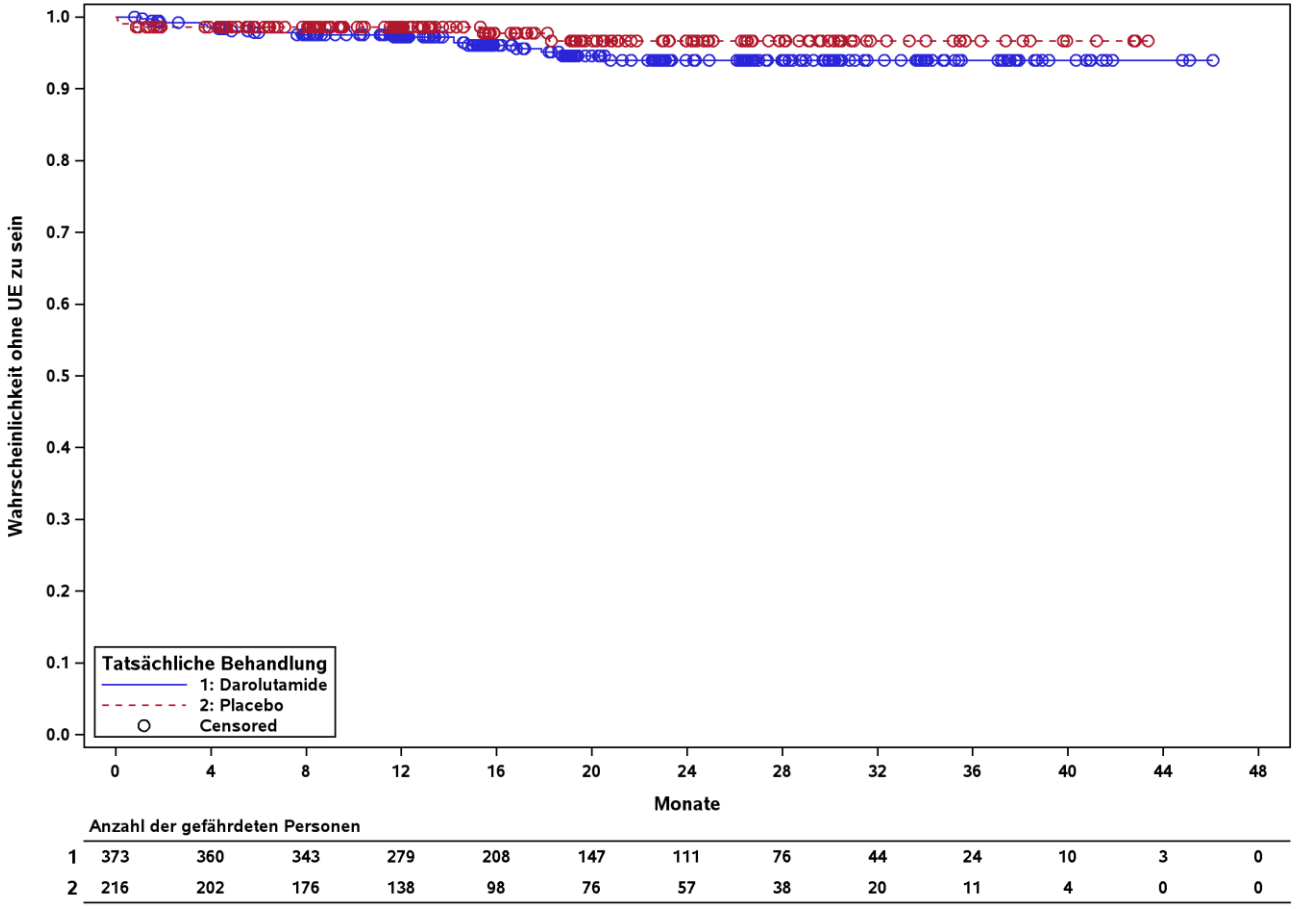
Bayer: /by-sasp/patdb/projects/1841788/17712/stat/prod_query22/pgms/t_aesi_sub.sas 23APR2020 17:14

Figure 4.3.3 / 90: Kaplan-Meier-Plot der 'Unerwünschte Ereignis von besonderem Interesse' Time-to-Event-Analyse nach Endpunkt und Subgruppe - Endpunkt: Zeit bis zum ersten UE von besonderem Interesse: Bone fractures - Subgruppe: eGFR an Baseline: moderately impaired, severely impaired and renal end stage (full analysis set)



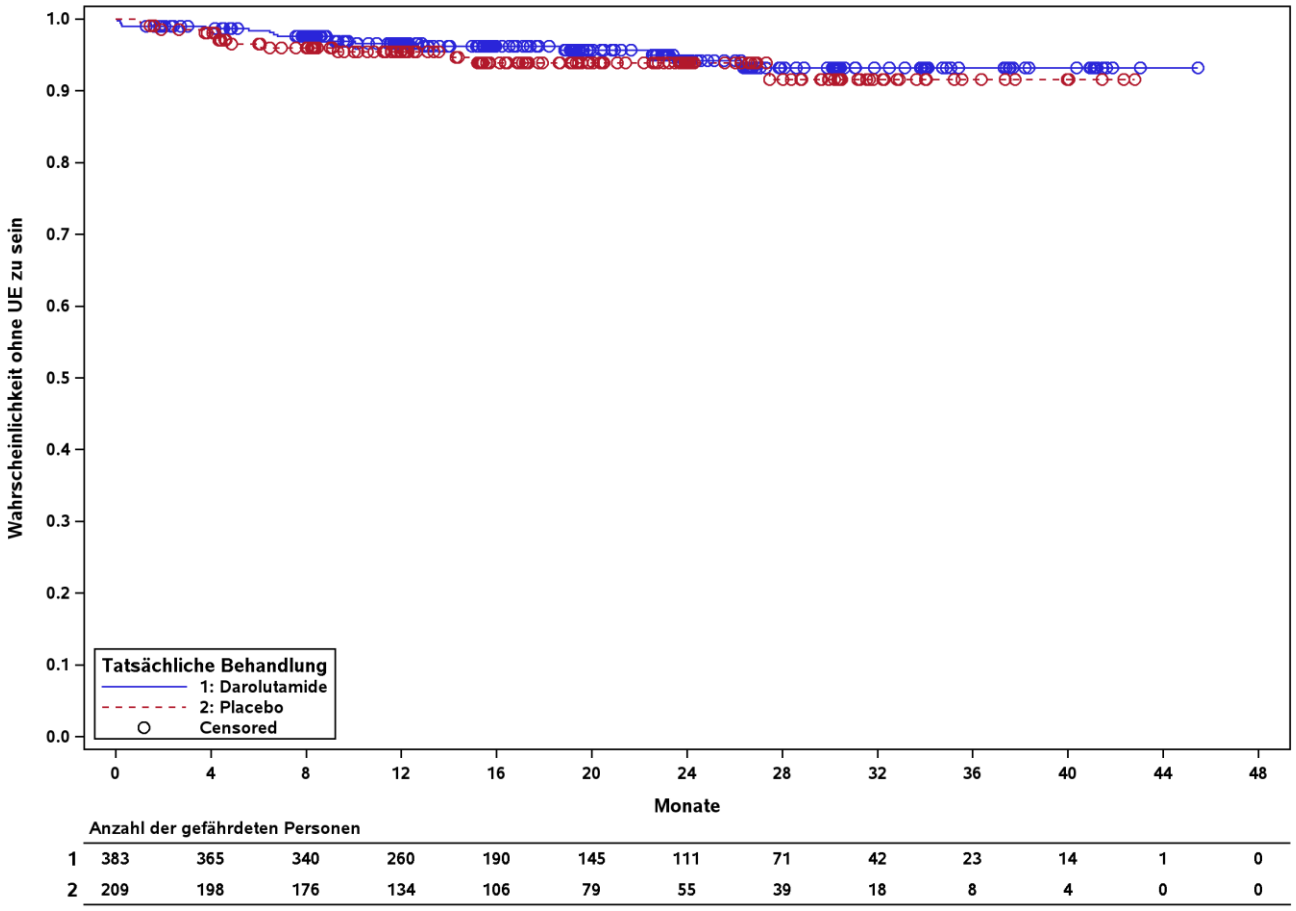
Bayer: /by-sasp/patdb/projects/1841788/17712/stat/prod_query22/pgms/t_aesi_sub.sas 23APR2020 17:14

Figure 4.3.3 / 91: Kaplan-Meier-Plot der 'Unerwünschte Ereignis von besonderem Interesse' Time-to-Event-Analyse nach Endpunkt und Subgruppe - Endpunkt: Zeit bis zum ersten UE von besonderem Interesse mit CTCAE Grad <3: Bone fractures - Subgruppe: Alter (Jahre): 65-74 (full analysis set)



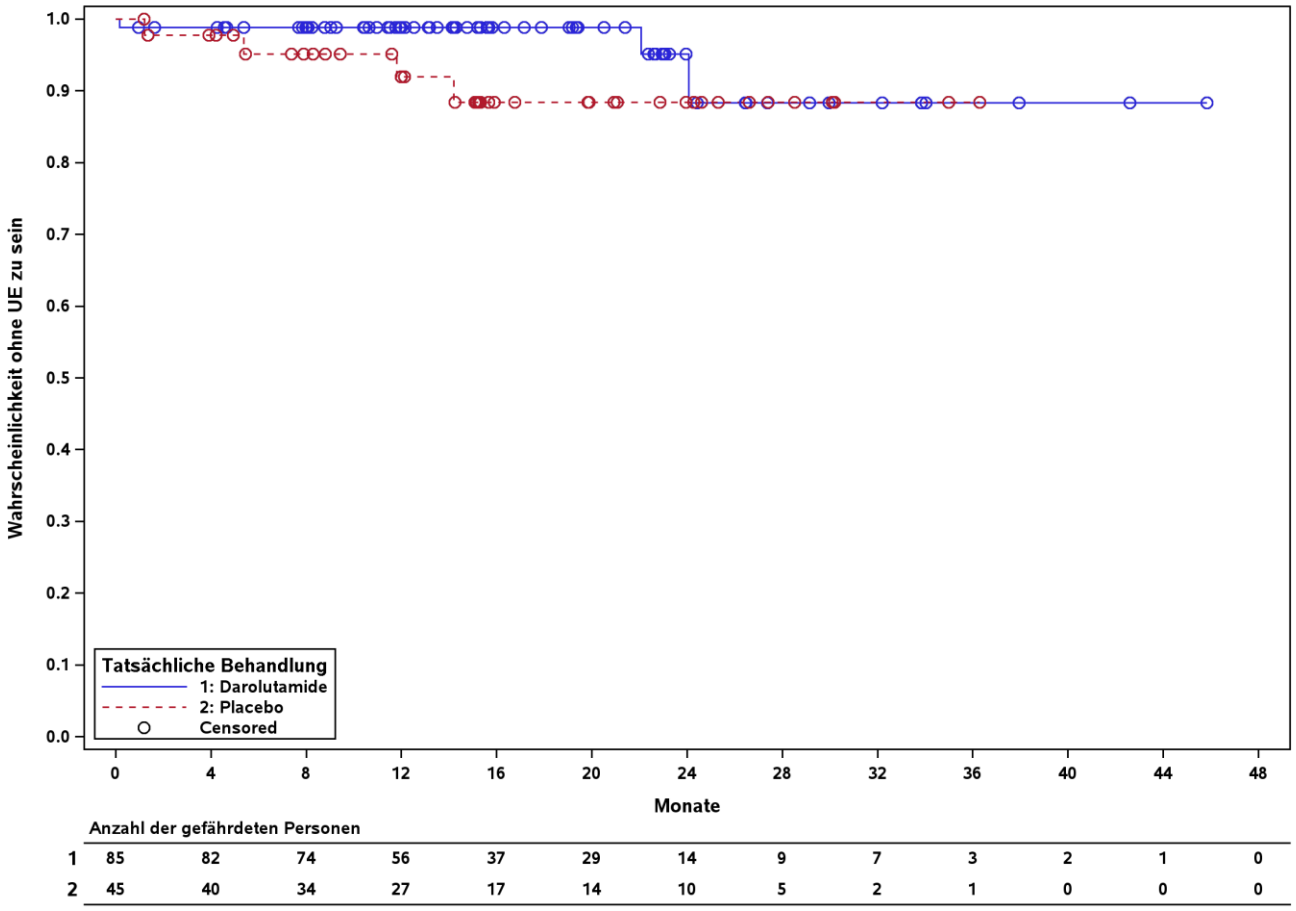
Bayer: /by-sasp/patdb/projects/1841788/17712/stat/prod_query22/pgms/t_aesi_sub.sas 23APR2020 17:14

Figure 4.3.3 / 92: Kaplan-Meier-Plot der 'Unerwünschte Ereignis von besonderem Interesse' Time-to-Event-Analyse nach Endpunkt und Subgruppe - Endpunkt: Zeit bis zum ersten UE von besonderem Interesse mit CTCAE Grad <3: Bone fractures - Subgruppe: Alter (Jahre): 75-84 (full analysis set)



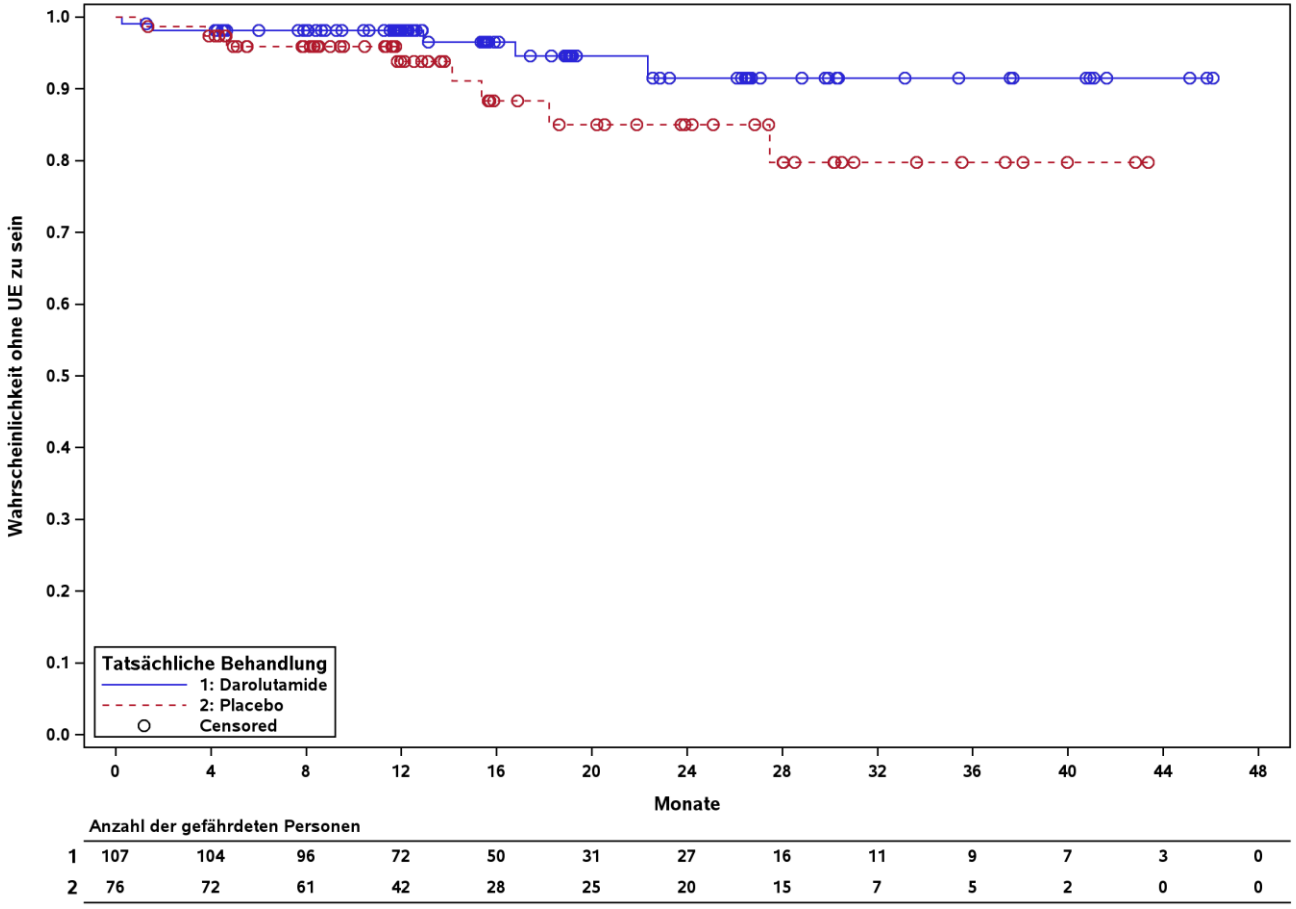
Bayer: /by-sasp/patdb/projects/1841788/17712/stat/prod_query22/pgms/t_aesi_sub.sas 23APR2020 17:14

Figure 4.3.3 / 93: Kaplan-Meier-Plot der 'Unerwünschte Ereignis von besonderem Interesse' Time-to-Event-Analyse nach Endpunkt und Subgruppe - Endpunkt: Zeit bis zum ersten UE von besonderem Interesse mit CTCAE Grad <3: Bone fractures - Subgruppe: Alter (Jahre): >=85 (full analysis set)



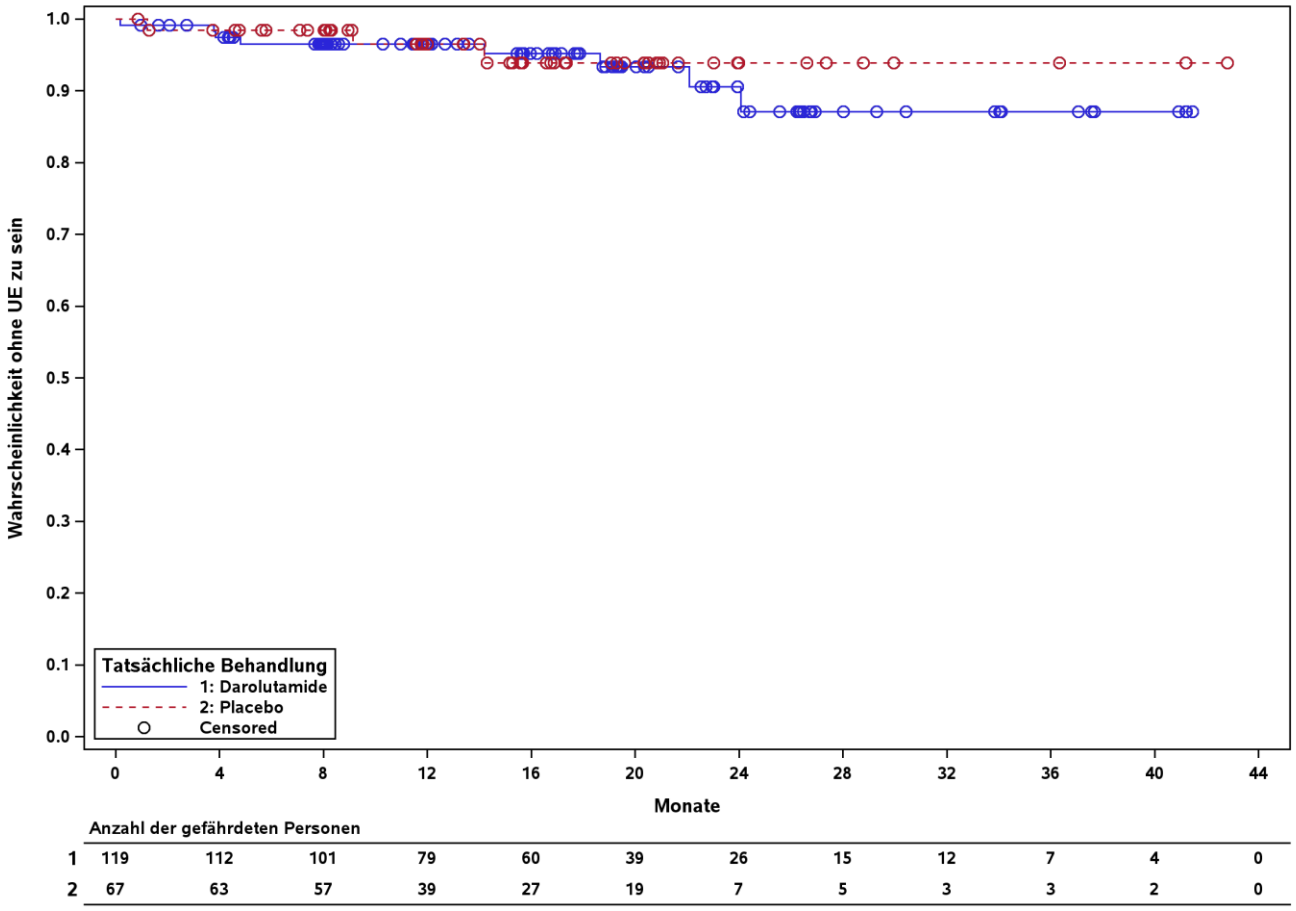
Bayer: /by-sasp/patdb/projects/1841788/17712/stat/prod_query22/pgms/t_aesi_sub.sas 23APR2020 17:14

Figure 4.3.3 / 94: Kaplan-Meier-Plot der 'Unerwünschte Ereignis von besonderem Interesse' Time-to-Event-Analyse nach Endpunkt und Subgruppe - Endpunkt: Zeit bis zum ersten UE von besonderem Interesse mit CTCAE Grad <3: Bone fractures - Subgruppe: Geografische Region: North America (full analysis set)



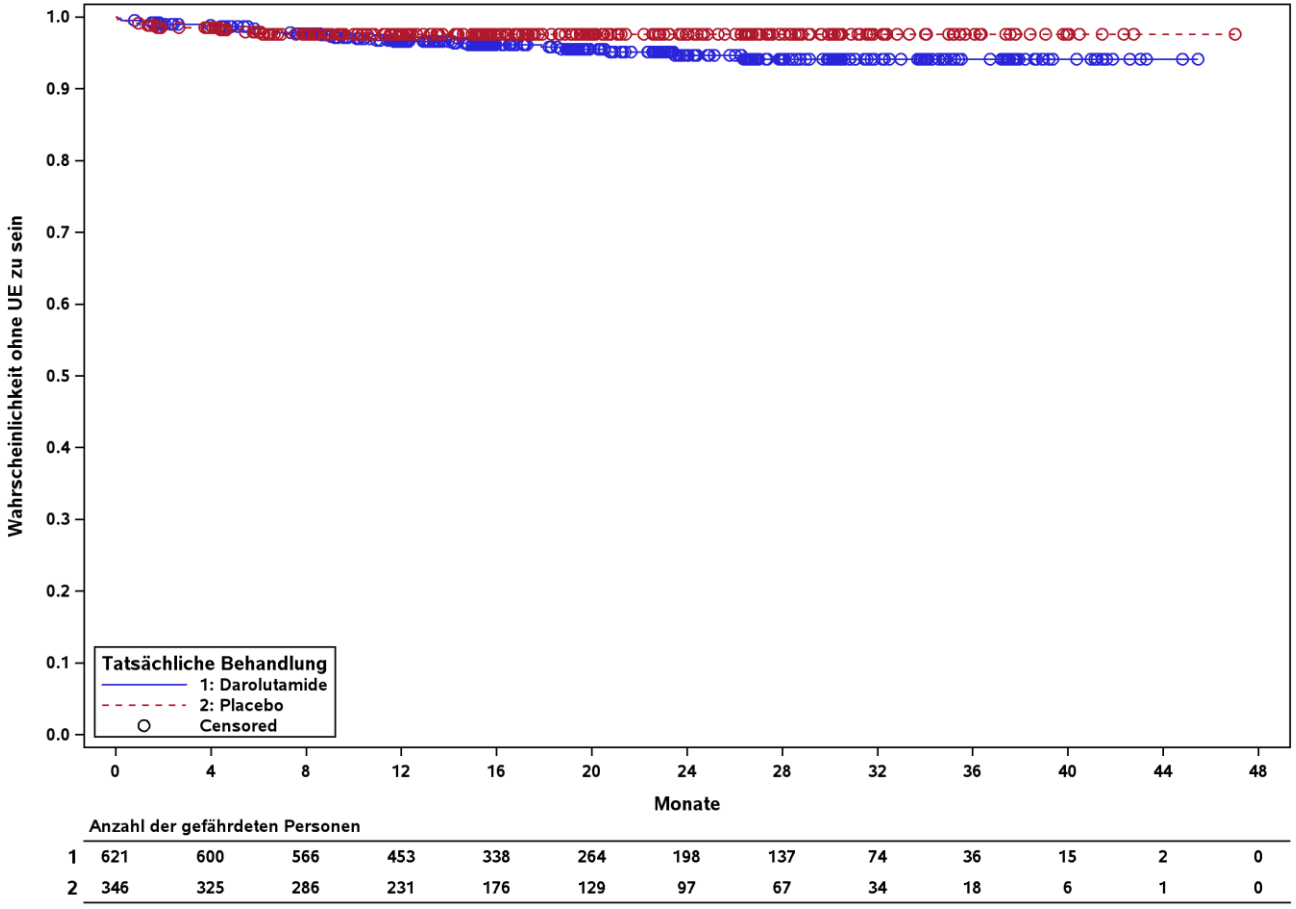
Bayer: /by-sasp/patdb/projects/1841788/17712/stat/prod_query22/pgms/t_aesi_sub.sas 23APR2020 17:14

Figure 4.3.3 / 95: Kaplan-Meier-Plot der 'Unerwünschte Ereignis von besonderem Interesse' Time-to-Event-Analyse nach Endpunkt und Subgruppe - Endpunkt: Zeit bis zum ersten UE von besonderem Interesse mit CTCAE Grad <3: Bone fractures - Subgruppe: Geografische Region: Asia Pacific (full analysis set)



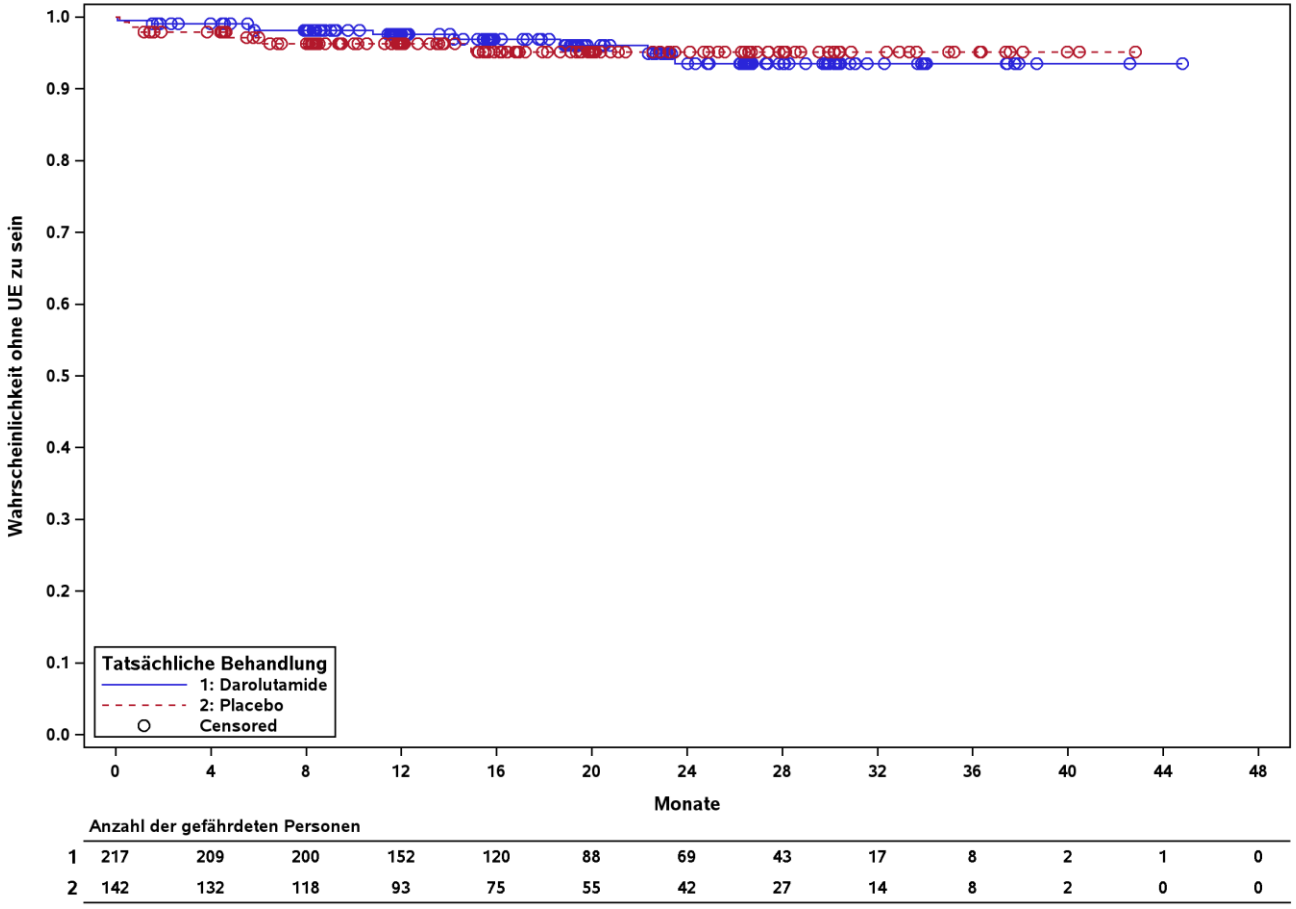
Bayer: /by-sasp/patdb/projects/1841788/17712/stat/prod_query22/pgms/t_aesi_sub.sas 23APR2020 17:14

Figure 4.3.3 / 96: Kaplan-Meier-Plot der 'Unerwünschte Ereignis von besonderem Interesse' Time-to-Event-Analyse nach Endpunkt und Subgruppe - Endpunkt: Zeit bis zum ersten UE von besonderem Interesse mit CTCAE Grad <3: Bone fractures - Subgruppe: Geografische Region: Europe (full analysis set)



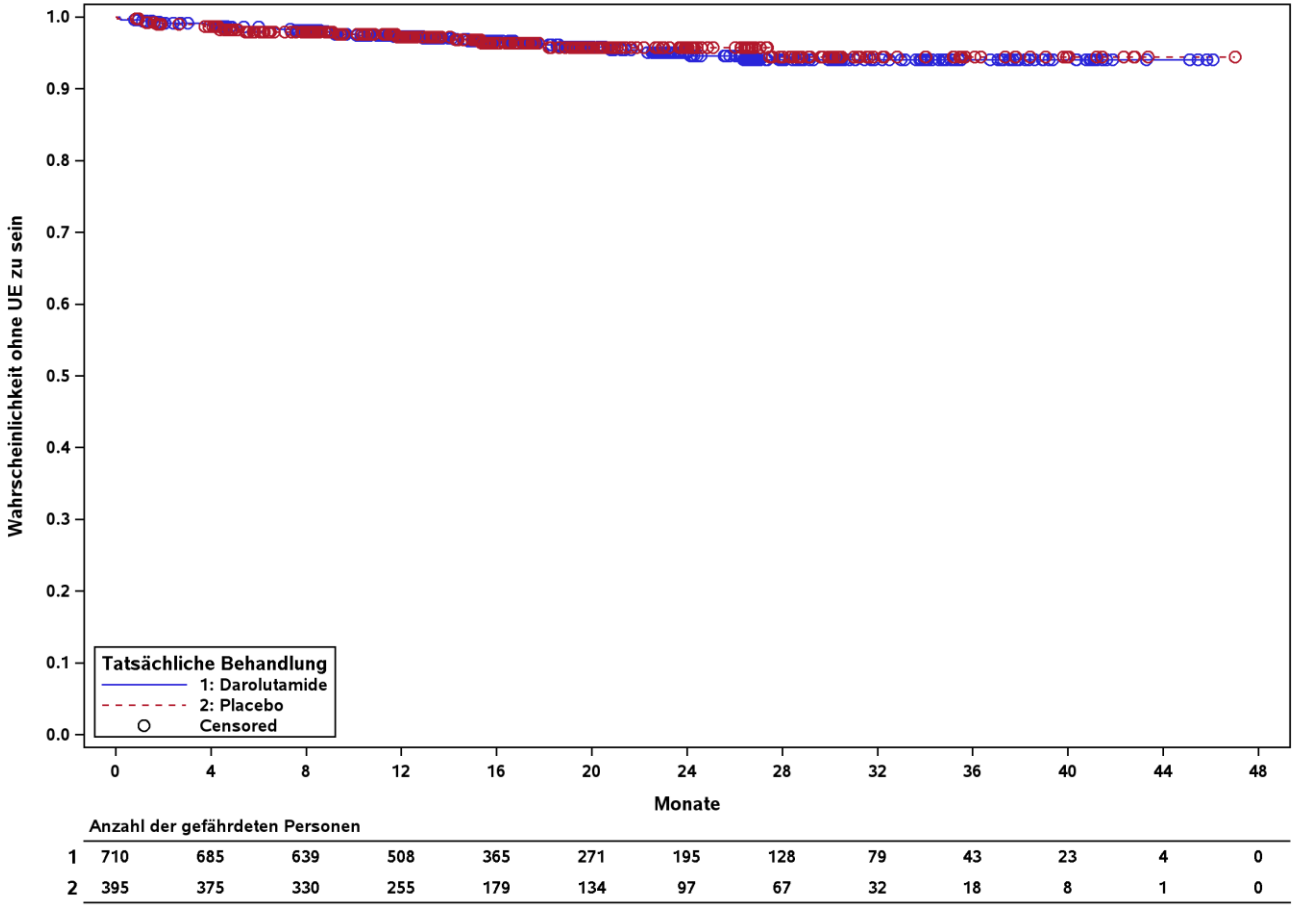
Bayer: /by-sasp/patdb/projects/1841788/17712/stat/prod_query22/pgms/t_aesi_sub.sas 23APR2020 17:14

Figure 4.3.3 / 97: Kaplan-Meier-Plot der 'Unerwünschte Ereignis von besonderem Interesse' Time-to-Event-Analyse nach Endpunkt und Subgruppe - Endpunkt: Zeit bis zum ersten UE von besonderem Interesse mit CTCAE Grad <3: Bone fractures - Subgruppe: Gleason-Score bei Diagnose: <7 (full analysis set)



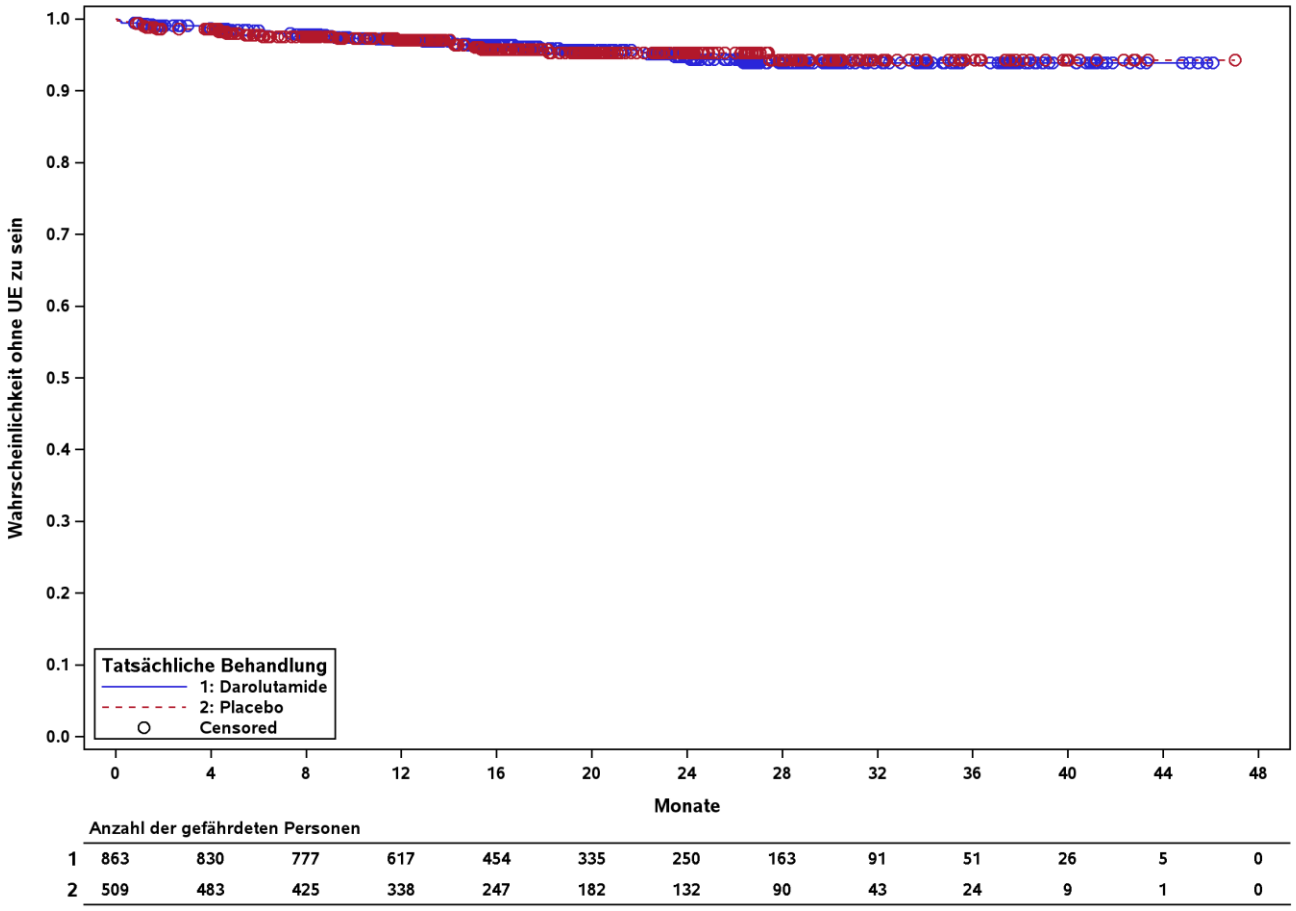
Bayer: /by-sasp/patdb/projects/1841788/17712/stat/prod_query22/pgms/t_aesi_sub.sas 23APR2020 17:14

Figure 4.3.3 / 98: Kaplan-Meier-Plot der 'Unerwünschte Ereignis von besonderem Interesse' Time-to-Event-Analyse nach Endpunkt und Subgruppe - Endpunkt: Zeit bis zum ersten UE von besonderem Interesse mit CTCAE Grad <3: Bone fractures - Subgruppe: Gleason-Score bei Diagnose: >=7 (full analysis set)



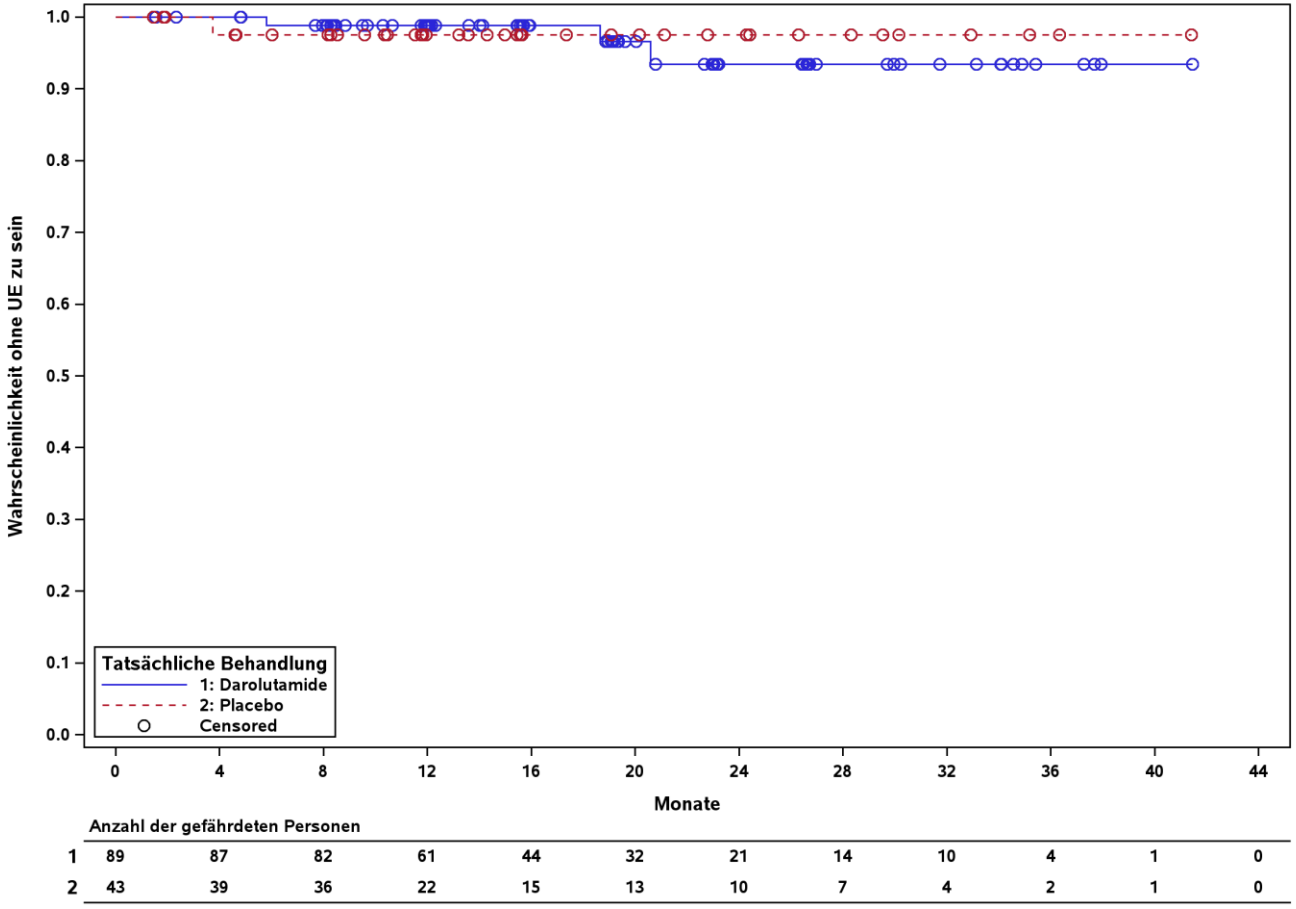
Bayer: /by-sasp/patdb/projects/1841788/17712/stat/prod_query22/pgms/t_aesi_sub.sas 23APR2020 17:14

Figure 4.3.3 / 99: Kaplan-Meier-Plot der 'Unerwünschte Ereignis von besonderem Interesse' Time-to-Event-Analyse nach Endpunkt und Subgruppe - Endpunkt: Zeit bis zum ersten UE von besonderem Interesse mit CTCAE Grad <3: Bone fractures - Subgruppe: Leberfunktionsstörung: normal (full analysis set)



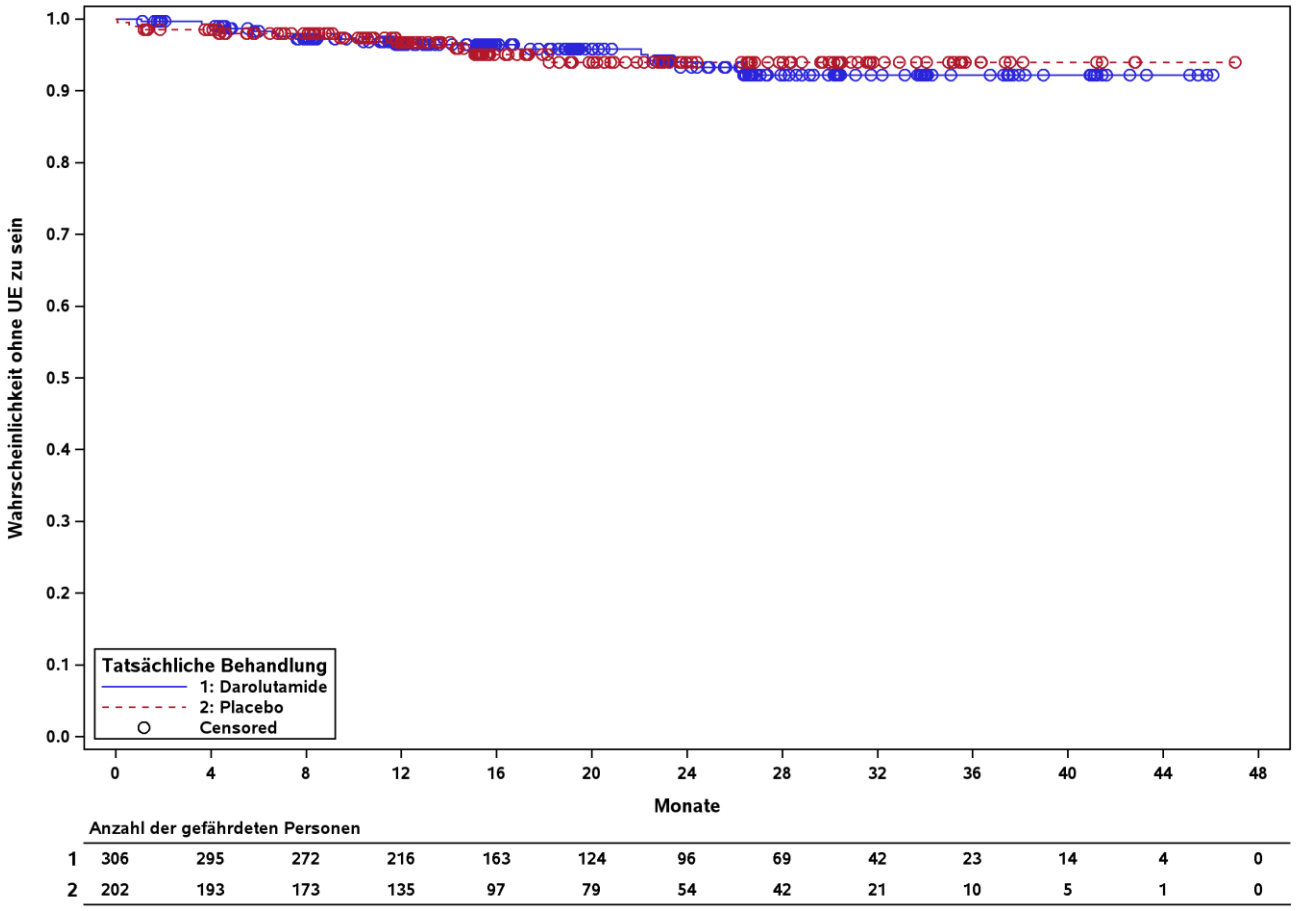
Bayer: /by-sasp/patdb/projects/1841788/17712/stat/prod_query22/pgms/t_aesi_sub.sas 23APR2020 17:14

Figure 4.3.3 / 100: Kaplan-Meier-Plot der 'Unerwünschte Ereignis von besonderem Interesse' Time-to-Event-Analyse nach Endpunkt und Subgruppe - Endpunkt: Zeit bis zum ersten UE von besonderem Interesse mit CTCAE Grad <3: Bone fractures - Subgruppe: Leberfunktionsstörung: mild (full analysis set)



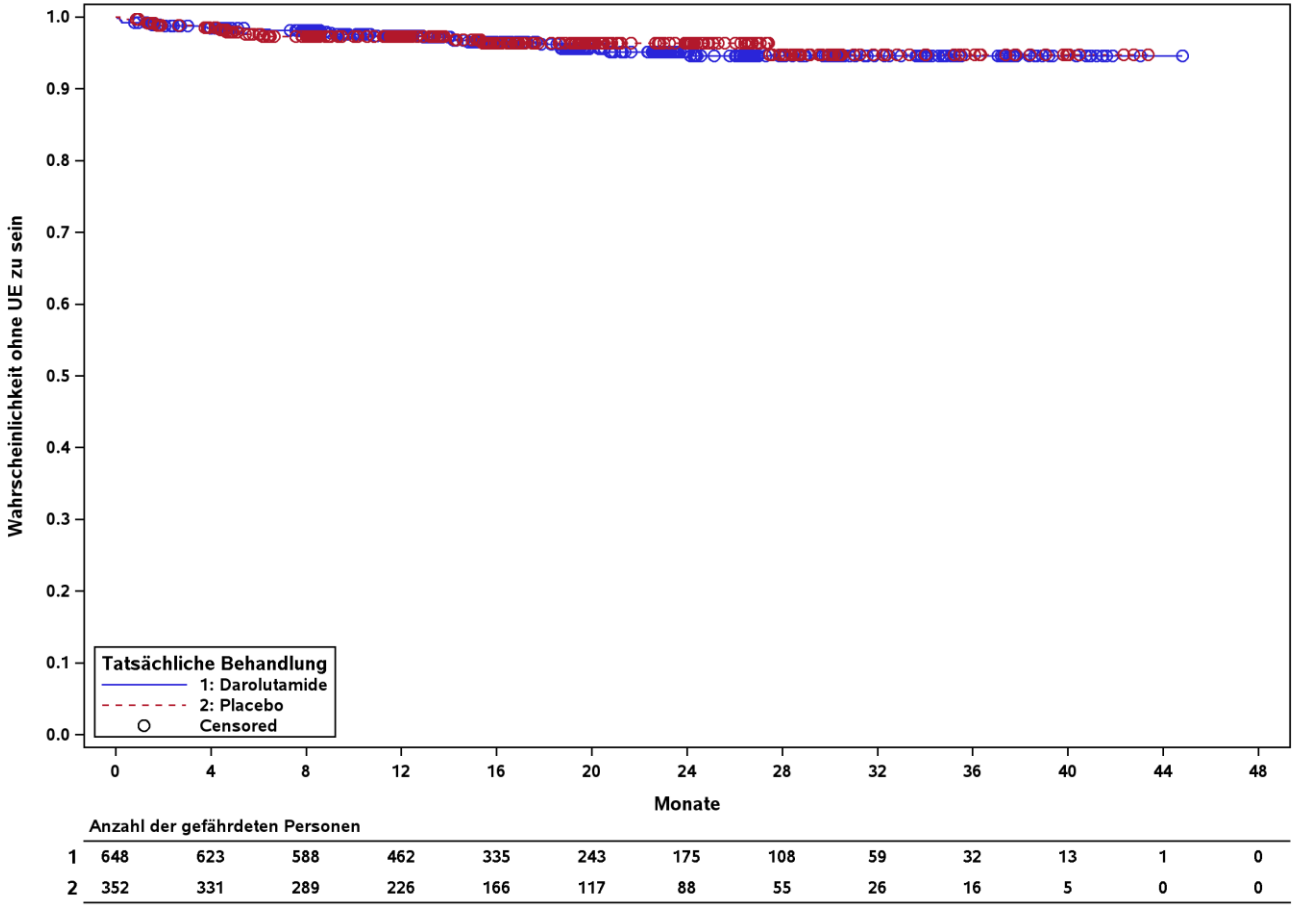
Bayer: /by-sasp/patdb/projects/1841788/17712/stat/prod_query22/pgms/t_aesi_sub.sas 23APR2020 17:14

Figure 4.3.3 / 101: Kaplan-Meier-Plot der 'Unerwünschte Ereignis von besonderem Interesse' Time-to-Event-Analyse nach Endpunkt und Subgruppe - Endpunkt: Zeit bis zum ersten UE von besonderem Interesse mit CTCAE Grad <3: Bone fractures - Subgruppe: Nutzung von Statinen: Ja (full analysis set)



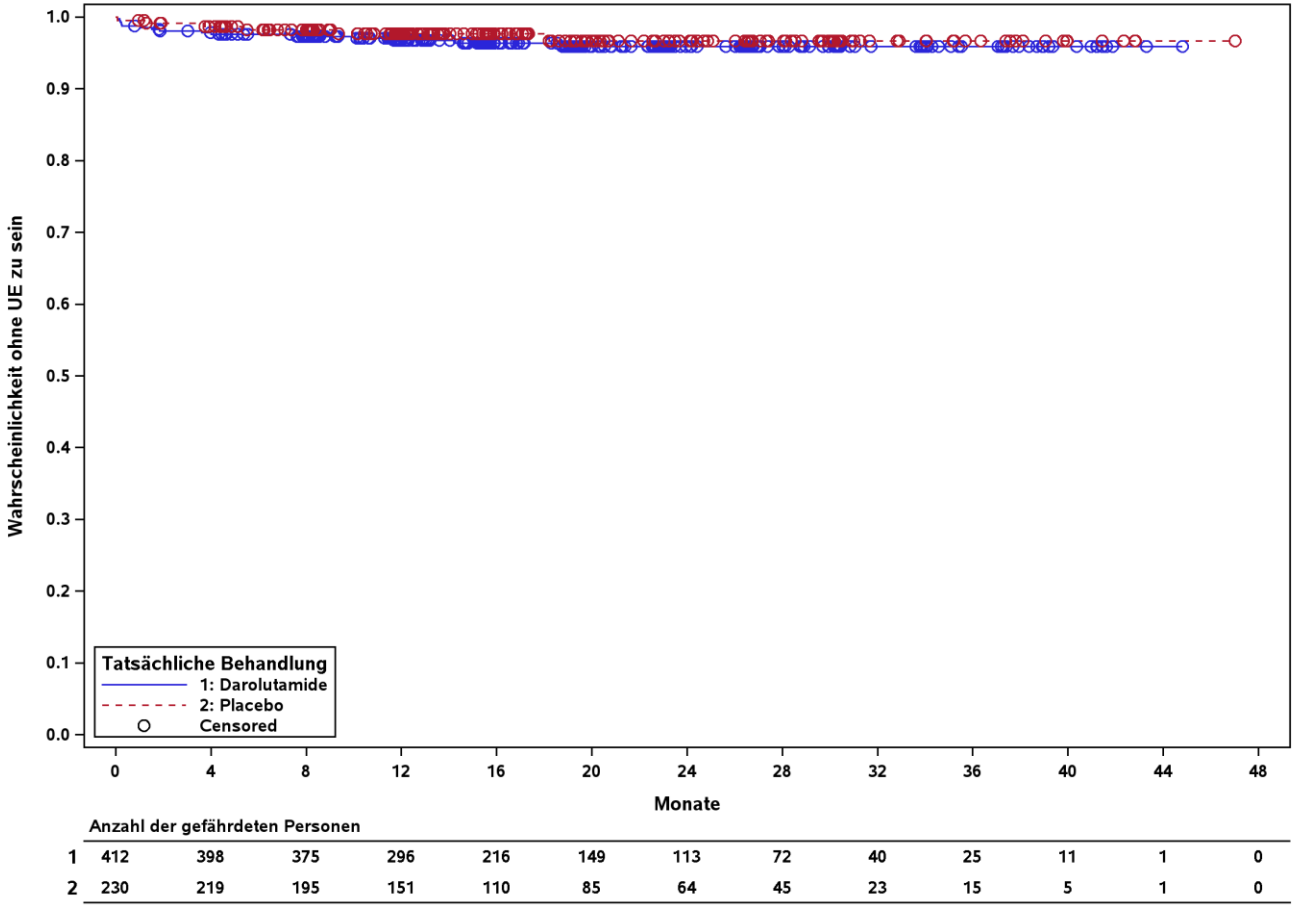
Bayer: /by-sasp/patdb/projects/1841788/17712/stat/prod_query22/pgms/t_aesi_sub.sas 23APR2020 17:14

Figure 4.3.3 / 102: Kaplan-Meier-Plot der 'Unerwünschte Ereignis von besonderem Interesse' Time-to-Event-Analyse nach Endpunkt und Subgruppe - Endpunkt: Zeit bis zum ersten UE von besonderem Interesse mit CTCAE Grad <3: Bone fractures - Subgruppe: Nutzung von Statinen: Nein (full analysis set)



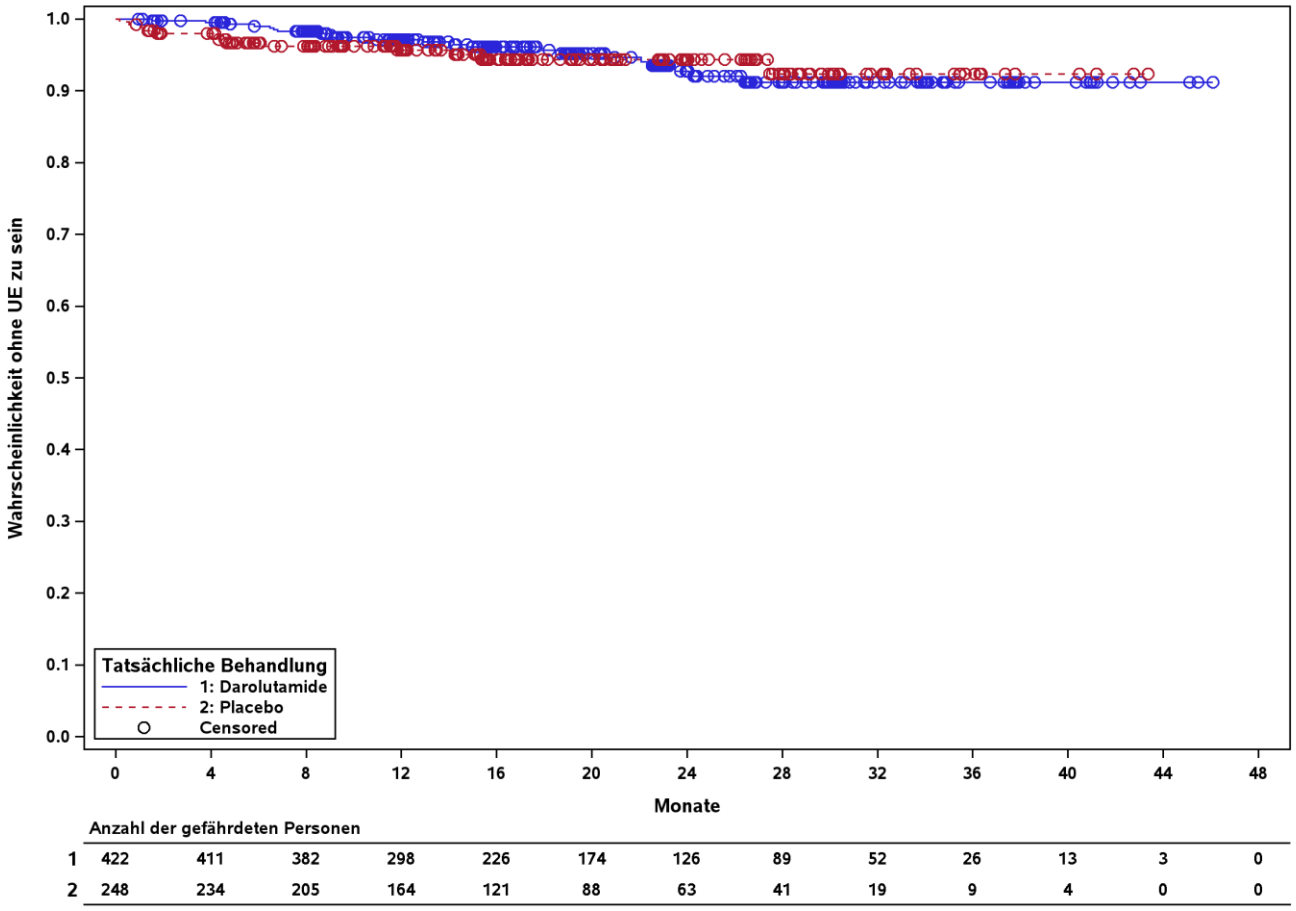
Bayer: /by-sasp/patdb/projects/1841788/17712/stat/prod_query22/pgms/t_aesi_sub.sas 23APR2020 17:14

Figure 4.3.3 / 103: Kaplan-Meier-Plot der 'Unerwünschte Ereignis von besonderem Interesse' Time-to-Event-Analyse nach Endpunkt und Subgruppe - Endpunkt: Zeit bis zum ersten UE von besonderem Interesse mit CTCAE Grad <3: Bone fractures - Subgruppe: eGFR an Baseline: normal (full analysis set)



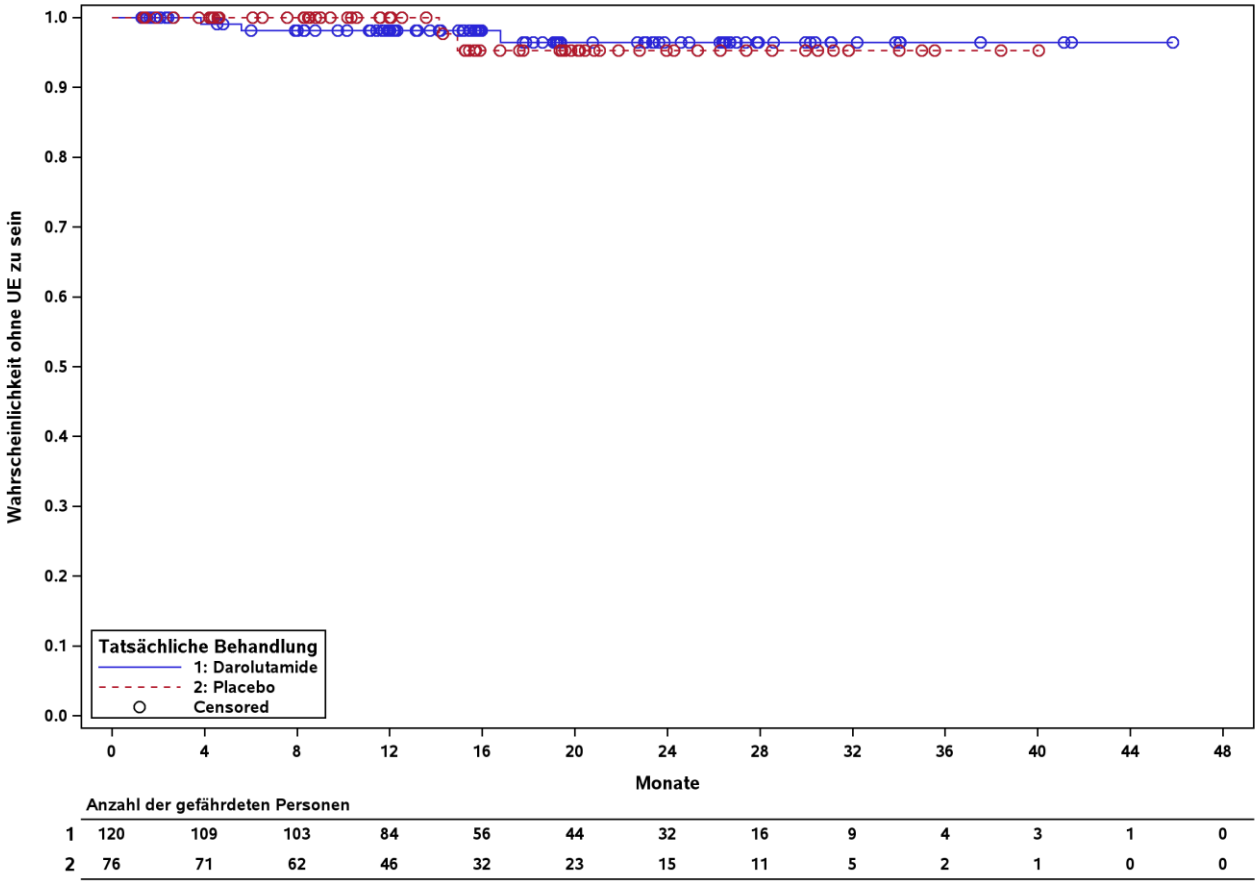
Bayer: /by-sasp/patdb/projects/1841788/17712/stat/prod_query22/pgms/t_aesi_sub.sas 23APR2020 17:14

Figure 4.3.3 / 104: Kaplan-Meier-Plot der 'Unerwünschte Ereignis von besonderem Interesse' Time-to-Event-Analyse nach Endpunkt und Subgruppe - Endpunkt: Zeit bis zum ersten UE von besonderem Interesse mit CTCAE Grad <3: Bone fractures - Subgruppe: eGFR an Baseline: mildly impaired (full analysis set)



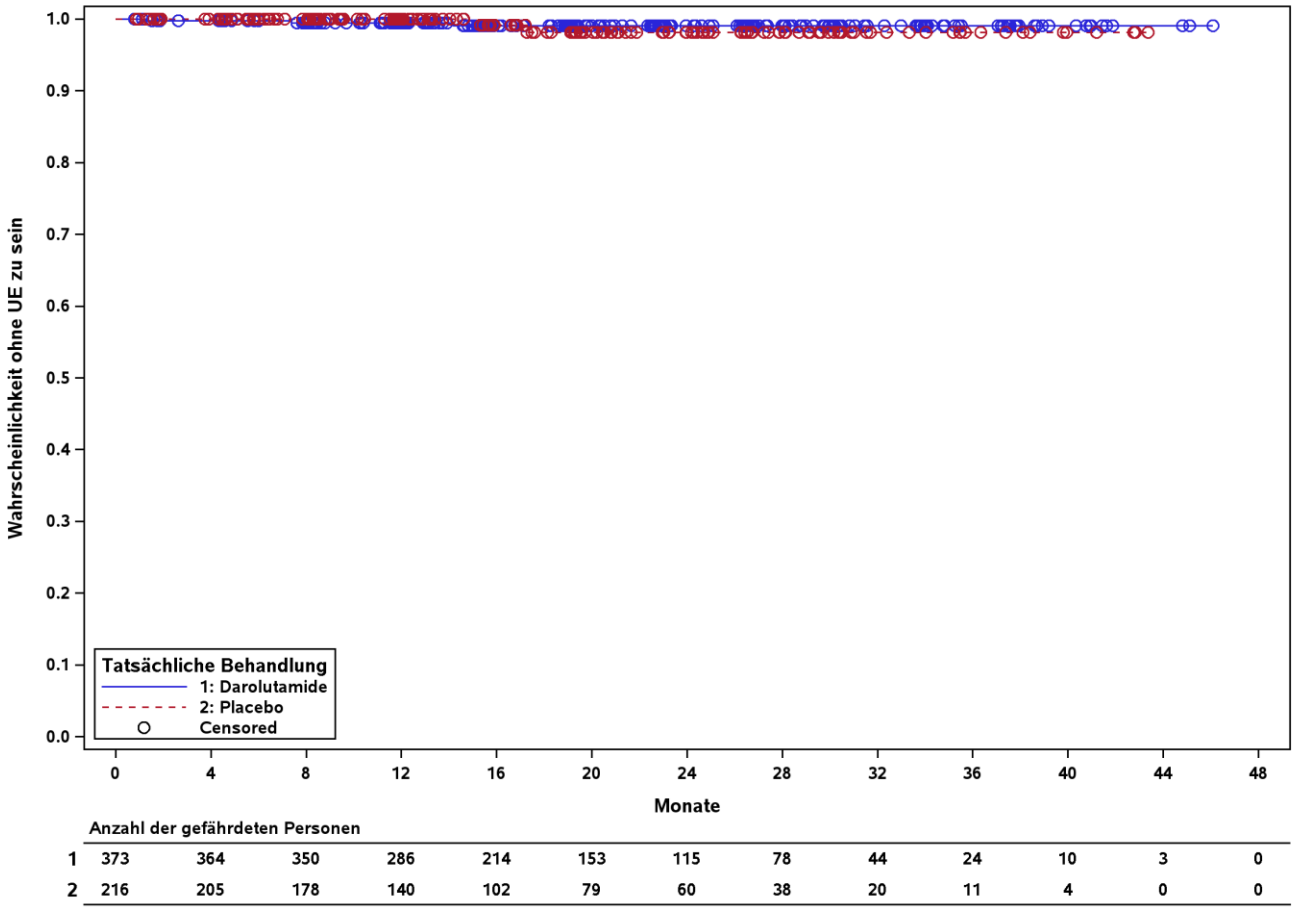
Bayer: /by-sasp/patdb/projects/1841788/17712/stat/prod_query22/pgms/t_aesi_sub.sas 23APR2020 17:14

Figure 4.3.3 / 105: Kaplan-Meier-Plot der 'Unerwünschte Ereignis von besonderem Interesse' Time-to-Event-Analyse nach Endpunkt und Subgruppe - Endpunkt: Zeit bis zum ersten UE von besonderem Interesse mit CTCAE Grad <3: Bone fractures - Subgruppe: eGFR an Baseline: moderately impaired, severely impaired and renal end stage (full analysis set)



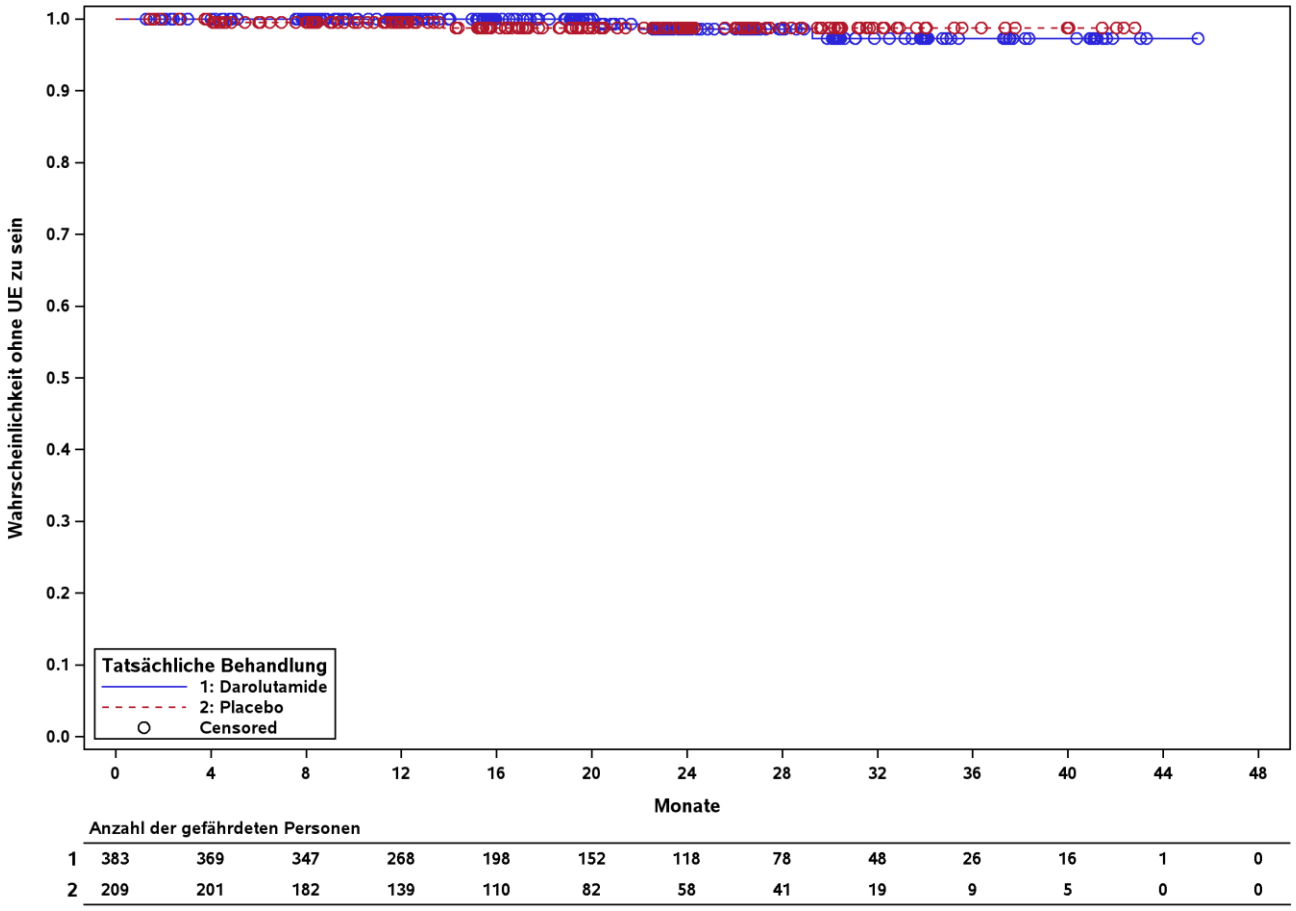
Bayer: /by-sasp/patdb/projects/1841788/17712/stat/prod_query22/pgms/t_aesi_sub.sas 23APR2020 17:14

Figure 4.3.3 / 106: Kaplan-Meier-Plot der 'Unerwünschte Ereignis von besonderem Interesse' Time-to-Event-Analyse nach Endpunkt und Subgruppe - Endpunkt: Zeit bis zum ersten UE von besonderem Interesse mit CTCAE Grad >=3: Bone fractures - Subgruppe: Alter (Jahre): 65-74 (full analysis set)



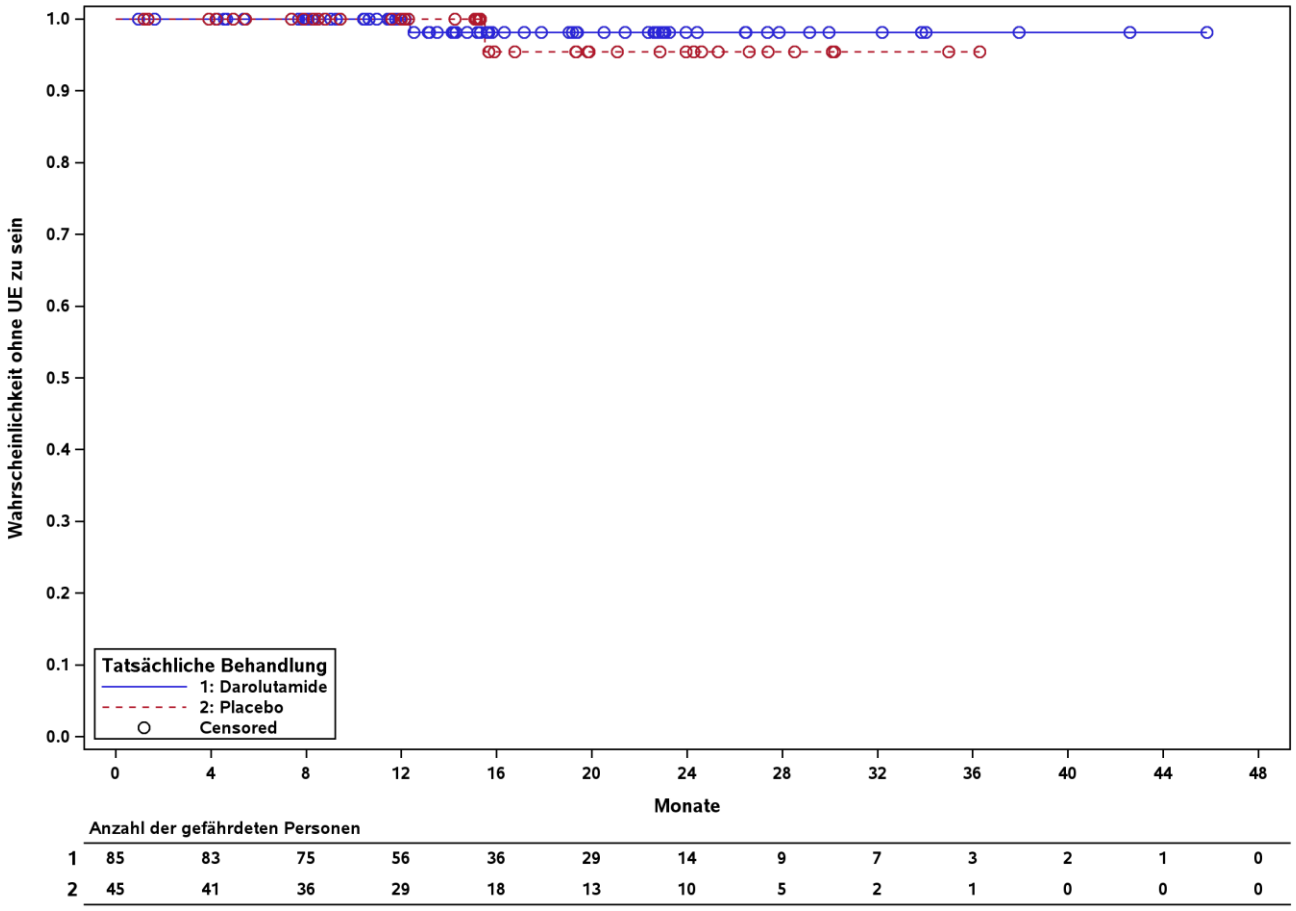
Bayer: /by-sasp/patdb/projects/1841788/17712/stat/prod_query22/pgms/t_aesi_sub.sas 23APR2020 17:14

Figure 4.3.3 / 107: Kaplan-Meier-Plot der 'Unerwünschte Ereignis von besonderem Interesse' Time-to-Event-Analyse nach Endpunkt und Subgruppe - Endpunkt: Zeit bis zum ersten UE von besonderem Interesse mit CTCAE Grad >=3: Bone fractures - Subgruppe: Alter (Jahre): 75-84 (full analysis set)



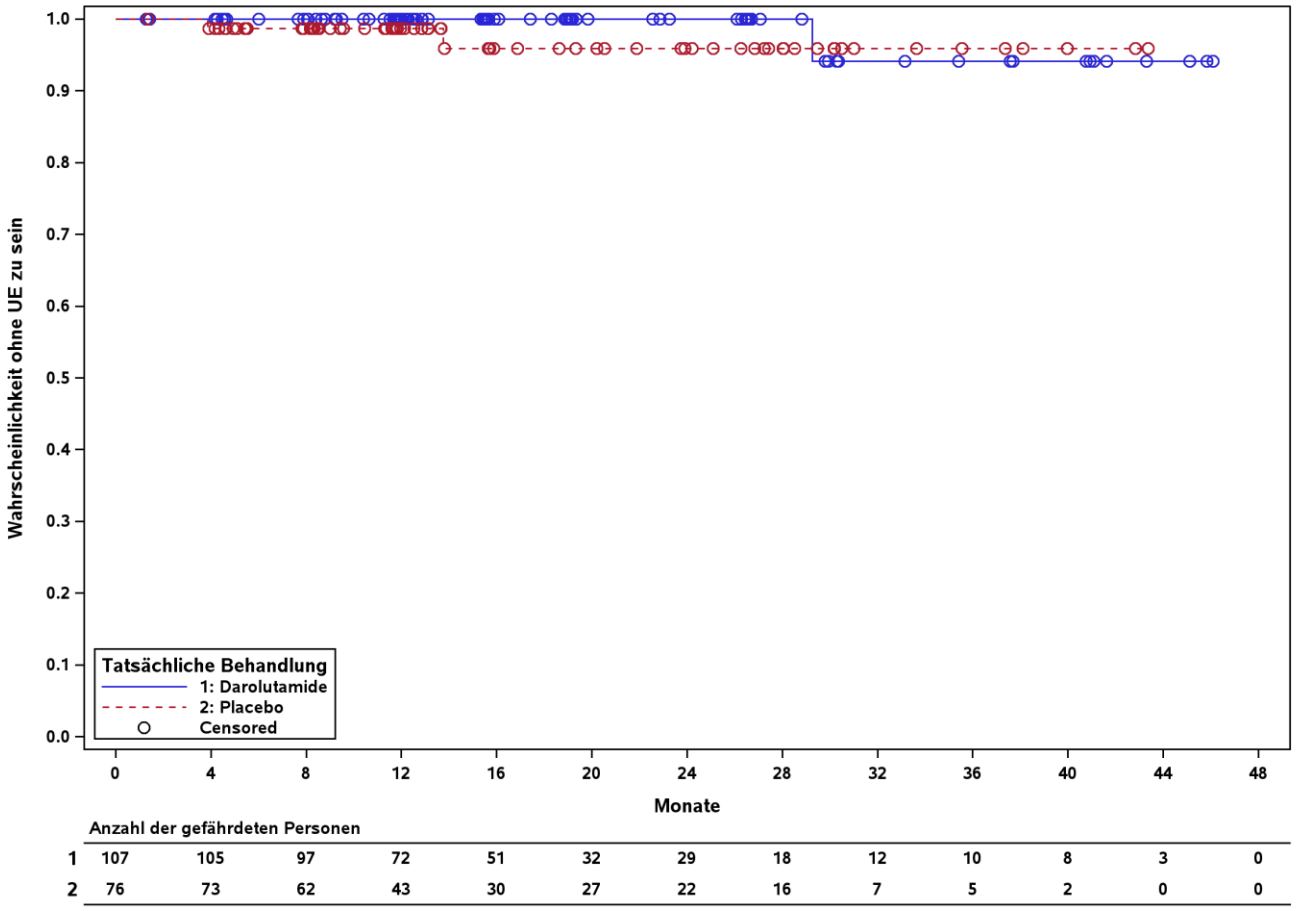
Bayer: /by-sasp/patdb/projects/1841788/17712/stat/prod_query22/pgms/t_aesi_sub.sas 23APR2020 17:14

Figure 4.3.3 / 108: Kaplan-Meier-Plot der 'Unerwünschte Ereignis von besonderem Interesse' Time-to-Event-Analyse nach Endpunkt und Subgruppe - Endpunkt: Zeit bis zum ersten UE von besonderem Interesse mit CTCAE Grad >=3: Bone fractures - Subgruppe: Alter (Jahre): >=85 (full analysis set)



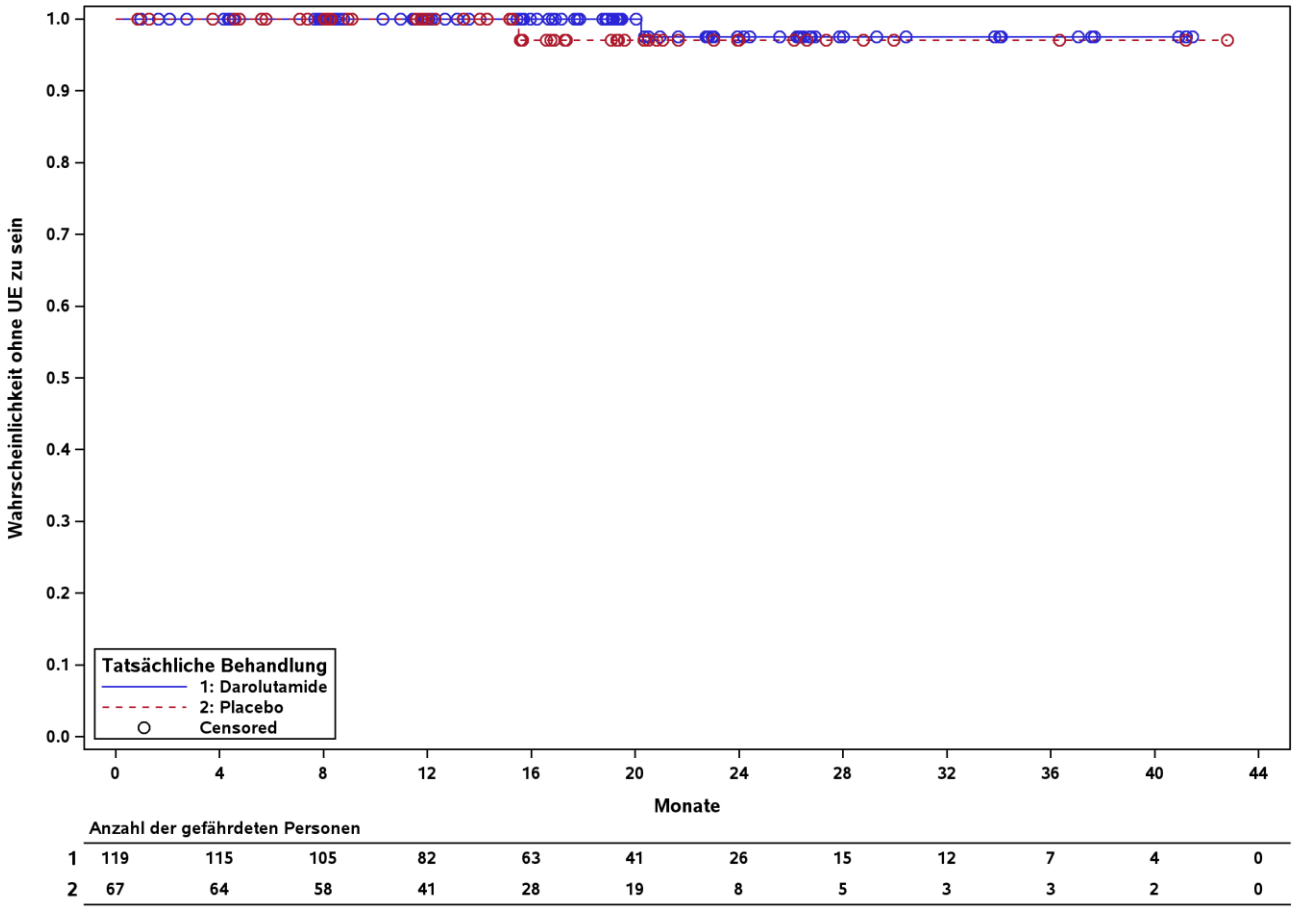
Bayer: /by-sasp/patdb/projects/1841788/17712/stat/prod_query22/pgms/t_aesi_sub.sas 23APR2020 17:14

Figure 4.3.3 / 109: Kaplan-Meier-Plot der 'Unerwünschte Ereignis von besonderem Interesse' Time-to-Event-Analyse nach Endpunkt und Subgruppe - Endpunkt: Zeit bis zum ersten UE von besonderem Interesse mit CTCAE Grad >=3: Bone fractures - Subgruppe: Geografische Region: North America (full analysis set)



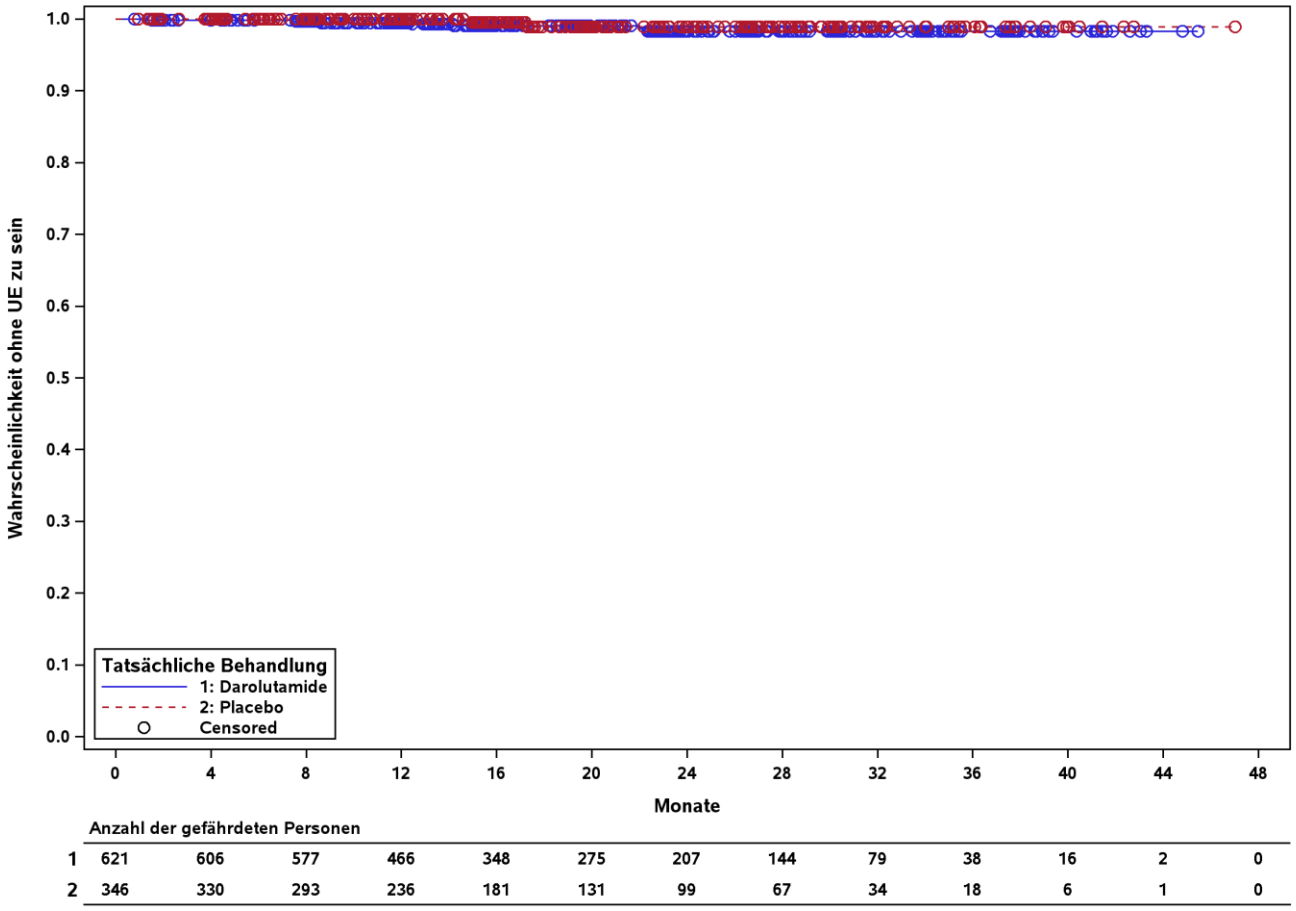
Bayer: /by-sasp/patdb/projects/1841788/17712/stat/prod_query22/pgms/t_aesi_sub.sas 23APR2020 17:14

Figure 4.3.3 / 110: Kaplan-Meier-Plot der 'Unerwünschte Ereignis von besonderem Interesse' Time-to-Event-Analyse nach Endpunkt und Subgruppe - Endpunkt: Zeit bis zum ersten UE von besonderem Interesse mit CTCAE Grad >=3: Bone fractures - Subgruppe: Geografische Region: Asia Pacific (full analysis set)



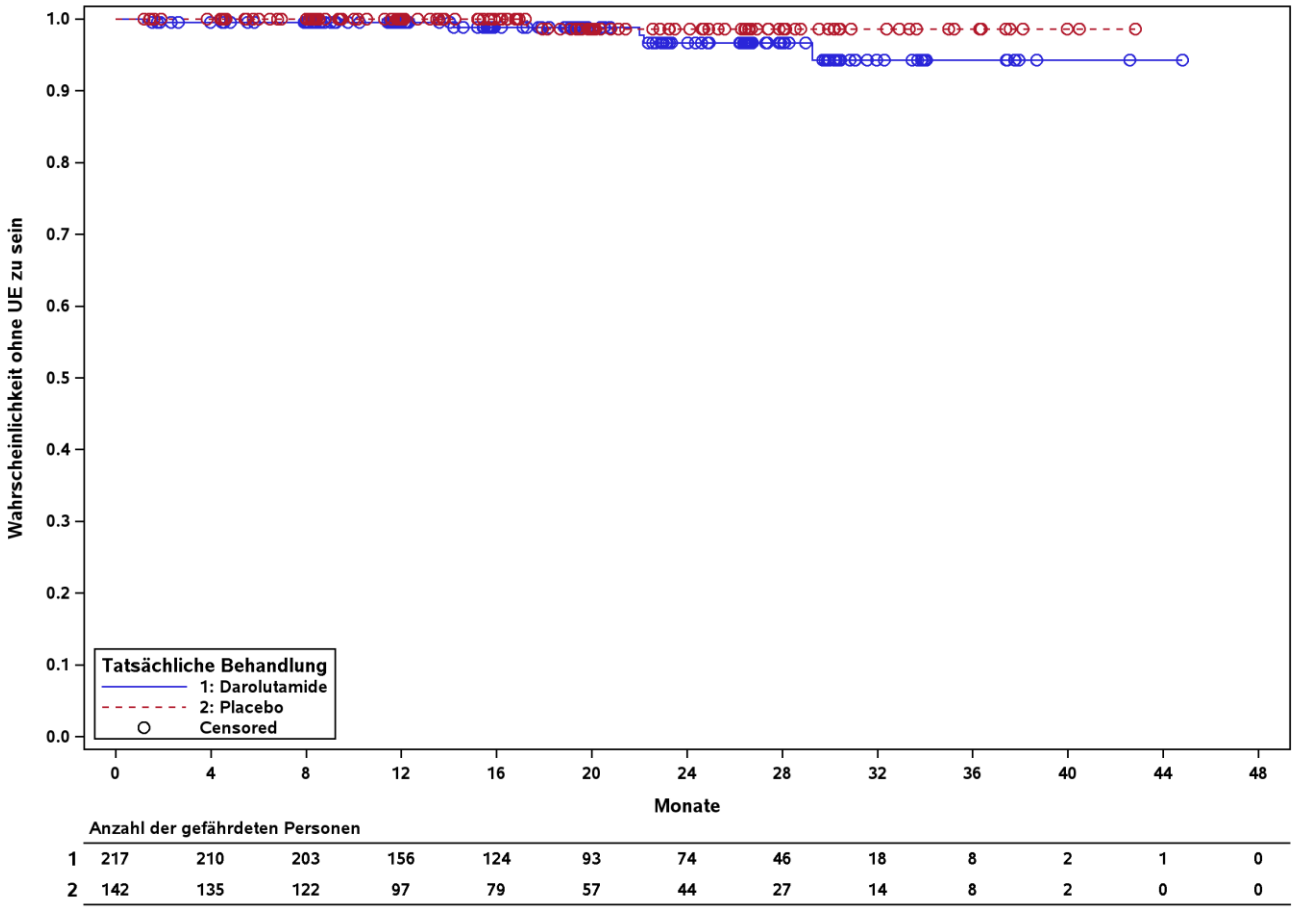
Bayer: /by-sasp/patdb/projects/1841788/17712/stat/prod_query22/pgms/t_aesi_sub.sas 23APR2020 17:14

Figure 4.3.3 / 111: Kaplan-Meier-Plot der 'Unerwünschte Ereignis von besonderem Interesse' Time-to-Event-Analyse nach Endpunkt und Subgruppe - Endpunkt: Zeit bis zum ersten UE von besonderem Interesse mit CTCAE Grad >=3: Bone fractures - Subgruppe: Geografische Region: Europe (full analysis set)



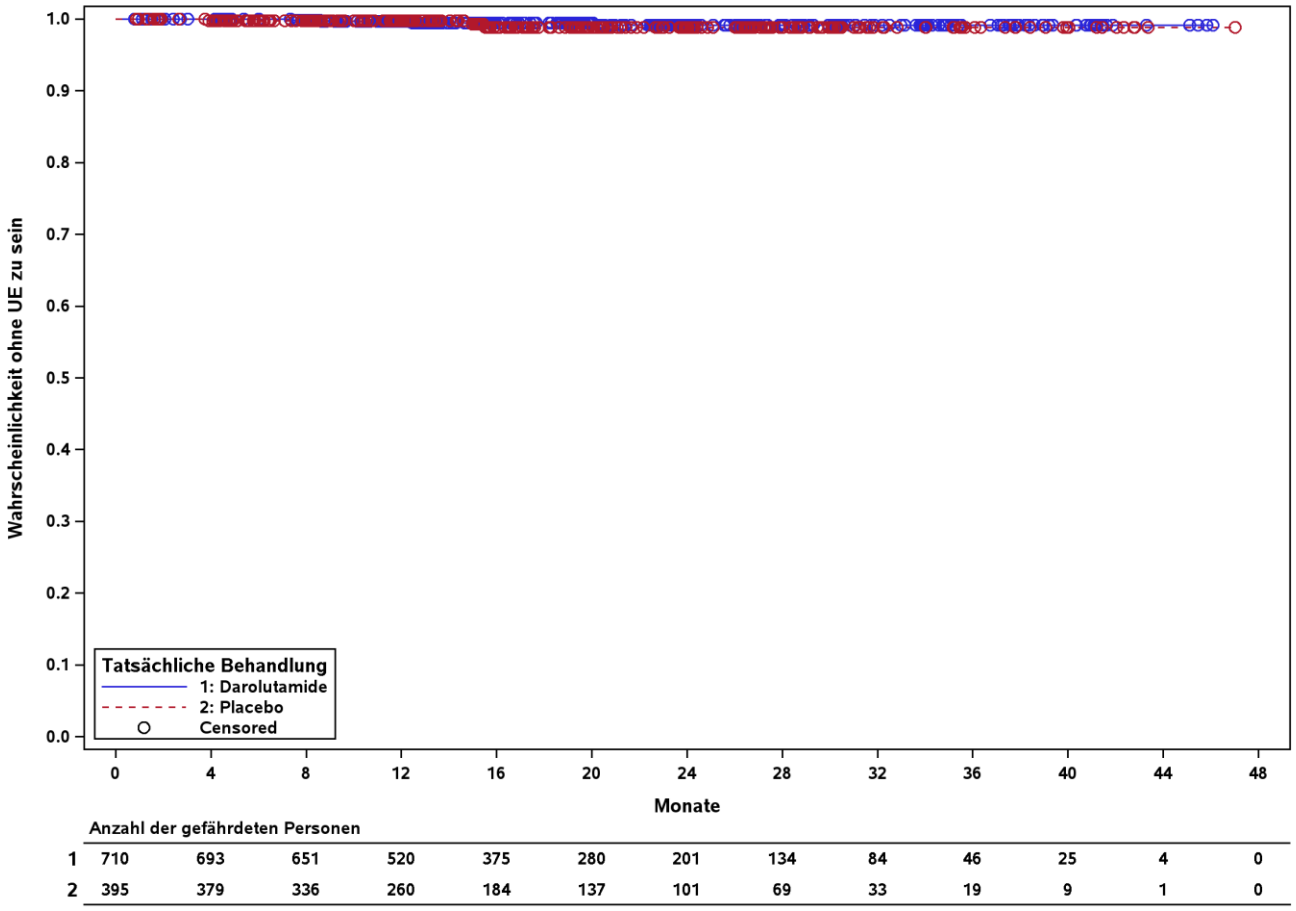
Bayer: /by-sasp/patdb/projects/1841788/17712/stat/prod_query22/pgms/t_aesi_sub.sas 23APR2020 17:14

Figure 4.3.3 / 112: Kaplan-Meier-Plot der 'Unerwünschte Ereignis von besonderem Interesse' Time-to-Event-Analyse nach Endpunkt und Subgruppe - Endpunkt: Zeit bis zum ersten UE von besonderem Interesse mit CTCAE Grad >=3: Bone fractures - Subgruppe: Gleason-Score bei Diagnose: <7 (full analysis set)



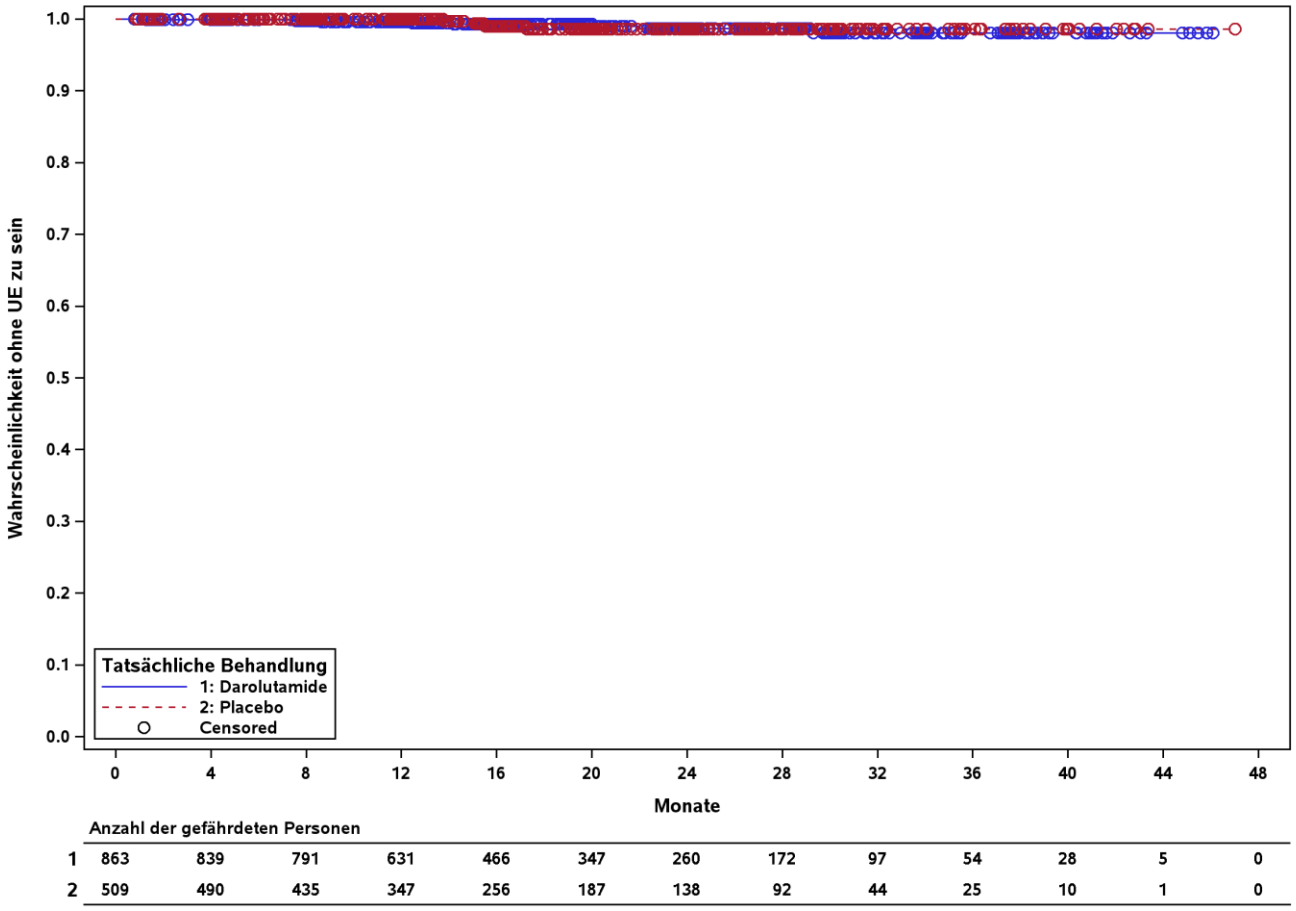
Bayer: /by-sasp/patdb/projects/1841788/17712/stat/prod_query22/pgms/t_aesi_sub.sas 23APR2020 17:14

Figure 4.3.3 / 113: Kaplan-Meier-Plot der 'Unerwünschte Ereignis von besonderem Interesse' Time-to-Event-Analyse nach Endpunkt und Subgruppe - Endpunkt: Zeit bis zum ersten UE von besonderem Interesse mit CTCAE Grad >=3: Bone fractures - Subgruppe: Gleason-Score bei Diagnose: >=7 (full analysis set)



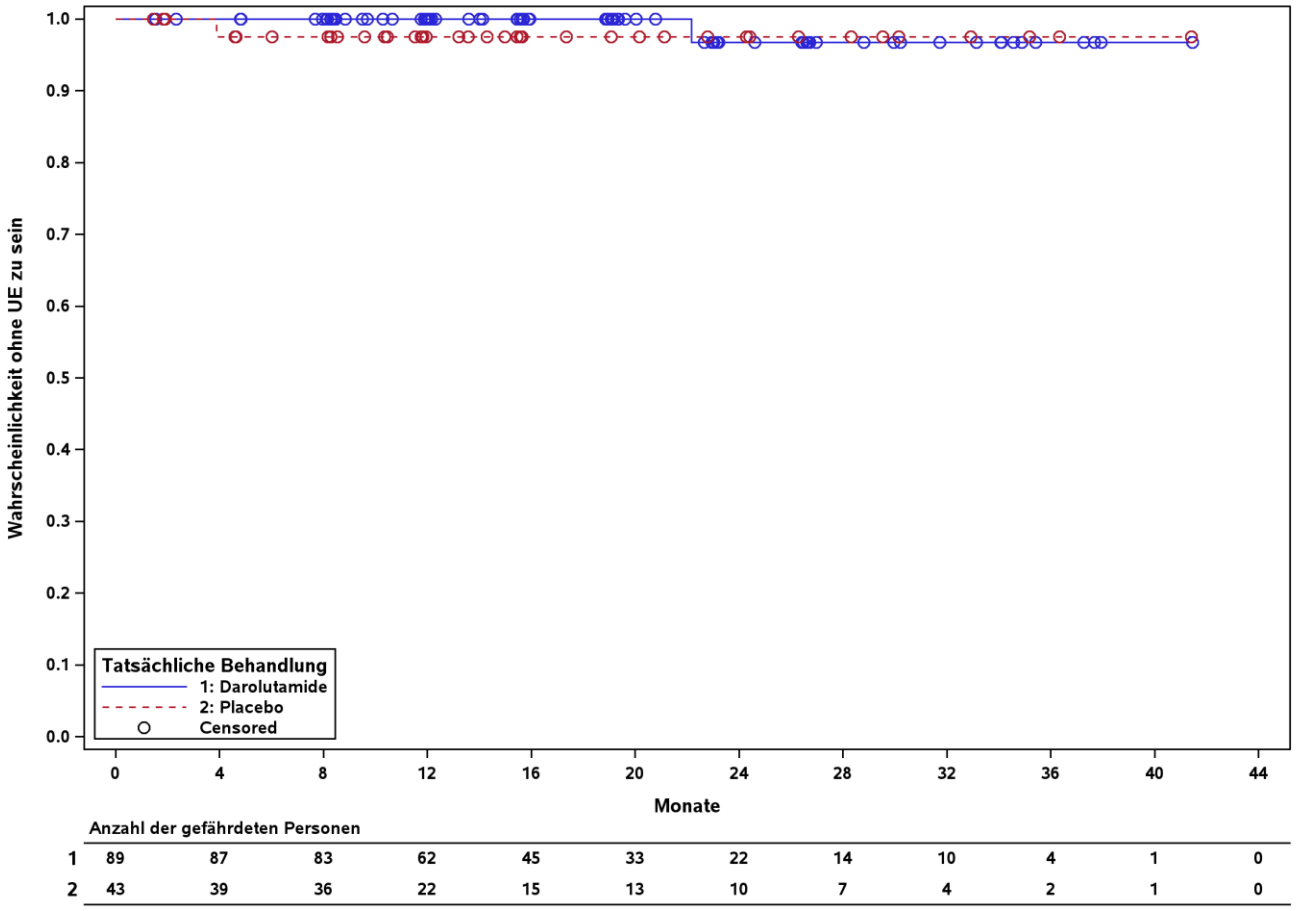
Bayer: /by-sasp/patdb/projects/1841788/17712/stat/prod_query22/pgms/t_aesi_sub.sas 23APR2020 17:14

Figure 4.3.3 / 114: Kaplan-Meier-Plot der 'Unerwünschte Ereignis von besonderem Interesse' Time-to-Event-Analyse nach Endpunkt und Subgruppe - Endpunkt: Zeit bis zum ersten UE von besonderem Interesse mit CTCAE Grad >=3: Bone fractures - Subgruppe: Leberfunktionsstörung: normal (full analysis set)



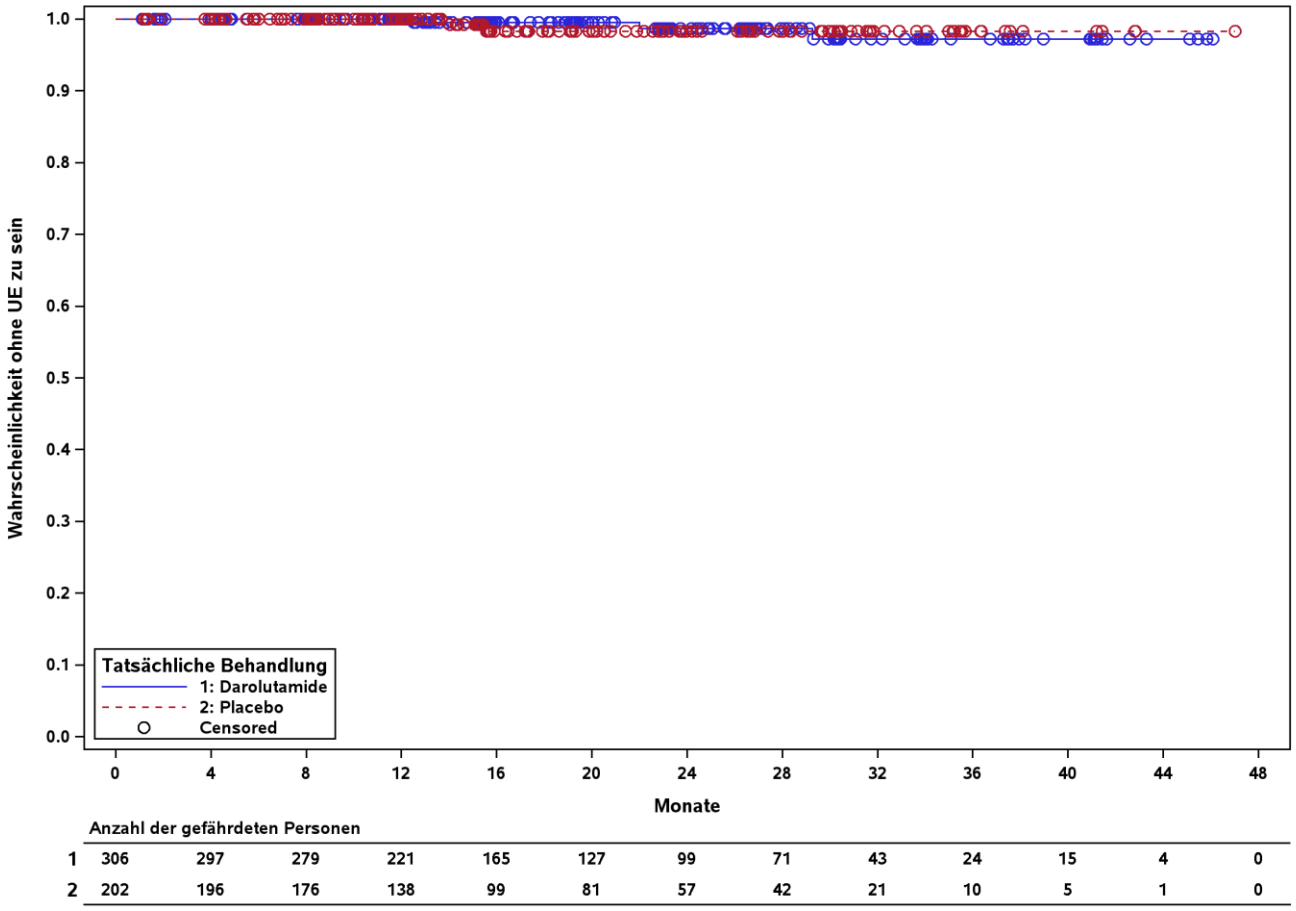
Bayer: /by-sasp/patdb/projects/1841788/17712/stat/prod_query22/pgms/t_aesi_sub.sas 23APR2020 17:14

Figure 4.3.3 / 115: Kaplan-Meier-Plot der 'Unerwünschte Ereignis von besonderem Interesse' Time-to-Event-Analyse nach Endpunkt und Subgruppe - Endpunkt: Zeit bis zum ersten UE von besonderem Interesse mit CTCAE Grad >=3: Bone fractures - Subgruppe: Leberfunktionsstörung: mild (full analysis set)



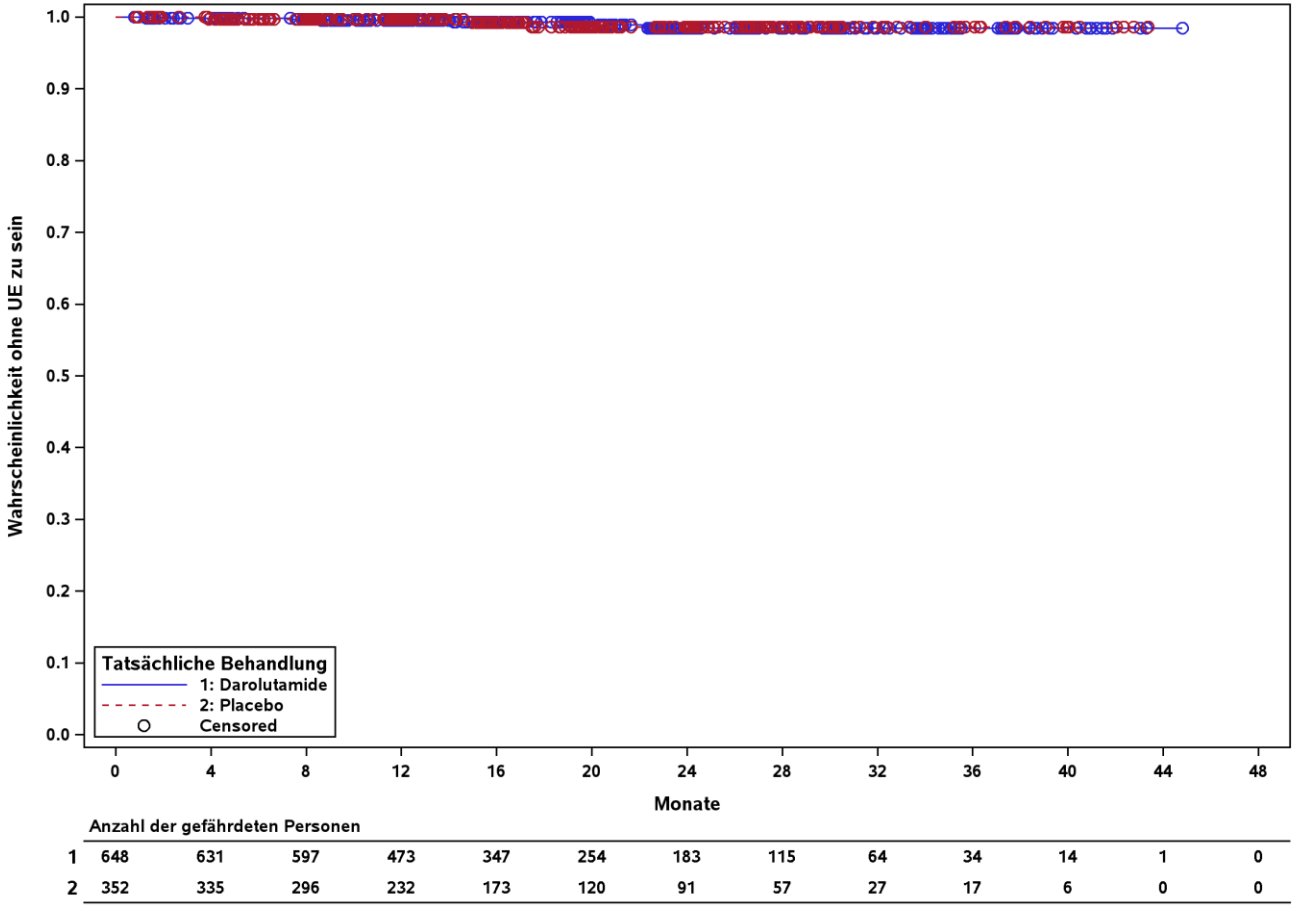
Bayer: /by-sasp/patdb/projects/1841788/17712/stat/prod_query22/pgms/t_aesi_sub.sas 23APR2020 17:14

Figure 4.3.3 / 116: Kaplan-Meier-Plot der 'Unerwünschte Ereignis von besonderem Interesse' Time-to-Event-Analyse nach Endpunkt und Subgruppe - Endpunkt: Zeit bis zum ersten UE von besonderem Interesse mit CTCAE Grad >=3: Bone fractures - Subgruppe: Nutzung von Statinen: Ja (full analysis set)



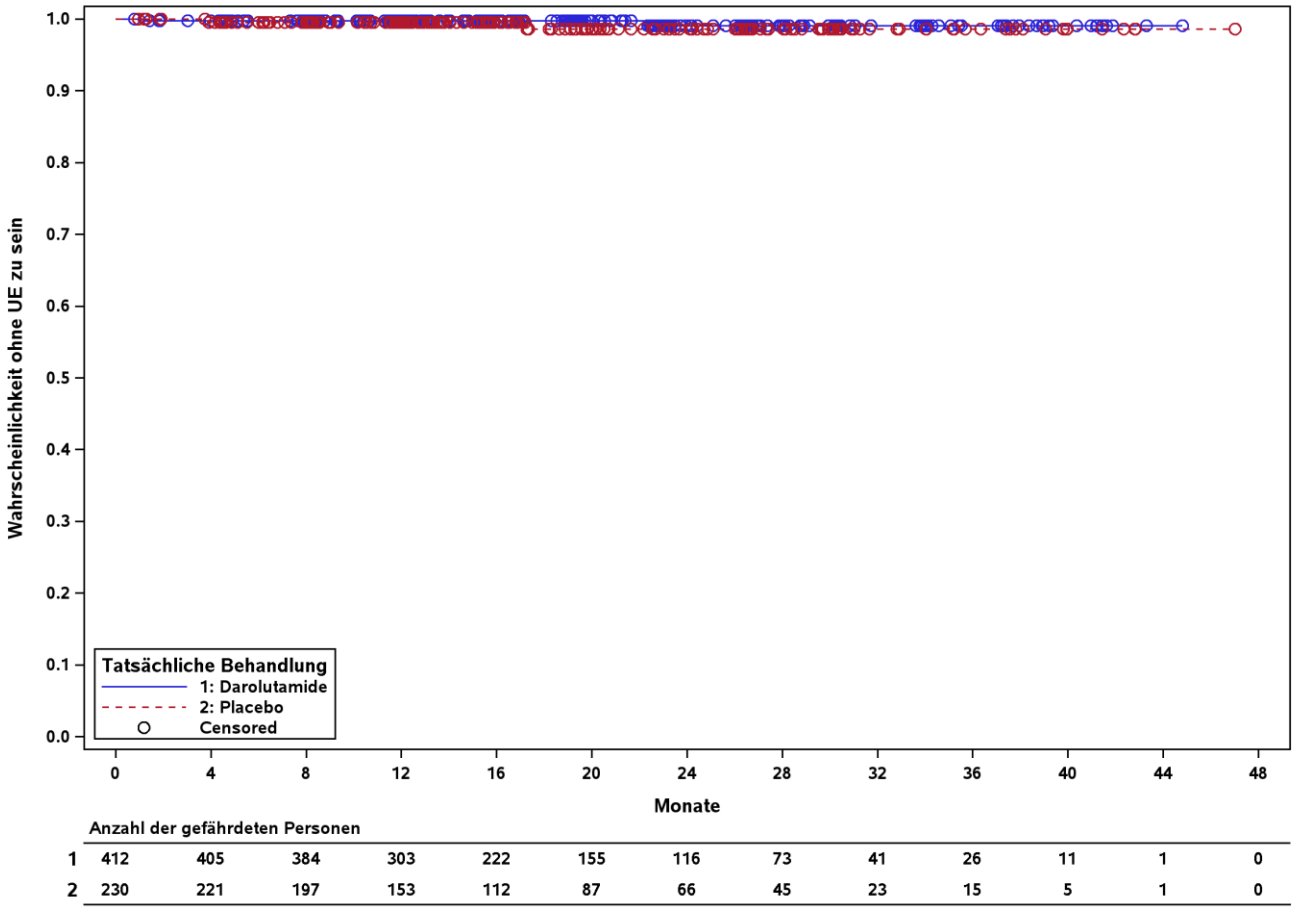
Bayer: /by-sasp/patdb/projects/1841788/17712/stat/prod_query22/pgms/t_aesi_sub.sas 23APR2020 17:14

Figure 4.3.3 / 117: Kaplan-Meier-Plot der 'Unerwünschte Ereignis von besonderem Interesse' Time-to-Event-Analyse nach Endpunkt und Subgruppe - Endpunkt: Zeit bis zum ersten UE von besonderem Interesse mit CTCAE Grad >=3: Bone fractures - Subgruppe: Nutzung von Statinen: Nein (full analysis set)



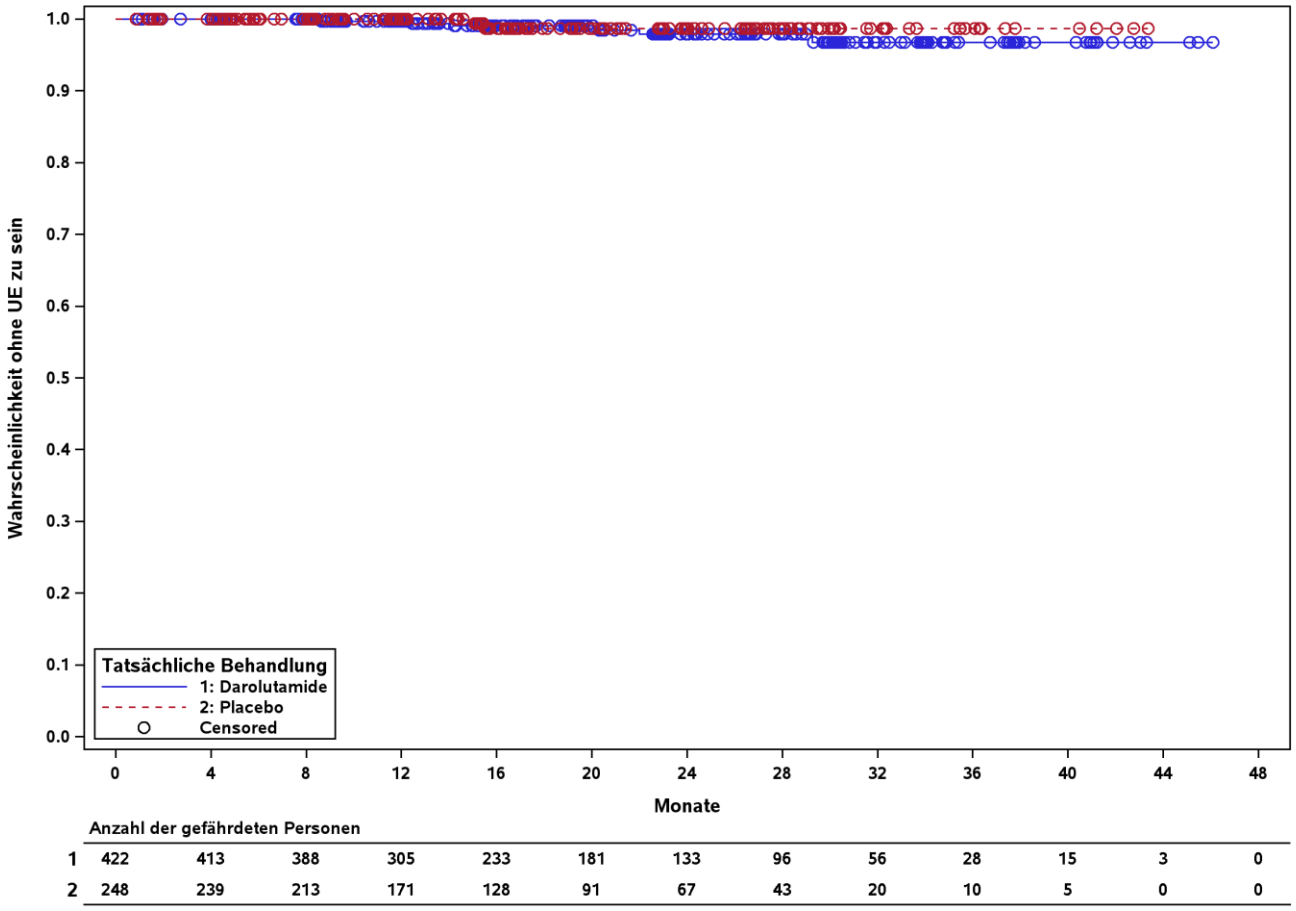
Bayer: /by-sasp/patdb/projects/1841788/17712/stat/prod_query22/pgms/t_aesi_sub.sas 23APR2020 17:14

Figure 4.3.3 / 118: Kaplan-Meier-Plot der 'Unerwünschte Ereignis von besonderem Interesse' Time-to-Event-Analyse nach Endpunkt und Subgruppe - Endpunkt: Zeit bis zum ersten UE von besonderem Interesse mit CTCAE Grad >=3: Bone fractures - Subgruppe: eGFR an Baseline: normal (full analysis set)



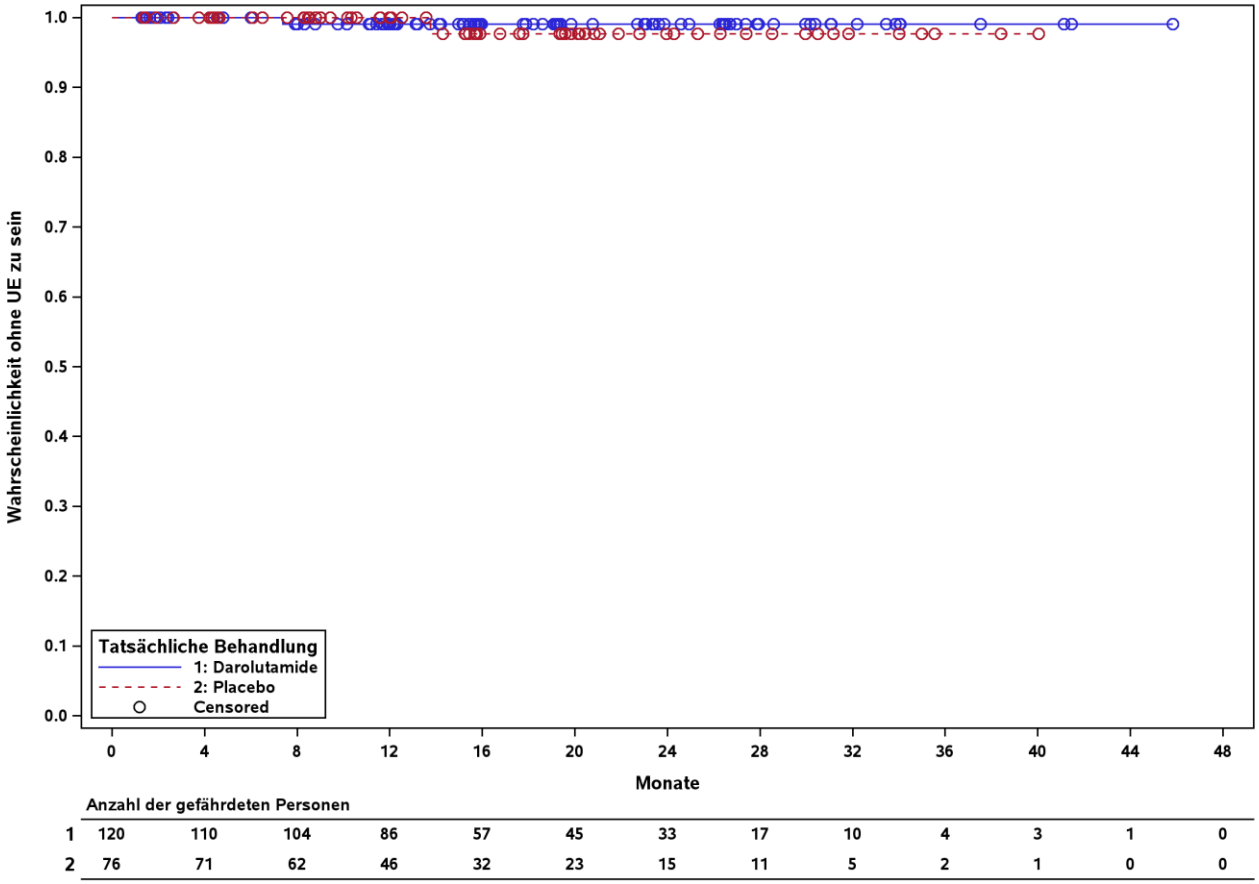
Bayer: /by-sasp/patdb/projects/1841788/17712/stat/prod_query22/pgms/t_aesi_sub.sas 23APR2020 17:14

Figure 4.3.3 / 119: Kaplan-Meier-Plot der 'Unerwünschte Ereignis von besonderem Interesse' Time-to-Event-Analyse nach Endpunkt und Subgruppe - Endpunkt: Zeit bis zum ersten UE von besonderem Interesse mit CTCAE Grad >=3: Bone fractures - Subgruppe: eGFR an Baseline: mildly impaired (full analysis set)



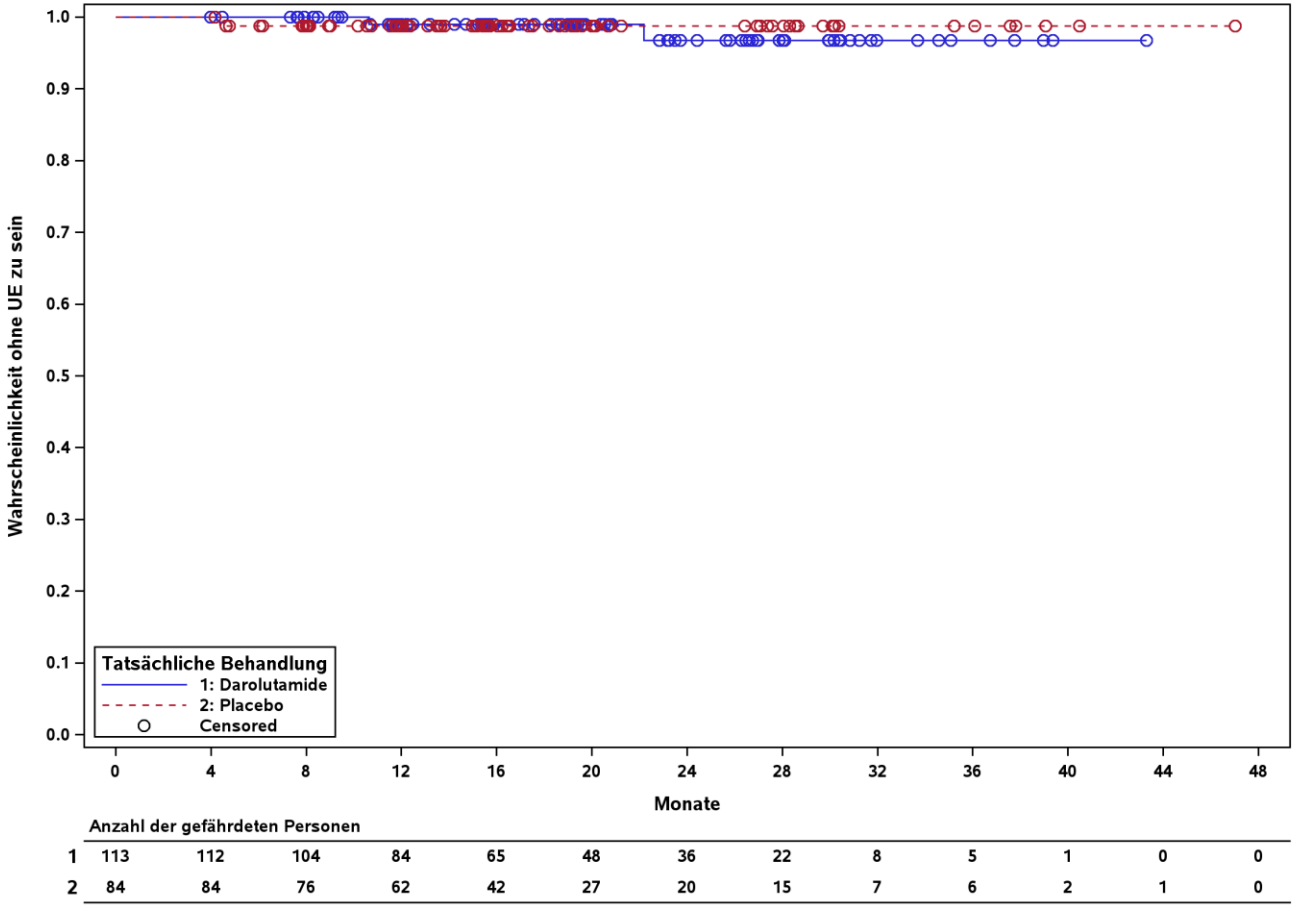
Bayer: /by-sasp/patdb/projects/1841788/17712/stat/prod_query22/pgms/t_aesi_sub.sas 23APR2020 17:14

Figure 4.3.3 / 120: Kaplan-Meier-Plot der 'Unerwünschte Ereignis von besonderem Interesse' Time-to-Event-Analyse nach Endpunkt und Subgruppe - Endpunkt: Zeit bis zum ersten UE von besonderem Interesse mit CTCAE Grad >=3: Bone fractures - Subgruppe: eGFR an Baseline: moderately impaired, severely impaired and renal end stage (full analysis set)



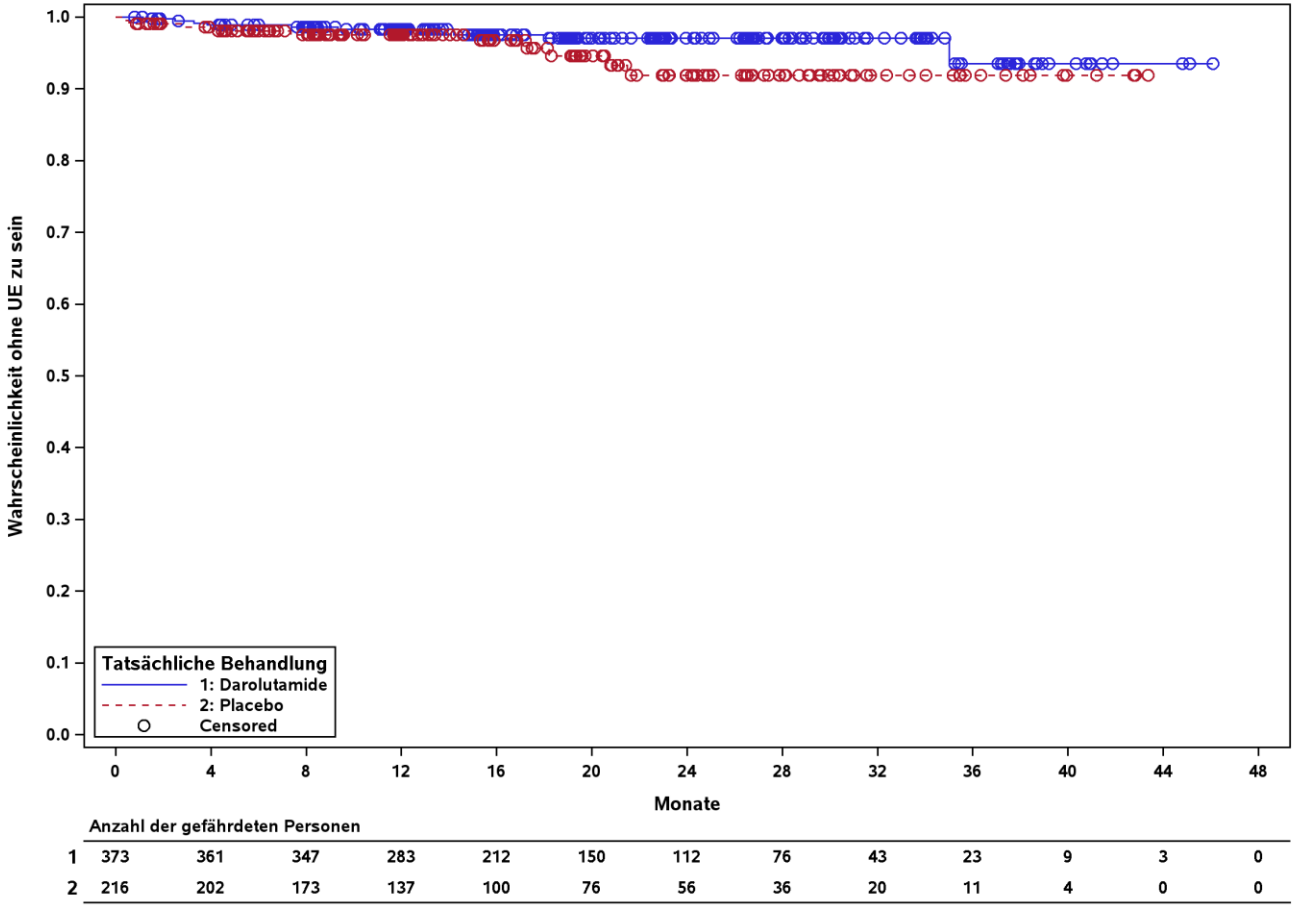
Bayer: /by-sasp/patdb/projects/1841788/17712/stat/prod_query22/pgms/t_aesi_sub.sas 23APR2020 17:14

Figure 4.3.3 / 121: Kaplan-Meier-Plot der 'Unerwünschte Ereignis von besonderem Interesse' Time-to-Event-Analyse nach Endpunkt und Subgruppe - Endpunkt: Zeit bis zum ersten UE von besonderem Interesse: Fall - Subgruppe: Alter (Jahre): <65 (full analysis set)



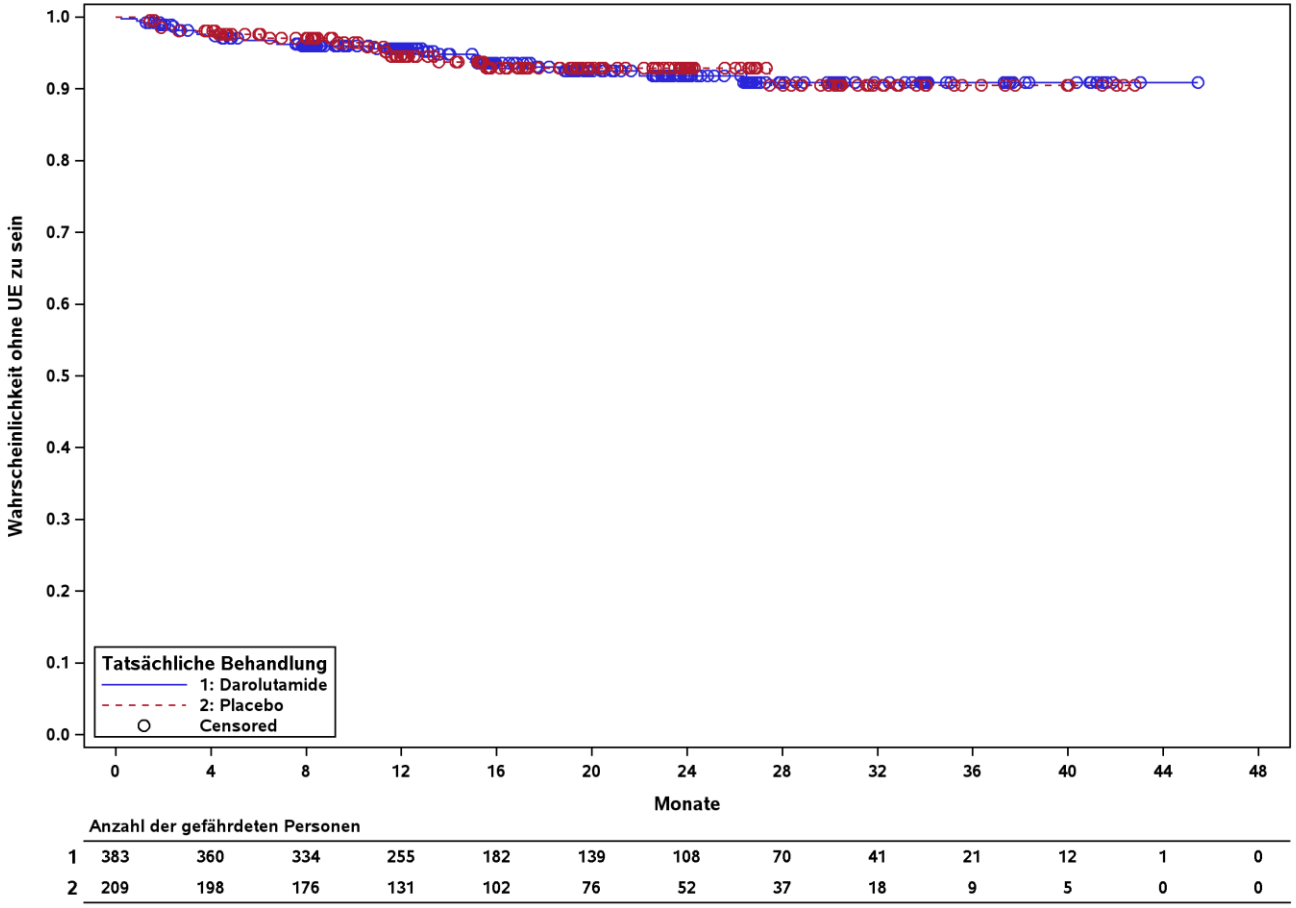
Bayer: /by-sasp/patdb/projects/1841788/17712/stat/prod_query22/pgms/t_aesi_sub.sas 23APR2020 17:14

Figure 4.3.3 / 122: Kaplan-Meier-Plot der 'Unerwünschte Ereignis von besonderem Interesse' Time-to-Event-Analyse nach Endpunkt und Subgruppe - Endpunkt: Zeit bis zum ersten UE von besonderem Interesse: Fall - Subgruppe: Alter (Jahre): 65-74 (full analysis set)



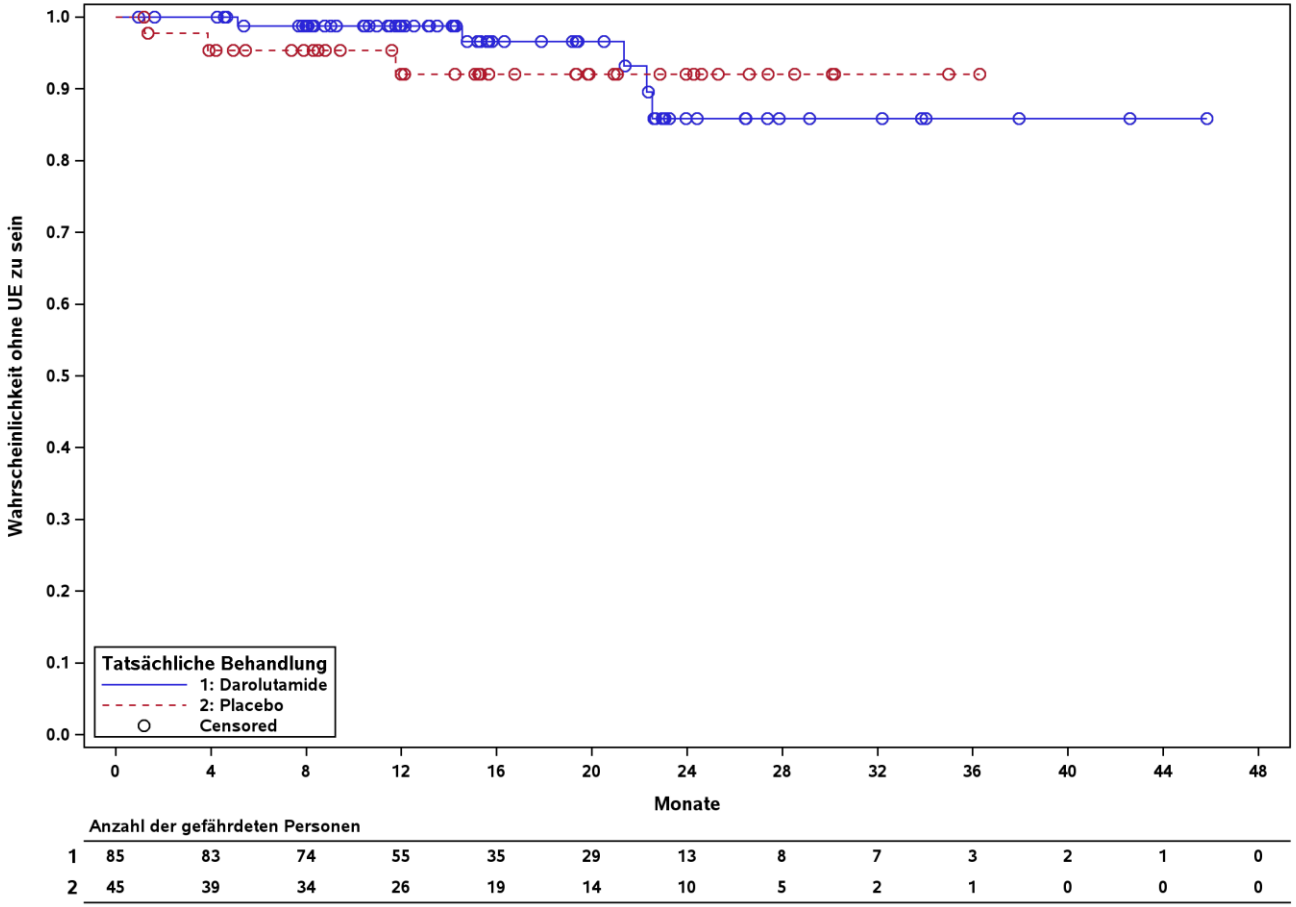
Bayer: /by-sasp/patdb/projects/1841788/17712/stat/prod_query22/pgms/t_aesi_sub.sas 23APR2020 17:14

Figure 4.3.3 / 123: Kaplan-Meier-Plot der 'Unerwünschte Ereignis von besonderem Interesse' Time-to-Event-Analyse nach Endpunkt und Subgruppe - Endpunkt: Zeit bis zum ersten UE von besonderem Interesse: Fall - Subgruppe: Alter (Jahre): 75-84 (full analysis set)



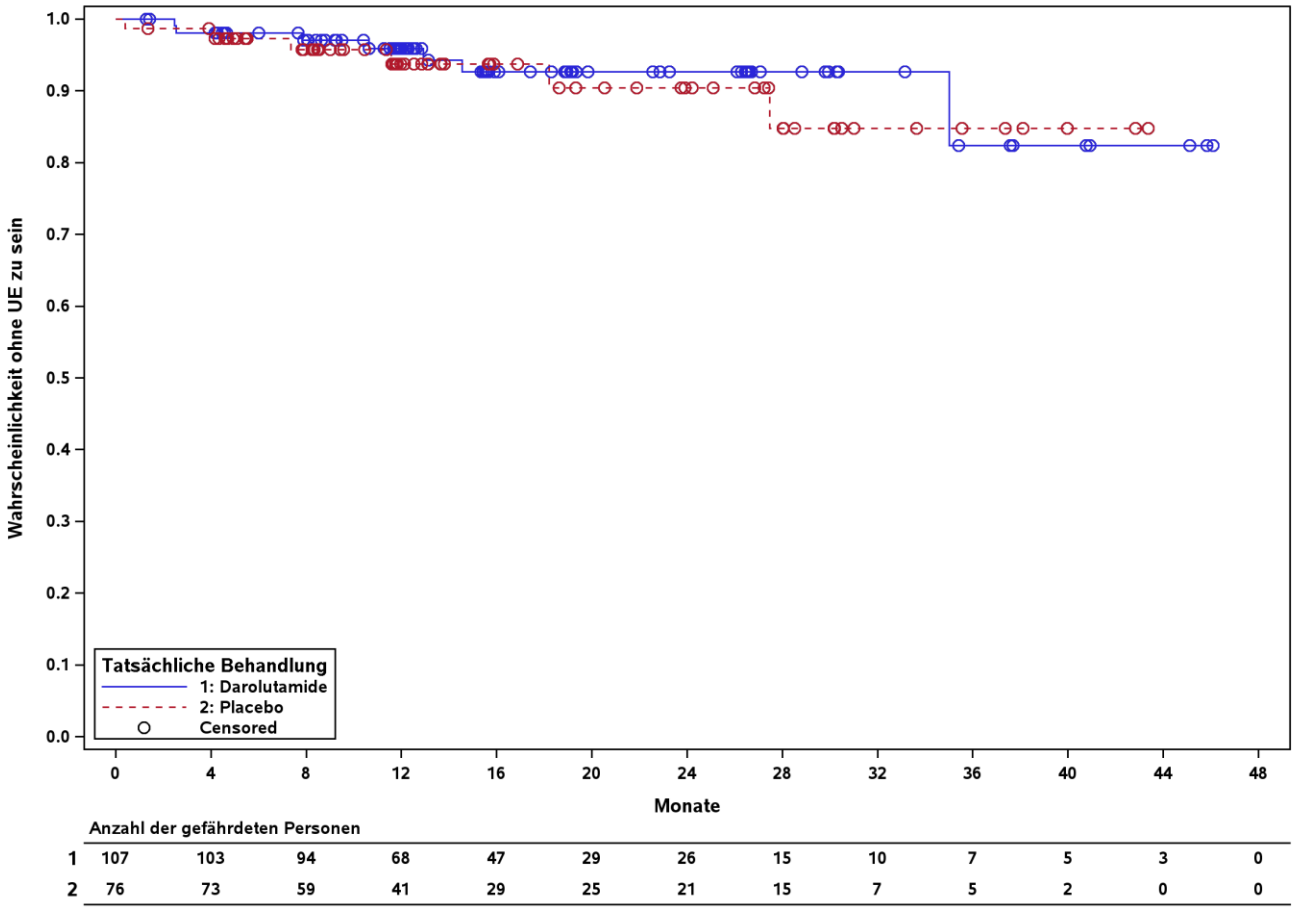
Bayer: /by-sasp/patdb/projects/1841788/17712/stat/prod_query22/pgms/t_aesi_sub.sas 23APR2020 17:14

Figure 4.3.3 / 124: Kaplan-Meier-Plot der 'Unerwünschte Ereignis von besonderem Interesse' Time-to-Event-Analyse nach Endpunkt und Subgruppe - Endpunkt: Zeit bis zum ersten UE von besonderem Interesse: Fall - Subgruppe: Alter (Jahre): >=85 (full analysis set)



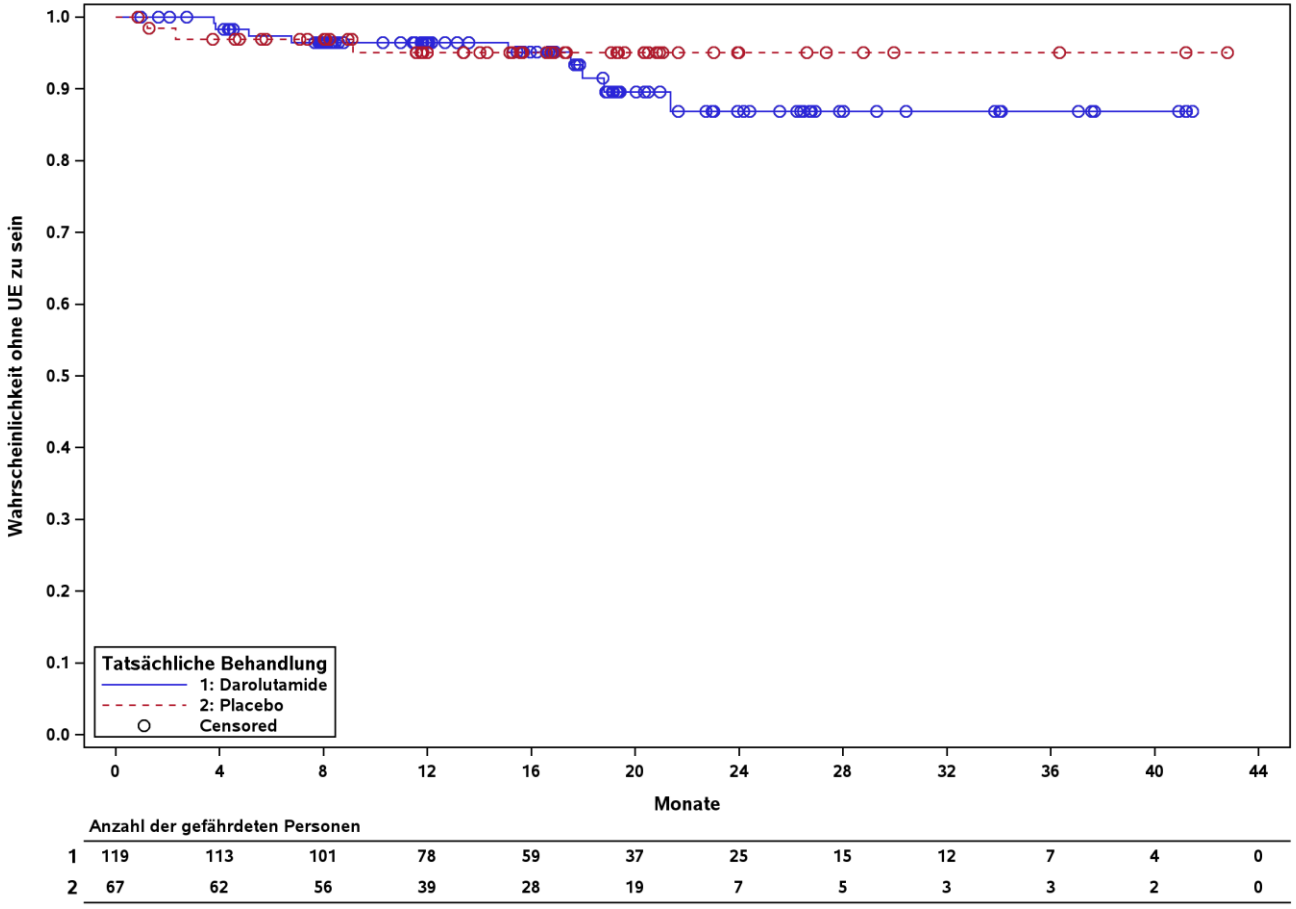
Bayer: /by-sasp/patdb/projects/1841788/17712/stat/prod_query22/pgms/t_aesi_sub.sas 23APR2020 17:14

Figure 4.3.3 / 125: Kaplan-Meier-Plot der 'Unerwünschte Ereignis von besonderem Interesse' Time-to-Event-Analyse nach Endpunkt und Subgruppe - Endpunkt: Zeit bis zum ersten UE von besonderem Interesse: Fall - Subgruppe: Geografische Region: North America (full analysis set)



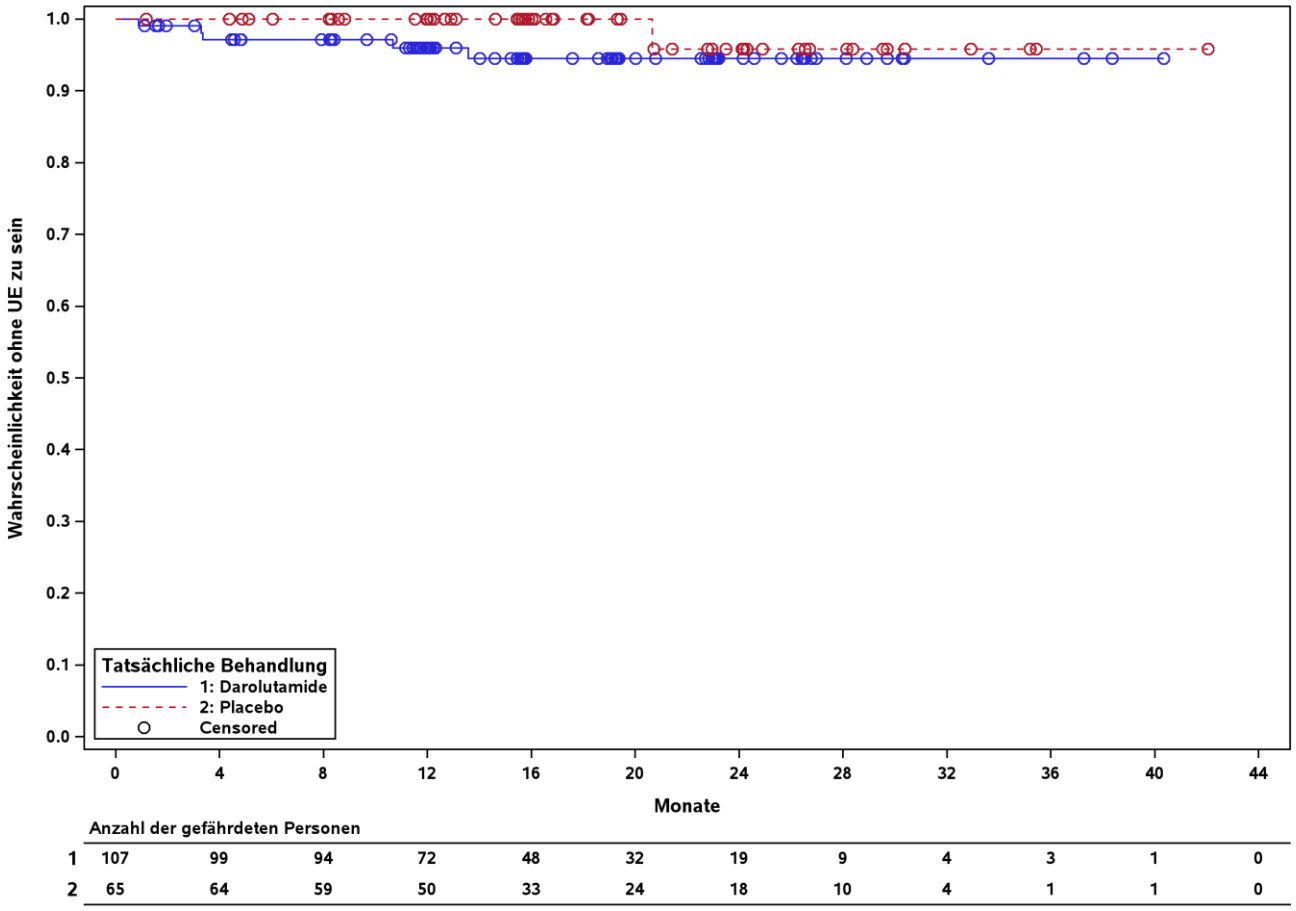
Bayer: /by-sasp/patdb/projects/1841788/17712/stat/prod_query22/pgms/t_aesi_sub.sas 23APR2020 17:14

Figure 4.3.3 / 126: Kaplan-Meier-Plot der 'Unerwünschte Ereignis von besonderem Interesse' Time-to-Event-Analyse nach Endpunkt und Subgruppe - Endpunkt: Zeit bis zum ersten UE von besonderem Interesse: Fall - Subgruppe: Geografische Region: Asia Pacific (full analysis set)



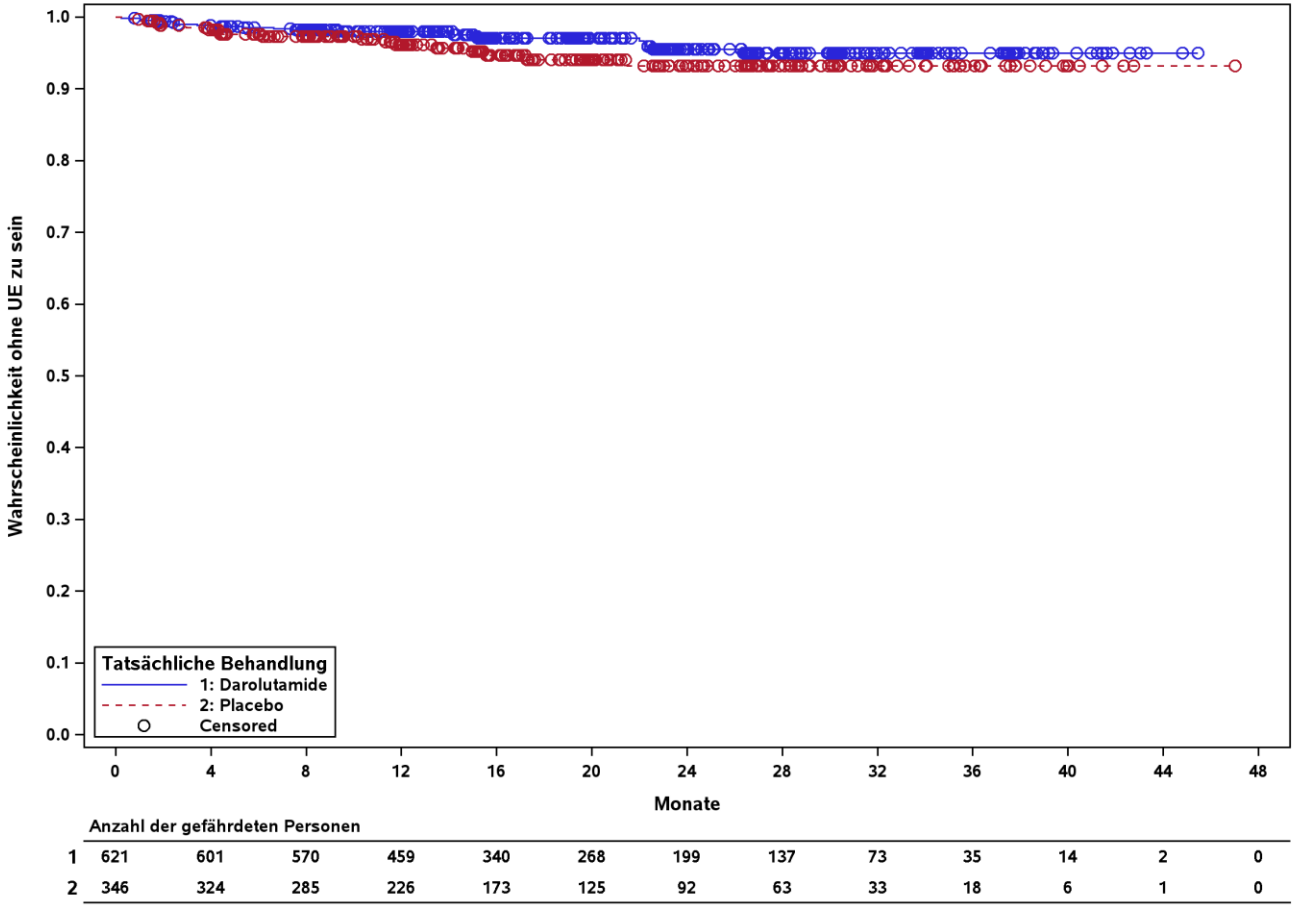
Bayer: /by-sasp/patdb/projects/1841788/17712/stat/prod_query22/pgms/t_aesi_sub.sas 23APR2020 17:14

Figure 4.3.3 / 127: Kaplan-Meier-Plot der 'Unerwünschte Ereignis von besonderem Interesse' Time-to-Event-Analyse nach Endpunkt und Subgruppe - Endpunkt: Zeit bis zum ersten UE von besonderem Interesse: Fall - Subgruppe: Geografische Region: Rest of the World (full analysis set)



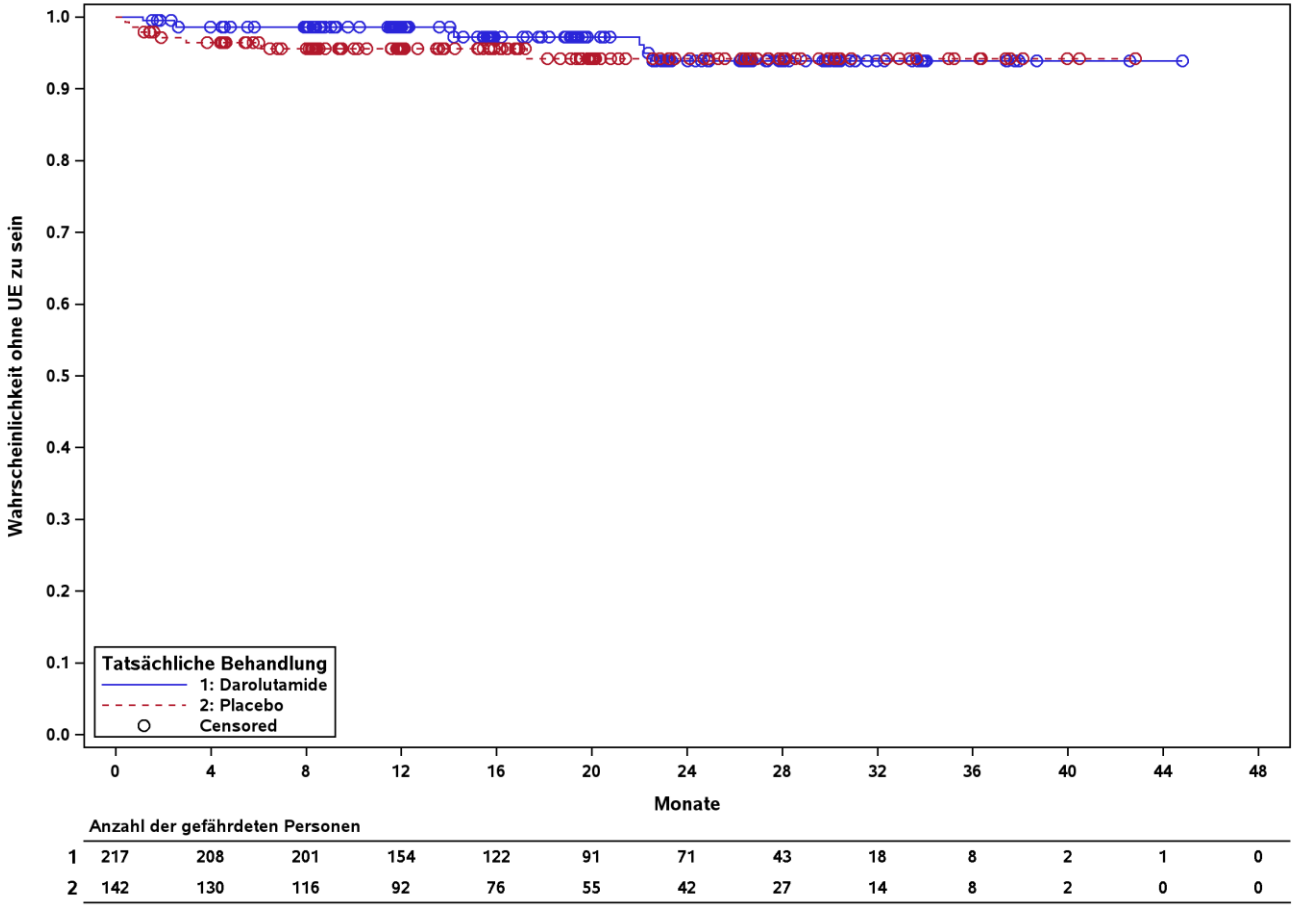
Bayer: /by-sasp/patdb/projects/1841788/17712/stat/prod_query22/pgms/t_aesi_sub.sas 23APR2020 17:14

Figure 4.3.3 / 128: Kaplan-Meier-Plot der 'Unerwünschte Ereignis von besonderem Interesse' Time-to-Event-Analyse nach Endpunkt und Subgruppe - Endpunkt: Zeit bis zum ersten UE von besonderem Interesse: Fall - Subgruppe: Geografische Region: Europe (full analysis set)



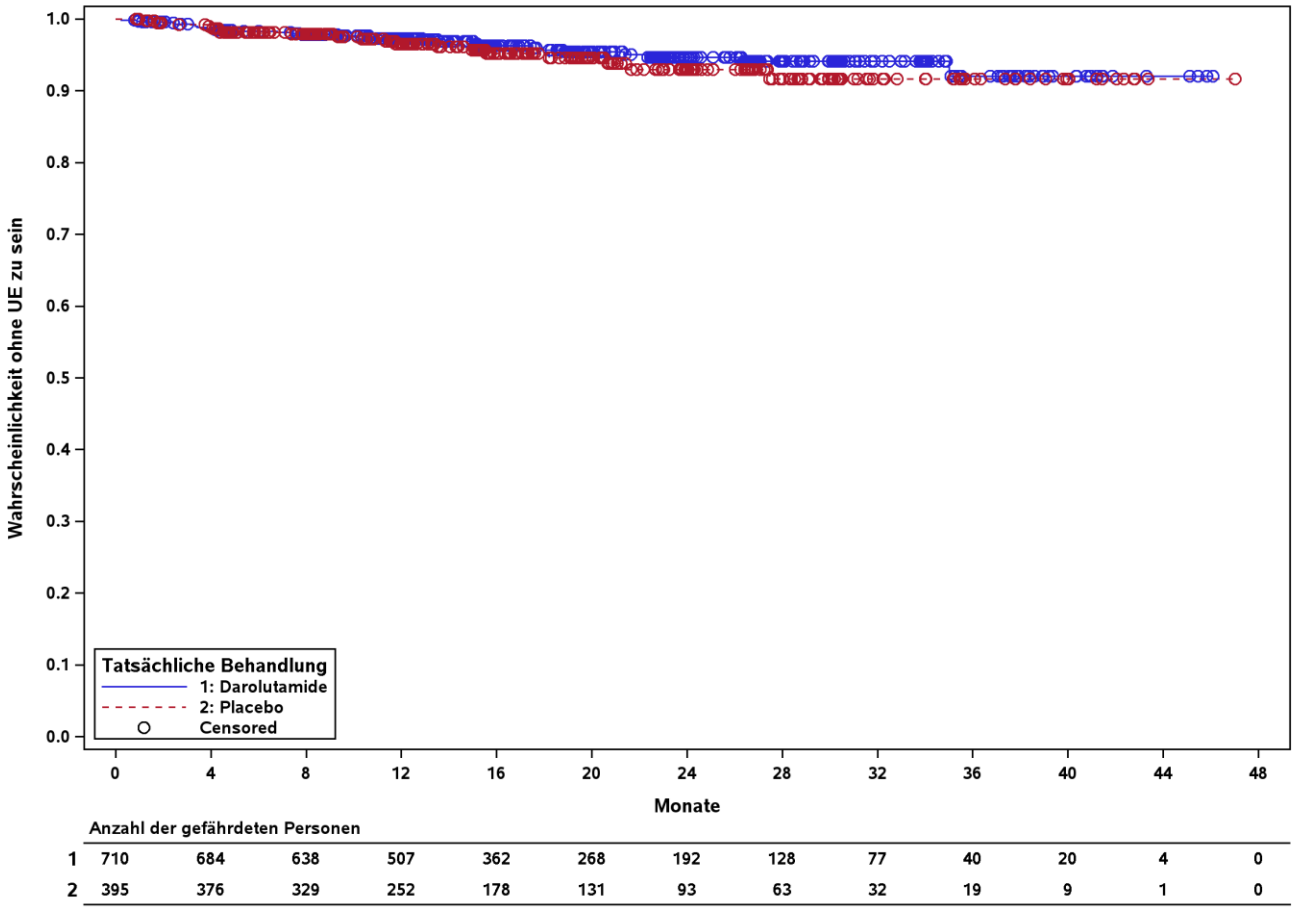
Bayer: /by-sasp/patdb/projects/1841788/17712/stat/prod_query22/pgms/t_aesi_sub.sas 23APR2020 17:14

Figure 4.3.3 / 129: Kaplan-Meier-Plot der 'Unerwünschte Ereignis von besonderem Interesse' Time-to-Event-Analyse nach Endpunkt und Subgruppe - Endpunkt: Zeit bis zum ersten UE von besonderem Interesse: Fall - Subgruppe: Gleason-Score bei Diagnose: <7 (full analysis set)



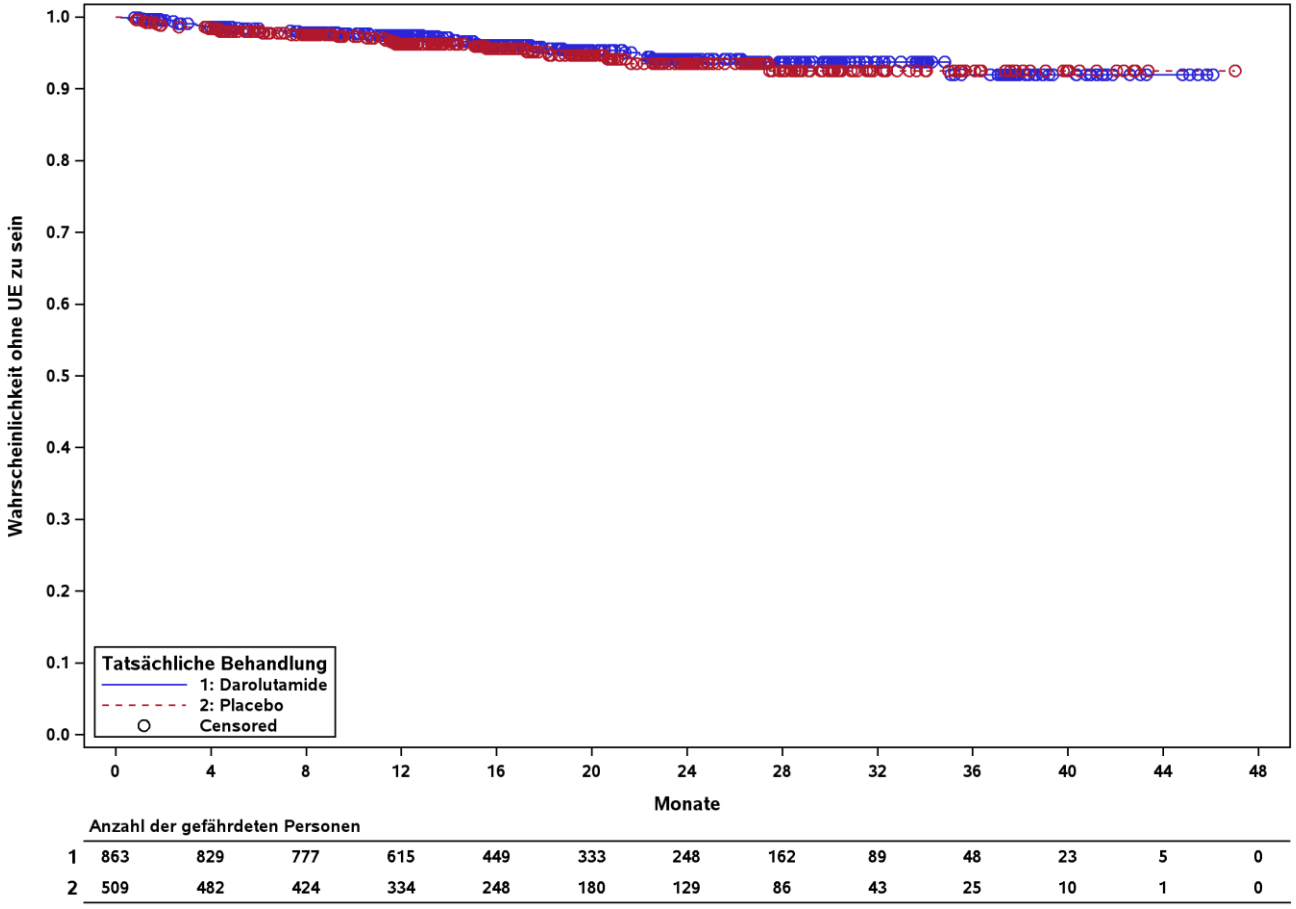
Bayer: /by-sasp/patdb/projects/1841788/17712/stat/prod_query22/pgms/t_aesi_sub.sas 23APR2020 17:14

Figure 4.3.3 / 130: Kaplan-Meier-Plot der 'Unerwünschte Ereignis von besonderem Interesse' Time-to-Event-Analyse nach Endpunkt und Subgruppe - Endpunkt: Zeit bis zum ersten UE von besonderem Interesse: Fall - Subgruppe: Gleason-Score bei Diagnose: >=7 (full analysis set)



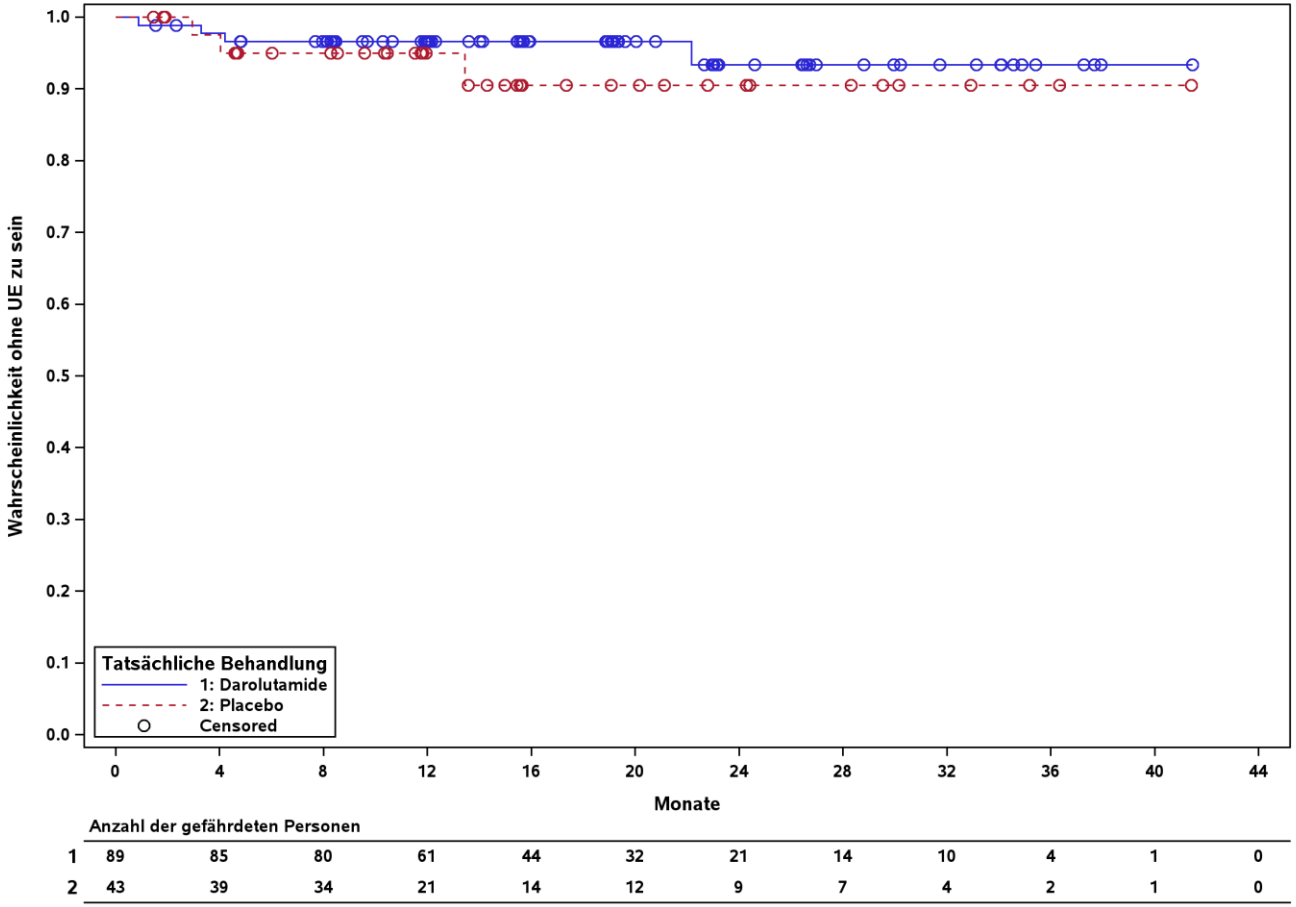
Bayer: /by-sasp/patdb/projects/1841788/17712/stat/prod_query22/pgms/t_aesi_sub.sas 23APR2020 17:14

Figure 4.3.3 / 131: Kaplan-Meier-Plot der 'Unerwünschte Ereignis von besonderem Interesse' Time-to-Event-Analyse nach Endpunkt und Subgruppe - Endpunkt: Zeit bis zum ersten UE von besonderem Interesse: Fall - Subgruppe: Leberfunktionsstörung: normal (full analysis set)



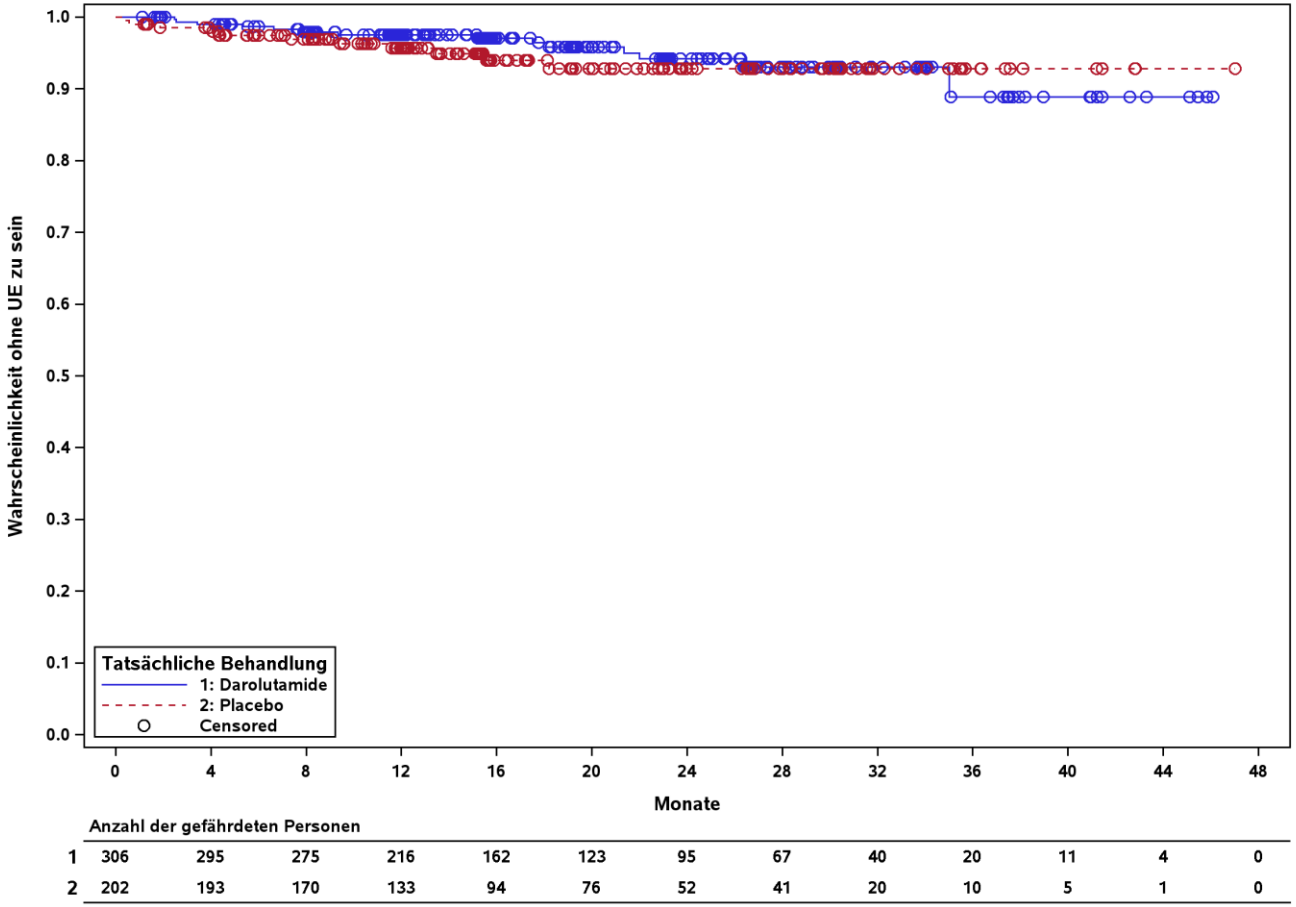
Bayer: /by-sasp/patdb/projects/1841788/17712/stat/prod_query22/pgms/t_aesi_sub.sas 23APR2020 17:14

Figure 4.3.3 / 132: Kaplan-Meier-Plot der 'Unerwünschte Ereignis von besonderem Interesse' Time-to-Event-Analyse nach Endpunkt und Subgruppe - Endpunkt: Zeit bis zum ersten UE von besonderem Interesse: Fall - Subgruppe: Leberfunktionsstörung: mild (full analysis set)



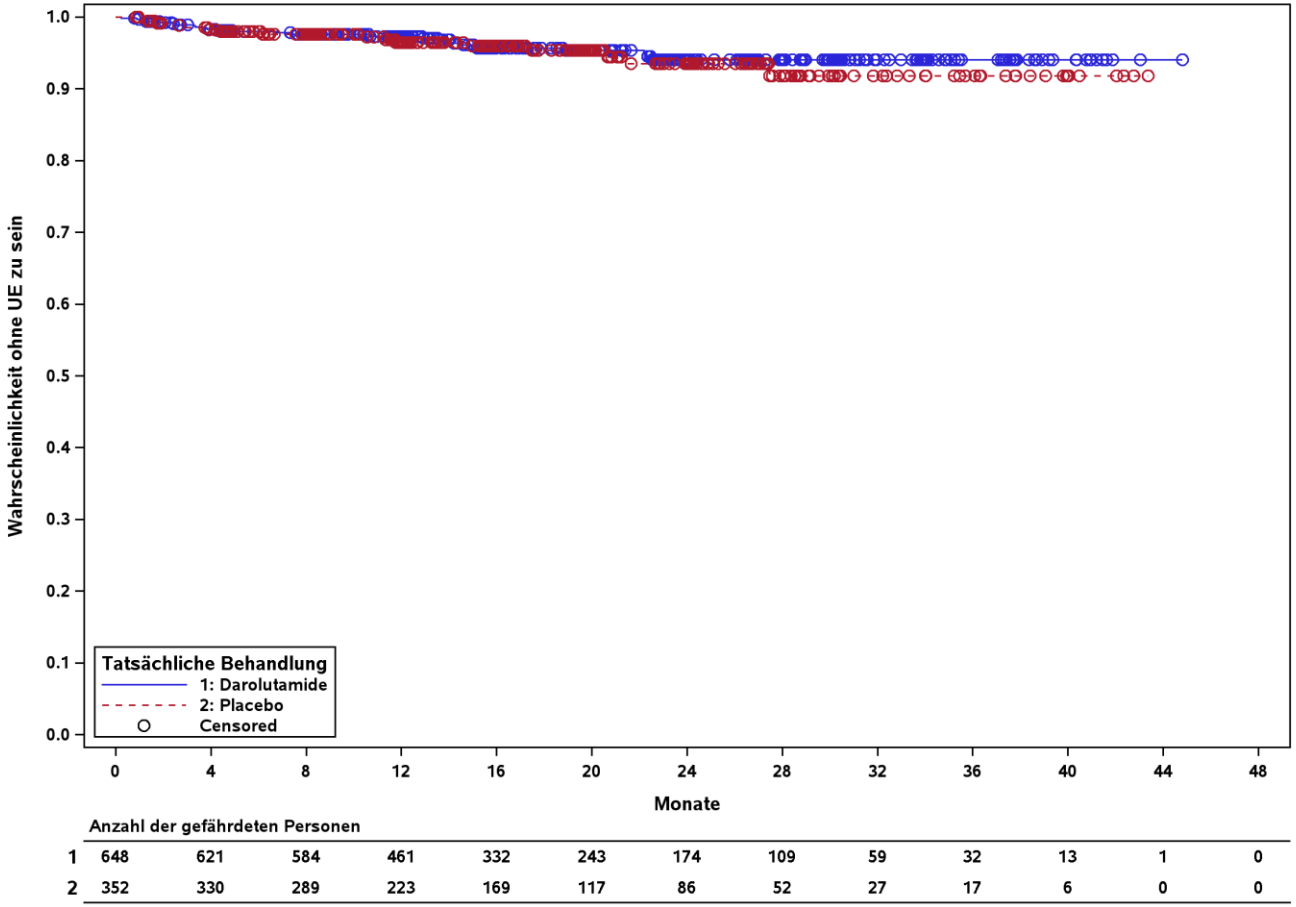
Bayer: /by-sasp/patdb/projects/1841788/17712/stat/prod_query22/pgms/t_aesi_sub.sas 23APR2020 17:14

Figure 4.3.3 / 133: Kaplan-Meier-Plot der 'Unerwünschte Ereignis von besonderem Interesse' Time-to-Event-Analyse nach Endpunkt und Subgruppe - Endpunkt: Zeit bis zum ersten UE von besonderem Interesse: Fall - Subgruppe: Nutzung von Statinen: Ja (full analysis set)



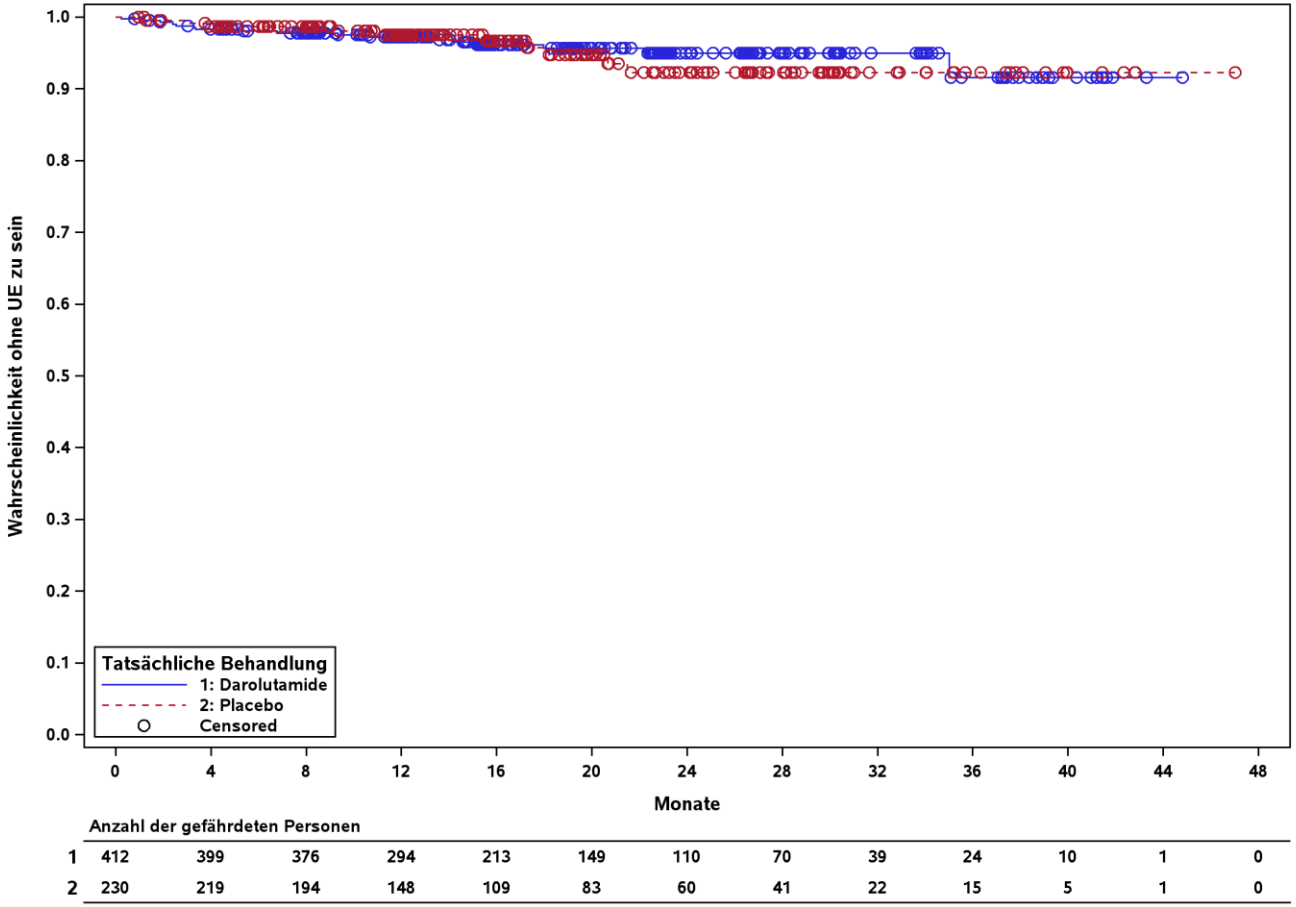
Bayer: /by-sasp/patdb/projects/1841788/17712/stat/prod_query22/pgms/t_aesi_sub.sas 23APR2020 17:14

Figure 4.3.3 / 134: Kaplan-Meier-Plot der 'Unerwünschte Ereignis von besonderem Interesse' Time-to-Event-Analyse nach Endpunkt und Subgruppe - Endpunkt: Zeit bis zum ersten UE von besonderem Interesse: Fall - Subgruppe: Nutzung von Statinen: Nein (full analysis set)



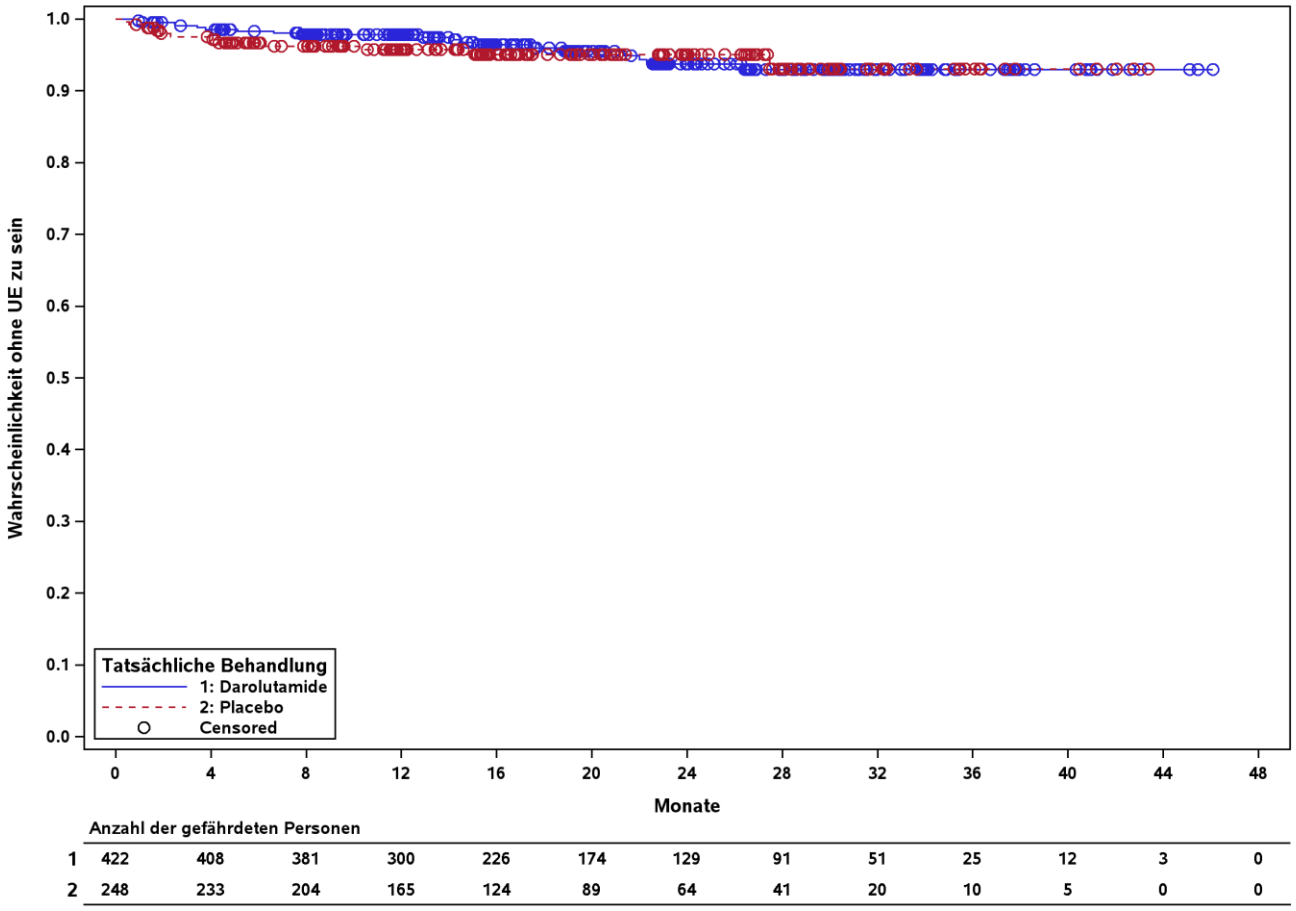
Bayer: /by-sasp/patdb/projects/1841788/17712/stat/prod_query22/pgms/t_aesi_sub.sas 23APR2020 17:14

Figure 4.3.3 / 135: Kaplan-Meier-Plot der 'Unerwünschte Ereignis von besonderem Interesse' Time-to-Event-Analyse nach Endpunkt und Subgruppe - Endpunkt: Zeit bis zum ersten UE von besonderem Interesse: Fall - Subgruppe: eGFR an Baseline: normal (full analysis set)



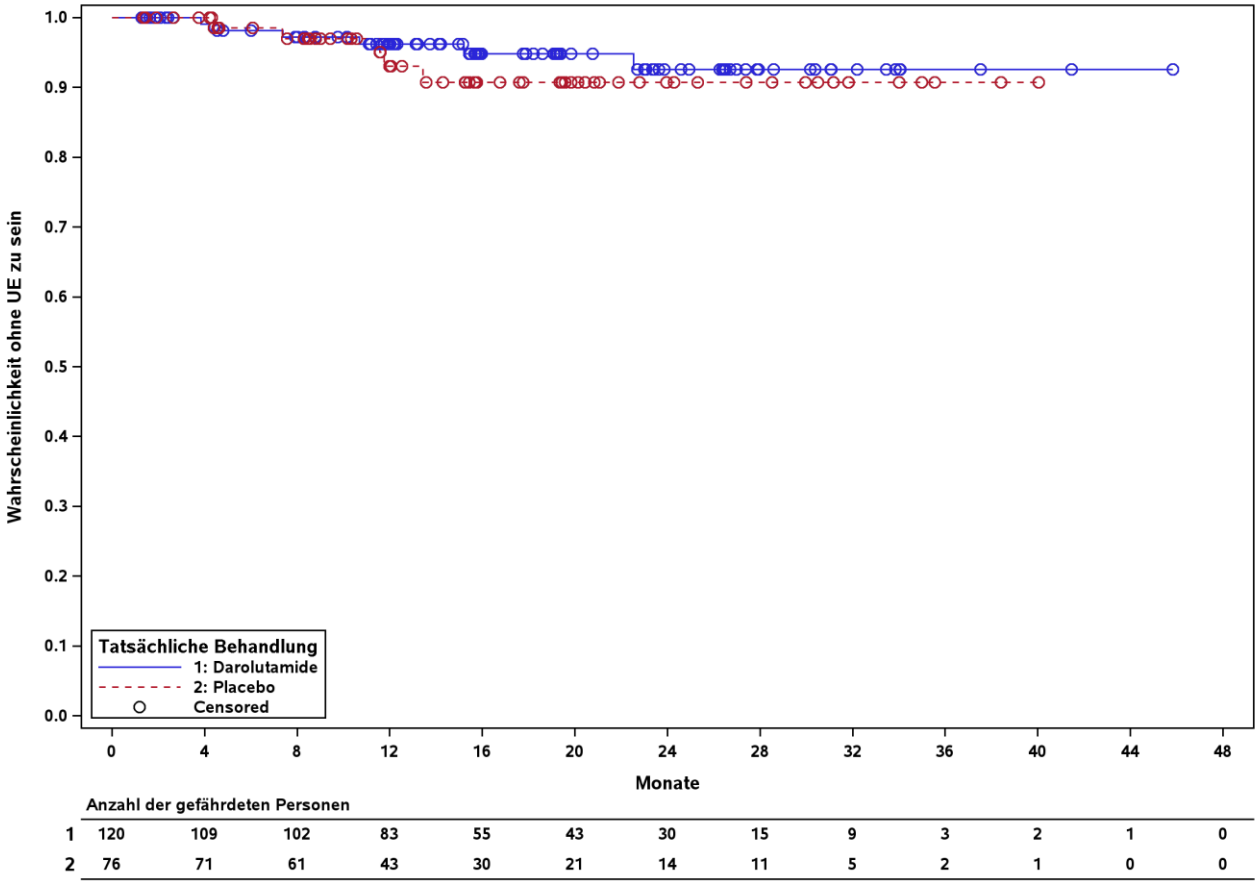
Bayer: /by-sasp/patdb/projects/1841788/17712/stat/prod_query22/pgms/t_aesi_sub.sas 23APR2020 17:14

Figure 4.3.3 / 136: Kaplan-Meier-Plot der 'Unerwünschte Ereignis von besonderem Interesse' Time-to-Event-Analyse nach Endpunkt und Subgruppe - Endpunkt: Zeit bis zum ersten UE von besonderem Interesse: Fall - Subgruppe: eGFR an Baseline: mildly impaired (full analysis set)



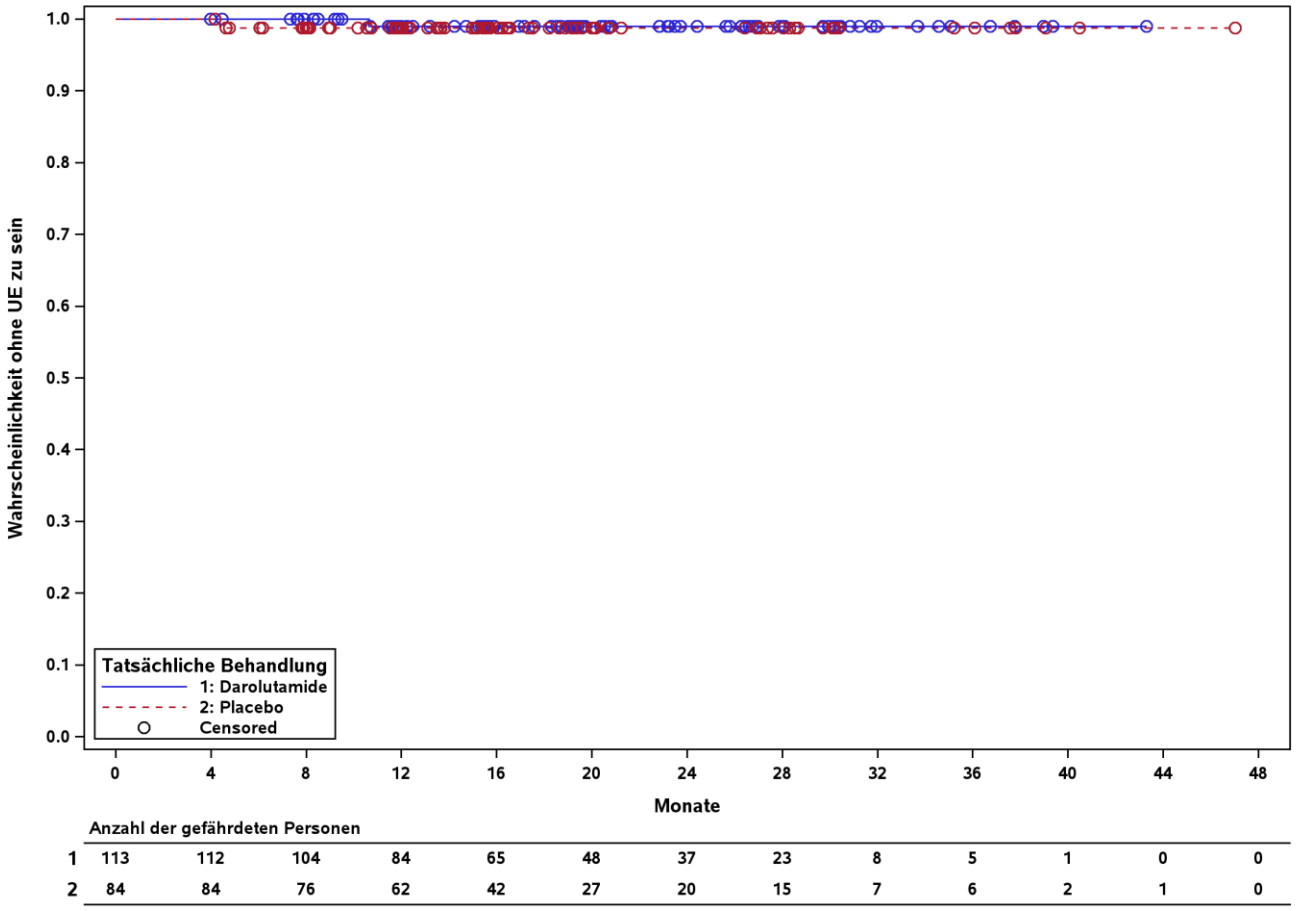
Bayer: /by-sasp/patdb/projects/1841788/17712/stat/prod_query22/pgms/t_aesi_sub.sas 23APR2020 17:14

Figure 4.3.3 / 137: Kaplan-Meier-Plot der 'Unerwünschte Ereignis von besonderem Interesse' Time-to-Event-Analyse nach Endpunkt und Subgruppe - Endpunkt: Zeit bis zum ersten UE von besonderem Interesse: Fall - Subgruppe: eGFR an Baseline: moderately impaired, severely impaired and renal end stage (full analysis set)



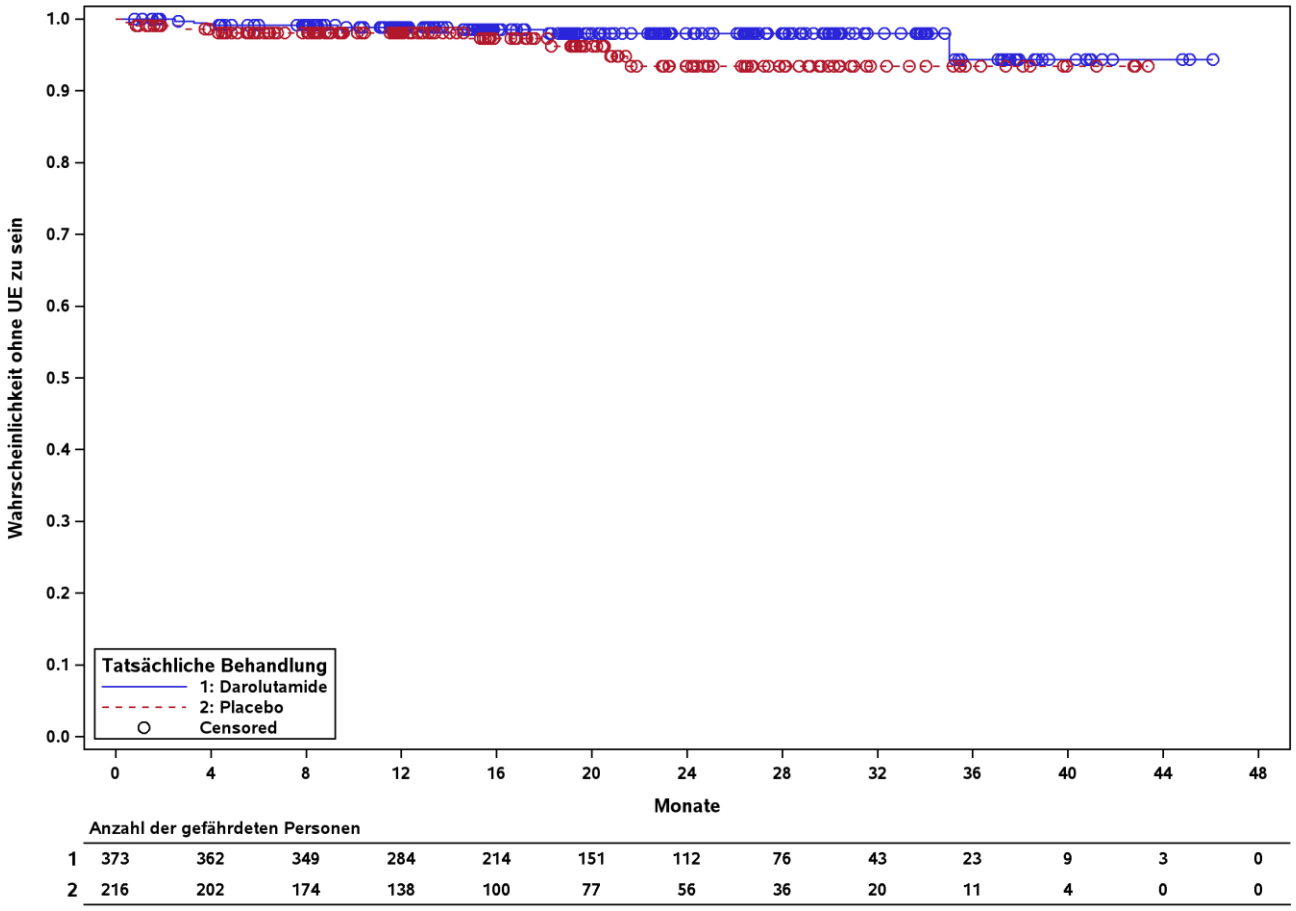
Bayer: /by-sasp/patdb/projects/1841788/17712/stat/prod_query22/pgms/t_aesi_sub.sas 23APR2020 17:14

Figure 4.3.3 / 138: Kaplan-Meier-Plot der 'Unerwünschte Ereignis von besonderem Interesse' Time-to-Event-Analyse nach Endpunkt und Subgruppe - Endpunkt: Zeit bis zum ersten UE von besonderem Interesse mit CTCAE Grad <3: Fall - Subgruppe: Alter (Jahre): <65 (full analysis set)



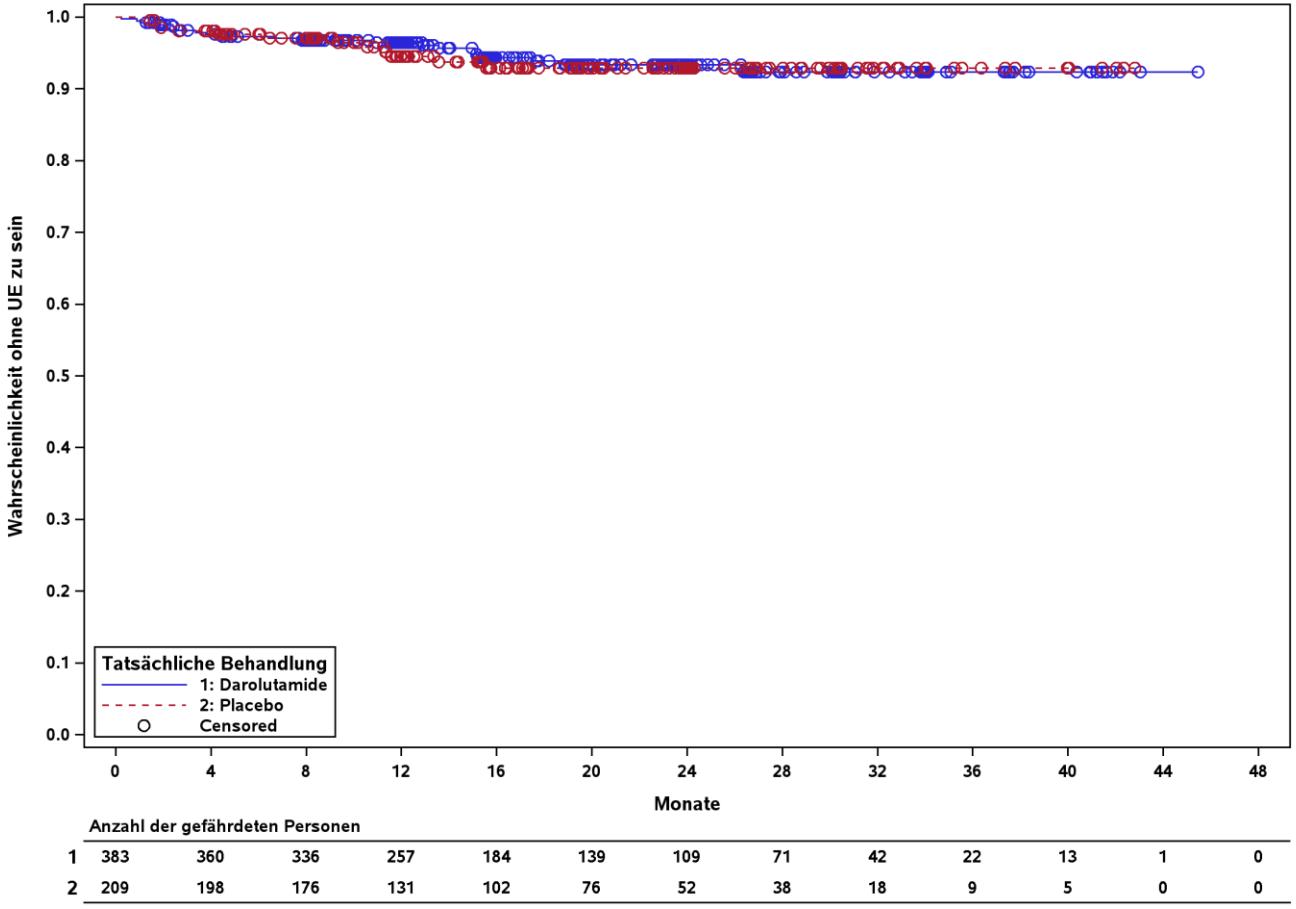
Bayer: /by-sasp/patdb/projects/1841788/17712/stat/prod_query22/pgms/t_aesi_sub.sas 23APR2020 17:14

Figure 4.3.3 / 139: Kaplan-Meier-Plot der 'Unerwünschte Ereignis von besonderem Interesse' Time-to-Event-Analyse nach Endpunkt und Subgruppe - Endpunkt: Zeit bis zum ersten UE von besonderem Interesse mit CTCAE Grad <3: Fall - Subgruppe: Alter (Jahre): 65-74 (full analysis set)



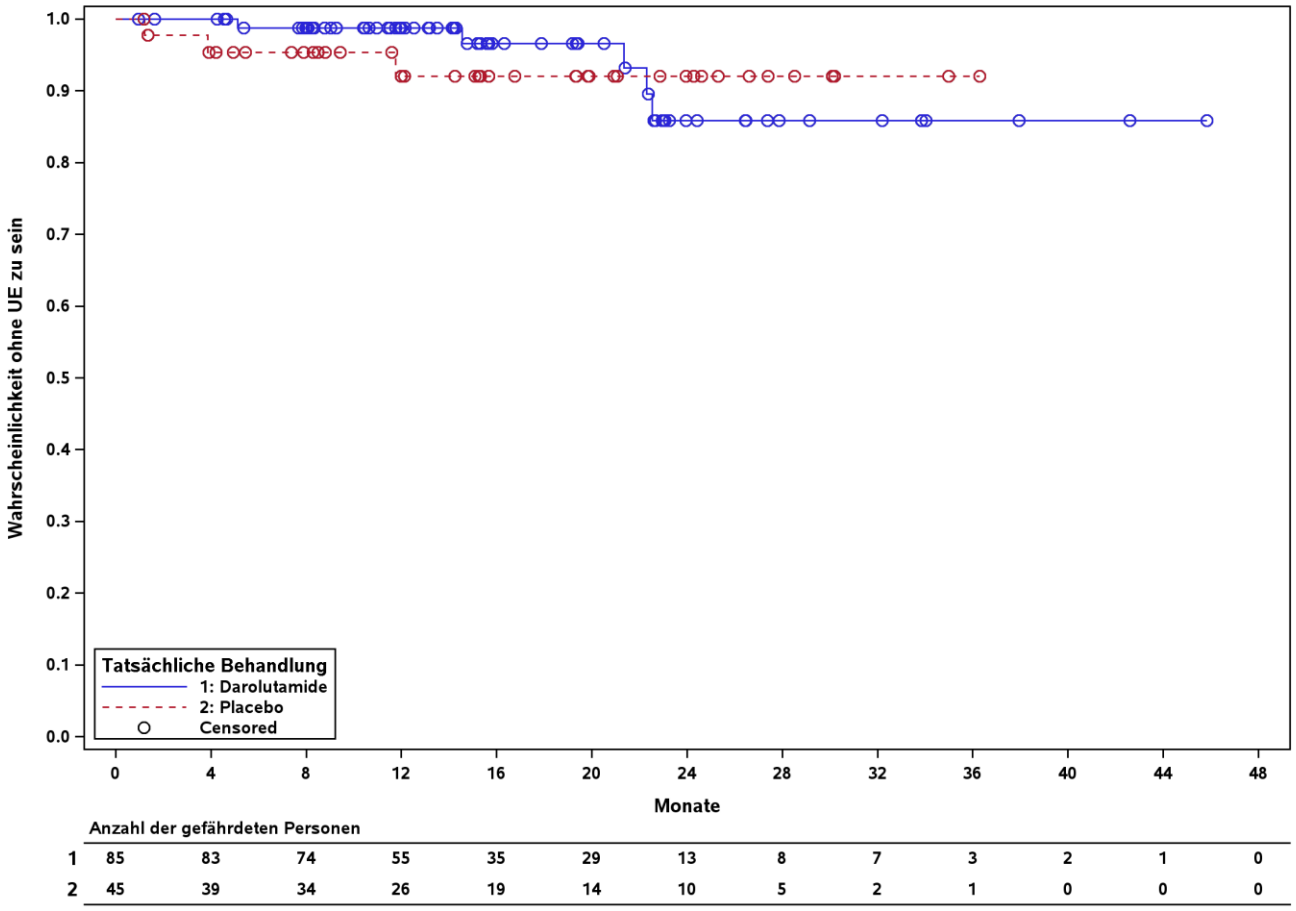
Bayer: /by-sasp/patdb/projects/1841788/17712/stat/prod_query22/pgms/t_aesi_sub.sas 23APR2020 17:14

Figure 4.3.3 / 140: Kaplan-Meier-Plot der 'Unerwünschte Ereignis von besonderem Interesse' Time-to-Event-Analyse nach Endpunkt und Subgruppe - Endpunkt: Zeit bis zum ersten UE von besonderem Interesse mit CTCAE Grad <3: Fall - Subgruppe: Alter (Jahre): 75-84 (full analysis set)



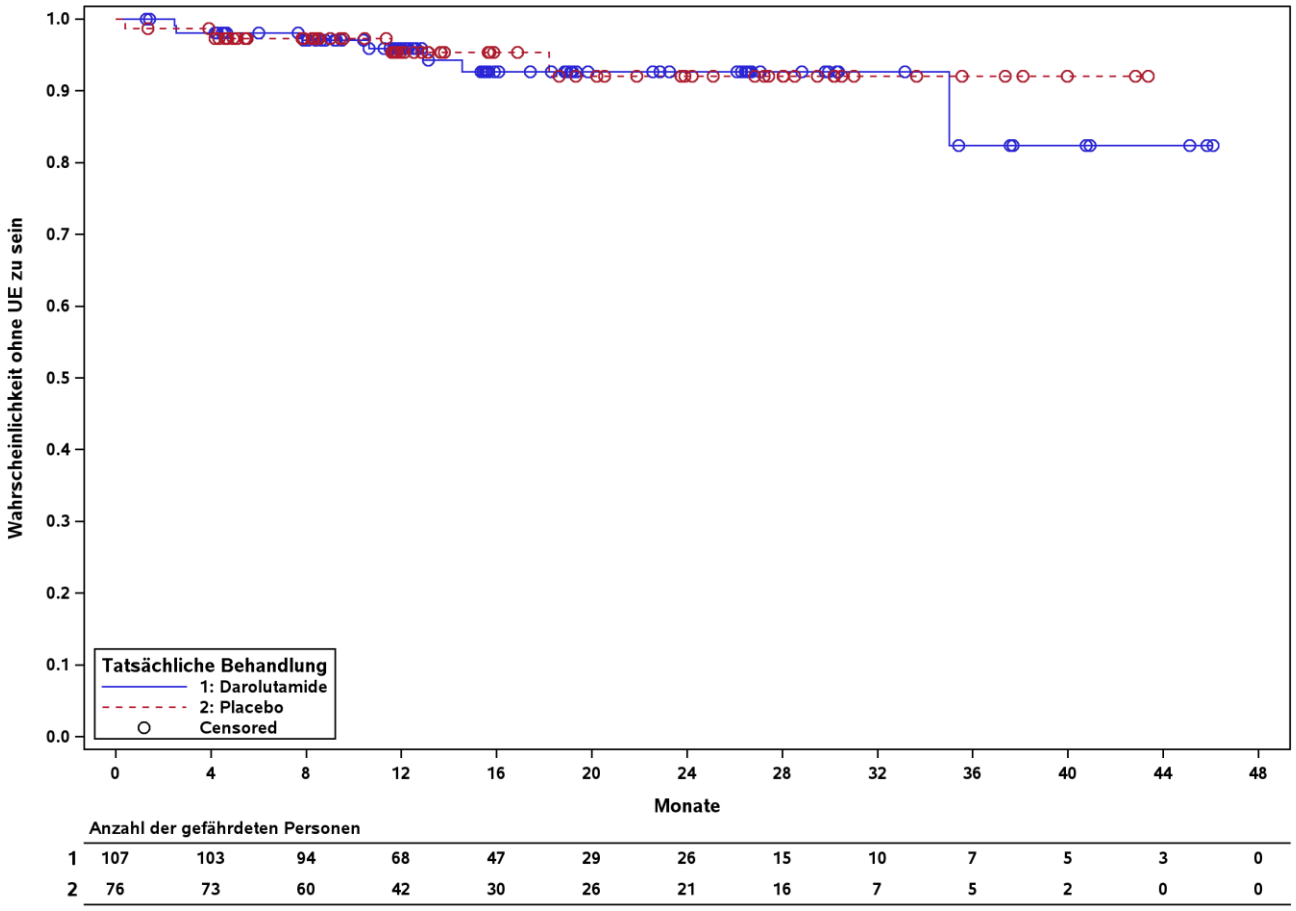
Bayer: /by-sasp/patdb/projects/1841788/17712/stat/prod_query22/pgms/t_aesi_sub.sas 23APR2020 17:14

Figure 4.3.3 / 141: Kaplan-Meier-Plot der 'Unerwünschte Ereignis von besonderem Interesse' Time-to-Event-Analyse nach Endpunkt und Subgruppe - Endpunkt: Zeit bis zum ersten UE von besonderem Interesse mit CTCAE Grad <3: Fall - Subgruppe: Alter (Jahre): >=85 (full analysis set)



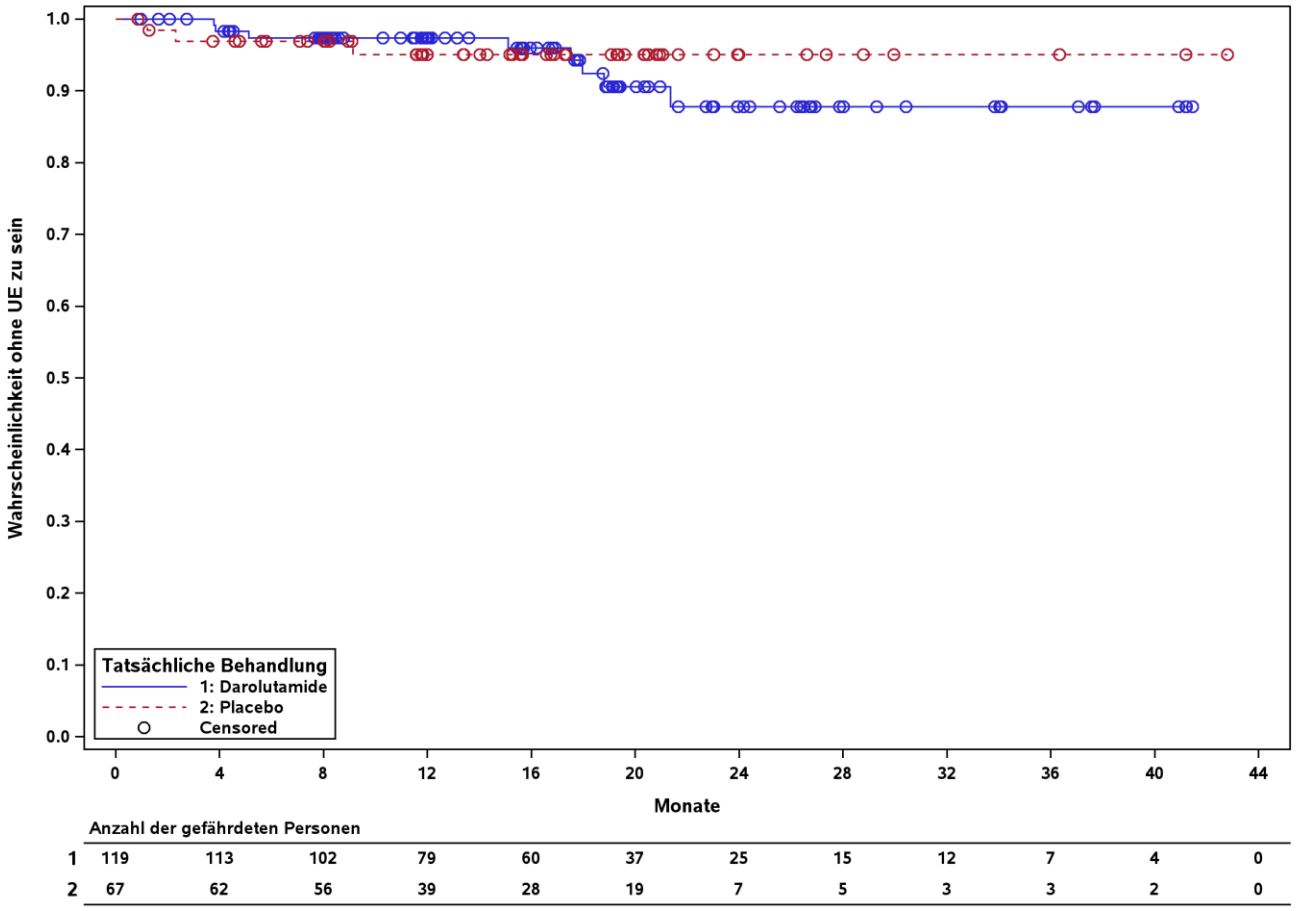
Bayer: /by-sasp/patdb/projects/1841788/17712/stat/prod_query22/pgms/t_aesi_sub.sas 23APR2020 17:14

Figure 4.3.3 / 142: Kaplan-Meier-Plot der 'Unerwünschte Ereignis von besonderem Interesse' Time-to-Event-Analyse nach Endpunkt und Subgruppe - Endpunkt: Zeit bis zum ersten UE von besonderem Interesse mit CTCAE Grad <3: Fall - Subgruppe: Geografische Region: North America (full analysis set)



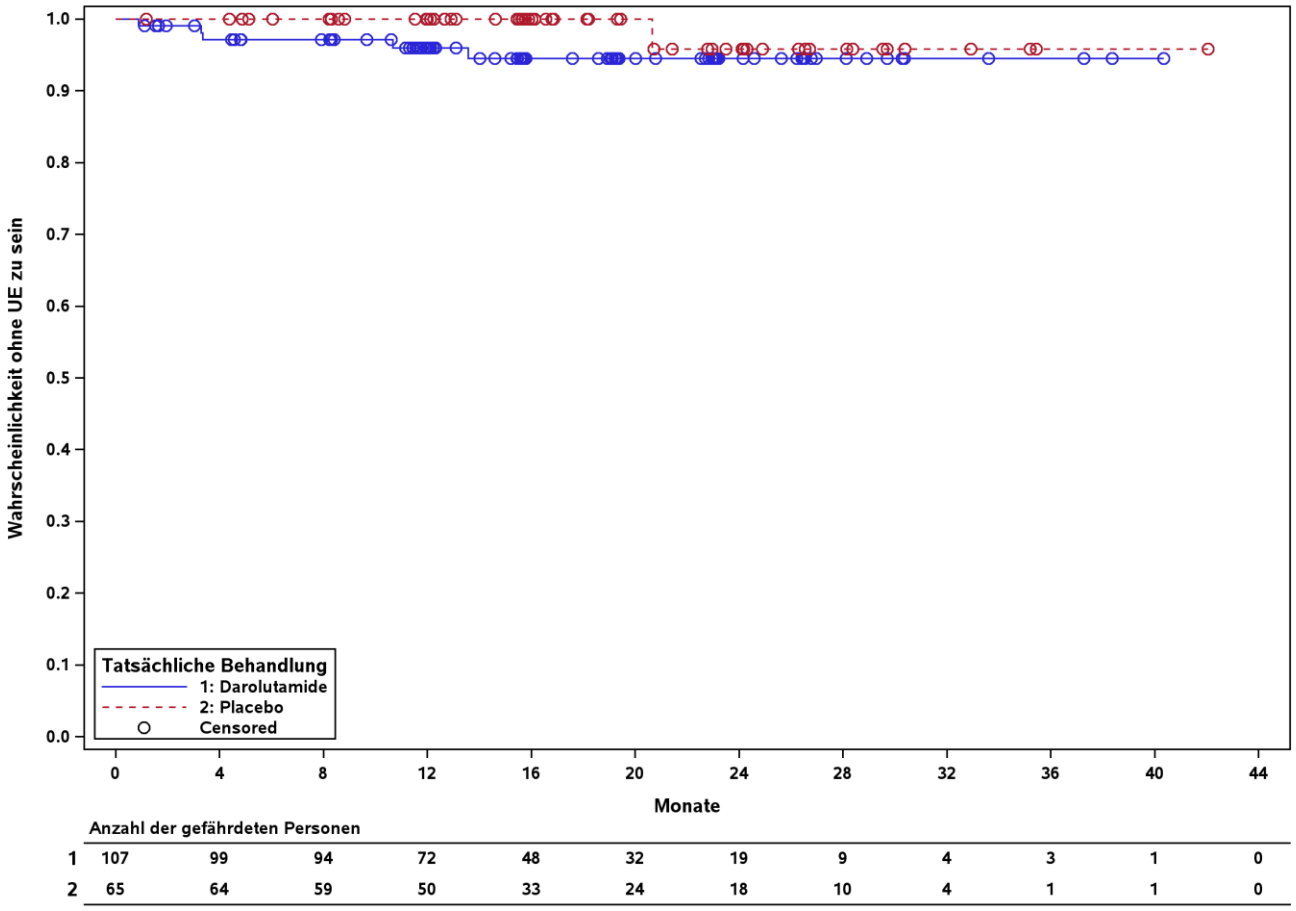
Bayer: /by-sasp/patdb/projects/1841788/17712/stat/prod_query22/pgms/t_aesi_sub.sas 23APR2020 17:14

Figure 4.3.3 / 143: Kaplan-Meier-Plot der 'Unerwünschte Ereignis von besonderem Interesse' Time-to-Event-Analyse nach Endpunkt und Subgruppe - Endpunkt: Zeit bis zum ersten UE von besonderem Interesse mit CTCAE Grad <3: Fall - Subgruppe: Geografische Region: Asia Pacific (full analysis set)



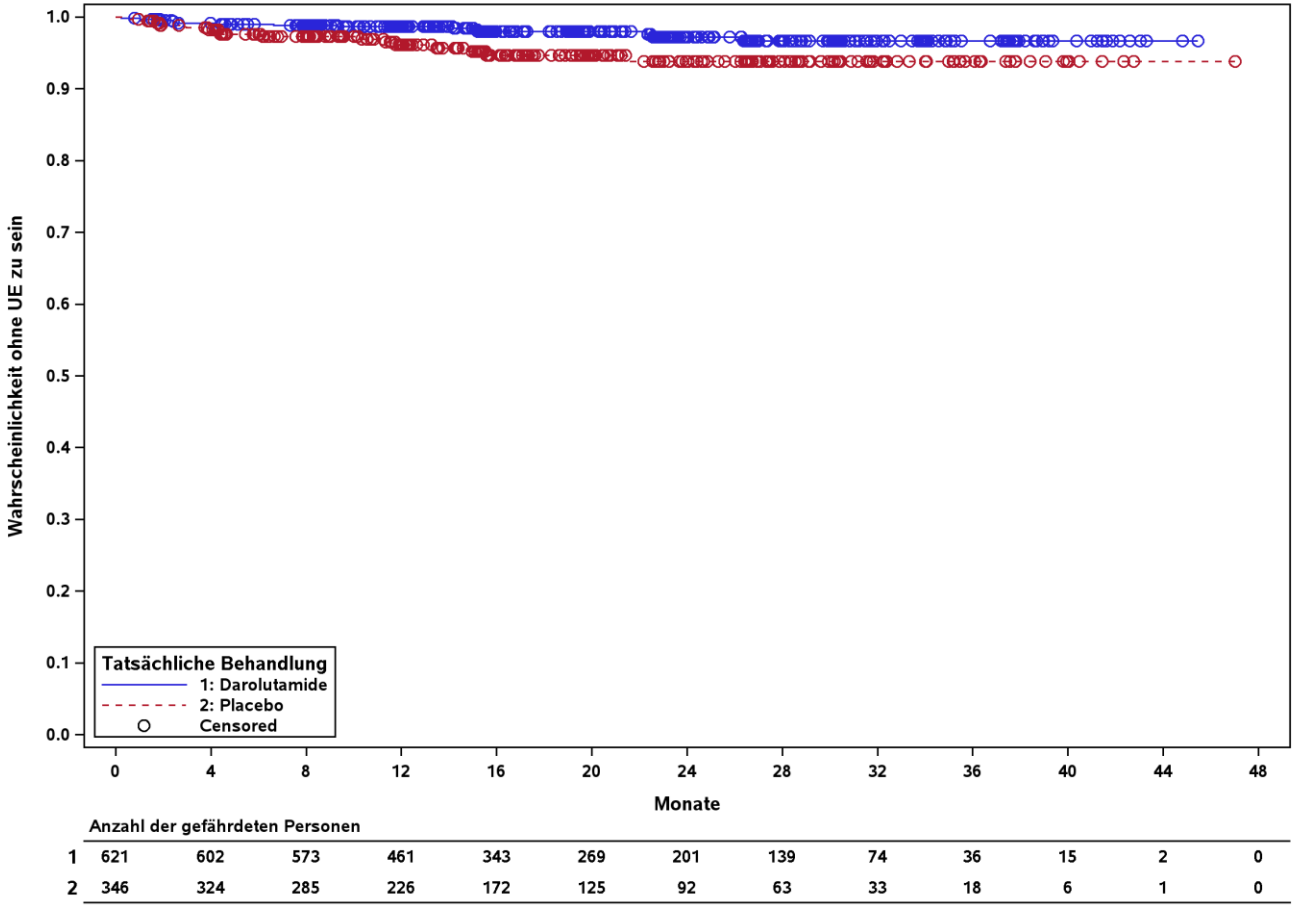
Bayer: /by-sasp/patdb/projects/1841788/17712/stat/prod_query22/pgms/t_aesi_sub.sas 23APR2020 17:14

Figure 4.3.3 / 144: Kaplan-Meier-Plot der 'Unerwünschte Ereignis von besonderem Interesse' Time-to-Event-Analyse nach Endpunkt und Subgruppe - Endpunkt: Zeit bis zum ersten UE von besonderem Interesse mit CTCAE Grad <3: Fall - Subgruppe: Geografische Region: Rest of the World (full analysis set)



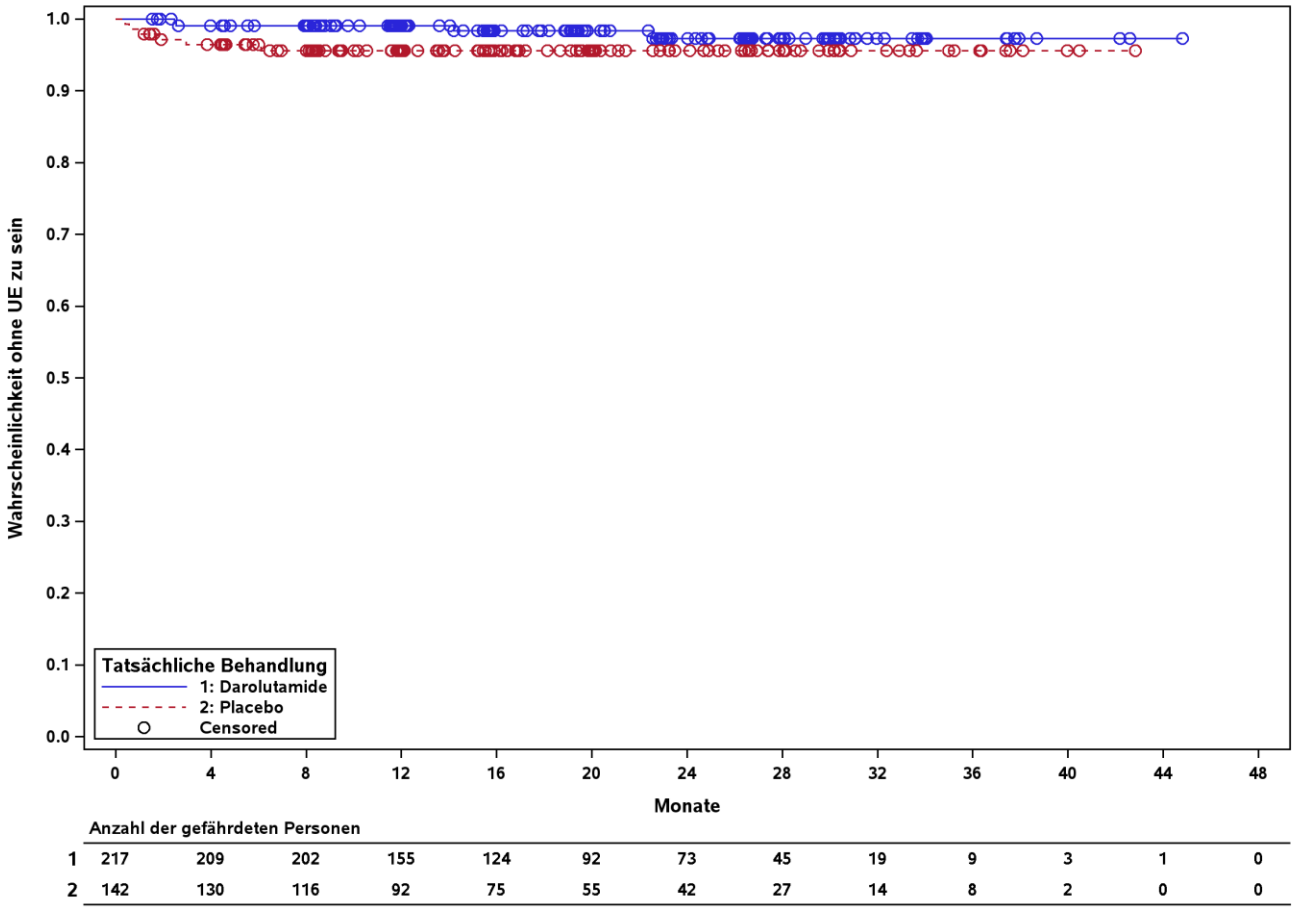
Bayer: /by-sasp/patdb/projects/1841788/17712/stat/prod_query22/pgms/t_aesi_sub.sas 23APR2020 17:14

Figure 4.3.3 / 145: Kaplan-Meier-Plot der 'Unerwünschte Ereignis von besonderem Interesse' Time-to-Event-Analyse nach Endpunkt und Subgruppe - Endpunkt: Zeit bis zum ersten UE von besonderem Interesse mit CTCAE Grad <3: Fall - Subgruppe: Geografische Region: Europe (full analysis set)



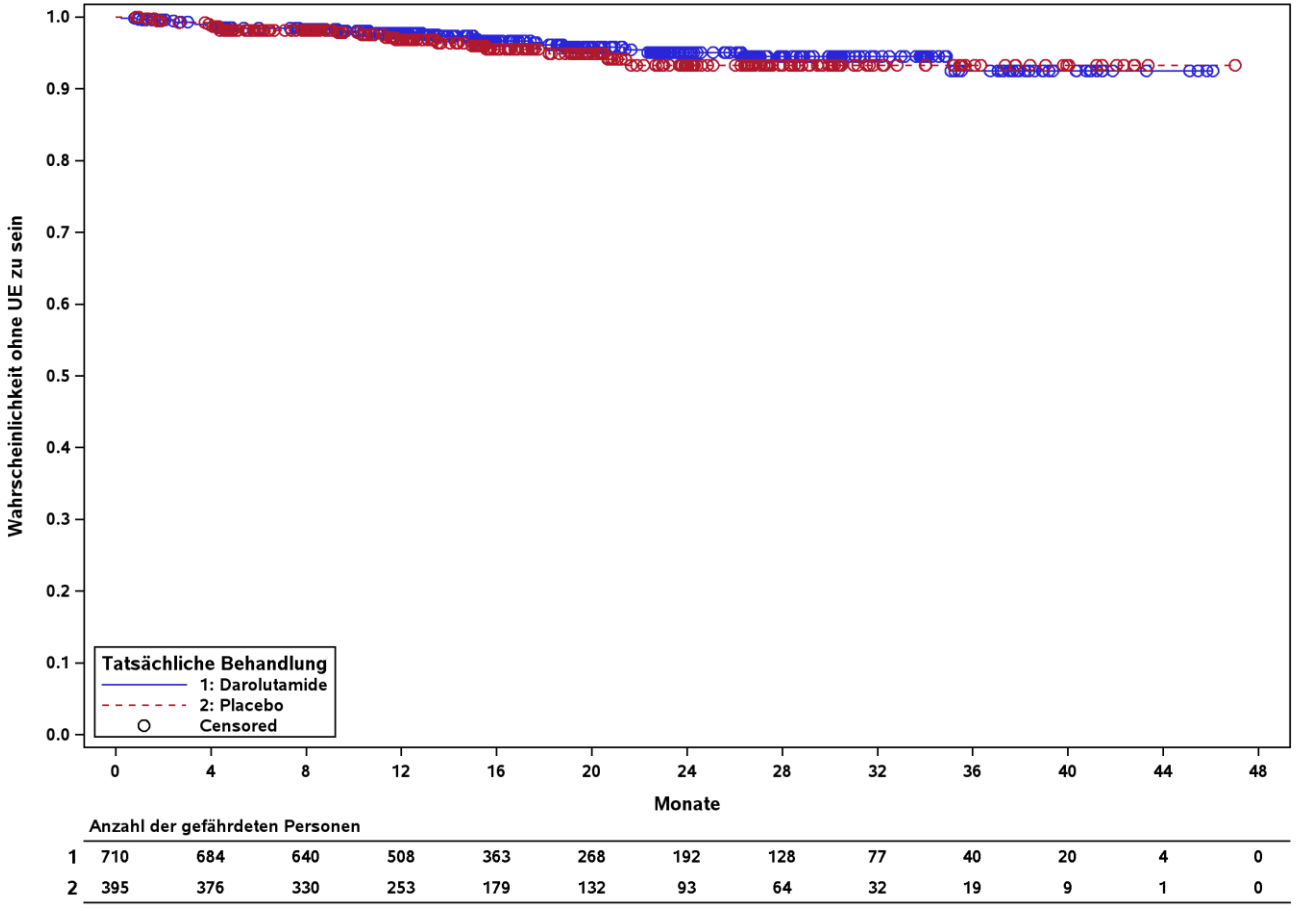
Bayer: /by-sasp/patdb/projects/1841788/17712/stat/prod_query22/pgms/t_aesi_sub.sas 23APR2020 17:14

Figure 4.3.3 / 146: Kaplan-Meier-Plot der 'Unerwünschte Ereignis von besonderem Interesse' Time-to-Event-Analyse nach Endpunkt und Subgruppe - Endpunkt: Zeit bis zum ersten UE von besonderem Interesse mit CTCAE Grad <3: Fall - Subgruppe: Gleason-Score bei Diagnose: <7 (full analysis set)



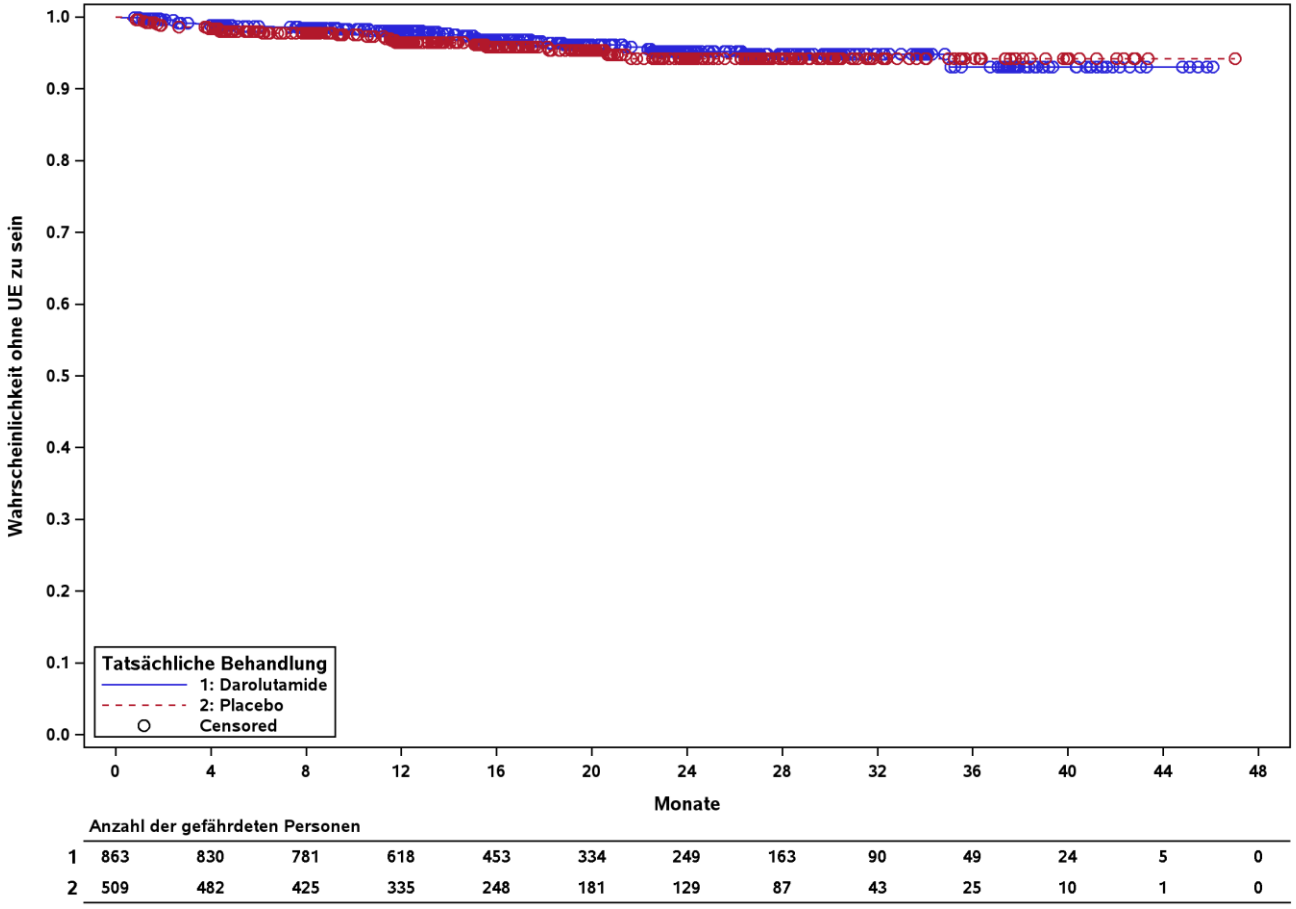
Bayer: /by-sasp/patdb/projects/1841788/17712/stat/prod_query22/pgms/t_aesi_sub.sas 23APR2020 17:14

Figure 4.3.3 / 147: Kaplan-Meier-Plot der 'Unerwünschte Ereignis von besonderem Interesse' Time-to-Event-Analyse nach Endpunkt und Subgruppe - Endpunkt: Zeit bis zum ersten UE von besonderem Interesse mit CTCAE Grad <3: Fall - Subgruppe: Gleason-Score bei Diagnose: >=7 (full analysis set)



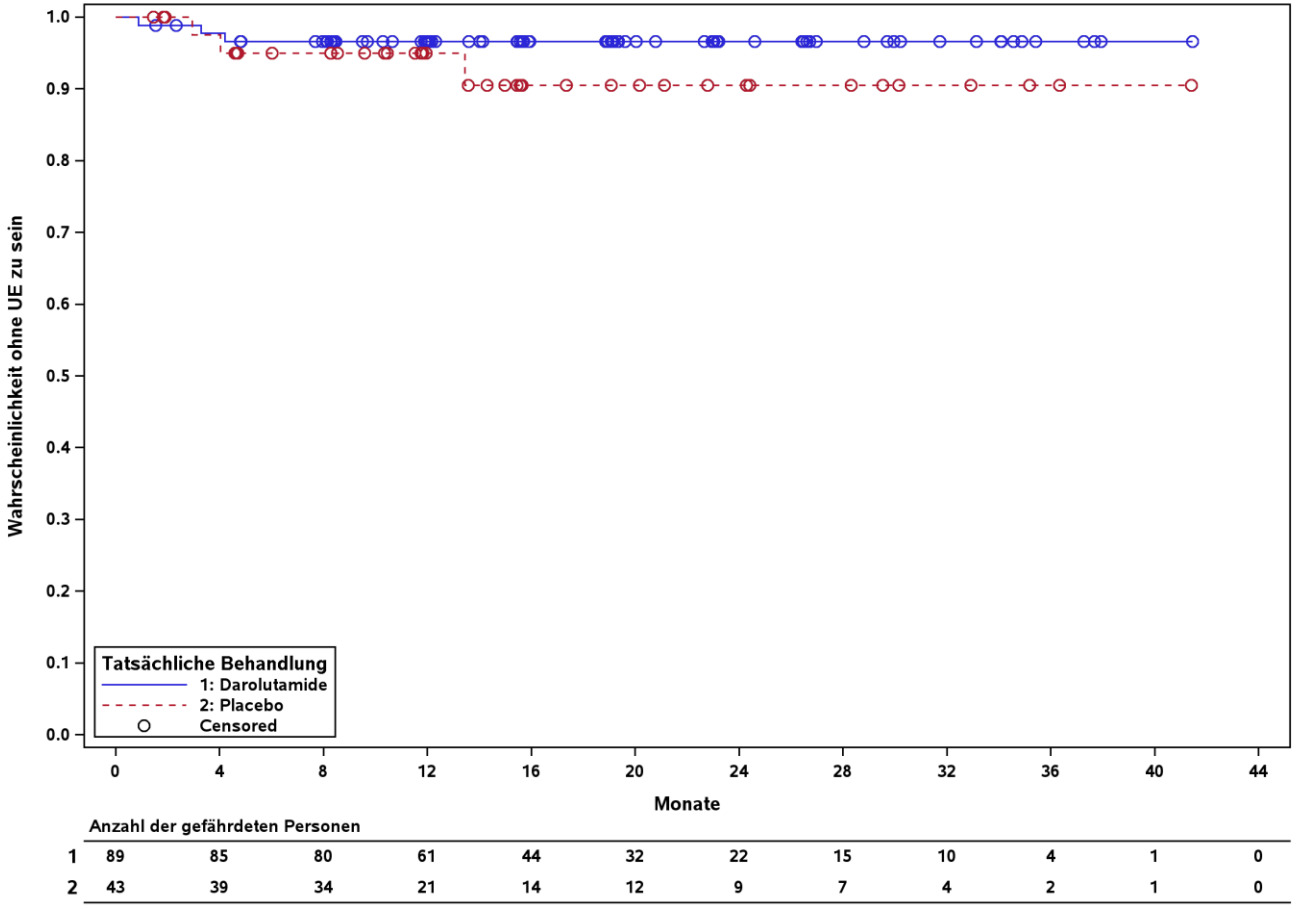
Bayer: /by-sasp/patdb/projects/1841788/17712/stat/prod_query22/pgms/t_aesi_sub.sas 23APR2020 17:14

Figure 4.3.3 / 148: Kaplan-Meier-Plot der 'Unerwünschte Ereignis von besonderem Interesse' Time-to-Event-Analyse nach Endpunkt und Subgruppe - Endpunkt: Zeit bis zum ersten UE von besonderem Interesse mit CTCAE Grad <3: Fall - Subgruppe: Leberfunktionsstörung: normal (full analysis set)



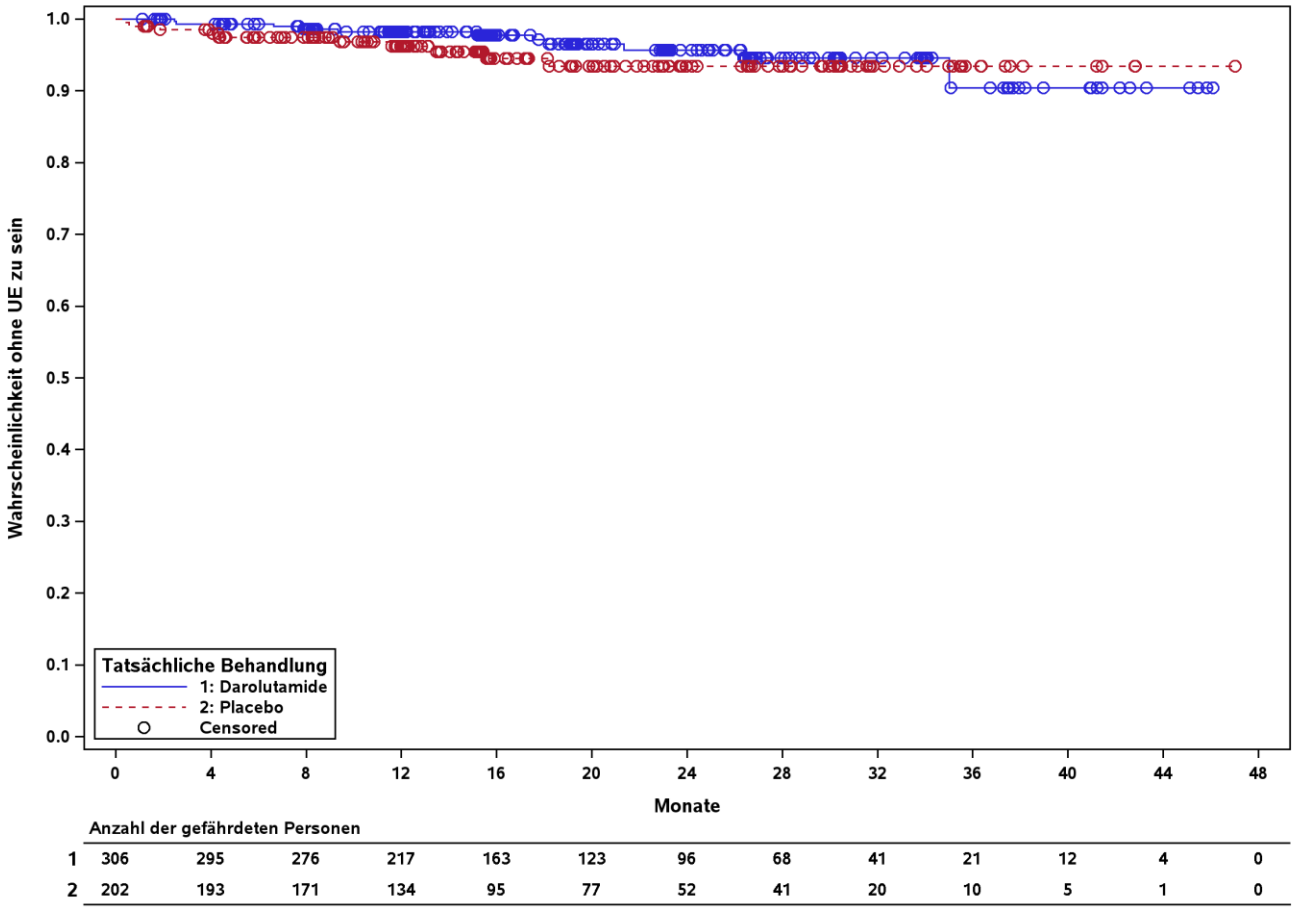
Bayer: /by-sasp/patdb/projects/1841788/17712/stat/prod_query22/pgms/t_aesi_sub.sas 23APR2020 17:14

Figure 4.3.3 / 149: Kaplan-Meier-Plot der 'Unerwünschte Ereignis von besonderem Interesse' Time-to-Event-Analyse nach Endpunkt und Subgruppe - Endpunkt: Zeit bis zum ersten UE von besonderem Interesse mit CTCAE Grad <3: Fall - Subgruppe: Leberfunktionsstörung: mild (full analysis set)



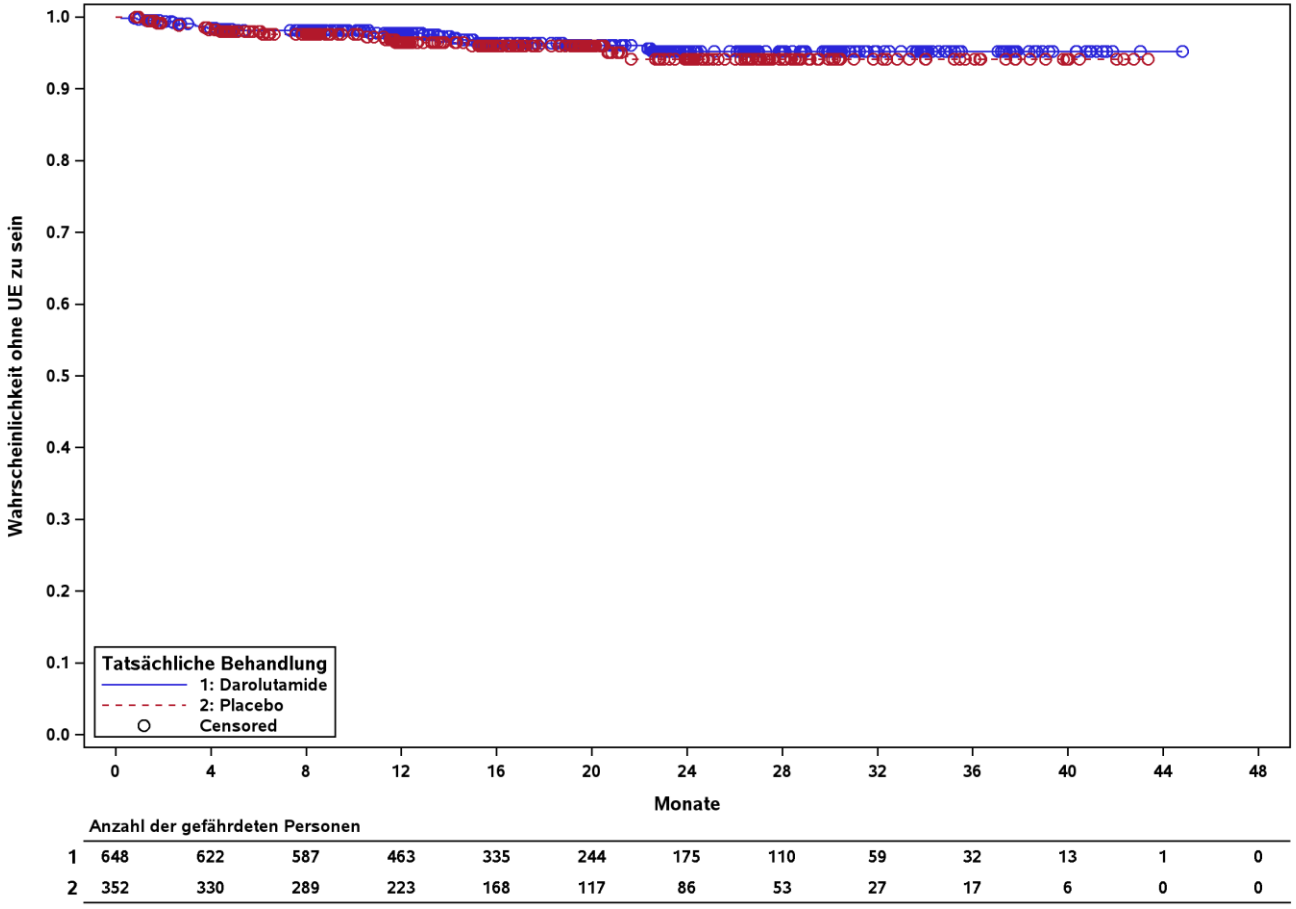
Bayer: /by-sasp/patdb/projects/1841788/17712/stat/prod_query22/pgms/t_aesi_sub.sas 23APR2020 17:14

Figure 4.3.3 / 150: Kaplan-Meier-Plot der 'Unerwünschte Ereignis von besonderem Interesse' Time-to-Event-Analyse nach Endpunkt und Subgruppe - Endpunkt: Zeit bis zum ersten UE von besonderem Interesse mit CTCAE Grad <3: Fall - Subgruppe: Nutzung von Statinen: Ja (full analysis set)



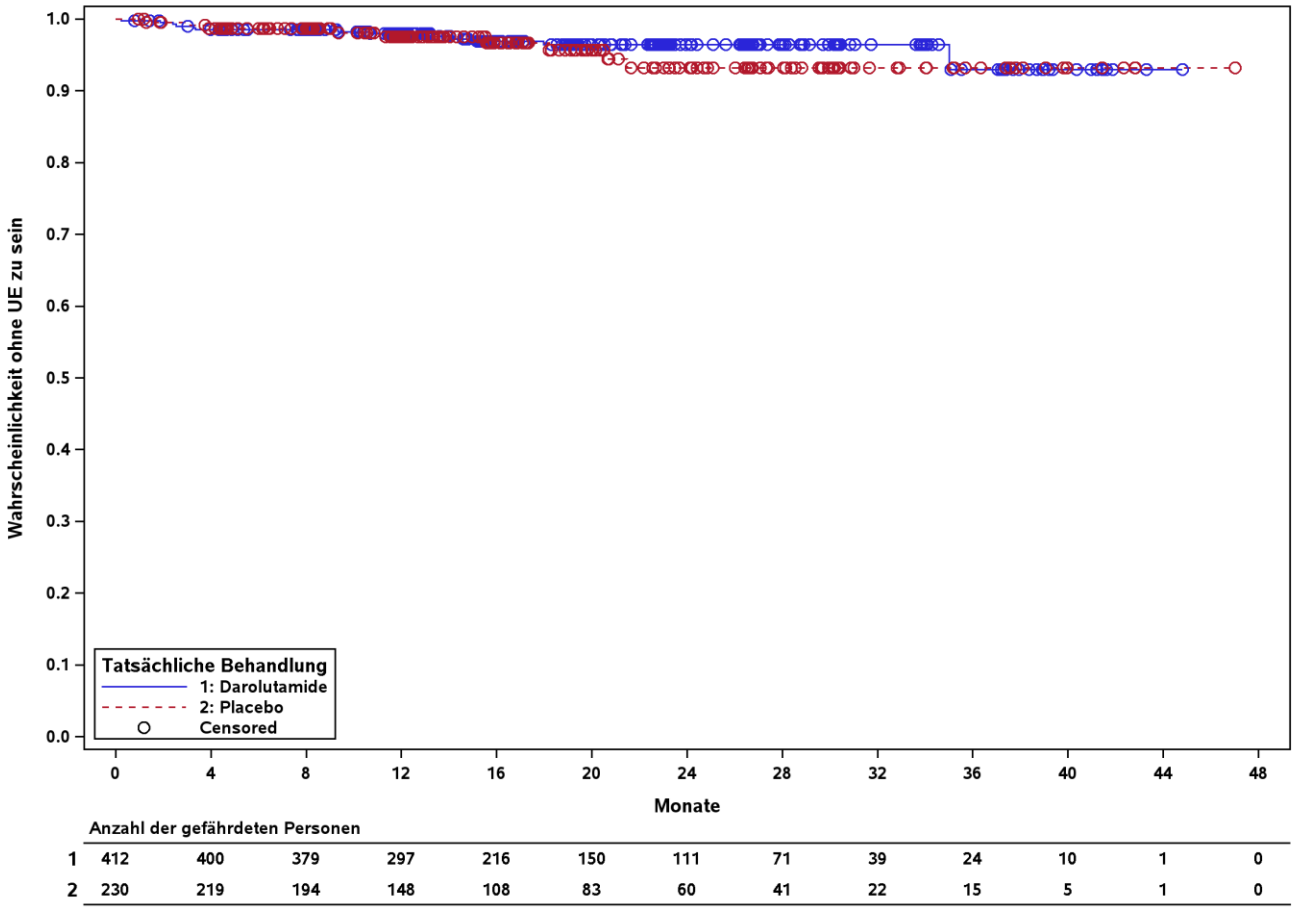
Bayer: /by-sasp/patdb/projects/1841788/17712/stat/prod_query22/pgms/t_aesi_sub.sas 23APR2020 17:14

Figure 4.3.3 / 151: Kaplan-Meier-Plot der 'Unerwünschte Ereignis von besonderem Interesse' Time-to-Event-Analyse nach Endpunkt und Subgruppe - Endpunkt: Zeit bis zum ersten UE von besonderem Interesse mit CTCAE Grad <3: Fall - Subgruppe: Nutzung von Statinen: Nein (full analysis set)



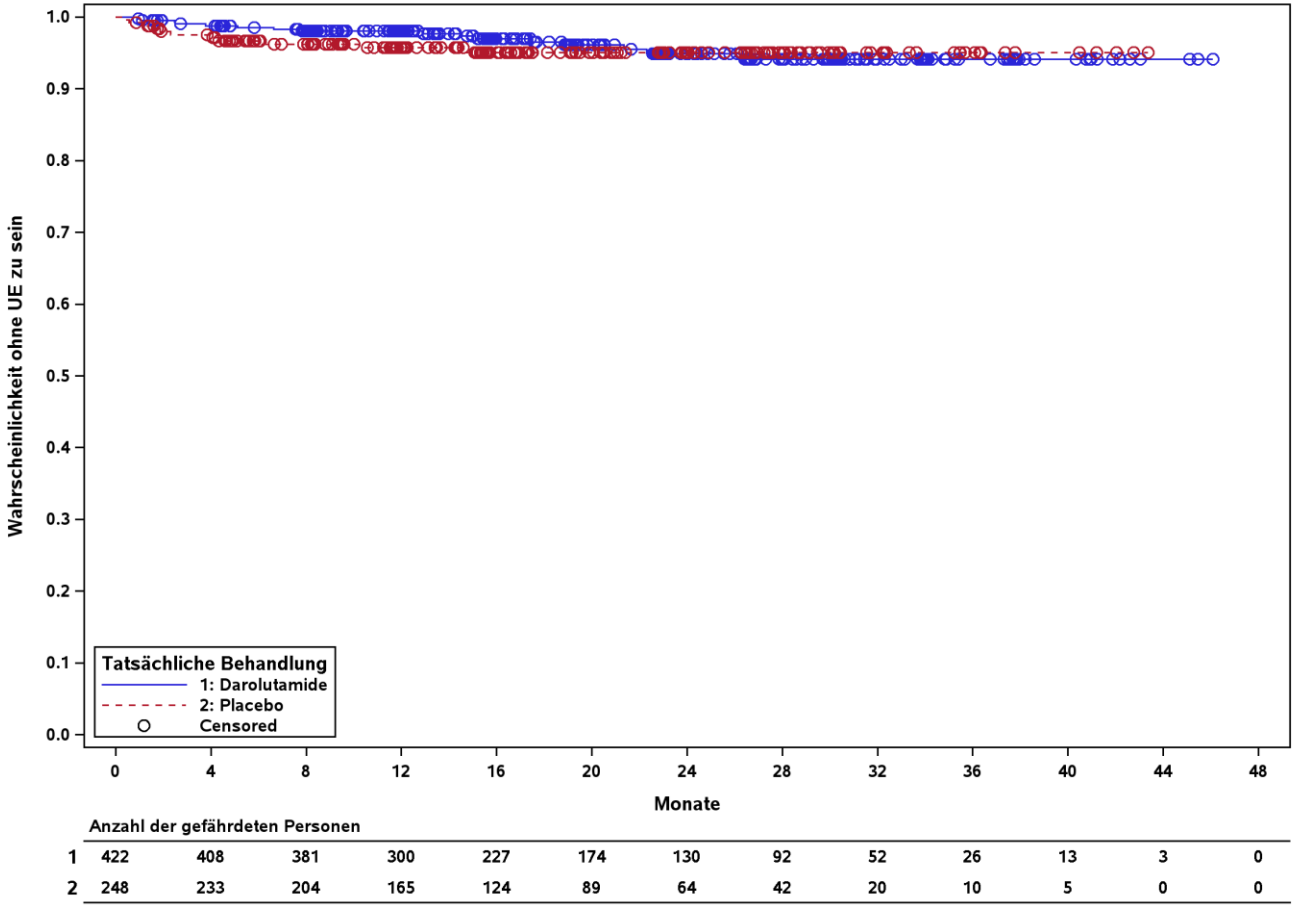
Bayer: /by-sasp/patdb/projects/1841788/17712/stat/prod_query22/pgms/t_aesi_sub.sas 23APR2020 17:14

Figure 4.3.3 / 152: Kaplan-Meier-Plot der 'Unerwünschte Ereignis von besonderem Interesse' Time-to-Event-Analyse nach Endpunkt und Subgruppe - Endpunkt: Zeit bis zum ersten UE von besonderem Interesse mit CTCAE Grad <3: Fall - Subgruppe: eGFR an Baseline: normal (full analysis set)



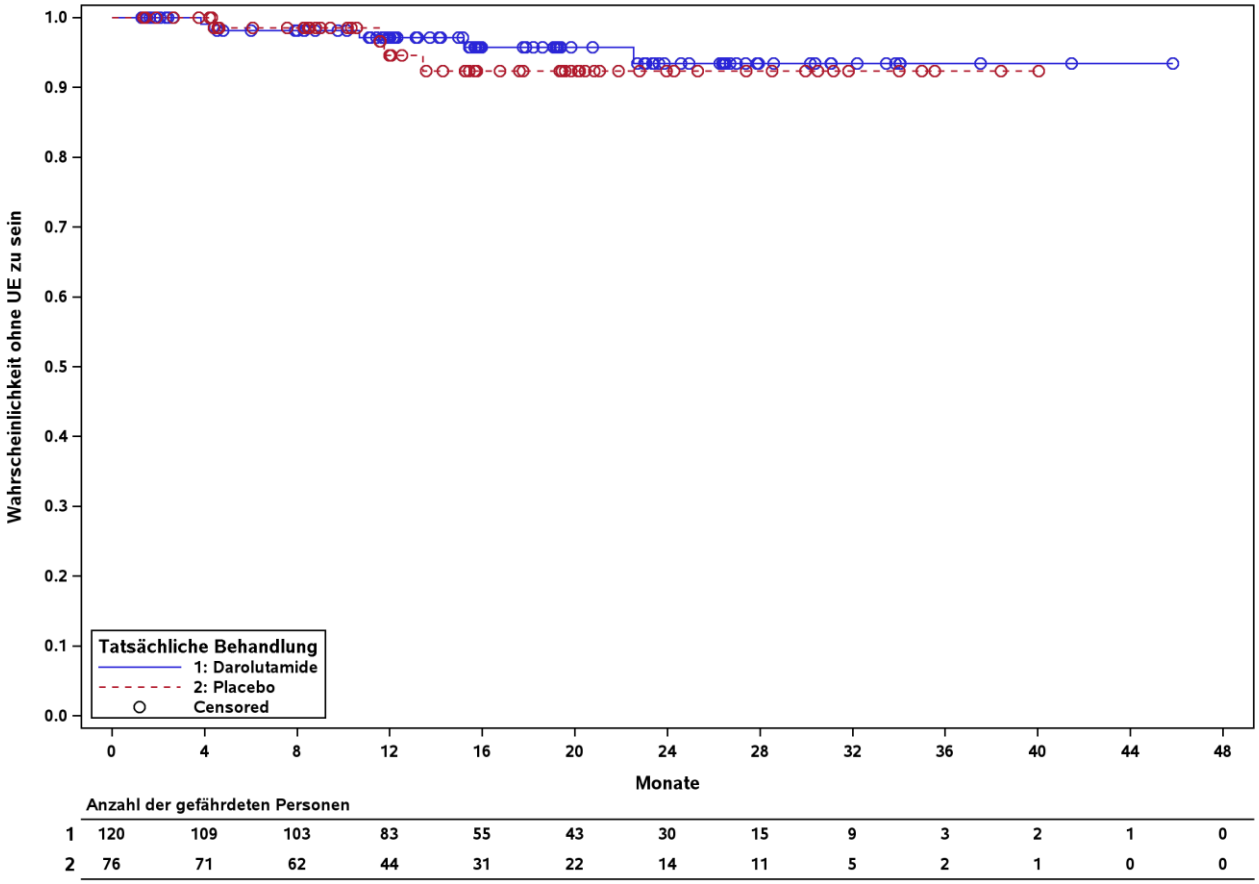
Bayer: /by-sasp/patdb/projects/1841788/17712/stat/prod_query22/pgms/t_aesi_sub.sas 23APR2020 17:14

Figure 4.3.3 / 153: Kaplan-Meier-Plot der 'Unerwünschte Ereignis von besonderem Interesse' Time-to-Event-Analyse nach Endpunkt und Subgruppe - Endpunkt: Zeit bis zum ersten UE von besonderem Interesse mit CTCAE Grad <3: Fall - Subgruppe: eGFR an Baseline: mildly impaired (full analysis set)



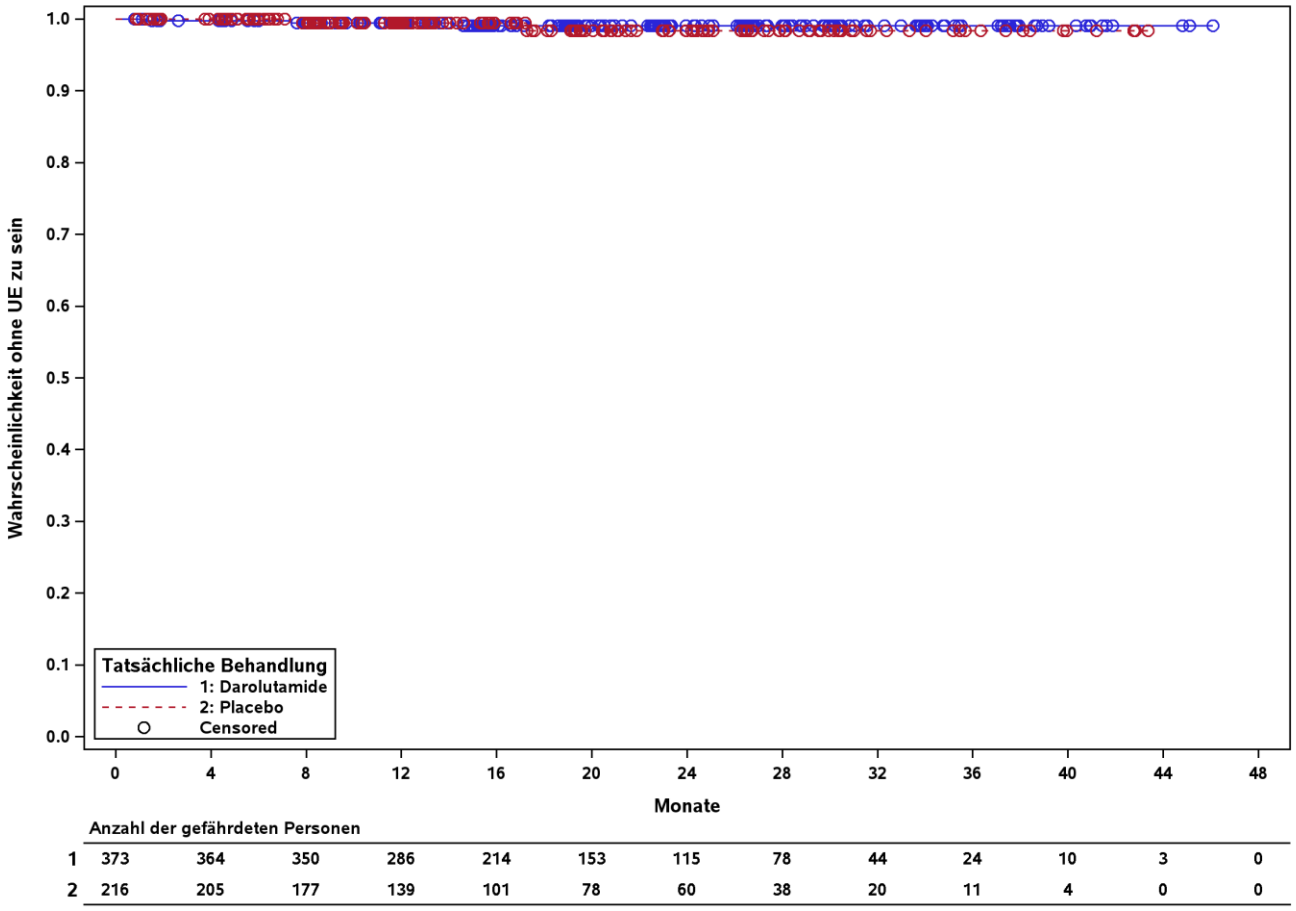
Bayer: /by-sasp/patdb/projects/1841788/17712/stat/prod_query22/pgms/t_aesi_sub.sas 23APR2020 17:14

Figure 4.3.3 / 154: Kaplan-Meier-Plot der 'Unerwünschte Ereignis von besonderem Interesse' Time-to-Event-Analyse nach Endpunkt und Subgruppe - Endpunkt: Zeit bis zum ersten UE von besonderem Interesse mit CTCAE Grad <3: Fall - Subgruppe: eGFR an Baseline: moderately impaired, severely impaired and renal end stage (full analysis set)



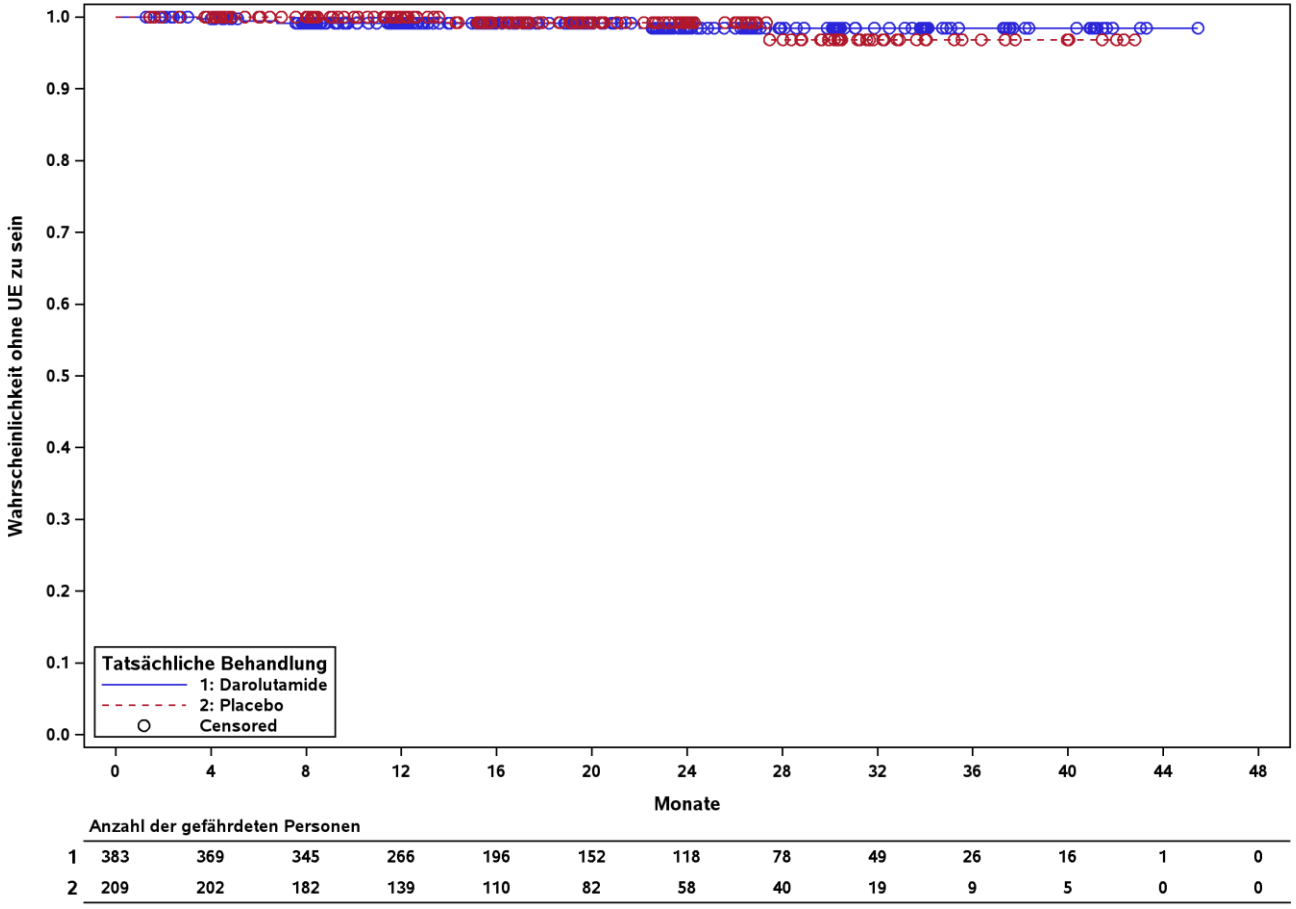
Bayer: /by-sasp/patdb/projects/1841788/17712/stat/prod_query22/pgms/t_aesi_sub.sas 23APR2020 17:14

Figure 4.3.3 / 155: Kaplan-Meier-Plot der 'Unerwünschte Ereignis von besonderem Interesse' Time-to-Event-Analyse nach Endpunkt und Subgruppe - Endpunkt: Zeit bis zum ersten UE von besonderem Interesse mit CTCAE Grad >=3: Fall - Subgruppe: Alter (Jahre): 65-74 (full analysis set)



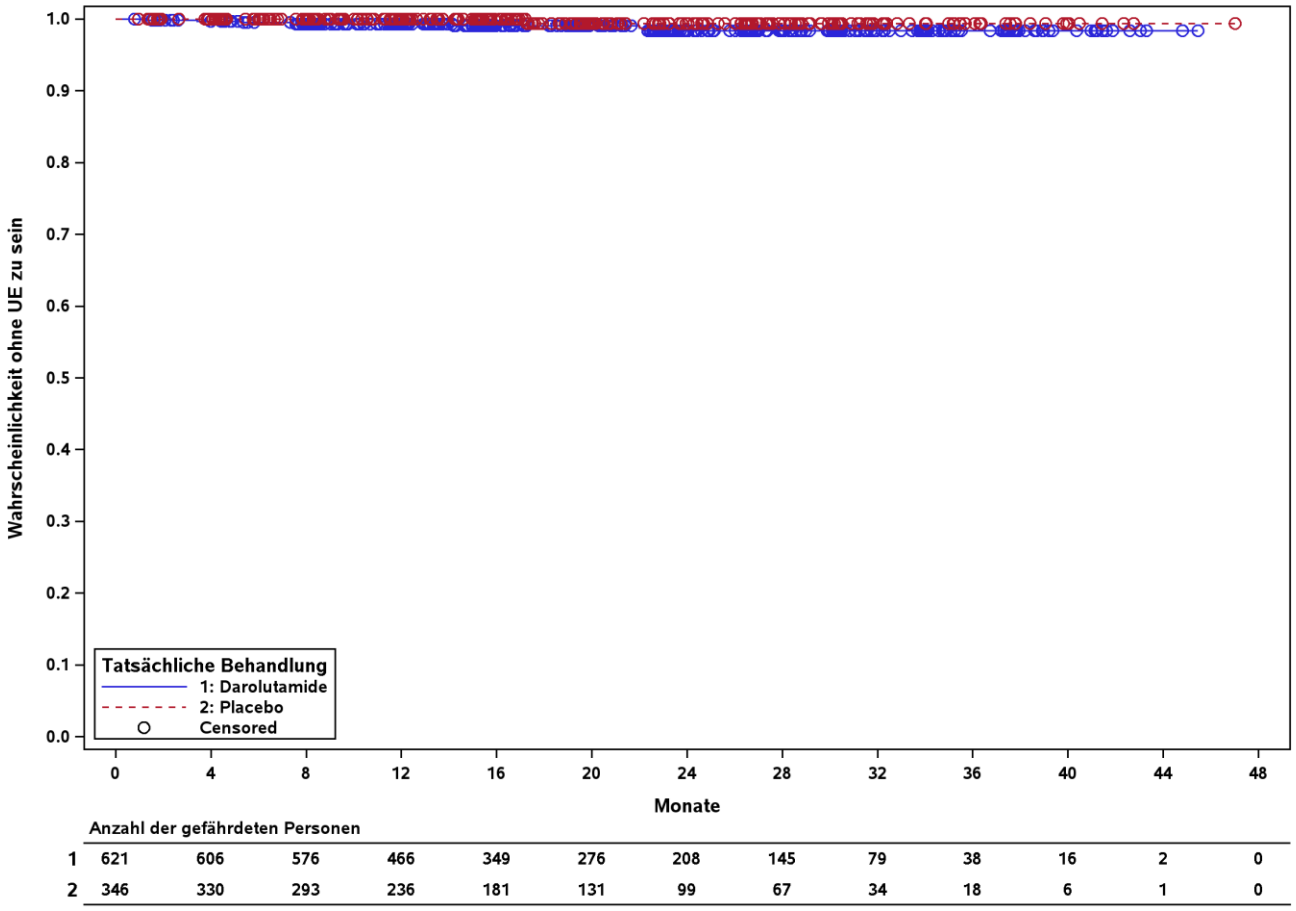
Bayer: /by-sasp/patdb/projects/1841788/17712/stat/prod_query22/pgms/t_aesi_sub.sas 23APR2020 17:14

Figure 4.3.3 / 156: Kaplan-Meier-Plot der 'Unerwünschte Ereignis von besonderem Interesse' Time-to-Event-Analyse nach Endpunkt und Subgruppe - Endpunkt: Zeit bis zum ersten UE von besonderem Interesse mit CTCAE Grad >=3: Fall - Subgruppe: Alter (Jahre): 75-84 (full analysis set)



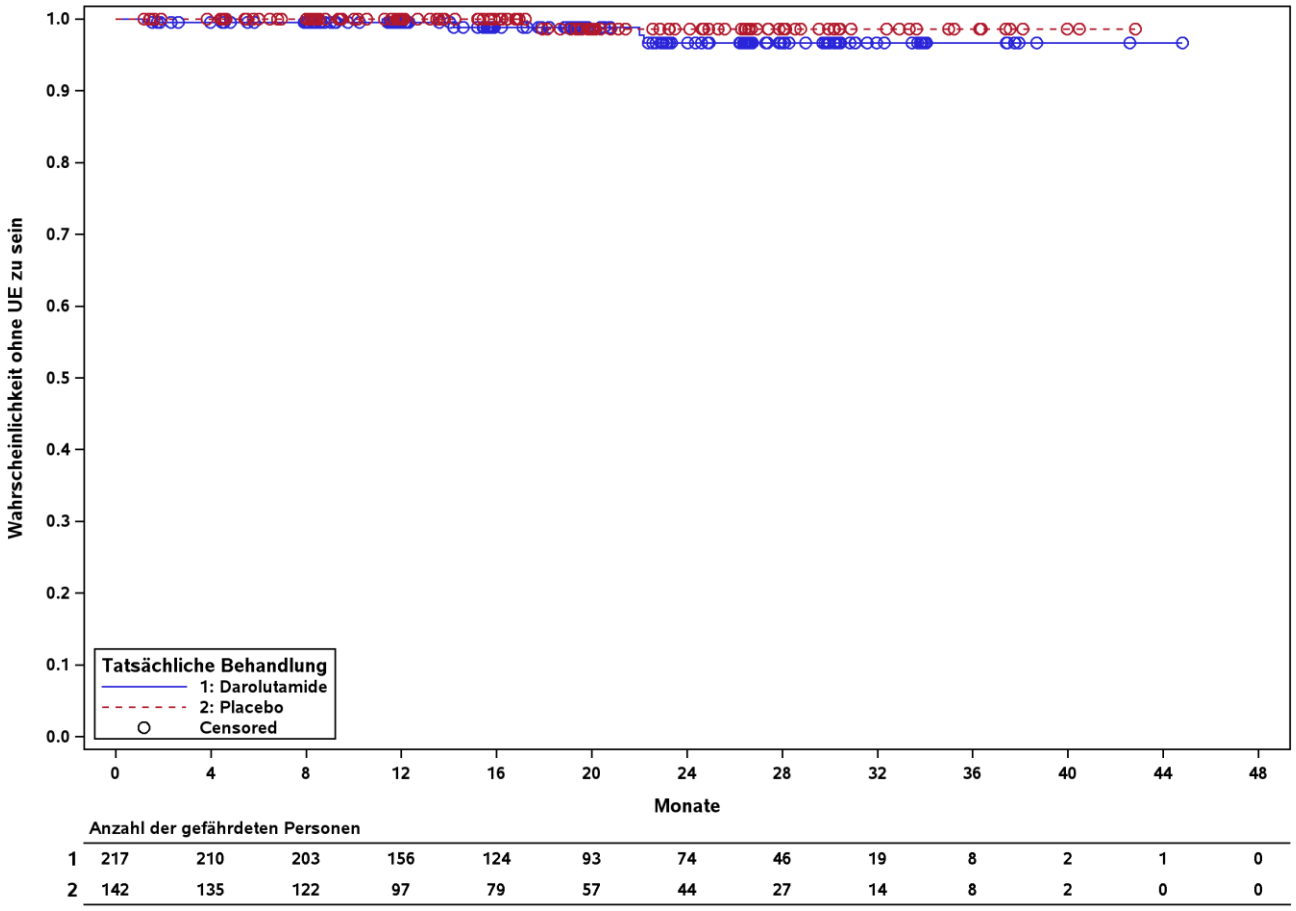
Bayer: /by-sasp/patdb/projects/1841788/17712/stat/prod_query22/pgms/t_aesi_sub.sas 23APR2020 17:14

Figure 4.3.3 / 157: Kaplan-Meier-Plot der 'Unerwünschte Ereignis von besonderem Interesse' Time-to-Event-Analyse nach Endpunkt und Subgruppe - Endpunkt: Zeit bis zum ersten UE von besonderem Interesse mit CTCAE Grad >=3: Fall - Subgruppe: Geografische Region: Europe (full analysis set)



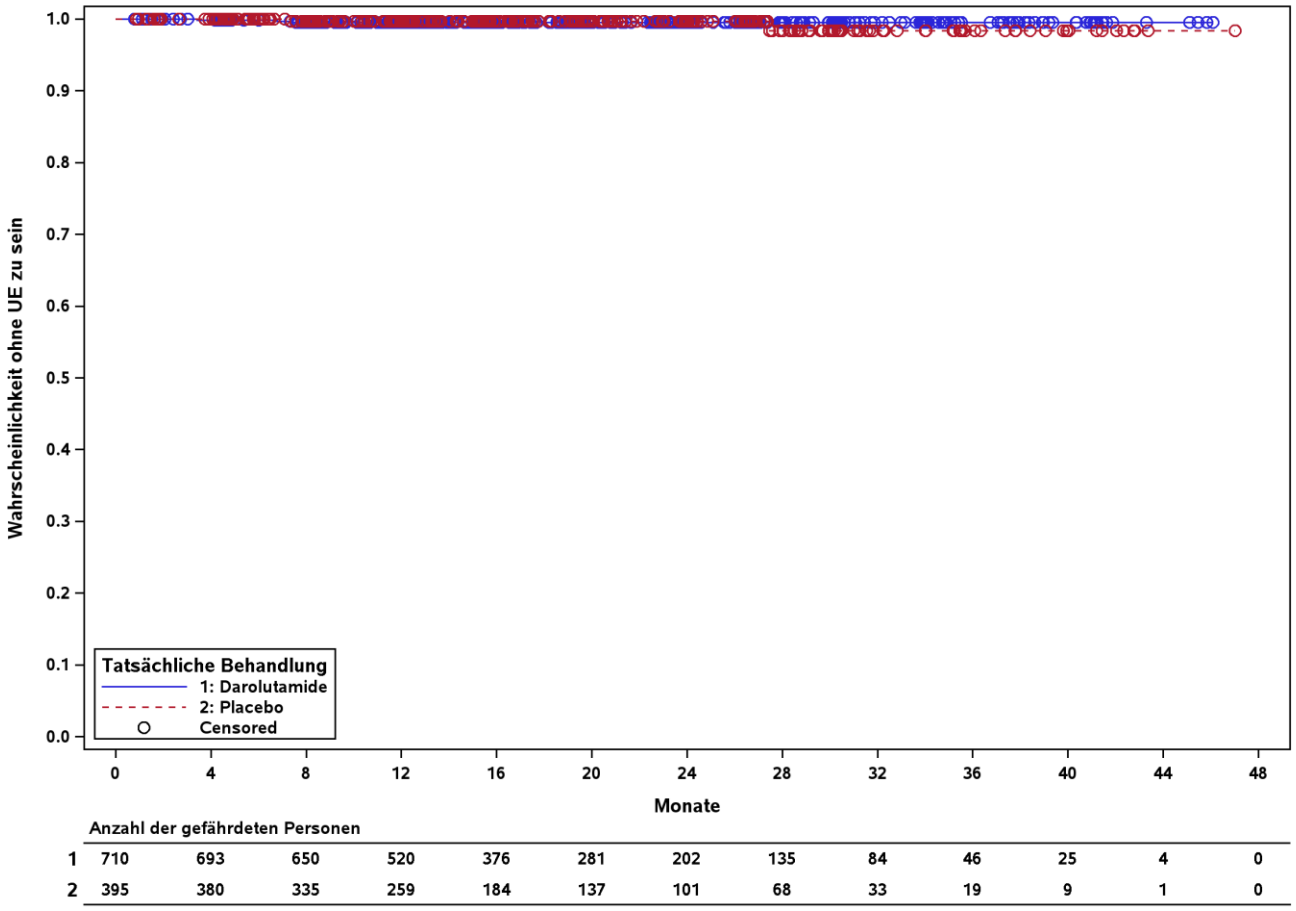
Bayer: /by-sasp/patdb/projects/1841788/17712/stat/prod_query22/pgms/t_aesi_sub.sas 23APR2020 17:14

Figure 4.3.3 / 158: Kaplan-Meier-Plot der 'Unerwünschte Ereignis von besonderem Interesse' Time-to-Event-Analyse nach Endpunkt und Subgruppe - Endpunkt: Zeit bis zum ersten UE von besonderem Interesse mit CTCAE Grad >=3: Fall - Subgruppe: Gleason-Score bei Diagnose: <7 (full analysis set)



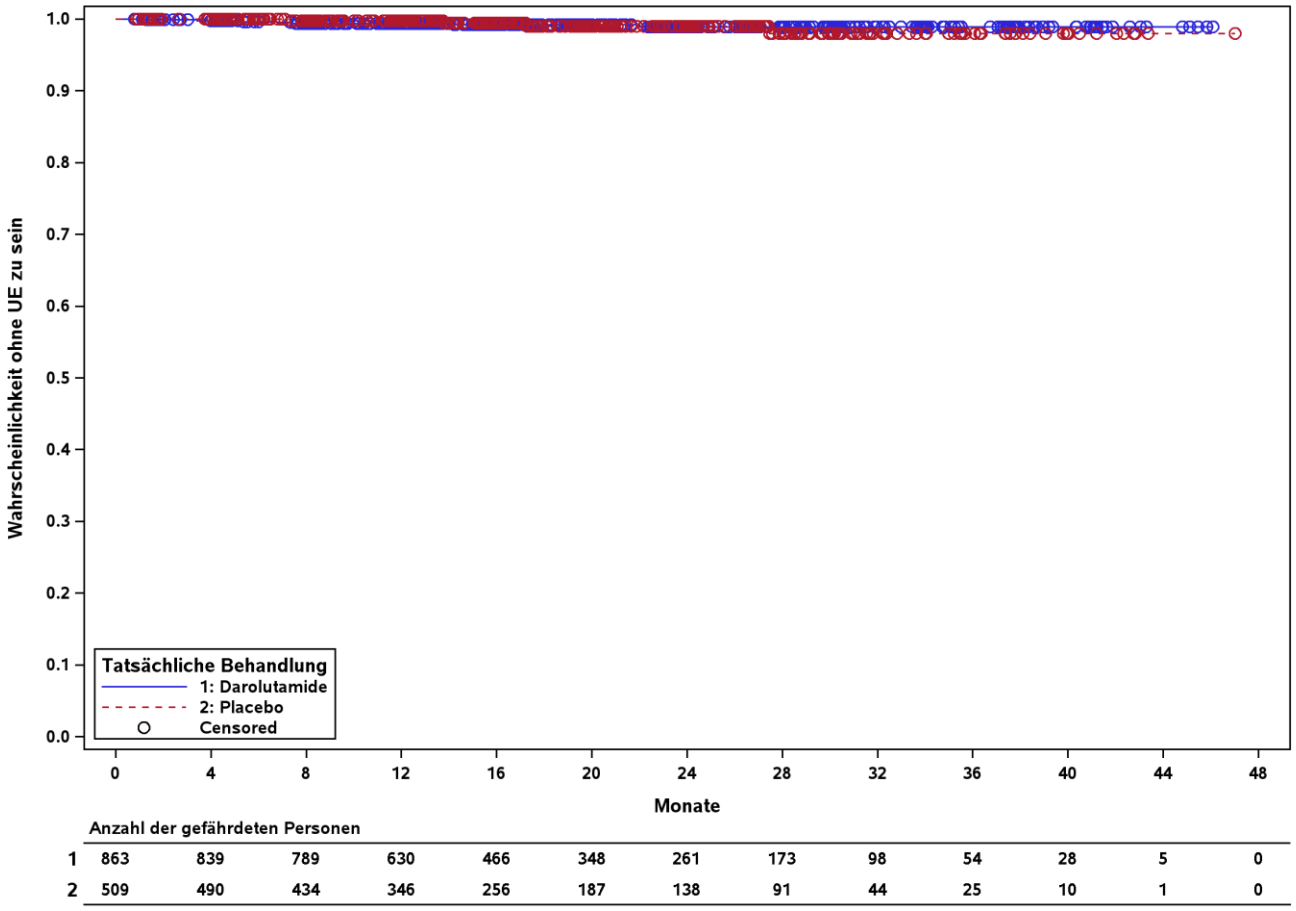
Bayer: /by-sasp/patdb/projects/1841788/17712/stat/prod_query22/pgms/t_aesi_sub.sas 23APR2020 17:14

Figure 4.3.3 / 159: Kaplan-Meier-Plot der 'Unerwünschte Ereignis von besonderem Interesse' Time-to-Event-Analyse nach Endpunkt und Subgruppe - Endpunkt: Zeit bis zum ersten UE von besonderem Interesse mit CTCAE Grad >=3: Fall - Subgruppe: Gleason-Score bei Diagnose: >=7 (full analysis set)



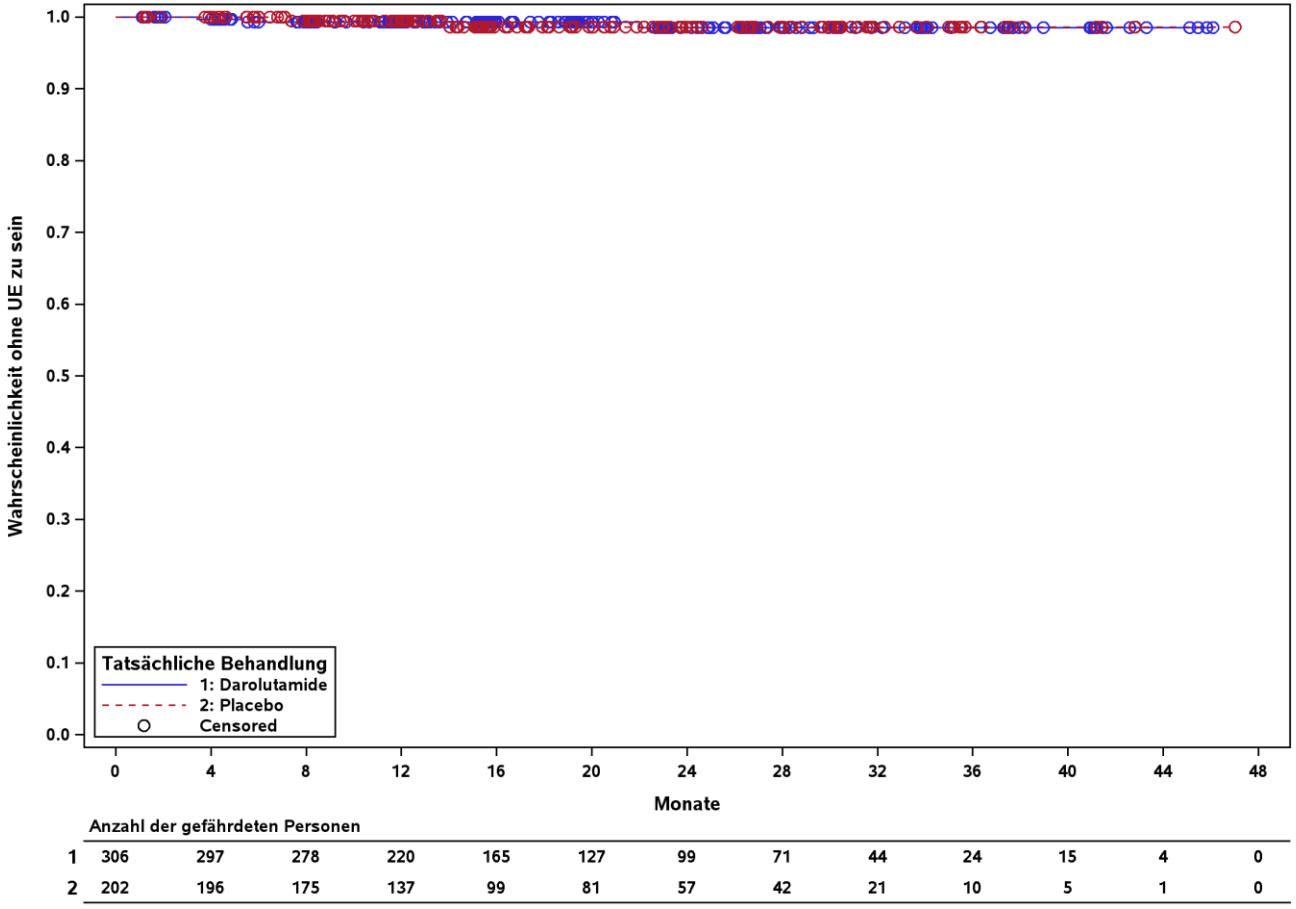
Bayer: /by-sasp/patdb/projects/1841788/17712/stat/prod_query22/pgms/t_aesi_sub.sas 23APR2020 17:14

Figure 4.3.3 / 160: Kaplan-Meier-Plot der 'Unerwünschte Ereignis von besonderem Interesse' Time-to-Event-Analyse nach Endpunkt und Subgruppe - Endpunkt: Zeit bis zum ersten UE von besonderem Interesse mit CTCAE Grad >=3: Fall - Subgruppe: Leberfunktionsstörung: normal (full analysis set)



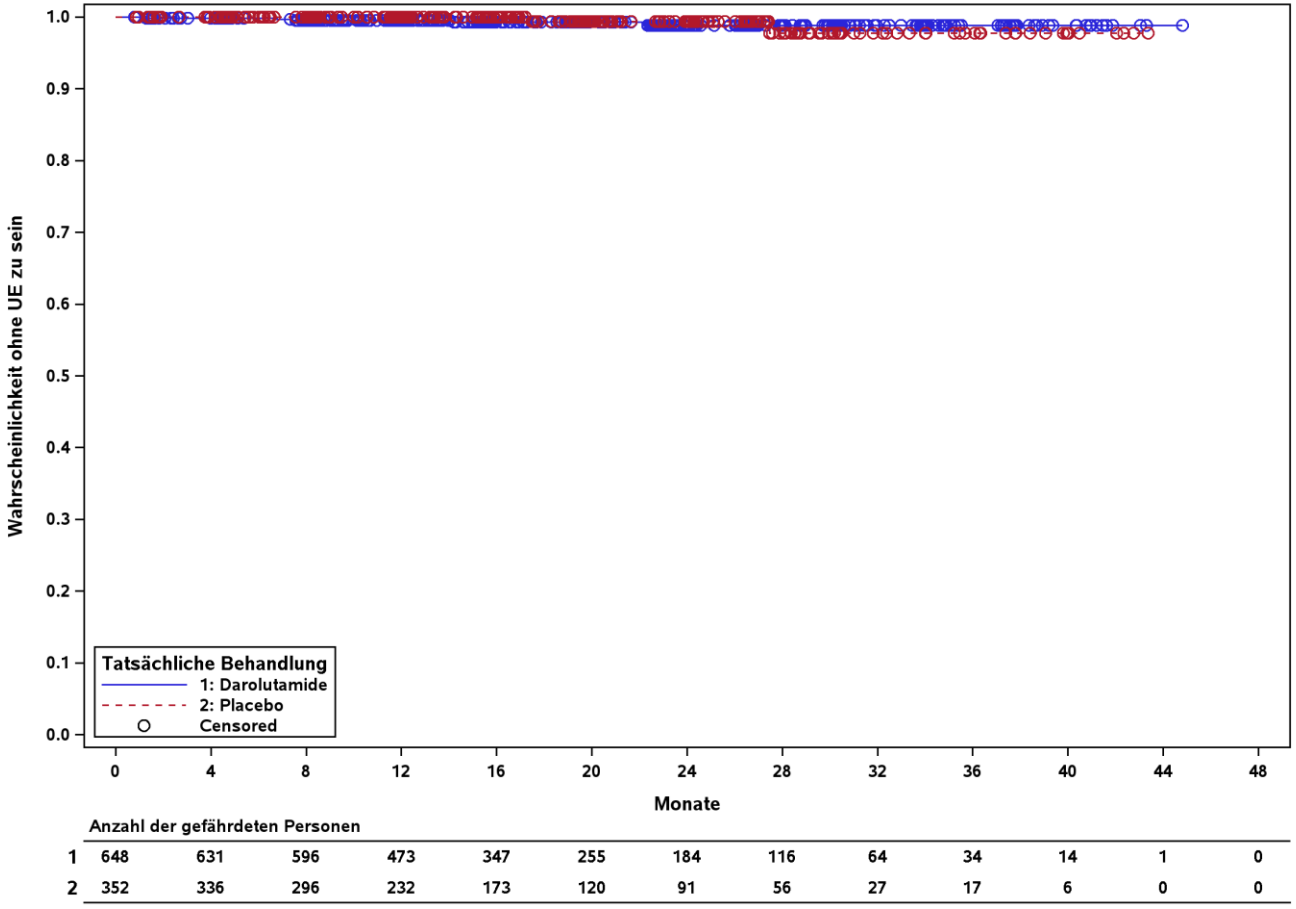
Bayer: /by-sasp/patdb/projects/1841788/17712/stat/prod_query22/pgms/t_aesi_sub.sas 23APR2020 17:14

Figure 4.3.3 / 161: Kaplan-Meier-Plot der 'Unerwünschte Ereignis von besonderem Interesse' Time-to-Event-Analyse nach Endpunkt und Subgruppe - Endpunkt: Zeit bis zum ersten UE von besonderem Interesse mit CTCAE Grad >=3: Fall - Subgruppe: Nutzung von Statinen: Ja (full analysis set)



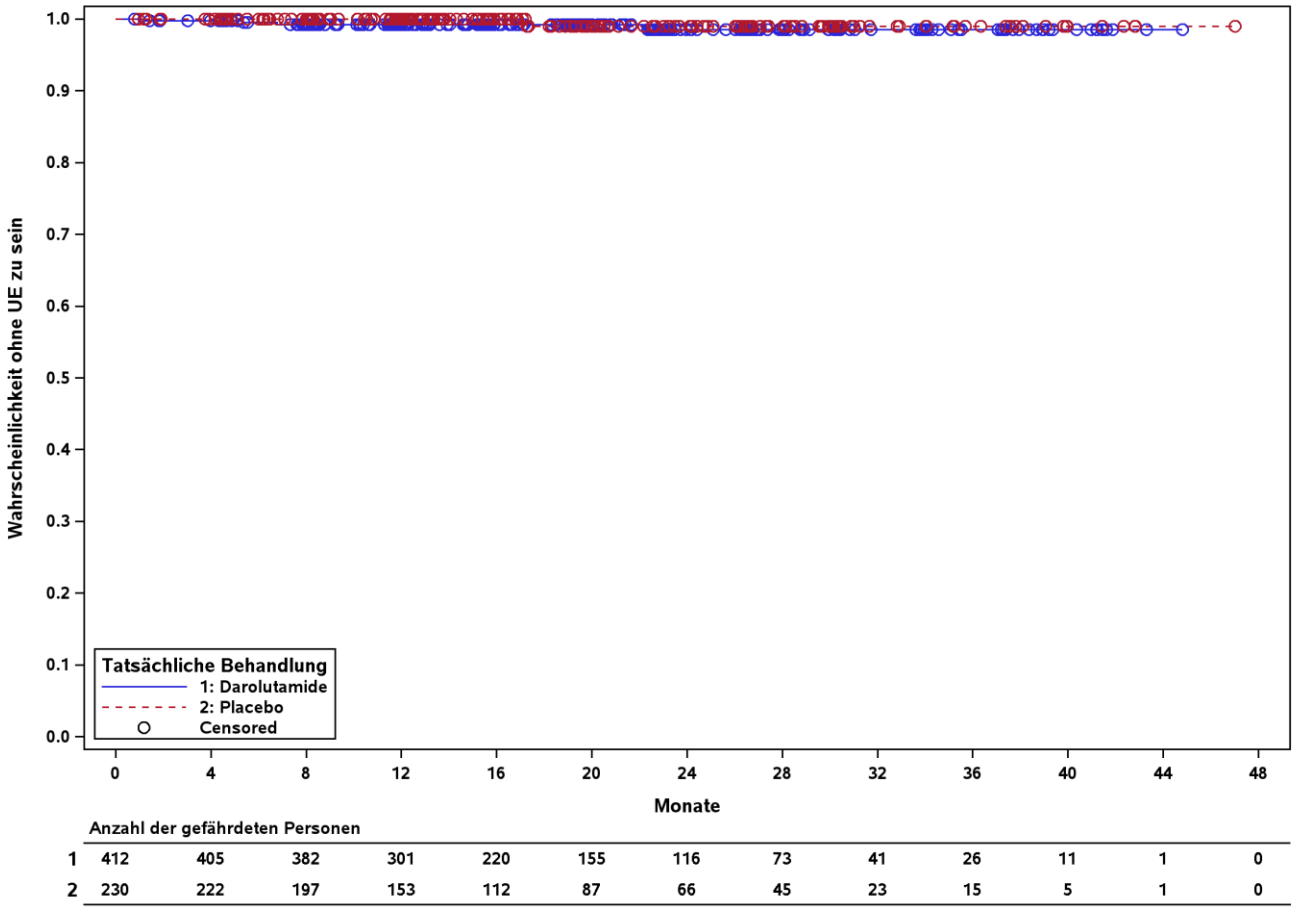
Bayer: /by-sasp/patdb/projects/1841788/17712/stat/prod_query22/pgms/t_aesi_sub.sas 23APR2020 17:14

Figure 4.3.3 / 162: Kaplan-Meier-Plot der 'Unerwünschte Ereignis von besonderem Interesse' Time-to-Event-Analyse nach Endpunkt und Subgruppe - Endpunkt: Zeit bis zum ersten UE von besonderem Interesse mit CTCAE Grad >=3: Fall - Subgruppe: Nutzung von Statinen: Nein (full analysis set)



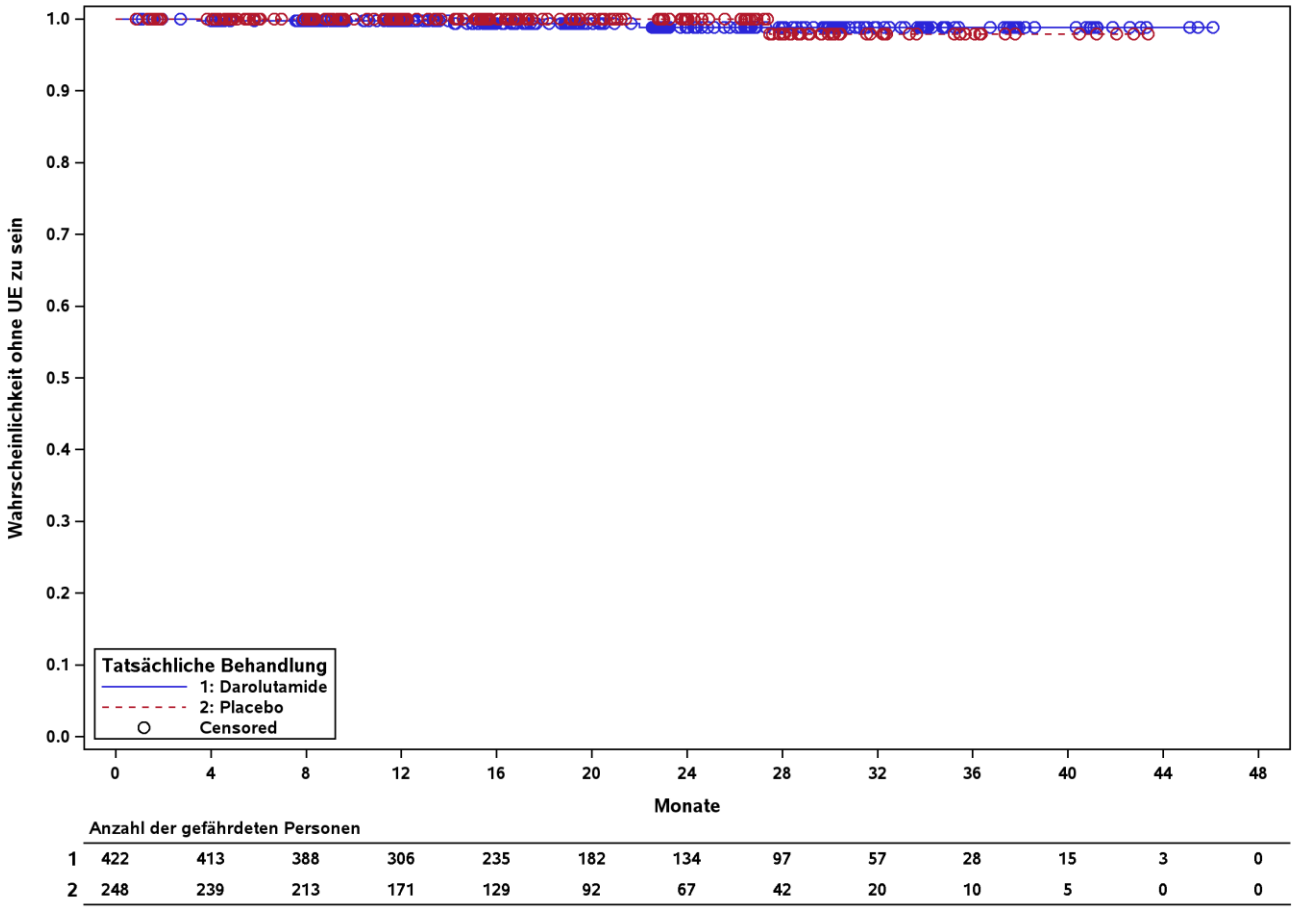
Bayer: /by-sasp/patdb/projects/1841788/17712/stat/prod_query22/pgms/t_aesi_sub.sas 23APR2020 17:14

Figure 4.3.3 / 163: Kaplan-Meier-Plot der 'Unerwünschte Ereignis von besonderem Interesse' Time-to-Event-Analyse nach Endpunkt und Subgruppe - Endpunkt: Zeit bis zum ersten UE von besonderem Interesse mit CTCAE Grad >=3: Fall - Subgruppe: eGFR an Baseline: normal (full analysis set)



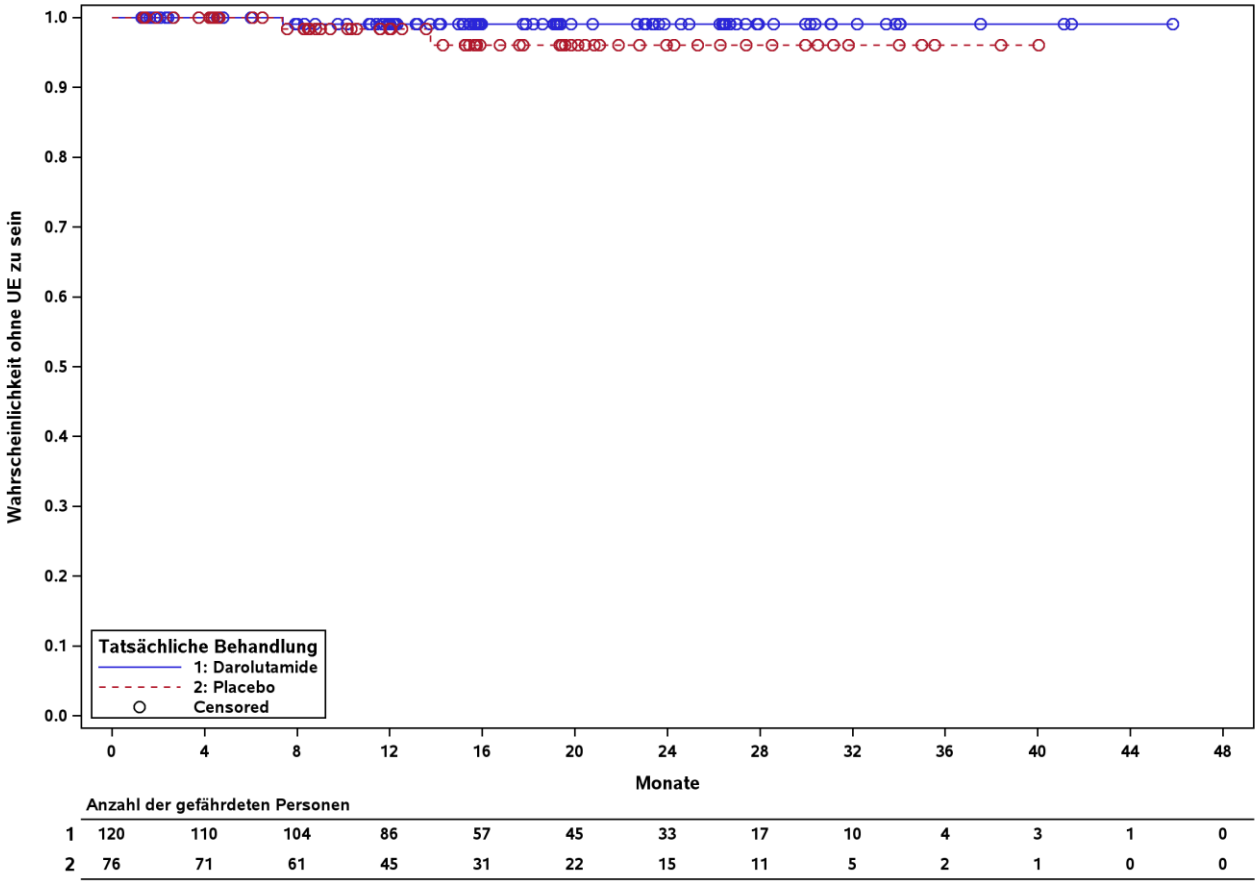
Bayer: /by-sasp/patdb/projects/1841788/17712/stat/prod_query22/pgms/t_aesi_sub.sas 23APR2020 17:14

Figure 4.3.3 / 164: Kaplan-Meier-Plot der 'Unerwünschte Ereignis von besonderem Interesse' Time-to-Event-Analyse nach Endpunkt und Subgruppe - Endpunkt: Zeit bis zum ersten UE von besonderem Interesse mit CTCAE Grad >=3: Fall - Subgruppe: eGFR an Baseline: mildly impaired (full analysis set)



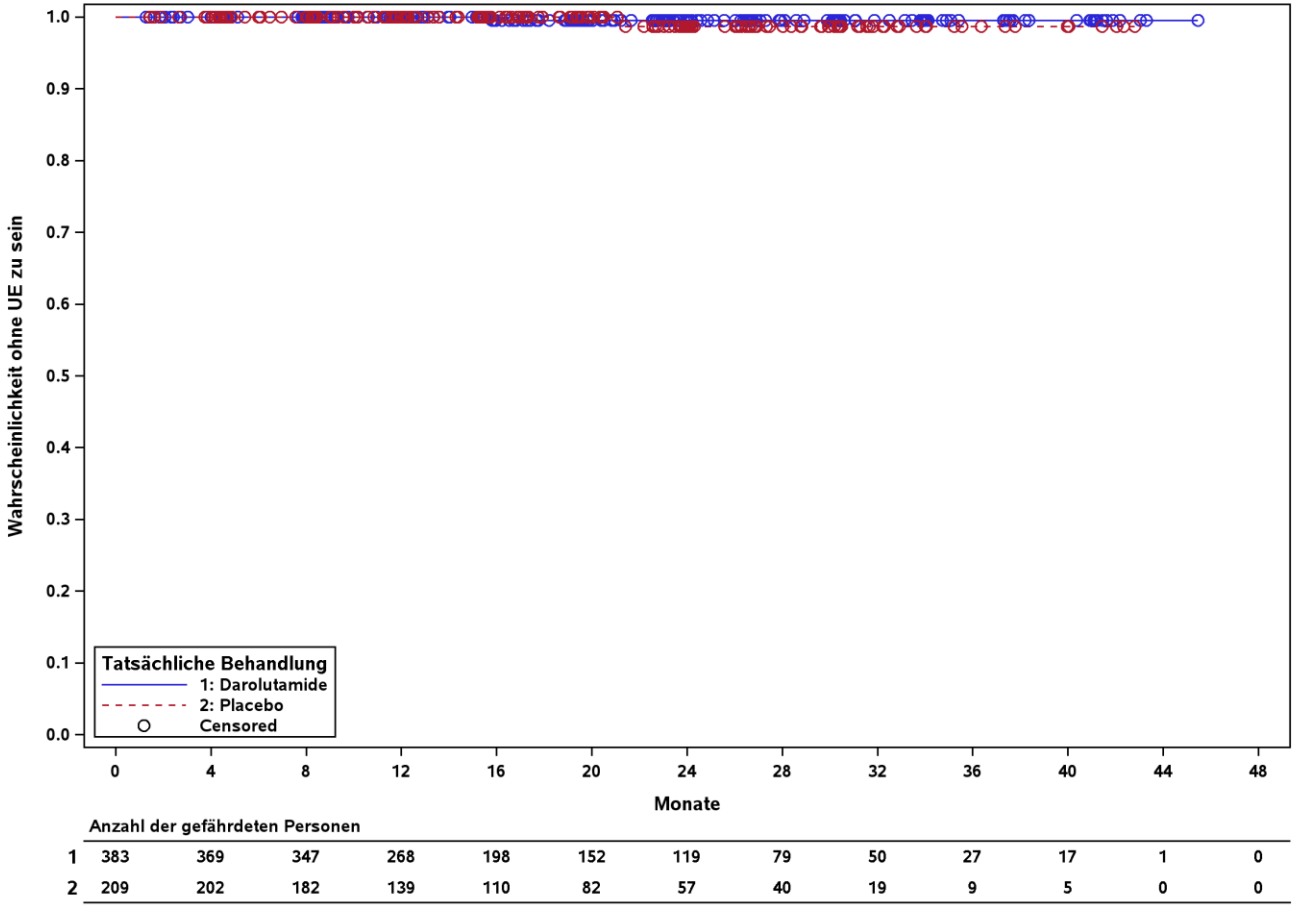
Bayer: /by-sasp/patdb/projects/1841788/17712/stat/prod_query22/pgms/t_aesi_sub.sas 23APR2020 17:14

Figure 4.3.3 / 165: Kaplan-Meier-Plot der 'Unerwünschte Ereignis von besonderem Interesse' Time-to-Event-Analyse nach Endpunkt und Subgruppe - Endpunkt: Zeit bis zum ersten UE von besonderem Interesse mit CTCAE Grad >=3: Fall - Subgruppe: eGFR an Baseline: moderately impaired, severely impaired and renal end stage (full analysis set)



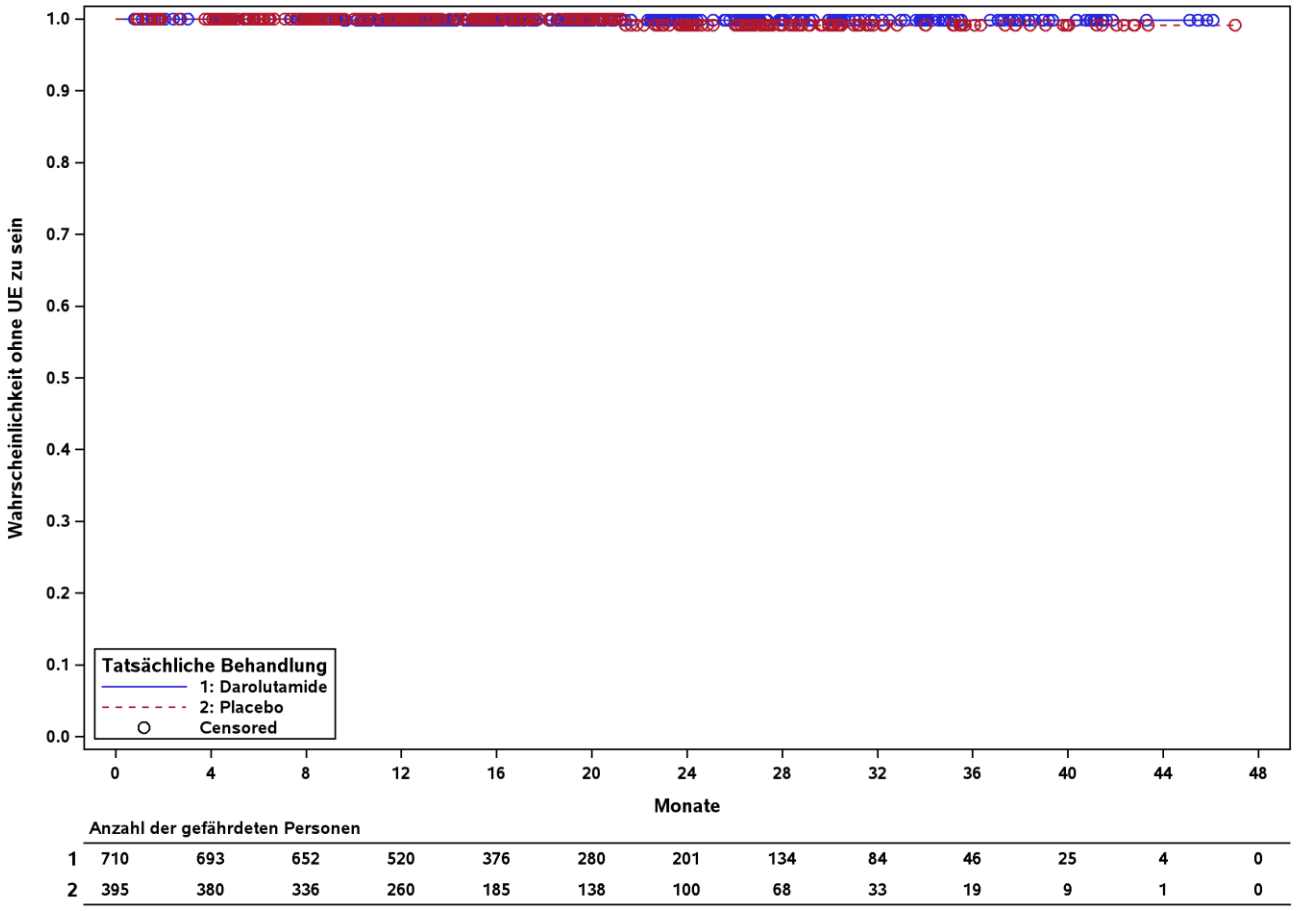
Bayer: /by-sasp/patdb/projects/1841788/17712/stat/prod_query22/pgms/t_aesi_sub.sas 23APR2020 17:14

Figure 4.3.3 / 166: Kaplan-Meier-Plot der 'Unerwünschte Ereignis von besonderem Interesse' Time-to-Event-Analyse nach Endpunkt und Subgruppe - Endpunkt: Zeit bis zum ersten UE von besonderem Interesse: Seizure - Subgruppe: Alter (Jahre): 75-84 (full analysis set)



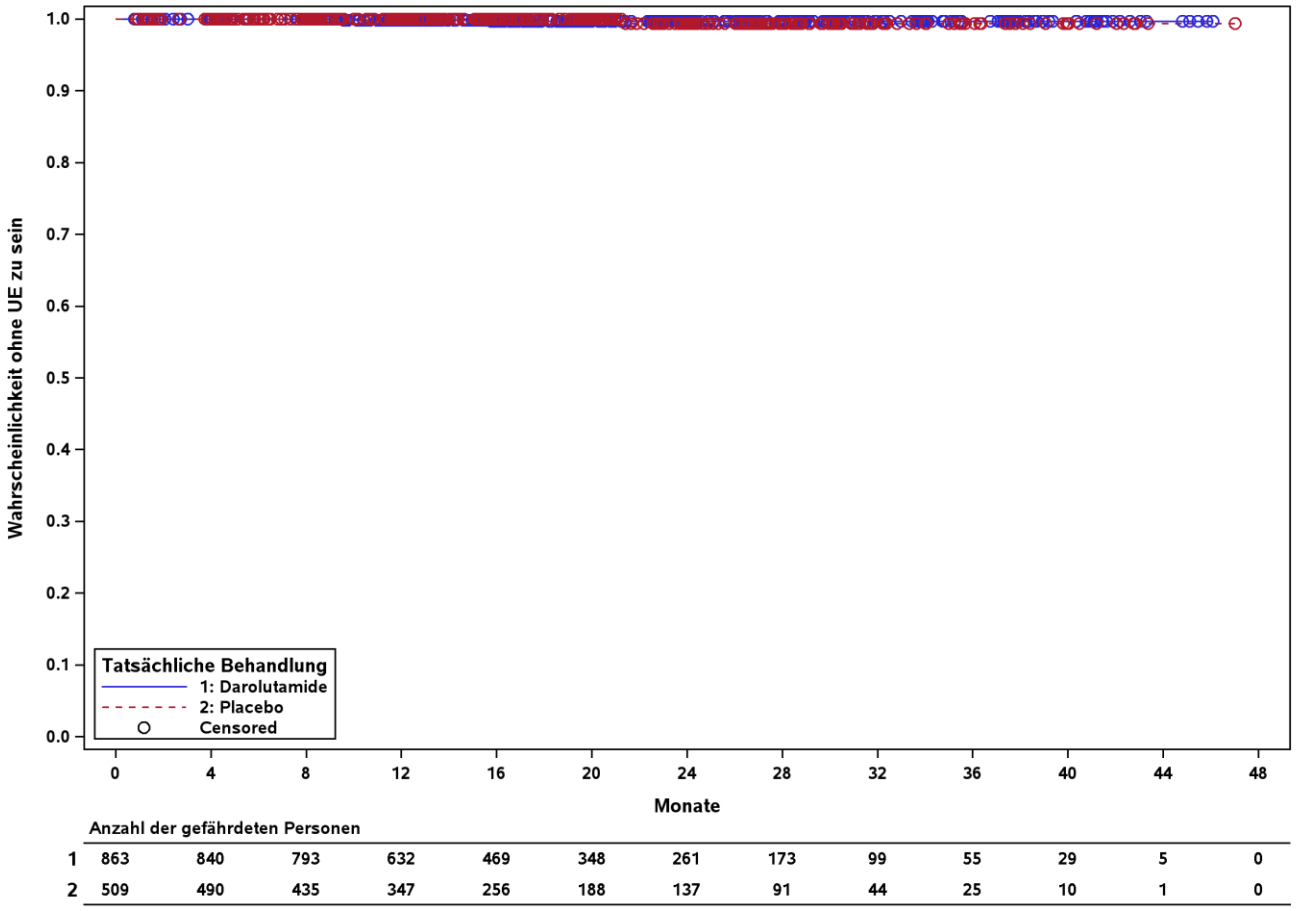
Bayer: /by-sasp/patdb/projects/1841788/17712/stat/prod_query22/pgms/t_aesi_sub.sas 23APR2020 17:14

Figure 4.3.3 / 167: Kaplan-Meier-Plot der 'Unerwünschte Ereignis von besonderem Interesse' Time-to-Event-Analyse nach Endpunkt und Subgruppe - Endpunkt: Zeit bis zum ersten UE von besonderem Interesse: Seizure - Subgruppe: Gleason-Score bei Diagnose: >=7 (full analysis set)



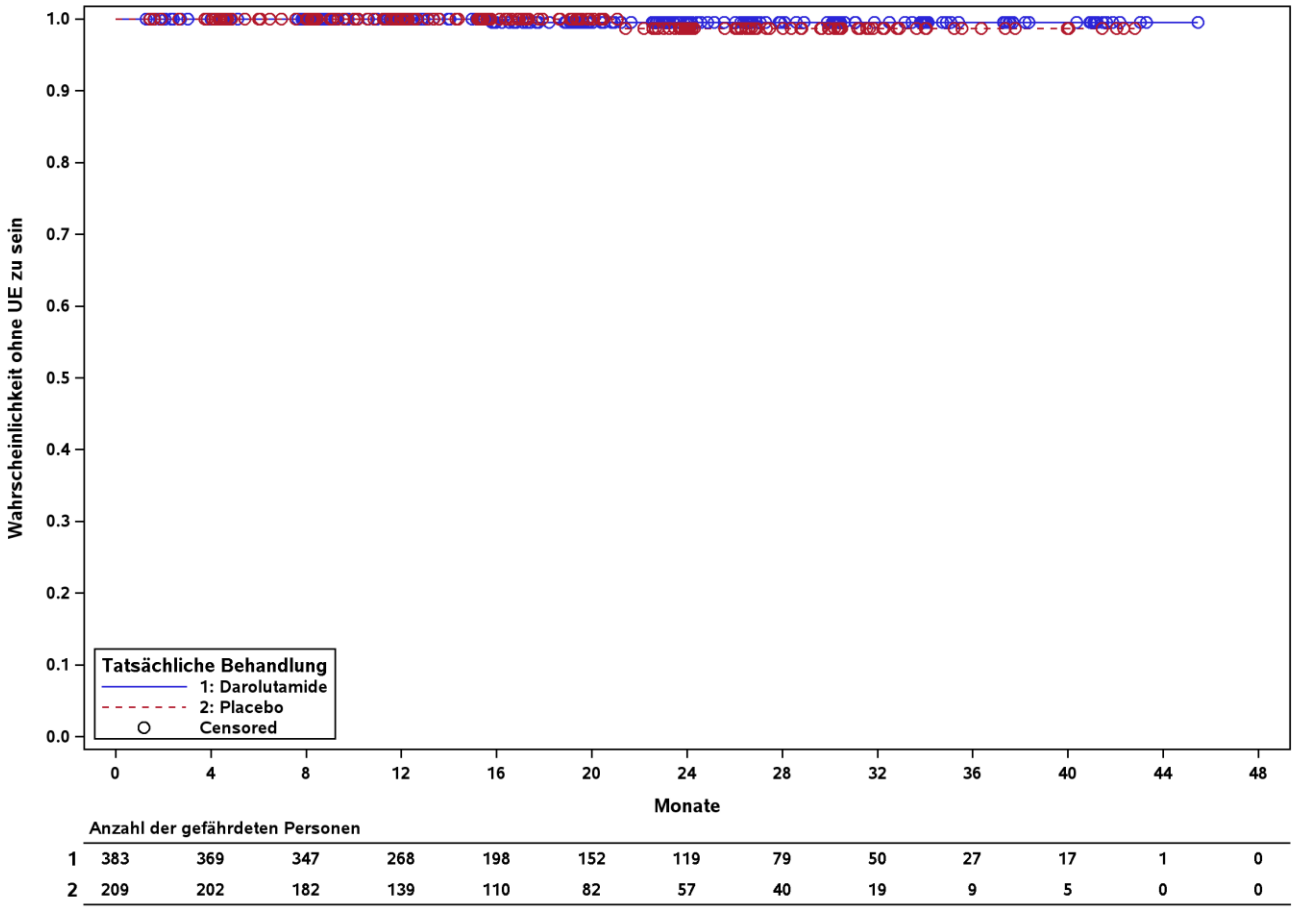
Bayer: /by-sasp/patdb/projects/1841788/17712/stat/prod_query22/pgms/t_aesi_sub.sas 23APR2020 17:14

Figure 4.3.3 / 168: Kaplan-Meier-Plot der 'Unerwünschte Ereignis von besonderem Interesse' Time-to-Event-Analyse nach Endpunkt und Subgruppe - Endpunkt: Zeit bis zum ersten UE von besonderem Interesse: Seizure - Subgruppe: Leberfunktionsstörung: normal (full analysis set)



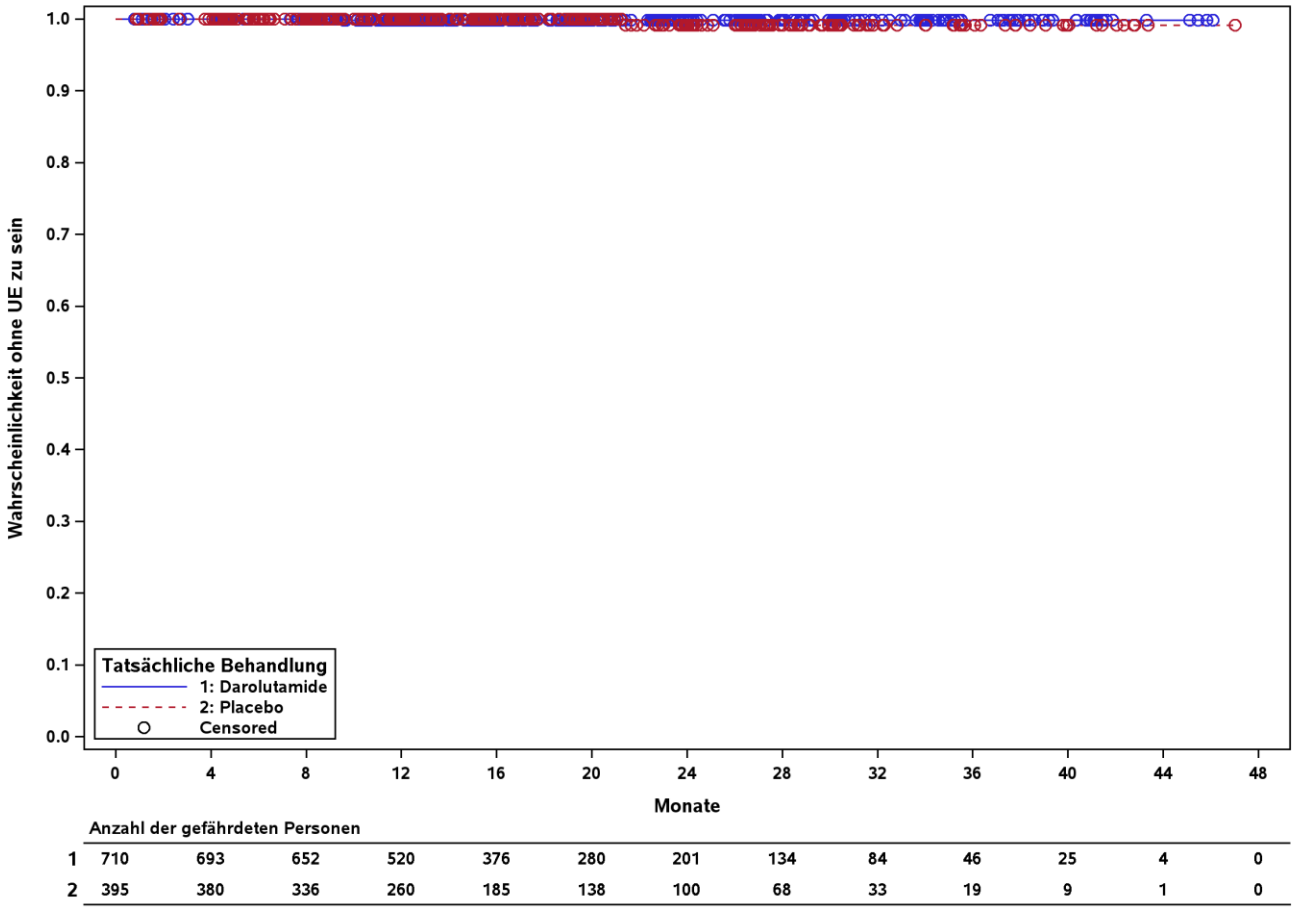
Bayer: /by-sasp/patdb/projects/1841788/17712/stat/prod_query22/pgms/t_aesi_sub.sas 23APR2020 17:14

Figure 4.3.3 / 169: Kaplan-Meier-Plot der 'Unerwünschte Ereignis von besonderem Interesse' Time-to-Event-Analyse nach Endpunkt und Subgruppe - Endpunkt: Zeit bis zum ersten UE von besonderem Interesse mit CTCAE Grad <3: Seizure - Subgruppe: Alter (Jahre): 75-84 (full analysis set)



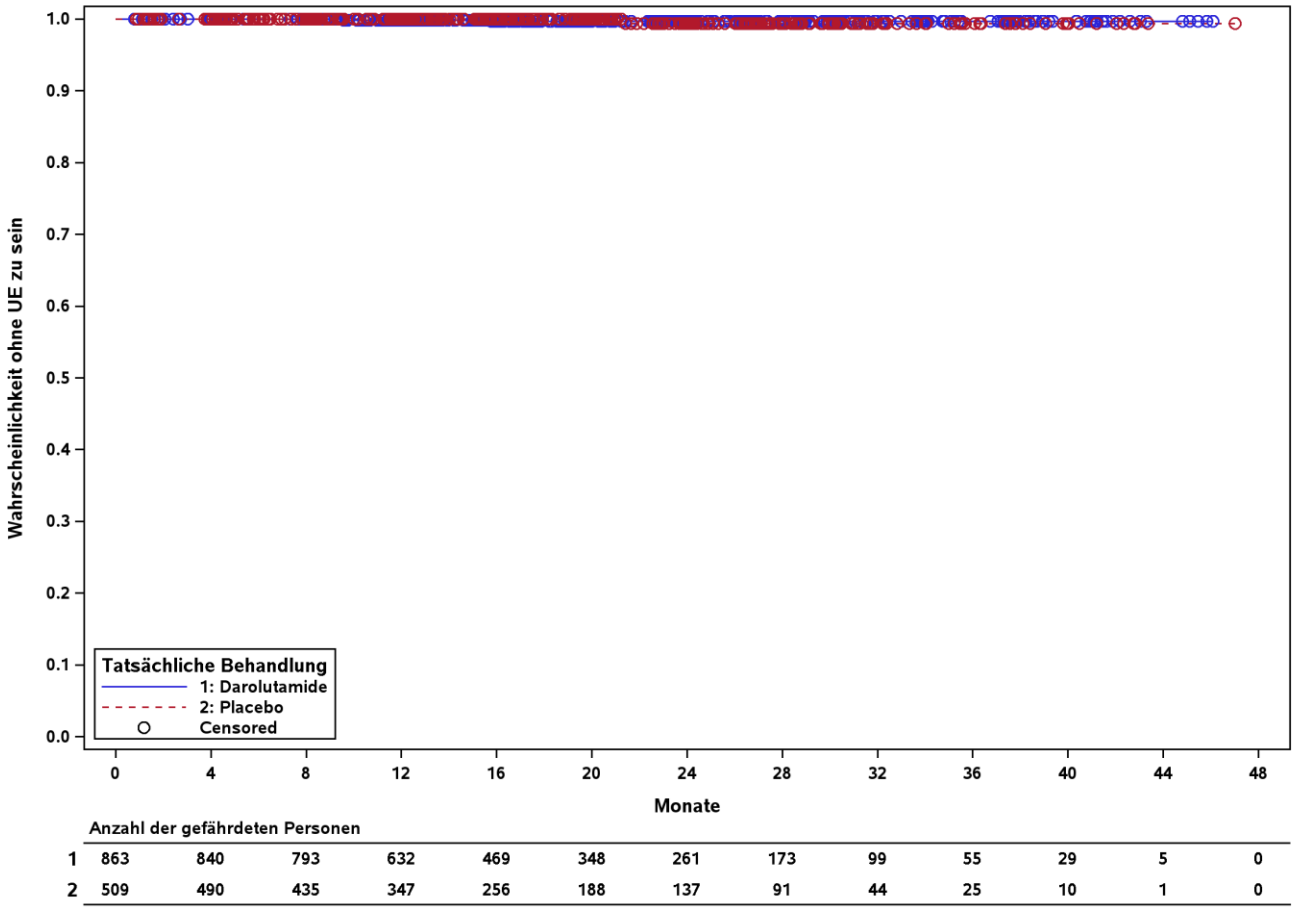
Bayer: /by-sasp/patdb/projects/1841788/17712/stat/prod_query22/pgms/t_aesi_sub.sas 23APR2020 17:14

Figure 4.3.3 / 170: Kaplan-Meier-Plot der 'Unerwünschte Ereignis von besonderem Interesse' Time-to-Event-Analyse nach Endpunkt und Subgruppe - Endpunkt: Zeit bis zum ersten UE von besonderem Interesse mit CTCAE Grad <3: Seizure - Subgruppe: Gleason-Score bei Diagnose: >=7 (full analysis set)



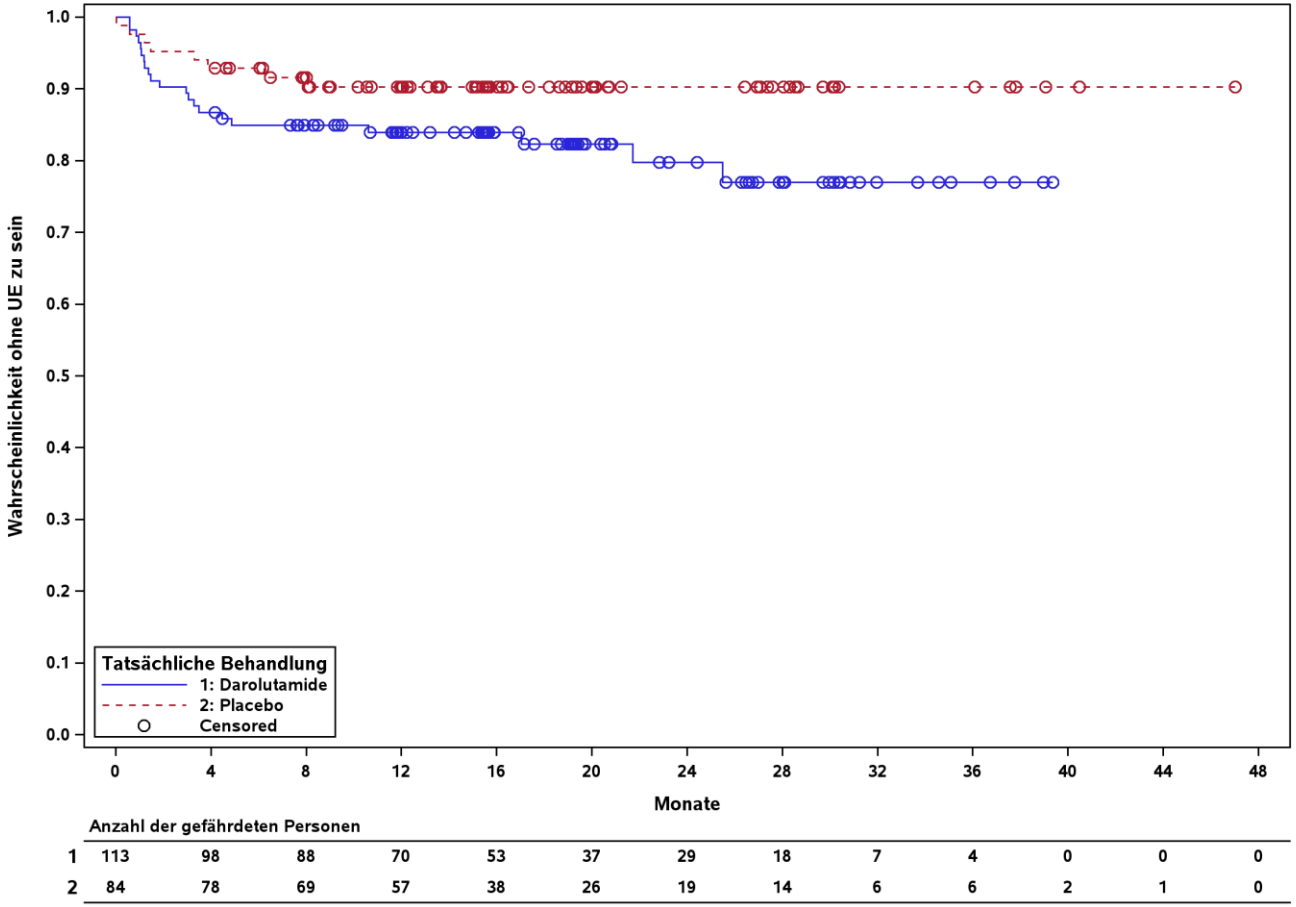
Bayer: /by-sasp/patdb/projects/1841788/17712/stat/prod_query22/pgms/t_aesi_sub.sas 23APR2020 17:14

Figure 4.3.3 / 171: Kaplan-Meier-Plot der 'Unerwünschte Ereignis von besonderem Interesse' Time-to-Event-Analyse nach Endpunkt und Subgruppe - Endpunkt: Zeit bis zum ersten UE von besonderem Interesse mit CTCAE Grad <3: Seizure - Subgruppe: Leberfunktionsstörung: normal (full analysis set)



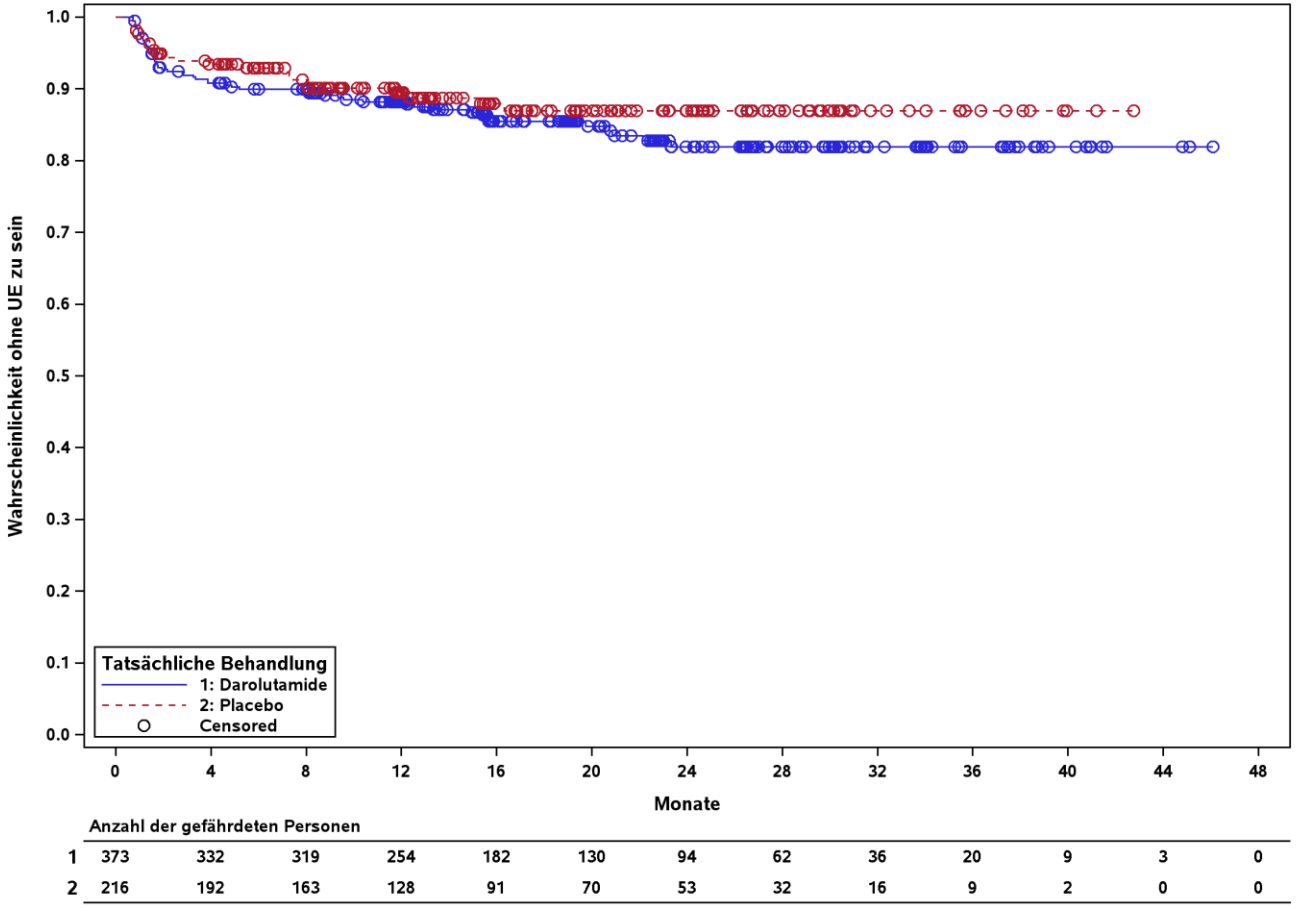
Bayer: /by-sasp/patdb/projects/1841788/17712/stat/prod_query22/pgms/t_aesi_sub.sas 23APR2020 17:14

Figure 4.3.3 / 172: Kaplan-Meier-Plot der 'Unerwünschte Ereignis von besonderem Interesse' Time-to-Event-Analyse nach Endpunkt und Subgruppe - Endpunkt: Zeit bis zum ersten UE von besonderem Interesse: Fatigue - Subgruppe: Alter (Jahre): <65 (full analysis set)



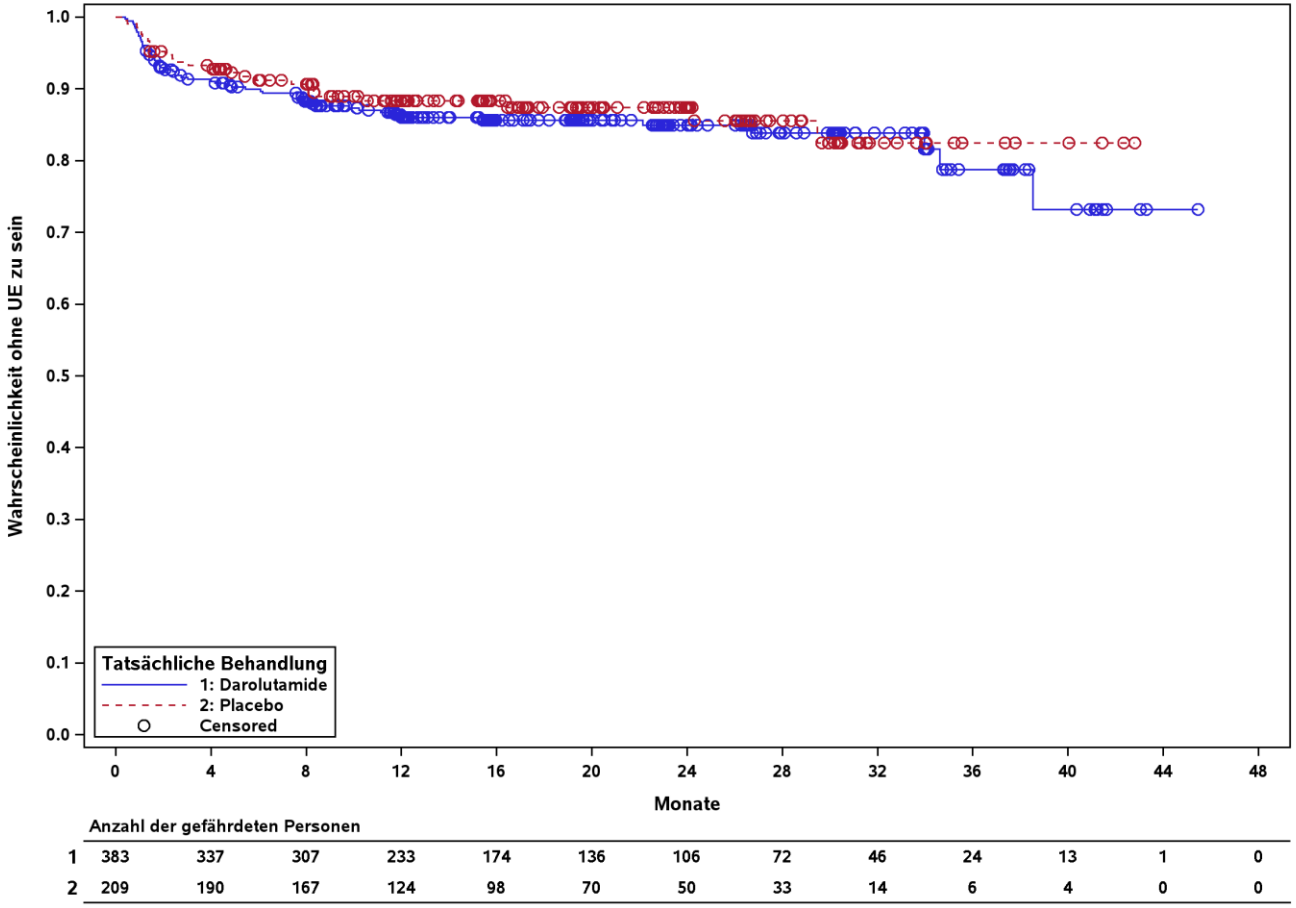
Bayer: /by-sasp/patdb/projects/1841788/17712/stat/prod_query22/pgms/t_aesi_sub.sas 23APR2020 17:14

Figure 4.3.3 / 173: Kaplan-Meier-Plot der 'Unerwünschte Ereignis von besonderem Interesse' Time-to-Event-Analyse nach Endpunkt und Subgruppe - Endpunkt: Zeit bis zum ersten UE von besonderem Interesse: Fatigue - Subgruppe: Alter (Jahre): 65-74 (full analysis set)



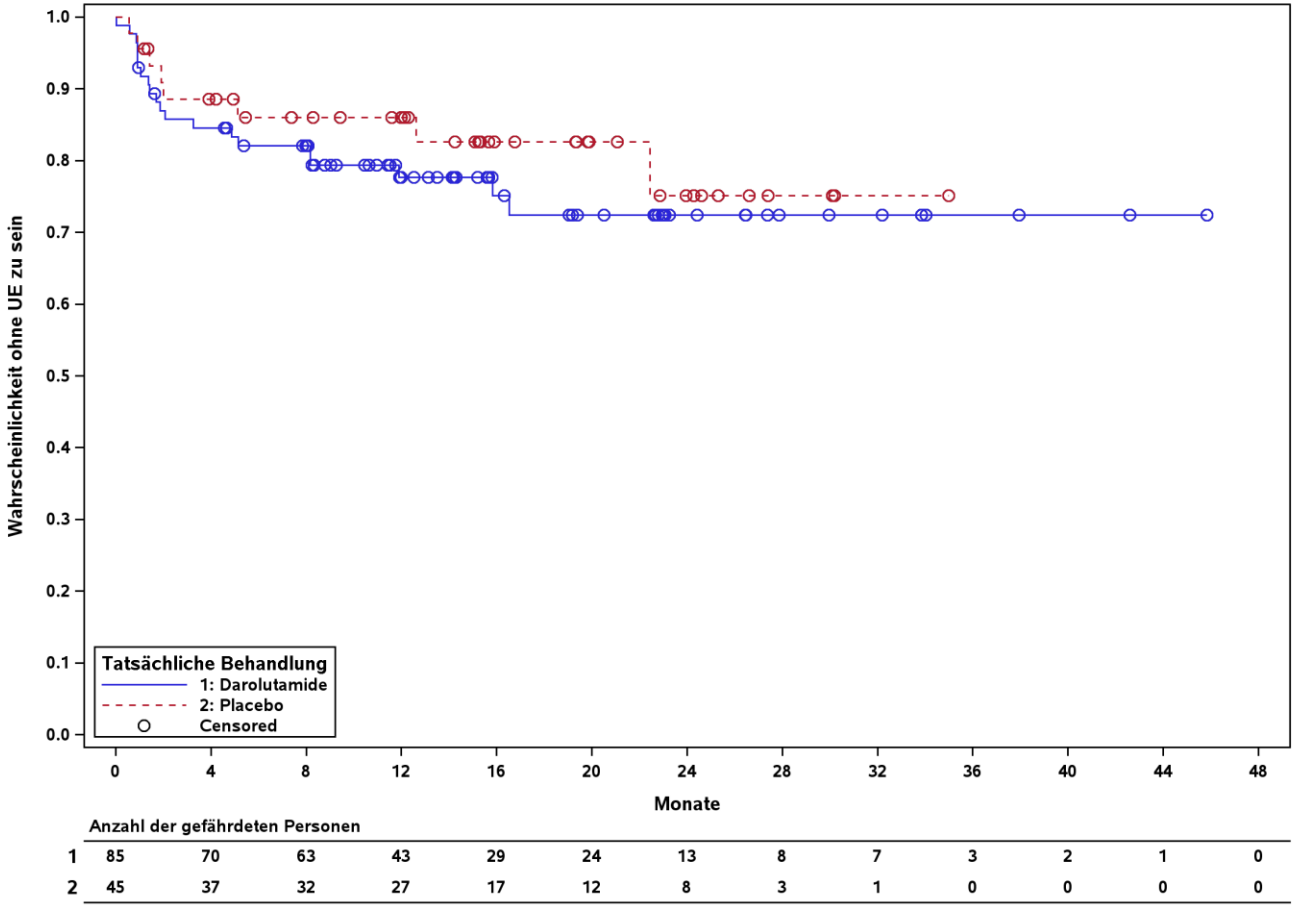
Bayer: /by-sasp/patdb/projects/1841788/17712/stat/prod_query22/pgms/t_aesi_sub.sas 23APR2020 17:14

Figure 4.3.3 / 174: Kaplan-Meier-Plot der 'Unerwünschte Ereignis von besonderem Interesse' Time-to-Event-Analyse nach Endpunkt und Subgruppe - Endpunkt: Zeit bis zum ersten UE von besonderem Interesse: Fatigue - Subgruppe: Alter (Jahre): 75-84 (full analysis set)



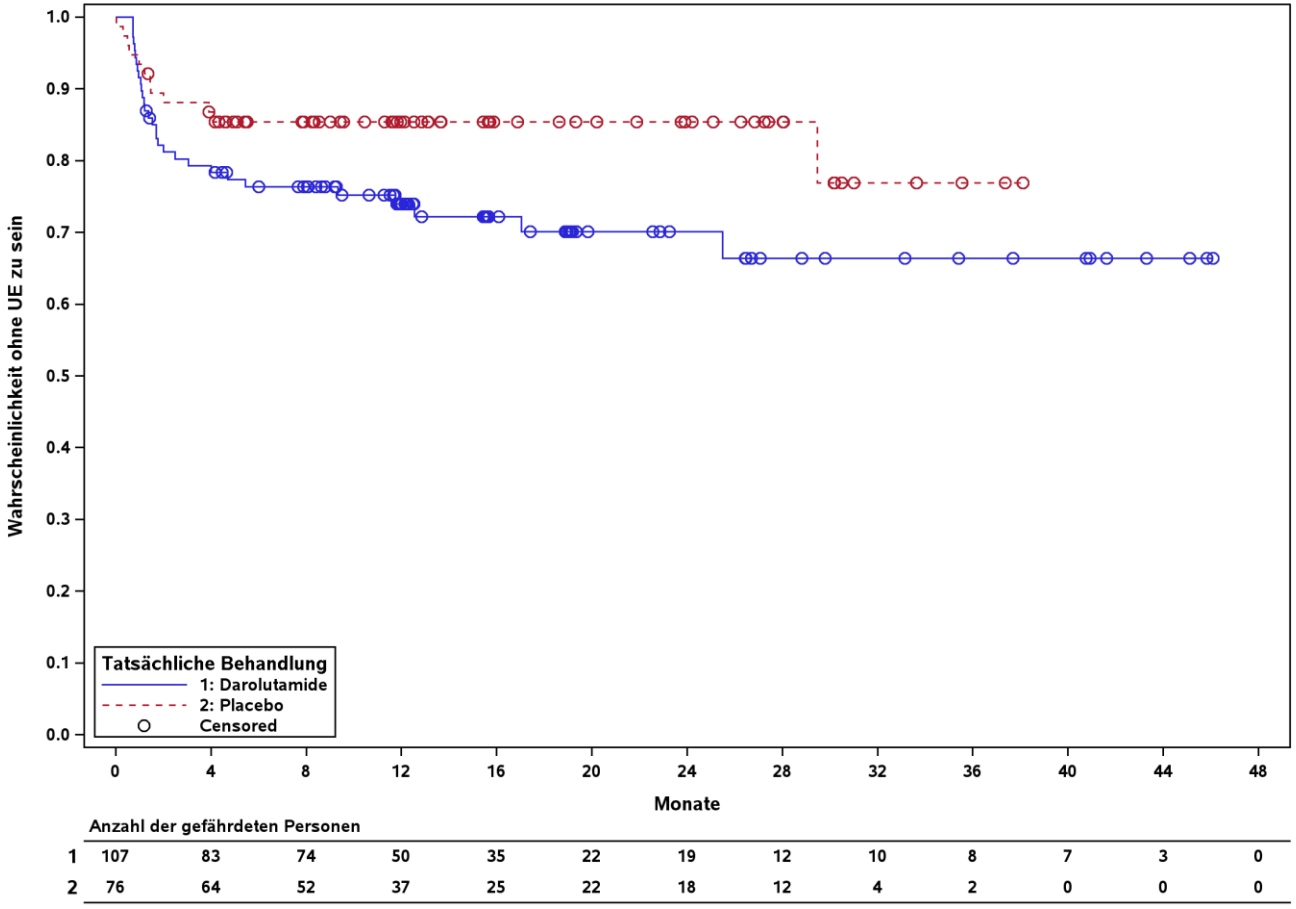
Bayer: /by-sasp/patdb/projects/1841788/17712/stat/prod_query22/pgms/t_aesi_sub.sas 23APR2020 17:14

Figure 4.3.3 / 175: Kaplan-Meier-Plot der 'Unerwünschte Ereignis von besonderem Interesse' Time-to-Event-Analyse nach Endpunkt und Subgruppe - Endpunkt: Zeit bis zum ersten UE von besonderem Interesse: Fatigue - Subgruppe: Alter (Jahre): >=85 (full analysis set)



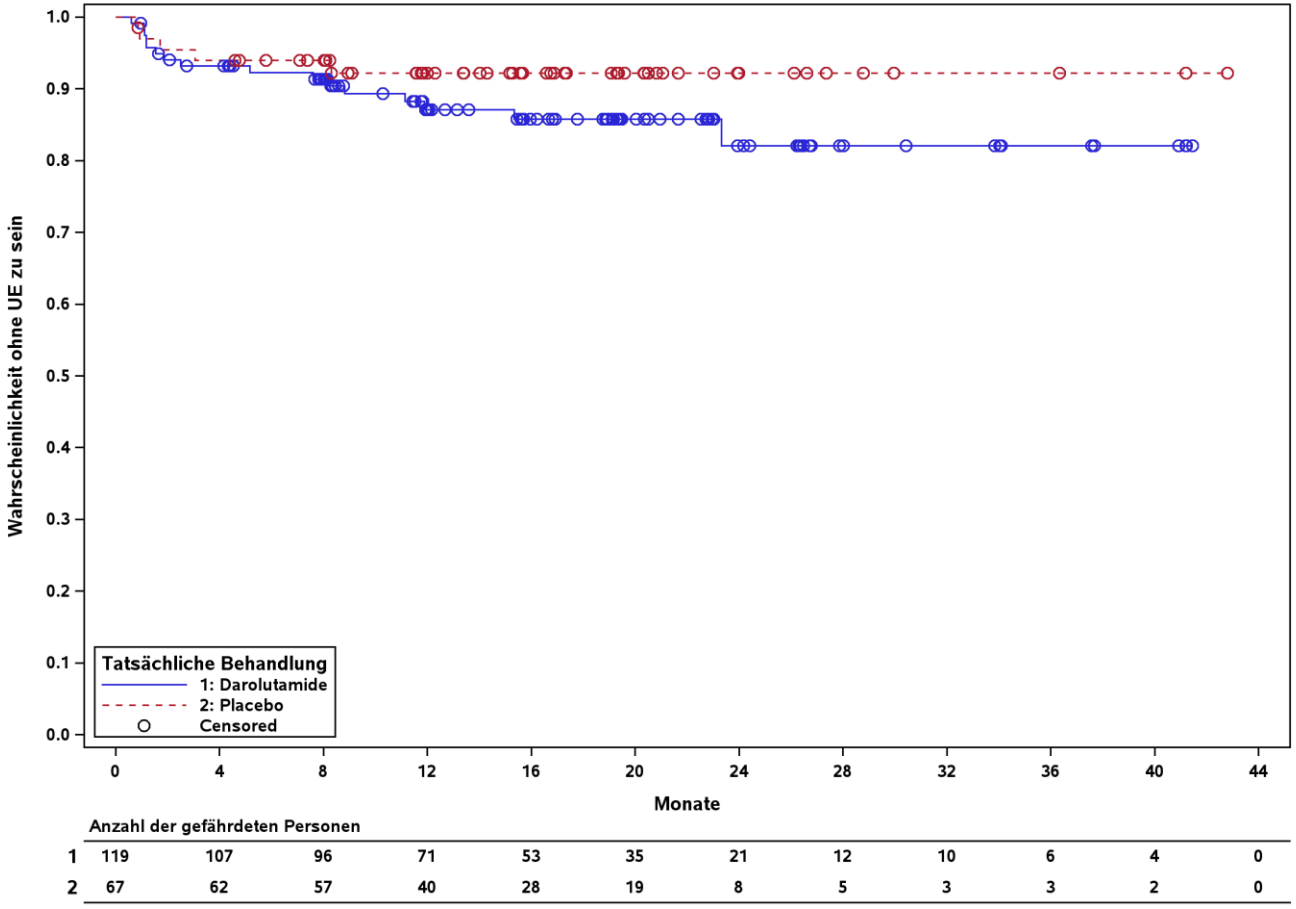
Bayer: /by-sasp/patdb/projects/1841788/17712/stat/prod_query22/pgms/t_aesi_sub.sas 23APR2020 17:14

Figure 4.3.3 / 176: Kaplan-Meier-Plot der 'Unerwünschte Ereignis von besonderem Interesse' Time-to-Event-Analyse nach Endpunkt und Subgruppe - Endpunkt: Zeit bis zum ersten UE von besonderem Interesse: Fatigue - Subgruppe: Geografische Region: North America (full analysis set)



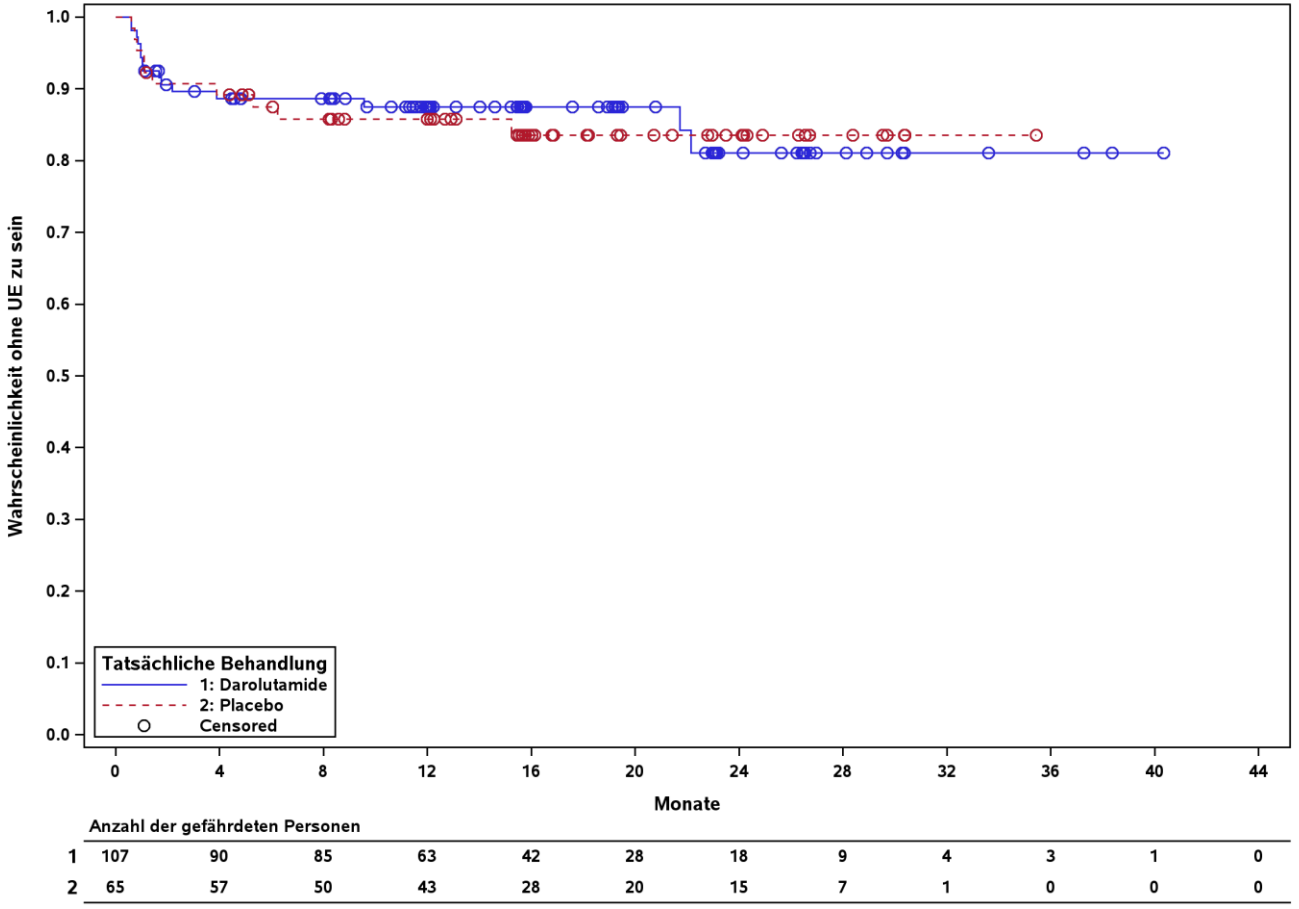
Bayer: /by-sasp/patdb/projects/1841788/17712/stat/prod_query22/pgms/t_aesi_sub.sas 23APR2020 17:14

Figure 4.3.3 / 177: Kaplan-Meier-Plot der 'Unerwünschte Ereignis von besonderem Interesse' Time-to-Event-Analyse nach Endpunkt und Subgruppe - Endpunkt: Zeit bis zum ersten UE von besonderem Interesse: Fatigue - Subgruppe: Geografische Region: Asia Pacific (full analysis set)



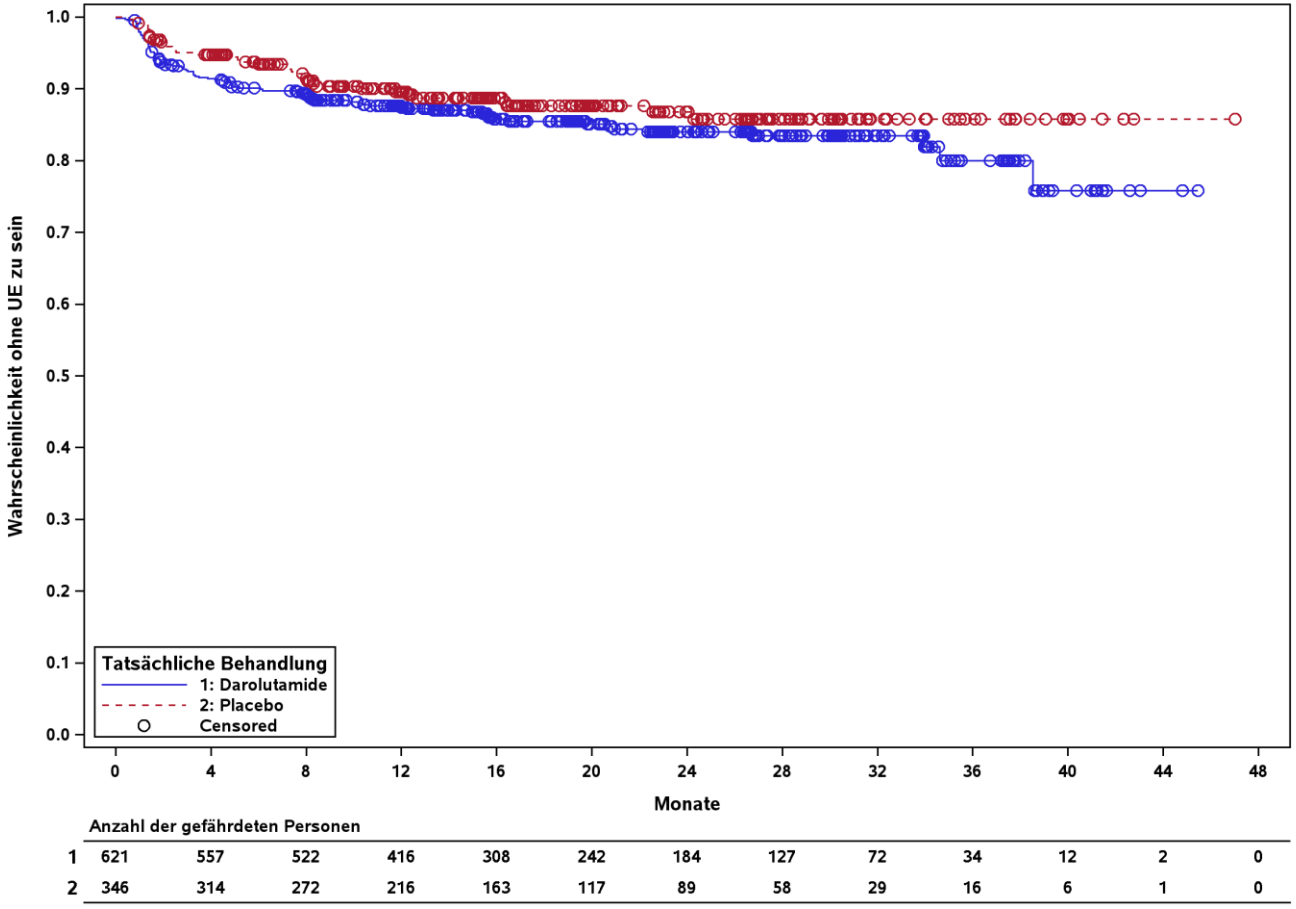
Bayer: /by-sasp/patdb/projects/1841788/17712/stat/prod_query22/pgms/t_aesi_sub.sas 23APR2020 17:14

Figure 4.3.3 / 178: Kaplan-Meier-Plot der 'Unerwünschte Ereignis von besonderem Interesse' Time-to-Event-Analyse nach Endpunkt und Subgruppe - Endpunkt: Zeit bis zum ersten UE von besonderem Interesse: Fatigue - Subgruppe: Geografische Region: Rest of the World (full analysis set)



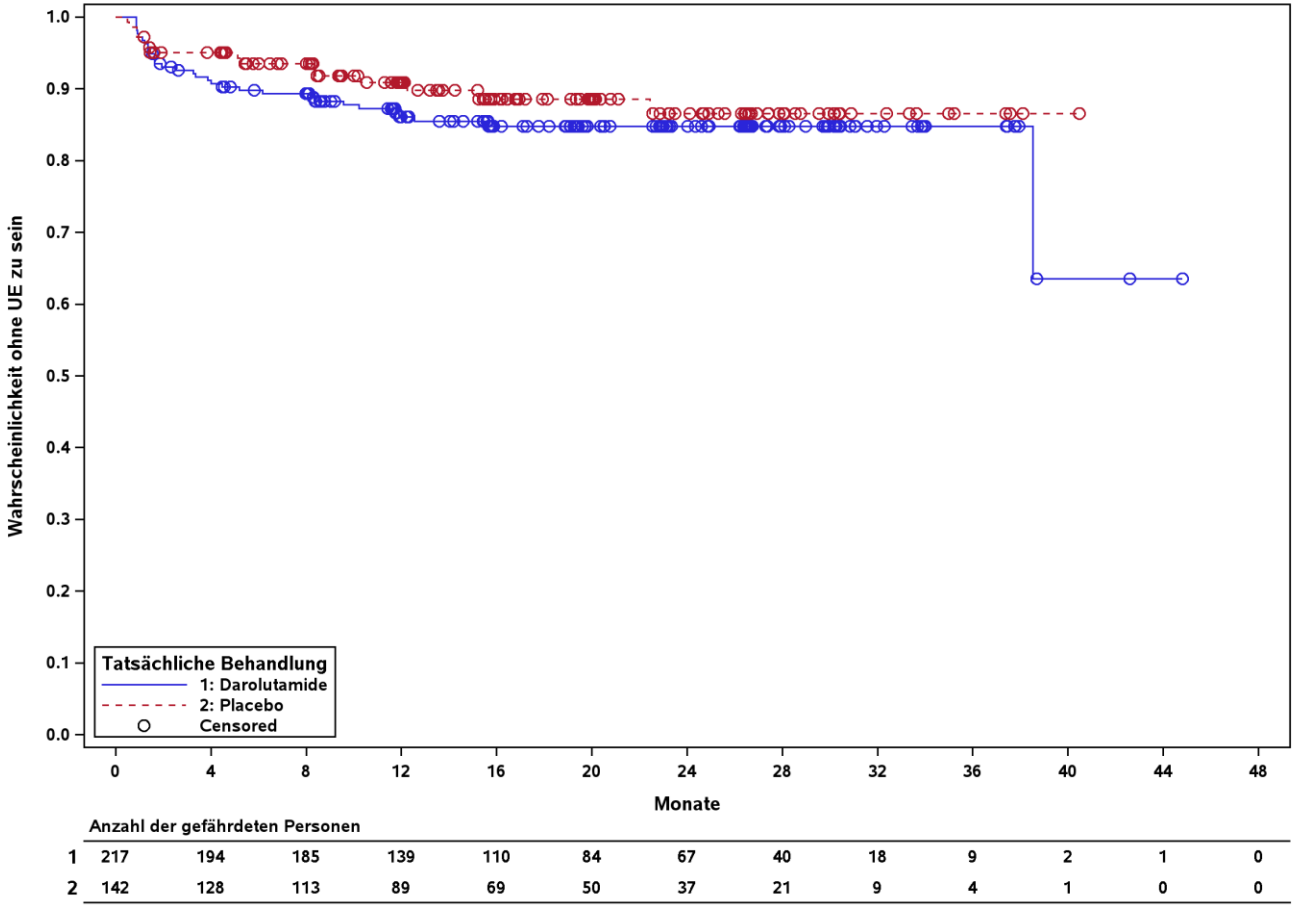
Bayer: /by-sasp/patdb/projects/1841788/17712/stat/prod_query22/pgms/t_aesi_sub.sas 23APR2020 17:14

Figure 4.3.3 / 179: Kaplan-Meier-Plot der 'Unerwünschte Ereignis von besonderem Interesse' Time-to-Event-Analyse nach Endpunkt und Subgruppe - Endpunkt: Zeit bis zum ersten UE von besonderem Interesse: Fatigue - Subgruppe: Geografische Region: Europe (full analysis set)



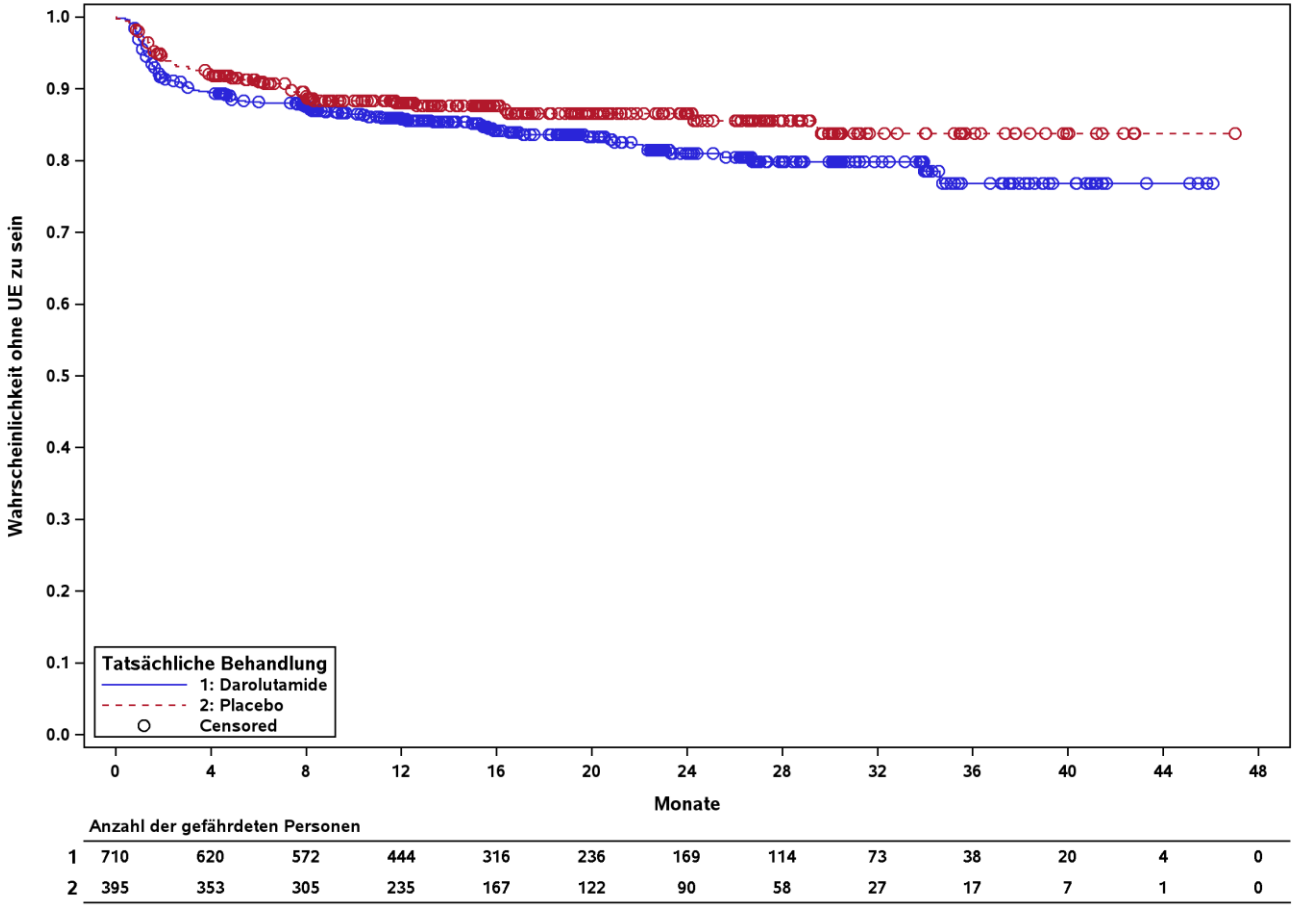
Bayer: /by-sasp/patdb/projects/1841788/17712/stat/prod_query22/pgms/t_aesi_sub.sas 23APR2020 17:14

Figure 4.3.3 / 180: Kaplan-Meier-Plot der 'Unerwünschte Ereignis von besonderem Interesse' Time-to-Event-Analyse nach Endpunkt und Subgruppe - Endpunkt: Zeit bis zum ersten UE von besonderem Interesse: Fatigue - Subgruppe: Gleason-Score bei Diagnose: <7 (full analysis set)



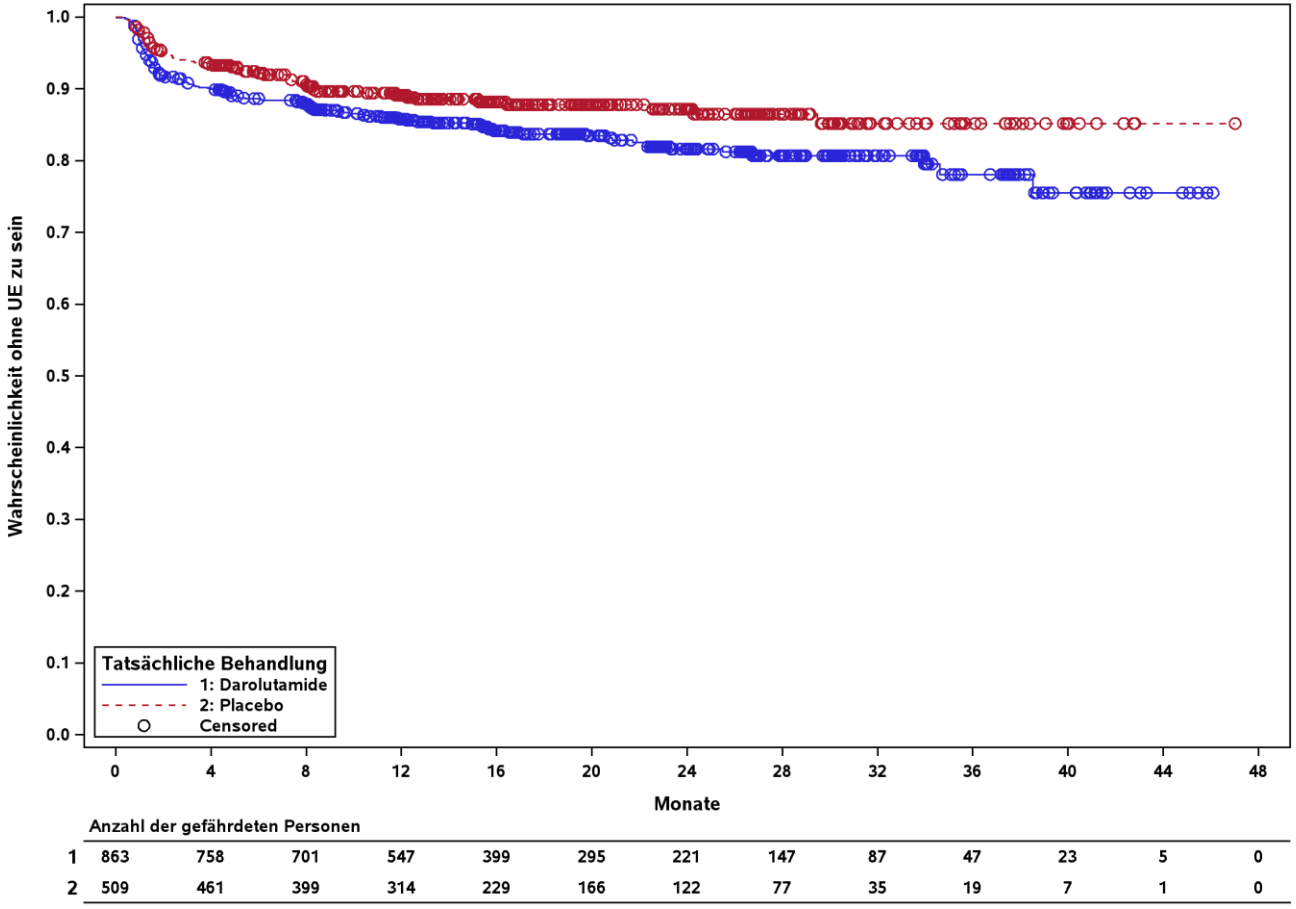
Bayer: /by-sasp/patdb/projects/1841788/17712/stat/prod_query22/pgms/t_aesi_sub.sas 23APR2020 17:14

Figure 4.3.3 / 181: Kaplan-Meier-Plot der 'Unerwünschte Ereignis von besonderem Interesse' Time-to-Event-Analyse nach Endpunkt und Subgruppe - Endpunkt: Zeit bis zum ersten UE von besonderem Interesse: Fatigue - Subgruppe: Gleason-Score bei Diagnose: >=7 (full analysis set)



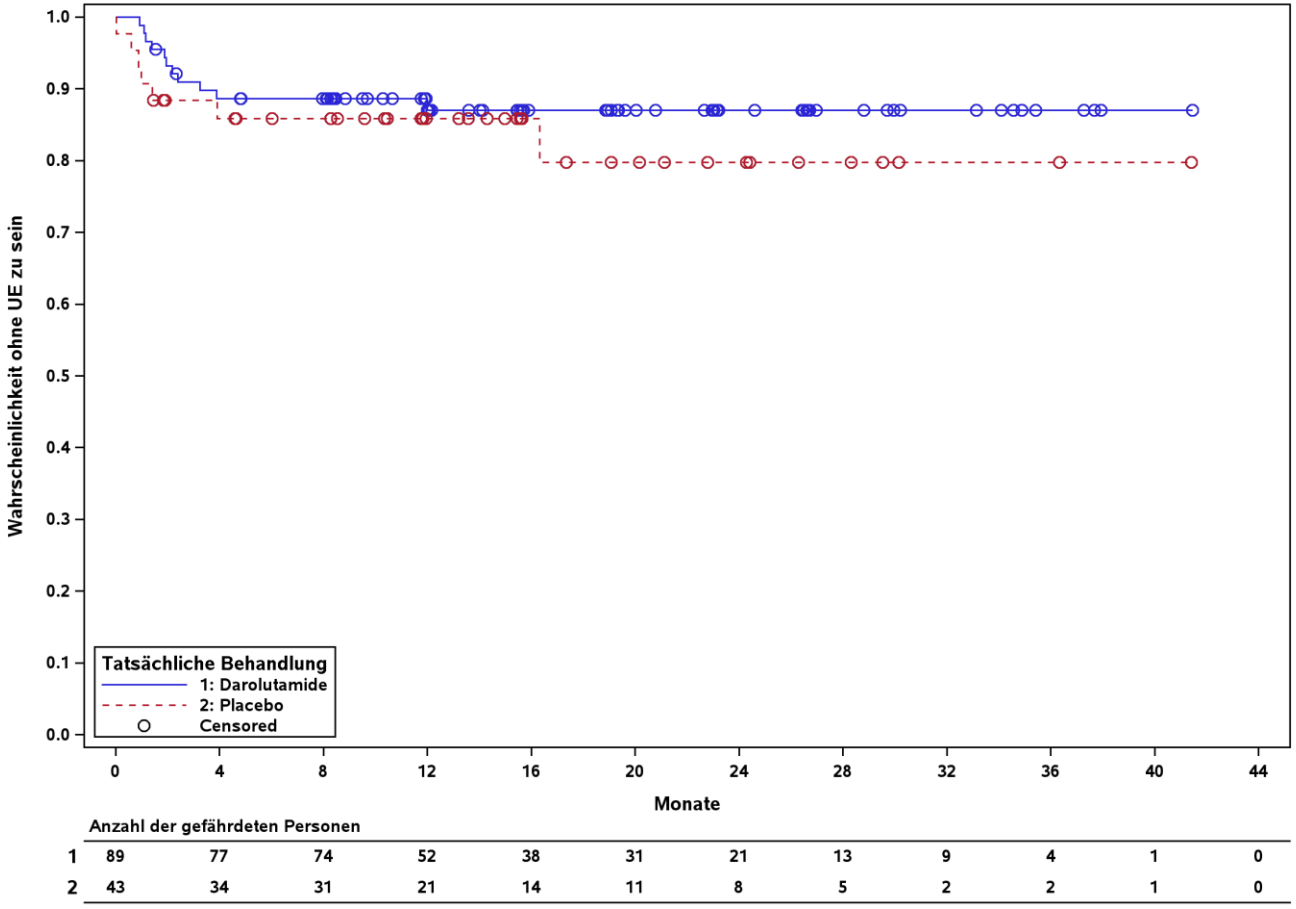
Bayer: /by-sasp/patdb/projects/1841788/17712/stat/prod_query22/pgms/t_aesi_sub.sas 23APR2020 17:14

Figure 4.3.3 / 182: Kaplan-Meier-Plot der 'Unerwünschte Ereignis von besonderem Interesse' Time-to-Event-Analyse nach Endpunkt und Subgruppe - Endpunkt: Zeit bis zum ersten UE von besonderem Interesse: Fatigue - Subgruppe: Leberfunktionsstörung: normal (full analysis set)



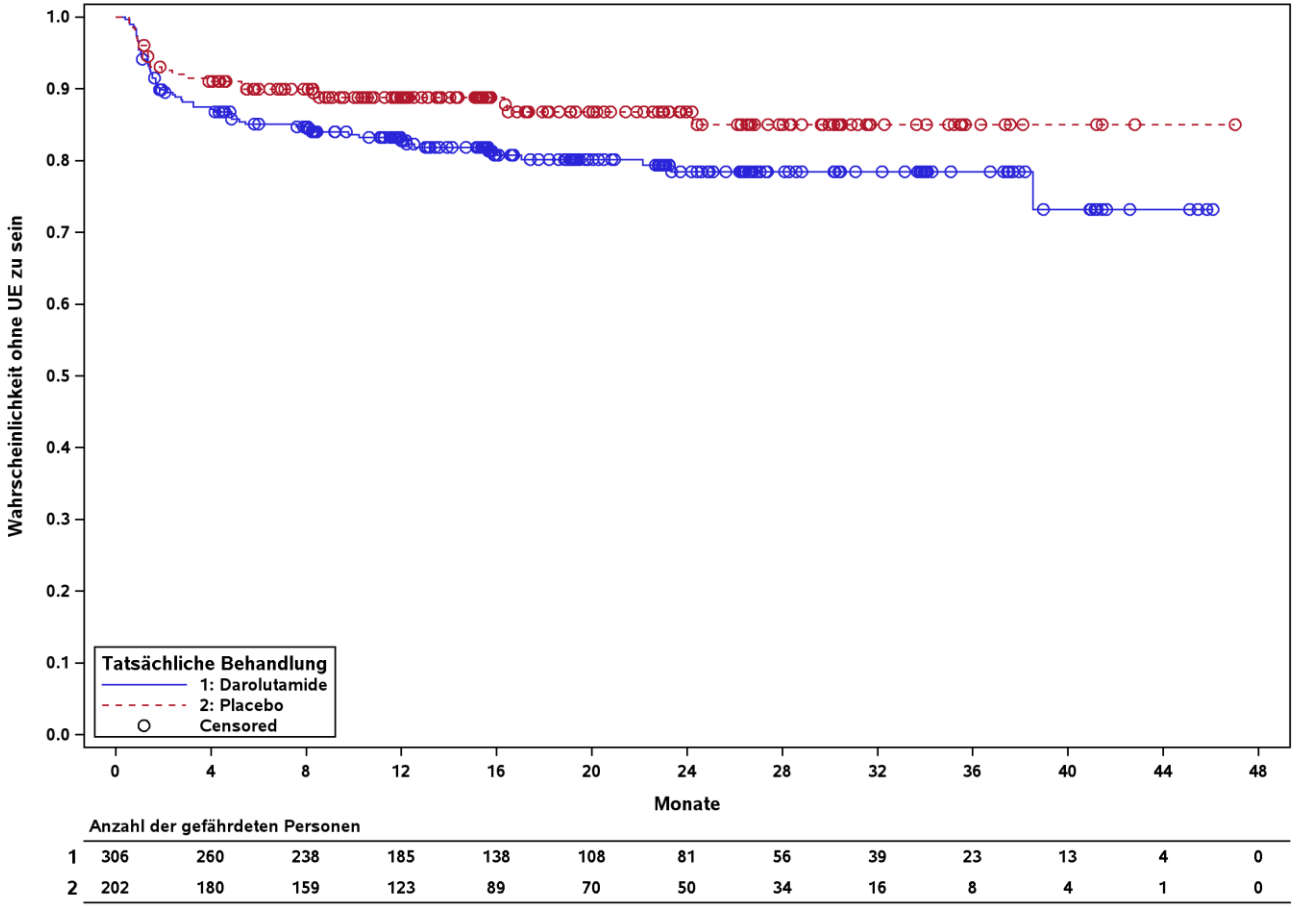
Bayer: /by-sasp/patdb/projects/1841788/17712/stat/prod_query22/pgms/t_aesi_sub.sas 23APR2020 17:14

Figure 4.3.3 / 183: Kaplan-Meier-Plot der 'Unerwünschte Ereignis von besonderem Interesse' Time-to-Event-Analyse nach Endpunkt und Subgruppe - Endpunkt: Zeit bis zum ersten UE von besonderem Interesse: Fatigue - Subgruppe: Leberfunktionsstörung: mild (full analysis set)



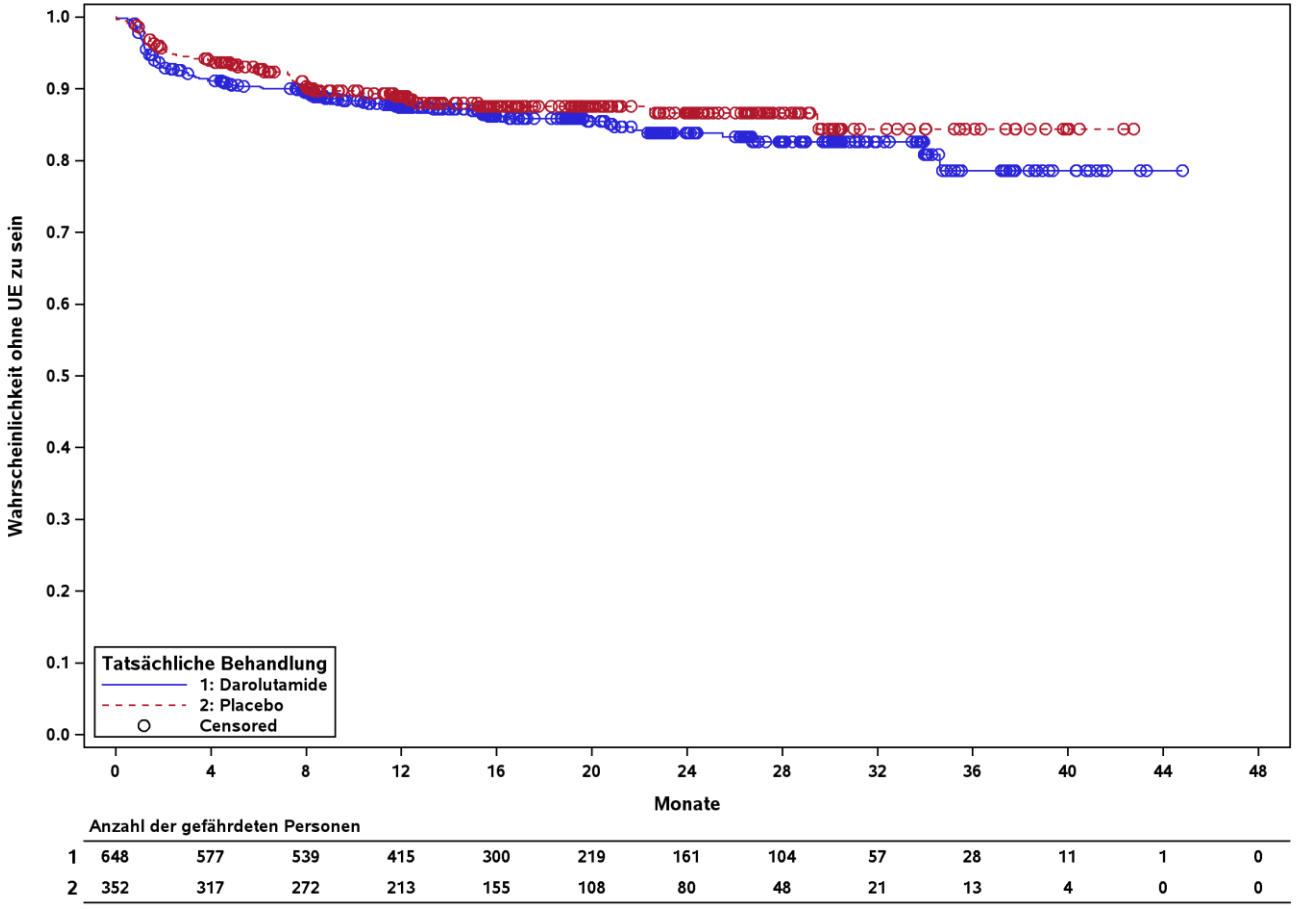
Bayer: /by-sasp/patdb/projects/1841788/17712/stat/prod_query22/pgms/t_aesi_sub.sas 23APR2020 17:14

Figure 4.3.3 / 184: Kaplan-Meier-Plot der 'Unerwünschte Ereignis von besonderem Interesse' Time-to-Event-Analyse nach Endpunkt und Subgruppe - Endpunkt: Zeit bis zum ersten UE von besonderem Interesse: Fatigue - Subgruppe: Nutzung von Statinen: Ja (full analysis set)



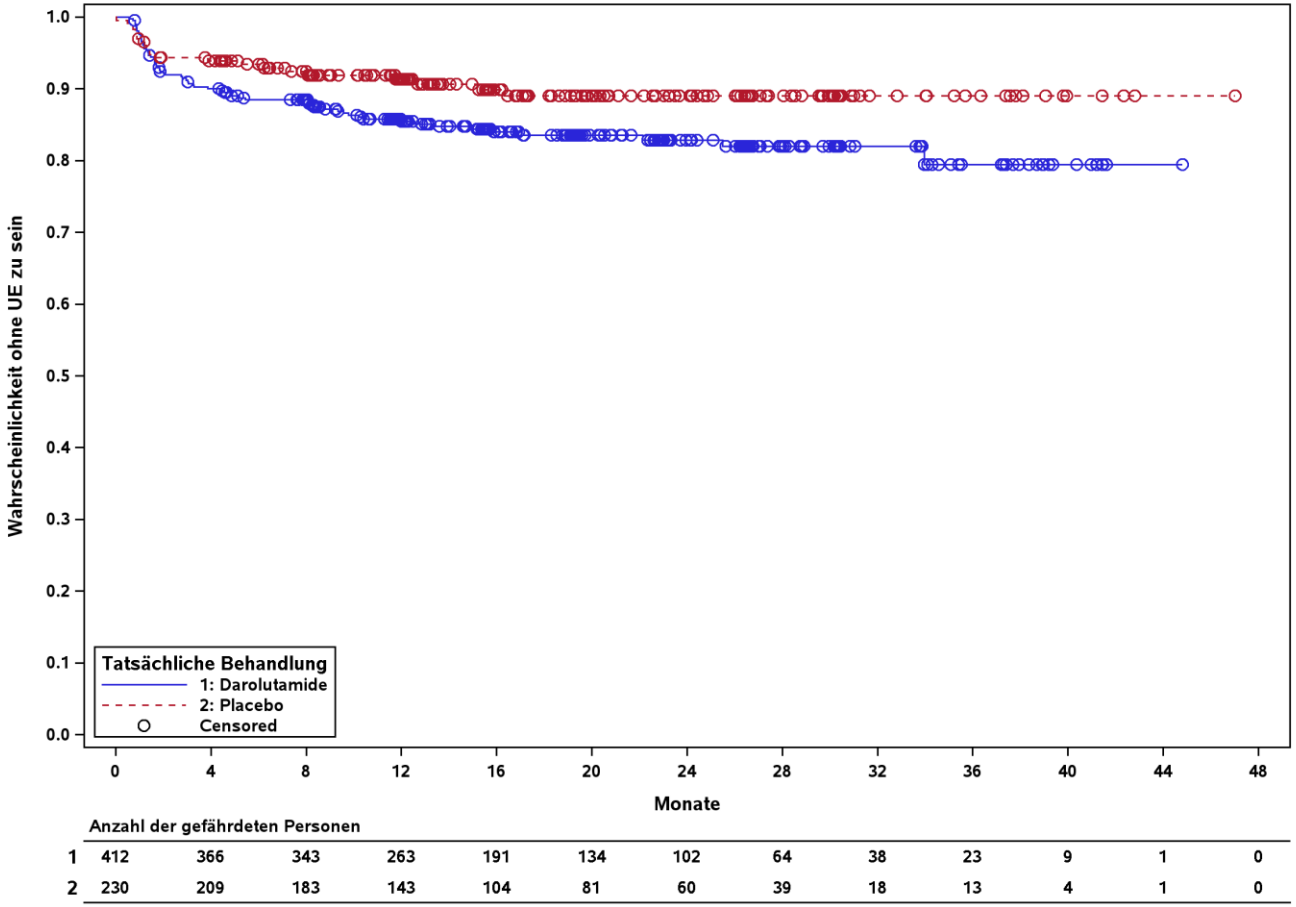
Bayer: /by-sasp/patdb/projects/1841788/17712/stat/prod_query22/pgms/t_aesi_sub.sas 23APR2020 17:14

Figure 4.3.3 / 185: Kaplan-Meier-Plot der 'Unerwünschte Ereignis von besonderem Interesse' Time-to-Event-Analyse nach Endpunkt und Subgruppe - Endpunkt: Zeit bis zum ersten UE von besonderem Interesse: Fatigue - Subgruppe: Nutzung von Statinen: Nein (full analysis set)



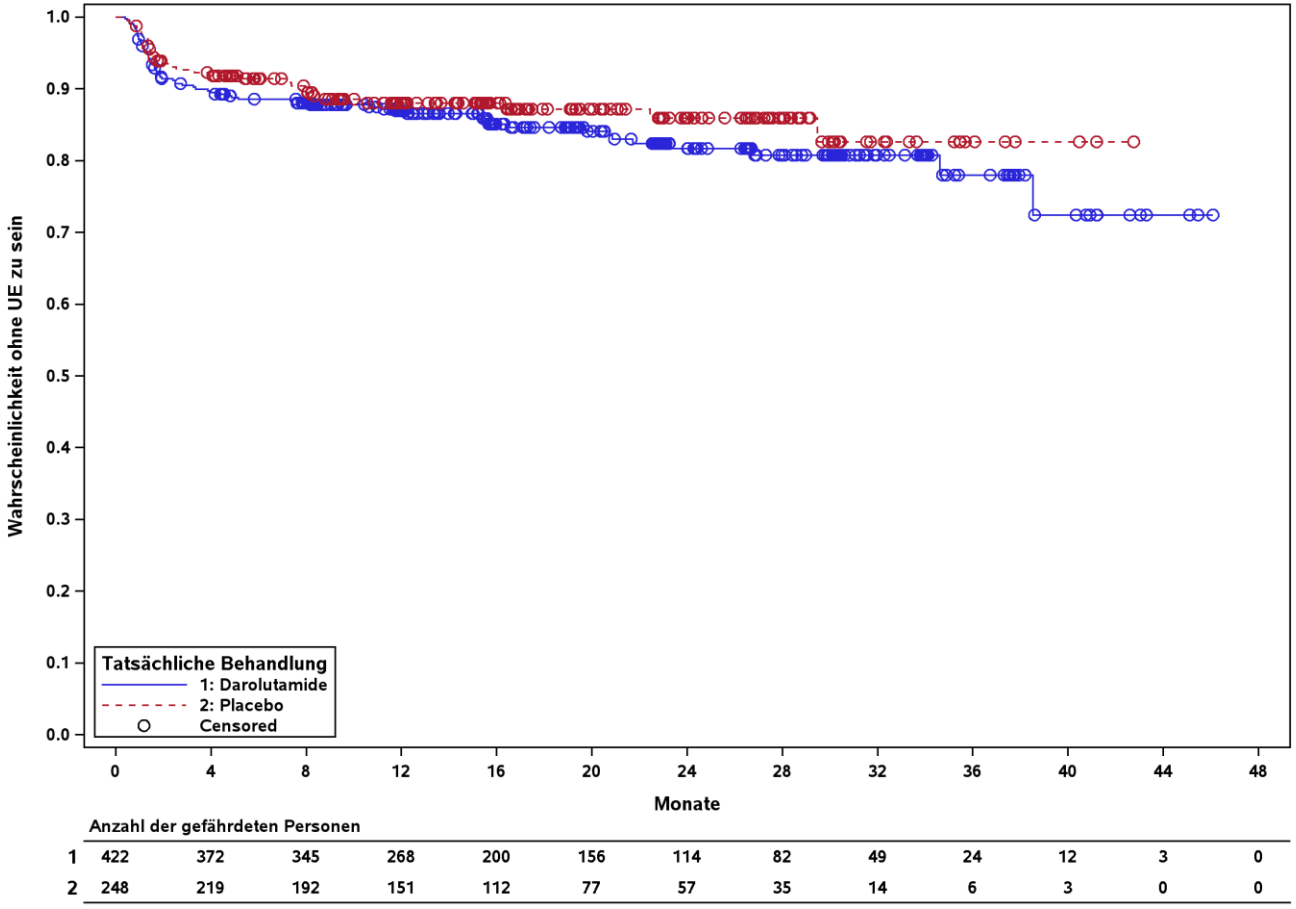
Bayer: /by-sasp/patdb/projects/1841788/17712/stat/prod_query22/pgms/t_aesi_sub.sas 23APR2020 17:14

Figure 4.3.3 / 186: Kaplan-Meier-Plot der 'Unerwünschte Ereignis von besonderem Interesse' Time-to-Event-Analyse nach Endpunkt und Subgruppe - Endpunkt: Zeit bis zum ersten UE von besonderem Interesse: Fatigue - Subgruppe: eGFR an Baseline: normal (full analysis set)



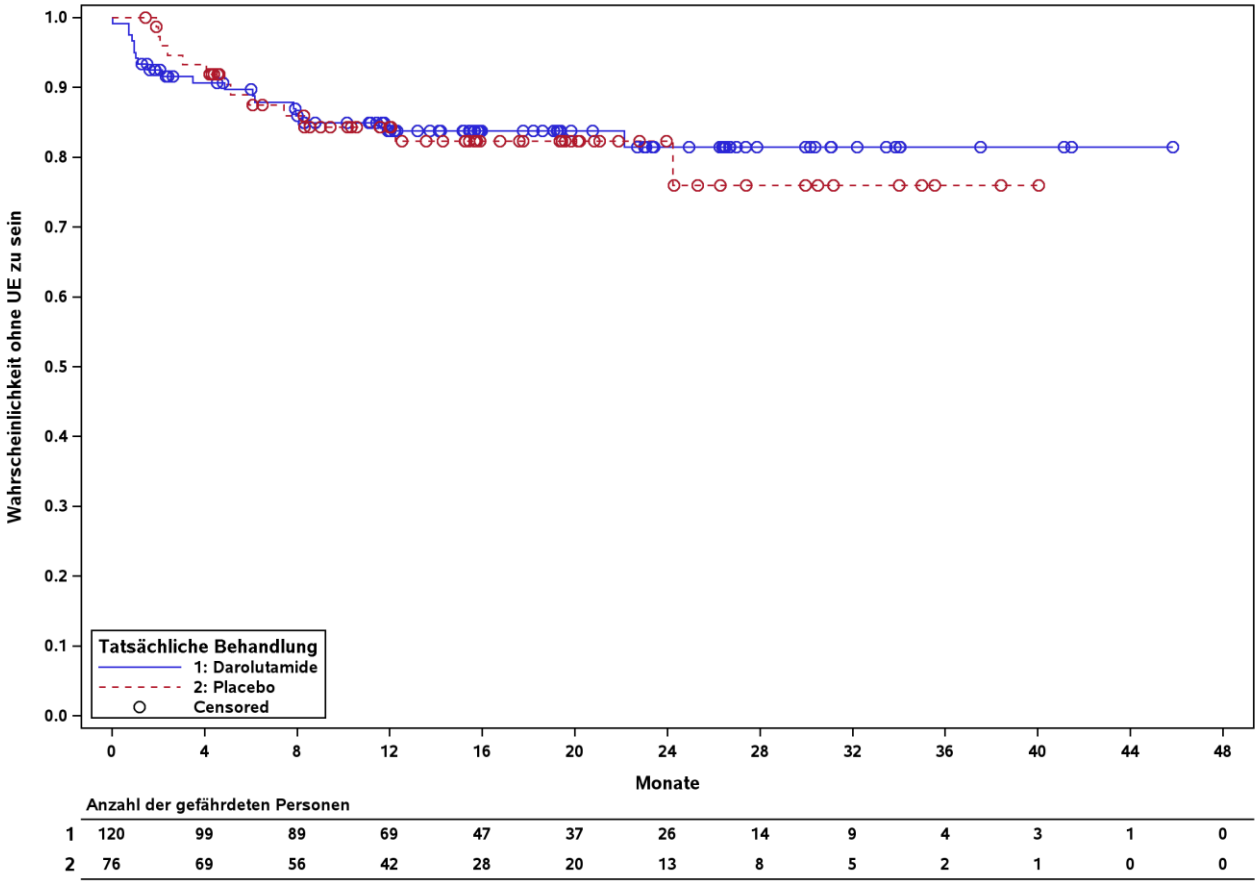
Bayer: /by-sasp/patdb/projects/1841788/17712/stat/prod_query22/pgms/t_aesi_sub.sas 23APR2020 17:14

Figure 4.3.3 / 187: Kaplan-Meier-Plot der 'Unerwünschte Ereignis von besonderem Interesse' Time-to-Event-Analyse nach Endpunkt und Subgruppe - Endpunkt: Zeit bis zum ersten UE von besonderem Interesse: Fatigue - Subgruppe: eGFR an Baseline: mildly impaired (full analysis set)



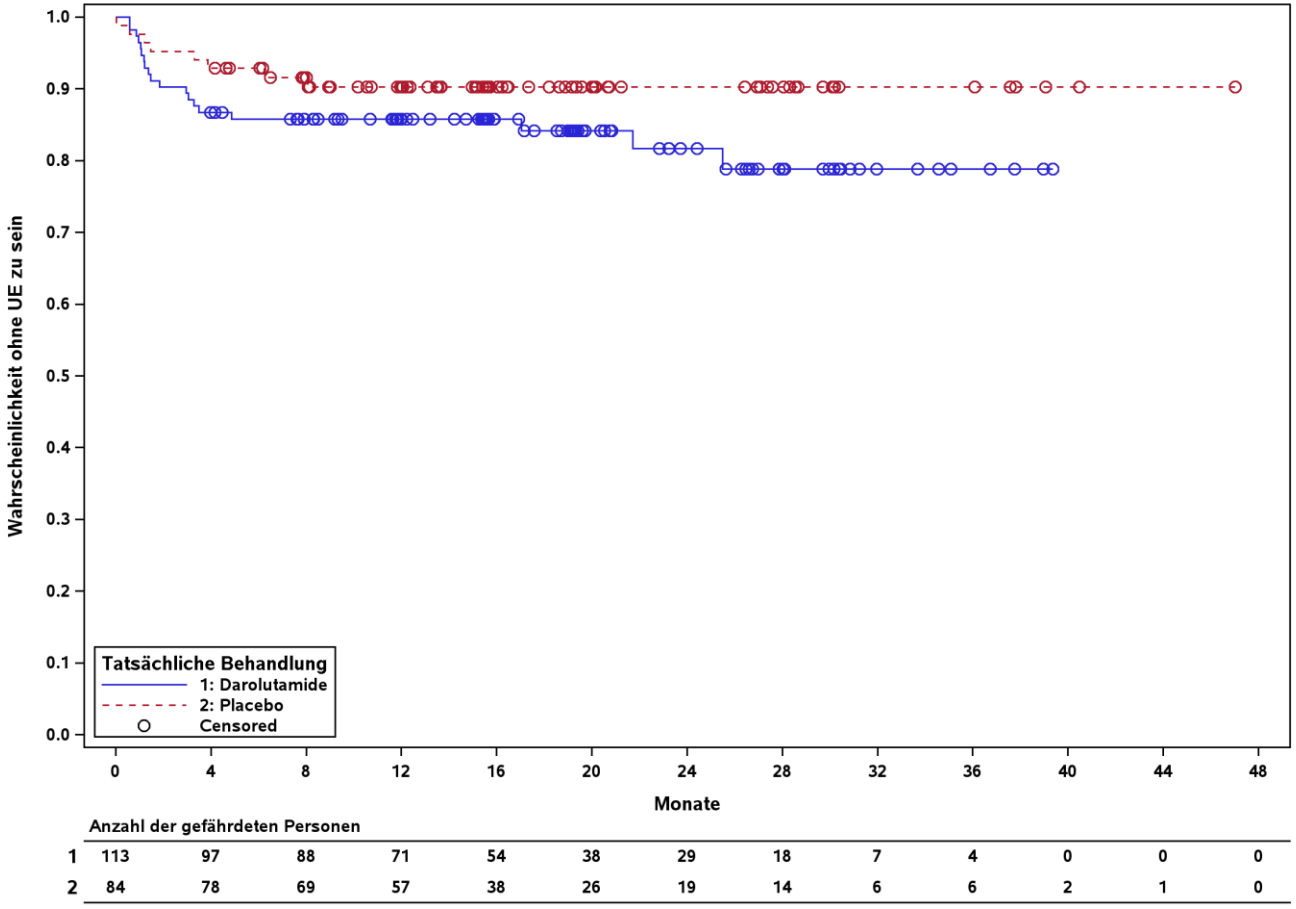
Bayer: /by-sasp/patdb/projects/1841788/17712/stat/prod_query22/pgms/t_aesi_sub.sas 23APR2020 17:14

Figure 4.3.3 / 188: Kaplan-Meier-Plot der 'Unerwünschte Ereignis von besonderem Interesse' Time-to-Event-Analyse nach Endpunkt und Subgruppe - Endpunkt: Zeit bis zum ersten UE von besonderem Interesse: Fatigue - Subgruppe: eGFR an Baseline: moderately impaired, severely impaired and renal end stage (full analysis set)



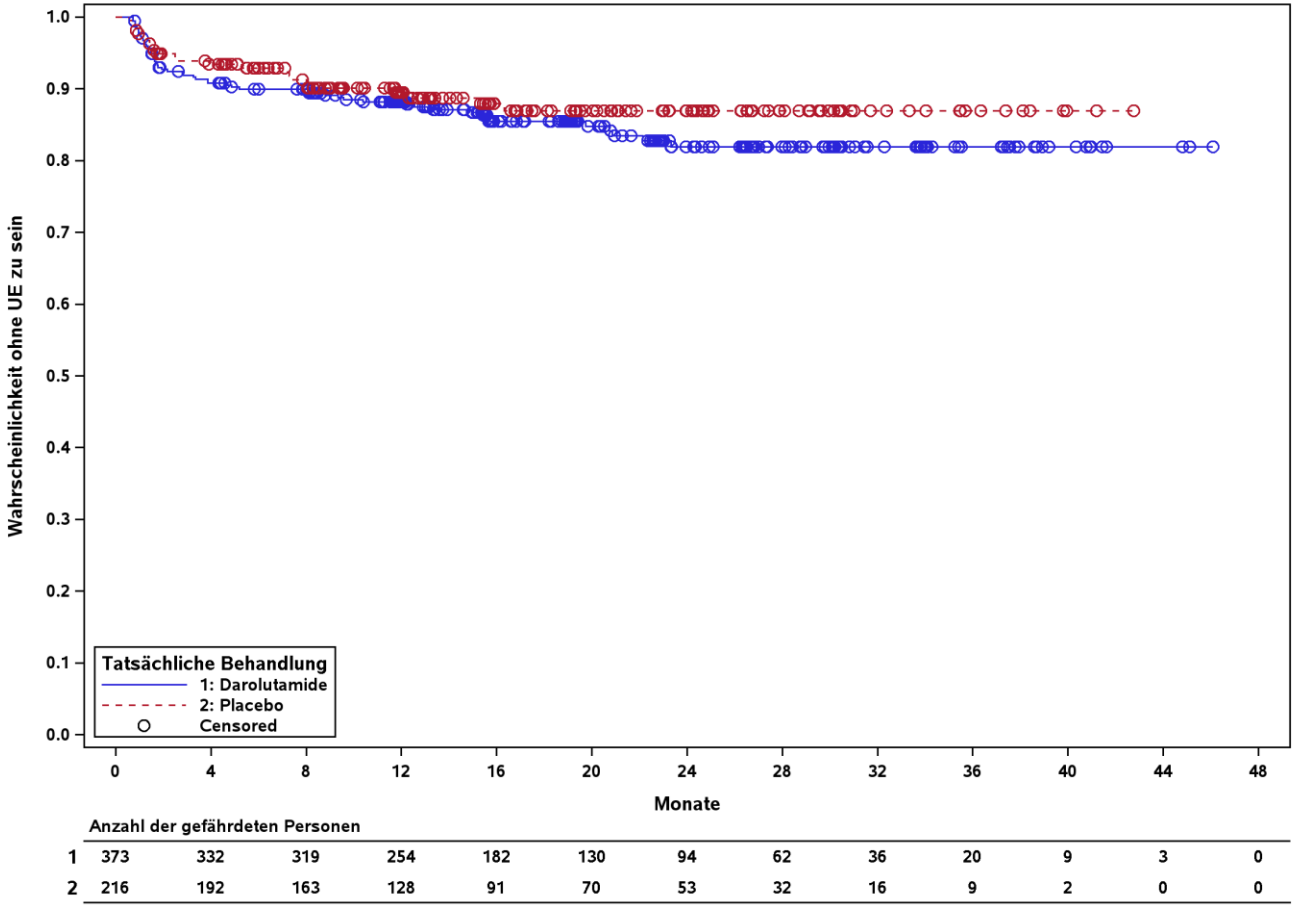
Bayer: /by-sasp/patdb/projects/1841788/17712/stat/prod_query22/pgms/t_aesi_sub.sas 23APR2020 17:14

Figure 4.3.3 / 189: Kaplan-Meier-Plot der 'Unerwünschte Ereignis von besonderem Interesse' Time-to-Event-Analyse nach Endpunkt und Subgruppe - Endpunkt: Zeit bis zum ersten UE von besonderem Interesse mit CTCAE Grad <3: Fatigue - Subgruppe: Alter (Jahre): <65 (full analysis set)



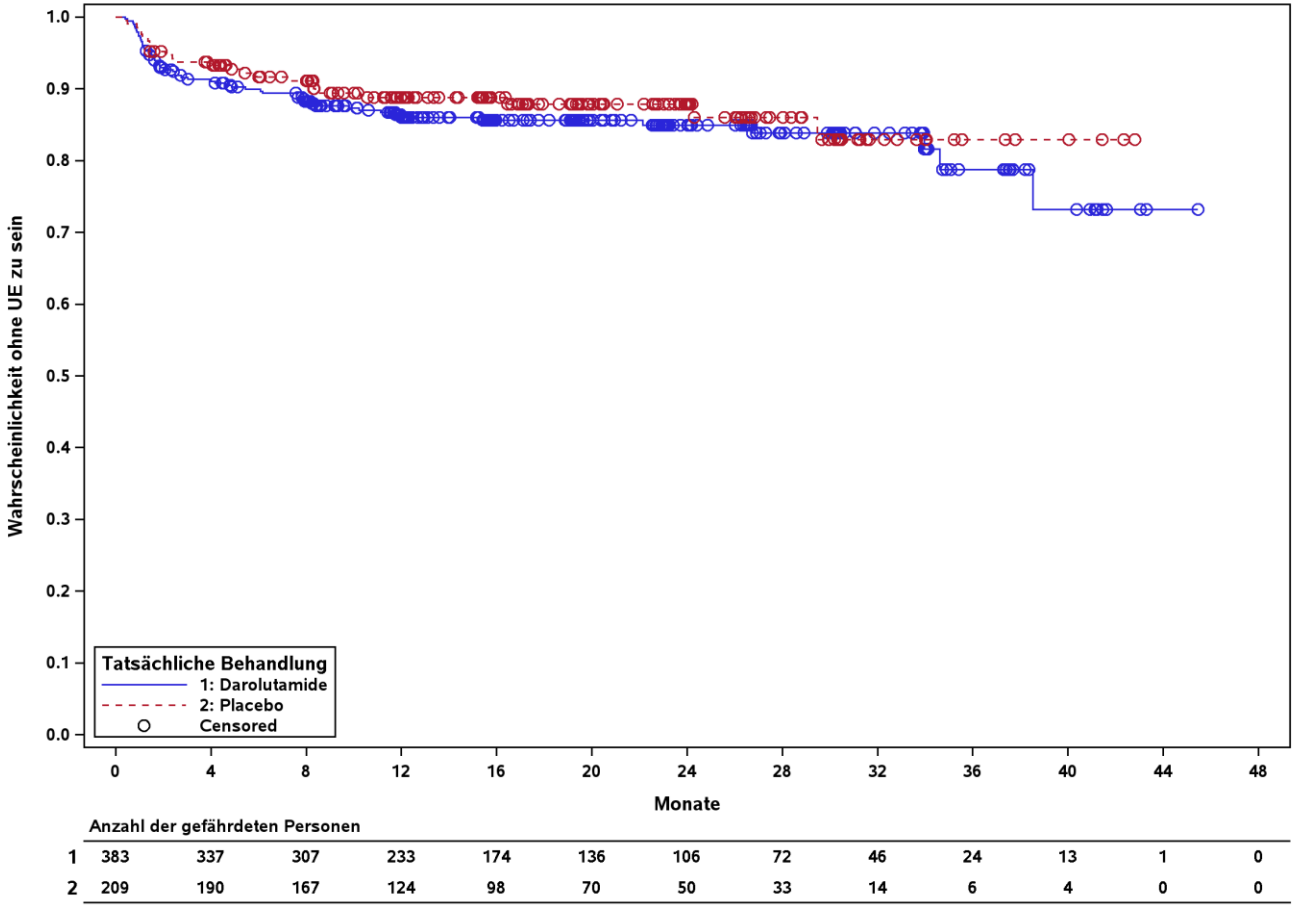
Bayer: /by-sasp/patdb/projects/1841788/17712/stat/prod_query22/pgms/t_aesi_sub.sas 23APR2020 17:14

Figure 4.3.3 / 190: Kaplan-Meier-Plot der 'Unerwünschte Ereignis von besonderem Interesse' Time-to-Event-Analyse nach Endpunkt und Subgruppe - Endpunkt: Zeit bis zum ersten UE von besonderem Interesse mit CTCAE Grad <3: Fatigue - Subgruppe: Alter (Jahre): 65-74 (full analysis set)



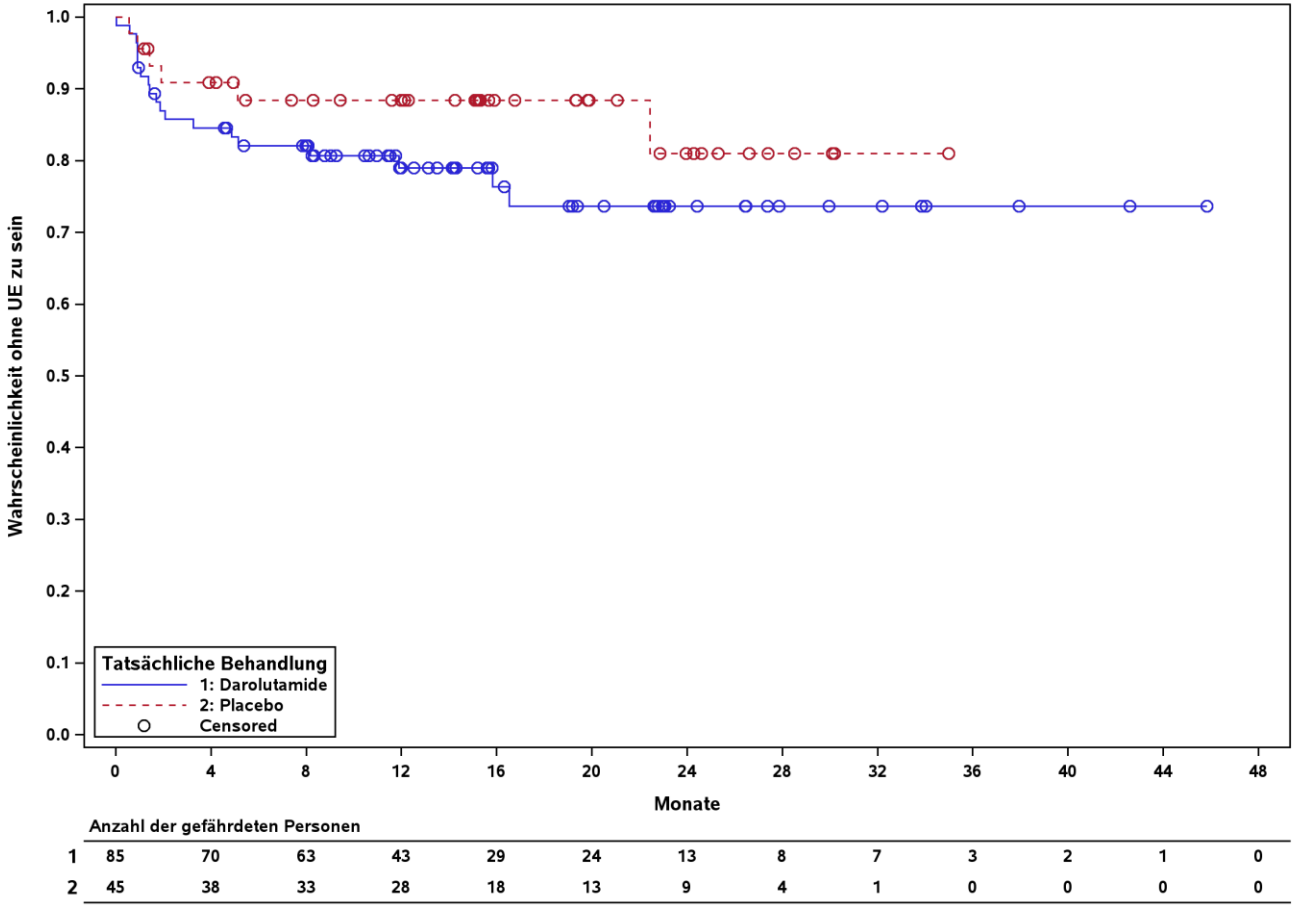
Bayer: /by-sasp/patdb/projects/1841788/17712/stat/prod_query22/pgms/t_aesi_sub.sas 23APR2020 17:14

Figure 4.3.3 / 191: Kaplan-Meier-Plot der 'Unerwünschte Ereignis von besonderem Interesse' Time-to-Event-Analyse nach Endpunkt und Subgruppe - Endpunkt: Zeit bis zum ersten UE von besonderem Interesse mit CTCAE Grad <3: Fatigue - Subgruppe: Alter (Jahre): 75-84 (full analysis set)



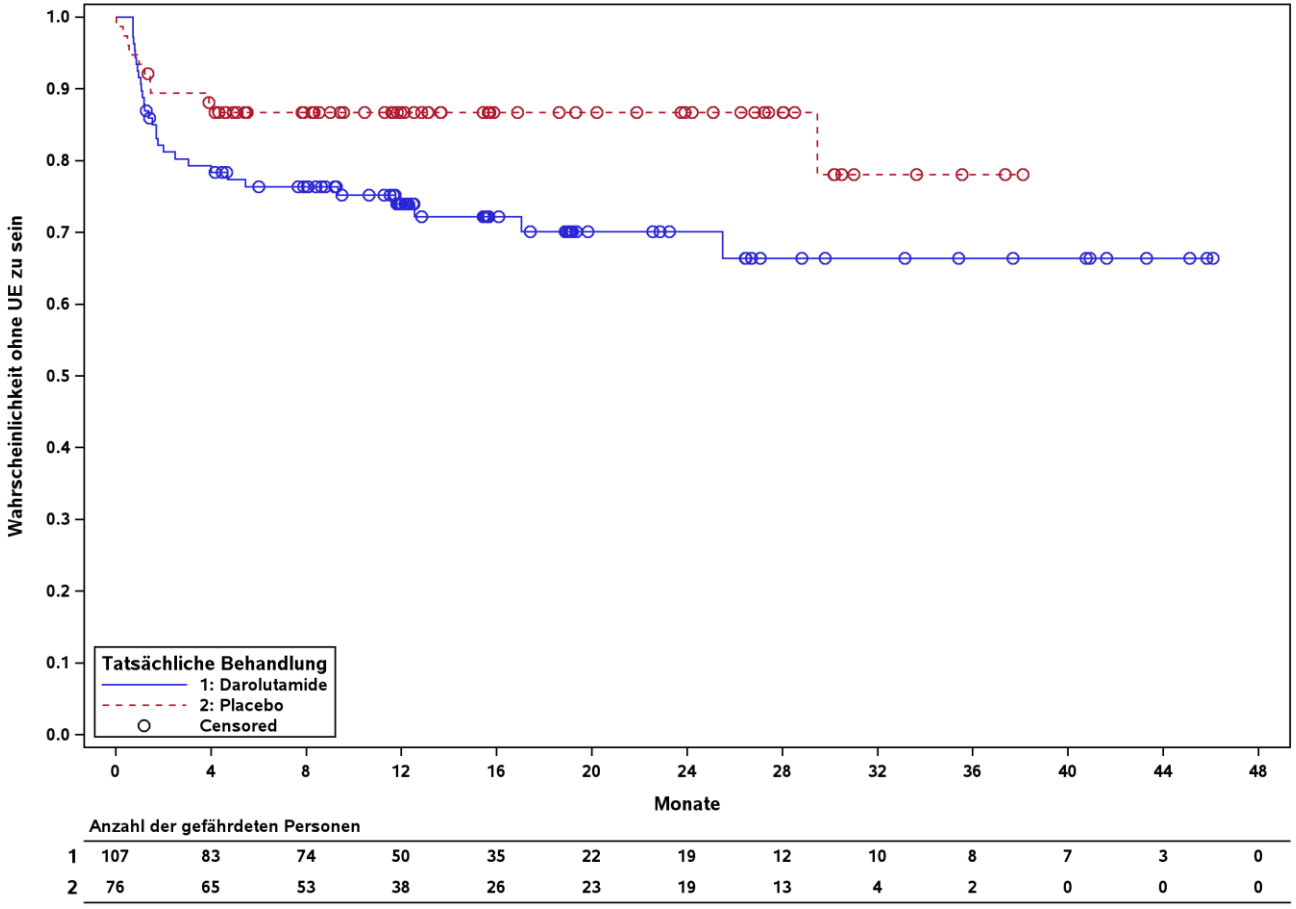
Bayer: /by-sasp/patdb/projects/1841788/17712/stat/prod_query22/pgms/t_aesi_sub.sas 23APR2020 17:14

Figure 4.3.3 / 192: Kaplan-Meier-Plot der 'Unerwünschte Ereignis von besonderem Interesse' Time-to-Event-Analyse nach Endpunkt und Subgruppe - Endpunkt: Zeit bis zum ersten UE von besonderem Interesse mit CTCAE Grad <3: Fatigue - Subgruppe: Alter (Jahre): >=85 (full analysis set)



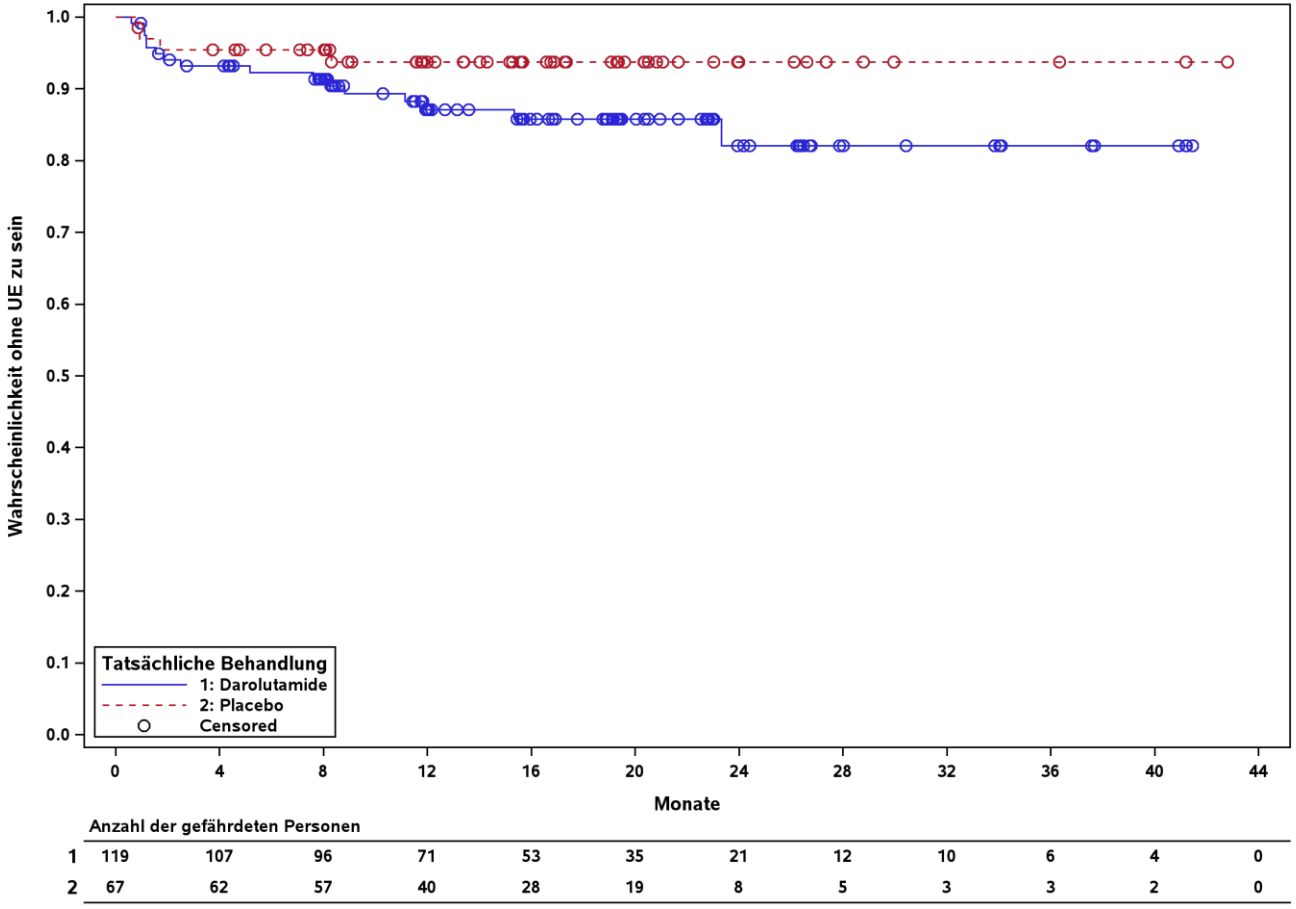
Bayer: /by-sasp/patdb/projects/1841788/17712/stat/prod_query22/pgms/t_aesi_sub.sas 23APR2020 17:14

Figure 4.3.3 / 193: Kaplan-Meier-Plot der 'Unerwünschte Ereignis von besonderem Interesse' Time-to-Event-Analyse nach Endpunkt und Subgruppe - Endpunkt: Zeit bis zum ersten UE von besonderem Interesse mit CTCAE Grad <3: Fatigue - Subgruppe: Geografische Region: North America (full analysis set)



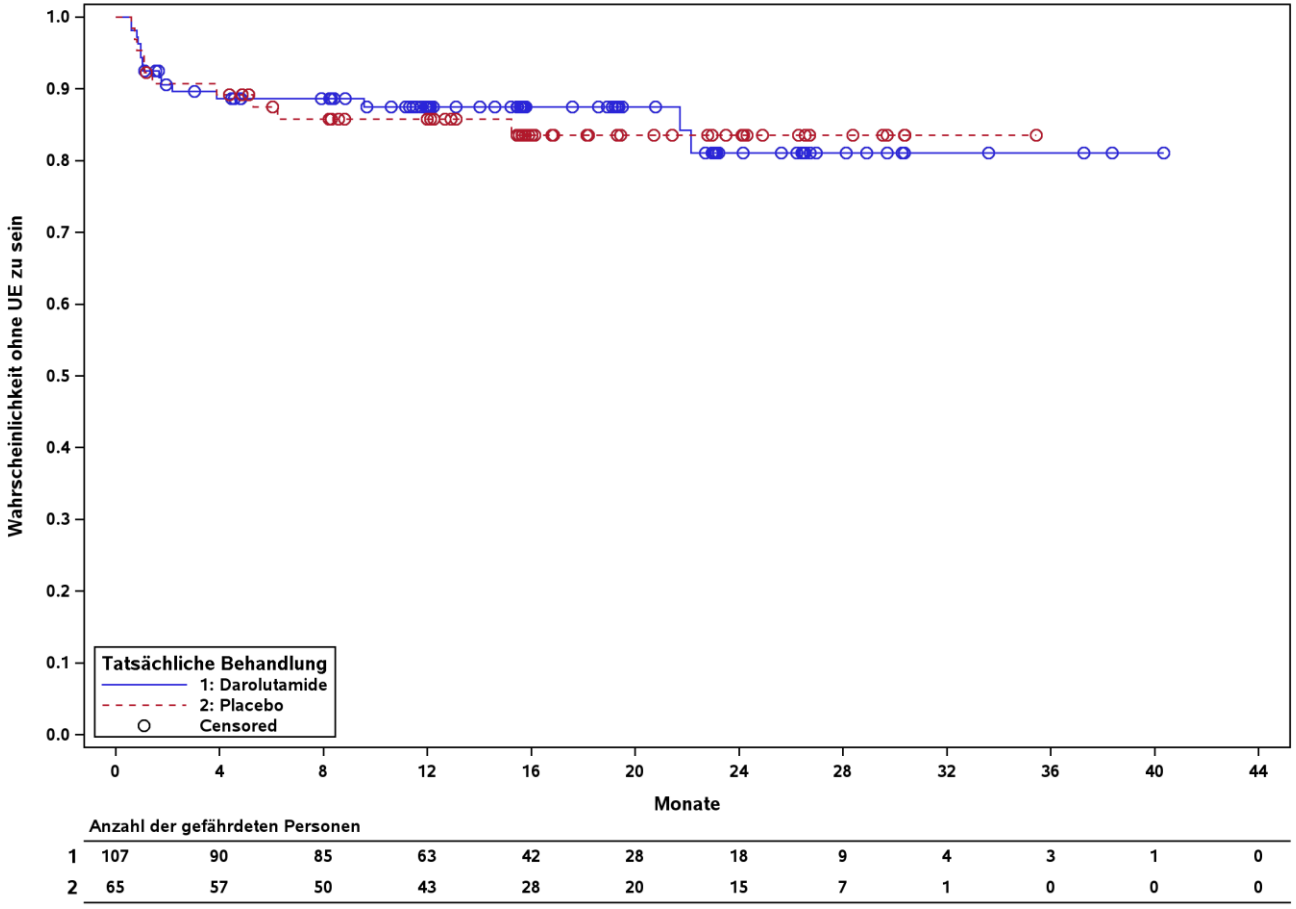
Bayer: /by-sasp/patdb/projects/1841788/17712/stat/prod_query22/pgms/t_aesi_sub.sas 23APR2020 17:14

Figure 4.3.3 / 194: Kaplan-Meier-Plot der 'Unerwünschte Ereignis von besonderem Interesse' Time-to-Event-Analyse nach Endpunkt und Subgruppe - Endpunkt: Zeit bis zum ersten UE von besonderem Interesse mit CTCAE Grad <3: Fatigue - Subgruppe: Geografische Region: Asia Pacific (full analysis set)



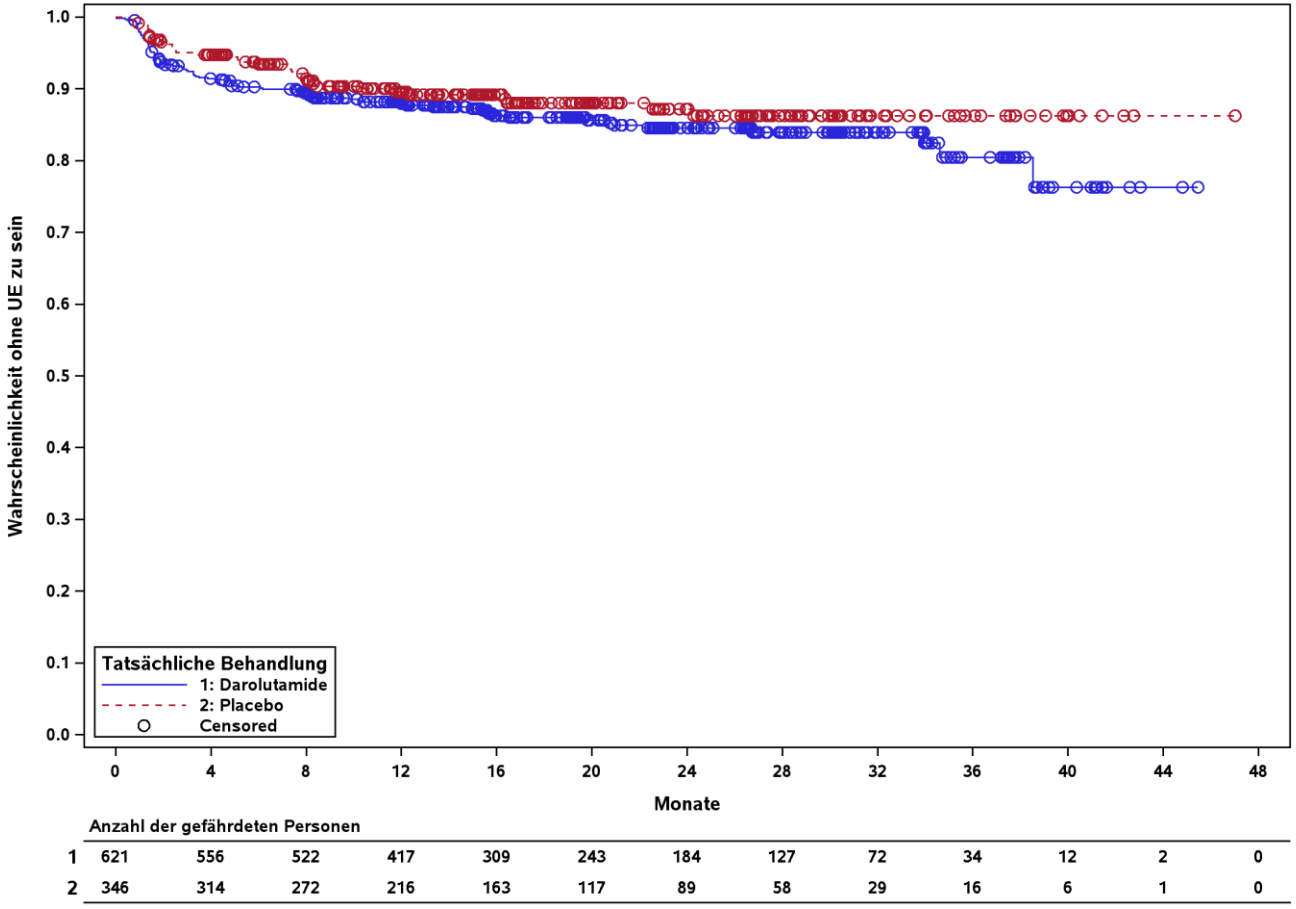
Bayer: /by-sasp/patdb/projects/1841788/17712/stat/prod_query22/pgms/t_aesi_sub.sas 23APR2020 17:14

Figure 4.3.3 / 195: Kaplan-Meier-Plot der 'Unerwünschte Ereignis von besonderem Interesse' Time-to-Event-Analyse nach Endpunkt und Subgruppe - Endpunkt: Zeit bis zum ersten UE von besonderem Interesse mit CTCAE Grad <3: Fatigue - Subgruppe: Geografische Region: Rest of the World (full analysis set)



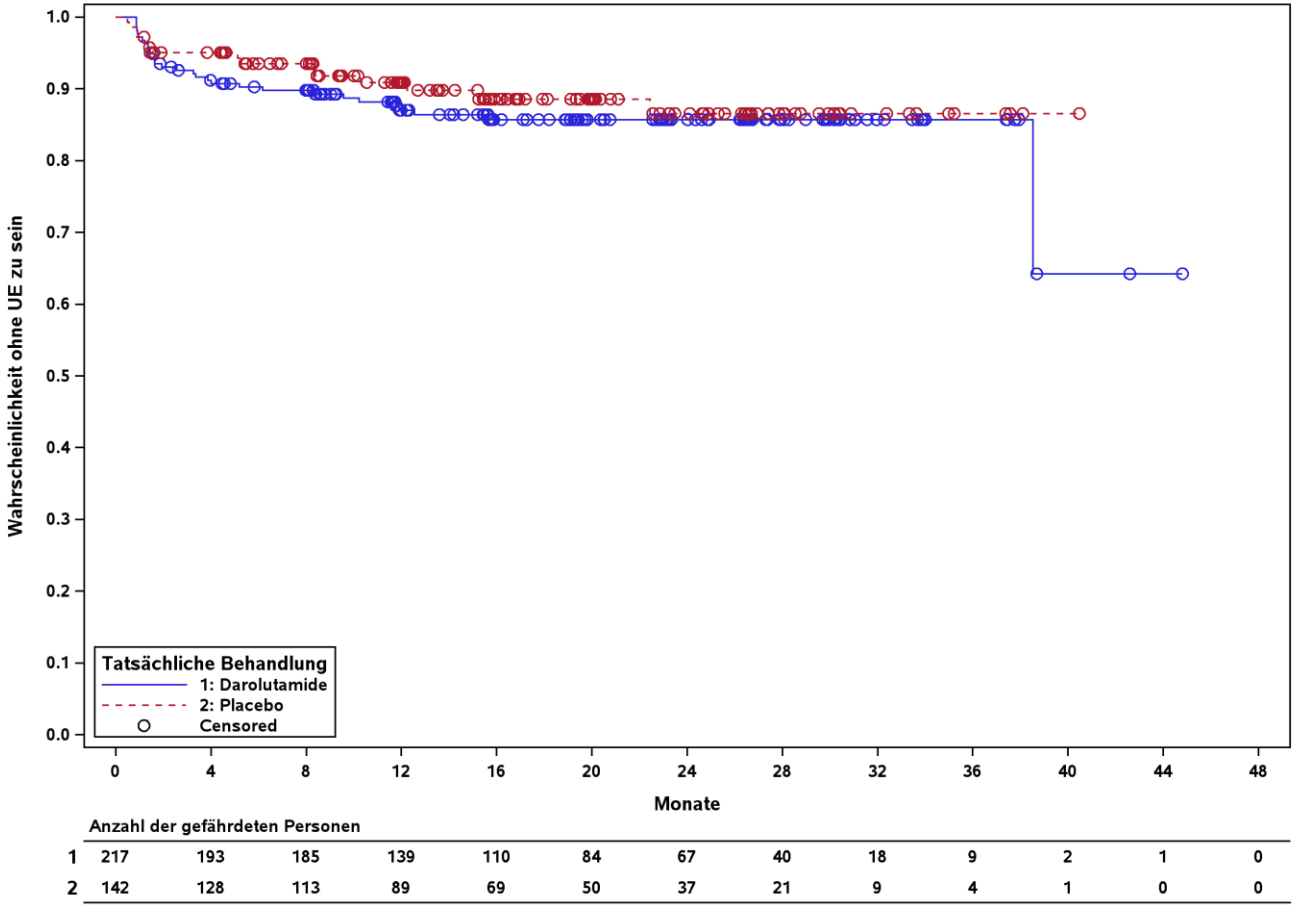
Bayer: /by-sasp/patdb/projects/1841788/17712/stat/prod_query22/pgms/t_aesi_sub.sas 23APR2020 17:14

Figure 4.3.3 / 196: Kaplan-Meier-Plot der 'Unerwünschte Ereignis von besonderem Interesse' Time-to-Event-Analyse nach Endpunkt und Subgruppe - Endpunkt: Zeit bis zum ersten UE von besonderem Interesse mit CTCAE Grad <3: Fatigue - Subgruppe: Geografische Region: Europe (full analysis set)



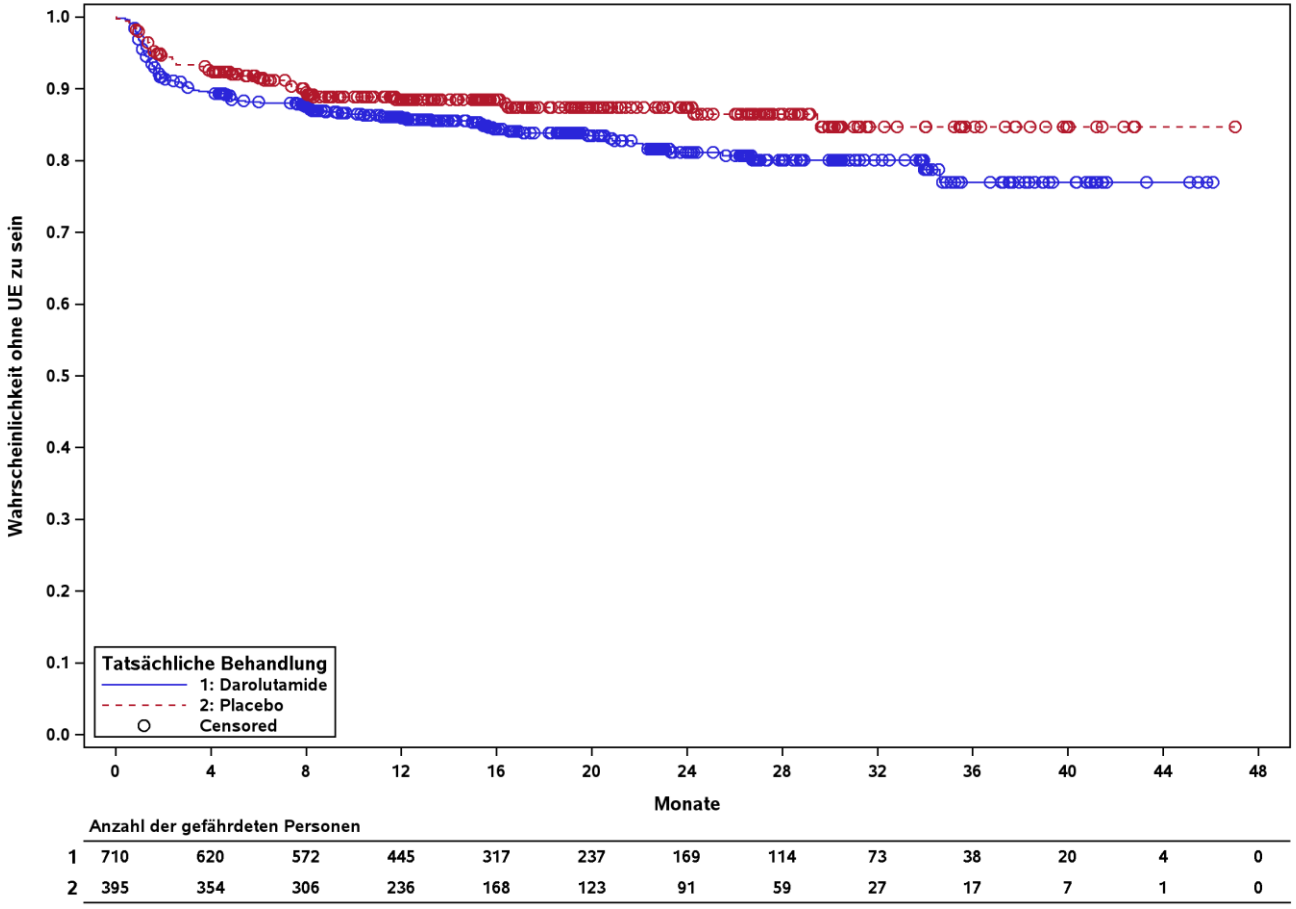
Bayer: /by-sasp/patdb/projects/1841788/17712/stat/prod_query22/pgms/t_aesi_sub.sas 23APR2020 17:14

Figure 4.3.3 / 197: Kaplan-Meier-Plot der 'Unerwünschte Ereignis von besonderem Interesse' Time-to-Event-Analyse nach Endpunkt und Subgruppe - Endpunkt: Zeit bis zum ersten UE von besonderem Interesse mit CTCAE Grad <3: Fatigue - Subgruppe: Gleason-Score bei Diagnose: <7 (full analysis set)



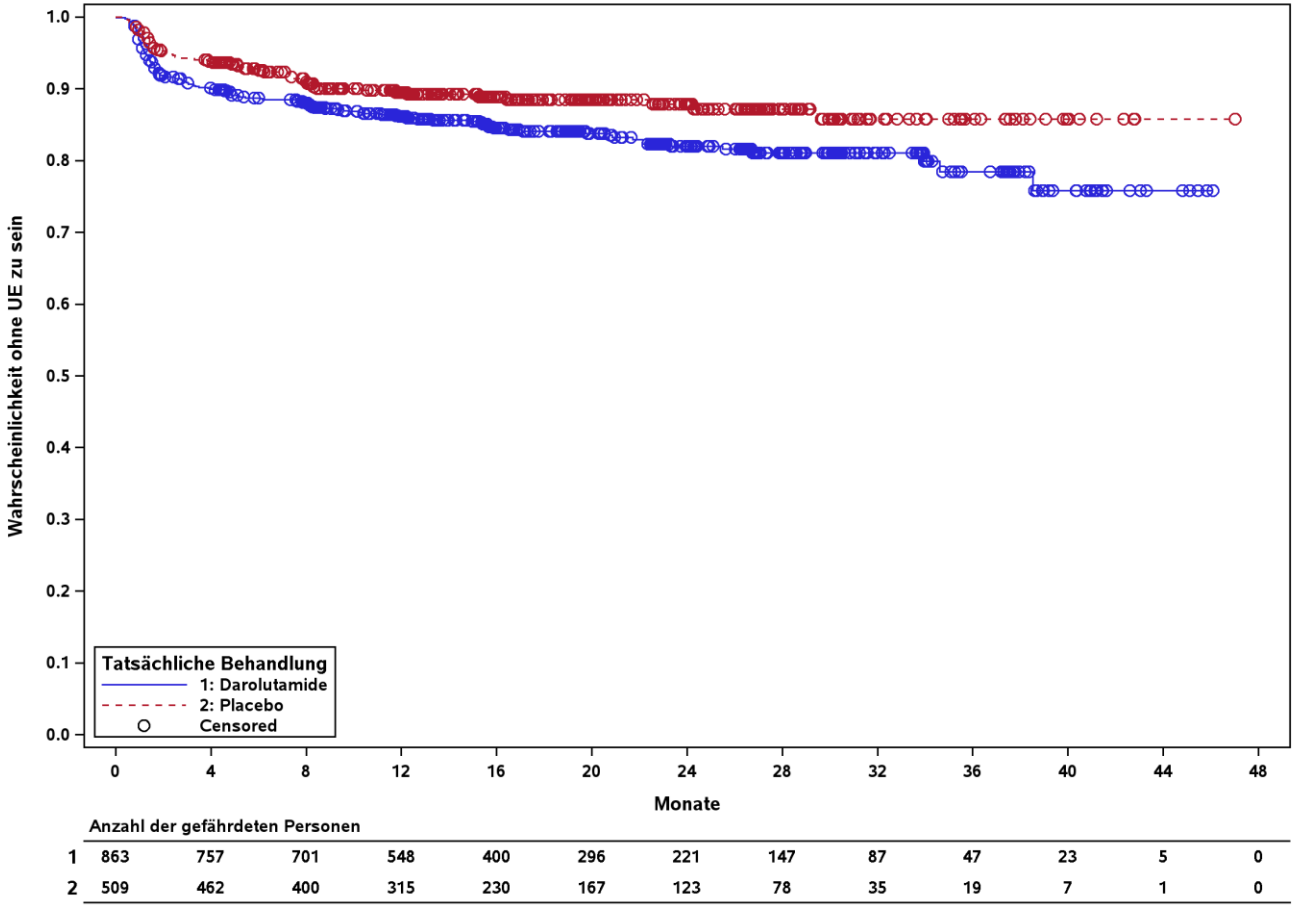
Bayer: /by-sasp/patdb/projects/1841788/17712/stat/prod_query22/pgms/t_aesi_sub.sas 23APR2020 17:14

Figure 4.3.3 / 198: Kaplan-Meier-Plot der 'Unerwünschte Ereignis von besonderem Interesse' Time-to-Event-Analyse nach Endpunkt und Subgruppe - Endpunkt: Zeit bis zum ersten UE von besonderem Interesse mit CTCAE Grad <3: Fatigue - Subgruppe: Gleason-Score bei Diagnose: >=7 (full analysis set)



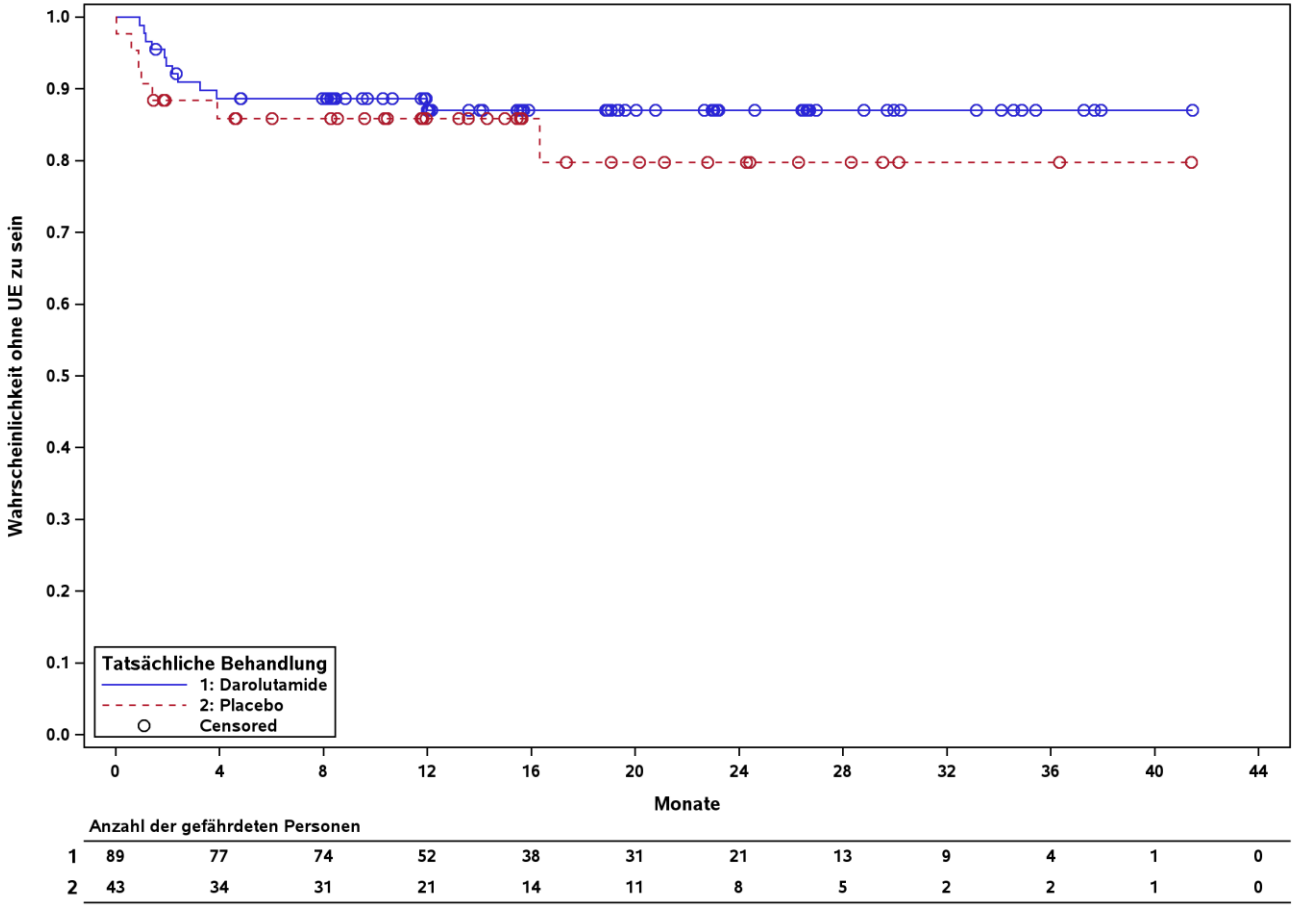
Bayer: /by-sasp/patdb/projects/1841788/17712/stat/prod_query22/pgms/t_aesi_sub.sas 23APR2020 17:14

Figure 4.3.3 / 199: Kaplan-Meier-Plot der 'Unerwünschte Ereignis von besonderem Interesse' Time-to-Event-Analyse nach Endpunkt und Subgruppe - Endpunkt: Zeit bis zum ersten UE von besonderem Interesse mit CTCAE Grad <3: Fatigue - Subgruppe: Leberfunktionsstörung: normal (full analysis set)



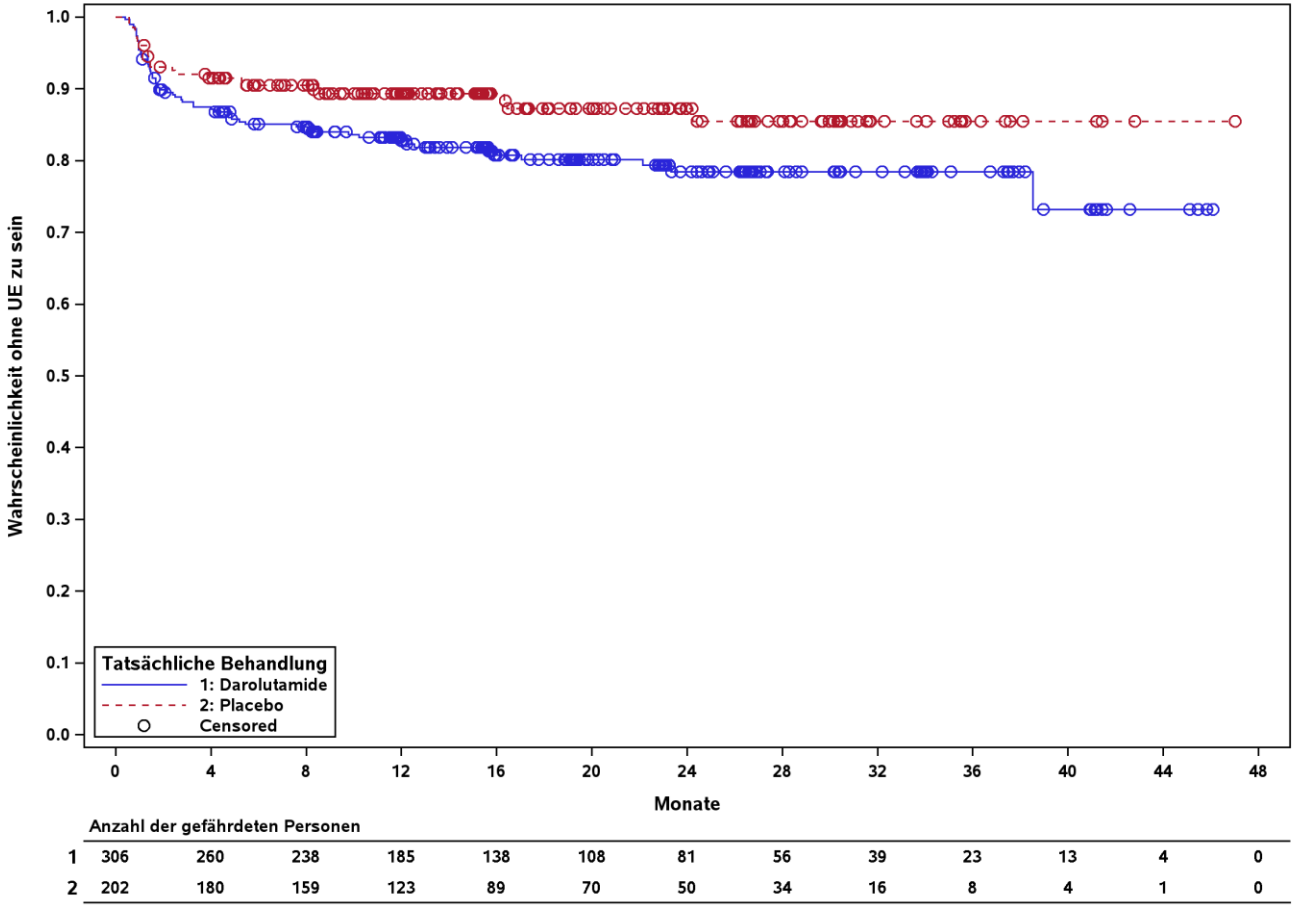
Bayer: /by-sasp/patdb/projects/1841788/17712/stat/prod_query22/pgms/t_aesi_sub.sas 23APR2020 17:14

Figure 4.3.3 / 200: Kaplan-Meier-Plot der 'Unerwünschte Ereignis von besonderem Interesse' Time-to-Event-Analyse nach Endpunkt und Subgruppe - Endpunkt: Zeit bis zum ersten UE von besonderem Interesse mit CTCAE Grad <3: Fatigue - Subgruppe: Leberfunktionsstörung: mild (full analysis set)



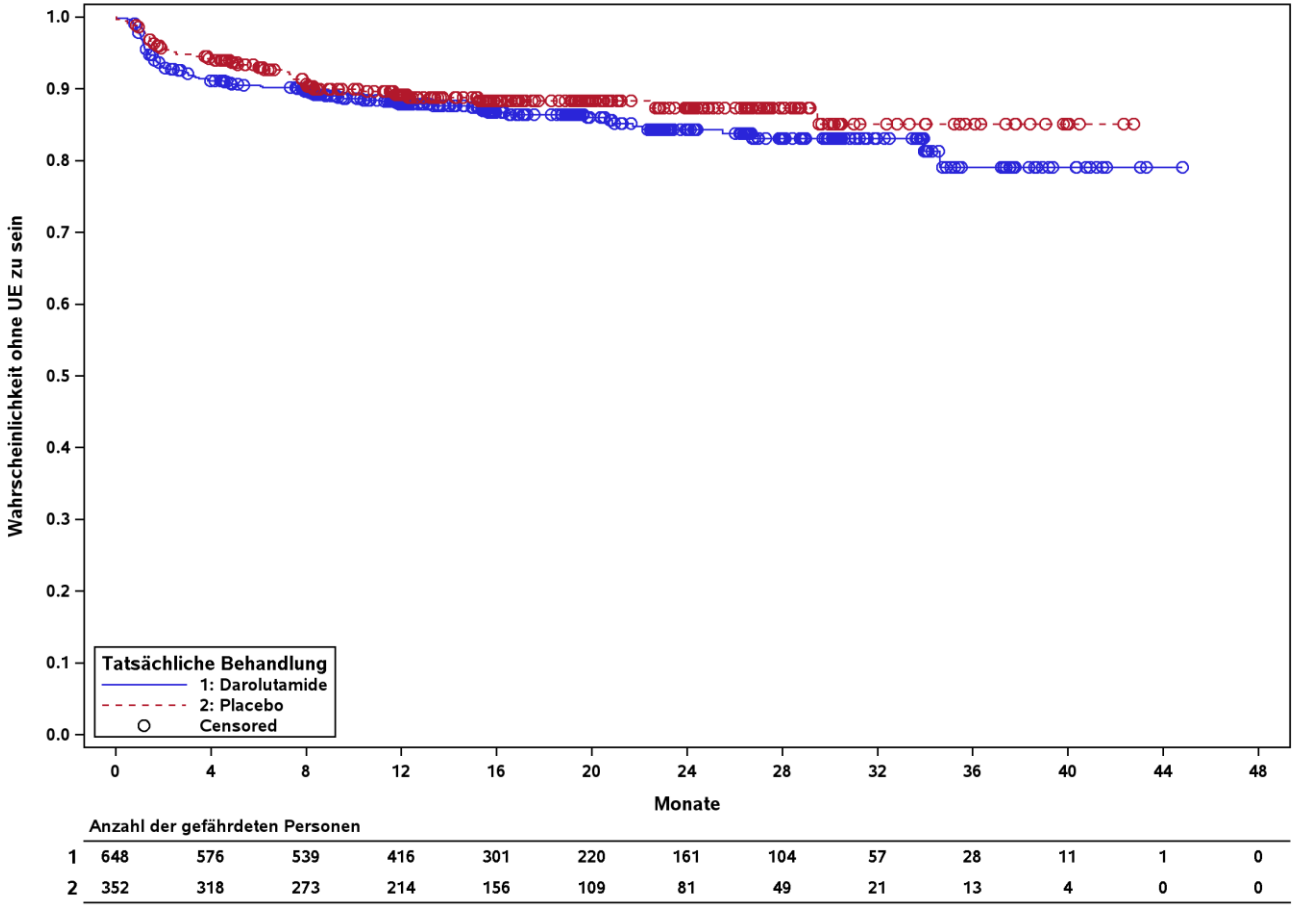
Bayer: /by-sasp/patdb/projects/1841788/17712/stat/prod_query22/pgms/t_aesi_sub.sas 23APR2020 17:14

Figure 4.3.3 / 201: Kaplan-Meier-Plot der 'Unerwünschte Ereignis von besonderem Interesse' Time-to-Event-Analyse nach Endpunkt und Subgruppe - Endpunkt: Zeit bis zum ersten UE von besonderem Interesse mit CTCAE Grad <3: Fatigue - Subgruppe: Nutzung von Statinen: Ja (full analysis set)



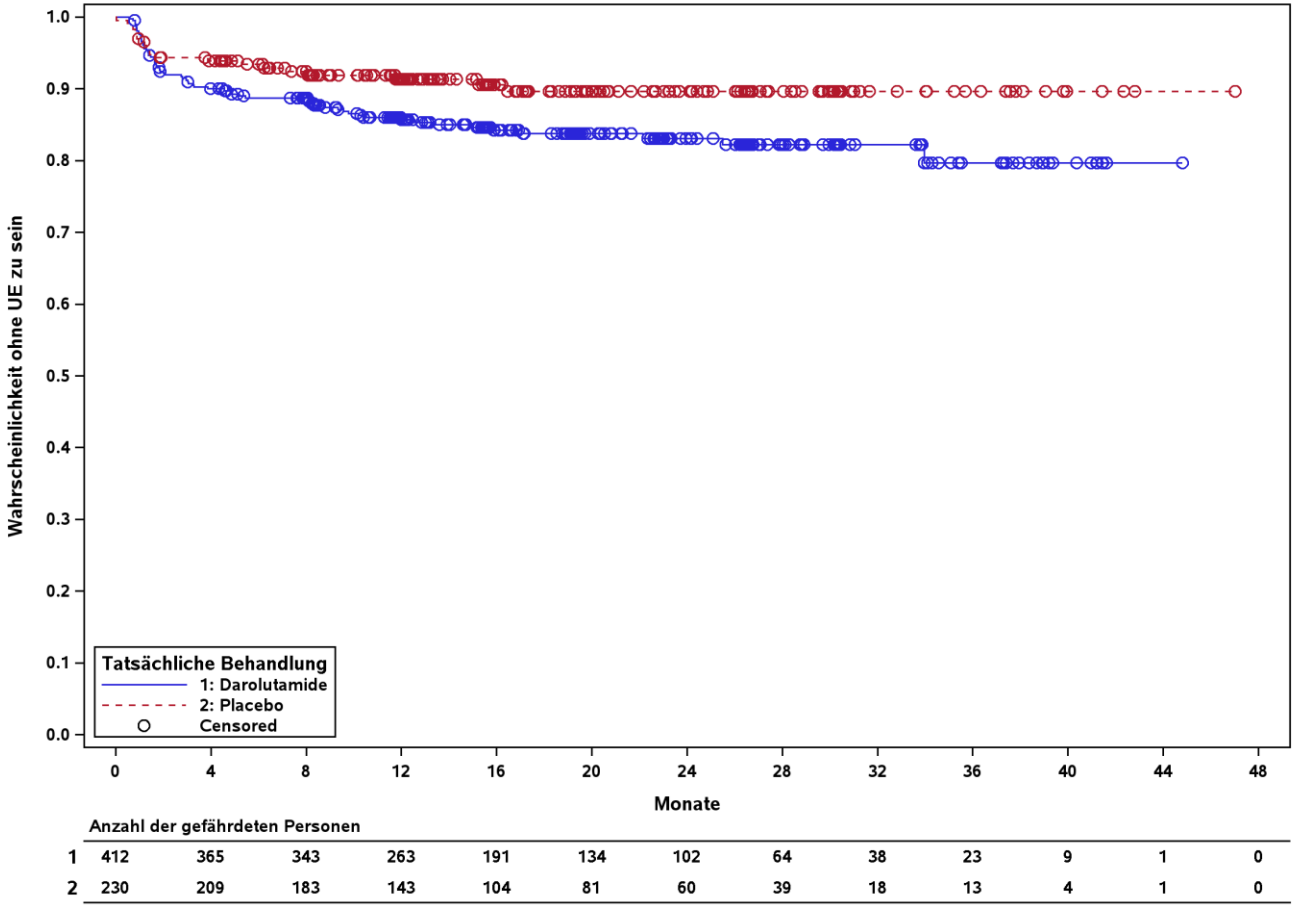
Bayer: /by-sasp/patdb/projects/1841788/17712/stat/prod_query22/pgms/t_aesi_sub.sas 23APR2020 17:14

Figure 4.3.3 / 202: Kaplan-Meier-Plot der 'Unerwünschte Ereignis von besonderem Interesse' Time-to-Event-Analyse nach Endpunkt und Subgruppe - Endpunkt: Zeit bis zum ersten UE von besonderem Interesse mit CTCAE Grad <3: Fatigue - Subgruppe: Nutzung von Statinen: Nein (full analysis set)



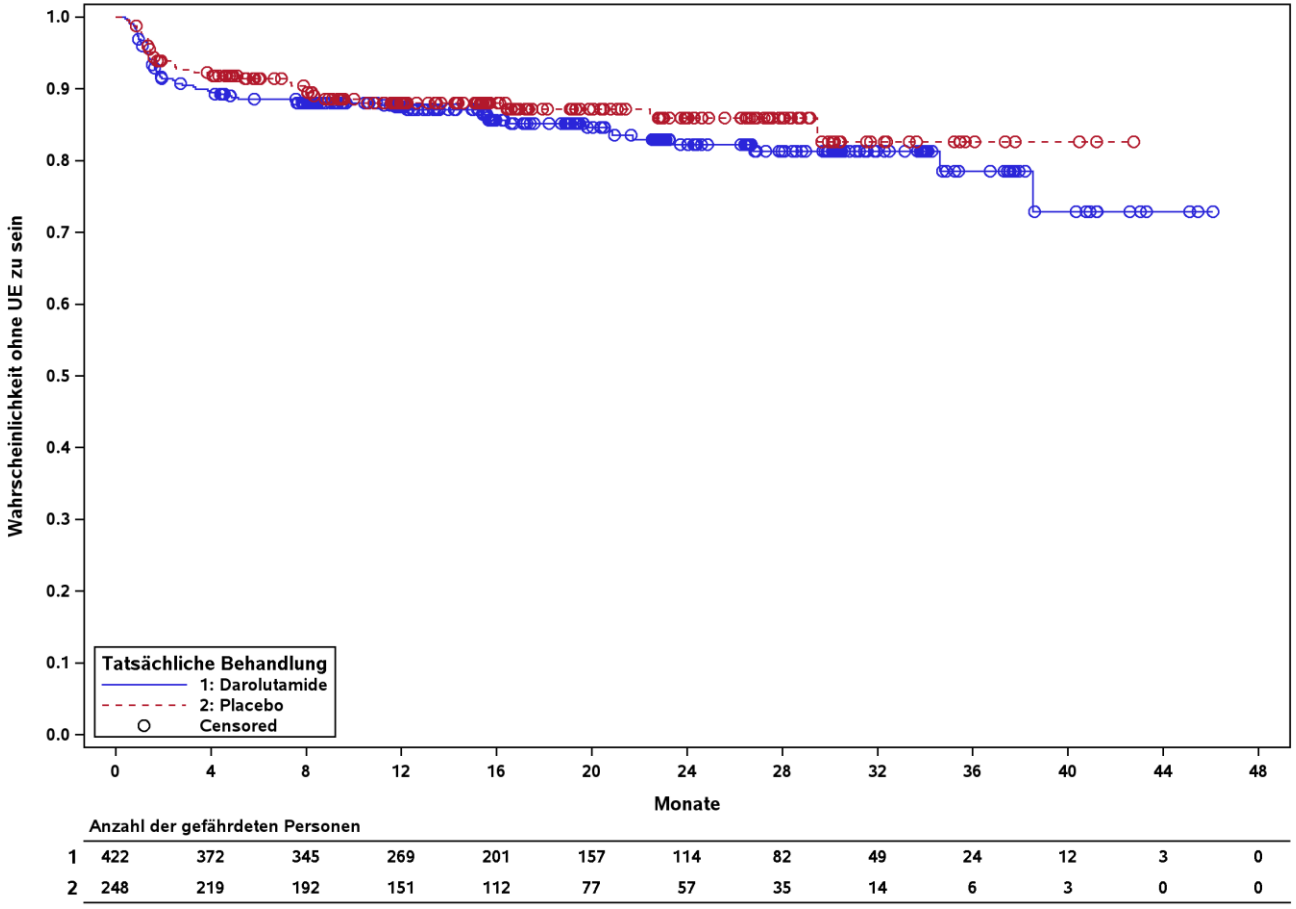
Bayer: /by-sasp/patdb/projects/1841788/17712/stat/prod_query22/pgms/t_aesi_sub.sas 23APR2020 17:14

Figure 4.3.3 / 203: Kaplan-Meier-Plot der 'Unerwünschte Ereignis von besonderem Interesse' Time-to-Event-Analyse nach Endpunkt und Subgruppe - Endpunkt: Zeit bis zum ersten UE von besonderem Interesse mit CTCAE Grad <3: Fatigue - Subgruppe: eGFR an Baseline: normal (full analysis set)



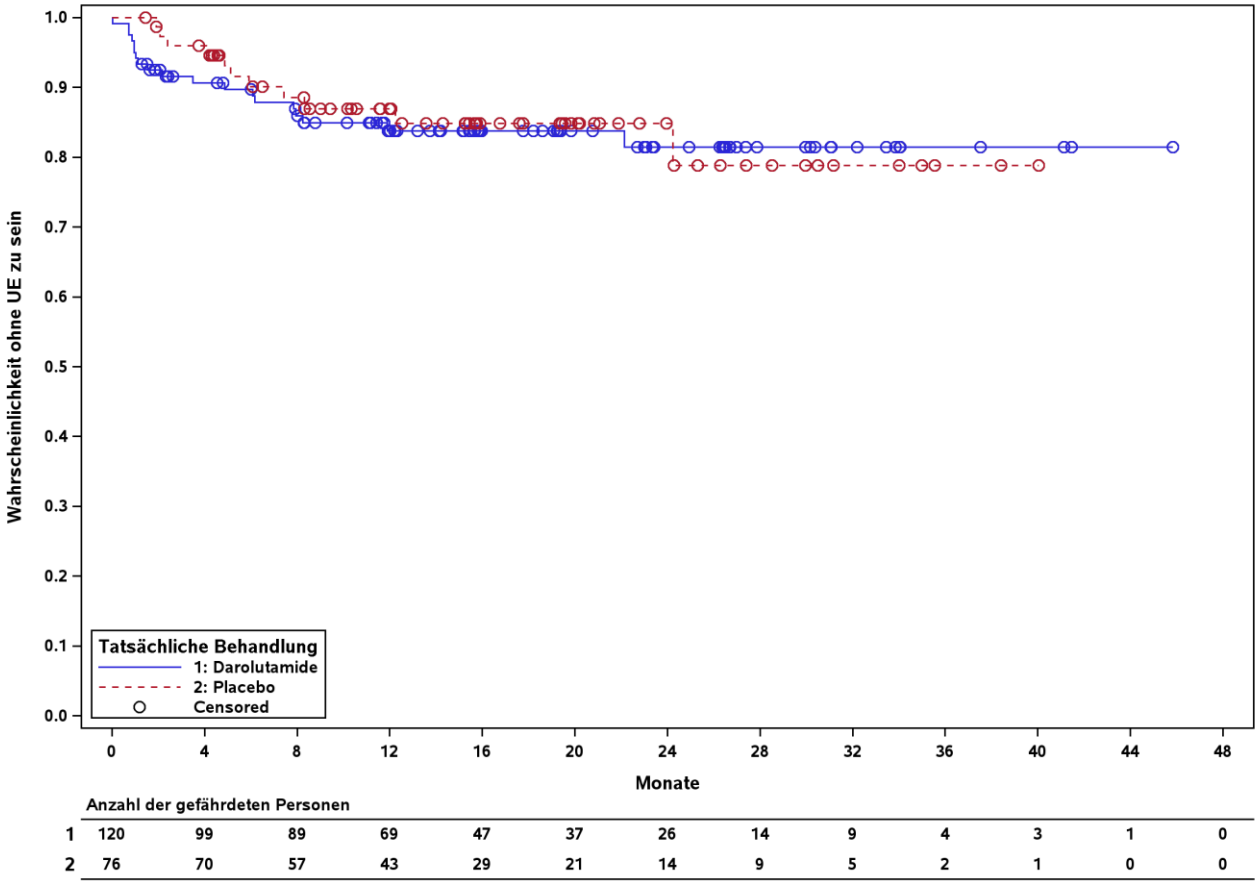
Bayer: /by-sasp/patdb/projects/1841788/17712/stat/prod_query22/pgms/t_aesi_sub.sas 23APR2020 17:14

Figure 4.3.3 / 204: Kaplan-Meier-Plot der 'Unerwünschte Ereignis von besonderem Interesse' Time-to-Event-Analyse nach Endpunkt und Subgruppe - Endpunkt: Zeit bis zum ersten UE von besonderem Interesse mit CTCAE Grad <3: Fatigue - Subgruppe: eGFR an Baseline: mildly impaired (full analysis set)



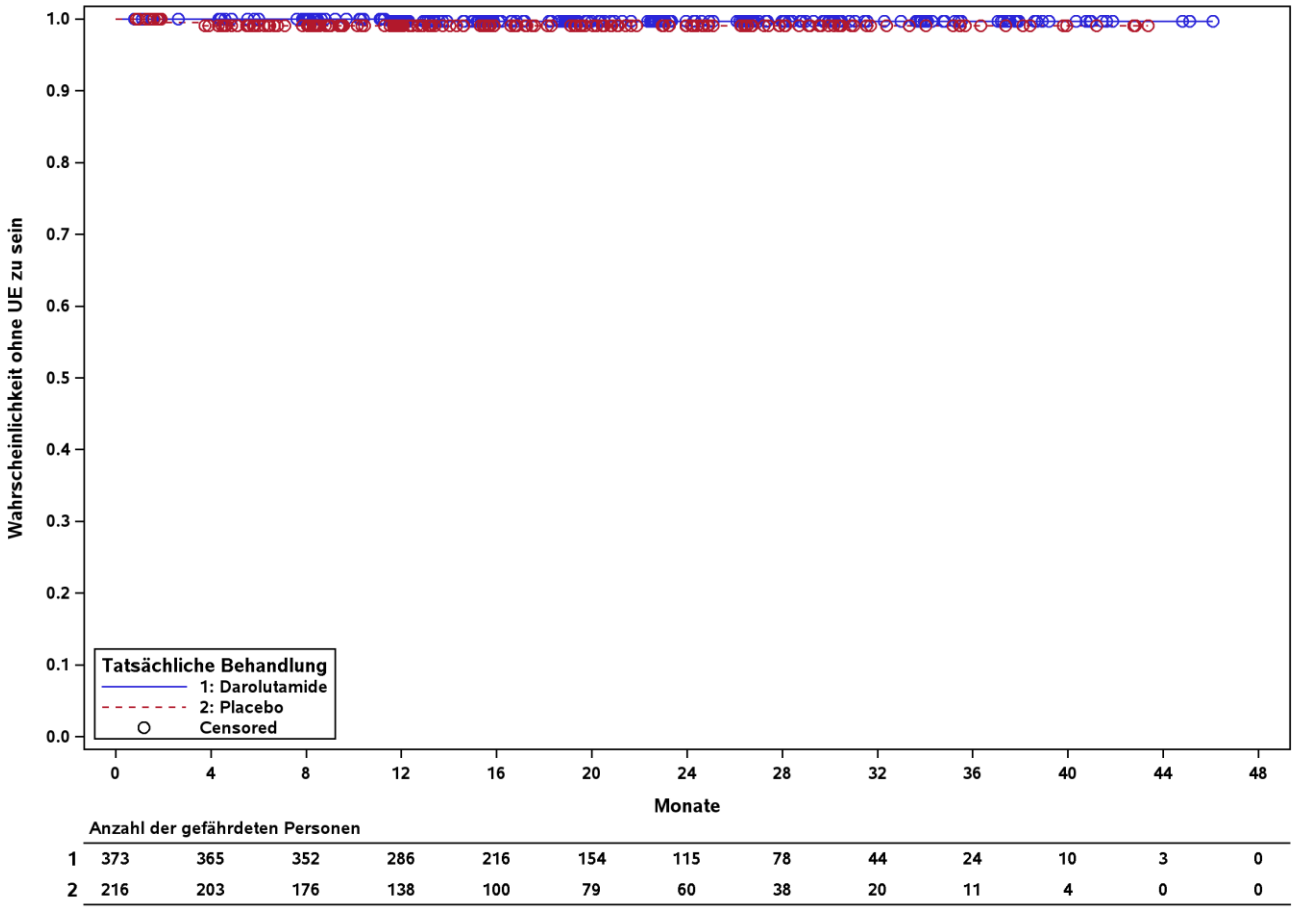
Bayer: /by-sasp/patdb/projects/1841788/17712/stat/prod_query22/pgms/t_aesi_sub.sas 23APR2020 17:14

Figure 4.3.3 / 205: Kaplan-Meier-Plot der 'Unerwünschte Ereignis von besonderem Interesse' Time-to-Event-Analyse nach Endpunkt und Subgruppe - Endpunkt: Zeit bis zum ersten UE von besonderem Interesse mit CTCAE Grad <3: Fatigue - Subgruppe: eGFR an Baseline: moderately impaired, severely impaired and renal end stage (full analysis set)



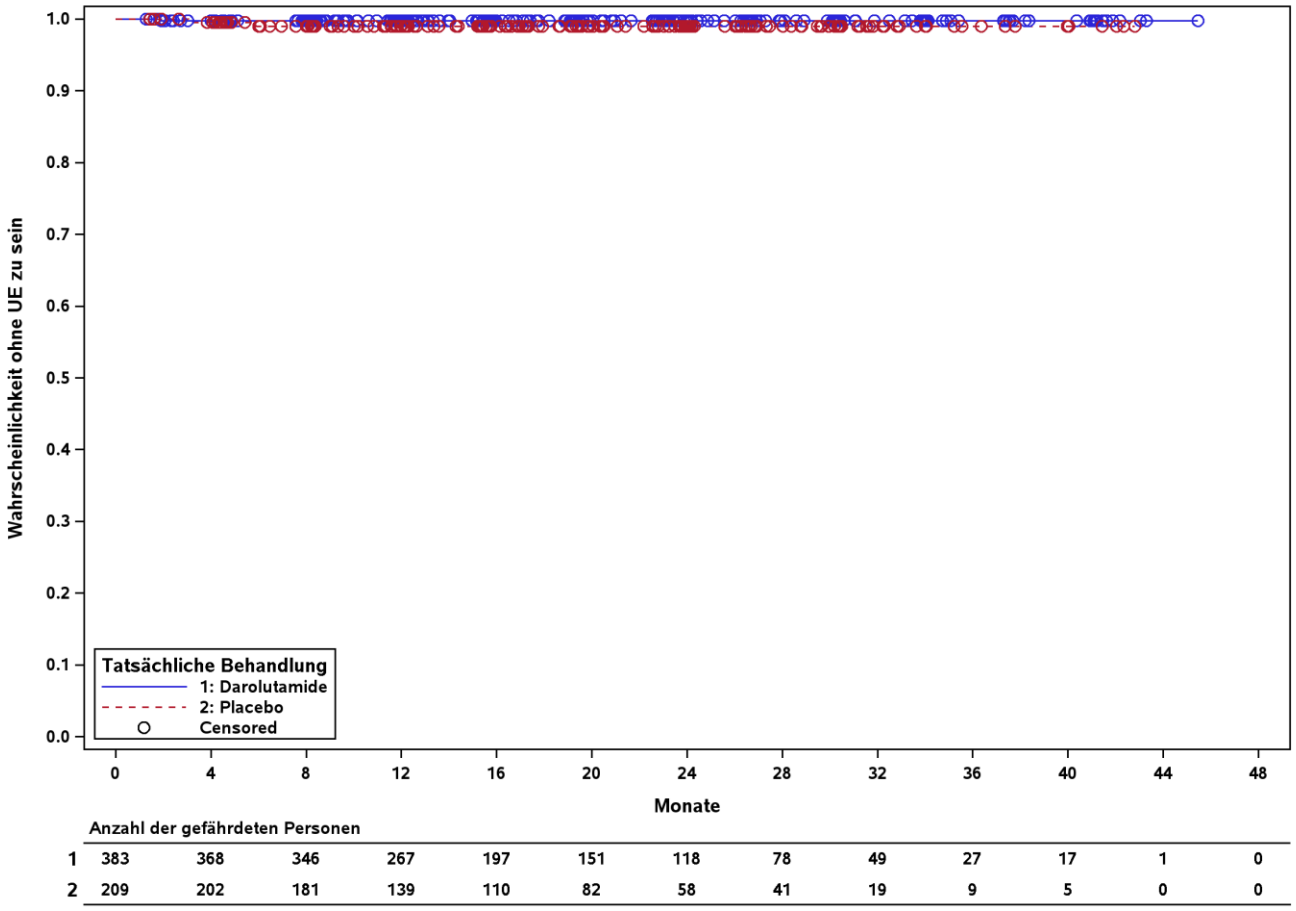
Bayer: /by-sasp/patdb/projects/1841788/17712/stat/prod_query22/pgms/t_aesi_sub.sas 23APR2020 17:14

Figure 4.3.3 / 206: Kaplan-Meier-Plot der 'Unerwünschte Ereignis von besonderem Interesse' Time-to-Event-Analyse nach Endpunkt und Subgruppe - Endpunkt: Zeit bis zum ersten UE von besonderem Interesse mit CTCAE Grad >=3: Fatigue - Subgruppe: Alter (Jahre): 65-74 (full analysis set)



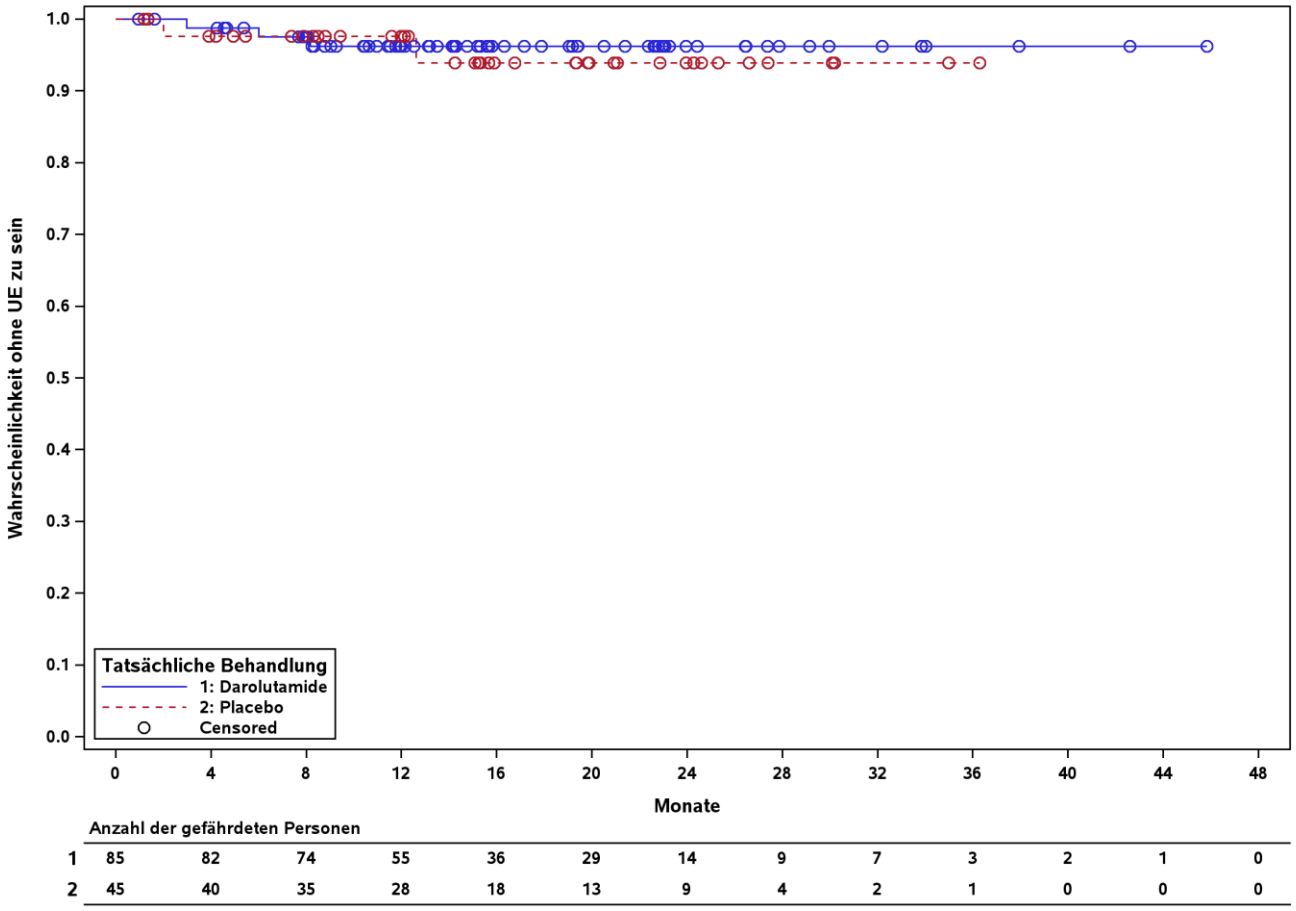
Bayer: /by-sasp/patdb/projects/1841788/17712/stat/prod_query22/pgms/t_aesi_sub.sas 23APR2020 17:14

Figure 4.3.3 / 207: Kaplan-Meier-Plot der 'Unerwünschte Ereignis von besonderem Interesse' Time-to-Event-Analyse nach Endpunkt und Subgruppe - Endpunkt: Zeit bis zum ersten UE von besonderem Interesse mit CTCAE Grad >=3: Fatigue - Subgruppe: Alter (Jahre): 75-84 (full analysis set)



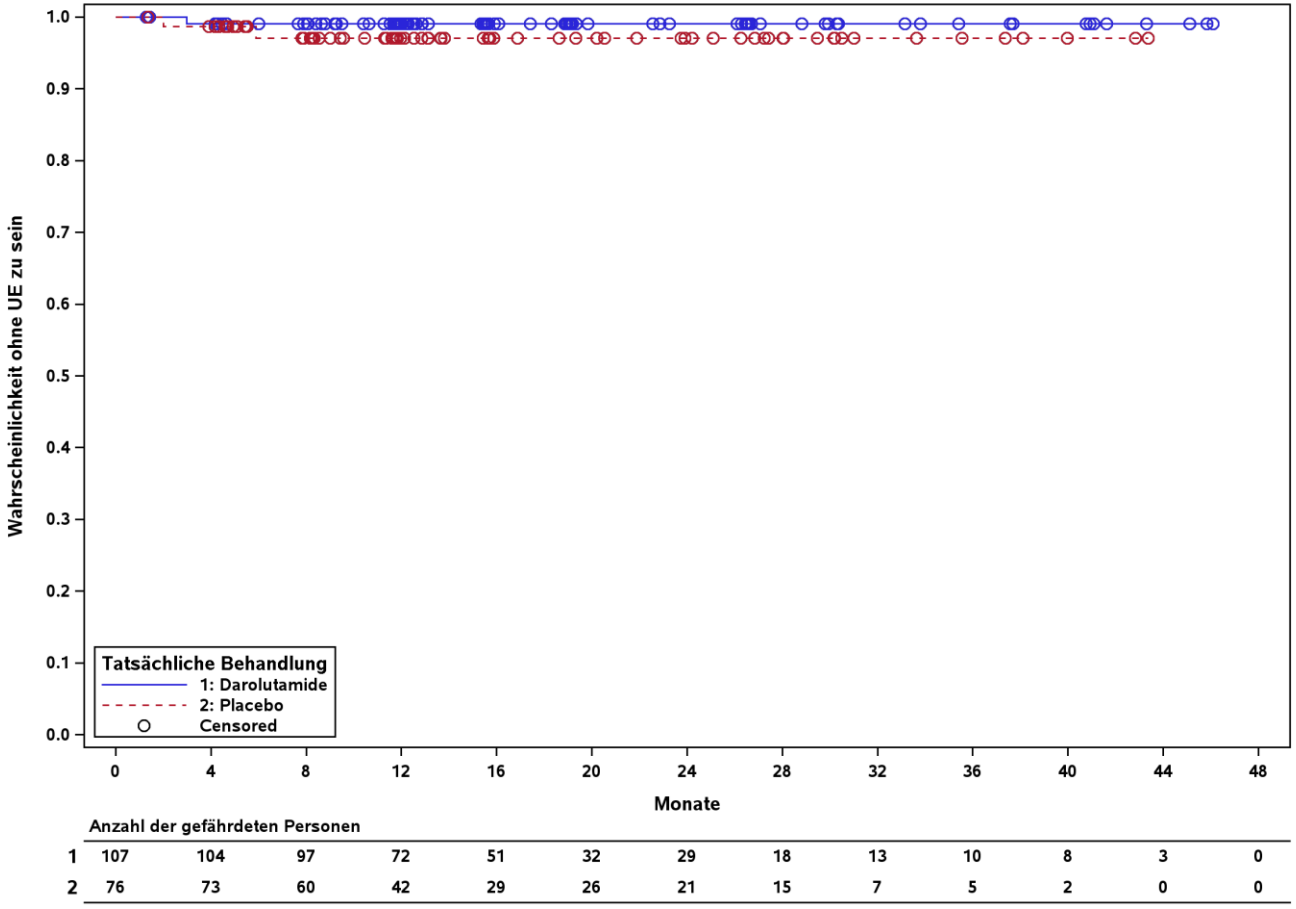
Bayer: /by-sasp/patdb/projects/1841788/17712/stat/prod_query22/pgms/t_aesi_sub.sas 23APR2020 17:14

Figure 4.3.3 / 208: Kaplan-Meier-Plot der 'Unerwünschte Ereignis von besonderem Interesse' Time-to-Event-Analyse nach Endpunkt und Subgruppe - Endpunkt: Zeit bis zum ersten UE von besonderem Interesse mit CTCAE Grad >=3: Fatigue - Subgruppe: Alter (Jahre): >=85 (full analysis set)



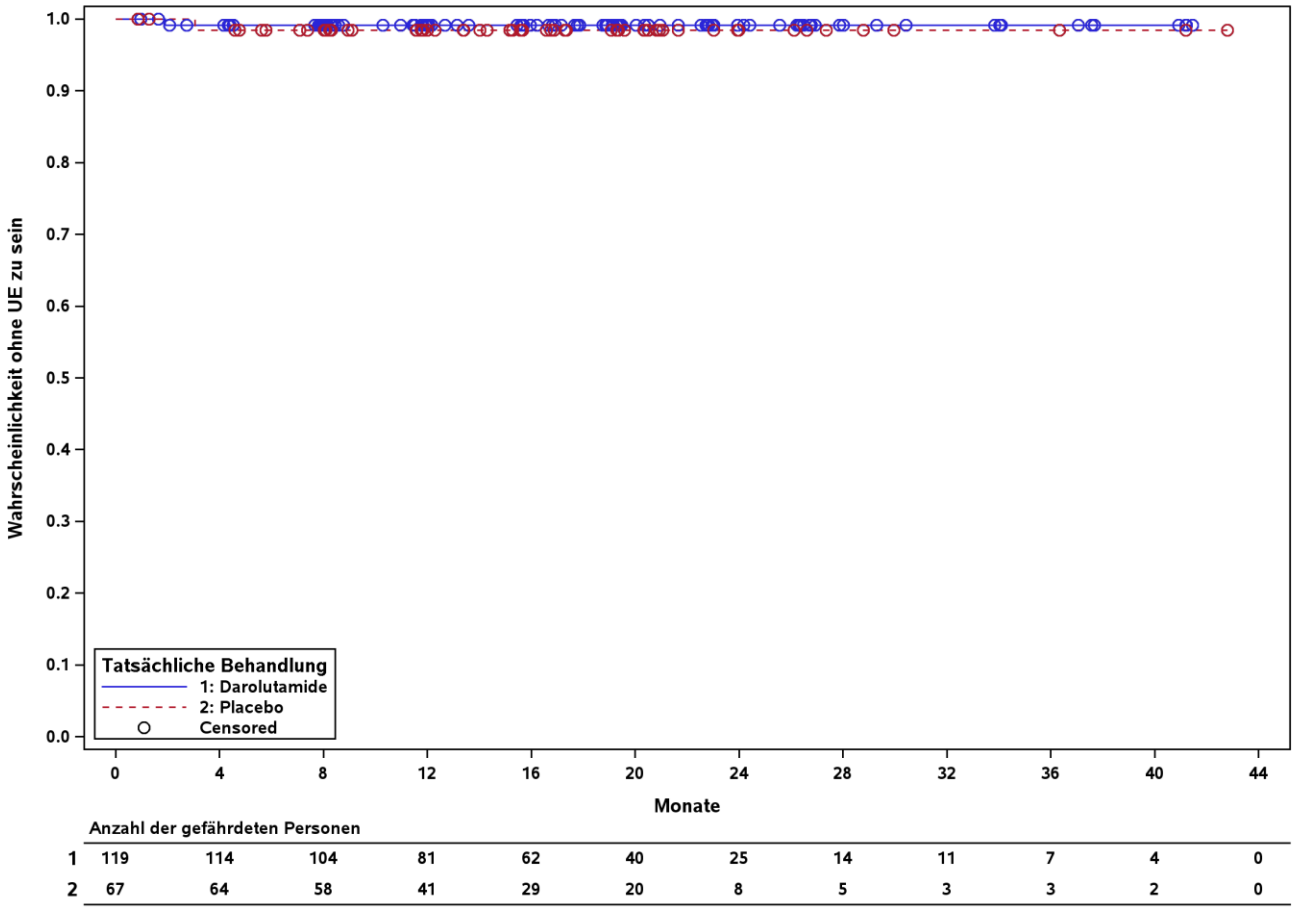
Bayer: /by-sasp/patdb/projects/1841788/17712/stat/prod_query22/pgms/t_aesi_sub.sas 23APR2020 17:14

Figure 4.3.3 / 209: Kaplan-Meier-Plot der 'Unerwünschte Ereignis von besonderem Interesse' Time-to-Event-Analyse nach Endpunkt und Subgruppe - Endpunkt: Zeit bis zum ersten UE von besonderem Interesse mit CTCAE Grad >=3: Fatigue - Subgruppe: Geografische Region: North America (full analysis set)



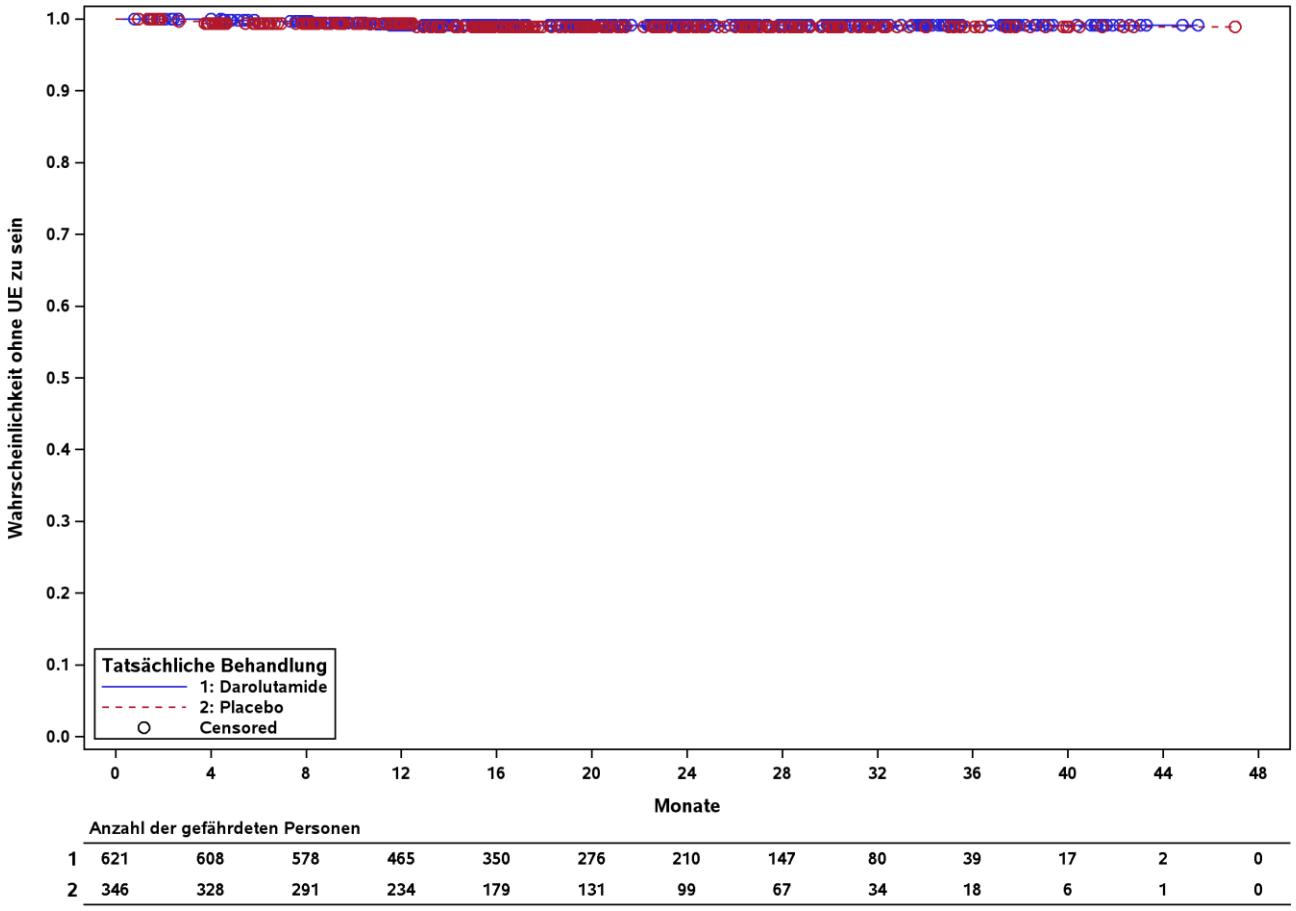
Bayer: /by-sasp/patdb/projects/1841788/17712/stat/prod_query22/pgms/t_aesi_sub.sas 23APR2020 17:14

Figure 4.3.3 / 210: Kaplan-Meier-Plot der 'Unerwünschte Ereignis von besonderem Interesse' Time-to-Event-Analyse nach Endpunkt und Subgruppe - Endpunkt: Zeit bis zum ersten UE von besonderem Interesse mit CTCAE Grad >=3: Fatigue - Subgruppe: Geografische Region: Asia Pacific (full analysis set)



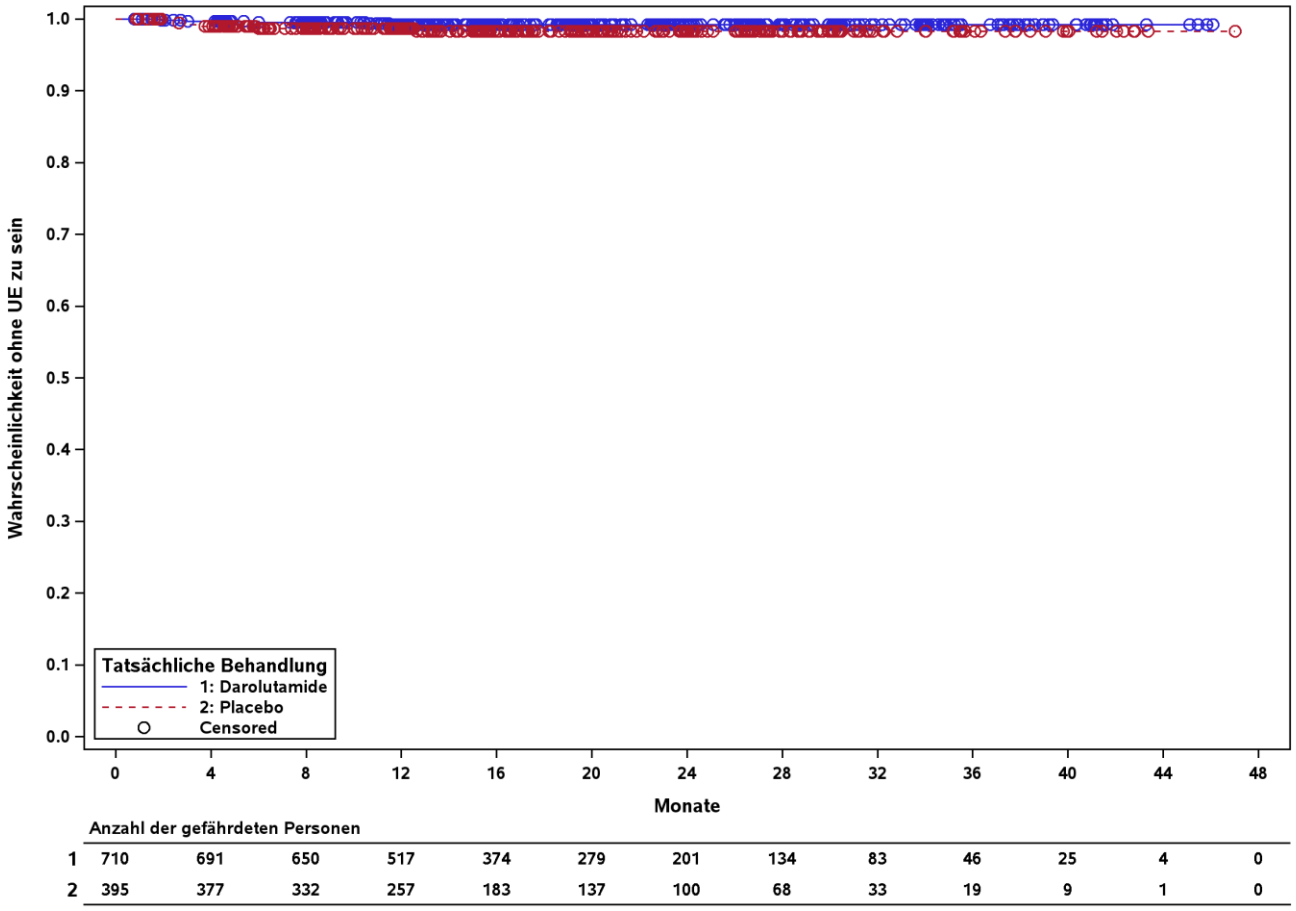
Bayer: /by-sasp/patdb/projects/1841788/17712/stat/prod_query22/pgms/t_aesi_sub.sas 23APR2020 17:14

Figure 4.3.3 / 211: Kaplan-Meier-Plot der 'Unerwünschte Ereignis von besonderem Interesse' Time-to-Event-Analyse nach Endpunkt und Subgruppe - Endpunkt: Zeit bis zum ersten UE von besonderem Interesse mit CTCAE Grad >=3: Fatigue - Subgruppe: Geografische Region: Europe (full analysis set)



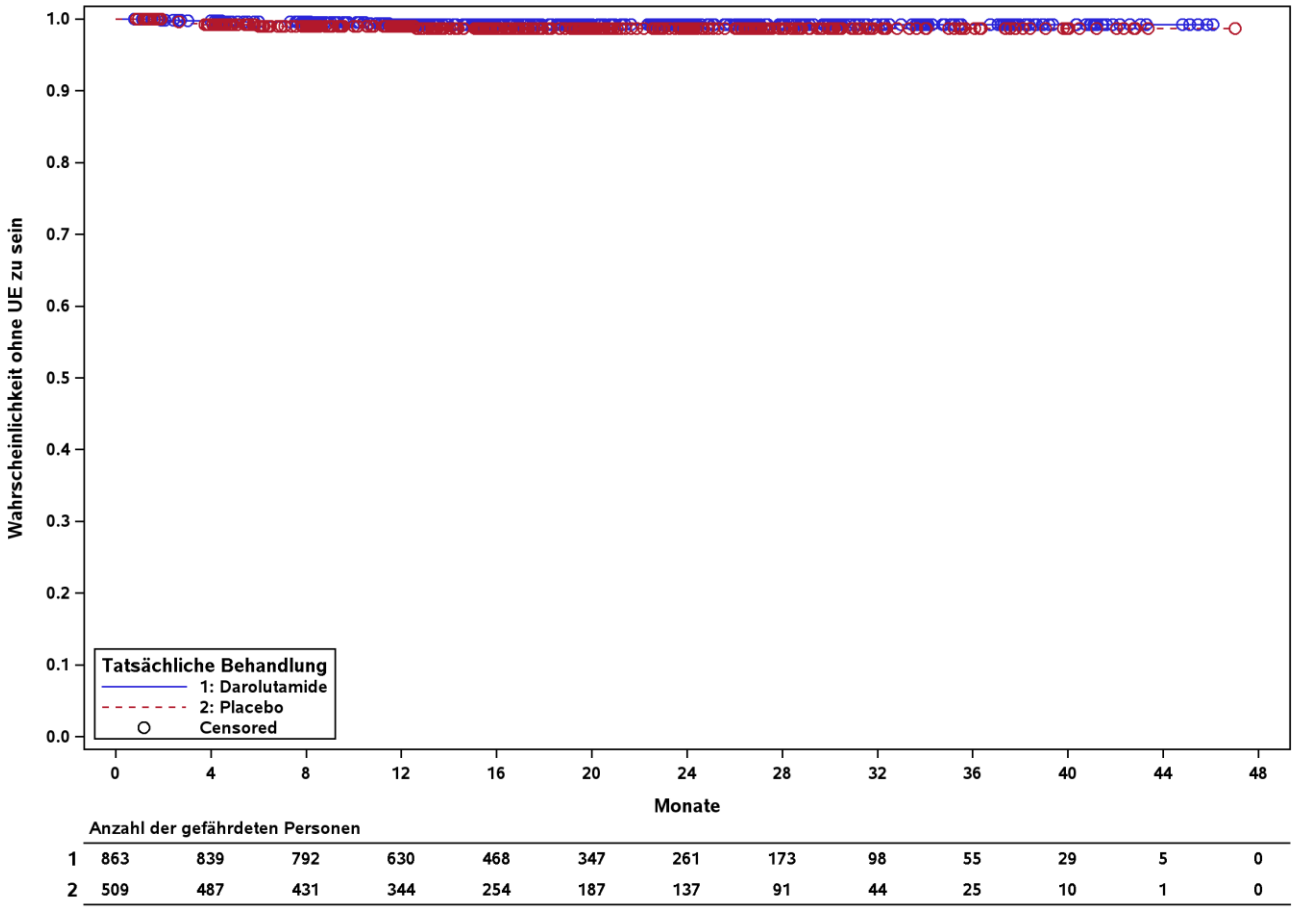
Bayer: /by-sasp/patdb/projects/1841788/17712/stat/prod_query22/pgms/t_aesi_sub.sas 23APR2020 17:14

Figure 4.3.3 / 212: Kaplan-Meier-Plot der 'Unerwünschte Ereignis von besonderem Interesse' Time-to-Event-Analyse nach Endpunkt und Subgruppe - Endpunkt: Zeit bis zum ersten UE von besonderem Interesse mit CTCAE Grad >=3: Fatigue - Subgruppe: Gleason-Score bei Diagnose: >=7 (full analysis set)



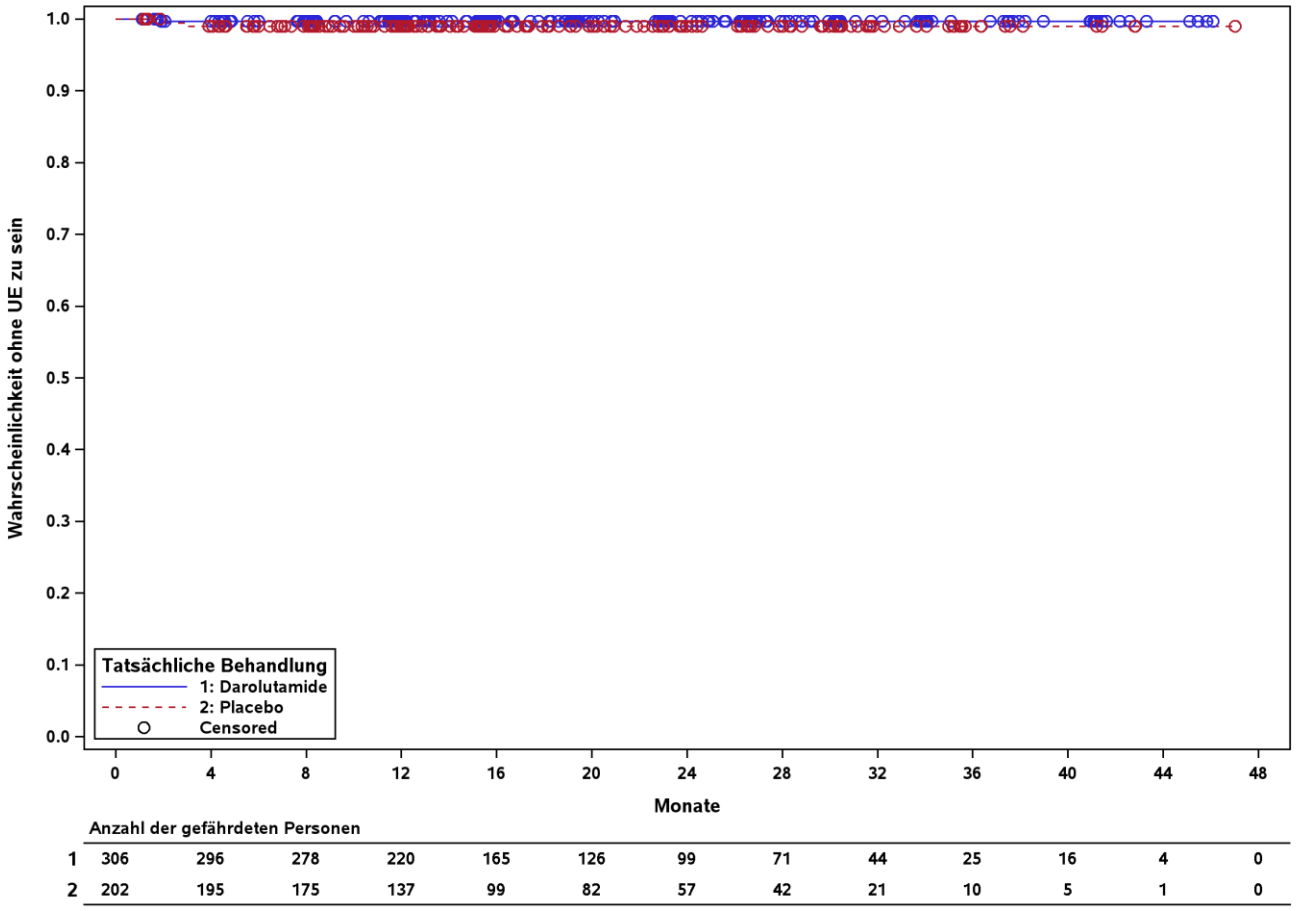
Bayer: /by-sasp/patdb/projects/1841788/17712/stat/prod_query22/pgms/t_aesi_sub.sas 23APR2020 17:14

Figure 4.3.3 / 213: Kaplan-Meier-Plot der 'Unerwünschte Ereignis von besonderem Interesse' Time-to-Event-Analyse nach Endpunkt und Subgruppe - Endpunkt: Zeit bis zum ersten UE von besonderem Interesse mit CTCAE Grad >=3: Fatigue - Subgruppe: Leberfunktionsstörung: normal (full analysis set)



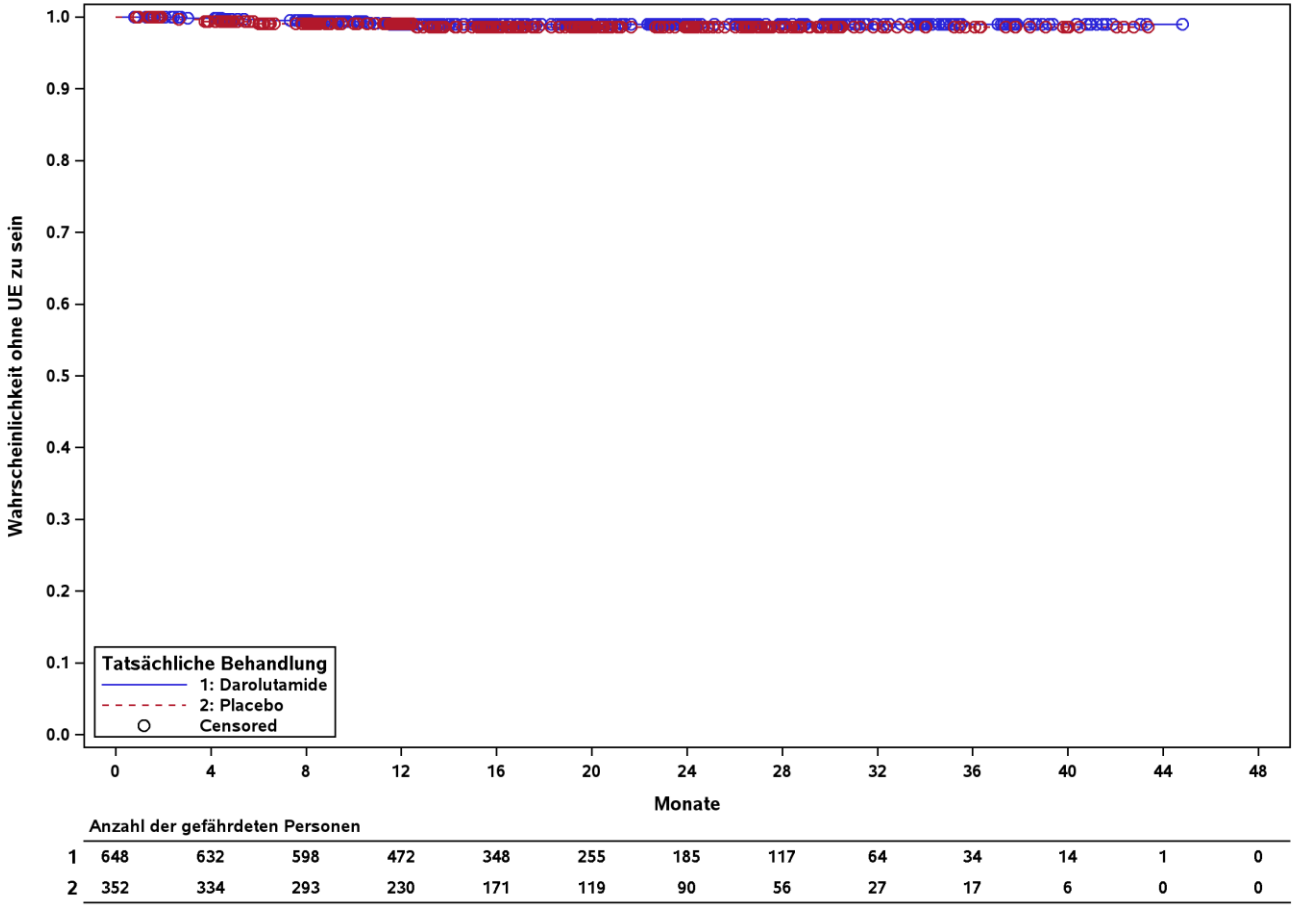
Bayer: /by-sasp/patdb/projects/1841788/17712/stat/prod_query22/pgms/t_aesi_sub.sas 23APR2020 17:14

Figure 4.3.3 / 214: Kaplan-Meier-Plot der 'Unerwünschte Ereignis von besonderem Interesse' Time-to-Event-Analyse nach Endpunkt und Subgruppe - Endpunkt: Zeit bis zum ersten UE von besonderem Interesse mit CTCAE Grad >=3: Fatigue - Subgruppe: Nutzung von Statinen: Ja (full analysis set)



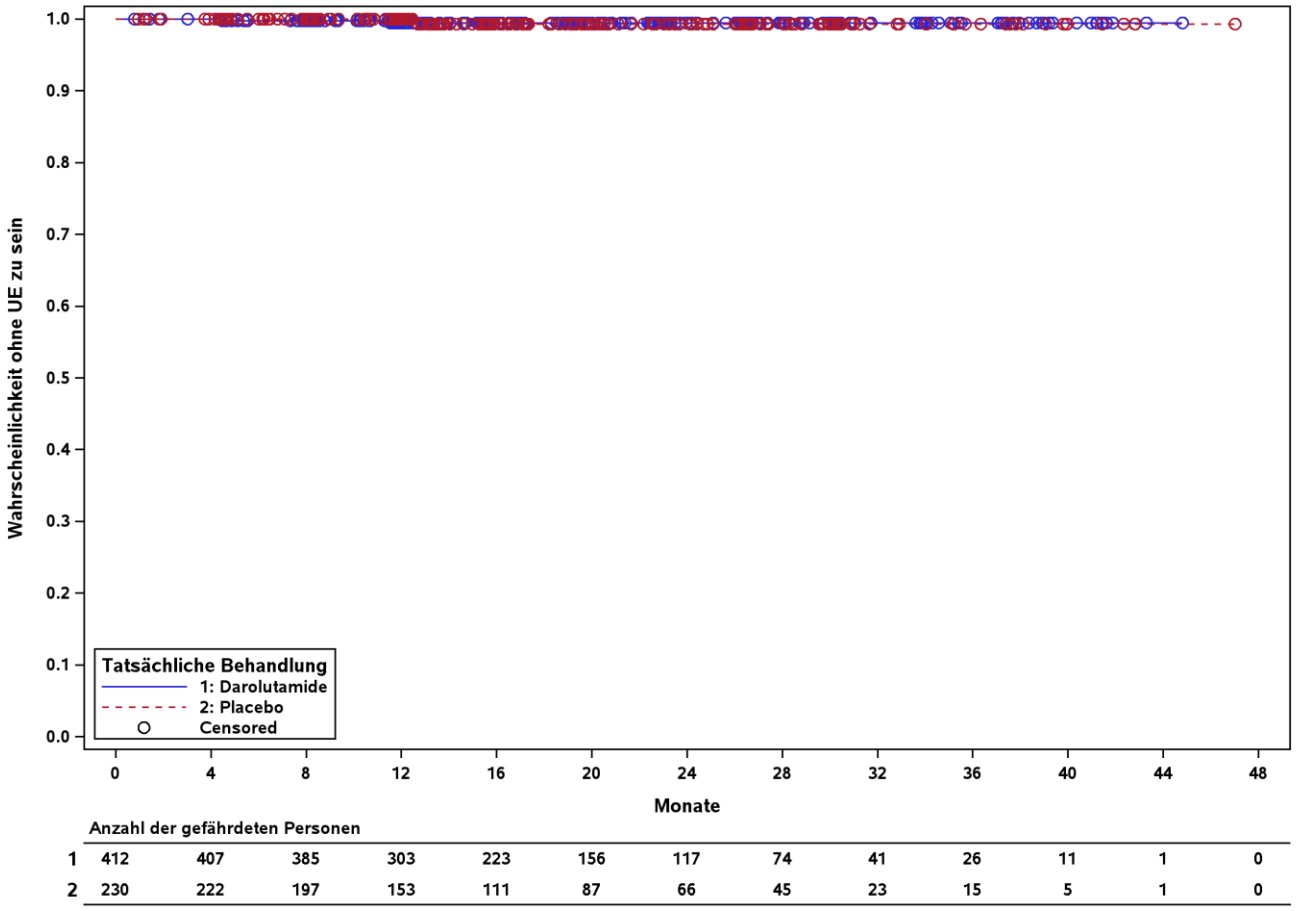
Bayer: /by-sasp/patdb/projects/1841788/17712/stat/prod_query22/pgms/t_aesi_sub.sas 23APR2020 17:14

Figure 4.3.3 / 215: Kaplan-Meier-Plot der 'Unerwünschte Ereignis von besonderem Interesse' Time-to-Event-Analyse nach Endpunkt und Subgruppe - Endpunkt: Zeit bis zum ersten UE von besonderem Interesse mit CTCAE Grad >=3: Fatigue - Subgruppe: Nutzung von Statinen: Nein (full analysis set)



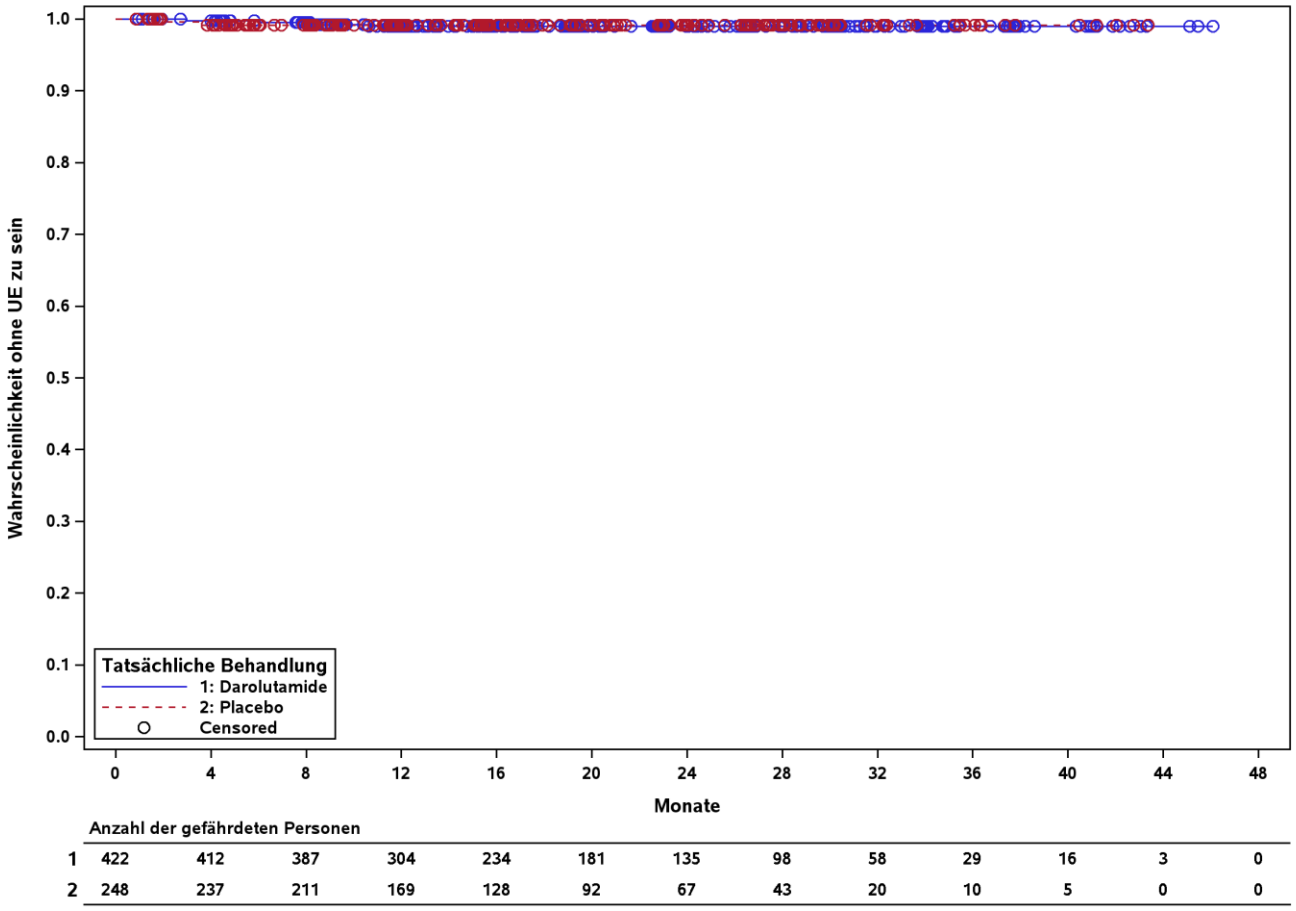
Bayer: /by-sasp/patdb/projects/1841788/17712/stat/prod_query22/pgms/t_aesi_sub.sas 23APR2020 17:14

Figure 4.3.3 / 216: Kaplan-Meier-Plot der 'Unerwünschte Ereignis von besonderem Interesse' Time-to-Event-Analyse nach Endpunkt und Subgruppe - Endpunkt: Zeit bis zum ersten UE von besonderem Interesse mit CTCAE Grad >=3: Fatigue - Subgruppe: eGFR an Baseline: normal (full analysis set)



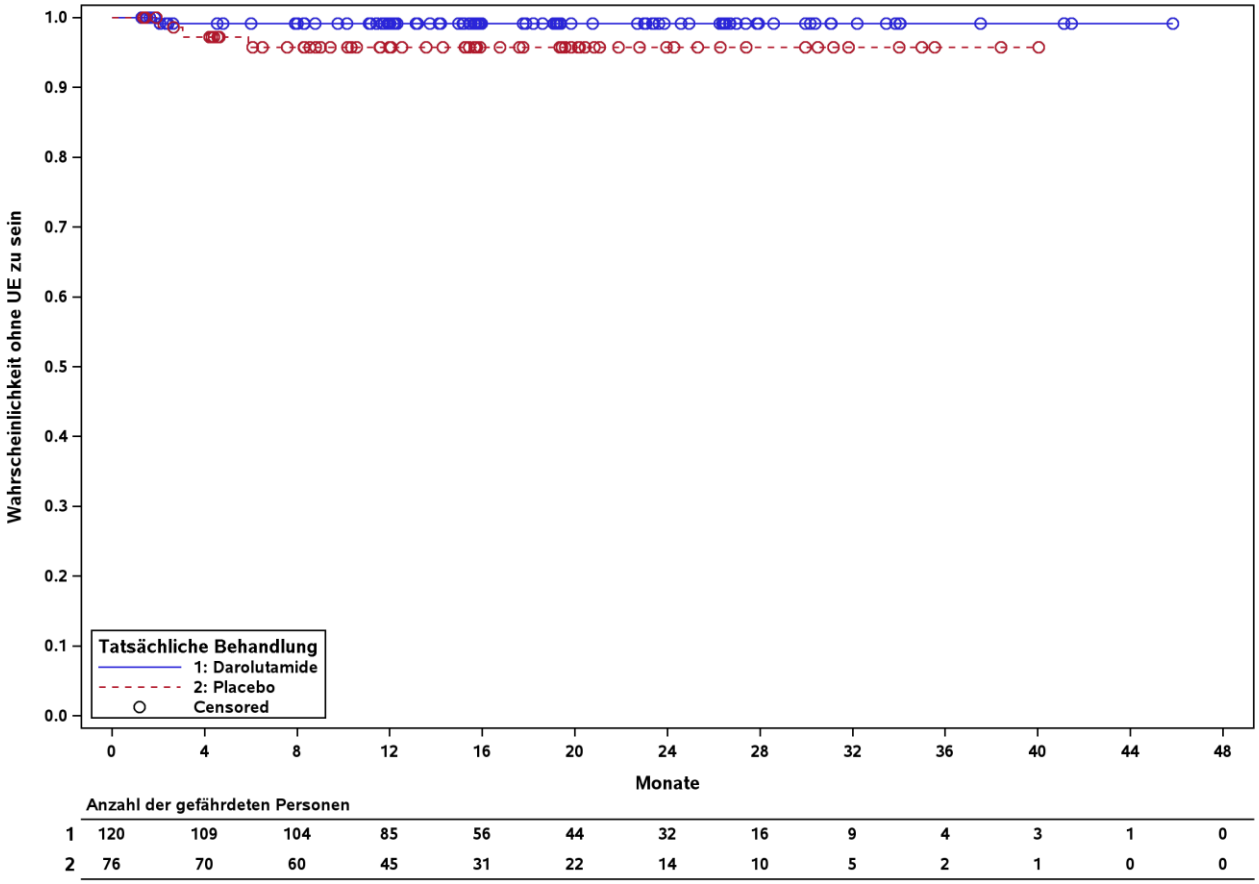
Bayer: /by-sasp/patdb/projects/1841788/17712/stat/prod_query22/pgms/t_aesi_sub.sas 23APR2020 17:14

Figure 4.3.3 / 217: Kaplan-Meier-Plot der 'Unerwünschte Ereignis von besonderem Interesse' Time-to-Event-Analyse nach Endpunkt und Subgruppe - Endpunkt: Zeit bis zum ersten UE von besonderem Interesse mit CTCAE Grad >=3: Fatigue - Subgruppe: eGFR an Baseline: mildly impaired (full analysis set)



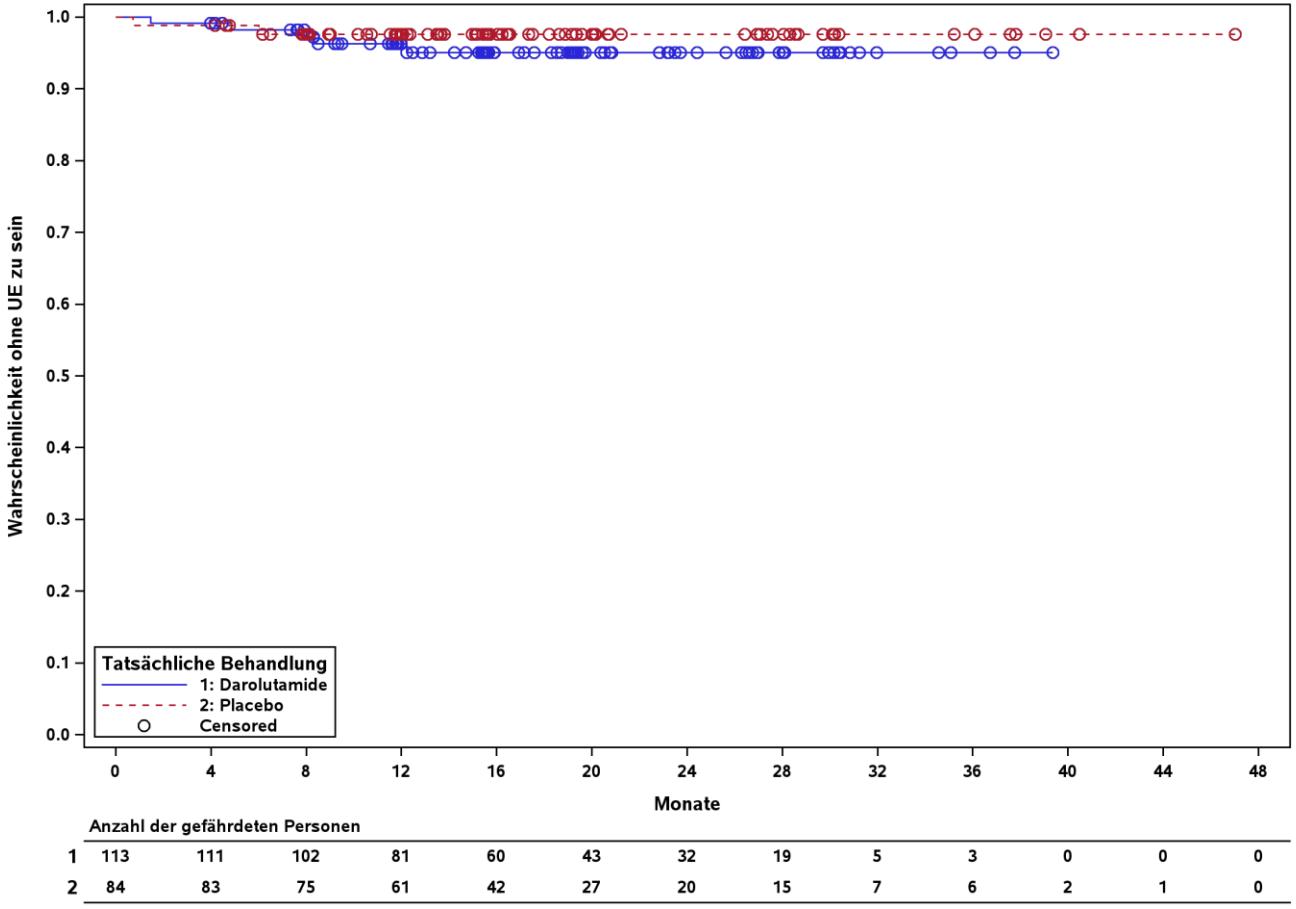
Bayer: /by-sasp/patdb/projects/1841788/17712/stat/prod_query22/pgms/t_aesi_sub.sas 23APR2020 17:14

Figure 4.3.3 / 218: Kaplan-Meier-Plot der 'Unerwünschte Ereignis von besonderem Interesse' Time-to-Event-Analyse nach Endpunkt und Subgruppe - Endpunkt: Zeit bis zum ersten UE von besonderem Interesse mit CTCAE Grad >=3: Fatigue - Subgruppe: eGFR an Baseline: moderately impaired, severely impaired and renal end stage (full analysis set)



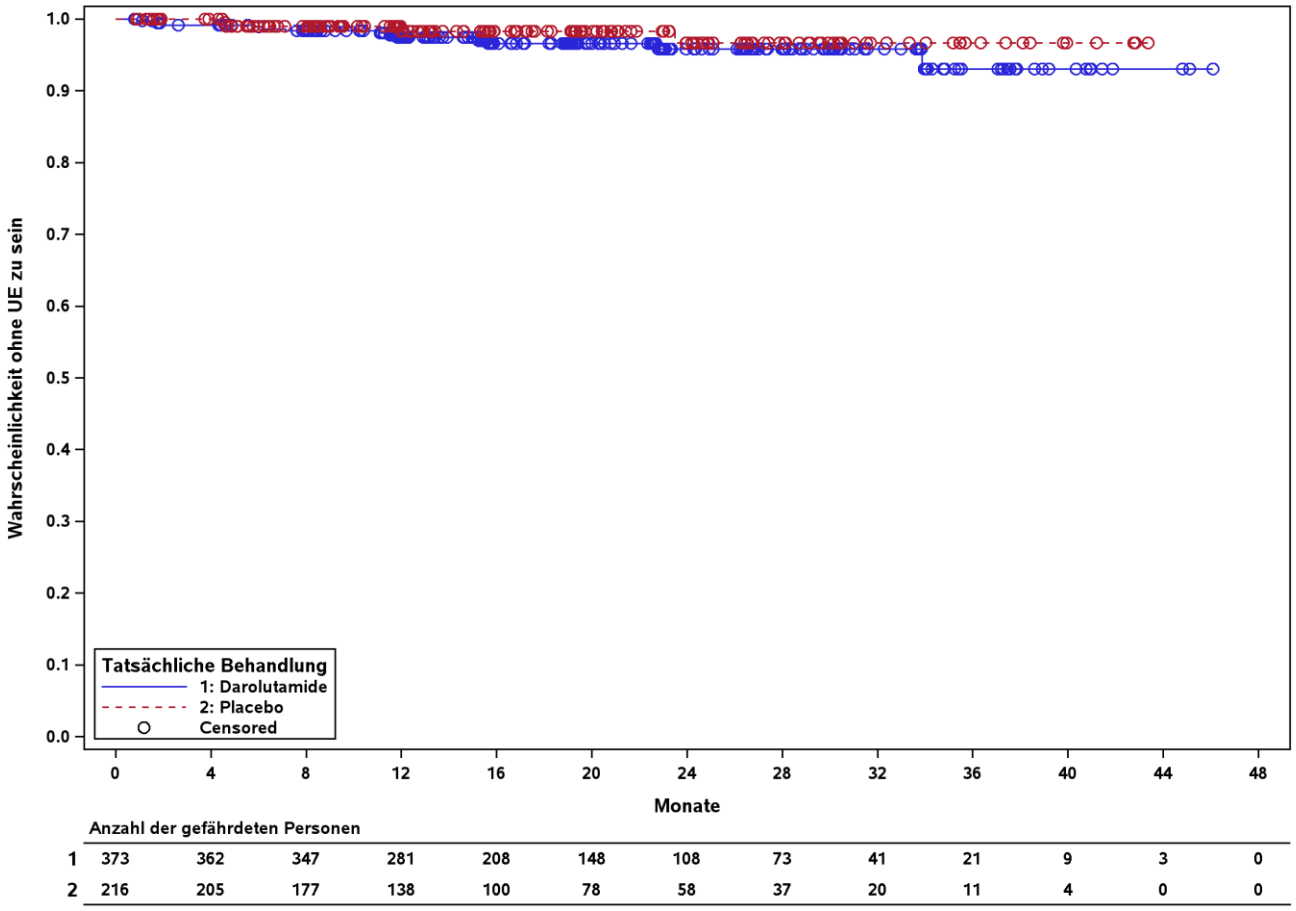
Bayer: /by-sasp/patdb/projects/1841788/17712/stat/prod_query22/pgms/t_aesi_sub.sas 23APR2020 17:14

Figure 4.3.3 / 219: Kaplan-Meier-Plot der 'Unerwünschte Ereignis von besonderem Interesse' Time-to-Event-Analyse nach Endpunkt und Subgruppe - Endpunkt: Zeit bis zum ersten UE von besonderem Interesse: Weight decreased - Subgruppe: Alter (Jahre): <65 (full analysis set)



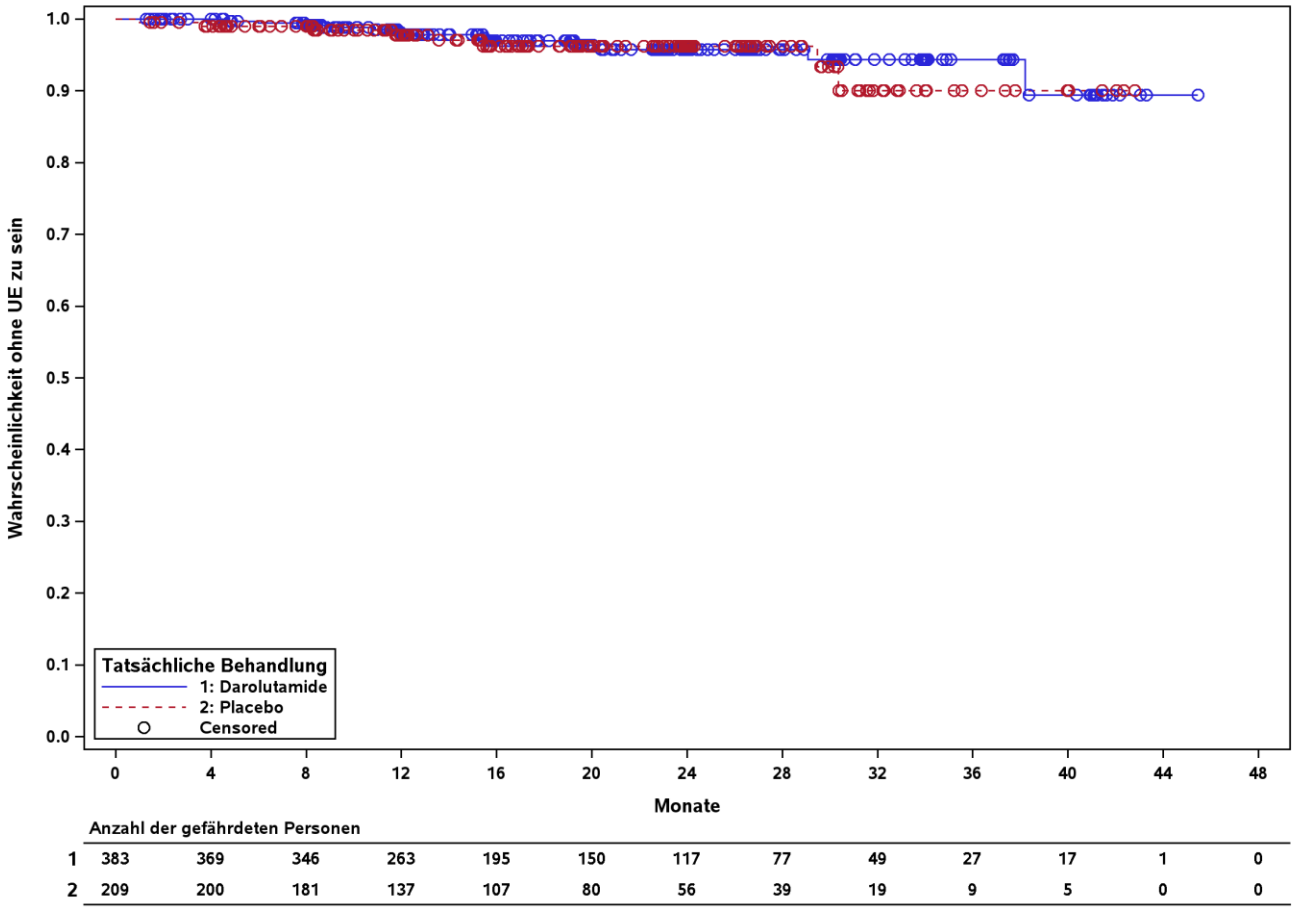
Bayer: /by-sasp/patdb/projects/1841788/17712/stat/prod_query22/pgms/t_aesi_sub.sas 23APR2020 17:14

Figure 4.3.3 / 220: Kaplan-Meier-Plot der 'Unerwünschte Ereignis von besonderem Interesse' Time-to-Event-Analyse nach Endpunkt und Subgruppe - Endpunkt: Zeit bis zum ersten UE von besonderem Interesse: Weight decreased - Subgruppe: Alter (Jahre): 65-74 (full analysis set)



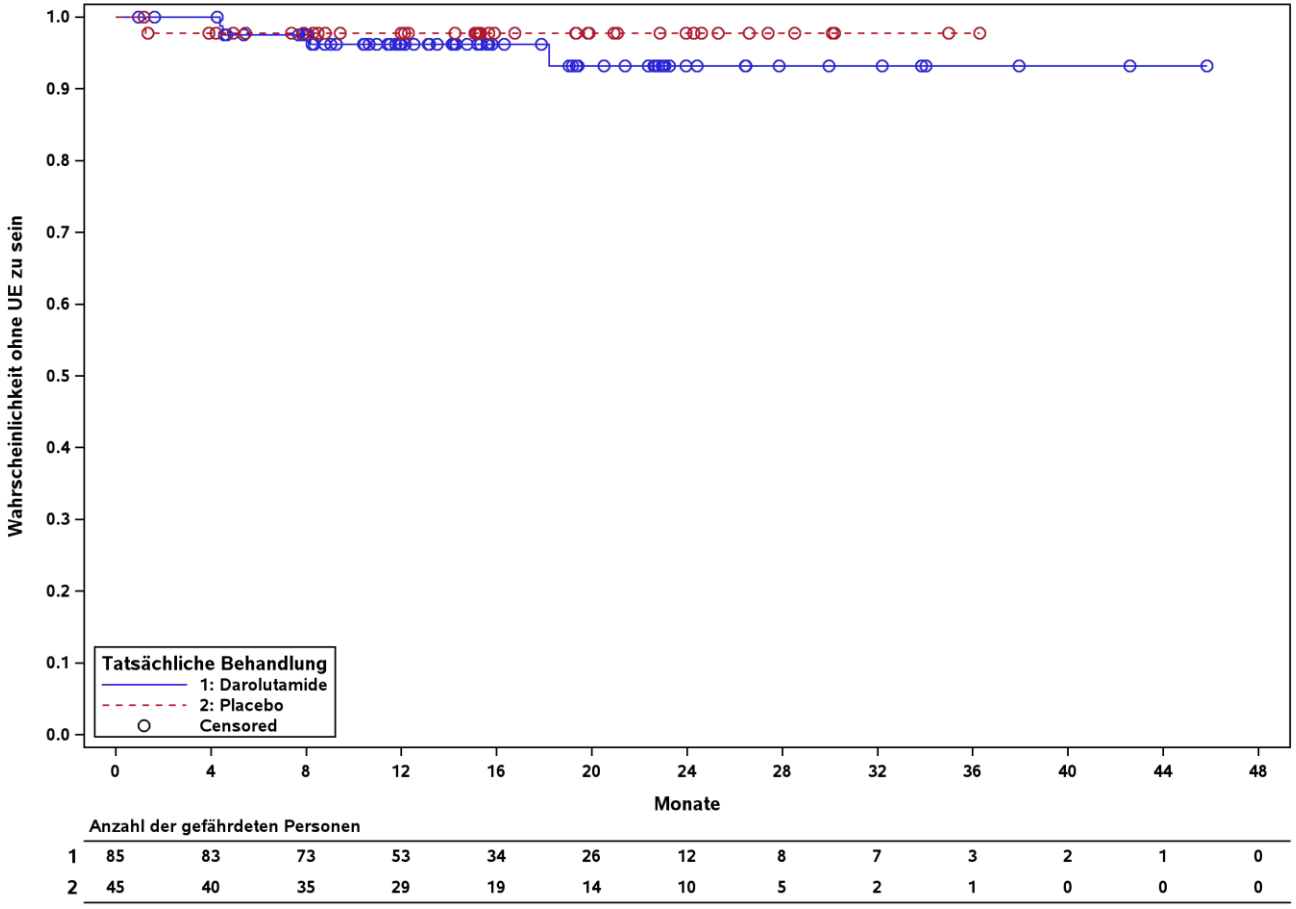
Bayer: /by-sasp/patdb/projects/1841788/17712/stat/prod_query22/pgms/t_aesi_sub.sas 23APR2020 17:14

Figure 4.3.3 / 221: Kaplan-Meier-Plot der 'Unerwünschte Ereignis von besonderem Interesse' Time-to-Event-Analyse nach Endpunkt und Subgruppe - Endpunkt: Zeit bis zum ersten UE von besonderem Interesse: Weight decreased - Subgruppe: Alter (Jahre): 75-84 (full analysis set)



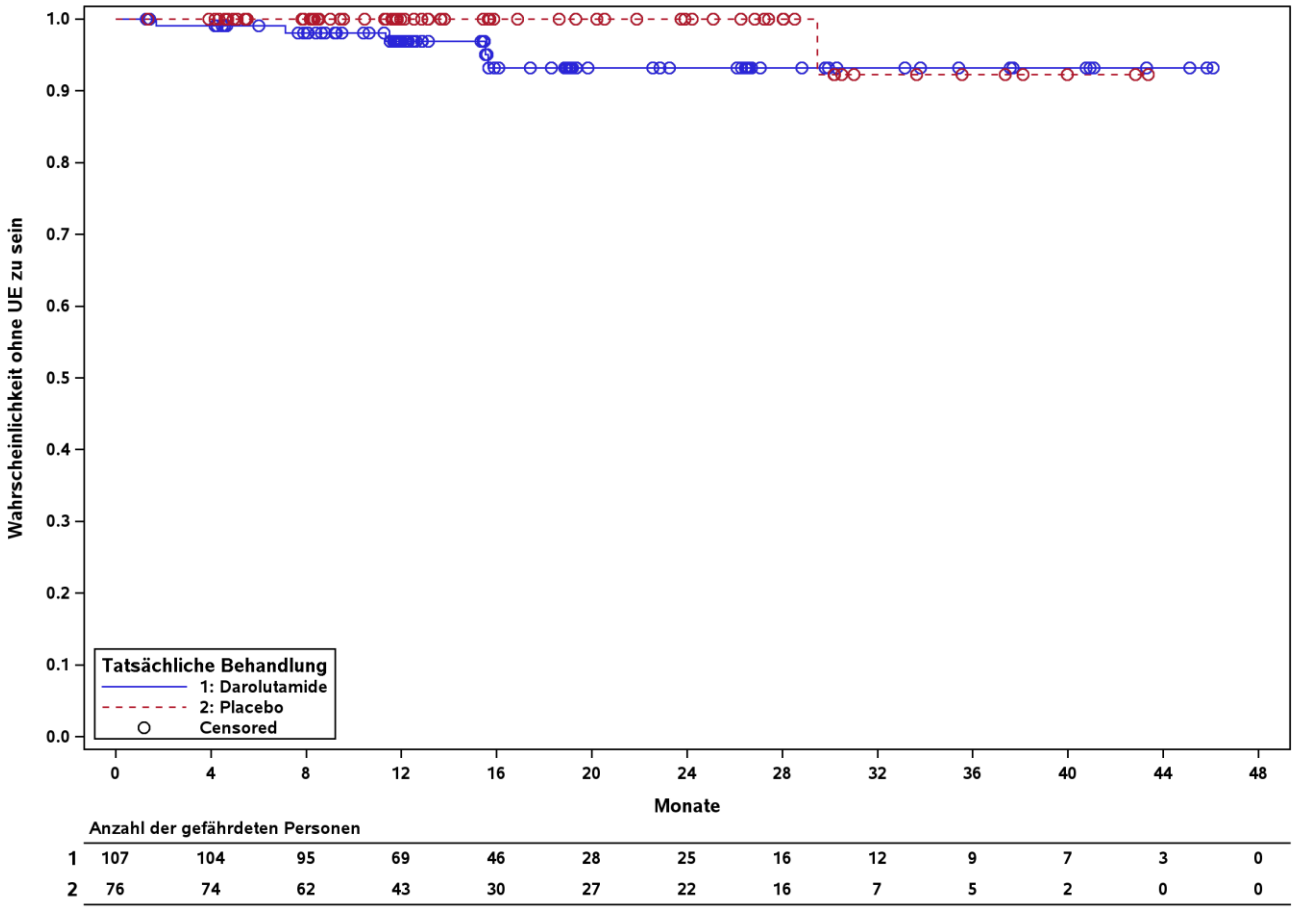
Bayer: /by-sasp/patdb/projects/1841788/17712/stat/prod_query22/pgms/t_aesi_sub.sas 23APR2020 17:14

Figure 4.3.3 / 222: Kaplan-Meier-Plot der 'Unerwünschte Ereignis von besonderem Interesse' Time-to-Event-Analyse nach Endpunkt und Subgruppe - Endpunkt: Zeit bis zum ersten UE von besonderem Interesse: Weight decreased - Subgruppe: Alter (Jahre): >=85 (full analysis set)



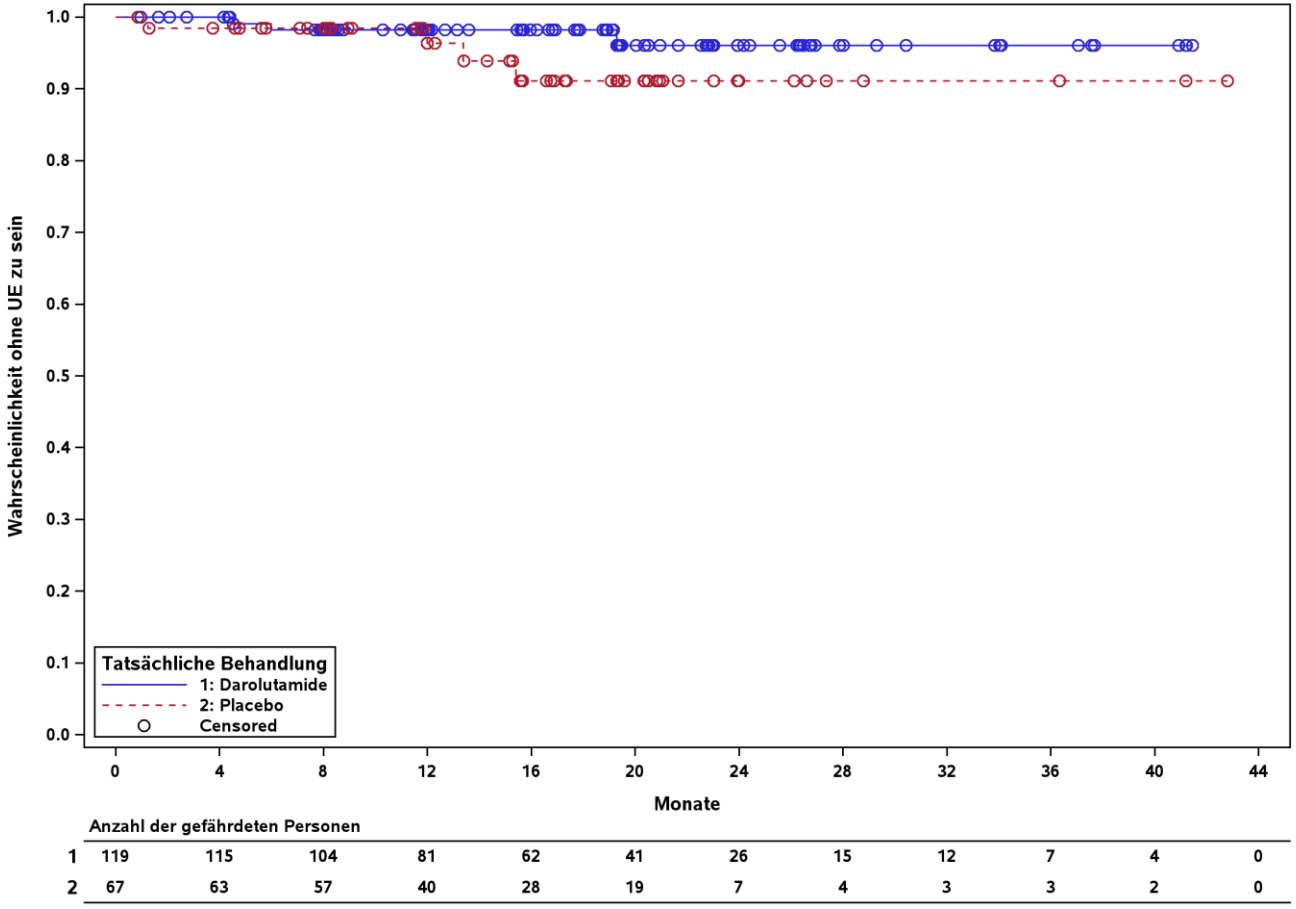
Bayer: /by-sasp/patdb/projects/1841788/17712/stat/prod_query22/pgms/t_aesi_sub.sas 23APR2020 17:14

Figure 4.3.3 / 223: Kaplan-Meier-Plot der 'Unerwünschte Ereignis von besonderem Interesse' Time-to-Event-Analyse nach Endpunkt und Subgruppe - Endpunkt: Zeit bis zum ersten UE von besonderem Interesse: Weight decreased - Subgruppe: Geografische Region: North America (full analysis set)



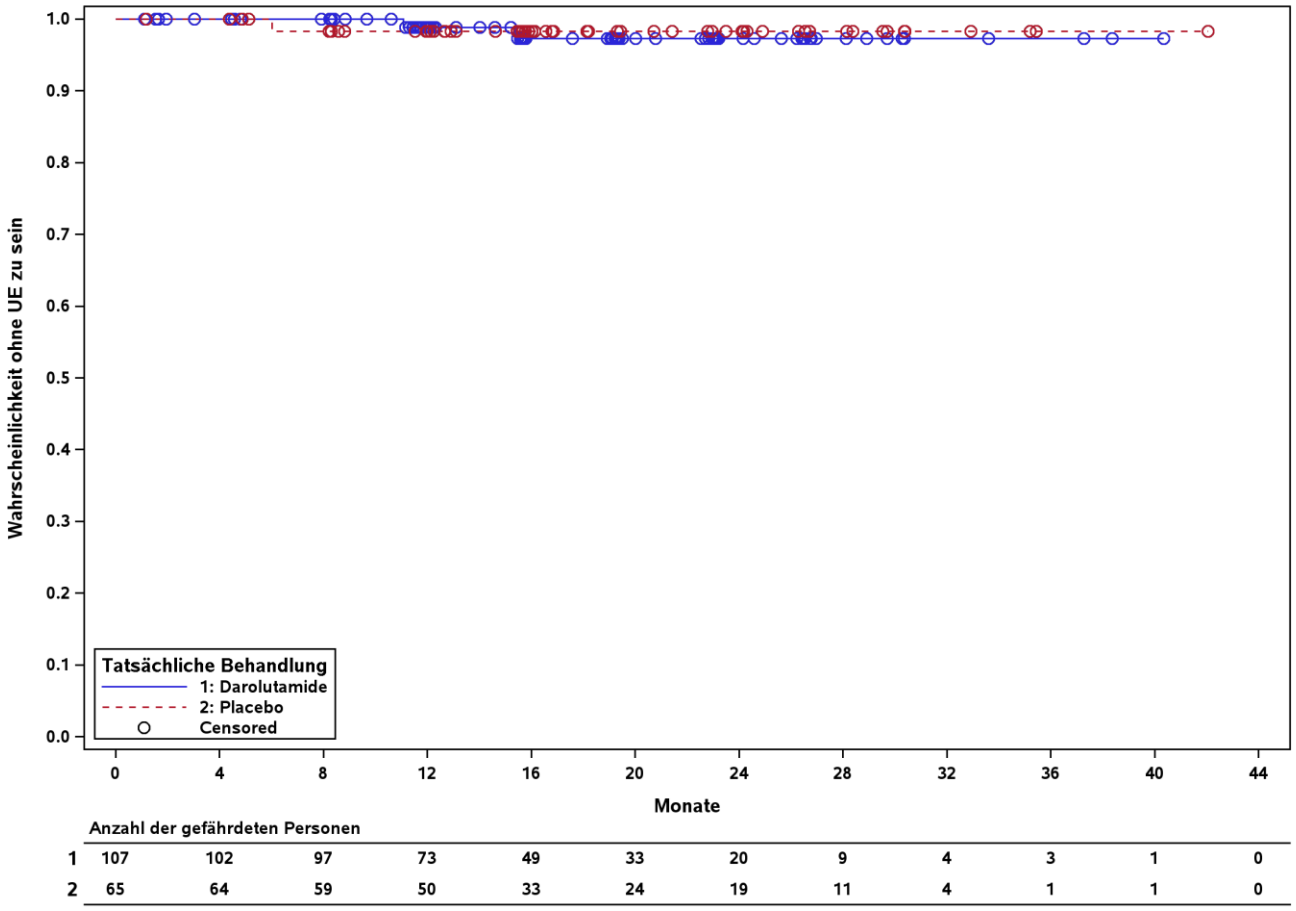
Bayer: /by-sasp/patdb/projects/1841788/17712/stat/prod_query22/pgms/t_aesi_sub.sas 23APR2020 17:14

Figure 4.3.3 / 224: Kaplan-Meier-Plot der 'Unerwünschte Ereignis von besonderem Interesse' Time-to-Event-Analyse nach Endpunkt und Subgruppe - Endpunkt: Zeit bis zum ersten UE von besonderem Interesse: Weight decreased - Subgruppe: Geografische Region: Asia Pacific (full analysis set)



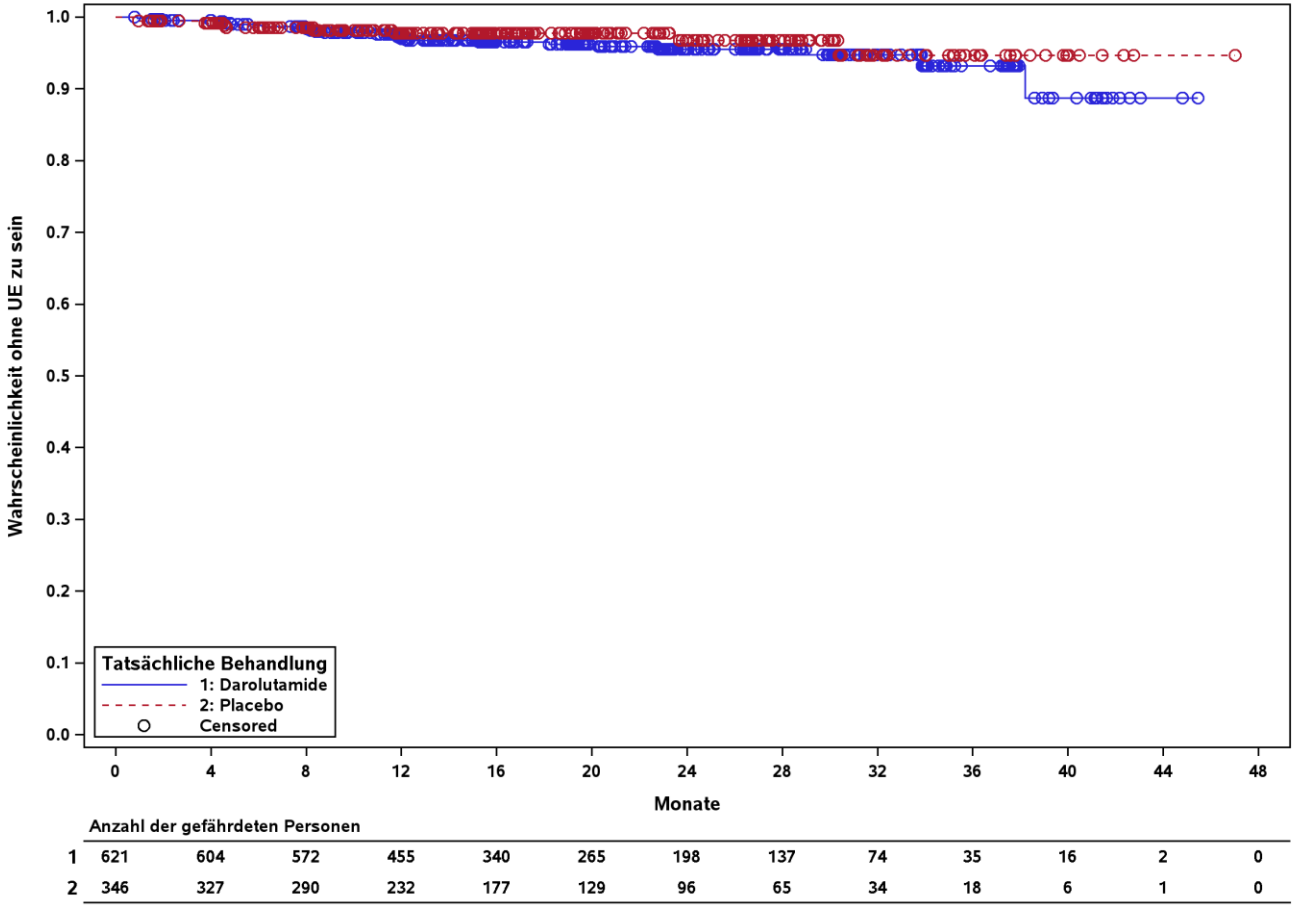
Bayer: /by-sasp/patdb/projects/1841788/17712/stat/prod_query22/pgms/t_aesi_sub.sas 23APR2020 17:14

Figure 4.3.3 / 225: Kaplan-Meier-Plot der 'Unerwünschte Ereignis von besonderem Interesse' Time-to-Event-Analyse nach Endpunkt und Subgruppe - Endpunkt: Zeit bis zum ersten UE von besonderem Interesse: Weight decreased - Subgruppe: Geografische Region: Rest of the World (full analysis set)



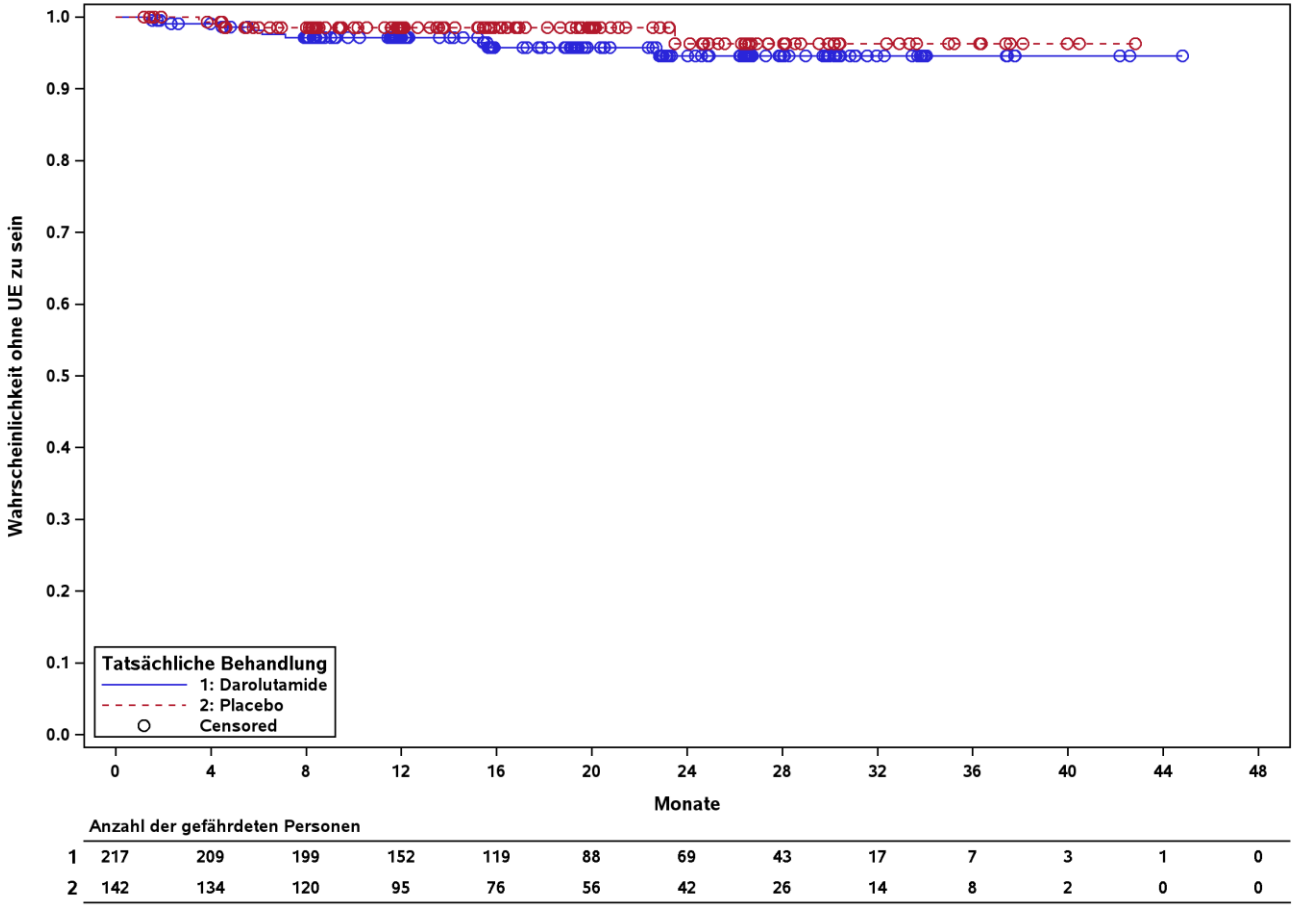
Bayer: /by-sasp/patdb/projects/1841788/17712/stat/prod_query22/pgms/t_aesi_sub.sas 23APR2020 17:14

Figure 4.3.3 / 226: Kaplan-Meier-Plot der 'Unerwünschte Ereignis von besonderem Interesse' Time-to-Event-Analyse nach Endpunkt und Subgruppe - Endpunkt: Zeit bis zum ersten UE von besonderem Interesse: Weight decreased - Subgruppe: Geografische Region: Europe (full analysis set)



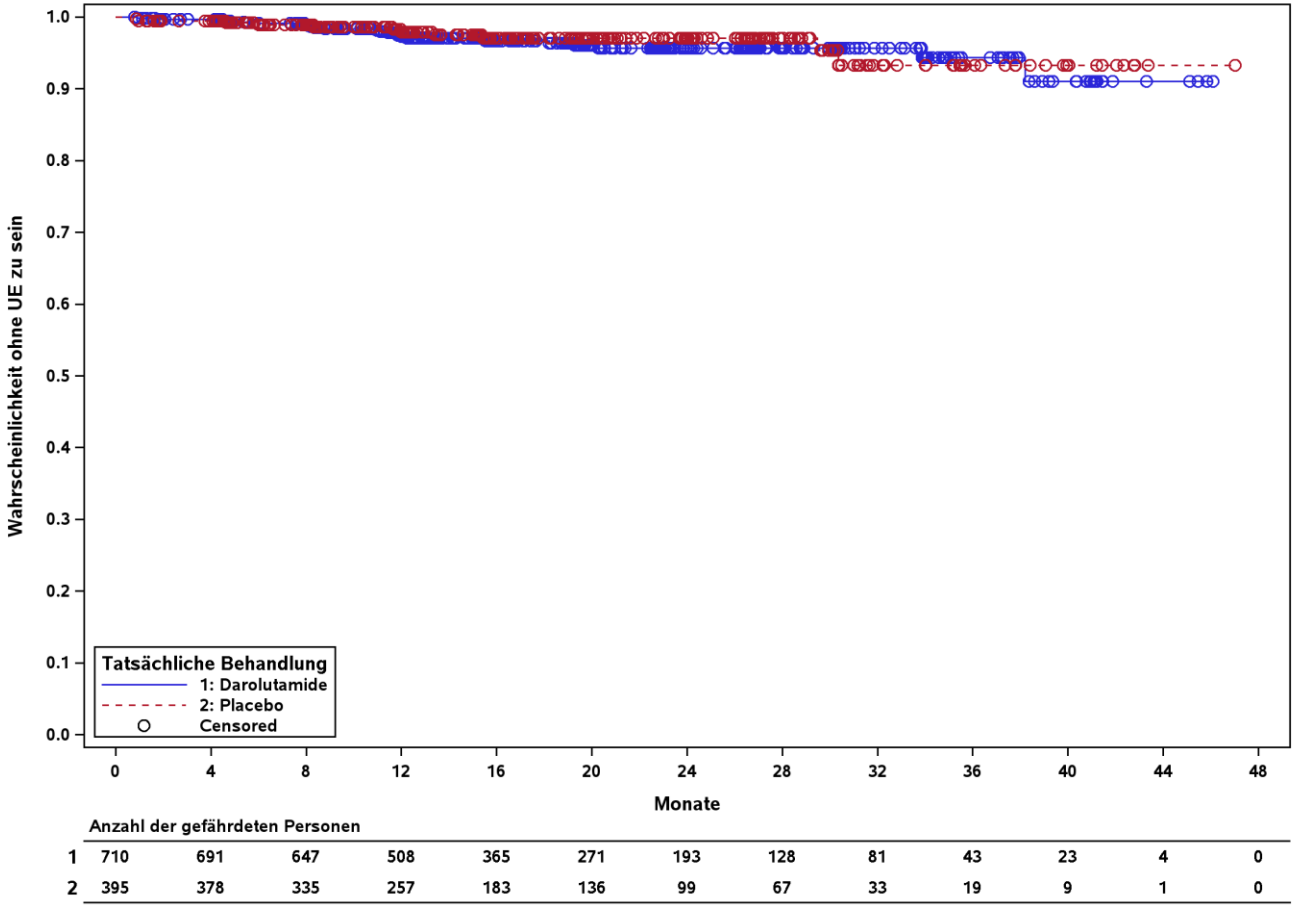
Bayer: /by-sasp/patdb/projects/1841788/17712/stat/prod_query22/pgms/t_aesi_sub.sas 23APR2020 17:14

Figure 4.3.3 / 227: Kaplan-Meier-Plot der 'Unerwünschte Ereignis von besonderem Interesse' Time-to-Event-Analyse nach Endpunkt und Subgruppe - Endpunkt: Zeit bis zum ersten UE von besonderem Interesse: Weight decreased - Subgruppe: Gleason-Score bei Diagnose: <7 (full analysis set)



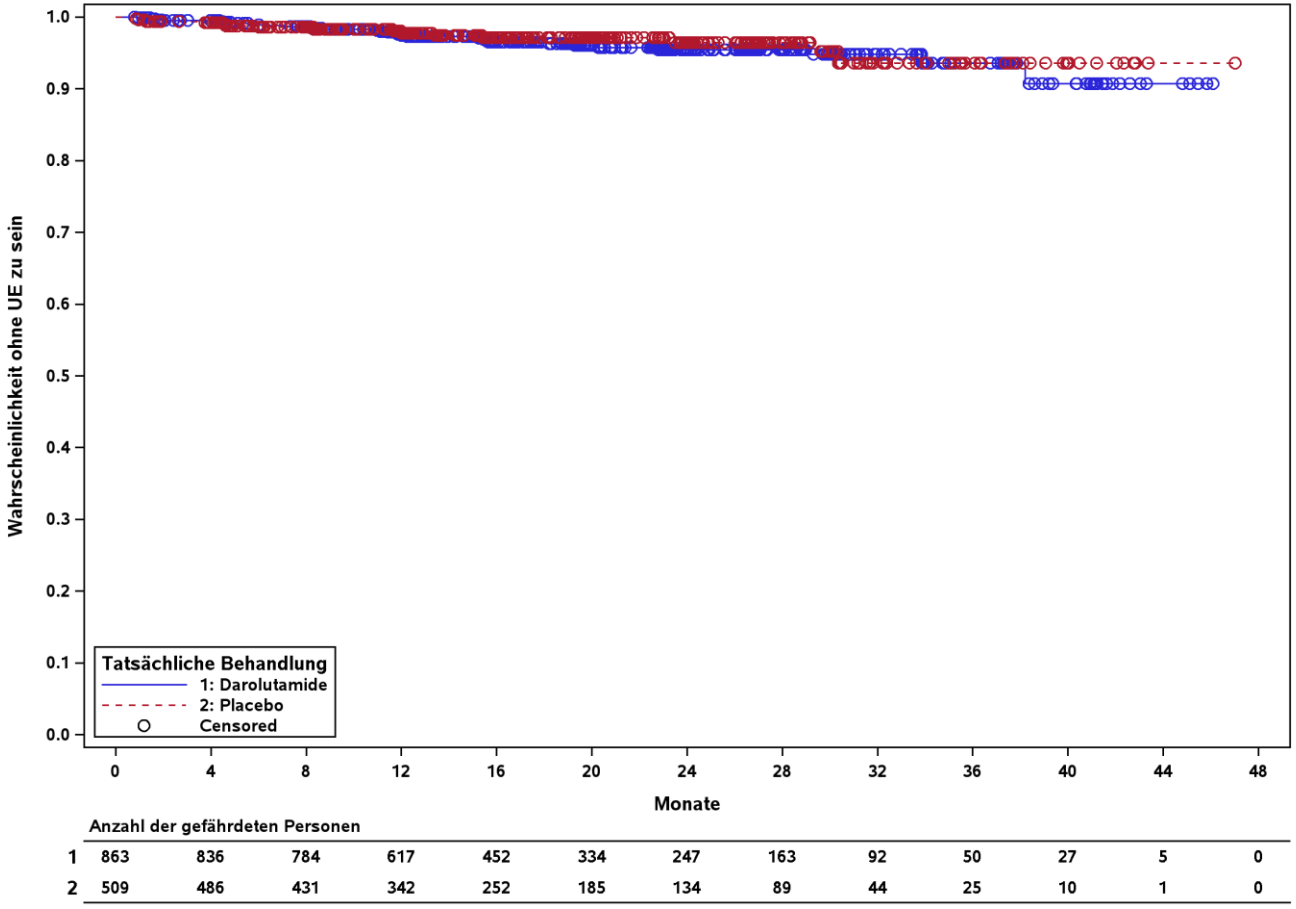
Bayer: /by-sasp/patdb/projects/1841788/17712/stat/prod_query22/pgms/t_aesi_sub.sas 23APR2020 17:14

Figure 4.3.3 / 228: Kaplan-Meier-Plot der 'Unerwünschte Ereignis von besonderem Interesse' Time-to-Event-Analyse nach Endpunkt und Subgruppe - Endpunkt: Zeit bis zum ersten UE von besonderem Interesse: Weight decreased - Subgruppe: Gleason-Score bei Diagnose: >=7 (full analysis set)



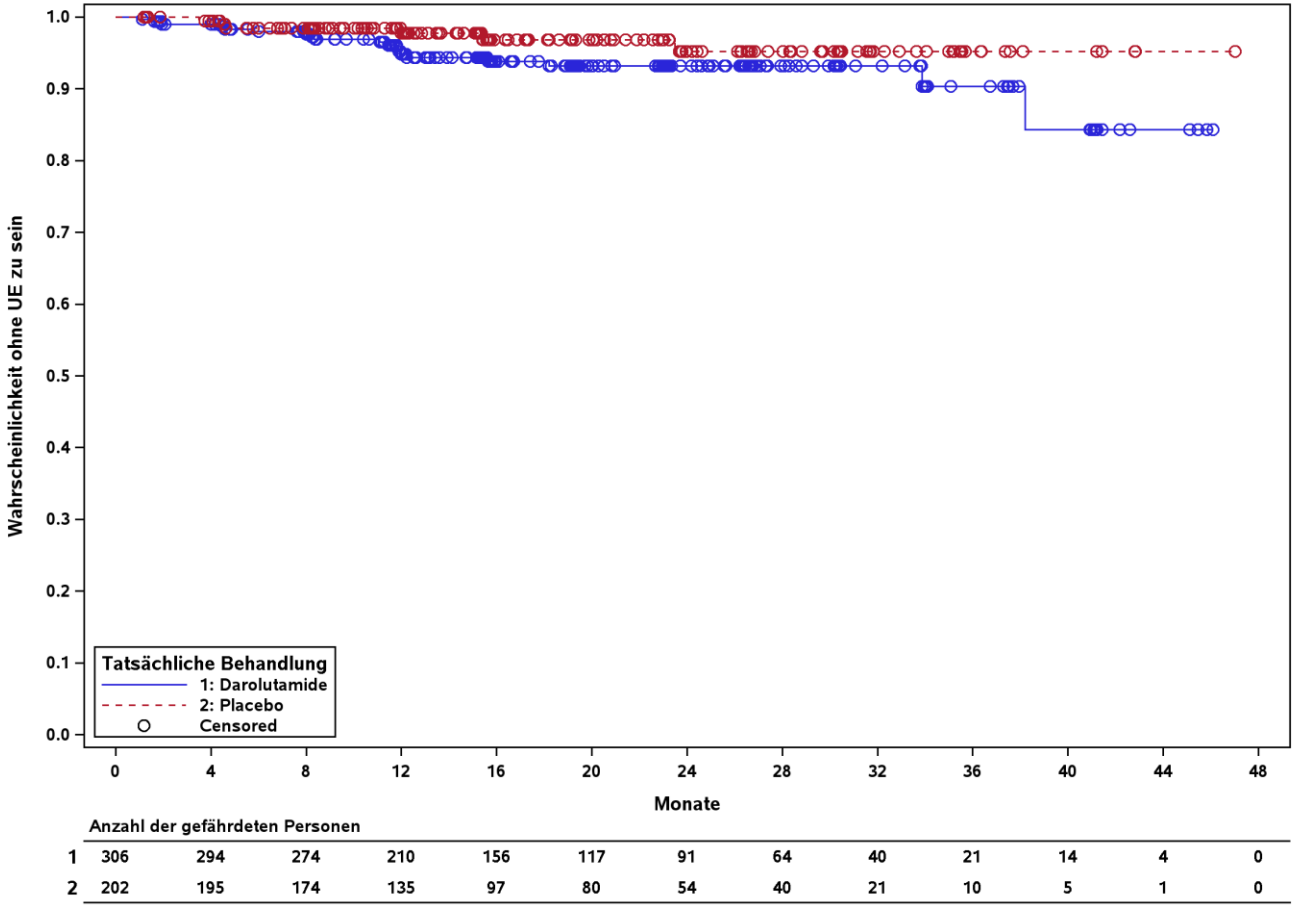
Bayer: /by-sasp/patdb/projects/1841788/17712/stat/prod_query22/pgms/t_aesi_sub.sas 23APR2020 17:14

Figure 4.3.3 / 229: Kaplan-Meier-Plot der 'Unerwünschte Ereignis von besonderem Interesse' Time-to-Event-Analyse nach Endpunkt und Subgruppe - Endpunkt: Zeit bis zum ersten UE von besonderem Interesse: Weight decreased - Subgruppe: Leberfunktionsstörung: normal (full analysis set)



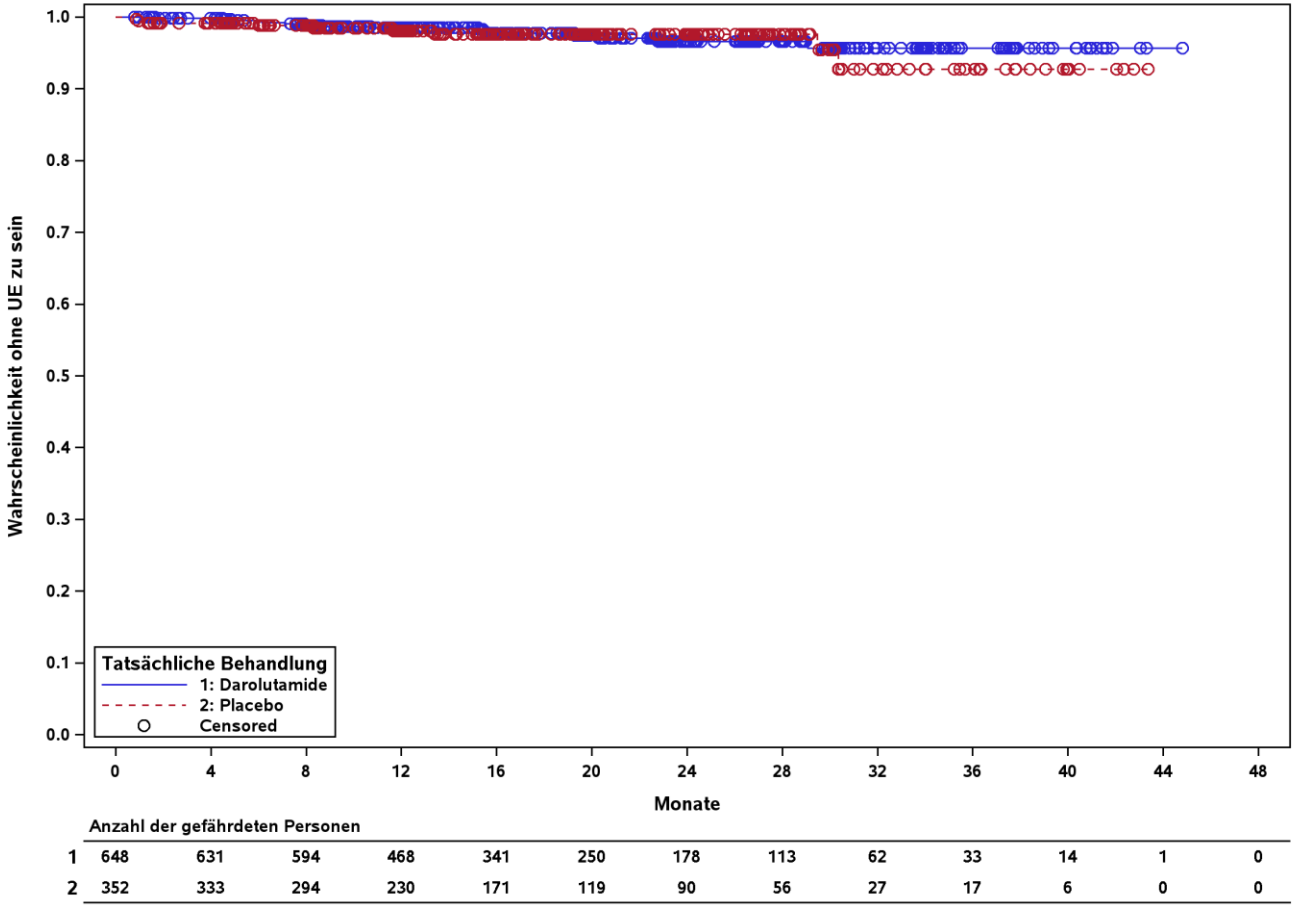
Bayer: /by-sasp/patdb/projects/1841788/17712/stat/prod_query22/pgms/t_aesi_sub.sas 23APR2020 17:14

Figure 4.3.3 / 230: Kaplan-Meier-Plot der 'Unerwünschte Ereignis von besonderem Interesse' Time-to-Event-Analyse nach Endpunkt und Subgruppe - Endpunkt: Zeit bis zum ersten UE von besonderem Interesse: Weight decreased - Subgruppe: Nutzung von Statinen: Ja (full analysis set)



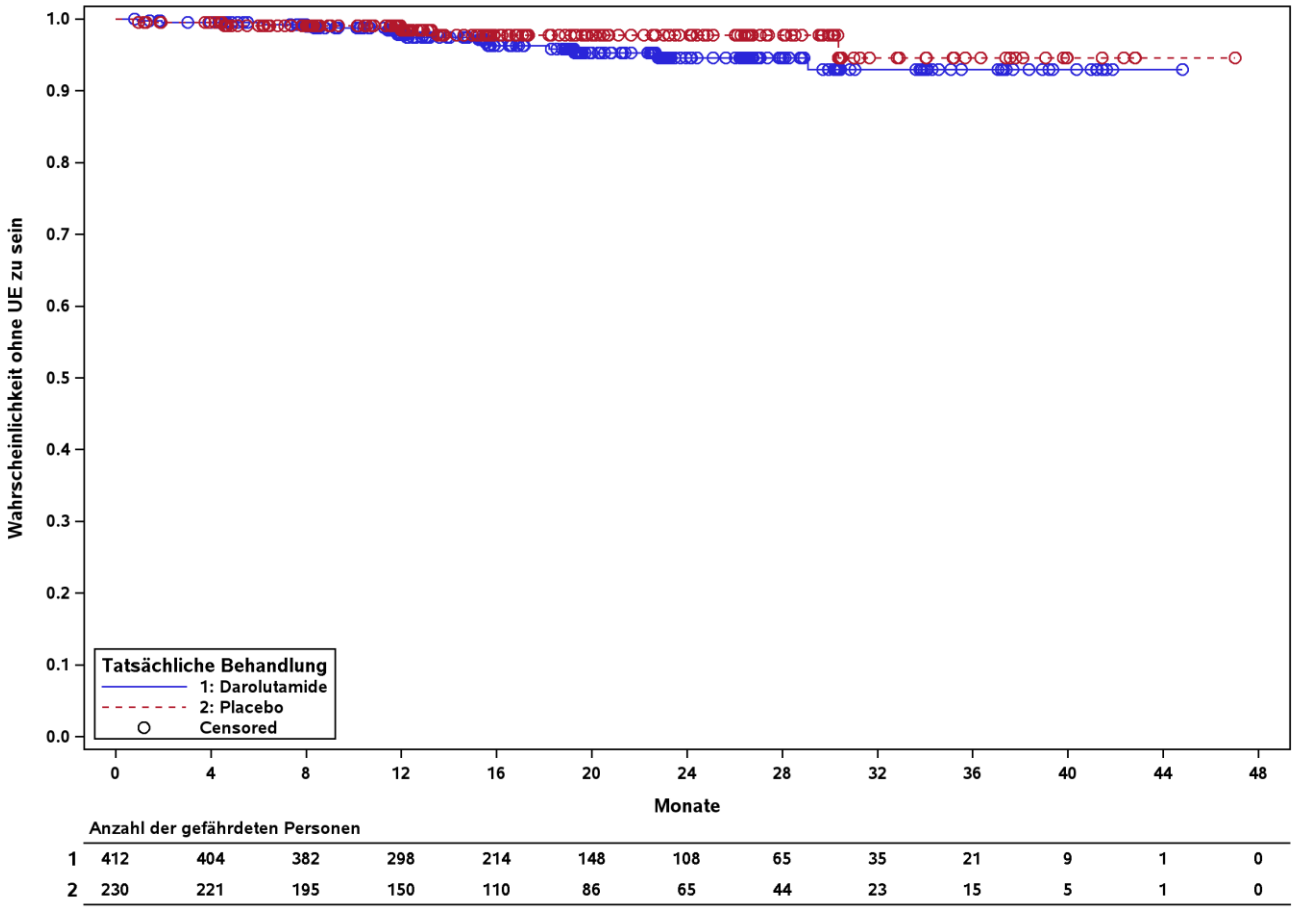
Bayer: /by-sasp/patdb/projects/1841788/17712/stat/prod_query22/pgms/t_aesi_sub.sas 23APR2020 17:14

Figure 4.3.3 / 231: Kaplan-Meier-Plot der 'Unerwünschte Ereignis von besonderem Interesse' Time-to-Event-Analyse nach Endpunkt und Subgruppe - Endpunkt: Zeit bis zum ersten UE von besonderem Interesse: Weight decreased - Subgruppe: Nutzung von Statinen: Nein (full analysis set)



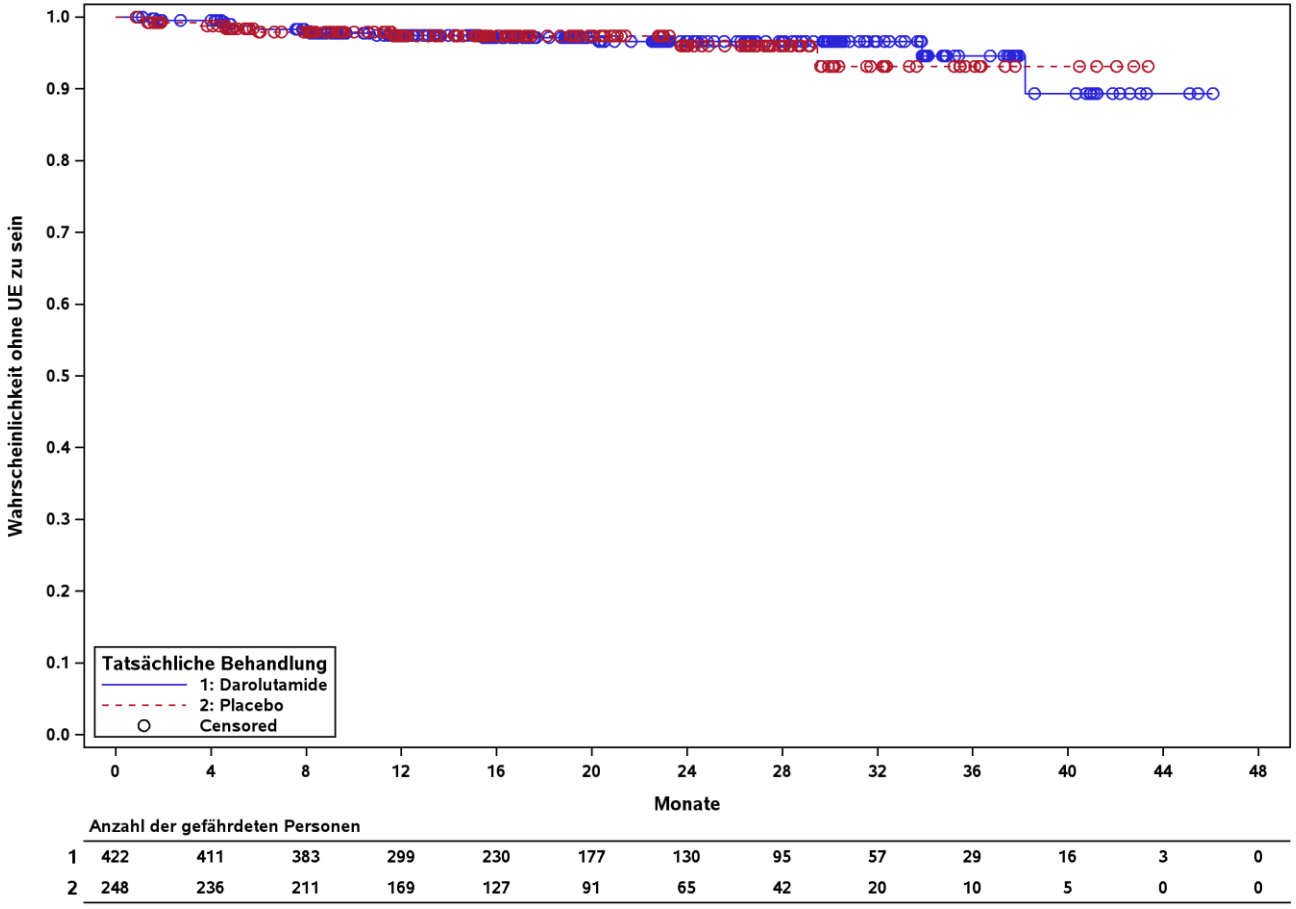
Bayer: /by-sasp/patdb/projects/1841788/17712/stat/prod_query22/pgms/t_aesi_sub.sas 23APR2020 17:14

Figure 4.3.3 / 232: Kaplan-Meier-Plot der 'Unerwünschte Ereignis von besonderem Interesse' Time-to-Event-Analyse nach Endpunkt und Subgruppe - Endpunkt: Zeit bis zum ersten UE von besonderem Interesse: Weight decreased - Subgruppe: eGFR an Baseline: normal (full analysis set)



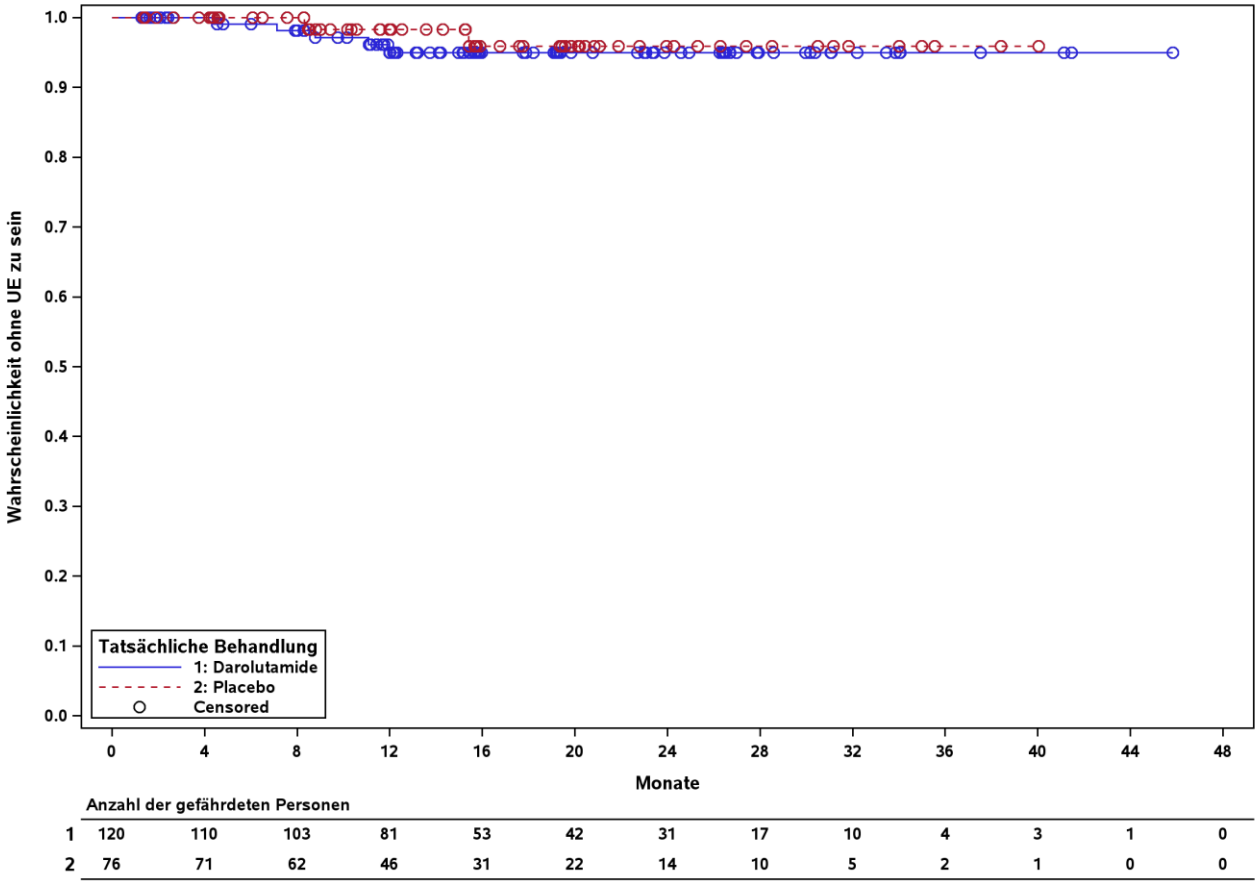
Bayer: /by-sasp/patdb/projects/1841788/17712/stat/prod_query22/pgms/t_aesi_sub.sas 23APR2020 17:14

Figure 4.3.3 / 233: Kaplan-Meier-Plot der 'Unerwünschte Ereignis von besonderem Interesse' Time-to-Event-Analyse nach Endpunkt und Subgruppe - Endpunkt: Zeit bis zum ersten UE von besonderem Interesse: Weight decreased - Subgruppe: eGFR an Baseline: mildly impaired (full analysis set)



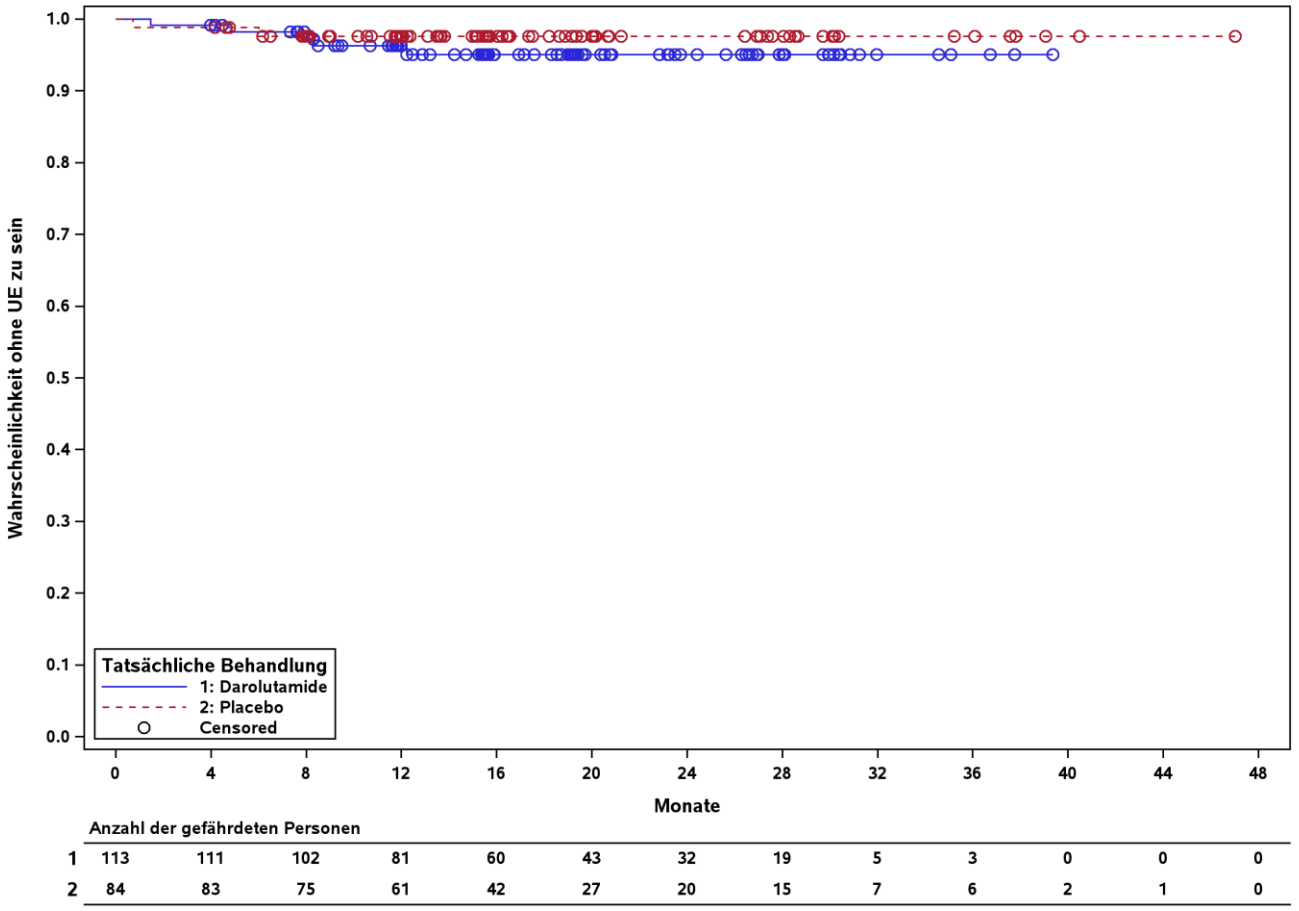
Bayer: /by-sasp/patdb/projects/1841788/17712/stat/prod_query22/pgms/t_aesi_sub.sas 23APR2020 17:14

Figure 4.3.3 / 234: Kaplan-Meier-Plot der 'Unerwünschte Ereignis von besonderem Interesse' Time-to-Event-Analyse nach Endpunkt und Subgruppe - Endpunkt: Zeit bis zum ersten UE von besonderem Interesse: Weight decreased - Subgruppe: eGFR an Baseline: moderately impaired, severely impaired and renal end stage (full analysis set)



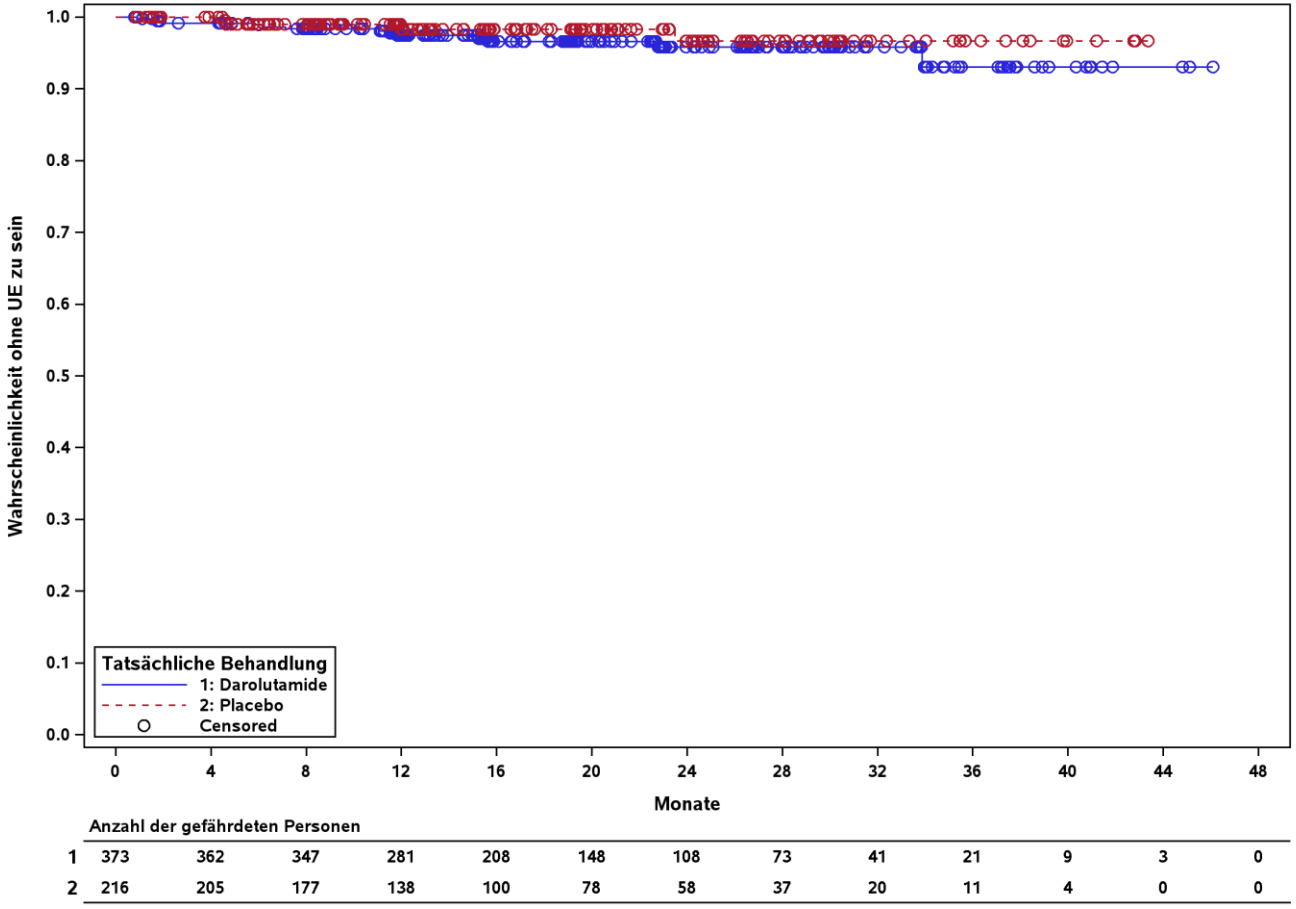
Bayer: /by-sasp/patdb/projects/1841788/17712/stat/prod_query22/pgms/t_aesi_sub.sas 23APR2020 17:14

Figure 4.3.3 / 235: Kaplan-Meier-Plot der 'Unerwünschte Ereignis von besonderem Interesse' Time-to-Event-Analyse nach Endpunkt und Subgruppe - Endpunkt: Zeit bis zum ersten UE von besonderem Interesse mit CTCAE Grad <3: Weight decreased - Subgruppe: Alter (Jahre): <65 (full analysis set)



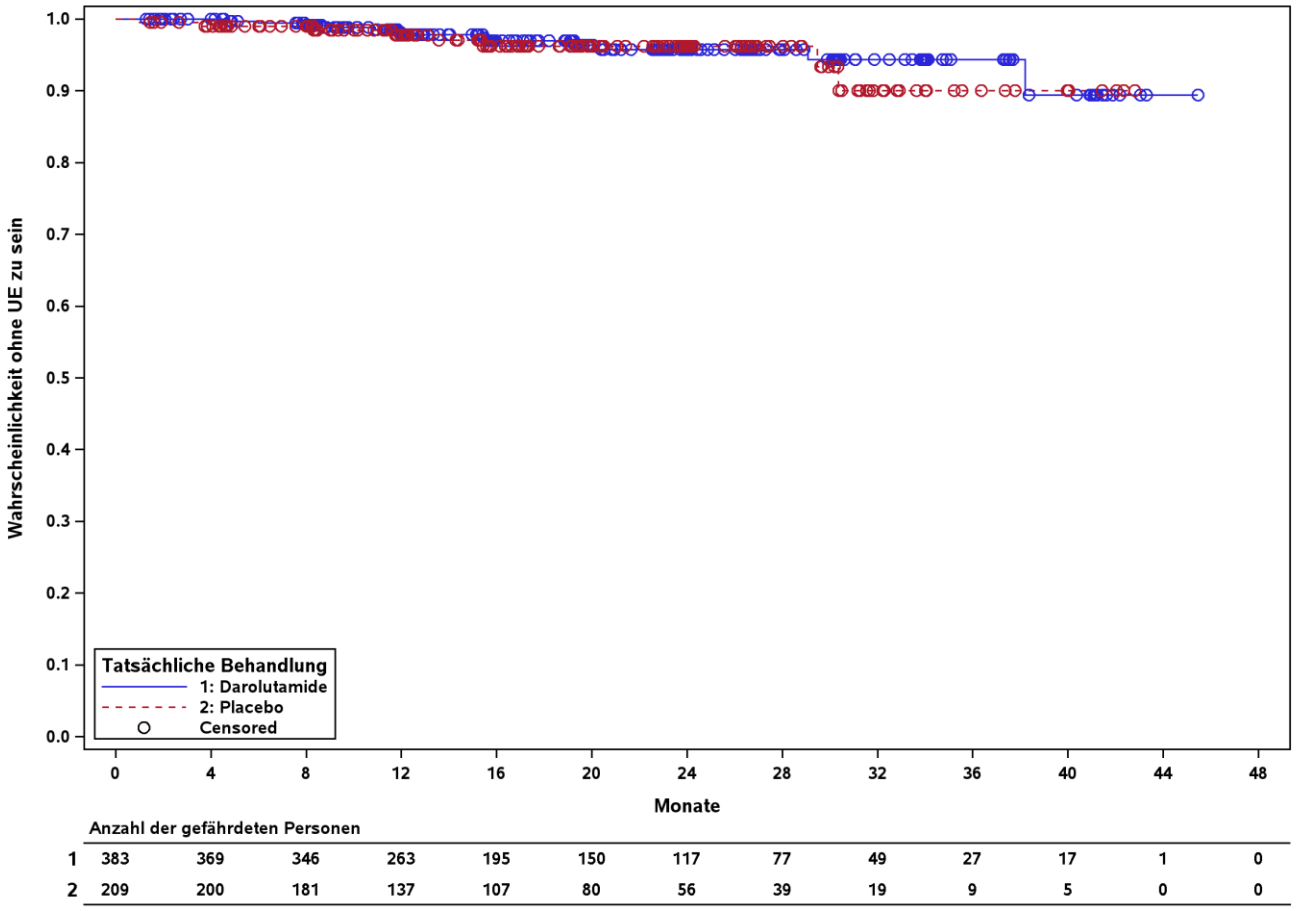
Bayer: /by-sasp/patdb/projects/1841788/17712/stat/prod_query22/pgms/t_aesi_sub.sas 23APR2020 17:14

Figure 4.3.3 / 236: Kaplan-Meier-Plot der 'Unerwünschte Ereignis von besonderem Interesse' Time-to-Event-Analyse nach Endpunkt und Subgruppe - Endpunkt: Zeit bis zum ersten UE von besonderem Interesse mit CTCAE Grad <3: Weight decreased - Subgruppe: Alter (Jahre): 65-74 (full analysis set)



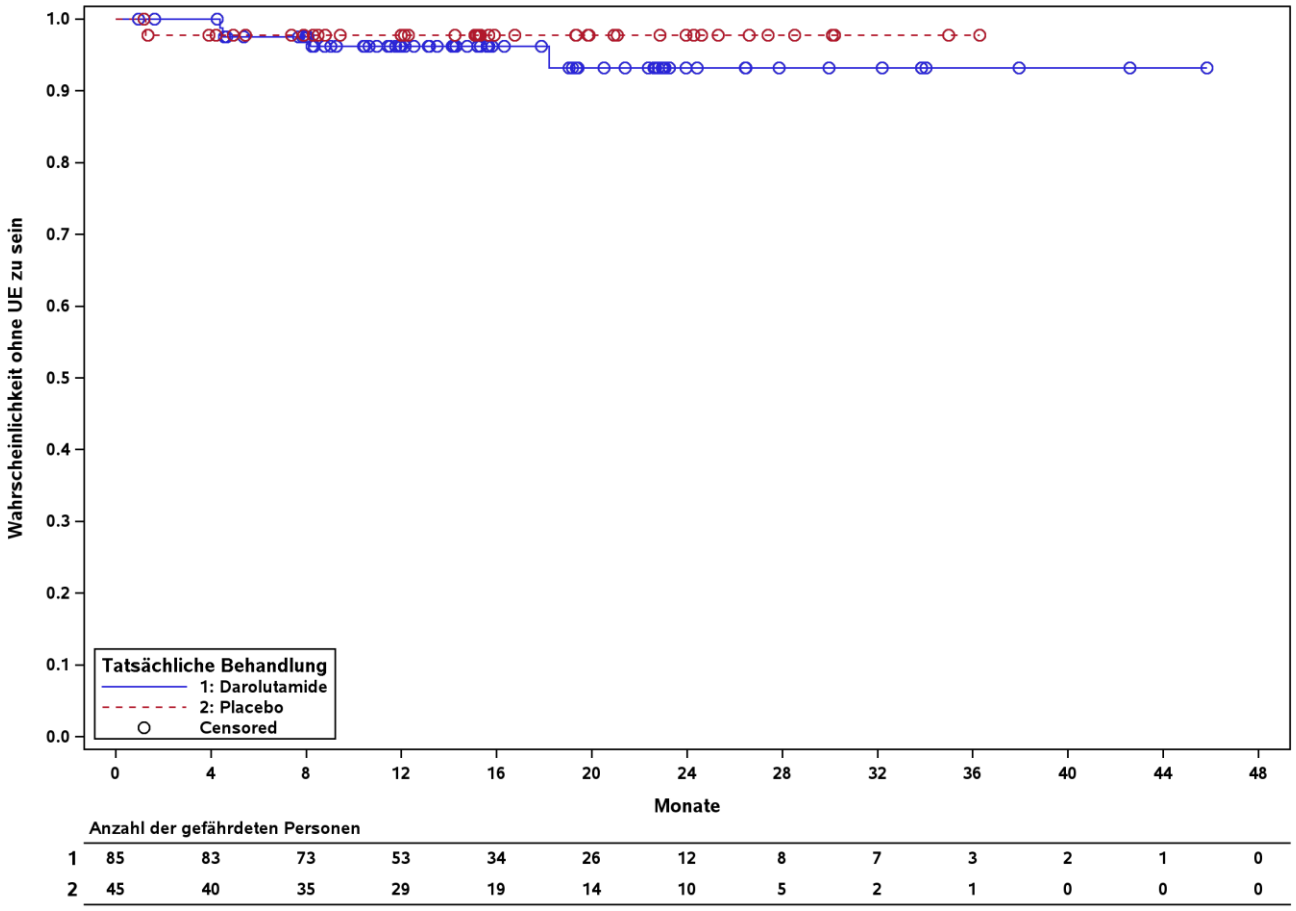
Bayer: /by-sasp/patdb/projects/1841788/17712/stat/prod_query22/pgms/t_aesi_sub.sas 23APR2020 17:14

Figure 4.3.3 / 237: Kaplan-Meier-Plot der 'Unerwünschte Ereignis von besonderem Interesse' Time-to-Event-Analyse nach Endpunkt und Subgruppe - Endpunkt: Zeit bis zum ersten UE von besonderem Interesse mit CTCAE Grad <3: Weight decreased - Subgruppe: Alter (Jahre): 75-84 (full analysis set)



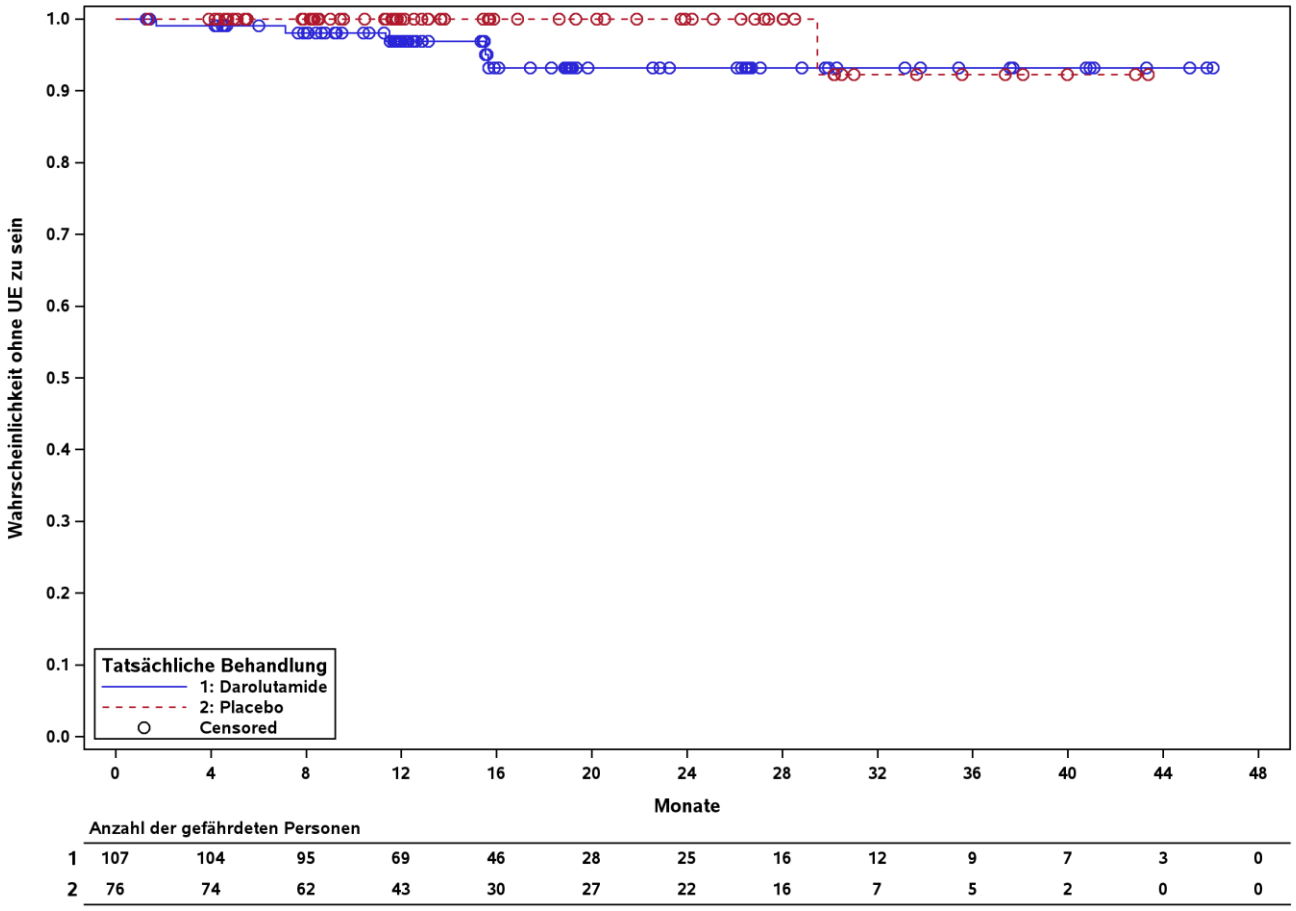
Bayer: /by-sasp/patdb/projects/1841788/17712/stat/prod_query22/pgms/t_aesi_sub.sas 23APR2020 17:14

Figure 4.3.3 / 238: Kaplan-Meier-Plot der 'Unerwünschte Ereignis von besonderem Interesse' Time-to-Event-Analyse nach Endpunkt und Subgruppe - Endpunkt: Zeit bis zum ersten UE von besonderem Interesse mit CTCAE Grad <3: Weight decreased - Subgruppe: Alter (Jahre): >=85 (full analysis set)



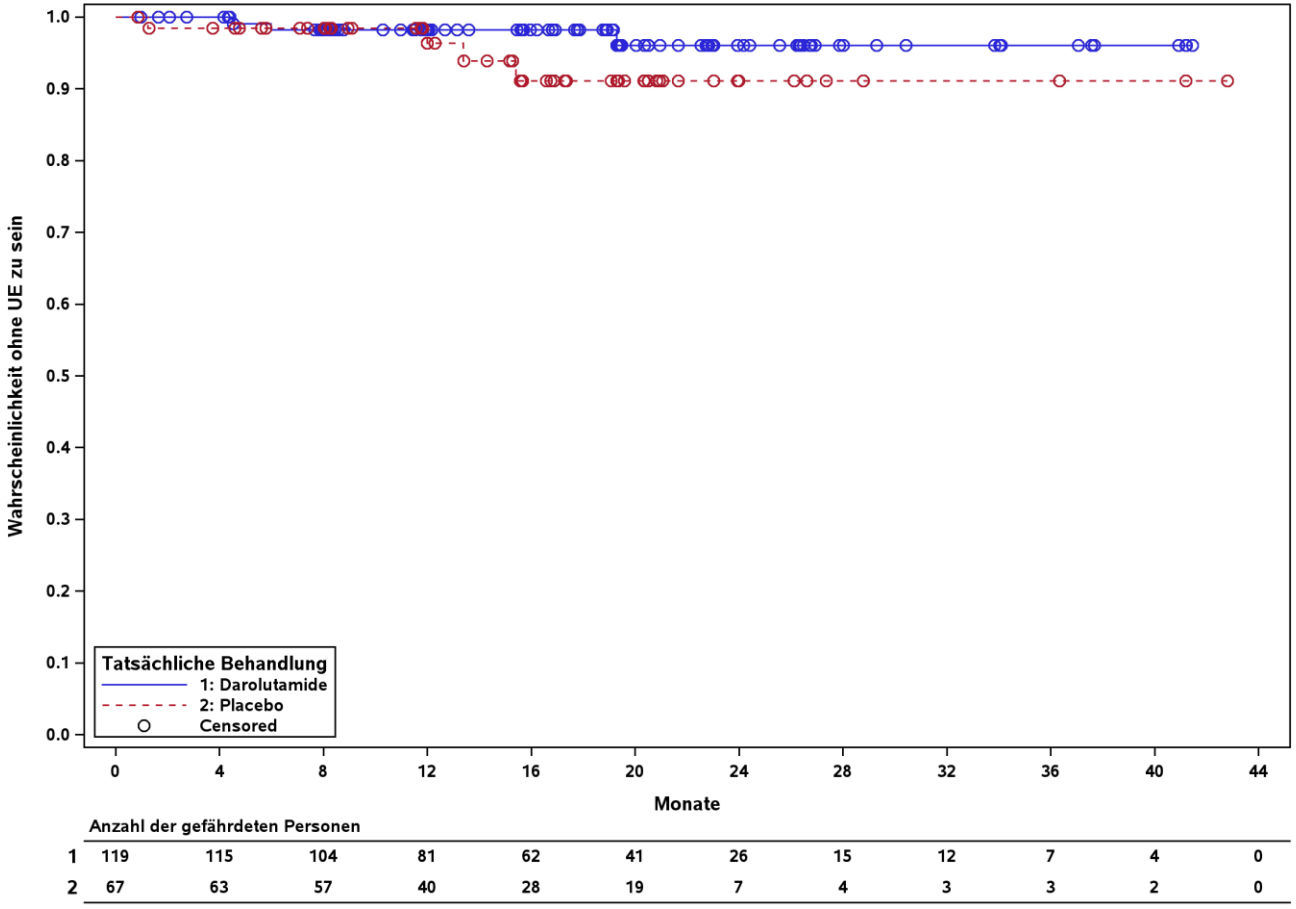
Bayer: /by-sasp/patdb/projects/1841788/17712/stat/prod_query22/pgms/t_aesi_sub.sas 23APR2020 17:14

Figure 4.3.3 / 239: Kaplan-Meier-Plot der 'Unerwünschte Ereignis von besonderem Interesse' Time-to-Event-Analyse nach Endpunkt und Subgruppe - Endpunkt: Zeit bis zum ersten UE von besonderem Interesse mit CTCAE Grad <3: Weight decreased - Subgruppe: Geografische Region: North America (full analysis set)



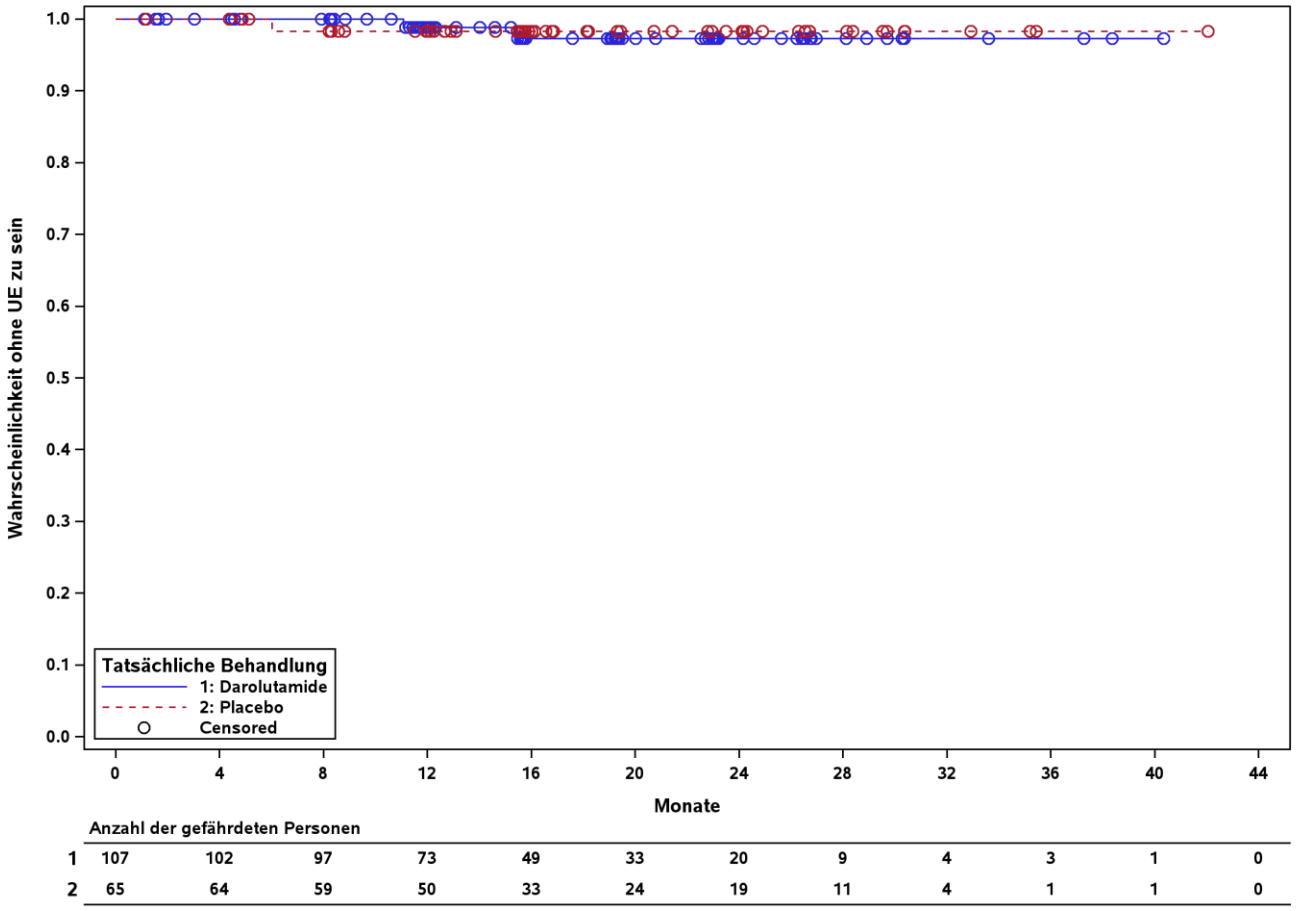
Bayer: /by-sasp/patdb/projects/1841788/17712/stat/prod_query22/pgms/t_aesi_sub.sas 23APR2020 17:14

Figure 4.3.3 / 240: Kaplan-Meier-Plot der 'Unerwünschte Ereignis von besonderem Interesse' Time-to-Event-Analyse nach Endpunkt und Subgruppe - Endpunkt: Zeit bis zum ersten UE von besonderem Interesse mit CTCAE Grad <3: Weight decreased - Subgruppe: Geografische Region: Asia Pacific (full analysis set)



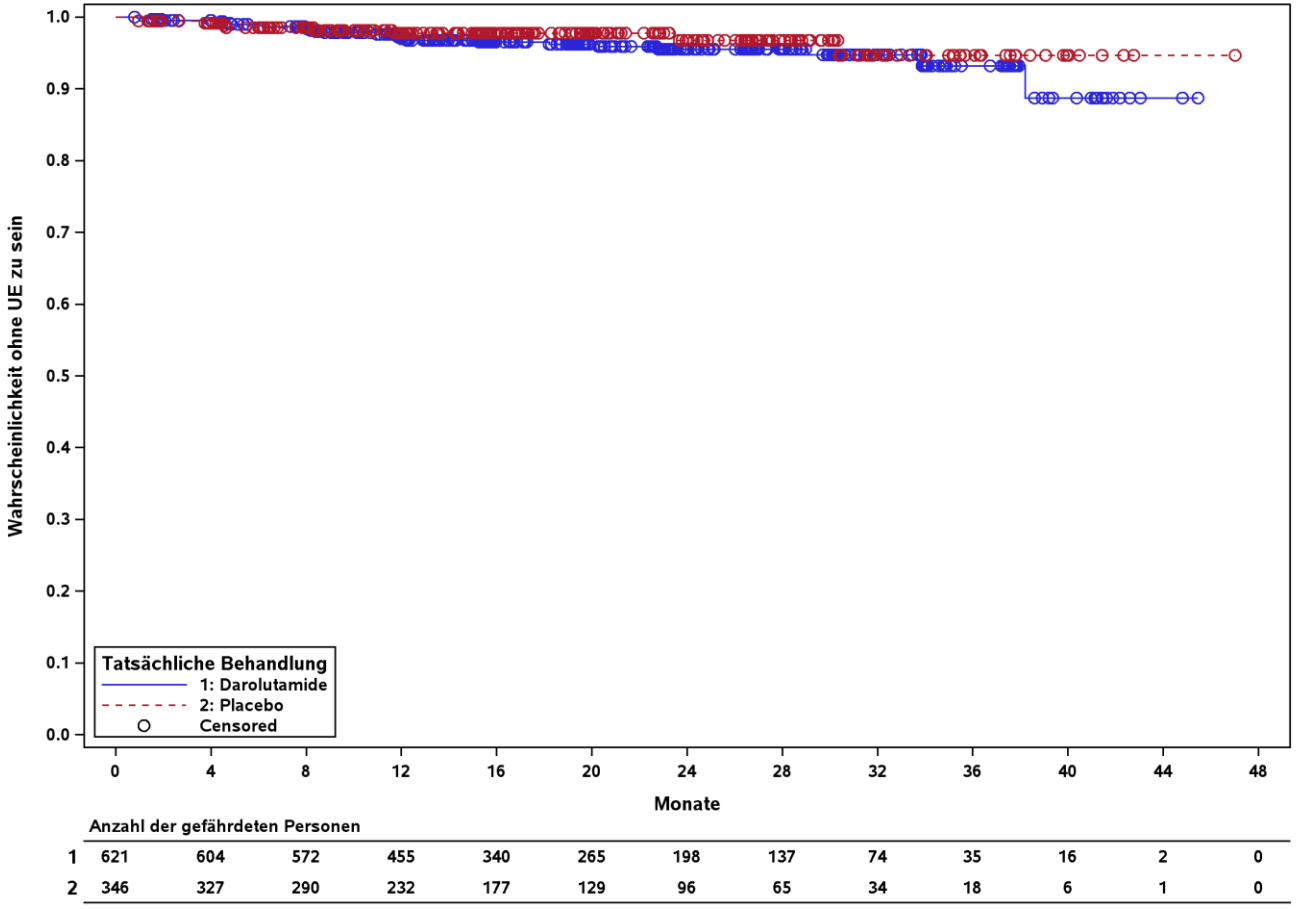
Bayer: /by-sasp/patdb/projects/1841788/17712/stat/prod_query22/pgms/t_aesi_sub.sas 23APR2020 17:14

Figure 4.3.3 / 241: Kaplan-Meier-Plot der 'Unerwünschte Ereignis von besonderem Interesse' Time-to-Event-Analyse nach Endpunkt und Subgruppe - Endpunkt: Zeit bis zum ersten UE von besonderem Interesse mit CTCAE Grad <3: Weight decreased - Subgruppe: Geografische Region: Rest of the World (full analysis set)



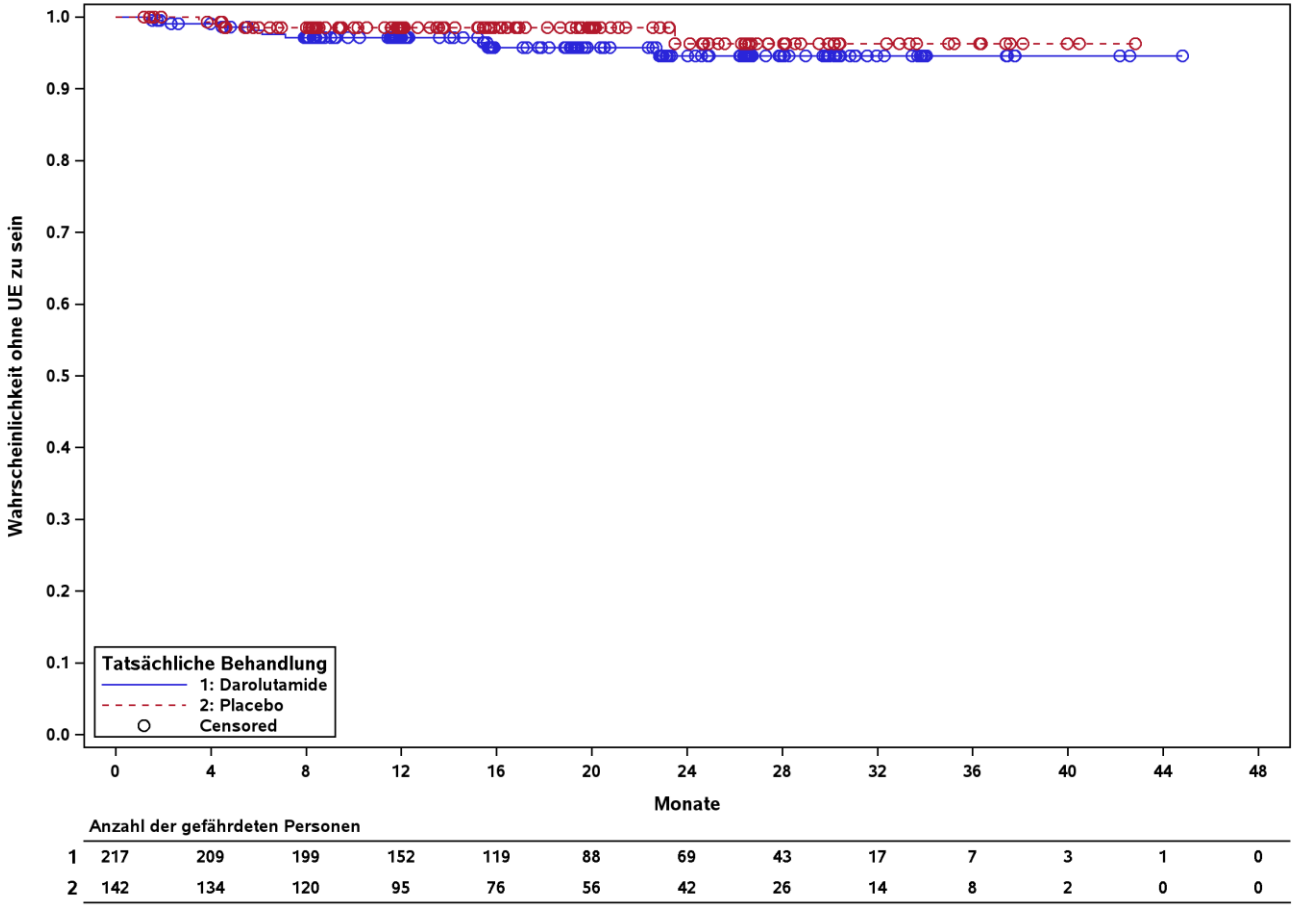
Bayer: /by-sasp/patdb/projects/1841788/17712/stat/prod_query22/pgms/t_aesi_sub.sas 23APR2020 17:14

Figure 4.3.3 / 242: Kaplan-Meier-Plot der 'Unerwünschte Ereignis von besonderem Interesse' Time-to-Event-Analyse nach Endpunkt und Subgruppe - Endpunkt: Zeit bis zum ersten UE von besonderem Interesse mit CTCAE Grad <3: Weight decreased - Subgruppe: Geografische Region: Europe (full analysis set)



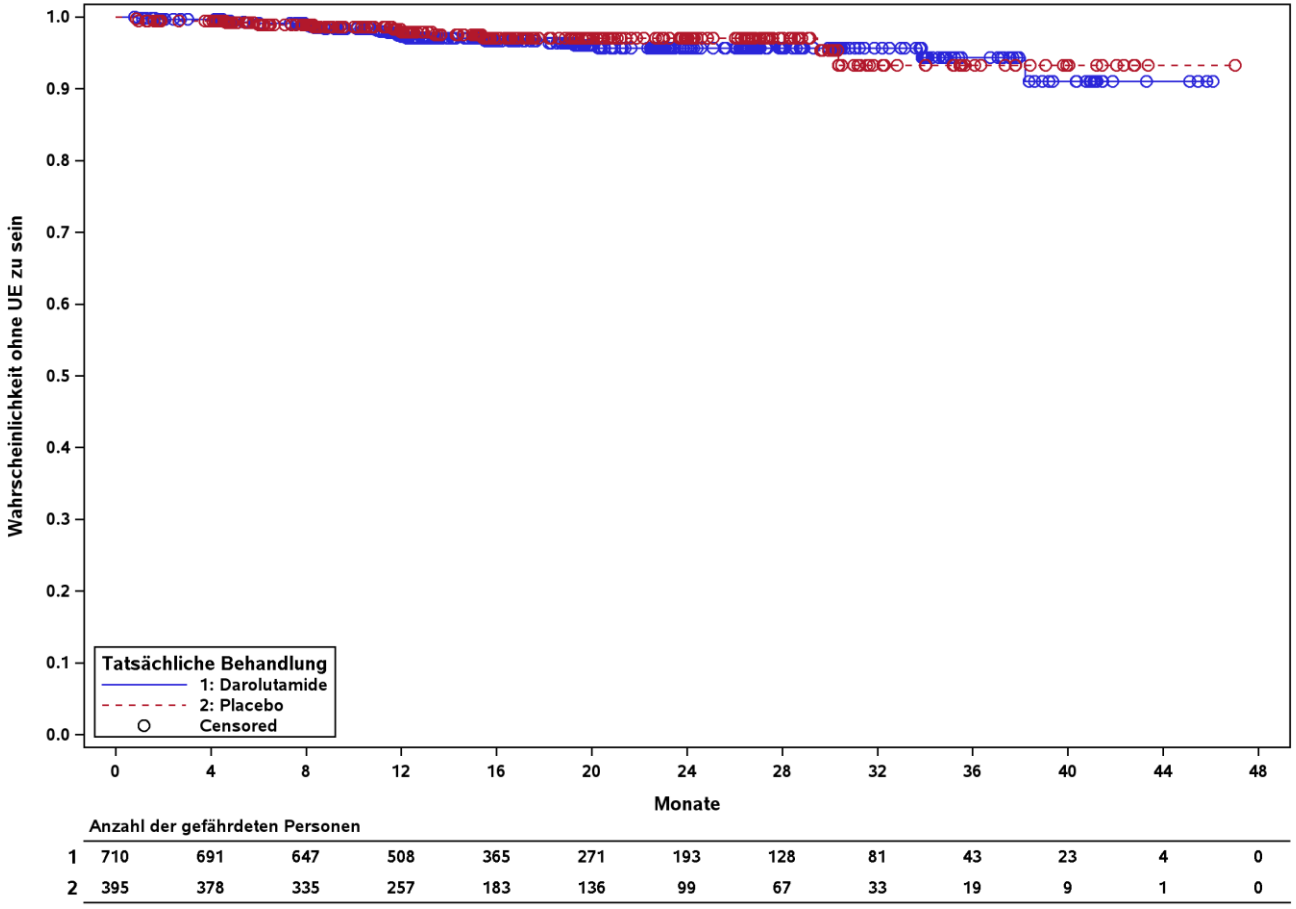
Bayer: /by-sasp/patdb/projects/1841788/17712/stat/prod_query22/pgms/t_aesi_sub.sas 23APR2020 17:14

Figure 4.3.3 / 243: Kaplan-Meier-Plot der 'Unerwünschte Ereignis von besonderem Interesse' Time-to-Event-Analyse nach Endpunkt und Subgruppe - Endpunkt: Zeit bis zum ersten UE von besonderem Interesse mit CTCAE Grad <3: Weight decreased - Subgruppe: Gleason-Score bei Diagnose: <7 (full analysis set)



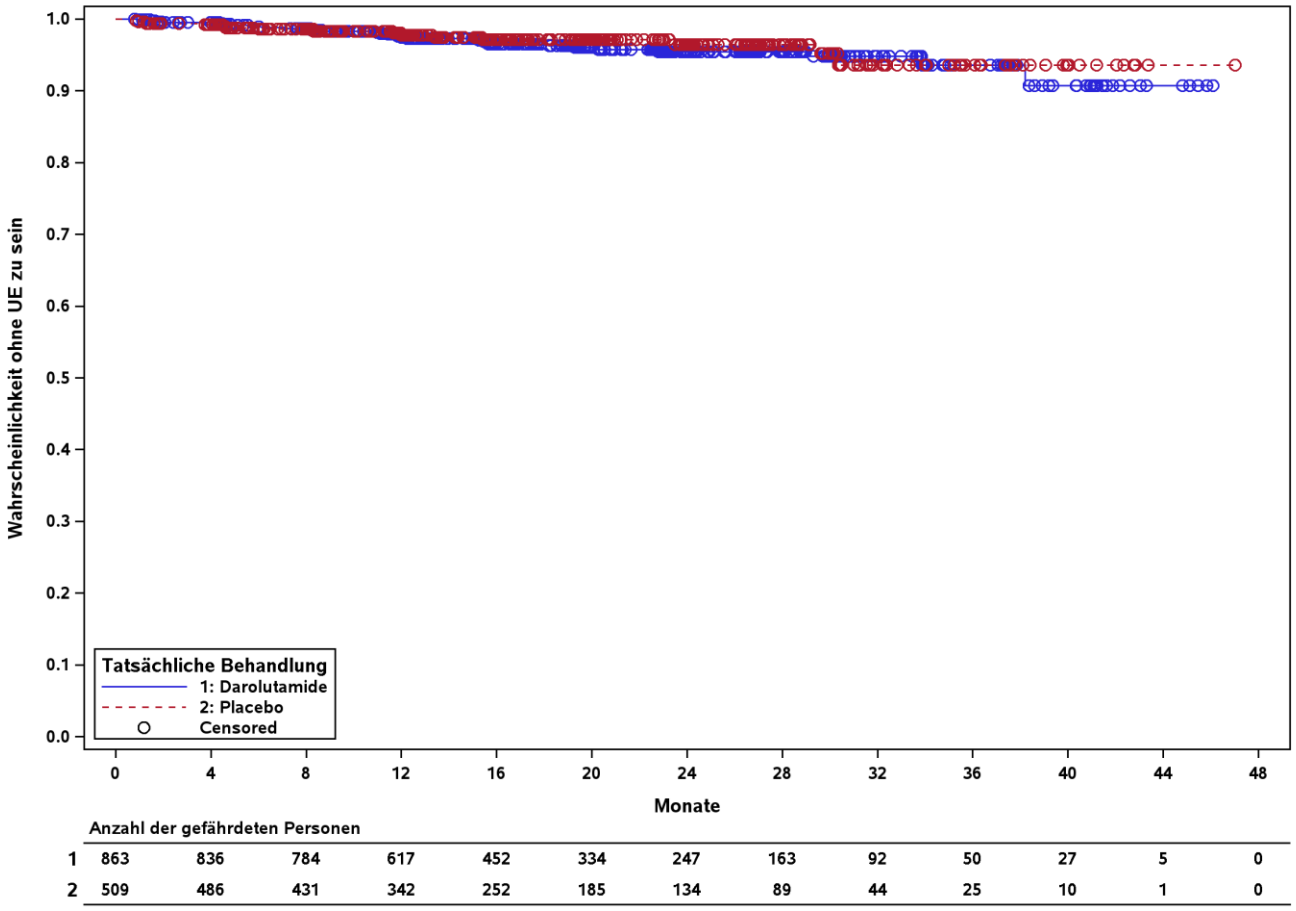
Bayer: /by-sasp/patdb/projects/1841788/17712/stat/prod_query22/pgms/t_aesi_sub.sas 23APR2020 17:14

Figure 4.3.3 / 244: Kaplan-Meier-Plot der 'Unerwünschte Ereignis von besonderem Interesse' Time-to-Event-Analyse nach Endpunkt und Subgruppe - Endpunkt: Zeit bis zum ersten UE von besonderem Interesse mit CTCAE Grad <3: Weight decreased - Subgruppe: Gleason-Score bei Diagnose: >=7 (full analysis set)



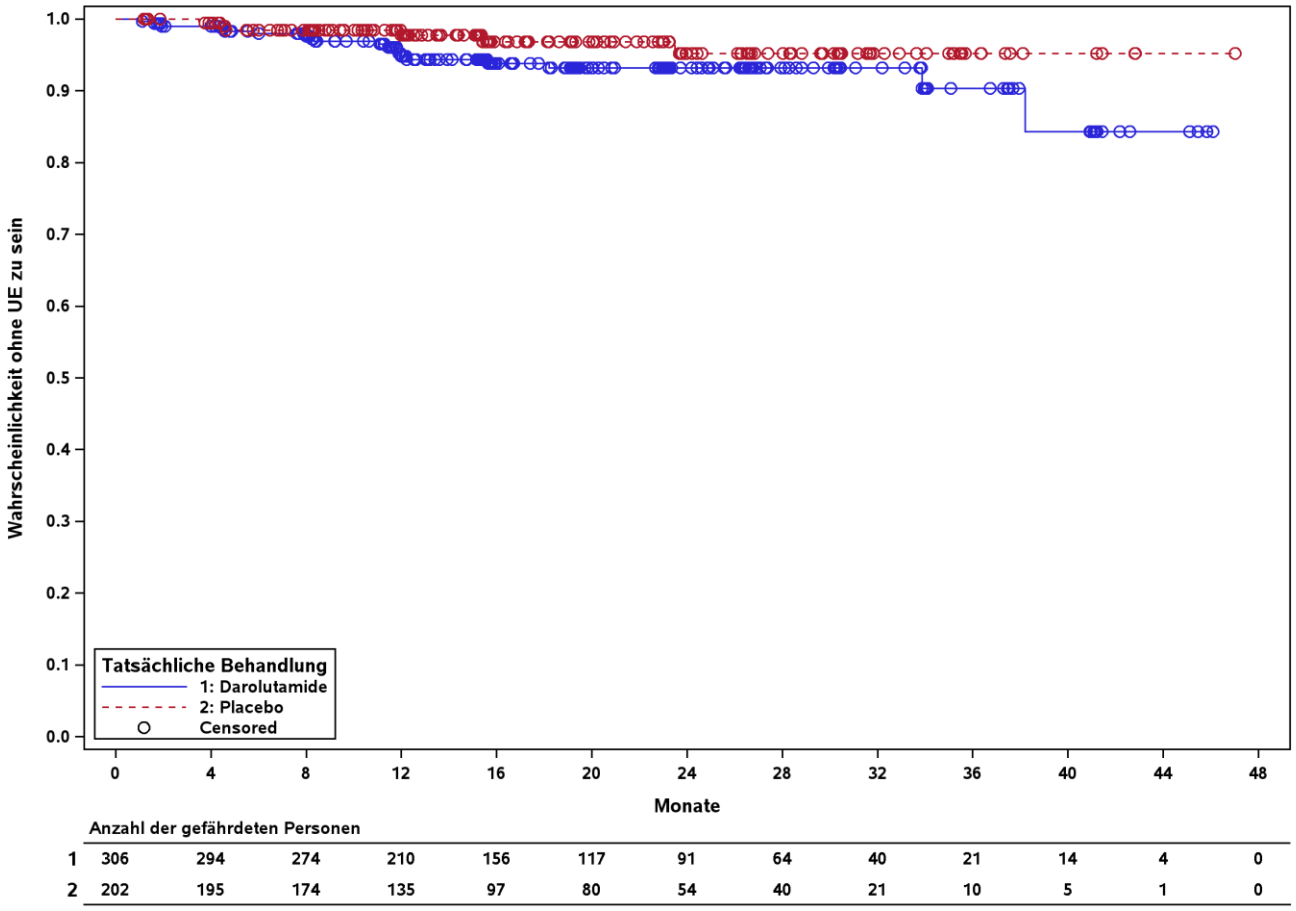
Bayer: /by-sasp/patdb/projects/1841788/17712/stat/prod_query22/pgms/t_aesi_sub.sas 23APR2020 17:14

Figure 4.3.3 / 245: Kaplan-Meier-Plot der 'Unerwünschte Ereignis von besonderem Interesse' Time-to-Event-Analyse nach Endpunkt und Subgruppe - Endpunkt: Zeit bis zum ersten UE von besonderem Interesse mit CTCAE Grad <3: Weight decreased - Subgruppe: Leberfunktionsstörung: normal (full analysis set)



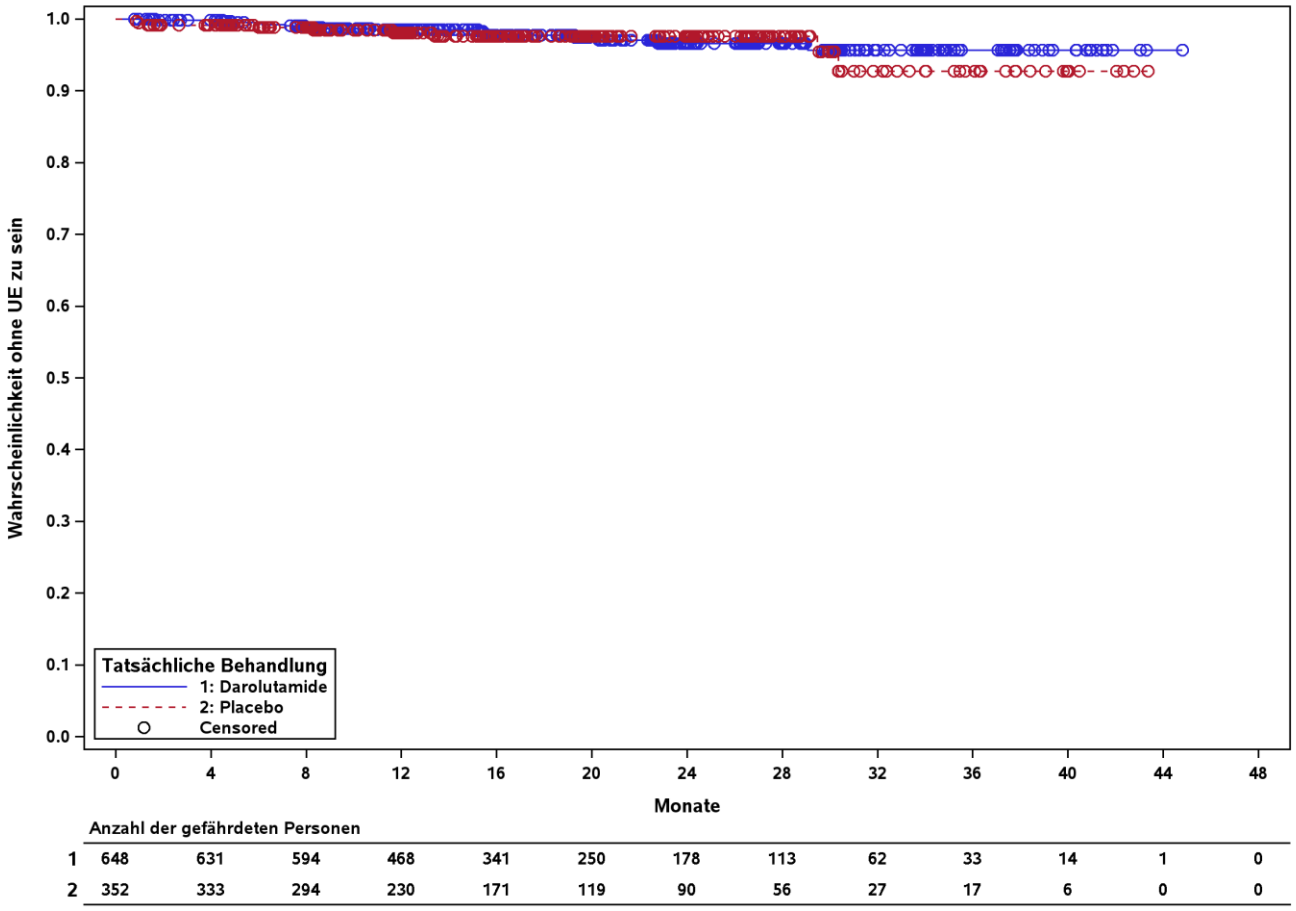
Bayer: /by-sasp/patdb/projects/1841788/17712/stat/prod_query22/pgms/t_aesi_sub.sas 23APR2020 17:14

Figure 4.3.3 / 246: Kaplan-Meier-Plot der 'Unerwünschte Ereignis von besonderem Interesse' Time-to-Event-Analyse nach Endpunkt und Subgruppe - Endpunkt: Zeit bis zum ersten UE von besonderem Interesse mit CTCAE Grad <3: Weight decreased - Subgruppe: Nutzung von Statinen: Ja (full analysis set)



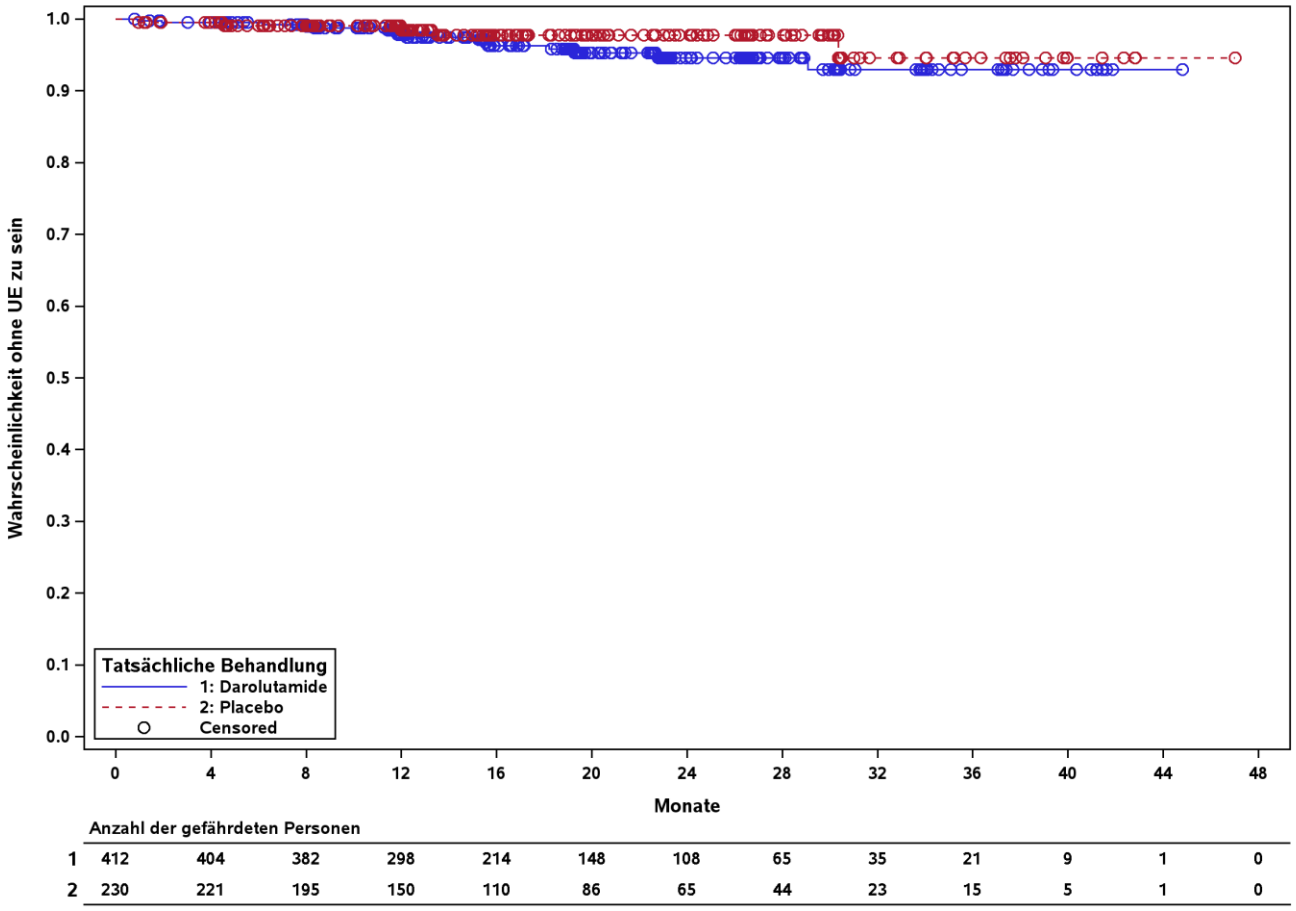
Bayer: /by-sasp/patdb/projects/1841788/17712/stat/prod_query22/pgms/t_aesi_sub.sas 23APR2020 17:14

Figure 4.3.3 / 247: Kaplan-Meier-Plot der 'Unerwünschte Ereignis von besonderem Interesse' Time-to-Event-Analyse nach Endpunkt und Subgruppe - Endpunkt: Zeit bis zum ersten UE von besonderem Interesse mit CTCAE Grad <3: Weight decreased - Subgruppe: Nutzung von Statinen: Nein (full analysis set)



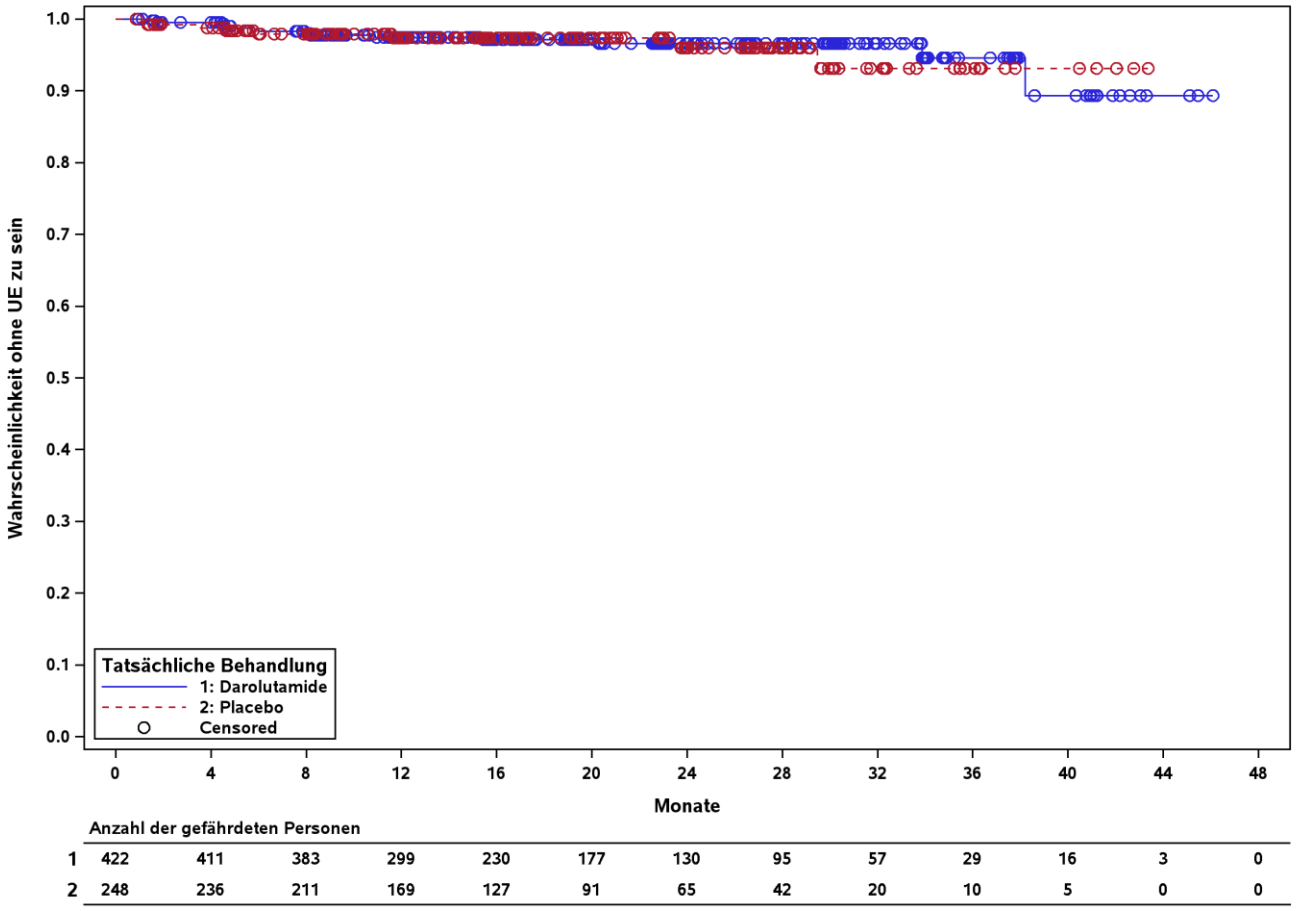
Bayer: /by-sasp/patdb/projects/1841788/17712/stat/prod_query22/pgms/t_aesi_sub.sas 23APR2020 17:14

Figure 4.3.3 / 248: Kaplan-Meier-Plot der 'Unerwünschte Ereignis von besonderem Interesse' Time-to-Event-Analyse nach Endpunkt und Subgruppe - Endpunkt: Zeit bis zum ersten UE von besonderem Interesse mit CTCAE Grad <3: Weight decreased - Subgruppe: eGFR an Baseline: normal (full analysis set)



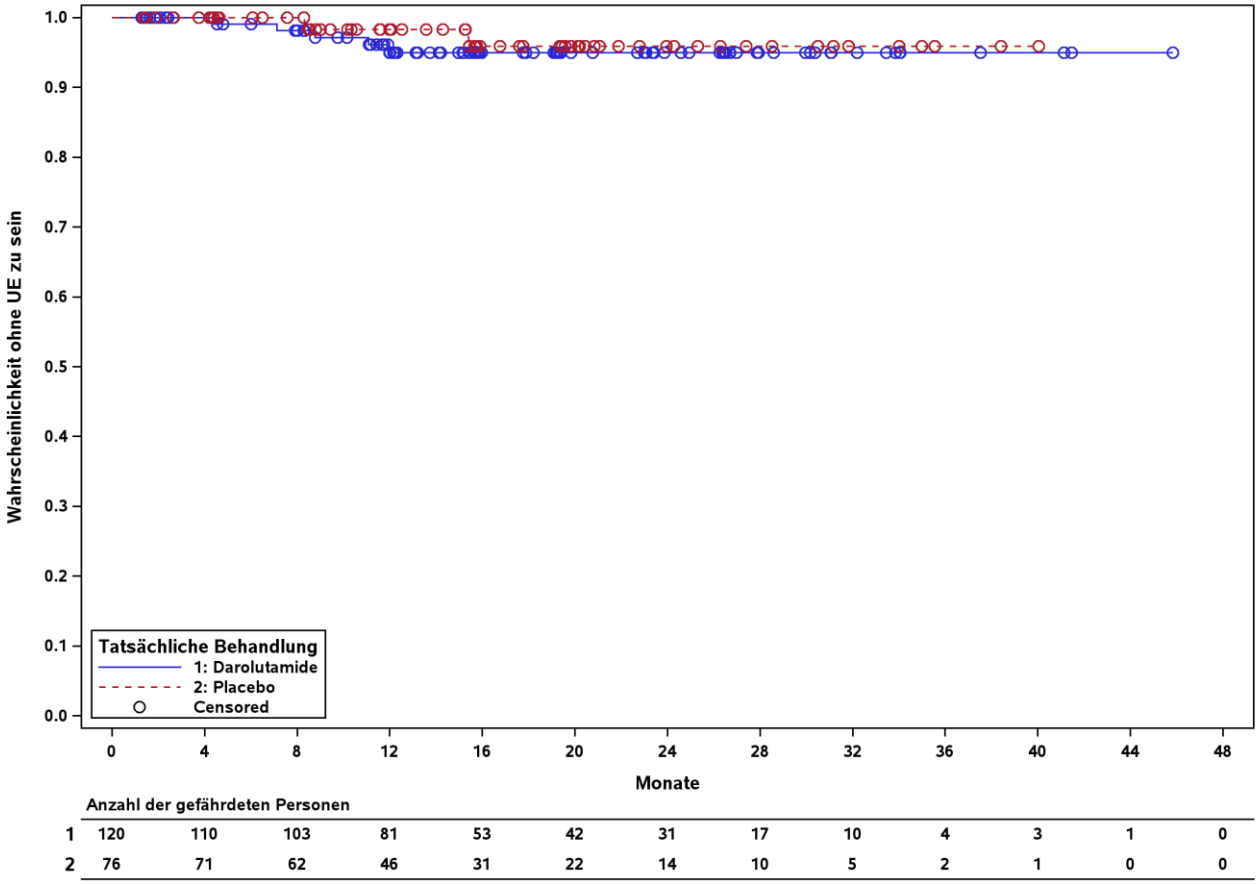
Bayer: /by-sasp/patdb/projects/1841788/17712/stat/prod_query22/pgms/t_aesi_sub.sas 23APR2020 17:14

Figure 4.3.3 / 249: Kaplan-Meier-Plot der 'Unerwünschte Ereignis von besonderem Interesse' Time-to-Event-Analyse nach Endpunkt und Subgruppe - Endpunkt: Zeit bis zum ersten UE von besonderem Interesse mit CTCAE Grad <3: Weight decreased - Subgruppe: eGFR an Baseline: mildly impaired (full analysis set)



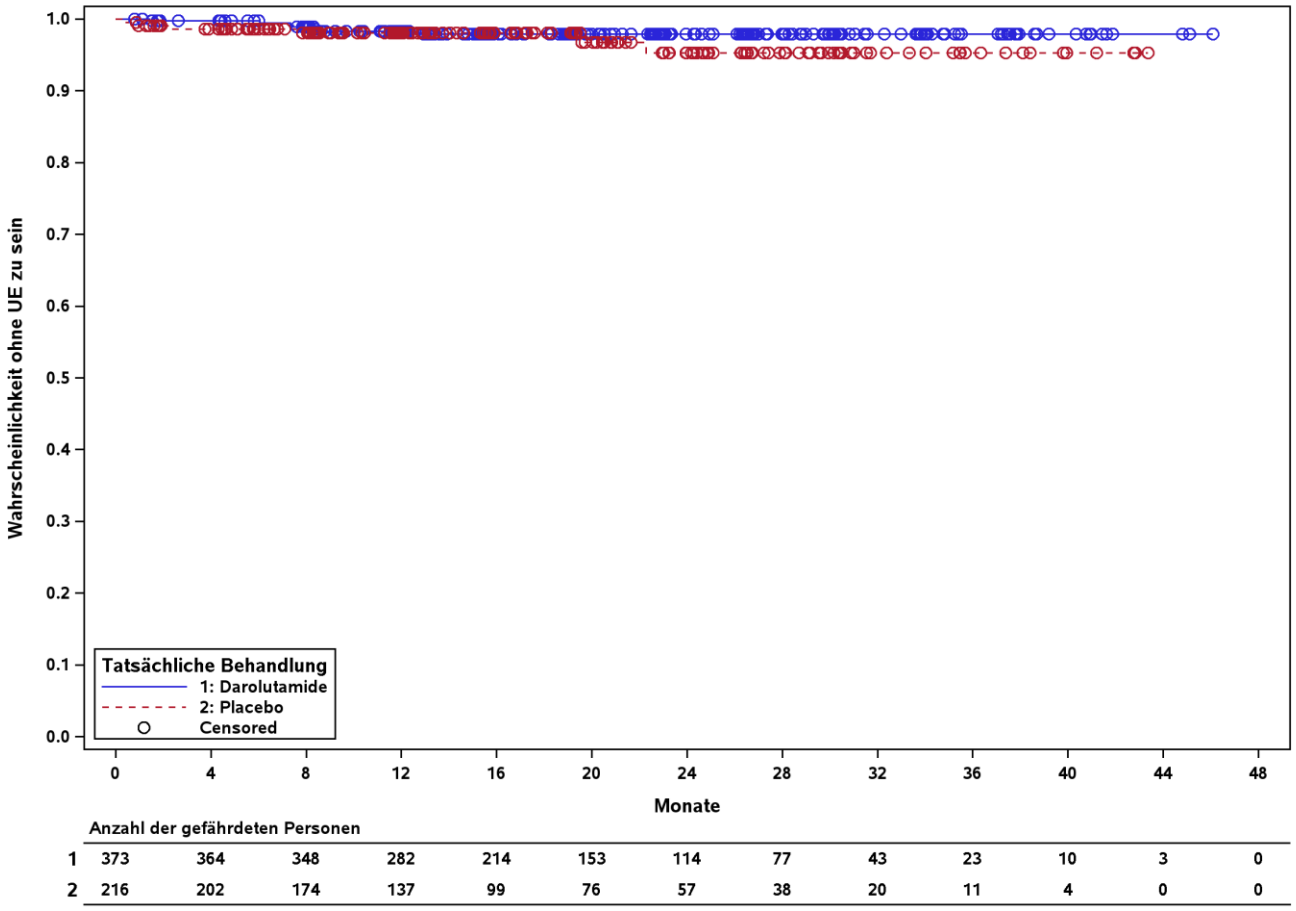
Bayer: /by-sasp/patdb/projects/1841788/17712/stat/prod_query22/pgms/t_aesi_sub.sas 23APR2020 17:14

Figure 4.3.3 / 250: Kaplan-Meier-Plot der 'Unerwünschte Ereignis von besonderem Interesse' Time-to-Event-Analyse nach Endpunkt und Subgruppe - Endpunkt: Zeit bis zum ersten UE von besonderem Interesse mit CTCAE Grad <3: Weight decreased - Subgruppe: eGFR an Baseline: moderately impaired, severely impaired and renal end stage (full analysis set)



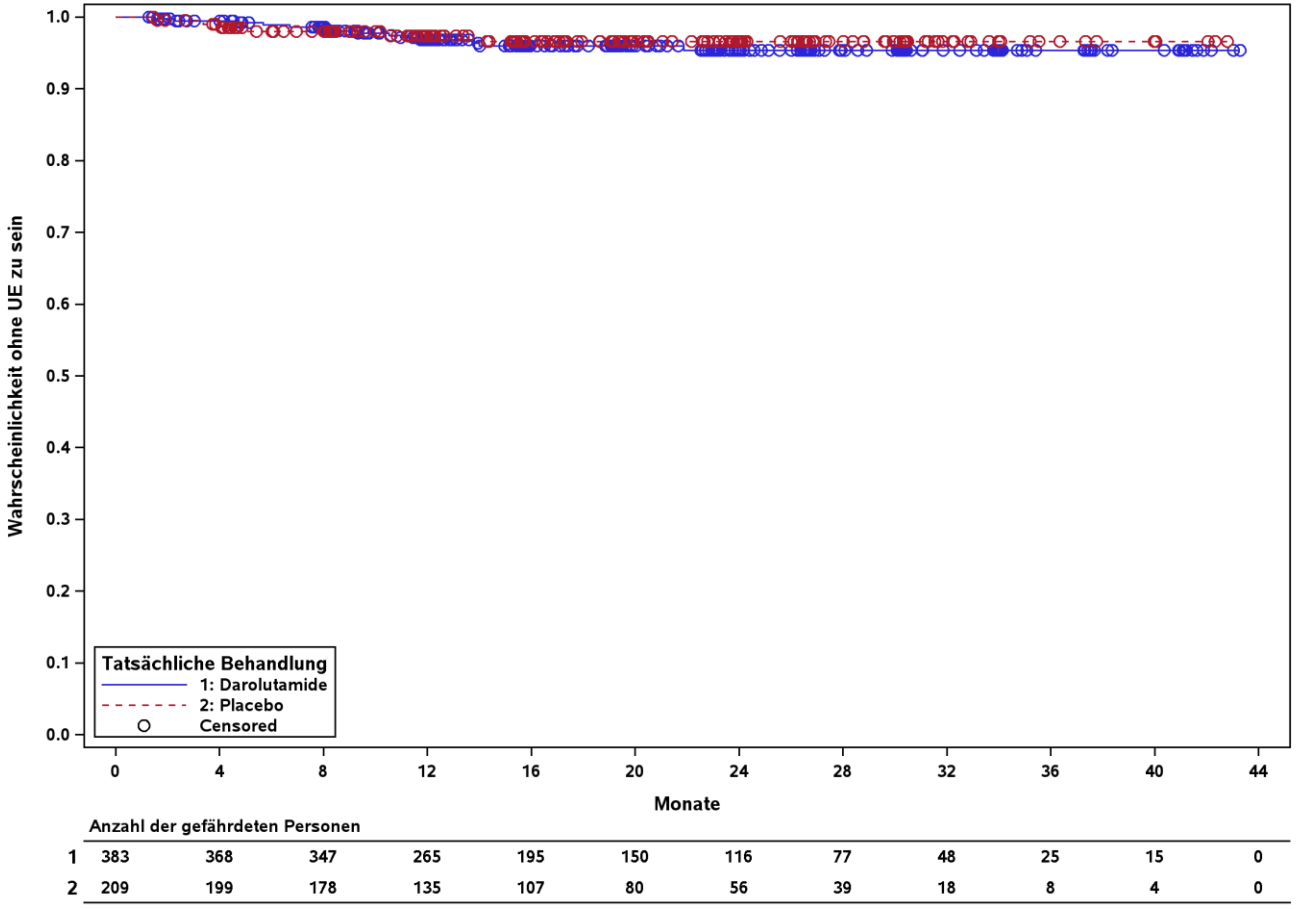
Bayer: /by-sasp/patdb/projects/1841788/17712/stat/prod_query22/pgms/t_aesi_sub.sas 23APR2020 17:14

Figure 4.3.3 / 251: Kaplan-Meier-Plot der 'Unerwünschte Ereignis von besonderem Interesse' Time-to-Event-Analyse nach Endpunkt und Subgruppe - Endpunkt: Zeit bis zum ersten UE von besonderem Interesse: Pneumonia and Pneumonitis - Subgruppe: Alter (Jahre): 65-74 (full analysis set)



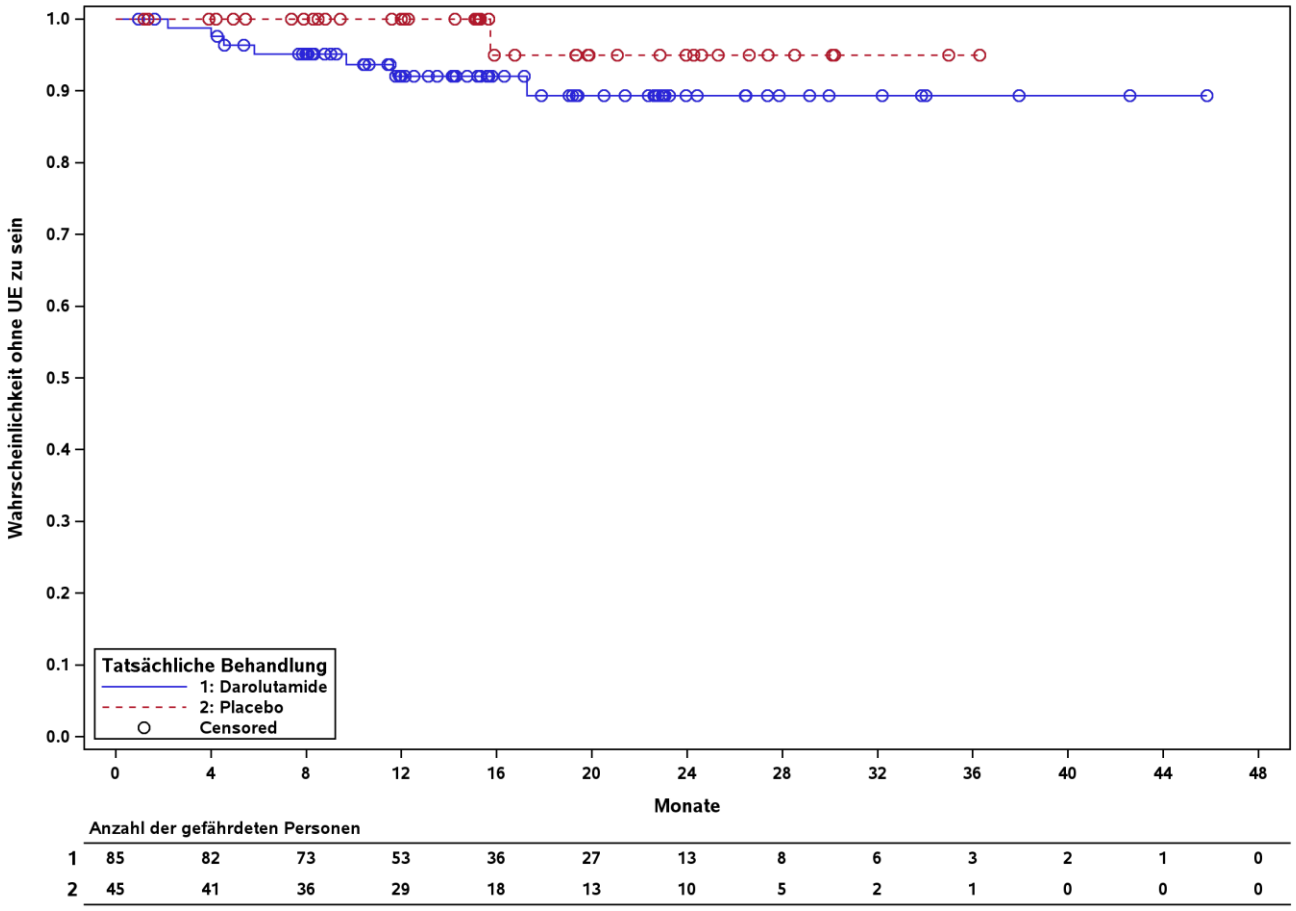
Bayer: /by-sasp/patdb/projects/1841788/17712/stat/prod_query22/pgms/t_aesi_sub.sas 23APR2020 17:14

Figure 4.3.3 / 252: Kaplan-Meier-Plot der 'Unerwünschte Ereignis von besonderem Interesse' Time-to-Event-Analyse nach Endpunkt und Subgruppe - Endpunkt: Zeit bis zum ersten UE von besonderem Interesse: Pneumonia and Pneumonitis - Subgruppe: Alter (Jahre): 75-84 (full analysis set)



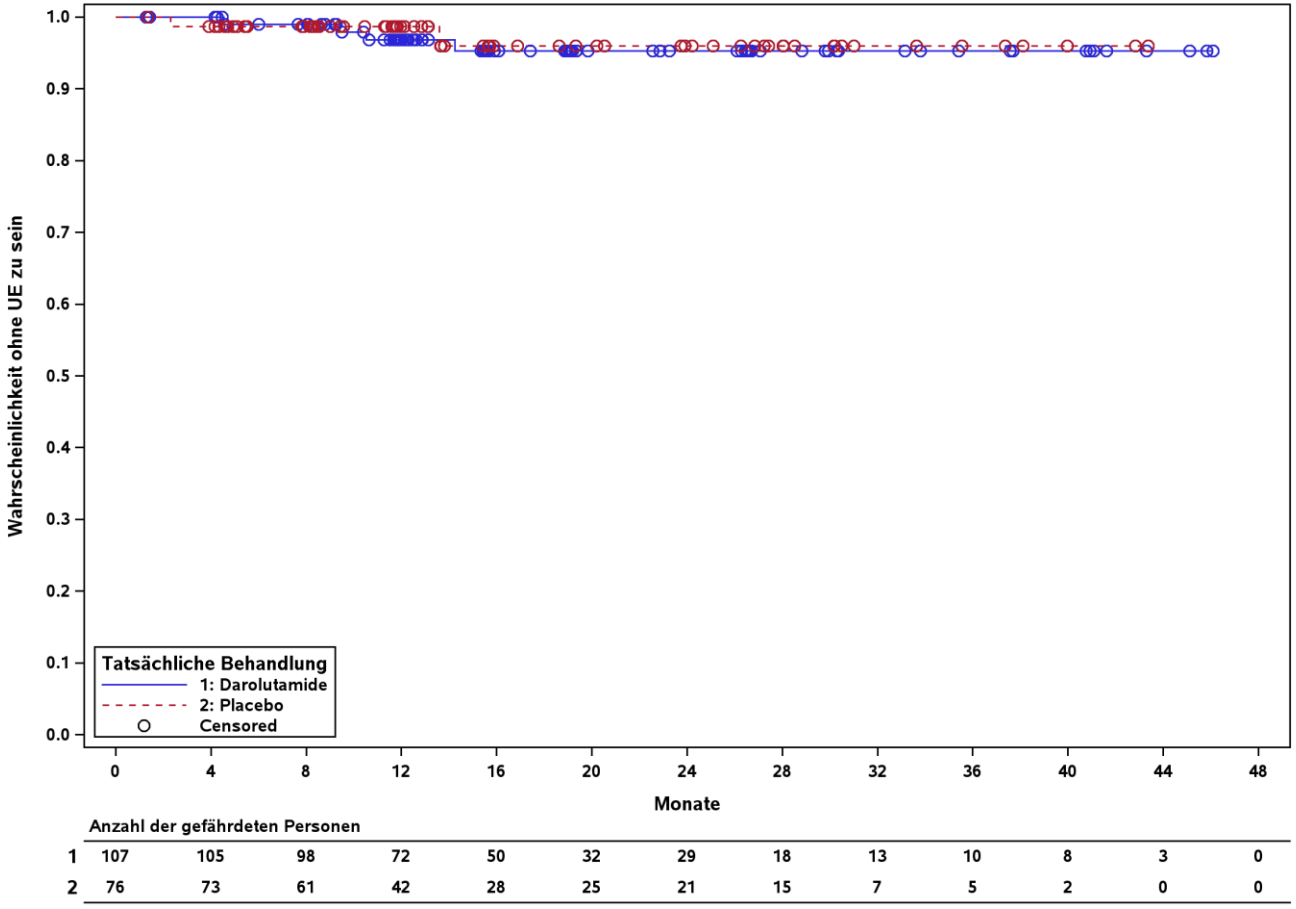
Bayer: /by-sasp/patdb/projects/1841788/17712/stat/prod_query22/pgms/t_aesi_sub.sas 23APR2020 17:14

Figure 4.3.3 / 253: Kaplan-Meier-Plot der 'Unerwünschte Ereignis von besonderem Interesse' Time-to-Event-Analyse nach Endpunkt und Subgruppe - Endpunkt: Zeit bis zum ersten UE von besonderem Interesse: Pneumonia and Pneumonitis - Subgruppe: Alter (Jahre): >=85 (full analysis set)



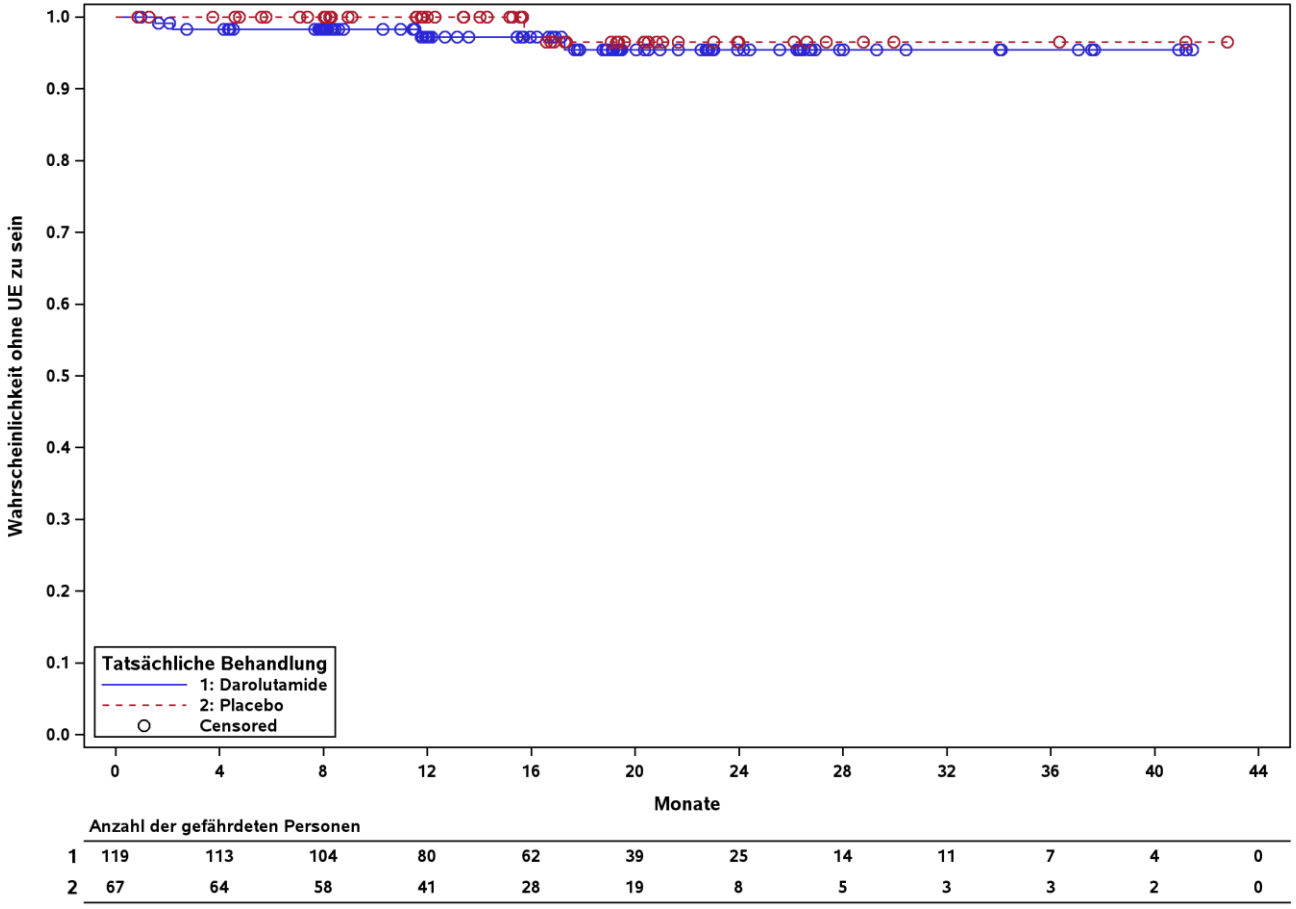
Bayer: /by-sasp/patdb/projects/1841788/17712/stat/prod_query22/pgms/t_aesi_sub.sas 23APR2020 17:14

Figure 4.3.3 / 254: Kaplan-Meier-Plot der 'Unerwünschte Ereignis von besonderem Interesse' Time-to-Event-Analyse nach Endpunkt und Subgruppe - Endpunkt: Zeit bis zum ersten UE von besonderem Interesse: Pneumonia and Pneumonitis - Subgruppe: Geografische Region: North America (full analysis set)



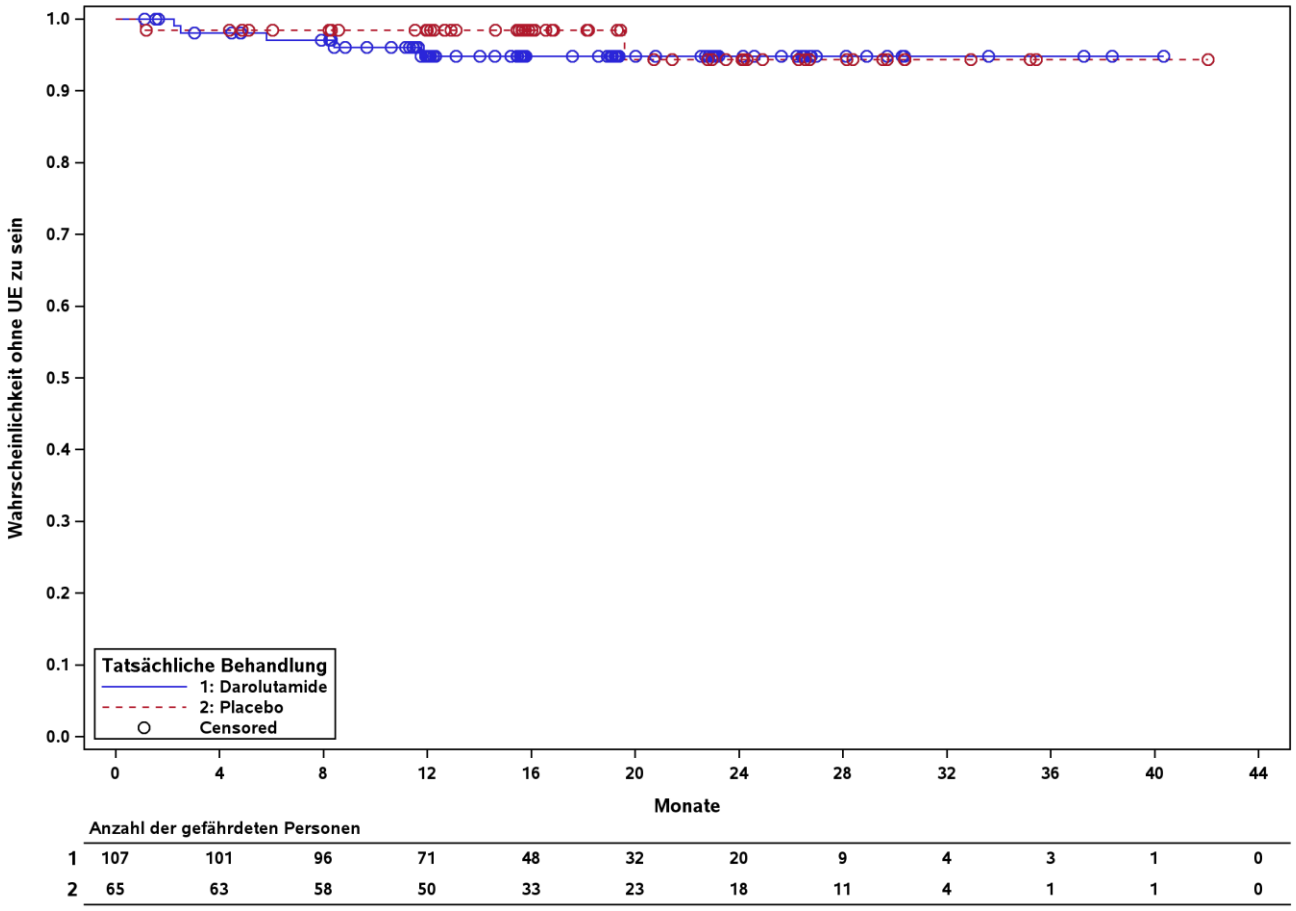
Bayer: /by-sasp/patdb/projects/1841788/17712/stat/prod_query22/pgms/t_aesi_sub.sas 23APR2020 17:14

Figure 4.3.3 / 255: Kaplan-Meier-Plot der 'Unerwünschte Ereignis von besonderem Interesse' Time-to-Event-Analyse nach Endpunkt und Subgruppe - Endpunkt: Zeit bis zum ersten UE von besonderem Interesse: Pneumonia and Pneumonitis - Subgruppe: Geografische Region: Asia Pacific (full analysis set)



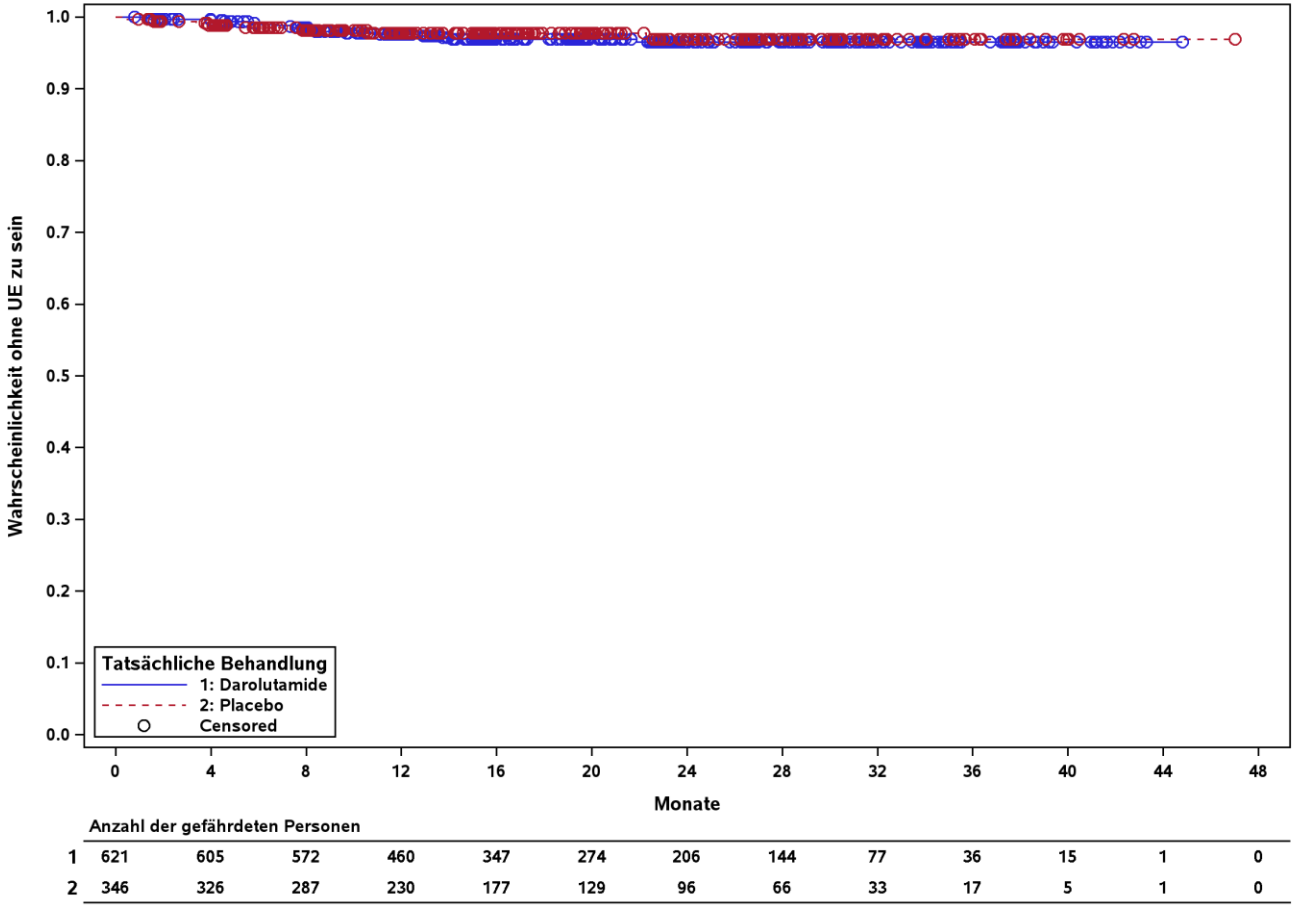
Bayer: /by-sasp/patdb/projects/1841788/17712/stat/prod_query22/pgms/t_aesi_sub.sas 23APR2020 17:14

Figure 4.3.3 / 256: Kaplan-Meier-Plot der 'Unerwünschte Ereignis von besonderem Interesse' Time-to-Event-Analyse nach Endpunkt und Subgruppe - Endpunkt: Zeit bis zum ersten UE von besonderem Interesse: Pneumonia and Pneumonitis - Subgruppe: Geografische Region: Rest of the World (full analysis set)



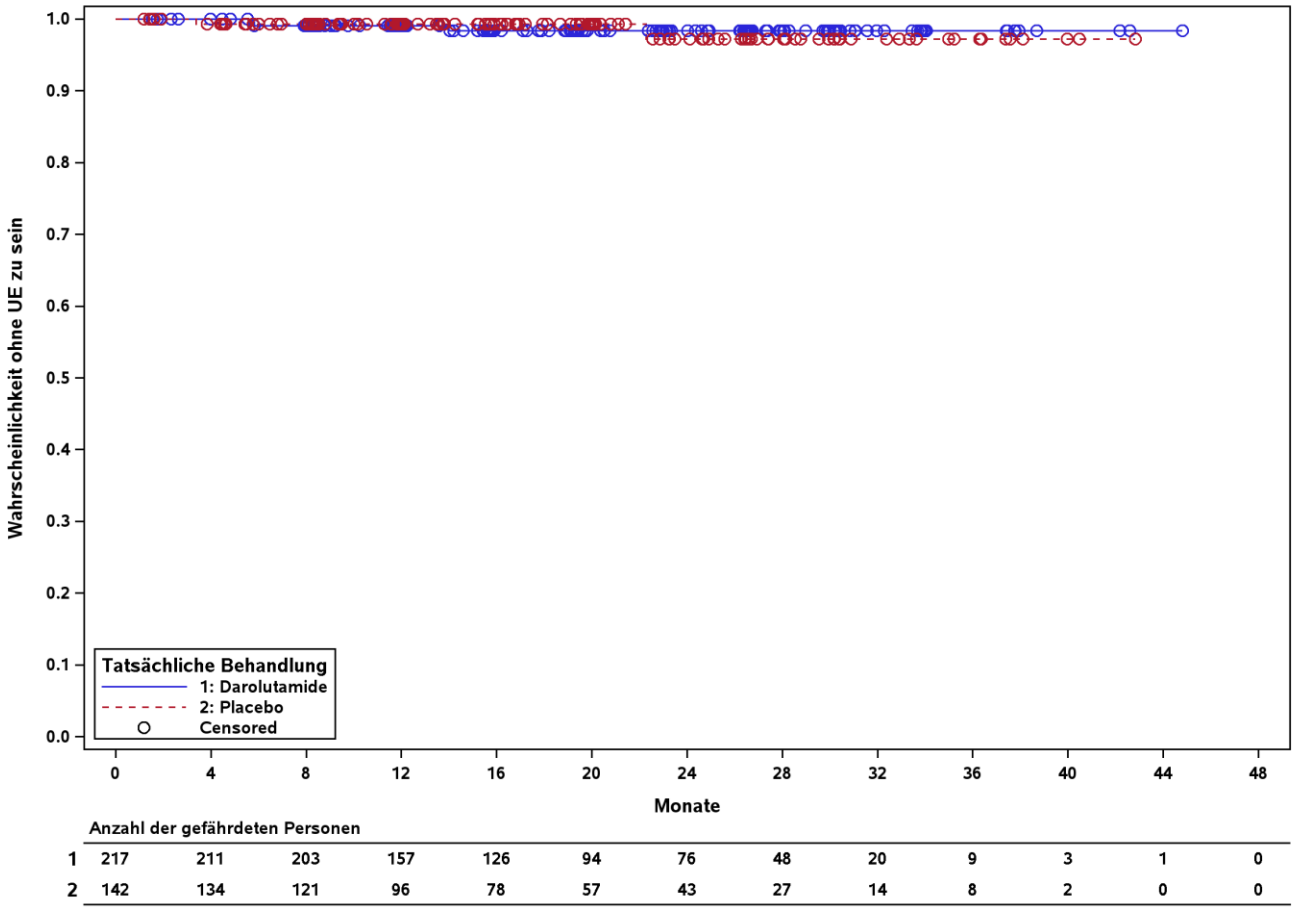
Bayer: /by-sasp/patdb/projects/1841788/17712/stat/prod_query22/pgms/t_aesi_sub.sas 23APR2020 17:14

Figure 4.3.3 / 257: Kaplan-Meier-Plot der 'Unerwünschte Ereignis von besonderem Interesse' Time-to-Event-Analyse nach Endpunkt und Subgruppe - Endpunkt: Zeit bis zum ersten UE von besonderem Interesse: Pneumonia and Pneumonitis - Subgruppe: Geografische Region: Europe (full analysis set)



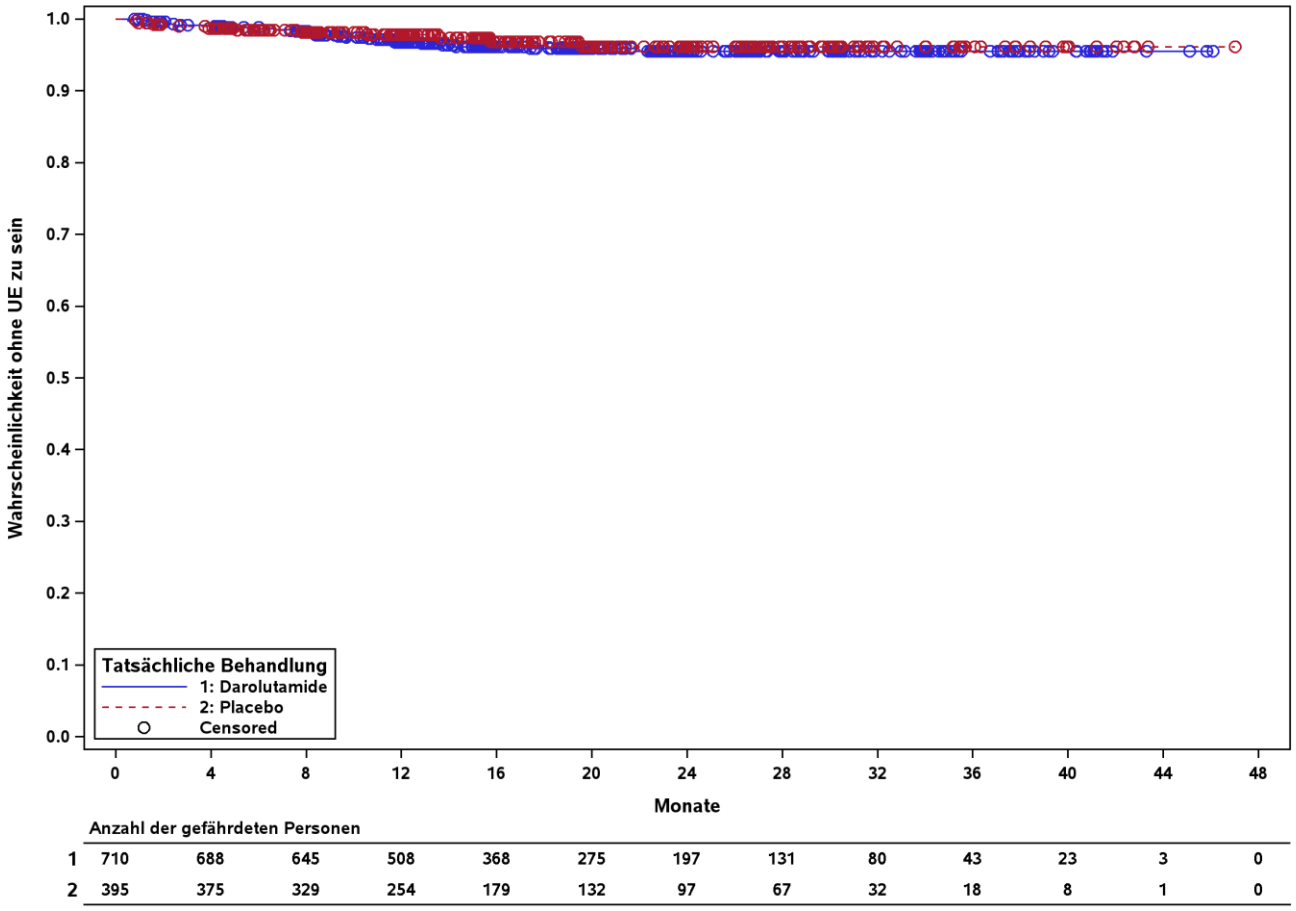
Bayer: /by-sasp/patdb/projects/1841788/17712/stat/prod_query22/pgms/t_aesi_sub.sas 23APR2020 17:14

Figure 4.3.3 / 258: Kaplan-Meier-Plot der 'Unerwünschte Ereignis von besonderem Interesse' Time-to-Event-Analyse nach Endpunkt und Subgruppe - Endpunkt: Zeit bis zum ersten UE von besonderem Interesse: Pneumonia and Pneumonitis - Subgruppe: Gleason-Score bei Diagnose: <7 (full analysis set)



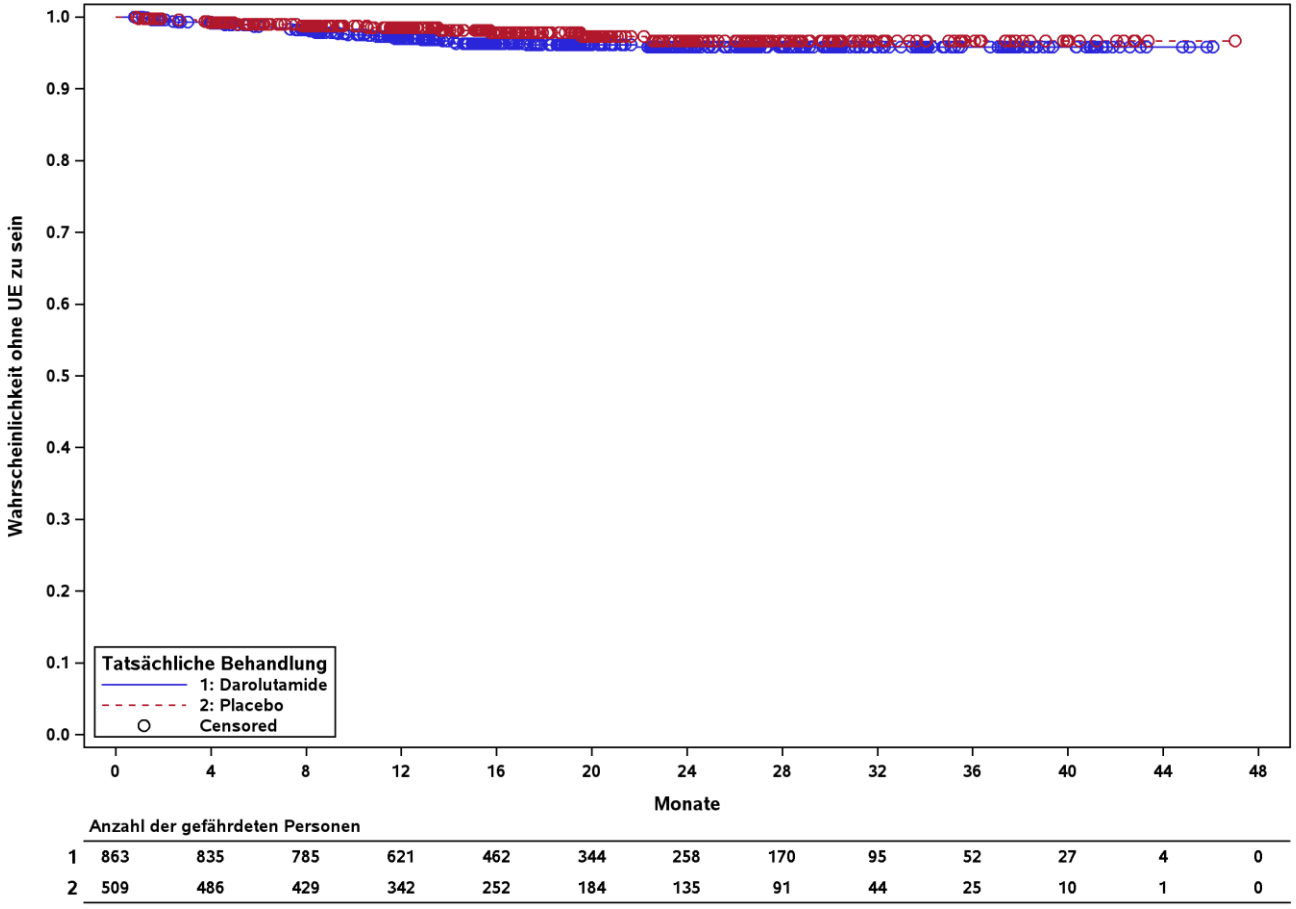
Bayer: /by-sasp/patdb/projects/1841788/17712/stat/prod_query22/pgms/t_aesi_sub.sas 23APR2020 17:14

Figure 4.3.3 / 259: Kaplan-Meier-Plot der 'Unerwünschte Ereignis von besonderem Interesse' Time-to-Event-Analyse nach Endpunkt und Subgruppe - Endpunkt: Zeit bis zum ersten UE von besonderem Interesse: Pneumonia and Pneumonitis - Subgruppe: Gleason-Score bei Diagnose: >=7 (full analysis set)



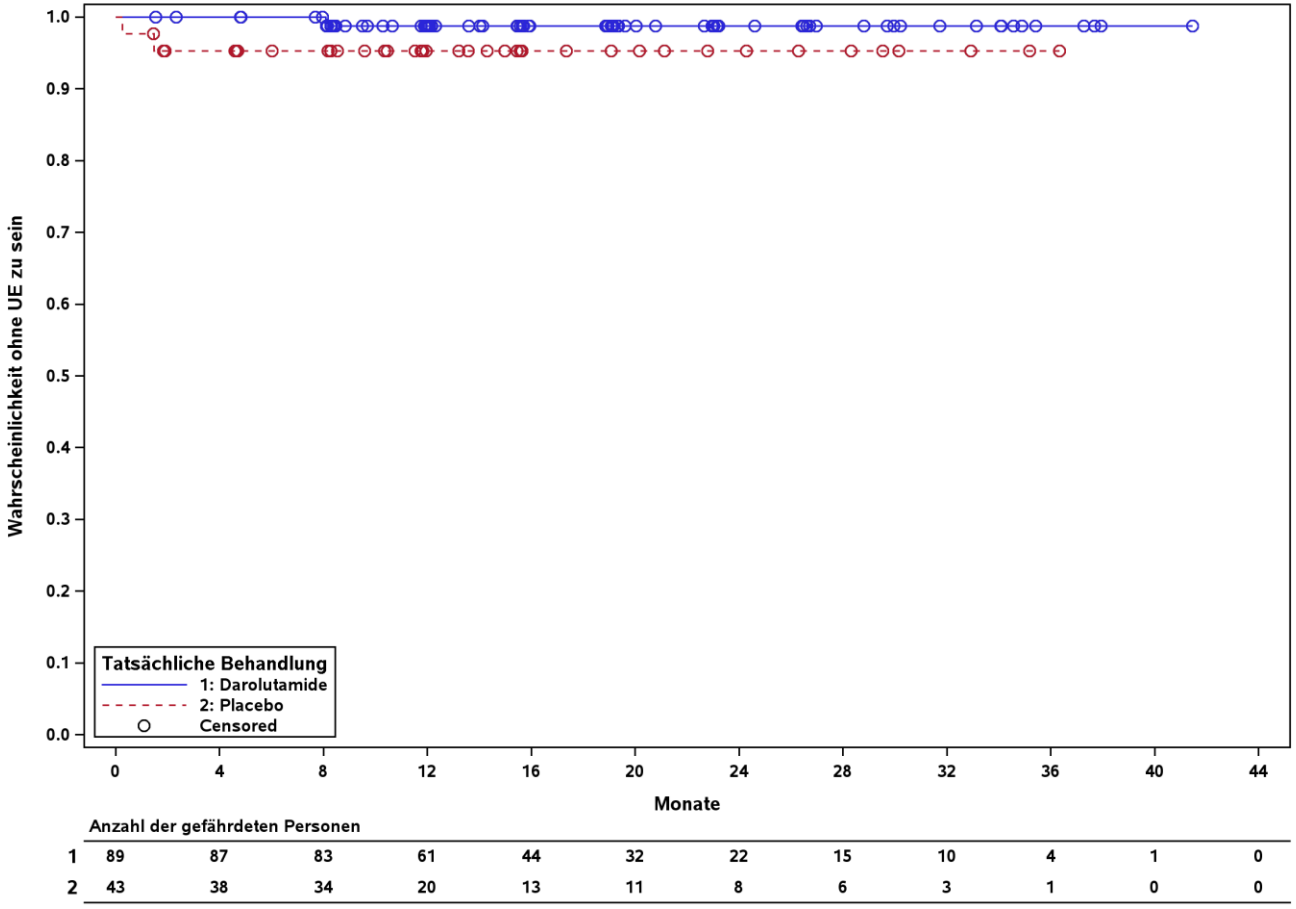
Bayer: /by-sasp/patdb/projects/1841788/17712/stat/prod_query22/pgms/t_aesi_sub.sas 23APR2020 17:14

Figure 4.3.3 / 260: Kaplan-Meier-Plot der 'Unerwünschte Ereignis von besonderem Interesse' Time-to-Event-Analyse nach Endpunkt und Subgruppe - Endpunkt: Zeit bis zum ersten UE von besonderem Interesse: Pneumonia and Pneumonitis - Subgruppe: Leberfunktionsstörung: normal (full analysis set)



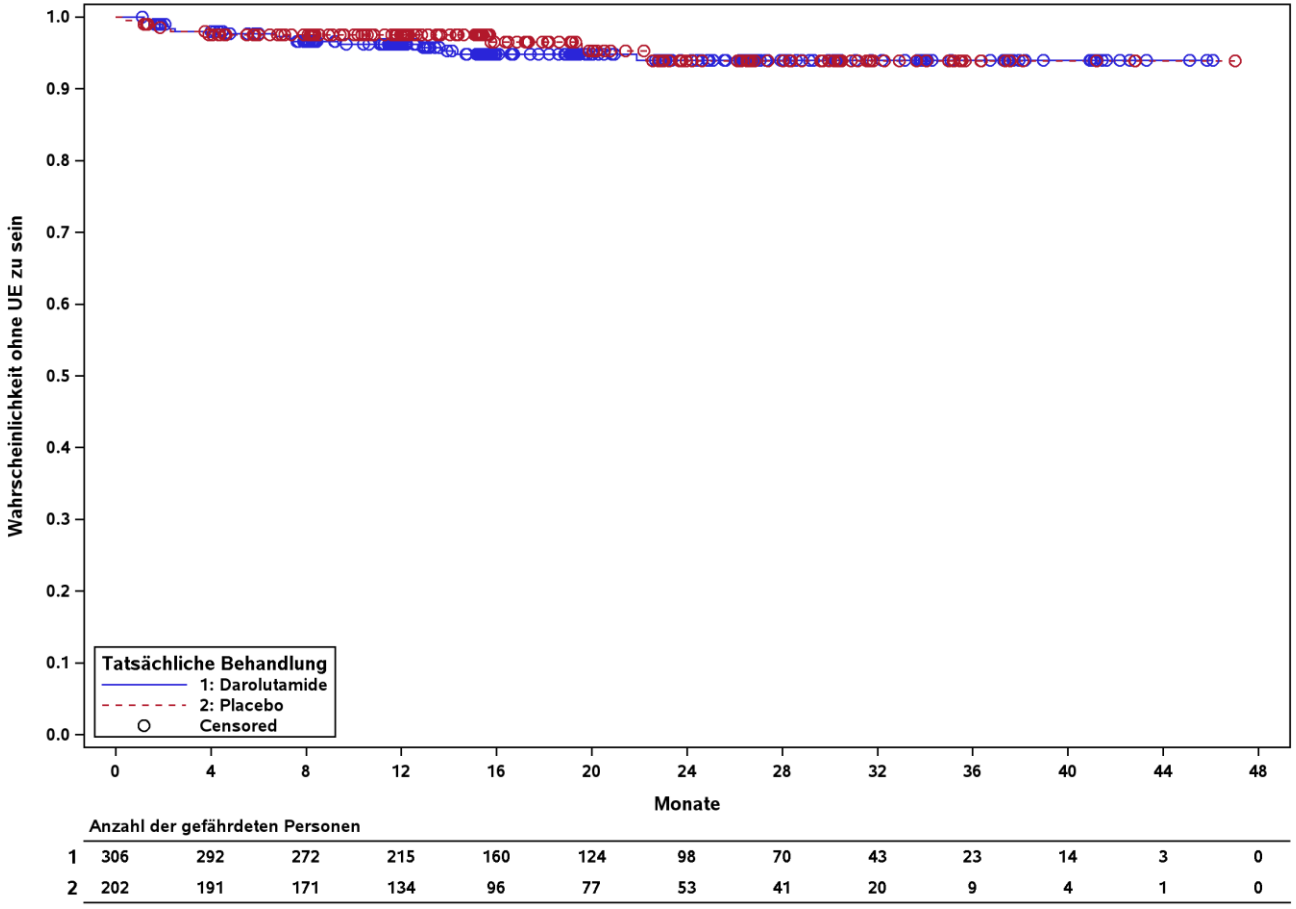
Bayer: /by-sasp/patdb/projects/1841788/17712/stat/prod_query22/pgms/t_aesi_sub.sas 23APR2020 17:14

Figure 4.3.3 / 261: Kaplan-Meier-Plot der 'Unerwünschte Ereignis von besonderem Interesse' Time-to-Event-Analyse nach Endpunkt und Subgruppe - Endpunkt: Zeit bis zum ersten UE von besonderem Interesse: Pneumonia and Pneumonitis - Subgruppe: Leberfunktionsstörung: mild (full analysis set)



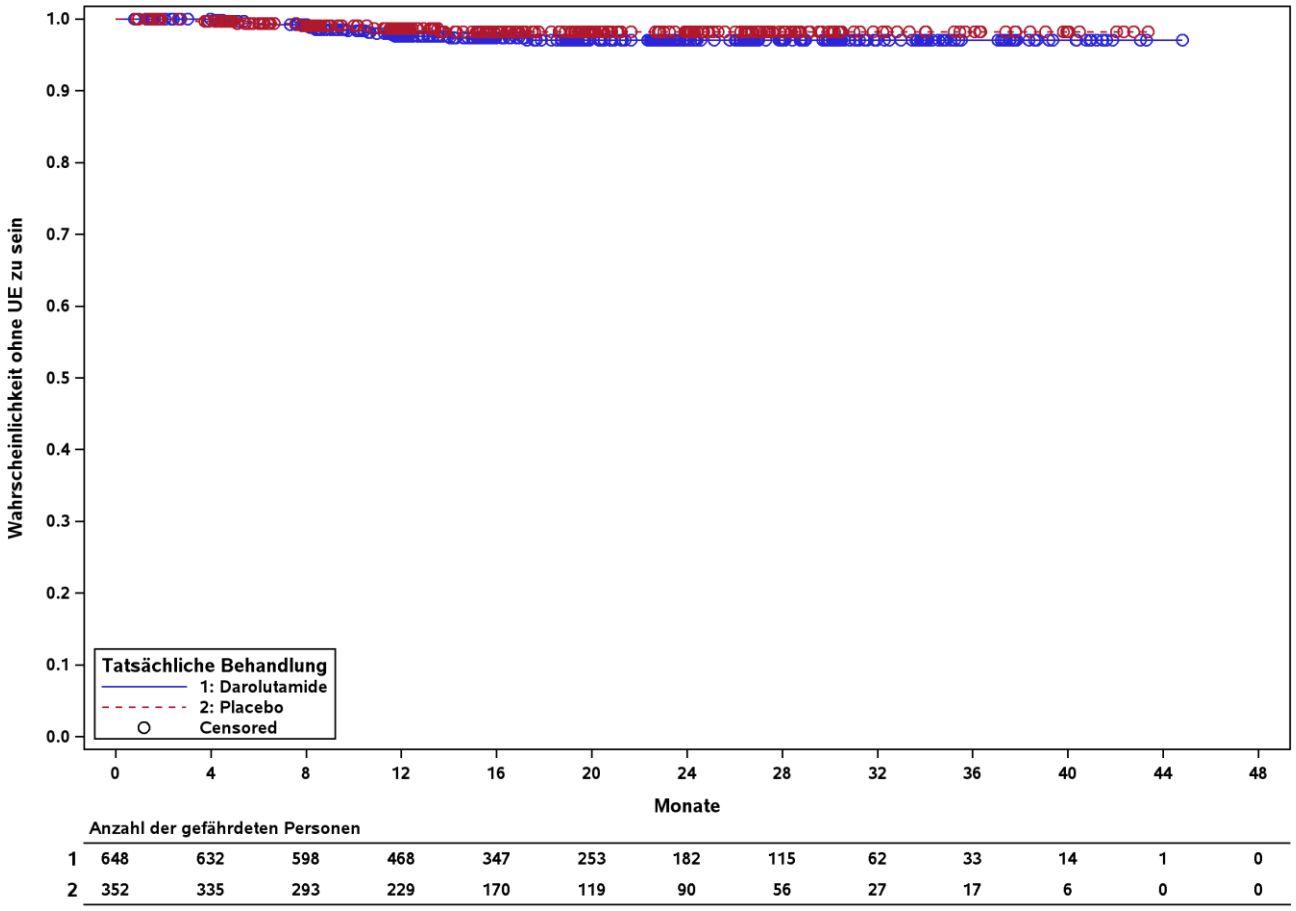
Bayer: /by-sasp/patdb/projects/1841788/17712/stat/prod_query22/pgms/t_aesi_sub.sas 23APR2020 17:14

Figure 4.3.3 / 262: Kaplan-Meier-Plot der 'Unerwünschte Ereignis von besonderem Interesse' Time-to-Event-Analyse nach Endpunkt und Subgruppe - Endpunkt: Zeit bis zum ersten UE von besonderem Interesse: Pneumonia and Pneumonitis - Subgruppe: Nutzung von Statinen: Ja (full analysis set)



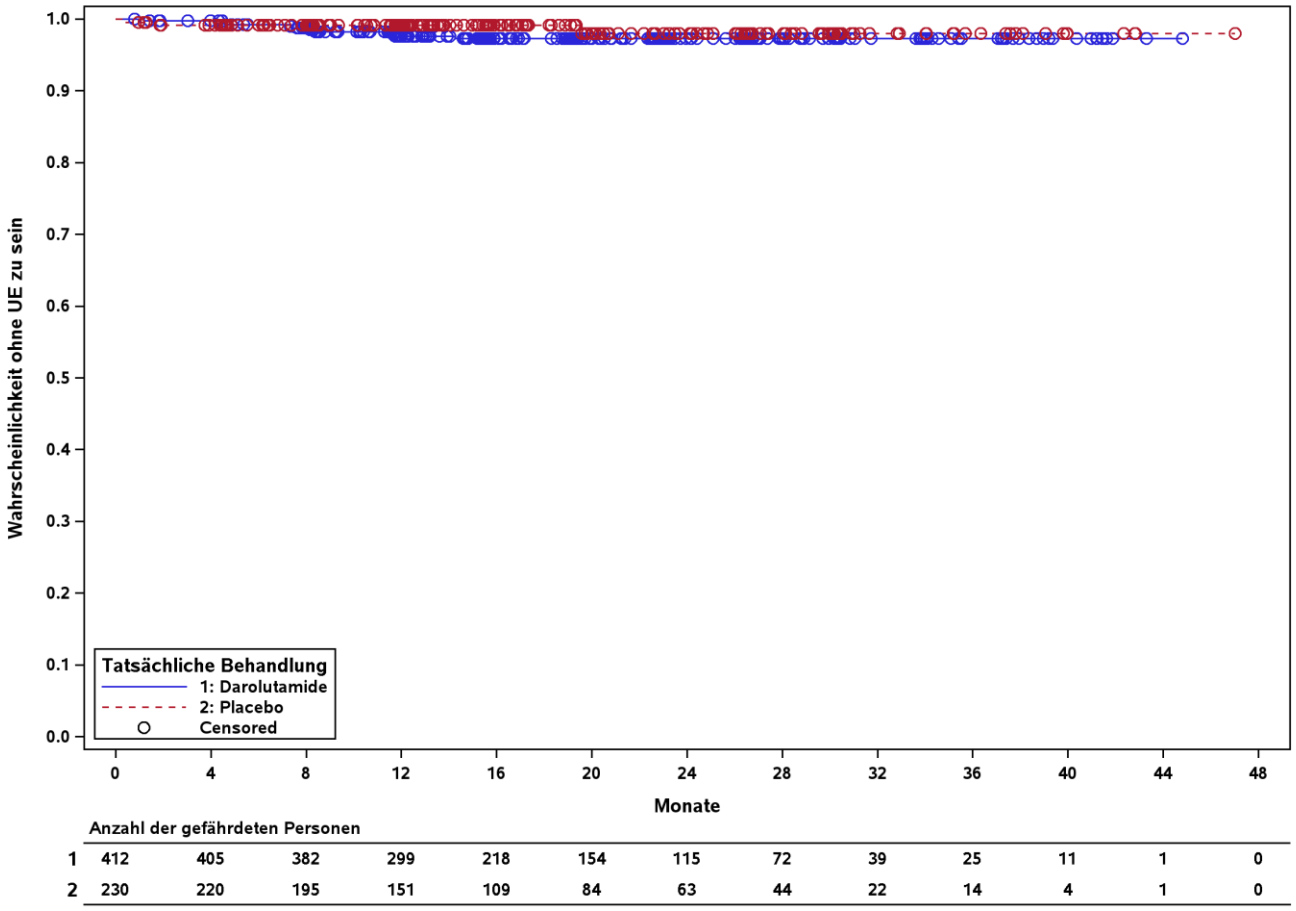
Bayer: /by-sasp/patdb/projects/1841788/17712/stat/prod_query22/pgms/t_aesi_sub.sas 23APR2020 17:14

Figure 4.3.3 / 263: Kaplan-Meier-Plot der 'Unerwünschte Ereignis von besonderem Interesse' Time-to-Event-Analyse nach Endpunkt und Subgruppe - Endpunkt: Zeit bis zum ersten UE von besonderem Interesse: Pneumonia and Pneumonitis - Subgruppe: Nutzung von Statinen: Nein (full analysis set)



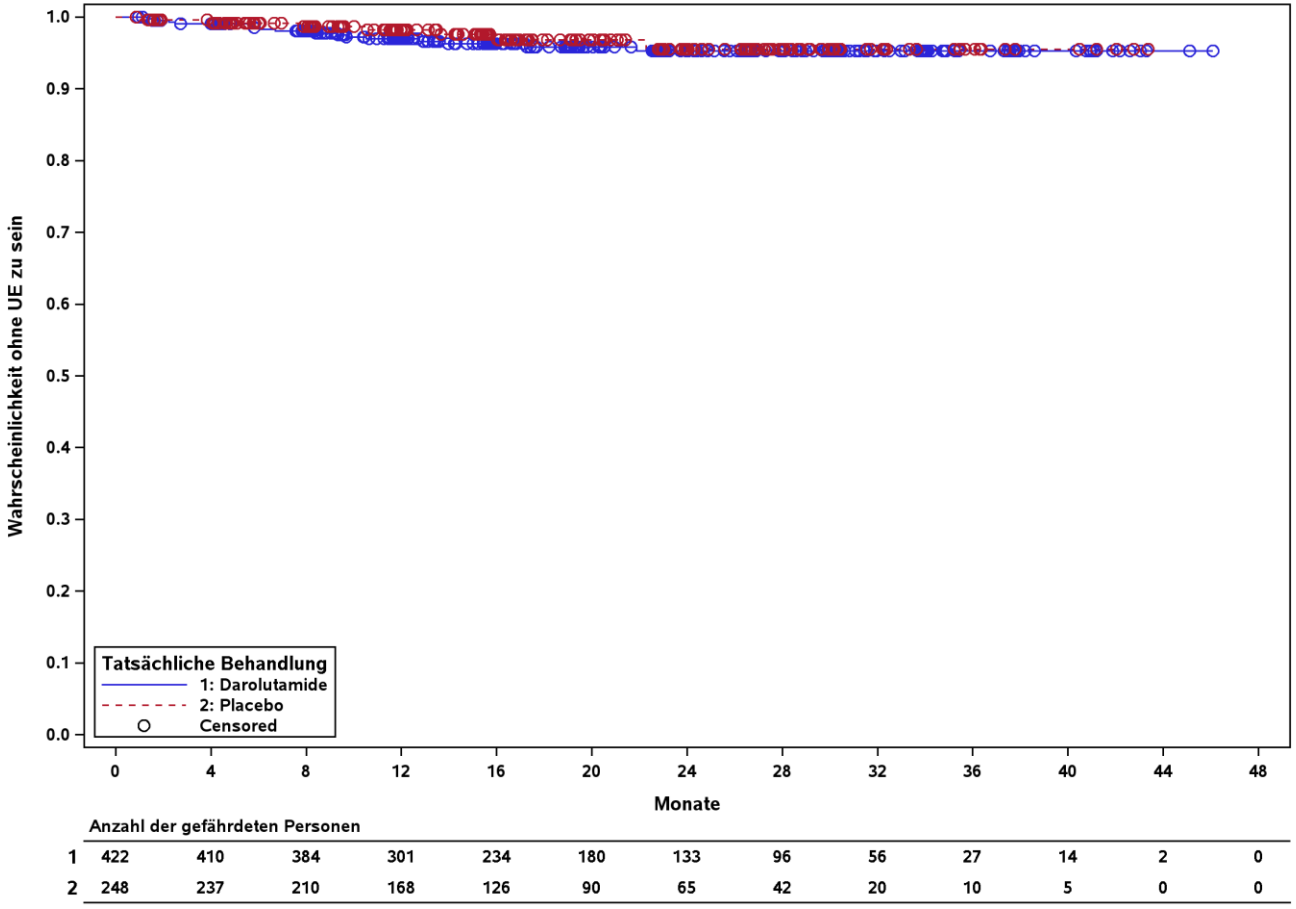
Bayer: /by-sasp/patdb/projects/1841788/17712/stat/prod_query22/pgms/t_aesi_sub.sas 23APR2020 17:14

Figure 4.3.3 / 264: Kaplan-Meier-Plot der 'Unerwünschte Ereignis von besonderem Interesse' Time-to-Event-Analyse nach Endpunkt und Subgruppe - Endpunkt: Zeit bis zum ersten UE von besonderem Interesse: Pneumonia and Pneumonitis - Subgruppe: eGFR an Baseline: normal (full analysis set)



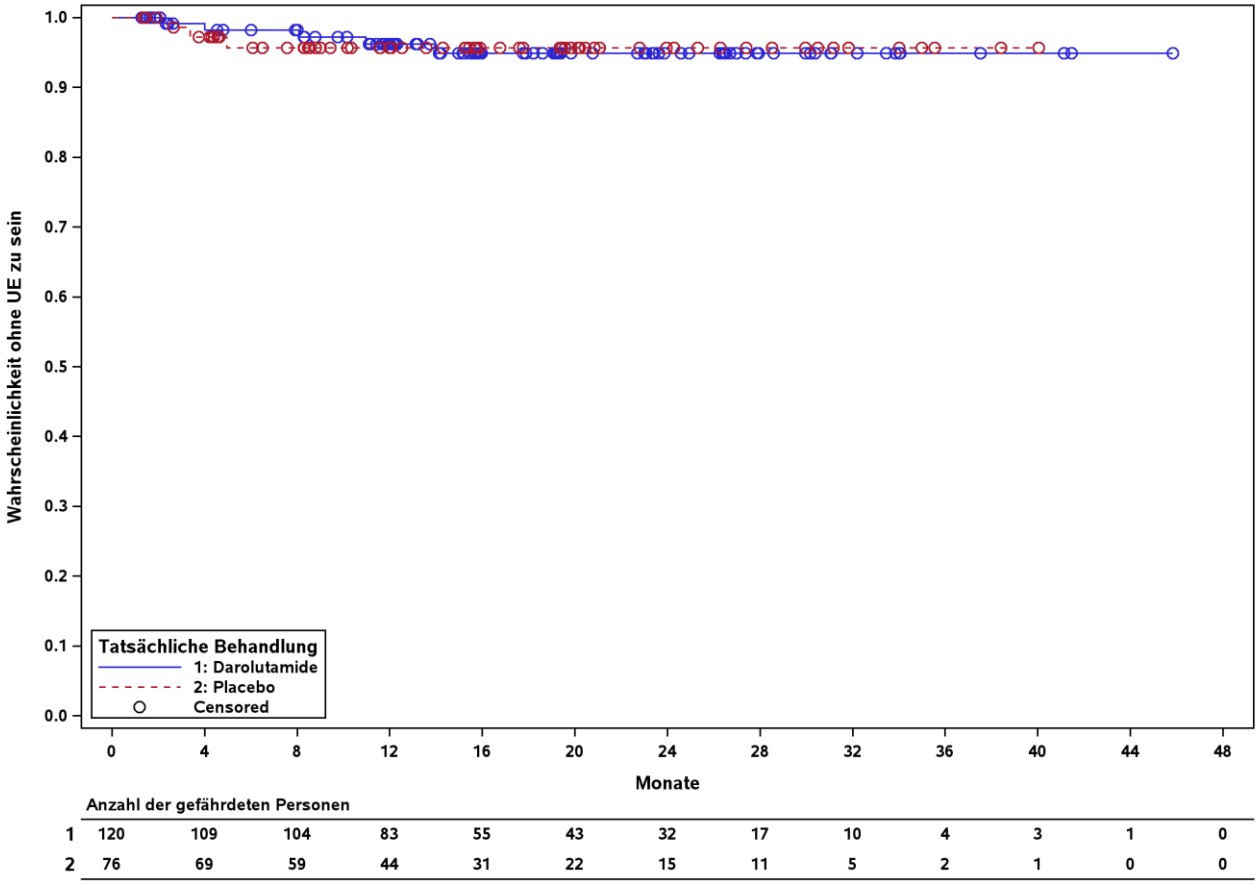
Bayer: /by-sasp/patdb/projects/1841788/17712/stat/prod_query22/pgms/t_aesi_sub.sas 23APR2020 17:14

Figure 4.3.3 / 265: Kaplan-Meier-Plot der 'Unerwünschte Ereignis von besonderem Interesse' Time-to-Event-Analyse nach Endpunkt und Subgruppe - Endpunkt: Zeit bis zum ersten UE von besonderem Interesse: Pneumonia and Pneumonitis - Subgruppe: eGFR an Baseline: mildly impaired (full analysis set)



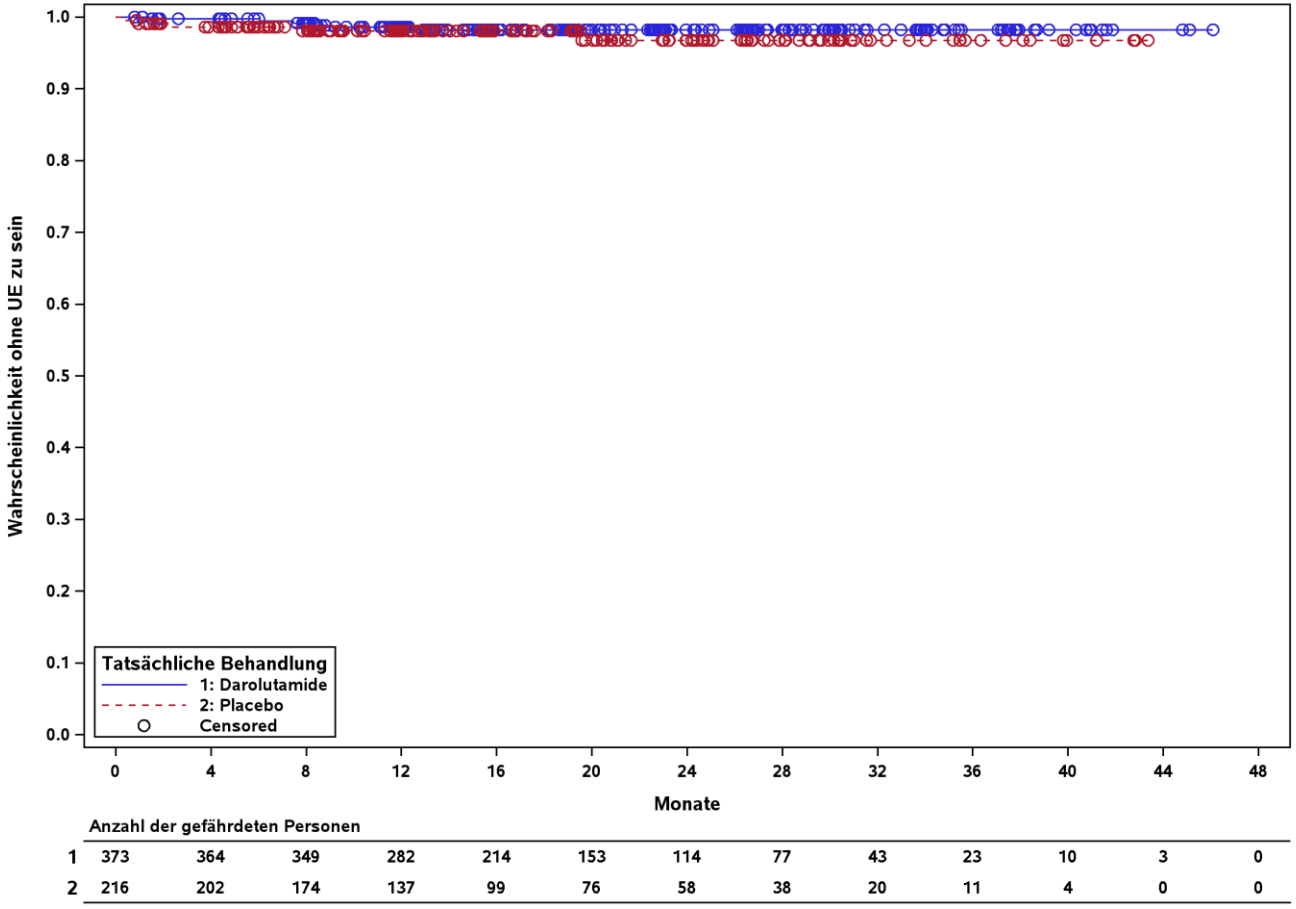
Bayer: /by-sasp/patdb/projects/1841788/17712/stat/prod_query22/pgms/t_aesi_sub.sas 23APR2020 17:14

Figure 4.3.3 / 266: Kaplan-Meier-Plot der 'Unerwünschte Ereignis von besonderem Interesse' Time-to-Event-Analyse nach Endpunkt und Subgruppe - Endpunkt: Zeit bis zum ersten UE von besonderem Interesse: Pneumonia and Pneumonitis - Subgruppe: eGFR an Baseline: moderately impaired, severely impaired and renal end stage (full analysis set)



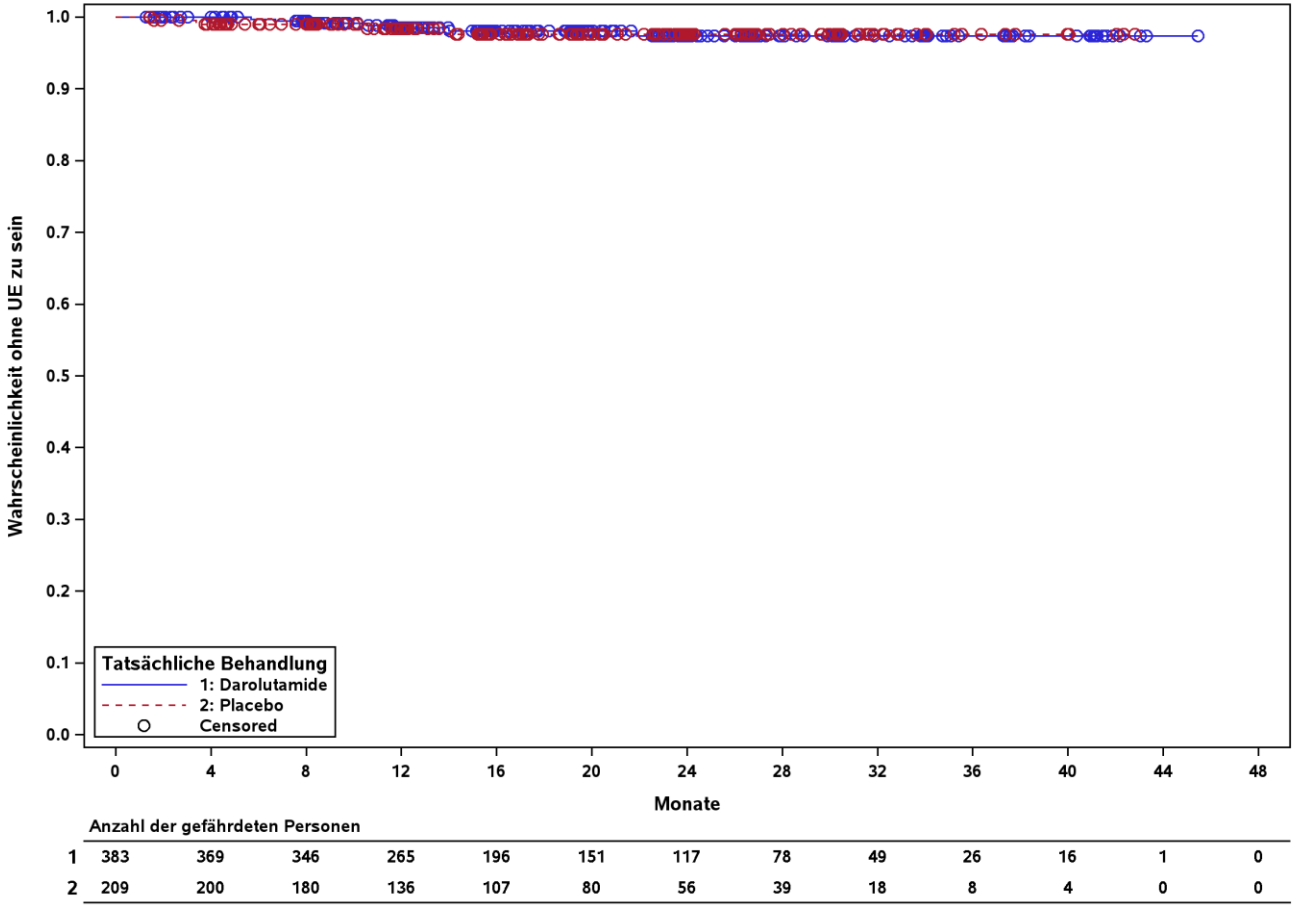
Bayer: /by-sasp/patdb/projects/1841788/17712/stat/prod_query22/pgms/t_aesi_sub.sas 23APR2020 17:14

Figure 4.3.3 / 267: Kaplan-Meier-Plot der 'Unerwünschte Ereignis von besonderem Interesse' Time-to-Event-Analyse nach Endpunkt und Subgruppe - Endpunkt: Zeit bis zum ersten UE von besonderem Interesse mit CTCAE Grad <3: Pneumonia and Pneumonitis - Subgruppe: Alter (Jahre): 65-74 (full analysis set)



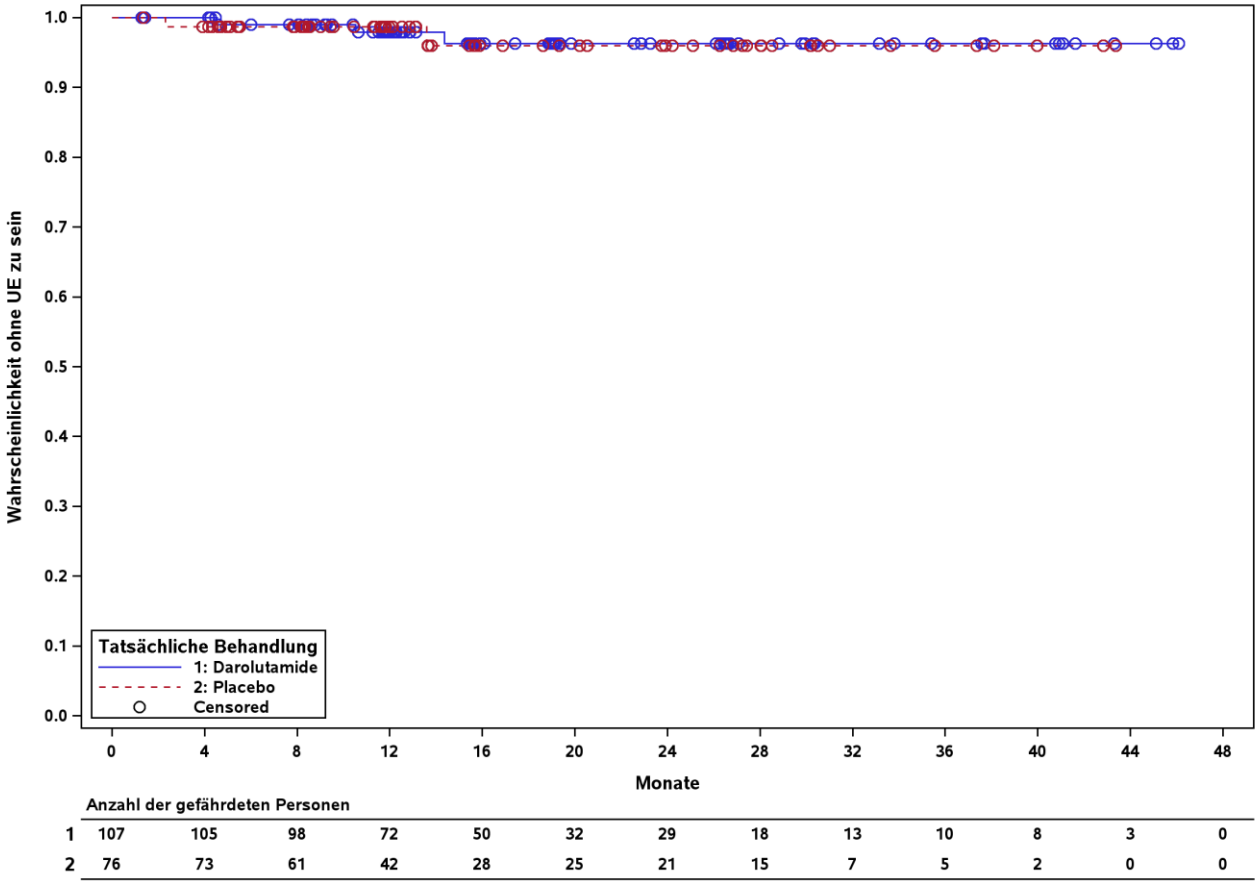
Bayer: /by-sasp/patdb/projects/1841788/17712/stat/prod_query22/pgms/t_aesi_sub.sas 23APR2020 17:14

Figure 4.3.3 / 268: Kaplan-Meier-Plot der 'Unerwünschte Ereignis von besonderem Interesse' Time-to-Event-Analyse nach Endpunkt und Subgruppe - Endpunkt: Zeit bis zum ersten UE von besonderem Interesse mit CTCAE Grad <3: Pneumonia and Pneumonitis - Subgruppe: Alter (Jahre): 75-84 (full analysis set)



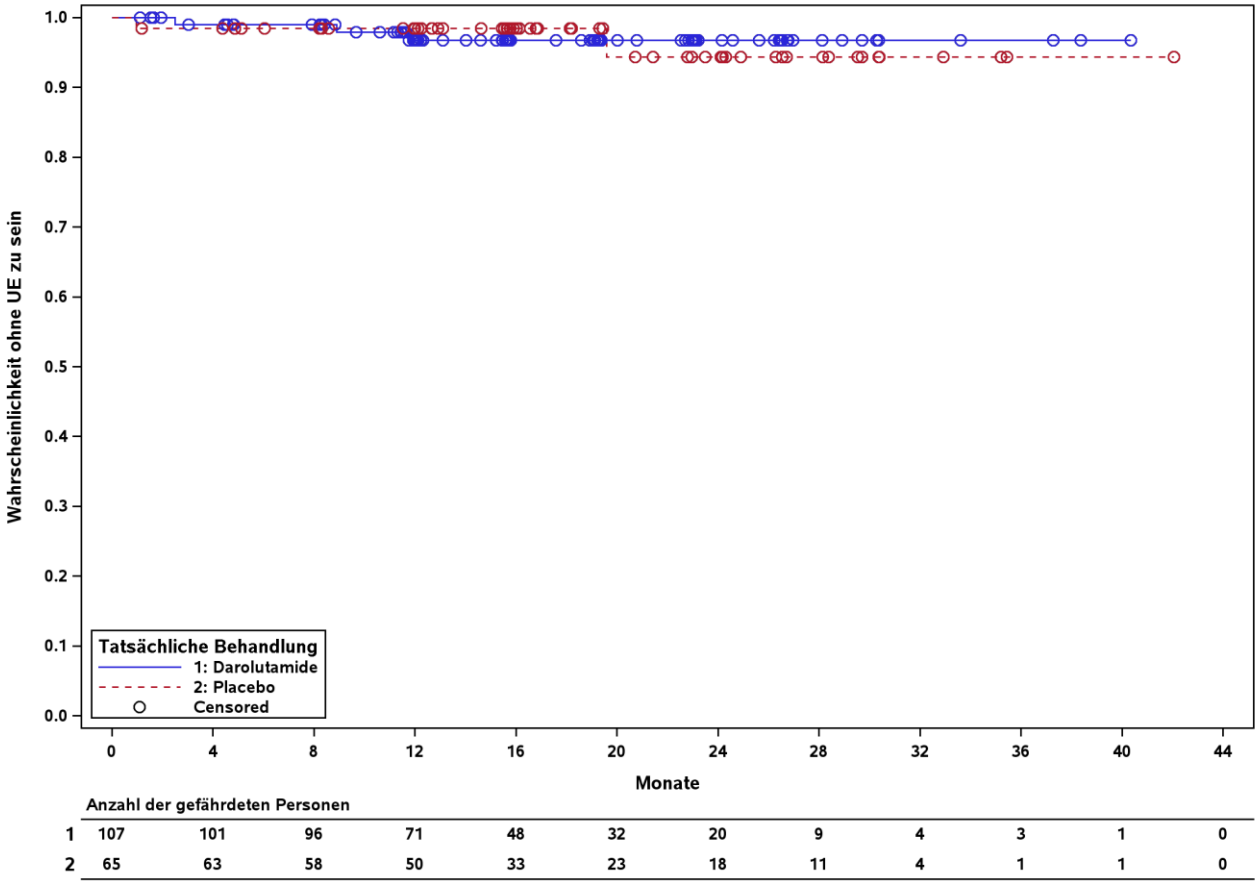
Bayer: /by-sasp/patdb/projects/1841788/17712/stat/prod_query22/pgms/t_aesi_sub.sas 23APR2020 17:14

Figure 4.3.3 / 269: Kaplan-Meier-Plot der 'Unerwünschte Ereignis von besonderem Interesse' Time-to-Event-Analyse nach Endpunkt und Subgruppe - Endpunkt: Zeit bis zum ersten UE von besonderem Interesse mit CTCAE Grad <3: Pneumonia and Pneumonitis - Subgruppe: Geografische Region: North America (full analysis set)



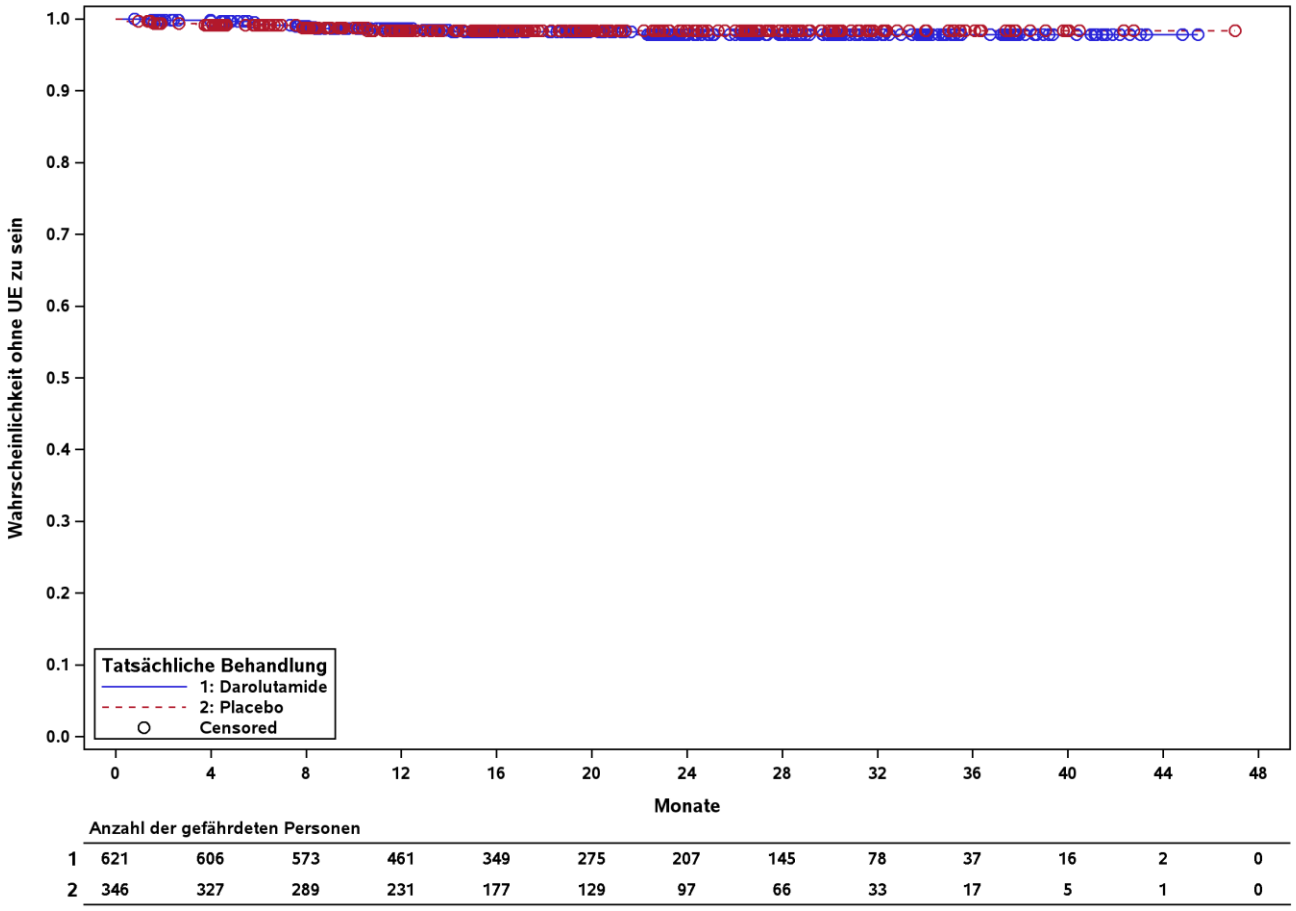
Bayer: /by-sasp/patdb/projects/1841788/17712/stat/prod_query22/pgms/t_aesi_sub.sas 23APR2020 17:14

Figure 4.3.3 / 270: Kaplan-Meier-Plot der 'Unerwünschte Ereignis von besonderem Interesse' Time-to-Event-Analyse nach Endpunkt und Subgruppe - Endpunkt: Zeit bis zum ersten UE von besonderem Interesse mit CTCAE Grad <3: Pneumonia and Pneumonitis - Subgruppe: Geografische Region: Rest of the World (full analysis set)



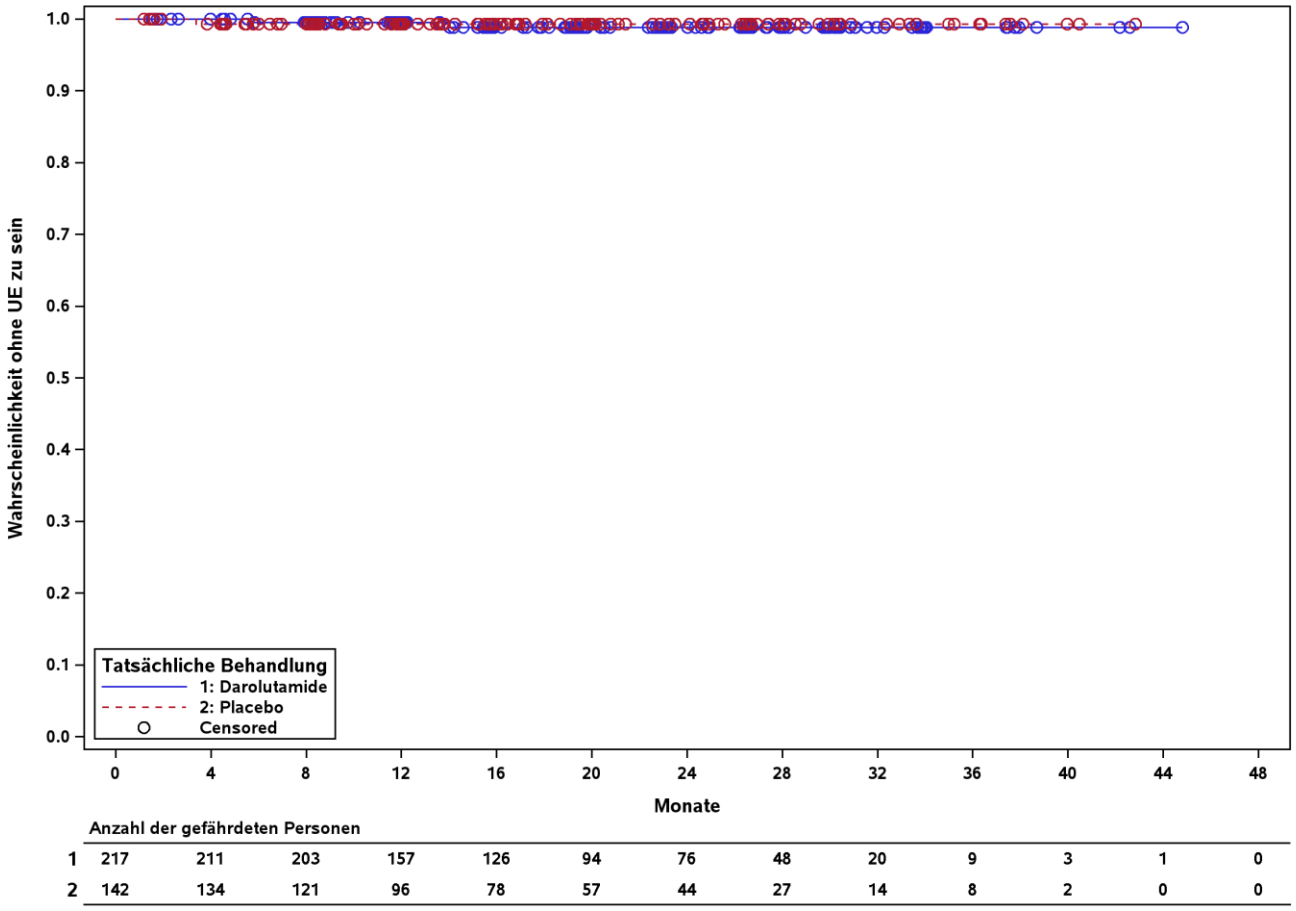
Bayer: /by-sasp/patdb/projects/1841788/17712/stat/prod_query22/pgms/t_aesi_sub.sas 23APR2020 17:14

Figure 4.3.3 / 271: Kaplan-Meier-Plot der 'Unerwünschte Ereignis von besonderem Interesse' Time-to-Event-Analyse nach Endpunkt und Subgruppe - Endpunkt: Zeit bis zum ersten UE von besonderem Interesse mit CTCAE Grad <3: Pneumonia and Pneumonitis - Subgruppe: Geografische Region: Europe (full analysis set)



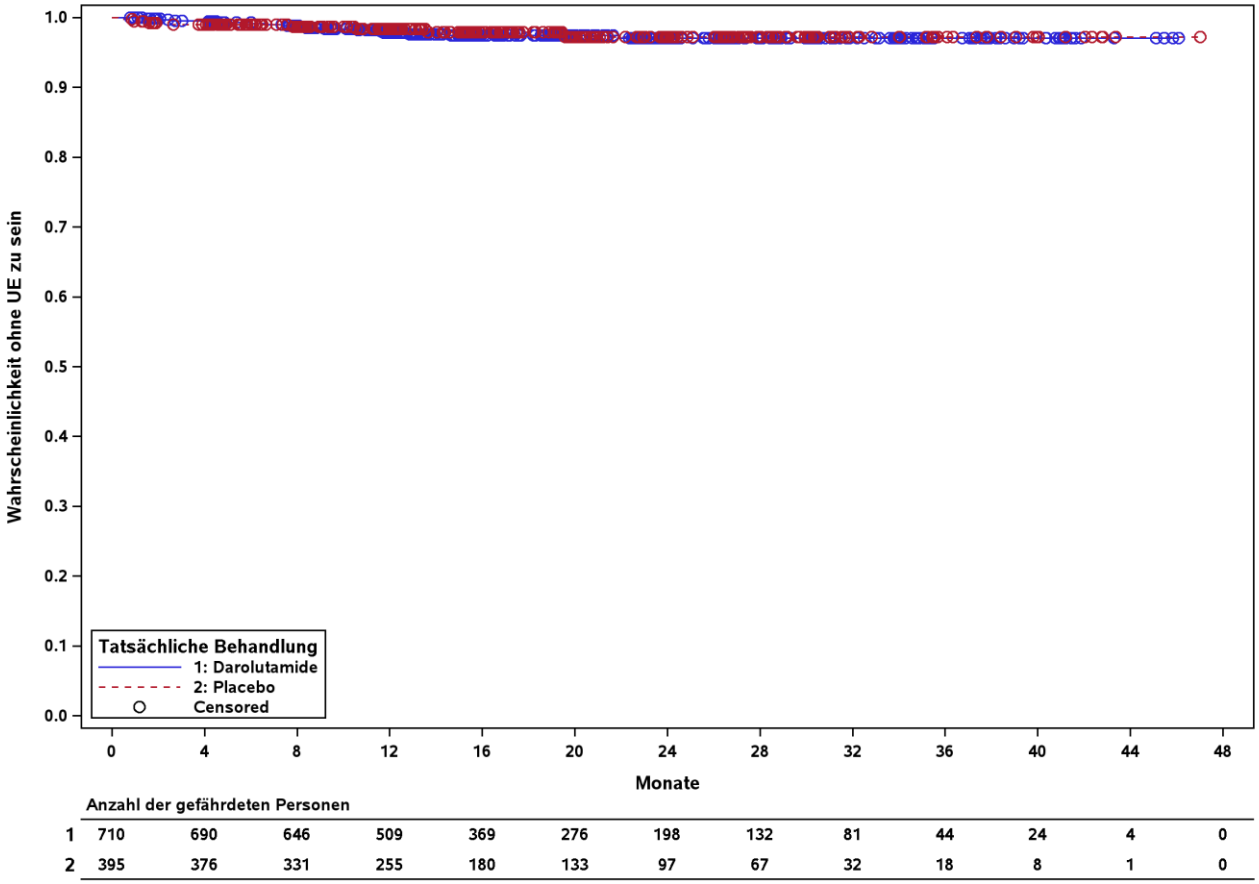
Bayer: /by-sasp/patdb/projects/1841788/17712/stat/prod_query22/pgms/t_aesi_sub.sas 23APR2020 17:14

Figure 4.3.3 / 272: Kaplan-Meier-Plot der 'Unerwünschte Ereignis von besonderem Interesse' Time-to-Event-Analyse nach Endpunkt und Subgruppe - Endpunkt: Zeit bis zum ersten UE von besonderem Interesse mit CTCAE Grad <3: Pneumonia and Pneumonitis - Subgruppe: Gleason-Score bei Diagnose: <7 (full analysis set)



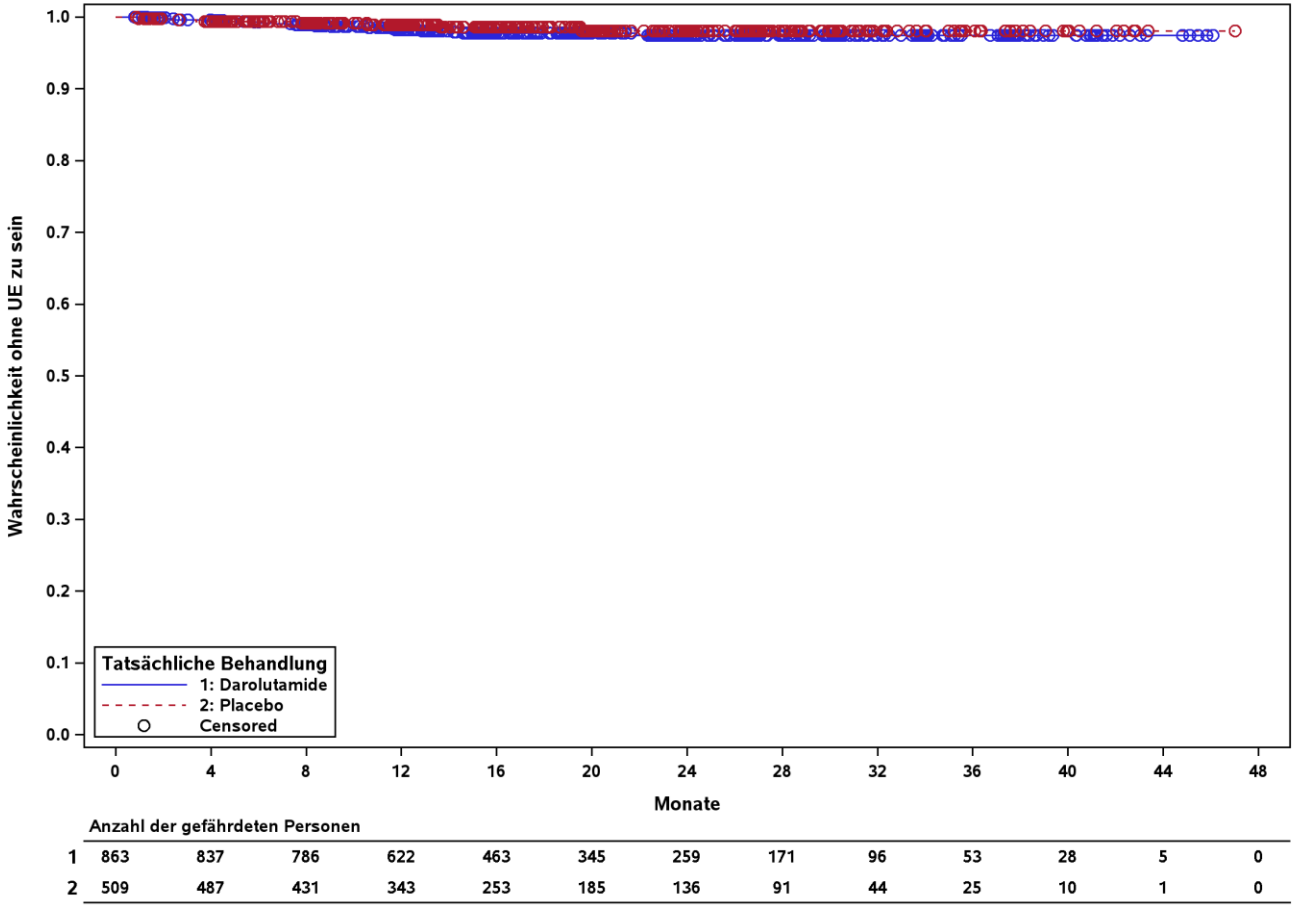
Bayer: /by-sasp/patdb/projects/1841788/17712/stat/prod_query22/pgms/t_aesi_sub.sas 23APR2020 17:14

Figure 4.3.3 / 273: Kaplan-Meier-Plot der 'Unerwünschte Ereignis von besonderem Interesse' Time-to-Event-Analyse nach Endpunkt und Subgruppe - Endpunkt: Zeit bis zum ersten UE von besonderem Interesse mit CTCAE Grad <3: Pneumonia and Pneumonitis - Subgruppe: Gleason-Score bei Diagnose: >=7 (full analysis set)



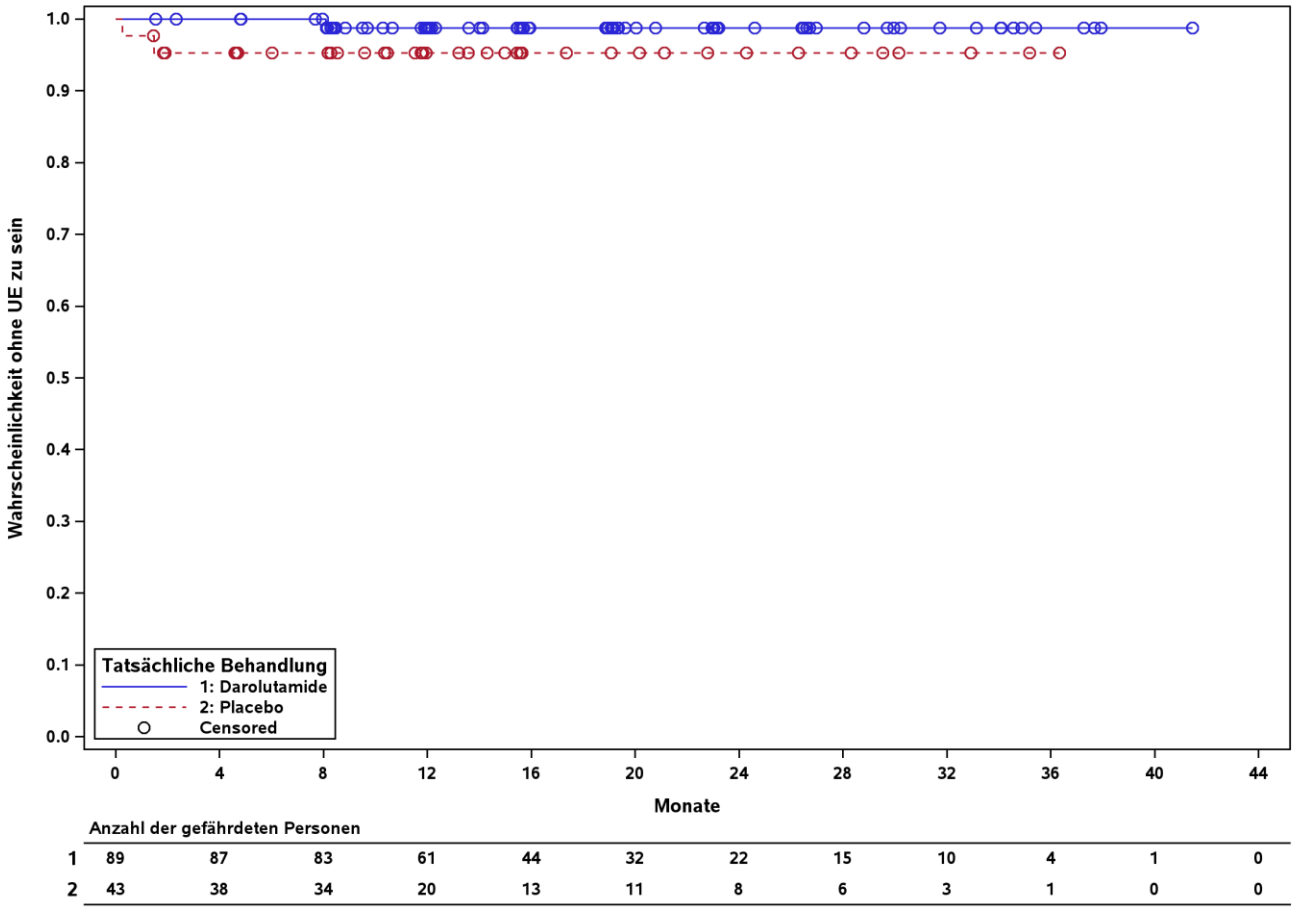
Bayer: /by-sasp/patdb/projects/1841788/17712/stat/prod_query22/pgms/t_aesi_sub.sas 23APR2020 17:14

Figure 4.3.3 / 274: Kaplan-Meier-Plot der 'Unerwünschte Ereignis von besonderem Interesse' Time-to-Event-Analyse nach Endpunkt und Subgruppe - Endpunkt: Zeit bis zum ersten UE von besonderem Interesse mit CTCAE Grad <3: Pneumonia and Pneumonitis - Subgruppe: Leberfunktionsstörung: normal (full analysis set)



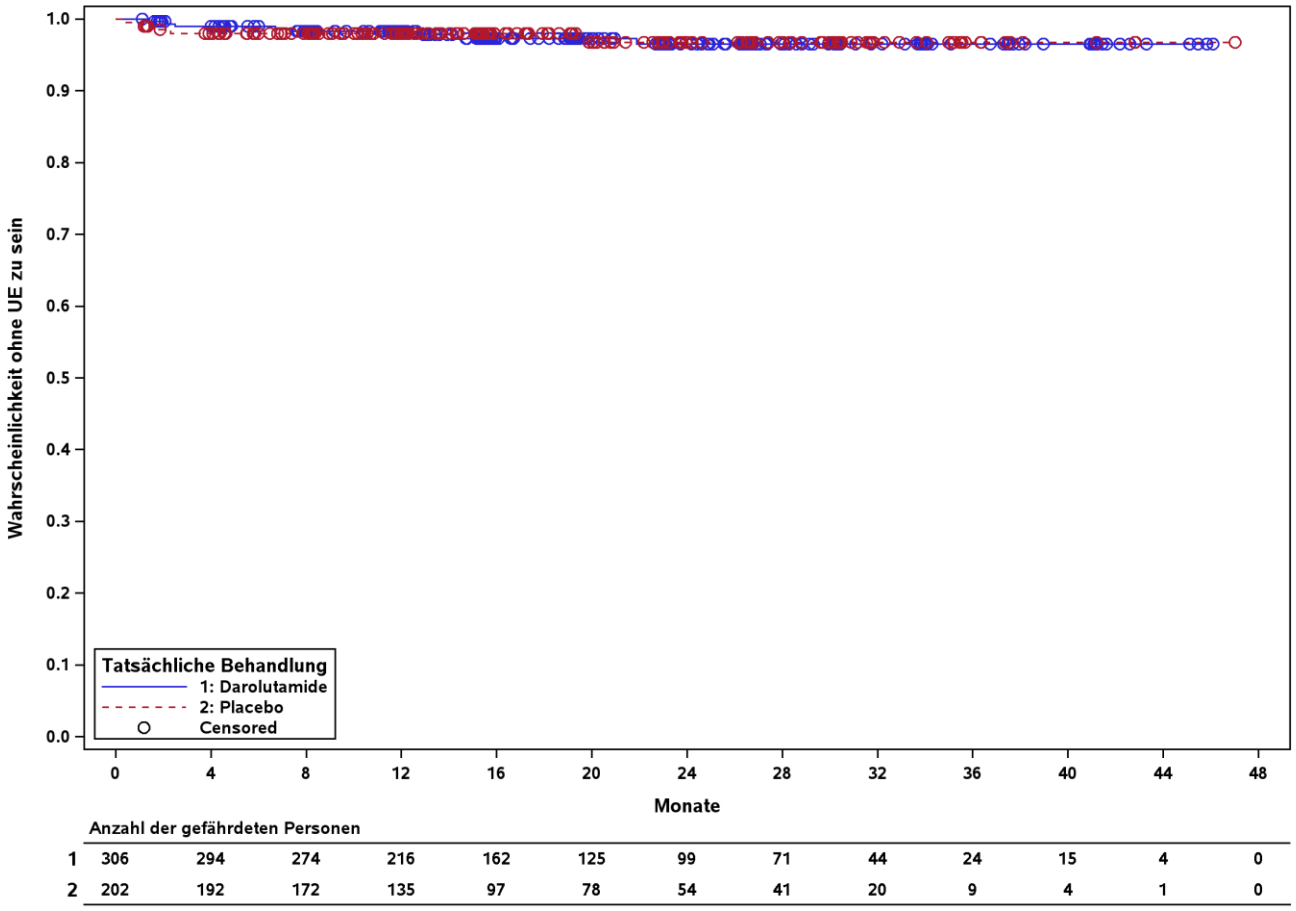
Bayer: /by-sasp/patdb/projects/1841788/17712/stat/prod_query22/pgms/t_aesi_sub.sas 23APR2020 17:14

Figure 4.3.3 / 275: Kaplan-Meier-Plot der 'Unerwünschte Ereignis von besonderem Interesse' Time-to-Event-Analyse nach Endpunkt und Subgruppe - Endpunkt: Zeit bis zum ersten UE von besonderem Interesse mit CTCAE Grad <3: Pneumonia and Pneumonitis - Subgruppe: Leberfunktionsstörung: mild (full analysis set)



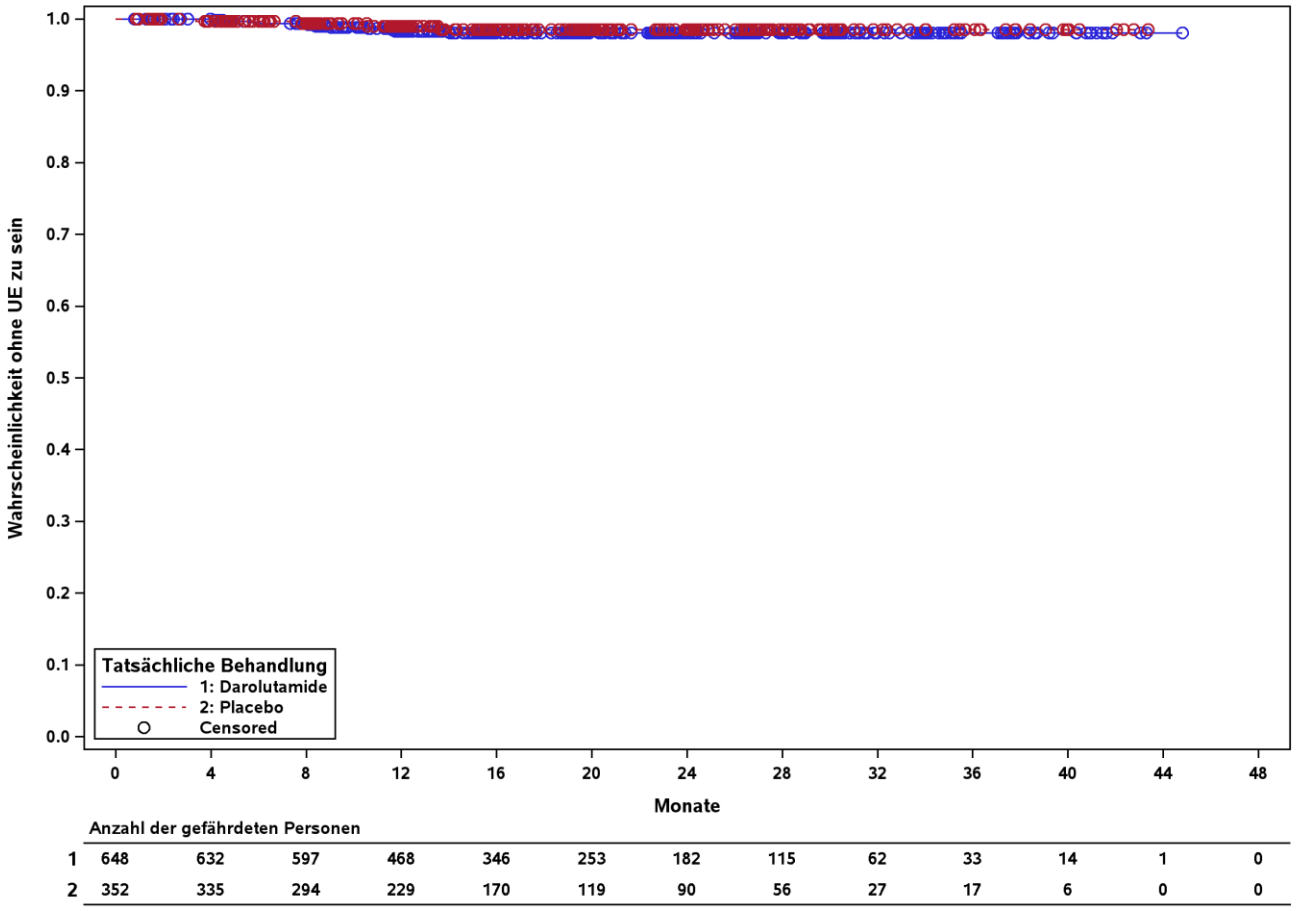
Bayer: /by-sasp/patdb/projects/1841788/17712/stat/prod_query22/pgms/t_aesi_sub.sas 23APR2020 17:14

Figure 4.3.3 / 276: Kaplan-Meier-Plot der 'Unerwünschte Ereignis von besonderem Interesse' Time-to-Event-Analyse nach Endpunkt und Subgruppe - Endpunkt: Zeit bis zum ersten UE von besonderem Interesse mit CTCAE Grad <3: Pneumonia and Pneumonitis - Subgruppe: Nutzung von Statinen: Ja (full analysis set)



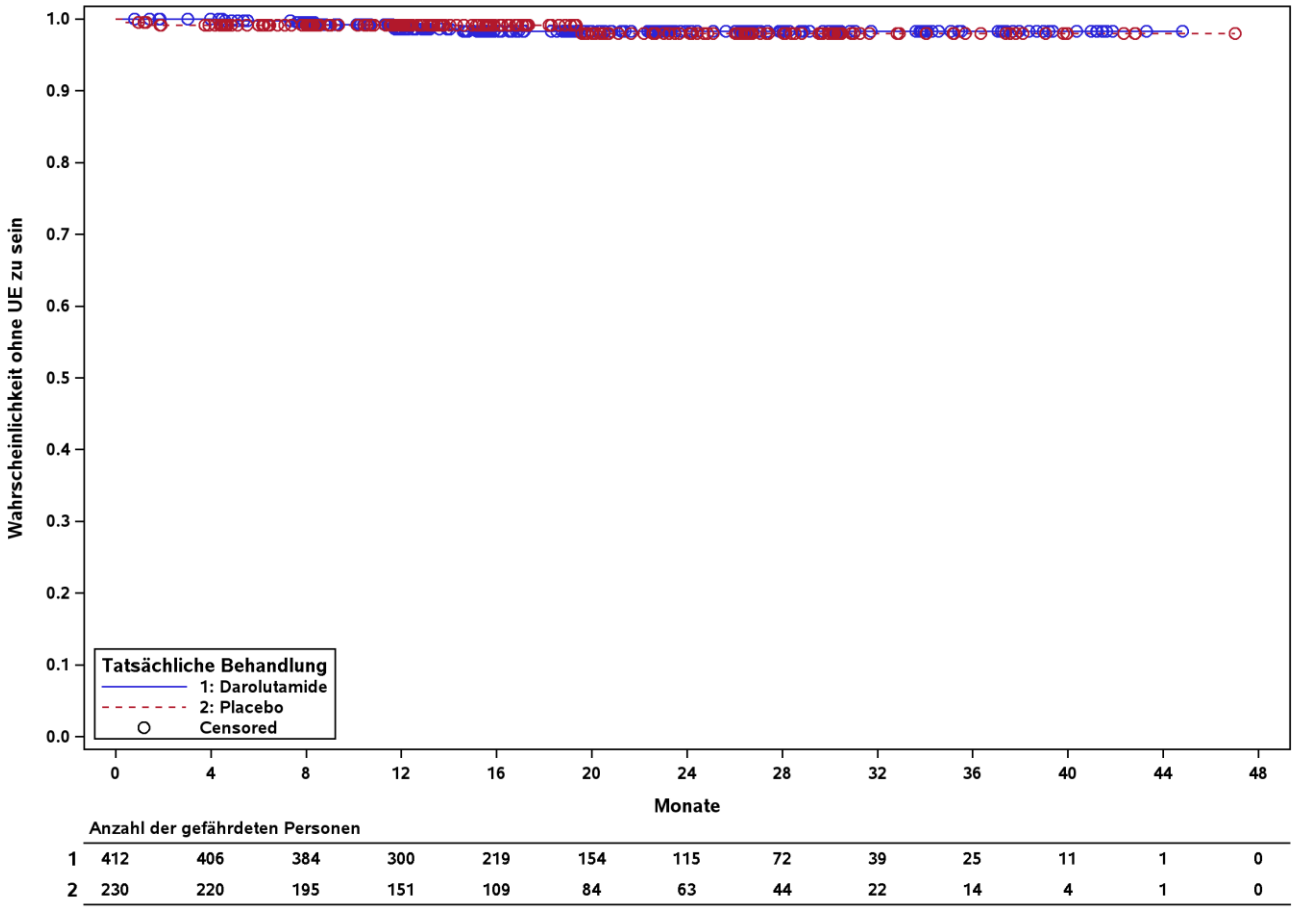
Bayer: /by-sasp/patdb/projects/1841788/17712/stat/prod_query22/pgms/t_aesi_sub.sas 23APR2020 17:14

Figure 4.3.3 / 277: Kaplan-Meier-Plot der 'Unerwünschte Ereignis von besonderem Interesse' Time-to-Event-Analyse nach Endpunkt und Subgruppe - Endpunkt: Zeit bis zum ersten UE von besonderem Interesse mit CTCAE Grad <3: Pneumonia and Pneumonitis - Subgruppe: Nutzung von Statinen: Nein (full analysis set)



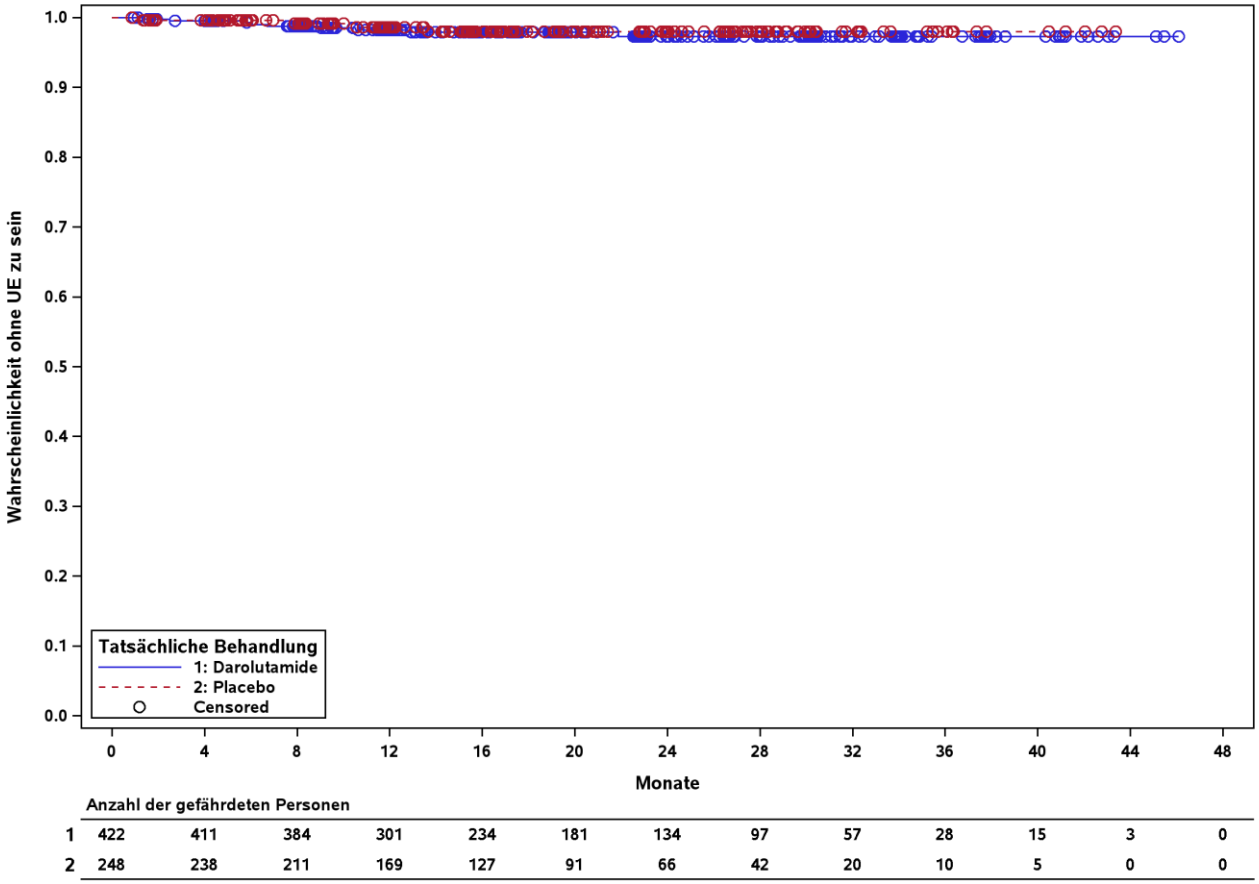
Bayer: /by-sasp/patdb/projects/1841788/17712/stat/prod_query22/pgms/t_aesi_sub.sas 23APR2020 17:14

Figure 4.3.3 / 278: Kaplan-Meier-Plot der 'Unerwünschte Ereignis von besonderem Interesse' Time-to-Event-Analyse nach Endpunkt und Subgruppe - Endpunkt: Zeit bis zum ersten UE von besonderem Interesse mit CTCAE Grad <3: Pneumonia and Pneumonitis - Subgruppe: eGFR an Baseline: normal (full analysis set)



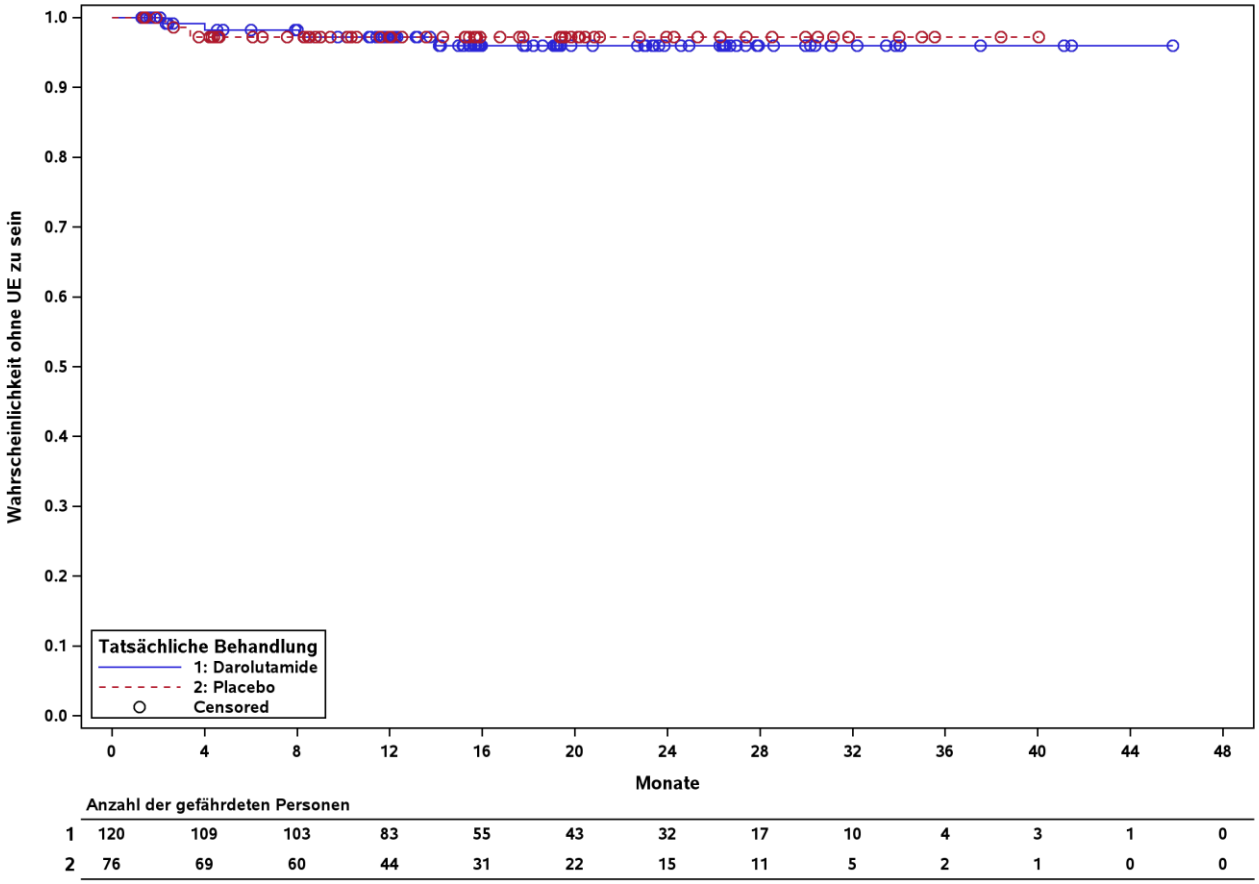
Bayer: /by-sasp/patdb/projects/1841788/17712/stat/prod_query22/pgms/t_aesi_sub.sas 23APR2020 17:14

Figure 4.3.3 / 279: Kaplan-Meier-Plot der 'Unerwünschte Ereignis von besonderem Interesse' Time-to-Event-Analyse nach Endpunkt und Subgruppe - Endpunkt: Zeit bis zum ersten UE von besonderem Interesse mit CTCAE Grad <3: Pneumonia and Pneumonitis - Subgruppe: eGFR an Baseline: mildly impaired (full analysis set)



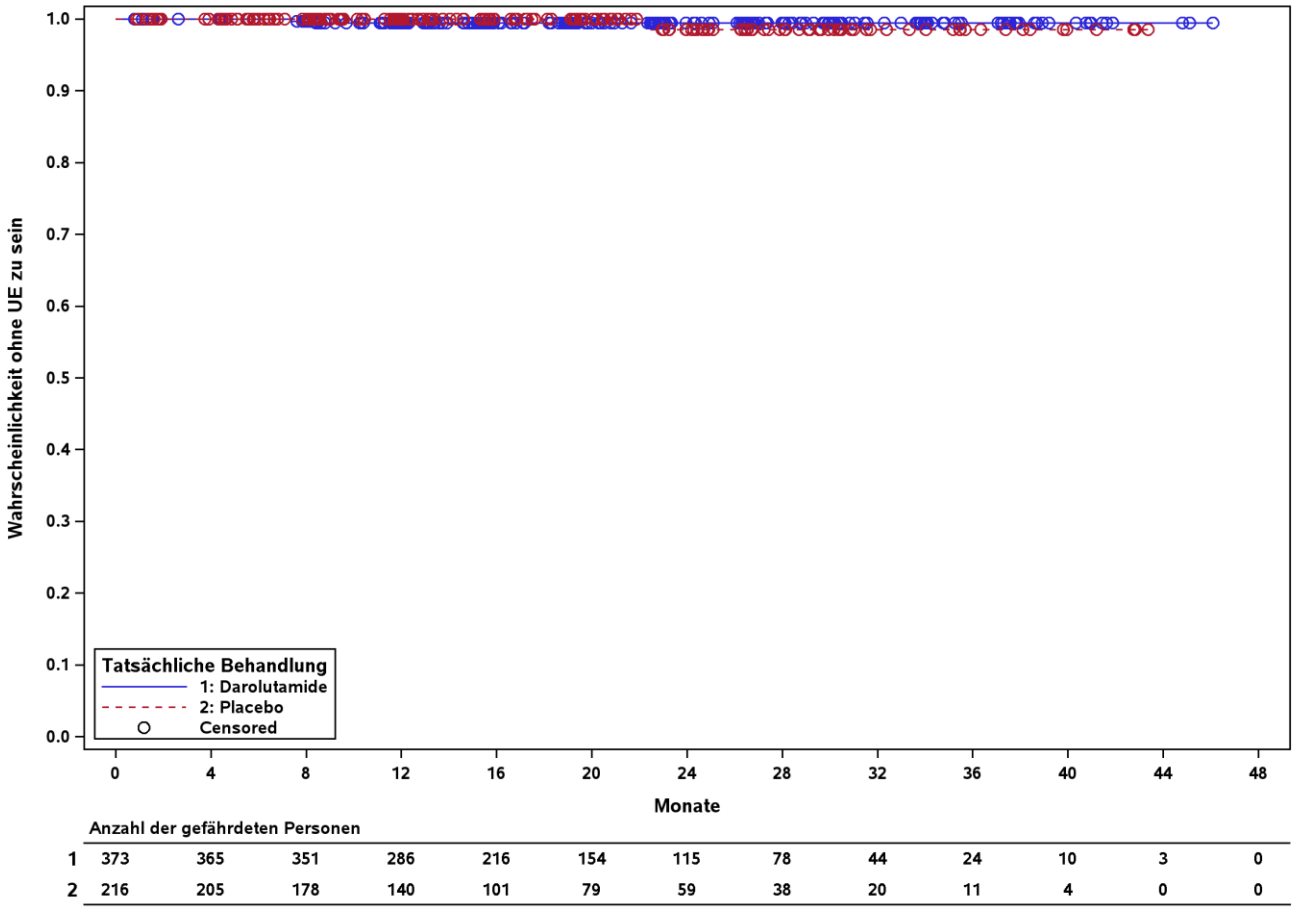
Bayer: /by-sasp/patdb/projects/1841788/17712/stat/prod_query22/pgms/t_aesi_sub.sas 23APR2020 17:14

Figure 4.3.3 / 280: Kaplan-Meier-Plot der 'Unerwünschte Ereignis von besonderem Interesse' Time-to-Event-Analyse nach Endpunkt und Subgruppe - Endpunkt: Zeit bis zum ersten UE von besonderem Interesse mit CTCAE Grad <3: Pneumonia and Pneumonitis - Subgruppe: eGFR an Baseline: moderately impaired, severely impaired and renal end stage (full analysis set)



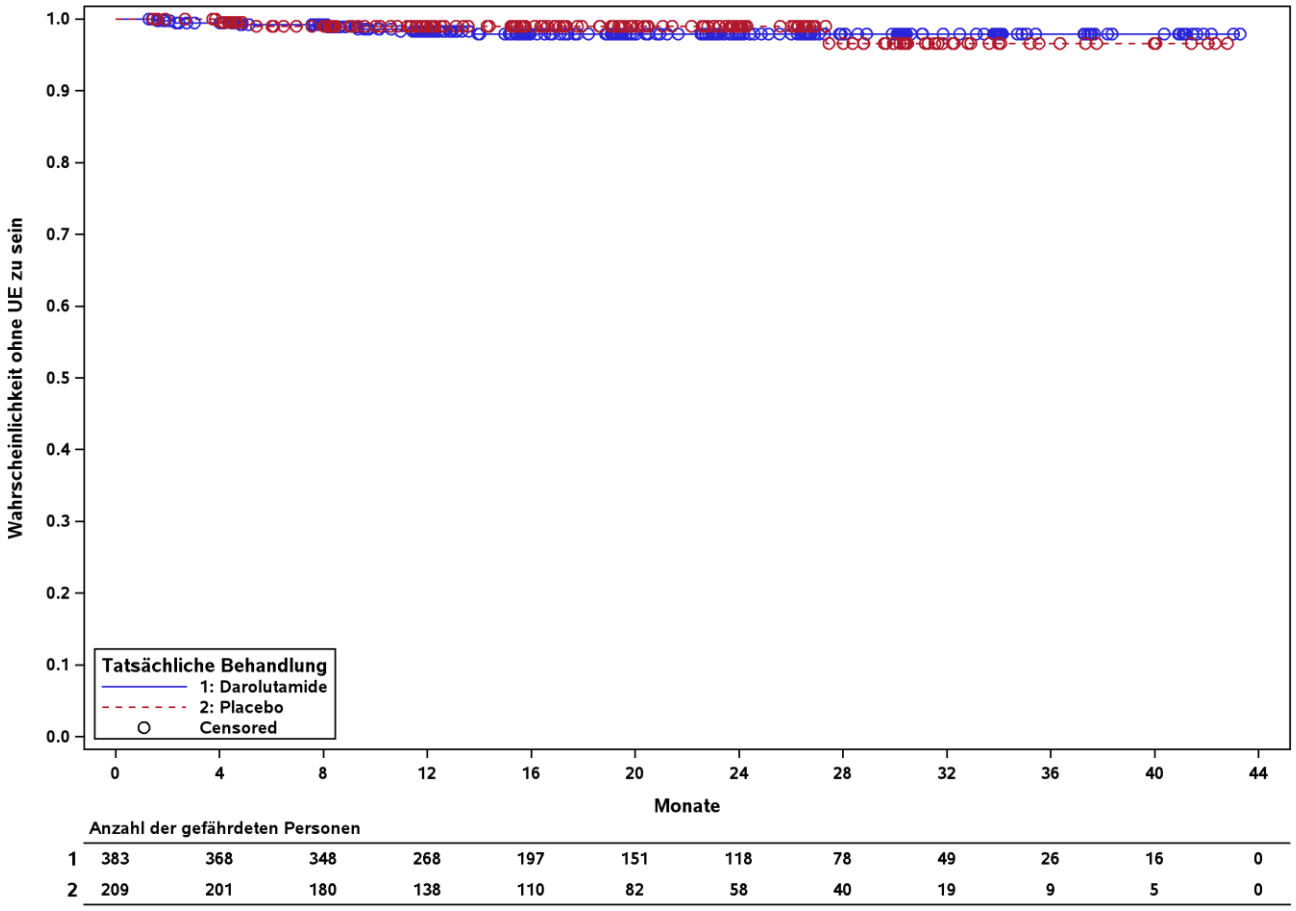
Bayer: /by-sasp/patdb/projects/1841788/17712/stat/prod_query22/pgms/t_aesi_sub.sas 23APR2020 17:14

Figure 4.3.3 / 281: Kaplan-Meier-Plot der 'Unerwünschte Ereignis von besonderem Interesse' Time-to-Event-Analyse nach Endpunkt und Subgruppe - Endpunkt: Zeit bis zum ersten UE von besonderem Interesse mit CTCAE Grad >=3: Pneumonia and Pneumonitis - Subgruppe: Alter (Jahre): 65-74 (full analysis set)



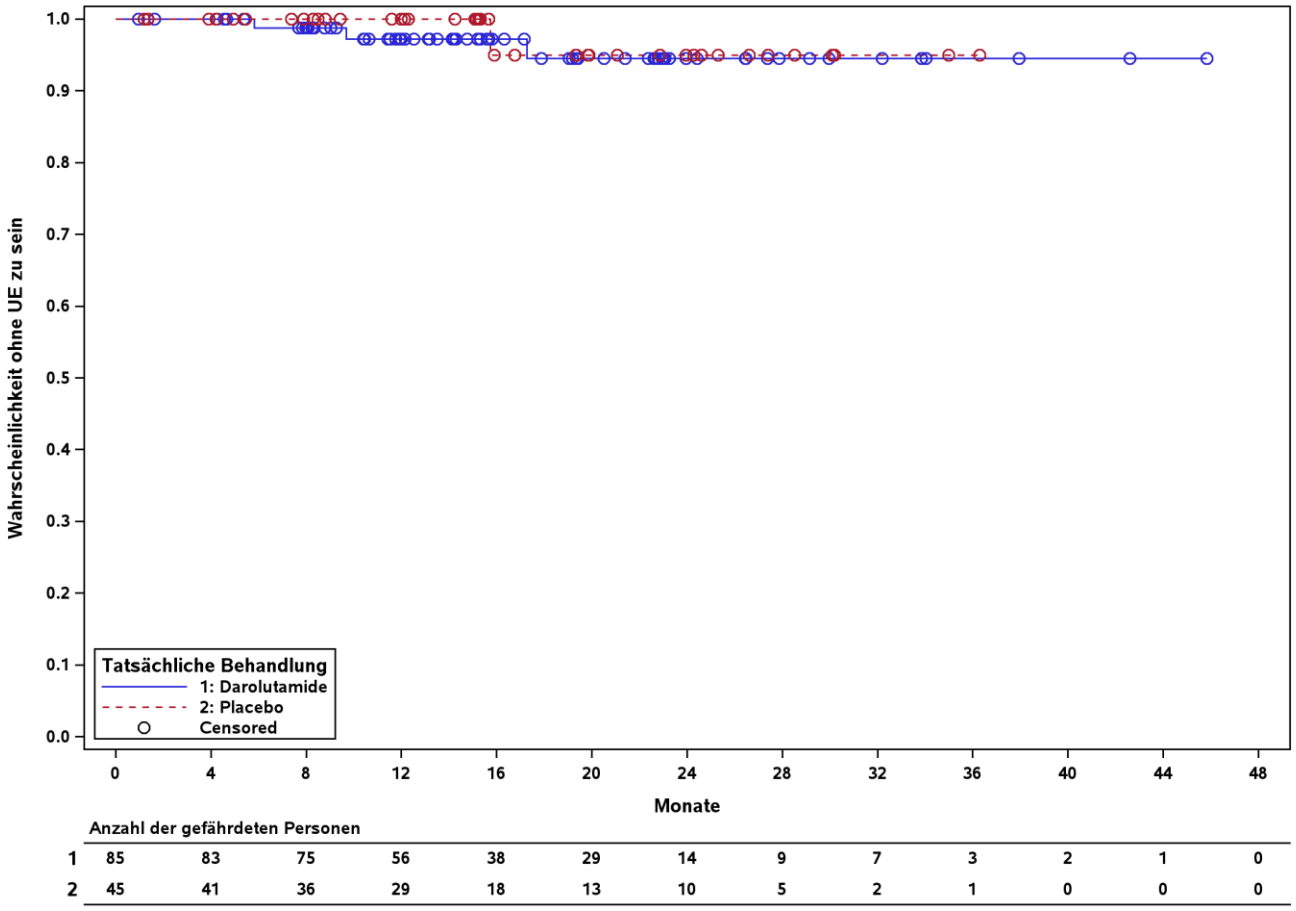
Bayer: /by-sasp/patdb/projects/1841788/17712/stat/prod_query22/pgms/t_aesi_sub.sas 23APR2020 17:14

Figure 4.3.3 / 282: Kaplan-Meier-Plot der 'Unerwünschte Ereignis von besonderem Interesse' Time-to-Event-Analyse nach Endpunkt und Subgruppe - Endpunkt: Zeit bis zum ersten UE von besonderem Interesse mit CTCAE Grad >=3: Pneumonia and Pneumonitis - Subgruppe: Alter (Jahre): 75-84 (full analysis set)



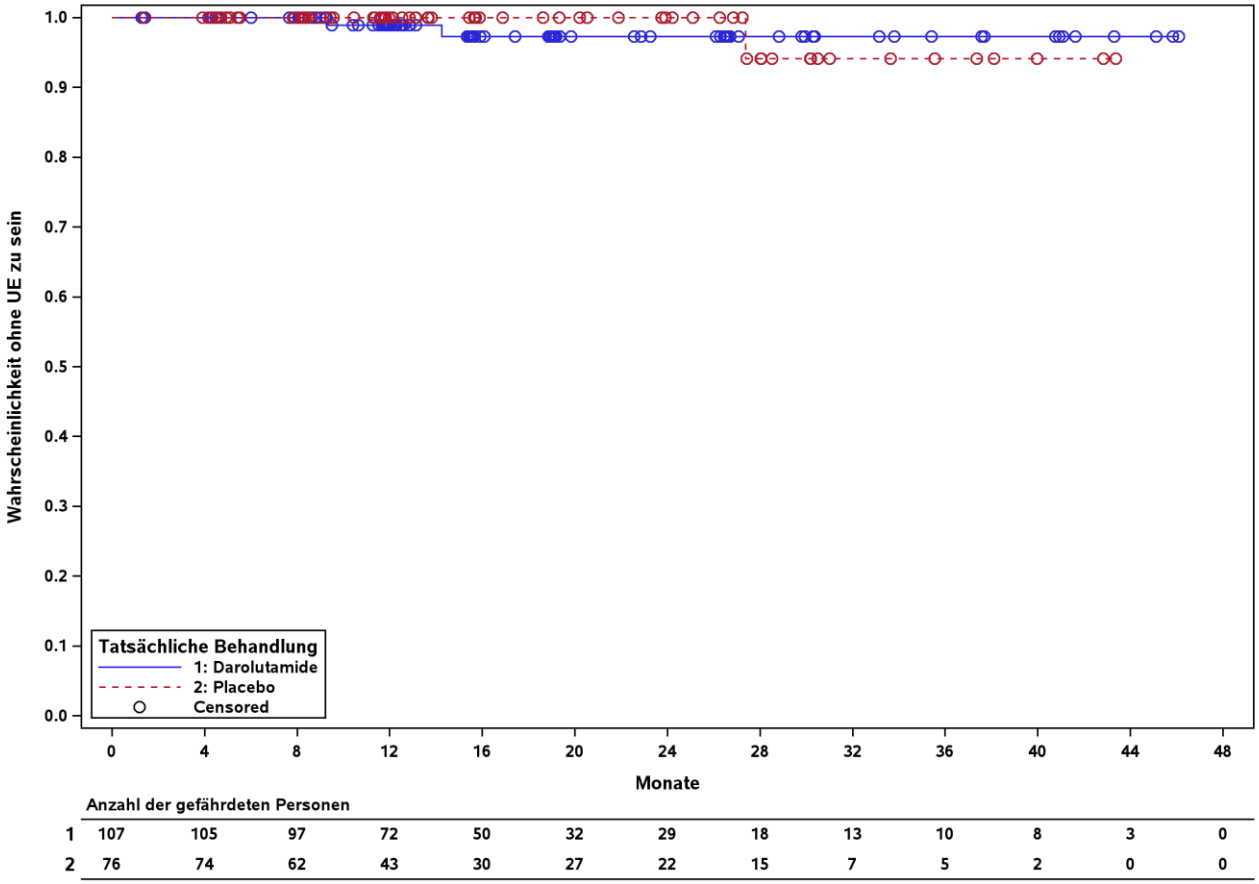
Bayer: /by-sasp/patdb/projects/1841788/17712/stat/prod_query22/pgms/t_aesi_sub.sas 23APR2020 17:14

Figure 4.3.3 / 283: Kaplan-Meier-Plot der 'Unerwünschte Ereignis von besonderem Interesse' Time-to-Event-Analyse nach Endpunkt und Subgruppe - Endpunkt: Zeit bis zum ersten UE von besonderem Interesse mit CTCAE Grad >=3: Pneumonia and Pneumonitis - Subgruppe: Alter (Jahre): >=85 (full analysis set)



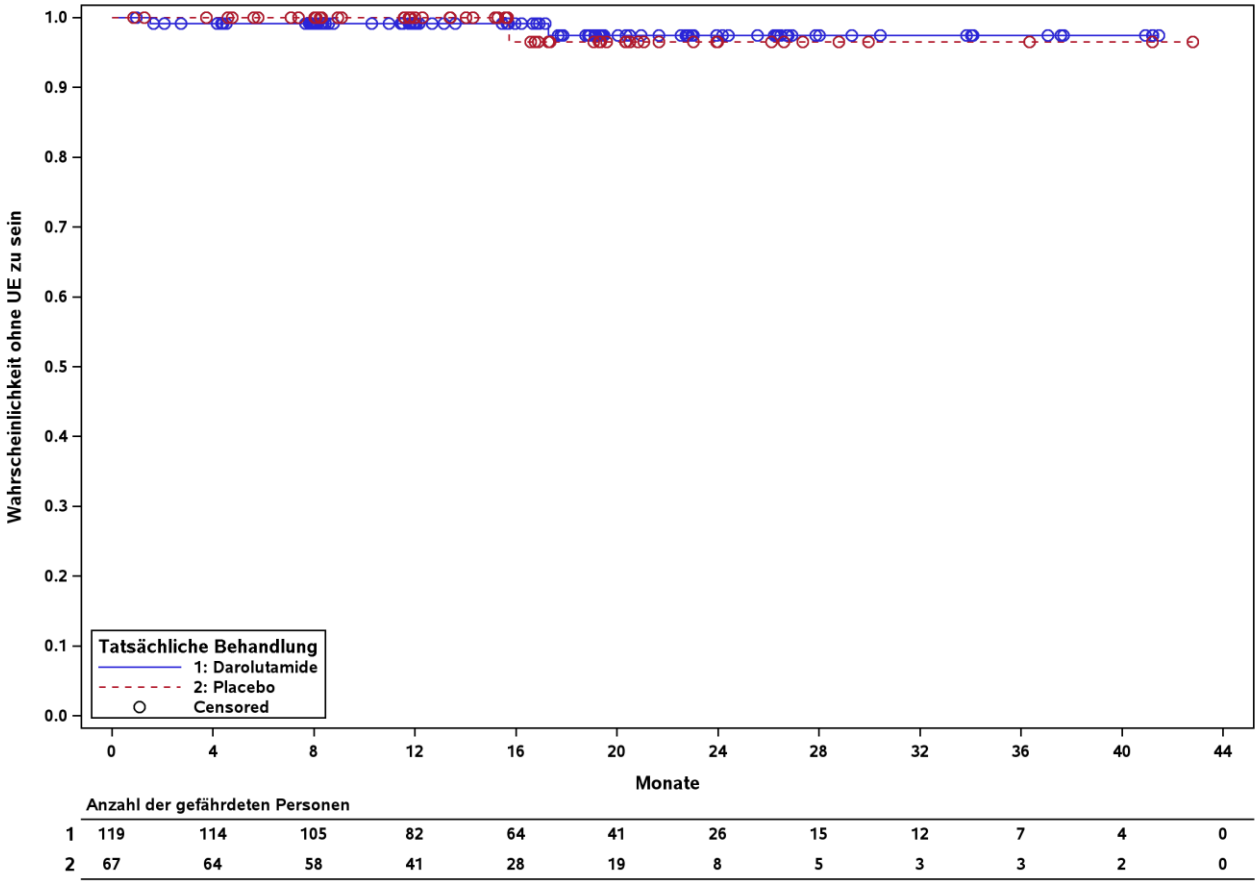
Bayer: /by-sasp/patdb/projects/1841788/17712/stat/prod_query22/pgms/t_aesi_sub.sas 23APR2020 17:14

Figure 4.3.3 / 284: Kaplan-Meier-Plot der 'Unerwünschte Ereignis von besonderem Interesse' Time-to-Event-Analyse nach Endpunkt und Subgruppe - Endpunkt: Zeit bis zum ersten UE von besonderem Interesse mit CTCAE Grad >=3: Pneumonia and Pneumonitis - Subgruppe: Geografische Region: North America (full analysis set)



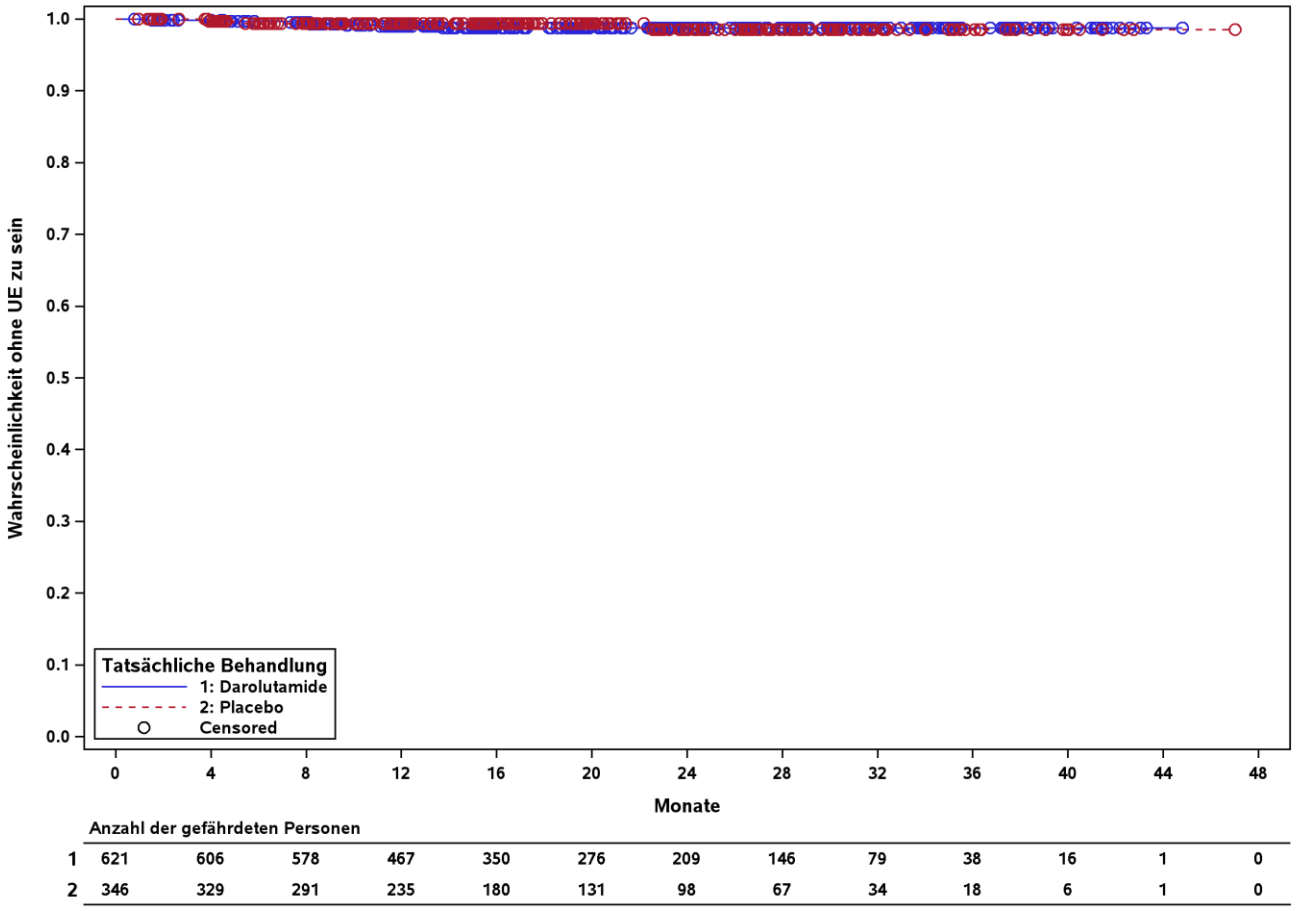
Bayer: /by-sasp/patdb/projects/1841788/17712/stat/prod_query22/pgms/t_aesi_sub.sas 23APR2020 17:14

Figure 4.3.3 / 285: Kaplan-Meier-Plot der 'Unerwünschte Ereignis von besonderem Interesse' Time-to-Event-Analyse nach Endpunkt und Subgruppe - Endpunkt: Zeit bis zum ersten UE von besonderem Interesse mit CTCAE Grad >=3: Pneumonia and Pneumonitis - Subgruppe: Geografische Region: Asia Pacific (full analysis set)



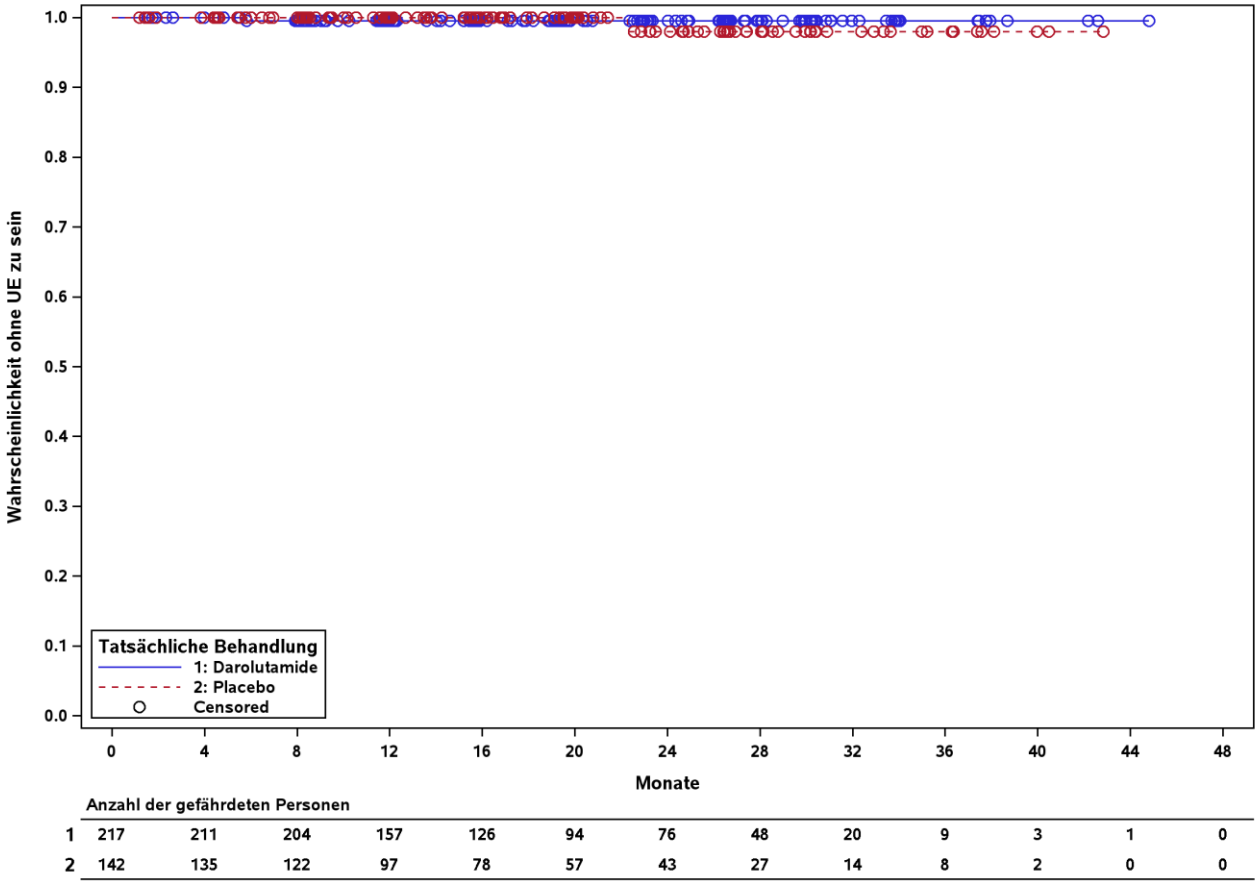
Bayer: /by-sasp/patdb/projects/1841788/17712/stat/prod_query22/pgms/t_aesi_sub.sas 23APR2020 17:14

Figure 4.3.3 / 286: Kaplan-Meier-Plot der 'Unerwünschte Ereignis von besonderem Interesse' Time-to-Event-Analyse nach Endpunkt und Subgruppe - Endpunkt: Zeit bis zum ersten UE von besonderem Interesse mit CTCAE Grad >=3: Pneumonia and Pneumonitis - Subgruppe: Geografische Region: Europe (full analysis set)



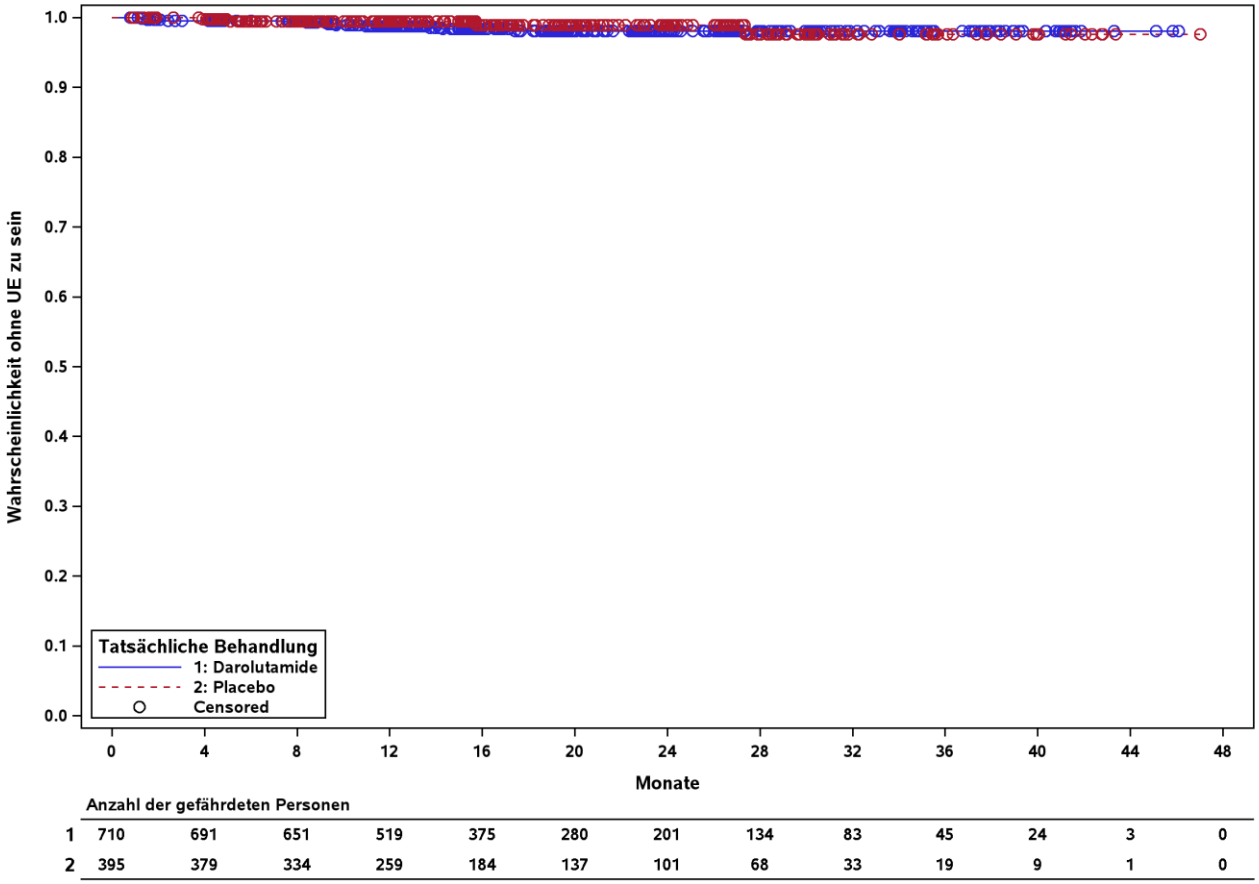
Bayer: /by-sasp/patdb/projects/1841788/17712/stat/prod_query22/pgms/t_aesi_sub.sas 23APR2020 17:14

Figure 4.3.3 / 287: Kaplan-Meier-Plot der 'Unerwünschte Ereignis von besonderem Interesse' Time-to-Event-Analyse nach Endpunkt und Subgruppe - Endpunkt: Zeit bis zum ersten UE von besonderem Interesse mit CTCAE Grad >=3: Pneumonia and Pneumonitis - Subgruppe: Gleason-Score bei Diagnose: <7 (full analysis set)



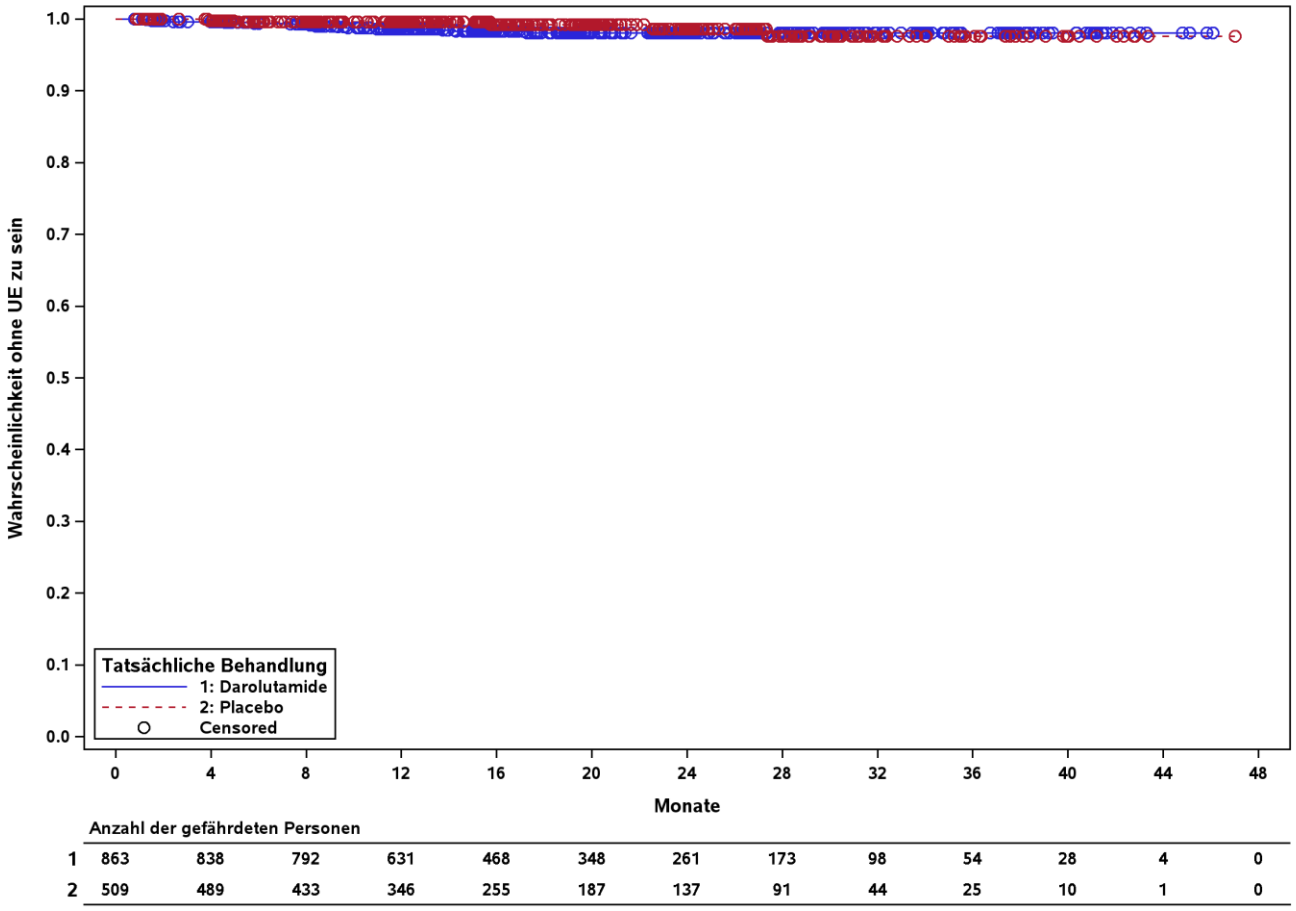
Bayer: /by-sasp/patdb/projects/1841788/17712/stat/prod_query22/pgms/t_aesi_sub.sas 23APR2020 17:14

Figure 4.3.3 / 288: Kaplan-Meier-Plot der 'Unerwünschte Ereignis von besonderem Interesse' Time-to-Event-Analyse nach Endpunkt und Subgruppe - Endpunkt: Zeit bis zum ersten UE von besonderem Interesse mit CTCAE Grad >=3: Pneumonia and Pneumonitis - Subgruppe: Gleason-Score bei Diagnose: >=7 (full analysis set)



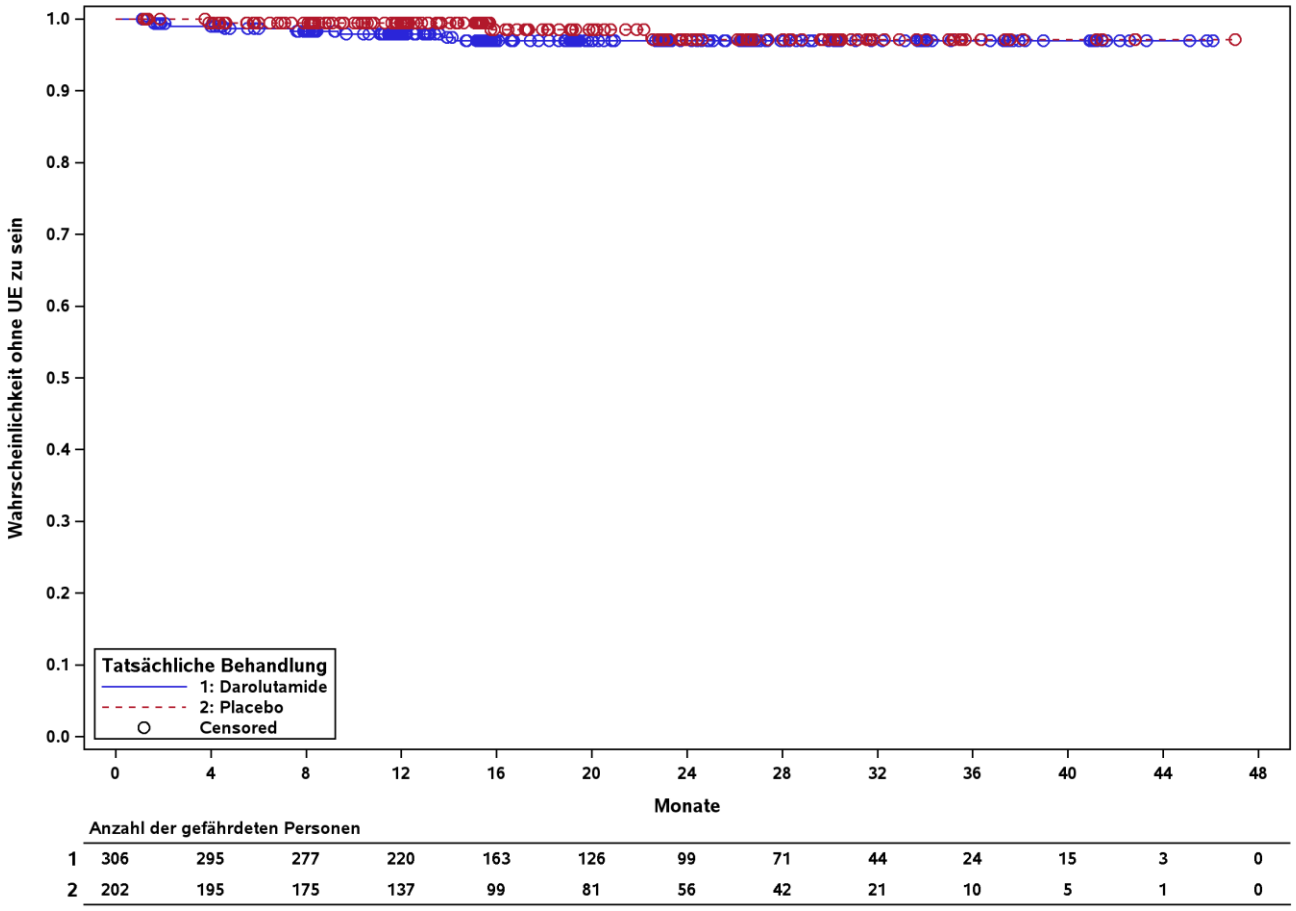
Bayer: /by-sasp/patdb/projects/1841788/17712/stat/prod_query22/pgms/t_aesi_sub.sas 23APR2020 17:14

Figure 4.3.3 / 289: Kaplan-Meier-Plot der 'Unerwünschte Ereignis von besonderem Interesse' Time-to-Event-Analyse nach Endpunkt und Subgruppe - Endpunkt: Zeit bis zum ersten UE von besonderem Interesse mit CTCAE Grad >=3: Pneumonia and Pneumonitis - Subgruppe: Leberfunktionsstörung: normal (full analysis set)



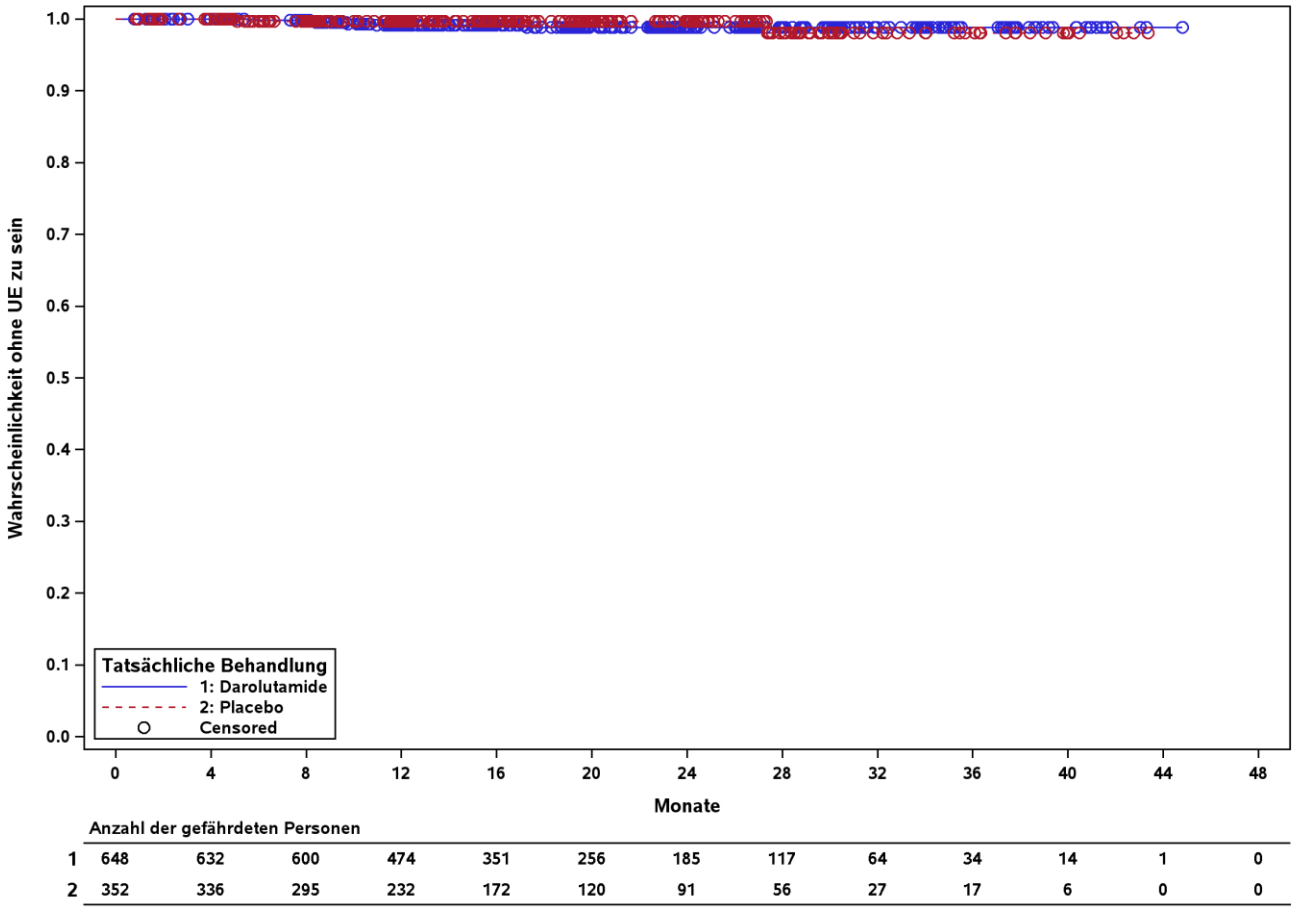
Bayer: /by-sasp/patdb/projects/1841788/17712/stat/prod_query22/pgms/t_aesi_sub.sas 23APR2020 17:14

Figure 4.3.3 / 290: Kaplan-Meier-Plot der 'Unerwünschte Ereignis von besonderem Interesse' Time-to-Event-Analyse nach Endpunkt und Subgruppe - Endpunkt: Zeit bis zum ersten UE von besonderem Interesse mit CTCAE Grad >=3: Pneumonia and Pneumonitis - Subgruppe: Nutzung von Statinen: Ja (full analysis set)



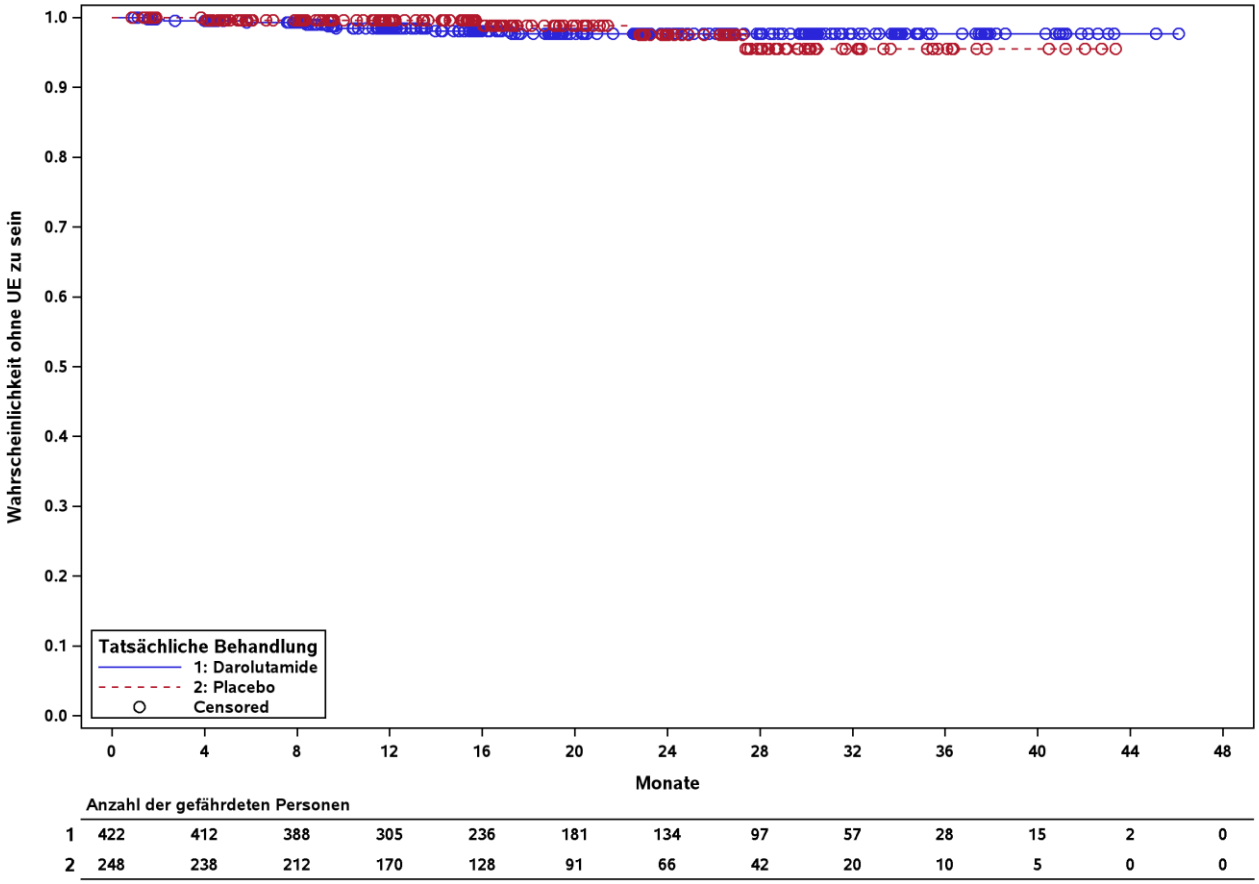
Bayer: /by-sasp/patdb/projects/1841788/17712/stat/prod_query22/pgms/t_aesi_sub.sas 23APR2020 17:14

Figure 4.3.3 / 291: Kaplan-Meier-Plot der 'Unerwünschte Ereignis von besonderem Interesse' Time-to-Event-Analyse nach Endpunkt und Subgruppe - Endpunkt: Zeit bis zum ersten UE von besonderem Interesse mit CTCAE Grad >=3: Pneumonia and Pneumonitis - Subgruppe: Nutzung von Statinen: Nein (full analysis set)



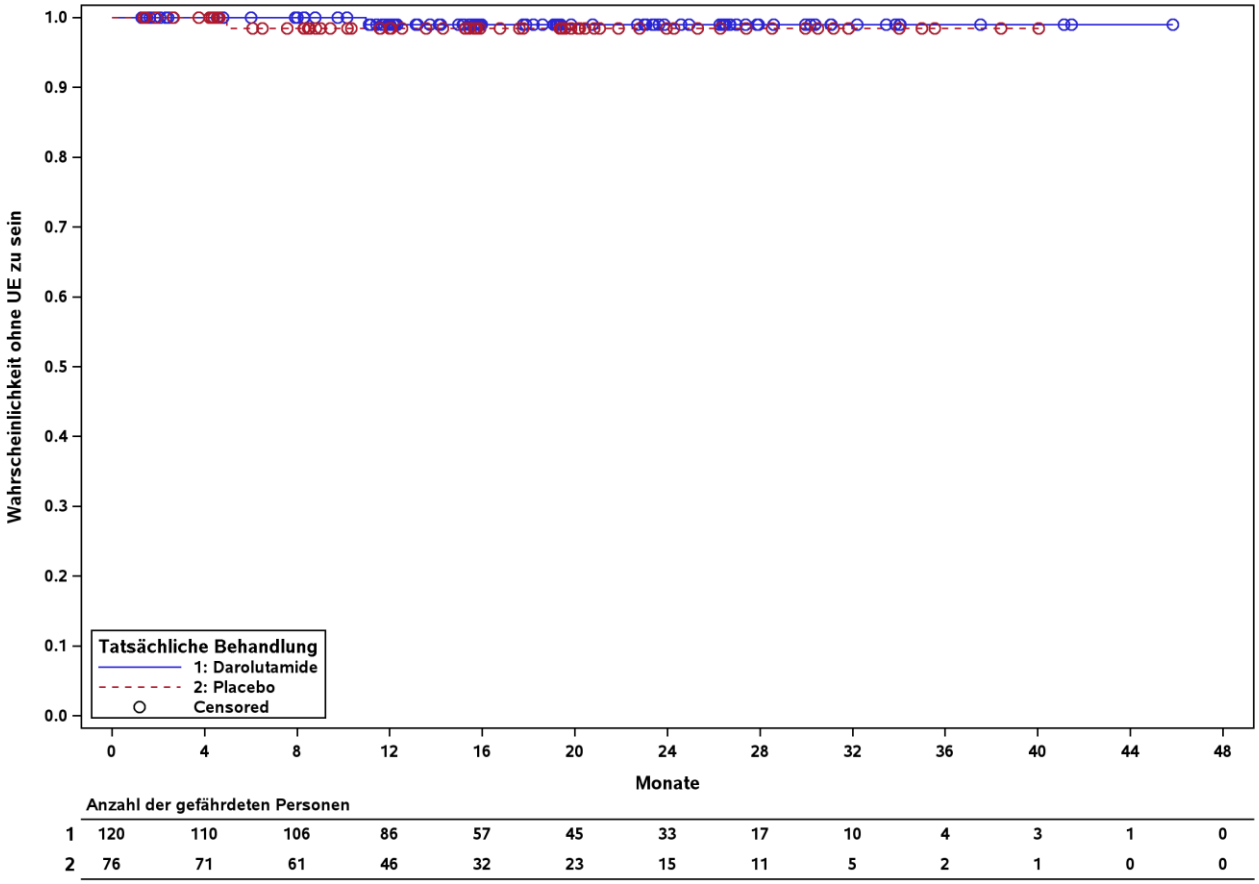
Bayer: /by-sasp/patdb/projects/1841788/17712/stat/prod_query22/pgms/t_aesi_sub.sas 23APR2020 17:14

Figure 4.3.3 / 292: Kaplan-Meier-Plot der 'Unerwünschte Ereignis von besonderem Interesse' Time-to-Event-Analyse nach Endpunkt und Subgruppe - Endpunkt: Zeit bis zum ersten UE von besonderem Interesse mit CTCAE Grad >=3: Pneumonia and Pneumonitis - Subgruppe: eGFR an Baseline: mildly impaired (full analysis set)



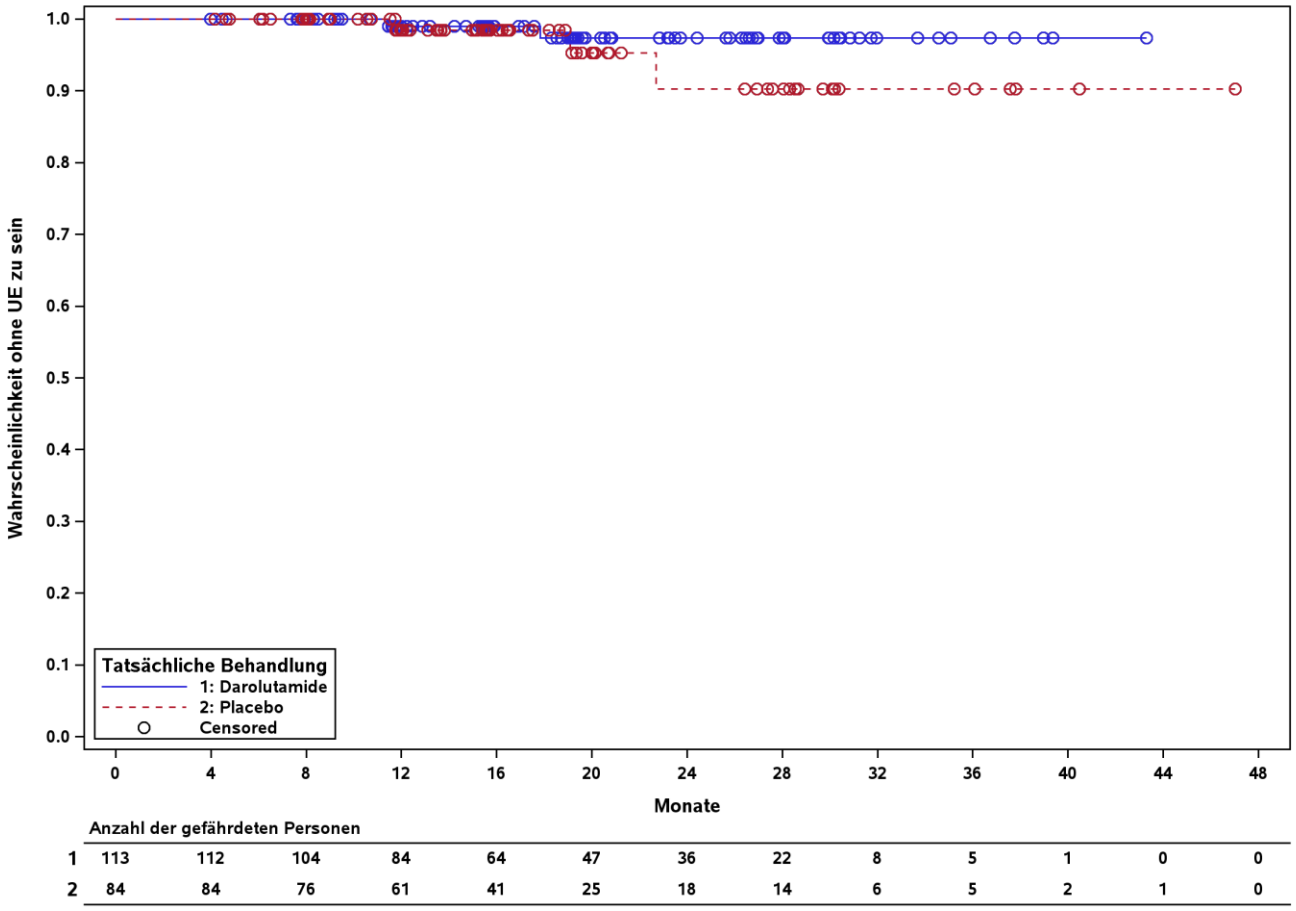
Bayer: /by-sasp/patdb/projects/1841788/17712/stat/prod_query22/pgms/t_aesi_sub.sas 23APR2020 17:14

Figure 4.3.3 / 293: Kaplan-Meier-Plot der 'Unerwünschte Ereignis von besonderem Interesse' Time-to-Event-Analyse nach Endpunkt und Subgruppe - Endpunkt: Zeit bis zum ersten UE von besonderem Interesse mit CTCAE Grad >=3: Pneumonia and Pneumonitis - Subgruppe: eGFR an Baseline: moderately impaired, severely impaired and renal end stage (full analysis set)



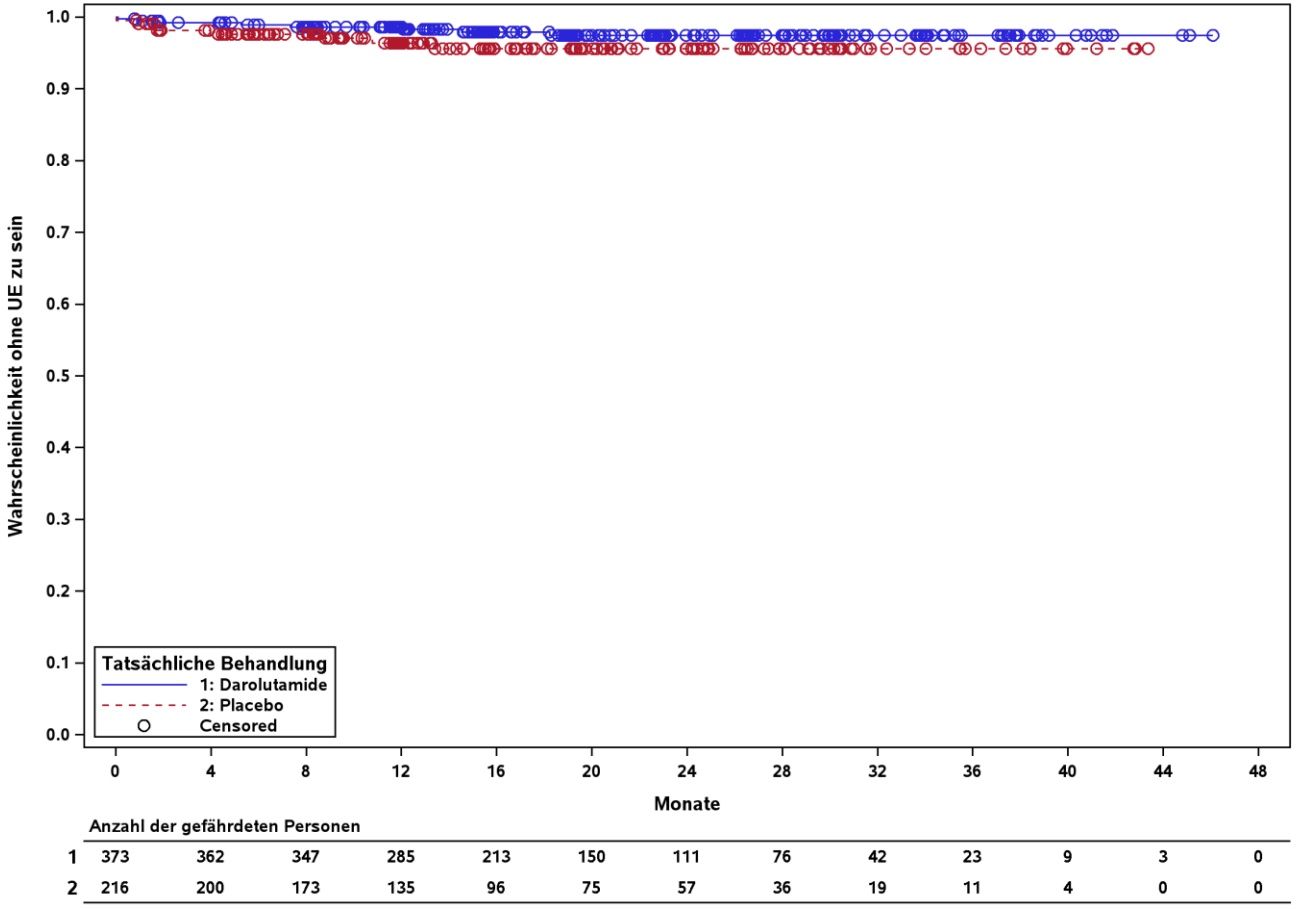
Bayer: /by-sasp/patdb/projects/1841788/17712/stat/prod_query22/pgms/t_aesi_sub.sas 23APR2020 17:14

Figure 4.3.3 / 294: Kaplan-Meier-Plot der 'Unerwünschte Ereignis von besonderem Interesse' Time-to-Event-Analyse nach Endpunkt und Subgruppe - Endpunkt: Zeit bis zum ersten UE von besonderem Interesse: Diabetes mellitus and Hyperglycaemia - Subgruppe: Alter (Jahre): <65 (full analysis set)



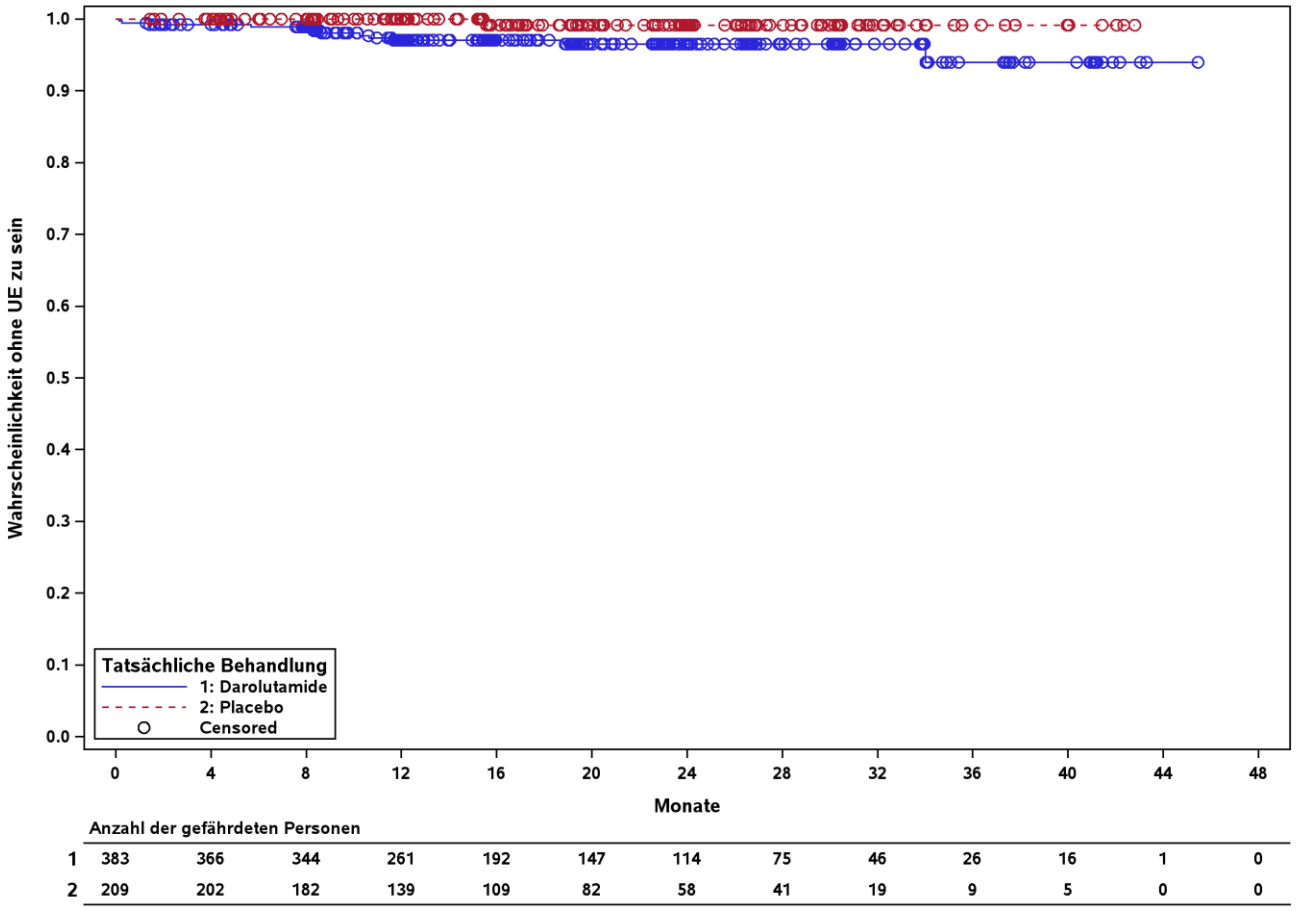
Bayer: /by-sasp/patdb/projects/1841788/17712/stat/prod_query22/pgms/t_aesi_sub.sas 23APR2020 17:14

Figure 4.3.3 / 295: Kaplan-Meier-Plot der 'Unerwünschte Ereignis von besonderem Interesse' Time-to-Event-Analyse nach Endpunkt und Subgruppe - Endpunkt: Zeit bis zum ersten UE von besonderem Interesse: Diabetes mellitus and Hyperglycaemia - Subgruppe: Alter (Jahre): 65-74 (full analysis set)



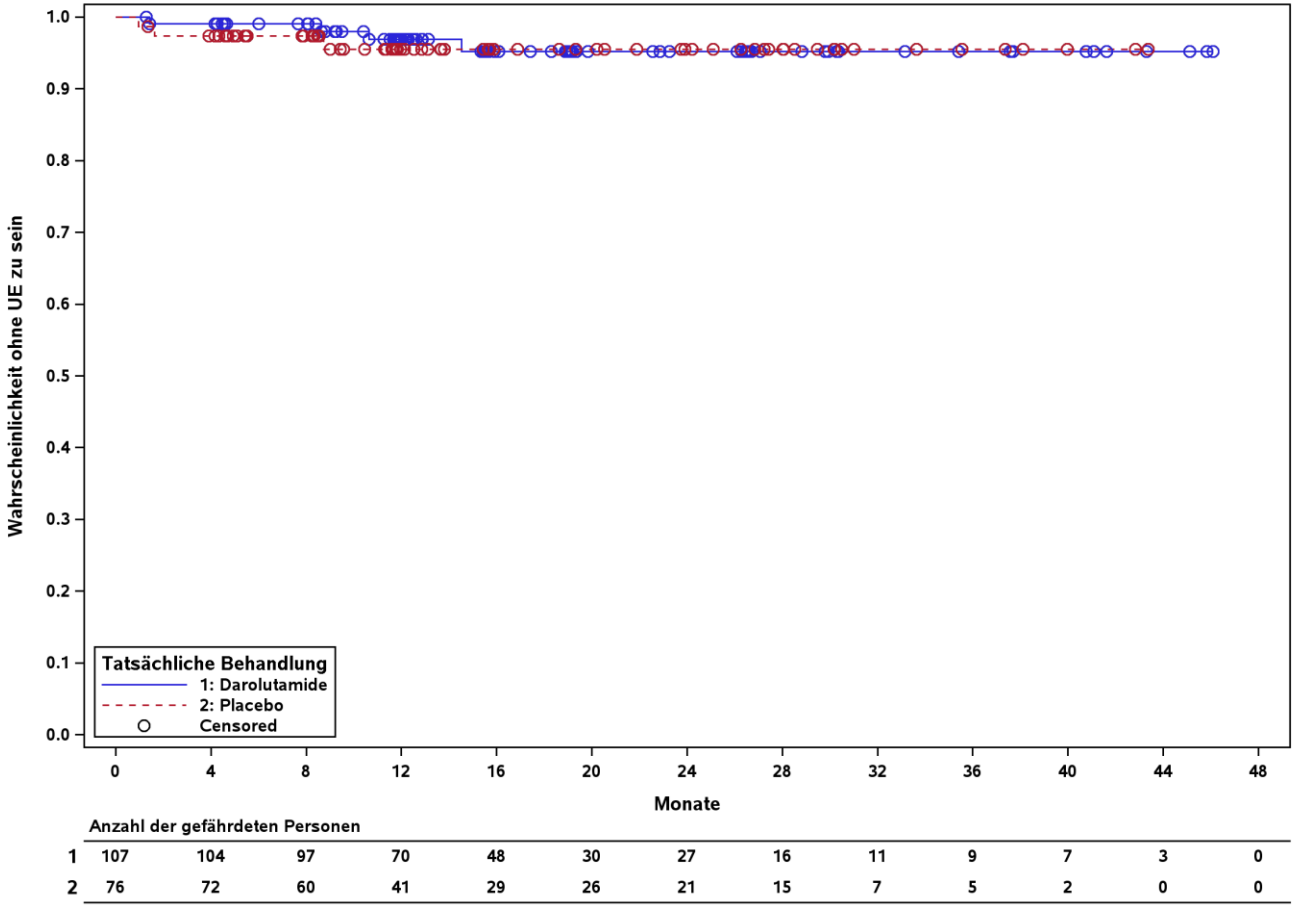
Bayer: /by-sasp/patdb/projects/1841788/17712/stat/prod_query22/pgms/t_aesi_sub.sas 23APR2020 17:14

Figure 4.3.3 / 296: Kaplan-Meier-Plot der 'Unerwünschte Ereignis von besonderem Interesse' Time-to-Event-Analyse nach Endpunkt und Subgruppe - Endpunkt: Zeit bis zum ersten UE von besonderem Interesse: Diabetes mellitus and Hyperglycaemia - Subgruppe: Alter (Jahre): 75-84 (full analysis set)



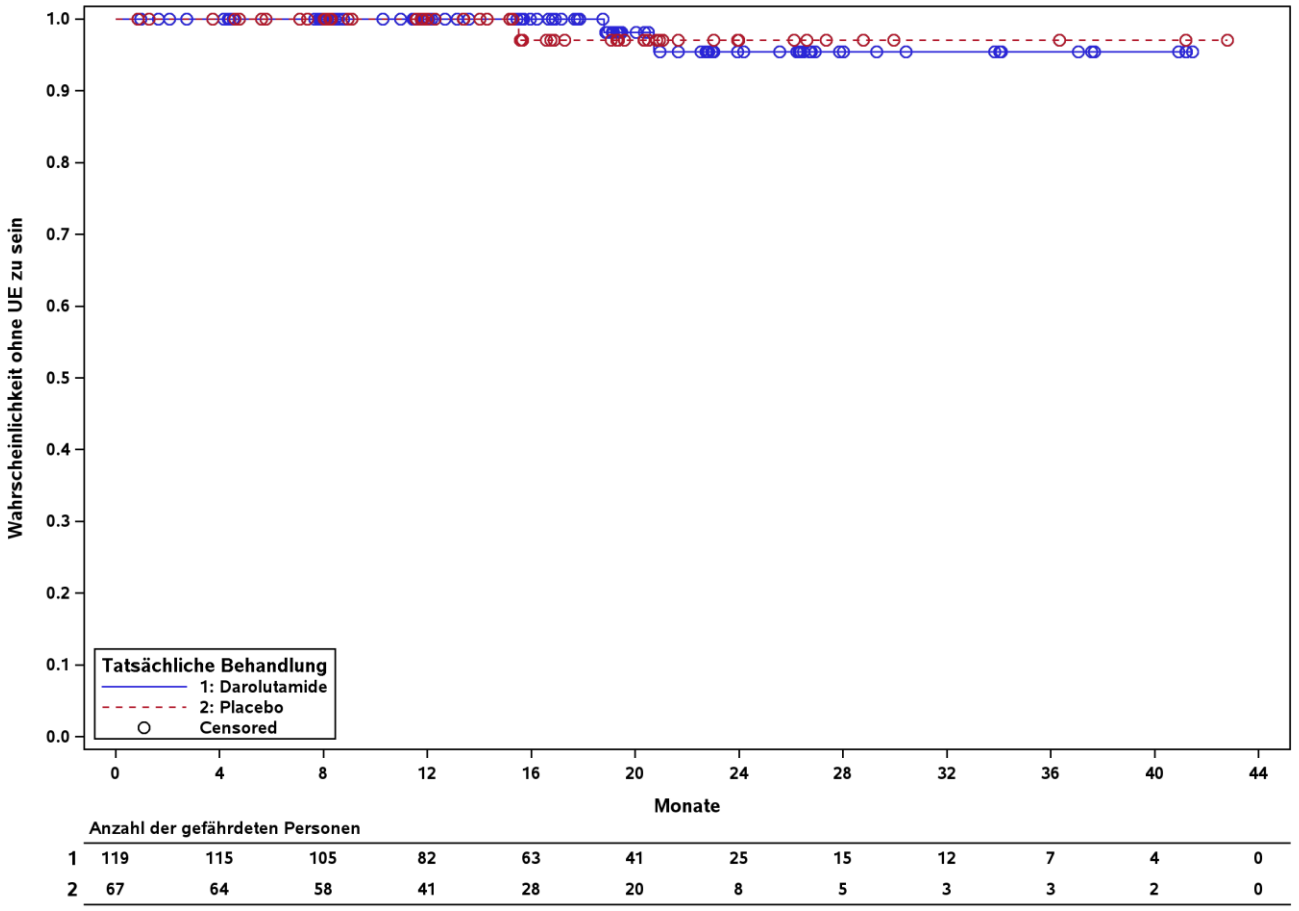
Bayer: /by-sasp/patdb/projects/1841788/17712/stat/prod_query22/pgms/t_aesi_sub.sas 23APR2020 17:14

Figure 4.3.3 / 297: Kaplan-Meier-Plot der 'Unerwünschte Ereignis von besonderem Interesse' Time-to-Event-Analyse nach Endpunkt und Subgruppe - Endpunkt: Zeit bis zum ersten UE von besonderem Interesse: Diabetes mellitus and Hyperglycaemia - Subgruppe: Geografische Region: North America (full analysis set)



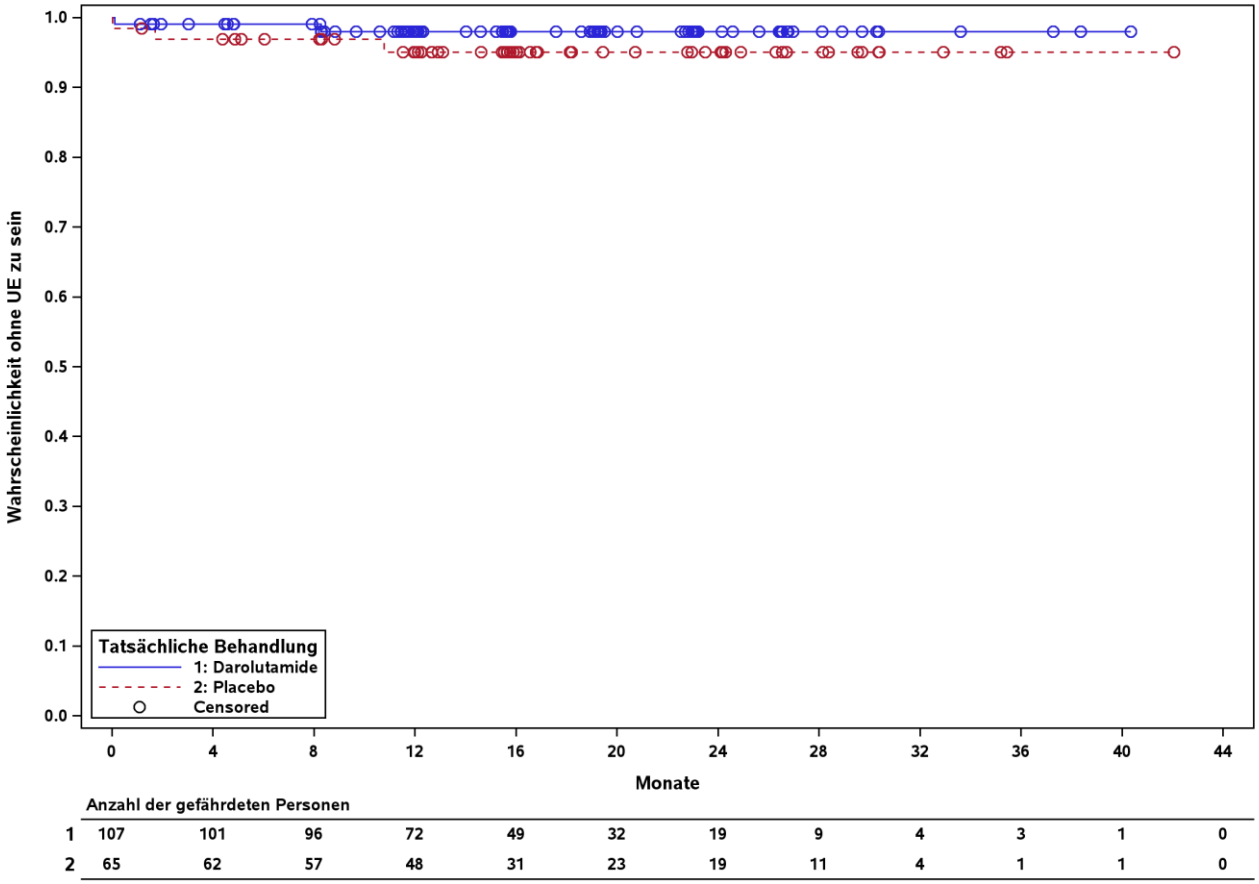
Bayer: /by-sasp/patdb/projects/1841788/17712/stat/prod_query22/pgms/t_aesi_sub.sas 23APR2020 17:14

Figure 4.3.3 / 298: Kaplan-Meier-Plot der 'Unerwünschte Ereignis von besonderem Interesse' Time-to-Event-Analyse nach Endpunkt und Subgruppe - Endpunkt: Zeit bis zum ersten UE von besonderem Interesse: Diabetes mellitus and Hyperglycaemia - Subgruppe: Geografische Region: Asia Pacific (full analysis set)



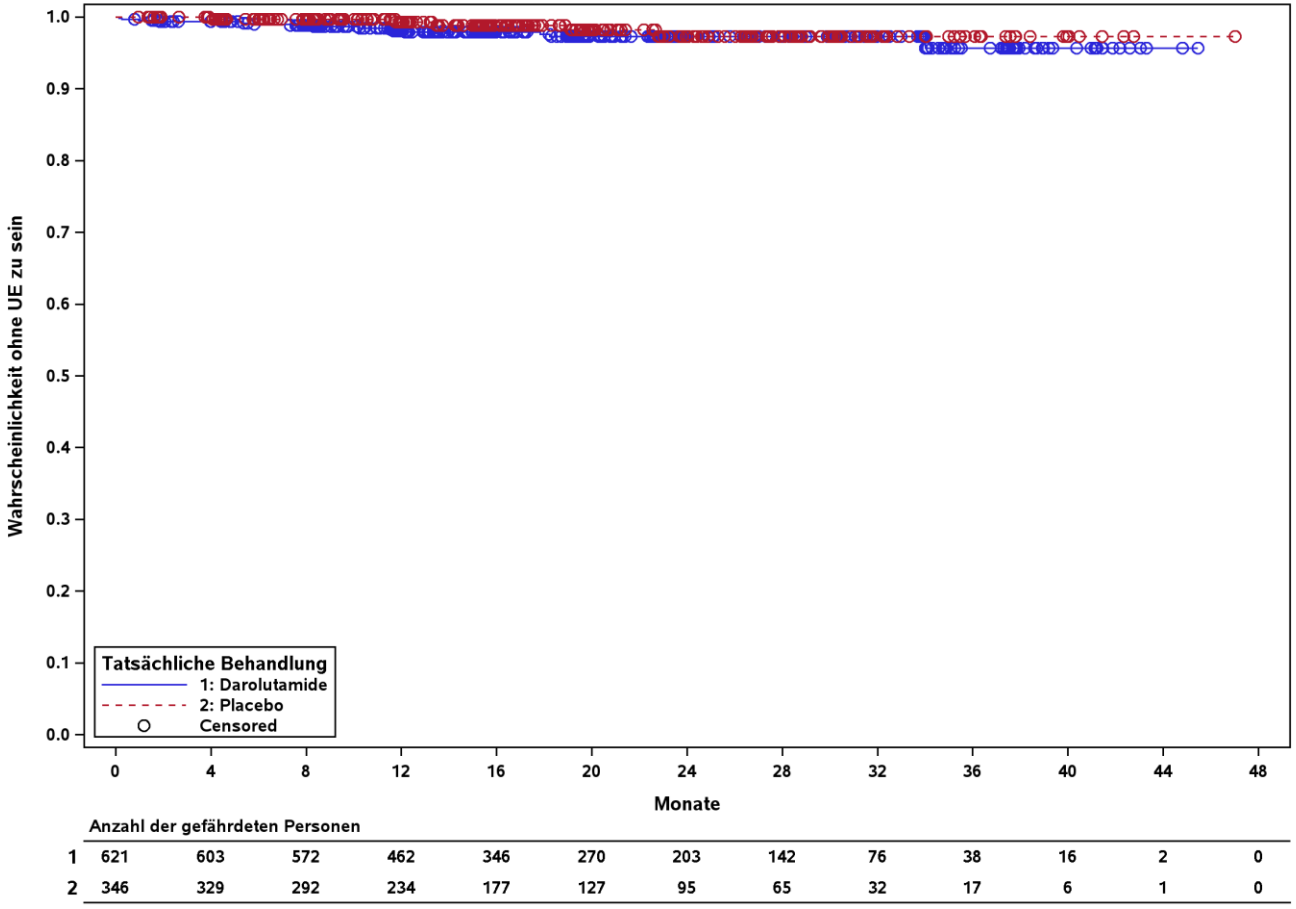
Bayer: /by-sasp/patdb/projects/1841788/17712/stat/prod_query22/pgms/t_aesi_sub.sas 23APR2020 17:14

Figure 4.3.3 / 299: Kaplan-Meier-Plot der 'Unerwünschte Ereignis von besonderem Interesse' Time-to-Event-Analyse nach Endpunkt und Subgruppe - Endpunkt: Zeit bis zum ersten UE von besonderem Interesse: Diabetes mellitus and Hyperglycaemia - Subgruppe: Geografische Region: Rest of the World (full analysis set)



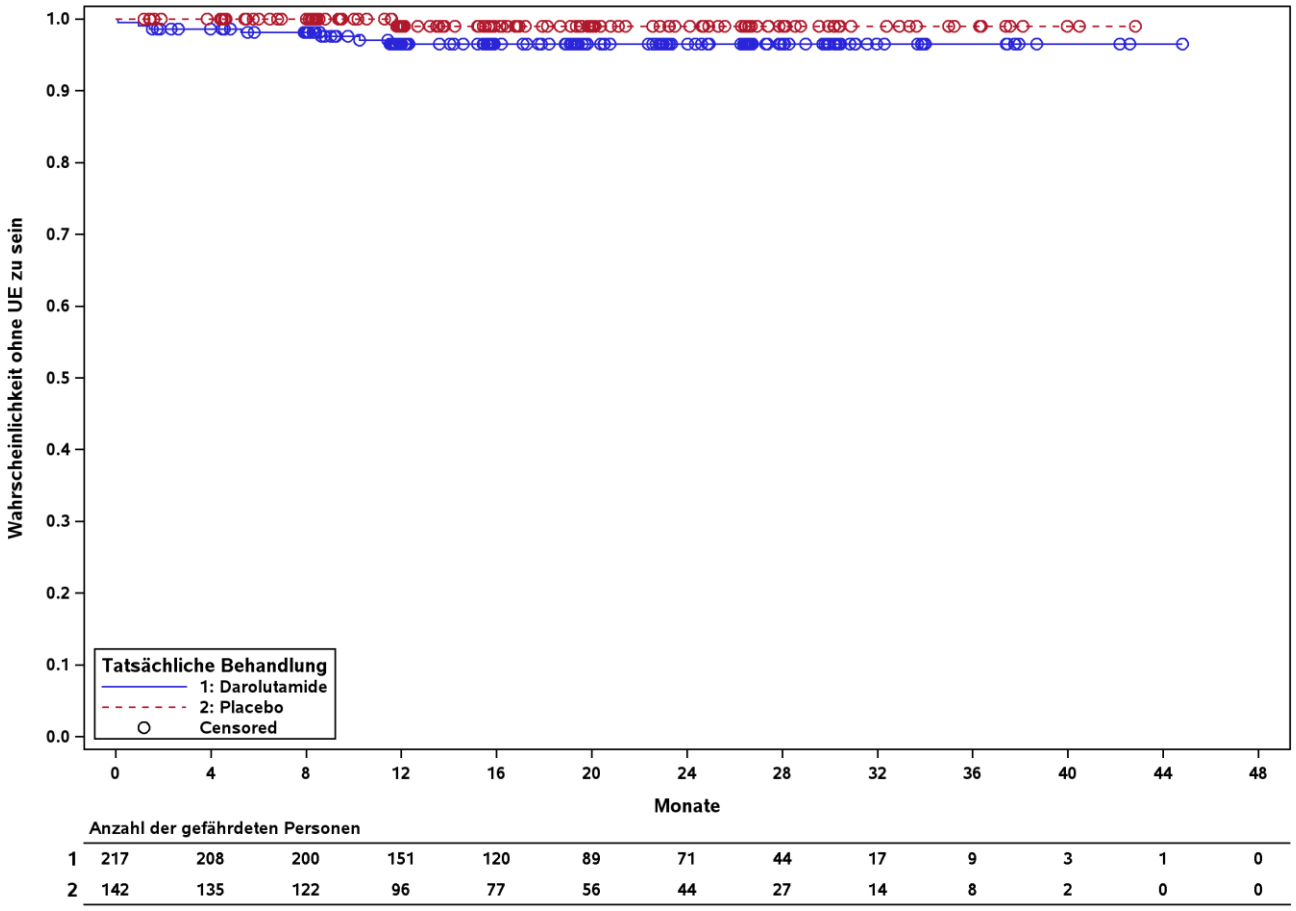
Bayer: /by-sasp/patdb/projects/1841788/17712/stat/prod_query22/pgms/t_aesi_sub.sas 23APR2020 17:14

Figure 4.3.3 / 300: Kaplan-Meier-Plot der 'Unerwünschte Ereignis von besonderem Interesse' Time-to-Event-Analyse nach Endpunkt und Subgruppe - Endpunkt: Zeit bis zum ersten UE von besonderem Interesse: Diabetes mellitus and Hyperglycaemia - Subgruppe: Geografische Region: Europe (full analysis set)



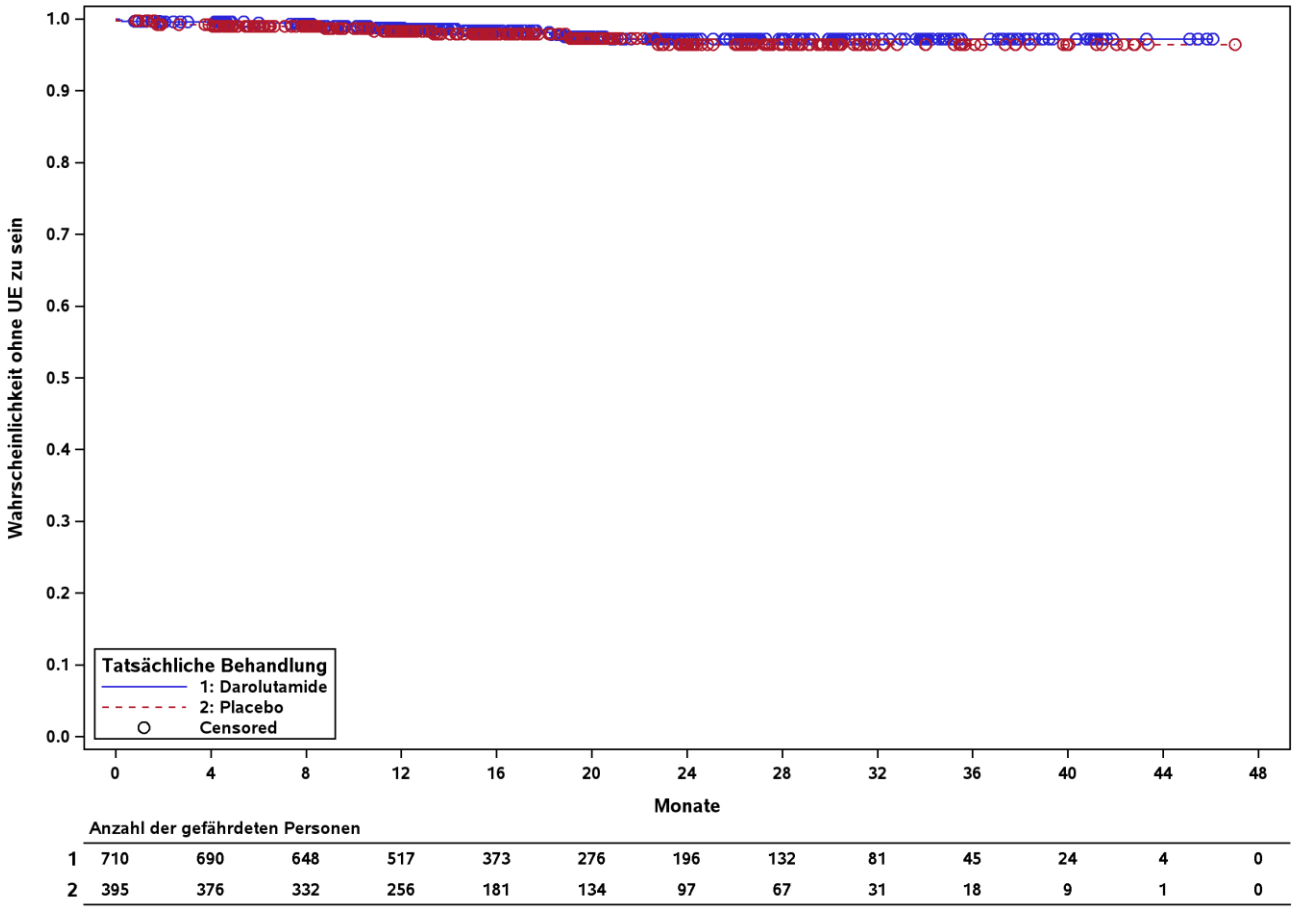
Bayer: /by-sasp/patdb/projects/1841788/17712/stat/prod_query22/pgms/t_aesi_sub.sas 23APR2020 17:14

Figure 4.3.3 / 301: Kaplan-Meier-Plot der 'Unerwünschte Ereignis von besonderem Interesse' Time-to-Event-Analyse nach Endpunkt und Subgruppe - Endpunkt: Zeit bis zum ersten UE von besonderem Interesse: Diabetes mellitus and Hyperglycaemia - Subgruppe: Gleason-Score bei Diagnose: <7 (full analysis set)



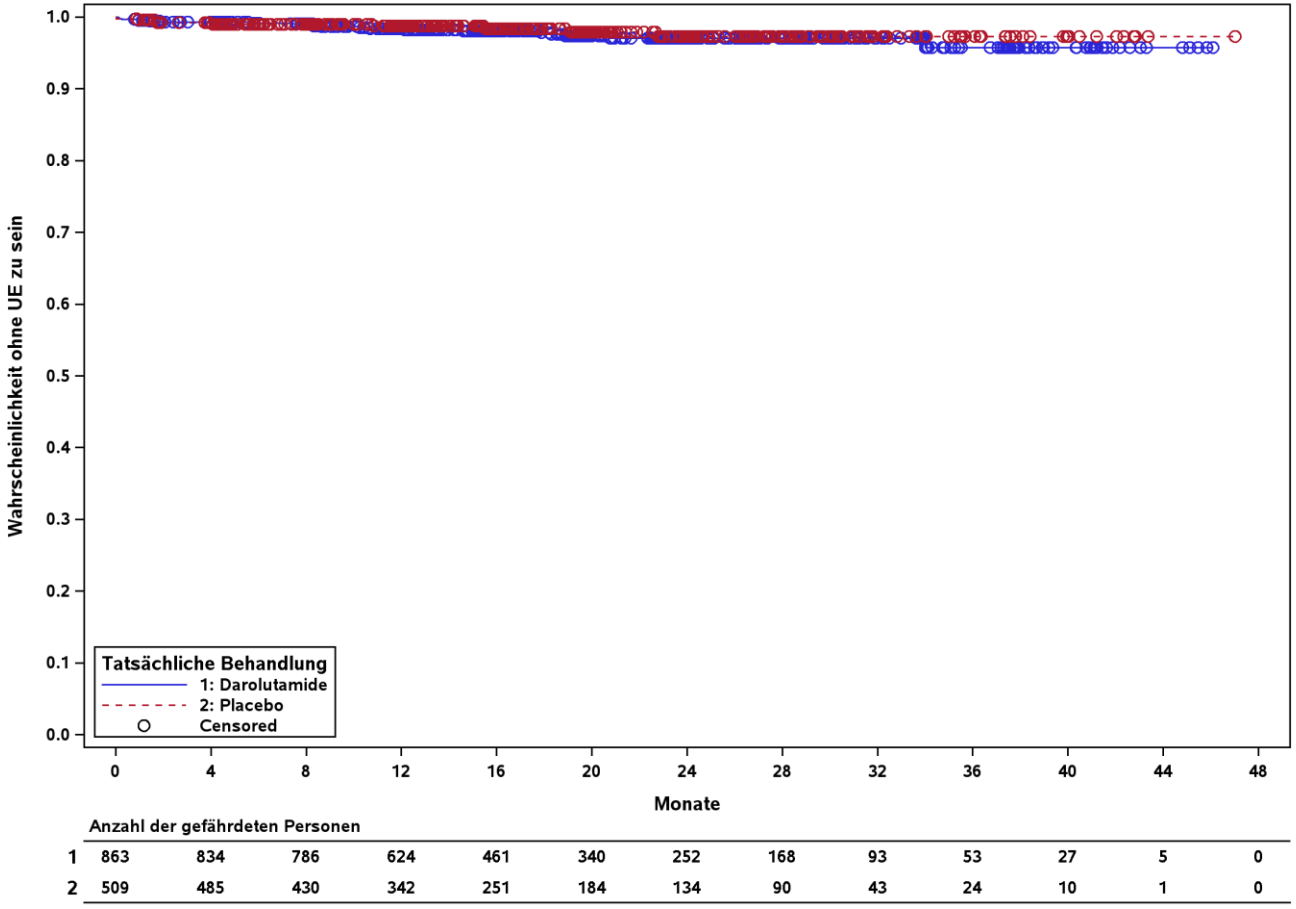
Bayer: /by-sasp/patdb/projects/1841788/17712/stat/prod_query22/pgms/t_aesi_sub.sas 23APR2020 17:14

Figure 4.3.3 / 302: Kaplan-Meier-Plot der 'Unerwünschte Ereignis von besonderem Interesse' Time-to-Event-Analyse nach Endpunkt und Subgruppe - Endpunkt: Zeit bis zum ersten UE von besonderem Interesse: Diabetes mellitus and Hyperglycaemia - Subgruppe: Gleason-Score bei Diagnose: >=7 (full analysis set)



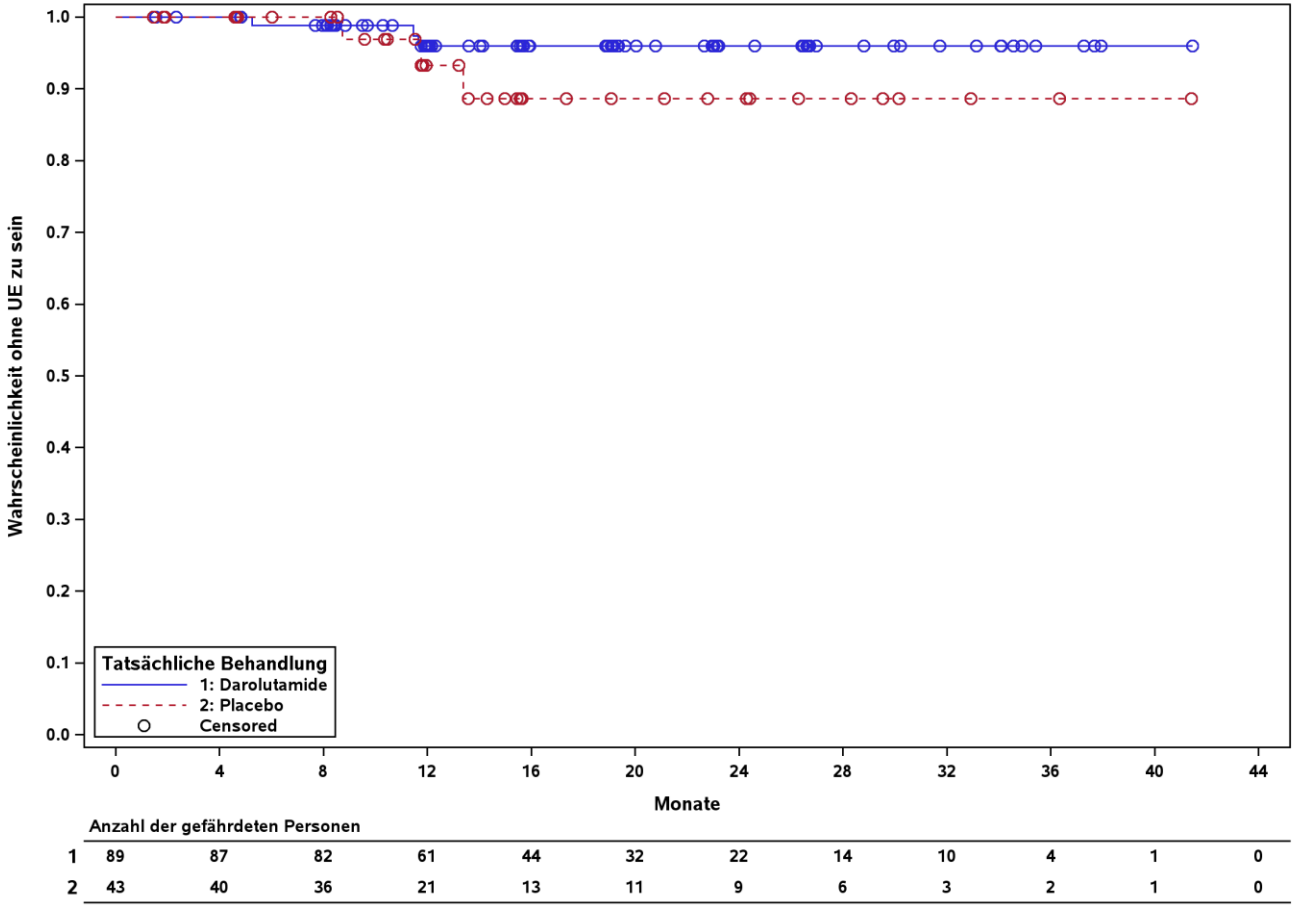
Bayer: /by-sasp/patdb/projects/1841788/17712/stat/prod_query22/pgms/t_aesi_sub.sas 23APR2020 17:14

Figure 4.3.3 / 303: Kaplan-Meier-Plot der 'Unerwünschte Ereignis von besonderem Interesse' Time-to-Event-Analyse nach Endpunkt und Subgruppe - Endpunkt: Zeit bis zum ersten UE von besonderem Interesse: Diabetes mellitus and Hyperglycaemia - Subgruppe: Leberfunktionsstörung: normal (full analysis set)



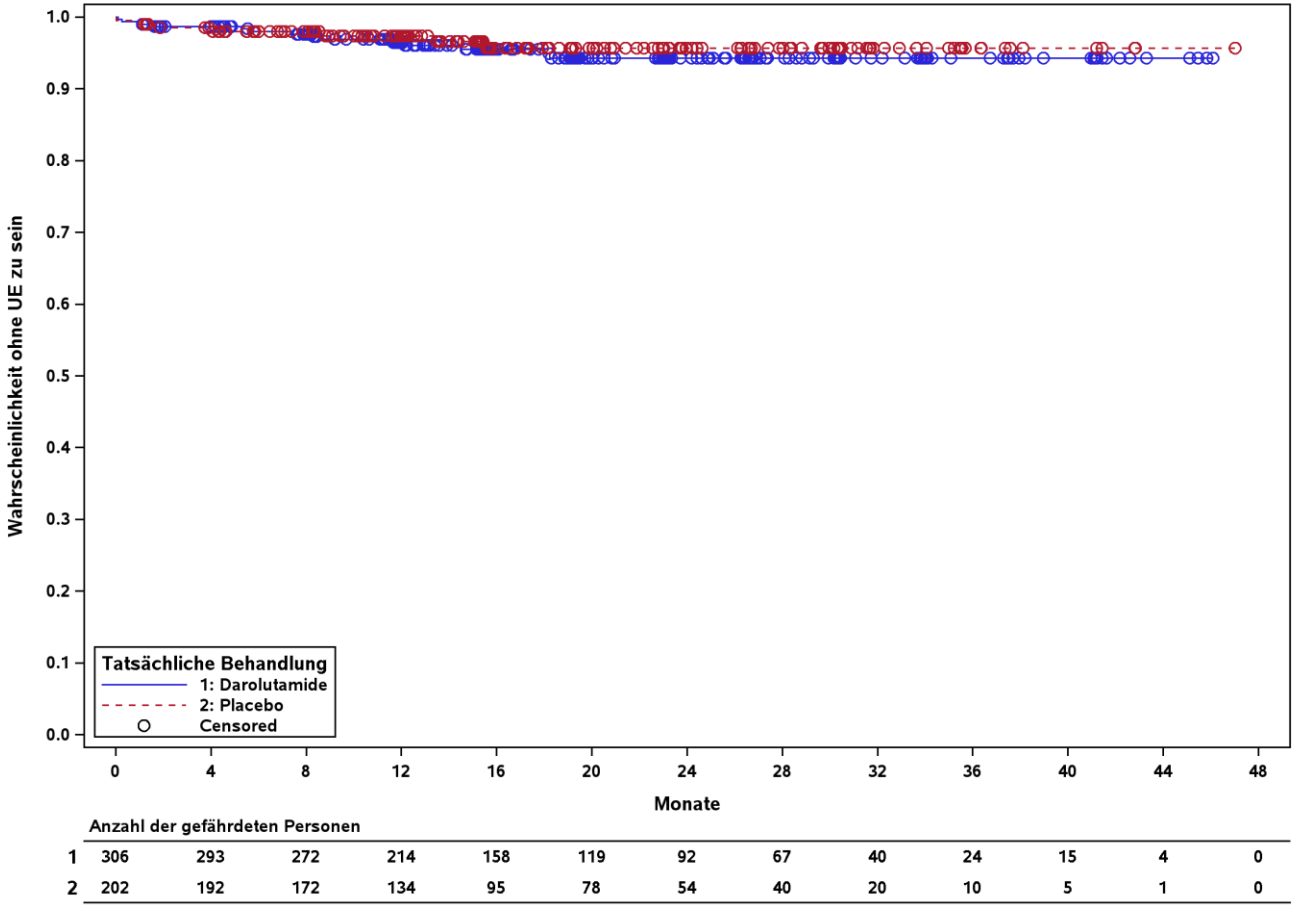
Bayer: /by-sasp/patdb/projects/1841788/17712/stat/prod_query22/pgms/t_aesi_sub.sas 23APR2020 17:14

Figure 4.3.3 / 304: Kaplan-Meier-Plot der 'Unerwünschte Ereignis von besonderem Interesse' Time-to-Event-Analyse nach Endpunkt und Subgruppe - Endpunkt: Zeit bis zum ersten UE von besonderem Interesse: Diabetes mellitus and Hyperglycaemia - Subgruppe: Leberfunktionsstörung: mild (full analysis set)



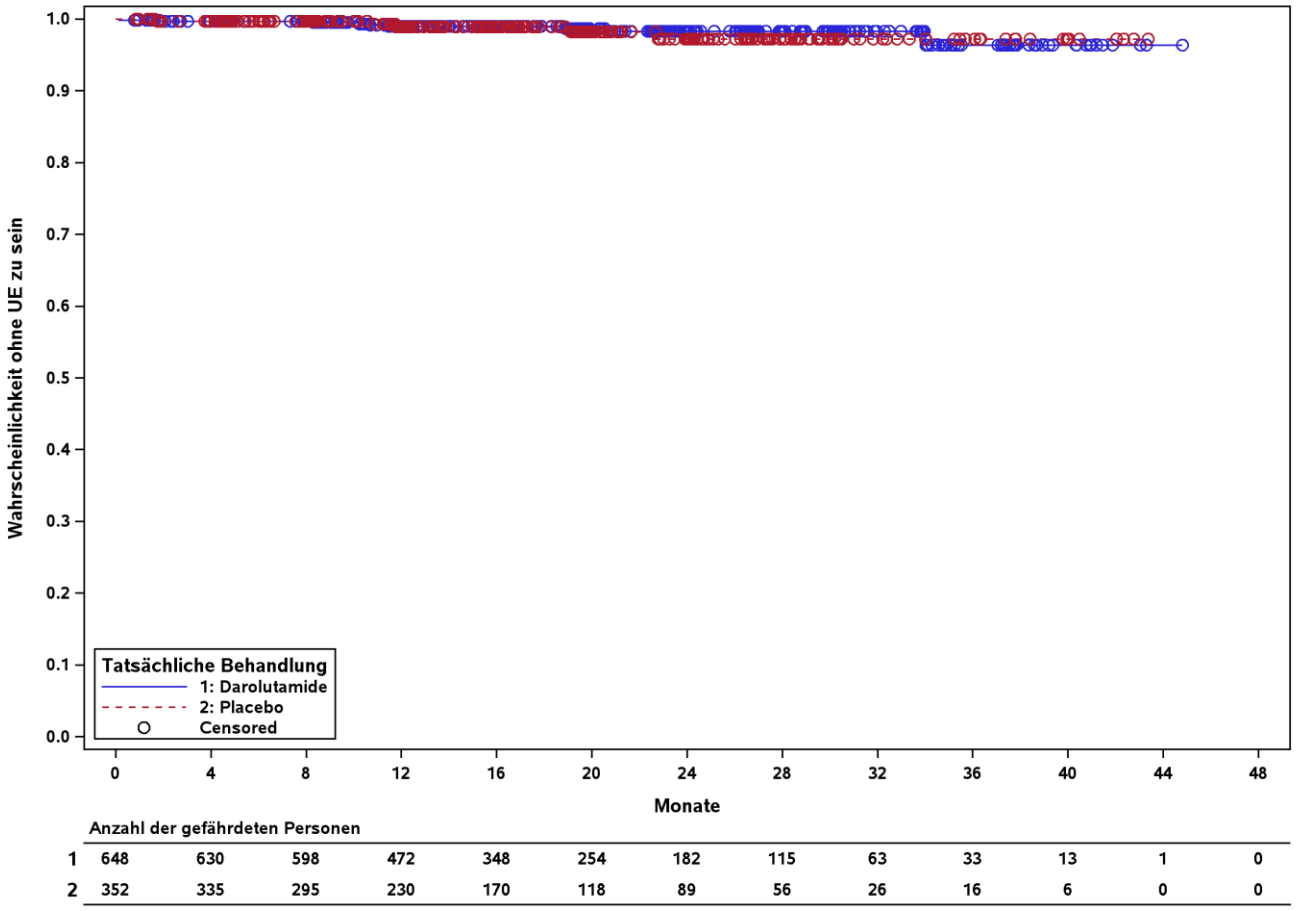
Bayer: /by-sasp/patdb/projects/1841788/17712/stat/prod_query22/pgms/t_aesi_sub.sas 23APR2020 17:14

Figure 4.3.3 / 305: Kaplan-Meier-Plot der 'Unerwünschte Ereignis von besonderem Interesse' Time-to-Event-Analyse nach Endpunkt und Subgruppe - Endpunkt: Zeit bis zum ersten UE von besonderem Interesse: Diabetes mellitus and Hyperglycaemia - Subgruppe: Nutzung von Statinen: Ja (full analysis set)



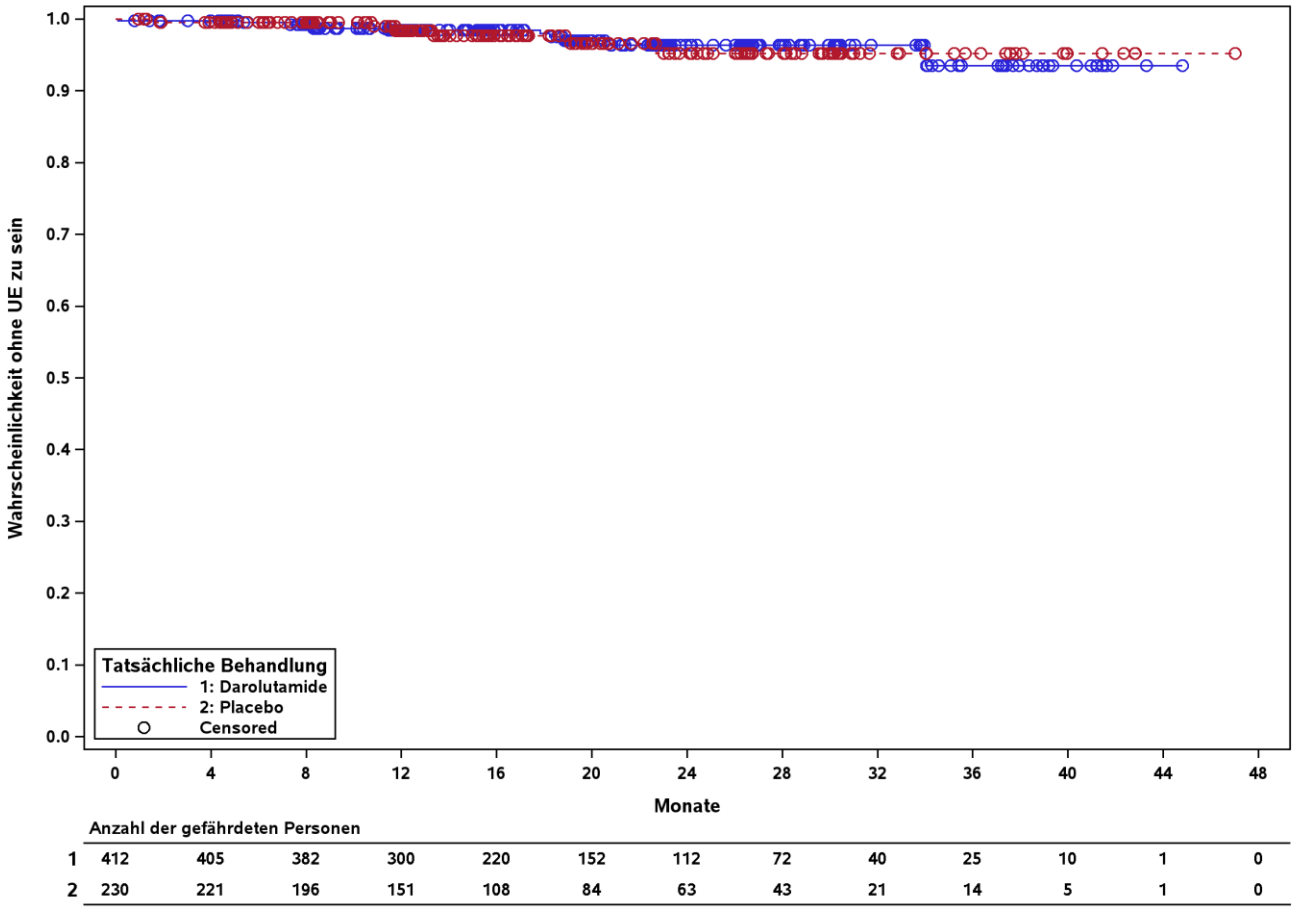
Bayer: /by-sasp/patdb/projects/1841788/17712/stat/prod_query22/pgms/t_aesi_sub.sas 23APR2020 17:14

Figure 4.3.3 / 306: Kaplan-Meier-Plot der 'Unerwünschte Ereignis von besonderem Interesse' Time-to-Event-Analyse nach Endpunkt und Subgruppe - Endpunkt: Zeit bis zum ersten UE von besonderem Interesse: Diabetes mellitus and Hyperglycaemia - Subgruppe: Nutzung von Statinen: Nein (full analysis set)



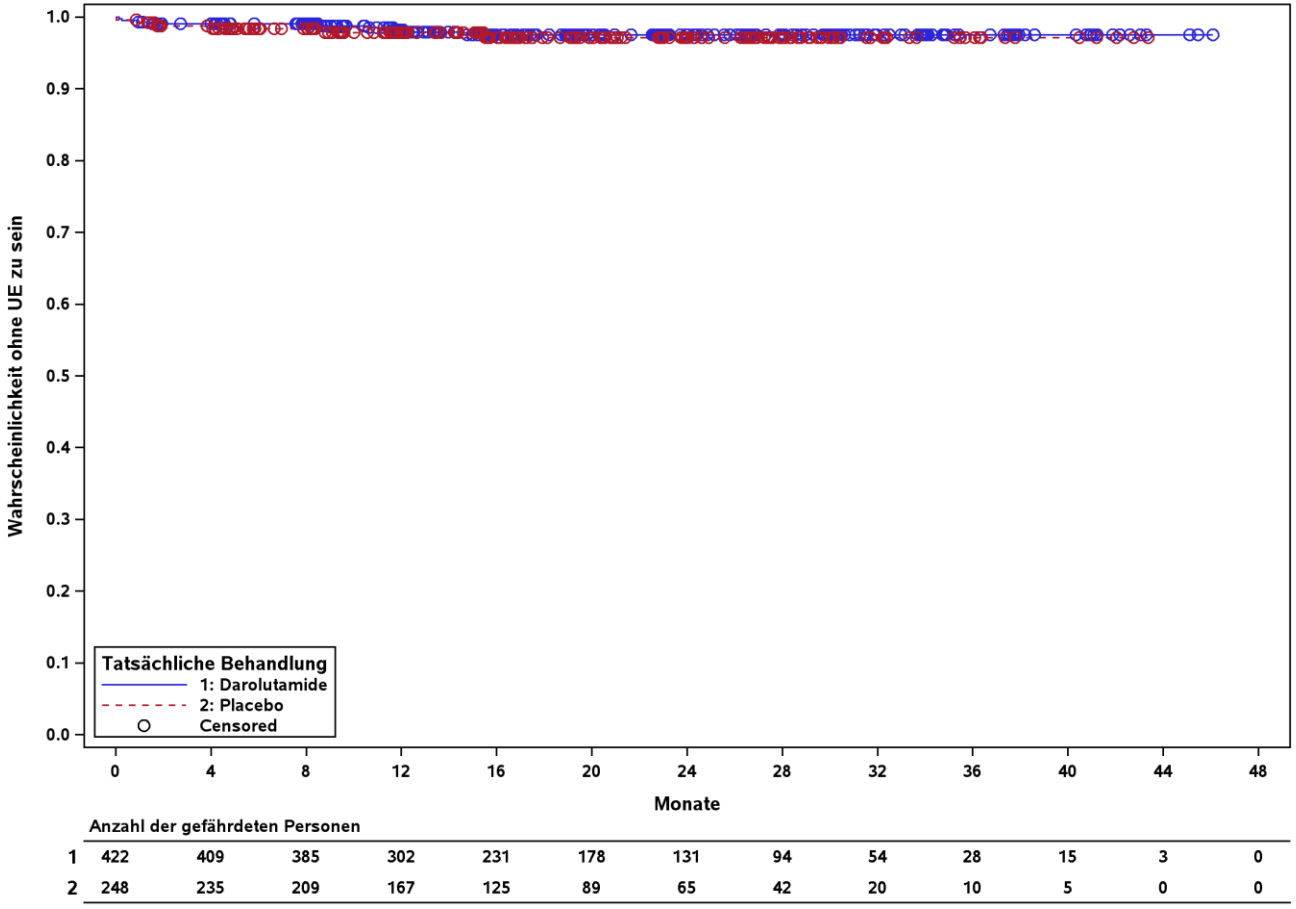
Bayer: /by-sasp/patdb/projects/1841788/17712/stat/prod_query22/pgms/t_aesi_sub.sas 23APR2020 17:14

Figure 4.3.3 / 307: Kaplan-Meier-Plot der 'Unerwünschte Ereignis von besonderem Interesse' Time-to-Event-Analyse nach Endpunkt und Subgruppe - Endpunkt: Zeit bis zum ersten UE von besonderem Interesse: Diabetes mellitus and Hyperglycaemia - Subgruppe: eGFR an Baseline: normal (full analysis set)



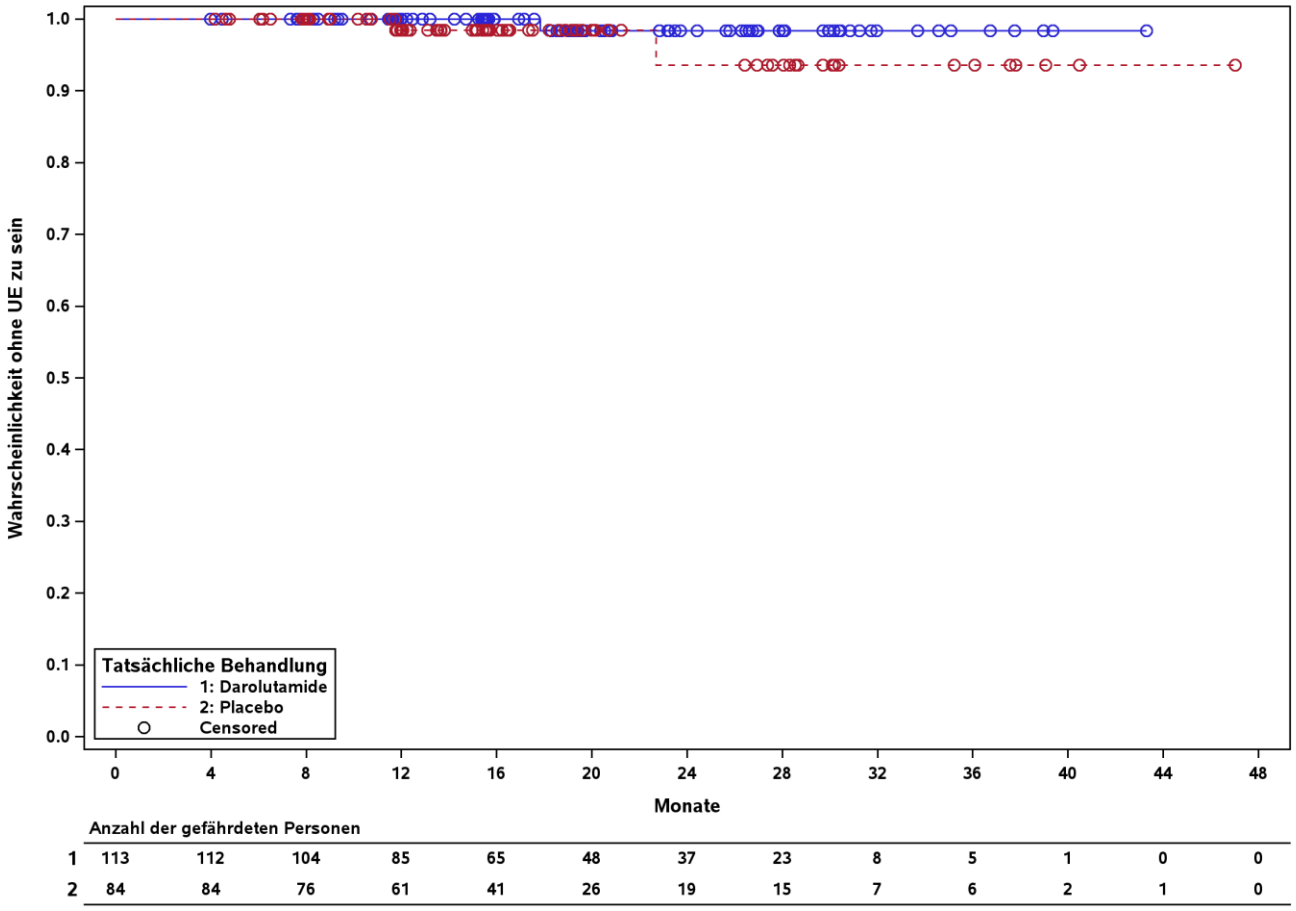
Bayer: /by-sasp/patdb/projects/1841788/17712/stat/prod_query22/pgms/t_aesi_sub.sas 23APR2020 17:14

Figure 4.3.3 / 308: Kaplan-Meier-Plot der 'Unerwünschte Ereignis von besonderem Interesse' Time-to-Event-Analyse nach Endpunkt und Subgruppe - Endpunkt: Zeit bis zum ersten UE von besonderem Interesse: Diabetes mellitus and Hyperglycaemia - Subgruppe: eGFR an Baseline: mildly impaired (full analysis set)



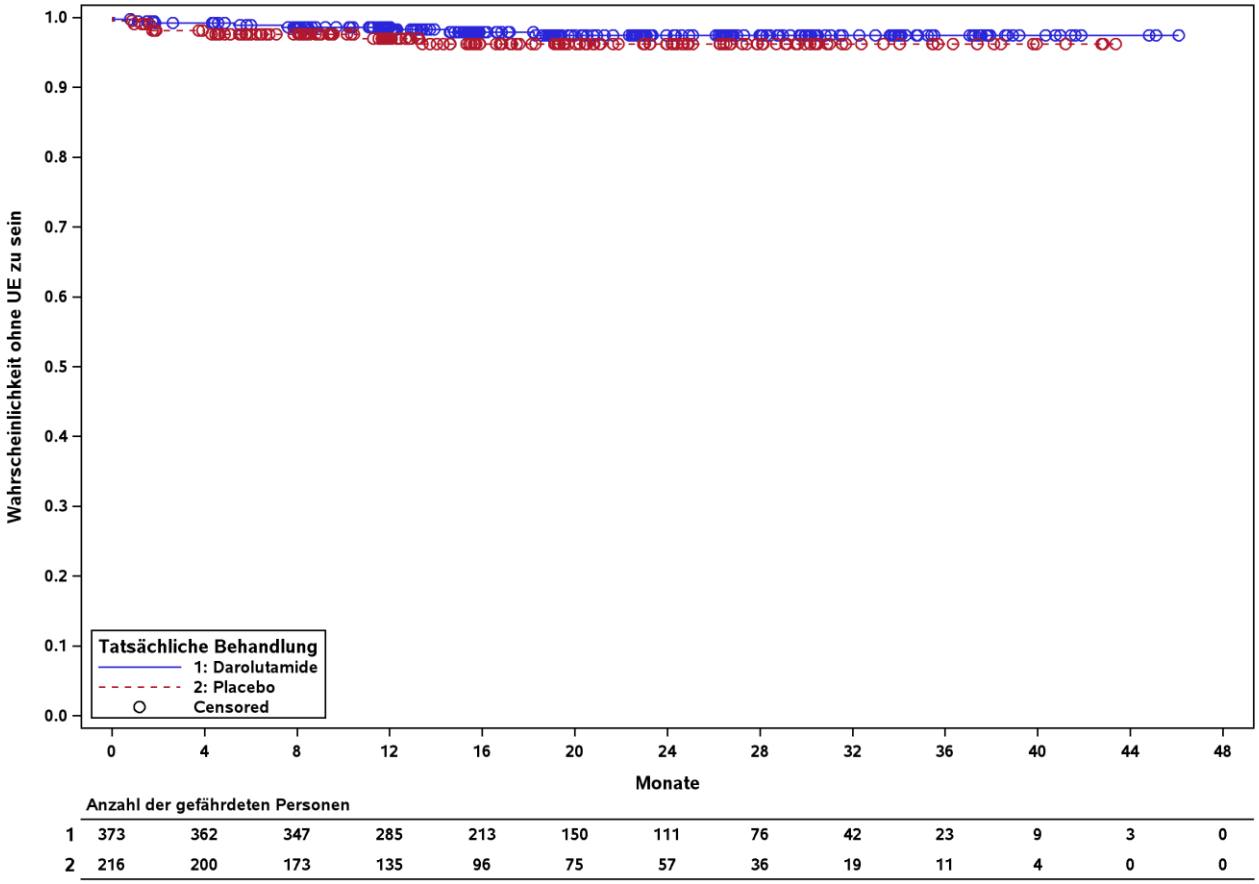
Bayer: /by-sasp/patdb/projects/1841788/17712/stat/prod_query22/pgms/t_aesi_sub.sas 23APR2020 17:14

Figure 4.3.3 / 309: Kaplan-Meier-Plot der 'Unerwünschte Ereignis von besonderem Interesse' Time-to-Event-Analyse nach Endpunkt und Subgruppe - Endpunkt: Zeit bis zum ersten UE von besonderem Interesse mit CTCAE Grad <3: Diabetes mellitus and Hyperglycaemia - Subgruppe: Alter (Jahre): <65 (full analysis set)



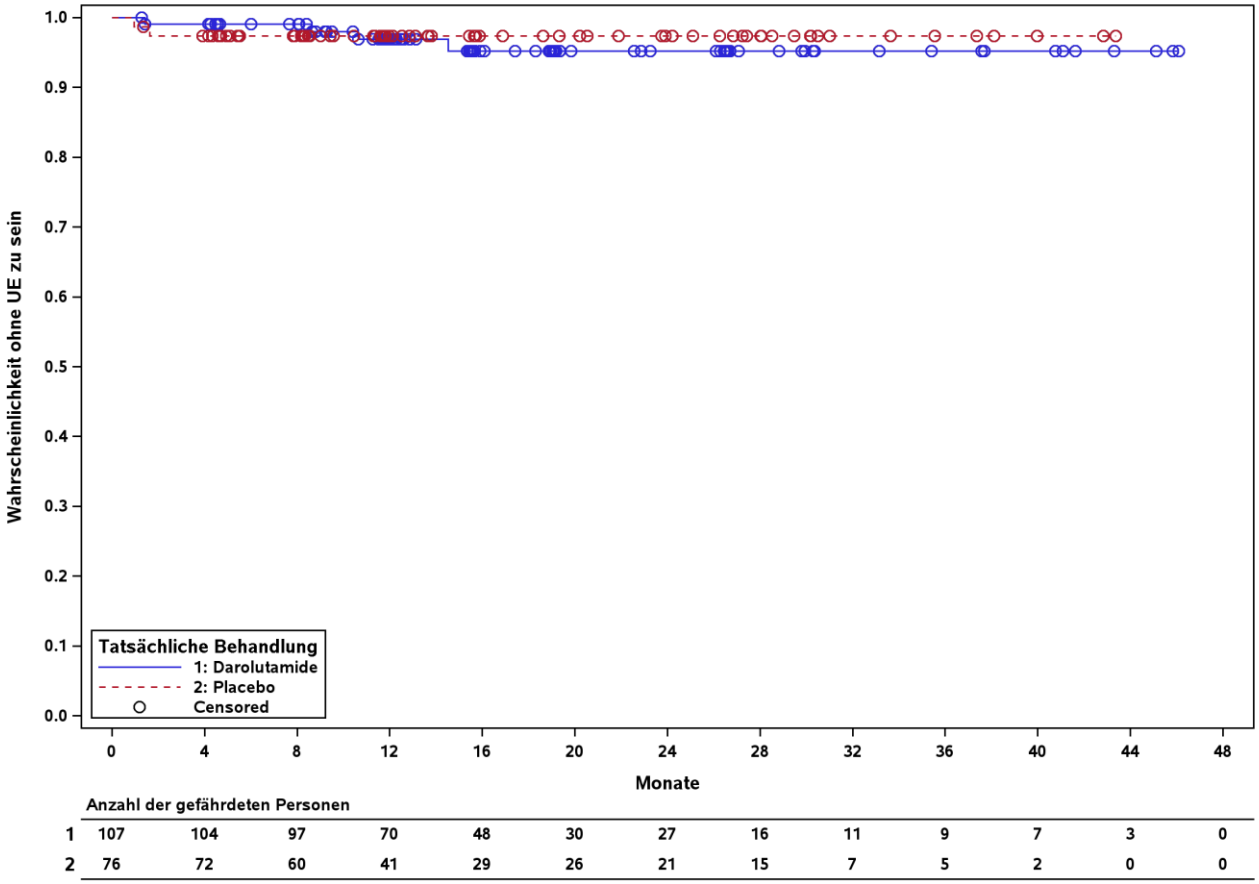
Bayer: /by-sasp/patdb/projects/1841788/17712/stat/prod_query22/pgms/t_aesi_sub.sas 23APR2020 17:14

Figure 4.3.3 / 310: Kaplan-Meier-Plot der 'Unerwünschte Ereignis von besonderem Interesse' Time-to-Event-Analyse nach Endpunkt und Subgruppe - Endpunkt: Zeit bis zum ersten UE von besonderem Interesse mit CTCAE Grad <3: Diabetes mellitus and Hyperglycaemia - Subgruppe: Alter (Jahre): 65-74 (full analysis set)



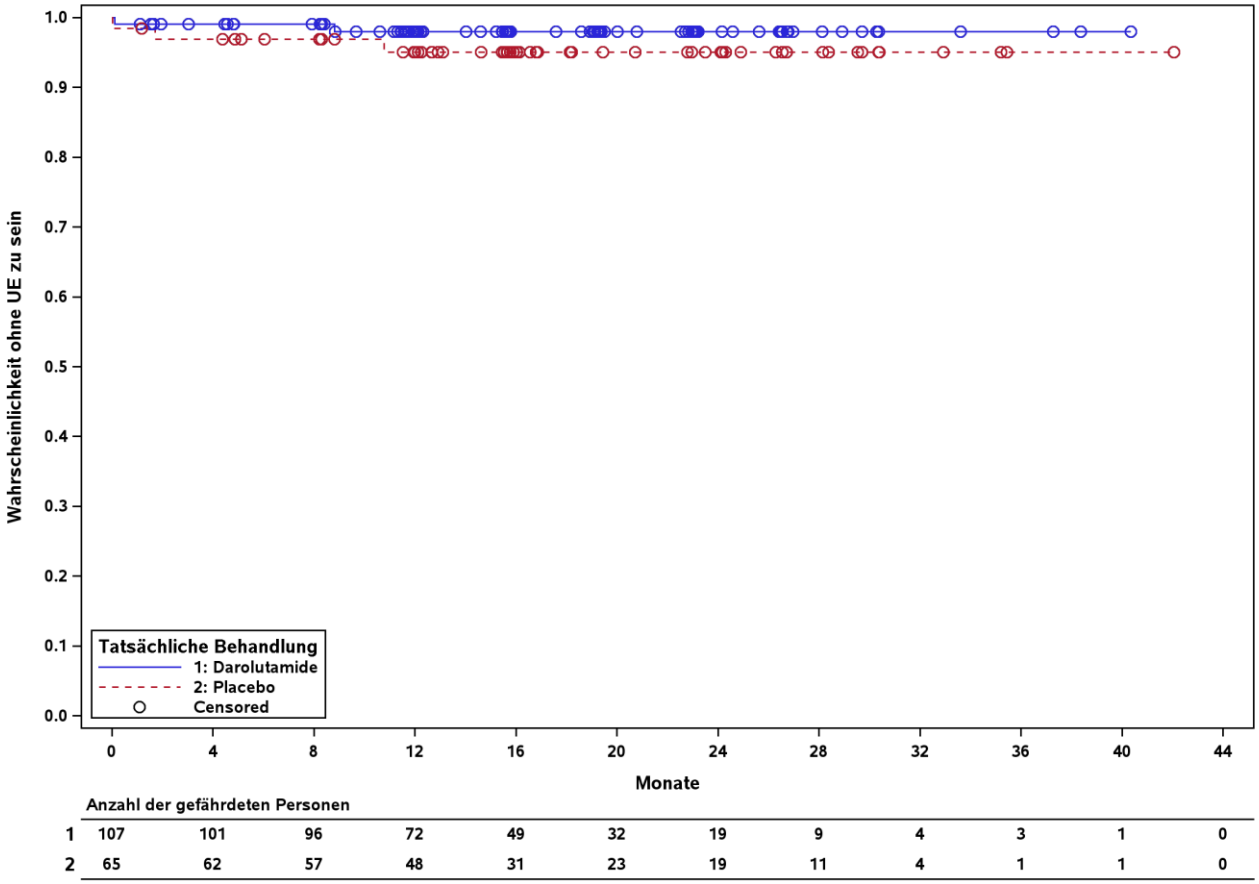
Bayer: /by-sasp/patdb/projects/1841788/17712/stat/prod_query22/pgms/t_aesi_sub.sas 23APR2020 17:14

Figure 4.3.3 / 311: Kaplan-Meier-Plot der 'Unerwünschte Ereignis von besonderem Interesse' Time-to-Event-Analyse nach Endpunkt und Subgruppe - Endpunkt: Zeit bis zum ersten UE von besonderem Interesse mit CTCAE Grad <3: Diabetes mellitus and Hyperglycaemia - Subgruppe: Geografische Region: North America (full analysis set)



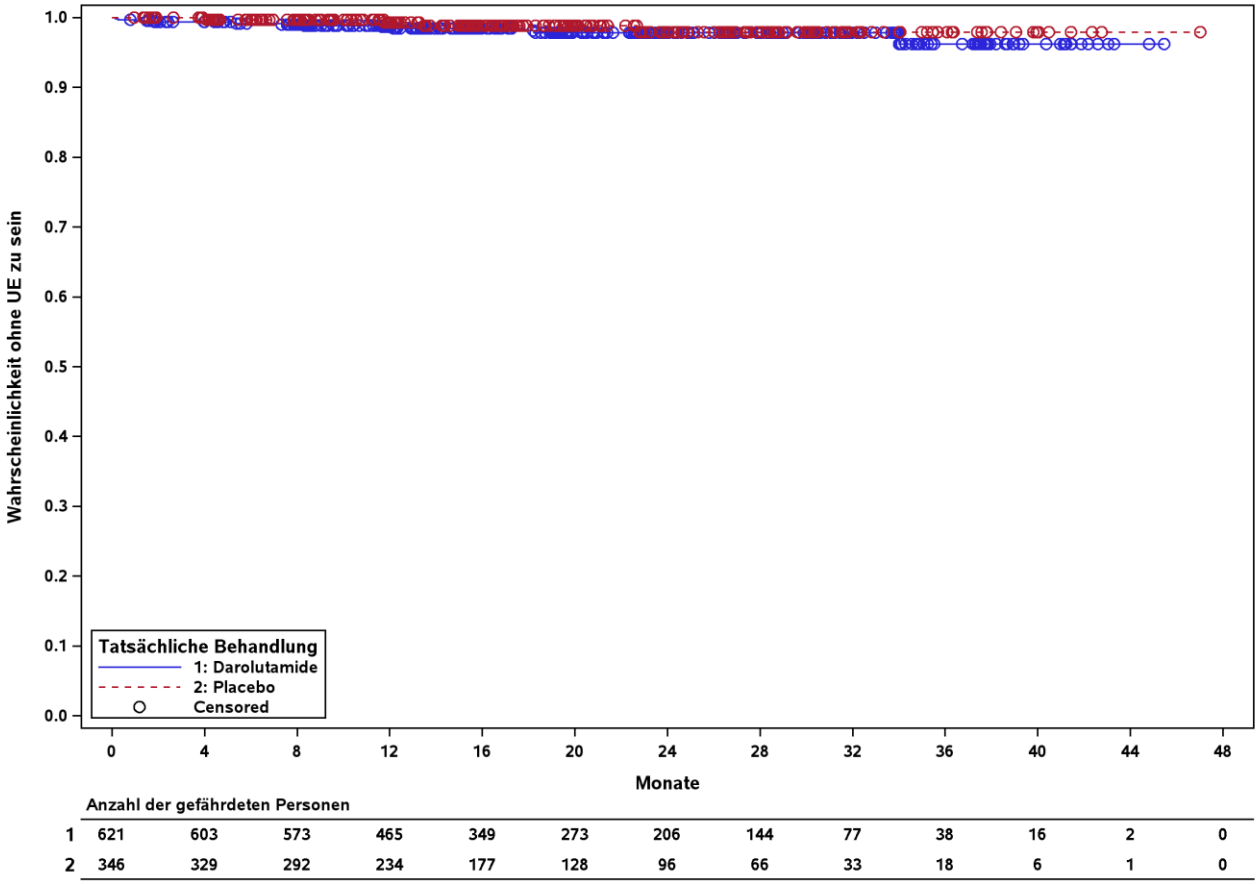
Bayer: /by-sasp/patdb/projects/1841788/17712/stat/prod_query22/pgms/t_aesi_sub.sas 23APR2020 17:14

Figure 4.3.3 / 312: Kaplan-Meier-Plot der 'Unerwünschte Ereignis von besonderem Interesse' Time-to-Event-Analyse nach Endpunkt und Subgruppe - Endpunkt: Zeit bis zum ersten UE von besonderem Interesse mit CTCAE Grad <3: Diabetes mellitus and Hyperglycaemia - Subgruppe: Geografische Region: Rest of the World (full analysis set)



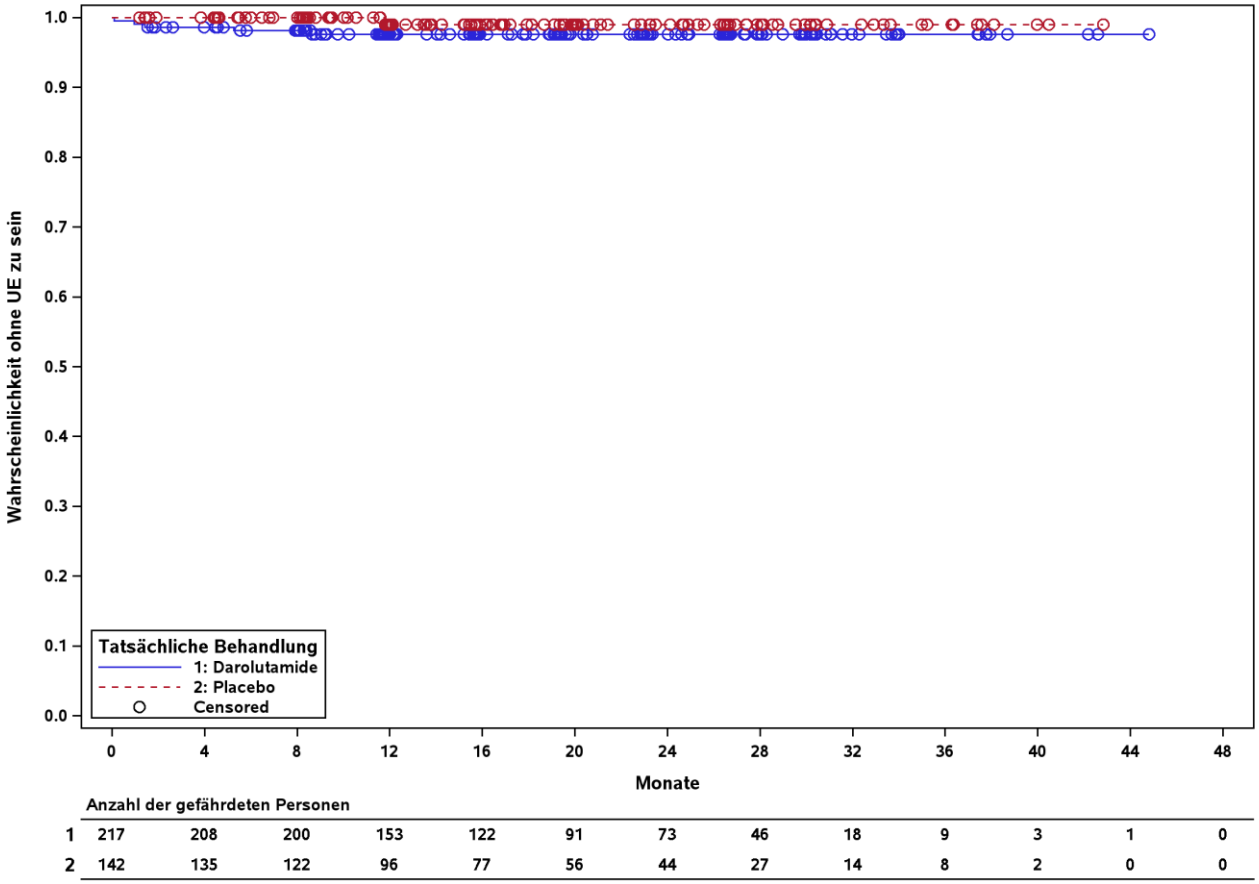
Bayer: /by-sasp/patdb/projects/1841788/17712/stat/prod_query22/pgms/t_aesi_sub.sas 23APR2020 17:14

Figure 4.3.3 / 313: Kaplan-Meier-Plot der 'Unerwünschte Ereignis von besonderem Interesse' Time-to-Event-Analyse nach Endpunkt und Subgruppe - Endpunkt: Zeit bis zum ersten UE von besonderem Interesse mit CTCAE Grad <3: Diabetes mellitus and Hyperglycaemia - Subgruppe: Geografische Region: Europe (full analysis set)



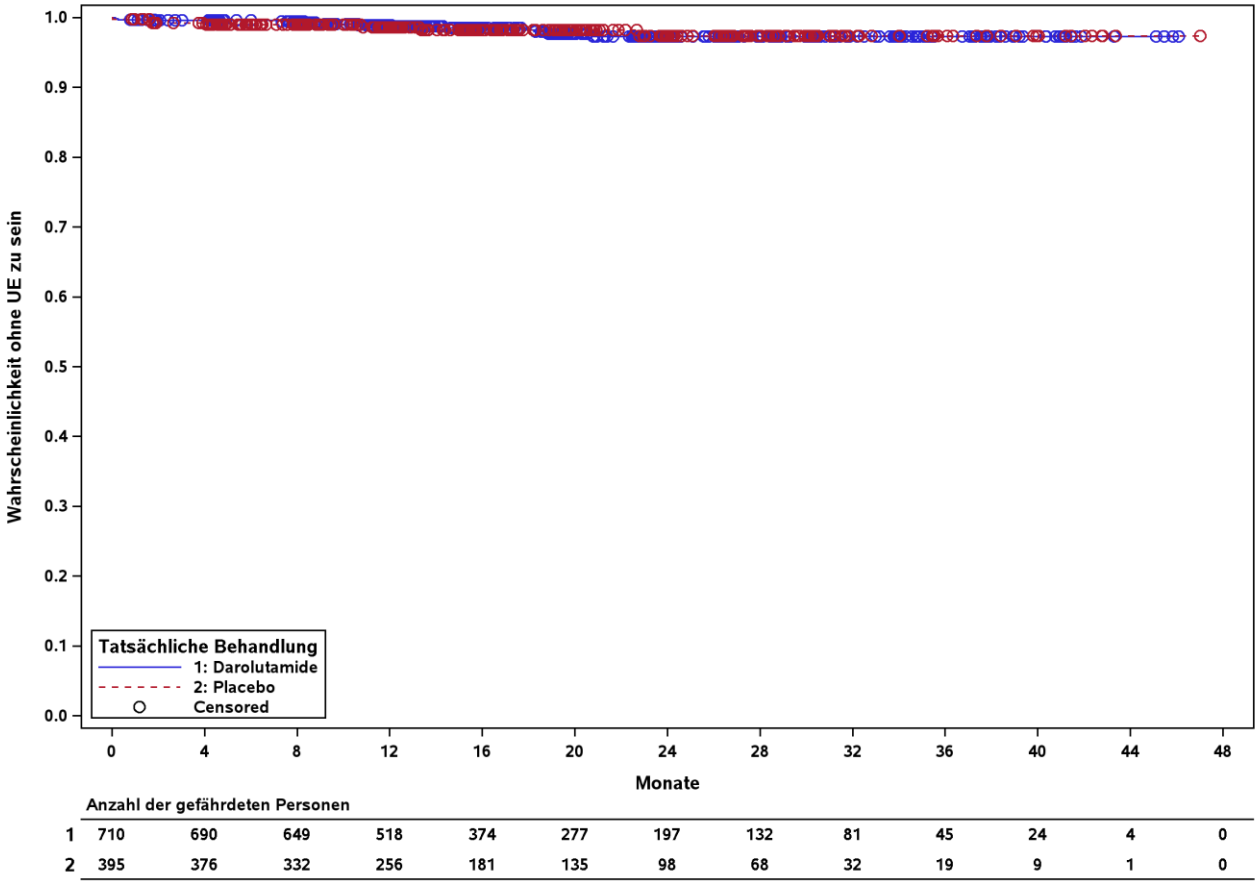
Bayer: /by-sasp/patdb/projects/1841788/17712/stat/prod_query22/pgms/t_aesi_sub.sas 23APR2020 17:14

Figure 4.3.3 / 314: Kaplan-Meier-Plot der 'Unerwünschte Ereignis von besonderem Interesse' Time-to-Event-Analyse nach Endpunkt und Subgruppe - Endpunkt: Zeit bis zum ersten UE von besonderem Interesse mit CTCAE Grad <3: Diabetes mellitus and Hyperglycaemia - Subgruppe: Gleason-Score bei Diagnose: <7 (full analysis set)



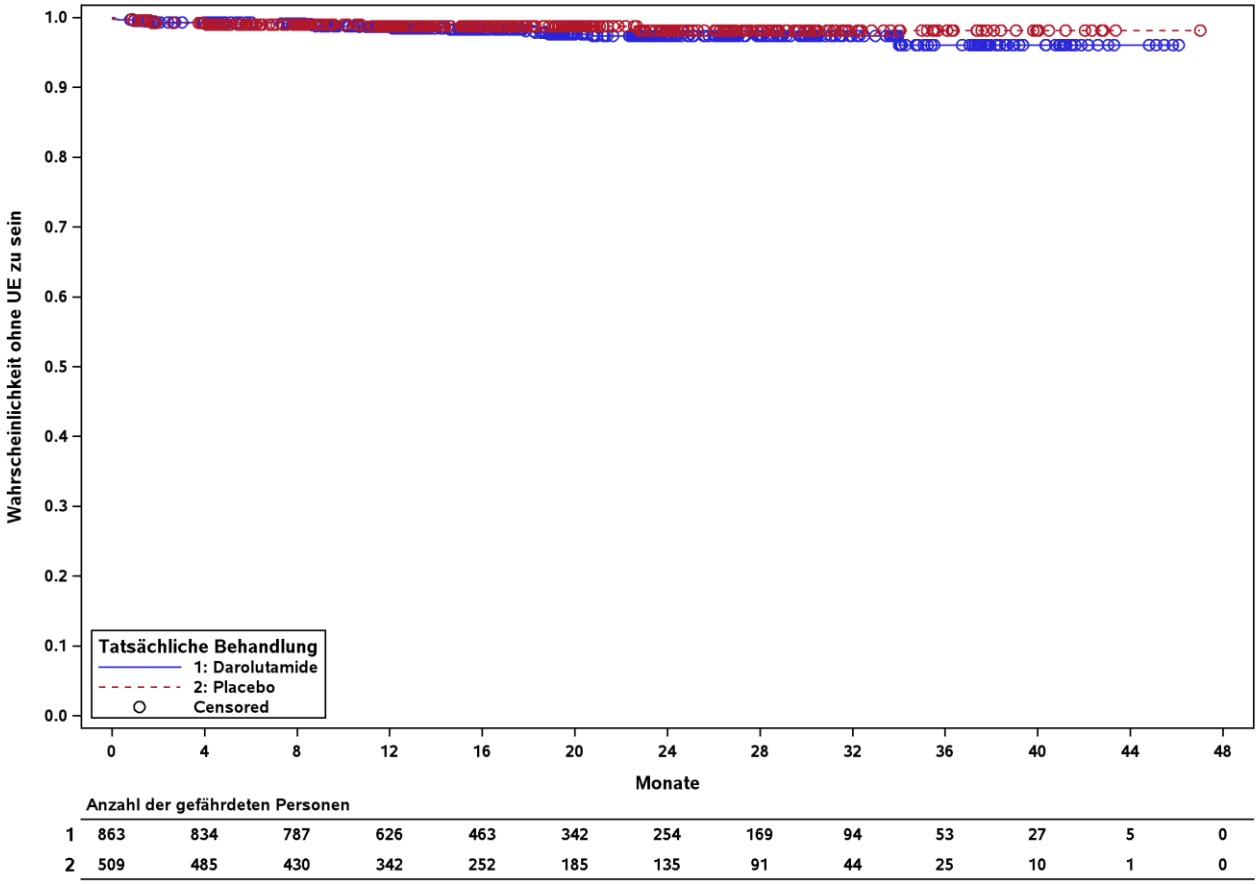
Bayer: /by-sasp/patdb/projects/1841788/17712/stat/prod_query22/pgms/t_aesi_sub.sas 23APR2020 17:14

Figure 4.3.3 / 315: Kaplan-Meier-Plot der 'Unerwünschte Ereignis von besonderem Interesse' Time-to-Event-Analyse nach Endpunkt und Subgruppe - Endpunkt: Zeit bis zum ersten UE von besonderem Interesse mit CTCAE Grad <3: Diabetes mellitus and Hyperglycaemia - Subgruppe: Gleason-Score bei Diagnose: >=7 (full analysis set)



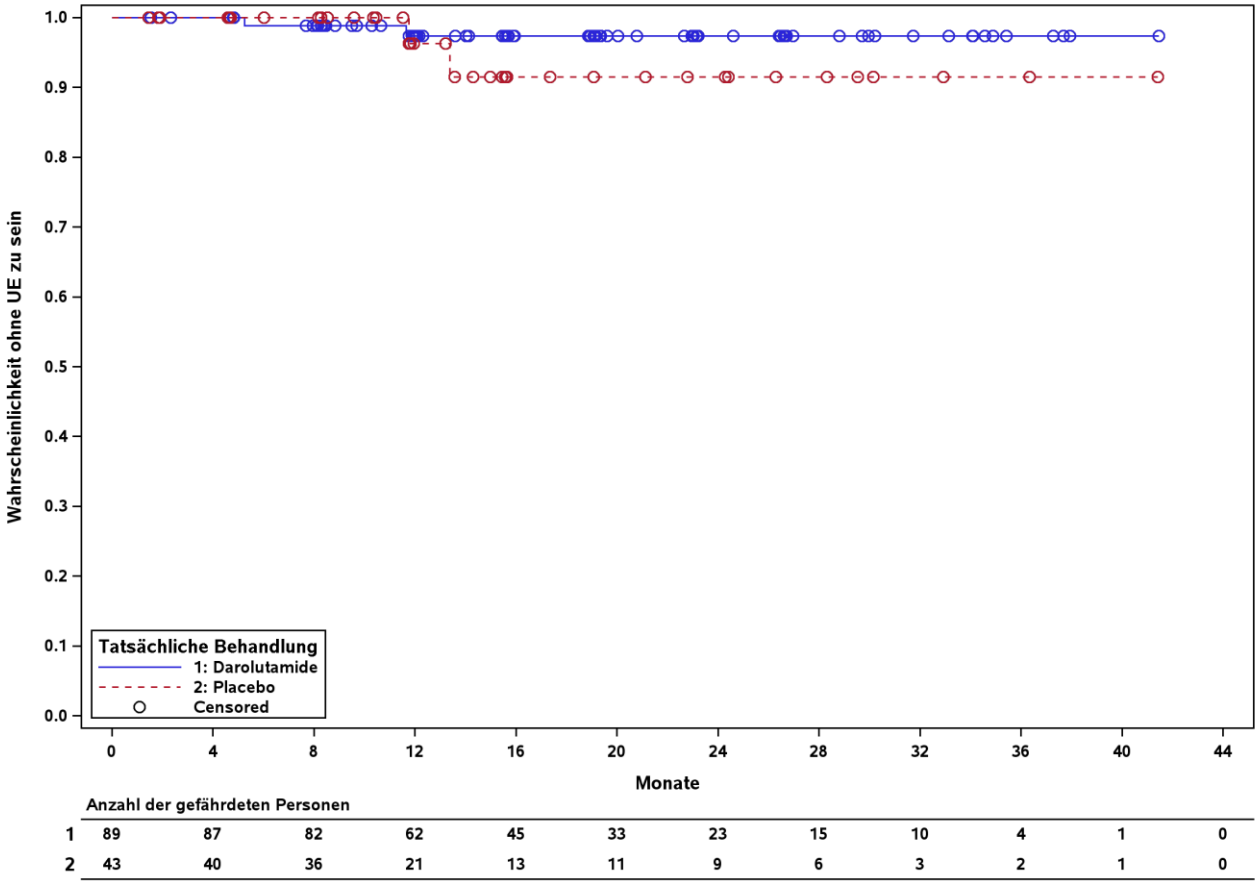
Bayer: /by-sasp/patdb/projects/1841788/17712/stat/prod_query22/pgms/t_aesi_sub.sas 23APR2020 17:14

Figure 4.3.3 / 316: Kaplan-Meier-Plot der 'Unerwünschte Ereignis von besonderem Interesse' Time-to-Event-Analyse nach Endpunkt und Subgruppe - Endpunkt: Zeit bis zum ersten UE von besonderem Interesse mit CTCAE Grad <3: Diabetes mellitus and Hyperglycaemia - Subgruppe: Leberfunktionsstörung: normal (full analysis set)



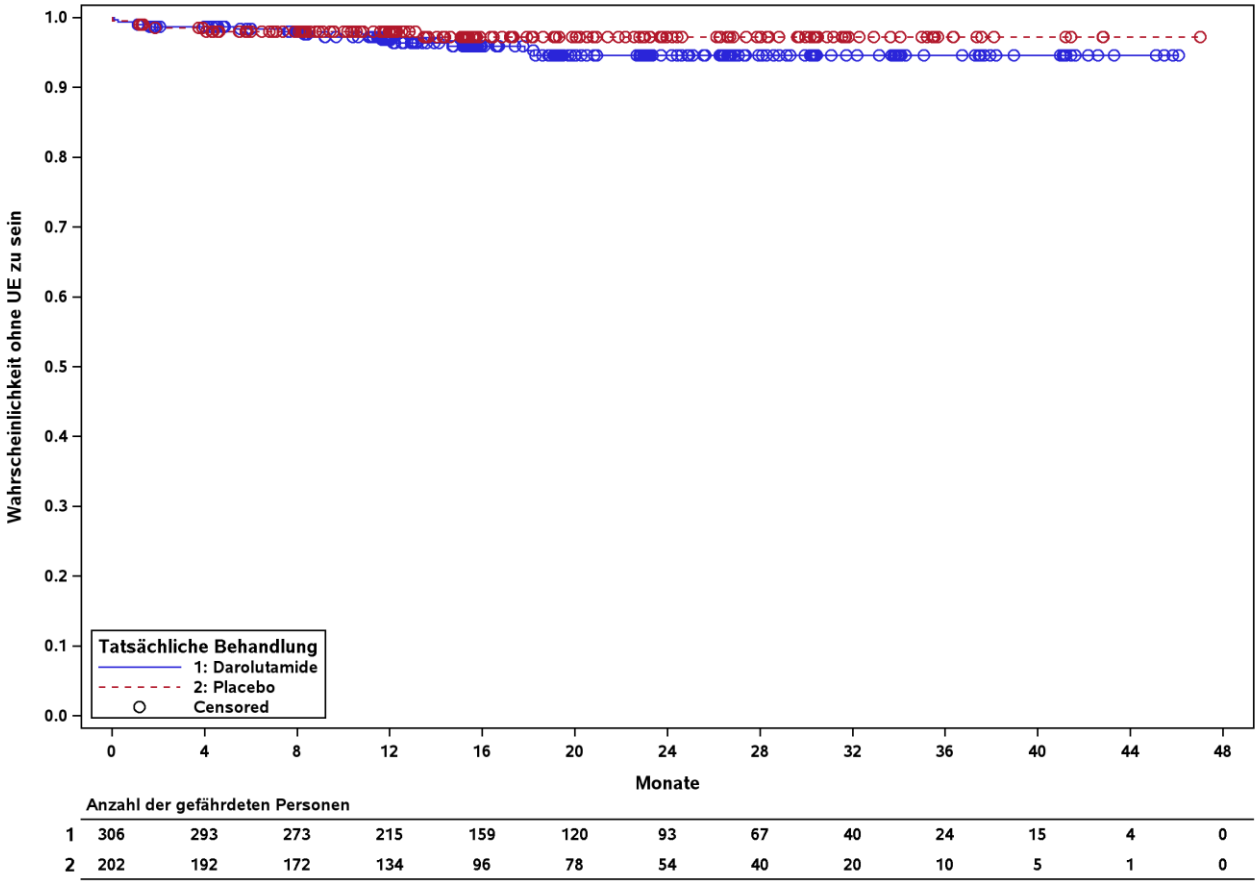
Bayer: /by-sasp/patdb/projects/1841788/17712/stat/prod_query22/pgms/t_aesi_sub.sas 23APR2020 17:14

Figure 4.3.3 / 317: Kaplan-Meier-Plot der 'Unerwünschte Ereignis von besonderem Interesse' Time-to-Event-Analyse nach Endpunkt und Subgruppe - Endpunkt: Zeit bis zum ersten UE von besonderem Interesse mit CTCAE Grad <3: Diabetes mellitus and Hyperglycaemia - Subgruppe: Leberfunktionsstörung: mild (full analysis set)



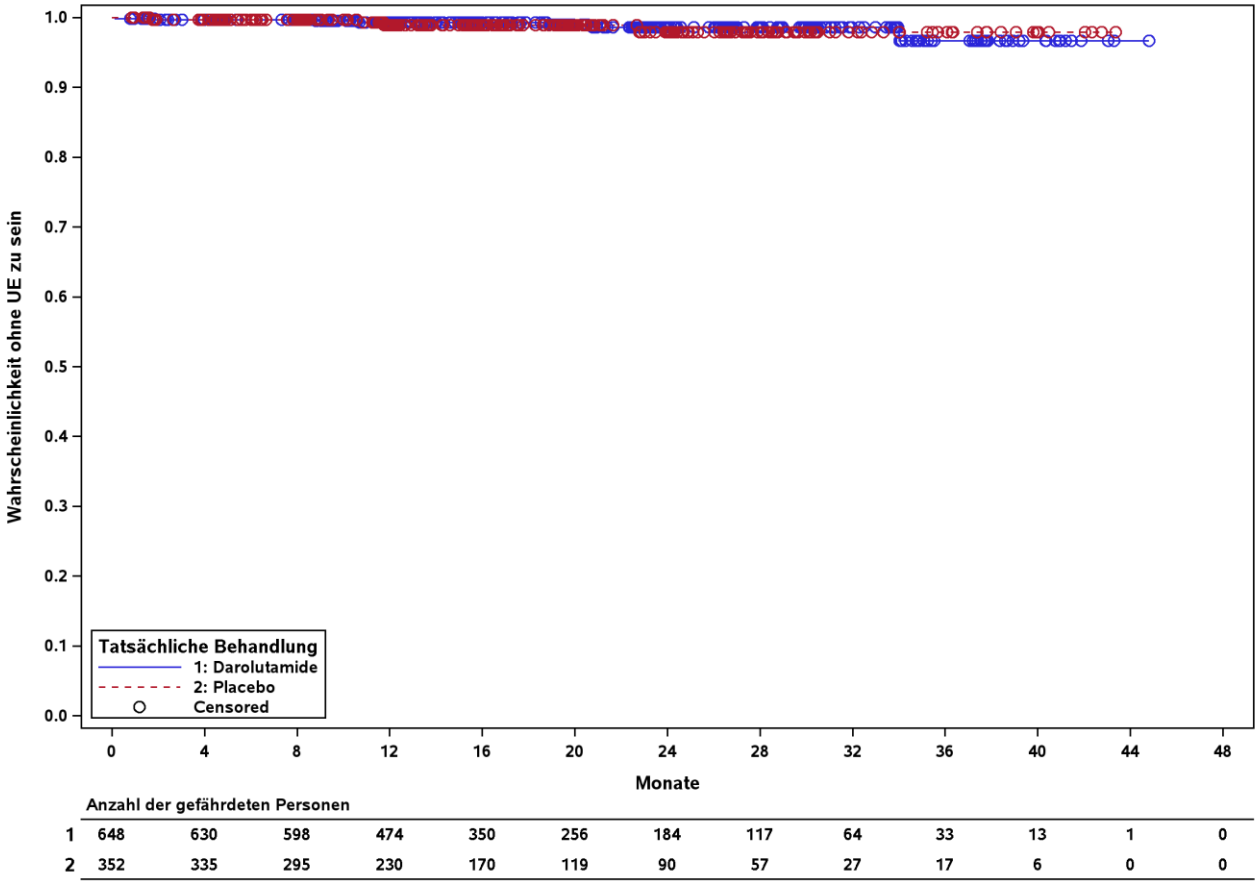
Bayer: /by-sasp/patdb/projects/1841788/17712/stat/prod_query22/pgms/t_aesi_sub.sas 23APR2020 17:14

Figure 4.3.3 / 318: Kaplan-Meier-Plot der 'Unerwünschte Ereignis von besonderem Interesse' Time-to-Event-Analyse nach Endpunkt und Subgruppe - Endpunkt: Zeit bis zum ersten UE von besonderem Interesse mit CTCAE Grad <3: Diabetes mellitus and Hyperglycaemia - Subgruppe: Nutzung von Statinen: Ja (full analysis set)



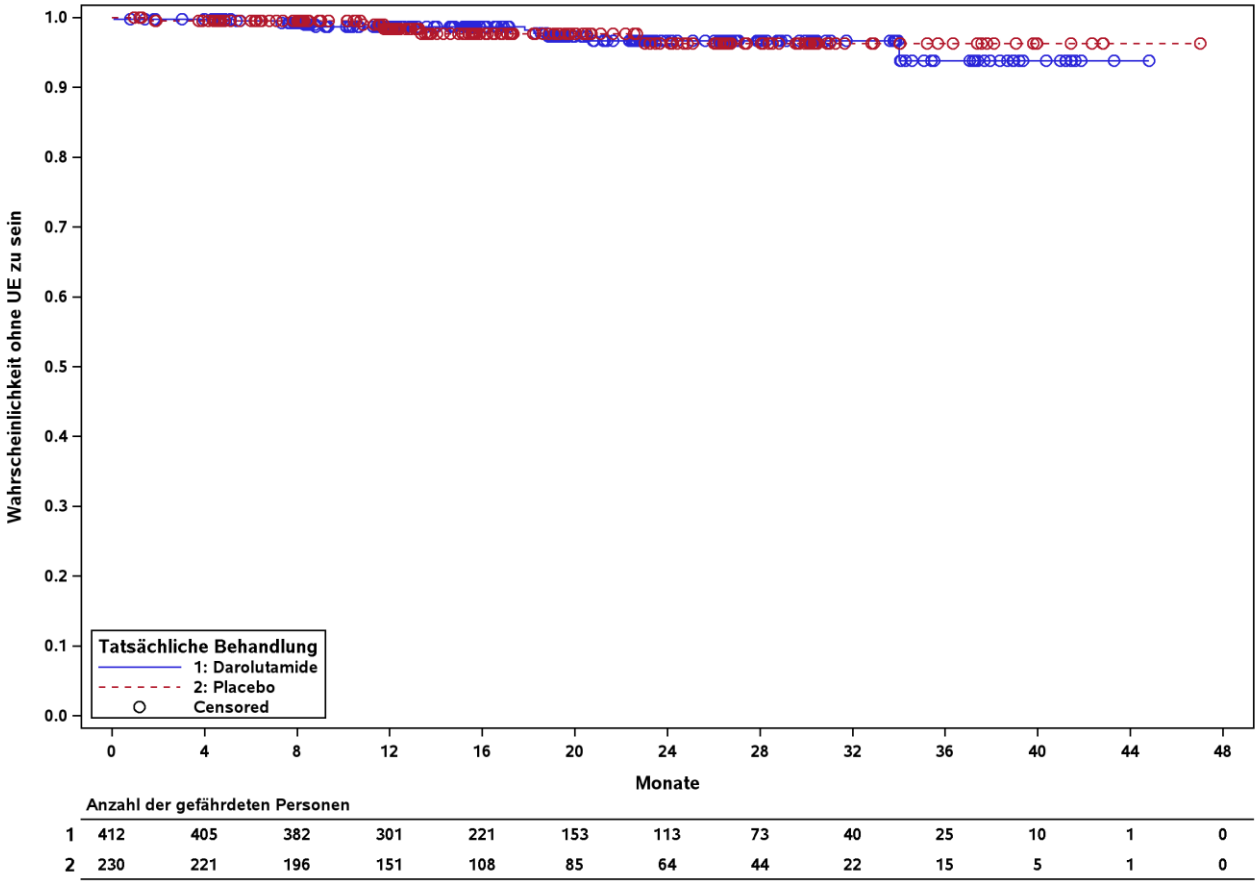
Bayer: /by-sasp/patdb/projects/1841788/17712/stat/prod_query22/pgms/t_aesi_sub.sas 23APR2020 17:14

Figure 4.3.3 / 319: Kaplan-Meier-Plot der 'Unerwünschte Ereignis von besonderem Interesse' Time-to-Event-Analyse nach Endpunkt und Subgruppe - Endpunkt: Zeit bis zum ersten UE von besonderem Interesse mit CTCAE Grad <3: Diabetes mellitus and Hyperglycaemia - Subgruppe: Nutzung von Statinen: Nein (full analysis set)



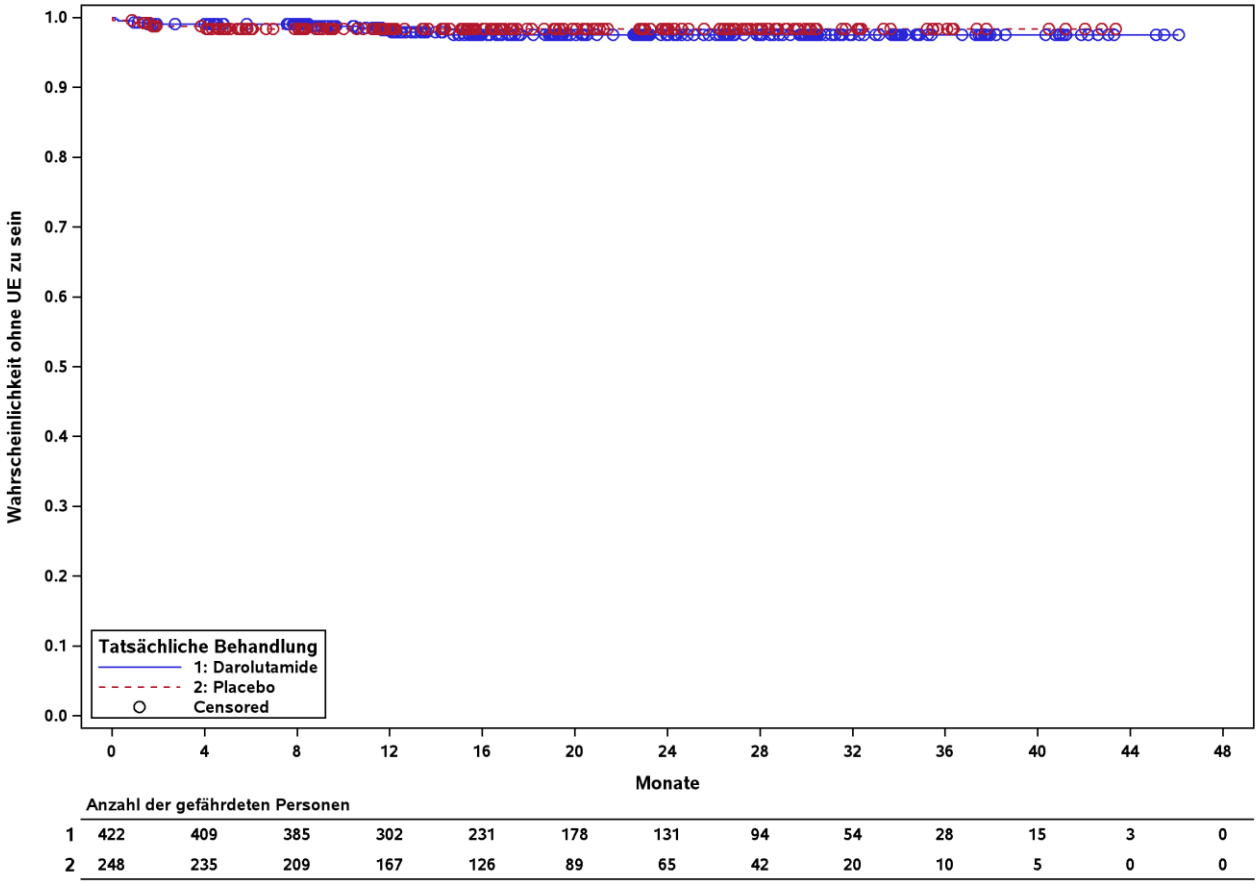
Bayer: /by-sasp/patdb/projects/1841788/17712/stat/prod_query22/pgms/t_aesi_sub.sas 23APR2020 17:14

Figure 4.3.3 / 320: Kaplan-Meier-Plot der 'Unerwünschte Ereignis von besonderem Interesse' Time-to-Event-Analyse nach Endpunkt und Subgruppe - Endpunkt: Zeit bis zum ersten UE von besonderem Interesse mit CTCAE Grad <3: Diabetes mellitus and Hyperglycaemia - Subgruppe: eGFR an Baseline: normal (full analysis set)



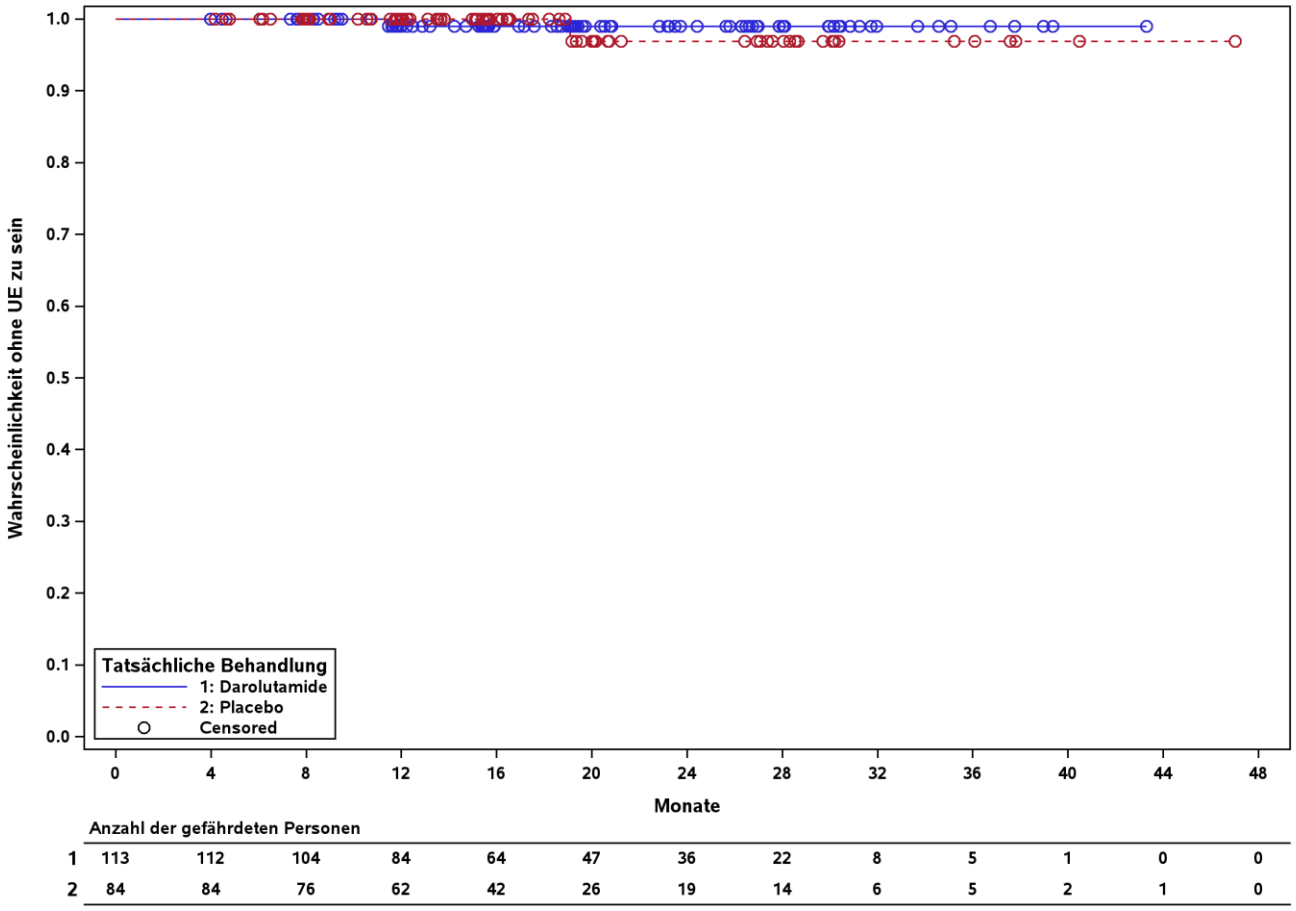
Bayer: /by-sasp/patdb/projects/1841788/17712/stat/prod_query22/pgms/t_aesi_sub.sas 23APR2020 17:14

Figure 4.3.3 / 321: Kaplan-Meier-Plot der 'Unerwünschte Ereignis von besonderem Interesse' Time-to-Event-Analyse nach Endpunkt und Subgruppe - Endpunkt: Zeit bis zum ersten UE von besonderem Interesse mit CTCAE Grad <3: Diabetes mellitus and Hyperglycaemia - Subgruppe: eGFR an Baseline: mildly impaired (full analysis set)



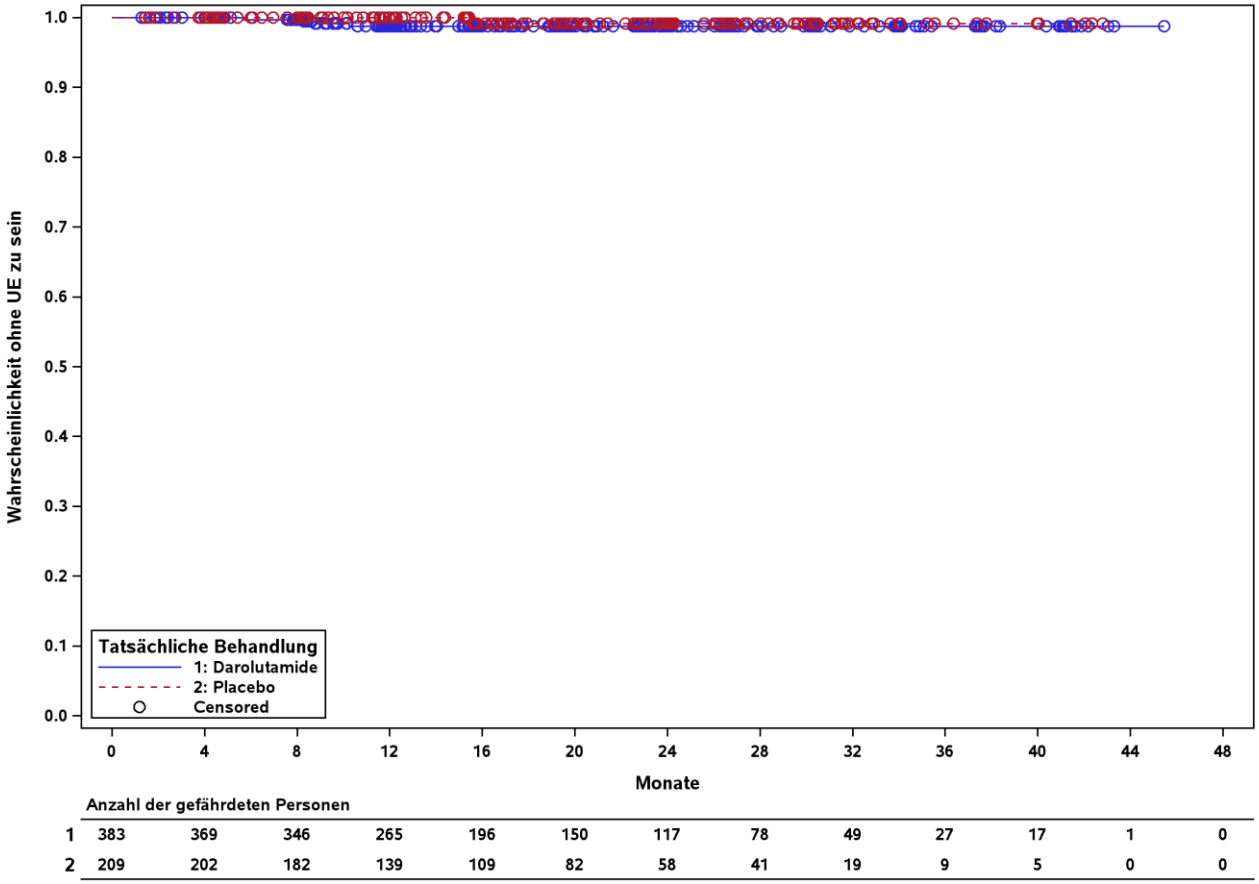
Bayer: /by-sasp/patdb/projects/1841788/17712/stat/prod_query22/pgms/t_aesi_sub.sas 23APR2020 17:14

Figure 4.3.3 / 322: Kaplan-Meier-Plot der 'Unerwünschte Ereignis von besonderem Interesse' Time-to-Event-Analyse nach Endpunkt und Subgruppe - Endpunkt: Zeit bis zum ersten UE von besonderem Interesse mit CTCAE Grad >=3: Diabetes mellitus and Hyperglycaemia - Subgruppe: Alter (Jahre): <65 (full analysis set)



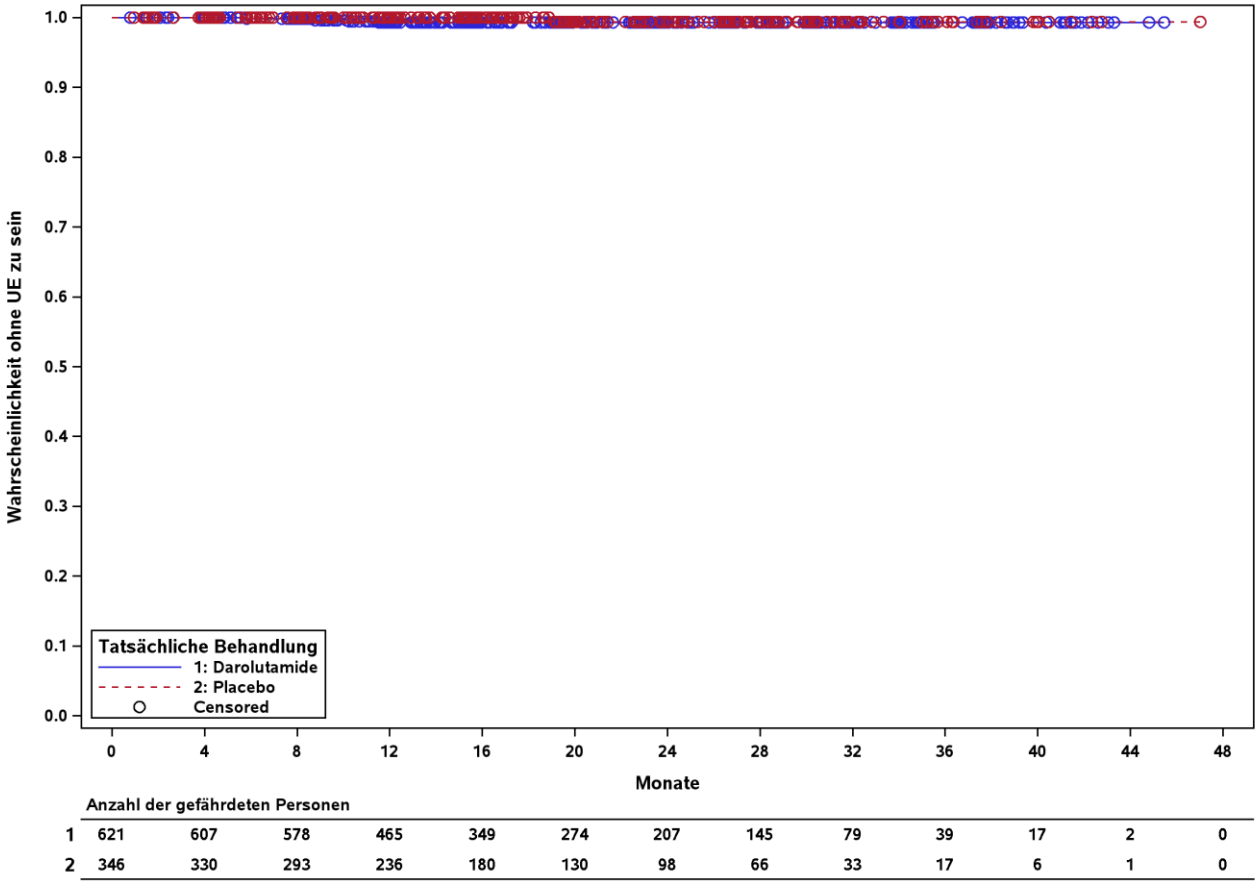
Bayer: /by-sasp/patdb/projects/1841788/17712/stat/prod_query22/pgms/t_aesi_sub.sas 23APR2020 17:14

Figure 4.3.3 / 323: Kaplan-Meier-Plot der 'Unerwünschte Ereignis von besonderem Interesse' Time-to-Event-Analyse nach Endpunkt und Subgruppe - Endpunkt: Zeit bis zum ersten UE von besonderem Interesse mit CTCAE Grad >=3: Diabetes mellitus and Hyperglycaemia - Subgruppe: Alter (Jahre): 75-84 (full analysis set)



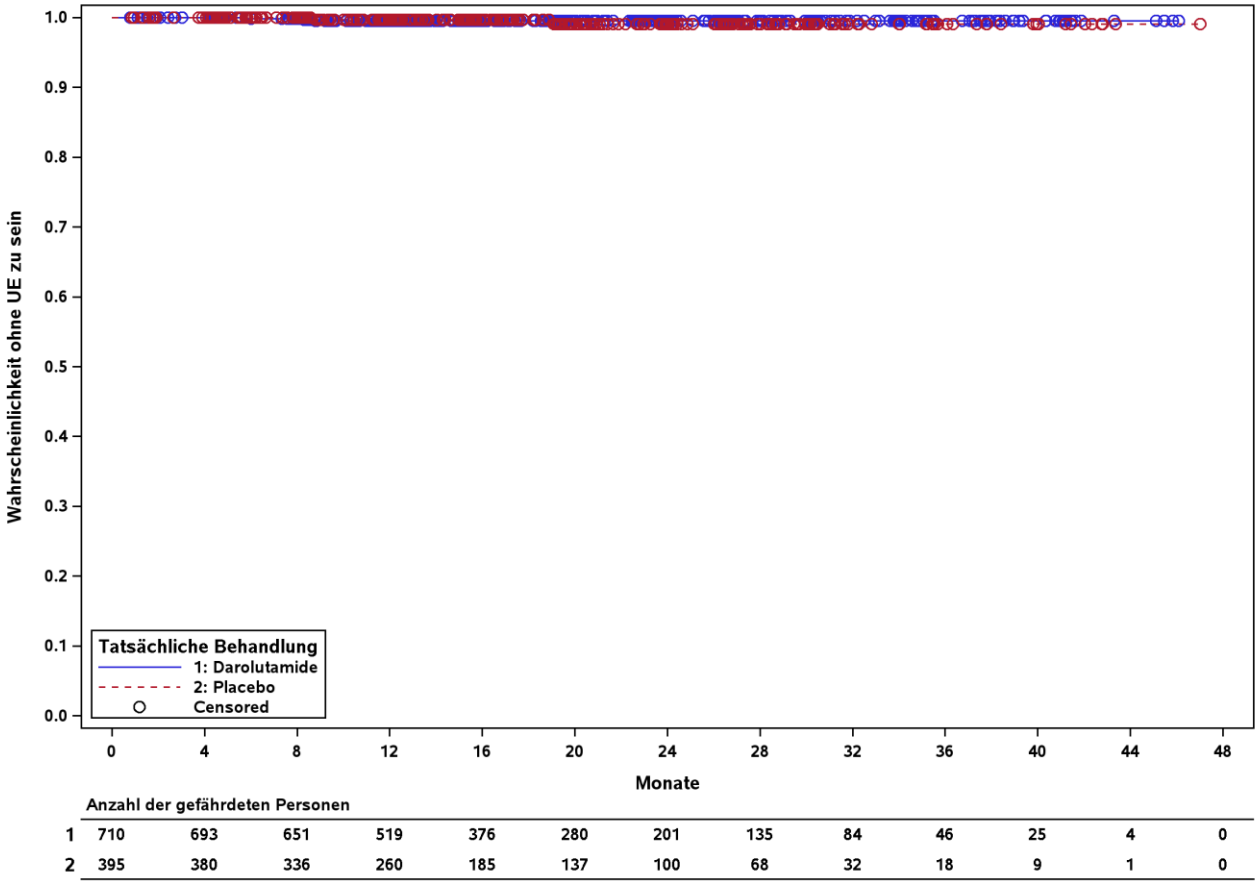
Bayer: /by-sasp/patdb/projects/1841788/17712/stat/prod_query22/pgms/t_aesi_sub.sas 23APR2020 17:14

Figure 4.3.3 / 324: Kaplan-Meier-Plot der 'Unerwünschte Ereignis von besonderem Interesse' Time-to-Event-Analyse nach Endpunkt und Subgruppe - Endpunkt: Zeit bis zum ersten UE von besonderem Interesse mit CTCAE Grad >=3: Diabetes mellitus and Hyperglycaemia - Subgruppe: Geografische Region: Europe (full analysis set)



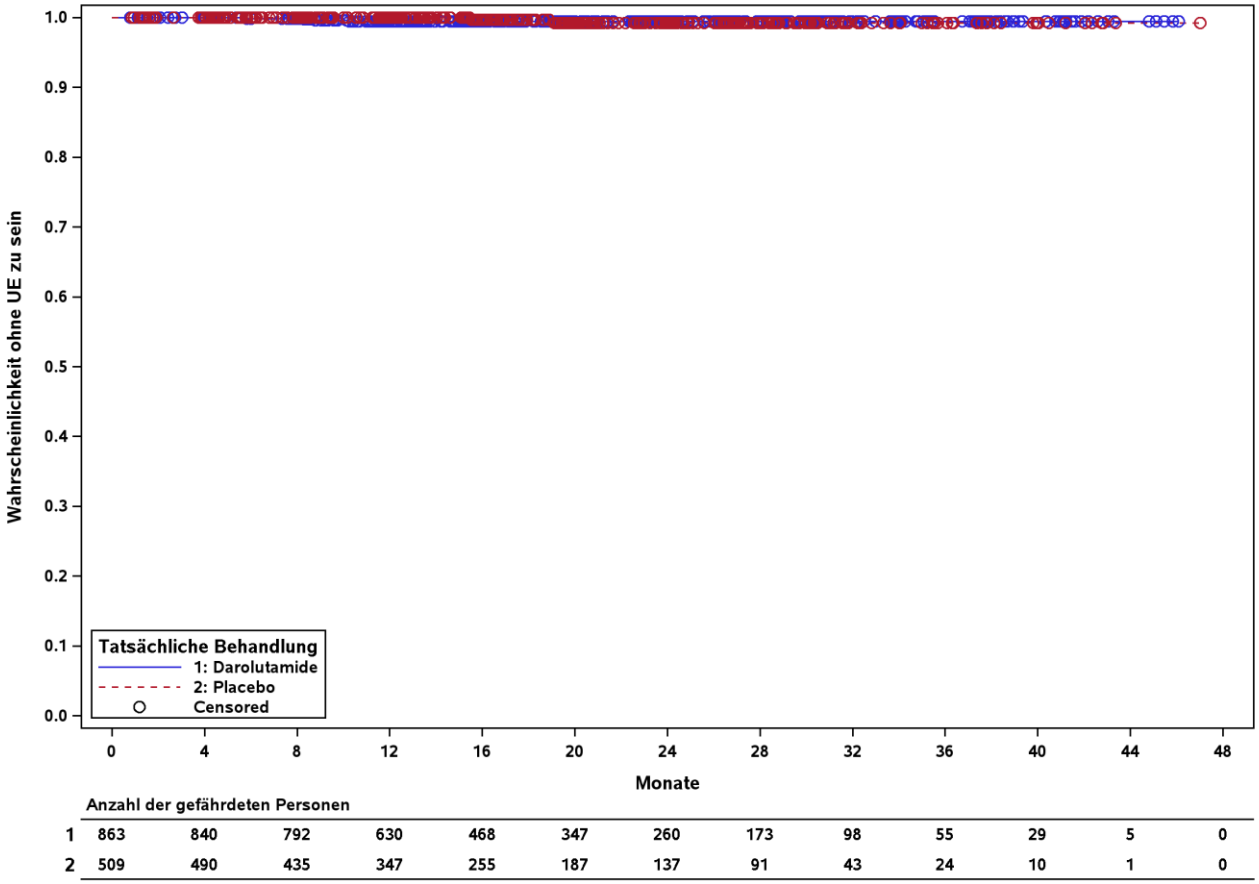
Bayer: /by-sasp/patdb/projects/1841788/17712/stat/prod_query22/pgms/t_aesi_sub.sas 23APR2020 17:14

Figure 4.3.3 / 325: Kaplan-Meier-Plot der 'Unerwünschte Ereignis von besonderem Interesse' Time-to-Event-Analyse nach Endpunkt und Subgruppe - Endpunkt: Zeit bis zum ersten UE von besonderem Interesse mit CTCAE Grad >=3: Diabetes mellitus and Hyperglycaemia - Subgruppe: Gleason-Score bei Diagnose: >=7 (full analysis set)



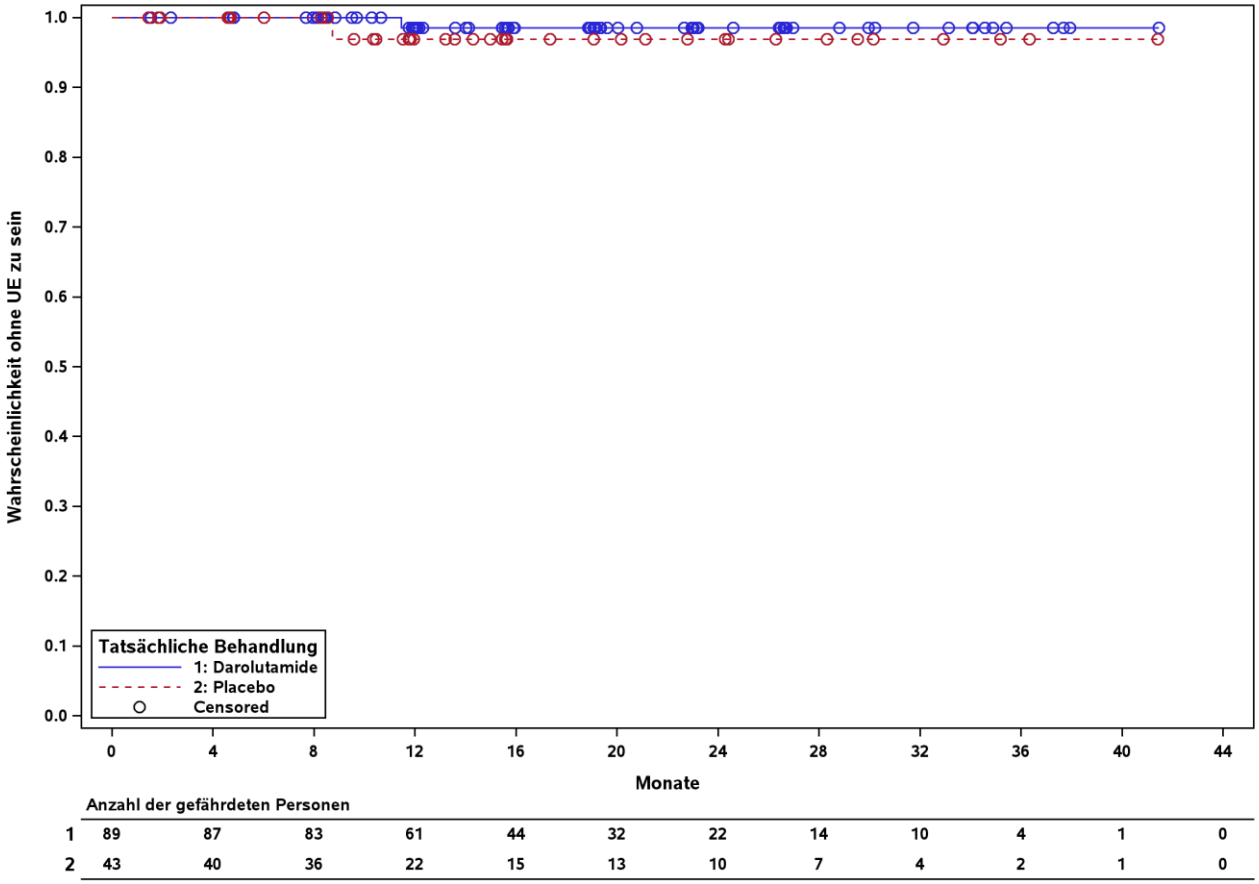
Bayer: /by-sasp/patdb/projects/1841788/17712/stat/prod_query22/pgms/t_aesi_sub.sas 23APR2020 17:14

Figure 4.3.3 / 326: Kaplan-Meier-Plot der 'Unerwünschte Ereignis von besonderem Interesse' Time-to-Event-Analyse nach Endpunkt und Subgruppe - Endpunkt: Zeit bis zum ersten UE von besonderem Interesse mit CTCAE Grad >=3: Diabetes mellitus and Hyperglycaemia - Subgruppe: Leberfunktionsstörung: normal (full analysis set)



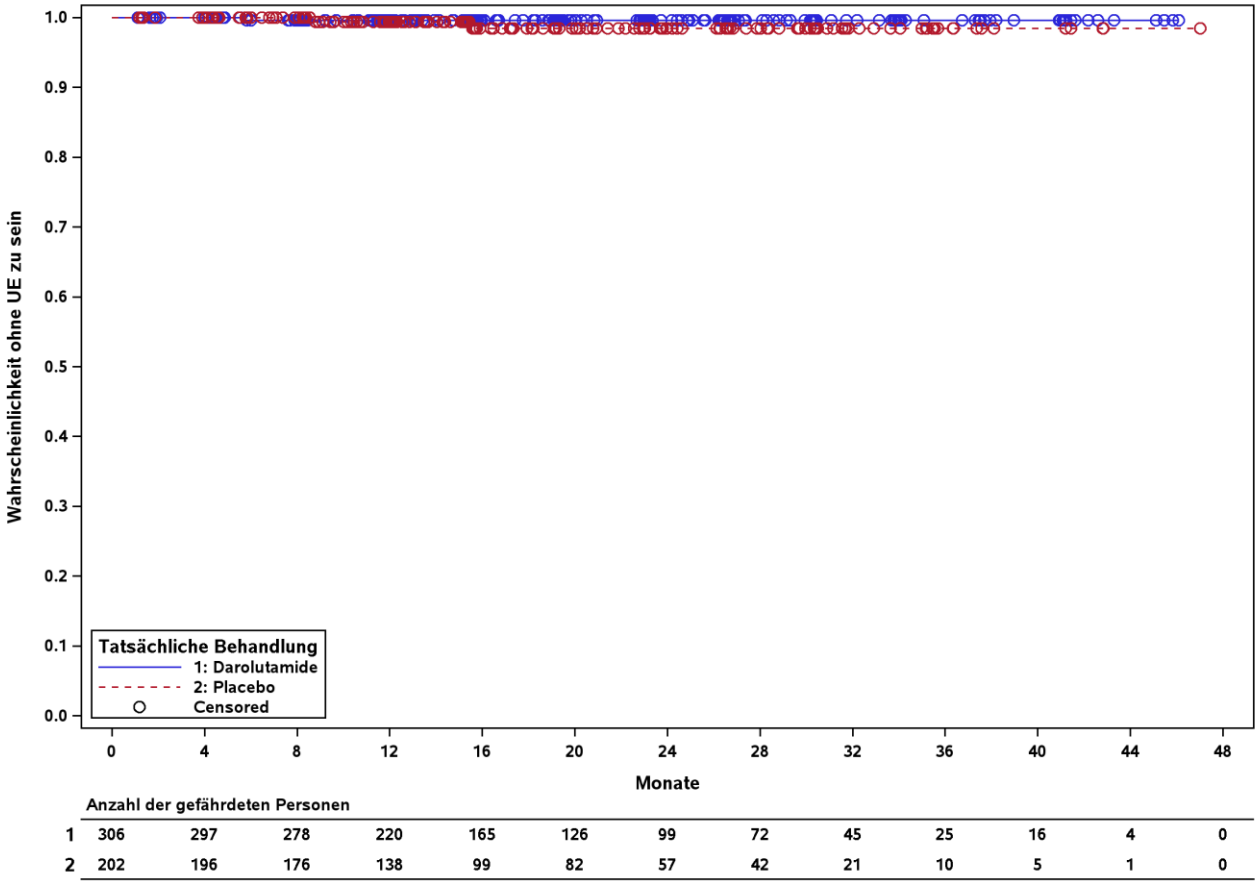
Bayer: /by-sasp/patdb/projects/1841788/17712/stat/prod_query22/pgms/t_aesi_sub.sas 23APR2020 17:14

Figure 4.3.3 / 327: Kaplan-Meier-Plot der 'Unerwünschte Ereignis von besonderem Interesse' Time-to-Event-Analyse nach Endpunkt und Subgruppe - Endpunkt: Zeit bis zum ersten UE von besonderem Interesse mit CTCAE Grad >=3: Diabetes mellitus and Hyperglycaemia - Subgruppe: Leberfunktionsstörung: mild (full analysis set)



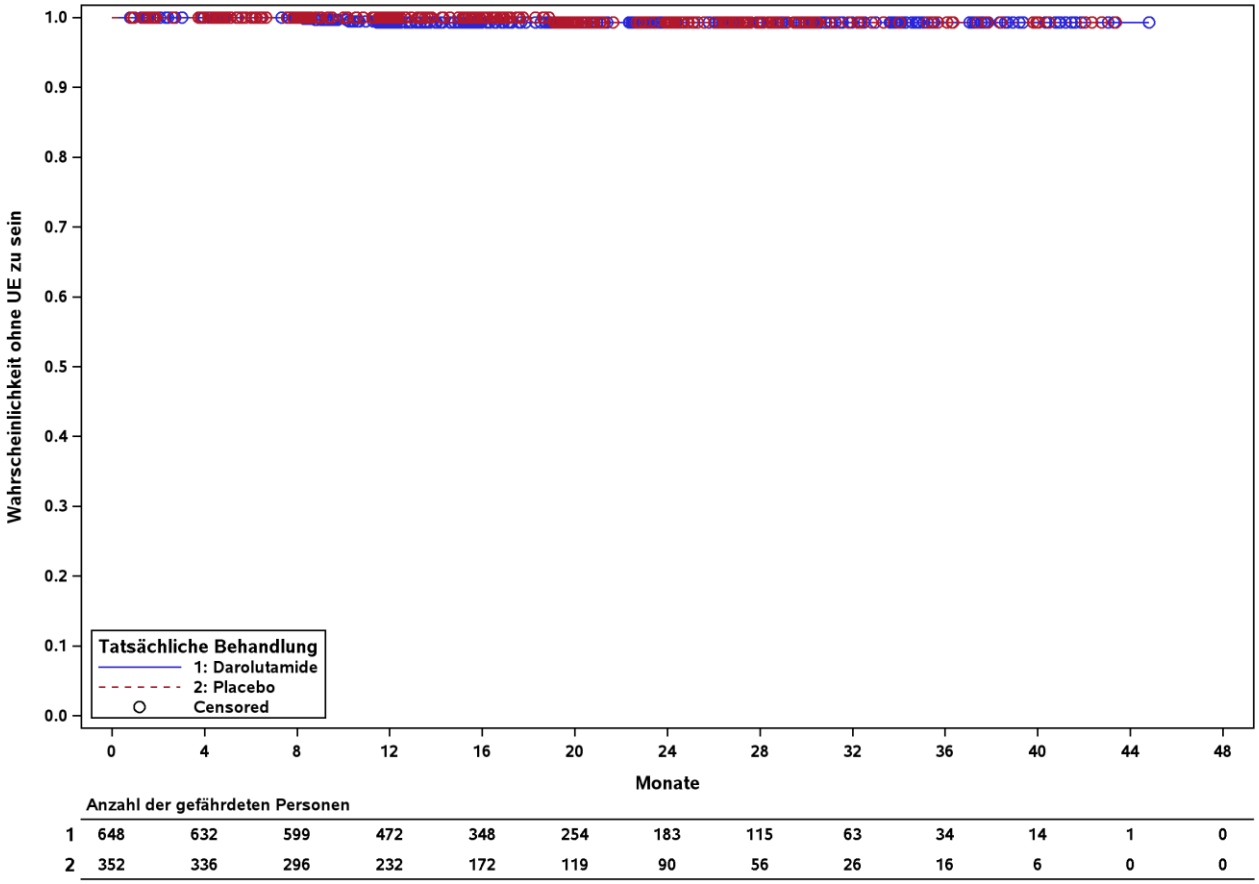
Bayer: /by-sasp/patdb/projects/1841788/17712/stat/prod_query22/pgms/t_aesi_sub.sas 23APR2020 17:14

Figure 4.3.3 / 328: Kaplan-Meier-Plot der 'Unerwünschte Ereignis von besonderem Interesse' Time-to-Event-Analyse nach Endpunkt und Subgruppe - Endpunkt: Zeit bis zum ersten UE von besonderem Interesse mit CTCAE Grad >=3: Diabetes mellitus and Hyperglycaemia - Subgruppe: Nutzung von Statinen: Ja (full analysis set)



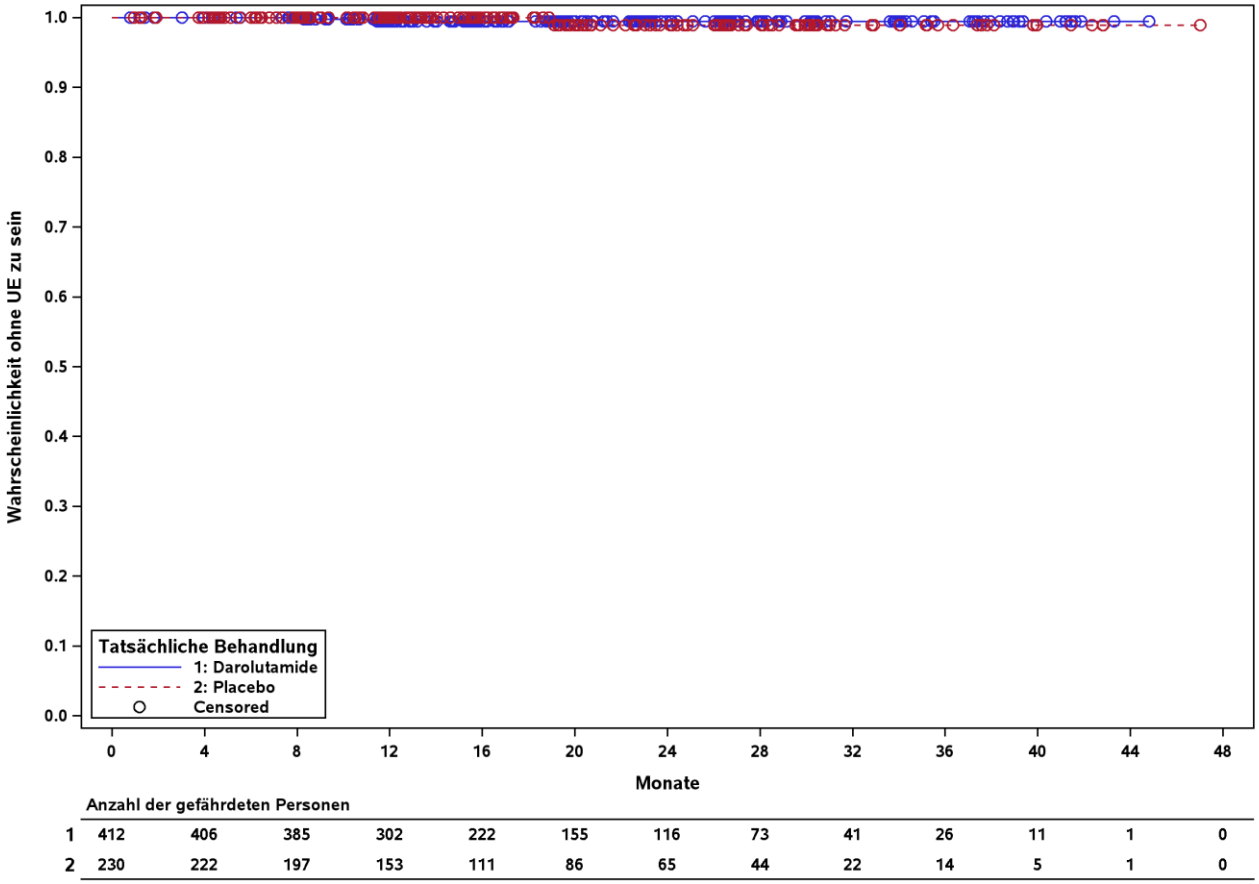
Bayer: /by-sasp/patdb/projects/1841788/17712/stat/prod_query22/pgms/t_aesi_sub.sas 23APR2020 17:14

Figure 4.3.3 / 329: Kaplan-Meier-Plot der 'Unerwünschte Ereignis von besonderem Interesse' Time-to-Event-Analyse nach Endpunkt und Subgruppe - Endpunkt: Zeit bis zum ersten UE von besonderem Interesse mit CTCAE Grad >=3: Diabetes mellitus and Hyperglycaemia - Subgruppe: Nutzung von Statinen: Nein (full analysis set)



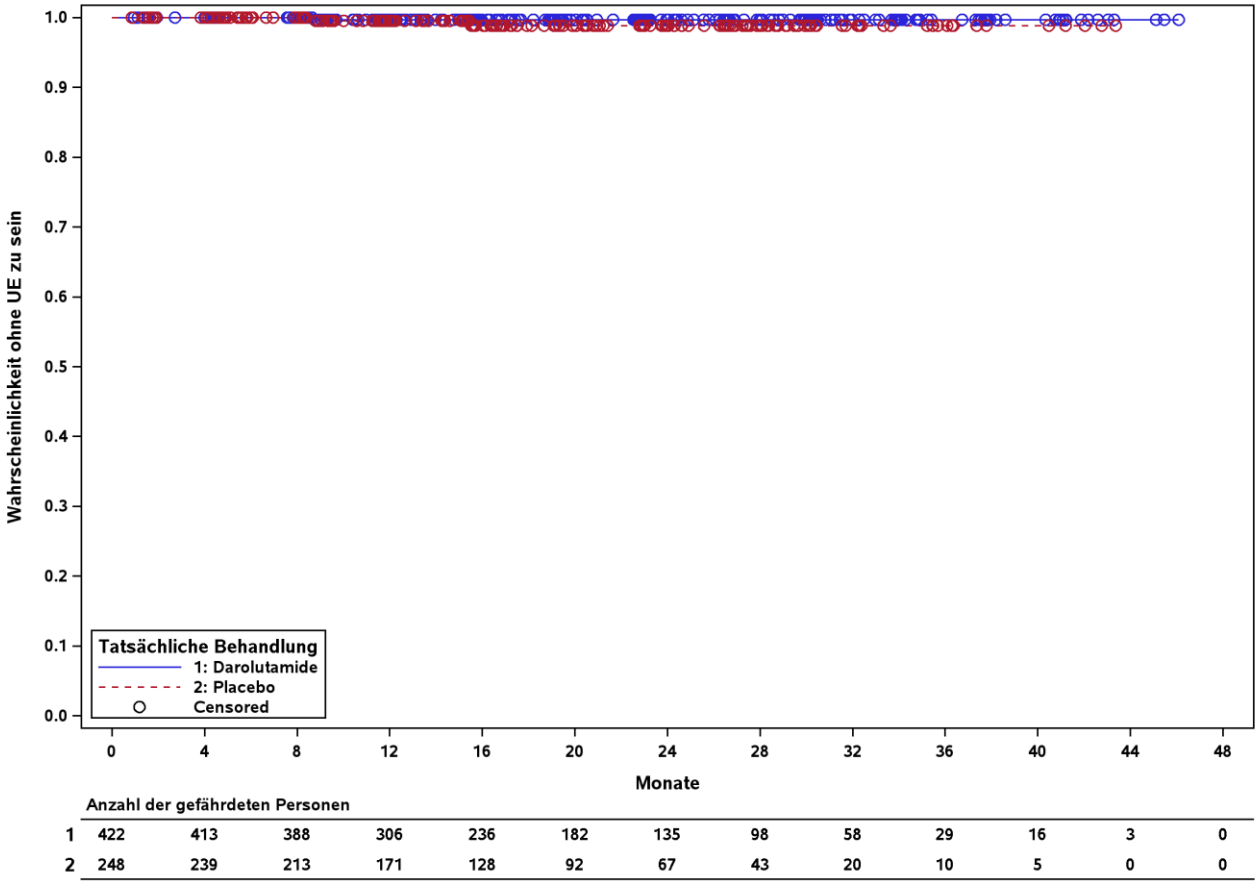
Bayer: /by-sasp/patdb/projects/1841788/17712/stat/prod_query22/pgms/t_aesi_sub.sas 23APR2020 17:14

Figure 4.3.3 / 330: Kaplan-Meier-Plot der 'Unerwünschte Ereignis von besonderem Interesse' Time-to-Event-Analyse nach Endpunkt und Subgruppe - Endpunkt: Zeit bis zum ersten UE von besonderem Interesse mit CTCAE Grad >=3: Diabetes mellitus and Hyperglycaemia - Subgruppe: eGFR an Baseline: normal (full analysis set)



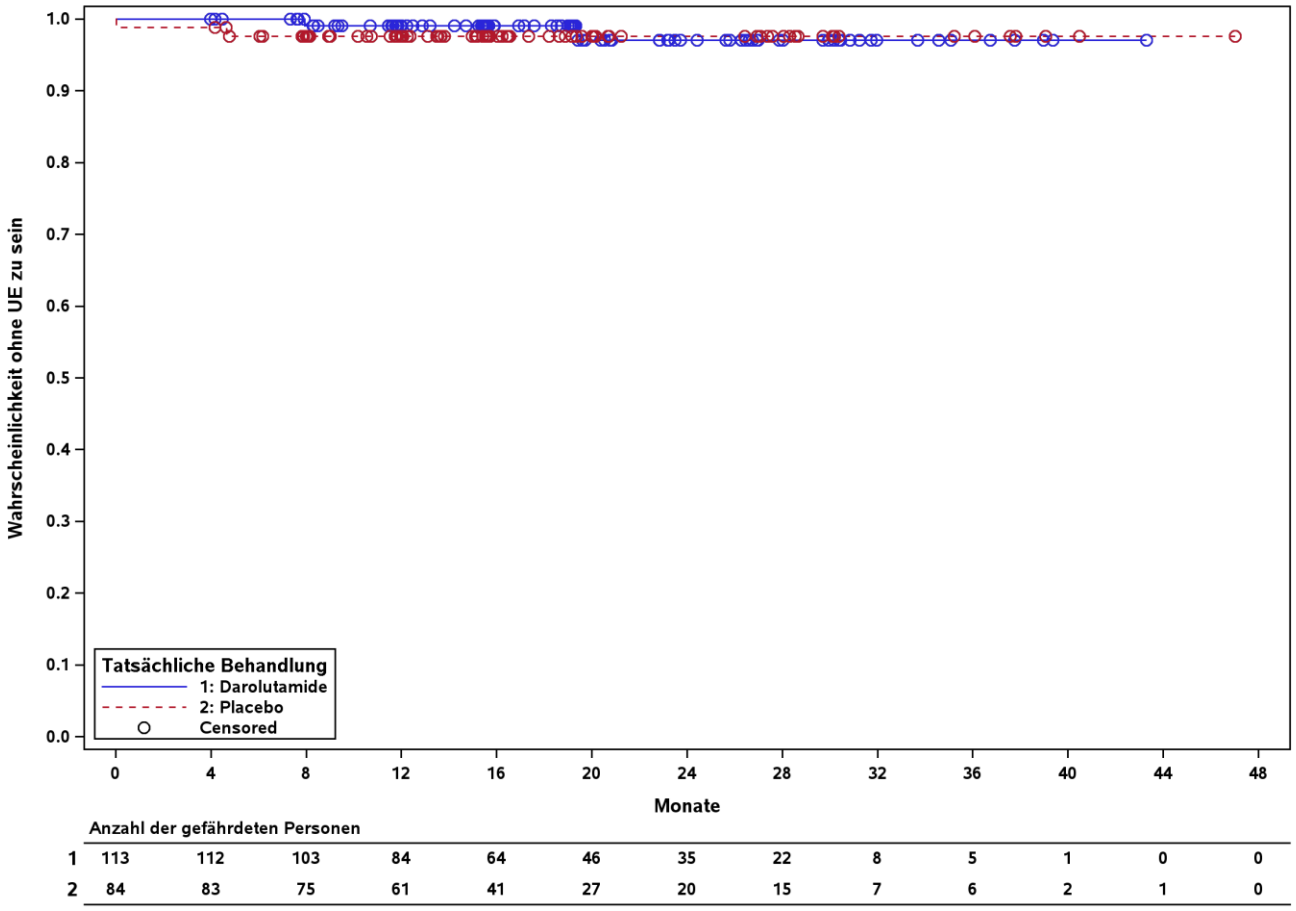
Bayer: /by-sasp/patdb/projects/1841788/17712/stat/prod_query22/pgms/t_aesi_sub.sas 23APR2020 17:14

Figure 4.3.3 / 331: Kaplan-Meier-Plot der 'Unerwünschte Ereignis von besonderem Interesse' Time-to-Event-Analyse nach Endpunkt und Subgruppe - Endpunkt: Zeit bis zum ersten UE von besonderem Interesse mit CTCAE Grad >=3: Diabetes mellitus and Hyperglycaemia - Subgruppe: eGFR an Baseline: mildly impaired (full analysis set)



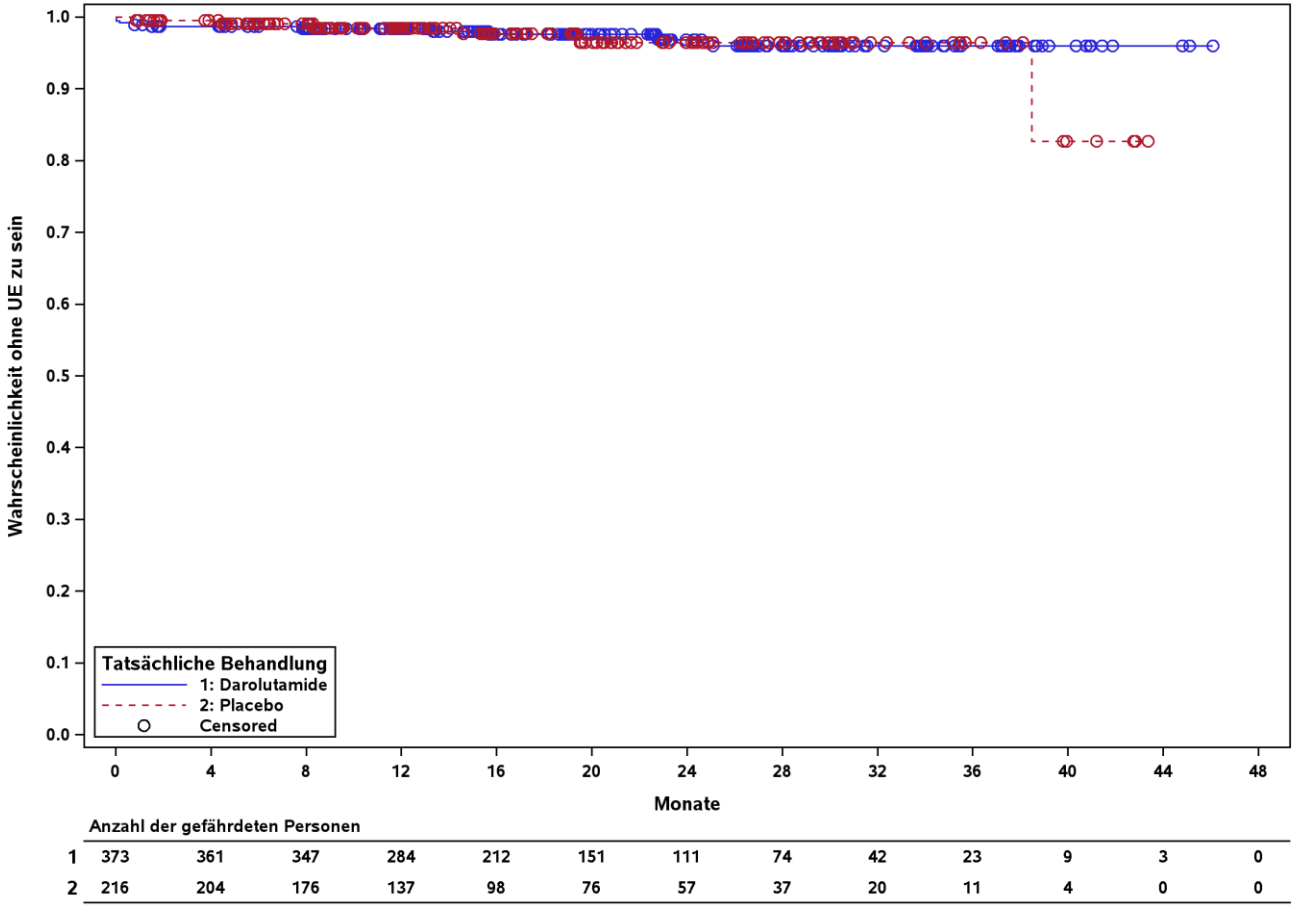
Bayer: /by-sasp/patdb/projects/1841788/17712/stat/prod_query22/pgms/t_aesi_sub.sas 23APR2020 17:14

Figure 4.3.3 / 332: Kaplan-Meier-Plot der 'Unerwünschte Ereignis von besonderem Interesse' Time-to-Event-Analyse nach Endpunkt und Subgruppe - Endpunkt: Zeit bis zum ersten UE von besonderem Interesse: Renal impairment - Subgruppe: Alter (Jahre): <65 (full analysis set)



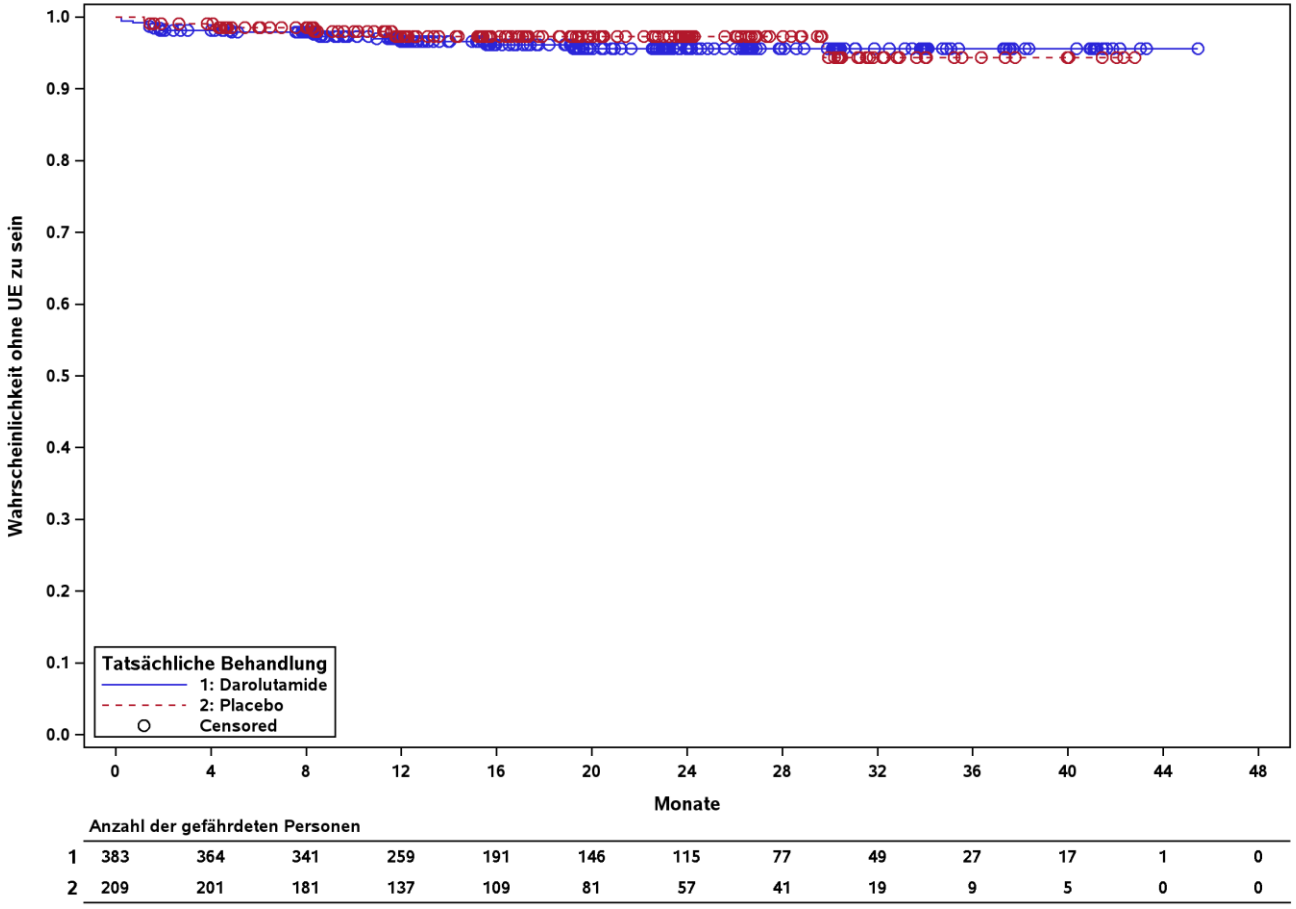
Bayer: /by-sasp/patdb/projects/1841788/17712/stat/prod_query22/pgms/t_aesi_sub.sas 23APR2020 17:14

Figure 4.3.3 / 333: Kaplan-Meier-Plot der 'Unerwünschte Ereignis von besonderem Interesse' Time-to-Event-Analyse nach Endpunkt und Subgruppe - Endpunkt: Zeit bis zum ersten UE von besonderem Interesse: Renal impairment - Subgruppe: Alter (Jahre): 65-74 (full analysis set)



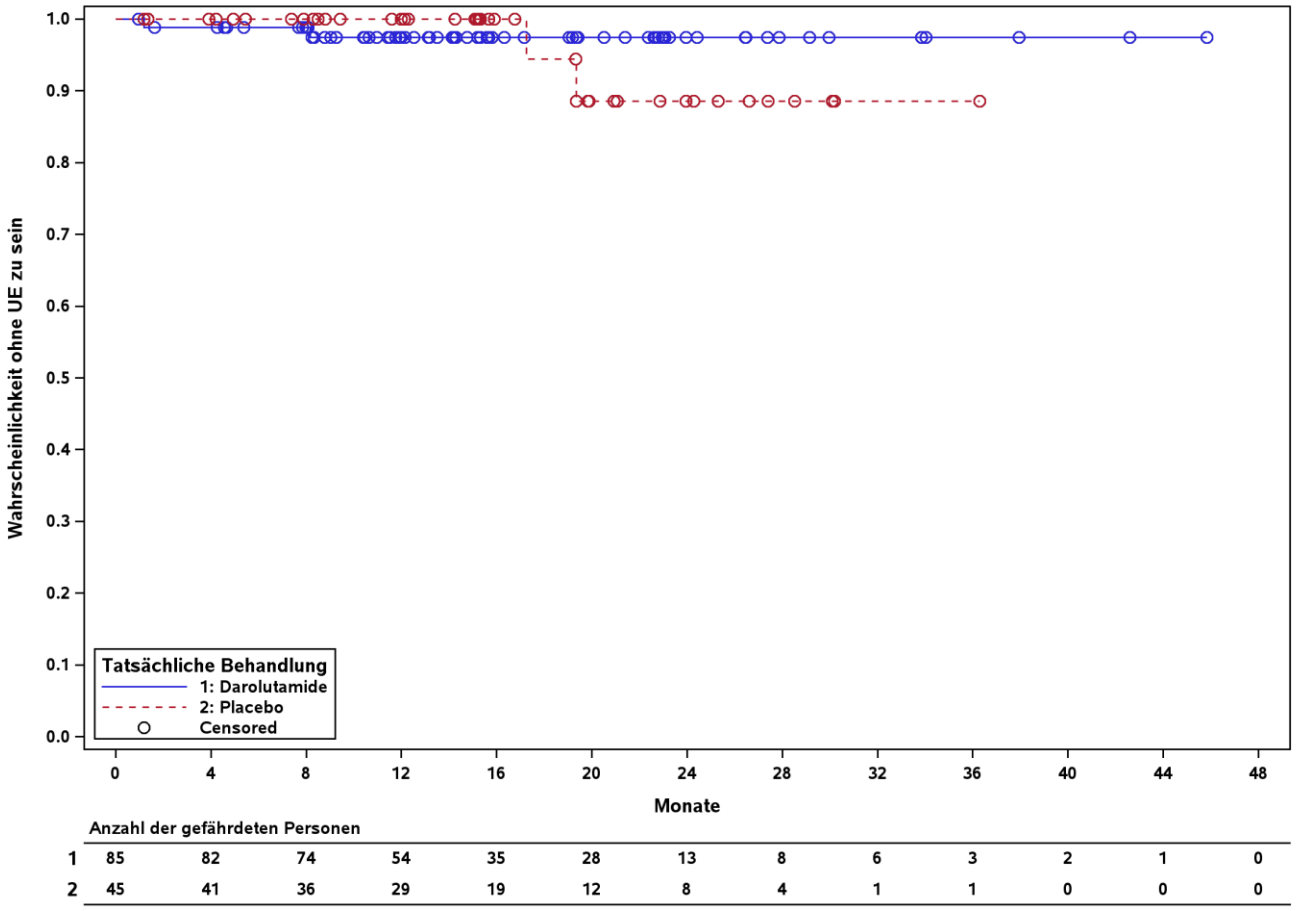
Bayer: /by-sasp/patdb/projects/1841788/17712/stat/prod_query22/pgms/t_aesi_sub.sas 23APR2020 17:14

Figure 4.3.3 / 334: Kaplan-Meier-Plot der 'Unerwünschte Ereignis von besonderem Interesse' Time-to-Event-Analyse nach Endpunkt und Subgruppe - Endpunkt: Zeit bis zum ersten UE von besonderem Interesse: Renal impairment - Subgruppe: Alter (Jahre): 75-84 (full analysis set)



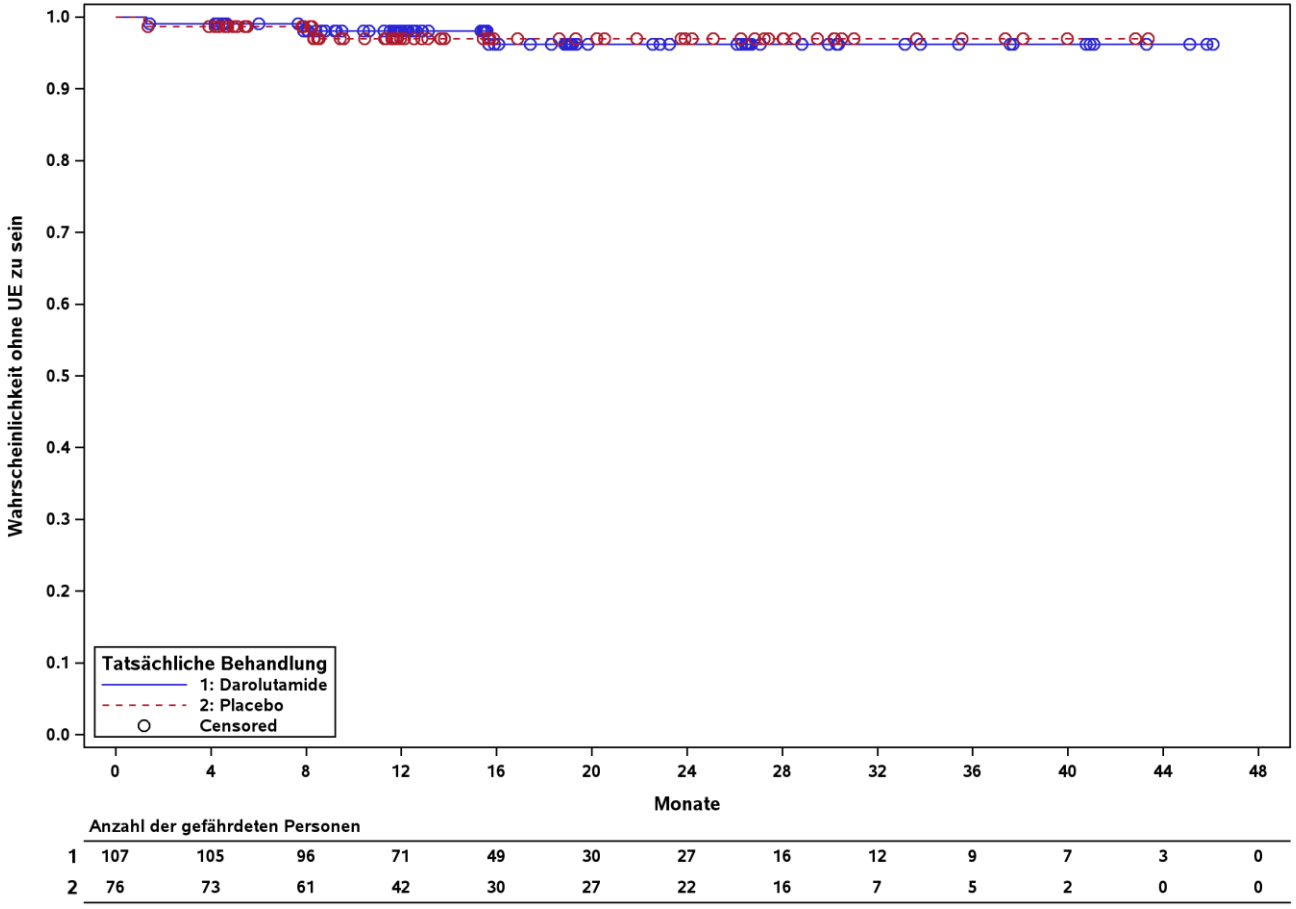
Bayer: /by-sasp/patdb/projects/1841788/17712/stat/prod_query22/pgms/t_aesi_sub.sas 23APR2020 17:14

Figure 4.3.3 / 335: Kaplan-Meier-Plot der 'Unerwünschte Ereignis von besonderem Interesse' Time-to-Event-Analyse nach Endpunkt und Subgruppe - Endpunkt: Zeit bis zum ersten UE von besonderem Interesse: Renal impairment - Subgruppe: Alter (Jahre): >=85 (full analysis set)



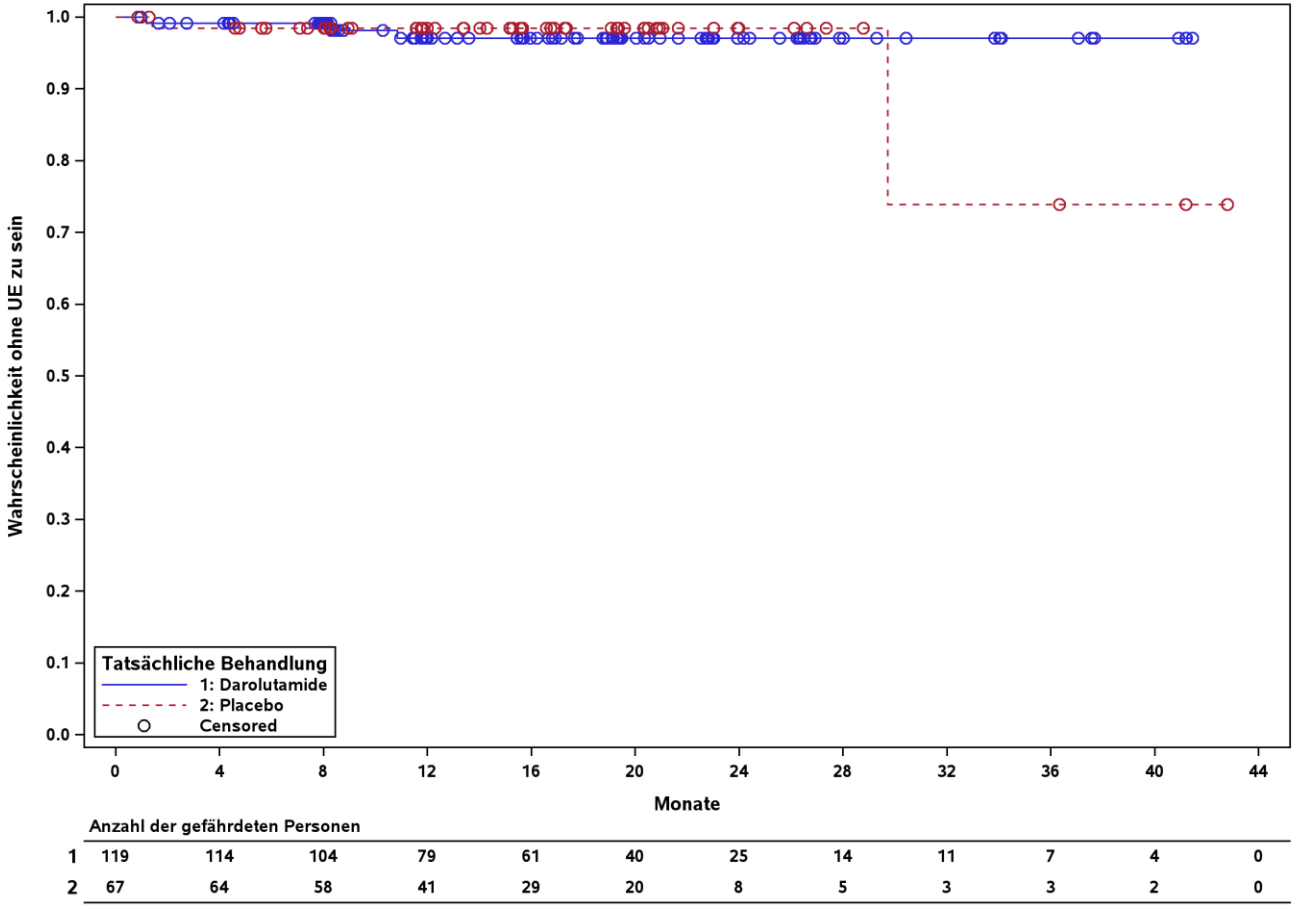
Bayer: /by-sasp/patdb/projects/1841788/17712/stat/prod_query22/pgms/t_aesi_sub.sas 23APR2020 17:14

Figure 4.3.3 / 336: Kaplan-Meier-Plot der 'Unerwünschte Ereignis von besonderem Interesse' Time-to-Event-Analyse nach Endpunkt und Subgruppe - Endpunkt: Zeit bis zum ersten UE von besonderem Interesse: Renal impairment - Subgruppe: Geografische Region: North America (full analysis set)



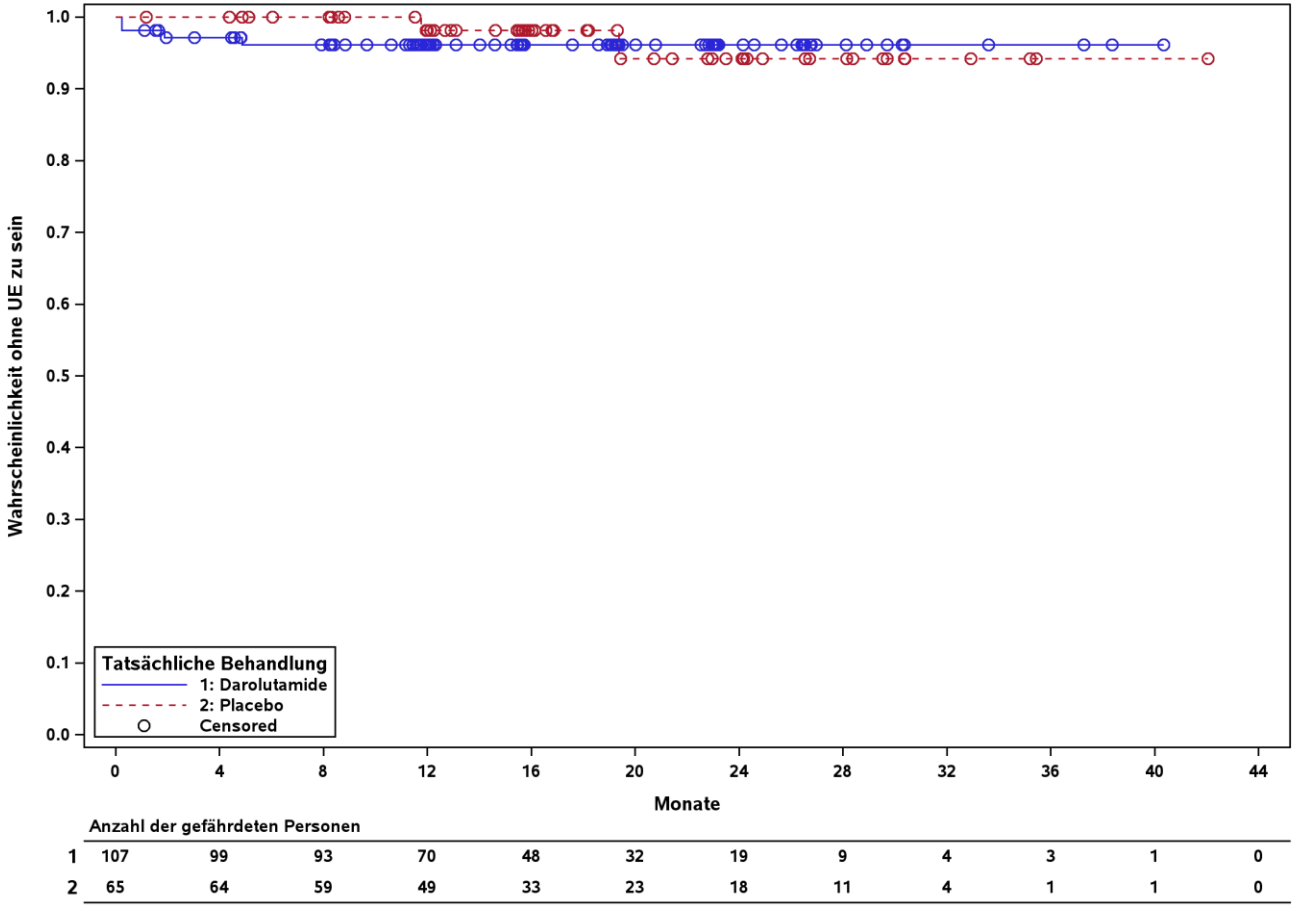
Bayer: /by-sasp/patdb/projects/1841788/17712/stat/prod_query22/pgms/t_aesi_sub.sas 23APR2020 17:14

Figure 4.3.3 / 337: Kaplan-Meier-Plot der 'Unerwünschte Ereignis von besonderem Interesse' Time-to-Event-Analyse nach Endpunkt und Subgruppe - Endpunkt: Zeit bis zum ersten UE von besonderem Interesse: Renal impairment - Subgruppe: Geografische Region: Asia Pacific (full analysis set)



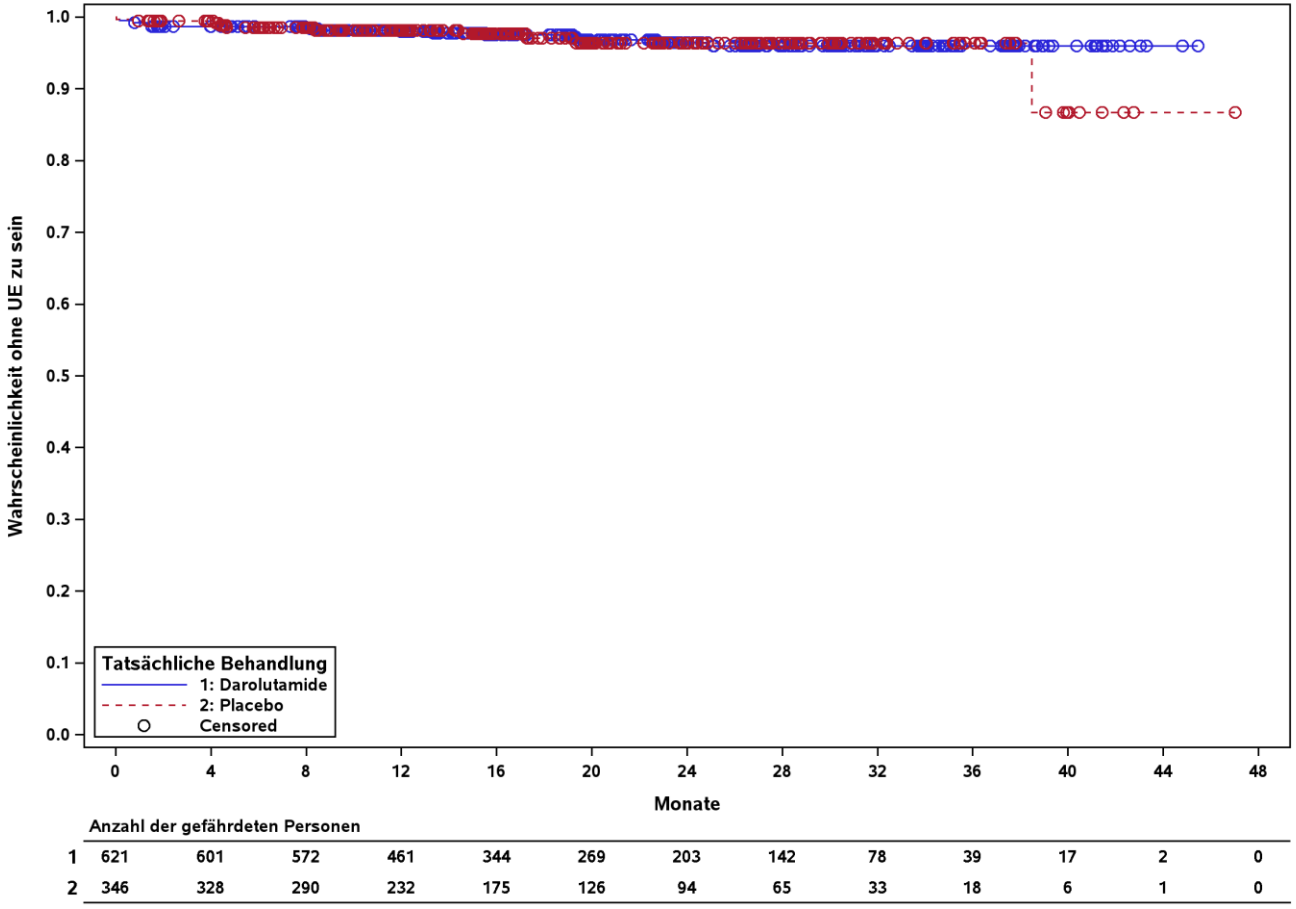
Bayer: /by-sasp/patdb/projects/1841788/17712/stat/prod_query22/pgms/t_aesi_sub.sas 23APR2020 17:14

Figure 4.3.3 / 338: Kaplan-Meier-Plot der 'Unerwünschte Ereignis von besonderem Interesse' Time-to-Event-Analyse nach Endpunkt und Subgruppe - Endpunkt: Zeit bis zum ersten UE von besonderem Interesse: Renal impairment - Subgruppe: Geografische Region: Rest of the World (full analysis set)



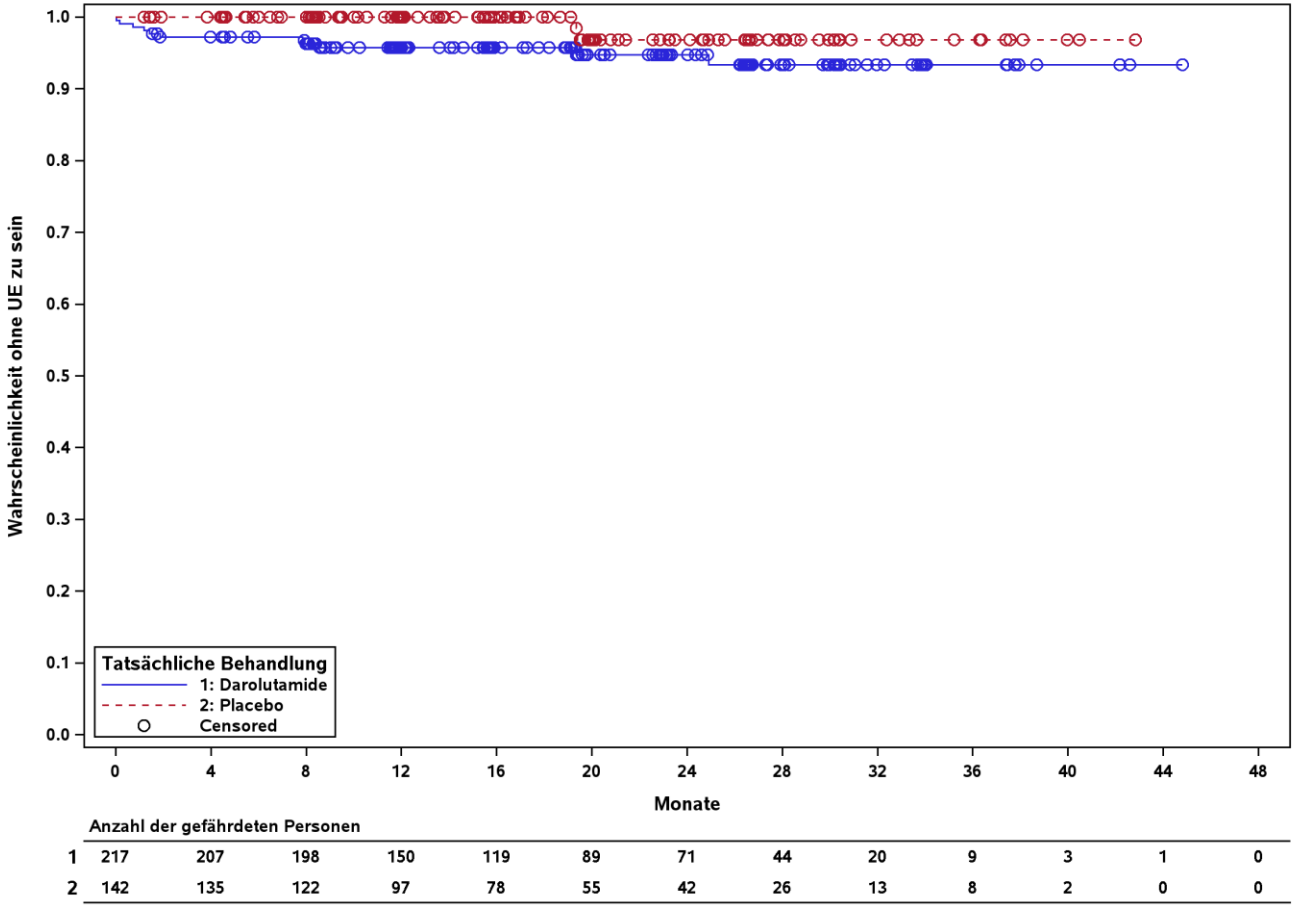
Bayer: /by-sasp/patdb/projects/1841788/17712/stat/prod_query22/pgms/t_aesi_sub.sas 23APR2020 17:14

Figure 4.3.3 / 339: Kaplan-Meier-Plot der 'Unerwünschte Ereignis von besonderem Interesse' Time-to-Event-Analyse nach Endpunkt und Subgruppe - Endpunkt: Zeit bis zum ersten UE von besonderem Interesse: Renal impairment - Subgruppe: Geografische Region: Europe (full analysis set)



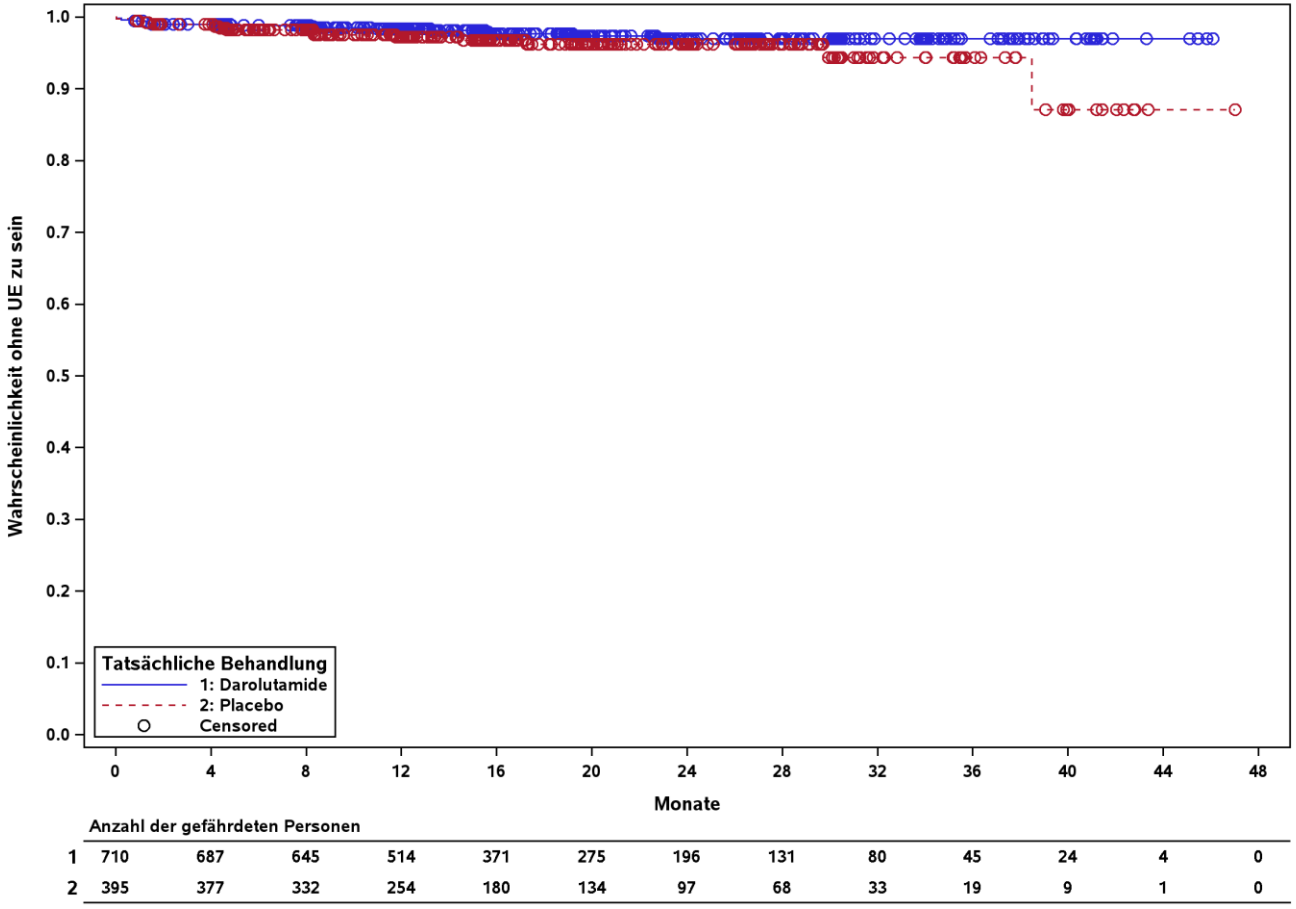
Bayer: /by-sasp/patdb/projects/1841788/17712/stat/prod_query22/pgms/t_aesi_sub.sas 23APR2020 17:14

Figure 4.3.3 / 340: Kaplan-Meier-Plot der 'Unerwünschte Ereignis von besonderem Interesse' Time-to-Event-Analyse nach Endpunkt und Subgruppe - Endpunkt: Zeit bis zum ersten UE von besonderem Interesse: Renal impairment - Subgruppe: Gleason-Score bei Diagnose: <7 (full analysis set)



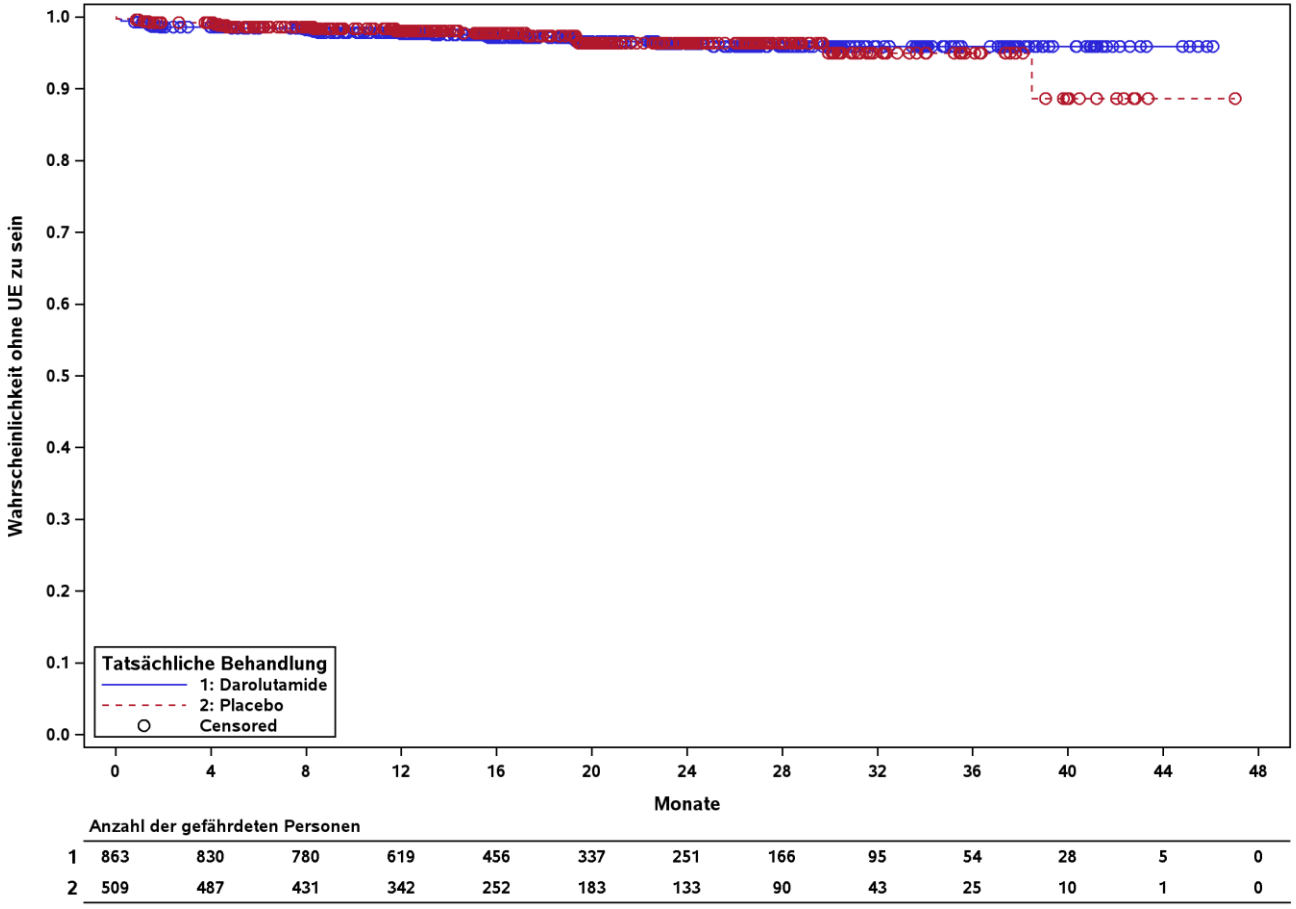
Bayer: /by-sasp/patdb/projects/1841788/17712/stat/prod_query22/pgms/t_aesi_sub.sas 23APR2020 17:14

Figure 4.3.3 / 341: Kaplan-Meier-Plot der 'Unerwünschte Ereignis von besonderem Interesse' Time-to-Event-Analyse nach Endpunkt und Subgruppe - Endpunkt: Zeit bis zum ersten UE von besonderem Interesse: Renal impairment - Subgruppe: Gleason-Score bei Diagnose: >=7 (full analysis set)



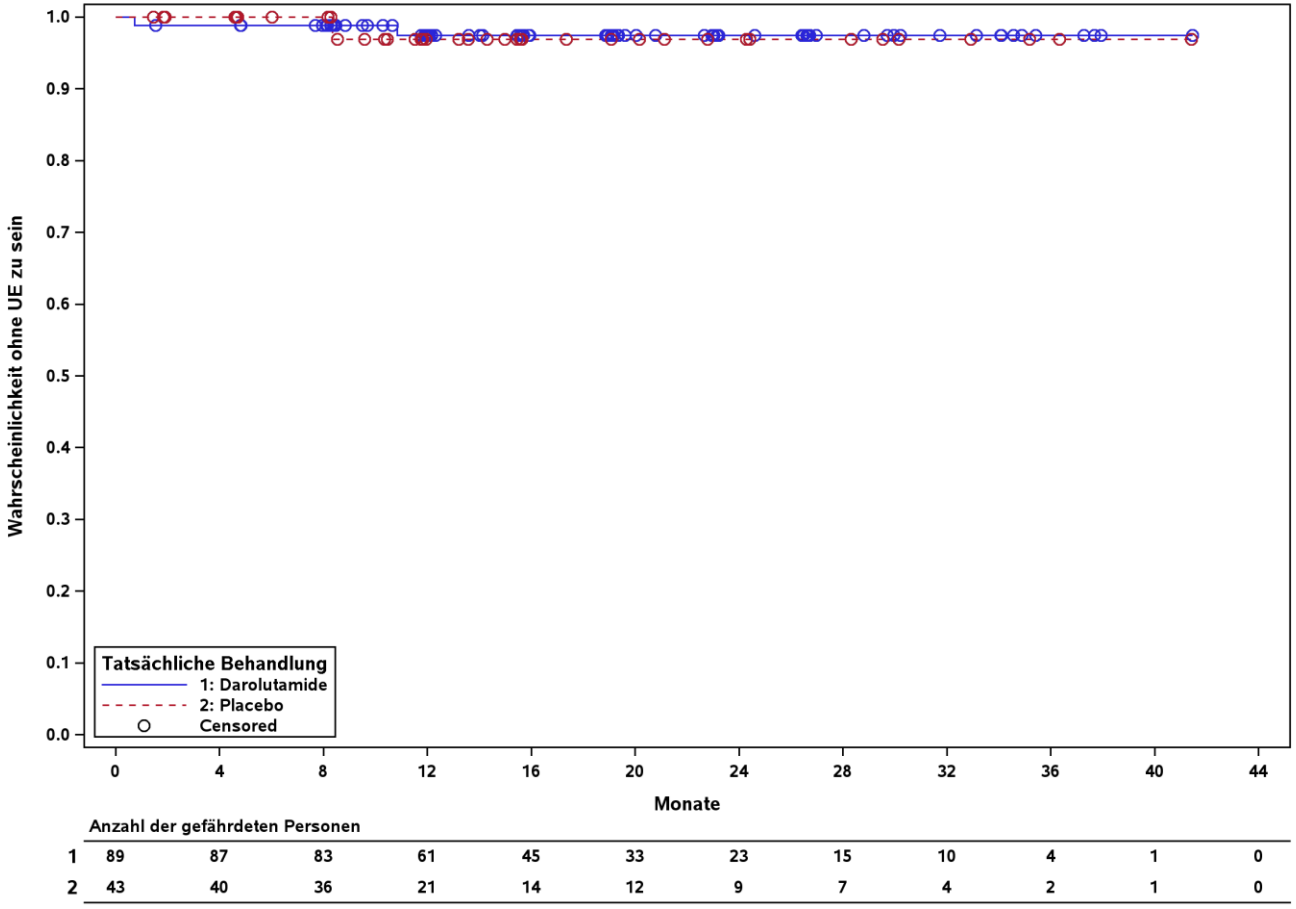
Bayer: /by-sasp/patdb/projects/1841788/17712/stat/prod_query22/pgms/t_aesi_sub.sas 23APR2020 17:14

Figure 4.3.3 / 342: Kaplan-Meier-Plot der 'Unerwünschte Ereignis von besonderem Interesse' Time-to-Event-Analyse nach Endpunkt und Subgruppe - Endpunkt: Zeit bis zum ersten UE von besonderem Interesse: Renal impairment - Subgruppe: Leberfunktionsstörung: normal (full analysis set)



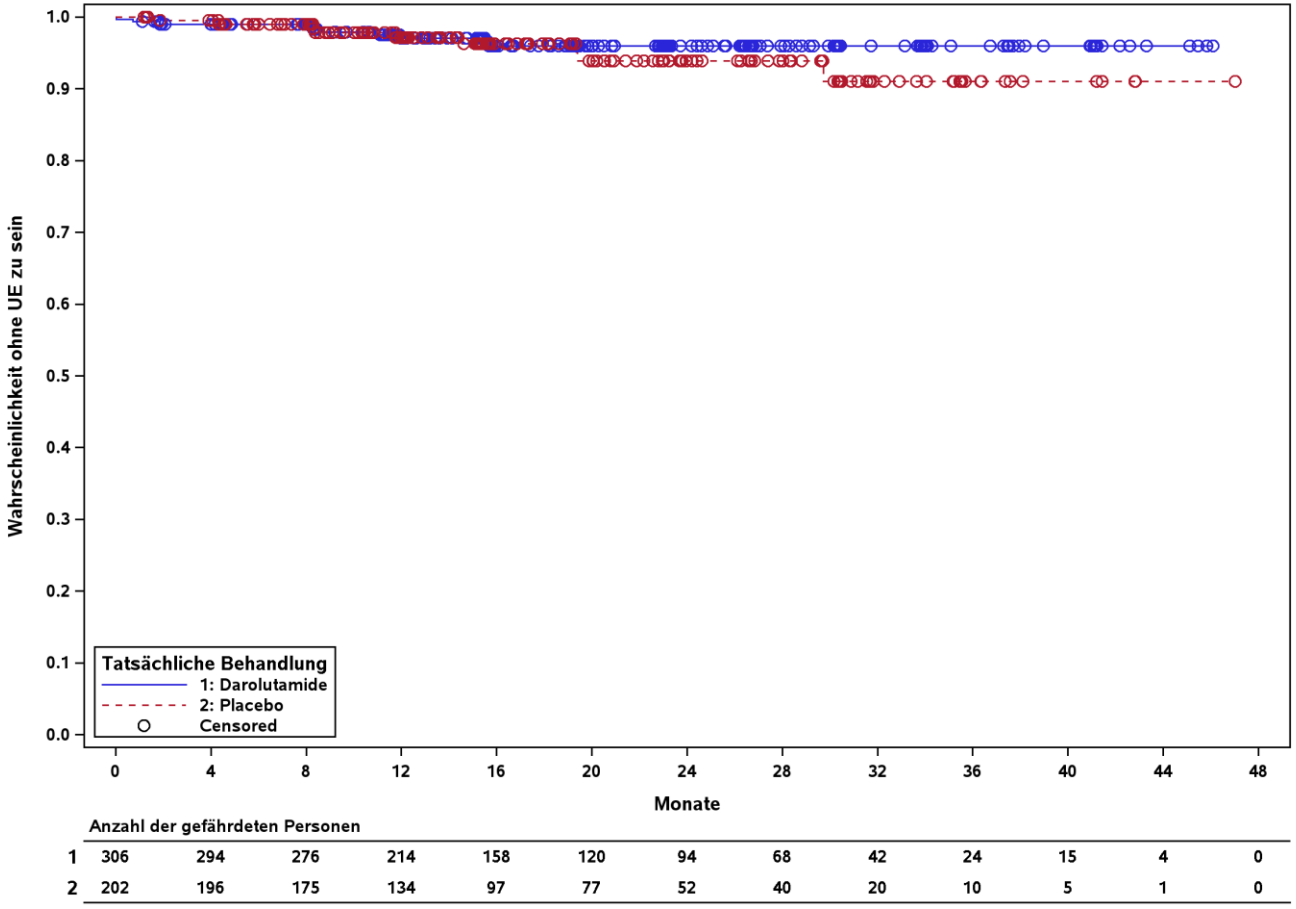
Bayer: /by-sasp/patdb/projects/1841788/17712/stat/prod_query22/pgms/t_aesi_sub.sas 23APR2020 17:14

Figure 4.3.3 / 343: Kaplan-Meier-Plot der 'Unerwünschte Ereignis von besonderem Interesse' Time-to-Event-Analyse nach Endpunkt und Subgruppe - Endpunkt: Zeit bis zum ersten UE von besonderem Interesse: Renal impairment - Subgruppe: Leberfunktionsstörung: mild (full analysis set)



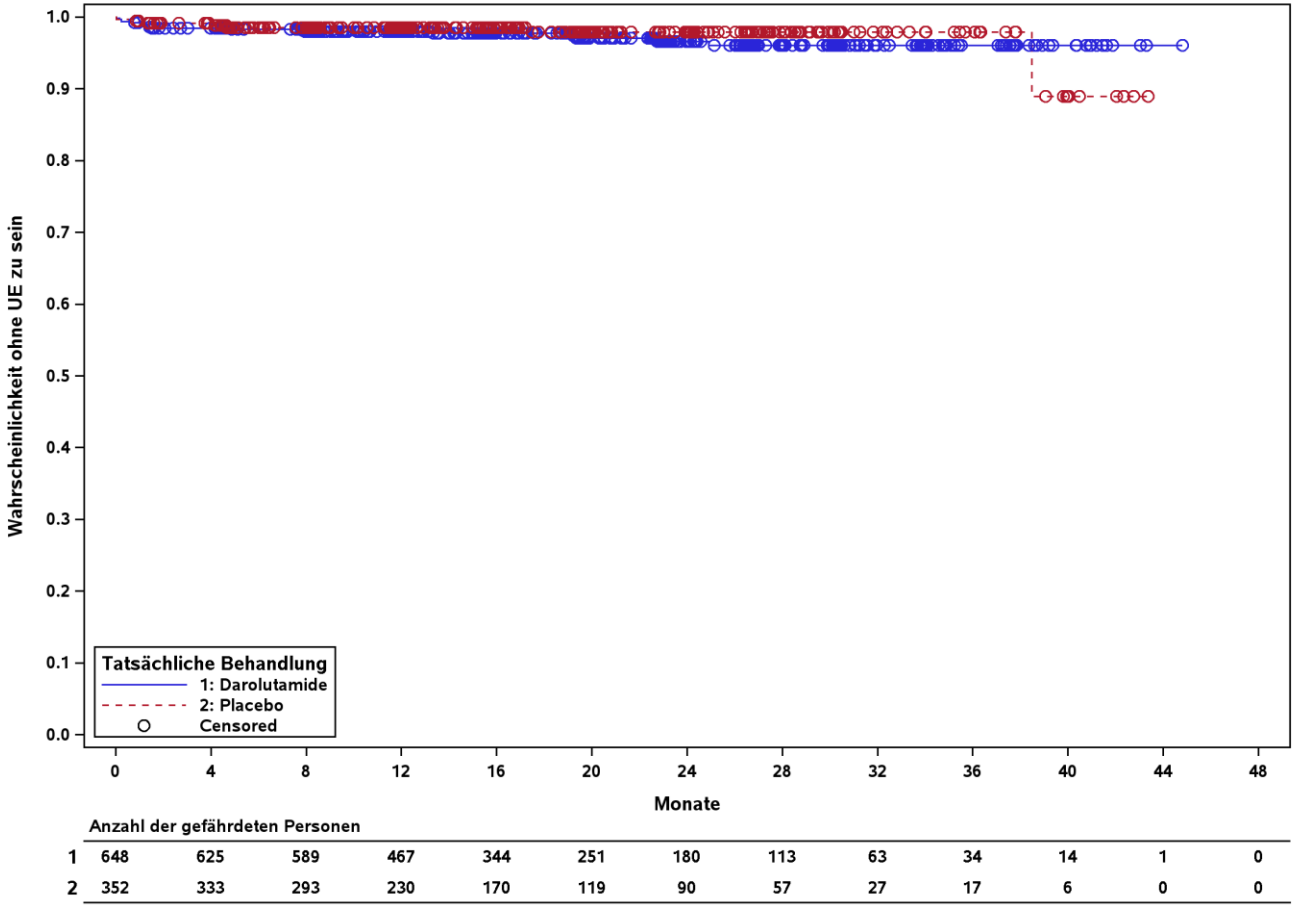
Bayer: /by-sasp/patdb/projects/1841788/17712/stat/prod_query22/pgms/t_aesi_sub.sas 23APR2020 17:14

Figure 4.3.3 / 344: Kaplan-Meier-Plot der 'Unerwünschte Ereignis von besonderem Interesse' Time-to-Event-Analyse nach Endpunkt und Subgruppe - Endpunkt: Zeit bis zum ersten UE von besonderem Interesse: Renal impairment - Subgruppe: Nutzung von Statinen: Ja (full analysis set)



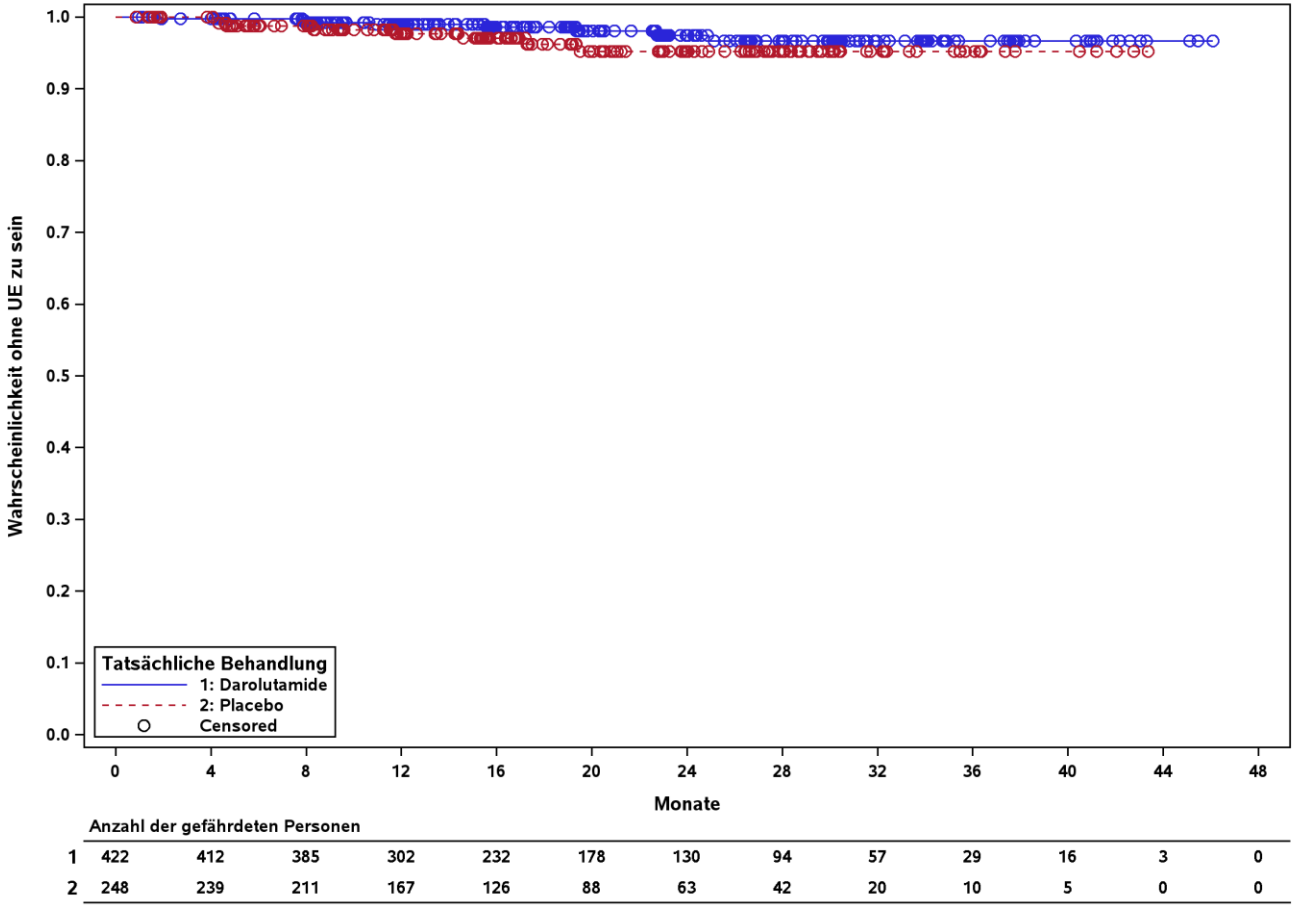
Bayer: /by-sasp/patdb/projects/1841788/17712/stat/prod_query22/pgms/t_aesi_sub.sas 23APR2020 17:14

Figure 4.3.3 / 345: Kaplan-Meier-Plot der 'Unerwünschte Ereignis von besonderem Interesse' Time-to-Event-Analyse nach Endpunkt und Subgruppe - Endpunkt: Zeit bis zum ersten UE von besonderem Interesse: Renal impairment - Subgruppe: Nutzung von Statinen: Nein (full analysis set)



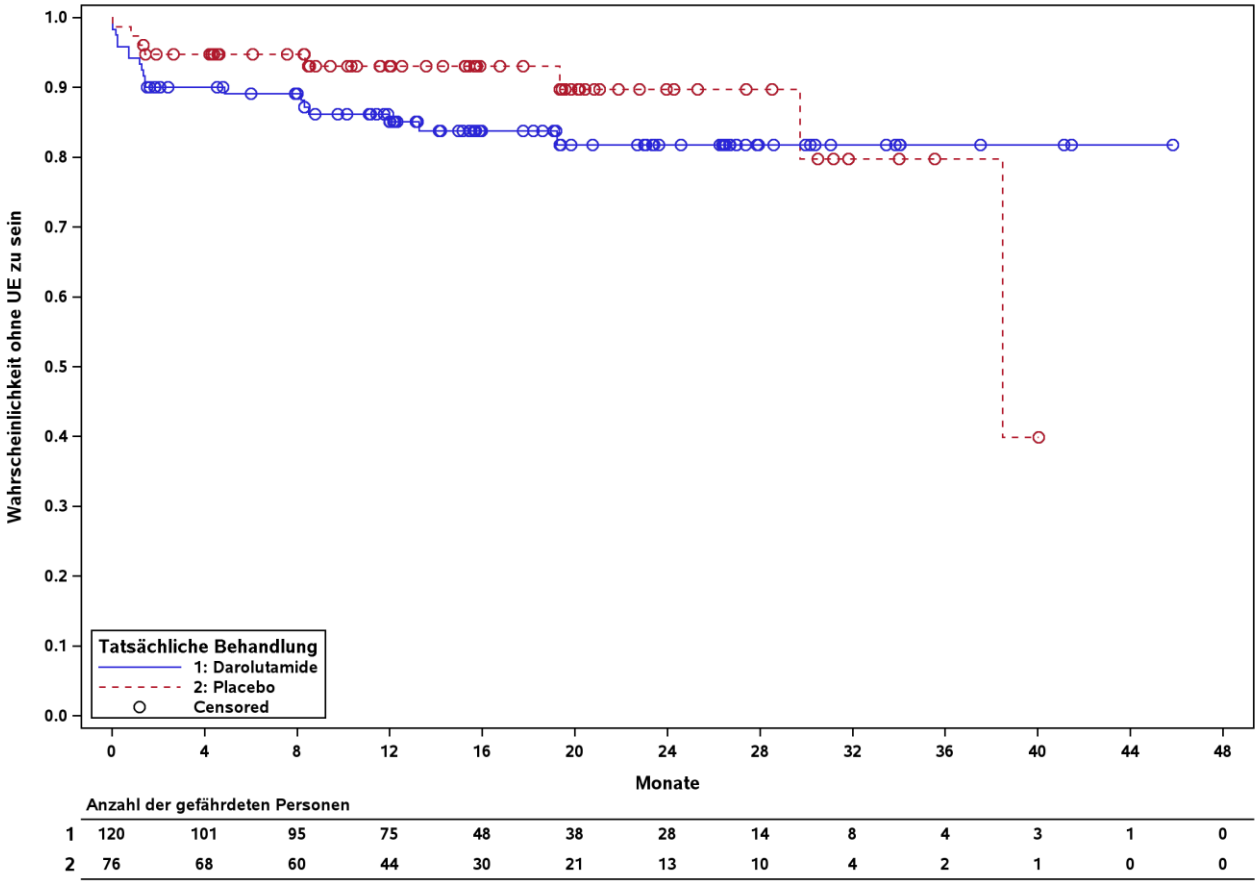
Bayer: /by-sasp/patdb/projects/1841788/17712/stat/prod_query22/pgms/t_aesi_sub.sas 23APR2020 17:14

Figure 4.3.3 / 346: Kaplan-Meier-Plot der 'Unerwünschte Ereignis von besonderem Interesse' Time-to-Event-Analyse nach Endpunkt und Subgruppe - Endpunkt: Zeit bis zum ersten UE von besonderem Interesse: Renal impairment - Subgruppe: eGFR an Baseline: mildly impaired (full analysis set)



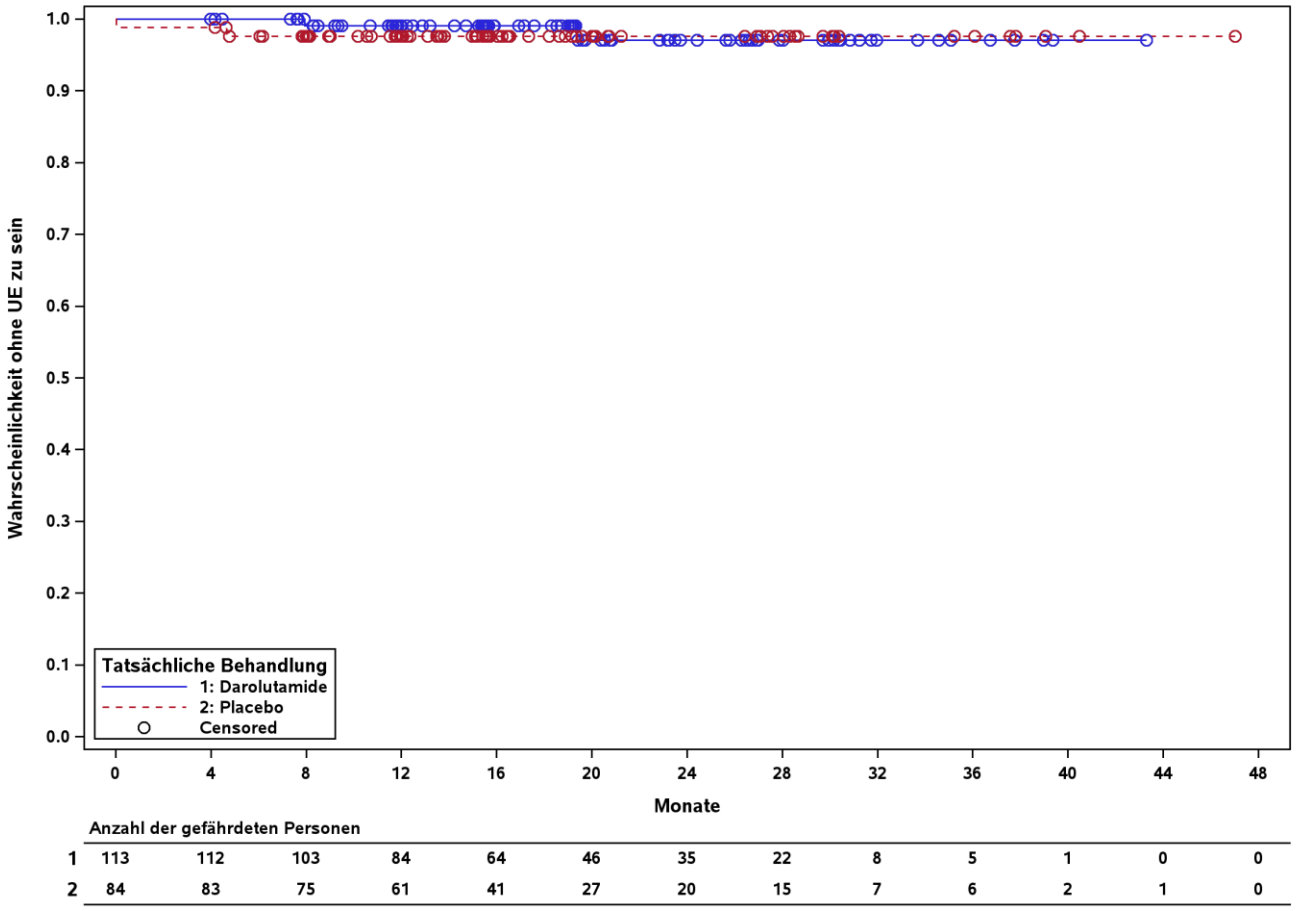
Bayer: /by-sasp/patdb/projects/1841788/17712/stat/prod_query22/pgms/t_aesi_sub.sas 23APR2020 17:14

Figure 4.3.3 / 347: Kaplan-Meier-Plot der 'Unerwünschte Ereignis von besonderem Interesse' Time-to-Event-Analyse nach Endpunkt und Subgruppe - Endpunkt: Zeit bis zum ersten UE von besonderem Interesse: Renal impairment - Subgruppe: eGFR an Baseline: moderately impaired, severely impaired and renal end stage (full analysis set)



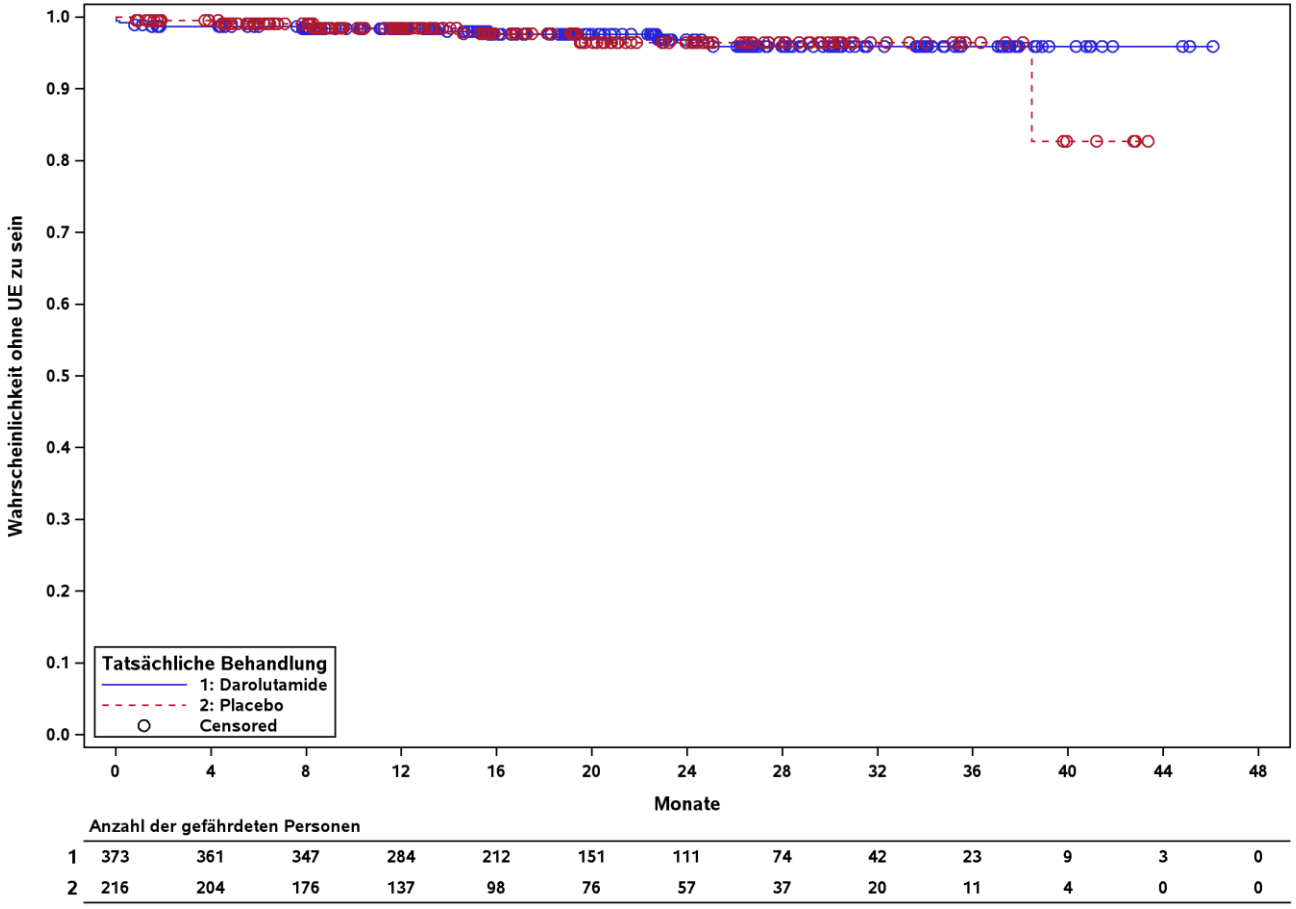
Bayer: /by-sasp/patdb/projects/1841788/17712/stat/prod_query22/pgms/t_aesi_sub.sas 23APR2020 17:14

Figure 4.3.3 / 348: Kaplan-Meier-Plot der 'Unerwünschte Ereignis von besonderem Interesse' Time-to-Event-Analyse nach Endpunkt und Subgruppe - Endpunkt: Zeit bis zum ersten UE von besonderem Interesse mit CTCAE Grad <3: Renal impairment - Subgruppe: Alter (Jahre): <65 (full analysis set)



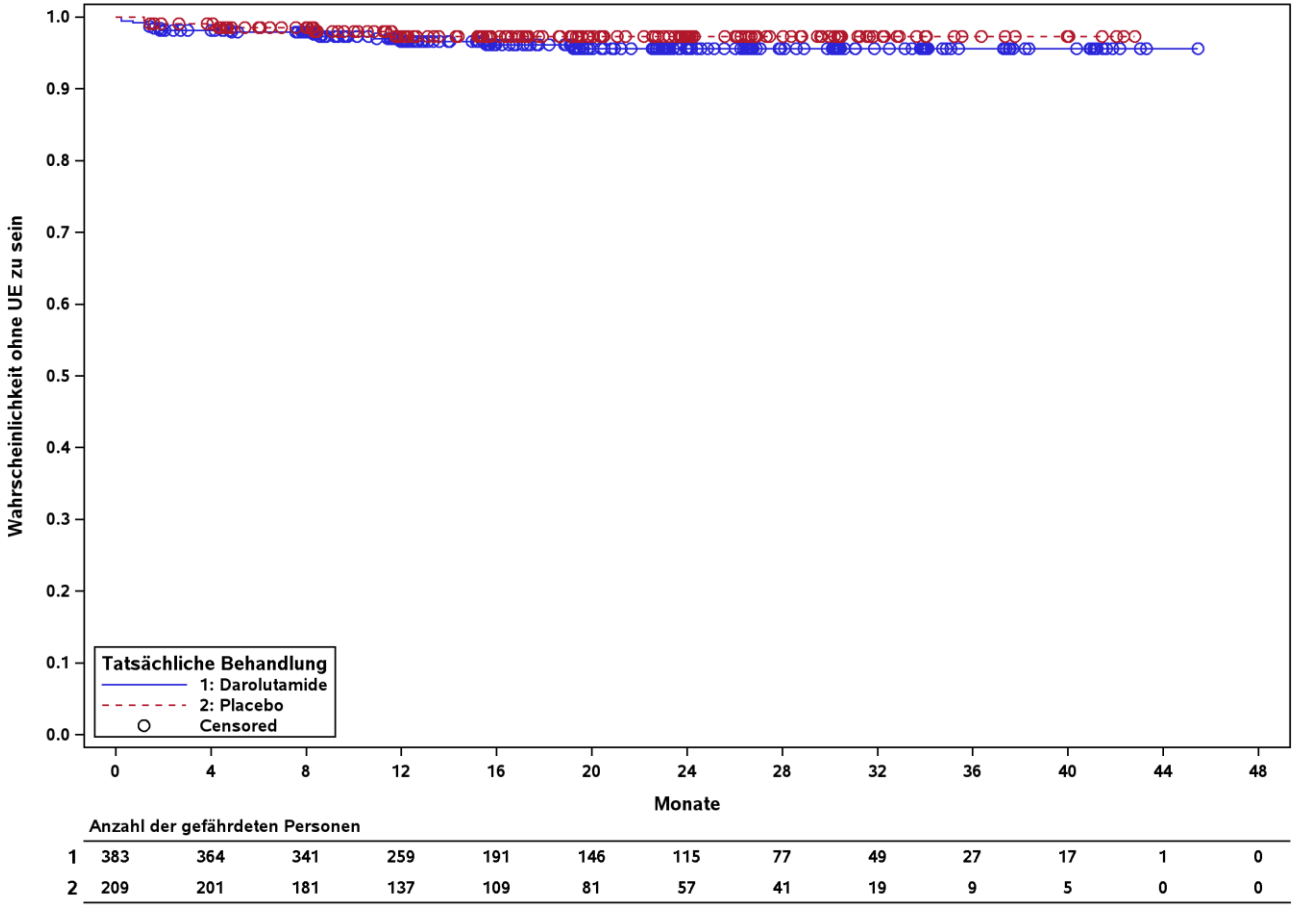
Bayer: /by-sasp/patdb/projects/1841788/17712/stat/prod_query22/pgms/t_aesi_sub.sas 23APR2020 17:14

Figure 4.3.3 / 349: Kaplan-Meier-Plot der 'Unerwünschte Ereignis von besonderem Interesse' Time-to-Event-Analyse nach Endpunkt und Subgruppe - Endpunkt: Zeit bis zum ersten UE von besonderem Interesse mit CTCAE Grad <3: Renal impairment - Subgruppe: Alter (Jahre): 65-74 (full analysis set)



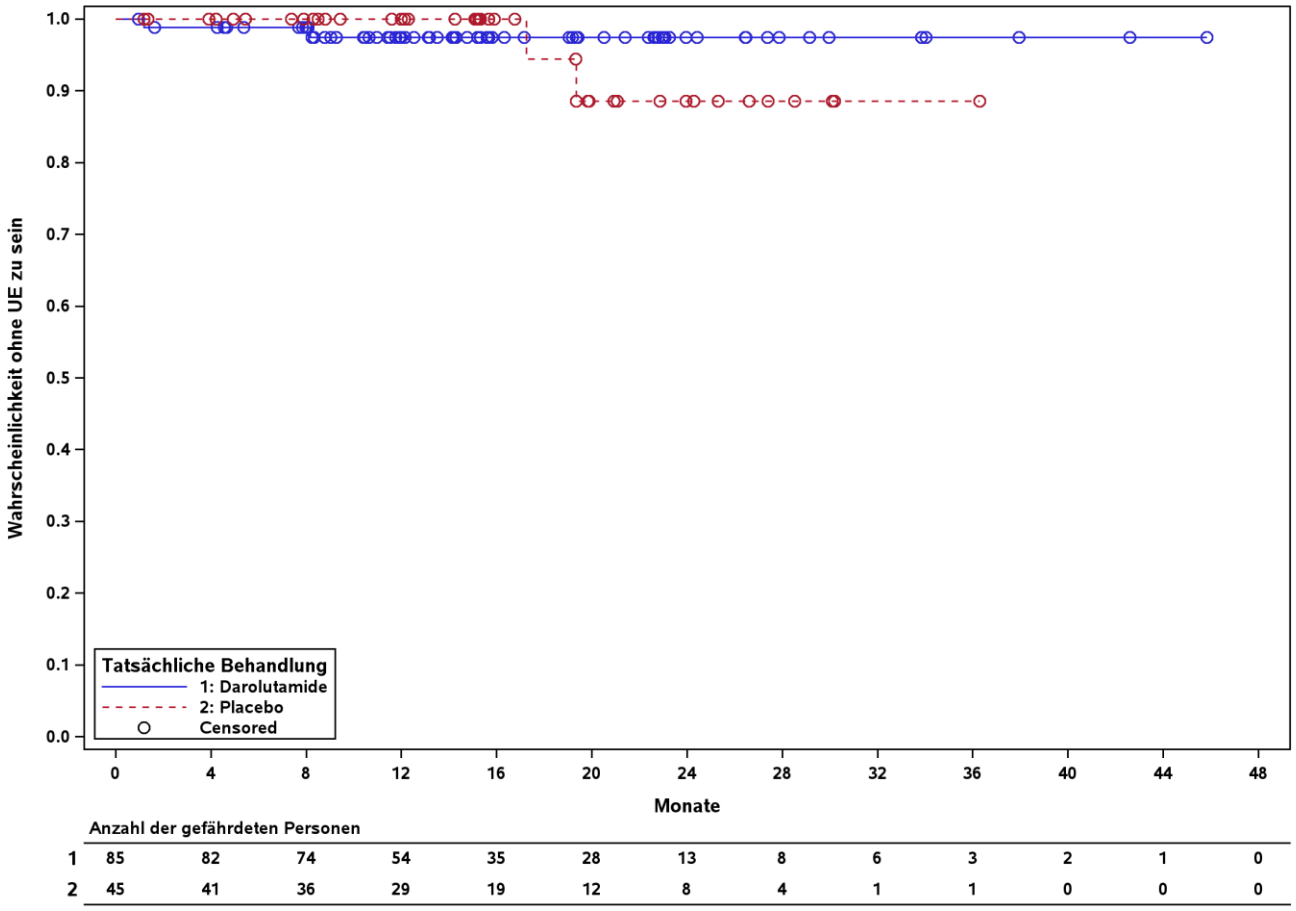
Bayer: /by-sasp/patdb/projects/1841788/17712/stat/prod_query22/pgms/t_aesi_sub.sas 23APR2020 17:14

Figure 4.3.3 / 350: Kaplan-Meier-Plot der 'Unerwünschte Ereignis von besonderem Interesse' Time-to-Event-Analyse nach Endpunkt und Subgruppe - Endpunkt: Zeit bis zum ersten UE von besonderem Interesse mit CTCAE Grad <3: Renal impairment - Subgruppe: Alter (Jahre): 75-84 (full analysis set)



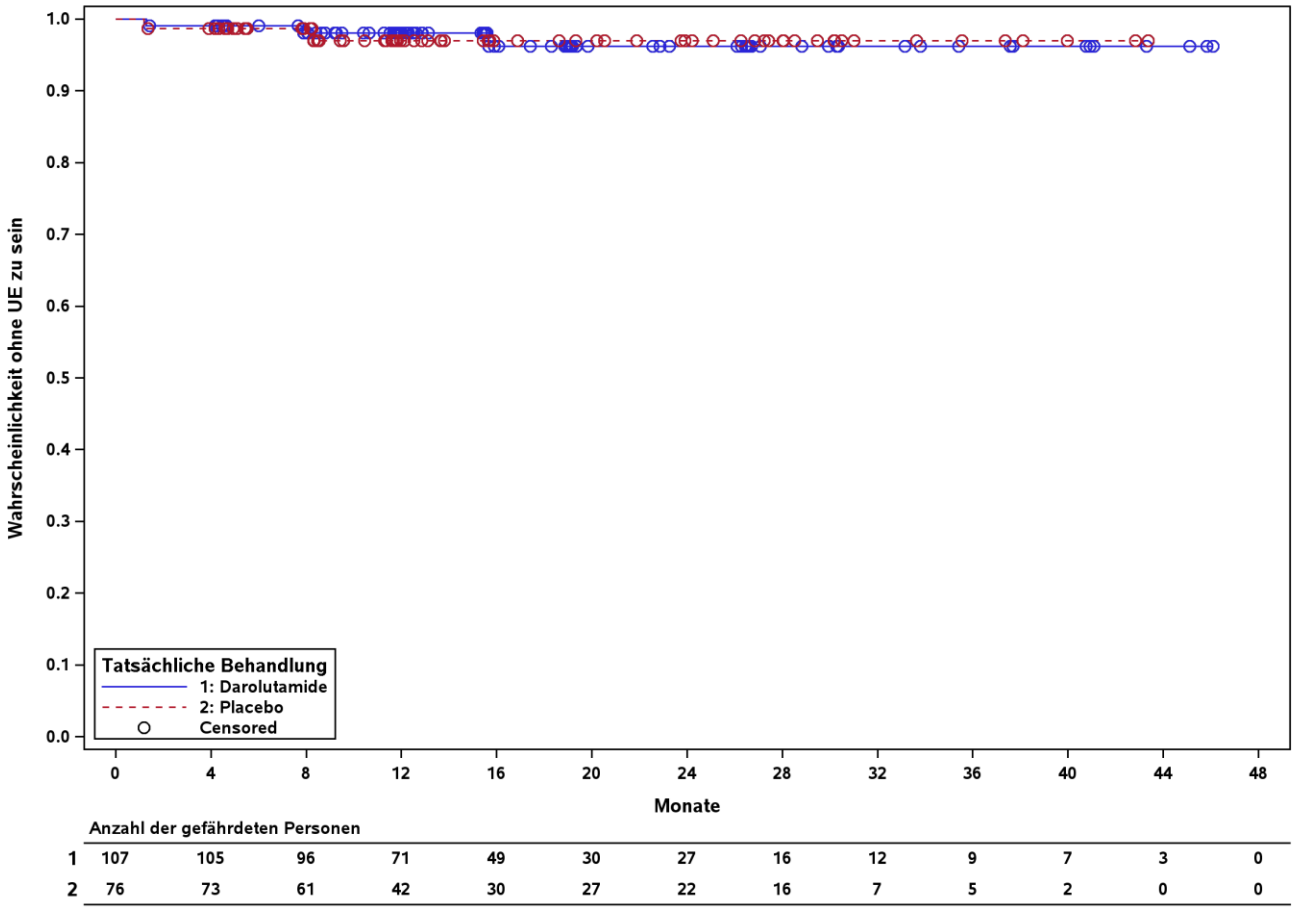
Bayer: /by-sasp/patdb/projects/1841788/17712/stat/prod_query22/pgms/t_aesi_sub.sas 23APR2020 17:14

Figure 4.3.3 / 351: Kaplan-Meier-Plot der 'Unerwünschte Ereignis von besonderem Interesse' Time-to-Event-Analyse nach Endpunkt und Subgruppe - Endpunkt: Zeit bis zum ersten UE von besonderem Interesse mit CTCAE Grad <3: Renal impairment - Subgruppe: Alter (Jahre): >=85 (full analysis set)



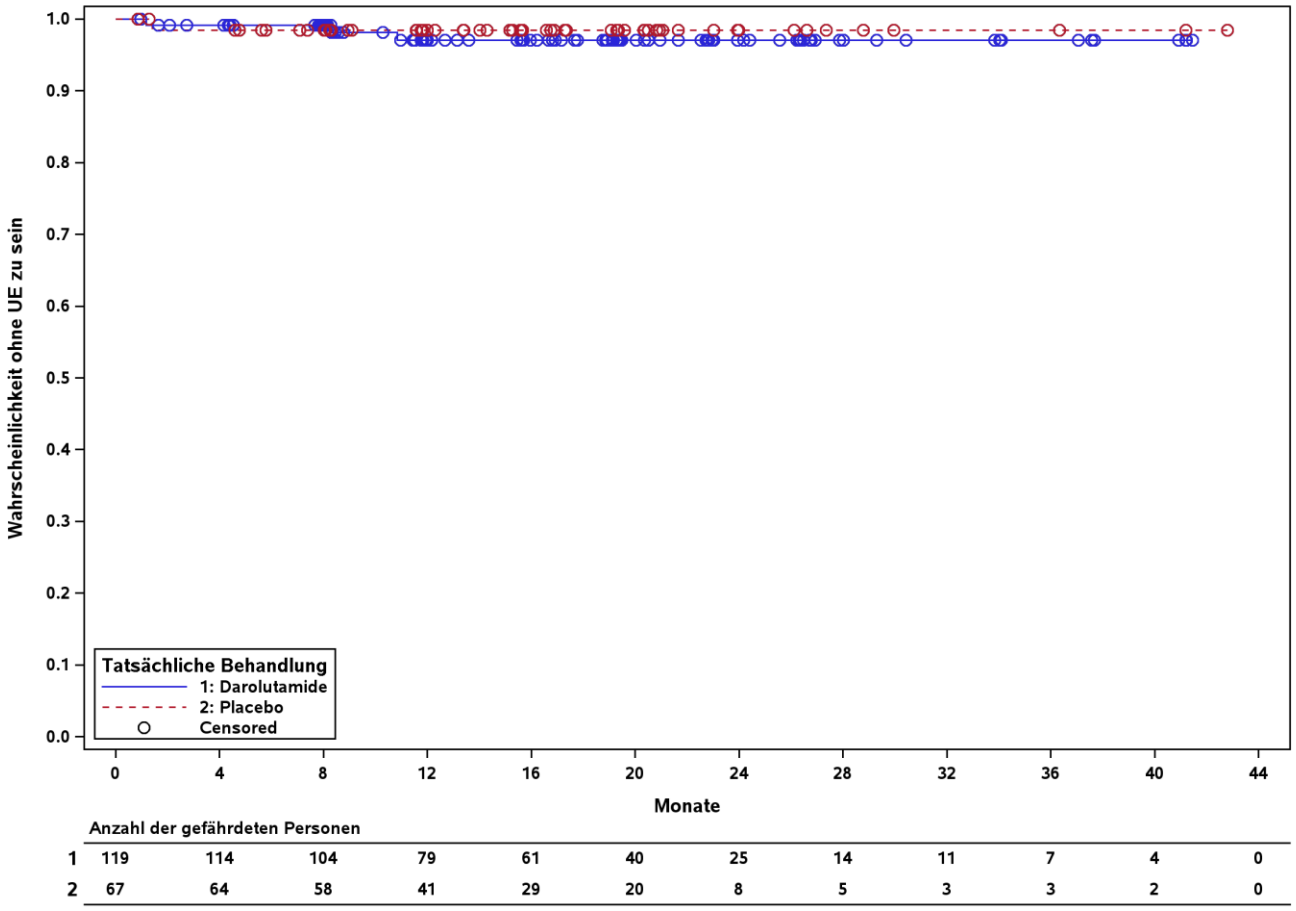
Bayer: /by-sasp/patdb/projects/1841788/17712/stat/prod_query22/pgms/t_aesi_sub.sas 23APR2020 17:14

Figure 4.3.3 / 352: Kaplan-Meier-Plot der 'Unerwünschte Ereignis von besonderem Interesse' Time-to-Event-Analyse nach Endpunkt und Subgruppe - Endpunkt: Zeit bis zum ersten UE von besonderem Interesse mit CTCAE Grad <3: Renal impairment - Subgruppe: Geografische Region: North America (full analysis set)



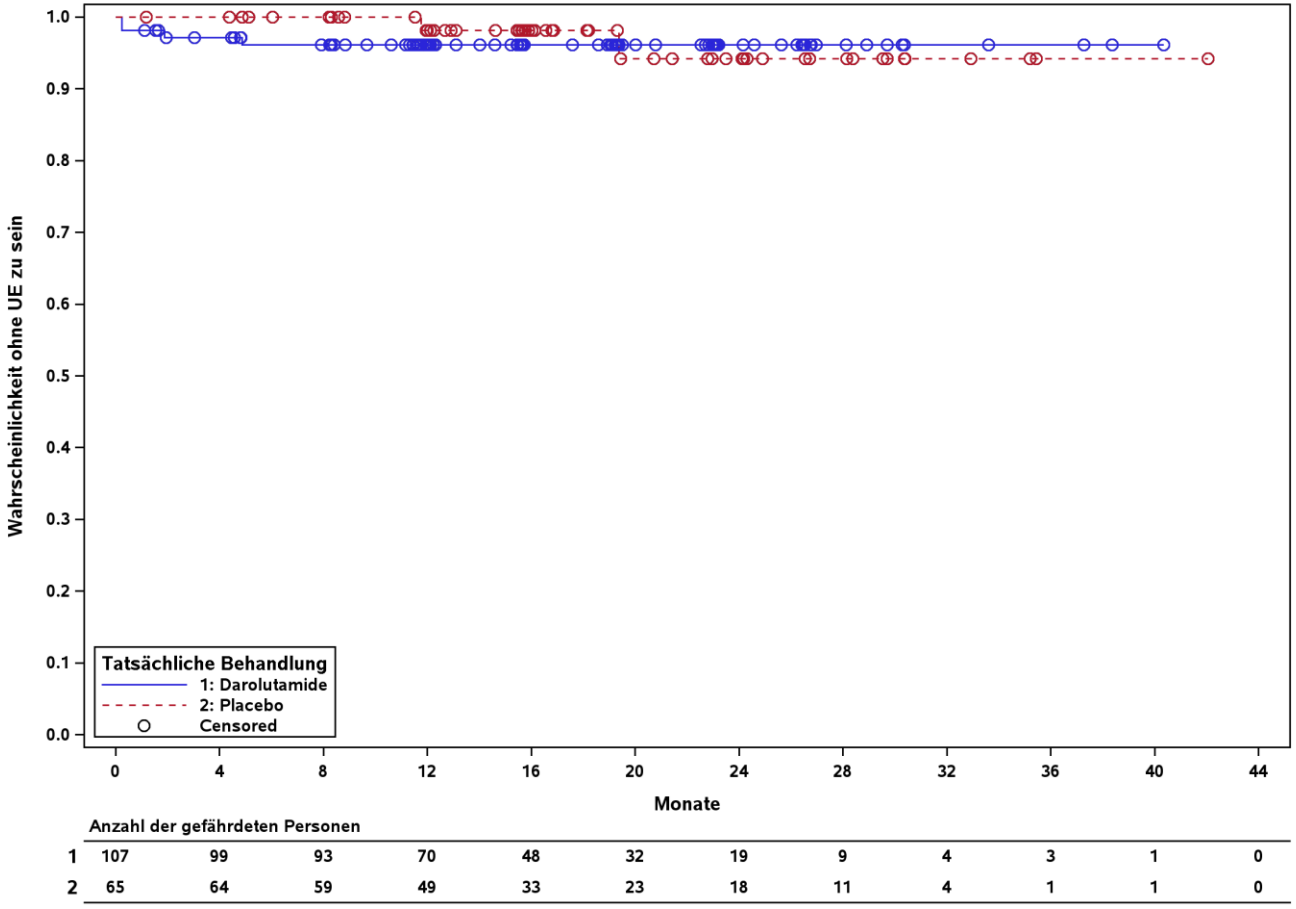
Bayer: /by-sasp/patdb/projects/1841788/17712/stat/prod_query22/pgms/t_aesi_sub.sas 23APR2020 17:14

Figure 4.3.3 / 353: Kaplan-Meier-Plot der 'Unerwünschte Ereignis von besonderem Interesse' Time-to-Event-Analyse nach Endpunkt und Subgruppe - Endpunkt: Zeit bis zum ersten UE von besonderem Interesse mit CTCAE Grad <3: Renal impairment - Subgruppe: Geografische Region: Asia Pacific (full analysis set)



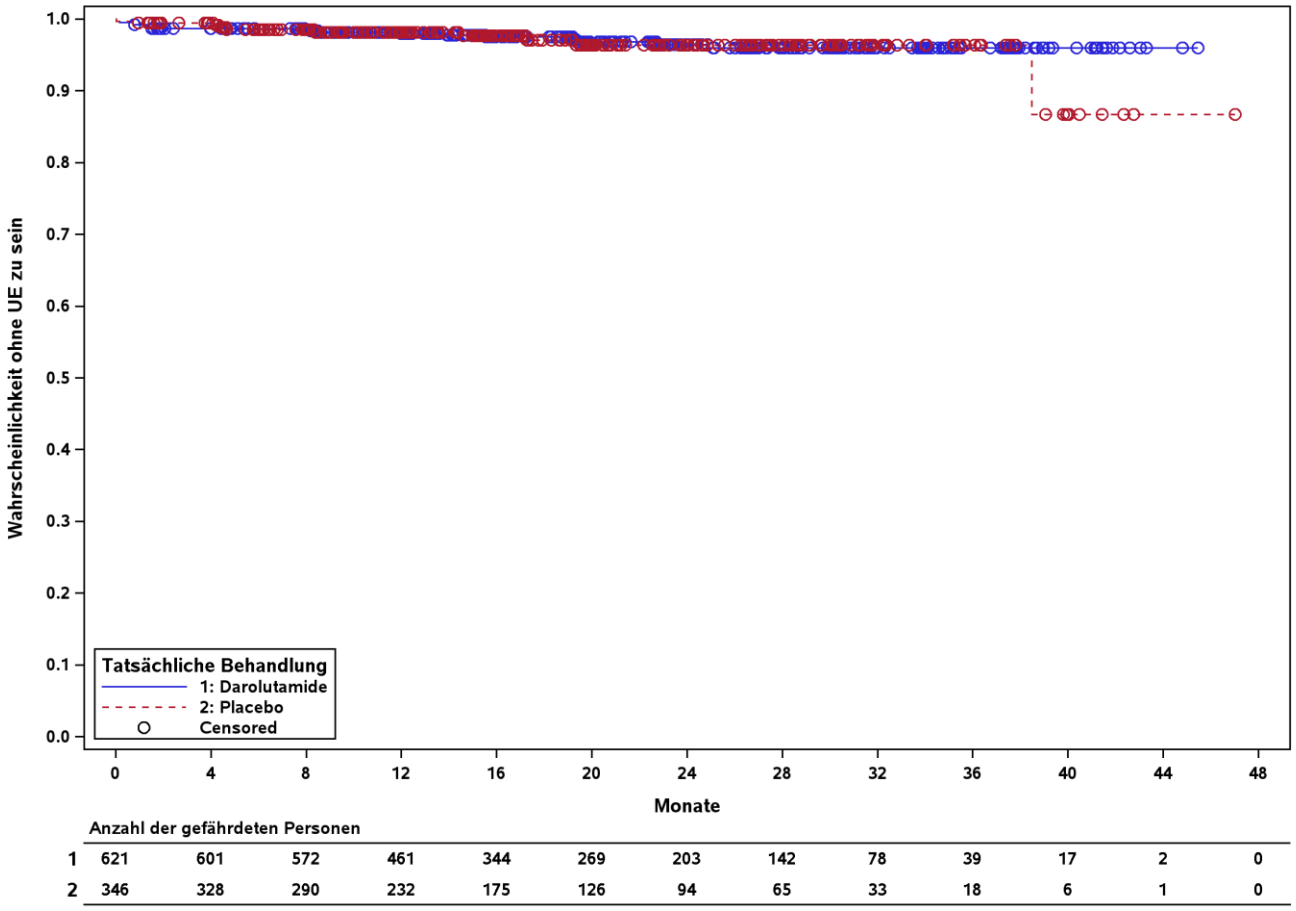
Bayer: /by-sasp/patdb/projects/1841788/17712/stat/prod_query22/pgms/t_aesi_sub.sas 23APR2020 17:14

Figure 4.3.3 / 354: Kaplan-Meier-Plot der 'Unerwünschte Ereignis von besonderem Interesse' Time-to-Event-Analyse nach Endpunkt und Subgruppe - Endpunkt: Zeit bis zum ersten UE von besonderem Interesse mit CTCAE Grad <3: Renal impairment - Subgruppe: Geografische Region: Rest of the World (full analysis set)



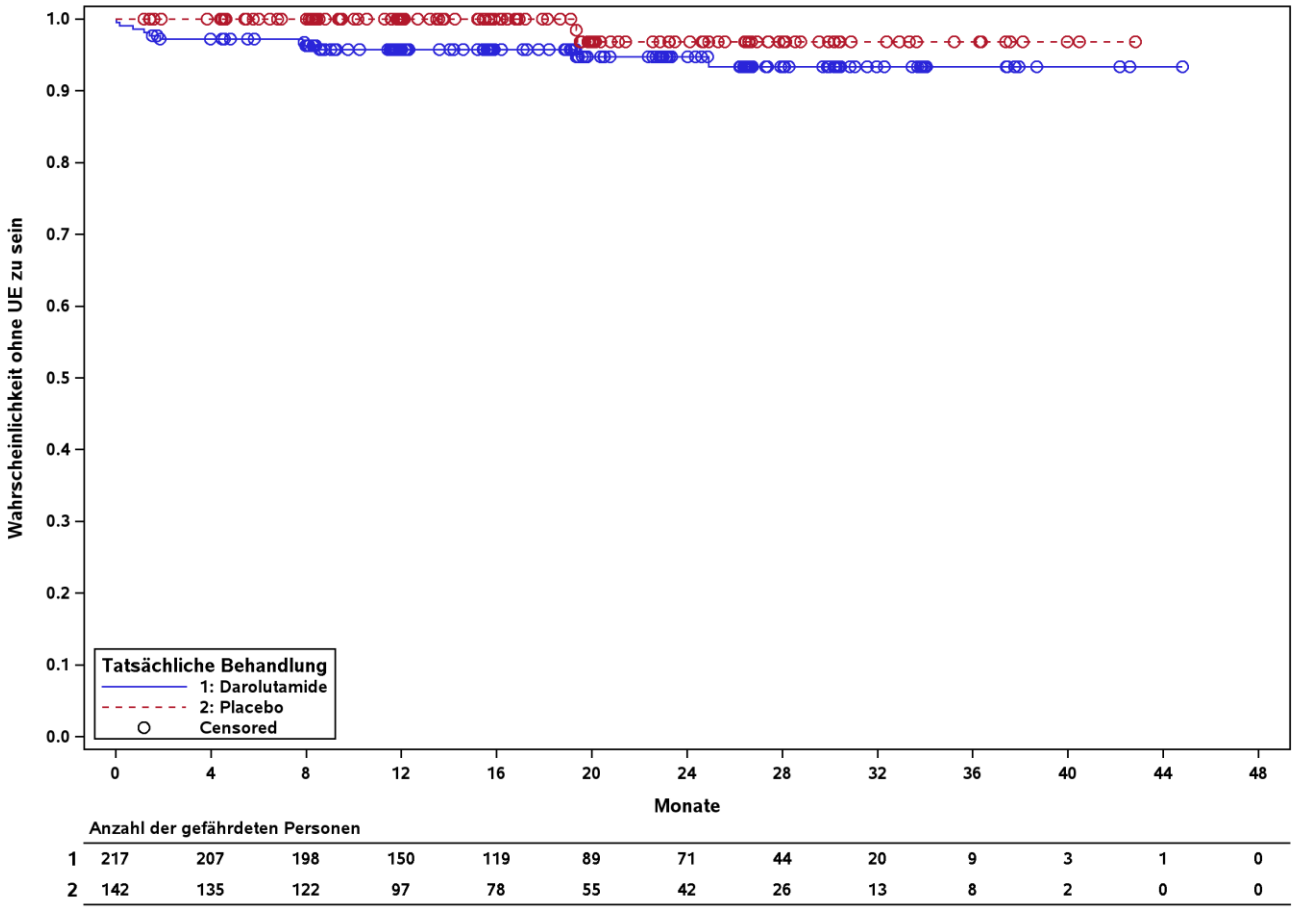
Bayer: /by-sasp/patdb/projects/1841788/17712/stat/prod_query22/pgms/t_aesi_sub.sas 23APR2020 17:14

Figure 4.3.3 / 355: Kaplan-Meier-Plot der 'Unerwünschte Ereignis von besonderem Interesse' Time-to-Event-Analyse nach Endpunkt und Subgruppe - Endpunkt: Zeit bis zum ersten UE von besonderem Interesse mit CTCAE Grad <3: Renal impairment - Subgruppe: Geografische Region: Europe (full analysis set)



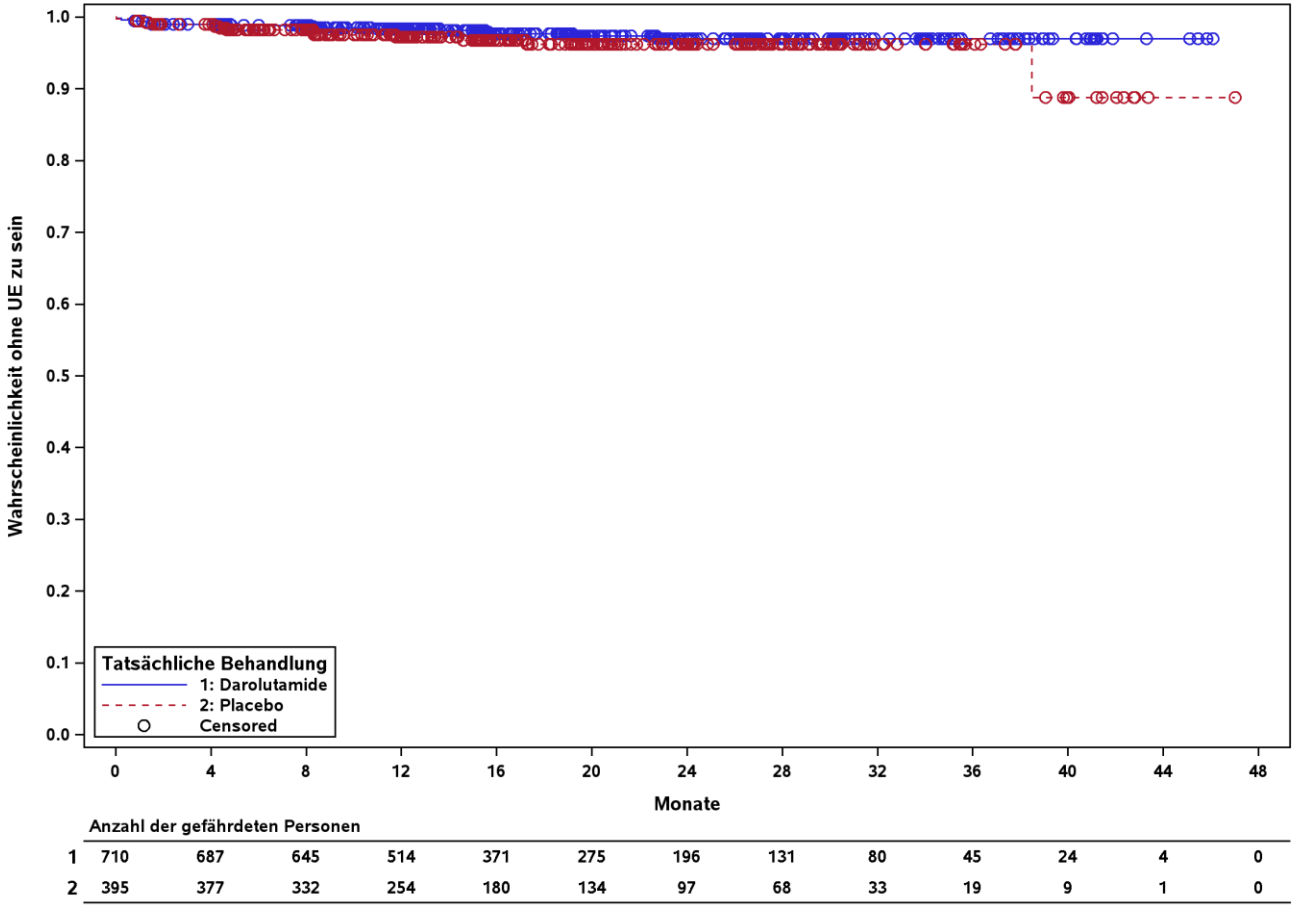
Bayer: /by-sasp/patdb/projects/1841788/17712/stat/prod_query22/pgms/t_aesi_sub.sas 23APR2020 17:14

Figure 4.3.3 / 356: Kaplan-Meier-Plot der 'Unerwünschte Ereignis von besonderem Interesse' Time-to-Event-Analyse nach Endpunkt und Subgruppe - Endpunkt: Zeit bis zum ersten UE von besonderem Interesse mit CTCAE Grad <3: Renal impairment - Subgruppe: Gleason-Score bei Diagnose: <7 (full analysis set)



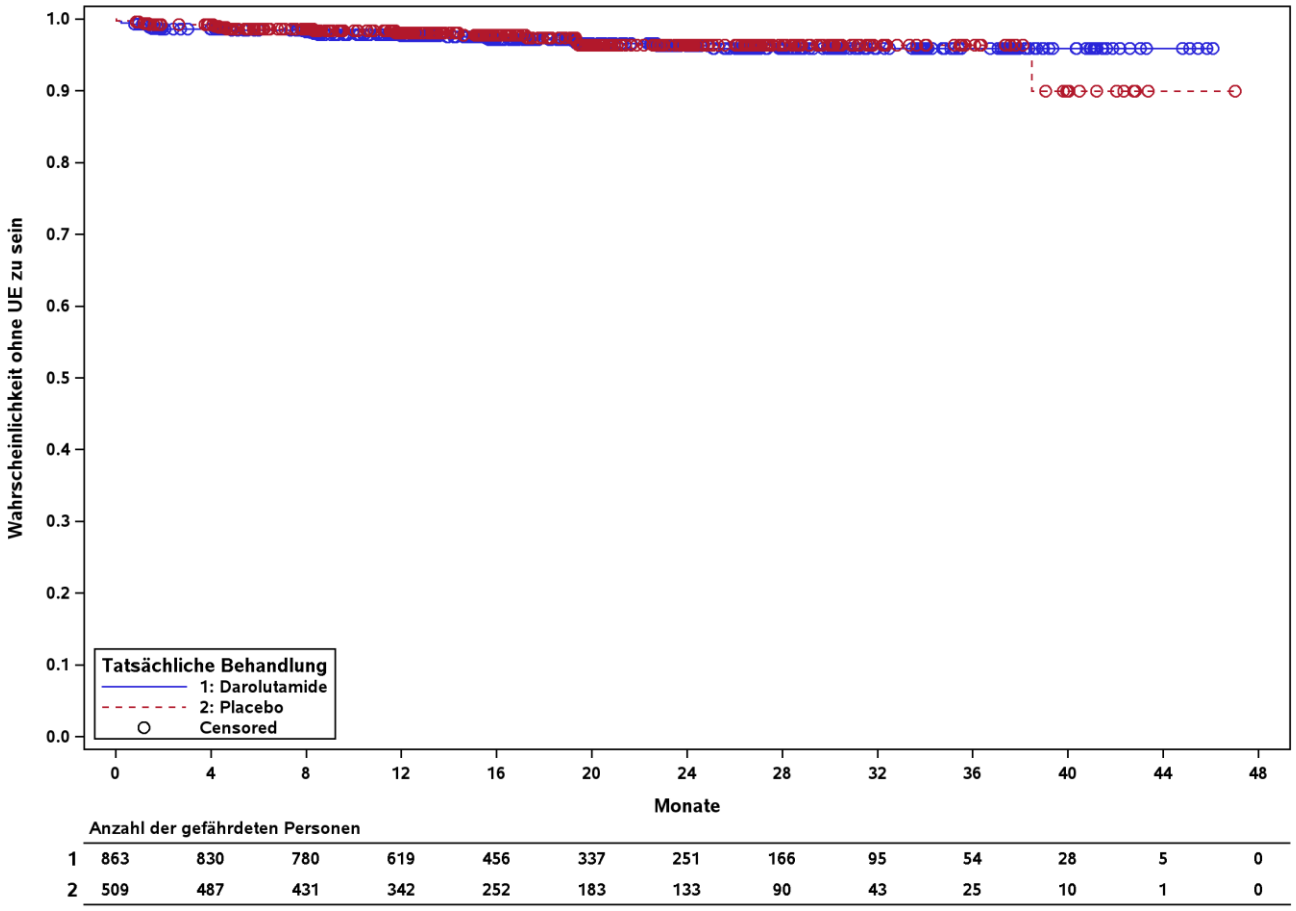
Bayer: /by-sasp/patdb/projects/1841788/17712/stat/prod_query22/pgms/t_aesi_sub.sas 23APR2020 17:14

Figure 4.3.3 / 357: Kaplan-Meier-Plot der 'Unerwünschte Ereignis von besonderem Interesse' Time-to-Event-Analyse nach Endpunkt und Subgruppe - Endpunkt: Zeit bis zum ersten UE von besonderem Interesse mit CTCAE Grad <3: Renal impairment - Subgruppe: Gleason-Score bei Diagnose: >=7 (full analysis set)



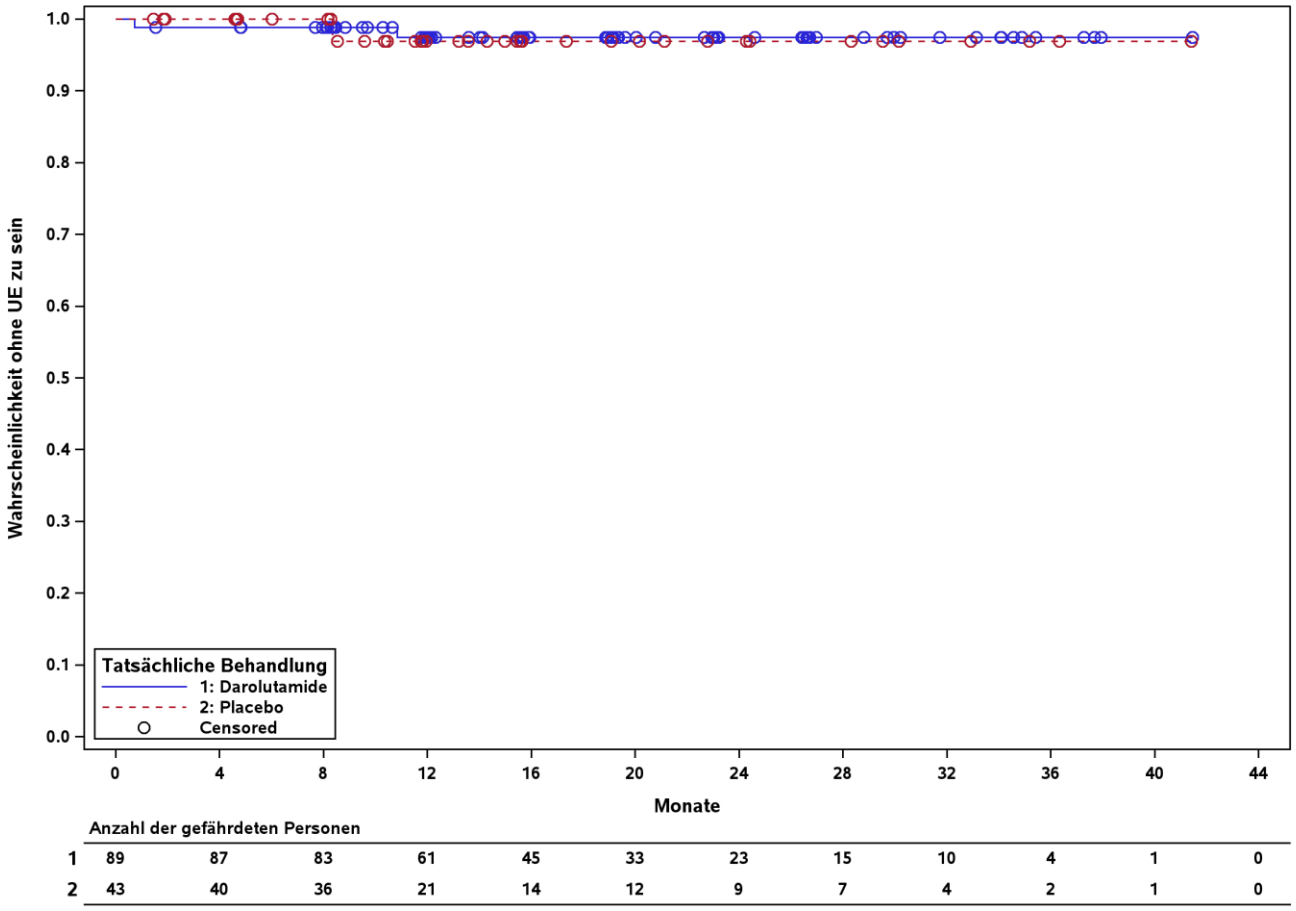
Bayer: /by-sasp/patdb/projects/1841788/17712/stat/prod_query22/pgms/t_aesi_sub.sas 23APR2020 17:14

Figure 4.3.3 / 358: Kaplan-Meier-Plot der 'Unerwünschte Ereignis von besonderem Interesse' Time-to-Event-Analyse nach Endpunkt und Subgruppe - Endpunkt: Zeit bis zum ersten UE von besonderem Interesse mit CTCAE Grad <3: Renal impairment - Subgruppe: Leberfunktionsstörung: normal (full analysis set)



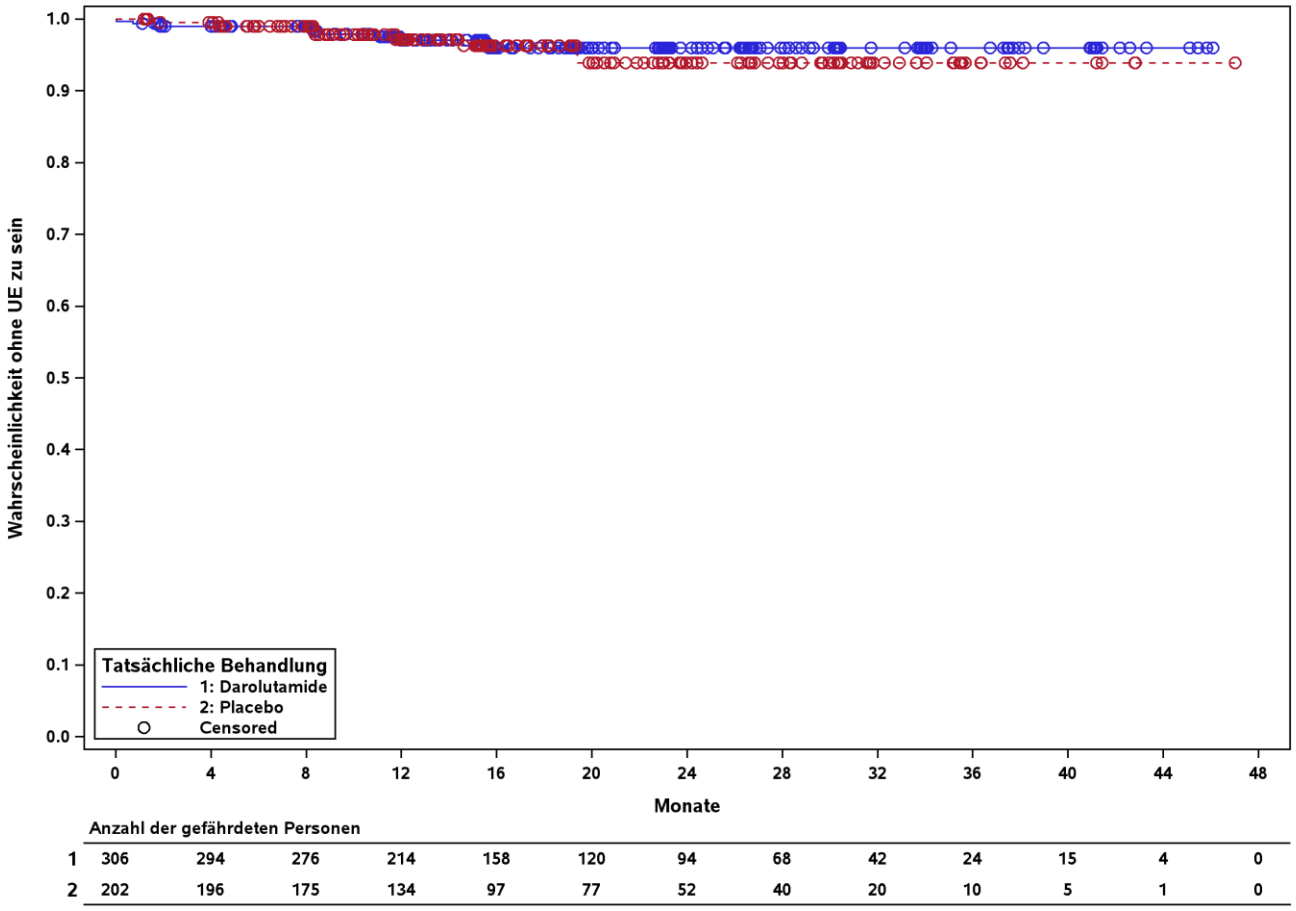
Bayer: /by-sasp/patdb/projects/1841788/17712/stat/prod_query22/pgms/t_aesi_sub.sas 23APR2020 17:14

Figure 4.3.3 / 359: Kaplan-Meier-Plot der 'Unerwünschte Ereignis von besonderem Interesse' Time-to-Event-Analyse nach Endpunkt und Subgruppe - Endpunkt: Zeit bis zum ersten UE von besonderem Interesse mit CTCAE Grad <3: Renal impairment - Subgruppe: Leberfunktionsstörung: mild (full analysis set)



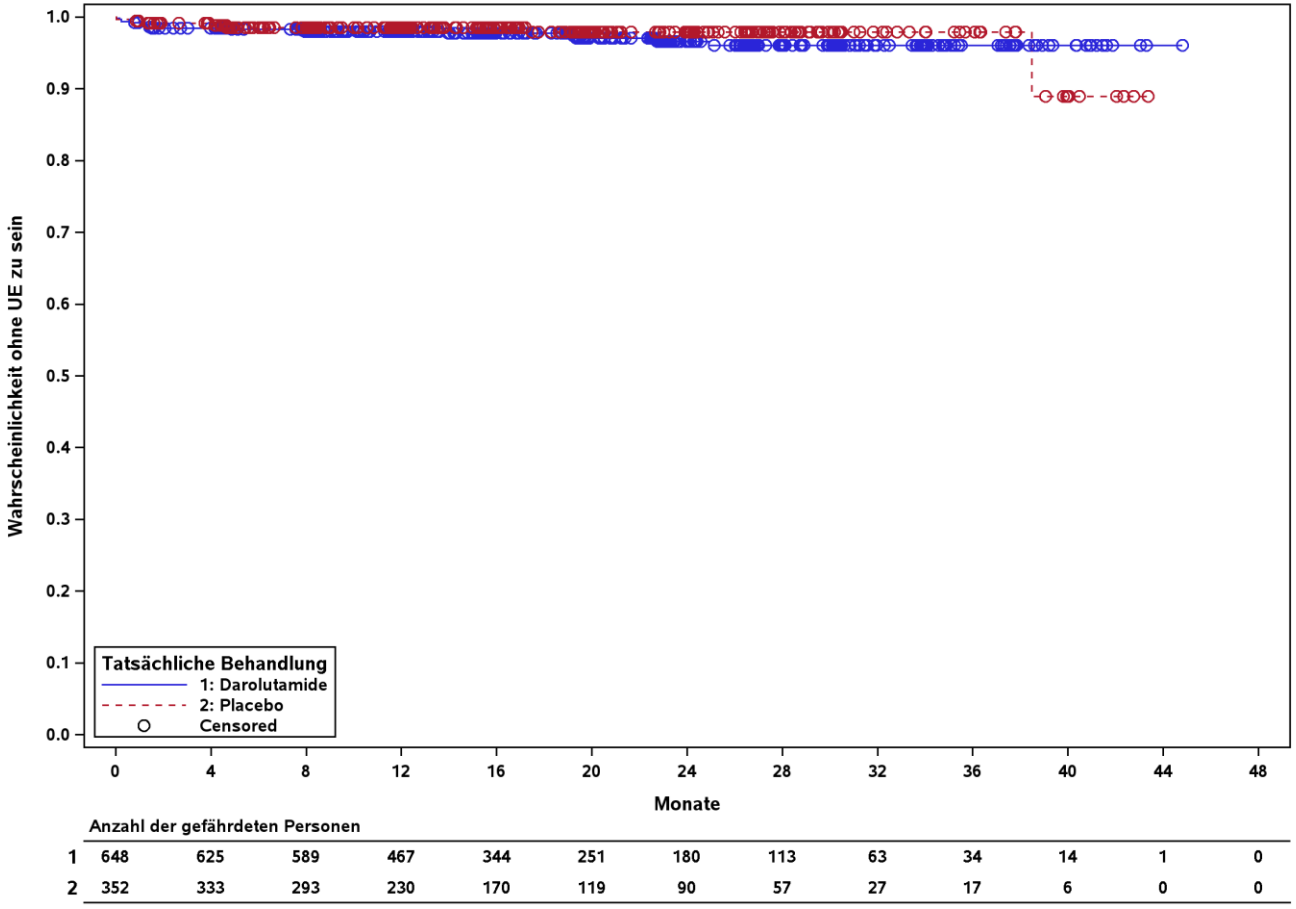
Bayer: /by-sasp/patdb/projects/1841788/17712/stat/prod_query22/pgms/t_aesi_sub.sas 23APR2020 17:14

Figure 4.3.3 / 360: Kaplan-Meier-Plot der 'Unerwünschte Ereignis von besonderem Interesse' Time-to-Event-Analyse nach Endpunkt und Subgruppe - Endpunkt: Zeit bis zum ersten UE von besonderem Interesse mit CTCAE Grad <3: Renal impairment - Subgruppe: Nutzung von Statinen: Ja (full analysis set)



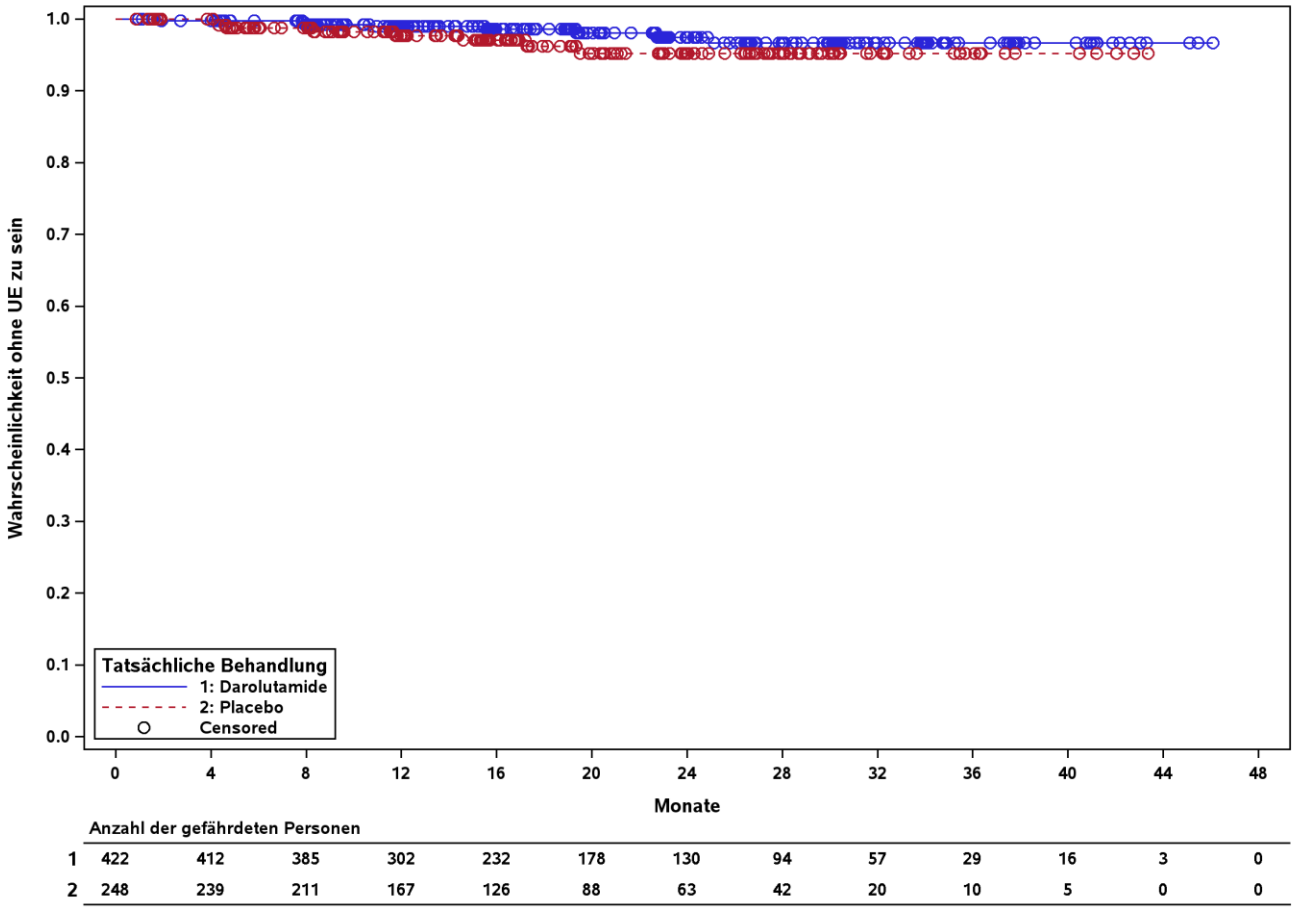
Bayer: /by-sasp/patdb/projects/1841788/17712/stat/prod_query22/pgms/t_aesi_sub.sas 23APR2020 17:14

Figure 4.3.3 / 361: Kaplan-Meier-Plot der 'Unerwünschte Ereignis von besonderem Interesse' Time-to-Event-Analyse nach Endpunkt und Subgruppe - Endpunkt: Zeit bis zum ersten UE von besonderem Interesse mit CTCAE Grad <3: Renal impairment - Subgruppe: Nutzung von Statinen: Nein (full analysis set)



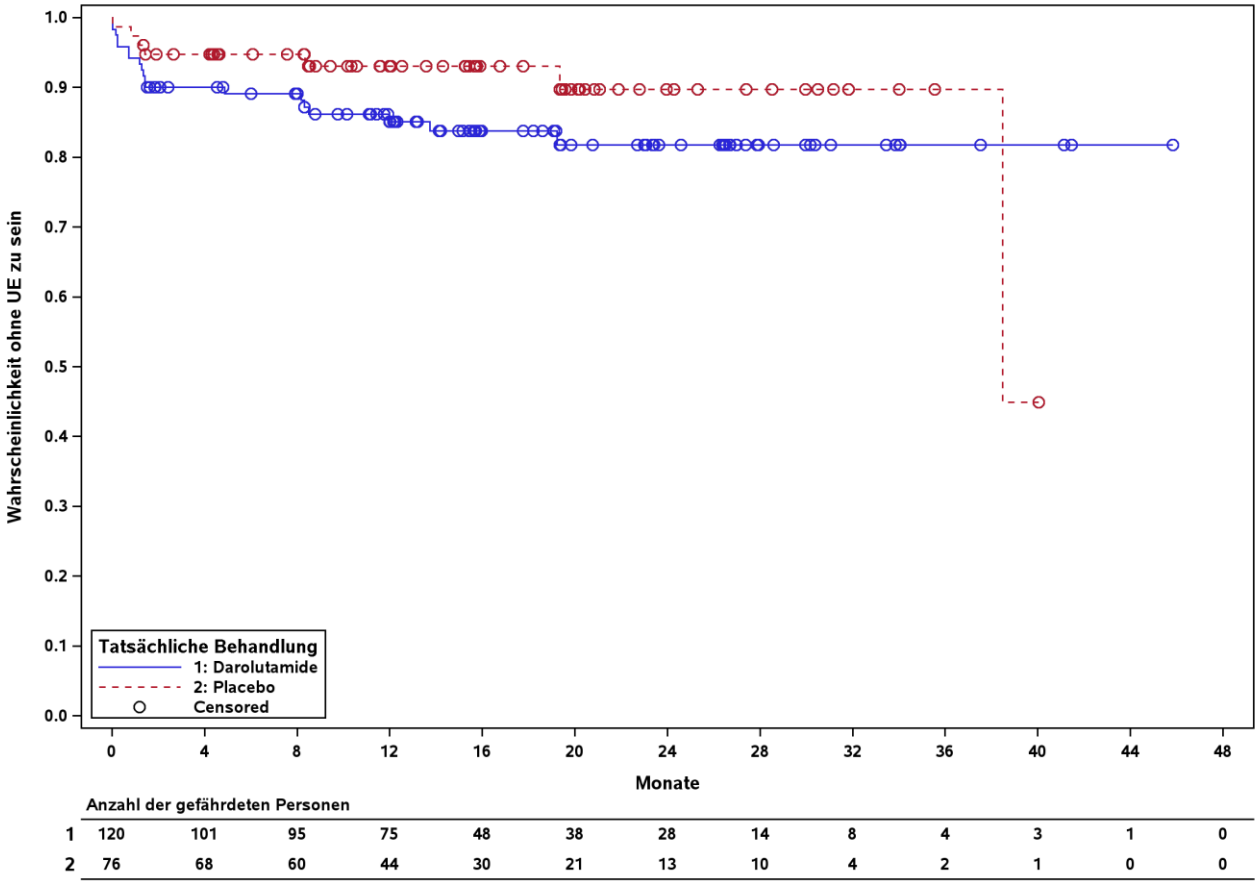
Bayer: /by-sasp/patdb/projects/1841788/17712/stat/prod_query22/pgms/t_aesi_sub.sas 23APR2020 17:14

Figure 4.3.3 / 362: Kaplan-Meier-Plot der 'Unerwünschte Ereignis von besonderem Interesse' Time-to-Event-Analyse nach Endpunkt und Subgruppe - Endpunkt: Zeit bis zum ersten UE von besonderem Interesse mit CTCAE Grad <3: Renal impairment - Subgruppe: eGFR an Baseline: mildly impaired (full analysis set)



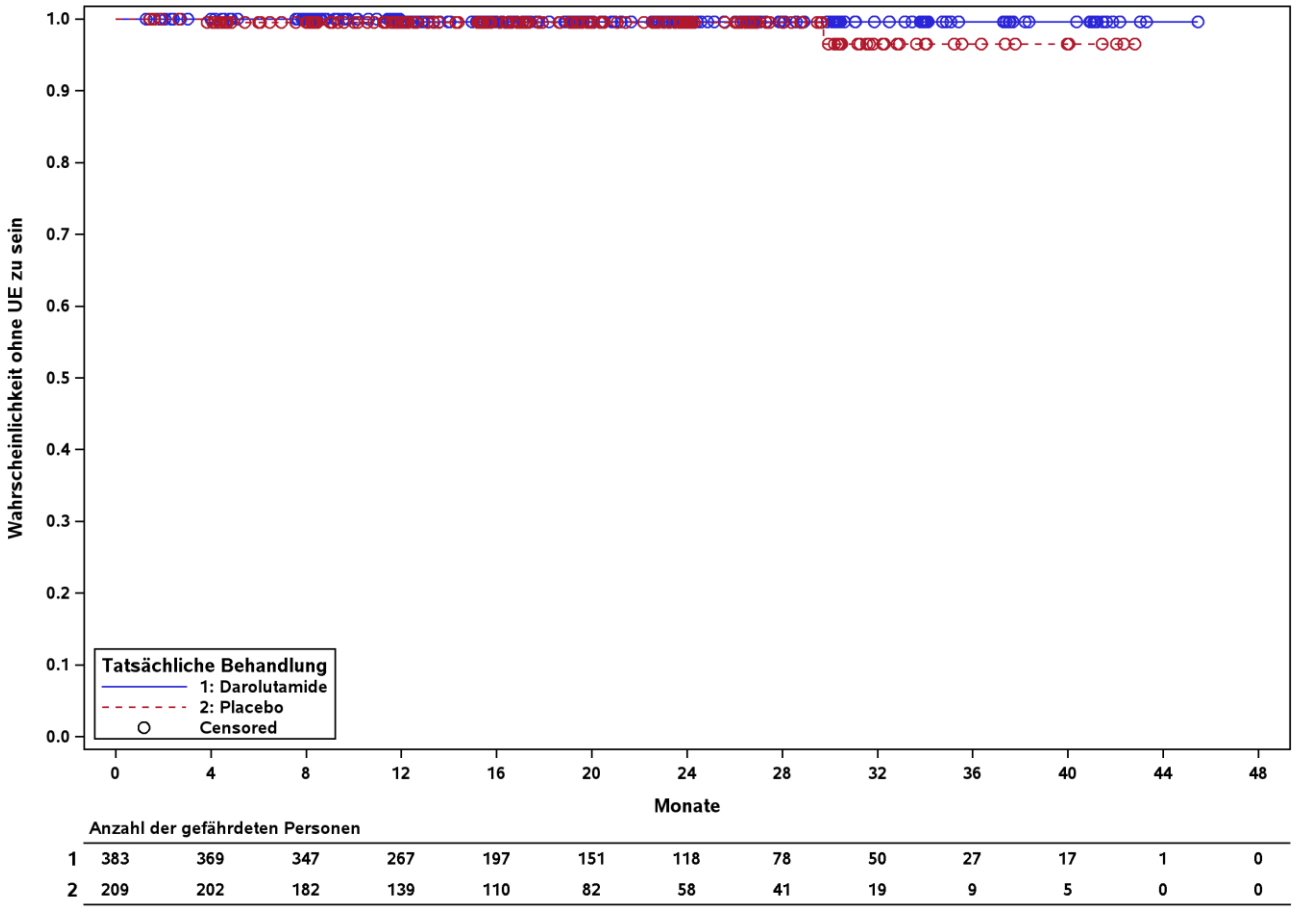
Bayer: /by-sasp/patdb/projects/1841788/17712/stat/prod_query22/pgms/t_aesi_sub.sas 23APR2020 17:14

Figure 4.3.3 / 363: Kaplan-Meier-Plot der 'Unerwünschte Ereignis von besonderem Interesse' Time-to-Event-Analyse nach Endpunkt und Subgruppe - Endpunkt: Zeit bis zum ersten UE von besonderem Interesse mit CTCAE Grad <3: Renal impairment - Subgruppe: eGFR an Baseline: moderately impaired, severely impaired and renal end stage (full analysis set)



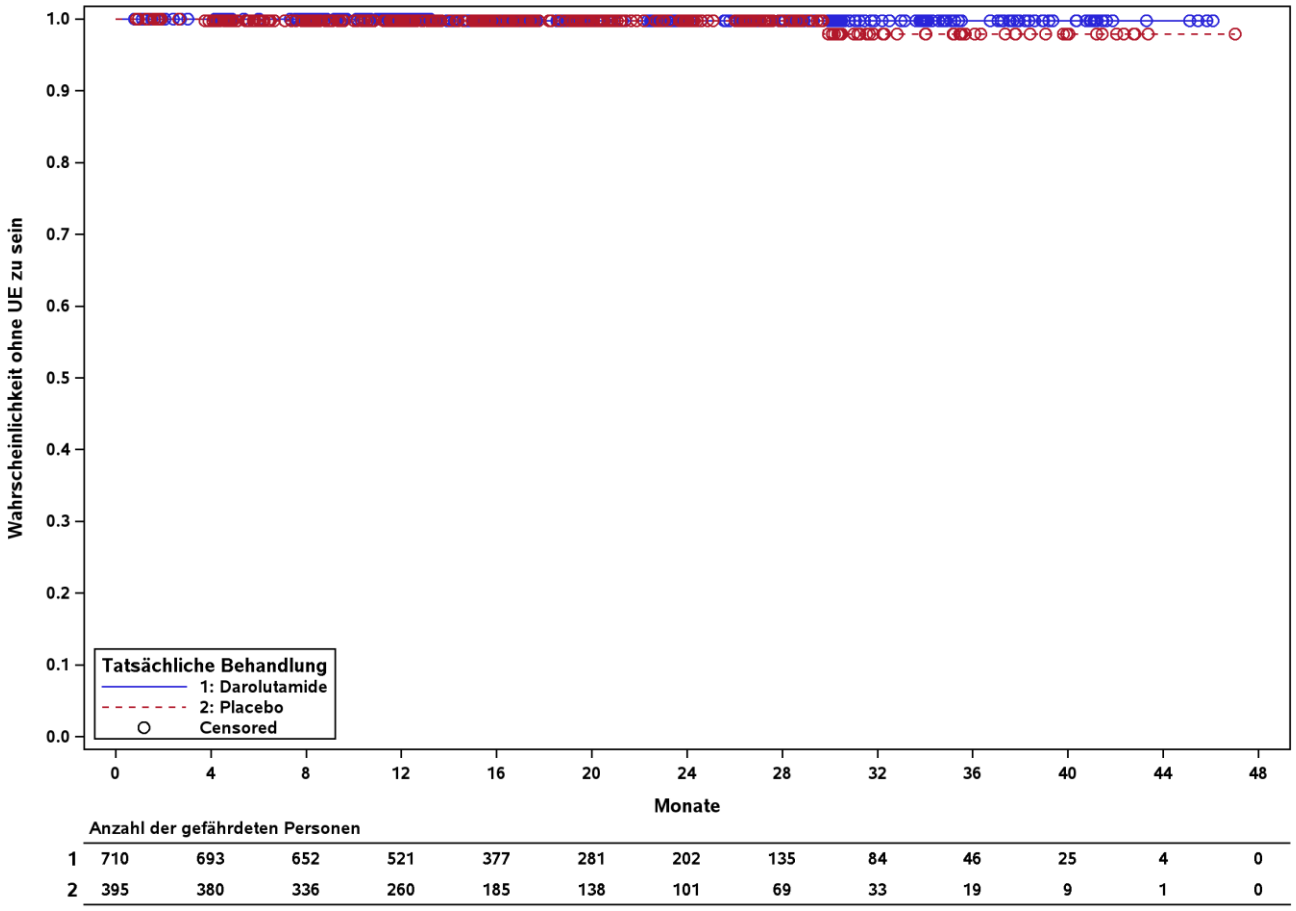
Bayer: /by-sasp/patdb/projects/1841788/17712/stat/prod_query22/pgms/t_aesi_sub.sas 23APR2020 17:14

Figure 4.3.3 / 364: Kaplan-Meier-Plot der 'Unerwünschte Ereignis von besonderem Interesse' Time-to-Event-Analyse nach Endpunkt und Subgruppe - Endpunkt: Zeit bis zum ersten UE von besonderem Interesse mit CTCAE Grad >=3: Renal impairment - Subgruppe: Alter (Jahre): 75-84 (full analysis set)



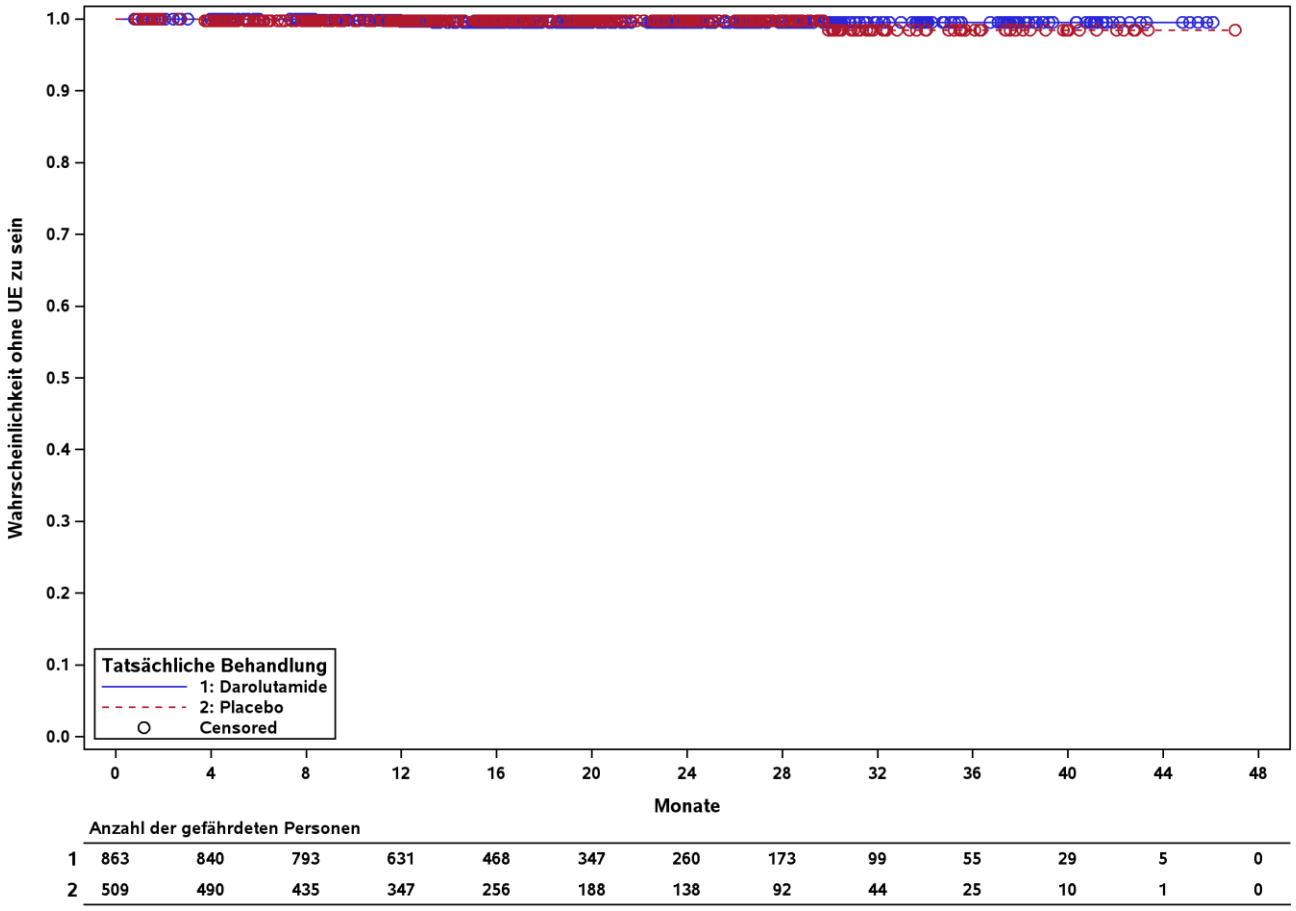
Bayer: /by-sasp/patdb/projects/1841788/17712/stat/prod_query22/pgms/t_aesi_sub.sas 23APR2020 17:14

Figure 4.3.3 / 365: Kaplan-Meier-Plot der 'Unerwünschte Ereignis von besonderem Interesse' Time-to-Event-Analyse nach Endpunkt und Subgruppe - Endpunkt: Zeit bis zum ersten UE von besonderem Interesse mit CTCAE Grad >=3: Renal impairment - Subgruppe: Gleason-Score bei Diagnose: >=7 (full analysis set)



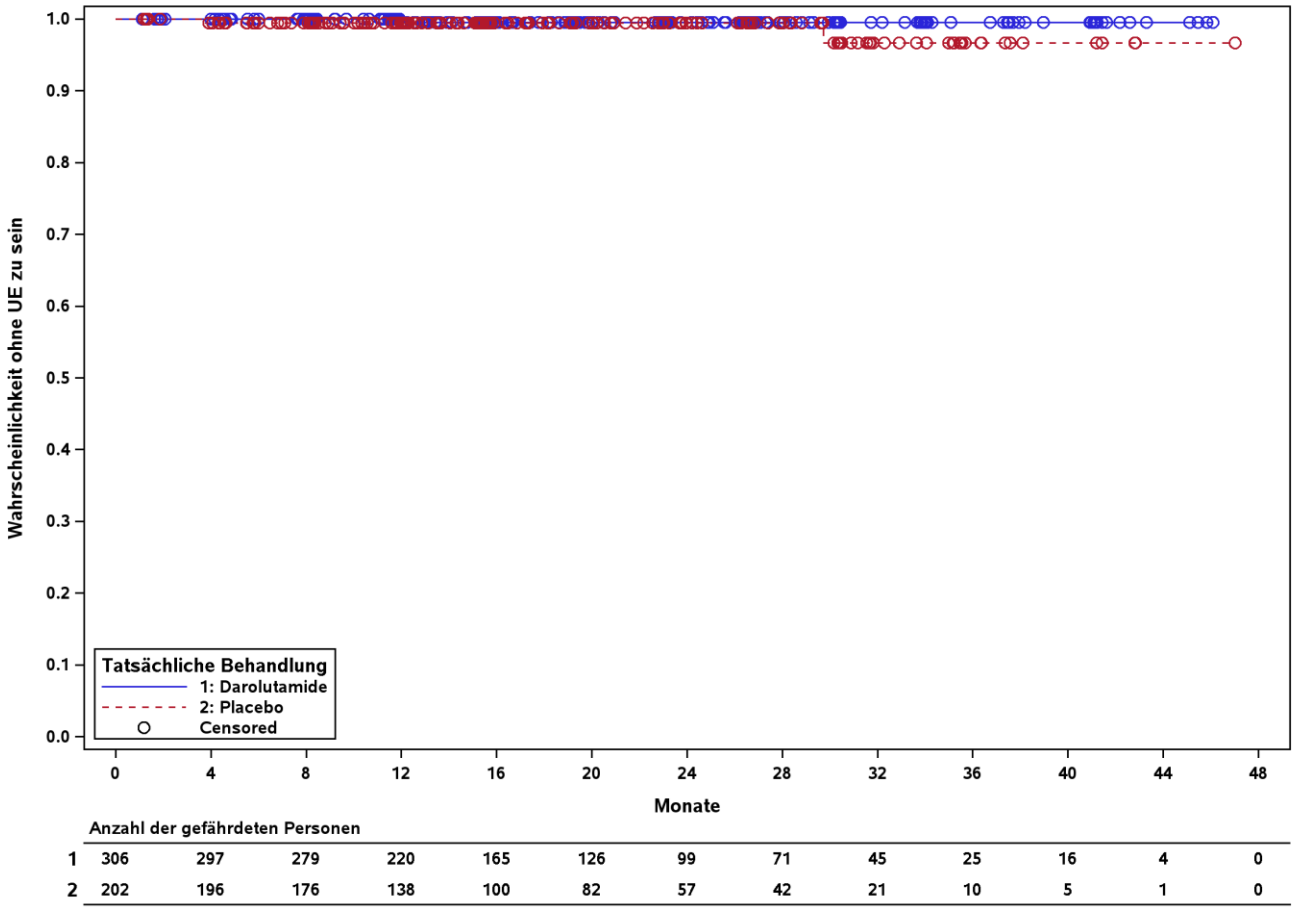
Bayer: /by-sasp/patdb/projects/1841788/17712/stat/prod_query22/pgms/t_aesi_sub.sas 23APR2020 17:14

Figure 4.3.3 / 366: Kaplan-Meier-Plot der 'Unerwünschte Ereignis von besonderem Interesse' Time-to-Event-Analyse nach Endpunkt und Subgruppe - Endpunkt: Zeit bis zum ersten UE von besonderem Interesse mit CTCAE Grad >=3: Renal impairment - Subgruppe: Leberfunktionsstörung: normal (full analysis set)



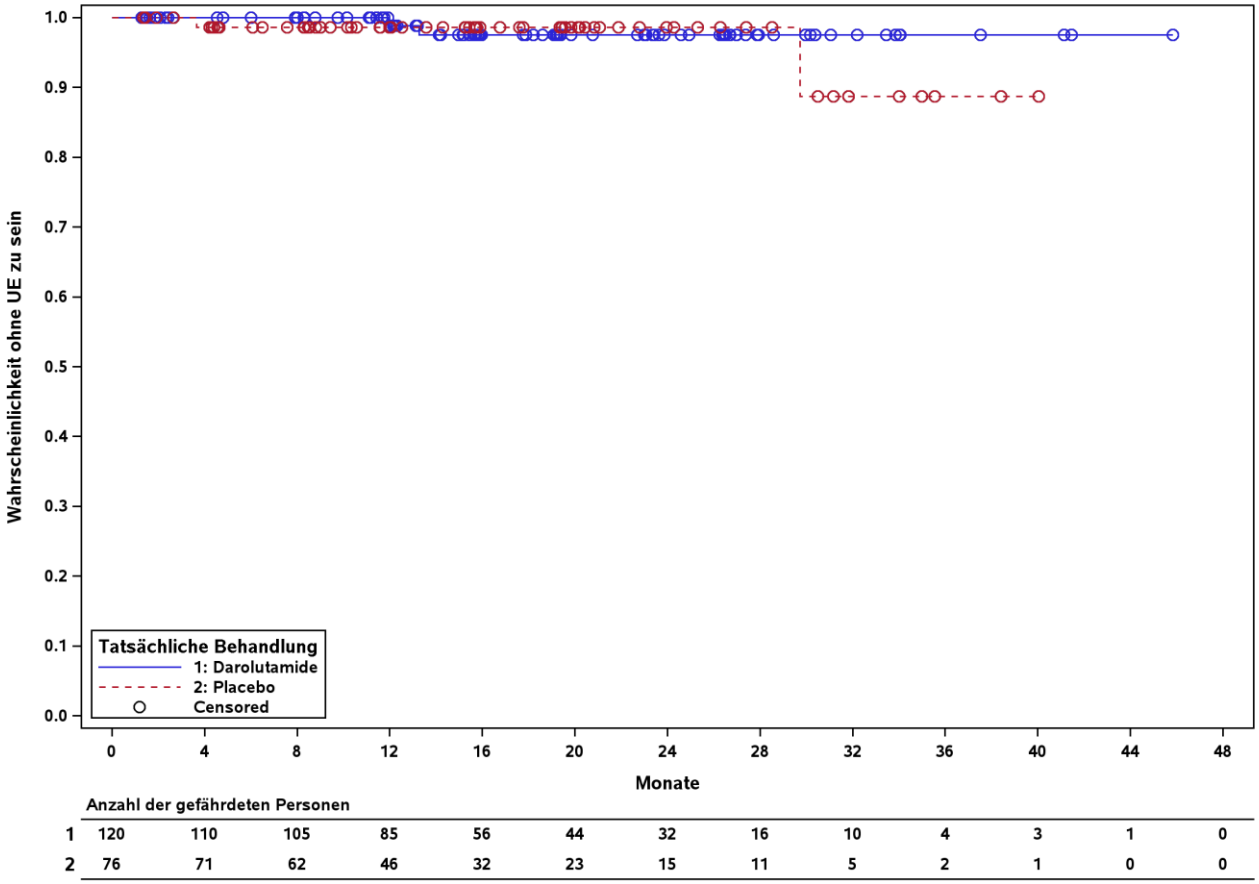
Bayer: /by-sasp/patdb/projects/1841788/17712/stat/prod_query22/pgms/t_aesi_sub.sas 23APR2020 17:14

Figure 4.3.3 / 367: Kaplan-Meier-Plot der 'Unerwünschte Ereignis von besonderem Interesse' Time-to-Event-Analyse nach Endpunkt und Subgruppe - Endpunkt: Zeit bis zum ersten UE von besonderem Interesse mit CTCAE Grad >=3: Renal impairment - Subgruppe: Nutzung von Statinen: Ja (full analysis set)



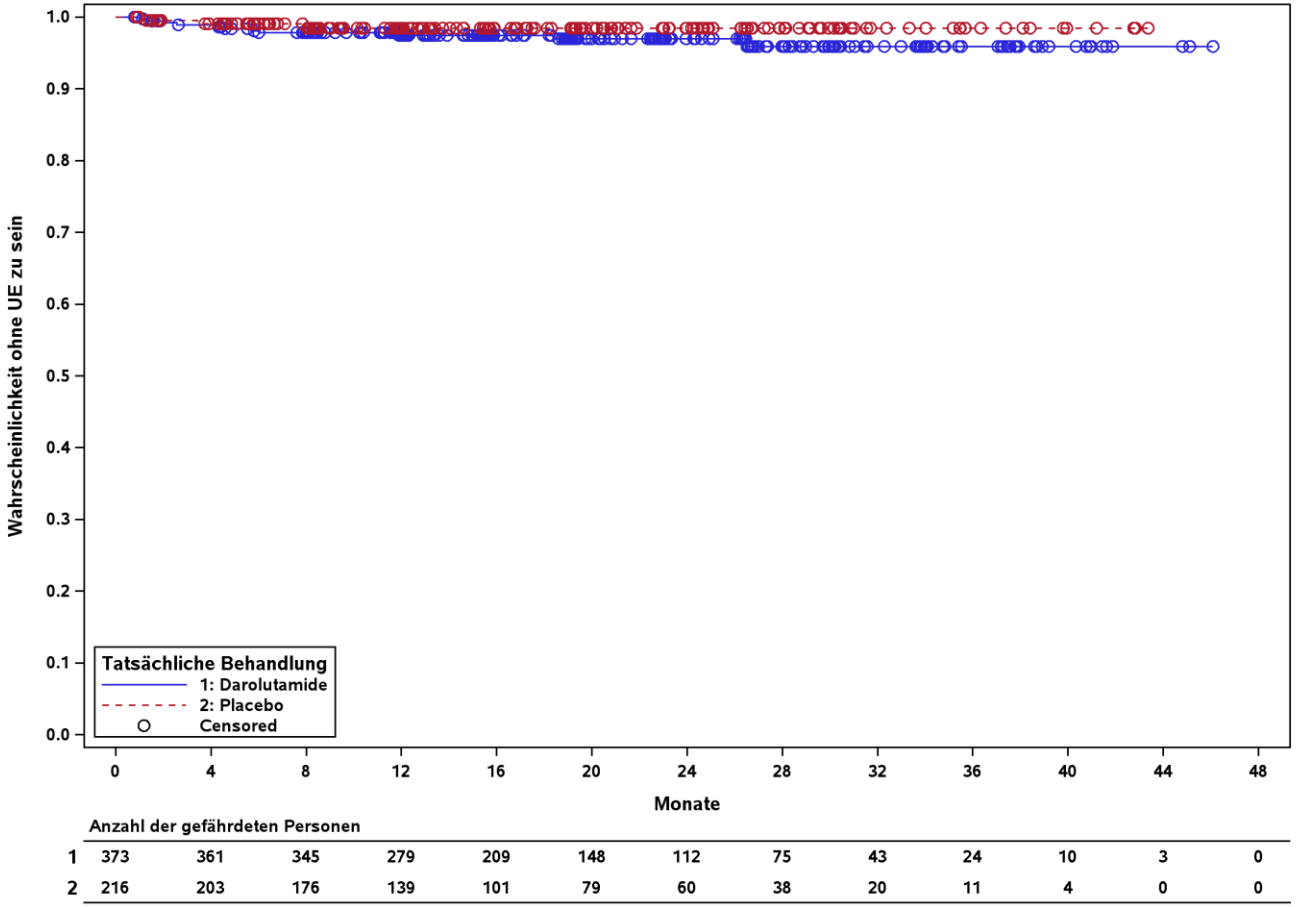
Bayer: /by-sasp/patdb/projects/1841788/17712/stat/prod_query22/pgms/t_aesi_sub.sas 23APR2020 17:14

Figure 4.3.3 / 368: Kaplan-Meier-Plot der 'Unerwünschte Ereignis von besonderem Interesse' Time-to-Event-Analyse nach Endpunkt und Subgruppe - Endpunkt: Zeit bis zum ersten UE von besonderem Interesse mit CTCAE Grad >=3: Renal impairment - Subgruppe: eGFR an Baseline: moderately impaired, severely impaired and renal end stage (full analysis set)



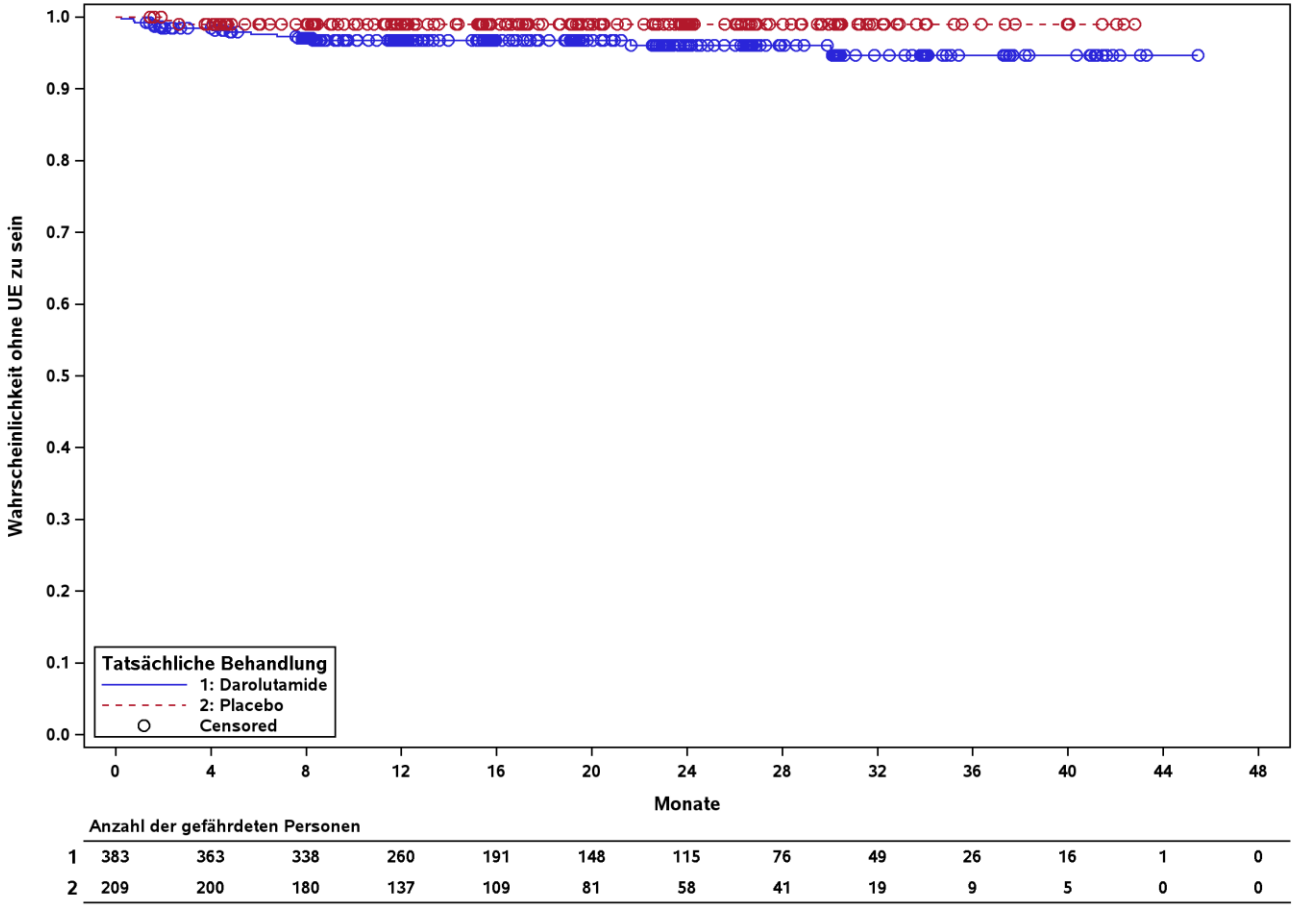
Bayer: /by-sasp/patdb/projects/1841788/17712/stat/prod_query22/pgms/t_aesi_sub.sas 23APR2020 17:14

Figure 4.3.3 / 369: Kaplan-Meier-Plot der 'Unerwünschte Ereignis von besonderem Interesse' Time-to-Event-Analyse nach Endpunkt und Subgruppe - Endpunkt: Zeit bis zum ersten UE von besonderem Interesse: Rash - Subgruppe: Alter (Jahre): 65-74 (full analysis set)



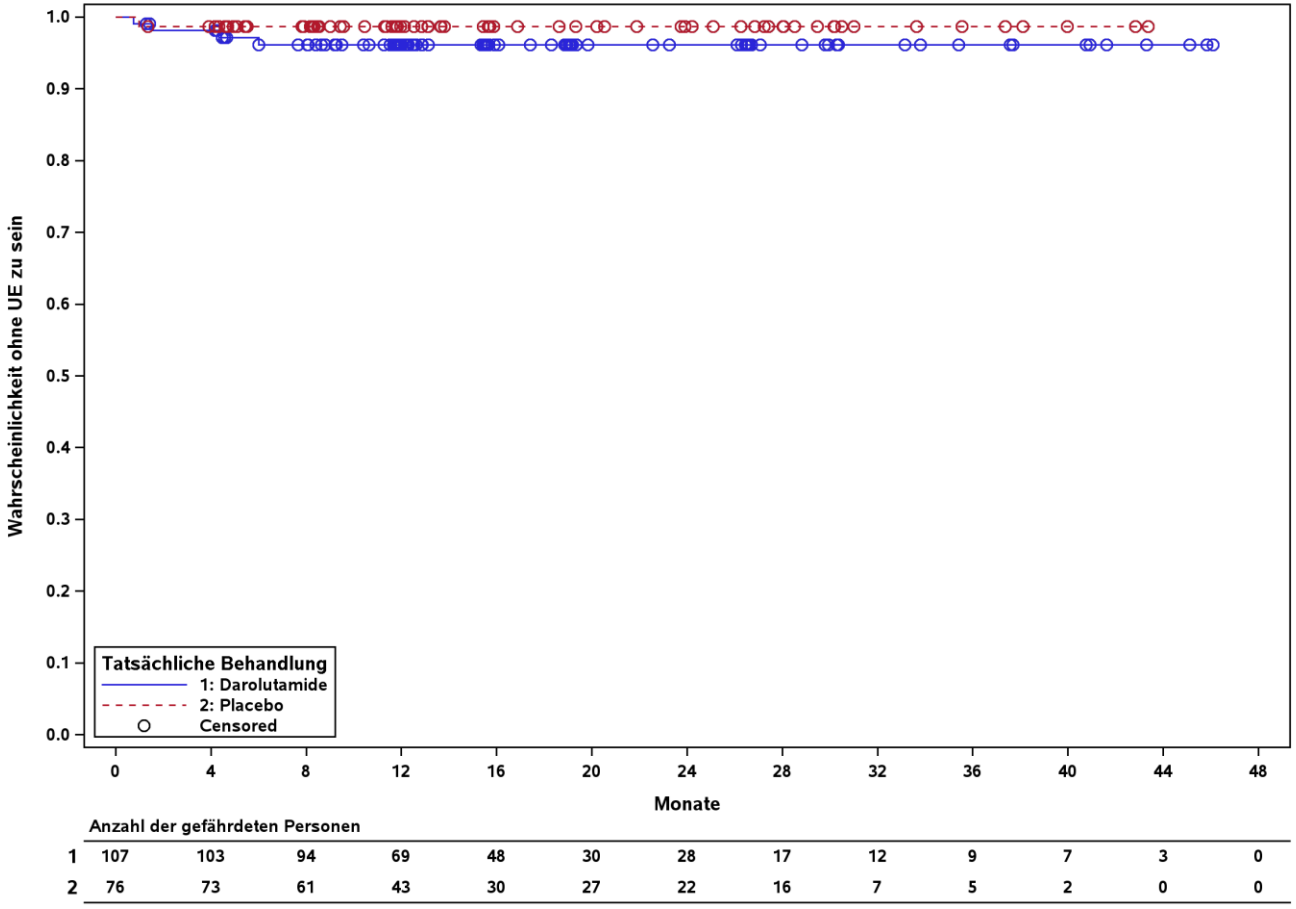
Bayer: /by-sasp/patdb/projects/1841788/17712/stat/prod_query22/pgms/t_aesi_sub.sas 23APR2020 17:14

Figure 4.3.3 / 370: Kaplan-Meier-Plot der 'Unerwünschte Ereignis von besonderem Interesse' Time-to-Event-Analyse nach Endpunkt und Subgruppe - Endpunkt: Zeit bis zum ersten UE von besonderem Interesse: Rash - Subgruppe: Alter (Jahre): 75-84 (full analysis set)



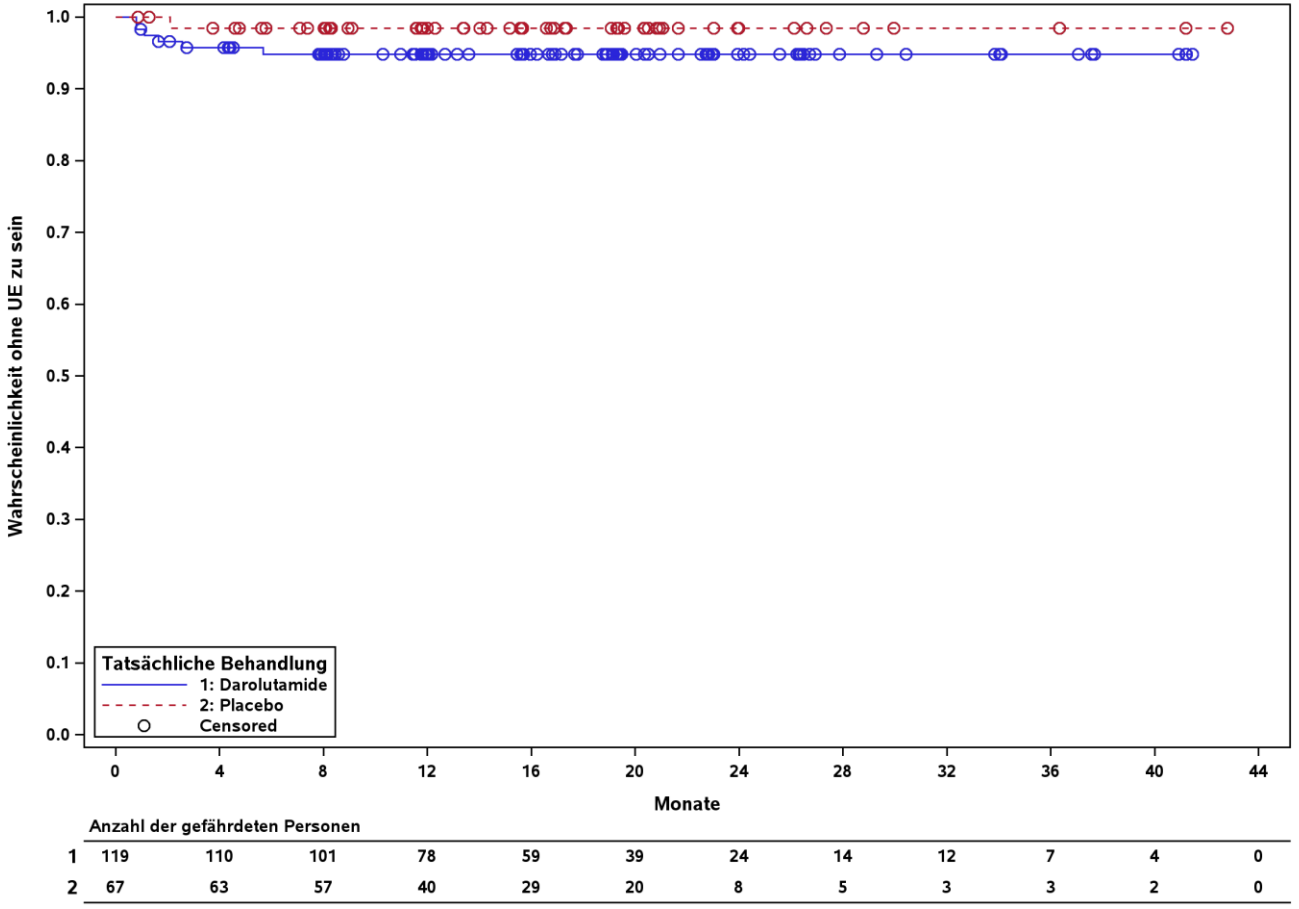
Bayer: /by-sasp/patdb/projects/1841788/17712/stat/prod_query22/pgms/t_aesi_sub.sas 23APR2020 17:14

Figure 4.3.3 / 371: Kaplan-Meier-Plot der 'Unerwünschte Ereignis von besonderem Interesse' Time-to-Event-Analyse nach Endpunkt und Subgruppe - Endpunkt: Zeit bis zum ersten UE von besonderem Interesse: Rash - Subgruppe: Geografische Region: North America (full analysis set)



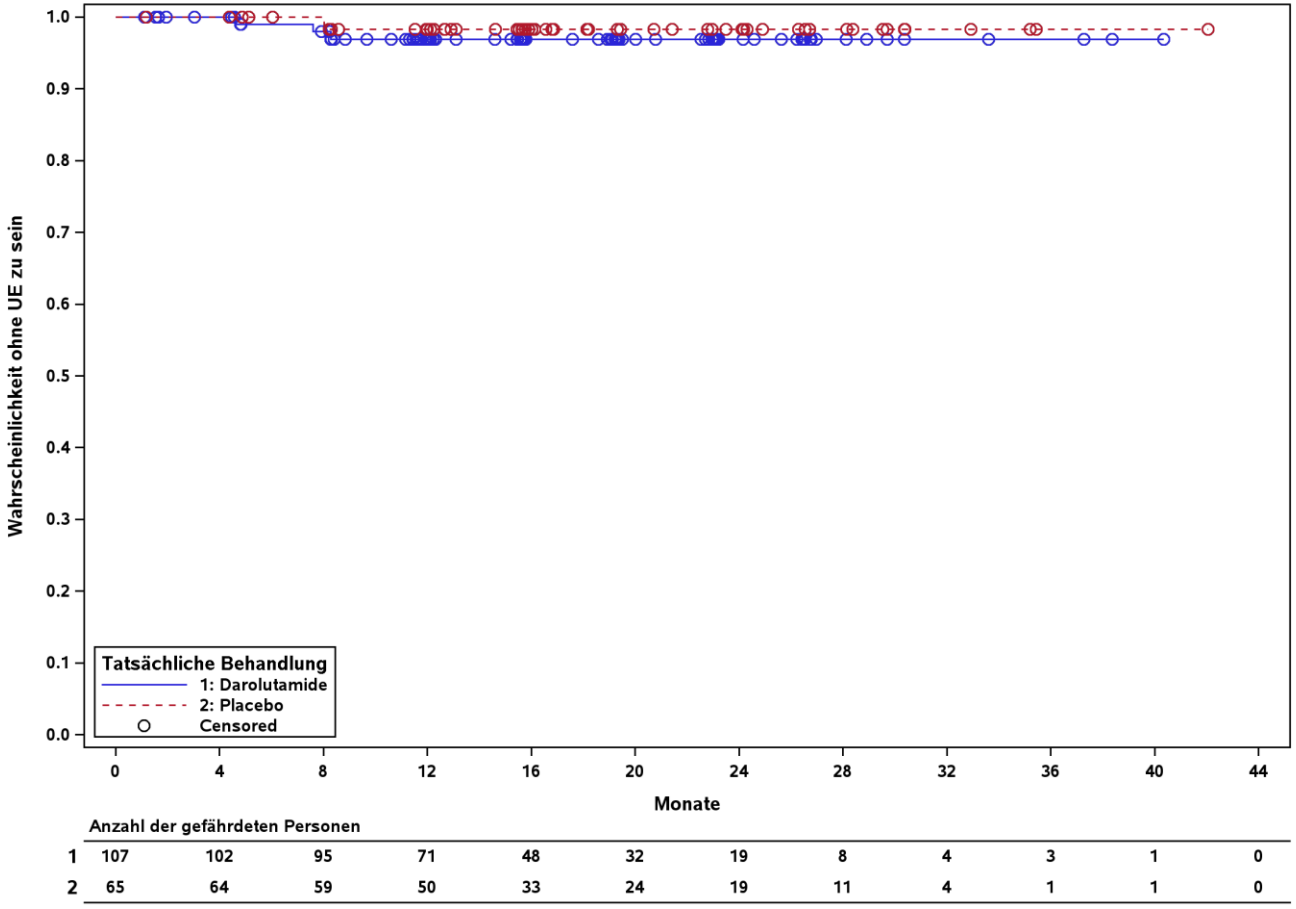
Bayer: /by-sasp/patdb/projects/1841788/17712/stat/prod_query22/pgms/t_aesi_sub.sas 23APR2020 17:14

Figure 4.3.3 / 372: Kaplan-Meier-Plot der 'Unerwünschte Ereignis von besonderem Interesse' Time-to-Event-Analyse nach Endpunkt und Subgruppe - Endpunkt: Zeit bis zum ersten UE von besonderem Interesse: Rash - Subgruppe: Geografische Region: Asia Pacific (full analysis set)



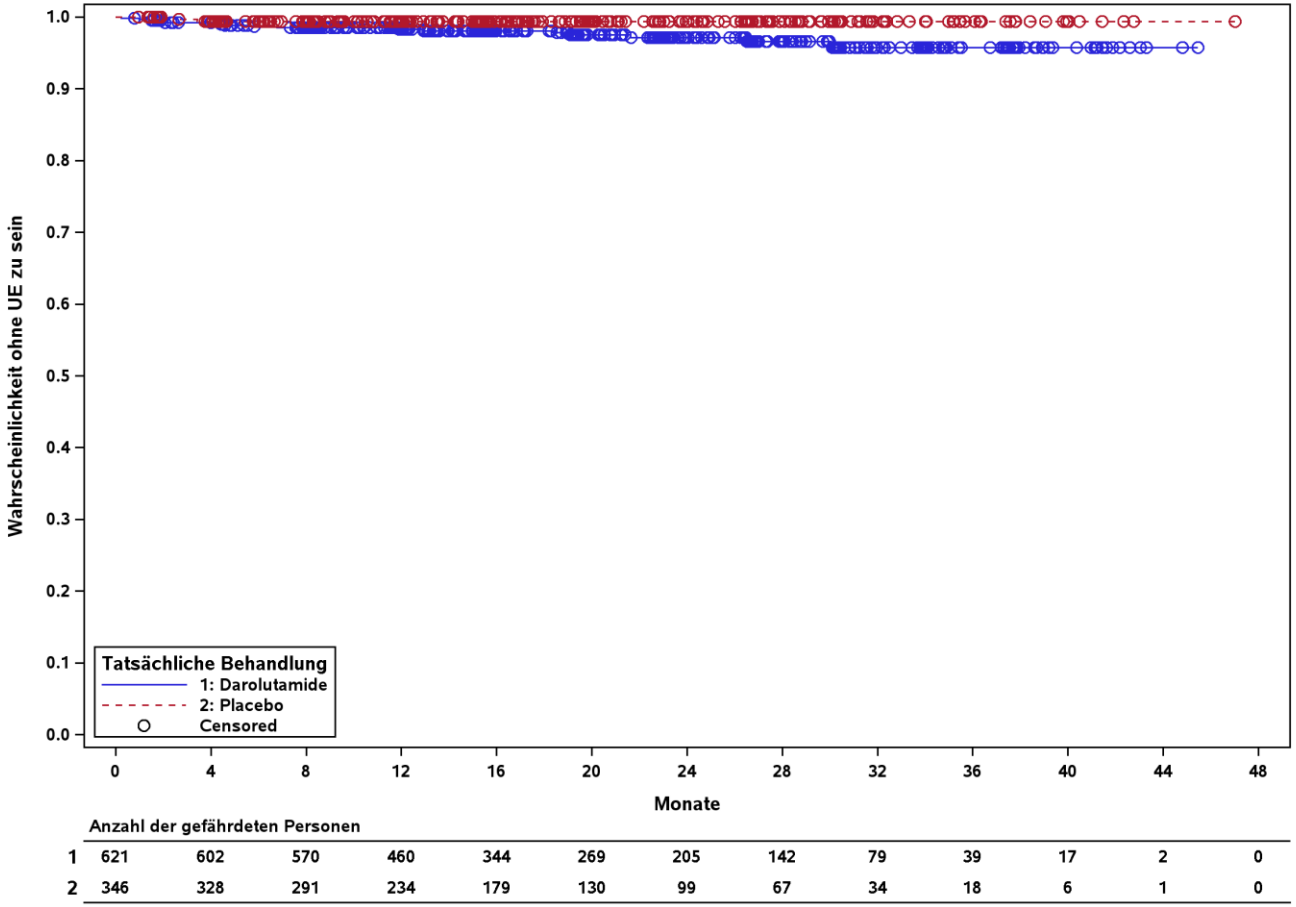
Bayer: /by-sasp/patdb/projects/1841788/17712/stat/prod_query22/pgms/t_aesi_sub.sas 23APR2020 17:14

Figure 4.3.3 / 373: Kaplan-Meier-Plot der 'Unerwünschte Ereignis von besonderem Interesse' Time-to-Event-Analyse nach Endpunkt und Subgruppe - Endpunkt: Zeit bis zum ersten UE von besonderem Interesse: Rash - Subgruppe: Geografische Region: Rest of the World (full analysis set)



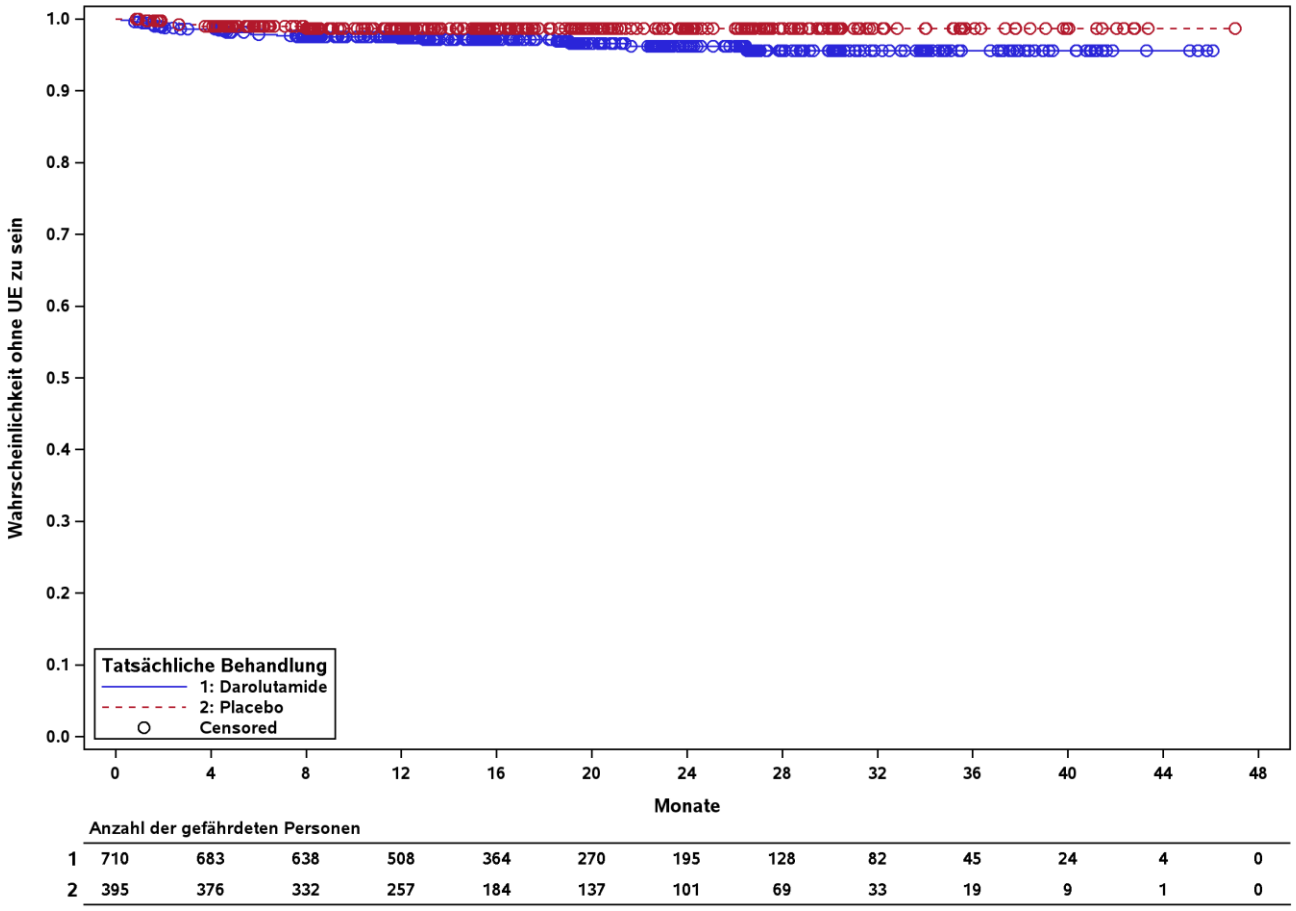
Bayer: /by-sasp/patdb/projects/1841788/17712/stat/prod_query22/pgms/t_aesi_sub.sas 23APR2020 17:14

Figure 4.3.3 / 374: Kaplan-Meier-Plot der 'Unerwünschte Ereignis von besonderem Interesse' Time-to-Event-Analyse nach Endpunkt und Subgruppe - Endpunkt: Zeit bis zum ersten UE von besonderem Interesse: Rash - Subgruppe: Geografische Region: Europe (full analysis set)



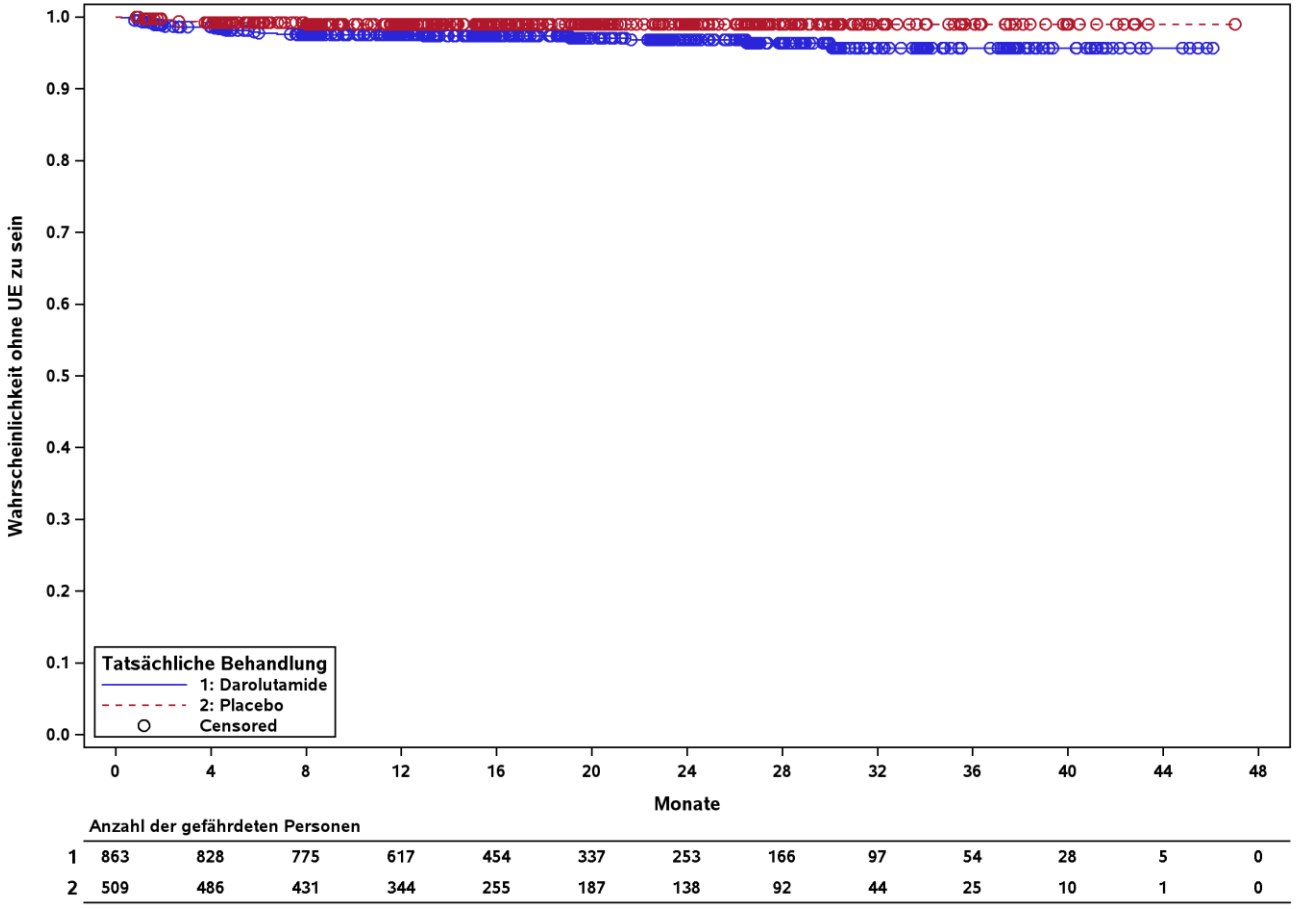
Bayer: /by-sasp/patdb/projects/1841788/17712/stat/prod_query22/pgms/t_aesi_sub.sas 23APR2020 17:14

Figure 4.3.3 / 375: Kaplan-Meier-Plot der 'Unerwünschte Ereignis von besonderem Interesse' Time-to-Event-Analyse nach Endpunkt und Subgruppe - Endpunkt: Zeit bis zum ersten UE von besonderem Interesse: Rash - Subgruppe: Gleason-Score bei Diagnose: >=7 (full analysis set)



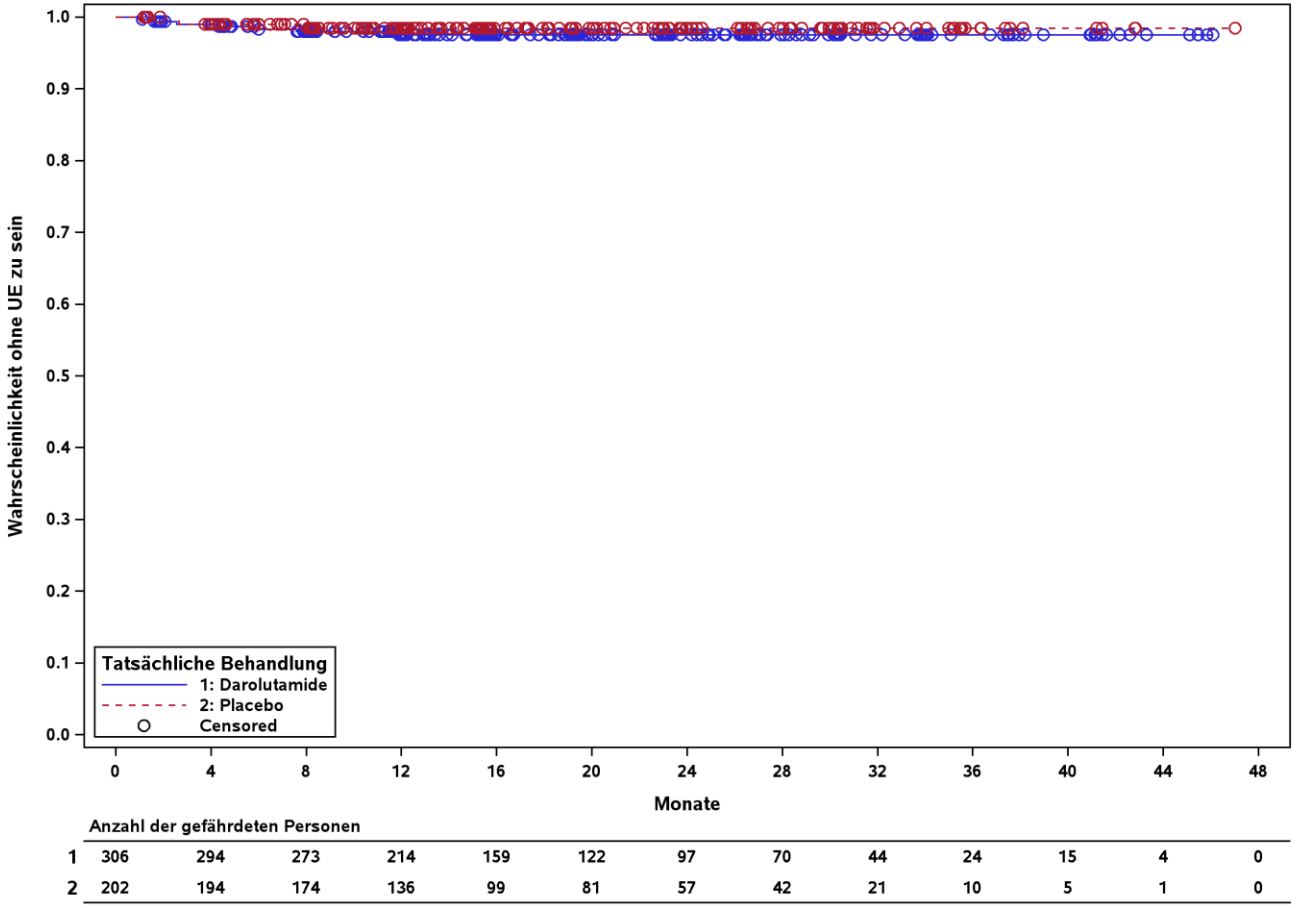
Bayer: /by-sasp/patdb/projects/1841788/17712/stat/prod_query22/pgms/t_aesi_sub.sas 23APR2020 17:14

Figure 4.3.3 / 376: Kaplan-Meier-Plot der 'Unerwünschte Ereignis von besonderem Interesse' Time-to-Event-Analyse nach Endpunkt und Subgruppe - Endpunkt: Zeit bis zum ersten UE von besonderem Interesse: Rash - Subgruppe: Leberfunktionsstörung: normal (full analysis set)



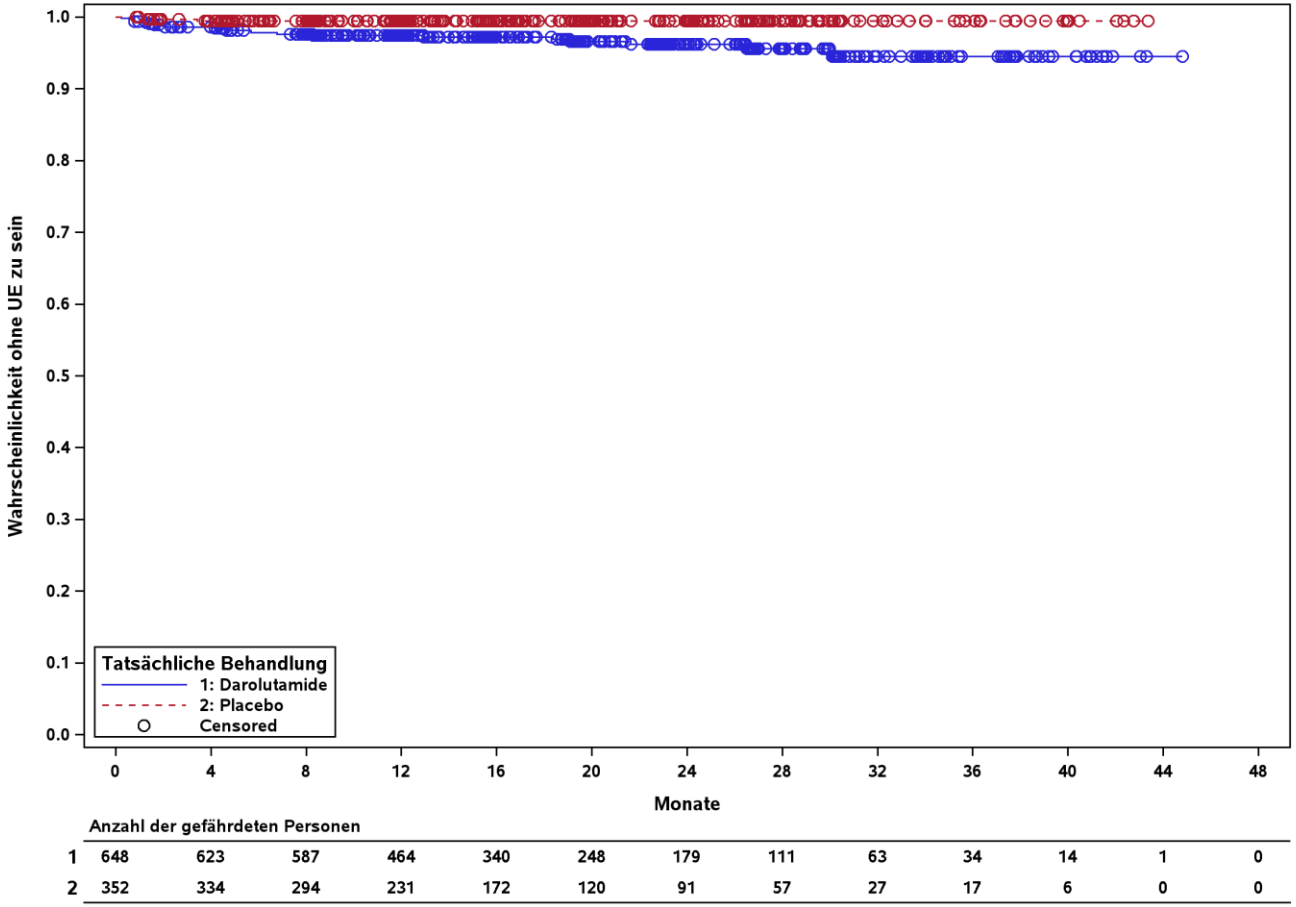
Bayer: /by-sasp/patdb/projects/1841788/17712/stat/prod_query22/pgms/t_aesi_sub.sas 23APR2020 17:14

Figure 4.3.3 / 377: Kaplan-Meier-Plot der 'Unerwünschte Ereignis von besonderem Interesse' Time-to-Event-Analyse nach Endpunkt und Subgruppe - Endpunkt: Zeit bis zum ersten UE von besonderem Interesse: Rash - Subgruppe: Nutzung von Statinen: Ja (full analysis set)



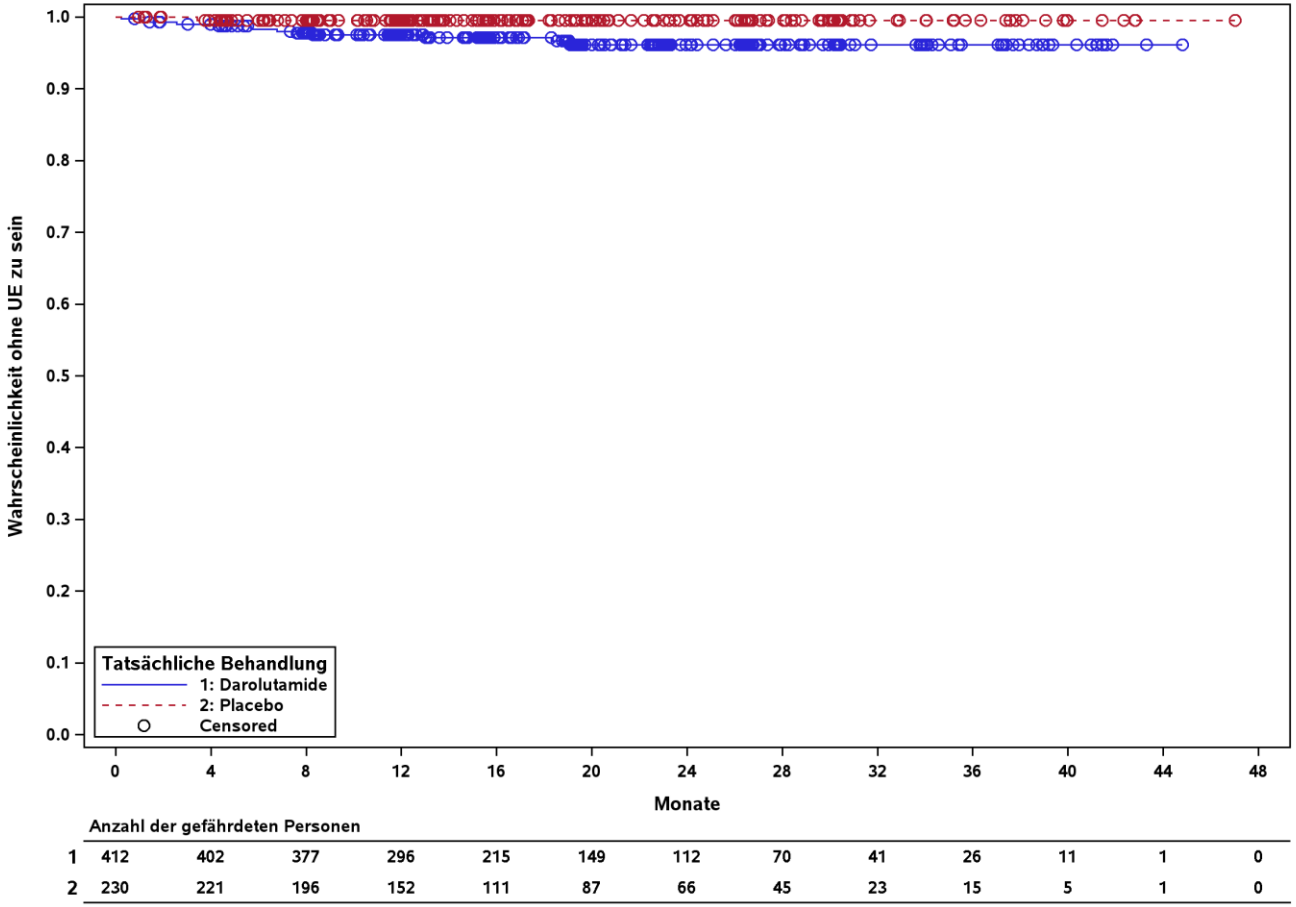
Bayer: /by-sasp/patdb/projects/1841788/17712/stat/prod_query22/pgms/t_aesi_sub.sas 23APR2020 17:14

Figure 4.3.3 / 378: Kaplan-Meier-Plot der 'Unerwünschte Ereignis von besonderem Interesse' Time-to-Event-Analyse nach Endpunkt und Subgruppe - Endpunkt: Zeit bis zum ersten UE von besonderem Interesse: Rash - Subgruppe: Nutzung von Statinen: Nein (full analysis set)



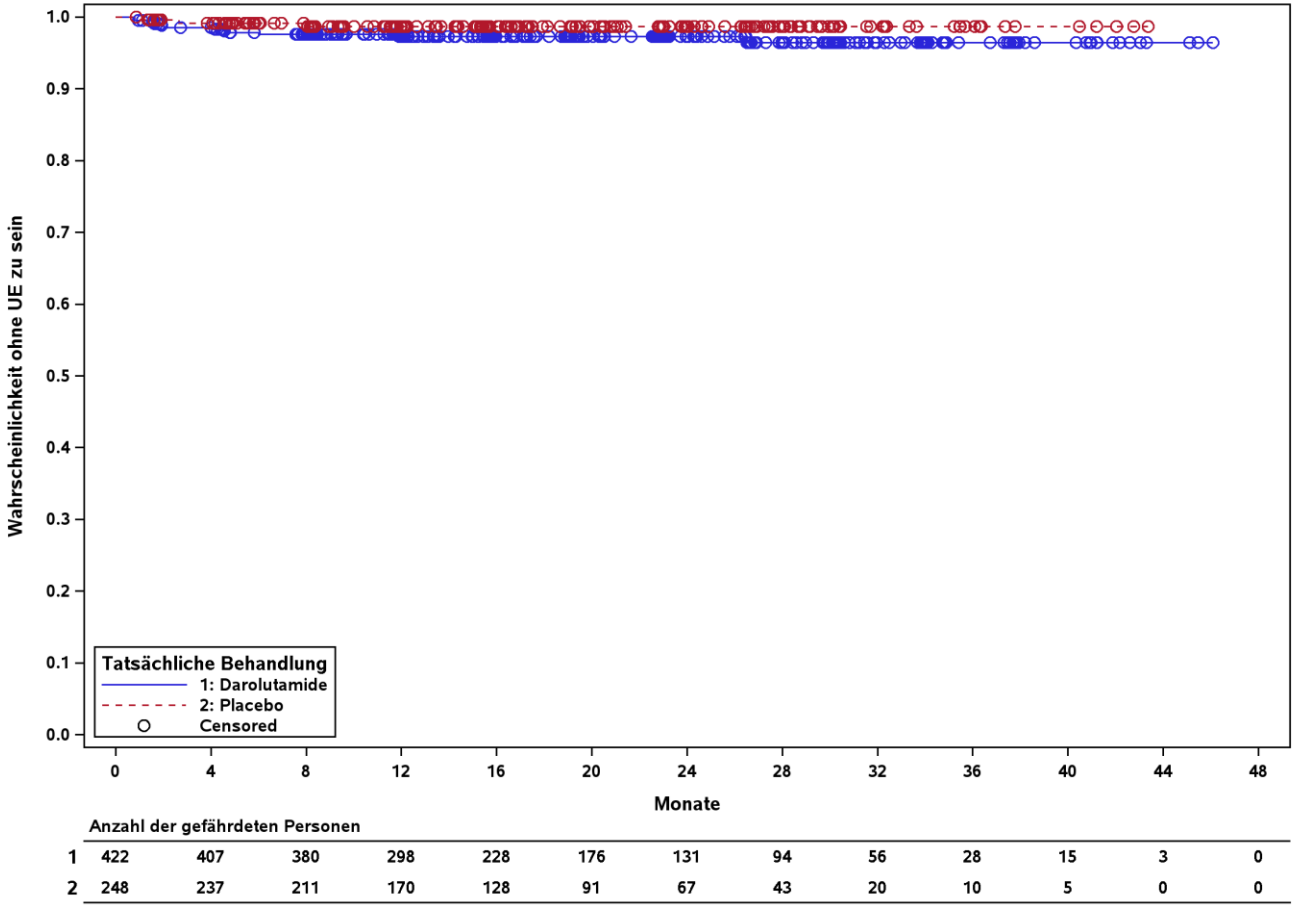
Bayer: /by-sasp/patdb/projects/1841788/17712/stat/prod_query22/pgms/t_aesi_sub.sas 23APR2020 17:14

Figure 4.3.3 / 379: Kaplan-Meier-Plot der 'Unerwünschte Ereignis von besonderem Interesse' Time-to-Event-Analyse nach Endpunkt und Subgruppe - Endpunkt: Zeit bis zum ersten UE von besonderem Interesse: Rash - Subgruppe: eGFR an Baseline: normal (full analysis set)



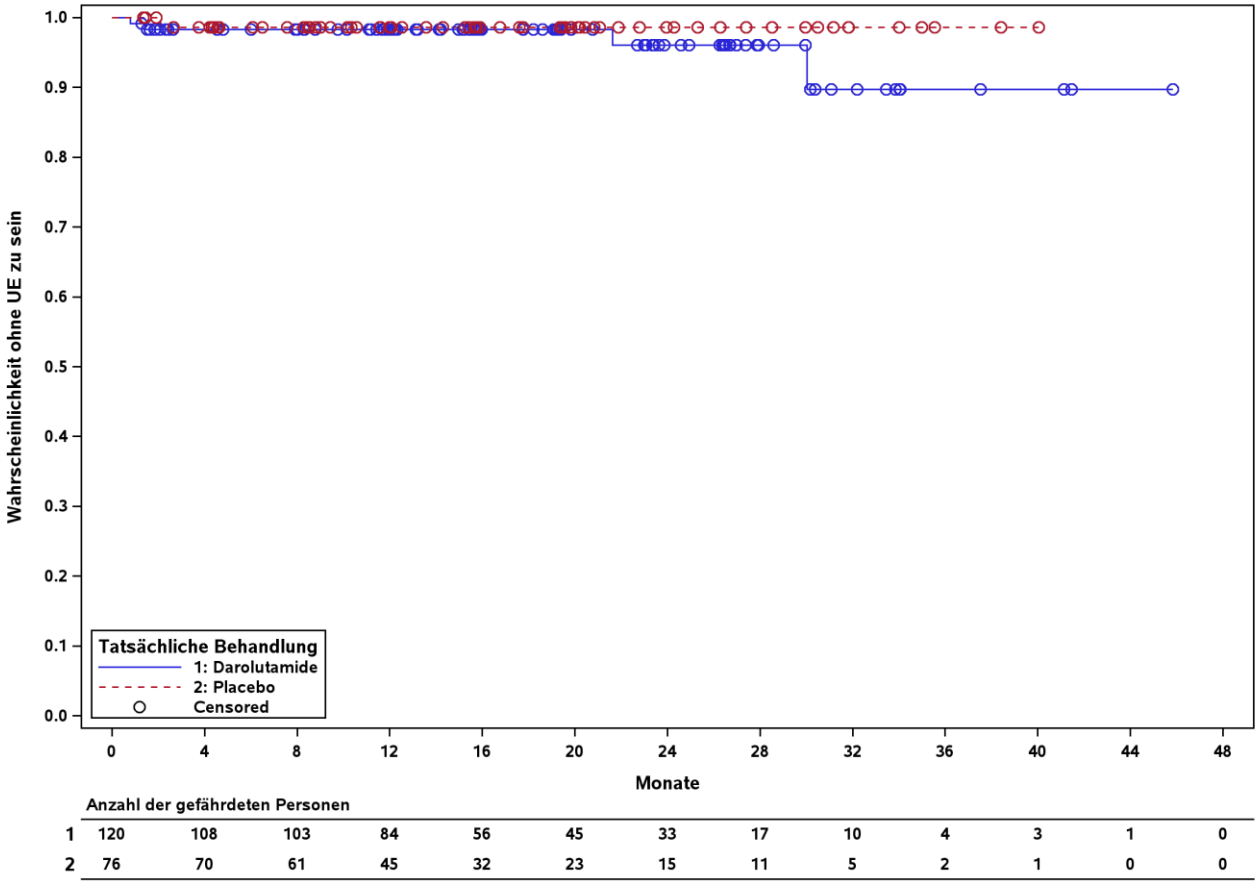
Bayer: /by-sasp/patdb/projects/1841788/17712/stat/prod_query22/pgms/t_aesi_sub.sas 23APR2020 17:14

Figure 4.3.3 / 380: Kaplan-Meier-Plot der 'Unerwünschte Ereignis von besonderem Interesse' Time-to-Event-Analyse nach Endpunkt und Subgruppe - Endpunkt: Zeit bis zum ersten UE von besonderem Interesse: Rash - Subgruppe: eGFR an Baseline: mildly impaired (full analysis set)



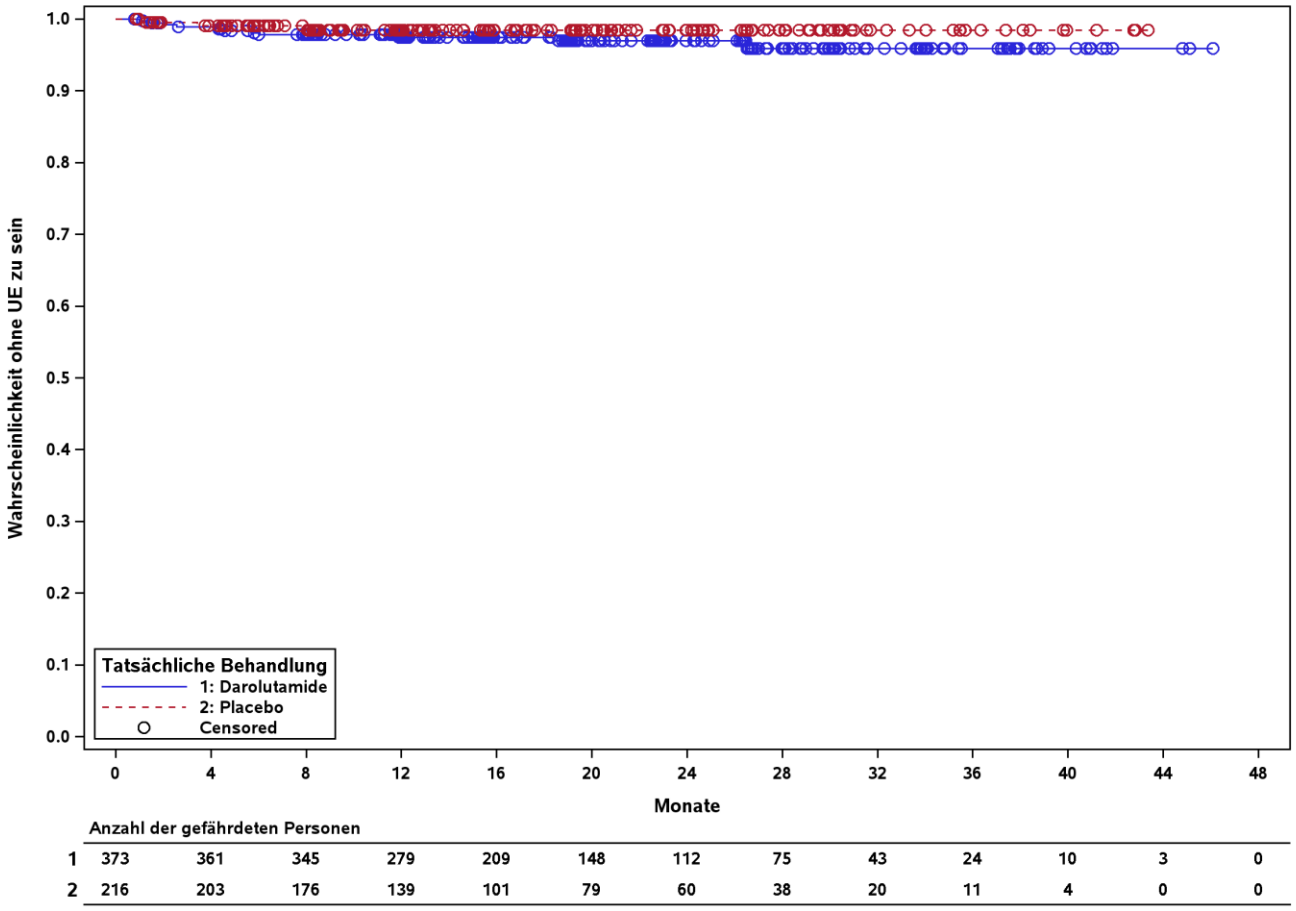
Bayer: /by-sasp/patdb/projects/1841788/17712/stat/prod_query22/pgms/t_aesi_sub.sas 23APR2020 17:14

Figure 4.3.3 / 381: Kaplan-Meier-Plot der 'Unerwünschte Ereignis von besonderem Interesse' Time-to-Event-Analyse nach Endpunkt und Subgruppe - Endpunkt: Zeit bis zum ersten UE von besonderem Interesse: Rash - Subgruppe: eGFR an Baseline: moderately impaired, severely impaired and renal end stage (full analysis set)



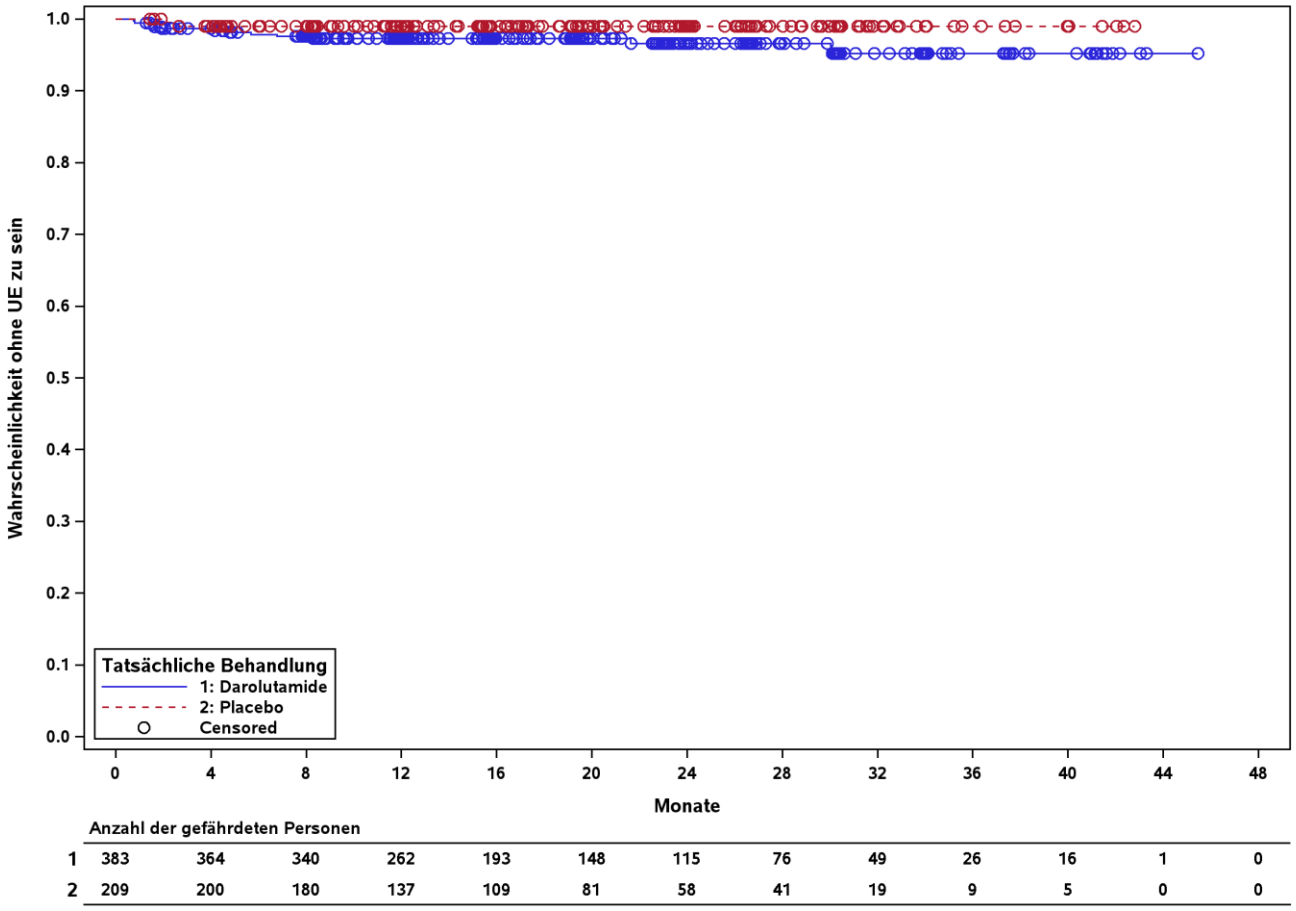
Bayer: /by-sasp/patdb/projects/1841788/17712/stat/prod_query22/pgms/t_aesi_sub.sas 23APR2020 17:14

Figure 4.3.3 / 382: Kaplan-Meier-Plot der 'Unerwünschte Ereignis von besonderem Interesse' Time-to-Event-Analyse nach Endpunkt und Subgruppe - Endpunkt: Zeit bis zum ersten UE von besonderem Interesse mit CTCAE Grad <3: Rash - Subgruppe: Alter (Jahre): 65-74 (full analysis set)



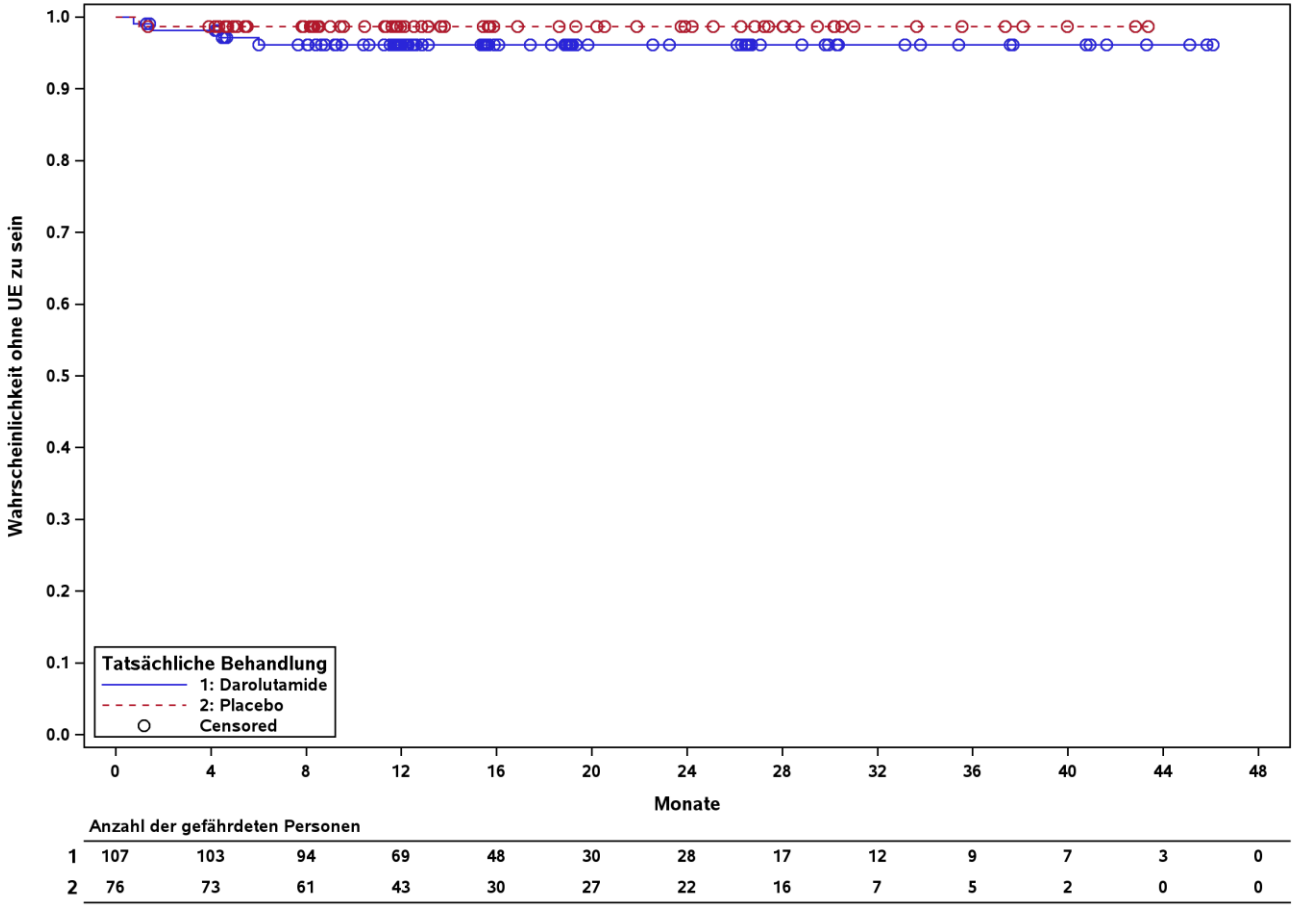
Bayer: /by-sasp/patdb/projects/1841788/17712/stat/prod_query22/pgms/t_aesi_sub.sas 23APR2020 17:14

Figure 4.3.3 / 383: Kaplan-Meier-Plot der 'Unerwünschte Ereignis von besonderem Interesse' Time-to-Event-Analyse nach Endpunkt und Subgruppe - Endpunkt: Zeit bis zum ersten UE von besonderem Interesse mit CTCAE Grad <3: Rash - Subgruppe: Alter (Jahre): 75-84 (full analysis set)



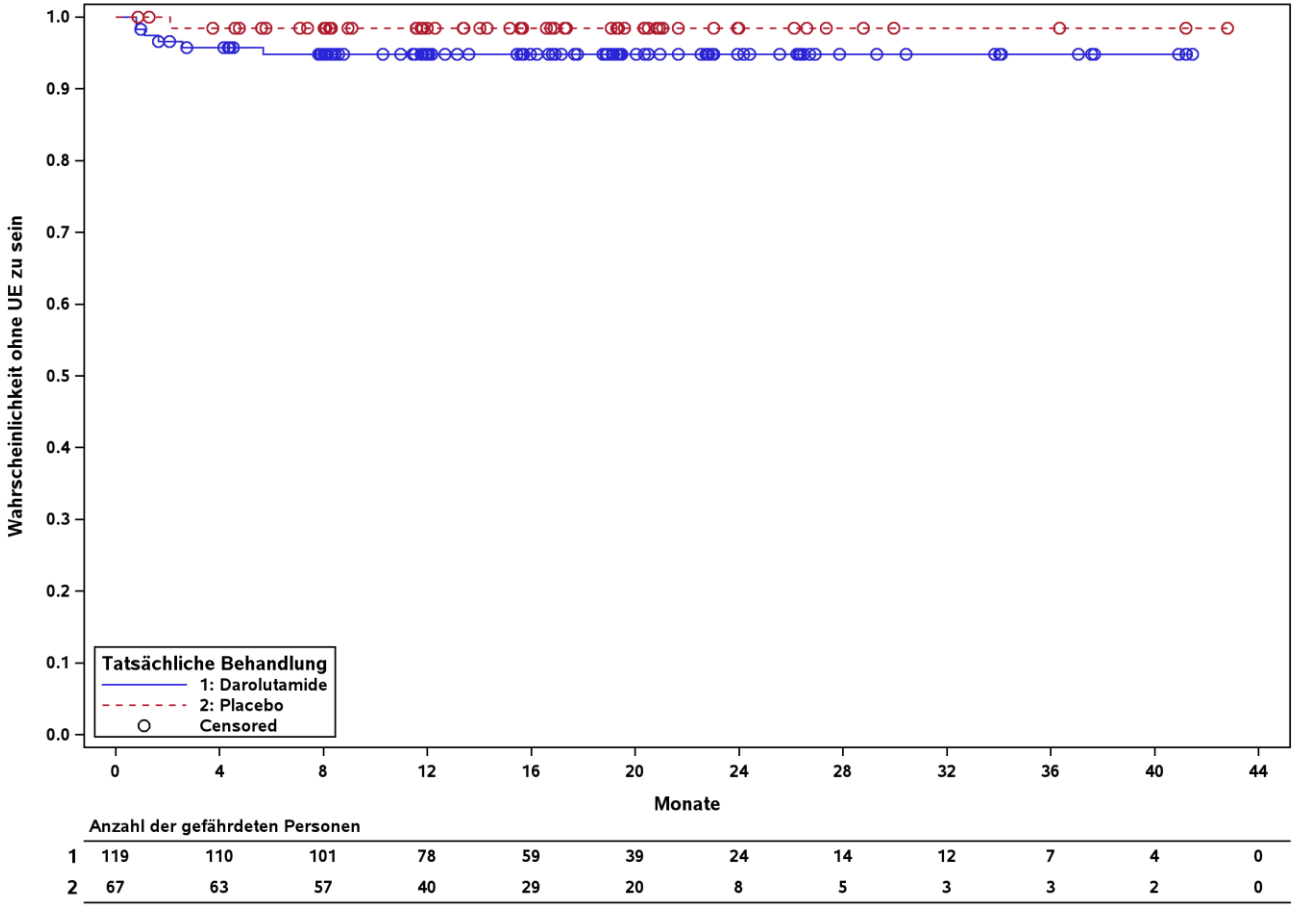
Bayer: /by-sasp/patdb/projects/1841788/17712/stat/prod_query22/pgms/t_aesi_sub.sas 23APR2020 17:14

Figure 4.3.3 / 384: Kaplan-Meier-Plot der 'Unerwünschte Ereignis von besonderem Interesse' Time-to-Event-Analyse nach Endpunkt und Subgruppe - Endpunkt: Zeit bis zum ersten UE von besonderem Interesse mit CTCAE Grad <3: Rash - Subgruppe: Geografische Region: North America (full analysis set)



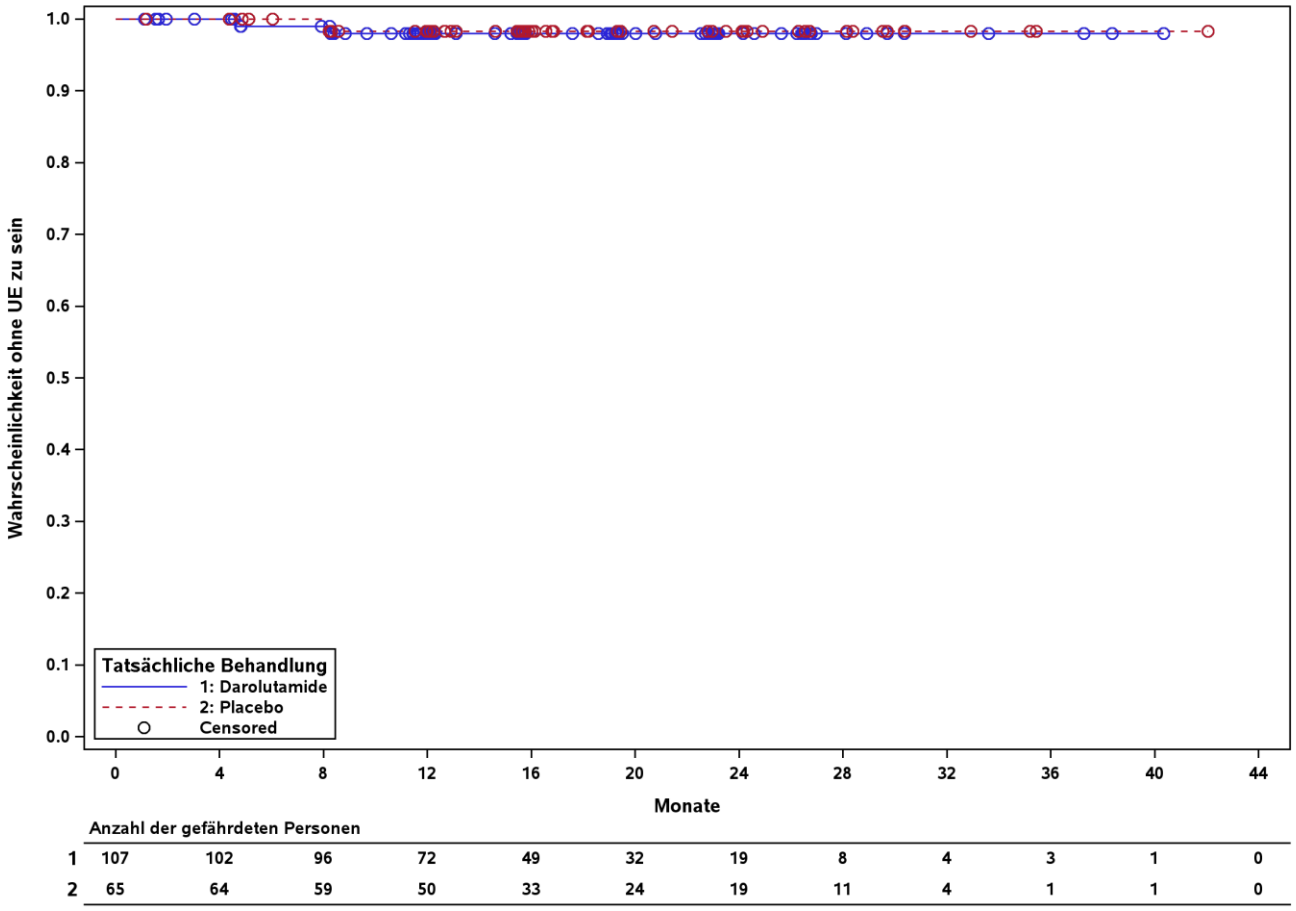
Bayer: /by-sasp/patdb/projects/1841788/17712/stat/prod_query22/pgms/t_aesi_sub.sas 23APR2020 17:14

Figure 4.3.3 / 385: Kaplan-Meier-Plot der 'Unerwünschte Ereignis von besonderem Interesse' Time-to-Event-Analyse nach Endpunkt und Subgruppe - Endpunkt: Zeit bis zum ersten UE von besonderem Interesse mit CTCAE Grad <3: Rash - Subgruppe: Geografische Region: Asia Pacific (full analysis set)



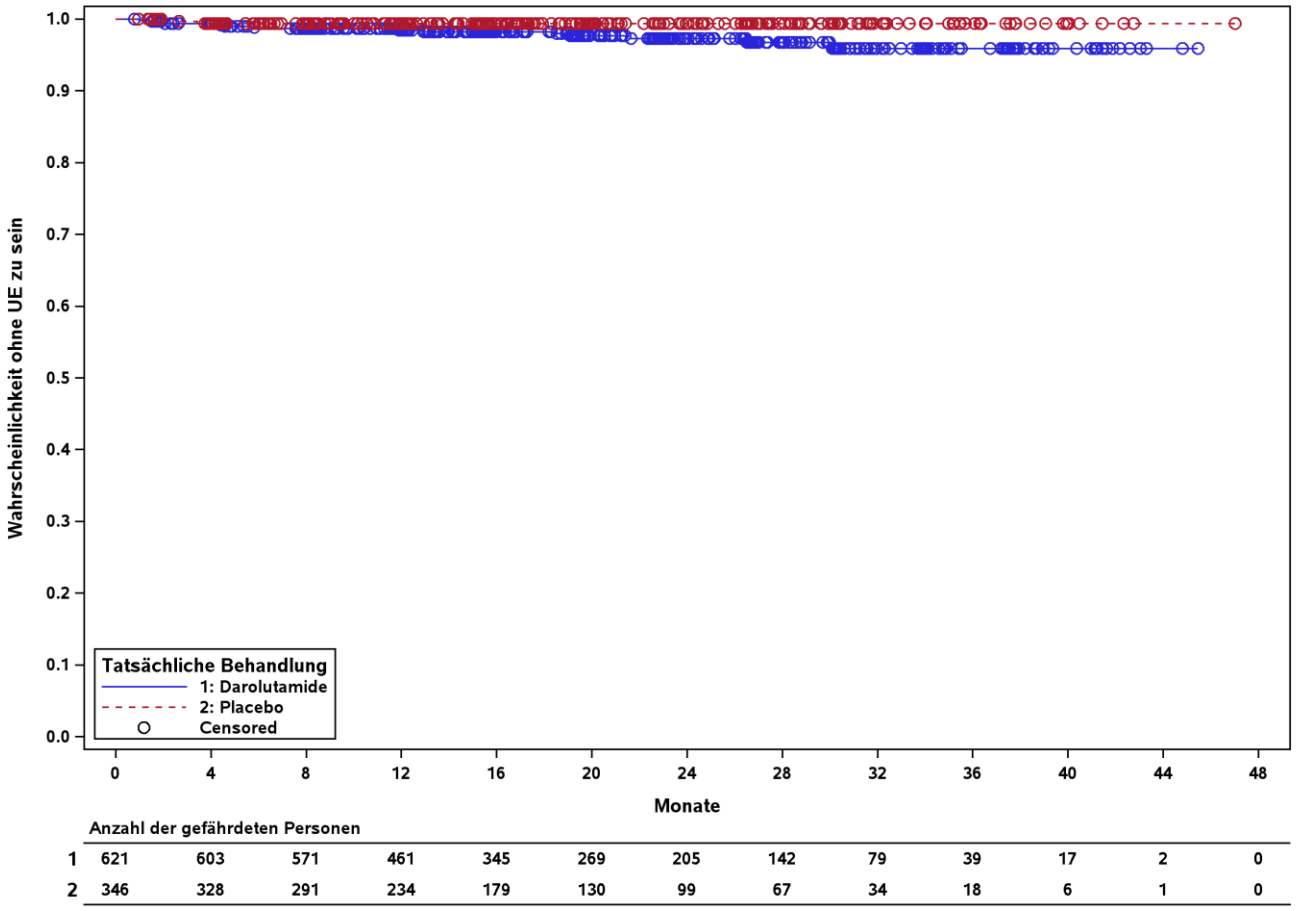
Bayer: /by-sasp/patdb/projects/1841788/17712/stat/prod_query22/pgms/t_aesi_sub.sas 23APR2020 17:14

Figure 4.3.3 / 386: Kaplan-Meier-Plot der 'Unerwünschte Ereignis von besonderem Interesse' Time-to-Event-Analyse nach Endpunkt und Subgruppe - Endpunkt: Zeit bis zum ersten UE von besonderem Interesse mit CTCAE Grad <3: Rash - Subgruppe: Geografische Region: Rest of the World (full analysis set)



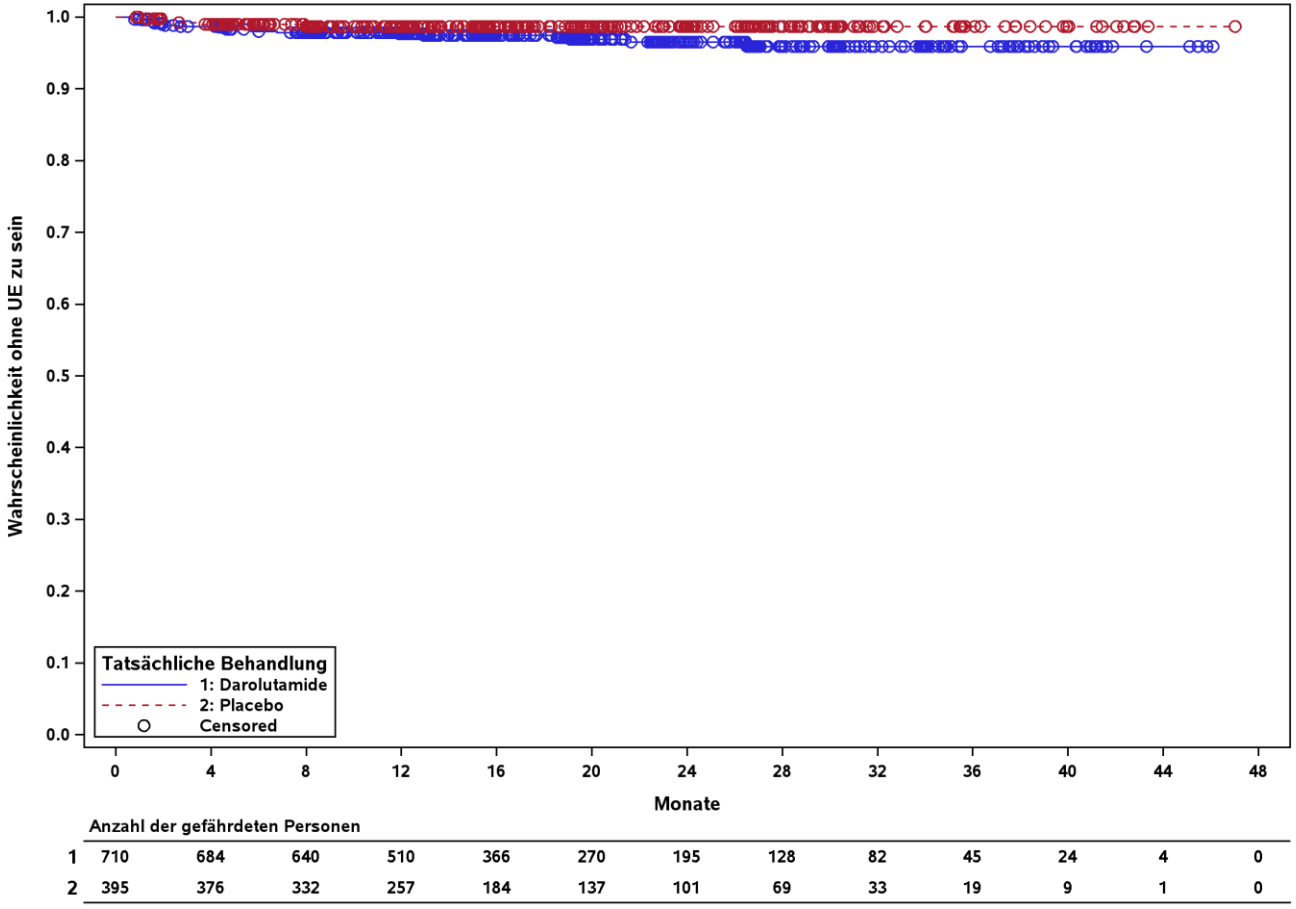
Bayer: /by-sasp/patdb/projects/1841788/17712/stat/prod_query22/pgms/t_aesi_sub.sas 23APR2020 17:14

Figure 4.3.3 / 387: Kaplan-Meier-Plot der 'Unerwünschte Ereignis von besonderem Interesse' Time-to-Event-Analyse nach Endpunkt und Subgruppe - Endpunkt: Zeit bis zum ersten UE von besonderem Interesse mit CTCAE Grad <3: Rash - Subgruppe: Geografische Region: Europe (full analysis set)



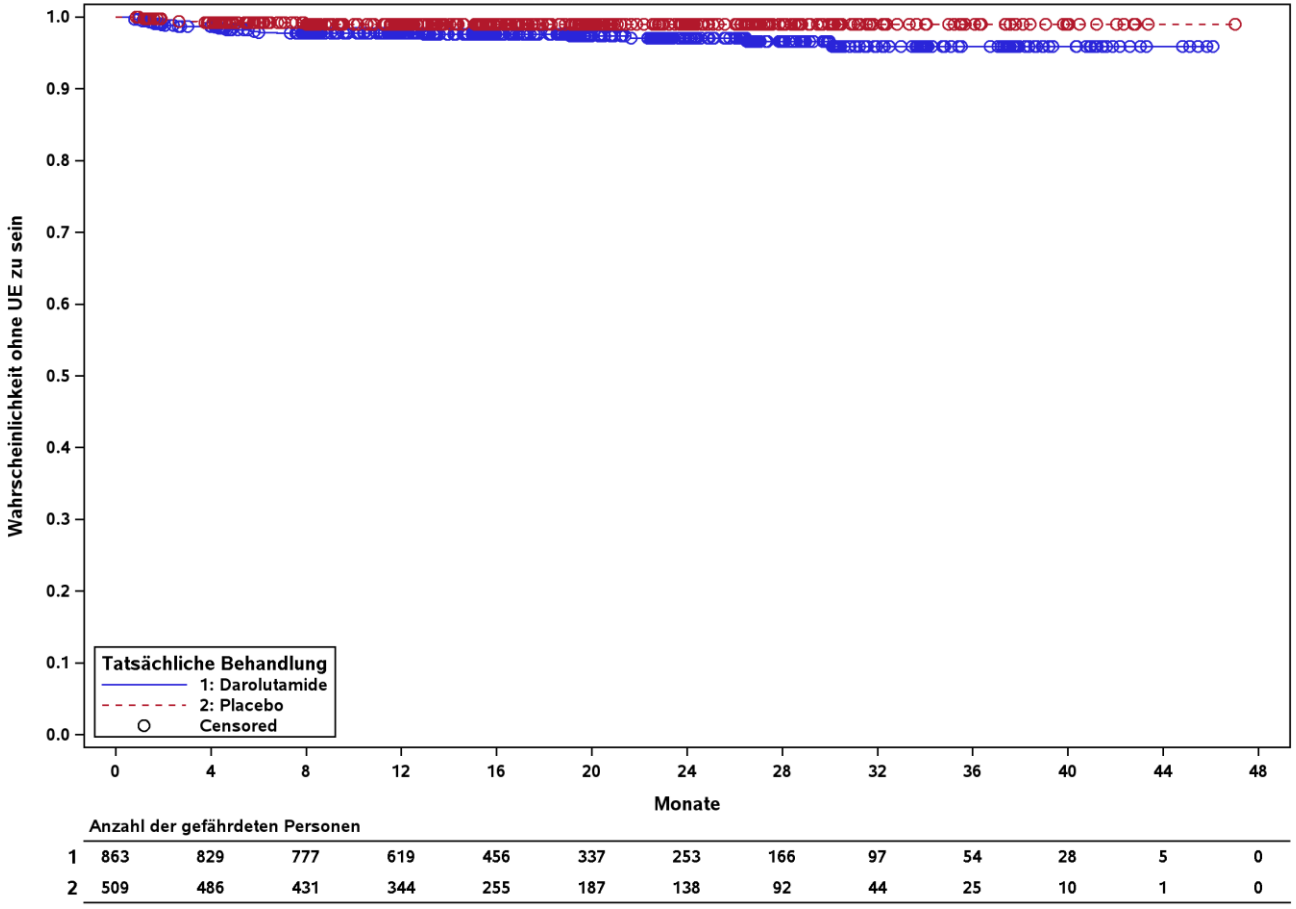
Bayer: /by-sasp/patdb/projects/1841788/17712/stat/prod_query22/pgms/t_aesi_sub.sas 23APR2020 17:14

Figure 4.3.3 / 388: Kaplan-Meier-Plot der 'Unerwünschte Ereignis von besonderem Interesse' Time-to-Event-Analyse nach Endpunkt und Subgruppe - Endpunkt: Zeit bis zum ersten UE von besonderem Interesse mit CTCAE Grad <3: Rash - Subgruppe: Gleason-Score bei Diagnose: >=7 (full analysis set)



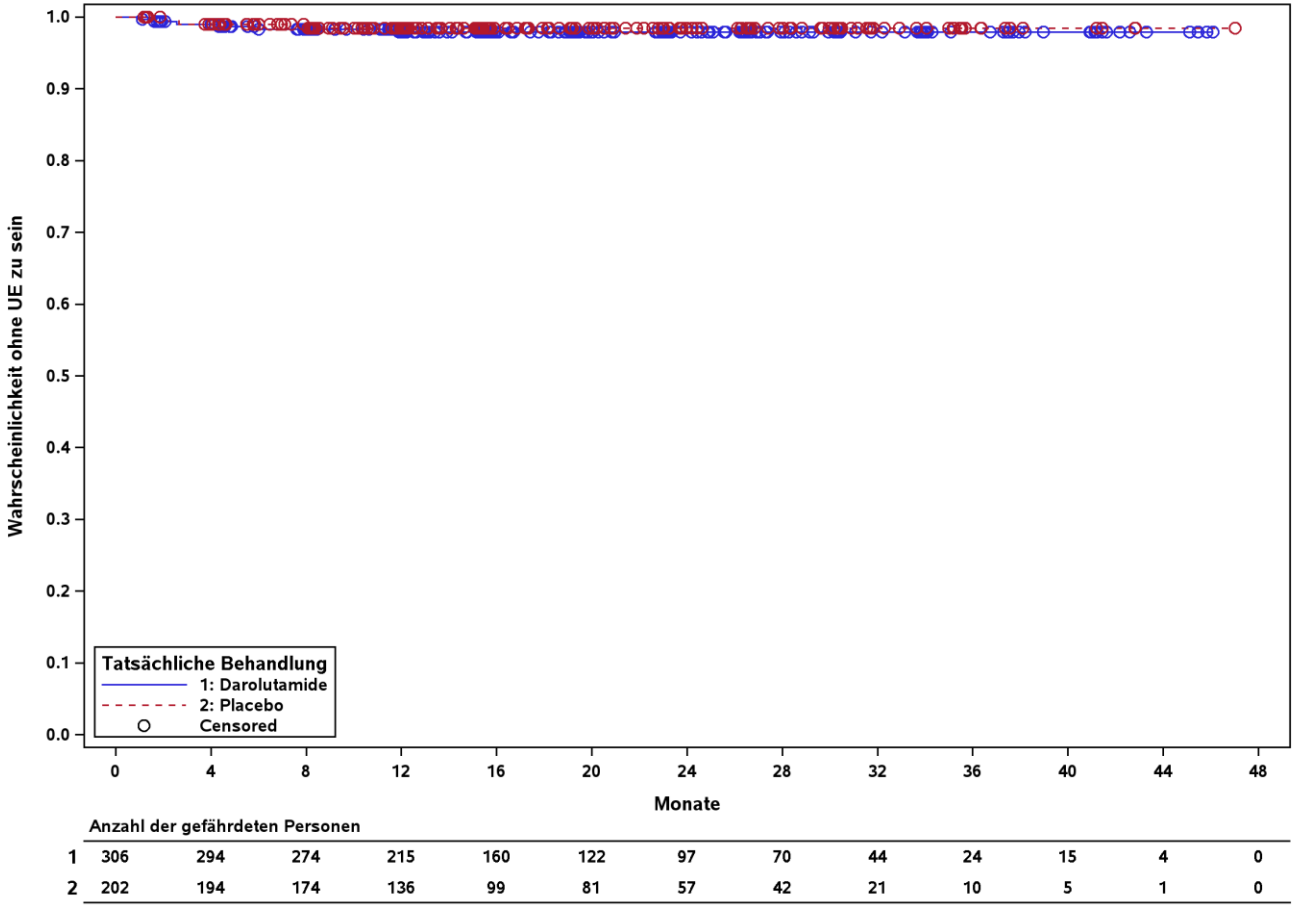
Bayer: /by-sasp/patdb/projects/1841788/17712/stat/prod_query22/pgms/t_aesi_sub.sas 23APR2020 17:14

Figure 4.3.3 / 389: Kaplan-Meier-Plot der 'Unerwünschte Ereignis von besonderem Interesse' Time-to-Event-Analyse nach Endpunkt und Subgruppe - Endpunkt: Zeit bis zum ersten UE von besonderem Interesse mit CTCAE Grad <3: Rash - Subgruppe: Leberfunktionsstörung: normal (full analysis set)



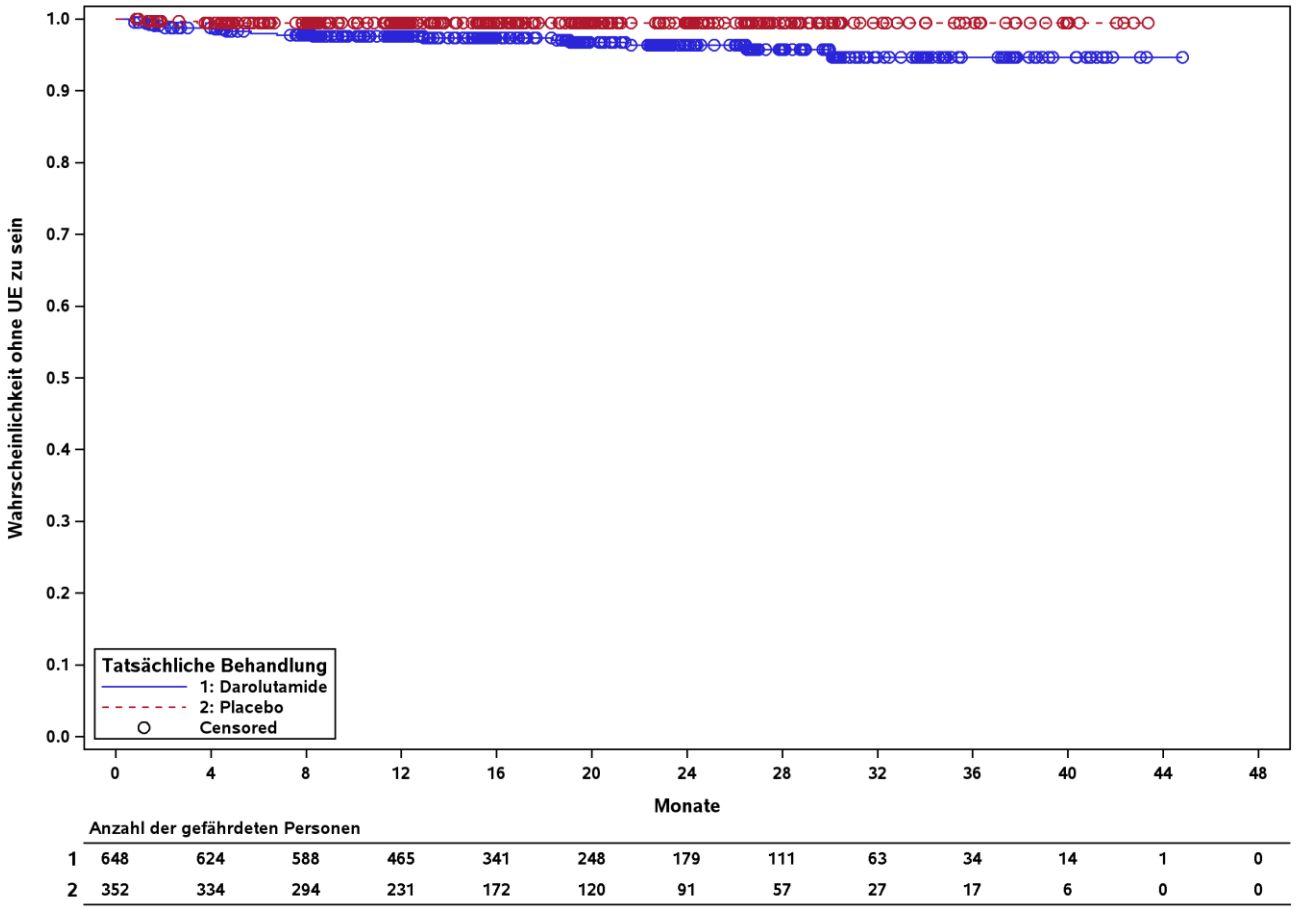
Bayer: /by-sasp/patdb/projects/1841788/17712/stat/prod_query22/pgms/t_aesi_sub.sas 23APR2020 17:14

Figure 4.3.3 / 390: Kaplan-Meier-Plot der 'Unerwünschte Ereignis von besonderem Interesse' Time-to-Event-Analyse nach Endpunkt und Subgruppe - Endpunkt: Zeit bis zum ersten UE von besonderem Interesse mit CTCAE Grad <3: Rash - Subgruppe: Nutzung von Statinen: Ja (full analysis set)



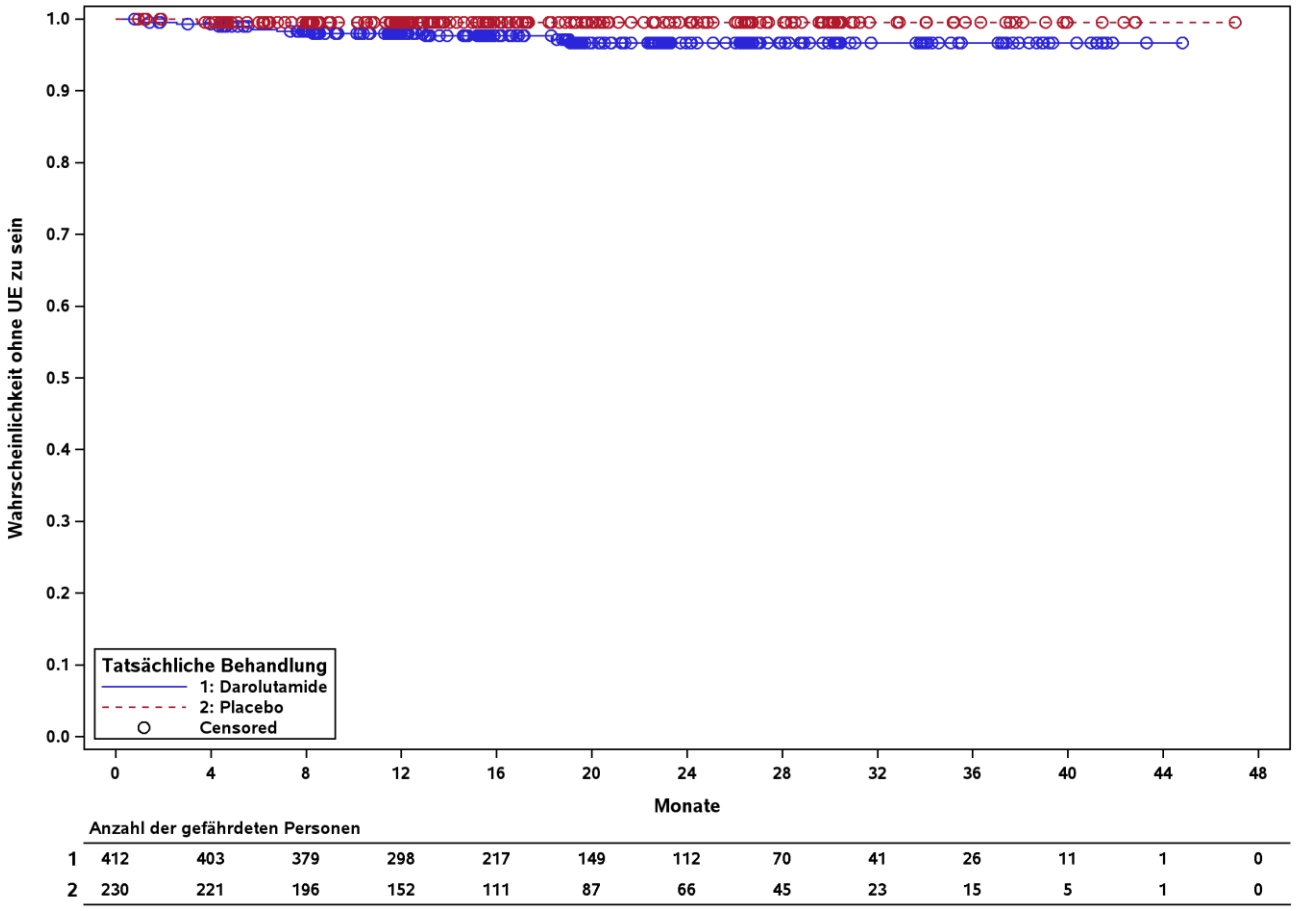
Bayer: /by-sasp/patdb/projects/1841788/17712/stat/prod_query22/pgms/t_aesi_sub.sas 23APR2020 17:14

Figure 4.3.3 / 391: Kaplan-Meier-Plot der 'Unerwünschte Ereignis von besonderem Interesse' Time-to-Event-Analyse nach Endpunkt und Subgruppe - Endpunkt: Zeit bis zum ersten UE von besonderem Interesse mit CTCAE Grad <3: Rash - Subgruppe: Nutzung von Statinen: Nein (full analysis set)



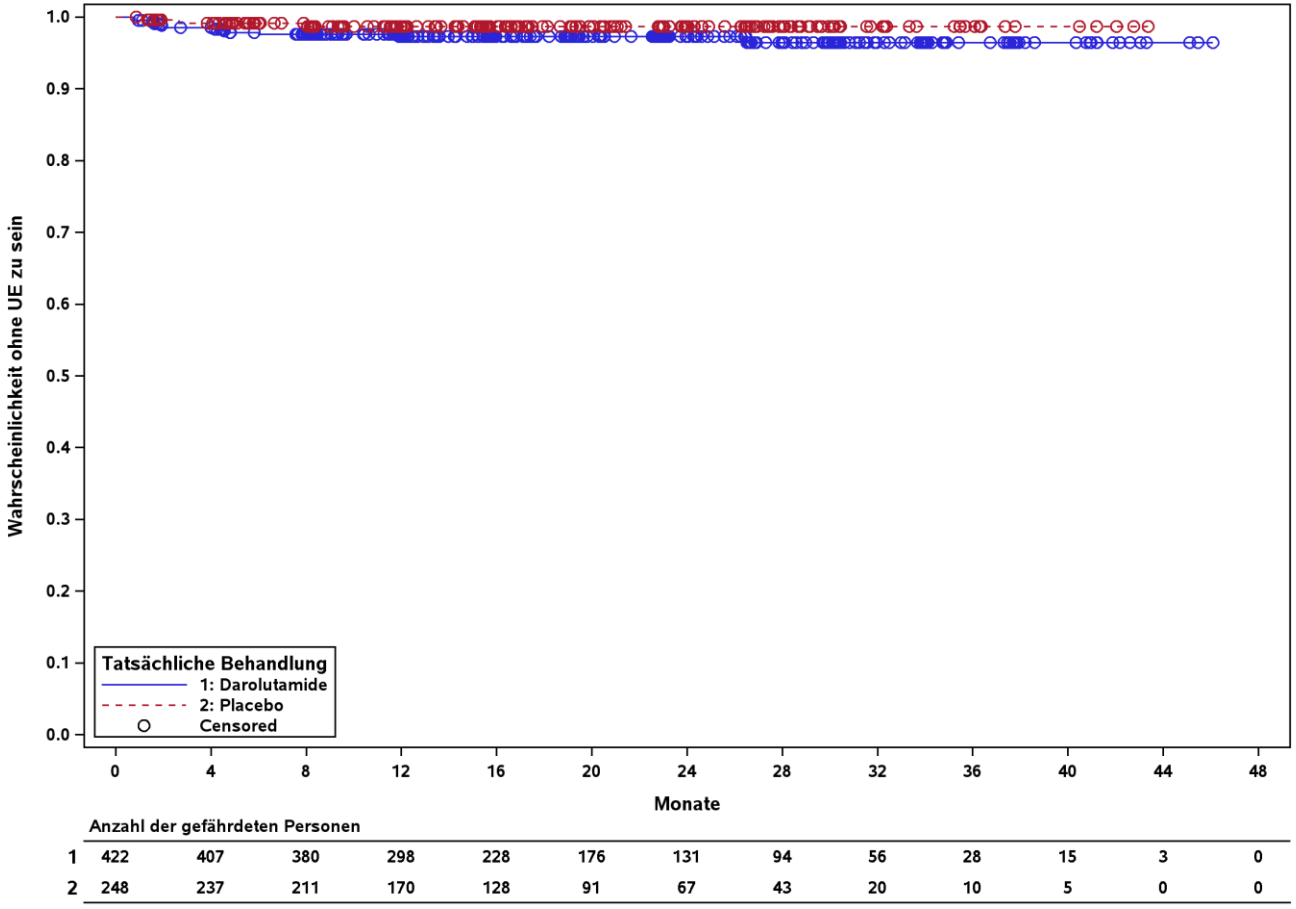
Bayer: /by-sasp/patdb/projects/1841788/17712/stat/prod_query22/pgms/t_aesi_sub.sas 23APR2020 17:14

Figure 4.3.3 / 392: Kaplan-Meier-Plot der 'Unerwünschte Ereignis von besonderem Interesse' Time-to-Event-Analyse nach Endpunkt und Subgruppe - Endpunkt: Zeit bis zum ersten UE von besonderem Interesse mit CTCAE Grad <3: Rash - Subgruppe: eGFR an Baseline: normal (full analysis set)



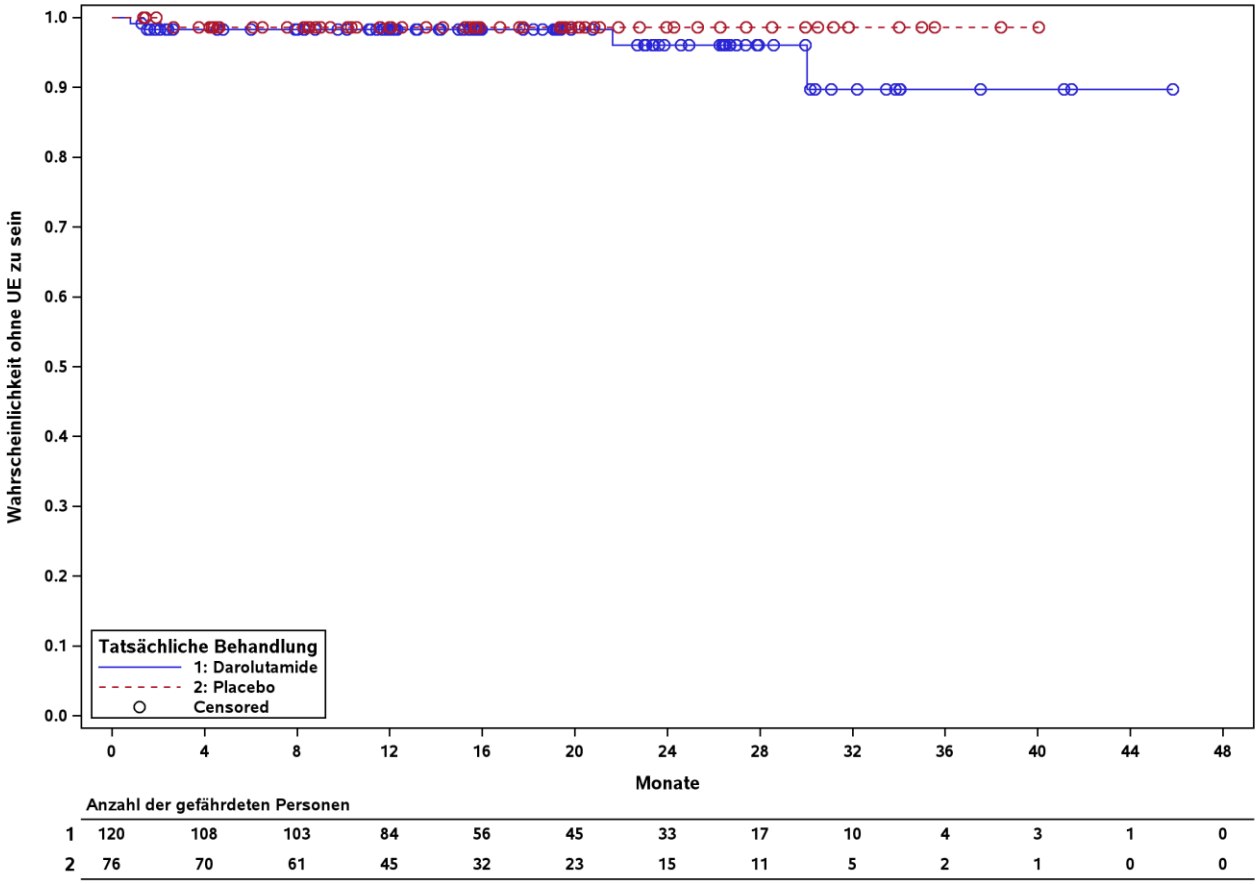
Bayer: /by-sasp/patdb/projects/1841788/17712/stat/prod_query22/pgms/t_aesi_sub.sas 23APR2020 17:14

Figure 4.3.3 / 393: Kaplan-Meier-Plot der 'Unerwünschte Ereignis von besonderem Interesse' Time-to-Event-Analyse nach Endpunkt und Subgruppe - Endpunkt: Zeit bis zum ersten UE von besonderem Interesse mit CTCAE Grad <3: Rash - Subgruppe: eGFR an Baseline: mildly impaired (full analysis set)



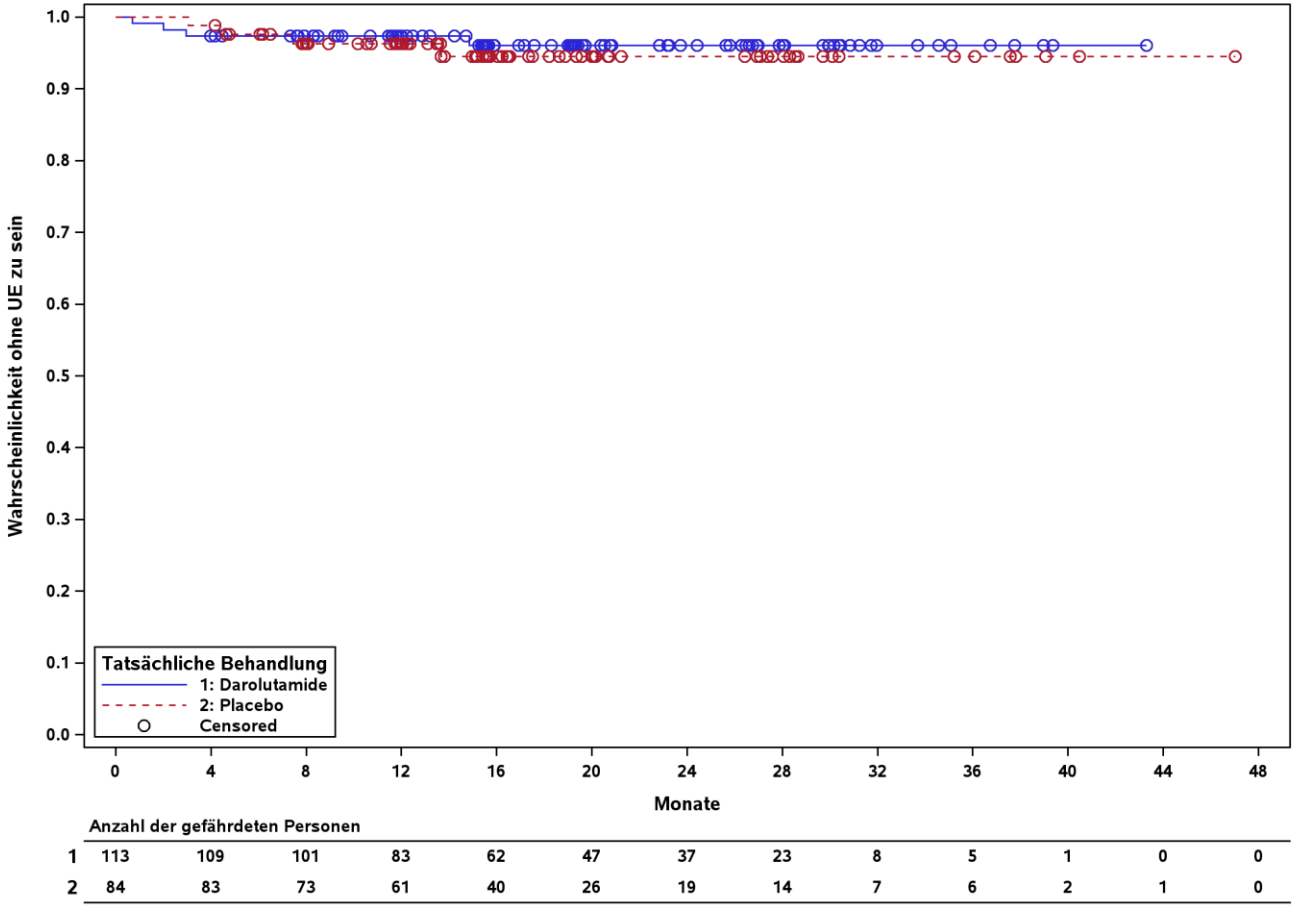
Bayer: /by-sasp/patdb/projects/1841788/17712/stat/prod_query22/pgms/t_aesi_sub.sas 23APR2020 17:14

Figure 4.3.3 / 394: Kaplan-Meier-Plot der 'Unerwünschte Ereignis von besonderem Interesse' Time-to-Event-Analyse nach Endpunkt und Subgruppe - Endpunkt: Zeit bis zum ersten UE von besonderem Interesse mit CTCAE Grad <3: Rash - Subgruppe: eGFR an Baseline: moderately impaired, severely impaired and renal end stage (full analysis set)



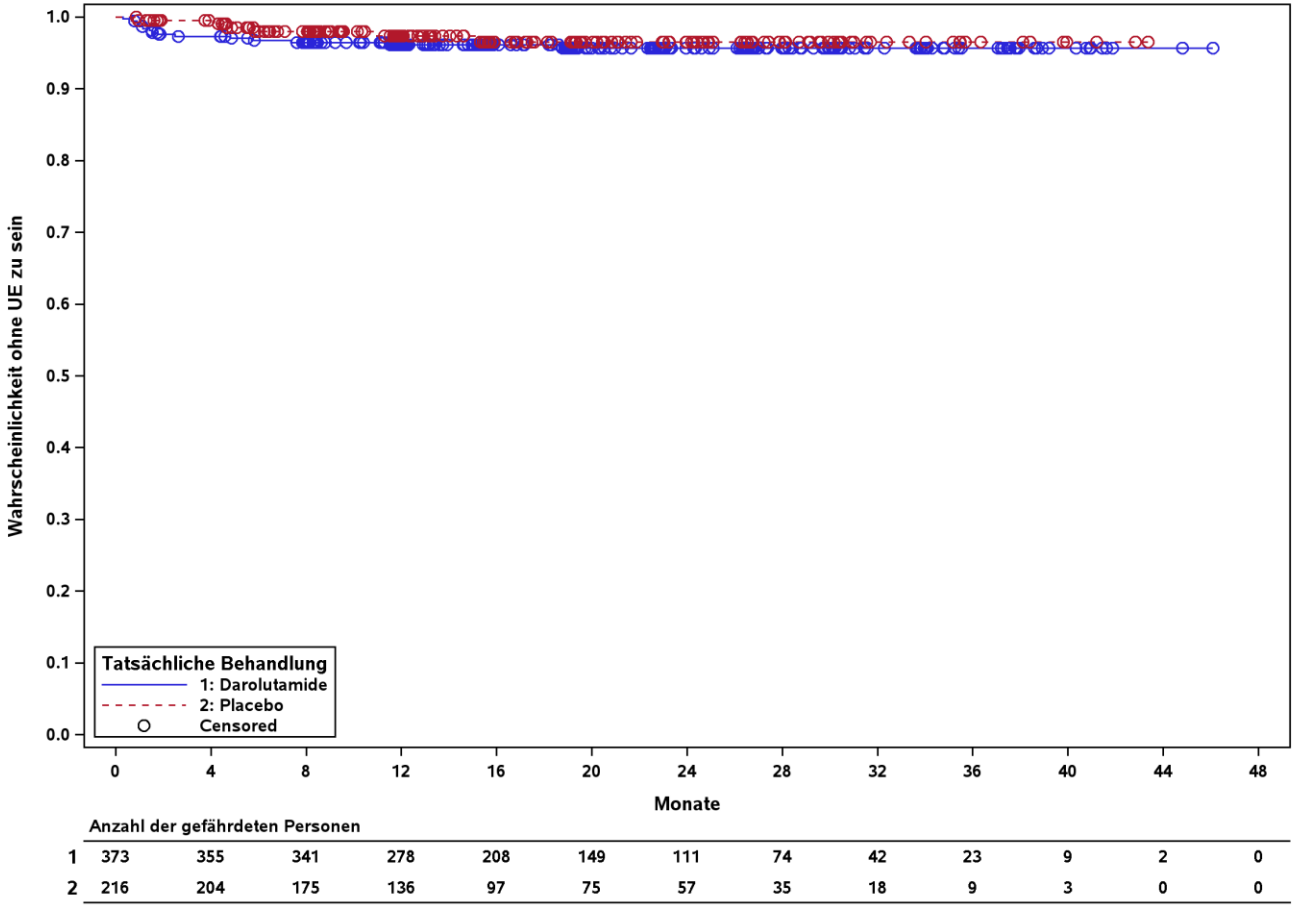
Bayer: /by-sasp/patdb/projects/1841788/17712/stat/prod_query22/pgms/t_aesi_sub.sas 23APR2020 17:14

Figure 4.3.3 / 395: Kaplan-Meier-Plot der 'Unerwünschte Ereignis von besonderem Interesse' Time-to-Event-Analyse nach Endpunkt und Subgruppe - Endpunkt: Zeit bis zum ersten UE von besonderem Interesse: Dizziness - Subgruppe: Alter (Jahre): <65 (full analysis set)



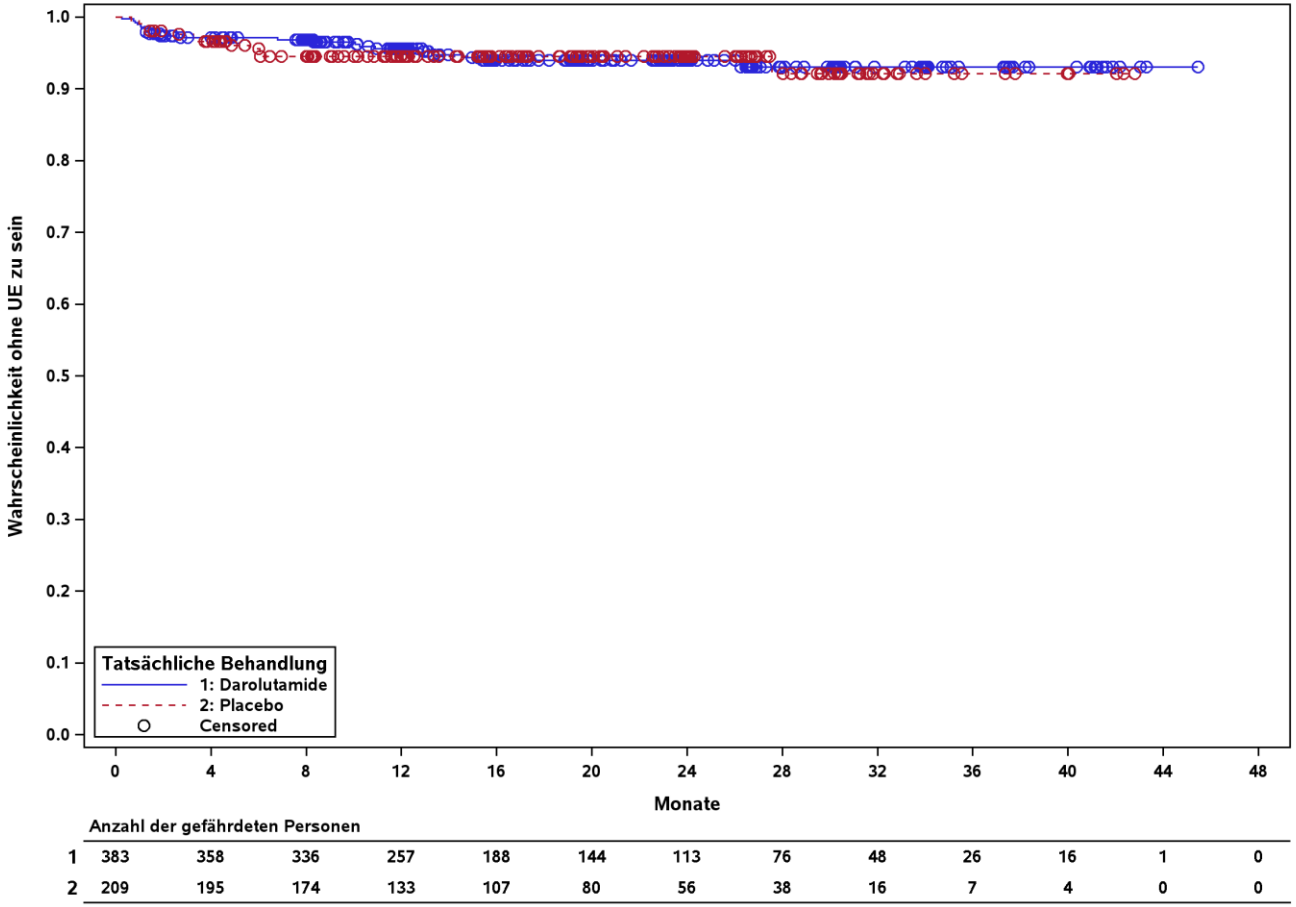
Bayer: /by-sasp/patdb/projects/1841788/17712/stat/prod_query22/pgms/t_aesi_sub.sas 23APR2020 17:14

Figure 4.3.3 / 396: Kaplan-Meier-Plot der 'Unerwünschte Ereignis von besonderem Interesse' Time-to-Event-Analyse nach Endpunkt und Subgruppe - Endpunkt: Zeit bis zum ersten UE von besonderem Interesse: Dizziness - Subgruppe: Alter (Jahre): 65-74 (full analysis set)



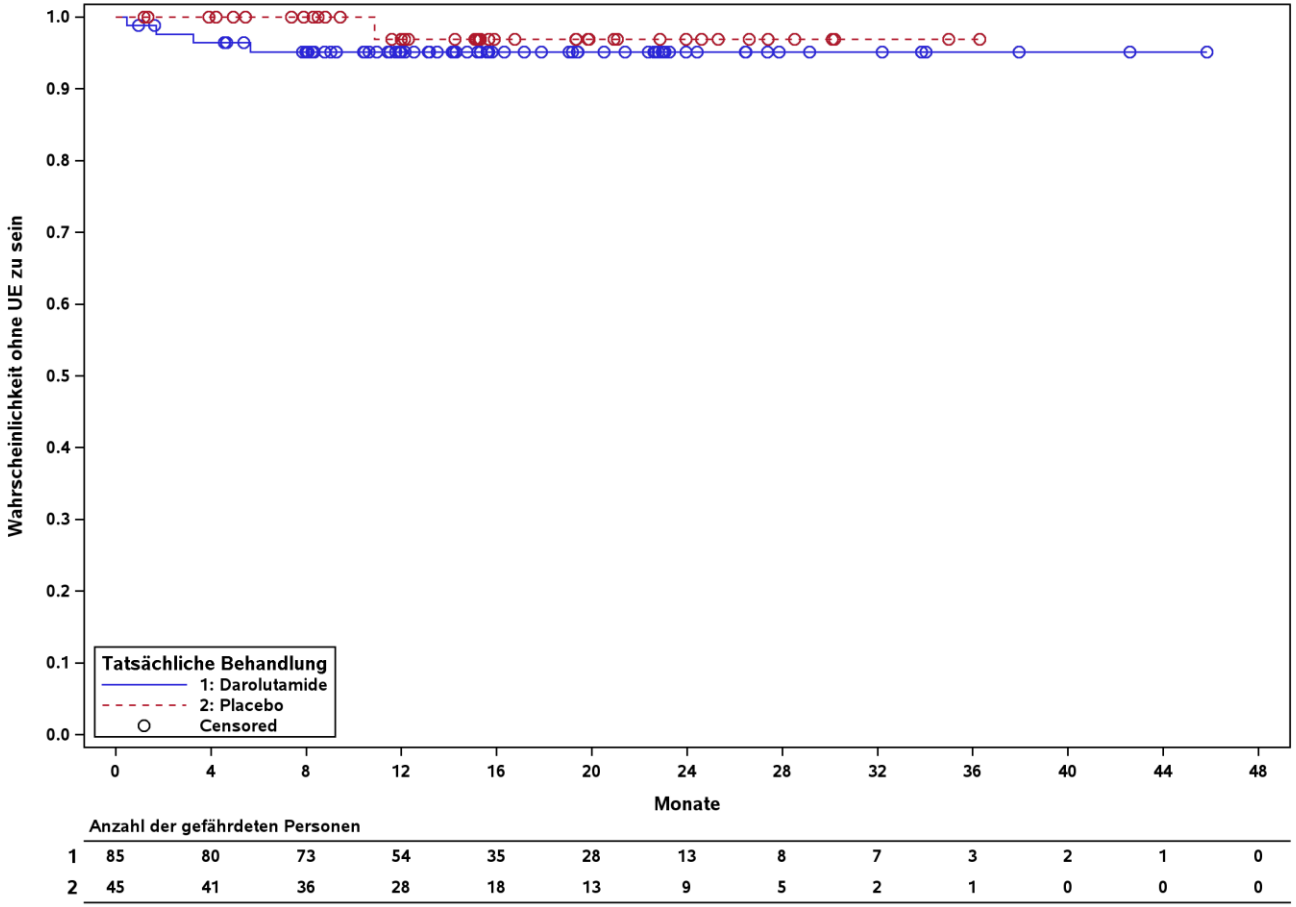
Bayer: /by-sasp/patdb/projects/1841788/17712/stat/prod_query22/pgms/t_aesi_sub.sas 23APR2020 17:14

Figure 4.3.3 / 397: Kaplan-Meier-Plot der 'Unerwünschte Ereignis von besonderem Interesse' Time-to-Event-Analyse nach Endpunkt und Subgruppe - Endpunkt: Zeit bis zum ersten UE von besonderem Interesse: Dizziness - Subgruppe: Alter (Jahre): 75-84 (full analysis set)



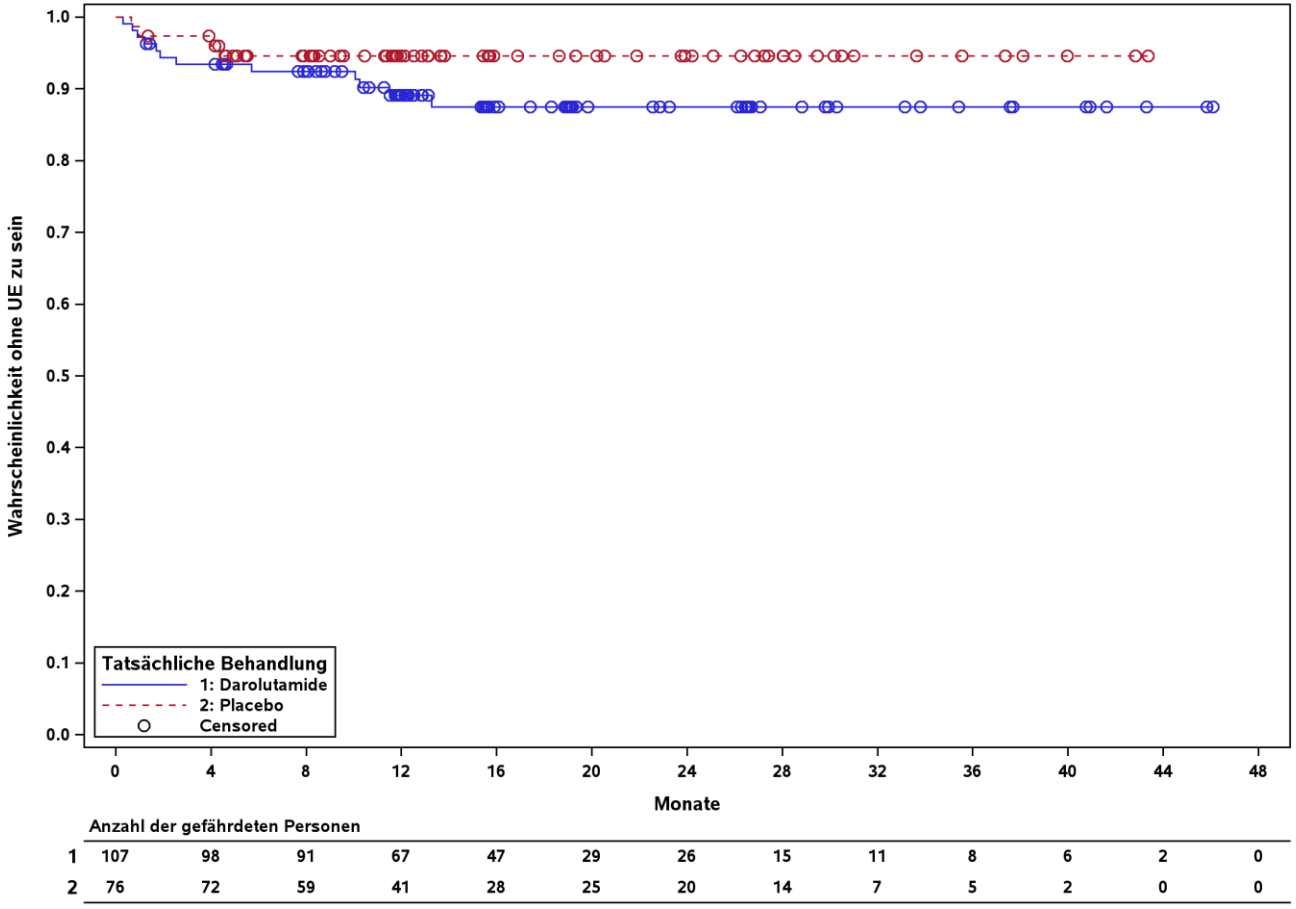
Bayer: /by-sasp/patdb/projects/1841788/17712/stat/prod_query22/pgms/t_aesi_sub.sas 23APR2020 17:14

Figure 4.3.3 / 398: Kaplan-Meier-Plot der 'Unerwünschte Ereignis von besonderem Interesse' Time-to-Event-Analyse nach Endpunkt und Subgruppe - Endpunkt: Zeit bis zum ersten UE von besonderem Interesse: Dizziness - Subgruppe: Alter (Jahre): >=85 (full analysis set)



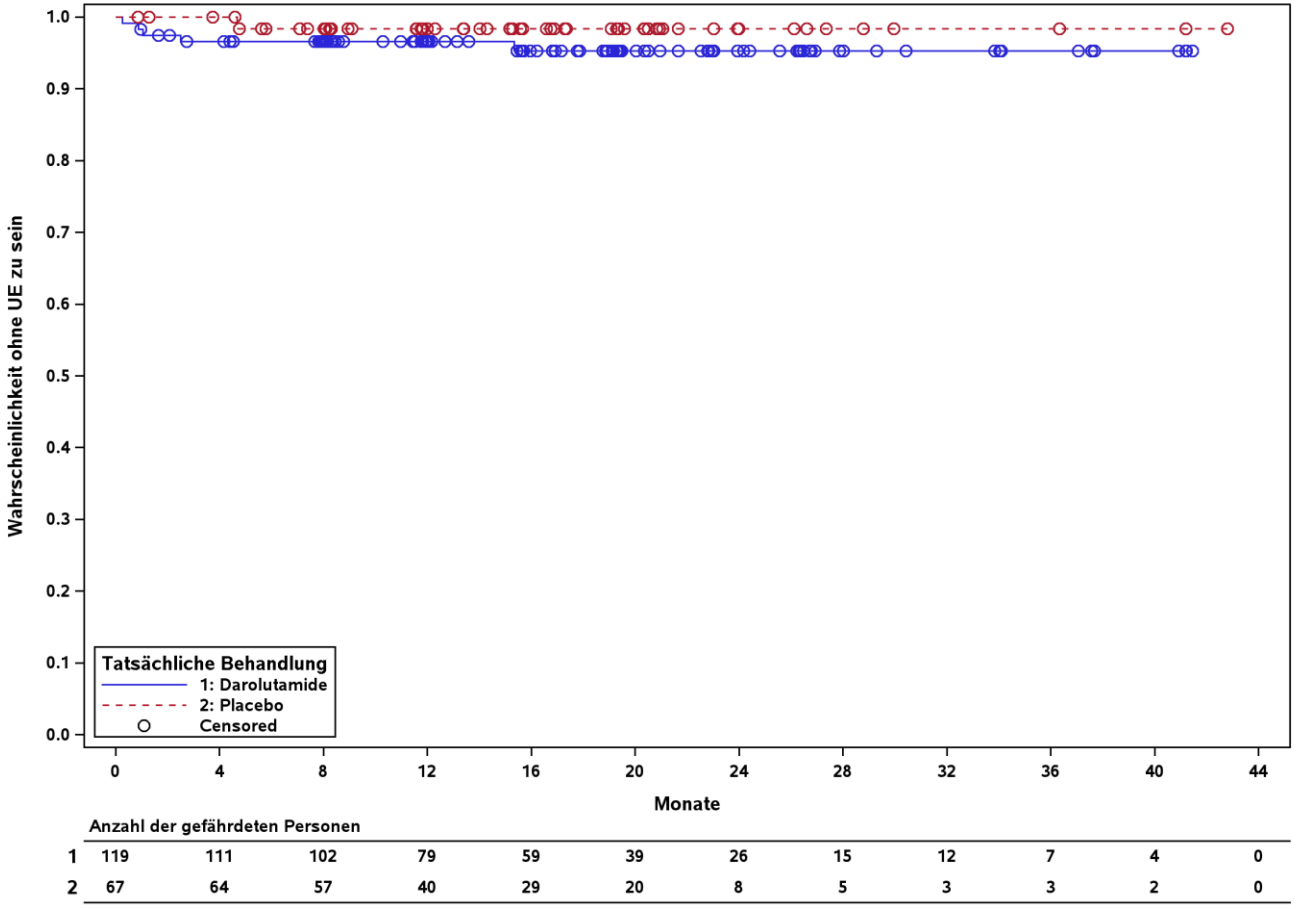
Bayer: /by-sasp/patdb/projects/1841788/17712/stat/prod_query22/pgms/t_aesi_sub.sas 23APR2020 17:14

Figure 4.3.3 / 399: Kaplan-Meier-Plot der 'Unerwünschte Ereignis von besonderem Interesse' Time-to-Event-Analyse nach Endpunkt und Subgruppe - Endpunkt: Zeit bis zum ersten UE von besonderem Interesse: Dizziness - Subgruppe: Geografische Region: North America (full analysis set)



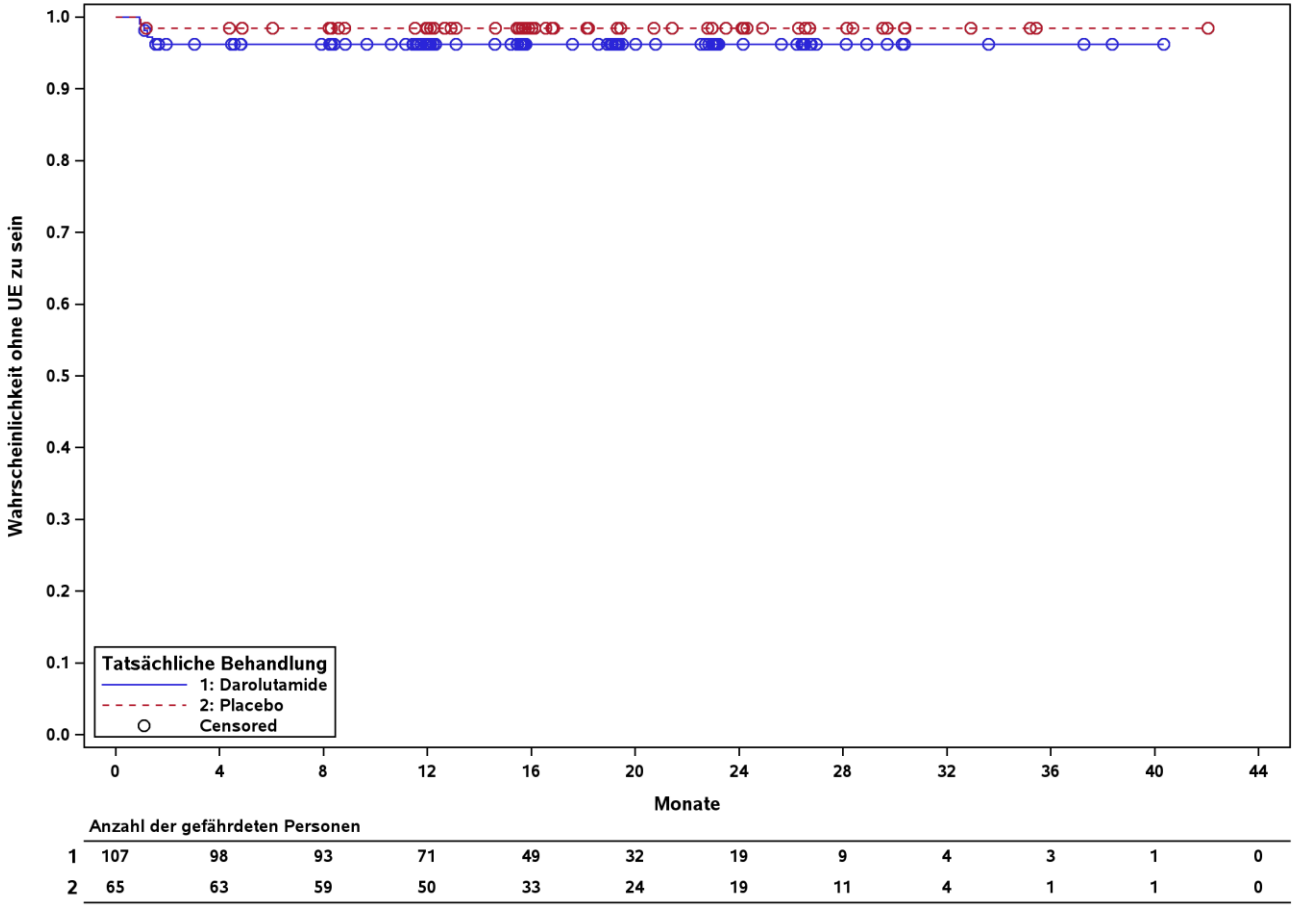
Bayer: /by-sasp/patdb/projects/1841788/17712/stat/prod_query22/pgms/t_aesi_sub.sas 23APR2020 17:14

Figure 4.3.3 / 400: Kaplan-Meier-Plot der 'Unerwünschte Ereignis von besonderem Interesse' Time-to-Event-Analyse nach Endpunkt und Subgruppe - Endpunkt: Zeit bis zum ersten UE von besonderem Interesse: Dizziness - Subgruppe: Geografische Region: Asia Pacific (full analysis set)



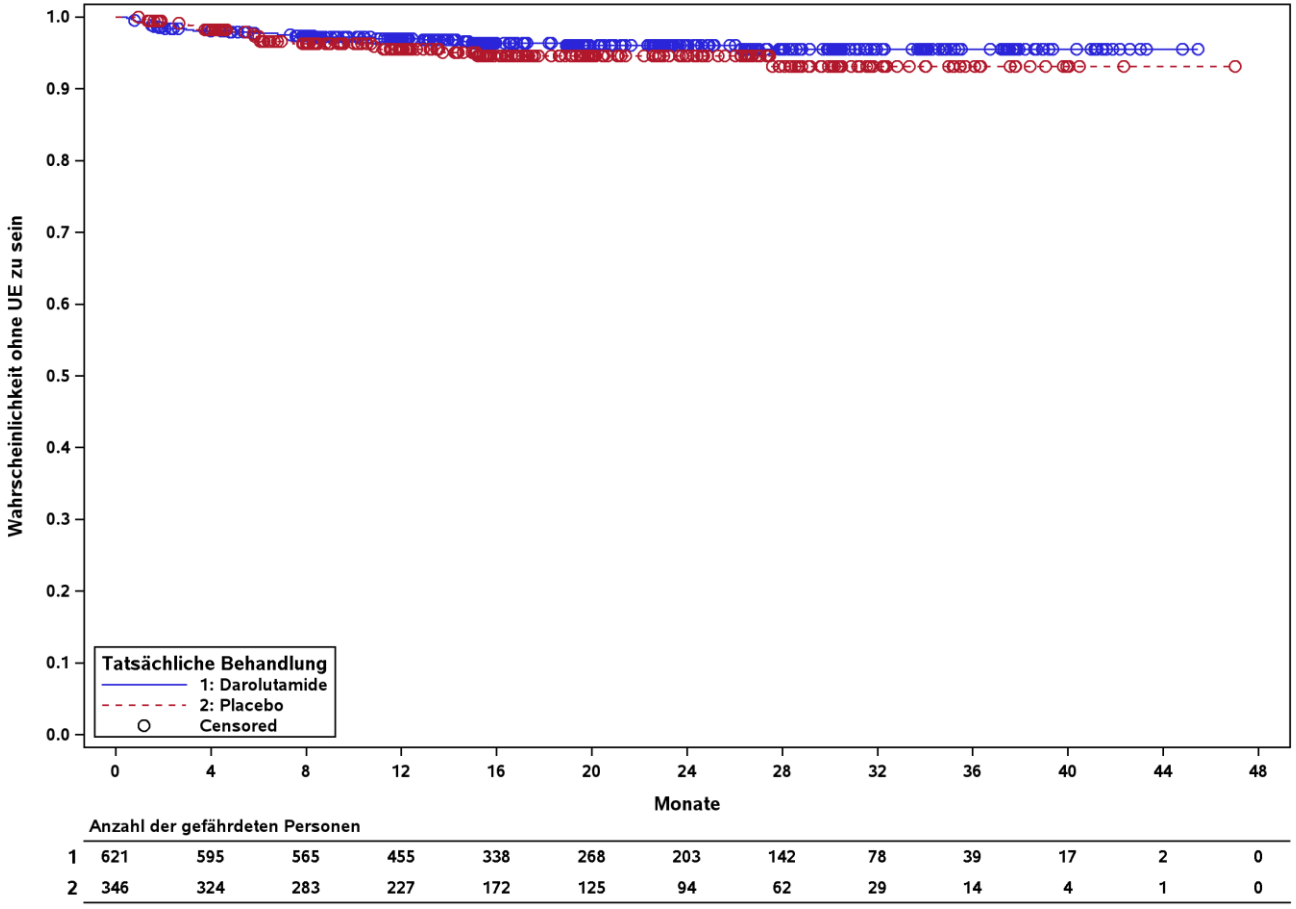
Bayer: /by-sasp/patdb/projects/1841788/17712/stat/prod_query22/pgms/t_aesi_sub.sas 23APR2020 17:14

Figure 4.3.3 / 401: Kaplan-Meier-Plot der 'Unerwünschte Ereignis von besonderem Interesse' Time-to-Event-Analyse nach Endpunkt und Subgruppe - Endpunkt: Zeit bis zum ersten UE von besonderem Interesse: Dizziness - Subgruppe: Geografische Region: Rest of the World (full analysis set)



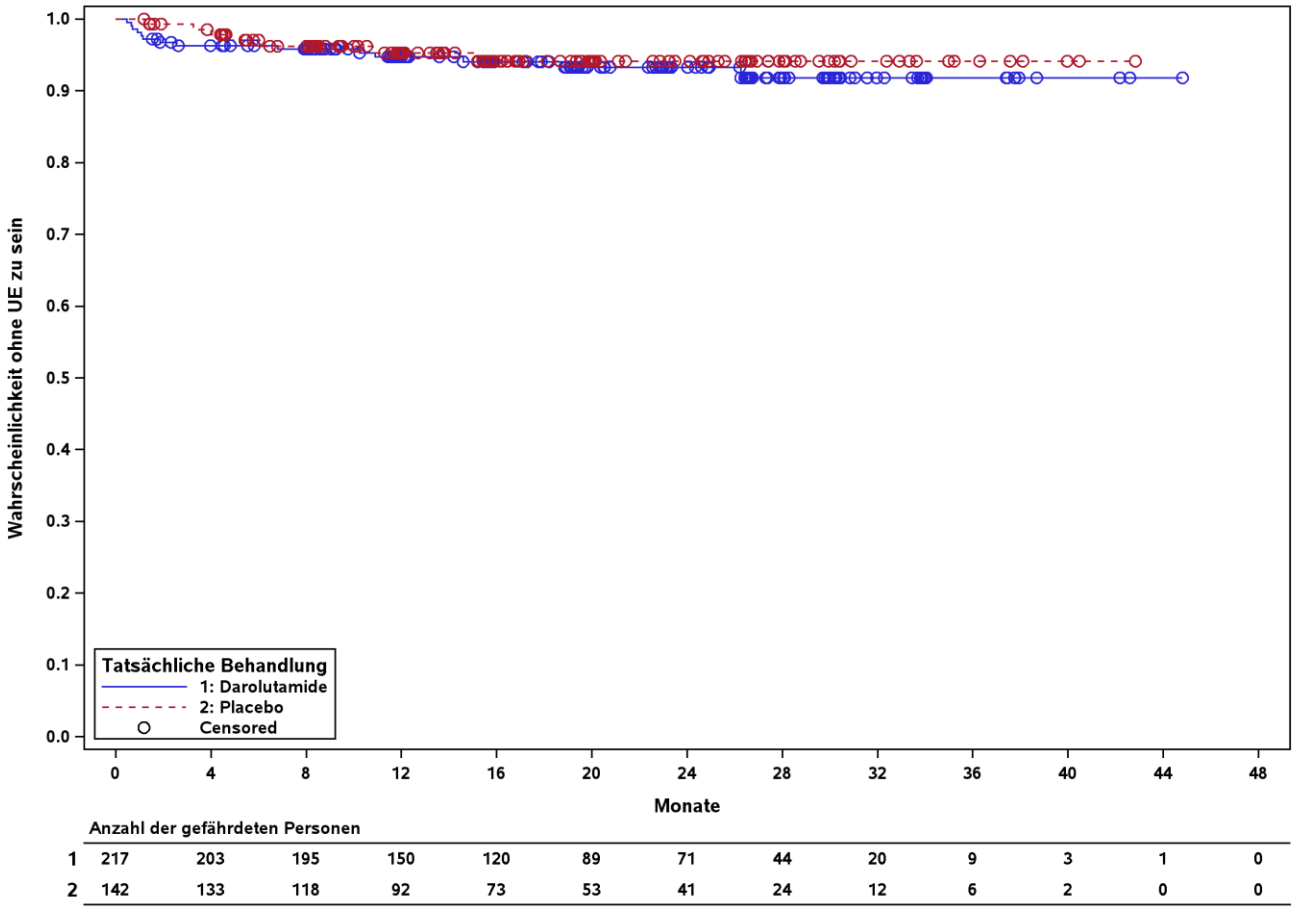
Bayer: /by-sasp/patdb/projects/1841788/17712/stat/prod_query22/pgms/t_aesi_sub.sas 23APR2020 17:14

Figure 4.3.3 / 402: Kaplan-Meier-Plot der 'Unerwünschte Ereignis von besonderem Interesse' Time-to-Event-Analyse nach Endpunkt und Subgruppe - Endpunkt: Zeit bis zum ersten UE von besonderem Interesse: Dizziness - Subgruppe: Geografische Region: Europe (full analysis set)



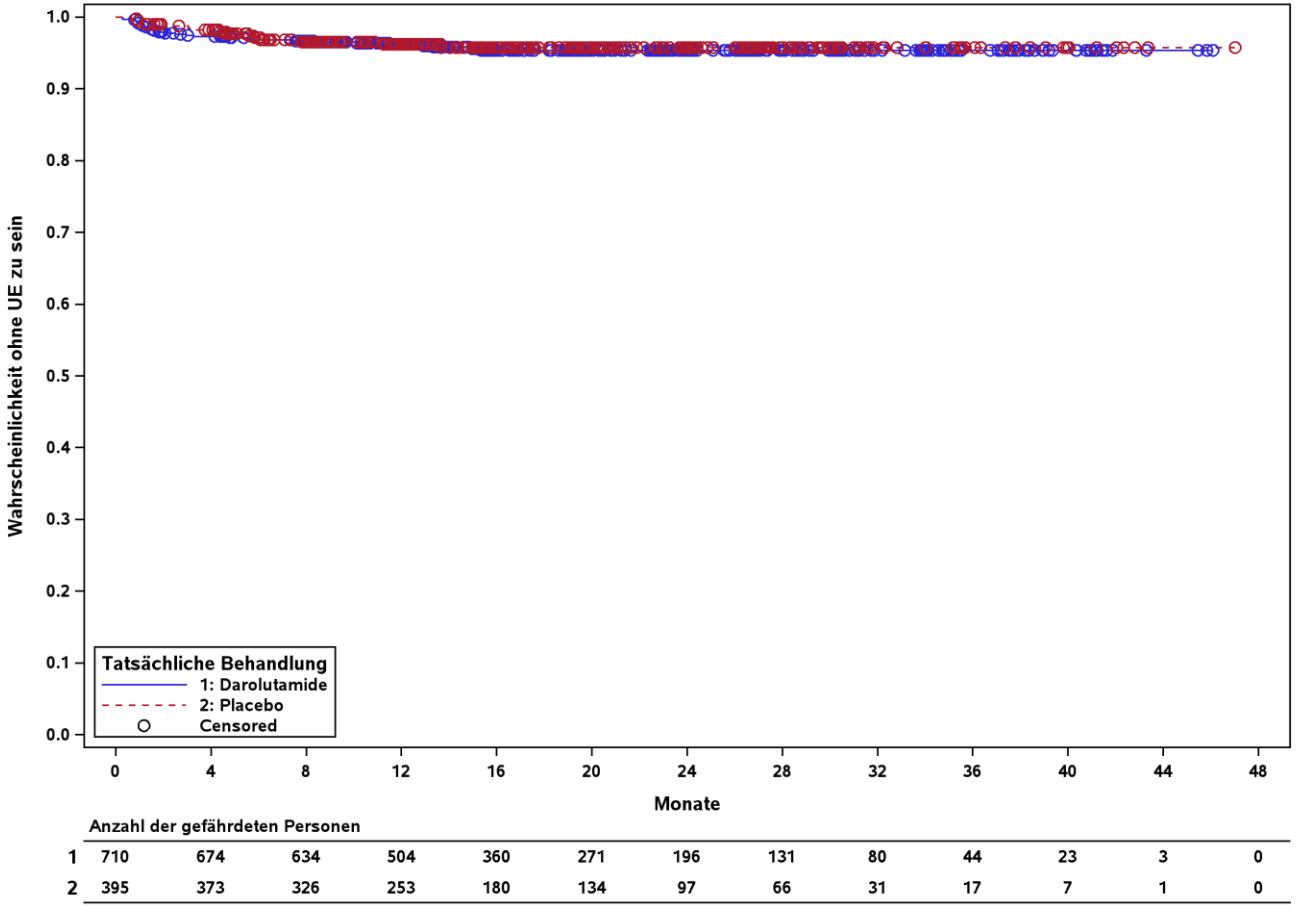
Bayer: /by-sasp/patdb/projects/1841788/17712/stat/prod_query22/pgms/t_aesi_sub.sas 23APR2020 17:14

Figure 4.3.3 / 403: Kaplan-Meier-Plot der 'Unerwünschte Ereignis von besonderem Interesse' Time-to-Event-Analyse nach Endpunkt und Subgruppe - Endpunkt: Zeit bis zum ersten UE von besonderem Interesse: Dizziness - Subgruppe: Gleason-Score bei Diagnose: <7 (full analysis set)



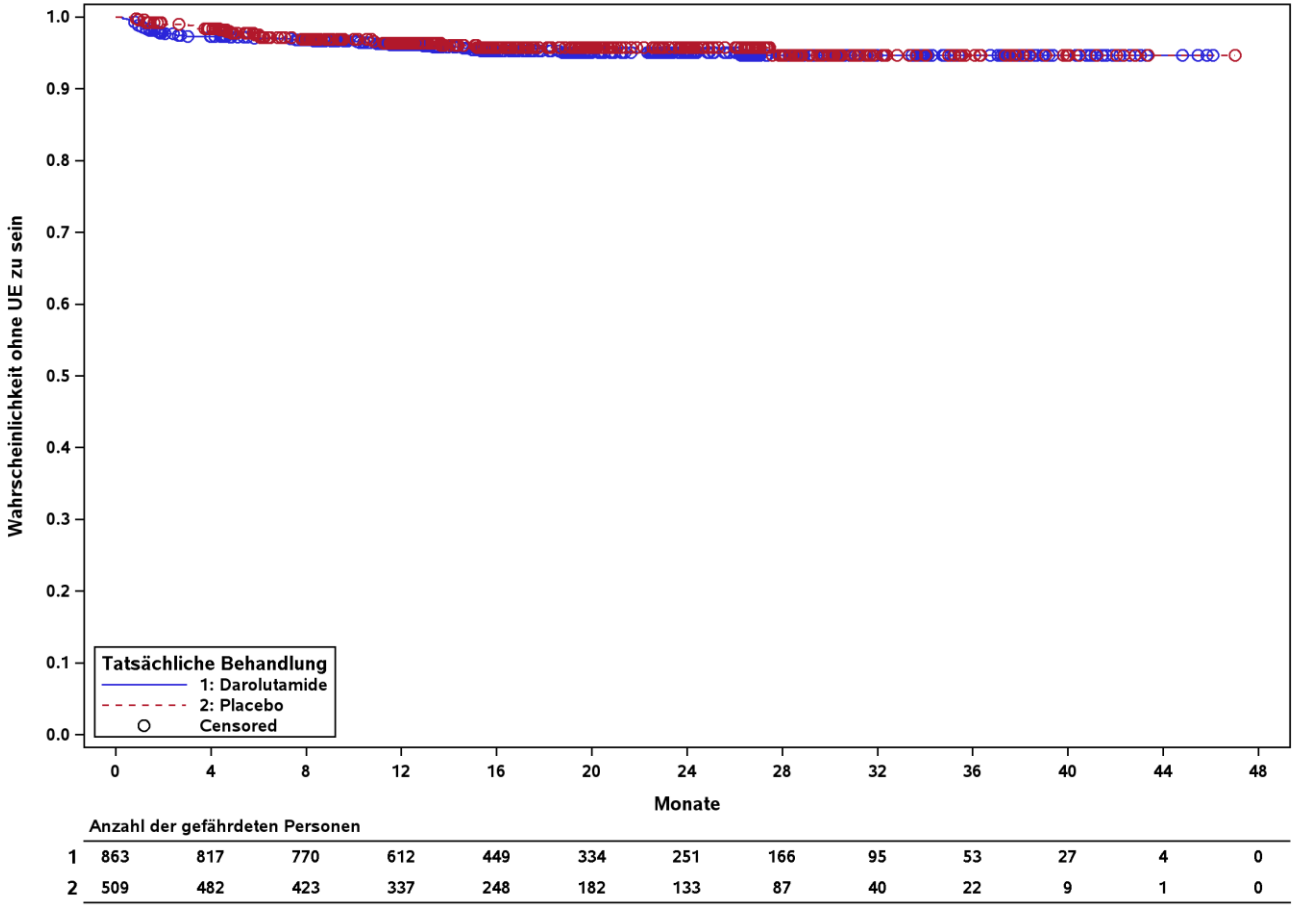
Bayer: /by-sasp/patdb/projects/1841788/17712/stat/prod_query22/pgms/t_aesi_sub.sas 23APR2020 17:14

Figure 4.3.3 / 404: Kaplan-Meier-Plot der 'Unerwünschte Ereignis von besonderem Interesse' Time-to-Event-Analyse nach Endpunkt und Subgruppe - Endpunkt: Zeit bis zum ersten UE von besonderem Interesse: Dizziness - Subgruppe: Gleason-Score bei Diagnose: >=7 (full analysis set)



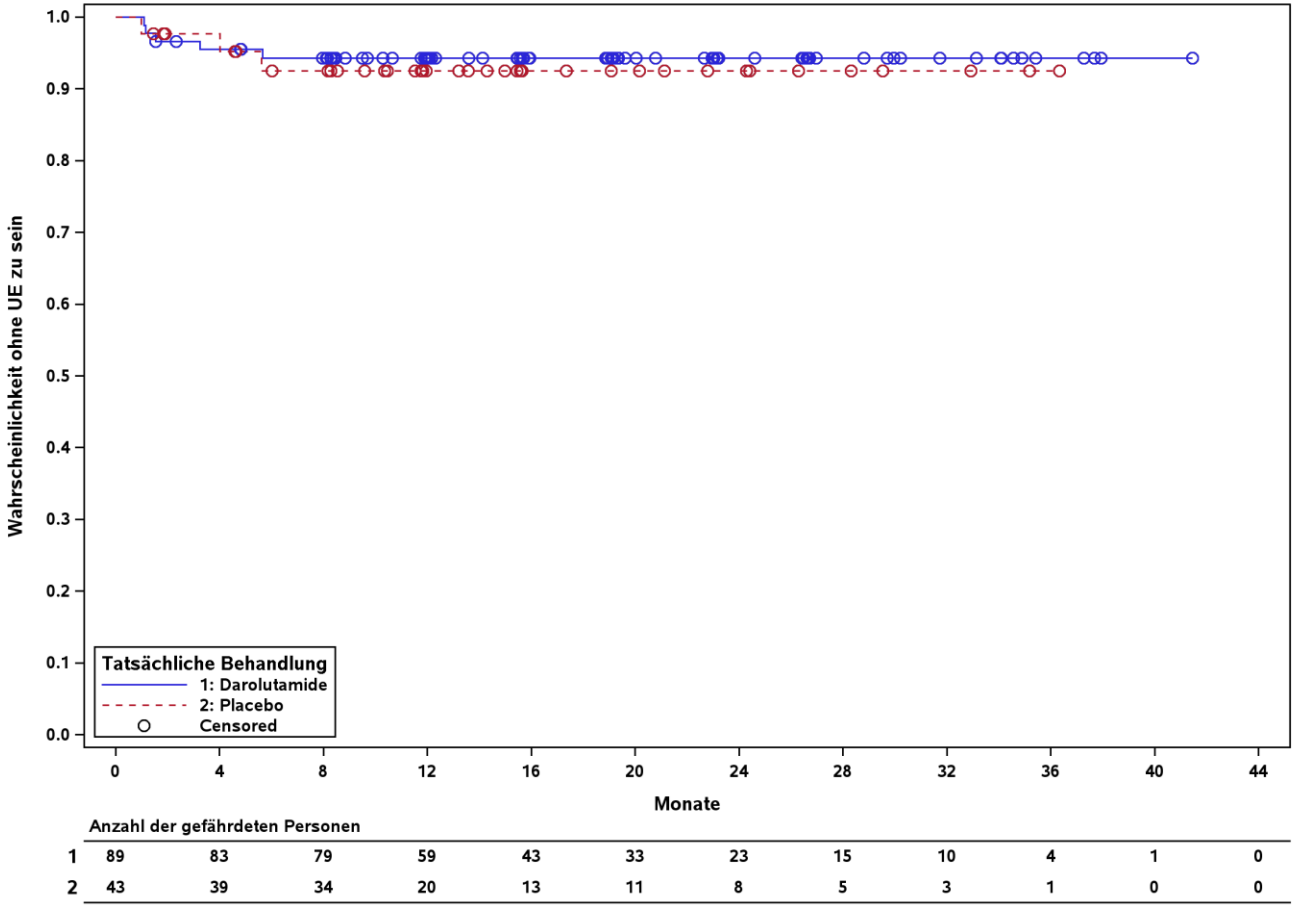
Bayer: /by-sasp/patdb/projects/1841788/17712/stat/prod_query22/pgms/t_aesi_sub.sas 23APR2020 17:14

Figure 4.3.3 / 405: Kaplan-Meier-Plot der 'Unerwünschte Ereignis von besonderem Interesse' Time-to-Event-Analyse nach Endpunkt und Subgruppe - Endpunkt: Zeit bis zum ersten UE von besonderem Interesse: Dizziness - Subgruppe: Leberfunktionsstörung: normal (full analysis set)



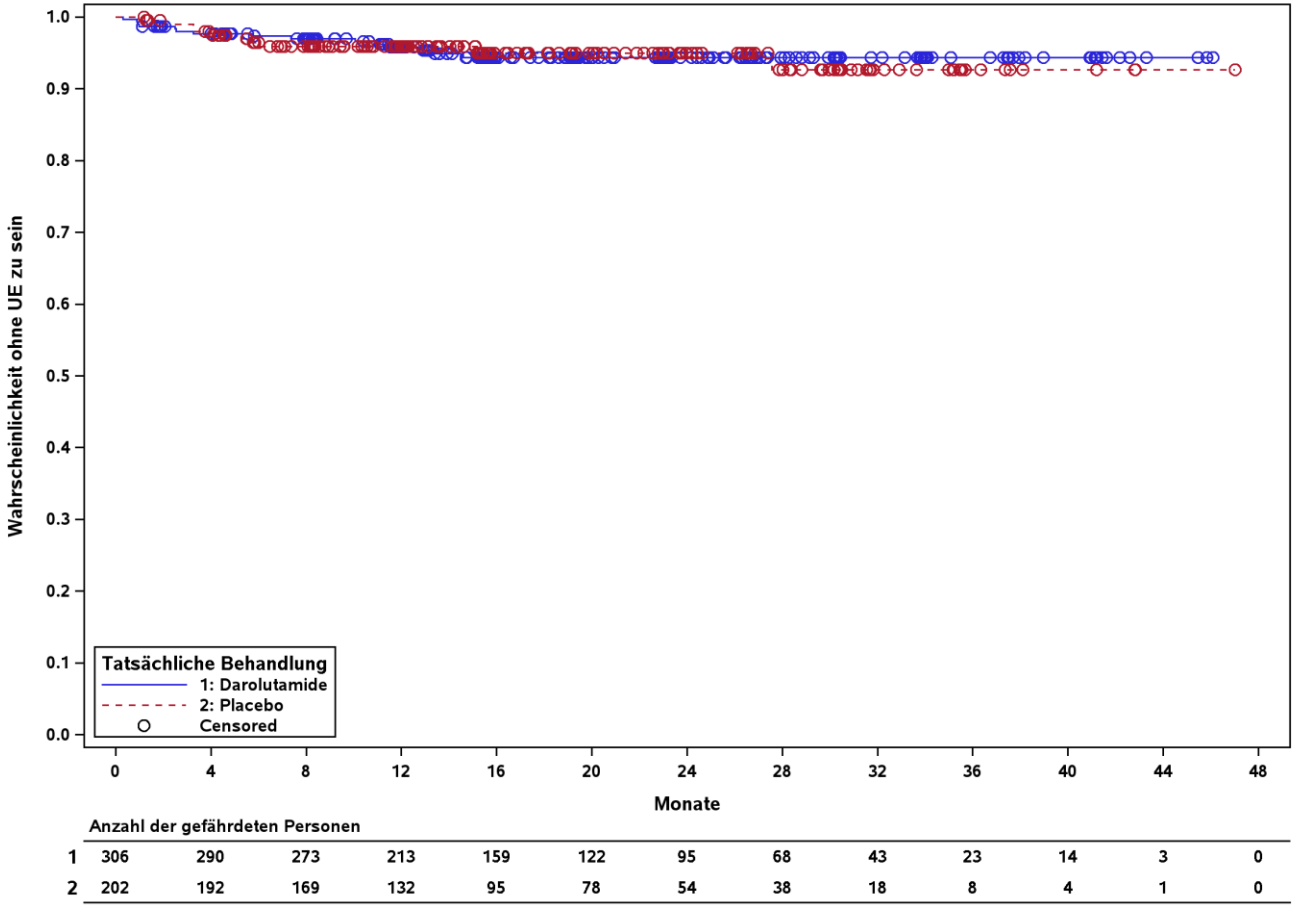
Bayer: /by-sasp/patdb/projects/1841788/17712/stat/prod_query22/pgms/t_aesi_sub.sas 23APR2020 17:14

Figure 4.3.3 / 406: Kaplan-Meier-Plot der 'Unerwünschte Ereignis von besonderem Interesse' Time-to-Event-Analyse nach Endpunkt und Subgruppe - Endpunkt: Zeit bis zum ersten UE von besonderem Interesse: Dizziness - Subgruppe: Leberfunktionsstörung: mild (full analysis set)



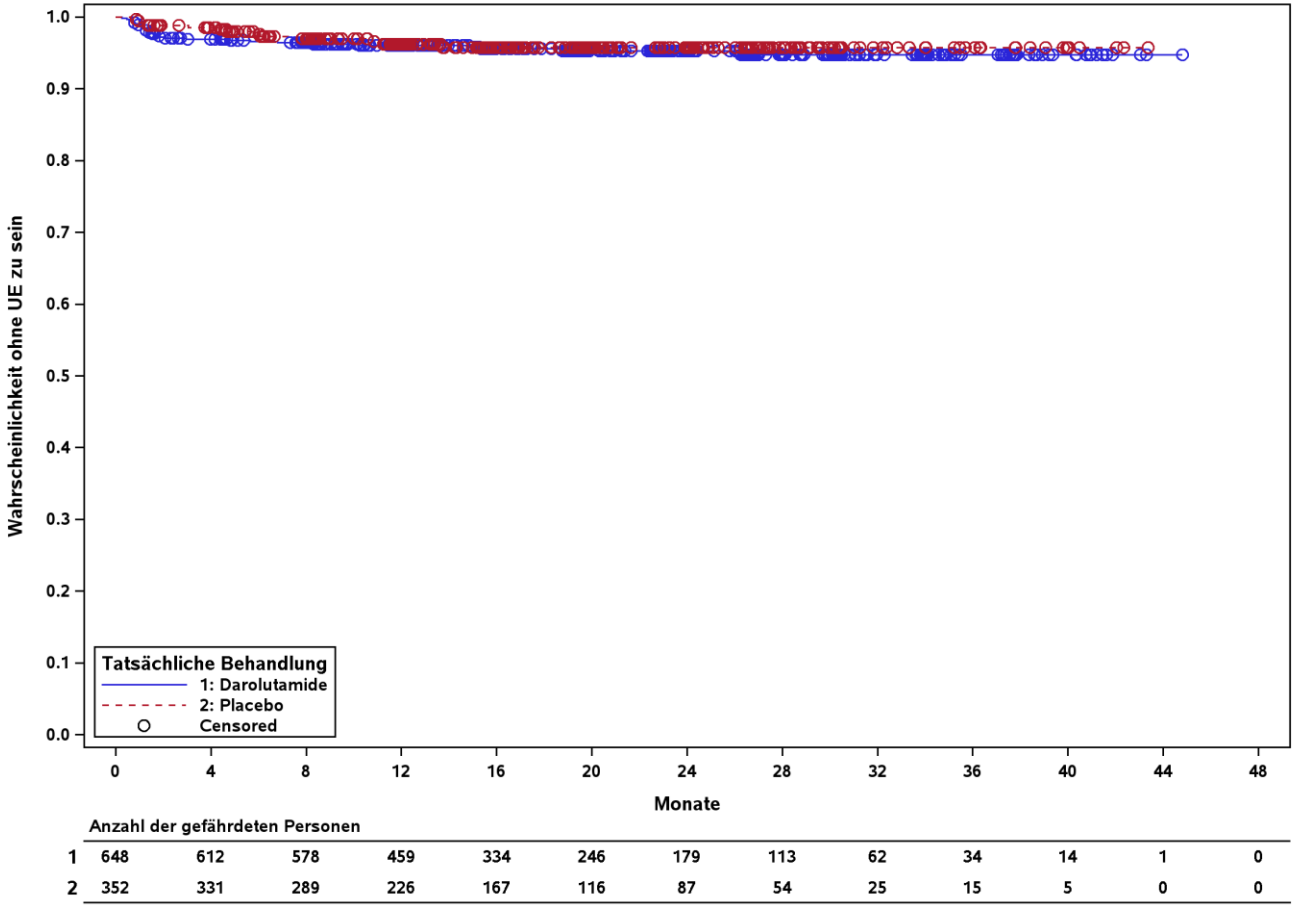
Bayer: /by-sasp/patdb/projects/1841788/17712/stat/prod_query22/pgms/t_aesi_sub.sas 23APR2020 17:14

Figure 4.3.3 / 407: Kaplan-Meier-Plot der 'Unerwünschte Ereignis von besonderem Interesse' Time-to-Event-Analyse nach Endpunkt und Subgruppe - Endpunkt: Zeit bis zum ersten UE von besonderem Interesse: Dizziness - Subgruppe: Nutzung von Statinen: Ja (full analysis set)



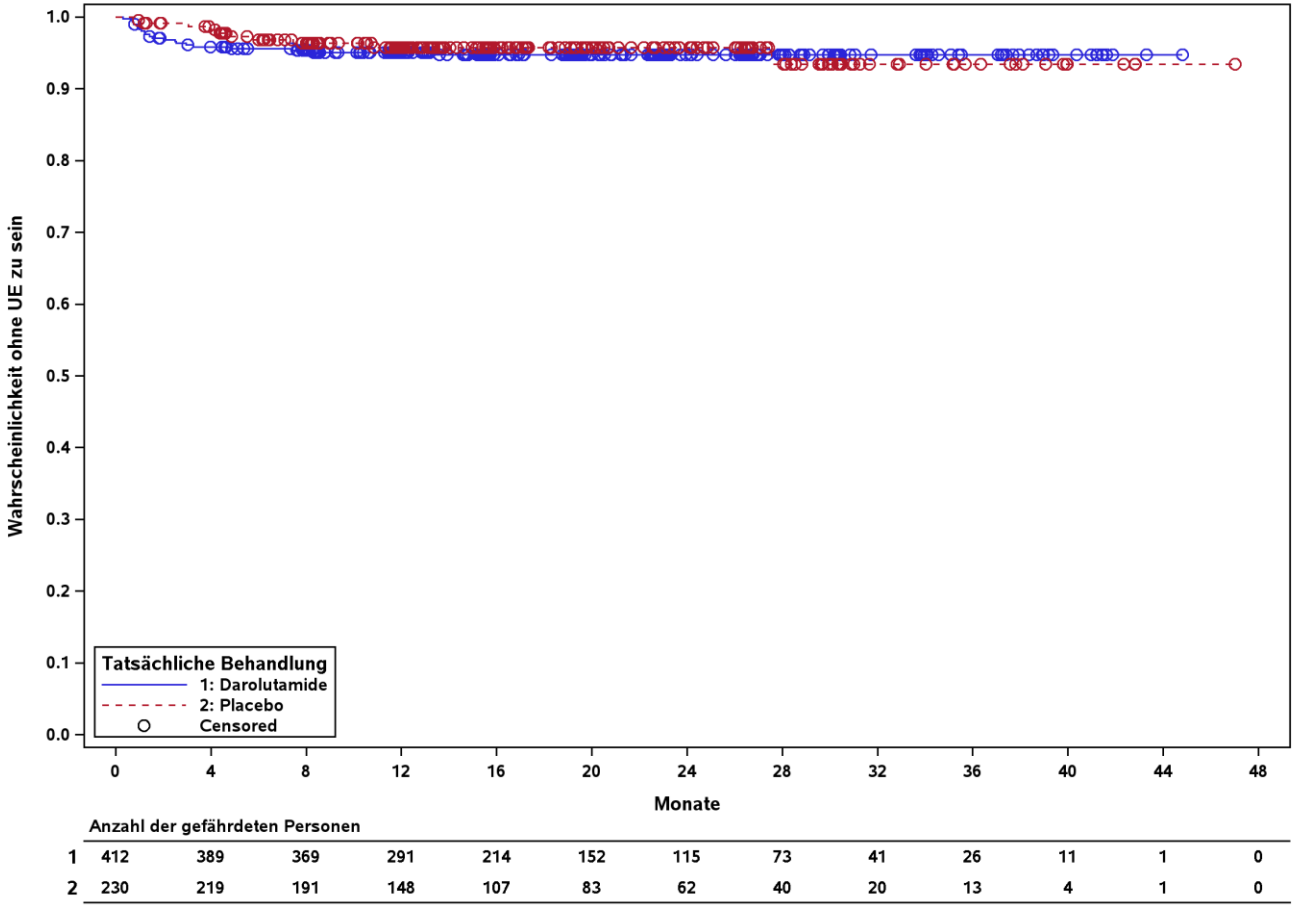
Bayer: /by-sasp/patdb/projects/1841788/17712/stat/prod_query22/pgms/t_aesi_sub.sas 23APR2020 17:14

Figure 4.3.3 / 408: Kaplan-Meier-Plot der 'Unerwünschte Ereignis von besonderem Interesse' Time-to-Event-Analyse nach Endpunkt und Subgruppe - Endpunkt: Zeit bis zum ersten UE von besonderem Interesse: Dizziness - Subgruppe: Nutzung von Statinen: Nein (full analysis set)



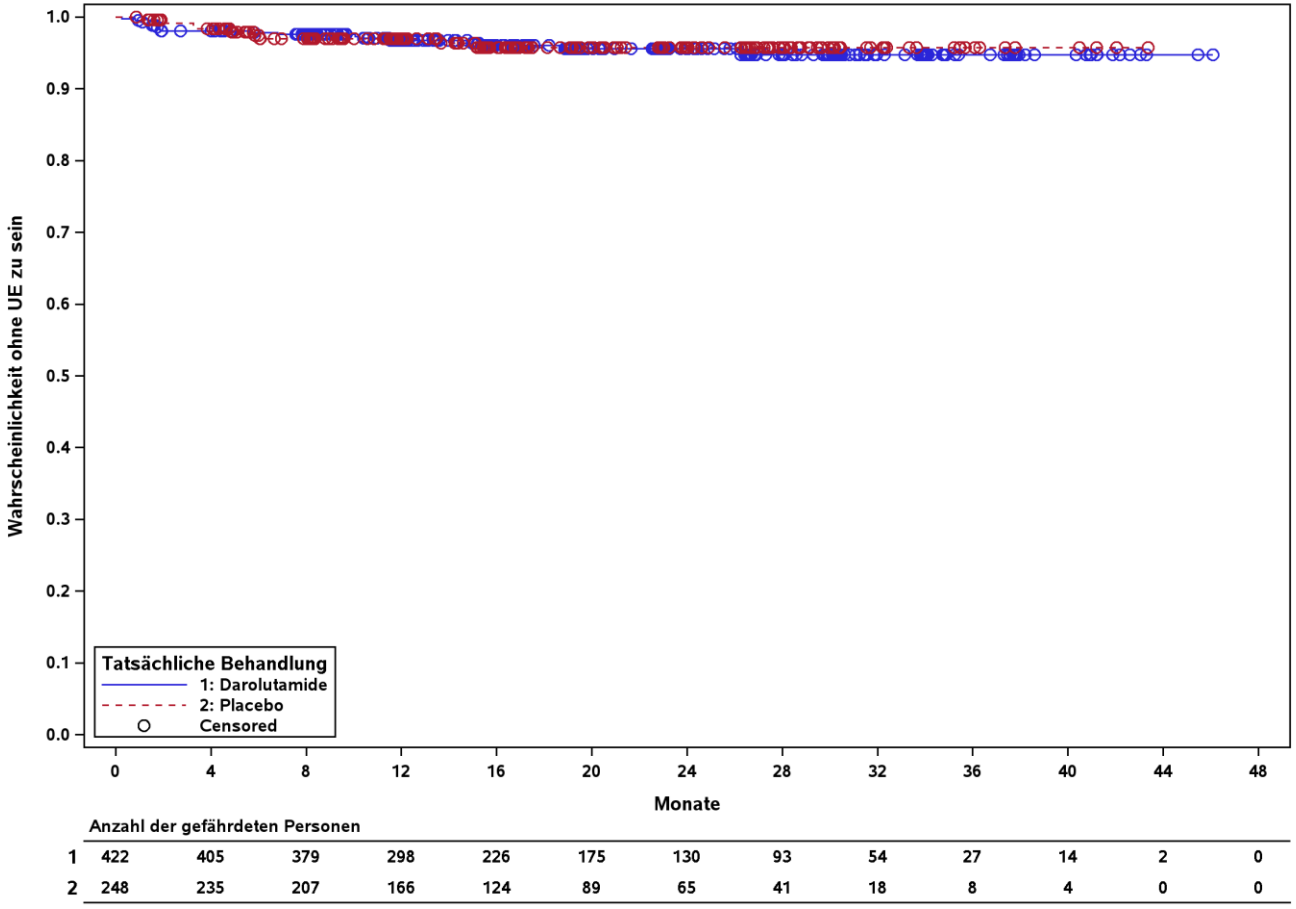
Bayer: /by-sasp/patdb/projects/1841788/17712/stat/prod_query22/pgms/t_aesi_sub.sas 23APR2020 17:14

Figure 4.3.3 / 409: Kaplan-Meier-Plot der 'Unerwünschte Ereignis von besonderem Interesse' Time-to-Event-Analyse nach Endpunkt und Subgruppe - Endpunkt: Zeit bis zum ersten UE von besonderem Interesse: Dizziness - Subgruppe: eGFR an Baseline: normal (full analysis set)



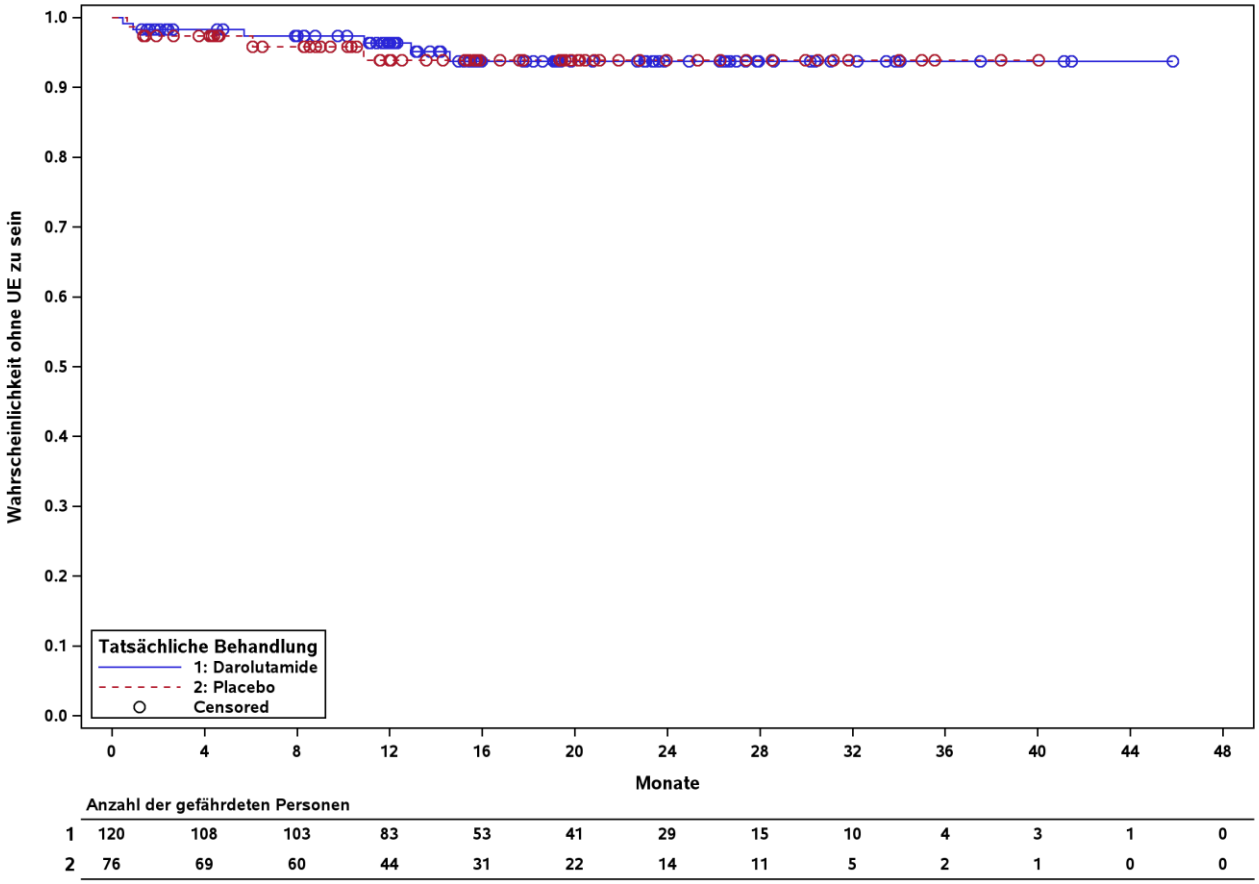
Bayer: /by-sasp/patdb/projects/1841788/17712/stat/prod_query22/pgms/t_aesi_sub.sas 23APR2020 17:14

Figure 4.3.3 / 410: Kaplan-Meier-Plot der 'Unerwünschte Ereignis von besonderem Interesse' Time-to-Event-Analyse nach Endpunkt und Subgruppe - Endpunkt: Zeit bis zum ersten UE von besonderem Interesse: Dizziness - Subgruppe: eGFR an Baseline: mildly impaired (full analysis set)



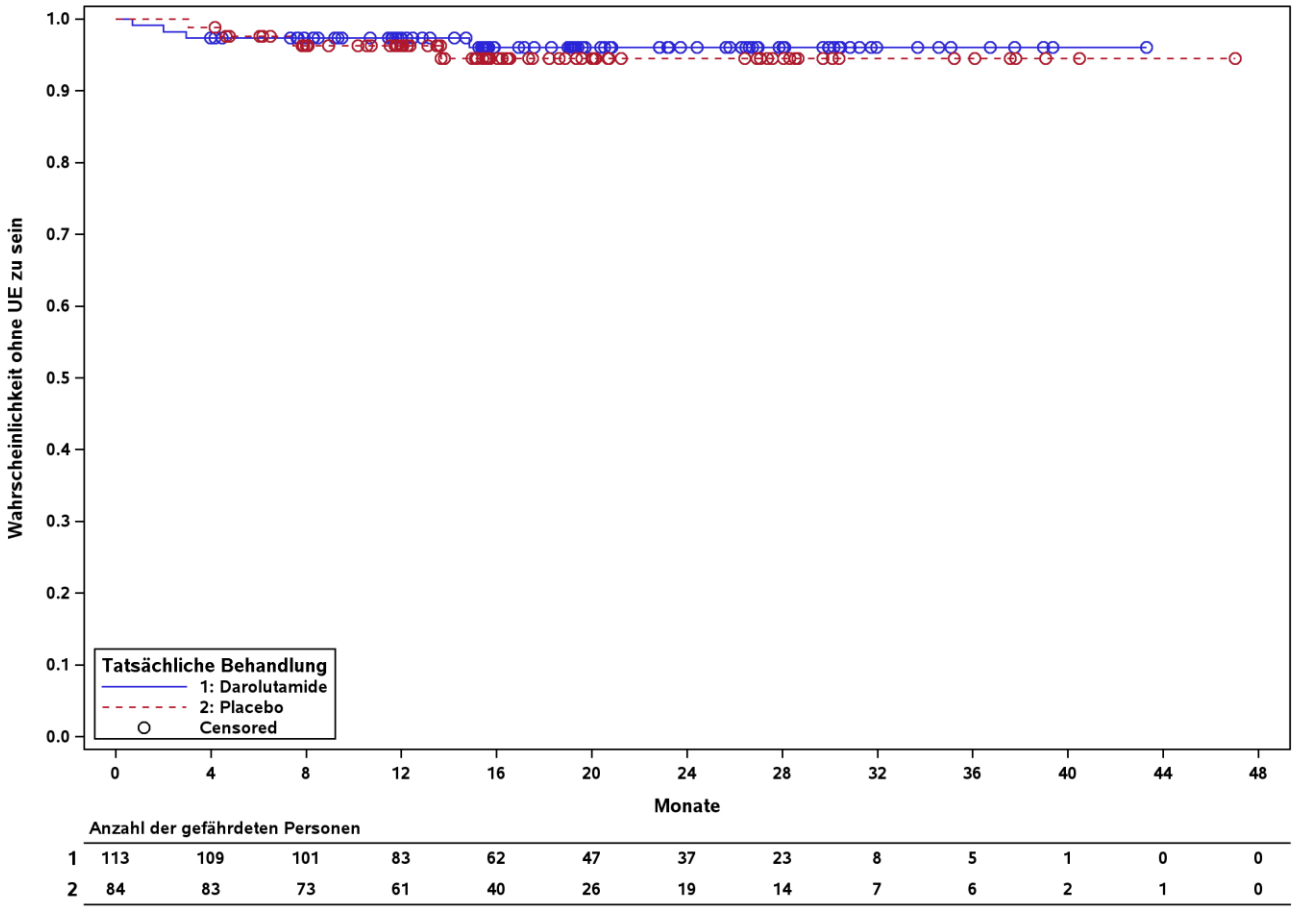
Bayer: /by-sasp/patdb/projects/1841788/17712/stat/prod_query22/pgms/t_aesi_sub.sas 23APR2020 17:14

Figure 4.3.3 / 411: Kaplan-Meier-Plot der 'Unerwünschte Ereignis von besonderem Interesse' Time-to-Event-Analyse nach Endpunkt und Subgruppe - Endpunkt: Zeit bis zum ersten UE von besonderem Interesse: Dizziness - Subgruppe: eGFR an Baseline: moderately impaired, severely impaired and renal end stage (full analysis set)



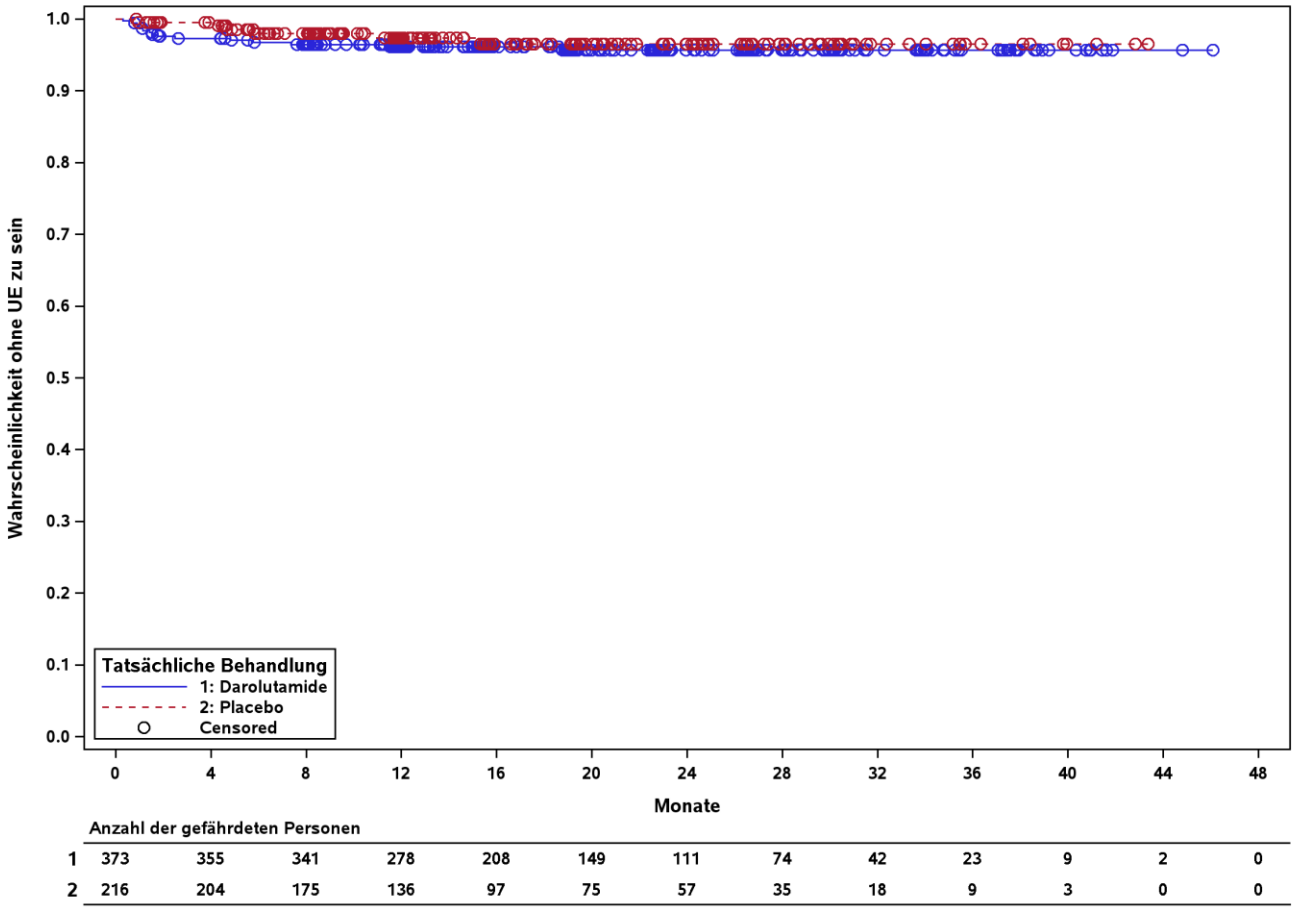
Bayer: /by-sasp/patdb/projects/1841788/17712/stat/prod_query22/pgms/t_aesi_sub.sas 23APR2020 17:14

Figure 4.3.3 / 412: Kaplan-Meier-Plot der 'Unerwünschte Ereignis von besonderem Interesse' Time-to-Event-Analyse nach Endpunkt und Subgruppe - Endpunkt: Zeit bis zum ersten UE von besonderem Interesse mit CTCAE Grad <3: Dizziness - Subgruppe: Alter (Jahre): <65 (full analysis set)



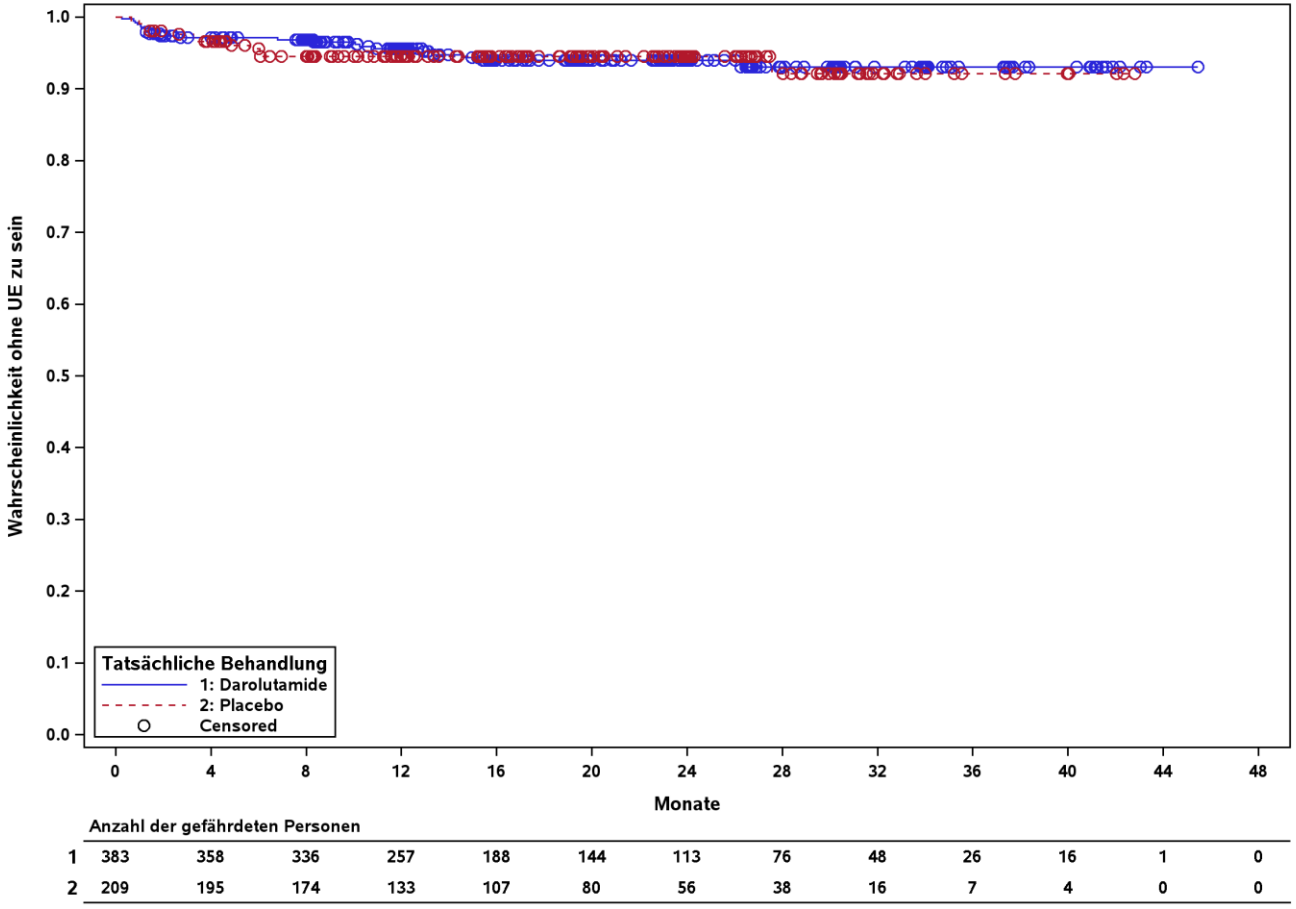
Bayer: /by-sasp/patdb/projects/1841788/17712/stat/prod_query22/pgms/t_aesi_sub.sas 23APR2020 17:14

Figure 4.3.3 / 413: Kaplan-Meier-Plot der 'Unerwünschte Ereignis von besonderem Interesse' Time-to-Event-Analyse nach Endpunkt und Subgruppe - Endpunkt: Zeit bis zum ersten UE von besonderem Interesse mit CTCAE Grad <3: Dizziness - Subgruppe: Alter (Jahre): 65-74 (full analysis set)



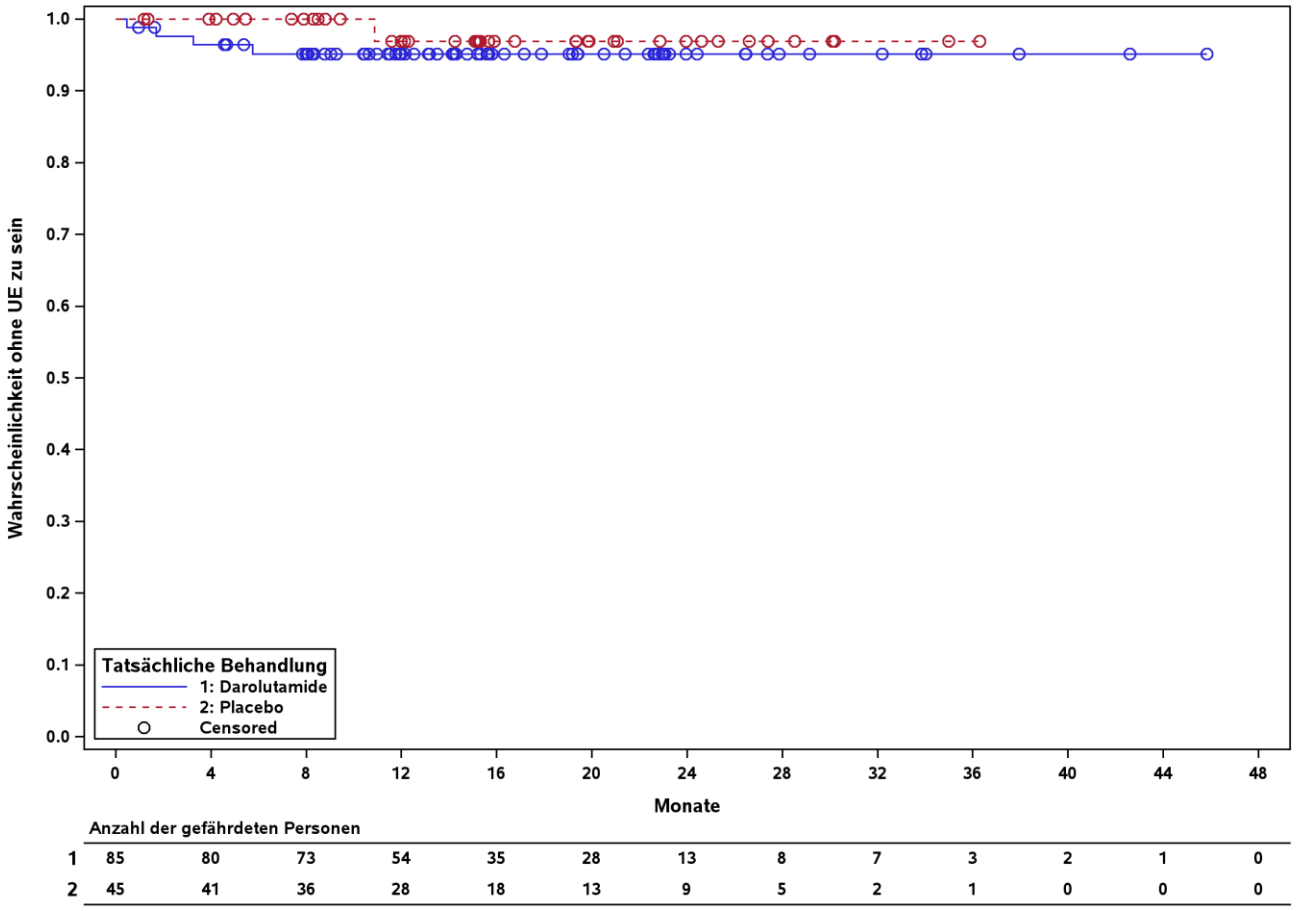
Bayer: /by-sasp/patdb/projects/1841788/17712/stat/prod_query22/pgms/t_aesi_sub.sas 23APR2020 17:14

Figure 4.3.3 / 414: Kaplan-Meier-Plot der 'Unerwünschte Ereignis von besonderem Interesse' Time-to-Event-Analyse nach Endpunkt und Subgruppe - Endpunkt: Zeit bis zum ersten UE von besonderem Interesse mit CTCAE Grad <3: Dizziness - Subgruppe: Alter (Jahre): 75-84 (full analysis set)



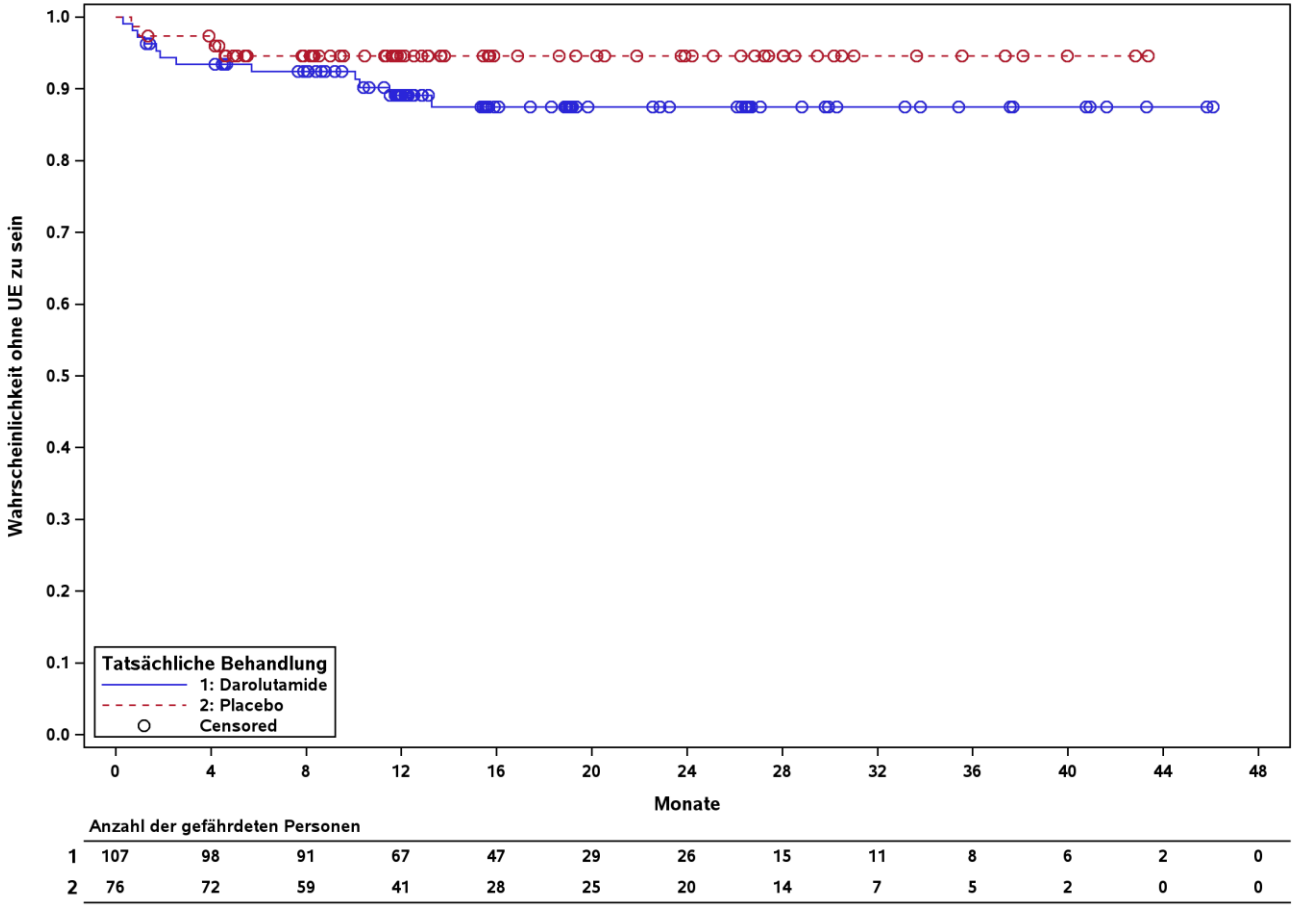
Bayer: /by-sasp/patdb/projects/1841788/17712/stat/prod_query22/pgms/t_aesi_sub.sas 23APR2020 17:14

Figure 4.3.3 / 415: Kaplan-Meier-Plot der 'Unerwünschte Ereignis von besonderem Interesse' Time-to-Event-Analyse nach Endpunkt und Subgruppe - Endpunkt: Zeit bis zum ersten UE von besonderem Interesse mit CTCAE Grad <3: Dizziness - Subgruppe: Alter (Jahre): >=85 (full analysis set)



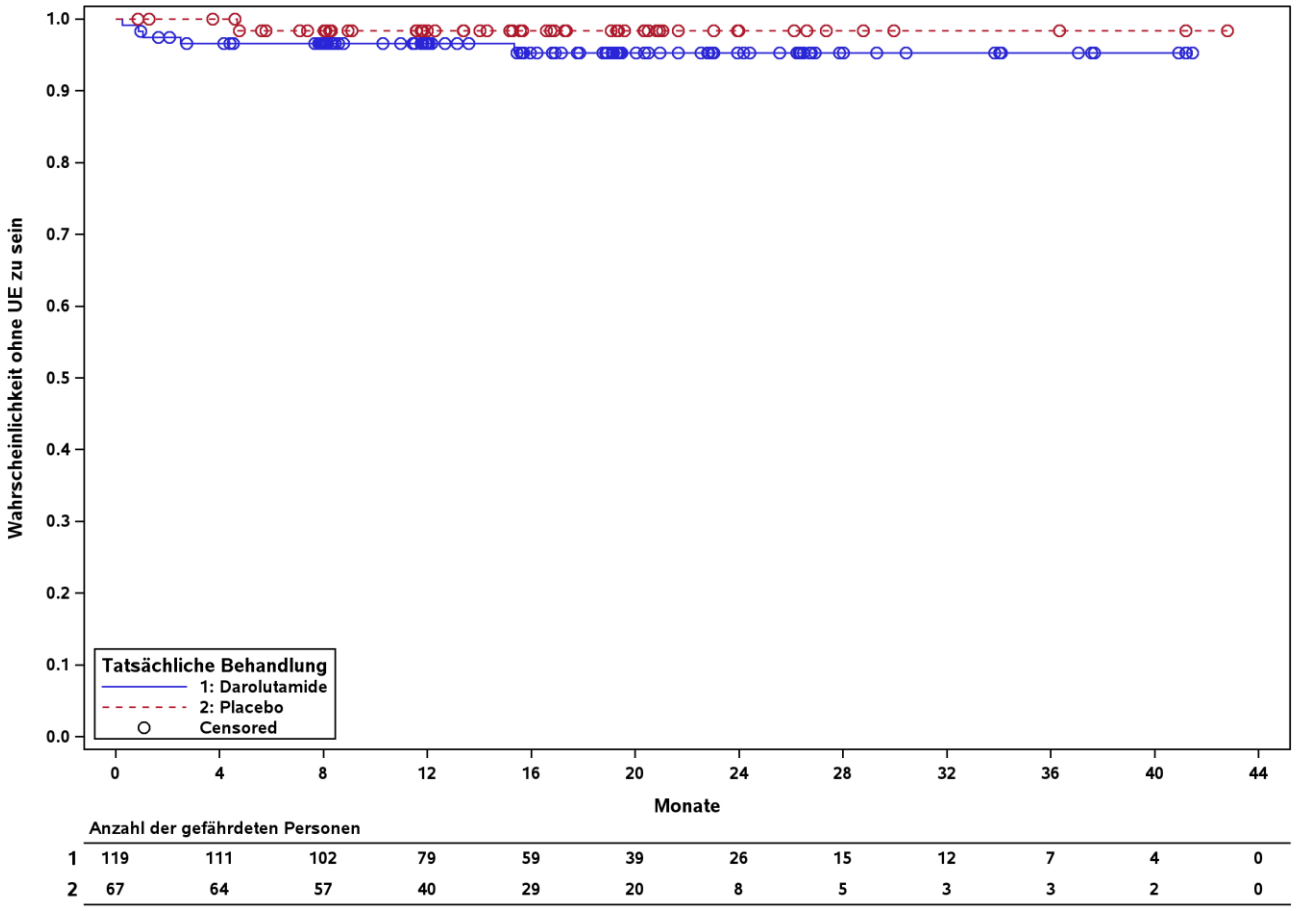
Bayer: /by-sasp/patdb/projects/1841788/17712/stat/prod_query22/pgms/t_aesi_sub.sas 23APR2020 17:14

Figure 4.3.3 / 416: Kaplan-Meier-Plot der 'Unerwünschte Ereignis von besonderem Interesse' Time-to-Event-Analyse nach Endpunkt und Subgruppe - Endpunkt: Zeit bis zum ersten UE von besonderem Interesse mit CTCAE Grad <3: Dizziness - Subgruppe: Geografische Region: North America (full analysis set)



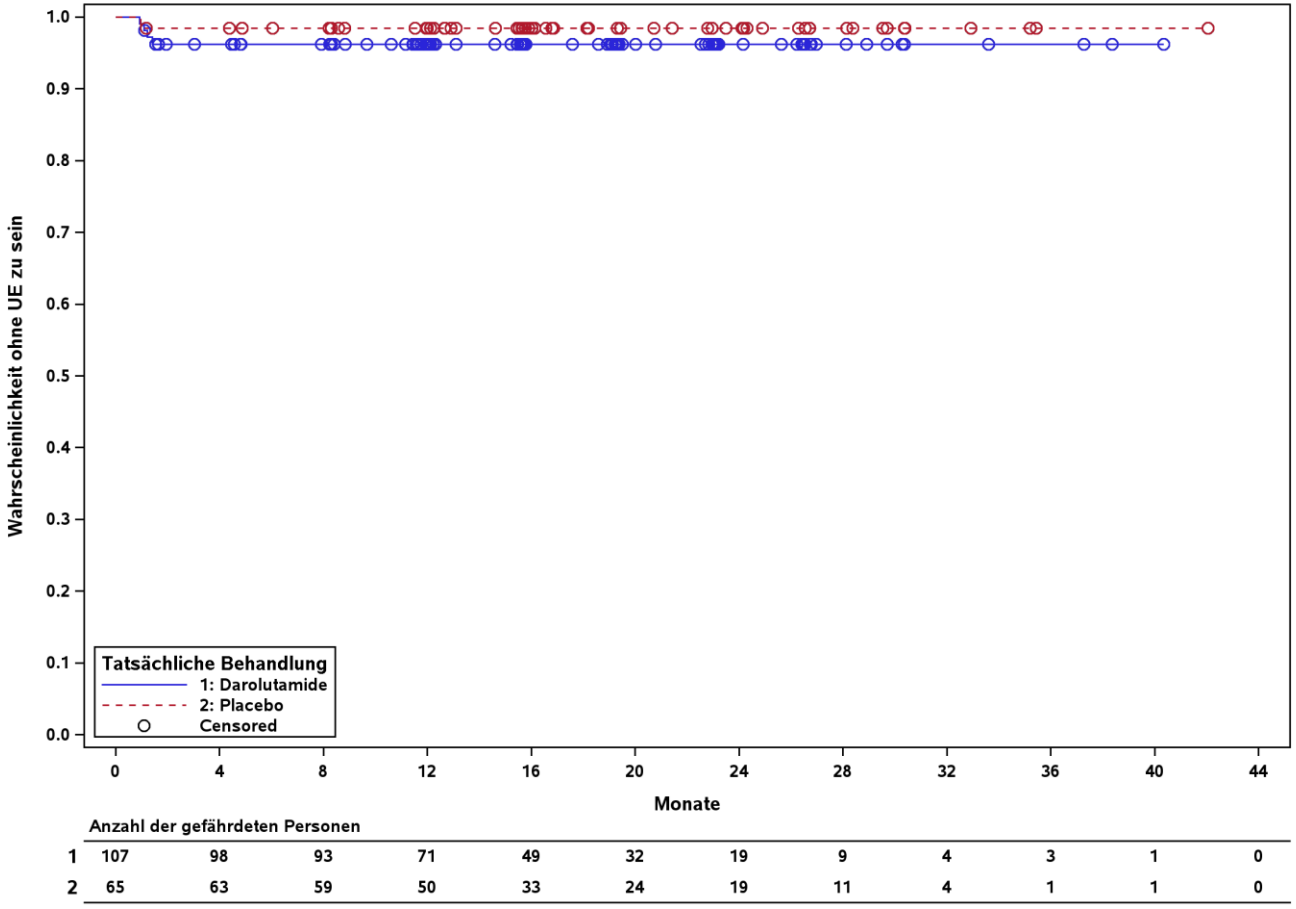
Bayer: /by-sasp/patdb/projects/1841788/17712/stat/prod_query22/pgms/t_aesi_sub.sas 23APR2020 17:14

Figure 4.3.3 / 417: Kaplan-Meier-Plot der 'Unerwünschte Ereignis von besonderem Interesse' Time-to-Event-Analyse nach Endpunkt und Subgruppe - Endpunkt: Zeit bis zum ersten UE von besonderem Interesse mit CTCAE Grad <3: Dizziness - Subgruppe: Geografische Region: Asia Pacific (full analysis set)



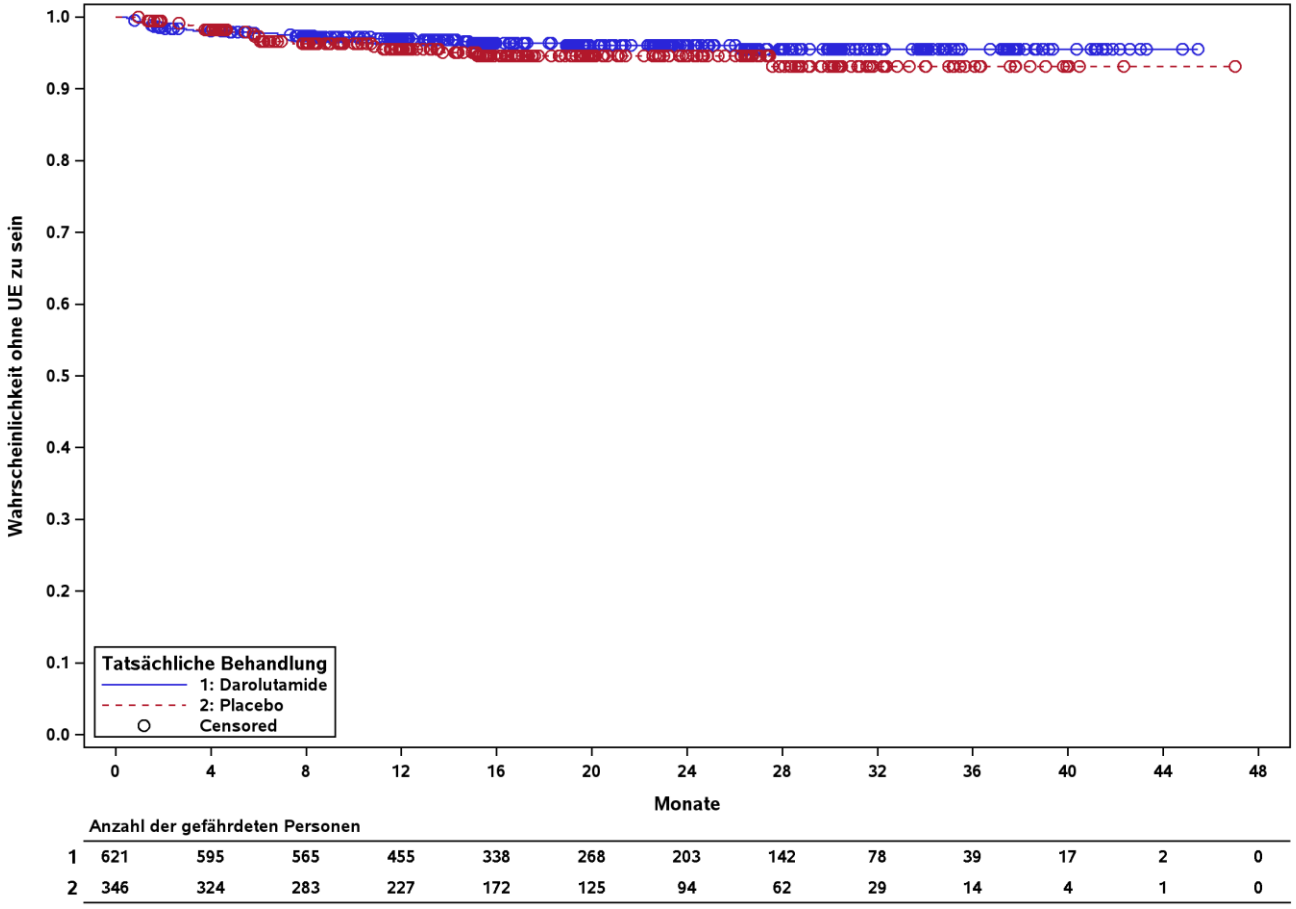
Bayer: /by-sasp/patdb/projects/1841788/17712/stat/prod_query22/pgms/t_aesi_sub.sas 23APR2020 17:14

Figure 4.3.3 / 418: Kaplan-Meier-Plot der 'Unerwünschte Ereignis von besonderem Interesse' Time-to-Event-Analyse nach Endpunkt und Subgruppe - Endpunkt: Zeit bis zum ersten UE von besonderem Interesse mit CTCAE Grad <3: Dizziness - Subgruppe: Geografische Region: Rest of the World (full analysis set)



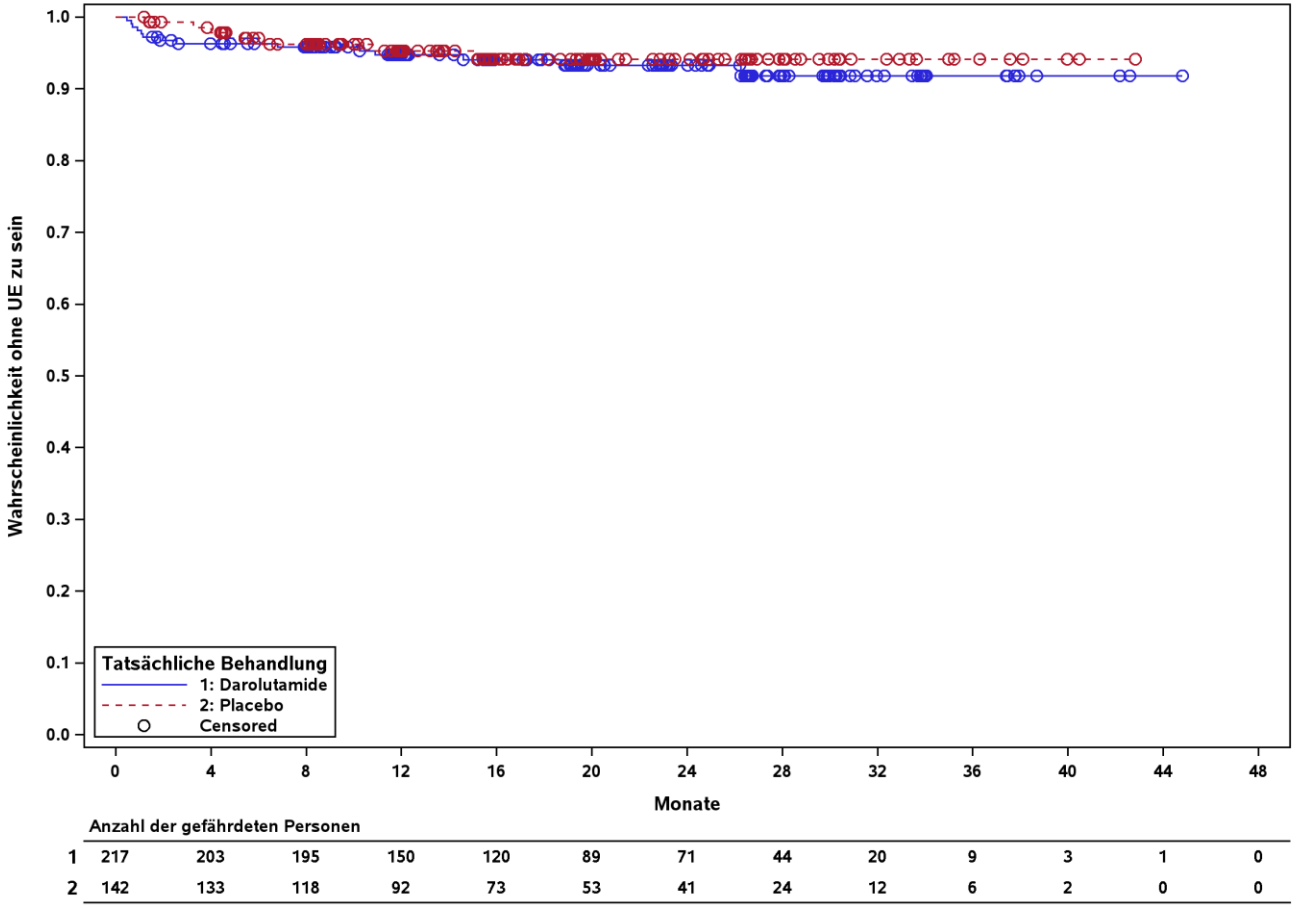
Bayer: /by-sasp/patdb/projects/1841788/17712/stat/prod_query22/pgms/t_aesi_sub.sas 23APR2020 17:14

Figure 4.3.3 / 419: Kaplan-Meier-Plot der 'Unerwünschte Ereignis von besonderem Interesse' Time-to-Event-Analyse nach Endpunkt und Subgruppe - Endpunkt: Zeit bis zum ersten UE von besonderem Interesse mit CTCAE Grad <3: Dizziness - Subgruppe: Geografische Region: Europe (full analysis set)



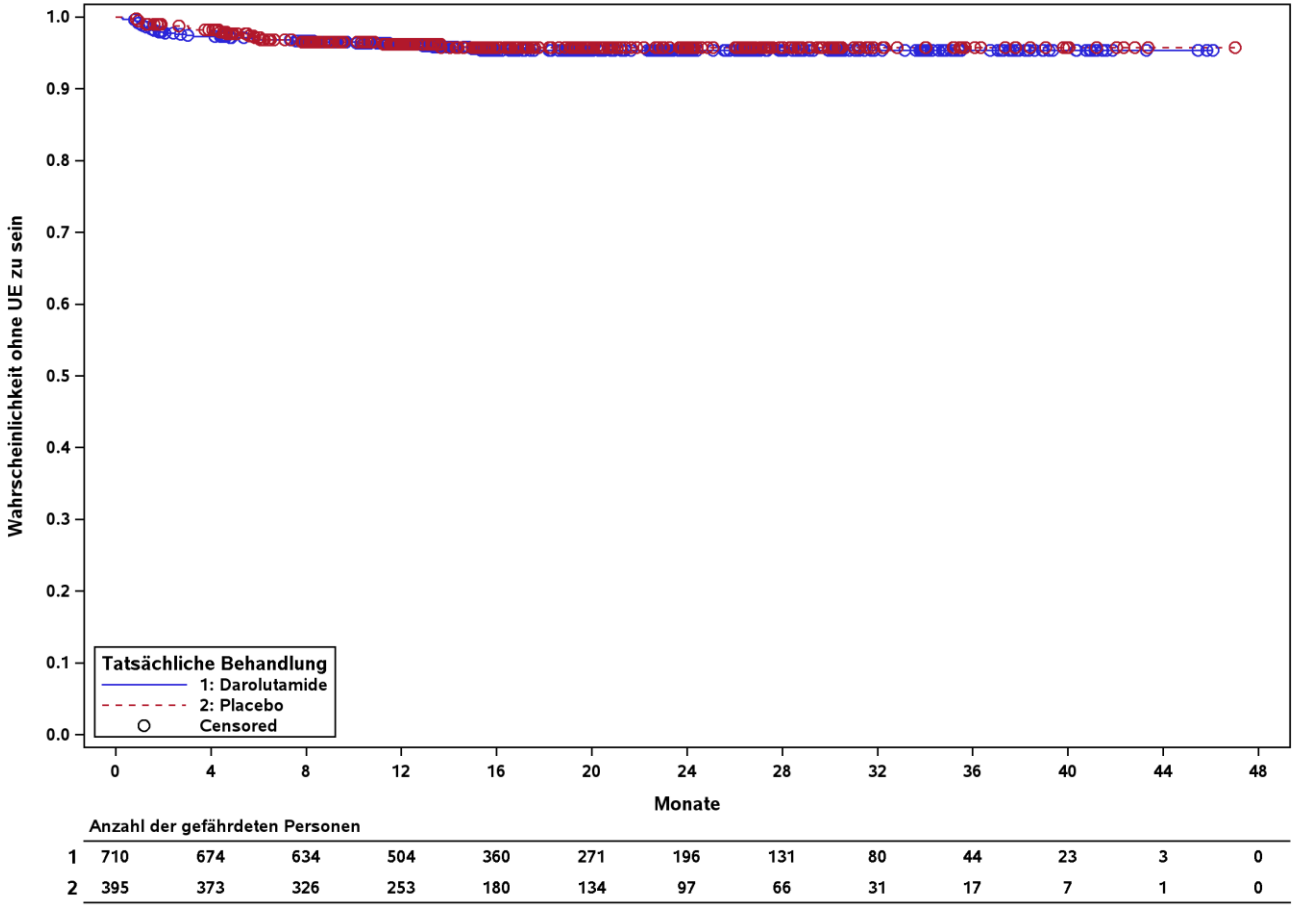
Bayer: /by-sasp/patdb/projects/1841788/17712/stat/prod_query22/pgms/t_aesi_sub.sas 23APR2020 17:14

Figure 4.3.3 / 420: Kaplan-Meier-Plot der 'Unerwünschte Ereignis von besonderem Interesse' Time-to-Event-Analyse nach Endpunkt und Subgruppe - Endpunkt: Zeit bis zum ersten UE von besonderem Interesse mit CTCAE Grad <3: Dizziness - Subgruppe: Gleason-Score bei Diagnose: <7 (full analysis set)



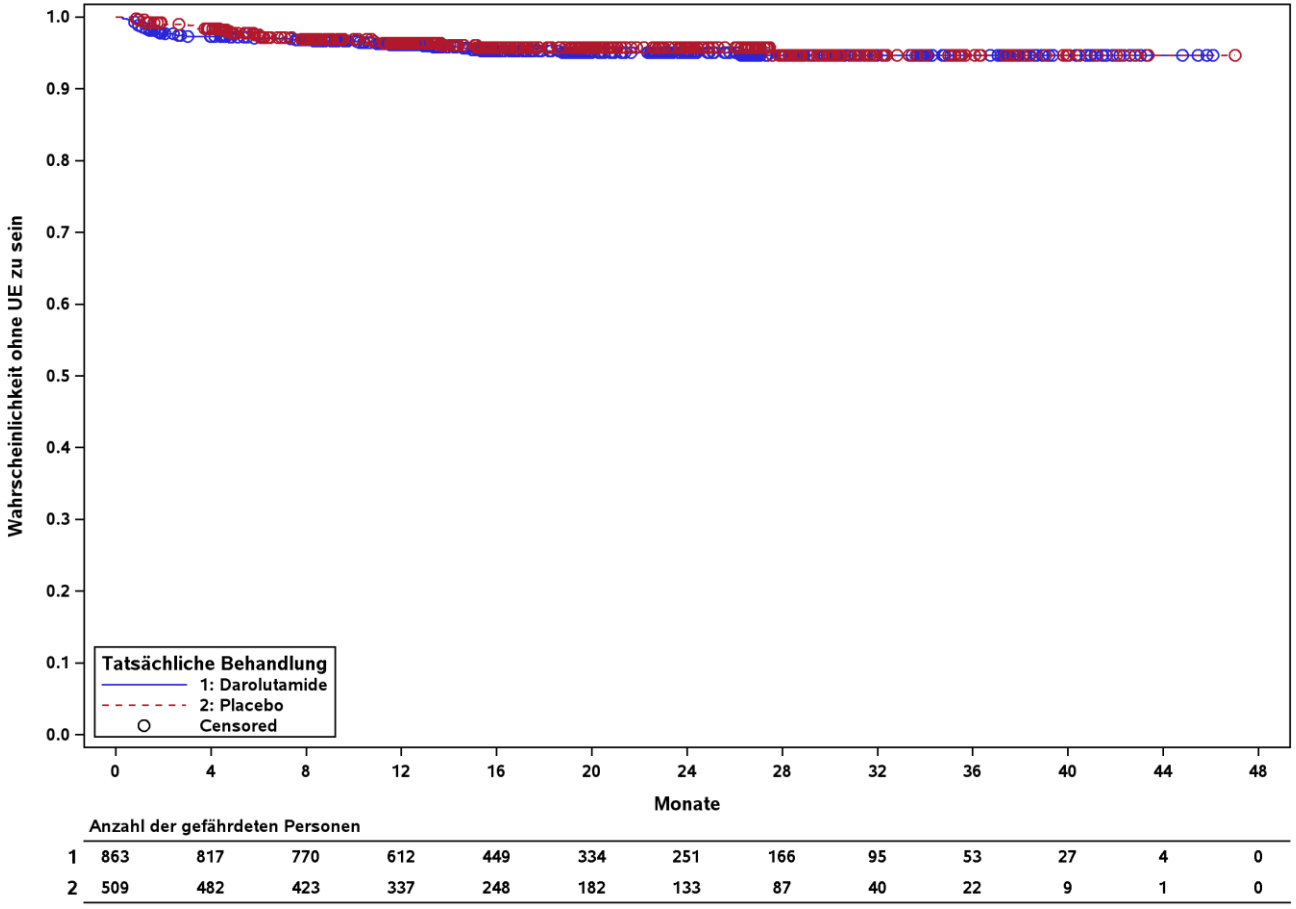
Bayer: /by-sasp/patdb/projects/1841788/17712/stat/prod_query22/pgms/t_aesi_sub.sas 23APR2020 17:14

Figure 4.3.3 / 421: Kaplan-Meier-Plot der 'Unerwünschte Ereignis von besonderem Interesse' Time-to-Event-Analyse nach Endpunkt und Subgruppe - Endpunkt: Zeit bis zum ersten UE von besonderem Interesse mit CTCAE Grad <3: Dizziness - Subgruppe: Gleason-Score bei Diagnose: >=7 (full analysis set)



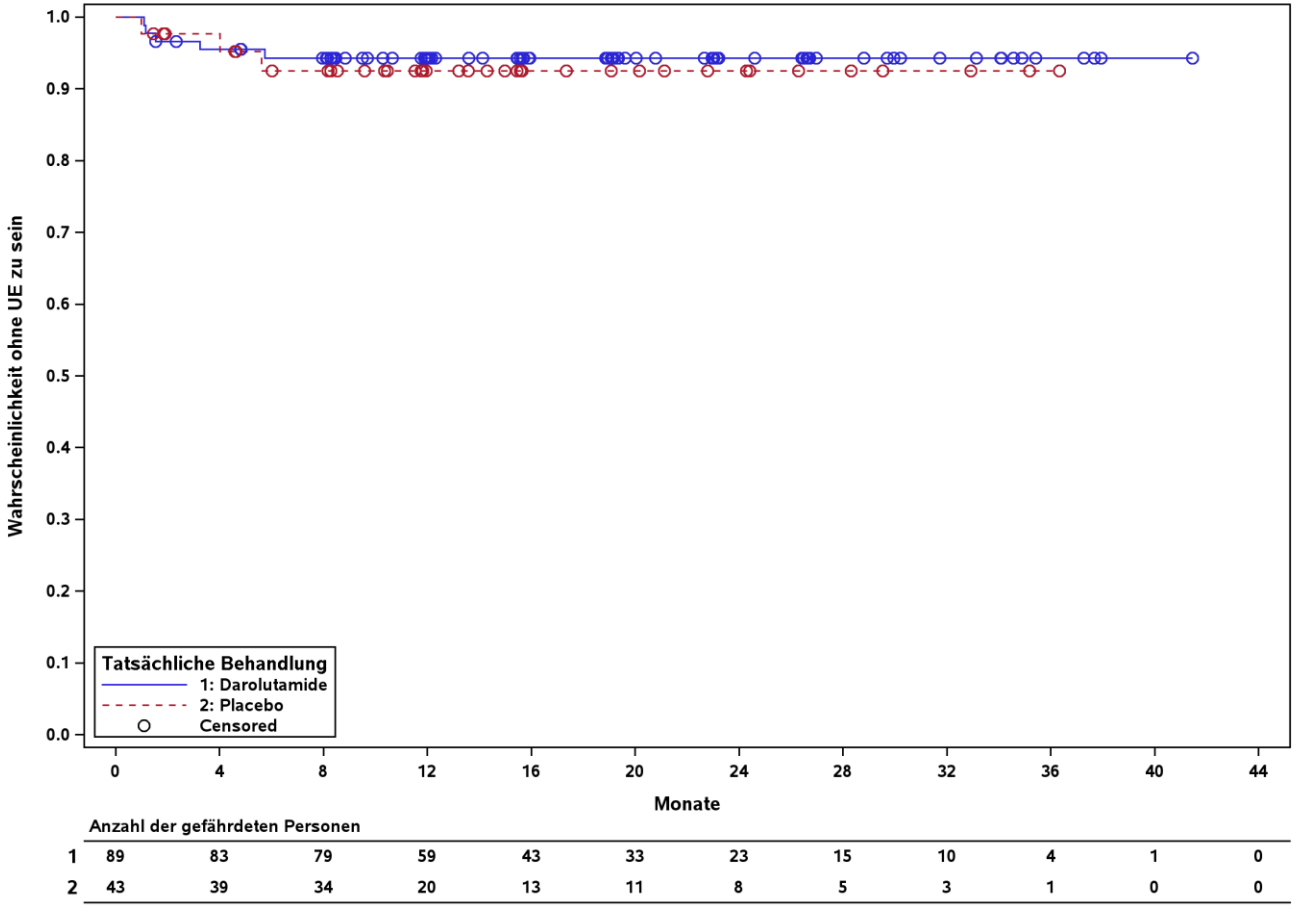
Bayer: /by-sasp/patdb/projects/1841788/17712/stat/prod_query22/pgms/t_aesi_sub.sas 23APR2020 17:14

Figure 4.3.3 / 422: Kaplan-Meier-Plot der 'Unerwünschte Ereignis von besonderem Interesse' Time-to-Event-Analyse nach Endpunkt und Subgruppe - Endpunkt: Zeit bis zum ersten UE von besonderem Interesse mit CTCAE Grad <3: Dizziness - Subgruppe: Leberfunktionsstörung: normal (full analysis set)



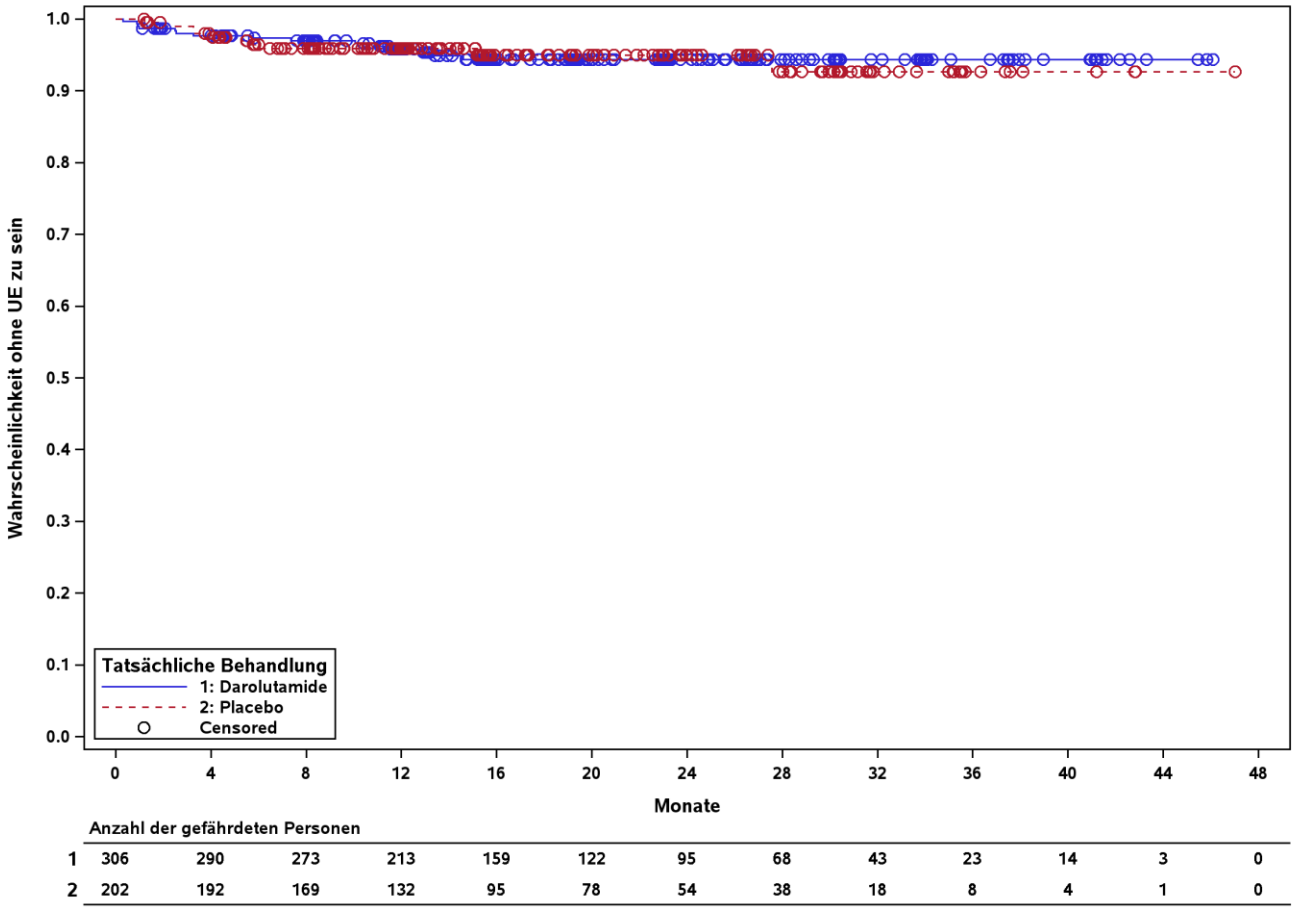
Bayer: /by-sasp/patdb/projects/1841788/17712/stat/prod_query22/pgms/t_aesi_sub.sas 23APR2020 17:14

Figure 4.3.3 / 423: Kaplan-Meier-Plot der 'Unerwünschte Ereignis von besonderem Interesse' Time-to-Event-Analyse nach Endpunkt und Subgruppe - Endpunkt: Zeit bis zum ersten UE von besonderem Interesse mit CTCAE Grad <3: Dizziness - Subgruppe: Leberfunktionsstörung: mild (full analysis set)



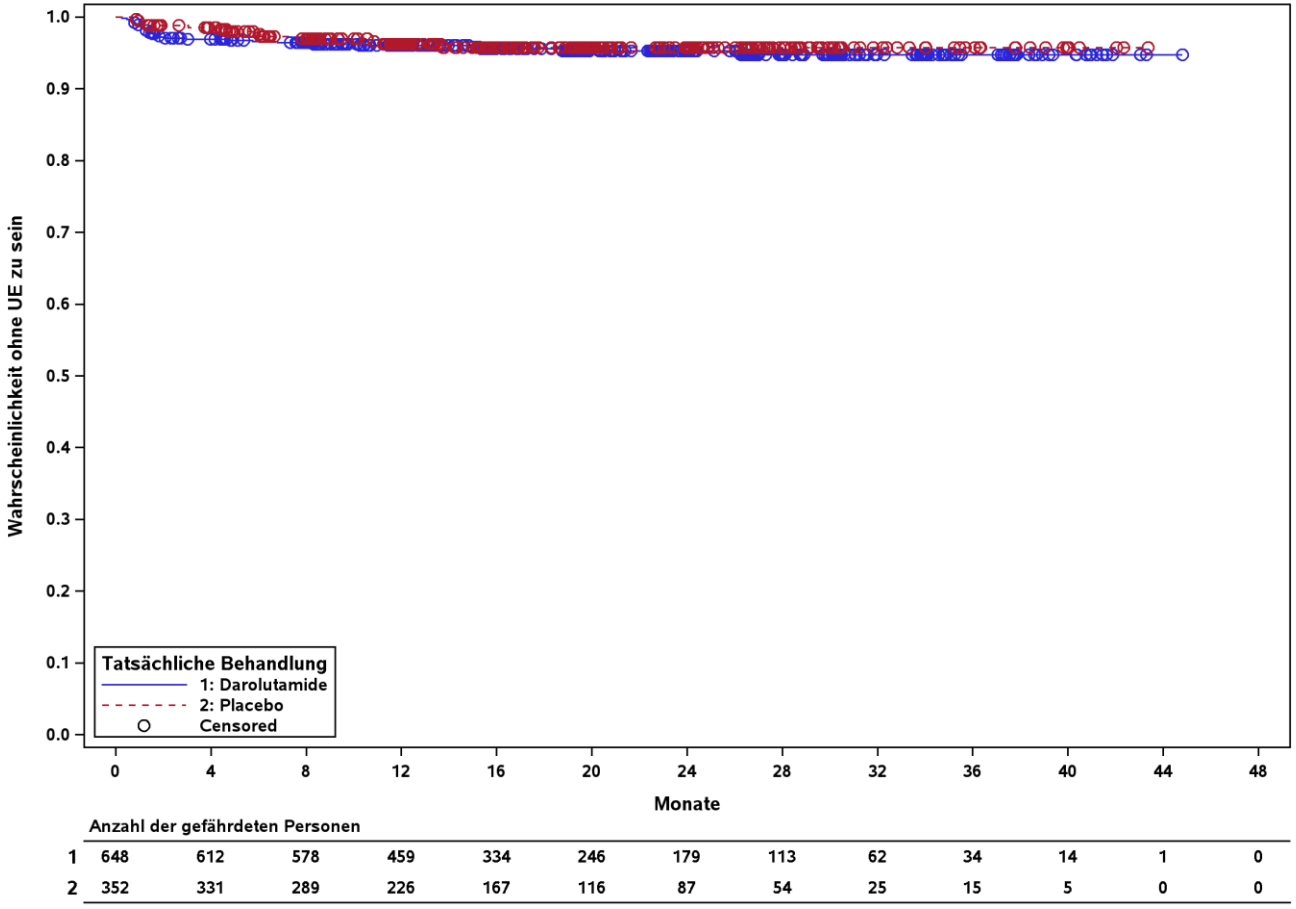
Bayer: /by-sasp/patdb/projects/1841788/17712/stat/prod_query22/pgms/t_aesi_sub.sas 23APR2020 17:14

Figure 4.3.3 / 424: Kaplan-Meier-Plot der 'Unerwünschte Ereignis von besonderem Interesse' Time-to-Event-Analyse nach Endpunkt und Subgruppe - Endpunkt: Zeit bis zum ersten UE von besonderem Interesse mit CTCAE Grad <3: Dizziness - Subgruppe: Nutzung von Statinen: Ja (full analysis set)



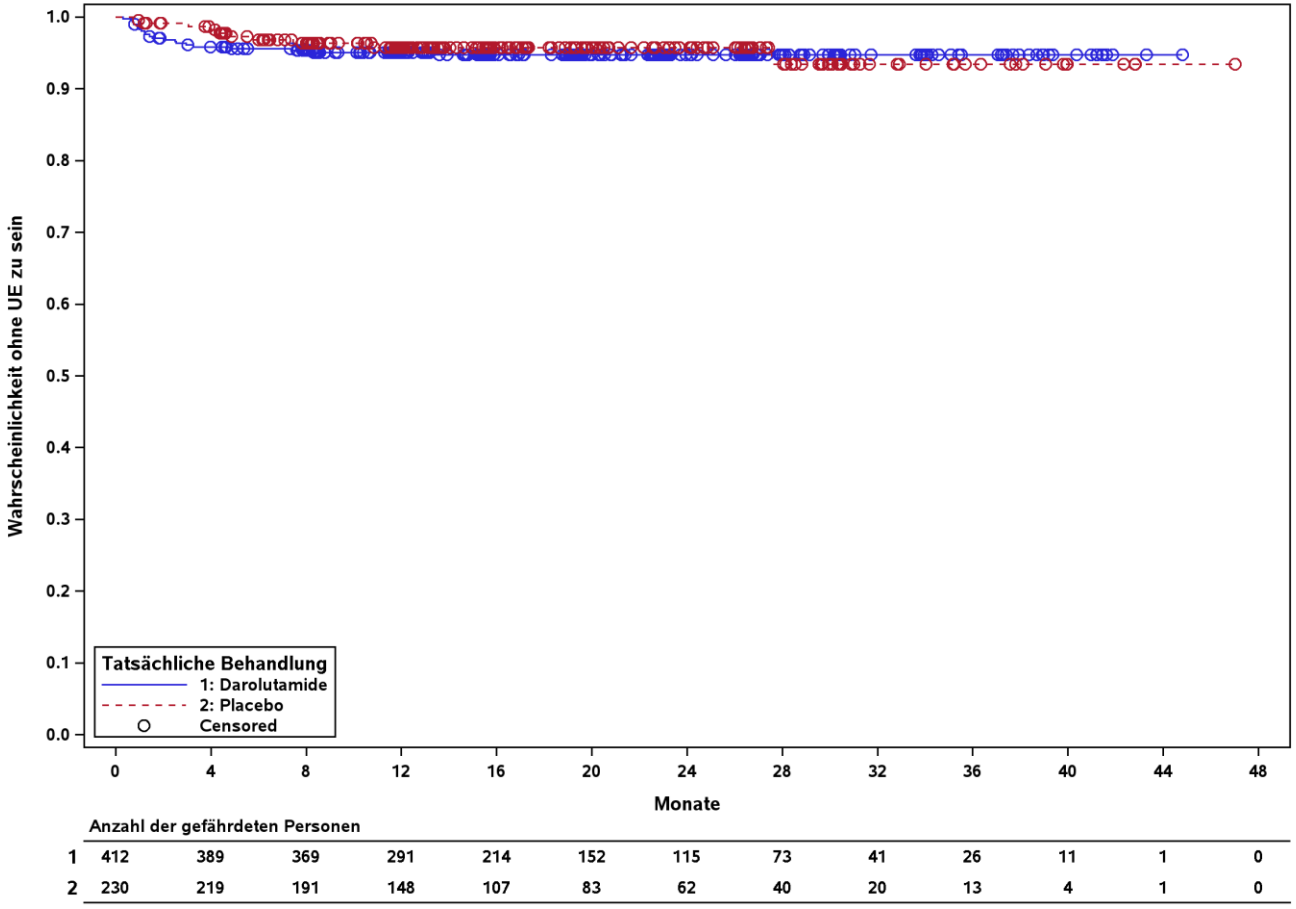
Bayer: /by-sasp/patdb/projects/1841788/17712/stat/prod_query22/pgms/t_aesi_sub.sas 23APR2020 17:14

Figure 4.3.3 / 425: Kaplan-Meier-Plot der 'Unerwünschte Ereignis von besonderem Interesse' Time-to-Event-Analyse nach Endpunkt und Subgruppe - Endpunkt: Zeit bis zum ersten UE von besonderem Interesse mit CTCAE Grad <3: Dizziness - Subgruppe: Nutzung von Statinen: Nein (full analysis set)



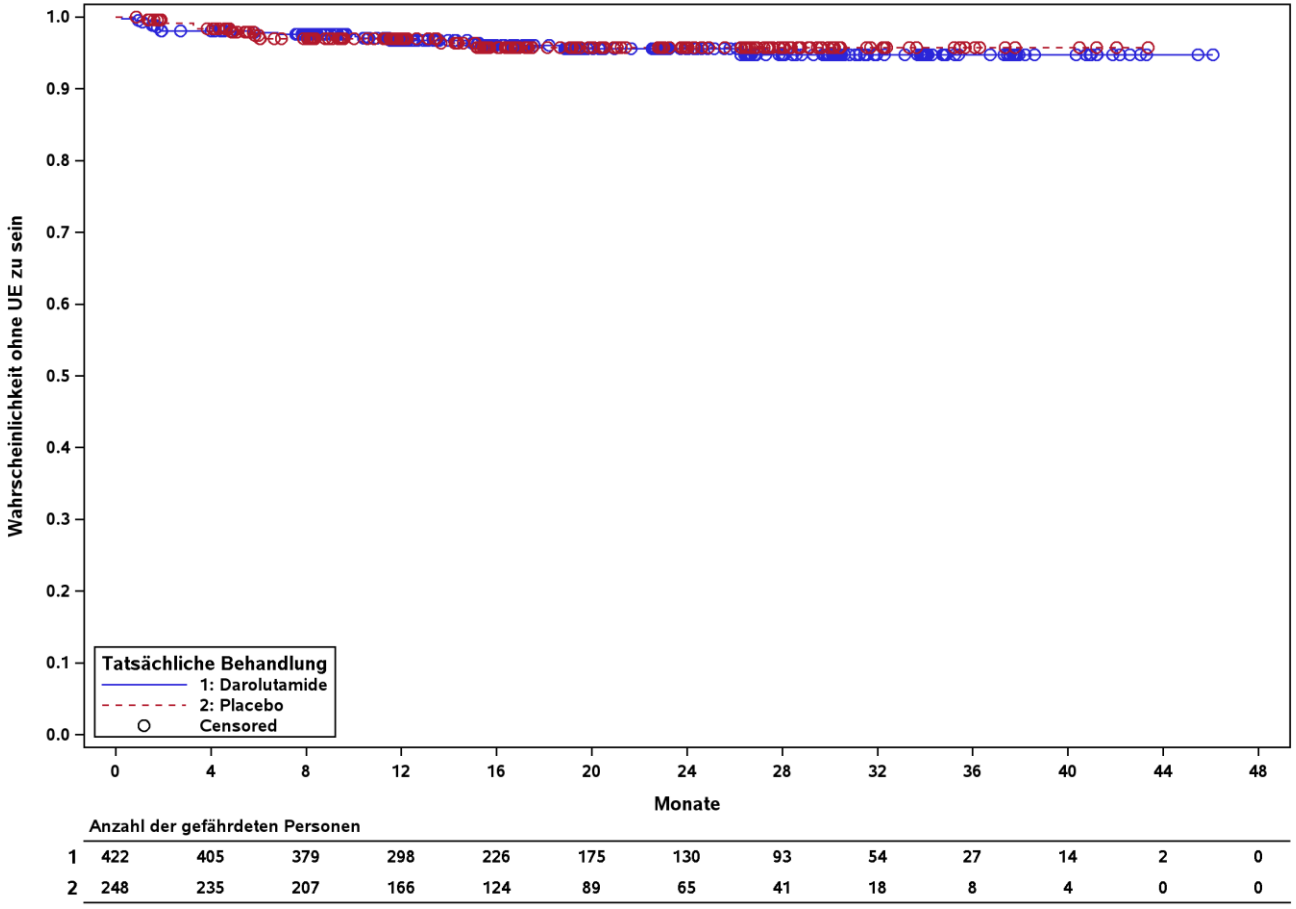
Bayer: /by-sasp/patdb/projects/1841788/17712/stat/prod_query22/pgms/t_aesi_sub.sas 23APR2020 17:14

Figure 4.3.3 / 426: Kaplan-Meier-Plot der 'Unerwünschte Ereignis von besonderem Interesse' Time-to-Event-Analyse nach Endpunkt und Subgruppe - Endpunkt: Zeit bis zum ersten UE von besonderem Interesse mit CTCAE Grad <3: Dizziness - Subgruppe: eGFR an Baseline: normal (full analysis set)



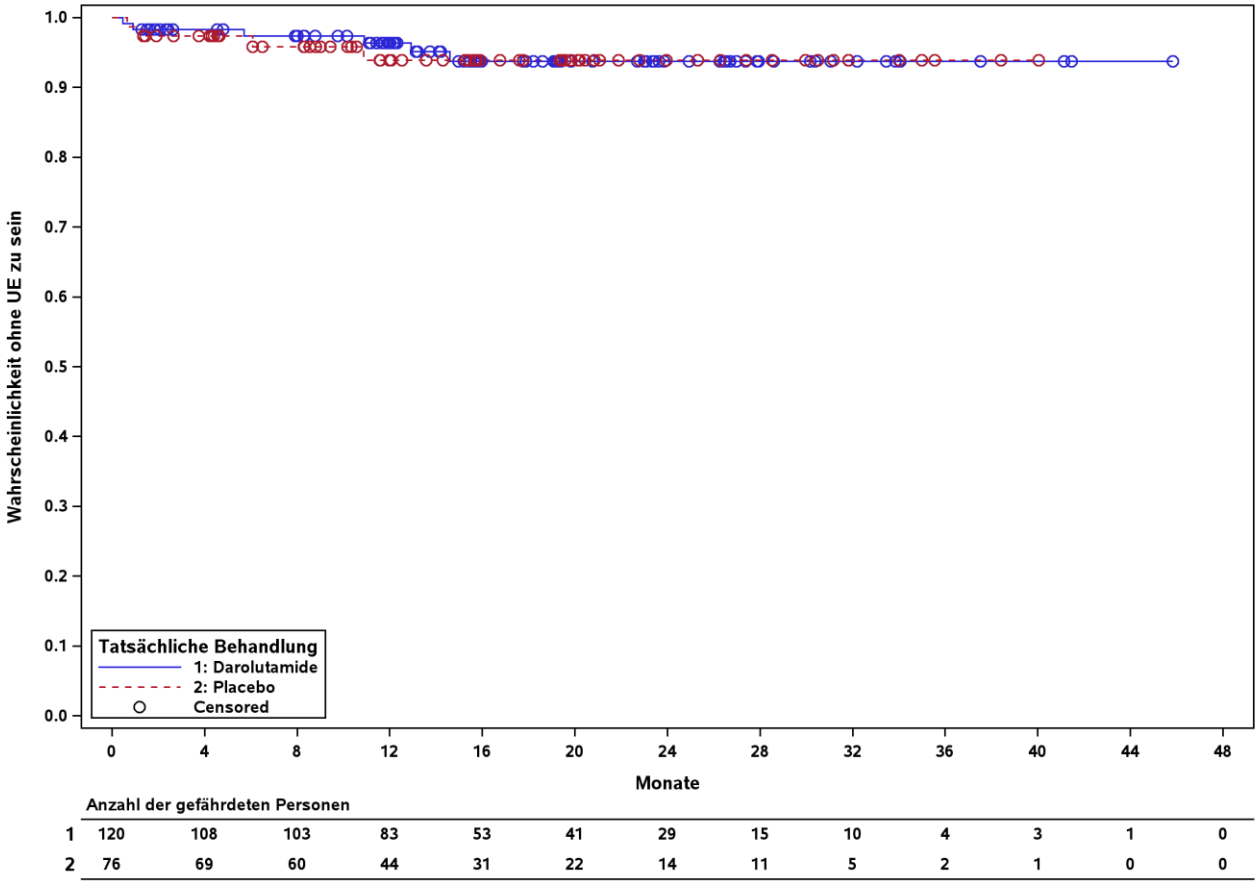
Bayer: /by-sasp/patdb/projects/1841788/17712/stat/prod_query22/pgms/t_aesi_sub.sas 23APR2020 17:14

Figure 4.3.3 / 427: Kaplan-Meier-Plot der 'Unerwünschte Ereignis von besonderem Interesse' Time-to-Event-Analyse nach Endpunkt und Subgruppe - Endpunkt: Zeit bis zum ersten UE von besonderem Interesse mit CTCAE Grad <3: Dizziness - Subgruppe: eGFR an Baseline: mildly impaired (full analysis set)



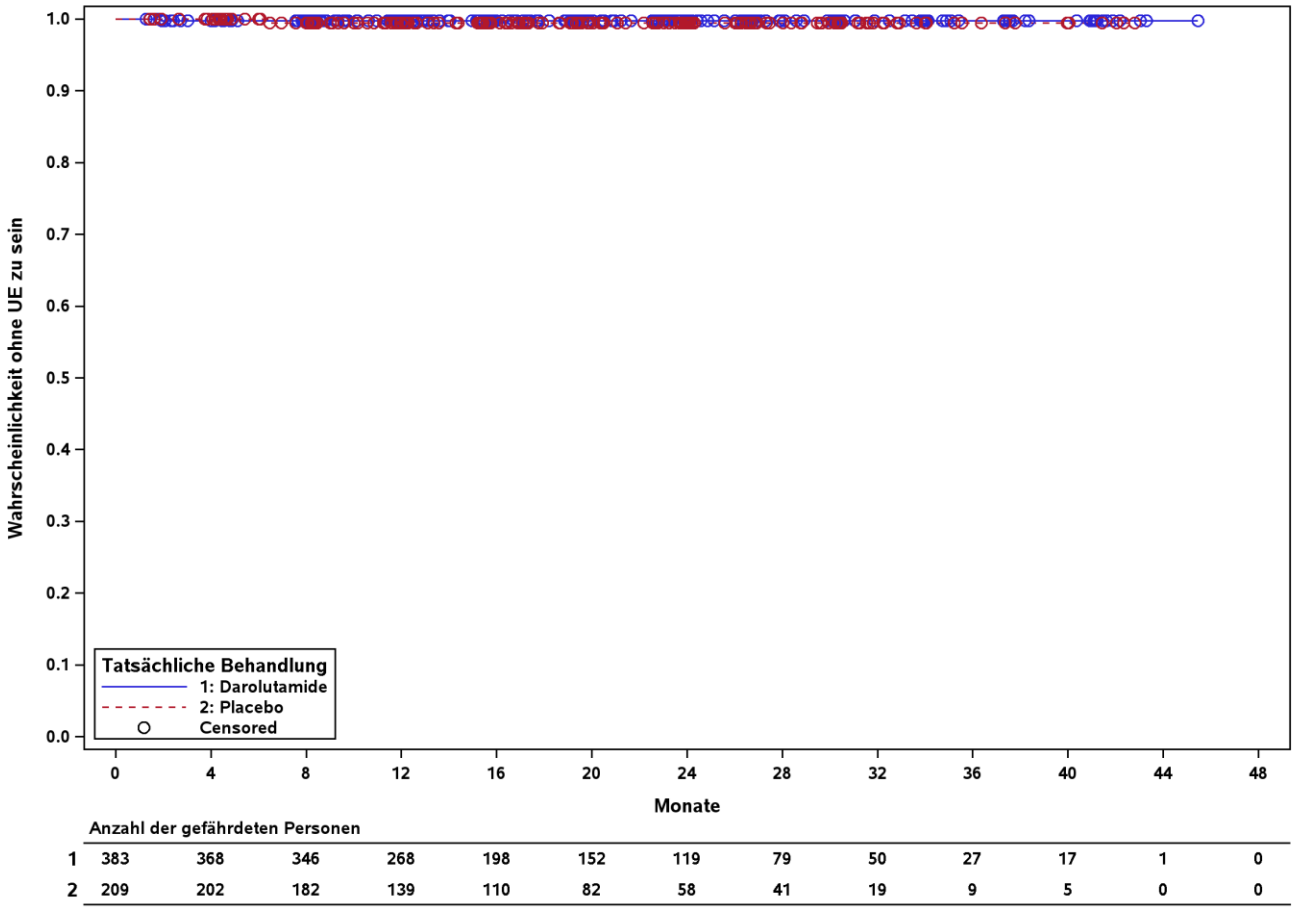
Bayer: /by-sasp/patdb/projects/1841788/17712/stat/prod_query22/pgms/t_aesi_sub.sas 23APR2020 17:14

Figure 4.3.3 / 428: Kaplan-Meier-Plot der 'Unerwünschte Ereignis von besonderem Interesse' Time-to-Event-Analyse nach Endpunkt und Subgruppe - Endpunkt: Zeit bis zum ersten UE von besonderem Interesse mit CTCAE Grad <3: Dizziness - Subgruppe: eGFR an Baseline: moderately impaired, severely impaired and renal end stage (full analysis set)



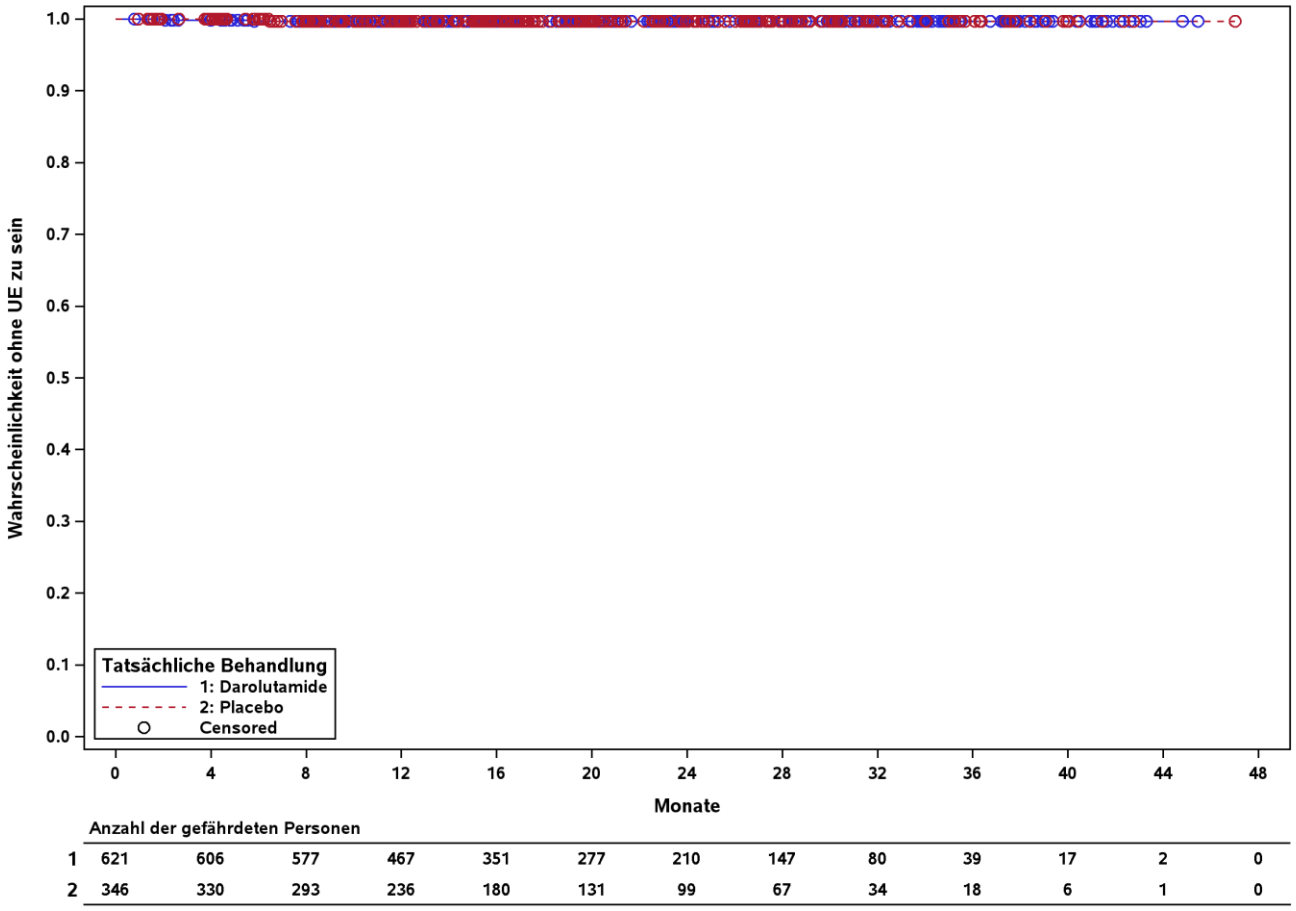
Bayer: /by-sasp/patdb/projects/1841788/17712/stat/prod_query22/pgms/t_aesi_sub.sas 23APR2020 17:14

Figure 4.3.3 / 429: Kaplan-Meier-Plot der 'Unerwünschte Ereignis von besonderem Interesse' Time-to-Event-Analyse nach Endpunkt und Subgruppe - Endpunkt: Zeit bis zum ersten UE von besonderem Interesse mit CTCAE Grad >=3: Dizziness - Subgruppe: Alter (Jahre): 75-84 (full analysis set)



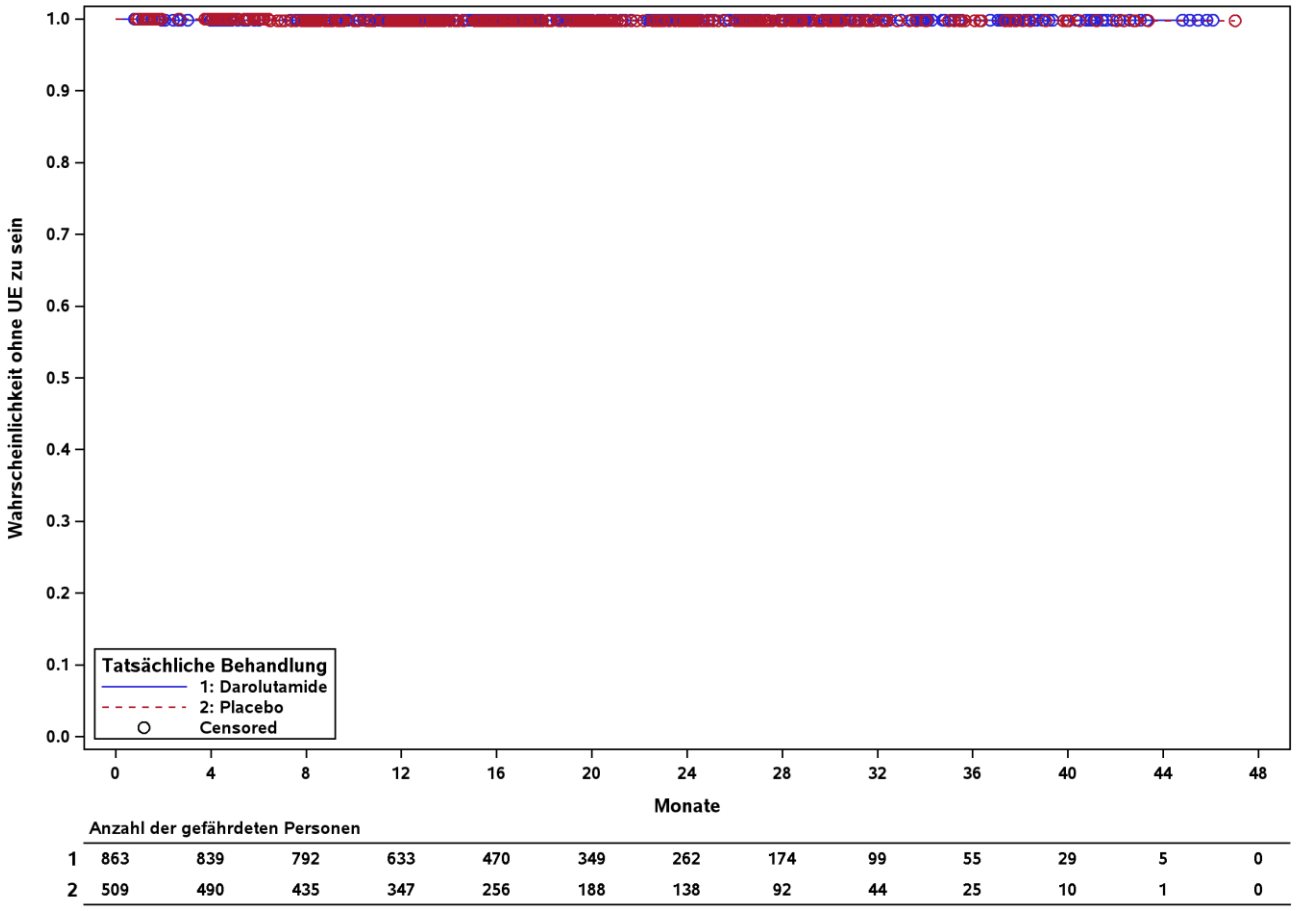
Bayer: /by-sasp/patdb/projects/1841788/17712/stat/prod_query22/pgms/t_aesi_sub.sas 23APR2020 17:14

Figure 4.3.3 / 430: Kaplan-Meier-Plot der 'Unerwünschte Ereignis von besonderem Interesse' Time-to-Event-Analyse nach Endpunkt und Subgruppe - Endpunkt: Zeit bis zum ersten UE von besonderem Interesse mit CTCAE Grad >=3: Dizziness - Subgruppe: Geografische Region: Europe (full analysis set)



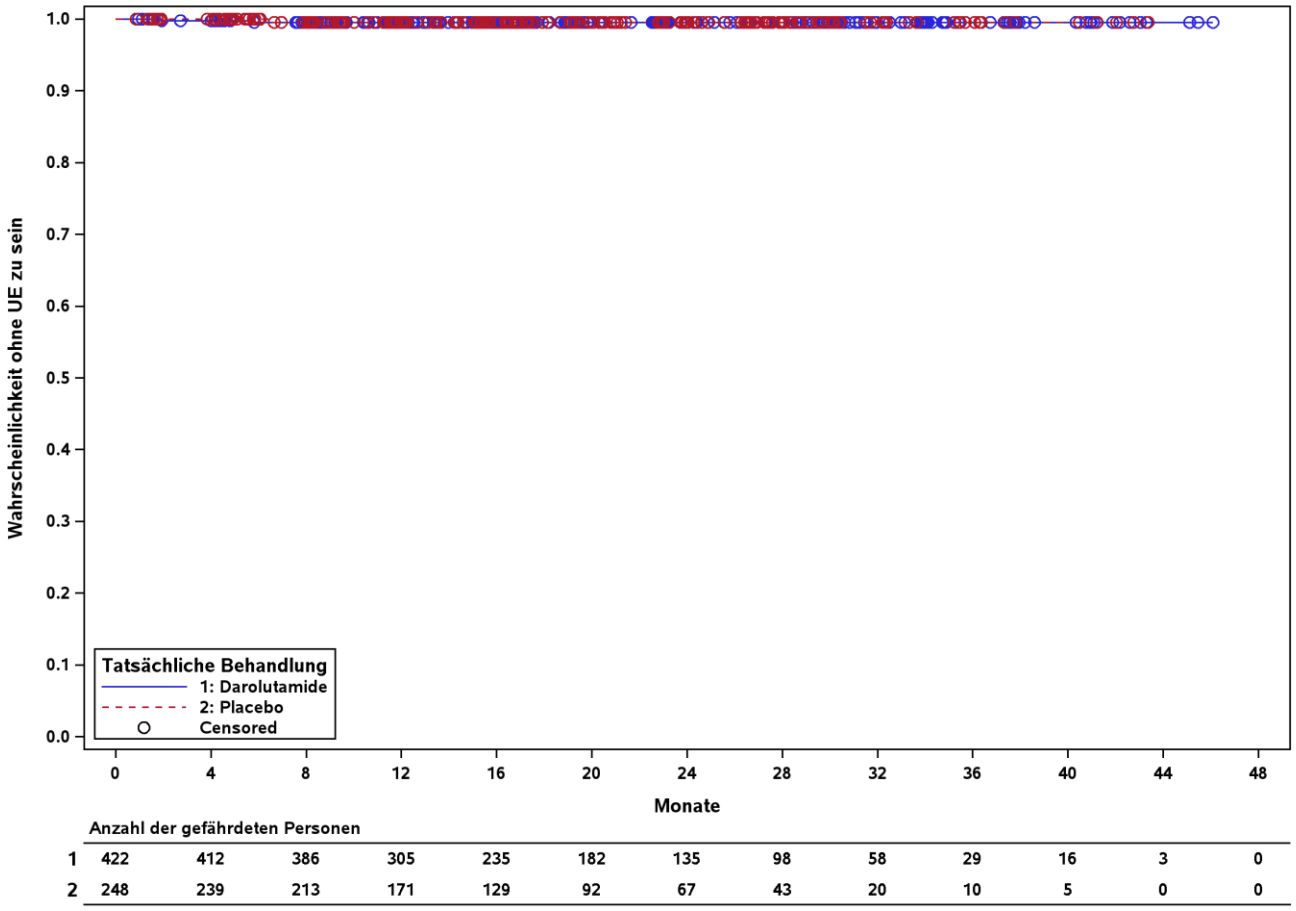
Bayer: /by-sasp/patdb/projects/1841788/17712/stat/prod_query22/pgms/t_aesi_sub.sas 23APR2020 17:14

Figure 4.3.3 / 431: Kaplan-Meier-Plot der 'Unerwünschte Ereignis von besonderem Interesse' Time-to-Event-Analyse nach Endpunkt und Subgruppe - Endpunkt: Zeit bis zum ersten UE von besonderem Interesse mit CTCAE Grad >=3: Dizziness - Subgruppe: Leberfunktionsstörung: normal (full analysis set)



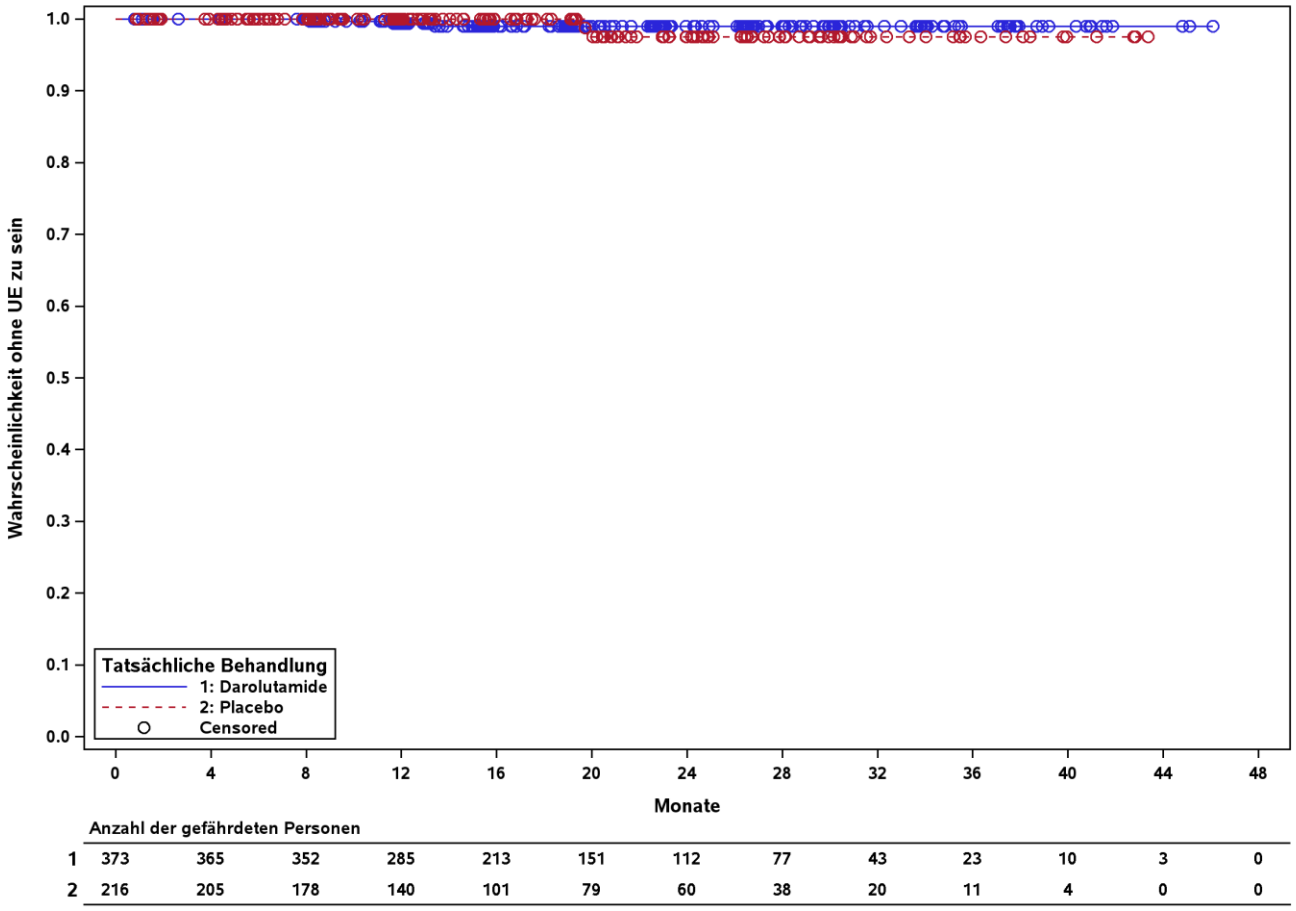
Bayer: /by-sasp/patdb/projects/1841788/17712/stat/prod_query22/pgms/t_aesi_sub.sas 23APR2020 17:14

Figure 4.3.3 / 432: Kaplan-Meier-Plot der 'Unerwünschte Ereignis von besonderem Interesse' Time-to-Event-Analyse nach Endpunkt und Subgruppe - Endpunkt: Zeit bis zum ersten UE von besonderem Interesse mit CTCAE Grad >=3: Dizziness - Subgruppe: eGFR an Baseline: mildly impaired (full analysis set)



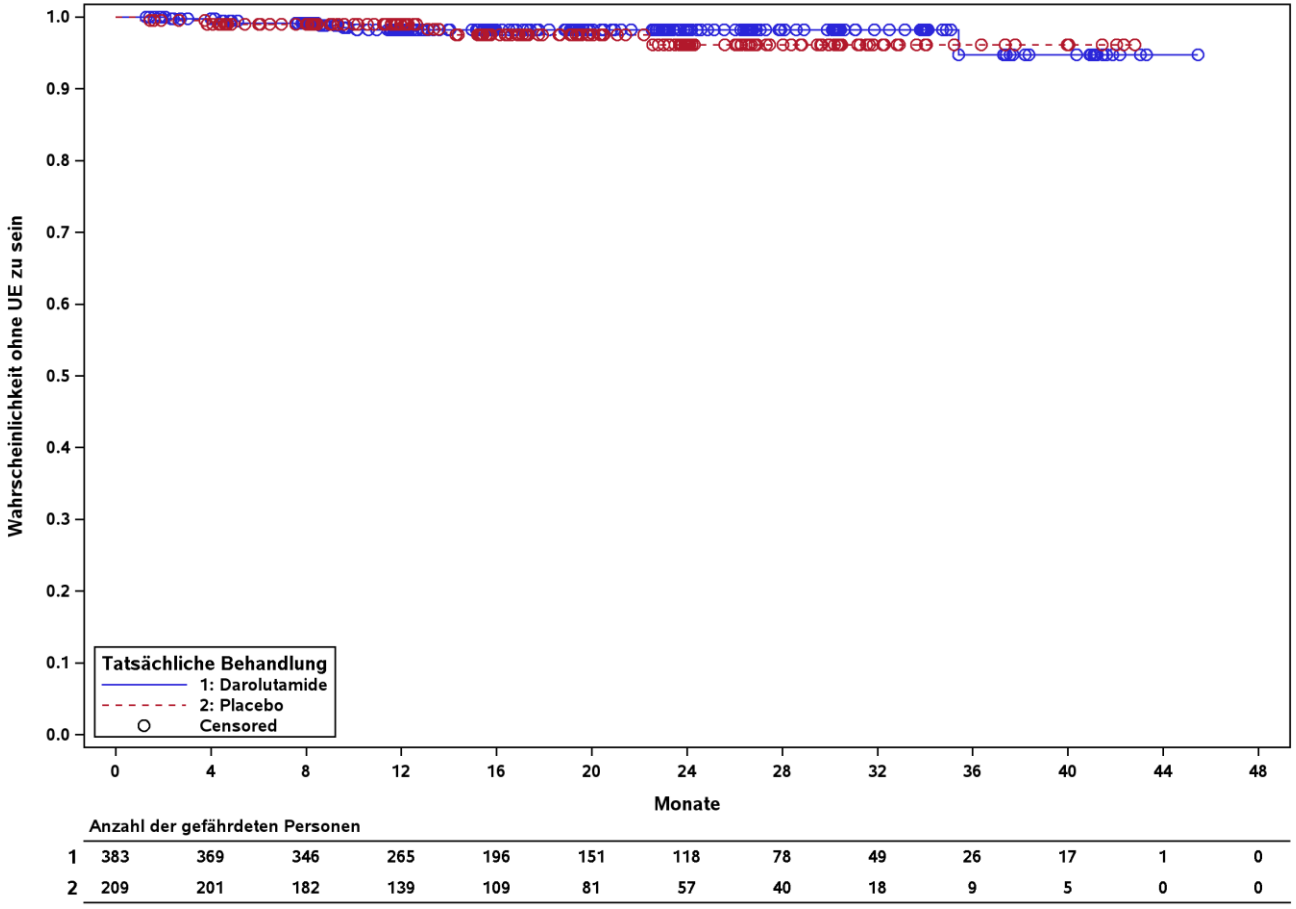
Bayer: /by-sasp/patdb/projects/1841788/17712/stat/prod_query22/pgms/t_aesi_sub.sas 23APR2020 17:14

Figure 4.3.3 / 433: Kaplan-Meier-Plot der 'Unerwünschte Ereignis von besonderem Interesse' Time-to-Event-Analyse nach Endpunkt und Subgruppe - Endpunkt: Zeit bis zum ersten UE von besonderem Interesse: Cerebral ischaemia - Subgruppe: Alter (Jahre): 65-74 (full analysis set)



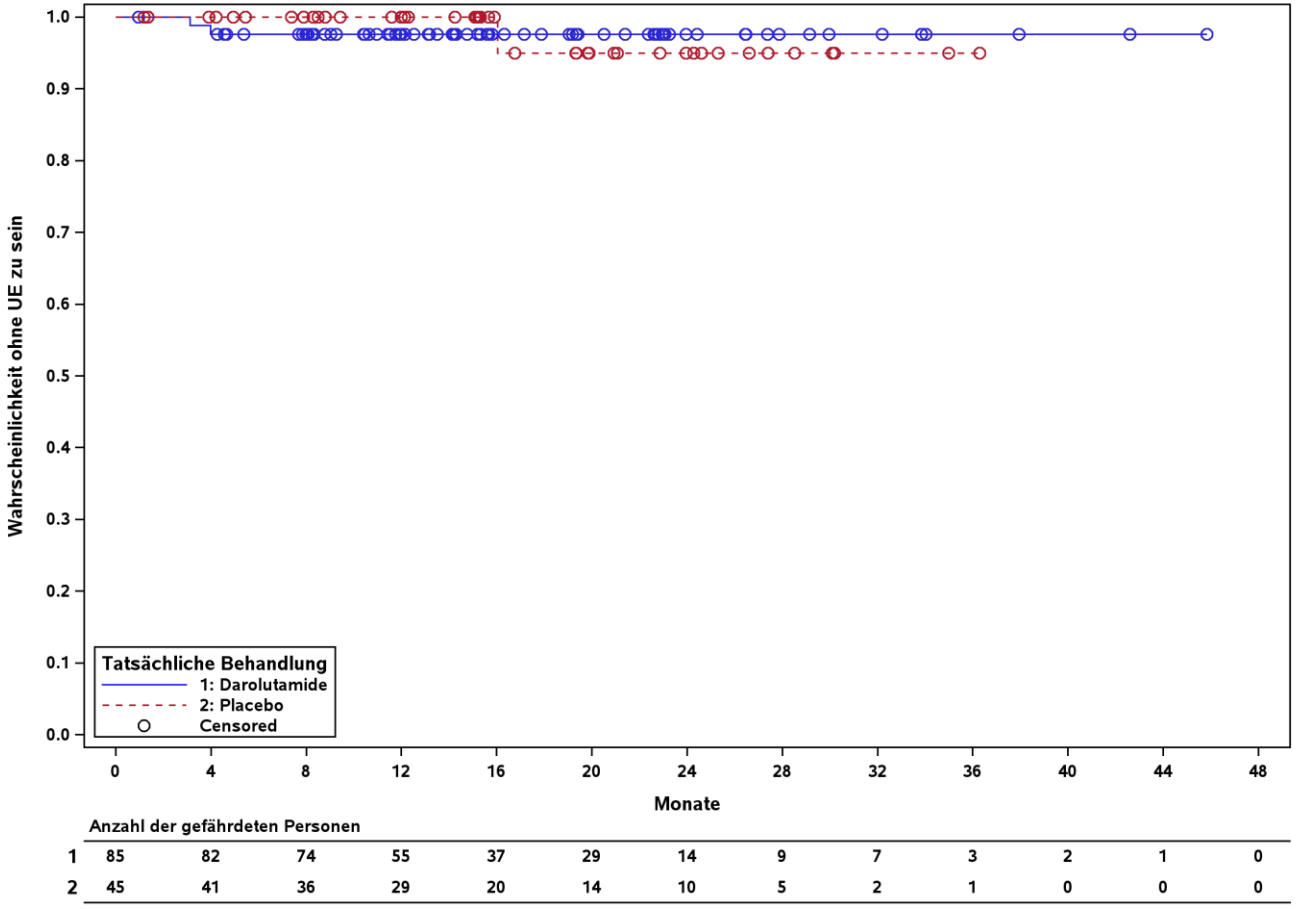
Bayer: /by-sasp/patdb/projects/1841788/17712/stat/prod_query22/pgms/t_aesi_sub.sas 23APR2020 17:14

Figure 4.3.3 / 434: Kaplan-Meier-Plot der 'Unerwünschte Ereignis von besonderem Interesse' Time-to-Event-Analyse nach Endpunkt und Subgruppe - Endpunkt: Zeit bis zum ersten UE von besonderem Interesse: Cerebral ischaemia - Subgruppe: Alter (Jahre): 75-84 (full analysis set)



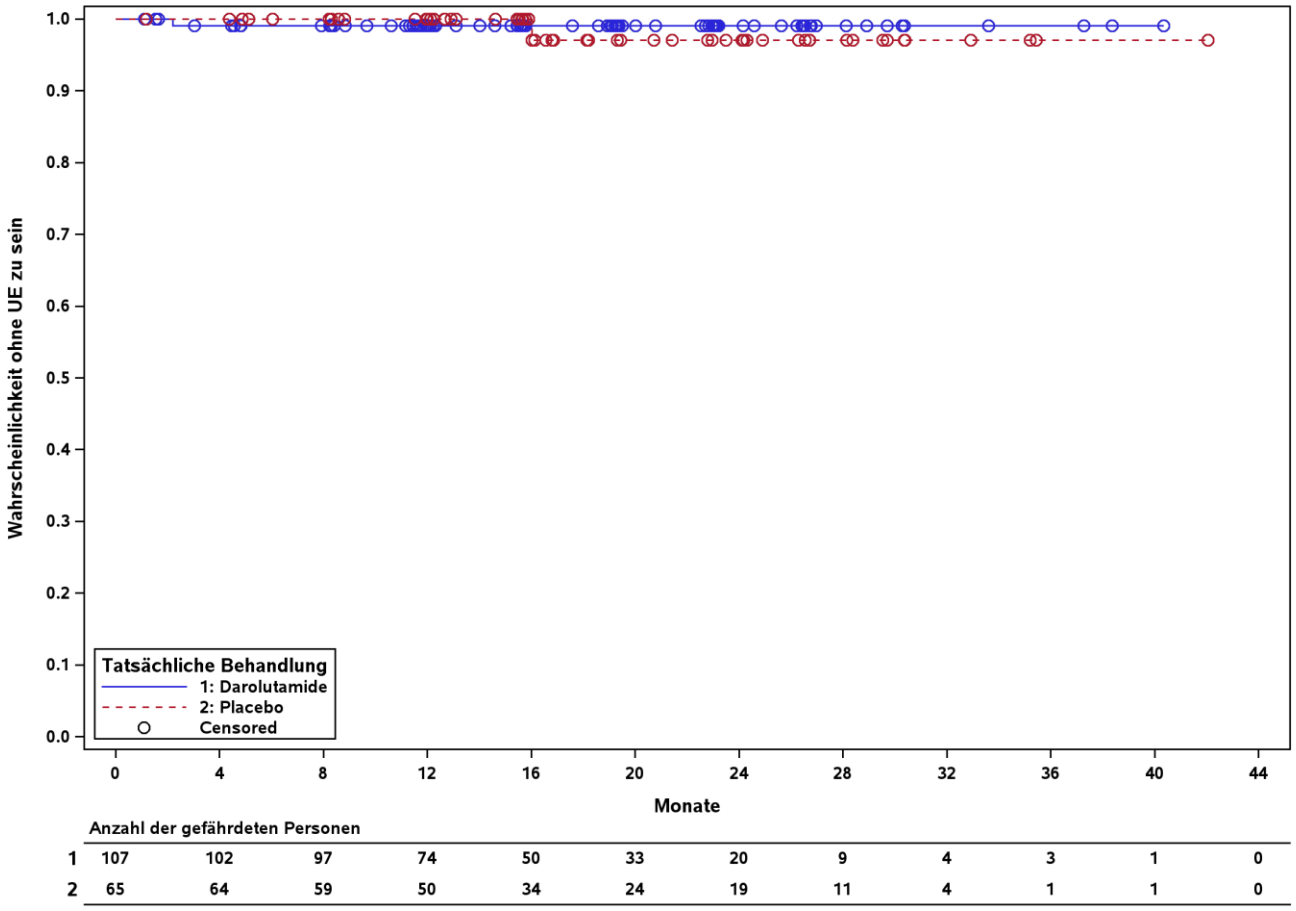
Bayer: /by-sasp/patdb/projects/1841788/17712/stat/prod_query22/pgms/t_aesi_sub.sas 23APR2020 17:14

Figure 4.3.3 / 435: Kaplan-Meier-Plot der 'Unerwünschte Ereignis von besonderem Interesse' Time-to-Event-Analyse nach Endpunkt und Subgruppe - Endpunkt: Zeit bis zum ersten UE von besonderem Interesse: Cerebral ischaemia - Subgruppe: Alter (Jahre): >=85 (full analysis set)



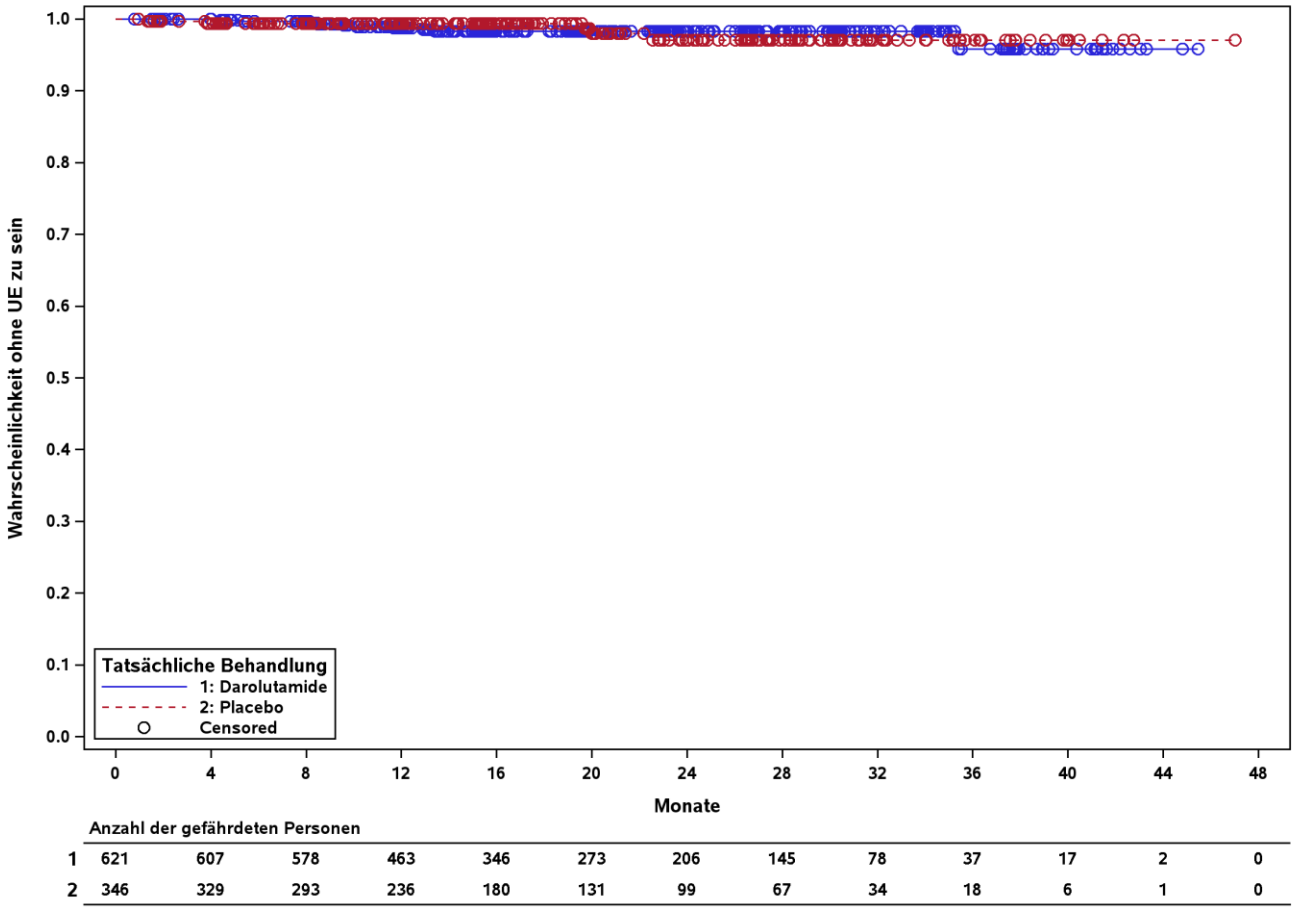
Bayer: /by-sasp/patdb/projects/1841788/17712/stat/prod_query22/pgms/t_aesi_sub.sas 23APR2020 17:14

Figure 4.3.3 / 436: Kaplan-Meier-Plot der 'Unerwünschte Ereignis von besonderem Interesse' Time-to-Event-Analyse nach Endpunkt und Subgruppe - Endpunkt: Zeit bis zum ersten UE von besonderem Interesse: Cerebral ischaemia - Subgruppe: Geografische Region: Rest of the World (full analysis set)



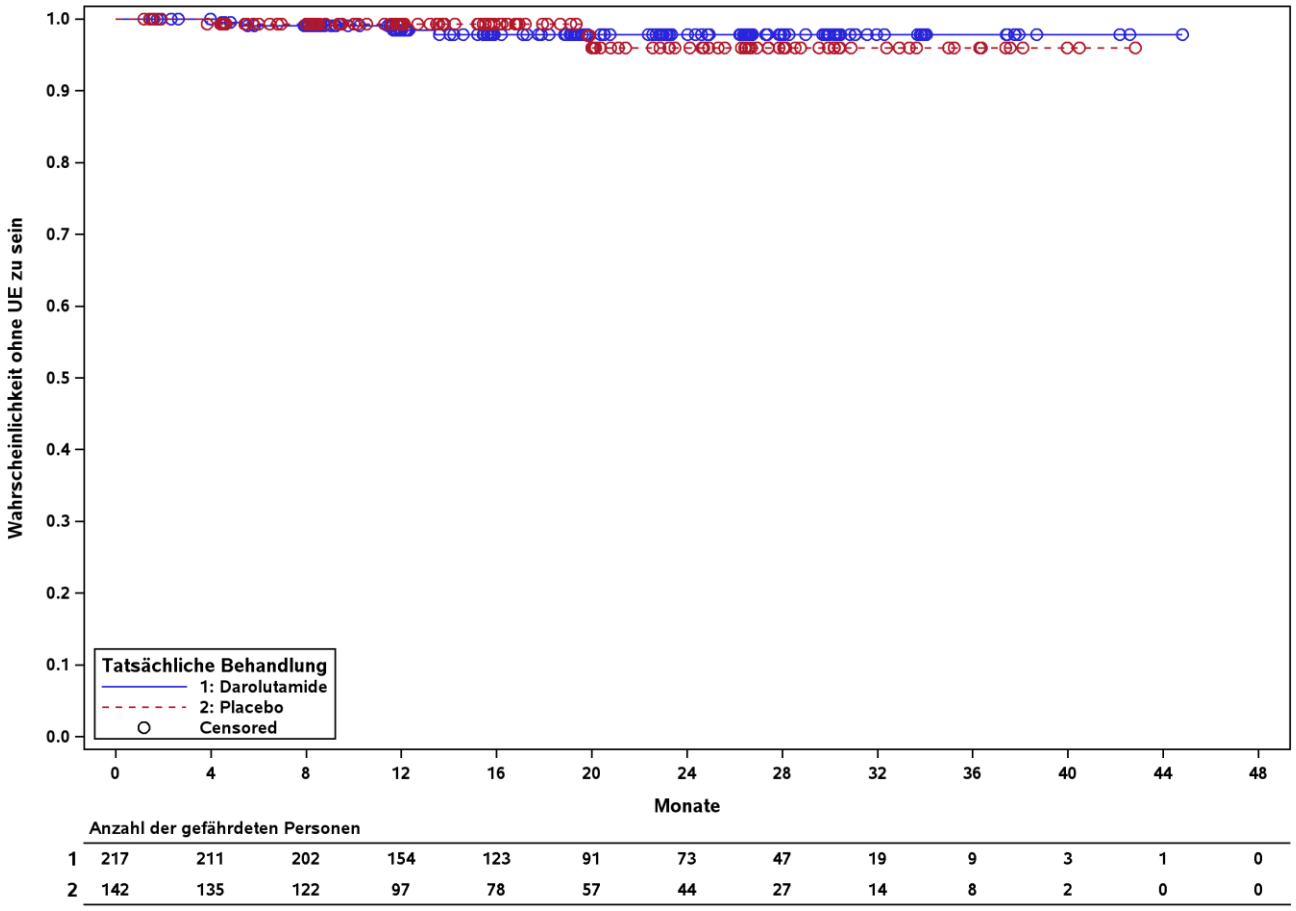
Bayer: /by-sasp/patdb/projects/1841788/17712/stat/prod_query22/pgms/t_aesi_sub.sas 23APR2020 17:14

Figure 4.3.3 / 437: Kaplan-Meier-Plot der 'Unerwünschte Ereignis von besonderem Interesse' Time-to-Event-Analyse nach Endpunkt und Subgruppe - Endpunkt: Zeit bis zum ersten UE von besonderem Interesse: Cerebral ischaemia - Subgruppe: Geografische Region: Europe (full analysis set)



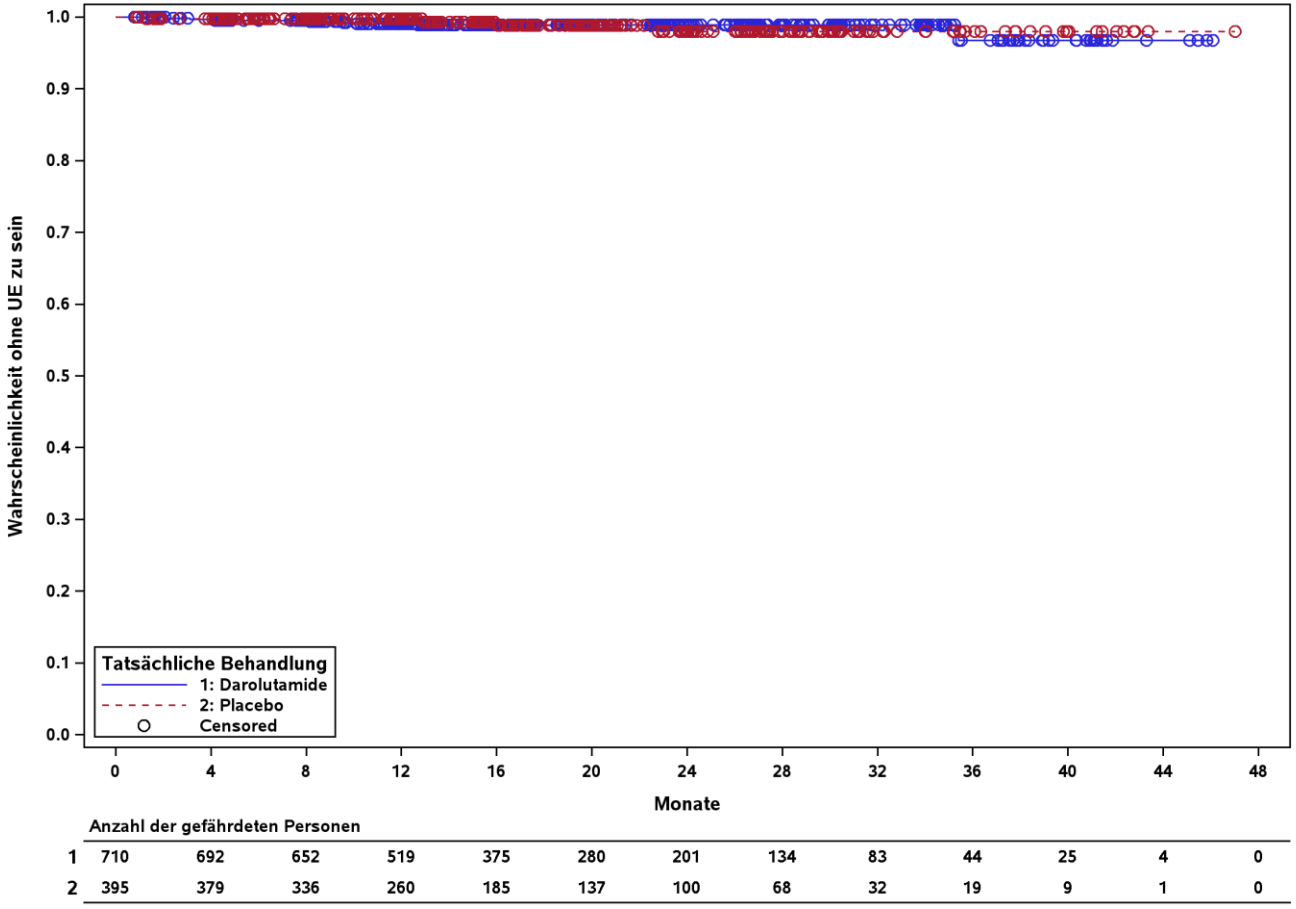
Bayer: /by-sasp/patdb/projects/1841788/17712/stat/prod_query22/pgms/t_aesi_sub.sas 23APR2020 17:14

Figure 4.3.3 / 438: Kaplan-Meier-Plot der 'Unerwünschte Ereignis von besonderem Interesse' Time-to-Event-Analyse nach Endpunkt und Subgruppe - Endpunkt: Zeit bis zum ersten UE von besonderem Interesse: Cerebral ischaemia - Subgruppe: Gleason-Score bei Diagnose: <7 (full analysis set)



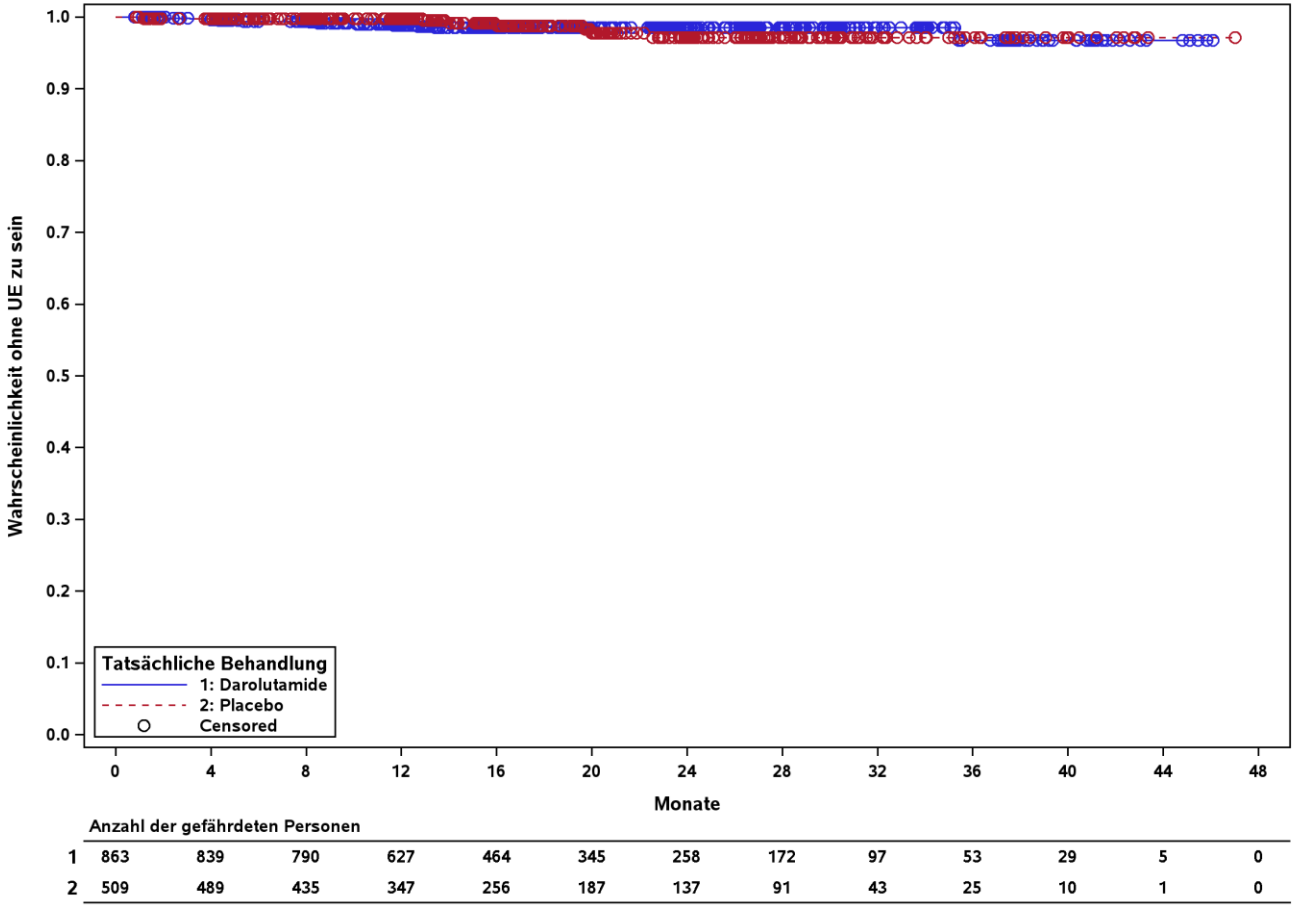
Bayer: /by-sasp/patdb/projects/1841788/17712/stat/prod_query22/pgms/t_aesi_sub.sas 23APR2020 17:14

Figure 4.3.3 / 439: Kaplan-Meier-Plot der 'Unerwünschte Ereignis von besonderem Interesse' Time-to-Event-Analyse nach Endpunkt und Subgruppe - Endpunkt: Zeit bis zum ersten UE von besonderem Interesse: Cerebral ischaemia - Subgruppe: Gleason-Score bei Diagnose: >=7 (full analysis set)



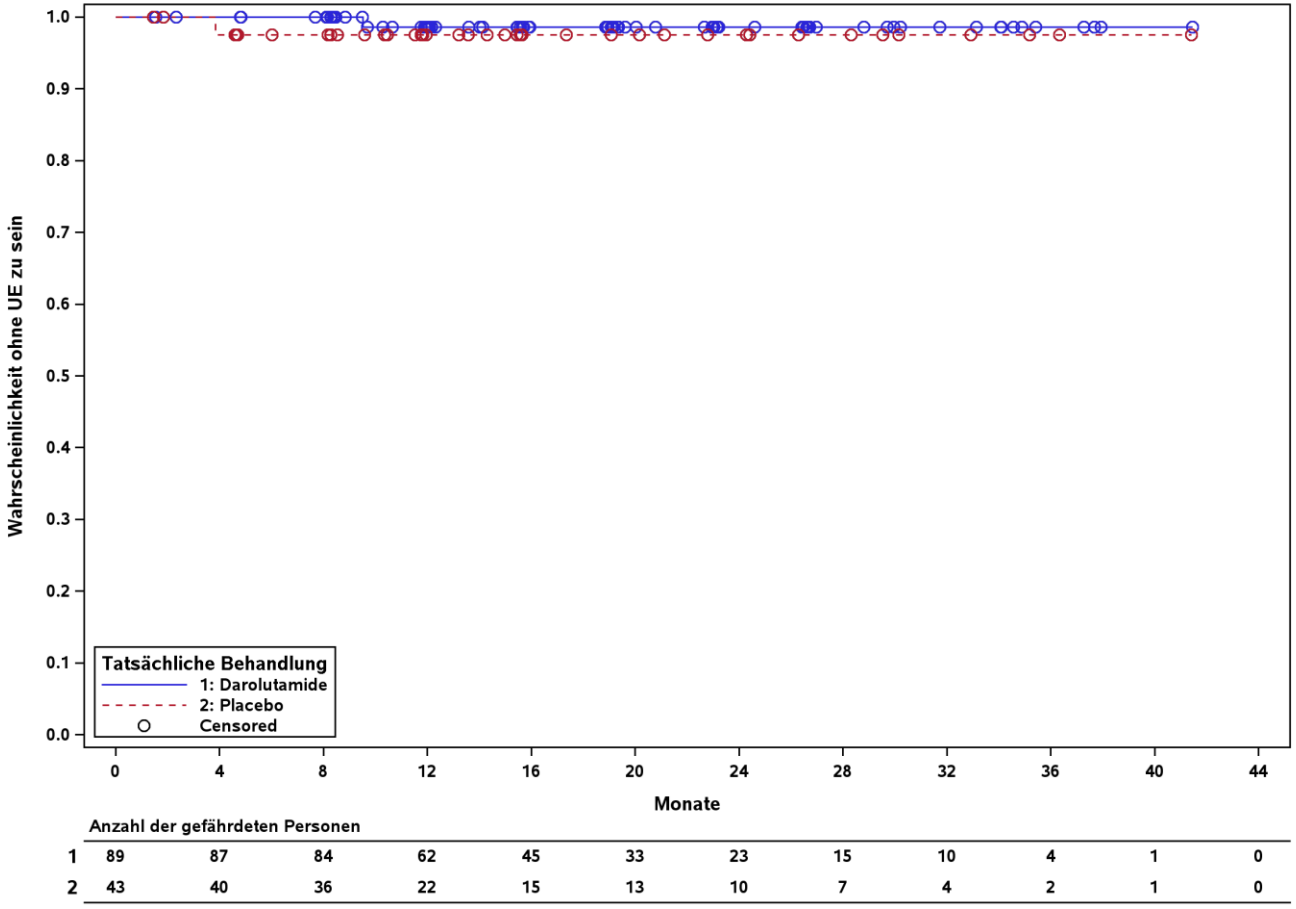
Bayer: /by-sasp/patdb/projects/1841788/17712/stat/prod_query22/pgms/t_aesi_sub.sas 23APR2020 17:14

Figure 4.3.3 / 440: Kaplan-Meier-Plot der 'Unerwünschte Ereignis von besonderem Interesse' Time-to-Event-Analyse nach Endpunkt und Subgruppe - Endpunkt: Zeit bis zum ersten UE von besonderem Interesse: Cerebral ischaemia - Subgruppe: Leberfunktionsstörung: normal (full analysis set)



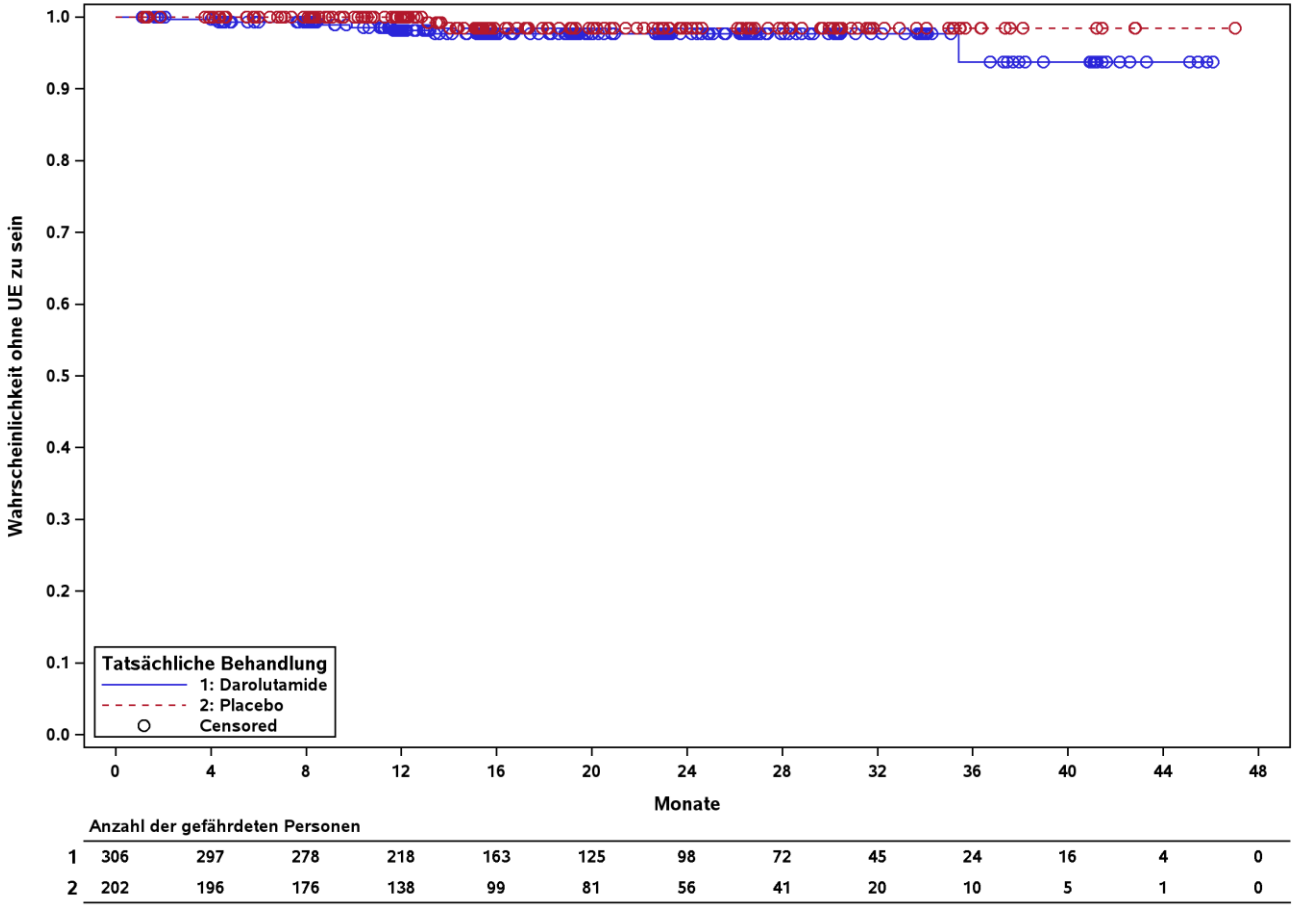
Bayer: /by-sasp/patdb/projects/1841788/17712/stat/prod_query22/pgms/t_aesi_sub.sas 23APR2020 17:14

Figure 4.3.3 / 441: Kaplan-Meier-Plot der 'Unerwünschte Ereignis von besonderem Interesse' Time-to-Event-Analyse nach Endpunkt und Subgruppe - Endpunkt: Zeit bis zum ersten UE von besonderem Interesse: Cerebral ischaemia - Subgruppe: Leberfunktionsstörung: mild (full analysis set)



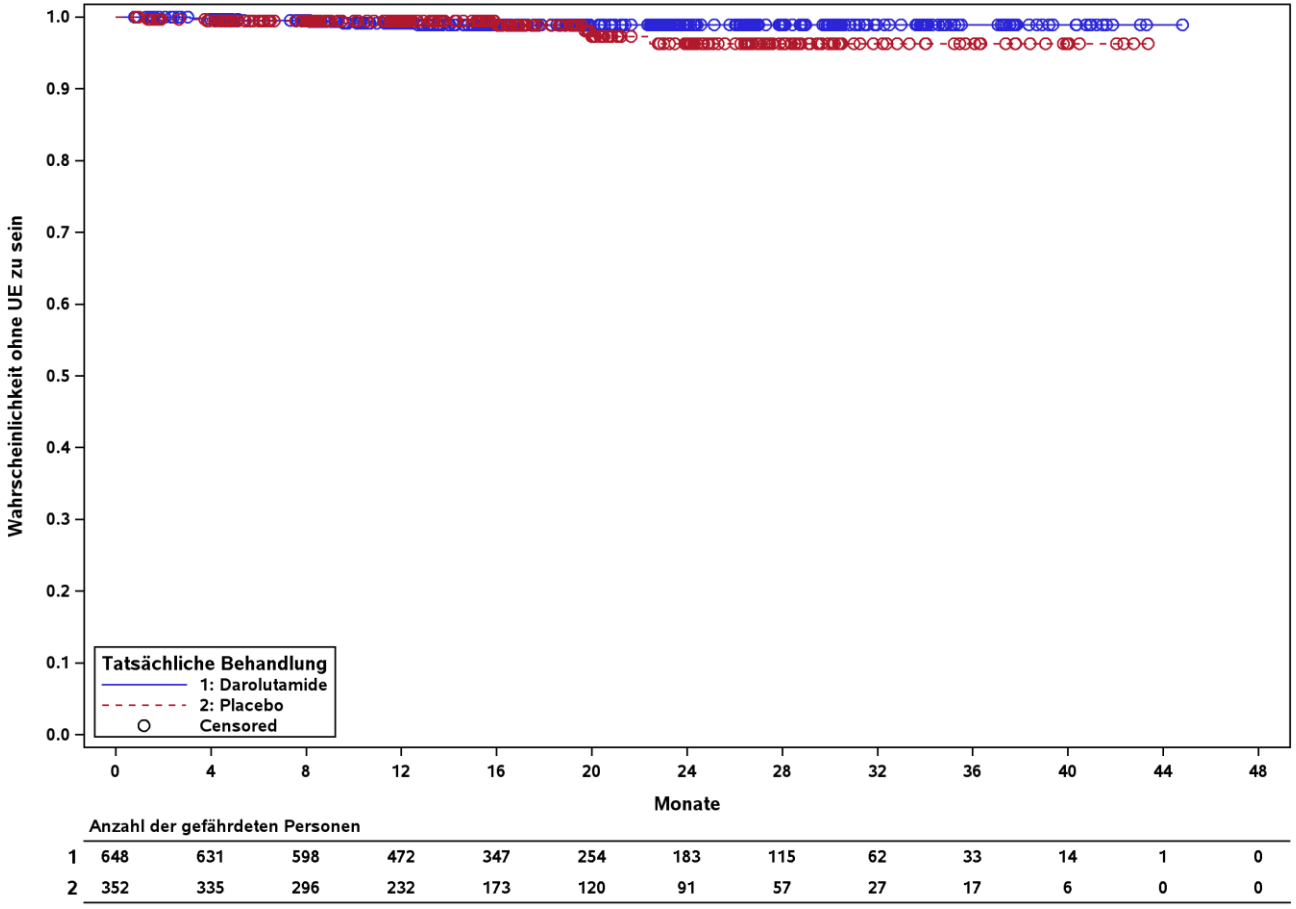
Bayer: /by-sasp/patdb/projects/1841788/17712/stat/prod_query22/pgms/t_aesi_sub.sas 23APR2020 17:14

Figure 4.3.3 / 442: Kaplan-Meier-Plot der 'Unerwünschte Ereignis von besonderem Interesse' Time-to-Event-Analyse nach Endpunkt und Subgruppe - Endpunkt: Zeit bis zum ersten UE von besonderem Interesse: Cerebral ischaemia - Subgruppe: Nutzung von Statinen: Ja (full analysis set)



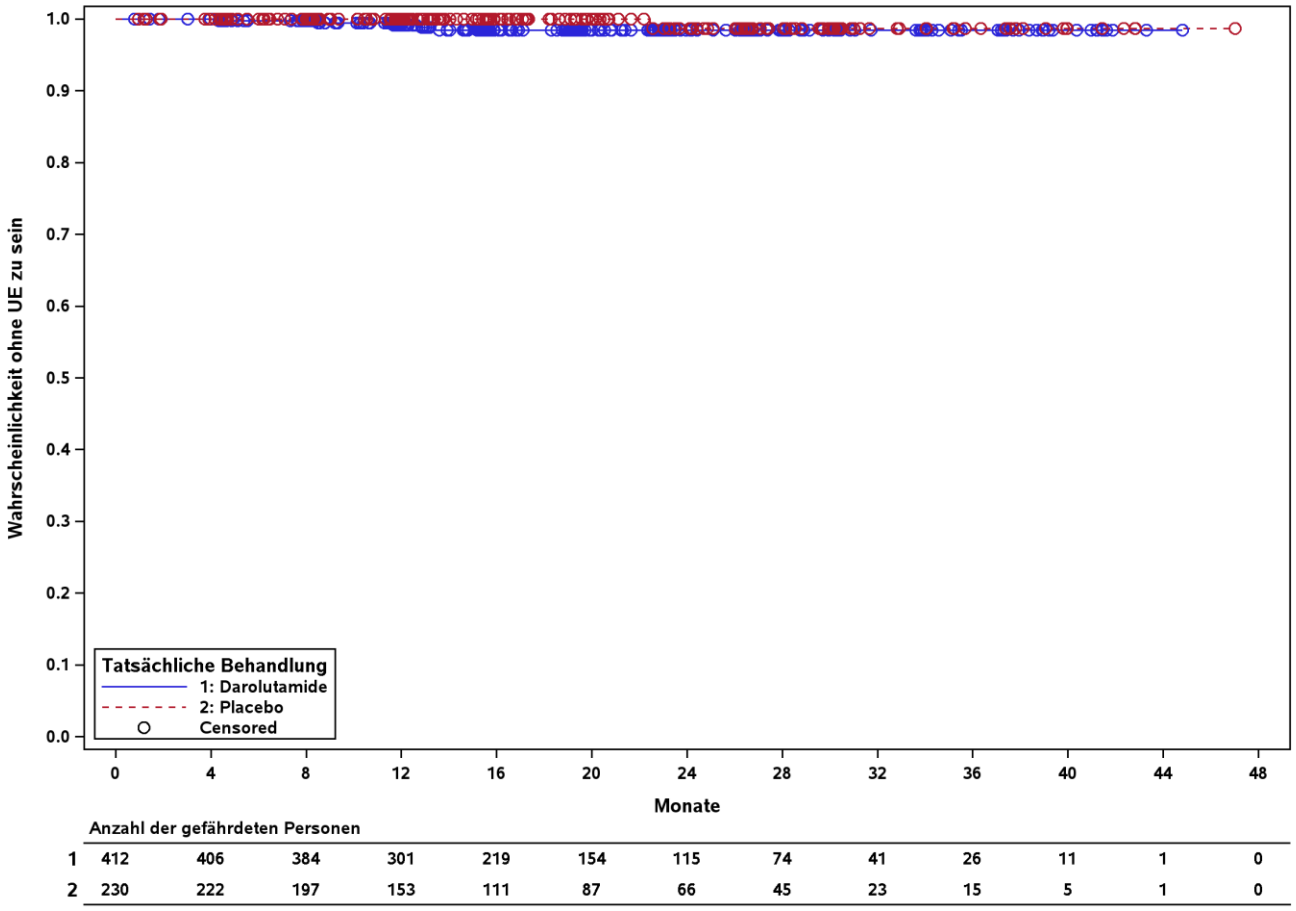
Bayer: /by-sasp/patdb/projects/1841788/17712/stat/prod_query22/pgms/t_aesi_sub.sas 23APR2020 17:14

Figure 4.3.3 / 443: Kaplan-Meier-Plot der 'Unerwünschte Ereignis von besonderem Interesse' Time-to-Event-Analyse nach Endpunkt und Subgruppe - Endpunkt: Zeit bis zum ersten UE von besonderem Interesse: Cerebral ischaemia - Subgruppe: Nutzung von Statinen: Nein (full analysis set)



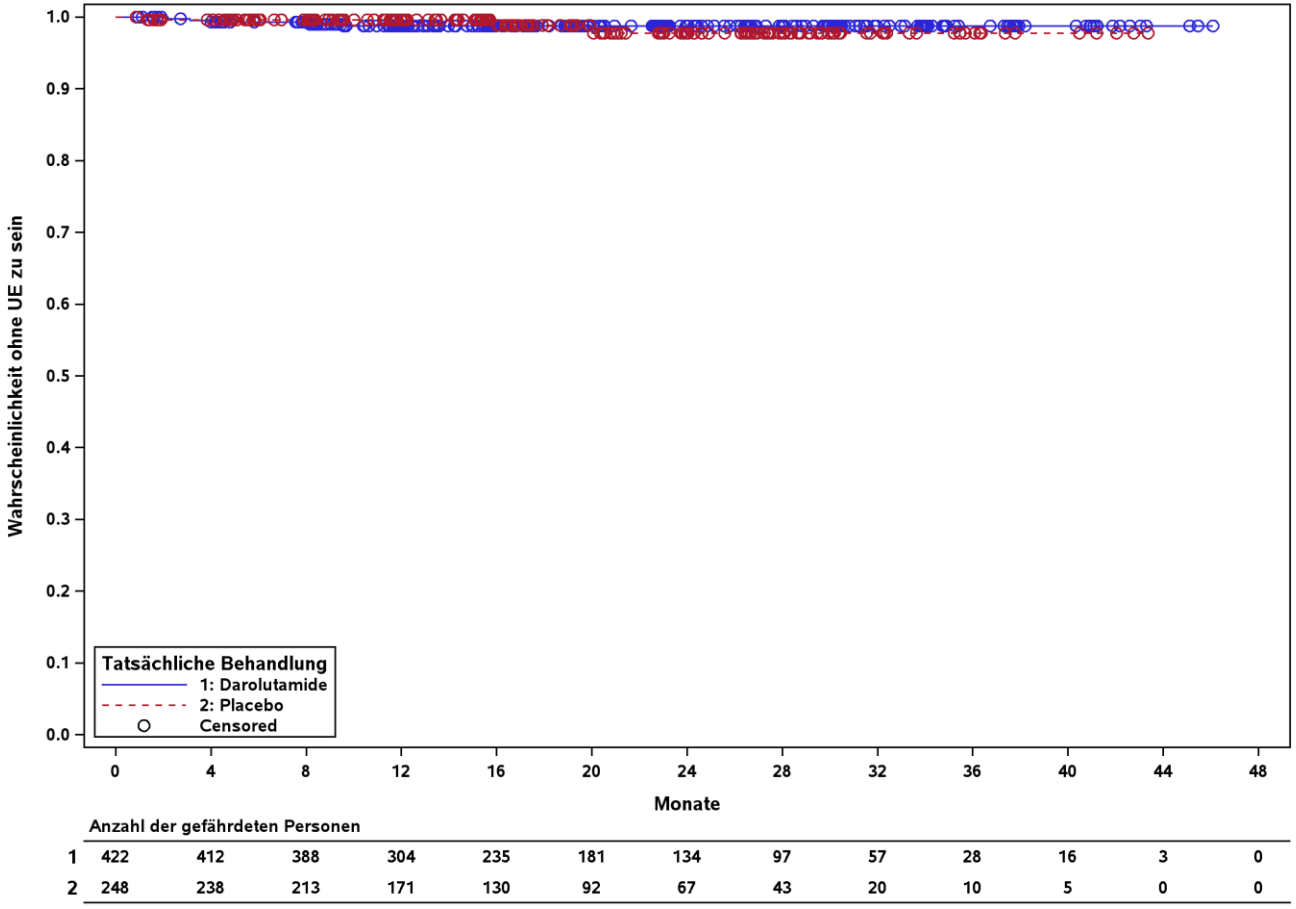
Bayer: /by-sasp/patdb/projects/1841788/17712/stat/prod_query22/pgms/t_aesi_sub.sas 23APR2020 17:14

Figure 4.3.3 / 444: Kaplan-Meier-Plot der 'Unerwünschte Ereignis von besonderem Interesse' Time-to-Event-Analyse nach Endpunkt und Subgruppe - Endpunkt: Zeit bis zum ersten UE von besonderem Interesse: Cerebral ischaemia - Subgruppe: eGFR an Baseline: normal (full analysis set)



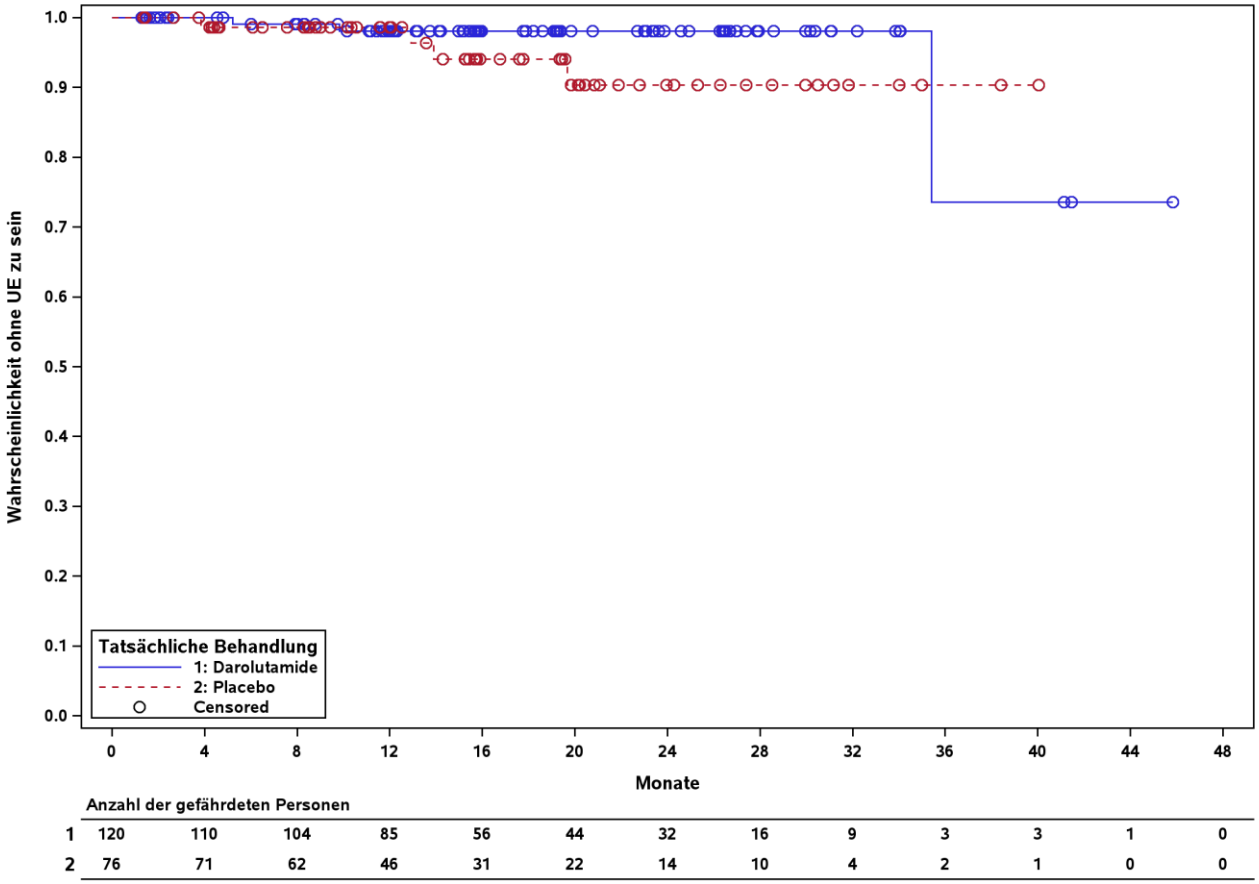
Bayer: /by-sasp/patdb/projects/1841788/17712/stat/prod_query22/pgms/t_aesi_sub.sas 23APR2020 17:14

Figure 4.3.3 / 445: Kaplan-Meier-Plot der 'Unerwünschte Ereignis von besonderem Interesse' Time-to-Event-Analyse nach Endpunkt und Subgruppe - Endpunkt: Zeit bis zum ersten UE von besonderem Interesse: Cerebral ischaemia - Subgruppe: eGFR an Baseline: mildly impaired (full analysis set)



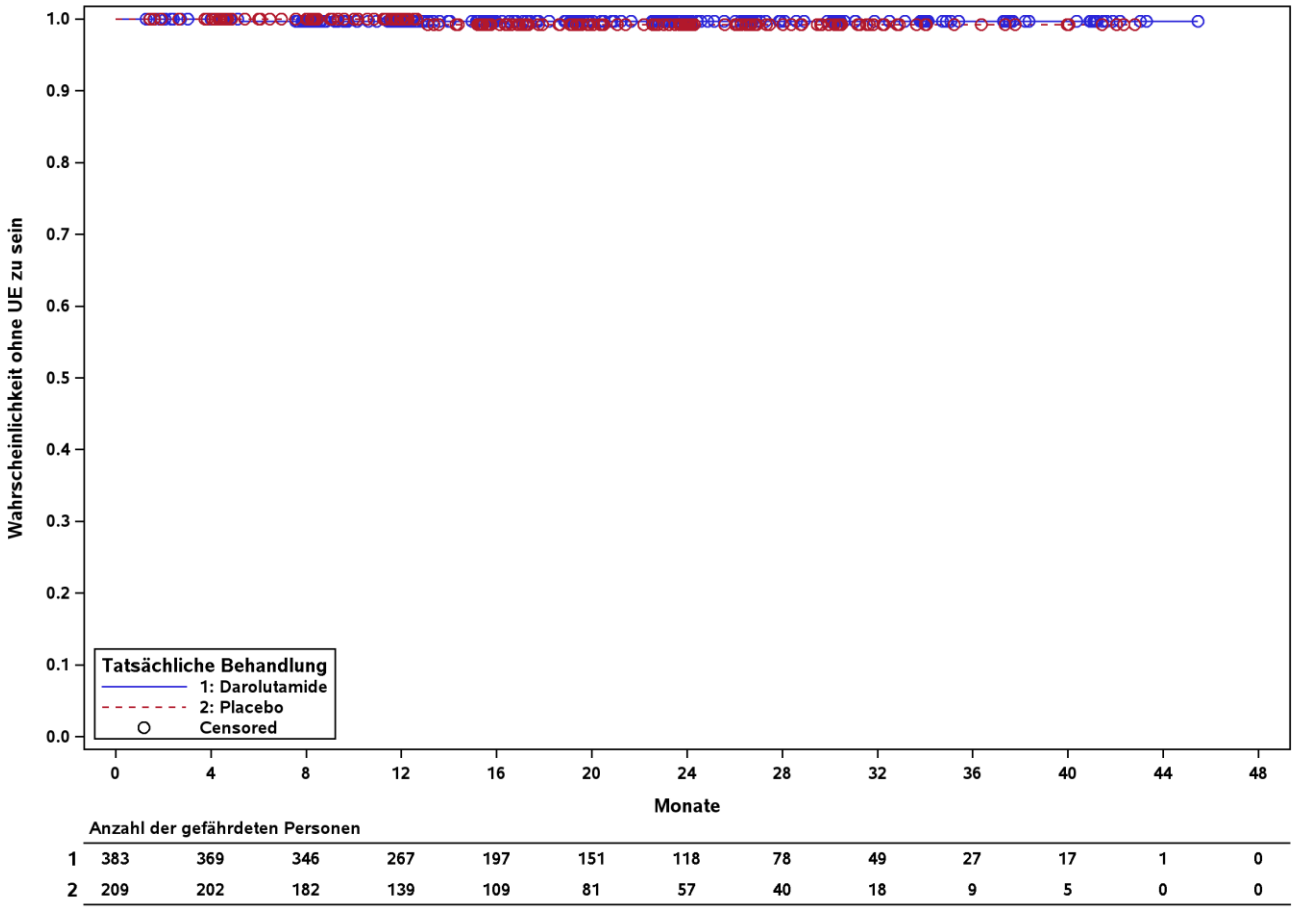
Bayer: /by-sasp/patdb/projects/1841788/17712/stat/prod_query22/pgms/t_aesi_sub.sas 23APR2020 17:14

Figure 4.3.3 / 446: Kaplan-Meier-Plot der 'Unerwünschte Ereignis von besonderem Interesse' Time-to-Event-Analyse nach Endpunkt und Subgruppe - Endpunkt: Zeit bis zum ersten UE von besonderem Interesse: Cerebral ischaemia - Subgruppe: eGFR an Baseline: moderately impaired, severely impaired and renal end stage (full analysis set)



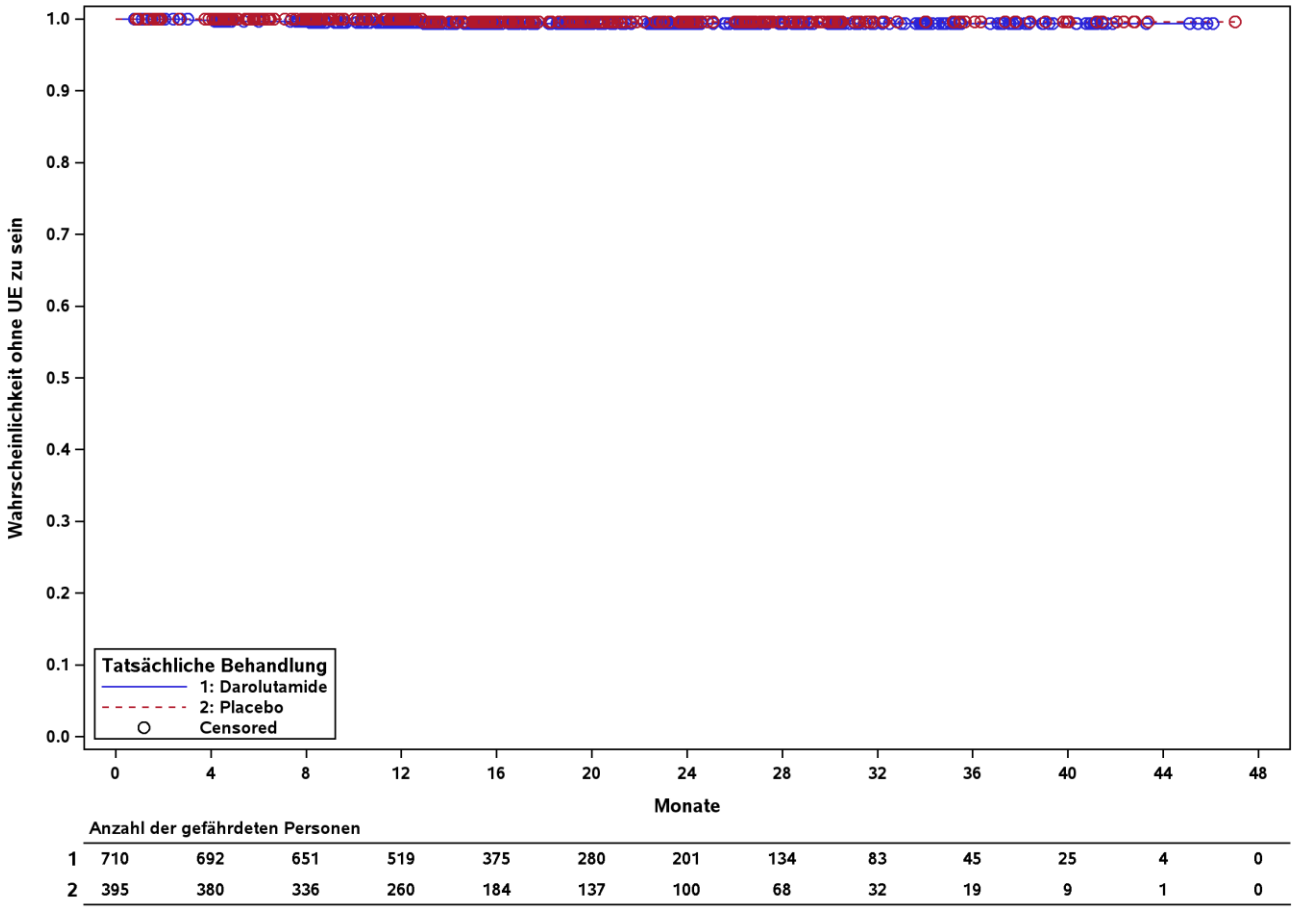
Bayer: /by-sasp/patdb/projects/1841788/17712/stat/prod_query22/pgms/t_aesi_sub.sas 23APR2020 17:14

Figure 4.3.3 / 447: Kaplan-Meier-Plot der 'Unerwünschte Ereignis von besonderem Interesse' Time-to-Event-Analyse nach Endpunkt und Subgruppe - Endpunkt: Zeit bis zum ersten UE von besonderem Interesse mit CTCAE Grad <3: Cerebral ischaemia - Subgruppe: Alter (Jahre): 75-84 (full analysis set)



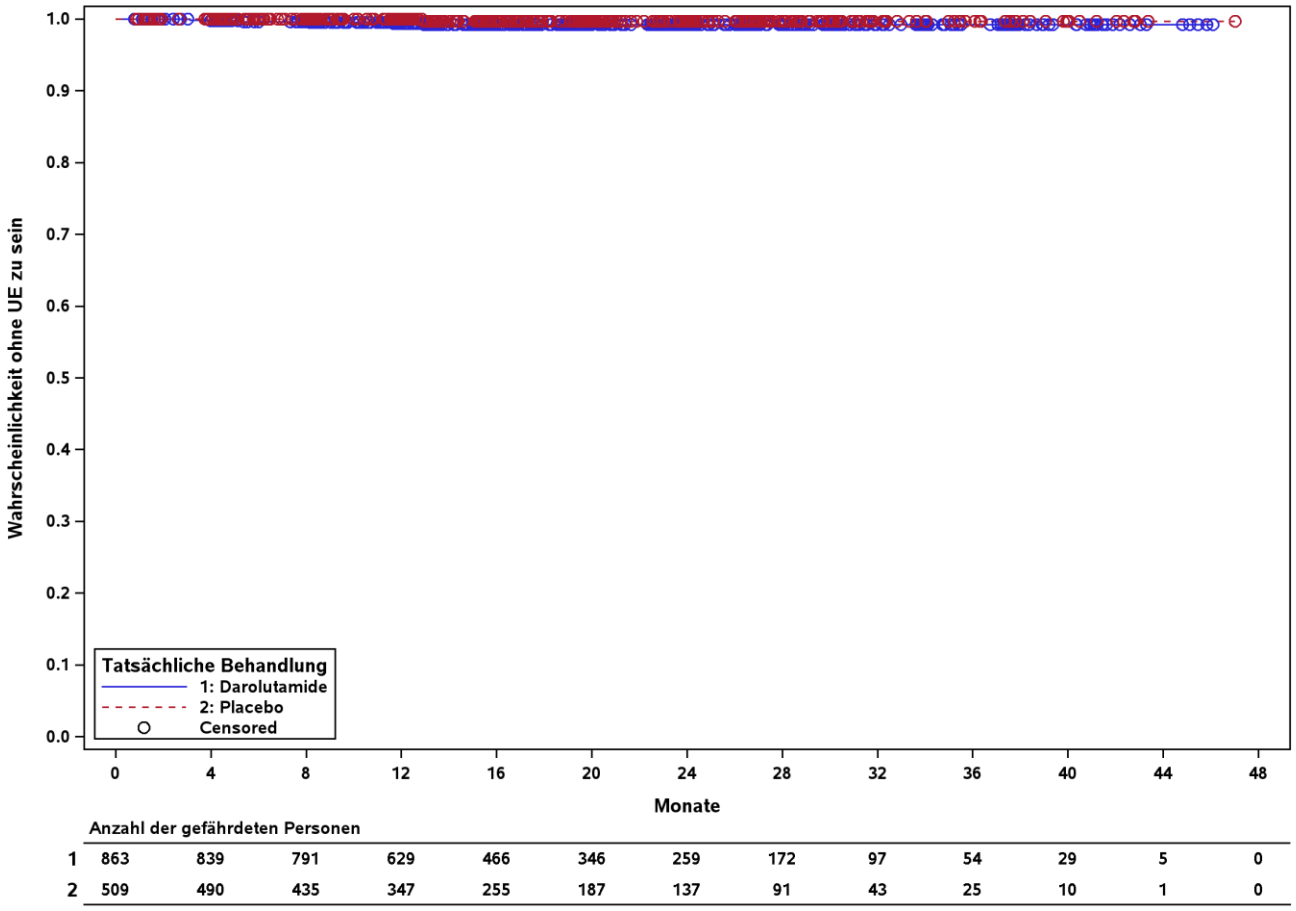
Bayer: /by-sasp/patdb/projects/1841788/17712/stat/prod_query22/pgms/t_aesi_sub.sas 23APR2020 17:14

Figure 4.3.3 / 448: Kaplan-Meier-Plot der 'Unerwünschte Ereignis von besonderem Interesse' Time-to-Event-Analyse nach Endpunkt und Subgruppe - Endpunkt: Zeit bis zum ersten UE von besonderem Interesse mit CTCAE Grad <3: Cerebral ischaemia - Subgruppe: Gleason-Score bei Diagnose: >=7 (full analysis set)



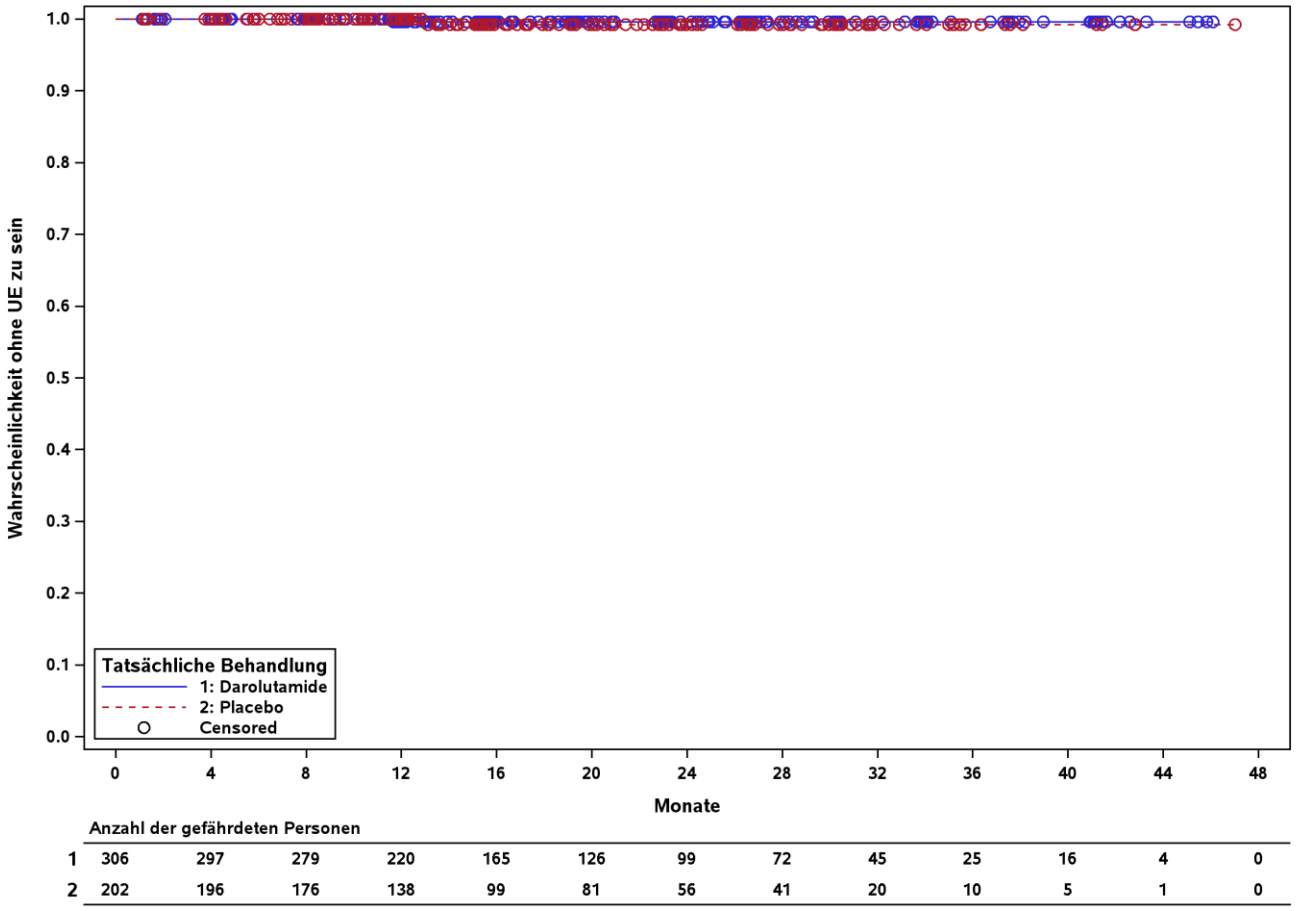
Bayer: /by-sasp/patdb/projects/1841788/17712/stat/prod_query22/pgms/t_aesi_sub.sas 23APR2020 17:14

Figure 4.3.3 / 449: Kaplan-Meier-Plot der 'Unerwünschte Ereignis von besonderem Interesse' Time-to-Event-Analyse nach Endpunkt und Subgruppe - Endpunkt: Zeit bis zum ersten UE von besonderem Interesse mit CTCAE Grad <3: Cerebral ischaemia - Subgruppe: Leberfunktionsstörung: normal (full analysis set)



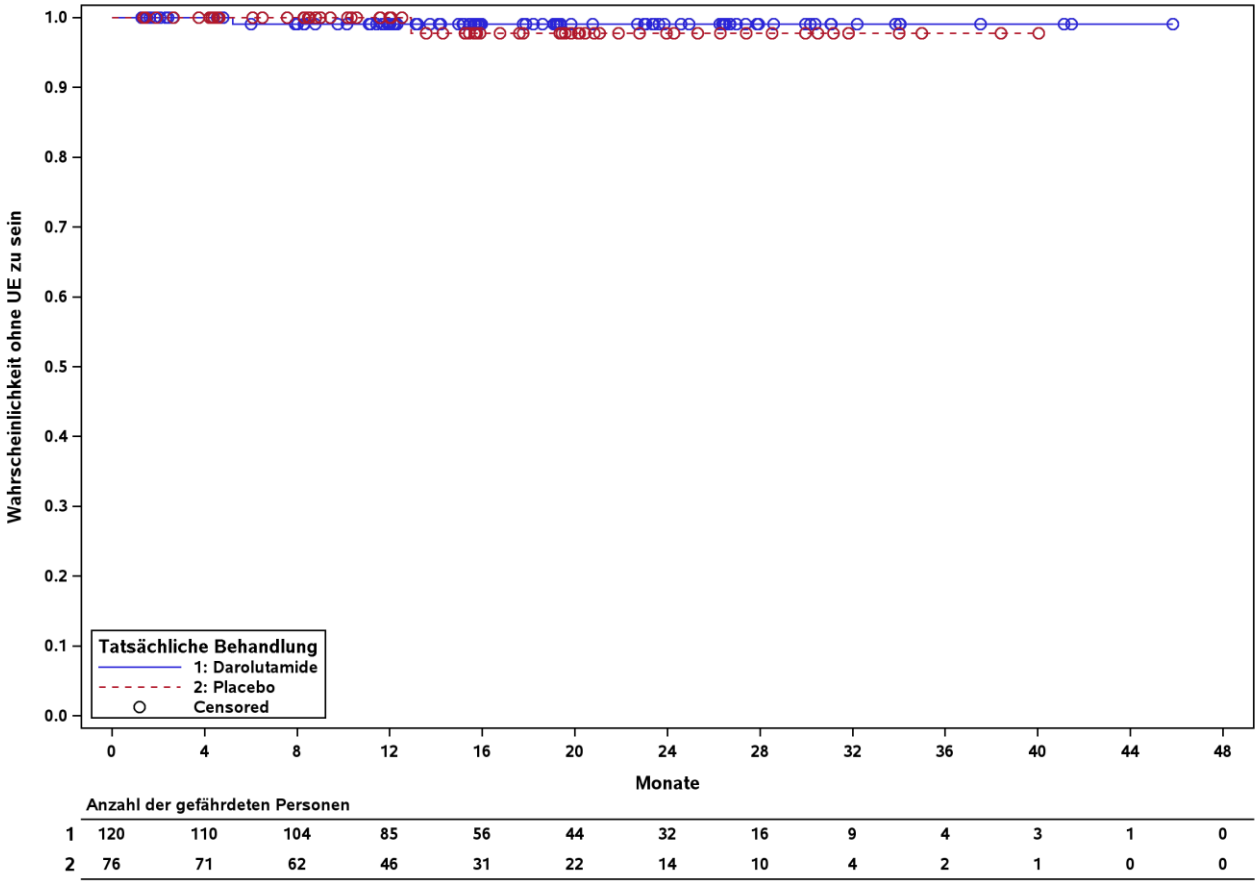
Bayer: /by-sasp/patdb/projects/1841788/17712/stat/prod_query22/pgms/t_aesi_sub.sas 23APR2020 17:14

Figure 4.3.3 / 450: Kaplan-Meier-Plot der 'Unerwünschte Ereignis von besonderem Interesse' Time-to-Event-Analyse nach Endpunkt und Subgruppe - Endpunkt: Zeit bis zum ersten UE von besonderem Interesse mit CTCAE Grad <3: Cerebral ischaemia - Subgruppe: Nutzung von Statinen: Ja (full analysis set)



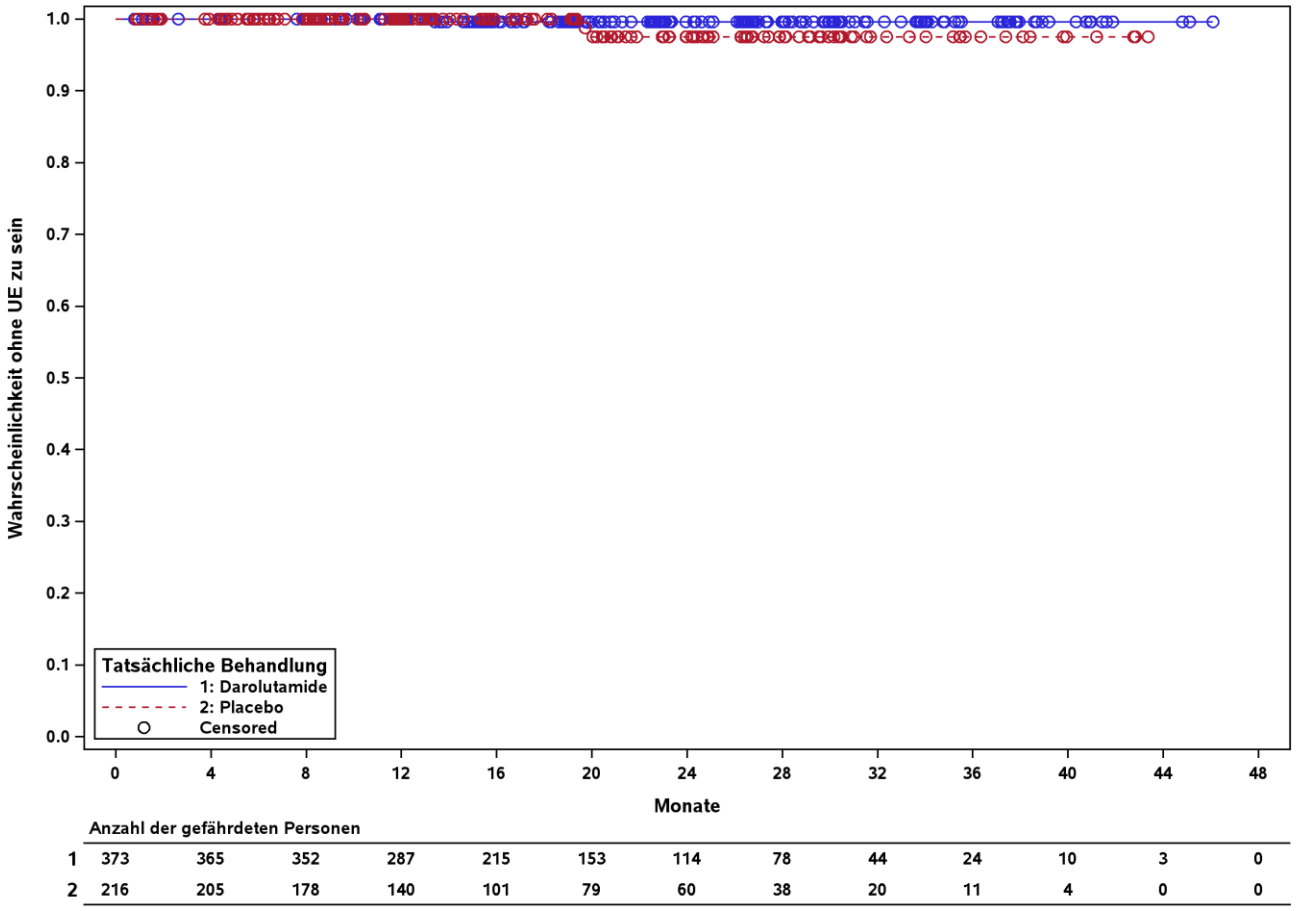
Bayer: /by-sasp/patdb/projects/1841788/17712/stat/prod_query22/pgms/t_aesi_sub.sas 23APR2020 17:14

Figure 4.3.3 / 451: Kaplan-Meier-Plot der 'Unerwünschte Ereignis von besonderem Interesse' Time-to-Event-Analyse nach Endpunkt und Subgruppe - Endpunkt: Zeit bis zum ersten UE von besonderem Interesse mit CTCAE Grad <3: Cerebral ischaemia - Subgruppe: eGFR an Baseline: moderately impaired, severely impaired and renal end stage (full analysis set)



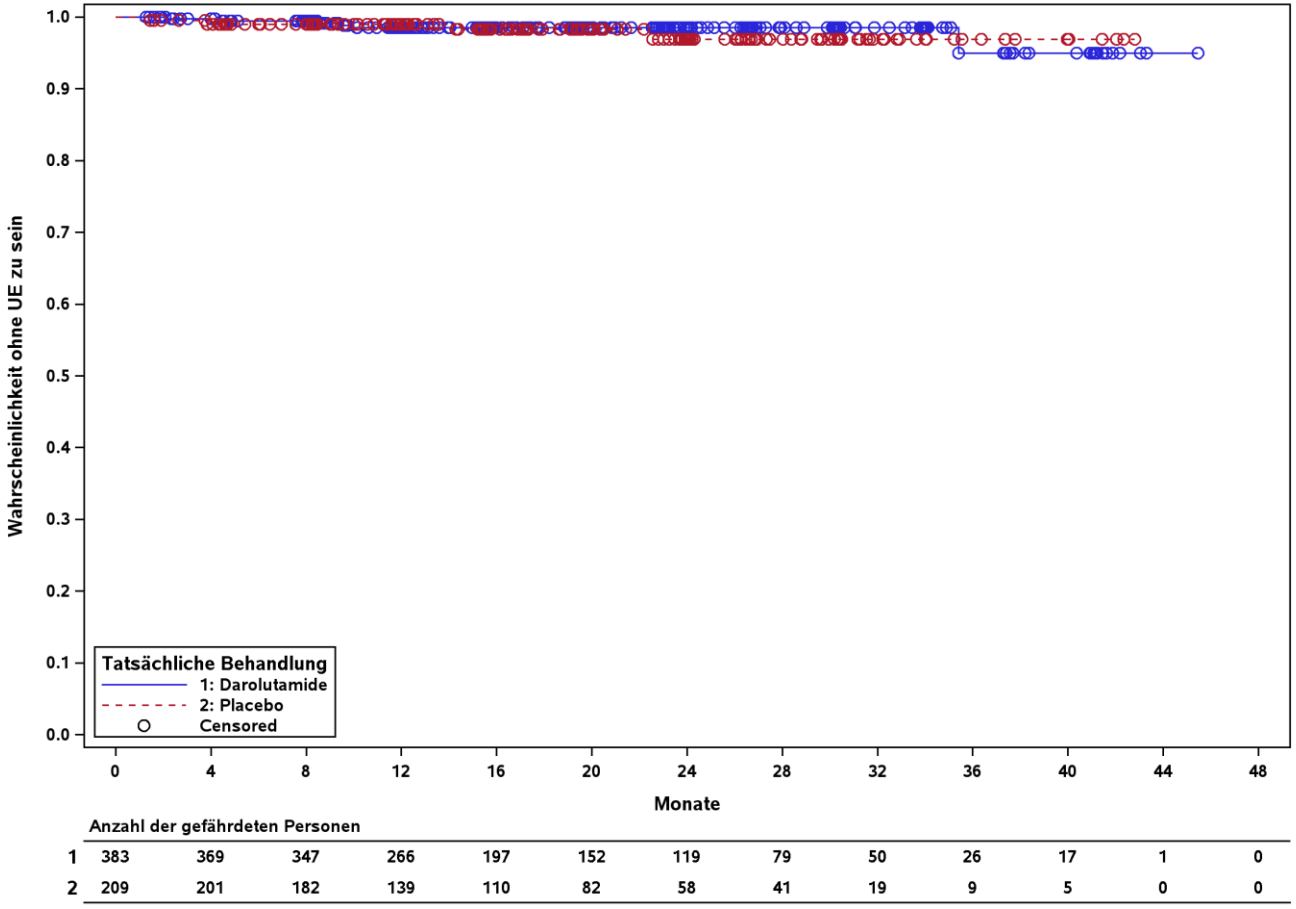
Bayer: /by-sasp/patdb/projects/1841788/17712/stat/prod_query22/pgms/t_aesi_sub.sas 23APR2020 17:14

Figure 4.3.3 / 452: Kaplan-Meier-Plot der 'Unerwünschte Ereignis von besonderem Interesse' Time-to-Event-Analyse nach Endpunkt und Subgruppe - Endpunkt: Zeit bis zum ersten UE von besonderem Interesse mit CTCAE Grad >=3: Cerebral ischaemia - Subgruppe: Alter (Jahre): 65-74 (full analysis set)



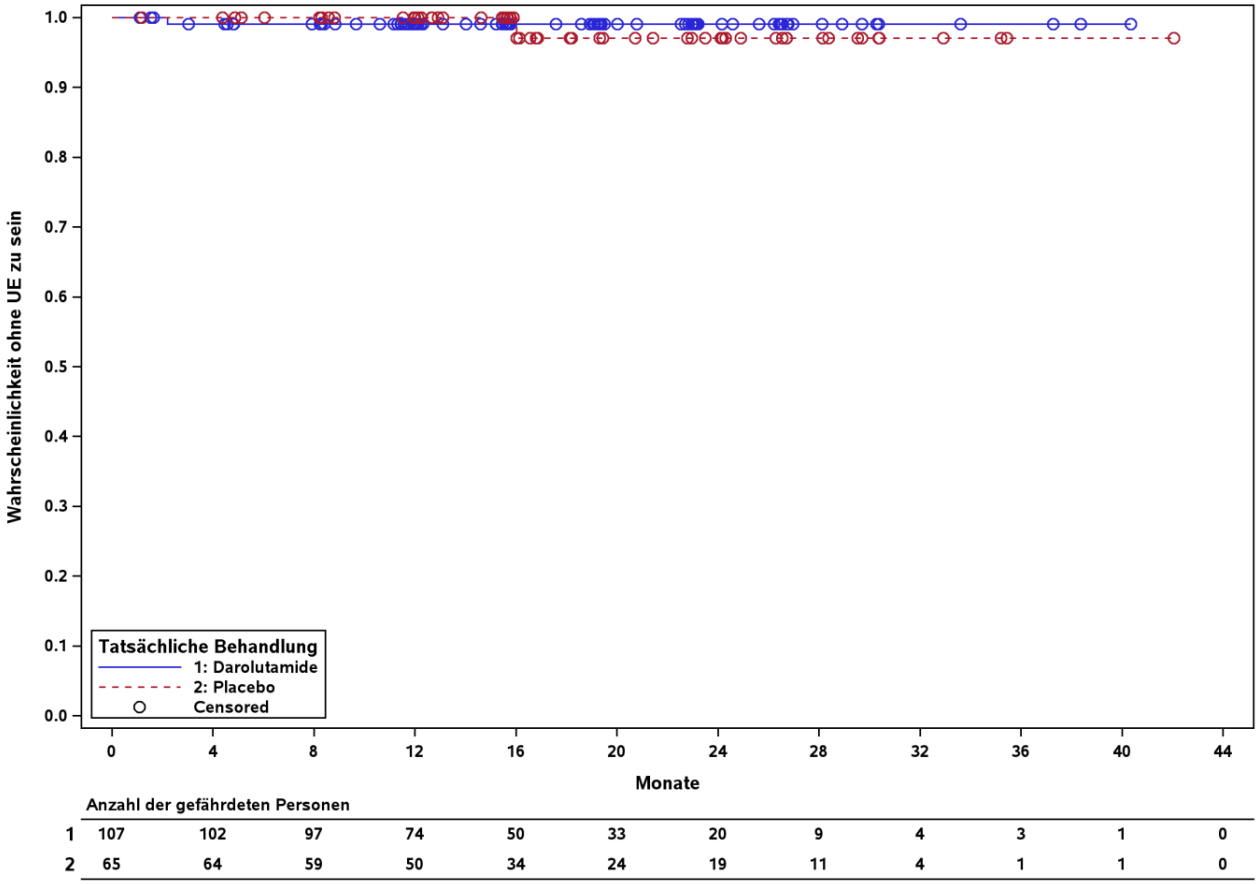
Bayer: /by-sasp/patdb/projects/1841788/17712/stat/prod_query22/pgms/t_aesi_sub.sas 23APR2020 17:14

Figure 4.3.3 / 453: Kaplan-Meier-Plot der 'Unerwünschte Ereignis von besonderem Interesse' Time-to-Event-Analyse nach Endpunkt und Subgruppe - Endpunkt: Zeit bis zum ersten UE von besonderem Interesse mit CTCAE Grad >=3: Cerebral ischaemia - Subgruppe: Alter (Jahre): 75-84 (full analysis set)



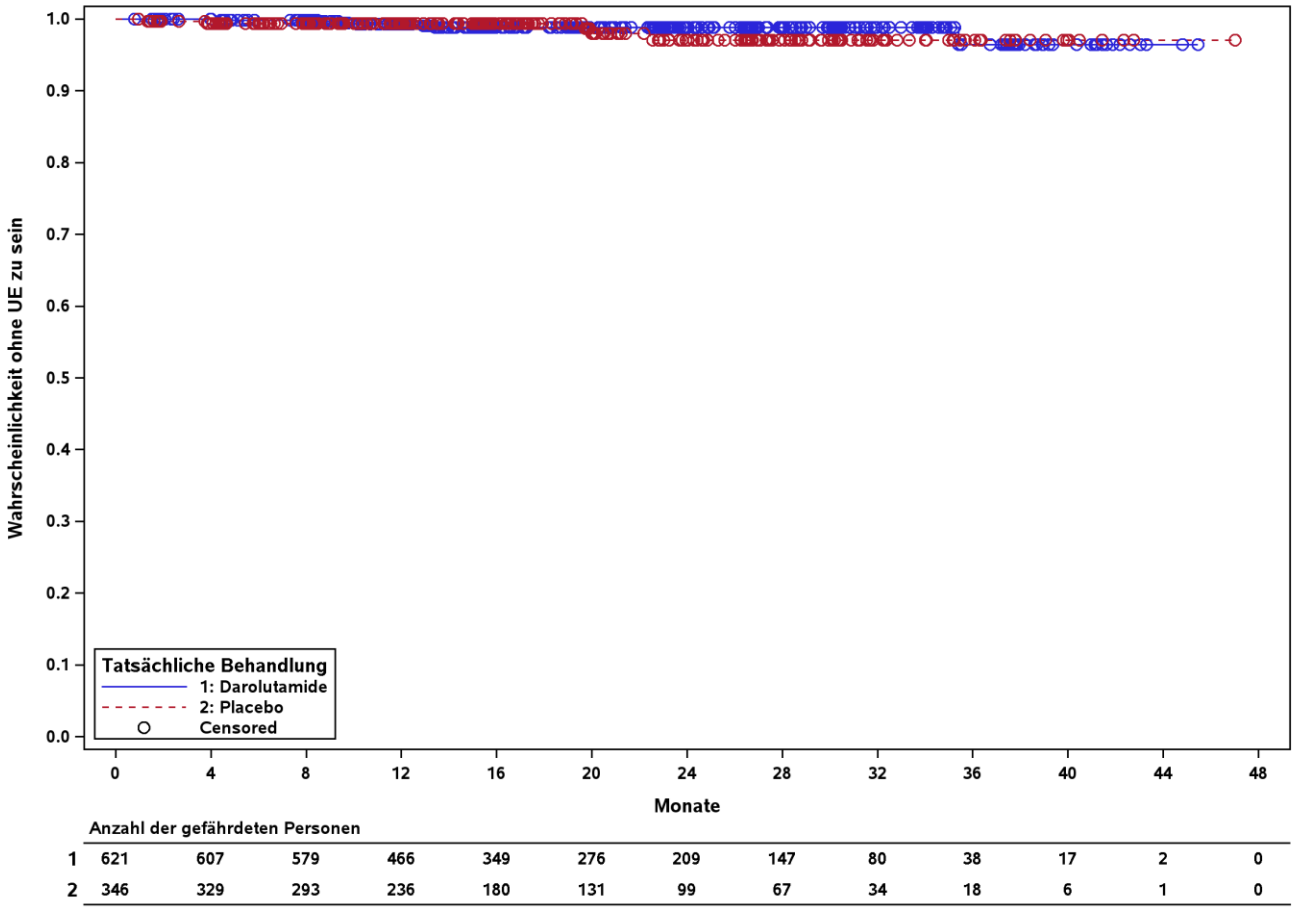
Bayer: /by-sasp/patdb/projects/1841788/17712/stat/prod_query22/pgms/t_aesi_sub.sas 23APR2020 17:14

Figure 4.3.3 / 454: Kaplan-Meier-Plot der 'Unerwünschte Ereignis von besonderem Interesse' Time-to-Event-Analyse nach Endpunkt und Subgruppe - Endpunkt: Zeit bis zum ersten UE von besonderem Interesse mit CTCAE Grad >=3: Cerebral ischaemia - Subgruppe: Geografische Region: Rest of the World (full analysis set)



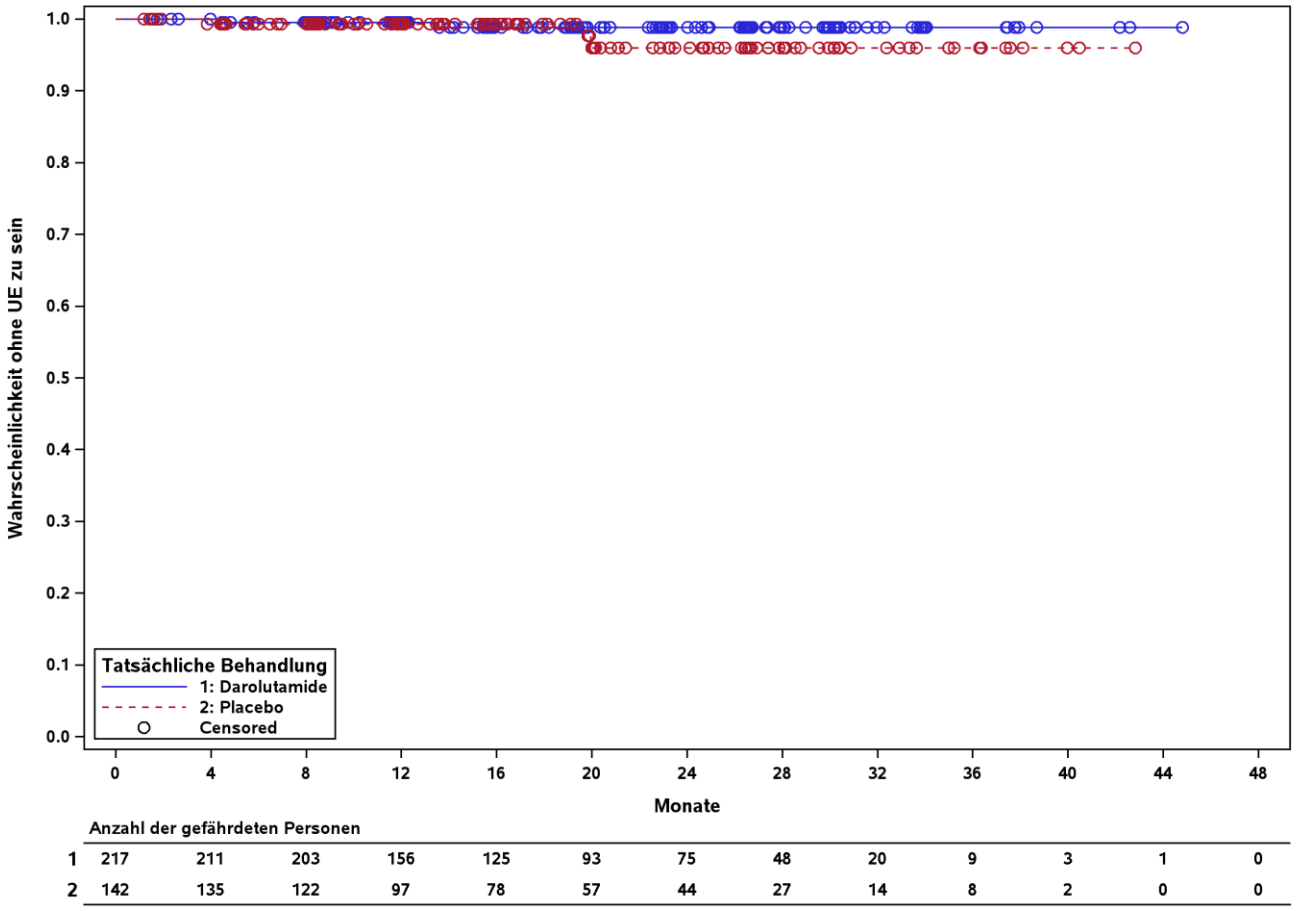
Bayer: /by-sasp/patdb/projects/1841788/17712/stat/prod_query22/pgms/t_aesi_sub.sas 23APR2020 17:14

Figure 4.3.3 / 455: Kaplan-Meier-Plot der 'Unerwünschte Ereignis von besonderem Interesse' Time-to-Event-Analyse nach Endpunkt und Subgruppe - Endpunkt: Zeit bis zum ersten UE von besonderem Interesse mit CTCAE Grad >=3: Cerebral ischaemia - Subgruppe: Geografische Region: Europe (full analysis set)



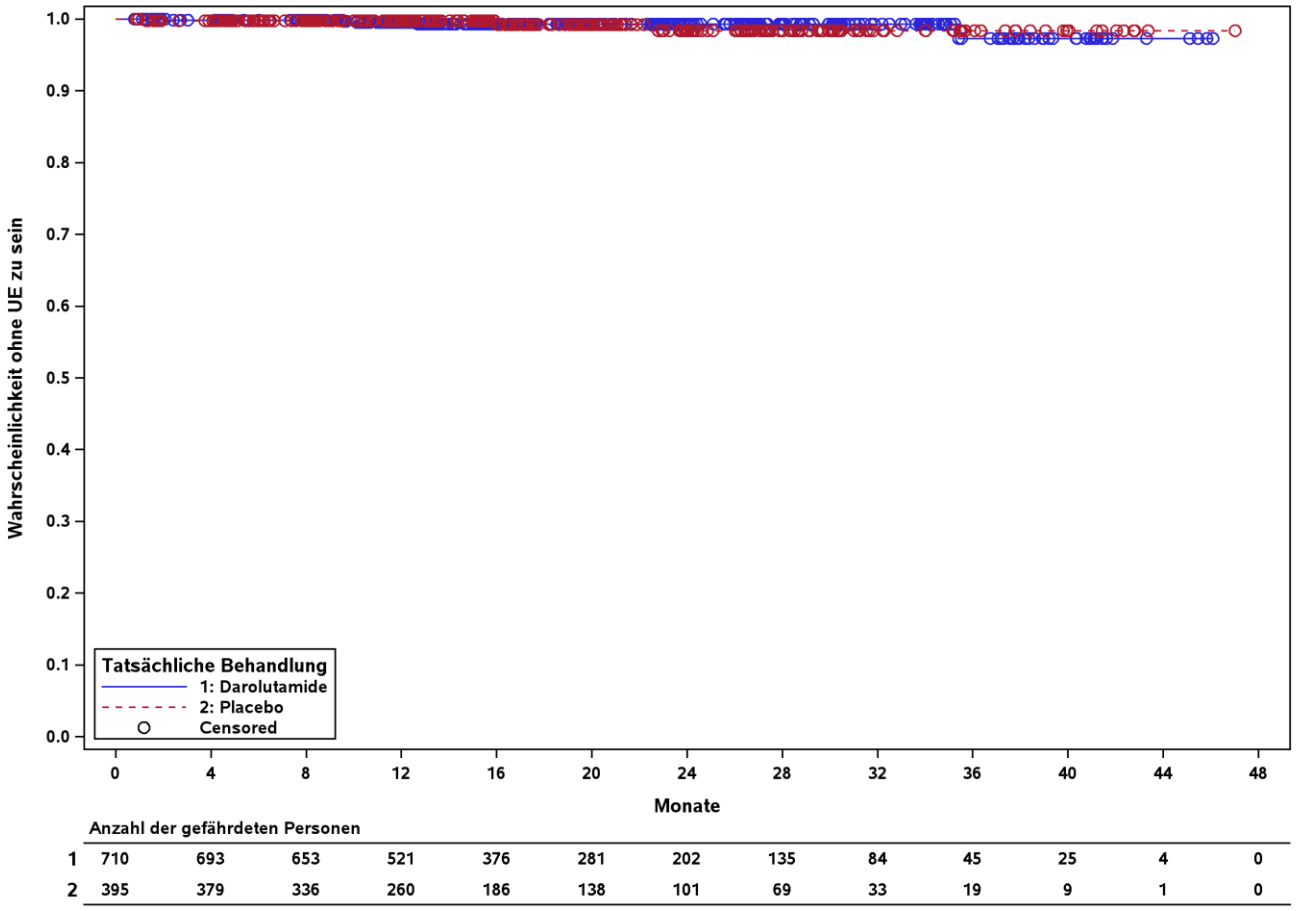
Bayer: /by-sasp/patdb/projects/1841788/17712/stat/prod_query22/pgms/t_aesi_sub.sas 23APR2020 17:14

Figure 4.3.3 / 456: Kaplan-Meier-Plot der 'Unerwünschte Ereignis von besonderem Interesse' Time-to-Event-Analyse nach Endpunkt und Subgruppe - Endpunkt: Zeit bis zum ersten UE von besonderem Interesse mit CTCAE Grad >=3: Cerebral ischaemia - Subgruppe: Gleason-Score bei Diagnose: <7 (full analysis set)



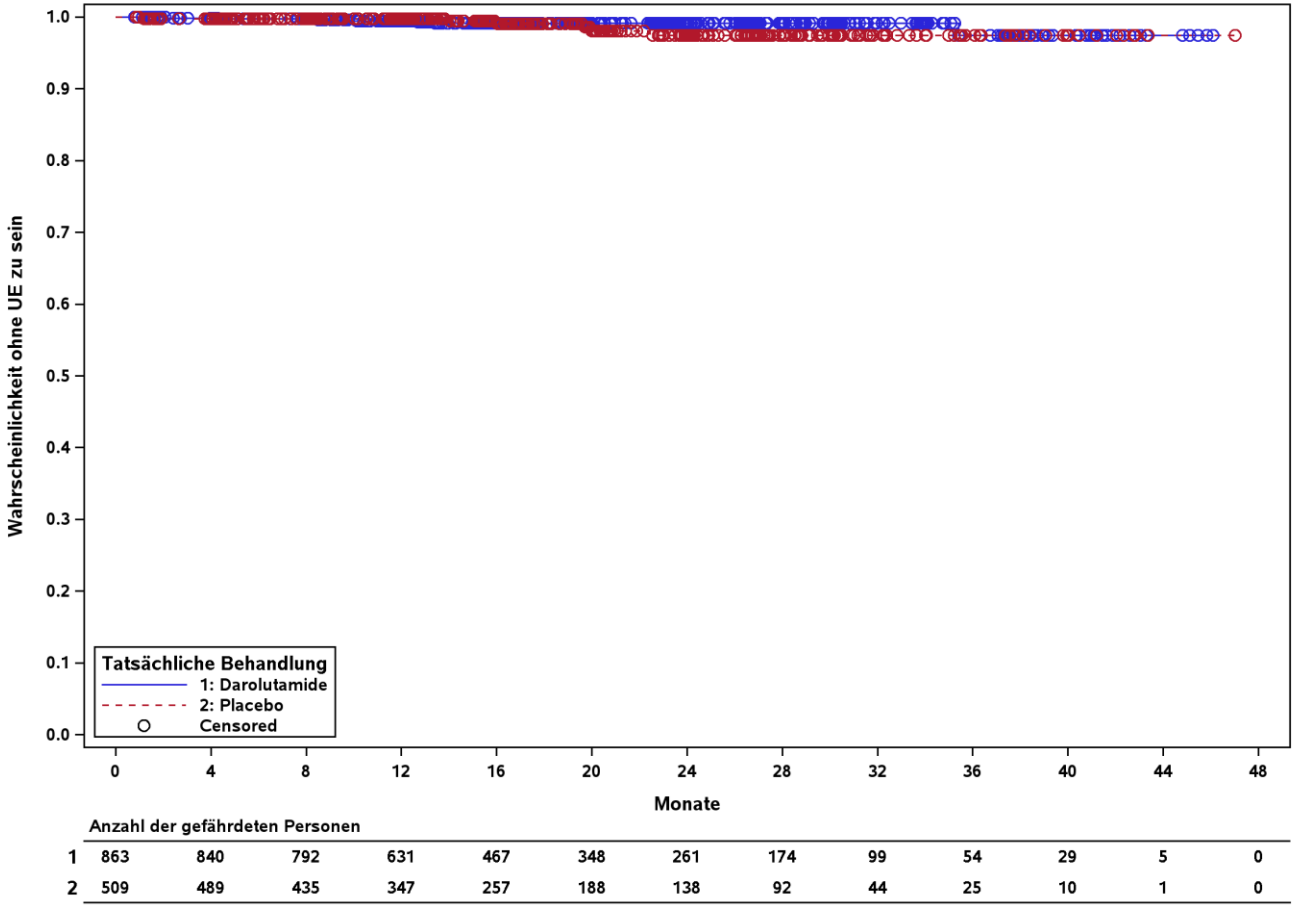
Bayer: /by-sasp/patdb/projects/1841788/17712/stat/prod_query22/pgms/t_aesi_sub.sas 23APR2020 17:14

Figure 4.3.3 / 457: Kaplan-Meier-Plot der 'Unerwünschte Ereignis von besonderem Interesse' Time-to-Event-Analyse nach Endpunkt und Subgruppe - Endpunkt: Zeit bis zum ersten UE von besonderem Interesse mit CTCAE Grad >=3: Cerebral ischaemia - Subgruppe: Gleason-Score bei Diagnose: >=7 (full analysis set)



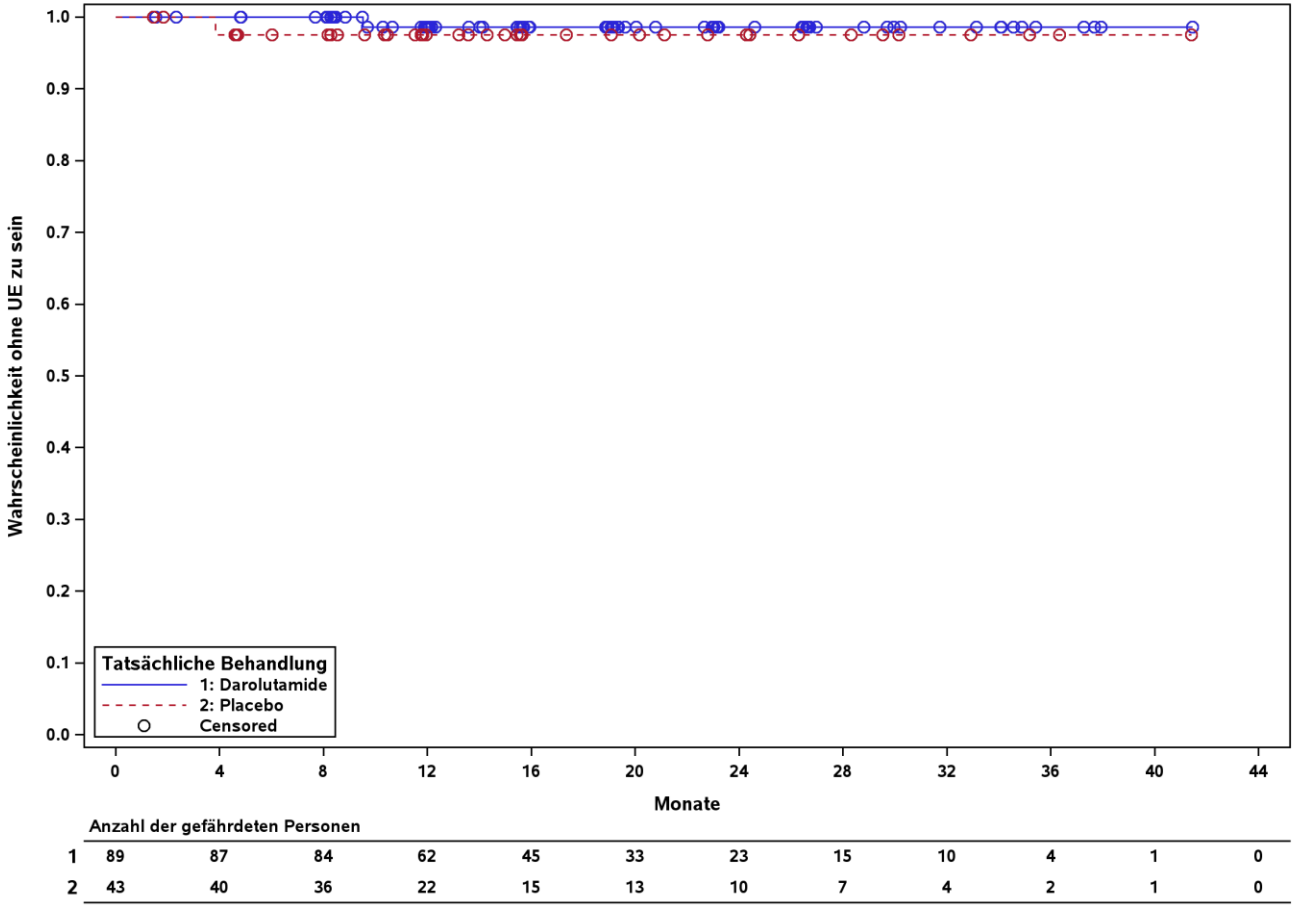
Bayer: /by-sasp/patdb/projects/1841788/17712/stat/prod_query22/pgms/t_aesi_sub.sas 23APR2020 17:14

Figure 4.3.3 / 458: Kaplan-Meier-Plot der 'Unerwünschte Ereignis von besonderem Interesse' Time-to-Event-Analyse nach Endpunkt und Subgruppe - Endpunkt: Zeit bis zum ersten UE von besonderem Interesse mit CTCAE Grad >=3: Cerebral ischaemia - Subgruppe: Leberfunktionsstörung: normal (full analysis set)



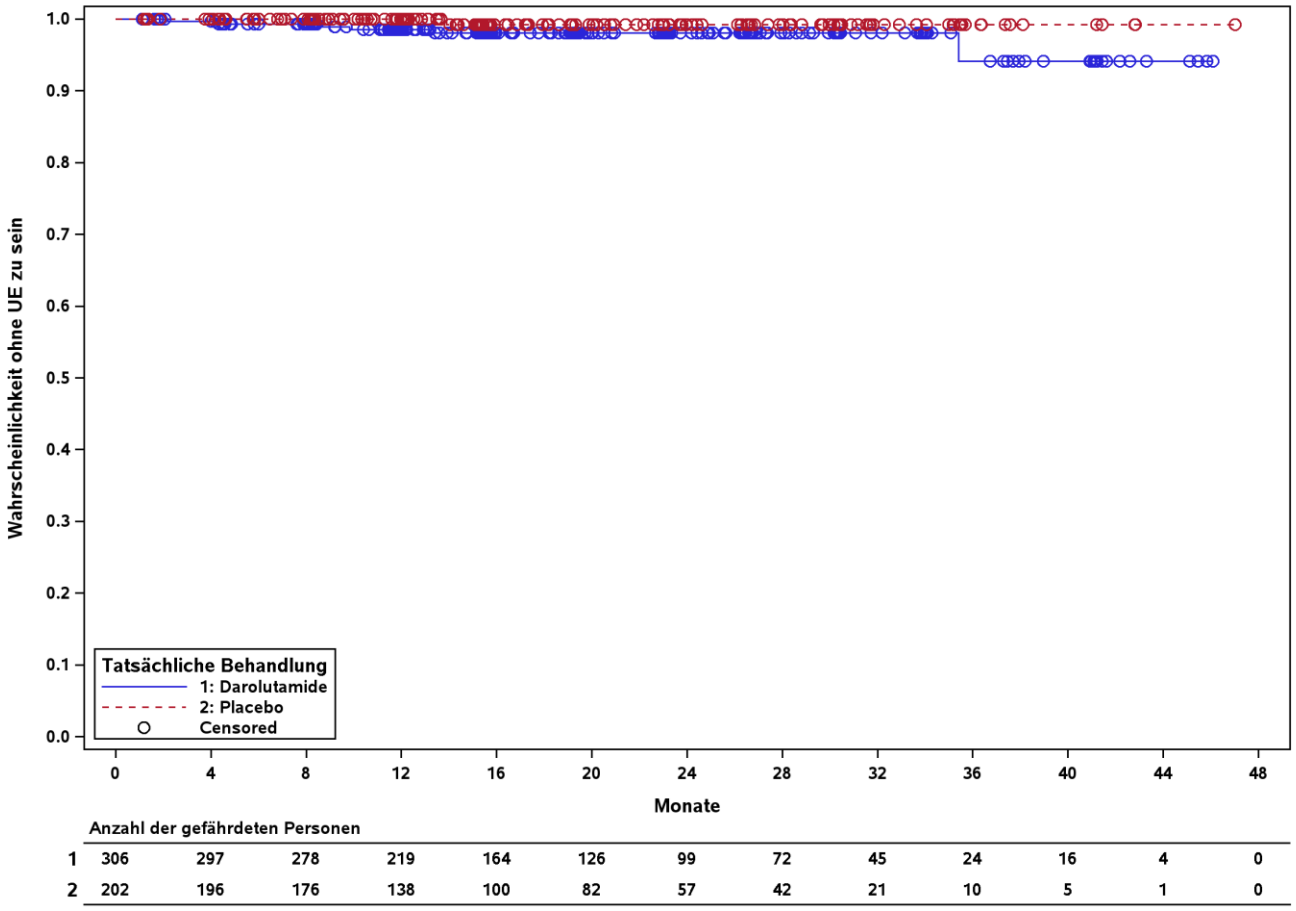
Bayer: /by-sasp/patdb/projects/1841788/17712/stat/prod_query22/pgms/t_aesi_sub.sas 23APR2020 17:14

Figure 4.3.3 / 459: Kaplan-Meier-Plot der 'Unerwünschte Ereignis von besonderem Interesse' Time-to-Event-Analyse nach Endpunkt und Subgruppe - Endpunkt: Zeit bis zum ersten UE von besonderem Interesse mit CTCAE Grad >=3: Cerebral ischaemia - Subgruppe: Leberfunktionsstörung: mild (full analysis set)



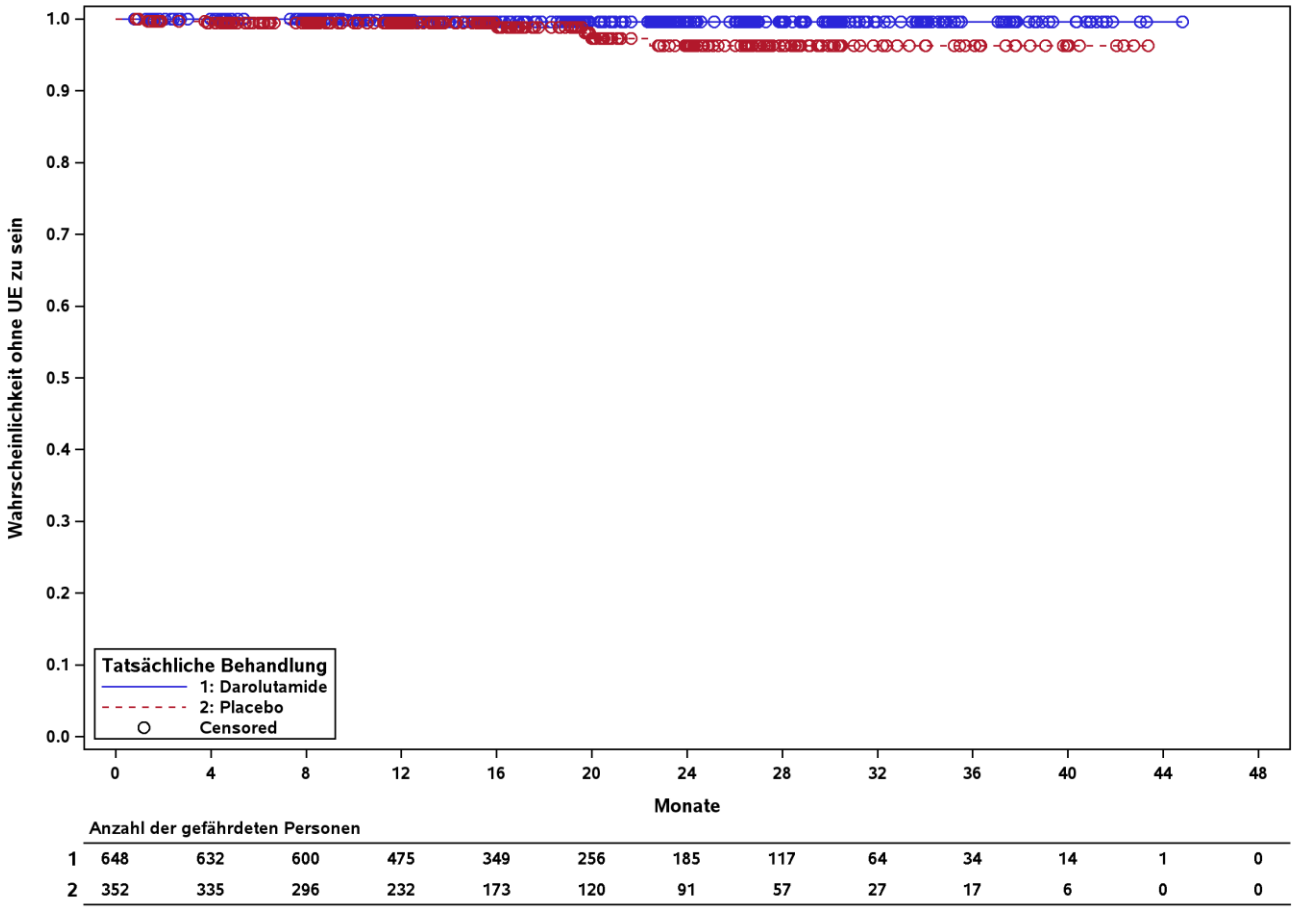
Bayer: /by-sasp/patdb/projects/1841788/17712/stat/prod_query22/pgms/t_aesi_sub.sas 23APR2020 17:14

Figure 4.3.3 / 460: Kaplan-Meier-Plot der 'Unerwünschte Ereignis von besonderem Interesse' Time-to-Event-Analyse nach Endpunkt und Subgruppe - Endpunkt: Zeit bis zum ersten UE von besonderem Interesse mit CTCAE Grad >=3: Cerebral ischaemia - Subgruppe: Nutzung von Statinen: Ja (full analysis set)



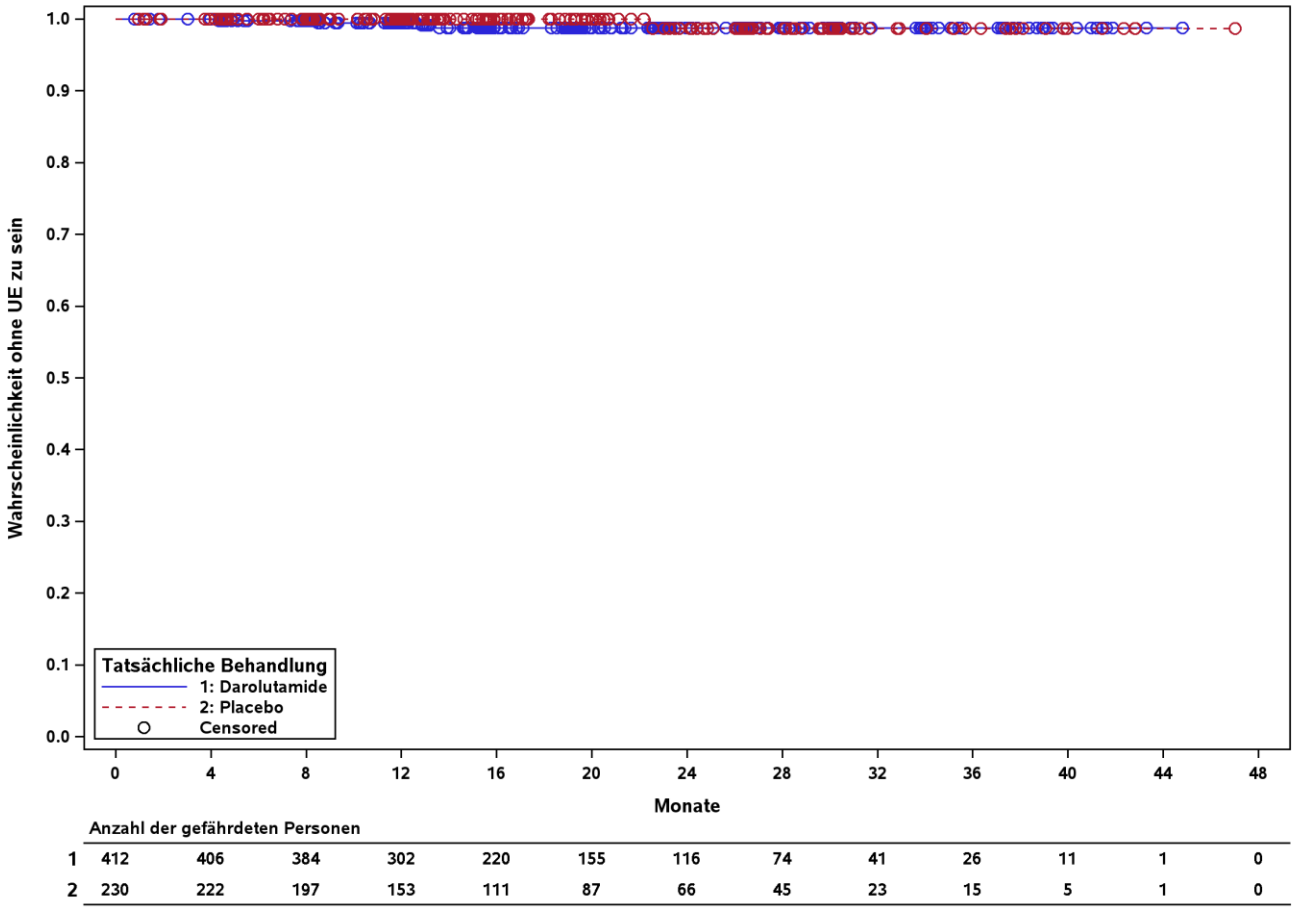
Bayer: /by-sasp/patdb/projects/1841788/17712/stat/prod_query22/pgms/t_aesi_sub.sas 23APR2020 17:14

Figure 4.3.3 / 461: Kaplan-Meier-Plot der 'Unerwünschte Ereignis von besonderem Interesse' Time-to-Event-Analyse nach Endpunkt und Subgruppe - Endpunkt: Zeit bis zum ersten UE von besonderem Interesse mit CTCAE Grad >=3: Cerebral ischaemia - Subgruppe: Nutzung von Statinen: Nein (full analysis set)



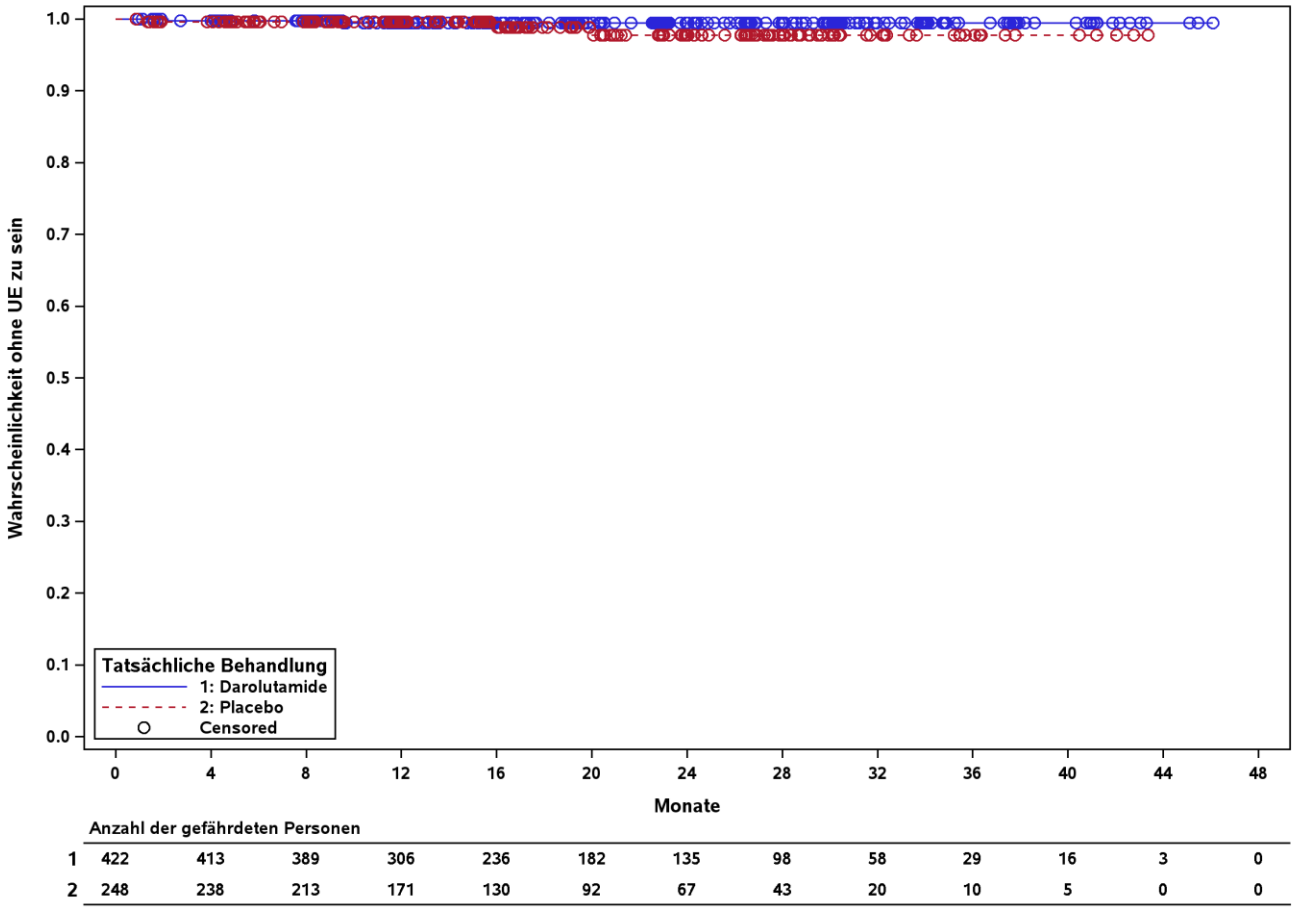
Bayer: /by-sasp/patdb/projects/1841788/17712/stat/prod_query22/pgms/t_aesi_sub.sas 23APR2020 17:14

Figure 4.3.3 / 462: Kaplan-Meier-Plot der 'Unerwünschte Ereignis von besonderem Interesse' Time-to-Event-Analyse nach Endpunkt und Subgruppe - Endpunkt: Zeit bis zum ersten UE von besonderem Interesse mit CTCAE Grad >=3: Cerebral ischaemia - Subgruppe: eGFR an Baseline: normal (full analysis set)



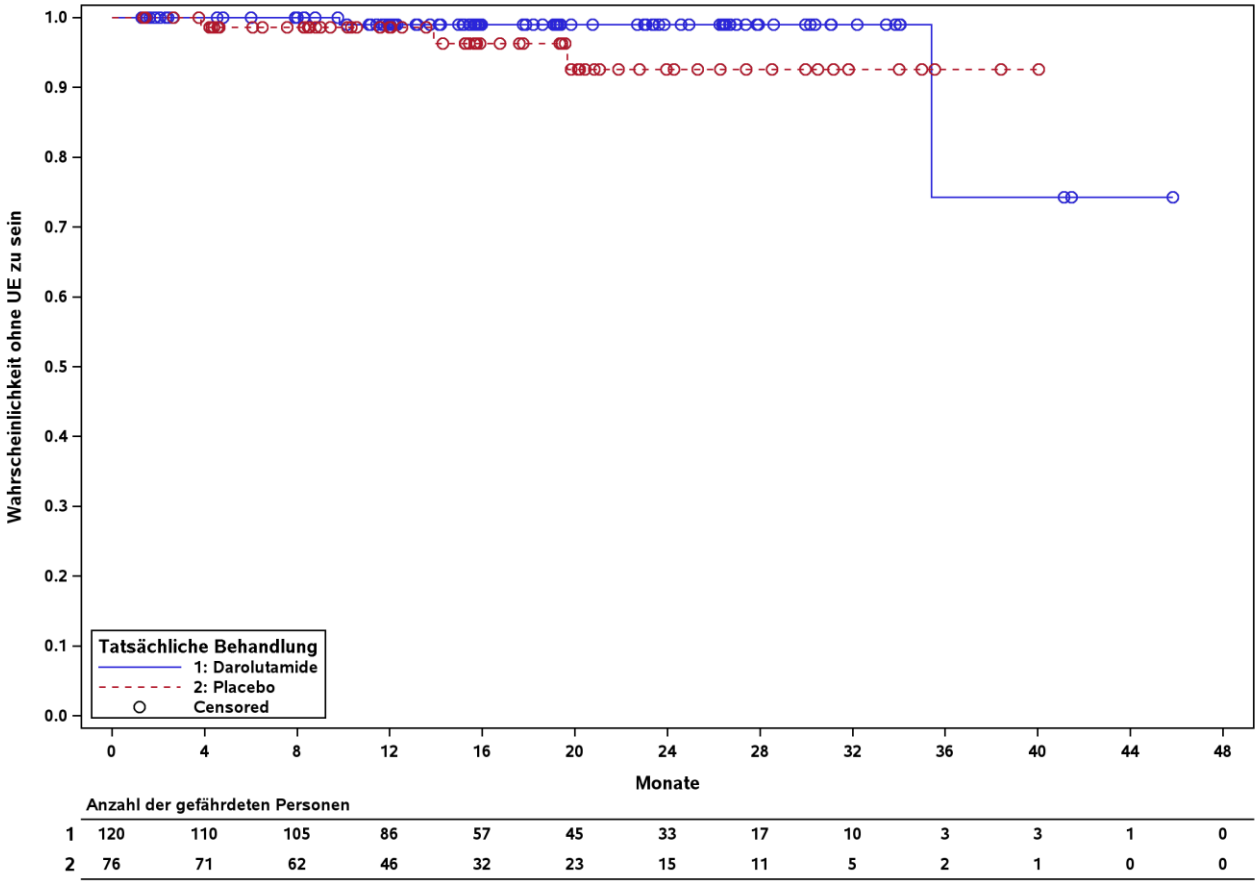
Bayer: /by-sasp/patdb/projects/1841788/17712/stat/prod_query22/pgms/t_aesi_sub.sas 23APR2020 17:14

Figure 4.3.3 / 463: Kaplan-Meier-Plot der 'Unerwünschte Ereignis von besonderem Interesse' Time-to-Event-Analyse nach Endpunkt und Subgruppe - Endpunkt: Zeit bis zum ersten UE von besonderem Interesse mit CTCAE Grad >=3: Cerebral ischaemia - Subgruppe: eGFR an Baseline: mildly impaired (full analysis set)



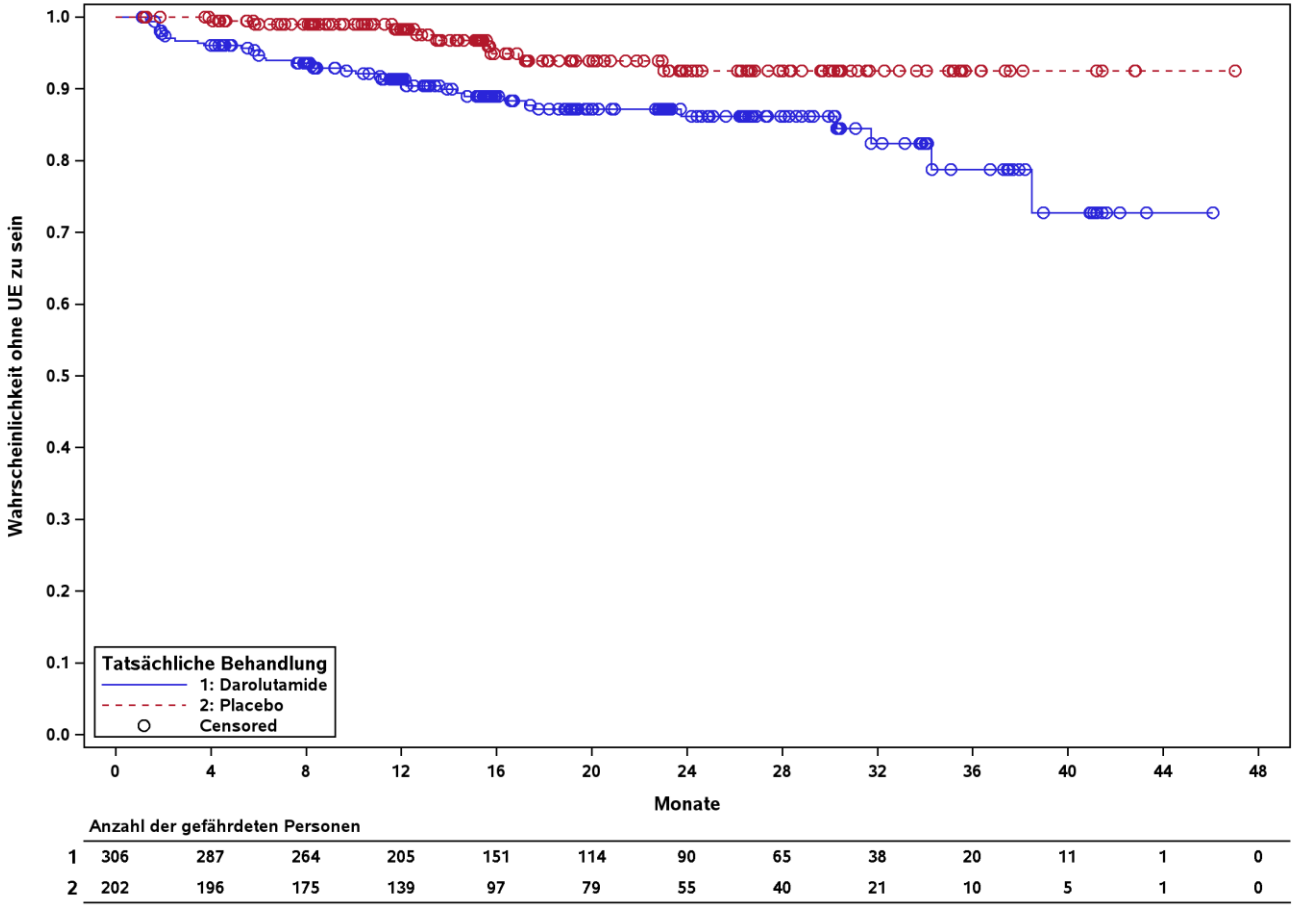
Bayer: /by-sasp/patdb/projects/1841788/17712/stat/prod_query22/pgms/t_aesi_sub.sas 23APR2020 17:14

Figure 4.3.3 / 464: Kaplan-Meier-Plot der 'Unerwünschte Ereignis von besonderem Interesse' Time-to-Event-Analyse nach Endpunkt und Subgruppe - Endpunkt: Zeit bis zum ersten UE von besonderem Interesse mit CTCAE Grad >=3: Cerebral ischaemia - Subgruppe: eGFR an Baseline: moderately impaired, severely impaired and renal end stage (full analysis set)



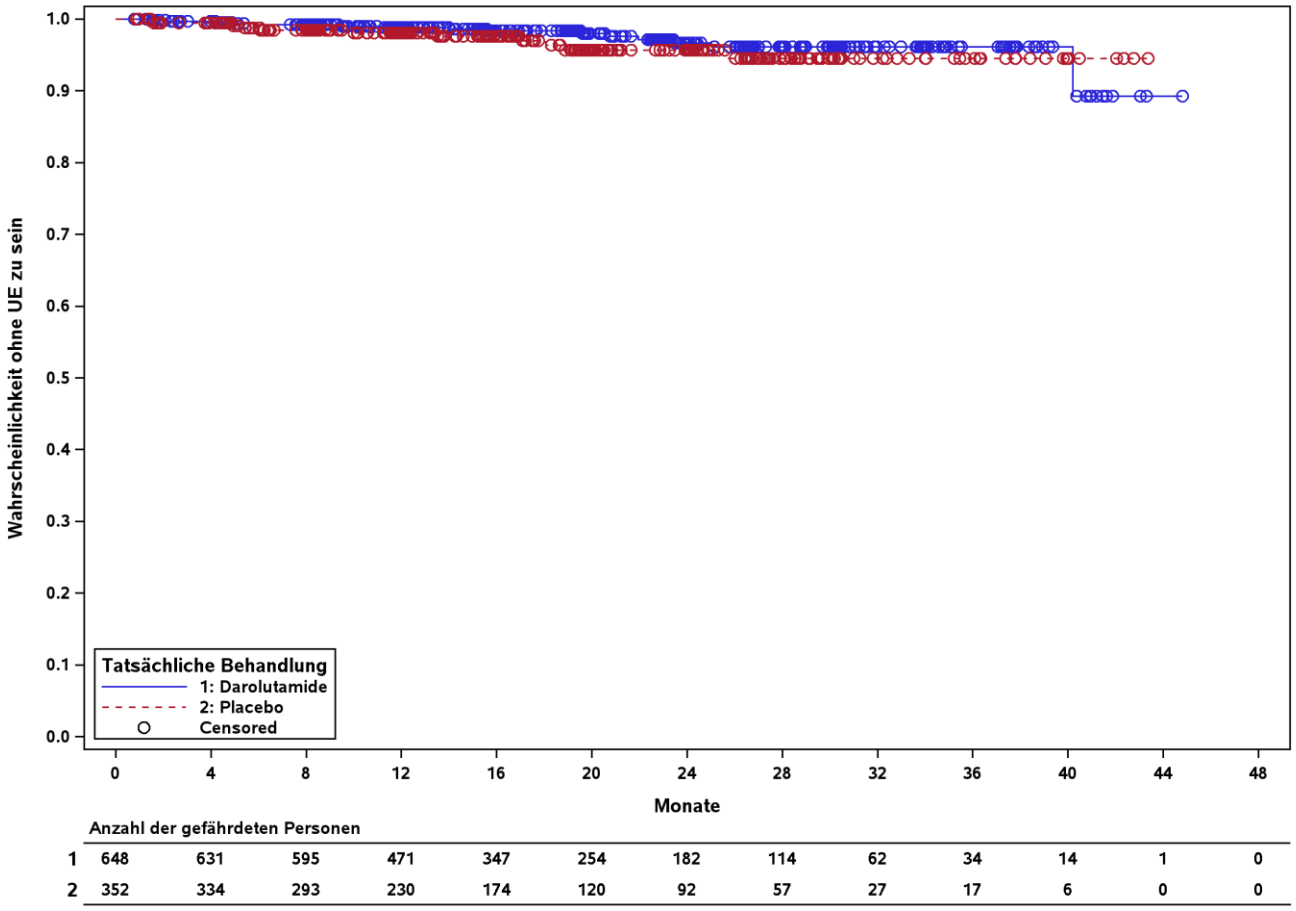
Bayer: /by-sasp/patdb/projects/1841788/17712/stat/prod_query22/pgms/t_aesi_sub.sas 23APR2020 17:14

Figure 4.3.3 / 465: Kaplan-Meier-Plot der UE TTE-Analyse nach Endpunkt und Subgruppe - Endpunkt: Zeit bis zum ersten SUE das die Cutoff-Kriterien auf MedDRA SOC Ebene erfüllt (Monate) - SOC: Cardiac disorders (10007541) - Subgruppe: Nutzung von Statinen: Ja (full analysis set)



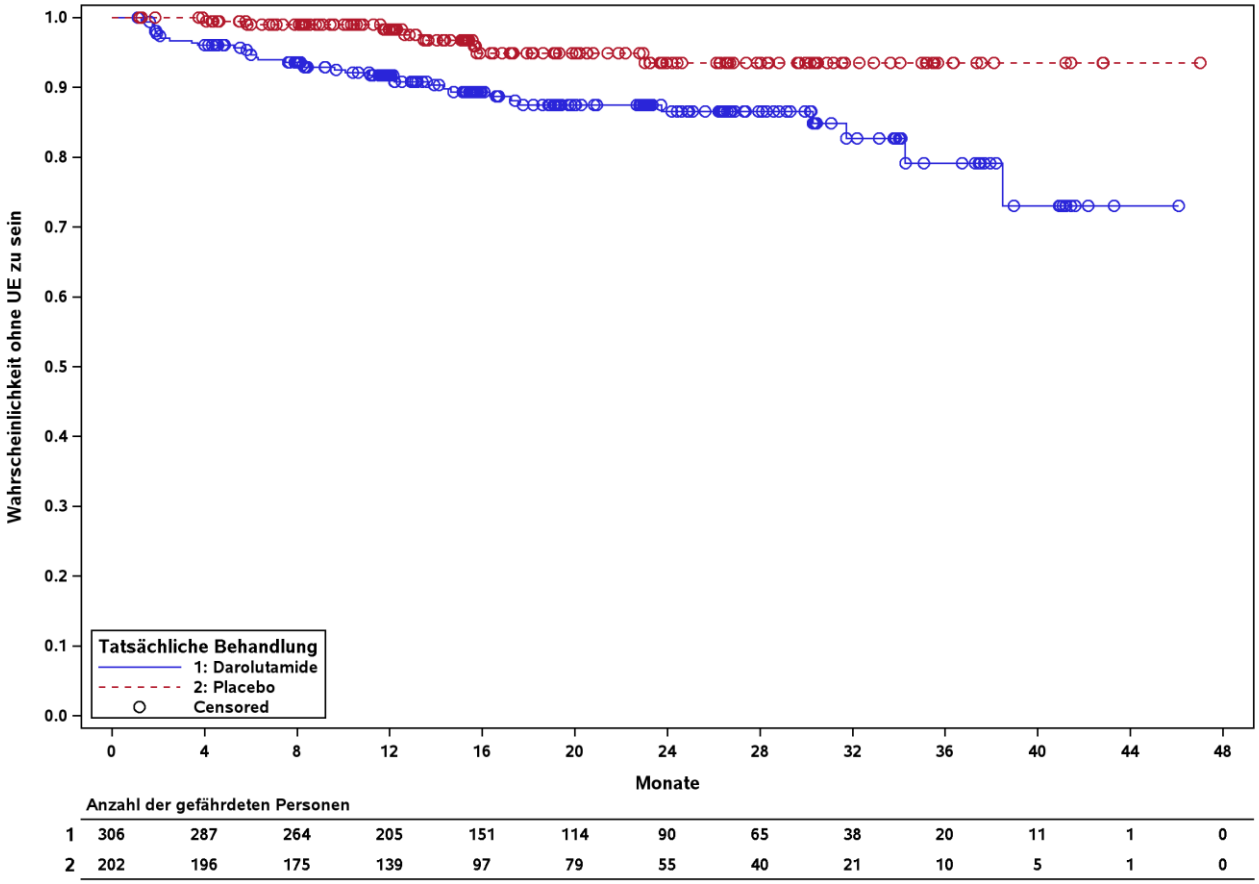
Bayer: /by-sasp/patdb/projects/1841788/17712/stat/prod_query22/pgms/t_aecut_sub.sas 23APR2020 19:27

Figure 4.3.3 / 466: Kaplan-Meier-Plot der UE TTE-Analyse nach Endpunkt und Subgruppe - Endpunkt: Zeit bis zum ersten SUE das die Cutoff-Kriterien auf MedDRA SOC Ebene erfüllt (Monate) - SOC: Cardiac disorders (10007541) - Subgruppe: Nutzung von Statinen: Nein (full analysis set)



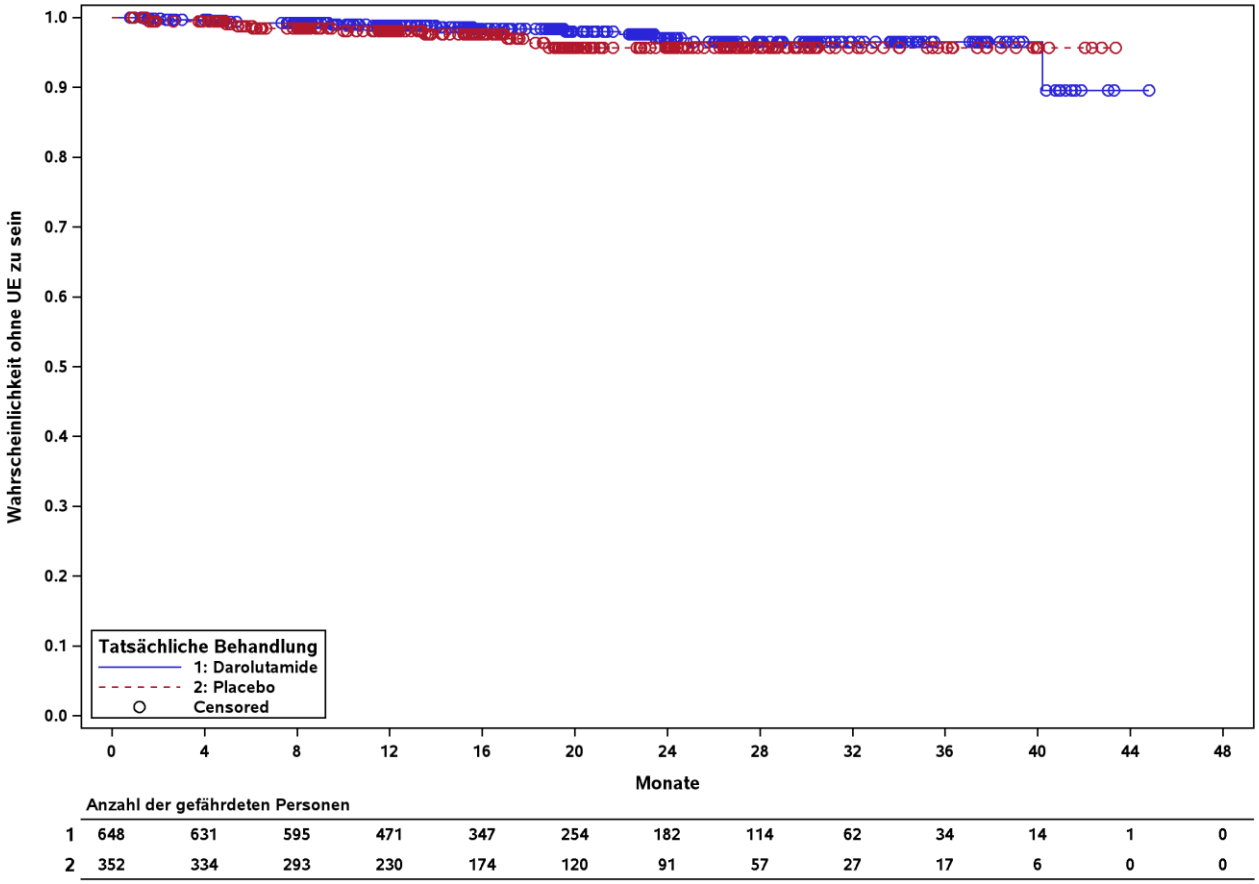
Bayer: /by-sasp/patdb/projects/1841788/17712/stat/prod_query22/pgms/t_aecut_sub.sas 23APR2020 19:27

Figure 4.3.3 / 467: Kaplan-Meier-Plot der UE TTE-Analyse nach Endpunkt und Subgruppe - Endpunkt: Zeit bis zum ersten unter der Behandlung aufgetretenen SUE (TESAE) das die Cutoff-Kriterien auf MedDRA SOC Ebene erfüllt (Monate) - SOC: Cardiac disorders (10007541) - Subgruppe: Nutzung von Statinen: Ja (full analysis set)



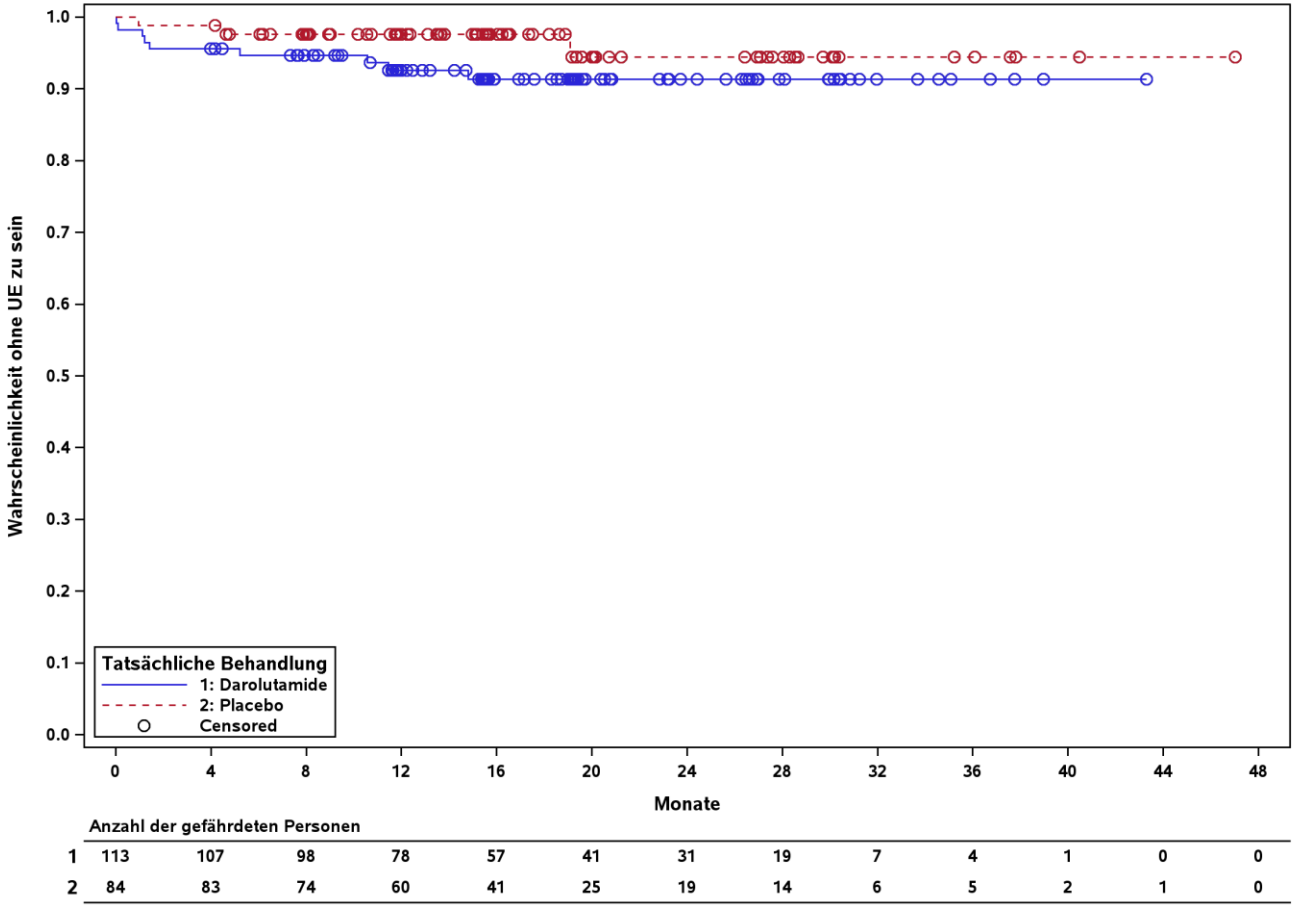
Bayer: /by-sasp/patdb/projects/1841788/17712/stat/prod_query22/pgms/t_aecut_sub.sas 23APR2020 19:27

Figure 4.3.3 / 468: Kaplan-Meier-Plot der UE TTE-Analyse nach Endpunkt und Subgruppe - Endpunkt: Zeit bis zum ersten unter der Behandlung aufgetretenen SUE (TESAE) das die Cutoff-Kriterien auf MedDRA SOC Ebene erfüllt (Monate) - SOC: Cardiac disorders (10007541) - Subgruppe: Nutzung von Statinen: Nein (full analysis set)



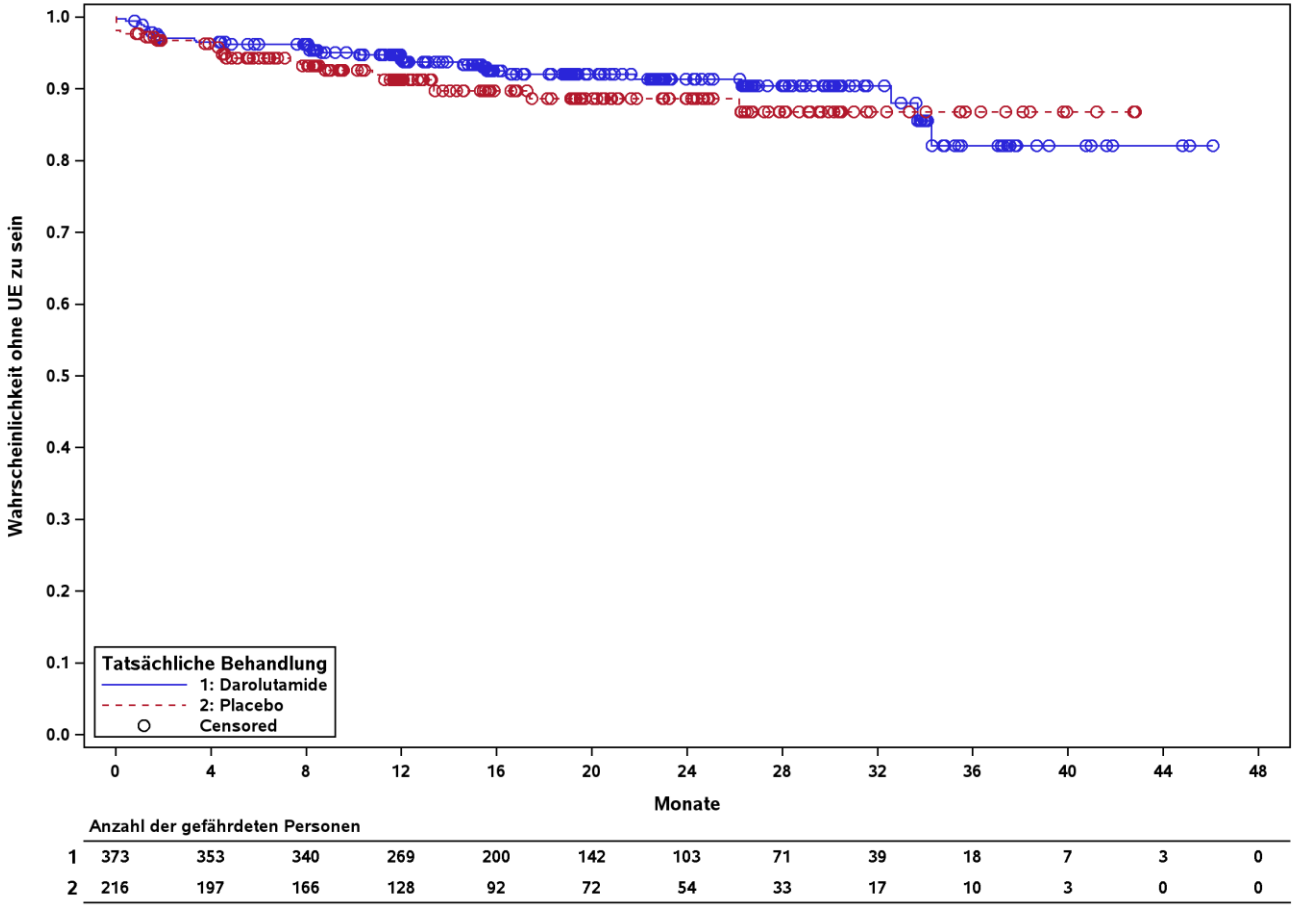
Bayer: /by-sasp/patdb/projects/1841788/17712/stat/prod_query22/pgms/t_aecut_sub.sas 23APR2020 19:27

Figure 4.3.3 / 469: Kaplan-Meier-Plot der UE TTE-Analyse nach Endpunkt und Subgruppe - Endpunkt: Zeit bis zum ersten UE das die Cutoff-Kriterien auf MedDRA SOC Ebene erfüllt (Monate) - SOC: Metabolism and nutrition disorders (10027433) - Subgruppe: Alter (Jahre): <65 (full analysis set)



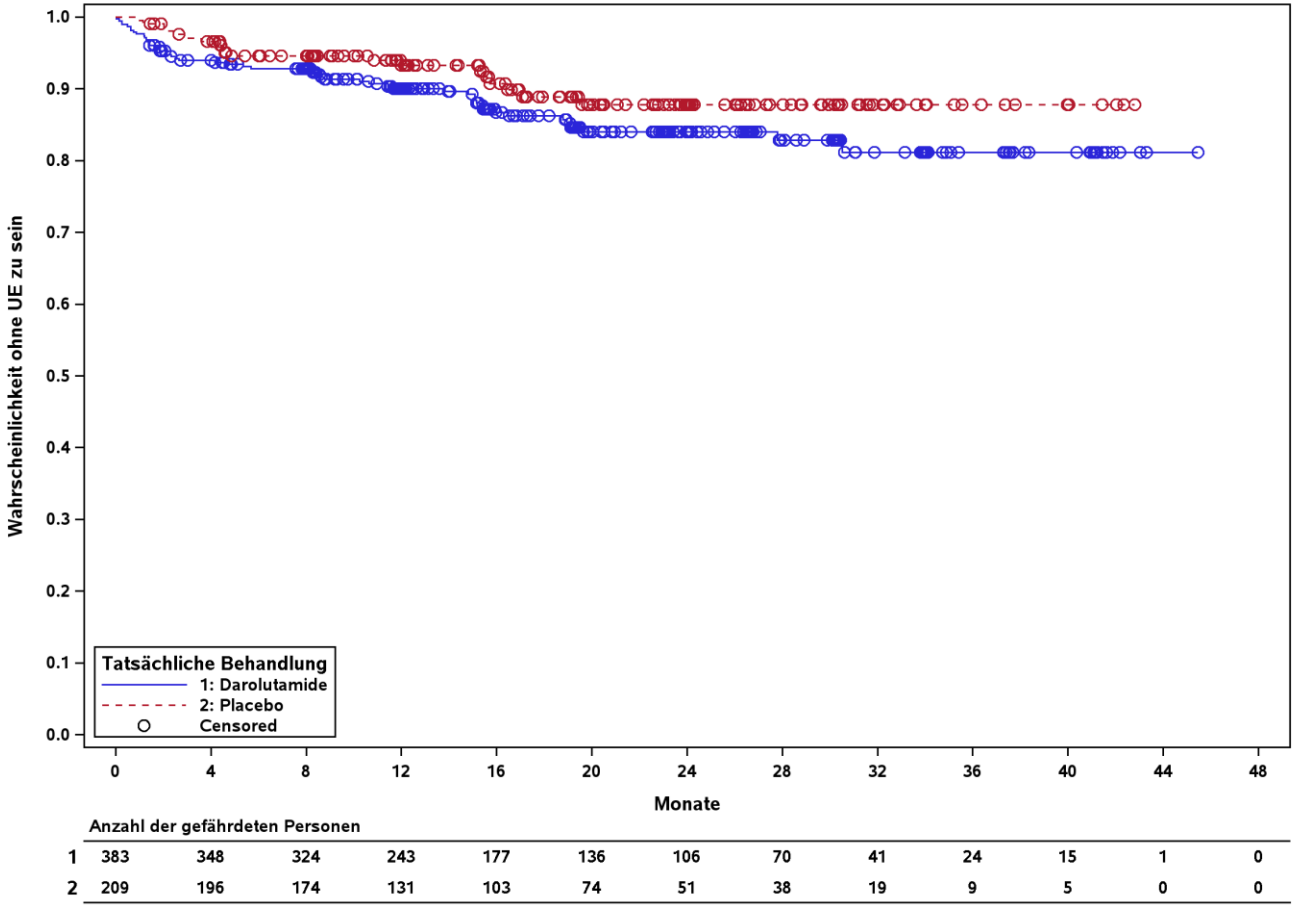
Bayer: /by-sasp/patdb/projects/1841788/17712/stat/prod_query22/pgms/t_aecut_sub.sas 23APR2020 19:27

Figure 4.3.3 / 470: Kaplan-Meier-Plot der UE TTE-Analyse nach Endpunkt und Subgruppe - Endpunkt: Zeit bis zum ersten UE das die Cutoff-Kriterien auf MedDRA SOC Ebene erfüllt (Monate) - SOC: Metabolism and nutrition disorders (10027433) - Subgruppe: Alter (Jahre): 65-74 (full analysis set)



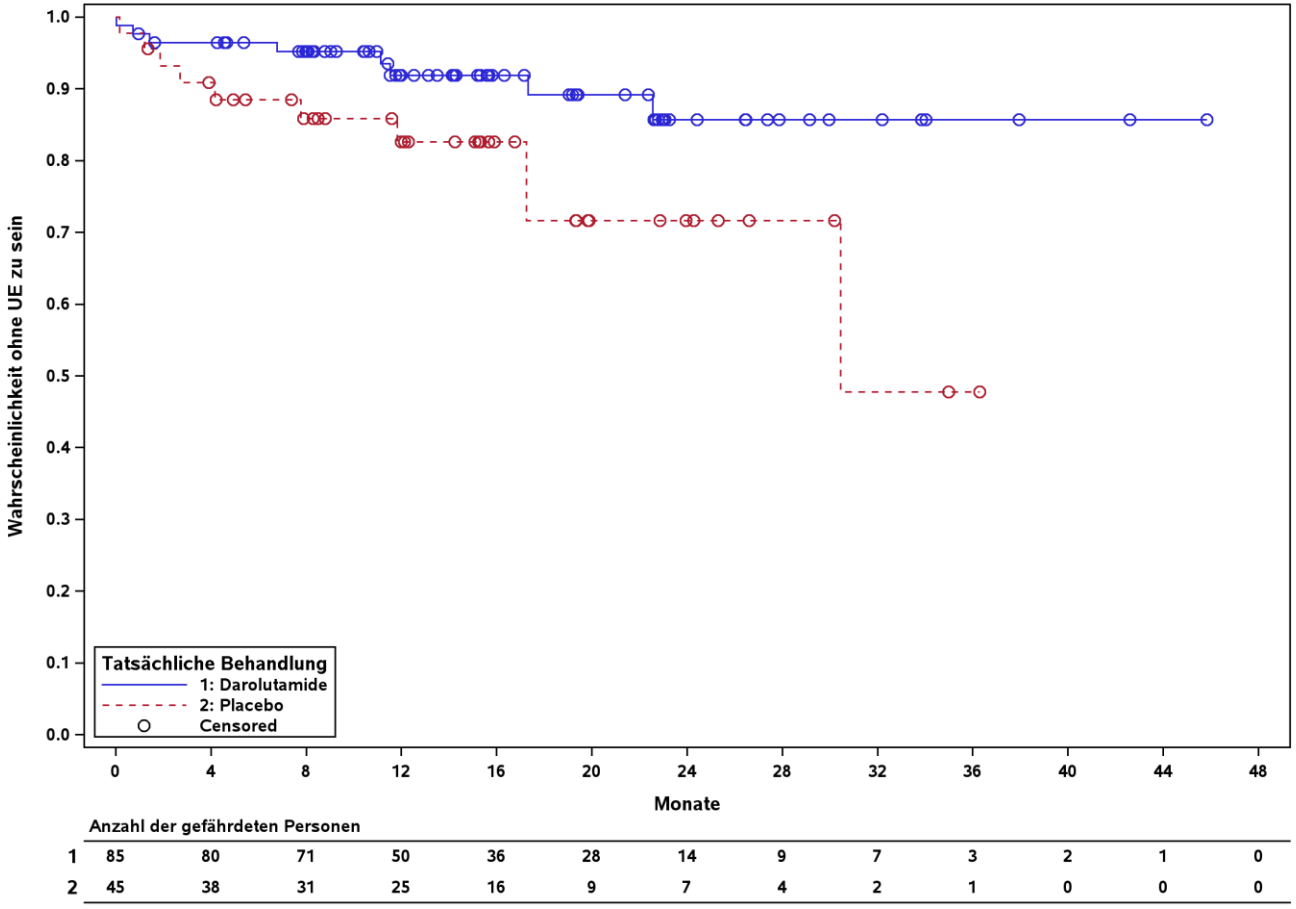
Bayer: /by-sasp/patdb/projects/1841788/17712/stat/prod_query22/pgms/t_aecut_sub.sas 23APR2020 19:27

Figure 4.3.3 / 471: Kaplan-Meier-Plot der UE TTE-Analyse nach Endpunkt und Subgruppe - Endpunkt: Zeit bis zum ersten UE das die Cutoff-Kriterien auf MedDRA SOC Ebene erfüllt (Monate) - SOC: Metabolism and nutrition disorders (10027433) - Subgruppe: Alter (Jahre): 75-84 (full analysis set)



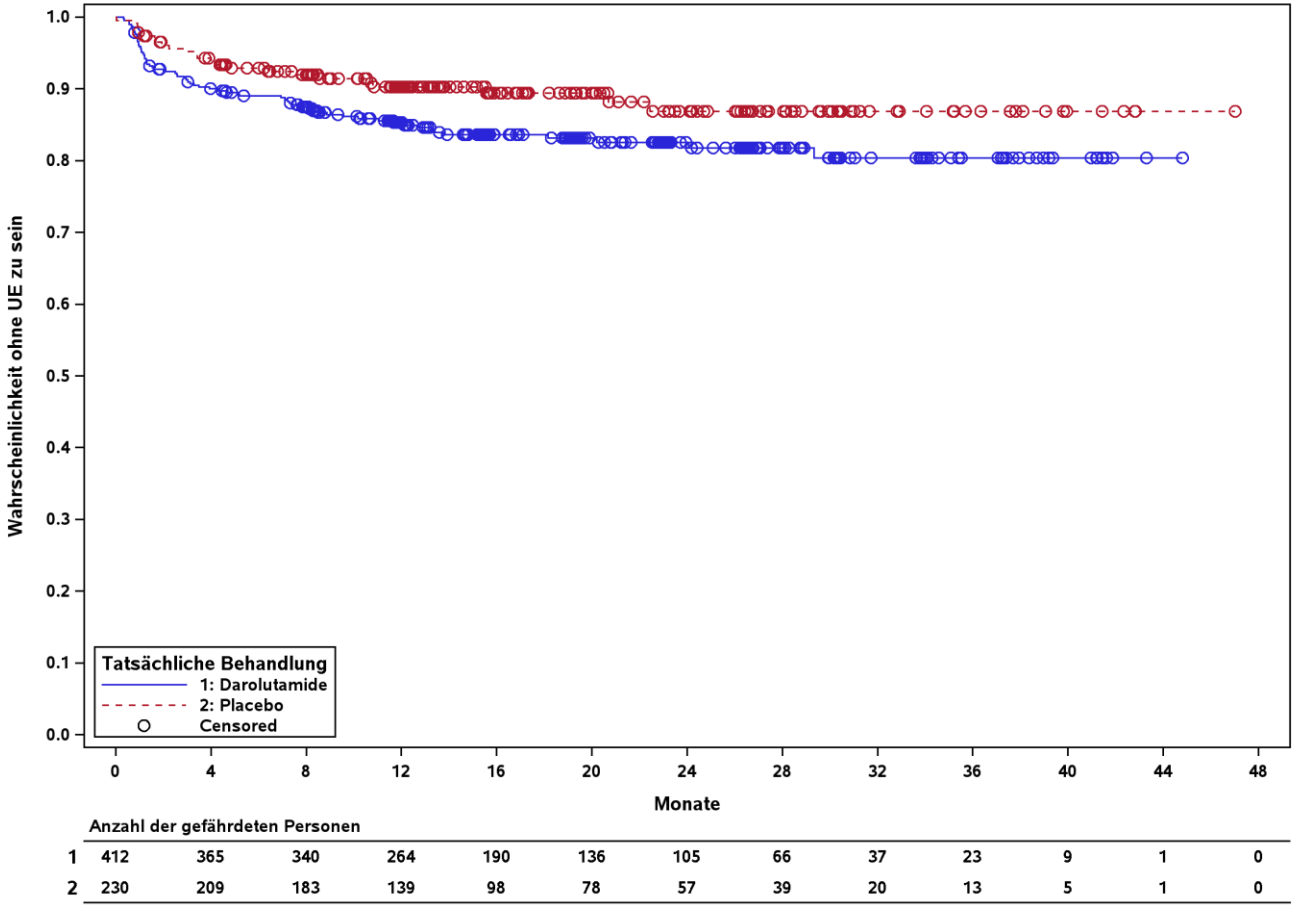
Bayer: /by-sasp/patdb/projects/1841788/17712/stat/prod_query22/pgms/t_aecut_sub.sas 23APR2020 19:27

Figure 4.3.3 / 472: Kaplan-Meier-Plot der UE TTE-Analyse nach Endpunkt und Subgruppe - Endpunkt: Zeit bis zum ersten UE das die Cutoff-Kriterien auf MedDRA SOC Ebene erfüllt (Monate) - SOC: Metabolism and nutrition disorders (10027433) - Subgruppe: Alter (Jahre): >=85 (full analysis set)



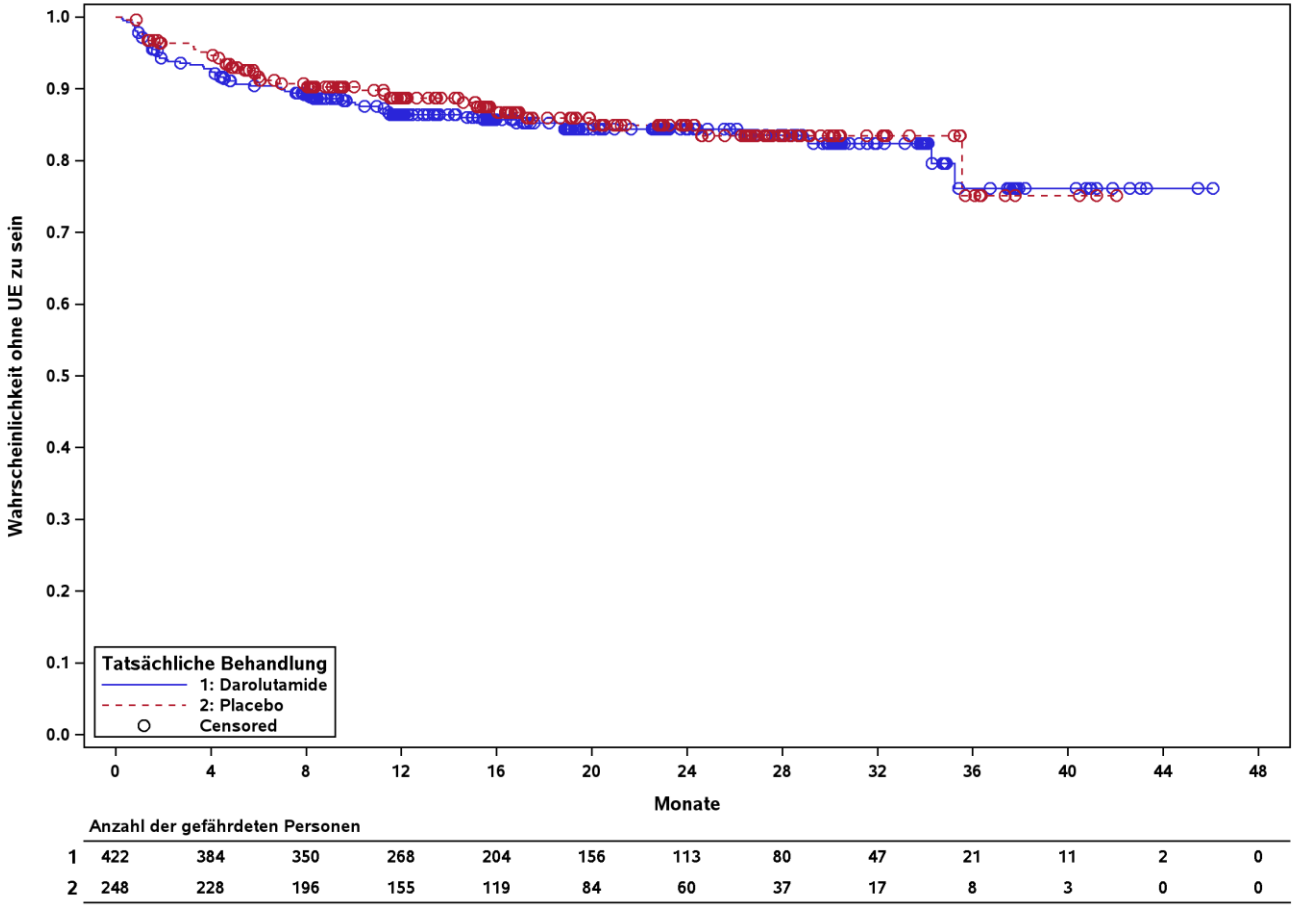
Bayer: /by-sasp/patdb/projects/1841788/17712/stat/prod_query22/pgms/t_aecut_sub.sas 23APR2020 19:27

Figure 4.3.3 / 473: Kaplan-Meier-Plot der UE TTE-Analyse nach Endpunkt und Subgruppe - Endpunkt: Zeit bis zum ersten UE das die Cutoff-Kriterien auf MedDRA SOC Ebene erfüllt (Monate) - SOC: Nervous system disorders (10029205) - Subgruppe: eGFR an Baseline: normal (full analysis set)



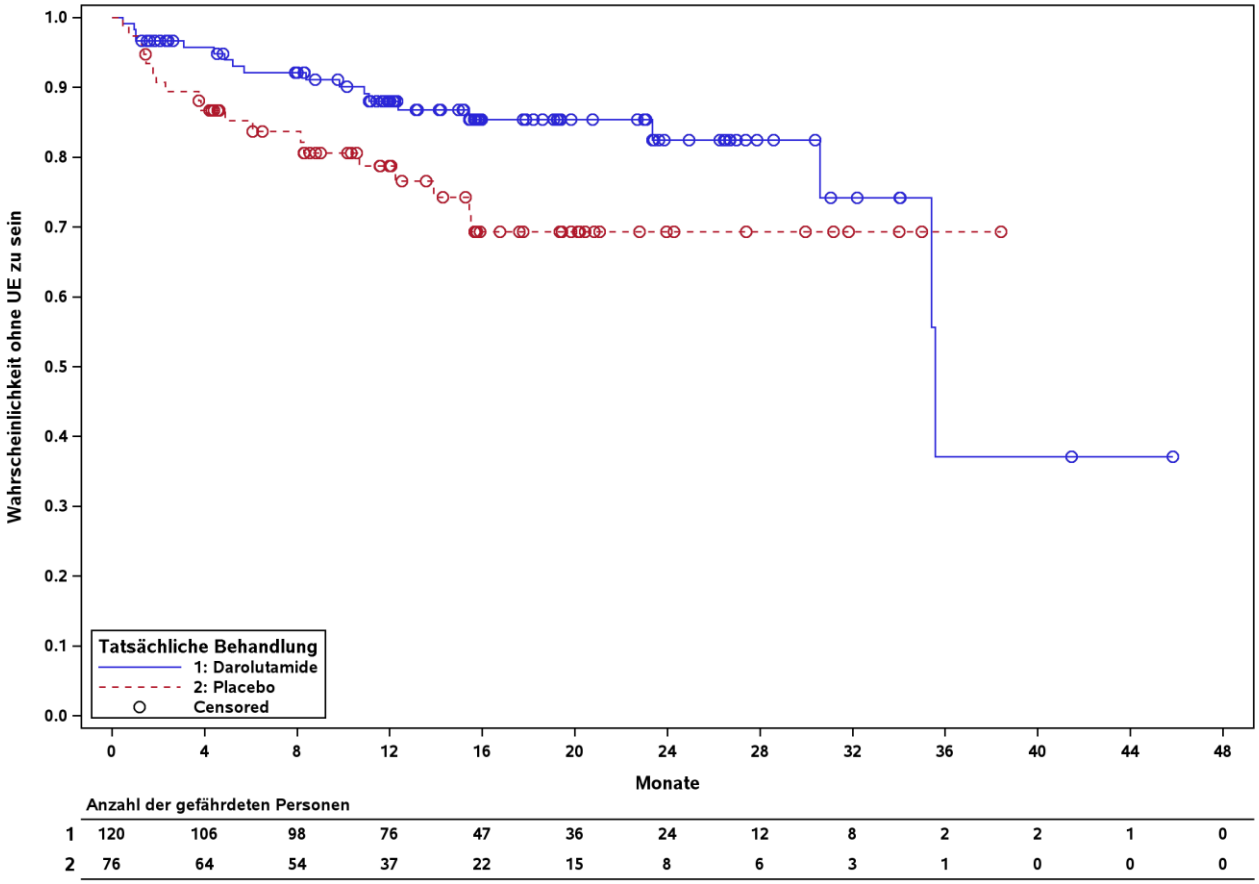
Bayer: /by-sasp/patdb/projects/1841788/17712/stat/prod_query22/pgms/t_aecut_sub.sas 23APR2020 19:27

Figure 4.3.3 / 474: Kaplan-Meier-Plot der UE TTE-Analyse nach Endpunkt und Subgruppe - Endpunkt: Zeit bis zum ersten UE das die Cutoff-Kriterien auf MedDRA SOC Ebene erfüllt (Monate) - SOC: Nervous system disorders (10029205) - Subgruppe: eGFR an Baseline: mildly impaired (full analysis set)



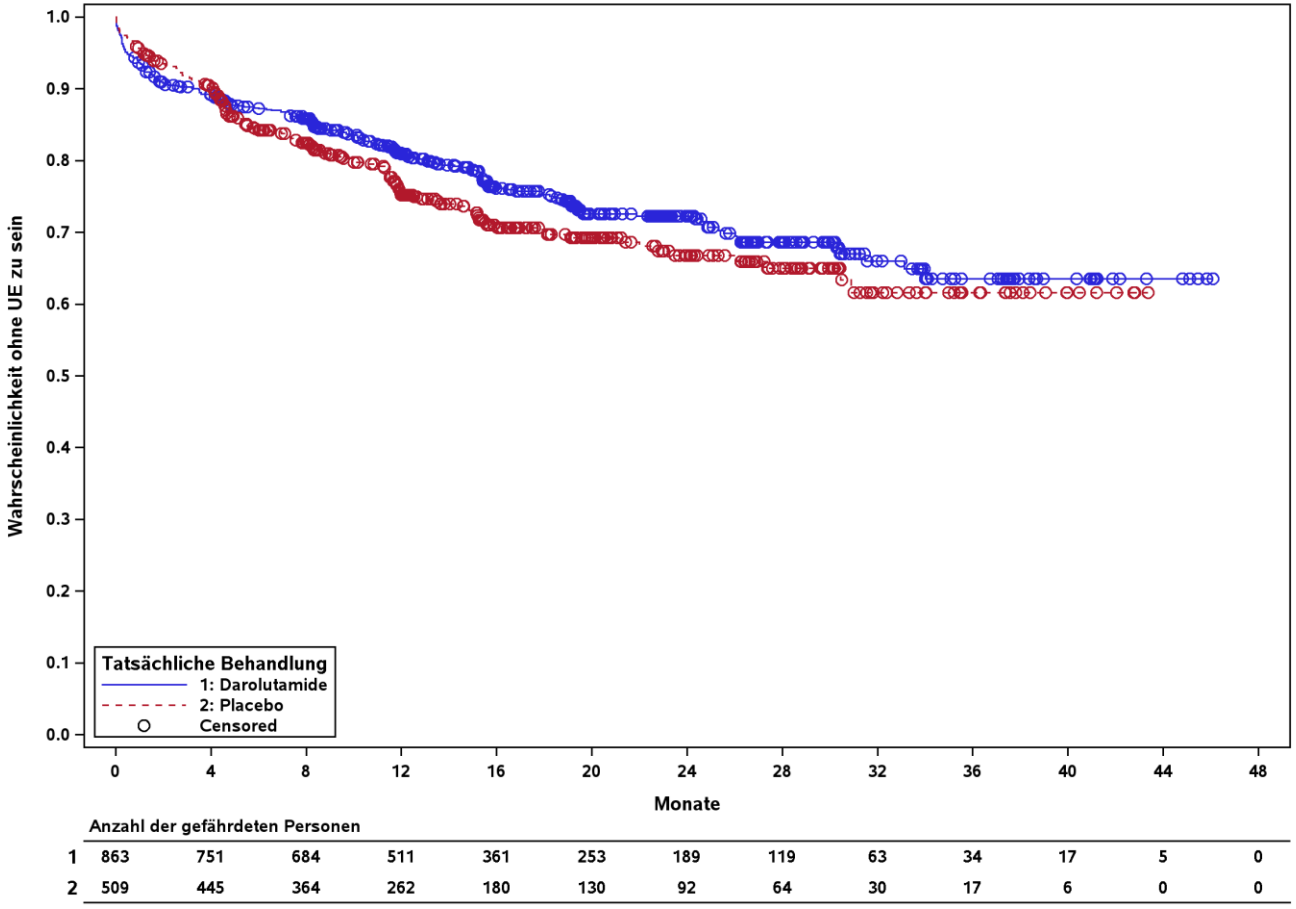
Bayer: /by-sasp/patdb/projects/1841788/17712/stat/prod_query22/pgms/t_aecut_sub.sas 23APR2020 19:27

Figure 4.3.3 / 475: Kaplan-Meier-Plot der UE TTE-Analyse nach Endpunkt und Subgruppe - Endpunkt: Zeit bis zum ersten UE das die Cutoff-Kriterien auf MedDRA SOC Ebene erfüllt (Monate) - SOC: Nervous system disorders (10029205) - Subgruppe: eGFR an Baseline: moderately impaired, severely impaired and renal end stage (full analysis set)



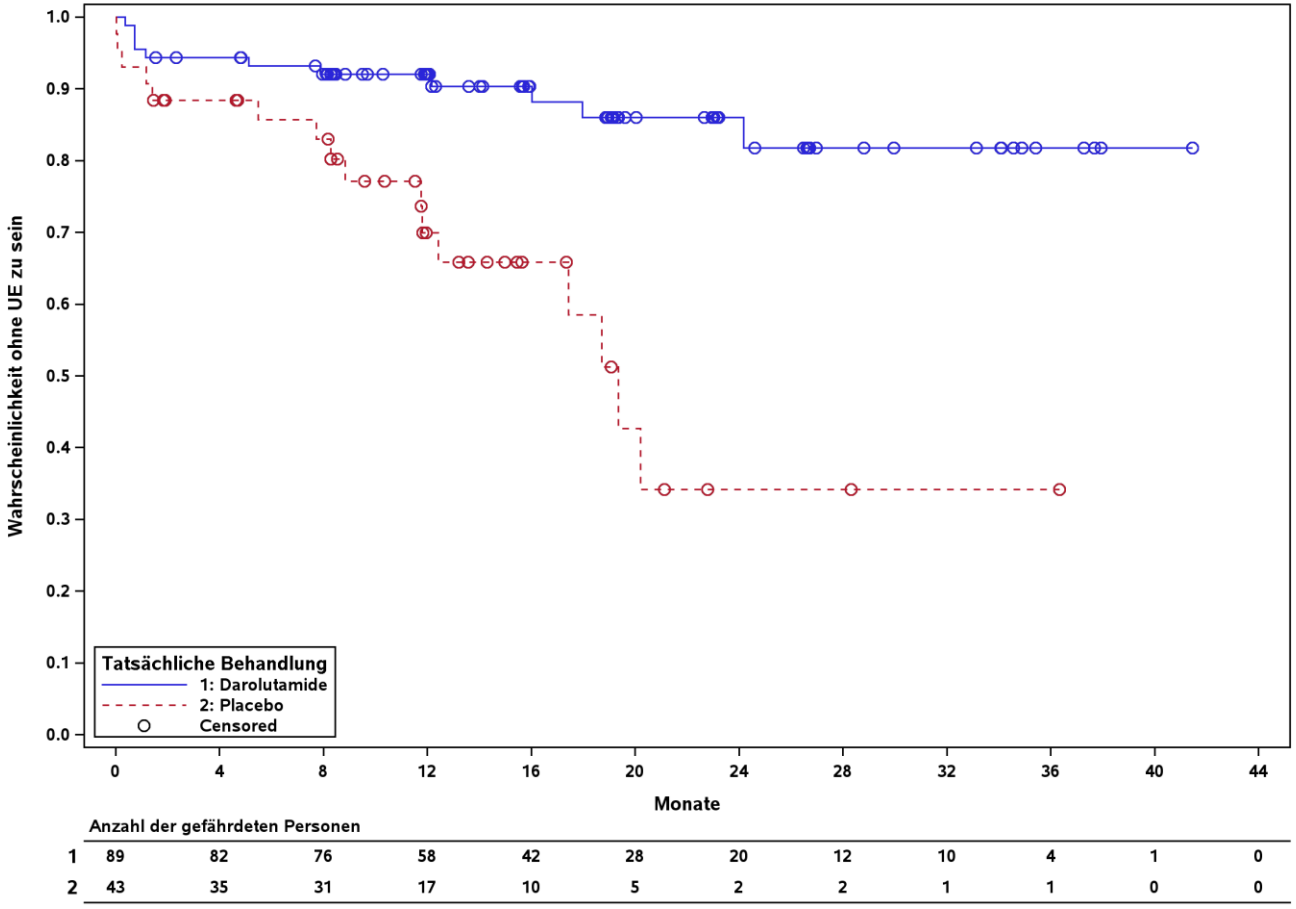
Bayer: /by-sasp/patdb/projects/1841788/17712/stat/prod_query22/pgms/t_aecut_sub.sas 23APR2020 19:27

Figure 4.3.3 / 476: Kaplan-Meier-Plot der UE TTE-Analyse nach Endpunkt und Subgruppe - Endpunkt: Zeit bis zum ersten UE das die Cutoff-Kriterien auf MedDRA SOC Ebene erfüllt (Monate) - SOC: Renal and urinary disorders (10038359) - Subgruppe: Leberfunktionsstörung: normal (full analysis set)



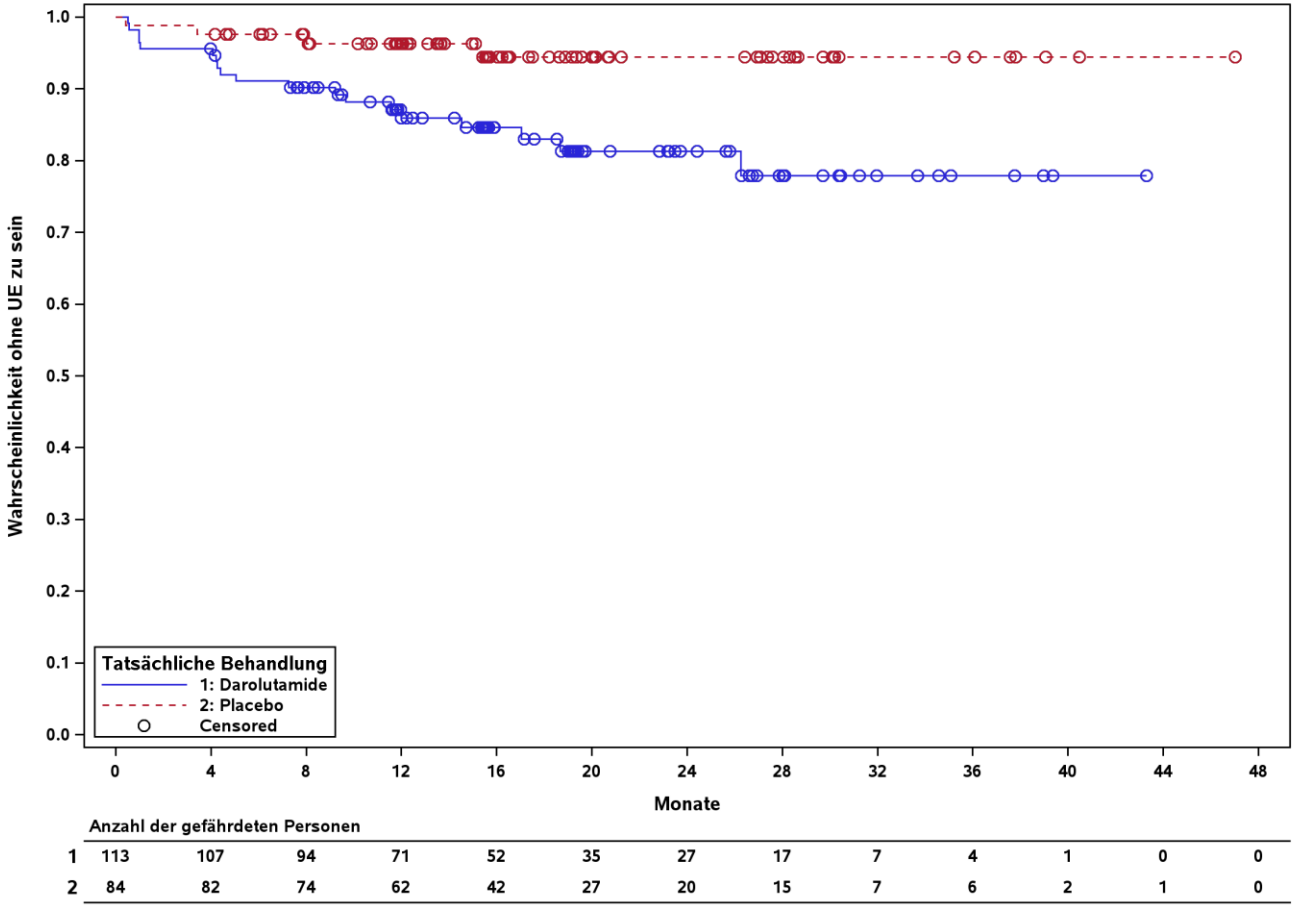
Bayer: /by-sasp/patdb/projects/1841788/17712/stat/prod_query22/pgms/t_aecut_sub.sas 23APR2020 19:27

Figure 4.3.3 / 477: Kaplan-Meier-Plot der UE TTE-Analyse nach Endpunkt und Subgruppe - Endpunkt: Zeit bis zum ersten UE das die Cutoff-Kriterien auf MedDRA SOC Ebene erfüllt (Monate) - SOC: Renal and urinary disorders (10038359) - Subgruppe: Leberfunktionsstörung: mild (full analysis set)



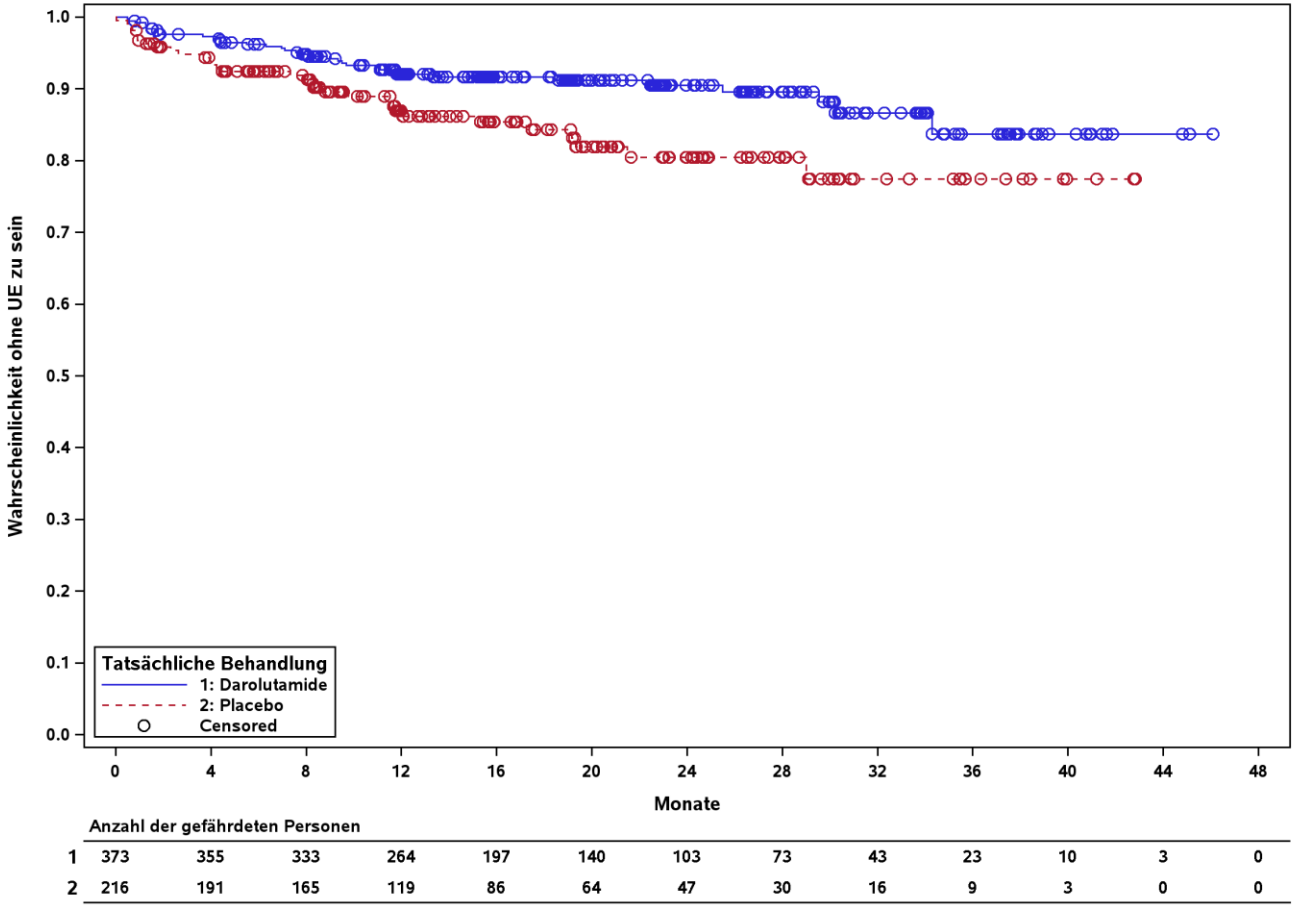
Bayer: /by-sasp/patdb/projects/1841788/17712/stat/prod_query22/pgms/t_aecut_sub.sas 23APR2020 19:27

Figure 4.3.3 / 478: Kaplan-Meier-Plot der UE TTE-Analyse nach Endpunkt und Subgruppe - Endpunkt: Zeit bis zum ersten UE das die Cutoff-Kriterien auf MedDRA PT Ebene erfüllt (Monate) - PT: Back pain (10003988) - Subgruppe: Alter (Jahre): <65 (full analysis set)



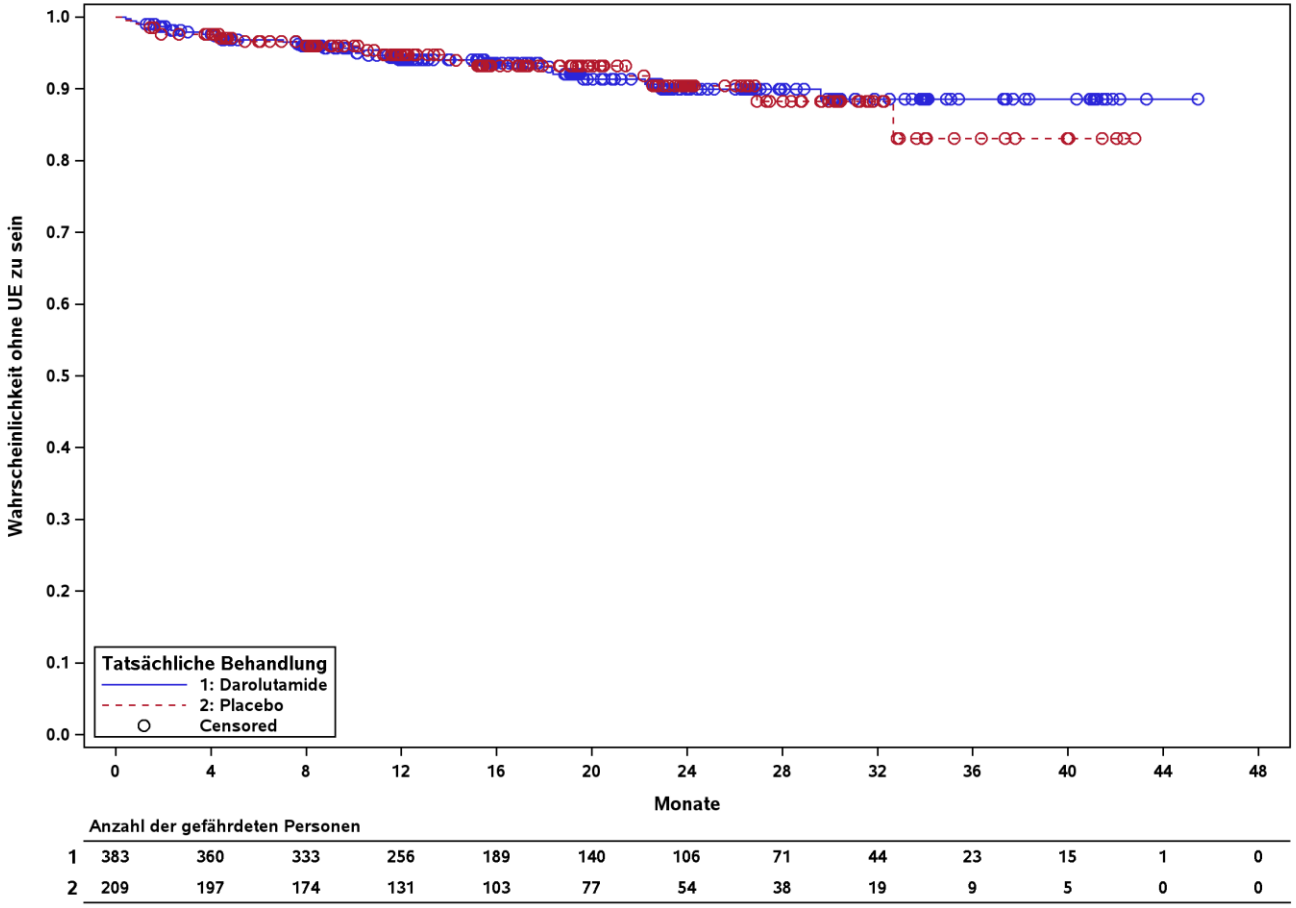
Bayer: /by-sasp/patdb/projects/1841788/17712/stat/prod_query22/pgms/t_aecut_sub.sas 23APR2020 19:27

Figure 4.3.3 / 479: Kaplan-Meier-Plot der UE TTE-Analyse nach Endpunkt und Subgruppe - Endpunkt: Zeit bis zum ersten UE das die Cutoff-Kriterien auf MedDRA PT Ebene erfüllt (Monate) - PT: Back pain (10003988) - Subgruppe: Alter (Jahre): 65-74 (full analysis set)



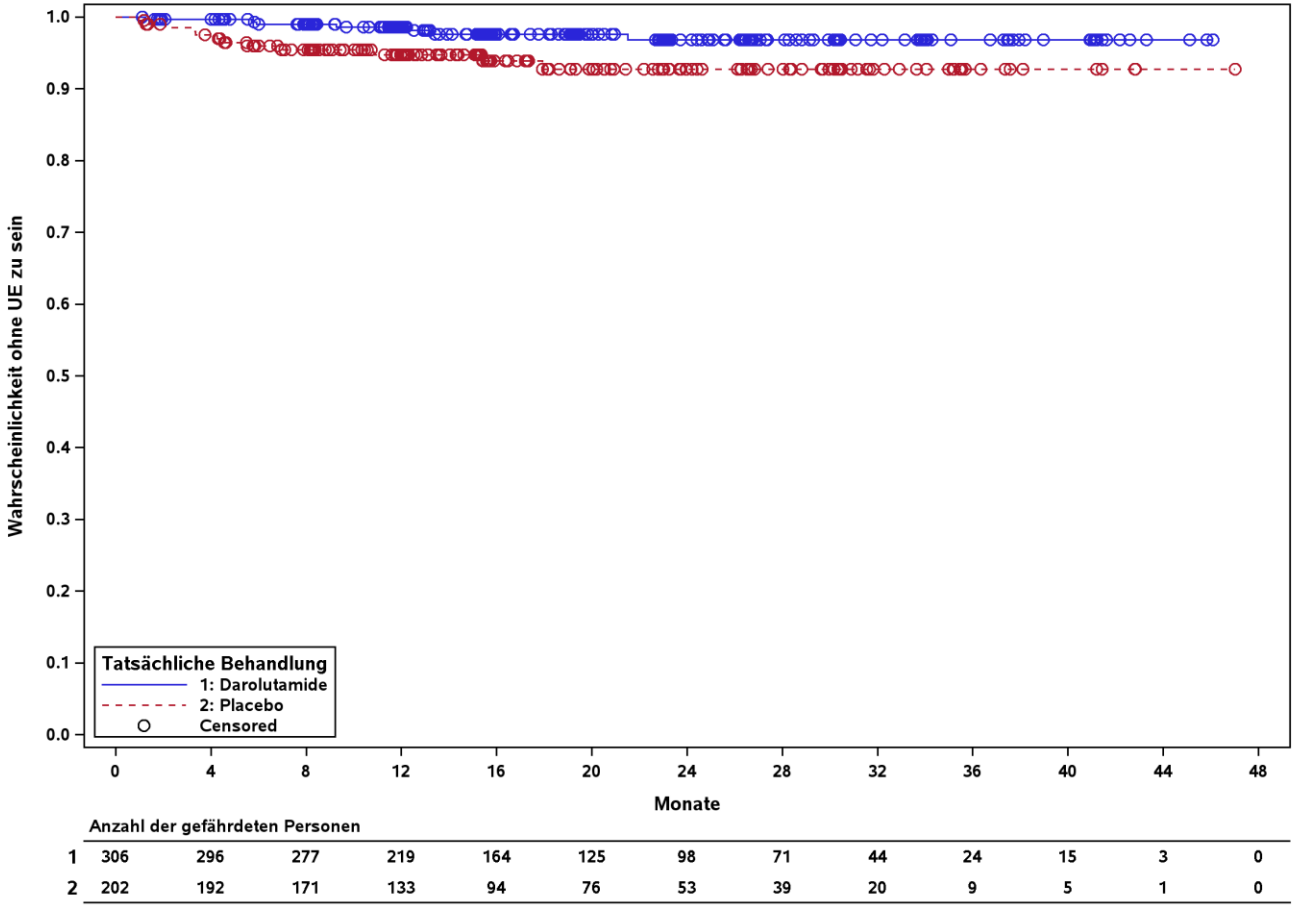
Bayer: /by-sasp/patdb/projects/1841788/17712/stat/prod_query22/pgms/t_aecut_sub.sas 23APR2020 19:27

Figure 4.3.3 / 480: Kaplan-Meier-Plot der UE TTE-Analyse nach Endpunkt und Subgruppe - Endpunkt: Zeit bis zum ersten UE das die Cutoff-Kriterien auf MedDRA PT Ebene erfüllt (Monate) - PT: Back pain (10003988) - Subgruppe: Alter (Jahre): 75-84 (full analysis set)



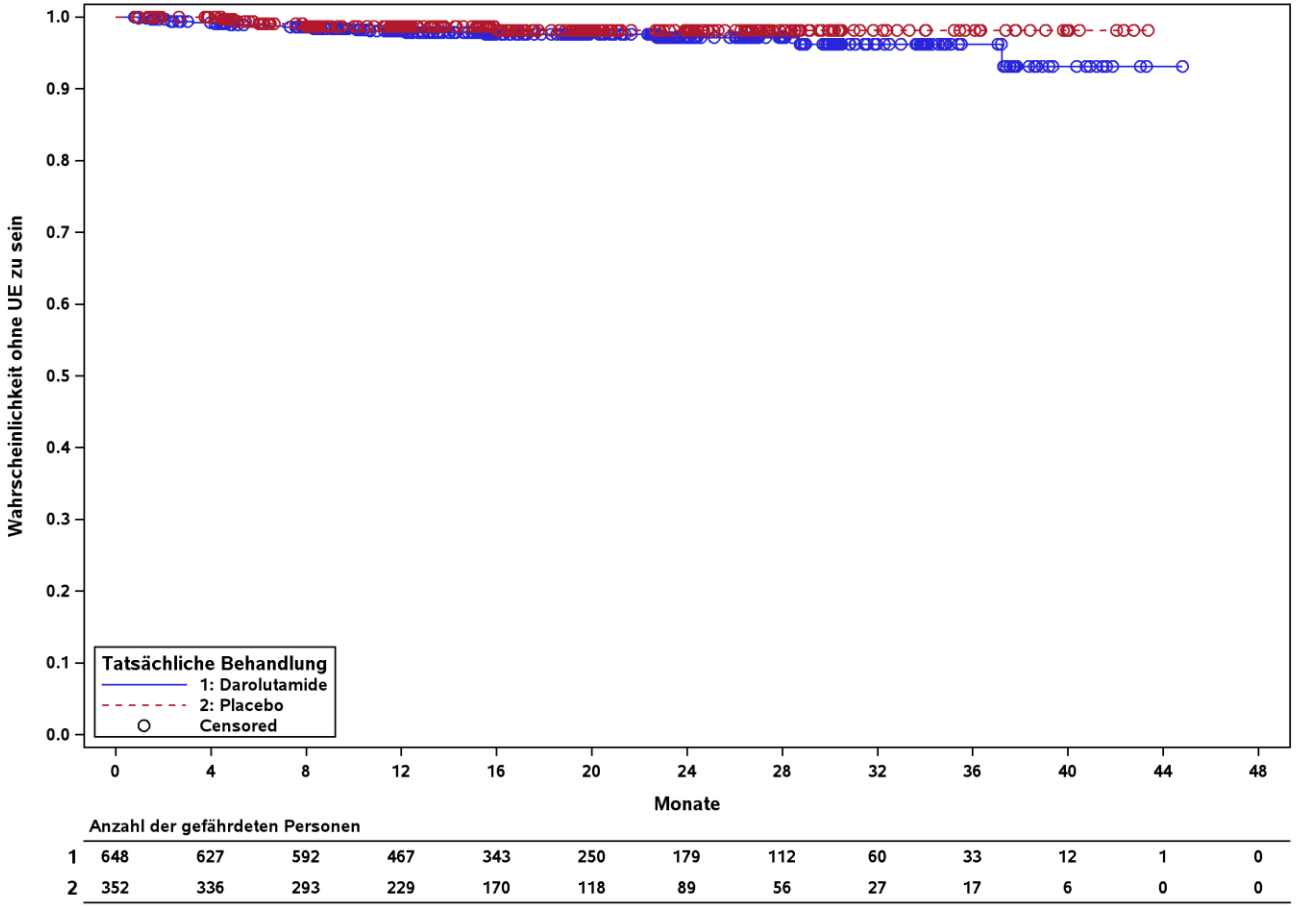
Bayer: /by-sasp/patdb/projects/1841788/17712/stat/prod_query22/pgms/t_aecut_sub.sas 23APR2020 19:27

Figure 4.3.3 / 481: Kaplan-Meier-Plot der UE TTE-Analyse nach Endpunkt und Subgruppe - Endpunkt: Zeit bis zum ersten UE das die Cutoff-Kriterien auf MedDRA PT Ebene erfüllt (Monate) - PT: Dyspnoea (10013968) - Subgruppe: Nutzung von Statinen: Ja (full analysis set)



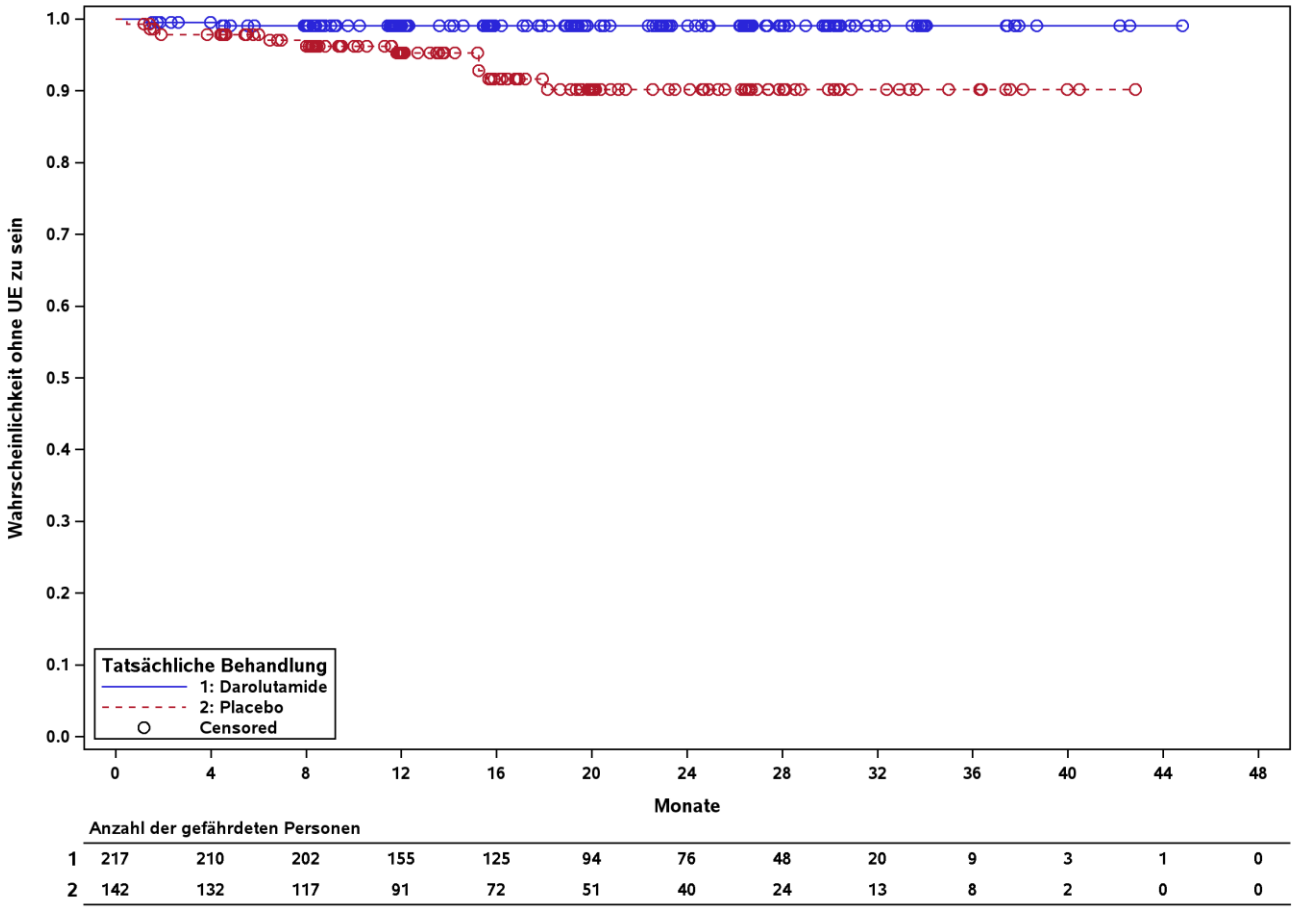
Bayer: /by-sasp/patdb/projects/1841788/17712/stat/prod_query22/pgms/t_aecut_sub.sas 23APR2020 19:27

Figure 4.3.3 / 482: Kaplan-Meier-Plot der UE TTE-Analyse nach Endpunkt und Subgruppe - Endpunkt: Zeit bis zum ersten UE das die Cutoff-Kriterien auf MedDRA PT Ebene erfüllt (Monate) - PT: Dyspnoea (10013968) - Subgruppe: Nutzung von Statinen: Nein (full analysis set)



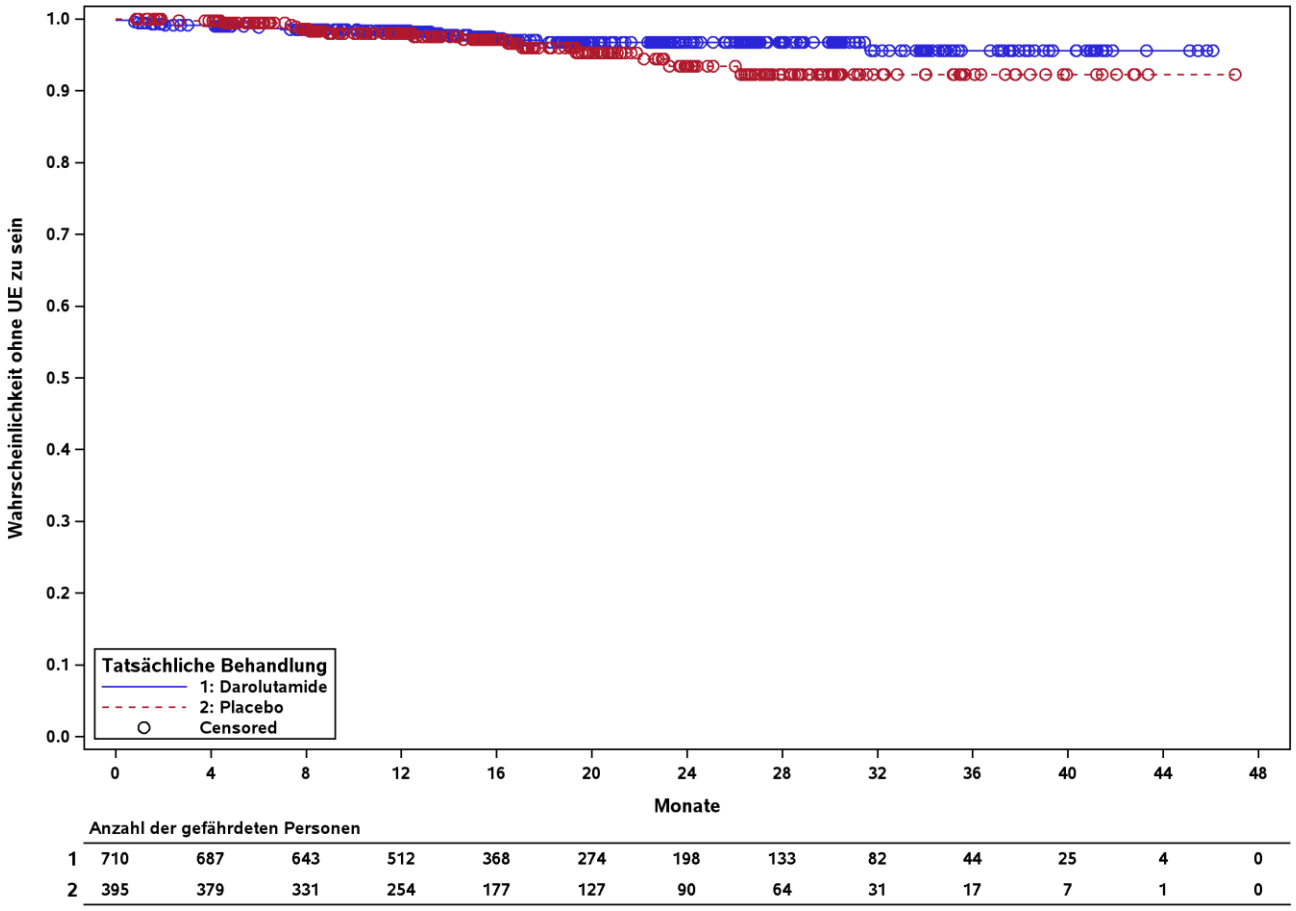
Bayer: /by-sasp/patdb/projects/1841788/17712/stat/prod_query22/pgms/t_aecut_sub.sas 23APR2020 19:27

Figure 4.3.3 / 483: Kaplan-Meier-Plot der UE TTE-Analyse nach Endpunkt und Subgruppe - Endpunkt: Zeit bis zum ersten UE das die Cutoff-Kriterien auf MedDRA PT Ebene erfüllt (Monate) - PT: Dysuria (10013990) - Subgruppe: Gleason-Score bei Diagnose: <7 (full analysis set)



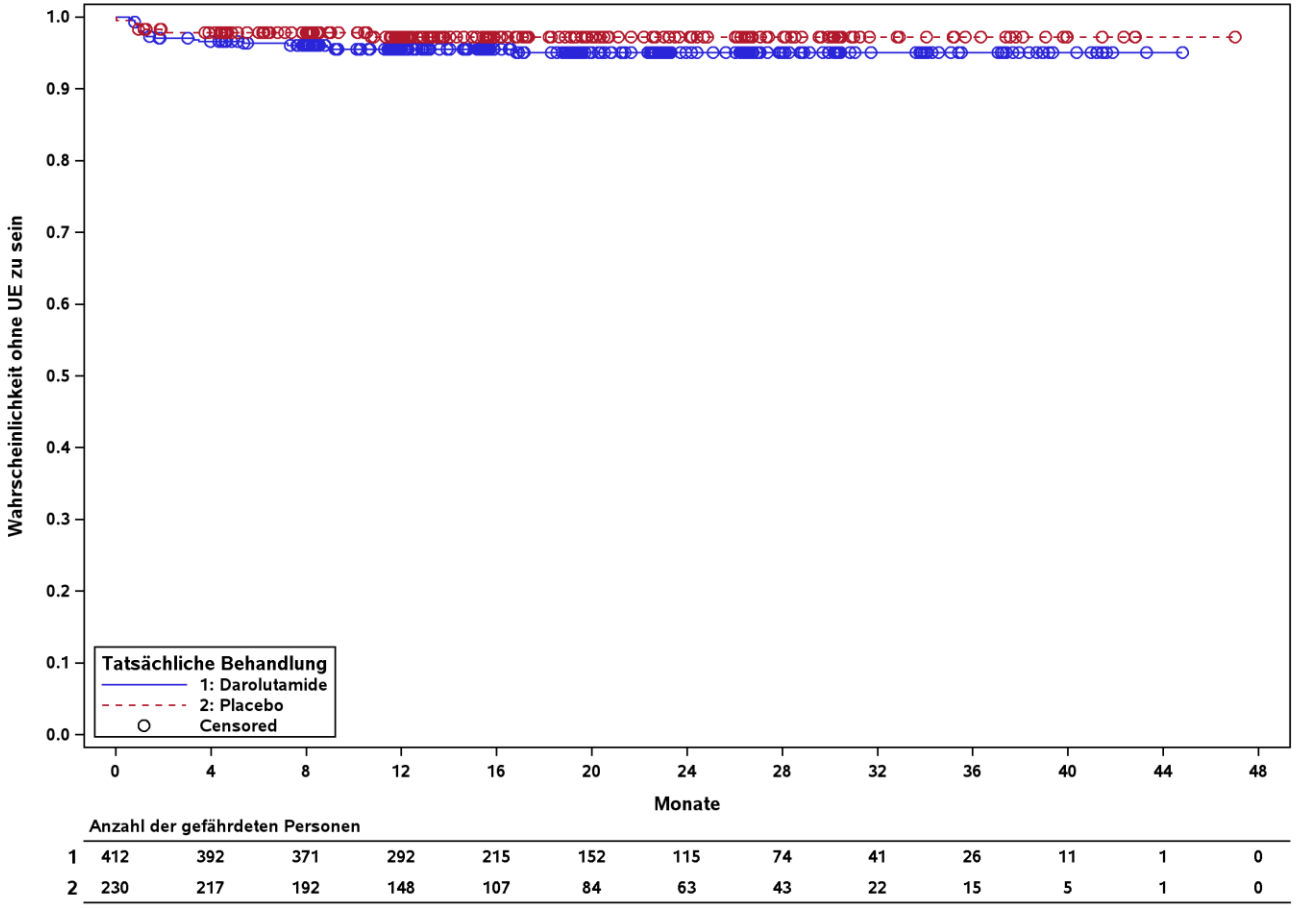
Bayer: /by-sasp/patdb/projects/1841788/17712/stat/prod_query22/pgms/t_aecut_sub.sas 23APR2020 19:27

Figure 4.3.3 / 484: Kaplan-Meier-Plot der UE TTE-Analyse nach Endpunkt und Subgruppe - Endpunkt: Zeit bis zum ersten UE das die Cutoff-Kriterien auf MedDRA PT Ebene erfüllt (Monate) - PT: Dysuria (10013990) - Subgruppe: Gleason-Score bei Diagnose: >=7 (full analysis set)



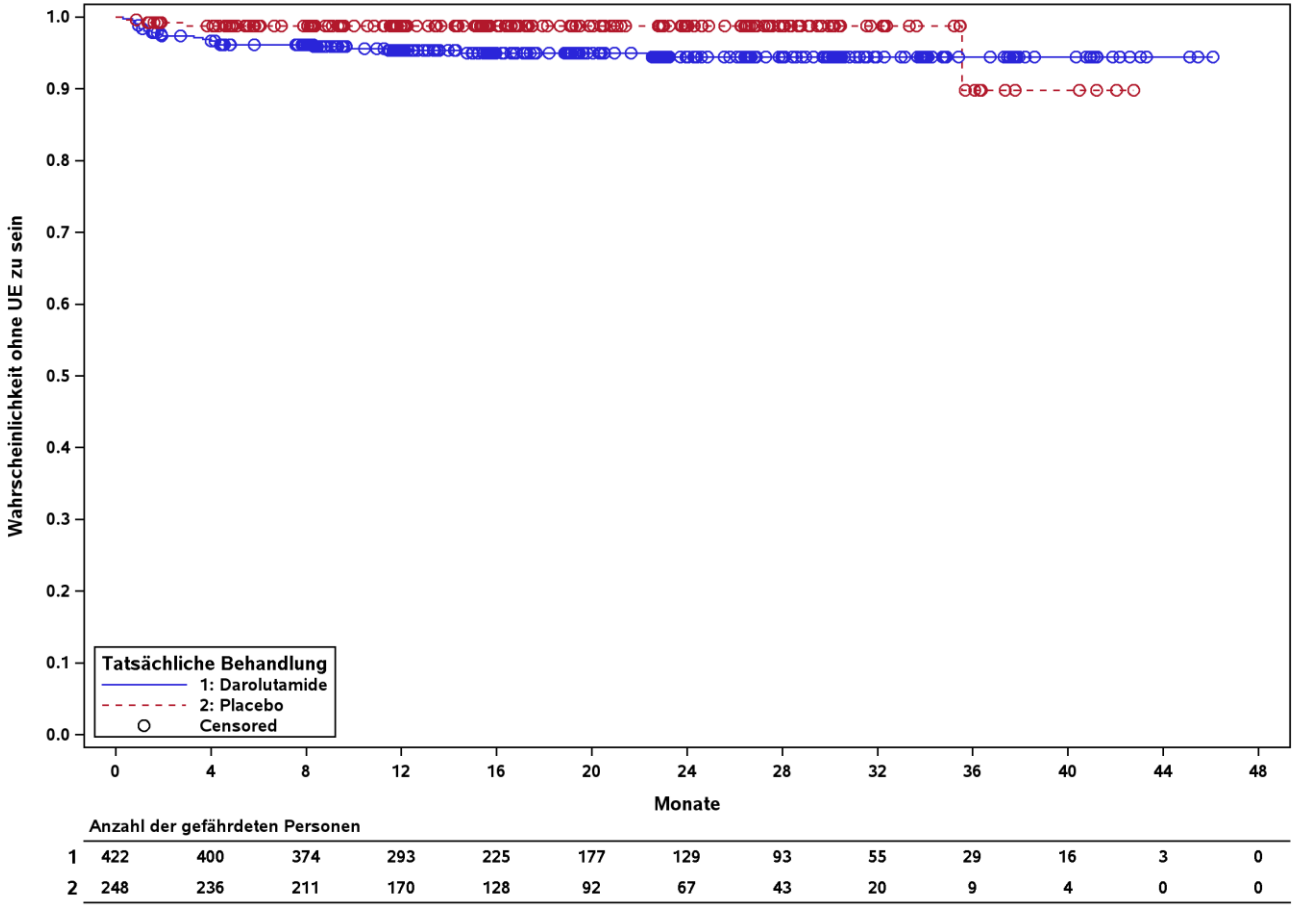
Bayer: /by-sasp/patdb/projects/1841788/17712/stat/prod_query22/pgms/t_aecut_sub.sas 23APR2020 19:27

Figure 4.3.3 / 485: Kaplan-Meier-Plot der UE TTE-Analyse nach Endpunkt und Subgruppe - Endpunkt: Zeit bis zum ersten UE das die Cutoff-Kriterien auf MedDRA PT Ebene erfüllt (Monate) - PT: Headache (10019211) - Subgruppe: eGFR an Baseline: normal (full analysis set)



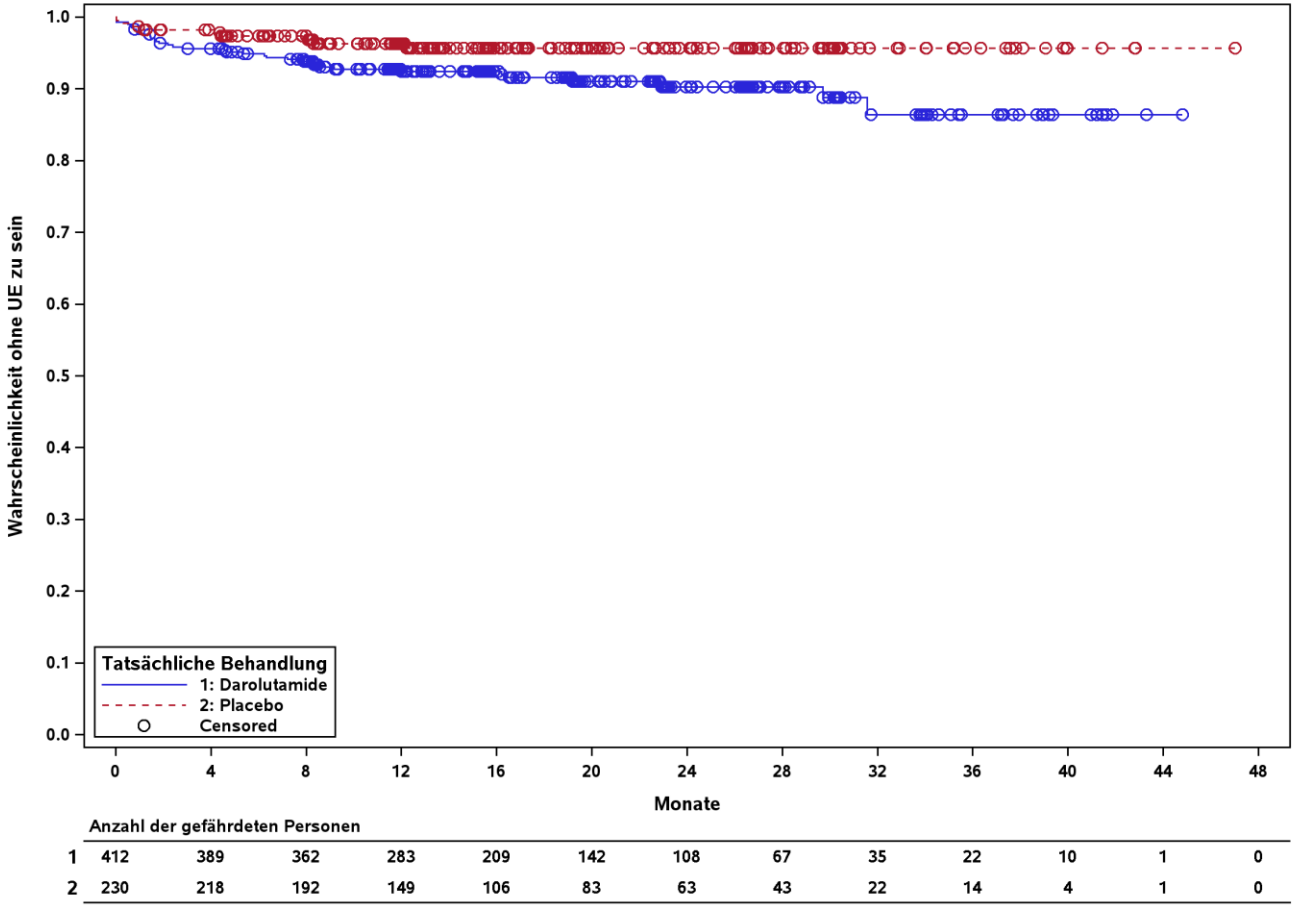
Bayer: /by-sasp/patdb/projects/1841788/17712/stat/prod_query22/pgms/t_aecut_sub.sas 23APR2020 19:27

Figure 4.3.3 / 486: Kaplan-Meier-Plot der UE TTE-Analyse nach Endpunkt und Subgruppe - Endpunkt: Zeit bis zum ersten UE das die Cutoff-Kriterien auf MedDRA PT Ebene erfüllt (Monate) - PT: Headache (10019211) - Subgruppe: eGFR an Baseline: mildly impaired (full analysis set)



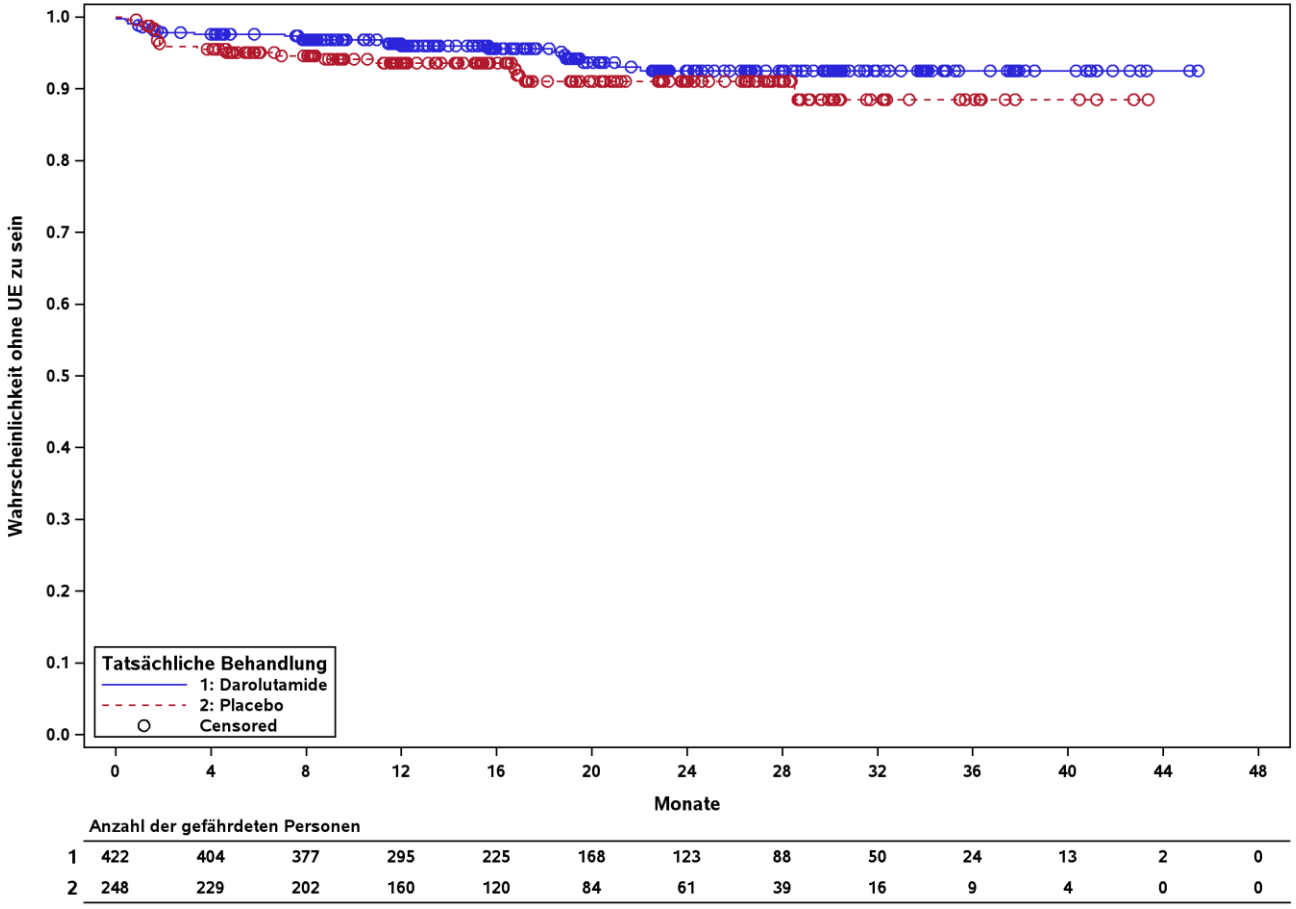
Bayer: /by-sasp/patdb/projects/1841788/17712/stat/prod_query22/pgms/t_aecut_sub.sas 23APR2020 19:27

Figure 4.3.3 / 487: Kaplan-Meier-Plot der UE TTE-Analyse nach Endpunkt und Subgruppe - Endpunkt: Zeit bis zum ersten UE das die Cutoff-Kriterien auf MedDRA PT Ebene erfüllt (Monate) - PT: Hypertension (10020772) - Subgruppe: eGFR an Baseline: normal (full analysis set)



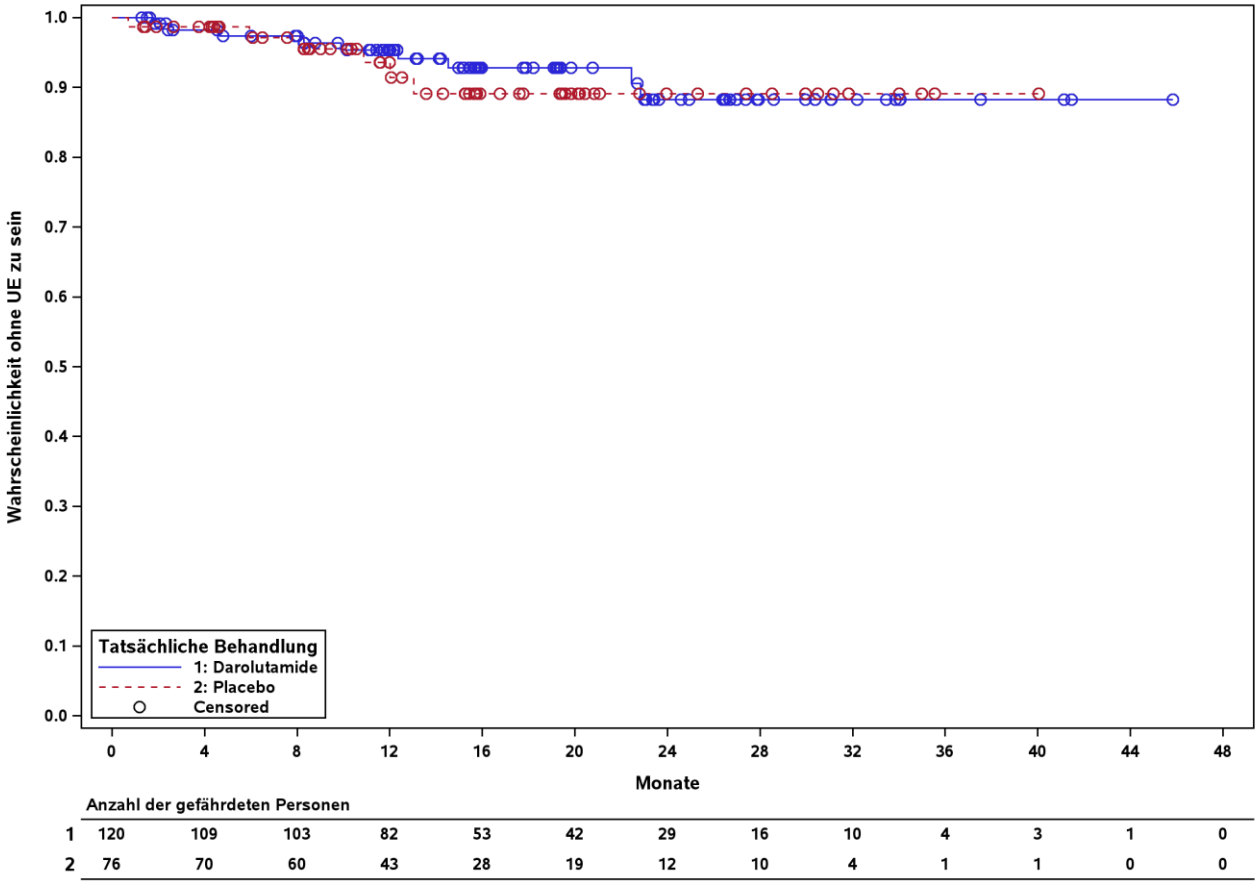
Bayer: /by-sasp/patdb/projects/1841788/17712/stat/prod_query22/pgms/t_aecut_sub.sas 23APR2020 19:27

Figure 4.3.3 / 488: Kaplan-Meier-Plot der UE TTE-Analyse nach Endpunkt und Subgruppe - Endpunkt: Zeit bis zum ersten UE das die Cutoff-Kriterien auf MedDRA PT Ebene erfüllt (Monate) - PT: Hypertension (10020772) - Subgruppe: eGFR an Baseline: mildly impaired (full analysis set)



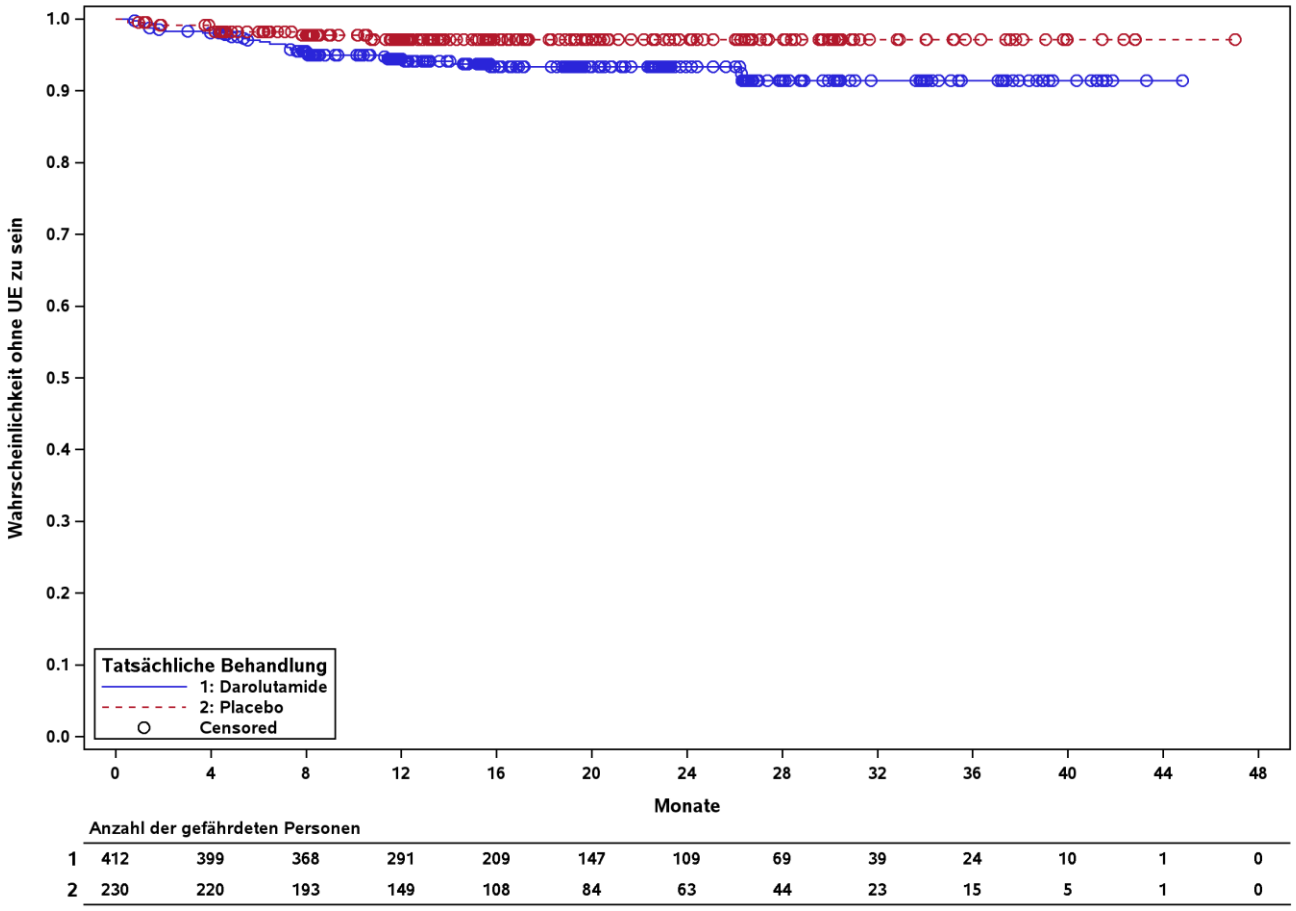
Bayer: /by-sasp/patdb/projects/1841788/17712/stat/prod_query22/pgms/t_aecut_sub.sas 23APR2020 19:27

Figure 4.3.3 / 489: Kaplan-Meier-Plot der UE TTE-Analyse nach Endpunkt und Subgruppe - Endpunkt: Zeit bis zum ersten UE das die Cutoff-Kriterien auf MedDRA PT Ebene erfüllt (Monate) - PT: Hypertension (10020772) - Subgruppe: eGFR an Baseline: moderately impaired, severely impaired and renal end stage (full analysis set)



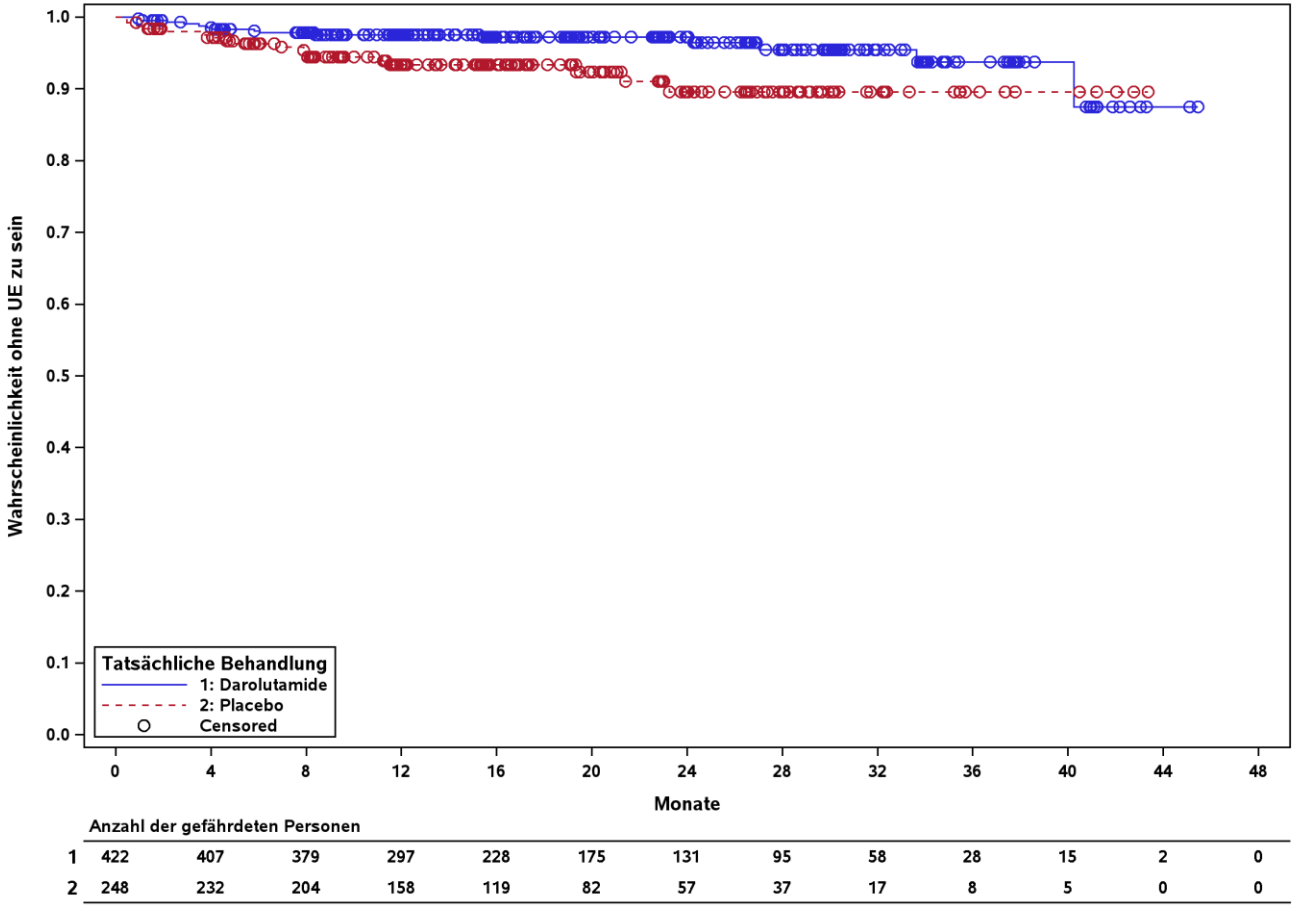
Bayer: /by-sasp/patdb/projects/1841788/17712/stat/prod_query22/pgms/t_aecut_sub.sas 23APR2020 19:27

Figure 4.3.3 / 490: Kaplan-Meier-Plot der UE TTE-Analyse nach Endpunkt und Subgruppe - Endpunkt: Zeit bis zum ersten UE das die Cutoff-Kriterien auf MedDRA PT Ebene erfüllt (Monate) - PT: Urinary tract infection (10046571) - Subgruppe: eGFR an Baseline: normal (full analysis set)



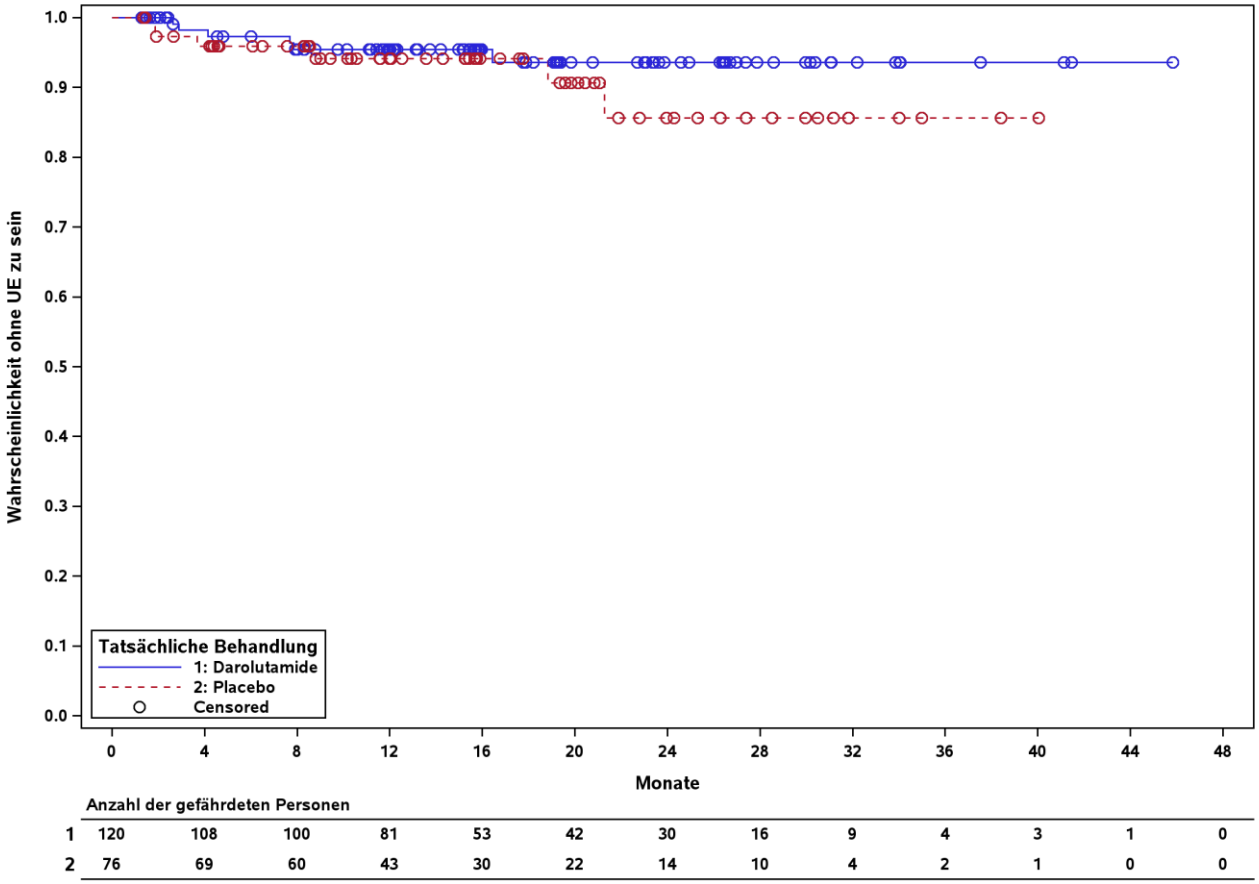
Bayer: /by-sasp/patdb/projects/1841788/17712/stat/prod_query22/pgms/t_aecut_sub.sas 23APR2020 19:27

Figure 4.3.3 / 491: Kaplan-Meier-Plot der UE TTE-Analyse nach Endpunkt und Subgruppe - Endpunkt: Zeit bis zum ersten UE das die Cutoff-Kriterien auf MedDRA PT Ebene erfüllt (Monate) - PT: Urinary tract infection (10046571) - Subgruppe: eGFR an Baseline: mildly impaired (full analysis set)



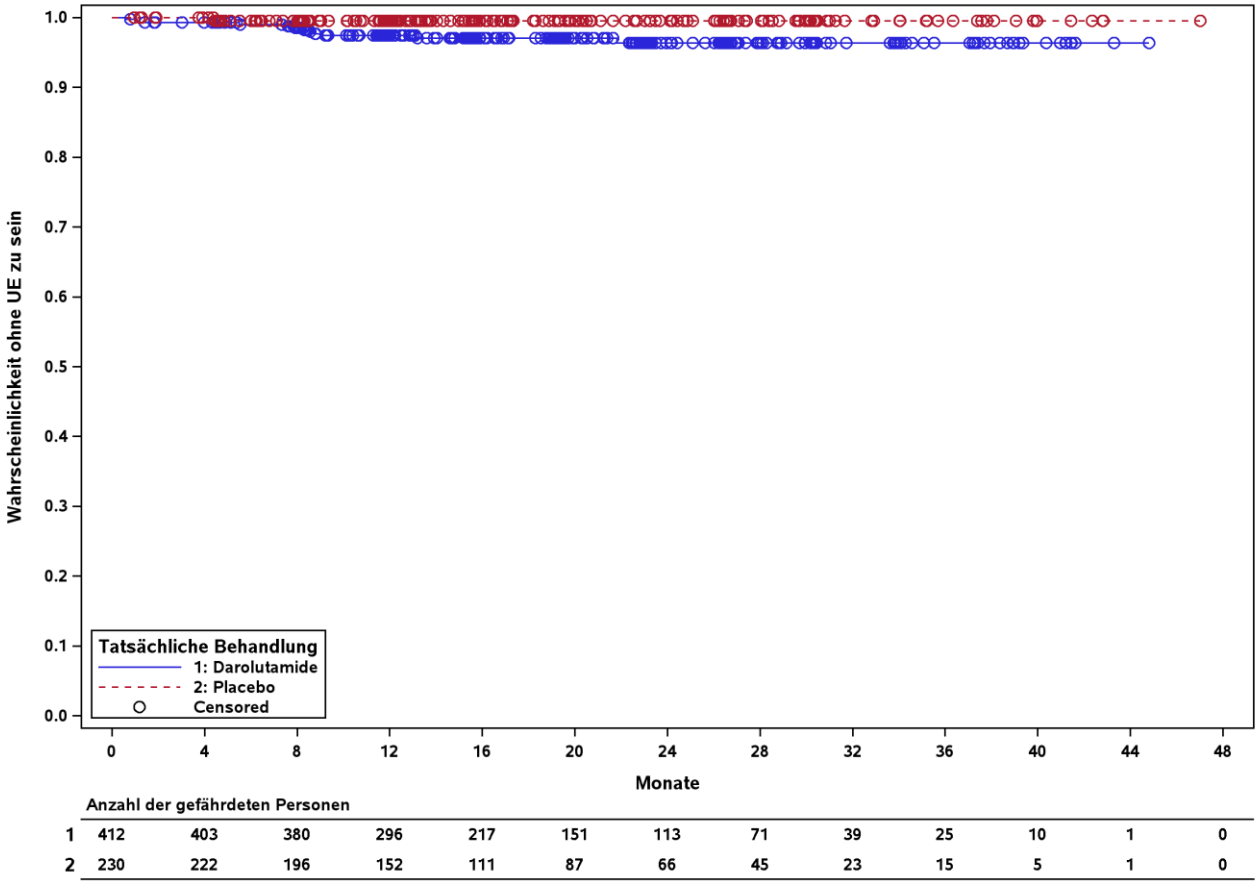
Bayer: /by-sasp/patdb/projects/1841788/17712/stat/prod_query22/pgms/t_aecut_sub.sas 23APR2020 19:27

Figure 4.3.3 / 492: Kaplan-Meier-Plot der UE TTE-Analyse nach Endpunkt und Subgruppe - Endpunkt: Zeit bis zum ersten UE das die Cutoff-Kriterien auf MedDRA PT Ebene erfüllt (Monate) - PT: Urinary tract infection (10046571) - Subgruppe: eGFR an Baseline: moderately impaired, severely impaired and renal end stage (full analysis set)



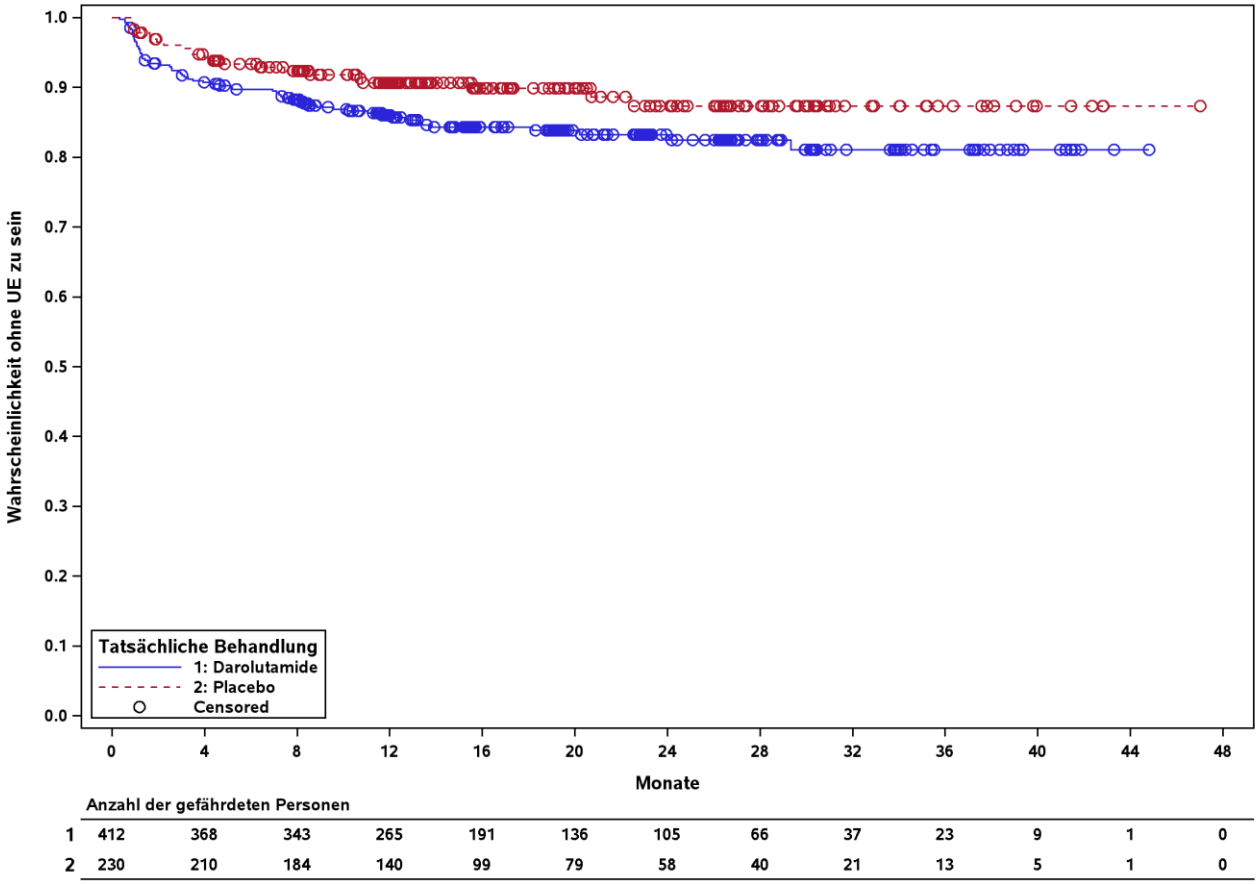
Bayer: /by-sasp/patdb/projects/1841788/17712/stat/prod_query22/pgms/t_aecut_sub.sas 23APR2020 19:27

Figure 4.3.3 / 493: Kaplan-Meier-Plot der UE TTE-Analyse nach Endpunkt und Subgruppe - Endpunkt: Zeit bis zum ersten unter der Behandlung aufgetretenen UE (TEAE) das die Cutoff-Kriterien auf MedDRA SOC Ebene erfüllt (Monate) - SOC: Immune system disorders (10021428) - Subgruppe: eGFR an Baseline: normal (full analysis set)



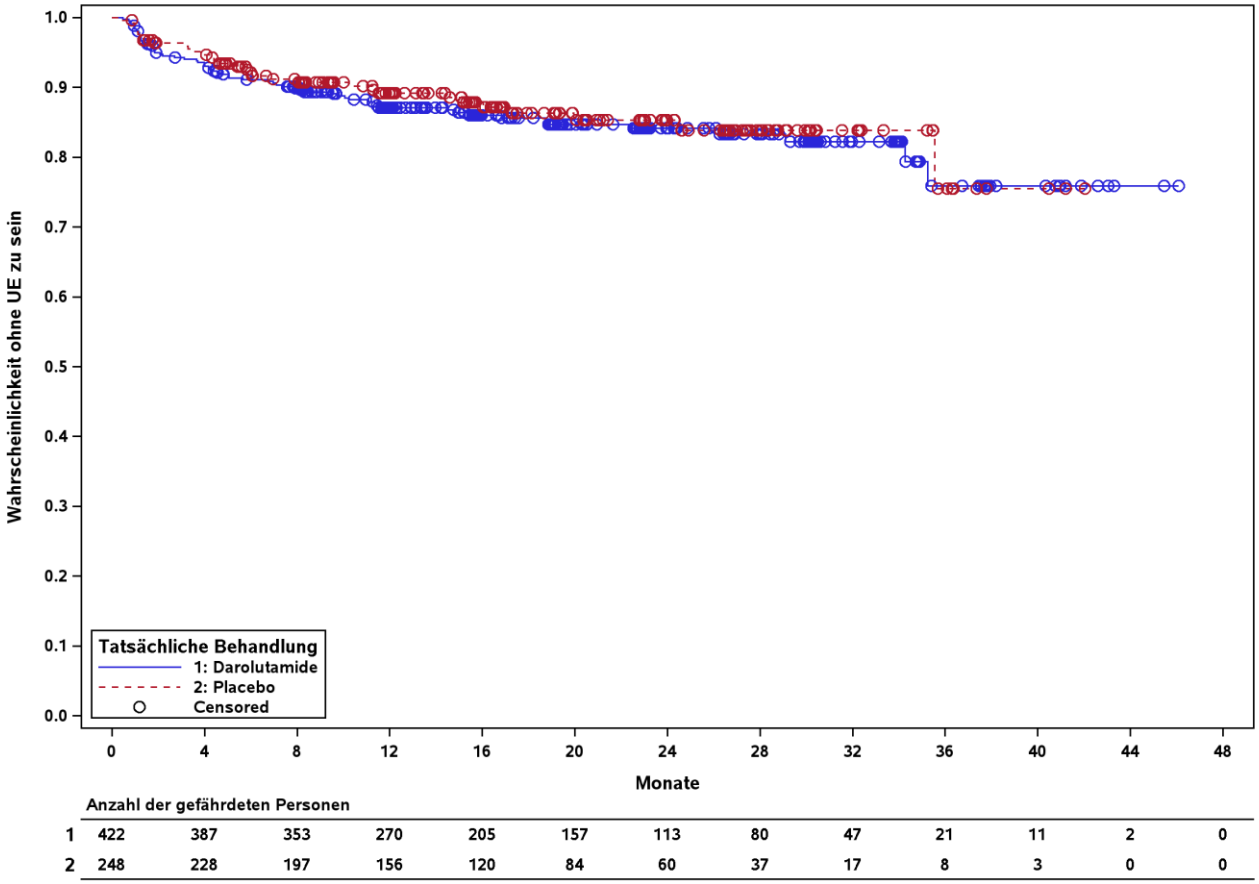
Bayer: /by-sasp/patdb/projects/1841788/17712/stat/prod_query22/pgms/t_aecut_sub.sas 23APR2020 19:27

Figure 4.3.3 / 494: Kaplan-Meier-Plot der UE TTE-Analyse nach Endpunkt und Subgruppe - Endpunkt: Zeit bis zum ersten unter der Behandlung aufgetretenen UE (TEAE) das die Cutoff-Kriterien auf MedDRA SOC Ebene erfüllt (Monate) - SOC: Nervous system disorders (10029205) - Subgruppe: eGFR an Baseline: normal (full analysis set)



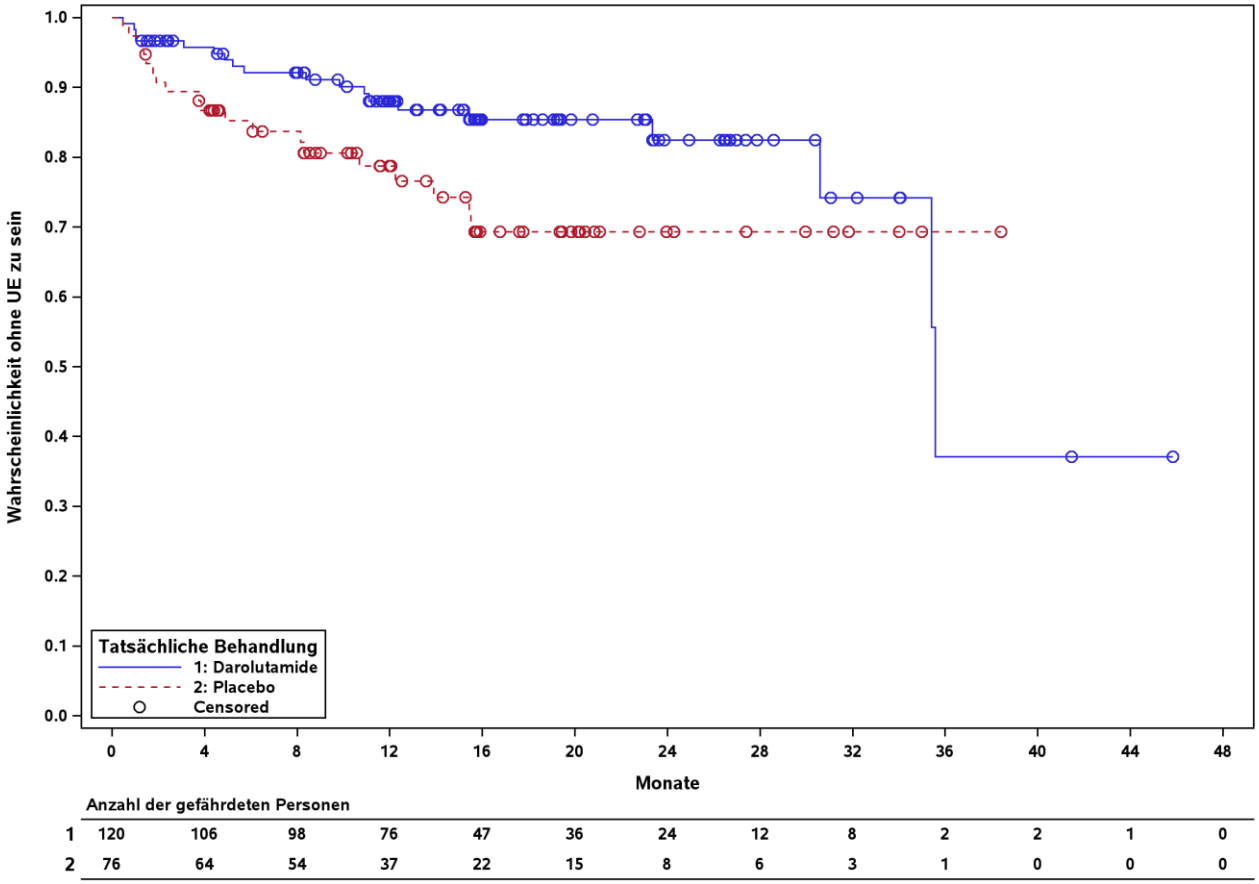
Bayer: /by-sasp/patdb/projects/1841788/17712/stat/prod_query22/pgms/t_aecut_sub.sas 23APR2020 19:27

Figure 4.3.3 / 495: Kaplan-Meier-Plot der UE TTE-Analyse nach Endpunkt und Subgruppe - Endpunkt: Zeit bis zum ersten unter der Behandlung aufgetretenen UE (TEAE) das die Cutoff-Kriterien auf MedDRA SOC Ebene erfüllt (Monate) - SOC: Nervous system disorders (10029205) - Subgruppe: eGFR an Baseline: mildly impaired (full analysis set)



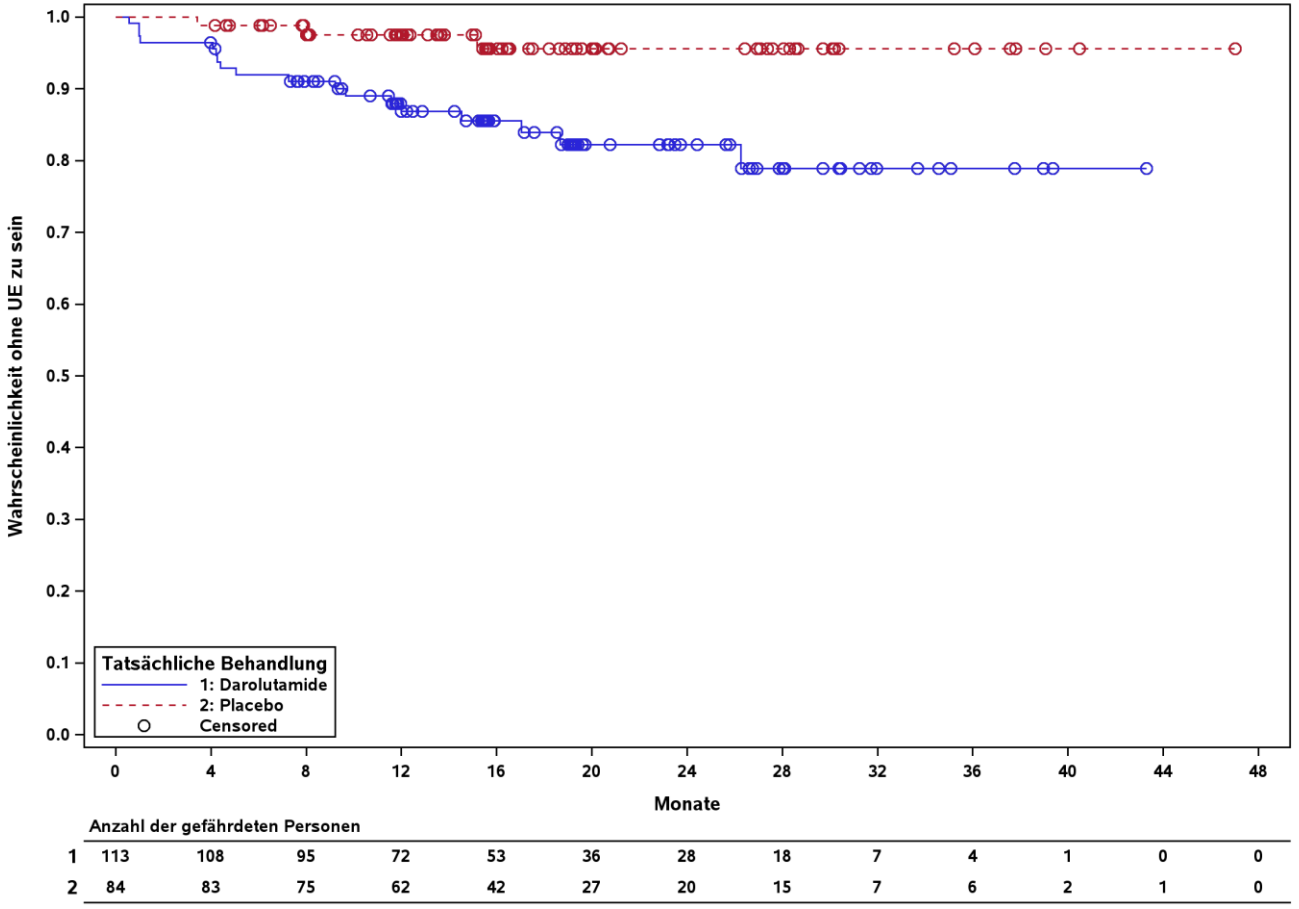
Bayer: /by-sasp/patdb/projects/1841788/17712/stat/prod_query22/pgms/t_aecut_sub.sas 23APR2020 19:27

Figure 4.3.3 / 496: Kaplan-Meier-Plot der UE TTE-Analyse nach Endpunkt und Subgruppe - Endpunkt: Zeit bis zum ersten unter der Behandlung aufgetretenen UE (TEAE) das die Cutoff-Kriterien auf MedDRA SOC Ebene erfüllt (Monate) - SOC: Nervous system disorders (10029205) - Subgruppe: eGFR an Baseline: moderately impaired, severely impaired and renal end stage (full analysis set)



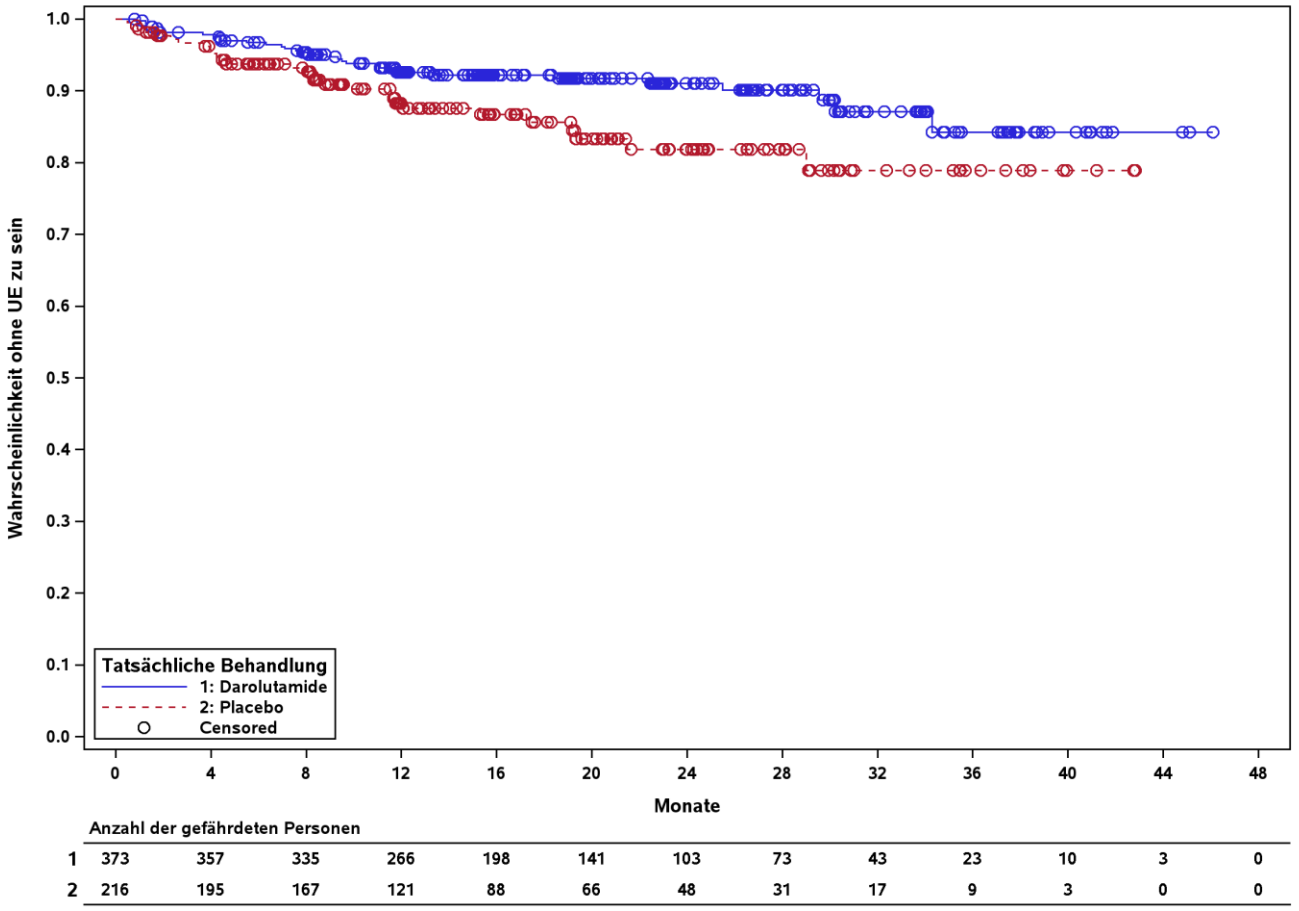
Bayer: /by-sasp/patdb/projects/1841788/17712/stat/prod_query22/pgms/t_aecut_sub.sas 23APR2020 19:27

Figure 4.3.3 / 497: Kaplan-Meier-Plot der UE TTE-Analyse nach Endpunkt und Subgruppe - Endpunkt: Zeit bis zum ersten unter der Behandlung aufgetretenen UE (TEAE) das die Cutoff-Kriterien auf MedDRA PT Ebene erfüllt (Monate) - PT: Back pain (10003988) - Subgruppe: Alter (Jahre): <65 (full analysis set)



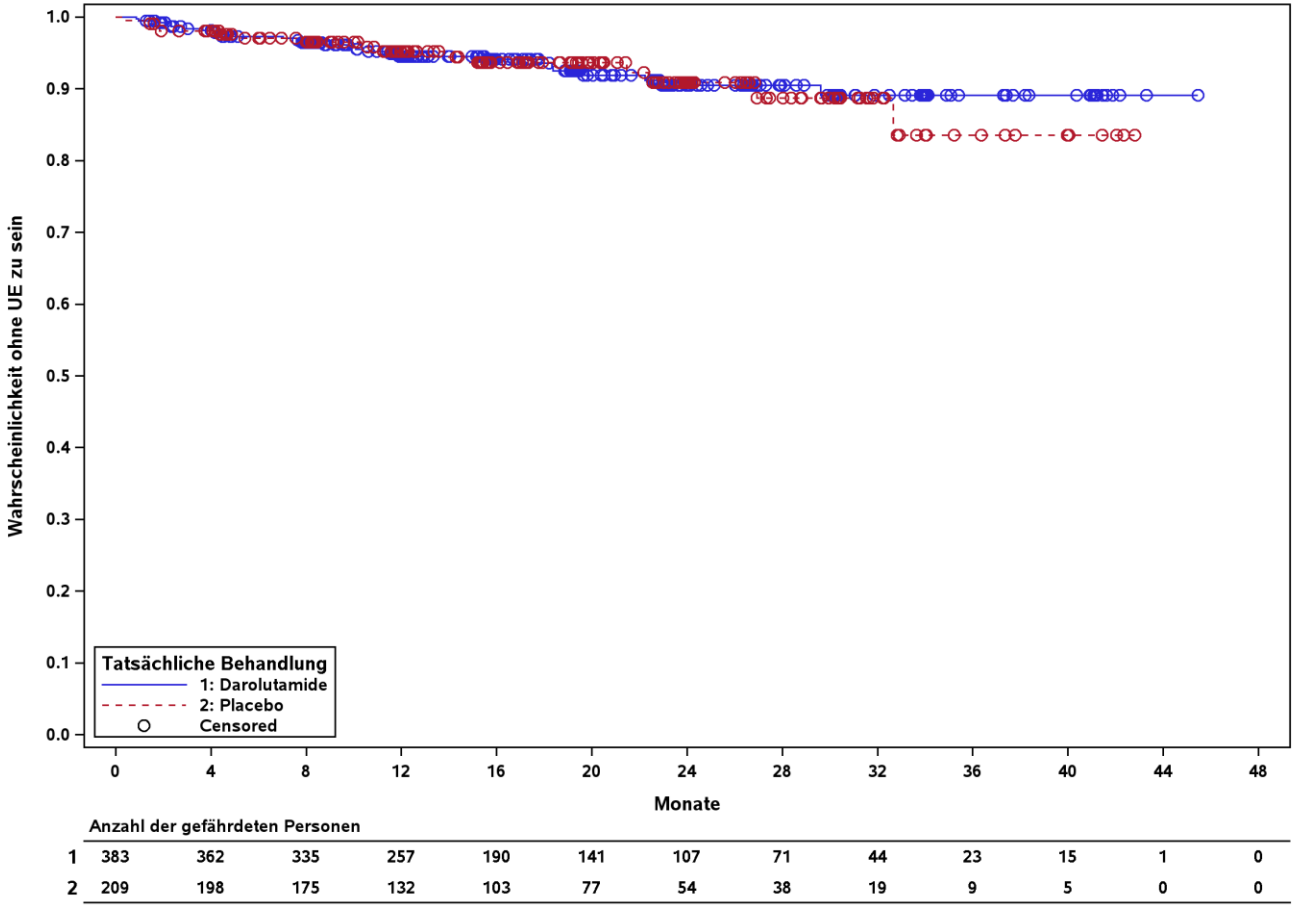
Bayer: /by-sasp/patdb/projects/1841788/17712/stat/prod_query22/pgms/t_aecut_sub.sas 23APR2020 19:27

Figure 4.3.3 / 498: Kaplan-Meier-Plot der UE TTE-Analyse nach Endpunkt und Subgruppe - Endpunkt: Zeit bis zum ersten unter der Behandlung aufgetretenen UE (TEAE) das die Cutoff-Kriterien auf MedDRA PT Ebene erfüllt (Monate) - PT: Back pain (10003988) - Subgruppe: Alter (Jahre): 65-74 (full analysis set)



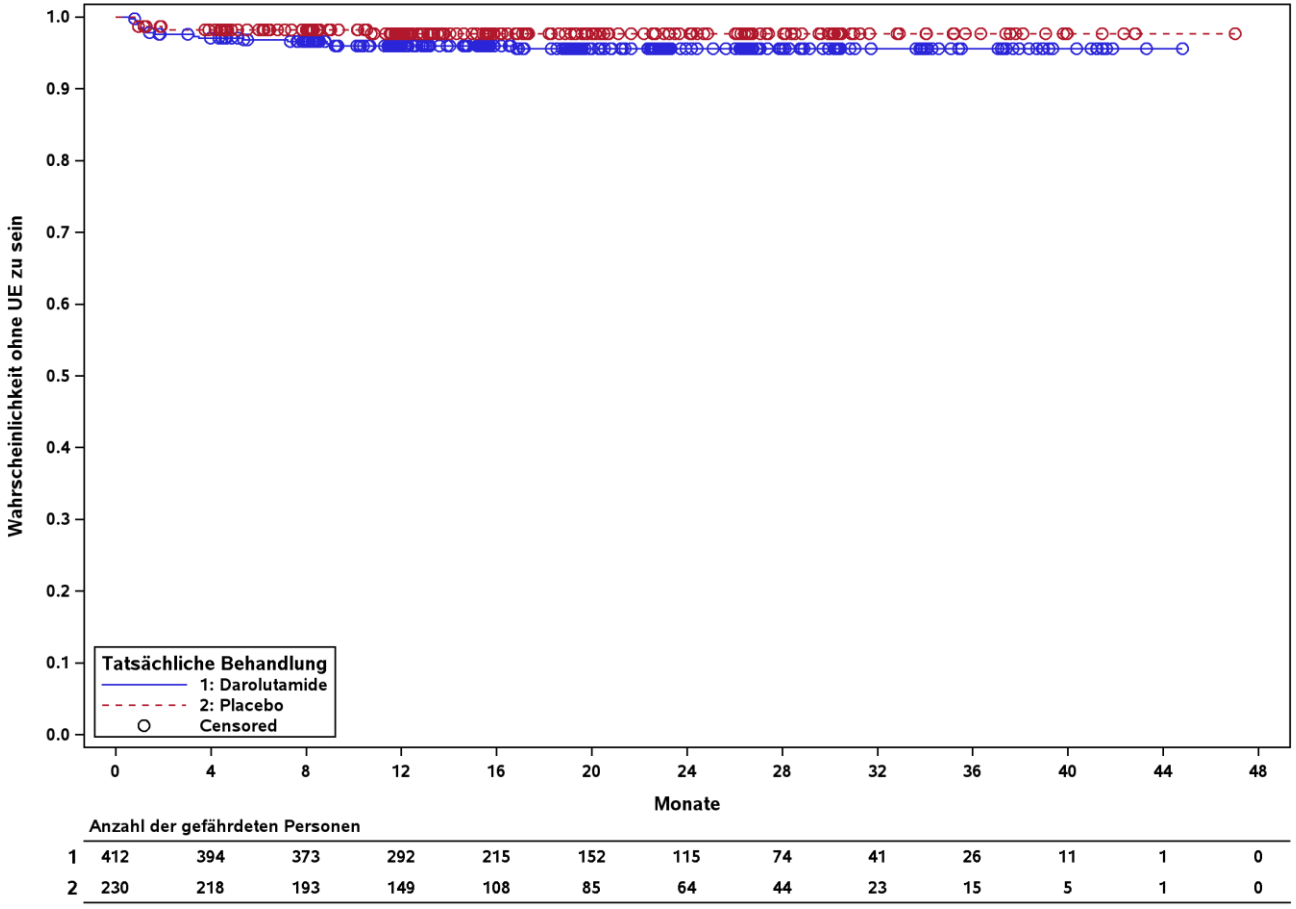
Bayer: /by-sasp/patdb/projects/1841788/17712/stat/prod_query22/pgms/t_aecut_sub.sas 23APR2020 19:27

Figure 4.3.3 / 499: Kaplan-Meier-Plot der UE TTE-Analyse nach Endpunkt und Subgruppe - Endpunkt: Zeit bis zum ersten unter der Behandlung aufgetretenen UE (TEAE) das die Cutoff-Kriterien auf MedDRA PT Ebene erfüllt (Monate) - PT: Back pain (10003988) - Subgruppe: Alter (Jahre): 75-84 (full analysis set)



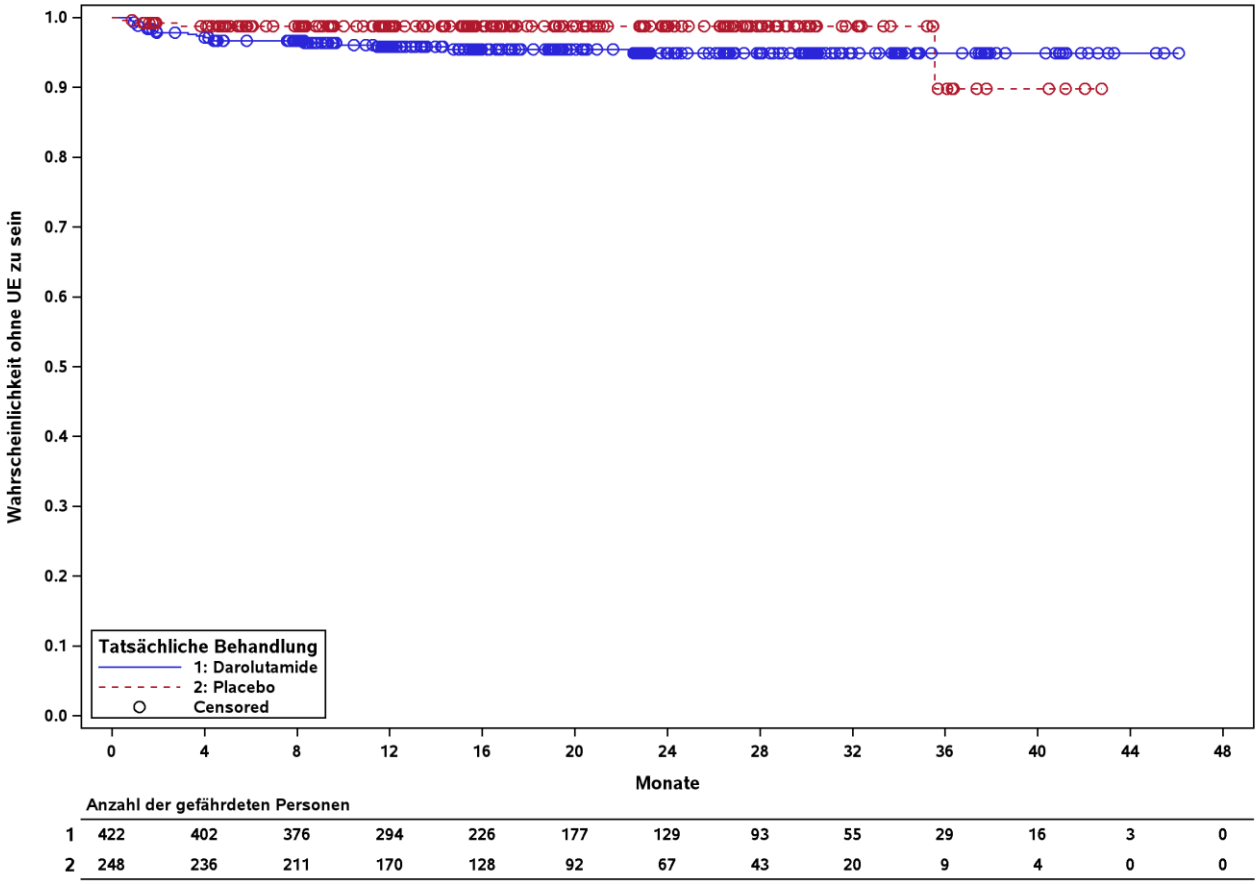
Bayer: /by-sasp/patdb/projects/1841788/17712/stat/prod_query22/pgms/t_aecut_sub.sas 23APR2020 19:27

Figure 4.3.3 / 500: Kaplan-Meier-Plot der UE TTE-Analyse nach Endpunkt und Subgruppe - Endpunkt: Zeit bis zum ersten unter der Behandlung aufgetretenen UE (TEAE) das die Cutoff-Kriterien auf MedDRA PT Ebene erfüllt (Monate) - PT: Headache (10019211) - Subgruppe: eGFR an Baseline: normal (full analysis set)



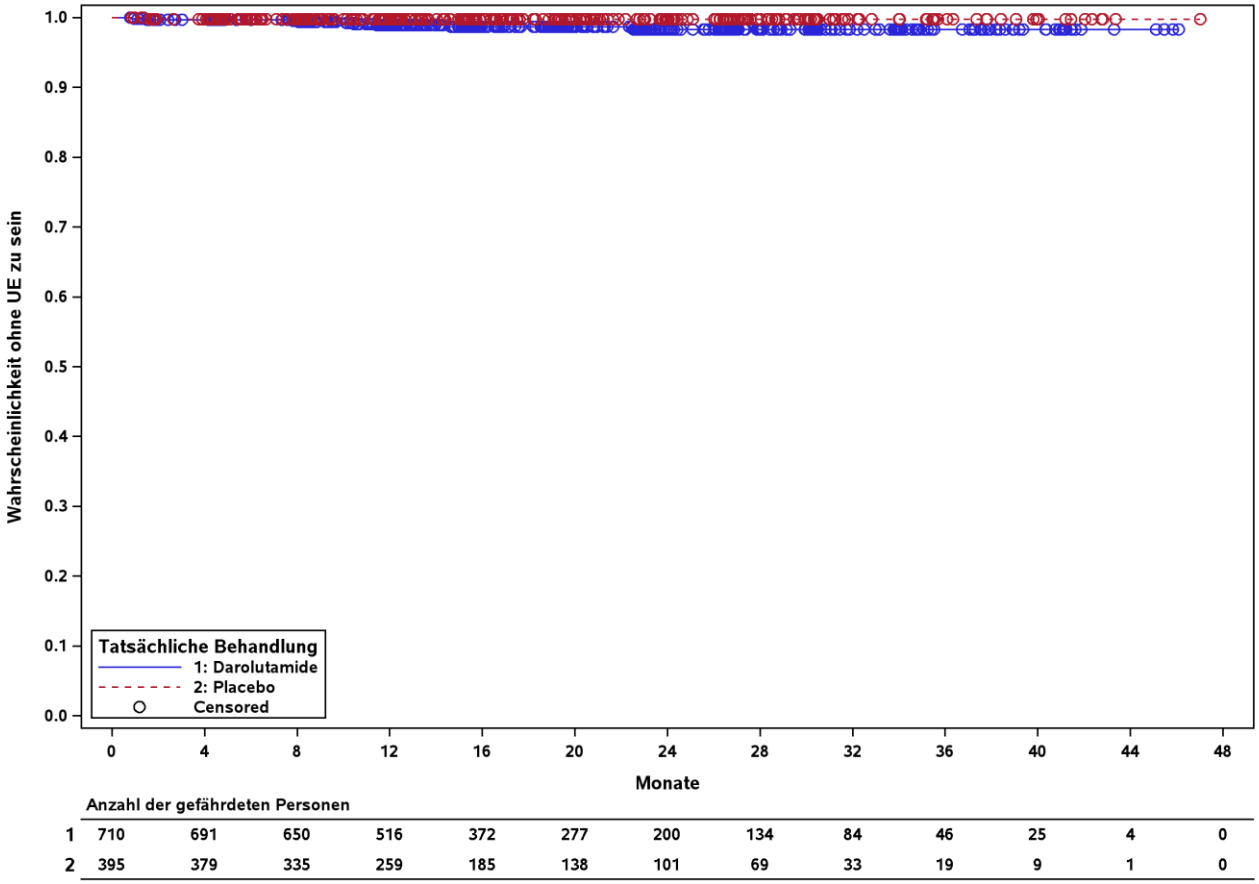
Bayer: /by-sasp/patdb/projects/1841788/17712/stat/prod_query22/pgms/t_aecut_sub.sas 23APR2020 19:27

Figure 4.3.3 / 501: Kaplan-Meier-Plot der UE TTE-Analyse nach Endpunkt und Subgruppe - Endpunkt: Zeit bis zum ersten unter der Behandlung aufgetretenen UE (TEAE) das die Cutoff-Kriterien auf MedDRA PT Ebene erfüllt (Monate) - PT: Headache (10019211) - Subgruppe: eGFR an Baseline: mildly impaired (full analysis set)



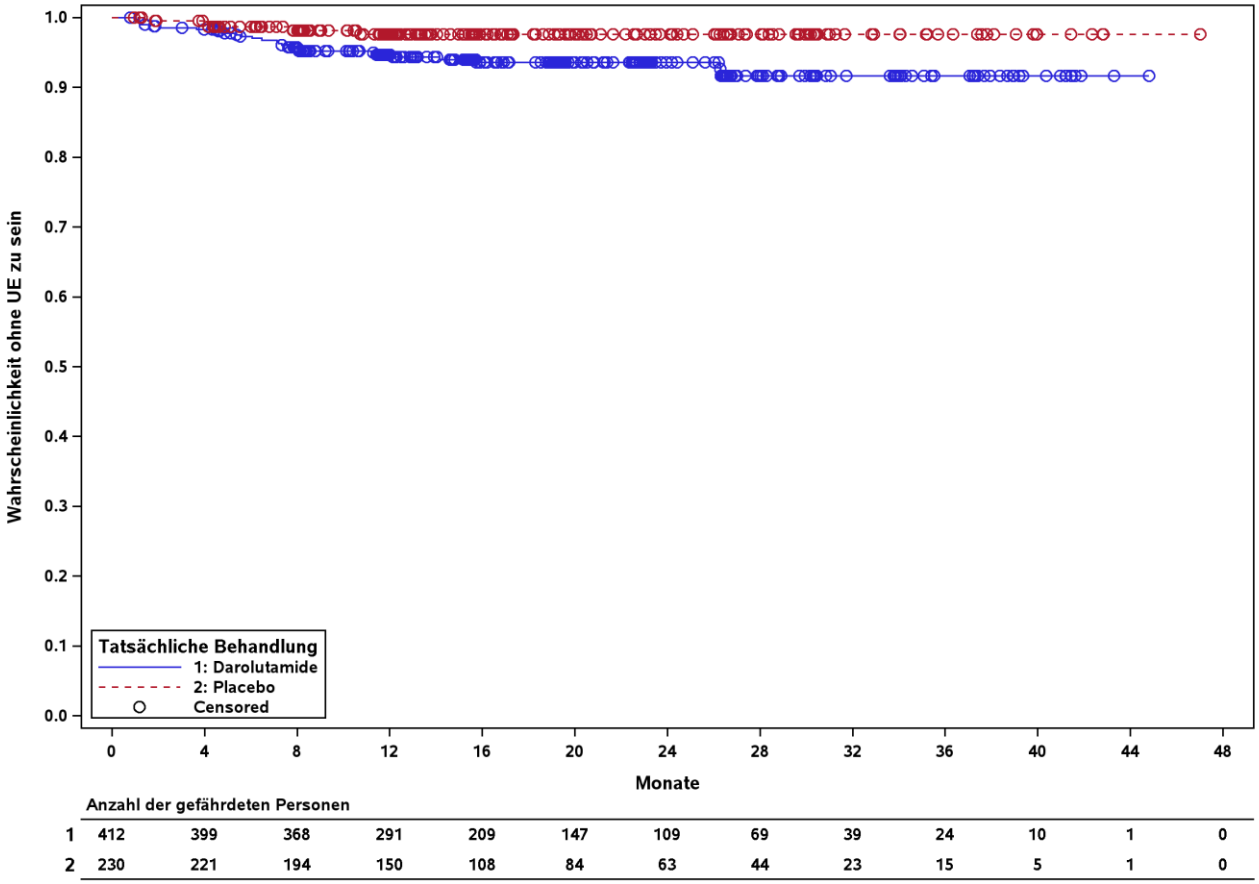
Bayer: /by-sasp/patdb/projects/1841788/17712/stat/prod_query22/pgms/t_aecut_sub.sas 23APR2020 19:27

Figure 4.3.3 / 502: Kaplan-Meier-Plot der UE TTE-Analyse nach Endpunkt und Subgruppe - Endpunkt: Zeit bis zum ersten unter der Behandlung aufgetretenen UE (TEAE) das die Cutoff-Kriterien auf MedDRA PT Ebene erfüllt (Monate) - PT: Influenza like illness (10022004) - Subgruppe: Gleason-Score bei Diagnose: >=7 (full analysis set)



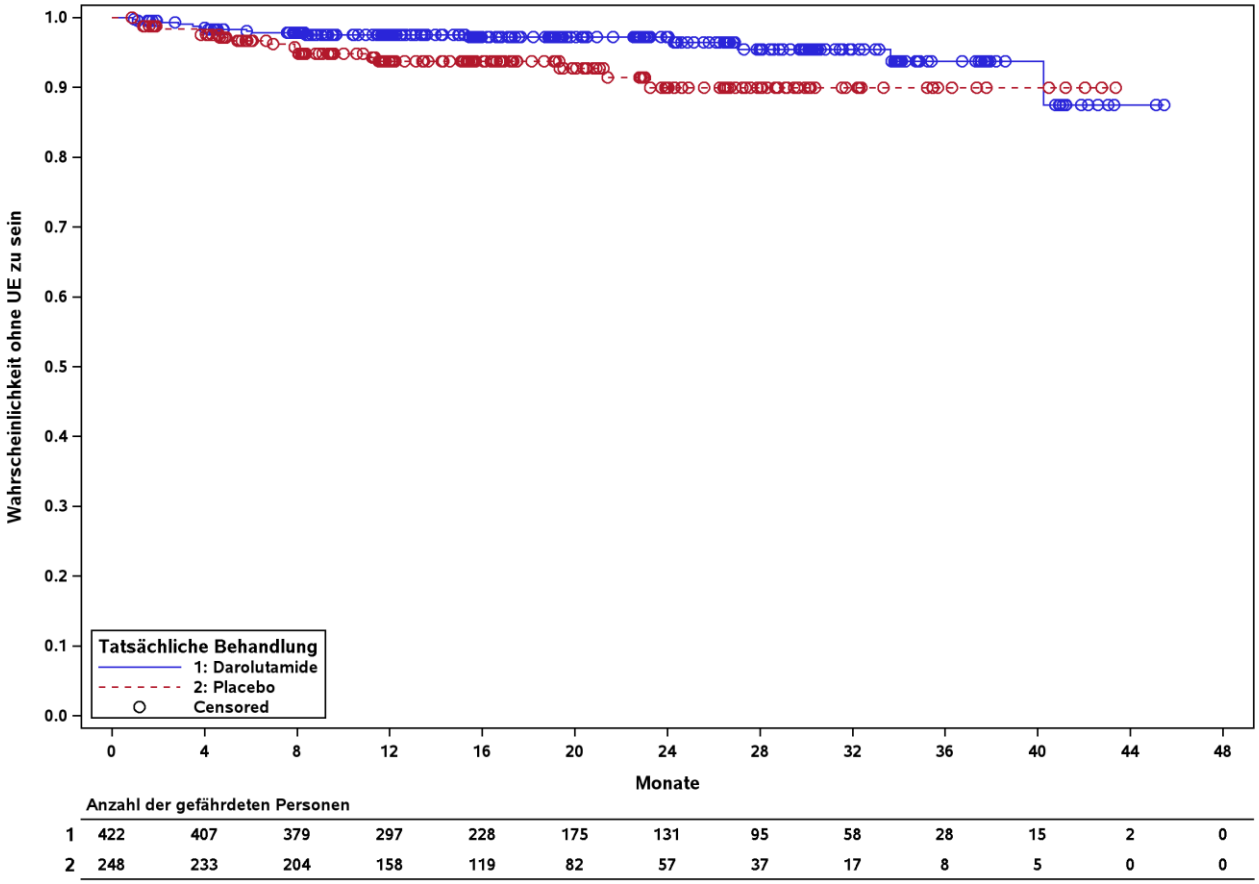
Bayer: /by-sasp/patdb/projects/1841788/17712/stat/prod_query22/pgms/t_aecut_sub.sas 23APR2020 19:27

Figure 4.3.3 / 503: Kaplan-Meier-Plot der UE TTE-Analyse nach Endpunkt und Subgruppe - Endpunkt: Zeit bis zum ersten unter der Behandlung aufgetretenen UE (TEAE) das die Cutoff-Kriterien auf MedDRA PT Ebene erfüllt (Monate) - PT: Urinary tract infection (10046571) - Subgruppe: eGFR an Baseline: normal (full analysis set)



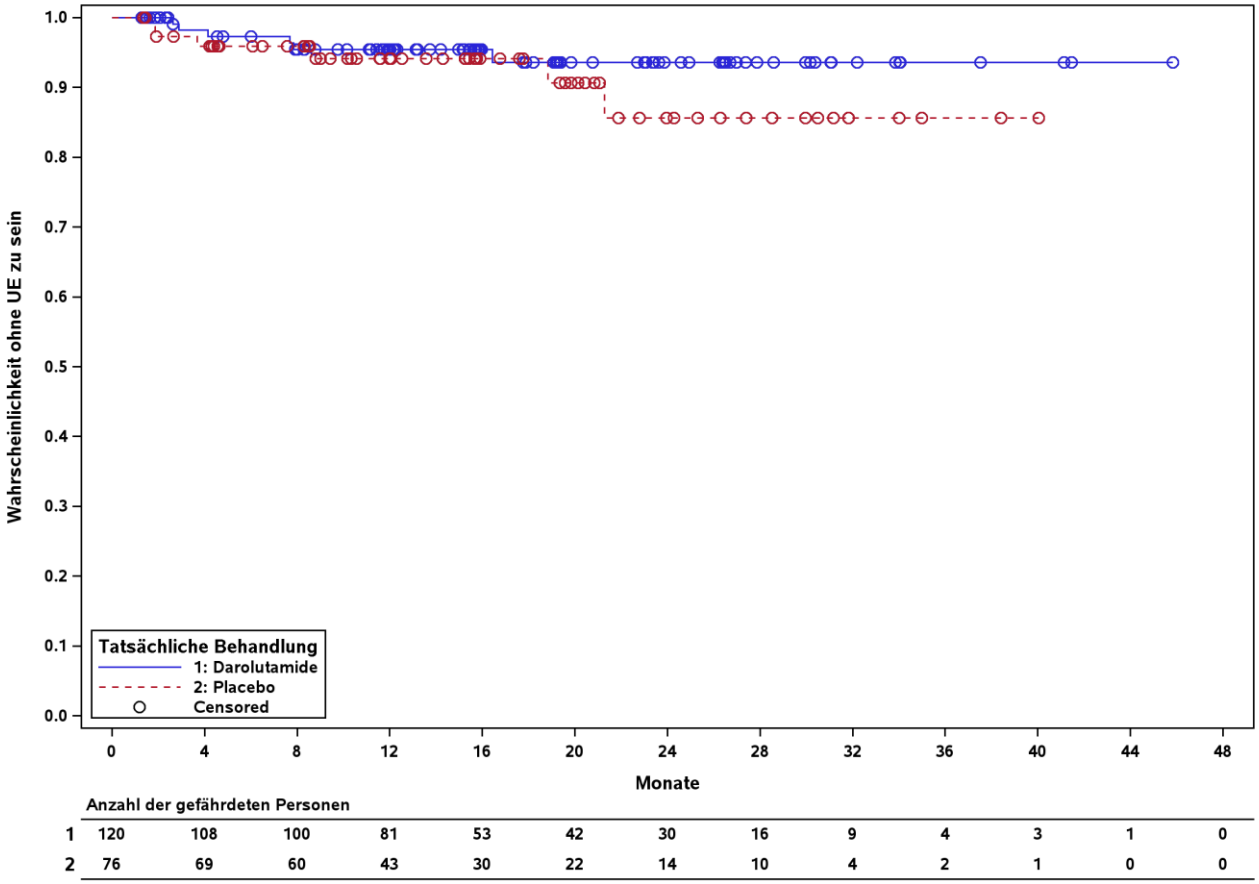
Bayer: /by-sasp/patdb/projects/1841788/17712/stat/prod_query22/pgms/t_aecut_sub.sas 23APR2020 19:27

Figure 4.3.3 / 504: Kaplan-Meier-Plot der UE TTE-Analyse nach Endpunkt und Subgruppe - Endpunkt: Zeit bis zum ersten unter der Behandlung aufgetretenen UE (TEAE) das die Cutoff-Kriterien auf MedDRA PT Ebene erfüllt (Monate) - PT: Urinary tract infection (10046571) - Subgruppe: eGFR an Baseline: mildly impaired (full analysis set)



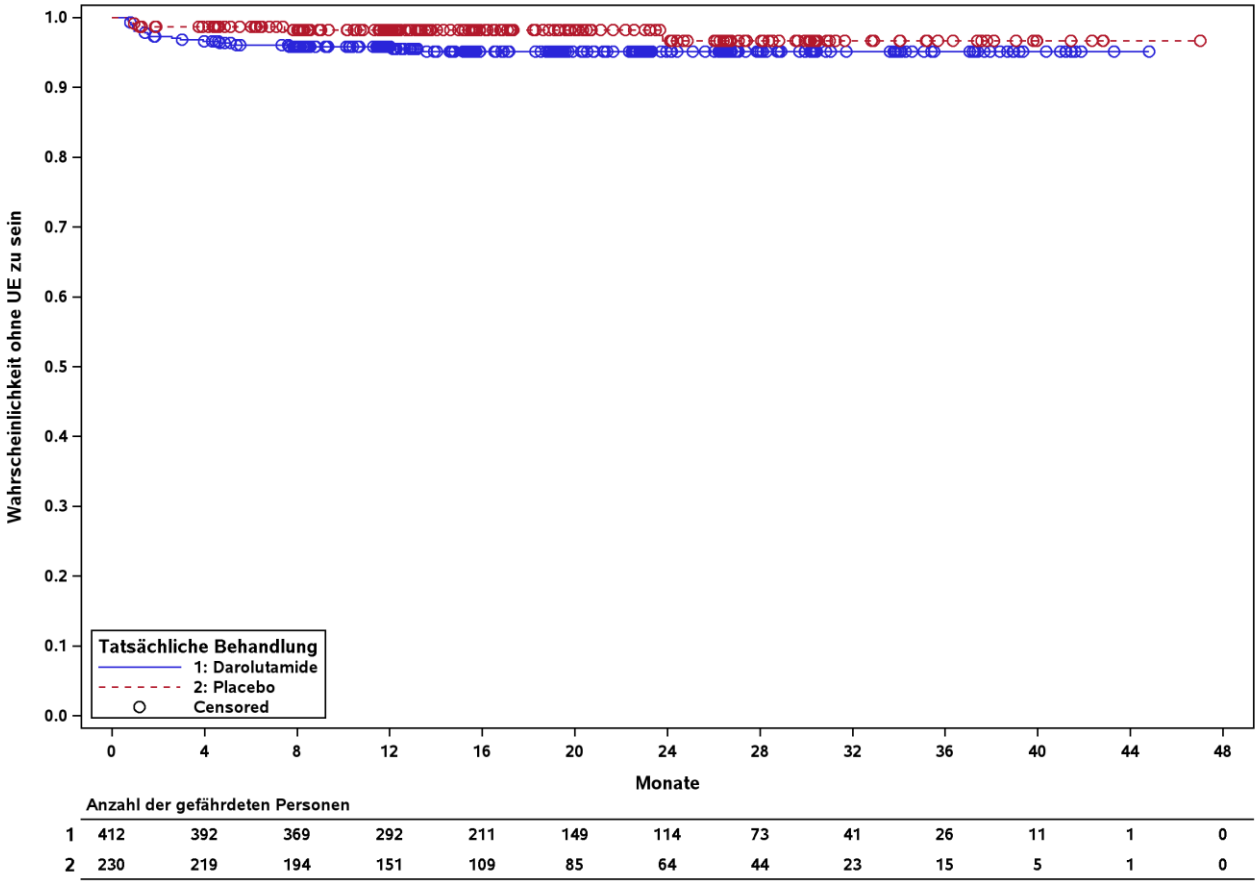
Bayer: /by-sasp/patdb/projects/1841788/17712/stat/prod_query22/pgms/t_aecut_sub.sas 23APR2020 19:27

Figure 4.3.3 / 505: Kaplan-Meier-Plot der UE TTE-Analyse nach Endpunkt und Subgruppe - Endpunkt: Zeit bis zum ersten unter der Behandlung aufgetretenen UE (TEAE) das die Cutoff-Kriterien auf MedDRA PT Ebene erfüllt (Monate) - PT: Urinary tract infection (10046571) - Subgruppe: eGFR an Baseline: moderately impaired, severely impaired and renal end stage (full analysis set)



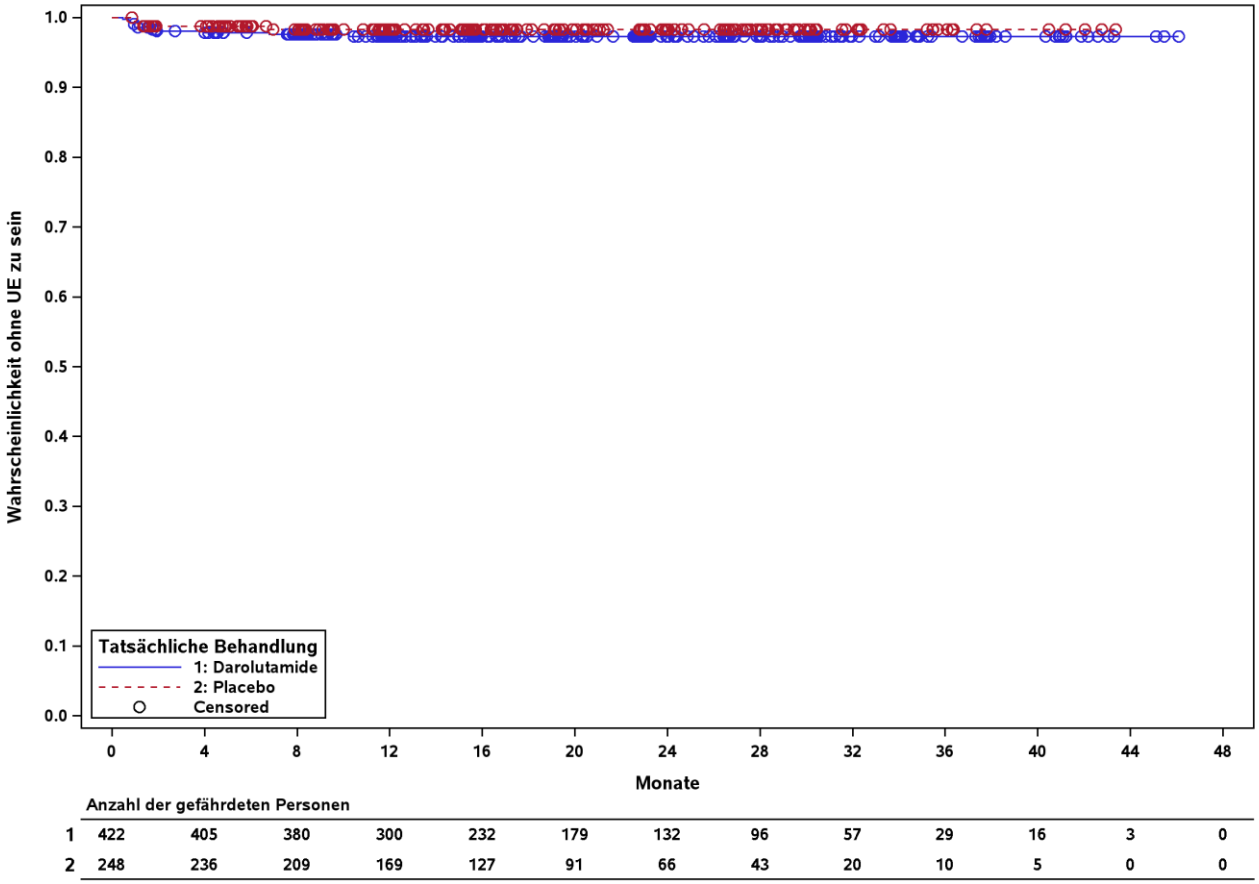
Bayer: /by-sasp/patdb/projects/1841788/17712/stat/prod_query22/pgms/t_aecut_sub.sas 23APR2020 19:27

Figure 4.3.3 / 506: Kaplan-Meier-Plot der UE TTE-Analyse nach Endpunkt und Subgruppe - Endpunkt: Zeit bis zum ersten behandlungsbedingten UE (TRAE) das die Cutoff-Kriterien auf MedDRA SOC Ebene erfüllt (Monate) - SOC: Nervous system disorders (10029205) - Subgruppe: eGFR an Baseline: normal (full analysis set)



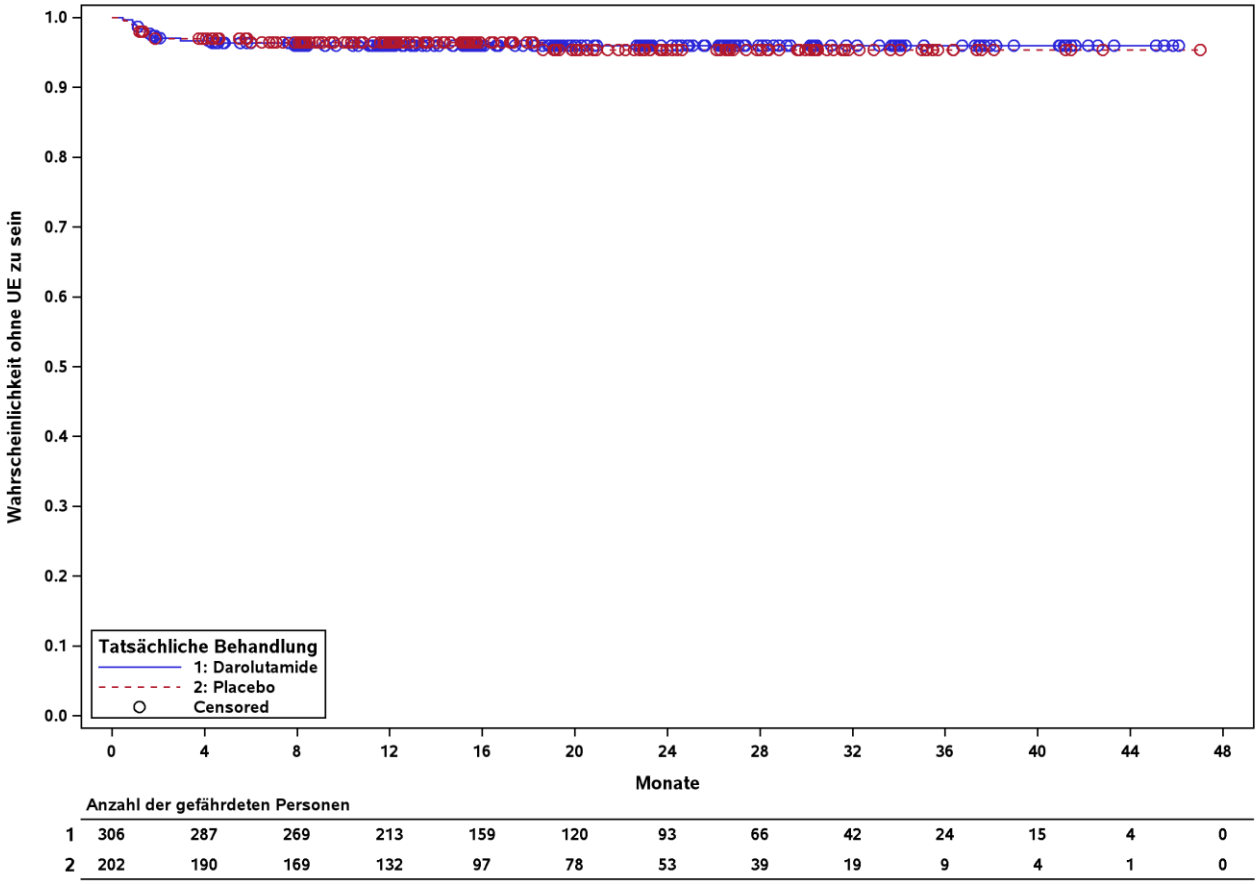
Bayer: /by-sasp/patdb/projects/1841788/17712/stat/prod_query22/pgms/t_aecut_sub.sas 23APR2020 19:27

Figure 4.3.3 / 507: Kaplan-Meier-Plot der UE TTE-Analyse nach Endpunkt und Subgruppe - Endpunkt: Zeit bis zum ersten behandlungsbedingten UE (TRAE) das die Cutoff-Kriterien auf MedDRA SOC Ebene erfüllt (Monate) - SOC: Nervous system disorders (10029205) - Subgruppe: eGFR an Baseline: mildly impaired (full analysis set)



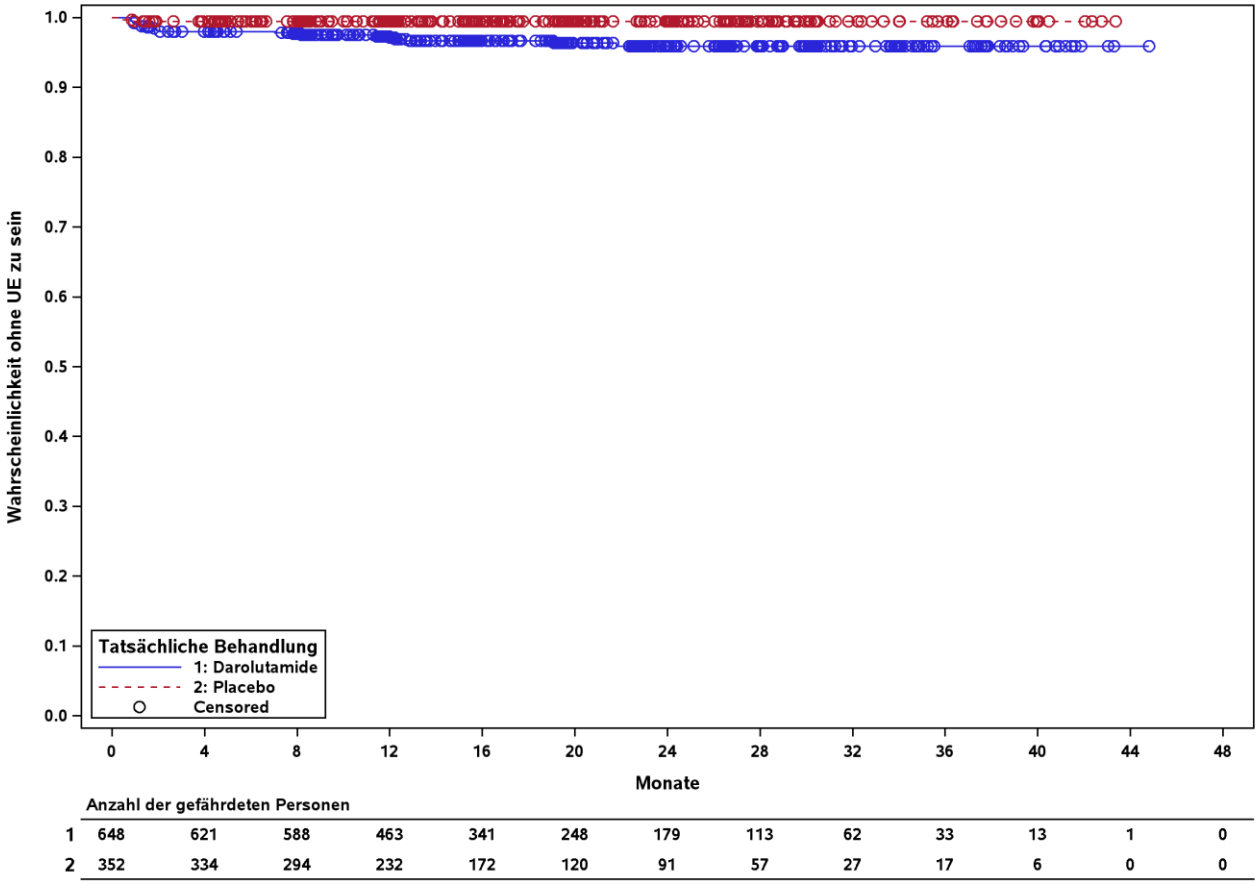
Bayer: /by-sasp/patdb/projects/1841788/17712/stat/prod_query22/pgms/t_aecut_sub.sas 23APR2020 19:27

Figure 4.3.3 / 508: Kaplan-Meier-Plot der UE TTE-Analyse nach Endpunkt und Subgruppe - Endpunkt: Zeit bis zum ersten behandlungsbedingten UE (TRAE) das die Cutoff-Kriterien auf MedDRA SOC Ebene erfüllt (Monate) - SOC: Skin and subcutaneous tissue disorders (10040785) - Subgruppe: Nutzung von Statinen: Ja (full analysis set)



Bayer: /by-sasp/patdb/projects/1841788/17712/stat/prod_query22/pgms/t_aecut_sub.sas 23APR2020 19:27

Figure 4.3.3 / 509: Kaplan-Meier-Plot der UE TTE-Analyse nach Endpunkt und Subgruppe - Endpunkt: Zeit bis zum ersten behandlungsbedingten UE (TRAE) das die Cutoff-Kriterien auf MedDRA SOC Ebene erfüllt (Monate) - SOC: Skin and subcutaneous tissue disorders (10040785) - Subgruppe: Nutzung von Statinen: Nein (full analysis set)

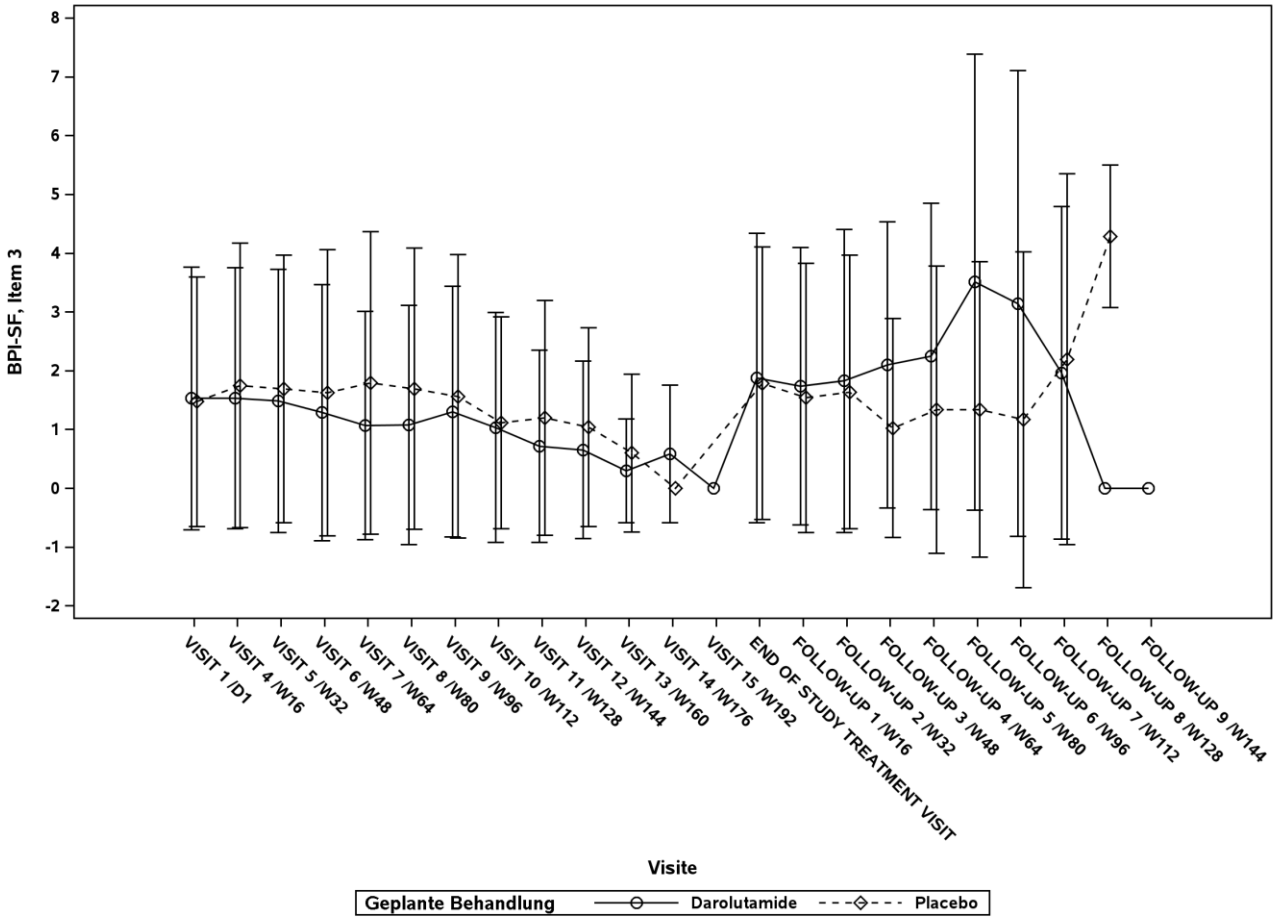


Bayer: /by-sasp/patdb/projects/1841788/17712/stat/prod_query22/pgms/t_aecut_sub.sas 23APR2020 19:27

4.4 Mean-Deviation Plots

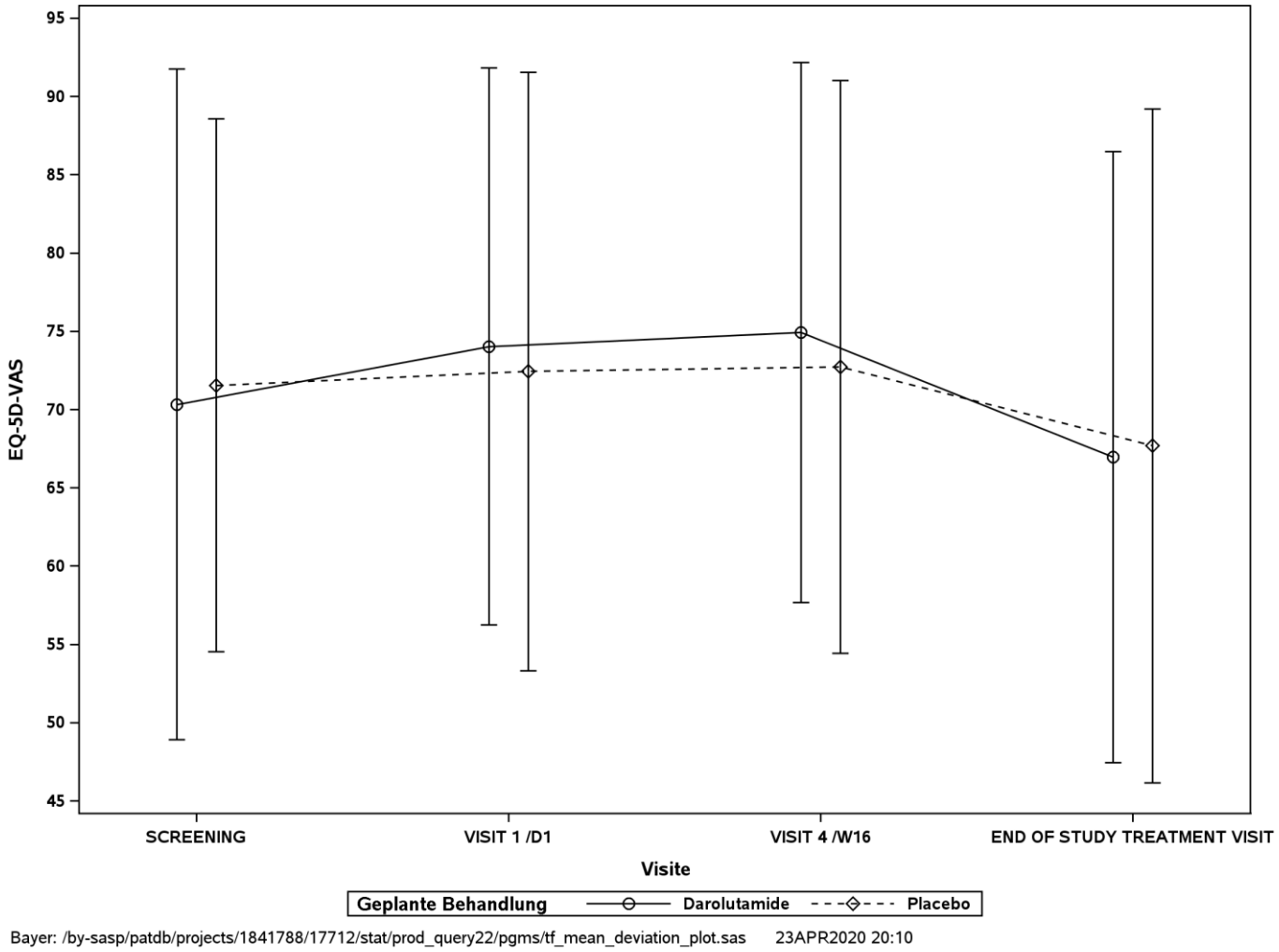
4.4.1 Morbidität

Figure 4.4.1 / 1: Mean-Deviation-Plot des BPI-SF, Item 3 (full analysis set)



Bayer: /by-sasp/patdb/projects/1841788/17712/stat/prod_query22/pgms/tf_mean_deviation_plot.sas 23APR2020 20:10

Figure 4.4.1 / 2: Mean-Deviation-Plot des EQ-5D-VAS (full analysis set)



4.4.2 Gesundheitsbezogene Lebensqualität

Figure 4.4.2 / 1: Mean-Deviation-Plot der gesundheitsbezogenen Lebensqualität über Zeit nach Endpunkt - Endpunkt: FACT-P Prostate Cancer Sub Score (full analysis set)

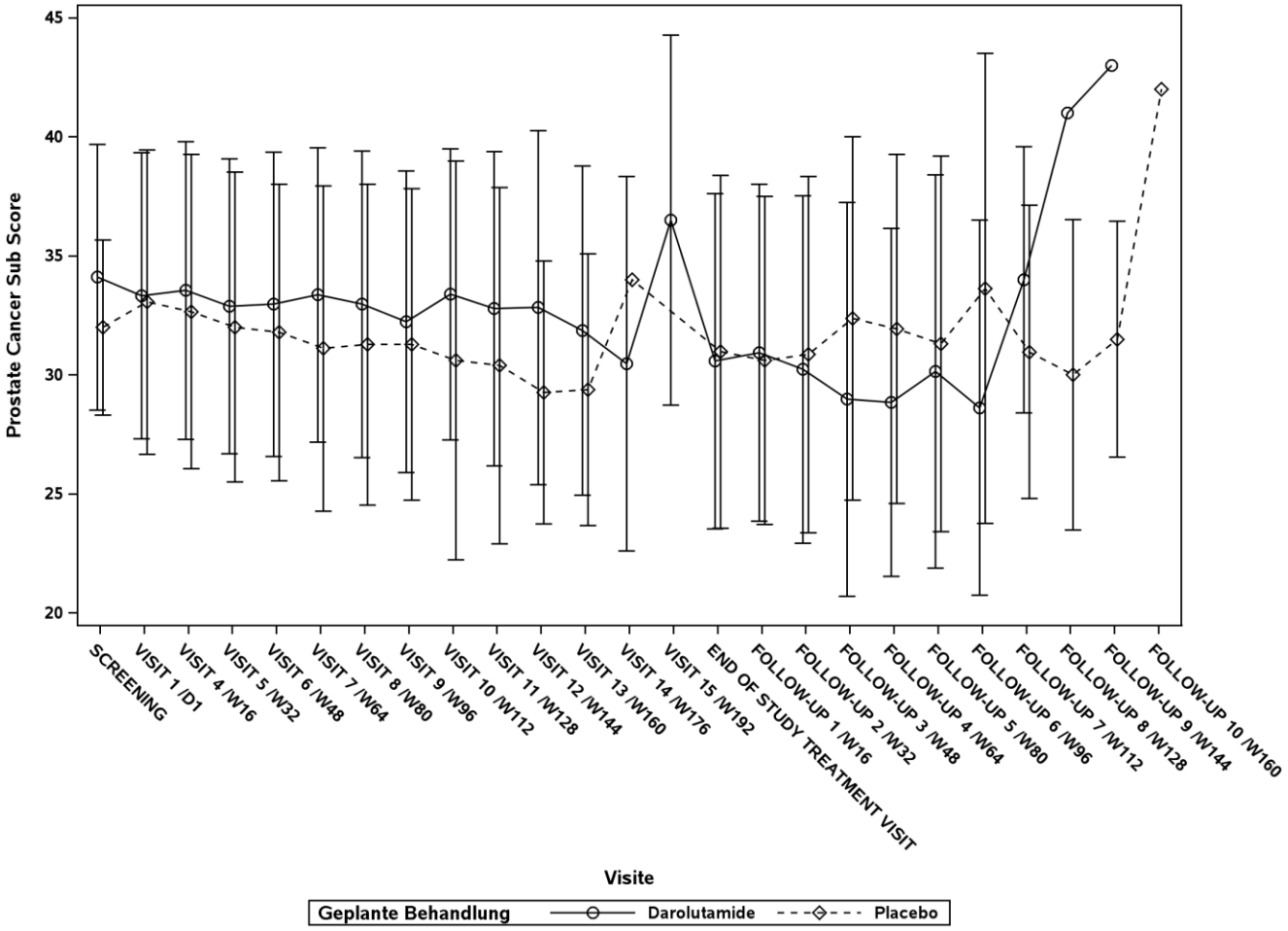


Figure 4.4.2 / 2: Mean-Deviation-Plot der gesundheitsbezogenen Lebensqualität über Zeit nach Endpunkt - Endpunkt: EORTC-QLQ-PR25 Bowel Symptoms Score (full analysis set)

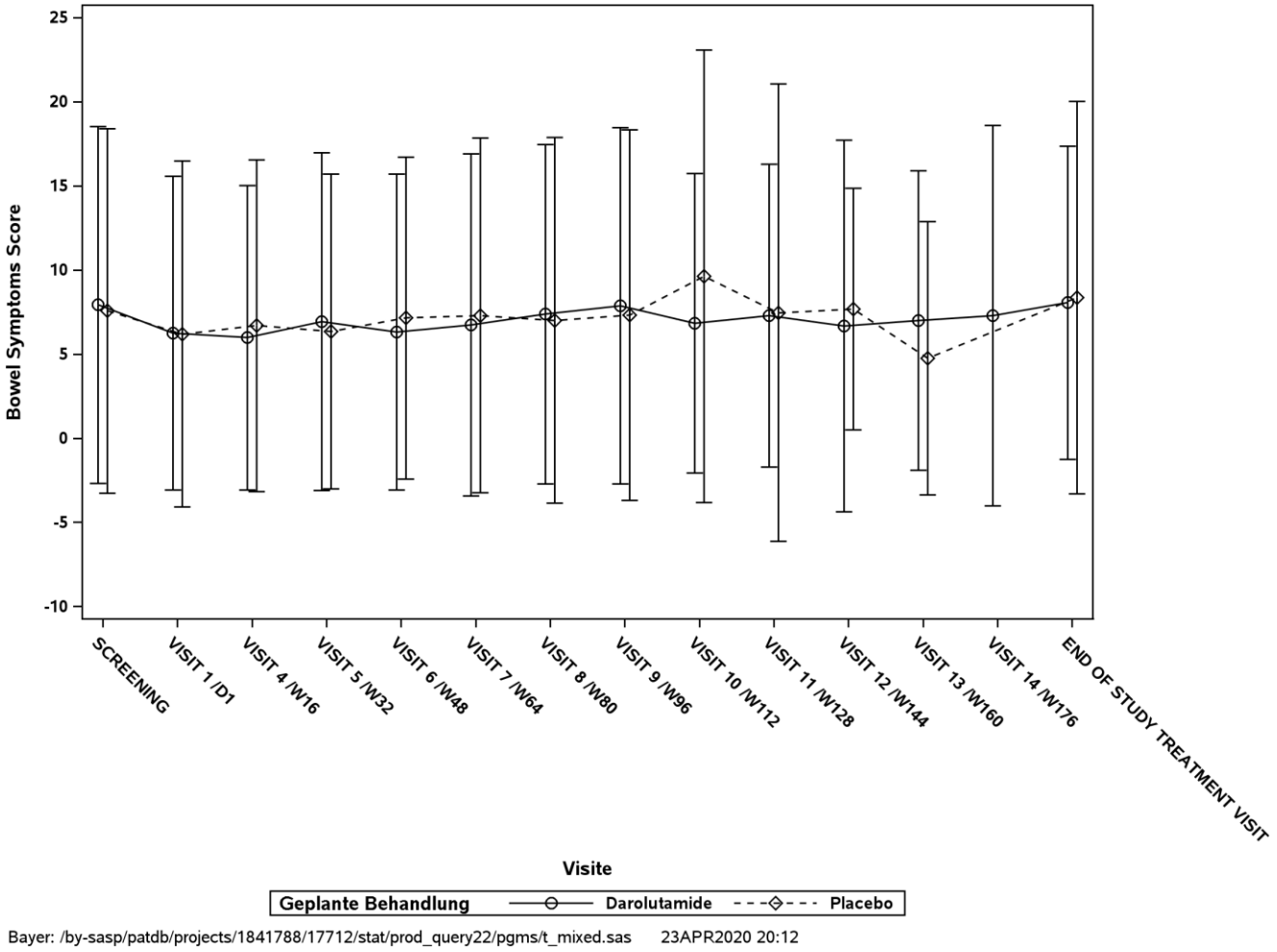


Figure 4.4.2 / 3: Mean-Deviation-Plot der gesundheitsbezogenen Lebensqualität über Zeit nach Endpunkt - Endpunkt: EORTC-QLQ-PR25 Hormonal Incontinence Aid Score (full analysis set)

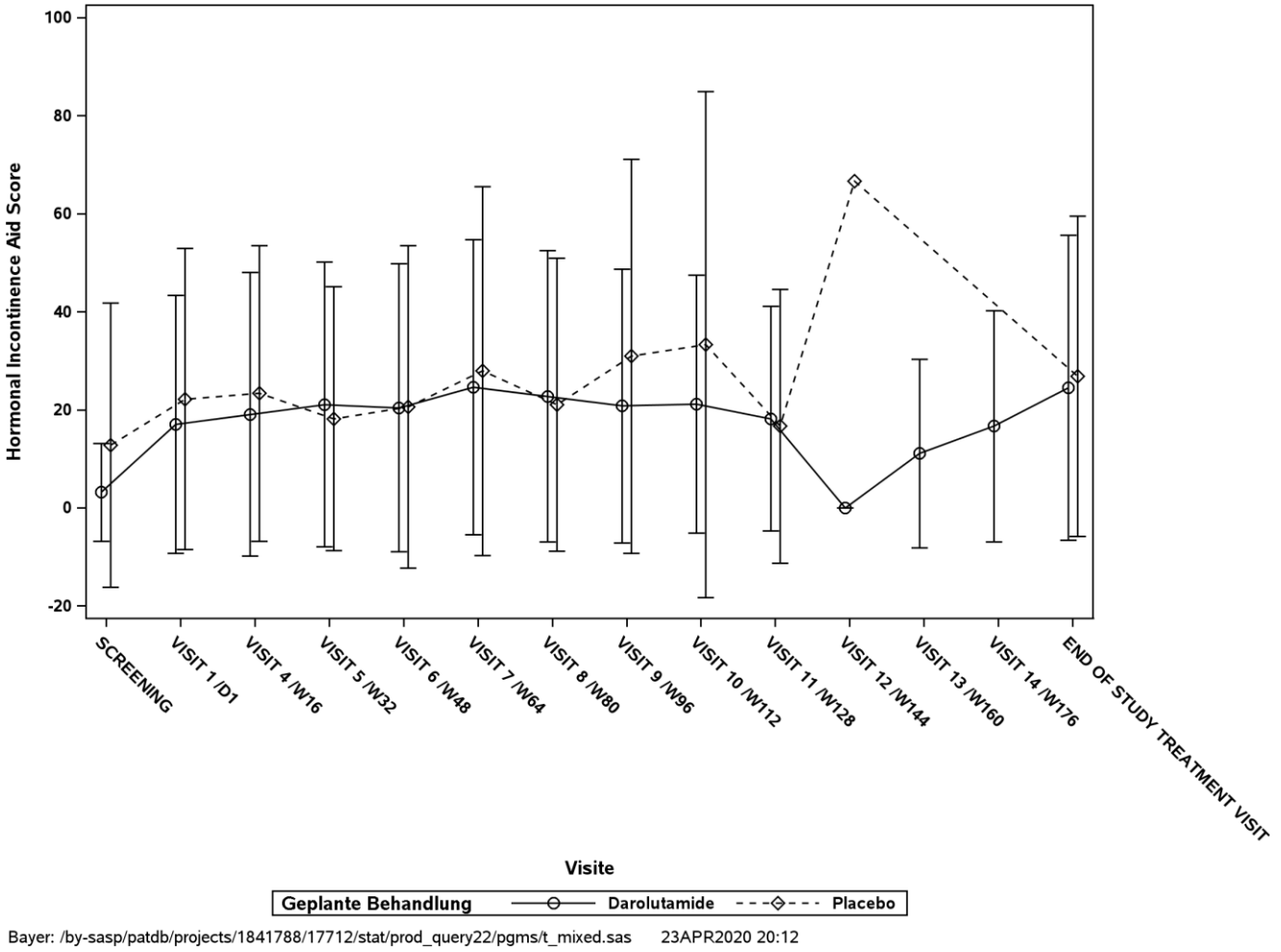


Figure 4.4.2 / 4: Mean-Deviation-Plot der gesundheitsbezogenen Lebensqualität über Zeit nach Endpunkt - Endpunkt: EORTC-QLQ-PR25 Hormonal Treatment-related Symptoms Score (full analysis set)

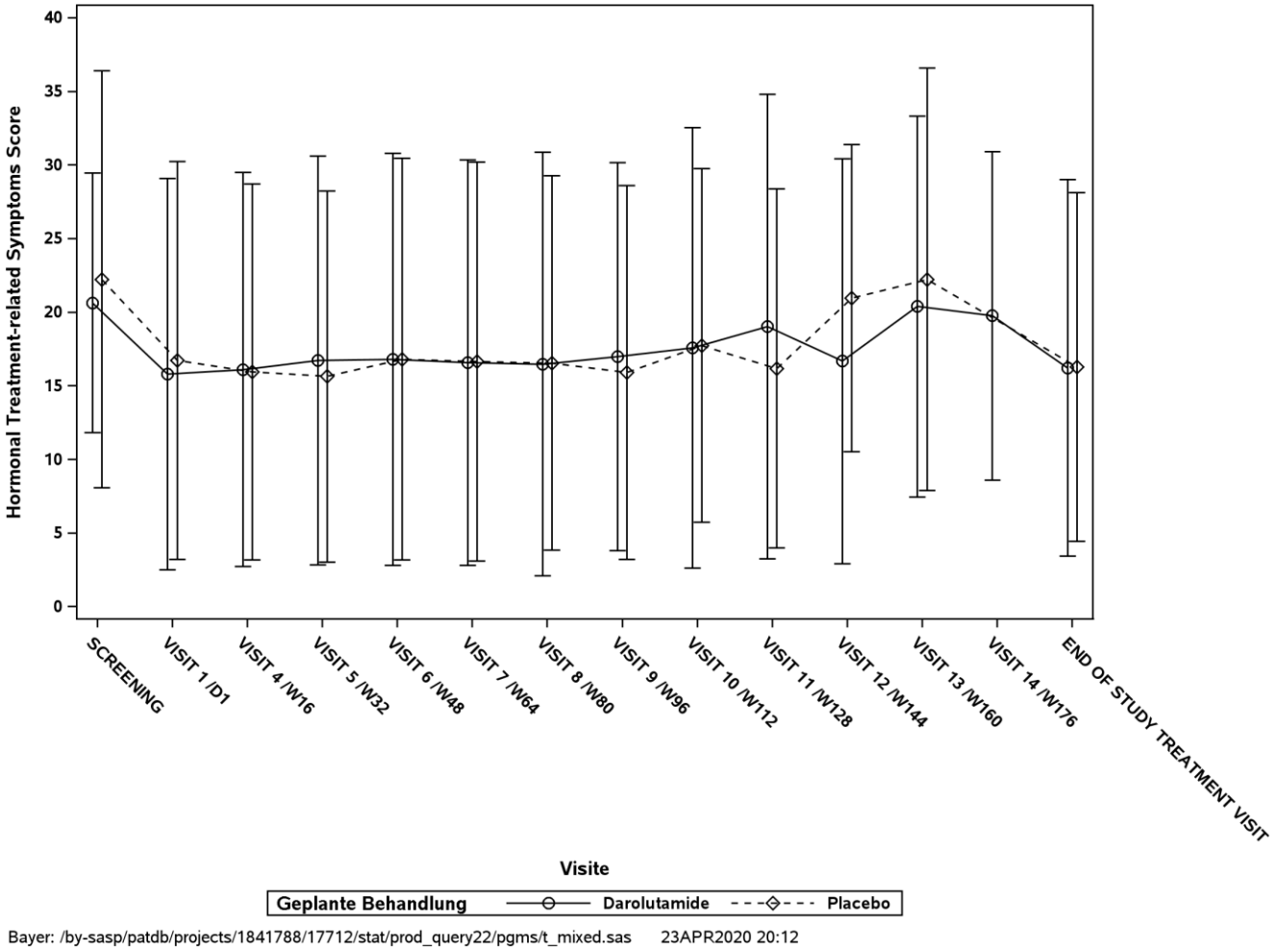


Figure 4.4.2 / 5: Mean-Deviation-Plot der gesundheitsbezogenen Lebensqualität über Zeit nach Endpunkt - Endpunkt: EORTC-QLQ-PR25 Sexual Activity Score (full analysis set)

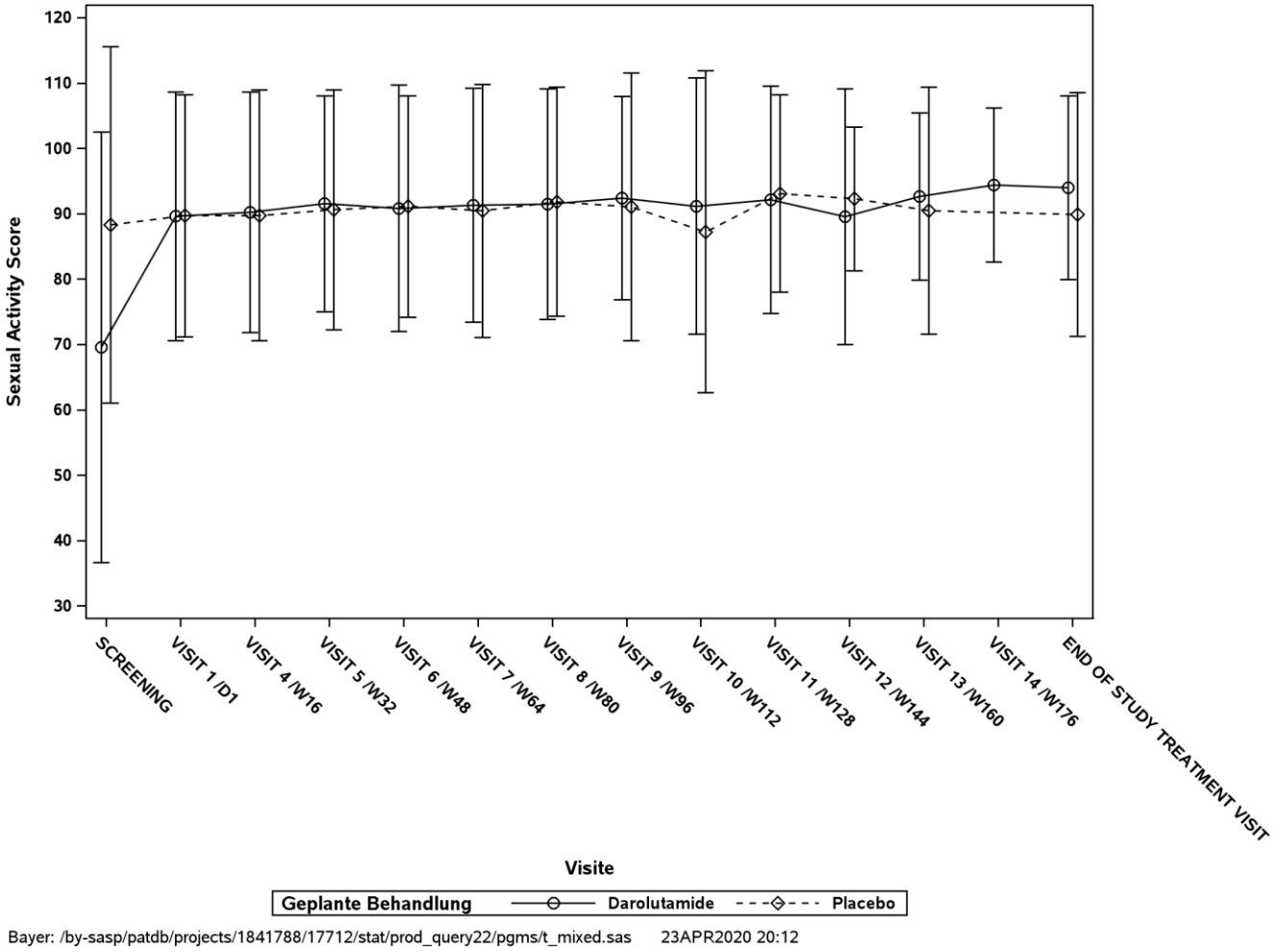


Figure 4.4.2 / 6: Mean-Deviation-Plot der gesundheitsbezogenen Lebensqualität über Zeit nach Endpunkt - Endpunkt: EORTC-QLQ-PR25 Sexual Functioning Score (full analysis set)

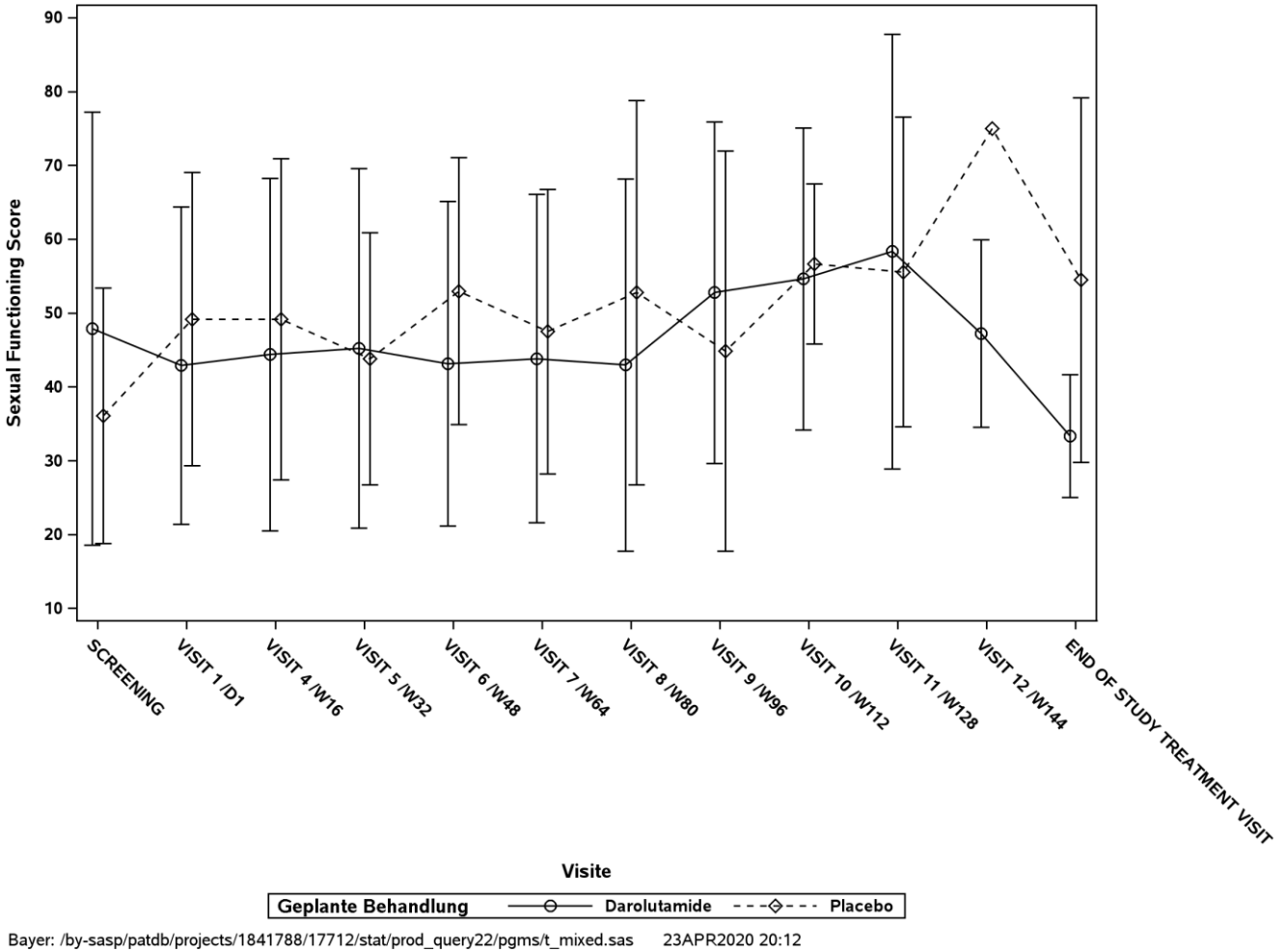
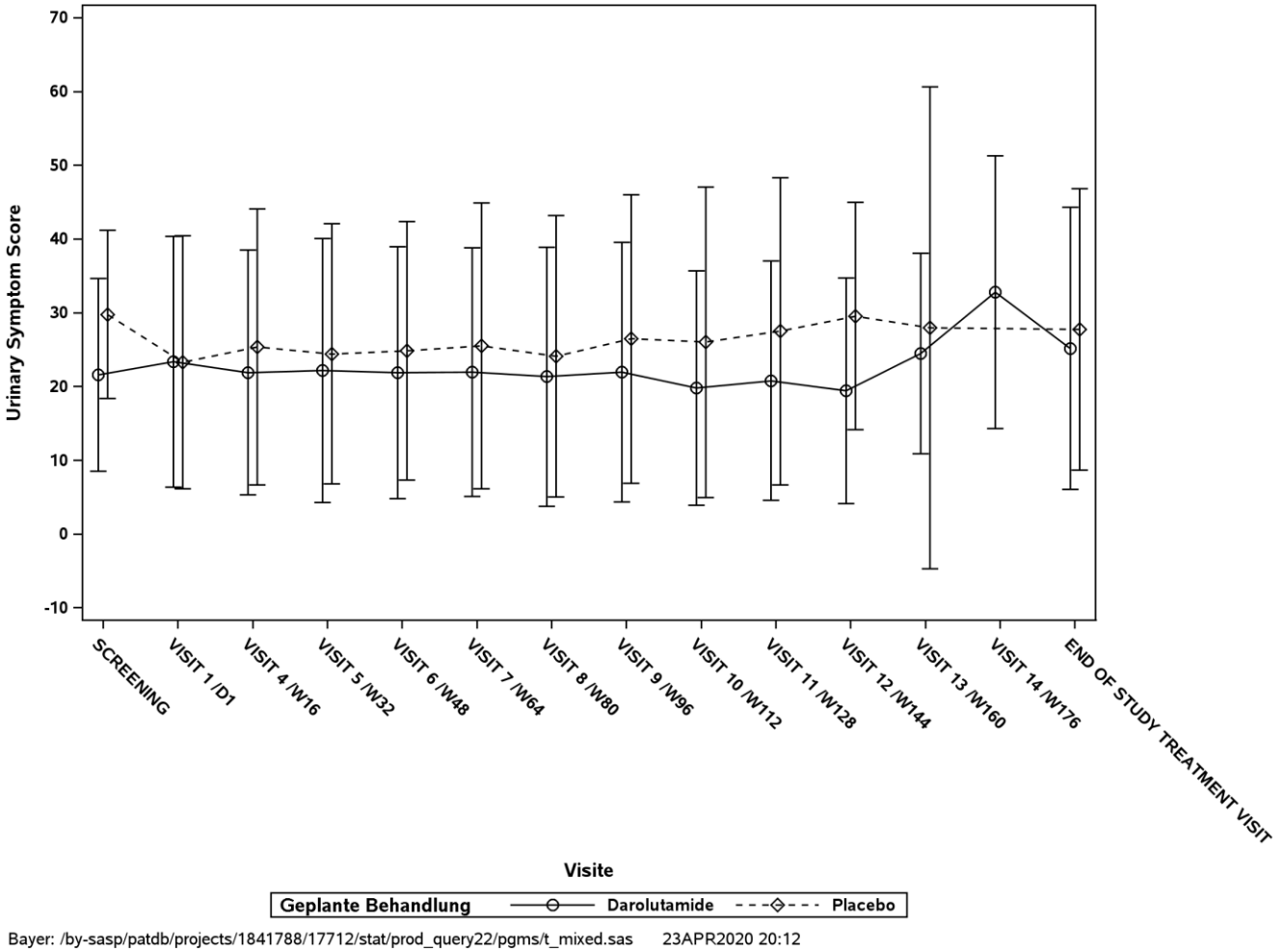


Figure 4.4.2 / 7: Mean-Deviation-Plot der gesundheitsbezogenen Lebensqualität über Zeit nach Endpunkt - Endpunkt: EORTC-QLQ-PR25 Urinary Symptom Score (full analysis set)



Bayer: /by-sasp/patdb/projects/1841788/17712/stat/prod_query22/pgms/t_mixed.sas 23APR2020 20:12